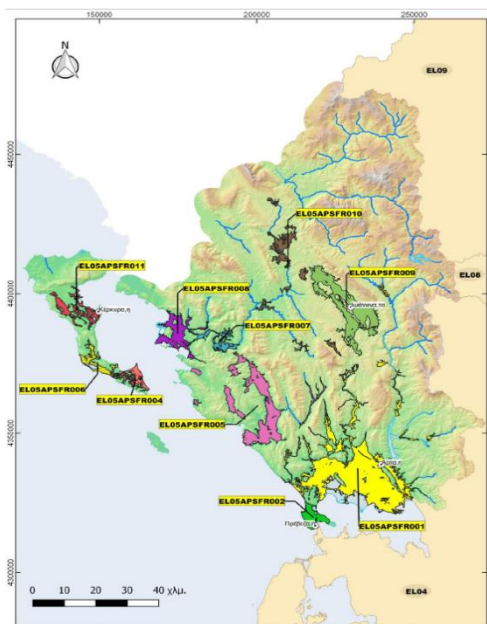




ΕΛΛΗΝΙΚΗ ΔΗΜΟΚΡΑΤΙΑ



ΓΕΝΙΚΗ ΓΡΑΜΜΑΤΕΙΑ ΦΥΣΙΚΟΥ ΠΕΡΙΒΑΛΛΟΝΤΟΣ ΚΑΙ ΥΔΑΤΩΝ ΓΕΝΙΚΗ ΔΙΕΥΘΥΝΣΗ ΥΔΑΤΩΝ



1^η ΑΝΑΘΕΩΡΗΣΗ ΣΧΕΔΙΟΥ ΔΙΑΧΕΙΡΙΣΗΣ ΚΙΝΔΥΝΩΝ ΠΛΗΜΜΥΡΑΣ των Λεκανών Απορροής Ποταμών του Υδατικού Διαμερίσματος Ηπείρου (EL05)

Στάδιο 1 – Παραδοτέο 4

ΠΛΗΜΜΥΡΙΚΑ ΥΔΡΟΓΡΑΦΗΜΑΤΑ

Παράρτημα Π5.6:
Υδρολογική Ανάλυση λεκάνης ποταμού Αράχθου



Με τη συγχρηματοδότηση της Ελλάδας και της Ευρωπαϊκής Ένωσης

Περιεχόμενα

<u>1 ΜΟΝΤΕΛΟ ΥΔΡΟΛΟΓΙΚΗΣ ΠΡΟΣΟΜΟΙΩΣΗΣ ΛΕΚΑΝΗΣ ΑΠΟΡΡΟΗΣ</u>	<u>4</u>
<u>2 ΔΕΔΟΜΕΝΑ ΕΙΣΟΔΟΥ ΚΑΙ ΑΠΟΤΕΛΕΣΜΑΤΑ ΥΔΡΟΛΟΓΙΚΟΥ ΣΕΝΑΡΙΟΥ T=50</u>	<u>10</u>
2.1 Αποτελέσματα, υετογραφήματα και υδρογραφήματα σχεδιασμού υπολεκανών	11
2.2 Δεδομένα και υδρογραφήματα σχεδιασμού Κλάδων υδρογραφικού δικτύου	77
2.3 Δεδομένα και υδρογραφήματα σχεδιασμού Κόμβων υδρογραφικού δικτύου	107
<u>3 ΔΕΔΟΜΕΝΑ ΕΙΣΟΔΟΥ ΚΑΙ ΑΠΟΤΕΛΕΣΜΑΤΑ ΥΔΡΟΛΟΓΙΚΟΥ ΣΕΝΑΡΙΟΥ T=50 L</u>	<u>138</u>
3.1 Αποτελέσματα, υετογραφήματα και υδρογραφήματα σχεδιασμού υπολεκανών	139
3.2 Δεδομένα και υδρογραφήματα σχεδιασμού Κλάδων υδρογραφικού δικτύου	205
3.3 Δεδομένα και υδρογραφήματα σχεδιασμού Κόμβων υδρογραφικού δικτύου	235
<u>4 ΔΕΔΟΜΕΝΑ ΕΙΣΟΔΟΥ ΚΑΙ ΑΠΟΤΕΛΕΣΜΑΤΑ ΥΔΡΟΛΟΓΙΚΟΥ ΣΕΝΑΡΙΟΥ T=50 U</u>	<u>266</u>
4.1 Αποτελέσματα, υετογραφήματα και υδρογραφήματα σχεδιασμού υπολεκανών	267
4.2 Δεδομένα και υδρογραφήματα σχεδιασμού Κλάδων υδρογραφικού δικτύου	333
4.3 Δεδομένα και υδρογραφήματα σχεδιασμού Κόμβων υδρογραφικού δικτύου	363
<u>5 ΔΕΔΟΜΕΝΑ ΕΙΣΟΔΟΥ ΚΑΙ ΑΠΟΤΕΛΕΣΜΑΤΑ ΥΔΡΟΛΟΓΙΚΟΥ ΣΕΝΑΡΙΟΥ T=100</u>	<u>394</u>
5.1 Αποτελέσματα, υετογραφήματα και υδρογραφήματα σχεδιασμού υπολεκανών	395
5.2 Δεδομένα και υδρογραφήματα σχεδιασμού Κλάδων υδρογραφικού δικτύου	461
5.3 Δεδομένα και υδρογραφήματα σχεδιασμού Κόμβων υδρογραφικού δικτύου	491
<u>6 ΔΕΔΟΜΕΝΑ ΕΙΣΟΔΟΥ ΚΑΙ ΑΠΟΤΕΛΕΣΜΑΤΑ ΥΔΡΟΛΟΓΙΚΟΥ ΣΕΝΑΡΙΟΥ T=100 L</u>	<u>522</u>
6.1 Αποτελέσματα, υετογραφήματα και υδρογραφήματα σχεδιασμού υπολεκανών	523
6.2 Δεδομένα και υδρογραφήματα σχεδιασμού Κλάδων υδρογραφικού δικτύου	589
<u>7 ΔΕΔΟΜΕΝΑ ΕΙΣΟΔΟΥ ΚΑΙ ΑΠΟΤΕΛΕΣΜΑΤΑ ΥΔΡΟΛΟΓΙΚΟΥ ΣΕΝΑΡΙΟΥ T=100 U</u>	<u>650</u>
7.1 Αποτελέσματα, υετογραφήματα και υδρογραφήματα σχεδιασμού υπολεκανών	651
7.2 Δεδομένα και υδρογραφήματα σχεδιασμού Κλάδων υδρογραφικού δικτύου	717
7.3 Δεδομένα και υδρογραφήματα σχεδιασμού Κόμβων υδρογραφικού δικτύου	747
<u>8 ΔΕΔΟΜΕΝΑ ΕΙΣΟΔΟΥ ΚΑΙ ΑΠΟΤΕΛΕΣΜΑΤΑ ΥΔΡΟΛΟΓΙΚΟΥ ΣΕΝΑΡΙΟΥ T=1000</u>	<u>778</u>
8.1 Αποτελέσματα, υετογραφήματα και υδρογραφήματα σχεδιασμού υπολεκανών	779
8.2 Δεδομένα και υδρογραφήματα σχεδιασμού Κλάδων υδρογραφικού δικτύου	845
8.3 Δεδομένα και υδρογραφήματα σχεδιασμού Κόμβων υδρογραφικού δικτύου	875

9 ΔΕΔΟΜΕΝΑ ΕΙΣΟΔΟΥ ΚΑΙ ΑΠΟΤΕΛΕΣΜΑΤΑ ΥΔΡΟΛΟΓΙΚΟΥ ΣΕΝΑΡΙΟΥ T=1000L906

9.1	Αποτελέσματα, υετογραφήματα και υδρογραφήματα σχεδιασμού υπολεκανών	907
9.2	Δεδομένα και υδρογραφήματα σχεδιασμού Κλάδων υδρογραφικού δικτύου	973
9.3	Δεδομένα και υδρογραφήματα σχεδιασμού Κόμβων υδρογραφικού δικτύου	1003

10 ΔΕΔΟΜΕΝΑ ΕΙΣΟΔΟΥ ΚΑΙ ΑΠΟΤΕΛΕΣΜΑΤΑ ΥΔΡΟΛΟΓΙΚΟΥ ΣΕΝΑΡΙΟΥ T=1000U1034

10.1	Αποτελέσματα, υετογραφήματα και υδρογραφήματα σχεδιασμού υπολεκανών	1035
10.2	Δεδομένα και υδρογραφήματα σχεδιασμού Κλάδων υδρογραφικού δικτύου	1101
10.3	Δεδομένα και υδρογραφήματα σχεδιασμού Κόμβων υδρογραφικού δικτύου	1131

1 Μοντέλο Υδρολογικής Προσομοίωσης Λεκάνης Απορροής

Το μοντέλο υδρολογικής προσομοίωσης της λεκάνης απορροής του ποταμού Άραχθου περιλαμβάνει 65 υπολεκάνες, 30 κόμβους και 30 κλάδους του υδρογραφικού δικτύου. Στον κόμβο J4 βρίσκεται το φράγμα Πουρναρίου, ανάντη του οποίου αναπτύσσεται ο ομώνυμος ταμιευτήρας, μέγιστης έκτασης (στην ανώτατη στάθμη λειτουργίας) 20.6 km². Η λεκάνη απορροής ανάντη του φράγματος έχει έκταση 1795 km². Στο μοντέλο προσομοιώνεται ο κύριος κλάδος του Αράχθου, καθώς και οι σημαντικότεροι παραπόταμοί του, που είναι ο Ζαγορίτικος (κλάδος R1614), ο Μετσοβίτικος (κλάδοι R1817 και R1712), ο Καλαρύτικος (κλάδοι R2120, R2019, R1910), ο Σαραντάπορος (κλάδος R3130) και ο Καλεντίνης (Ρετσανόρεμα), ο οποίος εκβάλλει στον κόμβο J23. Οι κλάδοι R65, R54 και R225 επικαλύπτονται από τον ταμιευτήρα, ενώ οι κλάδοι R2322 και R3022 καλύπτονται μερικώς από τον ταμιευτήρα. Κατάντη του φράγματος, ο ποταμός ρέει κατά μήκος της διαδρομής J4-J3-J2-J1, εκβάλλοντας στον Αμβρακικό Κόλπο. Ο κόμβος J3 είναι η έξοδος της πόλης της Άρτας, που αποτελεί το πλέον σημαντικό, από πλευράς δυνητικών συνεπειών, τμήμα υψηλού πλημμυρικού κινδύνου της συγκεκριμένης λεκάνης.

Η σχηματοποίηση του υδρολογικού συστήματος απεικονίζεται στον χάρτη της Εικόνας 5-7.

Για την προσομοίωση της διόδευσης από τον υπερχειλιστή του ταμιευτήρα Πουρναρίου, γίνεται η παραδοχή ότι κατά την έναρξη όλων των επεισοδίων βροχής, ο ταμιευτήρας είναι σε πλήρη πλήρωση (στάθμη υπερχείλισης, +107.5 m), ενώ καθ' όλη τη διάρκεια της προσομοίωσης οι στρόβιλοι λειτουργούν στην πλήρη παροχετευτικότητά τους, με σταθερή παροχή εκροής 500 m³/s. Ακόμη, θεωρείται ότι τα θυροφράγματα είναι πλήρως ανοιχτά, και συνεπώς η διόδευση γίνεται από ελεύθερο υπερχειλιστή, για τον οποίο λαμβάνεται πλάτος $b = 37.5$ m και συντελεστής απωλειών $c = 2.00$. Τέλος, εφαρμόζεται η σχέση στάθμης-αποθέματος του ταμιευτήρα, το γράφημα της οποίας δίνεται στην

Εικόνα Error! No text of specified style in document.-1.

Τα χαρακτηριστικά μεγέθη της συνολικής λεκάνης είναι:

- Έκταση $A = 1917.9$ km²
- Μέσο υψόμετρο $z_m = 805.3$ m
- Υψόμετρο κόμβου εξόδου $z_k = 0.0$ m
- Μέγιστο μήκος ροής $L_{\max} = 139.3$ km
- Χρόνος συγκέντρωσης $t_c = 19.6$ h

Για την υδρολογική προσομοίωση επιλέγεται διάρκεια βροχής $D = 48$ h και χρονικό βήμα $\Delta t = 15$ min.

Για την παραπάνω έκταση και διάρκεια προκύπτει συντελεστής επιφανειακής αναγωγής $\varphi = 0.894$.

Σημειώνεται, ακόμη, ότι ως μέσο υψόμετρο, το οποίο χρησιμοποιείται για την εκτίμηση του χρόνου συγκέντρωσης της λεκάνης, λαμβάνεται η διάμεσος τιμή και όχι ο μέσος όρος των υψομέτρων, δεδομένου ότι κατά μήκος του κύριου κλάδου του Αράχθου αναπτύσσονται σαφώς μικρότερες κλίσεις συγκριτικά με τα εκατέρωθεν τμήματα.

Τα χαρακτηριστικά γεωμετρικά μεγέθη των κλάδων και υπολεκανών του υδρογραφικού δικτύου δίνονται στους Πίνακες 5-11 και 5-12, αντίστοιχα, ενώ τα συγκεντρωτικά αποτελέσματα της συνολικής λεκάνης απορροής δίνονται στον Πίνακα 5-13. Στο Παράρτημα Π6 δίνονται τα πλήρη δεδομένα εισόδου και εξόδου του μοντέλου προσομοίωσης για όλες τις συνιστώσες του δικτύου (υπολεκάνες, κόμβοι, κλάδοι), και τα αντίστοιχα γραφήματα.

Πίνακας Error! No text of specified style in document.-1 Χαρακτηριστικά μεγέθη κλάδων υδρογραφικού δικτύου (υδατορεύματα)

Κωδικός	Ονομασία	Ανάντη	Κατάντη	Μήκος (km)	Μέση κλίση
R21	Άραχθος	J2	J1	7.708	0.0006
R32	Άραχθος	J3	J2	12.314	0.0007
R43	Άραχθος	J4	J3	5.364	0.0043
R54	Άραχθος	J5	J4	10.587	0.0032
R65	Άραχθος	J6	J5	11.527	0.0033
R76	Άραχθος	J7	J6	4.931	0.0087

Κωδικός	Ονομασία	Ανάντη	Κατάντη	Μήκος (km)	Μέση κλίση
R87	Άραχθος	J8	J7	4.496	0.0051
R98	Άραχθος	J9	J8	9.423	0.0068
R109	Άραχθος	J10	J9	9.719	0.0104
R1110	Άραχθος	J11	J10	12.626	0.0051
R1211	Άραχθος	J12	J11	11.051	0.0049
R1312	Άραχθος	J13	J12	10.192	0.0036
R1413	Άραχθος	J14	J13	1.04	0.0035
R1514	Άραχθος	J15	J14	15.922	0.0103
R1614	Ζαγορίτικος	J16	J14	13.259	0.0056
R1712	Μετσοβίτικος	J17	J12	11.197	0.0137
R1817	Μετσοβίτικος	J18	J17	12.009	0.0183
R1910	Καλαρύτικος	J19	J10	7.276	0.0138
R2019	Καλαρύτικος	J20	J19	2.952	0.0041
R2120	Καλαρύτικος	J21	J20	3.355	0.0415
R225	Ρετσανόρεμα	J22	J5	5.15	0.0073
R2322	Ρετσανόρεμα	J23	J22	6.985	0.0036
R2423	Ρετσανόρεμα	J24	J23	6.335	0.0063
R2524	Ρετσανόρεμα	J25	J24	4.776	0.0105
R2625	Ρετσανόρεμα	J26	J25	2.714	0.0134
R2726	Ρετσανόρεμα	J27	J26	6.471	0.0189
R2824	Ρετσανόρεμα	J28	J24	9.044	0.0102
R2928		J29	J28	6.52	0.0154
R3022	Σαραντάπορος	J30	J22	5.185	0.0070
R3130	Σαραντάπορος	J31	J30	12.85	0.0117

Πίνακας Error! No text of specified style in document.-2 Χαρακτηριστικά μεγέθη υπολεκανών

Κωδικός	Λεκάνη απορροής	Κλάδος	Κόμβος εξόδου	Έκταση (km ²)	Μέσο υψόμετρο (m)	Υψόμετρο εξόδου (m)	Μέγιστο μήκος ροής (km)
EL0514FR003001	EL0514FR00003		J15	46.019	1194.8	656.0	12.4
EL0514FR003002	EL0514FR00003		J15	33.644	1239.9	659.7	10.8
EL0514FR003003	EL0514FR00003	R1614	J14	51.675	835.5	495.7	17.1
EL0514FR003004	EL0514FR00003	R1514	J14	62.347	845.4	495.0	18.4
EL0514FR003005	EL0514FR00003	R1413	J13	0.914	548.3	491.3	2.4
EL0514FR003006	EL0514FR00003		J13	19.252	899.6	491.0	13.5
EL0514FR003007	EL0514FR00003	R1312	J12	23.355	653.7	454.2	13.2
EL0514FR003008	EL0514FR00003	R1712	J12	46.022	981.6	456.7	17.1
EL0514FR003009	EL0514FR00003		J17	18.07	1504.0	610.4	10.0
EL0514FR003010	EL0514FR00003	R1817	J17	90.496	1129.4	606.7	18.7
EL0514FR003011	EL0514FR00003		J18	26.555	1300.6	824.8	9.7
EL0514FR003012	EL0514FR00003		J18	29.385	1501.4	826.0	11.6
EL0514FR003013	EL0514FR00003	R1211	J11	44.12	802.2	404.8	15.9
EL0514FR003014	EL0514FR00003		J11	22.293	1350.6	402.5	9.9
EL0514FR003015	EL0514FR00003		J21	51.111	1608.0	577.9	17.6
EL0514FR003016	EL0514FR00003		J21	20.252	1439.5	566.9	7.7
EL0514FR003017	EL0514FR00003		J21	26.546	1570.5	583.2	9.8
EL0514FR003018	EL0514FR00003	R2120	J20	4.658	769.5	451.7	4.11

Κωδικός	Λεκάνη απορροής	Κλάδος	Κόμβος εξόδου	Έκταση (km ²)	Μέσο υψόμετρο (m)	Υψόμετρο εξόδου (m)	Μέγιστο μήκος ροής (km)
EL0514FR003019	EL0514FR00003		J20	56.357	1223.6	451.6	17.172
EL0514FR003020	EL0514FR00003	R2019	J19	10.483	719.7	438.4	5.548
EL0514FR003021	EL0514FR00003		J19	14.839	953.1	438.4	8.709
EL0514FR003022	EL0514FR00003	R1110	J10	68.593	762.3	367.8	16.042
EL0514FR003023	EL0514FR00003	R1910	J10	35.954	752.9	367.8	8.72
EL0514FR003024	EL0514FR00003	R109	J9	55.269	764.1	227.0	17.804
EL0514FR003025	EL0514FR00003		J9	30.823	778.3	237.8	12.324
EL0514FR003026	EL0514FR00003		J9	12.642	935.2	237.9	10.442
EL0514FR003027	EL0514FR00003	R98	J8	75.07	898.6	168.9	18.888
EL0514FR003028	EL0514FR00003		J8	25.465	824	171.3	12.652
EL0514FR003029	EL0514FR00003	R87	J7	14.963	454.9	149.4	10.202
EL0514FR003030	EL0514FR00003		J7	14.023	758.2	149.8	12.03
EL0514FR003031	EL0514FR00003		J7	21.307	735.7	149.8	13.314
EL0514FR003032	EL0514FR00003	R76	J6	17.847	419.7	124.1	9.256
EL0514FR003033	EL0514FR00003	IN	J6	17.546	1142.5	125.7	13.04
EL0514FR003034	EL0514FR00003	R65	J5	83.423	447.9	103.2	19.006
EL0514FR003035	EL0514FR00003		J31	13.028	862.4	294.6	9.452
EL0514FR003036	EL0514FR00003		J31	48.704	766.2	294.3	15.408
EL0514FR003037	EL0514FR00003	R3130	J30	32.675	386.7	139.5	16.942
EL0514FR003038	EL0514FR00003		J30	25.233	386.6	139.5	12.089
EL0514FR003039	EL0514FR00003	R3022	J22	8.723	260.1	104.6	7.309
EL0514FR003040	EL0514FR00003	R2322	J22	22.702	294.5	106.6	11.031
EL0514FR003041	EL0514FR00003		J23	11.302	377.4	131.7	7.834
EL0514FR003042	EL0514FR00003	R2423	J23	9.379	282.9	132.1	8.086
EL0514FR003043	EL0514FR00003	R2824	J24	29.889	401.3	168.2	12.169
EL0514FR003044	EL0514FR00003		J24	19.824	596.3	170.7	12.317
EL0514FR003045	EL0514FR00003		J26	19.468	985.6	254.0	11.636
EL0514FR003046	EL0514FR00003	R2524	J24	5.628	300.6	170.7	6.493
EL0514FR003047	EL0514FR00003		J25	17.53	444	218.6	11.271
EL0514FR003048	EL0514FR00003	R2625	J25	3.984	379	218.5	4.347
EL0514FR003049	EL0514FR00003	R2726	J26	37.368	591.3	256.5	15.122
EL0514FR003051	EL0514FR00003		J27	17.158	703.5	384.0	9.816
EL0514FR003052	EL0514FR00003		J27	20.256	768.5	380.3	10.351
EL0514FR003053	EL0514FR00003		J27	23.121	867.4	380.1	12.577
EL0514FR003054	EL0514FR00003		J28	25.242	926.2	262.6	15.141
EL0514FR003055	EL0514FR00003		J29	14.626	838.1	362.9	9.955
EL0514FR003056	EL0514FR00003		J29	25.332	879.6	362.3	10.93
EL0514FR003057	EL0514FR00003	R2928	J28	14.185	514.6	264.3	9.158
EL0514FR003058	EL0514FR00003	R54	J4	75.127	274.2	26.0	17.307
EL0514FR003059	EL0514FR00003	R43	J3	14.457	69.2	13.4	13.605
EL0514FR003060	EL0514FR00003	R21	J1	25.816	3.9	0.0	5.105
EL0514FR003061	EL0514FR00003		J16	37.419	908	564.2	11.288
EL0514FR003062	EL0514FR00003		J16	48.982	992.3	540.8	15.045
EL0514FR003063	EL0514FR00003		J4	28.059	280.3	24.9	12.653
EL0514FR003065	EL0514FR00003		J13	8.812	925	493.1	7.843

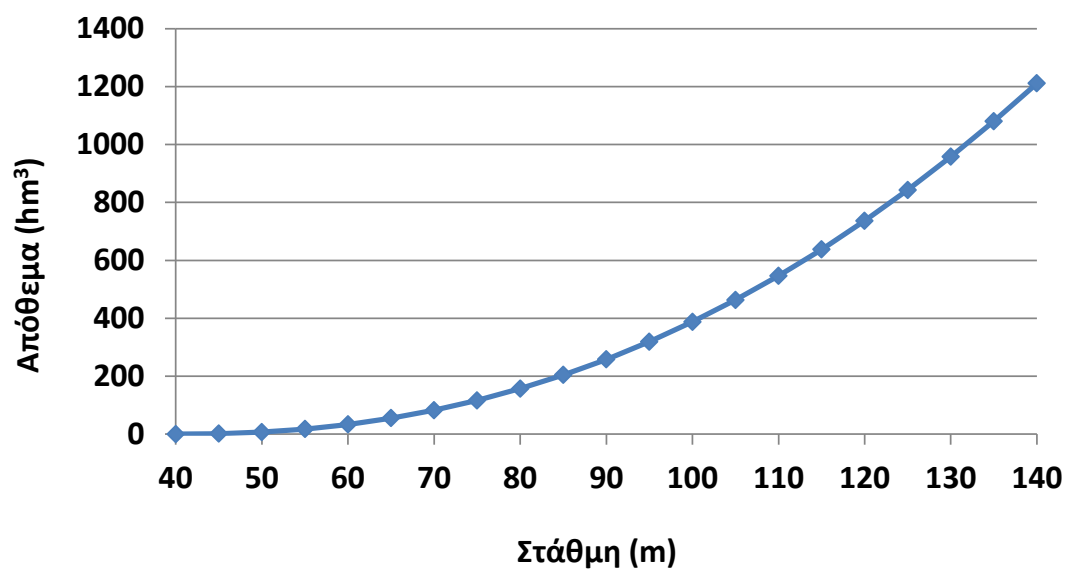
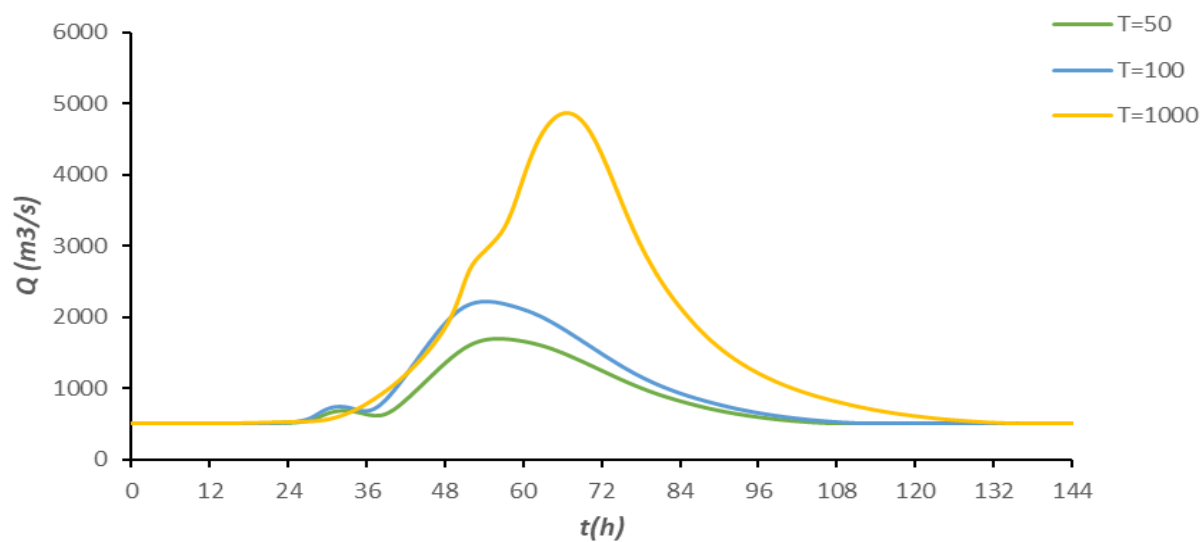
Κωδικός	Λεκάνη απορροής	Κλάδος	Κόμβος εξόδου	Έκταση (km ²)	Μέσο υψόμετρο (m)	Υψόμετρο εξόδου (m)	Μέγιστο μήκος ροής (km)
EL0514FR003066	EL0514FR00003	R225	J5	6.915	204.8	103.0	2.946
EL0514FR003067	EL0514FR00003	R32	J2	46.662	28.1	0.0	7.819

Πίνακας Error! No text of specified style in document.-3 Συγκεντρωτικά αποτελέσματα υδρολογικής προσομοίωσης περιοχής μελέτης

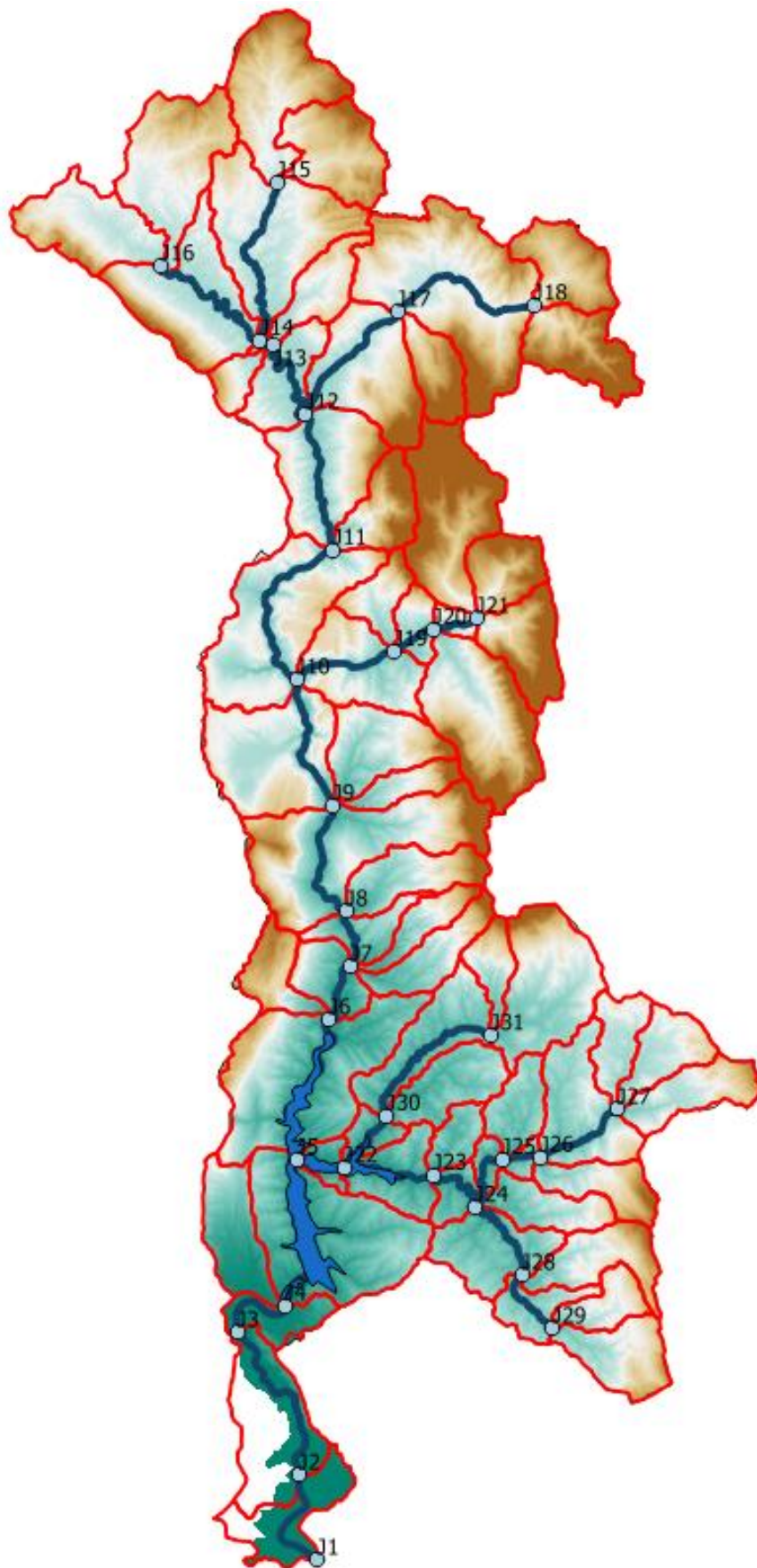
Χαρακτηριστικά μεγέθη λεκάνης απορροής Αράχθου			
Έκταση (km ²)	1917.88	Υψόμετρο εξόδου (m)	0.0
Αδιαπέρατη επιφάνεια (%)	0.31	Χρόνος συγκέντρωσης (h)	19.60
Μέγιστο μήκος ροής (km)	139.30	Διάρκεια βροχόπτωσης σχεδιασμού (h)	48.00
Μέσο υψόμετρο (m)	805.3	Χρονικό βήμα (h)	0.25
Συγκεντρωτικά αποτελέσματα υδρολογικής προσομοίωσης λεκάνης			
	Ευμενείς συνθήκες	Μέσες συνθήκες	Δυσμενείς συνθήκες
Ολικό ύψος επιφανειακής βροχής (mm)			
T = 50	221.8	221.8	221.8
T = 100	259.6	259.6	259.6
T = 1000	425.4	425.4	425.4
Ολικό ύψος πλημμυρικής απορροής (mm)			
T = 50	91.6	147.2	183.5
T = 100	120.1	182.0	220.6
T = 1000	258.5	339.8	384.3
Συντελεστής απορροής			
T = 50	0.413	0.664	0.828
T = 100	0.462	0.701	0.850
T = 1000	0.608	0.799	0.903
Πλημμυρική παροχή αιχμής (m ³ /s)			
T = 50	851.4	1574.6	2090.3
T = 100	1213.6	2079.3	2627.3
T = 1000	3646.2	4666.3	5097
Πλημμυρικός όγκος (hm ³)			
T = 50	175.627	282.281	351.967
T = 100	230.300	349.125	423.036
T = 1000	495.763	651.774	737.076
Συνολική παροχή αιχμής (m ³ /s)			
T = 50	965.9	1689.2	2204.9
T = 100	1347.2	2212.9	2760.9
T = 1000	3837.1	4857.2	5287.9
Συνολικός όγκος υδρογραφήματος (hm ³)			
T = 50	704.608	796.586	861.543

T = 100	755.151	864.139	934.626
T = 1000	1010.875	1163.447	1247.672

Υδρογραφήματα σχεδιασμού στον κόμβο εξόδου(μέσες συνθήκες)



Εικόνα Error! No text of specified style in document.-1 Σχέση στάθμης-αποθέματος ταμιευτήρα Πουρναρίου (στέψη υπερχειλιστή +107.5 m)



Εικόνα Error! No text of specified style in document.-2 Χάρτης περιοχής μελέτης, όπου απεικονίζεται η σχηματοποίηση των κόμβων και κλάδων του υδρογραφικού δικτύου και των υπολεκανών

2 Δεδομένα εισόδου και αποτελέσματα υδρολογικού σεναρίου T=50

2.1 Αποτελέσματα, υετογραφήματα και υδρογραφήματα σχεδιασμού υπολεκανών

Υπολεκάνη: EL0514FR003001

Έκταση (KM2) : 46.02

Κατάνη : J15

Μέθοδος Απωλειών: SCS

Ποσοστό αδιαπέρατης επιφάνειας	0
Αριθμός Καμπύλης Απορροής-CN	80.06
Αρχικές Απώλειες	12.65

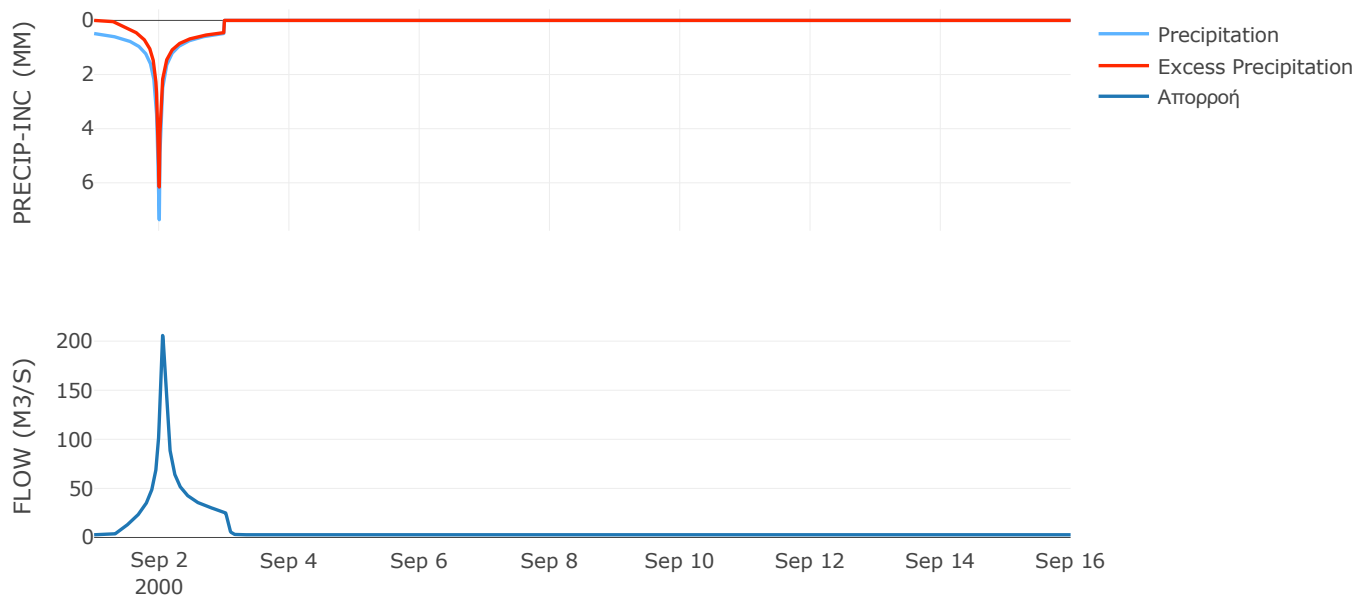
Μέθοδος
Μετασχηματισμού: SCS

Χρόνος Υστέρησης	66.7
------------------	------

Αποτελέσματα:
EL0514FR003001

Παροχή αιχμής (M3/S)	205.79
Χρονική στιγμή αιχμής	02Sep2000, 01:15
Όγκος (MM)	219.67
Όγκος βροχόπτωσης (M3)	9.29E6
Όγκος απωλειών (M3)	2.76E6
Ενεργός Όγκος (M3)	6.53E6
Όγκος άμεσης απορροής (M3)	6.53E6
Όγκος βασικής απορροής (M3)	3.58E6

Βροχόπτωση και Απορροή



Υπολεκάνη: EL0514FR003002

Έκταση (KM2) : 33.64

Κατάνη : J15

Μέθοδος Απωλειών: SCS

Ποσοστό αδιαπέρατης επιφάνειας	0
Αριθμός Καμπύλης Απορροής-CN	80.04
Αρχικές Απώλειες	12.67

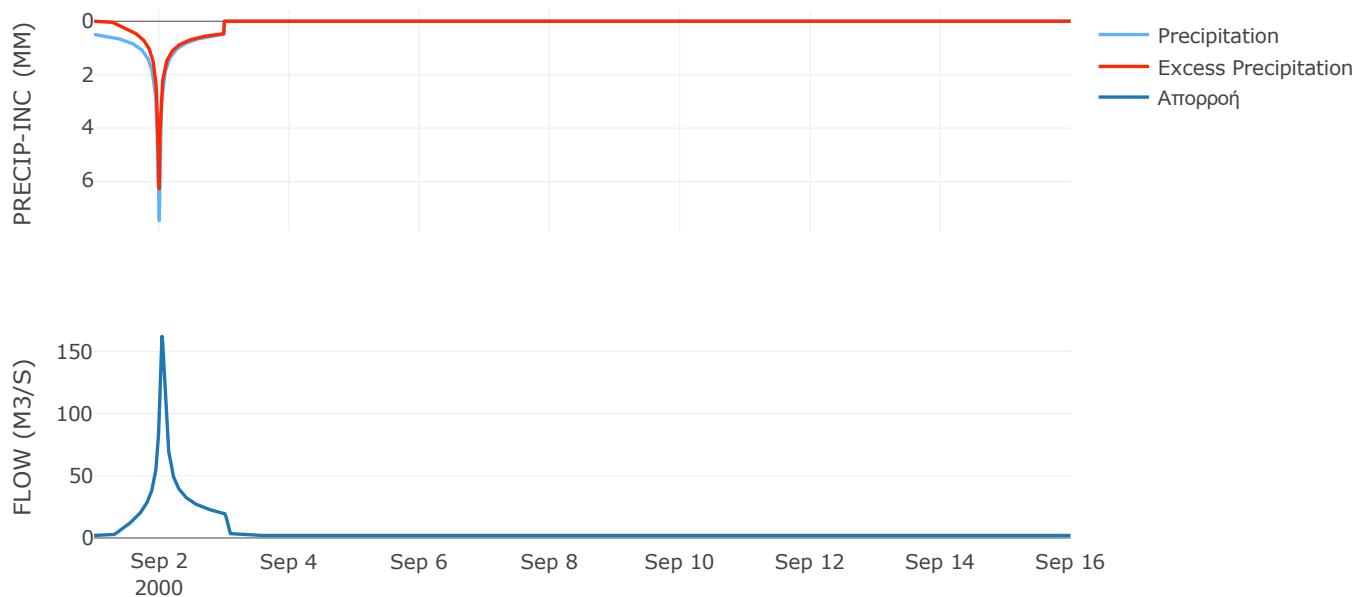
Μέθοδος
Μετασχηματισμού: SCS

Χρόνος Υστέρησης	55.46
------------------	-------

Αποτελέσματα:
EL0514FR003002

Παροχή αιχμής (M3/S)	162.12
Χρονική στιγμή αιχμής	02Sep2000, 01:00
Όγκος (MM)	223.57
Όγκος βροχόπτωσης (M3)	6.94E6
Όγκος απωλειών (M3)	2.03E6
Ενεργός Όγκος (M3)	4.91E6
Όγκος άμεσης απορροής (M3)	4.91E6
Όγκος βασικής απορροής (M3)	2.62E6

Βροχόπτωση και Απορροή



Υπολεκάνη: EL0514FR003003

Έκταση (KM2) : 51.67

Κατάντη : J14

Μέθοδος Απωλειών: SCS

Ποσοστό αδιαπέρατης επιφάνειας	0
Αριθμός Καμπύλης Απορροής-CN	74.74
Αρχικές Απώλειες	17.17

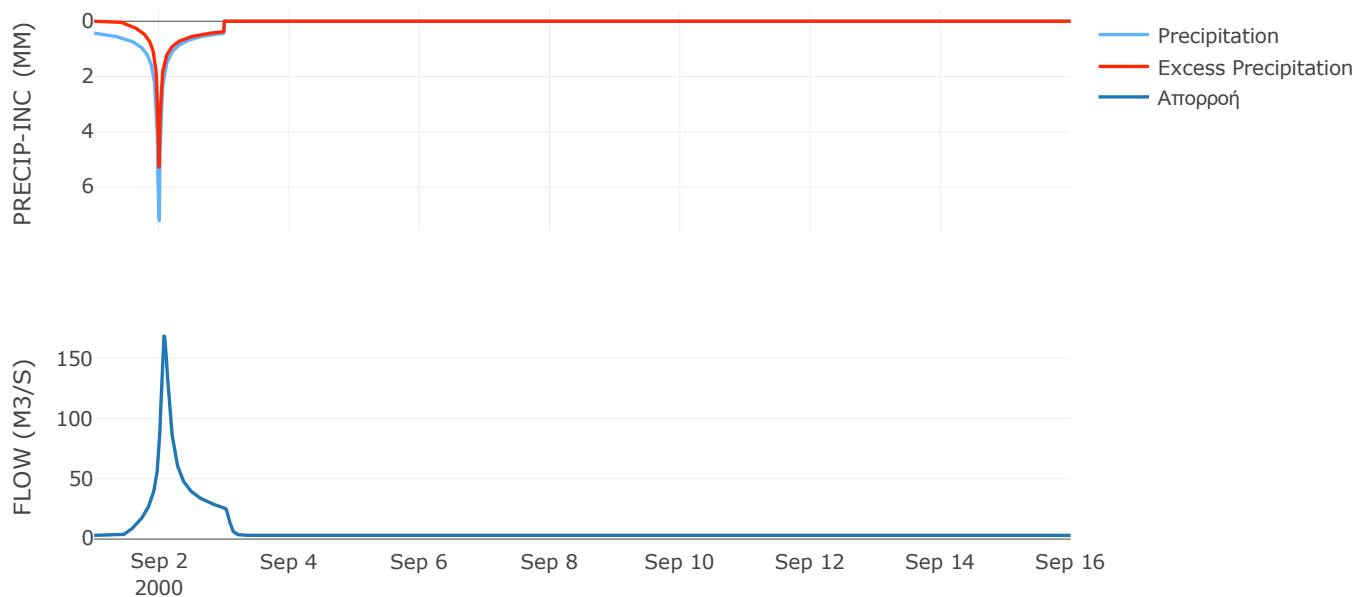
Μέθοδος
Μετασχηματισμού: SCS

Χρόνος Υστέρησης	100.01
------------------	--------

Αποτελέσματα:
EL0514FR003003

Παροχή αιχμής (M3/S)	168.27
Χρονική στιγμή αιχμής	02Sep2000, 01:45
Όγκος (MM)	189.42
Όγκος βροχόπτωσης (M3)	9.6E6
Όγκος απωλειών (M3)	3.83E6
Ενεργός Όγκος (M3)	5.77E6
Όγκος άμεσης απορροής (M3)	5.77E6
Όγκος βασικής απορροής (M3)	4.02E6

Βροχόπτωση και Απορροή



Υπολεκάνη: EL0514FR003004

Έκταση (KM2) : 62.35

Κατάνη : J14

Μέθοδος Απωλειών: SCS

Ποσοστό αδιαπέρατης επιφάνειας	0
Αριθμός Καμπύλης Απορροής-CN	80.65
Αρχικές Απώλειες	12.19

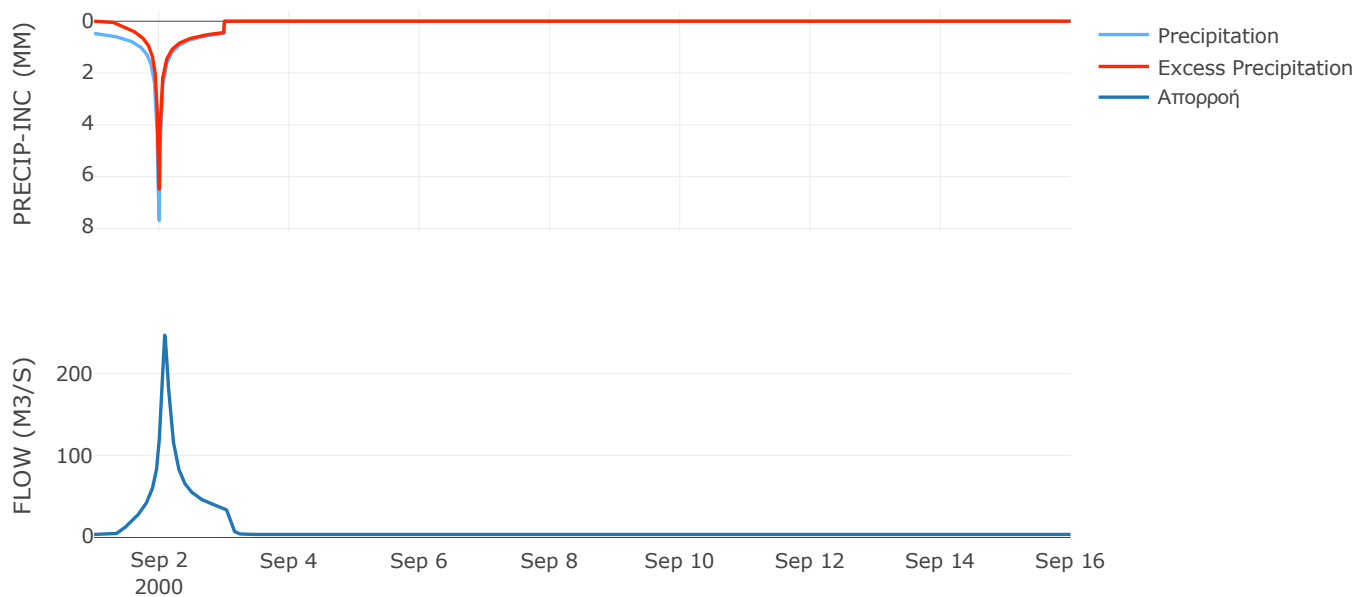
Μέθοδος
Μετασχηματισμού: SCS

Χρόνος Υστέρησης	107.11
------------------	--------

Αποτελέσματα:
EL0514FR003004

Παροχή αιχμής (M3/S)	246.59
Χρονική στιγμή αιχμής	02Sep2000, 02:00
Όγκος (MM)	220.18
Όγκος βροχόπτωσης (M3)	1.25E7
Όγκος απωλειών (M3)	3.63E6
Ενεργός Όγκος (M3)	8.88E6
Όγκος άμεσης απορροής (M3)	8.88E6
Όγκος βασικής απορροής (M3)	4.85E6

Βροχόπτωση και Απορροή



Υπολεκάνη: EL0514FR003005

Έκταση (KM2) : 0.91

Κατάντη : J13

Μέθοδος Απωλειών: SCS

Ποσοστό αδιαπέρατης επιφάνειας	0
Αριθμός Καμπύλης Απορροής-CN	80.87
Αρχικές Απώλειες	12.02

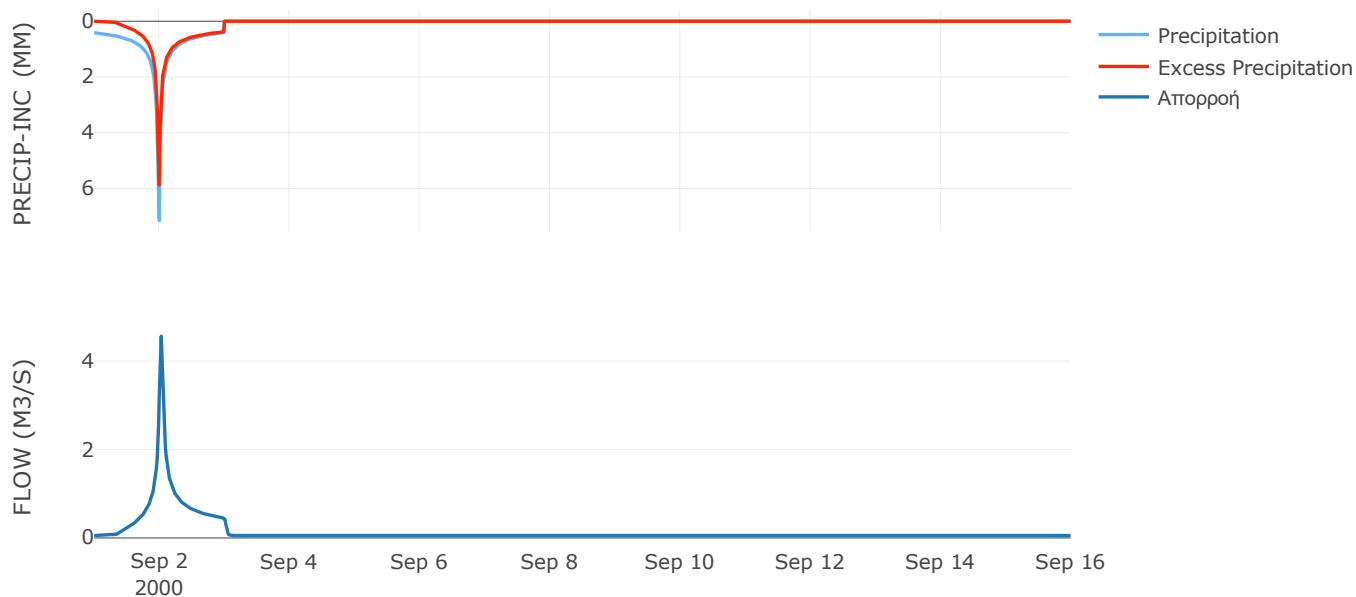
Μέθοδος
Μετασχηματισμού: SCS

Χρόνος Υστέρησης	33.43
------------------	-------

Αποτελέσματα:
EL0514FR003005

Παροχή αιχμής (M3/S)	4.56
Χρονική στιγμή αιχμής	02Sep2000, 00:45
Όγκος (MM)	201.19
Όγκος βροχόπτωσης (M3)	1.64E5
Όγκος απωλειών (M3)	51420.43
Ενεργός Όγκος (M3)	1.13E5
Όγκος άμεσης απορροής (M3)	1.13E5
Όγκος βασικής απορροής (M3)	71072.64

Βροχόπτωση και Απορροή



Υπολεκάνη: EL0514FR003006

Έκταση (KM2) : 19.25

Κατάντη : J13

Μέθοδος Απωλειών: SCS

Ποσοστό αδιαπέρατης επιφάνειας	0
Αριθμός Καμπύλης Απορροής-CN	82.91
Αρχικές Απώλειες	10.47

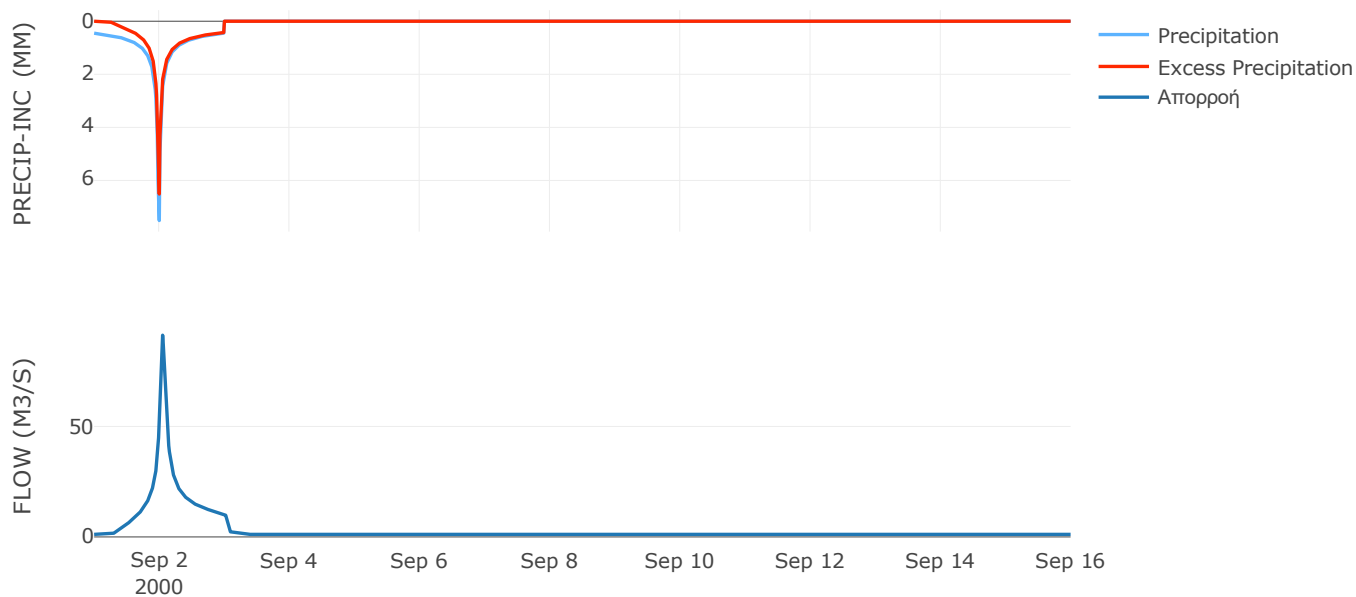
Μέθοδος
Μετασχηματισμού: SCS

Χρόνος Υστέρησης	63.28
------------------	-------

Αποτελέσματα:
EL0514FR003006

Παροχή αιχμής (M3/S)	91.33
Χρονική στιγμή αιχμής	02Sep2000, 01:15
Όγκος (MM)	220.49
Όγκος βροχόπτωσης (M3)	3.73E6
Όγκος απωλειών (M3)	9.86E5
Ενεργός Όγκος (M3)	2.75E6
Όγκος άμεσης απορροής (M3)	2.75E6
Όγκος βασικής απορροής (M3)	1.5E6

Βροχόπτωση και Απορροή



Υπολεκάνη: EL0514FR003007

Έκταση (KM2) : 23.36

Κατάντη : J12

Μέθοδος Απωλειών: SCS

Ποσοστό αδιαπέρατης επιφάνειας	0
Αριθμός Καμπύλης Απορροής-CN	82.07
Αρχικές Απώλειες	11.1

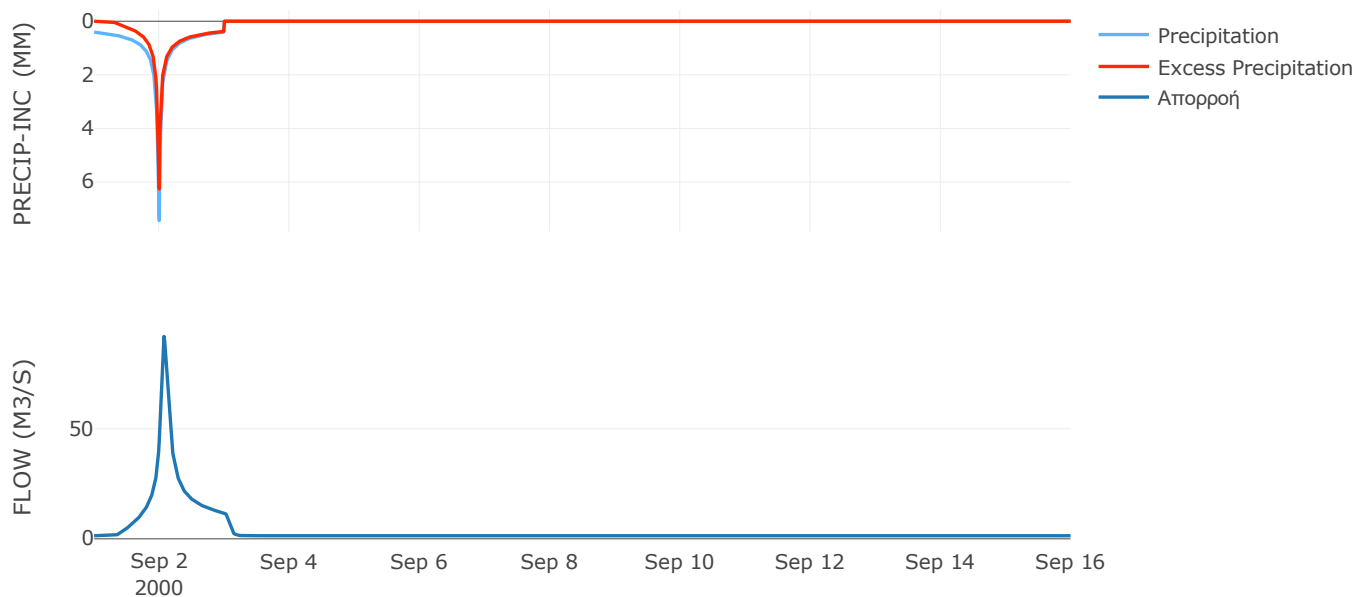
Μέθοδος
Μετασχηματισμού: SCS

Χρόνος Υστέρησης	93.77
------------------	-------

Αποτελέσματα:
EL0514FR003007

Παροχή αιχμής (M3/S)	91.91
Χρονική στιγμή αιχμής	02Sep2000, 01:45
Όγκος (MM)	205.63
Όγκος βροχόπτωσης (M3)	4.22E6
Όγκος απωλειών (M3)	1.24E6
Ενεργός Όγκος (M3)	2.99E6
Όγκος άμεσης απορροής (M3)	2.99E6
Όγκος βασικής απορροής (M3)	1.82E6

Βροχόπτωση και Απορροή



Υπολεκάνη: EL0514FR003008

Έκταση (KM2) : 46.02

Κατάνη : J12

Μέθοδος Απωλειών: SCS

Ποσοστό αδιαπέρατης επιφάνειας	0
Αριθμός Καμπύλης Απορροής-CN	75.78
Αρχικές Απώλειες	16.24

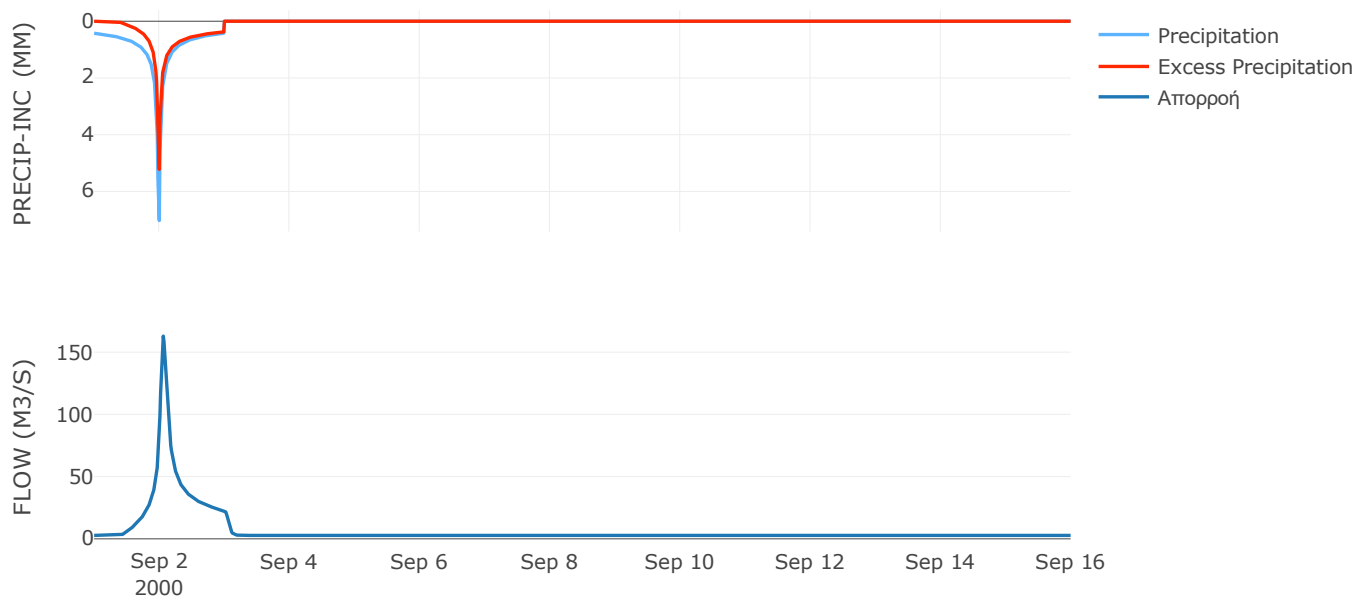
Μέθοδος
Μετασχηματισμού: SCS

Χρόνος Υστέρησης	77.85
------------------	-------

Αποτελέσματα:
EL0514FR003008

Παροχή αιχμής (M3/S)	162.86
Χρονική στιγμή αιχμής	02Sep2000, 01:30
Όγκος (MM)	189
Όγκος βροχόπτωσης (M3)	8.38E6
Όγκος απωλειών (M3)	3.26E6
Ενεργός Όγκος (M3)	5.12E6
Όγκος άμεσης απορροής (M3)	5.12E6
Όγκος βασικής απορροής (M3)	3.58E6

Βροχόπτωση και Απορροή



Υπολεκάνη: EL0514FR003009

Έκταση (KM2) : 18.07

Κατάντη : J17

Μέθοδος Απωλειών: SCS

Ποσοστό αδιαπέρατης επιφάνειας	0
Αριθμός Καμπύλης Απορροής-CN	61.49
Αρχικές Απώλειες	31.82

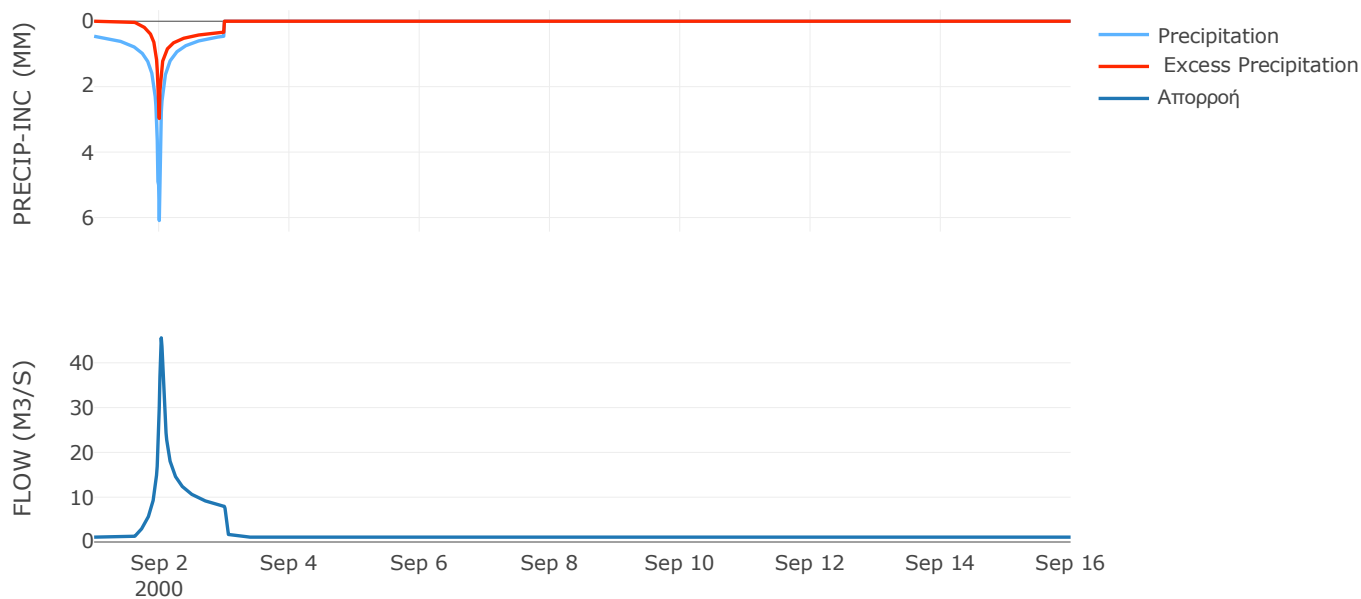
Μέθοδος
Μετασχηματισμού: SCS

Χρόνος Υστέρησης	36.22
------------------	-------

Αποτελέσματα:
EL0514FR003009

Παροχή αιχμής (M3/S)	45.58
Χρονική στιγμή αιχμής	02Sep2000, 00:45
Όγκος (MM)	151.13
Όγκος βροχόπτωσης (M3)	3.3E6
Όγκος απωλειών (M3)	1.97E6
Ενεργός Όγκος (M3)	1.33E6
Όγκος άμεσης απορροής (M3)	1.33E6
Όγκος βασικής απορροής (M3)	1.41E6

Βροχόπτωση και Απορροή



Υπολεκάνη: EL0514FR003010

Έκταση (KM2) : 90.5

Κατάντη : J17

Μέθοδος Απωλειών: SCS

Ποσοστό αδιαπέρατης επιφάνειας	0
Αριθμός Καμπύλης Απορροής-CN	75.12
Αρχικές Απώλειες	16.82

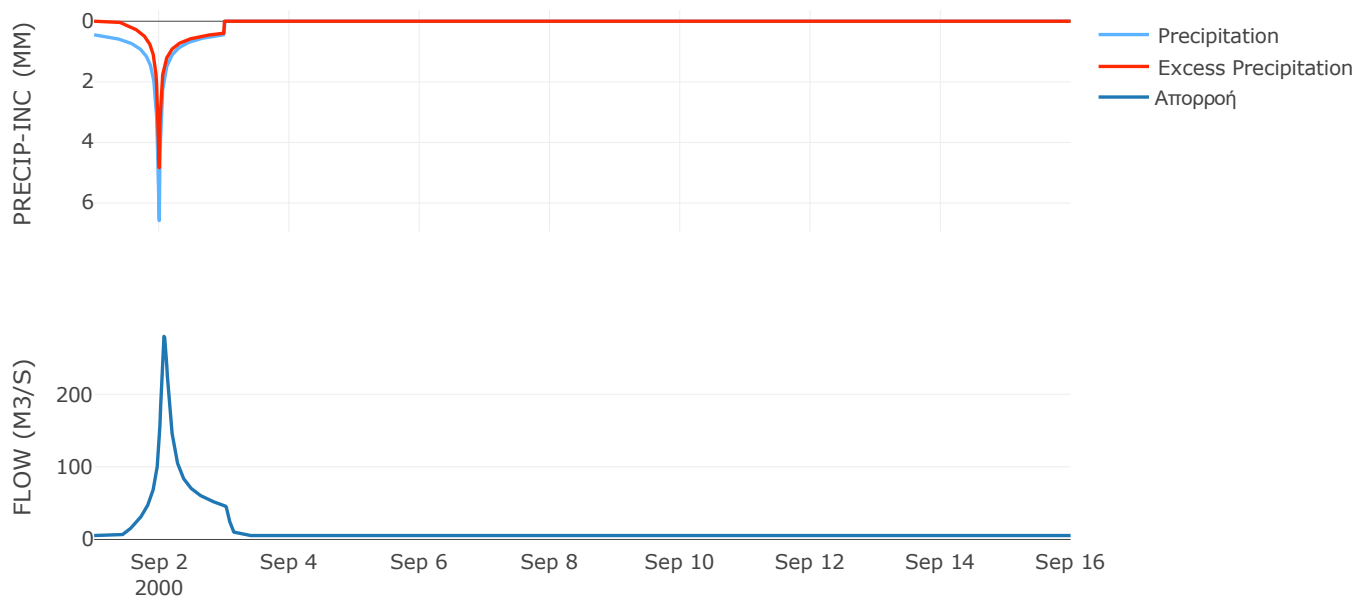
Μέθοδος
Μετασχηματισμού: SCS

Χρόνος Υστέρησης	97.77
------------------	-------

Αποτελέσματα:
EL0514FR003010

Παροχή αιχμής (M3/S)	279.76
Χρονική στιγμή αιχμής	02Sep2000, 01:45
Όγκος (MM)	189.27
Όγκος βροχόπτωσης (M3)	1.67E7
Όγκος απωλειών (M3)	6.59E6
Ενεργός Όγκος (M3)	1.01E7
Όγκος άμεσης απορροής (M3)	1.01E7
Όγκος βασικής απορροής (M3)	7.04E6

Βροχόπτωση και Απορροή



Υπολεκάνη: EL0514FR003011

Έκταση (KM2) : 26.55

Κατάντη : J18

Μέθοδος Απωλειών: SCS

Ποσοστό αδιαπέρατης επιφάνειας	0
Αριθμός Καμπύλης Απορροής-CN	81.79
Αρχικές Απώλειες	11.31

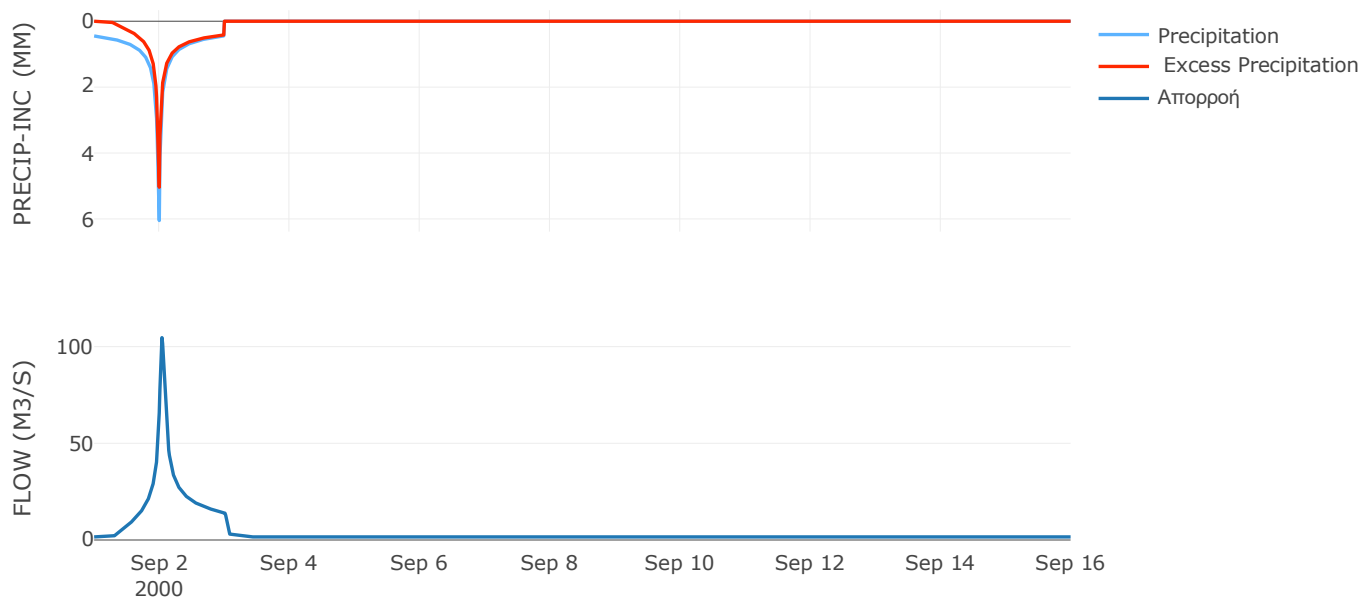
Μέθοδος
Μετασχηματισμού: SCS

Χρόνος Υστέρησης	54.52
------------------	-------

Αποτελέσματα:
EL0514FR003011

Παροχή αιχμής (M3/S)	104.66
Χρονική στιγμή αιχμής	02Sep2000, 01:00
Όγκος (MM)	202.85
Όγκος βροχόπτωσης (M3)	4.74E6
Όγκος απωλειών (M3)	1.42E6
Ενεργός Όγκος (M3)	3.32E6
Όγκος άμεσης απορροής (M3)	3.32E6
Όγκος βασικής απορροής (M3)	2.06E6

Βροχόπτωση και Απορροή



Υπολεκάνη: EL0514FR003012

Έκταση (KM2) : 29.39

Κατάντη : J18

Μέθοδος Απωλειών: SCS

Ποσοστό αδιαπέρατης επιφάνειας	0
Αριθμός Καμπύλης Απορροής-CN	77.63
Αρχικές Απώλειες	14.63

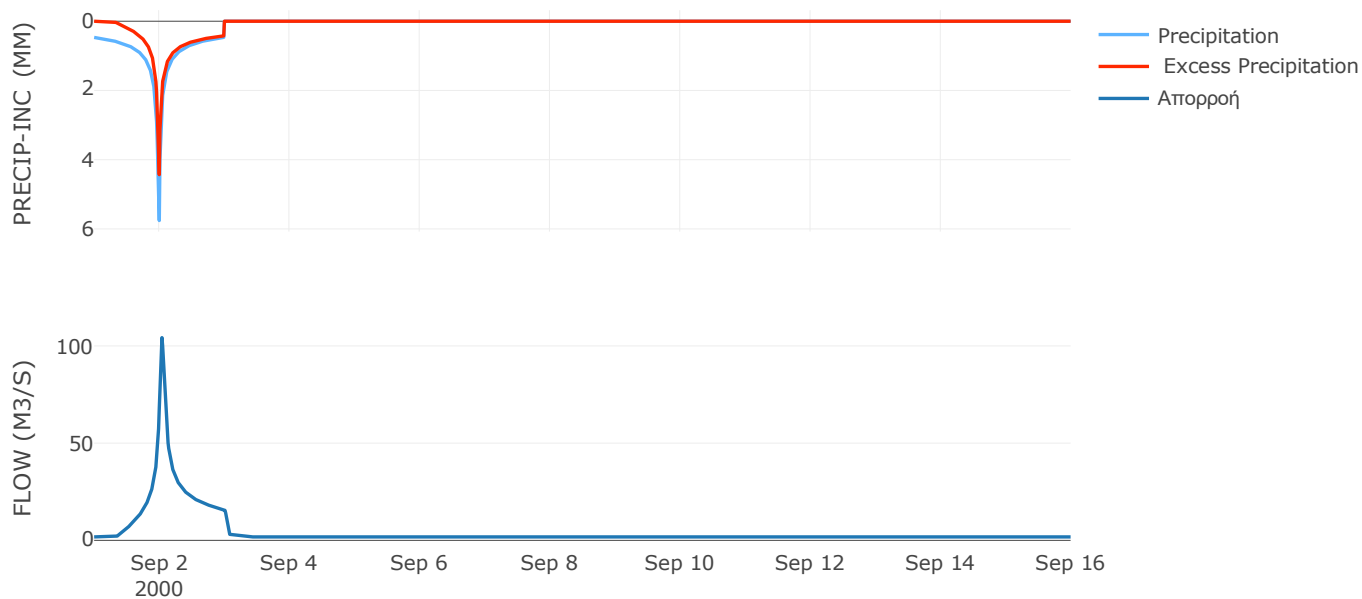
Μέθοδος
Μετασχηματισμού: SCS

Χρόνος Υστέρησης	50.84
------------------	-------

Αποτελέσματα:
EL0514FR003012

Παροχή αιχμής (M3/S)	104.27
Χρονική στιγμή αιχμής	02Sep2000, 01:00
Όγκος (MM)	193.31
Όγκος βροχόπτωσης (M3)	5.32E6
Όγκος απωλειών (M3)	1.92E6
Ενεργός Όγκος (M3)	3.4E6
Όγκος άμεσης απορροής (M3)	3.4E6
Όγκος βασικής απορροής (M3)	2.28E6

Βροχόπτωση και Απορροή



Υπολεκάνη: EL0514FR003013

Έκταση (KM2) : 44.12

Κατάνη : J11

Μέθοδος Απωλειών: SCS

Ποσοστό αδιαπέρατης επιφάνειας	0
Αριθμός Καμπύλης Απορροής-CN	78.89
Αρχικές Απώλειες	13.6

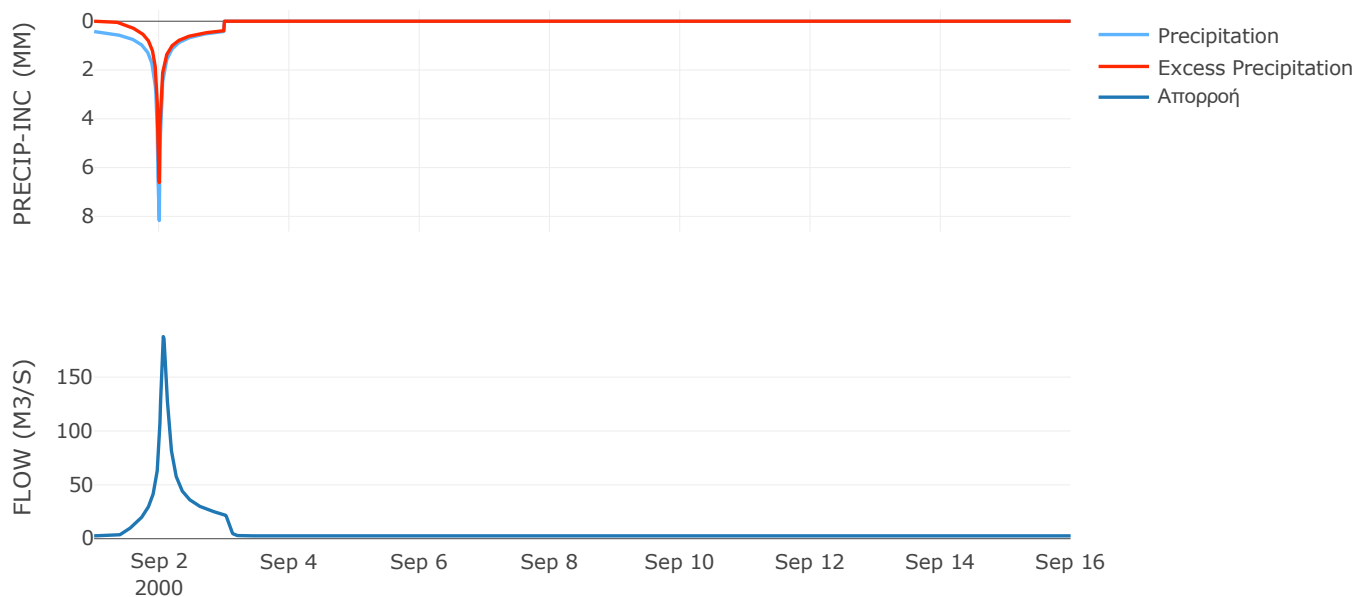
Μέθοδος
Μετασχηματισμού: SCS

Χρόνος Υστέρησης	85.59
------------------	-------

Αποτελέσματα:
EL0514FR003013

Παροχή αιχμής (M3/S)	187.62
Χρονική στιγμή αιχμής	02Sep2000, 01:30
Όγκος (MM)	207.36
Όγκος βροχόπτωσης (M3)	8.49E6
Όγκος απωλειών (M3)	2.77E6
Ενεργός Όγκος (M3)	5.72E6
Όγκος άμεσης απορροής (M3)	5.72E6
Όγκος βασικής απορροής (M3)	3.43E6

Βροχόπτωση και Απορροή



Υπολεκάνη: EL0514FR003014

Έκταση (KM2) : 22.29

Κατάνη : J11

Μέθοδος Απωλειών: SCS

Ποσοστό αδιαπέρατης επιφάνειας	0
Αριθμός Καμπύλης Απορροής-CN	67.84
Αρχικές Απώλειες	24.08

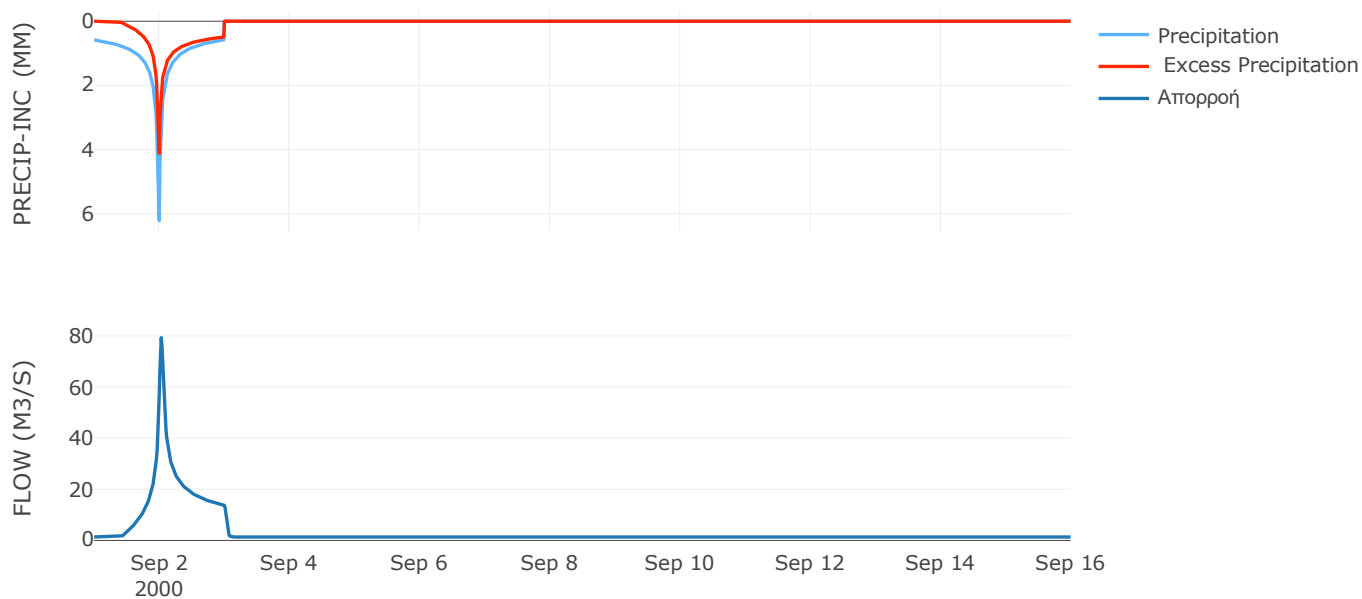
Μέθοδος
Μετασχηματισμού: SCS

Χρόνος Υστέρησης	37.11
------------------	-------

Αποτελέσματα:
EL0514FR003014

Παροχή αιχμής (M3/S)	79.29
Χρονική στιγμή αιχμής	02Sep2000, 00:45
Όγκος (MM)	194.62
Όγκος βροχόπτωσης (M3)	4.79E6
Όγκος απωλειών (M3)	2.18E6
Ενεργός Όγκος (M3)	2.61E6
Όγκος άμεσης απορροής (M3)	2.61E6
Όγκος βασικής απορροής (M3)	1.73E6

Βροχόπτωση και Απορροή



Υπολεκάνη: EL0514FR003015

Έκταση (KM2) : 51.11

Κατάντη : J21

Μέθοδος Απωλειών: SCS

Ποσοστό αδιαπέρατης επιφάνειας	0
Αριθμός Καμπύλης Απορροής-CN	64.31
Αρχικές Απώλειες	28.19

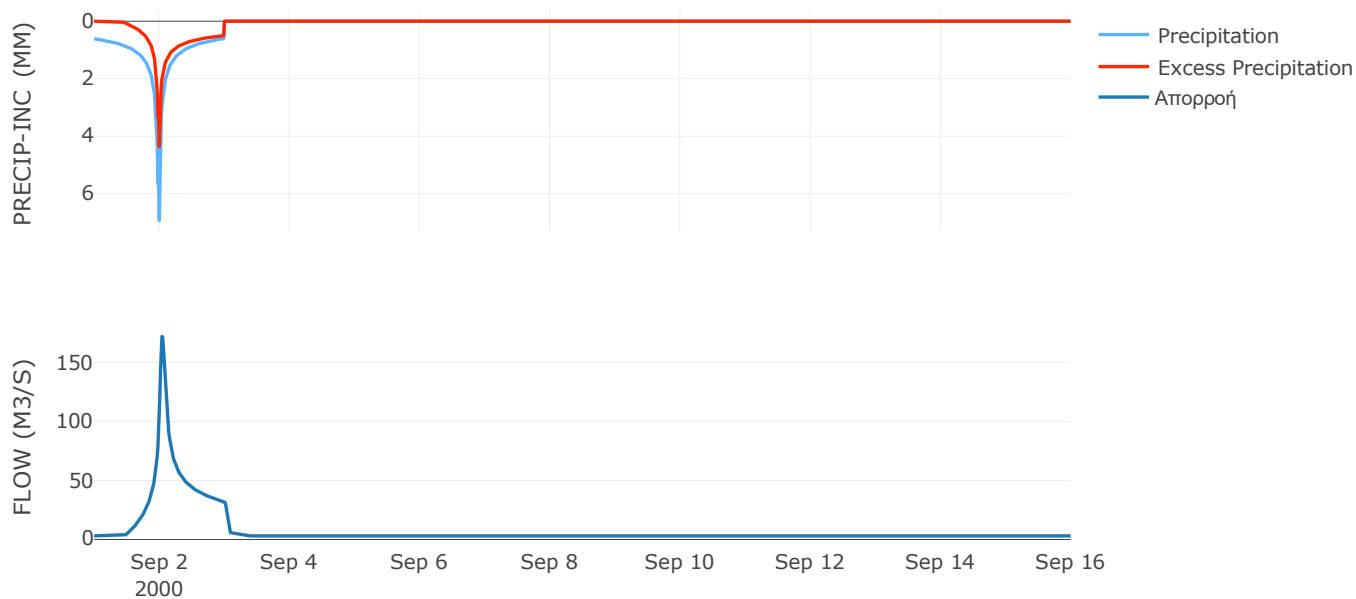
Μέθοδος
Μετασχηματισμού: SCS

Χρόνος Υστέρησης	57.92
------------------	-------

Αποτελέσματα:
EL0514FR003015

Παροχή αιχμής (M3/S)	171.79
Χρονική στιγμή αιχμής	02Sep2000, 01:00
Όγκος (MM)	195.72
Όγκος βροχόπτωσης (M3)	1.17E7
Όγκος απωλειών (M3)	5.67E6
Ενεργός Όγκος (M3)	6.03E6
Όγκος άμεσης απορροής (M3)	6.03E6
Όγκος βασικής απορροής (M3)	3.97E6

Βροχόπτωση και Απορροή



Υπολεκάνη: EL0514FR003016

Έκταση (KM2) : 20.25

Κατάντη : J21

Μέθοδος Απωλειών: SCS

Ποσοστό αδιαπέρατης επιφάνειας	0
Αριθμός Καμπύλης Απορροής-CN	67.39
Αρχικές Απώλειες	24.58

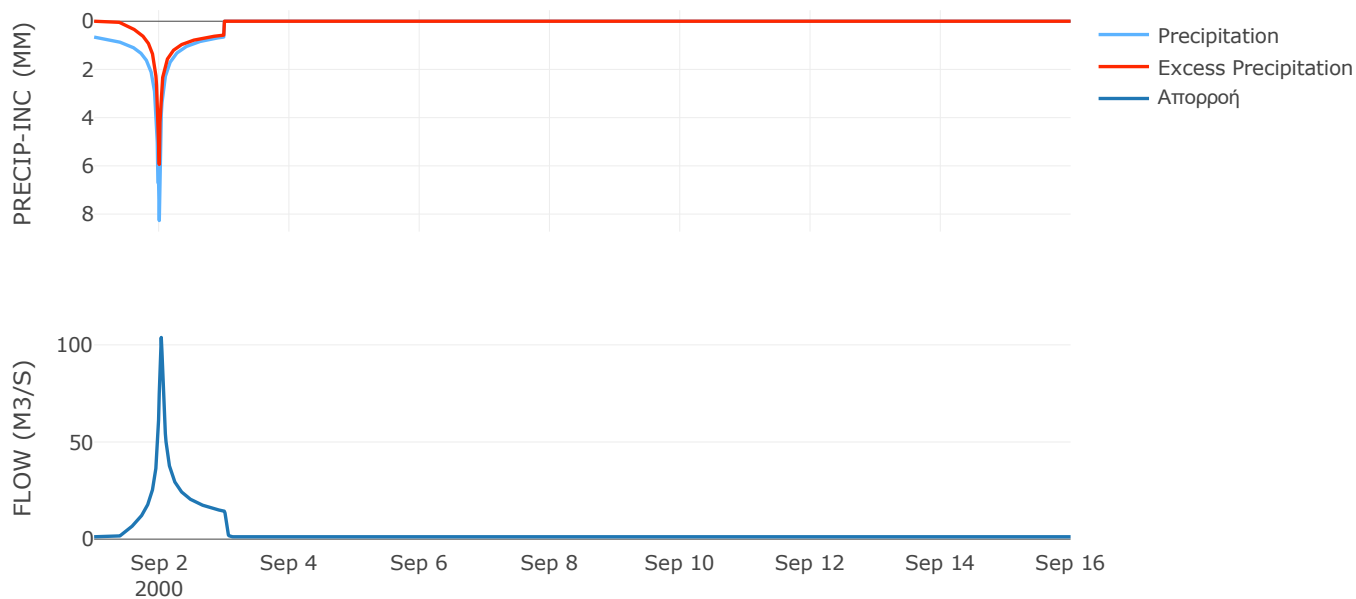
Μέθοδος
Μετασχηματισμού: SCS

Χρόνος Υστέρησης	33.87
------------------	-------

Αποτελέσματα:
EL0514FR003016

Παροχή αιχμής (M3/S)	103.8
Χρονική στιγμή αιχμής	02Sep2000, 00:45
Όγκος (MM)	229.35
Όγκος βροχόπτωσης (M3)	5.19E6
Όγκος απωλειών (M3)	2.12E6
Ενεργός Όγκος (M3)	3.07E6
Όγκος άμεσης απορροής (M3)	3.07E6
Όγκος βασικής απορροής (M3)	1.57E6

Βροχόπτωση και Απορροή



Υπολεκάνη: EL0514FR003017

Έκταση (KM2) : 26.55

Κατάντη : J21

Μέθοδος Απωλειών: SCS

Ποσοστό αδιαπέρατης επιφάνειας	0
Αριθμός Καμπύλης Απορροής-CN	70.66
Αρχικές Απώλειες	21.1

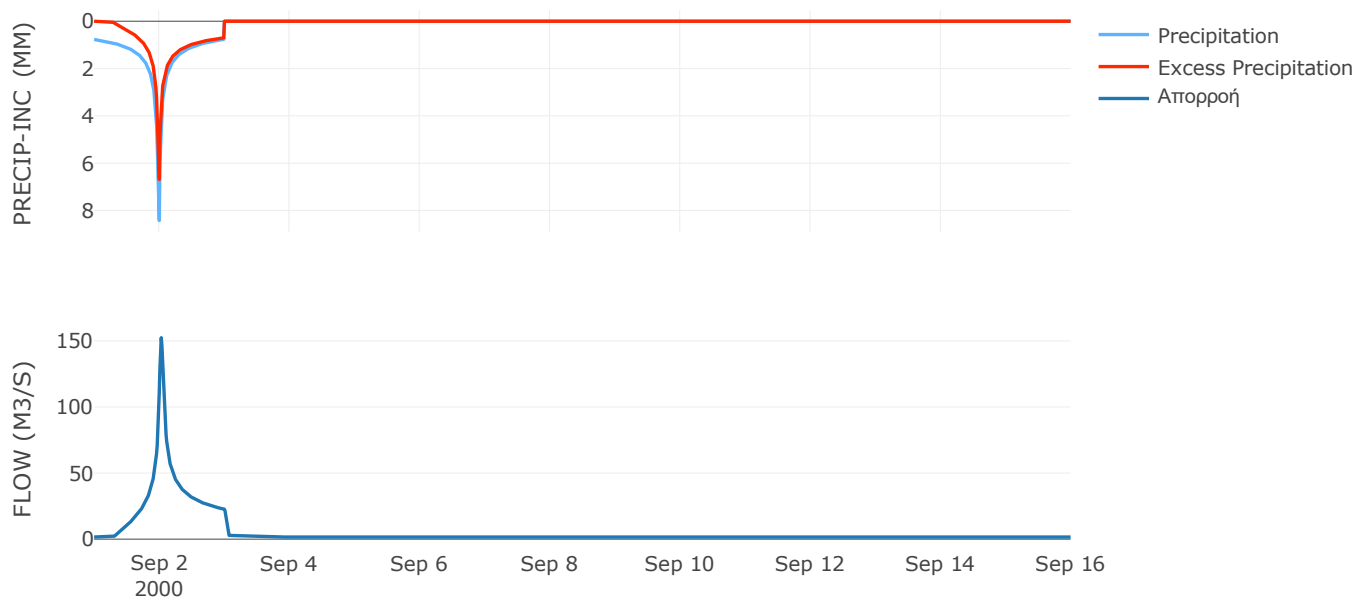
Μέθοδος
Μετασχηματισμού: SCS

Χρόνος Υστέρησης	38.02
------------------	-------

Αποτελέσματα:
EL0514FR003017

Παροχή αιχμής (M3/S)	152.4
Χρονική στιγμή αιχμής	02Sep2000, 00:45
Όγκος (MM)	267.2
Όγκος βροχόπτωσης (M3)	7.59E6
Όγκος απωλειών (M3)	2.56E6
Ενεργός Όγκος (M3)	5.03E6
Όγκος άμεσης απορροής (M3)	5.03E6
Όγκος βασικής απορροής (M3)	2.06E6

Βροχόπτωση και Απορροή



Υπολεκάνη: EL0514FR003018

Έκταση (KM2) : 4.66

Κατάντη : J20

Μέθοδος Απωλειών: SCS

Ποσοστό αδιαπέρατης επιφάνειας	0
Αριθμός Καμπύλης Απορροής-CN	70.44
Αρχικές Απώλειες	21.32

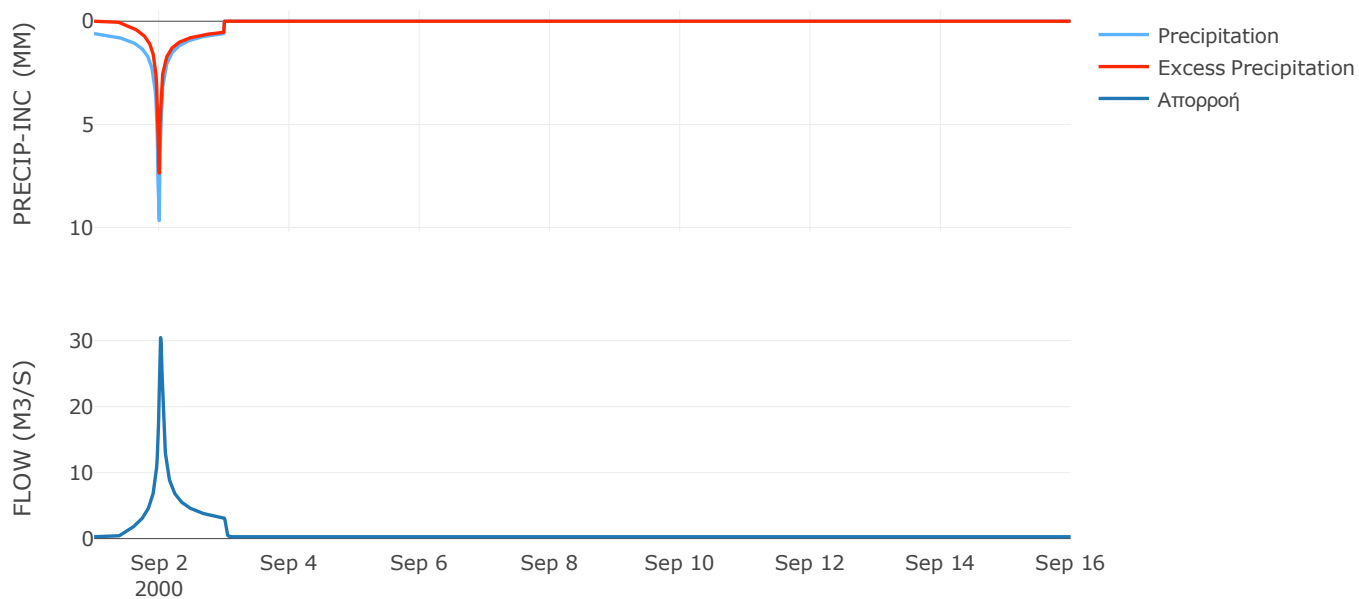
Μέθοδος
Μετασχηματισμού: SCS

Χρόνος Υστέρησης	28.07
------------------	-------

Αποτελέσματα:
EL0514FR003018

Παροχή αιχμής (M3/S)	30.45
Χρονική στιγμή αιχμής	02Sep2000, 00:30
Όγκος (MM)	238.03
Όγκος βροχόπτωσης (M3)	1.19E6
Όγκος απωλειών (M3)	4.4E5
Ενεργός Όγκος (M3)	7.47E5
Όγκος άμεσης απορροής (M3)	7.47E5
Όγκος βασικής απορροής (M3)	3.62E5

Βροχόπτωση και Απορροή



Υπολεκάνη: EL0514FR003019

Έκταση (KM2) : 56.36

Κατάντη : J20

Μέθοδος Απωλειών: SCS

Ποσοστό αδιαπέρατης επιφάνειας	0
Αριθμός Καμπύλης Απορροής-CN	81.74
Αρχικές Απώλειες	11.35

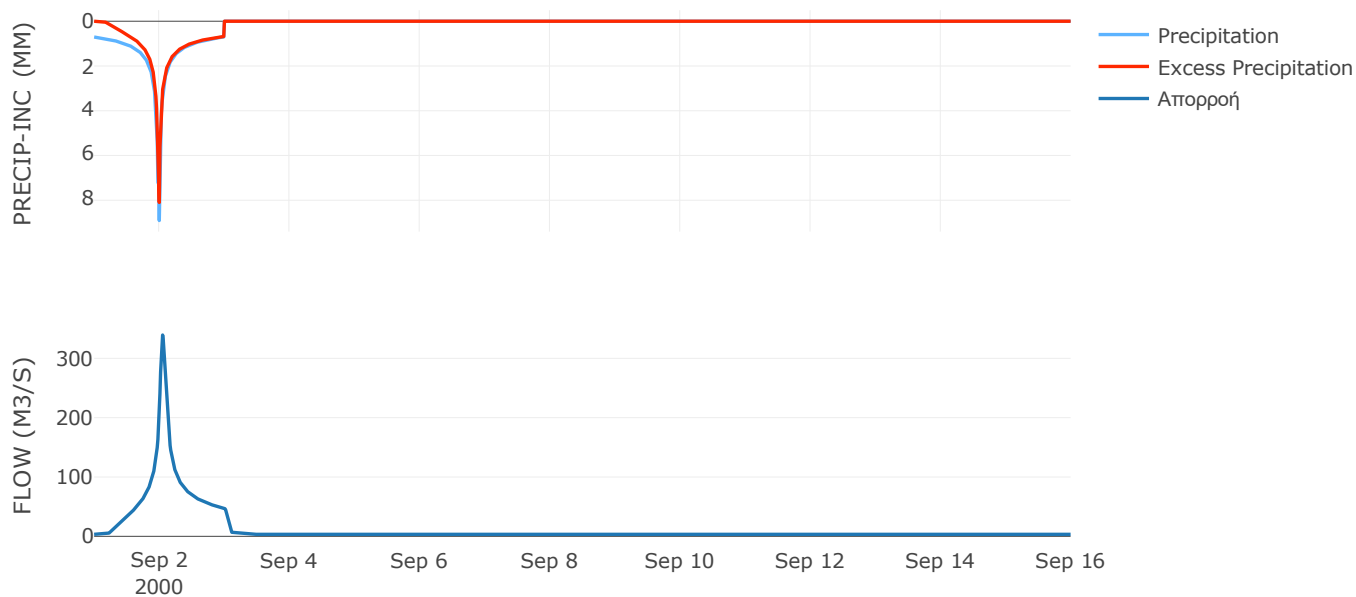
Μέθοδος
Μετασχηματισμού: SCS

Χρόνος Υστέρησης	67.89
------------------	-------

Αποτελέσματα:
EL0514FR003019

Παροχή αιχμής (M3/S)	339.29
Χρονική στιγμή αιχμής	02Sep2000, 01:15
Όγκος (MM)	295.14
Όγκος βροχόπτωσης (M3)	1.55E7
Όγκος απωλειών (M3)	3.27E6
Ενεργός Όγκος (M3)	1.23E7
Όγκος άμεσης απορροής (M3)	1.23E7
Όγκος βασικής απορροής (M3)	4.38E6

Βροχόπτωση και Απορροή



Υπολεκάνη: EL0514FR003020

Έκταση (KM2) : 10.48

Κατάντη : J19

Μέθοδος Απωλειών: SCS

Ποσοστό αδιαπέρατης επιφάνειας	0
Αριθμός Καμπύλης Απορροής-CN	80.78
Αρχικές Απώλειες	12.09

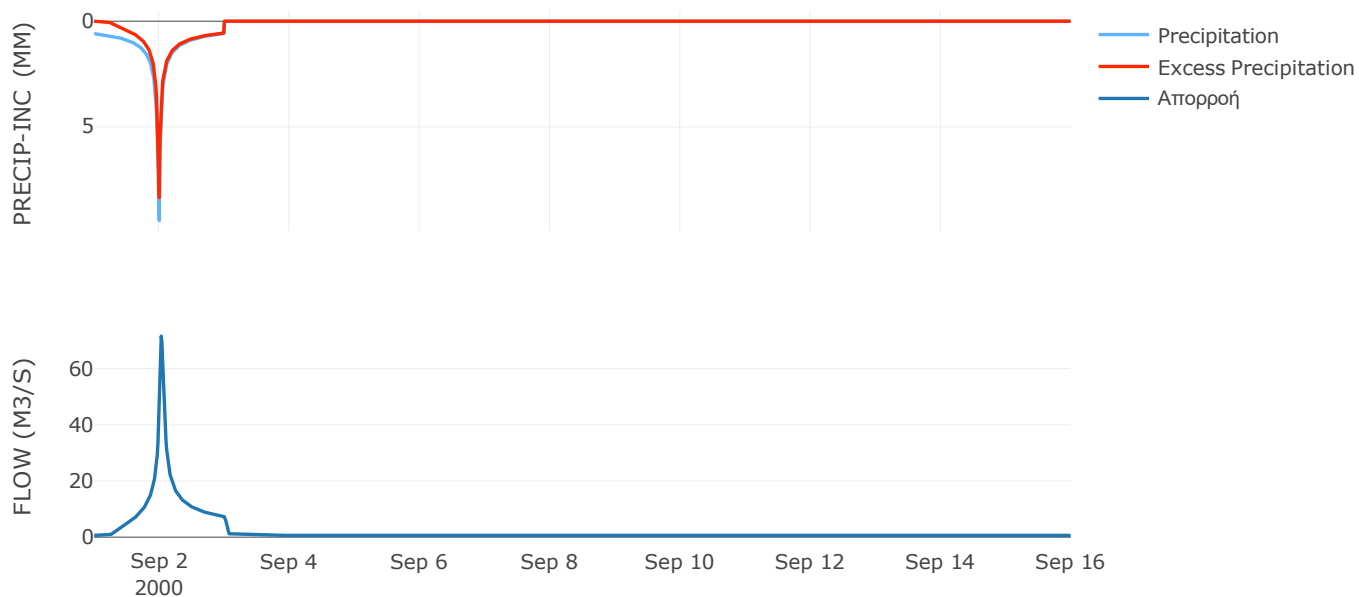
Μέθοδος
Μετασχηματισμού: SCS

Χρόνος Υστέρησης	42.92
------------------	-------

Αποτελέσματα:
EL0514FR003020

Παροχή αιχμής (M3/S)	71.59
Χρονική στιγμή αιχμής	02Sep2000, 00:45
Όγκος (MM)	266.42
Όγκος βροχόπτωσης (M3)	2.61E6
Όγκος απωλειών (M3)	6.32E5
Ενεργός Όγκος (M3)	1.98E6
Όγκος άμεσης απορροής (M3)	1.98E6
Όγκος βασικής απορροής (M3)	8.15E5

Βροχόπτωση και Απορροή



Υπολεκάνη: EL0514FR003021

Έκταση (KM2) : 14.84

Κατάντη : J19

Μέθοδος Απωλειών: SCS

Ποσοστό αδιαπέρατης επιφάνειας	0
Αριθμός Καμπύλης Απορροής-CN	80.34
Αρχικές Απώλειες	12.43

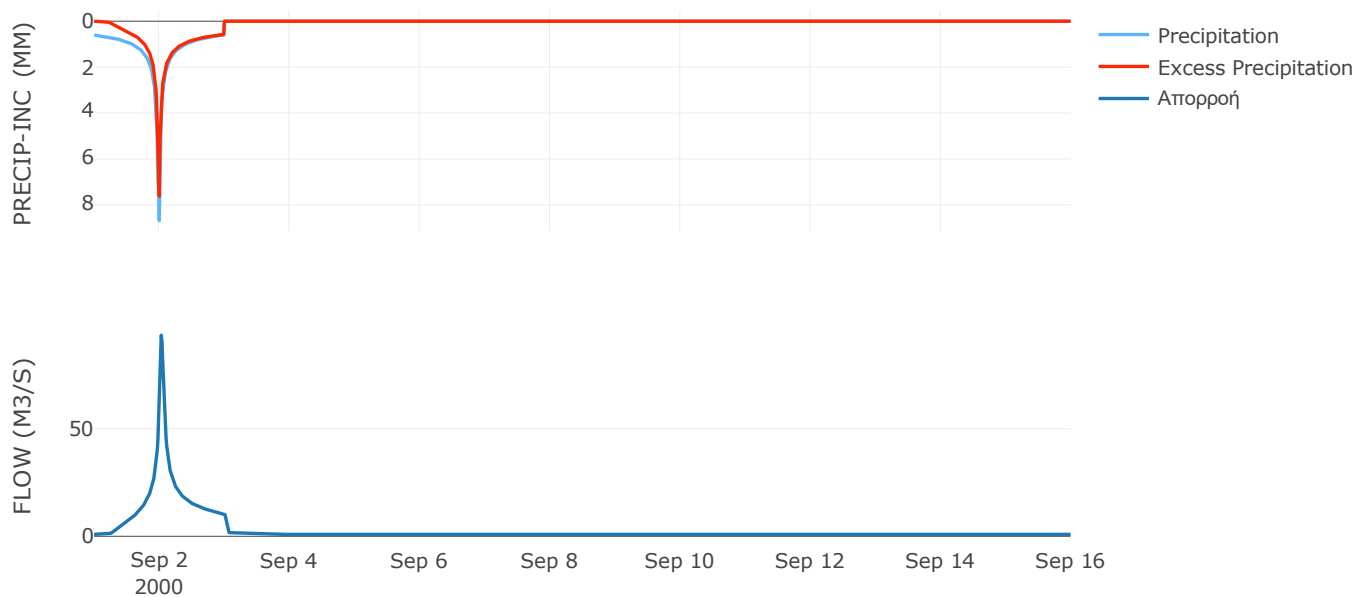
Μέθοδος
Μετασχηματισμού: SCS

Χρόνος Υστέρησης	42.47
------------------	-------

Αποτελέσματα:
EL0514FR003021

Παροχή αιχμής (M3/S)	93.49
Χρονική στιγμή αιχμής	02Sep2000, 00:45
Όγκος (MM)	262.06
Όγκος βροχόπτωσης (M3)	3.65E6
Όγκος απωλειών (M3)	9.13E5
Ενεργός Όγκος (M3)	2.73E6
Όγκος άμεσης απορροής (M3)	2.73E6
Όγκος βασικής απορροής (M3)	1.15E6

Βροχόπτωση και Απορροή



Υπολεκάνη: EL0514FR003022

Έκταση (KM2) : 68.59

Κατάντη : J10

Μέθοδος Απωλειών: SCS

Ποσοστό αδιαπέρατης επιφάνειας	0
Αριθμός Καμπύλης Απορροής-CN	61.34
Αρχικές Απώλειες	32.02

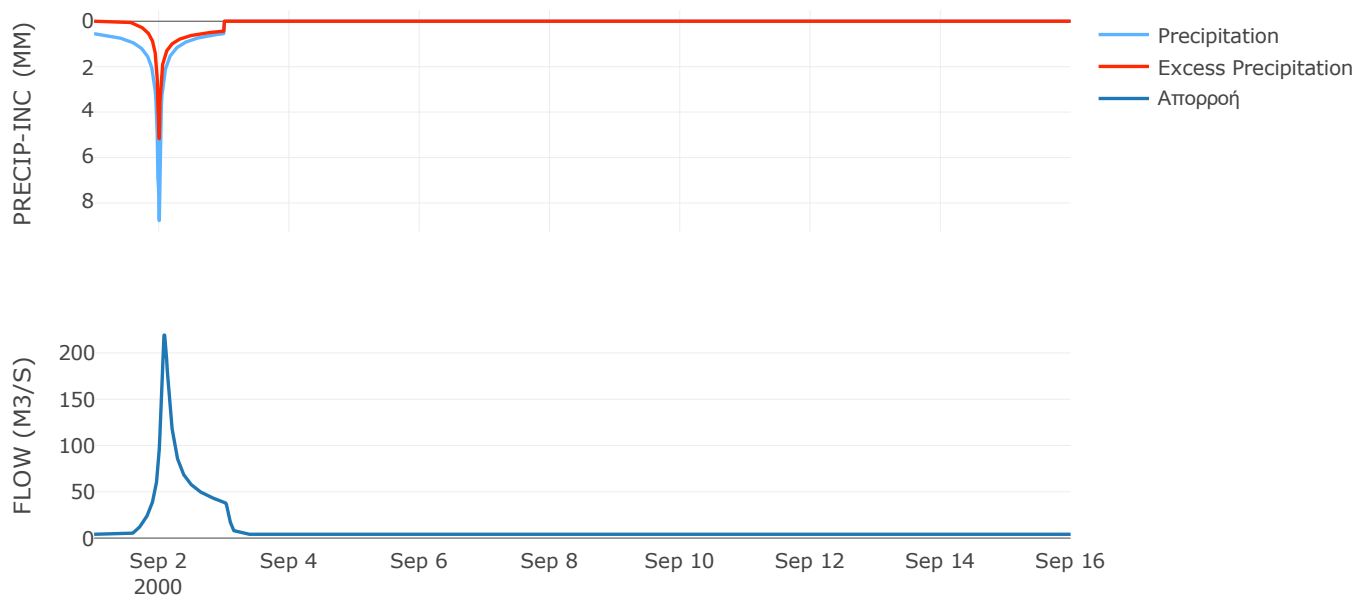
Μέθοδος
Μετασχηματισμού: SCS

Χρόνος Υστέρησης	97.39
------------------	-------

Αποτελέσματα:
EL0514FR003022

Παροχή αιχμής (M3/S)	219.25
Χρονική στιγμή αιχμής	02Sep2000, 01:45
Όγκος (MM)	189.3
Όγκος βροχόπτωσης (M3)	1.6E7
Όγκος απωλειών (M3)	8.3E6
Ενεργός Όγκος (M3)	7.65E6
Όγκος άμεσης απορροής (M3)	7.65E6
Όγκος βασικής απορροής (M3)	5.33E6

Βροχόπτωση και Απορροή



Υπολεκάνη: EL0514FR003023

Έκταση (KM2) : 35.95

Κατάντη : J10

Μέθοδος Απωλειών: SCS

Ποσοστό αδιαπέρατης επιφάνειας	0
Αριθμός Καμπύλης Απορροής-CN	74.94
Αρχικές Απώλειες	16.99

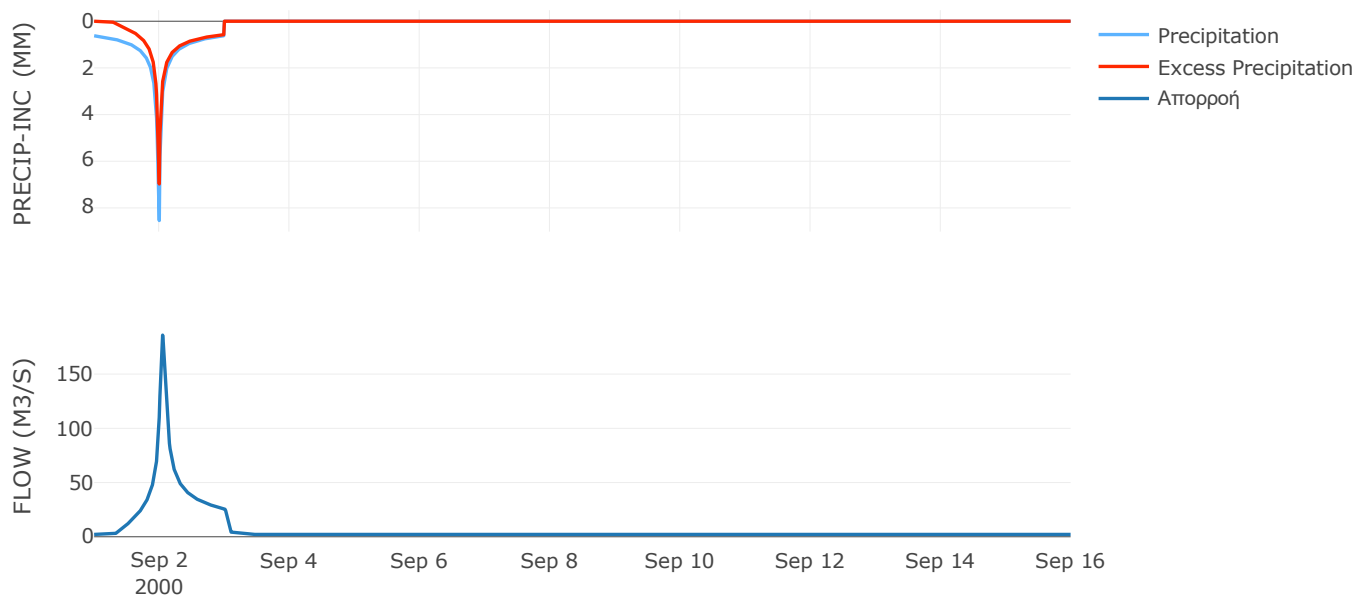
Μέθοδος
Μετασχηματισμού: SCS

Χρόνος Υστέρησης	63.9
------------------	------

Αποτελέσματα:
EL0514FR003023

Παροχή αιχμής (M3/S)	185.97
Χρονική στιγμή αιχμής	02Sep2000, 01:15
Όγκος (MM)	248.76
Όγκος βροχόπτωσης (M3)	9E6
Όγκος απωλειών (M3)	2.85E6
Ενεργός Όγκος (M3)	6.15E6
Όγκος άμεσης απορροής (M3)	6.15E6
Όγκος βασικής απορροής (M3)	2.8E6

Βροχόπτωση και Απορροή



Υπολεκάνη: EL0514FR003024

Έκταση (KM2) : 55.27

Κατάντη : J9

Μέθοδος Απωλειών: SCS

Ποσοστό αδιαπέρατης επιφάνειας	0
Αριθμός Καμπύλης Απορροής-CN	54.02
Αρχικές Απώλειες	43.24

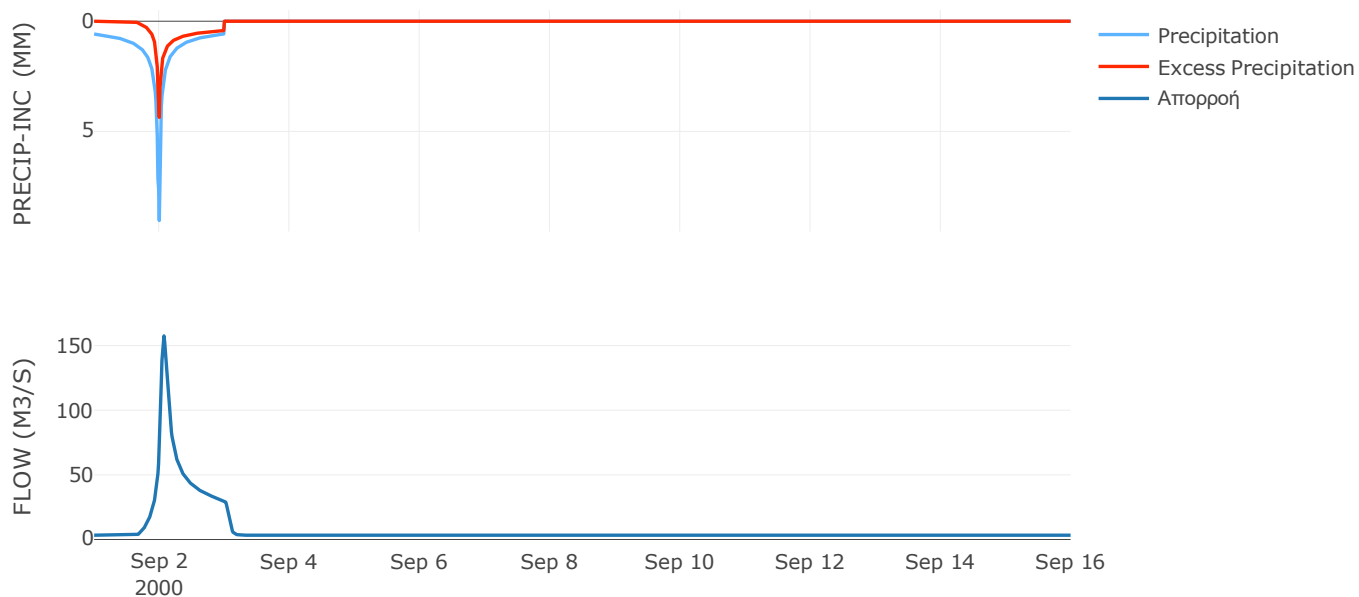
Μέθοδος
Μετασχηματισμού: SCS

Χρόνος Υστέρησης	82.35
------------------	-------

Αποτελέσματα:
EL0514FR003024

Παροχή αιχμής (M3/S)	157.5
Χρονική στιγμή αιχμής	02Sep2000, 01:45
Όγκος (MM)	174.26
Όγκος βροχόπτωσης (M3)	1.35E7
Όγκος απωλειών (M3)	8.14E6
Ενεργός Όγκος (M3)	5.33E6
Όγκος άμεσης απορροής (M3)	5.33E6
Όγκος βασικής απορροής (M3)	4.3E6

Βροχόπτωση και Απορροή



Υπολεκάνη: EL0514FR003025

Έκταση (KM2) : 30.82

Κατάνη : J9

Μέθοδος Απωλειών: SCS

Ποσοστό αδιαπέρατης επιφάνειας	0
Αριθμός Καμπύλης Απορροής-CN	79.22
Αρχικές Απώλειες	13.33

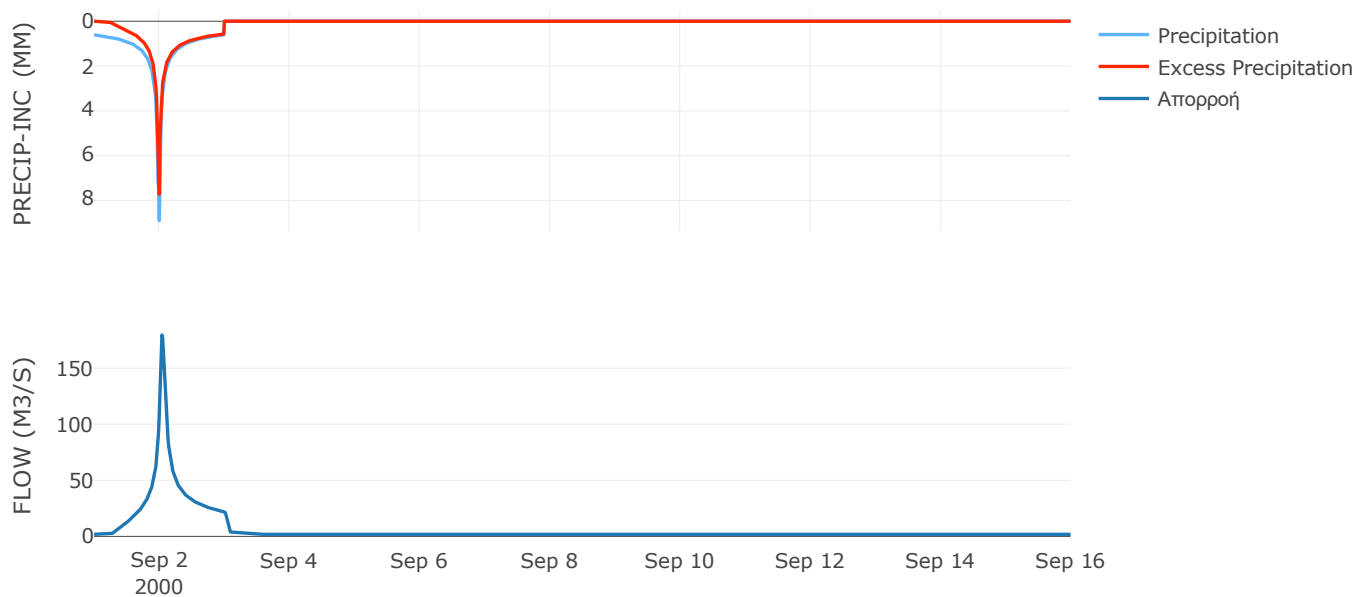
Μέθοδος
Μετασχηματισμού: SCS

Χρόνος Υστέρησης	59.21
------------------	-------

Αποτελέσματα:
EL0514FR003025

Παροχή αιχμής (M3/S)	179.67
Χρονική στιγμή αιχμής	02Sep2000, 01:00
Όγκος (MM)	261.52
Όγκος βροχόπτωσης (M3)	7.68E6
Όγκος απωλειών (M3)	2.01E6
Ενεργός Όγκος (M3)	5.66E6
Όγκος άμεσης απορροής (M3)	5.66E6
Όγκος βασικής απορροής (M3)	2.4E6

Βροχόπτωση και Απορροή



Υπολεκάνη: EL0514FR003026

Έκταση (KM2) : 12.64

Κατάντη : J9

Μέθοδος Απωλειών: SCS

Ποσοστό αδιαπέρατης επιφάνειας	0
Αριθμός Καμπύλης Απορροής-CN	78.69
Αρχικές Απώλειες	13.76

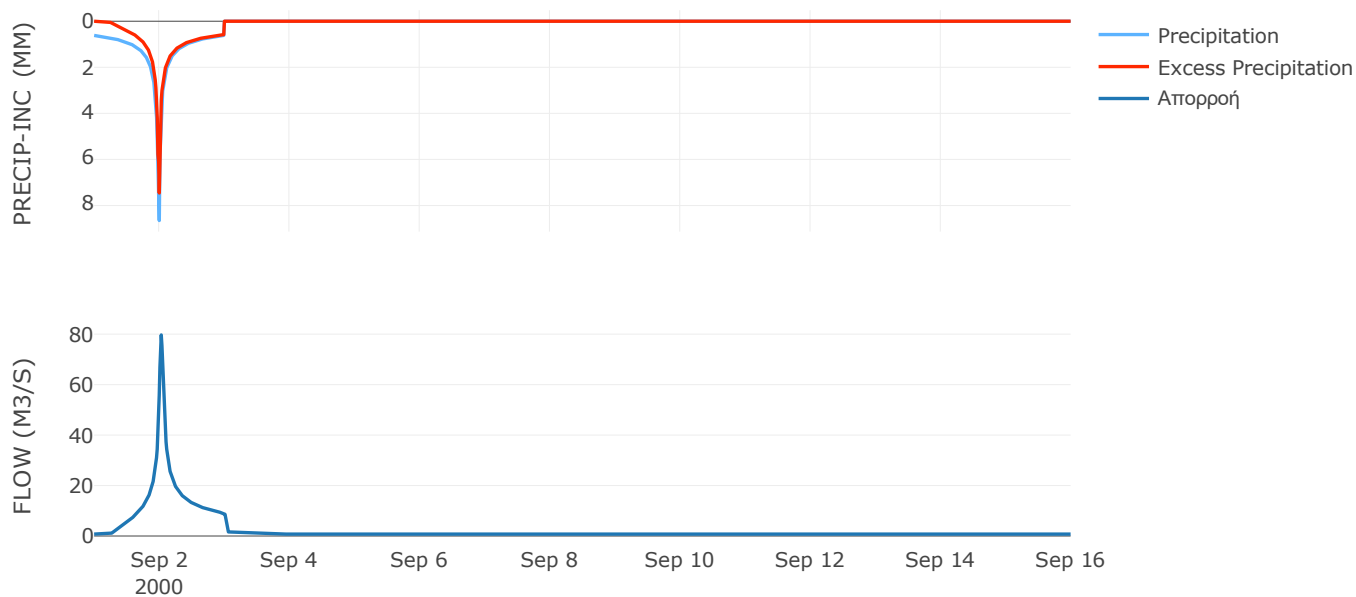
Μέθοδος
Μετασχηματισμού: SCS

Χρόνος Υστέρησης	38.29
------------------	-------

Αποτελέσματα:
EL0514FR003026

Παροχή αιχμής (M3/S)	79.7
Χρονική στιγμή αιχμής	02Sep2000, 00:45
Όγκος (MM)	260.34
Όγκος βροχόπτωσης (M3)	3.16E6
Όγκος απωλειών (M3)	8.47E5
Ενεργός Όγκος (M3)	2.31E6
Όγκος άμεσης απορροής (M3)	2.31E6
Όγκος βασικής απορροής (M3)	9.83E5

Βροχόπτωση και Απορροή



Υπολεκάνη: EL0514FR003027

Έκταση (KM2) : 75.07

Κατάντη : J8

Μέθοδος Απωλειών: SCS

Ποσοστό αδιαπέρατης επιφάνειας	0
Αριθμός Καμπύλης Απορροής-CN	74.26
Αρχικές Απώλειες	17.61

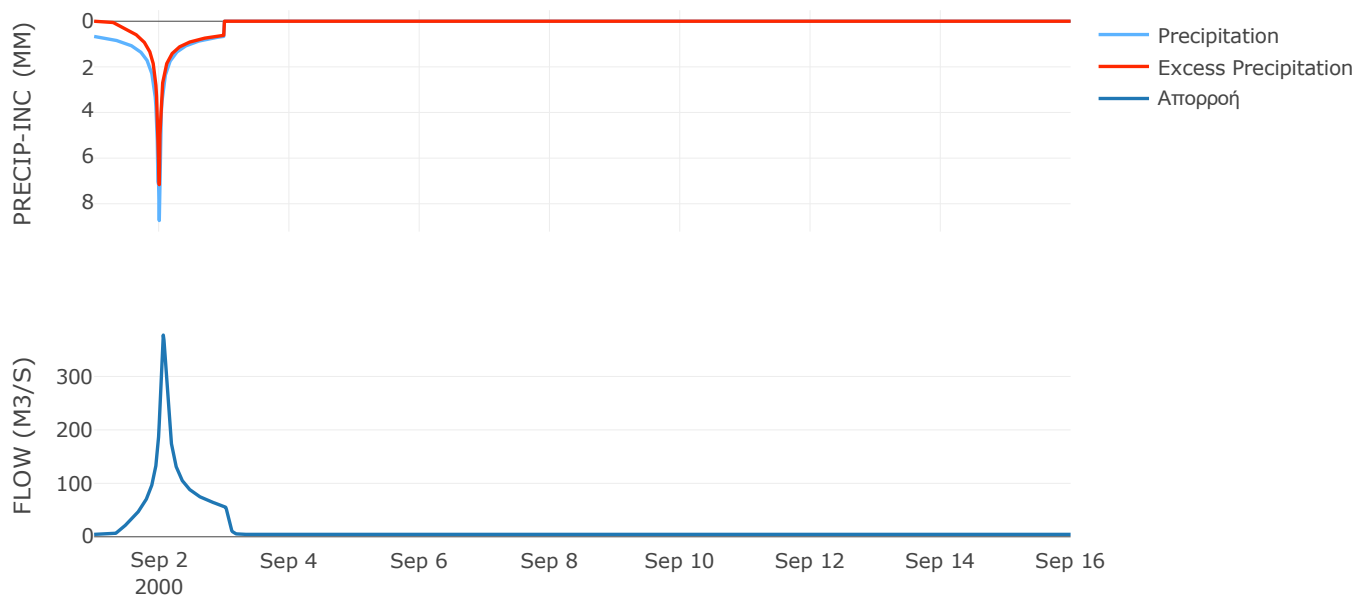
Μέθοδος
Μετασχηματισμού: SCS

Χρόνος Υστέρησης	78.82
------------------	-------

Αποτελέσματα:
EL0514FR003027

Παροχή αιχμής (M3/S)	377.44
Χρονική στιγμή αιχμής	02Sep2000, 01:30
Όγκος (MM)	258.98
Όγκος βροχόπτωσης (M3)	1.98E7
Όγκος απωλειών (M3)	6.19E6
Ενεργός Όγκος (M3)	1.36E7
Όγκος άμεσης απορροής (M3)	1.36E7
Όγκος βασικής απορροής (M3)	5.84E6

Βροχόπτωση και Απορροή



Υπολεκάνη: EL0514FR003028

Έκταση (KM2) : 25.46

Κατάντη : J8

Μέθοδος Απωλειών: SCS

Ποσοστό αδιαπέρατης επιφάνειας	0
Αριθμός Καμπύλης Απορροής-CN	79.98
Αρχικές Απώλειες	12.72

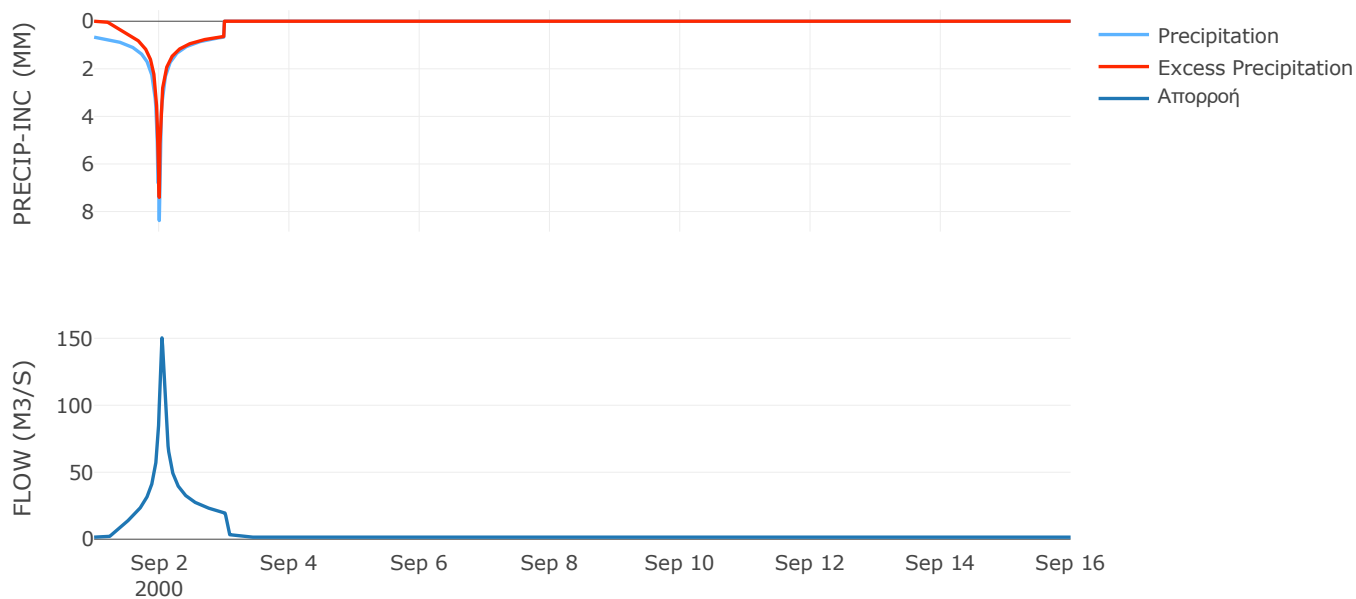
Μέθοδος
Μετασχηματισμού: SCS

Χρόνος Υστέρησης	51.81
------------------	-------

Αποτελέσματα:
EL0514FR003028

Παροχή αιχμής (M3/S)	150.32
Χρονική στιγμή αιχμής	02Sep2000, 01:00
Όγκος (MM)	275.39
Όγκος βροχόπτωσης (M3)	6.65E6
Όγκος απωλειών (M3)	1.61E6
Ενεργός Όγκος (M3)	5.03E6
Όγκος άμεσης απορροής (M3)	5.03E6
Όγκος βασικής απορροής (M3)	1.98E6

Βροχόπτωση και Απορροή



Υπολεκάνη: EL0514FR003029

Έκταση (KM2) : 14.96

Κατάντη : J7

Μέθοδος Απωλειών: SCS

Ποσοστό αδιαπέρατης επιφάνειας	0
Αριθμός Καμπύλης Απορροής-CN	79.38
Αρχικές Απώλειες	13.19

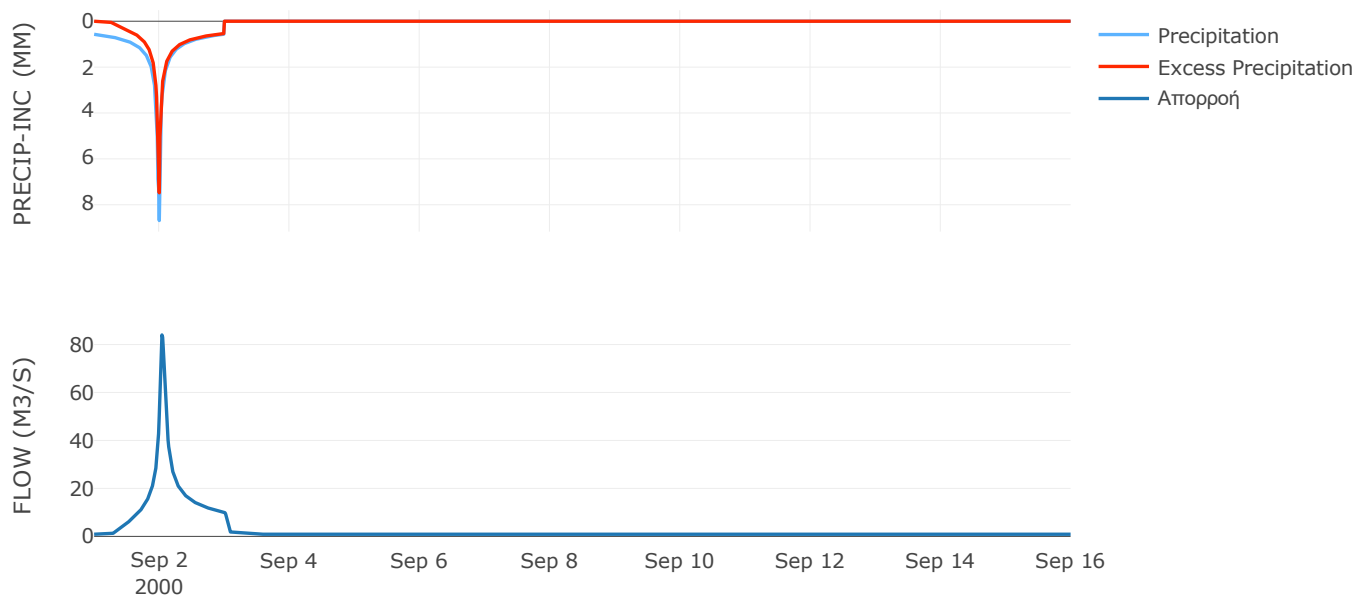
Μέθοδος
Μετασχηματισμού: SCS

Χρόνος Υστέρησης	59.52
------------------	-------

Αποτελέσματα:
EL0514FR003029

Παροχή αιχμής (M3/S)	83.99
Χρονική στιγμή αιχμής	02Sep2000, 01:00
Όγκος (MM)	251.11
Όγκος βροχόπτωσης (M3)	3.55E6
Όγκος απωλειών (M3)	9.6E5
Ενεργός Όγκος (M3)	2.59E6
Όγκος άμεσης απορροής (M3)	2.59E6
Όγκος βασικής απορροής (M3)	1.16E6

Βροχόπτωση και Απορροή



Υπολεκάνη: EL0514FR003030

Έκταση (KM2) : 14.02

Κατάνη : J7

Μέθοδος Απωλειών: SCS

Ποσοστό αδιαπέρατης επιφάνειας	0
Αριθμός Καμπύλης Απορροής-CN	79.92
Αρχικές Απώλειες	12.76

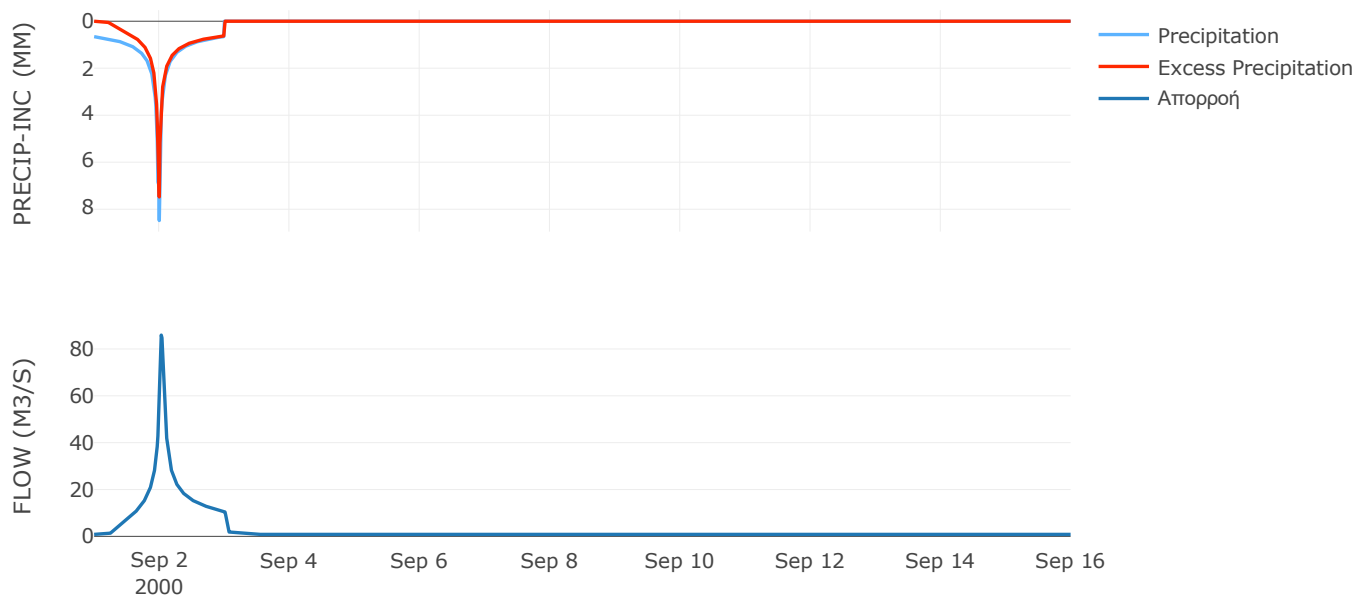
Μέθοδος
Μετασχηματισμού: SCS

Χρόνος Υστέρησης	45.25
------------------	-------

Αποτελέσματα:
EL0514FR003030

Παροχή αιχμής (M3/S)	85.92
Χρονική στιγμή αιχμής	02Sep2000, 00:45
Όγκος (MM)	272.7
Όγκος βροχόπτωσης (M3)	3.62E6
Όγκος απωλειών (M3)	8.89E5
Ενεργός Όγκος (M3)	2.73E6
Όγκος άμεσης απορροής (M3)	2.73E6
Όγκος βασικής απορροής (M3)	1.09E6

Βροχόπτωση και Απορροή



Υπολεκάνη: EL0514FR003031

Έκταση (KM2) : 21.31

Κατάντη : J7

Μέθοδος Απωλειών: SCS

Ποσοστό αδιαπέρατης επιφάνειας	0
Αριθμός Καμπύλης Απορροής-CN	80
Αρχικές Απώλειες	12.7

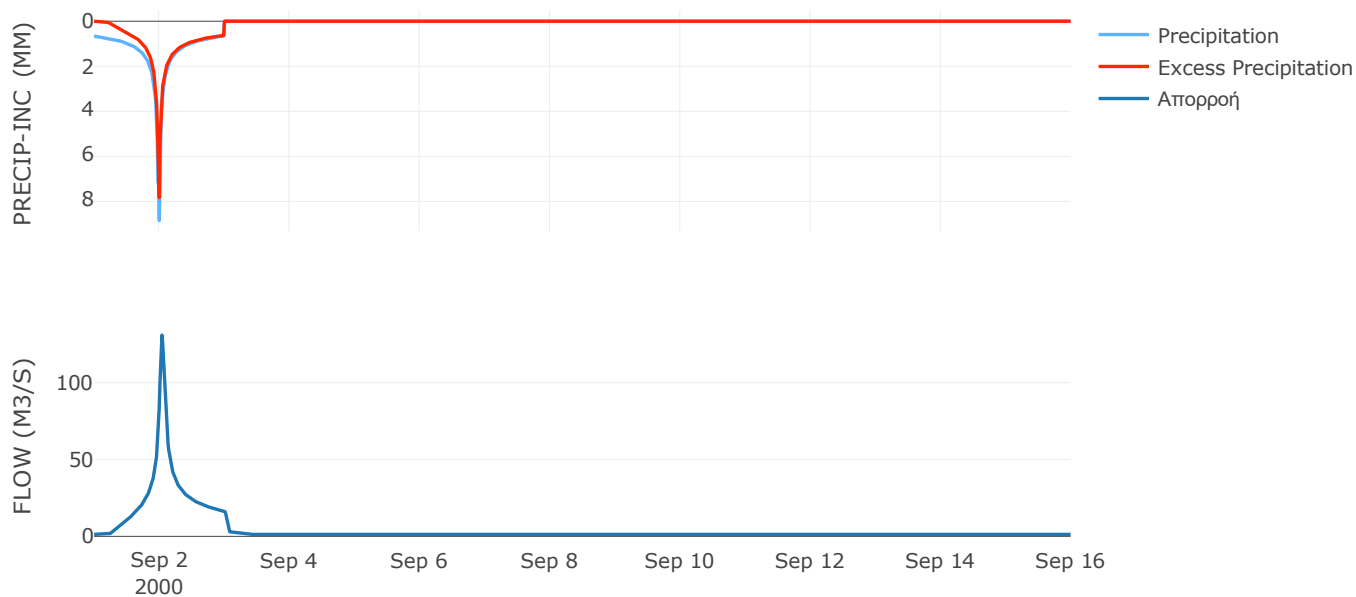
Μέθοδος
Μετασχηματισμού: SCS

Χρόνος Υστέρησης	53.67
------------------	-------

Αποτελέσματα:
EL0514FR003031

Παροχή αιχμής (M3/S)	131.05
Χρονική στιγμή αιχμής	02Sep2000, 01:00
Όγκος (MM)	276.79
Όγκος βροχόπτωσης (M3)	5.59E6
Όγκος απωλειών (M3)	1.35E6
Ενεργός Όγκος (M3)	4.24E6
Όγκος άμεσης απορροής (M3)	4.24E6
Όγκος βασικής απορροής (M3)	1.66E6

Βροχόπτωση και Απορροή



Υπολεκάνη: EL0514FR003032

Έκταση (KM2) : 17.85

Κατάντη : J6

Μέθοδος Απωλειών: SCS

Ποσοστό αδιαπέρατης επιφάνειας	0
Αριθμός Καμπύλης Απορροής-CN	77.9
Αρχικές Απώλειες	14.41

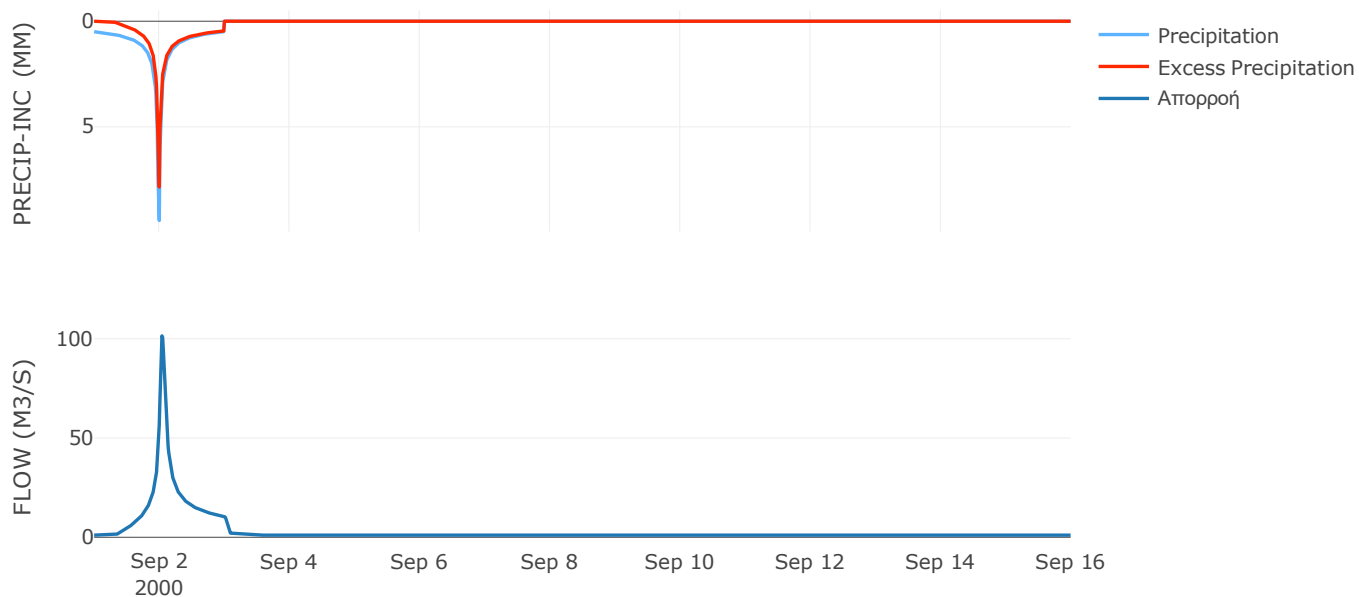
Μέθοδος
Μετασχηματισμού: SCS

Χρόνος Υστέρησης	60.5
------------------	------

Αποτελέσματα:
EL0514FR003032

Παροχή αιχμής (M3/S)	101.46
Χρονική στιγμή αιχμής	02Sep2000, 01:00
Όγκος (MM)	233.89
Όγκος βροχόπτωσης (M3)	4E6
Όγκος απωλειών (M3)	1.21E6
Ενεργός Όγκος (M3)	2.79E6
Όγκος άμεσης απορροής (M3)	2.79E6
Όγκος βασικής απορροής (M3)	1.39E6

Βροχόπτωση και Απορροή



Υπολεκάνη: EL0514FR003033

Έκταση (KM2) : 17.55

Κατάντη : J6

Μέθοδος Απωλειών: SCS

Ποσοστό αδιαπέρατης επιφάνειας	0
Αριθμός Καμπύλης Απορροής-CN	52.86
Αρχικές Απώλειες	45.3

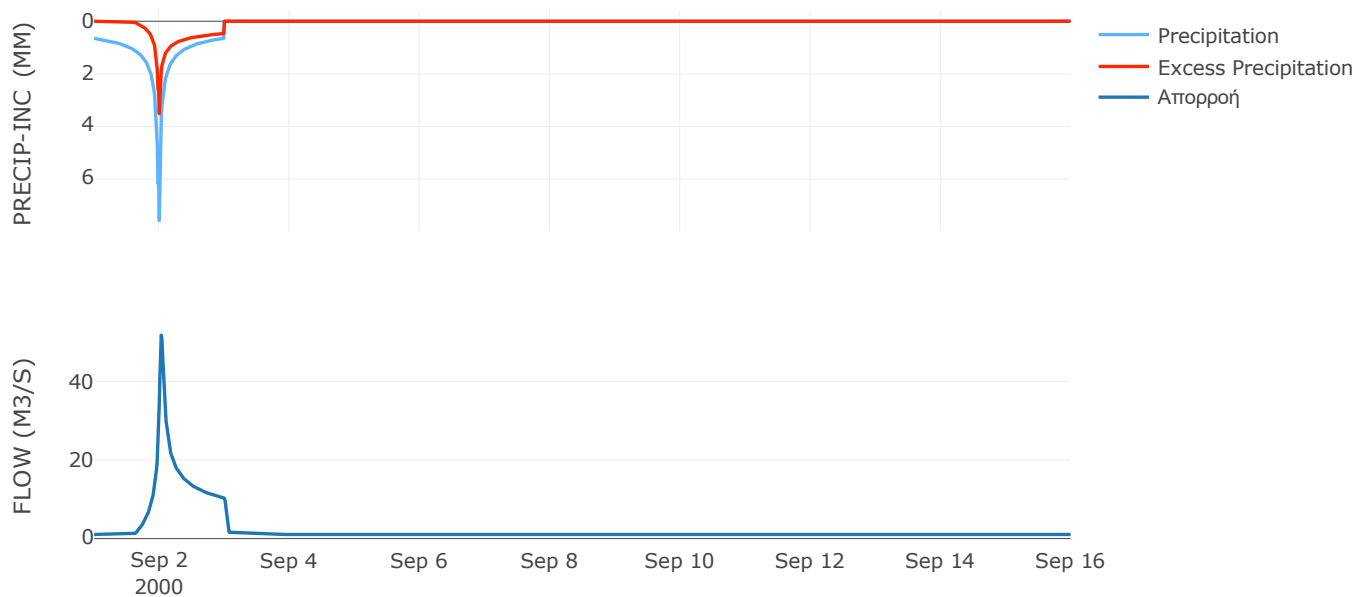
Μέθοδος
Μετασχηματισμού: SCS

Χρόνος Υστέρησης	38.48
------------------	-------

Αποτελέσματα:
EL0514FR003033

Παροχή αιχμής (M3/S)	51.8
Χρονική στιγμή αιχμής	02Sep2000, 00:45
Όγκος (MM)	172.9
Όγκος βροχόπτωσης (M3)	4.34E6
Όγκος απωλειών (M3)	2.67E6
Ενεργός Όγκος (M3)	1.67E6
Όγκος άμεσης απορροής (M3)	1.67E6
Όγκος βασικής απορροής (M3)	1.36E6

Βροχόπτωση και Απορροή



Υπολεκάνη: EL0514FR003034

Έκταση (KM2) : 83.42

Κατάνη : J5

Μέθοδος Απωλειών: SCS

Ποσοστό αδιαπέρατης επιφάνειας	7.2
Αριθμός Καμπύλης Απορροής-CN	74.09
Αρχικές Απώλειες	17.76

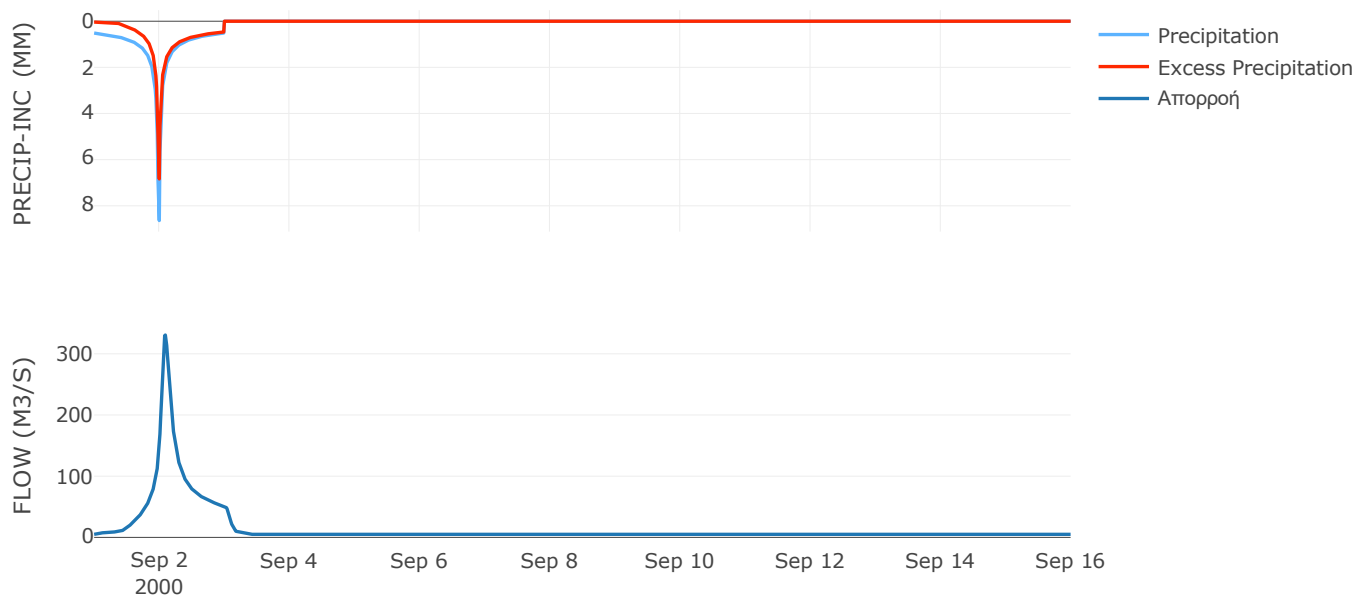
Μέθοδος
Μετασχηματισμού: SCS

Χρόνος Υστέρησης	118.33
------------------	--------

Αποτελέσματα:
EL0514FR003034

Παροχή αιχμής (M3/S)	330.61
Χρονική στιγμή αιχμής	02Sep2000, 02:15
Όγκος (MM)	225.57
Όγκος βροχόπτωσης (M3)	1.85E7
Όγκος απωλειών (M3)	6.17E6
Ενεργός Όγκος (M3)	1.23E7
Όγκος άμεσης απορροής (M3)	1.23E7
Όγκος βασικής απορροής (M3)	6.49E6

Βροχόπτωση και Απορροή



Υπολεκάνη: EL0514FR003035

Έκταση (KM2) : 13.03

Κατάντη : J31

Μέθοδος Απωλειών: SCS

Ποσοστό αδιαπέρατης επιφάνειας	0
Αριθμός Καμπύλης Απορροής-CN	79.8
Αρχικές Απώλειες	12.86

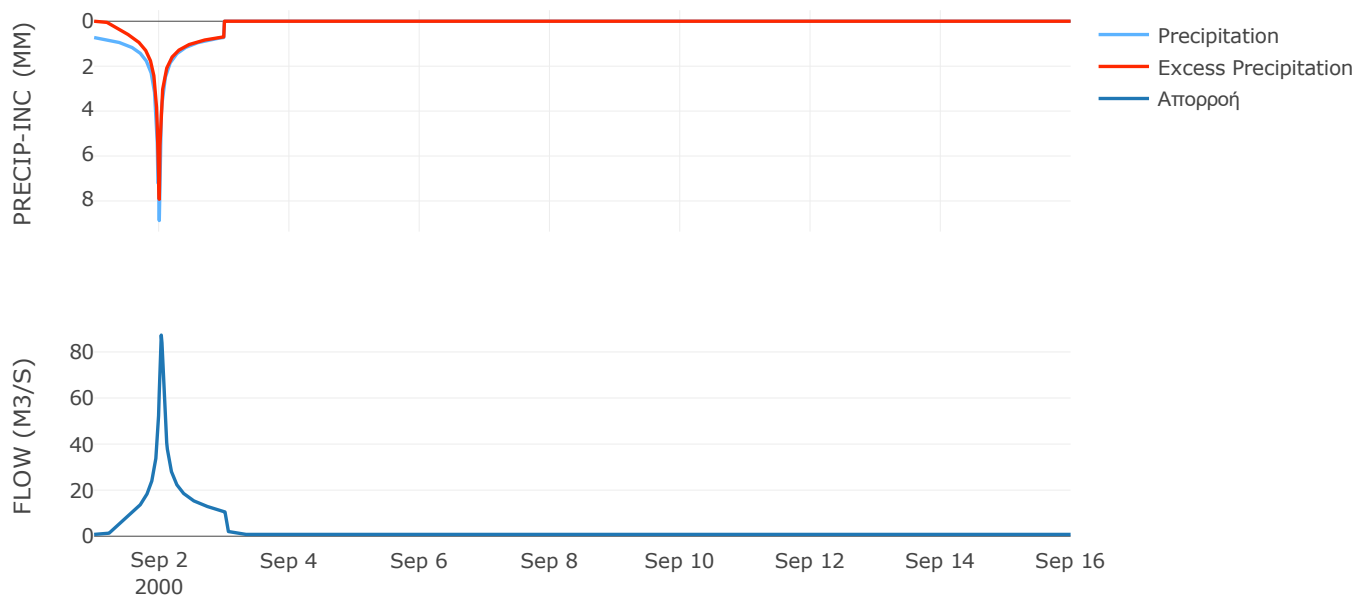
Μέθοδος
Μετασχηματισμού: SCS

Χρόνος Υστέρησης	40.58
------------------	-------

Αποτελέσματα:
EL0514FR003035

Παροχή αιχμής (M3/S)	87.31
Χρονική στιγμή αιχμής	02Sep2000, 00:45
Όγκος (MM)	293.36
Όγκος βροχόπτωσης (M3)	3.65E6
Όγκος απωλειών (M3)	8.43E5
Ενεργός Όγκος (M3)	2.81E6
Όγκος άμεσης απορροής (M3)	2.81E6
Όγκος βασικής απορροής (M3)	1.01E6

Βροχόπτωση και Απορροή



Υπολεκάνη: EL0514FR003036

Έκταση (KM2) : 48.7

Κατάντη : J31

Μέθοδος Απωλειών: SCS

Ποσοστό αδιαπέρατης επιφάνειας	0
Αριθμός Καμπύλης Απορροής-CN	80.47
Αρχικές Απώλειες	12.33

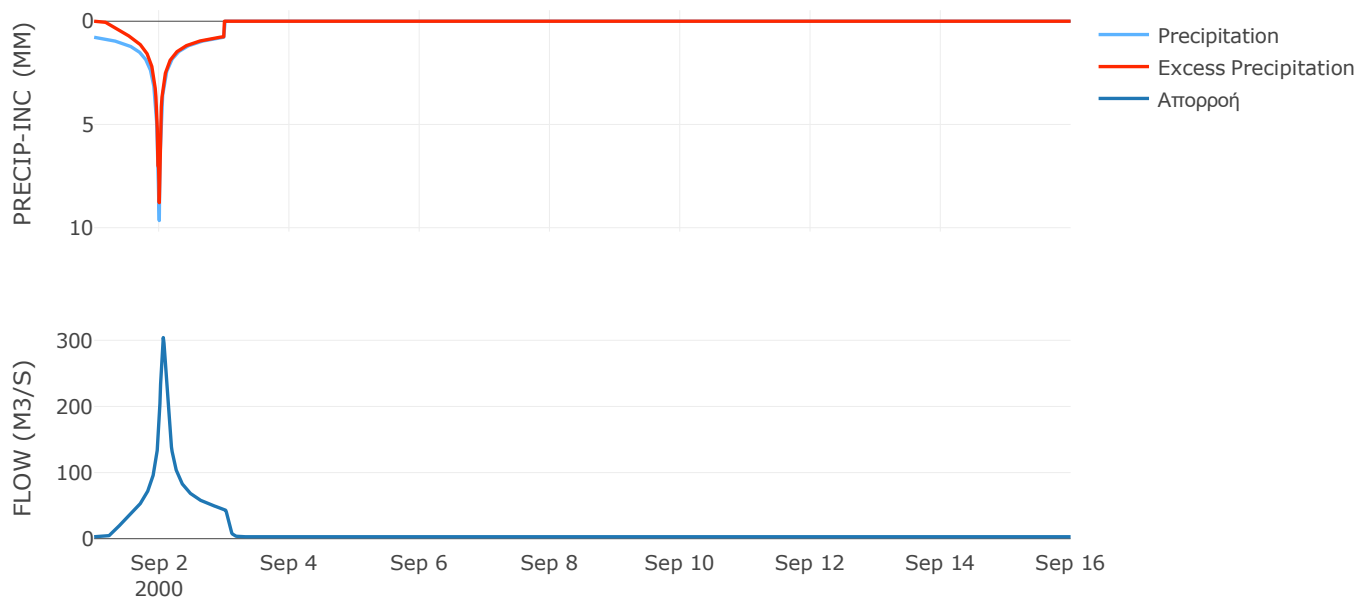
Μέθοδος
Μετασχηματισμού: SCS

Χρόνος Υστέρησης	79.35
------------------	-------

Αποτελέσματα:
EL0514FR003036

Παροχή αιχμής (M3/S)	304.13
Χρονική στιγμή αιχμής	02Sep2000, 01:30
Όγκος (MM)	316.46
Όγκος βροχόπτωσης (M3)	1.47E7
Όγκος απωλειών (M3)	3.08E6
Ενεργός Όγκος (M3)	1.16E7
Όγκος άμεσης απορροής (M3)	1.16E7
Όγκος βασικής απορροής (M3)	3.79E6

Βροχόπτωση και Απορροή



Υπολεκάνη: EL0514FR003037

Έκταση (KM2) : 32.67

Κατάντη : J30

Μέθοδος Απωλειών: SCS

Ποσοστό αδιαπέρατης επιφάνειας	0
Αριθμός Καμπύλης Απορροής-CN	80.47
Αρχικές Απώλειες	12.33

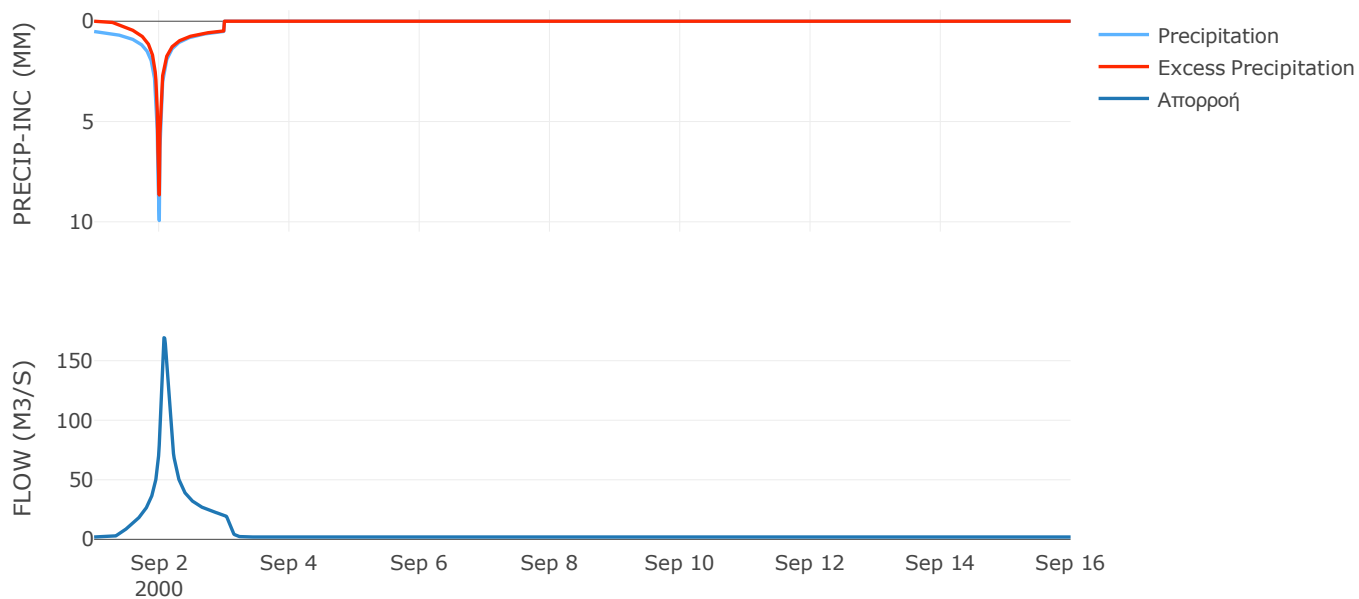
Μέθοδος
Μετασχηματισμού: SCS

Χρόνος Υστέρησης	103.76
------------------	--------

Αποτελέσματα:
EL0514FR003037

Παροχή αιχμής (M3/S)	169.3
Χρονική στιγμή αιχμής	02Sep2000, 01:45
Όγκος (MM)	250.44
Όγκος βροχόπτωσης (M3)	7.62E6
Όγκος απωλειών (M3)	1.98E6
Ενεργός Όγκος (M3)	5.64E6
Όγκος άμεσης απορροής (M3)	5.64E6
Όγκος βασικής απορροής (M3)	2.54E6

Βροχόπτωση και Απορροή



Υπολεκάνη: EL0514FR003038

Έκταση (KM2) : 25.23

Κατάντη : J30

Μέθοδος Απωλειών: SCS

Ποσοστό αδιαπέρατης επιφάνειας	0
Αριθμός Καμπύλης Απορροής-CN	80.33
Αρχικές Απώλειες	12.44

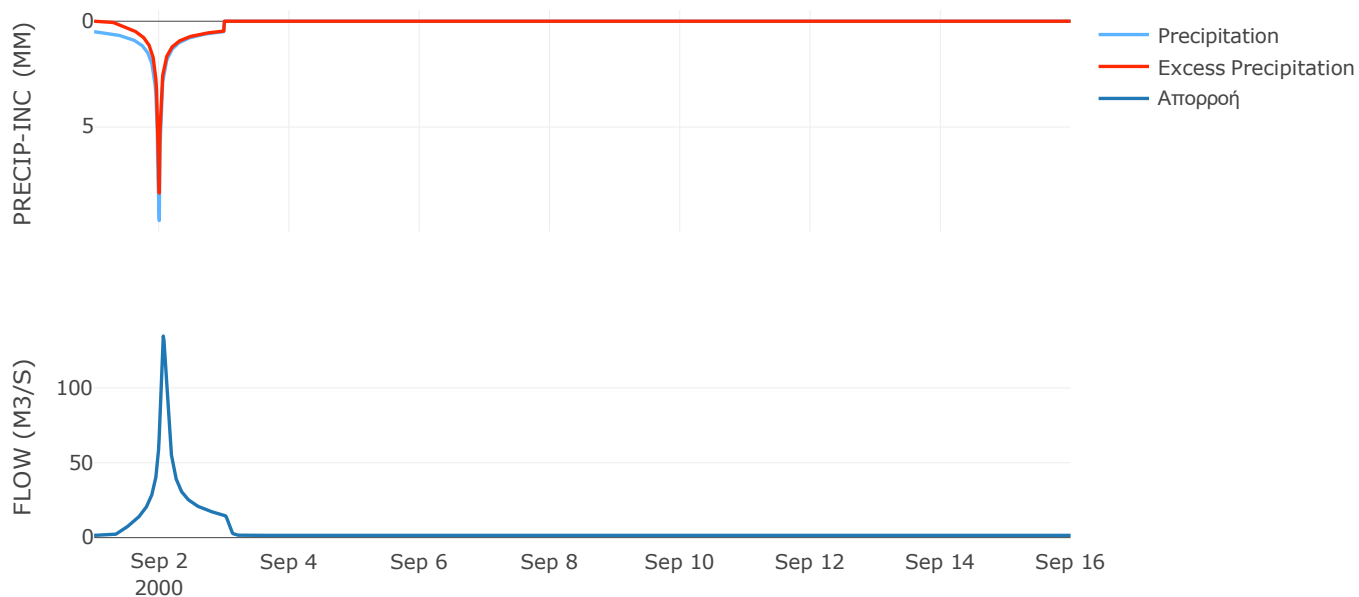
Μέθοδος
Μετασχηματισμού: SCS

Χρόνος Υστέρησης	82.13
------------------	-------

Αποτελέσματα:
EL0514FR003038

Παροχή αιχμής (M3/S)	134.61
Χρονική στιγμή αιχμής	02Sep2000, 01:30
Όγκος (MM)	240.96
Όγκος βροχόπτωσης (M3)	5.64E6
Όγκος απωλειών (M3)	1.53E6
Ενεργός Όγκος (M3)	4.12E6
Όγκος άμεσης απορροής (M3)	4.12E6
Όγκος βασικής απορροής (M3)	1.96E6

Βροχόπτωση και Απορροή



Υπολεκάνη: EL0514FR003039

Έκταση (KM2) : 8.72

Κατάντη : J22

Μέθοδος Απωλειών: SCS

Ποσοστό αδιαπέρατης επιφάνειας	0.09
Αριθμός Καμπύλης Απορροής-CN	82.36
Αρχικές Απώλειες	10.88

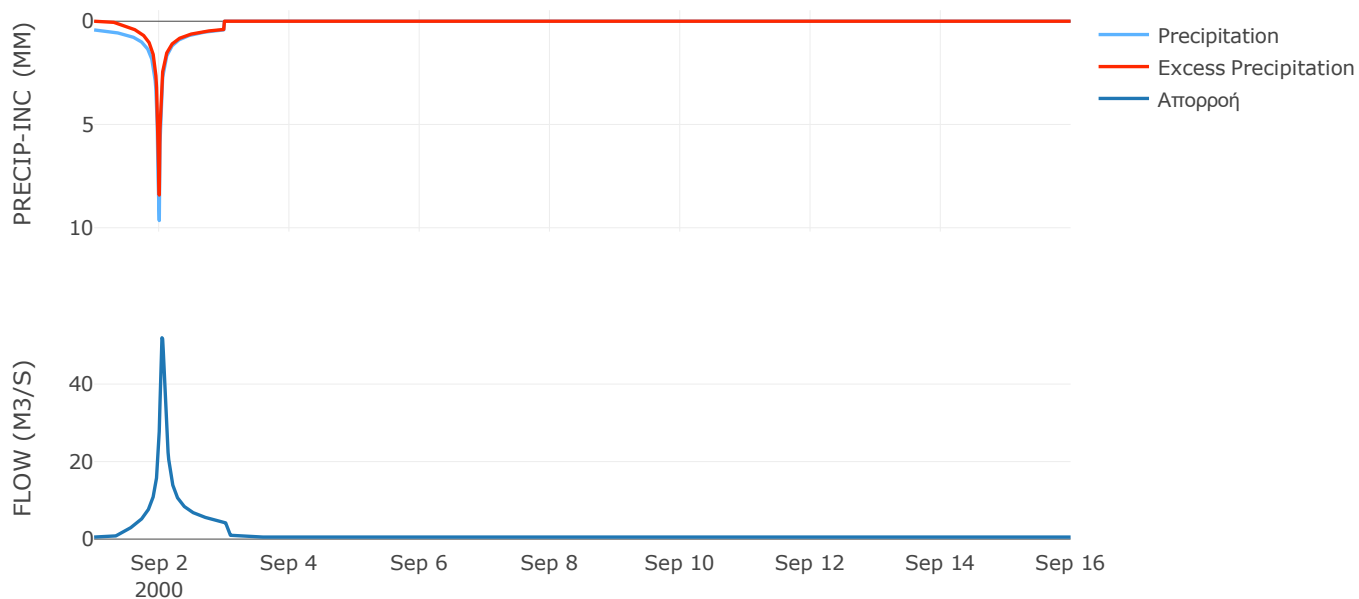
Μέθοδος
Μετασχηματισμού: SCS

Χρόνος Υστέρησης	61.73
------------------	-------

Αποτελέσματα:
EL0514FR003039

Παροχή αιχμής (M3/S)	51.97
Χρονική στιγμή αιχμής	02Sep2000, 01:00
Όγκος (MM)	229.13
Όγκος βροχόπτωσης (M3)	1.79E6
Όγκος απωλειών (M3)	4.65E5
Ενεργός Όγκος (M3)	1.32E6
Όγκος άμεσης απορροής (M3)	1.32E6
Όγκος βασικής απορροής (M3)	6.78E5

Βροχόπτωση και Απορροή



Υπολεκάνη: EL0514FR003040

Έκταση (KM2) : 22.7

Κατάντη : J22

Μέθοδος Απωλειών: SCS

Ποσοστό αδιαπέρατης επιφάνειας	0.09
Αριθμός Καμπύλης Απορροής-CN	81.42
Αρχικές Απώλειες	11.59

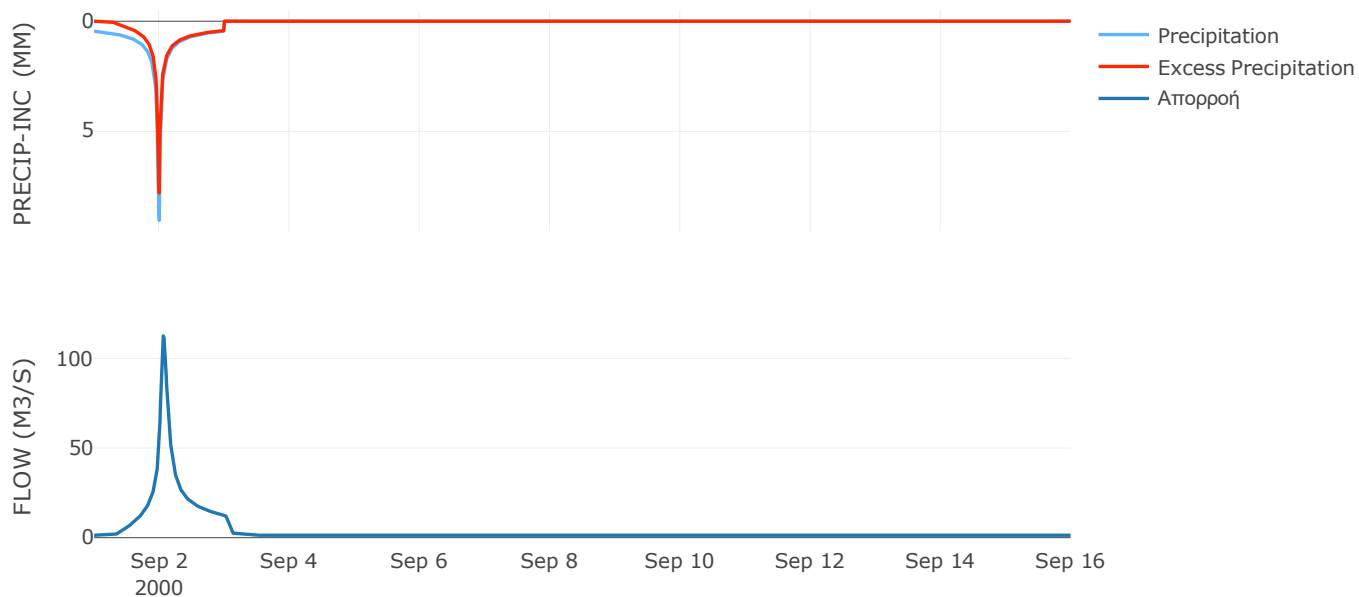
Μέθοδος
Μετασχηματισμού: SCS

Χρόνος Υστέρησης	87.71
------------------	-------

Αποτελέσματα:
EL0514FR003040

Παροχή αιχμής (M3/S)	112.5
Χρονική στιγμή αιχμής	02Sep2000, 01:30
Όγκος (MM)	229.4
Όγκος βροχόπτωσης (M3)	4.72E6
Όγκος απωλειών (M3)	1.28E6
Ενεργός Όγκος (M3)	3.44E6
Όγκος άμεσης απορροής (M3)	3.44E6
Όγκος βασικής απορροής (M3)	1.77E6

Βροχόπτωση και Απορροή



Υπολεκάνη: EL0514FR003041

Έκταση (KM2) : 11.3

Κατάντη : J23

Μέθοδος Απωλειών: SCS

Ποσοστό αδιαπέρατης επιφάνειας	0
Αριθμός Καμπύλης Απορροής-CN	80.25
Αρχικές Απώλειες	12.5

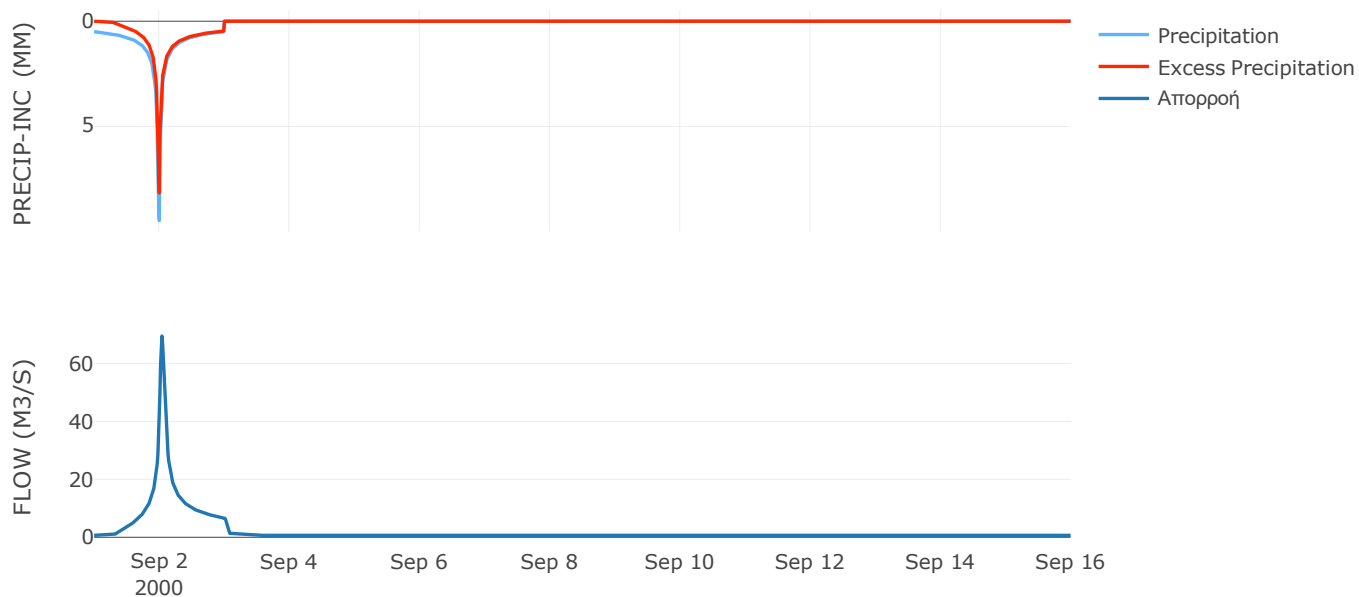
Μέθοδος
Μετασχηματισμού: SCS

Χρόνος Υστέρησης	54.28
------------------	-------

Αποτελέσματα:
EL0514FR003041

Παροχή αιχμής (M3/S)	69.5
Χρονική στιγμή αιχμής	02Sep2000, 01:00
Όγκος (MM)	241.02
Όγκος βροχόπτωσης (M3)	2.53E6
Όγκος απωλειών (M3)	6.86E5
Ενεργός Όγκος (M3)	1.85E6
Όγκος άμεσης απορροής (M3)	1.85E6
Όγκος βασικής απορροής (M3)	8.79E5

Βροχόπτωση και Απορροή



Υπολεκάνη: EL0514FR003042

Έκταση (KM2) : 9.38

Κατάντη : J23

Μέθοδος Απωλειών: SCS

Ποσοστό αδιαπέρατης επιφάνειας	0
Αριθμός Καμπύλης Απορροής-CN	81.4
Αρχικές Απώλειες	11.61

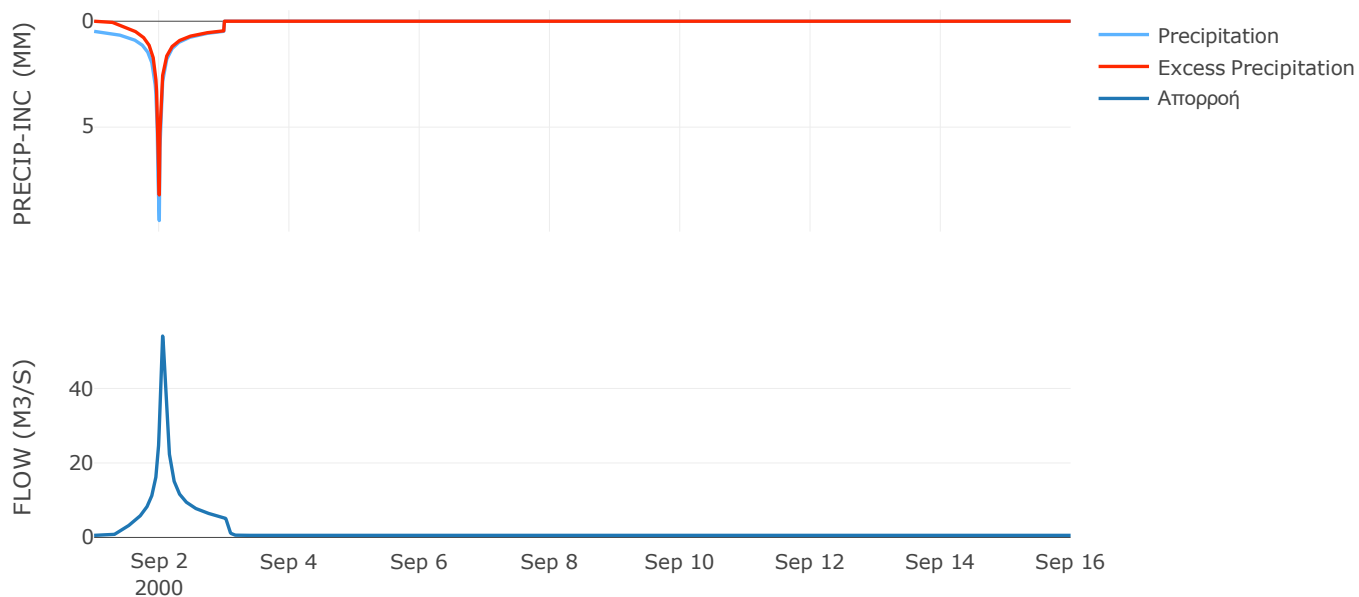
Μέθοδος
Μετασχηματισμού: SCS

Χρόνος Υστέρησης	67.02
------------------	-------

Αποτελέσματα:
EL0514FR003042

Παροχή αιχμής (M3/S)	54.07
Χρονική στιγμή αιχμής	02Sep2000, 01:15
Όγκος (MM)	240.1
Όγκος βροχόπτωσης (M3)	2.06E6
Όγκος απωλειών (M3)	5.34E5
Ενεργός Όγκος (M3)	1.52E6
Όγκος άμεσης απορροής (M3)	1.52E6
Όγκος βασικής απορροής (M3)	7.29E5

Βροχόπτωση και Απορροή



Υπολεκάνη: EL0514FR003043

Έκταση (KM2) : 29.89

Κατάντη : J24

Μέθοδος Απωλειών: SCS

Ποσοστό αδιαπέρατης επιφάνειας	0
Αριθμός Καμπύλης Απορροής-CN	80.92
Αρχικές Απώλειες	11.98

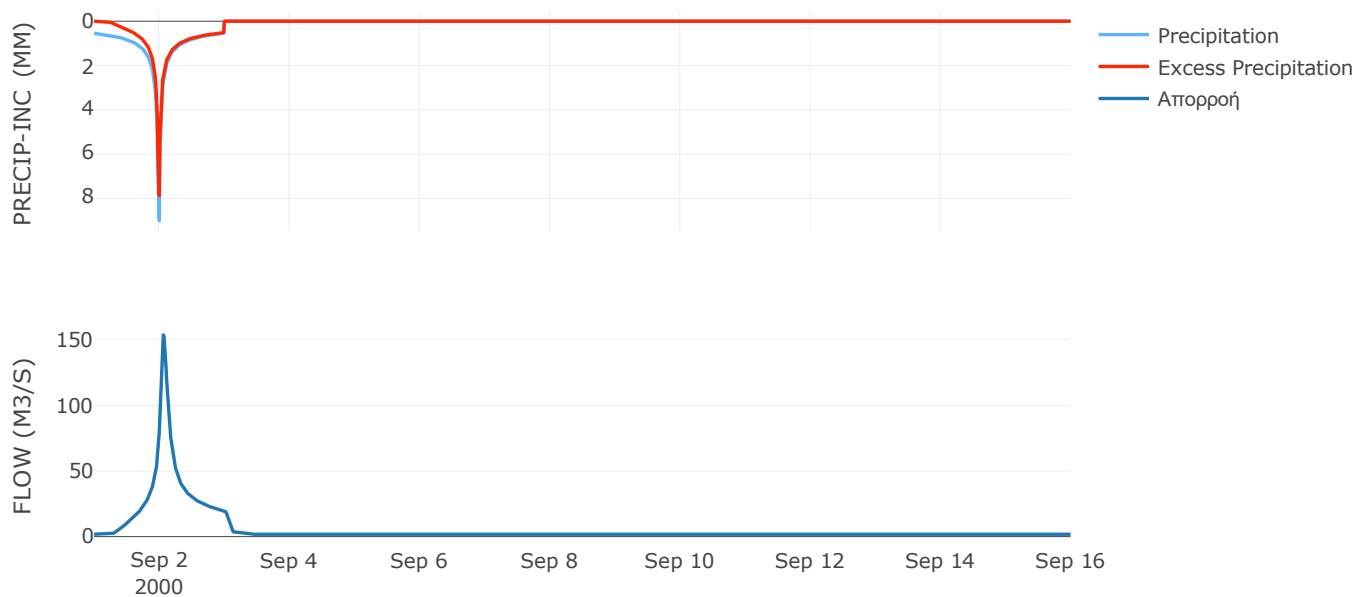
Μέθοδος
Μετασχηματισμού: SCS

Χρόνος Υστέρησης	88.72
------------------	-------

Αποτελέσματα:
EL0514FR003043

Παροχή αιχμής (M3/S)	153.65
Χρονική στιγμή αιχμής	02Sep2000, 01:30
Όγκος (MM)	251.47
Όγκος βροχόπτωσης (M3)	6.96E6
Όγκος απωλειών (M3)	1.77E6
Ενεργός Όγκος (M3)	5.19E6
Όγκος άμεσης απορροής (M3)	5.19E6
Όγκος βασικής απορροής (M3)	2.32E6

Βροχόπτωση και Απορροή



Υπολεκάνη: EL0514FR003044

Έκταση (KM2) : 19.82

Κατάντη : J24

Μέθοδος Απωλειών: SCS

Ποσοστό αδιαπέρατης επιφάνειας	0
Αριθμός Καμπύλης Απορροής-CN	78.07
Αρχικές Απώλειες	14.27

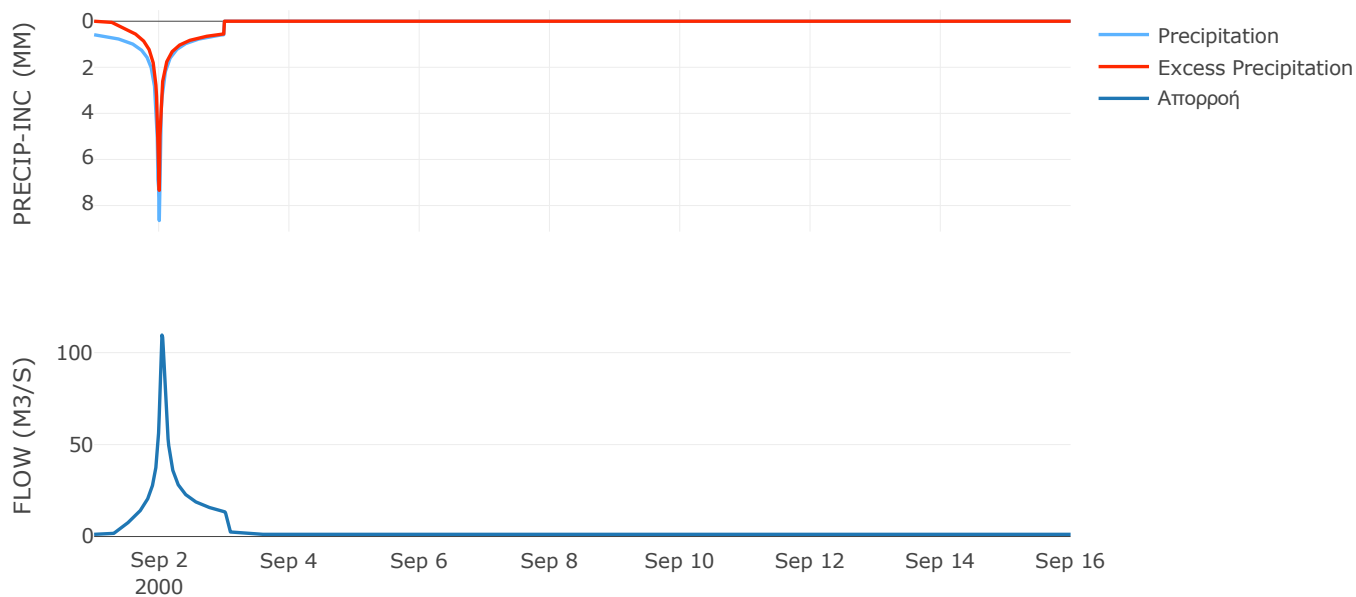
Μέθοδος
Μετασχηματισμού: SCS

Χρόνος Υστέρησης	59.39
------------------	-------

Αποτελέσματα:
EL0514FR003044

Παροχή αιχμής (M3/S)	109.56
Χρονική στιγμή αιχμής	02Sep2000, 01:00
Όγκος (MM)	251.06
Όγκος βροχόπτωσης (M3)	4.8E6
Όγκος απωλειών (M3)	1.36E6
Ενεργός Όγκος (M3)	3.44E6
Όγκος άμεσης απορροής (M3)	3.44E6
Όγκος βασικής απορροής (M3)	1.54E6

Βροχόπτωση και Απορροή



Υπολεκάνη: EL0514FR003045

Έκταση (KM2) : 19.47

Κατάντη : J26

Μέθοδος Απωλειών: SCS

Ποσοστό αδιαπέρατης επιφάνειας	0
Αριθμός Καμπύλης Απορροής-CN	64.69
Αρχικές Απώλειες	27.73

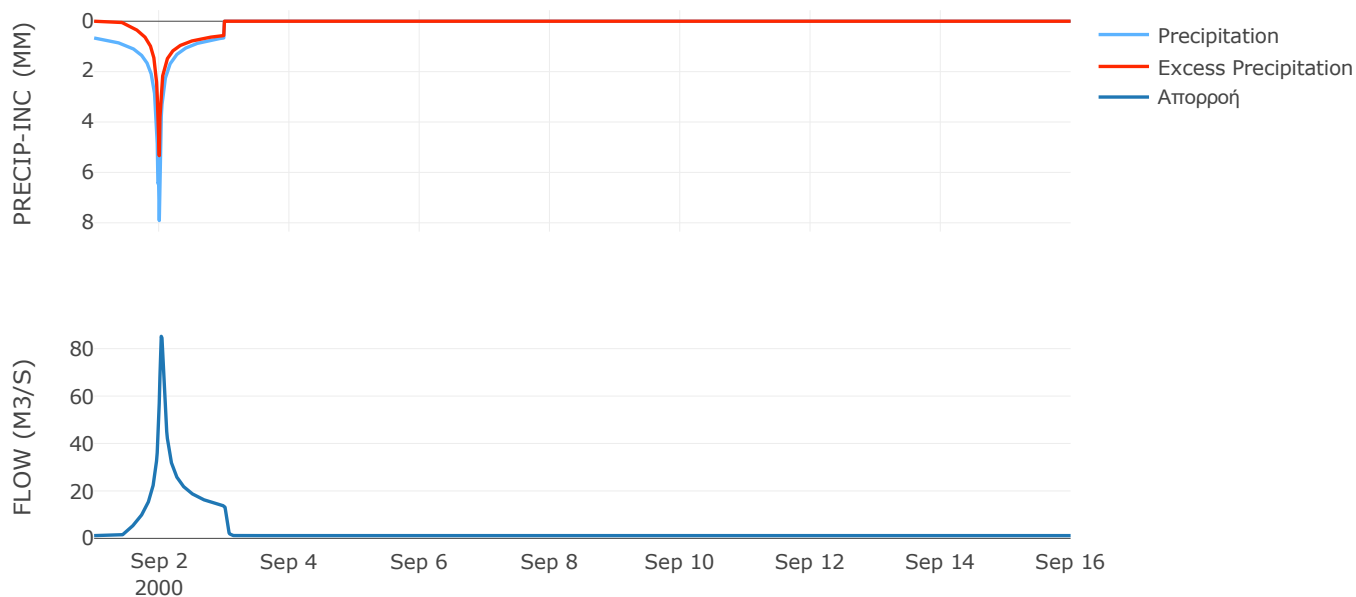
Μέθοδος
Μετασχηματισμού: SCS

Χρόνος Υστέρησης	43.83
------------------	-------

Αποτελέσματα:
EL0514FR003045

Παροχή αιχμής (M3/S)	85.2
Χρονική στιγμή αιχμής	02Sep2000, 00:45
Όγκος (MM)	218.66
Όγκος βροχόπτωσης (M3)	4.96E6
Όγκος απωλειών (M3)	2.22E6
Ενεργός Όγκος (M3)	2.74E6
Όγκος άμεσης απορροής (M3)	2.74E6
Όγκος βασικής απορροής (M3)	1.51E6

Βροχόπτωση και Απορροή



Υπολεκάνη: EL0514FR003046

Έκταση (KM2) : 5.63

Κατάντη : J24

Μέθοδος Απωλειών: SCS

Ποσοστό αδιαπέρατης επιφάνειας	0
Αριθμός Καμπύλης Απορροής-CN	81.05
Αρχικές Απώλειες	11.88

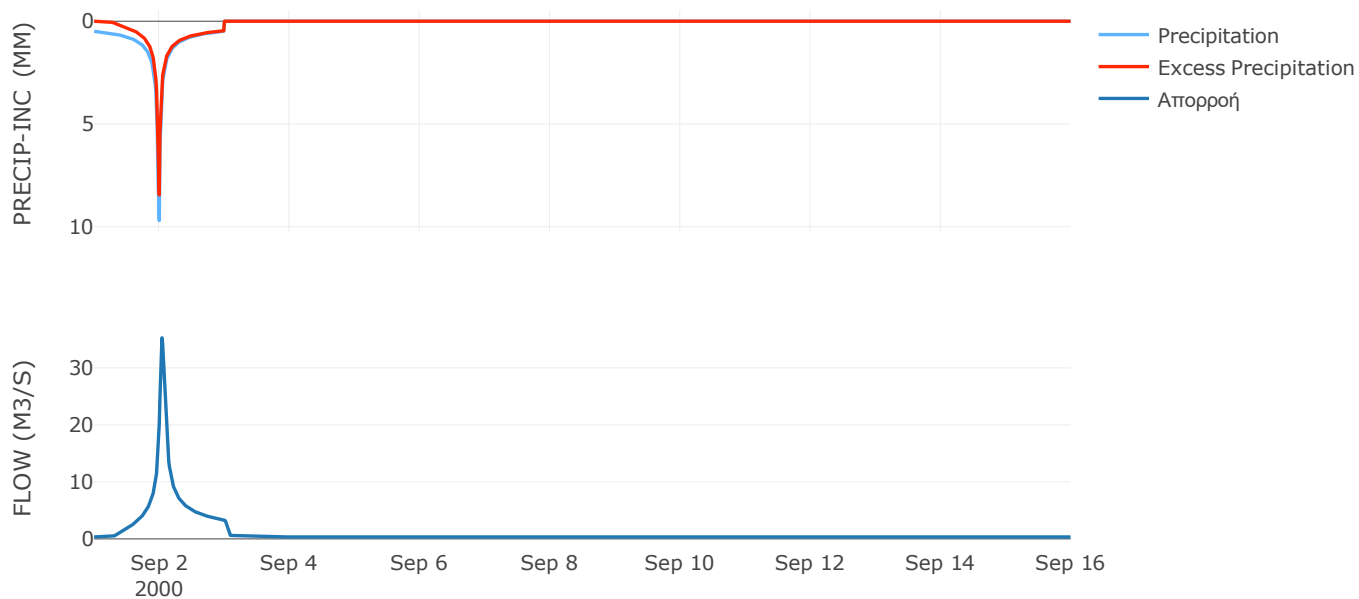
Μέθοδος
Μετασχηματισμού: SCS

Χρόνος Υστέρησης	56.98
------------------	-------

Αποτελέσματα:
EL0514FR003046

Παροχή αιχμής (M3/S)	35.28
Χρονική στιγμή αιχμής	02Sep2000, 01:00
Όγκος (MM)	244.08
Όγκος βροχόπτωσης (M3)	1.26E6
Όγκος απωλειών (M3)	3.28E5
Ενεργός Όγκος (M3)	9.36E5
Όγκος άμεσης απορροής (M3)	9.36E5
Όγκος βασικής απορροής (M3)	4.38E5

Βροχόπτωση και Απορροή



Υπολεκάνη: EL0514FR003047

Έκταση (KM2) : 17.53

Κατάντη : J25

Μέθοδος Απωλειών: SCS

Ποσοστό αδιαπέρατης επιφάνειας	0
Αριθμός Καμπύλης Απορροής-CN	80.37
Αρχικές Απώλειες	12.41

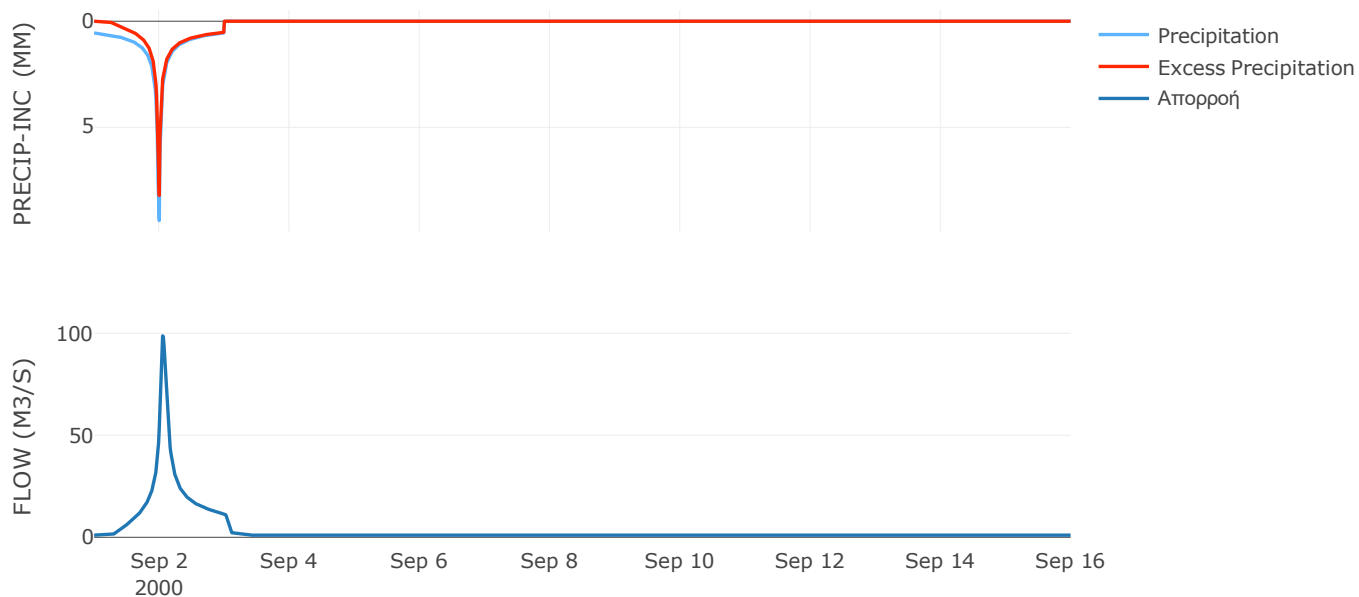
Μέθοδος
Μετασχηματισμού: SCS

Χρόνος Υστέρησης	75.69
------------------	-------

Αποτελέσματα:
EL0514FR003047

Παροχή αιχμής (M3/S)	98.74
Χρονική στιγμή αιχμής	02Sep2000, 01:15
Όγκος (MM)	256.07
Όγκος βροχόπτωσης (M3)	4.2E6
Όγκος απωλειών (M3)	1.07E6
Ενεργός Όγκος (M3)	3.13E6
Όγκος άμεσης απορροής (M3)	3.13E6
Όγκος βασικής απορροής (M3)	1.36E6

Βροχόπτωση και Απορροή



Υπολεκάνη: EL0514FR003048

Έκταση (KM2) : 3.98

Κατάντη : J25

Μέθοδος Απωλειών: SCS

Ποσοστό αδιαπέρατης επιφάνειας	0
Αριθμός Καμπύλης Απορροής-CN	80.39
Αρχικές Απώλειες	12.39

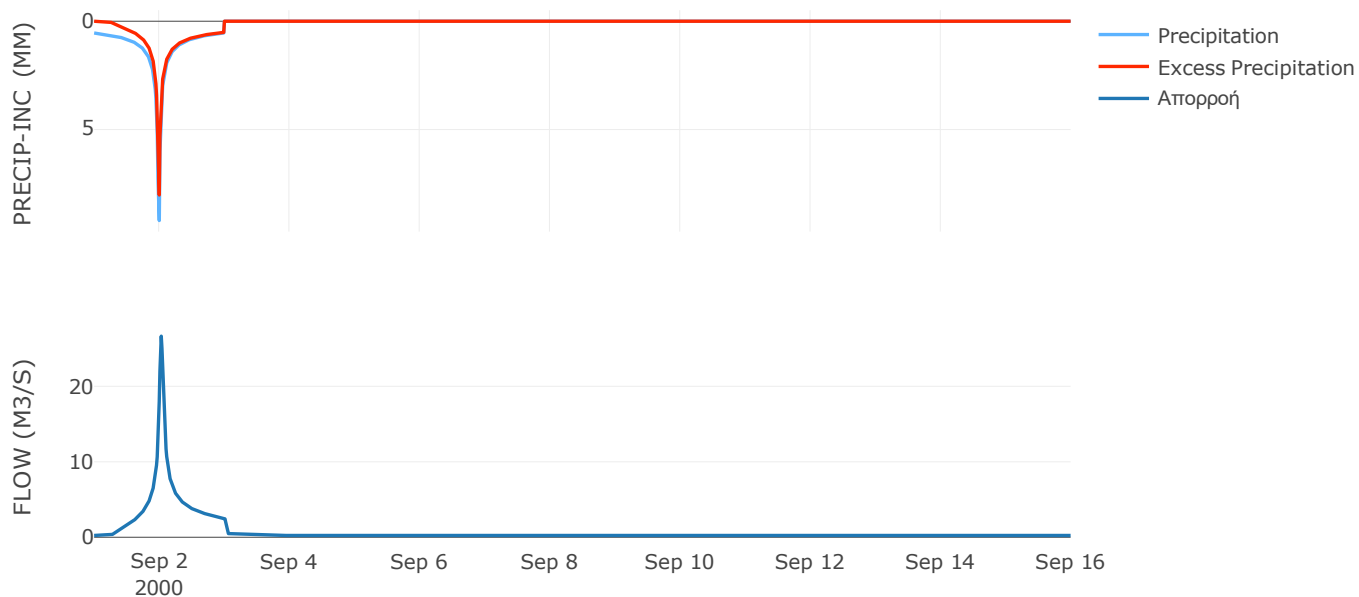
Μέθοδος
Μετασχηματισμού: SCS

Χρόνος Υστέρησης	38.67
------------------	-------

Αποτελέσματα:
EL0514FR003048

Παροχή αιχμής (M3/S)	26.65
Χρονική στιγμή αιχμής	02Sep2000, 00:45
Όγκος (MM)	252.38
Όγκος βροχόπτωσης (M3)	9.38E5
Όγκος απωλειών (M3)	2.43E5
Ενεργός Όγκος (M3)	6.96E5
Όγκος άμεσης απορροής (M3)	6.96E5
Όγκος βασικής απορροής (M3)	3.1E5

Βροχόπτωση και Απορροή



Υπολεκάνη: EL0514FR003049

Έκταση (KM2) : 37.37

Κατάντη : J26

Μέθοδος Απωλειών: SCS

Ποσοστό αδιαπέρατης επιφάνειας	0
Αριθμός Καμπύλης Απορροής-CN	74.59
Αρχικές Απώλειες	17.31

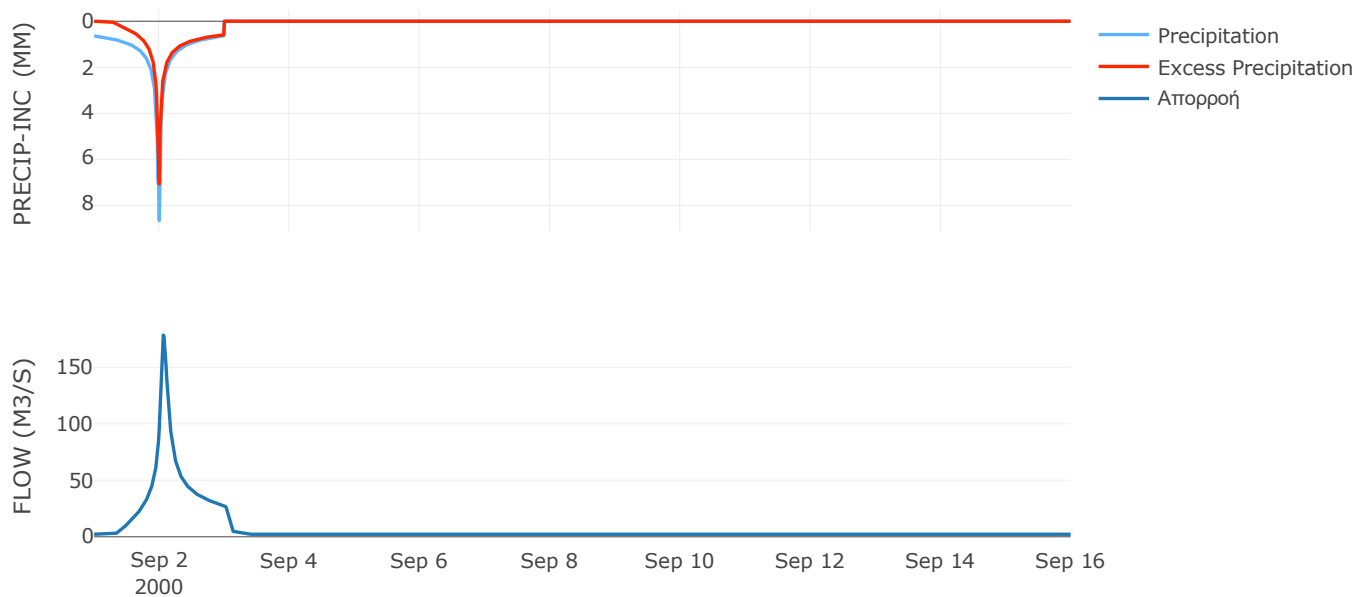
Μέθοδος
Μετασχηματισμού: SCS

Χρόνος Υστέρησης	87
------------------	----

Αποτελέσματα:
EL0514FR003049

Παροχή αιχμής (M3/S)	178.44
Χρονική στιγμή αιχμής	02Sep2000, 01:30
Όγκος (MM)	252.24
Όγκος βροχόπτωσης (M3)	9.54E6
Όγκος απωλειών (M3)	3.02E6
Ενεργός Όγκος (M3)	6.52E6
Όγκος άμεσης απορροής (M3)	6.52E6
Όγκος βασικής απορροής (M3)	2.91E6

Βροχόπτωση και Απορροή



Υπολεκάνη: EL0514FR003051

Έκταση (KM2) : 17.16

Κατάντη : J27

Μέθοδος Απωλειών: SCS

Ποσοστό αδιαπέρατης επιφάνειας	0
Αριθμός Καμπύλης Απορροής-CN	80.47
Αρχικές Απώλειες	12.33

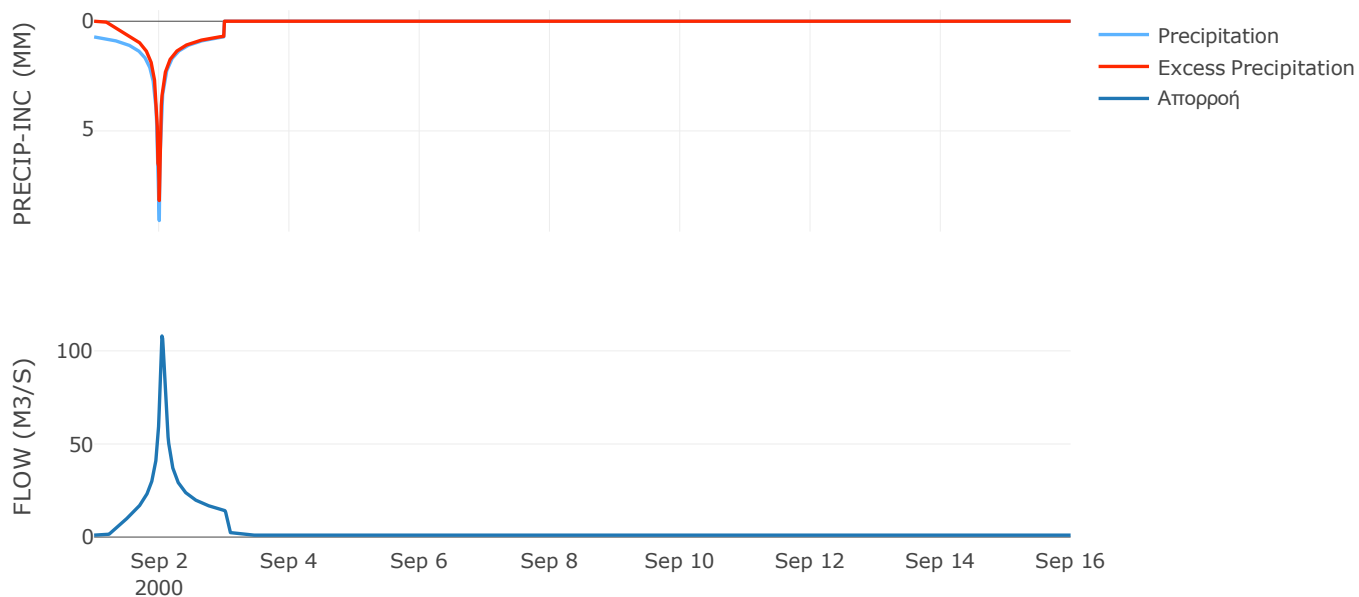
Μέθοδος
Μετασχηματισμού: SCS

Χρόνος Υστέρησης	59.12
------------------	-------

Αποτελέσματα:
EL0514FR003051

Παροχή αιχμής (M3/S)	108.02
Χρονική στιγμή αιχμής	02Sep2000, 01:00
Όγκος (MM)	295.19
Όγκος βροχόπτωσης (M3)	4.8E6
Όγκος απωλειών (M3)	1.07E6
Ενεργός Όγκος (M3)	3.73E6
Όγκος άμεσης απορροής (M3)	3.73E6
Όγκος βασικής απορροής (M3)	1.33E6

Βροχόπτωση και Απορροή



Υπολεκάνη: EL0514FR003052

Έκταση (KM2) : 20.26

Κατάντη : J27

Μέθοδος Απωλειών: SCS

Ποσοστό αδιαπέρατης επιφάνειας	0
Αριθμός Καμπύλης Απορροής-CN	80.76
Αρχικές Απώλειες	12.1

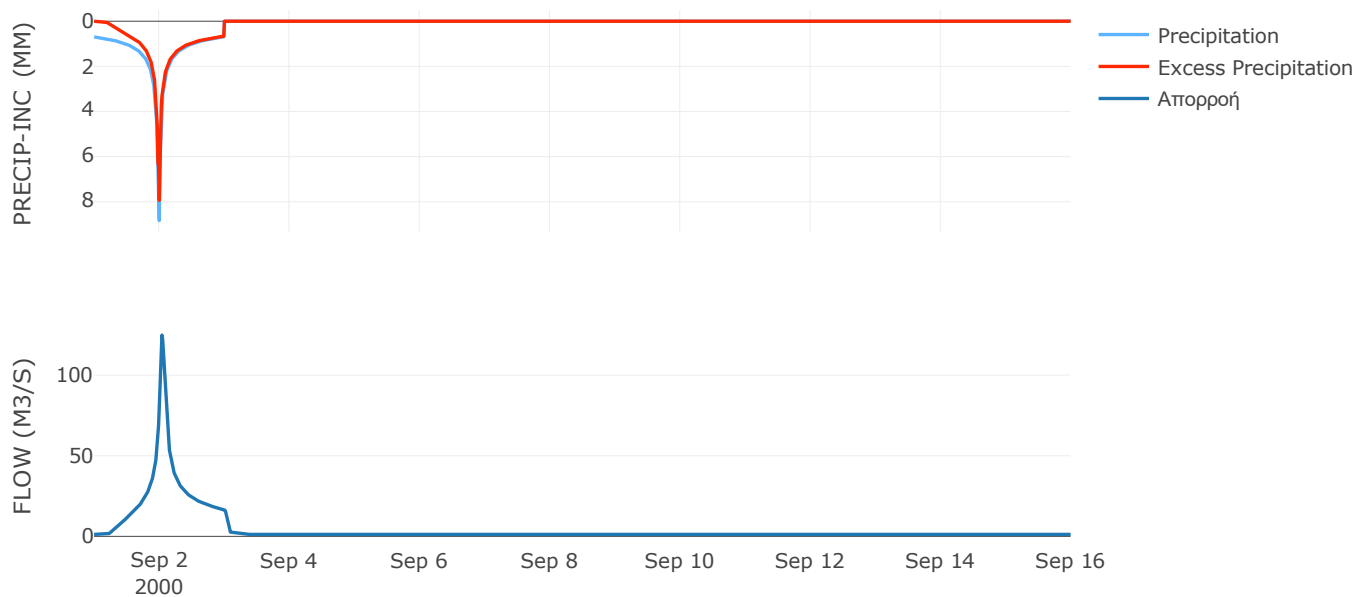
Μέθοδος
Μετασχηματισμού: SCS

Χρόνος Υστέρησης	57.46
------------------	-------

Αποτελέσματα:
EL0514FR003052

Παροχή αιχμής (M3/S)	124.85
Χρονική στιγμή αιχμής	02Sep2000, 01:00
Όγκος (MM)	288.37
Όγκος βροχόπτωσης (M3)	5.5E6
Όγκος απωλειών (M3)	1.24E6
Ενεργός Όγκος (M3)	4.27E6
Όγκος άμεσης απορροής (M3)	4.27E6
Όγκος βασικής απορροής (M3)	1.58E6

Βροχόπτωση και Απορροή



Υπολεκάνη: EL0514FR003053

Έκταση (KM2) : 23.12

Κατάντη : J27

Μέθοδος Απωλειών: SCS

Ποσοστό αδιαπέρατης επιφάνειας	0
Αριθμός Καμπύλης Απορροής-CN	81.01
Αρχικές Απώλειες	11.91

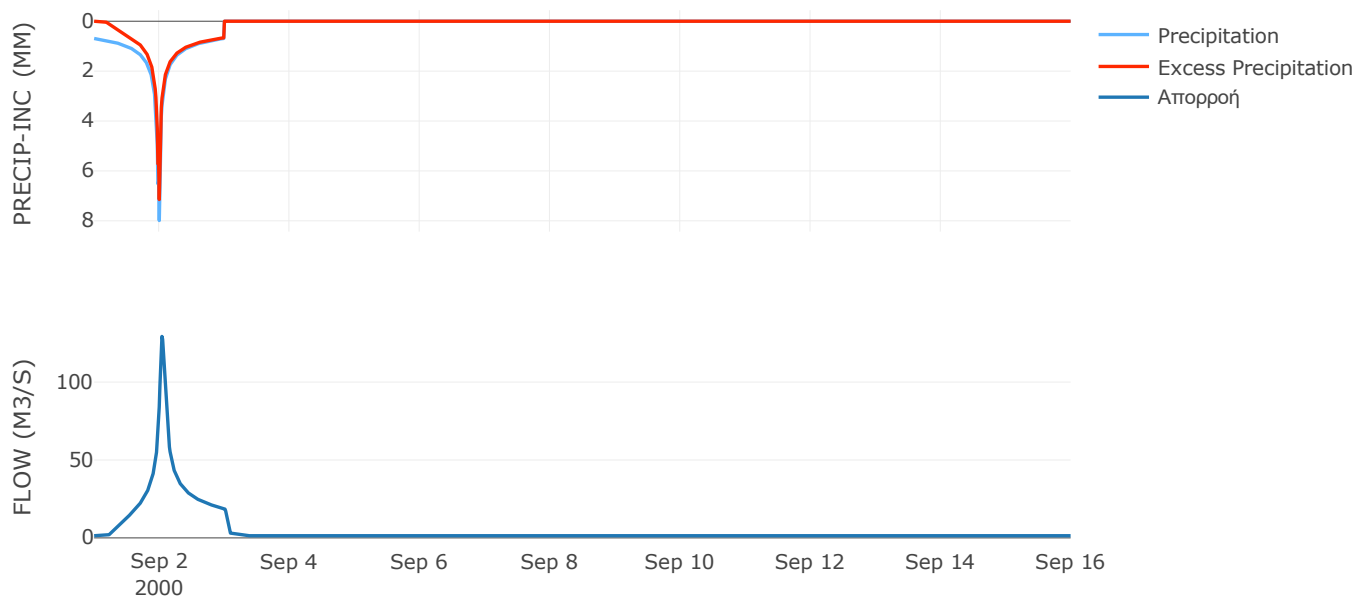
Μέθοδος
Μετασχηματισμού: SCS

Χρόνος Υστέρησης	58.28
------------------	-------

Αποτελέσματα:
EL0514FR003053

Παροχή αιχμής (M3/S)	129.31
Χρονική στιγμή αιχμής	02Sep2000, 01:00
Όγκος (MM)	279.83
Όγκος βροχόπτωσης (M3)	6.06E6
Όγκος απωλειών (M3)	1.39E6
Ενεργός Όγκος (M3)	4.67E6
Όγκος άμεσης απορροής (M3)	4.67E6
Όγκος βασικής απορροής (M3)	1.8E6

Βροχόπτωση και Απορροή



Υπολεκάνη: EL0514FR003054

Έκταση (KM2) : 25.24

Κατάντη : J28

Μέθοδος Απωλειών: SCS

Ποσοστό αδιαπέρατης επιφάνειας	0
Αριθμός Καμπύλης Απορροής-CN	70.09
Αρχικές Απώλειες	21.68

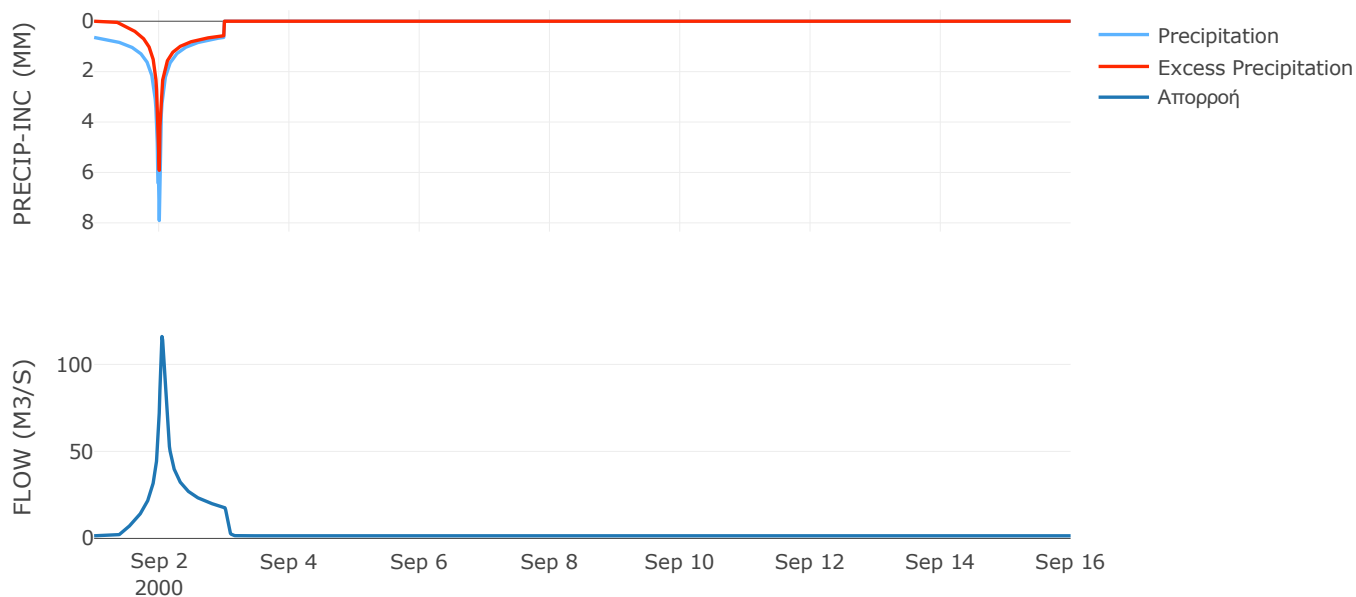
Μέθοδος
Μετασχηματισμού: SCS

Χρόνος Υστέρησης	56.1
------------------	------

Αποτελέσματα:
EL0514FR003054

Παροχή αιχμής (M3/S)	116.05
Χρονική στιγμή αιχμής	02Sep2000, 01:00
Όγκος (MM)	231.69
Όγκος βροχόπτωσης (M3)	6.29E6
Όγκος απωλειών (M3)	2.4E6
Ενεργός Όγκος (M3)	3.89E6
Όγκος άμεσης απορροής (M3)	3.89E6
Όγκος βασικής απορροής (M3)	1.96E6

Βροχόπτωση και Απορροή



Υπολεκάνη: EL0514FR003055

Έκταση (KM2) : 14.63

Κατάντη : J29

Μέθοδος Απωλειών: SCS

Ποσοστό αδιαπέρατης επιφάνειας	0
Αριθμός Καμπύλης Απορροής-CN	75.32
Αρχικές Απώλειες	16.64

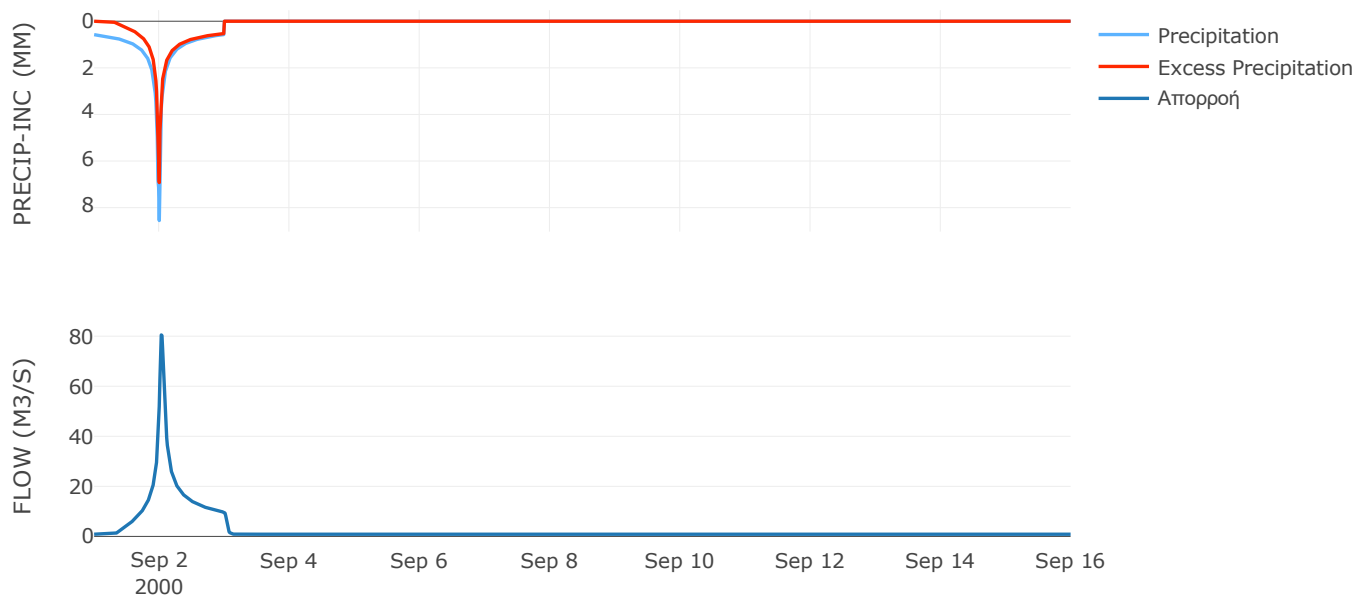
Μέθοδος
Μετασχηματισμού: SCS

Χρόνος Υστέρησης	46.84
------------------	-------

Αποτελέσματα:
EL0514FR003055

Παροχή αιχμής (M3/S)	80.51
Χρονική στιγμή αιχμής	02Sep2000, 00:45
Όγκος (MM)	238.37
Όγκος βροχόπτωσης (M3)	3.48E6
Όγκος απωλειών (M3)	1.13E6
Ενεργός Όγκος (M3)	2.35E6
Όγκος άμεσης απορροής (M3)	2.35E6
Όγκος βασικής απορροής (M3)	1.14E6

Βροχόπτωση και Απορροή



Υπολεκάνη: EL0514FR003056

Έκταση (KM2) : 25.33

Κατάντη : J29

Μέθοδος Απωλειών: SCS

Ποσοστό αδιαπέρατης επιφάνειας	0
Αριθμός Καμπύλης Απορροής-CN	71.86
Αρχικές Απώλειες	19.89

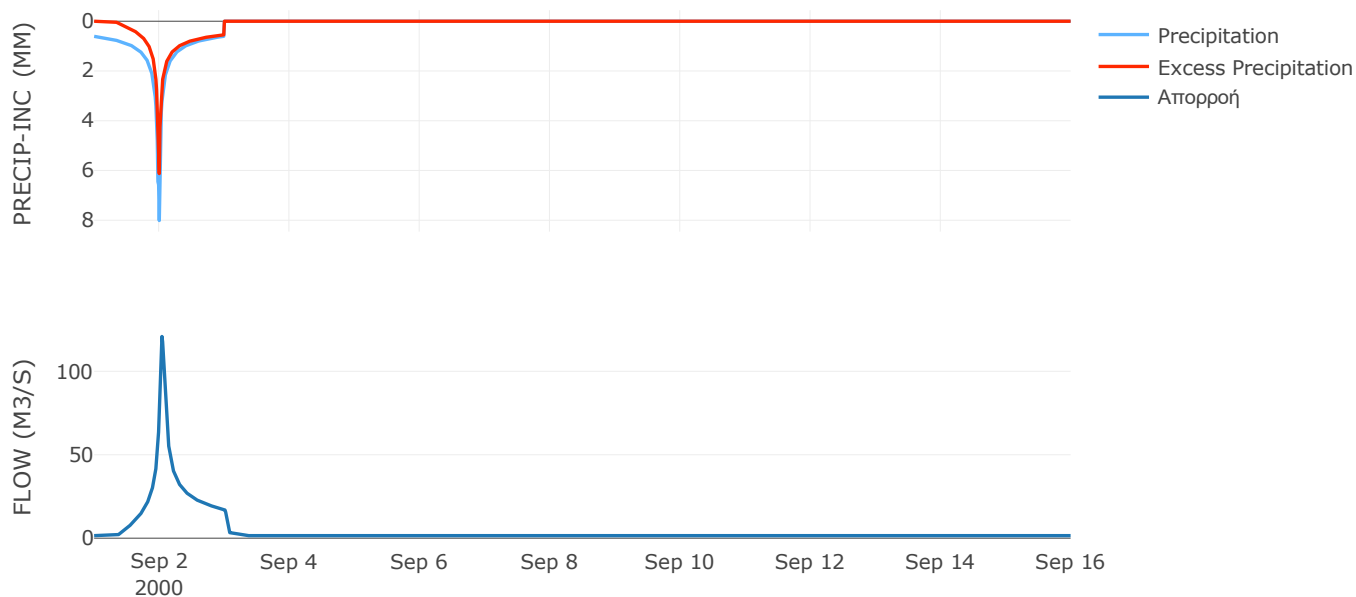
Μέθοδος
Μετασχηματισμού: SCS

Χρόνος Υστέρησης	54.23
------------------	-------

Αποτελέσματα:
EL0514FR003056

Παροχή αιχμής (M3/S)	120.88
Χρονική στιγμή αιχμής	02Sep2000, 01:00
Όγκος (MM)	230.22
Όγκος βροχόπτωσης (M3)	6.1E6
Όγκος απωλειών (M3)	2.24E6
Ενεργός Όγκος (M3)	3.86E6
Όγκος άμεσης απορροής (M3)	3.86E6
Όγκος βασικής απορροής (M3)	1.97E6

Βροχόπτωση και Απορροή



Υπολεκάνη: EL0514FR003057

Έκταση (KM2) : 14.19

Κατάντη : J28

Μέθοδος Απωλειών: SCS

Ποσοστό αδιαπέρατης επιφάνειας	0
Αριθμός Καμπύλης Απορροής-CN	80.63
Αρχικές Απώλειες	12.21

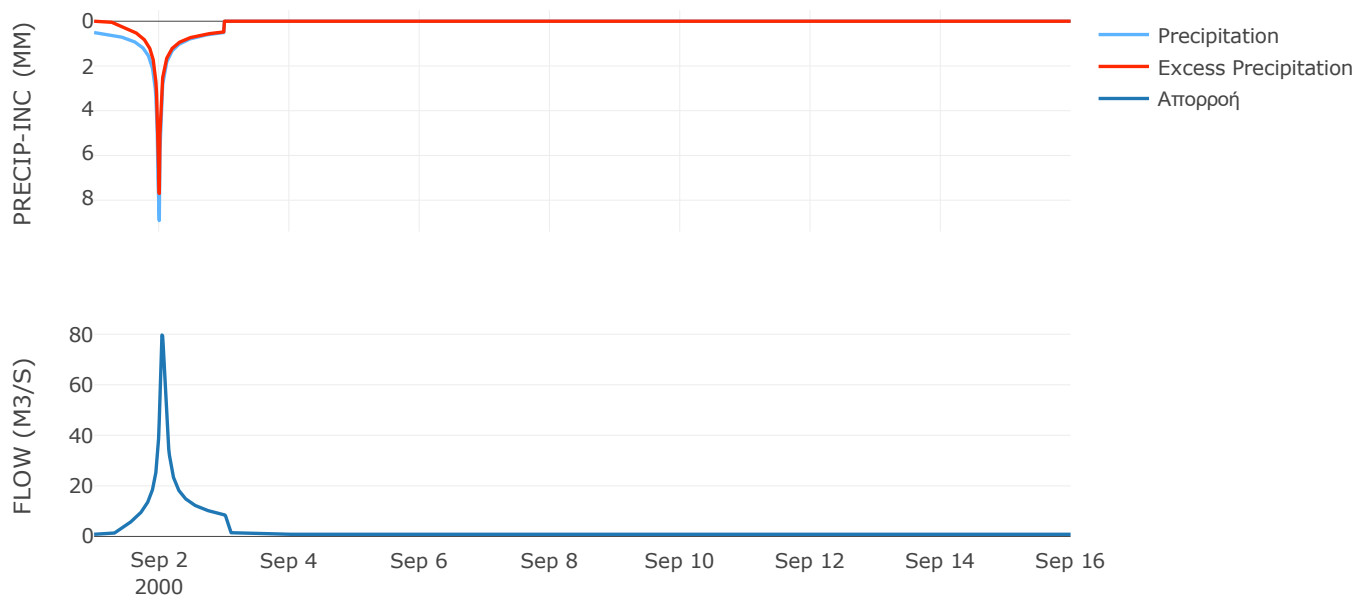
Μέθοδος
Μετασχηματισμού: SCS

Χρόνος Υστέρησης	61.45
------------------	-------

Αποτελέσματα:
EL0514FR003057

Παροχή αιχμής (M3/S)	79.71
Χρονική στιγμή αιχμής	02Sep2000, 01:00
Όγκος (MM)	240.91
Όγκος βροχόπτωσης (M3)	3.16E6
Όγκος απωλειών (M3)	8.44E5
Ενεργός Όγκος (M3)	2.31E6
Όγκος άμεσης απορροής (M3)	2.31E6
Όγκος βασικής απορροής (M3)	1.1E6

Βροχόπτωση και Απορροή



Υπολεκάνη: EL0514FR003058

Έκταση (KM2) : 75.13

Κατάντη : J4 Res1

Μέθοδος Απωλειών: SCS

Ποσοστό αδιαπέρατης επιφάνειας	0.15
Αριθμός Καμπύλης Απορροής-CN	83.14
Αρχικές Απώλειες	10.3

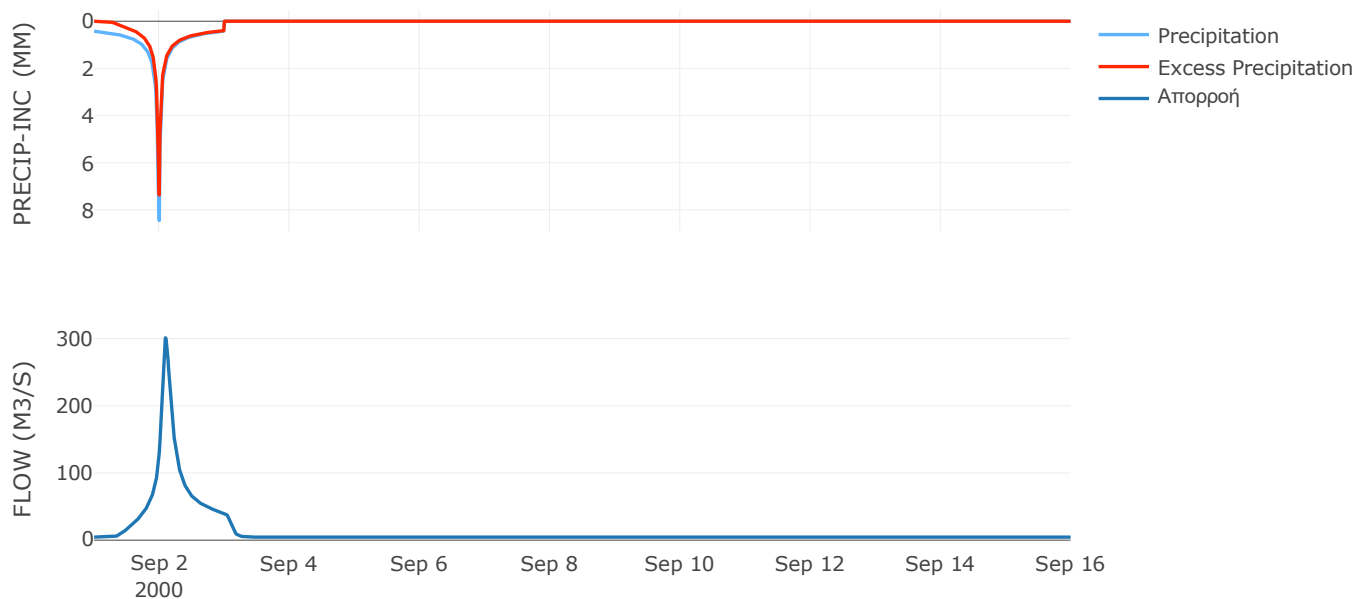
Μέθοδος
Μετασχηματισμού: SCS

Χρόνος Υστέρησης	129.81
------------------	--------

Αποτελέσματα:
EL0514FR003058

Παροχή αιχμής (M3/S)	301.16
Χρονική στιγμή αιχμής	02Sep2000, 02:15
Όγκος (MM)	221.93
Όγκος βροχόπτωσης (M3)	1.46E7
Όγκος απωλειών (M3)	3.79E6
Ενεργός Όγκος (M3)	1.08E7
Όγκος άμεσης απορροής (M3)	1.08E7
Όγκος βασικής απορροής (M3)	5.84E6

Βροχόπτωση και Απορροή



Υπολεκάνη: EL0514FR003059

Έκταση (KM2) : 14.46

Κατάντη : J3

Μέθοδος Απωλειών: SCS

Ποσοστό αδιαπέρατης επιφάνειας	0
Αριθμός Καμπύλης Απορροής-CN	79.67
Αρχικές Απώλειες	12.96

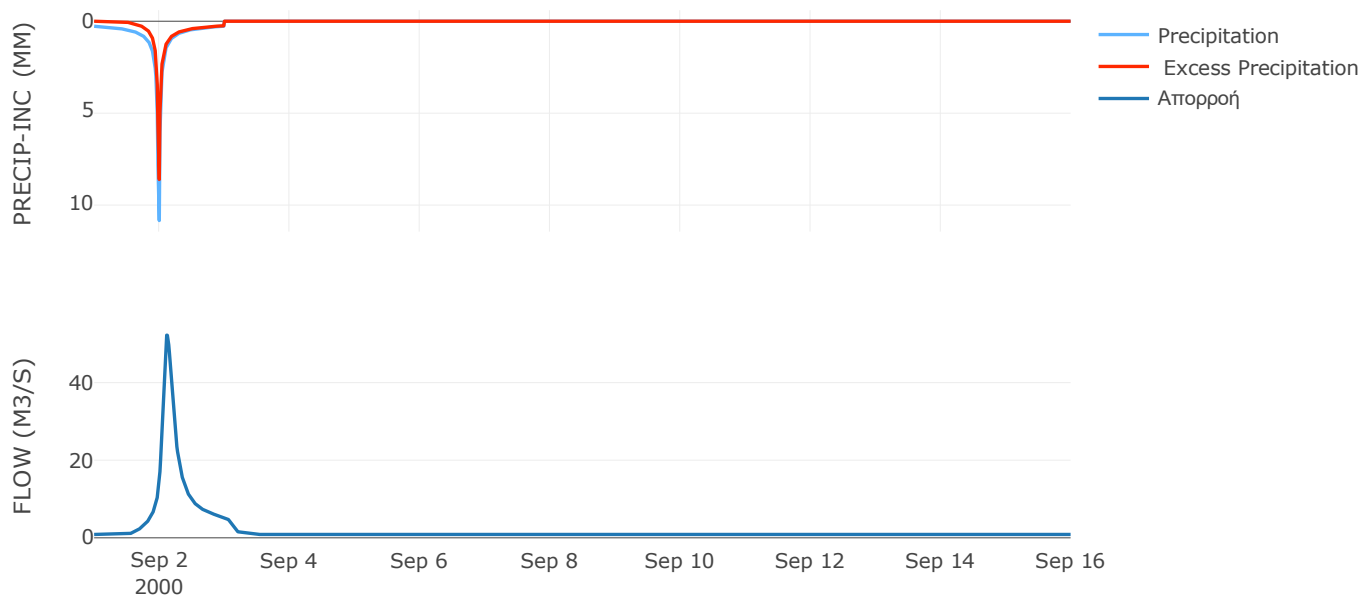
Μέθοδος
Μετασχηματισμού: SCS

Χρόνος Υστέρησης	158.48
------------------	--------

Αποτελέσματα:
EL0514FR003059

Παροχή αιχμής (M3/S)	52.23
Χρονική στιγμή αιχμής	02Sep2000, 02:45
Όγκος (MM)	186.62
Όγκος βροχόπτωσης (M3)	2.42E6
Όγκος απωλειών (M3)	8.48E5
Ενεργός Όγκος (M3)	1.57E6
Όγκος άμεσης απορροής (M3)	1.57E6
Όγκος βασικής απορροής (M3)	1.12E6

Βροχόπτωση και Απορροή



Υπολεκάνη: EL0514FR003060

Έκταση (KM2) : 25.82

Κατάντη : J1

Μέθοδος Απωλειών: SCS

Ποσοστό αδιαπέρατης επιφάνειας	0
Αριθμός Καμπύλης Απορροής-CN	79.13
Αρχικές Απώλειες	13.39

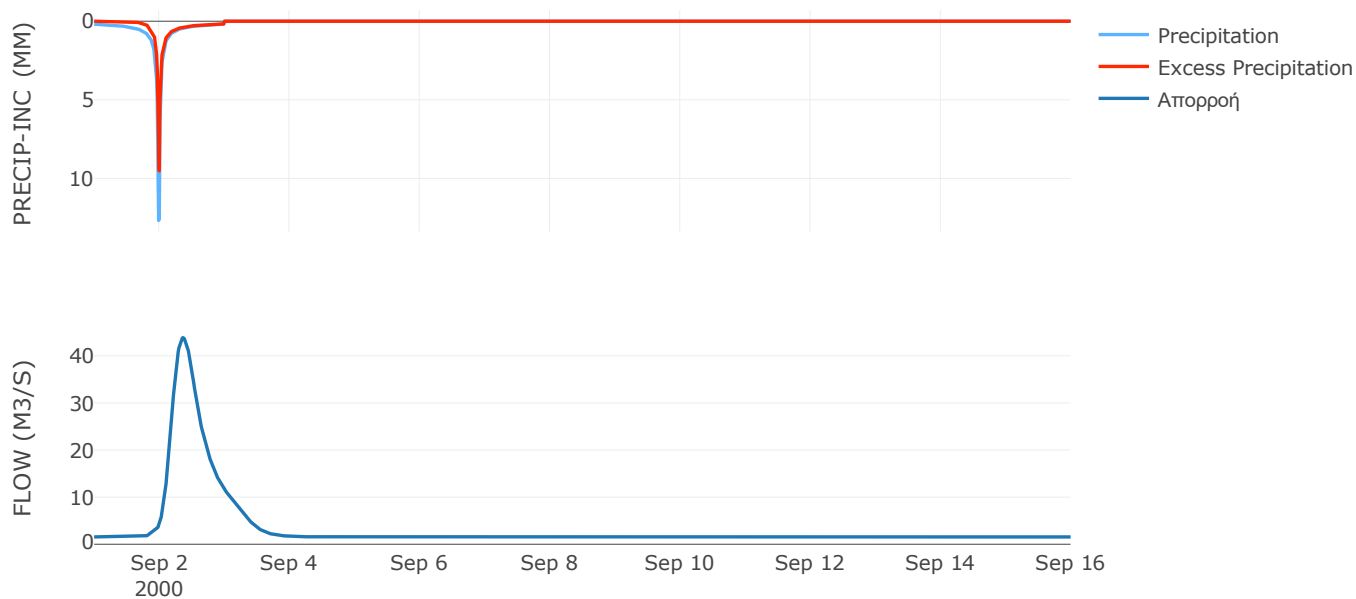
Μέθοδος
Μετασχηματισμού: SCS

Χρόνος Υστέρησης	480.13
------------------	--------

Αποτελέσματα:
EL0514FR003060

Παροχή αιχμής (M3/S)	43.86
Χρονική στιγμή αιχμής	02Sep2000, 08:45
Όγκος (MM)	168.82
Όγκος βροχόπτωσης (M3)	3.85E6
Όγκος απωλειών (M3)	1.5E6
Ενεργός Όγκος (M3)	2.35E6
Όγκος άμεσης απορροής (M3)	2.35E6
Όγκος βασικής απορροής (M3)	2.01E6

Βροχόπτωση και Απορροή



Υπολεκάνη: EL0514FR003061

Έκταση (KM2) : 37.42

Κατάντη : J16

Μέθοδος Απωλειών: SCS

Ποσοστό αδιαπέρατης επιφάνειας	0
Αριθμός Καμπύλης Απορροής-CN	75.51
Αρχικές Απώλειες	16.48

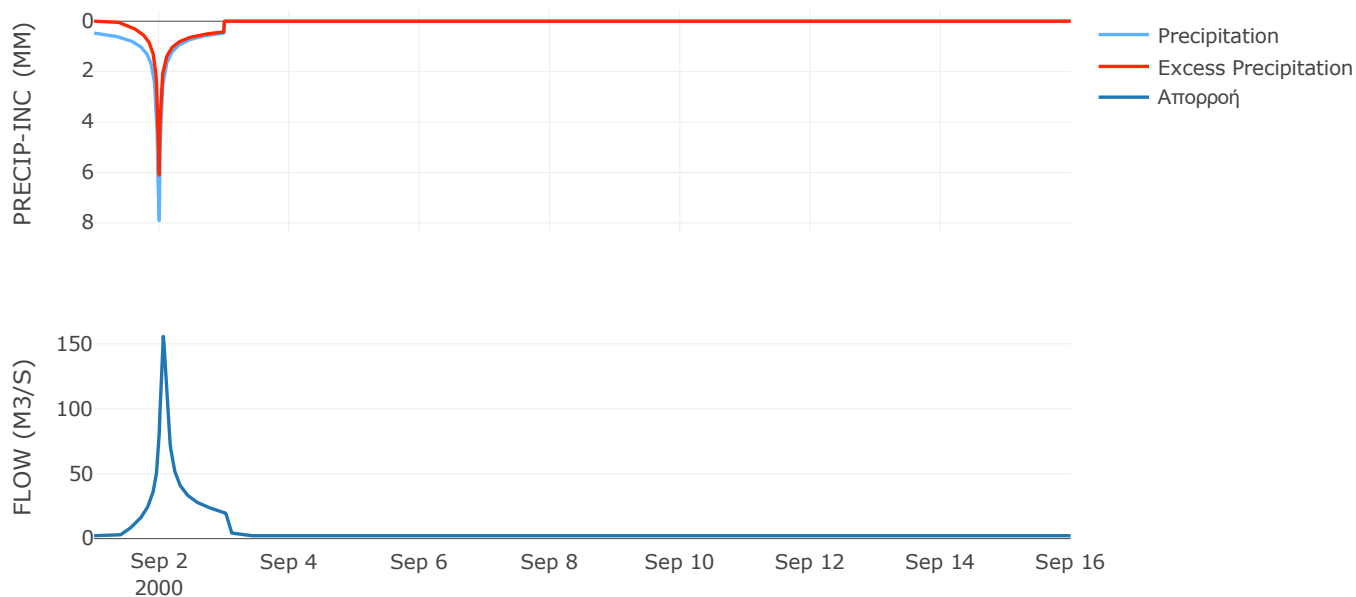
Μέθοδος
Μετασχηματισμού: SCS

Χρόνος Υστέρησης	75.57
------------------	-------

Αποτελέσματα:
EL0514FR003061

Παροχή αιχμής (M3/S)	155.71
Χρονική στιγμή αιχμής	02Sep2000, 01:30
Όγκος (MM)	207.44
Όγκος βροχόπτωσης (M3)	7.61E6
Όγκος απωλειών (M3)	2.76E6
Ενεργός Όγκος (M3)	4.85E6
Όγκος άμεσης απορροής (M3)	4.85E6
Όγκος βασικής απορροής (M3)	2.91E6

Βροχόπτωση και Απορροή



Υπολεκάνη: EL0514FR003062

Έκταση (KM2) : 48.98

Κατάντη : J16

Μέθοδος Απωλειών: SCS

Ποσοστό αδιαπέρατης επιφάνειας	0
Αριθμός Καμπύλης Απορροής-CN	80.16
Αρχικές Απώλειες	12.57

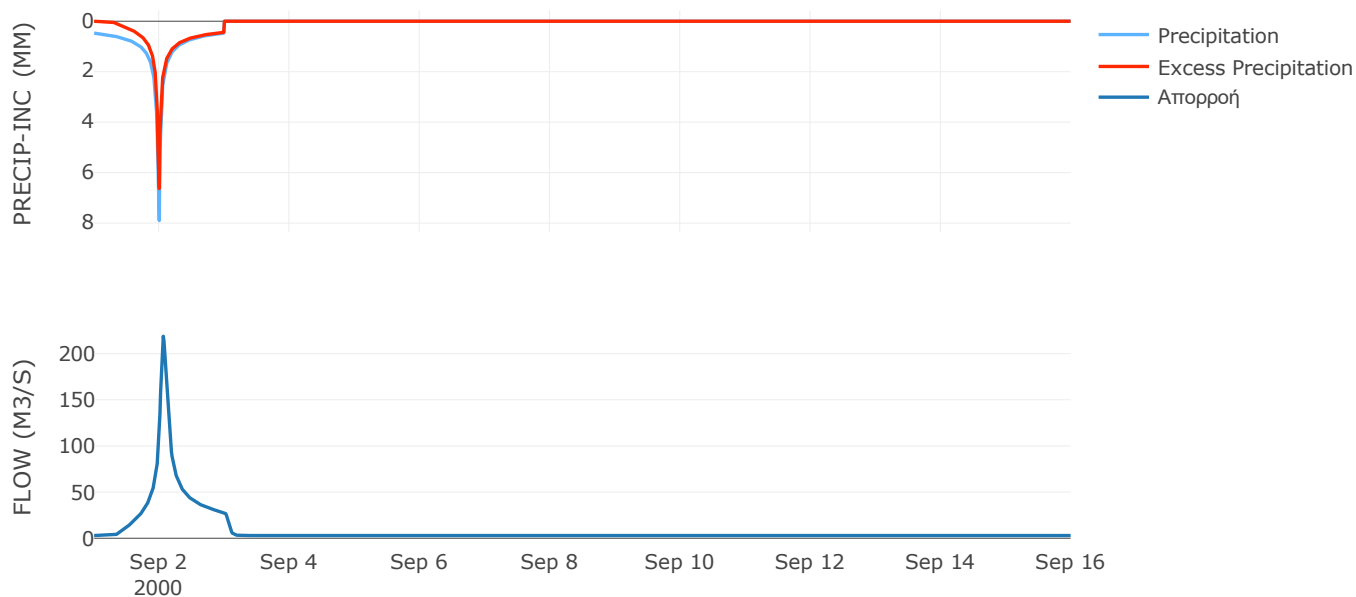
Μέθοδος
Μετασχηματισμού: SCS

Χρόνος Υστέρησης	80.56
------------------	-------

Αποτελέσματα:
EL0514FR003062

Παροχή αιχμής (M3/S)	218.83
Χρονική στιγμή αιχμής	02Sep2000, 01:30
Όγκος (MM)	221.37
Όγκος βροχόπτωσης (M3)	9.97E6
Όγκος απωλειών (M3)	2.93E6
Ενεργός Όγκος (M3)	7.03E6
Όγκος άμεσης απορροής (M3)	7.03E6
Όγκος βασικής απορροής (M3)	3.81E6

Βροχόπτωση και Απορροή



Υπολεκάνη: EL0514FR003063

Έκταση (KM2) : 28.06

Κατάνη : J4 Res1

Μέθοδος Απωλειών: SCS

Ποσοστό αδιαπέρατης επιφάνειας	0
Αριθμός Καμπύλης Απορροής-CN	66.26
Αρχικές Απώλειες	25.86

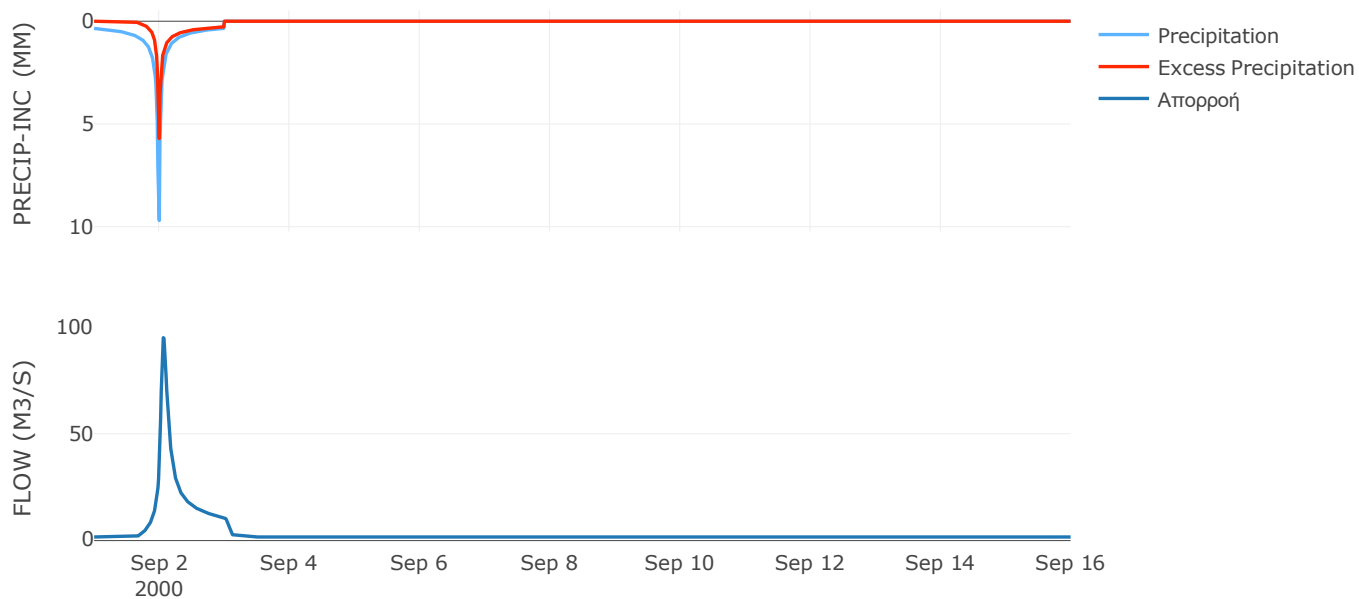
Μέθοδος
Μετασχηματισμού: SCS

Χρόνος Υστέρησης	84.23
------------------	-------

Αποτελέσματα:
EL0514FR003063

Παροχή αιχμής (M3/S)	94.99
Χρονική στιγμή αιχμής	02Sep2000, 01:30
Όγκος (MM)	164.54
Όγκος βροχόπτωσης (M3)	5.16E6
Όγκος απωλειών (M3)	2.72E6
Ενεργός Όγκος (M3)	2.43E6
Όγκος άμεσης απορροής (M3)	2.43E6
Όγκος βασικής απορροής (M3)	2.18E6

Βροχόπτωση και Απορροή



Υπολεκάνη: EL0514FR003065

Έκταση (KM2) : 8.81

Κατάνη : J13

Μέθοδος Απωλειών: SCS

Ποσοστό αδιαπέρατης επιφάνειας	0
Αριθμός Καμπύλης Απορροής-CN	70.5
Αρχικές Απώλειες	21.26

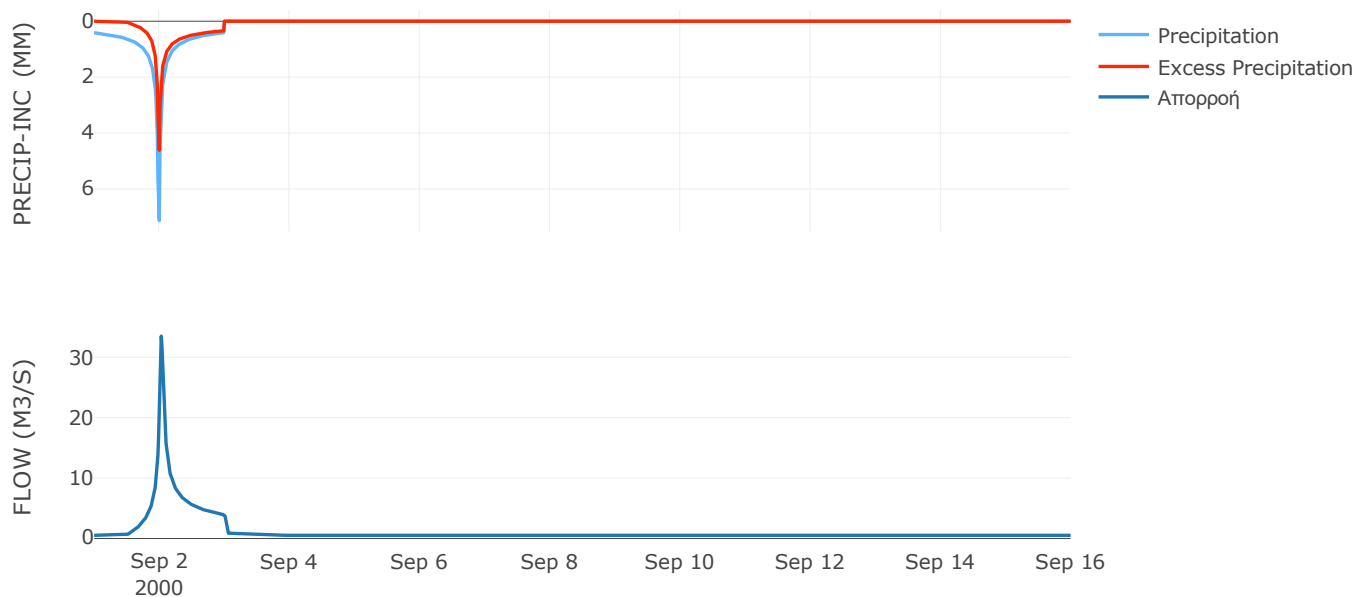
Μέθοδος
Μετασχηματισμού: SCS

Χρόνος Υστέρησης	38.49
------------------	-------

Αποτελέσματα:
EL0514FR003065

Παροχή αιχμής (M3/S)	33.49
Χρονική στιγμή αιχμής	02Sep2000, 00:45
Όγκος (MM)	172.03
Όγκος βροχόπτωσης (M3)	1.58E6
Όγκος απωλειών (M3)	7.47E5
Ενεργός Όγκος (M3)	8.31E5
Όγκος άμεσης απορροής (M3)	8.31E5
Όγκος βασικής απορροής (M3)	6.85E5

Βροχόπτωση και Απορροή



Υπολεκάνη: EL0514FR003066

Έκταση (KM2) : 6.92

Κατάντη : J5

Μέθοδος Απωλειών: SCS

Ποσοστό αδιαπέρατης επιφάνειας	0.22
Αριθμός Καμπύλης Απορροής-CN	86.04
Αρχικές Απώλειες	8.24

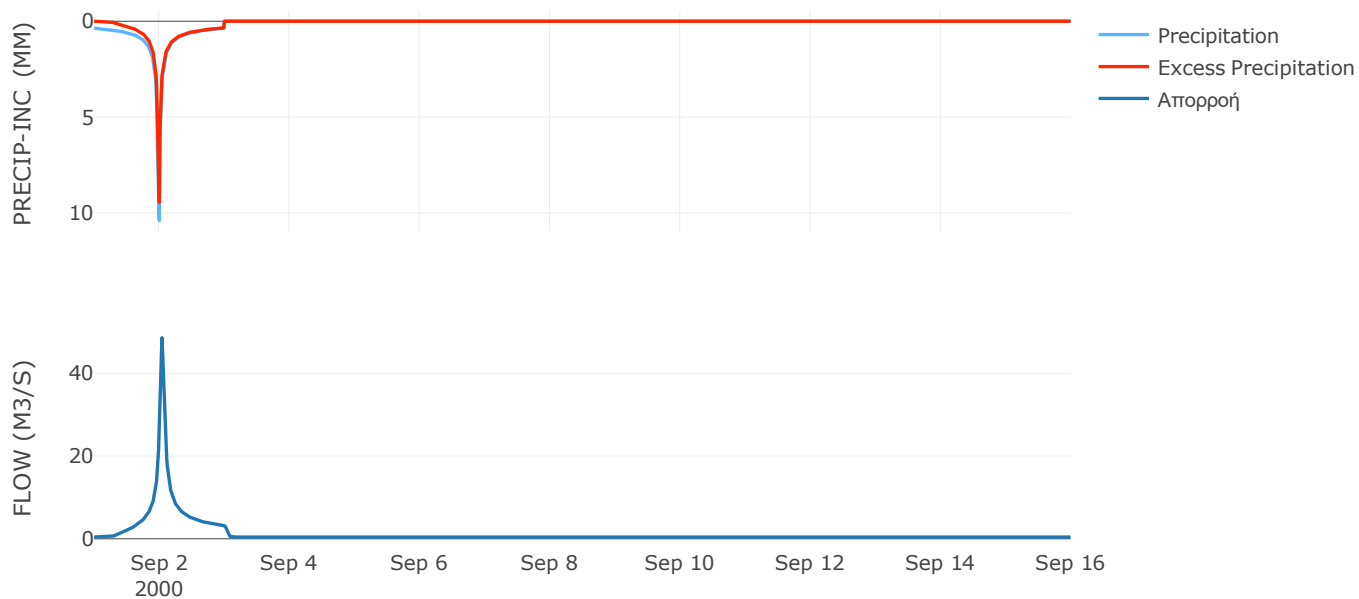
Μέθοδος
Μετασχηματισμού: SCS

Χρόνος Υστέρησης	50.09
------------------	-------

Αποτελέσματα:
EL0514FR003066

Παροχή αιχμής (M3/S)	48.59
Χρονική στιγμή αιχμής	02Sep2000, 01:00
Όγκος (MM)	228.96
Όγκος βροχόπτωσης (M3)	1.33E6
Όγκος απωλειών (M3)	2.89E5
Ενεργός Όγκος (M3)	1.05E6
Όγκος άμεσης απορροής (M3)	1.05E6
Όγκος βασικής απορροής (M3)	5.38E5

Βροχόπτωση και Απορροή



Υπολεκάνη: EL0514FR003067

Έκταση (KM2) : 46.66

Κατάντη : J2

Μέθοδος Απωλειών: SCS

Ποσοστό αδιαπέρατης επιφάνειας	0
Αριθμός Καμπύλης Απορροής-CN	76.09
Αρχικές Απώλειες	15.97

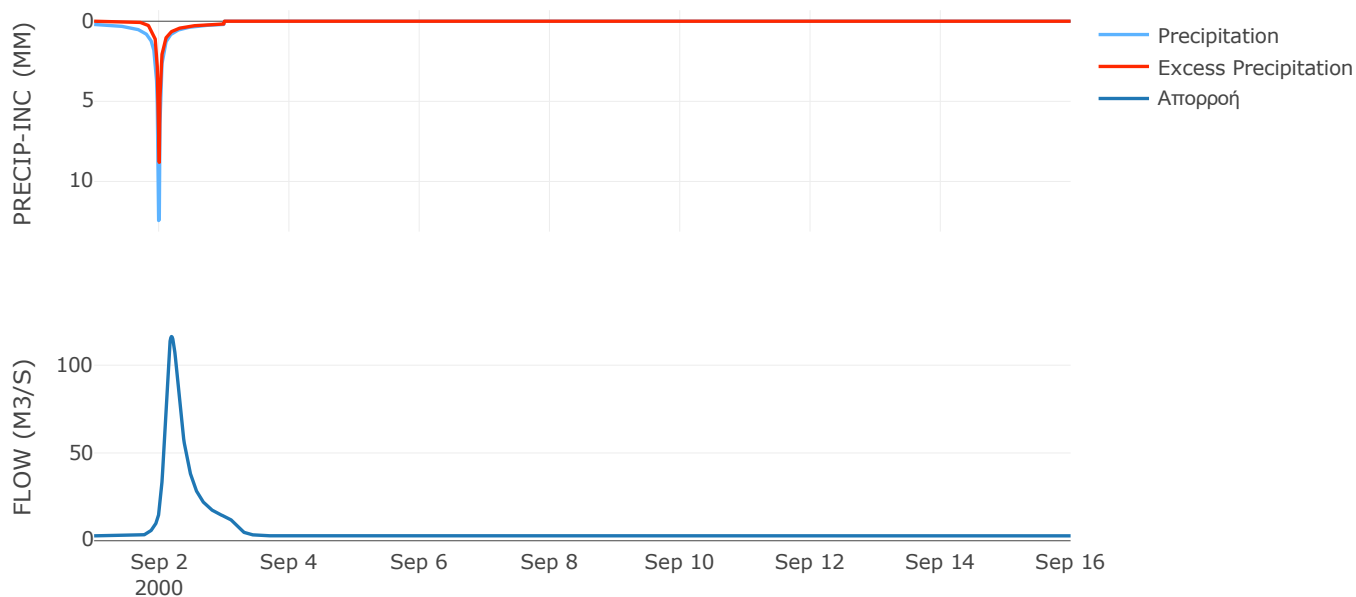
Μέθοδος
Μετασχηματισμού: SCS

Χρόνος Υστέρησης	248.33
------------------	--------

Αποτελέσματα:
EL0514FR003067

Παροχή αιχμής (M3/S)	116.33
Χρονική στιγμή αιχμής	02Sep2000, 04:30
Όγκος (MM)	164.04
Όγκος βροχόπτωσης (M3)	7.12E6
Όγκος απωλειών (M3)	3.1E6
Ενεργός Όγκος (M3)	4.03E6
Όγκος άμεσης απορροής (M3)	4.03E6
Όγκος βασικής απορροής (M3)	3.63E6

Βροχόπτωση και Απορροή



2.2 Δεδομένα και υδρογραφήματα σχεδιασμού Κλάδων υδρογραφικού δικτύου

Κλάδος: R21

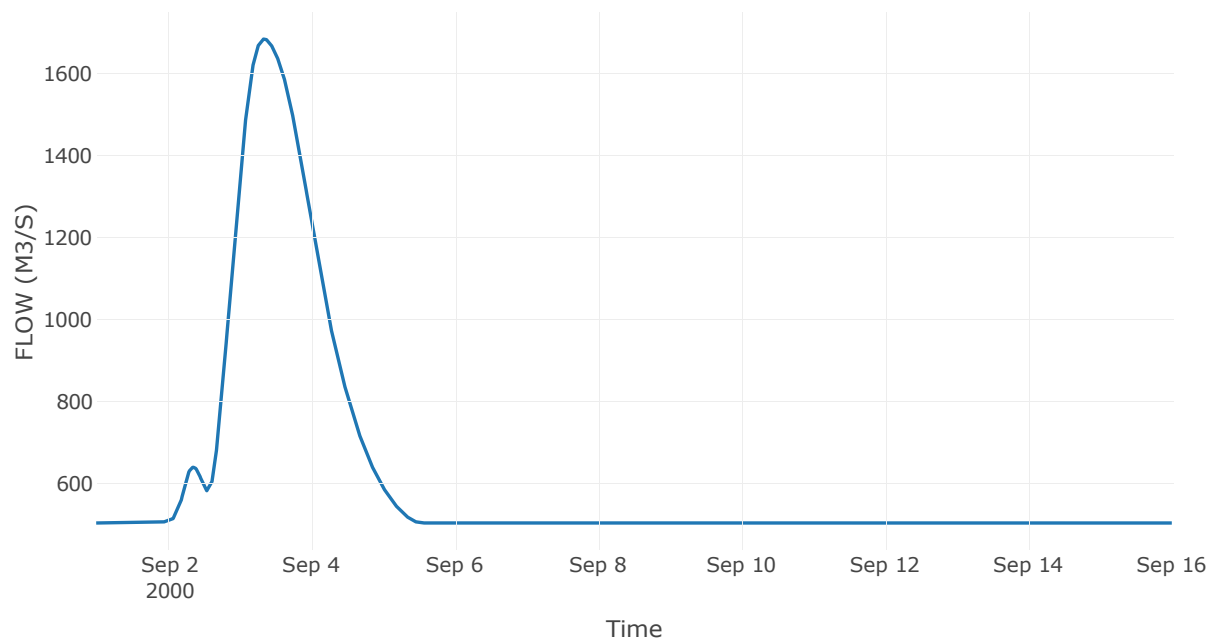
Κατάντη : J1

Μέθοδος Διόδευσης	Muskingum
Αρχική Μεταβλητή	Combined Inflow
Muskingum K	2.82
Συντελεστής βάρους x	0.2
Πλήθος Υποκλάδων	11

Αποτελέσματα: R21

Παροχή Αιχμής(M3/S)	1683.52
Χρονική στιγμή αιχμής	03Sep2000, 08:15
Όγκος(MM)	420.7
Παροχή Αιχμής Εισόδου (M3/S)	1684.98
Όγκος Εισροής(M3)	7.92E8

Απορροή



Κλάδος: R32

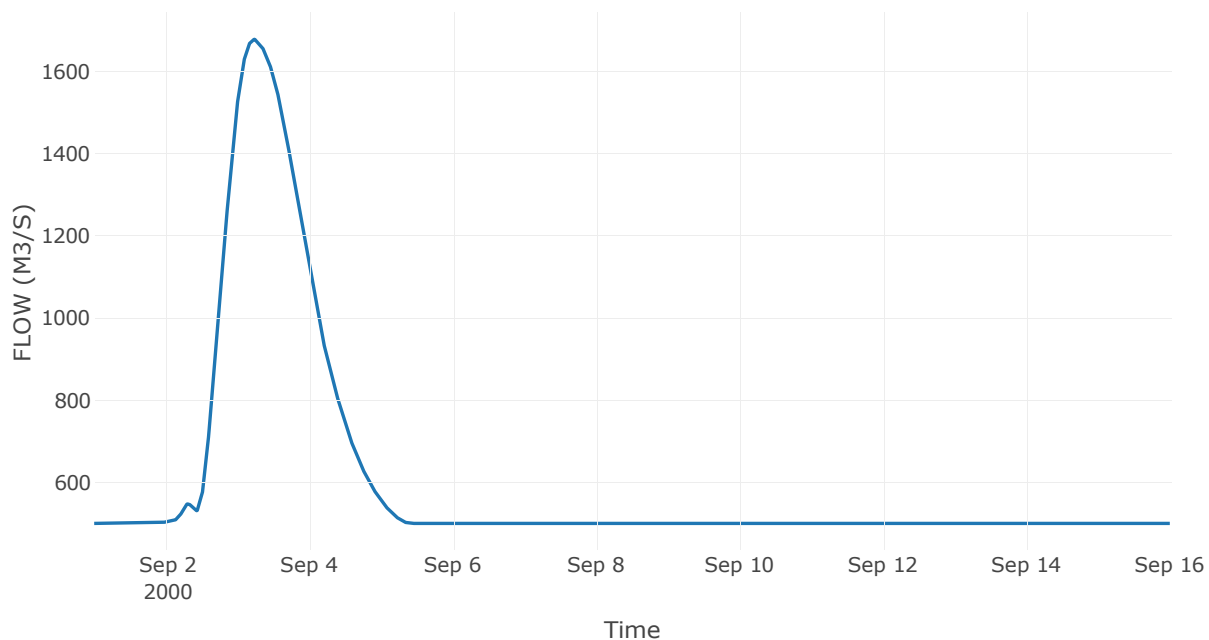
Κατάντη : J2

Μέθοδος Διόδευσης	Muskingum
Αρχική Μεταβλητή	Combined Inflow
Muskingum K	4.42
Συντελεστής βάρους x	0.2
Πλήθος Υποκλάδων	18

Αποτελέσματα: R32

Παροχή Αιχμής(M3/S)	1678.24
Χρονική στιγμή αιχμής	03Sep2000, 05:30
Όγκος(MM)	427.22
Παροχή Αιχμής Εισόδου (M3/S)	1680.51
Όγκος Εισροής(M3)	7.85E8

Απορροή



Κλάδος: R43

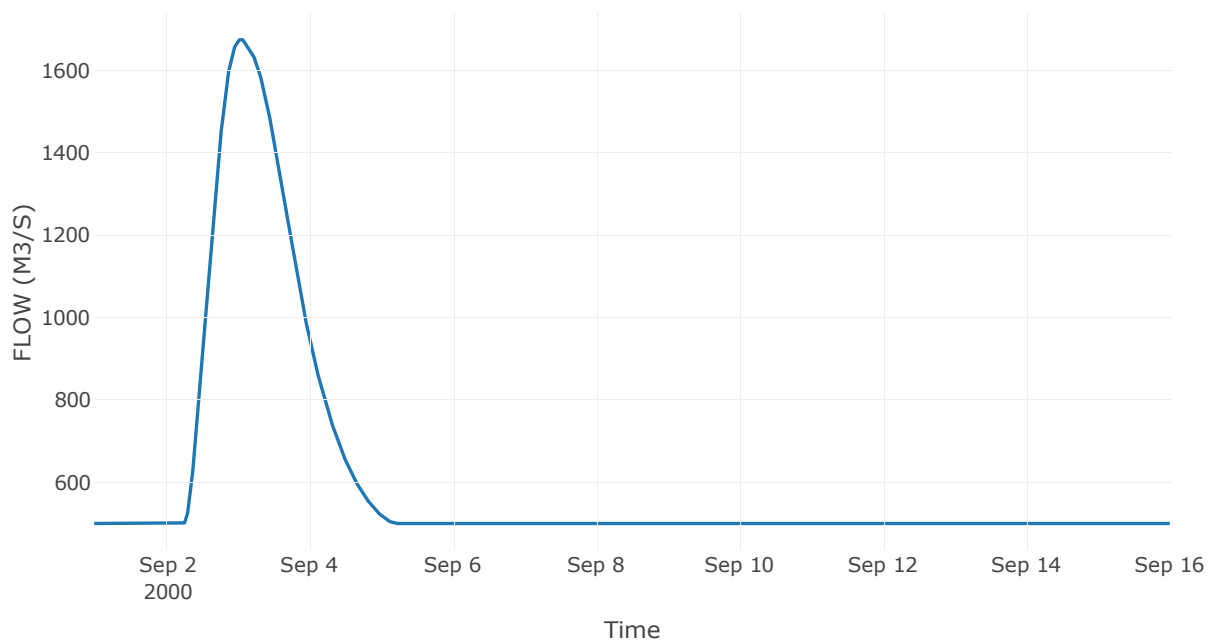
Κατάντη : J3

Μέθοδος Διόδευσης	Muskingum
Αρχική Μεταβλητή	Combined Inflow
Muskingum K	0.77
Συντελεστής βάρους α	0.2
Πλήθος Υποκλάδων	3

Αποτελέσματα: R43

Παροχή Αιχμής(M3/S)	1675.62
Χρονική στιγμή αιχμής	03Sep2000, 01:15
Όγκος(MM)	429.13
Παροχή Αιχμής Εισόδου (M3/S)	1675.98
Όγκος Εισροής(M3)	7.82E8

Απορροή



Κλάδος: R54

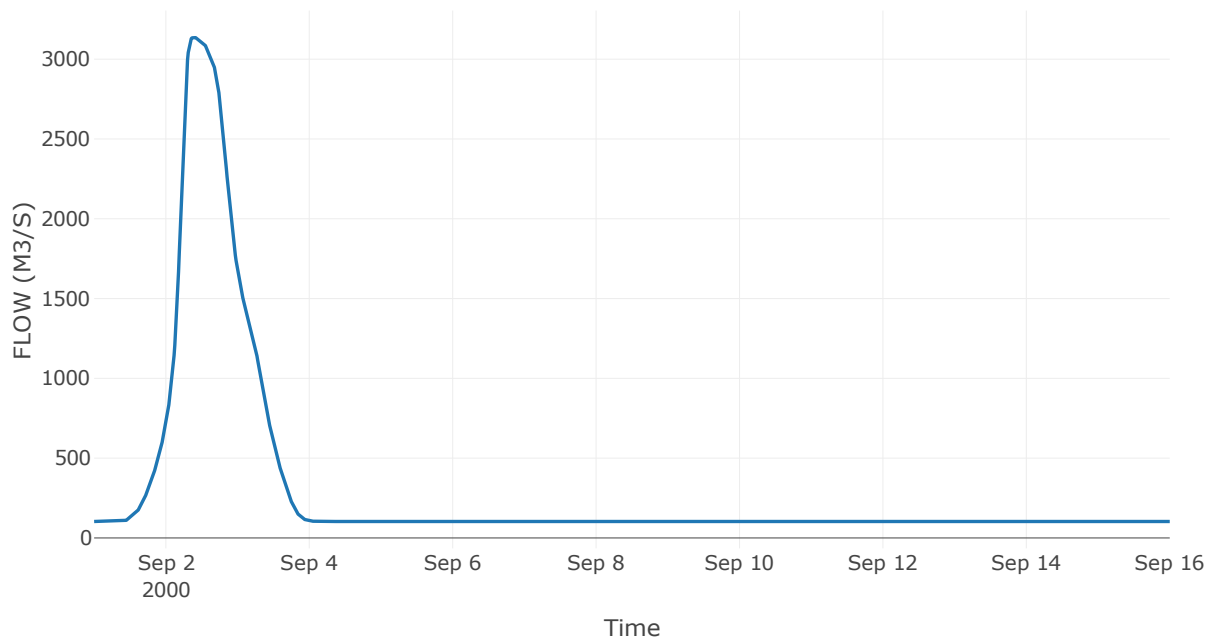
Κατάντη : J4 Res1

Μέθοδος Διόδευσης	Muskingum
Αρχική Μεταβλητή	Combined Inflow
Muskingum K	4
Συντελεστής βάρους x	0.2
Πλήθος Υποκλάδων	5

Αποτελέσματα: R54

Παροχή Αιχμής(M3/S)	3136.07
Χρονική στιγμή αιχμής	02Sep2000, 09:15
Όγκος(MM)	229.76
Παροχή Αιχμής Εισόδου (M3/S)	3366.47
Όγκος Εισροής(M3)	3.95E8

Απορροή



Κλάδος: R65

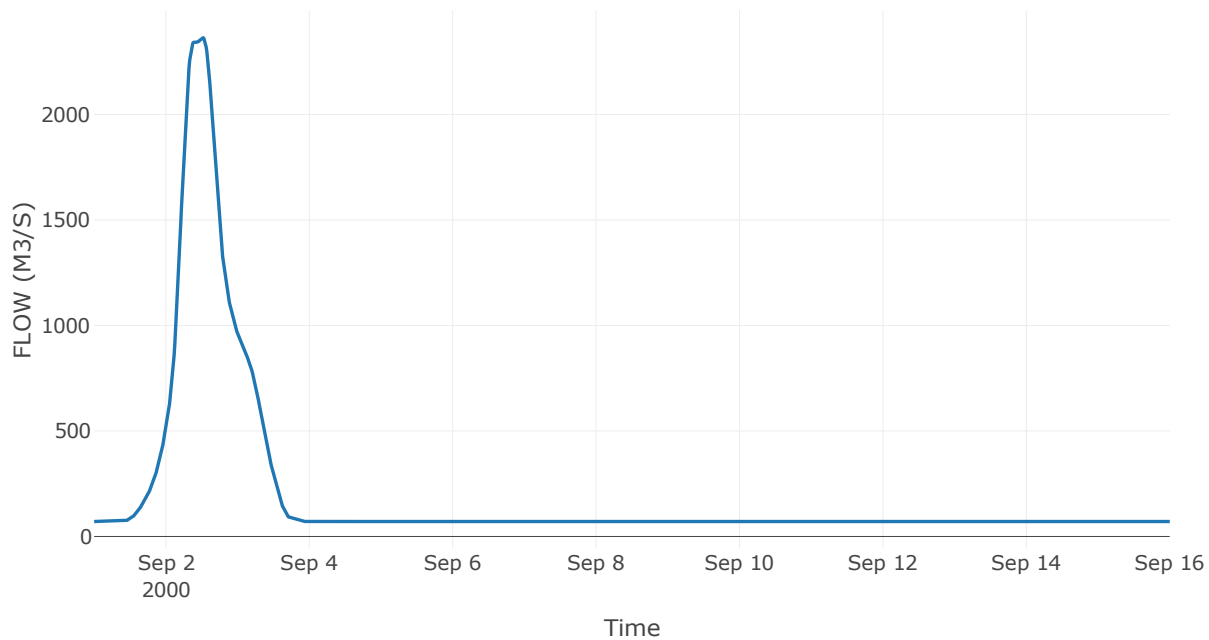
Κατάντη : J5

Μέθοδος Διόδευσης	Muskingum
Αρχική Μεταβλητή	Combined Inflow
Muskingum K	4
Συντελεστής βάρους x	0.2
Πλήθος Υποκλάδων	5

Αποτελέσματα: R65

Παροχή Αιχμής(M3/S)	2364.92
Χρονική στιγμή αιχμής	02Sep2000, 12:15
Όγκος(MM)	219.62
Παροχή Αιχμής Εισόδου (M3/S)	2499.78
Όγκος Εισροής(M3)	2.6E8

Απορροή



Κλάδος: R76

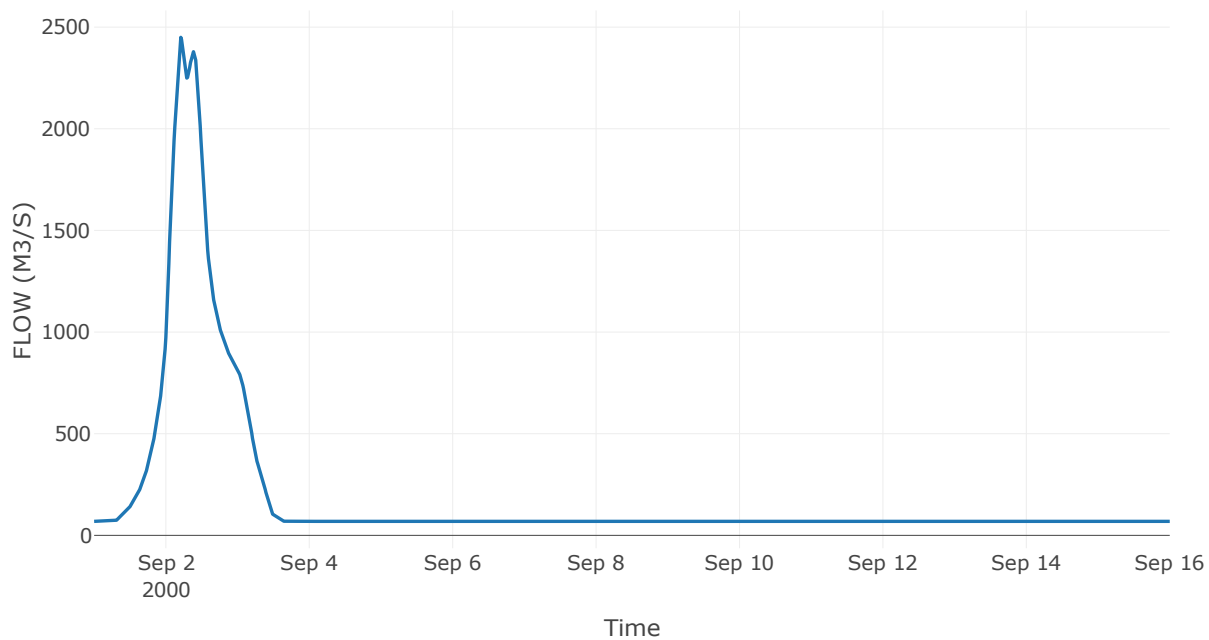
Κατάντη : J6

Μέθοδος Διόδευσης	Muskingum
Αρχική Μεταβλητή	Combined Inflow
Muskingum K	0.49
Συντελεστής βάρους x	0.2
Πλήθος Υποκλάδων	2

Αποτελέσματα: R76

Παροχή Αιχμής(M3/S)	2449.78
Χρονική στιγμή αιχμής	02Sep2000, 05:00
Όγκος(MM)	220.11
Παροχή Αιχμής Εισόδου (M3/S)	2462.66
Όγκος Εισροής(M3)	2.53E8

Απορροή



Κλάδος: R87

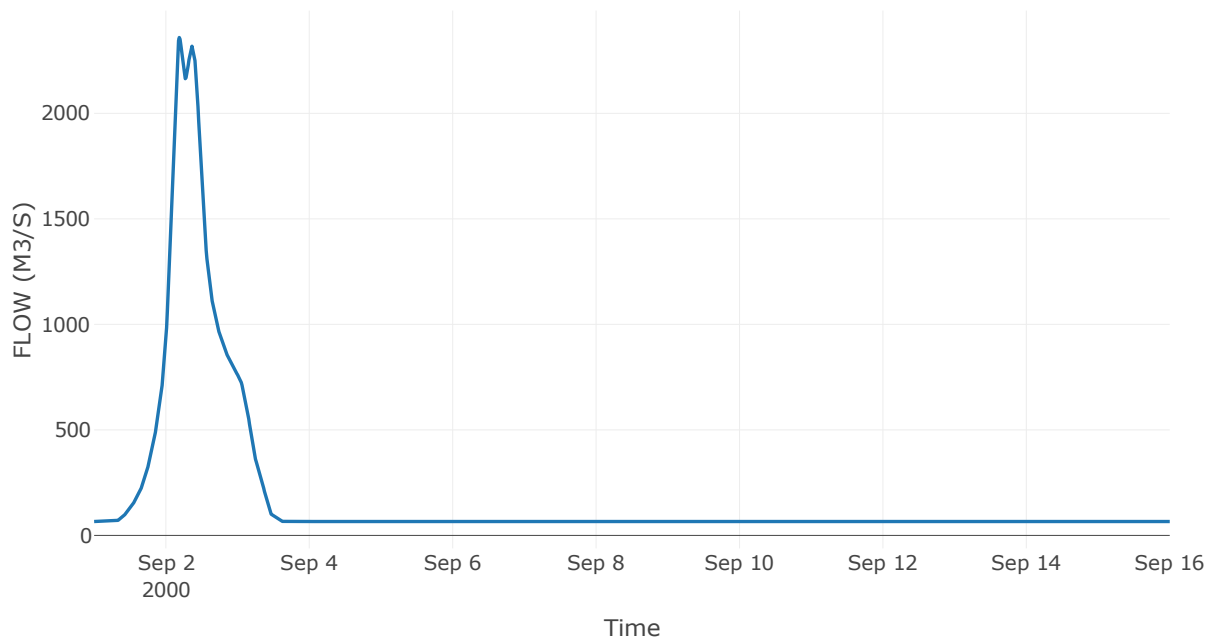
Κατάντη : J7

Μέθοδος Διόδευσης	Muskingum
Αρχική Μεταβλητή	Combined Inflow
Muskingum K	0.59
Συντελεστής βάρους x	0.2
Πλήθος Υποκλάδων	2

Αποτελέσματα: R87

Παροχή Αιχμής(M3/S)	2359.48
Χρονική στιγμή αιχμής	02Sep2000, 04:30
Όγκος(MM)	217.91
Παροχή Αιχμής Εισόδου (M3/S)	2379.48
Όγκος Εισροής(M3)	2.39E8

Απορροή



Κλάδος: R98

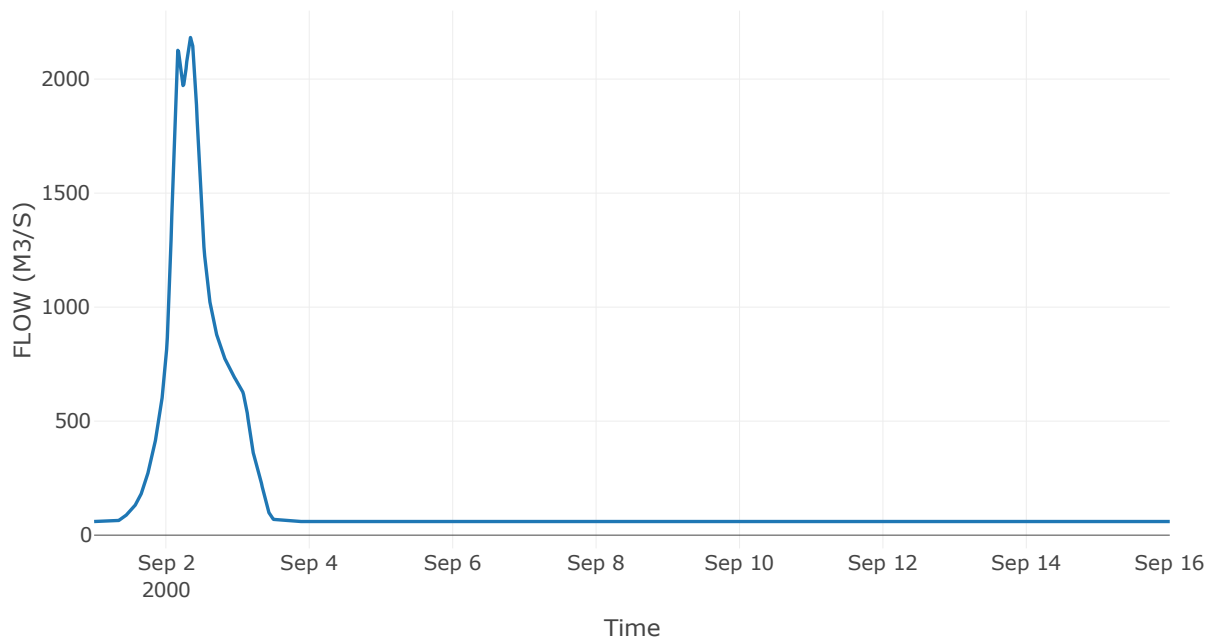
Κατάντη : J8

Μέθοδος Διόδευσης	Muskingum
Αρχική Μεταβλητή	Combined Inflow
Muskingum K	1.07
Συντελεστής βάρους x	0.2
Πλήθος Υποκλάδων	4

Αποτελέσματα: R98

Παροχή Αιχμής(M3/S)	2182.53
Χρονική στιγμή αιχμής	02Sep2000, 08:15
Όγκος(MM)	213.35
Παροχή Αιχμής Εισόδου (M3/S)	2195.95
Όγκος Εισροής(M3)	2.13E8

Απορροή



Κλάδος: R109

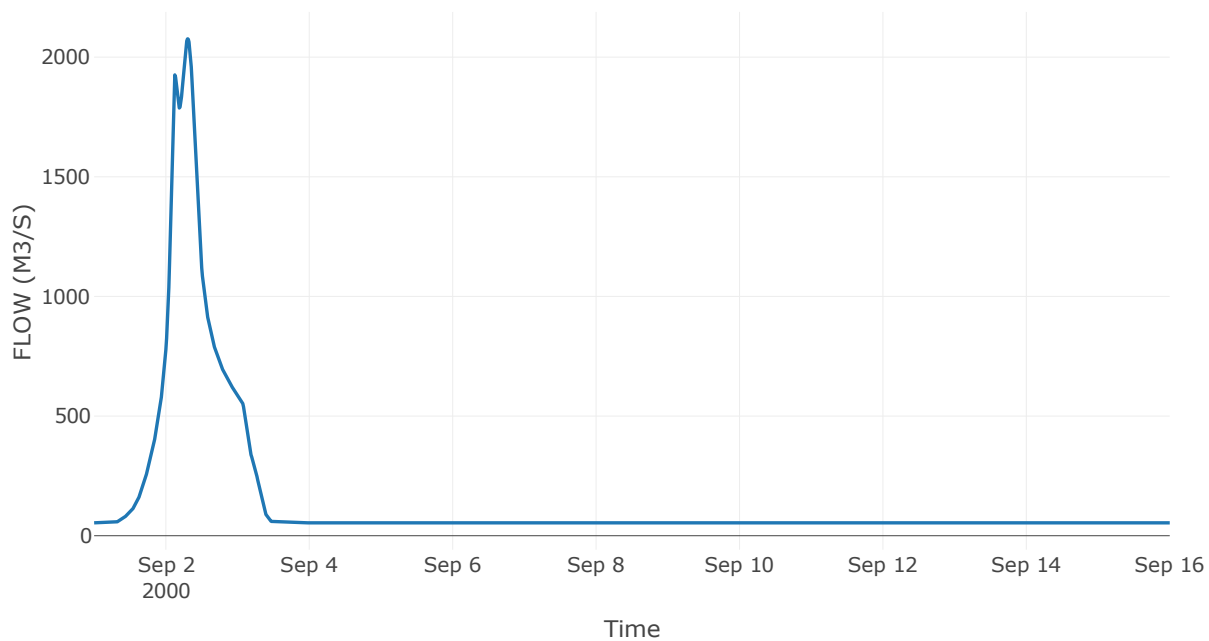
Κατάντη : J9

Μέθοδος Διόδευσης	Χρόνος Υστέρησης
Αρχική Μεταβλητή	Combined Inflow
Χρόνος Υστέρησης	53.44

Αποτελέσματα: R109

Παροχή Αιχμής(M3/S)	2076.6
Χρονική στιγμή αιχμής	02Sep2000, 07:15
Όγκος(MM)	213.44
Παροχή Αιχμής Εισόδου (M3/S)	2078.5
Όγκος Εισροής(M3)	1.92E8

Απορροή



Κλάδος: R1110

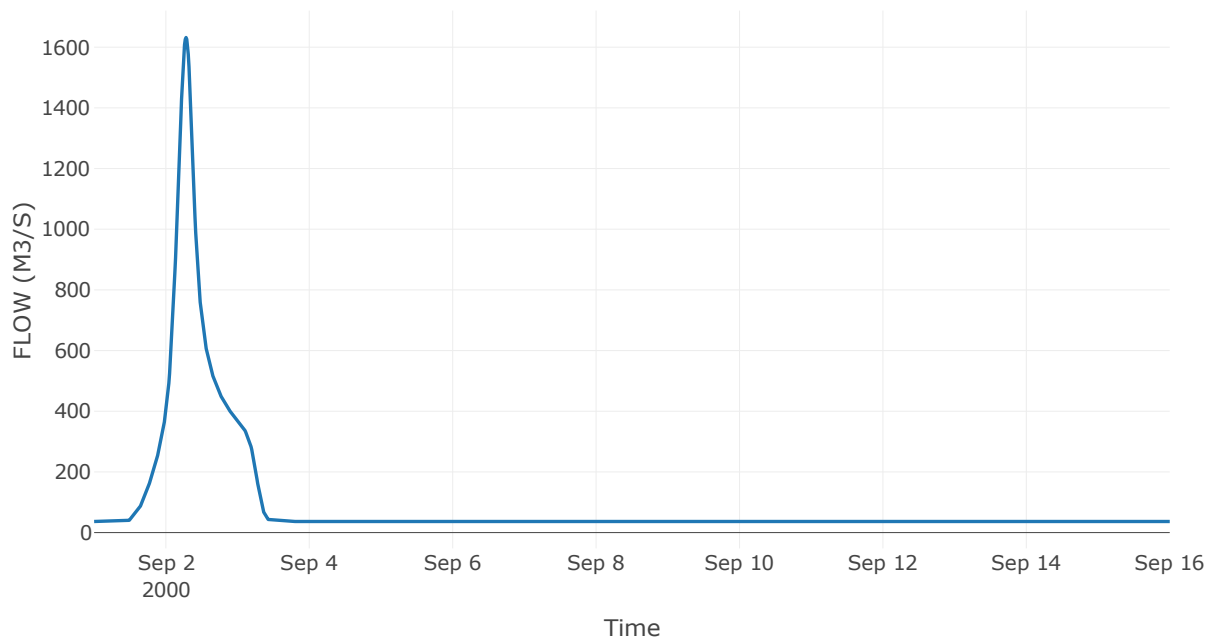
Κατάντη : J10

Μέθοδος Διόδευσης	Muskingum
Αρχική Μεταβλητή	Combined Inflow
Muskingum K	1.65
Συντελεστής βάρους x	0.2
Πλήθος Υποκλάδων	7

Αποτελέσματα: R1110

Παροχή Αιχμής(M3/S)	1631.97
Χρονική στιγμή αιχμής	02Sep2000, 06:45
Όγκος(MM)	202.85
Παροχή Αιχμής Εισόδου (M3/S)	1653.27
Όγκος Εισροής(M3)	1.24E8

Απορροή



Κλάδος: R1211

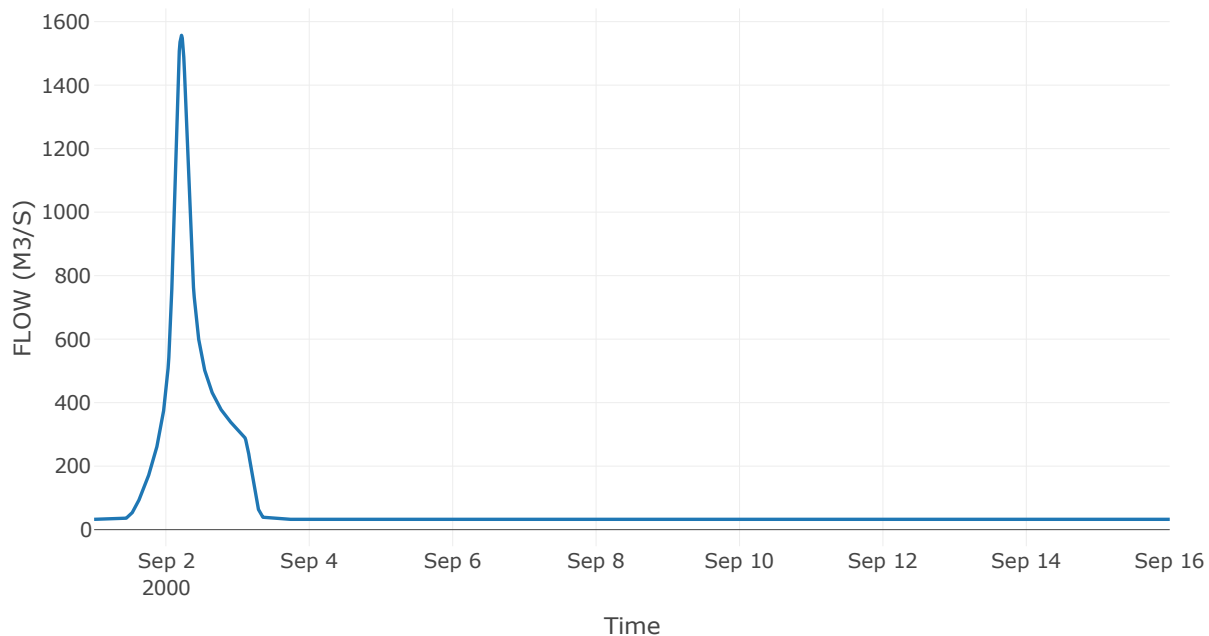
Κατάντη : J11

Μέθοδος Διόδευσης	Muskingum
Αρχική Μεταβλητή	Combined Inflow
Muskingum K	1.48
Συντελεστής βάρους α	0.2
Πλήθος Υποκλάδων	6

Αποτελέσματα: R1211

Παροχή Αιχμής(M3/S)	1556.95
Χρονική στιγμή αιχμής	02Sep2000, 05:15
Όγκος(MM)	202.83
Παροχή Αιχμής Εισόδου (M3/S)	1578.7
Όγκος Εισροής(M3)	1.1E8

Απορροή



Κλάδος: R1312

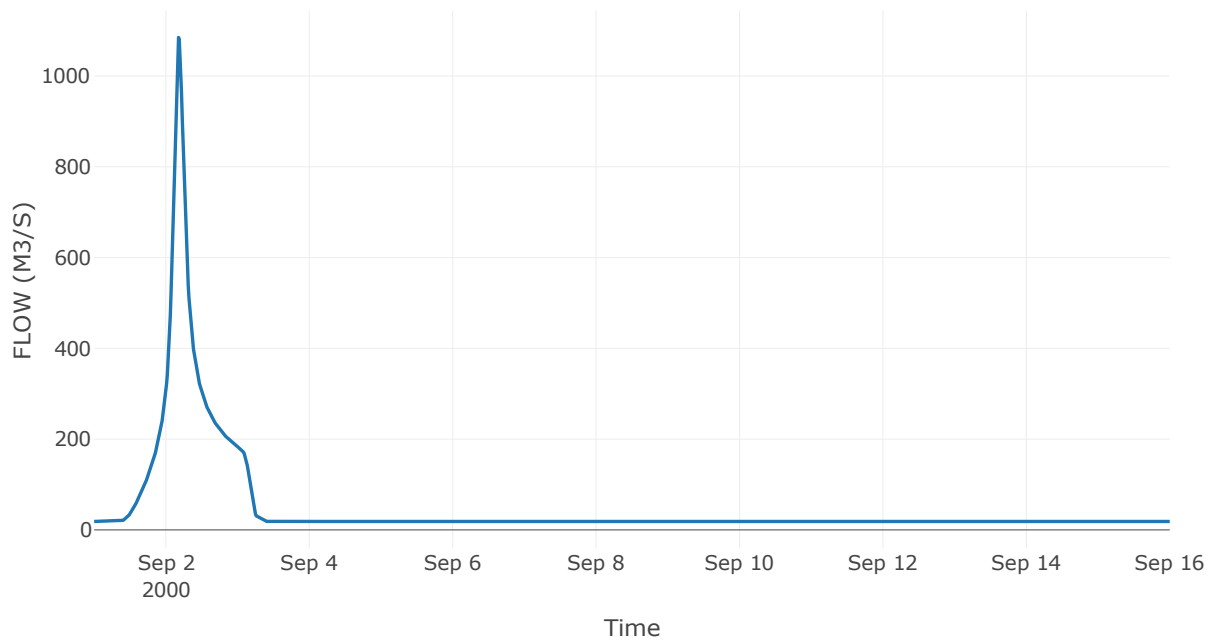
Κατάντη : J12

Μέθοδος Διόδευσης	Muskingum
Αρχική Μεταβλητή	Combined Inflow
Muskingum K	1.59
Συντελεστής βάρους α	0.2
Πλήθος Υποκλάδων	6

Αποτελέσματα: R1312

Παροχή Αιχμής(M3/S)	1085.05
Χρονική στιγμή αιχμής	02Sep2000, 04:15
Όγκος(MM)	212.57
Παροχή Αιχμής Εισόδου (M3/S)	1136.5
Όγκος Εισροής(M3)	6.57E7

Απορροή



Κλάδος: R1413

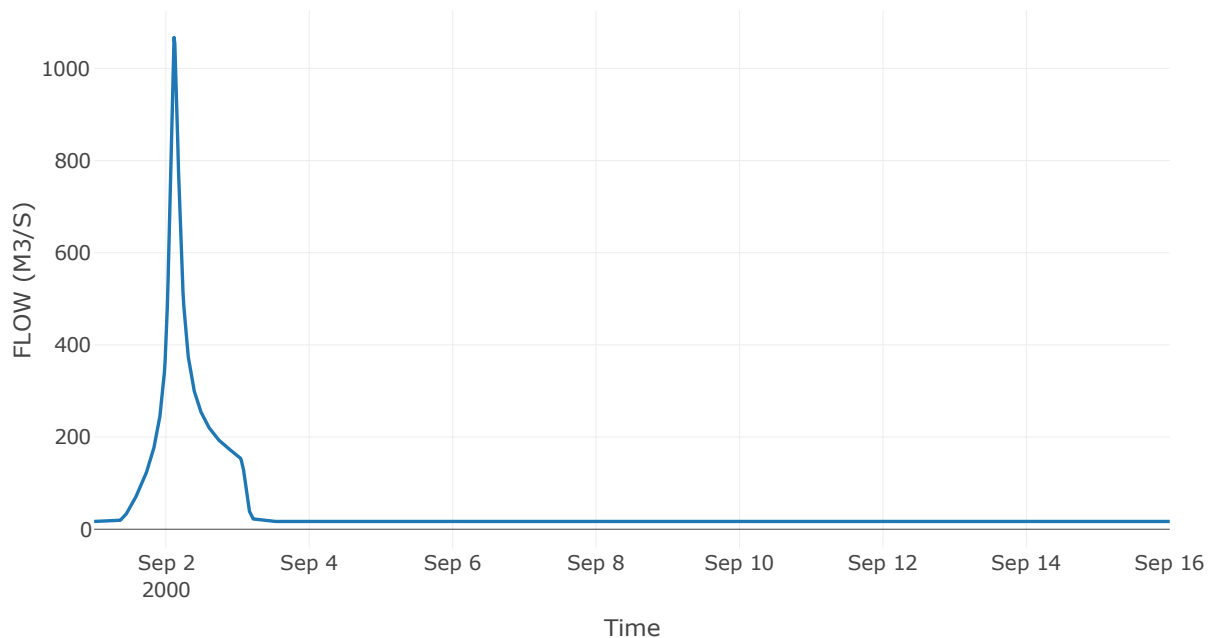
Κατάντη : J13

Μέθοδος Διόδευσης	Muskingum
Αρχική Μεταβλητή	Combined Inflow
Muskingum K	0.16
Συντελεστής βάρους α	0.2
Πλήθος Υποκλάδων	1

Αποτελέσματα: R1413

Παροχή Αιχμής(M3/S)	1067.02
Χρονική στιγμή αιχμής	02Sep2000, 02:45
Όγκος(MM)	213.33
Παροχή Αιχμής Εισόδου (M3/S)	1069.08
Όγκος Εισροής(M3)	5.98E7

Απορροή



Κλάδος: R1514

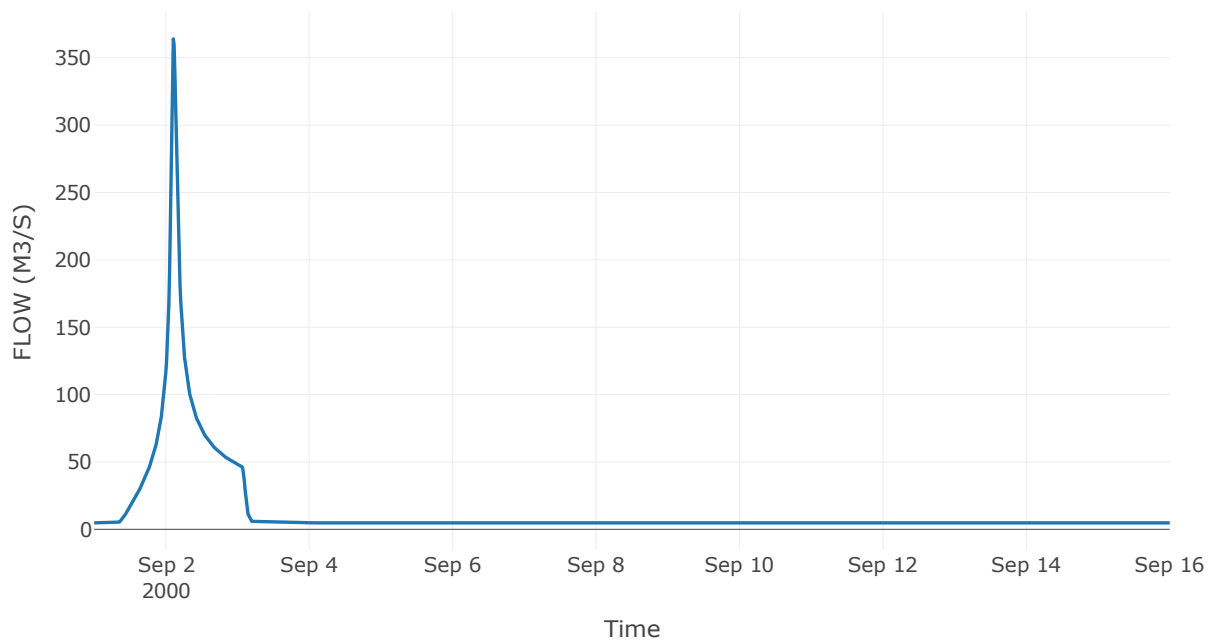
Κατάντη : J14

Μέθοδος Διόδευσης	Χρόνος Υστέρησης
Αρχική Μεταβλητή	Combined Inflow
Χρόνος Υστέρησης	87.77

Αποτελέσματα: R1514

Παροχή Αιχμής(M3/S)	364.07
Χρονική στιγμή αιχμής	02Sep2000, 02:30
Όγκος(MM)	221.32
Παροχή Αιχμής Εισόδου (M3/S)	364.23
Όγκος Εισροής(M3)	1.76E7

Απορροή



Κλάδος: R1614

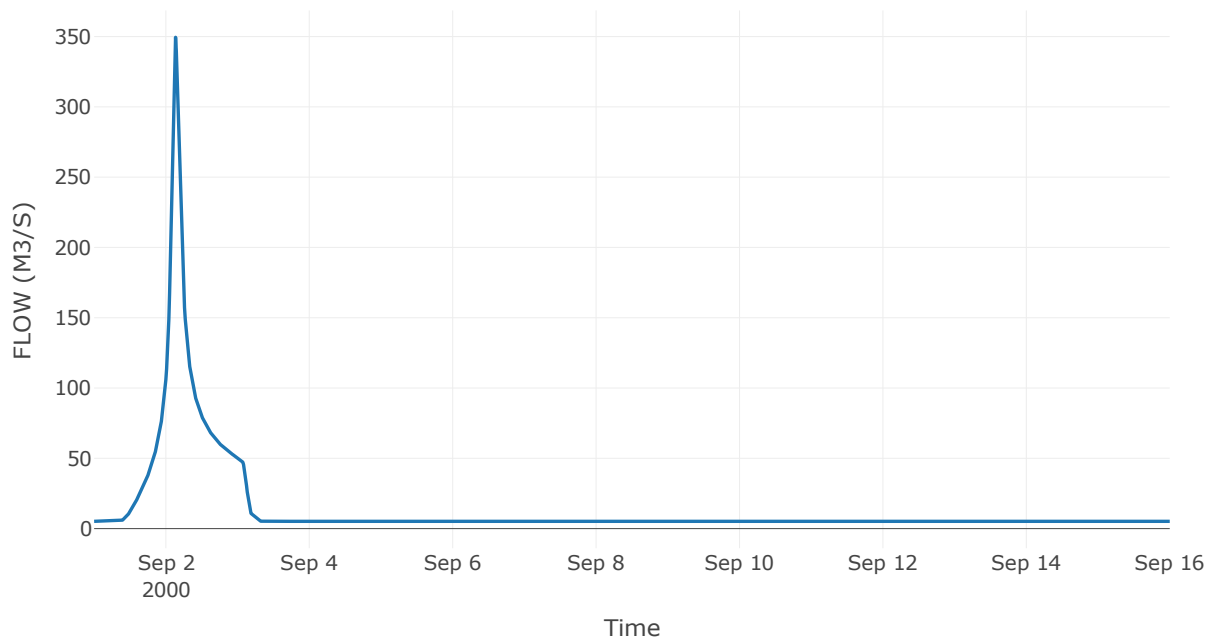
Κατάντη : J14

Μέθοδος Διόδευσης	Muskingum
Αρχική Μεταβλητή	Combined Inflow
Muskingum K	1.65
Συντελεστής βάρους α	0.2
Πλήθος Υποκλάδων	7

Αποτελέσματα: R1614

Παροχή Αιχμής(M3/S)	349.47
Χρονική στιγμή αιχμής	02Sep2000, 03:15
Όγκος(MM)	215.34
Παροχή Αιχμής Εισόδου (M3/S)	374.53
Όγκος Εισροής(M3)	1.86E7

Απορροή



Κλάδος: R1712

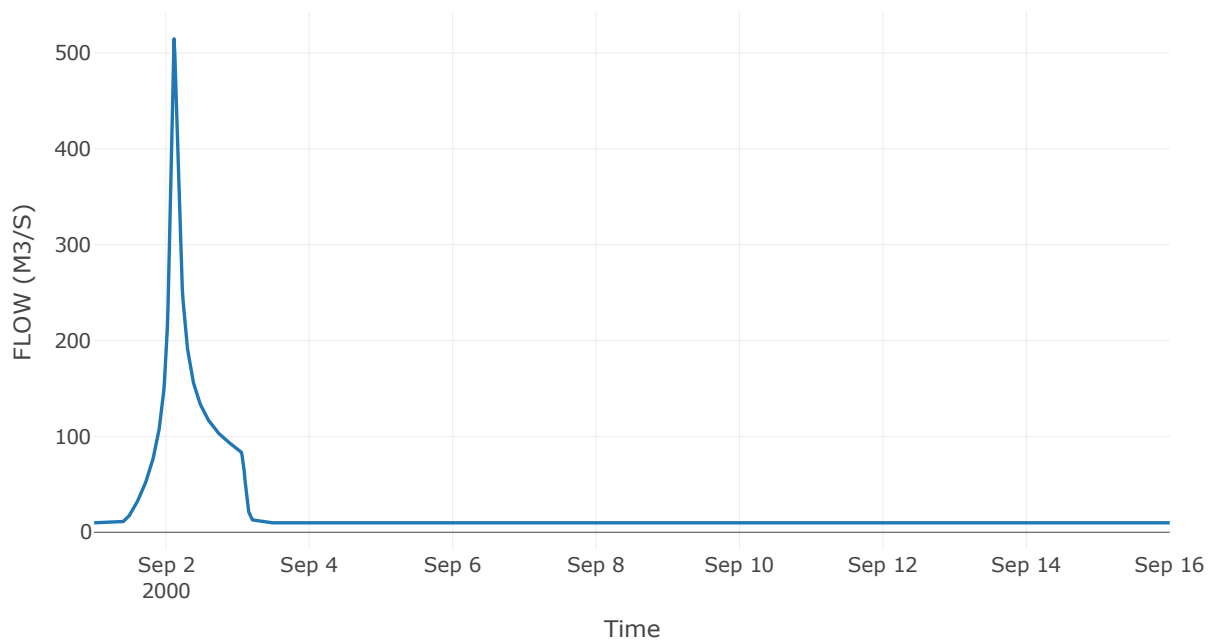
Κατάντη : J12

Μέθοδος Διόδευσης	Χρόνος Υστέρησης
Αρχική Μεταβλητή	Combined Inflow
Χρόνος Υστέρησης	53.57

Αποτελέσματα: R1712

Παροχή Αιχμής(M3/S)	514.79
Χρονική στιγμή αιχμής	02Sep2000, 02:45
Όγκος(MM)	188
Παροχή Αιχμής Εισόδου (M3/S)	518.76
Όγκος Εισροής(M3)	3.09E7

Απορροή



Κλάδος: R1817

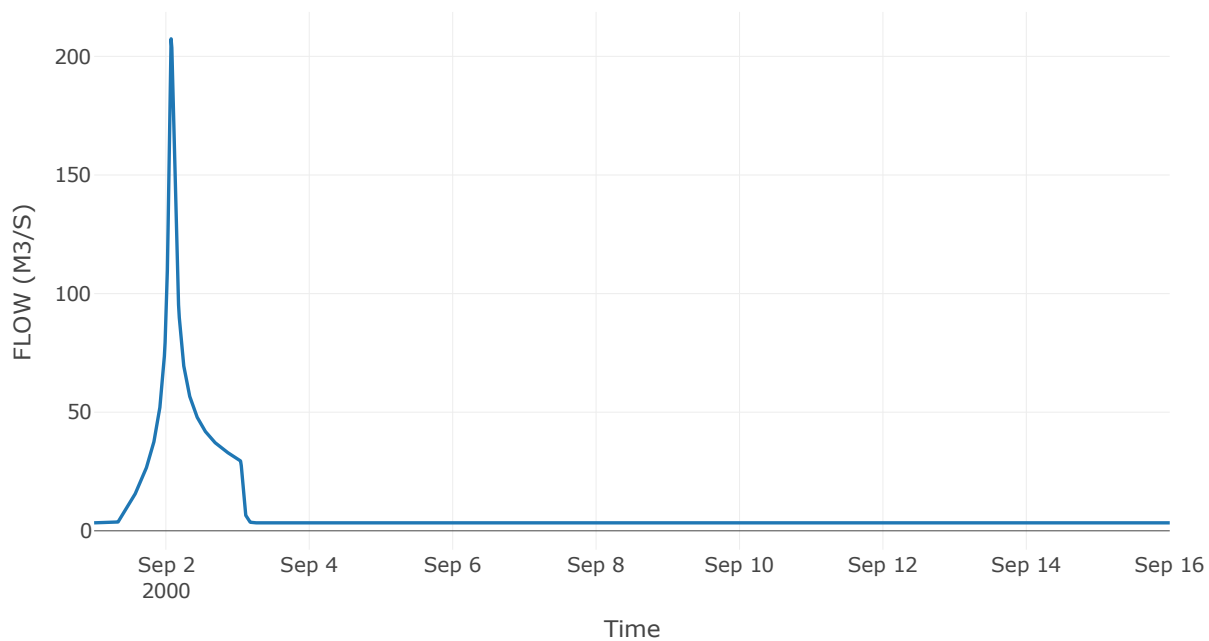
Κατάντη : J17

Μέθοδος Διόδευσης	Χρόνος Υστέρησης
Αρχική Μεταβλητή	Combined Inflow
Χρόνος Υστέρησης	49.66

Αποτελέσματα: R1817

Παροχή Αιχμής(M3/S)	207.41
Χρονική στιγμή αιχμής	02Sep2000, 01:45
Όγκος(MM)	197.84
Παροχή Αιχμής Εισόδου (M3/S)	208.93
Όγκος Εισροής(M3)	1.11E7

Απορροή



Κλάδος: R1910

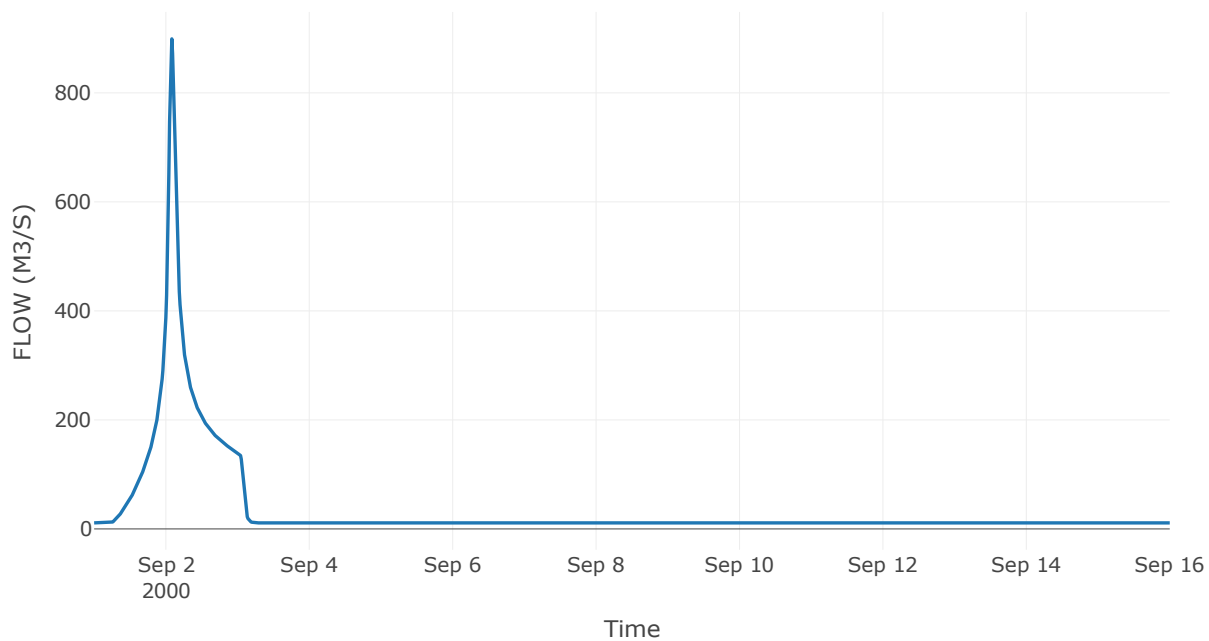
Κατάντη : J10

Μέθοδος Διόδευσης	Χρόνος Υστέρησης
Αρχική Μεταβλητή	Combined Inflow
Χρόνος Υστέρησης	34.62

Αποτελέσματα: R1910

Παροχή Αιχμής(M3/S)	899.08
Χρονική στιγμή αιχμής	02Sep2000, 02:00
Όγκος(MM)	250.56
Παροχή Αιχμής Εισόδου (M3/S)	899.1
Όγκος Εισροής(M3)	4.62E7

Απορροή



Κλάδος: R2019

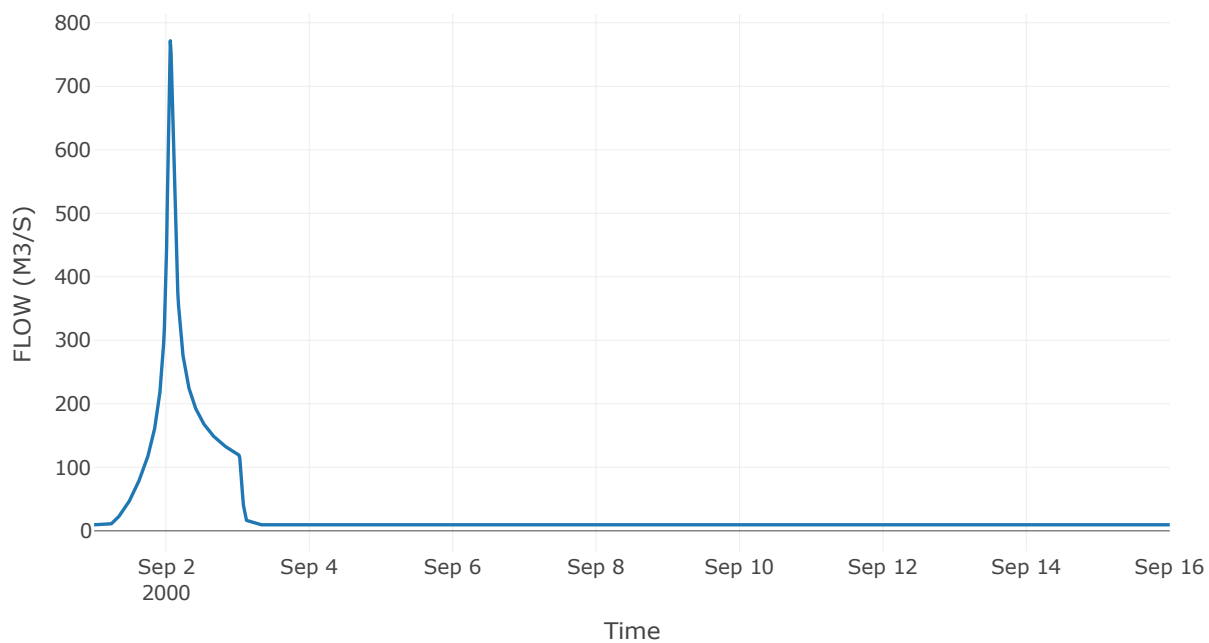
Κατάντη : J19

Μέθοδος Διόδευσης	Χρόνος Υστέρησης
Αρχική Μεταβλητή	Combined Inflow
Χρόνος Υστέρησης	25.79

Αποτελέσματα: R2019

Παροχή Αιχμής(M3/S)	771.69
Χρονική στιγμή αιχμής	02Sep2000, 01:30
Όγκος(MM)	248.44
Παροχή Αιχμής Εισόδου (M3/S)	775.34
Όγκος Εισροής(M3)	3.95E7

Απορροή



Κλάδος: R2120

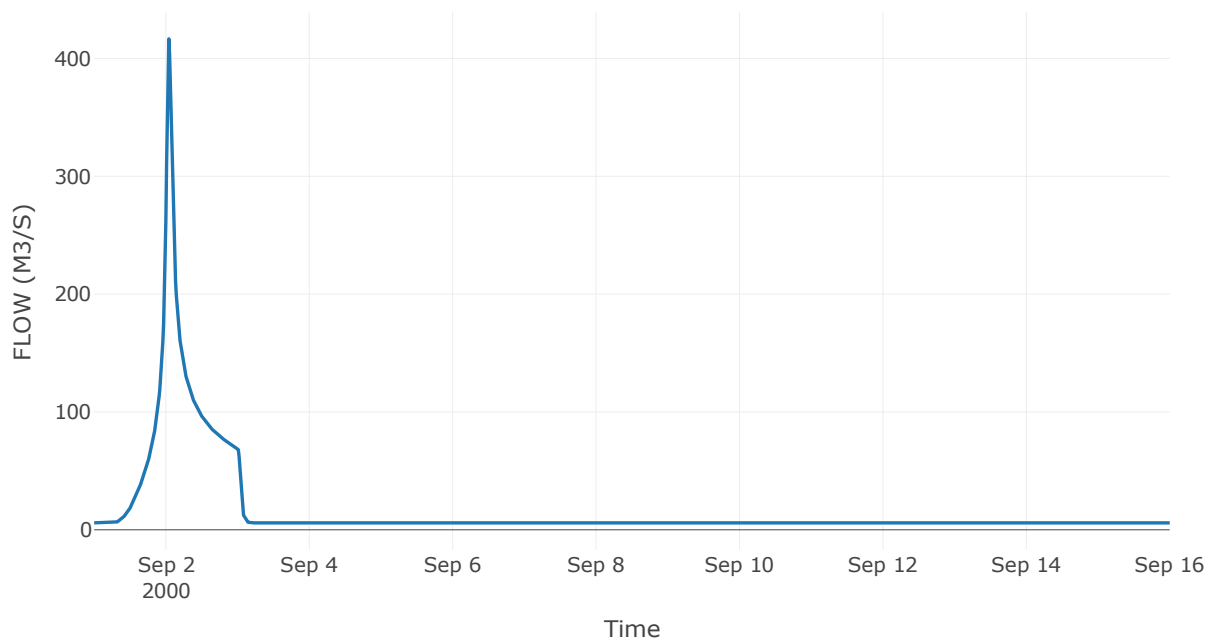
Κατάντη : J20

Μέθοδος Διόδευσης	Χρόνος Υστέρησης
Αρχική Μεταβλητή	Combined Inflow
Χρόνος Υστέρησης	9.21

Αποτελέσματα: R2120

Παροχή Αιχμής(M3/S)	416.66
Χρονική στιγμή αιχμής	02Sep2000, 01:00
Όγκος(MM)	222.05
Παροχή Αιχμής Εισόδου (M3/S)	418.51
Όγκος Εισροής(M3)	2.17E7

Απορροή



Κλάδος: R225

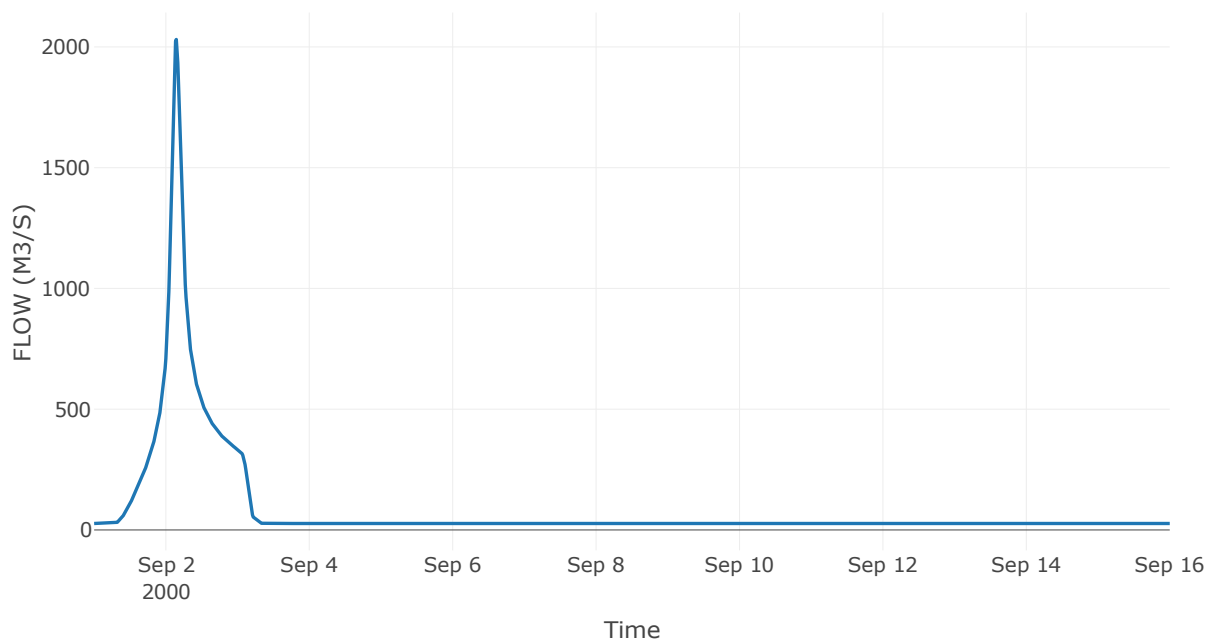
Κατάντη : J5

Μέθοδος Διόδευσης	Muskingum
Αρχική Μεταβλητή	Combined Inflow
Muskingum K	1
Συντελεστής βάρους x	0.2
Πλήθος Υποκλάδων	2

Αποτελέσματα: R225

Παροχή Αιχμής(M3/S)	2030.87
Χρονική στιγμή αιχμής	02Sep2000, 03:30
Όγκος(MM)	257.51
Παροχή Αιχμής Εισόδου (M3/S)	2132.76
Όγκος Εισροής(M3)	1.15E8

Απορροή



Κλάδος: R2322

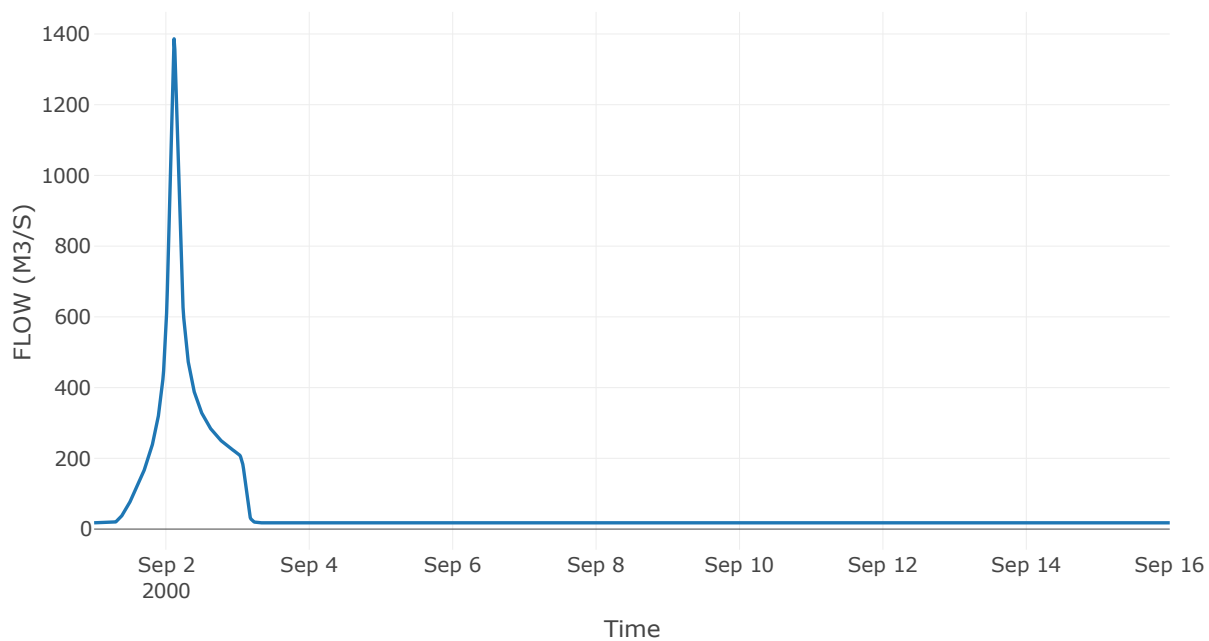
Κατάντη : J22

Μέθοδος Διόδευσης	Χρόνος Υστέρησης
Αρχική Μεταβλητή	Combined Inflow
Χρόνος Υστέρησης	0

Αποτελέσματα: R2322

Παροχή Αιχμής(M3/S)	1386.36
Χρονική στιγμή αιχμής	02Sep2000, 02:45
Όγκος(MM)	251.38
Παροχή Αιχμής Εισόδου (M3/S)	1386.36
Όγκος Εισροής(M3)	7.4E7

Απορροή



Κλάδος: R2423

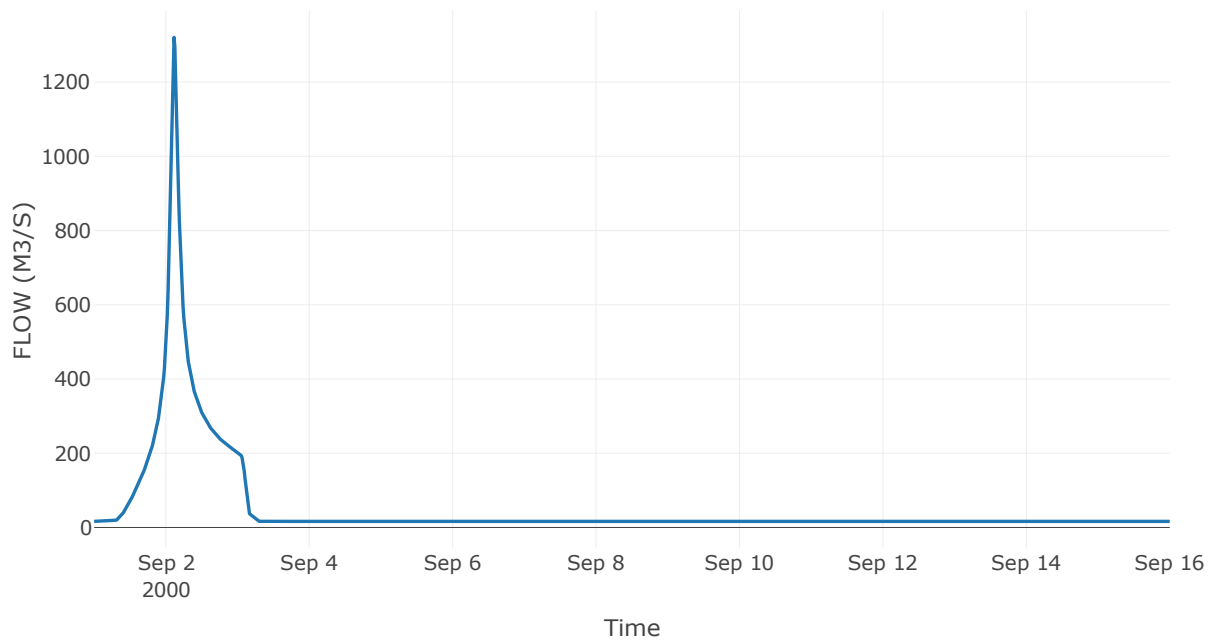
Κατάντη : J23

Μέθοδος Διόδευσης	Muskingum
Αρχική Μεταβλητή	Combined Inflow
Muskingum K	0.75
Συντελεστής βάρους x	0.2
Πλήθος Υποκλάδων	3

Αποτελέσματα: R2423

Παροχή Αιχμής(M3/S)	1320.44
Χρονική στιγμή αιχμής	02Sep2000, 02:45
Όγκος(MM)	252.2
Παροχή Αιχμής Εισόδου (M3/S)	1363.23
Όγκος Εισροής(M3)	6.9E7

Απορροή



Κλάδος: R2524

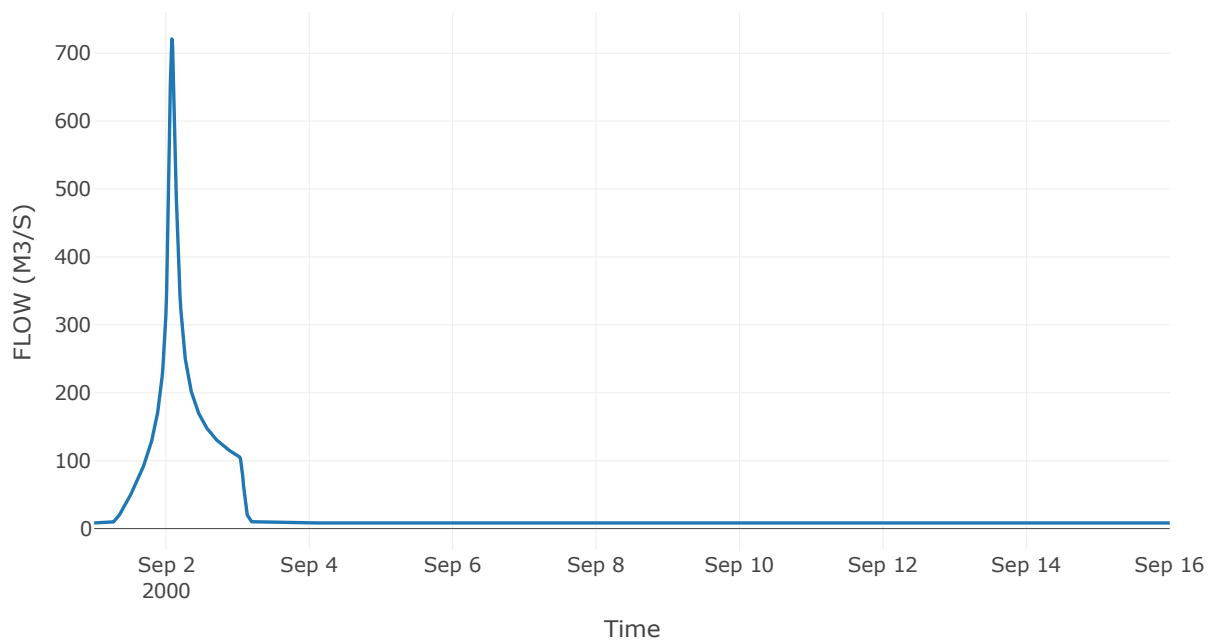
Κατάντη : J24

Μέθοδος Διόδευσης	Χρόνος Υστέρησης
Αρχική Μεταβλητή	Combined Inflow
Χρόνος Υστέρησης	26.09

Αποτελέσματα: R2524

Παροχή Αιχμής(M3/S)	721
Χρονική στιγμή αιχμής	02Sep2000, 02:00
Όγκος(MM)	263.19
Παροχή Αιχμής Εισόδου (M3/S)	721.75
Όγκος Εισροής(M3)	3.66E7

Απορροή



Κλάδος: R2625

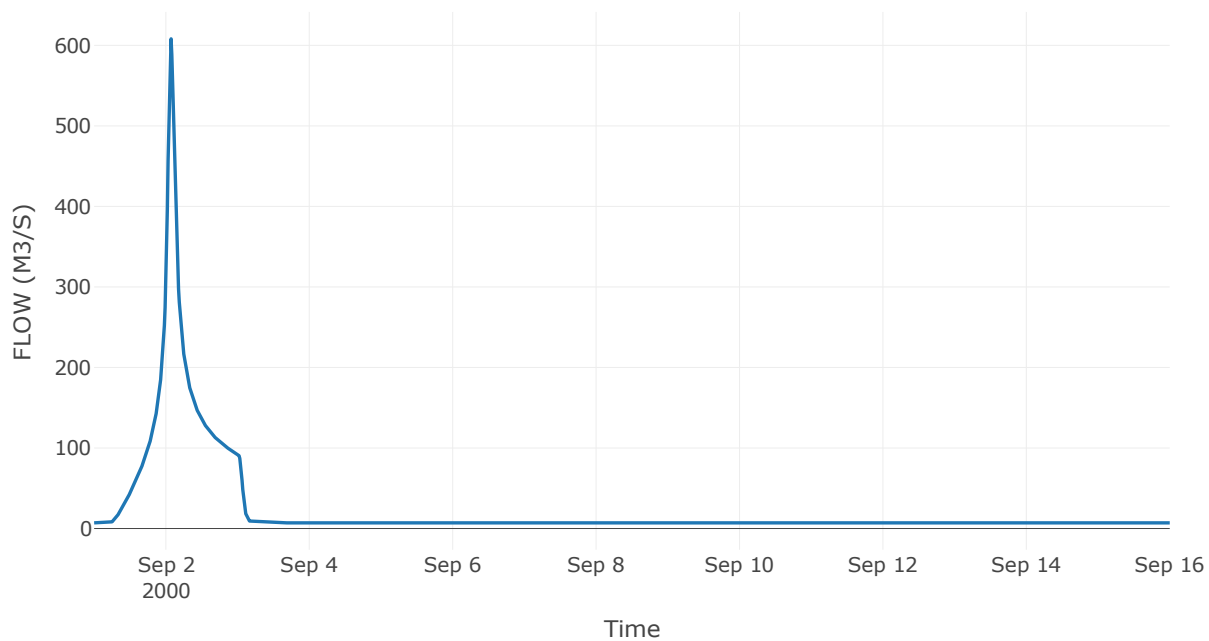
Κατάντη : J25

Μέθοδος Διόδευσης	Χρόνος Υστέρησης
Αρχική Μεταβλητή	Combined Inflow
Χρόνος Υστέρησης	13.13

Αποτελέσματα: R2625

Παροχή Αιχμής(M3/S)	608.1
Χρονική στιγμή αιχμής	02Sep2000, 01:45
Όγκος(MM)	264.62
Παροχή Αιχμής Εισόδου (M3/S)	610.44
Όγκος Εισροής(M3)	3.11E7

Απορροή



Κλάδος: R2726

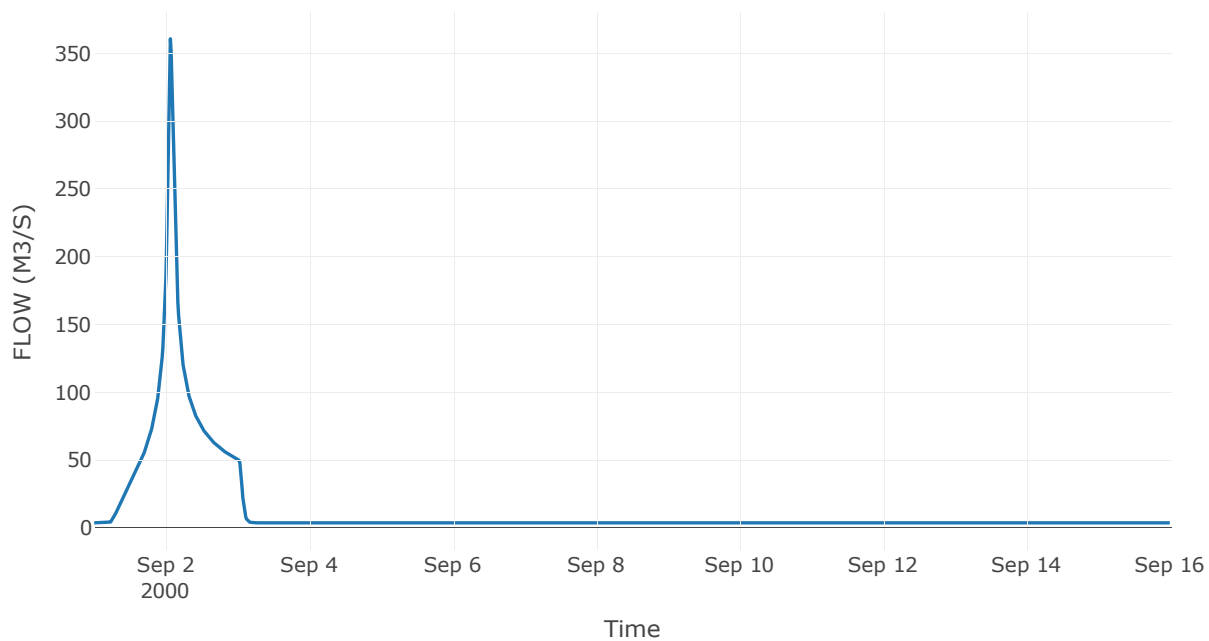
Κατάντη : J26

Μέθοδος Διόδευσης	Χρόνος Υστέρησης
Αρχική Μεταβλητή	Combined Inflow
Χρόνος Υστέρησης	26.32

Αποτελέσματα: R2726

Παροχή Αιχμής(M3/S)	360.69
Χρονική στιγμή αιχμής	02Sep2000, 01:30
Όγκος(MM)	287.04
Παροχή Αιχμής Εισόδου (M3/S)	362.18
Όγκος Εισροής(M3)	1.74E7

Απορροή



Κλάδος: R2824

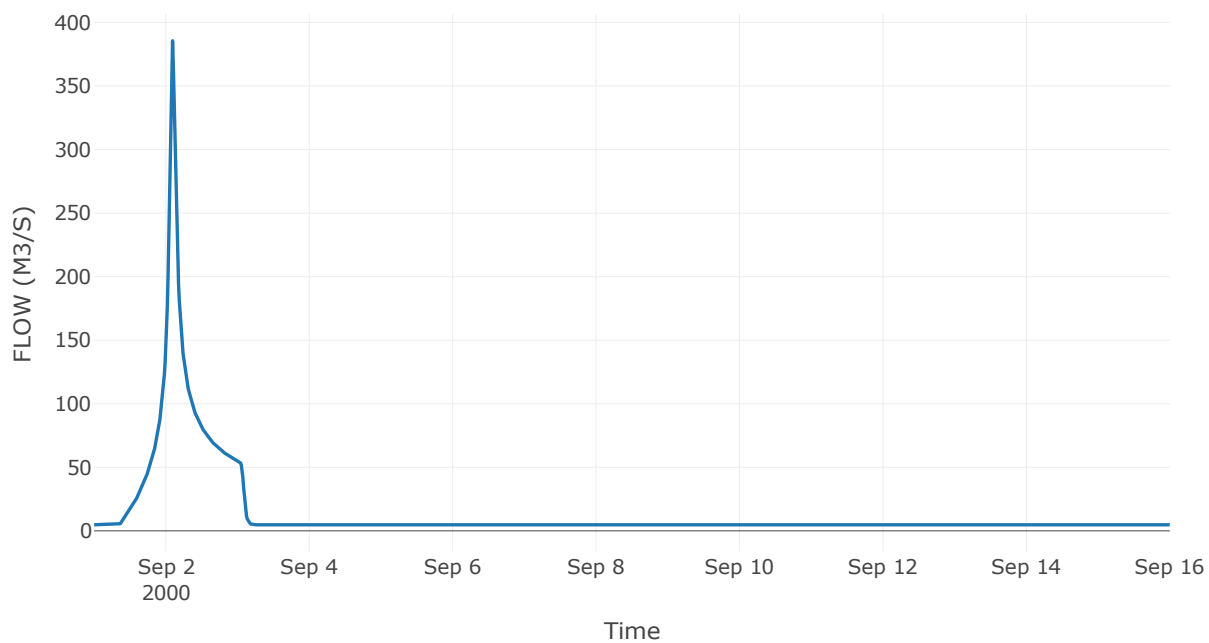
Κατάντη : J24

Μέθοδος Διόδευσης	Χρόνος Υστέρησης
Αρχική Μεταβλητή	Combined Inflow
Χρόνος Υστέρησης	50.03

Αποτελέσματα: R2824

Παροχή Αιχμής(M3/S)	385.63
Χρονική στιγμή αιχμής	02Sep2000, 02:15
Όγκος(MM)	234.1
Παροχή Αιχμής Εισόδου (M3/S)	390.77
Όγκος Εισροής(M3)	1.86E7

Απορροή



Κλάδος: R2928

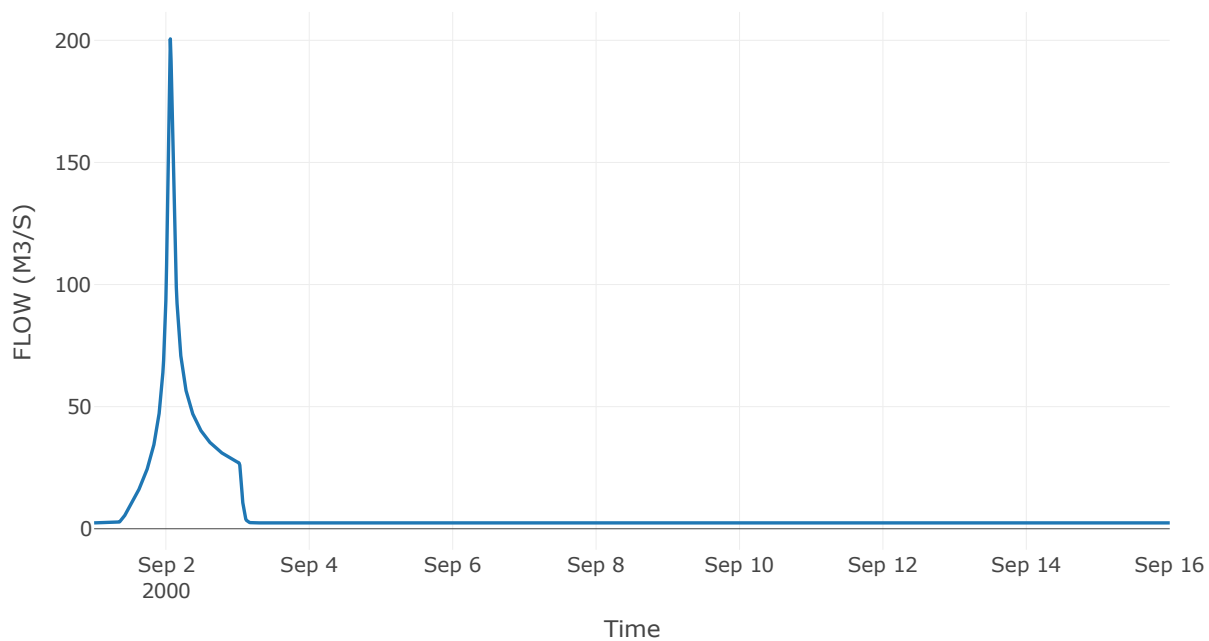
Κατάντη : J28

Μέθοδος Διόδευσης	Χρόνος Υστέρησης
Αρχική Μεταβλητή	Combined Inflow
Χρόνος Υστέρησης	29.39

Αποτελέσματα: R2928

Παροχή Αιχμής(M3/S)	200.6
Χρονική στιγμή αιχμής	02Sep2000, 01:30
Όγκος(MM)	233.2
Παροχή Αιχμής Εισόδου (M3/S)	201.18
Όγκος Εισροής(M3)	9.32E6

Απορροή



Κλάδος: R3022

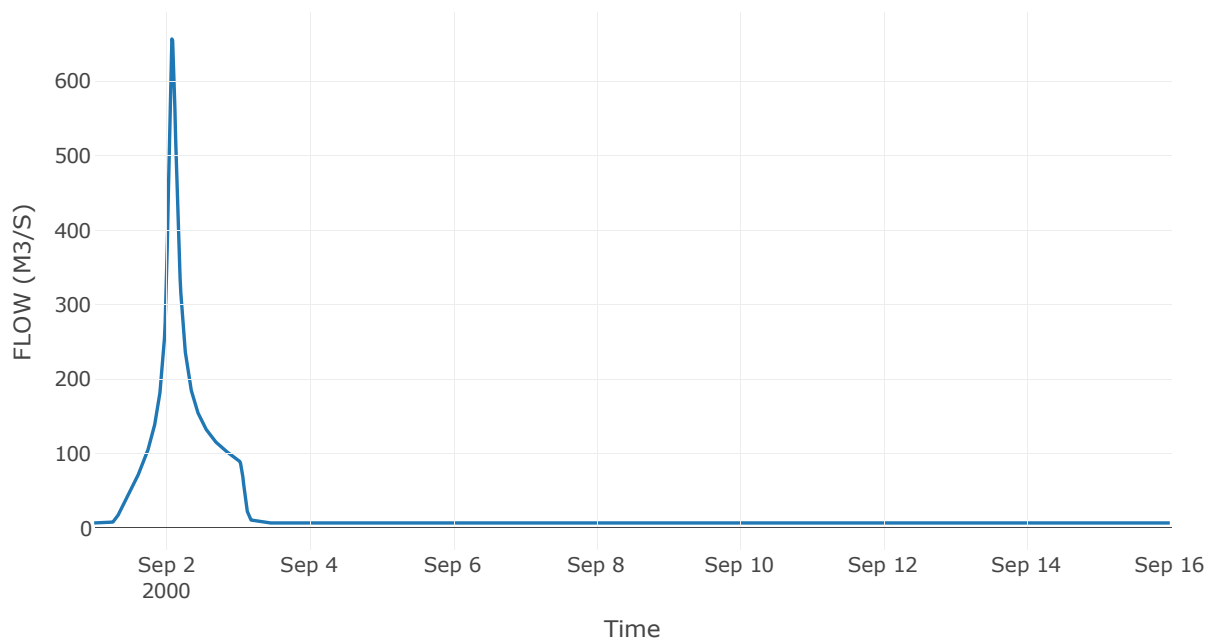
Κατάντη : J22

Μέθοδος Διόδευσης	Χρόνος Υστέρησης
Αρχική Μεταβλητή	Combined Inflow
Χρόνος Υστέρησης	0

Αποτελέσματα: R3022

Παροχή Αιχμής(M3/S)	657.01
Χρονική στιγμή αιχμής	02Sep2000, 02:00
Όγκος(MM)	279.99
Παροχή Αιχμής Εισόδου (M3/S)	657.01
Όγκος Εισροής(M3)	3.35E7

Απορροή



Κλάδος: R3130

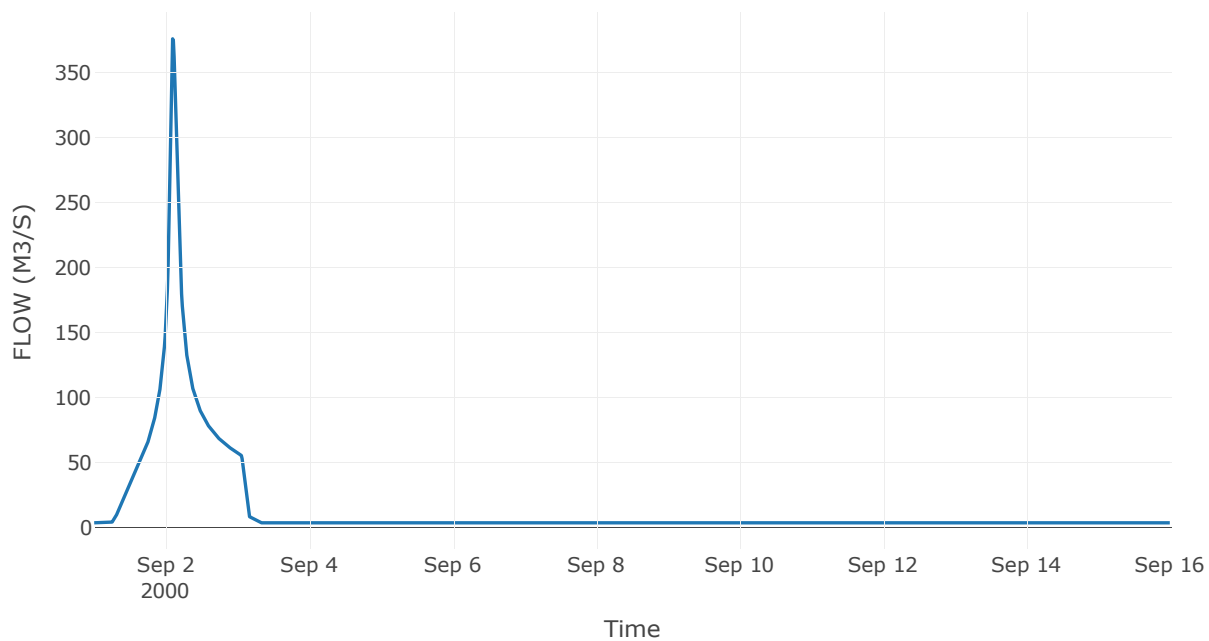
Κατάντη : J30

Μέθοδος Διόδευσης	Χρόνος Υστέρησης
Αρχική Μεταβλητή	Combined Inflow
Χρόνος Υστέρησης	66.4

Αποτελέσματα: R3130

Παροχή Αιχμής(M3/S)	375.86
Χρονική στιγμή αιχμής	02Sep2000, 02:15
Όγκος(MM)	311.59
Παροχή Αιχμής Εισόδου (M3/S)	378.29
Όγκος Εισροής(M3)	1.92E7

Απορροή



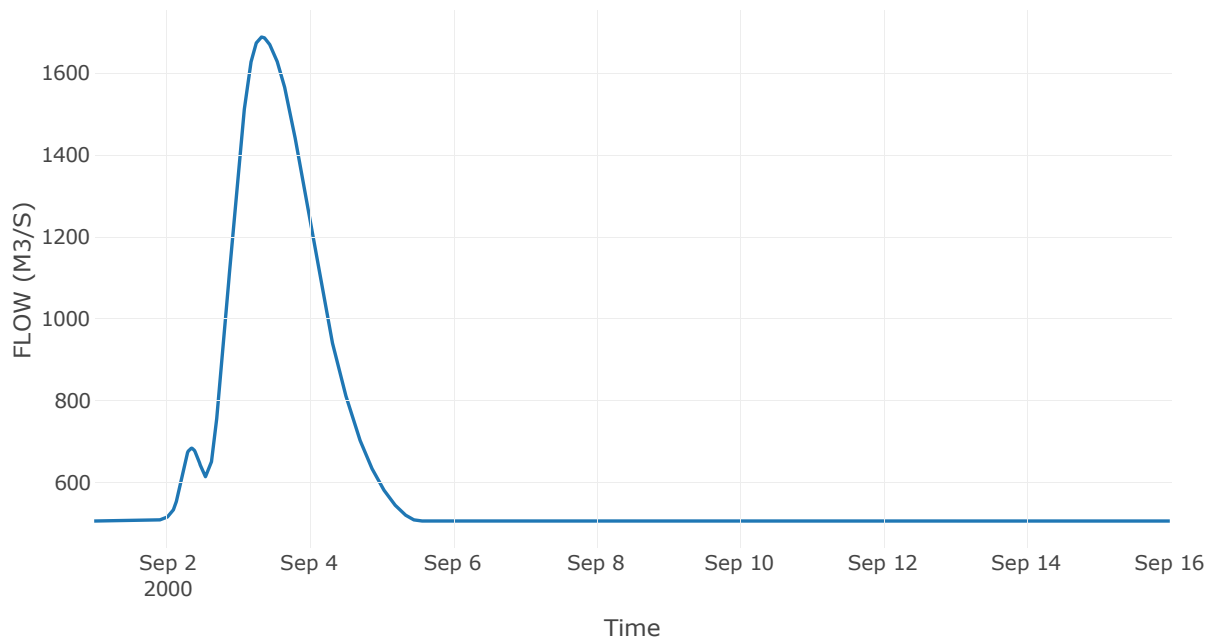
2.3 Δεδομένα και υδρογραφήματα σχεδιασμού Κόμβων υδρογραφικού δικτύου

Κόμβος εξόδου: J1

Αποτελέσμα
τα: J1

Παροχή αιχμής (M3/S)	1689.22
Χρονική στιγμή αιχμής	03Sep2000, 08:15
Όγκος (MM)	417.3

Απορροή



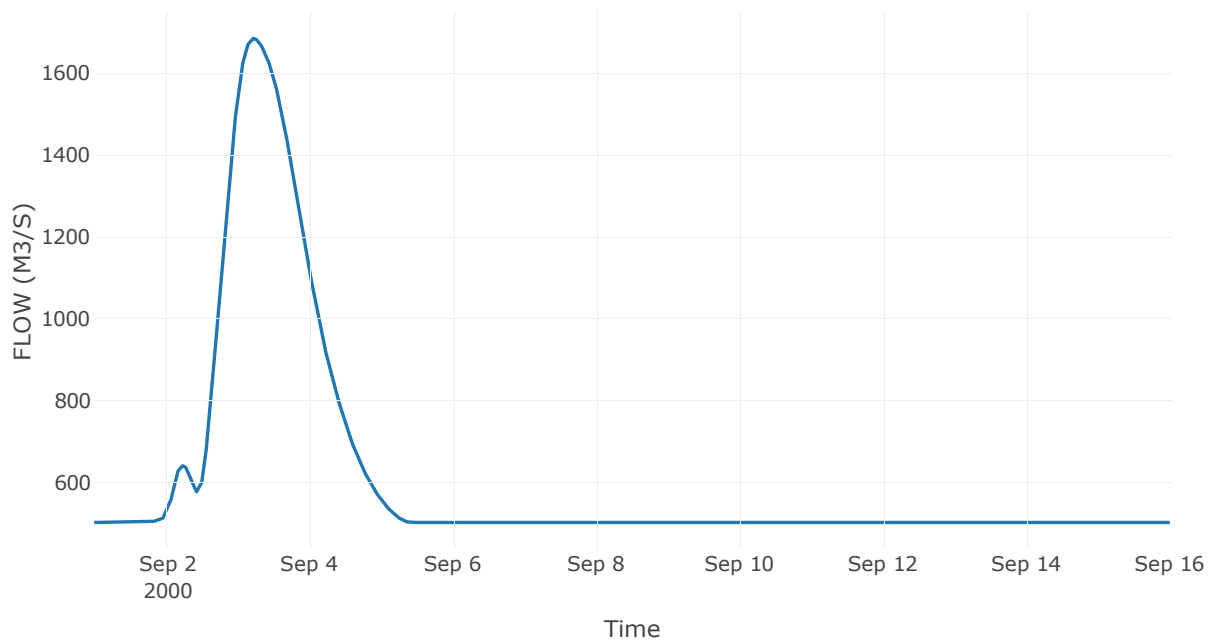
Κόμβος: J2

Κατάντη : R21

Αποτελέσματα: J2

Παροχή Αιχμής(M3/S)	1684.98
Χρονική στιγμή αιχμής	03Sep2000, 05:30
Όγκος(MM)	420.7

Απορροή



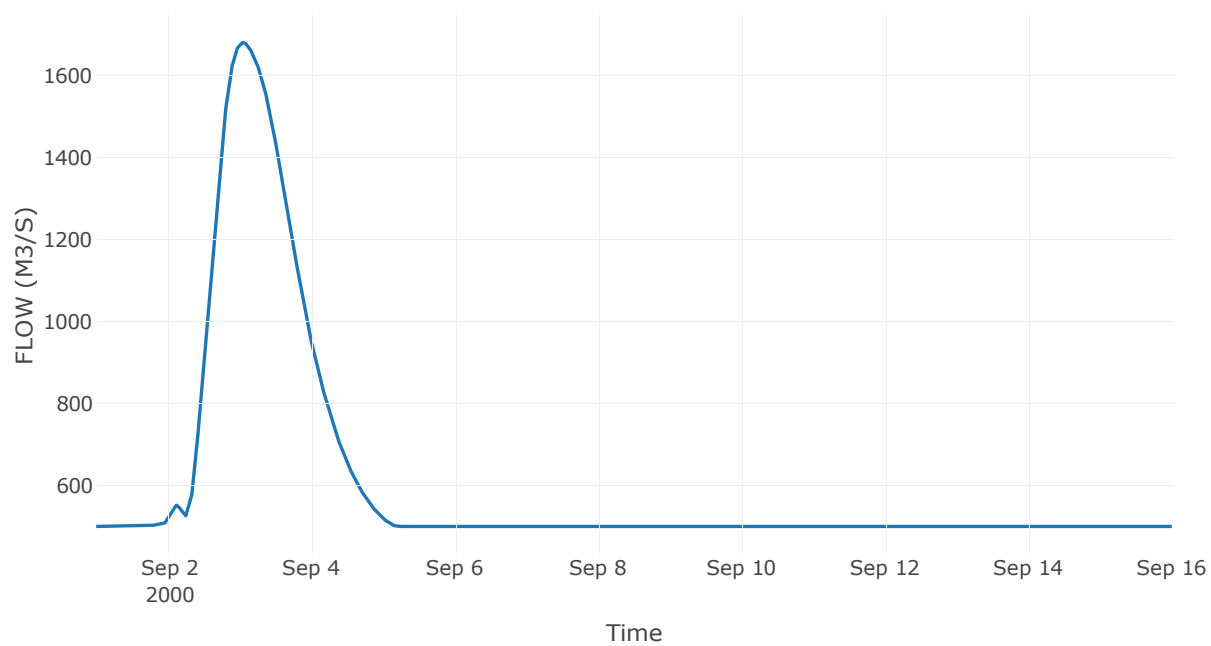
Κόμβος: J3

Κατάντη : R32

Αποτελέσματα: J3

Παροχή Αιχμής(M3/S)	1680.51
Χρονική στιγμή αιχμής	03Sep2000, 01:15
Όγκος(MM)	427.22

Απορροή



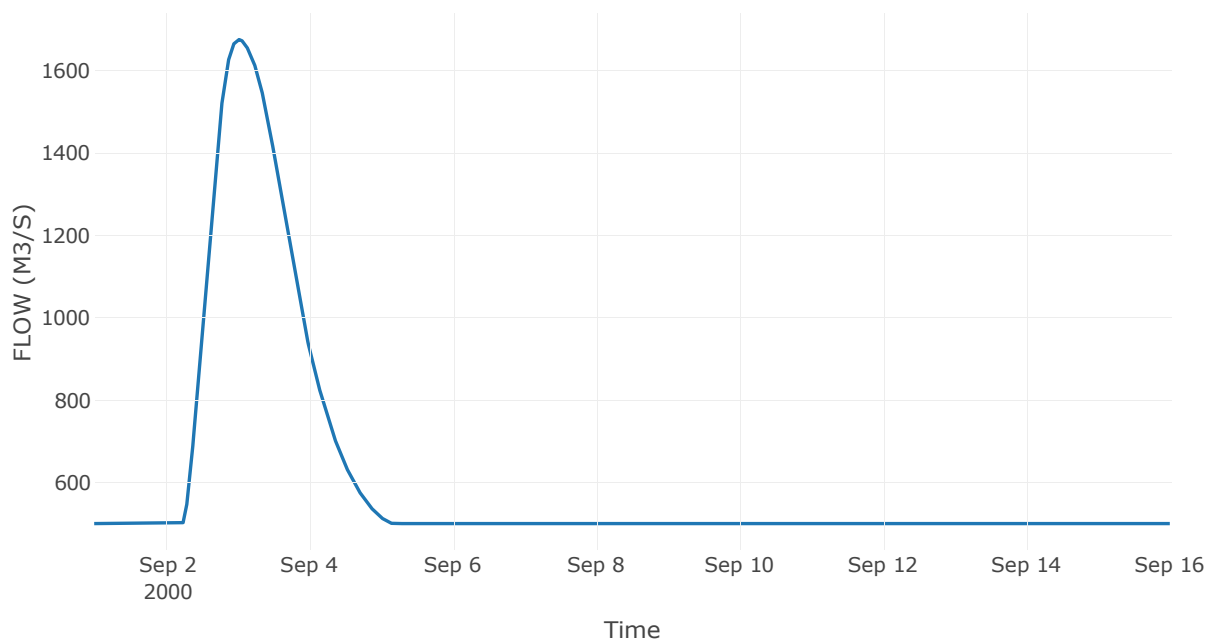
Reservoir: J4_RES1

Κατάντη : R43

Αποτελέσματα: J4_RES1

Παροχή Αιχμής(M3/S)	1675.98
Χρονική στιγμή αιχμής	03Sep2000, 00:30
Όγκος(MM)	429.13
Παροχή Αιχμής Εισόδου (M3/S)	3242.8
Time of Peak Inflow	02Sep2000, 08:45
Όγκος Εισροής (M3)	4.16E8
Maximum Storage (M3)	6.15E8
Peak Elevation (M)	113.76
Discharge Όγκος(M3)	7.82E8

Απορροή



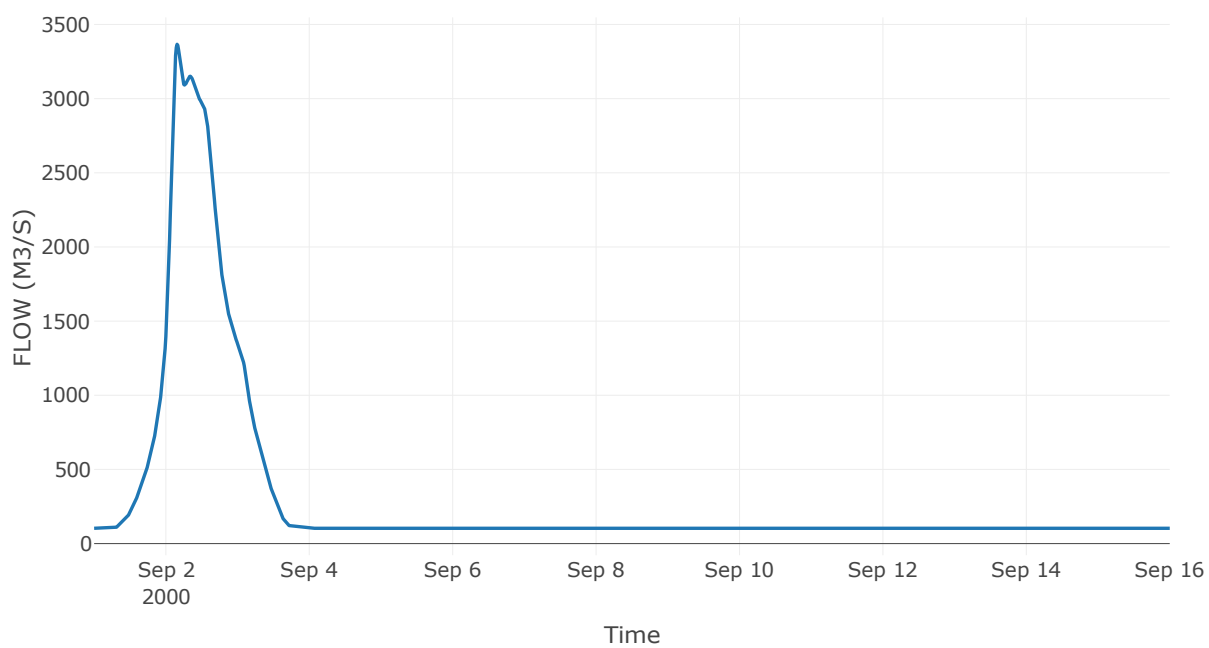
Κόμβος: J5

Κατάντη : R54

Αποτελέσματα: J5

Παροχή Αιχμής(M3/S)	3366.47
Χρονική στιγμή αιχμής	02Sep2000, 03:45
Όγκος(MM)	229.76

Απορροή



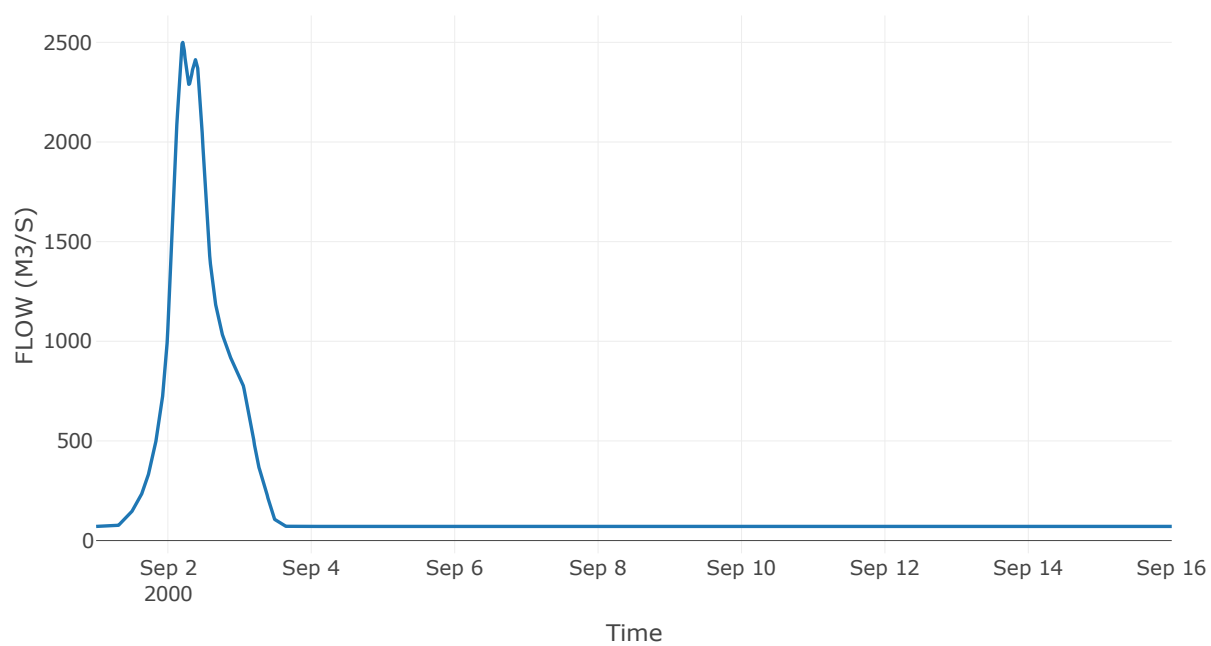
Κόμβος: J6

Κατάντη : R65

Αποτελέσματα: J6

Παροχή Αιχμής(M3/S)	2499.78
Χρονική στιγμή αιχμής	02Sep2000, 05:00
Όγκος(MM)	219.62

Απορροή



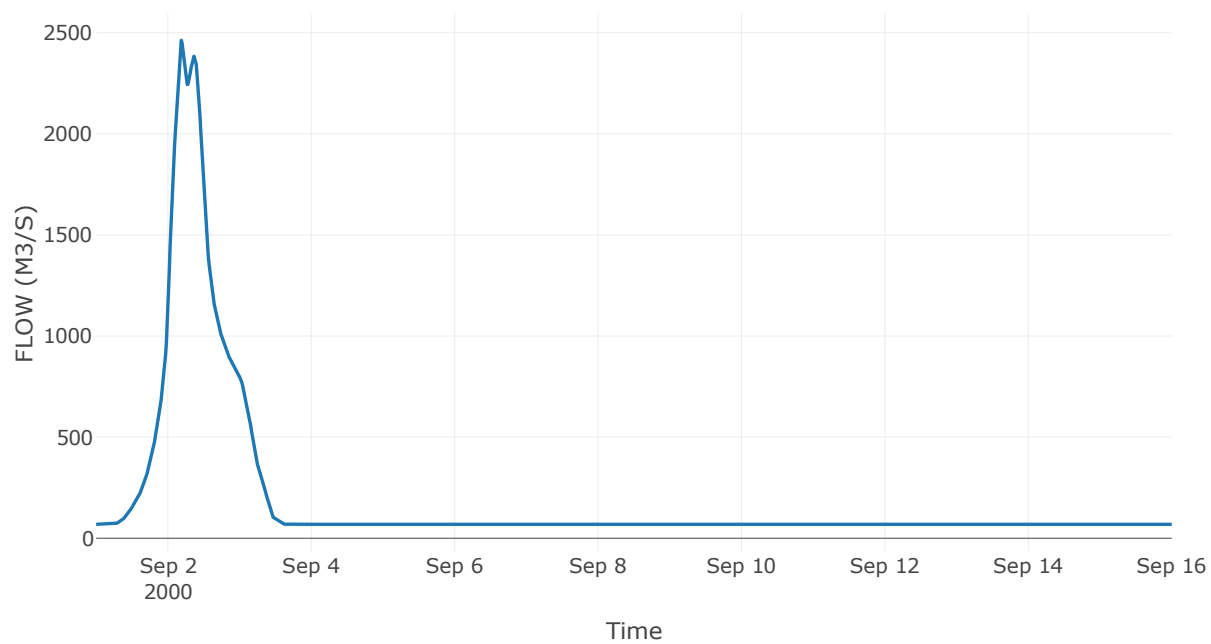
Κόμβος: J7

Κατάντη : R76

Αποτελέσματα: J7

Παροχή Αιχμής(M3/S)	2462.66
Χρονική στιγμή αιχμής	02Sep2000, 04:30
Όγκος(MM)	220.11

Απορροή



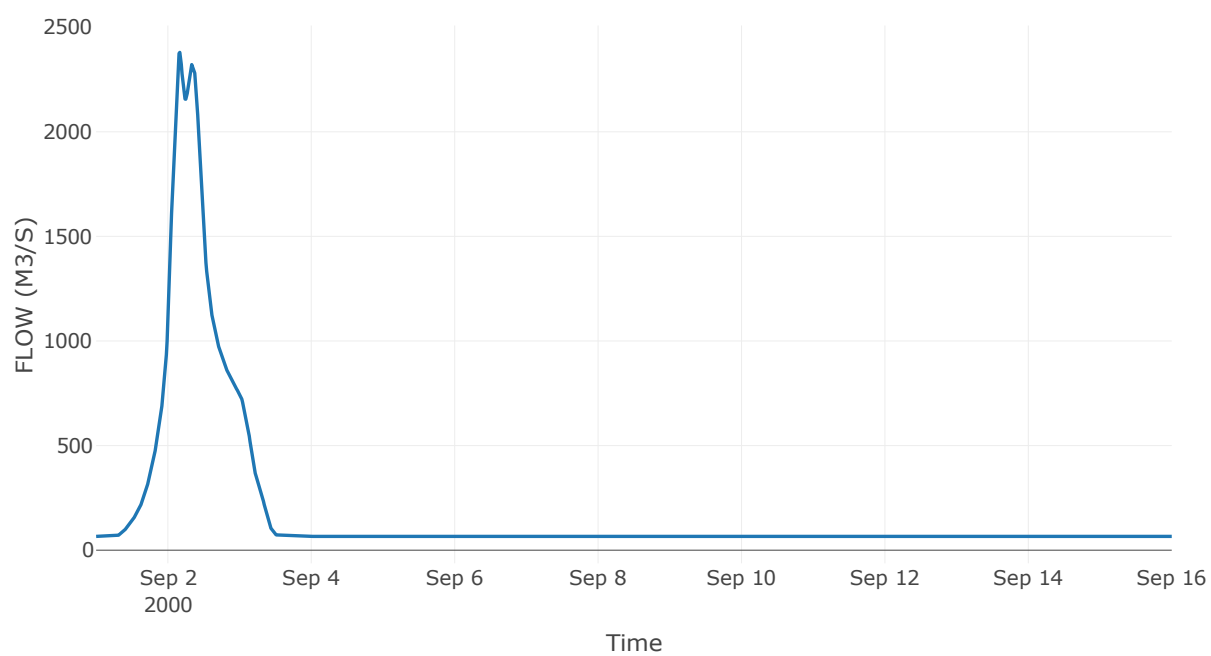
Κόμβος: J8

Κατάντη : R87

Αποτελέσματα: J8

Παροχή Αιχμής(M3/S)	2379.48
Χρονική στιγμή αιχμής	02Sep2000, 04:00
Όγκος(MM)	217.91

Απορροή



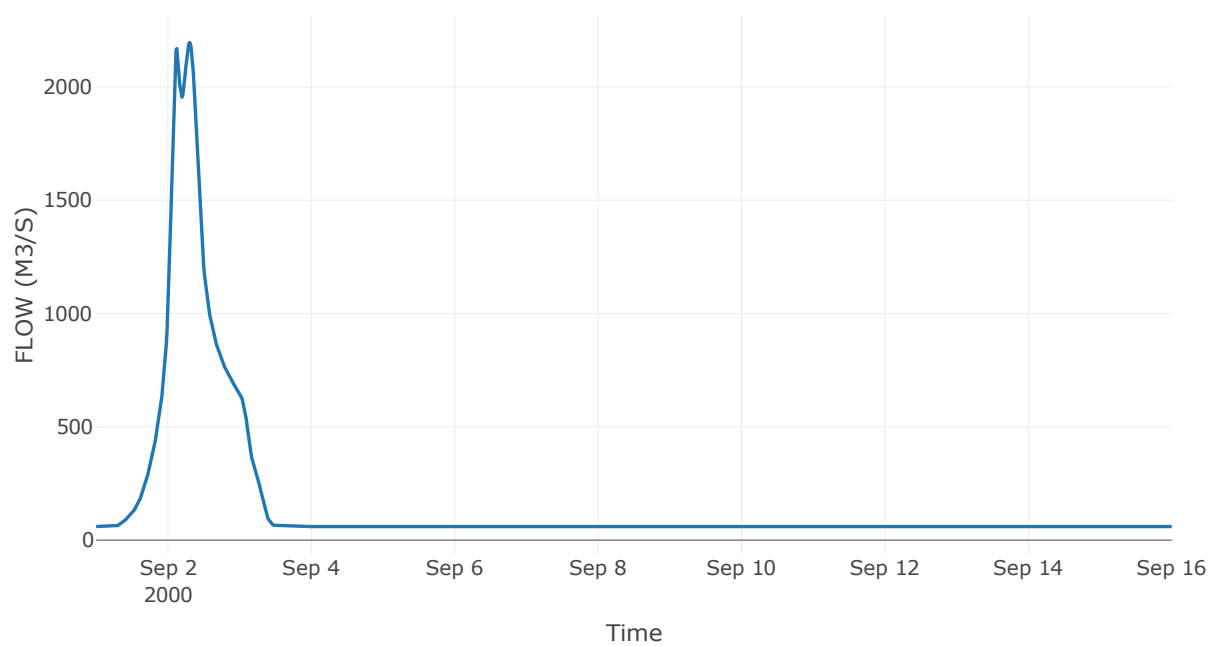
Κόμβος: J9

Κατάντη : R98

Αποτελέσματα: J9

Παροχή Αιχμής(M3/S)	2195.95
Χρονική στιγμή αιχμής	02Sep2000, 07:15
Όγκος(MM)	213.35

Απορροή



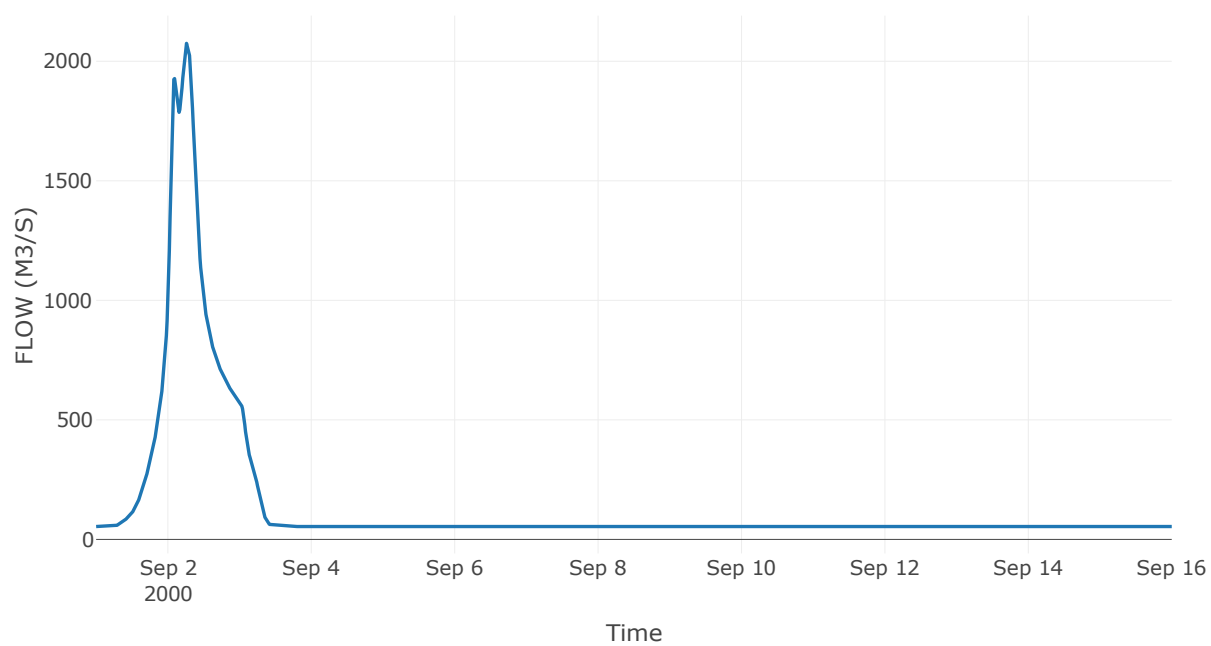
Κόμβος: J10

Κατάντη : R109

Αποτελέσματα: J10

Παροχή Αιχμής(M3/S)	2078.5
Χρονική στιγμή αιχμής	02Sep2000, 06:30
Όγκος(MM)	213.44

Απορροή



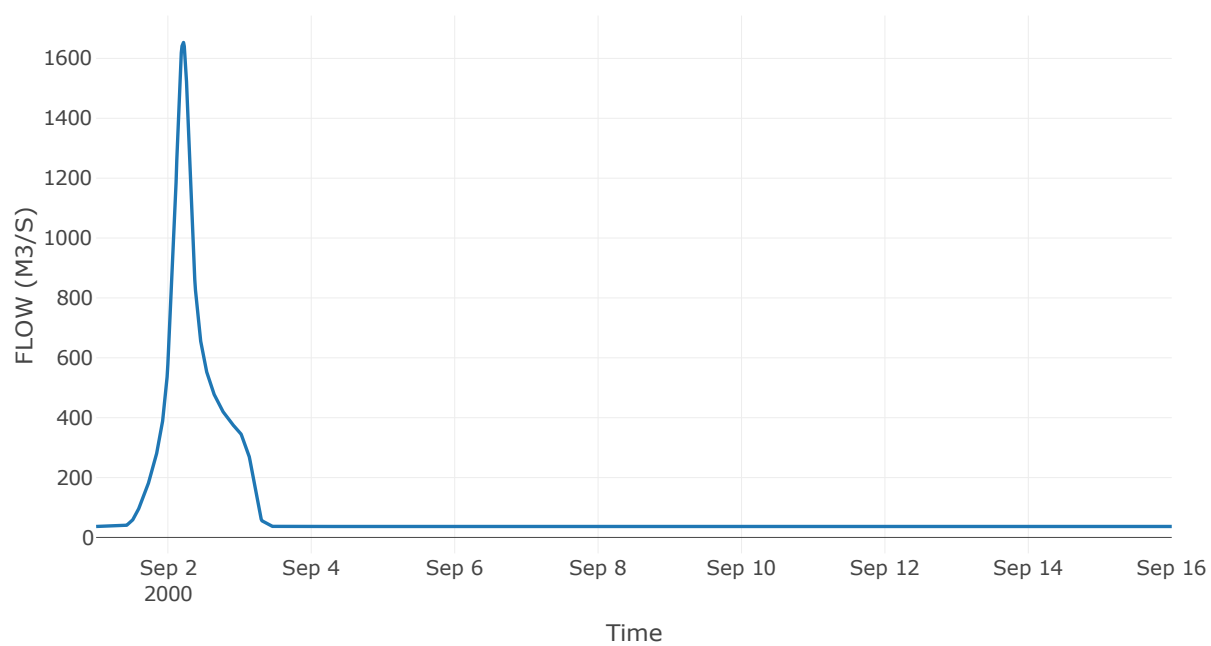
Κόμβος: J11

Κατάντη : R1110

Αποτελέσματα: J11

Παροχή Αιχμής(M3/S)	1653.27
Χρονική στιγμή αιχμής	02Sep2000, 05:15
Όγκος(MM)	202.85

Απορροή



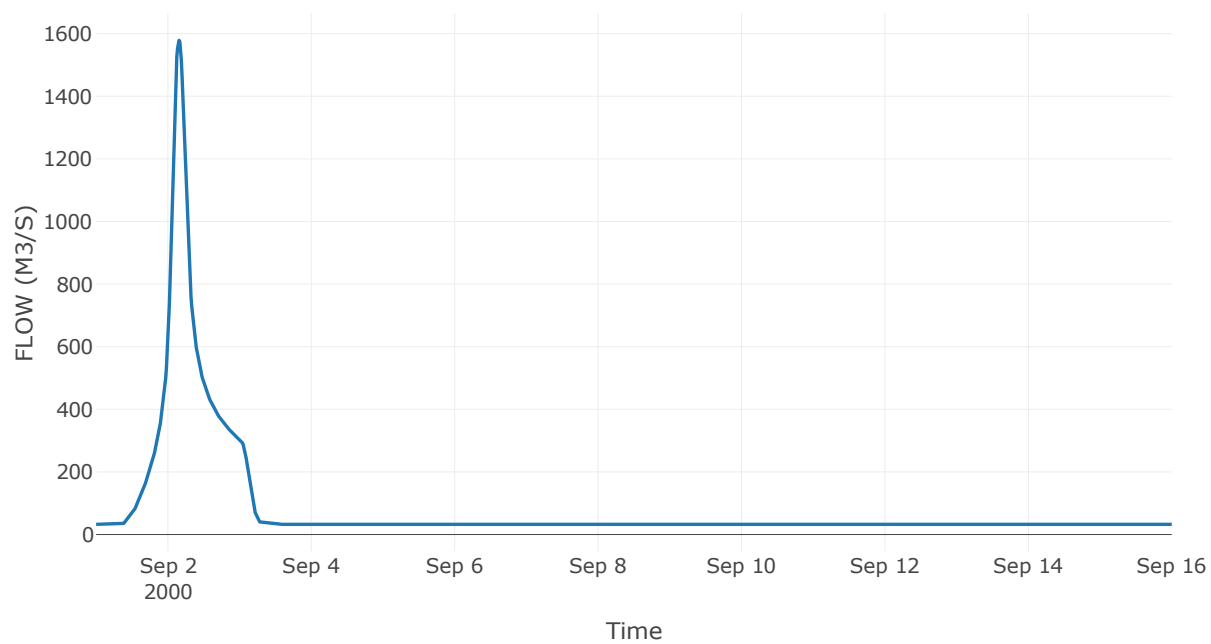
Κόμβος: J12

Κατάντη : R1211

Αποτελέσματα: J12

Παροχή Αιχμής(M3/S)	1578.7
Χρονική στιγμή αιχμής	02Sep2000, 03:45
Όγκος(MM)	202.83

Απορροή



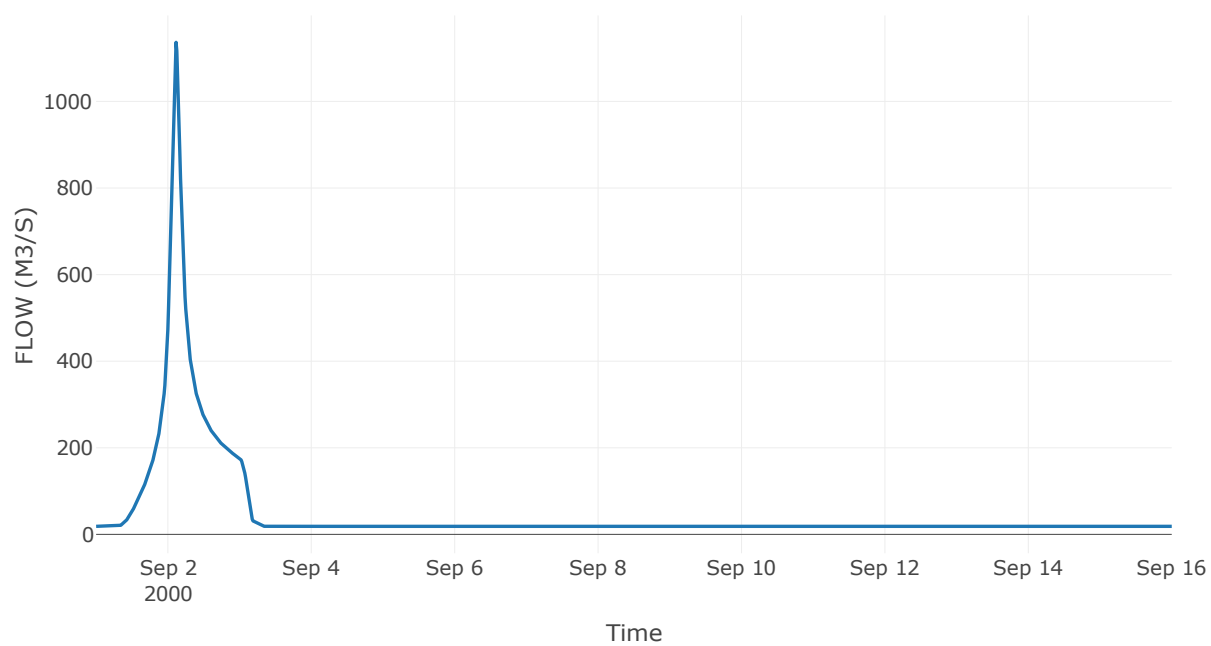
Κόμβος: J13

Κατάντη : R1312

Αποτελέσματα: J13

Παροχή Αιχμής(M3/S)	1136.5
Χρονική στιγμή αιχμής	02Sep2000, 02:45
Όγκος(MM)	212.57

Απορροή



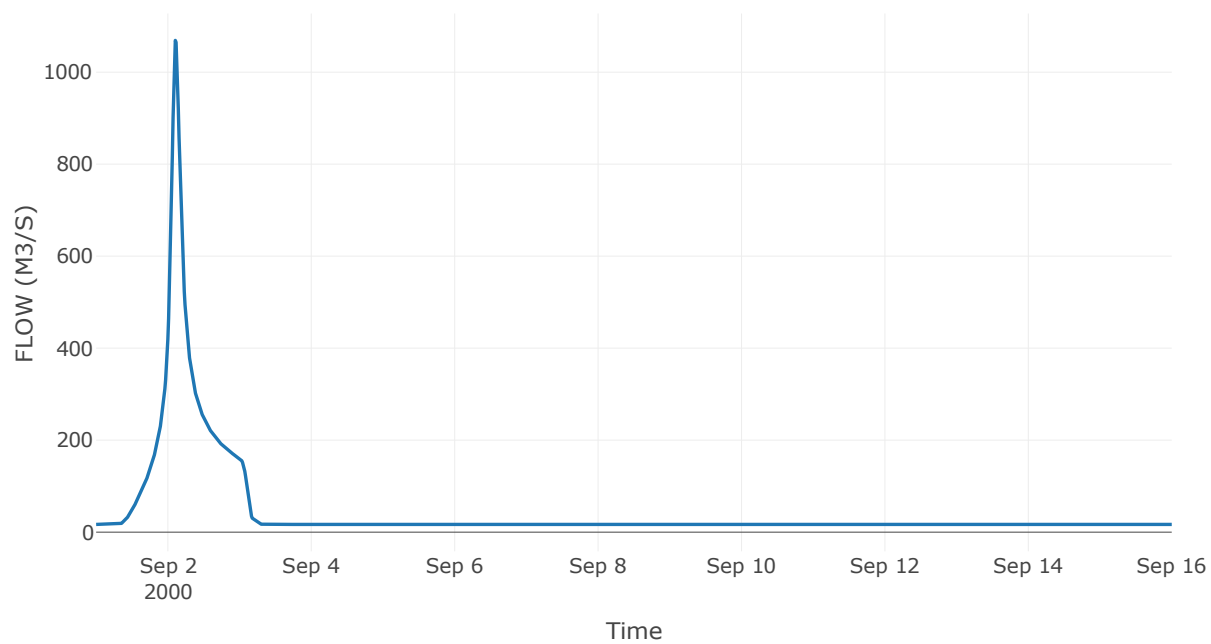
Κόμβος: J14

Κατάντη : R1413

Αποτελέσματα: J14

Παροχή Αιχμής(M3/S)	1069.08
Χρονική στιγμή αιχμής	02Sep2000, 02:30
Όγκος(MM)	213.33

Απορροή



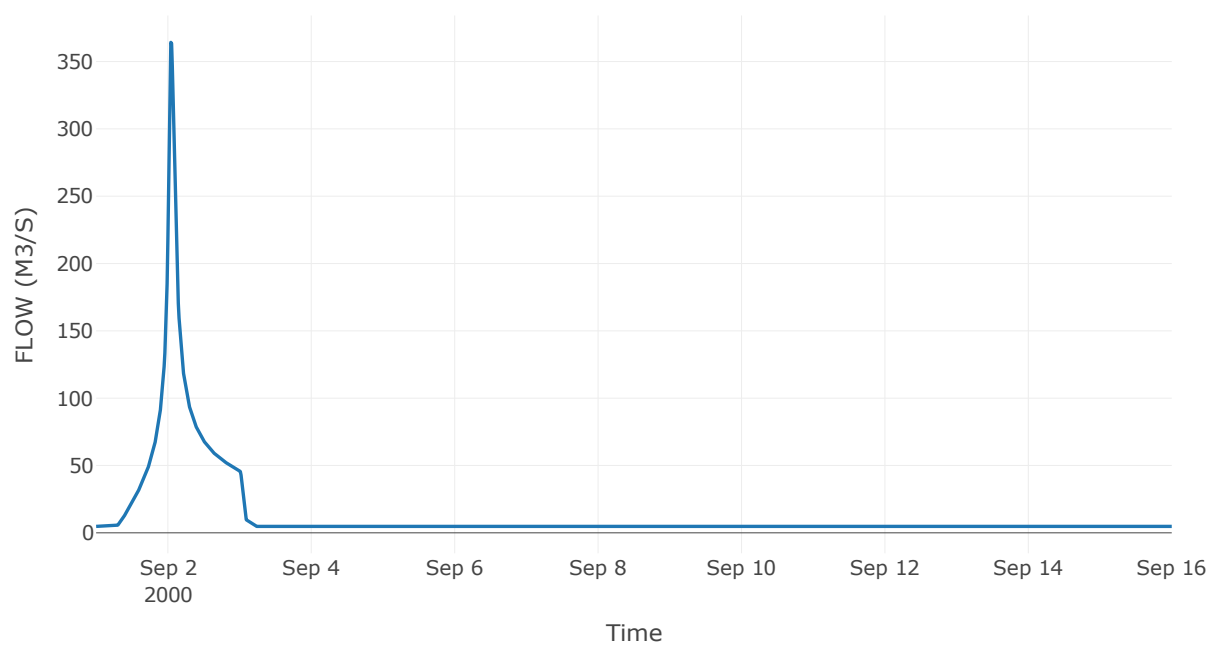
Κόμβος: J15

Κατάντη : R1514

Αποτελέσματα: J15

Παροχή Αιχμής(M3/S)	364.23
Χρονική στιγμή αιχμής	02Sep2000, 01:00
Όγκος(MM)	221.32

Απορροή



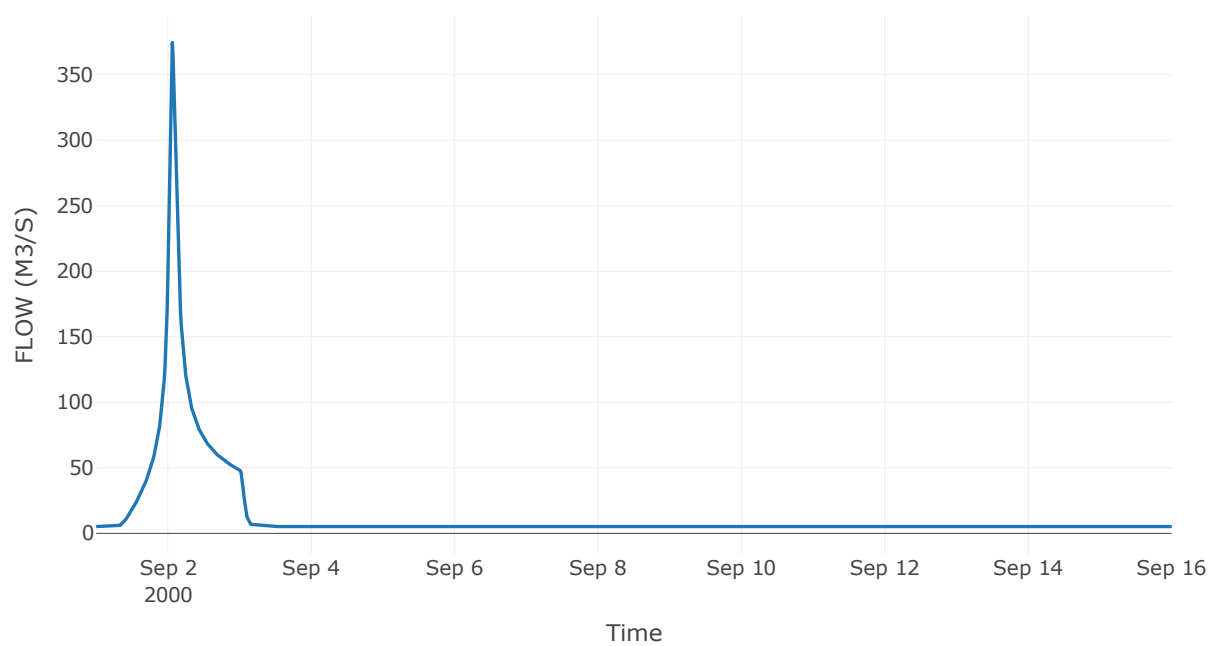
Κόμβος: J16

Κατάντη : R1614

Αποτελέσματα: J16

Παροχή Αιχμής(M3/S)	374.53
Χρονική στιγμή αιχμής	02Sep2000, 01:30
Όγκος(MM)	215.34

Απορροή



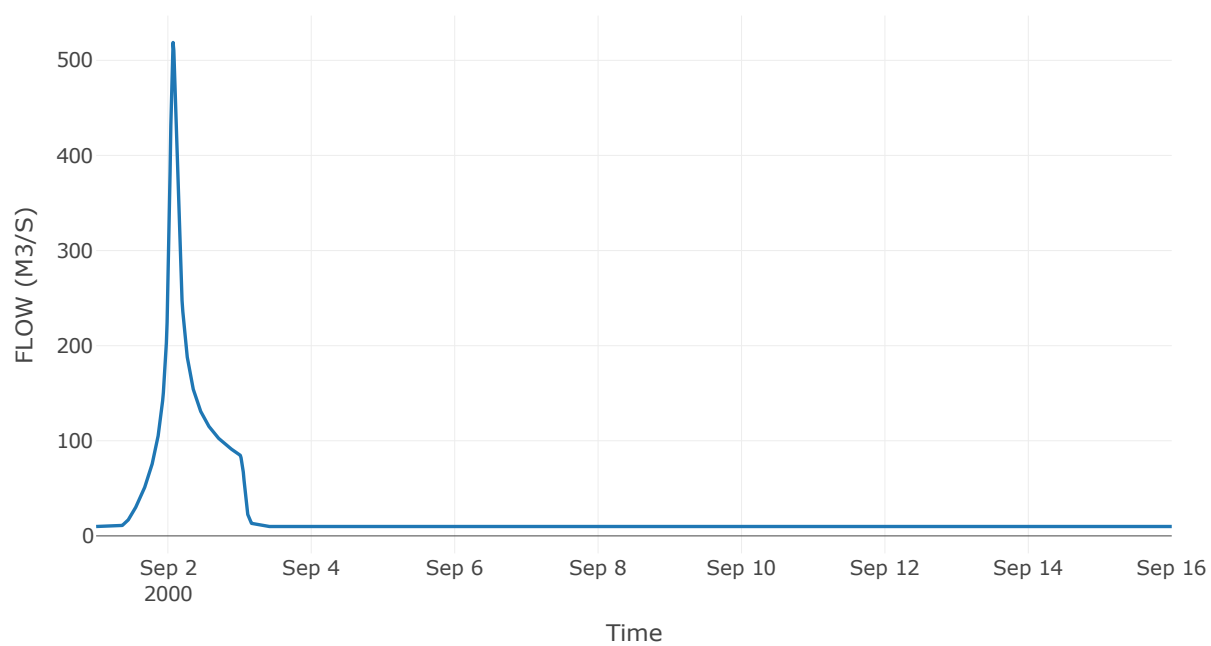
Κόμβος: J17

Κατάντη : R1712

Αποτελέσματα: J17

Παροχή Αιχμής(M3/S)	518.76
Χρονική στιγμή αιχμής	02Sep2000, 01:45
Όγκος(MM)	188

Απορροή



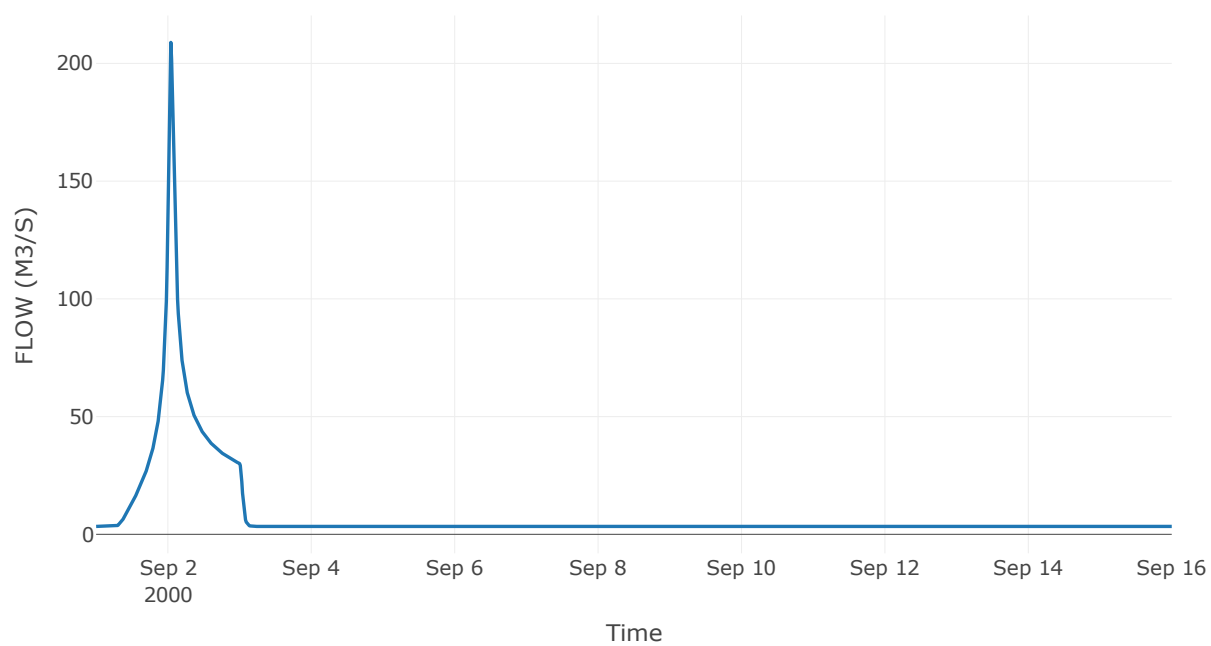
Κόμβος: J18

Κατάντη : R1817

Αποτελέσματα: J18

Παροχή Αιχμής(M3/S)	208.93
Χρονική στιγμή αιχμής	02Sep2000, 01:00
Όγκος(MM)	197.84

Απορροή



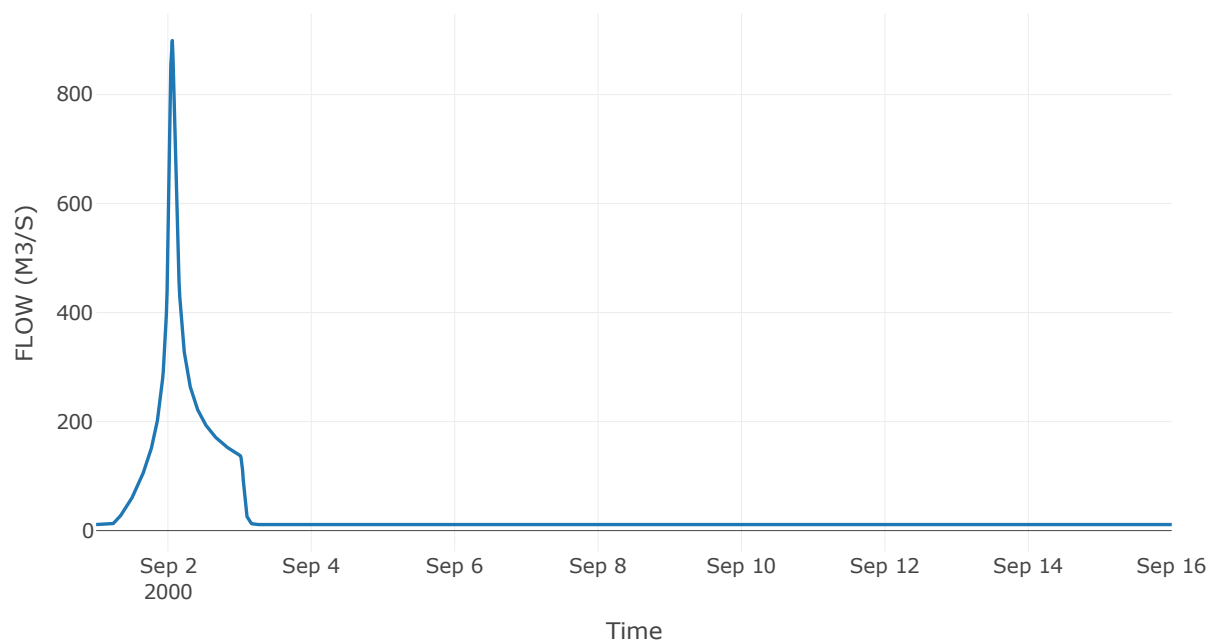
Κόμβος: J19

Κατάντη : R1910

Αποτελέσματα: J19

Παροχή Αιχμής(M3/S)	899.1
Χρονική στιγμή αιχμής	02Sep2000, 01:30
Όγκος(MM)	250.56

Απορροή



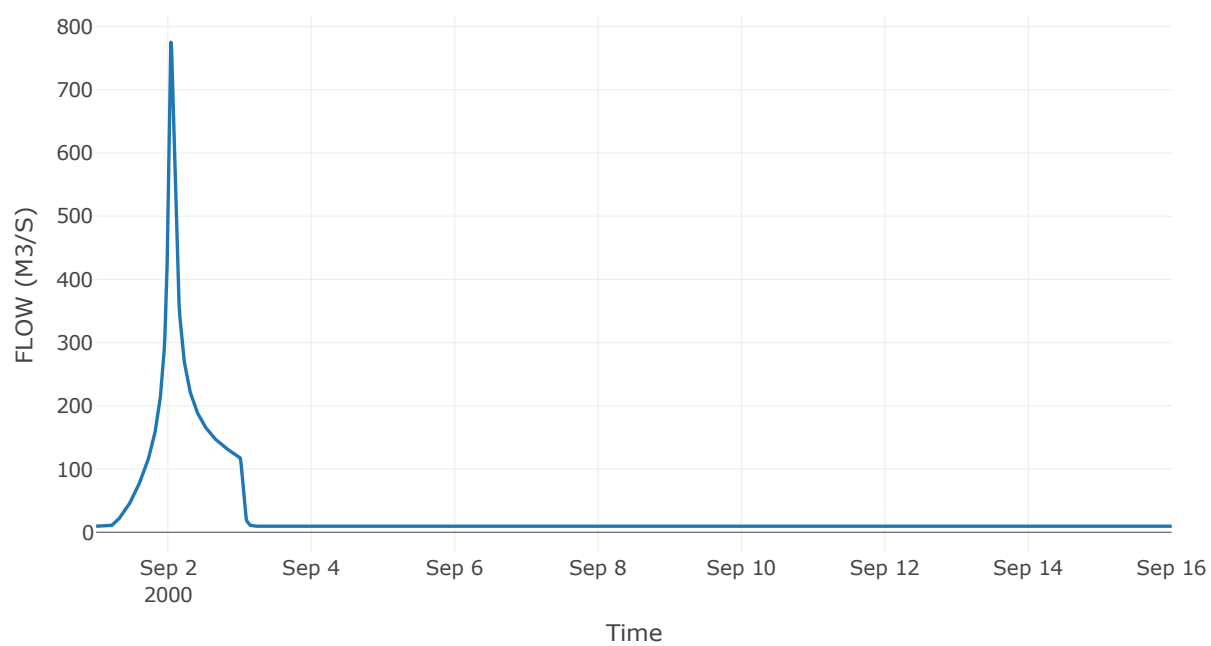
Κόμβος: J20

Κατάντη : R2019

Αποτελέσματα: J20

Παροχή Αιχμής(M3/S)	775.34
Χρονική στιγμή αιχμής	02Sep2000, 01:00
Όγκος(MM)	248.44

Απορροή



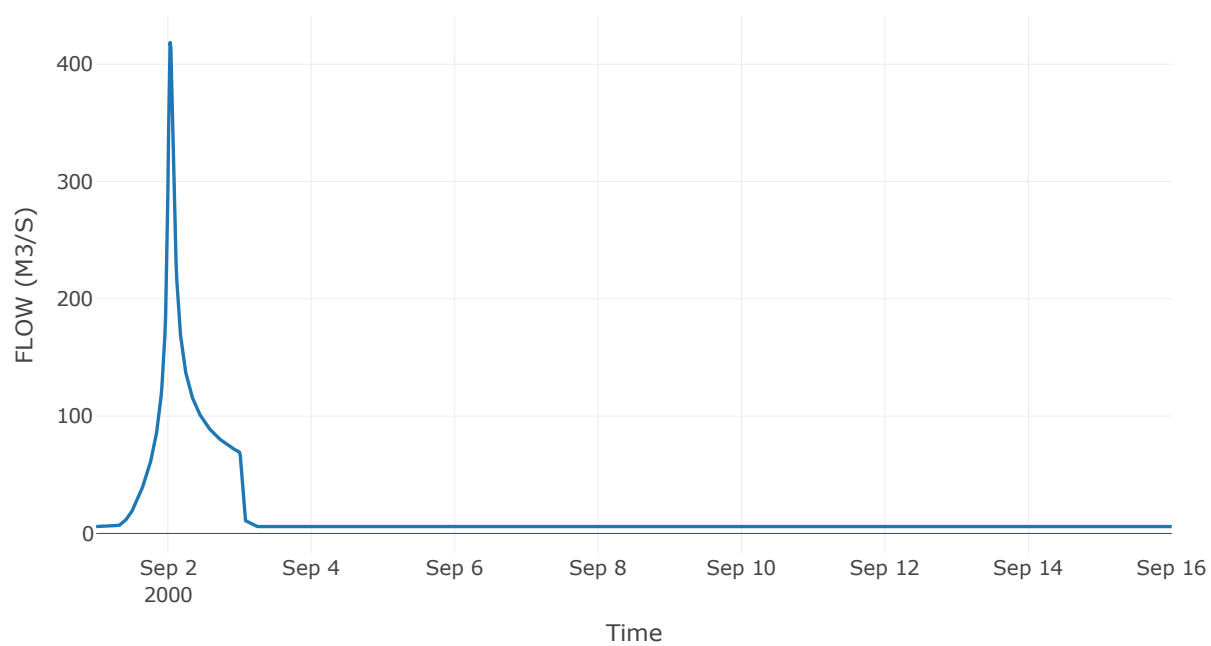
Κόμβος: J21

Κατάντη : R2120

Αποτελέσματα: J21

Παροχή Αιχμής(M3/S)	418.51
Χρονική στιγμή αιχμής	02Sep2000, 00:45
Όγκος(MM)	222.05

Απορροή



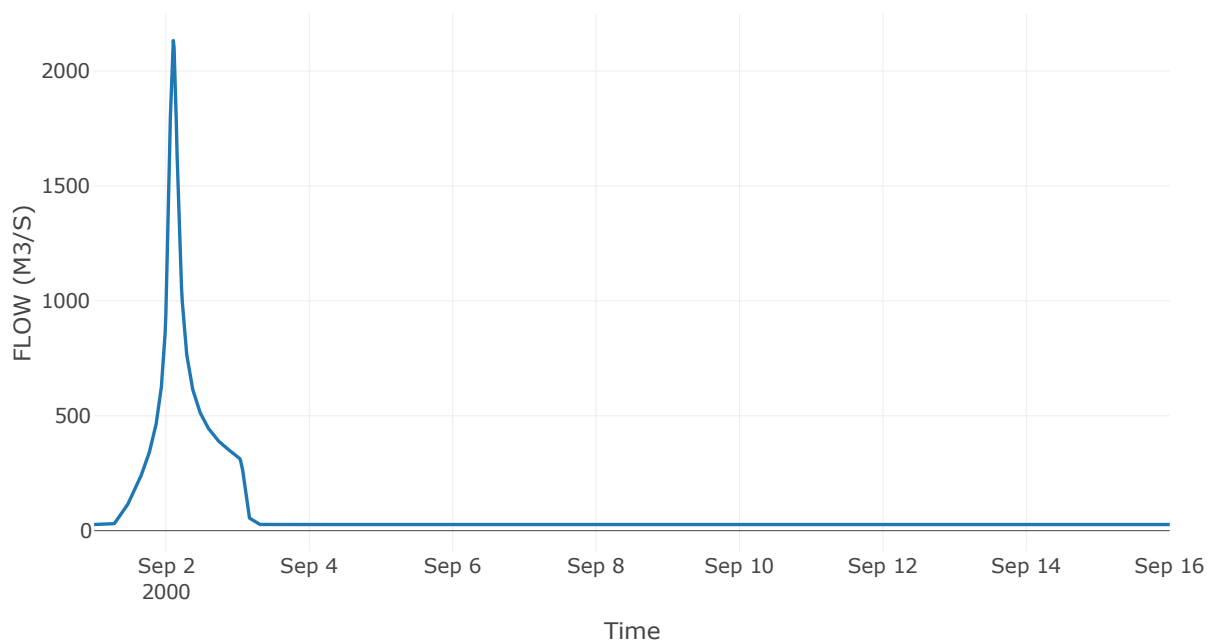
Κόμβος: J22

Κατάντη : R225

Αποτελέσματα: J22

Παροχή Αιχμής(M3/S)	2132.76
Χρονική στιγμή αιχμής	02Sep2000, 02:30
Όγκος(MM)	257.51

Απορροή



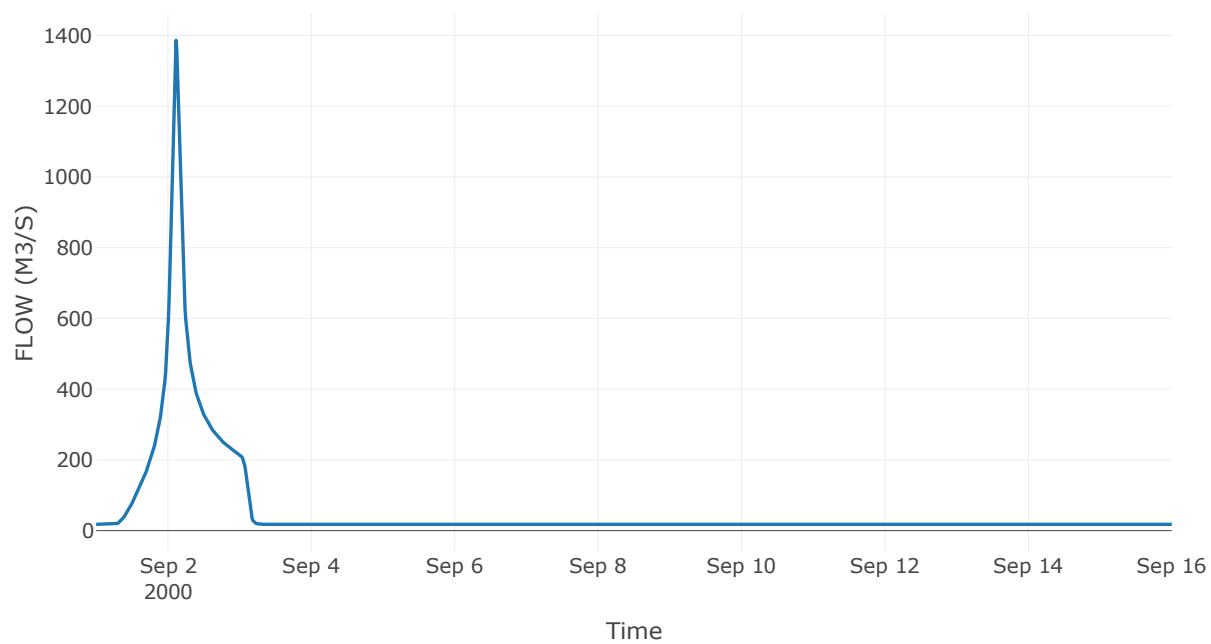
Κόμβος: J23

Κατάντη : R2322

Αποτελέσματα: J23

Παροχή Αιχμής(M3/S)	1386.36
Χρονική στιγμή αιχμής	02Sep2000, 02:45
Όγκος(MM)	251.38

Απορροή



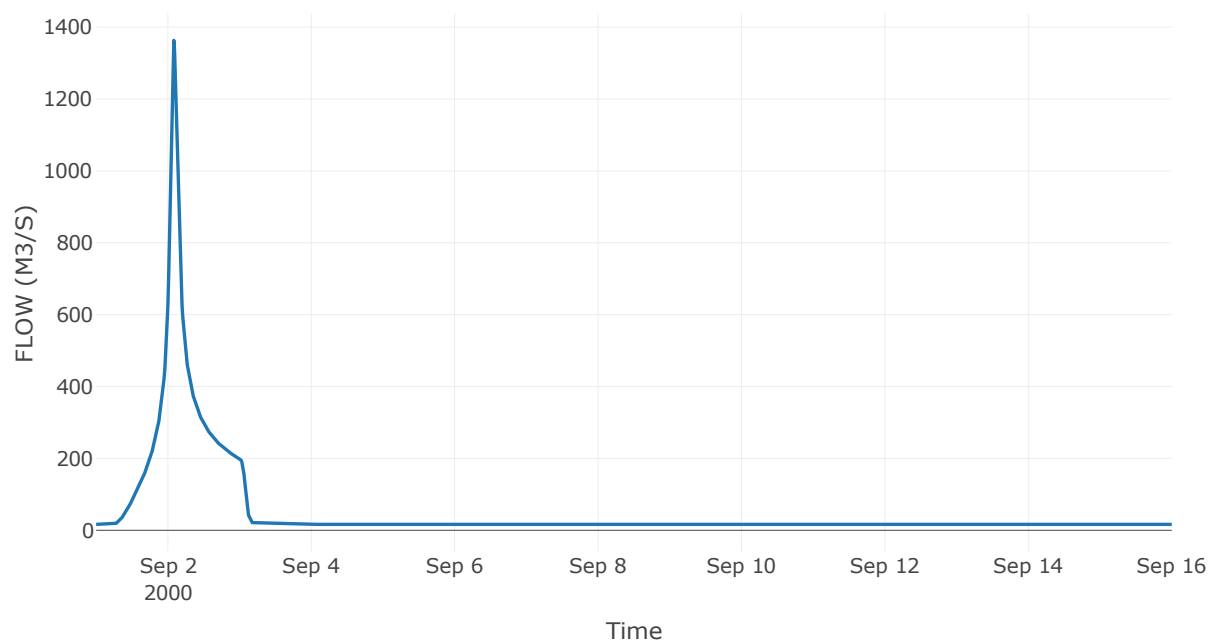
Κόμβος: J24

Κατάντη : R2423

Αποτελέσματα: J24

Παροχή Αιχμής(M3/S)	1363.23
Χρονική στιγμή αιχμής	02Sep2000, 02:00
Όγκος(MM)	252.2

Απορροή



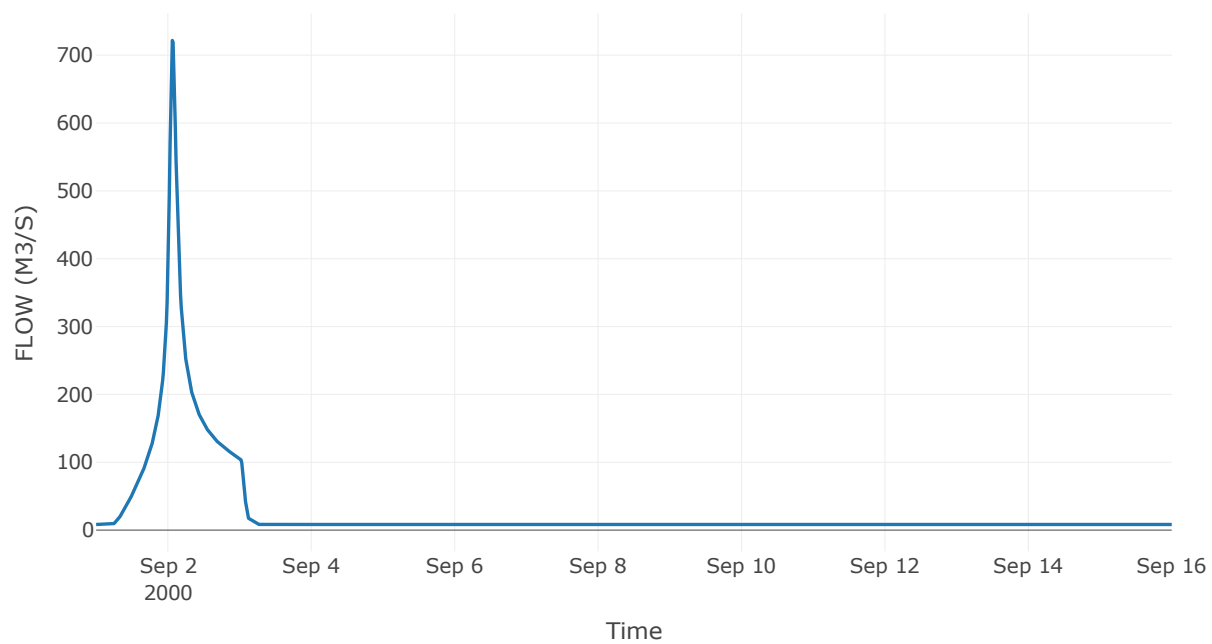
Κόμβος: J25

Κατάντη : R2524

Αποτελέσματα: J25

Παροχή Αιχμής(M3/S)	721.75
Χρονική στιγμή αιχμής	02Sep2000, 01:30
Όγκος(MM)	263.19

Απορροή



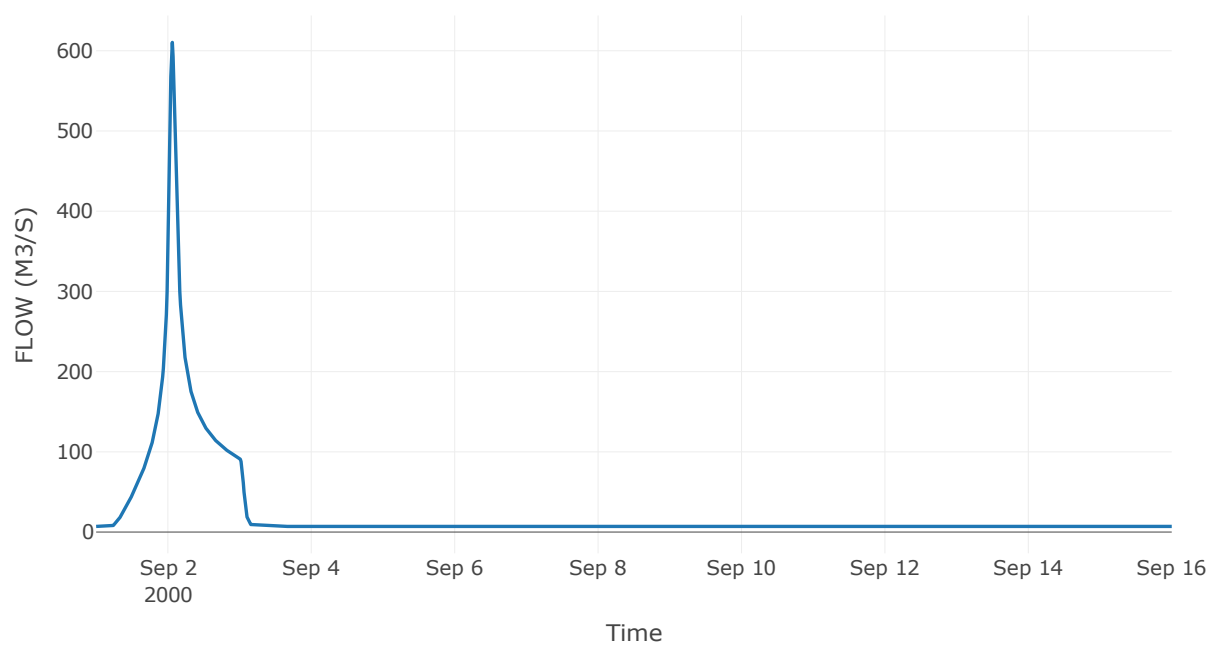
Κόμβος: J26

Κατάντη : R2625

Αποτελέσματα: J26

Παροχή Αιχμής(M3/S)	610.44
Χρονική στιγμή αιχμής	02Sep2000, 01:30
Όγκος(MM)	264.62

Απορροή



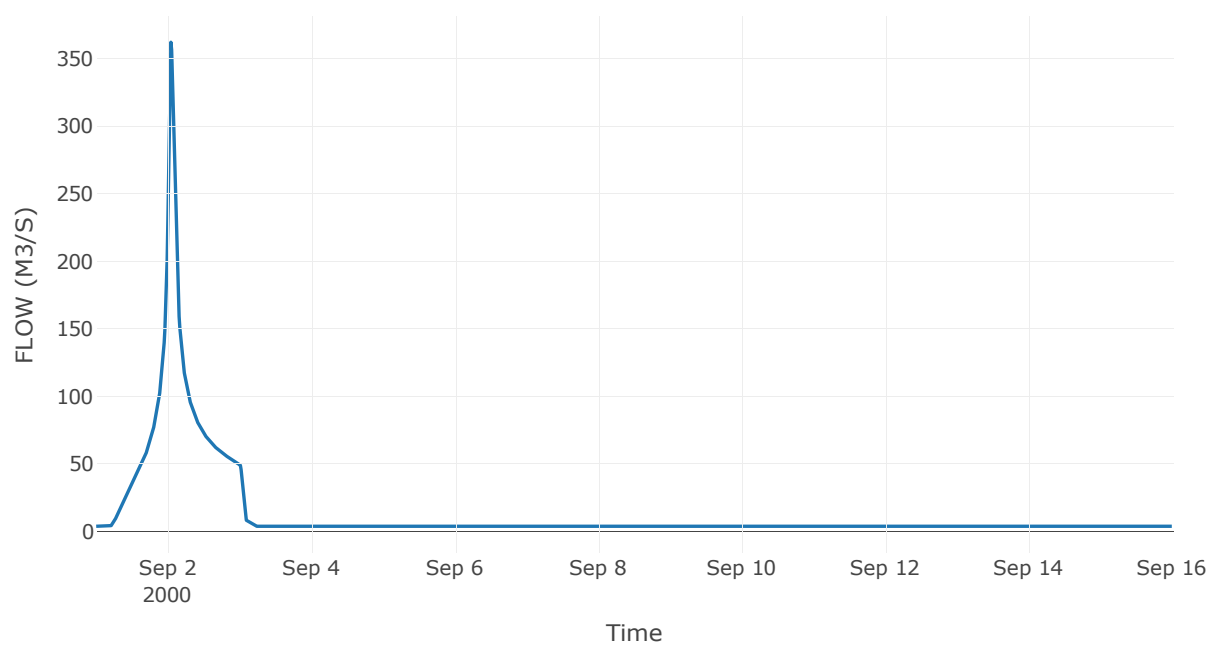
Κόμβος: J27

Κατάντη : R2726

Αποτελέσματα: J27

Παροχή Αιχμής(M3/S)	362.18
Χρονική στιγμή αιχμής	02Sep2000, 01:00
Όγκος(MM)	287.04

Απορροή



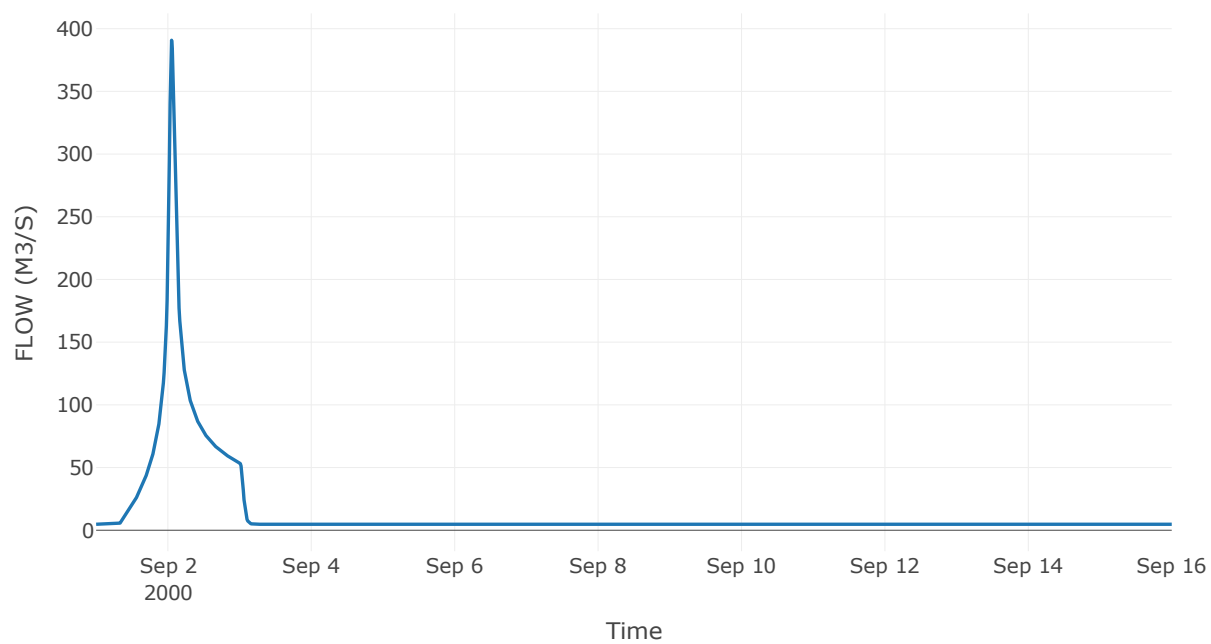
Κόμβος: J28

Κατάντη : R2824

Αποτελέσματα: J28

Παροχή Αιχμής(M3/S)	390.77
Χρονική στιγμή αιχμής	02Sep2000, 01:15
Όγκος(MM)	234.1

Απορροή



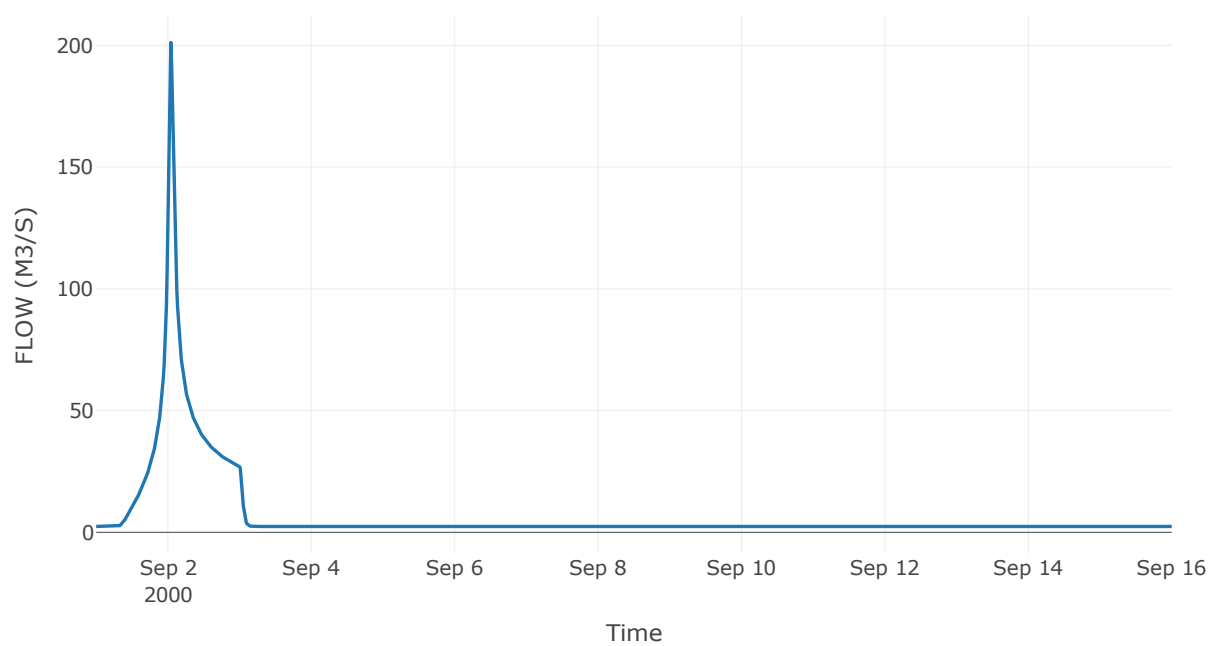
Κόμβος: J29

Κατάντη : R2928

Αποτελέσματα: J29

Παροχή Αιχμής(M3/S)	201.18
Χρονική στιγμή αιχμής	02Sep2000, 01:00
Όγκος(MM)	233.2

Απορροή



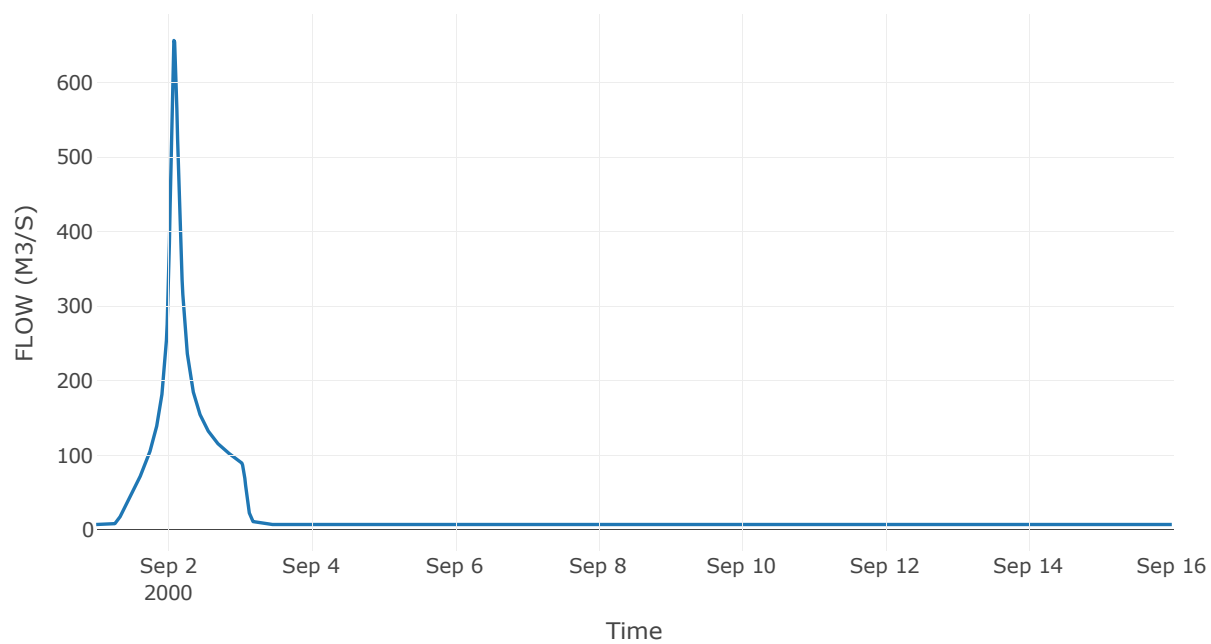
Κόμβος: J30

Κατάντη : R3022

Αποτελέσματα: J30

Παροχή Αιχμής(M3/S)	657.01
Χρονική στιγμή αιχμής	02Sep2000, 02:00
Όγκος(MM)	279.99

Απορροή



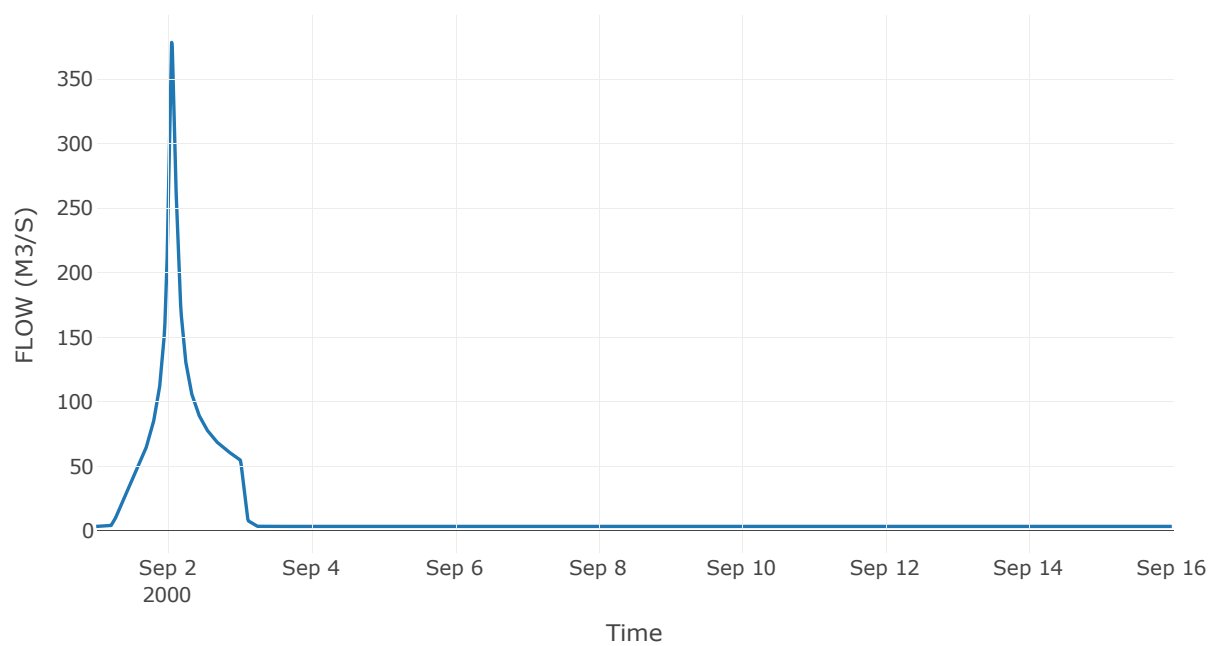
Κόμβος: J31

Κατάντη : R3130

Αποτελέσματα: J31

Παροχή Αιχμής(M3/S)	378.29
Χρονική στιγμή αιχμής	02Sep2000, 01:15
Όγκος(MM)	311.59

Απορροή



3 Δεδομένα εισόδου και αποτελέσματα υδρολογικού σεναρίου T=50L

3.1 Αποτελέσματα, υετογραφήματα και υδρογραφήματα σχεδιασμού υπολεκανών

Υπολεκάνη: EL0514FR003001

Έκταση (KM2) : 46.02

Κατάνη : J15

Μέθοδος Απωλειών: SCS

Ποσοστό αδιαπέρατης επιφάνειας	0
Αριθμός Καμπύλης Απορροής-CN	62.78
Αρχικές Απώλειες	30.12

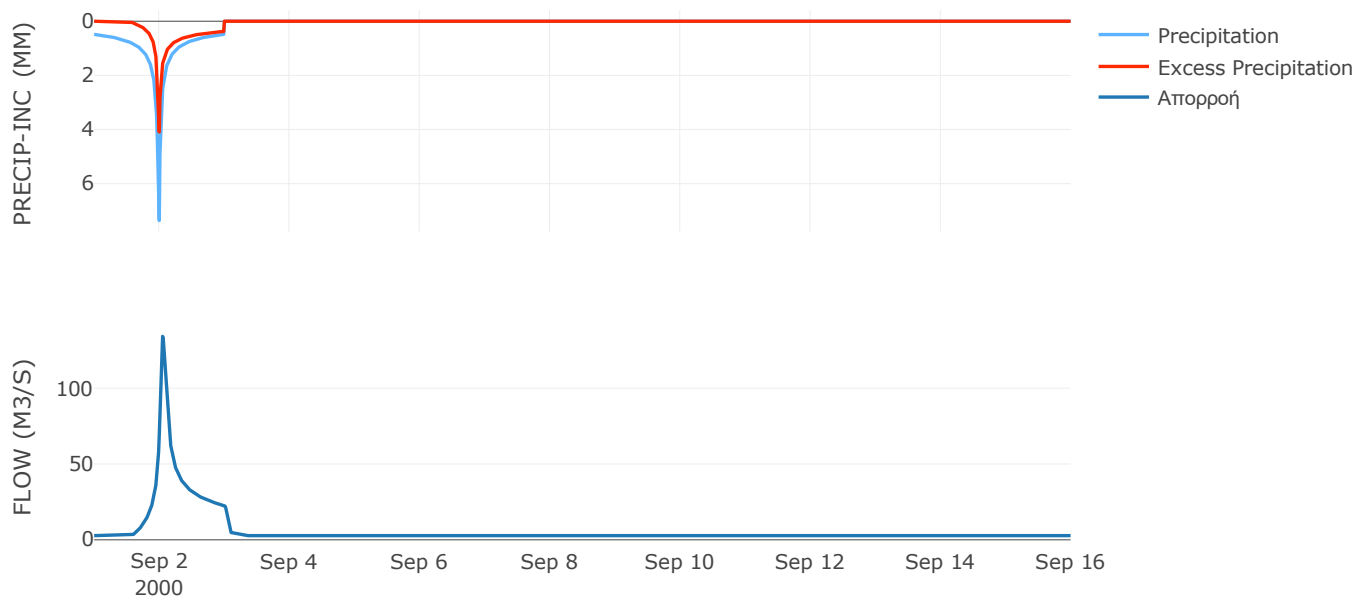
Μέθοδος
Μετασχηματισμού: SCS

Χρόνος Υστέρησης	66.7
------------------	------

Αποτελέσματα:
EL0514FR003001

Παροχή αιχμής (M3/S)	134.15
Χρονική στιγμή αιχμής	02Sep2000, 01:15
Όγκος (MM)	169.35
Όγκος βροχόπτωσης (M3)	9.29E6
Όγκος απωλειών (M3)	5.08E6
Ενεργός Όγκος (M3)	4.22E6
Όγκος άμεσης απορροής (M3)	4.22E6
Όγκος βασικής απορροής (M3)	3.58E6

Βροχόπτωση και Απορροή



Υπολεκάνη: EL0514FR003002

Έκταση (KM2) : 33.64

Κατάνη : J15

Μέθοδος Απωλειών: SCS

Ποσοστό αδιαπέρατης επιφάνειας	0
Αριθμός Καμπύλης Απορροής-CN	62.74
Αρχικές Απώλειες	30.17

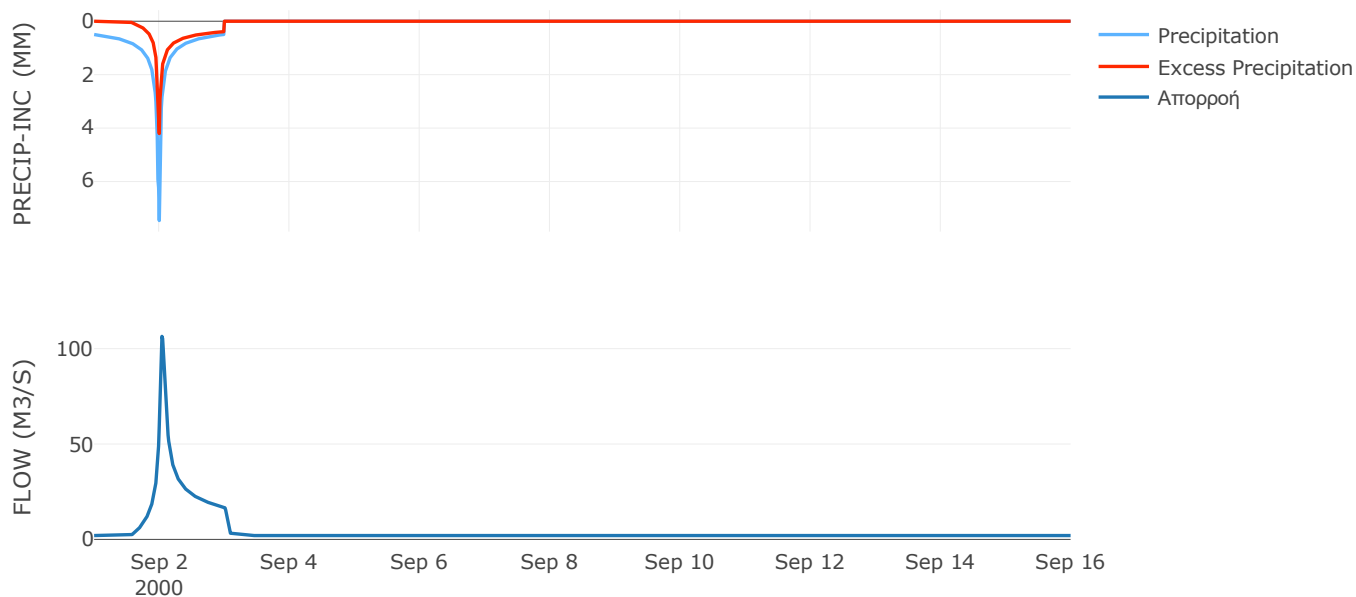
Μέθοδος
Μετασχηματισμού: SCS

Χρόνος Υστέρησης	55.46
------------------	-------

Αποτελέσματα:
EL0514FR003002

Παροχή αιχμής (M3/S)	106.43
Χρονική στιγμή αιχμής	02Sep2000, 01:00
Όγκος (MM)	172.57
Όγκος βροχόπτωσης (M3)	6.94E6
Όγκος απωλειών (M3)	3.75E6
Ενεργός Όγκος (M3)	3.19E6
Όγκος άμεσης απορροής (M3)	3.19E6
Όγκος βασικής απορροής (M3)	2.62E6

Βροχόπτωση και Απορροή



Υπολεκάνη: EL0514FR003003

Έκταση (KM2) : 51.67

Κατάντη : J14

Μέθοδος Απωλειών: SCS

Ποσοστό αδιαπέρατης επιφάνειας	0
Αριθμός Καμπύλης Απορροής-CN	55.41
Αρχικές Απώλειες	40.88

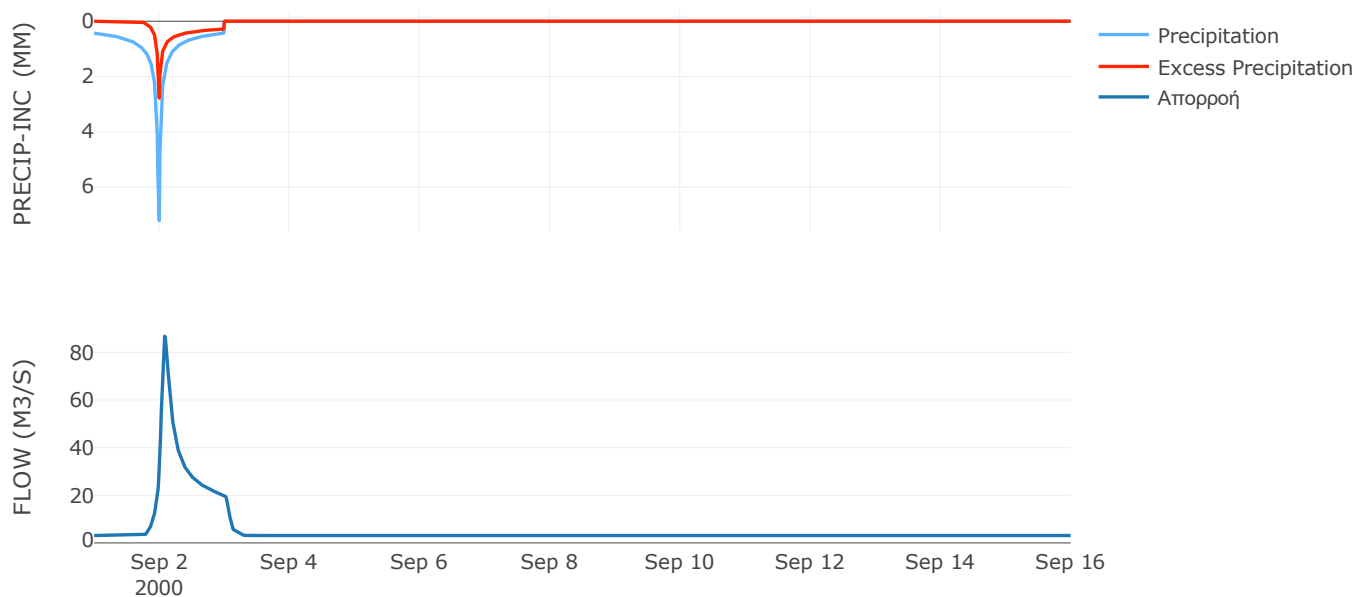
Μέθοδος
Μετασχηματισμού: SCS

Χρόνος Υστέρησης	100.01
------------------	--------

Αποτελέσματα:
EL0514FR003003

Παροχή αιχμής (M3/S)	86.78
Χρονική στιγμή αιχμής	02Sep2000, 02:00
Όγκος (MM)	137.82
Όγκος βροχόπτωσης (M3)	9.6E6
Όγκος απωλειών (M3)	6.49E6
Ενεργός Όγκος (M3)	3.1E6
Όγκος άμεσης απορροής (M3)	3.1E6
Όγκος βασικής απορροής (M3)	4.02E6

Βροχόπτωση και Απορροή



Υπολεκάνη: EL0514FR003004

Έκταση (KM2) : 62.35

Κατάντη : J14

Μέθοδος Απωλειών: SCS

Ποσοστό αδιαπέρατης επιφάνειας	0
Αριθμός Καμπύλης Απορροής-CN	63.65
Αρχικές Απώλειες	29.02

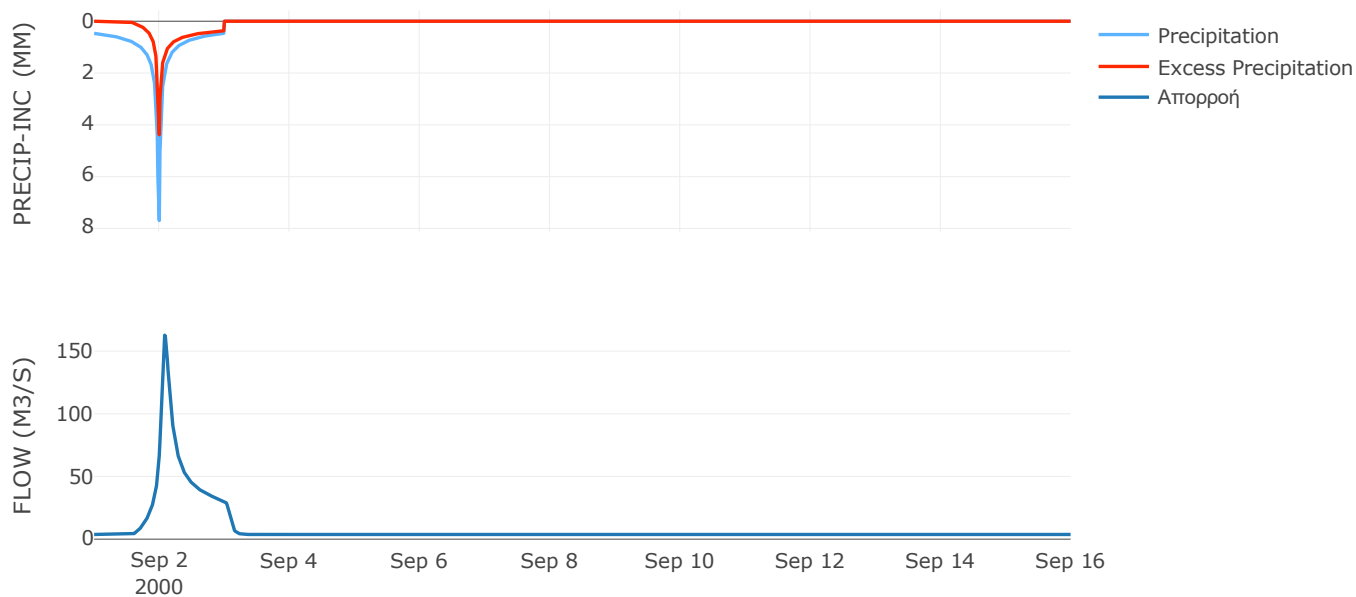
Μέθοδος
Μετασχηματισμού: SCS

Χρόνος Υστέρησης	107.11
------------------	--------

Αποτελέσματα:
EL0514FR003004

Παροχή αιχμής (M3/S)	162.73
Χρονική στιγμή αιχμής	02Sep2000, 02:00
Όγκος (MM)	170.77
Όγκος βροχόπτωσης (M3)	1.25E7
Όγκος απωλειών (M3)	6.71E6
Ενεργός Όγκος (M3)	5.8E6
Όγκος άμεσης απορροής (M3)	5.8E6
Όγκος βασικής απορροής (M3)	4.85E6

Βροχόπτωση και Απορροή



Υπολεκάνη: EL0514FR003005

Έκταση (KM2) : 0.91

Κατάντη : J13

Μέθοδος Απωλειών: SCS

Ποσοστό αδιαπέρατης επιφάνειας	0
Αριθμός Καμπύλης Απορροής-CN	63.97
Αρχικές Απώλειες	28.62

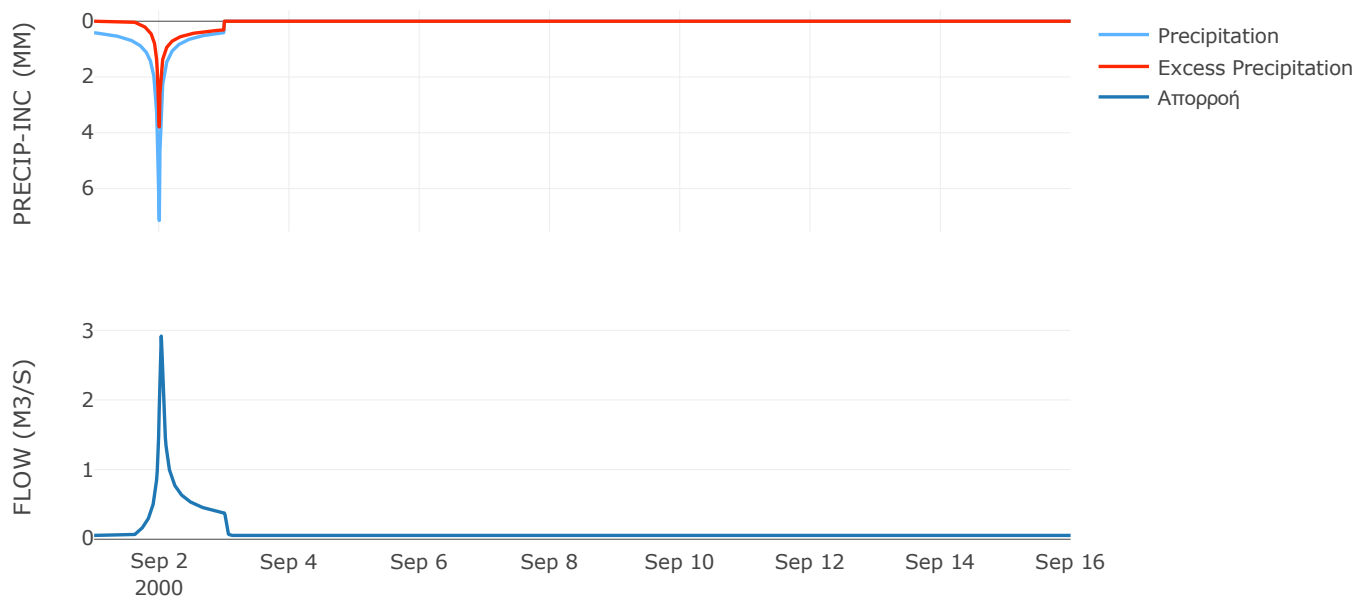
Μέθοδος
Μετασχηματισμού: SCS

Χρόνος Υστέρησης	33.43
------------------	-------

Αποτελέσματα:
EL0514FR003005

Παροχή αιχμής (M3/S)	2.92
Χρονική στιγμή αιχμής	02Sep2000, 00:45
Όγκος (MM)	155.35
Όγκος βροχόπτωσης (M3)	1.64E5
Όγκος απωλειών (M3)	93321.05
Ενεργός Όγκος (M3)	70914.65
Όγκος άμεσης απορροής (M3)	70914.65
Όγκος βασικής απορροής (M3)	71072.64

Βροχόπτωση και Απορροή



Υπολεκάνη: EL0514FR003006

Έκταση (KM2) : 19.25

Κατάντη : J13

Μέθοδος Απωλειών: SCS

Ποσοστό αδιαπέρατης επιφάνειας	0
Αριθμός Καμπύλης Απορροής-CN	67.08
Αρχικές Απώλειες	24.93

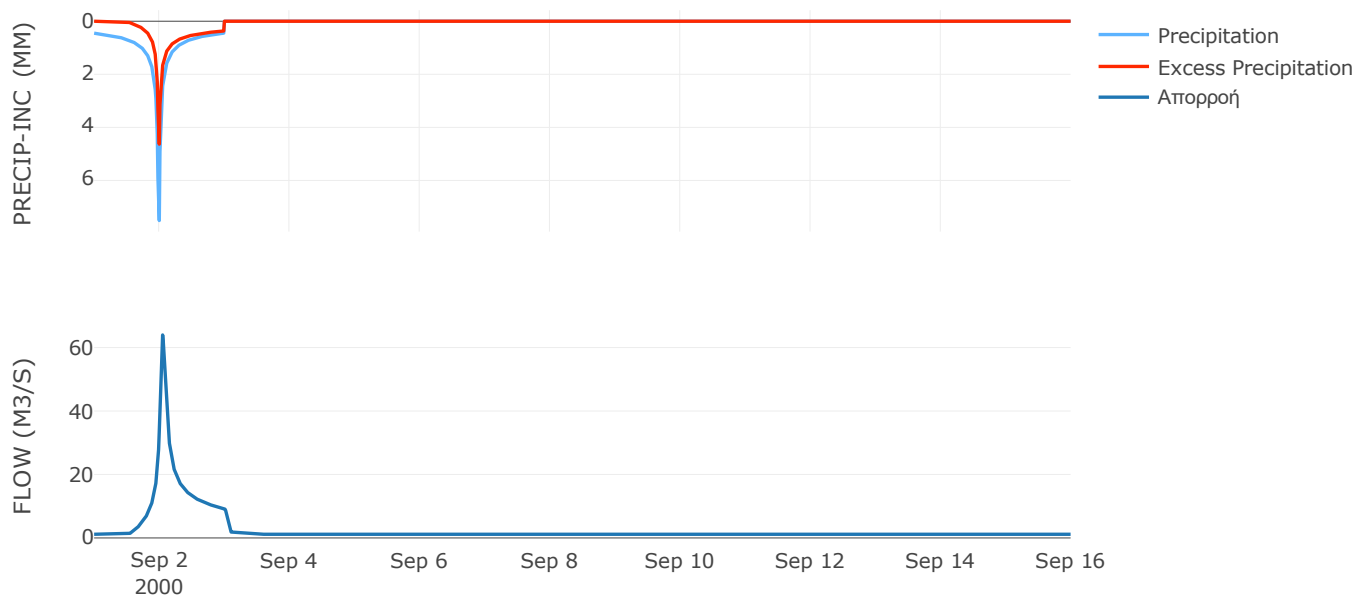
Μέθοδος
Μετασχηματισμού: SCS

Χρόνος Υστέρησης	63.28
------------------	-------

Αποτελέσματα:
EL0514FR003006

Παροχή αιχμής (M3/S)	63.97
Χρονική στιγμή αιχμής	02Sep2000, 01:15
Όγκος (MM)	175.02
Όγκος βροχόπτωσης (M3)	3.73E6
Όγκος απωλειών (M3)	1.86E6
Ενεργός Όγκος (M3)	1.87E6
Όγκος άμεσης απορροής (M3)	1.87E6
Όγκος βασικής απορροής (M3)	1.5E6

Βροχόπτωση και Απορροή



Υπολεκάνη: EL0514FR003007

Έκταση (KM2) : 23.36

Κατάντη : J12

Μέθοδος Απωλειών: SCS

Ποσοστό αδιαπέρατης επιφάνειας	0
Αριθμός Καμπύλης Απορροής-CN	65.78
Αρχικές Απώλειες	26.43

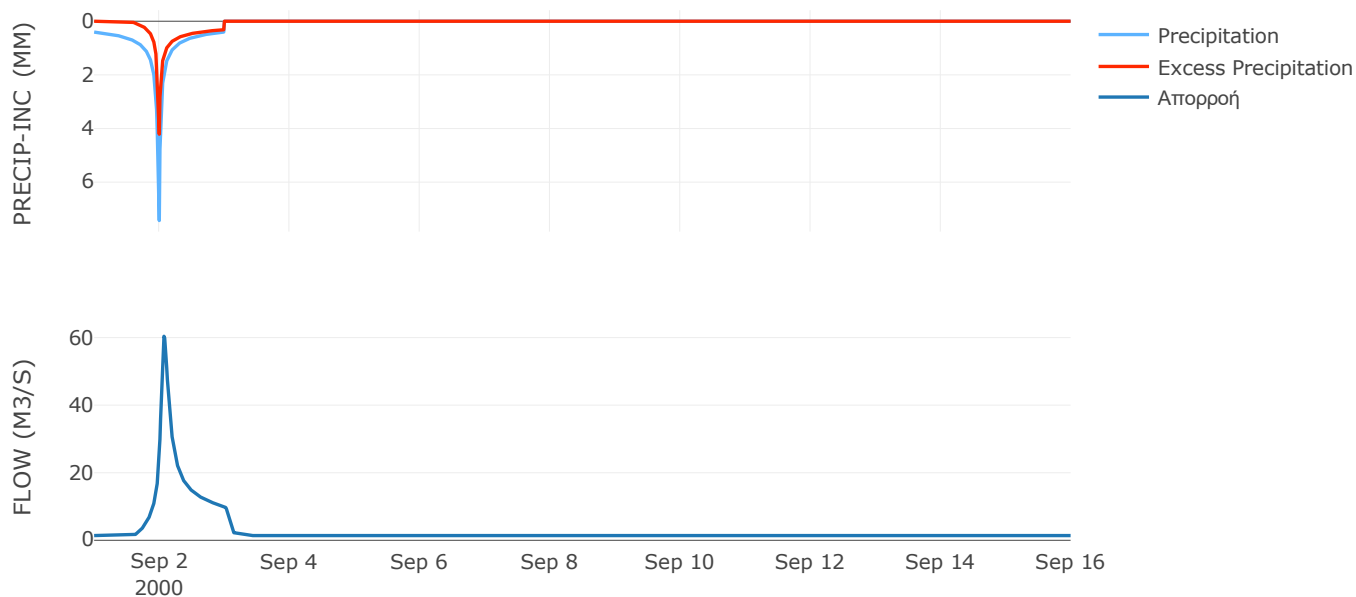
Μέθοδος
Μετασχηματισμού: SCS

Χρόνος Υστέρησης	93.77
------------------	-------

Αποτελέσματα:
EL0514FR003007

Παροχή αιχμής (M3/S)	60.39
Χρονική στιγμή αιχμής	02Sep2000, 01:45
Όγκος (MM)	160.93
Όγκος βροχόπτωσης (M3)	4.22E6
Όγκος απωλειών (M3)	2.28E6
Ενεργός Όγκος (M3)	1.94E6
Όγκος άμεσης απορροής (M3)	1.94E6
Όγκος βασικής απορροής (M3)	1.82E6

Βροχόπτωση και Απορροή



Υπολεκάνη: EL0514FR003008

Έκταση (KM2) : 46.02

Κατάντη : J12

Μέθοδος Απωλειών: SCS

Ποσοστό αδιαπέρατης επιφάνειας	0
Αριθμός Καμπύλης Απορροής-CN	56.78
Αρχικές Απώλειες	38.67

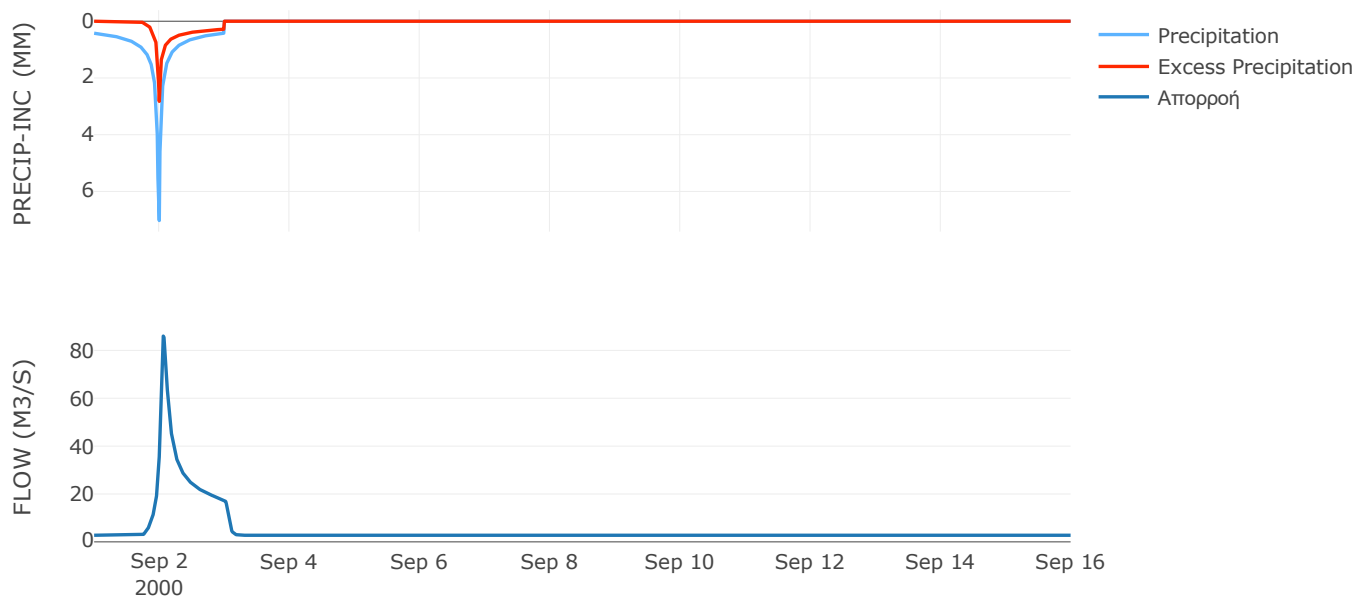
Μέθοδος
Μετασχηματισμού: SCS

Χρόνος Υστέρησης	77.85
------------------	-------

Αποτελέσματα:
EL0514FR003008

Παροχή αιχμής (M3/S)	85.98
Χρονική στιγμή αιχμής	02Sep2000, 01:30
Όγκος (MM)	138.77
Όγκος βροχόπτωσης (M3)	8.38E6
Όγκος απωλειών (M3)	5.57E6
Ενεργός Όγκος (M3)	2.81E6
Όγκος άμεσης απορροής (M3)	2.81E6
Όγκος βασικής απορροής (M3)	3.58E6

Βροχόπτωση και Απορροή



Υπολεκάνη: EL0514FR003009

Έκταση (KM2) : 18.07

Κατάντη : J17

Μέθοδος Απωλειών: SCS

Ποσοστό αδιαπέρατης επιφάνειας	0
Αριθμός Καμπύλης Απορροής-CN	40.14
Αρχικές Απώλειες	75.75

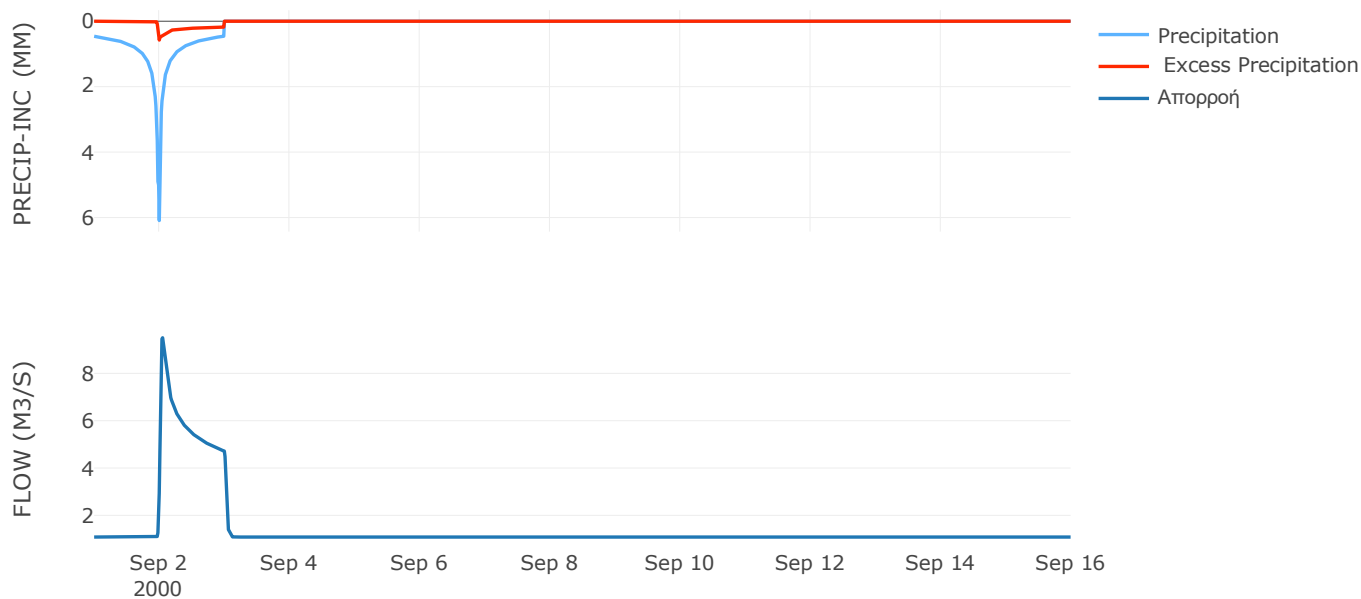
Μέθοδος
Μετασχηματισμού: SCS

Χρόνος Υστέρησης	36.22
------------------	-------

Αποτελέσματα:
EL0514FR003009

Παροχή αιχμής (M3/S)	9.51
Χρονική στιγμή αιχμής	02Sep2000, 01:15
Όγκος (MM)	101.27
Όγκος βροχόπτωσης (M3)	3.3E6
Όγκος απωλειών (M3)	2.87E6
Ενεργός Όγκος (M3)	4.25E5
Όγκος άμεσης απορροής (M3)	4.25E5
Όγκος βασικής απορροής (M3)	1.41E6

Βροχόπτωση και Απορροή



Υπολεκάνη: EL0514FR003010

Έκταση (KM2) : 90.5

Κατάνη : J17

Μέθοδος Απωλειών: SCS

Ποσοστό αδιαπέρατης επιφάνειας	0
Αριθμός Καμπύλης Απορροής-CN	55.91
Αρχικές Απώλειες	40.06

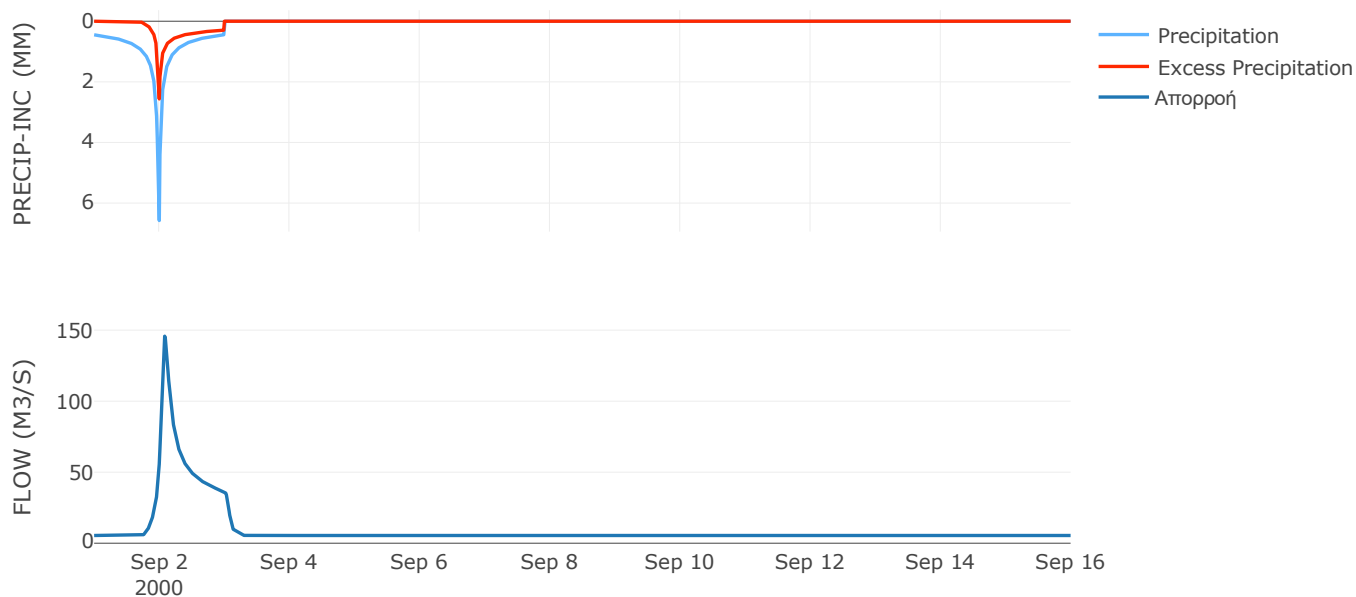
Μέθοδος
Μετασχηματισμού: SCS

Χρόνος Υστέρησης	97.77
------------------	-------

Αποτελέσματα:
EL0514FR003010

Παροχή αιχμής (M3/S)	145.75
Χρονική στιγμή αιχμής	02Sep2000, 02:00
Όγκος (MM)	138.17
Όγκος βροχόπτωσης (M3)	1.67E7
Όγκος απωλειών (M3)	1.12E7
Ενεργός Όγκος (M3)	5.47E6
Όγκος άμεσης απορροής (M3)	5.47E6
Όγκος βασικής απορροής (M3)	7.04E6

Βροχόπτωση και Απορροή



Υπολεκάνη: EL0514FR003011

Έκταση (KM2) : 26.55

Κατάντη : J18

Μέθοδος Απωλειών: SCS

Ποσοστό αδιαπέρατης επιφάνειας	0
Αριθμός Καμπύλης Απορροής-CN	65.36
Αρχικές Απώλειες	26.93

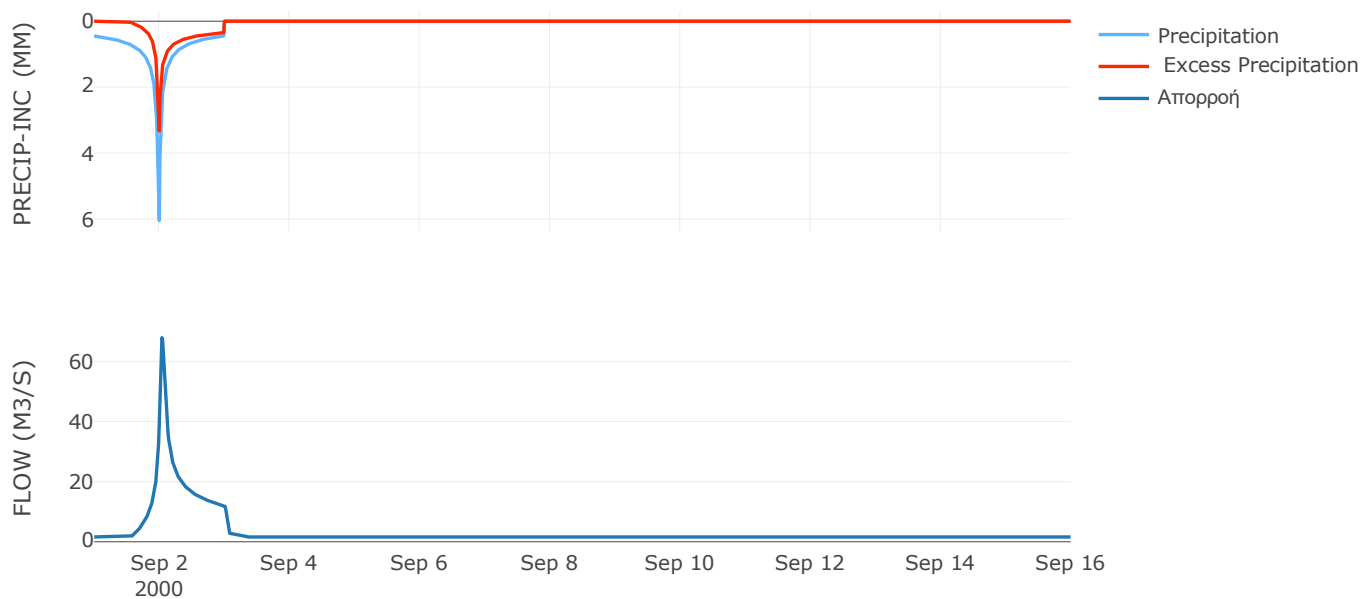
Μέθοδος
Μετασχηματισμού: SCS

Χρόνος Υστέρησης	54.52
------------------	-------

Αποτελέσματα:
EL0514FR003011

Παροχή αιχμής (M3/S)	67.9
Χρονική στιγμή αιχμής	02Sep2000, 01:00
Όγκος (MM)	158.17
Όγκος βροχόπτωσης (M3)	4.74E6
Όγκος απωλειών (M3)	2.61E6
Ενεργός Όγκος (M3)	2.14E6
Όγκος άμεσης απορροής (M3)	2.14E6
Όγκος βασικής απορροής (M3)	2.06E6

Βροχόπτωση και Απορροή



Υπολεκάνη: EL0514FR003012

Έκταση (KM2) : 29.39

Κατάντη : J18

Μέθοδος Απωλειών: SCS

Ποσοστό αδιαπέρατης επιφάνειας	0
Αριθμός Καμπύλης Απορροής-CN	59.31
Αρχικές Απώλειες	34.85

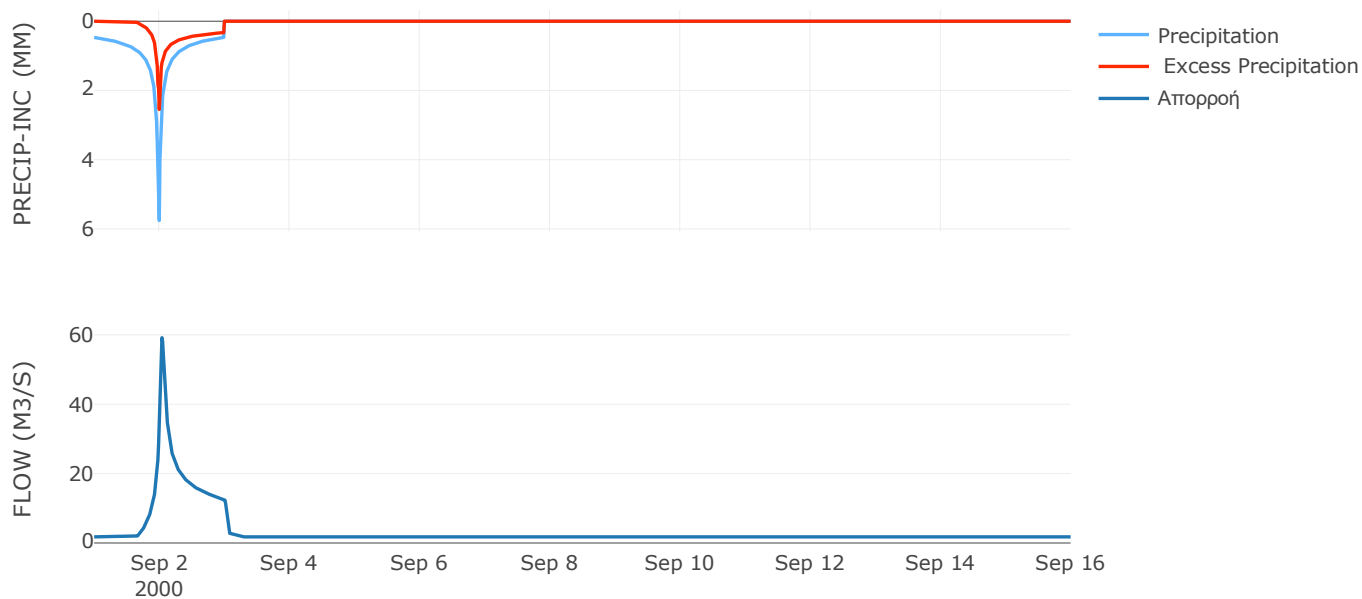
Μέθοδος
Μετασχηματισμού: SCS

Χρόνος Υστέρησης	50.84
------------------	-------

Αποτελέσματα:
EL0514FR003012

Παροχή αιχμής (M3/S)	59.19
Χρονική στιγμή αιχμής	02Sep2000, 01:00
Όγκος (MM)	144.44
Όγκος βροχόπτωσης (M3)	5.32E6
Όγκος απωλειών (M3)	3.36E6
Ενεργός Όγκος (M3)	1.96E6
Όγκος άμεσης απορροής (M3)	1.96E6
Όγκος βασικής απορροής (M3)	2.28E6

Βροχόπτωση και Απορροή



Υπολεκάνη: EL0514FR003013

Έκταση (KM2) : 44.12

Κατάνη : J11

Μέθοδος Απωλειών: SCS

Ποσοστό αδιαπέρατης επιφάνειας	0
Αριθμός Καμπύλης Απορροής-CN	61.08
Αρχικές Απώλειες	32.37

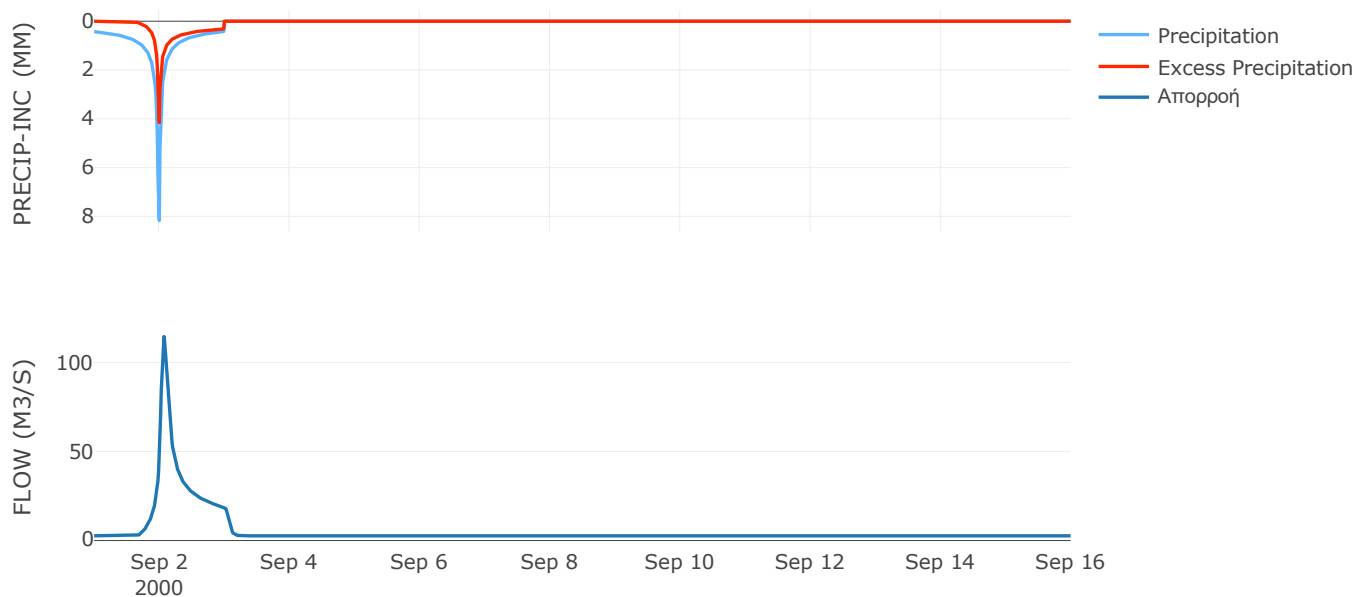
Μέθοδος
Μετασχηματισμού: SCS

Χρόνος Υστέρησης	85.59
------------------	-------

Αποτελέσματα:
EL0514FR003013

Παροχή αιχμής (M3/S)	114.56
Χρονική στιγμή αιχμής	02Sep2000, 01:45
Όγκος (MM)	157.36
Όγκος βροχόπτωσης (M3)	8.49E6
Όγκος απωλειών (M3)	4.98E6
Ενεργός Όγκος (M3)	3.51E6
Όγκος άμεσης απορροής (M3)	3.51E6
Όγκος βασικής απορροής (M3)	3.43E6

Βροχόπτωση και Απορροή



Υπολεκάνη: EL0514FR003014

Έκταση (KM2) : 22.29

Κατάνη : J11

Μέθοδος Απωλειών: SCS

Ποσοστό αδιαπέρατης επιφάνειας	0
Αριθμός Καμπύλης Απορροής-CN	46.98
Αρχικές Απώλειες	57.34

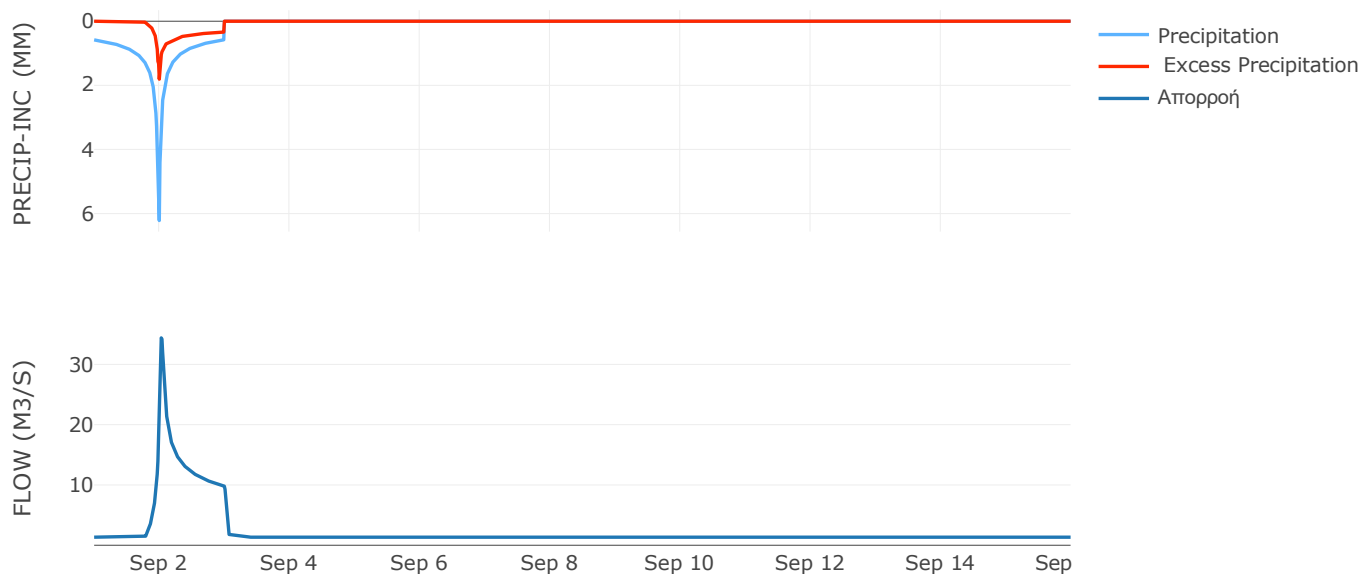
Μέθοδος
Μετασχηματισμού: SCS

Χρόνος Υστέρησης	37.11
------------------	-------

Αποτελέσματα:
EL0514FR003014

Παροχή αιχμής (M3/S)	34.4
Χρονική στιγμή αιχμής	02Sep2000, 00:45
Όγκος (MM)	133.55
Όγκος βροχόπτωσης (M3)	4.79E6
Όγκος απωλειών (M3)	3.54E6
Ενεργός Όγκος (M3)	1.24E6
Όγκος άμεσης απορροής (M3)	1.24E6
Όγκος βασικής απορροής (M3)	1.73E6

Βροχόπτωση και Απορροή



Υπολεκάνη: EL0514FR003015

Έκταση (KM2) : 51.11

Κατάντη : J21

Μέθοδος Απωλειών: SCS

Ποσοστό αδιαπέρατης επιφάνειας	0
Αριθμός Καμπύλης Απορροής-CN	43.08
Αρχικές Απώλειες	67.13

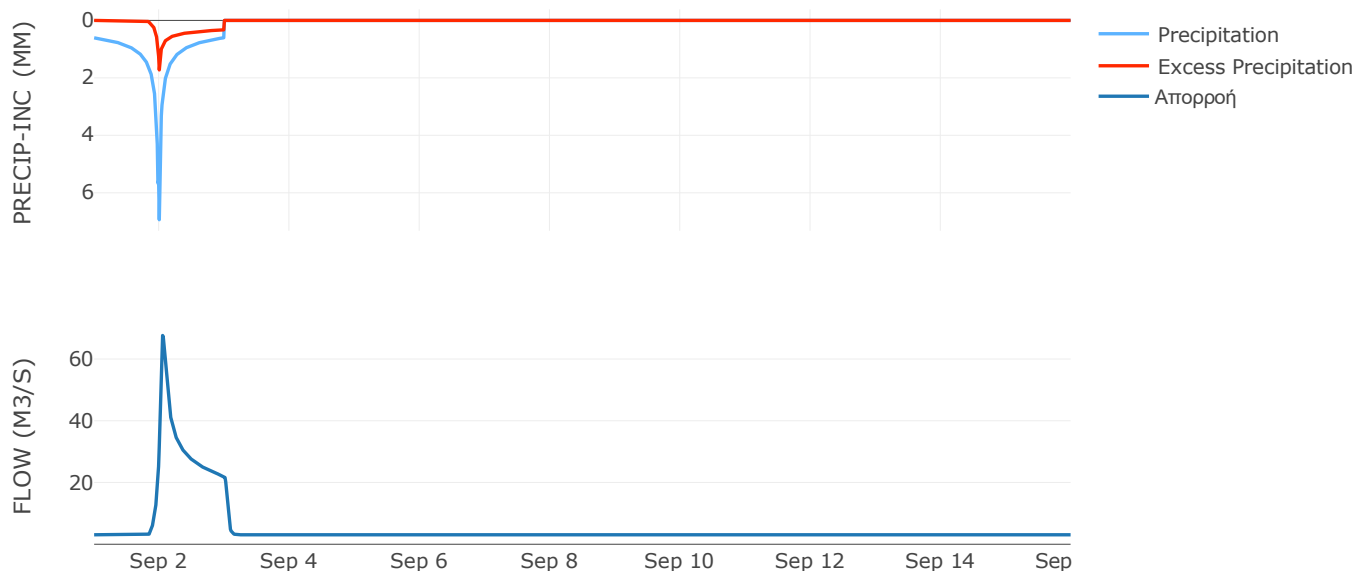
Μέθοδος
Μετασχηματισμού: SCS

Χρόνος Υστέρησης	57.92
------------------	-------

Αποτελέσματα:
EL0514FR003015

Παροχή αιχμής (M3/S)	67.63
Χρονική στιγμή αιχμής	02Sep2000, 01:15
Όγκος (MM)	130.41
Όγκος βροχόπτωσης (M3)	1.17E7
Όγκος απωλειών (M3)	9.01E6
Ενεργός Όγκος (M3)	2.69E6
Όγκος άμεσης απορροής (M3)	2.69E6
Όγκος βασικής απορροής (M3)	3.97E6

Βροχόπτωση και Απορροή



Υπολεκάνη: EL0514FR003016

Έκταση (KM2) : 20.25

Κατάντη : J21

Μέθοδος Απωλειών: SCS

Ποσοστό αδιαπέρατης επιφάνειας	0
Αριθμός Καμπύλης Απορροής-CN	46.47
Αρχικές Απώλειες	58.52

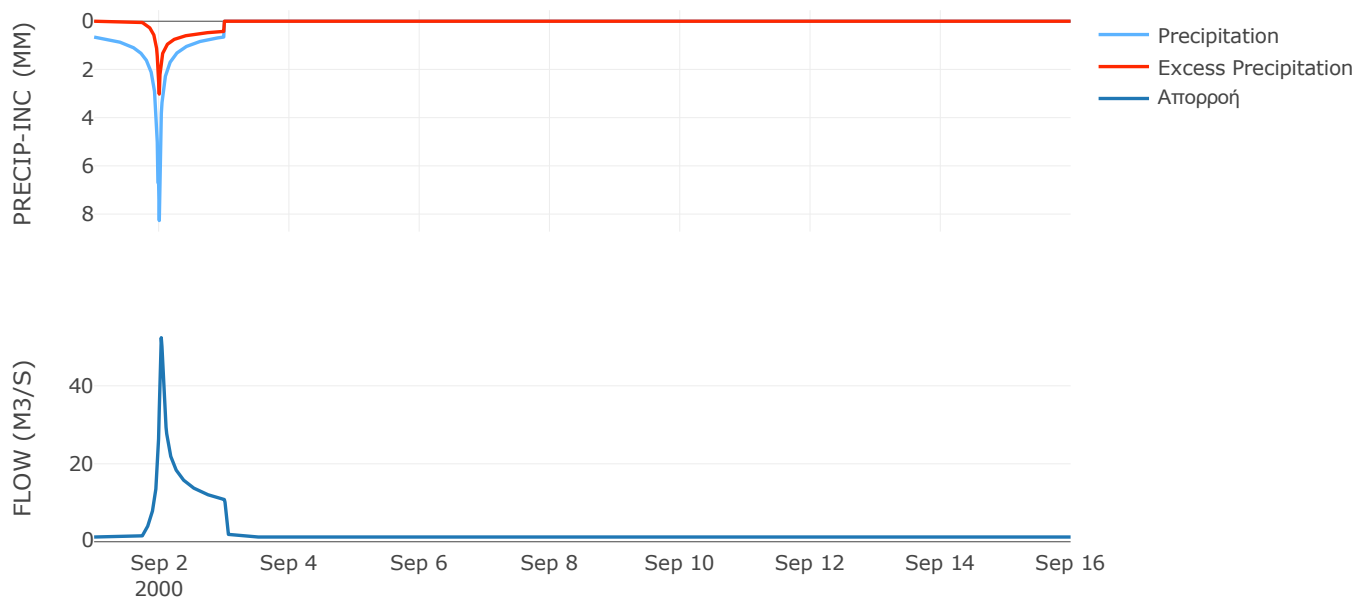
Μέθοδος
Μετασχηματισμού: SCS

Χρόνος Υστέρησης	33.87
------------------	-------

Αποτελέσματα:
EL0514FR003016

Παροχή αιχμής (M3/S)	52.34
Χρονική στιγμή αιχμής	02Sep2000, 00:45
Όγκος (MM)	157.65
Όγκος βροχόπτωσης (M3)	5.19E6
Όγκος απωλειών (M3)	3.58E6
Ενεργός Όγκος (M3)	1.62E6
Όγκος άμεσης απορροής (M3)	1.62E6
Όγκος βασικής απορροής (M3)	1.57E6

Βροχόπτωση και Απορροή



Υπολεκάνη: EL0514FR003017

Έκταση (KM2) : 26.55

Κατάντη : J21

Μέθοδος Απωλειών: SCS

Ποσοστό αδιαπέρατης επιφάνειας	0
Αριθμός Καμπύλης Απορροής-CN	50.28
Αρχικές Απώλειες	50.23

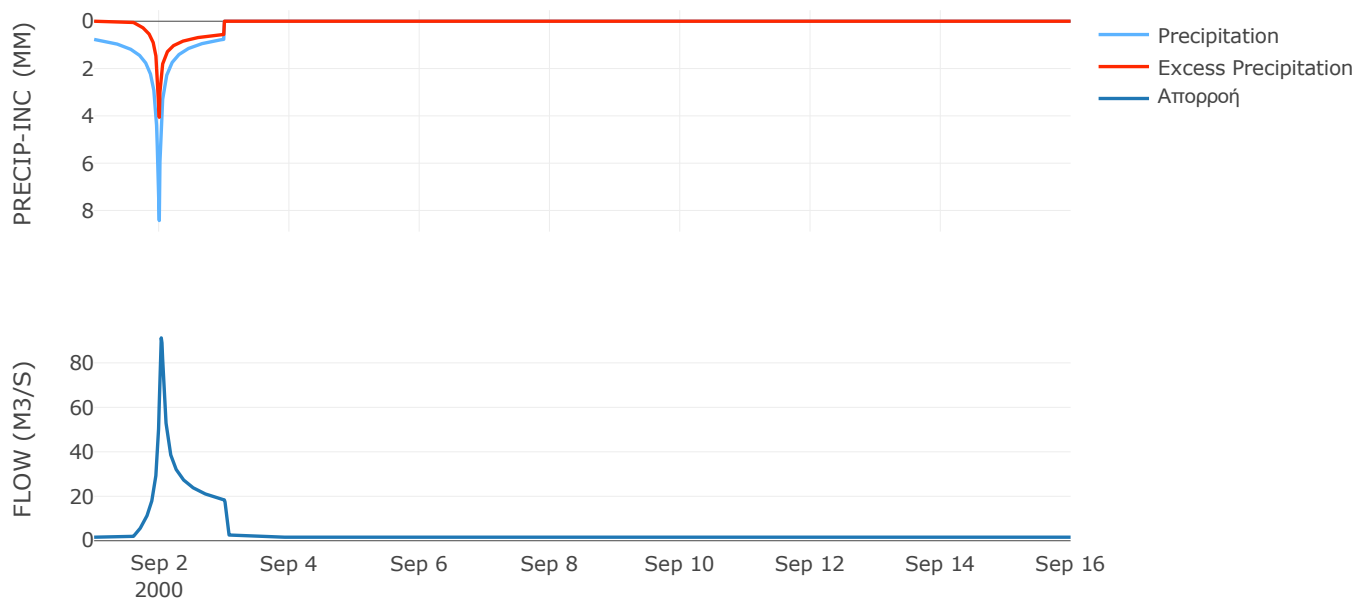
Μέθοδος
Μετασχηματισμού: SCS

Χρόνος Υστέρησης	38.02
------------------	-------

Αποτελέσματα:
EL0514FR003017

Παροχή αιχμής (M3/S)	91.25
Χρονική στιγμή αιχμής	02Sep2000, 00:45
Όγκος (MM)	191.91
Όγκος βροχόπτωσης (M3)	7.59E6
Όγκος απωλειών (M3)	4.56E6
Ενεργός Όγκος (M3)	3.03E6
Όγκος άμεσης απορροής (M3)	3.03E6
Όγκος βασικής απορροής (M3)	2.06E6

Βροχόπτωση και Απορροή



Υπολεκάνη: EL0514FR003018

Έκταση (KM2) : 4.66

Κατάντη : J20

Μέθοδος Απωλειών: SCS

Ποσοστό αδιαπέρατης επιφάνειας	0
Αριθμός Καμπύλης Απορροής-CN	50.02
Αρχικές Απώλειες	50.76

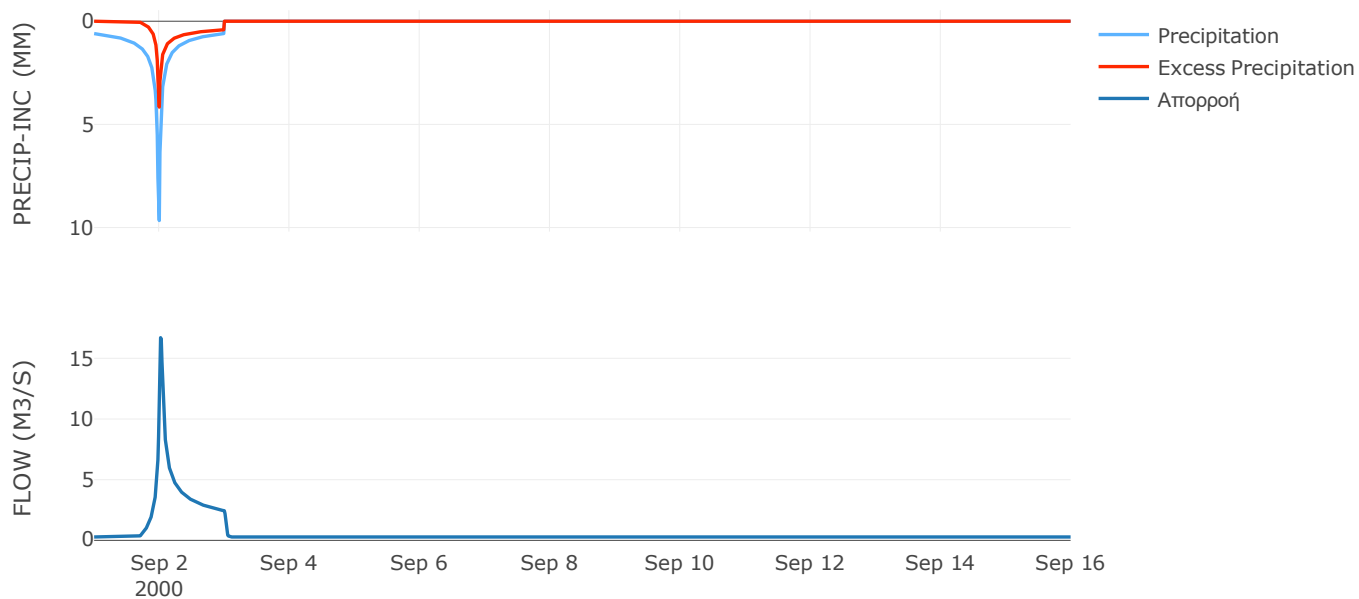
Μέθοδος
Μετασχηματισμού: SCS

Χρόνος Υστέρησης	28.07
------------------	-------

Αποτελέσματα:
EL0514FR003018

Παροχή αιχμής (M3/S)	16.7
Χρονική στιγμή αιχμής	02Sep2000, 00:30
Όγκος (MM)	168.67
Όγκος βροχόπτωσης (M3)	1.19E6
Όγκος απωλειών (M3)	7.63E5
Ενεργός Όγκος (M3)	4.23E5
Όγκος άμεσης απορροής (M3)	4.23E5
Όγκος βασικής απορροής (M3)	3.62E5

Βροχόπτωση και Απορροή



Υπολεκάνη: EL0514FR003019

Έκταση (KM2) : 56.36

Κατάντη : J20

Μέθοδος Απωλειών: SCS

Ποσοστό αδιαπέρατης επιφάνειας	0
Αριθμός Καμπύλης Απορροής-CN	65.27
Αρχικές Απώλειες	27.03

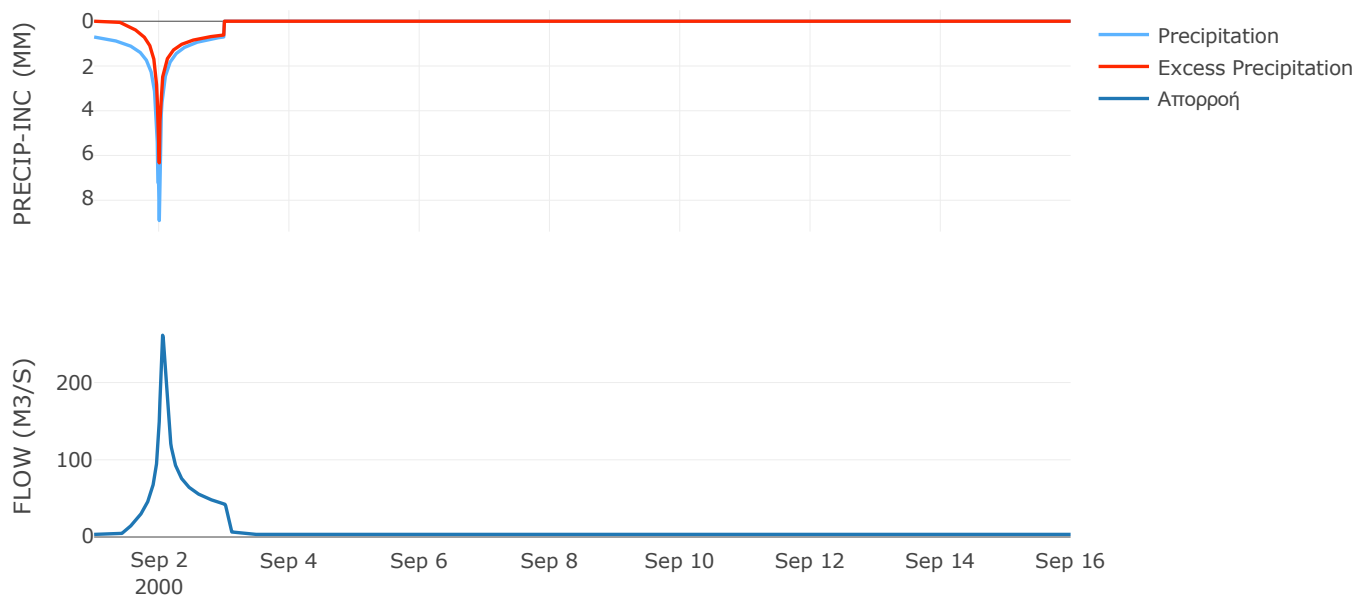
Μέθοδος
Μετασχηματισμού: SCS

Χρόνος Υστέρησης	67.89
------------------	-------

Αποτελέσματα:
EL0514FR003019

Παροχή αιχμής (M3/S)	261.26
Χρονική στιγμή αιχμής	02Sep2000, 01:15
Όγκος (MM)	238.66
Όγκος βροχόπτωσης (M3)	1.55E7
Όγκος απωλειών (M3)	6.46E6
Ενεργός Όγκος (M3)	9.07E6
Όγκος άμεσης απορροής (M3)	9.07E6
Όγκος βασικής απορροής (M3)	4.38E6

Βροχόπτωση και Απορροή



Υπολεκάνη: EL0514FR003020

Έκταση (KM2) : 10.48

Κατάντη : J19

Μέθοδος Απωλειών: SCS

Ποσοστό αδιαπέρατης επιφάνειας	0
Αριθμός Καμπύλης Απορροής-CN	63.83
Αρχικές Απώλειες	28.79

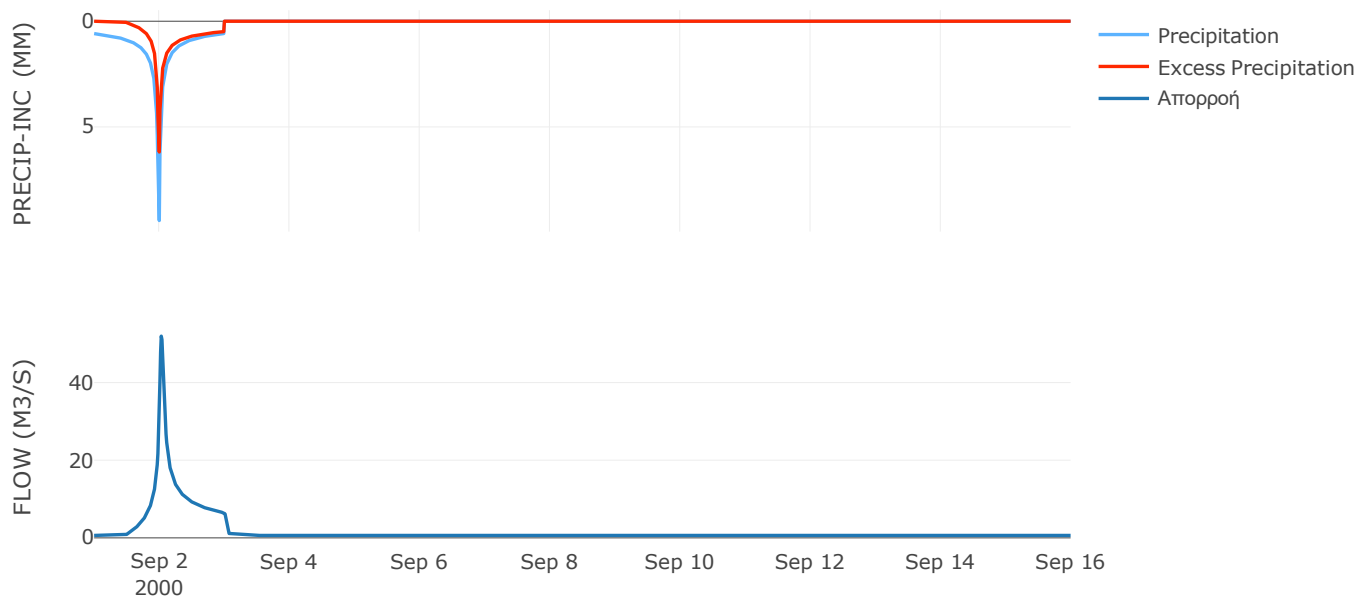
Μέθοδος
Μετασχηματισμού: SCS

Χρόνος Υστέρησης	42.92
------------------	-------

Αποτελέσματα:
EL0514FR003020

Παροχή αιχμής (M3/S)	51.95
Χρονική στιγμή αιχμής	02Sep2000, 00:45
Όγκος (MM)	210.85
Όγκος βροχόπτωσης (M3)	2.61E6
Όγκος απωλειών (M3)	1.21E6
Ενεργός Όγκος (M3)	1.4E6
Όγκος άμεσης απορροής (M3)	1.4E6
Όγκος βασικής απορροής (M3)	8.15E5

Βροχόπτωση και Απορροή



Υπολεκάνη: EL0514FR003021

Έκταση (KM2) : 14.84

Κατάντη : J19

Μέθοδος Απωλειών: SCS

Ποσοστό αδιαπέρατης επιφάνειας	0
Αριθμός Καμπύλης Απορροής-CN	63.19
Αρχικές Απώλειες	29.59

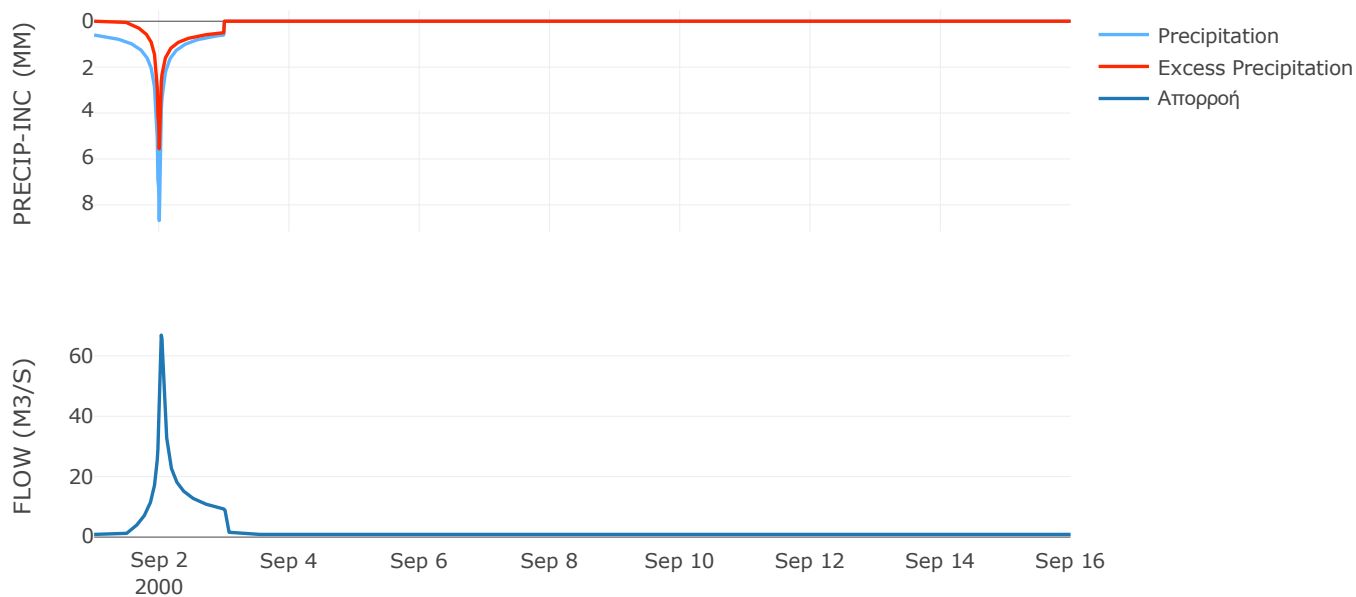
Μέθοδος
Μετασχηματισμού: SCS

Χρόνος Υστέρησης	42.47
------------------	-------

Αποτελέσματα:
EL0514FR003021

Παροχή αιχμής (M3/S)	66.86
Χρονική στιγμή αιχμής	02Sep2000, 00:45
Όγκος (MM)	206.13
Όγκος βροχόπτωσης (M3)	3.65E6
Όγκος απωλειών (M3)	1.74E6
Ενεργός Όγκος (M3)	1.9E6
Όγκος άμεσης απορροής (M3)	1.9E6
Όγκος βασικής απορροής (M3)	1.15E6

Βροχόπτωση και Απορροή



Υπολεκάνη: EL0514FR003022

Έκταση (KM2) : 68.59

Κατάντη : J10

Μέθοδος Απωλειών: SCS

Ποσοστό αδιαπέρατης επιφάνειας	0
Αριθμός Καμπύλης Απορροής-CN	39.99
Αρχικές Απώλειες	76.23

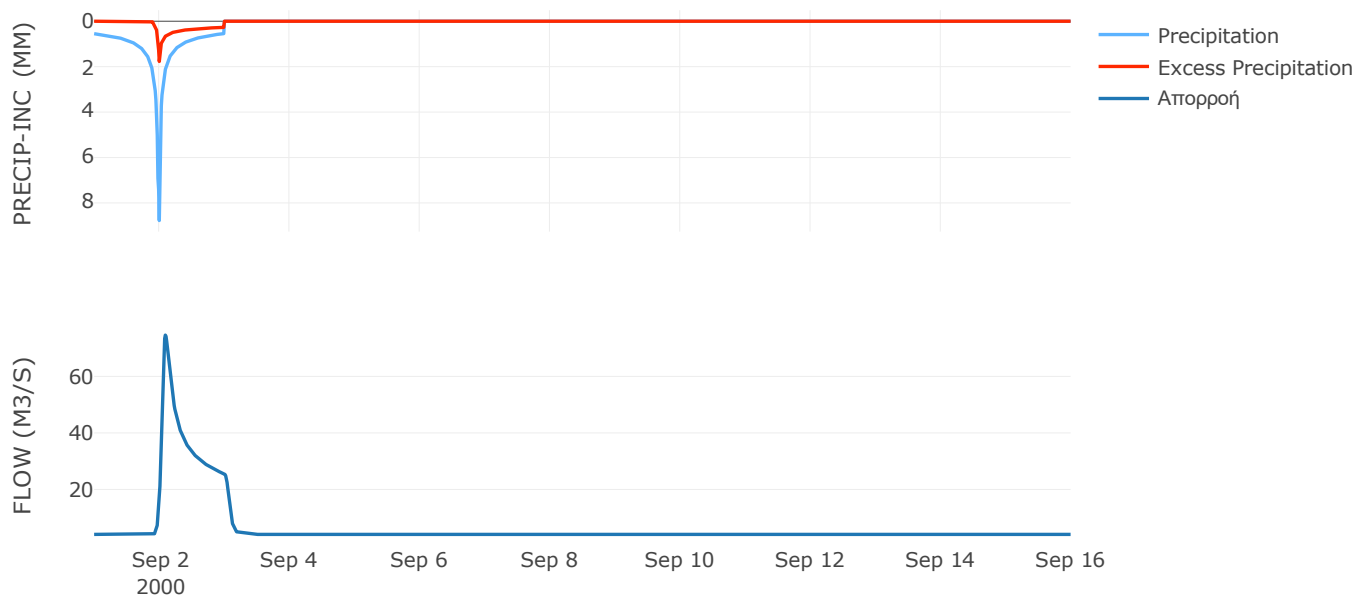
Μέθοδος
Μετασχηματισμού: SCS

Χρόνος Υστέρησης	97.39
------------------	-------

Αποτελέσματα:
EL0514FR003022

Παροχή αιχμής (M3/S)	74.61
Χρονική στιγμή αιχμής	02Sep2000, 02:15
Όγκος (MM)	123.24
Όγκος βροχόπτωσης (M3)	1.6E7
Όγκος απωλειών (M3)	1.28E7
Ενεργός Όγκος (M3)	3.12E6
Όγκος άμεσης απορροής (M3)	3.12E6
Όγκος βασικής απορροής (M3)	5.33E6

Βροχόπτωση και Απορροή



Υπολεκάνη: EL0514FR003023

Έκταση (KM2) : 35.95

Κατάντη : J10

Μέθοδος Απωλειών: SCS

Ποσοστό αδιαπέρατης επιφάνειας	0
Αριθμός Καμπύλης Απορροής-CN	55.67
Αρχικές Απώλειες	40.44

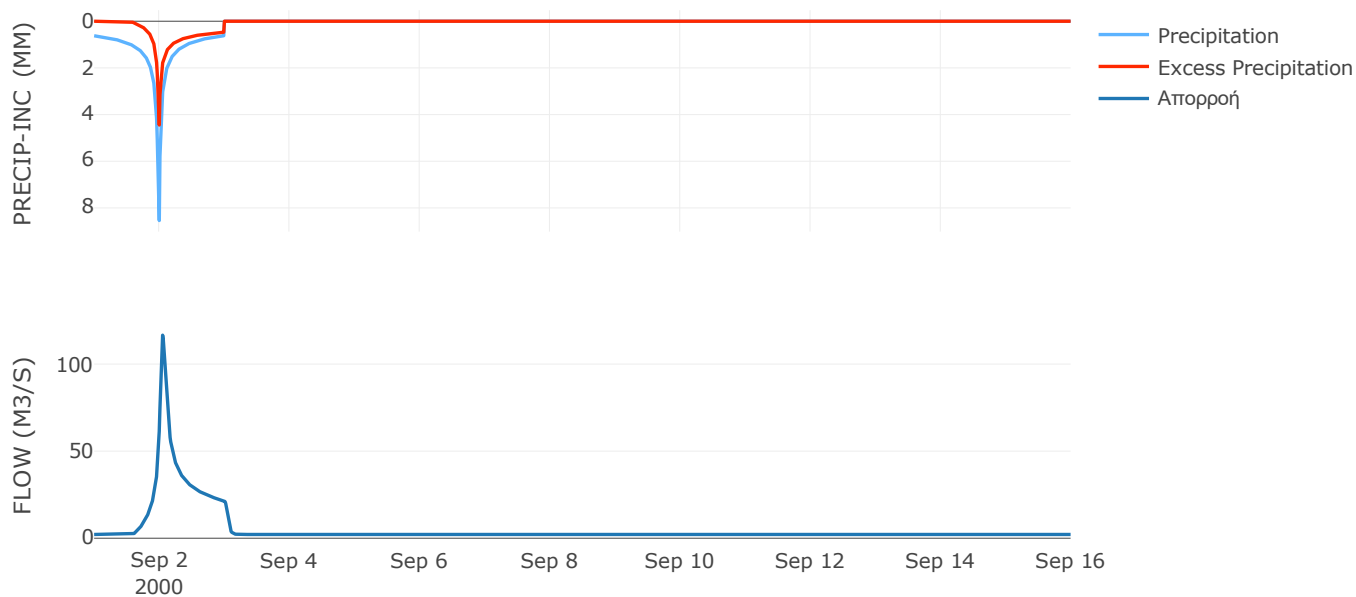
Μέθοδος
Μετασχηματισμού: SCS

Χρόνος Υστέρησης	63.9
------------------	------

Αποτελέσματα:
EL0514FR003023

Παροχή αιχμής (M3/S)	116.61
Χρονική στιγμή αιχμής	02Sep2000, 01:15
Όγκος (MM)	184.59
Όγκος βροχόπτωσης (M3)	9E6
Όγκος απωλειών (M3)	5.16E6
Ενεργός Όγκος (M3)	3.84E6
Όγκος άμεσης απορροής (M3)	3.84E6
Όγκος βασικής απορροής (M3)	2.8E6

Βροχόπτωση και Απορροή



Υπολεκάνη: EL0514FR003024

Έκταση (KM2) : 55.27

Κατάντη : J9

Μέθοδος Απωλειών: SCS

Ποσοστό αδιαπέρατης επιφάνειας	0
Αριθμός Καμπύλης Απορροής-CN	33.04
Αρχικές Απώλειες	102.95

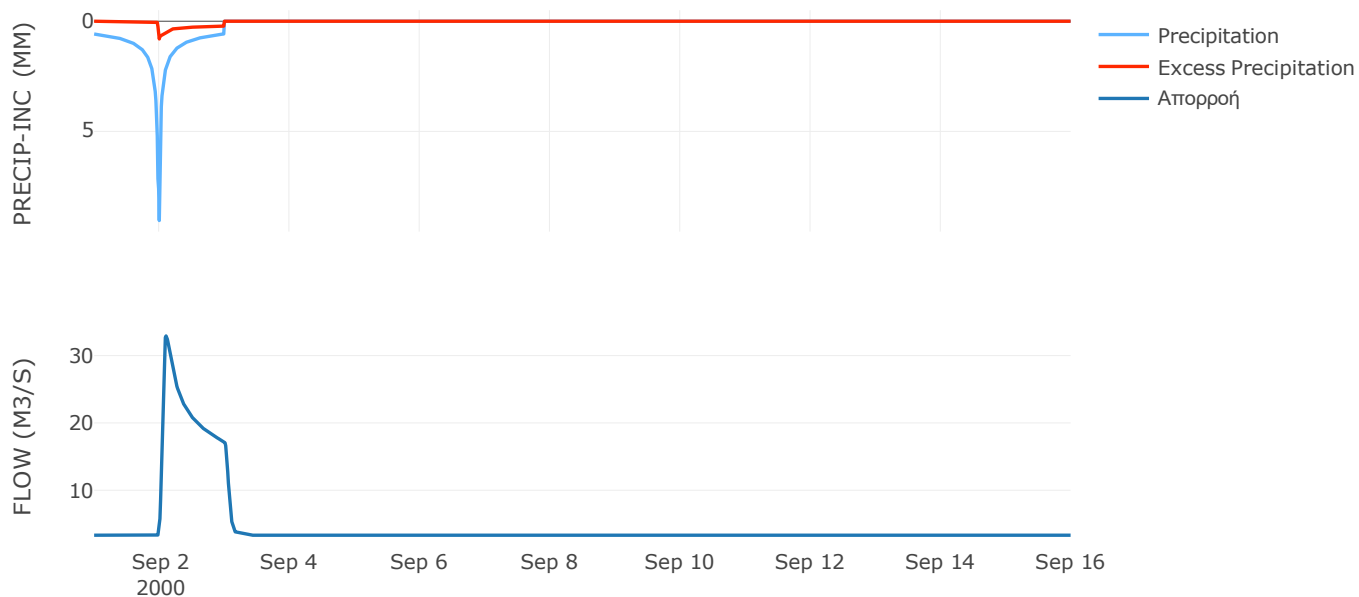
Μέθοδος
Μετασχηματισμού: SCS

Χρόνος Υστέρησης	82.35
------------------	-------

Αποτελέσματα:
EL0514FR003024

Παροχή αιχμής (M3/S)	32.93
Χρονική στιγμή αιχμής	02Sep2000, 02:30
Όγκος (MM)	108.01
Όγκος βροχόπτωσης (M3)	1.35E7
Όγκος απωλειών (M3)	1.18E7
Ενεργός Όγκος (M3)	1.67E6
Όγκος άμεσης απορροής (M3)	1.67E6
Όγκος βασικής απορροής (M3)	4.3E6

Βροχόπτωση και Απορροή



Υπολεκάνη: EL0514FR003025

Έκταση (KM2) : 30.82

Κατάντη : J9

Μέθοδος Απωλειών: SCS

Ποσοστό αδιαπέρατης επιφάνειας	0
Αριθμός Καμπύλης Απορροής-CN	61.55
Αρχικές Απώλειες	31.73

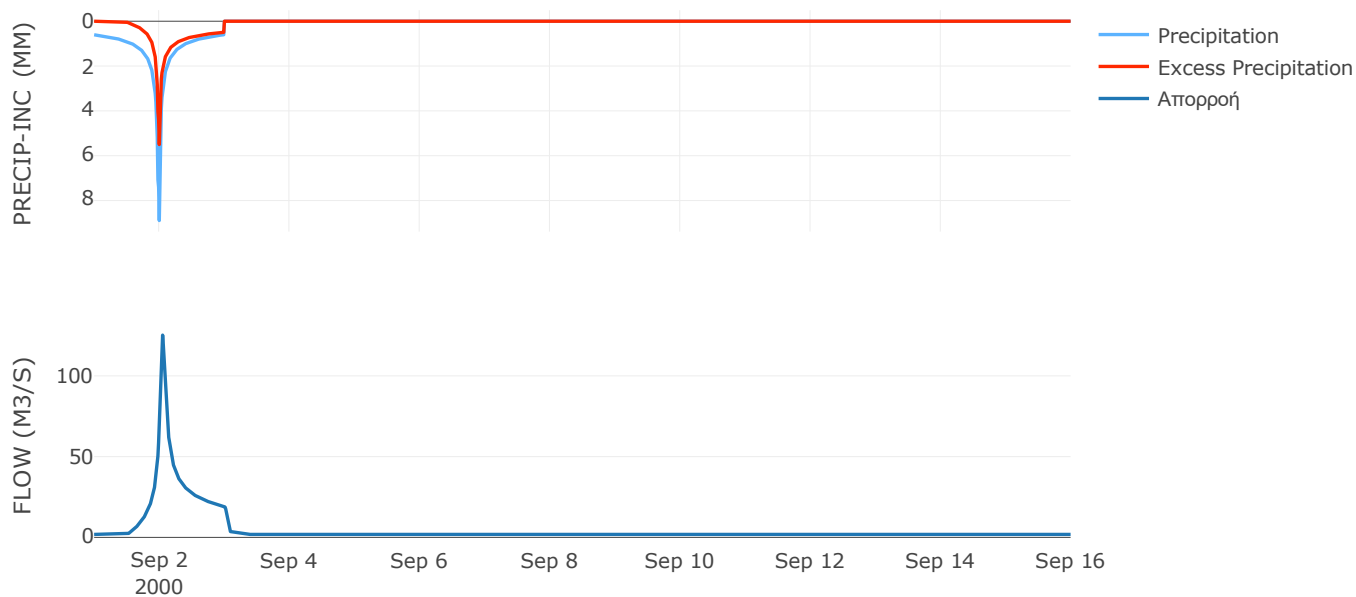
Μέθοδος
Μετασχηματισμού: SCS

Χρόνος Υστέρησης	59.21
------------------	-------

Αποτελέσματα:
EL0514FR003025

Παροχή αιχμής (M3/S)	125.21
Χρονική στιγμή αιχμής	02Sep2000, 01:15
Όγκος (MM)	203.36
Όγκος βροχόπτωσης (M3)	7.68E6
Όγκος απωλειών (M3)	3.8E6
Ενεργός Όγκος (M3)	3.87E6
Όγκος άμεσης απορροής (M3)	3.87E6
Όγκος βασικής απορροής (M3)	2.4E6

Βροχόπτωση και Απορροή



Υπολεκάνη: EL0514FR003026

Έκταση (KM2) : 12.64

Κατάντη : J9

Μέθοδος Απωλειών: SCS

Ποσοστό αδιαπέρατης επιφάνειας	0
Αριθμός Καμπύλης Απορροής-CN	60.79
Αρχικές Απώλειες	32.76

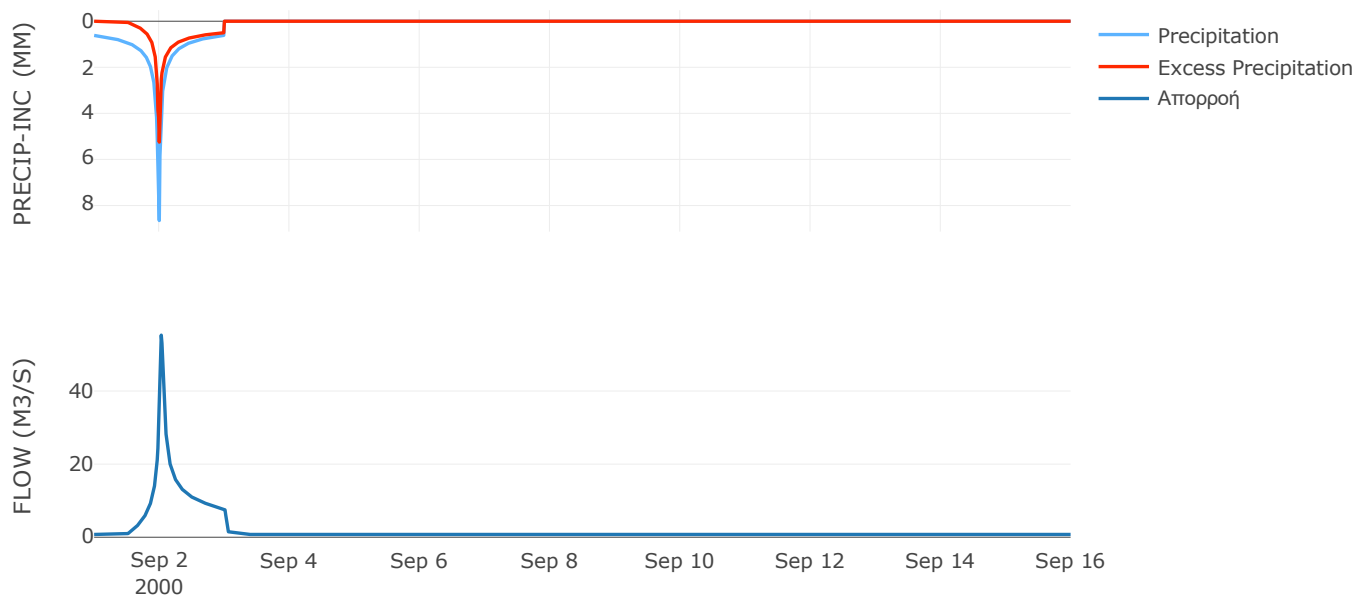
Μέθοδος
Μετασχηματισμού: SCS

Χρόνος Υστέρησης	38.29
------------------	-------

Αποτελέσματα:
EL0514FR003026

Παροχή αιχμής (M3/S)	55.29
Χρονική στιγμή αιχμής	02Sep2000, 00:45
Όγκος (MM)	201.28
Όγκος βροχόπτωσης (M3)	3.16E6
Όγκος απωλειών (M3)	1.59E6
Ενεργός Όγκος (M3)	1.56E6
Όγκος άμεσης απορροής (M3)	1.56E6
Όγκος βασικής απορροής (M3)	9.83E5

Βροχόπτωση και Απορροή



Υπολεκάνη: EL0514FR003027

Έκταση (KM2) : 75.07

Κατάντη : J8

Μέθοδος Απωλειών: SCS

Ποσοστό αδιαπέρατης επιφάνειας	0
Αριθμός Καμπύλης Απορροής-CN	54.79
Αρχικές Απώλειες	41.92

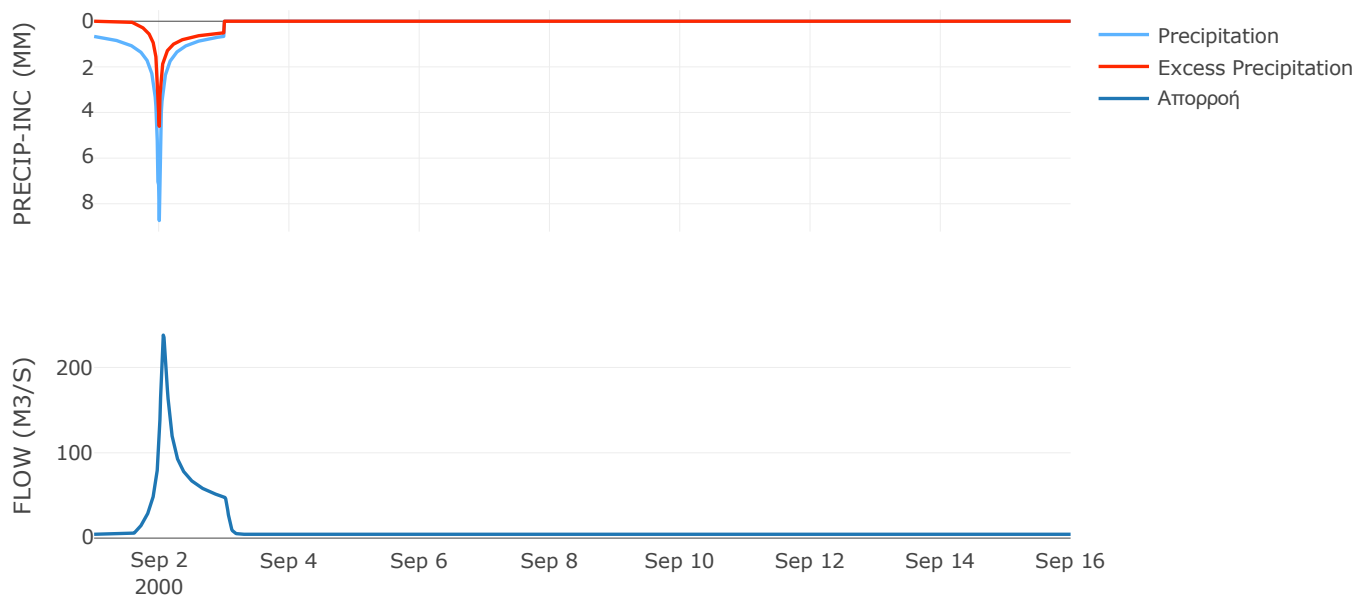
Μέθοδος
Μετασχηματισμού: SCS

Χρόνος Υστέρησης	78.82
------------------	-------

Αποτελέσματα:
EL0514FR003027

Παροχή αιχμής (M3/S)	237.95
Χρονική στιγμή αιχμής	02Sep2000, 01:30
Όγκος (MM)	191.75
Όγκος βροχόπτωσης (M3)	1.98E7
Όγκος απωλειών (M3)	1.12E7
Ενεργός Όγκος (M3)	8.56E6
Όγκος άμεσης απορροής (M3)	8.56E6
Όγκος βασικής απορροής (M3)	5.84E6

Βροχόπτωση και Απορροή



Υπολεκάνη: EL0514FR003028

Έκταση (KM2) : 25.46

Κατάντη : J8

Μέθοδος Απωλειών: SCS

Ποσοστό αδιαπέρατης επιφάνειας	0
Αριθμός Καμπύλης Απορροής-CN	62.66
Αρχικές Απώλειες	30.28

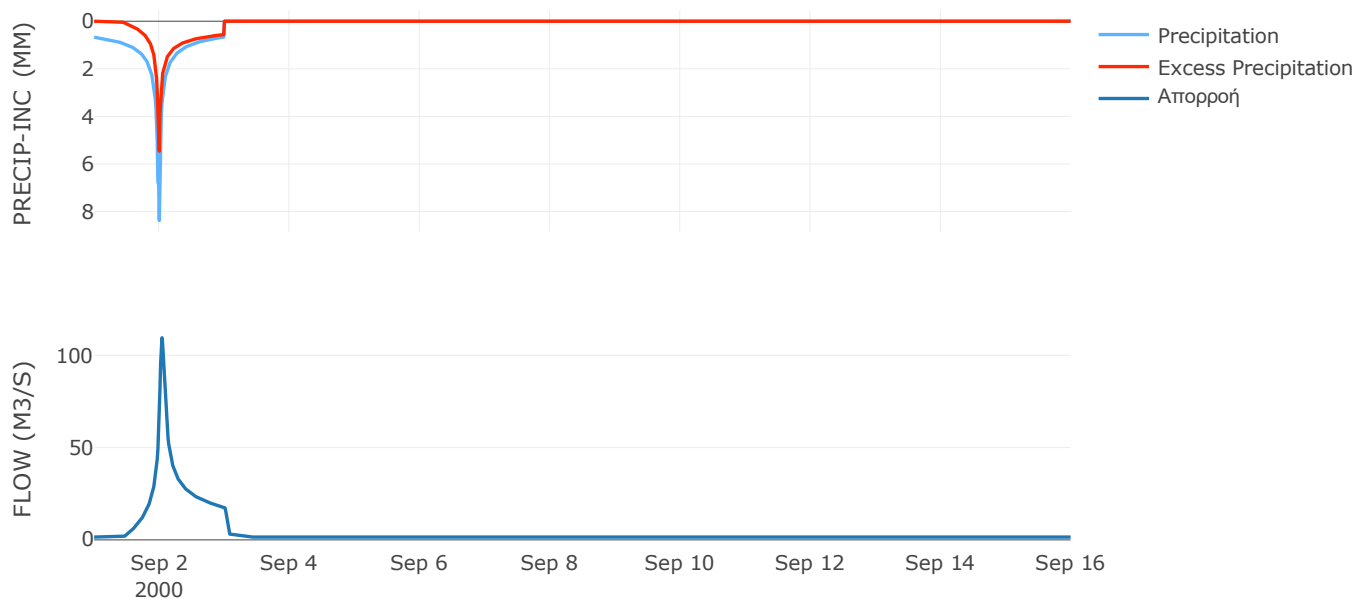
Μέθοδος
Μετασχηματισμού: SCS

Χρόνος Υστέρησης	51.81
------------------	-------

Αποτελέσματα:
EL0514FR003028

Παροχή αιχμής (M3/S)	109.49
Χρονική στιγμή αιχμής	02Sep2000, 01:00
Όγκος (MM)	217.05
Όγκος βροχόπτωσης (M3)	6.65E6
Όγκος απωλειών (M3)	3.1E6
Ενεργός Όγκος (M3)	3.55E6
Όγκος άμεσης απορροής (M3)	3.55E6
Όγκος βασικής απορροής (M3)	1.98E6

Βροχόπτωση και Απορροή



Υπολεκάνη: EL0514FR003029

Έκταση (KM2) : 14.96

Κατάντη : J7

Μέθοδος Απωλειών: SCS

Ποσοστό αδιαπέρατης επιφάνειας	0
Αριθμός Καμπύλης Απορροής-CN	61.79
Αρχικές Απώλειες	31.41

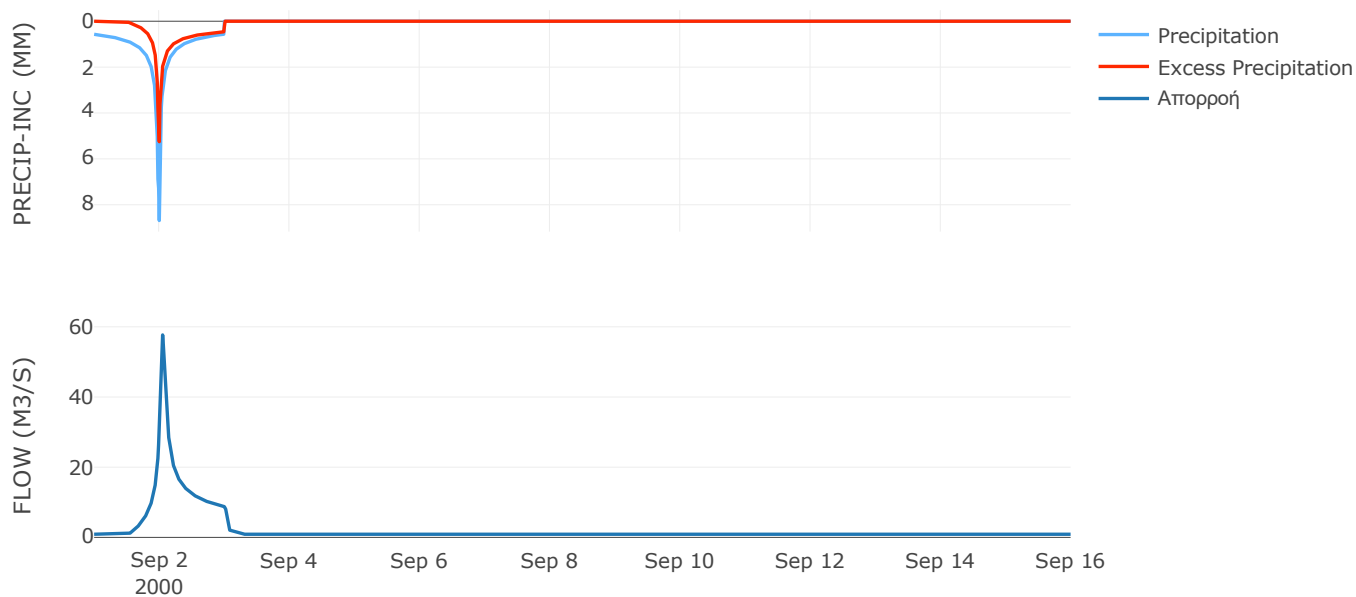
Μέθοδος
Μετασχηματισμού: SCS

Χρόνος Υστέρησης	59.52
------------------	-------

Αποτελέσματα:
EL0514FR003029

Παροχή αιχμής (M3/S)	57.68
Χρονική στιγμή αιχμής	02Sep2000, 01:15
Όγκος (MM)	194.73
Όγκος βροχόπτωσης (M3)	3.55E6
Όγκος απωλειών (M3)	1.8E6
Ενεργός Όγκος (M3)	1.75E6
Όγκος άμεσης απορροής (M3)	1.75E6
Όγκος βασικής απορροής (M3)	1.16E6

Βροχόπτωση και Απορροή



Υπολεκάνη: EL0514FR003030

Έκταση (KM2) : 14.02

Κατάντη : J7

Μέθοδος Απωλειών: SCS

Ποσοστό αδιαπέρατης επιφάνειας	0
Αριθμός Καμπύλης Απορροής-CN	62.58
Αρχικές Απώλειες	30.38

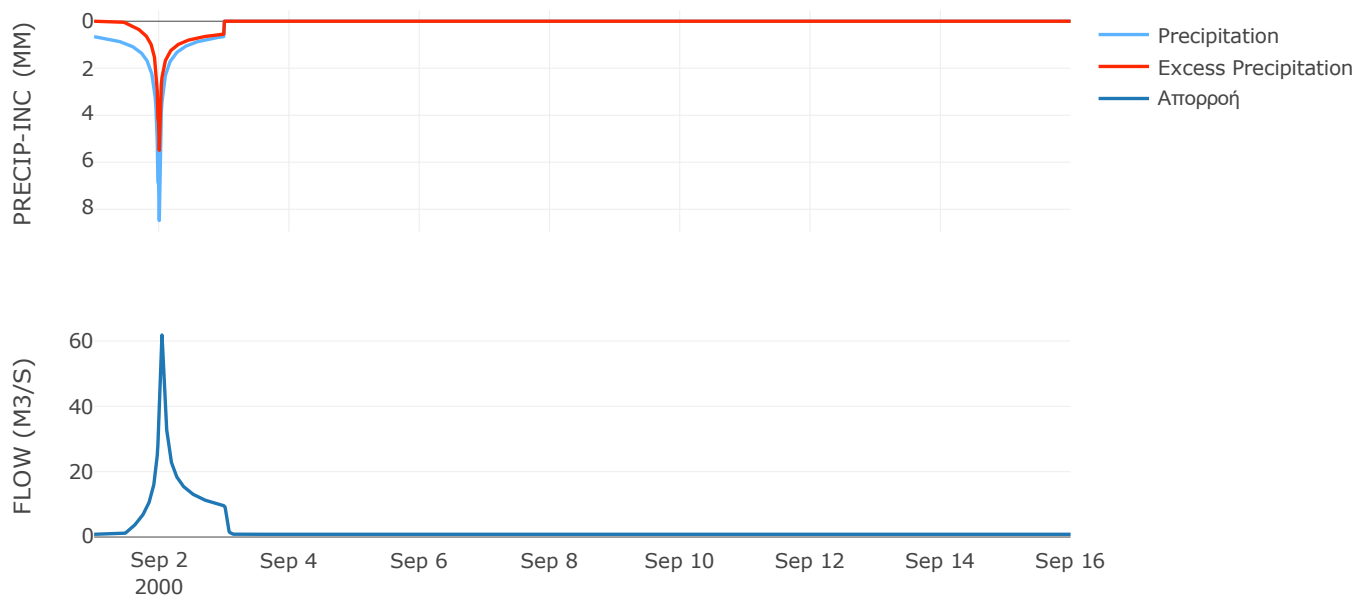
Μέθοδος
Μετασχηματισμού: SCS

Χρόνος Υστέρησης	45.25
------------------	-------

Αποτελέσματα:
EL0514FR003030

Παροχή αιχμής (M3/S)	61.85
Χρονική στιγμή αιχμής	02Sep2000, 01:00
Όγκος (MM)	214.57
Όγκος βροχόπτωσης (M3)	3.62E6
Όγκος απωλειών (M3)	1.7E6
Ενεργός Όγκος (M3)	1.92E6
Όγκος άμεσης απορροής (M3)	1.92E6
Όγκος βασικής απορροής (M3)	1.09E6

Βροχόπτωση και Απορροή



Υπολεκάνη: EL0514FR003031

Έκταση (KM2) : 21.31

Κατάντη : J7

Μέθοδος Απωλειών: SCS

Ποσοστό αδιαπέρατης επιφάνειας	0
Αριθμός Καμπύλης Απορροής-CN	62.69
Αρχικές Απώλειες	30.23

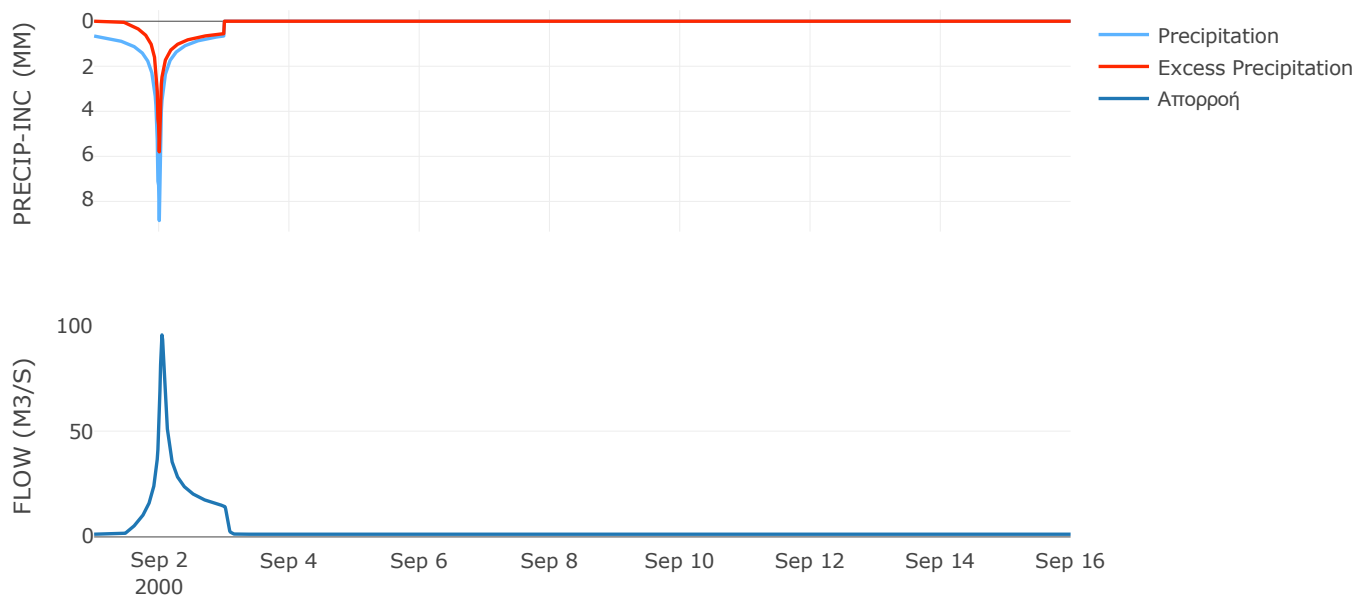
Μέθοδος
Μετασχηματισμού: SCS

Χρόνος Υστέρησης	53.67
------------------	-------

Αποτελέσματα:
EL0514FR003031

Παροχή αιχμής (M3/S)	95.49
Χρονική στιγμή αιχμής	02Sep2000, 01:00
Όγκος (MM)	218.33
Όγκος βροχόπτωσης (M3)	5.59E6
Όγκος απωλειών (M3)	2.59E6
Ενεργός Όγκος (M3)	3E6
Όγκος άμεσης απορροής (M3)	3E6
Όγκος βασικής απορροής (M3)	1.66E6

Βροχόπτωση και Απορροή



Υπολεκάνη: EL0514FR003032

Έκταση (KM2) : 17.85

Κατάντη : J6

Μέθοδος Απωλειών: SCS

Ποσοστό αδιαπέρατης επιφάνειας	0
Αριθμός Καμπύλης Απορροής-CN	59.68
Αρχικές Απώλειες	34.32

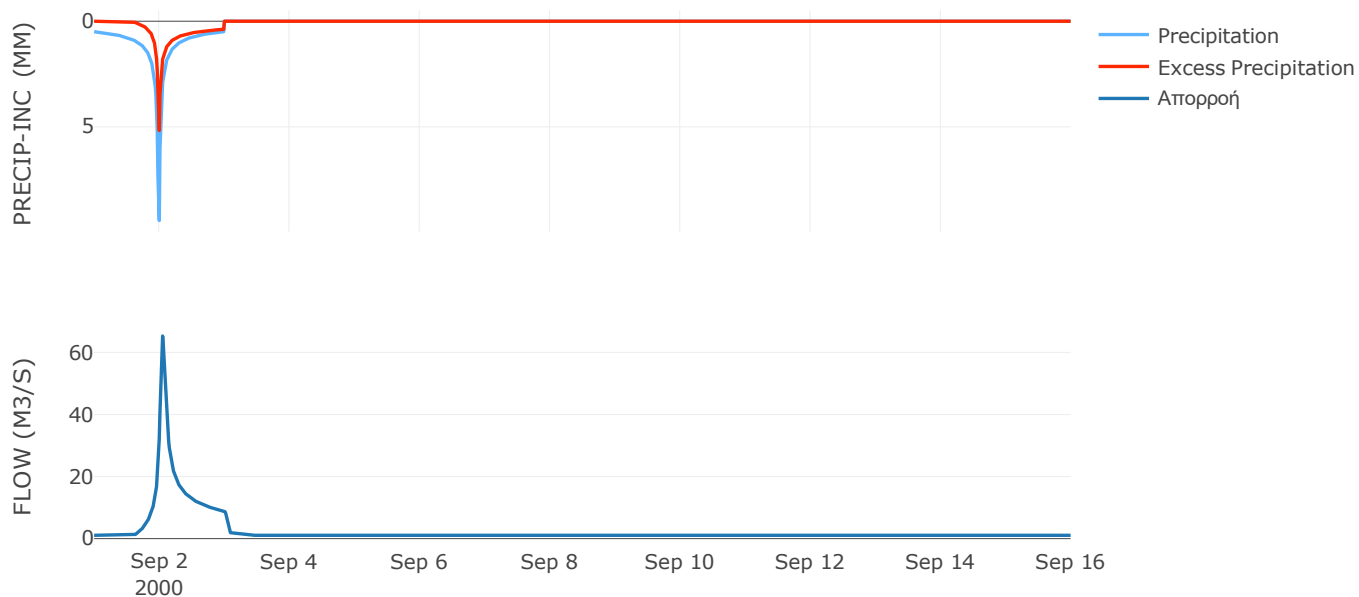
Μέθοδος
Μετασχηματισμού: SCS

Χρόνος Υστέρησης	60.5
------------------	------

Αποτελέσματα:
EL0514FR003032

Παροχή αιχμής (M3/S)	65.29
Χρονική στιγμή αιχμής	02Sep2000, 01:15
Όγκος (MM)	177.49
Όγκος βροχόπτωσης (M3)	4E6
Όγκος απωλειών (M3)	2.22E6
Ενεργός Όγκος (M3)	1.78E6
Όγκος άμεσης απορροής (M3)	1.78E6
Όγκος βασικής απορροής (M3)	1.39E6

Βροχόπτωση και Απορροή



Υπολεκάνη: EL0514FR003033

Έκταση (KM2) : 17.55

Κατάντη : J6

Μέθοδος Απωλειών: SCS

Ποσοστό αδιαπέρατης επιφάνειας	0
Αριθμός Καμπύλης Απορροής-CN	32.02
Αρχικές Απώλειες	107.86

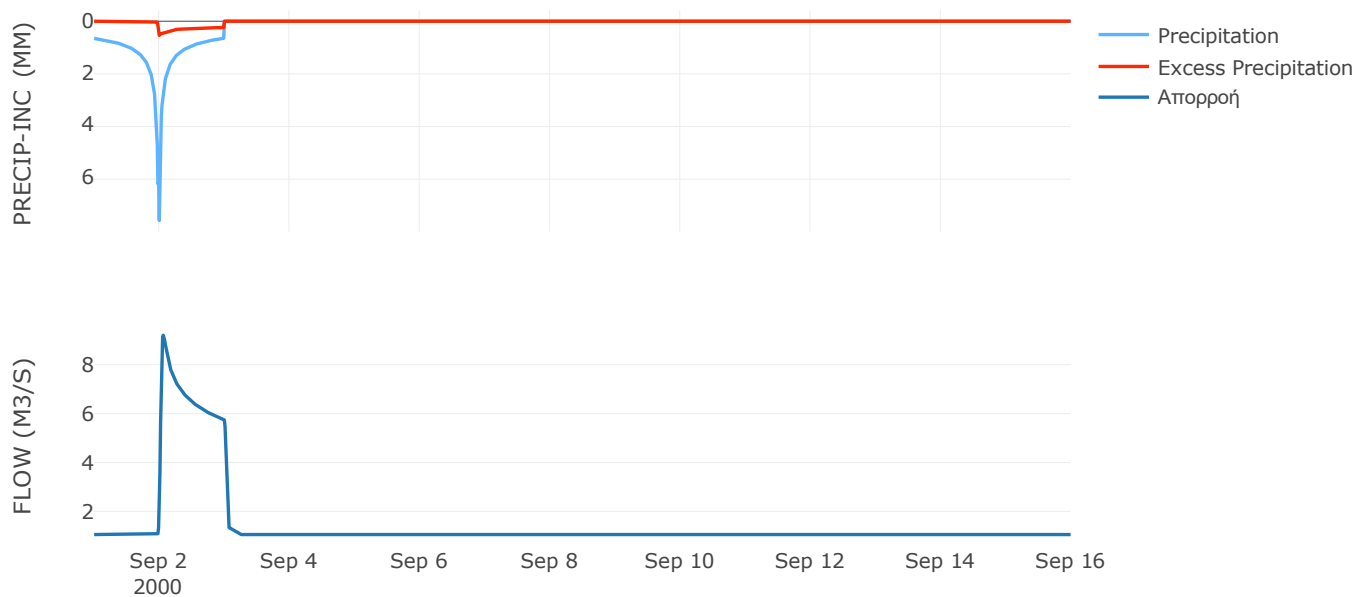
Μέθοδος
Μετασχηματισμού: SCS

Χρόνος Υστέρησης	38.48
------------------	-------

Αποτελέσματα:
EL0514FR003033

Παροχή αιχμής (M3/S)	9.21
Χρονική στιγμή αιχμής	02Sep2000, 01:30
Όγκος (MM)	106.36
Όγκος βροχόπτωσης (M3)	4.34E6
Όγκος απωλειών (M3)	3.84E6
Ενεργός Όγκος (M3)	5.02E5
Όγκος άμεσης απορροής (M3)	5.02E5
Όγκος βασικής απορροής (M3)	1.36E6

Βροχόπτωση και Απορροή



Υπολεκάνη: EL0514FR003034

Έκταση (KM2) : 83.42

Κατάντη : J5

Μέθοδος Απωλειών: SCS

Ποσοστό αδιαπέρατης επιφάνειας	7.2
Αριθμός Καμπύλης Απορροής-CN	54.57
Αρχικές Απώλειες	42.3

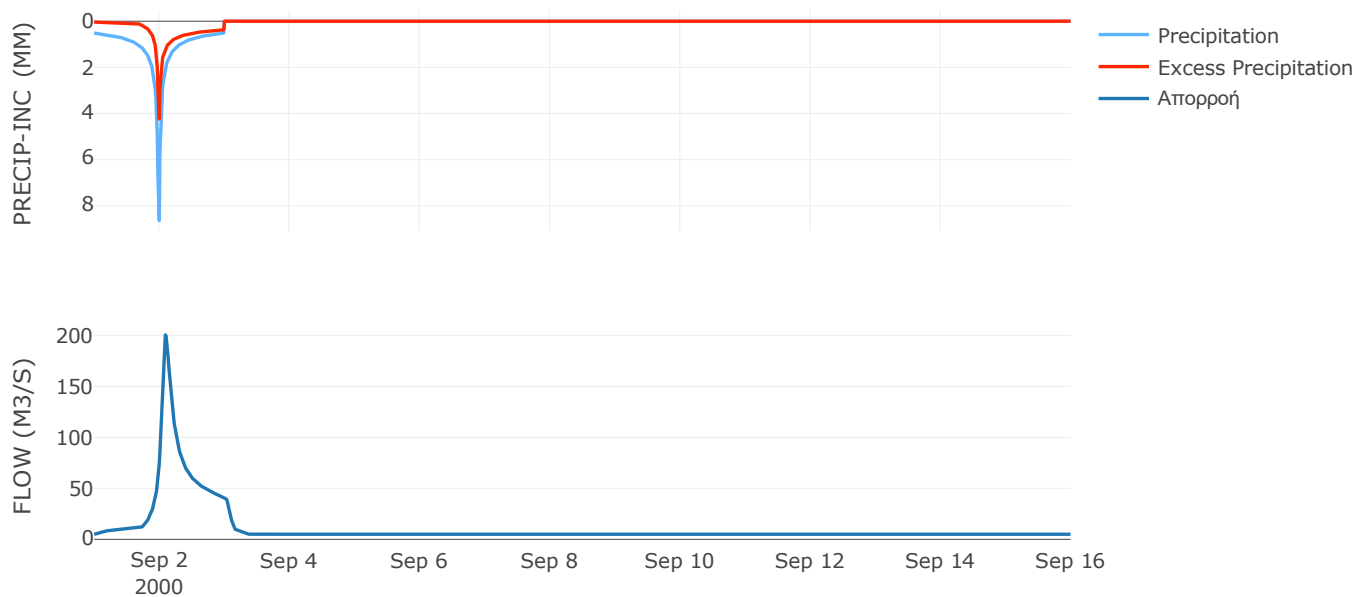
Μέθοδος
Μετασχηματισμού: SCS

Χρόνος Υστέρησης	118.33
------------------	--------

Αποτελέσματα:
EL0514FR003034

Παροχή αιχμής (M3/S)	200.44
Χρονική στιγμή αιχμής	02Sep2000, 02:15
Όγκος (MM)	170.15
Όγκος βροχόπτωσης (M3)	1.85E7
Όγκος απωλειών (M3)	1.08E7
Ενεργός Όγκος (M3)	7.71E6
Όγκος άμεσης απορροής (M3)	7.71E6
Όγκος βασικής απορροής (M3)	6.49E6

Βροχόπτωση και Απορροή



Υπολεκάνη: EL0514FR003035

Έκταση (KM2) : 13.03

Κατάνη : J31

Μέθοδος Απωλειών: SCS

Ποσοστό αδιαπέρατης επιφάνειας	0
Αριθμός Καμπύλης Απορροής-CN	62.4
Αρχικές Απώλειες	30.61

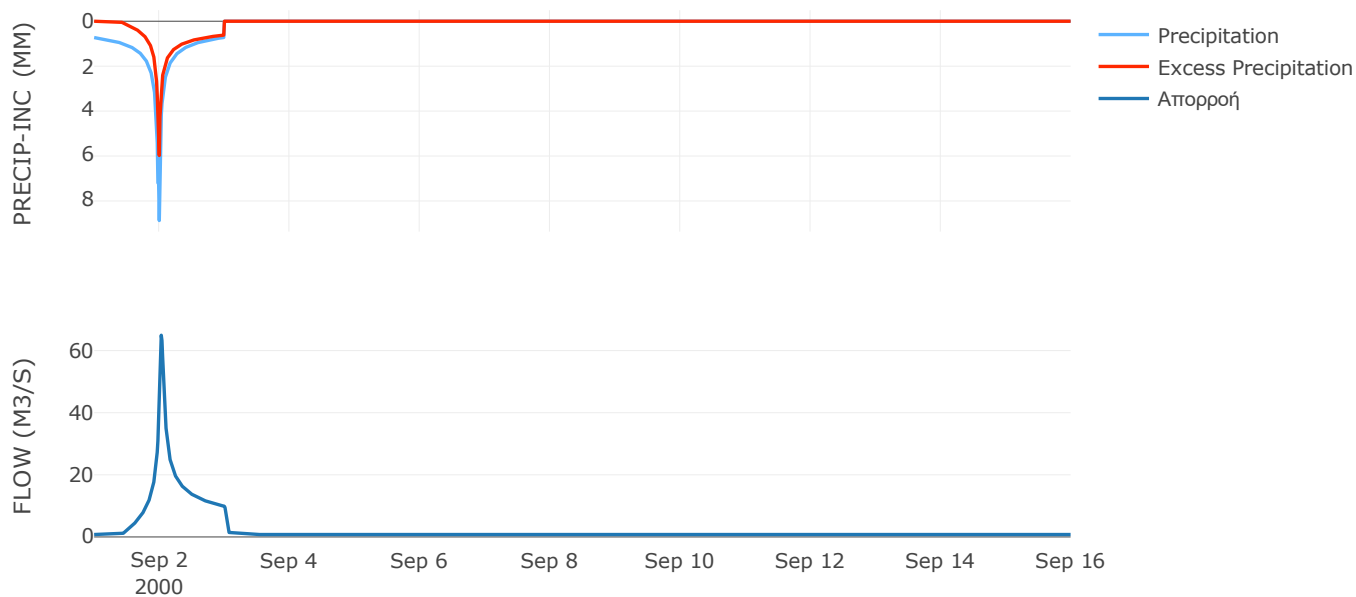
Μέθοδος
Μετασχηματισμού: SCS

Χρόνος Υστέρησης	40.58
------------------	-------

Αποτελέσματα:
EL0514FR003035

Παροχή αιχμής (M3/S)	64.94
Χρονική στιγμή αιχμής	02Sep2000, 00:45
Όγκος (MM)	232.55
Όγκος βροχόπτωσης (M3)	3.65E6
Όγκος απωλειών (M3)	1.63E6
Ενεργός Όγκος (M3)	2.02E6
Όγκος άμεσης απορροής (M3)	2.02E6
Όγκος βασικής απορροής (M3)	1.01E6

Βροχόπτωση και Απορροή



Υπολεκάνη: EL0514FR003036

Έκταση (KM2) : 48.7

Κατάντη : J31

Μέθοδος Απωλειών: SCS

Ποσοστό αδιαπέρατης επιφάνειας	0
Αριθμός Καμπύλης Απορροής-CN	63.38
Αρχικές Απώλειες	29.35

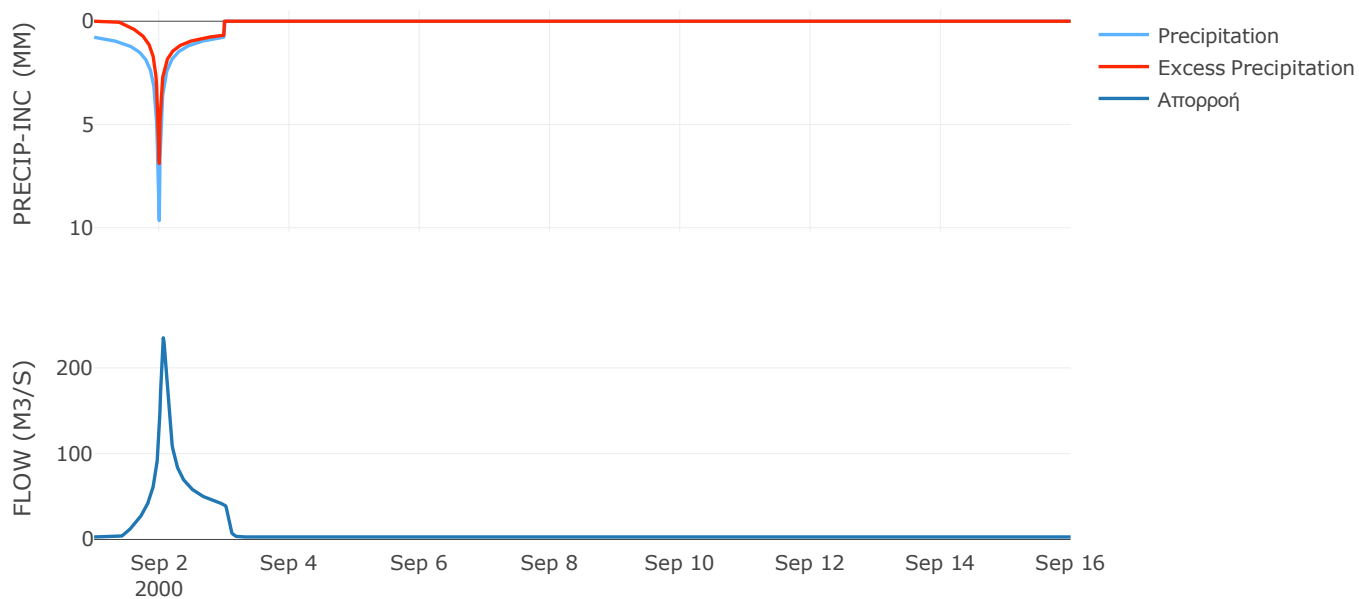
Μέθοδος
Μετασχηματισμού: SCS

Χρόνος Υστέρησης	79.35
------------------	-------

Αποτελέσματα:
EL0514FR003036

Παροχή αιχμής (M3/S)	235
Χρονική στιγμή αιχμής	02Sep2000, 01:30
Όγκος (MM)	254.87
Όγκος βροχόπτωσης (M3)	1.47E7
Όγκος απωλειών (M3)	6.08E6
Ενεργός Όγκος (M3)	8.63E6
Όγκος άμεσης απορροής (M3)	8.63E6
Όγκος βασικής απορροής (M3)	3.79E6

Βροχόπτωση και Απορροή



Υπολεκάνη: EL0514FR003037

Έκταση (KM2) : 32.67

Κατάντη : J30

Μέθοδος Απωλειών: SCS

Ποσοστό αδιαπέρατης επιφάνειας	0
Αριθμός Καμπύλης Απορροής-CN	63.37
Αρχικές Απώλειες	29.36

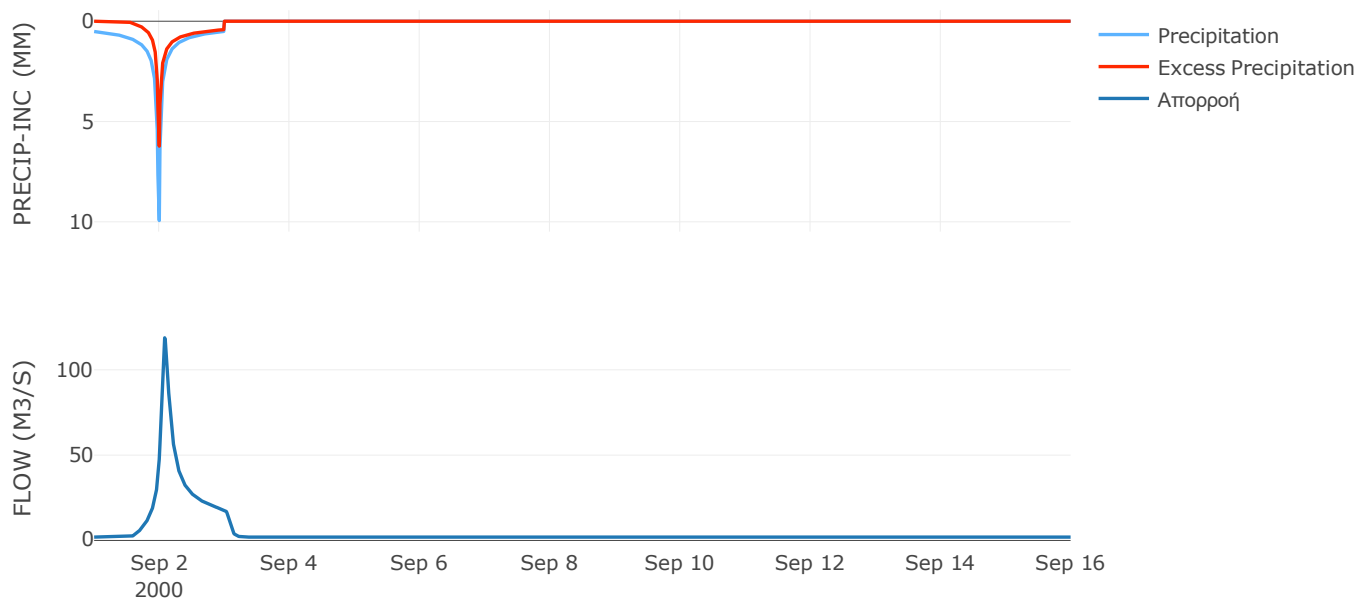
Μέθοδος
Μετασχηματισμού: SCS

Χρόνος Υστέρησης	103.76
------------------	--------

Αποτελέσματα:
EL0514FR003037

Παροχή αιχμής (M3/S)	118.76
Χρονική στιγμή αιχμής	02Sep2000, 02:00
Όγκος (MM)	196.26
Όγκος βροχόπτωσης (M3)	7.62E6
Όγκος απωλειών (M3)	3.75E6
Ενεργός Όγκος (M3)	3.87E6
Όγκος άμεσης απορροής (M3)	3.87E6
Όγκος βασικής απορροής (M3)	2.54E6

Βροχόπτωση και Απορροή



Υπολεκάνη: EL0514FR003038

Έκταση (KM2) : 25.23

Κατάντη : J30

Μέθοδος Απωλειών: SCS

Ποσοστό αδιαπέρατης επιφάνειας	0
Αριθμός Καμπύλης Απορροής-CN	63.17
Αρχικές Απώλειες	29.62

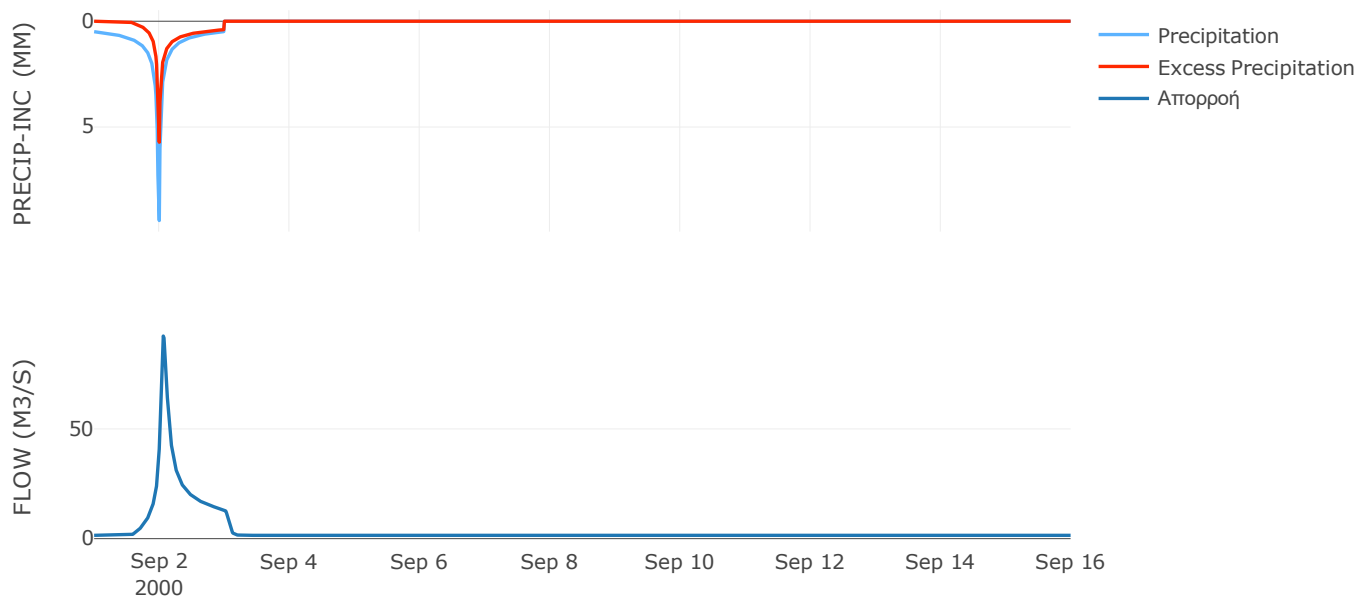
Μέθοδος
Μετασχηματισμού: SCS

Χρόνος Υστέρησης	82.13
------------------	-------

Αποτελέσματα:
EL0514FR003038

Παροχή αιχμής (M3/S)	92.31
Χρονική στιγμή αιχμής	02Sep2000, 01:30
Όγκος (MM)	187.83
Όγκος βροχόπτωσης (M3)	5.64E6
Όγκος απωλειών (M3)	2.87E6
Ενεργός Όγκος (M3)	2.78E6
Όγκος άμεσης απορροής (M3)	2.78E6
Όγκος βασικής απορροής (M3)	1.96E6

Βροχόπτωση και Απορροή



Υπολεκάνη: EL0514FR003039

Έκταση (KM2) : 8.72

Κατάντη : J22

Μέθοδος Απωλειών: SCS

Ποσοστό αδιαπέρατης επιφάνειας	0.09
Αριθμός Καμπύλης Απορροής-CN	66.23
Αρχικές Απώλειες	25.9

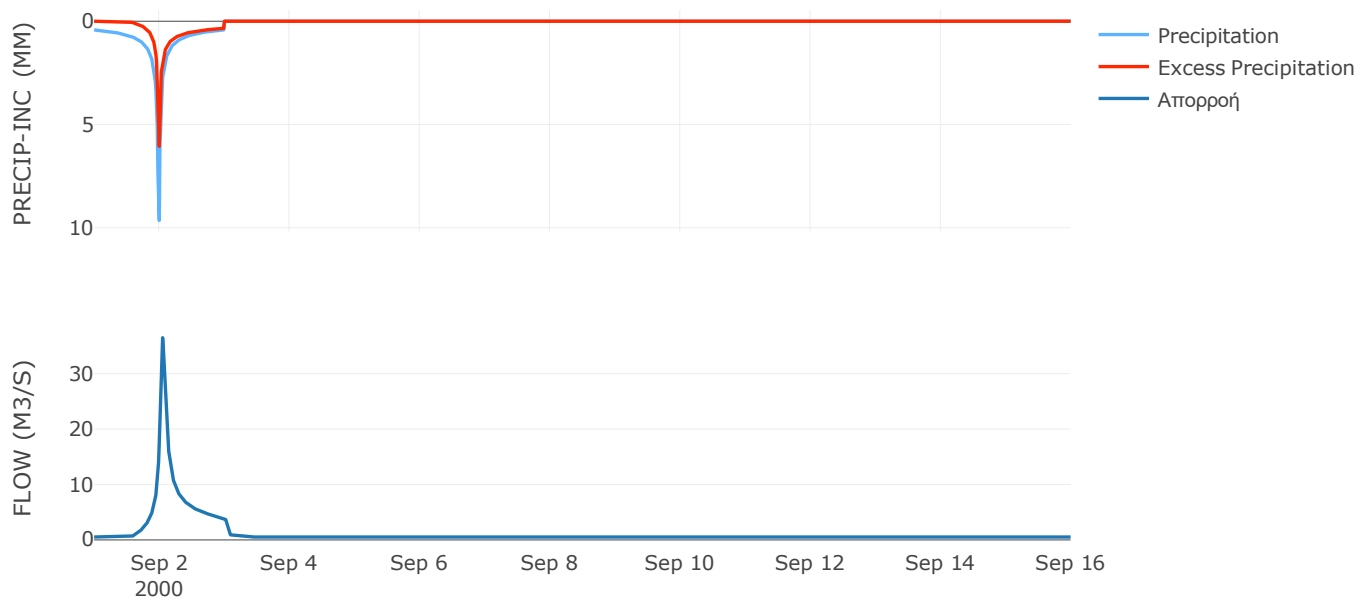
Μέθοδος
Μετασχηματισμού: SCS

Χρόνος Υστέρησης	61.73
------------------	-------

Αποτελέσματα:
EL0514FR003039

Παροχή αιχμής (M3/S)	36.49
Χρονική στιγμή αιχμής	02Sep2000, 01:15
Όγκος (MM)	181.53
Όγκος βροχόπτωσης (M3)	1.79E6
Όγκος απωλειών (M3)	8.8E5
Ενεργός Όγκος (M3)	9.05E5
Όγκος άμεσης απορροής (M3)	9.05E5
Όγκος βασικής απορροής (M3)	6.78E5

Βροχόπτωση και Απορροή



Υπολεκάνη: EL0514FR003040

Έκταση (KM2) : 22.7

Κατάντη : J22

Μέθοδος Απωλειών: SCS

Ποσοστό αδιαπέρατης επιφάνειας	0.09
Αριθμός Καμπύλης Απορροής-CN	64.8
Αρχικές Απώλειες	27.6

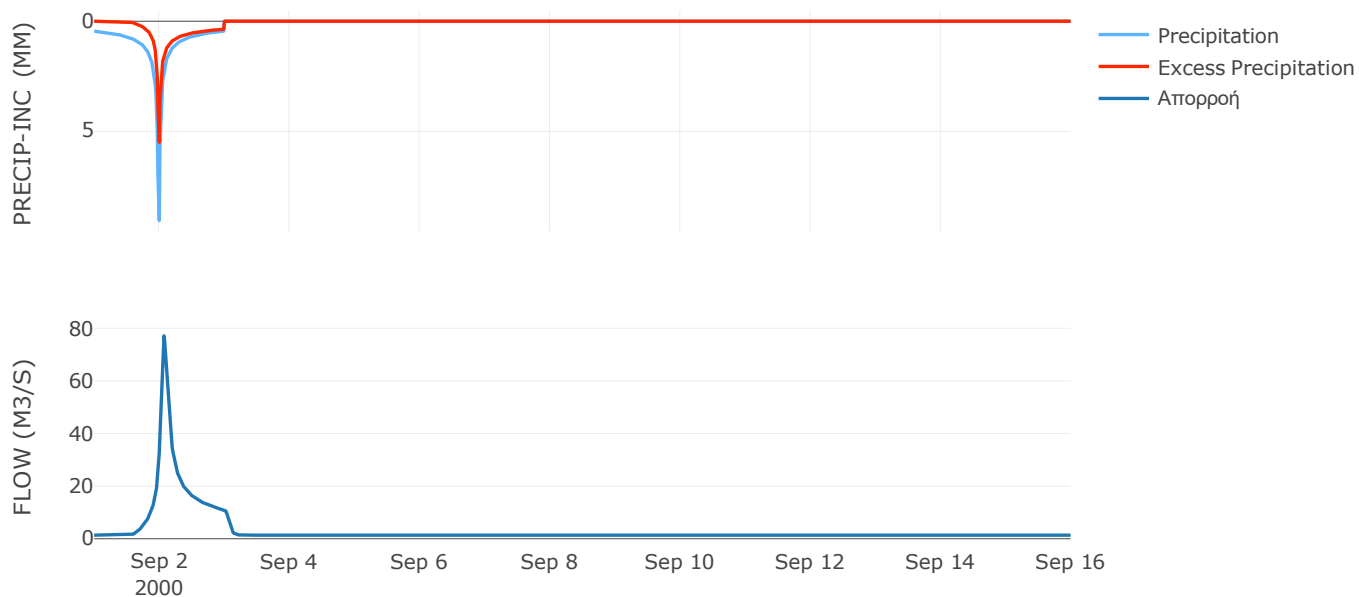
Μέθοδος
Μετασχηματισμού: SCS

Χρόνος Υστέρησης	87.71
------------------	-------

Αποτελέσματα:
EL0514FR003040

Παροχή αιχμής (M3/S)	77.12
Χρονική στιγμή αιχμής	02Sep2000, 01:45
Όγκος (MM)	180.01
Όγκος βροχόπτωσης (M3)	4.72E6
Όγκος απωλειών (M3)	2.4E6
Ενεργός Όγκος (M3)	2.32E6
Όγκος άμεσης απορροής (M3)	2.32E6
Όγκος βασικής απορροής (M3)	1.77E6

Βροχόπτωση και Απορροή



Υπολεκάνη: EL0514FR003041

Έκταση (KM2) : 11.3

Κατάντη : J23

Μέθοδος Απωλειών: SCS

Ποσοστό αδιαπέρατης επιφάνειας	0
Αριθμός Καμπύλης Απορροής-CN	63.06
Αρχικές Απώλειες	29.76

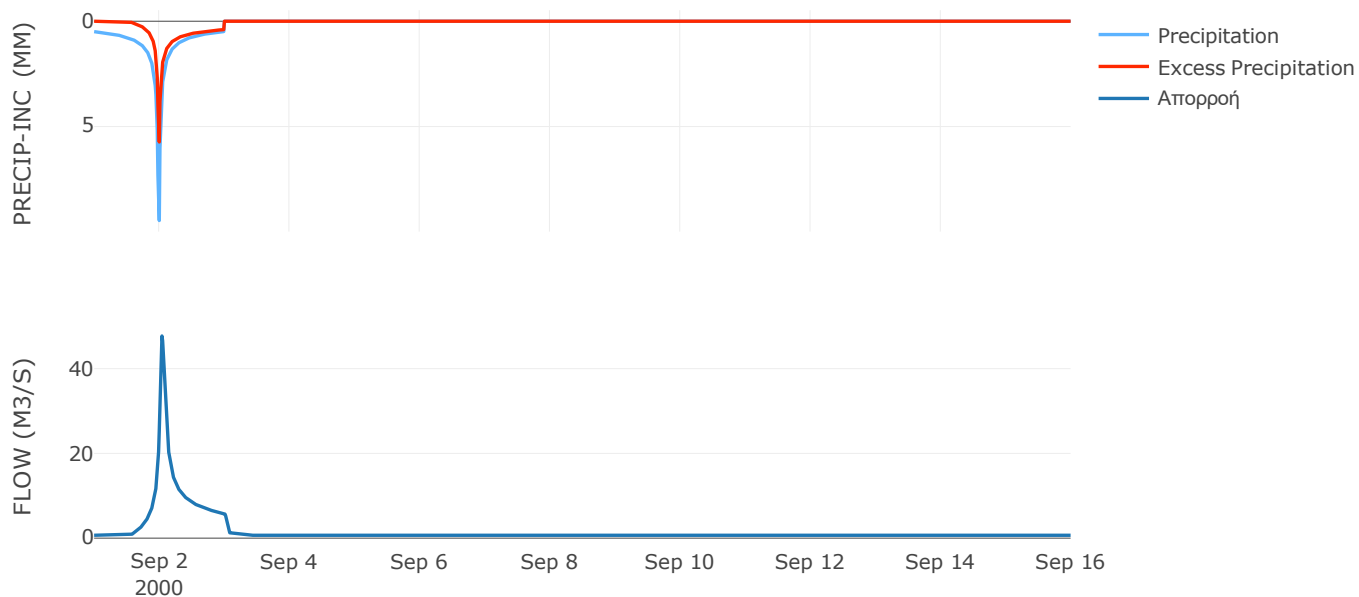
Μέθοδος
Μετασχηματισμού: SCS

Χρόνος Υστέρησης	54.28
------------------	-------

Αποτελέσματα:
EL0514FR003041

Παροχή αιχμής (M3/S)	47.72
Χρονική στιγμή αιχμής	02Sep2000, 01:00
Όγκος (MM)	187.75
Όγκος βροχόπτωσης (M3)	2.53E6
Όγκος απωλειών (M3)	1.29E6
Ενεργός Όγκος (M3)	1.24E6
Όγκος άμεσης απορροής (M3)	1.24E6
Όγκος βασικής απορροής (M3)	8.79E5

Βροχόπτωση και Απορροή



Υπολεκάνη: EL0514FR003042

Έκταση (KM2) : 9.38

Κατάντη : J23

Μέθοδος Απωλειών: SCS

Ποσοστό αδιαπέρατης επιφάνειας	0
Αριθμός Καμπύλης Απορροής-CN	64.76
Αρχικές Απώλειες	27.64

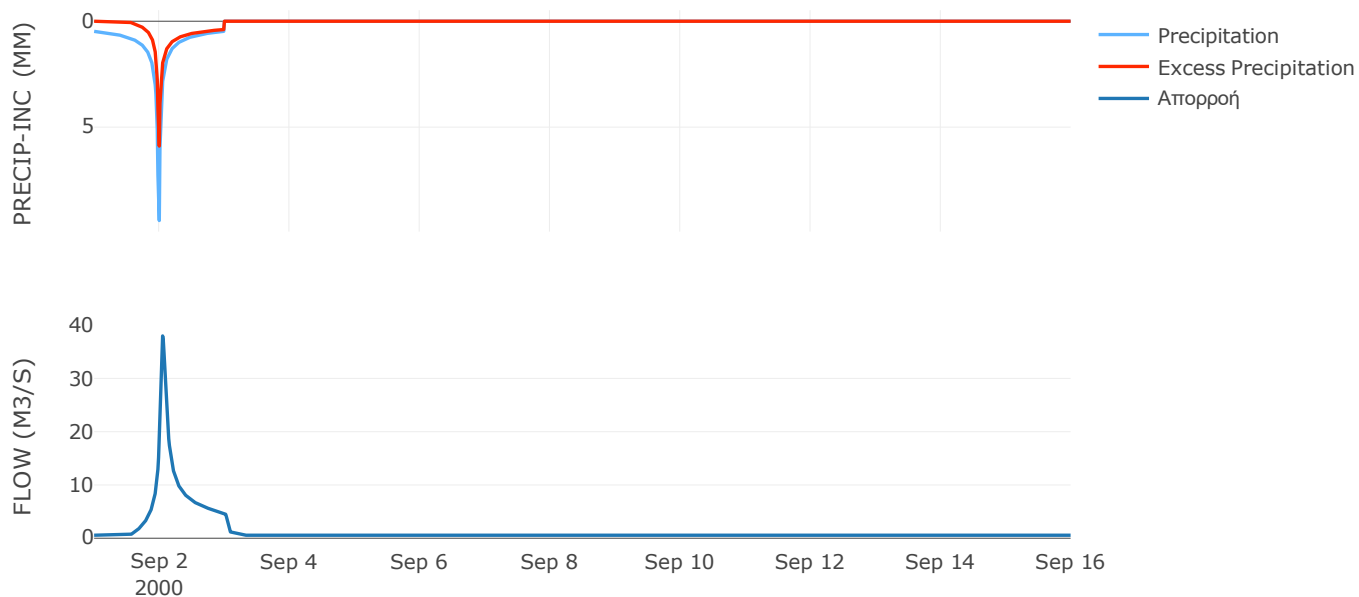
Μέθοδος
Μετασχηματισμού: SCS

Χρόνος Υστέρησης	67.02
------------------	-------

Αποτελέσματα:
EL0514FR003042

Παροχή αιχμής (M3/S)	37.97
Χρονική στιγμή αιχμής	02Sep2000, 01:15
Όγκος (MM)	189.13
Όγκος βροχόπτωσης (M3)	2.06E6
Όγκος απωλειών (M3)	1.01E6
Ενεργός Όγκος (M3)	1.04E6
Όγκος άμεσης απορροής (M3)	1.04E6
Όγκος βασικής απορροής (M3)	7.29E5

Βροχόπτωση και Απορροή



Υπολεκάνη: EL0514FR003043

Έκταση (KM2) : 29.89

Κατάντη : J24

Μέθοδος Απωλειών: SCS

Ποσοστό αδιαπέρατης επιφάνειας	0
Αριθμός Καμπύλης Απορροής-CN	64.04
Αρχικές Απώλειες	28.53

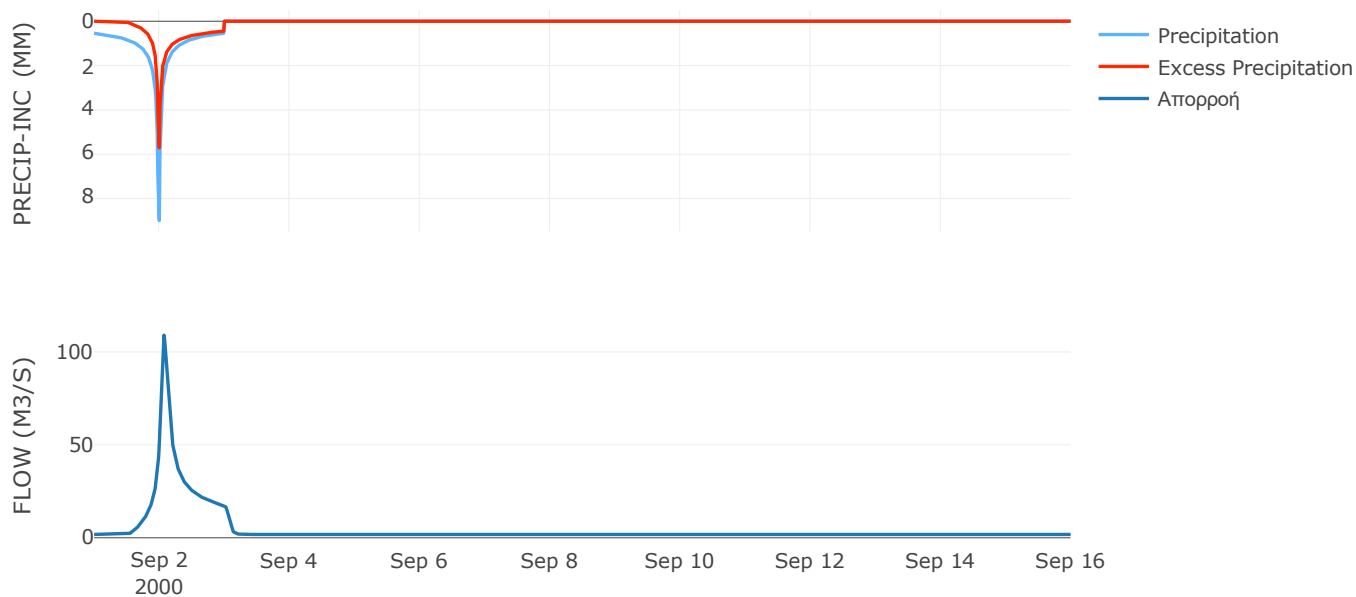
Μέθοδος
Μετασχηματισμού: SCS

Χρόνος Υστέρησης	88.72
------------------	-------

Αποτελέσματα:
EL0514FR003043

Παροχή αιχμής (M3/S)	109.05
Χρονική στιγμή αιχμής	02Sep2000, 01:45
Όγκος (MM)	198.06
Όγκος βροχόπτωσης (M3)	6.96E6
Όγκος απωλειών (M3)	3.36E6
Ενεργός Όγκος (M3)	3.6E6
Όγκος άμεσης απορροής (M3)	3.6E6
Όγκος βασικής απορροής (M3)	2.32E6

Βροχόπτωση και Απορροή



Υπολεκάνη: EL0514FR003044

Έκταση (KM2) : 19.82

Κατάντη : J24

Μέθοδος Απωλειών: SCS

Ποσοστό αδιαπέρατης επιφάνειας	0
Αριθμός Καμπύλης Απορροής-CN	59.92
Αρχικές Απώλειες	33.98

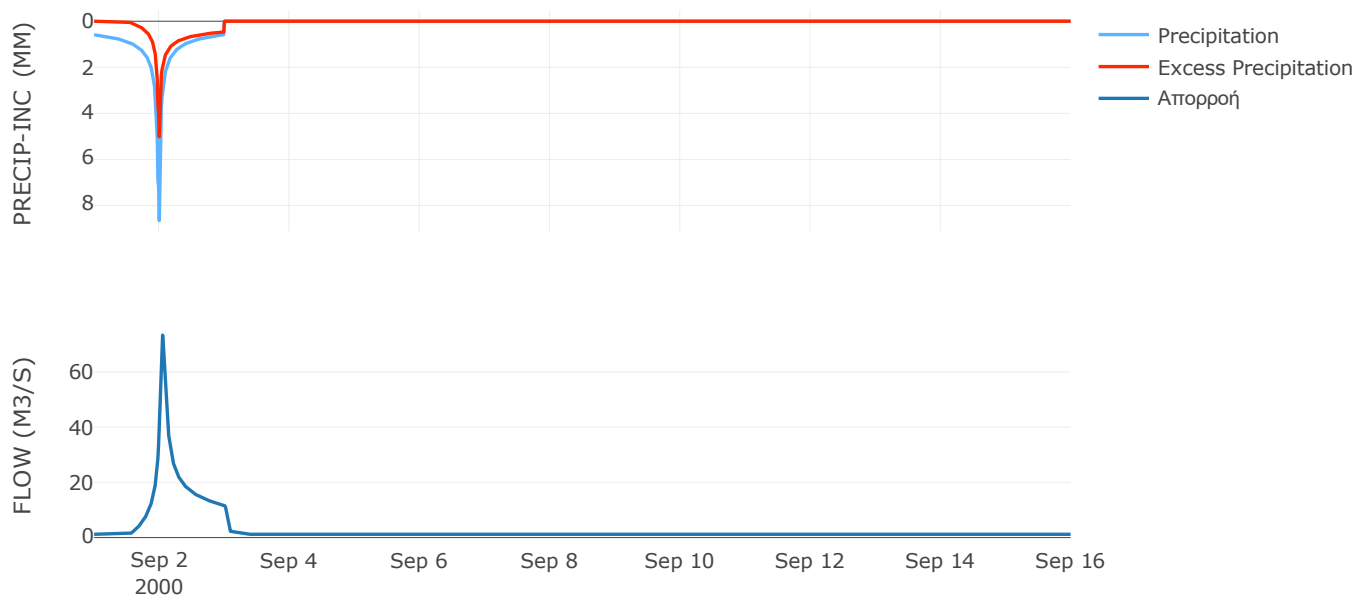
Μέθοδος
Μετασχηματισμού: SCS

Χρόνος Υστέρησης	59.39
------------------	-------

Αποτελέσματα:
EL0514FR003044

Παροχή αιχμής (M3/S)	73.32
Χρονική στιγμή αιχμής	02Sep2000, 01:15
Όγκος (MM)	192.18
Όγκος βροχόπτωσης (M3)	4.8E6
Όγκος απωλειών (M3)	2.53E6
Ενεργός Όγκος (M3)	2.27E6
Όγκος άμεσης απορροής (M3)	2.27E6
Όγκος βασικής απορροής (M3)	1.54E6

Βροχόπτωση και Απορροή



Υπολεκάνη: EL0514FR003045

Έκταση (KM2) : 19.47

Κατάντη : J26

Μέθοδος Απωλειών: SCS

Ποσοστό αδιαπέρατης επιφάνειας	0
Αριθμός Καμπύλης Απορροής-CN	43.49
Αρχικές Απώλειες	66.01

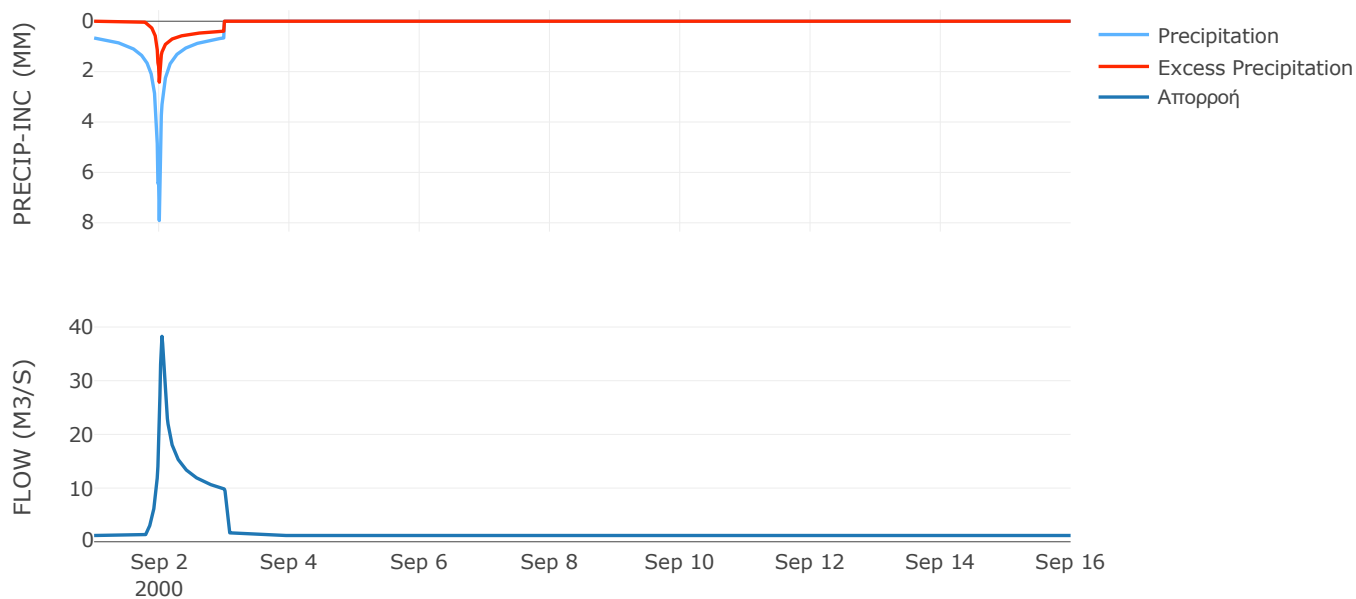
Μέθοδος
Μετασχηματισμού: SCS

Χρόνος Υστέρησης	43.83
------------------	-------

Αποτελέσματα:
EL0514FR003045

Παροχή αιχμής (M3/S)	38.27
Χρονική στιγμή αιχμής	02Sep2000, 01:00
Όγκος (MM)	146.39
Όγκος βροχόπτωσης (M3)	4.96E6
Όγκος απωλειών (M3)	3.62E6
Ενεργός Όγκος (M3)	1.34E6
Όγκος άμεσης απορροής (M3)	1.34E6
Όγκος βασικής απορροής (M3)	1.51E6

Βροχόπτωση και Απορροή



Υπολεκάνη: EL0514FR003046

Έκταση (KM2) : 5.63

Κατάντη : J24

Μέθοδος Απωλειών: SCS

Ποσοστό αδιαπέρατης επιφάνειας	0
Αριθμός Καμπύλης Απορροής-CN	64.24
Αρχικές Απώλειες	28.28

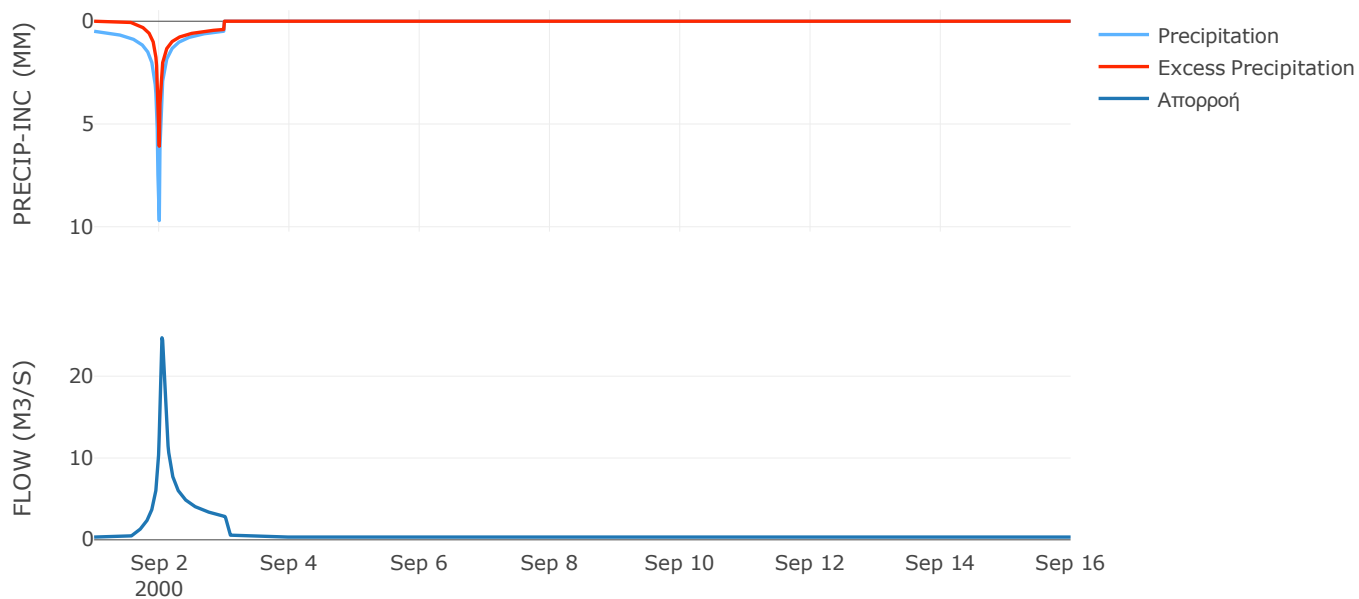
Μέθοδος
Μετασχηματισμού: SCS

Χρόνος Υστέρησης	56.98
------------------	-------

Αποτελέσματα:
EL0514FR003046

Παροχή αιχμής (M3/S)	24.7
Χρονική στιγμή αιχμής	02Sep2000, 01:00
Όγκος (MM)	191.9
Όγκος βροχόπτωσης (M3)	1.26E6
Όγκος απωλειών (M3)	6.22E5
Ενεργός Όγκος (M3)	6.42E5
Όγκος άμεσης απορροής (M3)	6.42E5
Όγκος βασικής απορροής (M3)	4.38E5

Βροχόπτωση και Απορροή



Υπολεκάνη: EL0514FR003047

Έκταση (KM2) : 17.53

Κατάντη : J25

Μέθοδος Απωλειών: SCS

Ποσοστό αδιαπέρατης επιφάνειας	0
Αριθμός Καμπύλης Απορροής-CN	63.23
Αρχικές Απώλειες	29.54

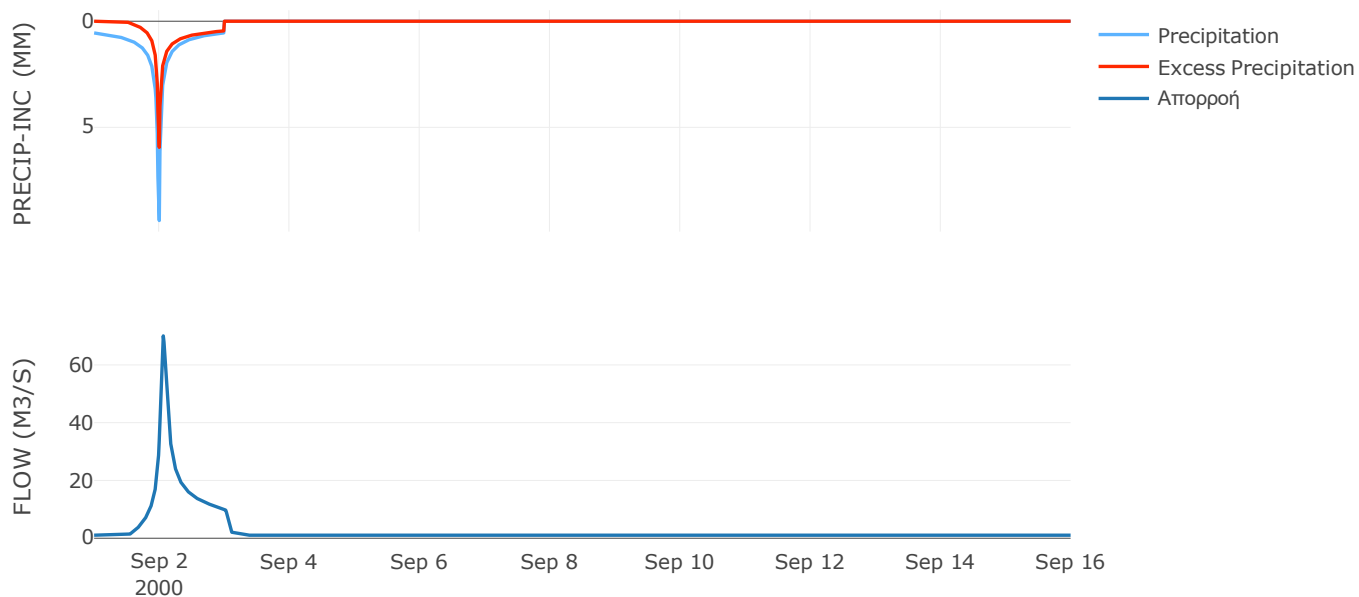
Μέθοδος
Μετασχηματισμού: SCS

Χρόνος Υστέρησης	75.69
------------------	-------

Αποτελέσματα:
EL0514FR003047

Παροχή αιχμής (M3/S)	70.04
Χρονική στιγμή αιχμής	02Sep2000, 01:30
Όγκος (MM)	200.96
Όγκος βροχόπτωσης (M3)	4.2E6
Όγκος απωλειών (M3)	2.04E6
Ενεργός Όγκος (M3)	2.16E6
Όγκος άμεσης απορροής (M3)	2.16E6
Όγκος βασικής απορροής (M3)	1.36E6

Βροχόπτωση και Απορροή



Υπολεκάνη: EL0514FR003048

Έκταση (KM2) : 3.98

Κατάντη : J25

Μέθοδος Απωλειών: SCS

Ποσοστό αδιαπέρατης επιφάνειας	0
Αριθμός Καμπύλης Απορροής-CN	63.27
Αρχικές Απώλειες	29.5

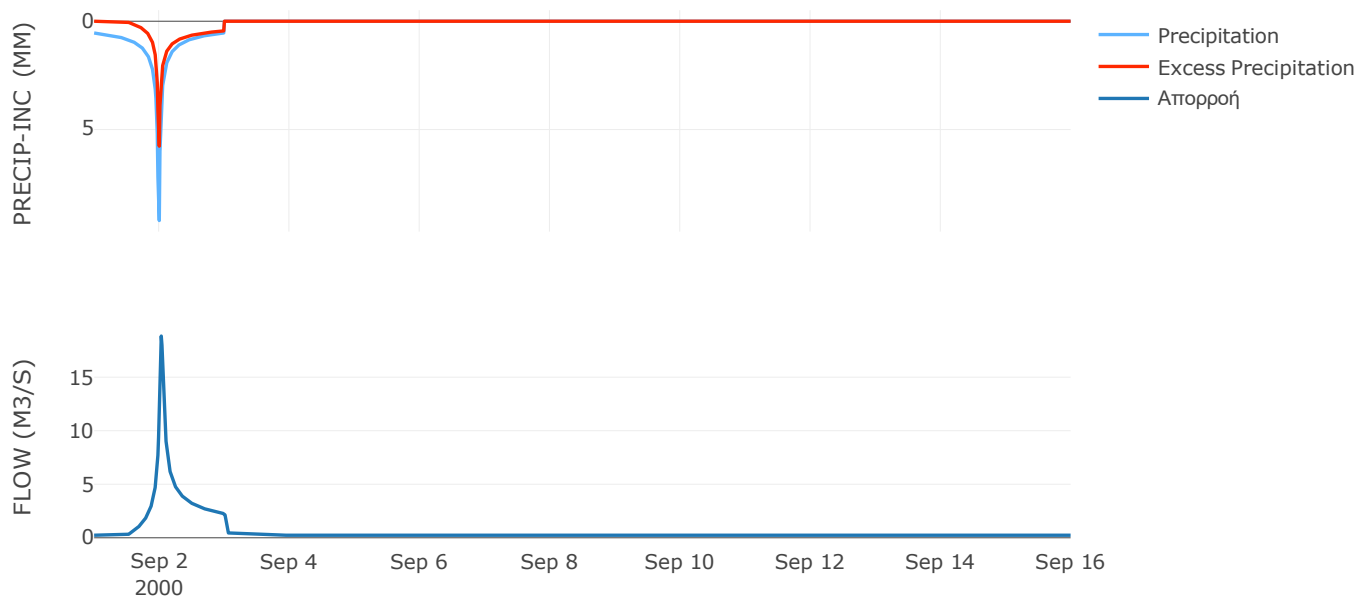
Μέθοδος
Μετασχηματισμού: SCS

Χρόνος Υστέρησης	38.67
------------------	-------

Αποτελέσματα:
EL0514FR003048

Παροχή αιχμής (M3/S)	18.84
Χρονική στιγμή αιχμής	02Sep2000, 00:45
Όγκος (MM)	197.8
Όγκος βροχόπτωσης (M3)	9.38E5
Όγκος απωλειών (M3)	4.6E5
Ενεργός Όγκος (M3)	4.78E5
Όγκος άμεσης απορροής (M3)	4.78E5
Όγκος βασικής απορροής (M3)	3.1E5

Βροχόπτωση και Απορροή



Υπολεκάνη: EL0514FR003049

Έκταση (KM2) : 37.37

Κατάντη : J26

Μέθοδος Απωλειών: SCS

Ποσοστό αδιαπέρατης επιφάνειας	0
Αριθμός Καμπύλης Απορροής-CN	55.21
Αρχικές Απώλειες	41.21

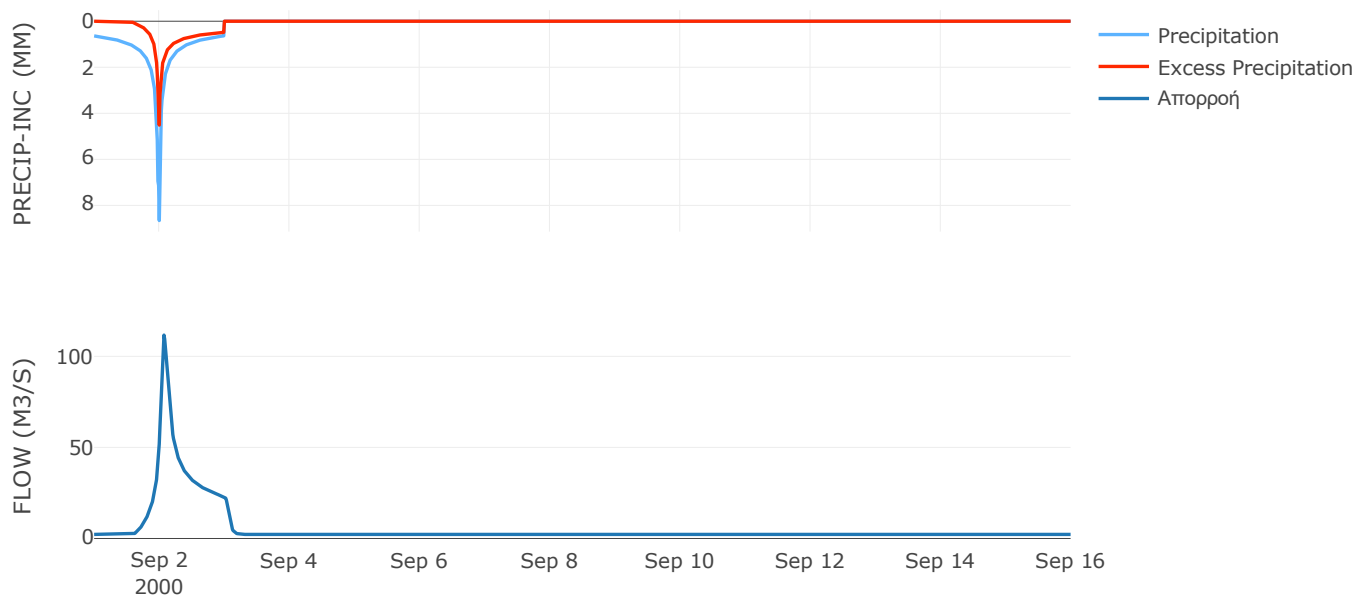
Μέθοδος
Μετασχηματισμού: SCS

Χρόνος Υστέρησης	87
------------------	----

Αποτελέσματα:
EL0514FR003049

Παροχή αιχμής (M3/S)	111.68
Χρονική στιγμή αιχμής	02Sep2000, 01:45
Όγκος (MM)	186.81
Όγκος βροχόπτωσης (M3)	9.54E6
Όγκος απωλειών (M3)	5.46E6
Ενεργός Όγκος (M3)	4.07E6
Όγκος άμεσης απορροής (M3)	4.07E6
Όγκος βασικής απορροής (M3)	2.91E6

Βροχόπτωση και Απορροή



Υπολεκάνη: EL0514FR003051

Έκταση (KM2) : 17.16

Κατάντη : J27

Μέθοδος Απωλειών: SCS

Ποσοστό αδιαπέρατης επιφάνειας	0
Αριθμός Καμπύλης Απορροής-CN	63.38
Αρχικές Απώλειες	29.36

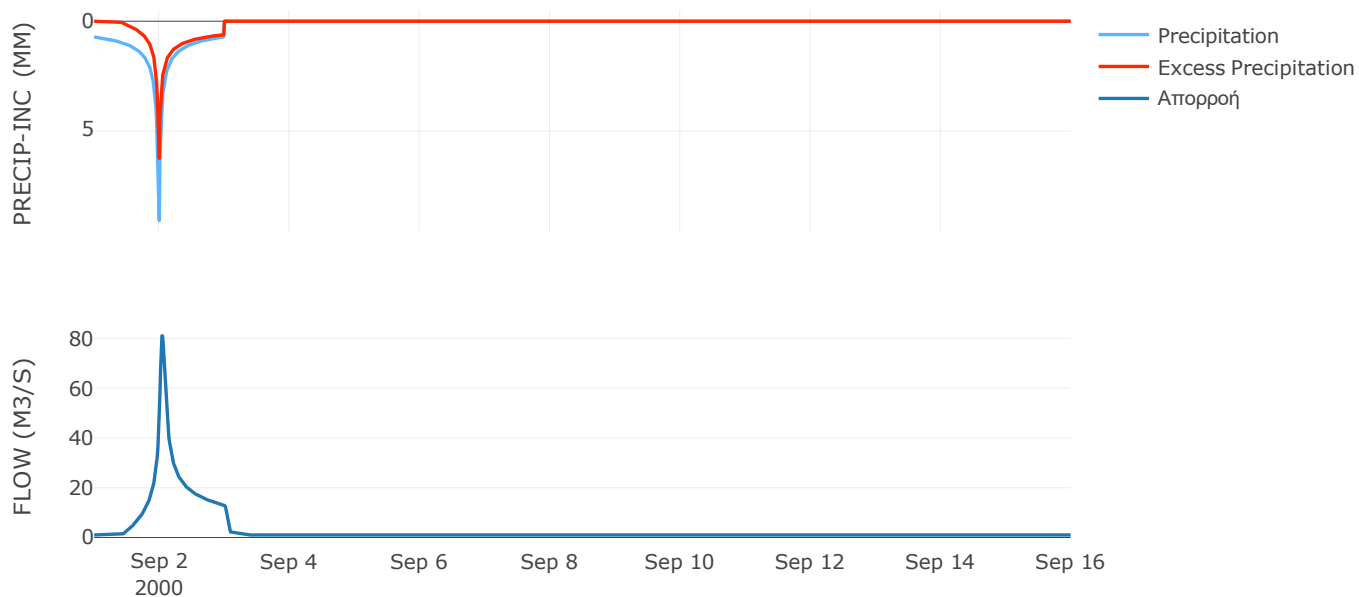
Μέθοδος
Μετασχηματισμού: SCS

Χρόνος Υστέρησης	59.12
------------------	-------

Αποτελέσματα:
EL0514FR003051

Παροχή αιχμής (M3/S)	81.03
Χρονική στιγμή αιχμής	02Sep2000, 01:00
Όγκος (MM)	235.71
Όγκος βροχόπτωσης (M3)	4.8E6
Όγκος απωλειών (M3)	2.09E6
Ενεργός Όγκος (M3)	2.71E6
Όγκος άμεσης απορροής (M3)	2.71E6
Όγκος βασικής απορροής (M3)	1.33E6

Βροχόπτωση και Απορροή



Υπολεκάνη: EL0514FR003052

Έκταση (KM2) : 20.26

Κατάνη : J27

Μέθοδος Απωλειών: SCS

Ποσοστό αδιαπέρατης επιφάνειας	0
Αριθμός Καμπύλης Απορροής-CN	63.81
Αρχικές Απώλειες	28.81

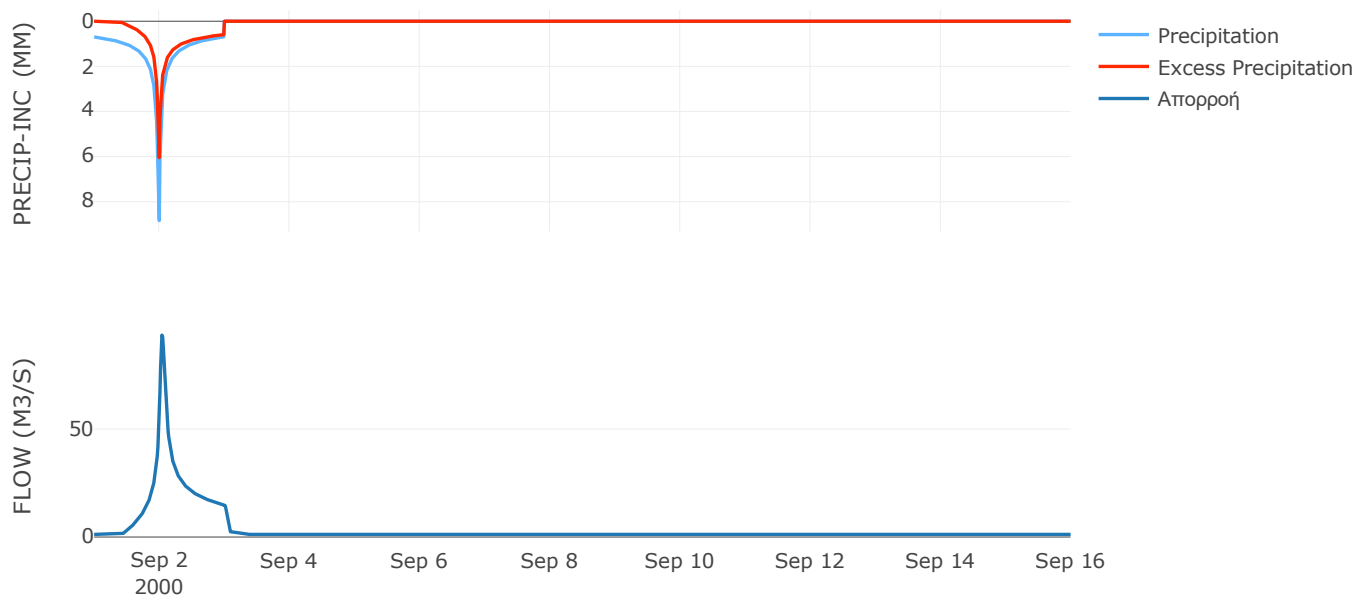
Μέθοδος
Μετασχηματισμού: SCS

Χρόνος Υστέρησης	57.46
------------------	-------

Αποτελέσματα:
EL0514FR003052

Παροχή αιχμής (M3/S)	93.47
Χρονική στιγμή αιχμής	02Sep2000, 01:00
Όγκος (MM)	230.3
Όγκος βροχόπτωσης (M3)	5.5E6
Όγκος απωλειών (M3)	2.42E6
Ενεργός Όγκος (M3)	3.09E6
Όγκος άμεσης απορροής (M3)	3.09E6
Όγκος βασικής απορροής (M3)	1.58E6

Βροχόπτωση και Απορροή



Υπολεκάνη: EL0514FR003053

Έκταση (KM2) : 23.12

Κατάντη : J27

Μέθοδος Απωλειών: SCS

Ποσοστό αδιαπέρατης επιφάνειας	0
Αριθμός Καμπύλης Απορροής-CN	64.18
Αρχικές Απώλειες	28.35

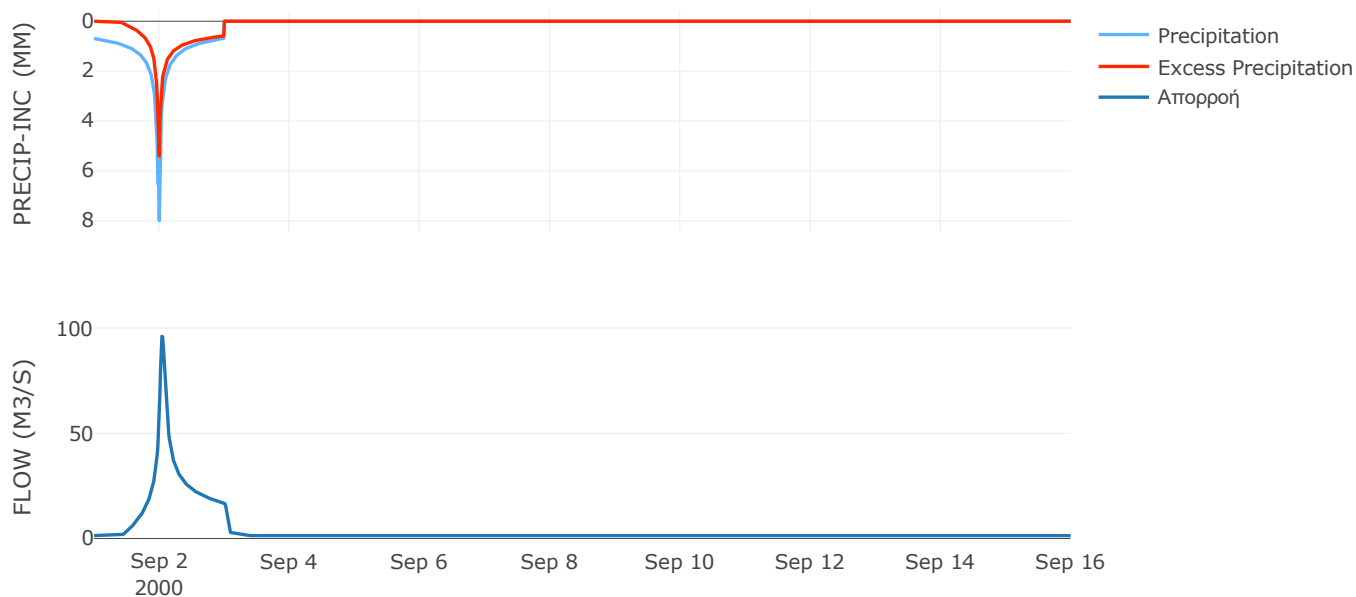
Μέθοδος
Μετασχηματισμού: SCS

Χρόνος Υστέρησης	58.28
------------------	-------

Αποτελέσματα:
EL0514FR003053

Παροχή αιχμής (M3/S)	96.09
Χρονική στιγμή αιχμής	02Sep2000, 01:00
Όγκος (MM)	223.24
Όγκος βροχόπτωσης (M3)	6.06E6
Όγκος απωλειών (M3)	2.7E6
Ενεργός Όγκος (M3)	3.36E6
Όγκος άμεσης απορροής (M3)	3.36E6
Όγκος βασικής απορροής (M3)	1.8E6

Βροχόπτωση και Απορροή



Υπολεκάνη: EL0514FR003054

Έκταση (KM2) : 25.24

Κατάντη : J28

Μέθοδος Απωλειών: SCS

Ποσοστό αδιαπέρατης επιφάνειας	0
Αριθμός Καμπύλης Απορροής-CN	49.6
Αρχικές Απώλειες	51.61

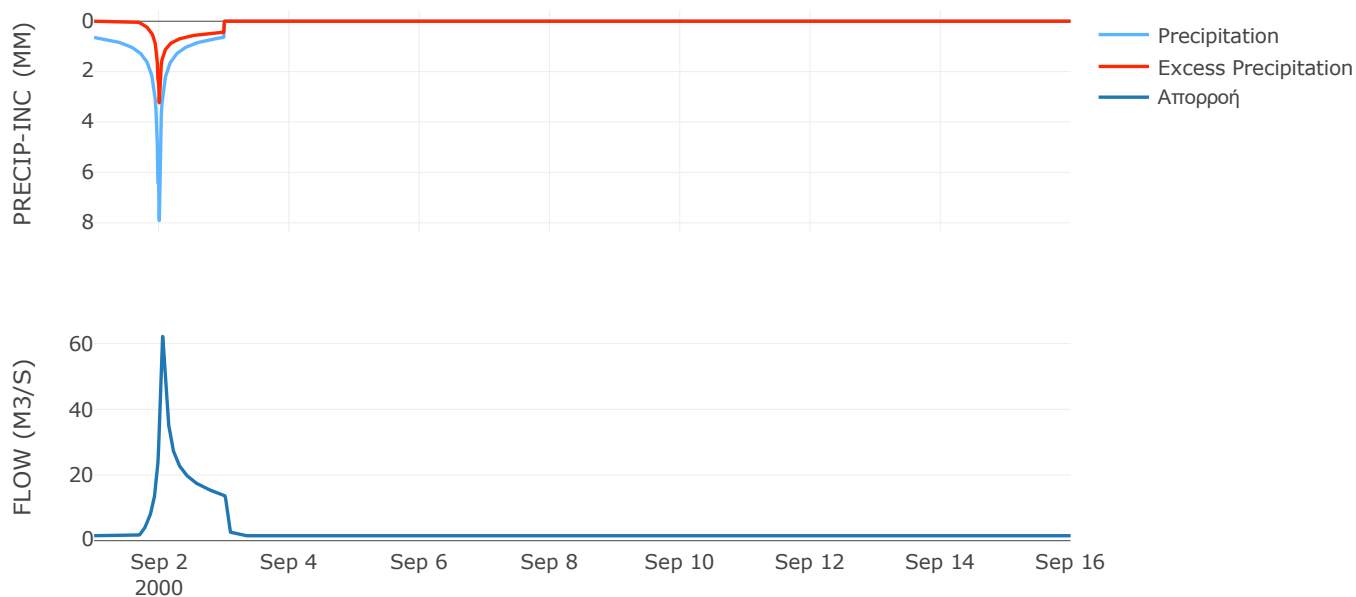
Μέθοδος
Μετασχηματισμού: SCS

Χρόνος Υστέρησης	56.1
------------------	------

Αποτελέσματα:
EL0514FR003054

Παροχή αιχμής (M3/S)	62.18
Χρονική στιγμή αιχμής	02Sep2000, 01:15
Όγκος (MM)	163.31
Όγκος βροχόπτωσης (M3)	6.29E6
Όγκος απωλειών (M3)	4.13E6
Ενεργός Όγκος (M3)	2.16E6
Όγκος άμεσης απορροής (M3)	2.16E6
Όγκος βασικής απορροής (M3)	1.96E6

Βροχόπτωση και Απορροή



Υπολεκάνη: EL0514FR003055

Έκταση (KM2) : 14.63

Κατάντη : J29

Μέθοδος Απωλειών: SCS

Ποσοστό αδιαπέρατης επιφάνειας	0
Αριθμός Καμπύλης Απορροής-CN	56.18
Αρχικές Απώλειες	39.63

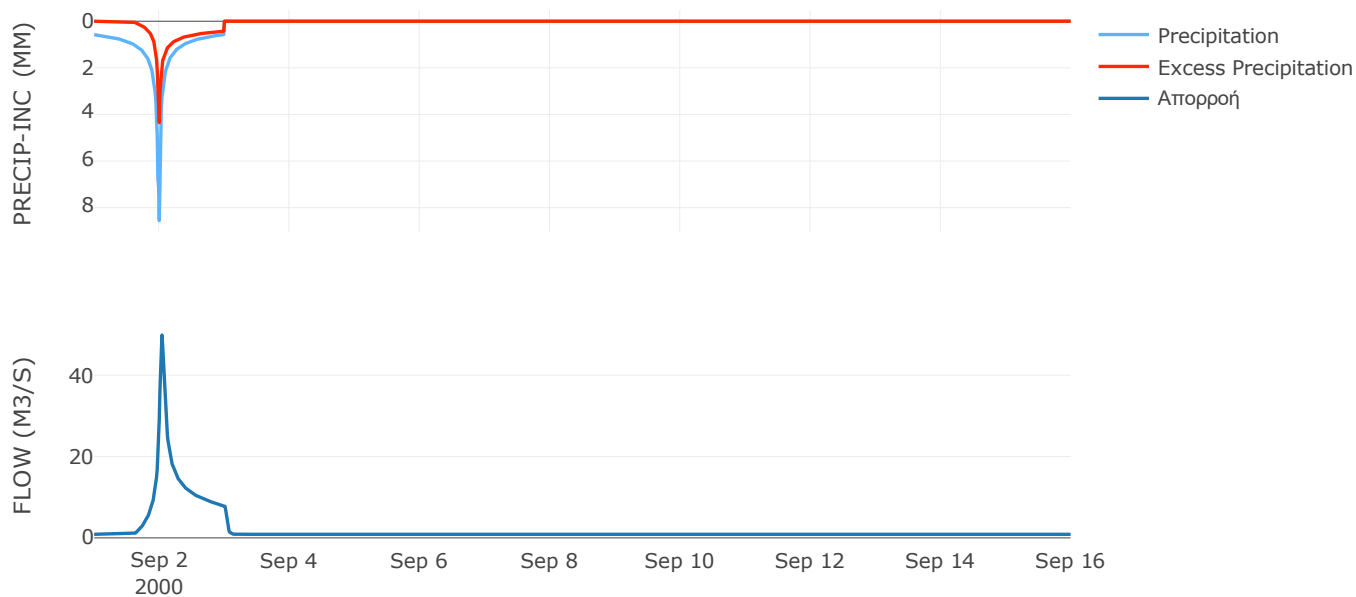
Μέθοδος
Μετασχηματισμού: SCS

Χρόνος Υστέρησης	46.84
------------------	-------

Αποτελέσματα:
EL0514FR003055

Παροχή αιχμής (M3/S)	49.88
Χρονική στιγμή αιχμής	02Sep2000, 01:00
Όγκος (MM)	176.79
Όγκος βροχόπτωσης (M3)	3.48E6
Όγκος απωλειών (M3)	2.03E6
Ενεργός Όγκος (M3)	1.45E6
Όγκος άμεσης απορροής (M3)	1.45E6
Όγκος βασικής απορροής (M3)	1.14E6

Βροχόπτωση και Απορροή



Υπολεκάνη: EL0514FR003056

Έκταση (KM2) : 25.33

Κατάντη : J29

Μέθοδος Απωλειών: SCS

Ποσοστό αδιαπέρατης επιφάνειας	0
Αριθμός Καμπύλης Απορροής-CN	51.75
Αρχικές Απώλειες	47.36

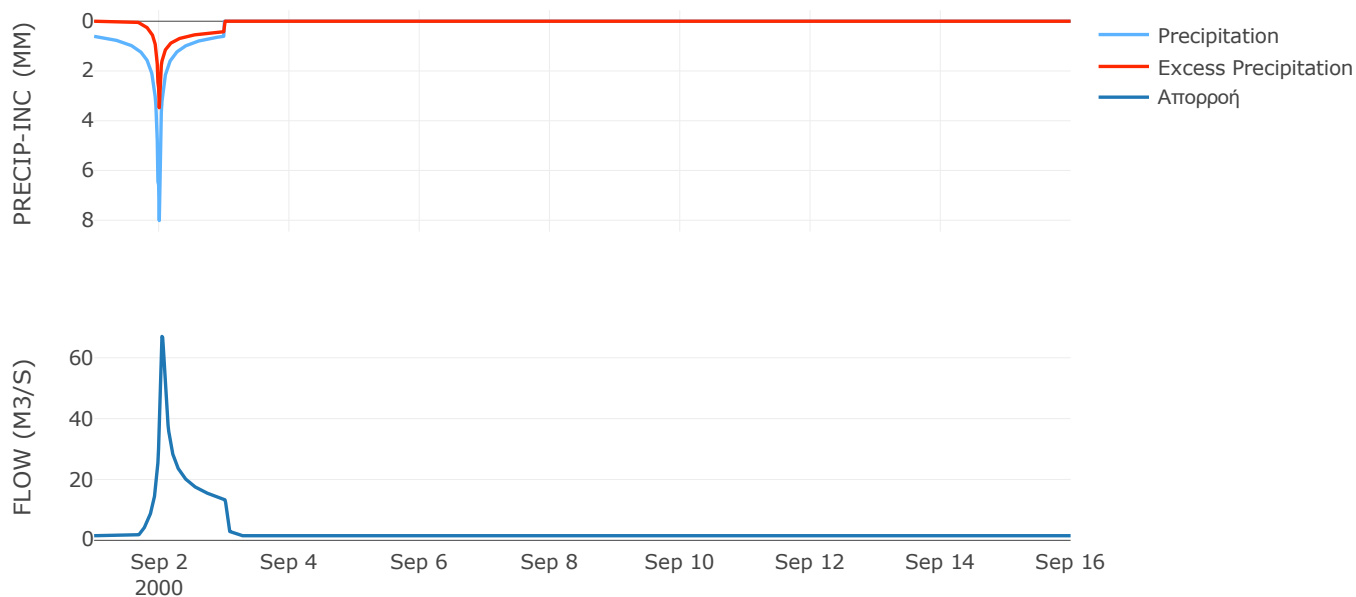
Μέθοδος
Μετασχηματισμού: SCS

Χρόνος Υστέρησης	54.23
------------------	-------

Αποτελέσματα:
EL0514FR003056

Παροχή αιχμής (M3/S)	67.01
Χρονική στιγμή αιχμής	02Sep2000, 01:00
Όγκος (MM)	164.83
Όγκος βροχόπτωσης (M3)	6.1E6
Όγκος απωλειών (M3)	3.9E6
Ενεργός Όγκος (M3)	2.21E6
Όγκος άμεσης απορροής (M3)	2.21E6
Όγκος βασικής απορροής (M3)	1.97E6

Βροχόπτωση και Απορροή



Υπολεκάνη: EL0514FR003057

Έκταση (KM2) : 14.19

Κατάντη : J28

Μέθοδος Απωλειών: SCS

Ποσοστό αδιαπέρατης επιφάνειας	0
Αριθμός Καμπύλης Απορροής-CN	63.61
Αρχικές Απώλειες	29.06

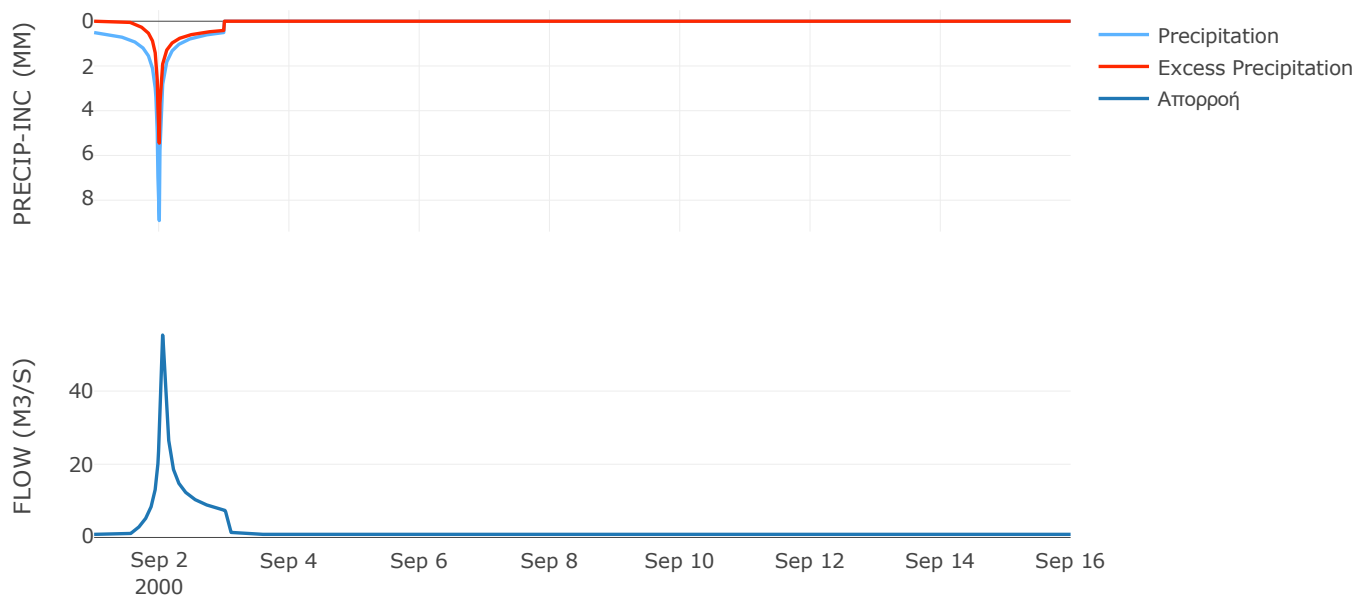
Μέθοδος
Μετασχηματισμού: SCS

Χρόνος Υστέρησης	61.45
------------------	-------

Αποτελέσματα:
EL0514FR003057

Παροχή αιχμής (M3/S)	55.32
Χρονική στιγμή αιχμής	02Sep2000, 01:15
Όγκος (MM)	188.36
Όγκος βροχόπτωσης (M3)	3.16E6
Όγκος απωλειών (M3)	1.59E6
Ενεργός Όγκος (M3)	1.57E6
Όγκος άμεσης απορροής (M3)	1.57E6
Όγκος βασικής απορροής (M3)	1.1E6

Βροχόπτωση και Απορροή



Υπολεκάνη: EL0514FR003058

Έκταση (KM2) : 75.13

Κατάντη : J4 Res1

Μέθοδος Απωλειών: SCS

Ποσοστό αδιαπέρατης επιφάνειας	0.15
Αριθμός Καμπύλης Απορροής-CN	67.45
Αρχικές Απώλειες	24.52

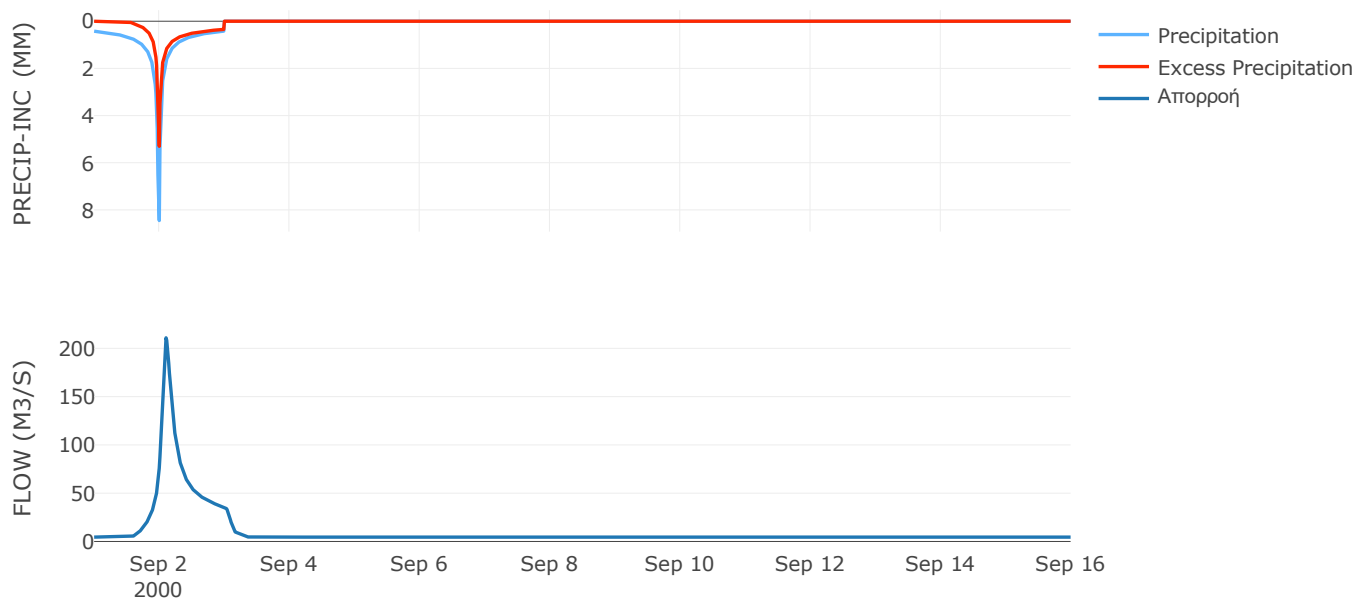
Μέθοδος
Μετασχηματισμού: SCS

Χρόνος Υστέρησης	129.81
------------------	--------

Αποτελέσματα:
EL0514FR003058

Παροχή αιχμής (M3/S)	210.9
Χρονική στιγμή αιχμής	02Sep2000, 02:30
Όγκος (MM)	176.77
Όγκος βροχόπτωσης (M3)	1.46E7
Όγκος απωλειών (M3)	7.18E6
Ενεργός Όγκος (M3)	7.44E6
Όγκος άμεσης απορροής (M3)	7.44E6
Όγκος βασικής απορροής (M3)	5.84E6

Βροχόπτωση και Απορροή



Υπολεκάνη: EL0514FR003059

Έκταση (KM2) : 14.46

Κατάντη : J3

Μέθοδος Απωλειών: SCS

Ποσοστό αδιαπέρατης επιφάνειας	0
Αριθμός Καμπύλης Απορροής-CN	62.2
Αρχικές Απώλειες	30.87

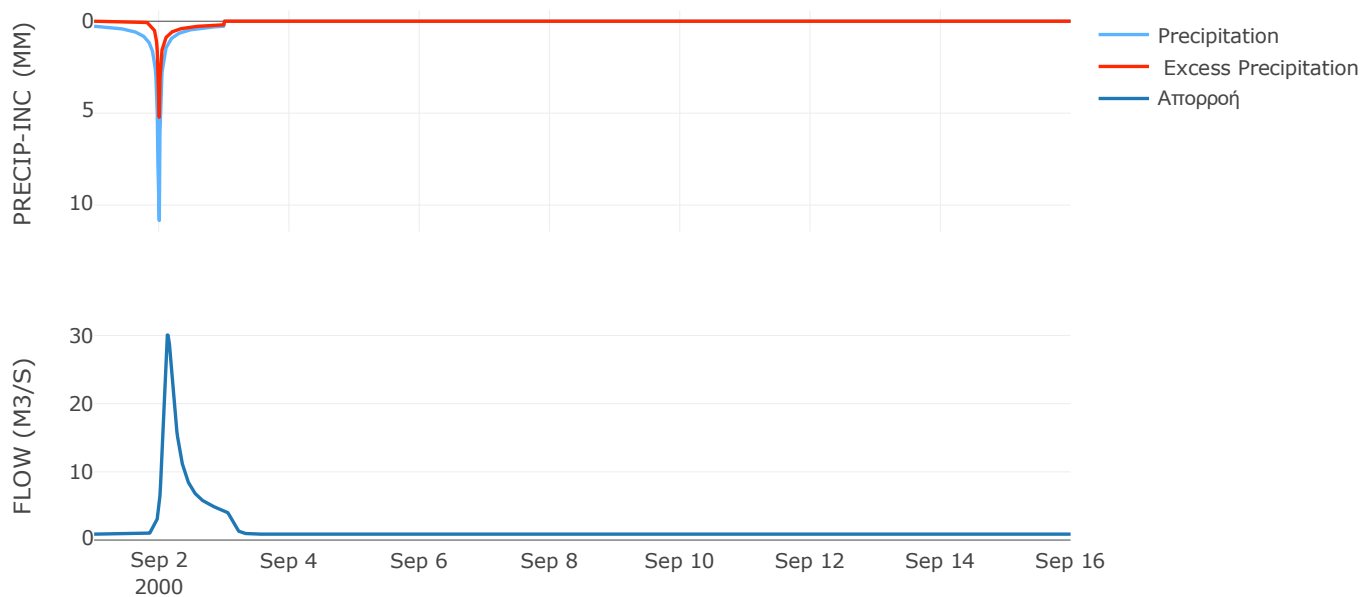
Μέθοδος
Μετασχηματισμού: SCS

Χρόνος Υστέρησης	158.48
------------------	--------

Αποτελέσματα:
EL0514FR003059

Παροχή αιχμής (M3/S)	30.08
Χρονική στιγμή αιχμής	02Sep2000, 03:00
Όγκος (MM)	141.91
Όγκος βροχόπτωσης (M3)	2.42E6
Όγκος απωλειών (M3)	1.49E6
Ενεργός Όγκος (M3)	9.27E5
Όγκος άμεσης απορροής (M3)	9.27E5
Όγκος βασικής απορροής (M3)	1.12E6

Βροχόπτωση και Απορροή



Υπολεκάνη: EL0514FR003060

Έκταση (KM2) : 25.82

Κατάντη : J1

Μέθοδος Απωλειών: SCS

Ποσοστό αδιαπέρατης επιφάνειας	0
Αριθμός Καμπύλης Απορροής-CN	61.43
Αρχικές Απώλειες	31.89

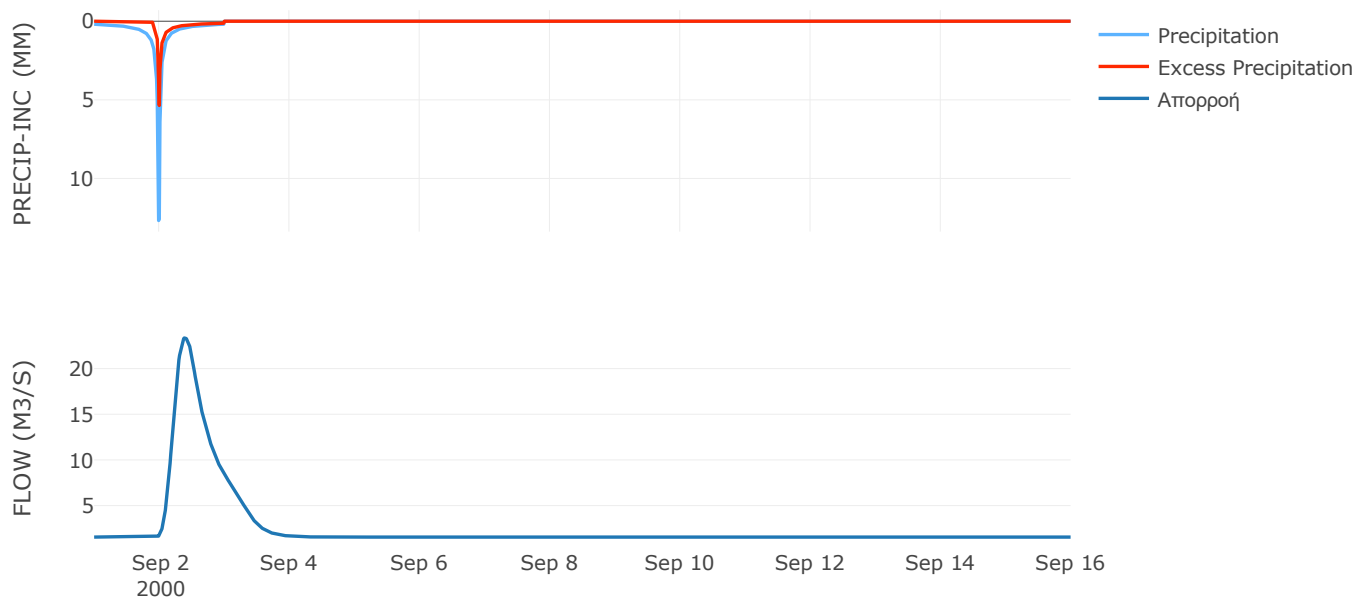
Μέθοδος
Μετασχηματισμού: SCS

Χρόνος Υστέρησης	480.13
------------------	--------

Αποτελέσματα:
EL0514FR003060

Παροχή αιχμής (M3/S)	23.37
Χρονική στιγμή αιχμής	02Sep2000, 09:30
Όγκος (MM)	127.56
Όγκος βροχόπτωσης (M3)	3.85E6
Όγκος απωλειών (M3)	2.57E6
Ενεργός Όγκος (M3)	1.29E6
Όγκος άμεσης απορροής (M3)	1.29E6
Όγκος βασικής απορροής (M3)	2.01E6

Βροχόπτωση και Απορροή



Υπολεκάνη: EL0514FR003061

Έκταση (KM2) : 37.42

Κατάντη : J16

Μέθοδος Απωλειών: SCS

Ποσοστό αδιαπέρατης επιφάνειας	0
Αριθμός Καμπύλης Απορροής-CN	56.42
Αρχικές Απώλειες	39.24

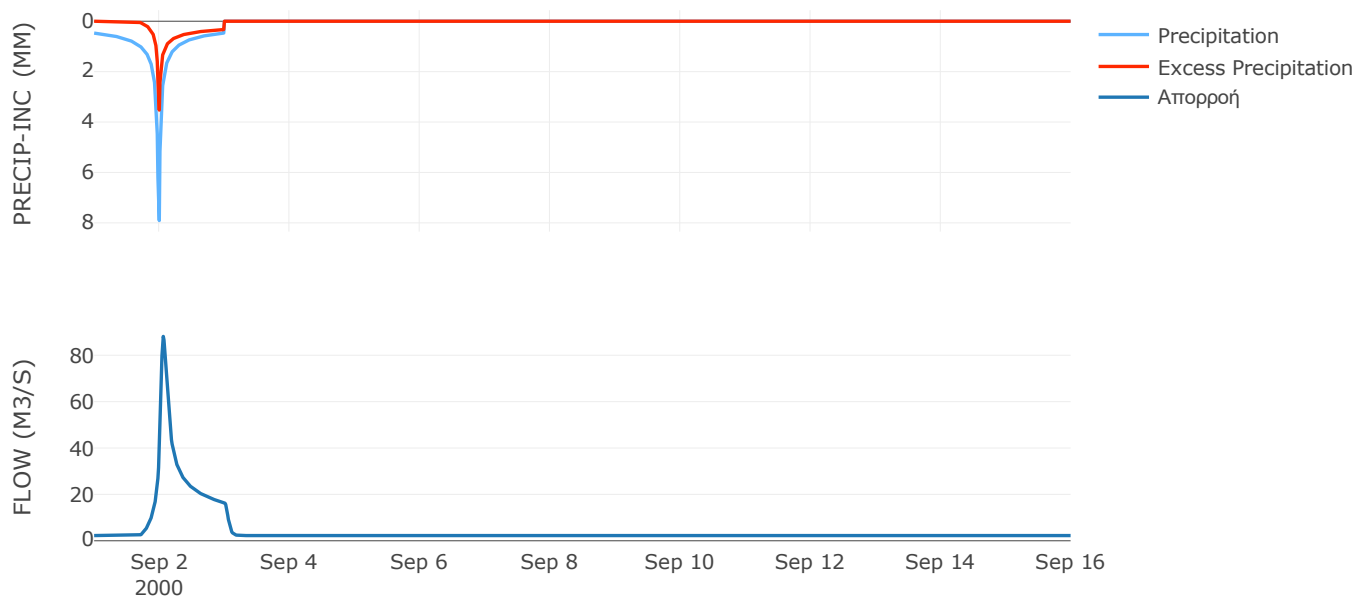
Μέθοδος
Μετασχηματισμού: SCS

Χρόνος Υστέρησης	75.57
------------------	-------

Αποτελέσματα:
EL0514FR003061

Παροχή αιχμής (M3/S)	88.13
Χρονική στιγμή αιχμής	02Sep2000, 01:30
Όγκος (MM)	152.51
Όγκος βροχόπτωσης (M3)	7.61E6
Όγκος απωλειών (M3)	4.81E6
Ενεργός Όγκος (M3)	2.8E6
Όγκος άμεσης απορροής (M3)	2.8E6
Όγκος βασικής απορροής (M3)	2.91E6

Βροχόπτωση και Απορροή



Υπολεκάνη: EL0514FR003062

Έκταση (KM2) : 48.98

Κατάντη : J16

Μέθοδος Απωλειών: SCS

Ποσοστό αδιαπέρατης επιφάνειας	0
Αριθμός Καμπύλης Απορροής-CN	62.92
Αρχικές Απώλειες	29.94

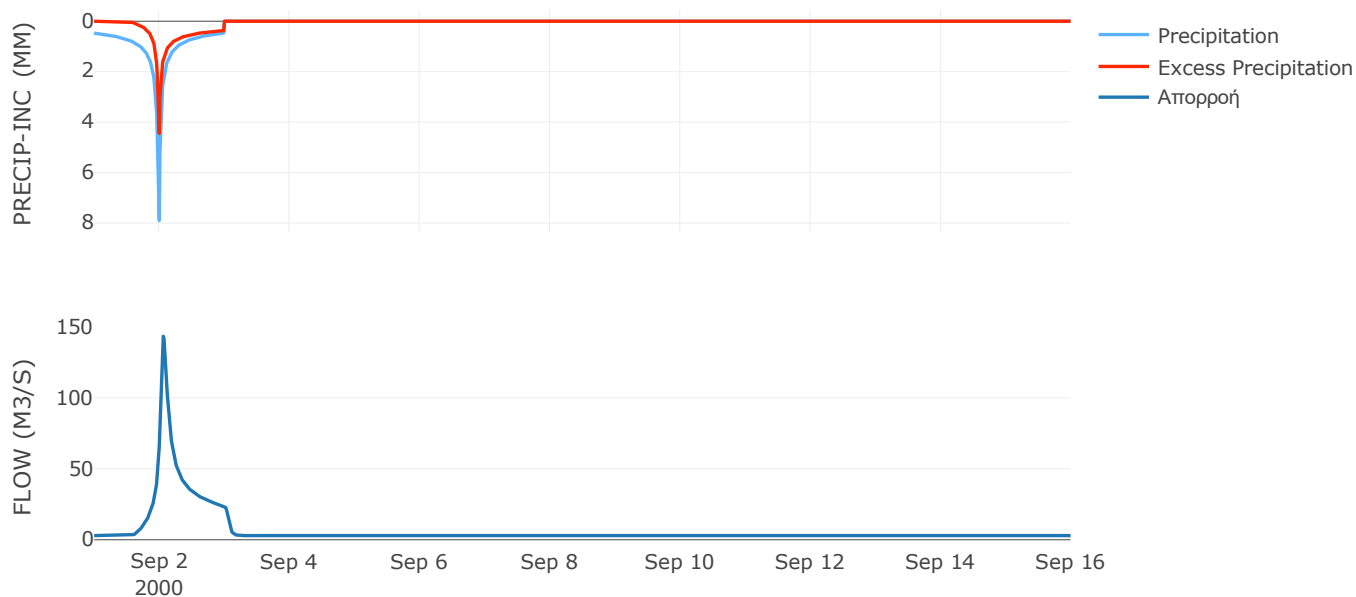
Μέθοδος
Μετασχηματισμού: SCS

Χρόνος Υστέρησης	80.56
------------------	-------

Αποτελέσματα:
EL0514FR003062

Παροχή αιχμής (M3/S)	143.32
Χρονική στιγμή αιχμής	02Sep2000, 01:30
Όγκος (MM)	170.93
Όγκος βροχόπτωσης (M3)	9.97E6
Όγκος απωλειών (M3)	5.4E6
Ενεργός Όγκος (M3)	4.56E6
Όγκος άμεσης απορροής (M3)	4.56E6
Όγκος βασικής απορροής (M3)	3.81E6

Βροχόπτωση και Απορροή



Υπολεκάνη: EL0514FR003063

Έκταση (KM2) : 28.06

Κατάνη : J4 Res1

Μέθοδος Απωλειών: SCS

Ποσοστό αδιαπέρατης επιφάνειας	0
Αριθμός Καμπύλης Απορροής-CN	45.2
Αρχικές Απώλειες	61.58

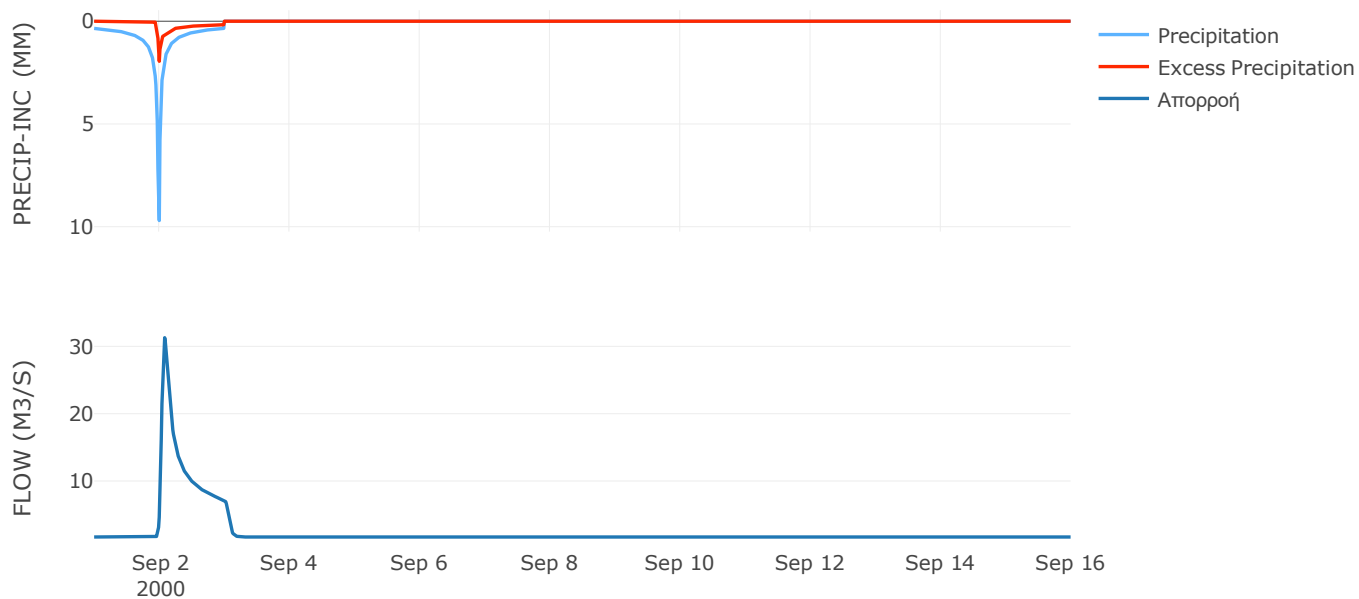
Μέθοδος
Μετασχηματισμού: SCS

Χρόνος Υστέρησης	84.23
------------------	-------

Αποτελέσματα:
EL0514FR003063

Παροχή αιχμής (M3/S)	31.29
Χρονική στιγμή αιχμής	02Sep2000, 02:00
Όγκος (MM)	112.45
Όγκος βροχόπτωσης (M3)	5.16E6
Όγκος απωλειών (M3)	4.18E6
Ενεργός Όγκος (M3)	9.73E5
Όγκος άμεσης απορροής (M3)	9.73E5
Όγκος βασικής απορροής (M3)	2.18E6

Βροχόπτωση και Απορροή



Υπολεκάνη: EL0514FR003065

Έκταση (KM2) : 8.81

Κατάντη : J13

Μέθοδος Απωλειών: SCS

Ποσοστό αδιαπέρατης επιφάνειας	0
Αριθμός Καμπύλης Απορροής-CN	50.09
Αρχικές Απώλειες	50.61

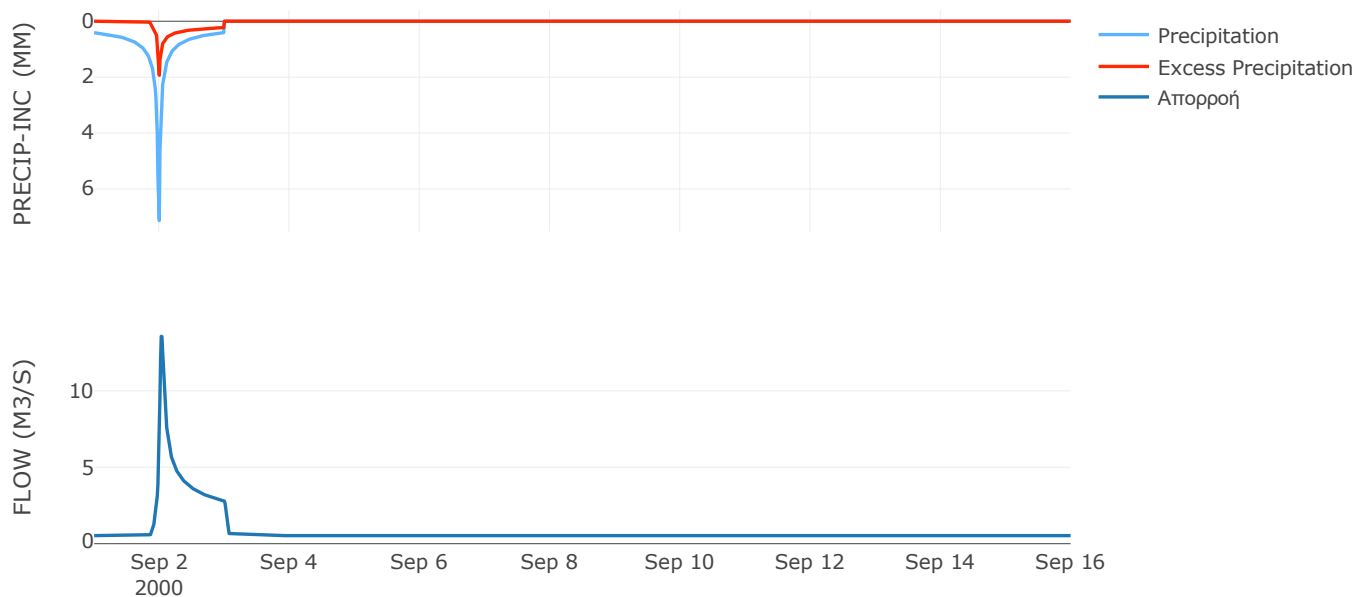
Μέθοδος
Μετασχηματισμού: SCS

Χρόνος Υστέρησης	38.49
------------------	-------

Αποτελέσματα:
EL0514FR003065

Παροχή αιχμής (M3/S)	13.57
Χρονική στιγμή αιχμής	02Sep2000, 00:45
Όγκος (MM)	120.99
Όγκος βροχόπτωσης (M3)	1.58E6
Όγκος απωλειών (M3)	1.2E6
Ενεργός Όγκος (M3)	3.81E5
Όγκος άμεσης απορροής (M3)	3.81E5
Όγκος βασικής απορροής (M3)	6.85E5

Βροχόπτωση και Απορροή



Υπολεκάνη: EL0514FR003066

Έκταση (KM2) : 6.92

Κατάντη : J5

Μέθοδος Απωλειών: SCS

Ποσοστό αδιαπέρατης επιφάνειας	0.22
Αριθμός Καμπύλης Απορροής-CN	72.13
Αρχικές Απώλειες	19.63

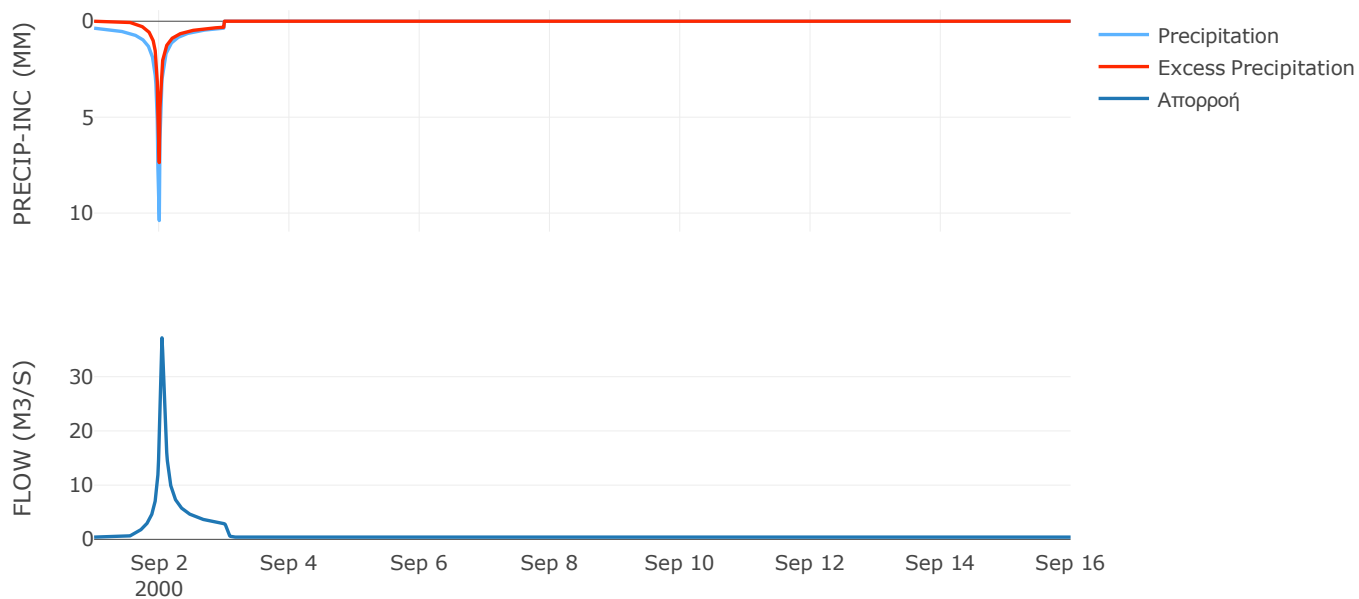
Μέθοδος
Μετασχηματισμού: SCS

Χρόνος Υστέρησης	50.09
------------------	-------

Αποτελέσματα:
EL0514FR003066

Παροχή αιχμής (M3/S)	37.18
Χρονική στιγμή αιχμής	02Sep2000, 01:00
Όγκος (MM)	188.7
Όγκος βροχόπτωσης (M3)	1.33E6
Όγκος απωλειών (M3)	5.68E5
Ενεργός Όγκος (M3)	7.67E5
Όγκος άμεσης απορροής (M3)	7.67E5
Όγκος βασικής απορροής (M3)	5.38E5

Βροχόπτωση και Απορροή



Υπολεκάνη: EL0514FR003067

Έκταση (KM2) : 46.66

Κατάντη : J2

Μέθοδος Απωλειών: SCS

Ποσοστό αδιαπέρατης επιφάνειας	0
Αριθμός Καμπύλης Απορροής-CN	57.2
Αρχικές Απώλειες	38.02

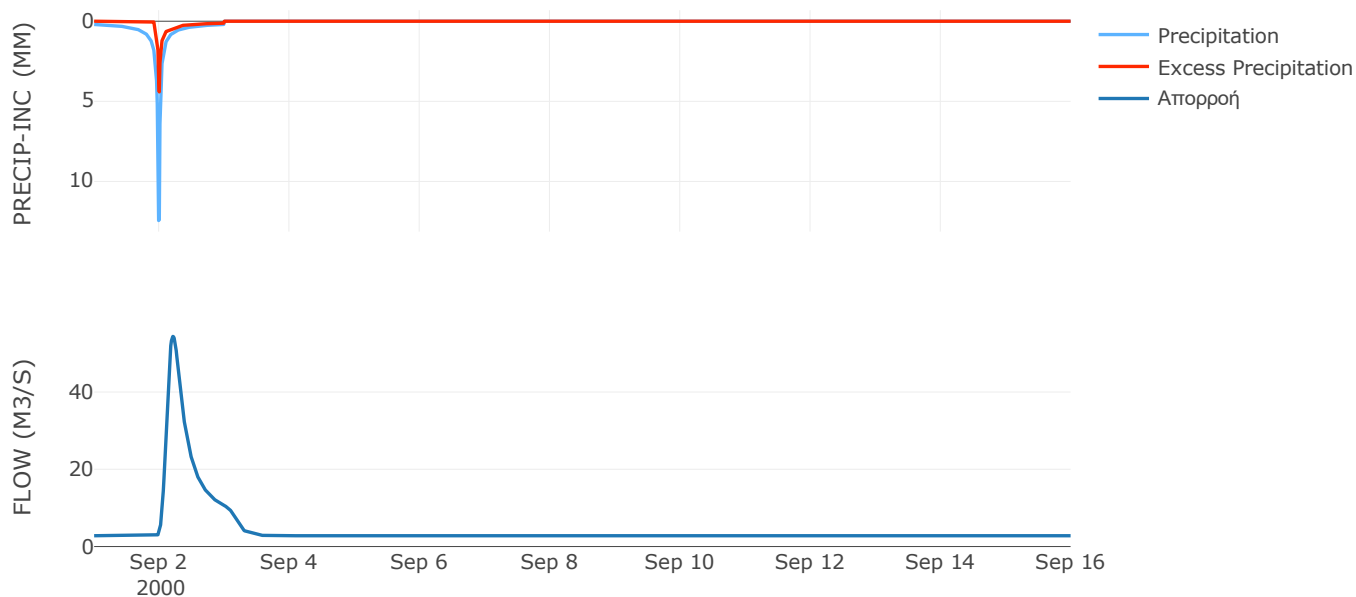
Μέθοδος
Μετασχηματισμού: SCS

Χρόνος Υστέρησης	248.33
------------------	--------

Αποτελέσματα:
EL0514FR003067

Παροχή αιχμής (M3/S)	54.4
Χρονική στιγμή αιχμής	02Sep2000, 05:00
Όγκος (MM)	120.88
Όγκος βροχόπτωσης (M3)	7.12E6
Όγκος απωλειών (M3)	5.11E6
Ενεργός Όγκος (M3)	2.01E6
Όγκος άμεσης απορροής (M3)	2.01E6
Όγκος βασικής απορροής (M3)	3.63E6

Βροχόπτωση και Απορροή



3.2 Δεδομένα και υδρογραφήματα σχεδιασμού Κλάδων υδρογραφικού δικτύου

Κλάδος: R21

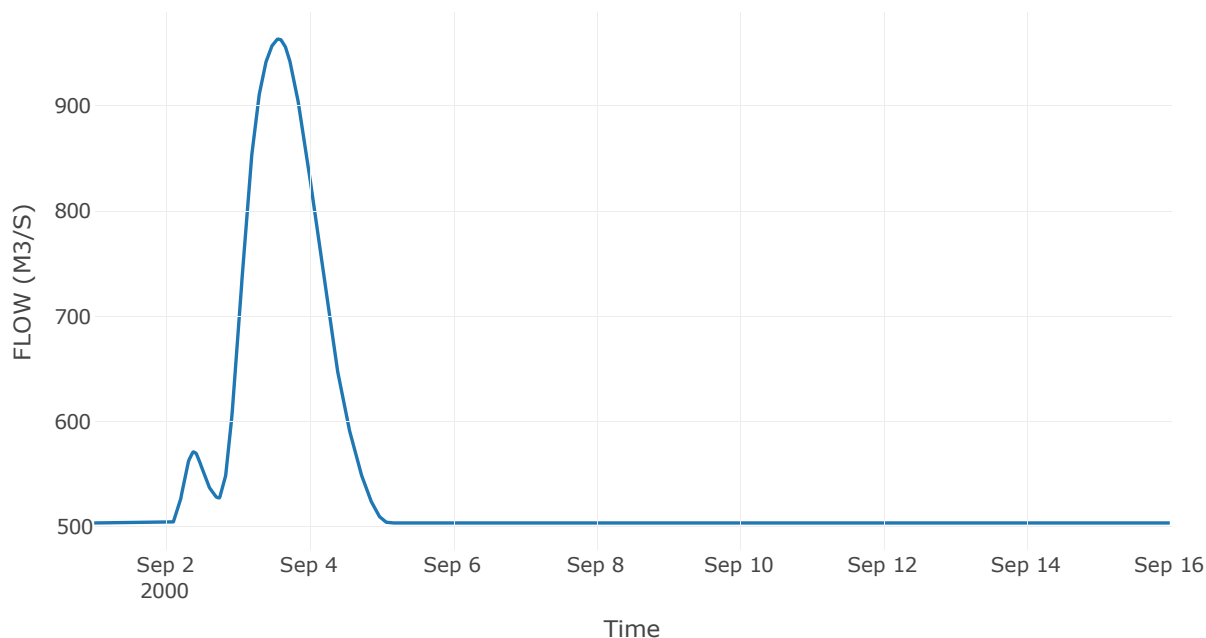
Κατάντη : J1

Μέθοδος Διόδευσης	Muskingum
Αρχική Μεταβλητή	Combined Inflow
Muskingum K	2.82
Συντελεστής βάρους x	0.2
Πλήθος Υποκλάδων	11

Αποτελέσματα: R21

Παροχή Αιχμής(M3/S)	963.36
Χρονική στιγμή αιχμής	03Sep2000, 13:45
Όγκος(MM)	372.42
Παροχή Αιχμής Εισόδου (M3/S)	963.98
Όγκος Εισροής(M3)	7.01E8

Απορροή



Κλάδος: R32

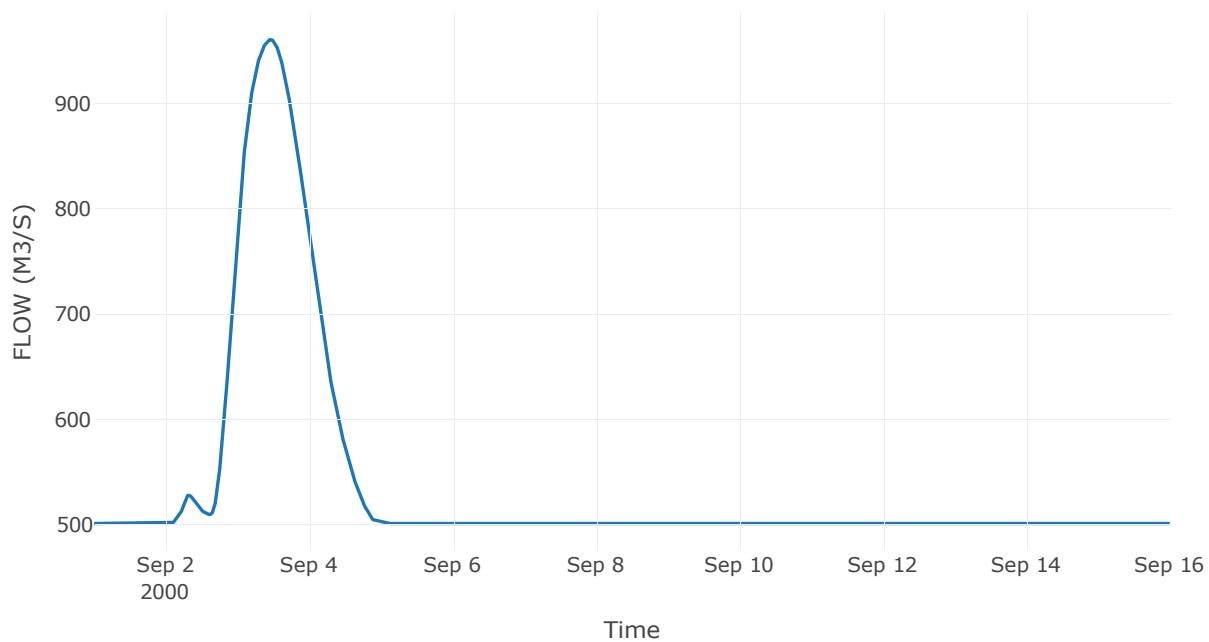
Κατάντη : J2

Μέθοδος Διόδευσης	Muskingum
Αρχική Μεταβλητή	Combined Inflow
Muskingum K	4.42
Συντελεστής βάρους x	0.2
Πλήθος Υποκλάδων	18

Αποτελέσματα: R32

Παροχή Αιχμής(M3/S)	960.85
Χρονική στιγμή αιχμής	03Sep2000, 11:00
Όγκος(MM)	378.82
Παροχή Αιχμής Εισόδου (M3/S)	961.83
Όγκος Εισροής(M3)	6.96E8

Απορροή



Κλάδος: R43

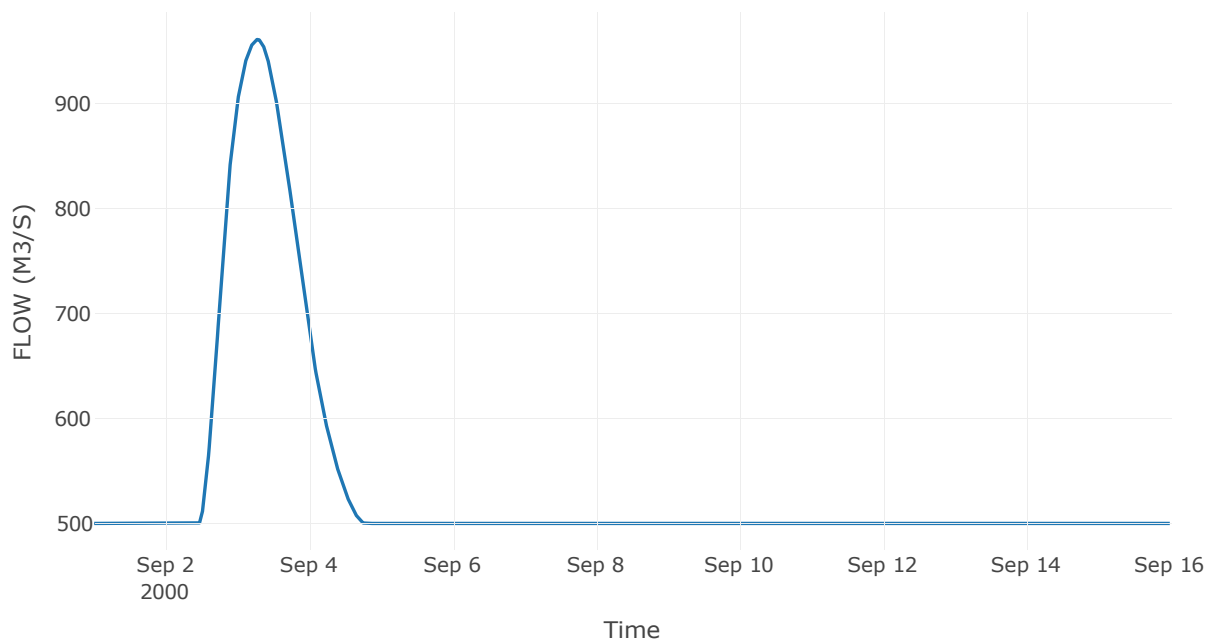
Κατάντη : J3

Μέθοδος Διόδευσης	Muskingum
Αρχική Μεταβλητή	Combined Inflow
Muskingum K	0.77
Συντελεστής βάρους x	0.2
Πλήθος Υποκλάδων	3

Αποτελέσματα: R43

Παροχή Αιχμής(M3/S)	960.77
Χρονική στιγμή αιχμής	03Sep2000, 06:45
Όγκος(MM)	380.7
Παροχή Αιχμής Εισόδου (M3/S)	960.95
Όγκος Εισροής(M3)	6.94E8

Απορροή



Κλάδος: R54

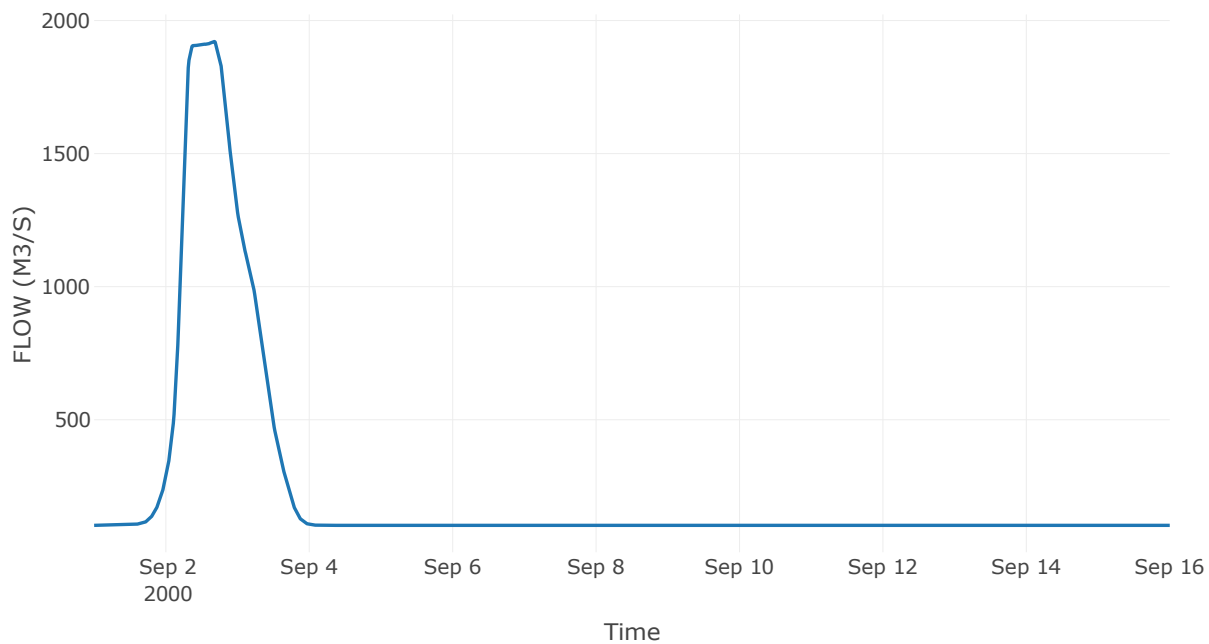
Κατάντη : J4 Res1

Μέθοδος Διόδευσης	Muskingum
Αρχική Μεταβλητή	Combined Inflow
Muskingum K	4
Συντελεστής βάρους x	0.2
Πλήθος Υποκλάδων	5

Αποτελέσματα: R54

Παροχή Αιχμής(M3/S)	1921.89
Χρονική στιγμή αιχμής	02Sep2000, 16:00
Όγκος(MM)	172.66
Παροχή Αιχμής Εισόδου (M3/S)	2056.73
Όγκος Εισροής(M3)	2.97E8

Απορροή



Κλάδος: R65

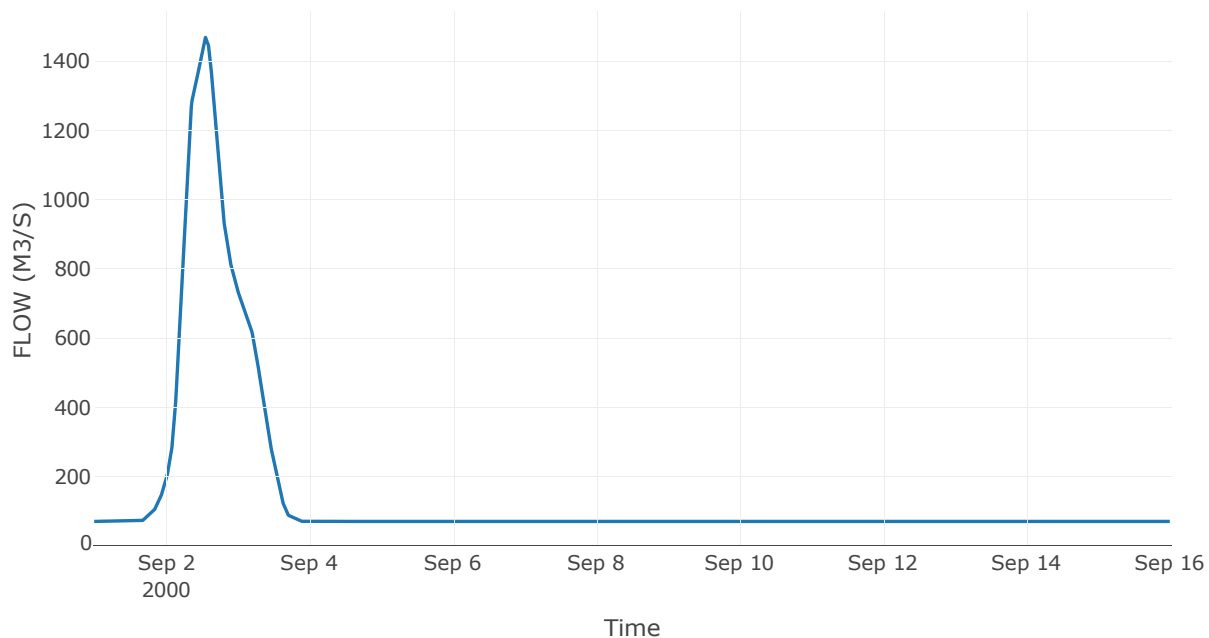
Κατάντη : J5

Μέθοδος Διόδευσης	Muskingum
Αρχική Μεταβλητή	Combined Inflow
Muskingum K	4
Συντελεστής βάρους x	0.2
Πλήθος Υποκλάδων	5

Αποτελέσματα: R65

Παροχή Αιχμής(M3/S)	1468.82
Χρονική στιγμή αιχμής	02Sep2000, 13:15
Όγκος(MM)	162.9
Παροχή Αιχμής Εισόδου (M3/S)	1527.59
Όγκος Εισροής(M3)	1.93E8

Απορροή



Κλάδος: R76

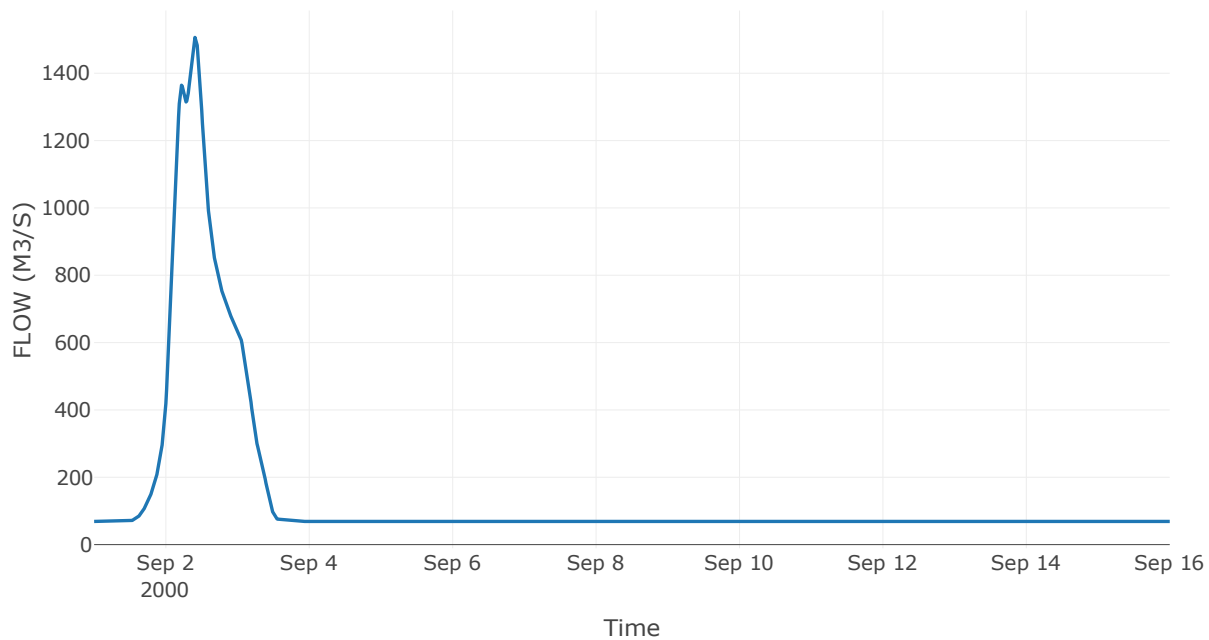
Κατάντη : J6

Μέθοδος Διόδευσης	Muskingum
Αρχική Μεταβλητή	Combined Inflow
Muskingum K	0.49
Συντελεστής βάρους α	0.2
Πλήθος Υποκλάδων	2

Αποτελέσματα: R76

Παροχή Αιχμής(M3/S)	1506.41
Χρονική στιγμή αιχμής	02Sep2000, 09:45
Όγκος(MM)	163.54
Παροχή Αιχμής Εισόδου (M3/S)	1509.99
Όγκος Εισροής(M3)	1.88E8

Απορροή



Κλάδος: R87

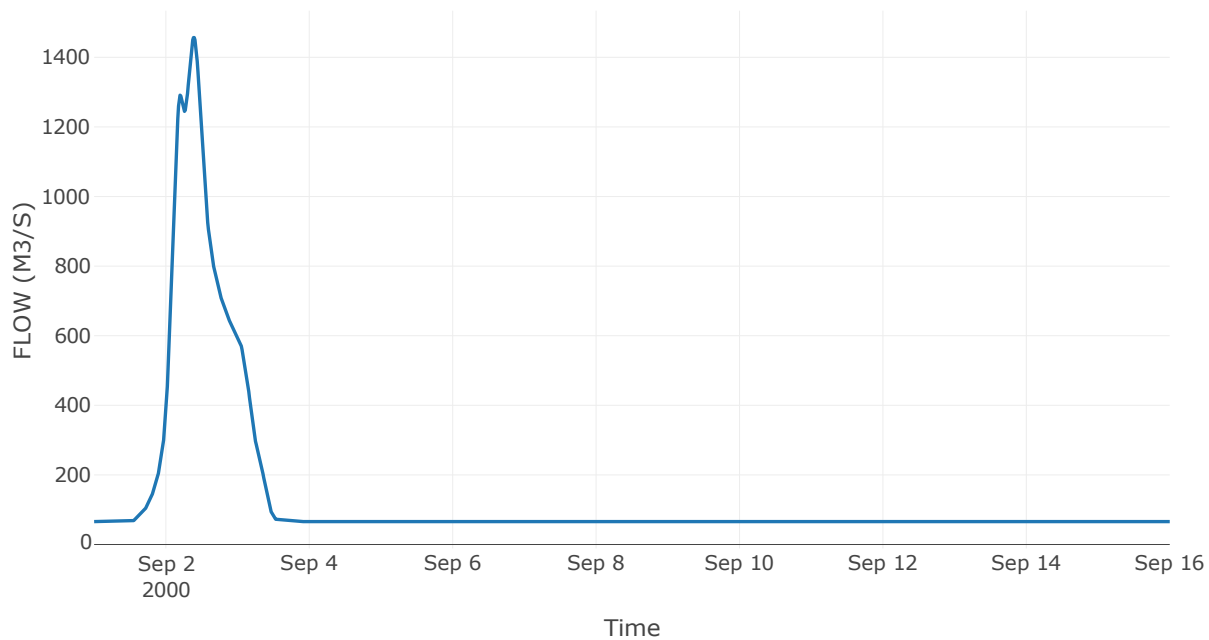
Κατάντη : J7

Μέθοδος Διόδευσης	Muskingum
Αρχική Μεταβλητή	Combined Inflow
Muskingum K	0.59
Συντελεστής βάρους α	0.2
Πλήθος Υποκλάδων	2

Αποτελέσματα: R87

Παροχή Αιχμής(M3/S)	1456.75
Χρονική στιγμή αιχμής	02Sep2000, 09:30
Όγκος(MM)	161.4
Παροχή Αιχμής Εισόδου (M3/S)	1462.93
Όγκος Εισροής(M3)	1.77E8

Απορροή



Κλάδος: R98

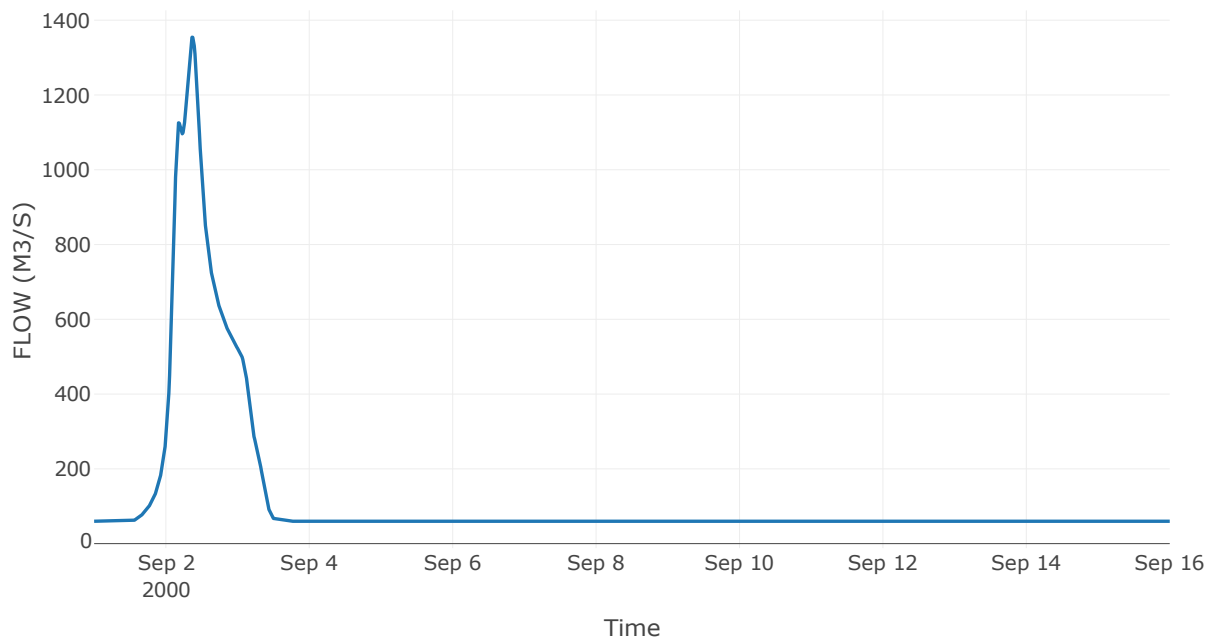
Κατάντη : J8

Μέθοδος Διόδευσης	Muskingum
Αρχική Μεταβλητή	Combined Inflow
Muskingum K	1.07
Συντελεστής βάρους α	0.2
Πλήθος Υποκλάδων	4

Αποτελέσματα: R98

Παροχή Αιχμής(M3/S)	1354.48
Χρονική στιγμή αιχμής	02Sep2000, 08:45
Όγκος(MM)	157.69
Παροχή Αιχμής Εισόδου (M3/S)	1364.86
Όγκος Εισροής(M3)	1.57E8

Απορροή



Κλάδος: R109

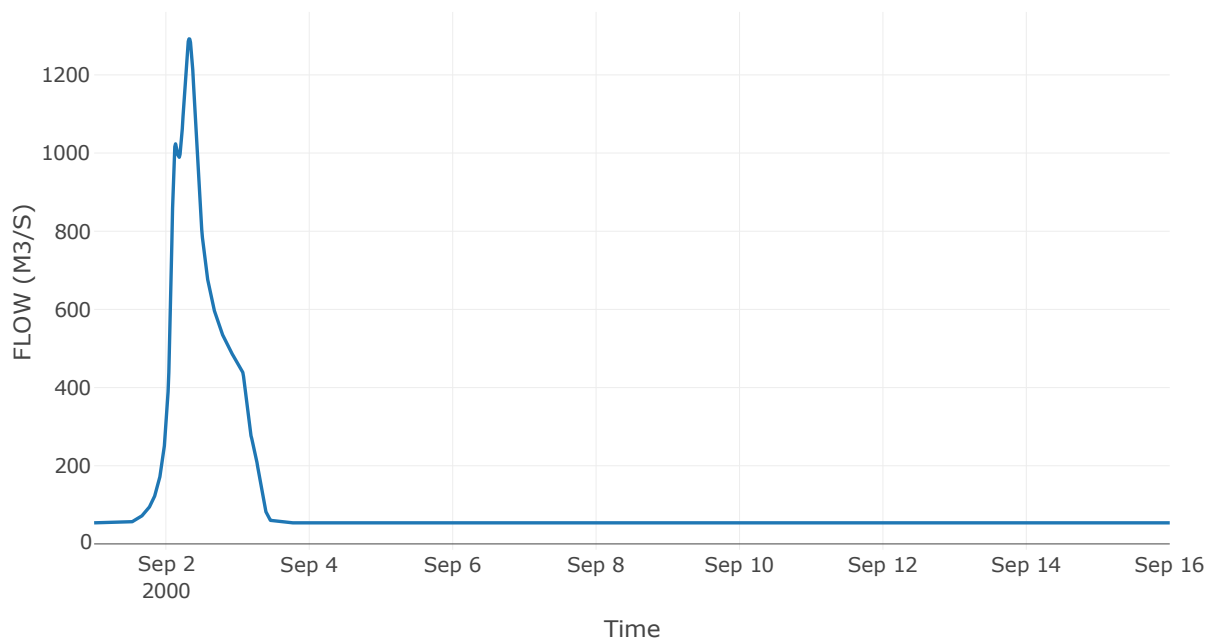
Κατάντη : J9

Μέθοδος Διόδευσης	Χρόνος Υστέρησης
Αρχική Μεταβλητή	Combined Inflow
Χρόνος Υστέρησης	53.44

Αποτελέσματα: R109

Παροχή Αιχμής(M3/S)	1292.29
Χρονική στιγμή αιχμής	02Sep2000, 07:45
Όγκος(MM)	158.57
Παροχή Αιχμής Εισόδου (M3/S)	1293.88
Όγκος Εισροής(M3)	1.42E8

Απορροή



Κλάδος: R1110

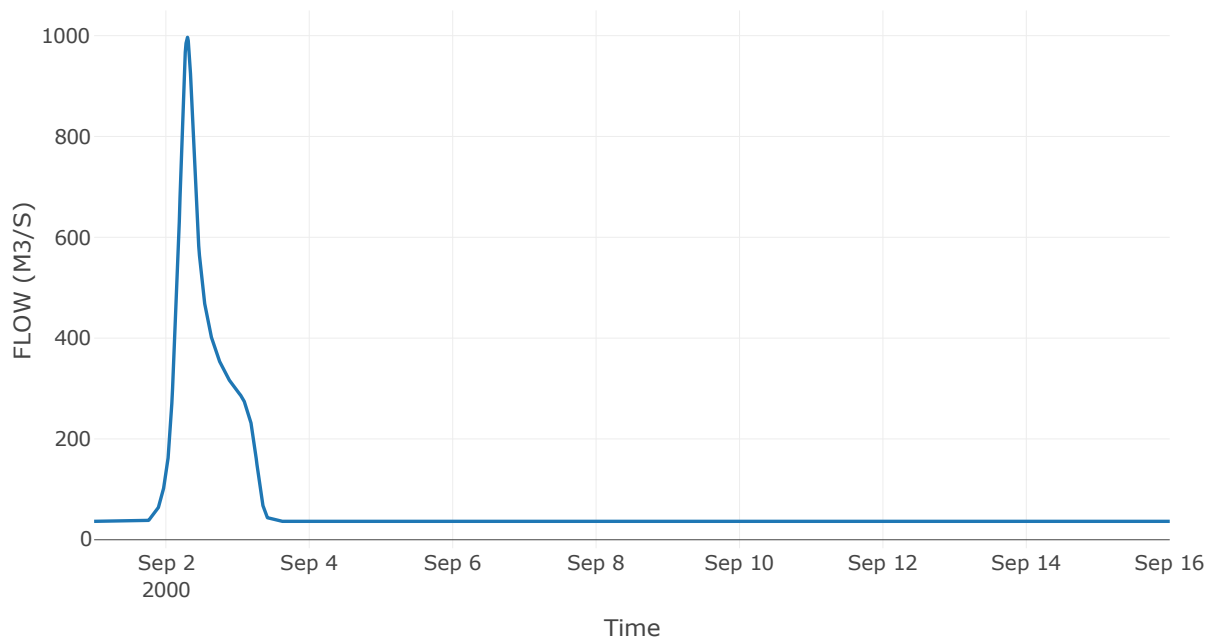
Κατάντη : J10

Μέθοδος Διόδευσης	Muskingum
Αρχική Μεταβλητή	Combined Inflow
Muskingum K	1.65
Συντελεστής βάρους α	0.2
Πλήθος Υποκλάδων	7

Αποτελέσματα: R1110

Παροχή Αιχμής(M3/S)	996.74
Χρονική στιγμή αιχμής	02Sep2000, 07:15
Όγκος(MM)	152.4
Παροχή Αιχμής Εισόδου (M3/S)	1013.64
Όγκος Εισροής(M3)	9.29E7

Απορροή



Κλάδος: R1211

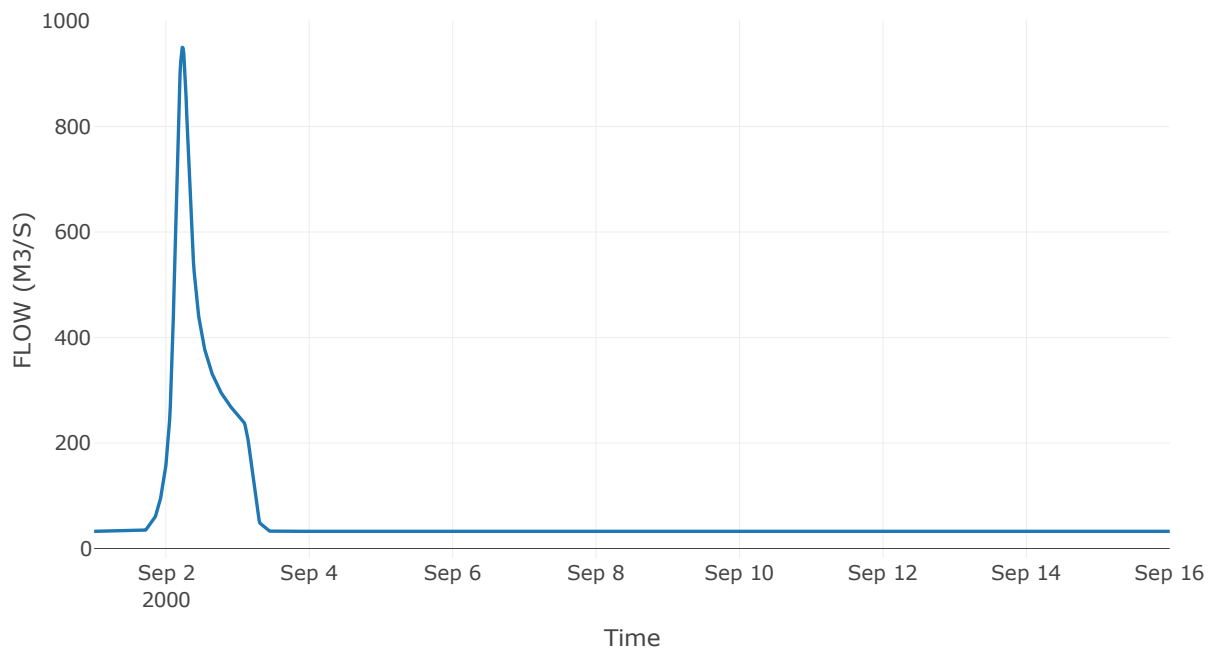
Κατάντη : J11

Μέθοδος Διόδευσης	Muskingum
Αρχική Μεταβλητή	Combined Inflow
Muskingum K	1.48
Συντελεστής βάρους x	0.2
Πλήθος Υποκλάδων	6

Αποτελέσματα: R1211

Παροχή Αιχμής(M3/S)	950.2
Χρονική στιγμή αιχμής	02Sep2000, 05:30
Όγκος(MM)	152.78
Παροχή Αιχμής Εισόδου (M3/S)	968
Όγκος Εισροής(M3)	8.29E7

Απορροή



Κλάδος: R1312

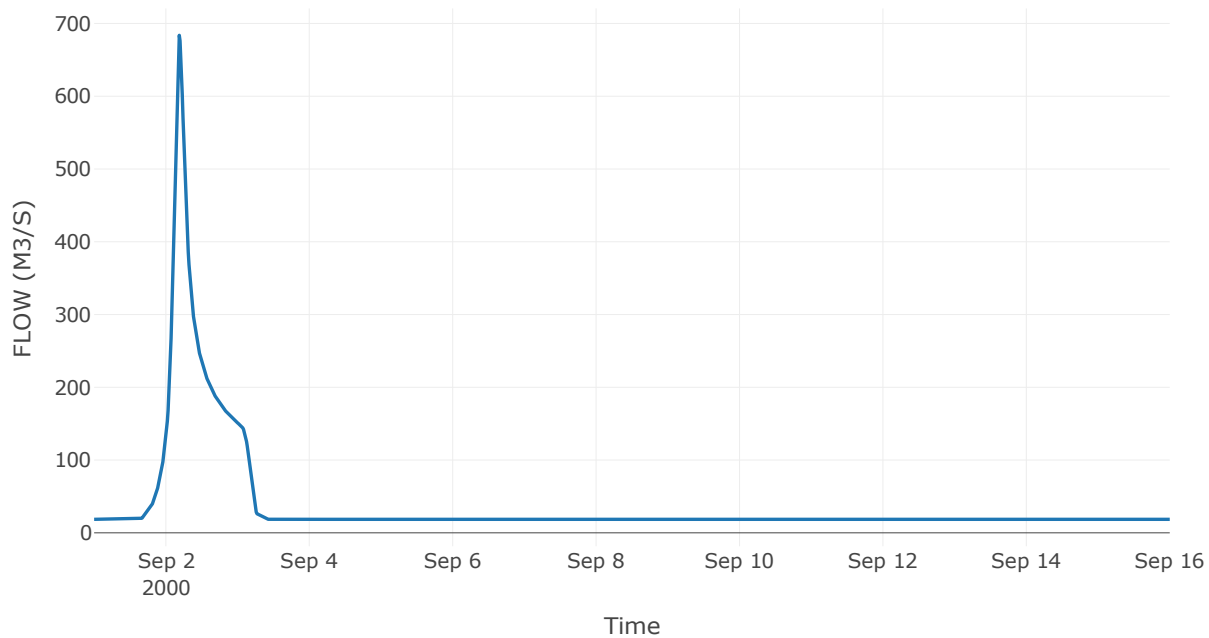
Κατάντη : J12

Μέθοδος Διόδευσης	Muskingum
Αρχική Μεταβλητή	Combined Inflow
Muskingum K	1.59
Συντελεστής βάρους α	0.2
Πλήθος Υποκλάδων	6

Αποτελέσματα: R1312

Παροχή Αιχμής(M3/S)	683.73
Χρονική στιγμή αιχμής	02Sep2000, 04:30
Όγκος(MM)	161.86
Παροχή Αιχμής Εισόδου (M3/S)	715.05
Όγκος Εισροής(M3)	5E7

Απορροή



Κλάδος: R1413

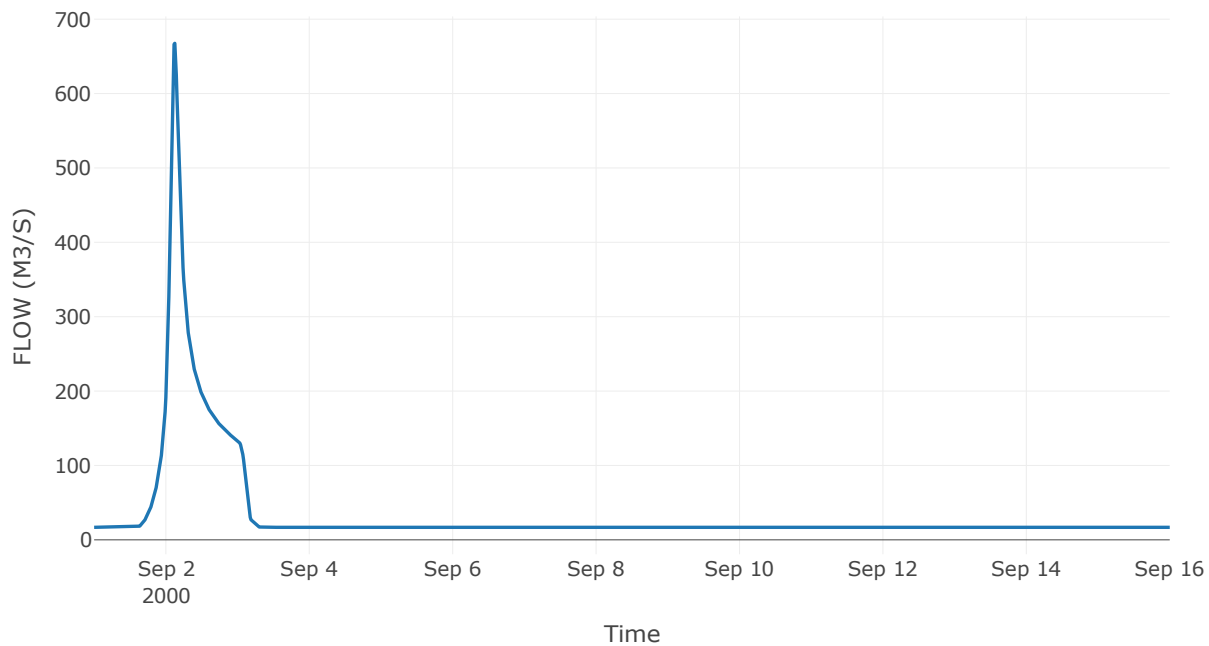
Κατάντη : J13

Μέθοδος Διόδευσης	Muskingum
Αρχική Μεταβλητή	Combined Inflow
Muskingum K	0.16
Συντελεστής βάρους α	0.2
Πλήθος Υποκλάδων	1

Αποτελέσματα: R1413

Παροχή Αιχμής(M3/S)	667.53
Χρονική στιγμή αιχμής	02Sep2000, 03:00
Όγκος(MM)	162.26
Παροχή Αιχμής Εισόδου (M3/S)	671.7
Όγκος Εισροής(M3)	4.54E7

Απορροή



Κλάδος: R1514

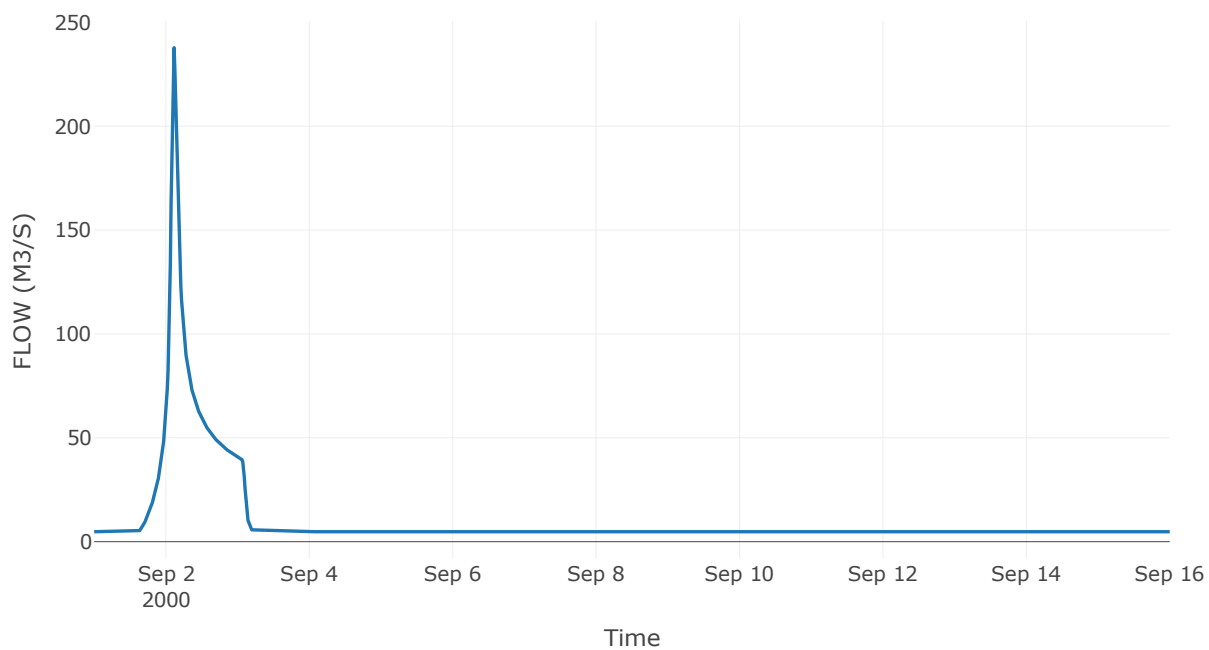
Κατάντη : J14

Μέθοδος Διόδευσης	Χρόνος Υστέρησης
Αρχική Μεταβλητή	Combined Inflow
Χρόνος Υστέρησης	87.77

Αποτελέσματα: R1514

Παροχή Αιχμής(M3/S)	237.78
Χρονική στιγμή αιχμής	02Sep2000, 02:45
Όγκος(MM)	170.71
Παροχή Αιχμής Εισόδου (M3/S)	239.39
Όγκος Εισροής(M3)	1.36E7

Απορροή



Κλάδος: R1614

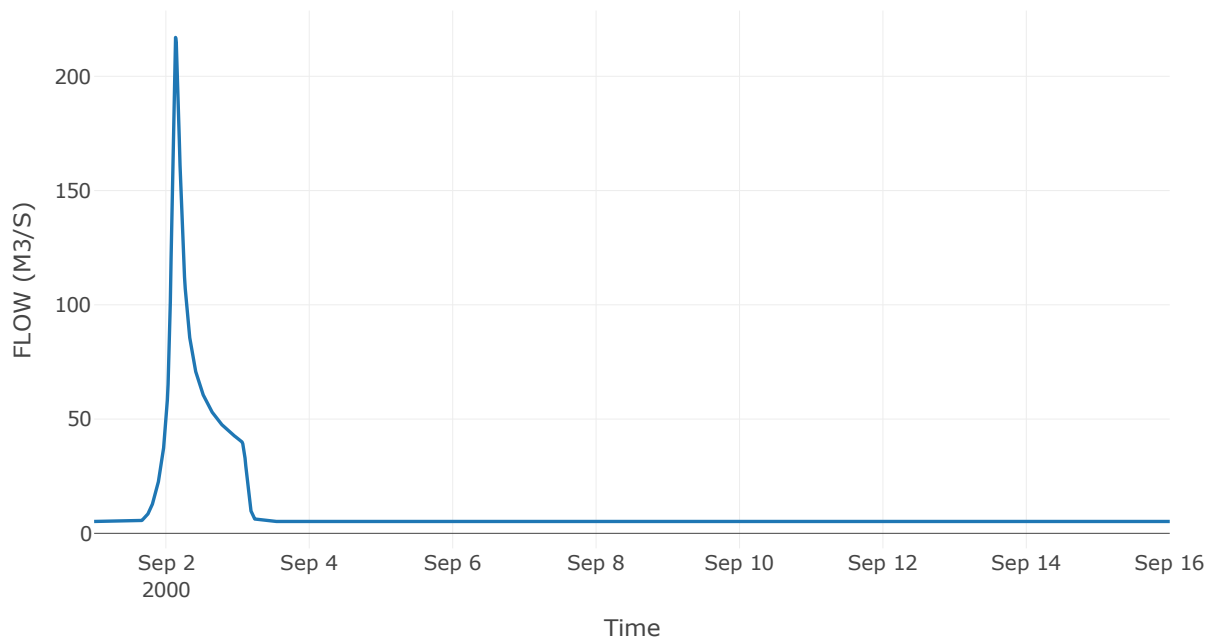
Κατάντη : J14

Μέθοδος Διόδευσης	Muskingum
Αρχική Μεταβλητή	Combined Inflow
Muskingum K	1.65
Συντελεστής βάρους x	0.2
Πλήθος Υποκλάδων	7

Αποτελέσματα: R1614

Παροχή Αιχμής(M3/S)	217.01
Χρονική στιγμή αιχμής	02Sep2000, 03:15
Όγκος(MM)	162.95
Παροχή Αιχμής Εισόδου (M3/S)	231.46
Όγκος Εισροής(M3)	1.41E7

Απορροή



Κλάδος: R1712

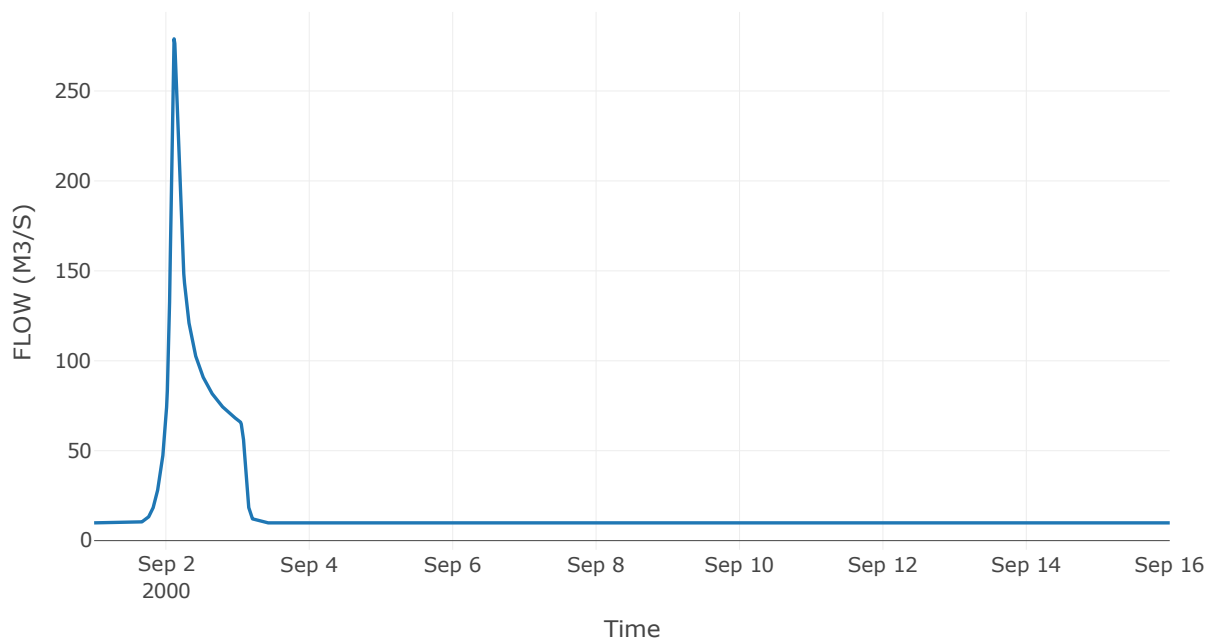
Κατάντη : J12

Μέθοδος Διόδευσης	Χρόνος Υστέρησης
Αρχική Μεταβλητή	Combined Inflow
Χρόνος Υστέρησης	53.57

Αποτελέσματα: R1712

Παροχή Αιχμής(M3/S)	278.99
Χρονική στιγμή αιχμής	02Sep2000, 02:45
Όγκος(MM)	138.47
Παροχή Αιχμής Εισόδου (M3/S)	280.04
Όγκος Εισροής(M3)	2.28E7

Απορροή



Κλάδος: R1817

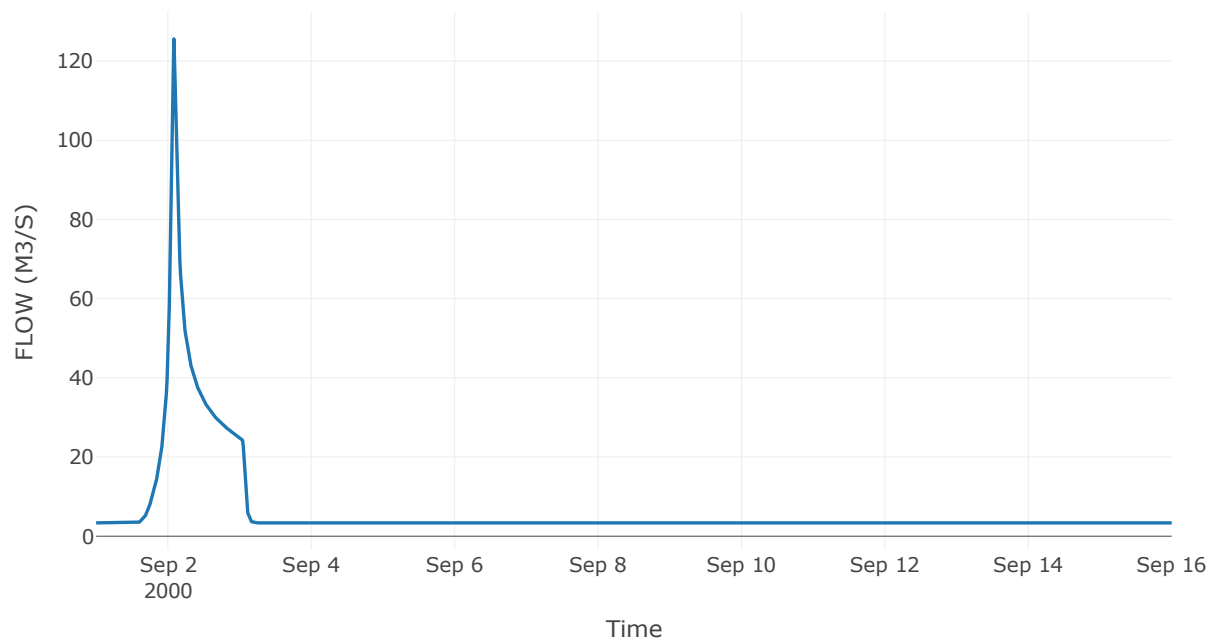
Κατάντη : J17

Μέθοδος Διόδευσης	Χρόνος Υστέρησης
Αρχική Μεταβλητή	Combined Inflow
Χρόνος Υστέρησης	49.66

Αποτελέσματα: R1817

Παροχή Αιχμής(M3/S)	125.62
Χρονική στιγμή αιχμής	02Sep2000, 02:00
Όγκος(MM)	150.95
Παροχή Αιχμής Εισόδου (M3/S)	127.09
Όγκος Εισροής(M3)	8.44E6

Απορροή



Κλάδος: R1910

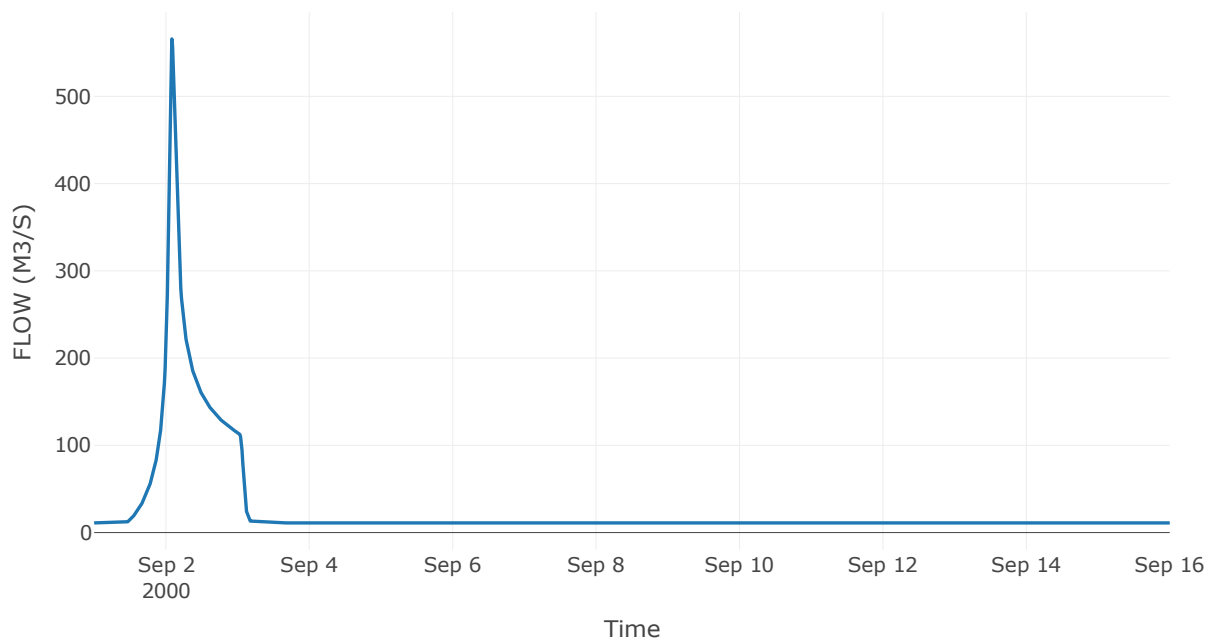
Κατάντη : J10

Μέθοδος Διόδευσης	Χρόνος Υστέρησης
Αρχική Μεταβλητή	Combined Inflow
Χρόνος Υστέρησης	34.62

Αποτελέσματα: R1910

Παροχή Αιχμής(M3/S)	565.83
Χρονική στιγμή αιχμής	02Sep2000, 02:00
Όγκος(MM)	187.02
Παροχή Αιχμής Εισόδου (M3/S)	568.11
Όγκος Εισροής(M3)	3.45E7

Απορροή



Κλάδος: R2019

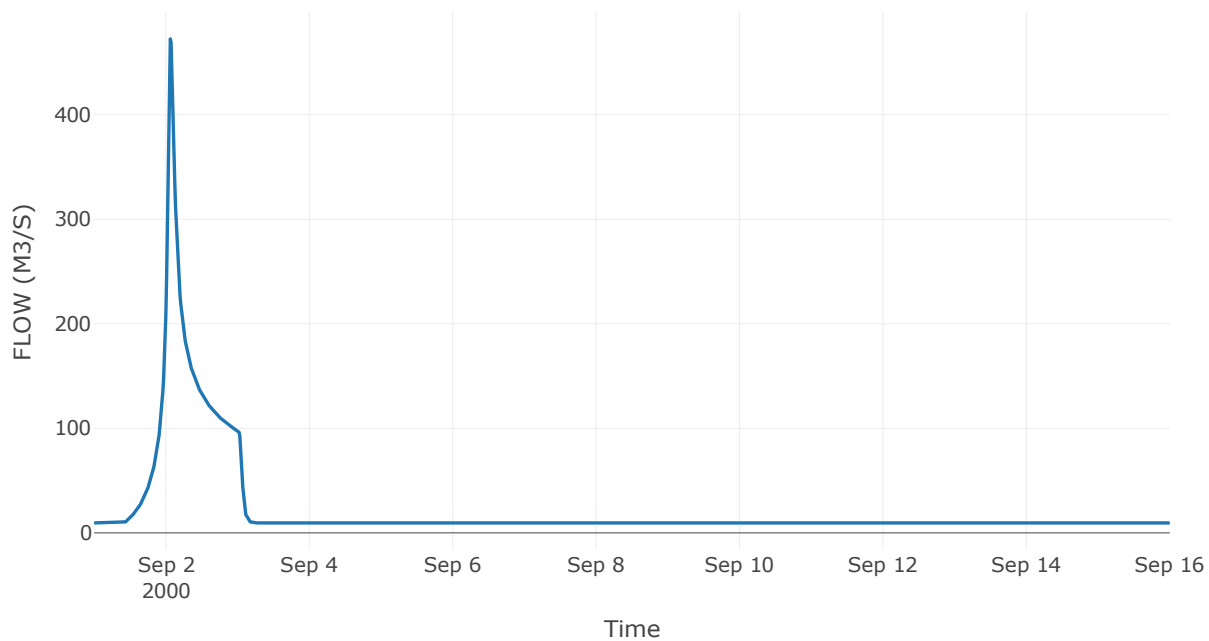
Κατάντη : J19

Μέθοδος Διόδευσης	Χρόνος Υστέρησης
Αρχική Μεταβλητή	Combined Inflow
Χρόνος Υστέρησης	25.79

Αποτελέσματα: R2019

Παροχή Αιχμής(M3/S)	472.59
Χρονική στιγμή αιχμής	02Sep2000, 01:30
Όγκος(MM)	183.66
Παροχή Αιχμής Εισόδου (M3/S)	474.47
Όγκος Εισροής(M3)	2.92E7

Απορροή



Κλάδος: R2120

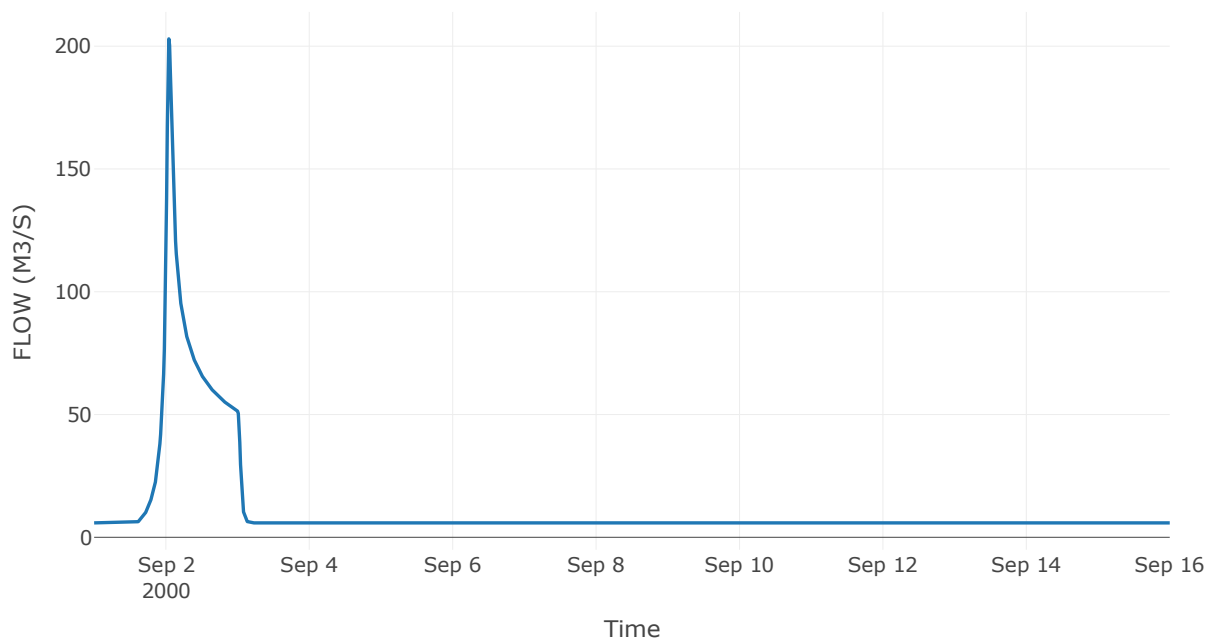
Κατάντη : J20

Μέθοδος Διόδευσης	Χρόνος Υστέρησης
Αρχική Μεταβλητή	Combined Inflow
Χρόνος Υστέρησης	9.21

Αποτελέσματα: R2120

Παροχή Αιχμής(M3/S)	202.98
Χρονική στιγμή αιχμής	02Sep2000, 01:00
Όγκος(MM)	152.72
Παροχή Αιχμής Εισόδου (M3/S)	204.08
Όγκος Εισροής(M3)	1.5E7

Απορροή



Κλάδος: R225

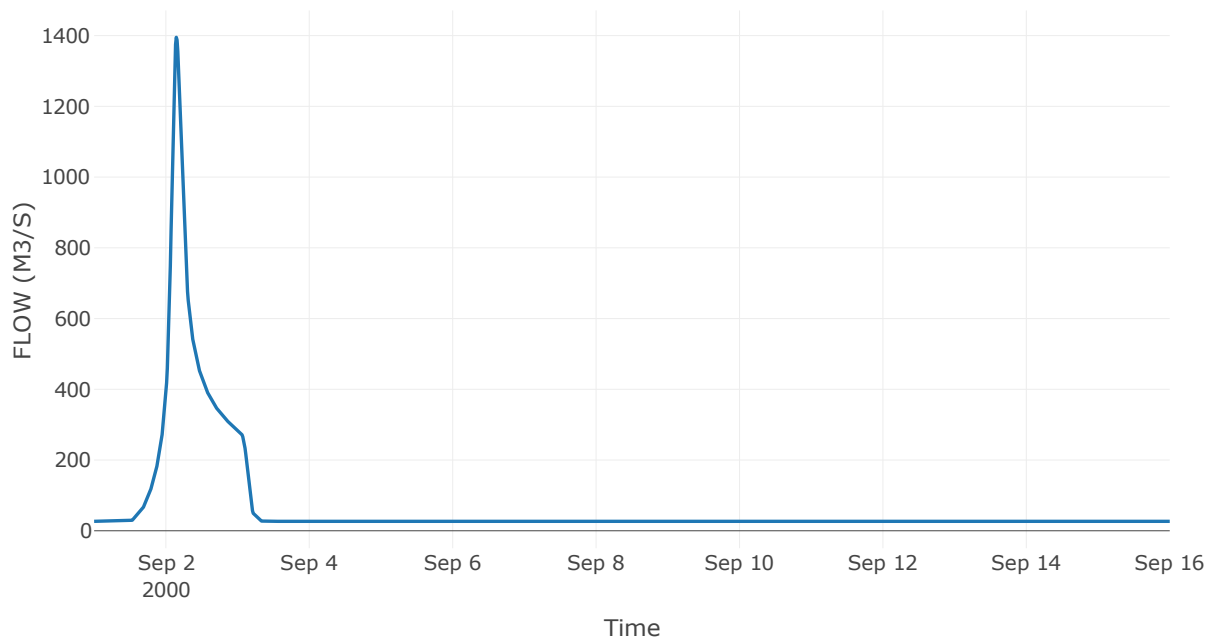
Κατάντη : J5

Μέθοδος Διόδευσης	Muskingum
Αρχική Μεταβλητή	Combined Inflow
Muskingum K	1
Συντελεστής βάρους α	0.2
Πλήθος Υποκλάδων	2

Αποτελέσματα: R225

Παροχή Αιχμής(M3/S)	1395.21
Χρονική στιγμή αιχμής	02Sep2000, 03:30
Όγκος(MM)	198.8
Παροχή Αιχμής Εισόδου (M3/S)	1464.82
Όγκος Εισροής(M3)	8.85E7

Απορροή



Κλάδος: R2322

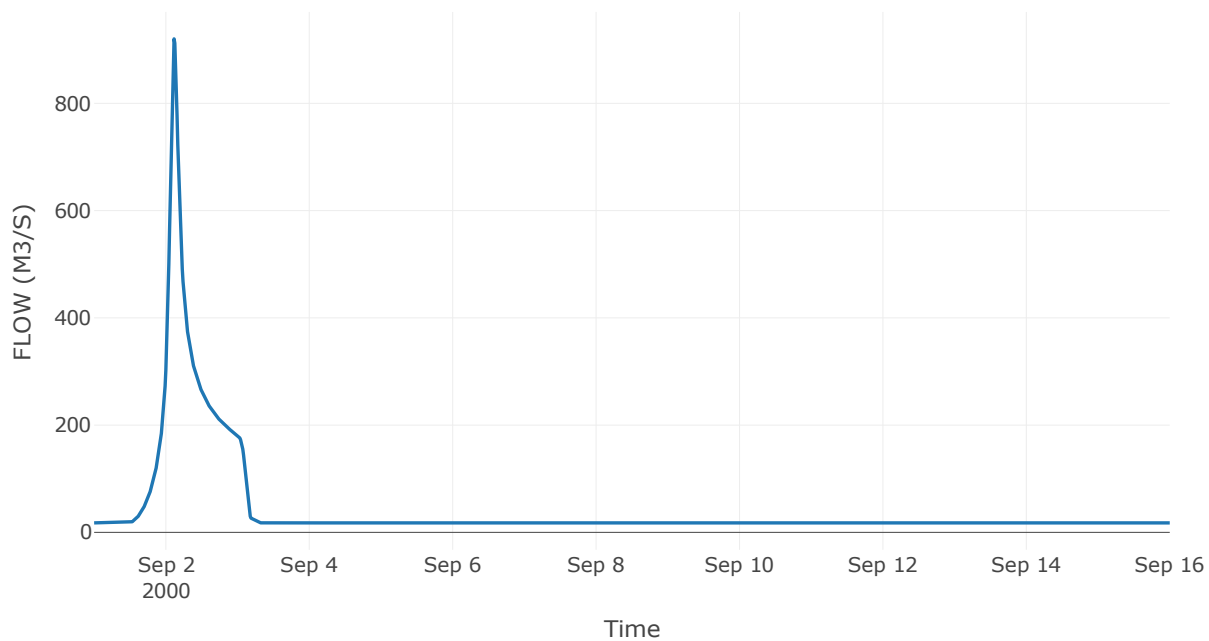
Κατάντη : J22

Μέθοδος Διόδευσης	Χρόνος Υστέρησης
Αρχική Μεταβλητή	Combined Inflow
Χρόνος Υστέρησης	0

Αποτελέσματα: R2322

Παροχή Αιχμής(M3/S)	920.22
Χρονική στιγμή αιχμής	02Sep2000, 02:45
Όγκος(MM)	191.22
Παροχή Αιχμής Εισόδου (M3/S)	920.22
Όγκος Εισροής(M3)	5.63E7

Απορροή



Κλάδος: R2423

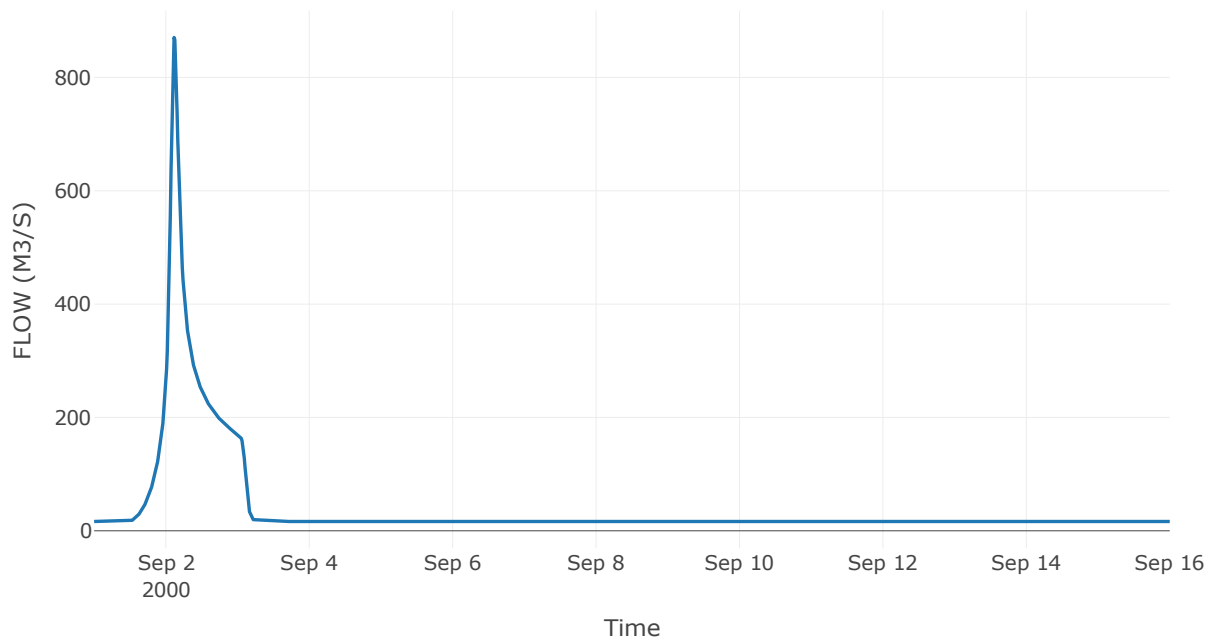
Κατάντη : J23

Μέθοδος Διόδευσης	Muskingum
Αρχική Μεταβλητή	Combined Inflow
Muskingum K	0.75
Συντελεστής βάρους x	0.2
Πλήθος Υποκλάδων	3

Αποτελέσματα: R2423

Παροχή Αιχμής(M3/S)	870.62
Χρονική στιγμή αιχμής	02Sep2000, 02:45
Όγκος(MM)	191.43
Παροχή Αιχμής Εισόδου (M3/S)	899.07
Όγκος Εισροής(M3)	5.24E7

Απορροή



Κλάδος: R2524

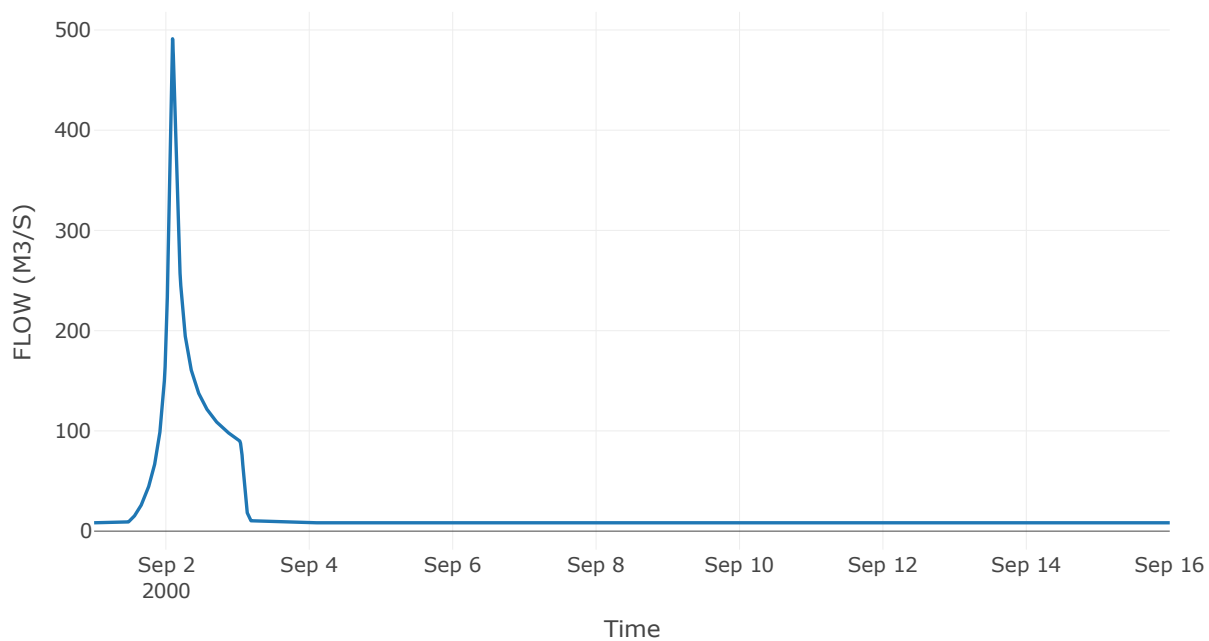
Κατάντη : J24

Μέθοδος Διόδευσης	Χρόνος Υστέρησης
Αρχική Μεταβλητή	Combined Inflow
Χρόνος Υστέρησης	26.09

Αποτελέσματα: R2524

Παροχή Αιχμής(M3/S)	491.22
Χρονική στιγμή αιχμής	02Sep2000, 02:15
Όγκος(MM)	201.69
Παροχή Αιχμής Εισόδου (M3/S)	494.63
Όγκος Εισροής(M3)	2.8E7

Απορροή



Κλάδος: R2625

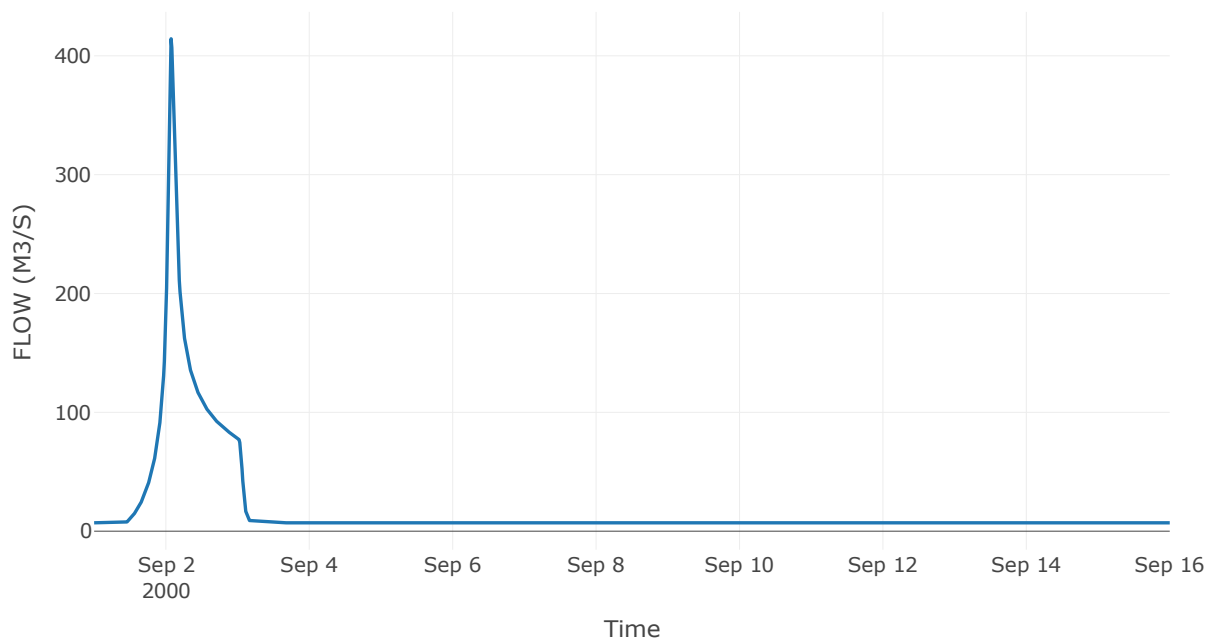
Κατάντη : J25

Μέθοδος Διόδευσης	Χρόνος Υστέρησης
Αρχική Μεταβλητή	Combined Inflow
Χρόνος Υστέρησης	13.13

Αποτελέσματα: R2625

Παροχή Αιχμής(M3/S)	414.32
Χρονική στιγμή αιχμής	02Sep2000, 01:45
Όγκος(MM)	201.94
Παροχή Αιχμής Εισόδου (M3/S)	415.08
Όγκος Εισροής(M3)	2.37E7

Απορροή



Κλάδος: R2726

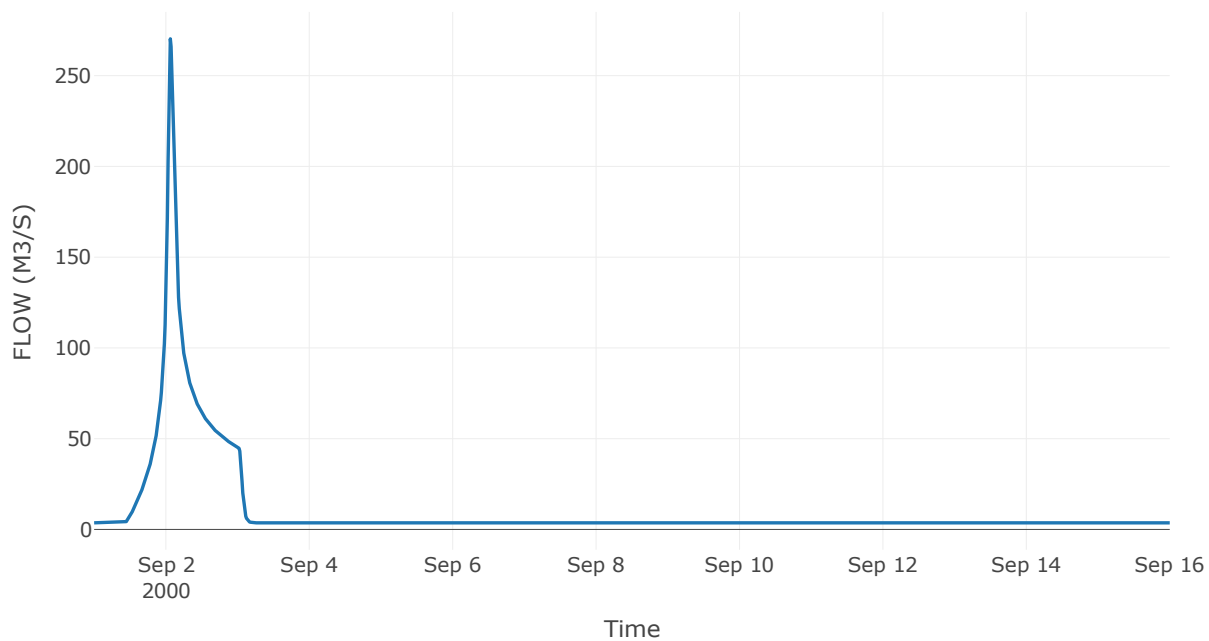
Κατάντη : J26

Μέθοδος Διόδευσης	Χρόνος Υστέρησης
Αρχική Μεταβλητή	Combined Inflow
Χρόνος Υστέρησης	26.32

Αποτελέσματα: R2726

Παροχή Αιχμής(M3/S)	270.29
Χρονική στιγμή αιχμής	02Sep2000, 01:30
Όγκος(MM)	229.14
Παροχή Αιχμής Εισόδου (M3/S)	270.59
Όγκος Εισροής(M3)	1.39E7

Απορροή



Κλάδος: R2824

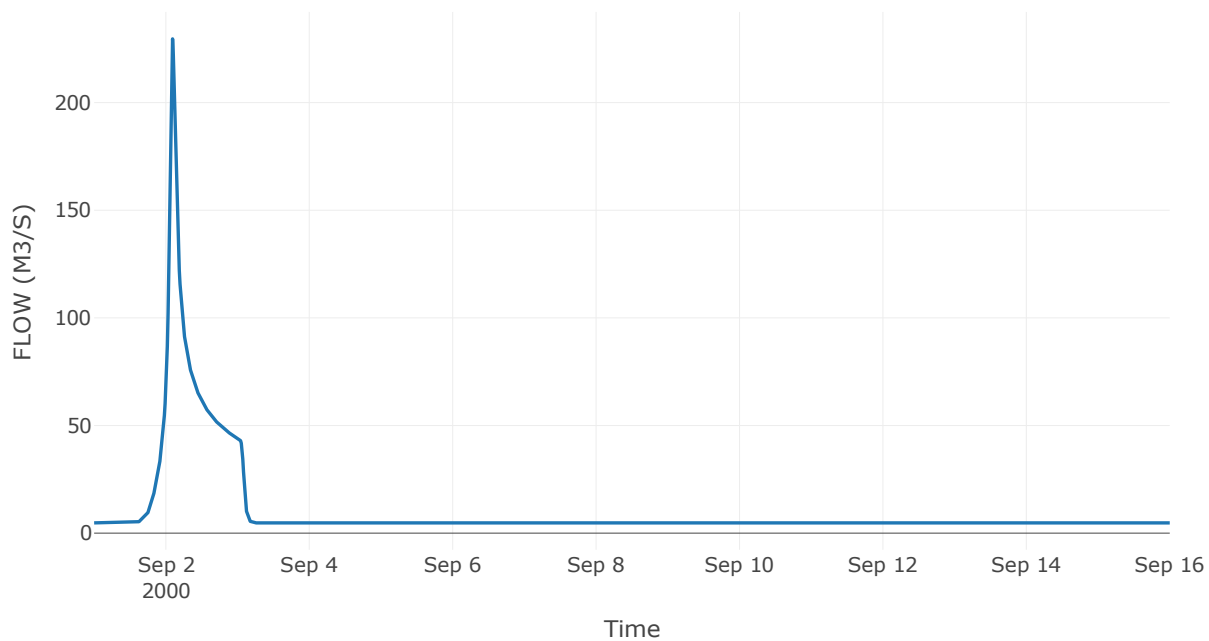
Κατάντη : J24

Μέθοδος Διόδευσης	Χρόνος Υστέρησης
Αρχική Μεταβλητή	Combined Inflow
Χρόνος Υστέρησης	50.03

Αποτελέσματα: R2824

Παροχή Αιχμής(M3/S)	229.61
Χρονική στιγμή αιχμής	02Sep2000, 02:15
Όγκος(MM)	170.75
Παροχή Αιχμής Εισόδου (M3/S)	229.73
Όγκος Εισροής(M3)	1.36E7

Απορροή



Κλάδος: R2928

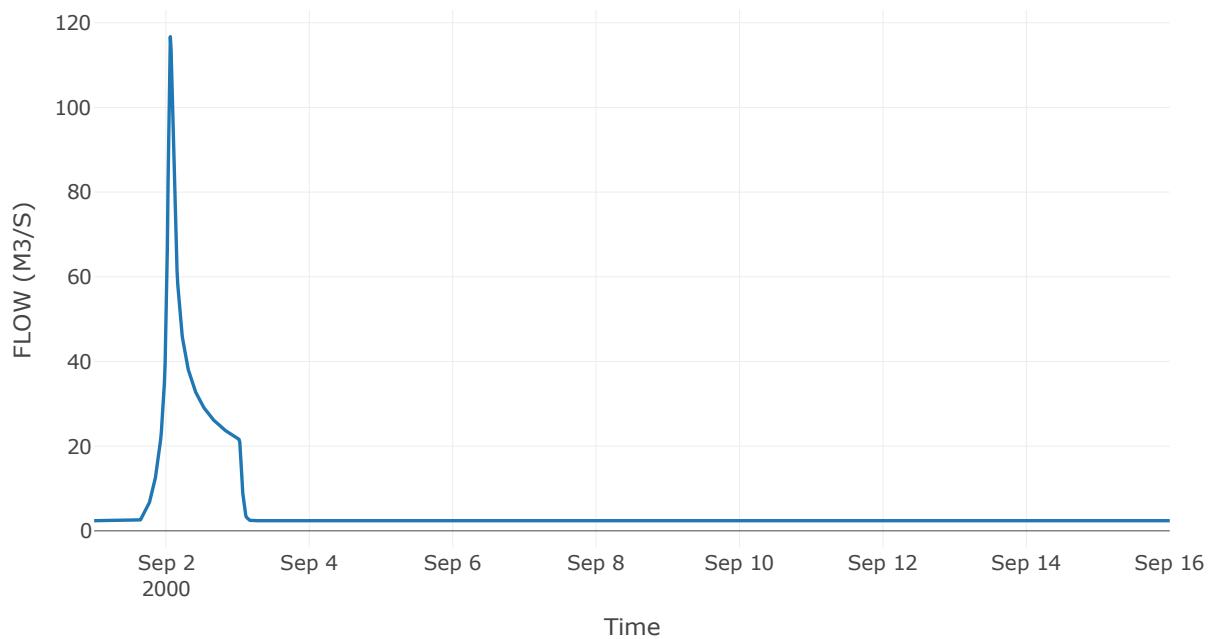
Κατάντη : J28

Μέθοδος Διόδευσης	Χρόνος Υστέρησης
Αρχική Μεταβλητή	Combined Inflow
Χρόνος Υστέρησης	29.39

Αποτελέσματα: R2928

Παροχή Αιχμής(M3/S)	116.71
Χρονική στιγμή αιχμής	02Sep2000, 01:30
Όγκος(MM)	169.21
Παροχή Αιχμής Εισόδου (M3/S)	116.89
Όγκος Εισροής(M3)	6.76E6

Απορροή



Κλάδος: R3022

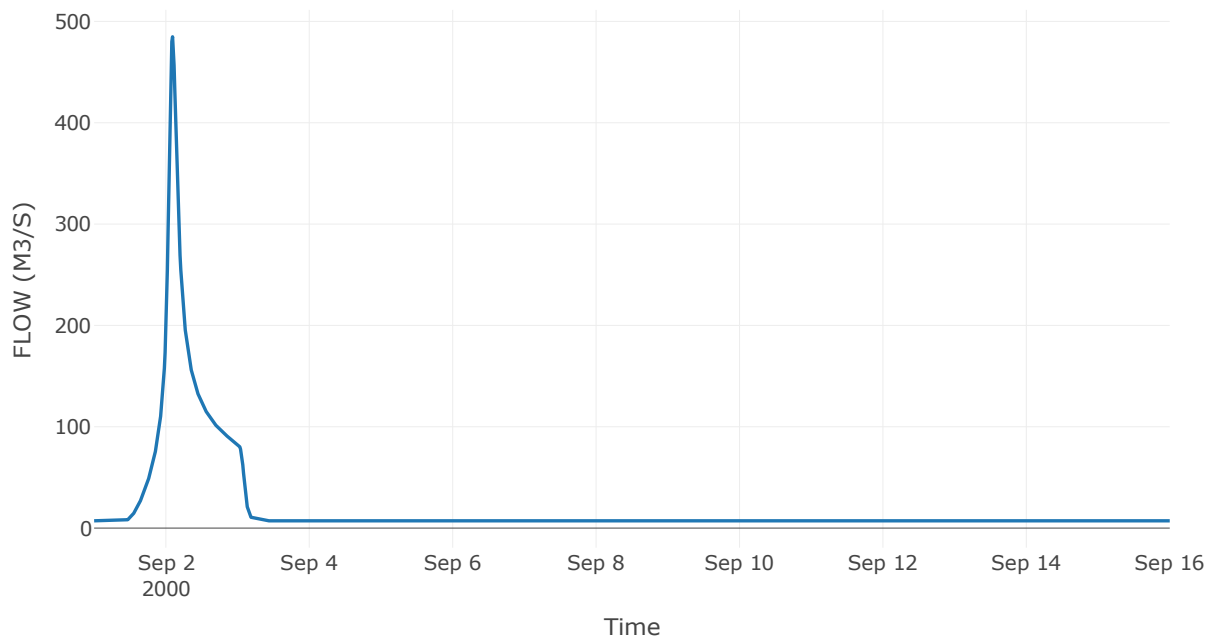
Κατάντη : J22

Μέθοδος Διόδευσης	Χρόνος Υστέρησης
Αρχική Μεταβλητή	Combined Inflow
Χρόνος Υστέρησης	0

Αποτελέσματα: R3022

Παροχή Αιχμής(M3/S)	484.84
Χρονική στιγμή αιχμής	02Sep2000, 02:15
Όγκος(MM)	222.29
Παροχή Αιχμής Εισόδου (M3/S)	484.84
Όγκος Εισροής(M3)	2.66E7

Απορροή



Κλάδος: R3130

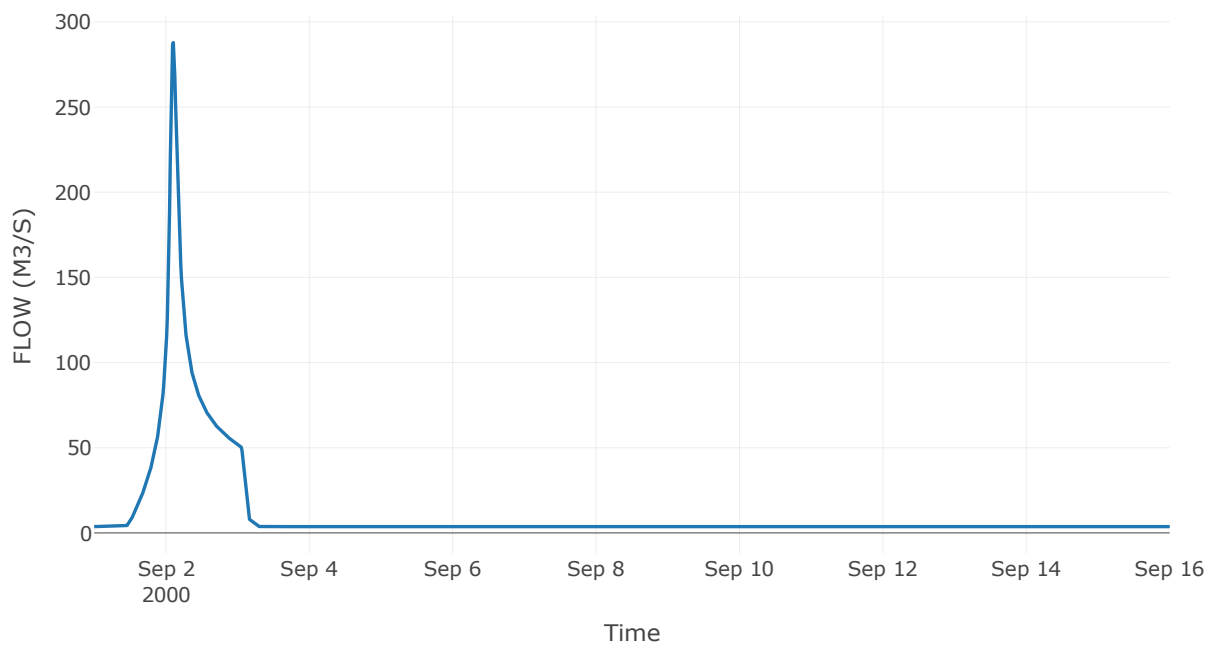
Κατάντη : J30

Μέθοδος Διόδευσης	Χρόνος Υστέρησης
Αρχική Μεταβλητή	Combined Inflow
Χρόνος Υστέρησης	66.4

Αποτελέσματα: R3130

Παροχή Αιχμής(M3/S)	287.81
Χρονική στιγμή αιχμής	02Sep2000, 02:30
Όγκος(MM)	250.16
Παροχή Αιχμής Εισόδου (M3/S)	289.23
Όγκος Εισροής(M3)	1.54E7

Απορροή



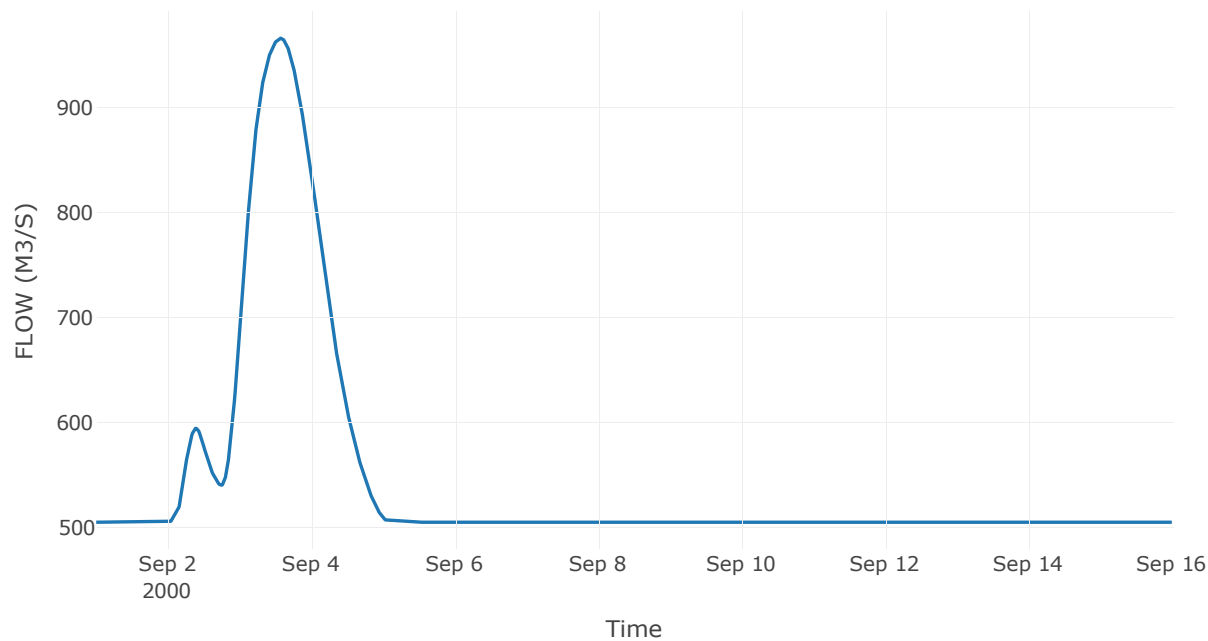
3.3 Δεδομένα και υδρογραφήματα σχεδιασμού Κόμβων υδρογραφικού δικτύου

Κόμβος εξόδου: J1

Αποτέλεσμα
τα: J1

Παροχή αιχμής (M3/S)	965.92
Χρονική στιγμή αιχμής	03Sep2000, 13:45
Όγκος (MM)	369.11

Απορροή



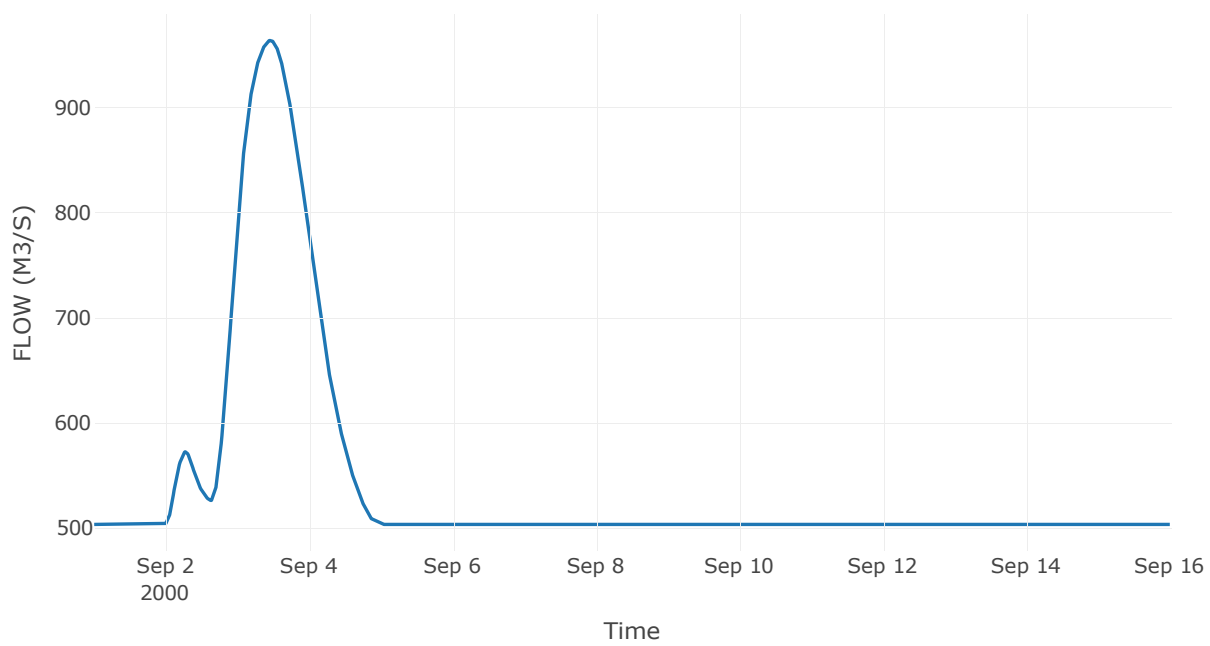
Κόμβος: J2

Κατάντη : R21

Αποτελέσματα: J2

Παροχή Αιχμής(M3/S)	963.98
Χρονική στιγμή αιχμής	03Sep2000, 11:00
Όγκος(MM)	372.42

Απορροή



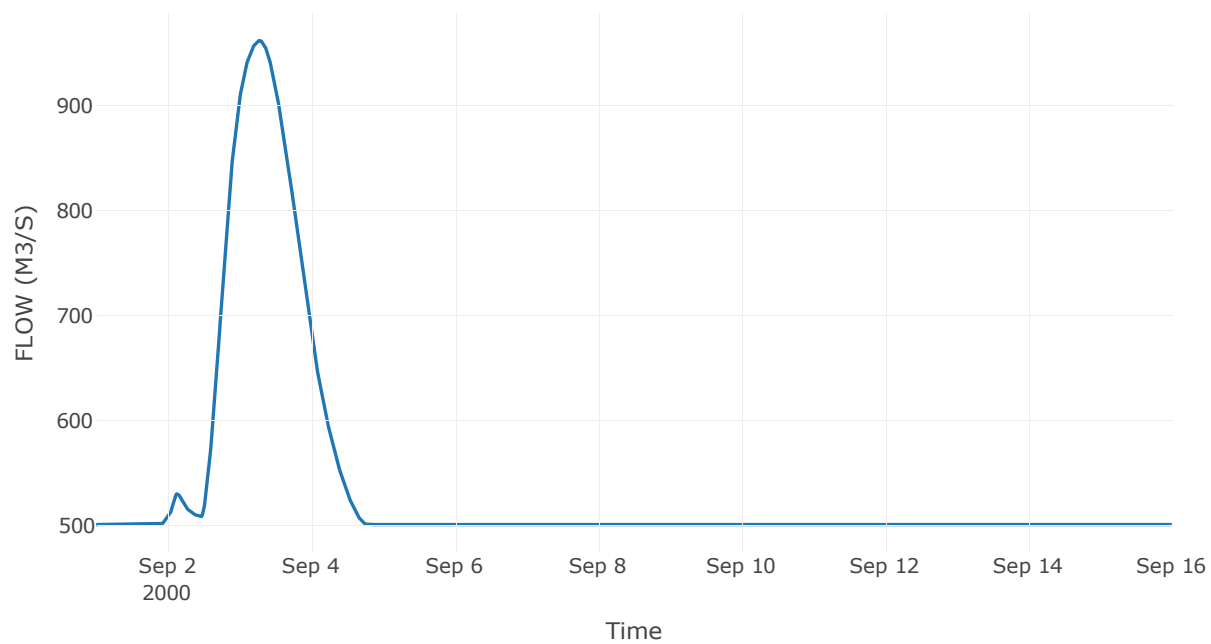
Κόμβος: J3

Κατάντη : R32

Αποτελέσματα: J3

Παροχή Αιχμής(M3/S)	961.83
Χρονική στιγμή αιχμής	03Sep2000, 06:45
Όγκος(MM)	378.82

Απορροή



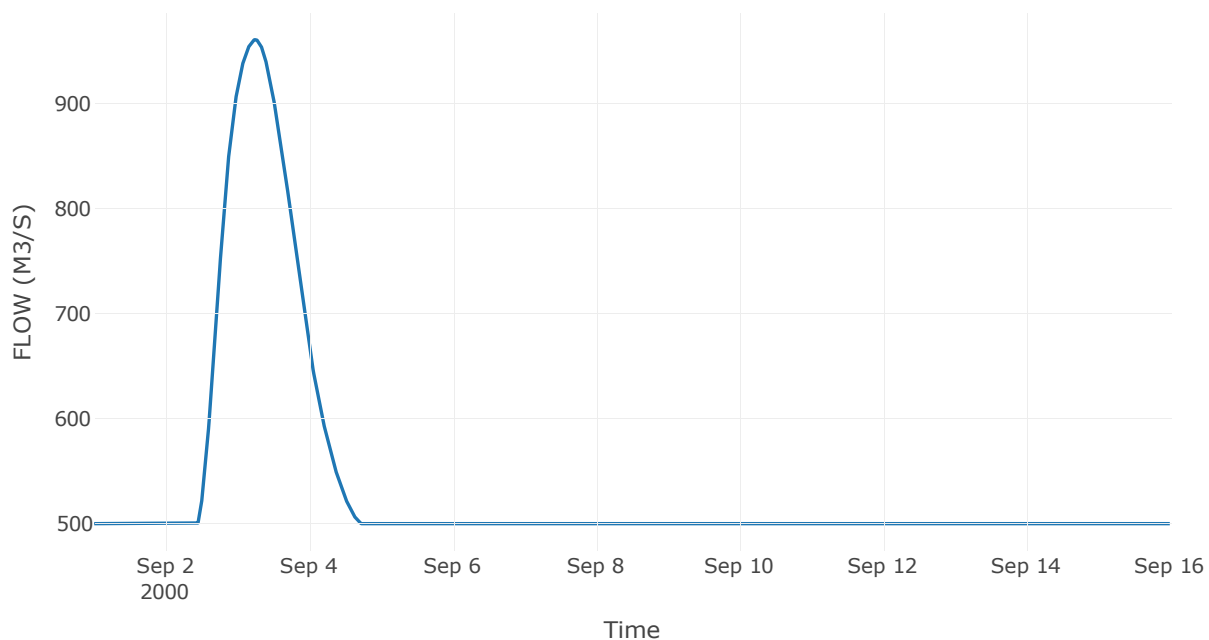
Reservoir: J4_RES1

Κατάντη : R43

Αποτελέσματα: J4_RES1

Παροχή Αιχμής(M3/S)	960.95
Χρονική στιγμή αιχμής	03Sep2000, 06:00
Όγκος(MM)	380.7
Παροχή Αιχμής Εισόδου (M3/S)	1987.77
Time of Peak Inflow	02Sep2000, 09:00
Όγκος Εισροής (M3)	3.13E8
Maximum Storage (M3)	5.62E8
Peak Elevation (M)	110.86
Discharge Όγκος(M3)	6.94E8

Απορροή



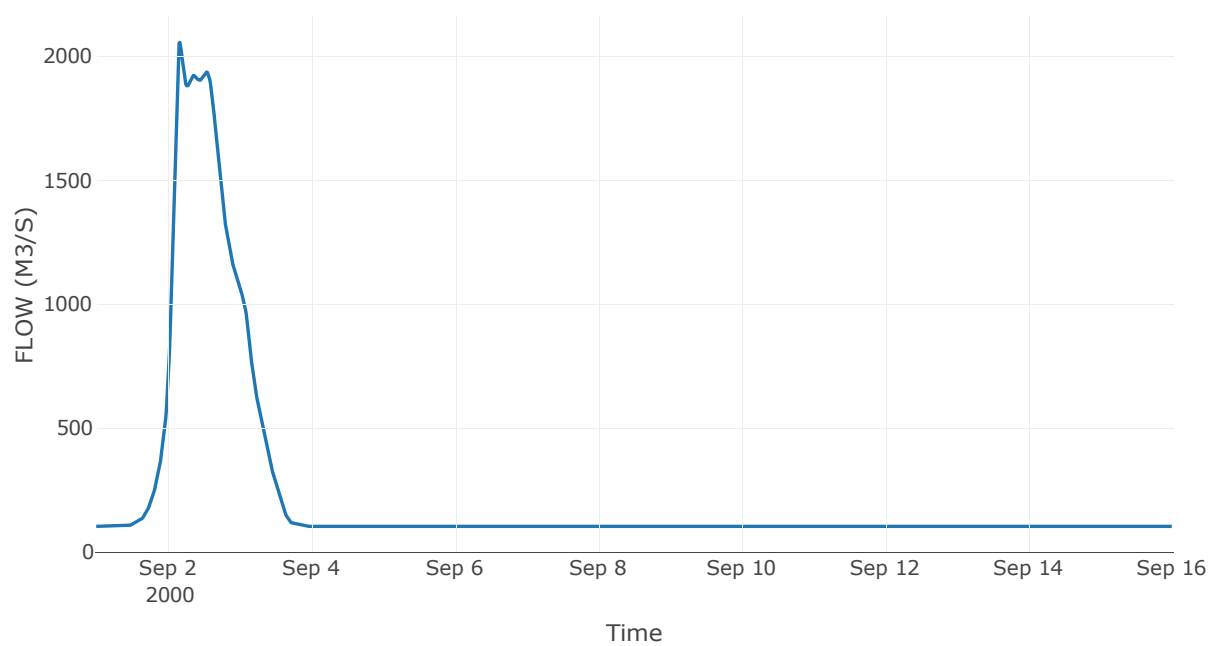
Κόμβος: J5

Κατάντη : R54

Αποτελέσματα: J5

Παροχή Αιχμής(M3/S)	2056.73
Χρονική στιγμή αιχμής	02Sep2000, 04:00
Όγκος(MM)	172.66

Απορροή



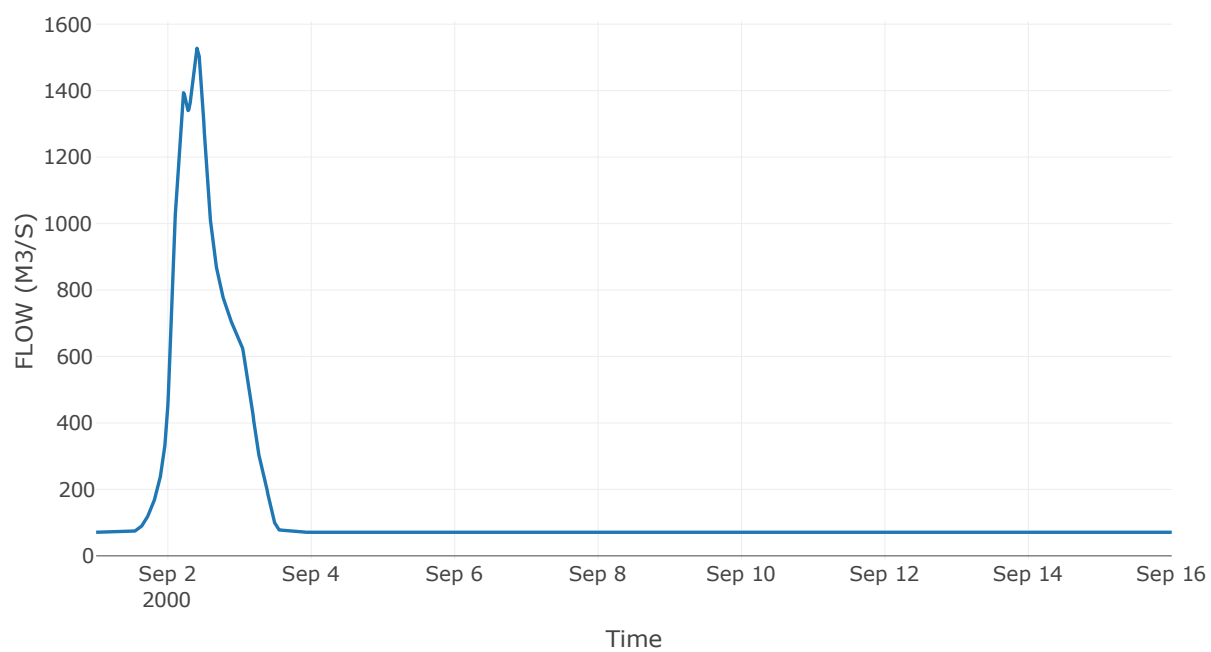
Κόμβος: J6

Κατάντη : R65

Αποτελέσματα: J6

Παροχή Αιχμής(M3/S)	1527.59
Χρονική στιγμή αιχμής	02Sep2000, 09:45
Όγκος(MM)	162.9

Απορροή



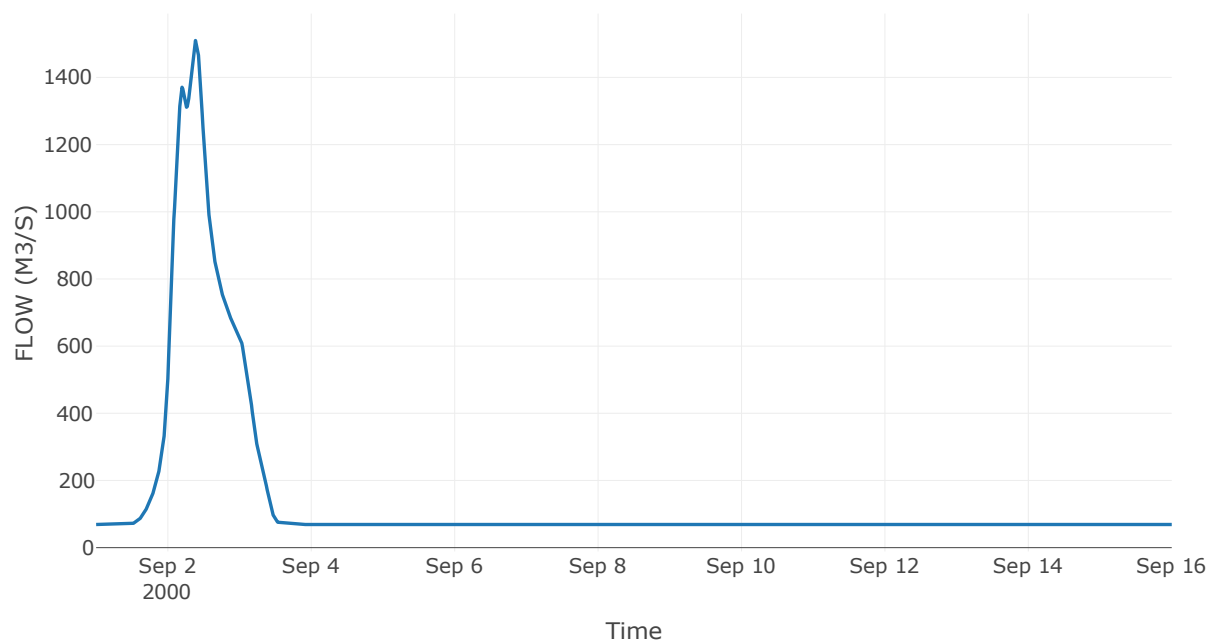
Κόμβος: J7

Κατάντη : R76

Αποτελέσματα: J7

Παροχή Αιχμής(M3/S)	1509.99
Χρονική στιγμή αιχμής	02Sep2000, 09:15
Όγκος(MM)	163.54

Απορροή



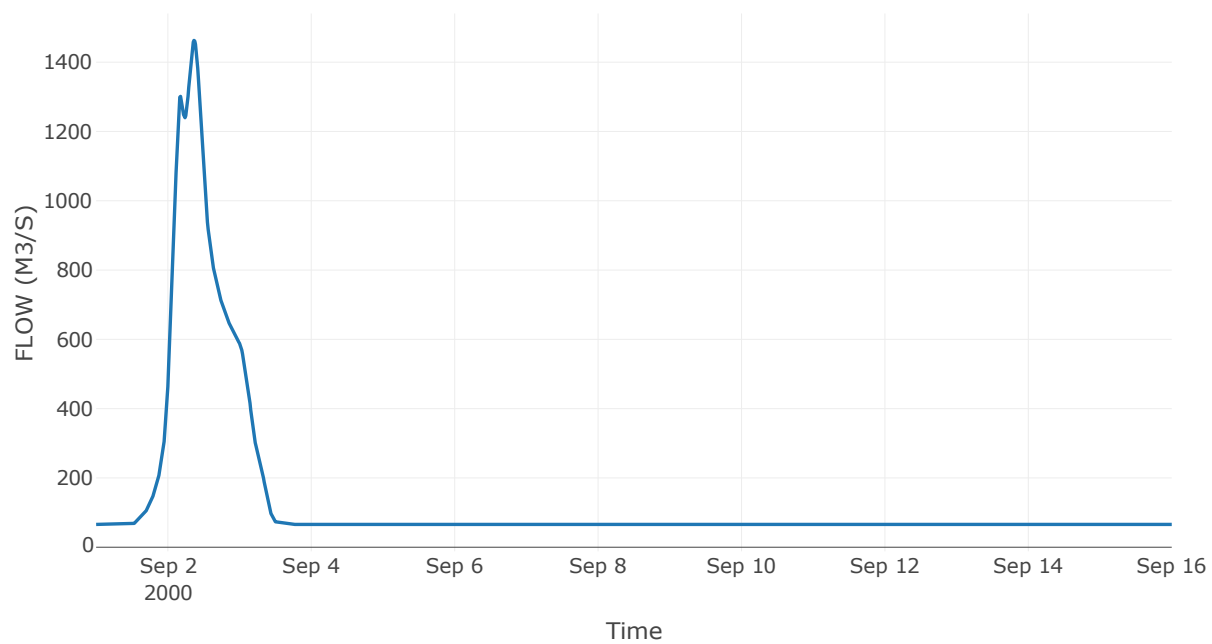
Κόμβος: J8

Κατάντη : R87

Αποτελέσματα: J8

Παροχή Αιχμής(M3/S)	1462.93
Χρονική στιγμή αιχμής	02Sep2000, 08:45
Όγκος(MM)	161.4

Απορροή



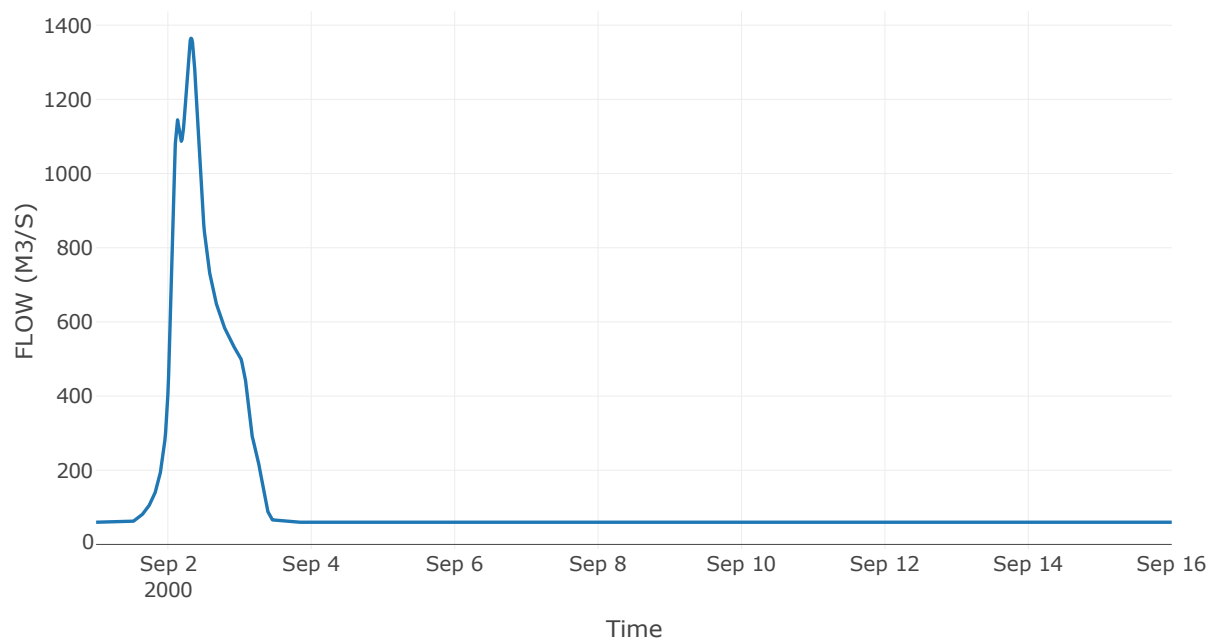
Κόμβος: J9

Κατάντη : R98

Αποτελέσματα: J9

Παροχή Αιχμής(M3/S)	1364.86
Χρονική στιγμή αιχμής	02Sep2000, 07:45
Όγκος(MM)	157.69

Απορροή



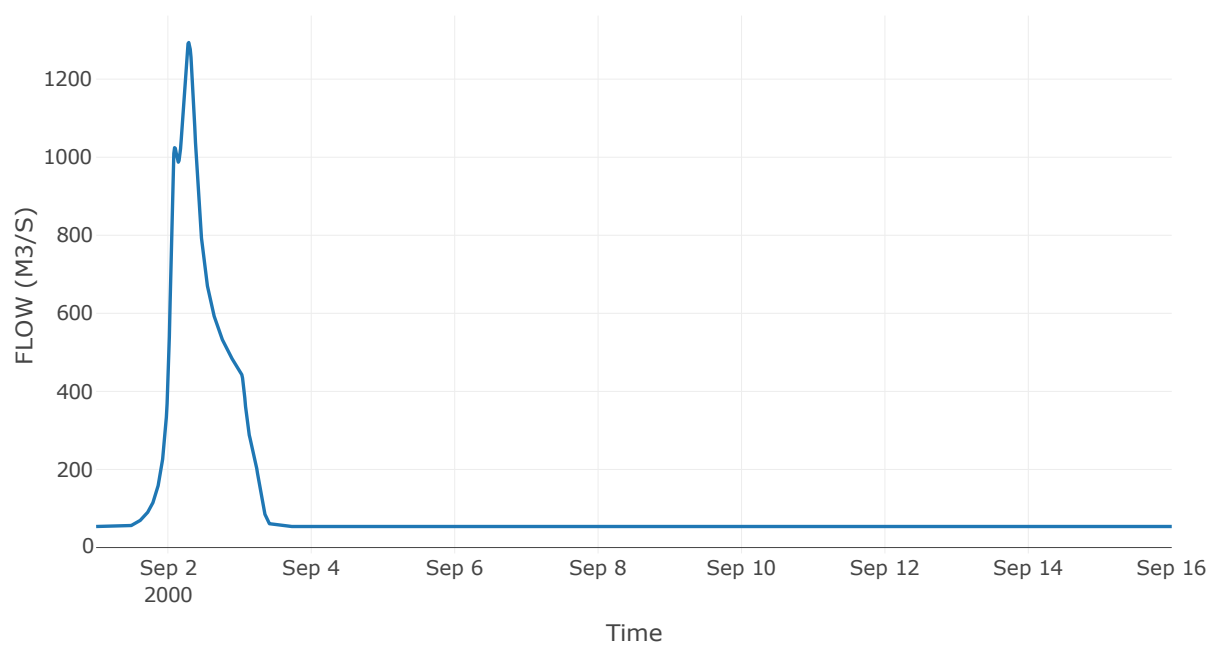
Κόμβος: J10

Κατάντη : R109

Αποτελέσματα: J10

Παροχή Αιχμής(M3/S)	1293.88
Χρονική στιγμή αιχμής	02Sep2000, 07:00
Όγκος(MM)	158.57

Απορροή



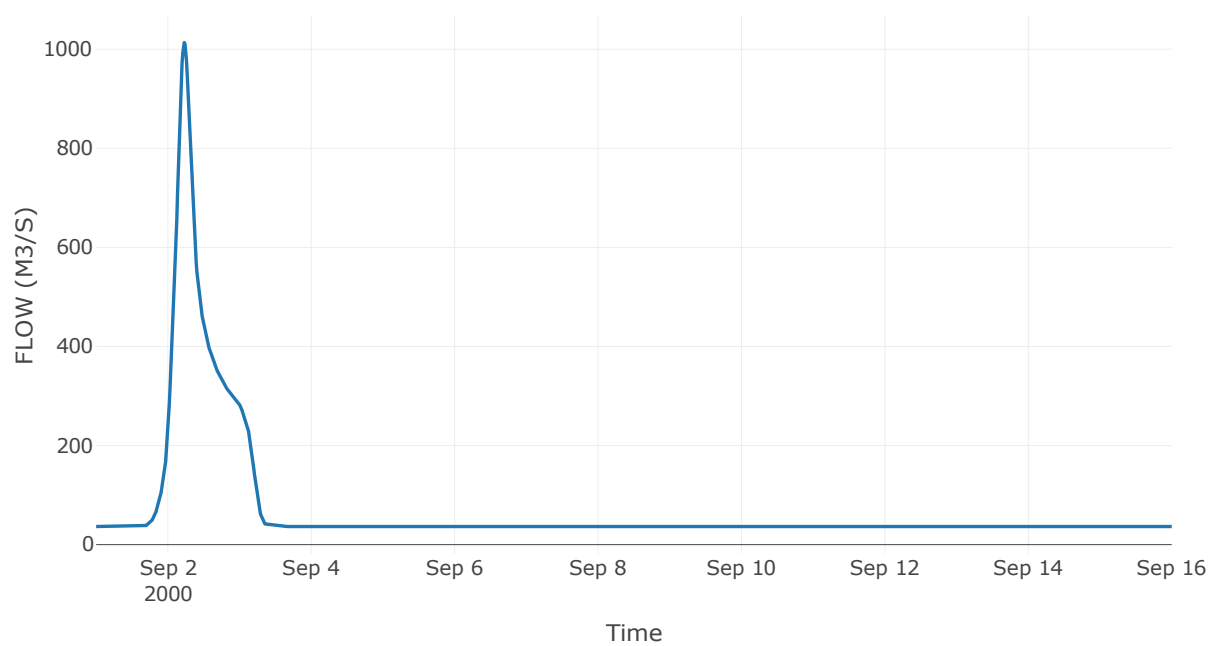
Κόμβος: J11

Κατάντη : R1110

Αποτελέσματα: J11

Παροχή Αιχμής(M3/S)	1013.64
Χρονική στιγμή αιχμής	02Sep2000, 05:30
Όγκος(MM)	152.4

Απορροή



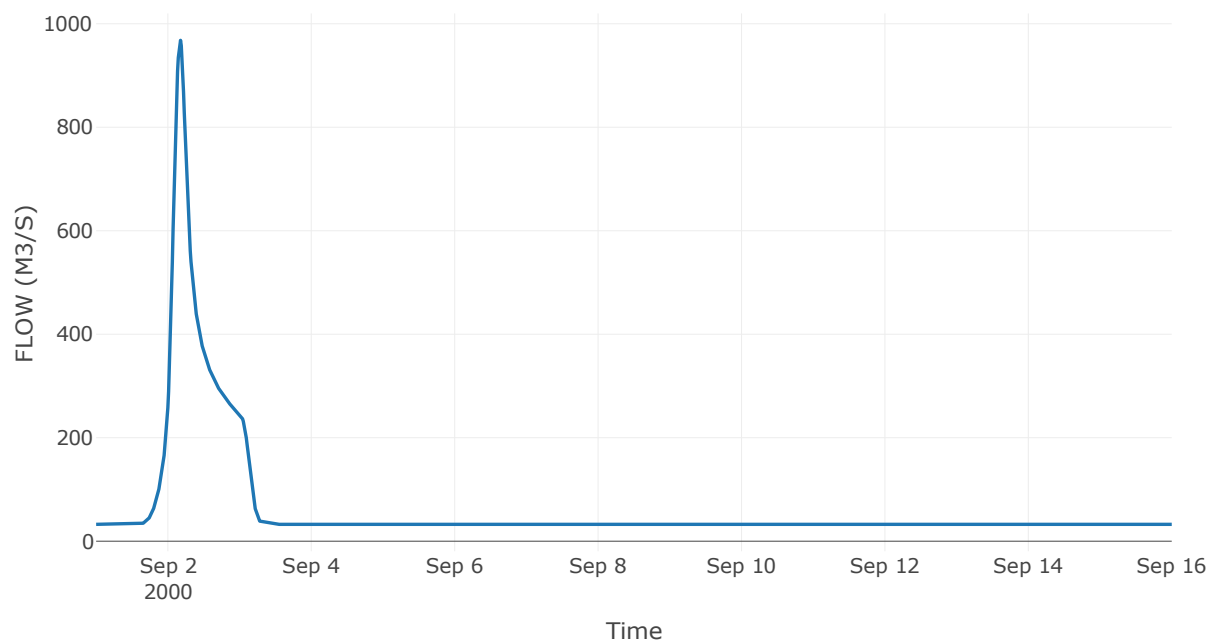
Κόμβος: J12

Κατάντη : R1211

Αποτελέσματα: J12

Παροχή Αιχμής(M3/S)	968
Χρονική στιγμή αιχμής	02Sep2000, 04:15
Όγκος(MM)	152.78

Απορροή



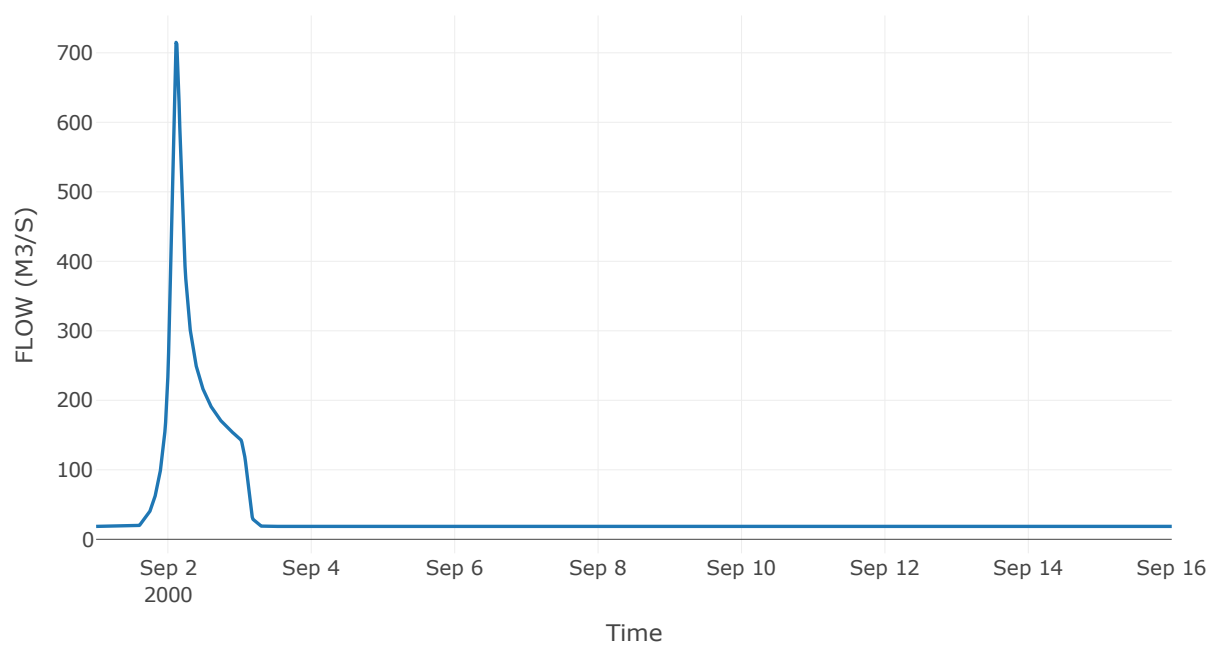
Κόμβος: J13

Κατάντη : R1312

Αποτελέσματα: J13

Παροχή Αιχμής(M3/S)	715.05
Χρονική στιγμή αιχμής	02Sep2000, 02:45
Όγκος(MM)	161.86

Απορροή



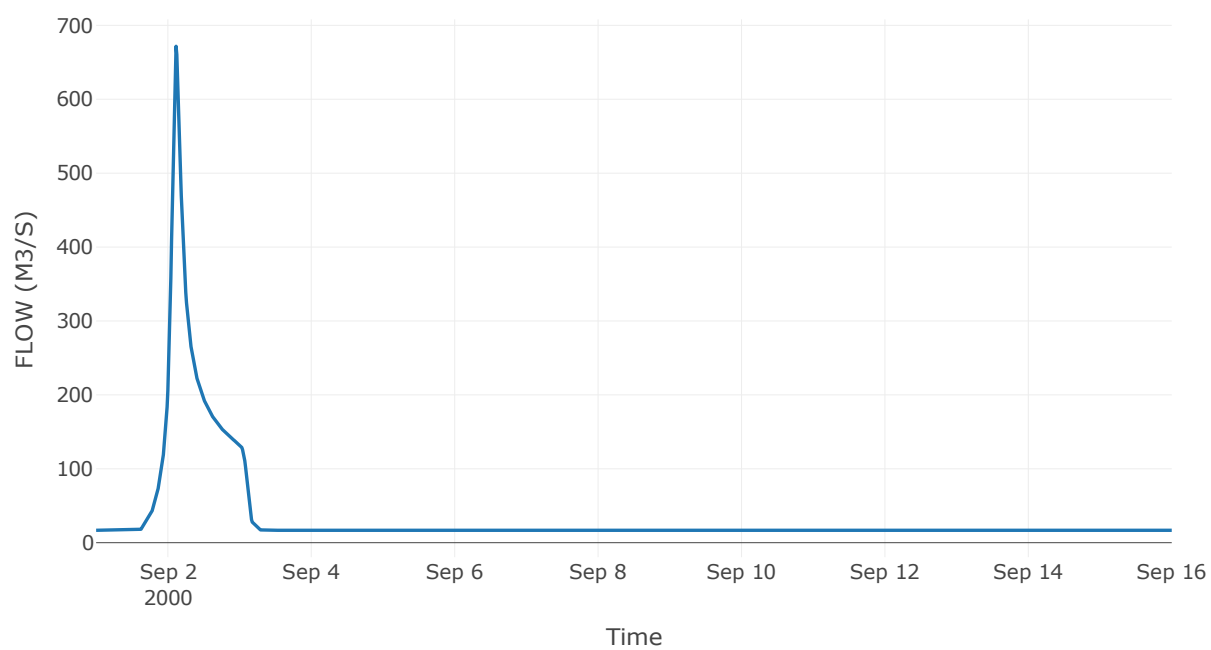
Κόμβος: J14

Κατάντη : R1413

Αποτελέσματα: J14

Παροχή Αιχμής(M3/S)	671.7
Χρονική στιγμή αιχμής	02Sep2000, 02:45
Όγκος(MM)	162.26

Απορροή



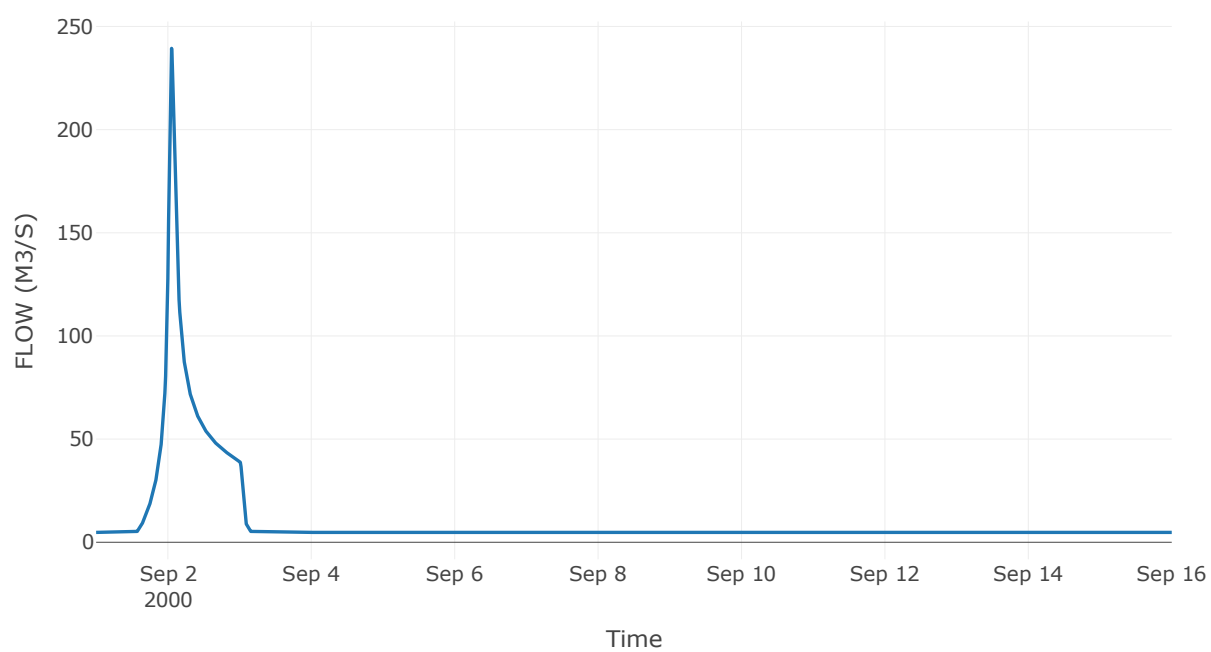
Κόμβος: J15

Κατάντη : R1514

Αποτελέσματα: J15

Παροχή Αιχμής(M3/S)	239.39
Χρονική στιγμή αιχμής	02Sep2000, 01:15
Όγκος(MM)	170.71

Απορροή



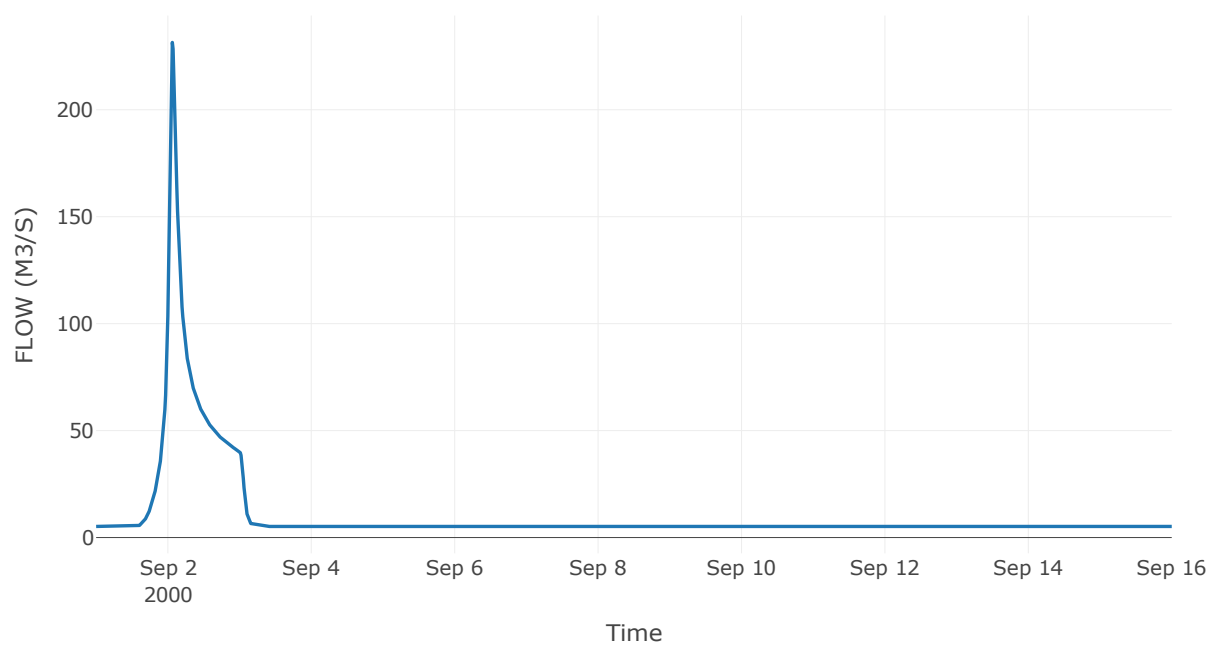
Κόμβος: J16

Κατάντη : R1614

Αποτελέσματα: J16

Παροχή Αιχμής(M3/S)	231.46
Χρονική στιγμή αιχμής	02Sep2000, 01:30
Όγκος(MM)	162.95

Απορροή



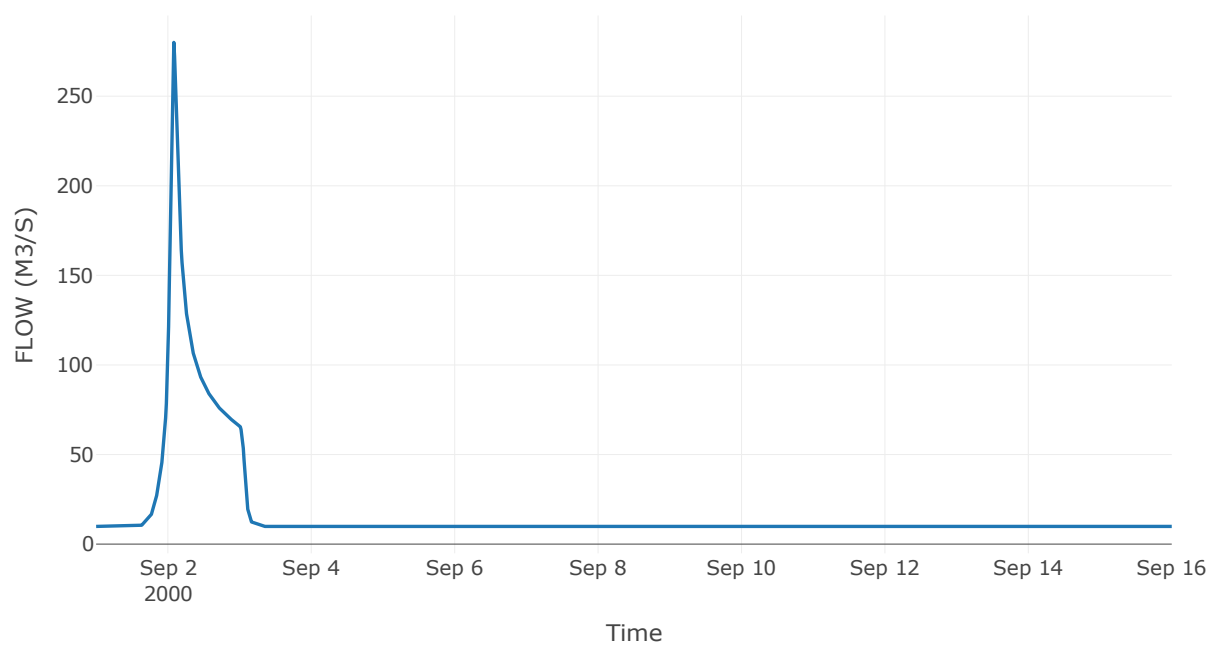
Κόμβος: J17

Κατάντη : R1712

Αποτελέσματα: J17

Παροχή Αιχμής(M3/S)	280.04
Χρονική στιγμή αιχμής	02Sep2000, 02:00
Όγκος(MM)	138.47

Απορροή



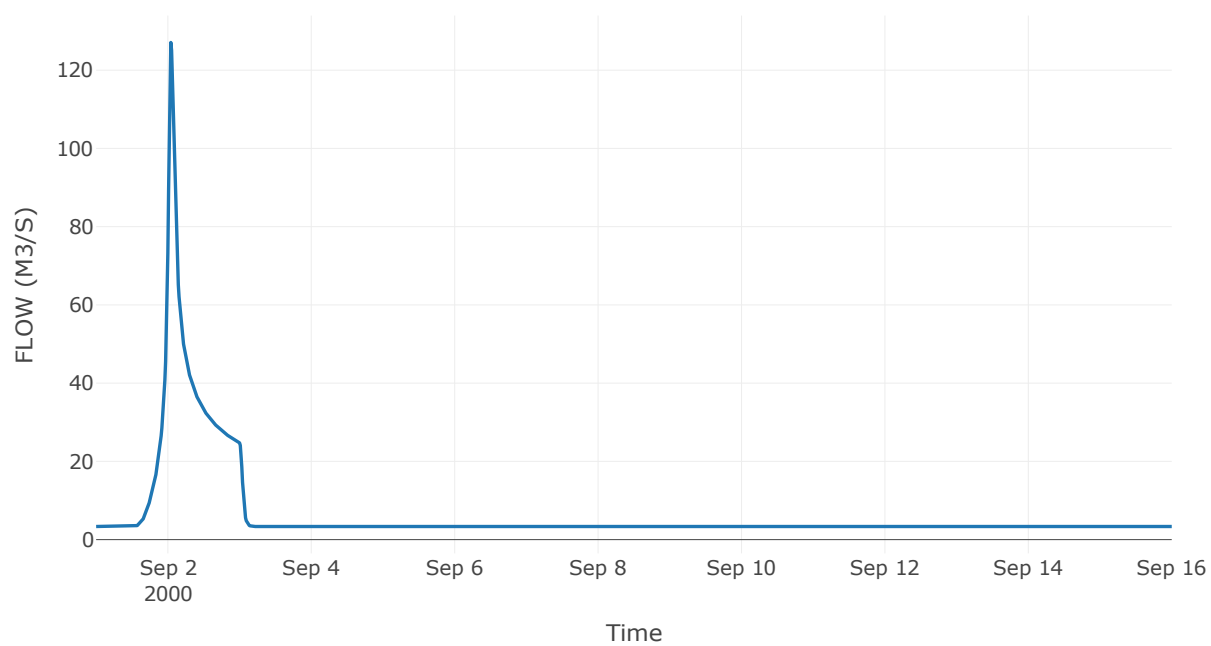
Κόμβος: J18

Κατάντη : R1817

Αποτελέσματα: J18

Παροχή Αιχμής(M3/S)	127.09
Χρονική στιγμή αιχμής	02Sep2000, 01:00
Όγκος(MM)	150.95

Απορροή



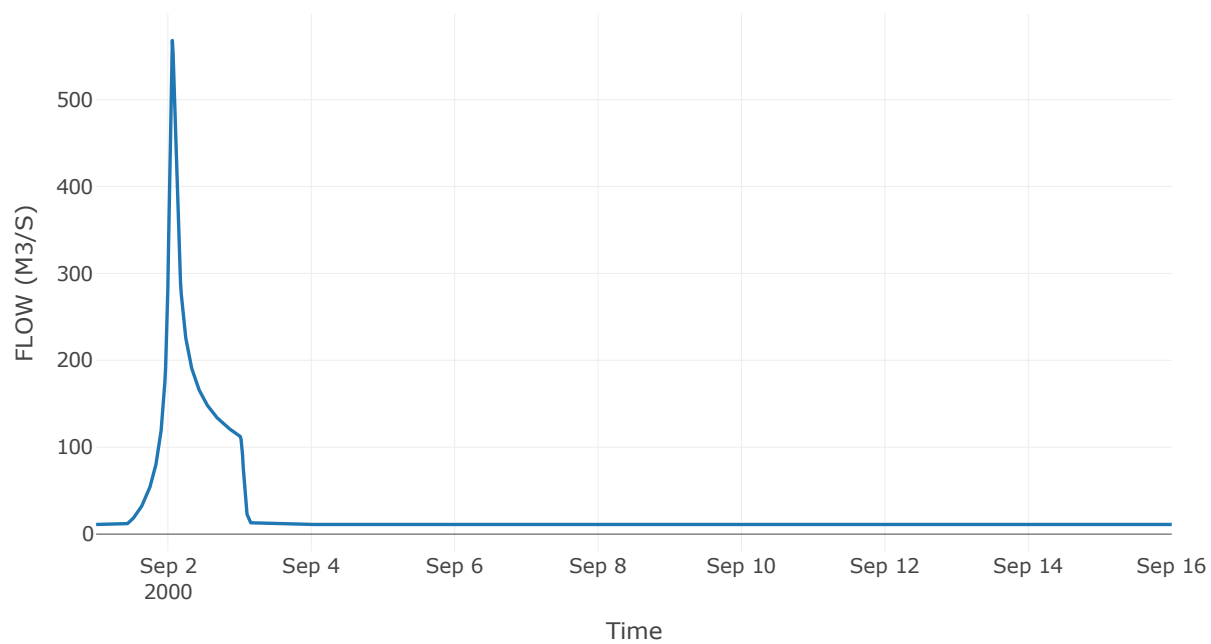
Κόμβος: J19

Κατάντη : R1910

Αποτελέσματα: J19

Παροχή Αιχμής(M3/S)	568.11
Χρονική στιγμή αιχμής	02Sep2000, 01:30
Όγκος(MM)	187.02

Απορροή



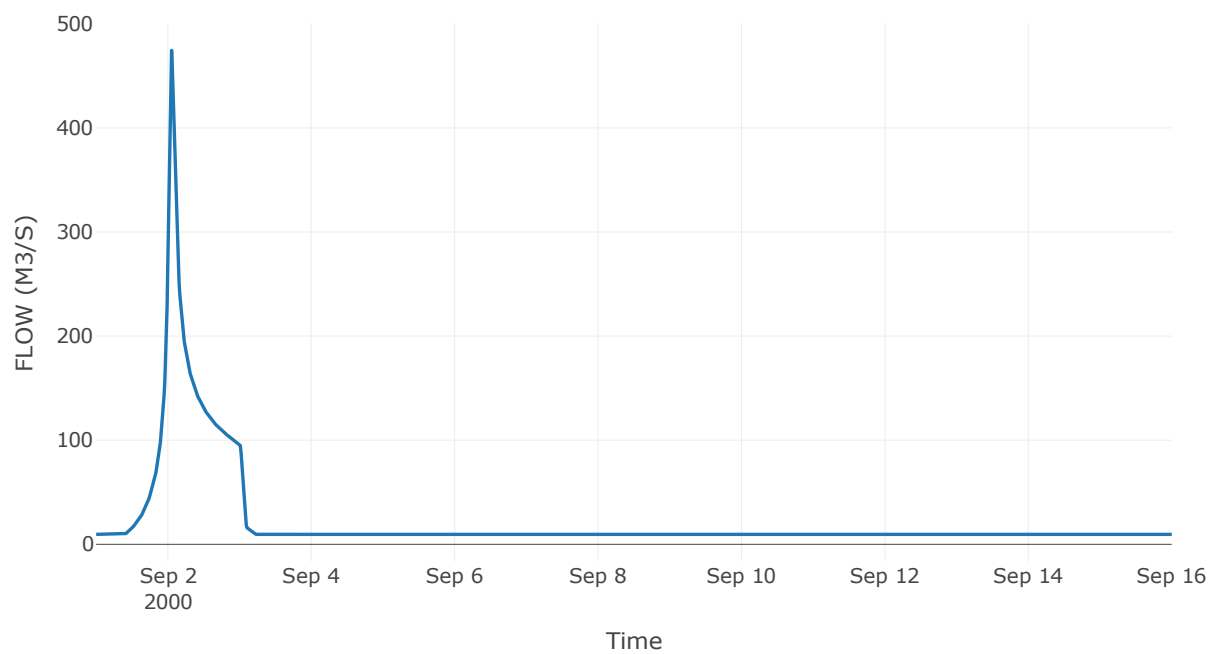
Κόμβος: J20

Κατάντη : R2019

Αποτελέσματα: J20

Παροχή Αιχμής(M3/S)	474.47
Χρονική στιγμή αιχμής	02Sep2000, 01:15
Όγκος(MM)	183.66

Απορροή



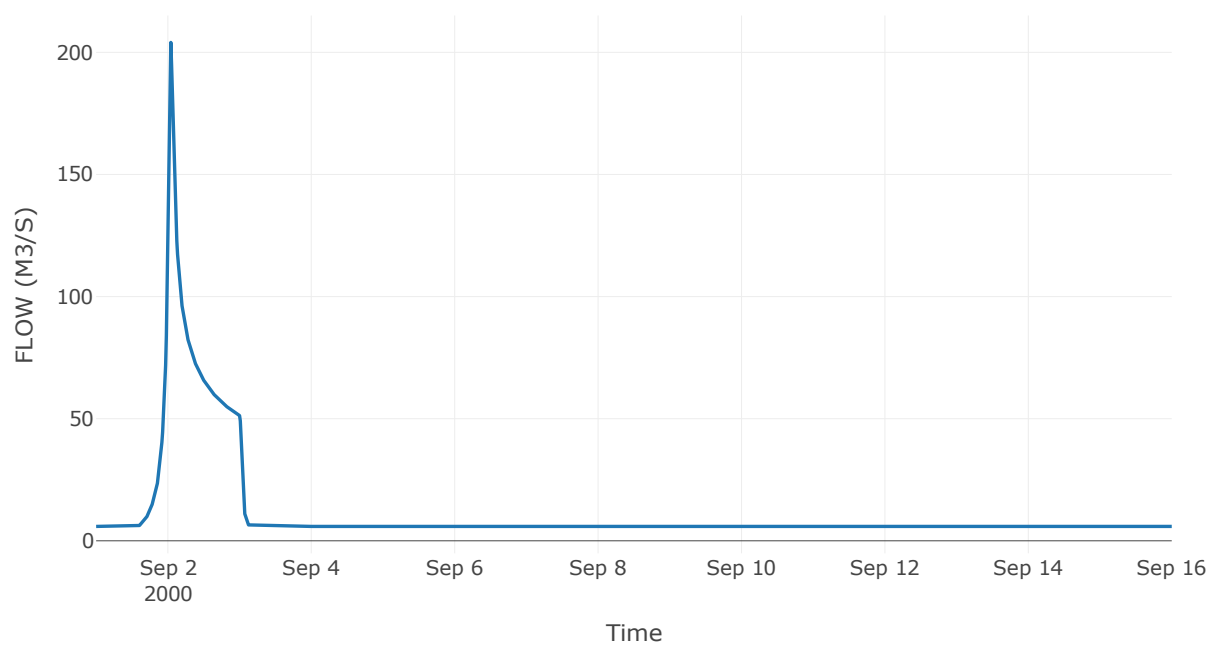
Κόμβος: J21

Κατάντη : R2120

Αποτελέσματα: J21

Παροχή Αιχμής(M3/S)	204.08
Χρονική στιγμή αιχμής	02Sep2000, 01:00
Όγκος(MM)	152.72

Απορροή



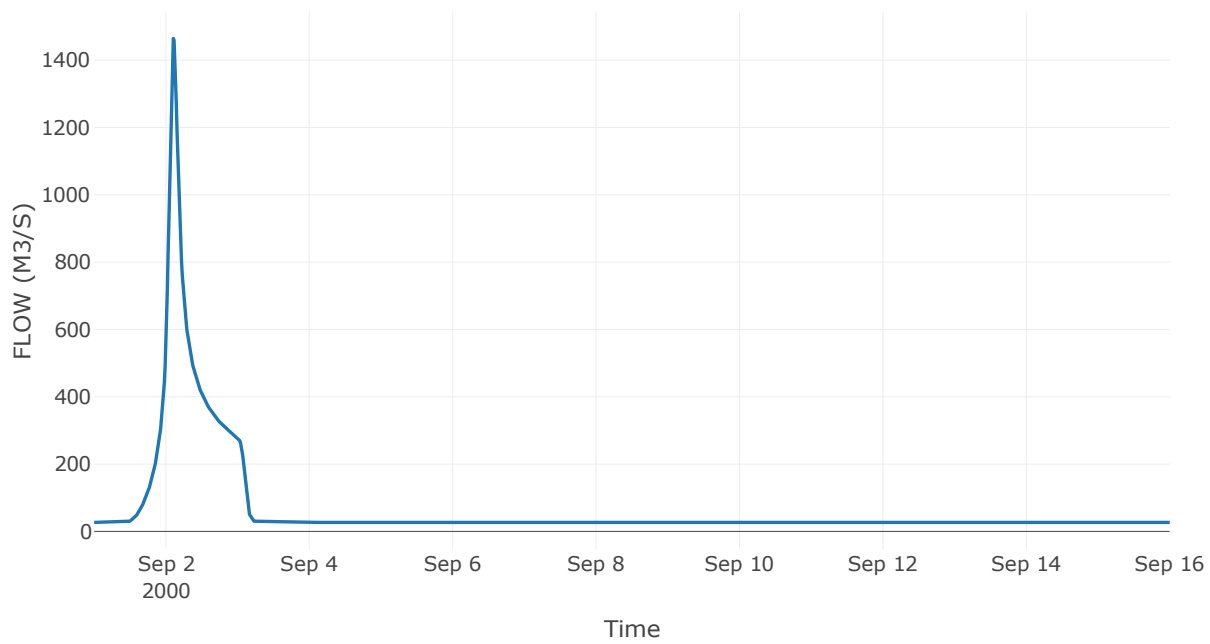
Κόμβος: J22

Κατάντη : R225

Αποτελέσματα: J22

Παροχή Αιχμής(M3/S)	1464.82
Χρονική στιγμή αιχμής	02Sep2000, 02:30
Όγκος(MM)	198.8

Απορροή



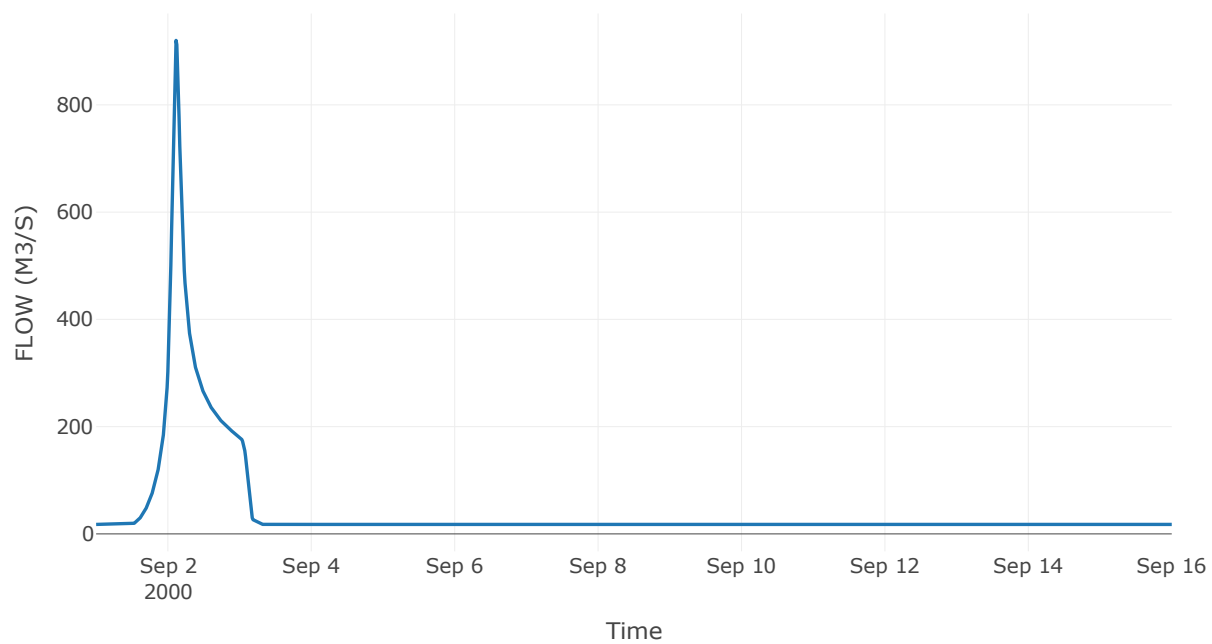
Κόμβος: J23

Κατάντη : R2322

Αποτελέσματα: J23

Παροχή Αιχμής(M3/S)	920.22
Χρονική στιγμή αιχμής	02Sep2000, 02:45
Όγκος(MM)	191.22

Απορροή



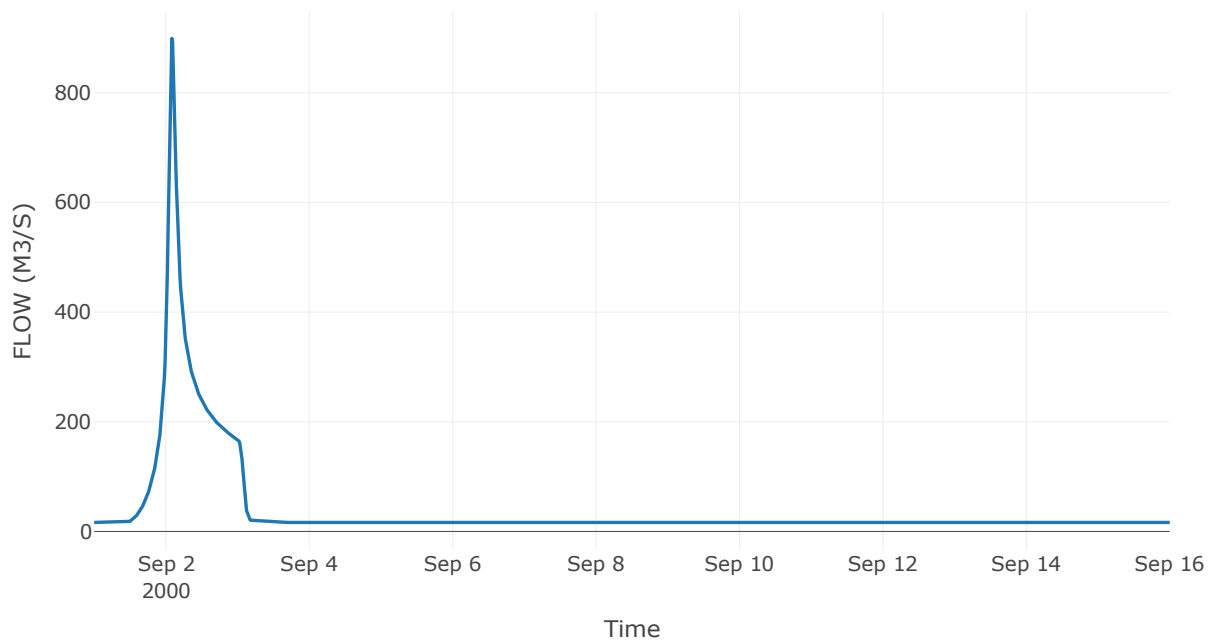
Κόμβος: J24

Κατάντη : R2423

Αποτελέσματα: J24

Παροχή Αιχμής(M3/S)	899.07
Χρονική στιγμή αιχμής	02Sep2000, 02:00
Όγκος(MM)	191.43

Απορροή



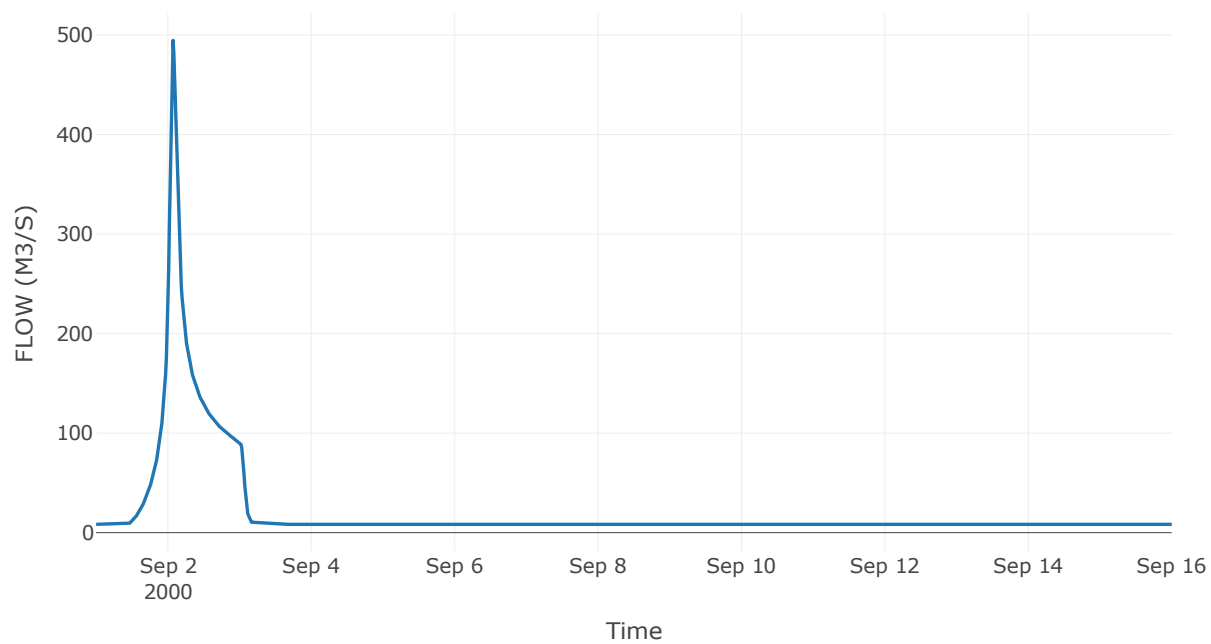
Κόμβος: J25

Κατάντη : R2524

Αποτελέσματα: J25

Παροχή Αιχμής(M3/S)	494.63
Χρονική στιγμή αιχμής	02Sep2000, 01:45
Όγκος(MM)	201.69

Απορροή



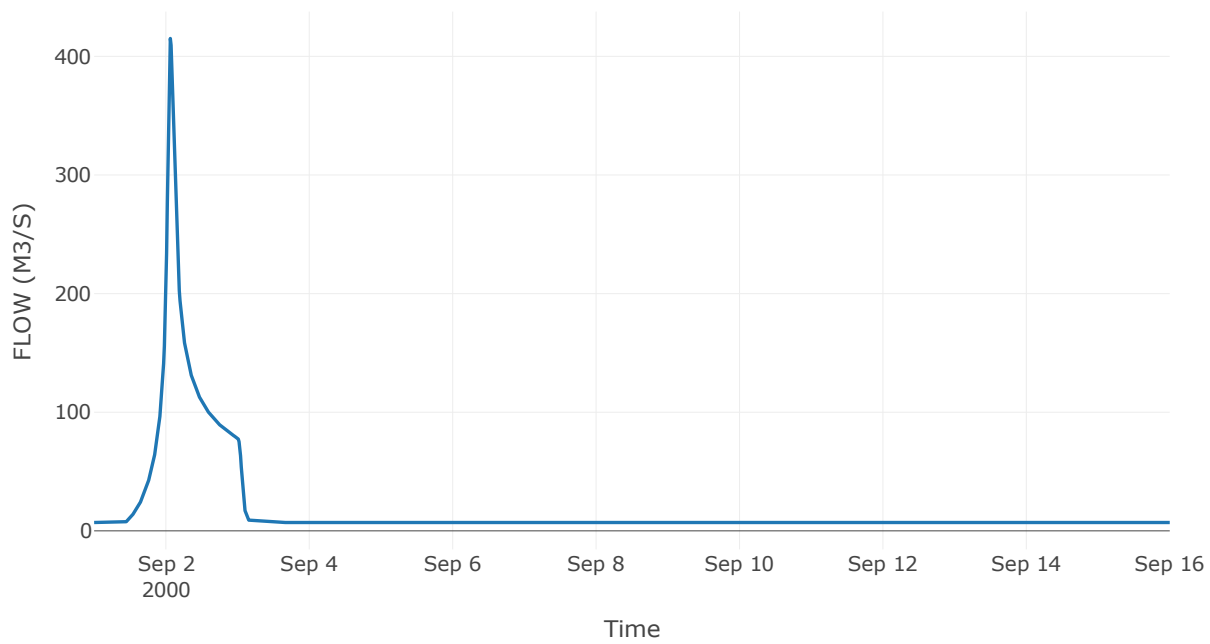
Κόμβος: J26

Κατάντη : R2625

Αποτελέσματα: J26

Παροχή Αιχμής(M3/S)	415.08
Χρονική στιγμή αιχμής	02Sep2000, 01:30
Όγκος(MM)	201.94

Απορροή



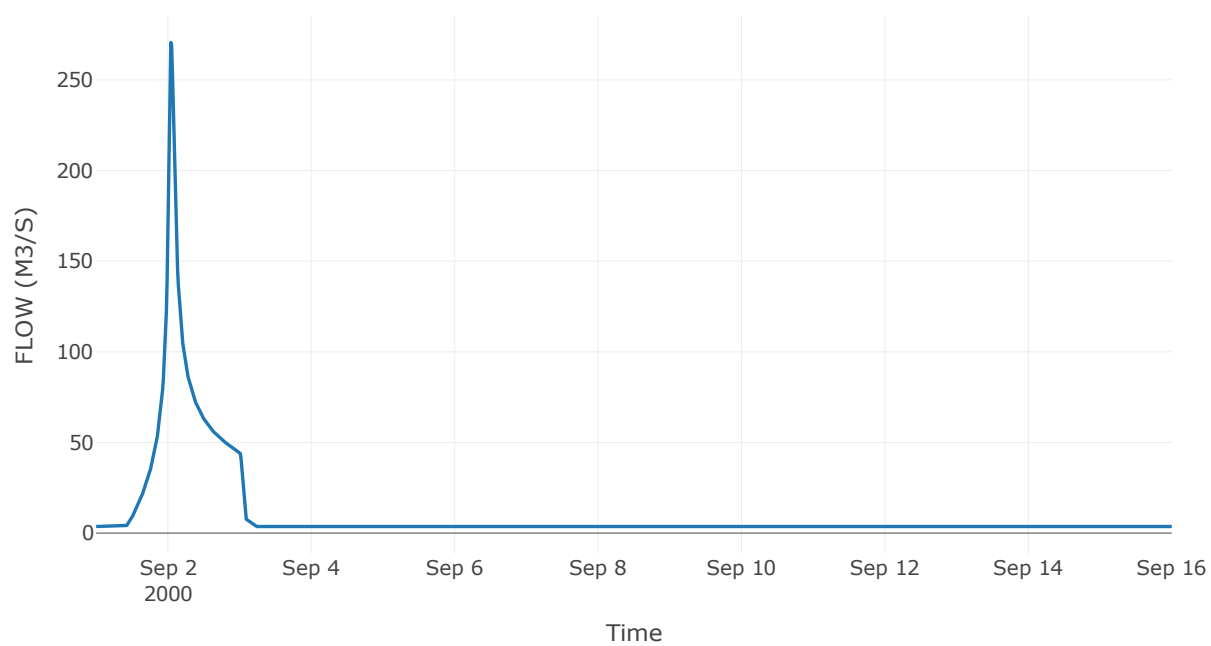
Κόμβος: J27

Κατάντη : R2726

Αποτελέσματα: J27

Παροχή Αιχμής(M3/S)	270.59
Χρονική στιγμή αιχμής	02Sep2000, 01:00
Όγκος(MM)	229.14

Απορροή



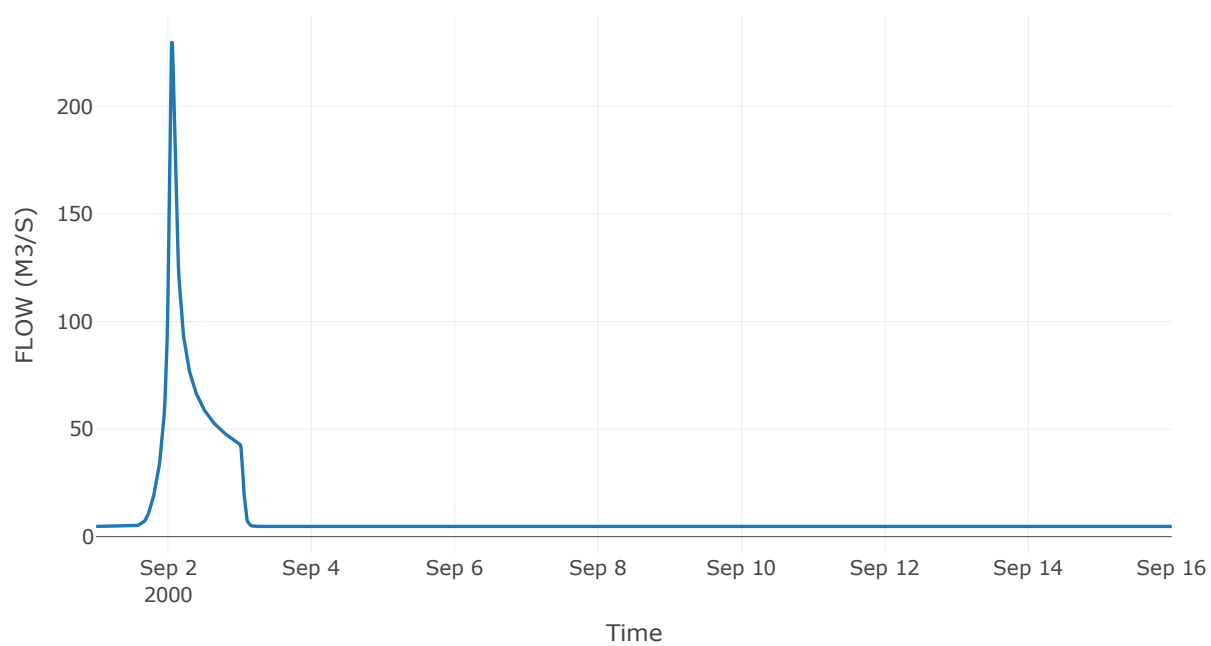
Κόμβος: J28

Κατάντη : R2824

Αποτελέσματα: J28

Παροχή Αιχμής(M3/S)	229.73
Χρονική στιγμή αιχμής	02Sep2000, 01:15
Όγκος(MM)	170.75

Απορροή



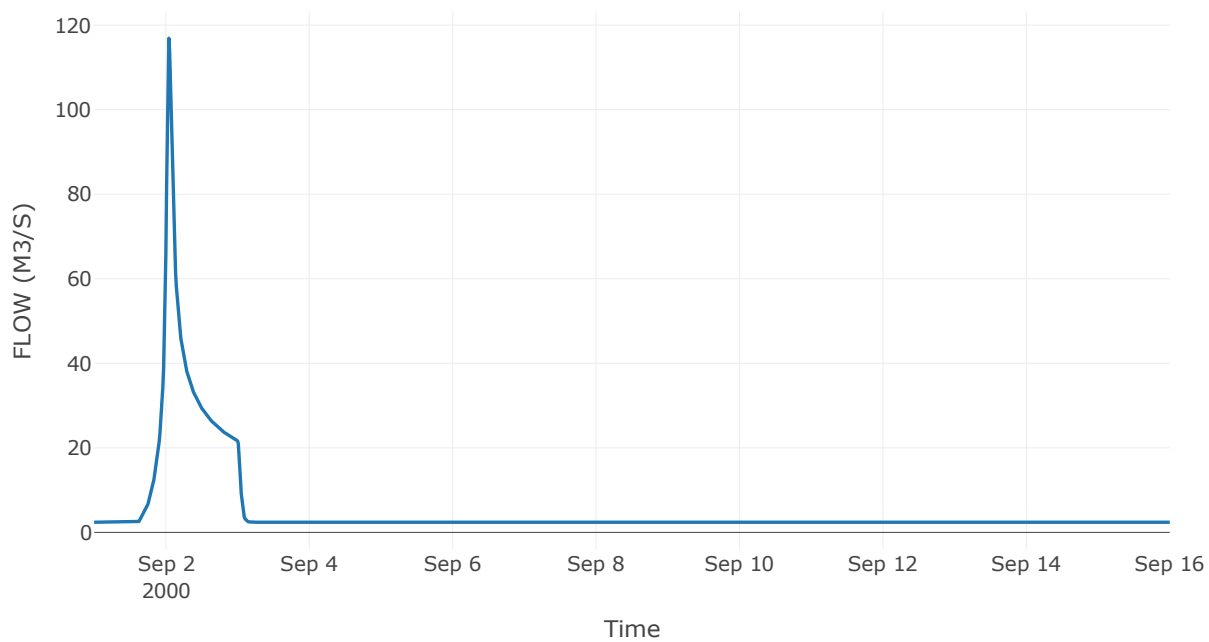
Κόμβος: J29

Κατάντη : R2928

Αποτελέσματα: J29

Παροχή Αιχμής(M3/S)	116.89
Χρονική στιγμή αιχμής	02Sep2000, 01:00
Όγκος(MM)	169.21

Απορροή



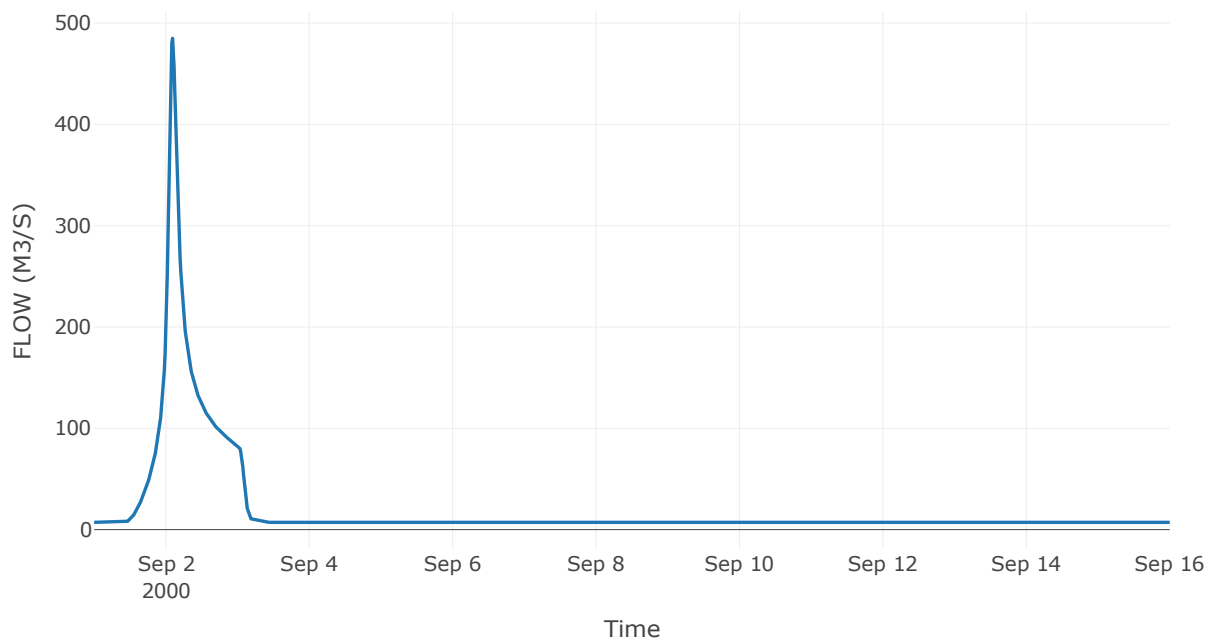
Κόμβος: J30

Κατάντη : R3022

Αποτελέσματα: J30

Παροχή Αιχμής(M3/S)	484.84
Χρονική στιγμή αιχμής	02Sep2000, 02:15
Όγκος(MM)	222.29

Απορροή



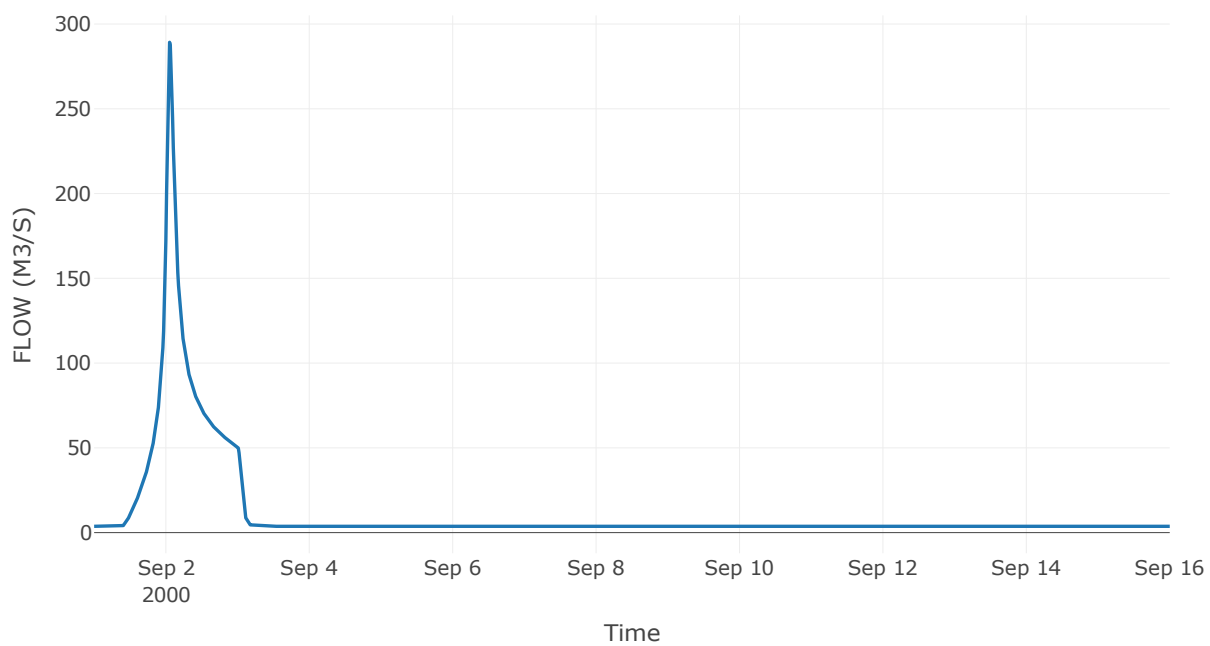
Κόμβος: J31

Κατάντη : R3130

Αποτελέσματα: J31

Παροχή Αιχμής(M3/S)	289.23
Χρονική στιγμή αιχμής	02Sep2000, 01:15
Όγκος(MM)	250.16

Απορροή



4 Δεδομένα εισόδου και αποτελέσματα υδρολογικού σεναρίου T=50U

4.1 Αποτελέσματα, υετογραφήματα και υδρογραφήματα σχεδιασμού υπολεκανών

Υπολεκάνη: EL0514FR003001

Έκταση (KM2) : 46.02

Κατάντη : J15

Μέθοδος Απωλειών: SCS

Ποσοστό αδιαπέρατης επιφάνειας	0
Αριθμός Καμπύλης Απορροής-CN	90.23
Αρχικές Απώλειες	5.5

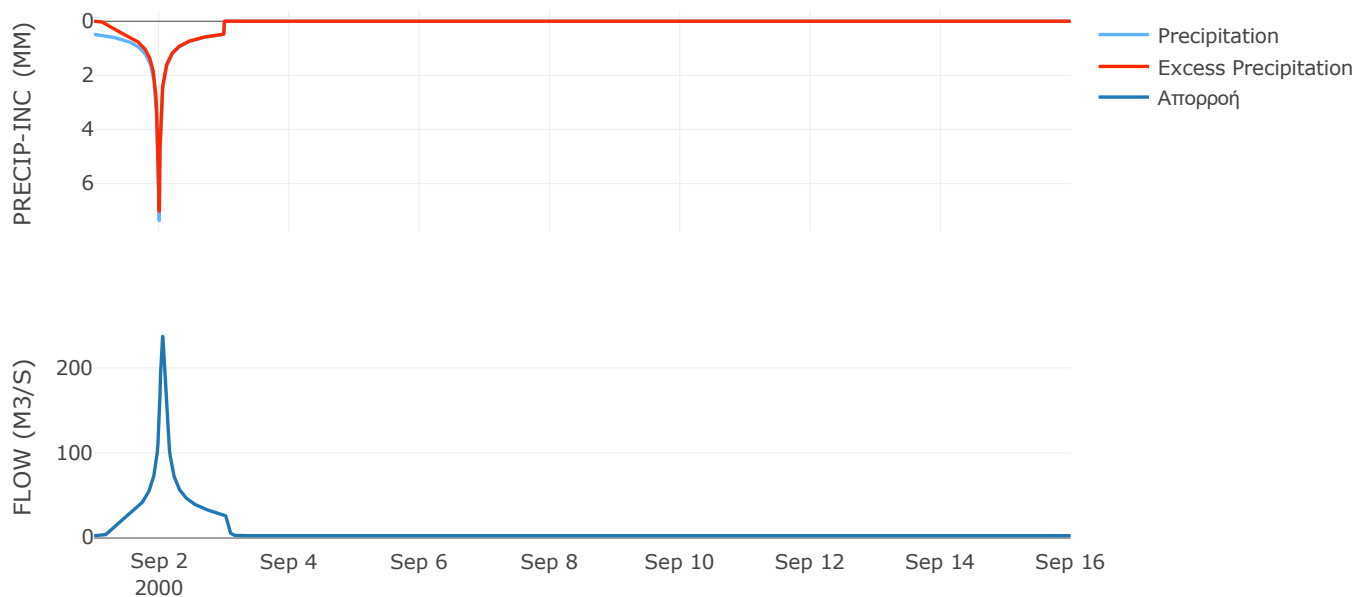
Μέθοδος
Μετασχηματισμού: SCS

Χρόνος Υστέρησης	66.7
------------------	------

Αποτελέσματα:
EL0514FR003001

Παροχή αιχμής (M3/S)	237.1
Χρονική στιγμή αιχμής	02Sep2000, 01:15
Όγκος (MM)	250.1
Όγκος βροχόπτωσης (M3)	9.29E6
Όγκος απωλειών (M3)	1.36E6
Ενεργός Όγκος (M3)	7.93E6
Όγκος άμεσης απορροής (M3)	7.93E6
Όγκος βασικής απορροής (M3)	3.58E6

Βροχόπτωση και Απορροή



Υπολεκάνη: EL0514FR003002

Έκταση (KM2) : 33.64

Κατάνη : J15

Μέθοδος Απωλειών: SCS

Ποσοστό αδιαπέρατης επιφάνειας	0
Αριθμός Καμπύλης Απορροής-CN	90.22
Αρχικές Απώλειες	5.51

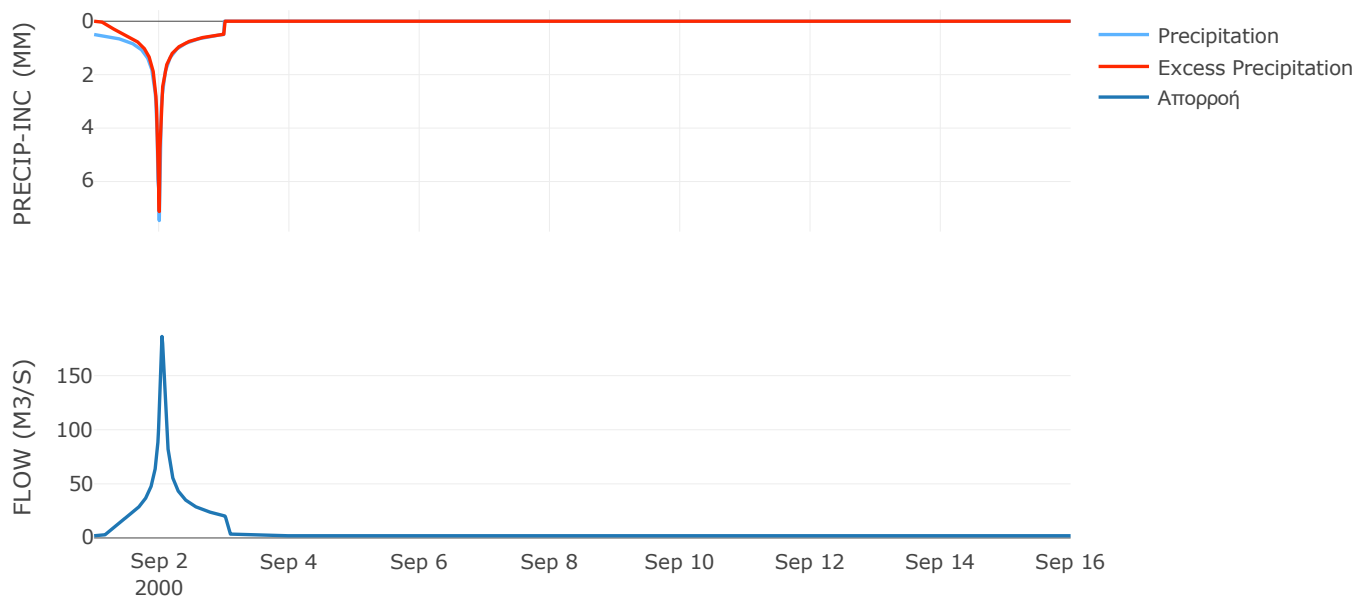
Μέθοδος
Μετασχηματισμού: SCS

Χρόνος Υστέρησης	55.46
------------------	-------

Αποτελέσματα:
EL0514FR003002

Παροχή αιχμής (M3/S)	186.22
Χρονική στιγμή αιχμής	02Sep2000, 01:00
Όγκος (MM)	254.24
Όγκος βροχόπτωσης (M3)	6.94E6
Όγκος απωλειών (M3)	1E6
Ενεργός Όγκος (M3)	5.94E6
Όγκος άμεσης απορροής (M3)	5.94E6
Όγκος βασικής απορροής (M3)	2.62E6

Βροχόπτωση και Απορροή



Υπολεκάνη: EL0514FR003003

Έκταση (KM2) : 51.67

Κατάντη : J14

Μέθοδος Απωλειών: SCS

Ποσοστό αδιαπέρατης επιφάνειας	0
Αριθμός Καμπύλης Απορροής-CN	87.19
Αρχικές Απώλειες	7.46

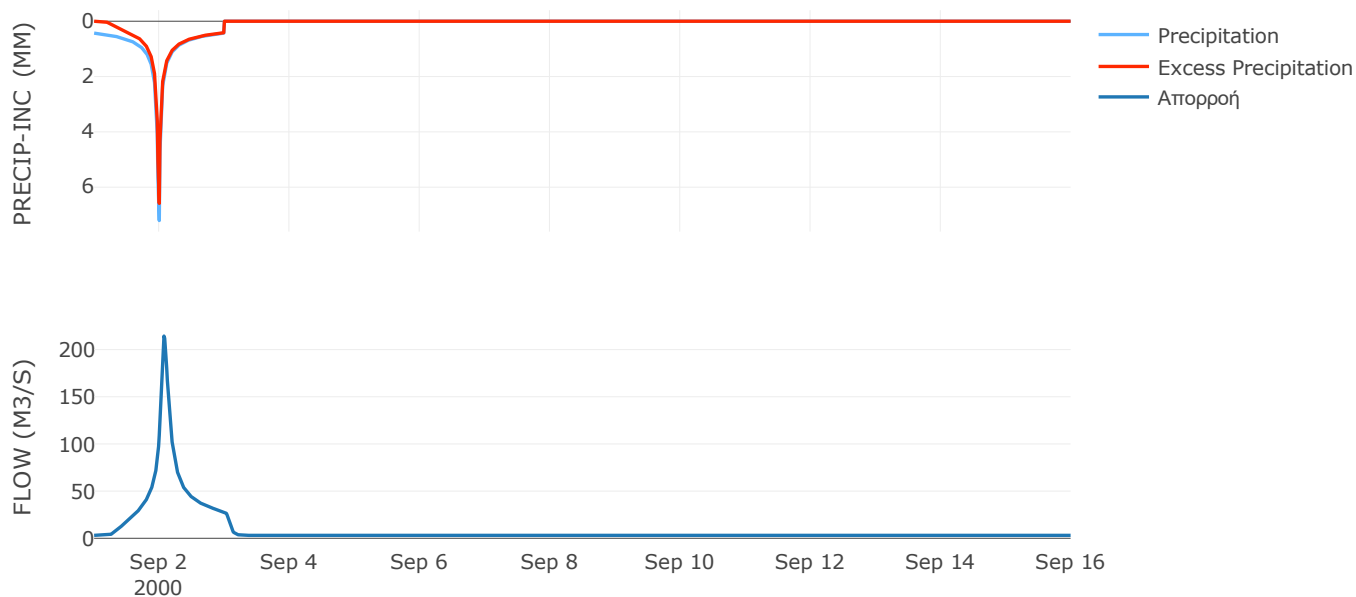
Μέθοδος
Μετασχηματισμού: SCS

Χρόνος Υστέρησης	100.01
------------------	--------

Αποτελέσματα:
EL0514FR003003

Παροχή αιχμής (M3/S)	214.33
Χρονική στιγμή αιχμής	02Sep2000, 01:45
Όγκος (MM)	225.14
Όγκος βροχόπτωσης (M3)	9.6E6
Όγκος απωλειών (M3)	1.98E6
Ενεργός Όγκος (M3)	7.62E6
Όγκος άμεσης απορροής (M3)	7.62E6
Όγκος βασικής απορροής (M3)	4.02E6

Βροχόπτωση και Απορροή



Υπολεκάνη: EL0514FR003004

Έκταση (KM2) : 62.35

Κατάνη : J14

Μέθοδος Απωλειών: SCS

Ποσοστό αδιαπέρατης επιφάνειας	0
Αριθμός Καμπύλης Απορροής-CN	90.55
Αρχικές Απώλειες	5.3

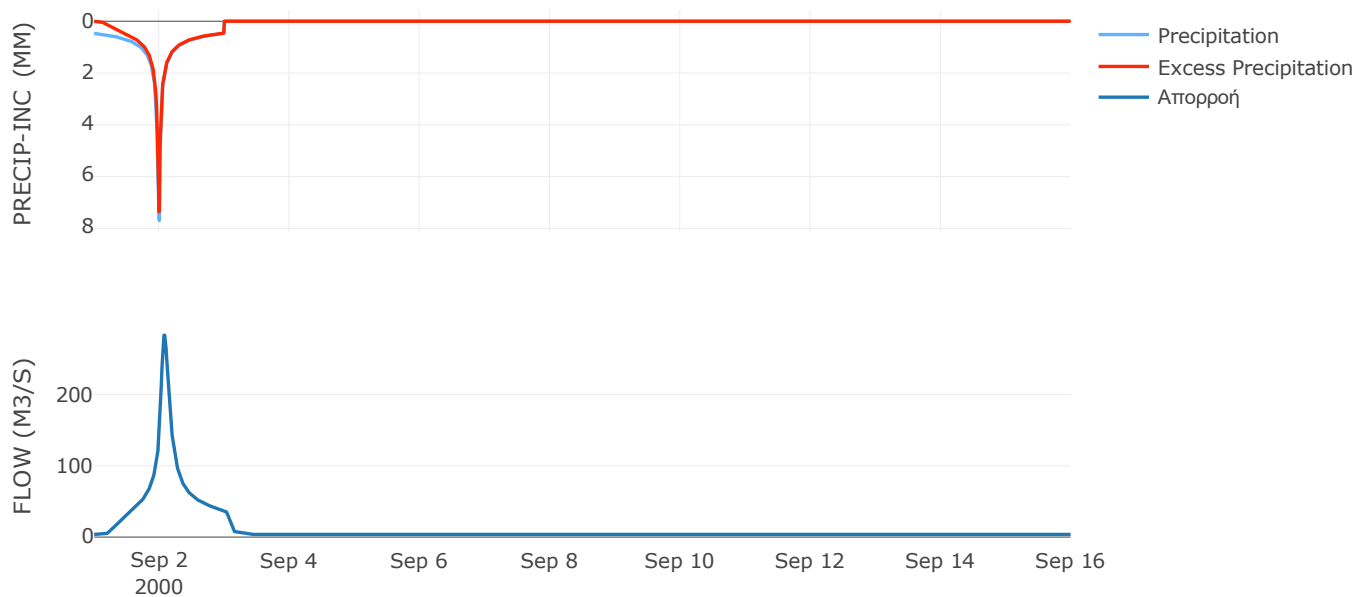
Μέθοδος
Μετασχηματισμού: SCS

Χρόνος Υστέρησης	107.11
------------------	--------

Αποτελέσματα:
EL0514FR003004

Παροχή αιχμής (M3/S)	283.04
Χρονική στιγμή αιχμής	02Sep2000, 02:00
Όγκος (MM)	249.79
Όγκος βροχόπτωσης (M3)	1.25E7
Όγκος απωλειών (M3)	1.78E6
Ενεργός Όγκος (M3)	1.07E7
Όγκος άμεσης απορροής (M3)	1.07E7
Όγκος βασικής απορροής (M3)	4.85E6

Βροχόπτωση και Απορροή



Υπολεκάνη: EL0514FR003005

Έκταση (KM2) : 0.91

Κατάνη : J13

Μέθοδος Απωλειών: SCS

Ποσοστό αδιαπέρατης επιφάνειας	0
Αριθμός Καμπύλης Απορροής-CN	90.67
Αρχικές Απώλειες	5.23

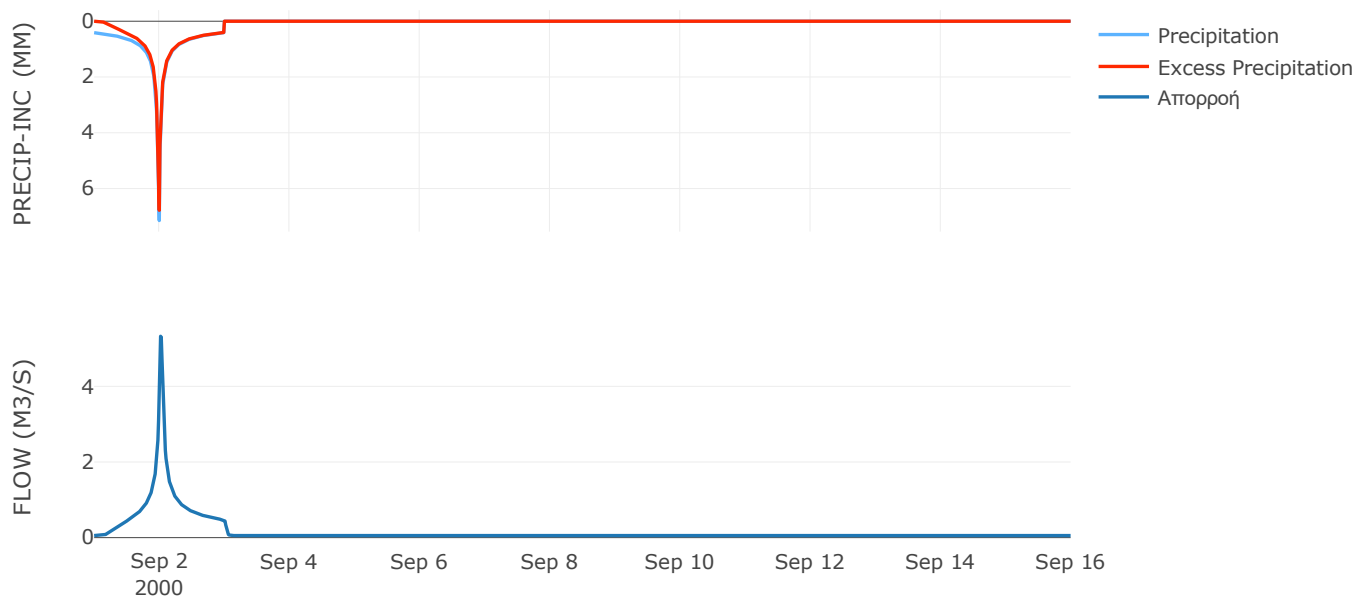
Μέθοδος
Μετασχηματισμού: SCS

Χρόνος Υστέρησης	33.43
------------------	-------

Αποτελέσματα:
EL0514FR003005

Παροχή αιχμής (M3/S)	5.33
Χρονική στιγμή αιχμής	02Sep2000, 00:30
Όγκος (MM)	229.5
Όγκος βροχόπτωσης (M3)	1.64E5
Όγκος απωλειών (M3)	25546.99
Ενεργός Όγκος (M3)	1.39E5
Όγκος άμεσης απορροής (M3)	1.39E5
Όγκος βασικής απορροής (M3)	71072.64

Βροχόπτωση και Απορροή



Υπολεκάνη: EL0514FR003006

Έκταση (KM2) : 19.25

Κατάντη : J13

Μέθοδος Απωλειών: SCS

Ποσοστό αδιαπέρατης επιφάνειας	0
Αριθμός Καμπύλης Απορροής-CN	91.78
Αρχικές Απώλειες	4.55

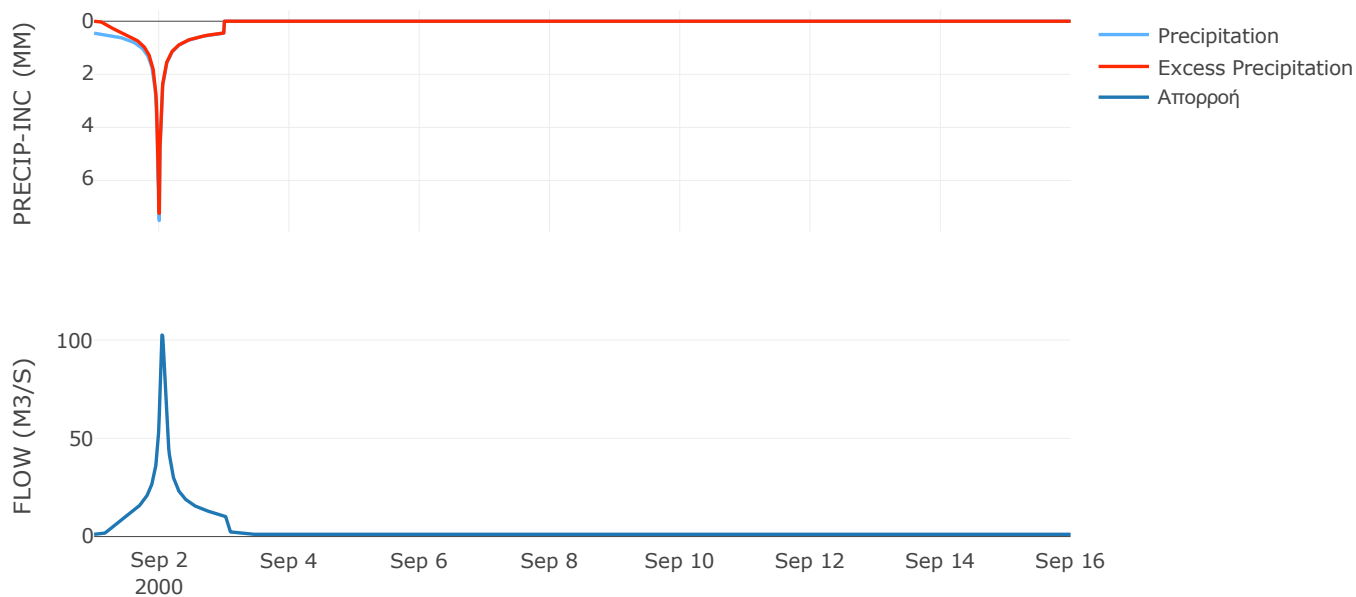
Μέθοδος
Μετασχηματισμού: SCS

Χρόνος Υστέρησης	63.28
------------------	-------

Αποτελέσματα:
EL0514FR003006

Παροχή αιχμής (M3/S)	102.58
Χρονική στιγμή αιχμής	02Sep2000, 01:00
Όγκος (MM)	246.82
Όγκος βροχόπτωσης (M3)	3.73E6
Όγκος απωλειών (M3)	4.79E5
Ενεργός Όγκος (M3)	3.25E6
Όγκος άμεσης απορροής (M3)	3.25E6
Όγκος βασικής απορροής (M3)	1.5E6

Βροχόπτωση και Απορροή



Υπολεκάνη: EL0514FR003007

Έκταση (KM2) : 23.36

Κατάντη : J12

Μέθοδος Απωλειών: SCS

Ποσοστό αδιαπέρατης επιφάνειας	0
Αριθμός Καμπύλης Απορροής-CN	91.32
Αρχικές Απώλειες	4.83

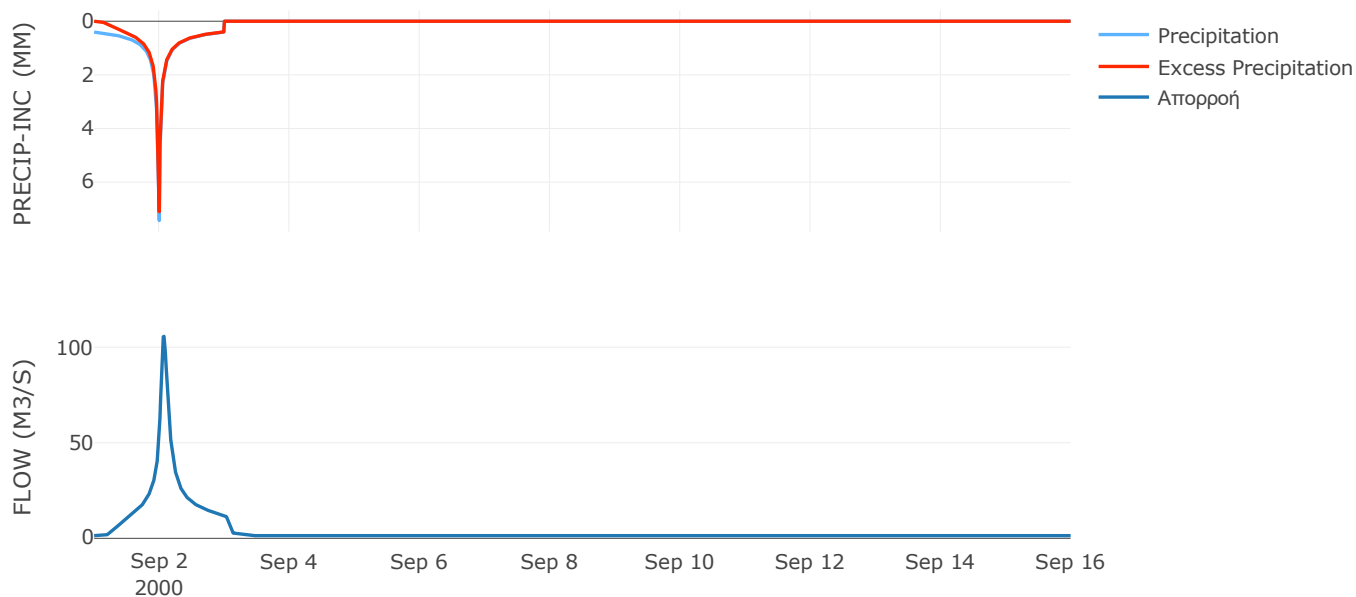
Μέθοδος
Μετασχηματισμού: SCS

Χρόνος Υστέρησης	93.77
------------------	-------

Αποτελέσματα:
EL0514FR003007

Παροχή αιχμής (M3/S)	105.66
Χρονική στιγμή αιχμής	02Sep2000, 01:45
Όγκος (MM)	232.51
Όγκος βροχόπτωσης (M3)	4.22E6
Όγκος απωλειών (M3)	6.08E5
Ενεργός Όγκος (M3)	3.61E6
Όγκος άμεσης απορροής (M3)	3.61E6
Όγκος βασικής απορροής (M3)	1.82E6

Βροχόπτωση και Απορροή



Υπολεκάνη: EL0514FR003008

Έκταση (KM2) : 46.02

Κατάντη : J12

Μέθοδος Απωλειών: SCS

Ποσοστό αδιαπέρατης επιφάνειας	0
Αριθμός Καμπύλης Απορροής-CN	87.8
Αρχικές Απώλειες	7.06

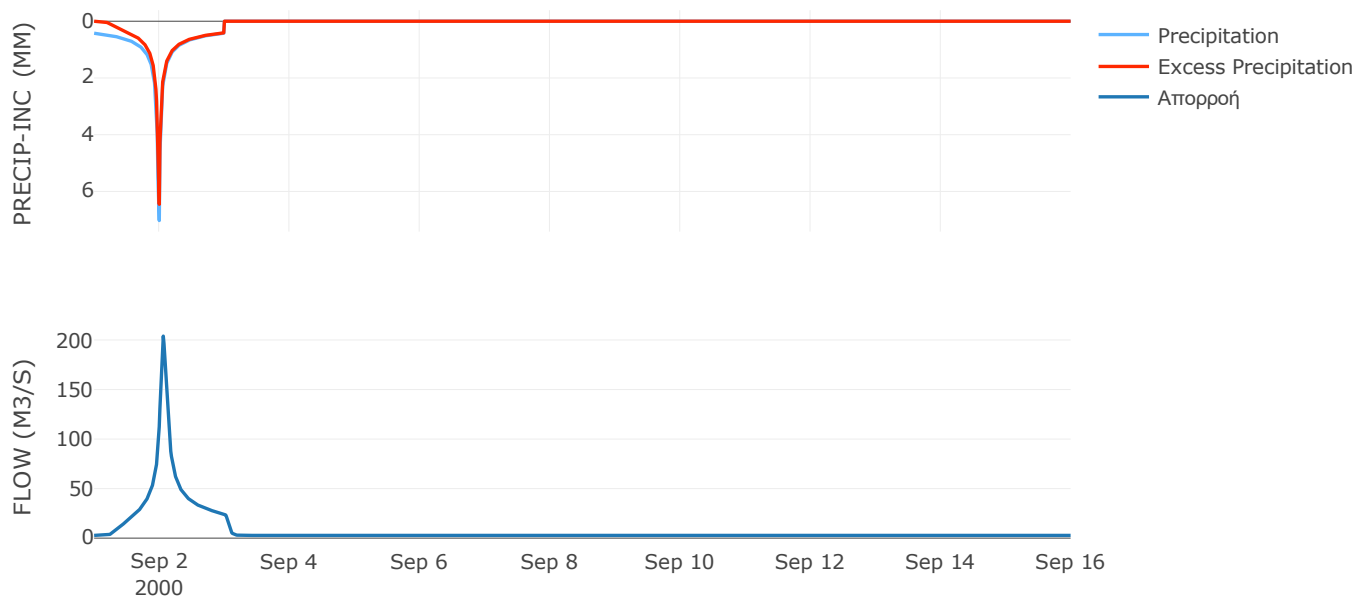
Μέθοδος
Μετασχηματισμού: SCS

Χρόνος Υστέρησης	77.85
------------------	-------

Αποτελέσματα:
EL0514FR003008

Παροχή αιχμής (M3/S)	203.9
Χρονική στιγμή αιχμής	02Sep2000, 01:30
Όγκος (MM)	223.31
Όγκος βροχόπτωσης (M3)	8.38E6
Όγκος απωλειών (M3)	1.68E6
Ενεργός Όγκος (M3)	6.7E6
Όγκος άμεσης απορροής (M3)	6.7E6
Όγκος βασικής απορροής (M3)	3.58E6

Βροχόπτωση και Απορροή



Υπολεκάνη: EL0514FR003009

Έκταση (KM2) : 18.07

Κατάνη : J17

Μέθοδος Απωλειών: SCS

Ποσοστό αδιαπέρατης επιφάνειας	0
Αριθμός Καμπύλης Απορροής-CN	78.6
Αρχικές Απώλειες	13.83

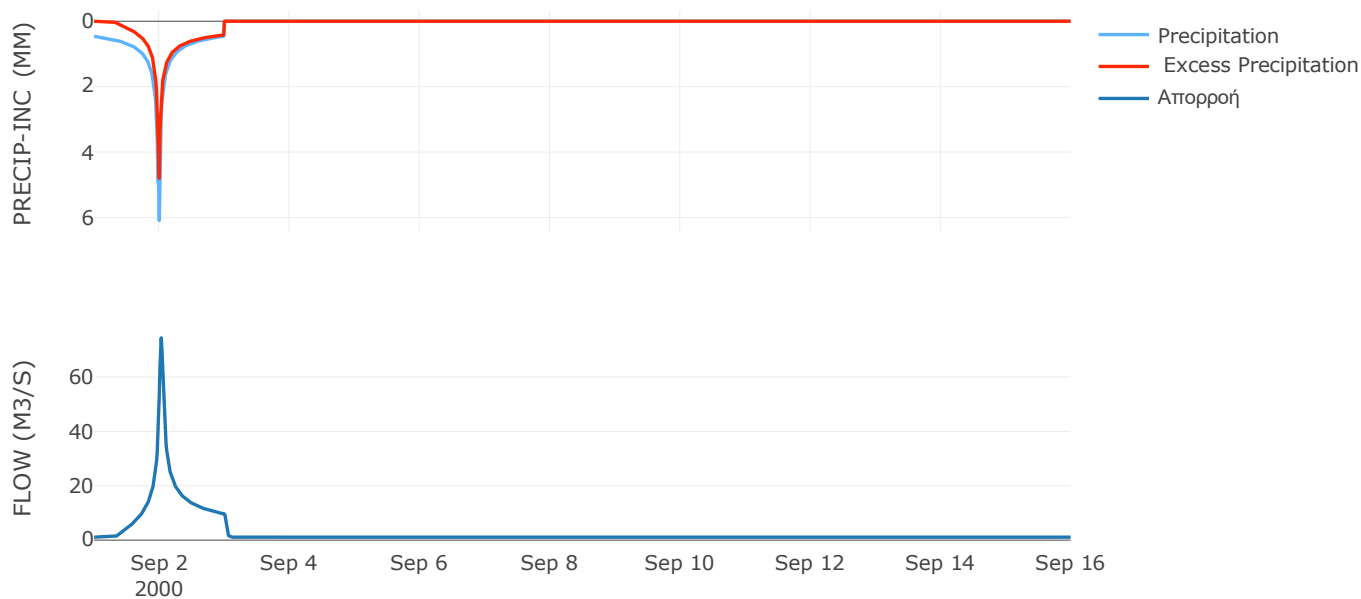
Μέθοδος
Μετασχηματισμού: SCS

Χρόνος Υστέρησης	36.22
------------------	-------

Αποτελέσματα:
EL0514FR003009

Παροχή αιχμής (M3/S)	74.4
Χρονική στιγμή αιχμής	02Sep2000, 00:45
Όγκος (MM)	197.46
Όγκος βροχόπτωσης (M3)	3.3E6
Όγκος απωλειών (M3)	1.14E6
Ενεργός Όγκος (M3)	2.16E6
Όγκος άμεσης απορροής (M3)	2.16E6
Όγκος βασικής απορροής (M3)	1.41E6

Βροχόπτωση και Απορροή



Υπολεκάνη: EL0514FR003010

Έκταση (KM2) : 90.5

Κατάνη : J17

Μέθοδος Απωλειών: SCS

Ποσοστό αδιαπέρατης επιφάνειας	0
Αριθμός Καμπύλης Απορροής-CN	87.41
Αρχικές Απώλειες	7.32

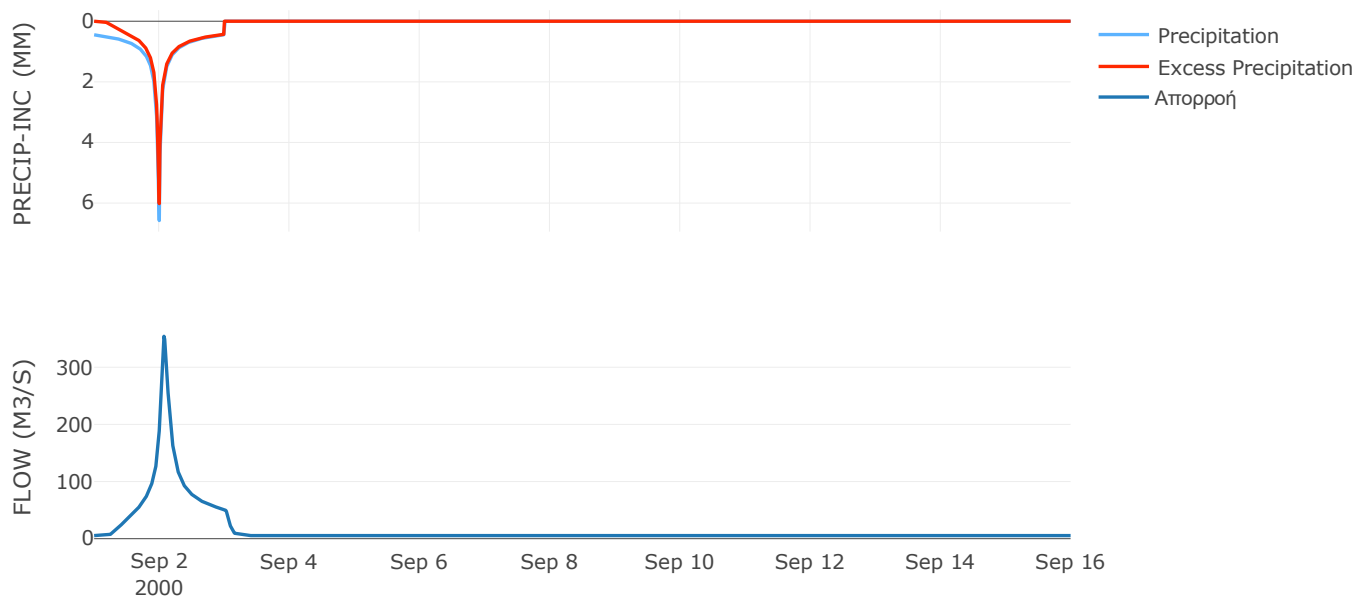
Μέθοδος
Μετασχηματισμού: SCS

Χρόνος Υστέρησης	97.77
------------------	-------

Αποτελέσματα:
EL0514FR003010

Παροχή αιχμής (M3/S)	354.21
Χρονική στιγμή αιχμής	02Sep2000, 01:45
Όγκος (MM)	224.47
Όγκος βροχόπτωσης (M3)	1.67E7
Όγκος απωλειών (M3)	3.41E6
Ενεργός Όγκος (M3)	1.33E7
Όγκος άμεσης απορροής (M3)	1.33E7
Όγκος βασικής απορροής (M3)	7.04E6

Βροχόπτωση και Απορροή



Υπολεκάνη: EL0514FR003011

Έκταση (KM2) : 26.55

Κατάντη : J18

Μέθοδος Απωλειών: SCS

Ποσοστό αδιαπέρατης επιφάνειας	0
Αριθμός Καμπύλης Απορροής-CN	91.17
Αρχικές Απώλειες	4.92

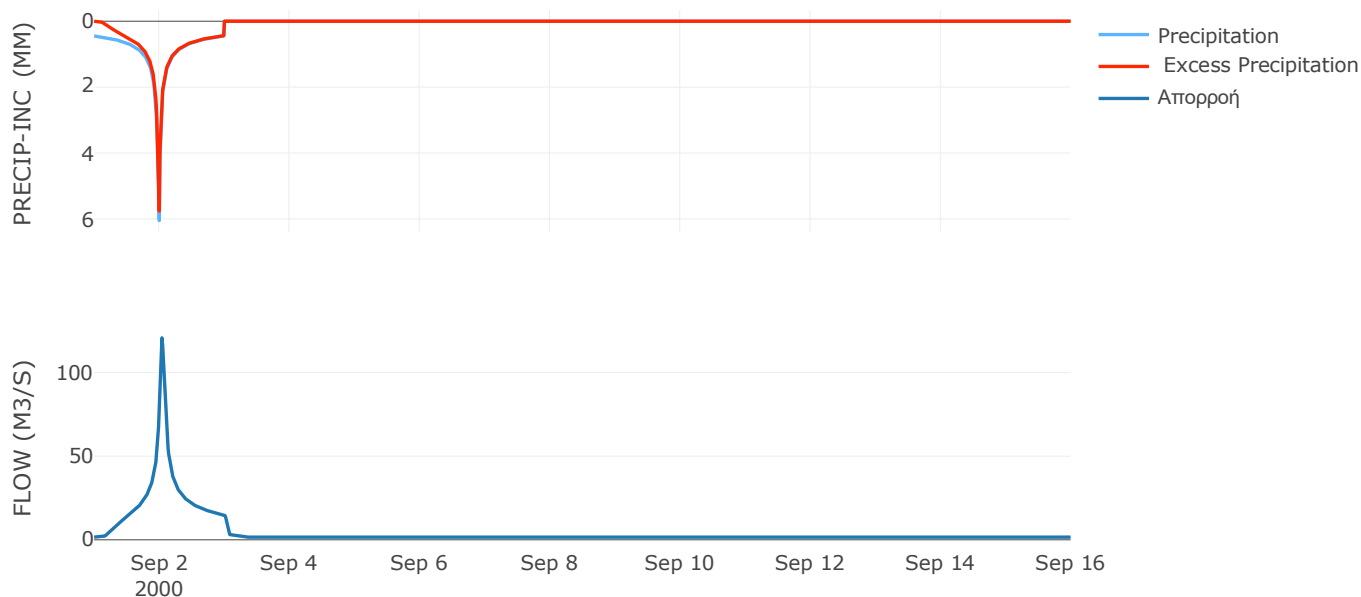
Μέθοδος
Μετασχηματισμού: SCS

Χρόνος Υστέρησης	54.52
------------------	-------

Αποτελέσματα:
EL0514FR003011

Παροχή αιχμής (M3/S)	120.79
Χρονική στιγμή αιχμής	02Sep2000, 01:00
Όγκος (MM)	229.97
Όγκος βροχόπτωσης (M3)	4.74E6
Όγκος απωλειών (M3)	7.02E5
Ενεργός Όγκος (M3)	4.04E6
Όγκος άμεσης απορροής (M3)	4.04E6
Όγκος βασικής απορροής (M3)	2.06E6

Βροχόπτωση και Απορροή



Υπολεκάνη: EL0514FR003012

Έκταση (KM2) : 29.39

Κατάντη : J18

Μέθοδος Απωλειών: SCS

Ποσοστό αδιαπέρατης επιφάνειας	0
Αριθμός Καμπύλης Απορροής-CN	88.87
Αρχικές Απώλειες	6.36

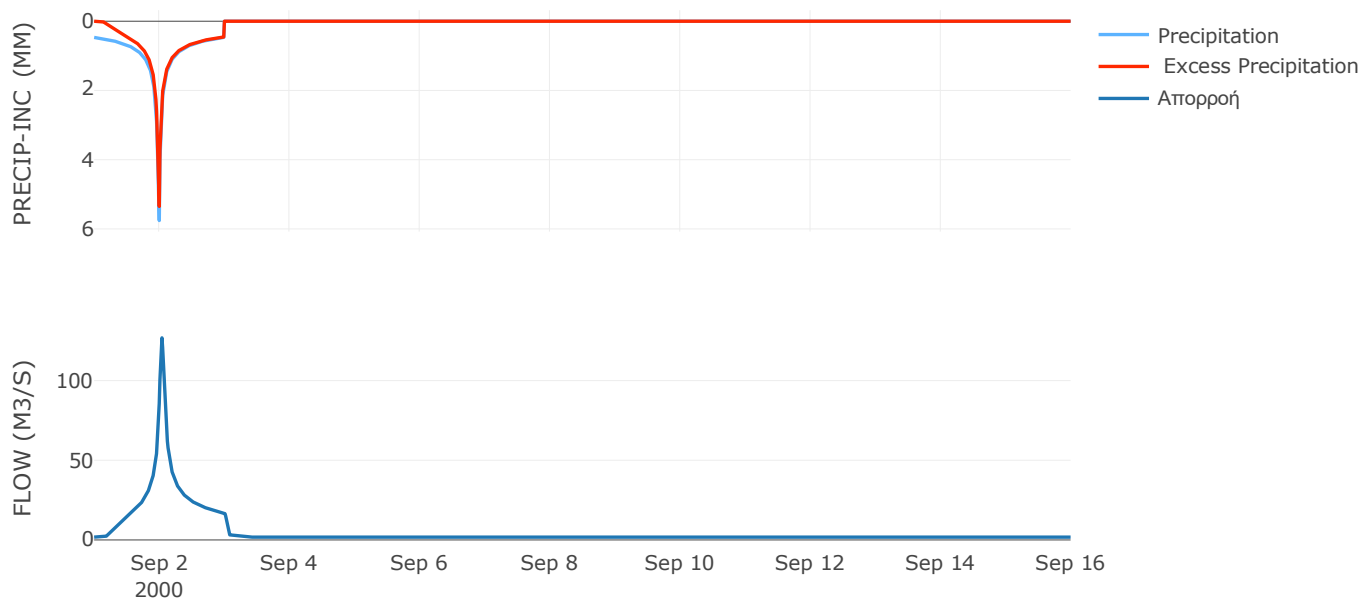
Μέθοδος
Μετασχηματισμού: SCS

Χρόνος Υστέρησης	50.84
------------------	-------

Αποτελέσματα:
EL0514FR003012

Παροχή αιχμής (M3/S)	126.83
Χρονική στιγμή αιχμής	02Sep2000, 01:00
Όγκος (MM)	225.49
Όγκος βροχόπτωσης (M3)	5.32E6
Όγκος απωλειών (M3)	9.78E5
Ενεργός Όγκος (M3)	4.34E6
Όγκος άμεσης απορροής (M3)	4.34E6
Όγκος βασικής απορροής (M3)	2.28E6

Βροχόπτωση και Απορροή



Υπολεκάνη: EL0514FR003013

Έκταση (KM2) : 44.12

Κατάνη : J11

Μέθοδος Απωλειών: SCS

Ποσοστό αδιαπέρατης επιφάνειας	0
Αριθμός Καμπύλης Απορροής-CN	89.58
Αρχικές Απώλειες	5.91

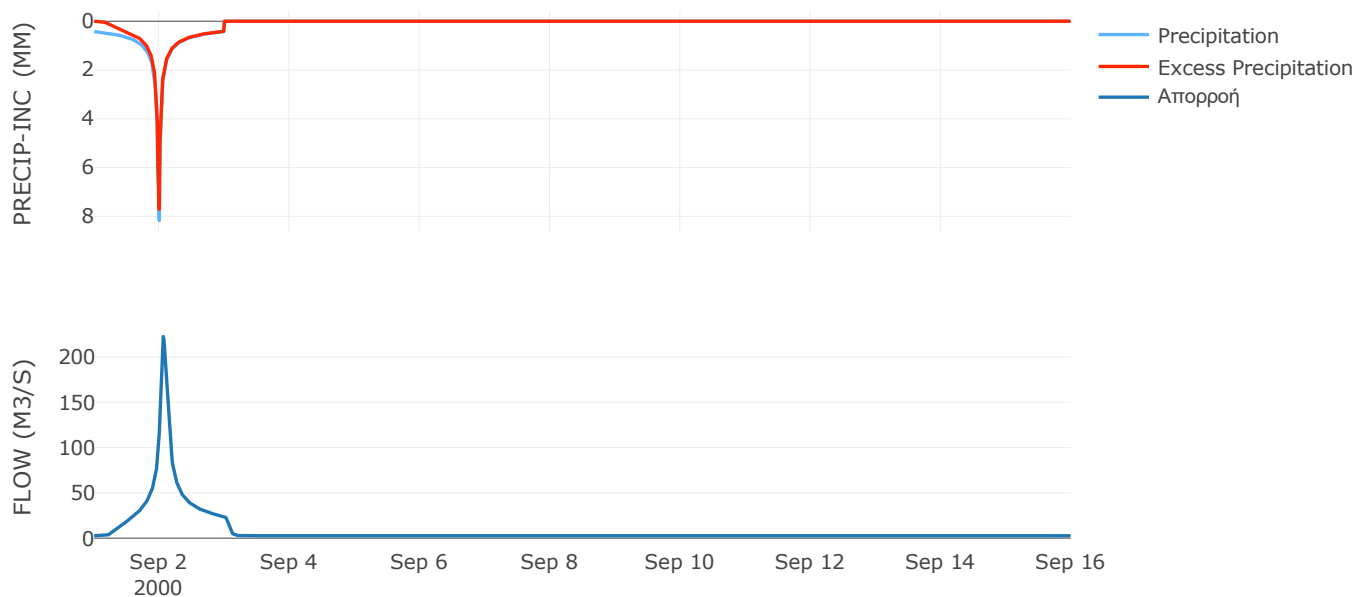
Μέθοδος
Μετασχηματισμού: SCS

Χρόνος Υστέρησης	85.59
------------------	-------

Αποτελέσματα:
EL0514FR003013

Παροχή αιχμής (M3/S)	222.65
Χρονική στιγμή αιχμής	02Sep2000, 01:30
Όγκος (MM)	238.78
Όγκος βροχόπτωσης (M3)	8.49E6
Όγκος απωλειών (M3)	1.39E6
Ενεργός Όγκος (M3)	7.1E6
Όγκος άμεσης απορροής (M3)	7.1E6
Όγκος βασικής απορροής (M3)	3.43E6

Βροχόπτωση και Απορροή



Υπολεκάνη: EL0514FR003014

Έκταση (KM2) : 22.29

Κατάνη : J11

Μέθοδος Απωλειών: SCS

Ποσοστό αδιαπέρατης επιφάνειας	0
Αριθμός Καμπύλης Απορροής-CN	82.91
Αρχικές Απώλειες	10.47

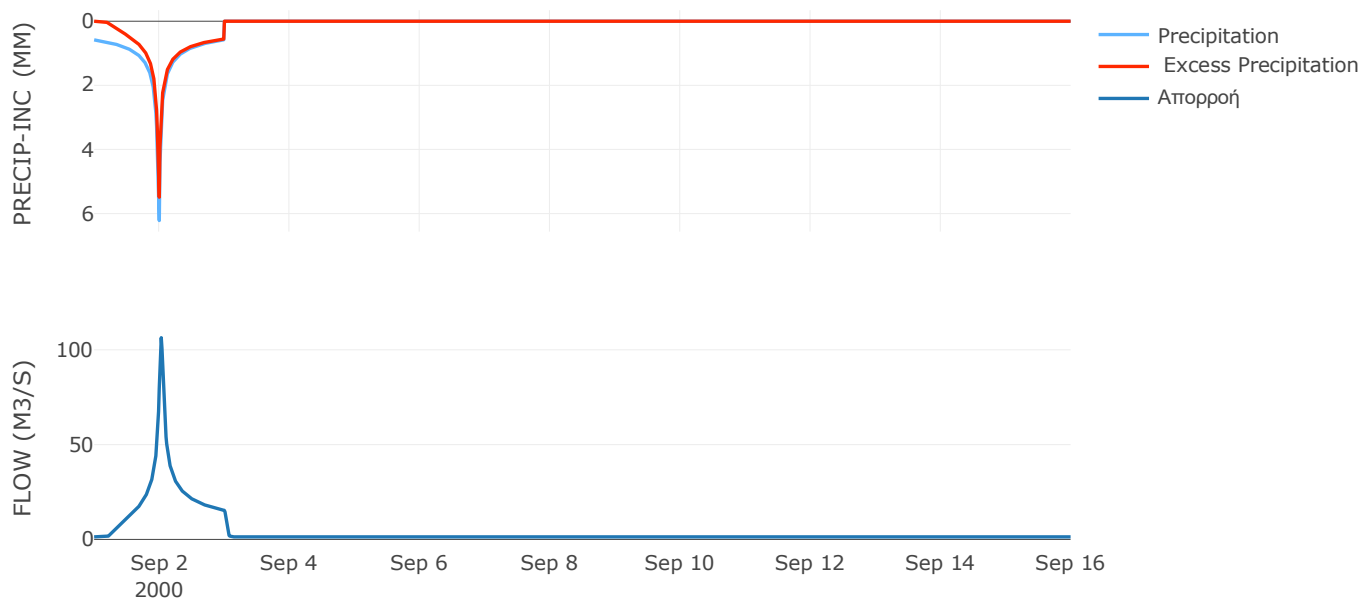
Μέθοδος
Μετασχηματισμού: SCS

Χρόνος Υστέρησης	37.11
------------------	-------

Αποτελέσματα:
EL0514FR003014

Παροχή αιχμής (M3/S)	106.38
Χρονική στιγμή αιχμής	02Sep2000, 00:45
Όγκος (MM)	240.36
Όγκος βροχόπτωσης (M3)	4.79E6
Όγκος απωλειών (M3)	1.16E6
Ενεργός Όγκος (M3)	3.62E6
Όγκος άμεσης απορροής (M3)	3.62E6
Όγκος βασικής απορροής (M3)	1.73E6

Βροχόπτωση και Απορροή



Υπολεκάνη: EL0514FR003015

Έκταση (KM2) : 51.11

Κατάντη : J21

Μέθοδος Απωλειών: SCS

Ποσοστό αδιαπέρατης επιφάνειας	0
Αριθμός Καμπύλης Απορροής-CN	80.56
Αρχικές Απώλειες	12.26

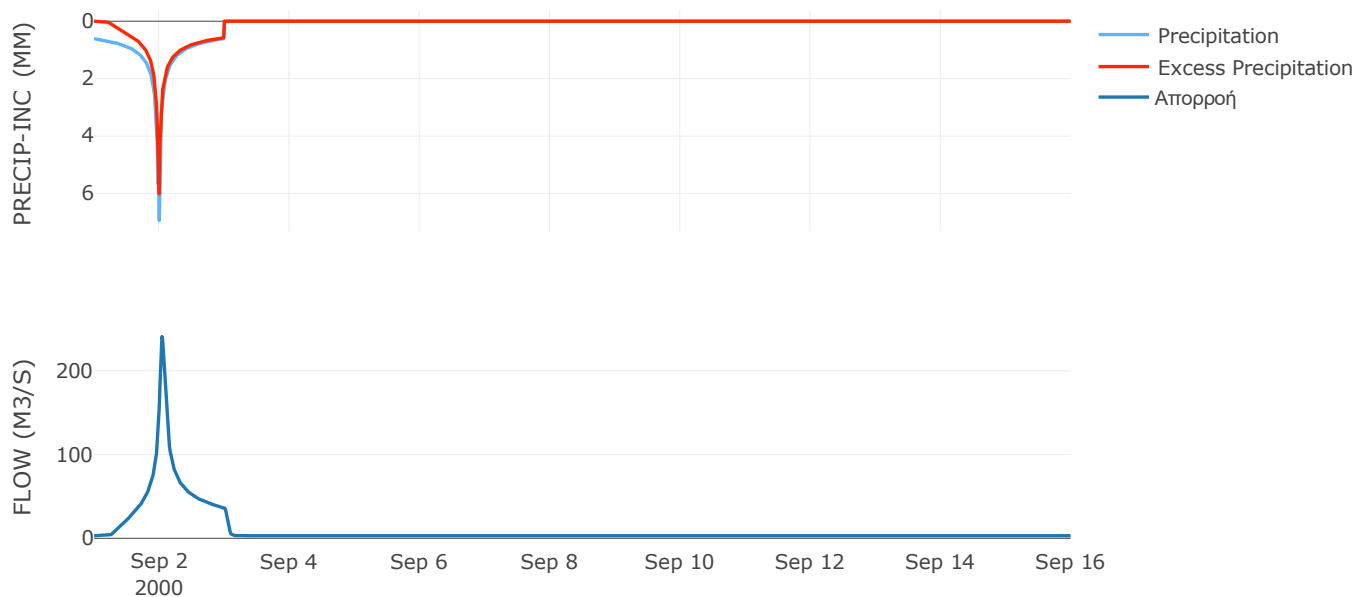
Μέθοδος
Μετασχηματισμού: SCS

Χρόνος Υστέρησης	57.92
------------------	-------

Αποτελέσματα:
EL0514FR003015

Παροχή αιχμής (M3/S)	240.87
Χρονική στιγμή αιχμής	02Sep2000, 01:00
Όγκος (MM)	246.69
Όγκος βροχόπτωσης (M3)	1.17E7
Όγκος απωλειών (M3)	3.07E6
Ενεργός Όγκος (M3)	8.63E6
Όγκος άμεσης απορροής (M3)	8.63E6
Όγκος βασικής απορροής (M3)	3.97E6

Βροχόπτωση και Απορροή



Υπολεκάνη: EL0514FR003016

Έκταση (KM2) : 20.25

Κατάντη : J21

Μέθοδος Απωλειών: SCS

Ποσοστό αδιαπέρατης επιφάνειας	0
Αριθμός Καμπύλης Απορροής-CN	82.62
Αρχικές Απώλειες	10.69

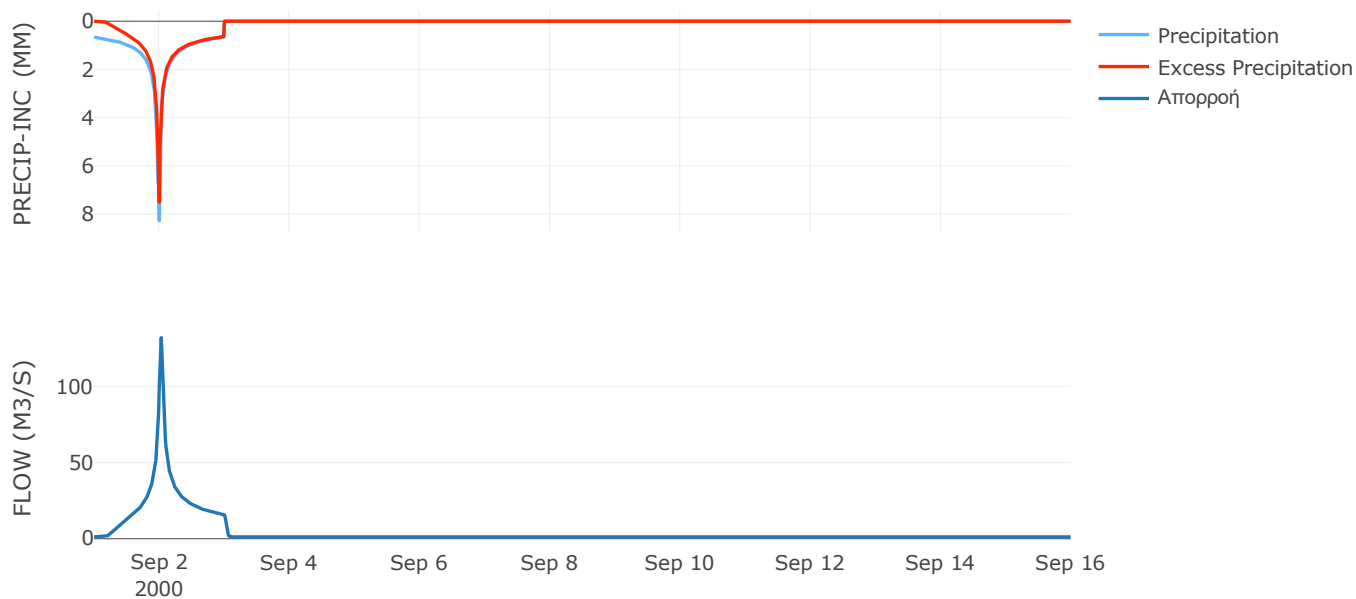
Μέθοδος
Μετασχηματισμού: SCS

Χρόνος Υστέρησης	33.87
------------------	-------

Αποτελέσματα:
EL0514FR003016

Παροχή αιχμής (M3/S)	131.94
Χρονική στιγμή αιχμής	02Sep2000, 00:45
Όγκος (MM)	279.68
Όγκος βροχόπτωσης (M3)	5.19E6
Όγκος απωλειών (M3)	1.11E6
Ενεργός Όγκος (M3)	4.09E6
Όγκος άμεσης απορροής (M3)	4.09E6
Όγκος βασικής απορροής (M3)	1.57E6

Βροχόπτωση και Απορροή



Υπολεκάνη: EL0514FR003017

Έκταση (KM2) : 26.55

Κατάντη : J21

Μέθοδος Απωλειών: SCS

Ποσοστό αδιαπέρατης επιφάνειας	0
Αριθμός Καμπύλης Απορροής-CN	84.71
Αρχικές Απώλειες	9.17

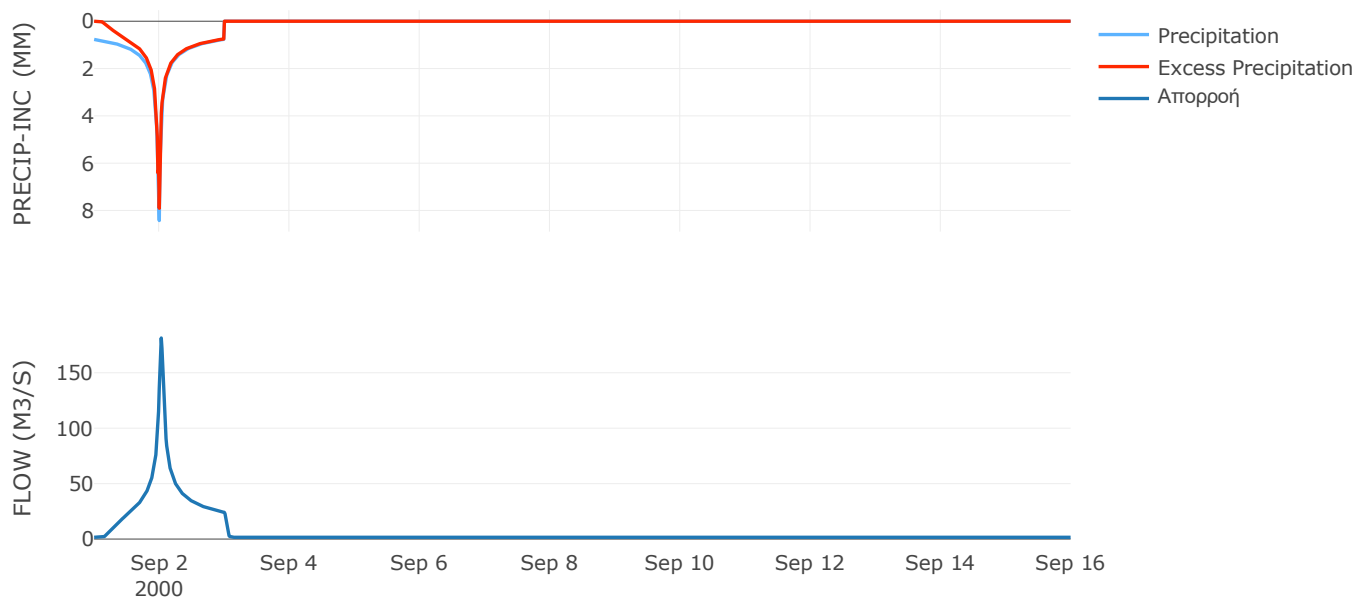
Μέθοδος
Μετασχηματισμού: SCS

Χρόνος Υστέρησης	38.02
------------------	-------

Αποτελέσματα:
EL0514FR003017

Παροχή αιχμής (M3/S)	181.36
Χρονική στιγμή αιχμής	02Sep2000, 00:45
Όγκος (MM)	315.22
Όγκος βροχόπτωσης (M3)	7.59E6
Όγκος απωλειών (M3)	1.29E6
Ενεργός Όγκος (M3)	6.3E6
Όγκος άμεσης απορροής (M3)	6.3E6
Όγκος βασικής απορροής (M3)	2.06E6

Βροχόπτωση και Απορροή



Υπολεκάνη: EL0514FR003018

Έκταση (KM2) : 4.66

Κατάντη : J20

Μέθοδος Απωλειών: SCS

Ποσοστό αδιαπέρατης επιφάνειας	0
Αριθμός Καμπύλης Απορροής-CN	84.57
Αρχικές Απώλειες	9.27

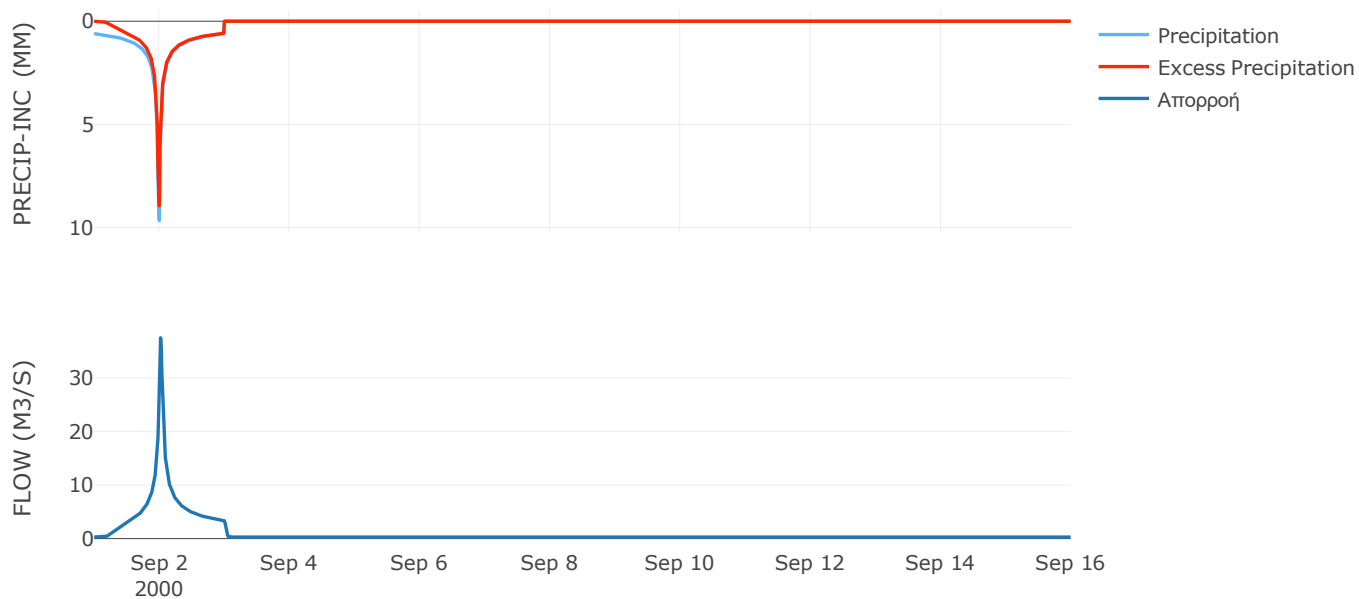
Μέθοδος
Μετασχηματισμού: SCS

Χρόνος Υστέρησης	28.07
------------------	-------

Αποτελέσματα:
EL0514FR003018

Παροχή αιχμής (M3/S)	37.48
Χρονική στιγμή αιχμής	02Sep2000, 00:30
Όγκος (MM)	284.28
Όγκος βροχόπτωσης (M3)	1.19E6
Όγκος απωλειών (M3)	2.25E5
Ενεργός Όγκος (M3)	9.62E5
Όγκος άμεσης απορροής (M3)	9.62E5
Όγκος βασικής απορροής (M3)	3.62E5

Βροχόπτωση και Απορροή



Υπολεκάνη: EL0514FR003019

Έκταση (KM2) : 56.36

Κατάντη : J20

Μέθοδος Απωλειών: SCS

Ποσοστό αδιαπέρατης επιφάνειας	0
Αριθμός Καμπύλης Απορροής-CN	91.14
Αρχικές Απώλειες	4.94

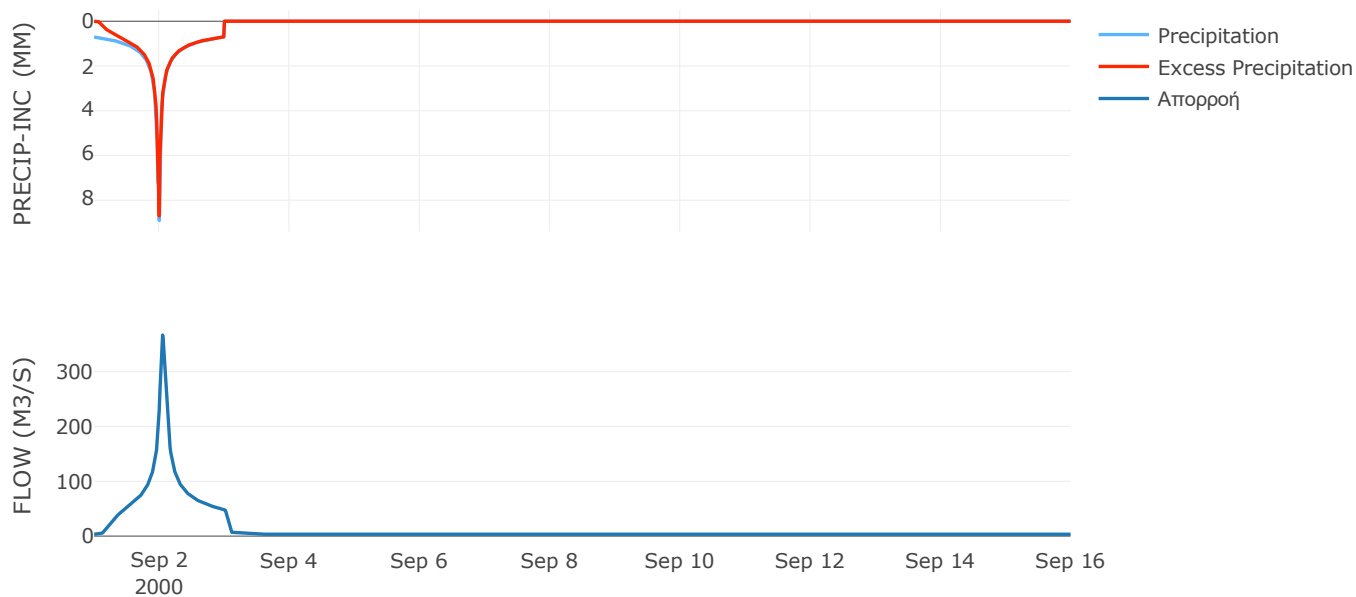
Μέθοδος
Μετασχηματισμού: SCS

Χρόνος Υστέρησης	67.89
------------------	-------

Αποτελέσματα:
EL0514FR003019

Παροχή αιχμής (M3/S)	366.79
Χρονική στιγμή αιχμής	02Sep2000, 01:15
Όγκος (MM)	325.66
Όγκος βροχόπτωσης (M3)	1.55E7
Όγκος απωλειών (M3)	1.55E6
Ενεργός Όγκος (M3)	1.4E7
Όγκος άμεσης απορροής (M3)	1.4E7
Όγκος βασικής απορροής (M3)	4.38E6

Βροχόπτωση και Απορροή



Υπολεκάνη: EL0514FR003020

Έκταση (KM2) : 10.48

Κατάντη : J19

Μέθοδος Απωλειών: SCS

Ποσοστό αδιαπέρατης επιφάνειας	0
Αριθμός Καμπύλης Απορροής-CN	90.62
Αρχικές Απώλειες	5.26

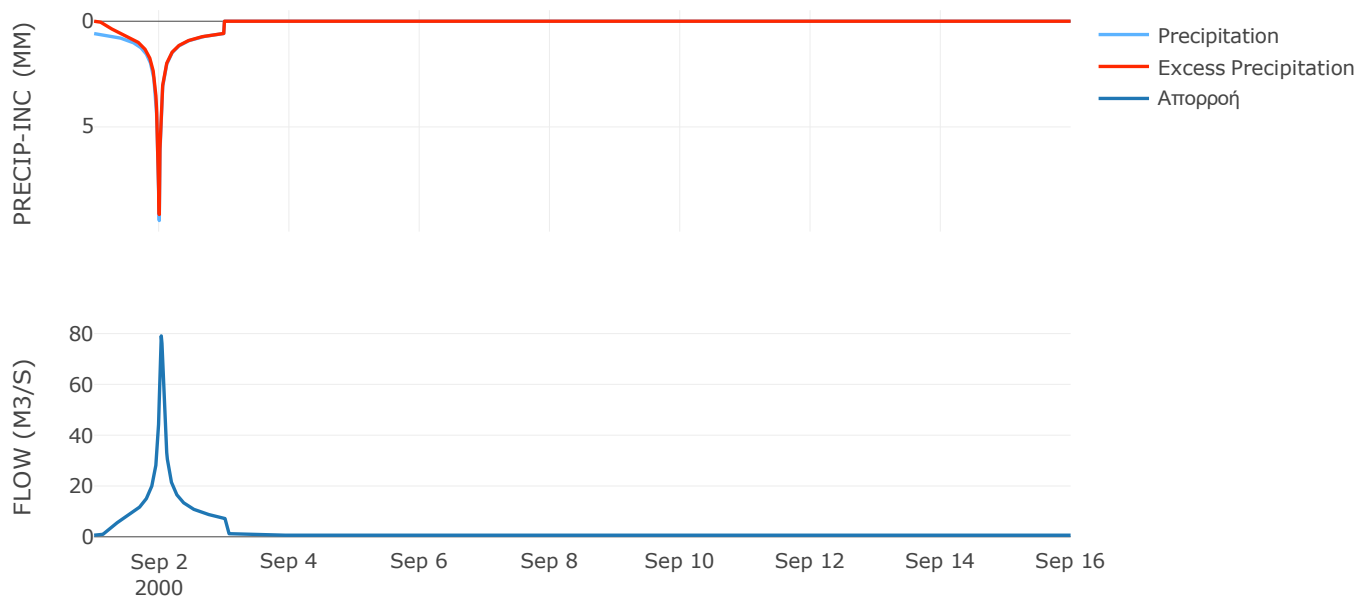
Μέθοδος
Μετασχηματισμού: SCS

Χρόνος Υστέρησης	42.92
------------------	-------

Αποτελέσματα:
EL0514FR003020

Παροχή αιχμής (M3/S)	79.08
Χρονική στιγμή αιχμής	02Sep2000, 00:45
Όγκος (MM)	297.68
Όγκος βροχόπτωσης (M3)	2.61E6
Όγκος απωλειών (M3)	3.04E5
Ενεργός Όγκος (M3)	2.31E6
Όγκος άμεσης απορροής (M3)	2.31E6
Όγκος βασικής απορροής (M3)	8.15E5

Βροχόπτωση και Απορροή



Υπολεκάνη: EL0514FR003021

Έκταση (KM2) : 14.84

Κατάντη : J19

Μέθοδος Απωλειών: SCS

Ποσοστό αδιαπέρατης επιφάνειας	0
Αριθμός Καμπύλης Απορροής-CN	90.39
Αρχικές Απώλειες	5.4

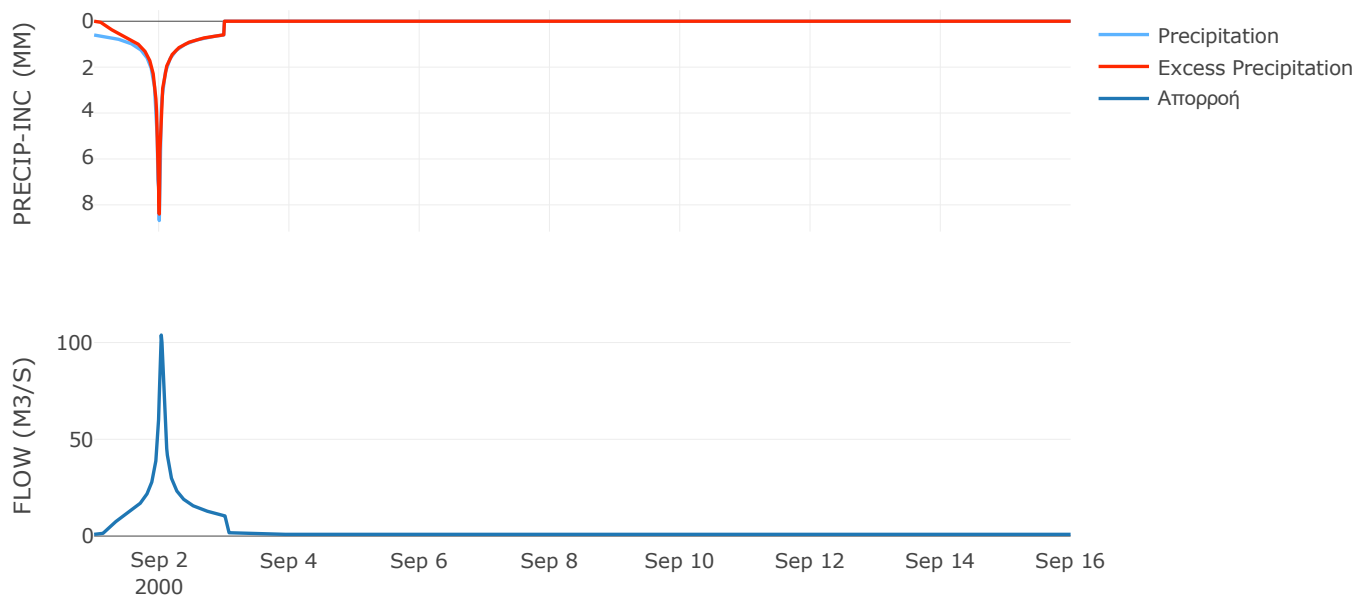
Μέθοδος
Μετασχηματισμού: SCS

Χρόνος Υστέρησης	42.47
------------------	-------

Αποτελέσματα:
EL0514FR003021

Παροχή αιχμής (M3/S)	103.86
Χρονική στιγμή αιχμής	02Sep2000, 00:45
Όγκος (MM)	293.87
Όγκος βροχόπτωσης (M3)	3.65E6
Όγκος απωλειών (M3)	4.41E5
Ενεργός Όγκος (M3)	3.21E6
Όγκος άμεσης απορροής (M3)	3.21E6
Όγκος βασικής απορροής (M3)	1.15E6

Βροχόπτωση και Απορροή



Υπολεκάνη: EL0514FR003022

Έκταση (KM2) : 68.59

Κατάνη : J10

Μέθοδος Απωλειών: SCS

Ποσοστό αδιαπέρατης επιφάνειας	0
Αριθμός Καμπύλης Απορροής-CN	78.49
Αρχικές Απώλειες	13.92

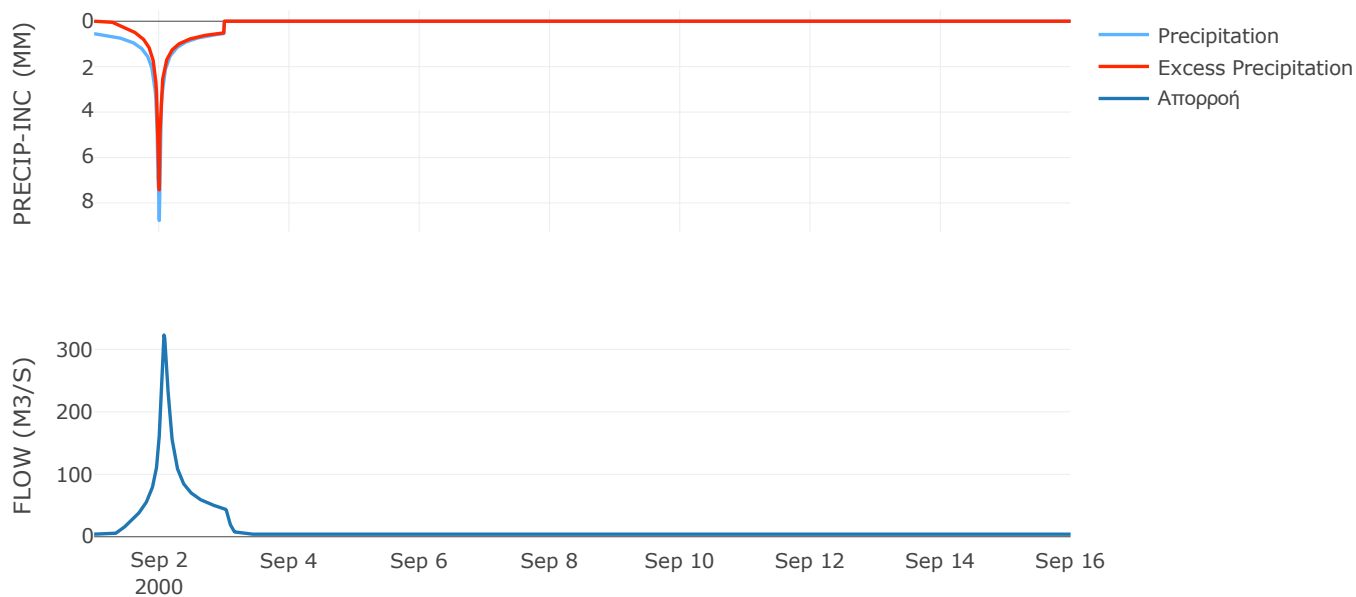
Μέθοδος
Μετασχηματισμού: SCS

Χρόνος Υστέρησης	97.39
------------------	-------

Αποτελέσματα:
EL0514FR003022

Παροχή αιχμής (M3/S)	323
Χρονική στιγμή αιχμής	02Sep2000, 01:45
Όγκος (MM)	243.63
Όγκος βροχόπτωσης (M3)	1.6E7
Όγκος απωλειών (M3)	4.58E6
Ενεργός Όγκος (M3)	1.14E7
Όγκος άμεσης απορροής (M3)	1.14E7
Όγκος βασικής απορροής (M3)	5.33E6

Βροχόπτωση και Απορροή



Υπολεκάνη: EL0514FR003023

Έκταση (KM2) : 35.95

Κατάντη : J10

Μέθοδος Απωλειών: SCS

Ποσοστό αδιαπέρατης επιφάνειας	0
Αριθμός Καμπύλης Απορροής-CN	87.31
Αρχικές Απώλειες	7.39

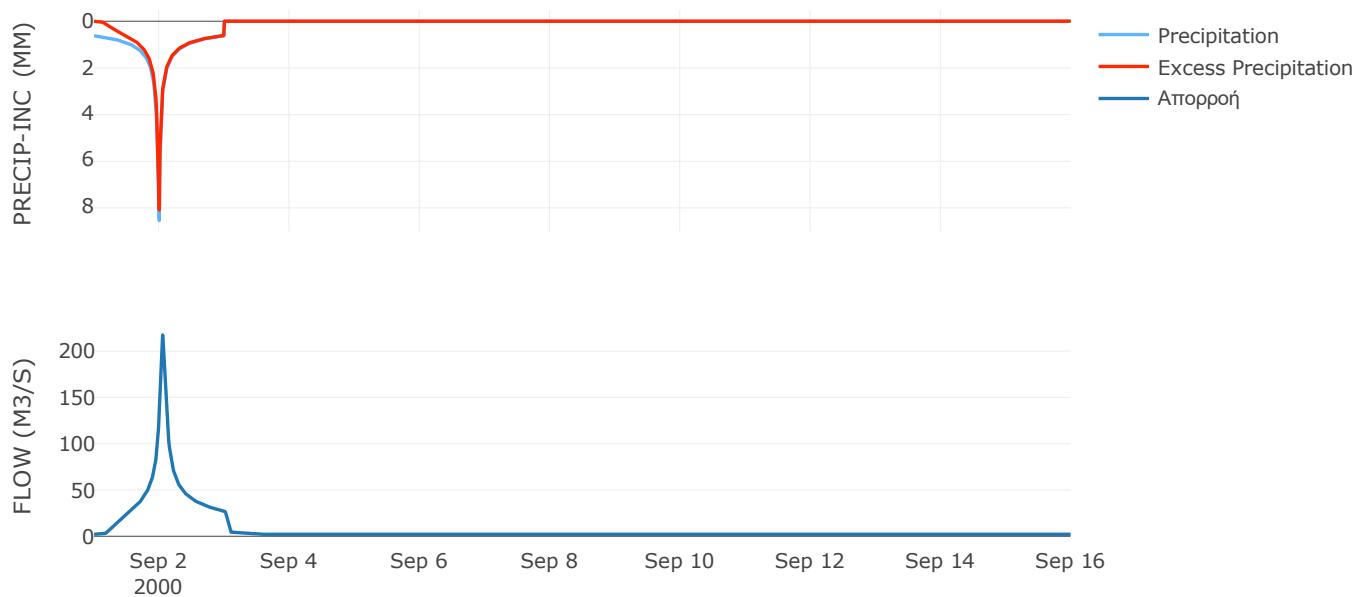
Μέθοδος
Μετασχηματισμού: SCS

Χρόνος Υστέρησης	63.9
------------------	------

Αποτελέσματα:
EL0514FR003023

Παροχή αιχμής (M3/S)	217.5
Χρονική στιγμή αιχμής	02Sep2000, 01:15
Όγκος (MM)	288.57
Όγκος βροχόπτωσης (M3)	9E6
Όγκος απωλειών (M3)	1.42E6
Ενεργός Όγκος (M3)	7.58E6
Όγκος άμεσης απορροής (M3)	7.58E6
Όγκος βασικής απορροής (M3)	2.8E6

Βροχόπτωση και Απορροή



Υπολεκάνη: EL0514FR003024

Έκταση (KM2) : 55.27

Κατάντη : J9

Μέθοδος Απωλειών: SCS

Ποσοστό αδιαπέρατης επιφάνειας	0
Αριθμός Καμπύλης Απορροής-CN	72.99
Αρχικές Απώλειες	18.8

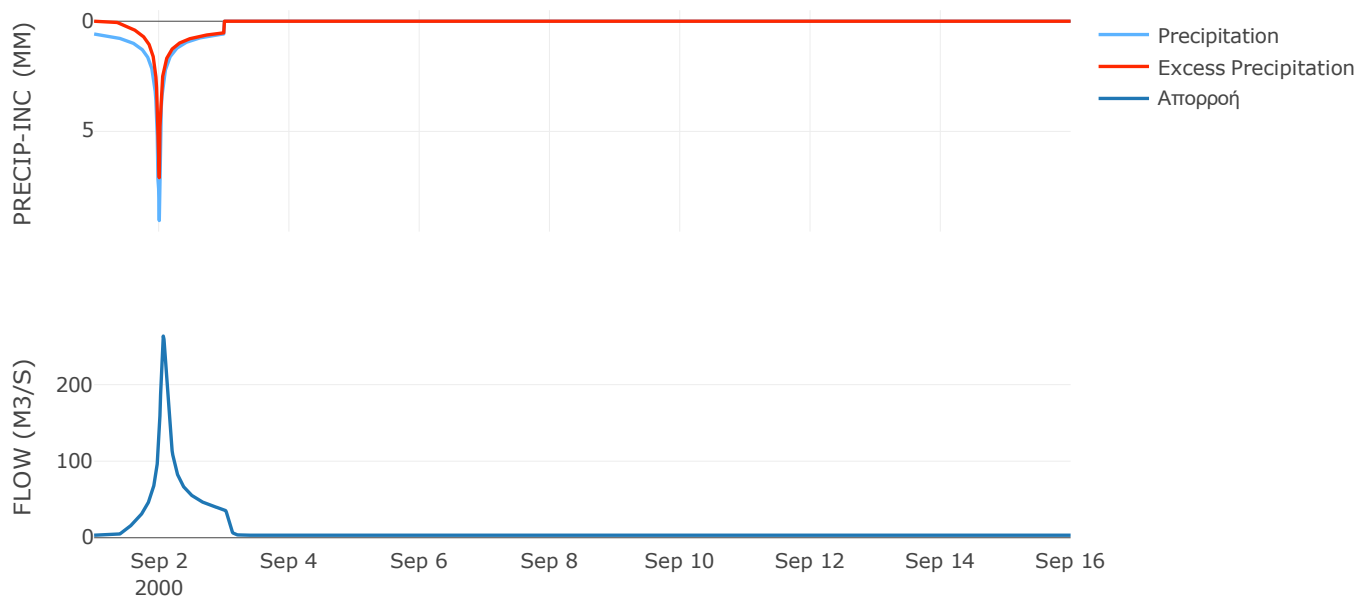
Μέθοδος
Μετασχηματισμού: SCS

Χρόνος Υστέρησης	82.35
------------------	-------

Αποτελέσματα:
EL0514FR003024

Παροχή αιχμής (M3/S)	263.5
Χρονική στιγμή αιχμής	02Sep2000, 01:30
Όγκος (MM)	236.44
Όγκος βροχόπτωσης (M3)	1.35E7
Όγκος απωλειών (M3)	4.7E6
Ενεργός Όγκος (M3)	8.77E6
Όγκος άμεσης απορροής (M3)	8.77E6
Όγκος βασικής απορροής (M3)	4.3E6

Βροχόπτωση και Απορροή



Υπολεκάνη: EL0514FR003025

Έκταση (KM2) : 30.82

Κατάντη : J9

Μέθοδος Απωλειών: SCS

Ποσοστό αδιαπέρατης επιφάνειας	0
Αριθμός Καμπύλης Απορροής-CN	89.76
Αρχικές Απώλειες	5.79

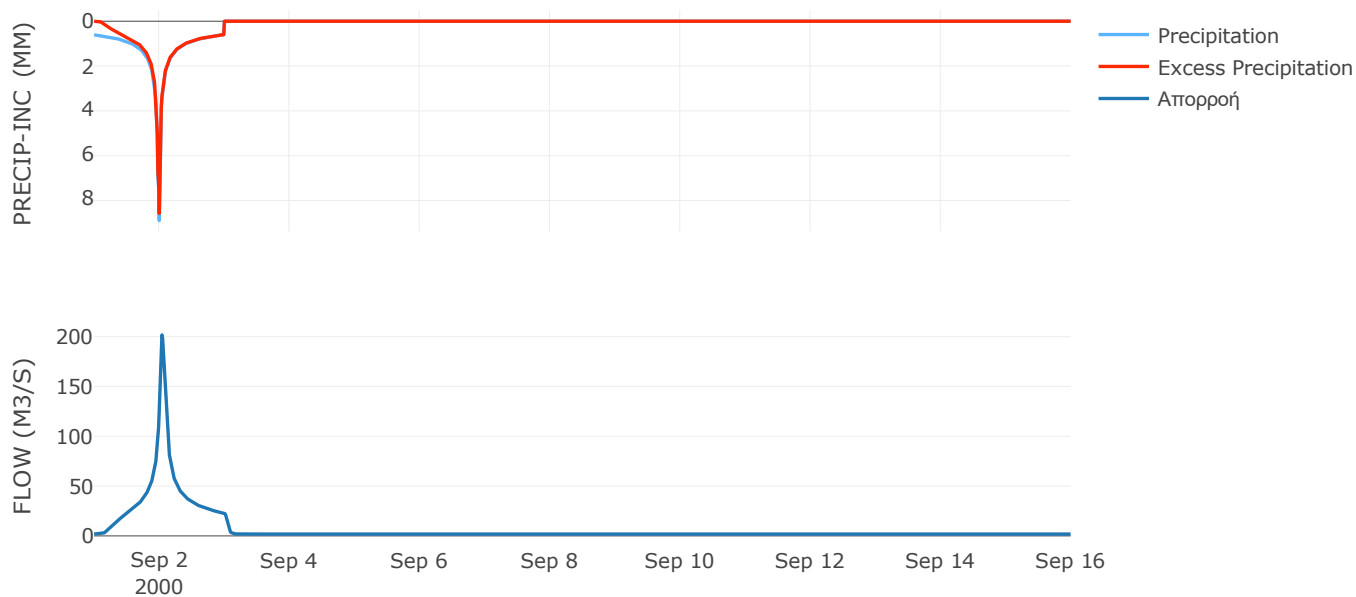
Μέθοδος
Μετασχηματισμού: SCS

Χρόνος Υστέρησης	59.21
------------------	-------

Αποτελέσματα:
EL0514FR003025

Παροχή αιχμής (M3/S)	201.79
Χρονική στιγμή αιχμής	02Sep2000, 01:00
Όγκος (MM)	295.11
Όγκος βροχόπτωσης (M3)	7.68E6
Όγκος απωλειών (M3)	9.77E5
Ενεργός Όγκος (M3)	6.7E6
Όγκος άμεσης απορροής (M3)	6.7E6
Όγκος βασικής απορροής (M3)	2.4E6

Βροχόπτωση και Απορροή



Υπολεκάνη: EL0514FR003026

Έκταση (KM2) : 12.64

Κατάντη : J9

Μέθοδος Απωλειών: SCS

Ποσοστό αδιαπέρατης επιφάνειας	0
Αριθμός Καμπύλης Απορροής-CN	89.46
Αρχικές Απώλειες	5.98

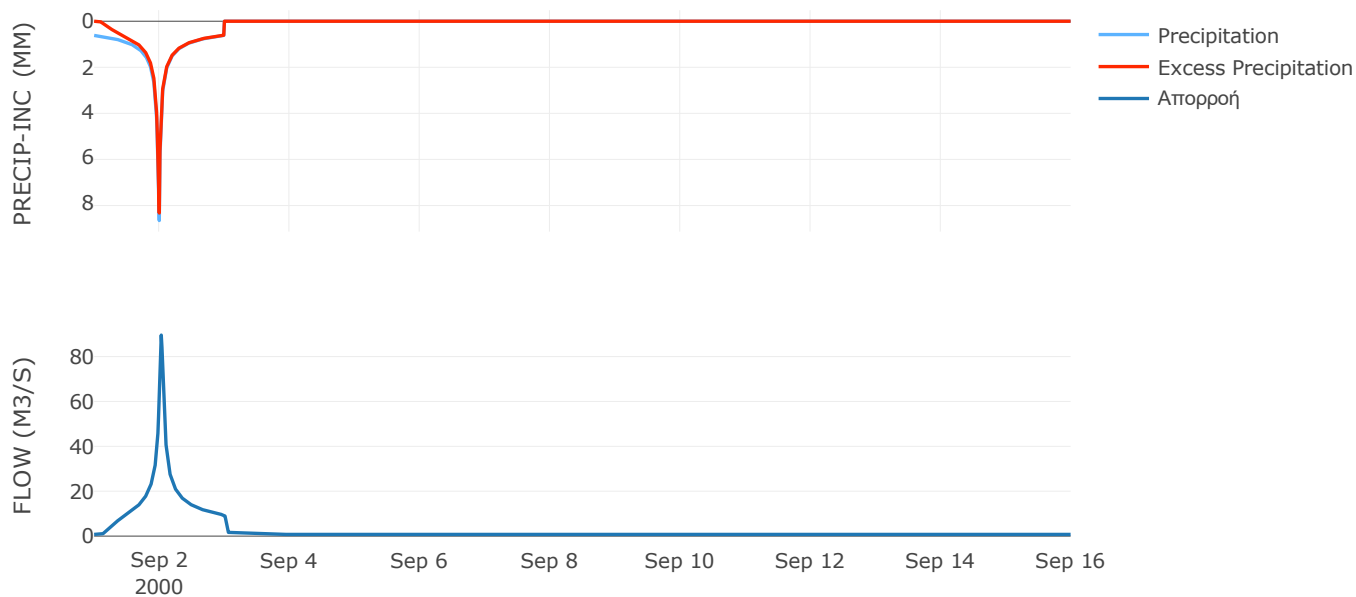
Μέθοδος
Μετασχηματισμού: SCS

Χρόνος Υστέρησης	38.29
------------------	-------

Αποτελέσματα:
EL0514FR003026

Παροχή αιχμής (M3/S)	89.57
Χρονική στιγμή αιχμής	02Sep2000, 00:45
Όγκος (MM)	294.74
Όγκος βροχόπτωσης (M3)	3.16E6
Όγκος απωλειών (M3)	4.12E5
Ενεργός Όγκος (M3)	2.74E6
Όγκος άμεσης απορροής (M3)	2.74E6
Όγκος βασικής απορροής (M3)	9.83E5

Βροχόπτωση και Απορροή



Υπολεκάνη: EL0514FR003027

Έκταση (KM2) : 75.07

Κατάντη : J8

Μέθοδος Απωλειών: SCS

Ποσοστό αδιαπέρατης επιφάνειας	0
Αριθμός Καμπύλης Απορροής-CN	86.9
Αρχικές Απώλειες	7.66

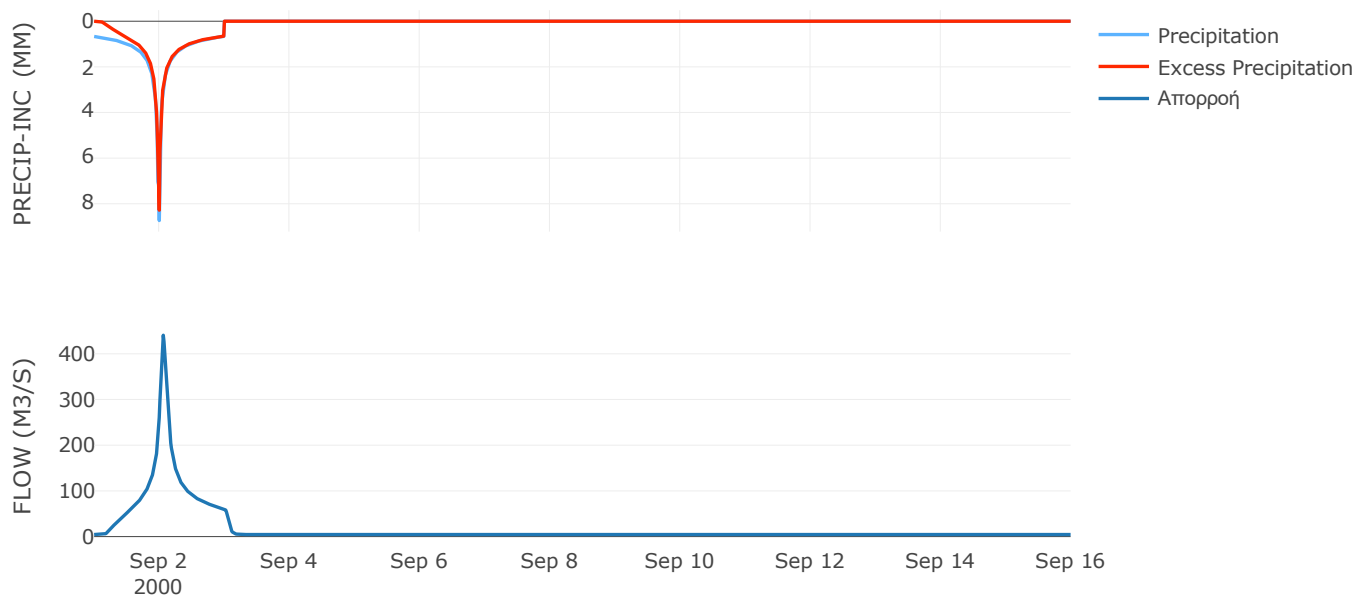
Μέθοδος
Μετασχηματισμού: SCS

Χρόνος Υστέρησης	78.82
------------------	-------

Αποτελέσματα:
EL0514FR003027

Παροχή αιχμής (M3/S)	440.6
Χρονική στιγμή αιχμής	02Sep2000, 01:30
Όγκος (MM)	300.47
Όγκος βροχόπτωσης (M3)	1.98E7
Όγκος απωλειών (M3)	3.07E6
Ενεργός Όγκος (M3)	1.67E7
Όγκος άμεσης απορροής (M3)	1.67E7
Όγκος βασικής απορροής (M3)	5.84E6

Βροχόπτωση και Απορροή



Υπολεκάνη: EL0514FR003028

Έκταση (KM2) : 25.46

Κατάντη : J8

Μέθοδος Απωλειών: SCS

Ποσοστό αδιαπέρατης επιφάνειας	0
Αριθμός Καμπύλης Απορροής-CN	90.19
Αρχικές Απώλειες	5.53

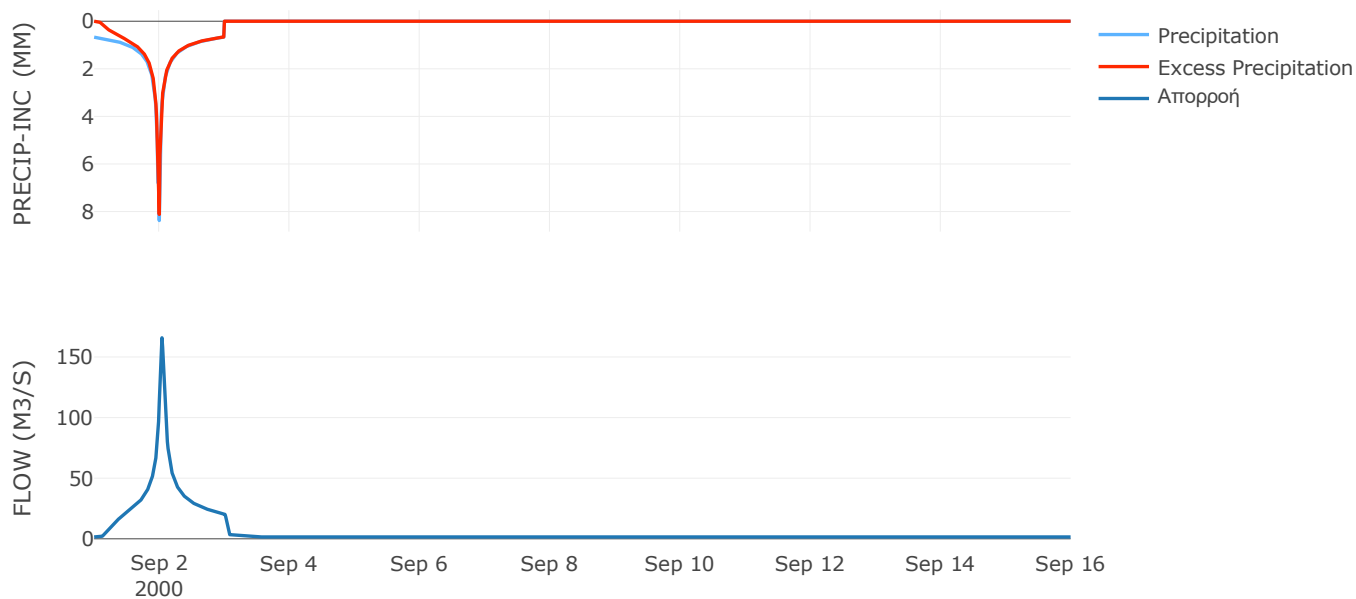
Μέθοδος
Μετασχηματισμού: SCS

Χρόνος Υστέρησης	51.81
------------------	-------

Αποτελέσματα:
EL0514FR003028

Παροχή αιχμής (M3/S)	165.84
Χρονική στιγμή αιχμής	02Sep2000, 01:00
Όγκος (MM)	308.25
Όγκος βροχόπτωσης (M3)	6.65E6
Όγκος απωλειών (M3)	7.76E5
Ενεργός Όγκος (M3)	5.87E6
Όγκος άμεσης απορροής (M3)	5.87E6
Όγκος βασικής απορροής (M3)	1.98E6

Βροχόπτωση και Απορροή



Υπολεκάνη: EL0514FR003029

Έκταση (KM2) : 14.96

Κατάνη : J7

Μέθοδος Απωλειών: SCS

Ποσοστό αδιαπέρατης επιφάνειας	0
Αριθμός Καμπύλης Απορροής-CN	89.85
Αρχικές Απώλειες	5.74

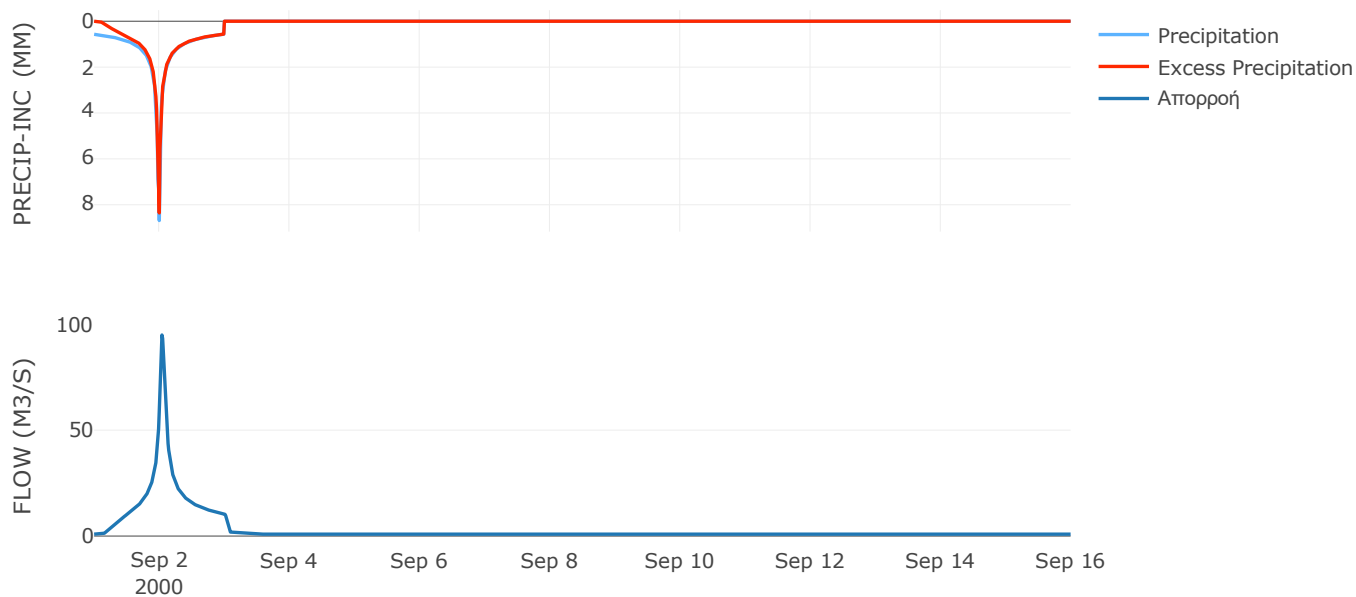
Μέθοδος
Μετασχηματισμού: SCS

Χρόνος Υστέρησης	59.52
------------------	-------

Αποτελέσματα:
EL0514FR003029

Παροχή αιχμής (M3/S)	94.94
Χρονική στιγμή αιχμής	02Sep2000, 01:00
Όγκος (MM)	284.02
Όγκος βροχόπτωσης (M3)	3.55E6
Όγκος απωλειών (M3)	4.68E5
Ενεργός Όγκος (M3)	3.09E6
Όγκος άμεσης απορροής (M3)	3.09E6
Όγκος βασικής απορροής (M3)	1.16E6

Βροχόπτωση και Απορροή



Υπολεκάνη: EL0514FR003030

Έκταση (KM2) : 14.02

Κατάντη : J7

Μέθοδος Απωλειών: SCS

Ποσοστό αδιαπέρατης επιφάνειας	0
Αριθμός Καμπύλης Απορροής-CN	90.15
Αρχικές Απώλειες	5.55

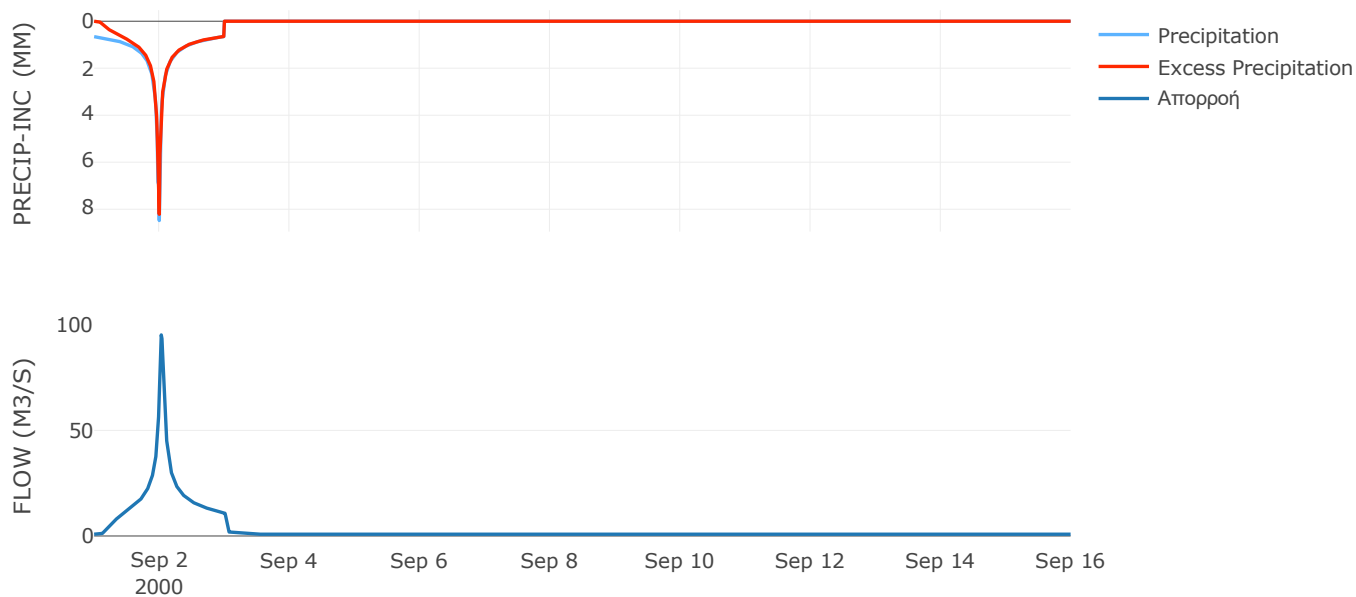
Μέθοδος
Μετασχηματισμού: SCS

Χρόνος Υστέρησης	45.25
------------------	-------

Αποτελέσματα:
EL0514FR003030

Παροχή αιχμής (M3/S)	95.22
Χρονική στιγμή αιχμής	02Sep2000, 00:45
Όγκος (MM)	305.57
Όγκος βροχόπτωσης (M3)	3.62E6
Όγκος απωλειών (M3)	4.28E5
Ενεργός Όγκος (M3)	3.19E6
Όγκος άμεσης απορροής (M3)	3.19E6
Όγκος βασικής απορροής (M3)	1.09E6

Βροχόπτωση και Απορροή



Υπολεκάνη: EL0514FR003031

Έκταση (KM2) : 21.31

Κατάνη : J7

Μέθοδος Απωλειών: SCS

Ποσοστό αδιαπέρατης επιφάνειας	0
Αριθμός Καμπύλης Απορροής-CN	90.2
Αρχικές Απώλειες	5.52

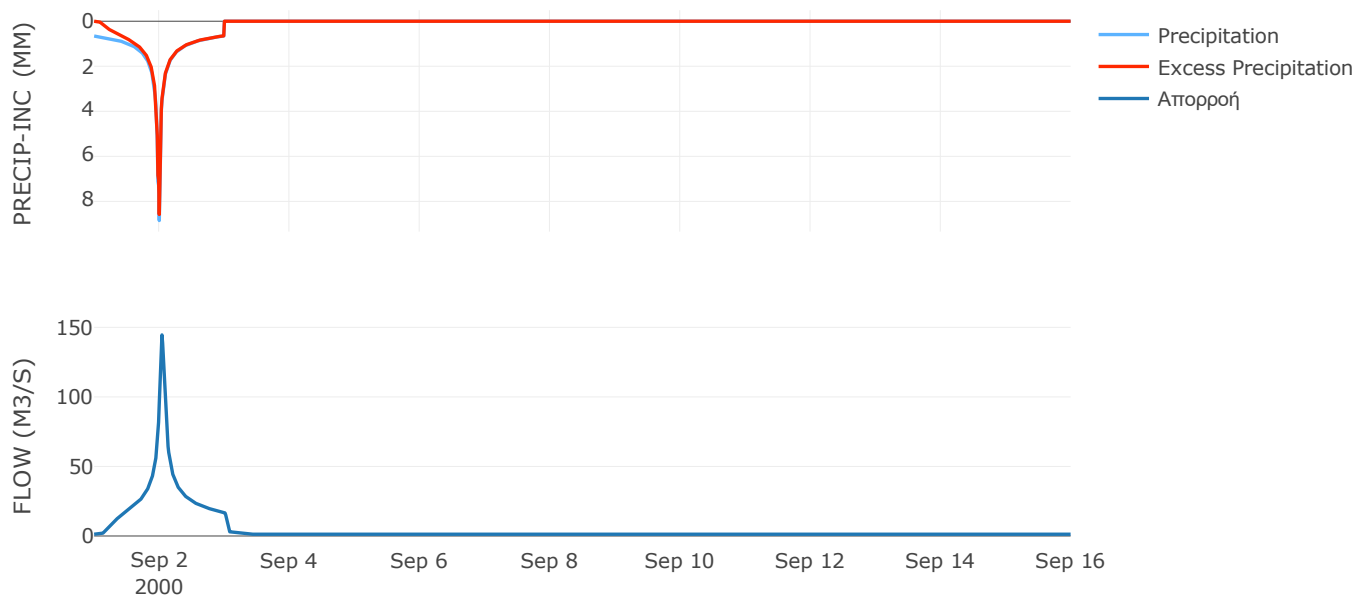
Μέθοδος
Μετασχηματισμού: SCS

Χρόνος Υστέρησης	53.67
------------------	-------

Αποτελέσματα:
EL0514FR003031

Παροχή αιχμής (M3/S)	144.56
Χρονική στιγμή αιχμής	02Sep2000, 01:00
Όγκος (MM)	309.65
Όγκος βροχόπτωσης (M3)	5.59E6
Όγκος απωλειών (M3)	6.49E5
Ενεργός Όγκος (M3)	4.94E6
Όγκος άμεσης απορροής (M3)	4.94E6
Όγκος βασικής απορροής (M3)	1.66E6

Βροχόπτωση και Απορροή



Υπολεκάνη: EL0514FR003032

Έκταση (KM2) : 17.85

Κατάντη : J6

Μέθοδος Απωλειών: SCS

Ποσοστό αδιαπέρατης επιφάνειας	0
Αριθμός Καμπύλης Απορροής-CN	89.02
Αρχικές Απώλειες	6.27

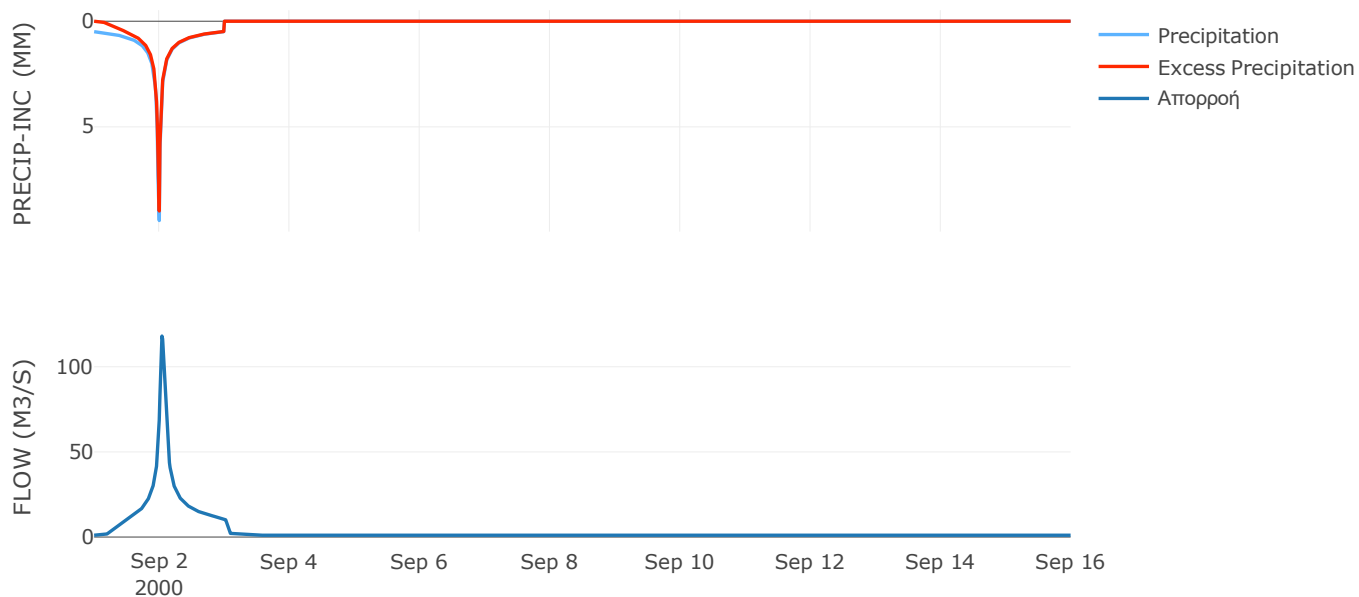
Μέθοδος
Μετασχηματισμού: SCS

Χρόνος Υστέρησης	60.5
------------------	------

Αποτελέσματα:
EL0514FR003032

Παροχή αιχμής (M3/S)	118.04
Χρονική στιγμή αιχμής	02Sep2000, 01:00
Όγκος (MM)	268.29
Όγκος βροχόπτωσης (M3)	4E6
Όγκος απωλειών (M3)	6.01E5
Ενεργός Όγκος (M3)	3.4E6
Όγκος άμεσης απορροής (M3)	3.4E6
Όγκος βασικής απορροής (M3)	1.39E6

Βροχόπτωση και Απορροή



Υπολεκάνη: EL0514FR003033

Έκταση (KM2) : 17.55

Κατάντη : J6

Μέθοδος Απωλειών: SCS

Ποσοστό αδιαπέρατης επιφάνειας	0
Αριθμός Καμπύλης Απορροής-CN	72.06
Αρχικές Απώλειες	19.7

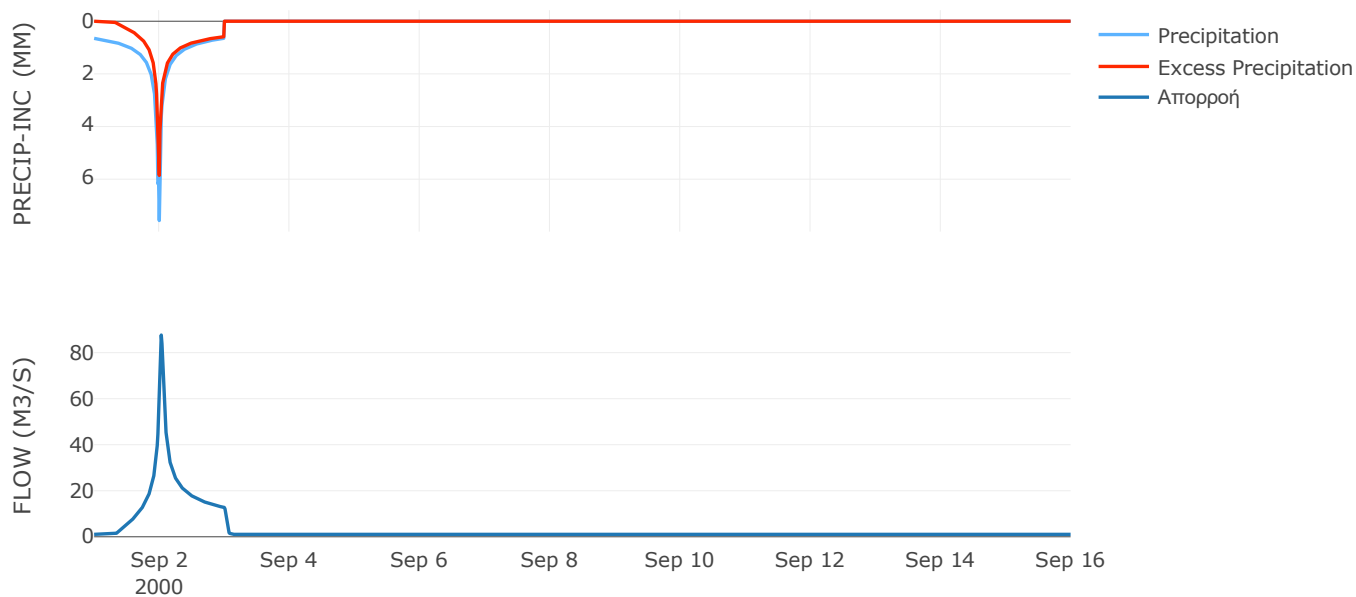
Μέθοδος
Μετασχηματισμού: SCS

Χρόνος Υστέρησης	38.48
------------------	-------

Αποτελέσματα:
EL0514FR003033

Παροχή αιχμής (M3/S)	87.65
Χρονική στιγμή αιχμής	02Sep2000, 00:45
Όγκος (MM)	236.52
Όγκος βροχόπτωσης (M3)	4.34E6
Όγκος απωλειών (M3)	1.55E6
Ενεργός Όγκος (M3)	2.79E6
Όγκος άμεσης απορροής (M3)	2.79E6
Όγκος βασικής απορροής (M3)	1.36E6

Βροχόπτωση και Απορροή



Υπολεκάνη: EL0514FR003034

Έκταση (KM2) : 83.42

Κατάντη : J5

Μέθοδος Απωλειών: SCS

Ποσοστό αδιαπέρατης επιφάνειας	7.2
Αριθμός Καμπύλης Απορροής-CN	86.8
Αρχικές Απώλειες	7.72

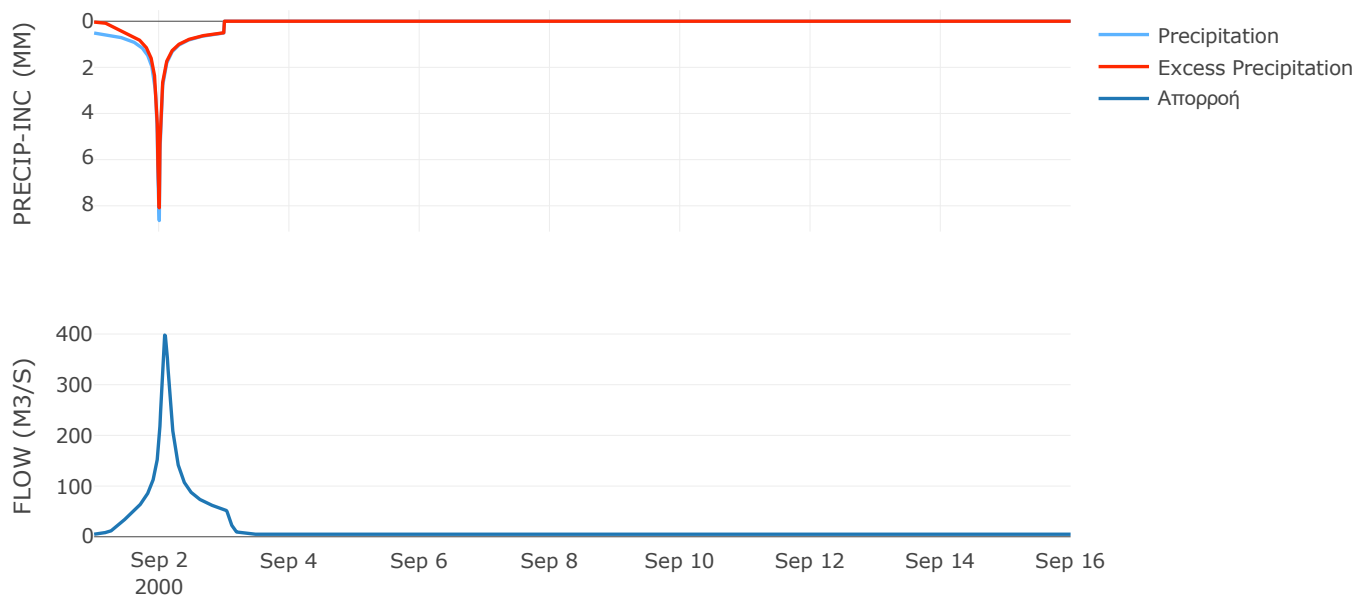
Μέθοδος
Μετασχηματισμού: SCS

Χρόνος Υστέρησης	118.33
------------------	--------

Αποτελέσματα:
EL0514FR003034

Παροχή αιχμής (M3/S)	397.94
Χρονική στιγμή αιχμής	02Sep2000, 02:00
Όγκος (MM)	261.95
Όγκος βροχόπτωσης (M3)	1.85E7
Όγκος απωλειών (M3)	3.13E6
Ενεργός Όγκος (M3)	1.54E7
Όγκος άμεσης απορροής (M3)	1.54E7
Όγκος βασικής απορροής (M3)	6.49E6

Βροχόπτωση και Απορροή



Υπολεκάνη: EL0514FR003035

Έκταση (KM2) : 13.03

Κατάντη : J31

Μέθοδος Απωλειών: SCS

Ποσοστό αδιαπέρατης επιφάνειας	0
Αριθμός Καμπύλης Απορροής-CN	90.09
Αρχικές Απώλειες	5.59

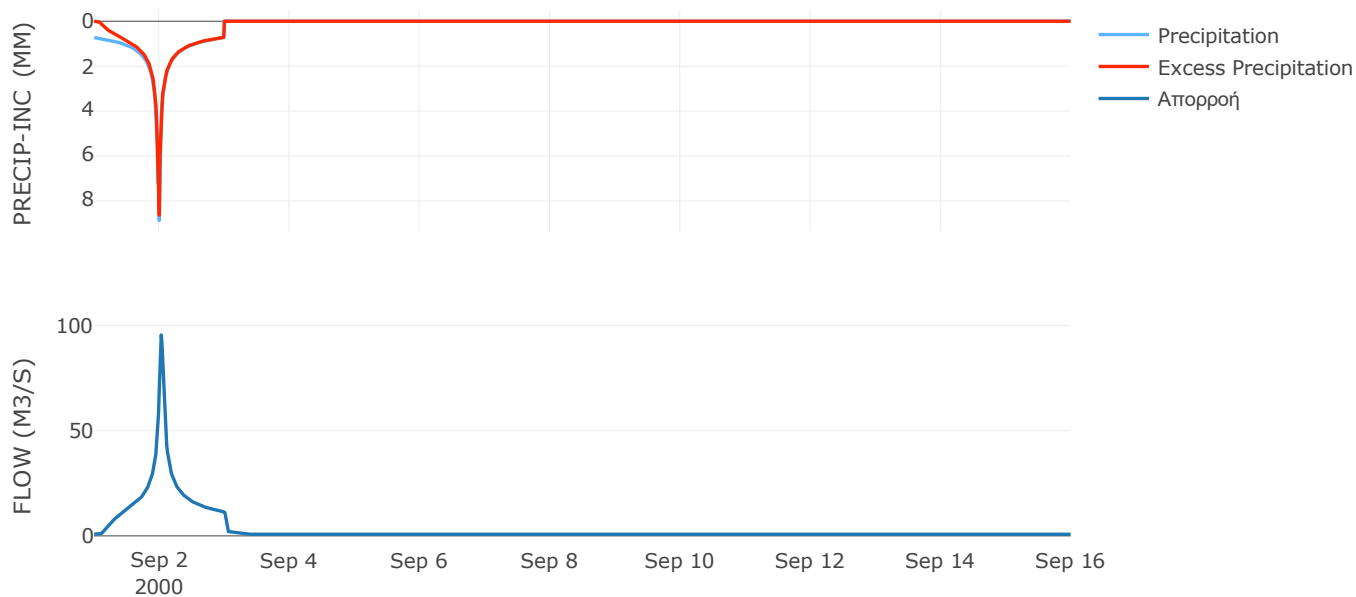
Μέθοδος
Μετασχηματισμού: SCS

Χρόνος Υστέρησης	40.58
------------------	-------

Αποτελέσματα:
EL0514FR003035

Παροχή αιχμής (M3/S)	95.56
Χρονική στιγμή αιχμής	02Sep2000, 00:45
Όγκος (MM)	327.09
Όγκος βροχόπτωσης (M3)	3.65E6
Όγκος απωλειών (M3)	4.03E5
Ενεργός Όγκος (M3)	3.25E6
Όγκος άμεσης απορροής (M3)	3.25E6
Όγκος βασικής απορροής (M3)	1.01E6

Βροχόπτωση και Απορροή



Υπολεκάνη: EL0514FR003036

Έκταση (KM2) : 48.7

Κατάντη : J31

Μέθοδος Απωλειών: SCS

Ποσοστό αδιαπέρατης επιφάνειας	0
Αριθμός Καμπύλης Απορροής-CN	90.46
Αρχικές Απώλειες	5.36

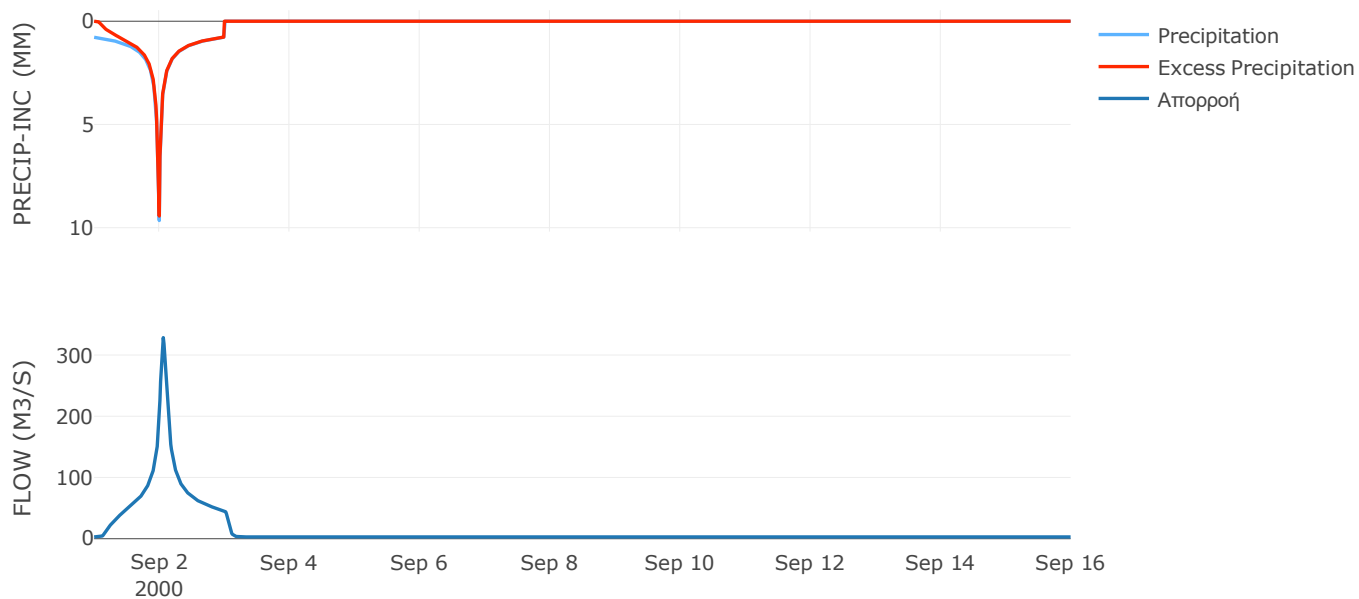
Μέθοδος
Μετασχηματισμού: SCS

Χρόνος Υστέρησης	79.35
------------------	-------

Αποτελέσματα:
EL0514FR003036

Παροχή αιχμής (M3/S)	328.4
Χρονική στιγμή αιχμής	02Sep2000, 01:30
Όγκος (MM)	349.67
Όγκος βροχόπτωσης (M3)	1.47E7
Όγκος απωλειών (M3)	1.46E6
Ενεργός Όγκος (M3)	1.32E7
Όγκος άμεσης απορροής (M3)	1.32E7
Όγκος βασικής απορροής (M3)	3.79E6

Βροχόπτωση και Απορροή



Υπολεκάνη: EL0514FR003037

Έκταση (KM2) : 32.67

Κατάντη : J30

Μέθοδος Απωλειών: SCS

Ποσοστό αδιαπέρατης επιφάνειας	0
Αριθμός Καμπύλης Απορροής-CN	90.45
Αρχικές Απώλειες	5.36

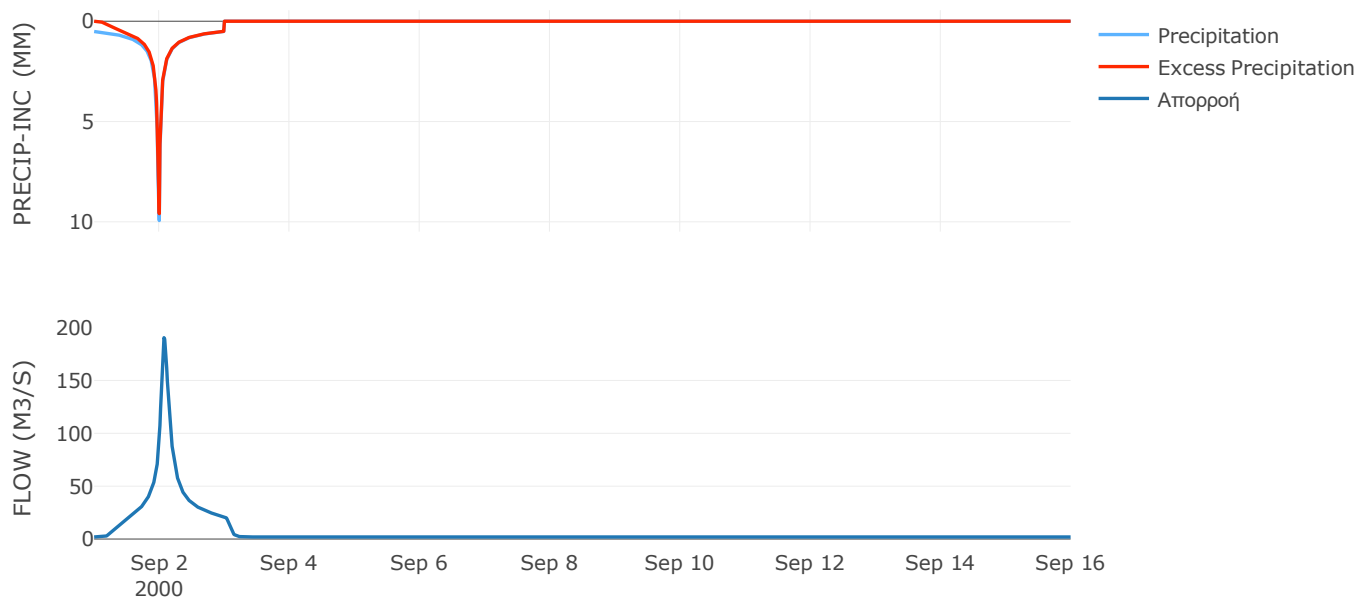
Μέθοδος
Μετασχηματισμού: SCS

Χρόνος Υστέρησης	103.76
------------------	--------

Αποτελέσματα:
EL0514FR003037

Παροχή αιχμής (M3/S)	190.48
Χρονική στιγμή αιχμής	02Sep2000, 01:45
Όγκος (MM)	281.62
Όγκος βροχόπτωσης (M3)	7.62E6
Όγκος απωλειών (M3)	9.59E5
Ενεργός Όγκος (M3)	6.66E6
Όγκος άμεσης απορροής (M3)	6.66E6
Όγκος βασικής απορροής (M3)	2.54E6

Βροχόπτωση και Απορροή



Υπολεκάνη: EL0514FR003038

Έκταση (KM2) : 25.23

Κατάντη : J30

Μέθοδος Απωλειών: SCS

Ποσοστό αδιαπέρατης επιφάνειας	0
Αριθμός Καμπύλης Απορροής-CN	90.38
Αρχικές Απώλειες	5.41

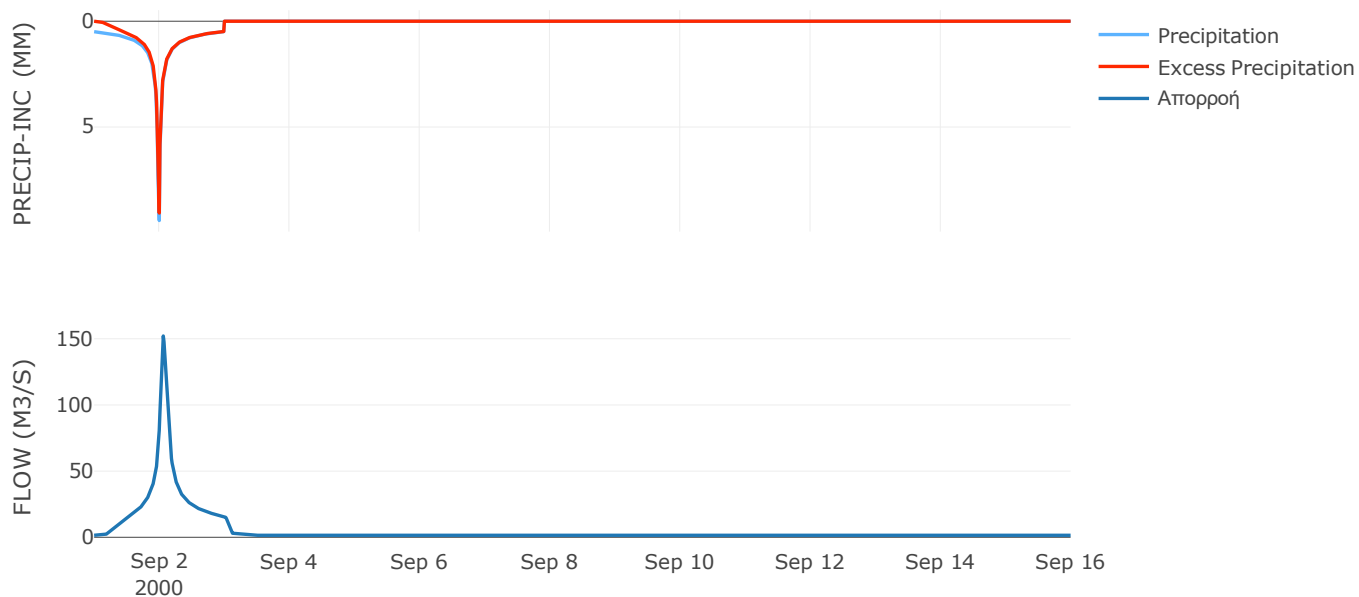
Μέθοδος
Μετασχηματισμού: SCS

Χρόνος Υστέρησης	82.13
------------------	-------

Αποτελέσματα:
EL0514FR003038

Παροχή αιχμής (M3/S)	152.12
Χρονική στιγμή αιχμής	02Sep2000, 01:30
Όγκος (MM)	271.98
Όγκος βροχόπτωσης (M3)	5.64E6
Όγκος απωλειών (M3)	7.44E5
Ενεργός Όγκος (M3)	4.9E6
Όγκος άμεσης απορροής (M3)	4.9E6
Όγκος βασικής απορροής (M3)	1.96E6

Βροχόπτωση και Απορροή



Υπολεκάνη: EL0514FR003039

Έκταση (KM2) : 8.72

Κατάντη : J22

Μέθοδος Απωλειών: SCS

Ποσοστό αδιαπέρατης επιφάνειας	0.09
Αριθμός Καμπύλης Απορροής-CN	91.48
Αρχικές Απώλειες	4.73

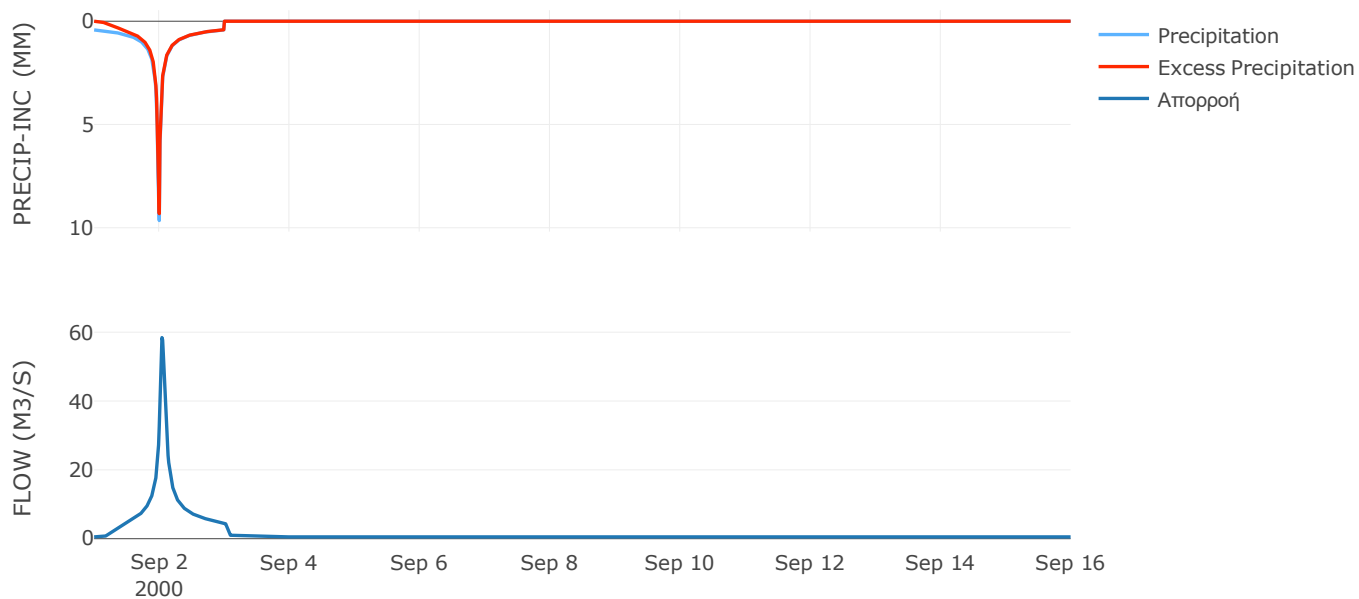
Μέθοδος
Μετασχηματισμού: SCS

Χρόνος Υστέρησης	61.73
------------------	-------

Αποτελέσματα:
EL0514FR003039

Παροχή αιχμής (M3/S)	58.43
Χρονική στιγμή αιχμής	02Sep2000, 01:00
Όγκος (MM)	256.58
Όγκος βροχόπτωσης (M3)	1.79E6
Όγκος απωλειών (M3)	2.25E5
Ενεργός Όγκος (M3)	1.56E6
Όγκος άμεσης απορροής (M3)	1.56E6
Όγκος βασικής απορροής (M3)	6.78E5

Βροχόπτωση και Απορροή



Υπολεκάνη: EL0514FR003040

Έκταση (KM2) : 22.7

Κατάντη : J22

Μέθοδος Απωλειών: SCS

Ποσοστό αδιαπέρατης επιφάνειας	0.09
Αριθμός Καμπύλης Απορροής-CN	90.97
Αρχικές Απώλειες	5.04

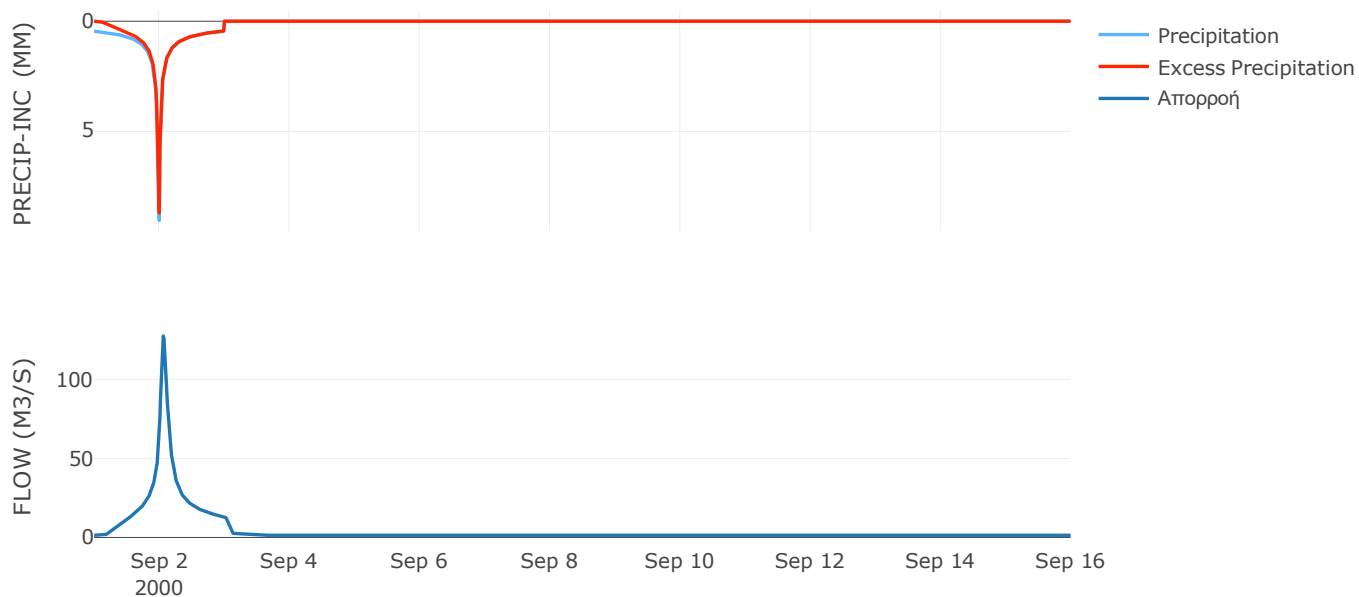
Μέθοδος
Μετασχηματισμού: SCS

Χρόνος Υστέρησης	87.71
------------------	-------

Αποτελέσματα:
EL0514FR003040

Παροχή αιχμής (M3/S)	127.51
Χρονική στιγμή αιχμής	02Sep2000, 01:30
Όγκος (MM)	258.26
Όγκος βροχόπτωσης (M3)	4.72E6
Όγκος απωλειών (M3)	6.23E5
Ενεργός Όγκος (M3)	4.1E6
Όγκος άμεσης απορροής (M3)	4.1E6
Όγκος βασικής απορροής (M3)	1.77E6

Βροχόπτωση και Απορροή



Υπολεκάνη: EL0514FR003041

Έκταση (KM2) : 11.3

Κατάντη : J23

Μέθοδος Απωλειών: SCS

Ποσοστό αδιαπέρατης επιφάνειας	0
Αριθμός Καμπύλης Απορροής-CN	90.34
Αρχικές Απώλειες	5.43

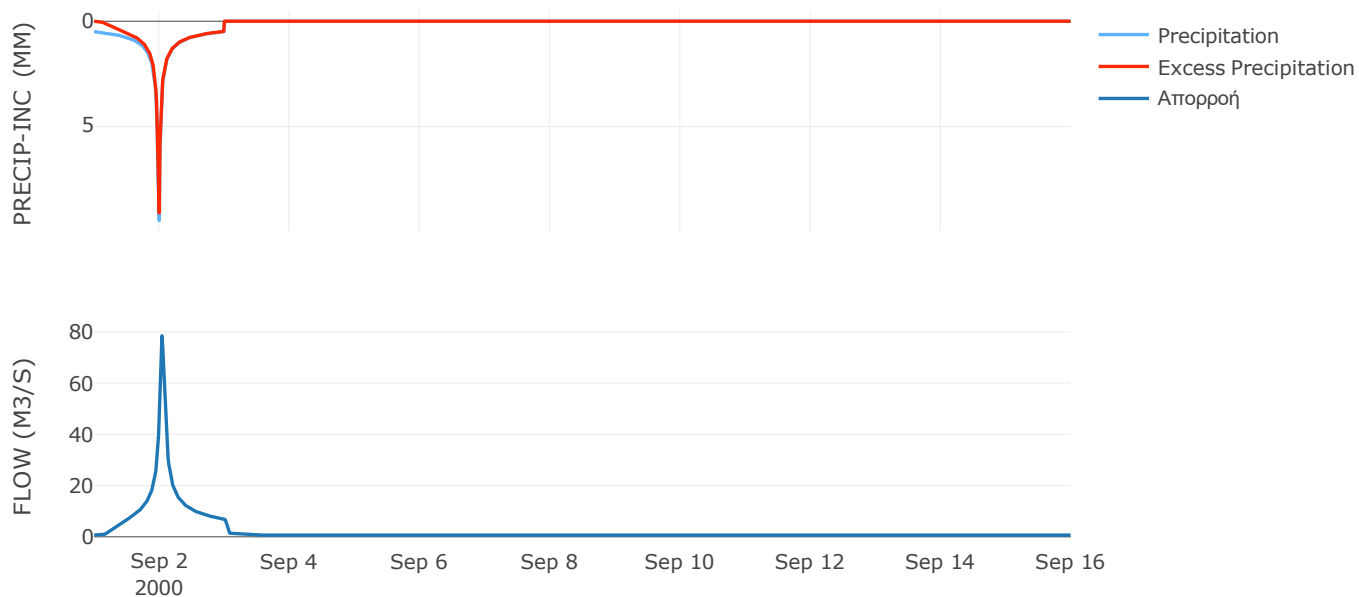
Μέθοδος
Μετασχηματισμού: SCS

Χρόνος Υστέρησης	54.28
------------------	-------

Αποτελέσματα:
EL0514FR003041

Παροχή αιχμής (M3/S)	78.45
Χρονική στιγμή αιχμής	02Sep2000, 01:00
Όγκος (MM)	272.16
Όγκος βροχόπτωσης (M3)	2.53E6
Όγκος απωλειών (M3)	3.35E5
Ενεργός Όγκος (M3)	2.2E6
Όγκος άμεσης απορροής (M3)	2.2E6
Όγκος βασικής απορροής (M3)	8.79E5

Βροχόπτωση και Απορροή



Υπολεκάνη: EL0514FR003042

Έκταση (KM2) : 9.38

Κατάντη : J23

Μέθοδος Απωλειών: SCS

Ποσοστό αδιαπέρατης επιφάνειας	0
Αριθμός Καμπύλης Απορροής-CN	90.96
Αρχικές Απώλειες	5.05

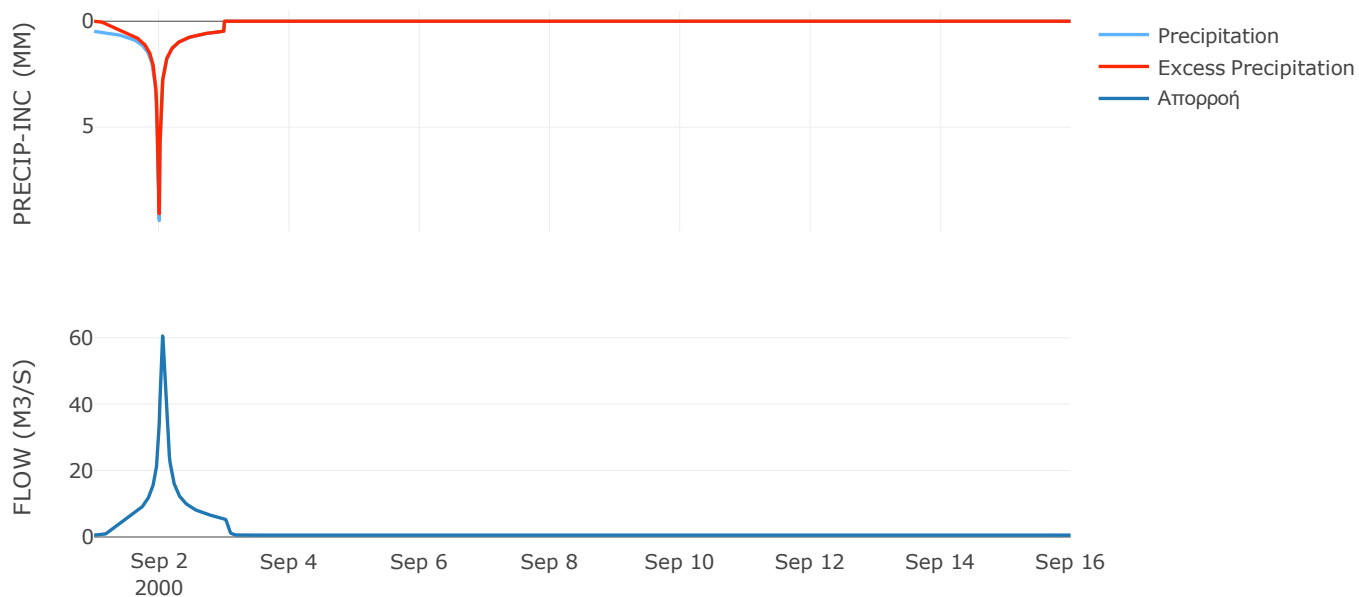
Μέθοδος
Μετασχηματισμού: SCS

Χρόνος Υστέρησης	67.02
------------------	-------

Αποτελέσματα:
EL0514FR003042

Παροχή αιχμής (M3/S)	60.52
Χρονική στιγμή αιχμής	02Sep2000, 01:15
Όγκος (MM)	269.45
Όγκος βροχόπτωσης (M3)	2.06E6
Όγκος απωλειών (M3)	2.59E5
Ενεργός Όγκος (M3)	1.8E6
Όγκος άμεσης απορροής (M3)	1.8E6
Όγκος βασικής απορροής (M3)	7.29E5

Βροχόπτωση και Απορροή



Υπολεκάνη: EL0514FR003043

Έκταση (KM2) : 29.89

Κατάντη : J24

Μέθοδος Απωλειών: SCS

Ποσοστό αδιαπέρατης επιφάνειας	0
Αριθμός Καμπύλης Απορροής-CN	90.7
Αρχικές Απώλειες	5.21

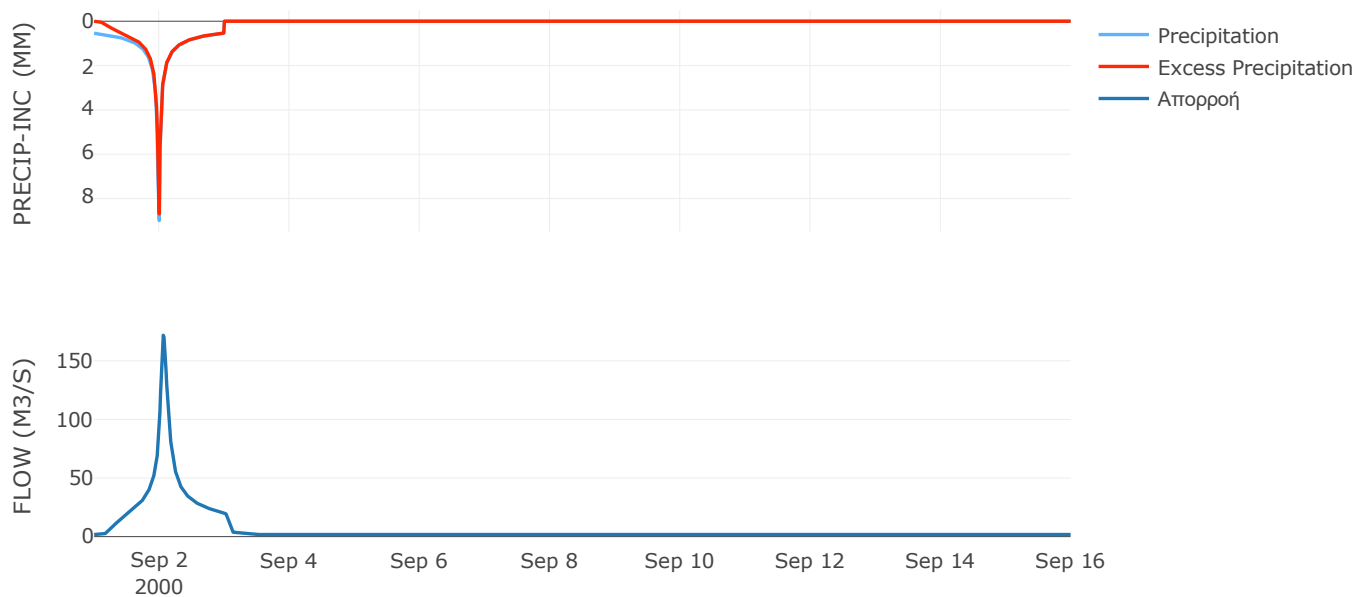
Μέθοδος
Μετασχηματισμού: SCS

Χρόνος Υστέρησης	88.72
------------------	-------

Αποτελέσματα:
EL0514FR003043

Παροχή αιχμής (M3/S)	171.84
Χρονική στιγμή αιχμής	02Sep2000, 01:30
Όγκος (MM)	281.99
Όγκος βροχόπτωσης (M3)	6.96E6
Όγκος απωλειών (M3)	8.54E5
Ενεργός Όγκος (M3)	6.1E6
Όγκος άμεσης απορροής (M3)	6.1E6
Όγκος βασικής απορροής (M3)	2.32E6

Βροχόπτωση και Απορροή



Υπολεκάνη: EL0514FR003044

Έκταση (KM2) : 19.82

Κατάντη : J24

Μέθοδος Απωλειών: SCS

Ποσοστό αδιαπέρατης επιφάνειας	0
Αριθμός Καμπύλης Απορροής-CN	89.11
Αρχικές Απώλειες	6.21

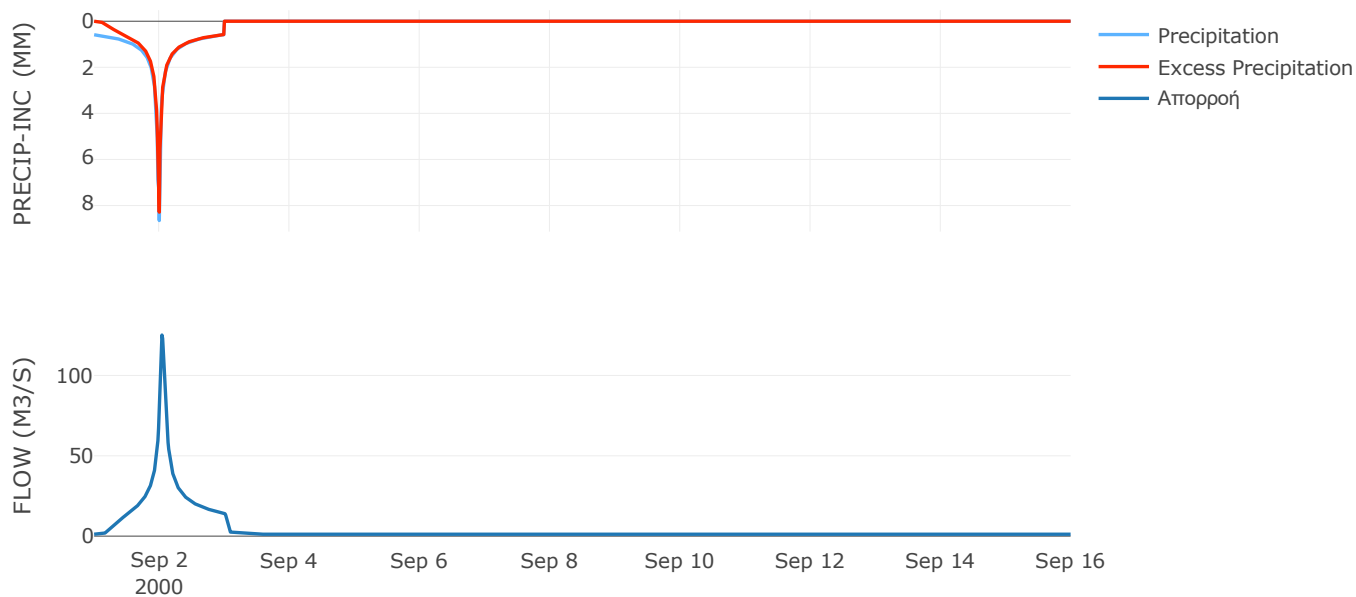
Μέθοδος
Μετασχηματισμού: SCS

Χρόνος Υστέρησης	59.39
------------------	-------

Αποτελέσματα:
EL0514FR003044

Παροχή αιχμής (M3/S)	125.18
Χρονική στιγμή αιχμής	02Sep2000, 01:00
Όγκος (MM)	286.04
Όγκος βροχόπτωσης (M3)	4.8E6
Όγκος απωλειών (M3)	6.67E5
Ενεργός Όγκος (M3)	4.13E6
Όγκος άμεσης απορροής (M3)	4.13E6
Όγκος βασικής απορροής (M3)	1.54E6

Βροχόπτωση και Απορροή



Υπολεκάνη: EL0514FR003045

Έκταση (KM2) : 19.47

Κατάντη : J26

Μέθοδος Απωλειών: SCS

Ποσοστό αδιαπέρατης επιφάνειας	0
Αριθμός Καμπύλης Απορροής-CN	80.82
Αρχικές Απώλειες	12.05

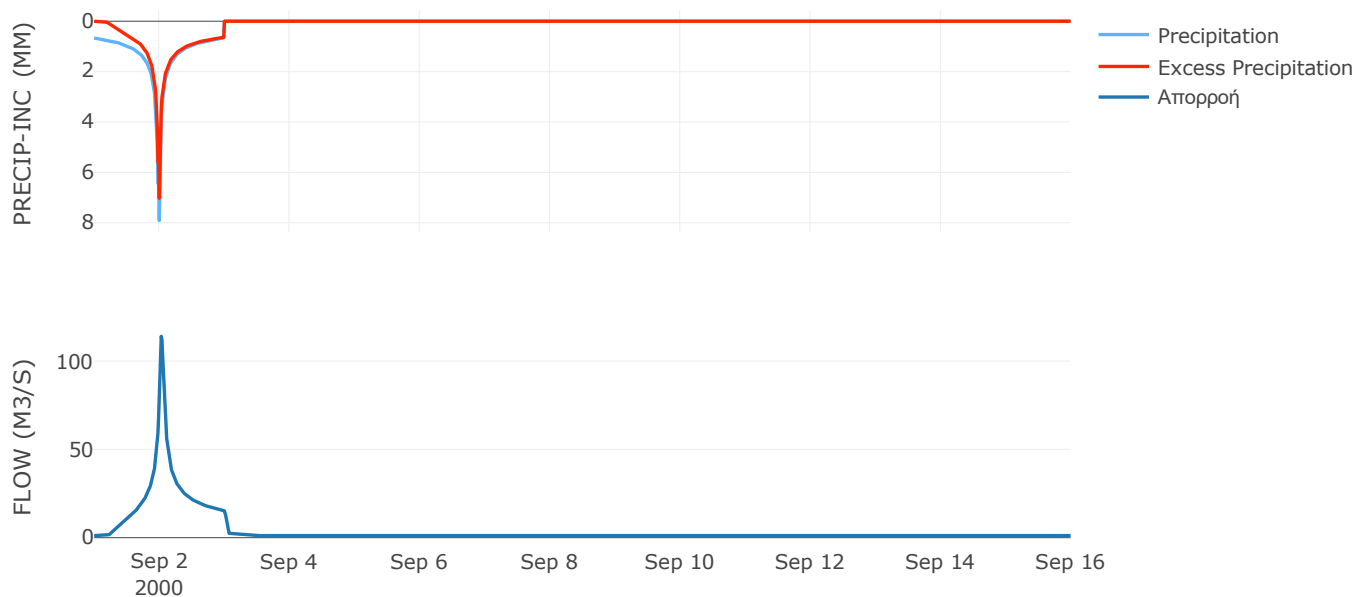
Μέθοδος
Μετασχηματισμού: SCS

Χρόνος Υστέρησης	43.83
------------------	-------

Αποτελέσματα:
EL0514FR003045

Παροχή αιχμής (M3/S)	113.99
Χρονική στιγμή αιχμής	02Sep2000, 00:45
Όγκος (MM)	272.12
Όγκος βροχόπτωσης (M3)	4.96E6
Όγκος απωλειών (M3)	1.17E6
Ενεργός Όγκος (M3)	3.78E6
Όγκος άμεσης απορροής (M3)	3.78E6
Όγκος βασικής απορροής (M3)	1.51E6

Βροχόπτωση και Απορροή



Υπολεκάνη: EL0514FR003046

Έκταση (KM2) : 5.63

Κατάντη : J24

Μέθοδος Απωλειών: SCS

Ποσοστό αδιαπέρατης επιφάνειας	0
Αριθμός Καμπύλης Απορροής-CN	90.77
Αρχικές Απώλειες	5.16

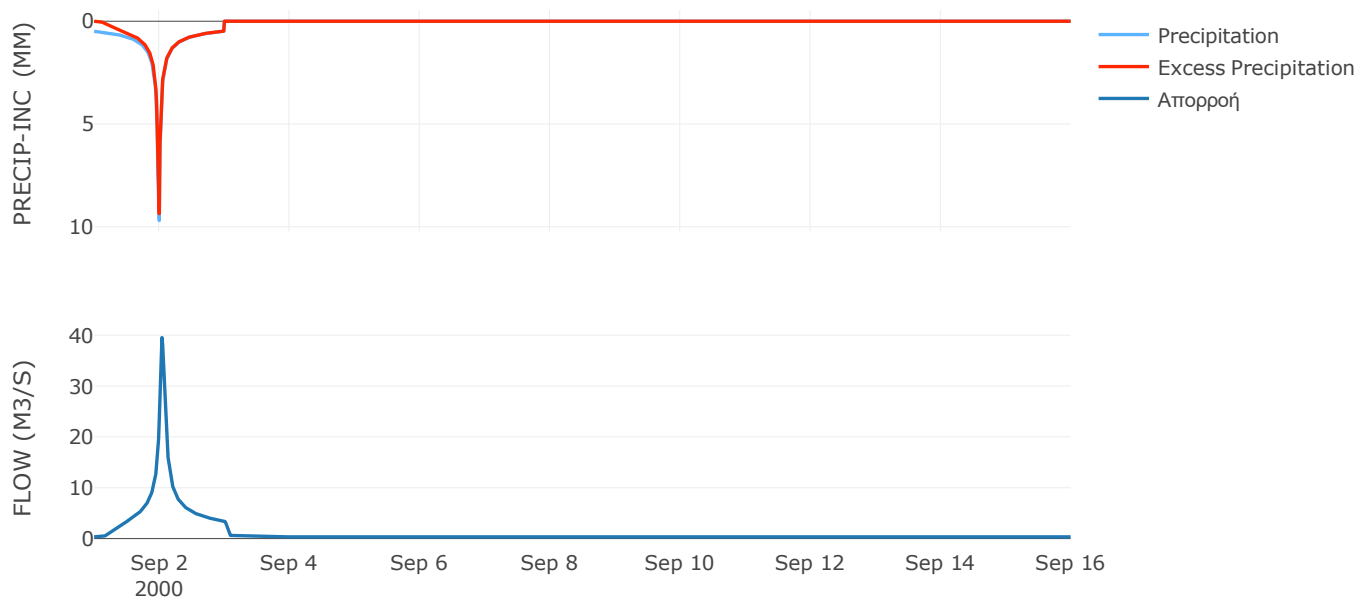
Μέθοδος
Μετασχηματισμού: SCS

Χρόνος Υστέρησης	56.98
------------------	-------

Αποτελέσματα:
EL0514FR003046

Παροχή αιχμής (M3/S)	39.53
Χρονική στιγμή αιχμής	02Sep2000, 01:00
Όγκος (MM)	274.12
Όγκος βροχόπτωσης (M3)	1.26E6
Όγκος απωλειών (M3)	1.59E5
Ενεργός Όγκος (M3)	1.11E6
Όγκος άμεσης απορροής (M3)	1.11E6
Όγκος βασικής απορροής (M3)	4.38E5

Βροχόπτωση και Απορροή



Υπολεκάνη: EL0514FR003047

Έκταση (KM2) : 17.53

Κατάντη : J25

Μέθοδος Απωλειών: SCS

Ποσοστό αδιαπέρατης επιφάνειας	0
Αριθμός Καμπύλης Απορροής-CN	90.4
Αρχικές Απώλειες	5.39

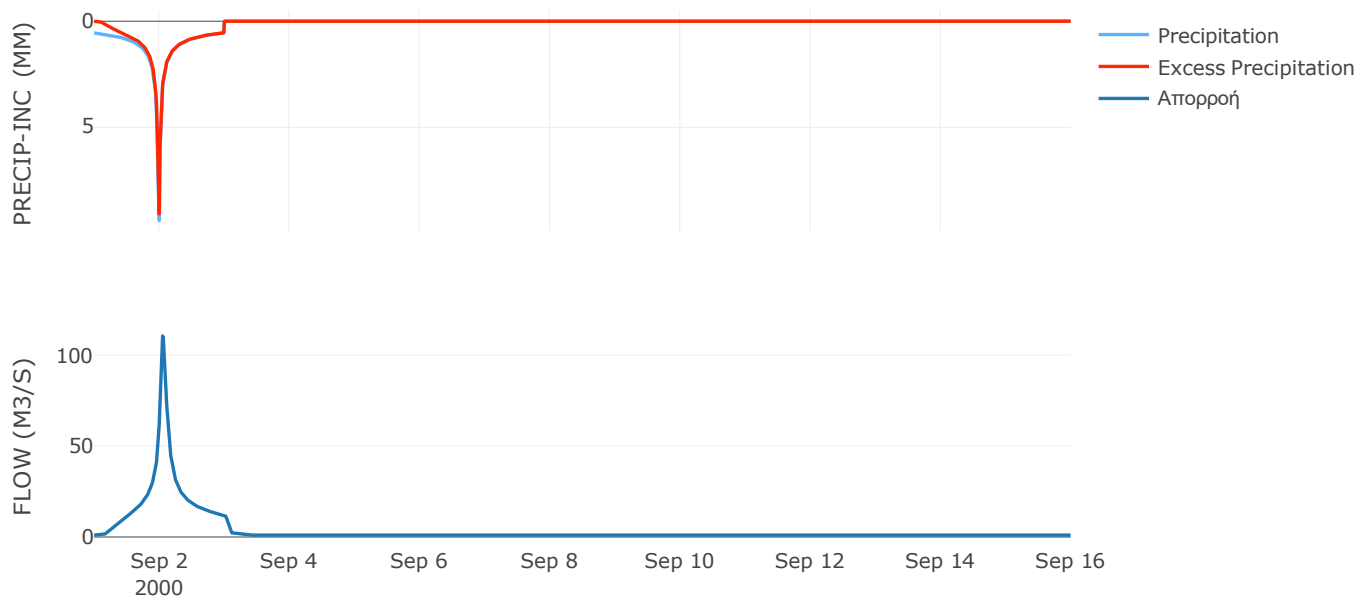
Μέθοδος
Μετασχηματισμού: SCS

Χρόνος Υστέρησης	75.69
------------------	-------

Αποτελέσματα:
EL0514FR003047

Παροχή αιχμής (M3/S)	110.54
Χρονική στιγμή αιχμής	02Sep2000, 01:15
Όγκος (MM)	287.62
Όγκος βροχόπτωσης (M3)	4.2E6
Όγκος απωλειών (M3)	5.19E5
Ενεργός Όγκος (M3)	3.68E6
Όγκος άμεσης απορροής (M3)	3.68E6
Όγκος βασικής απορροής (M3)	1.36E6

Βροχόπτωση και Απορροή



Υπολεκάνη: EL0514FR003048

Έκταση (KM2) : 3.98

Κατάντη : J25

Μέθοδος Απωλειών: SCS

Ποσοστό αδιαπέρατης επιφάνειας	0
Αριθμός Καμπύλης Απορροής-CN	90.41
Αρχικές Απώλειες	5.39

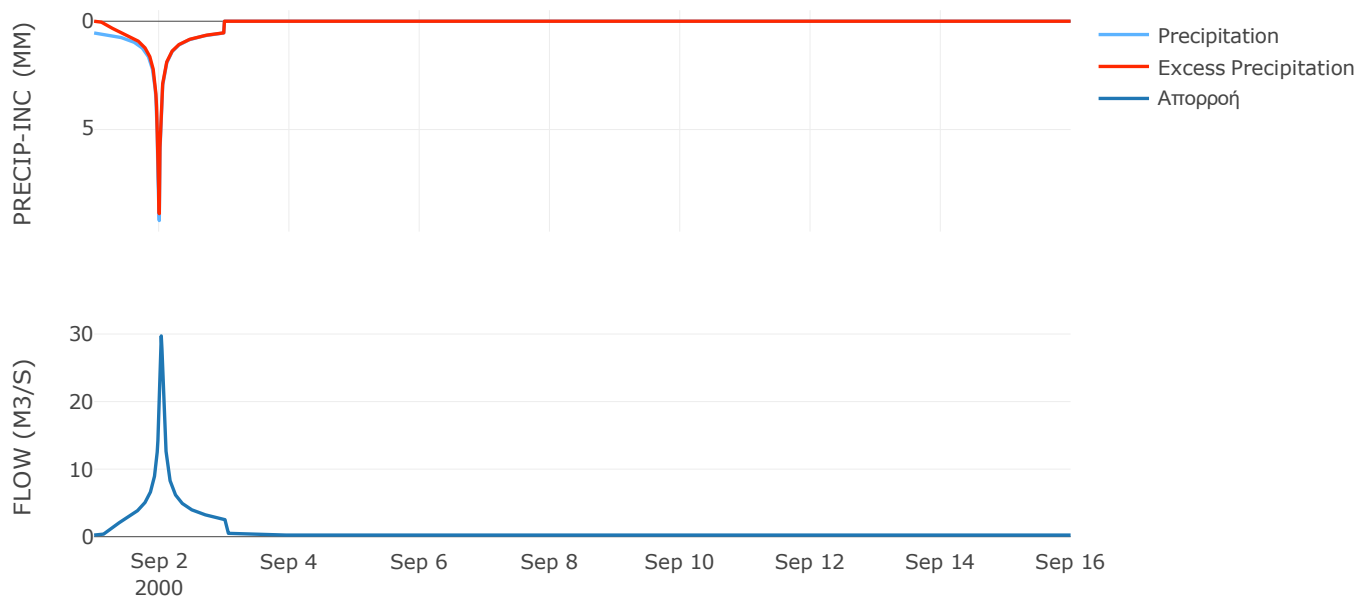
Μέθοδος
Μετασχηματισμού: SCS

Χρόνος Υστέρησης	38.67
------------------	-------

Αποτελέσματα:
EL0514FR003048

Παροχή αιχμής (M3/S)	29.73
Χρονική στιγμή αιχμής	02Sep2000, 00:45
Όγκος (MM)	283.75
Όγκος βροχόπτωσης (M3)	9.38E5
Όγκος απωλειών (M3)	1.18E5
Ενεργός Όγκος (M3)	8.21E5
Όγκος άμεσης απορροής (M3)	8.21E5
Όγκος βασικής απορροής (M3)	3.1E5

Βροχόπτωση και Απορροή



Υπολεκάνη: EL0514FR003049

Έκταση (KM2) : 37.37

Κατάντη : J26

Μέθοδος Απωλειών: SCS

Ποσοστό αδιαπέρατης επιφάνειας	0
Αριθμός Καμπύλης Απορροής-CN	87.1
Αρχικές Απώλειες	7.53

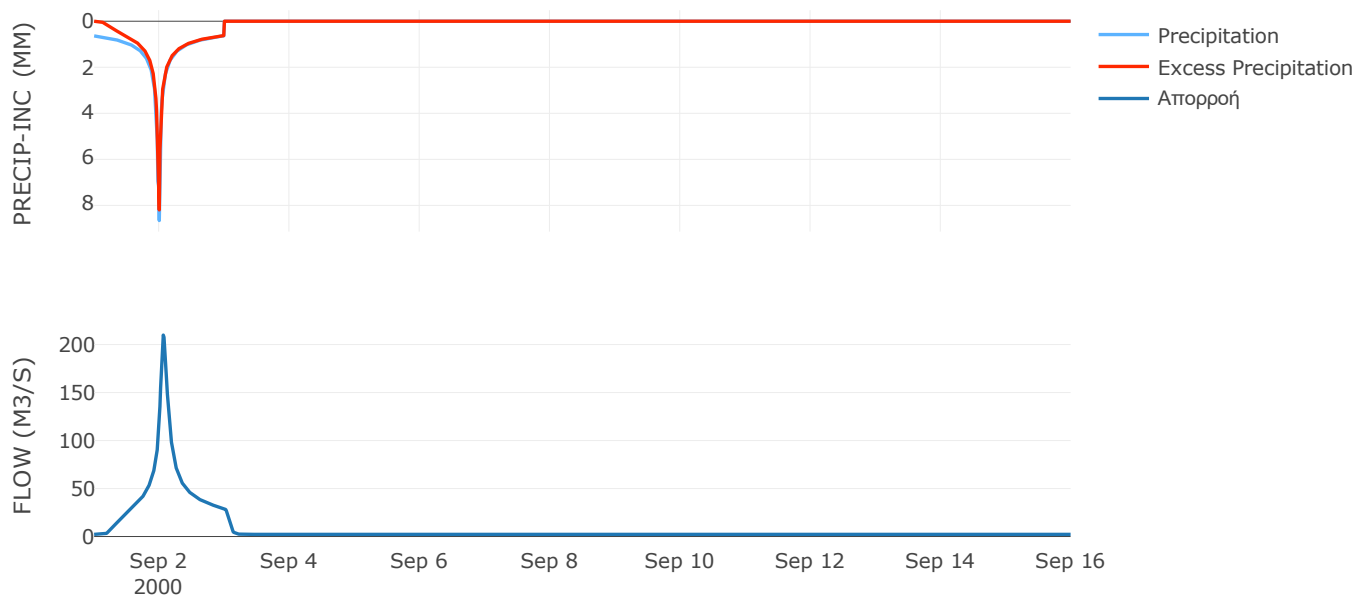
Μέθοδος
Μετασχηματισμού: SCS

Χρόνος Υστέρησης	87
------------------	----

Αποτελέσματα:
EL0514FR003049

Παροχή αιχμής (M3/S)	209.86
Χρονική στιγμή αιχμής	02Sep2000, 01:30
Όγκος (MM)	292.82
Όγκος βροχόπτωσης (M3)	9.54E6
Όγκος απωλειών (M3)	1.5E6
Ενεργός Όγκος (M3)	8.04E6
Όγκος άμεσης απορροής (M3)	8.04E6
Όγκος βασικής απορροής (M3)	2.91E6

Βροχόπτωση και Απορροή



Υπολεκάνη: EL0514FR003051

Έκταση (KM2) : 17.16

Κατάντη : J27

Μέθοδος Απωλειών: SCS

Ποσοστό αδιαπέρατης επιφάνειας	0
Αριθμός Καμπύλης Απορροής-CN	90.45
Αρχικές Απώλειες	5.36

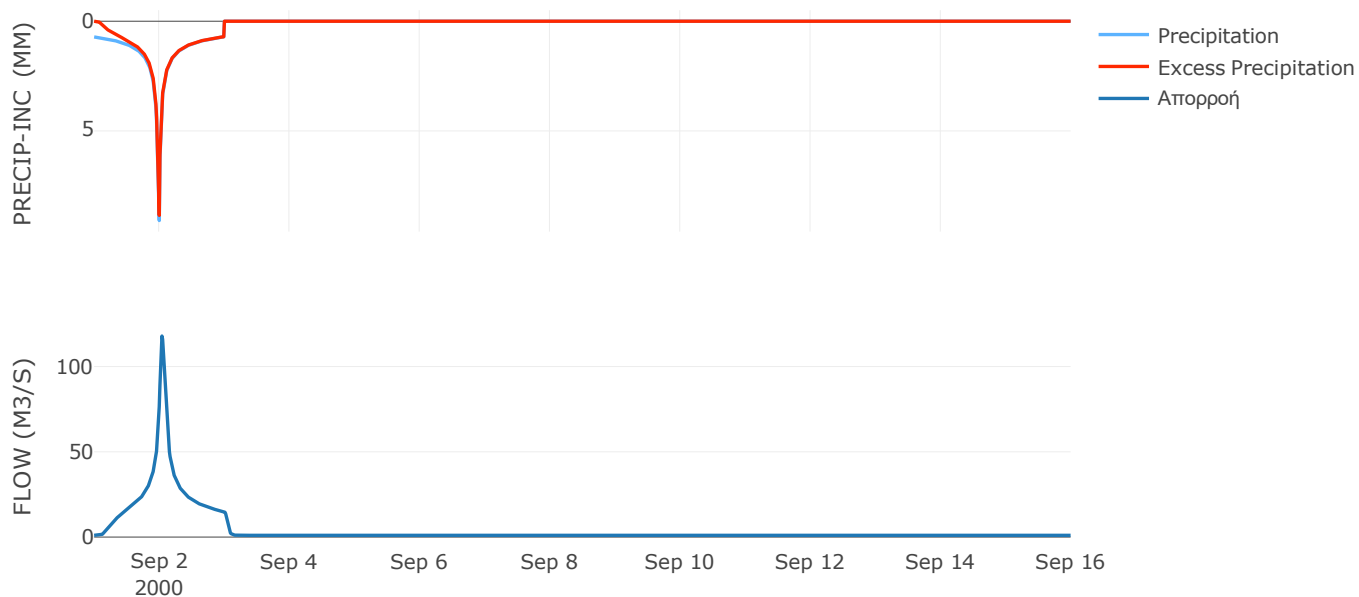
Μέθοδος
Μετασχηματισμού: SCS

Χρόνος Υστέρησης	59.12
------------------	-------

Αποτελέσματα:
EL0514FR003051

Παροχή αιχμής (M3/S)	117.88
Χρονική στιγμή αιχμής	02Sep2000, 01:00
Όγκος (MM)	327.84
Όγκος βροχόπτωσης (M3)	4.8E6
Όγκος απωλειών (M3)	5.11E5
Ενεργός Όγκος (M3)	4.29E6
Όγκος άμεσης απορροής (M3)	4.29E6
Όγκος βασικής απορροής (M3)	1.33E6

Βροχόπτωση και Απορροή



Υπολεκάνη: EL0514FR003052

Έκταση (KM2) : 20.26

Κατάντη : J27

Μέθοδος Απωλειών: SCS

Ποσοστό αδιαπέρατης επιφάνειας	0
Αριθμός Καμπύλης Απορροής-CN	90.62
Αρχικές Απώλειες	5.26

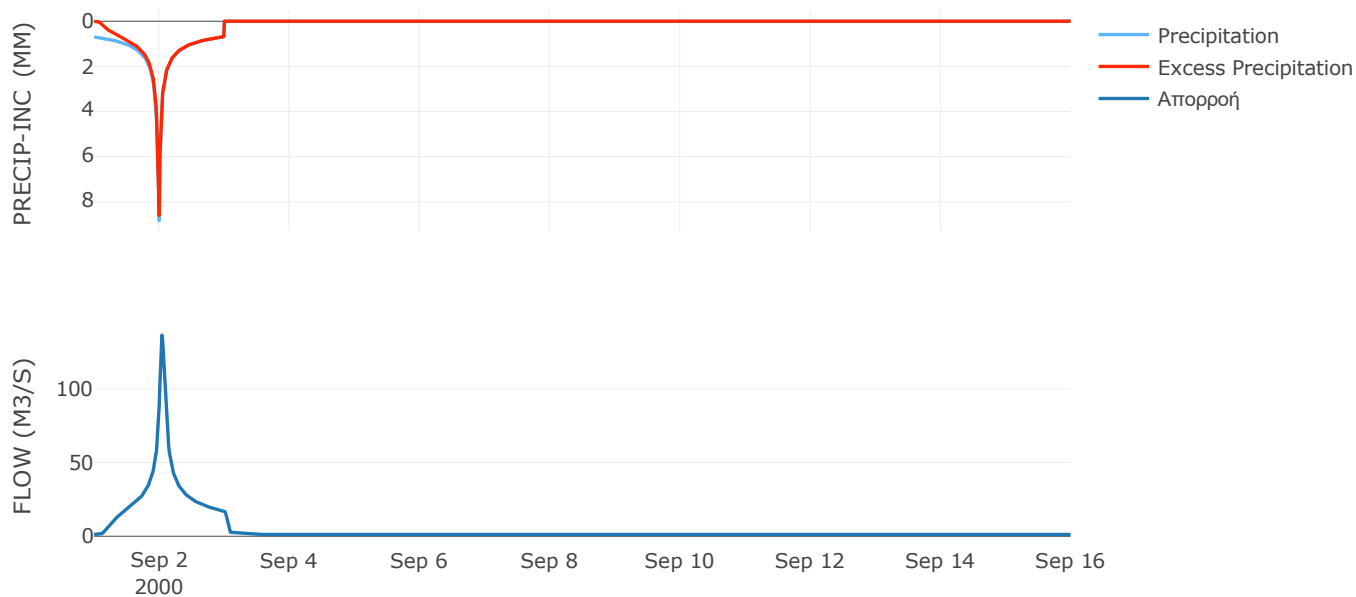
Μέθοδος
Μετασχηματισμού: SCS

Χρόνος Υστέρησης	57.46
------------------	-------

Αποτελέσματα:
EL0514FR003052

Παροχή αιχμής (M3/S)	136.35
Χρονική στιγμή αιχμής	02Sep2000, 01:00
Όγκος (MM)	320.33
Όγκος βροχόπτωσης (M3)	5.5E6
Όγκος απωλειών (M3)	5.91E5
Ενεργός Όγκος (M3)	4.91E6
Όγκος άμεσης απορροής (M3)	4.91E6
Όγκος βασικής απορροής (M3)	1.58E6

Βροχόπτωση και Απορροή



Υπολεκάνη: EL0514FR003053

Έκταση (KM2) : 23.12

Κατάντη : J27

Μέθοδος Απωλειών: SCS

Ποσοστό αδιαπέρατης επιφάνειας	0
Αριθμός Καμπύλης Απορροής-CN	90.75
Αρχικές Απώλειες	5.18

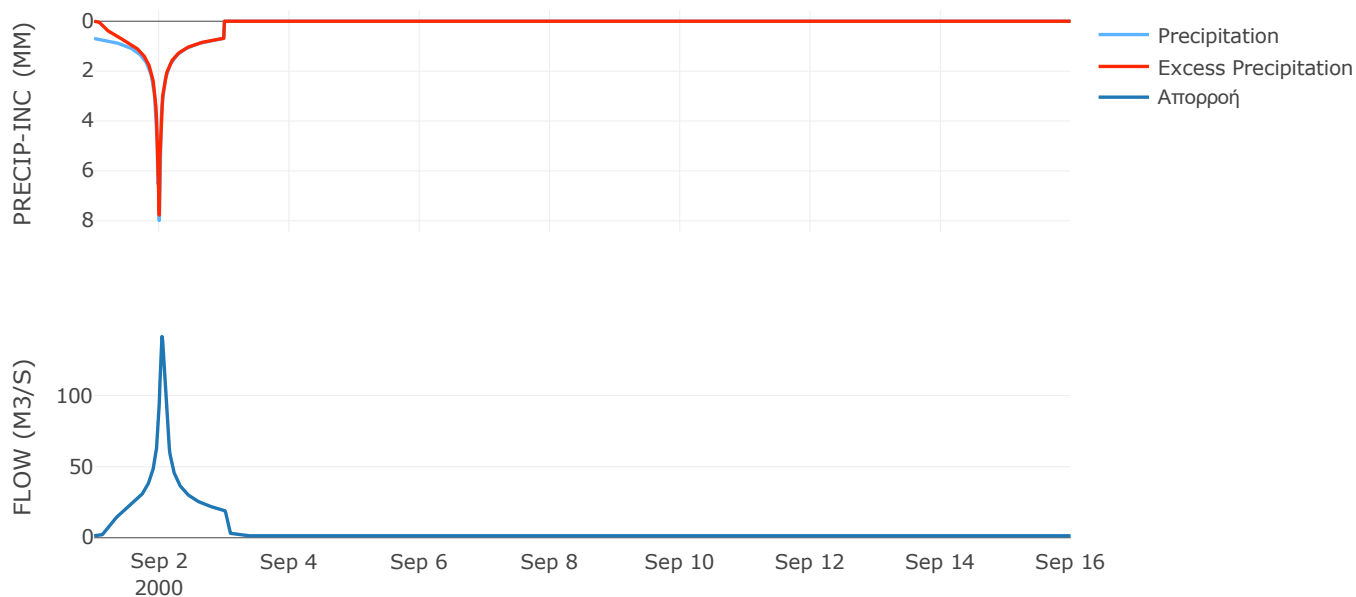
Μέθοδος
Μετασχηματισμού: SCS

Χρόνος Υστέρησης	58.28
------------------	-------

Αποτελέσματα:
EL0514FR003053

Παροχή αιχμής (M3/S)	141.62
Χρονική στιγμή αιχμής	02Sep2000, 01:00
Όγκος (MM)	311.14
Όγκος βροχόπτωσης (M3)	6.06E6
Όγκος απωλειών (M3)	6.63E5
Ενεργός Όγκος (M3)	5.4E6
Όγκος άμεσης απορροής (M3)	5.4E6
Όγκος βασικής απορροής (M3)	1.8E6

Βροχόπτωση και Απορροή



Υπολεκάνη: EL0514FR003054

Έκταση (KM2) : 25.24

Κατάντη : J28

Μέθοδος Απωλειών: SCS

Ποσοστό αδιαπέρατης επιφάνειας	0
Αριθμός Καμπύλης Απορροής-CN	84.35
Αρχικές Απώλειες	9.42

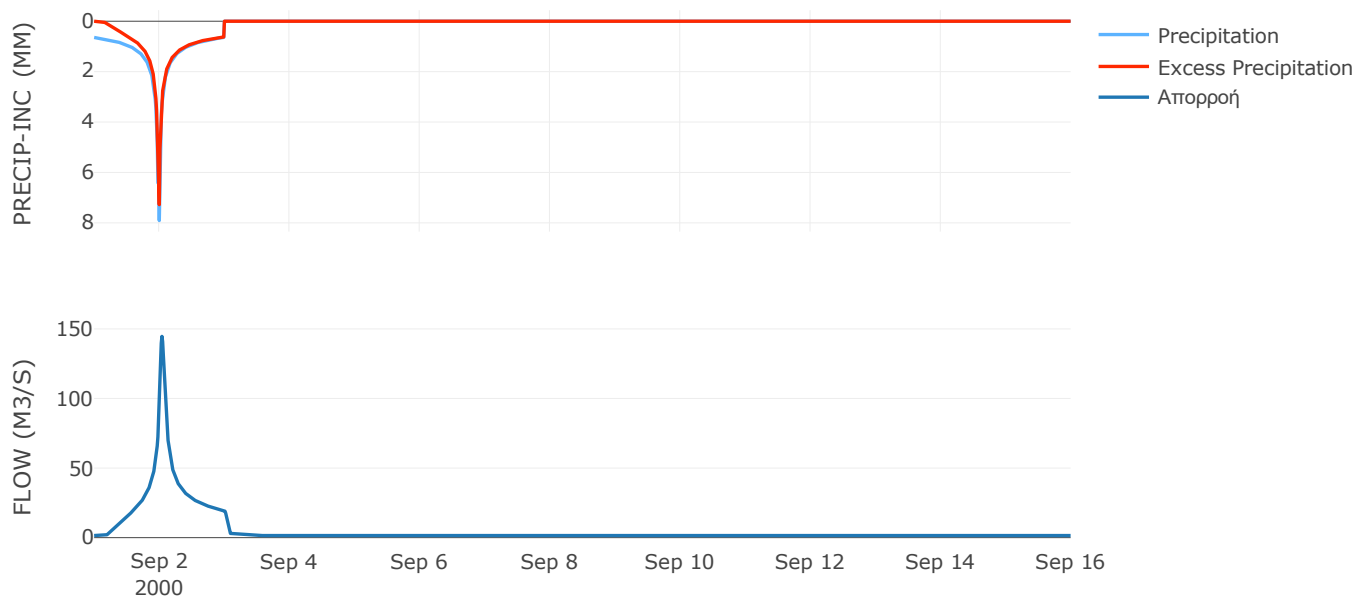
Μέθοδος
Μετασχηματισμού: SCS

Χρόνος Υστέρησης	56.1
------------------	------

Αποτελέσματα:
EL0514FR003054

Παροχή αιχμής (M3/S)	144.63
Χρονική στιγμή αιχμής	02Sep2000, 01:00
Όγκος (MM)	277.95
Όγκος βροχόπτωσης (M3)	6.29E6
Όγκος απωλειών (M3)	1.23E6
Ενεργός Όγκος (M3)	5.05E6
Όγκος άμεσης απορροής (M3)	5.05E6
Όγκος βασικής απορροής (M3)	1.96E6

Βροχόπτωση και Απορροή



Υπολεκάνη: EL0514FR003055

Έκταση (KM2) : 14.63

Κατάντη : J29

Μέθοδος Απωλειών: SCS

Ποσοστό αδιαπέρατης επιφάνειας	0
Αριθμός Καμπύλης Απορροής-CN	87.53
Αρχικές Απώλειες	7.24

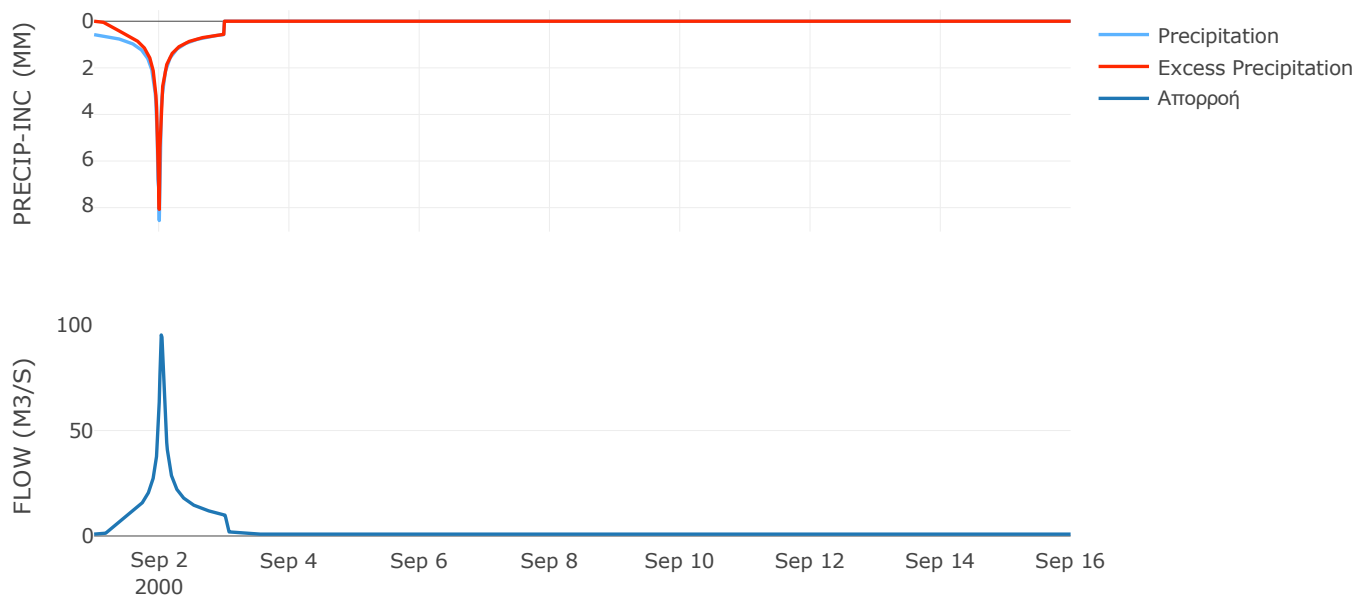
Μέθοδος
Μετασχηματισμού: SCS

Χρόνος Υστέρησης	46.84
------------------	-------

Αποτελέσματα:
EL0514FR003055

Παροχή αιχμής (M3/S)	95.28
Χρονική στιγμή αιχμής	02Sep2000, 00:45
Όγκος (MM)	276.97
Όγκος βροχόπτωσης (M3)	3.48E6
Όγκος απωλειών (M3)	5.63E5
Ενεργός Όγκος (M3)	2.91E6
Όγκος άμεσης απορροής (M3)	2.91E6
Όγκος βασικής απορροής (M3)	1.14E6

Βροχόπτωση και Απορροή



Υπολεκάνη: EL0514FR003056

Έκταση (KM2) : 25.33

Κατάντη : J29

Μέθοδος Απωλειών: SCS

Ποσοστό αδιαπέρατης επιφάνειας	0
Αριθμός Καμπύλης Απορροής-CN	85.45
Αρχικές Απώλειες	8.65

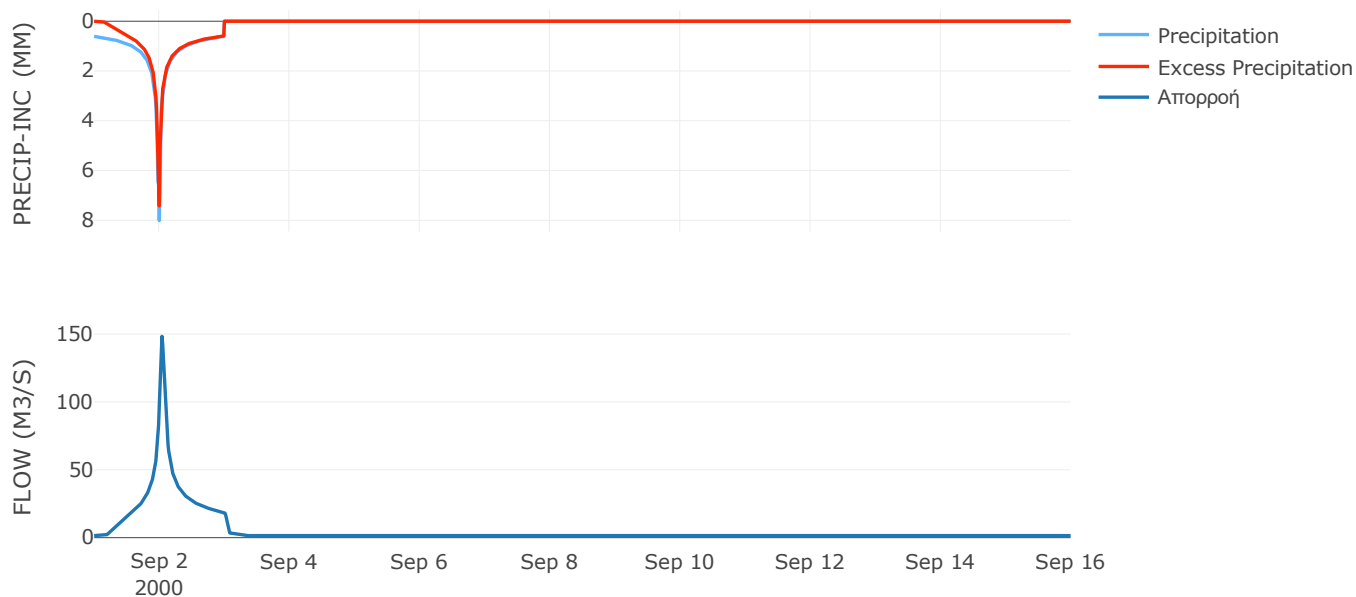
Μέθοδος
Μετασχηματισμού: SCS

Χρόνος Υστέρησης	54.23
------------------	-------

Αποτελέσματα:
EL0514FR003056

Παροχή αιχμής (M3/S)	148.31
Χρονική στιγμή αιχμής	02Sep2000, 01:00
Όγκος (MM)	273.6
Όγκος βροχόπτωσης (M3)	6.1E6
Όγκος απωλειών (M3)	1.14E6
Ενεργός Όγκος (M3)	4.96E6
Όγκος άμεσης απορροής (M3)	4.96E6
Όγκος βασικής απορροής (M3)	1.97E6

Βροχόπτωση και Απορροή



Υπολεκάνη: EL0514FR003057

Έκταση (KM2) : 14.19

Κατάντη : J28

Μέθοδος Απωλειών: SCS

Ποσοστό αδιαπέρατης επιφάνειας	0
Αριθμός Καμπύλης Απορροής-CN	90.54
Αρχικές Απώλειες	5.31

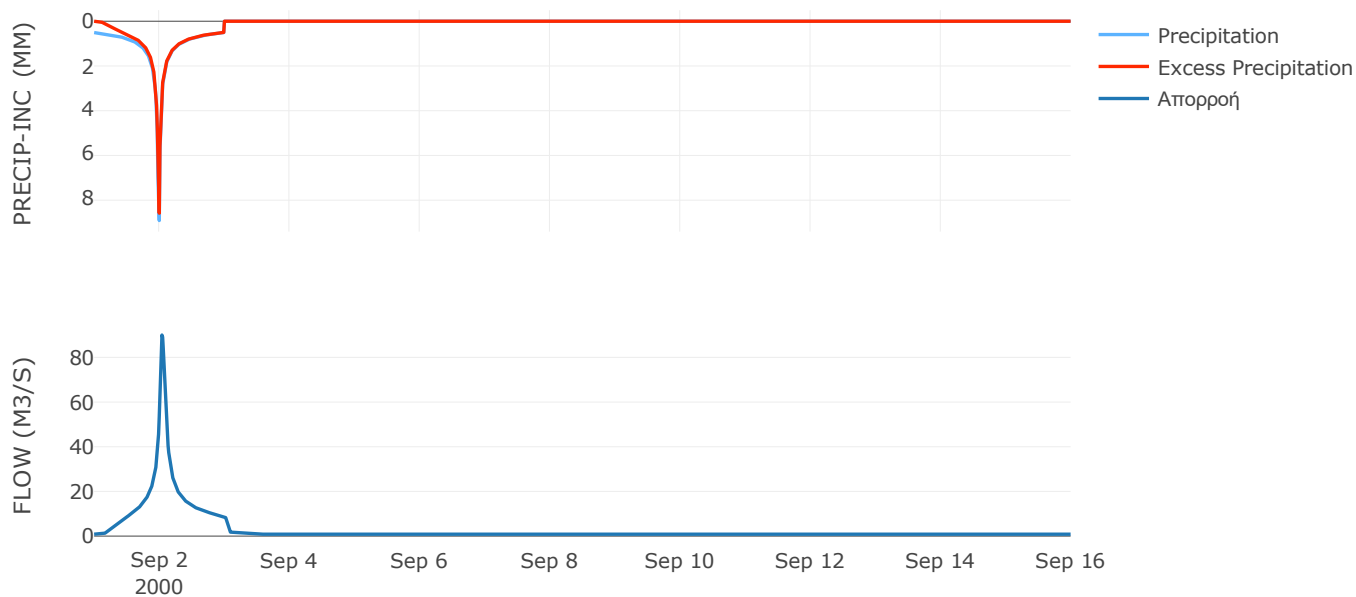
Μέθοδος
Μετασχηματισμού: SCS

Χρόνος Υστέρησης	61.45
------------------	-------

Αποτελέσματα:
EL0514FR003057

Παροχή αιχμής (M3/S)	90.02
Χρονική στιγμή αιχμής	02Sep2000, 01:00
Όγκος (MM)	271.47
Όγκος βροχόπτωσης (M3)	3.16E6
Όγκος απωλειών (M3)	4.11E5
Ενεργός Όγκος (M3)	2.75E6
Όγκος άμεσης απορροής (M3)	2.75E6
Όγκος βασικής απορροής (M3)	1.1E6

Βροχόπτωση και Απορροή



Υπολεκάνη: EL0514FR003058

Έκταση (KM2) : 75.13

Κατάντη : J4 Res1

Μέθοδος Απωλειών: SCS

Ποσοστό αδιαπέρατης επιφάνειας	0.15
Αριθμός Καμπύλης Απορροής-CN	91.9
Αρχικές Απώλειες	4.48

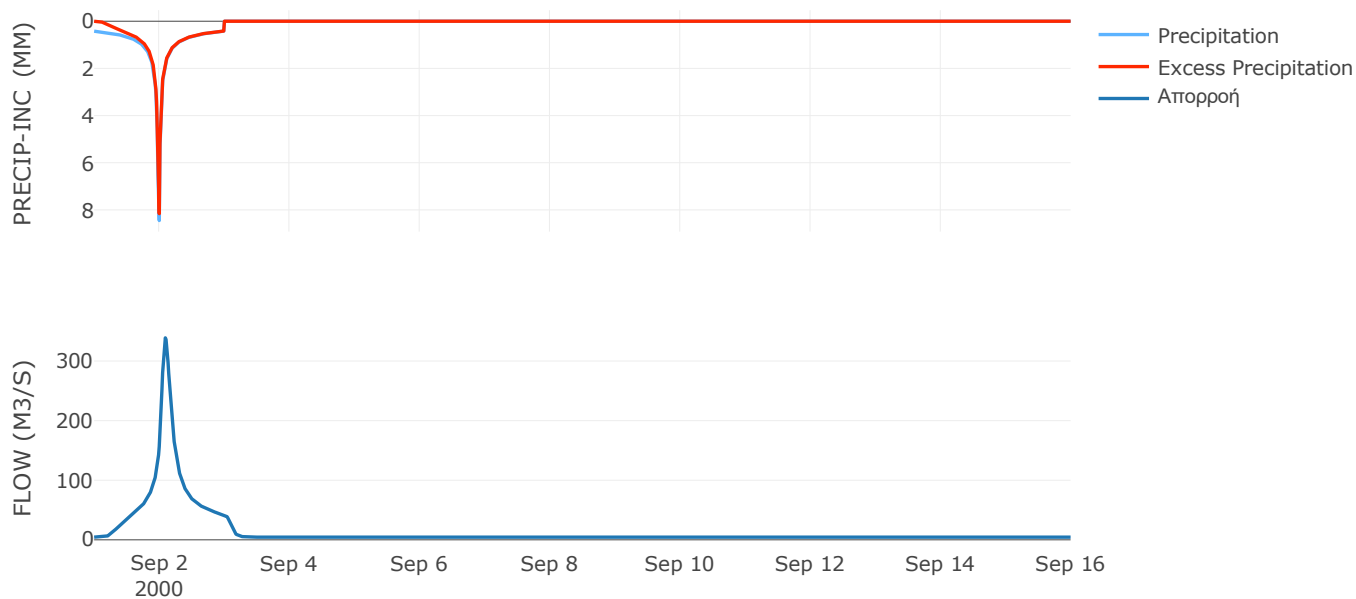
Μέθοδος
Μετασχηματισμού: SCS

Χρόνος Υστέρησης	129.81
------------------	--------

Αποτελέσματα:
EL0514FR003058

Παροχή αιχμής (M3/S)	338.92
Χρονική στιγμή αιχμής	02Sep2000, 02:15
Όγκος (MM)	247.93
Όγκος βροχόπτωσης (M3)	1.46E7
Όγκος απωλειών (M3)	1.84E6
Ενεργός Όγκος (M3)	1.28E7
Όγκος άμεσης απορροής (M3)	1.28E7
Όγκος βασικής απορροής (M3)	5.84E6

Βροχόπτωση και Απορροή



Υπολεκάνη: EL0514FR003059

Έκταση (KM2) : 14.46

Κατάντη : J3

Μέθοδος Απωλειών: SCS

Ποσοστό αδιαπέρατης επιφάνειας	0
Αριθμός Καμπύλης Απορροής-CN	90.01
Αρχικές Απώλειες	5.64

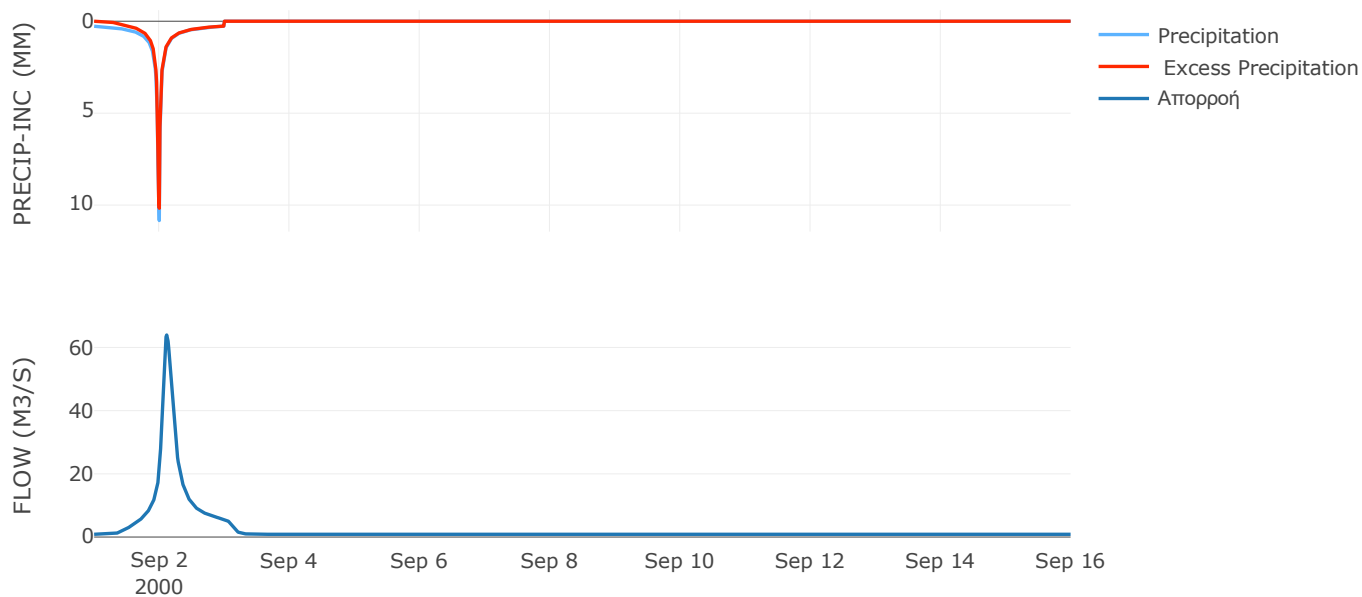
Μέθοδος
Μετασχηματισμού: SCS

Χρόνος Υστέρησης	158.48
------------------	--------

Αποτελέσματα:
EL0514FR003059

Παροχή αιχμής (M3/S)	63.96
Χρονική στιγμή αιχμής	02Sep2000, 02:45
Όγκος (MM)	215.61
Όγκος βροχόπτωσης (M3)	2.42E6
Όγκος απωλειών (M3)	4.29E5
Ενεργός Όγκος (M3)	1.99E6
Όγκος άμεσης απορροής (M3)	1.99E6
Όγκος βασικής απορροής (M3)	1.12E6

Βροχόπτωση και Απορροή



Υπολεκάνη: EL0514FR003060

Έκταση (KM2) : 25.82

Κατάνη : J1

Μέθοδος Απωλειών: SCS

Ποσοστό αδιαπέρατης επιφάνειας	0
Αριθμός Καμπύλης Απορροής-CN	89.72
Αρχικές Απώλειες	5.82

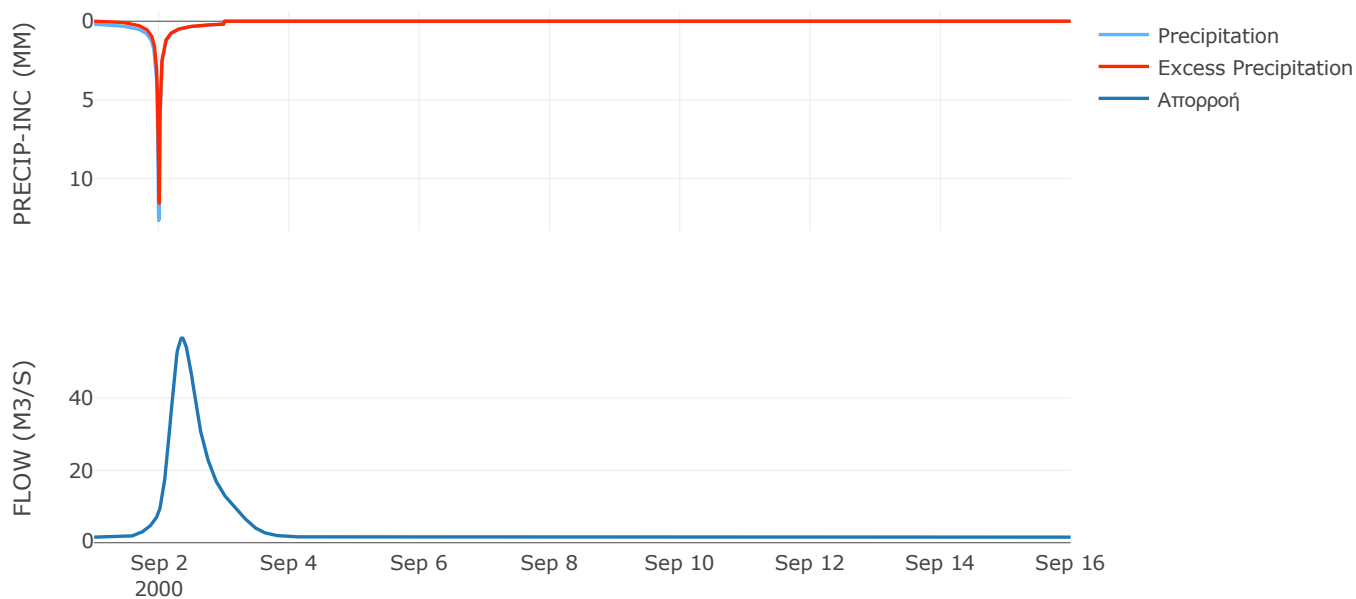
Μέθοδος
Μετασχηματισμού: SCS

Χρόνος Υστέρησης	480.13
------------------	--------

Αποτελέσματα:
EL0514FR003060

Παροχή αιχμής (M3/S)	56.65
Χρονική στιγμή αιχμής	02Sep2000, 08:30
Όγκος (MM)	197.05
Όγκος βροχόπτωσης (M3)	3.85E6
Όγκος απωλειών (M3)	7.75E5
Ενεργός Όγκος (M3)	3.08E6
Όγκος άμεσης απορροής (M3)	3.08E6
Όγκος βασικής απορροής (M3)	2.01E6

Βροχόπτωση και Απορροή



Υπολεκάνη: EL0514FR003061

Έκταση (KM2) : 37.42

Κατάντη : J16

Μέθοδος Απωλειών: SCS

Ποσοστό αδιαπέρατης επιφάνειας	0
Αριθμός Καμπύλης Απορροής-CN	87.64
Αρχικές Απώλειες	7.16

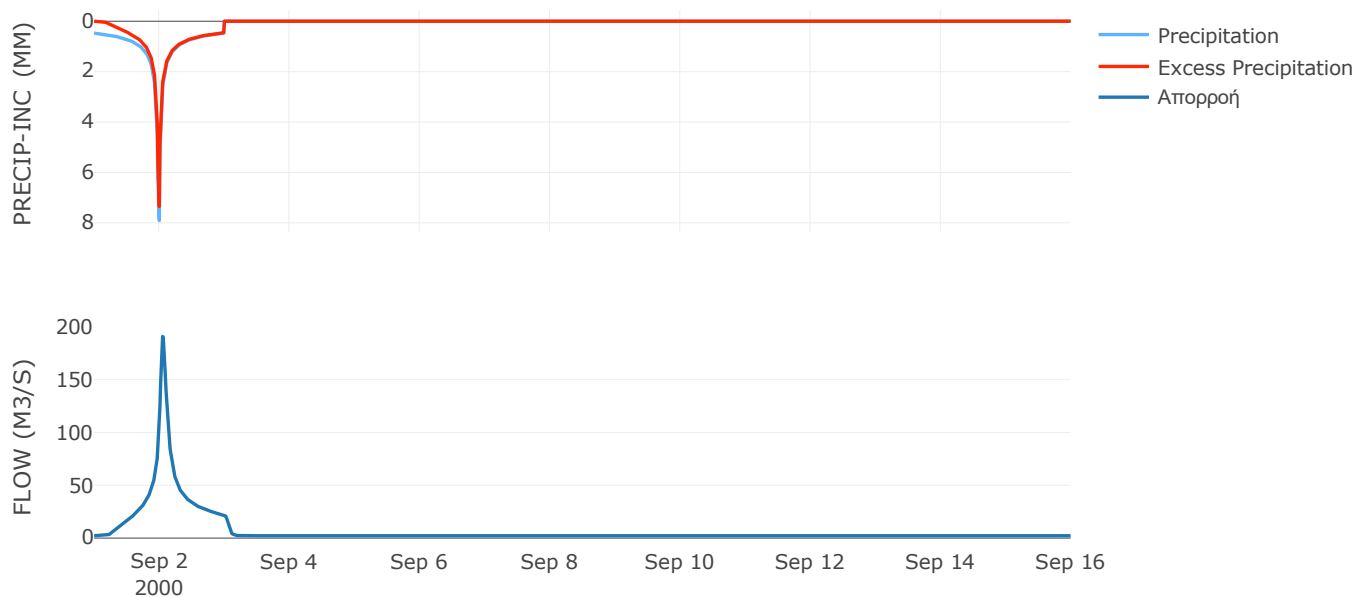
Μέθοδος
Μετασχηματισμού: SCS

Χρόνος Υστέρησης	75.57
------------------	-------

Αποτελέσματα:
EL0514FR003061

Παροχή αιχμής (M3/S)	190.93
Χρονική στιγμή αιχμής	02Sep2000, 01:15
Όγκος (MM)	243.65
Όγκος βροχόπτωσης (M3)	7.61E6
Όγκος απωλειών (M3)	1.4E6
Ενεργός Όγκος (M3)	6.21E6
Όγκος άμεσης απορροής (M3)	6.21E6
Όγκος βασικής απορροής (M3)	2.91E6

Βροχόπτωση και Απορροή



Υπολεκάνη: EL0514FR003062

Έκταση (KM2) : 48.98

Κατάντη : J16

Μέθοδος Απωλειών: SCS

Ποσοστό αδιαπέρατης επιφάνειας	0
Αριθμός Καμπύλης Απορροής-CN	90.28
Αρχικές Απώλειες	5.47

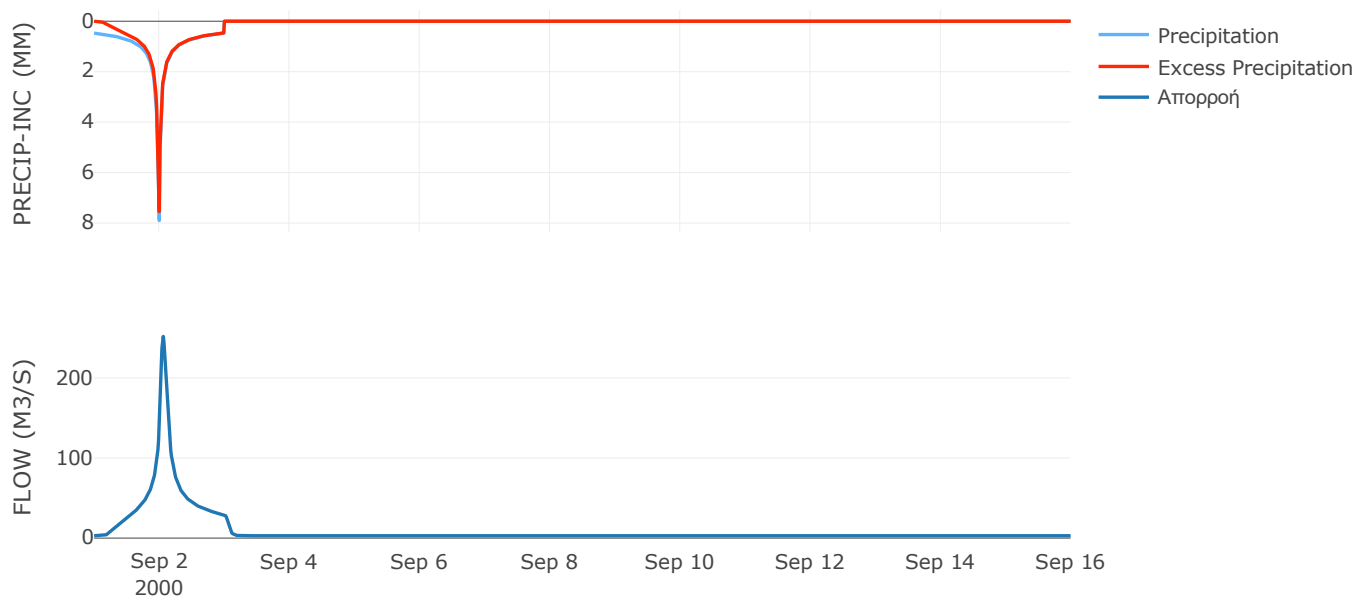
Μέθοδος
Μετασχηματισμού: SCS

Χρόνος Υστέρησης	80.56
------------------	-------

Αποτελέσματα:
EL0514FR003062

Παροχή αιχμής (M3/S)	251.75
Χρονική στιγμή αιχμής	02Sep2000, 01:30
Όγκος (MM)	251.75
Όγκος βροχόπτωσης (M3)	9.97E6
Όγκος απωλειών (M3)	1.44E6
Ενεργός Όγκος (M3)	8.52E6
Όγκος άμεσης απορροής (M3)	8.52E6
Όγκος βασικής απορροής (M3)	3.81E6

Βροχόπτωση και Απορροή



Υπολεκάνη: EL0514FR003063

Έκταση (KM2) : 28.06

Κατάνη : J4 Res1

Μέθοδος Απωλειών: SCS

Ποσοστό αδιαπέρατης επιφάνειας	0
Αριθμός Καμπύλης Απορροής-CN	81.88
Αρχικές Απώλειες	11.24

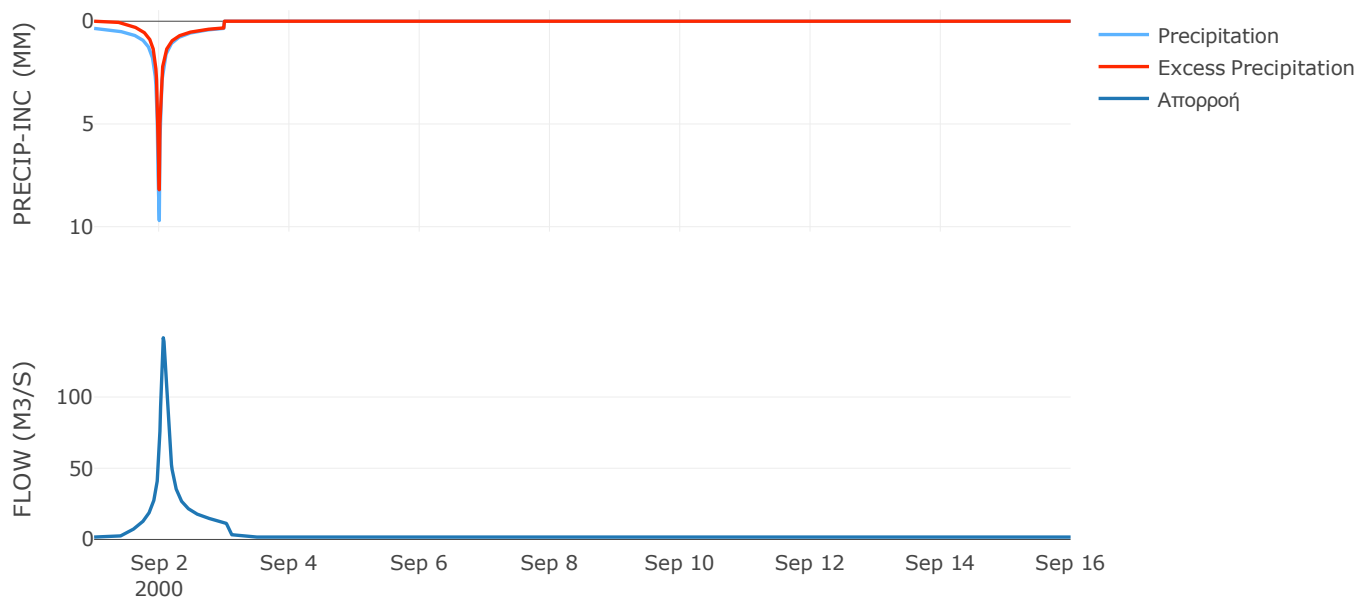
Μέθοδος
Μετασχηματισμού: SCS

Χρόνος Υστέρησης	84.23
------------------	-------

Αποτελέσματα:
EL0514FR003063

Παροχή αιχμής (M3/S)	141.59
Χρονική στιγμή αιχμής	02Sep2000, 01:30
Όγκος (MM)	207.84
Όγκος βροχόπτωσης (M3)	5.16E6
Όγκος απωλειών (M3)	1.51E6
Ενεργός Όγκος (M3)	3.65E6
Όγκος άμεσης απορροής (M3)	3.65E6
Όγκος βασικής απορροής (M3)	2.18E6

Βροχόπτωση και Απορροή



Υπολεκάνη: EL0514FR003065

Έκταση (KM2) : 8.81

Κατάντη : J13

Μέθοδος Απωλειών: SCS

Ποσοστό αδιαπέρατης επιφάνειας	0
Αριθμός Καμπύλης Απορροής-CN	84.61
Αρχικές Απώλειες	9.24

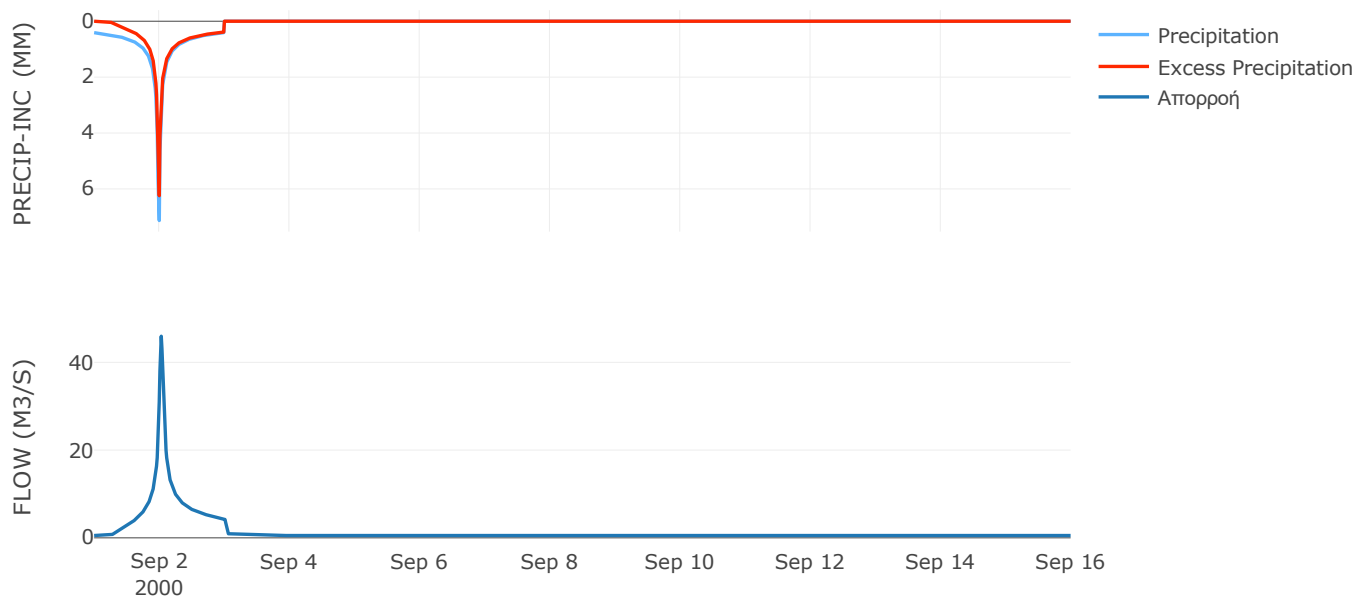
Μέθοδος
Μετασχηματισμού: SCS

Χρόνος Υστέρησης	38.49
------------------	-------

Αποτελέσματα:
EL0514FR003065

Παροχή αιχμής (M3/S)	45.96
Χρονική στιγμή αιχμής	02Sep2000, 00:45
Όγκος (MM)	211.23
Όγκος βροχόπτωσης (M3)	1.58E6
Όγκος απωλειών (M3)	4.02E5
Ενεργός Όγκος (M3)	1.18E6
Όγκος άμεσης απορροής (M3)	1.18E6
Όγκος βασικής απορροής (M3)	6.85E5

Βροχόπτωση και Απορροή



Υπολεκάνη: EL0514FR003066

Έκταση (KM2) : 6.92

Κατάντη : J5

Μέθοδος Απωλειών: SCS

Ποσοστό αδιαπέρατης επιφάνειας	0.22
Αριθμός Καμπύλης Απορροής-CN	93.41
Αρχικές Απώλειες	3.58

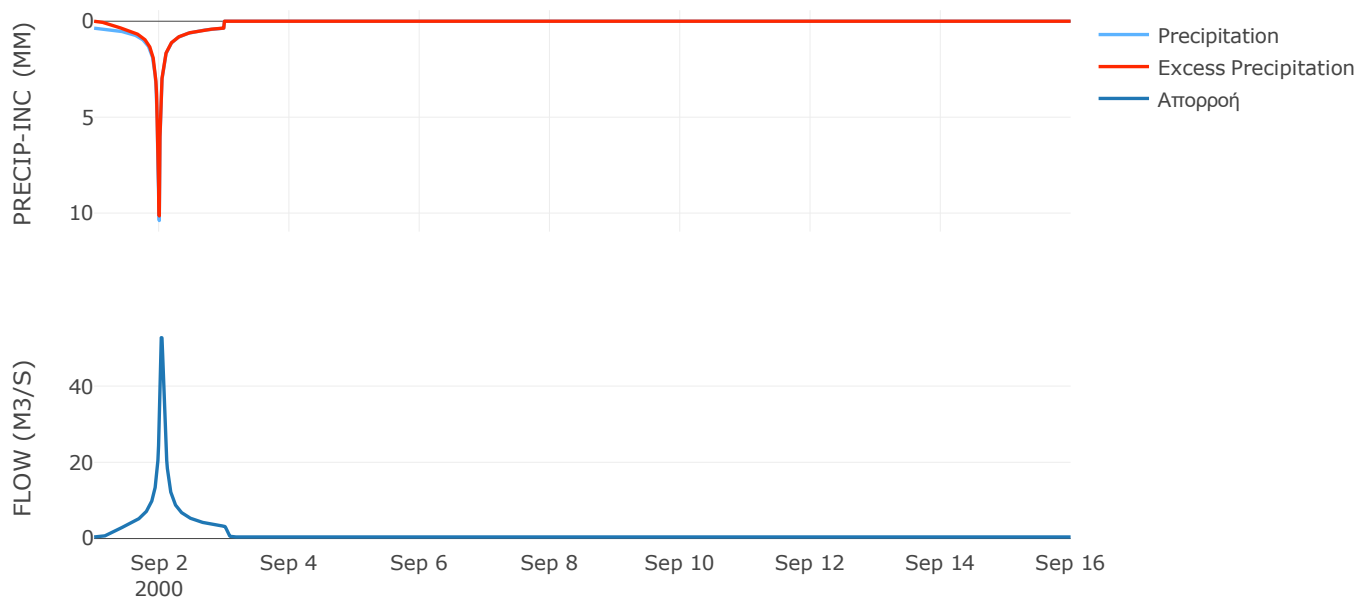
Μέθοδος
Μετασχηματισμού: SCS

Χρόνος Υστέρησης	50.09
------------------	-------

Αποτελέσματα:
EL0514FR003066

Παροχή αιχμής (M3/S)	52.71
Χρονική στιγμή αιχμής	02Sep2000, 00:45
Όγκος (MM)	250.9
Όγκος βροχόπτωσης (M3)	1.33E6
Όγκος απωλειών (M3)	1.38E5
Ενεργός Όγκος (M3)	1.2E6
Όγκος άμεσης απορροής (M3)	1.2E6
Όγκος βασικής απορροής (M3)	5.38E5

Βροχόπτωση και Απορροή



Υπολεκάνη: EL0514FR003067

Έκταση (KM2) : 46.66

Κατάντη : J2

Μέθοδος Απωλειών: SCS

Ποσοστό αδιαπέρατης επιφάνειας	0
Αριθμός Καμπύλης Απορροής-CN	87.98
Αρχικές Απώλειες	6.94

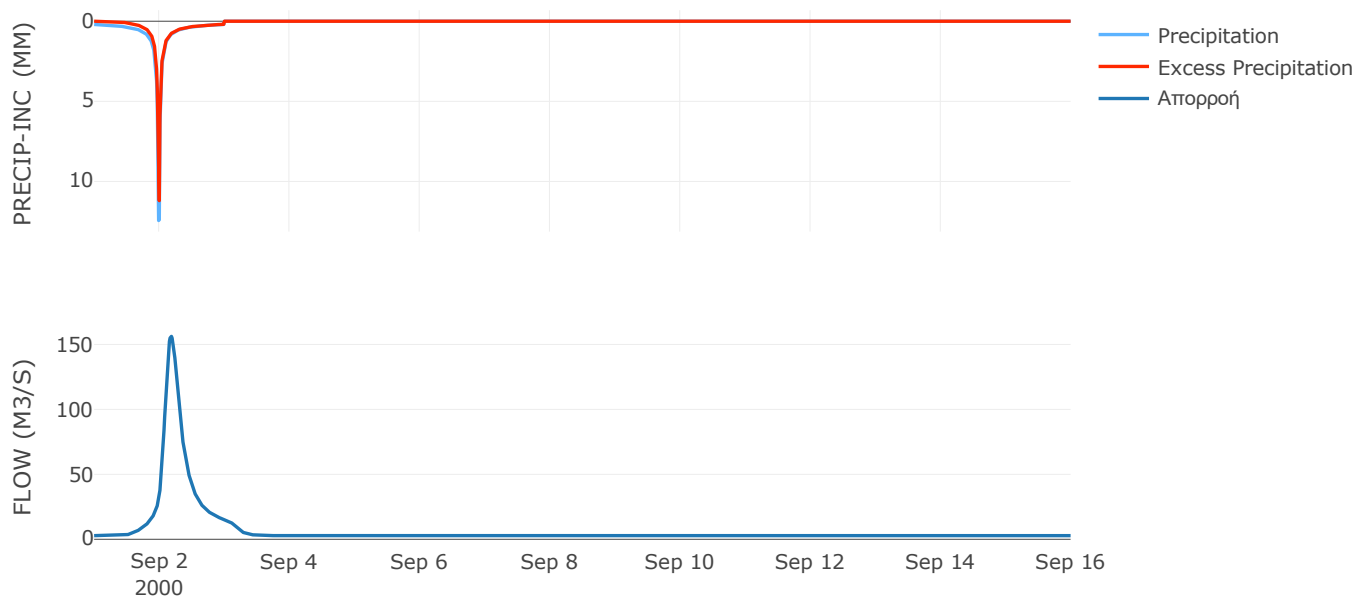
Μέθοδος
Μετασχηματισμού: SCS

Χρόνος Υστέρησης	248.33
------------------	--------

Αποτελέσματα:
EL0514FR003067

Παροχή αιχμής (M3/S)	156.27
Χρονική στιγμή αιχμής	02Sep2000, 04:15
Όγκος (MM)	195.43
Όγκος βροχόπτωσης (M3)	7.12E6
Όγκος απωλειών (M3)	1.63E6
Ενεργός Όγκος (M3)	5.49E6
Όγκος άμεσης απορροής (M3)	5.49E6
Όγκος βασικής απορροής (M3)	3.63E6

Βροχόπτωση και Απορροή



4.2 Δεδομένα και υδρογραφήματα σχεδιασμού Κλάδων υδρογραφικού δικτύου

Κλάδος: R21

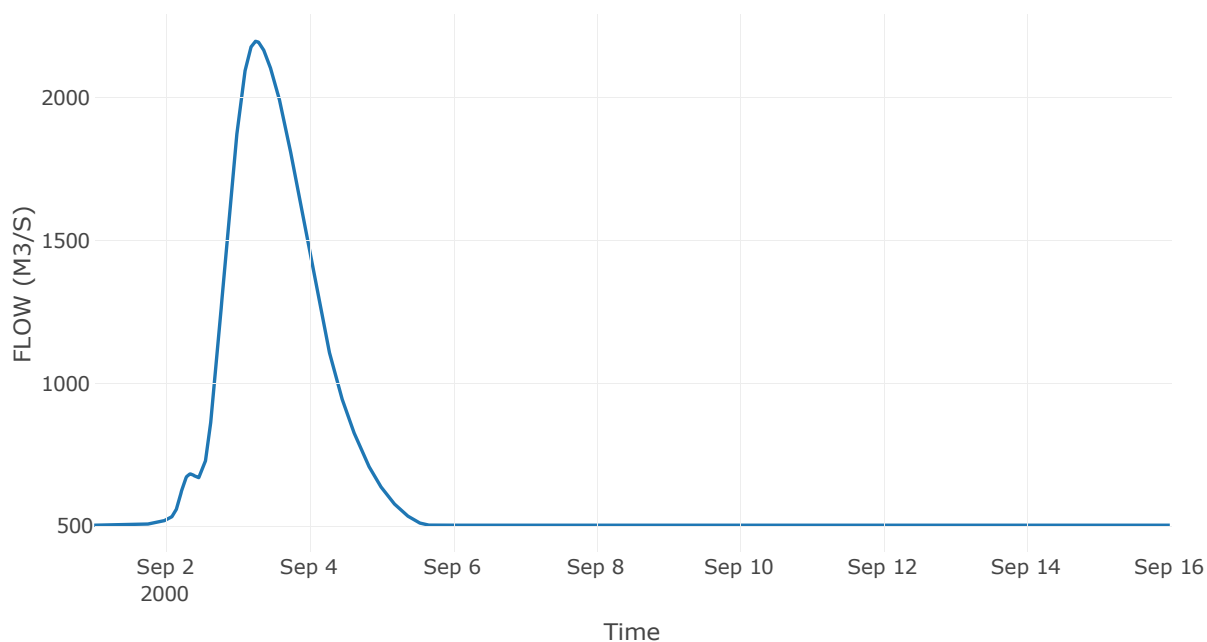
Κατάντη : J1

Μέθοδος Διόδευσης	Muskingum
Αρχική Μεταβλητή	Combined Inflow
Muskingum K	2.82
Συντελεστής βάρους x	0.2
Πλήθος Υποκλάδων	11

Αποτελέσματα: R21

Παροχή Αιχμής(M3/S)	2197.06
Χρονική στιγμή αιχμής	03Sep2000, 06:15
Όγκος(MM)	454.81
Παροχή Αιχμής Εισόδου (M3/S)	2199.7
Όγκος Εισροής(M3)	8.56E8

Απορροή



Κλάδος: R32

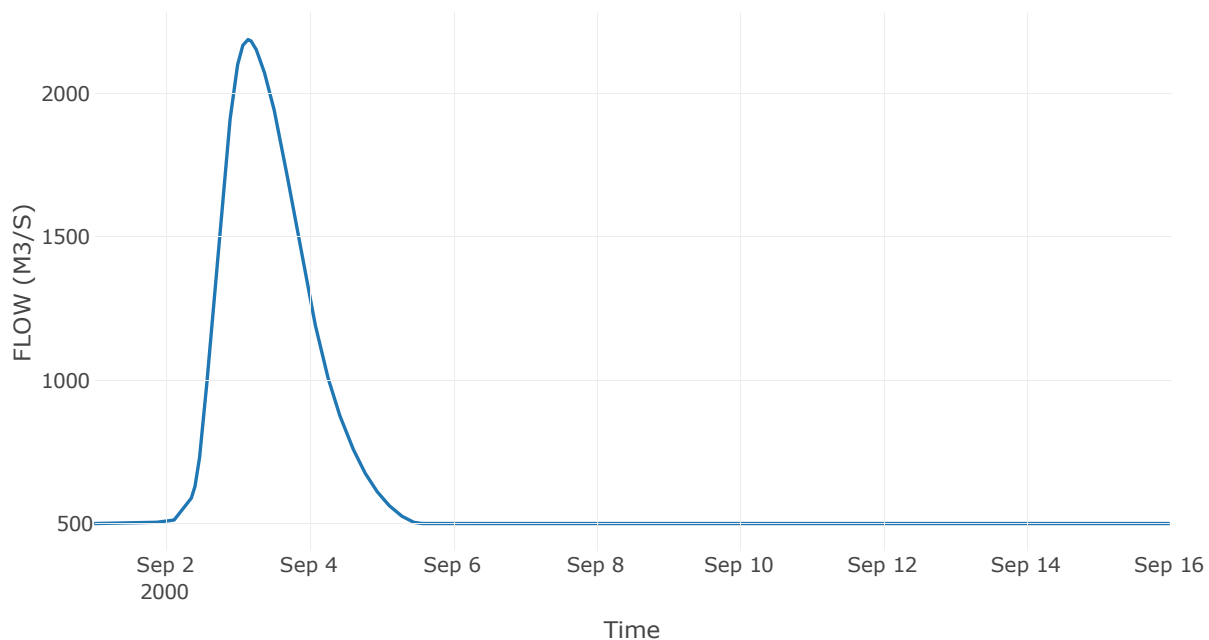
Κατάντη : J2

Μέθοδος Διόδευσης	Muskingum
Αρχική Μεταβλητή	Combined Inflow
Muskingum K	4.42
Συντελεστής βάρους x	0.2
Πλήθος Υποκλάδων	18

Αποτελέσματα: R32

Παροχή Αιχμής(M3/S)	2188.54
Χρονική στιγμή αιχμής	03Sep2000, 03:30
Όγκος(MM)	461.4
Παροχή Αιχμής Εισόδου (M3/S)	2192.41
Όγκος Εισροής(M3)	8.47E8

Απορροή



Κλάδος: R43

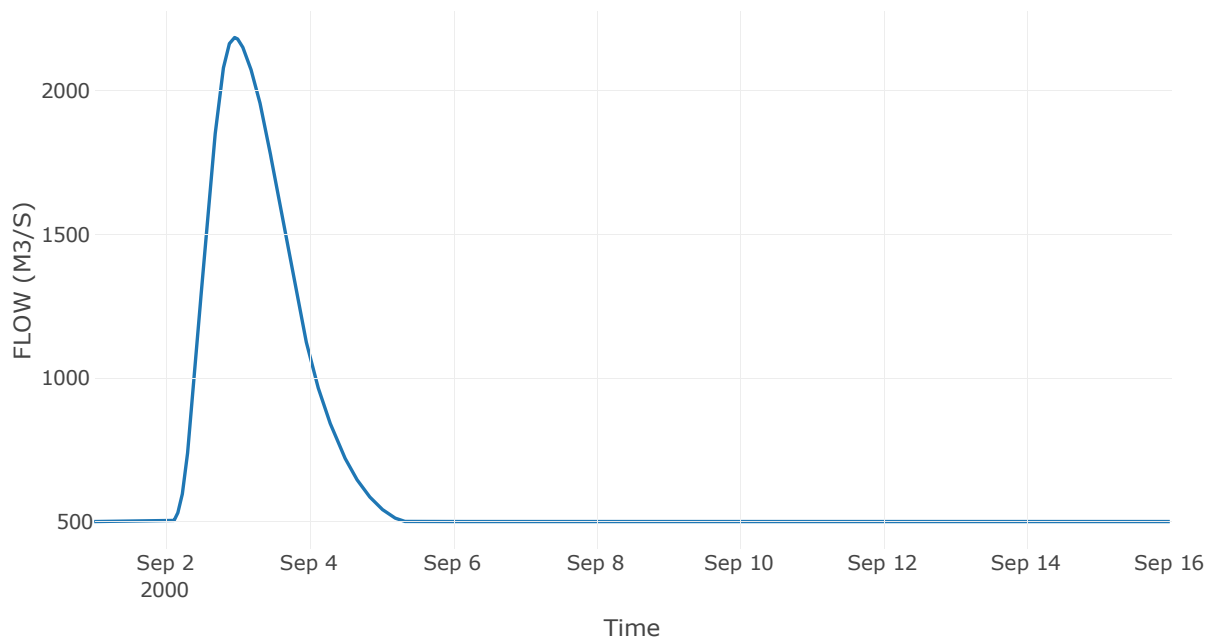
Κατάντη : J3

Μέθοδος Διόδευσης	Muskingum
Αρχική Μεταβλητή	Combined Inflow
Muskingum K	0.77
Συντελεστής βάρους x	0.2
Πλήθος Υποκλάδων	3

Αποτελέσματα: R43

Παροχή Αιχμής(M3/S)	2186.56
Χρονική στιγμή αιχμής	02Sep2000, 23:00
Όγκος(MM)	463.35
Παροχή Αιχμής Εισόδου (M3/S)	2187.27
Όγκος Εισροής(M3)	8.44E8

Απορροή



Κλάδος: R54

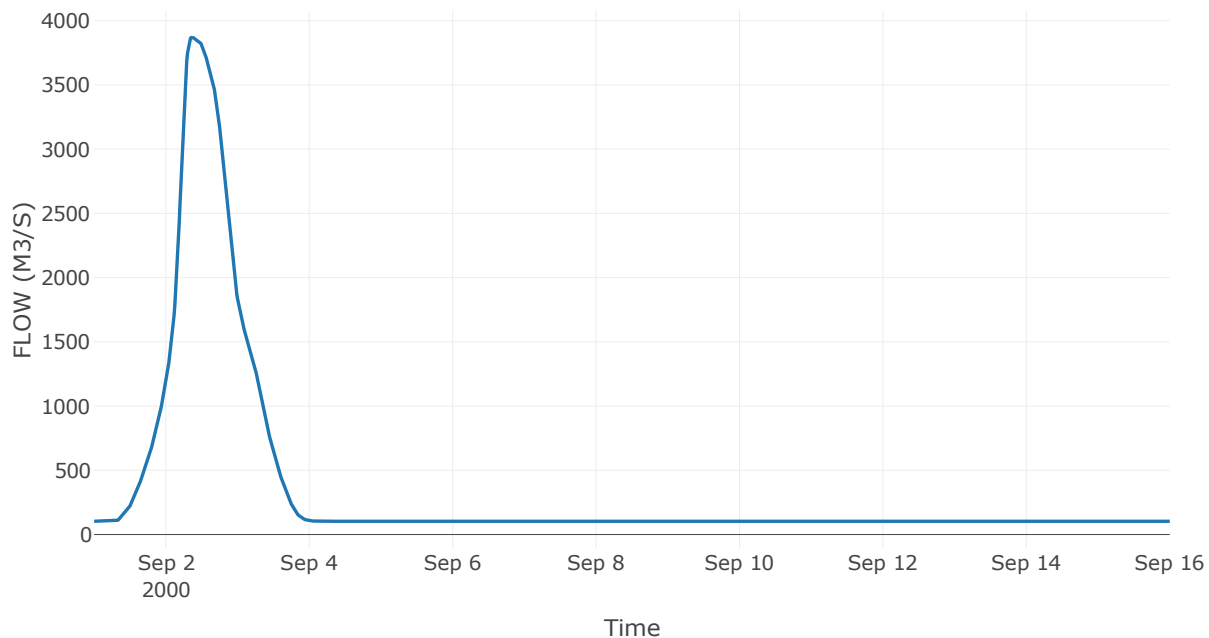
Κατάντη : J4 Res1

Μέθοδος Διόδευσης	Muskingum
Αρχική Μεταβλητή	Combined Inflow
Muskingum K	4
Συντελεστής βάρους x	0.2
Πλήθος Υποκλάδων	5

Αποτελέσματα: R54

Παροχή Αιχμής(M3/S)	3870.99
Χρονική στιγμή αιχμής	02Sep2000, 08:45
Όγκος(MM)	266.97
Παροχή Αιχμής Εισόδου (M3/S)	4151.38
Όγκος Εισροής(M3)	4.59E8

Απορροή



Κλάδος: R65

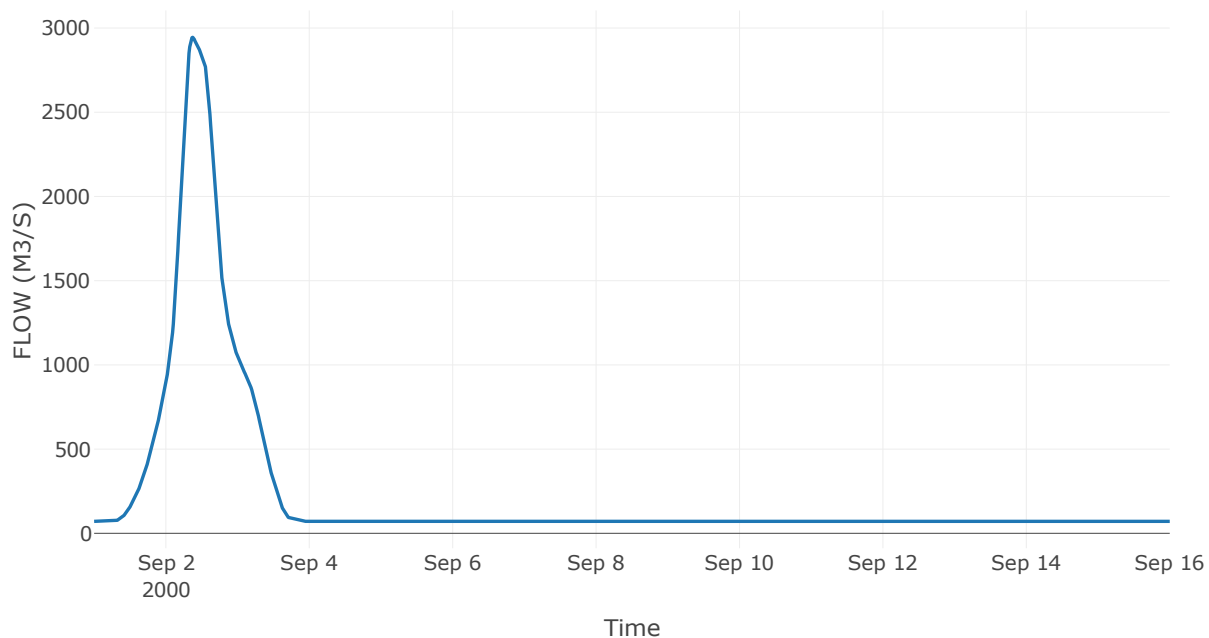
Κατάντη : J5

Μέθοδος Διόδευσης	Muskingum
Αρχική Μεταβλητή	Combined Inflow
Muskingum K	4
Συντελεστής βάρους x	0.2
Πλήθος Υποκλάδων	5

Αποτελέσματα: R65

Παροχή Αιχμής(M3/S)	2944.9
Χρονική στιγμή αιχμής	02Sep2000, 09:00
Όγκος(MM)	257.8
Παροχή Αιχμής Εισόδου (M3/S)	3153.87
Όγκος Εισροής(M3)	3.05E8

Απορροή



Κλάδος: R76

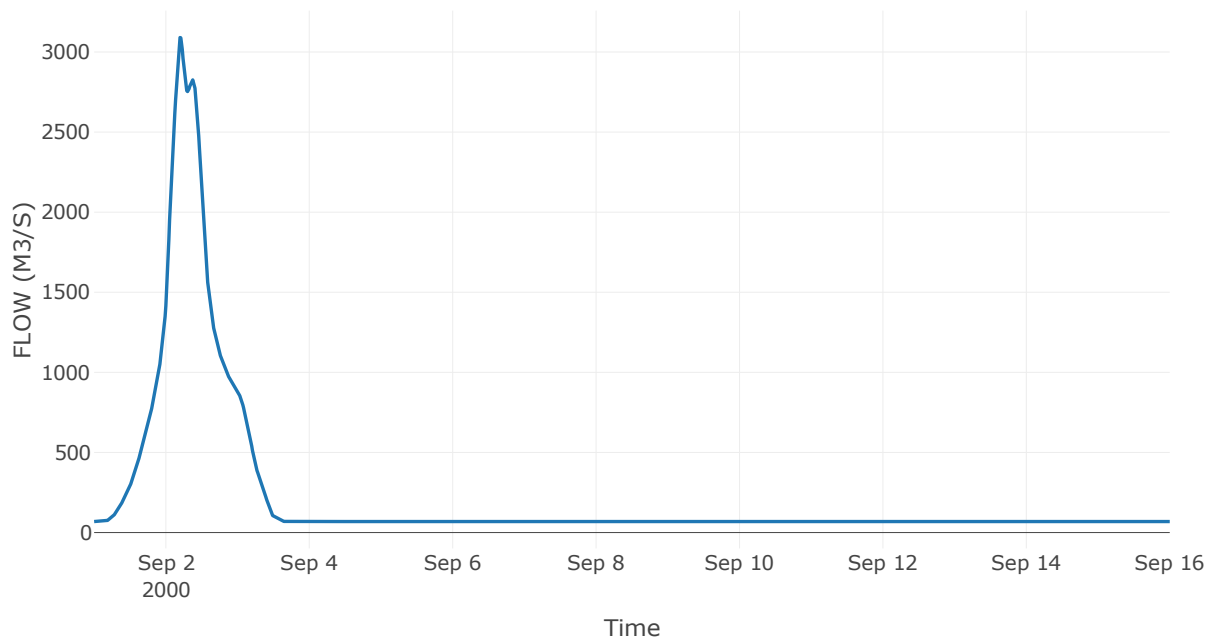
Κατάντη : J6

Μέθοδος Διόδευσης	Muskingum
Αρχική Μεταβλητή	Combined Inflow
Muskingum K	0.49
Συντελεστής βάρους x	0.2
Πλήθος Υποκλάδων	2

Αποτελέσματα: R76

Παροχή Αιχμής(M3/S)	3090.45
Χρονική στιγμή αιχμής	02Sep2000, 04:45
Όγκος(MM)	257.97
Παροχή Αιχμής Εισόδου (M3/S)	3106.46
Όγκος Εισροής(M3)	2.96E8

Απορροή



Κλάδος: R87

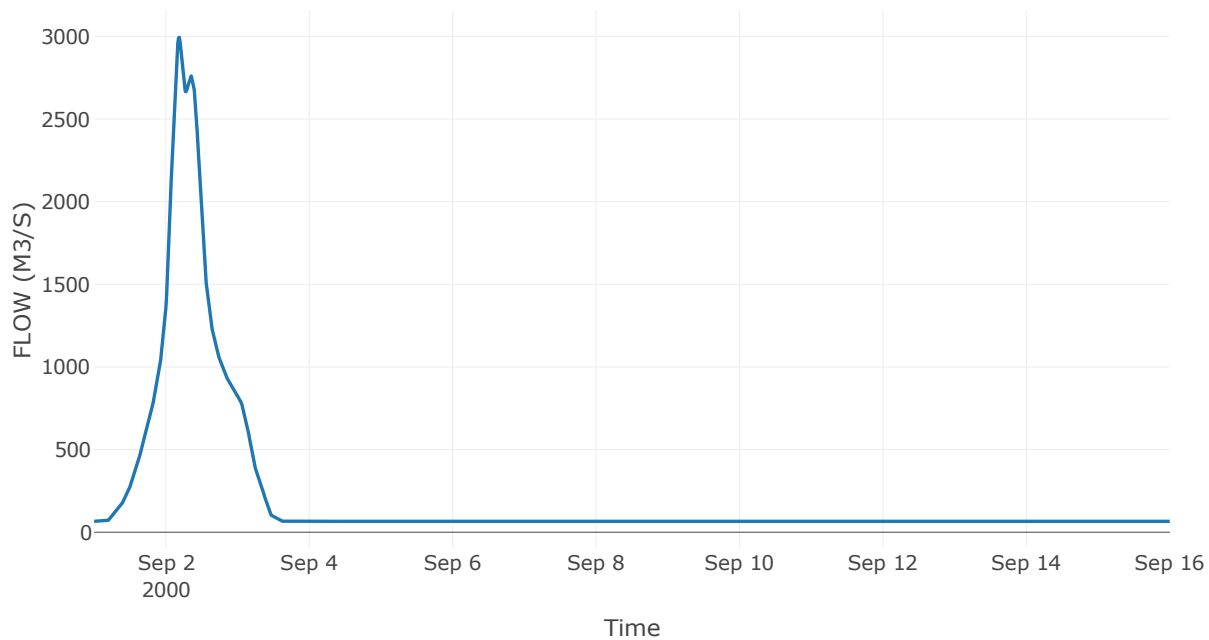
Κατάντη : J7

Μέθοδος Διόδευσης	Muskingum
Αρχική Μεταβλητή	Combined Inflow
Muskingum K	0.59
Συντελεστής βάρους α	0.2
Πλήθος Υποκλάδων	2

Αποτελέσματα: R87

Παροχή Αιχμής(M3/S)	2994.48
Χρονική στιγμή αιχμής	02Sep2000, 04:30
Όγκος(MM)	256
Παροχή Αιχμής Εισόδου (M3/S)	3022.68
Όγκος Εισροής(M3)	2.81E8

Απορροή



Κλάδος: R98

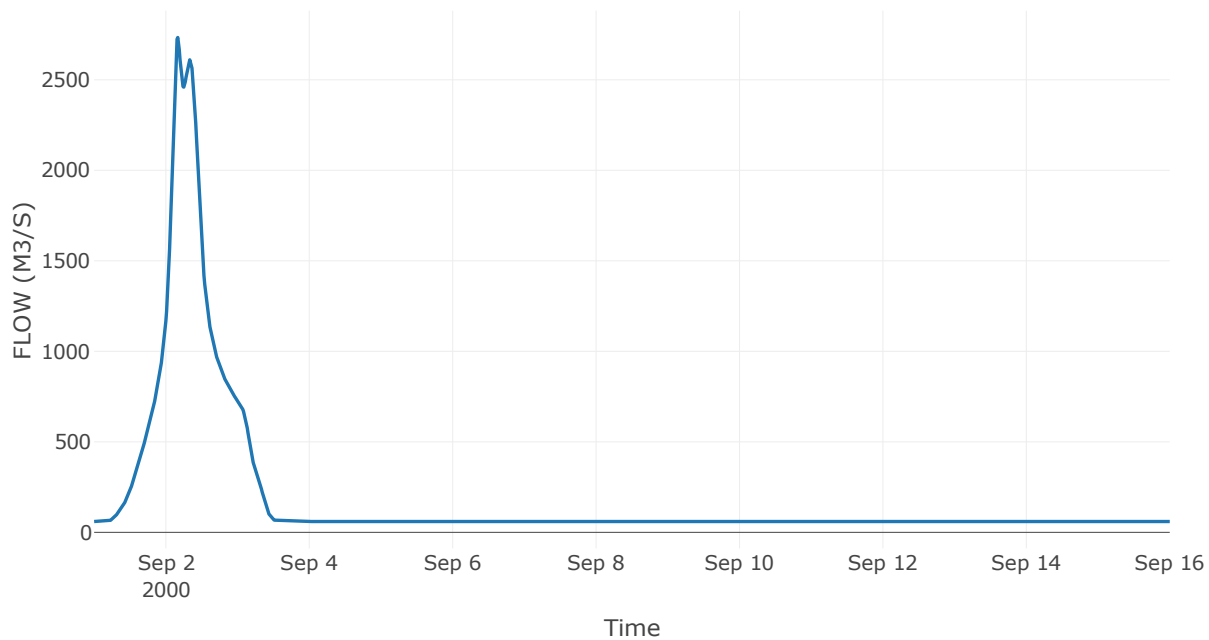
Κατάντη : J8

Μέθοδος Διόδευσης	Muskingum
Αρχική Μεταβλητή	Combined Inflow
Muskingum K	1.07
Συντελεστής βάρους α	0.2
Πλήθος Υποκλάδων	4

Αποτελέσματα: R98

Παροχή Αιχμής(M3/S)	2733.86
Χρονική στιγμή αιχμής	02Sep2000, 04:00
Όγκος(MM)	251.32
Παροχή Αιχμής Εισόδου (M3/S)	2790.72
Όγκος Εισροής(M3)	2.51E8

Απορροή



Κλάδος: R109

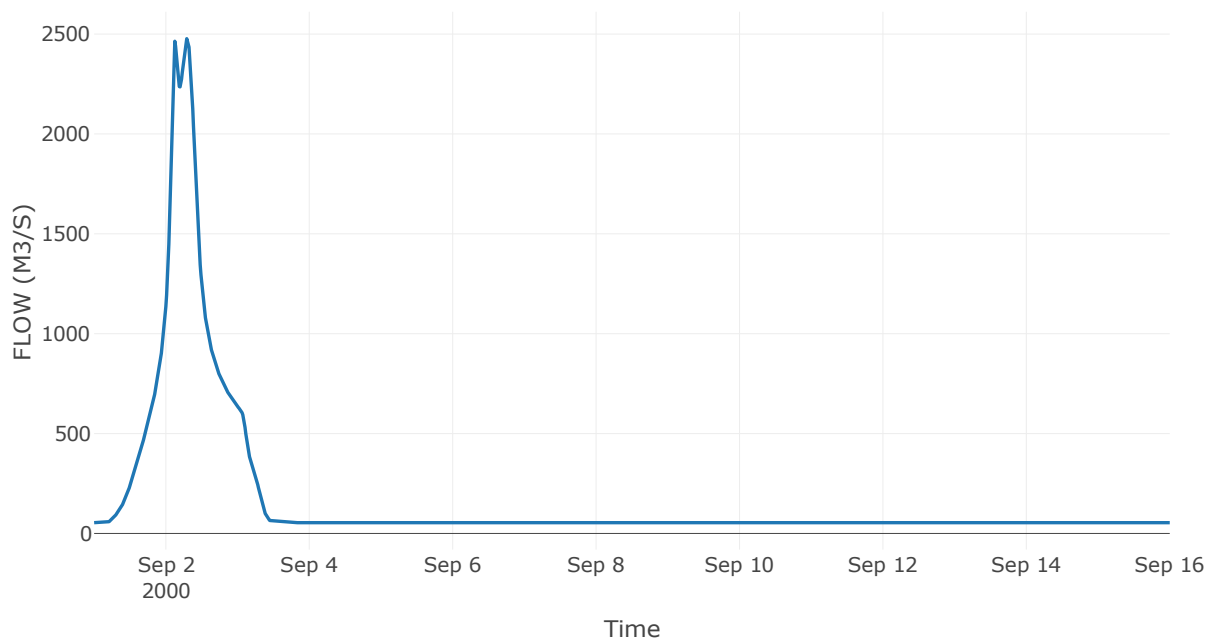
Κατάντη : J9

Μέθοδος Διόδευσης	Χρόνος Υστέρησης
Αρχική Μεταβλητή	Combined Inflow
Χρόνος Υστέρησης	53.44

Αποτελέσματα: R109

Παροχή Αιχμής(M3/S)	2476.96
Χρονική στιγμή αιχμής	02Sep2000, 07:00
Όγκος(MM)	250.12
Παροχή Αιχμής Εισόδου (M3/S)	2478.66
Όγκος Εισροής(M3)	2.25E8

Απορροή



Κλάδος: R1110

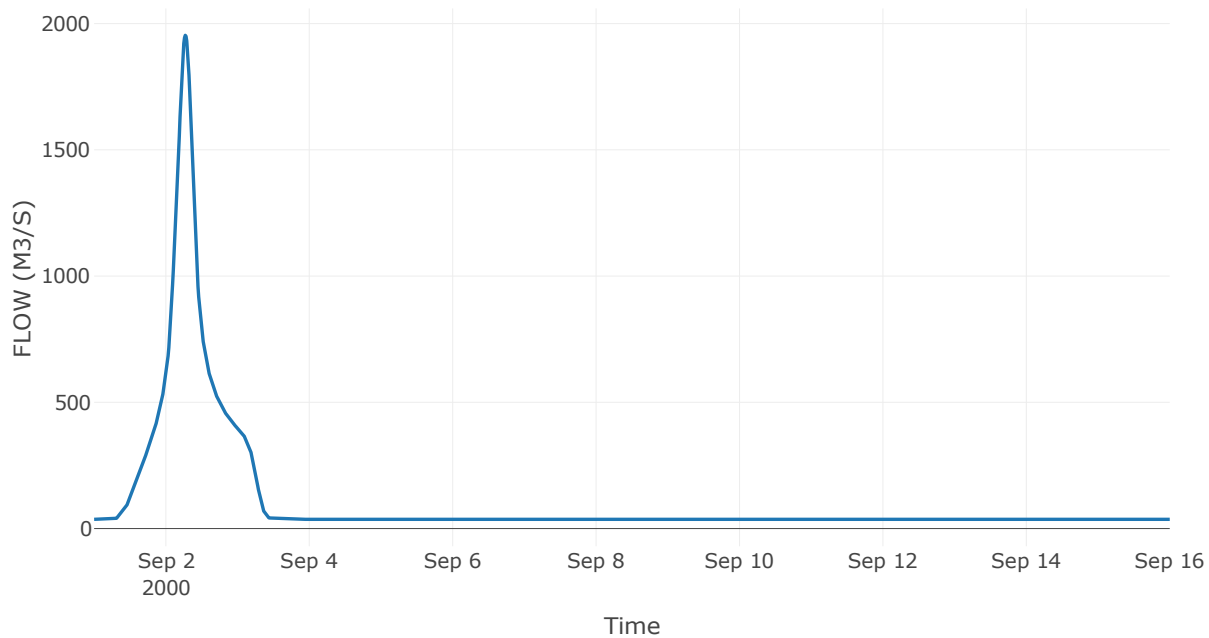
Κατάντη : J10

Μέθοδος Διόδευσης	Muskingum
Αρχική Μεταβλητή	Combined Inflow
Muskingum K	1.65
Συντελεστής βάρους α	0.2
Πλήθος Υποκλάδων	7

Αποτελέσματα: R1110

Παροχή Αιχμής(M3/S)	1953.49
Χρονική στιγμή αιχμής	02Sep2000, 06:30
Όγκος(MM)	235.92
Παροχή Αιχμής Εισόδου (M3/S)	1978.07
Όγκος Εισροής(M3)	1.44E8

Απορροή



Κλάδος: R1211

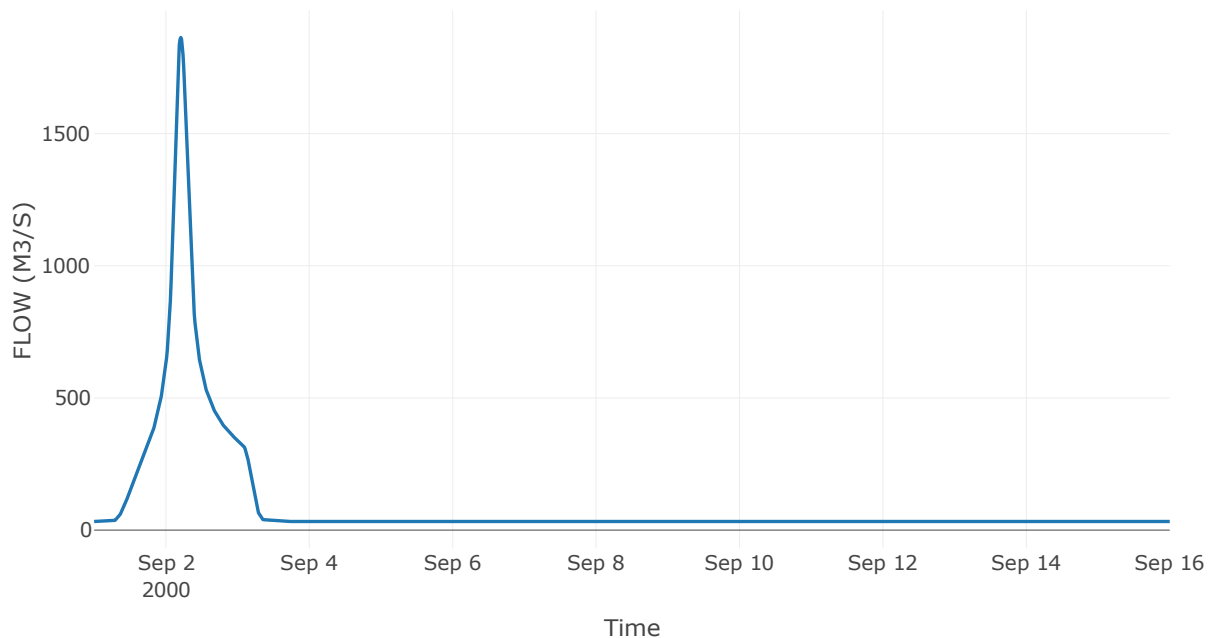
Κατάντη : J11

Μέθοδος Διόδευσης	Muskingum
Αρχική Μεταβλητή	Combined Inflow
Muskingum K	1.48
Συντελεστής βάρους α	0.2
Πλήθος Υποκλάδων	6

Αποτελέσματα: R1211

Παροχή Αιχμής(M3/S)	1863.38
Χρονική στιγμή αιχμής	02Sep2000, 05:00
Όγκος(MM)	235.5
Παροχή Αιχμής Εισόδου (M3/S)	1885.07
Όγκος Εισροής(M3)	1.28E8

Απορροή



Κλάδος: R1312

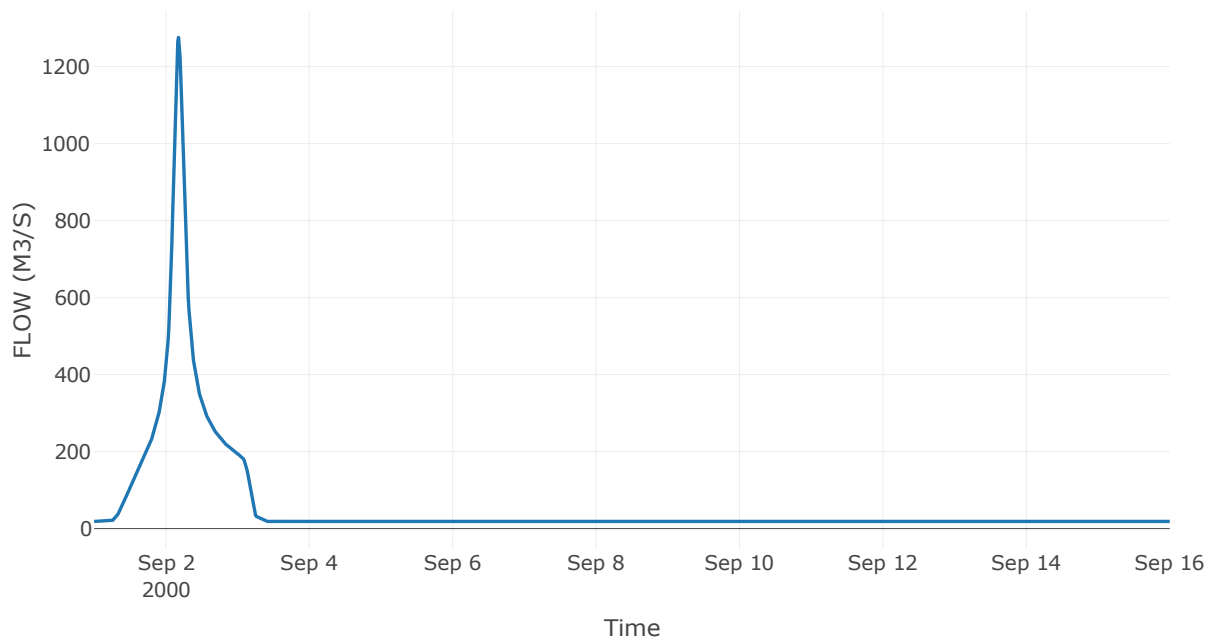
Κατάντη : J12

Μέθοδος Διόδευσης	Muskingum
Αρχική Μεταβλητή	Combined Inflow
Muskingum K	1.59
Συντελεστής βάρους α	0.2
Πλήθος Υποκλάδων	6

Αποτελέσματα: R1312

Παροχή Αιχμής(M3/S)	1275.78
Χρονική στιγμή αιχμής	02Sep2000, 04:15
Όγκος(MM)	244.42
Παροχή Αιχμής Εισόδου (M3/S)	1332.25
Όγκος Εισροής(M3)	7.55E7

Απορροή



Κλάδος: R1413

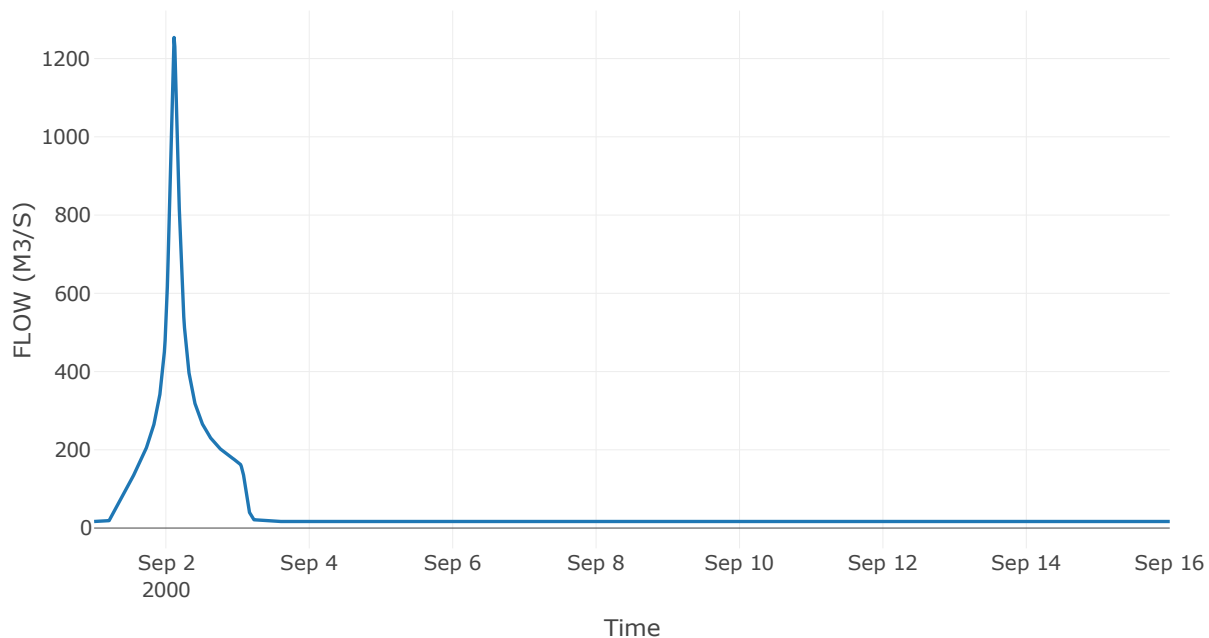
Κατάντη : J13

Μέθοδος Διόδευσης	Muskingum
Αρχική Μεταβλητή	Combined Inflow
Muskingum K	0.16
Συντελεστής βάρους x	0.2
Πλήθος Υποκλάδων	1

Αποτελέσματα: R1413

Παροχή Αιχμής(M3/S)	1253.97
Χρονική στιγμή αιχμής	02Sep2000, 02:45
Όγκος(MM)	245.35
Παροχή Αιχμής Εισόδου (M3/S)	1259.02
Όγκος Εισροής(M3)	6.87E7

Απορροή



Κλάδος: R1514

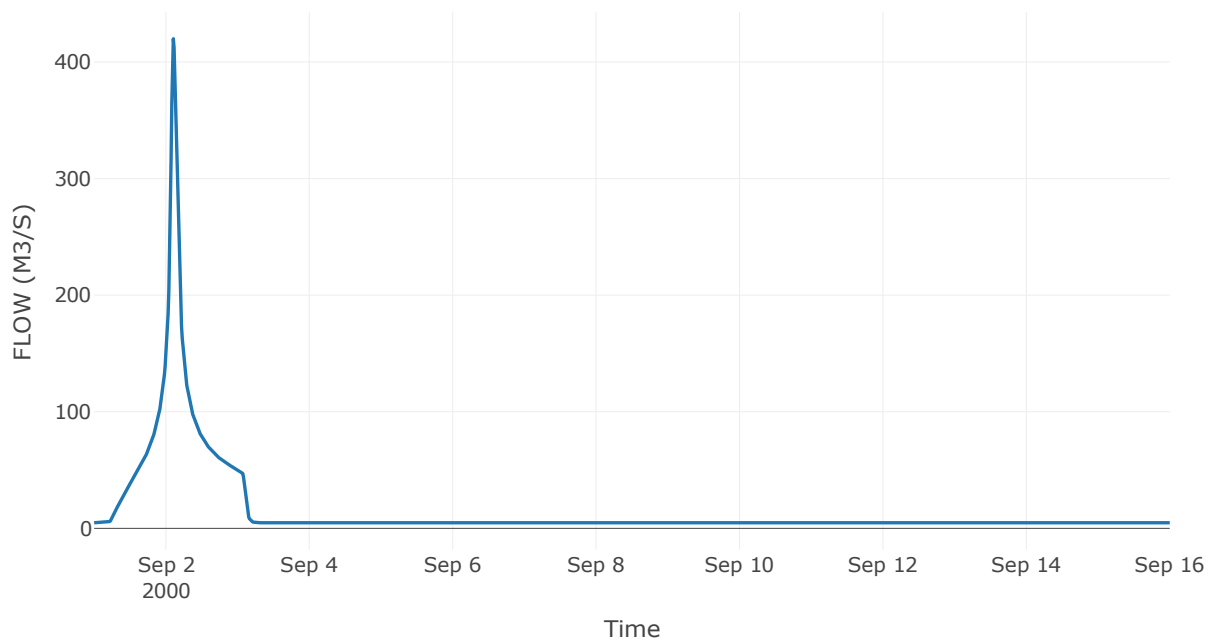
Κατάντη : J14

Μέθοδος Διόδευσης	Χρόνος Υστέρησης
Αρχική Μεταβλητή	Combined Inflow
Χρόνος Υστέρησης	87.77

Αποτελέσματα: R1514

Παροχή Αιχμής(M3/S)	419.94
Χρονική στιγμή αιχμής	02Sep2000, 02:30
Όγκος(MM)	251.85
Παροχή Αιχμής Εισόδου (M3/S)	420.68
Όγκος Εισροής(M3)	2.01E7

Απορροή



Κλάδος: R1614

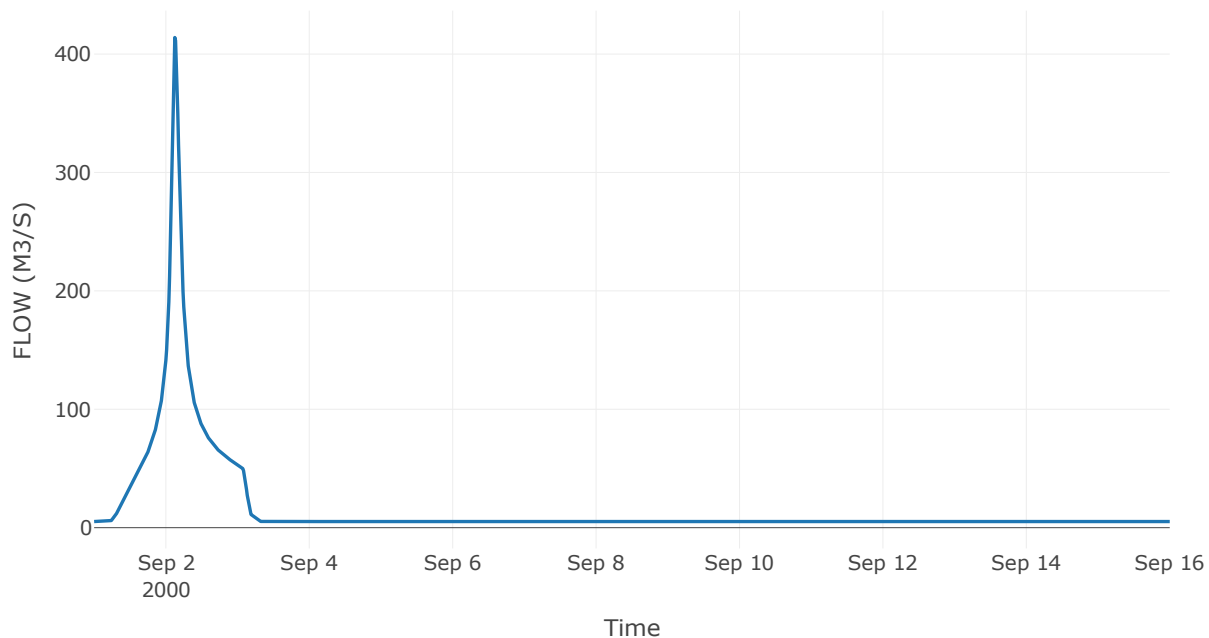
Κατάντη : J14

Μέθοδος Διόδευσης	Muskingum
Αρχική Μεταβλητή	Combined Inflow
Muskingum K	1.65
Συντελεστής βάρους α	0.2
Πλήθος Υποκλάδων	7

Αποτελέσματα: R1614

Παροχή Αιχμής(M3/S)	413.96
Χρονική στιγμή αιχμής	02Sep2000, 03:00
Όγκος(MM)	248.24
Παροχή Αιχμής Εισόδου (M3/S)	441.46
Όγκος Εισροής(M3)	2.14E7

Απορροή



Κλάδος: R1712

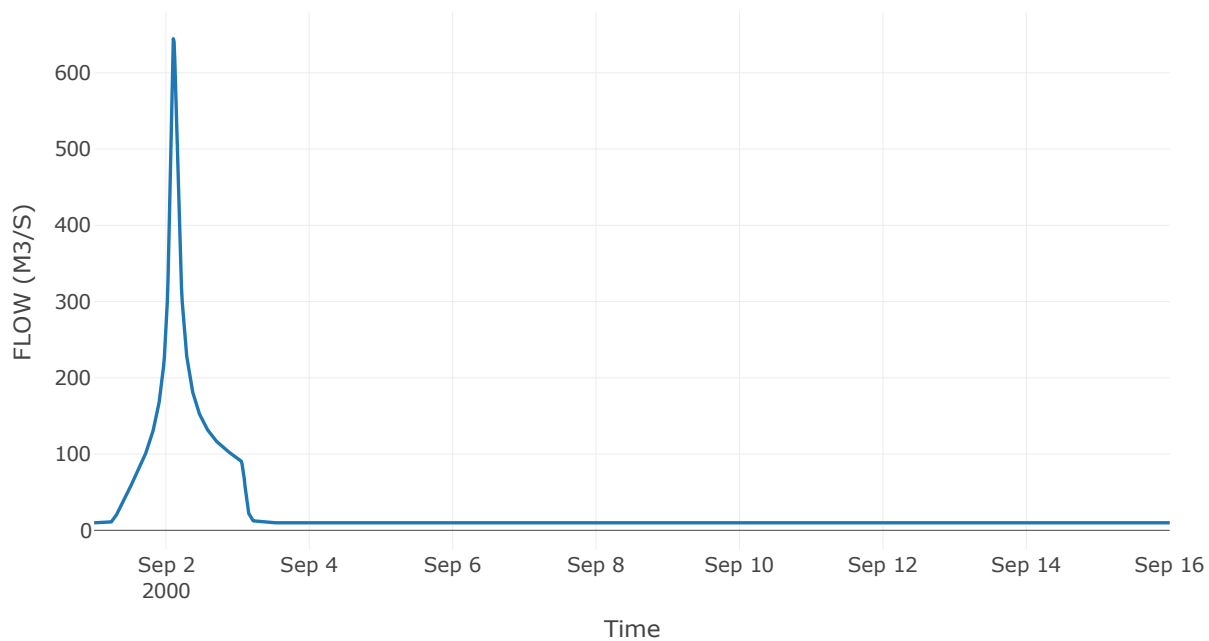
Κατάντη : J12

Μέθοδος Διόδευσης	Χρόνος Υστέρησης
Αρχική Μεταβλητή	Combined Inflow
Χρόνος Υστέρησης	53.57

Αποτελέσματα: R1712

Παροχή Αιχμής(M3/S)	644.63
Χρονική στιγμή αιχμής	02Sep2000, 02:30
Όγκος(MM)	222.57
Παροχή Αιχμής Εισόδου (M3/S)	648.5
Όγκος Εισροής(M3)	3.66E7

Απορροή



Κλάδος: R1817

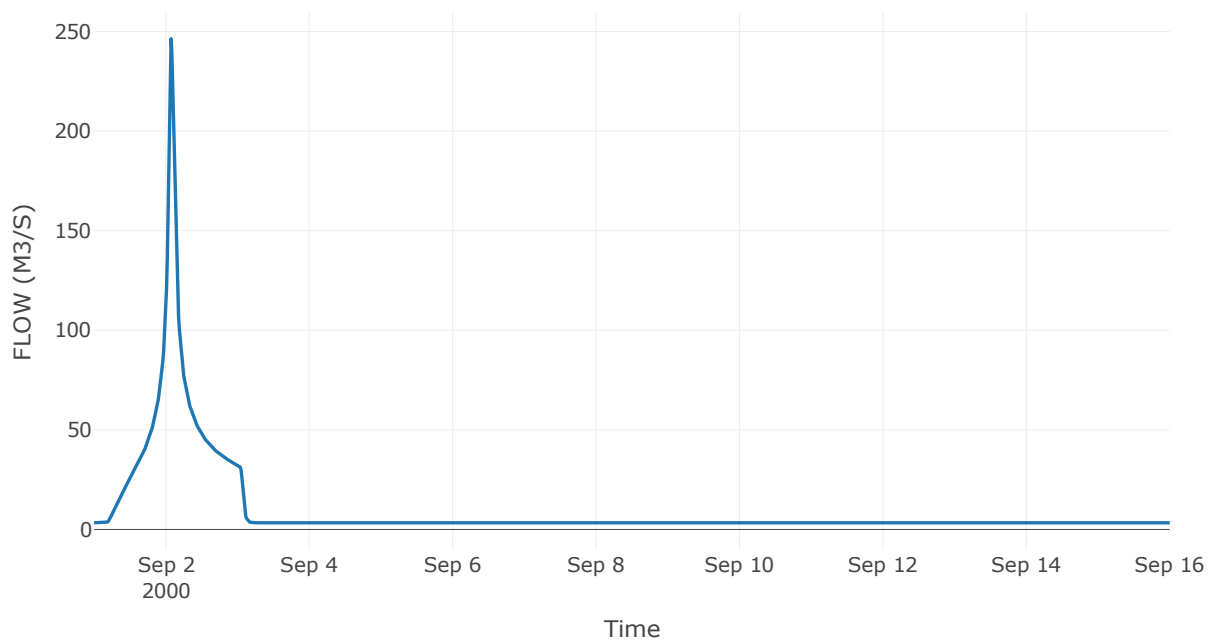
Κατάντη : J17

Μέθοδος Διόδευσης	Χρόνος Υστέρησης
Αρχική Μεταβλητή	Combined Inflow
Χρόνος Υστέρησης	49.66

Αποτελέσματα: R1817

Παροχή Αιχμής(M3/S)	246.36
Χρονική στιγμή αιχμής	02Sep2000, 01:45
Όγκος(MM)	227.62
Παροχή Αιχμής Εισόδου (M3/S)	247.62
Όγκος Εισροής(M3)	1.27E7

Απορροή



Κλάδος: R1910

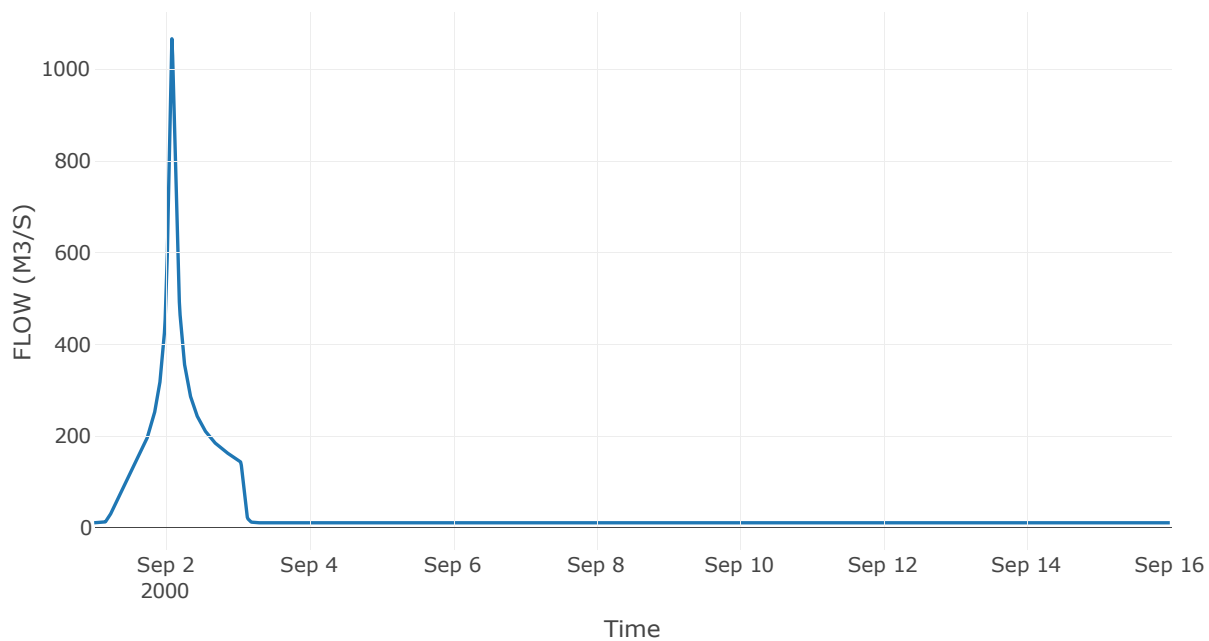
Κατάντη : J10

Μέθοδος Διόδευσης	Χρόνος Υστέρησης
Αρχική Μεταβλητή	Combined Inflow
Χρόνος Υστέρησης	34.62

Αποτελέσματα: R1910

Παροχή Αιχμής(M3/S)	1066.3
Χρονική στιγμή αιχμής	02Sep2000, 02:00
Όγκος(MM)	292
Παροχή Αιχμής Εισόδου (M3/S)	1070.87
Όγκος Εισροής(M3)	5.38E7

Απορροή



Κλάδος: R2019

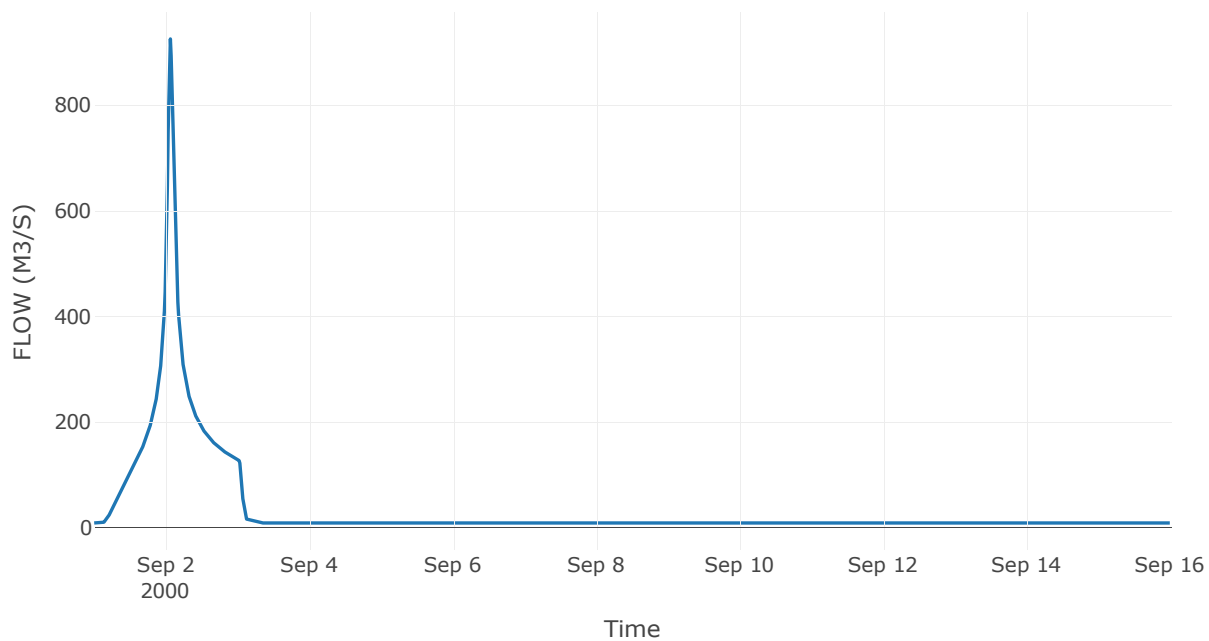
Κατάντη : J19

Μέθοδος Διόδευσης	Χρόνος Υστέρησης
Αρχική Μεταβλητή	Combined Inflow
Χρόνος Υστέρησης	25.79

Αποτελέσματα: R2019

Παροχή Αιχμής(M3/S)	925.57
Χρονική στιγμή αιχμής	02Sep2000, 01:30
Όγκος(MM)	291.45
Παροχή Αιχμής Εισόδου (M3/S)	932.35
Όγκος Εισροής(M3)	4.63E7

Απορροή



Κλάδος: R2120

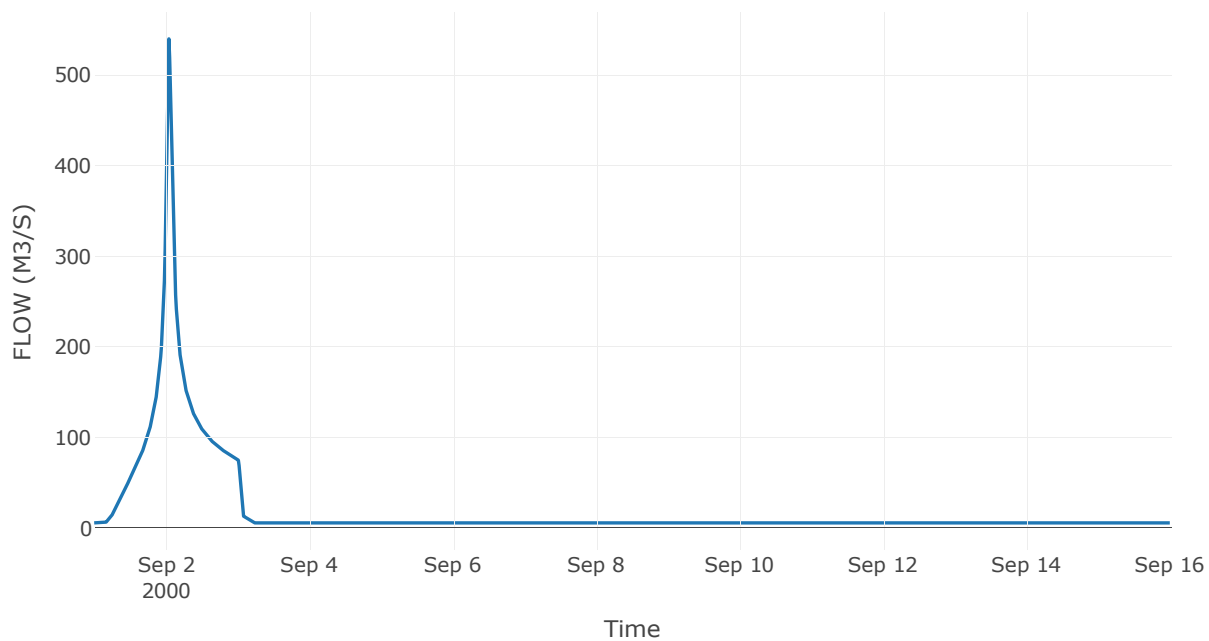
Κατάντη : J20

Μέθοδος Διόδευσης	Χρόνος Υστέρησης
Αρχική Μεταβλητή	Combined Inflow
Χρόνος Υστέρησης	9.21

Αποτελέσματα: R2120

Παροχή Αιχμής(M3/S)	540.08
Χρονική στιγμή αιχμής	02Sep2000, 01:00
Όγκος(MM)	272.09
Παροχή Αιχμής Εισόδου (M3/S)	544.06
Όγκος Εισροής(M3)	2.66E7

Απορροή



Κλάδος: R225

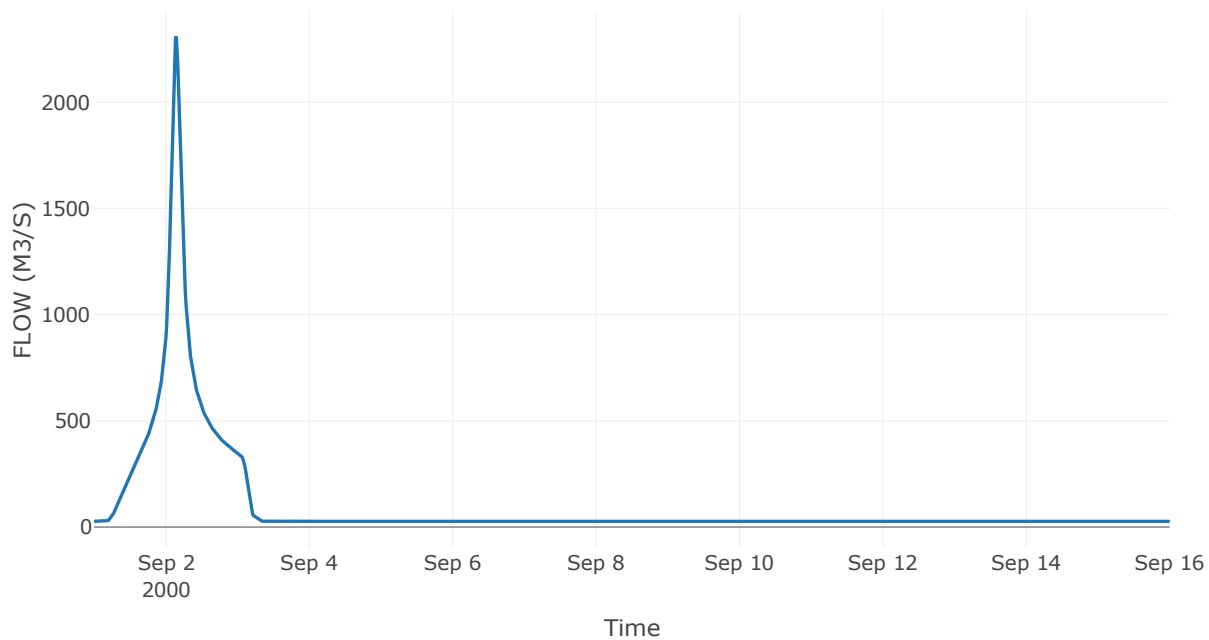
Κατάντη : J5

Μέθοδος Διόδευσης	Muskingum
Αρχική Μεταβλητή	Combined Inflow
Muskingum K	1
Συντελεστής βάρους α	0.2
Πλήθος Υποκλάδων	2

Αποτελέσματα: R225

Παροχή Αιχμής(M3/S)	2305.22
Χρονική στιγμή αιχμής	02Sep2000, 03:15
Όγκος(MM)	292.51
Παροχή Αιχμής Εισόδου (M3/S)	2420.58
Όγκος Εισροής(M3)	1.3E8

Απορροή



Κλάδος: R2322

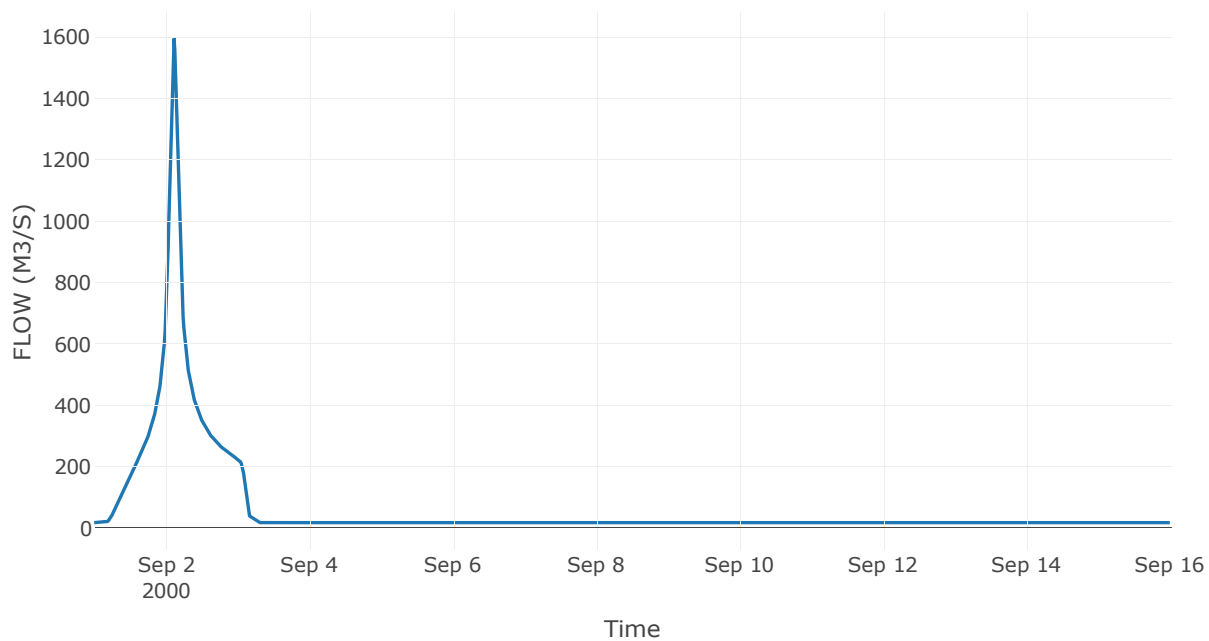
Κατάντη : J22

Μέθοδος Διόδευσης	Χρόνος Υστέρησης
Αρχική Μεταβλητή	Combined Inflow
Χρόνος Υστέρησης	0

Αποτελέσματα: R2322

Παροχή Αιχμής(M3/S)	1594.76
Χρονική στιγμή αιχμής	02Sep2000, 02:45
Όγκος(MM)	288.19
Παροχή Αιχμής Εισόδου (M3/S)	1594.76
Όγκος Εισροής(M3)	8.48E7

Απορροή



Κλάδος: R2423

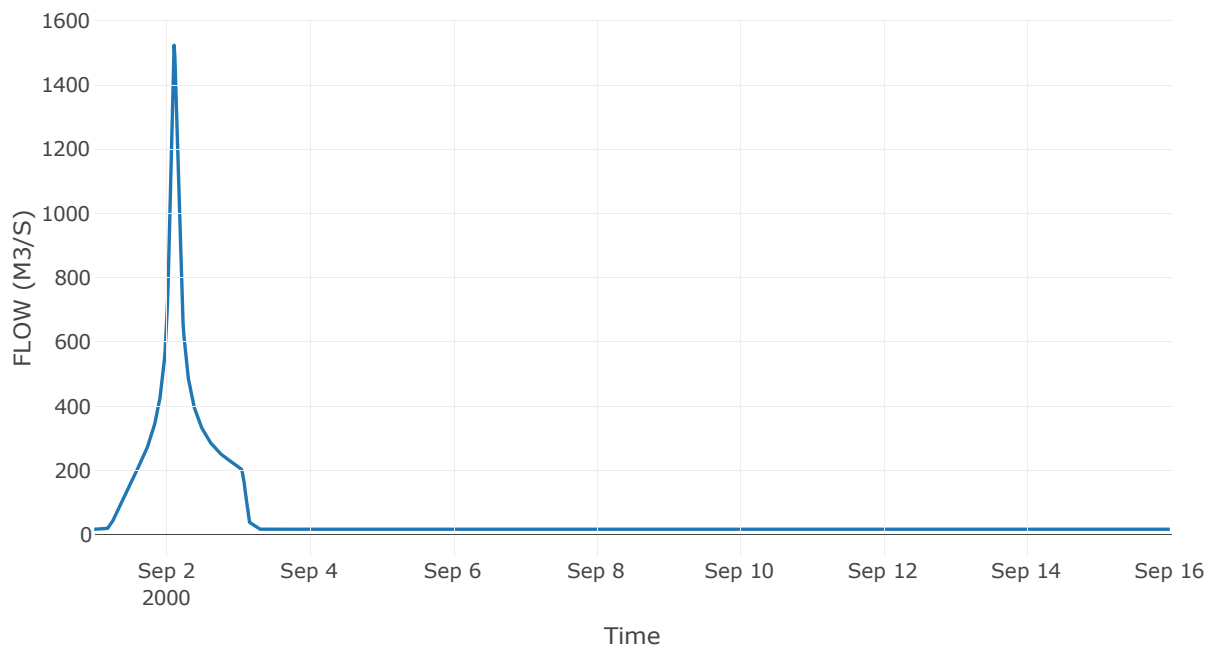
Κατάντη : J23

Μέθοδ	Muskingum
Αρχική Μεταβλητή	Combined Inflow
Muskingum K	0.75
Συντελεστής βάρους x	0.2
Πλήθος _	3

Αποτελέσματα: R2423

Παροχή Αιχμής(M3/S)	1522.86
Χρονική στιγμή αιχμής	02Sep2000, 02:45
Όγκος(MM)	289.5
Παροχή Αιχμής Εισόδου (M3/S)	1571.81
Όγκος _	7.92E7

Απορροή



Κλάδος: R2524

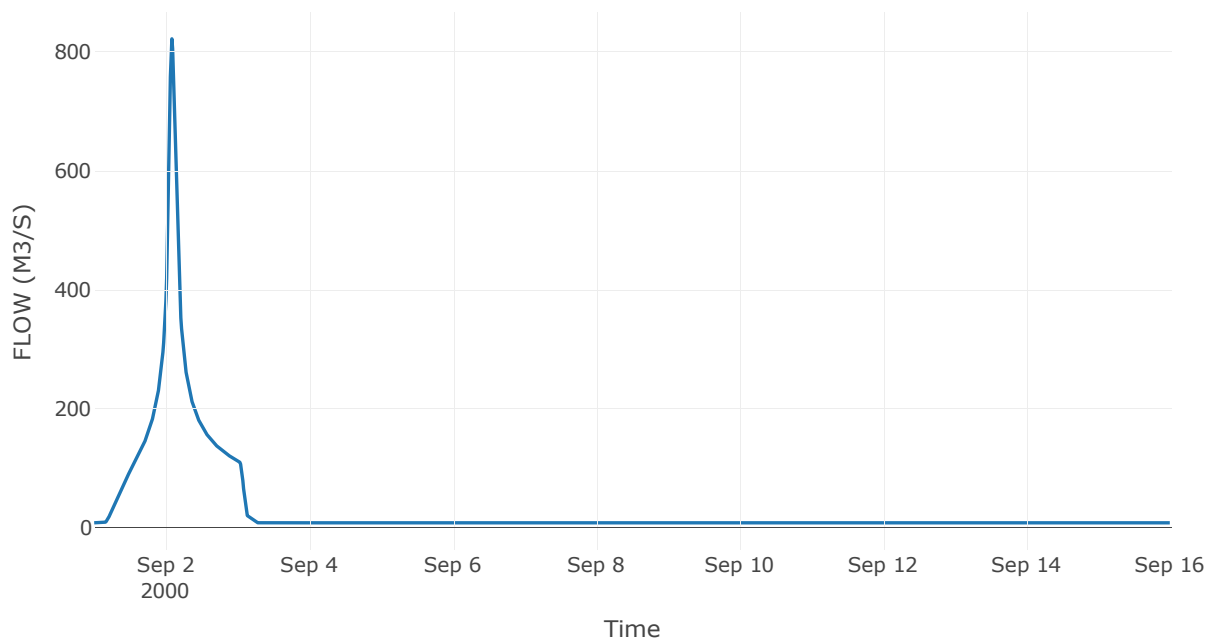
Κατάντη : J24

Μέθοδος Διόδευσης	Χρόνος Υστέρησης
Αρχική Μεταβλητή	Combined Inflow
Χρόνος Υστέρησης	26.09

Αποτελέσματα: R2524

Παροχή Αιχμής(M3/S)	821.89
Χρονική στιγμή αιχμής	02Sep2000, 02:00
Όγκος(MM)	300.39
Παροχή Αιχμής Εισόδου (M3/S)	824.3
Όγκος Εισροής(M3)	4.17E7

Απορροή



Κλάδος: R2625

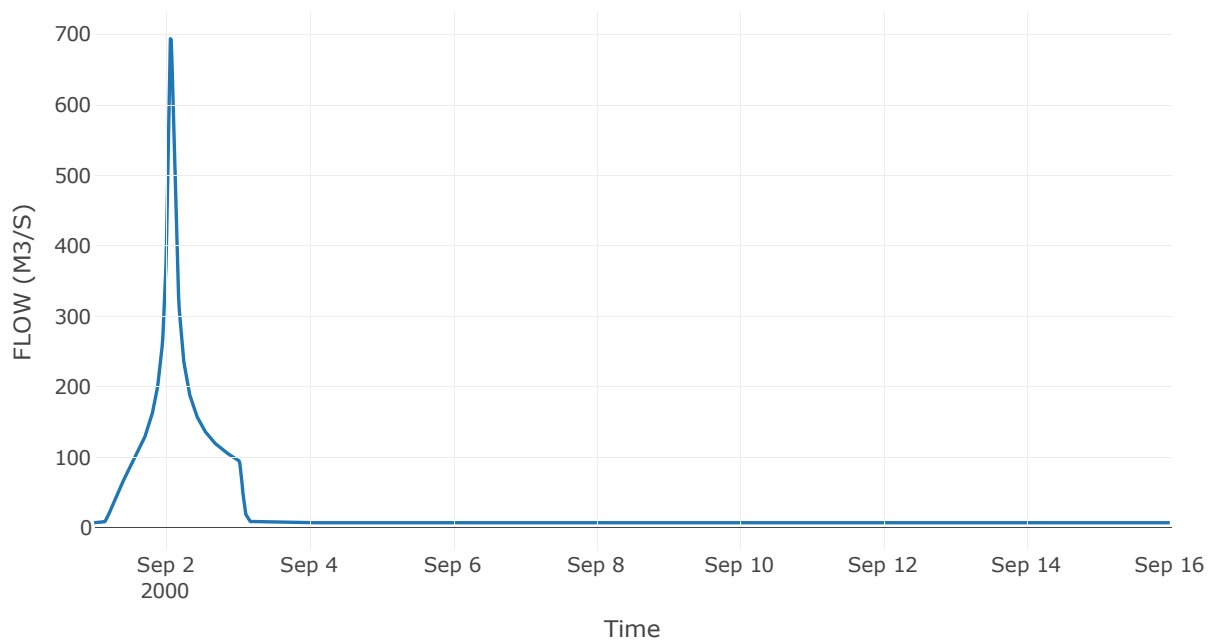
Κατάντη : J25

Μέθοδος Διόδευσης	Χρόνος Υστέρησης
Αρχική Μεταβλητή	Combined Inflow
Χρόνος Υστέρησης	13.13

Αποτελέσματα: R2625

Παροχή Αιχμής(M3/S)	693.77
Χρονική στιγμή αιχμής	02Sep2000, 01:30
Όγκος(MM)	302.86
Παροχή Αιχμής Εισόδου (M3/S)	695.91
Όγκος Εισροής(M3)	3.55E7

Απορροή



Κλάδος: R2726

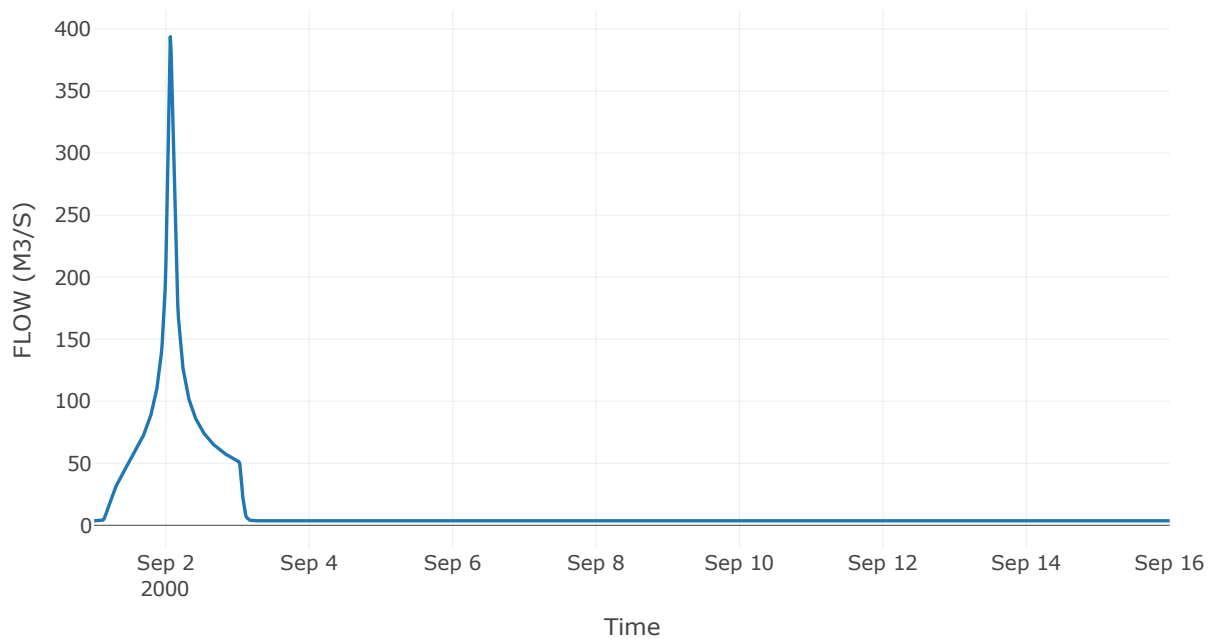
Κατάντη : J26

Μέθοδος Διόδευσης	Χρόνος Υστέρησης
Αρχική Μεταβλητή	Combined Inflow
Χρόνος Υστέρησης	26.32

Αποτελέσματα: R2726

Παροχή Αιχμής(M3/S)	393.78
Χρονική στιγμή αιχμής	02Sep2000, 01:30
Όγκος(MM)	318.95
Παροχή Αιχμής Εισόδου (M3/S)	395.84
Όγκος Εισροής(M3)	1.93E7

Απορροή



Κλάδος: R2824

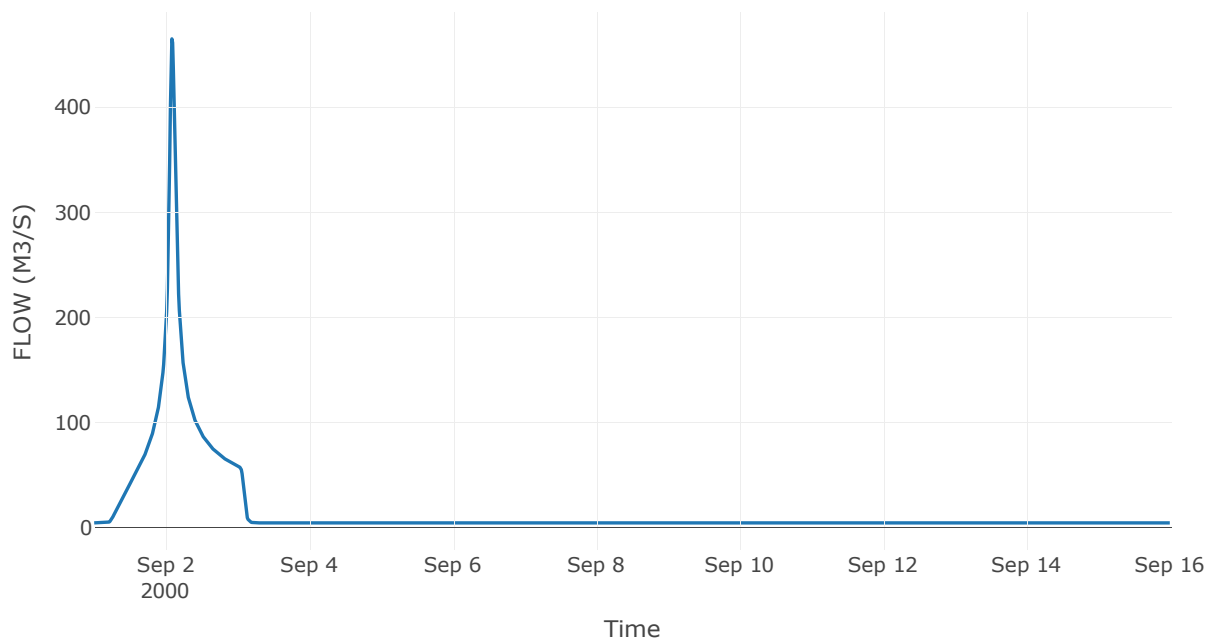
Κατάντη : J24

Μέθοδος Διόδευσης	Χρόνος Υστέρησης
Αρχική Μεταβλητή	Combined Inflow
Χρόνος Υστέρησης	50.03

Αποτελέσματα: R2824

Παροχή Αιχμής(M3/S)	464.96
Χρονική στιγμή αιχμής	02Sep2000, 02:00
Όγκος(MM)	275.22
Παροχή Αιχμής Εισόδου (M3/S)	469.87
Όγκος Εισροής(M3)	2.18E7

Απορροή



Κλάδος: R2928

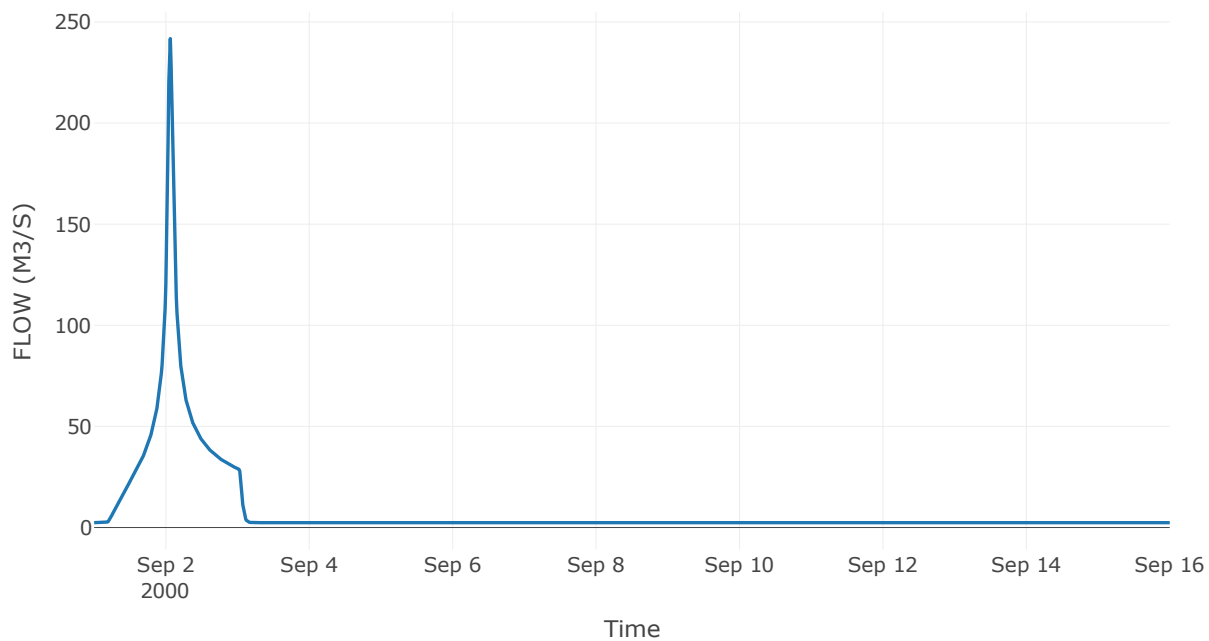
Κατάντη : J28

Μέθοδος Διόδευσης	Χρόνος Υστέρησης
Αρχική Μεταβλητή	Combined Inflow
Χρόνος Υστέρησης	29.39

Αποτελέσματα: R2928

Παροχή Αιχμής(M3/S)	241.73
Χρονική στιγμή αιχμής	02Sep2000, 01:30
Όγκος(MM)	274.83
Παροχή Αιχμής Εισόδου (M3/S)	242.54
Όγκος Εισροής(M3)	1.1E7

Απορροή



Κλάδος: R3022

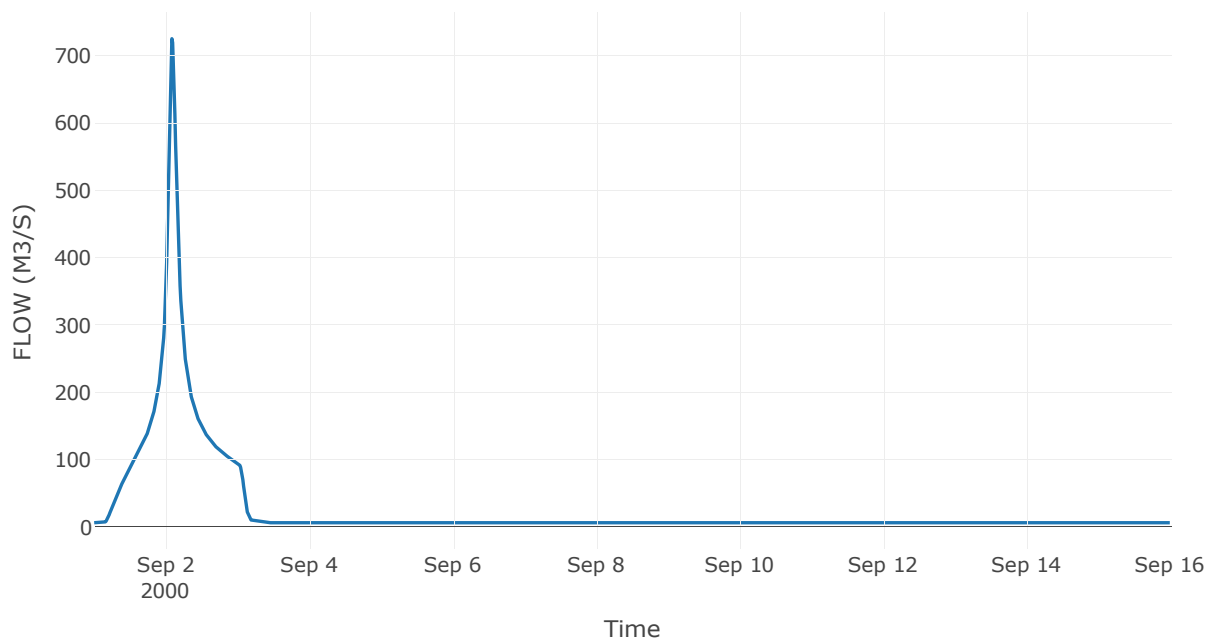
Κατάντη : J22

Μέθοδος Διόδευσης	Χρόνος Υστέρησης
Αρχική Μεταβλητή	Combined Inflow
Χρόνος Υστέρησης	0

Αποτελέσματα: R3022

Παροχή Αιχμής(M3/S)	724.78
Χρονική στιγμή αιχμής	02Sep2000, 02:00
Όγκος(MM)	312.24
Παροχή Αιχμής Εισόδου (M3/S)	724.78
Όγκος Εισροής(M3)	3.74E7

Απορροή



Κλάδος: R3130

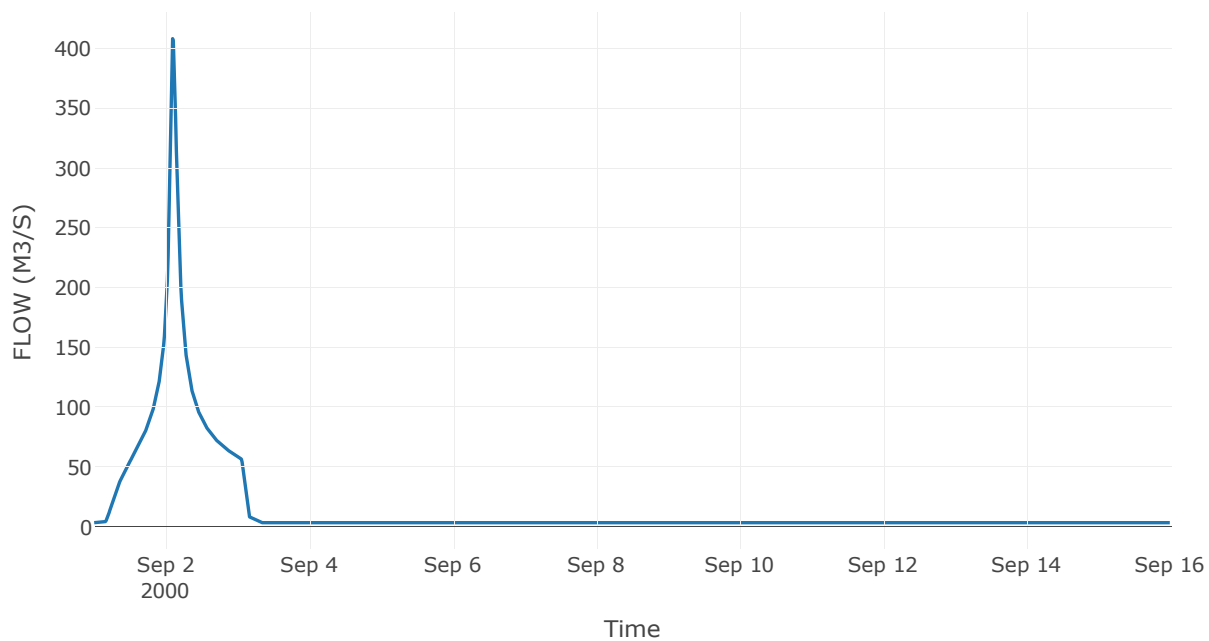
Κατάντη : J30

Μέθοδος Διόδευσης	Χρόνος Υστέρησης
Αρχική Μεταβλητή	Combined Inflow
Χρόνος Υστέρησης	66.4

Αποτελέσματα: R3130

Παροχή Αιχμής(M3/S)	408.03
Χρονική στιγμή αιχμής	02Sep2000, 02:15
Όγκος(MM)	344.9
Παροχή Αιχμής Εισόδου (M3/S)	410.01
Όγκος Εισροής(M3)	2.13E7

Απορροή



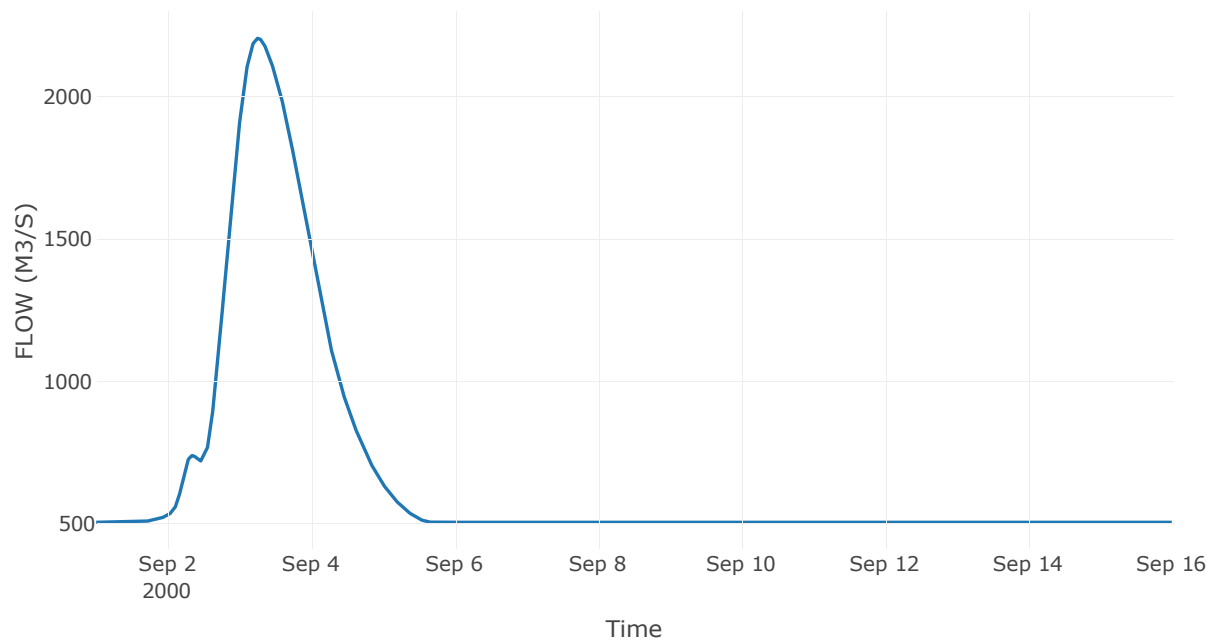
4.3 Δεδομένα και υδρογραφήματα σχεδιασμού Κόμβων υδρογραφικού δικτύου

Κόμβος εξόδου: J1

Αποτέλεσμα
τα: J1

Παροχή αιχμής (M3/S)	2204.88
Χρονική στιγμή αιχμής	03Sep2000, 06:15
Όγκος (MM)	451.32

Απορροή



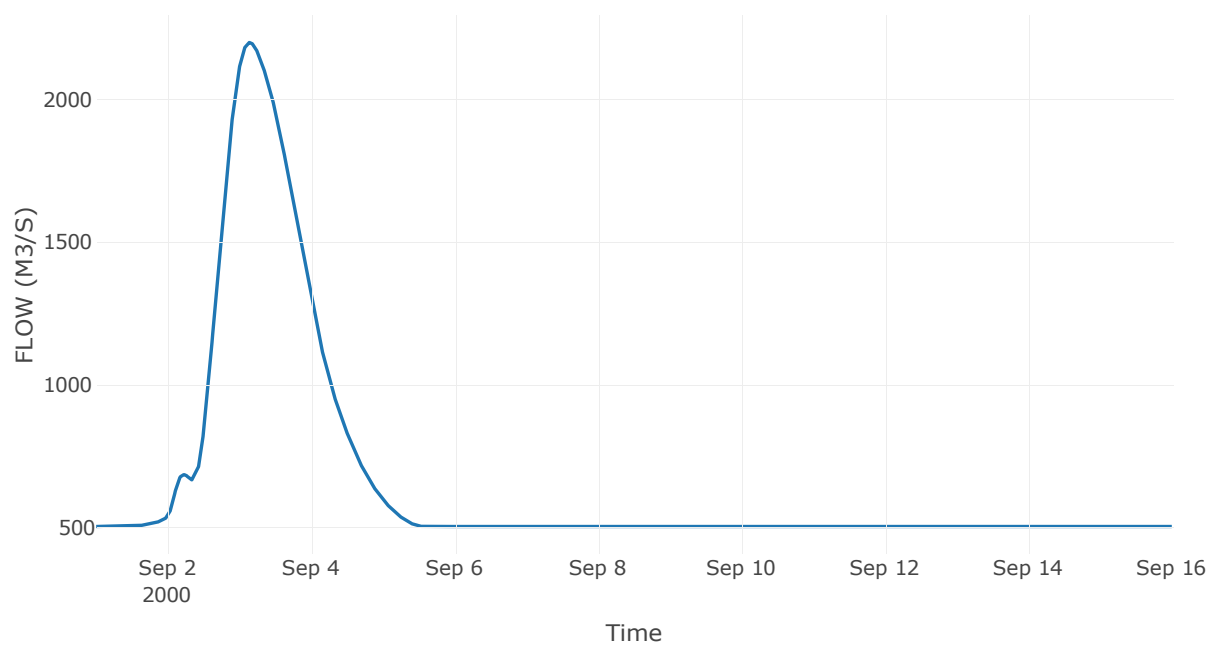
Κόμβος: J2

Κατάντη : R21

Αποτελέσματα: J2

Παροχή Αιχμής(M3/S)	2199.7
Χρονική στιγμή αιχμής	03Sep2000, 03:15
Όγκος(MM)	454.81

Απορροή



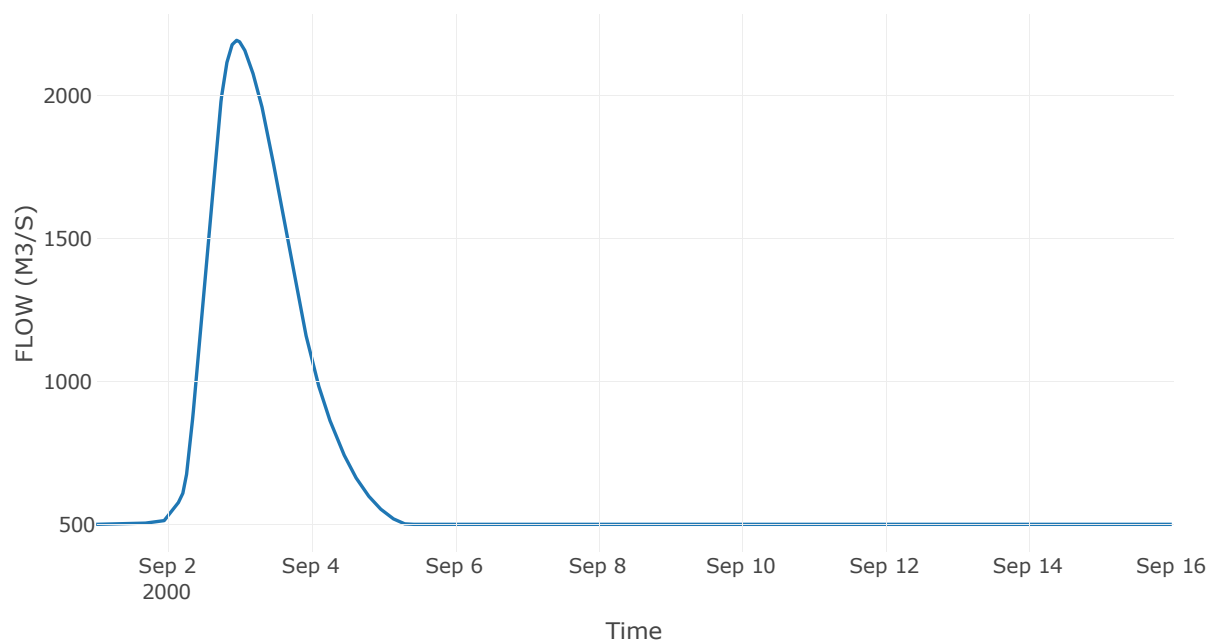
Κόμβος: J3

Κατάντη : R32

Αποτελέσματα: J3

Παροχή Αιχμής(M3/S)	2192.41
Χρονική στιγμή αιχμής	02Sep2000, 23:00
Όγκος(MM)	461.4

Απορροή



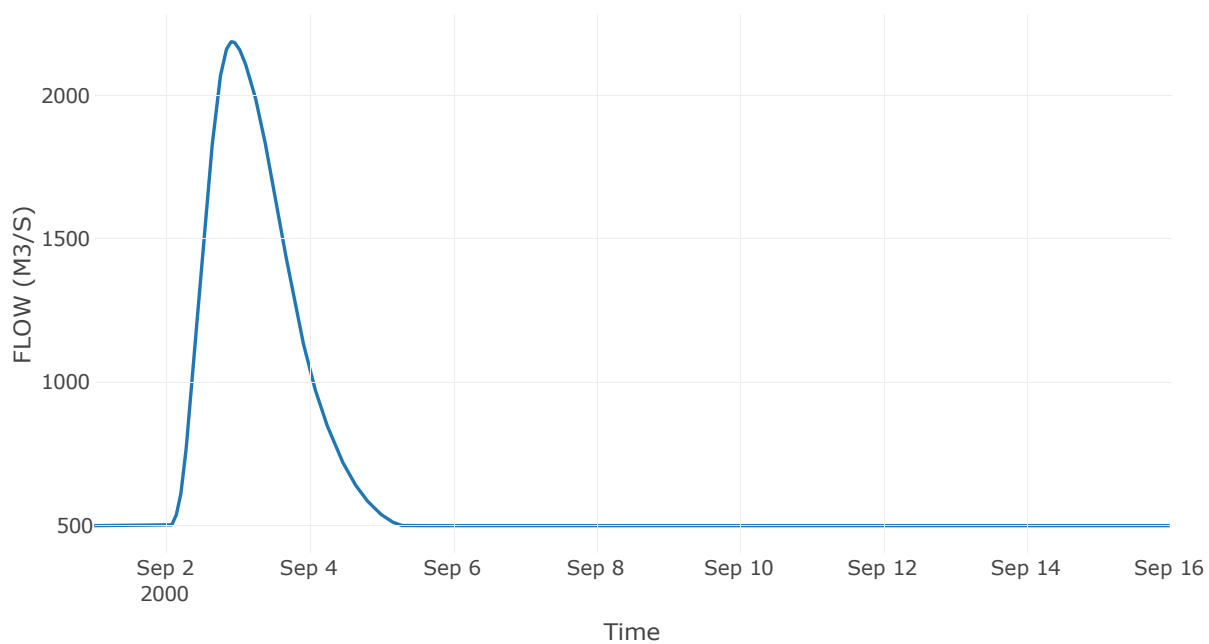
Reservoir: J4_RES1

Κατάντη : R43

Αποτελέσματα: J4_RES1

Παροχή Αιχμής(M3/S)	2187.27
Χρονική στιγμή αιχμής	02Sep2000, 22:15
Όγκος(MM)	463.35
Παροχή Αιχμής Εισόδου (M3/S)	3992.09
Time of Peak Inflow	02Sep2000, 08:30
Όγκος Εισροής (M3)	4.83E8
Maximum Storage (M3)	6.47E8
Peak Elevation (M)	115.47
Discharge Όγκος(M3)	8.44E8

Απορροή



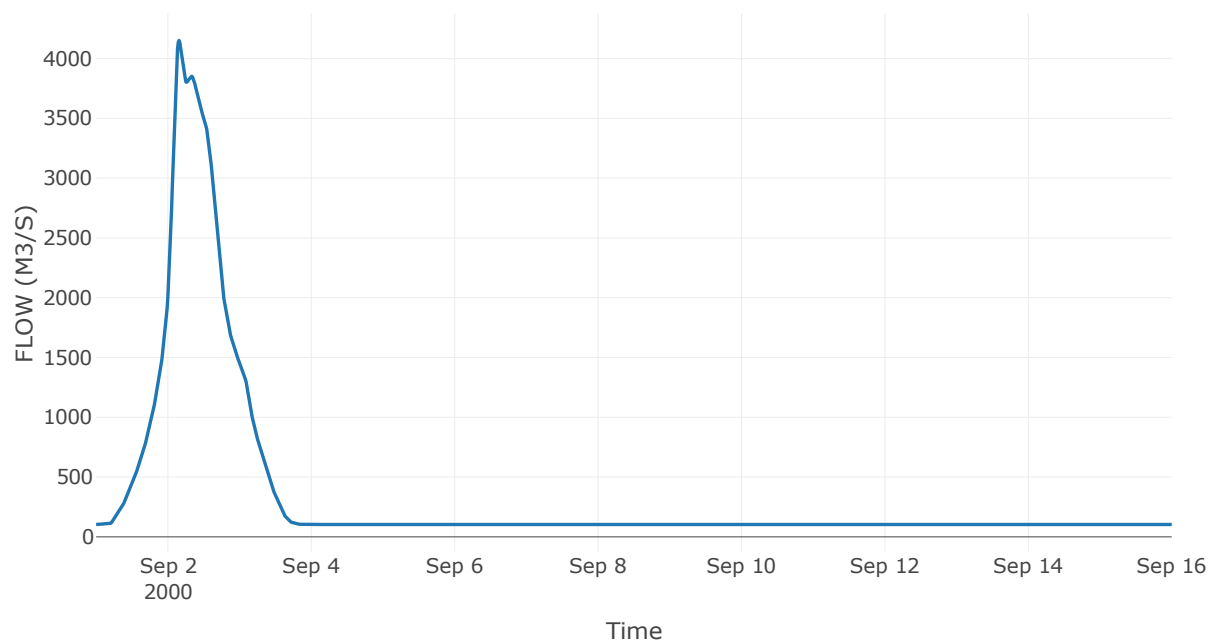
Κόμβος: J5

Κατάντη : R54

Αποτελέσματα: J5

Παροχή Αιχμής(M3/S)	4151.38
Χρονική στιγμή αιχμής	02Sep2000, 03:45
Όγκος(MM)	266.97

Απορροή



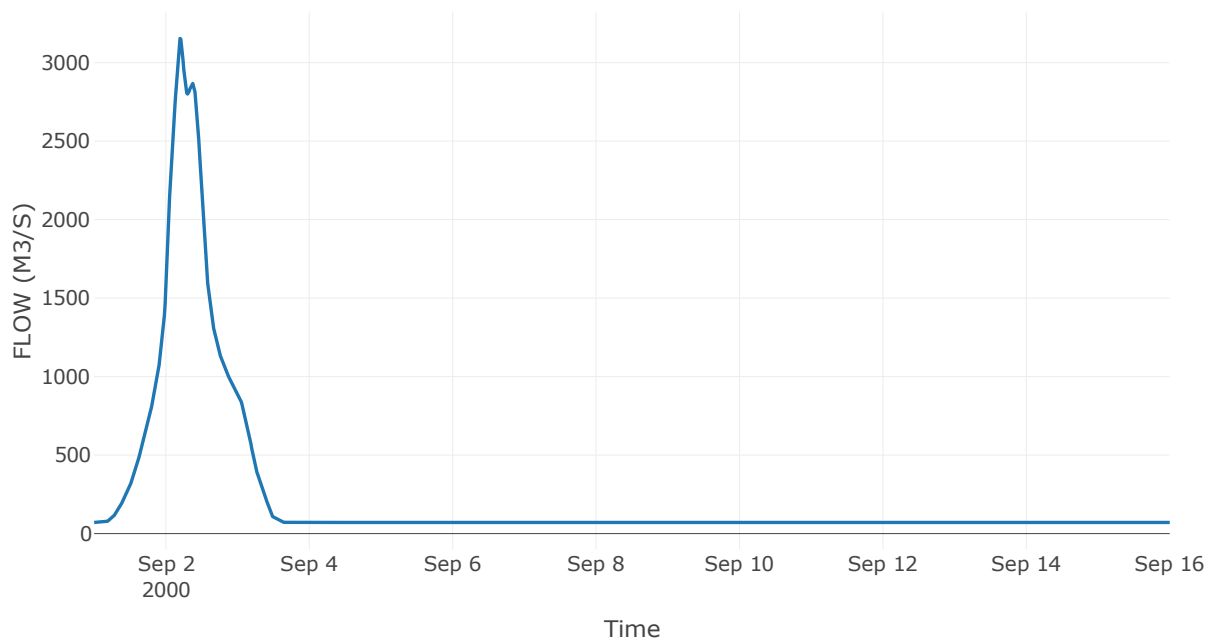
Κόμβος: J6

Κατάντη : R65

Αποτελέσματα: J6

Παροχή Αιχμής(M3/S)	3153.87
Χρονική στιγμή αιχμής	02Sep2000, 04:45
Όγκος(MM)	257.8

Απορροή



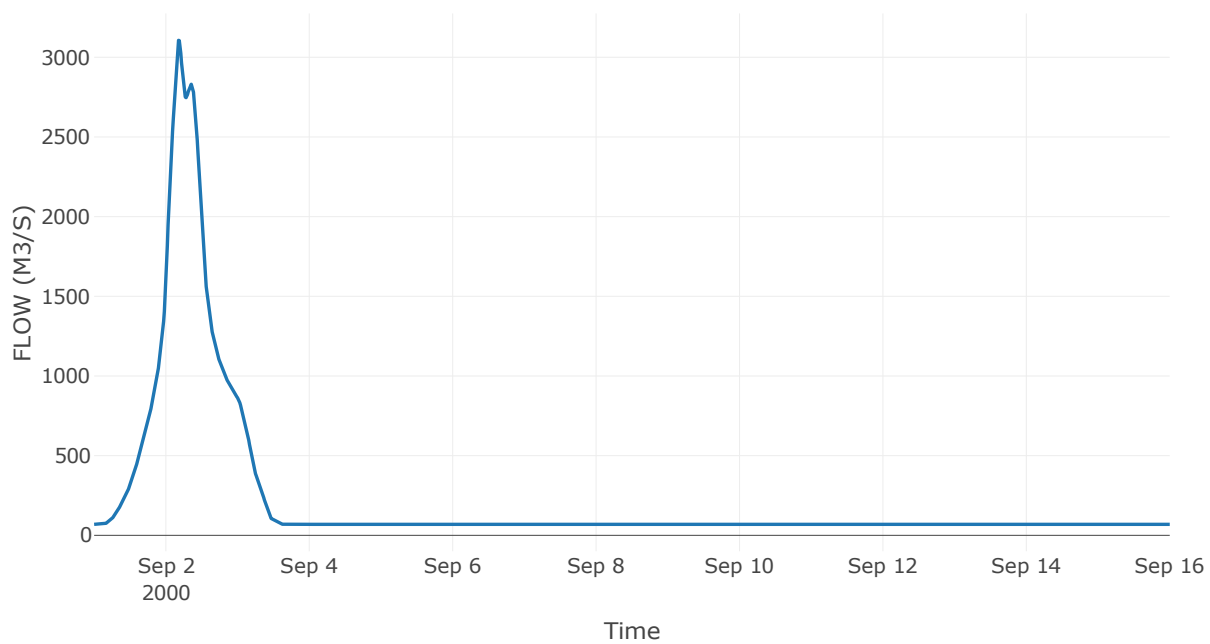
Κόμβος: J7

Κατάντη : R76

Αποτελέσματα: J7

Παροχή Αιχμής(M3/S)	3106.46
Χρονική στιγμή αιχμής	02Sep2000, 04:15
Όγκος(MM)	257.97

Απορροή



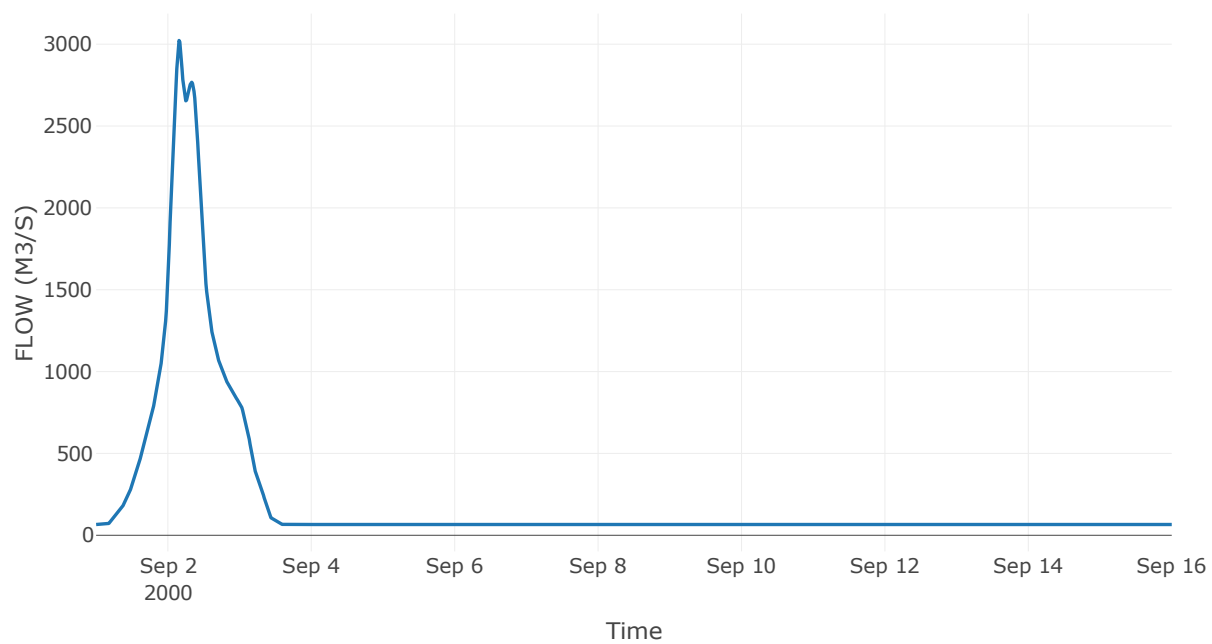
Κόμβος: J8

Κατάντη : R87

Αποτελέσματα: J8

Παροχή Αιχμής(M3/S)	3022.68
Χρονική στιγμή αιχμής	02Sep2000, 03:45
Όγκος(MM)	256

Απορροή



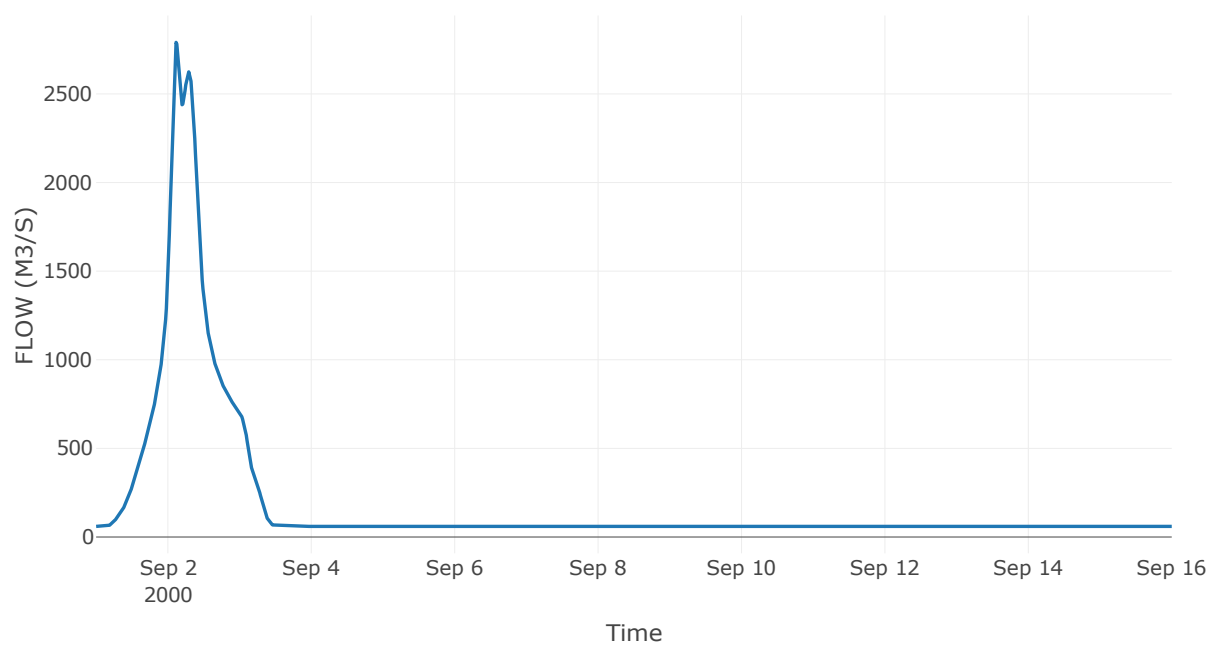
Κόμβος: J9

Κατάντη : R98

Αποτελέσματα: J9

Παροχή Αιχμής(M3/S)	2790.72
Χρονική στιγμή αιχμής	02Sep2000, 02:45
Όγκος(MM)	251.32

Απορροή



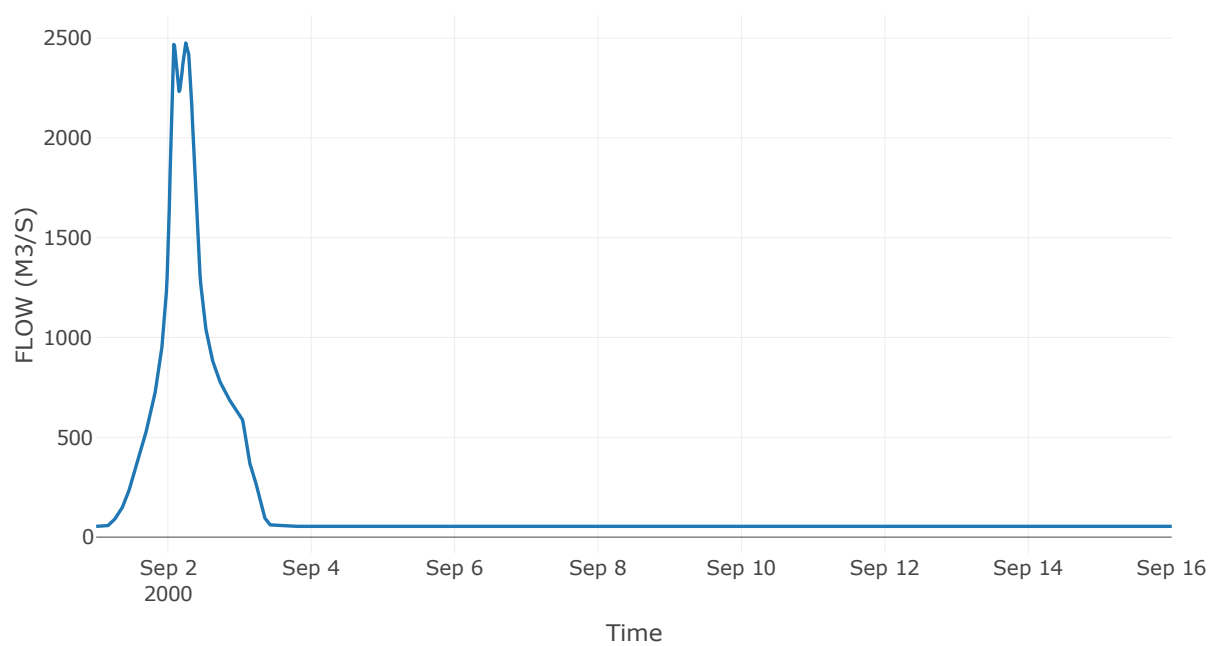
Κόμβος: J10

Κατάντη : R109

Αποτελέσματα: J10

Παροχή Αιχμής(M3/S)	2478.66
Χρονική στιγμή αιχμής	02Sep2000, 06:15
Όγκος(MM)	250.12

Απορροή



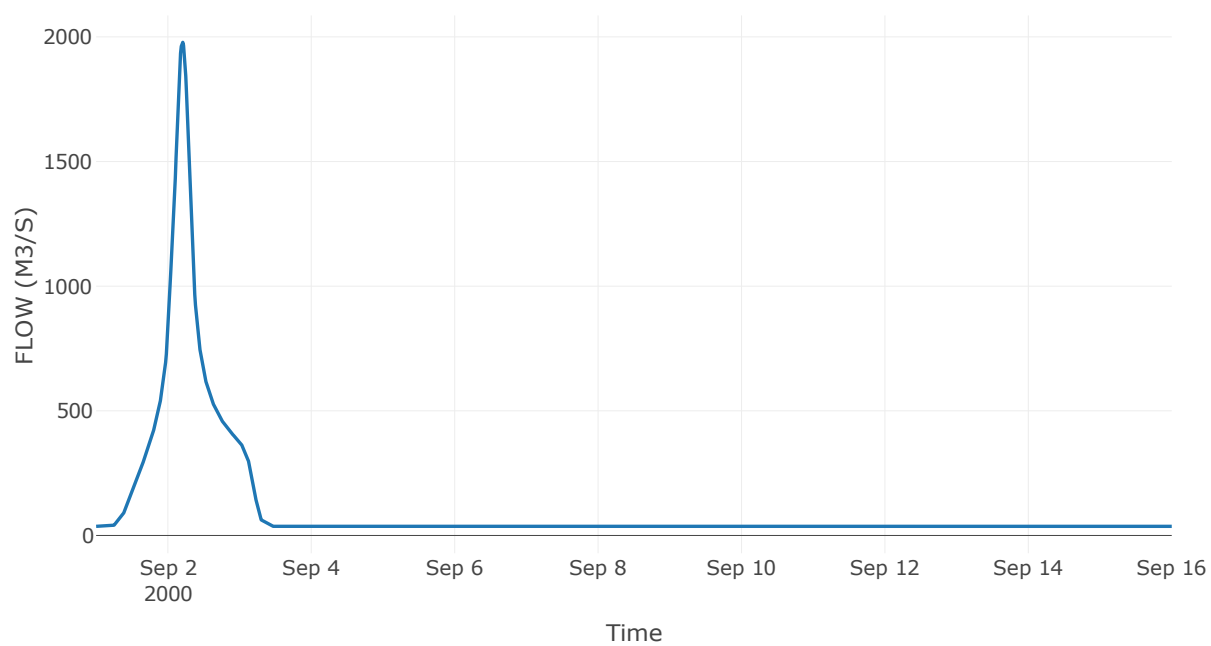
Κόμβος: J11

Κατάντη : R1110

Αποτελέσματα: J11

Παροχή Αιχμής(M3/S)	1978.07
Χρονική στιγμή αιχμής	02Sep2000, 05:00
Όγκος(MM)	235.92

Απορροή



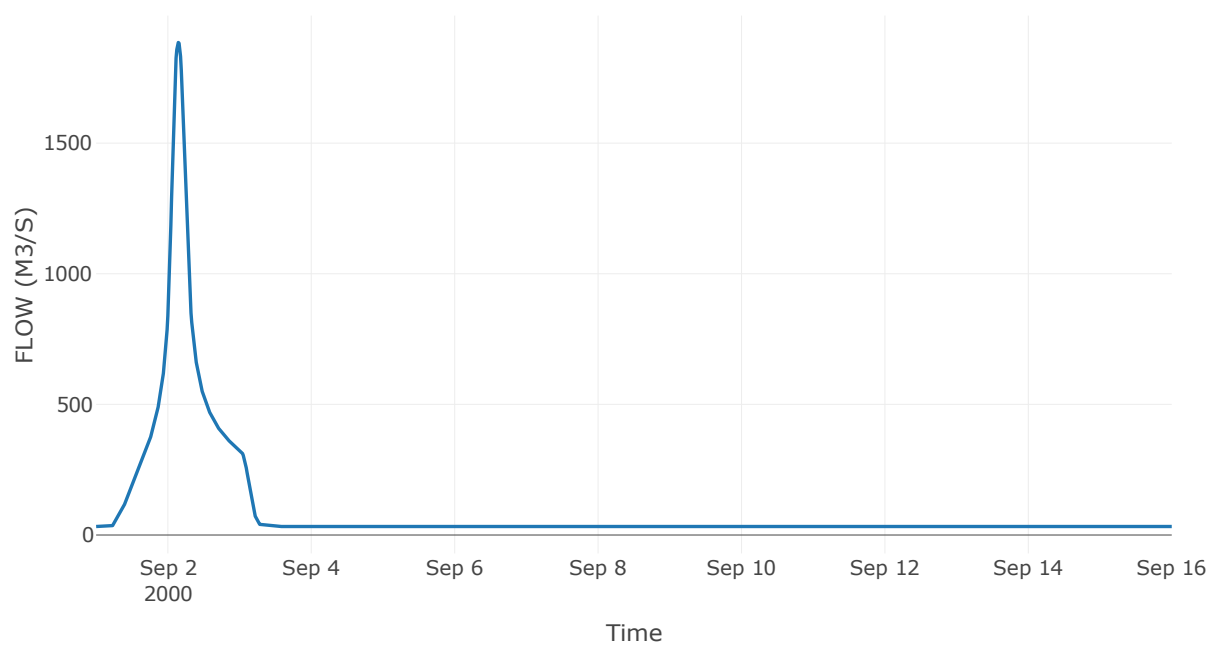
Κόμβος: J12

Κατάντη : R1211

Αποτελέσματα: J12

Παροχή Αιχμής(M3/S)	1885.07
Χρονική στιγμή αιχμής	02Sep2000, 03:30
Όγκος(MM)	235.5

Απορροή



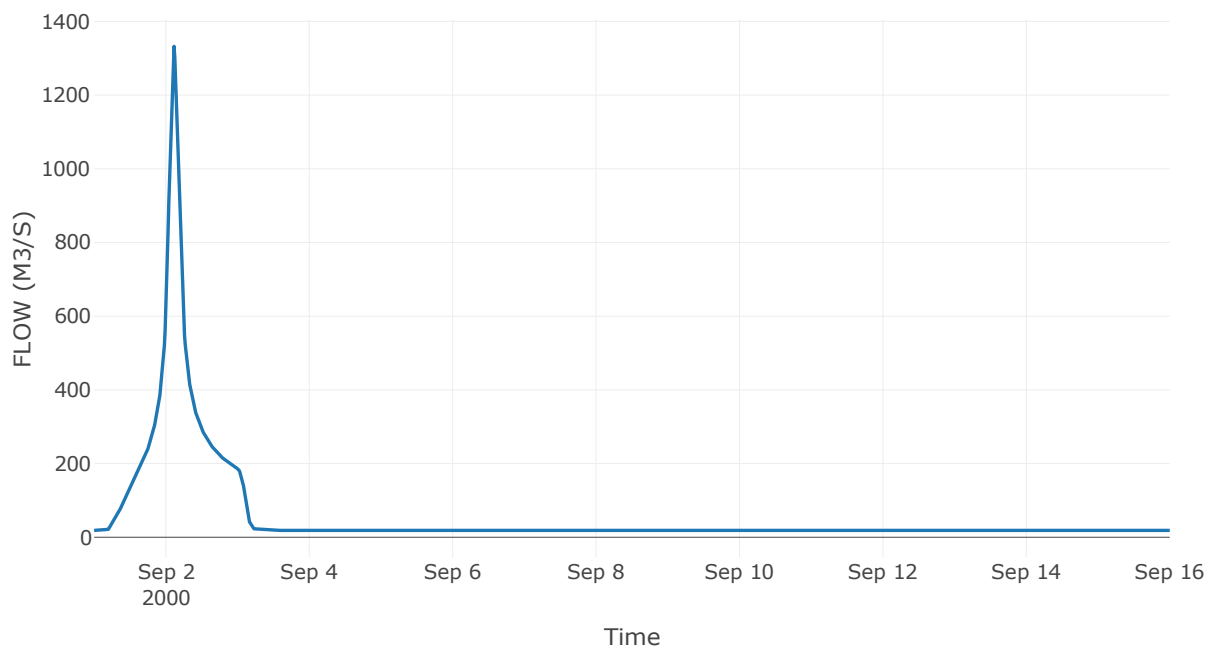
Κόμβος: J13

Κατάντη : R1312

Αποτελέσματα: J13

Παροχή Αιχμής(M3/S)	1332.25
Χρονική στιγμή αιχμής	02Sep2000, 02:45
Όγκος(MM)	244.42

Απορροή



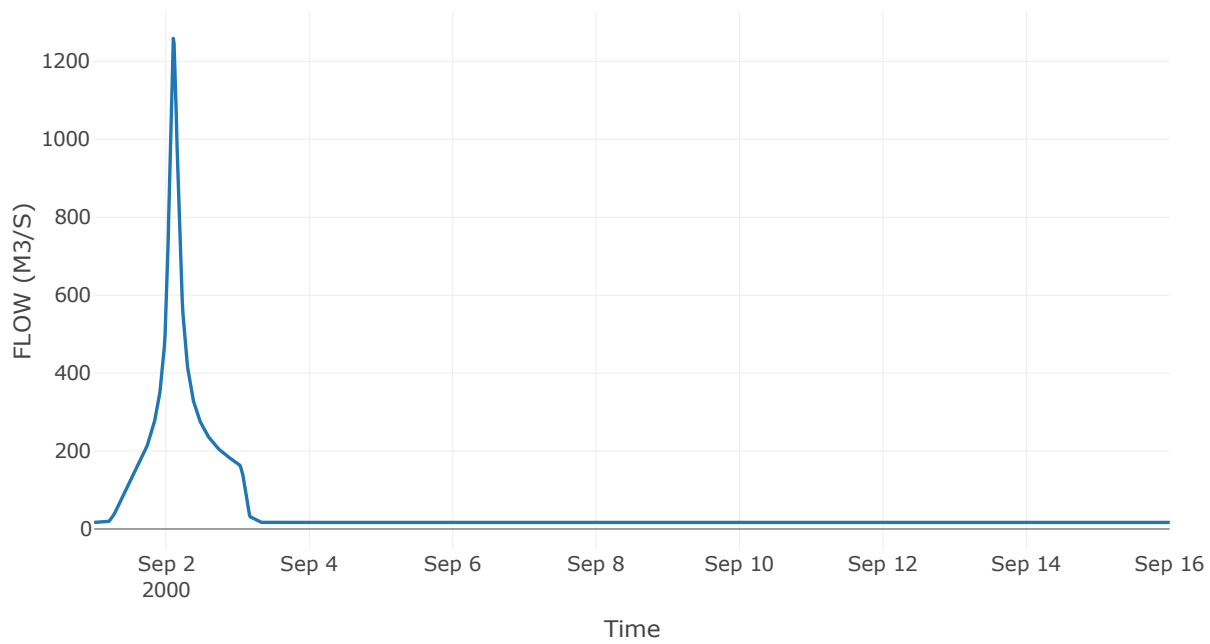
Κόμβος: J14

Κατάντη : R1413

Αποτελέσματα: J14

Παροχή Αιχμής(M3/S)	1259.02
Χρονική στιγμή αιχμής	02Sep2000, 02:30
Όγκος(MM)	245.35

Απορροή



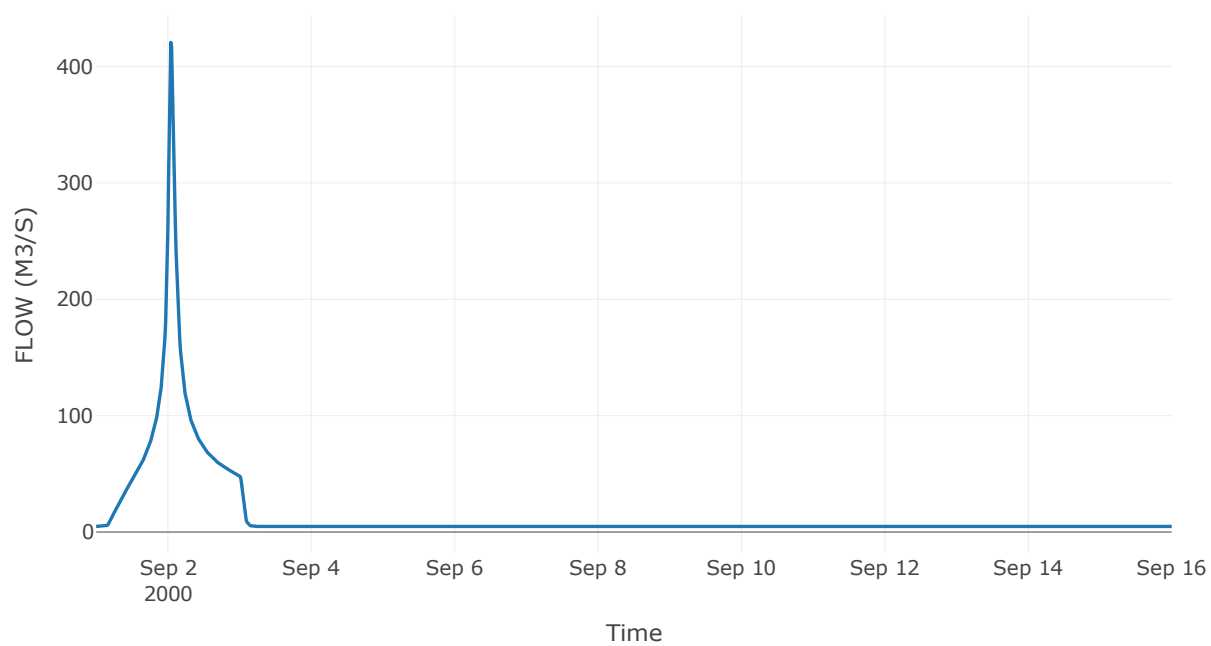
Κόμβος: J15

Κατάντη : R1514

Αποτελέσματα: J15

Παροχή Αιχμής(M3/S)	420.68
Χρονική στιγμή αιχμής	02Sep2000, 01:00
Όγκος(MM)	251.85

Απορροή



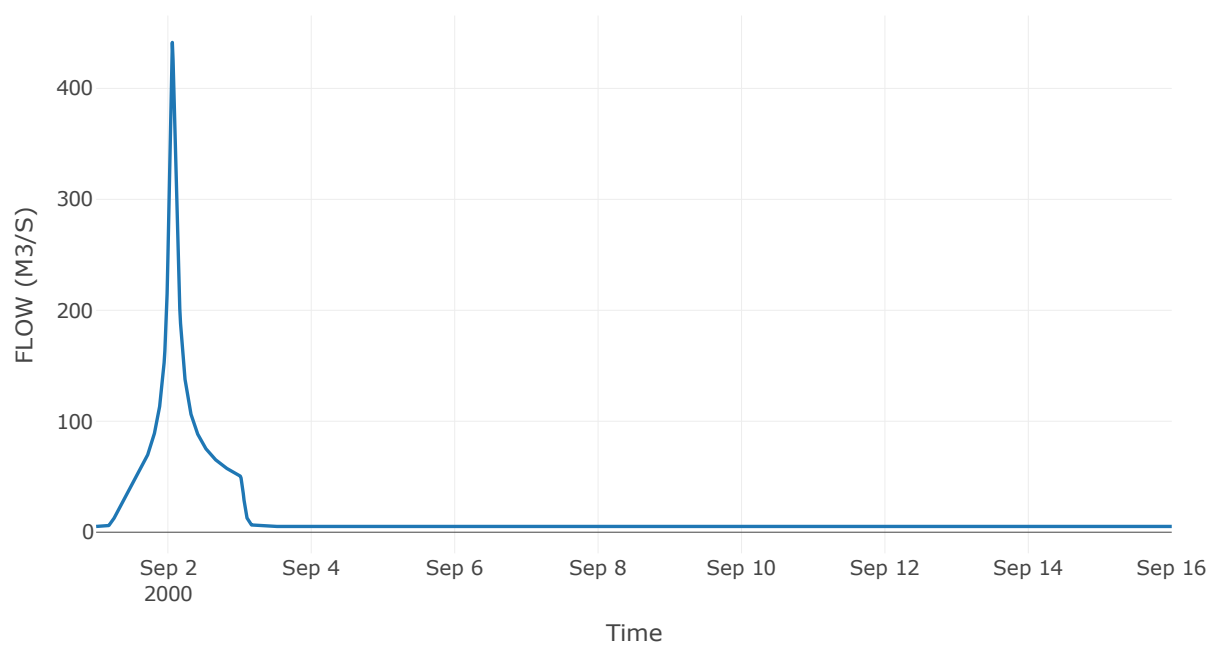
Κόμβος: J16

Κατάντη : R1614

Αποτελέσματα: J16

Παροχή Αιχμής(M3/S)	441.46
Χρονική στιγμή αιχμής	02Sep2000, 01:30
Όγκος(MM)	248.24

Απορροή



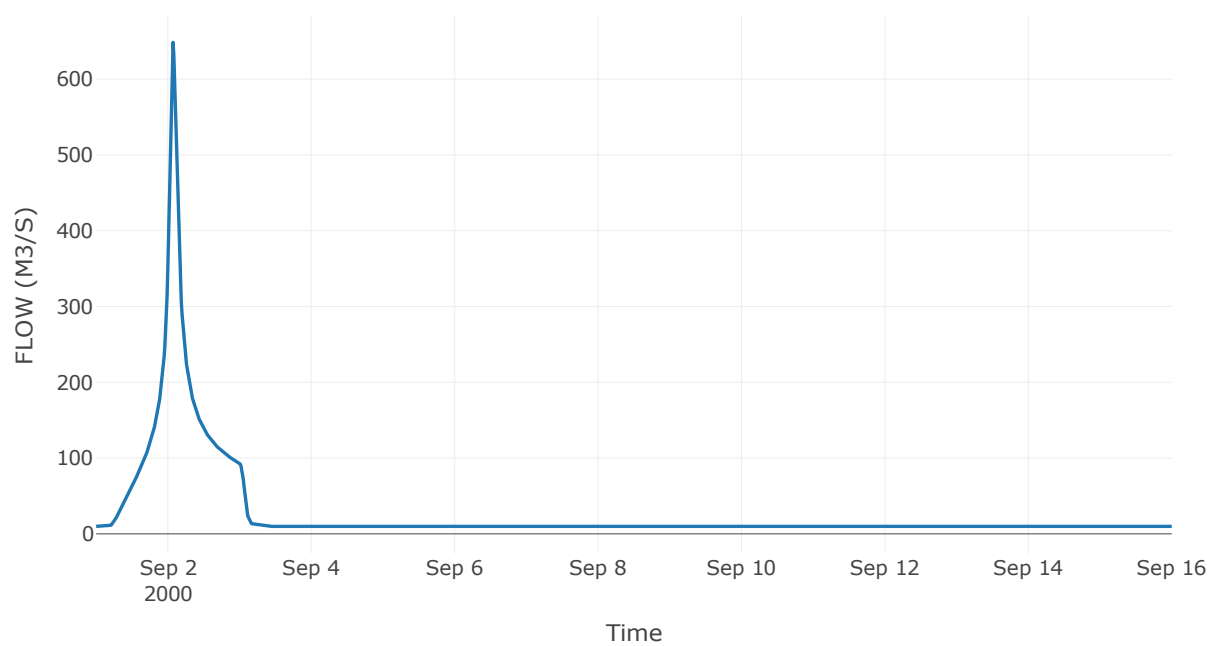
Κόμβος: J17

Κατάντη : R1712

Αποτελέσματα: J17

Παροχή Αιχμής(M3/S)	648.5
Χρονική στιγμή αιχμής	02Sep2000, 01:45
Όγκος(MM)	222.57

Απορροή



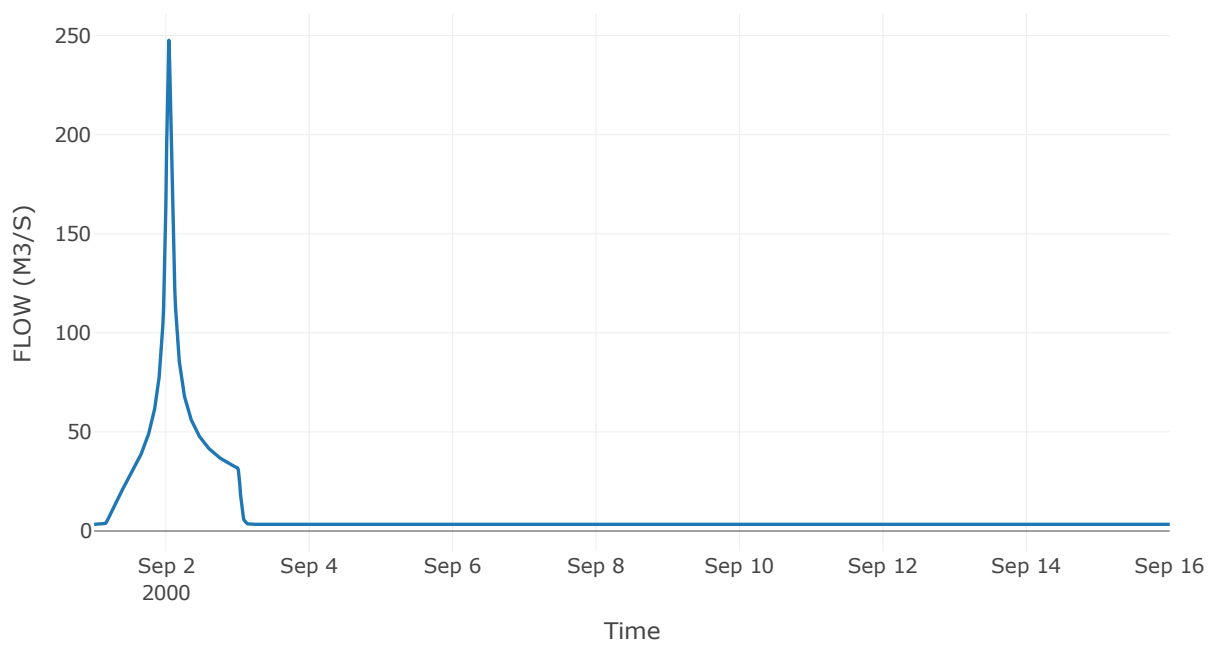
Κόμβος: J18

Κατάντη : R1817

Αποτελέσματα: J18

Παροχή Αιχμής(M3/S)	247.62
Χρονική στιγμή αιχμής	02Sep2000, 01:00
Όγκος(MM)	227.62

Απορροή



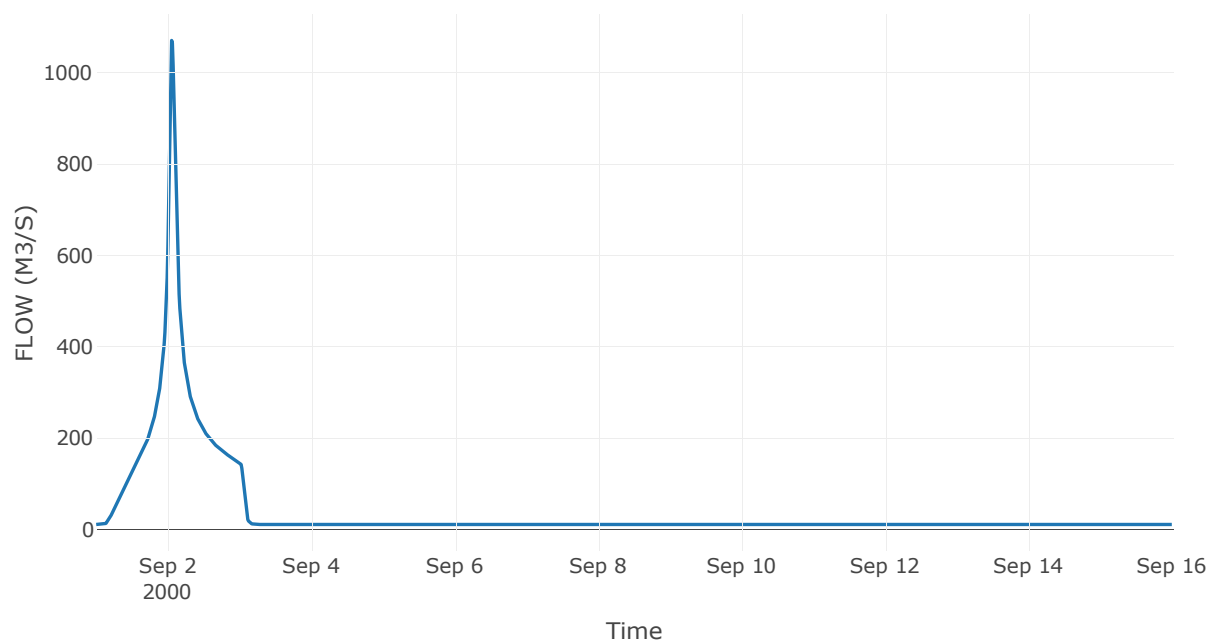
Κόμβος: J19

Κατάντη : R1910

Αποτελέσματα: J19

Παροχή Αιχμής(M3/S)	1070.87
Χρονική στιγμή αιχμής	02Sep2000, 01:15
Όγκος(MM)	292

Απορροή



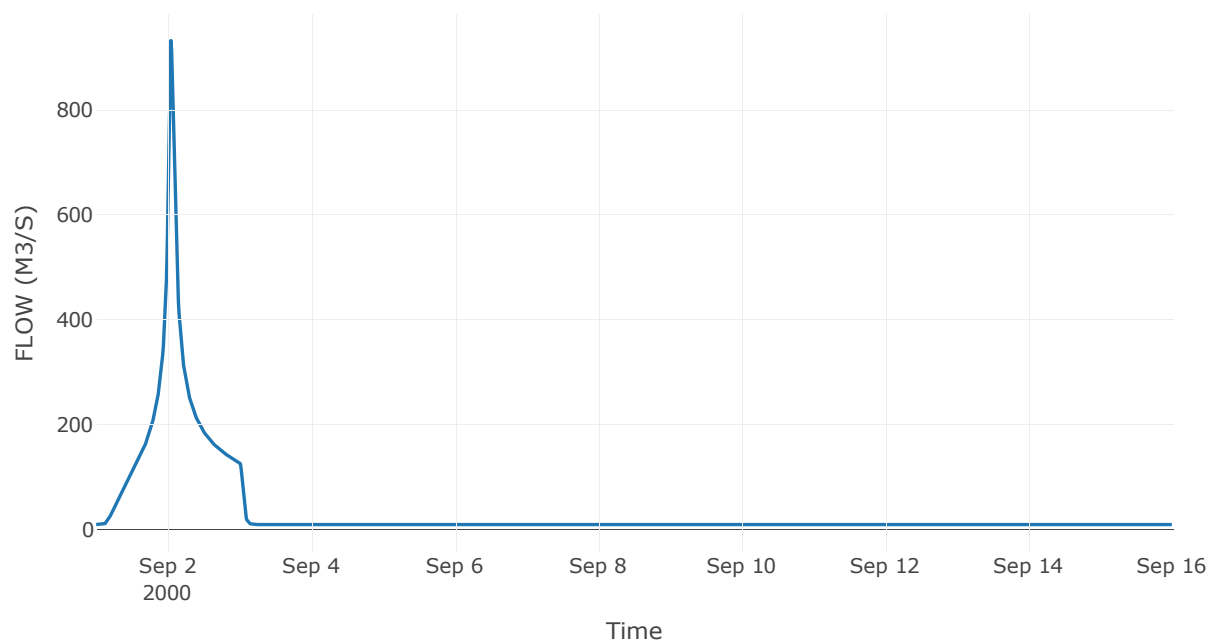
Κόμβος: J20

Κατάντη : R2019

Αποτελέσματα: J20

Παροχή Αιχμής(M3/S)	932.35
Χρονική στιγμή αιχμής	02Sep2000, 01:00
Όγκος(MM)	291.45

Απορροή



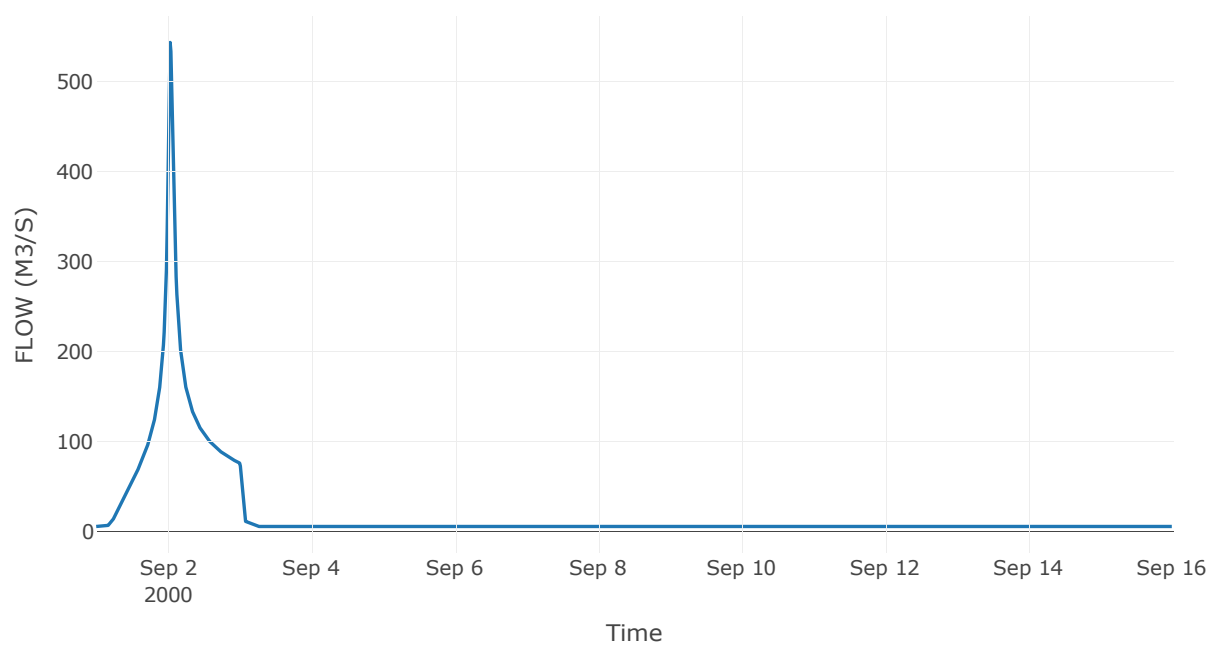
Κόμβος: J21

Κατάντη : R2120

Αποτελέσματα: J21

Παροχή Αιχμής(M3/S)	544.06
Χρονική στιγμή αιχμής	02Sep2000, 00:45
Όγκος(MM)	272.09

Απορροή



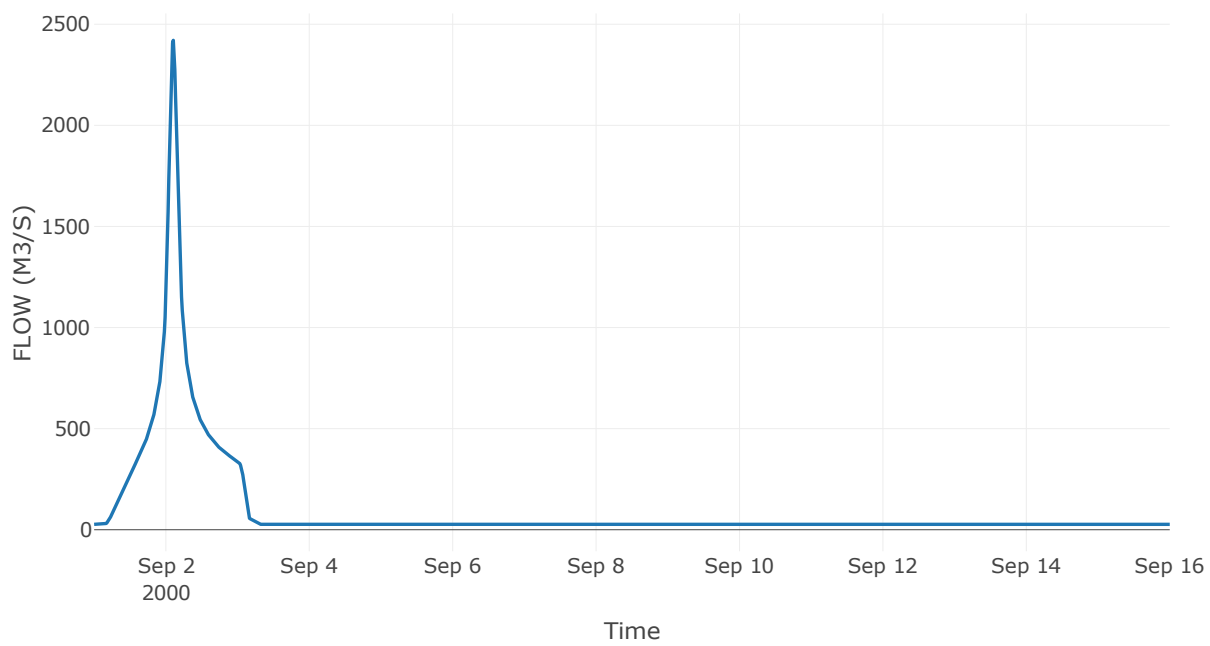
Κόμβος: J22

Κατάντη : R225

Αποτελέσματα: J22

Παροχή Αιχμής(M3/S)	2420.58
Χρονική στιγμή αιχμής	02Sep2000, 02:30
Όγκος(MM)	292.51

Απορροή



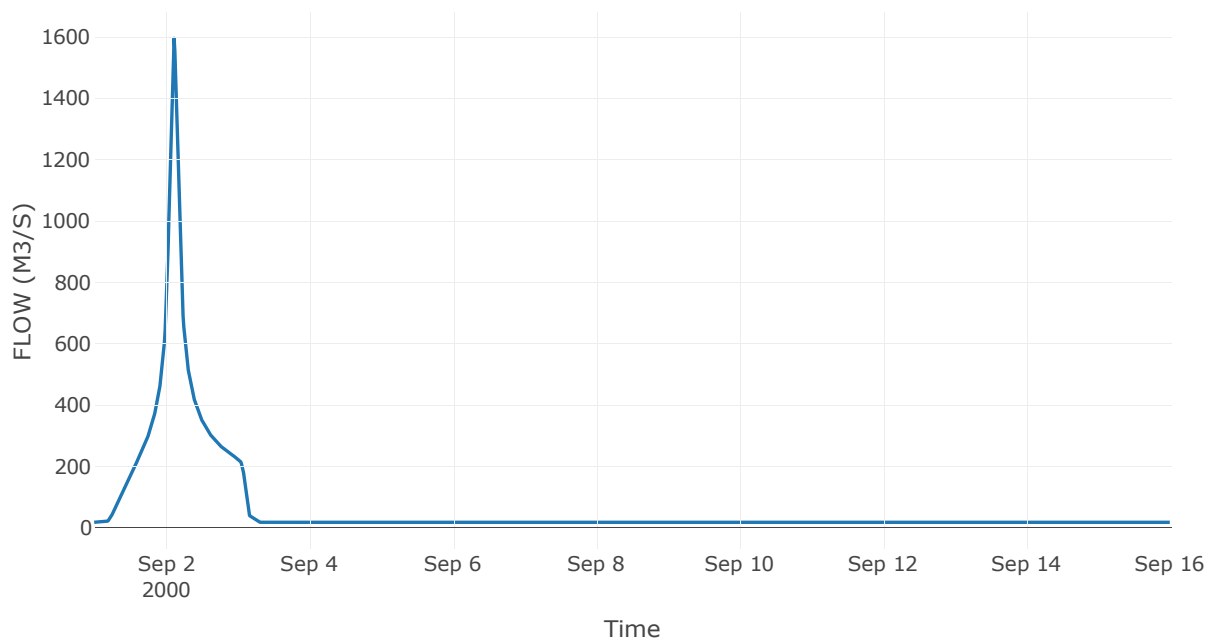
Κόμβος: J23

Κατάντη : R2322

Αποτελέσματα: J23

Παροχή Αιχμής(M3/S)	1594.76
Χρονική στιγμή αιχμής	02Sep2000, 02:45
Όγκος(MM)	288.19

Απορροή



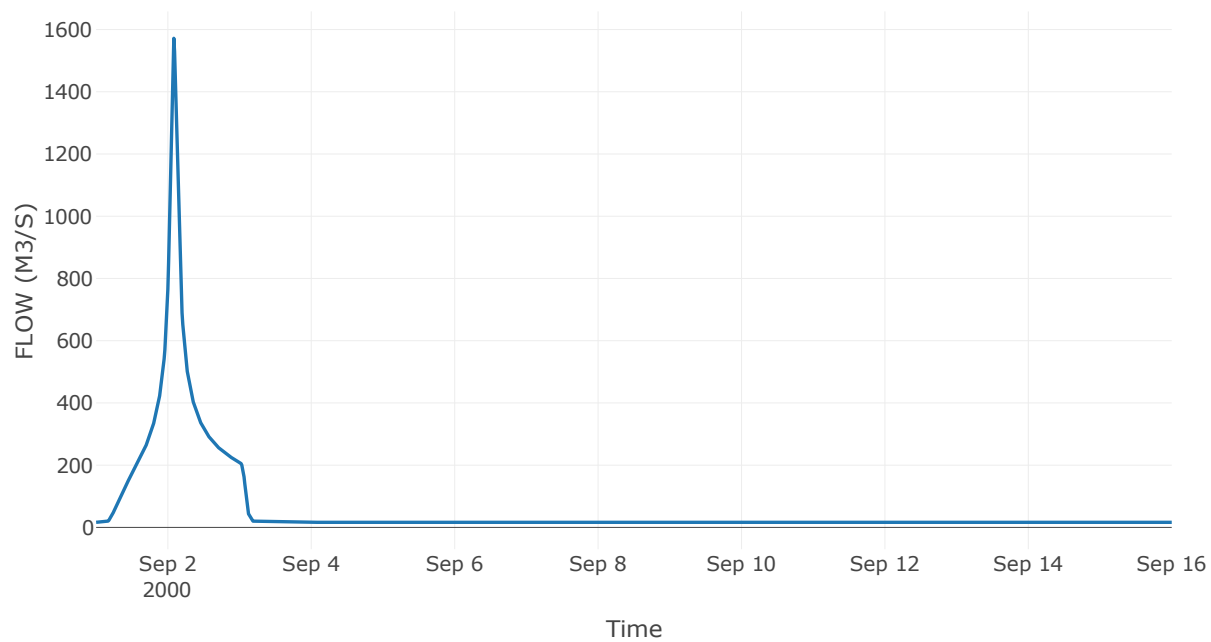
Κόμβος: J24

Κατάντη : R2423

Αποτελέσματα: J24

Παροχή Αιχμής(M3/S)	1571.81
Χρονική στιγμή αιχμής	02Sep2000, 02:00
Όγκος(MM)	289.5

Απορροή



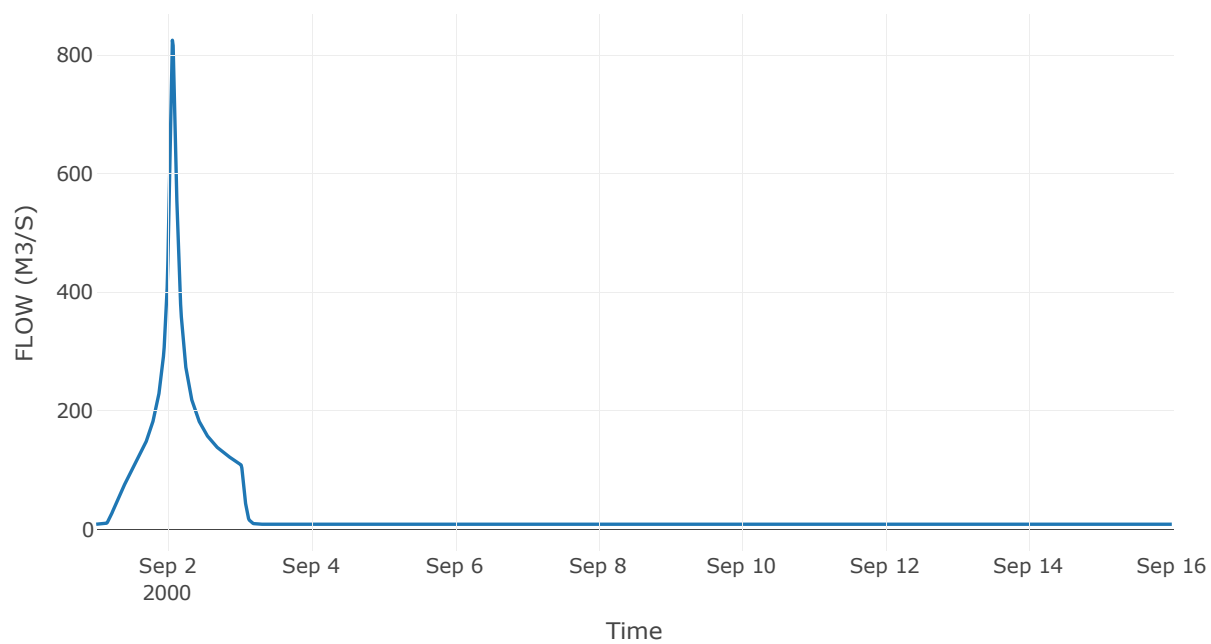
Κόμβος: J25

Κατάντη : R2524

Αποτελέσματα: J25

Παροχή Αιχμής(M3/S)	824.3
Χρονική στιγμή αιχμής	02Sep2000, 01:30
Όγκος(MM)	300.39

Απορροή



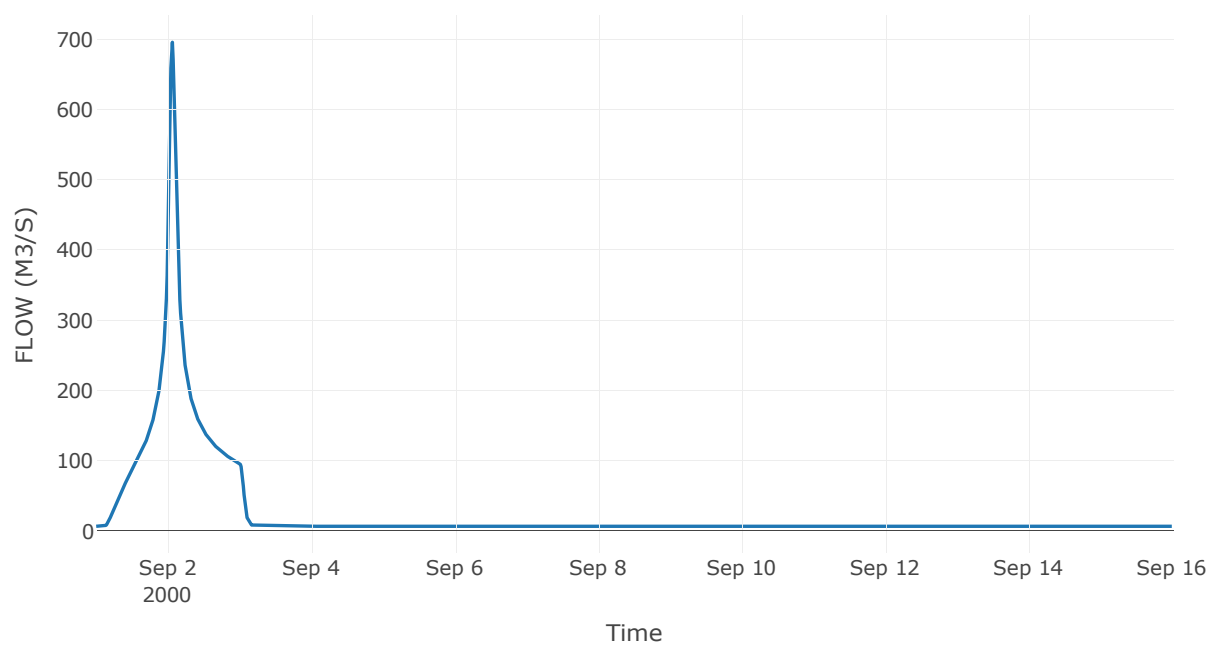
Κόμβος: J26

Κατάντη : R2625

Αποτελέσματα: J26

Παροχή Αιχμής(M3/S)	695.91
Χρονική στιγμή αιχμής	02Sep2000, 01:30
Όγκος(MM)	302.86

Απορροή



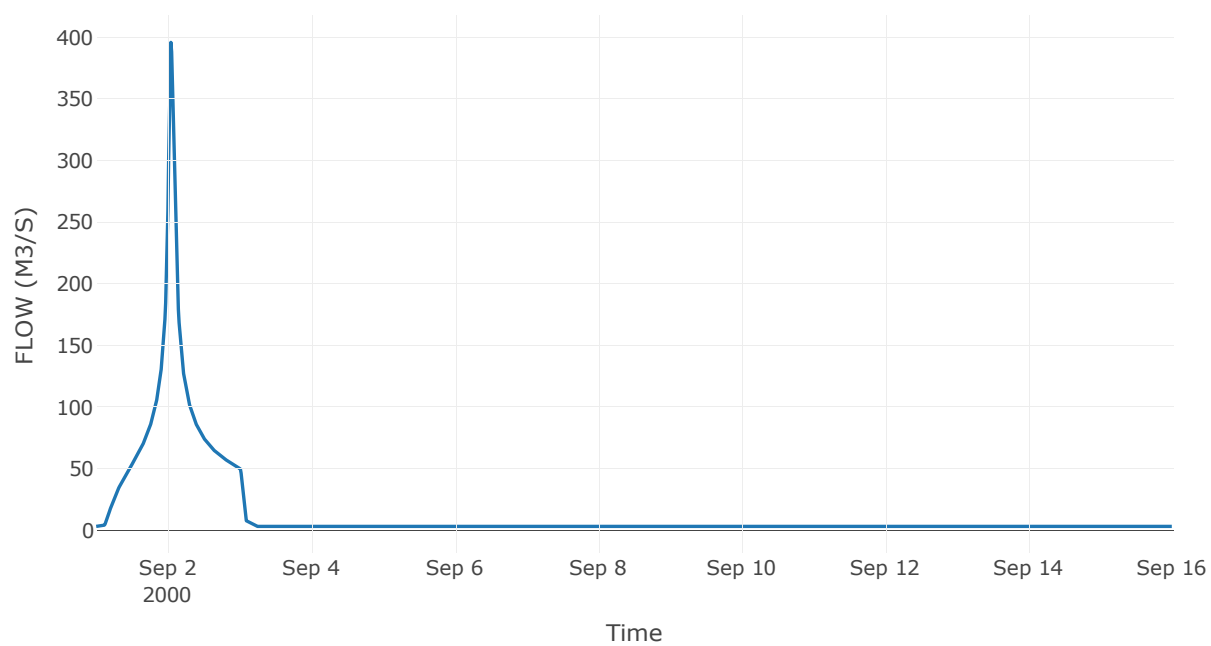
Κόμβος: J27

Κατάντη : R2726

Αποτελέσματα: J27

Παροχή Αιχμής(M3/S)	395.84
Χρονική στιγμή αιχμής	02Sep2000, 01:00
Όγκος(MM)	318.95

Απορροή



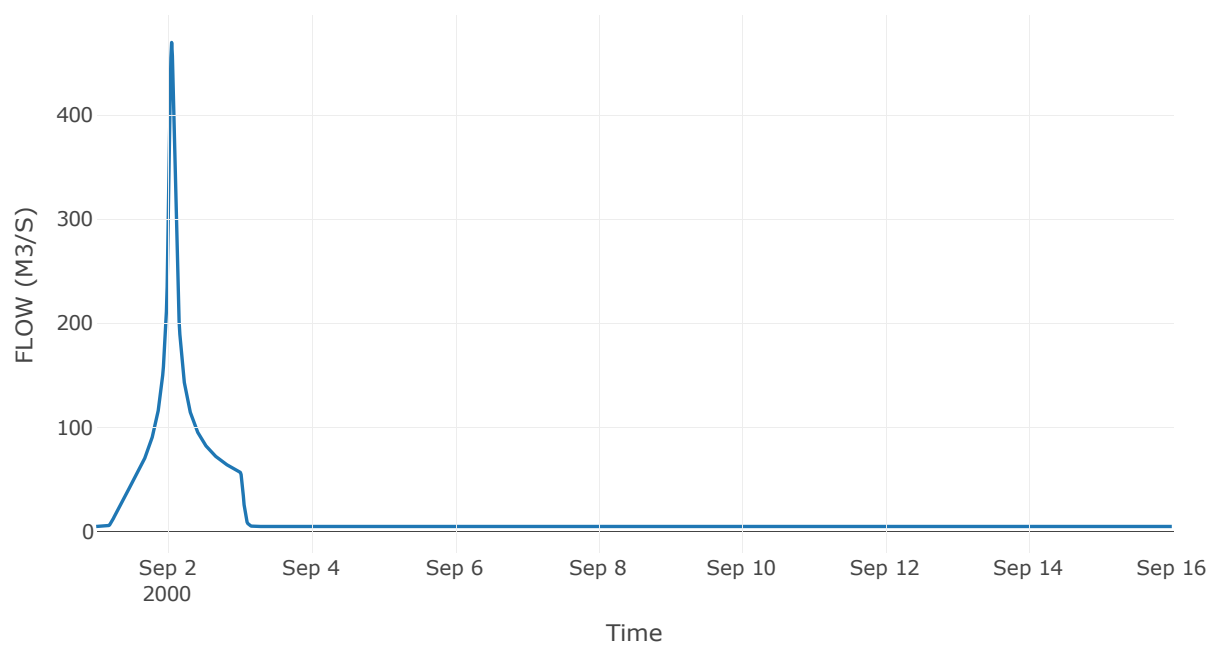
Κόμβος: J28

Κατάντη : R2824

Αποτελέσματα: J28

Παροχή Αιχμής(M3/S)	469.87
Χρονική στιγμή αιχμής	02Sep2000, 01:15
Όγκος(MM)	275.22

Απορροή



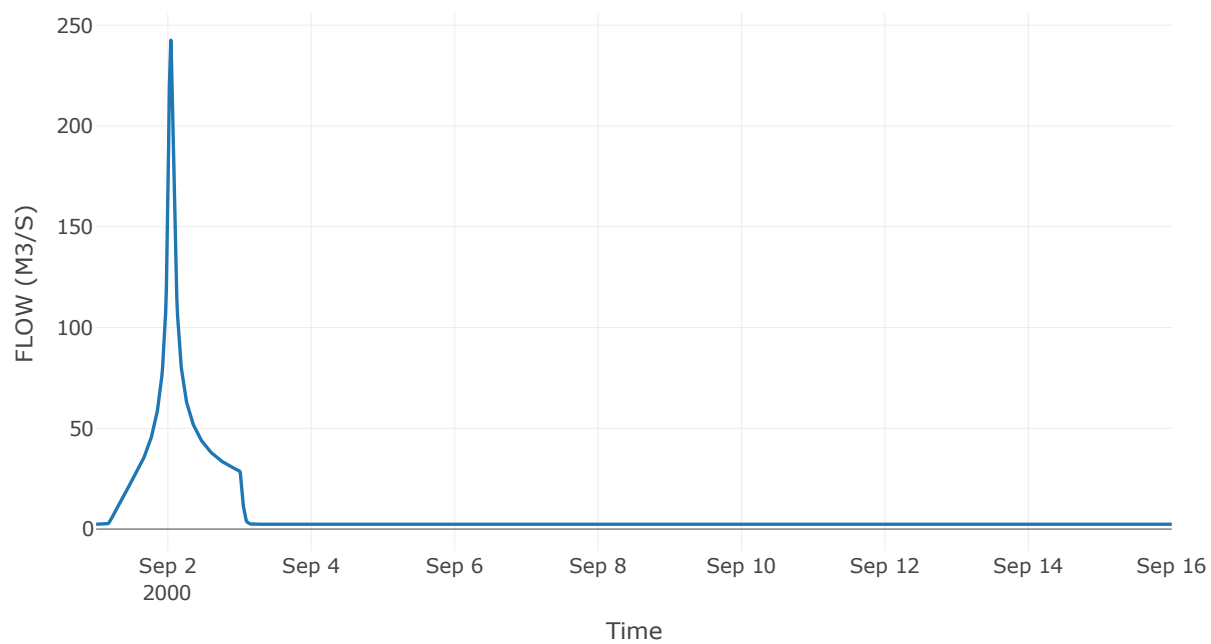
Κόμβος: J29

Κατάντη : R2928

Αποτελέσματα: J29

Παροχή Αιχμής(M3/S)	242.54
Χρονική στιγμή αιχμής	02Sep2000, 01:00
Όγκος(MM)	274.83

Απορροή



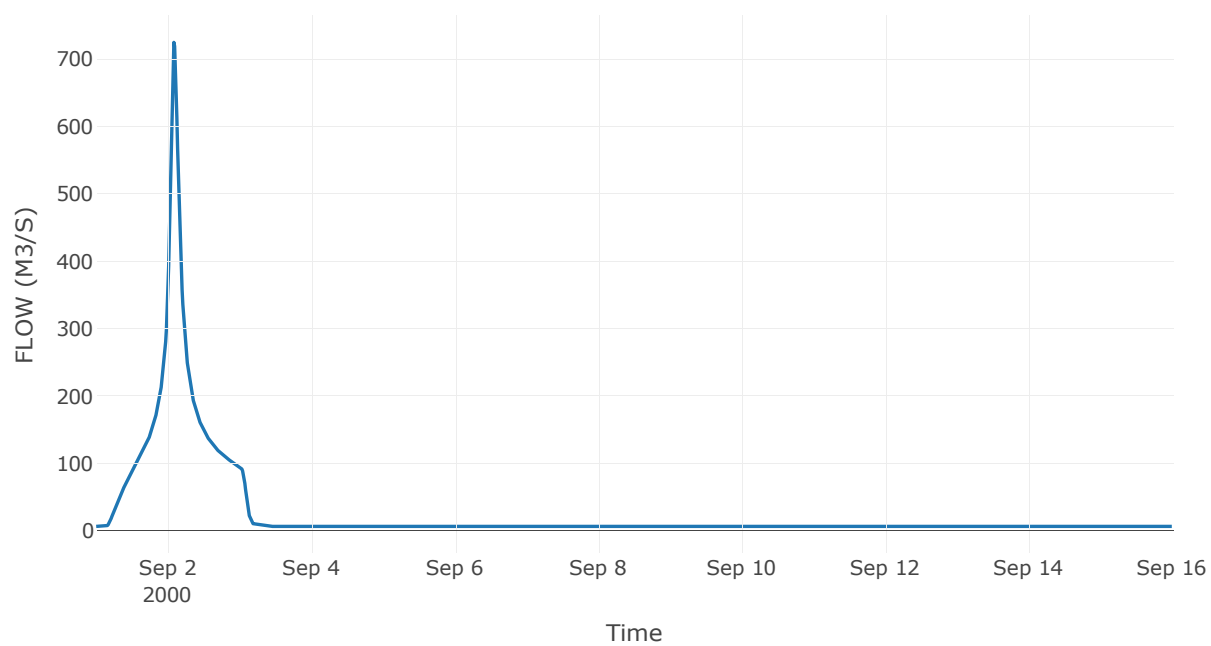
Κόμβος: J30

Κατάντη : R3022

Αποτελέσματα: J30

Παροχή Αιχμής(M3/S)	724.78
Χρονική στιγμή αιχμής	02Sep2000, 02:00
Όγκος(MM)	312.24

Απορροή



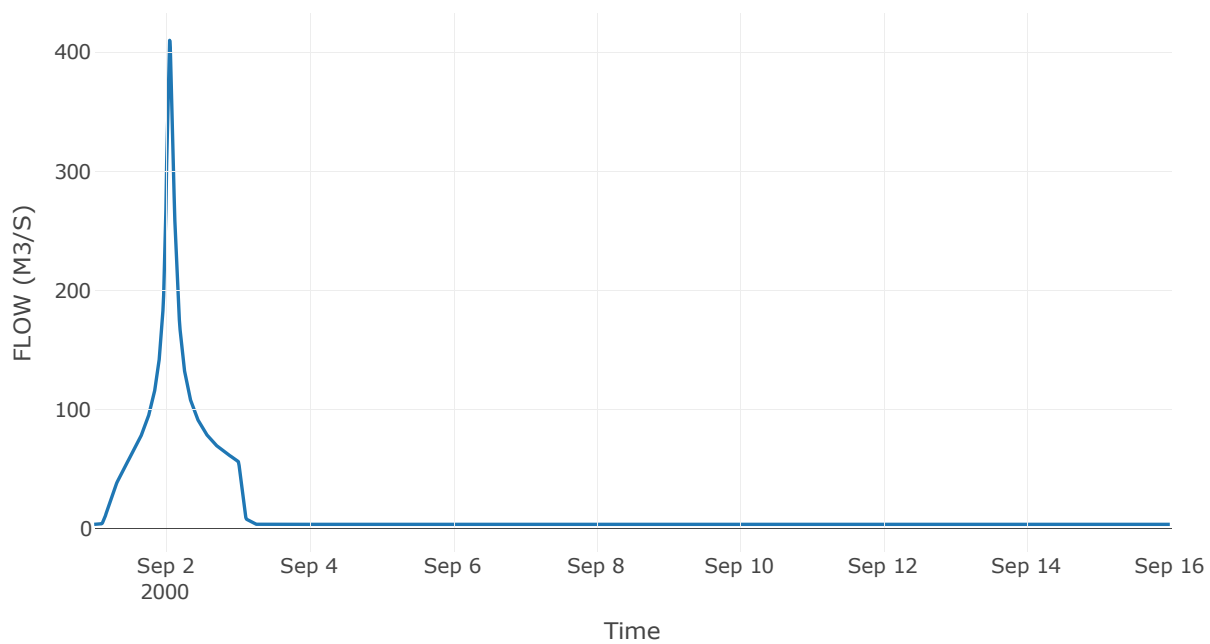
Κόμβος: J31

Κατάντη : R3130

Αποτελέσματα: J31

Παροχή Αιχμής(M3/S)	410.01
Χρονική στιγμή αιχμής	02Sep2000, 01:15
Όγκος(MM)	344.9

Απορροή



5 Δεδομένα εισόδου και αποτελέσματα υδρολογικού σεναρίου T=100

5.1 Αποτελέσματα, υετογραφήματα και υδρογραφήματα σχεδιασμού υπολεκανών

Υπολεκάνη: EL0514FR003001

Έκταση (KM2) : 46.02

Κατάντη : J15

Μέθοδος Απωλειών: SCS

Ποσοστό αδιαπέρατης επιφάνειας	0
Αριθμός Καμπύλης Απορροής-CN	80.06
Αρχικές Απώλειες	12.65

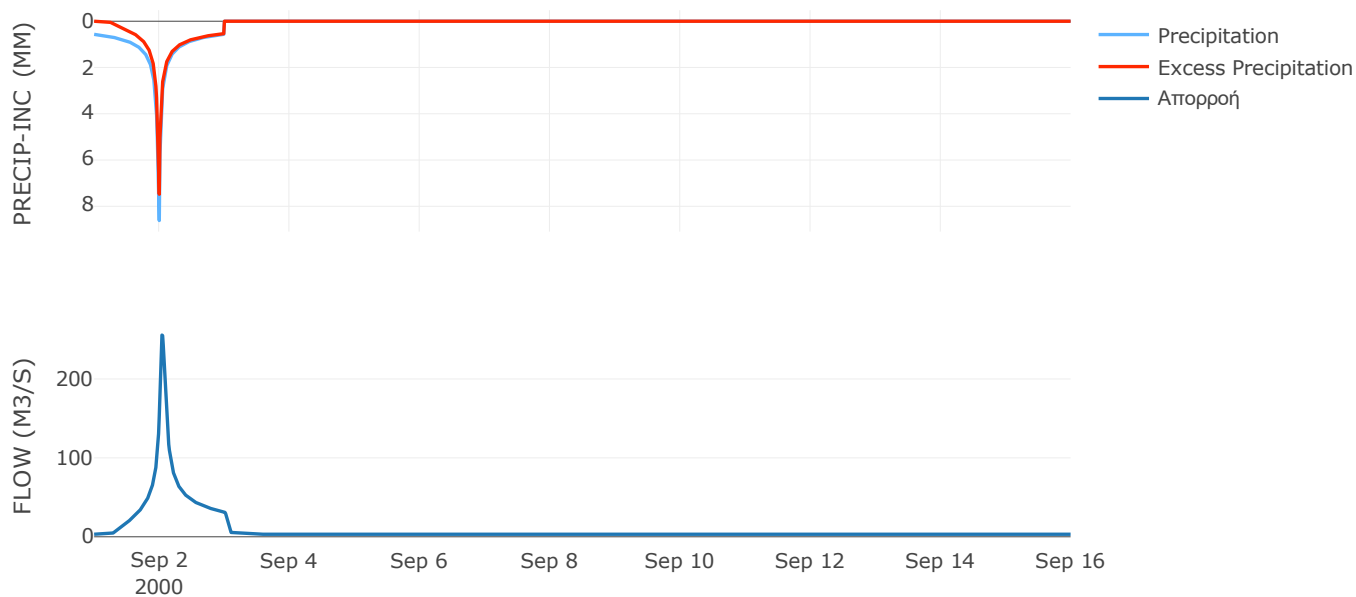
Μέθοδος
Μετασχηματισμού: SCS

Χρόνος Υστέρησης	61.66
------------------	-------

Αποτελέσματα:
EL0514FR003001

Παροχή αιχμής (M3/S)	255.61
Χρονική στιγμή αιχμής	02Sep2000, 01:00
Όγκος (MM)	265.11
Όγκος βροχόπτωσης (M3)	1.09E7
Όγκος απωλειών (M3)	2.85E6
Ενεργός Όγκος (M3)	8.03E6
Όγκος άμεσης απορροής (M3)	8.03E6
Όγκος βασικής απορροής (M3)	4.17E6

Βροχόπτωση και Απορροή



Υπολεκάνη: EL0514FR003002

Έκταση (KM2) : 33.64

Κατάντη : J15

Μέθοδος Απωλειών: SCS

Ποσοστό αδιαπέρατης επιφάνειας	0
Αριθμός Καμπύλης Απορροής-CN	80.04
Αρχικές Απώλειες	12.67

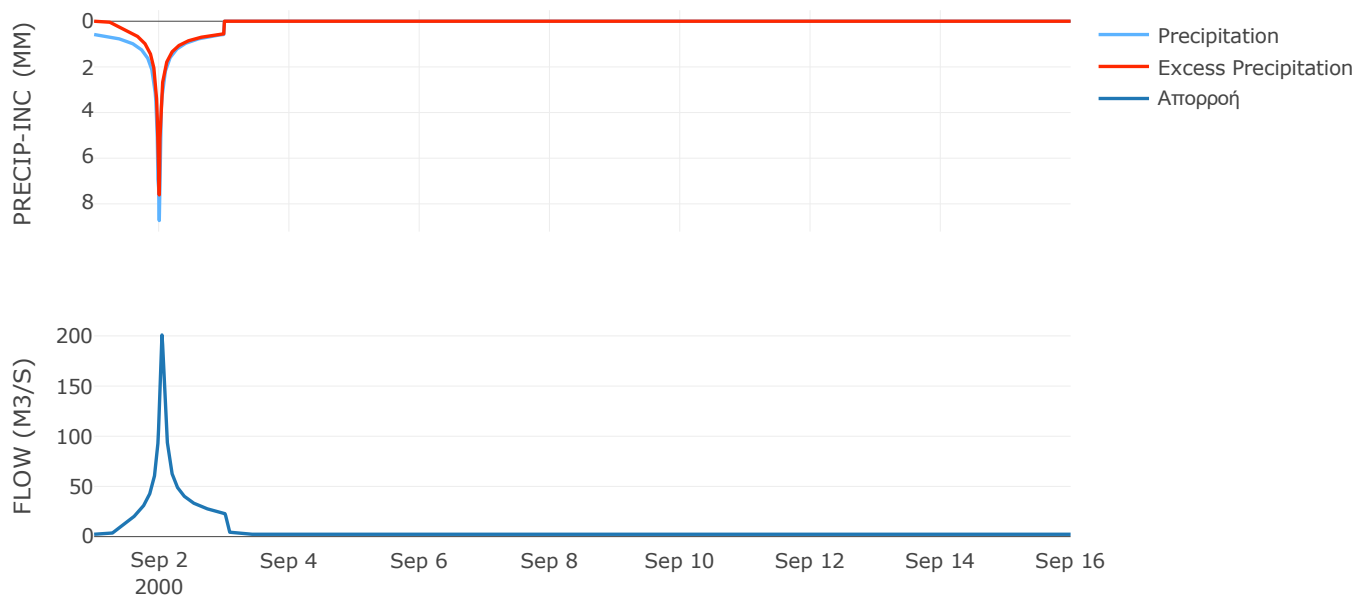
Μέθοδος
Μετασχηματισμού: SCS

Χρόνος Υστέρησης	51.27
------------------	-------

Αποτελέσματα:
EL0514FR003002

Παροχή αιχμής (M3/S)	200.92
Χρονική στιγμή αιχμής	02Sep2000, 01:00
Όγκος (MM)	269.73
Όγκος βροχόπτωσης (M3)	8.12E6
Όγκος απωλειών (M3)	2.1E6
Ενεργός Όγκος (M3)	6.02E6
Όγκος άμεσης απορροής (M3)	6.02E6
Όγκος βασικής απορροής (M3)	3.05E6

Βροχόπτωση και Απορροή



Υπολεκάνη: EL0514FR003003

Έκταση (KM2) : 51.67

Κατάντη : J14

Μέθοδος Απωλειών: SCS

Ποσοστό αδιαπέρατης επιφάνειας	0
Αριθμός Καμπύλης Απορροής-CN	74.74
Αρχικές Απώλειες	17.17

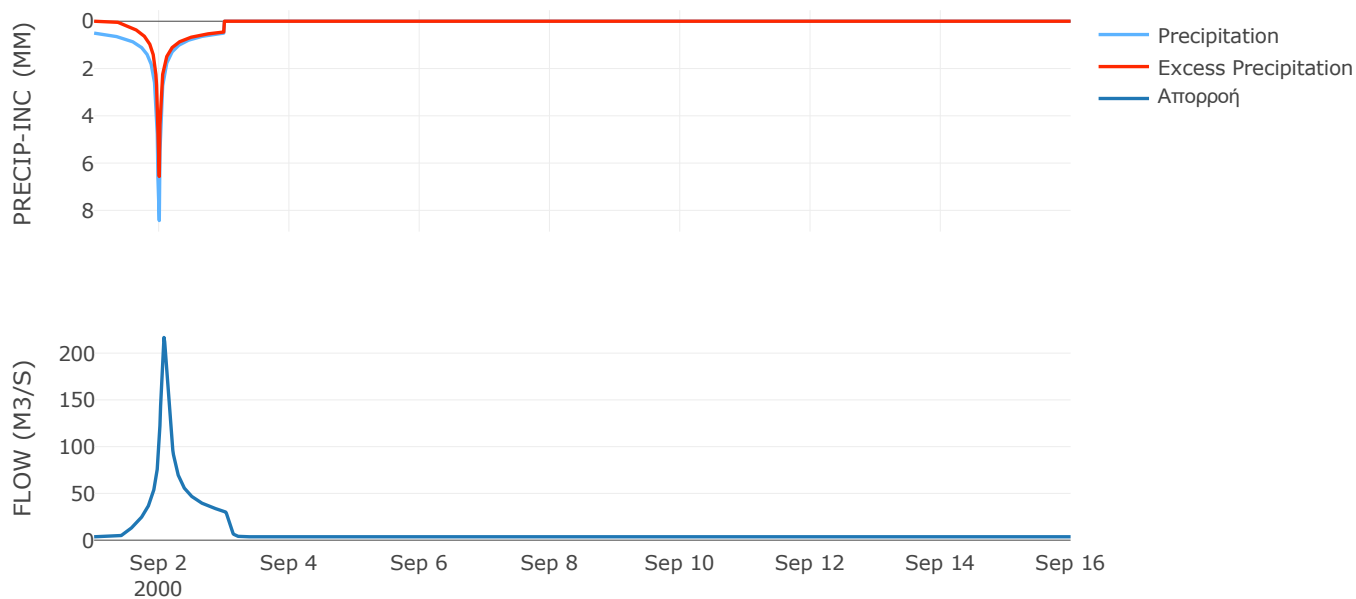
Μέθοδος
Μετασχηματισμού: SCS

Χρόνος Υστέρησης	92.46
------------------	-------

Αποτελέσματα:
EL0514FR003003

Παροχή αιχμής (M3/S)	216.72
Χρονική στιγμή αιχμής	02Sep2000, 01:45
Όγκος (MM)	230.76
Όγκος βροχόπτωσης (M3)	1.12E7
Όγκος απωλειών (M3)	3.99E6
Ενεργός Όγκος (M3)	7.24E6
Όγκος άμεσης απορροής (M3)	7.24E6
Όγκος βασικής απορροής (M3)	4.69E6

Βροχόπτωση και Απορροή



Υπολεκάνη: EL0514FR003004

Έκταση (KM2) : 62.35

Κατάντη : J14

Μέθοδος Απωλειών: SCS

Ποσοστό αδιαπέρατης επιφάνειας	0
Αριθμός Καμπύλης Απορροής-CN	80.65
Αρχικές Απώλειες	12.19

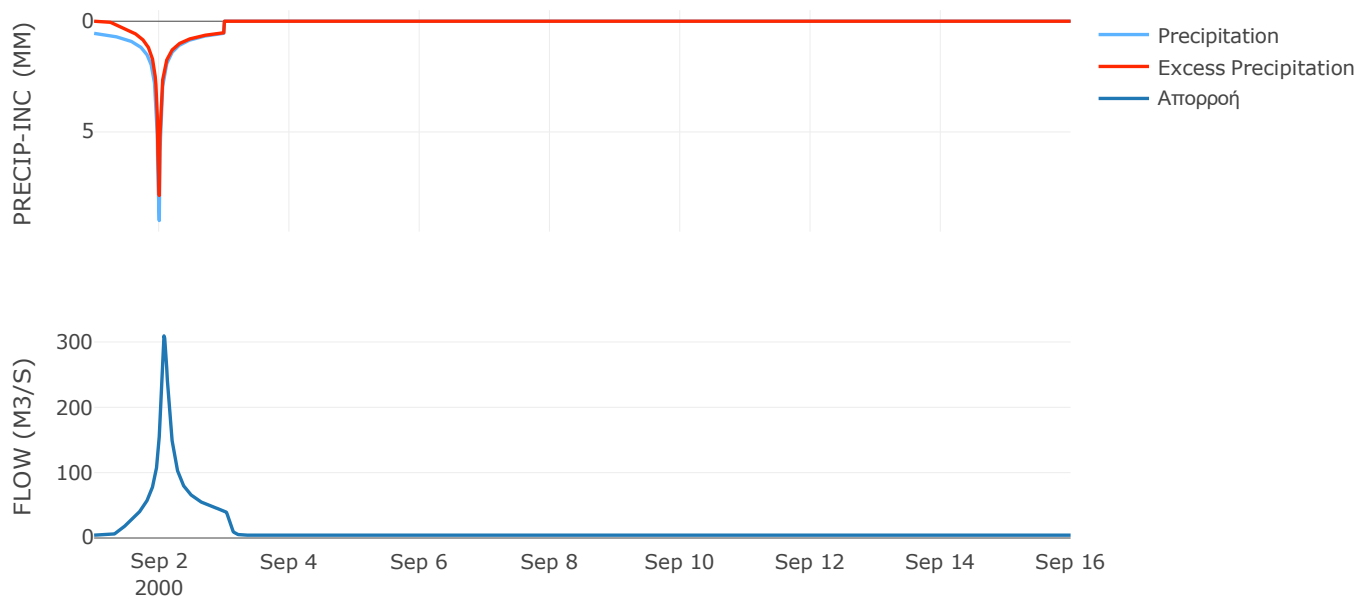
Μέθοδος
Μετασχηματισμού: SCS

Χρόνος Υστέρησης	99.01
------------------	-------

Αποτελέσματα:
EL0514FR003004

Παροχή αιχμής (M3/S)	309.37
Χρονική στιγμή αιχμής	02Sep2000, 01:45
Όγκος (MM)	265.49
Όγκος βροχόπτωσης (M3)	1.46E7
Όγκος απωλειών (M3)	3.74E6
Ενεργός Όγκος (M3)	1.09E7
Όγκος άμεσης απορροής (M3)	1.09E7
Όγκος βασικής απορροής (M3)	5.66E6

Βροχόπτωση και Απορροή



Υπολεκάνη: EL0514FR003005

Έκταση (KM2) : 0.91

Κατάντη : J13

Μέθοδος Απωλειών: SCS

Ποσοστό αδιαπέρατης επιφάνειας	0
Αριθμός Καμπύλης Απορροής-CN	80.87
Αρχικές Απώλειες	12.02

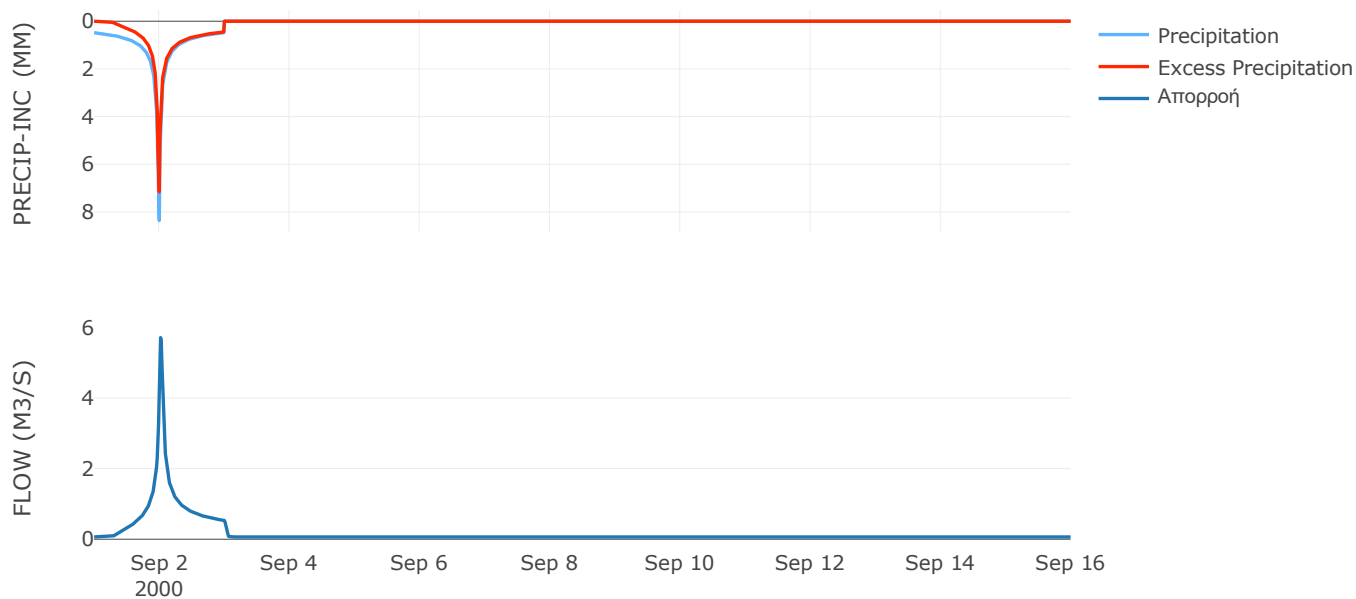
Μέθοδος
Μετασχηματισμού: SCS

Χρόνος Υστέρησης	30.9
------------------	------

Αποτελέσματα:
EL0514FR003005

Παροχή αιχμής (M3/S)	5.71
Χρονική στιγμή αιχμής	02Sep2000, 00:30
Όγκος (MM)	242.85
Όγκος βροχόπτωσης (M3)	1.92E5
Όγκος απωλειών (M3)	53135.5
Ενεργός Όγκος (M3)	1.39E5
Όγκος άμεσης απορροής (M3)	1.39E5
Όγκος βασικής απορροής (M3)	82918.08

Βροχόπτωση και Απορροή



Υπολεκάνη: EL0514FR003006

Έκταση (KM2) : 19.25

Κατάντη : J13

Μέθοδος Απωλειών: SCS

Ποσοστό αδιαπέρατης επιφάνειας	0
Αριθμός Καμπύλης Απορροής-CN	82.91
Αρχικές Απώλειες	10.47

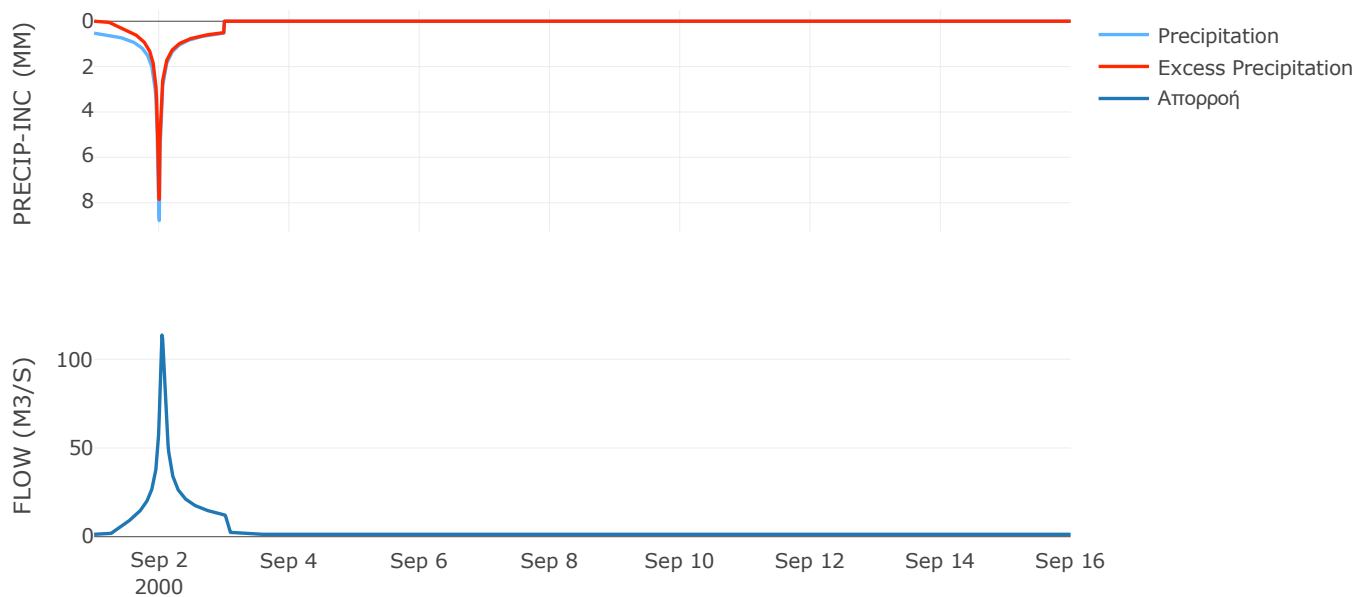
Μέθοδος
Μετασχηματισμού: SCS

Χρόνος Υστέρησης	58.5
------------------	------

Αποτελέσματα:
EL0514FR003006

Παροχή αιχμής (M3/S)	113.68
Χρονική στιγμή αιχμής	02Sep2000, 01:00
Όγκος (MM)	265.01
Όγκος βροχόπτωσης (M3)	4.37E6
Όγκος απωλειών (M3)	1.01E6
Ενεργός Όγκος (M3)	3.36E6
Όγκος άμεσης απορροής (M3)	3.36E6
Όγκος βασικής απορροής (M3)	1.75E6

Βροχόπτωση και Απορροή



Υπολεκάνη: EL0514FR003007

Έκταση (KM2) : 23.36

Κατάντη : J12

Μέθοδος Απωλειών: SCS

Ποσοστό αδιαπέρατης επιφάνειας	0
Αριθμός Καμπύλης Απορροής-CN	82.07
Αρχικές Απώλειες	11.1

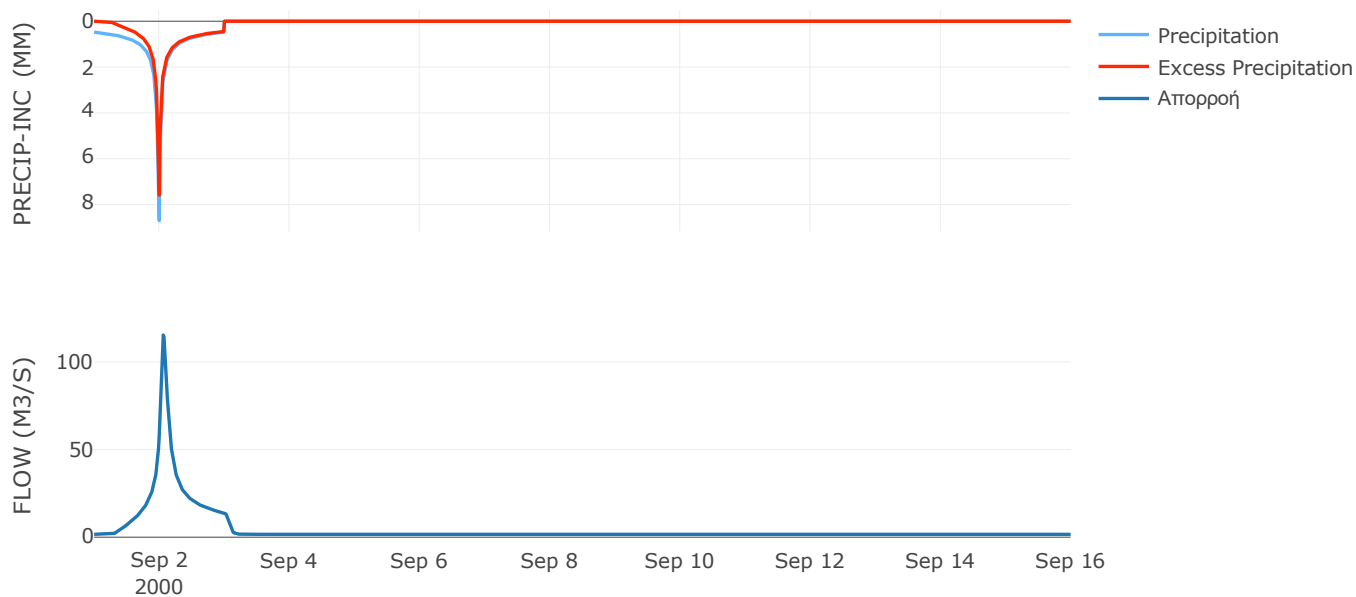
Μέθοδος
Μετασχηματισμού: SCS

Χρόνος Υστέρησης	86.68
------------------	-------

Αποτελέσματα:
EL0514FR003007

Παροχή αιχμής (M3/S)	115.31
Χρονική στιγμή αιχμής	02Sep2000, 01:30
Όγκος (MM)	247.72
Όγκος βροχόπτωσης (M3)	4.94E6
Όγκος απωλειών (M3)	1.27E6
Ενεργός Όγκος (M3)	3.67E6
Όγκος άμεσης απορροής (M3)	3.67E6
Όγκος βασικής απορροής (M3)	2.12E6

Βροχόπτωση και Απορροή



Υπολεκάνη: EL0514FR003008

Έκταση (KM2) : 46.02

Κατάντη : J12

Μέθοδος Απωλειών: SCS

Ποσοστό αδιαπέρατης επιφάνειας	0
Αριθμός Καμπύλης Απορροής-CN	75.78
Αρχικές Απώλειες	16.24

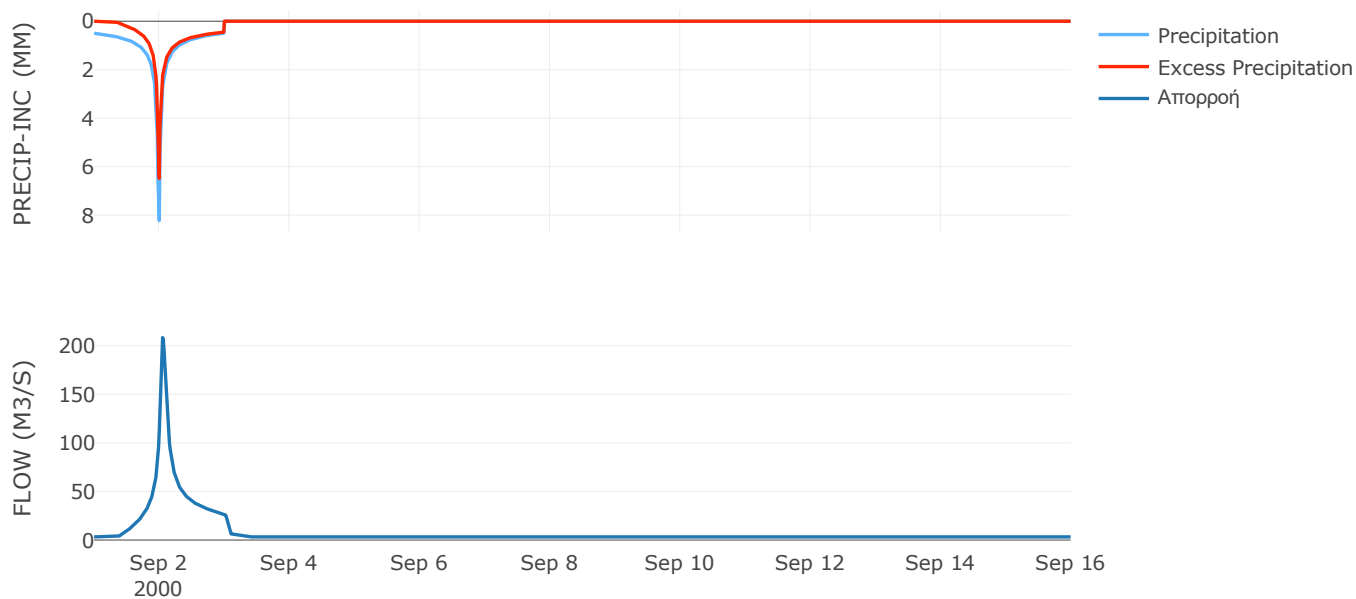
Μέθοδος
Μετασχηματισμού: SCS

Χρόνος Υστέρησης	71.97
------------------	-------

Αποτελέσματα:
EL0514FR003008

Παροχή αιχμής (M3/S)	208.26
Χρονική στιγμή αιχμής	02Sep2000, 01:15
Όγκος (MM)	229.98
Όγκος βροχόπτωσης (M3)	9.8E6
Όγκος απωλειών (M3)	3.39E6
Ενεργός Όγκος (M3)	6.41E6
Όγκος άμεσης απορροής (M3)	6.41E6
Όγκος βασικής απορροής (M3)	4.18E6

Βροχόπτωση και Απορροή



Υπολεκάνη: EL0514FR003009

Έκταση (KM2) : 18.07

Κατάνη : J17

Μέθοδος Απωλειών: SCS

Ποσοστό αδιαπέρατης επιφάνειας	0
Αριθμός Καμπύλης Απορροής-CN	61.49
Αρχικές Απώλειες	31.82

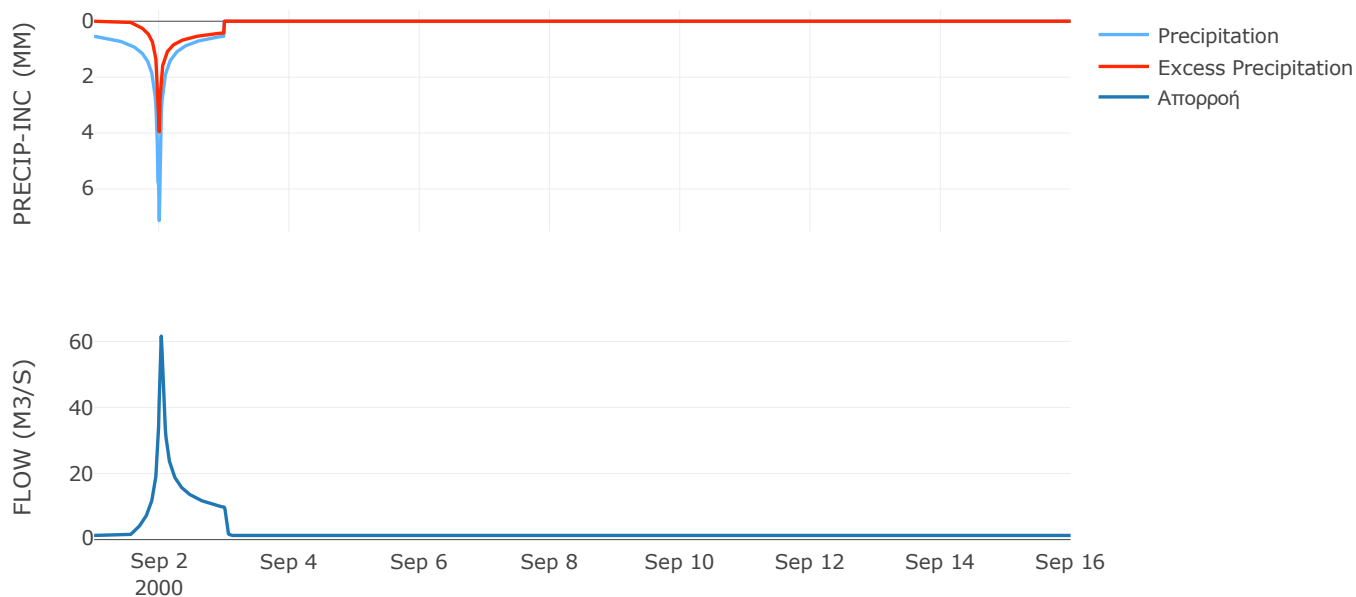
Μέθοδος
Μετασχηματισμού: SCS

Χρόνος Υστέρησης	33.48
------------------	-------

Αποτελέσματα:
EL0514FR003009

Παροχή αιχμής (M3/S)	61.61
Χρονική στιγμή αιχμής	02Sep2000, 00:45
Όγκος (MM)	187.73
Όγκος βροχόπτωσης (M3)	3.86E6
Όγκος απωλειών (M3)	2.11E6
Ενεργός Όγκος (M3)	1.75E6
Όγκος άμεσης απορροής (M3)	1.75E6
Όγκος βασικής απορροής (M3)	1.64E6

Βροχόπτωση και Απορροή



Υπολεκάνη: EL0514FR003010

Έκταση (KM2) : 90.5

Κατάνη : J17

Μέθοδος Απωλειών: SCS

Ποσοστό αδιαπέρατης επιφάνειας	0
Αριθμός Καμπύλης Απορροής-CN	75.12
Αρχικές Απώλειες	16.82

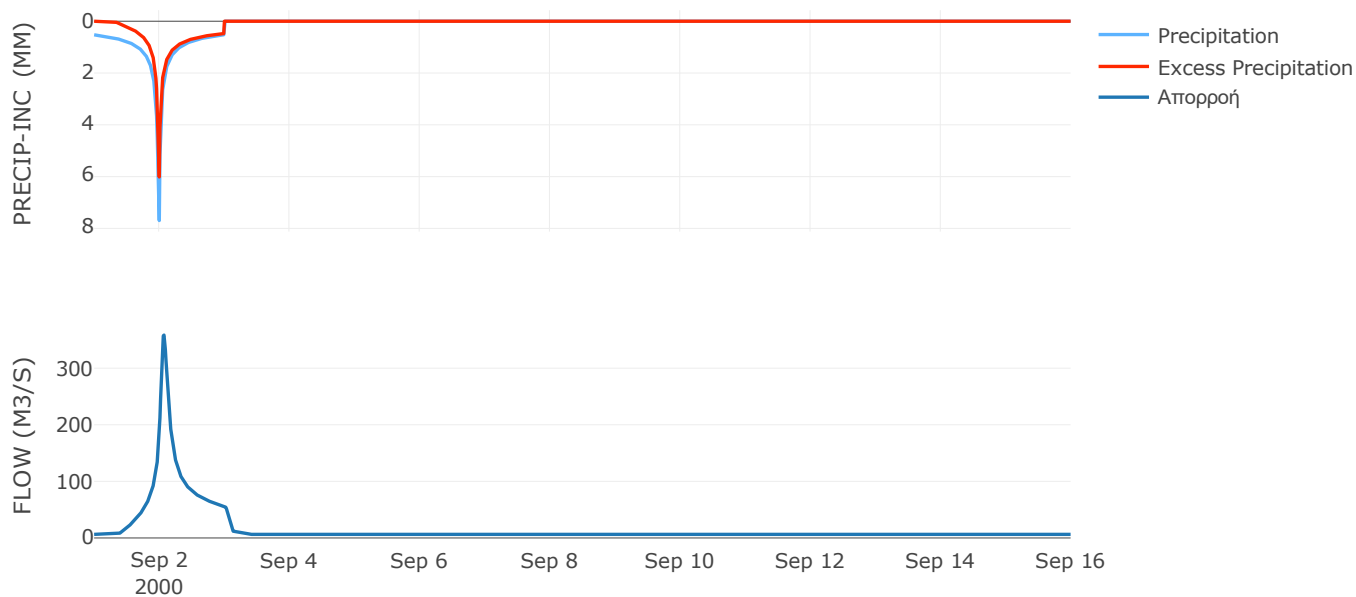
Μέθοδος
Μετασχηματισμού: SCS

Χρόνος Υστέρησης	90.37
------------------	-------

Αποτελέσματα:
EL0514FR003010

Παροχή αιχμής (M3/S)	358.54
Χρονική στιγμή αιχμής	02Sep2000, 01:45
Όγκος (MM)	230.51
Όγκος βροχόπτωσης (M3)	1.95E7
Όγκος απωλειών (M3)	6.87E6
Ενεργός Όγκος (M3)	1.27E7
Όγκος άμεσης απορροής (M3)	1.27E7
Όγκος βασικής απορροής (M3)	8.21E6

Βροχόπτωση και Απορροή



Υπολεκάνη: EL0514FR003011

Έκταση (KM2) : 26.55

Κατάντη : J18

Μέθοδος Απωλειών: SCS

Ποσοστό αδιαπέρατης επιφάνειας	0
Αριθμός Καμπύλης Απορροής-CN	81.79
Αρχικές Απώλειες	11.31

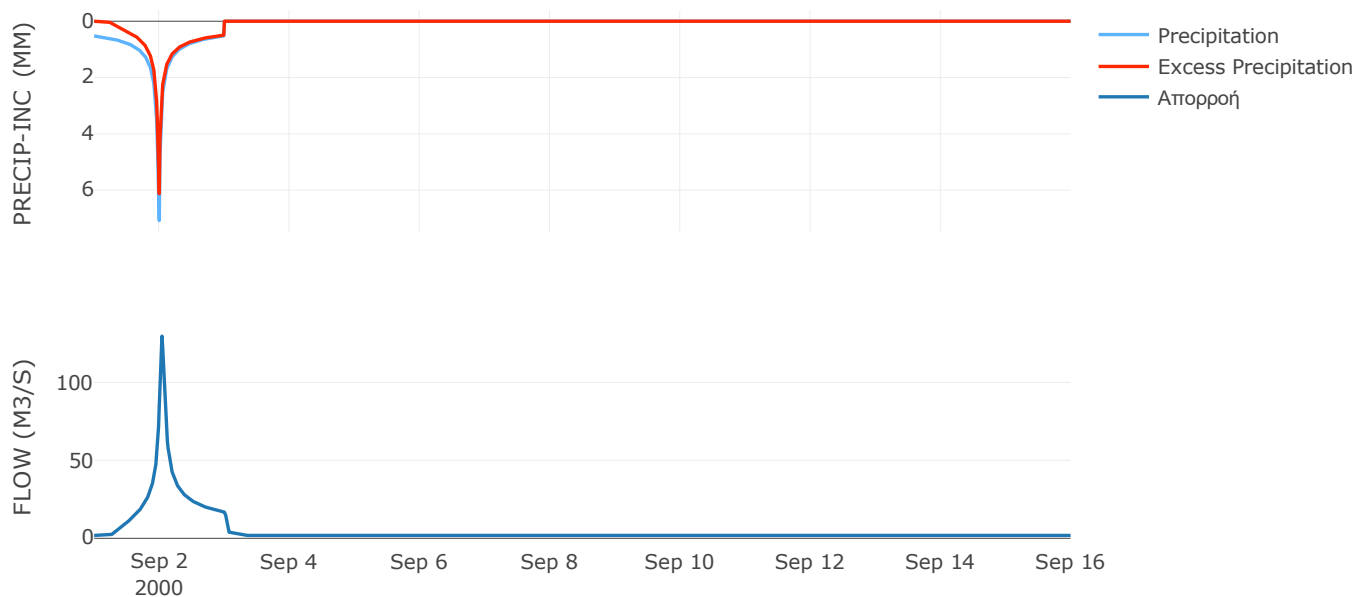
Μέθοδος
Μετασχηματισμού: SCS

Χρόνος Υστέρησης	50.39
------------------	-------

Αποτελέσματα:
EL0514FR003011

Παροχή αιχμής (M3/S)	129.7
Χρονική στιγμή αιχμής	02Sep2000, 01:00
Όγκος (MM)	244.57
Όγκος βροχόπτωσης (M3)	5.55E6
Όγκος απωλειών (M3)	1.47E6
Ενεργός Όγκος (M3)	4.09E6
Όγκος άμεσης απορροής (M3)	4.09E6
Όγκος βασικής απορροής (M3)	2.41E6

Βροχόπτωση και Απορροή



Έκταση (KM2) : 29.39
Κατάντη : J18

Ποσοστό αδιαπέρατης επιφάνειας	0
Αριθμός Καμπύλης Απορροής-CN	77.63
Αρχικές Απώλειες	14.63

Χρόνος Υστέρησης	47
------------------	----

Παροχή αιχμής (M3/S)	130.41
Χρονική στιγμή αιχμής	02Sep2000, 01:00
Όγκος (MM)	234.55
Όγκος βροχόπτωσης (M3)	6.22E6
Όγκος απωλειών (M3)	2E6
Ενεργός Όγκος (M3)	4.23E6
Όγκος άμεσης απορροής (M3)	4.23E6
Όγκος βασικής απορροής (M3)	2.67E6

The figure consists of two vertically stacked line graphs sharing a common x-axis representing time from September 1 to September 16, 2000.

The top graph displays precipitation data. The y-axis is labeled "PRECIP-INC (MM)" and ranges from 0 to 6. It features two lines: "Precipitation" (light blue) and "Excess Precipitation" (red). Both lines show a sharp peak around September 2, 2000, with precipitation reaching approximately 6 mm and excess precipitation reaching approximately 5 mm. The excess precipitation line is zero for the remainder of the period.

The bottom graph displays flow data. The y-axis is labeled "FLOW (M3/S)" and ranges from 0 to 100. It features a single blue line representing "Απορροή" (Flow). The flow shows a sharp peak around September 2, 2000, reaching approximately 110 m³/s. The flow then gradually decreases and remains near zero for the remainder of the period.

Υπολεκάνη: EL0514FR003013

Έκταση (KM2) : 44.12

Κατάνη : J11

Μέθοδος Απωλειών: SCS

Ποσοστό αδιαπέρατης επιφάνειας	0
Αριθμός Καμπύλης Απορροής-CN	78.89
Αρχικές Απώλειες	13.6

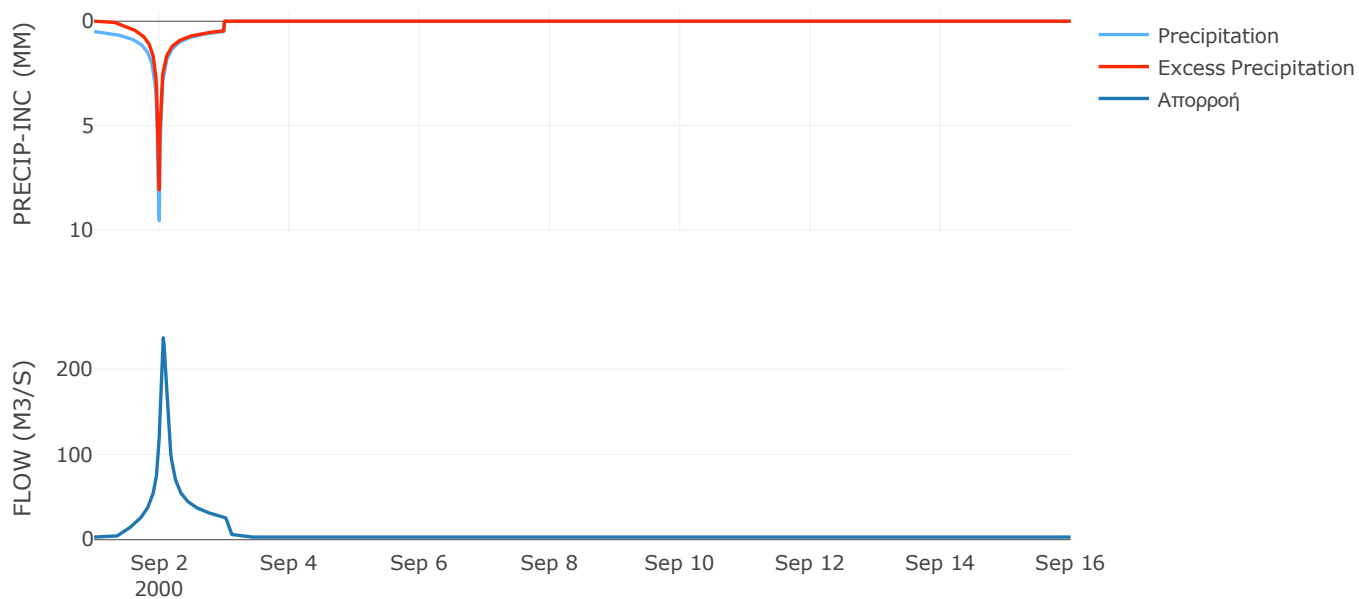
Μέθοδος
Μετασχηματισμού: SCS

Χρόνος Υστέρησης	79.12
------------------	-------

Αποτελέσματα:
EL0514FR003013

Παροχή αιχμής (M3/S)	236.67
Χρονική στιγμή αιχμής	02Sep2000, 01:30
Όγκος (MM)	250.88
Όγκος βροχόπτωσης (M3)	9.94E6
Όγκος απωλειών (M3)	2.87E6
Ενεργός Όγκος (M3)	7.07E6
Όγκος άμεσης απορροής (M3)	7.07E6
Όγκος βασικής απορροής (M3)	4E6

Βροχόπτωση και Απορροή



Υπολεκάνη: EL0514FR003014

Έκταση (KM2) : 22.29

Κατάνη : J11

Μέθοδος Απωλειών: SCS

Ποσοστό αδιαπέρατης επιφάνειας	0
Αριθμός Καμπύλης Απορροής-CN	67.84
Αρχικές Απώλειες	24.08

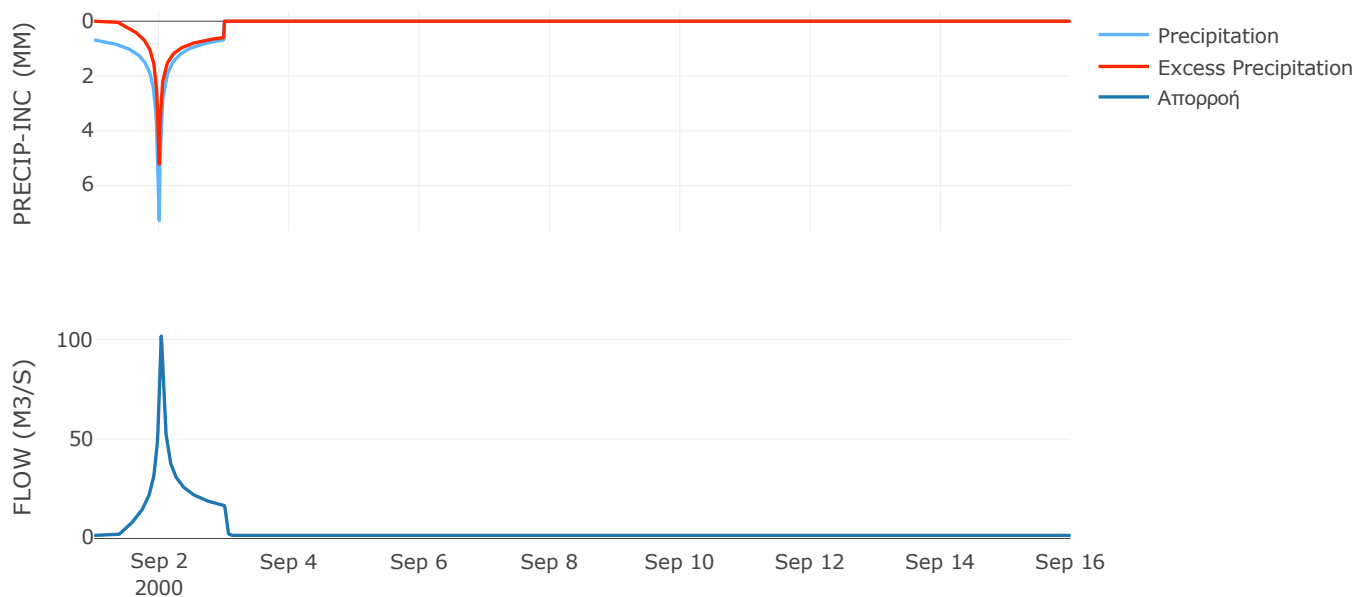
Μέθοδος
Μετασχηματισμού: SCS

Χρόνος Υστέρησης	34.3
------------------	------

Αποτελέσματα:
EL0514FR003014

Παροχή αιχμής (M3/S)	101.72
Χρονική στιγμή αιχμής	02Sep2000, 00:45
Όγκος (MM)	239.25
Όγκος βροχόπτωσης (M3)	5.6E6
Όγκος απωλειών (M3)	2.29E6
Ενεργός Όγκος (M3)	3.31E6
Όγκος άμεσης απορροής (M3)	3.31E6
Όγκος βασικής απορροής (M3)	2.02E6

Βροχόπτωση και Απορροή



Υπολεκάνη: EL0514FR003015

Έκταση (KM2) : 51.11

Κατάντη : J21

Μέθοδος Απωλειών: SCS

Ποσοστό αδιαπέρατης επιφάνειας	0
Αριθμός Καμπύλης Απορροής-CN	64.31
Αρχικές Απώλειες	28.19

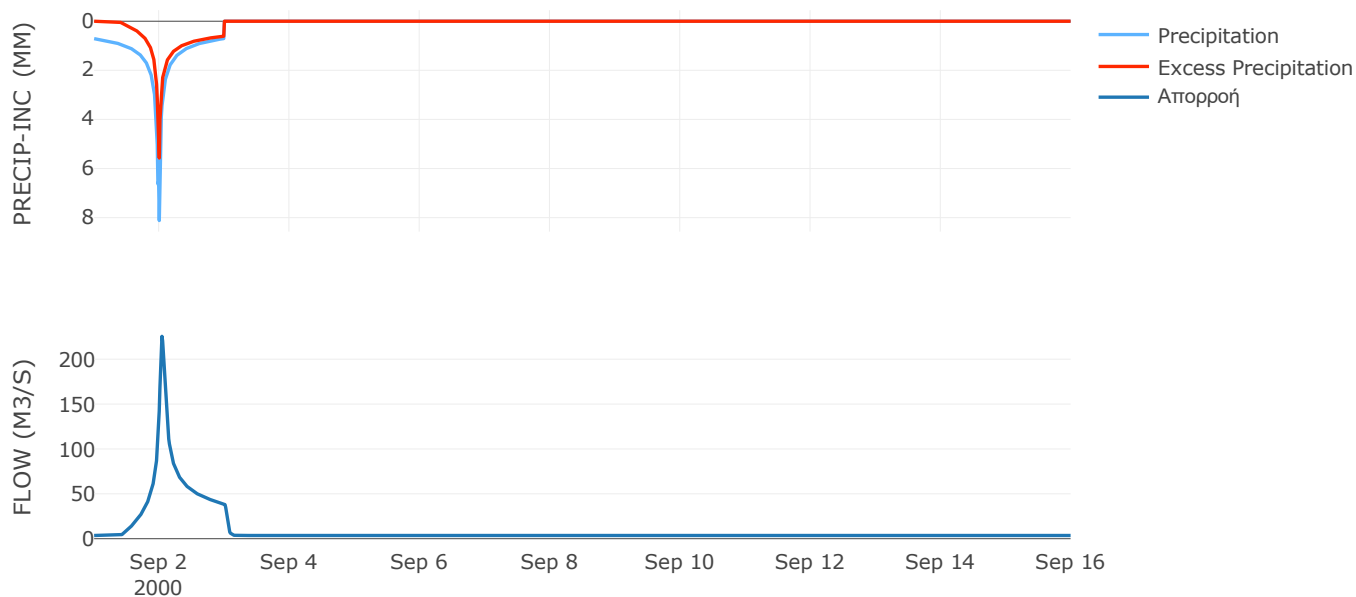
Μέθοδος
Μετασχηματισμού: SCS

Χρόνος Υστέρησης	53.54
------------------	-------

Αποτελέσματα:
EL0514FR003015

Παροχή αιχμής (M3/S)	225.48
Χρονική στιγμή αιχμής	02Sep2000, 01:00
Όγκος (MM)	241.73
Όγκος βροχόπτωσης (M3)	1.37E7
Όγκος απωλειών (M3)	5.98E6
Ενεργός Όγκος (M3)	7.72E6
Όγκος άμεσης απορροής (M3)	7.72E6
Όγκος βασικής απορροής (M3)	4.64E6

Βροχόπτωση και Απορροή



Υπολεκάνη: EL0514FR003016

Έκταση (KM2) : 20.25

Κατάντη : J21

Μέθοδος Απωλειών: SCS

Ποσοστό αδιαπέρατης επιφάνειας	0
Αριθμός Καμπύλης Απορροής-CN	67.39
Αρχικές Απώλειες	24.58

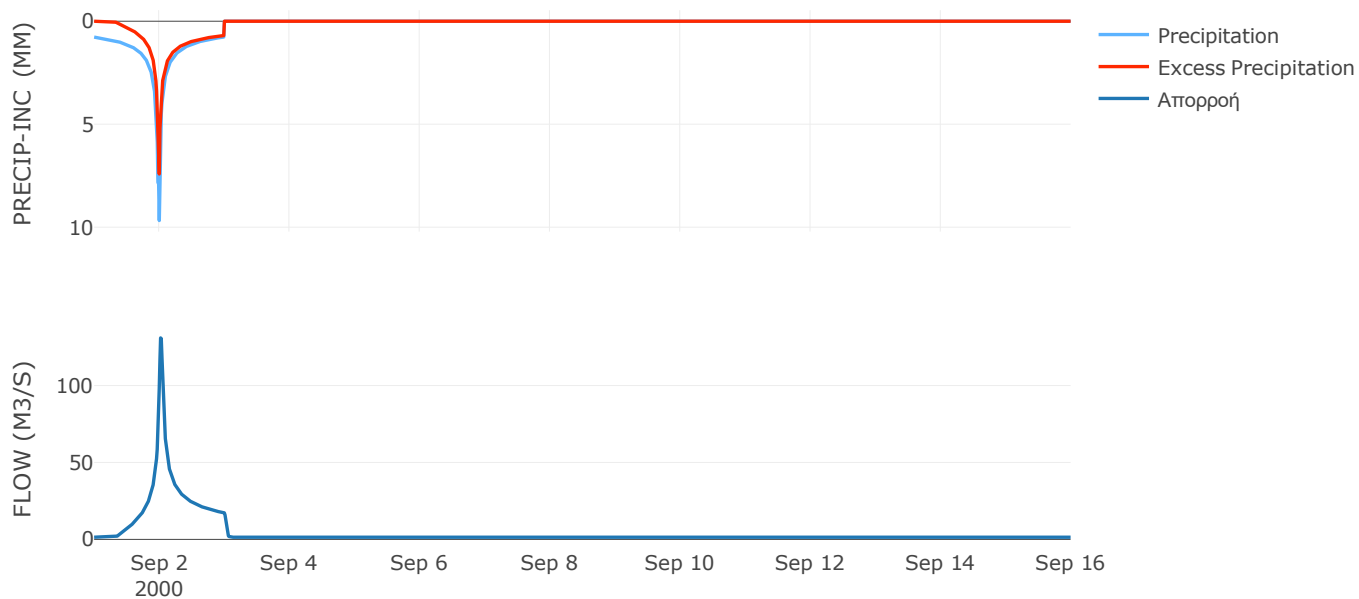
Μέθοδος
Μετασχηματισμού: SCS

Χρόνος Υστέρησης	31.3
------------------	------

Αποτελέσματα:
EL0514FR003016

Παροχή αιχμής (M3/S)	130.96
Χρονική στιγμή αιχμής	02Sep2000, 00:30
Όγκος (MM)	281.37
Όγκος βροχόπτωσης (M3)	6.08E6
Όγκος απωλειών (M3)	2.22E6
Ενεργός Όγκος (M3)	3.86E6
Όγκος άμεσης απορροής (M3)	3.86E6
Όγκος βασικής απορροής (M3)	1.84E6

Βροχόπτωση και Απορροή



Υπολεκάνη: EL0514FR003017

Έκταση (KM2) : 26.55

Κατάντη : J21

Μέθοδος Απωλειών: SCS

Ποσοστό αδιαπέρατης επιφάνειας	0
Αριθμός Καμπύλης Απορροής-CN	70.66
Αρχικές Απώλειες	21.1

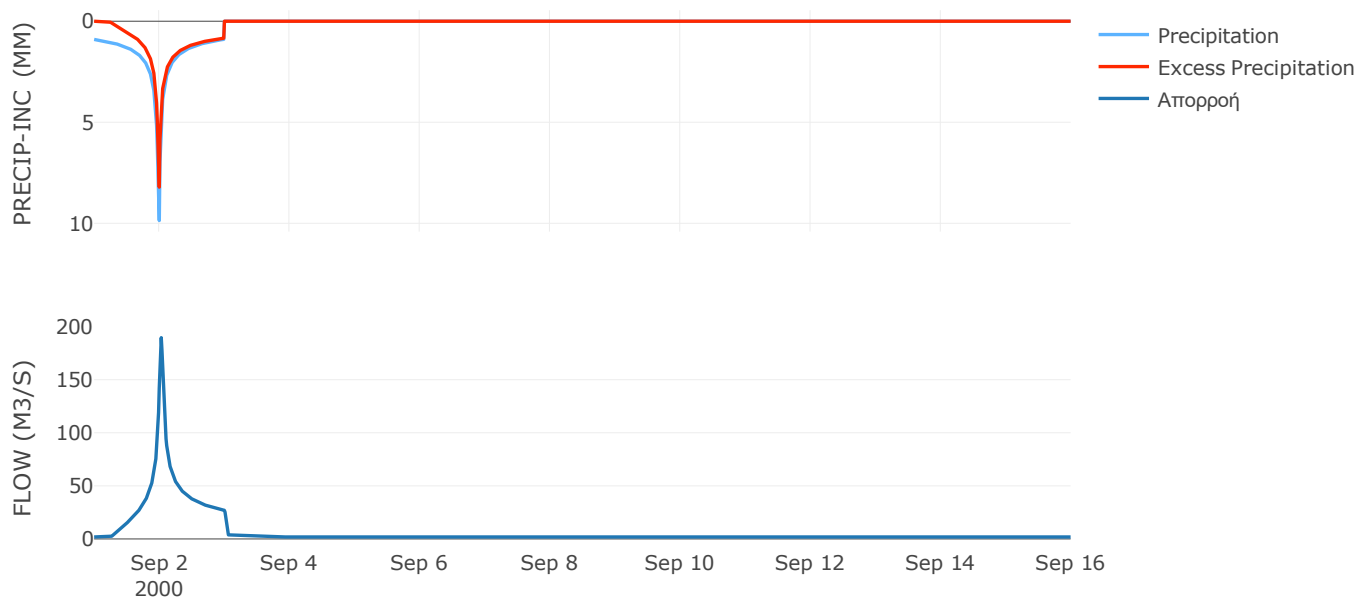
Μέθοδος
Μετασχηματισμού: SCS

Χρόνος Υστέρησης	35.14
------------------	-------

Αποτελέσματα:
EL0514FR003017

Παροχή αιχμής (M3/S)	189.55
Χρονική στιγμή αιχμής	02Sep2000, 00:45
Όγκος (MM)	325.42
Όγκος βροχόπτωσης (M3)	8.89E6
Όγκος απωλειών (M3)	2.66E6
Ενεργός Όγκος (M3)	6.23E6
Όγκος άμεσης απορροής (M3)	6.23E6
Όγκος βασικής απορροής (M3)	2.41E6

Βροχόπτωση και Απορροή



Υπολεκάνη: EL0514FR003018

Έκταση (KM2) : 4.66

Κατάντη : J20

Μέθοδος Απωλειών: SCS

Ποσοστό αδιαπέρατης επιφάνειας	0
Αριθμός Καμπύλης Απορροής-CN	70.44
Αρχικές Απώλειες	21.32

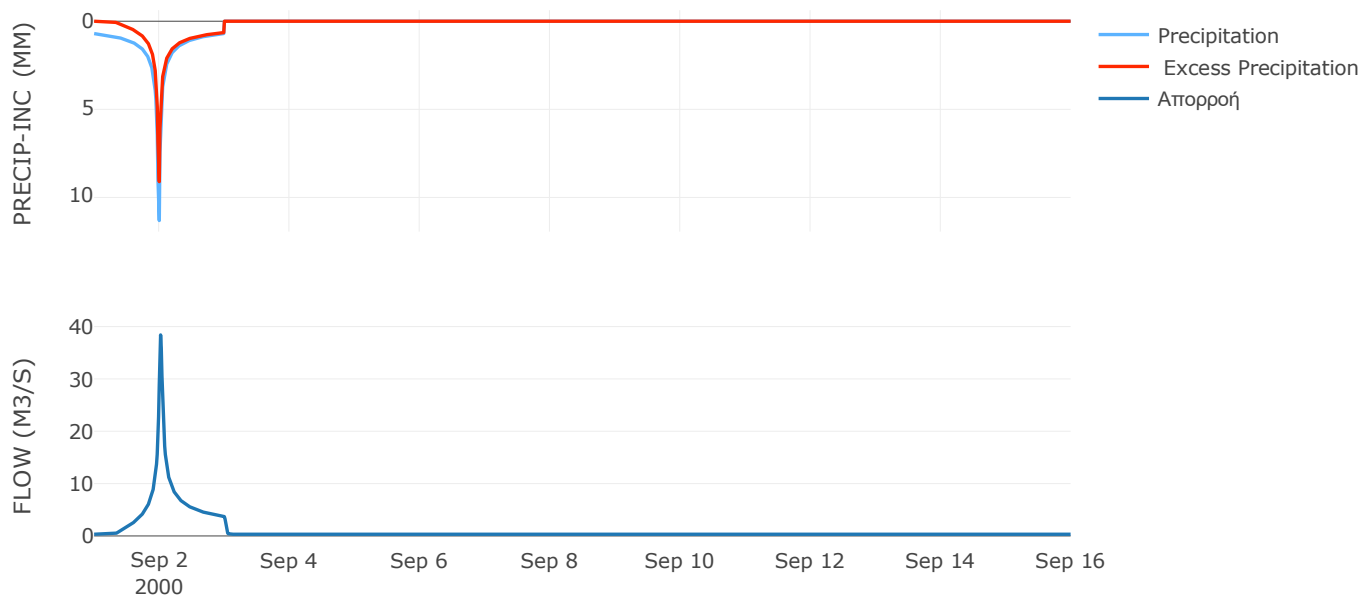
Μέθοδος
Μετασχηματισμού: SCS

Χρόνος Υστέρησης	25.95
------------------	-------

Αποτελέσματα:
EL0514FR003018

Παροχή αιχμής (M3/S)	38.4
Χρονική στιγμή αιχμής	02Sep2000, 00:30
Όγκος (MM)	290.63
Όγκος βροχόπτωσης (M3)	1.39E6
Όγκος απωλειών (M3)	4.58E5
Ενεργός Όγκος (M3)	9.31E5
Όγκος άμεσης απορροής (M3)	9.31E5
Όγκος βασικής απορροής (M3)	4.23E5

Βροχόπτωση και Απορροή



Υπολεκάνη: EL0514FR003019

Έκταση (KM2) : 56.36

Κατάντη : J20

Μέθοδος Απωλειών: SCS

Ποσοστό αδιαπέρατης επιφάνειας	0
Αριθμός Καμπύλης Απορροής-CN	81.74
Αρχικές Απώλειες	11.35

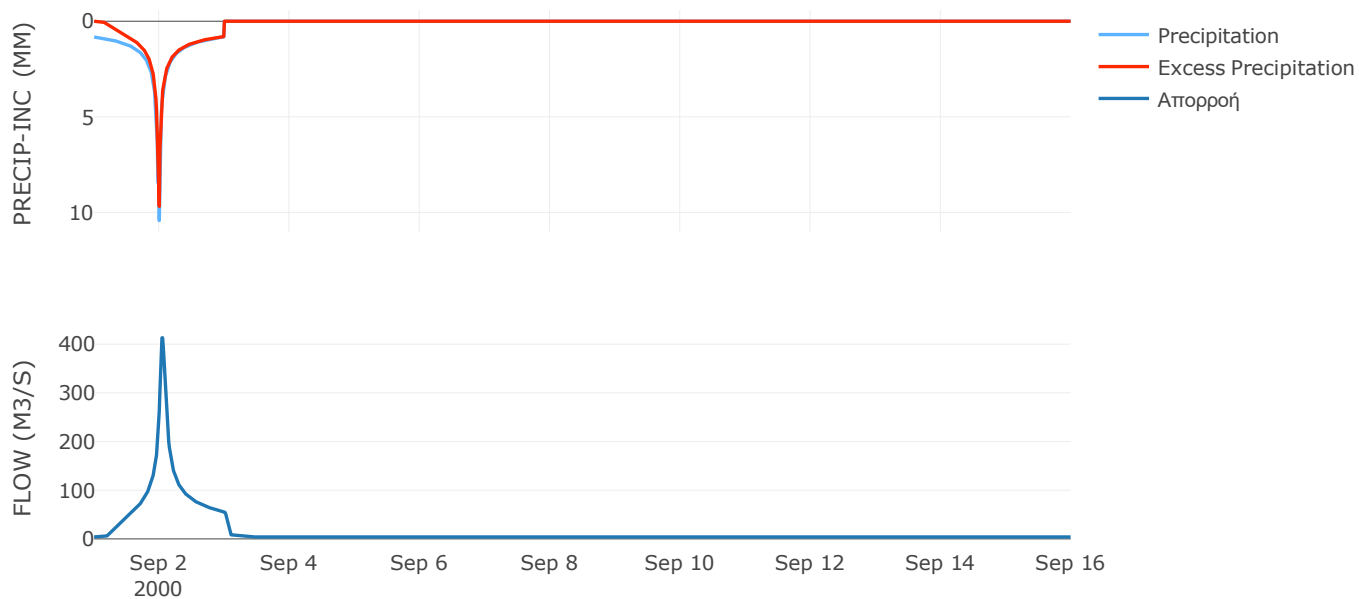
Μέθοδος
Μετασχηματισμού: SCS

Χρόνος Υστέρησης	62.76
------------------	-------

Αποτελέσματα:
EL0514FR003019

Παροχή αιχμής (M3/S)	413.2
Χρονική στιγμή αιχμής	02Sep2000, 01:00
Όγκος (MM)	353.78
Όγκος βροχόπτωσης (M3)	1.82E7
Όγκος απωλειών (M3)	3.34E6
Ενεργός Όγκος (M3)	1.48E7
Όγκος άμεσης απορροής (M3)	1.48E7
Όγκος βασικής απορροής (M3)	5.11E6

Βροχόπτωση και Απορροή



Υπολεκάνη: EL0514FR003020

Έκταση (KM2) : 10.48

Κατάνη : J19

Μέθοδος Απωλειών: SCS

Ποσοστό αδιαπέρατης επιφάνειας	0
Αριθμός Καμπύλης Απορροής-CN	80.78
Αρχικές Απώλειες	12.09

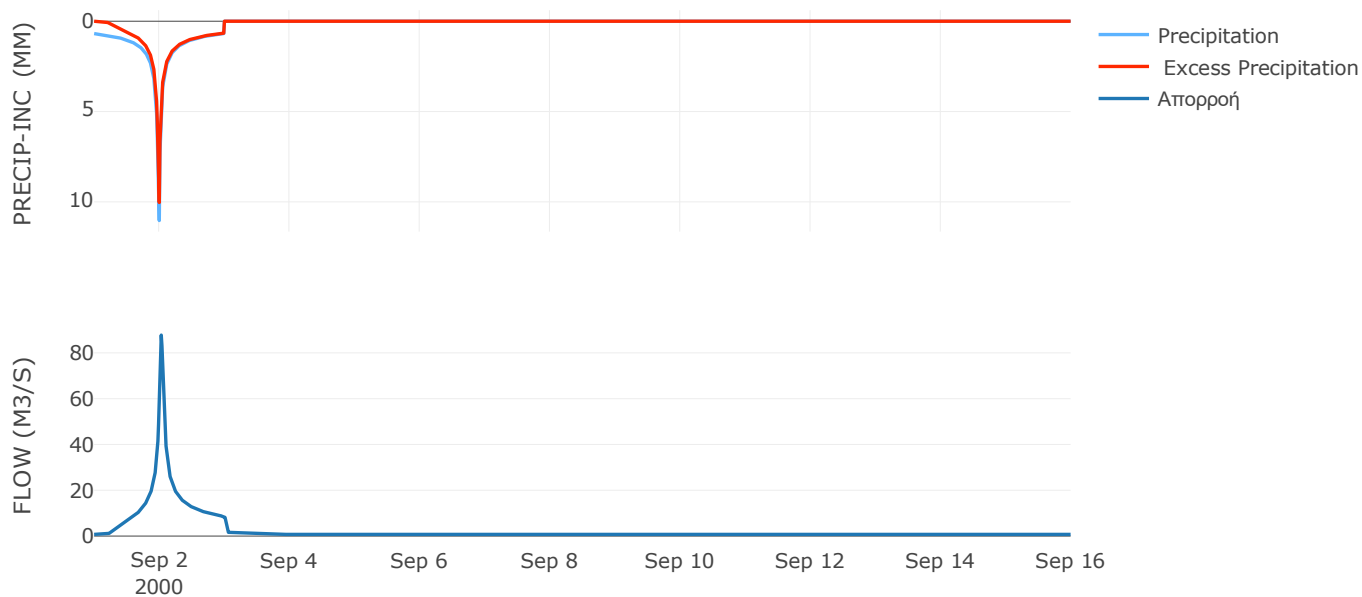
Μέθοδος
Μετασχηματισμού: SCS

Χρόνος Υστέρησης	39.67
------------------	-------

Αποτελέσματα:
EL0514FR003020

Παροχή αιχμής (M3/S)	87.78
Χρονική στιγμή αιχμής	02Sep2000, 00:45
Όγκος (MM)	320.22
Όγκος βροχόπτωσης (M3)	3.05E6
Όγκος απωλειών (M3)	6.48E5
Ενεργός Όγκος (M3)	2.41E6
Όγκος άμεσης απορροής (M3)	2.41E6
Όγκος βασικής απορροής (M3)	9.51E5

Βροχόπτωση και Απορροή



Υπολεκάνη: EL0514FR003021

Έκταση (KM2) : 14.84

Κατάντη : J19

Μέθοδος Απωλειών: SCS

Ποσοστό αδιαπέρατης επιφάνειας	0
Αριθμός Καμπύλης Απορροής-CN	80.34
Αρχικές Απώλειες	12.43

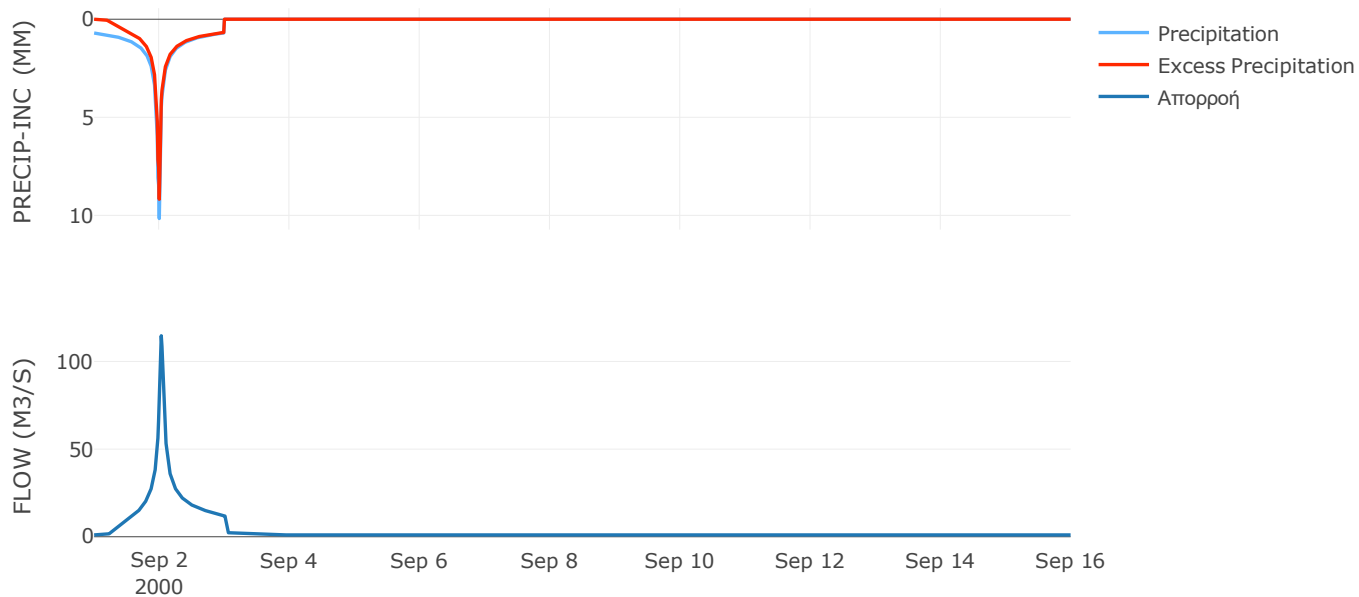
Μέθοδος
Μετασχηματισμού: SCS

Χρόνος Υστέρησης	39.26
------------------	-------

Αποτελέσματα:
EL0514FR003021

Παροχή αιχμής (M3/S)	114.69
Χρονική στιγμή αιχμής	02Sep2000, 00:45
Όγκος (MM)	315.24
Όγκος βροχόπτωσης (M3)	4.27E6
Όγκος απωλειών (M3)	9.37E5
Ενεργός Όγκος (M3)	3.33E6
Όγκος άμεσης απορροής (M3)	3.33E6
Όγκος βασικής απορροής (M3)	1.35E6

Βροχόπτωση και Απορροή



Υπολεκάνη: EL0514FR003022

Έκταση (KM2) : 68.59

Κατάντη : J10

Μέθοδος Απωλειών: SCS

Ποσοστό αδιαπέρατης επιφάνειας	0
Αριθμός Καμπύλης Απορροής-CN	61.34
Αρχικές Απώλειες	32.02

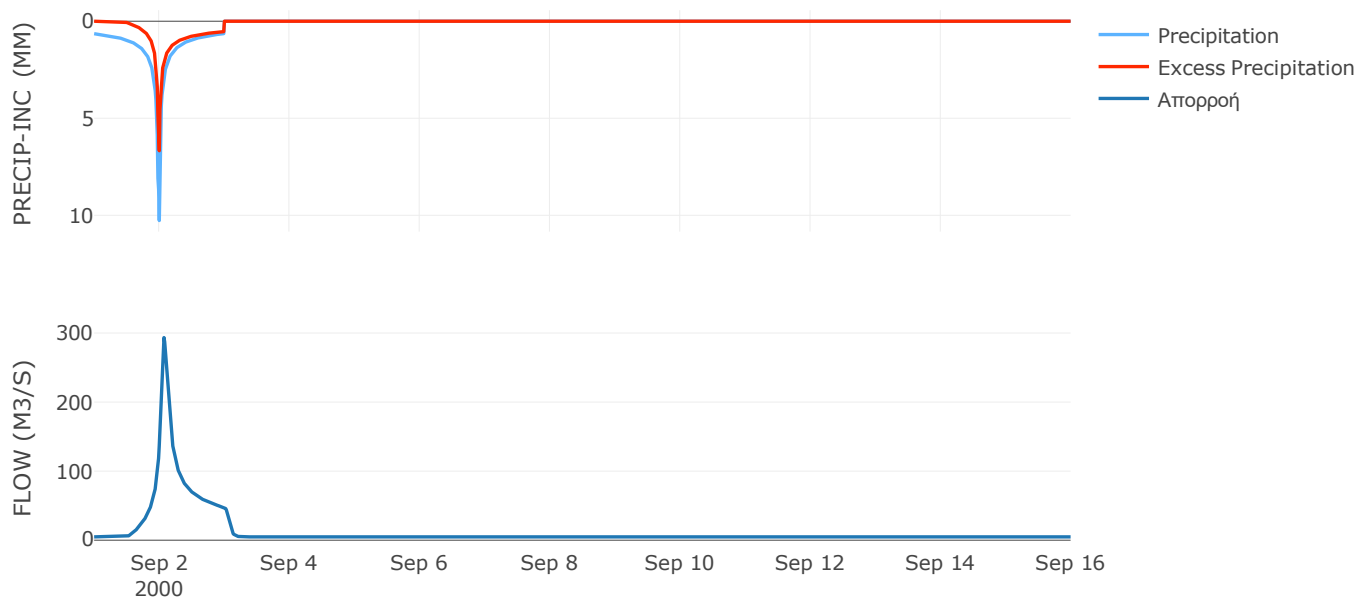
Μέθοδος
Μετασχηματισμού: SCS

Χρόνος Υστέρησης	90.02
------------------	-------

Αποτελέσματα:
EL0514FR003022

Παροχή αιχμής (M3/S)	293.43
Χρονική στιγμή αιχμής	02Sep2000, 01:45
Όγκος (MM)	234.86
Όγκος βροχόπτωσης (M3)	1.87E7
Όγκος απωλειών (M3)	8.79E6
Ενεργός Όγκος (M3)	9.89E6
Όγκος άμεσης απορροής (M3)	9.89E6
Όγκος βασικής απορροής (M3)	6.22E6

Βροχόπτωση και Απορροή



Υπολεκάνη: EL0514FR003023

Έκταση (KM2) : 35.95

Κατάντη : J10

Μέθοδος Απωλειών: SCS

Ποσοστό αδιαπέρατης επιφάνειας	0
Αριθμός Καμπύλης Απορροής-CN	74.94
Αρχικές Απώλειες	16.99

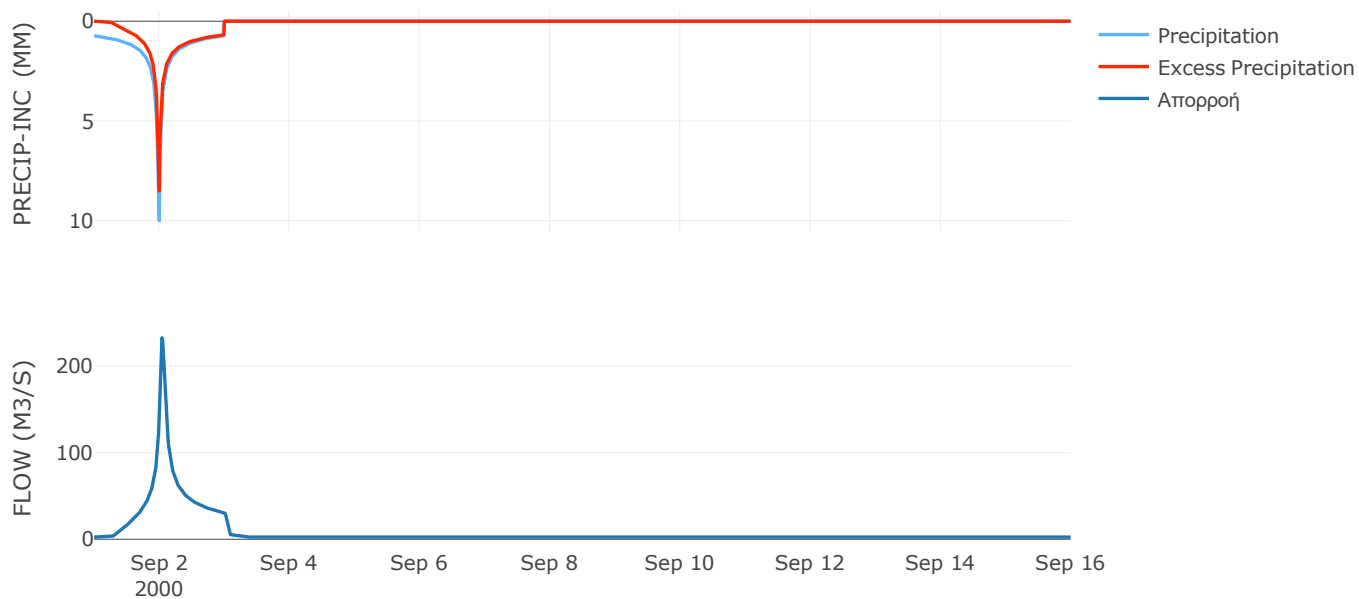
Μέθοδος
Μετασχηματισμού: SCS

Χρόνος Υστέρησης	59.07
------------------	-------

Αποτελέσματα:
EL0514FR003023

Παροχή αιχμής (M3/S)	232.81
Χρονική στιγμή αιχμής	02Sep2000, 01:00
Όγκος (MM)	301.66
Όγκος βροχόπτωσης (M3)	1.05E7
Όγκος απωλειών (M3)	2.95E6
Ενεργός Όγκος (M3)	7.58E6
Όγκος άμεσης απορροής (M3)	7.58E6
Όγκος βασικής απορροής (M3)	3.26E6

Βροχόπτωση και Απορροή



Υπολεκάνη: EL0514FR003024

Έκταση (KM2) : 55.27

Κατάντη : J9

Μέθοδος Απωλειών: SCS

Ποσοστό αδιαπέρατης επιφάνειας	0
Αριθμός Καμπύλης Απορροής-CN	54.02
Αρχικές Απώλειες	43.24

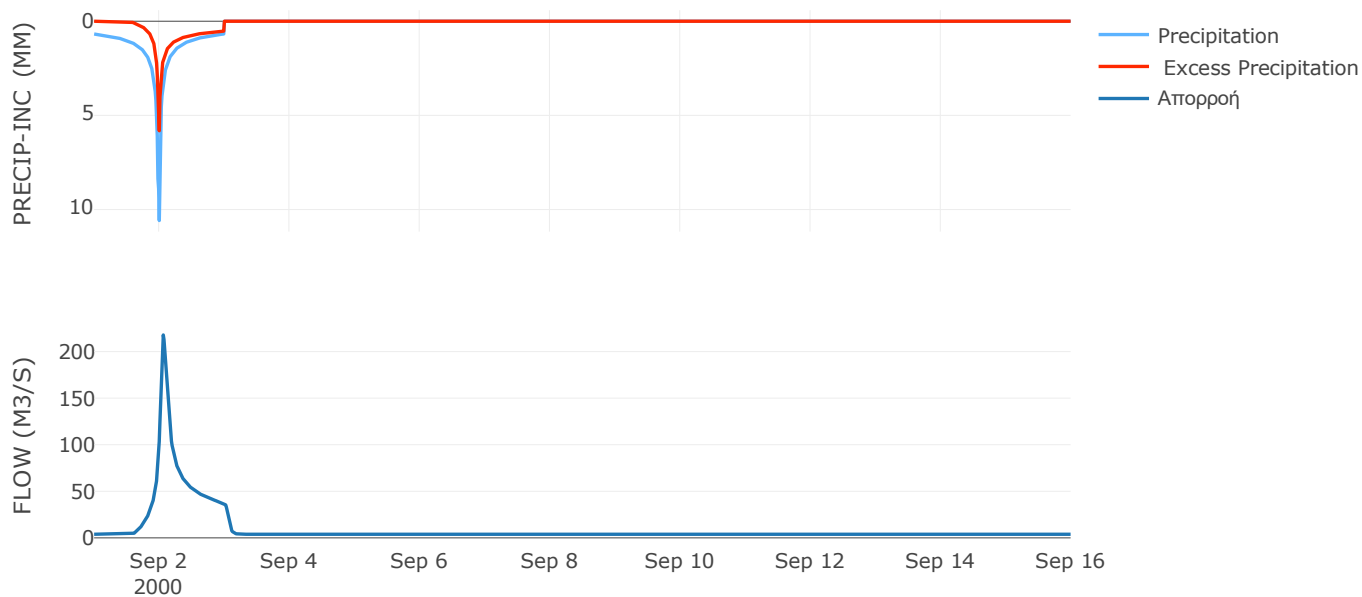
Μέθοδος
Μετασχηματισμού: SCS

Χρόνος Υστέρησης	76.11
------------------	-------

Αποτελέσματα:
EL0514FR003024

Παροχή αιχμής (M3/S)	217.83
Χρονική στιγμή αιχμής	02Sep2000, 01:30
Όγκος (MM)	218.62
Όγκος βροχόπτωσης (M3)	1.58E7
Όγκος απωλειών (M3)	8.7E6
Ενεργός Όγκος (M3)	7.07E6
Όγκος άμεσης απορροής (M3)	7.07E6
Όγκος βασικής απορροής (M3)	5.01E6

Βροχόπτωση και Απορροή



Υπολεκάνη: EL0514FR003025

Έκταση (KM2) : 30.82

Κατάντη : J9

Μέθοδος Απωλειών: SCS

Ποσοστό αδιαπέρατης επιφάνειας	0
Αριθμός Καμπύλης Απορροής-CN	79.22
Αρχικές Απώλειες	13.33

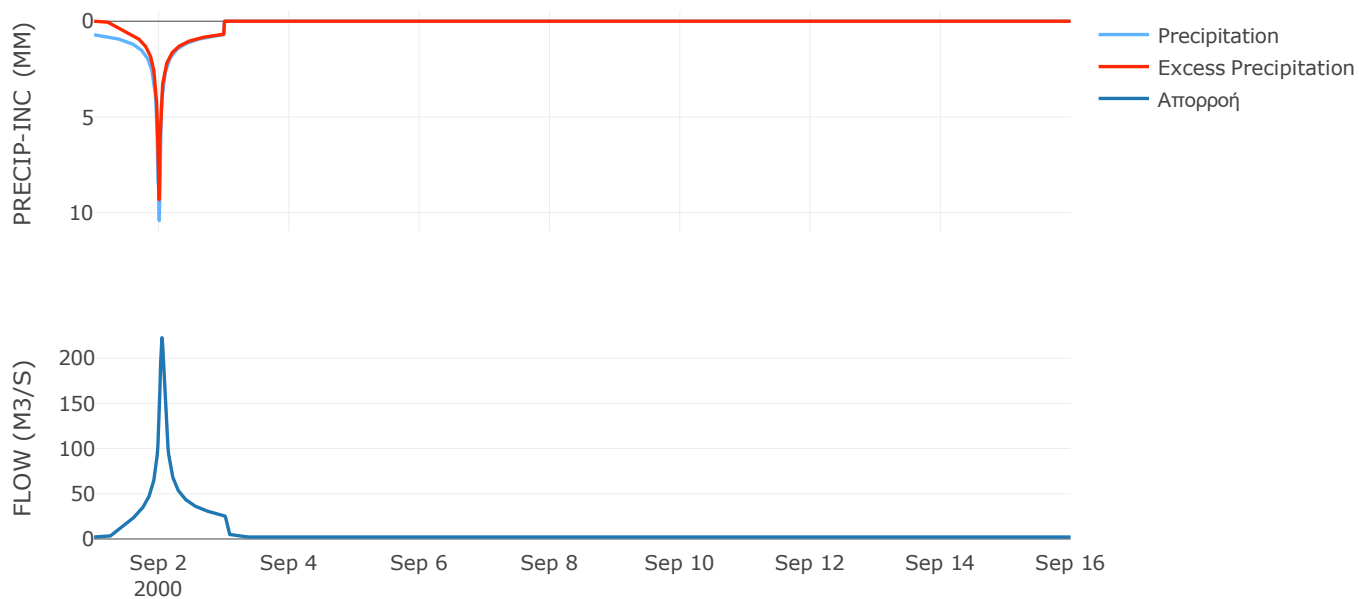
Μέθοδος
Μετασχηματισμού: SCS

Χρόνος Υστέρησης	54.73
------------------	-------

Αποτελέσματα:
EL0514FR003025

Παροχή αιχμής (M3/S)	222.54
Χρονική στιγμή αιχμής	02Sep2000, 01:00
Όγκος (MM)	315.08
Όγκος βροχόπτωσης (M3)	8.98E6
Όγκος απωλειών (M3)	2.07E6
Ενεργός Όγκος (M3)	6.92E6
Όγκος άμεσης απορροής (M3)	6.92E6
Όγκος βασικής απορροής (M3)	2.8E6

Βροχόπτωση και Απορροή



Υπολεκάνη: EL0514FR003026

Έκταση (KM2) : 12.64

Κατάντη : J9

Μέθοδος Απωλειών: SCS

Ποσοστό αδιαπέρατης επιφάνειας	0
Αριθμός Καμπύλης Απορροής-CN	78.69
Αρχικές Απώλειες	13.76

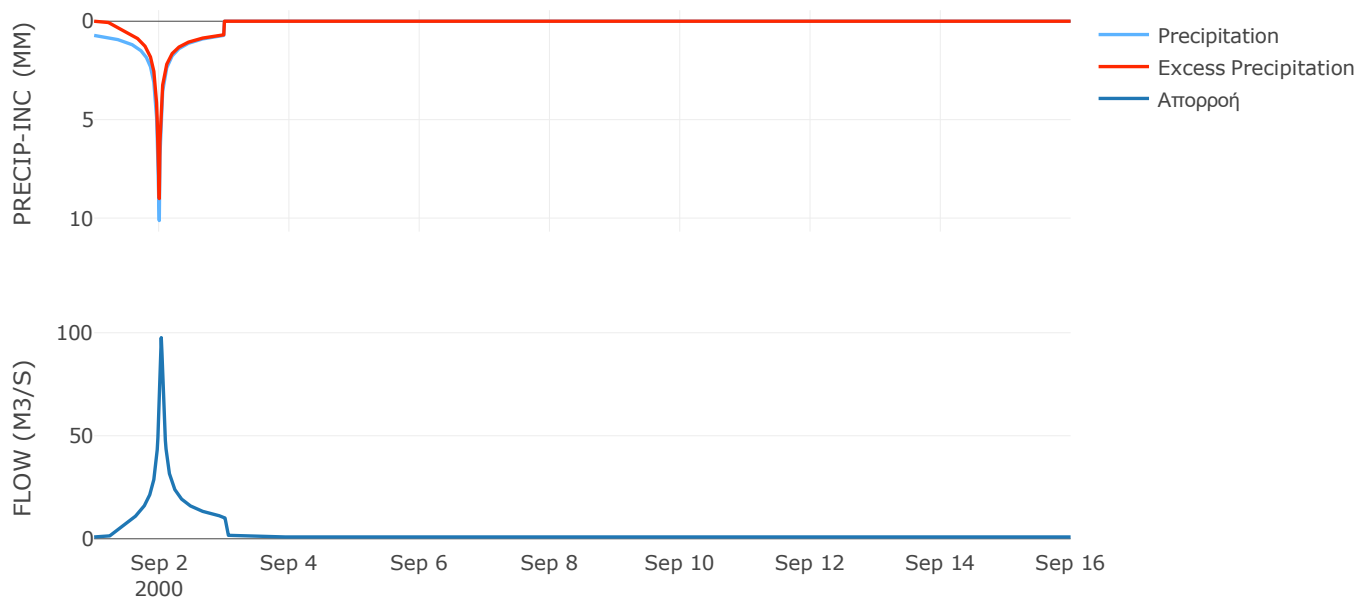
Μέθοδος
Μετασχηματισμού: SCS

Χρόνος Υστέρησης	35.4
------------------	------

Αποτελέσματα:
EL0514FR003026

Παροχή αιχμής (M3/S)	97.62
Χρονική στιγμή αιχμής	02Sep2000, 00:45
Όγκος (MM)	313.9
Όγκος βροχόπτωσης (M3)	3.69E6
Όγκος απωλειών (M3)	8.71E5
Ενεργός Όγκος (M3)	2.82E6
Όγκος άμεσης απορροής (M3)	2.82E6
Όγκος βασικής απορροής (M3)	1.15E6

Βροχόπτωση και Απορροή



Υπολεκάνη: EL0514FR003027

Έκταση (KM2) : 75.07

Κατάντη : J8

Μέθοδος Απωλειών: SCS

Ποσοστό αδιαπέρατης επιφάνειας	0
Αριθμός Καμπύλης Απορροής-CN	74.26
Αρχικές Απώλειες	17.61

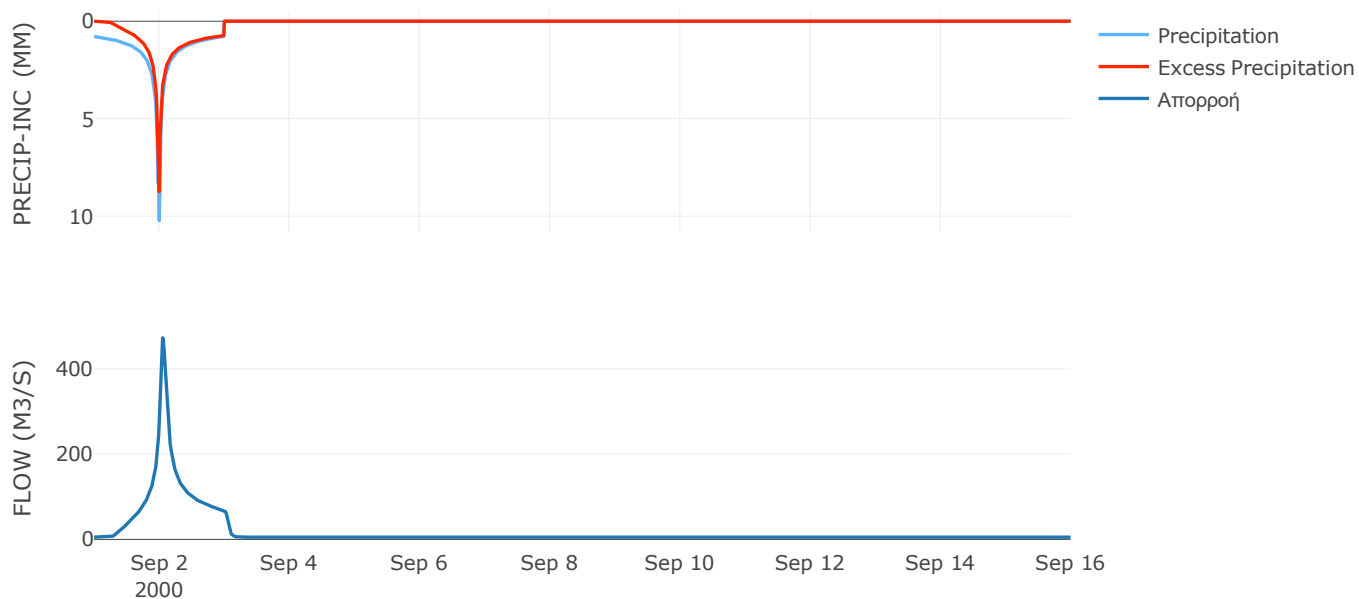
Μέθοδος
Μετασχηματισμού: SCS

Χρόνος Υστέρησης	72.84
------------------	-------

Αποτελέσματα:
EL0514FR003027

Παροχή αιχμής (M3/S)	472.91
Χρονική στιγμή αιχμής	02Sep2000, 01:15
Όγκος (MM)	314.19
Όγκος βροχόπτωσης (M3)	2.32E7
Όγκος απωλειών (M3)	6.4E6
Ενεργός Όγκος (M3)	1.68E7
Όγκος άμεσης απορροής (M3)	1.68E7
Όγκος βασικής απορροής (M3)	6.81E6

Βροχόπτωση και Απορροή



Υπολεκάνη: EL0514FR003028

Έκταση (KM2) : 25.46

Κατάντη : J8

Μέθοδος Απωλειών: SCS

Ποσοστό αδιαπέρατης επιφάνειας	0
Αριθμός Καμπύλης Απορροής-CN	79.98
Αρχικές Απώλειες	12.72

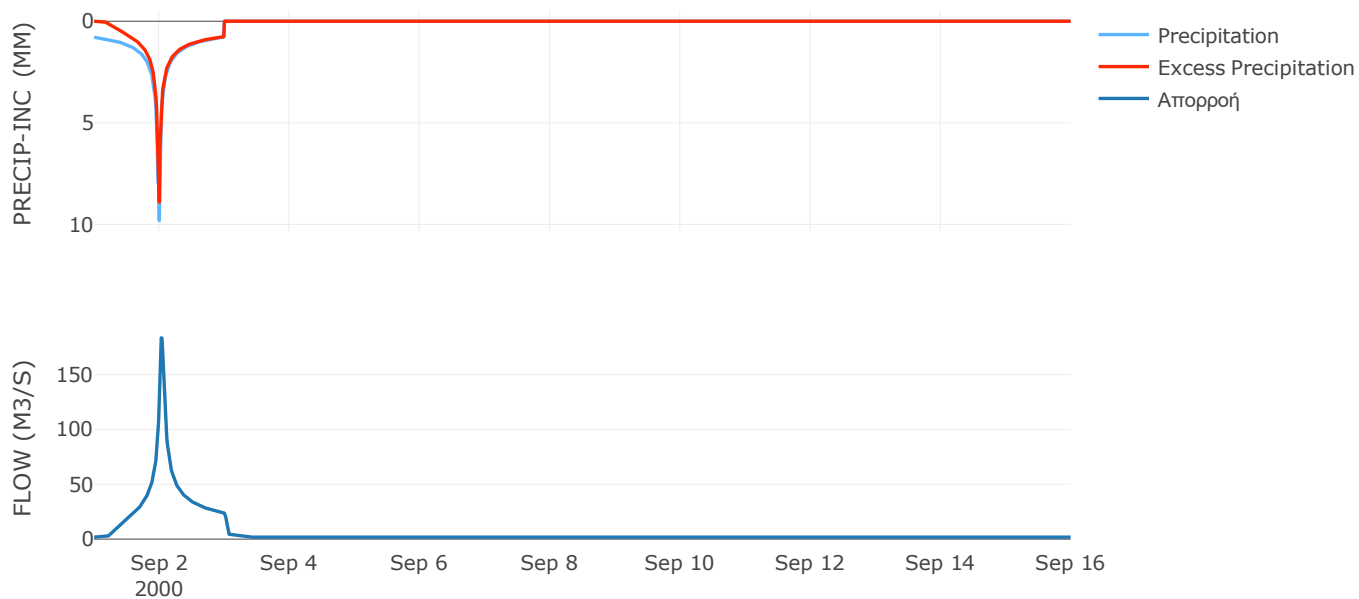
Μέθοδος
Μετασχηματισμού: SCS

Χρόνος Υστέρησης	47.89
------------------	-------

Αποτελέσματα:
EL0514FR003028

Παροχή αιχμής (M3/S)	183.38
Χρονική στιγμή αιχμής	02Sep2000, 00:45
Όγκος (MM)	331.28
Όγκος βροχόπτωσης (M3)	7.78E6
Όγκος απωλειών (M3)	1.65E6
Ενεργός Όγκος (M3)	6.13E6
Όγκος άμεσης απορροής (M3)	6.13E6
Όγκος βασικής απορροής (M3)	2.31E6

Βροχόπτωση και Απορροή



Υπολεκάνη: EL0514FR003029

Έκταση (KM2) : 14.96

Κατάνη : J7

Μέθοδος Απωλειών: SCS

Ποσοστό αδιαπέρατης επιφάνειας	0
Αριθμός Καμπύλης Απορροής-CN	79.38
Αρχικές Απώλειες	13.19

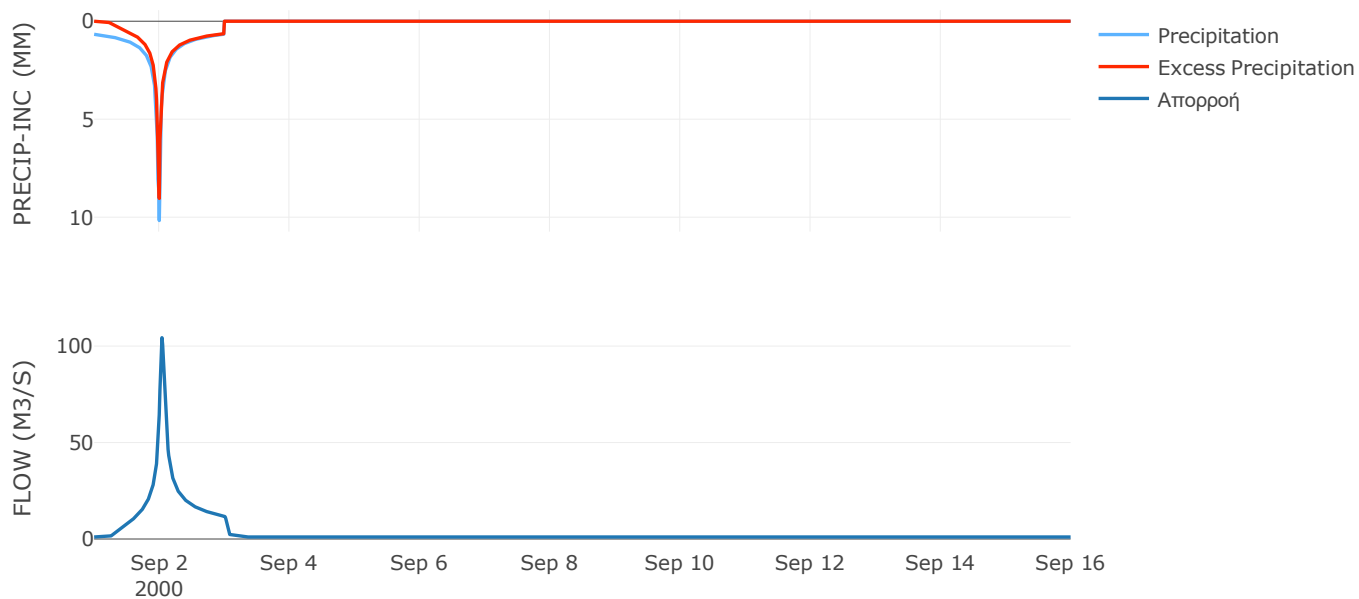
Μέθοδος
Μετασχηματισμού: SCS

Χρόνος Υστέρησης	55.01
------------------	-------

Αποτελέσματα:
EL0514FR003029

Παροχή αιχμής (M3/S)	104.35
Χρονική στιγμή αιχμής	02Sep2000, 01:00
Όγκος (MM)	302.78
Όγκος βροχόπτωσης (M3)	4.16E6
Όγκος απωλειών (M3)	9.88E5
Ενεργός Όγκος (M3)	3.17E6
Όγκος άμεσης απορροής (M3)	3.17E6
Όγκος βασικής απορροής (M3)	1.36E6

Βροχόπτωση και Απορροή



Υπολεκάνη: EL0514FR003030

Έκταση (KM2) : 14.02

Κατάνη : J7

Μέθοδος Απωλειών: SCS

Ποσοστό αδιαπέρατης επιφάνειας	0
Αριθμός Καμπύλης Απορροής-CN	79.92
Αρχικές Απώλειες	12.76

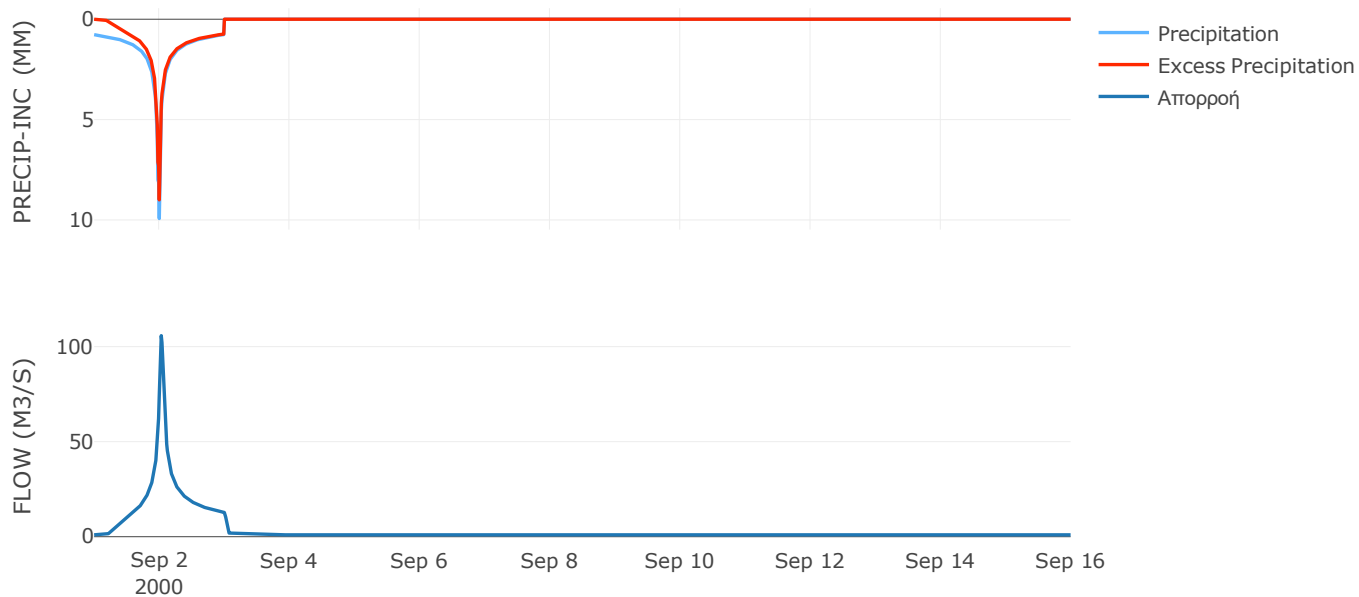
Μέθοδος
Μετασχηματισμού: SCS

Χρόνος Υστέρησης	41.82
------------------	-------

Αποτελέσματα:
EL0514FR003030

Παροχή αιχμής (M3/S)	105.75
Χρονική στιγμή αιχμής	02Sep2000, 00:45
Όγκος (MM)	328.12
Όγκος βροχόπτωσης (M3)	4.24E6
Όγκος απωλειών (M3)	9.12E5
Ενεργός Όγκος (M3)	3.33E6
Όγκος άμεσης απορροής (M3)	3.33E6
Όγκος βασικής απορροής (M3)	1.27E6

Βροχόπτωση και Απορροή



Υπολεκάνη: EL0514FR003031

Έκταση (KM2) : 21.31

Κατάντη : J7

Μέθοδος Απωλειών: SCS

Ποσοστό αδιαπέρατης επιφάνειας	0
Αριθμός Καμπύλης Απορροής-CN	80
Αρχικές Απώλειες	12.7

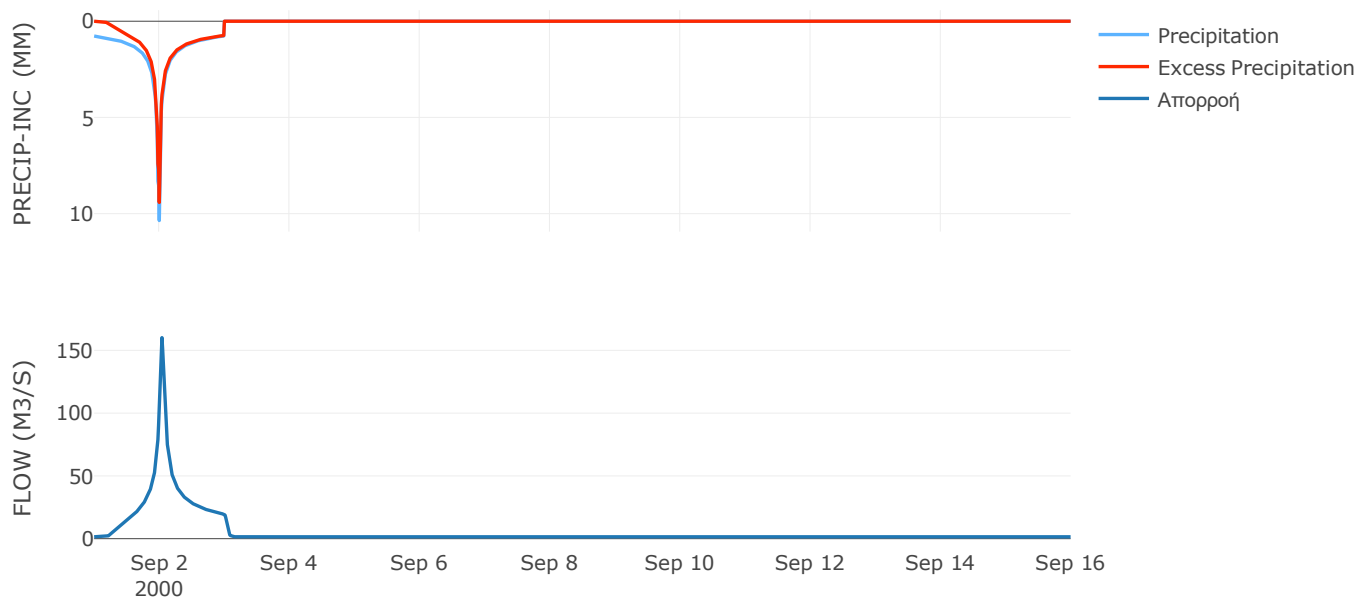
Μέθοδος
Μετασχηματισμού: SCS

Χρόνος Υστέρησης	49.61
------------------	-------

Αποτελέσματα:
EL0514FR003031

Παροχή αιχμής (M3/S)	160.16
Χρονική στιγμή αιχμής	02Sep2000, 01:00
Όγκος (MM)	332.9
Όγκος βροχόπτωσης (M3)	6.54E6
Όγκος απωλειών (M3)	1.38E6
Ενεργός Όγκος (M3)	5.16E6
Όγκος άμεσης απορροής (M3)	5.16E6
Όγκος βασικής απορροής (M3)	1.93E6

Βροχόπτωση και Απορροή



Υπολεκάνη: EL0514FR003032

Έκταση (KM2) : 17.85

Κατάντη : J6

Μέθοδος Απωλειών: SCS

Ποσοστό αδιαπέρατης επιφάνειας	0
Αριθμός Καμπύλης Απορροής-CN	77.9
Αρχικές Απώλειες	14.41

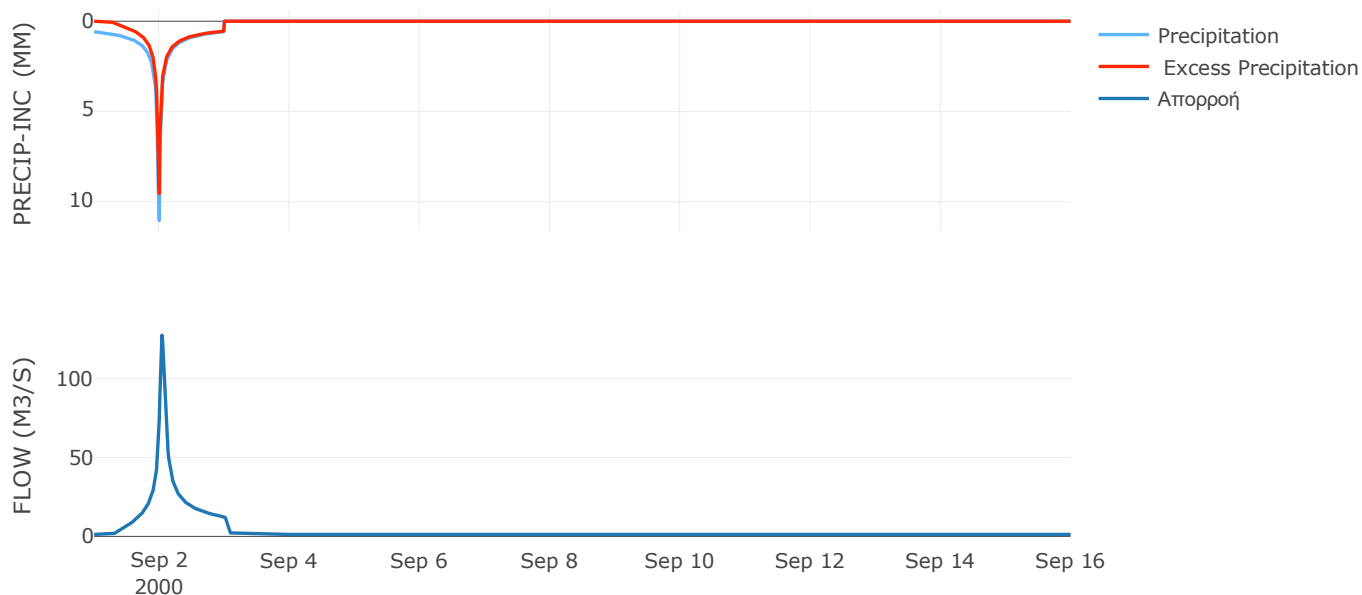
Μέθοδος
Μετασχηματισμού: SCS

Χρόνος Υστέρησης	55.91
------------------	-------

Αποτελέσματα:
EL0514FR003032

Παροχή αιχμής (M3/S)	127.55
Χρονική στιγμή αιχμής	02Sep2000, 01:00
Όγκος (MM)	282.94
Όγκος βροχόπτωσης (M3)	4.68E6
Όγκος απωλειών (M3)	1.25E6
Ενεργός Όγκος (M3)	3.43E6
Όγκος άμεσης απορροής (M3)	3.43E6
Όγκος βασικής απορροής (M3)	1.62E6

Βροχόπτωση και Απορροή



Υπολεκάνη: EL0514FR003033

Έκταση (KM2) : 17.55

Κατάντη : J6

Μέθοδος Απωλειών: SCS

Ποσοστό αδιαπέρατης επιφάνειας	0
Αριθμός Καμπύλης Απορροής-CN	52.86
Αρχικές Απώλειες	45.3

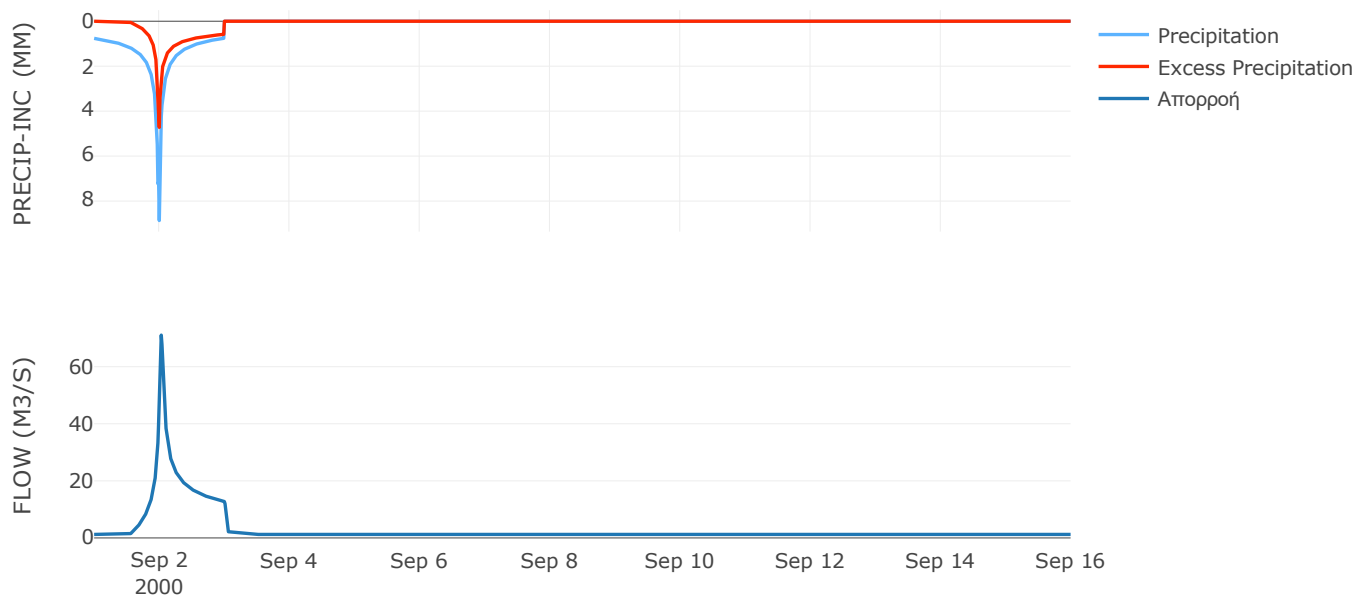
Μέθοδος
Μετασχηματισμού: SCS

Χρόνος Υστέρησης	35.56
------------------	-------

Αποτελέσματα:
EL0514FR003033

Παροχή αιχμής (M3/S)	71.06
Χρονική στιγμή αιχμής	02Sep2000, 00:45
Όγκος (MM)	217.34
Όγκος βροχόπτωσης (M3)	5.08E6
Όγκος απωλειών (M3)	2.86E6
Ενεργός Όγκος (M3)	2.22E6
Όγκος άμεσης απορροής (M3)	2.22E6
Όγκος βασικής απορροής (M3)	1.59E6

Βροχόπτωση και Απορροή



Υπολεκάνη: EL0514FR003034

Έκταση (KM2) : 83.42

Κατάντη : J5

Μέθοδος Απωλειών: SCS

Ποσοστό αδιαπέρατης επιφάνειας	7.2
Αριθμός Καμπύλης Απορροής-CN	74.09
Αρχικές Απώλειες	17.76

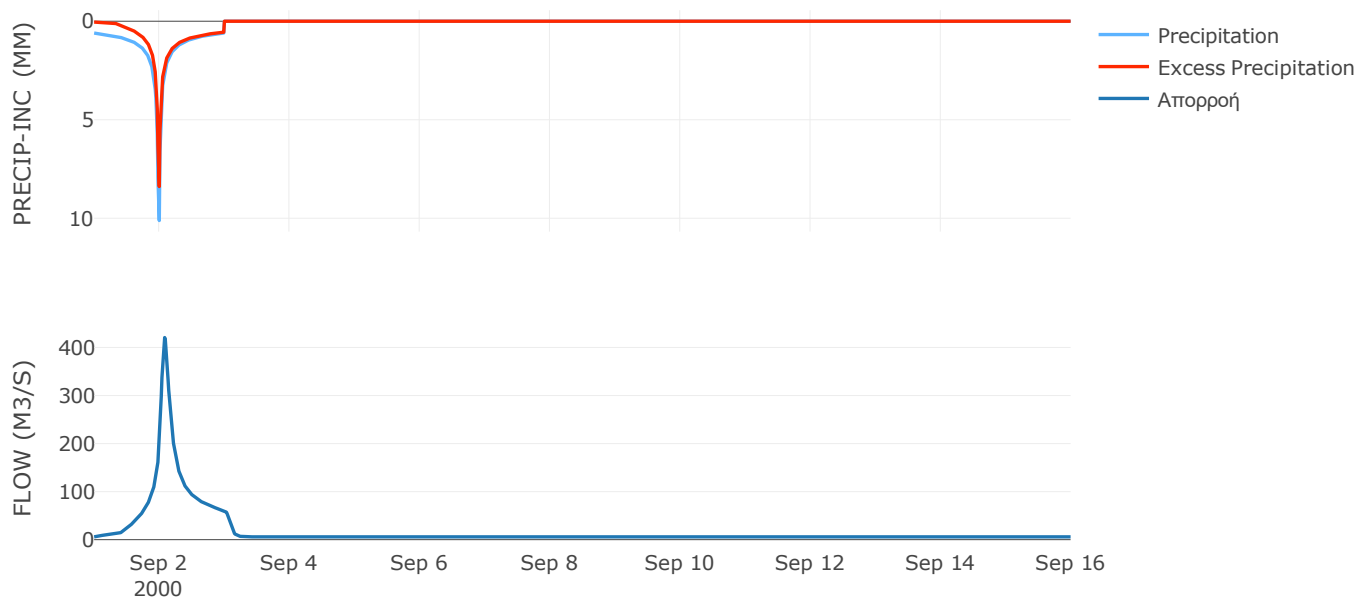
Μέθοδος
Μετασχηματισμού: SCS

Χρόνος Υστέρησης	109.35
------------------	--------

Αποτελέσματα:
EL0514FR003034

Παροχή αιχμής (M3/S)	420.69
Χρονική στιγμή αιχμής	02Sep2000, 02:00
Όγκος (MM)	273.57
Όγκος βροχόπτωσης (M3)	2.17E7
Όγκος απωλειών (M3)	6.4E6
Ενεργός Όγκος (M3)	1.53E7
Όγκος άμεσης απορροής (M3)	1.53E7
Όγκος βασικής απορροής (M3)	7.57E6

Βροχόπτωση και Απορροή



Υπολεκάνη: EL0514FR003035

Έκταση (KM2) : 13.03

Κατάντη : J31

Μέθοδος Απωλειών: SCS

Ποσοστό αδιαπέρατης επιφάνειας	0
Αριθμός Καμπύλης Απορροής-CN	79.8
Αρχικές Απώλειες	12.86

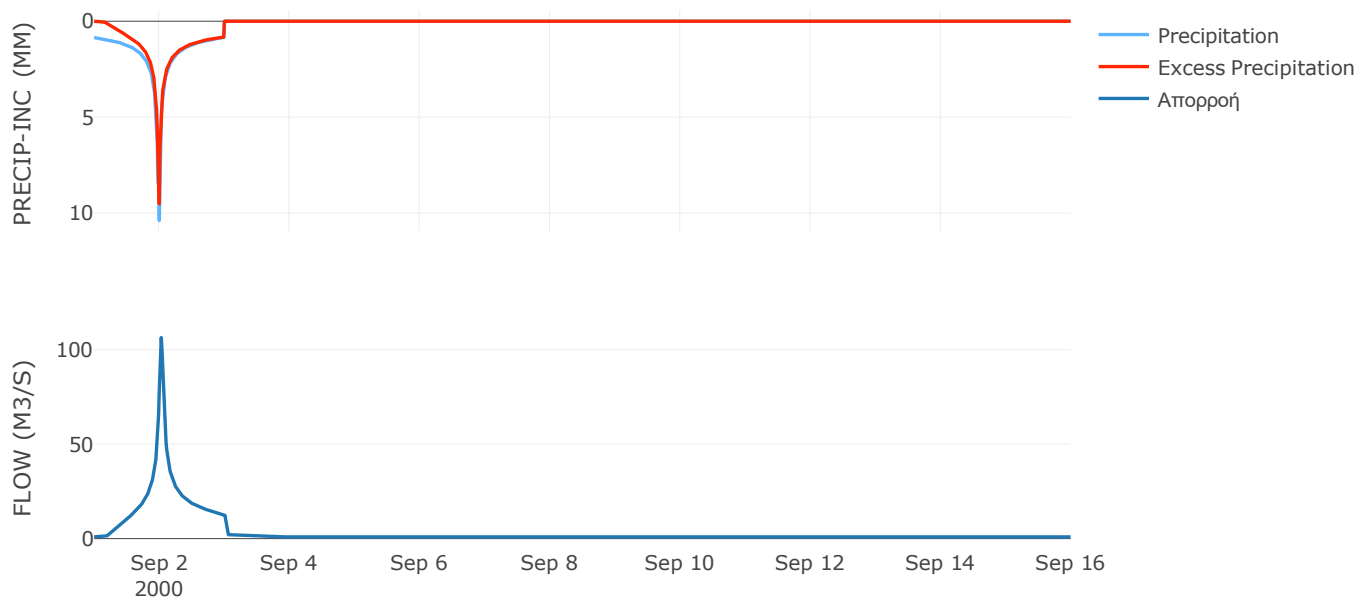
Μέθοδος
Μετασχηματισμού: SCS

Χρόνος Υστέρησης	37.5
------------------	------

Αποτελέσματα:
EL0514FR003035

Παροχή αιχμής (M3/S)	106.4
Χρονική στιγμή αιχμής	02Sep2000, 00:45
Όγκος (MM)	352.64
Όγκος βροχόπτωσης (M3)	4.28E6
Όγκος απωλειών (M3)	8.63E5
Ενεργός Όγκος (M3)	3.41E6
Όγκος άμεσης απορροής (M3)	3.41E6
Όγκος βασικής απορροής (M3)	1.18E6

Βροχόπτωση και Απορροή



Υπολεκάνη: EL0514FR003036

Έκταση (KM2) : 48.7

Κατάντη : J31

Μέθοδος Απωλειών: SCS

Ποσοστό αδιαπέρατης επιφάνειας	0
Αριθμός Καμπύλης Απορροής-CN	80.47
Αρχικές Απώλειες	12.33

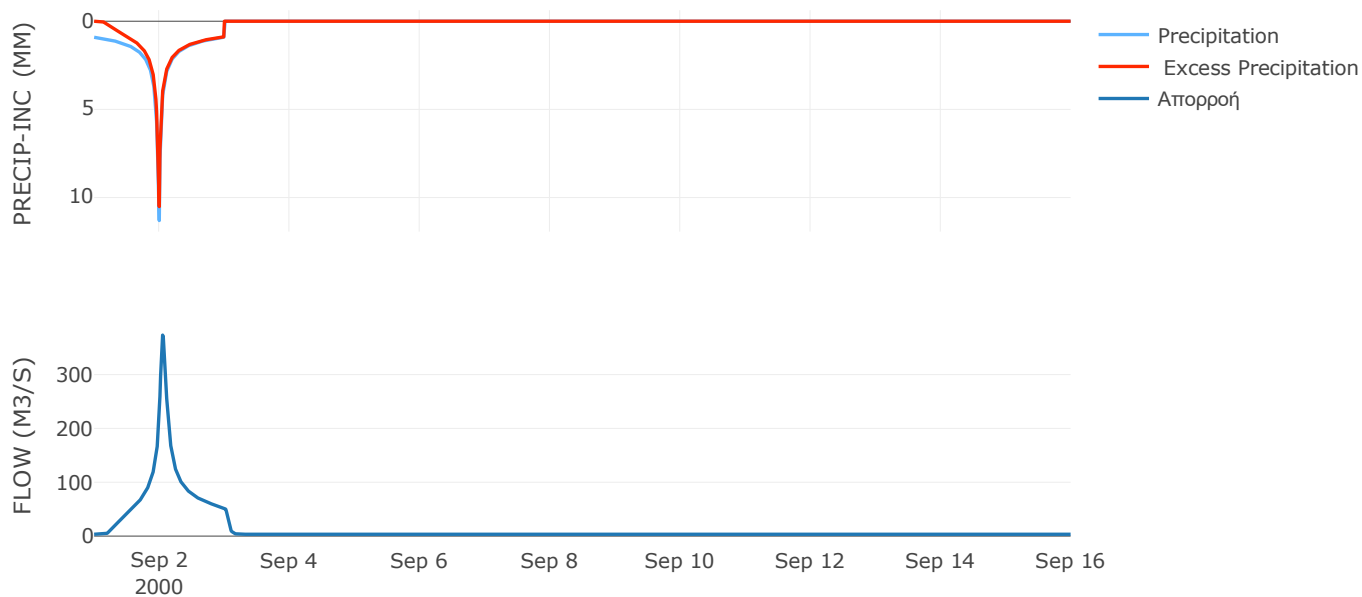
Μέθοδος
Μετασχηματισμού: SCS

Χρόνος Υστέρησης	73.33
------------------	-------

Αποτελέσματα:
EL0514FR003036

Παροχή αιχμής (M3/S)	373.39
Χρονική στιγμή αιχμής	02Sep2000, 01:15
Όγκος (MM)	379.63
Όγκος βροχόπτωσης (M3)	1.72E7
Όγκος απωλειών (M3)	3.14E6
Ενεργός Όγκος (M3)	1.41E7
Όγκος άμεσης απορροής (M3)	1.41E7
Όγκος βασικής απορροής (M3)	4.42E6

Βροχόπτωση και Απορροή



Υπολεκάνη: EL0514FR003037

Έκταση (KM2) : 32.67

Κατάντη : J30

Μέθοδος Απωλειών: SCS

Ποσοστό αδιαπέρατης επιφάνειας	0
Αριθμός Καμπύλης Απορροής-CN	80.47
Αρχικές Απώλειες	12.33

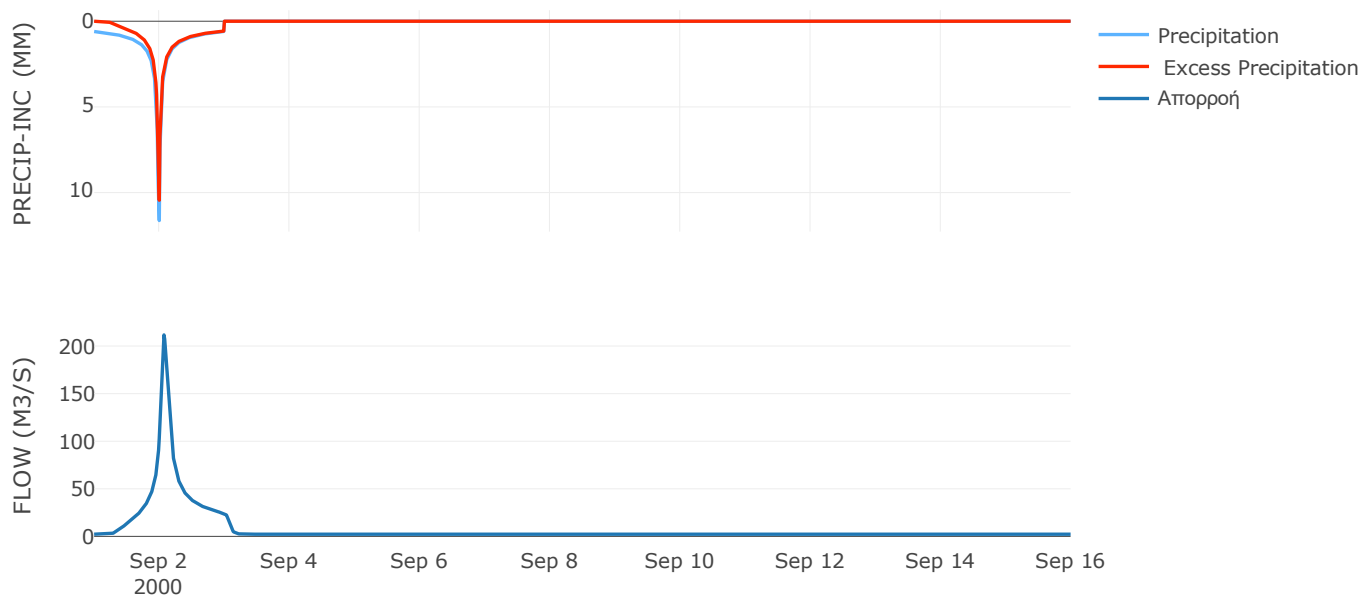
Μέθοδος
Μετασχηματισμού: SCS

Χρόνος Υστέρησης	95.89
------------------	-------

Αποτελέσματα:
EL0514FR003037

Παροχή αιχμής (M3/S)	211.71
Χρονική στιγμή αιχμής	02Sep2000, 01:45
Όγκος (MM)	301.57
Όγκος βροχόπτωσης (M3)	8.92E6
Όγκος απωλειών (M3)	2.03E6
Ενεργός Όγκος (M3)	6.89E6
Όγκος άμεσης απορροής (M3)	6.89E6
Όγκος βασικής απορροής (M3)	2.96E6

Βροχόπτωση και Απορροή



Υπολεκάνη: EL0514FR003038

Έκταση (KM2) : 25.23

Κατάντη : J30

Μέθοδος Απωλειών: SCS

Ποσοστό αδιαπέρατης επιφάνειας	0
Αριθμός Καμπύλης Απορροής-CN	80.33
Αρχικές Απώλειες	12.44

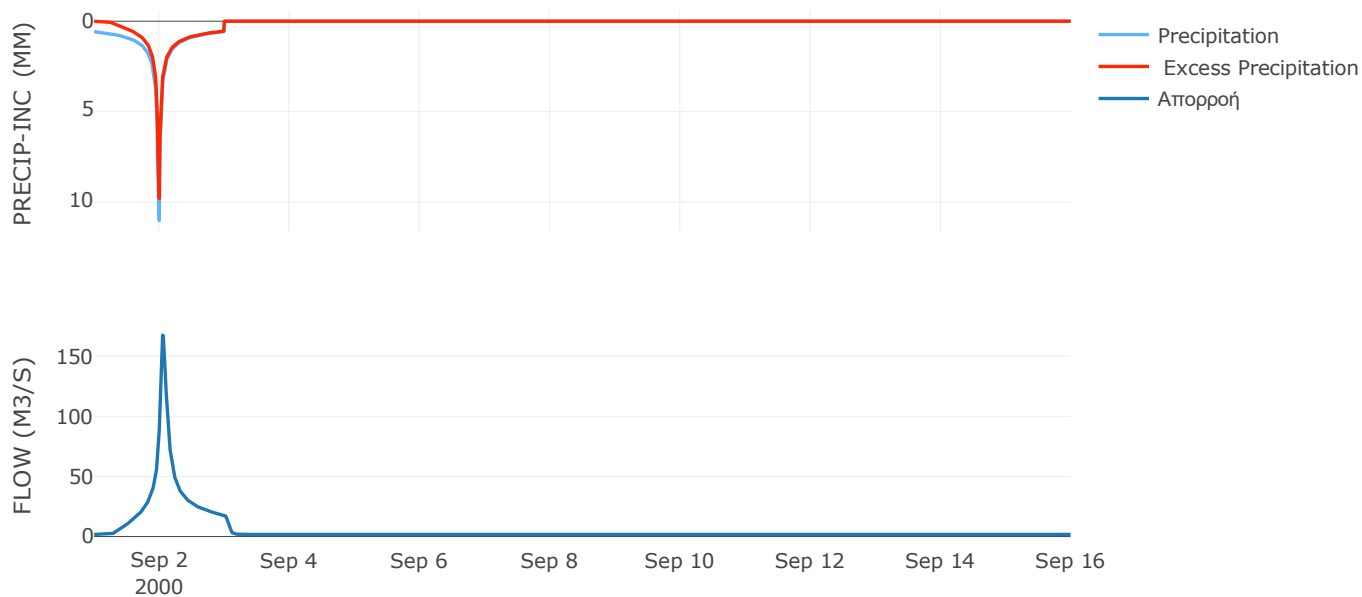
Μέθοδος
Μετασχηματισμού: SCS

Χρόνος Υστέρησης	75.9
------------------	------

Αποτελέσματα:
EL0514FR003038

Παροχή αιχμής (M3/S)	167.48
Χρονική στιγμή αιχμής	02Sep2000, 01:15
Όγκος (MM)	290.43
Όγκος βροχόπτωσης (M3)	6.61E6
Όγκος απωλειών (M3)	1.57E6
Ενεργός Όγκος (M3)	5.04E6
Όγκος άμεσης απορροής (M3)	5.04E6
Όγκος βασικής απορροής (M3)	2.29E6

Βροχόπτωση και Απορροή



Υπολεκάνη: EL0514FR003039

Έκταση (KM2) : 8.72

Κατάντη : J22

Μέθοδος Απωλειών: SCS

Ποσοστό αδιαπέρατης επιφάνειας	0.09
Αριθμός Καμπύλης Απορροής-CN	82.36
Αρχικές Απώλειες	10.88

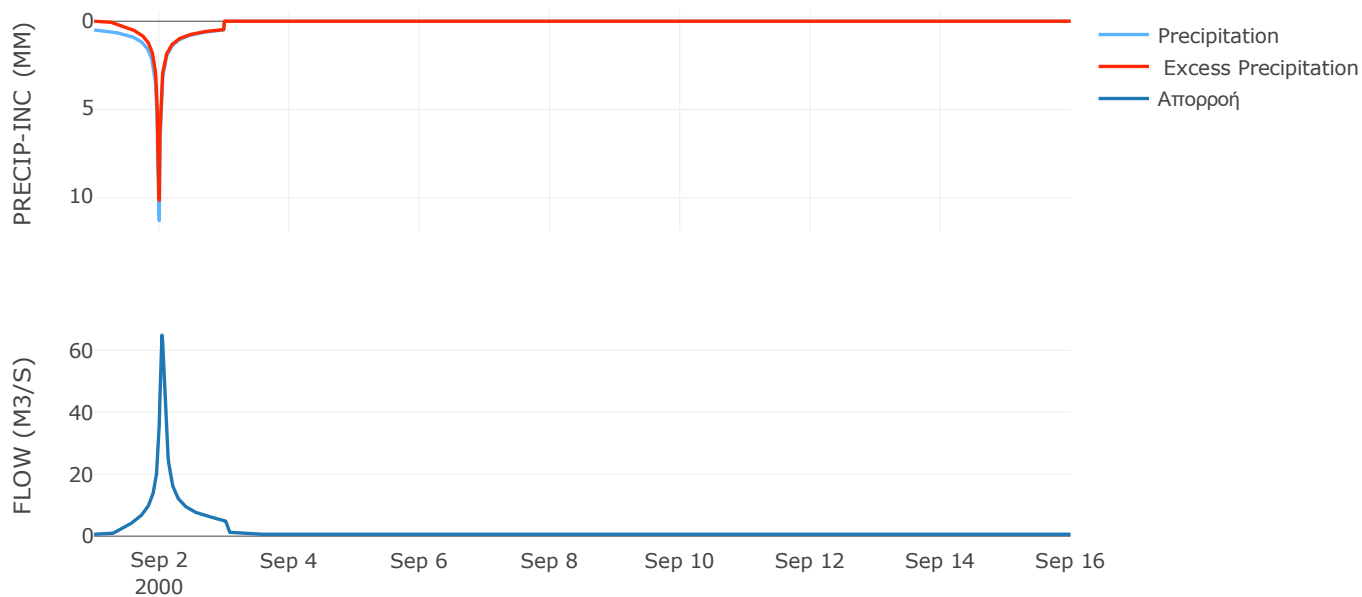
Μέθοδος
Μετασχηματισμού: SCS

Χρόνος Υστέρησης	57.05
------------------	-------

Αποτελέσματα:
EL0514FR003039

Παροχή αιχμής (M3/S)	64.93
Χρονική στιγμή αιχμής	02Sep2000, 01:00
Όγκος (MM)	275.58
Όγκος βροχόπτωσης (M3)	2.09E6
Όγκος απωλειών (M3)	4.78E5
Ενεργός Όγκος (M3)	1.61E6
Όγκος άμεσης απορροής (M3)	1.61E6
Όγκος βασικής απορροής (M3)	7.91E5

Βροχόπτωση και Απορροή



Υπολεκάνη: EL0514FR003040

Έκταση (KM2) : 22.7

Κατάντη : J22

Μέθοδος Απωλειών: SCS

Ποσοστό αδιαπέρατης επιφάνειας	0.09
Αριθμός Καμπύλης Απορροής-CN	81.42
Αρχικές Απώλειες	11.59

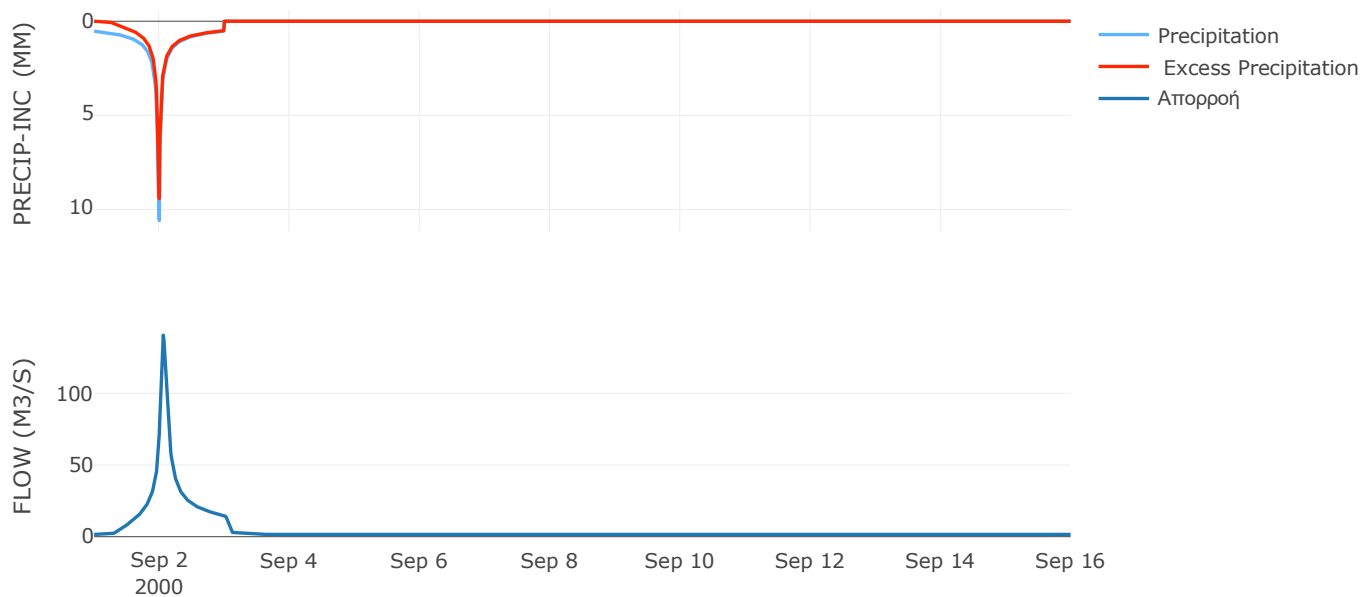
Μέθοδος
Μετασχηματισμού: SCS

Χρόνος Υστέρησης	81.05
------------------	-------

Αποτελέσματα:
EL0514FR003040

Παροχή αιχμής (M3/S)	140.59
Χρονική στιγμή αιχμής	02Sep2000, 01:30
Όγκος (MM)	276.33
Όγκος βροχόπτωσης (M3)	5.53E6
Όγκος απωλειών (M3)	1.31E6
Ενεργός Όγκος (M3)	4.21E6
Όγκος άμεσης απορροής (M3)	4.21E6
Όγκος βασικής απορροής (M3)	2.06E6

Βροχόπτωση και Απορροή



Υπολεκάνη: EL0514FR003041

Έκταση (KM2) : 11.3

Κατάντη : J23

Μέθοδος Απωλειών: SCS

Ποσοστό αδιαπέρατης επιφάνειας	0
Αριθμός Καμπύλης Απορροής-CN	80.25
Αρχικές Απώλειες	12.5

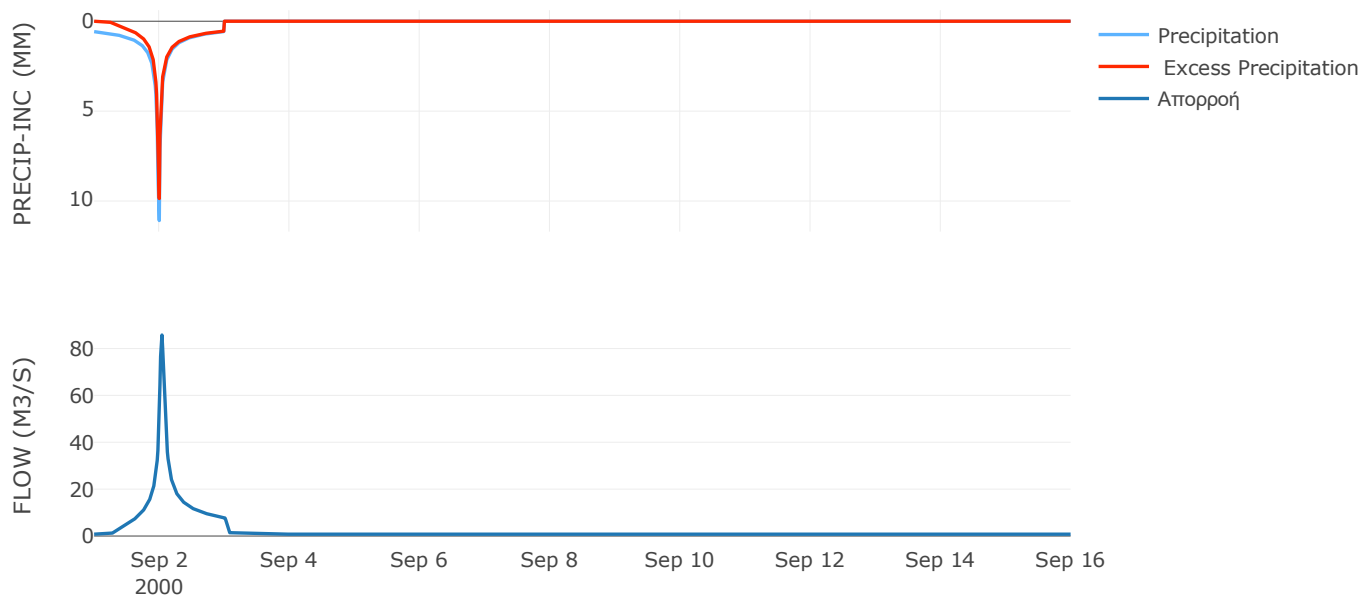
Μέθοδος
Μετασχηματισμού: SCS

Χρόνος Υστέρησης	50.16
------------------	-------

Αποτελέσματα:
EL0514FR003041

Παροχή αιχμής (M3/S)	85.75
Χρονική στιγμή αιχμής	02Sep2000, 01:00
Όγκος (MM)	290.56
Όγκος βροχόπτωσης (M3)	2.96E6
Όγκος απωλειών (M3)	7.06E5
Ενεργός Όγκος (M3)	2.26E6
Όγκος άμεσης απορροής (M3)	2.26E6
Όγκος βασικής απορροής (M3)	1.03E6

Βροχόπτωση και Απορροή



Υπολεκάνη: EL0514FR003042

Έκταση (KM2) : 9.38

Κατάντη : J23

Μέθοδος Απωλειών: SCS

Ποσοστό αδιαπέρατης επιφάνειας	0
Αριθμός Καμπύλης Απορροής-CN	81.4
Αρχικές Απώλειες	11.61

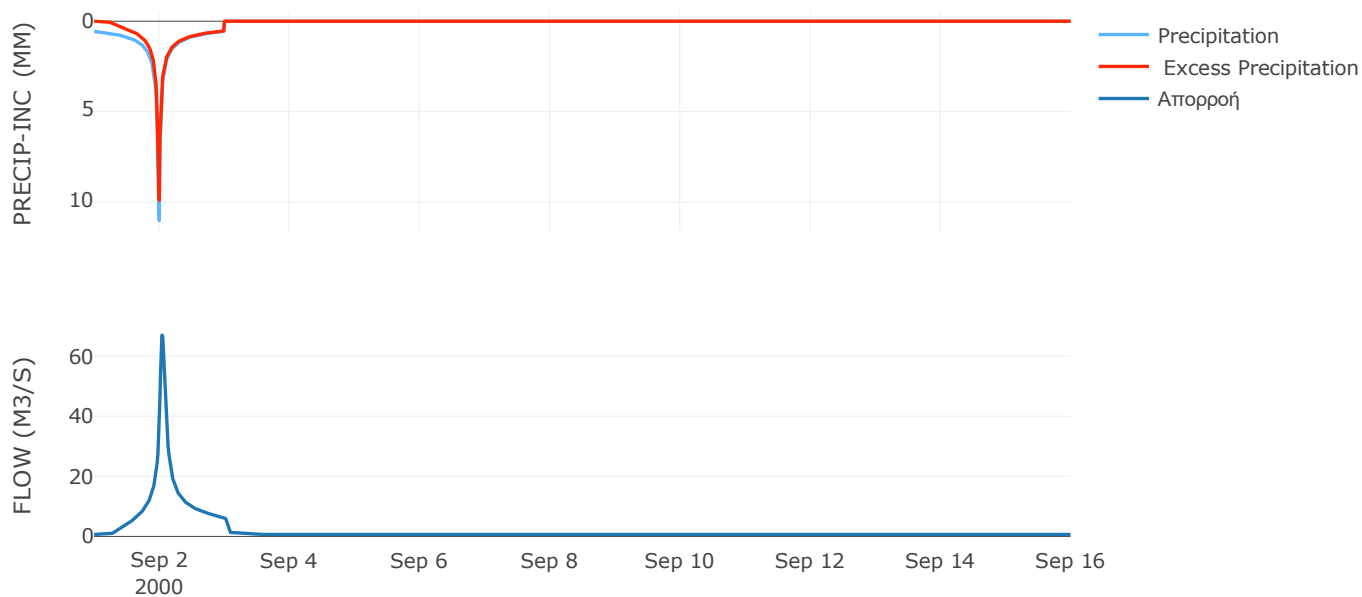
Μέθοδος
Μετασχηματισμού: SCS

Χρόνος Υστέρησης	61.93
------------------	-------

Αποτελέσματα:
EL0514FR003042

Παροχή αιχμής (M3/S)	66.96
Χρονική στιγμή αιχμής	02Sep2000, 01:00
Όγκος (MM)	289.03
Όγκος βροχόπτωσης (M3)	2.41E6
Όγκος απωλειών (M3)	5.49E5
Ενεργός Όγκος (M3)	1.86E6
Όγκος άμεσης απορροής (M3)	1.86E6
Όγκος βασικής απορροής (M3)	8.51E5

Βροχόπτωση και Απορροή



Υπολεκάνη: EL0514FR003043

Έκταση (KM2) : 29.89

Κατάντη : J24

Μέθοδος Απωλειών: SCS

Ποσοστό αδιαπέρατης επιφάνειας	0
Αριθμός Καμπύλης Απορροής-CN	80.92
Αρχικές Απώλειες	11.98

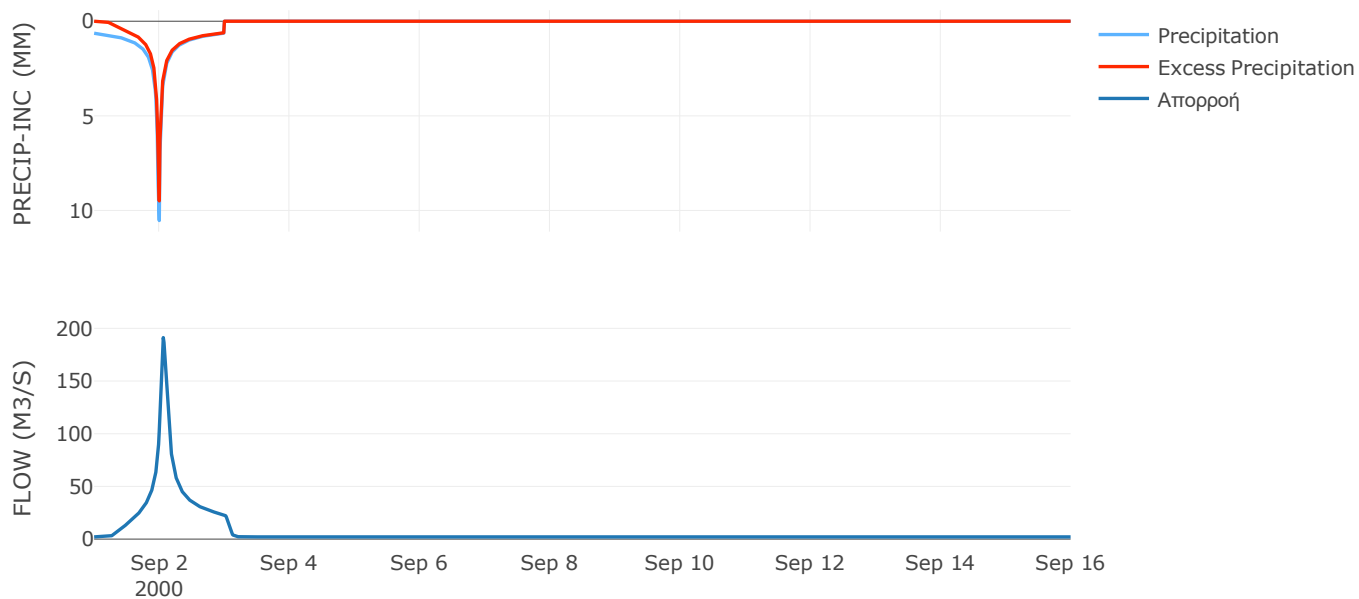
Μέθοδος
Μετασχηματισμού: SCS

Χρόνος Υστέρησης	81.98
------------------	-------

Αποτελέσματα:
EL0514FR003043

Παροχή αιχμής (M3/S)	191.23
Χρονική στιγμή αιχμής	02Sep2000, 01:30
Όγκος (MM)	302.69
Όγκος βροχόπτωσης (M3)	8.15E6
Όγκος απωλειών (M3)	1.81E6
Ενεργός Όγκος (M3)	6.34E6
Όγκος άμεσης απορροής (M3)	6.34E6
Όγκος βασικής απορροής (M3)	2.71E6

Βροχόπτωση και Απορροή



Υπολεκάνη: EL0514FR003044

Έκταση (KM2) : 19.82

Κατάντη : J24

Μέθοδος Απωλειών: SCS

Ποσοστό αδιαπέρατης επιφάνειας	0
Αριθμός Καμπύλης Απορροής-CN	78.07
Αρχικές Απώλειες	14.27

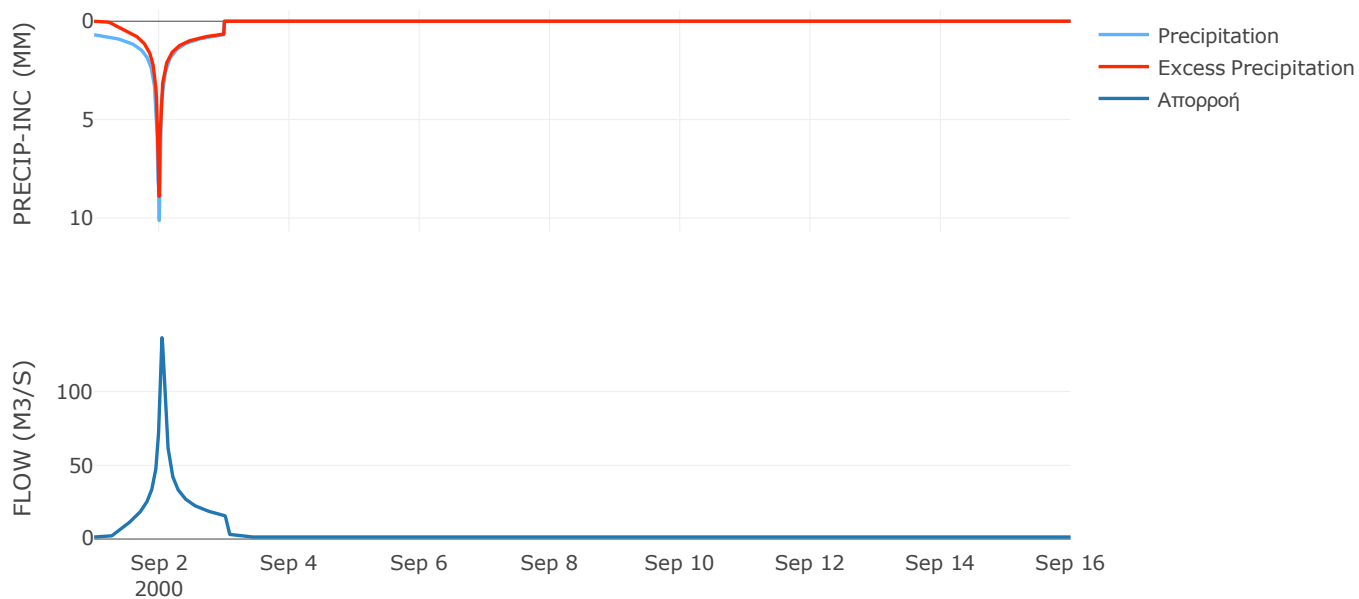
Μέθοδος
Μετασχηματισμού: SCS

Χρόνος Υστέρησης	54.88
------------------	-------

Αποτελέσματα:
EL0514FR003044

Παροχή αιχμής (M3/S)	136.55
Χρονική στιγμή αιχμής	02Sep2000, 01:00
Όγκος (MM)	303.35
Όγκος βροχόπτωσης (M3)	5.62E6
Όγκος απωλειών (M3)	1.4E6
Ενεργός Όγκος (M3)	4.22E6
Όγκος άμεσης απορροής (M3)	4.22E6
Όγκος βασικής απορροής (M3)	1.8E6

Βροχόπτωση και Απορροή



Υπολεκάνη: EL0514FR003045

Έκταση (KM2) : 19.47

Κατάντη : J26

Μέθοδος Απωλειών: SCS

Ποσοστό αδιαπέρατης επιφάνειας	0
Αριθμός Καμπύλης Απορροής-CN	64.69
Αρχικές Απώλειες	27.73

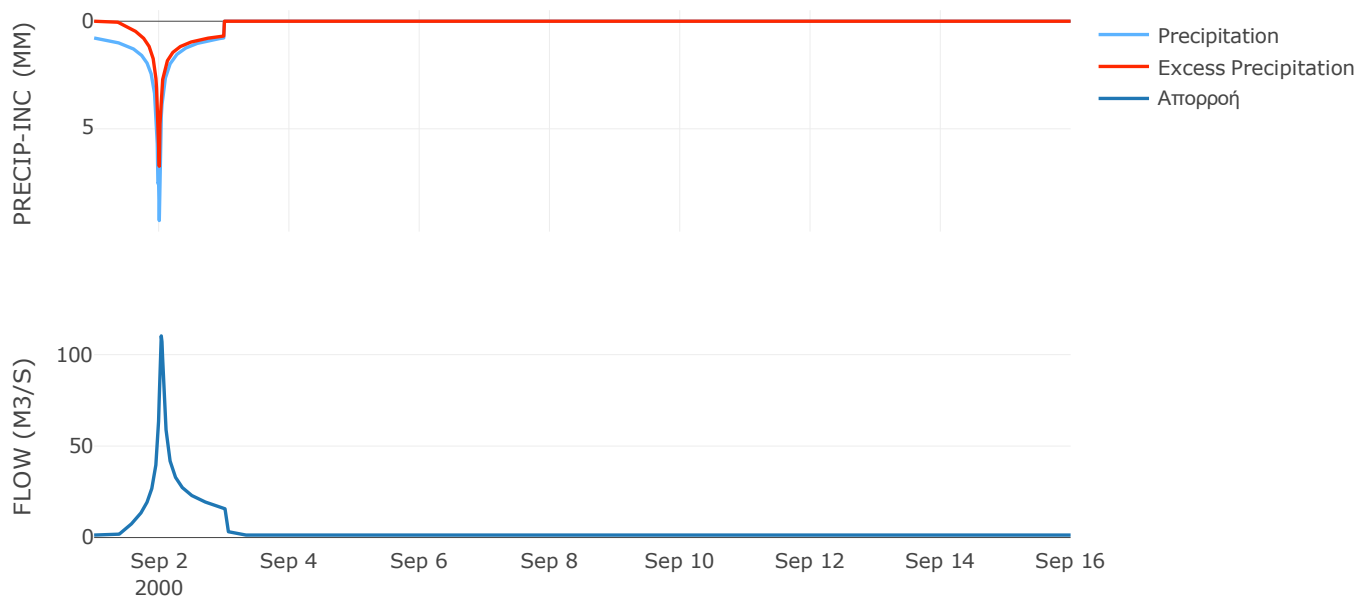
Μέθοδος
Μετασχηματισμού: SCS

Χρόνος Υστέρησης	40.5
------------------	------

Αποτελέσματα:
EL0514FR003045

Παροχή αιχμής (M3/S)	110.24
Χρονική στιγμή αιχμής	02Sep2000, 00:45
Όγκος (MM)	269.6
Όγκος βροχόπτωσης (M3)	5.81E6
Όγκος απωλειών (M3)	2.32E6
Ενεργός Όγκος (M3)	3.48E6
Όγκος άμεσης απορροής (M3)	3.48E6
Όγκος βασικής απορροής (M3)	1.77E6

Βροχόπτωση και Απορροή



Υπολεκάνη: EL0514FR003046

Έκταση (KM2) : 5.63

Κατάντη : J24

Μέθοδος Απωλειών: SCS

Ποσοστό αδιαπέρατης επιφάνειας	0
Αριθμός Καμπύλης Απορροής-CN	81.05
Αρχικές Απώλειες	11.88

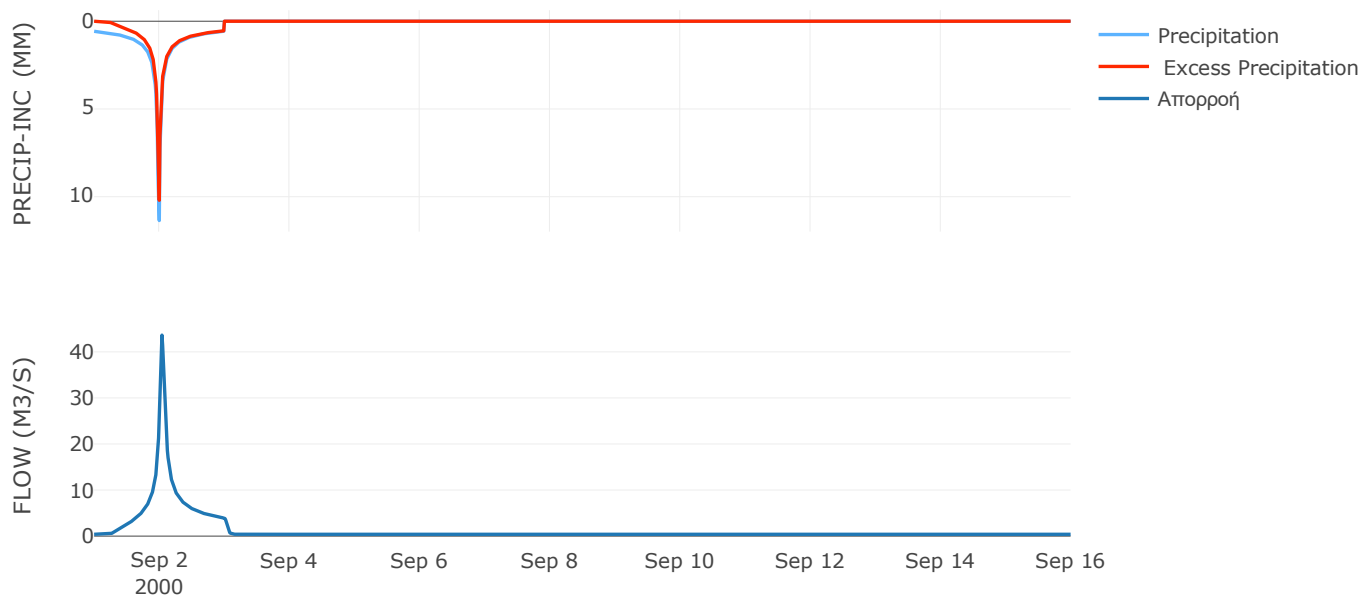
Μέθοδος
Μετασχηματισμού: SCS

Χρόνος Υστέρησης	52.65
------------------	-------

Αποτελέσματα:
EL0514FR003046

Παροχή αιχμής (M3/S)	43.63
Χρονική στιγμή αιχμής	02Sep2000, 01:00
Όγκος (MM)	293.86
Όγκος βροχόπτωσης (M3)	1.48E6
Όγκος απωλειών (M3)	3.37E5
Ενεργός Όγκος (M3)	1.14E6
Όγκος άμεσης απορροής (M3)	1.14E6
Όγκος βασικής απορροής (M3)	5.11E5

Βροχόπτωση και Απορροή



Υπολεκάνη: EL0514FR003047

Έκταση (KM2) : 17.53

Κατάντη : J25

Μέθοδος Απωλειών: SCS

Ποσοστό αδιαπέρατης επιφάνειας	0
Αριθμός Καμπύλης Απορροής-CN	80.37
Αρχικές Απώλειες	12.41

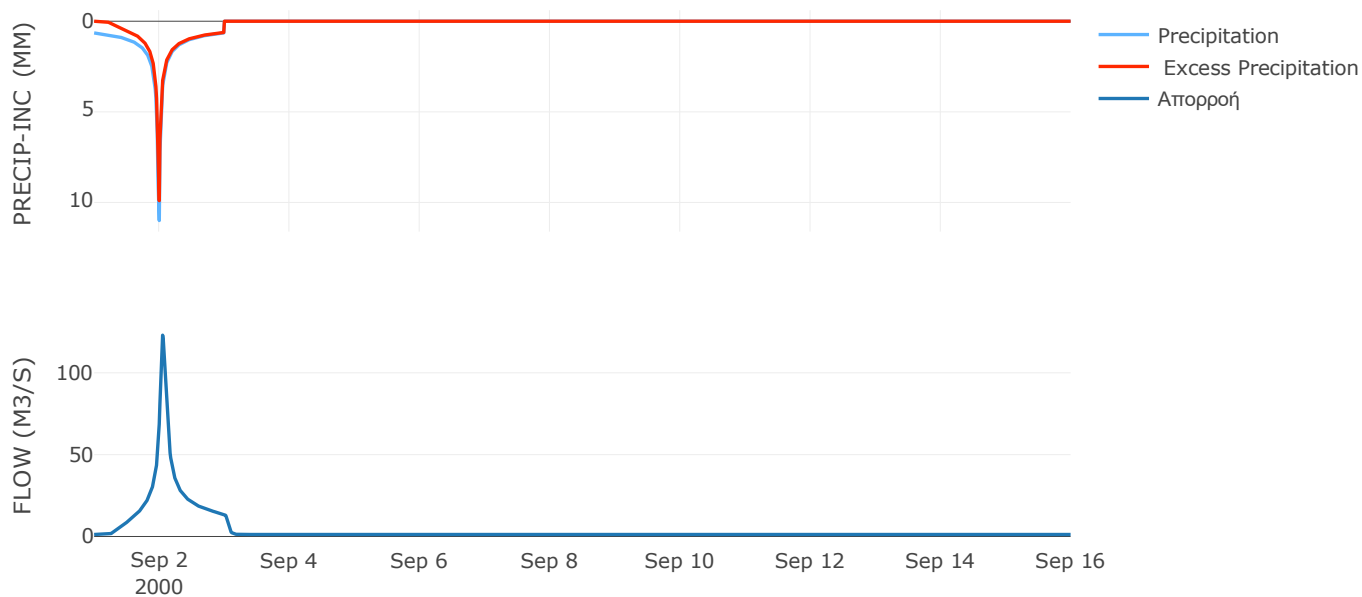
Μέθοδος
Μετασχηματισμού: SCS

Χρόνος Υστέρησης	69.95
------------------	-------

Αποτελέσματα:
EL0514FR003047

Παροχή αιχμής (M3/S)	122.99
Χρονική στιγμή αιχμής	02Sep2000, 01:15
Όγκος (MM)	308.35
Όγκος βροχόπτωσης (M3)	4.92E6
Όγκος απωλειών (M3)	1.1E6
Ενεργός Όγκος (M3)	3.82E6
Όγκος άμεσης απορροής (M3)	3.82E6
Όγκος βασικής απορροής (M3)	1.59E6

Βροχόπτωση και Απορροή



Υπολεκάνη: EL0514FR003048

Έκταση (KM2) : 3.98

Κατάντη : J25

Μέθοδος Απωλειών: SCS

Ποσοστό αδιαπέρατης επιφάνειας	0
Αριθμός Καμπύλης Απορροής-CN	80.39
Αρχικές Απώλειες	12.39

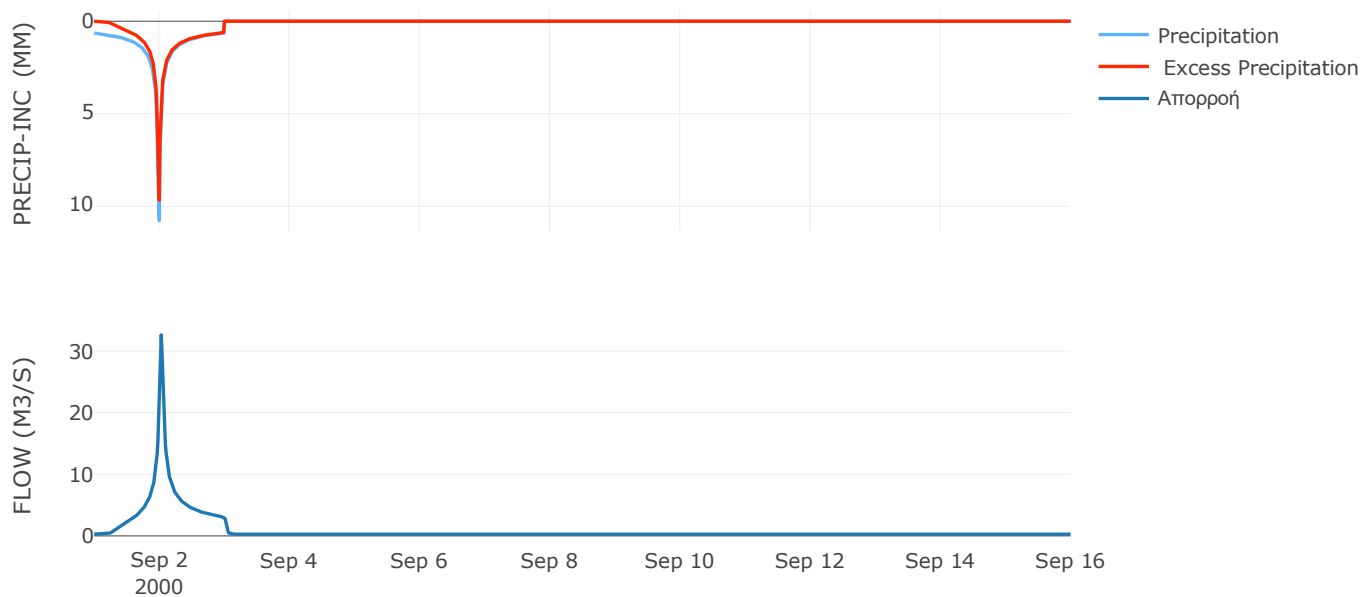
Μέθοδος
Μετασχηματισμού: SCS

Χρόνος Υστέρησης	35.73
------------------	-------

Αποτελέσματα:
EL0514FR003048

Παροχή αιχμής (M3/S)	32.63
Χρονική στιγμή αιχμής	02Sep2000, 00:45
Όγκος (MM)	303.95
Όγκος βροχόπτωσης (M3)	1.1E6
Όγκος απωλειών (M3)	2.49E5
Ενεργός Όγκος (M3)	8.5E5
Όγκος άμεσης απορροής (M3)	8.5E5
Όγκος βασικής απορροής (M3)	3.61E5

Βροχόπτωση και Απορροή



Υπολεκάνη: EL0514FR003049

Έκταση (KM2) : 37.37

Κατάντη : J26

Μέθοδος Απωλειών: SCS

Ποσοστό αδιαπέρατης επιφάνειας	0
Αριθμός Καμπύλης Απορροής-CN	74.59
Αρχικές Απώλειες	17.31

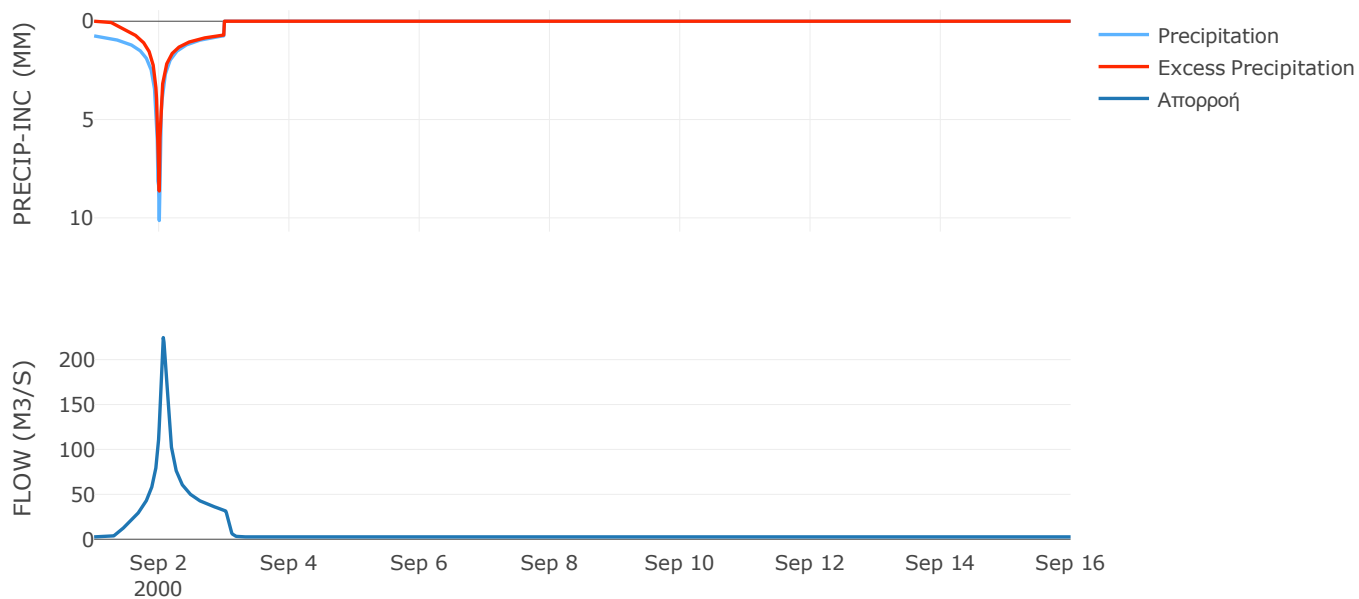
Μέθοδος
Μετασχηματισμού: SCS

Χρόνος Υστέρησης	80.39
------------------	-------

Αποτελέσματα:
EL0514FR003049

Παροχή αιχμής (M3/S)	224.55
Χρονική στιγμή αιχμής	02Sep2000, 01:30
Όγκος (MM)	306.13
Όγκος βροχόπτωσης (M3)	1.12E7
Όγκος απωλειών (M3)	3.12E6
Ενεργός Όγκος (M3)	8.05E6
Όγκος άμεσης απορροής (M3)	8.05E6
Όγκος βασικής απορροής (M3)	3.39E6

Βροχόπτωση και Απορροή



Υπολεκάνη: EL0514FR003051

Έκταση (KM2) : 17.16

Κατάντη : J27

Μέθοδος Απωλειών: SCS

Ποσοστό αδιαπέρατης επιφάνειας	0
Αριθμός Καμπύλης Απορροής-CN	80.47
Αρχικές Απώλειες	12.33

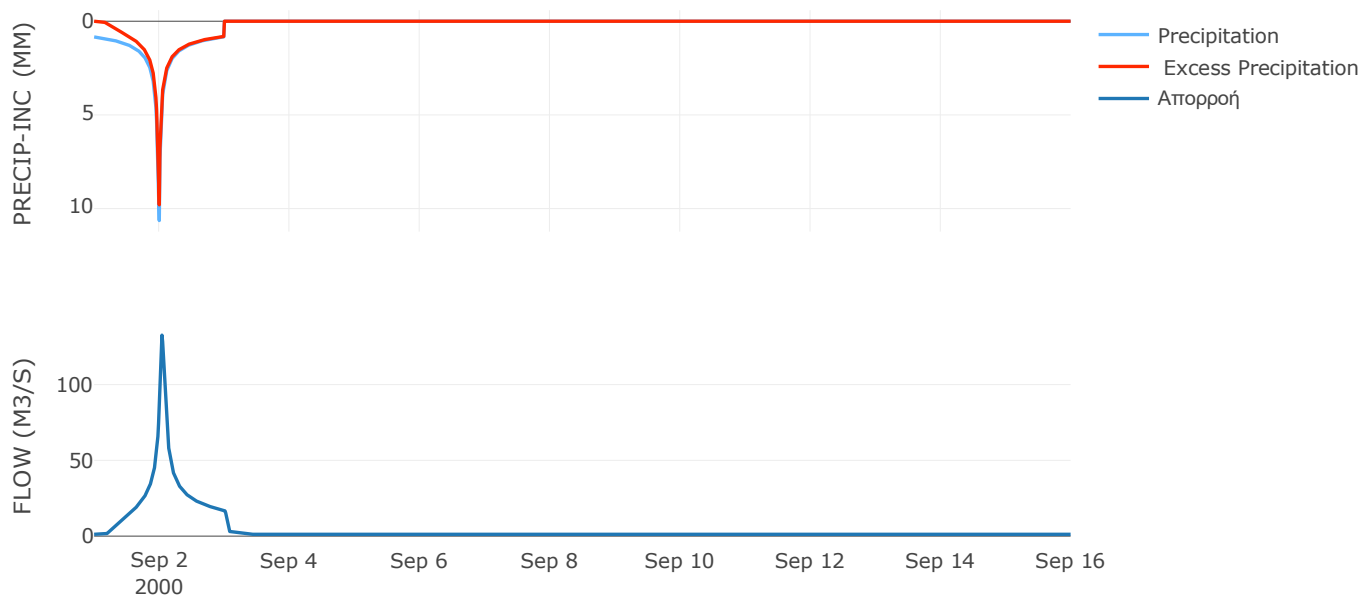
Μέθοδος
Μετασχηματισμού: SCS

Χρόνος Υστέρησης	54.63
------------------	-------

Αποτελέσματα:
EL0514FR003051

Παροχή αιχμής (M3/S)	132.63
Χρονική στιγμή αιχμής	02Sep2000, 01:00
Όγκος (MM)	354.57
Όγκος βροχόπτωσης (M3)	5.62E6
Όγκος απωλειών (M3)	1.1E6
Ενεργός Όγκος (M3)	4.53E6
Όγκος άμεσης απορροής (M3)	4.53E6
Όγκος βασικής απορροής (M3)	1.56E6

Βροχόπτωση και Απορροή



Υπολεκάνη: EL0514FR003052

Έκταση (KM2) : 20.26

Κατάντη : J27

Μέθοδος Απωλειών: SCS

Ποσοστό αδιαπέρατης επιφάνειας	0
Αριθμός Καμπύλης Απορροής-CN	80.76
Αρχικές Απώλειες	12.1

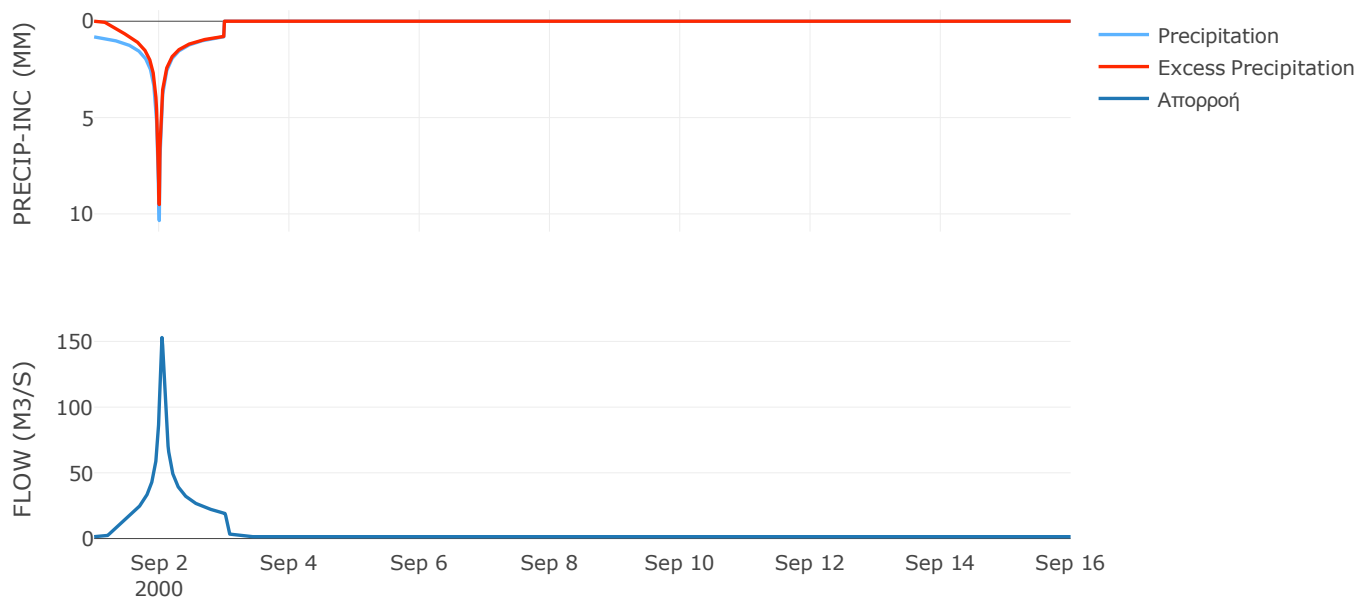
Μέθοδος
Μετασχηματισμού: SCS

Χρόνος Υστέρησης	53.1
------------------	------

Αποτελέσματα:
EL0514FR003052

Παροχή αιχμής (M3/S)	152.97
Χρονική στιγμή αιχμής	02Sep2000, 01:00
Όγκος (MM)	346.38
Όγκος βροχόπτωσης (M3)	6.45E6
Όγκος απωλειών (M3)	1.27E6
Ενεργός Όγκος (M3)	5.18E6
Όγκος άμεσης απορροής (M3)	5.18E6
Όγκος βασικής απορροής (M3)	1.84E6

Βροχόπτωση και Απορροή



Υπολεκάνη: EL0514FR003053

Έκταση (KM2) : 23.12

Κατάντη : J27

Μέθοδος Απωλειών: SCS

Ποσοστό αδιαπέρατης επιφάνειας	0
Αριθμός Καμπύλης Απορροής-CN	81.01
Αρχικές Απώλειες	11.91

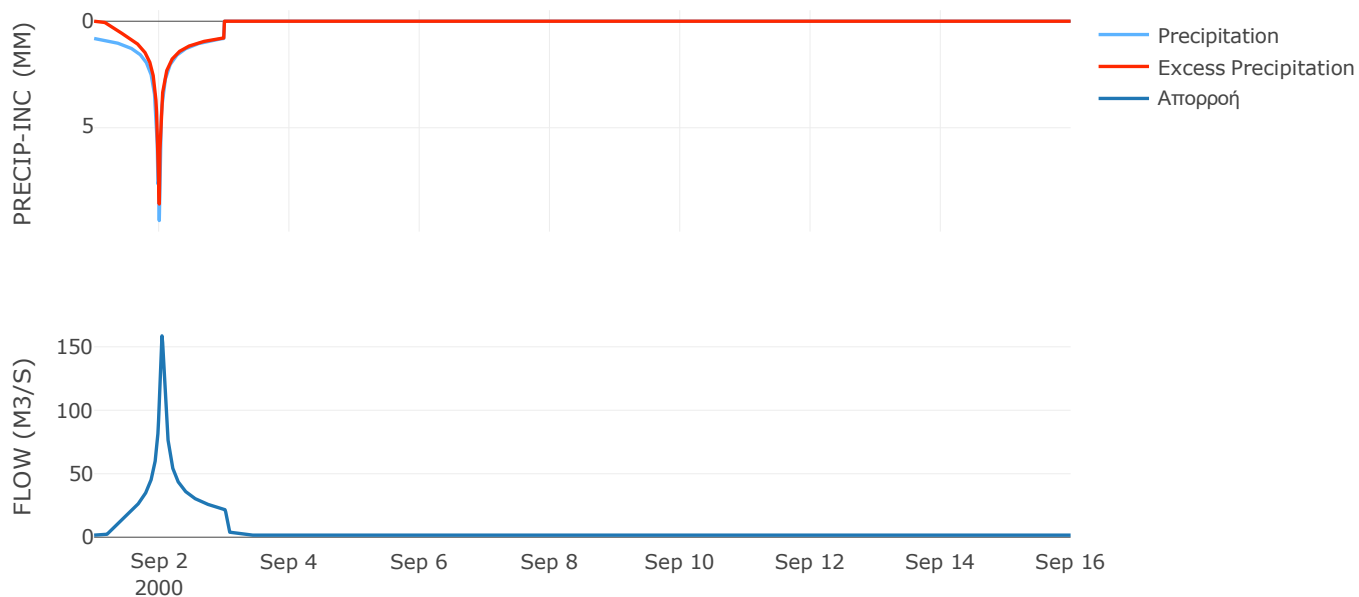
Μέθοδος
Μετασχηματισμού: SCS

Χρόνος Υστέρησης	53.85
------------------	-------

Αποτελέσματα:
EL0514FR003053

Παροχή αιχμής (M3/S)	158.65
Χρονική στιγμή αιχμής	02Sep2000, 01:00
Όγκος (MM)	336.19
Όγκος βροχόπτωσης (M3)	7.1E6
Όγκος απωλειών (M3)	1.42E6
Ενεργός Όγκος (M3)	5.68E6
Όγκος άμεσης απορροής (M3)	5.68E6
Όγκος βασικής απορροής (M3)	2.1E6

Βροχόπτωση και Απορροή



Υπολεκάνη: EL0514FR003054

Έκταση (KM2) : 25.24

Κατάντη : J28

Μέθοδος Απωλειών: SCS

Ποσοστό αδιαπέρατης επιφάνειας	0
Αριθμός Καμπύλης Απορροής-CN	70.09
Αρχικές Απώλειες	21.68

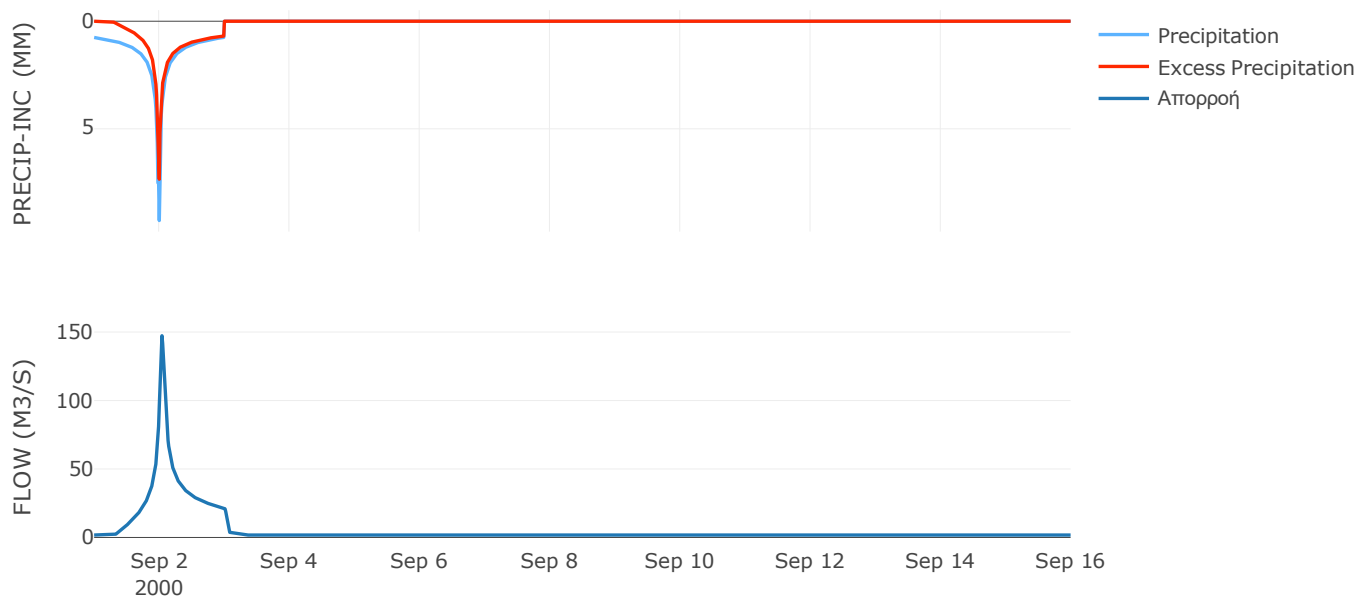
Μέθοδος
Μετασχηματισμού: SCS

Χρόνος Υστέρησης	51.84
------------------	-------

Αποτελέσματα:
EL0514FR003054

Παροχή αιχμής (M3/S)	147.32
Χρονική στιγμή αιχμής	02Sep2000, 01:00
Όγκος (MM)	283.32
Όγκος βροχόπτωσης (M3)	7.36E6
Όγκος απωλειών (M3)	2.5E6
Ενεργός Όγκος (M3)	4.86E6
Όγκος άμεσης απορροής (M3)	4.86E6
Όγκος βασικής απορροής (M3)	2.29E6

Βροχόπτωση και Απορροή



Υπολεκάνη: EL0514FR003055

Έκταση (KM2) : 14.63

Κατάντη : J29

Μέθοδος Απωλειών: SCS

Ποσοστό αδιαπέρατης επιφάνειας	0
Αριθμός Καμπύλης Απορροής-CN	75.32
Αρχικές Απώλειες	16.64

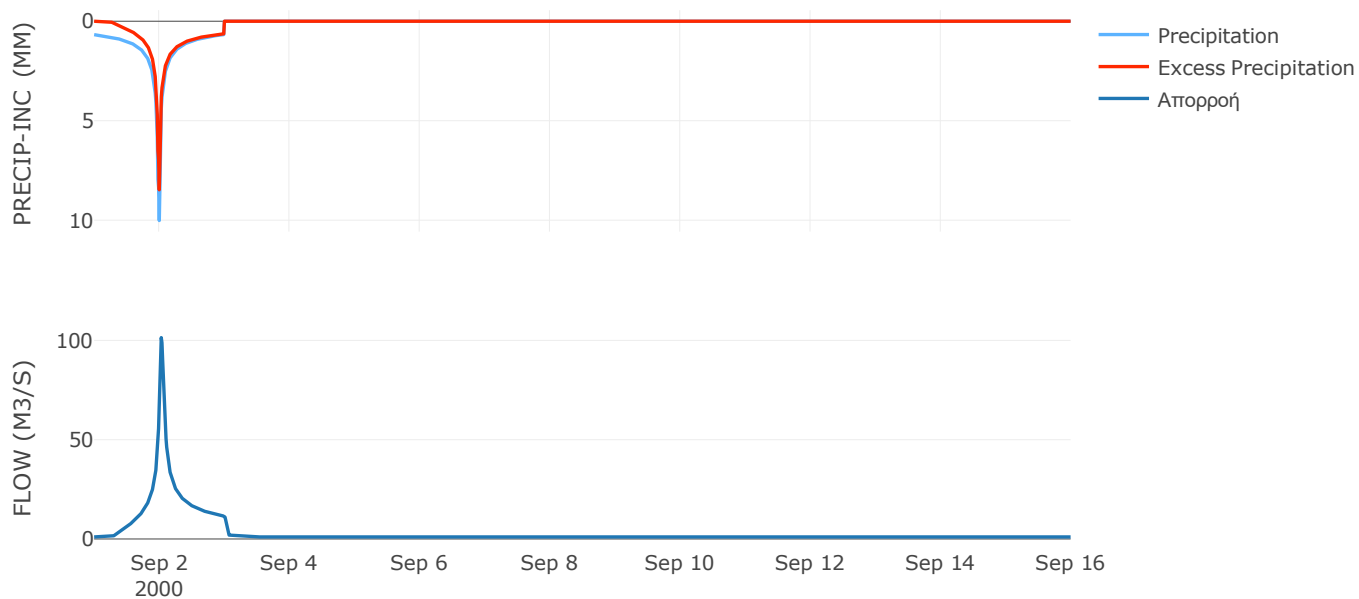
Μέθοδος
Μετασχηματισμού: SCS

Χρόνος Υστέρησης	43.29
------------------	-------

Αποτελέσματα:
EL0514FR003055

Παροχή αιχμής (M3/S)	101.41
Χρονική στιγμή αιχμής	02Sep2000, 00:45
Όγκος (MM)	289.29
Όγκος βροχόπτωσης (M3)	4.07E6
Όγκος απωλειών (M3)	1.17E6
Ενεργός Όγκος (M3)	2.9E6
Όγκος άμεσης απορροής (M3)	2.9E6
Όγκος βασικής απορροής (M3)	1.33E6

Βροχόπτωση και Απορροή



Υπολεκάνη: EL0514FR003056

Έκταση (KM2) : 25.33

Κατάντη : J29

Μέθοδος Απωλειών: SCS

Ποσοστό αδιαπέρατης επιφάνειας	0
Αριθμός Καμπύλης Απορροής-CN	71.86
Αρχικές Απώλειες	19.89

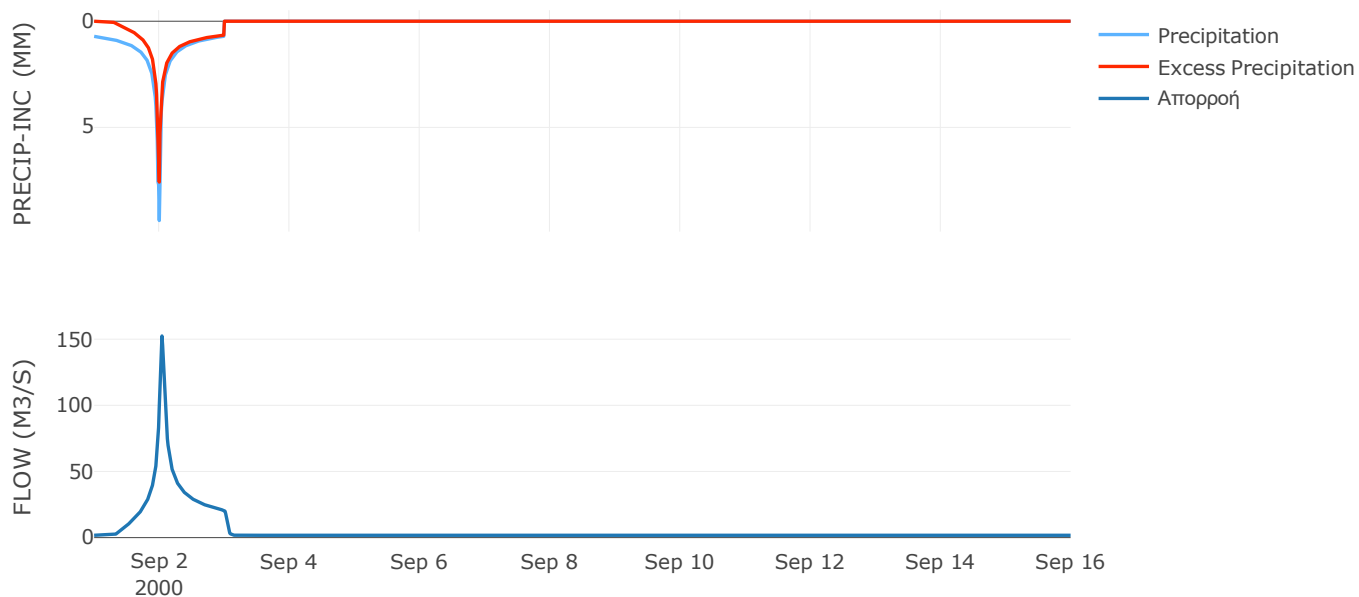
Μέθοδος
Μετασχηματισμού: SCS

Χρόνος Υστέρησης	50.12
------------------	-------

Αποτελέσματα:
EL0514FR003056

Παροχή αιχμής (M3/S)	152.44
Χρονική στιγμή αιχμής	02Sep2000, 01:00
Όγκος (MM)	280.88
Όγκος βροχόπτωσης (M3)	7.15E6
Όγκος απωλειών (M3)	2.33E6
Ενεργός Όγκος (M3)	4.82E6
Όγκος άμεσης απορροής (M3)	4.82E6
Όγκος βασικής απορροής (M3)	2.3E6

Βροχόπτωση και Απορροή



Υπολεκάνη: EL0514FR003057

Έκταση (KM2) : 14.19

Κατάντη : J28

Μέθοδος Απωλειών: SCS

Ποσοστό αδιαπέρατης επιφάνειας	0
Αριθμός Καμπύλης Απορροής-CN	80.63
Αρχικές Απώλειες	12.21

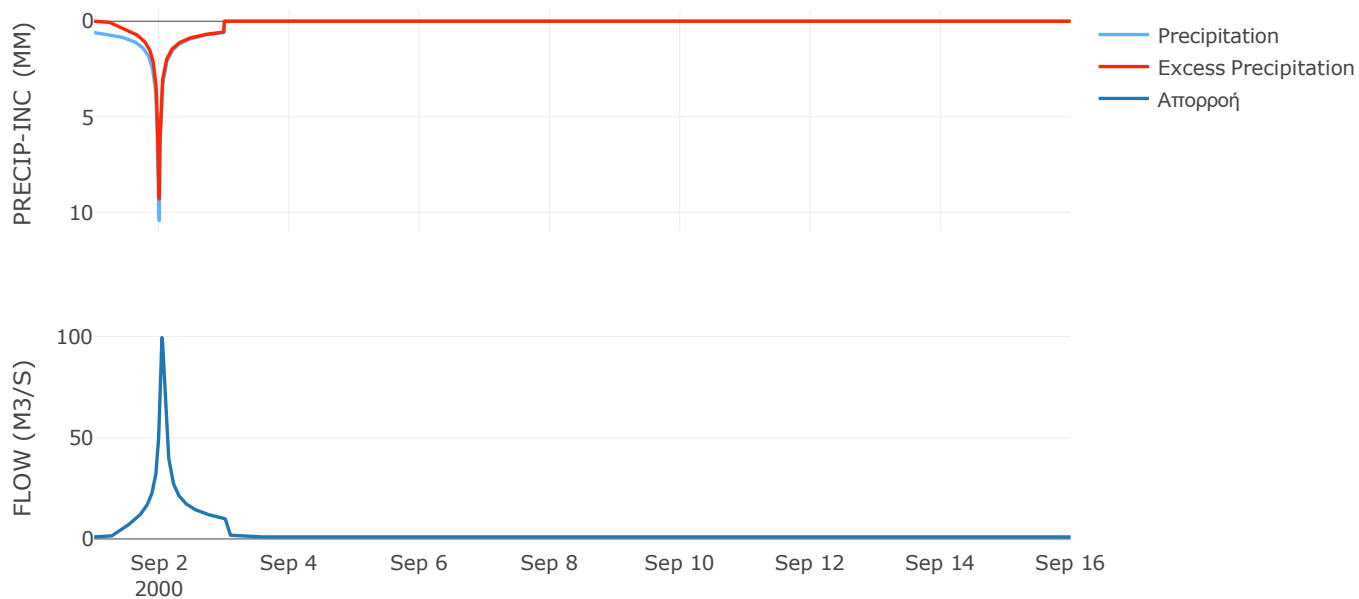
Μέθοδος
Μετασχηματισμού: SCS

Χρόνος Υστέρησης	56.78
------------------	-------

Αποτελέσματα:
EL0514FR003057

Παροχή αιχμής (M3/S)	99.49
Χρονική στιγμή αιχμής	02Sep2000, 01:00
Όγκος (MM)	290.32
Όγκος βροχόπτωσης (M3)	3.7E6
Όγκος απωλειών (M3)	8.68E5
Ενεργός Όγκος (M3)	2.83E6
Όγκος άμεσης απορροής (M3)	2.83E6
Όγκος βασικής απορροής (M3)	1.29E6

Βροχόπτωση και Απορροή



Υπολεκάνη: EL0514FR003058

Έκταση (KM2) : 75.13

Κατάνη : J4 Res1

Μέθοδος Απωλειών: SCS

Ποσοστό αδιαπέρατης επιφάνειας	0.15
Αριθμός Καμπύλης Απορροής-CN	83.14
Αρχικές Απώλειες	10.3

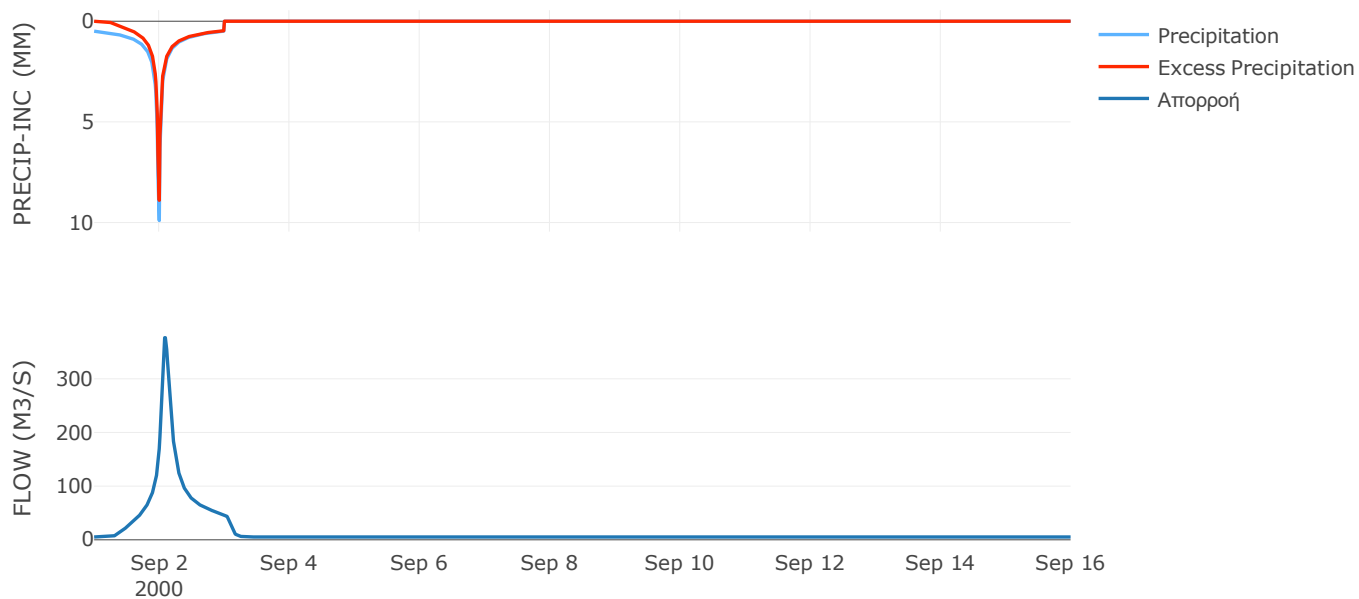
Μέθοδος
Μετασχηματισμού: SCS

Χρόνος Υστέρησης	119.93
------------------	--------

Αποτελέσματα:
EL0514FR003058

Παροχή αιχμής (M3/S)	376.66
Χρονική στιγμή αιχμής	02Sep2000, 02:15
Όγκος (MM)	266.89
Όγκος βροχόπτωσης (M3)	1.71E7
Όγκος απωλειών (M3)	3.9E6
Ενεργός Όγκος (M3)	1.32E7
Όγκος άμεσης απορροής (M3)	1.32E7
Όγκος βασικής απορροής (M3)	6.82E6

Βροχόπτωση και Απορροή



Υπολεκάνη: EL0514FR003059

Έκταση (KM2) : 14.46

Κατάντη : J3

Μέθοδος Απωλειών: SCS

Ποσοστό αδιαπέρατης επιφάνειας	0
Αριθμός Καμπύλης Απορροής-CN	79.67
Αρχικές Απώλειες	12.96

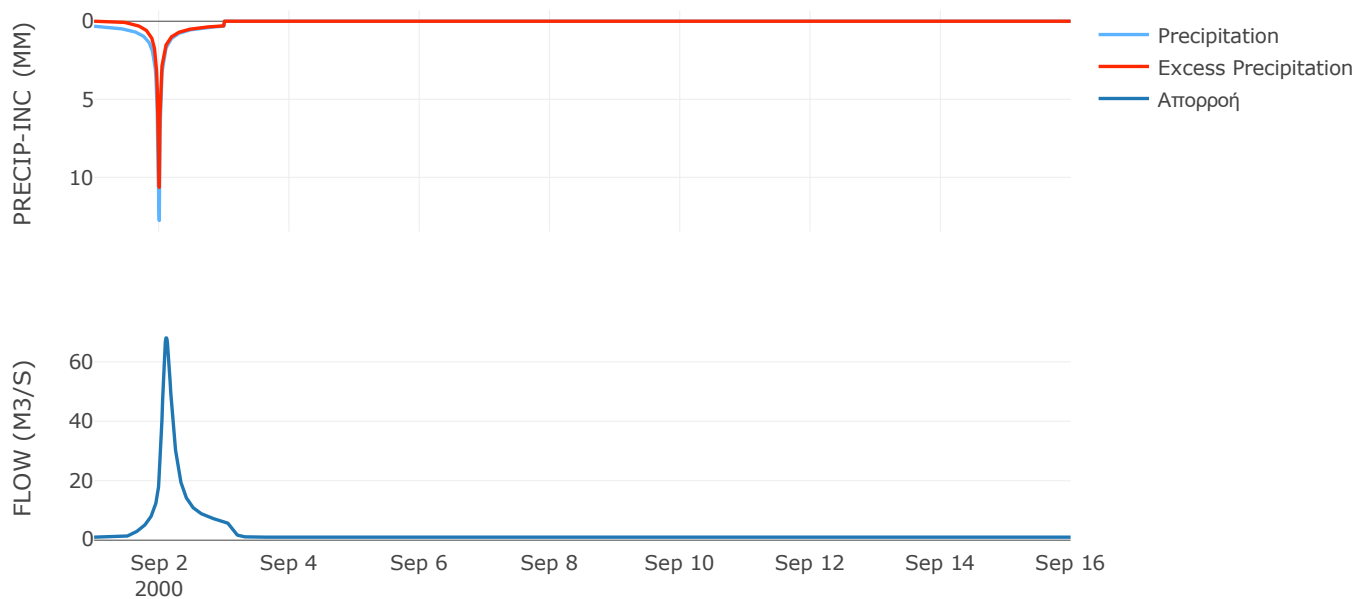
Μέθοδος
Μετασχηματισμού: SCS

Χρόνος Υστέρησης	146.02
------------------	--------

Αποτελέσματα:
EL0514FR003059

Παροχή αιχμής (M3/S)	68.07
Χρονική στιγμή αιχμής	02Sep2000, 02:30
Όγκος (MM)	227.09
Όγκος βροχόπτωσης (M3)	2.85E6
Όγκος απωλειών (M3)	8.81E5
Ενεργός Όγκος (M3)	1.97E6
Όγκος άμεσης απορροής (M3)	1.97E6
Όγκος βασικής απορροής (M3)	1.31E6

Βροχόπτωση και Απορροή



Υπολεκάνη: EL0514FR003060

Έκταση (KM2) : 25.82

Κατάνη : J1

Μέθοδος Απωλειών: SCS

Ποσοστό αδιαπέρατης επιφάνειας	0
Αριθμός Καμπύλης Απορροής-CN	79.13
Αρχικές Απώλειες	13.39

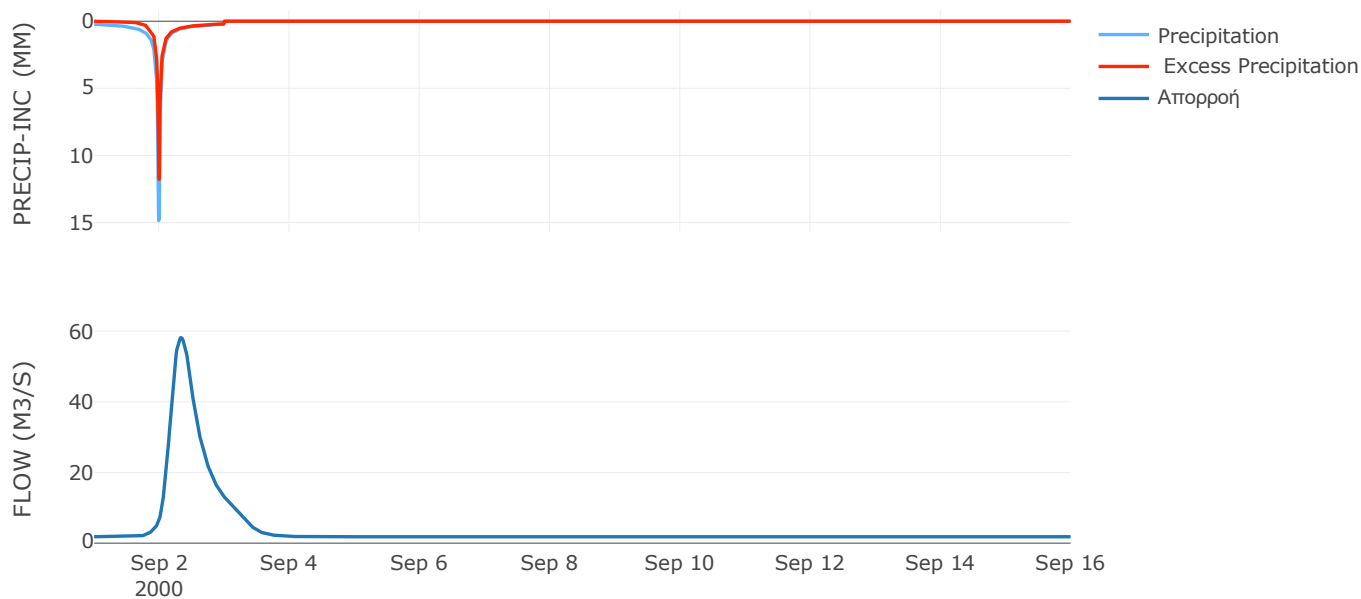
Μέθοδος
Μετασχηματισμού: SCS

Χρόνος Υστέρησης	443.58
------------------	--------

Αποτελέσματα:
EL0514FR003060

Παροχή αιχμής (M3/S)	58.16
Χρονική στιγμή αιχμής	02Sep2000, 08:00
Όγκος (MM)	204.92
Όγκος βροχόπτωσης (M3)	4.52E6
Όγκος απωλειών (M3)	1.57E6
Ενεργός Όγκος (M3)	2.95E6
Όγκος άμεσης απορροής (M3)	2.95E6
Όγκος βασικής απορροής (M3)	2.34E6

Βροχόπτωση και Απορροή



Υπολεκάνη: EL0514FR003061

Έκταση (KM2) : 37.42

Κατάντη : J16

Μέθοδος Απωλειών: SCS

Ποσοστό αδιαπέρατης επιφάνειας	0
Αριθμός Καμπύλης Απορροής-CN	75.51
Αρχικές Απώλειες	16.48

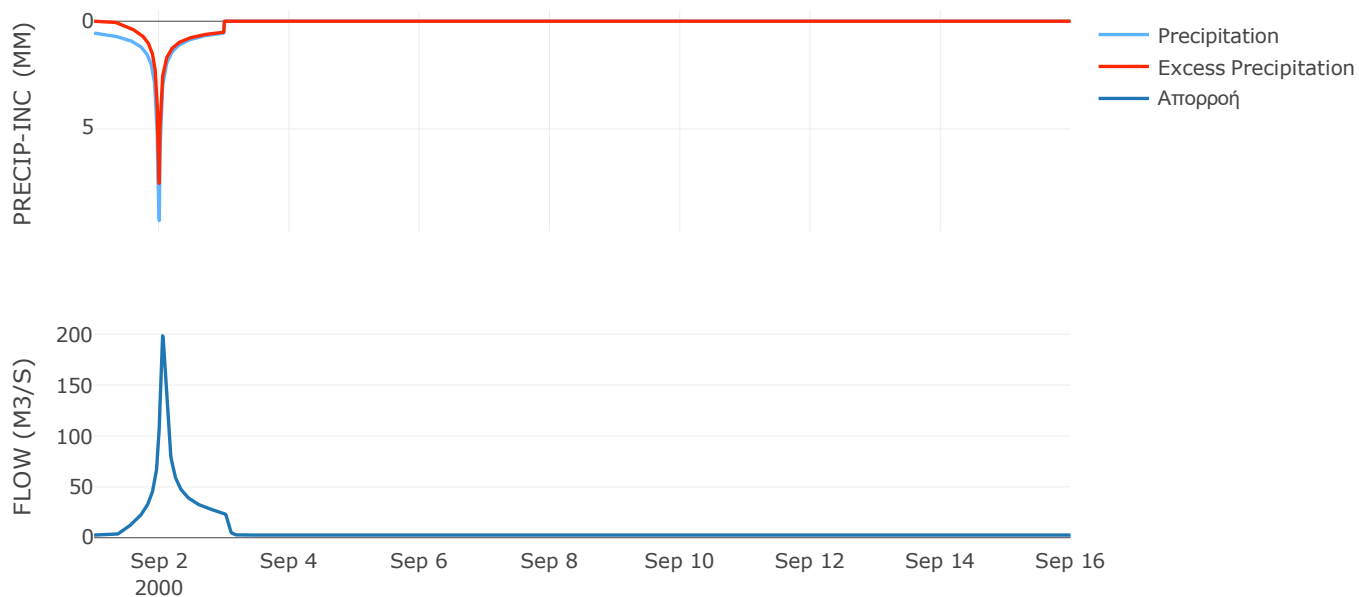
Μέθοδος
Μετασχηματισμού: SCS

Χρόνος Υστέρησης	69.87
------------------	-------

Αποτελέσματα:
EL0514FR003061

Παροχή αιχμής (M3/S)	198.48
Χρονική στιγμή αιχμής	02Sep2000, 01:15
Όγκος (MM)	252.11
Όγκος βροχόπτωσης (M3)	8.9E6
Όγκος απωλειών (M3)	2.86E6
Ενεργός Όγκος (M3)	6.04E6
Όγκος άμεσης απορροής (M3)	6.04E6
Όγκος βασικής απορροής (M3)	3.39E6

Βροχόπτωση και Απορροή



Υπολεκάνη: EL0514FR003062

Έκταση (KM2) : 48.98

Κατάντη : J16

Μέθοδος Απωλειών: SCS

Ποσοστό αδιαπέρατης επιφάνειας	0
Αριθμός Καμπύλης Απορροής-CN	80.16
Αρχικές Απώλειες	12.57

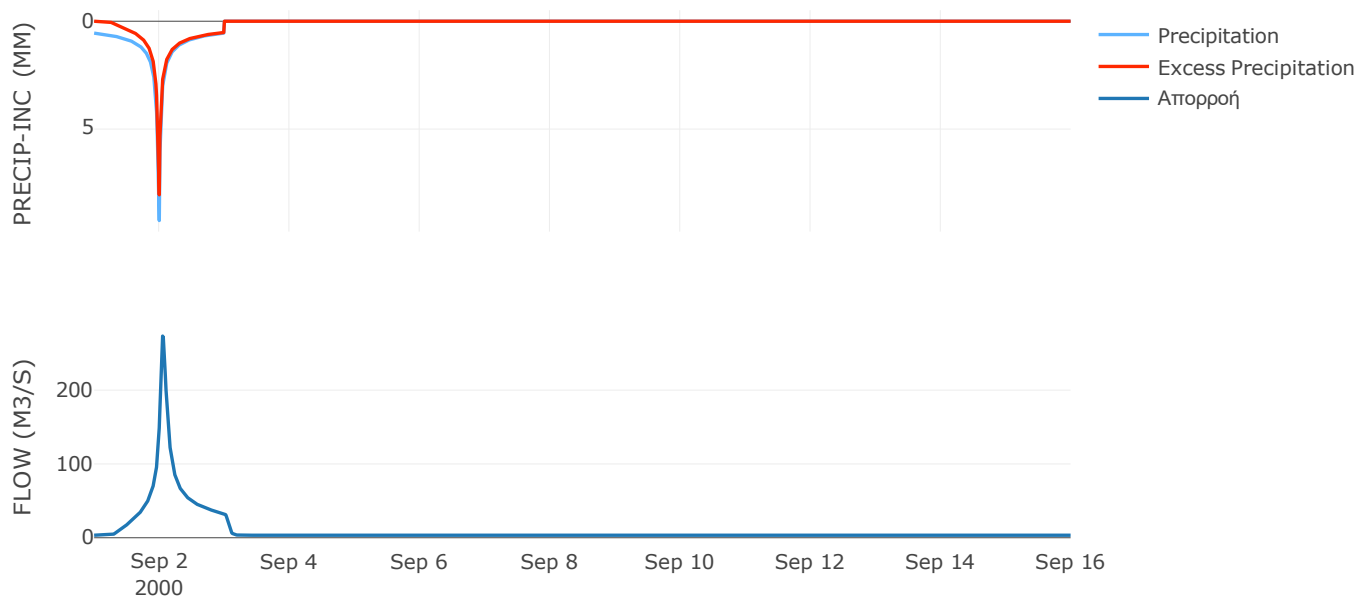
Μέθοδος
Μετασχηματισμού: SCS

Χρόνος Υστέρησης	74.48
------------------	-------

Αποτελέσματα:
EL0514FR003062

Παροχή αιχμής (M3/S)	273.27
Χρονική στιγμή αιχμής	02Sep2000, 01:15
Όγκος (MM)	267.05
Όγκος βροχόπτωσης (M3)	1.17E7
Όγκος απωλειών (M3)	3.02E6
Ενεργός Όγκος (M3)	8.64E6
Όγκος άμεσης απορροής (M3)	8.64E6
Όγκος βασικής απορροής (M3)	4.44E6

Βροχόπτωση και Απορροή



Υπολεκάνη: EL0514FR003063

Έκταση (KM2) : 28.06

Κατάνη : J4 Res1

Μέθοδος Απωλειών: SCS

Ποσοστό αδιαπέρατης επιφάνειας	0
Αριθμός Καμπύλης Απορροής-CN	66.26
Αρχικές Απώλειες	25.86

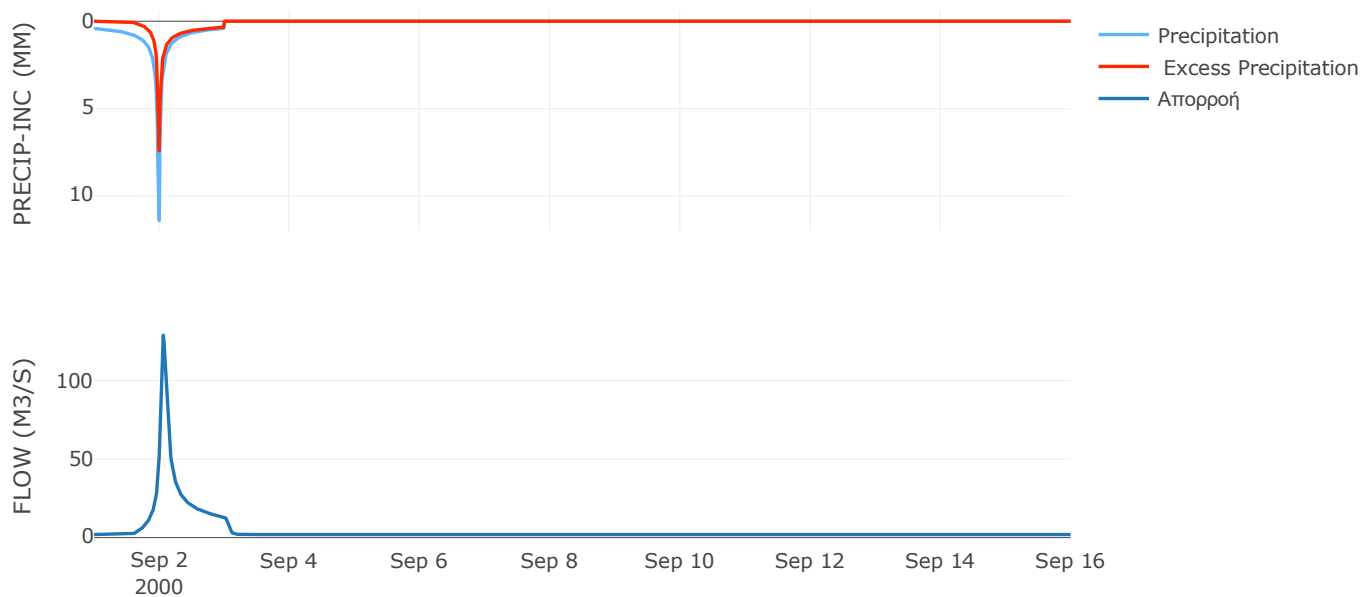
Μέθοδος
Μετασχηματισμού: SCS

Χρόνος Υστέρησης	77.73
------------------	-------

Αποτελέσματα:
EL0514FR003063

Παροχή αιχμής (M3/S)	128.79
Χρονική στιγμή αιχμής	02Sep2000, 01:30
Όγκος (MM)	203.69
Όγκος βροχόπτωσης (M3)	6.05E6
Όγκος απωλειών (M3)	2.88E6
Ενεργός Όγκος (M3)	3.17E6
Όγκος άμεσης απορροής (M3)	3.17E6
Όγκος βασικής απορροής (M3)	2.55E6

Βροχόπτωση και Απορροή



Υπολεκάνη: EL0514FR003065

Έκταση (KM2) : 8.81

Κατάντη : J13

Μέθοδος Απωλειών: SCS

Ποσοστό αδιαπέρατης επιφάνειας	0
Αριθμός Καμπύλης Απορροής-CN	70.5
Αρχικές Απώλειες	21.26

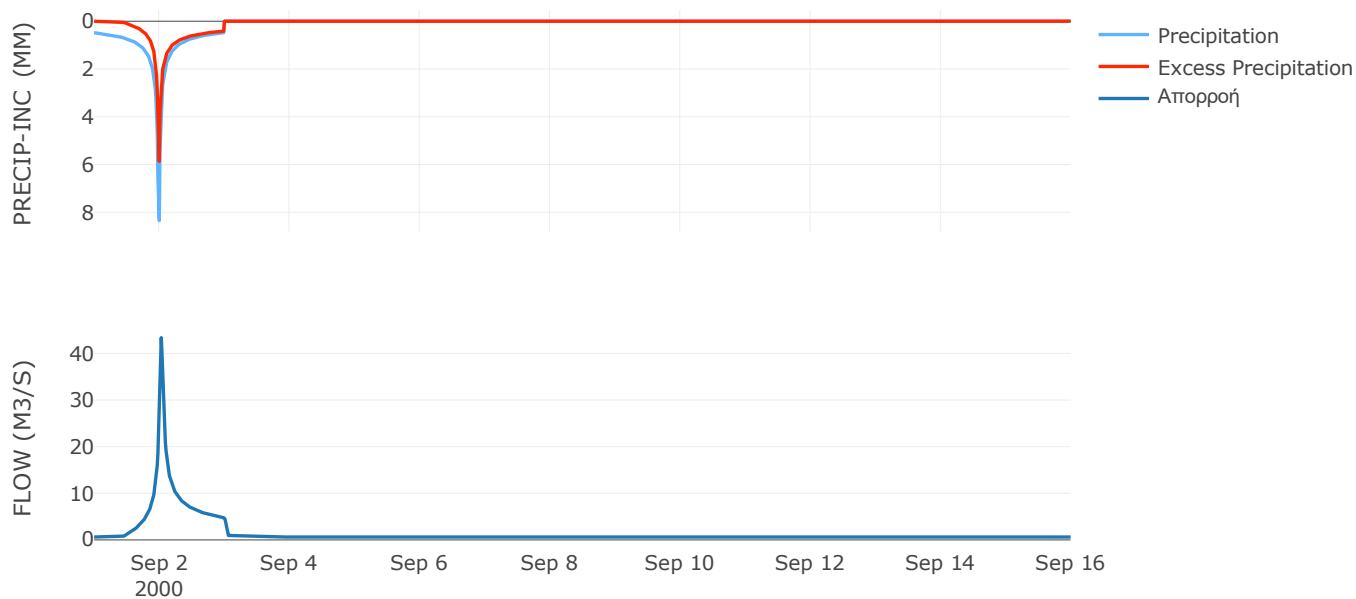
Μέθοδος
Μετασχηματισμού: SCS

Χρόνος Υστέρησης	35.58
------------------	-------

Αποτελέσματα:
EL0514FR003065

Παροχή αιχμής (M3/S)	43.37
Χρονική στιγμή αιχμής	02Sep2000, 00:45
Όγκος (MM)	211.03
Όγκος βροχόπτωσης (M3)	1.85E6
Όγκος απωλειών (M3)	7.86E5
Ενεργός Όγκος (M3)	1.06E6
Όγκος άμεσης απορροής (M3)	1.06E6
Όγκος βασικής απορροής (M3)	7.99E5

Βροχόπτωση και Απορροή



Υπολεκάνη: EL0514FR003066

Έκταση (KM2) : 6.92

Κατάντη : J5

Μέθοδος Απωλειών: SCS

Ποσοστό αδιαπέρατης επιφάνειας	0.22
Αριθμός Καμπύλης Απορροής-CN	86.04
Αρχικές Απώλειες	8.24

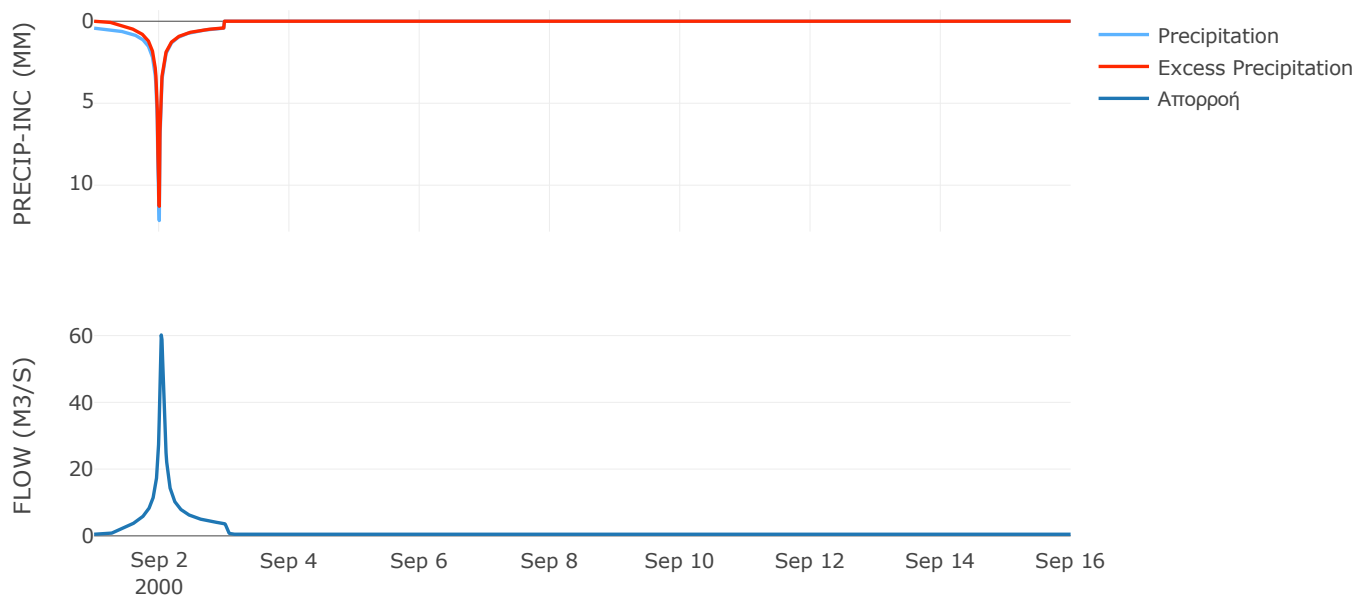
Μέθοδος
Μετασχηματισμού: SCS

Χρόνος Υστέρησης	46.31
------------------	-------

Αποτελέσματα:
EL0514FR003066

Παροχή αιχμής (M3/S)	60.19
Χρονική στιγμή αιχμής	02Sep2000, 00:45
Όγκος (MM)	273.82
Όγκος βροχόπτωσης (M3)	1.56E6
Όγκος απωλειών (M3)	2.96E5
Ενεργός Όγκος (M3)	1.27E6
Όγκος άμεσης απορροής (M3)	1.27E6
Όγκος βασικής απορροής (M3)	6.27E5

Βροχόπτωση και Απορροή



Υπολεκάνη: EL0514FR003067

Έκταση (KM2) : 46.66

Κατάντη : J2

Μέθοδος Απωλειών: SCS

Ποσοστό αδιαπέρατης επιφάνειας	0
Αριθμός Καμπύλης Απορροής-CN	76.09
Αρχικές Απώλειες	15.97

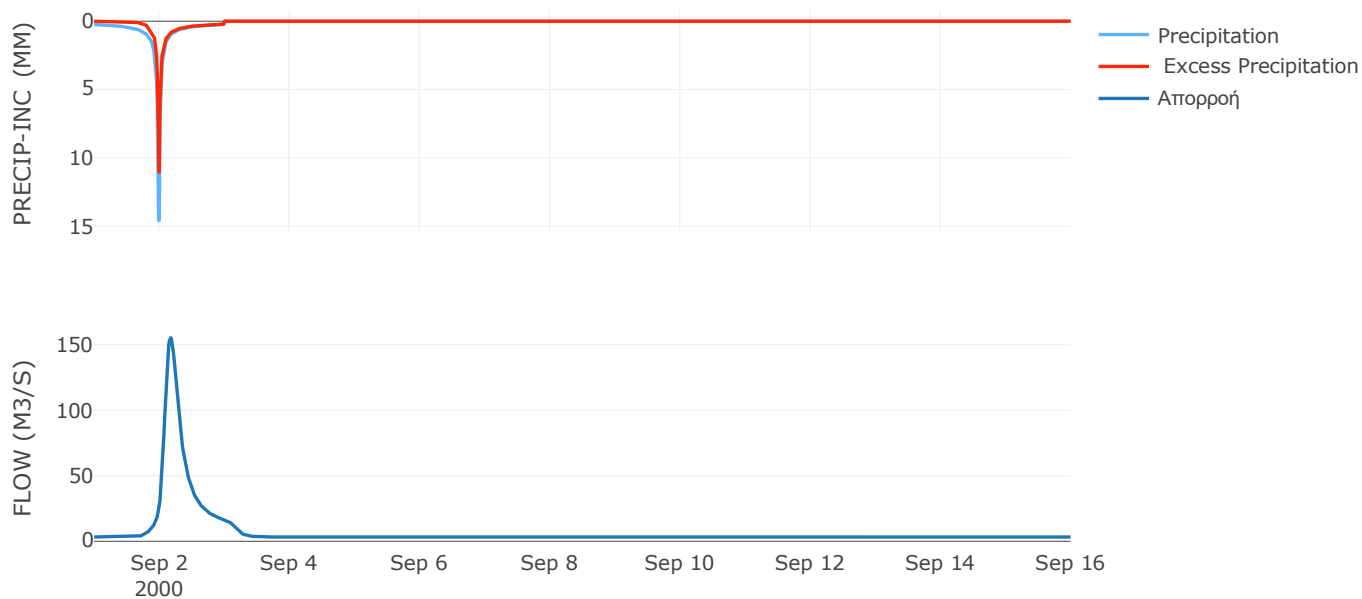
Μέθοδος
Μετασχηματισμού: SCS

Χρόνος Υστέρησης	229.38
------------------	--------

Αποτελέσματα:
EL0514FR003067

Παροχή αιχμής (M3/S)	155.33
Χρονική στιγμή αιχμής	02Sep2000, 04:15
Όγκος (MM)	200.08
Όγκος βροχόπτωσης (M3)	8.35E6
Όγκος απωλειών (M3)	3.25E6
Ενεργός Όγκος (M3)	5.1E6
Όγκος άμεσης απορροής (M3)	5.1E6
Όγκος βασικής απορροής (M3)	4.23E6

Βροχόπτωση και Απορροή



5.2 Δεδομένα και υδρογραφήματα σχεδιασμού Κλάδων υδρογραφικού δικτύου

Κλάδος: R21

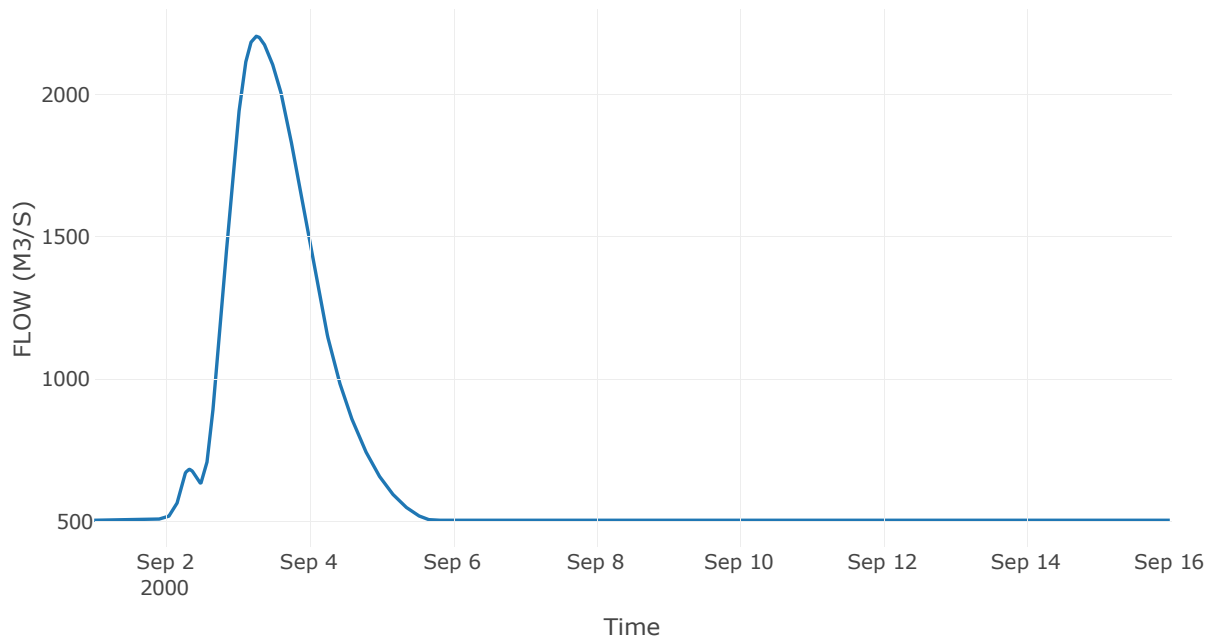
Κατάντη : J1

Μέθοδος Διόδευσης	Muskingum
Αρχική Μεταβλητή	Combined Inflow
Muskingum K	2.69
Συντελεστής βάρους x	0.2
Πλήθος Υποκλάδων	11

Αποτελέσματα: R21

Παροχή Αιχμής(M3/S)	2205.12
Χρονική στιγμή αιχμής	03Sep2000, 06:15
Όγκος(MM)	456.08
Παροχή Αιχμής Εισόδου (M3/S)	2207.25
Όγκος Εισροής(M3)	8.59E8

Απορροή



Κλάδος: R32

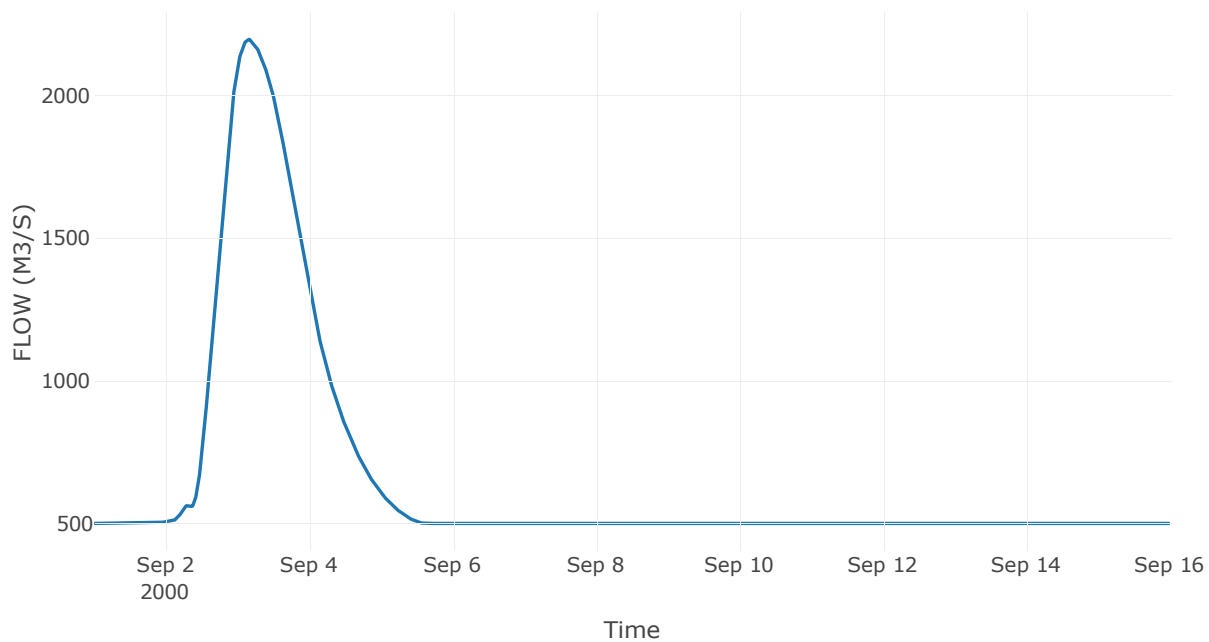
Κατάντη : J2

Μέθοδος Διόδευσης	Muskingum
Αρχική Μεταβλητή	Combined Inflow
Muskingum K	4.22
Συντελεστής βάρους x	0.2
Πλήθος Υποκλάδων	18

Αποτελέσματα: R32

Παροχή Αιχμής(M3/S)	2196.24
Χρονική στιγμή αιχμής	03Sep2000, 03:45
Όγκος(MM)	462.59
Παροχή Αιχμής Εισόδου (M3/S)	2199.27
Όγκος Εισροής(M3)	8.5E8

Απορροή



Κλάδος: R43

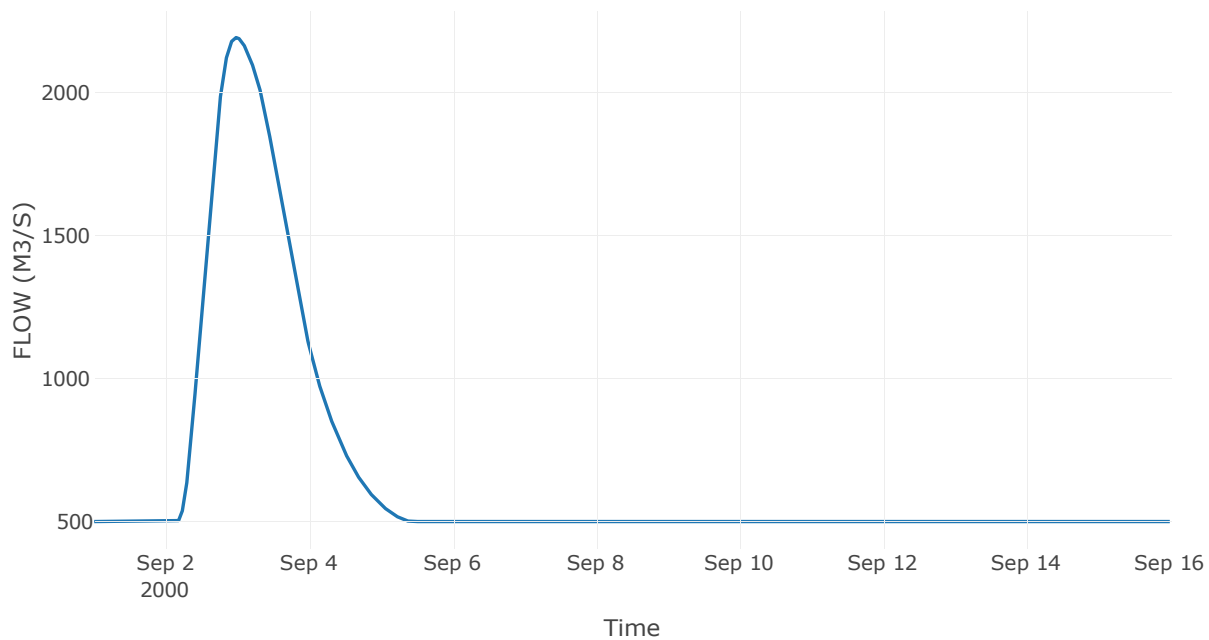
Κατάντη : J3

Μέθοδος Διόδευσης	Muskingum
Αρχική Μεταβλητή	Combined Inflow
Muskingum K	0.73
Συντελεστής βάρους x	0.2
Πλήθος Υποκλάδων	3

Αποτελέσματα: R43

Παροχή Αιχμής(M3/S)	2192.85
Χρονική στιγμή αιχμής	02Sep2000, 23:30
Όγκος(MM)	464.45
Παροχή Αιχμής Εισόδου (M3/S)	2193.38
Όγκος Εισροής(M3)	8.46E8

Απορροή



Κλάδος: R54

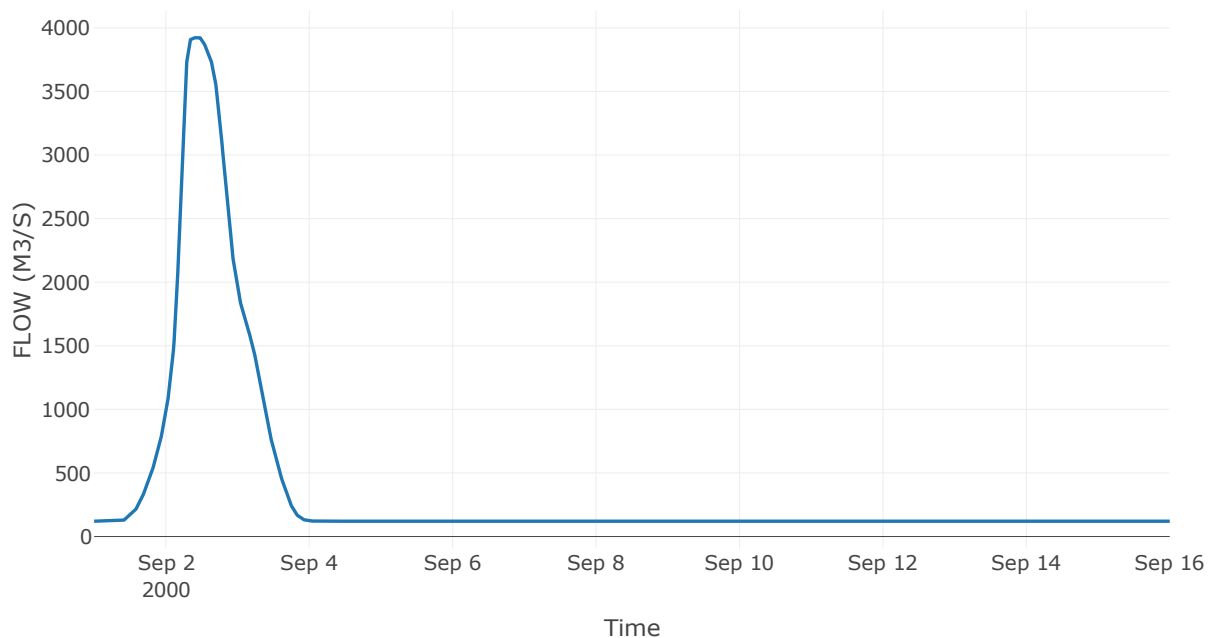
Κατάντη : J4 Res1

Μέθοδος Διόδευσης	Muskingum
Αρχική Μεταβλητή	Combined Inflow
Muskingum K	4
Συντελεστής βάρους x	0.2
Πλήθος Υποκλάδων	5

Αποτελέσματα: R54

Παροχή Αιχμής(M3/S)	3926.79
Χρονική στιγμή αιχμής	02Sep2000, 10:45
Όγκος(MM)	278.61
Παροχή Αιχμής Εισόδου (M3/S)	4217.91
Όγκος Εισροής(M3)	4.79E8

Απορροή



Κλάδος: R65

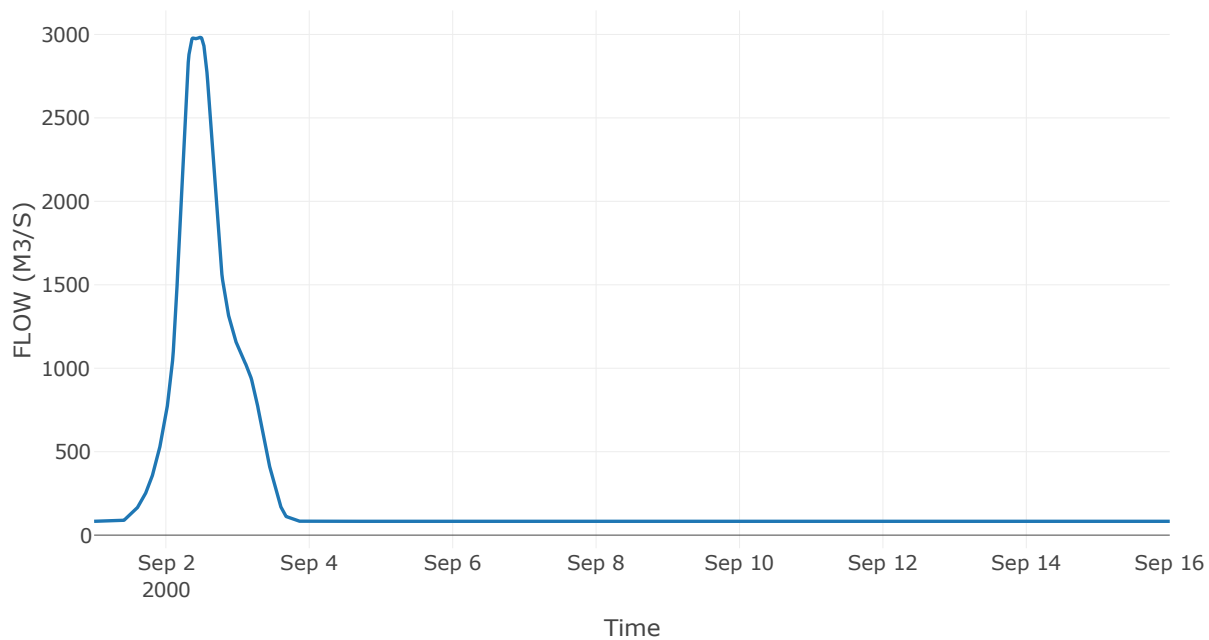
Κατάντη : J5

Μέθοδος Διόδευσης	Muskingum
Αρχική Μεταβλητή	Combined Inflow
Muskingum K	4
Συντελεστής βάρους x	0.2
Πλήθος Υποκλάδων	5

Αποτελέσματα: R65

Παροχή Αιχμής(M3/S)	2982.94
Χρονική στιγμή αιχμής	02Sep2000, 11:30
Όγκος(MM)	266.85
Παροχή Αιχμής Εισόδου (M3/S)	3189.88
Όγκος Εισροής(M3)	3.16E8

Απορροή



Κλάδος: R76

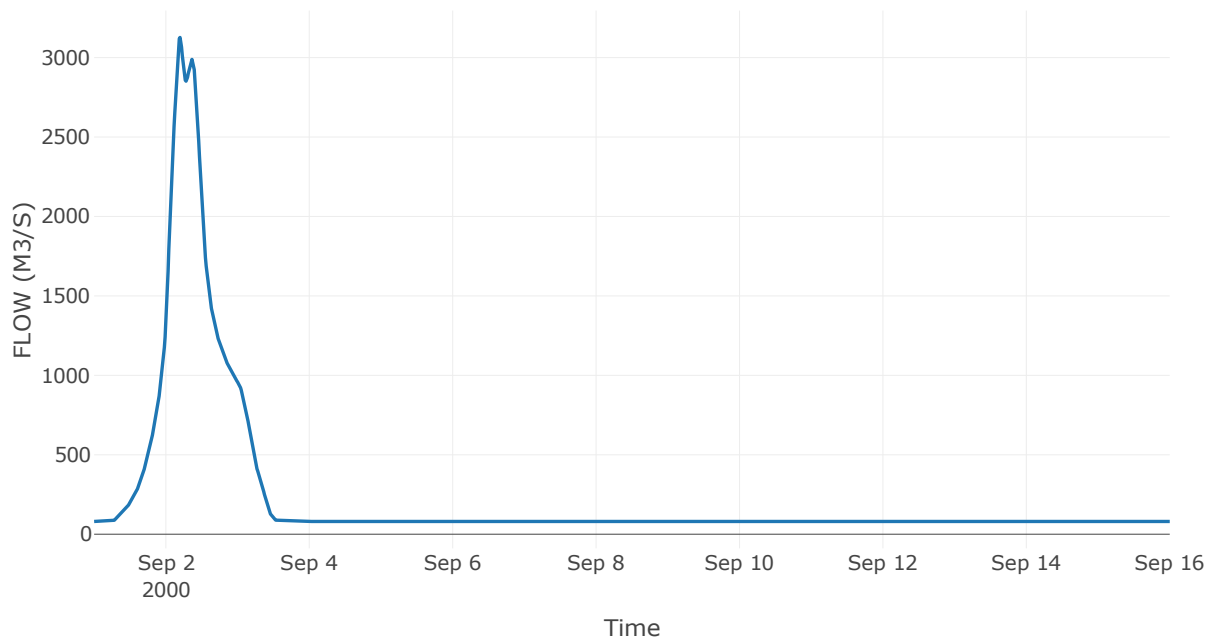
Κατάντη : J6

Μέθοδος Διόδευσης	Muskingum
Αρχική Μεταβλητή	Combined Inflow
Muskingum K	0.47
Συντελεστής βάρους α	0.2
Πλήθος Υποκλάδων	2

Αποτελέσματα: R76

Παροχή Αιχμής(M3/S)	3126.89
Χρονική στιγμή αιχμής	02Sep2000, 04:45
Όγκος(MM)	267.35
Παροχή Αιχμής Εισόδου (M3/S)	3143.64
Όγκος Εισροής(M3)	3.07E8

Απορροή



Κλάδος: R87

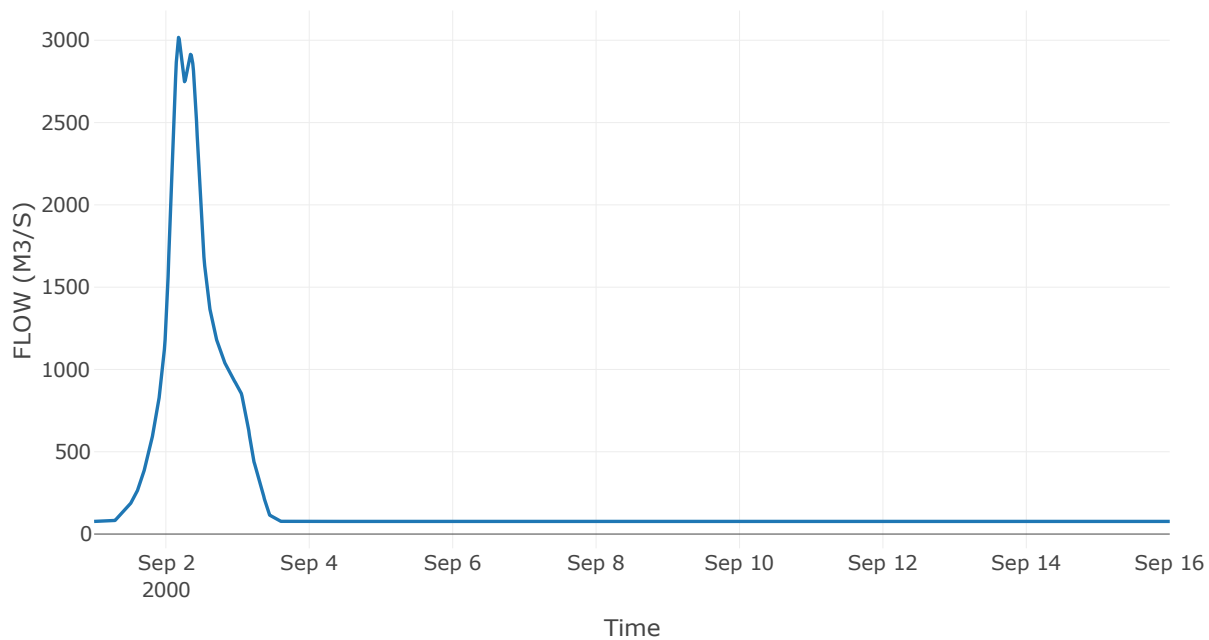
Κατάντη : J7

Μέθοδος Διόδευσης	Muskingum
Αρχική Μεταβλητή	Combined Inflow
Muskingum K	0.56
Συντελεστής βάρους x	0.2
Πλήθος Υποκλάδων	2

Αποτελέσματα: R87

Παροχή Αιχμής(M3/S)	3017.45
Χρονική στιγμή αιχμής	02Sep2000, 04:15
Όγκος(MM)	264.82
Παροχή Αιχμής Εισόδου (M3/S)	3042.77
Όγκος Εισροής(M3)	2.91E8

Απορροή



Κλάδος: R98

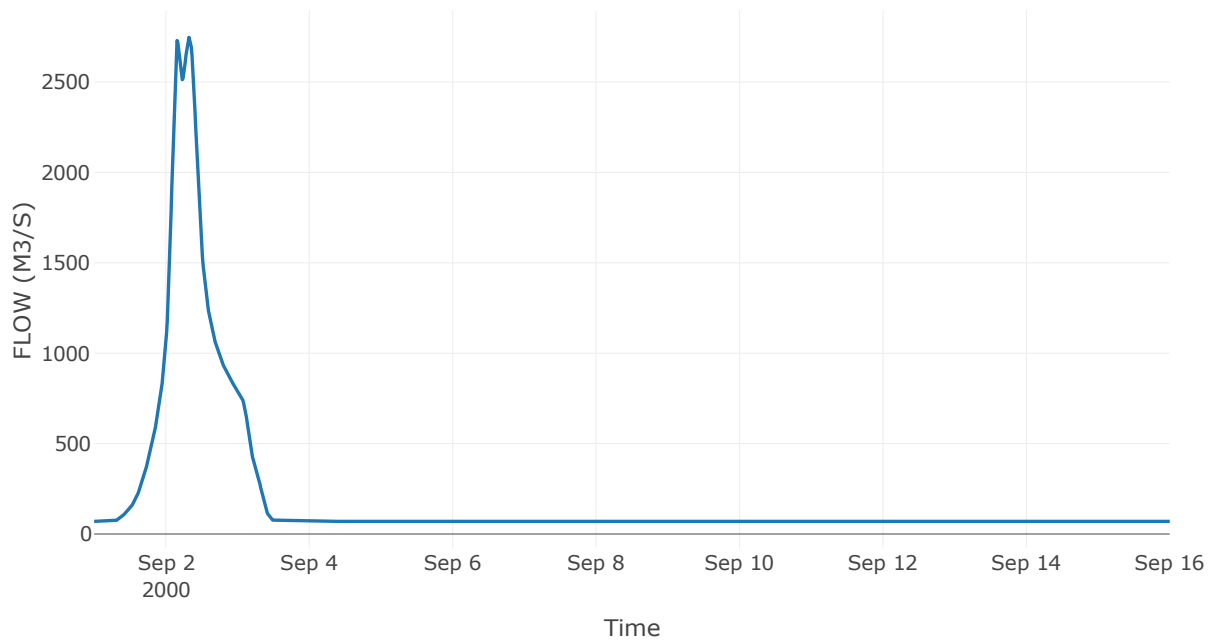
Κατάντη : J8

Μέθοδος Διόδευσης	Muskingum
Αρχική Μεταβλητή	Combined Inflow
Muskingum K	1.02
Συντελεστής βάρους x	0.2
Πλήθος Υποκλάδων	4

Αποτελέσματα: R98

Παροχή Αιχμής(M3/S)	2747.18
Χρονική στιγμή αιχμής	02Sep2000, 07:45
Όγκος(MM)	259.4
Παροχή Αιχμής Εισόδου (M3/S)	2787.04
Όγκος Εισροής(M3)	2.59E8

Απορροή



Κλάδος: R109

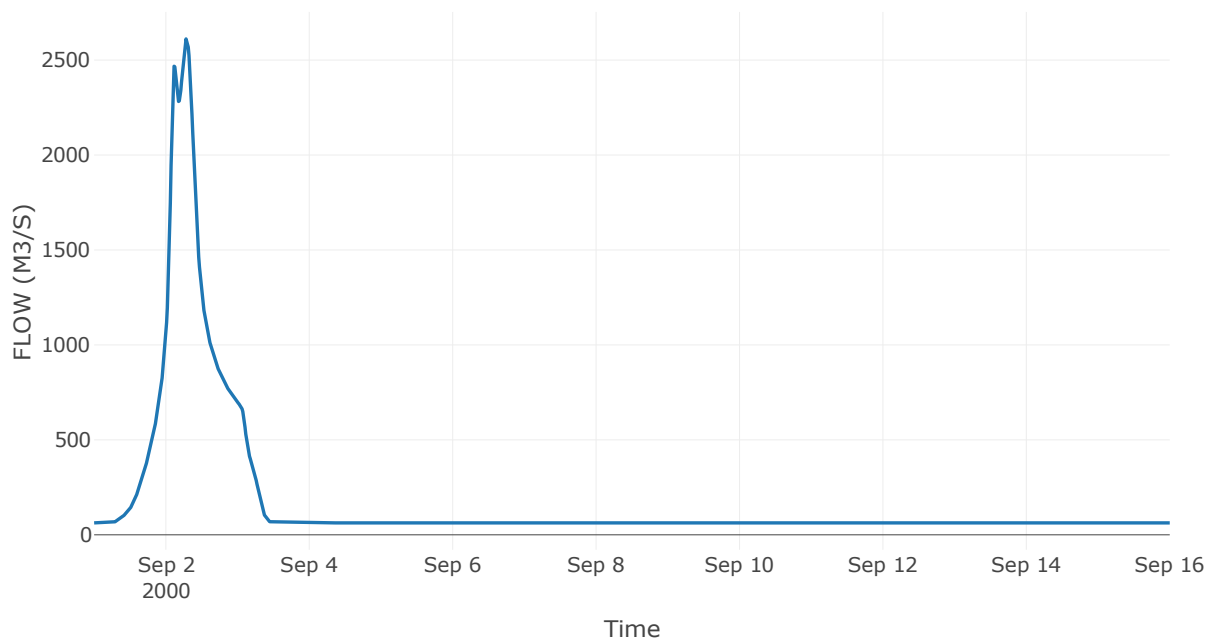
Κατάντη : J9

Μέθοδος Διόδευσης	Χρόνος Υστέρησης
Αρχική Μεταβλητή	Combined Inflow
Χρόνος Υστέρησης	50.96

Αποτελέσματα: R109

Παροχή Αιχμής(M3/S)	2611.71
Χρονική στιγμή αιχμής	02Sep2000, 07:00
Όγκος(MM)	259.24
Παροχή Αιχμής Εισόδου (M3/S)	2614.63
Όγκος Εισροής(M3)	2.33E8

Απορροή



Κλάδος: R1110

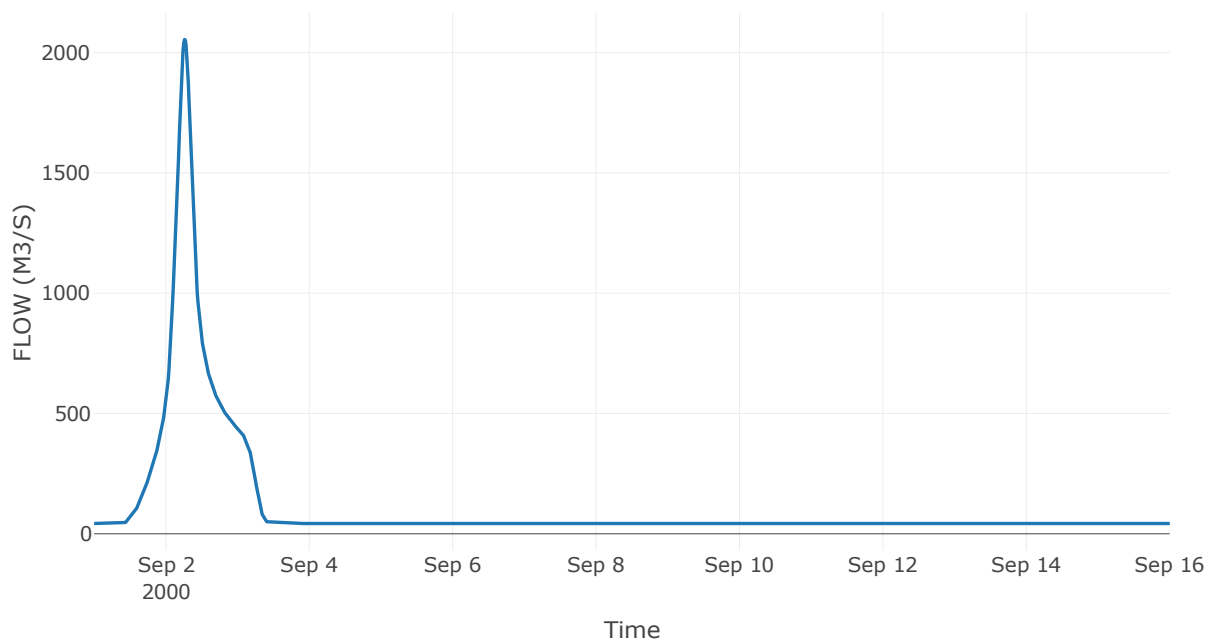
Κατάντη : J10

Μέθοδος Διόδευσης	Muskingum
Αρχική Μεταβλητή	Combined Inflow
Muskingum K	1.58
Συντελεστής βάρους α	0.2
Πλήθος Υποκλάδων	7

Αποτελέσματα: R1110

Παροχή Αιχμής(M3/S)	2054.33
Χρονική στιγμή αιχμής	02Sep2000, 06:15
Όγκος(MM)	245.93
Παροχή Αιχμής Εισόδου (M3/S)	2083.42
Όγκος Εισροής(M3)	1.5E8

Απορροή



Κλάδος: R1211

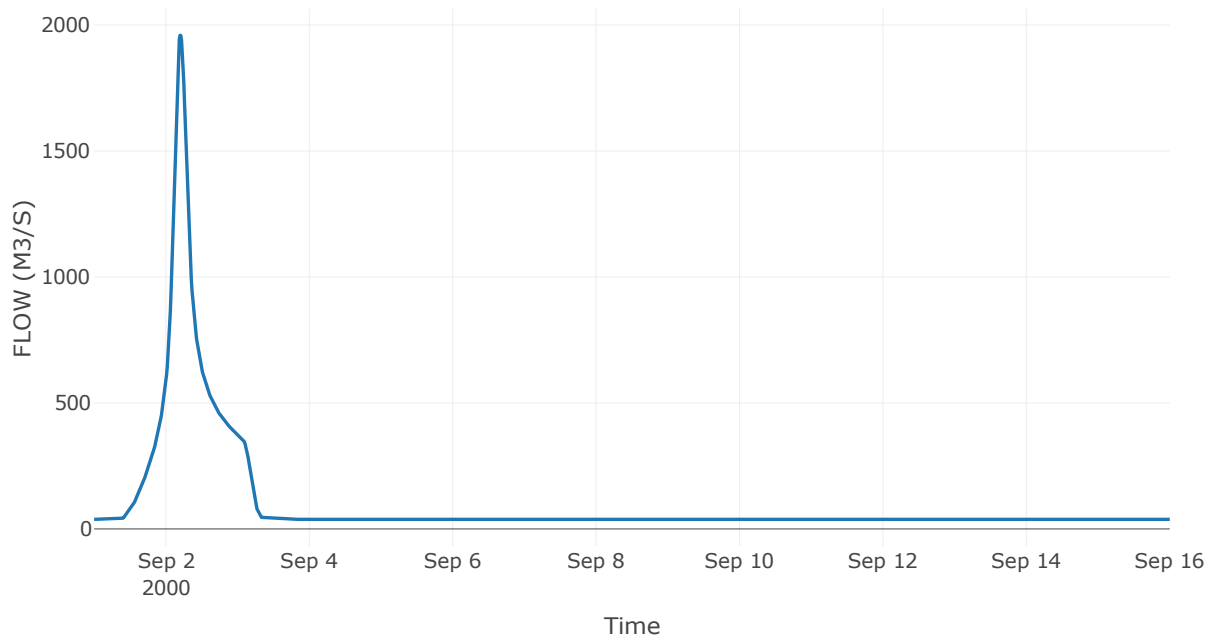
Κατάντη : J11

Μέθοδος Διόδευσης	Muskingum
Αρχική Μεταβλητή	Combined Inflow
Muskingum K	1.41
Συντελεστής βάρους α	0.2
Πλήθος Υποκλάδων	6

Αποτελέσματα: R1211

Παροχή Αιχμής(M3/S)	1959.08
Χρονική στιγμή αιχμής	02Sep2000, 04:45
Όγκος(MM)	245.8
Παροχή Αιχμής Εισόδου (M3/S)	1986.57
Όγκος Εισροής(M3)	1.33E8

Απορροή



Κλάδος: R1312

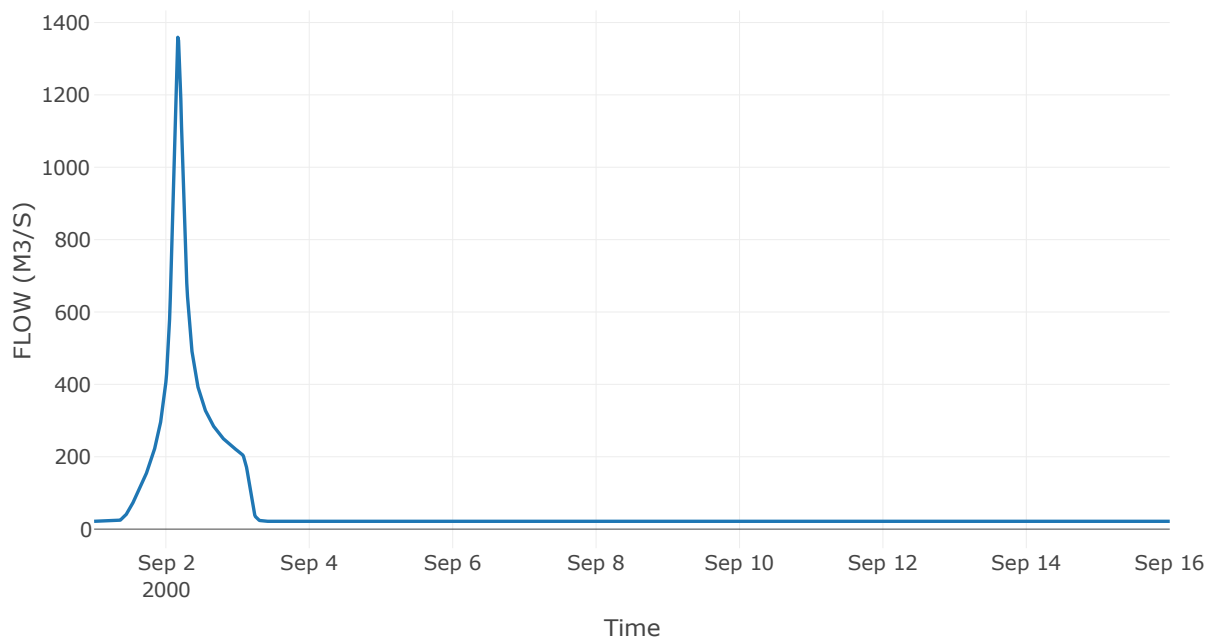
Κατάντη : J12

Μέθοδος Διόδευσης	Muskingum
Αρχική Μεταβλητή	Combined Inflow
Muskingum K	1.52
Συντελεστής βάρους α	0.2
Πλήθος Υποκλάδων	6

Αποτελέσματα: R1312

Παροχή Αιχμής(M3/S)	1359.22
Χρονική στιγμή αιχμής	02Sep2000, 04:00
Όγκος(MM)	257.07
Παροχή Αιχμής Εισόδου (M3/S)	1422.4
Όγκος Εισροής(M3)	7.94E7

Απορροή



Κλάδος: R1413

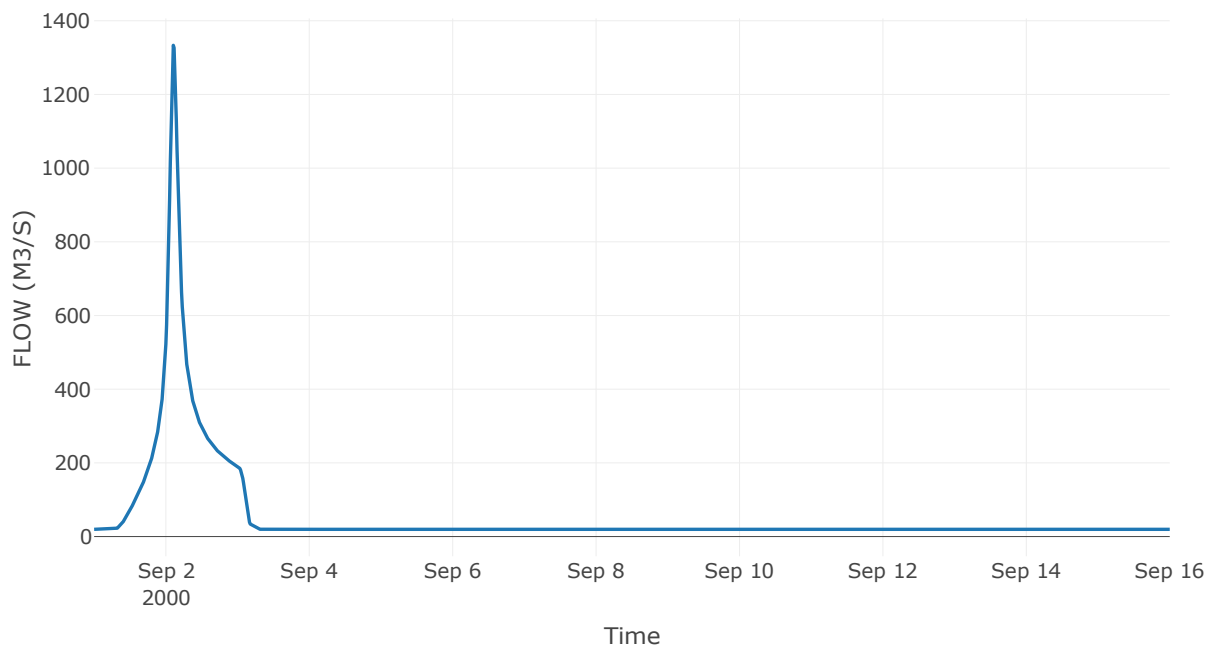
Κατάντη : J13

Μέθοδος Διόδευσης	Muskingum
Αρχική Μεταβλητή	Combined Inflow
Muskingum K	0.16
Συντελεστής βάρους x	0.2
Πλήθος Υποκλάδων	1

Αποτελέσματα: R1413

Παροχή Αιχμής(M3/S)	1333.35
Χρονική στιγμή αιχμής	02Sep2000, 02:30
Όγκος(MM)	258.01
Παροχή Αιχμής Εισόδου (M3/S)	1339.01
Όγκος Εισροής(M3)	7.23E7

Απορροή



Κλάδος: R1514

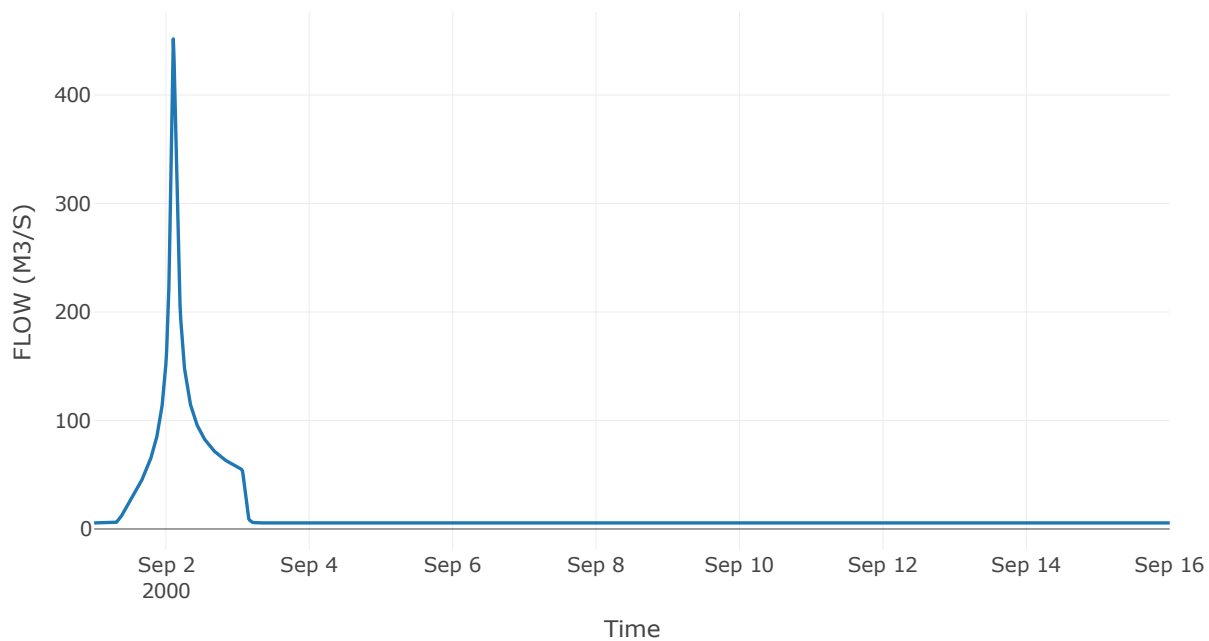
Κατάντη : J14

Μέθοδος Διόδευσης	Χρόνος Υστέρησης
Αρχική Μεταβλητή	Combined Inflow
Χρόνος Υστέρησης	83.69

Αποτελέσματα: R1514

Παροχή Αιχμής(M3/S)	451.69
Χρονική στιγμή αιχμής	02Sep2000, 02:30
Όγκος(MM)	267.06
Παροχή Αιχμής Εισόδου (M3/S)	456.53
Όγκος Εισροής(M3)	2.13E7

Απορροή



Κλάδος: R1614

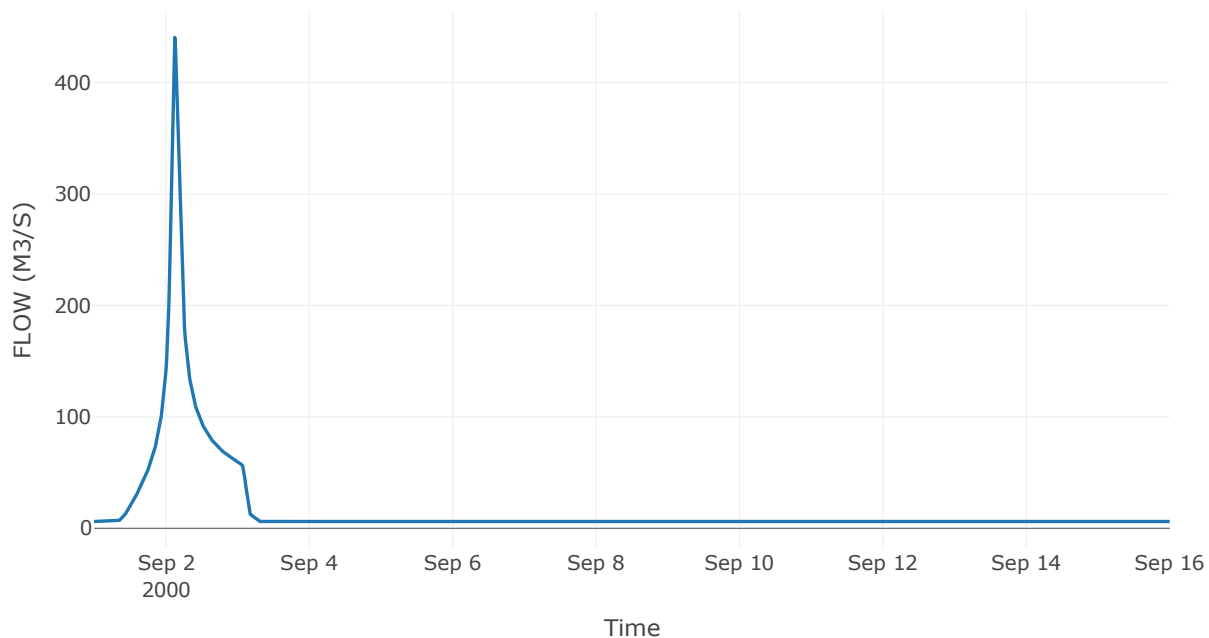
Κατάντη : J14

Μέθοδος Διόδευσης	Muskingum
Αρχική Μεταβλητή	Combined Inflow
Muskingum K	1.57
Συντελεστής βάρους α	0.2
Πλήθος Υποκλάδων	7

Αποτελέσματα: R1614

Παροχή Αιχμής(M3/S)	440.43
Χρονική στιγμή αιχμής	02Sep2000, 03:00
Όγκος(MM)	260.58
Παροχή Αιχμής Εισόδου (M3/S)	471.74
Όγκος Εισροής(M3)	2.25E7

Απορροή



Κλάδος: R1712

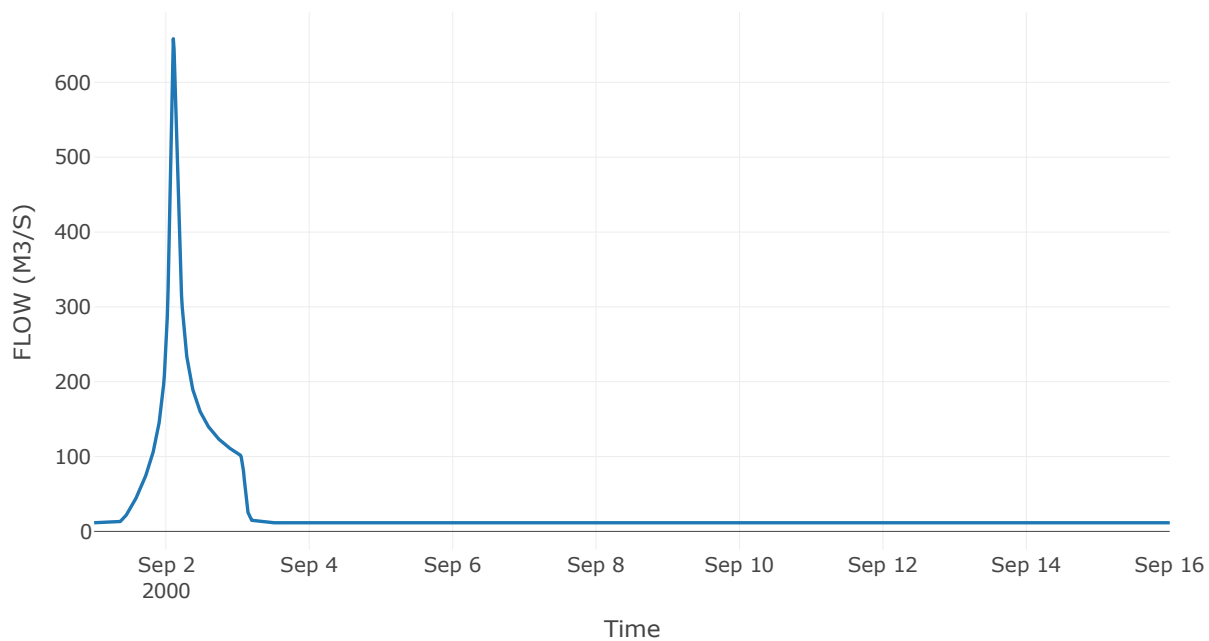
Κατάντη : J12

Μέθοδος Διόδευσης	Χρόνος Υστέρησης
Αρχική Μεταβλητή	Combined Inflow
Χρόνος Υστέρησης	51.08

Αποτελέσματα: R1712

Παροχή Αιχμής(M3/S)	658.31
Χρονική στιγμή αιχμής	02Sep2000, 02:30
Όγκος(MM)	228.8
Παροχή Αιχμής Εισόδου (M3/S)	658.72
Όγκος Εισροής(M3)	3.76E7

Απορροή



Κλάδος: R1817

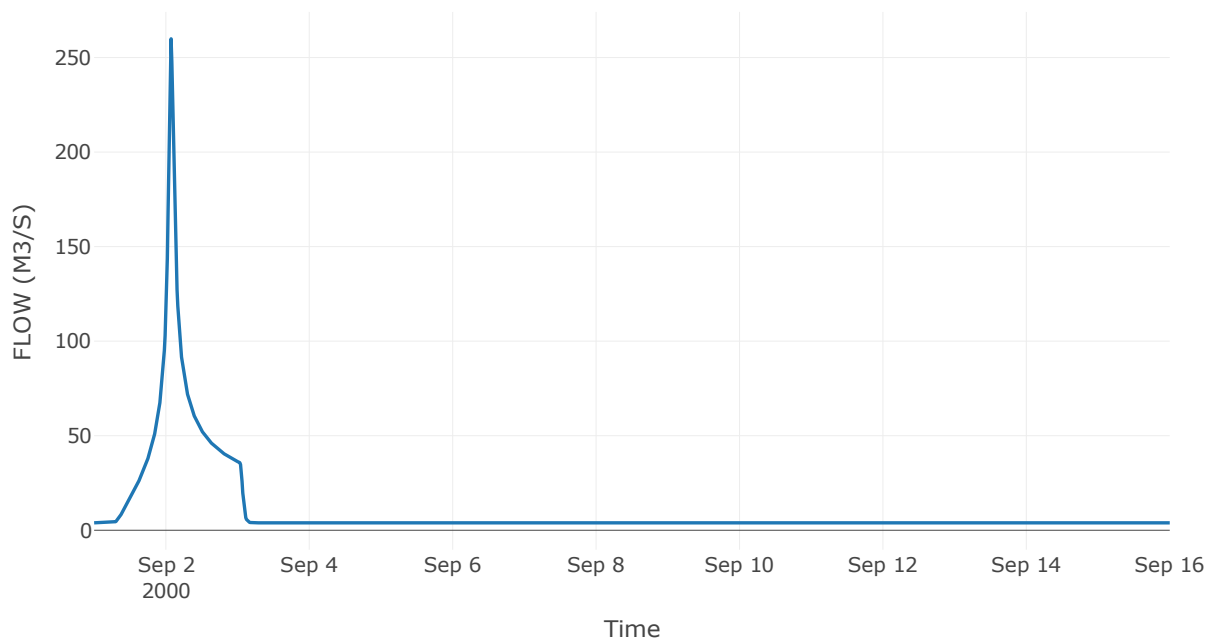
Κατάντη : J17

Μέθοδος Διόδευσης	Χρόνος Υστέρησης
Αρχική Μεταβλητή	Combined Inflow
Χρόνος Υστέρησης	47.35

Αποτελέσματα: R1817

Παροχή Αιχμής(M3/S)	259.88
Χρονική στιγμή αιχμής	02Sep2000, 01:45
Όγκος(MM)	239.31
Παροχή Αιχμής Εισόδου (M3/S)	260.12
Όγκος Εισροής(M3)	1.34E7

Απορροή



Κλάδος: R1910

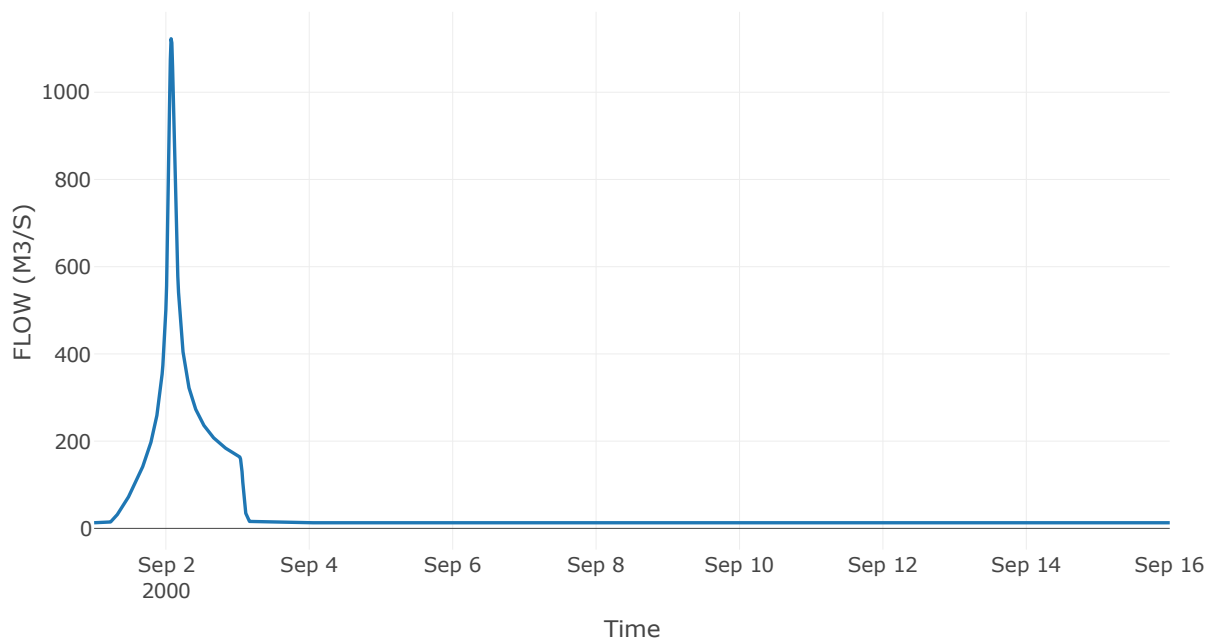
Κατάντη : J10

Μέθοδος Διόδευσης	Χρόνος Υστέρησης
Αρχική Μεταβλητή	Combined Inflow
Χρόνος Υστέρησης	33.01

Αποτελέσματα: R1910

Παροχή Αιχμής(M3/S)	1122.71
Χρονική στιγμή αιχμής	02Sep2000, 01:45
Όγκος(MM)	304.04
Παροχή Αιχμής Εισόδου (M3/S)	1130.27
Όγκος Εισροής(M3)	5.6E7

Απορροή



Κλάδος: R2019

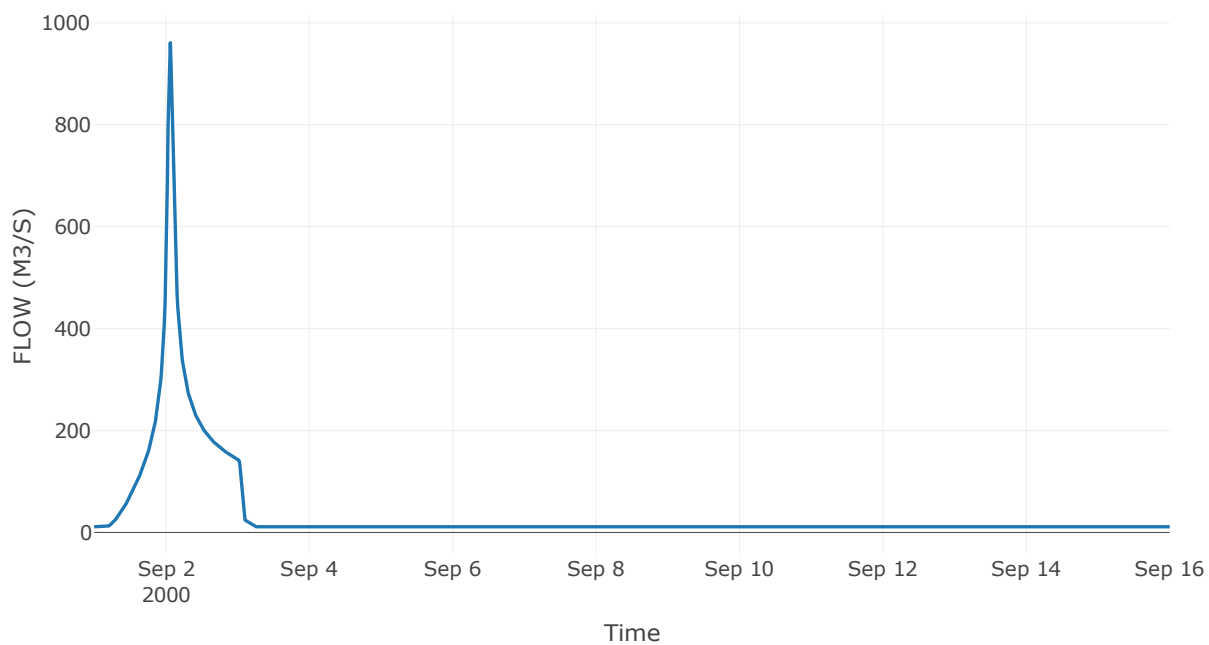
Κατάντη : J19

Μέθοδος Διόδευσης	Χρόνος Υστέρησης
Αρχική Μεταβλητή	Combined Inflow
Χρόνος Υστέρησης	24.6

Αποτελέσματα: R2019

Παροχή Αιχμής(M3/S)	960.93
Χρονική στιγμή αιχμής	02Sep2000, 01:30
Όγκος(MM)	301.93
Παροχή Αιχμής Εισόδου (M3/S)	973.71
Όγκος Εισροής(M3)	4.8E7

Απορροή



Κλάδος: R2120

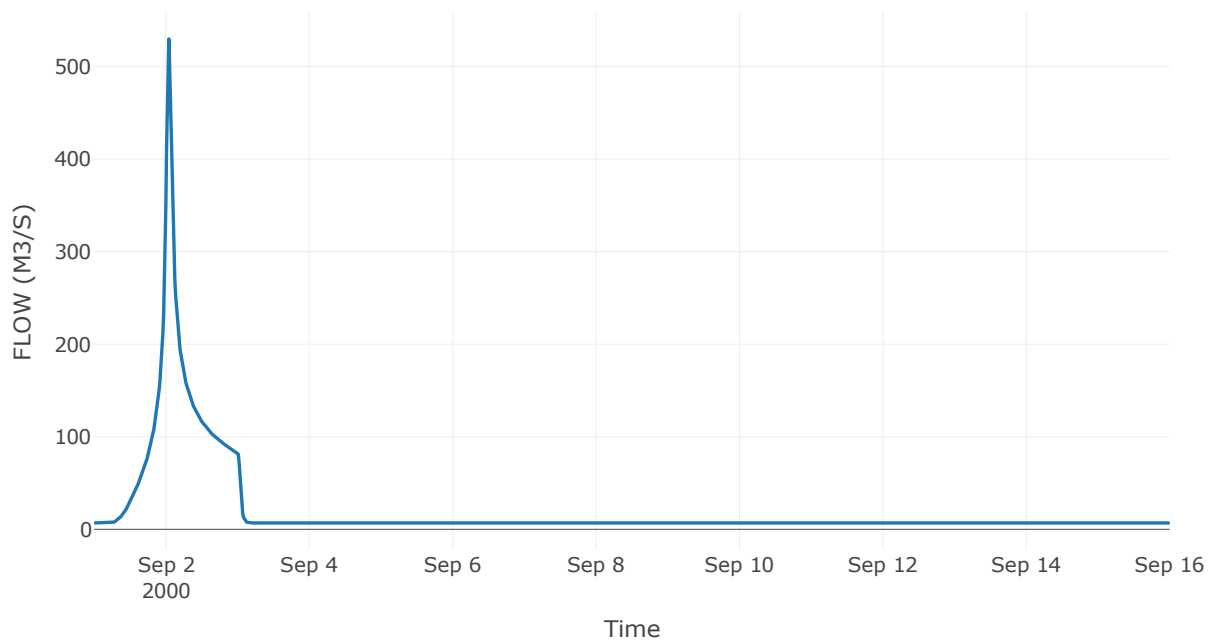
Κατάντη : J20

Μέθοδος Διόδευσης	Χρόνος Υστέρησης
Αρχική Μεταβλητή	Combined Inflow
Χρόνος Υστέρησης	8.78

Αποτελέσματα: R2120

Παροχή Αιχμής(M3/S)	529.94
Χρονική στιγμή αιχμής	02Sep2000, 01:00
Όγκος(MM)	272.62
Παροχή Αιχμής Εισόδου (M3/S)	537.28
Όγκος Εισροής(M3)	2.67E7

Απορροή



Κλάδος: R225

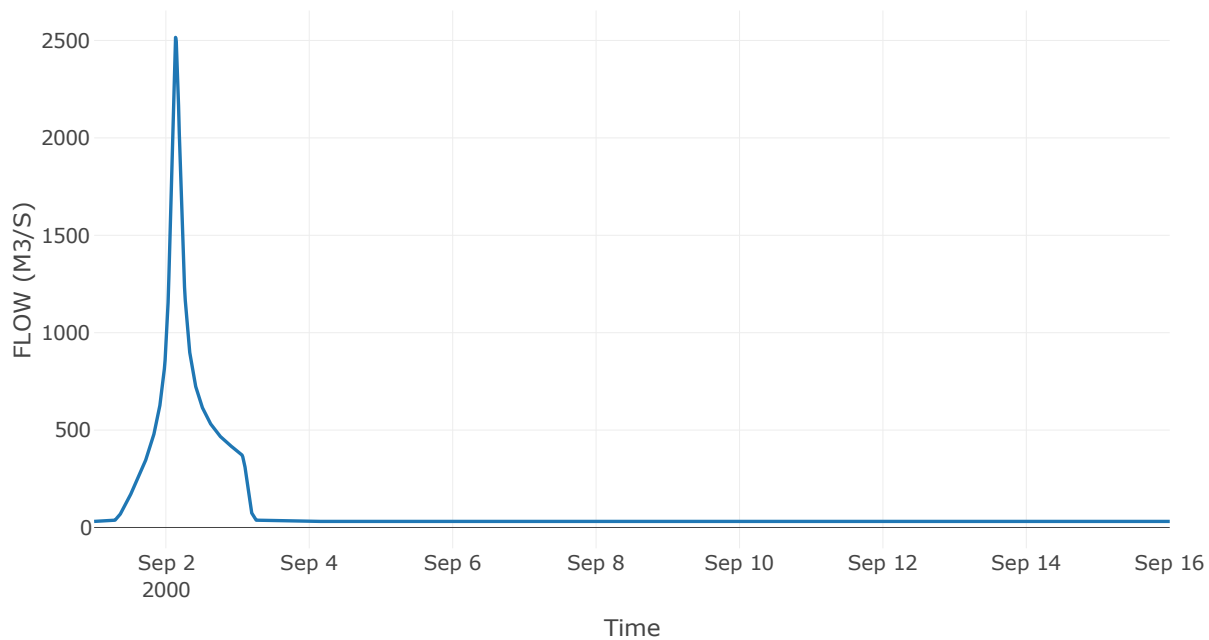
Κατάντη : J5

Μέθοδος Διόδευσης	Muskingum
Αρχική Μεταβλητή	Combined Inflow
Muskingum K	1
Συντελεστής βάρους x	0.2
Πλήθος Υποκλάδων	2

Αποτελέσματα: R225

Παροχή Αιχμής(M3/S)	2515.89
Χρονική στιγμή αιχμής	02Sep2000, 03:15
Όγκος(MM)	310.87
Παροχή Αιχμής Εισόδου (M3/S)	2648.3
Όγκος Εισροής(M3)	1.38E8

Απορροή



Κλάδος: R2322

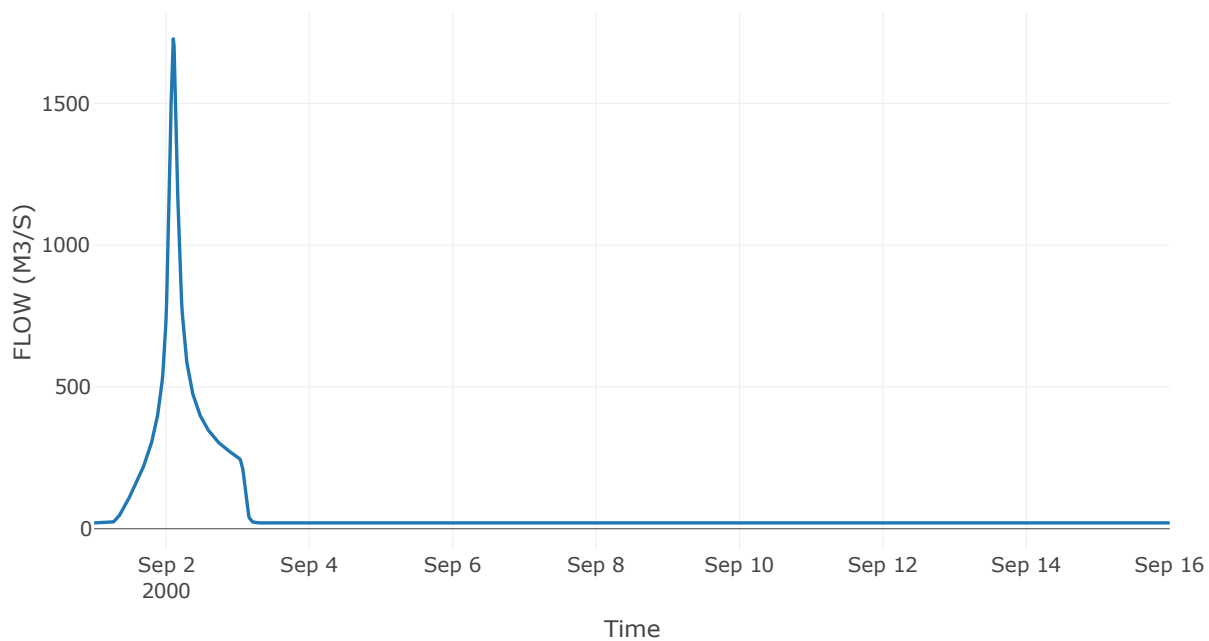
Κατάντη : J22

Μέθοδος Διόδευσης	Χρόνος Υστέρησης
Αρχική Μεταβλητή	Combined Inflow
Χρόνος Υστέρησης	0

Αποτελέσματα: R2322

Παροχή Αιχμής(M3/S)	1727.35
Χρονική στιγμή αιχμής	02Sep2000, 02:30
Όγκος(MM)	304.13
Παροχή Αιχμής Εισόδου (M3/S)	1727.35
Όγκος Εισροής(M3)	8.95E7

Απορροή



Κλάδος: R2423

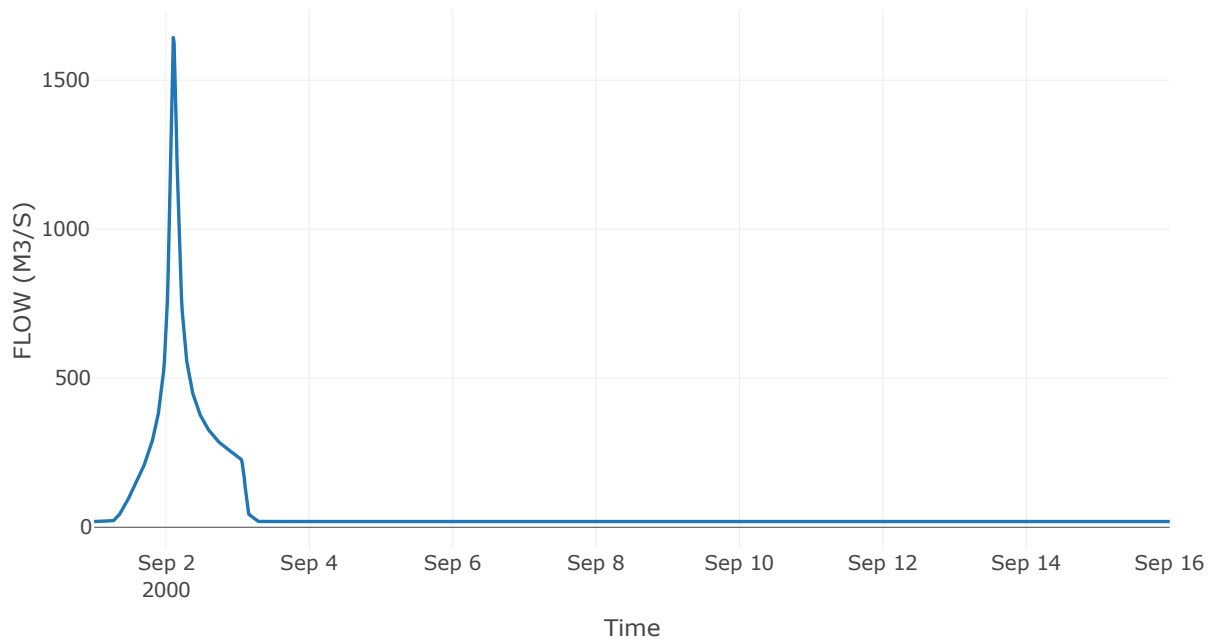
Κατάντη : J23

Μέθοδος Διόδευσης	Muskingum
Αρχική Μεταβλητή	Combined Inflow
Muskingum K	0.71
Συντελεστής βάρους α	0.2
Πλήθος Υποκλάδων	3

Αποτελέσματα: R2423

Παροχή Αιχμής(M3/S)	1643.2
Χρονική στιγμή αιχμής	02Sep2000, 02:30
Όγκος(MM)	305.21
Παροχή Αιχμής Εισόδου (M3/S)	1691.95
Όγκος Εισροής(M3)	8.35E7

Απορροή



Κλάδος: R2524

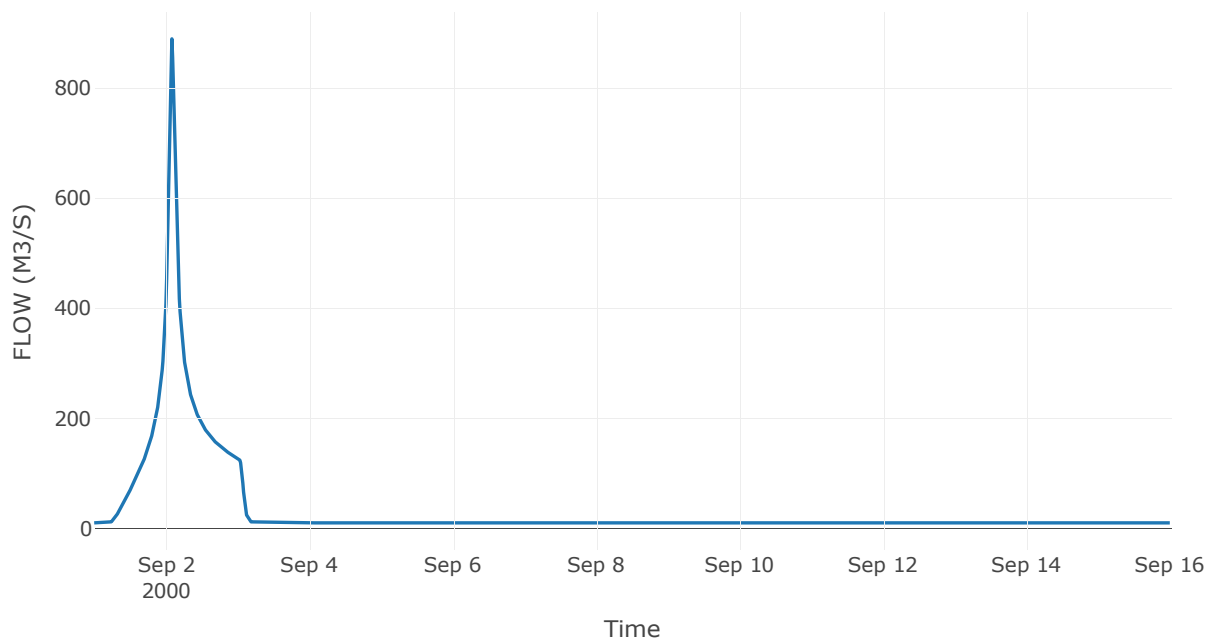
Κατάντη : J24

Μέθοδος Διόδευσης	Χρόνος Υστέρησης
Αρχική Μεταβλητή	Combined Inflow
Χρόνος Υστέρησης	24.88

Αποτελέσματα: R2524

Παροχή Αιχμής(M3/S)	889.14
Χρονική στιγμή αιχμής	02Sep2000, 02:00
Όγκος(MM)	318.09
Παροχή Αιχμής Εισόδου (M3/S)	897.83
Όγκος Εισροής(M3)	4.42E7

Απορροή



Κλάδος: R2625

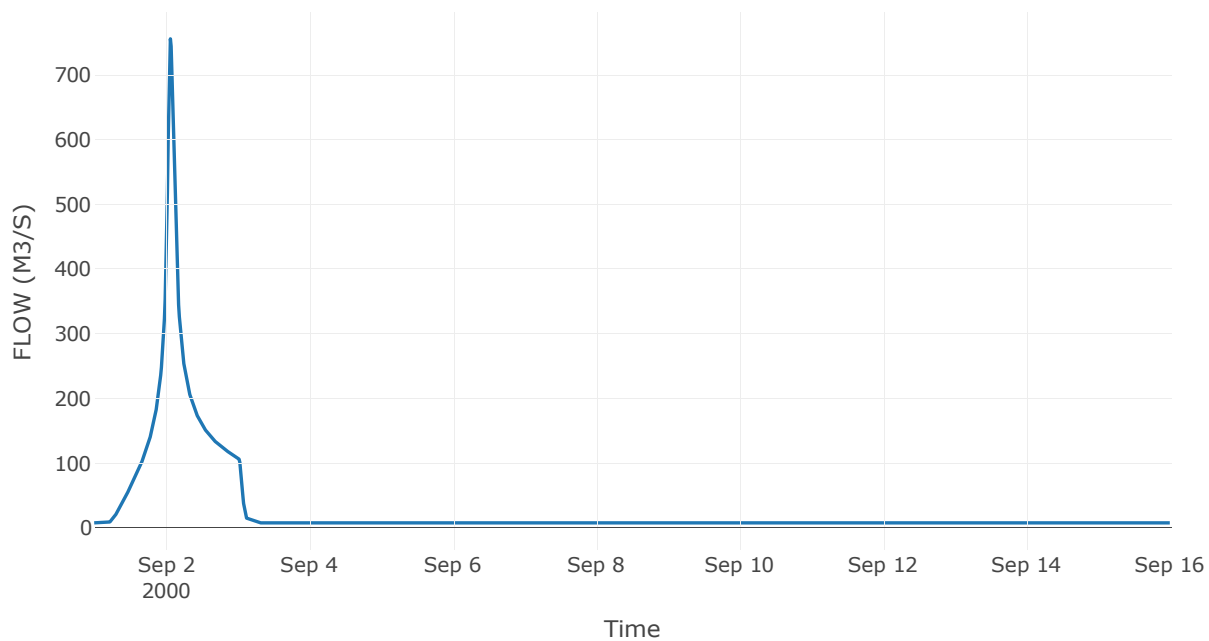
Κατάντη : J25

Μέθοδος Διόδευσης	Χρόνος Υστέρησης
Αρχική Μεταβλητή	Combined Inflow
Χρόνος Υστέρησης	12.52

Αποτελέσματα: R2625

Παροχή Αιχμής(M3/S)	755.59
Χρονική στιγμή αιχμής	02Sep2000, 01:30
Όγκος(MM)	320.02
Παροχή Αιχμής Εισόδου (M3/S)	756.69
Όγκος Εισροής(M3)	3.76E7

Απορροή



Κλάδος: R2726

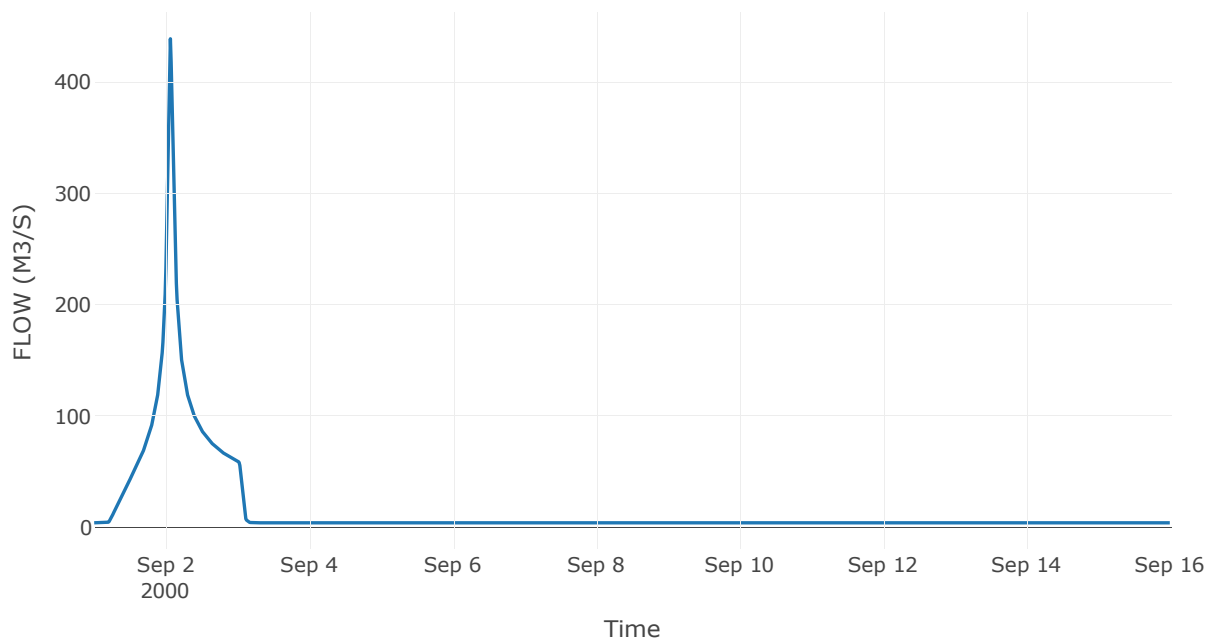
Κατάντη : J26

Μέθοδος Διόδευσης	Χρόνος Υστέρησης
Αρχική Μεταβλητή	Combined Inflow
Χρόνος Υστέρησης	25.1

Αποτελέσματα: R2726

Παροχή Αιχμής(M3/S)	439.09
Χρονική στιγμή αιχμής	02Sep2000, 01:30
Όγκος(MM)	344.81
Παροχή Αιχμής Εισόδου (M3/S)	444.24
Όγκος Εισροής(M3)	2.09E7

Απορροή



Κλάδος: R2824

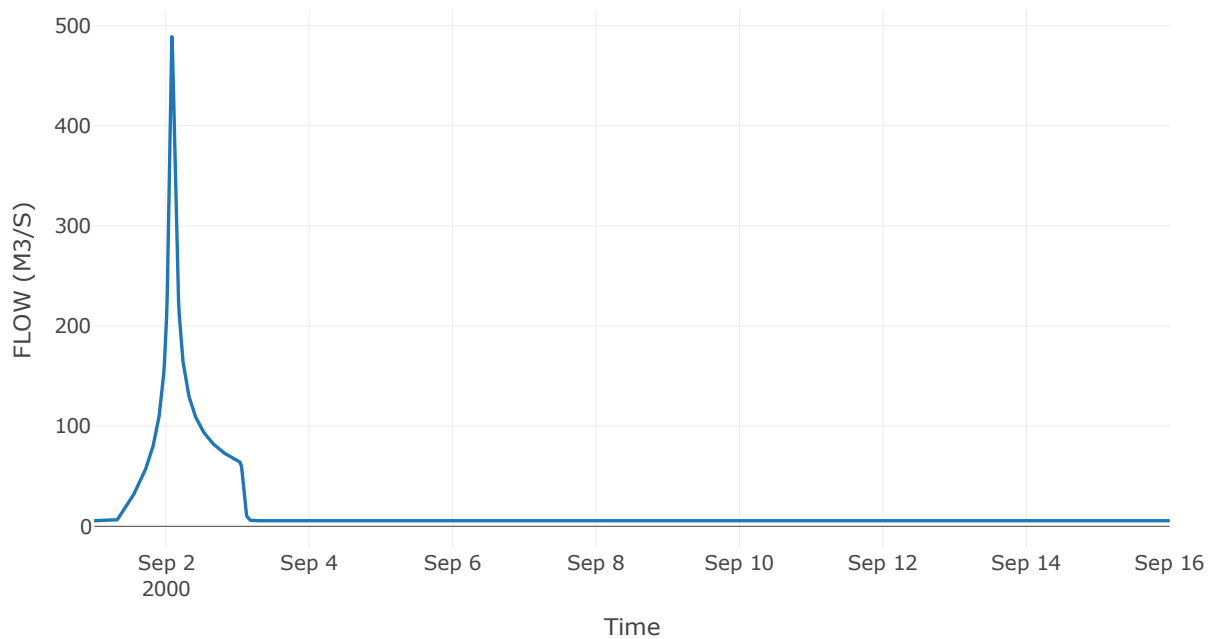
Κατάντη : J24

Μέθοδος Διόδευσης	Χρόνος Υστέρησης
Αρχική Μεταβλητή	Combined Inflow
Χρόνος Υστέρησης	47.71

Αποτελέσματα: R2824

Παροχή Αιχμής(M3/S)	488.87
Χρονική στιγμή αιχμής	02Sep2000, 02:00
Όγκος(MM)	284.89
Παροχή Αιχμής Εισόδου (M3/S)	490.12
Όγκος Εισροής(M3)	2.26E7

Απορροή



Κλάδος: R2928

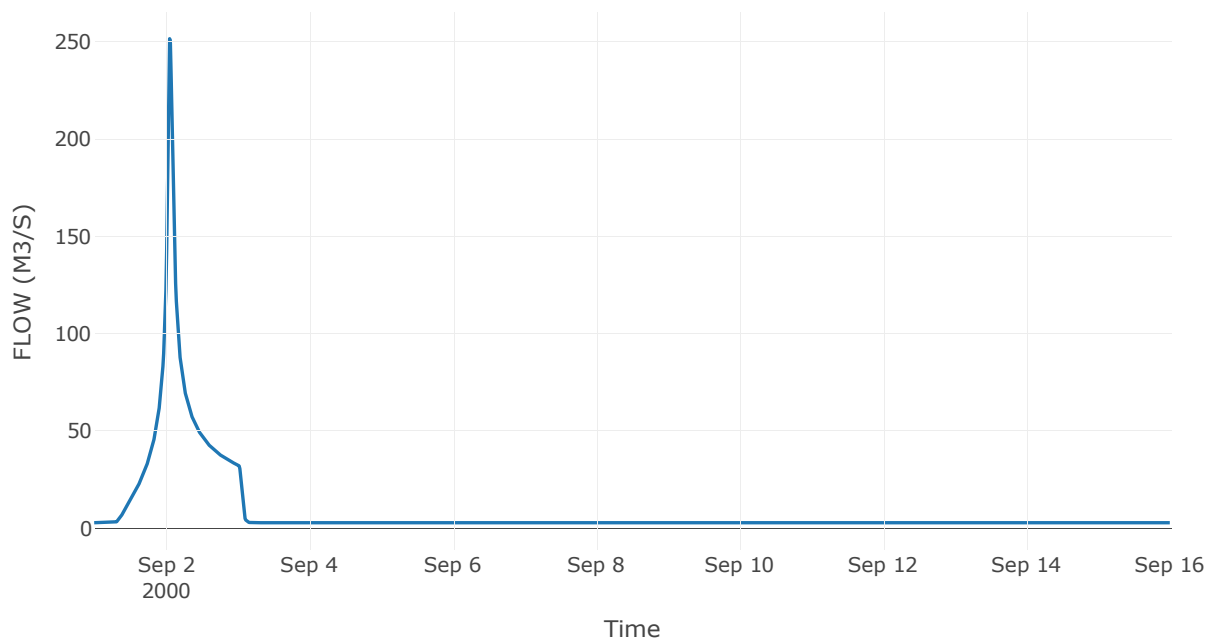
Κατάντη : J28

Μέθοδος Διόδευσης	Χρόνος Υστέρησης
Αρχική Μεταβλητή	Combined Inflow
Χρόνος Υστέρησης	28.03

Αποτελέσματα: R2928

Παροχή Αιχμής(M3/S)	251.43
Χρονική στιγμή αιχμής	02Sep2000, 01:15
Όγκος(MM)	283.96
Παροχή Αιχμής Εισόδου (M3/S)	251.46
Όγκος Εισροής(M3)	1.13E7

Απορροή



Κλάδος: R3022

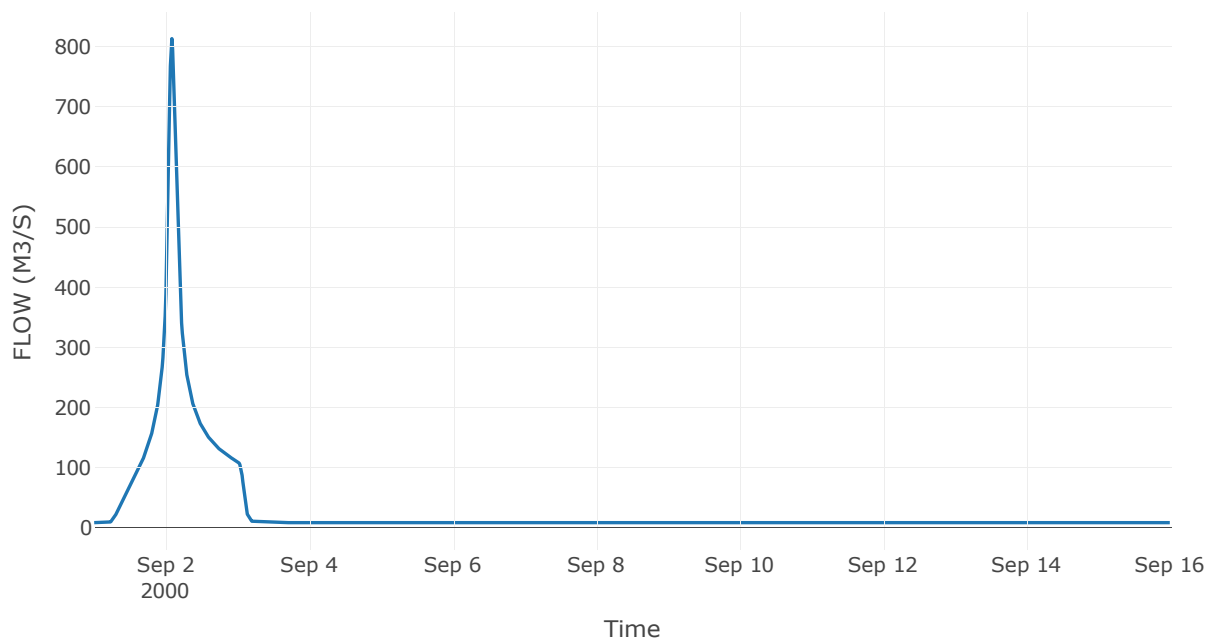
Κατάντη : J22

Μέθοδος Διόδευσης	Χρόνος Υστέρησης
Αρχική Μεταβλητή	Combined Inflow
Χρόνος Υστέρησης	0

Αποτελέσματα: R3022

Παροχή Αιχμής(M3/S)	812.87
Χρονική στιγμή αιχμής	02Sep2000, 02:00
Όγκος(MM)	336.56
Παροχή Αιχμής Εισόδου (M3/S)	812.87
Όγκος Εισροής(M3)	4.03E7

Απορροή



Κλάδος: R3130

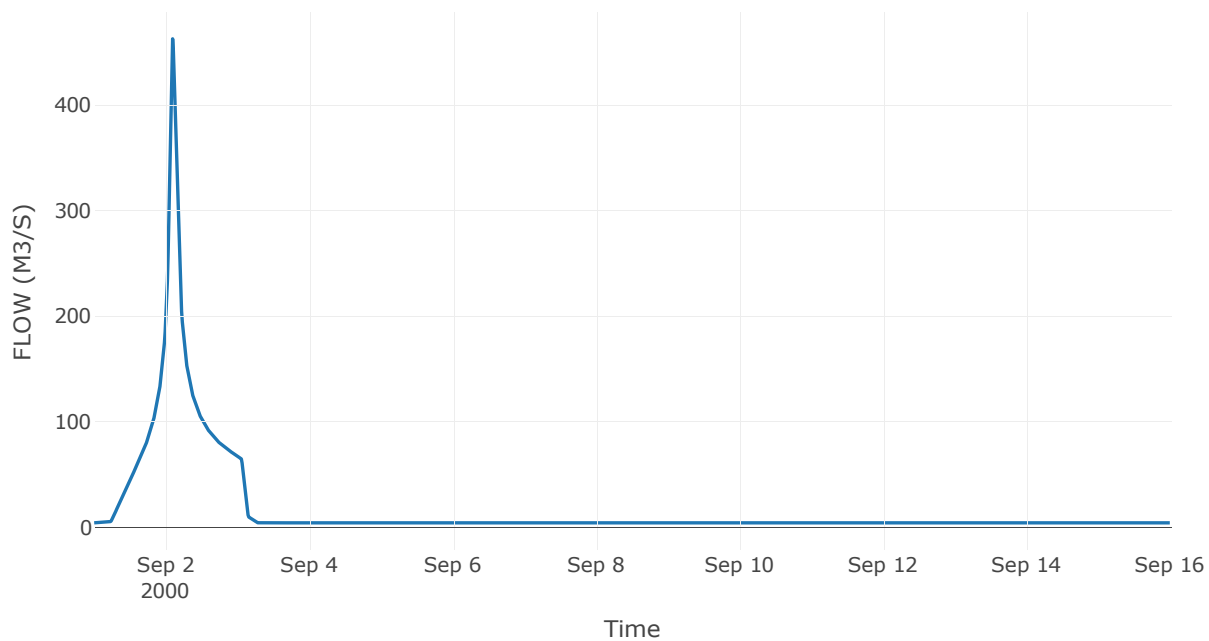
Κατάντη : J30

Μέθοδος Διόδευσης	Χρόνος Υστέρησης
Αρχική Μεταβλητή	Combined Inflow
Χρόνος Υστέρησης	63.32

Αποτελέσματα: R3130

Παροχή Αιχμής(M3/S)	462.45
Χρονική στιγμή αιχμής	02Sep2000, 02:15
Όγκος(MM)	373.94
Παροχή Αιχμής Εισόδου (M3/S)	462.57
Όγκος Εισροής(M3)	2.31E7

Απορροή



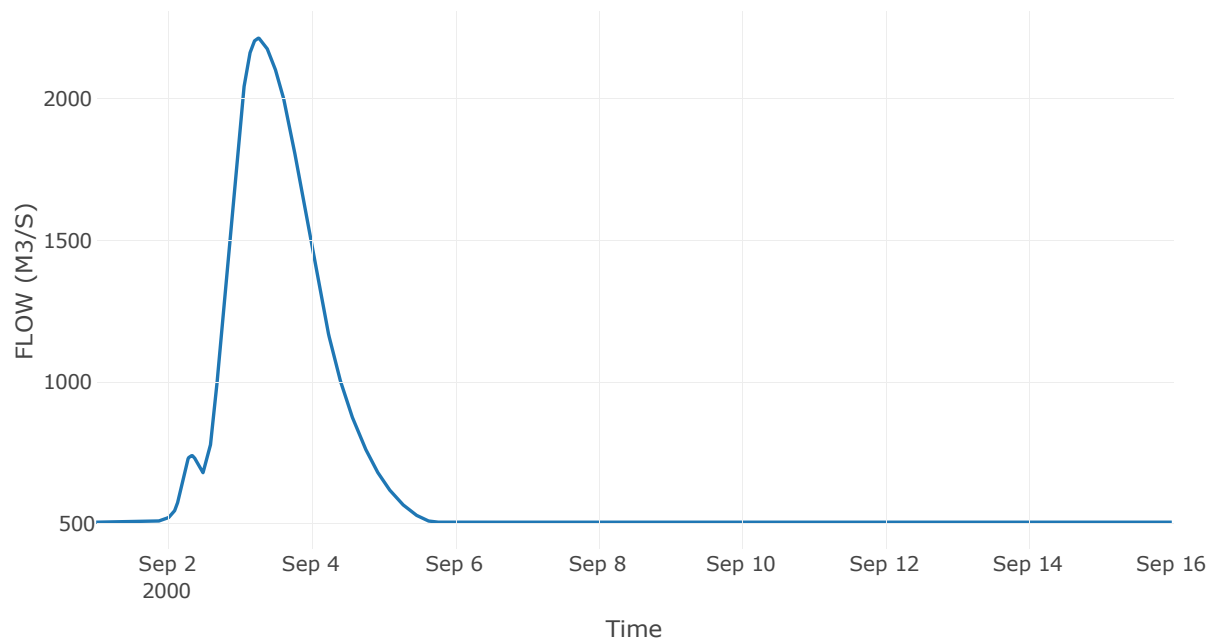
5.3 Δεδομένα και υδρογραφήματα σχεδιασμού Κόμβων υδρογραφικού δικτύου

Κόμβος εξόδου: J1

Αποτέλεσμα
τα: J1

Παροχή αιχμής (M3/S)	2212.94
Χρονική στιγμή αιχμής	03Sep2000, 06:15
Όγκος (MM)	452.68

Απορροή



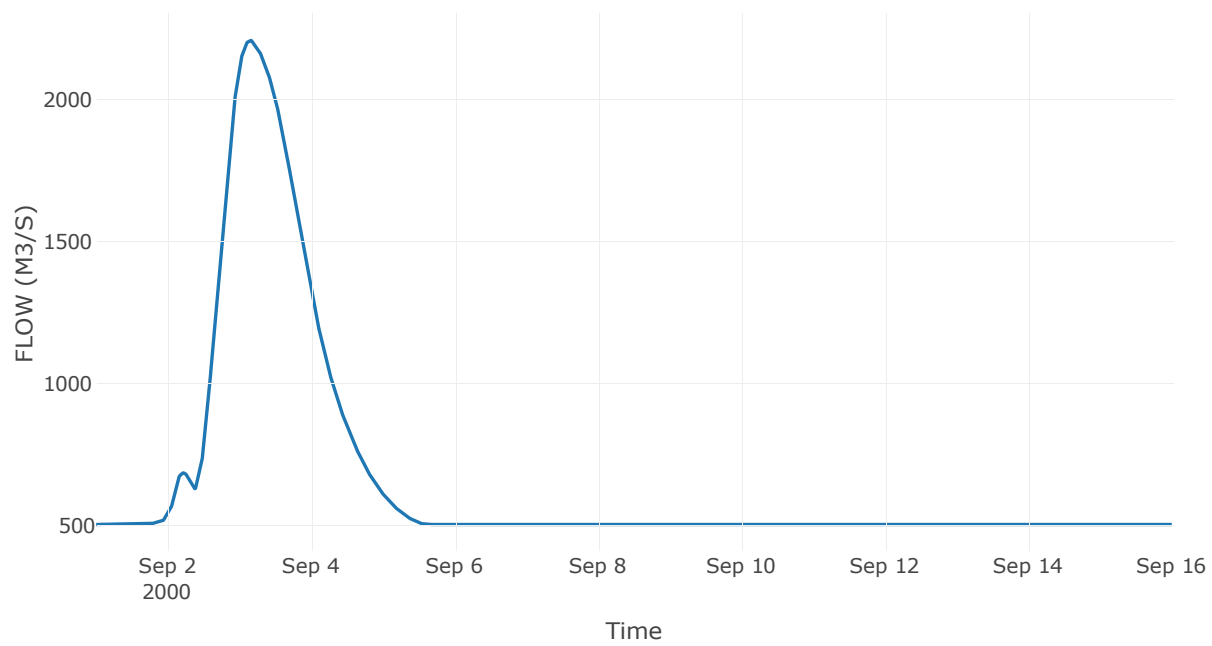
Κόμβος: J2

Κατάντη : R21

Αποτελέσματα: J2

Παροχή Αιχμής(M3/S)	2207.25
Χρονική στιγμή αιχμής	03Sep2000, 03:30
Όγκος(MM)	456.08

Απορροή



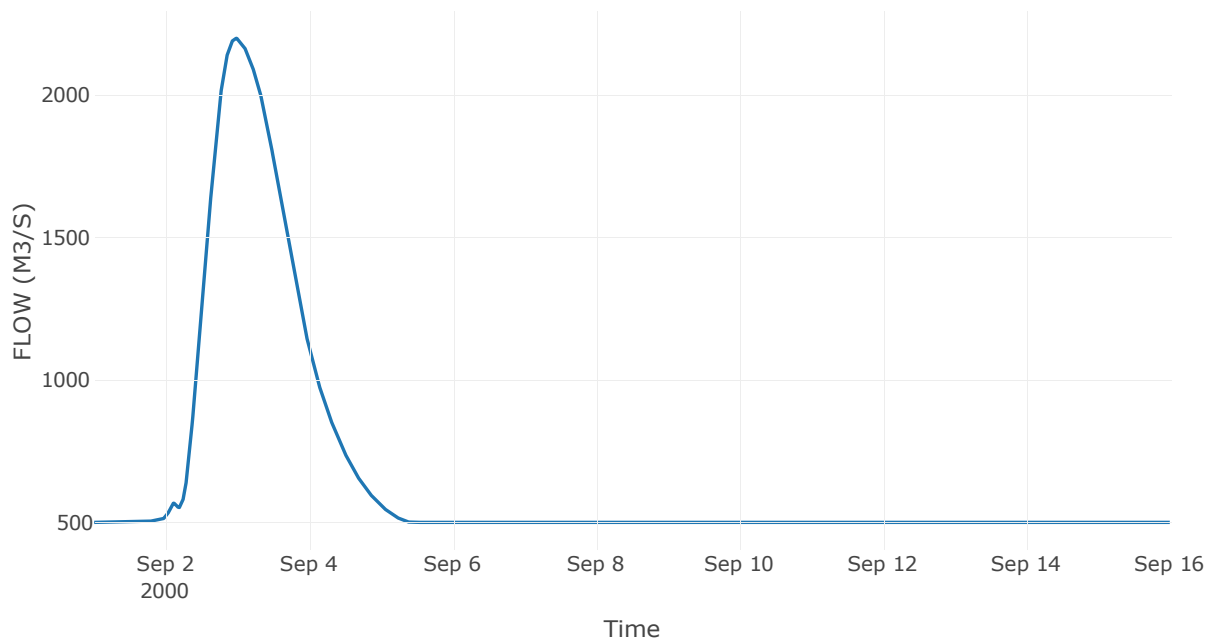
Κόμβος: J3

Κατάντη : R32

Αποτελέσματα: J3

Παροχή Αιχμής(M3/S)	2199.27
Χρονική στιγμή αιχμής	02Sep2000, 23:30
Όγκος(MM)	462.59

Απορροή



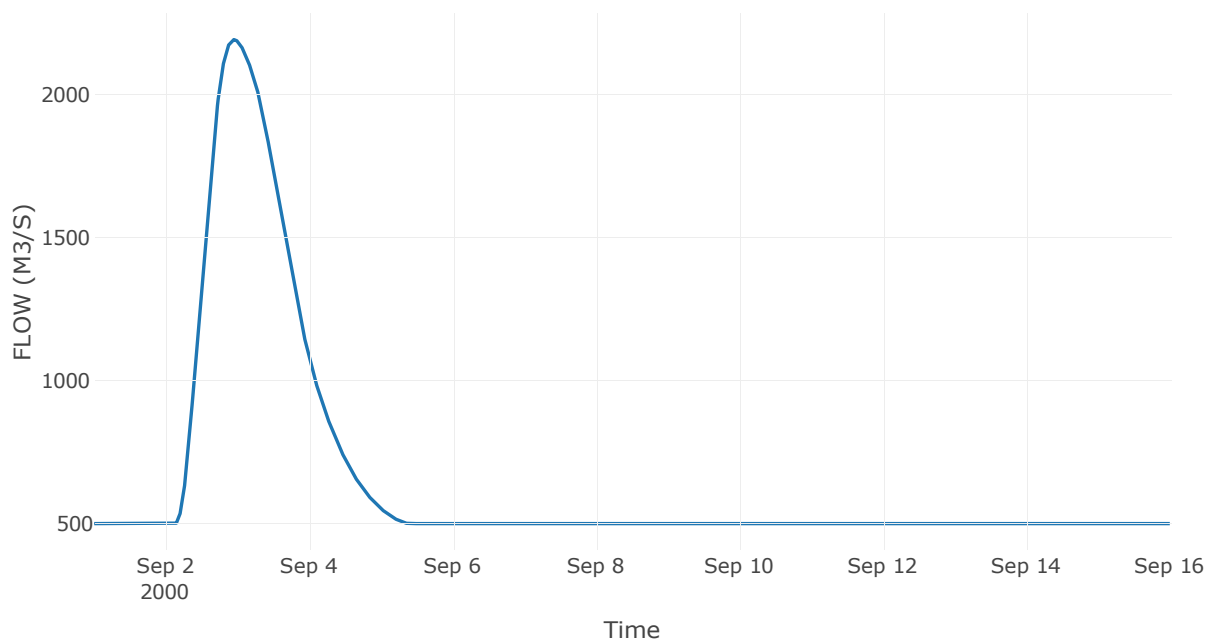
Reservoir: J4_RES1

Κατάντη : R43

Αποτελέσματα: J4_RES1

Παροχή Αιχμής(M3/S)	2193.38
Χρονική στιγμή αιχμής	02Sep2000, 22:45
Όγκος(MM)	464.45
Παροχή Αιχμής Εισόδου (M3/S)	4046.9
Time of Peak Inflow	02Sep2000, 08:45
Όγκος Εισροής (M3)	5.05E8
Maximum Storage (M3)	6.47E8
Peak Elevation (M)	115.49
Discharge Όγκος(M3)	8.46E8

Απορροή



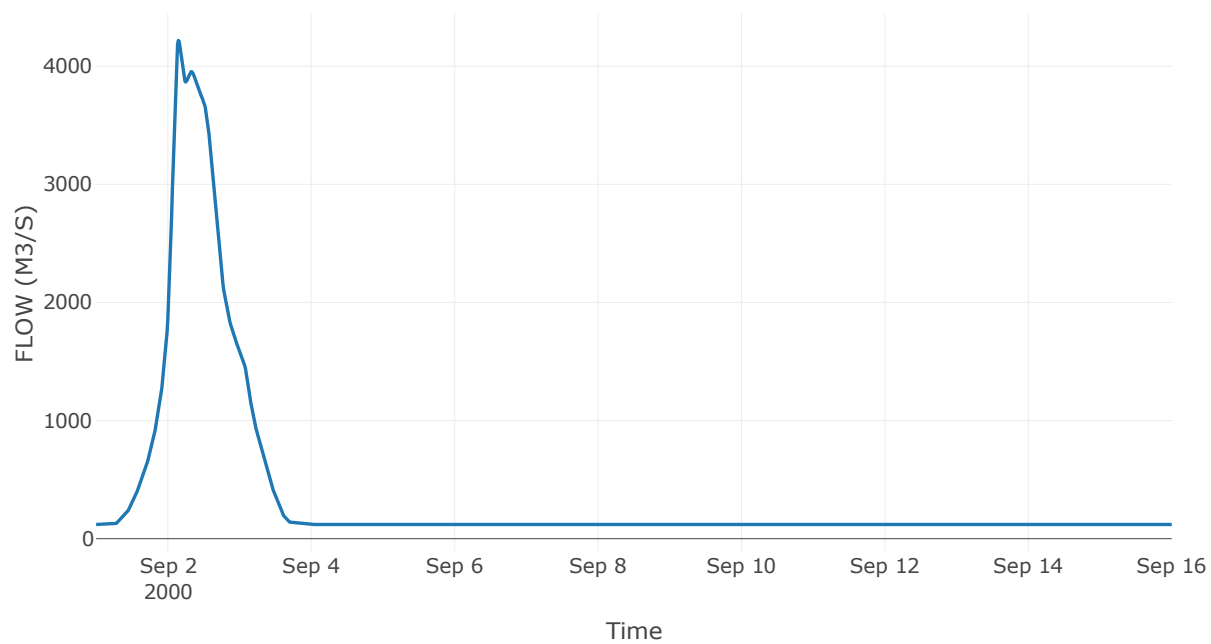
Κόμβος: J5

Κατάντη : R54

Αποτελέσματα: J5

Παροχή Αιχμής(M3/S)	4217.91
Χρονική στιγμή αιχμής	02Sep2000, 03:30
Όγκος(MM)	278.61

Απορροή



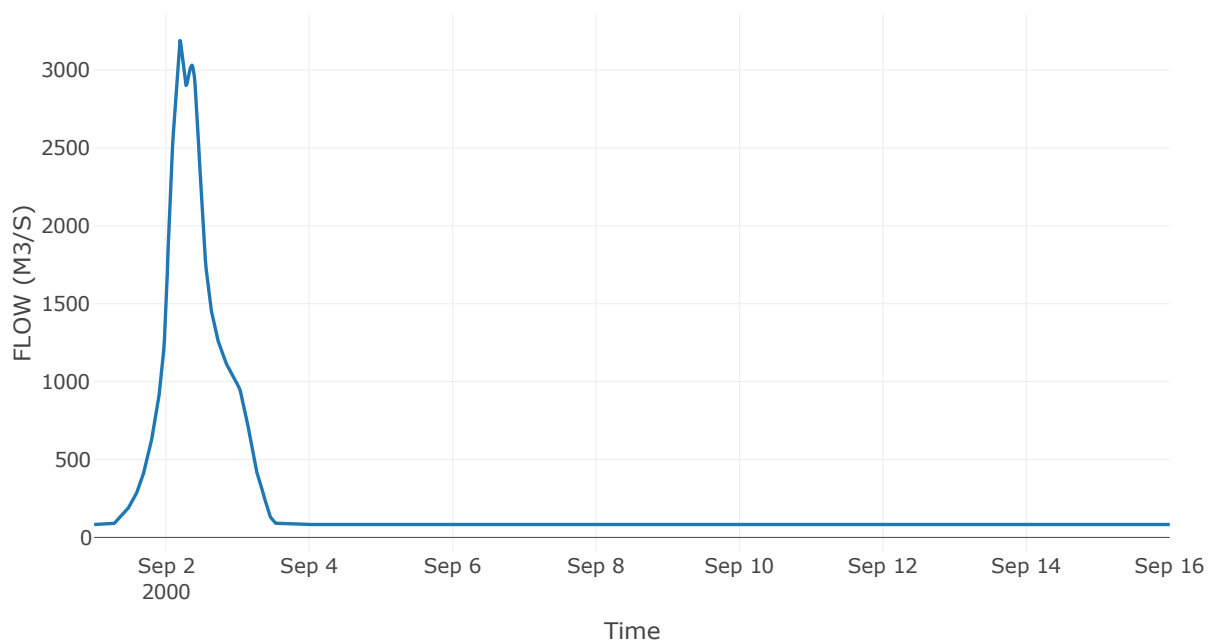
Κόμβος: J6

Κατάντη : R65

Αποτελέσματα: J6

Παροχή Αιχμής(M3/S)	3189.88
Χρονική στιγμή αιχμής	02Sep2000, 04:45
Όγκος(MM)	266.85

Απορροή



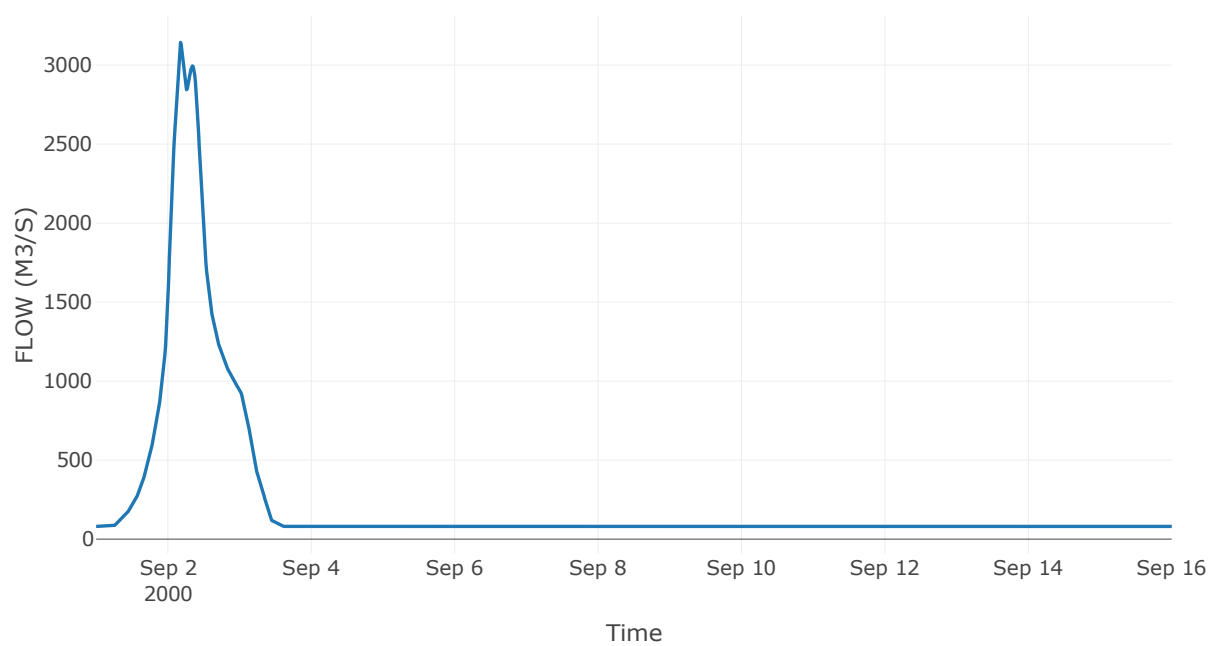
Κόμβος: J7

Κατάντη : R76

Αποτελέσματα: J7

Παροχή Αιχμής(M3/S)	3143.64
Χρονική στιγμή αιχμής	02Sep2000, 04:15
Όγκος(MM)	267.35

Απορροή



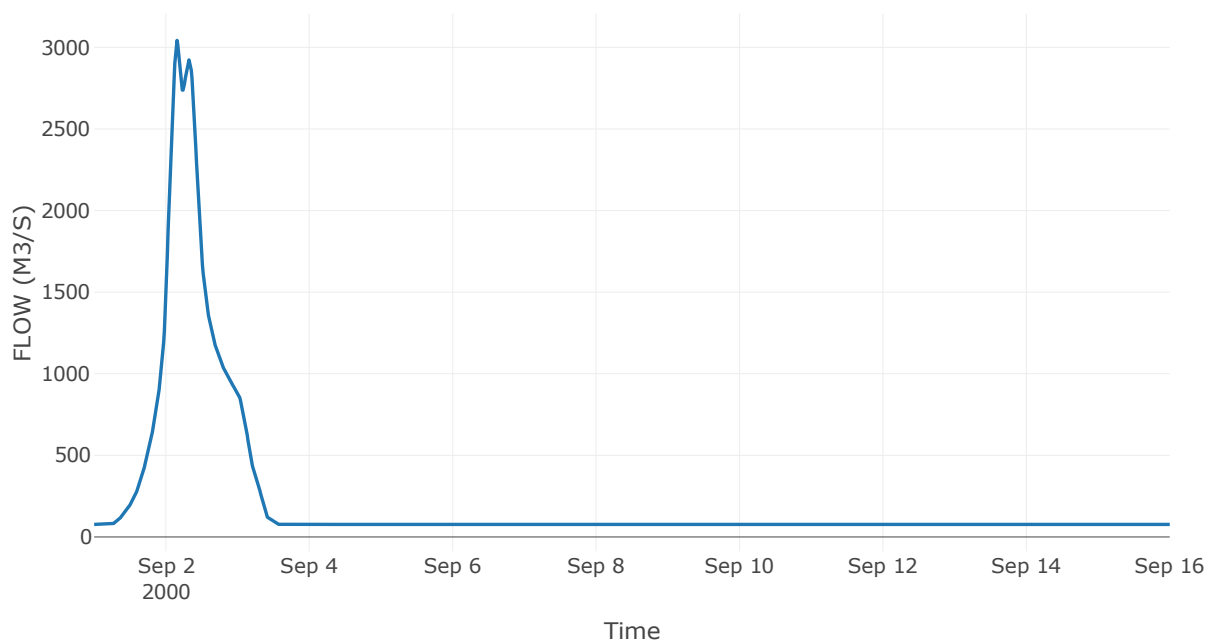
Κόμβος: J8

Κατάντη : R87

Αποτελέσματα: J8

Παροχή Αιχμής(M3/S)	3042.77
Χρονική στιγμή αιχμής	02Sep2000, 03:45
Όγκος(MM)	264.82

Απορροή



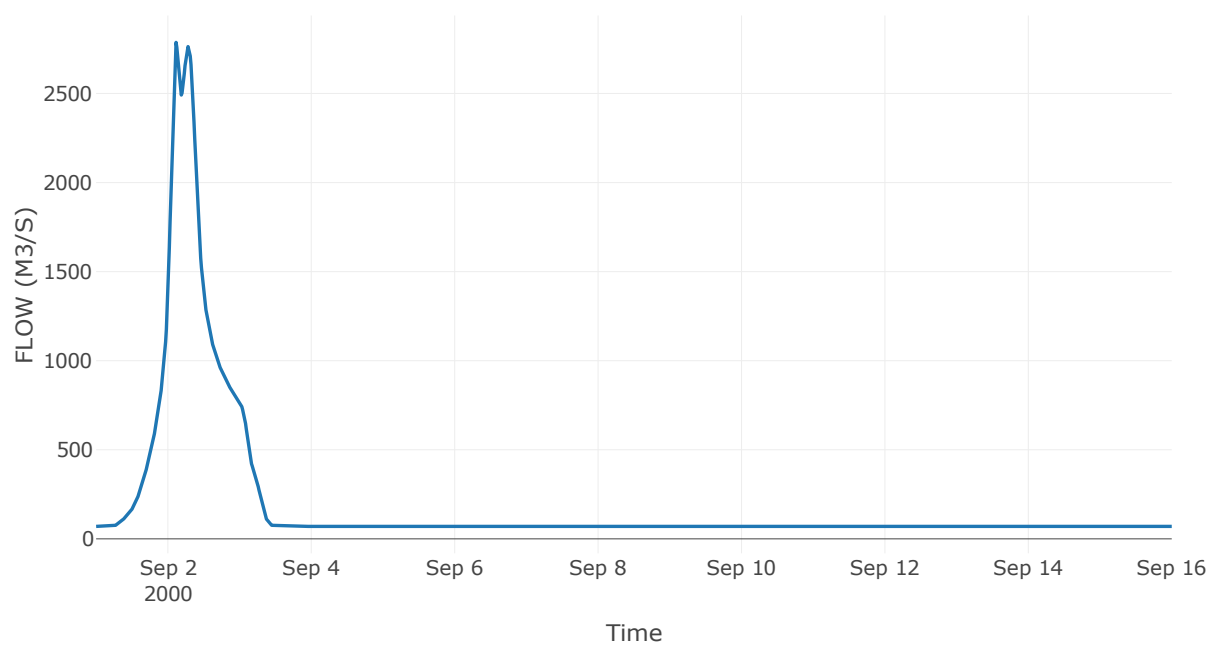
Κόμβος: J9

Κατάντη : R98

Αποτελέσματα: J9

Παροχή Αιχμής(M3/S)	2787.04
Χρονική στιγμή αιχμής	02Sep2000, 02:45
Όγκος(MM)	259.4

Απορροή



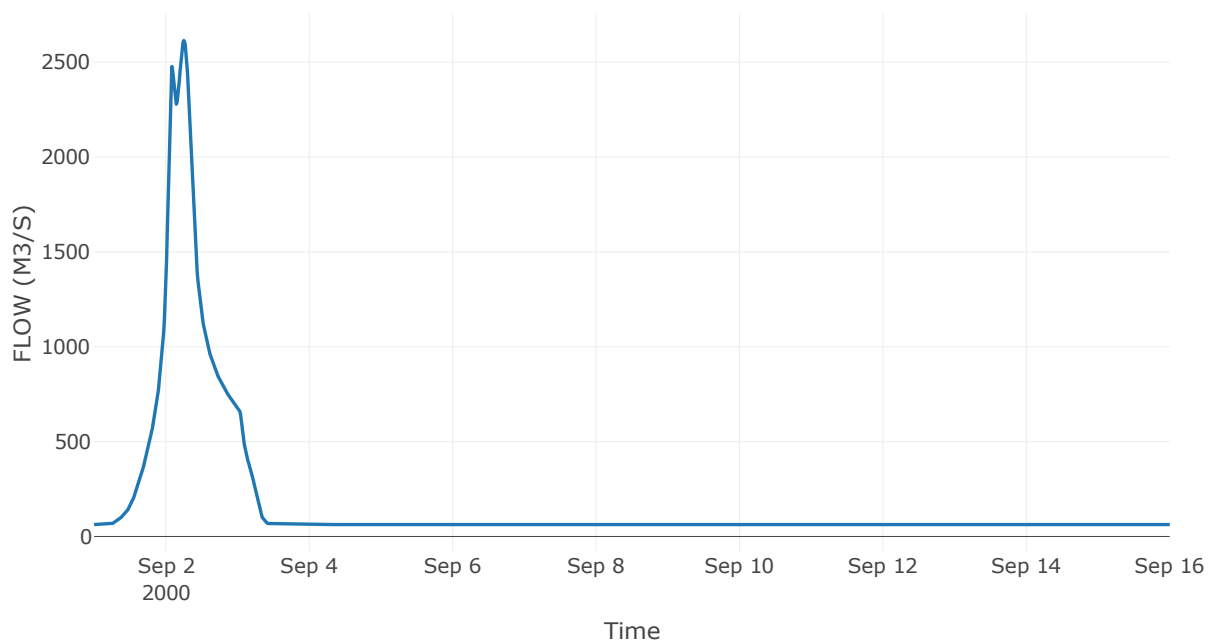
Κόμβος: J10

Κατάντη : R109

Αποτελέσματα: J10

Παροχή Αιχμής(M3/S)	2614.63
Χρονική στιγμή αιχμής	02Sep2000, 06:00
Όγκος(MM)	259.24

Απορροή



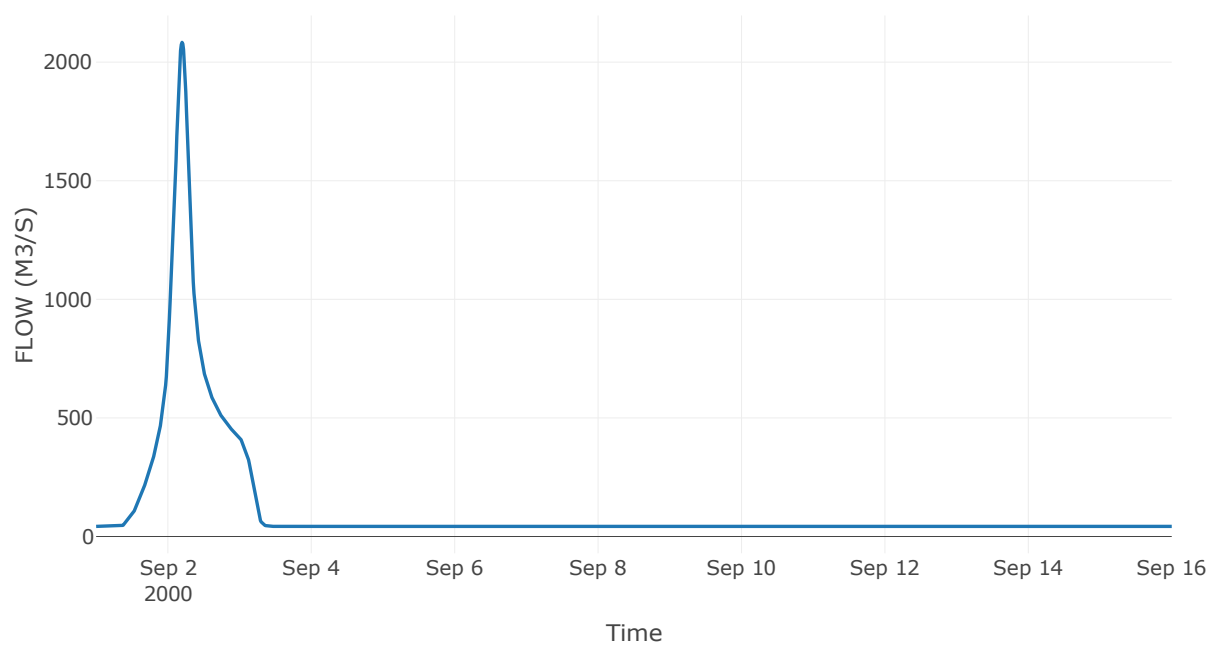
Κόμβος: J11

Κατάντη : R1110

Αποτελέσματα: J11

Παροχή Αιχμής(M3/S)	2083.42
Χρονική στιγμή αιχμής	02Sep2000, 04:45
Όγκος(MM)	245.93

Απορροή



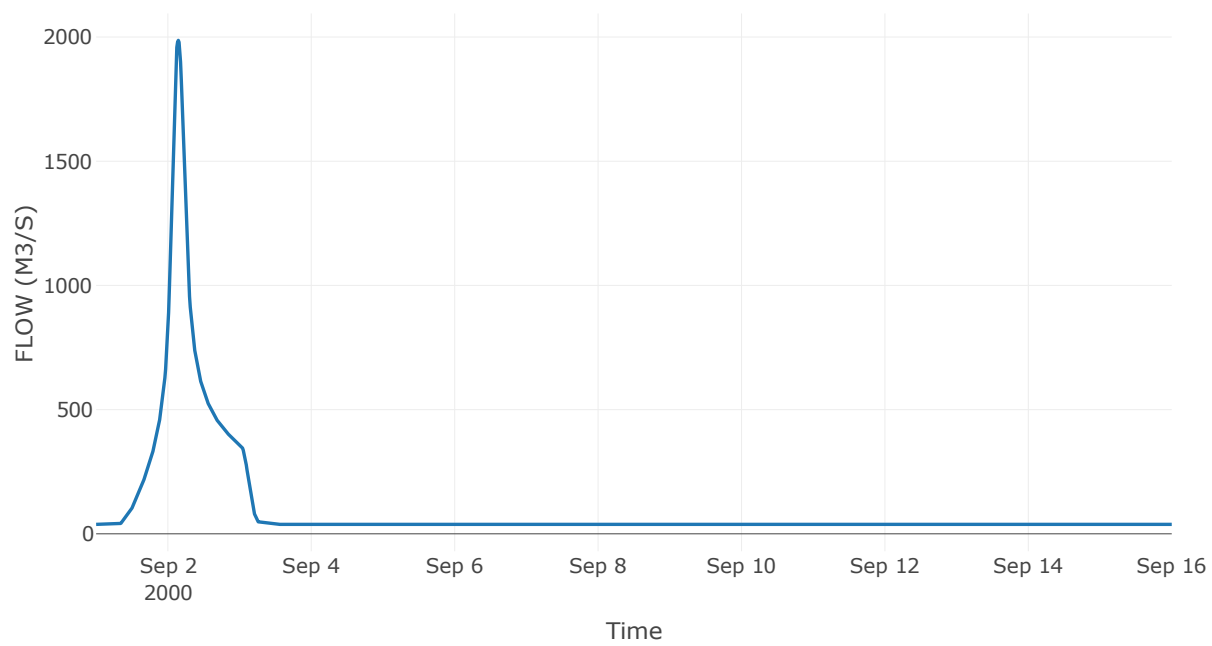
Κόμβος: J12

Κατάντη : R1211

Αποτελέσματα: J12

Παροχή Αιχμής(M3/S)	1986.57
Χρονική στιγμή αιχμής	02Sep2000, 03:30
Όγκος(MM)	245.8

Απορροή



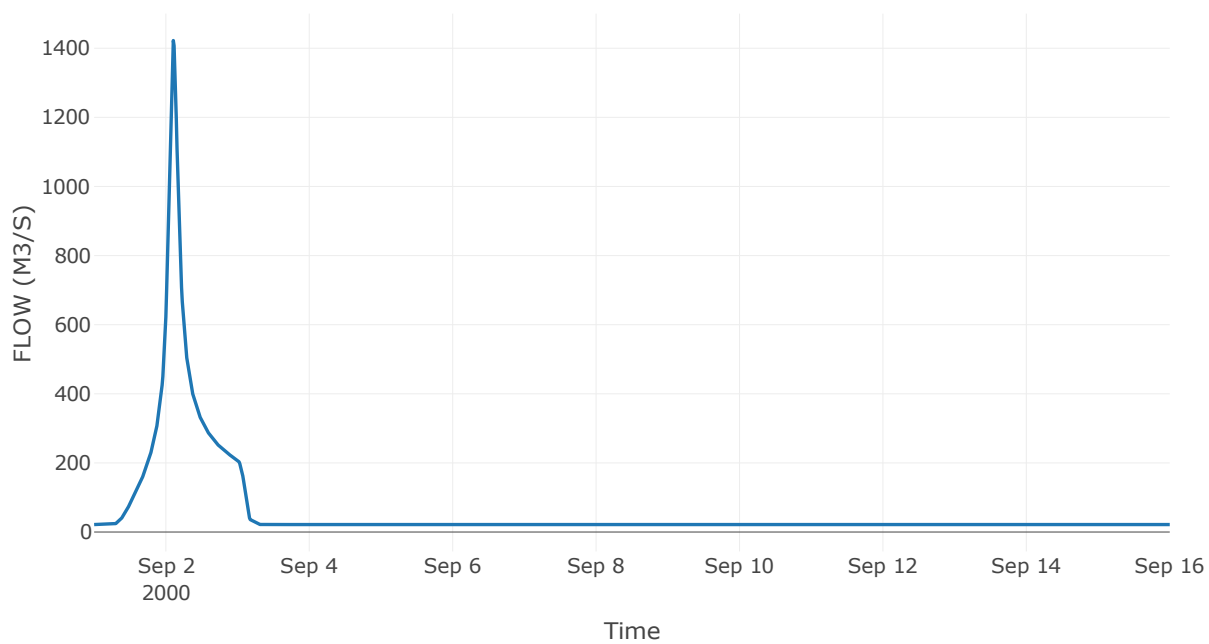
Κόμβος: J13

Κατάντη : R1312

Αποτελέσματα: J13

Παροχή Αιχμής(M3/S)	1422.4
Χρονική στιγμή αιχμής	02Sep2000, 02:30
Όγκος(MM)	257.07

Απορροή



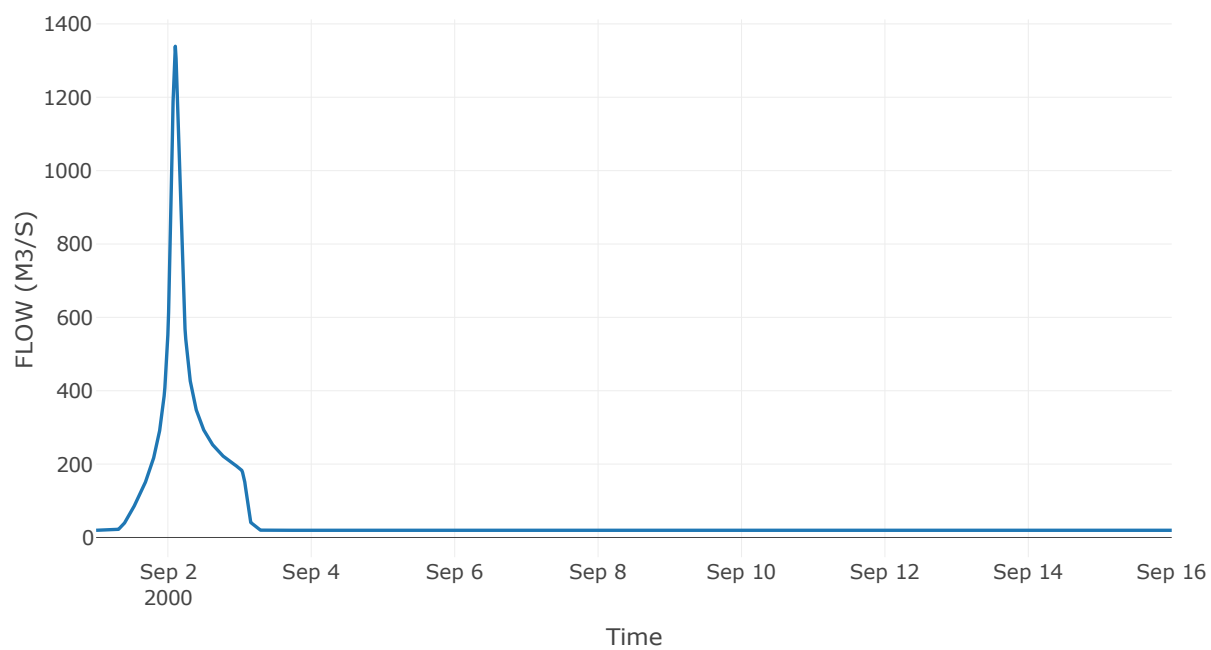
Κόμβος: J14

Κατάντη : R1413

Αποτελέσματα: J14

Παροχή Αιχμής(M3/S)	1339.01
Χρονική στιγμή αιχμής	02Sep2000, 02:30
Όγκος(MM)	258.01

Απορροή



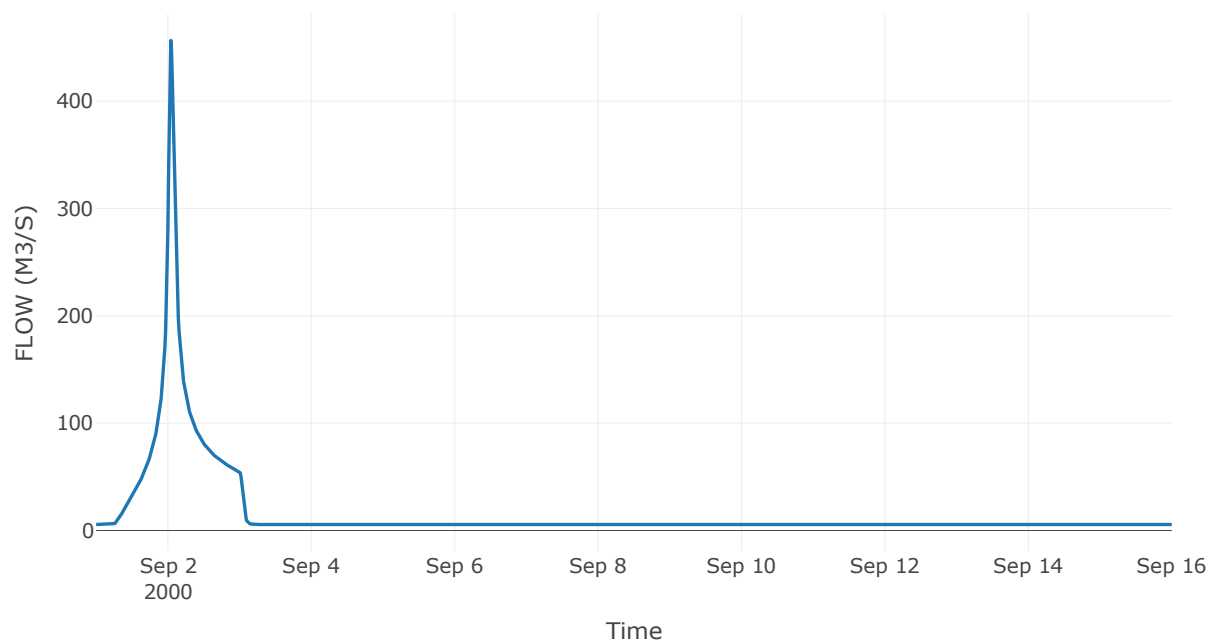
Κόμβος: J15

Κατάντη : R1514

Αποτελέσματα: J15

Παροχή Αιχμής(M3/S)	456.53
Χρονική στιγμή αιχμής	02Sep2000, 01:00
Όγκος(MM)	267.06

Απορροή



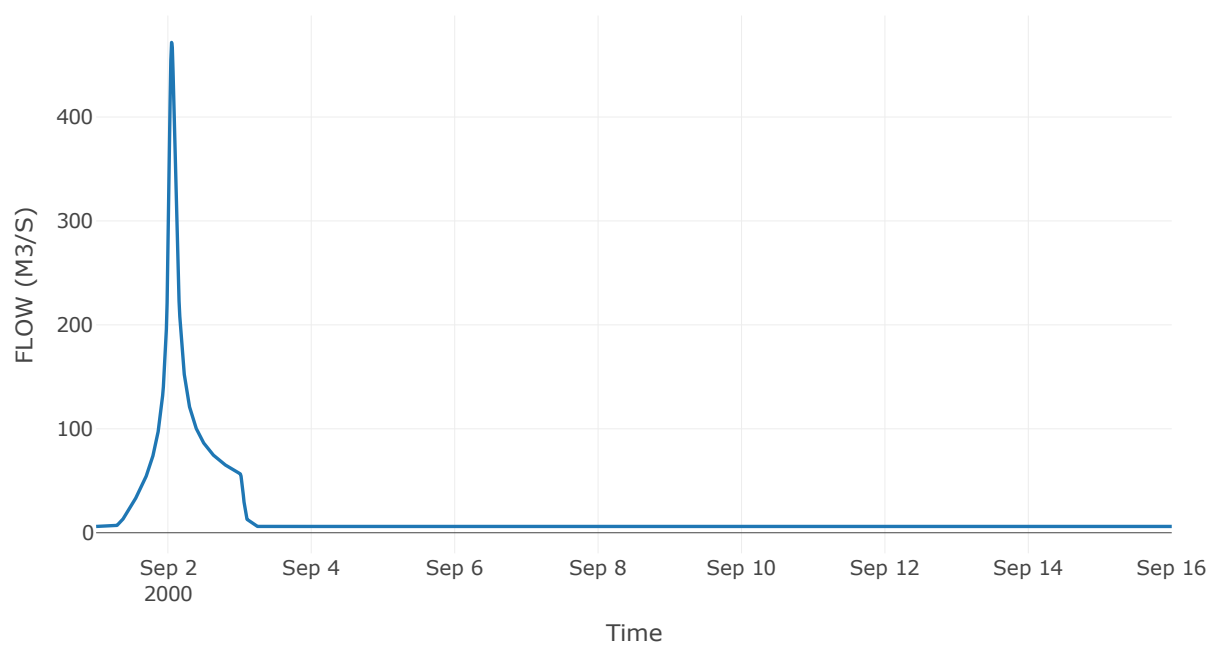
Κόμβος: J16

Κατάντη : R1614

Αποτελέσματα: J16

Παροχή Αιχμής(M3/S)	471.74
Χρονική στιγμή αιχμής	02Sep2000, 01:15
Όγκος(MM)	260.58

Απορροή



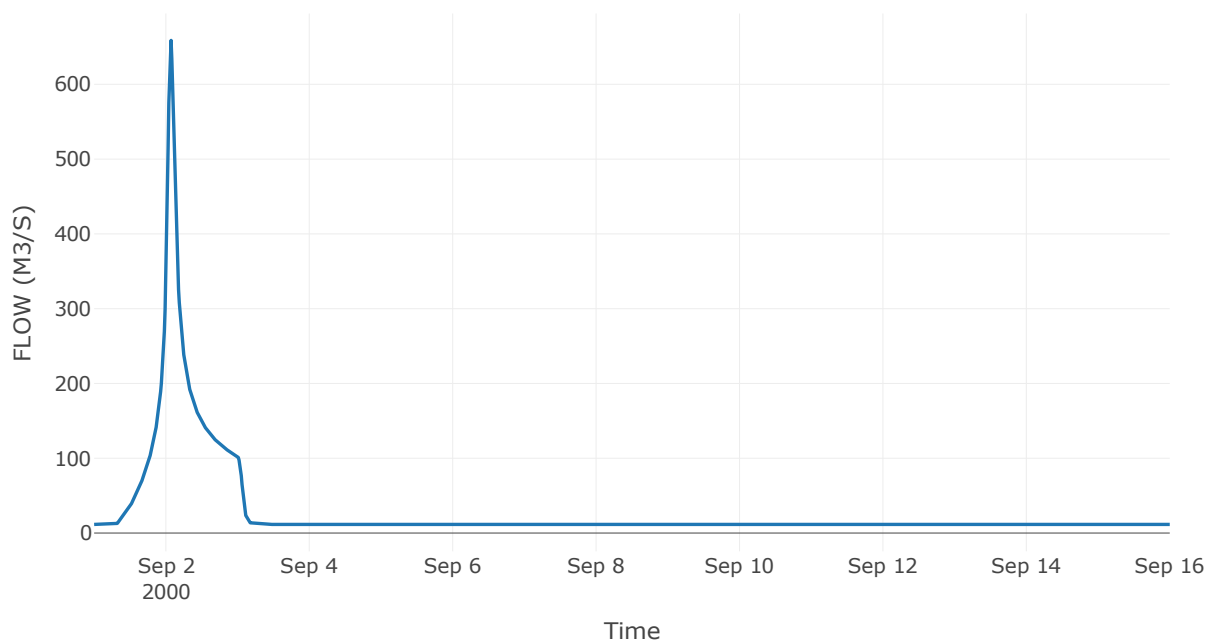
Κόμβος: J17

Κατάντη : R1712

Αποτελέσματα: J17

Παροχή Αιχμής(M3/S)	658.72
Χρονική στιγμή αιχμής	02Sep2000, 01:45
Όγκος(MM)	228.8

Απορροή



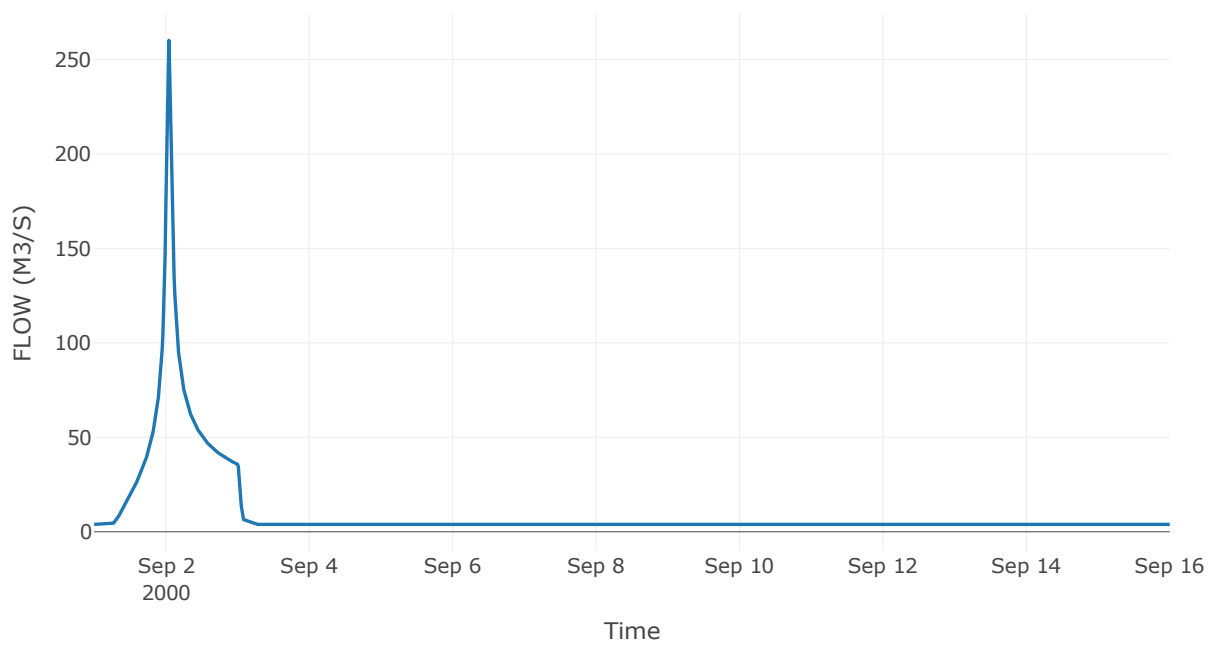
Κόμβος: J18

Κατάντη : R1817

Αποτελέσματα: J18

Παροχή Αιχμής(M3/S)	260.12
Χρονική στιγμή αιχμής	02Sep2000, 01:00
Όγκος(MM)	239.31

Απορροή



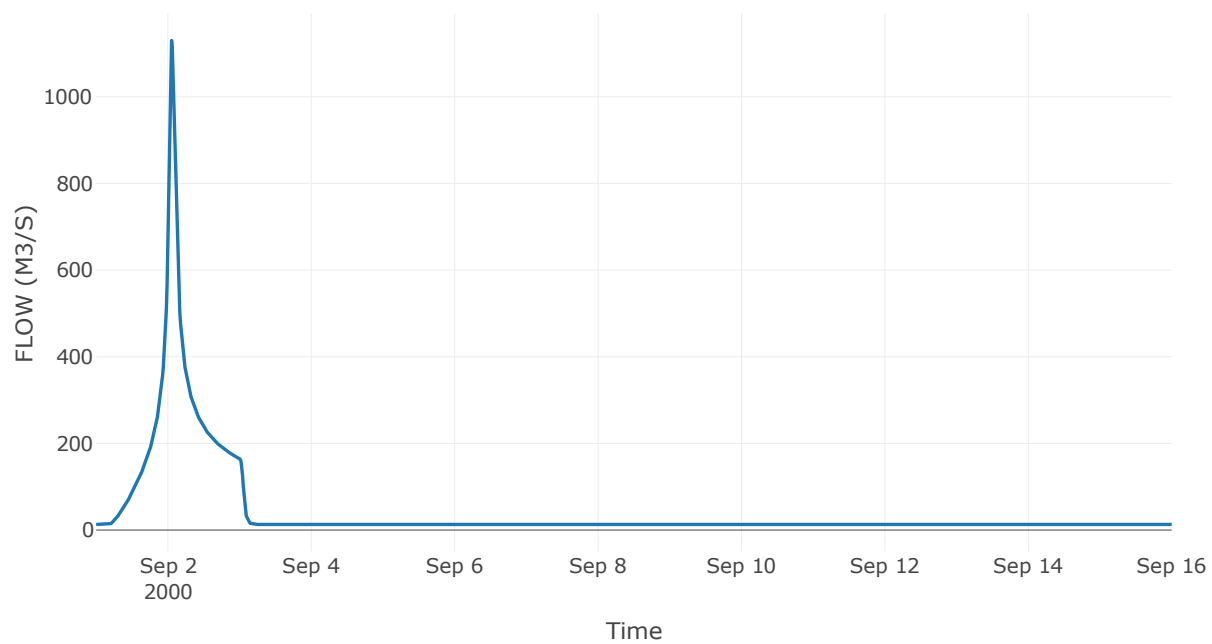
Κόμβος: J19

Κατάντη : R1910

Αποτελέσματα: J19

Παροχή Αιχμής(M3/S)	1130.27
Χρονική στιγμή αιχμής	02Sep2000, 01:15
Όγκος(MM)	304.04

Απορροή



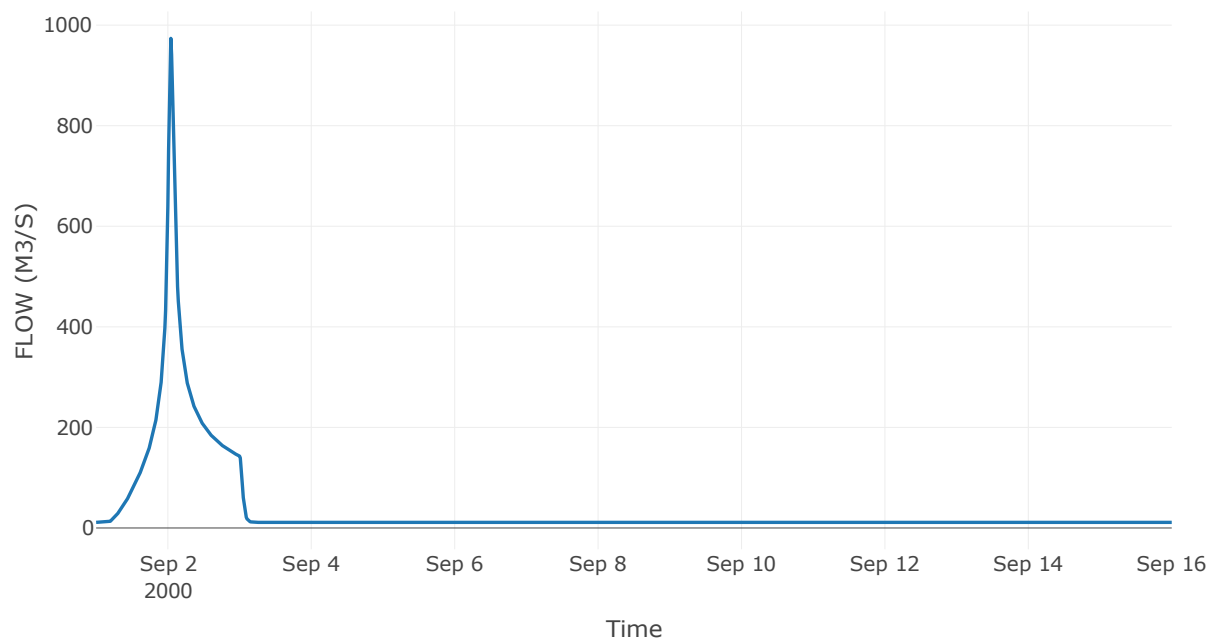
Κόμβος: J20

Κατάντη : R2019

Αποτελέσματα: J20

Παροχή Αιχμής(M3/S)	973.71
Χρονική στιγμή αιχμής	02Sep2000, 01:00
Όγκος(MM)	301.93

Απορροή



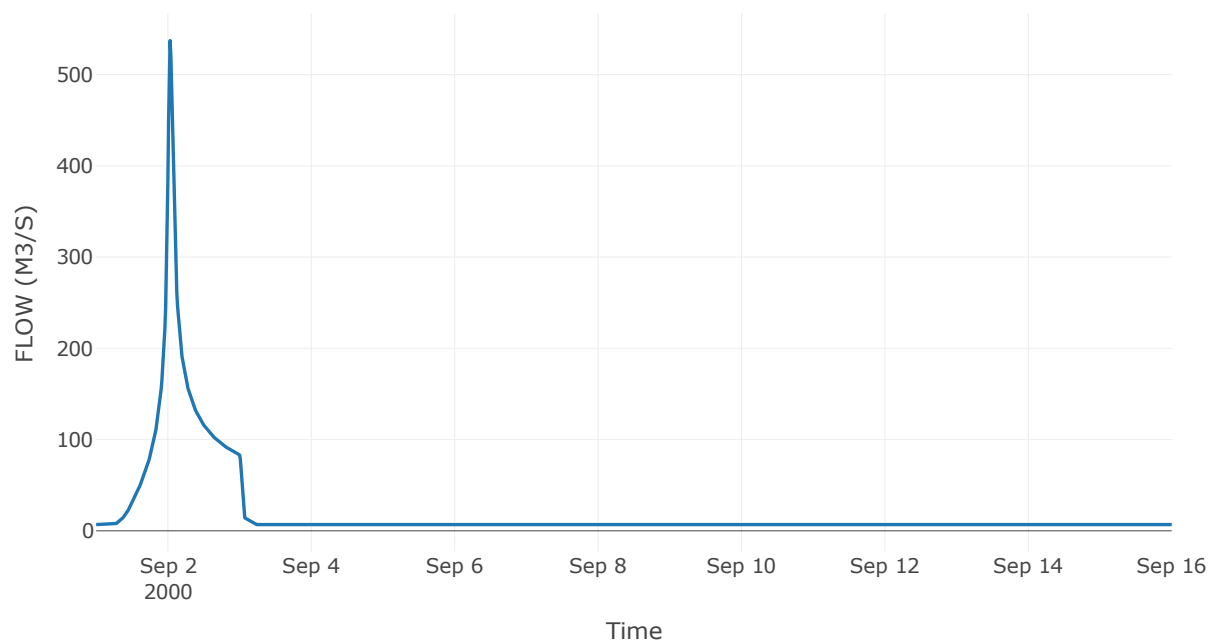
Κόμβος: J21

Κατάντη : R2120

Αποτελέσματα: J21

Παροχή Αιχμής(M3/S)	537.28
Χρονική στιγμή αιχμής	02Sep2000, 00:45
Όγκος(MM)	272.62

Απορροή



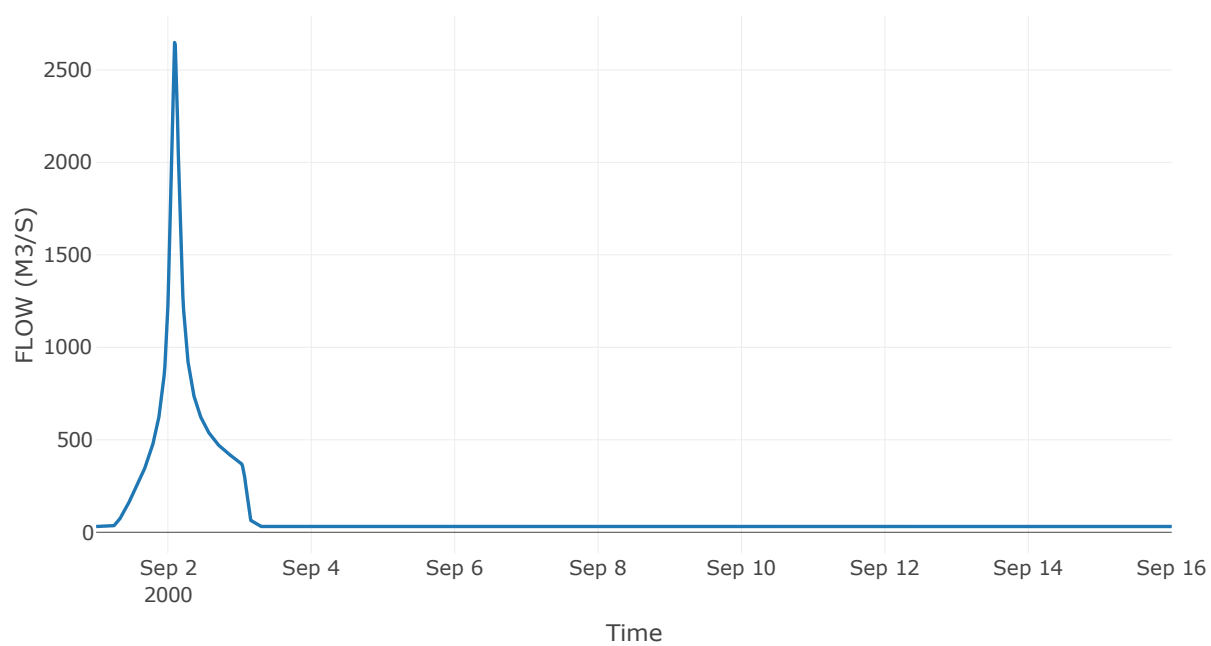
Κόμβος: J22

Κατάντη : R225

Αποτελέσματα: J22

Παροχή Αιχμής(M3/S)	2648.3
Χρονική στιγμή αιχμής	02Sep2000, 02:15
Όγκος(MM)	310.87

Απορροή



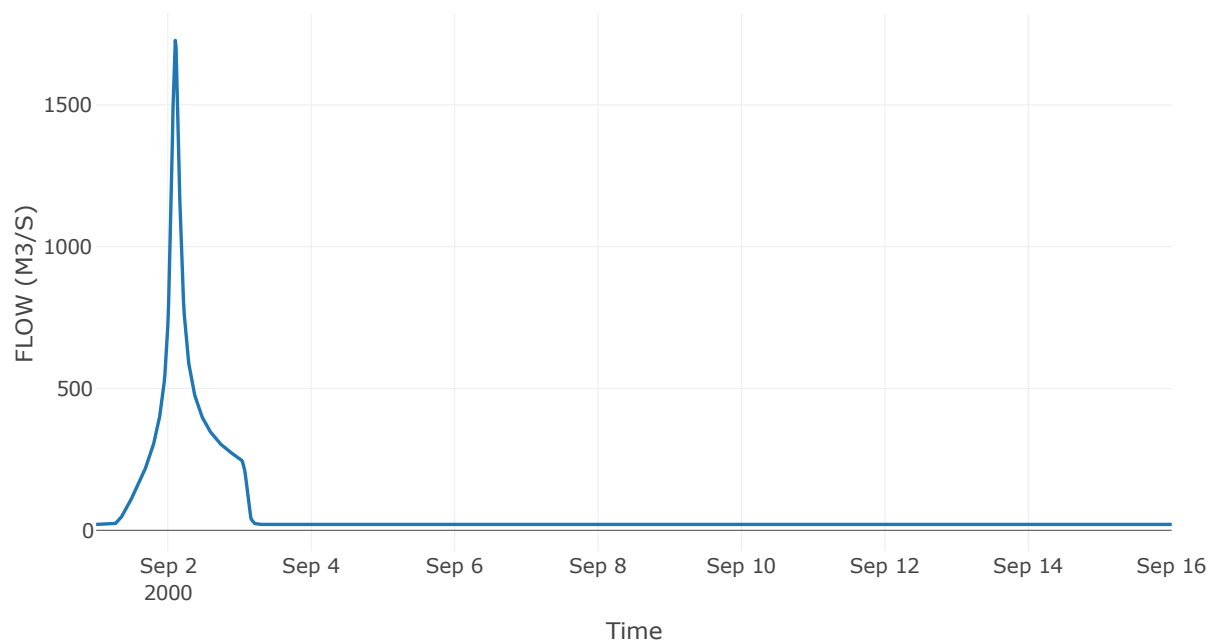
Κόμβος: J23

Κατάντη : R2322

Αποτελέσματα: J23

Παροχή Αιχμής(M3/S)	1727.35
Χρονική στιγμή αιχμής	02Sep2000, 02:30
Όγκος(MM)	304.13

Απορροή



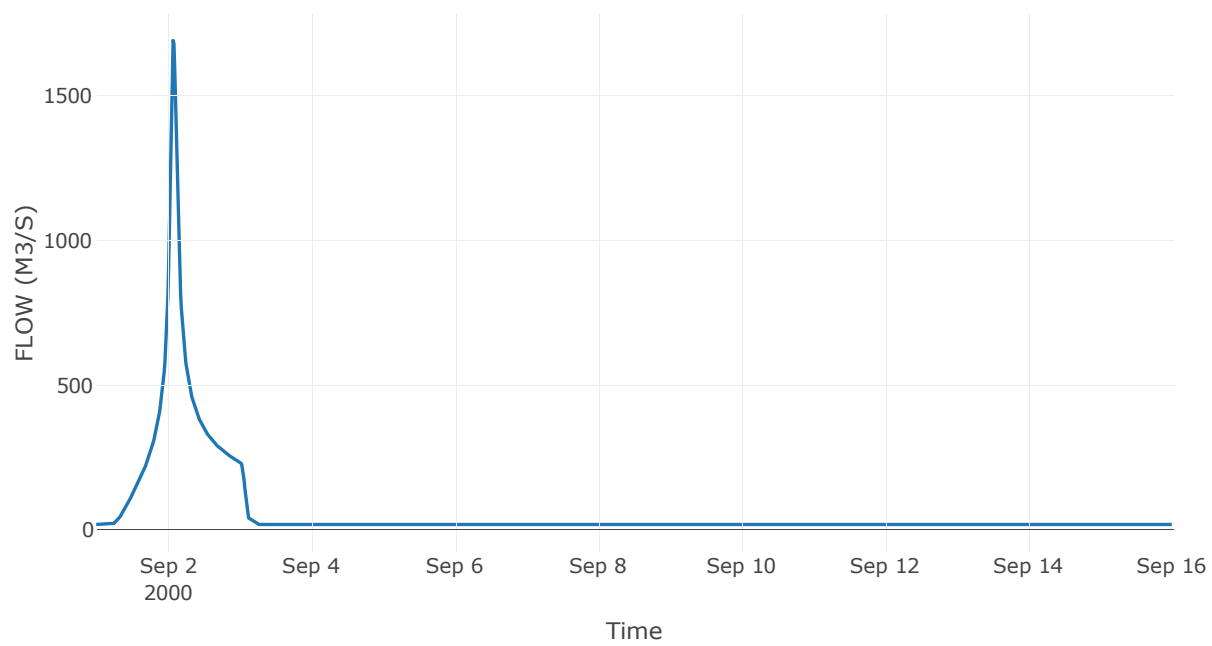
Κόμβος: J24

Κατάντη : R2423

Αποτελέσματα: J24

Παροχή Αιχμής(M3/S)	1691.95
Χρονική στιγμή αιχμής	02Sep2000, 01:45
Όγκος(MM)	305.21

Απορροή



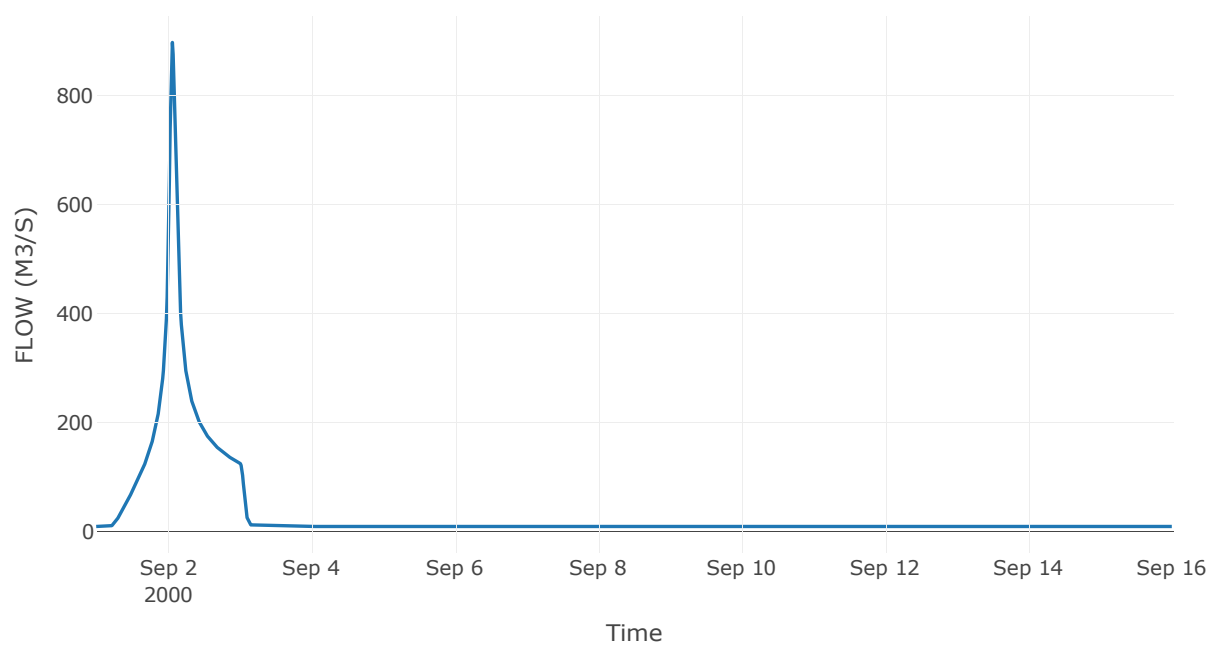
Κόμβος: J25

Κατάντη : R2524

Αποτελέσματα: J25

Παροχή Αιχμής(M3/S)	897.83
Χρονική στιγμή αιχμής	02Sep2000, 01:30
Όγκος(MM)	318.09

Απορροή



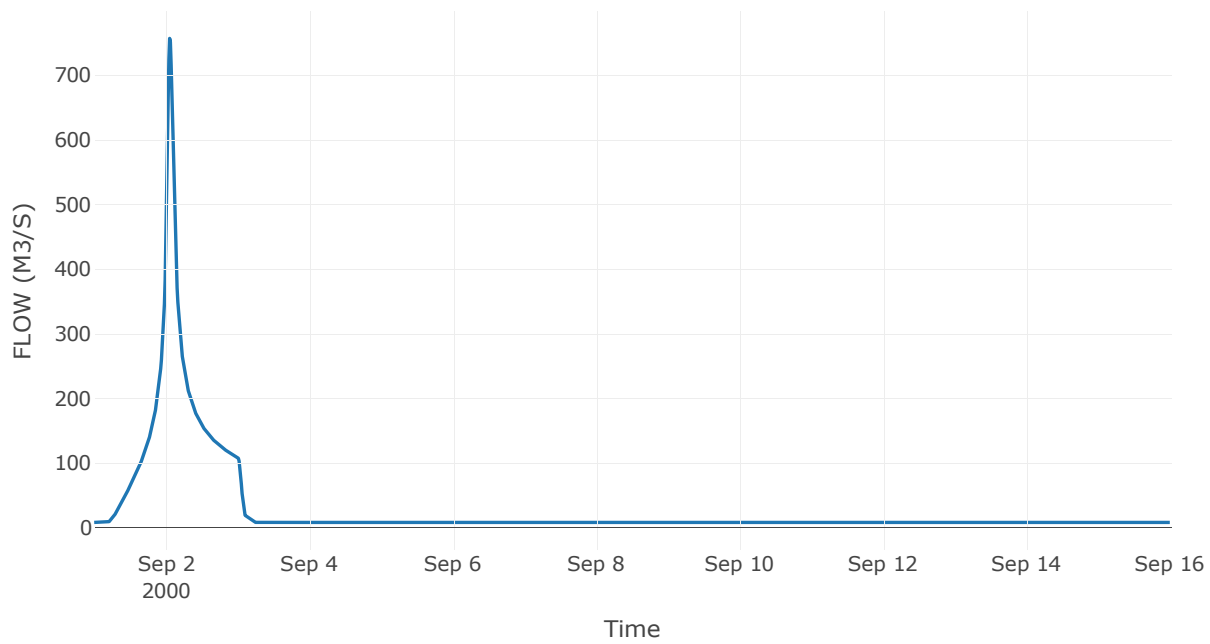
Κόμβος: J26

Κατάντη : R2625

Αποτελέσματα: J26

Παροχή Αιχμής(M3/S)	756.69
Χρονική στιγμή αιχμής	02Sep2000, 01:15
Όγκος(MM)	320.02

Απορροή



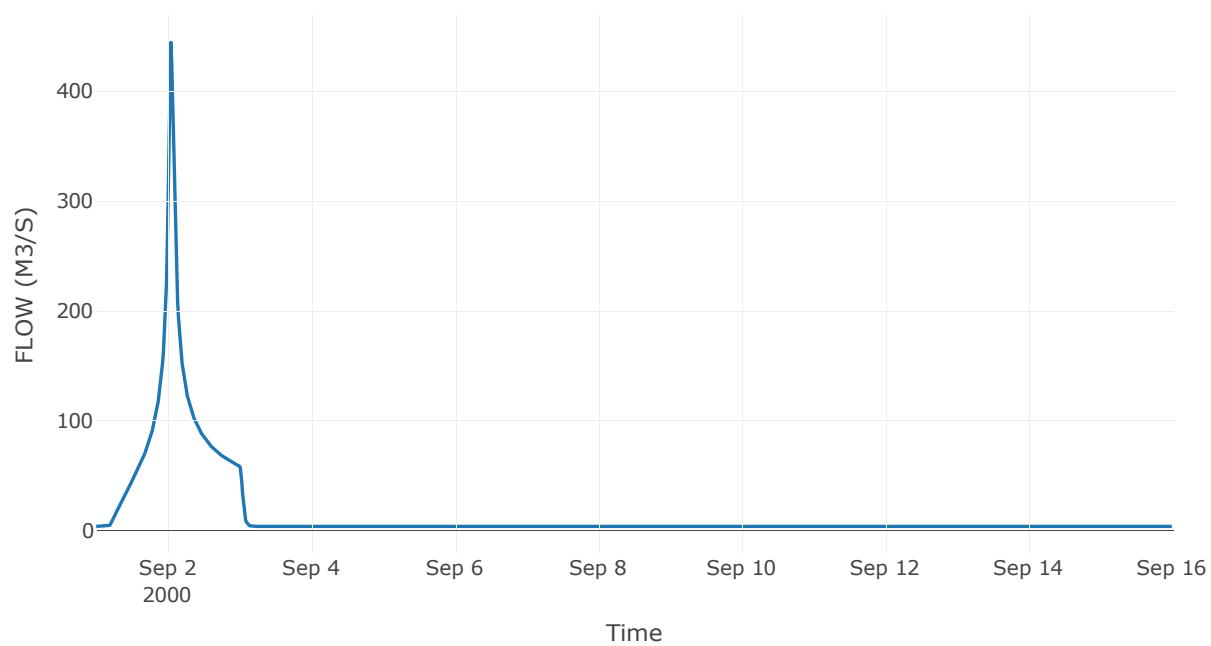
Κόμβος: J27

Κατάντη : R2726

Αποτελέσματα: J27

Παροχή Αιχμής(M3/S)	444.24
Χρονική στιγμή αιχμής	02Sep2000, 01:00
Όγκος(MM)	344.81

Απορροή



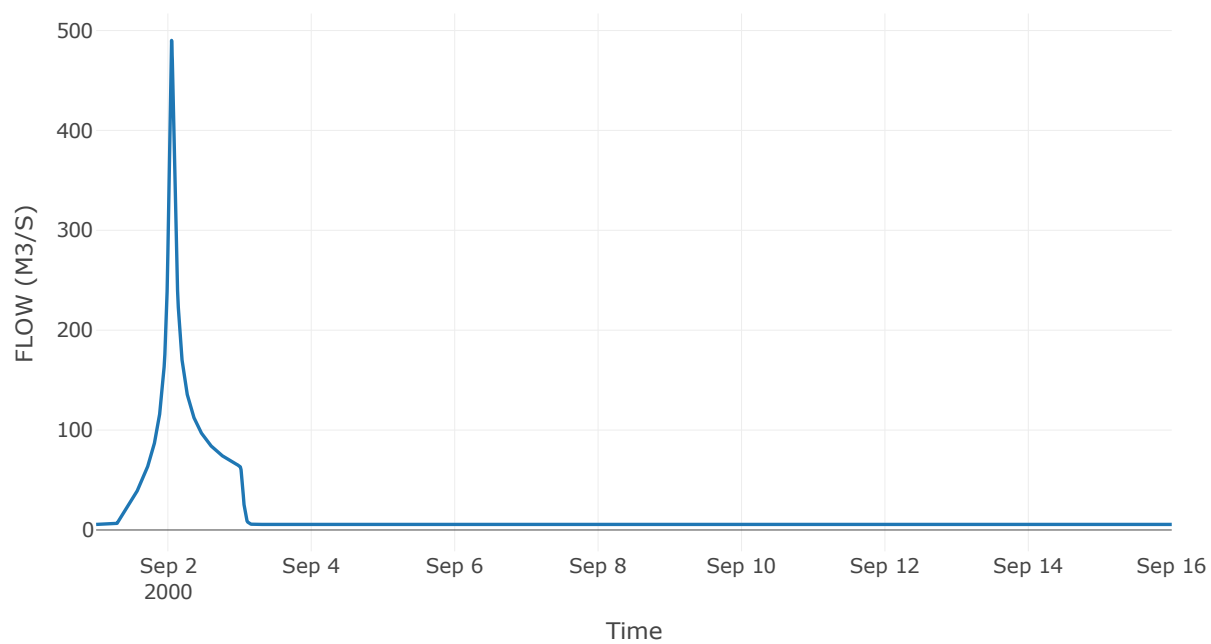
Κόμβος: J28

Κατάντη : R2824

Αποτελέσματα: J28

Παροχή Αιχμής(M3/S)	490.12
Χρονική στιγμή αιχμής	02Sep2000, 01:15
Όγκος(MM)	284.89

Απορροή



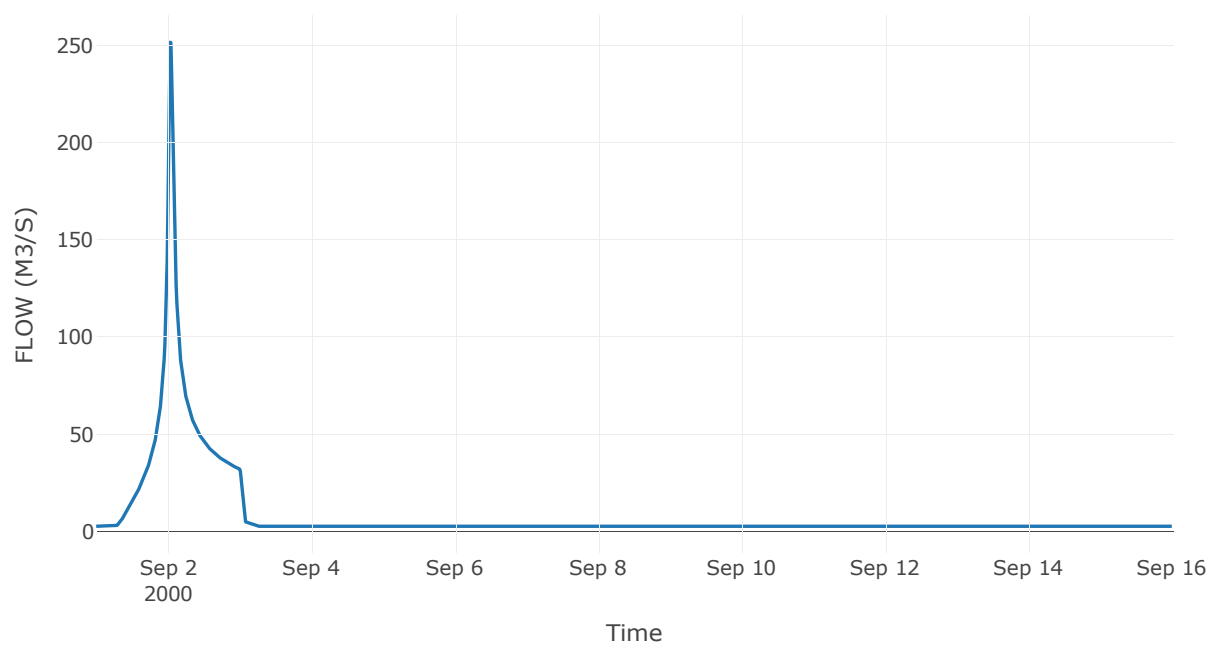
Κόμβος: J29

Κατάντη : R2928

Αποτελέσματα: J29

Παροχή Αιχμής(M3/S)	251.46
Χρονική στιγμή αιχμής	02Sep2000, 00:45
Όγκος(MM)	283.96

Απορροή



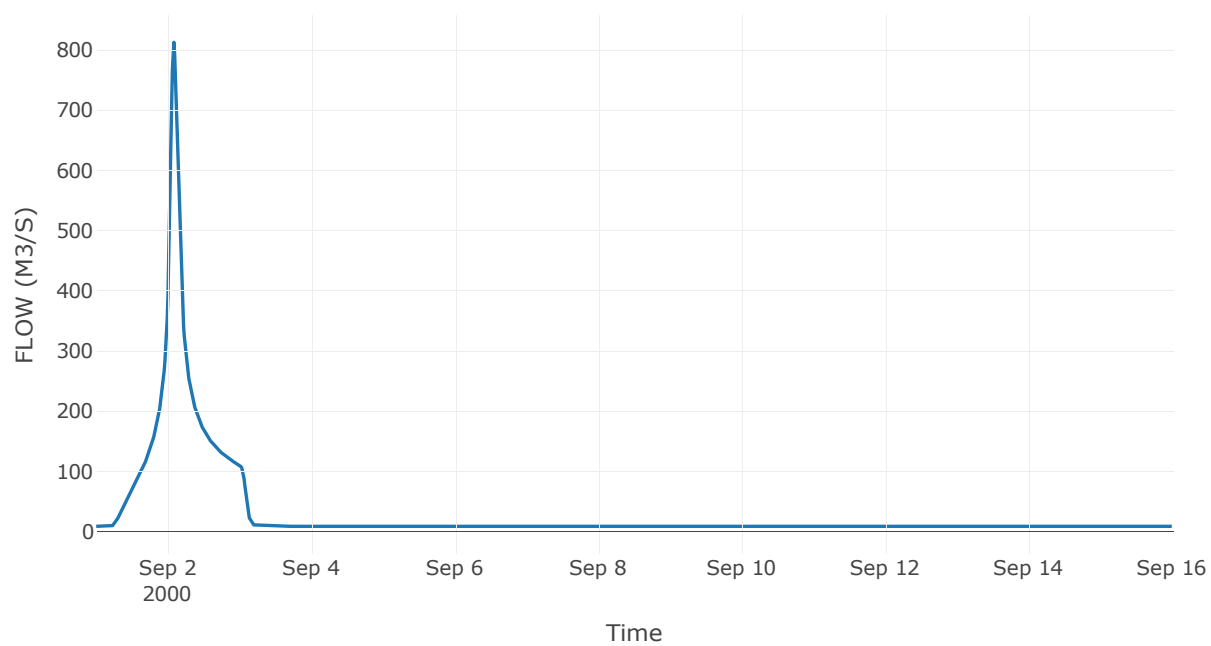
Κόμβος: J30

Κατάντη : R3022

Αποτελέσματα: J30

Παροχή Αιχμής(M3/S)	812.87
Χρονική στιγμή αιχμής	02Sep2000, 02:00
Όγκος(MM)	336.56

Απορροή



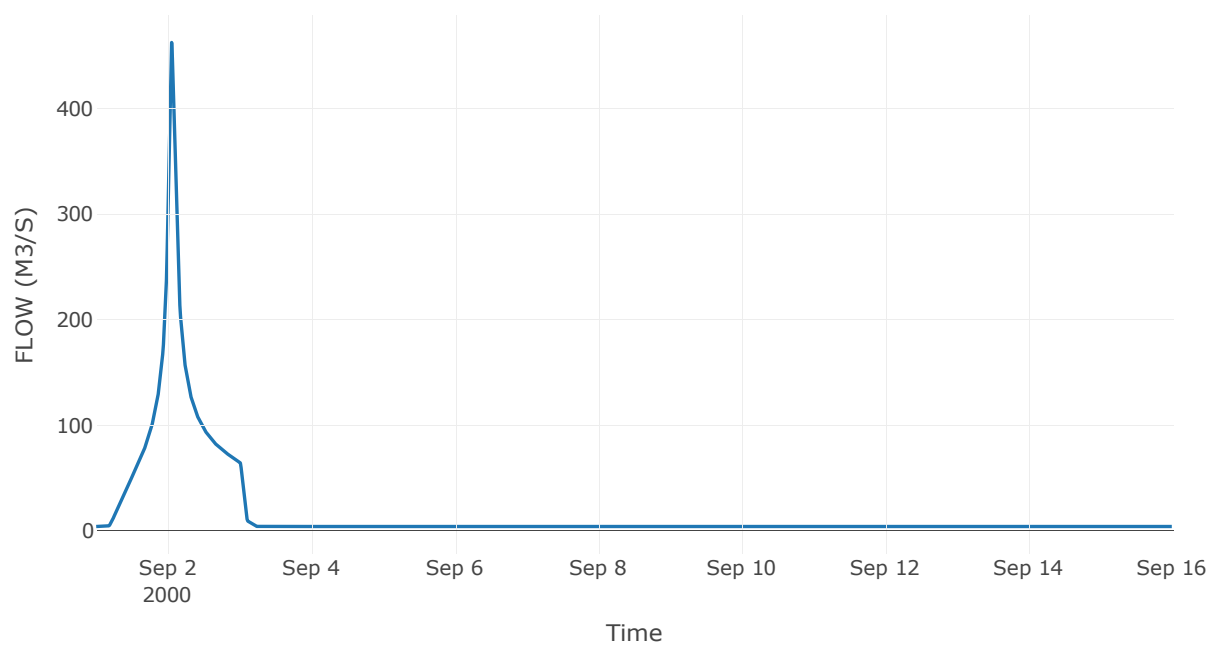
Κόμβος: J31

Κατάντη : R3130

Αποτελέσματα: J31

Παροχή Αιχμής(M3/S)	462.57
Χρονική στιγμή αιχμής	02Sep2000, 01:15
Όγκος(MM)	373.94

Απορροή



6 Δεδομένα εισόδου και αποτελέσματα υδρολογικού σεναρίου T=100L

6.1 Αποτελέσματα, υετογραφήματα και υδρογραφήματα σχεδιασμού υπολεκανών

Υπολεκάνη: EL0514FR003001

Έκταση (KM2) : 46.02

Κατάνη : J15

Μέθοδος Απωλειών: SCS

Ποσοστό αδιαπέρατης επιφάνειας	0
Αριθμός Καμπύλης Απορροής-CN	62.78
Αρχικές Απώλειες	30.12

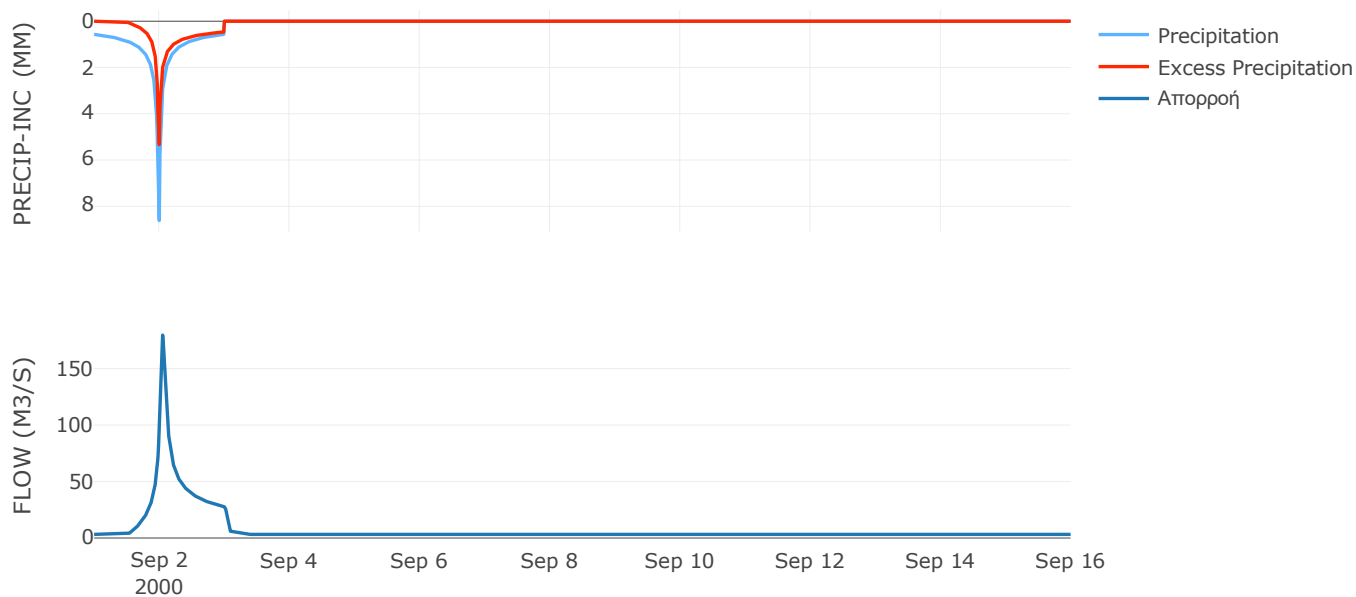
Μέθοδος
Μετασχηματισμού: SCS

Χρόνος Υστέρησης	61.66
------------------	-------

Αποτελέσματα:
EL0514FR003001

Παροχή αιχμής (M3/S)	179.59
Χρονική στιγμή αιχμής	02Sep2000, 01:15
Όγκος (MM)	209.91
Όγκος βροχόπτωσης (M3)	1.09E7
Όγκος απωλειών (M3)	5.39E6
Ενεργός Όγκος (M3)	5.49E6
Όγκος άμεσης απορροής (M3)	5.49E6
Όγκος βασικής απορροής (M3)	4.17E6

Βροχόπτωση και Απορροή



Υπολεκάνη: EL0514FR003002

Έκταση (KM2) : 33.64

Κατάνη : J15

Μέθοδος Απωλειών: SCS

Ποσοστό αδιαπέρατης επιφάνειας	0
Αριθμός Καμπύλης Απορροής-CN	62.74
Αρχικές Απώλειες	30.17

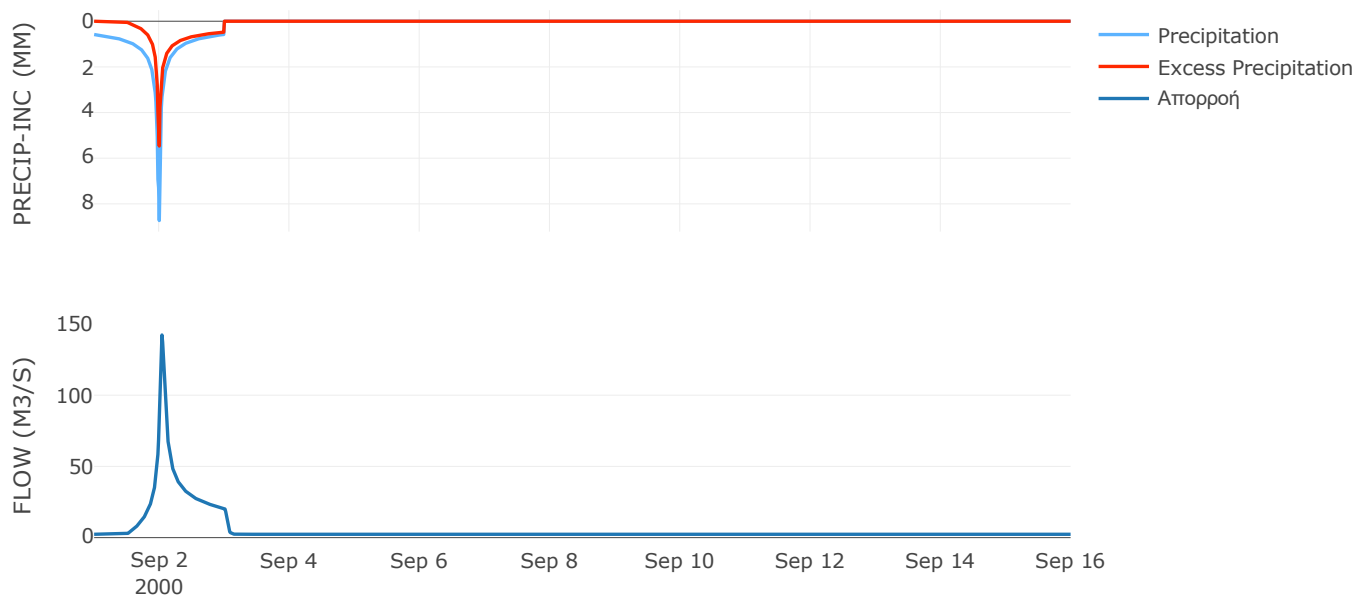
Μέθοδος
Μετασχηματισμού: SCS

Χρόνος Υστέρησης	51.27
------------------	-------

Αποτελέσματα:
EL0514FR003002

Παροχή αιχμής (M3/S)	142.26
Χρονική στιγμή αιχμής	02Sep2000, 01:00
Όγκος (MM)	213.86
Όγκος βροχόπτωσης (M3)	8.12E6
Όγκος απωλειών (M3)	3.97E6
Ενεργός Όγκος (M3)	4.14E6
Όγκος άμεσης απορροής (M3)	4.14E6
Όγκος βασικής απορροής (M3)	3.05E6

Βροχόπτωση και Απορροή



Υπολεκάνη: EL0514FR003003

Έκταση (KM2) : 51.67

Κατάντη : J14

Μέθοδος Απωλειών: SCS

Ποσοστό αδιαπέρατης επιφάνειας	0
Αριθμός Καμπύλης Απορροής-CN	55.41
Αρχικές Απώλειες	40.88

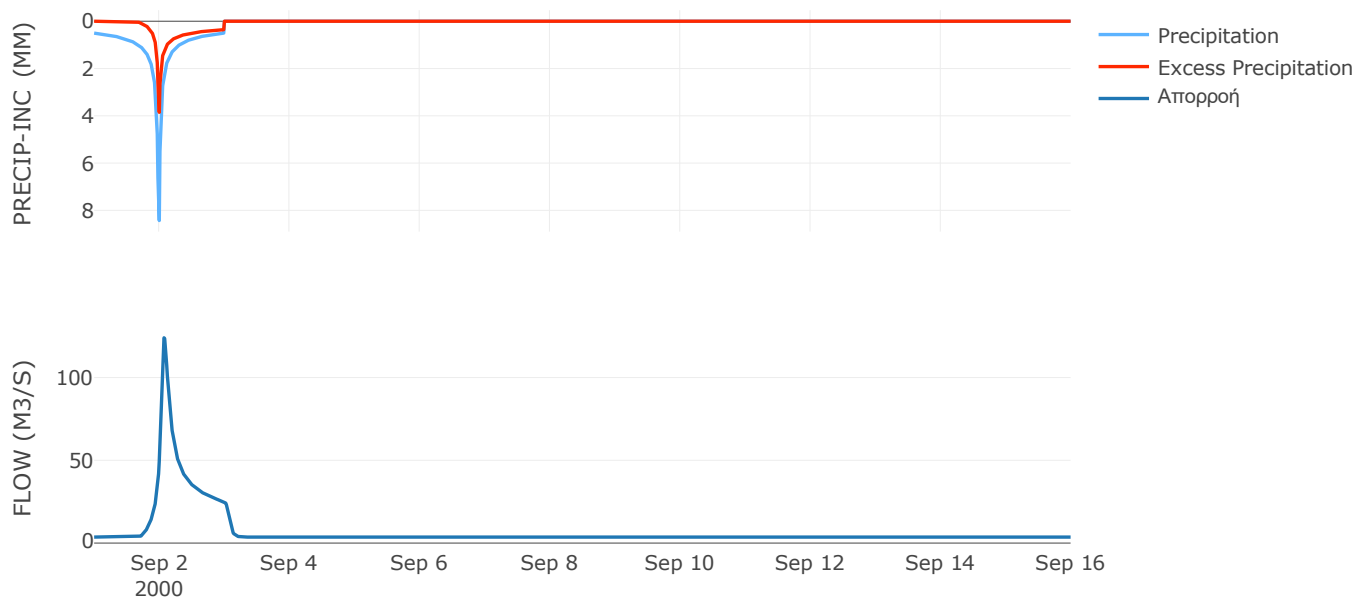
Μέθοδος
Μετασχηματισμού: SCS

Χρόνος Υστέρησης	92.46
------------------	-------

Αποτελέσματα:
EL0514FR003003

Παροχή αιχμής (M3/S)	124.02
Χρονική στιγμή αιχμής	02Sep2000, 01:45
Όγκος (MM)	172.44
Όγκος βροχόπτωσης (M3)	1.12E7
Όγκος απωλειών (M3)	7.01E6
Ενεργός Όγκος (M3)	4.22E6
Όγκος άμεσης απορροής (M3)	4.22E6
Όγκος βασικής απορροής (M3)	4.69E6

Βροχόπτωση και Απορροή



Υπολεκάνη: EL0514FR003004

Έκταση (KM2) : 62.35

Κατάντη : J14

Μέθοδος Απωλειών: SCS

Ποσοστό αδιαπέρατης επιφάνειας	0
Αριθμός Καμπύλης Απορροής-CN	63.65
Αρχικές Απώλειες	29.02

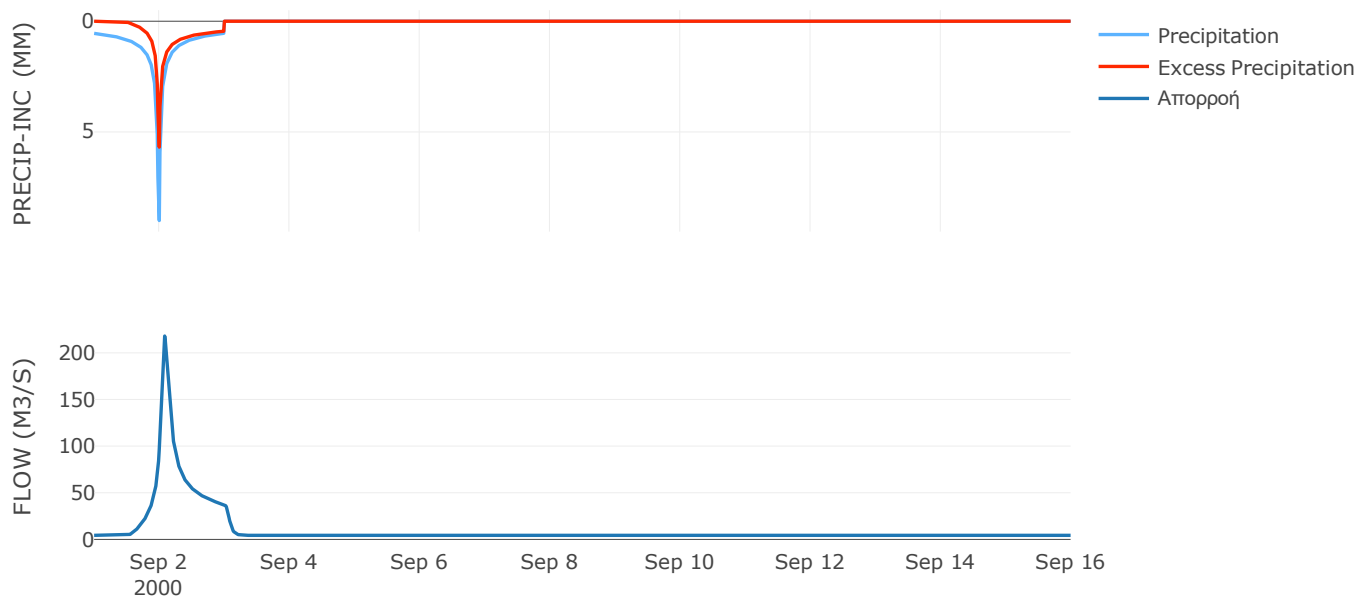
Μέθοδος
Μετασχηματισμού: SCS

Χρόνος Υστέρησης	99.01
------------------	-------

Αποτελέσματα:
EL0514FR003004

Παροχή αιχμής (M3/S)	218.02
Χρονική στιγμή αιχμής	02Sep2000, 02:00
Όγκος (MM)	211.41
Όγκος βροχόπτωσης (M3)	1.46E7
Όγκος απωλειών (M3)	7.11E6
Ενεργός Όγκος (M3)	7.52E6
Όγκος άμεσης απορροής (M3)	7.52E6
Όγκος βασικής απορροής (M3)	5.66E6

Βροχόπτωση και Απορροή



Υπολεκάνη: EL0514FR003005

Έκταση (KM2) : 0.91

Κατάντη : J13

Μέθοδος Απωλειών: SCS

Ποσοστό αδιαπέρατης επιφάνειας	0
Αριθμός Καμπύλης Απορροής-CN	63.97
Αρχικές Απώλειες	28.62

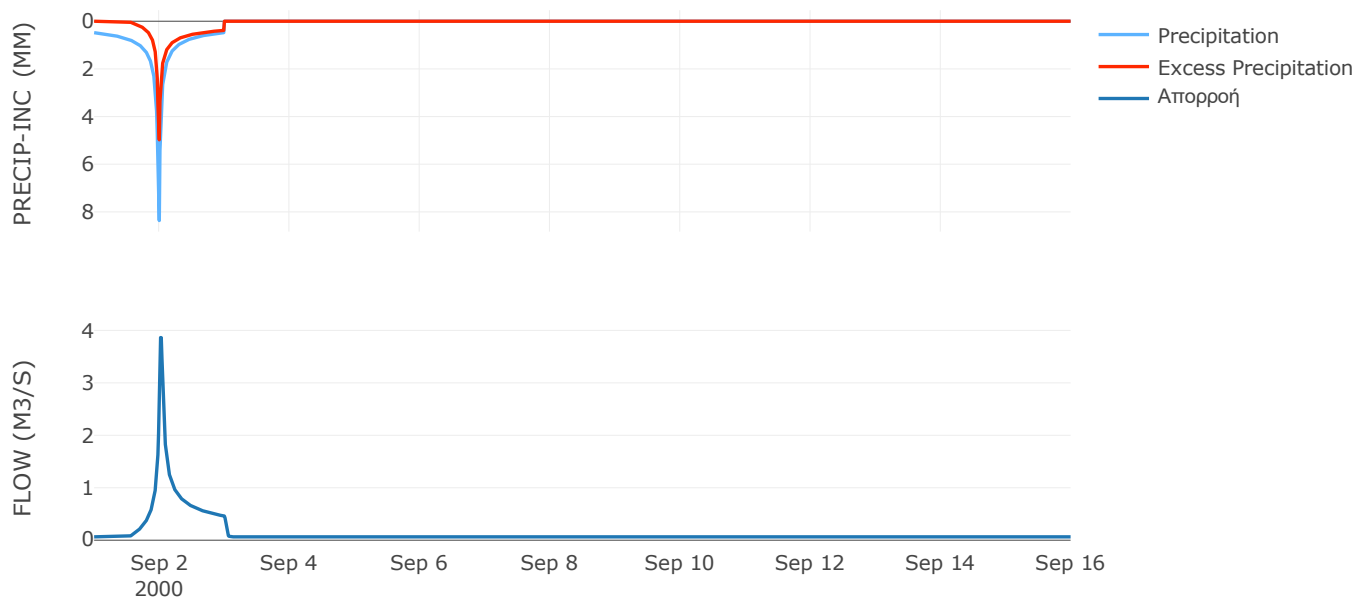
Μέθοδος
Μετασχηματισμού: SCS

Χρόνος Υστέρησης	30.9
------------------	------

Αποτελέσματα:
EL0514FR003005

Παροχή αιχμής (M3/S)	3.86
Χρονική στιγμή αιχμής	02Sep2000, 00:30
Όγκος (MM)	192.33
Όγκος βροχόπτωσης (M3)	1.92E5
Όγκος απωλειών (M3)	99310.03
Ενεργός Όγκος (M3)	92868.26
Όγκος άμεσης απορροής (M3)	92868.26
Όγκος βασικής απορροής (M3)	82918.08

Βροχόπτωση και Απορροή



Υπολεκάνη: EL0514FR003006

Έκταση (KM2) : 19.25

Κατάντη : J13

Μέθοδος Απωλειών: SCS

Ποσοστό αδιαπέρατης επιφάνειας	0
Αριθμός Καμπύλης Απορροής-CN	67.08
Αρχικές Απώλειες	24.93

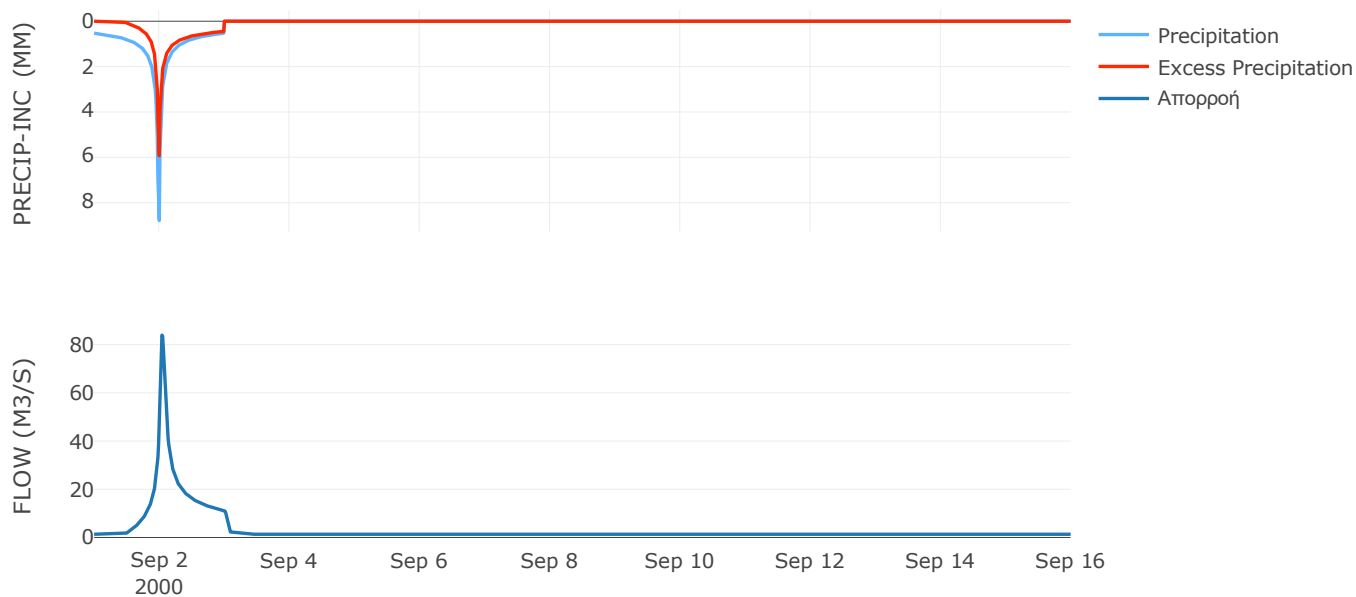
Μέθοδος
Μετασχηματισμού: SCS

Χρόνος Υστέρησης	58.5
------------------	------

Αποτελέσματα:
EL0514FR003006

Παροχή αιχμής (M3/S)	83.93
Χρονική στιγμή αιχμής	02Sep2000, 01:00
Όγκος (MM)	215.63
Όγκος βροχόπτωσης (M3)	4.37E6
Όγκος απωλειών (M3)	1.96E6
Ενεργός Όγκος (M3)	2.4E6
Όγκος άμεσης απορροής (M3)	2.4E6
Όγκος βασικής απορροής (M3)	1.75E6

Βροχόπτωση και Απορροή



Υπολεκάνη: EL0514FR003007

Έκταση (KM2) : 23.36

Κατάντη : J12

Μέθοδος Απωλειών: SCS

Ποσοστό αδιαπέρατης επιφάνειας	0
Αριθμός Καμπύλης Απορροής-CN	65.78
Αρχικές Απώλειες	26.43

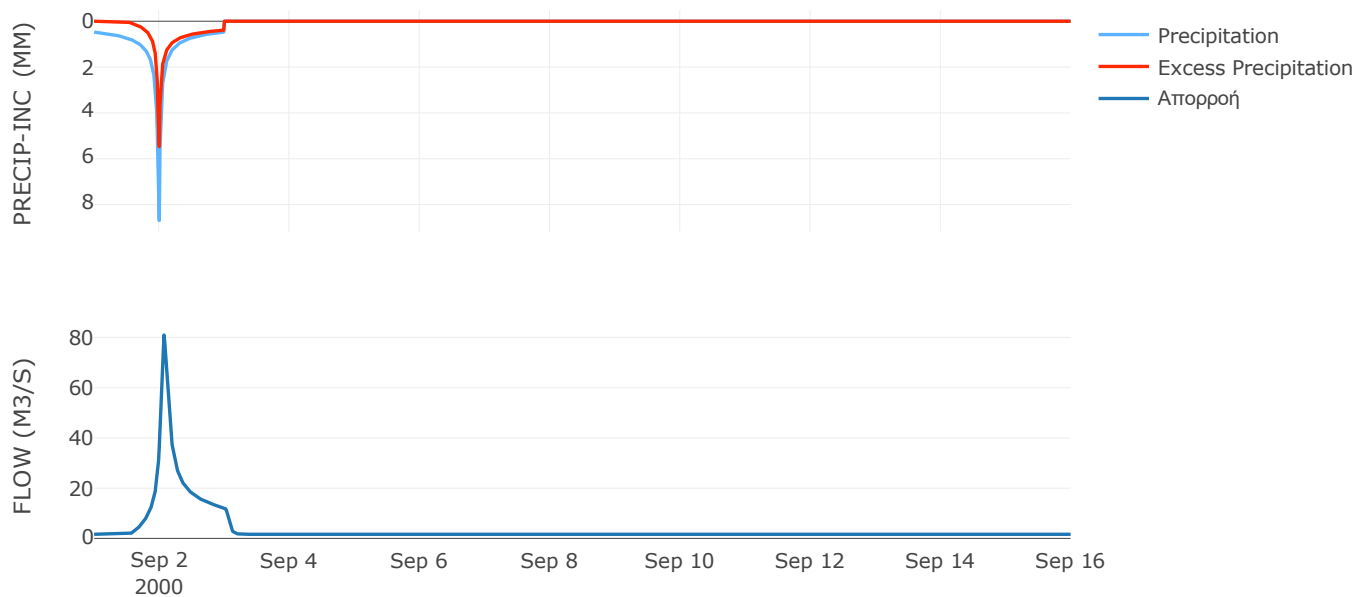
Μέθοδος
Μετασχηματισμού: SCS

Χρόνος Υστέρησης	86.68
------------------	-------

Αποτελέσματα:
EL0514FR003007

Παροχή αιχμής (M3/S)	81
Χρονική στιγμή αιχμής	02Sep2000, 01:45
Όγκος (MM)	198.76
Όγκος βροχόπτωσης (M3)	4.94E6
Όγκος απωλειών (M3)	2.42E6
Ενεργός Όγκος (M3)	2.52E6
Όγκος άμεσης απορροής (M3)	2.52E6
Όγκος βασικής απορροής (M3)	2.12E6

Βροχόπτωση και Απορροή



Υπολεκάνη: EL0514FR003008

Έκταση (KM2) : 46.02

Κατάντη : J12

Μέθοδος Απωλειών: SCS

Ποσοστό αδιαπέρατης επιφάνειας	0
Αριθμός Καμπύλης Απορροής-CN	56.78
Αρχικές Απώλειες	38.67

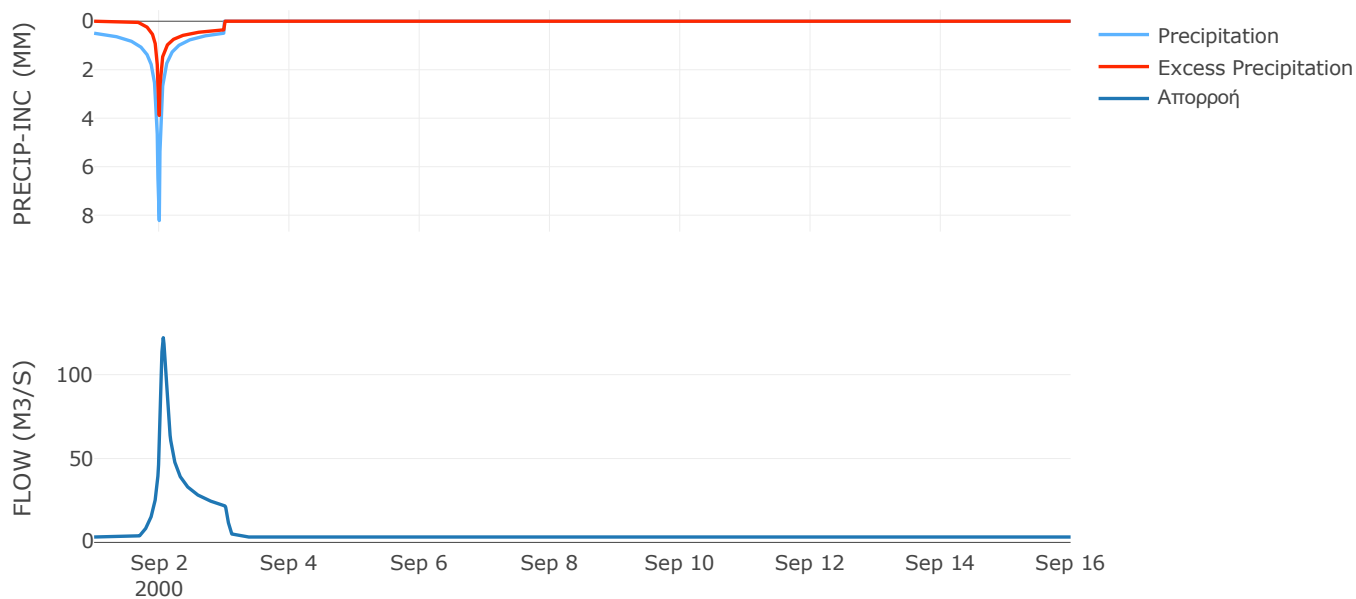
Μέθοδος
Μετασχηματισμού: SCS

Χρόνος Υστέρησης	71.97
------------------	-------

Αποτελέσματα:
EL0514FR003008

Παροχή αιχμής (M3/S)	122.05
Χρονική στιγμή αιχμής	02Sep2000, 01:30
Όγκος (MM)	173.36
Όγκος βροχόπτωσης (M3)	9.8E6
Όγκος απωλειών (M3)	6E6
Ενεργός Όγκος (M3)	3.8E6
Όγκος άμεσης απορροής (M3)	3.8E6
Όγκος βασικής απορροής (M3)	4.18E6

Βροχόπτωση και Απορροή



Υπολεκάνη: EL0514FR003009

Έκταση (KM2) : 18.07

Κατάνη : J17

Μέθοδος Απωλειών: SCS

Ποσοστό αδιαπέρατης επιφάνειας	0
Αριθμός Καμπύλης Απορροής-CN	40.14
Αρχικές Απώλειες	75.75

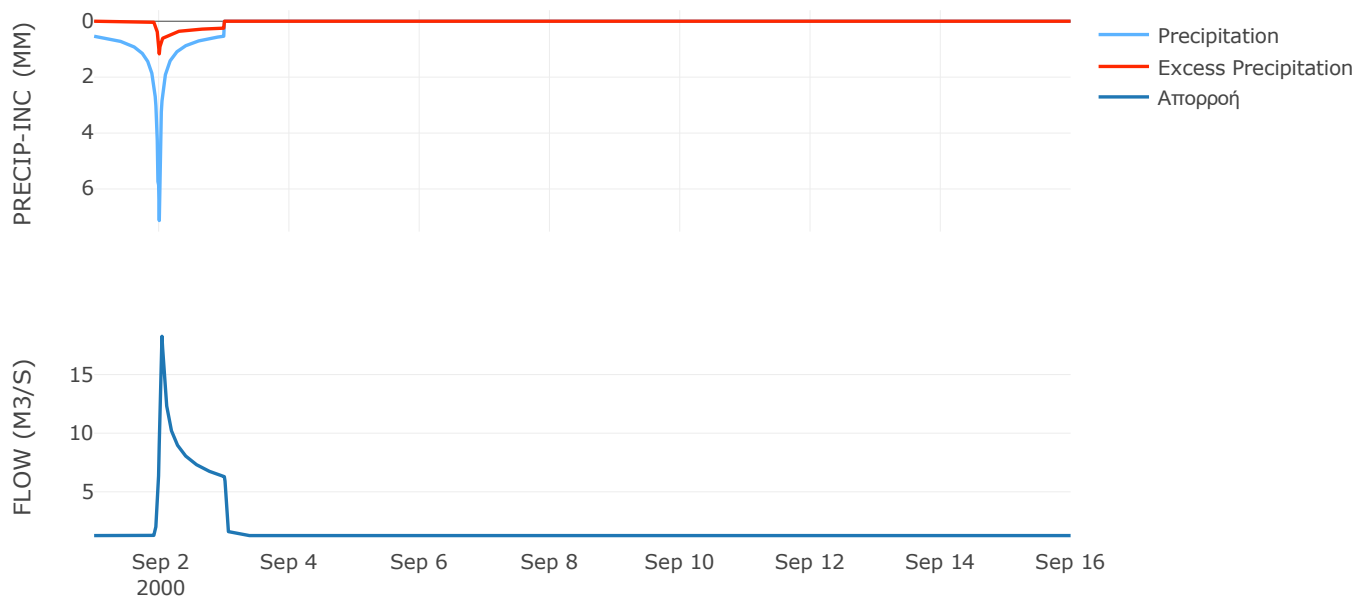
Μέθοδος
Μετασχηματισμού: SCS

Χρόνος Υστέρησης	33.48
------------------	-------

Αποτελέσματα:
EL0514FR003009

Παροχή αιχμής (M3/S)	18.26
Χρονική στιγμή αιχμής	02Sep2000, 01:00
Όγκος (MM)	127.54
Όγκος βροχόπτωσης (M3)	3.86E6
Όγκος απωλειών (M3)	3.2E6
Ενεργός Όγκος (M3)	6.65E5
Όγκος άμεσης απορροής (M3)	6.65E5
Όγκος βασικής απορροής (M3)	1.64E6

Βροχόπτωση και Απορροή



Υπολεκάνη: EL0514FR003010

Έκταση (KM2) : 90.5

Κατάνη : J17

Μέθοδος Απωλειών: SCS

Ποσοστό αδιαπέρατης επιφάνειας	0
Αριθμός Καμπύλης Απορροής-CN	55.91
Αρχικές Απώλειες	40.06

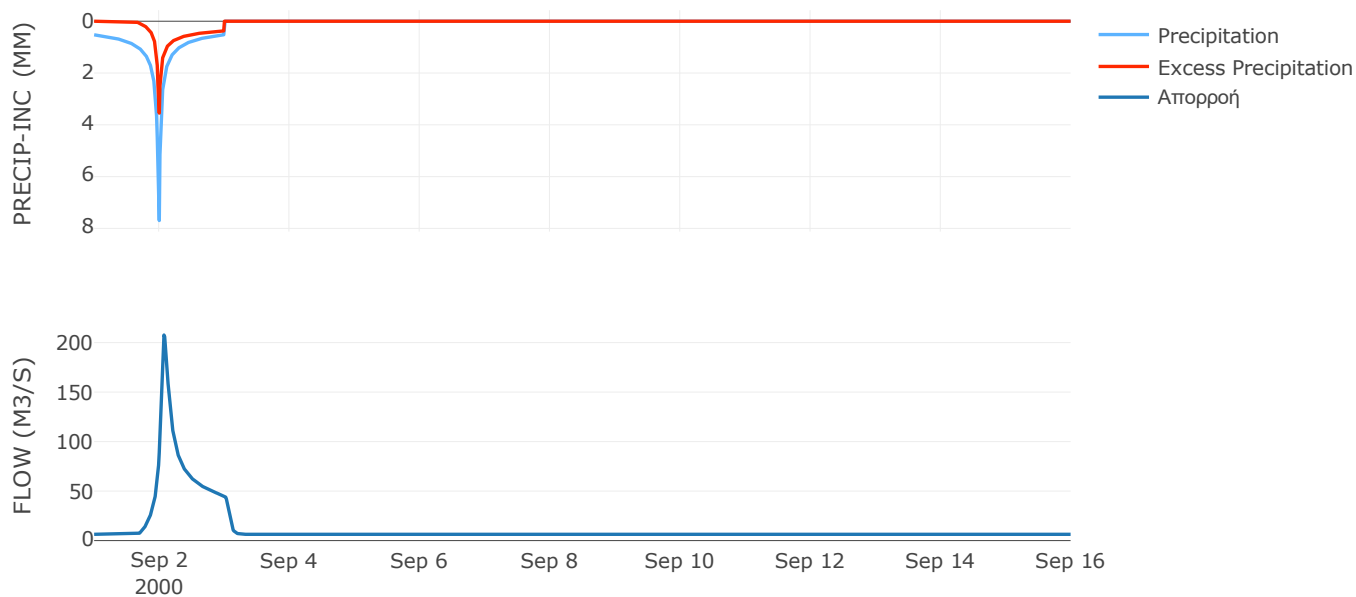
Μέθοδος
Μετασχηματισμού: SCS

Χρόνος Υστέρησης	90.37
------------------	-------

Αποτελέσματα:
EL0514FR003010

Παροχή αιχμής (M3/S)	207.66
Χρονική στιγμή αιχμής	02Sep2000, 01:45
Όγκος (MM)	172.8
Όγκος βροχόπτωσης (M3)	1.95E7
Όγκος απωλειών (M3)	1.21E7
Ενεργός Όγκος (M3)	7.43E6
Όγκος άμεσης απορροής (M3)	7.43E6
Όγκος βασικής απορροής (M3)	8.21E6

Βροχόπτωση και Απορροή



Υπολεκάνη: EL0514FR003011

Έκταση (KM2) : 26.55

Κατάντη : J18

Μέθοδος Απωλειών: SCS

Ποσοστό αδιαπέρατης επιφάνειας	0
Αριθμός Καμπύλης Απορροής-CN	65.36
Αρχικές Απώλειες	26.93

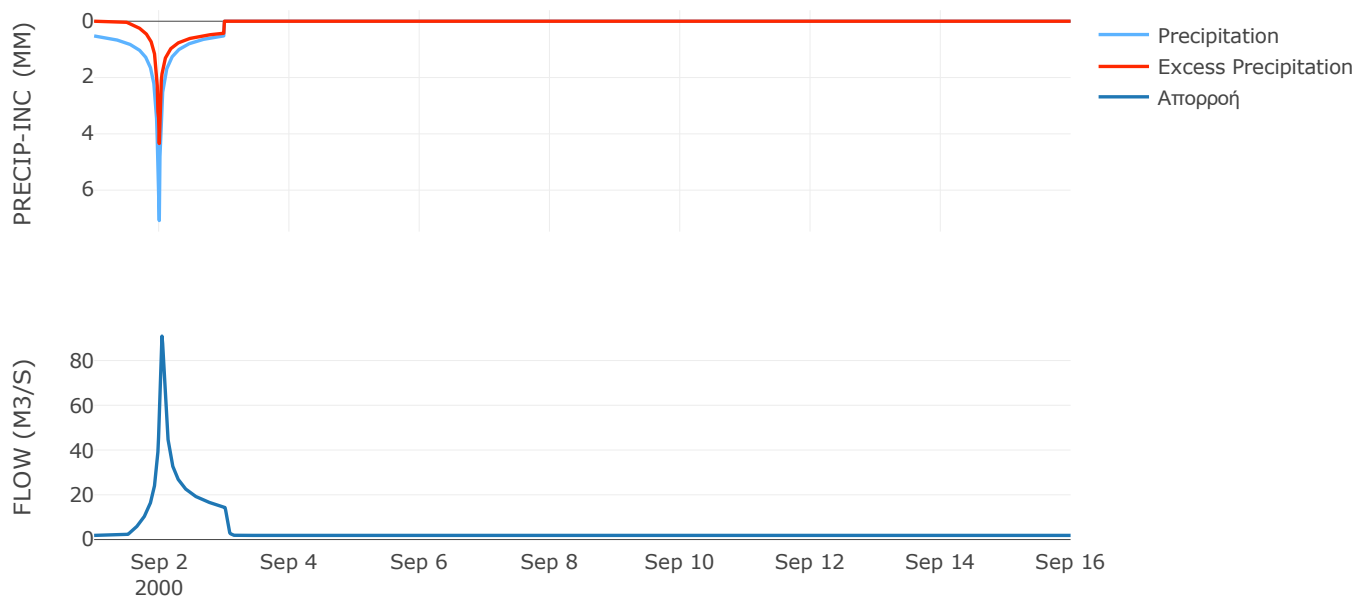
Μέθοδος
Μετασχηματισμού: SCS

Χρόνος Υστέρησης	50.39
------------------	-------

Αποτελέσματα:
EL0514FR003011

Παροχή αιχμής (M3/S)	90.91
Χρονική στιγμή αιχμής	02Sep2000, 01:00
Όγκος (MM)	195.51
Όγκος βροχόπτωσης (M3)	5.55E6
Όγκος απωλειών (M3)	2.77E6
Ενεργός Όγκος (M3)	2.78E6
Όγκος άμεσης απορροής (M3)	2.78E6
Όγκος βασικής απορροής (M3)	2.41E6

Βροχόπτωση και Απορροή



Υπολεκάνη: EL0514FR003012

Έκταση (KM2) : 29.39

Κατάντη : J18

Μέθοδος Απωλειών: SCS

Ποσοστό αδιαπέρατης επιφάνειας	0
Αριθμός Καμπύλης Απορροής-CN	59.31
Αρχικές Απώλειες	34.85

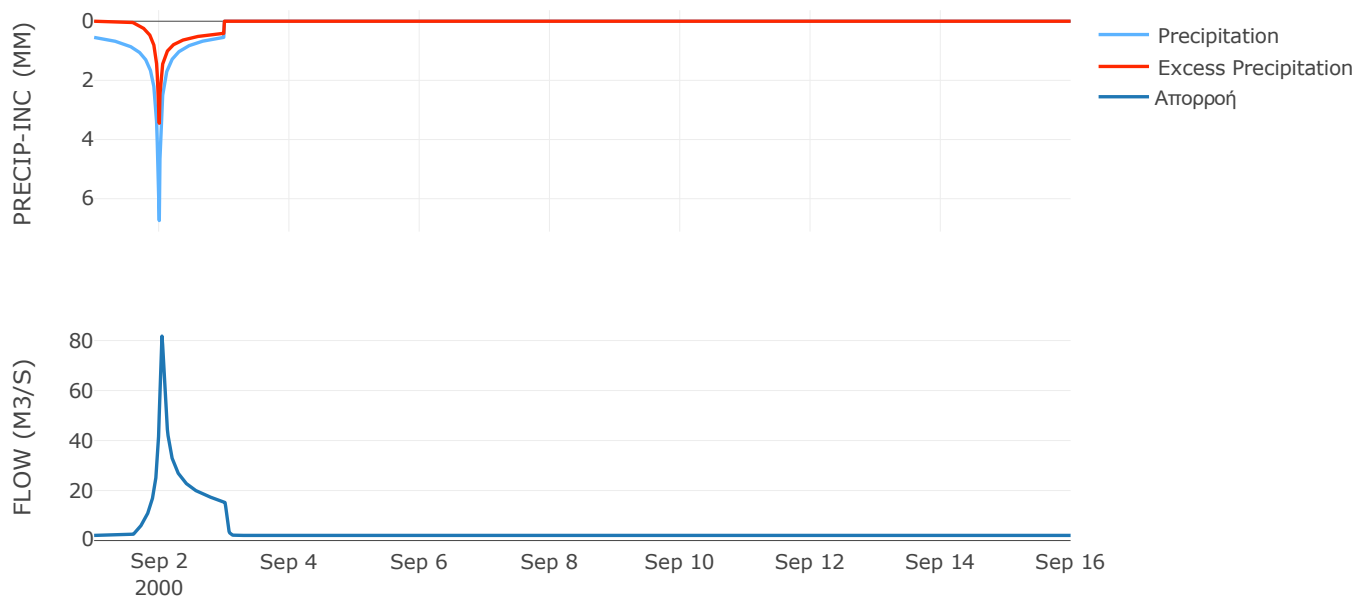
Μέθοδος
Μετασχηματισμού: SCS

Χρόνος Υστέρησης	47
------------------	----

Αποτελέσματα:
EL0514FR003012

Παροχή αιχμής (M3/S)	81.76
Χρονική στιγμή αιχμής	02Sep2000, 01:00
Όγκος (MM)	179.92
Όγκος βροχόπτωσης (M3)	6.22E6
Όγκος απωλειών (M3)	3.6E6
Ενεργός Όγκος (M3)	2.62E6
Όγκος άμεσης απορροής (M3)	2.62E6
Όγκος βασικής απορροής (M3)	2.67E6

Βροχόπτωση και Απορροή



Υπολεκάνη: EL0514FR003013

Έκταση (KM2) : 44.12

Κατάνη : J11

Μέθοδος Απωλειών: SCS

Ποσοστό αδιαπέρατης επιφάνειας	0
Αριθμός Καμπύλης Απορροής-CN	61.08
Αρχικές Απώλειες	32.37

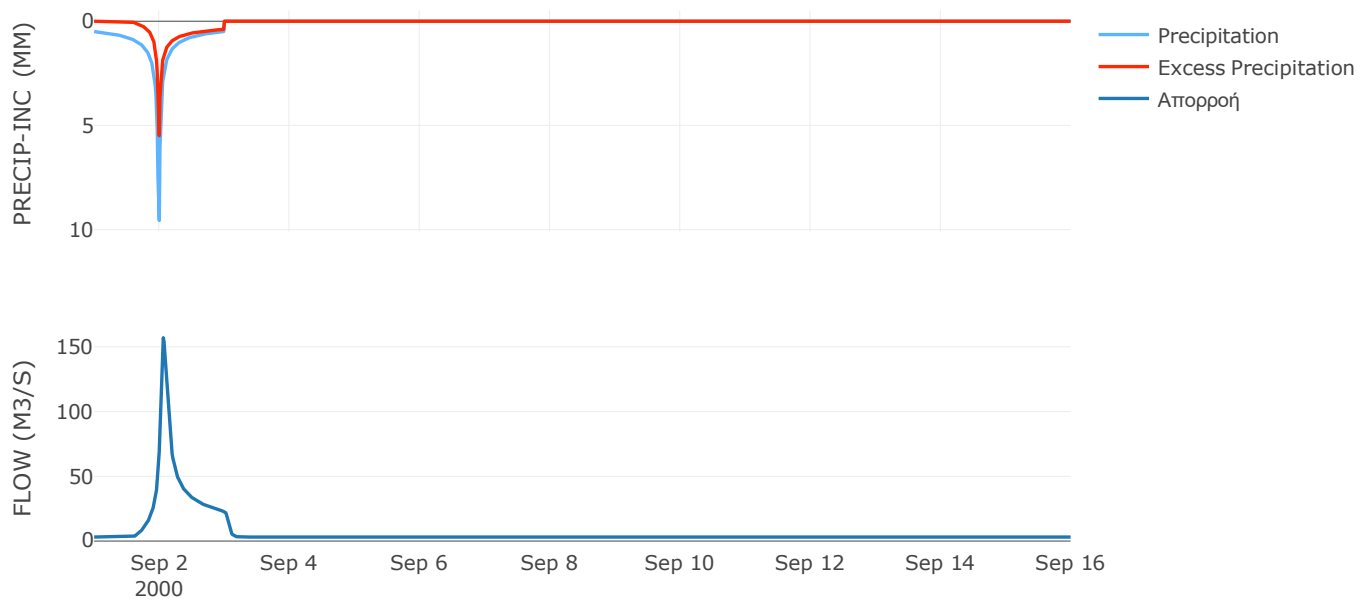
Μέθοδος
Μετασχηματισμού: SCS

Χρόνος Υστέρησης	79.12
------------------	-------

Αποτελέσματα:
EL0514FR003013

Παροχή αιχμής (M3/S)	157.01
Χρονική στιγμή αιχμής	02Sep2000, 01:30
Όγκος (MM)	195.56
Όγκος βροχόπτωσης (M3)	9.94E6
Όγκος απωλειών (M3)	5.31E6
Ενεργός Όγκος (M3)	4.63E6
Όγκος άμεσης απορροής (M3)	4.63E6
Όγκος βασικής απορροής (M3)	4E6

Βροχόπτωση και Απορροή



Υπολεκάνη: EL0514FR003014

Έκταση (KM2) : 22.29

Κατάνη : J11

Μέθοδος Απωλειών: SCS

Ποσοστό αδιαπέρατης επιφάνειας	0
Αριθμός Καμπύλης Απορροής-CN	46.98
Αρχικές Απώλειες	57.34

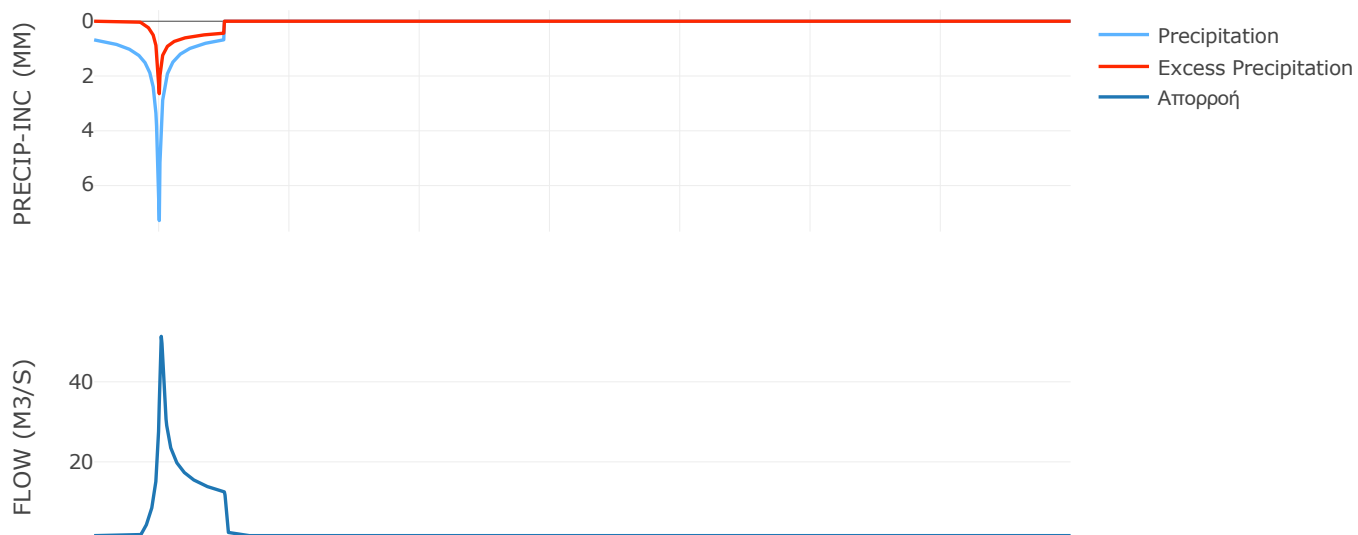
Μέθοδος
Μετασχηματισμού: SCS

Χρόνος Υστέρησης	34.3
------------------	------

Αποτελέσματα:
EL0514FR003014

Παροχή αιχμής (M3/S)	51.36
Χρονική στιγμή αιχμής	02Sep2000, 00:45
Όγκος (MM)	169
Όγκος βροχόπτωσης (M3)	5.6E6
Όγκος απωλειών (M3)	3.86E6
Ενεργός Όγκος (M3)	1.75E6
Όγκος άμεσης απορροής (M3)	1.75E6
Όγκος βασικής απορροής (M3)	2.02E6

Βροχόπτωση και Απορροή



Υπολεκάνη: EL0514FR003015

Έκταση (KM2) : 51.11

Κατάντη : J21

Μέθοδος Απωλειών: SCS

Ποσοστό αδιαπέρατης επιφάνειας	0
Αριθμός Καμπύλης Απορροής-CN	43.08
Αρχικές Απώλειες	67.13

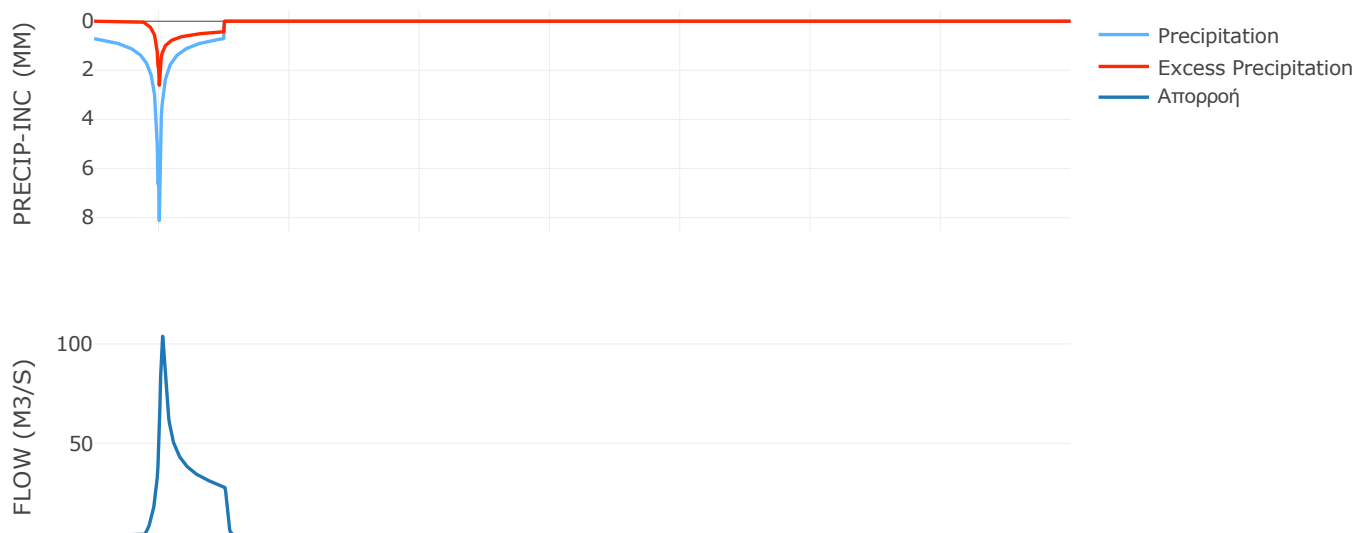
Μέθοδος
Μετασχηματισμού: SCS

Χρόνος Υστέρησης	53.54
------------------	-------

Αποτελέσματα:
EL0514FR003015

Παροχή αιχμής (M3/S)	103.86
Χρονική στιγμή αιχμής	02Sep2000, 01:15
Όγκος (MM)	165.91
Όγκος βροχόπτωσης (M3)	1.37E7
Όγκος απωλειών (M3)	9.85E6
Ενεργός Όγκος (M3)	3.84E6
Όγκος άμεσης απορροής (M3)	3.84E6
Όγκος βασικής απορροής (M3)	4.64E6

Βροχόπτωση και Απορροή



Υπολεκάνη: EL0514FR003016

Έκταση (KM2) : 20.25

Κατάντη : J21

Μέθοδος Απωλειών: SCS

Ποσοστό αδιαπέρατης επιφάνειας	0
Αριθμός Καμπύλης Απορροής-CN	46.47
Αρχικές Απώλειες	58.52

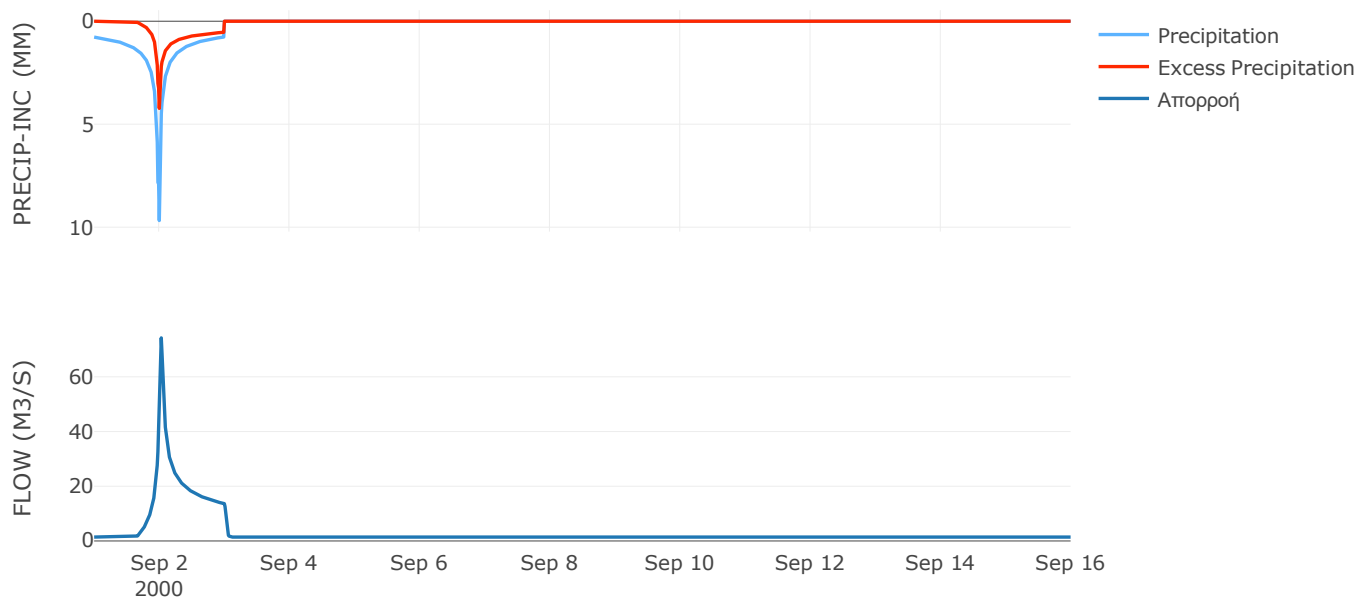
Μέθοδος
Μετασχηματισμού: SCS

Χρόνος Υστέρησης	31.3
------------------	------

Αποτελέσματα:
EL0514FR003016

Παροχή αιχμής (M3/S)	74.24
Χρονική στιγμή αιχμής	02Sep2000, 00:45
Όγκος (MM)	200.06
Όγκος βροχόπτωσης (M3)	6.08E6
Όγκος απωλειών (M3)	3.87E6
Ενεργός Όγκος (M3)	2.21E6
Όγκος άμεσης απορροής (M3)	2.21E6
Όγκος βασικής απορροής (M3)	1.84E6

Βροχόπτωση και Απορροή



Υπολεκάνη: EL0514FR003017

Έκταση (KM2) : 26.55

Κατάντη : J21

Μέθοδος Απωλειών: SCS

Ποσοστό αδιαπέρατης επιφάνειας	0
Αριθμός Καμπύλης Απορροής-CN	50.28
Αρχικές Απώλειες	50.23

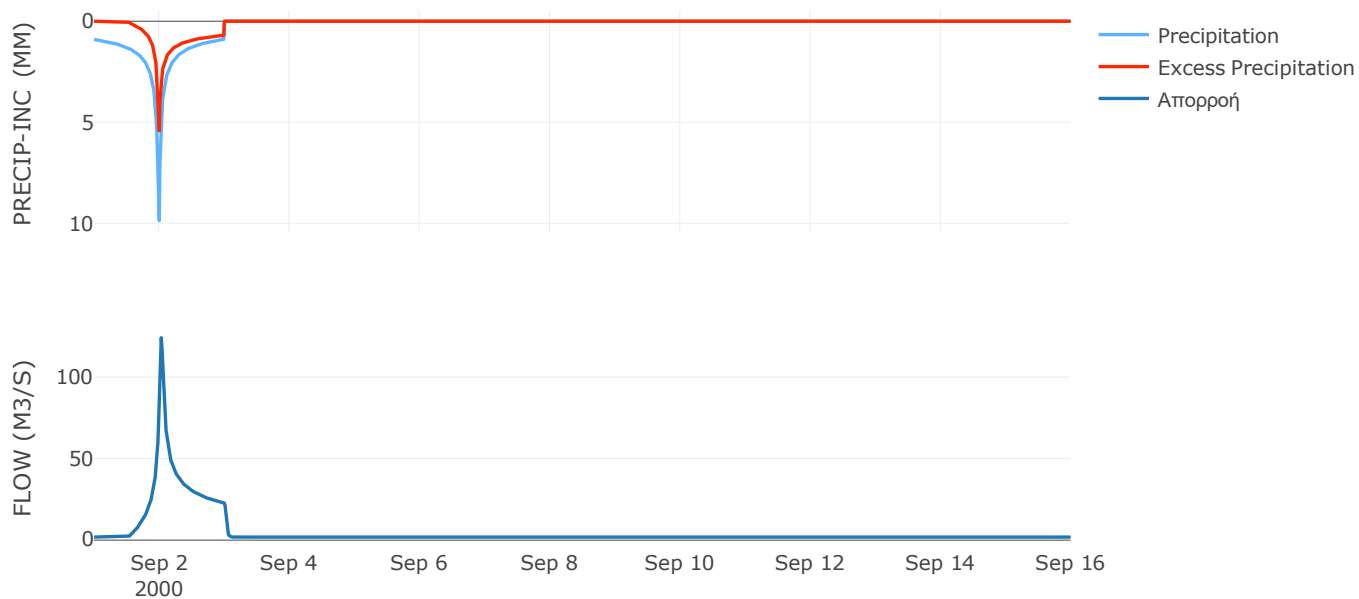
Μέθοδος
Μετασχηματισμού: SCS

Χρόνος Υστέρησης	35.14
------------------	-------

Αποτελέσματα:
EL0514FR003017

Παροχή αιχμής (M3/S)	124.11
Χρονική στιγμή αιχμής	02Sep2000, 00:45
Όγκος (MM)	241.83
Όγκος βροχόπτωσης (M3)	8.89E6
Όγκος απωλειών (M3)	4.87E6
Ενεργός Όγκος (M3)	4.01E6
Όγκος άμεσης απορροής (M3)	4.01E6
Όγκος βασικής απορροής (M3)	2.41E6

Βροχόπτωση και Απορροή



Υπολεκάνη: EL0514FR003018

Έκταση (KM2) : 4.66

Κατάντη : J20

Μέθοδος Απωλειών: SCS

Ποσοστό αδιαπέρατης επιφάνειας	0
Αριθμός Καμπύλης Απορροής-CN	50.02
Αρχικές Απώλειες	50.76

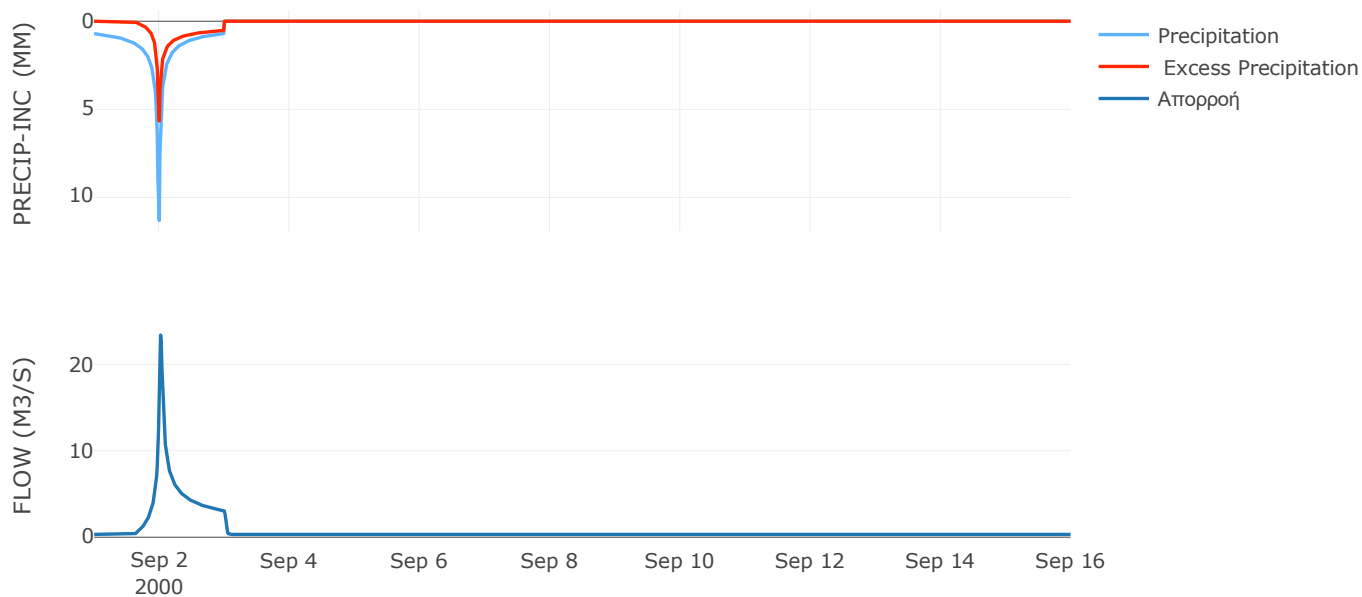
Μέθοδος
Μετασχηματισμού: SCS

Χρόνος Υστέρησης	25.95
------------------	-------

Αποτελέσματα:
EL0514FR003018

Παροχή αιχμής (M3/S)	23.38
Χρονική στιγμή αιχμής	02Sep2000, 00:30
Όγκος (MM)	212.87
Όγκος βροχόπτωσης (M3)	1.39E6
Όγκος απωλειών (M3)	8.2E5
Ενεργός Όγκος (M3)	5.69E5
Όγκος άμεσης απορροής (M3)	5.69E5
Όγκος βασικής απορροής (M3)	4.23E5

Βροχόπτωση και Απορροή



Υπολεκάνη: EL0514FR003019

Έκταση (KM2) : 56.36

Κατάντη : J20

Μέθοδος Απωλειών: SCS

Ποσοστό αδιαπέρατης επιφάνειας	0
Αριθμός Καμπύλης Απορροής-CN	65.27
Αρχικές Απώλειες	27.03

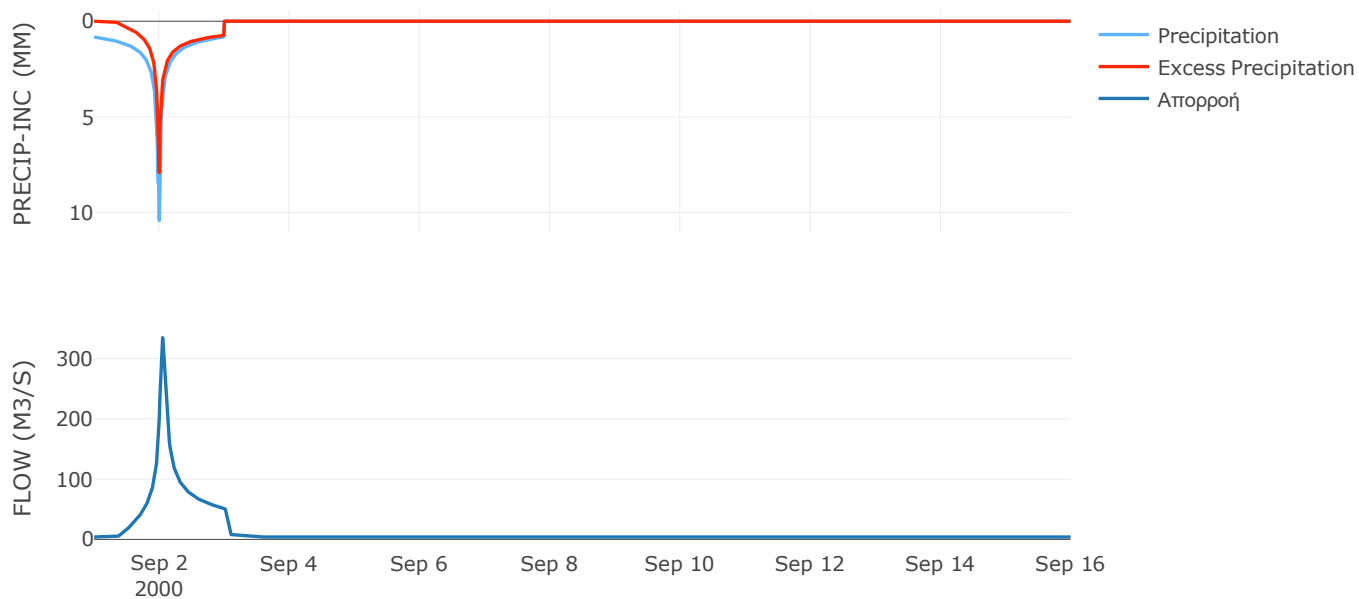
Μέθοδος
Μετασχηματισμού: SCS

Χρόνος Υστέρησης	62.76
------------------	-------

Αποτελέσματα:
EL0514FR003019

Παροχή αιχμής (M3/S)	334.65
Χρονική στιγμή αιχμής	02Sep2000, 01:15
Όγκος (MM)	293.38
Όγκος βροχόπτωσης (M3)	1.82E7
Όγκος απωλειών (M3)	6.75E6
Ενεργός Όγκος (M3)	1.14E7
Όγκος άμεσης απορροής (M3)	1.14E7
Όγκος βασικής απορροής (M3)	5.11E6

Βροχόπτωση και Απορροή



Υπολεκάνη: EL0514FR003020

Έκταση (KM2) : 10.48

Κατάντη : J19

Μέθοδος Απωλειών: SCS

Ποσοστό αδιαπέρατης επιφάνειας	0
Αριθμός Καμπύλης Απορροής-CN	63.83
Αρχικές Απώλειες	28.79

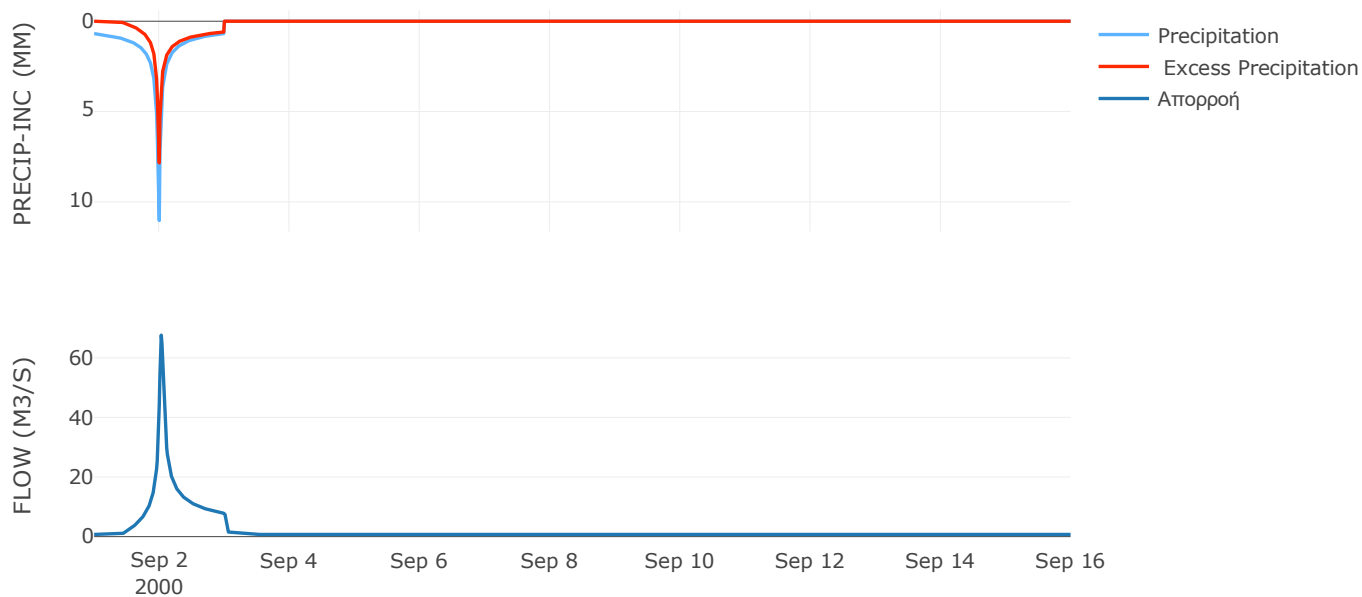
Μέθοδος
Μετασχηματισμού: SCS

Χρόνος Υστέρησης	39.67
------------------	-------

Αποτελέσματα:
EL0514FR003020

Παροχή αιχμής (M3/S)	67.61
Χρονική στιγμή αιχμής	02Sep2000, 00:45
Όγκος (MM)	260.26
Όγκος βροχόπτωσης (M3)	3.05E6
Όγκος απωλειών (M3)	1.28E6
Ενεργός Όγκος (M3)	1.78E6
Όγκος άμεσης απορροής (M3)	1.78E6
Όγκος βασικής απορροής (M3)	9.51E5

Βροχόπτωση και Απορροή



Υπολεκάνη: EL0514FR003021

Έκταση (KM2) : 14.84

Κατάντη : J19

Μέθοδος Απωλειών: SCS

Ποσοστό αδιαπέρατης επιφάνειας	0
Αριθμός Καμπύλης Απορροής-CN	63.19
Αρχικές Απώλειες	29.59

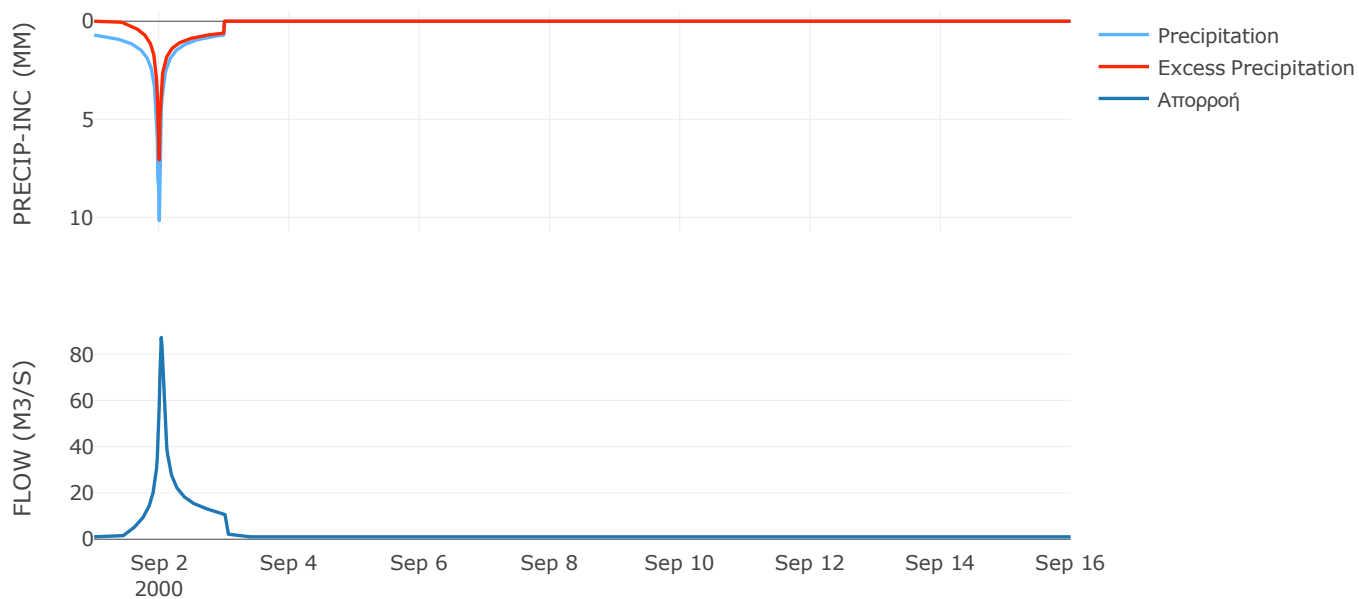
Μέθοδος
Μετασχηματισμού: SCS

Χρόνος Υστέρησης	39.26
------------------	-------

Αποτελέσματα:
EL0514FR003021

Παροχή αιχμής (M3/S)	87.23
Χρονική στιγμή αιχμής	02Sep2000, 00:45
Όγκος (MM)	254.73
Όγκος βροχόπτωσης (M3)	4.27E6
Όγκος απωλειών (M3)	1.83E6
Ενεργός Όγκος (M3)	2.43E6
Όγκος άμεσης απορροής (M3)	2.43E6
Όγκος βασικής απορροής (M3)	1.35E6

Βροχόπτωση και Απορροή



Υπολεκάνη: EL0514FR003022

Έκταση (KM2) : 68.59

Κατάντη : J10

Μέθοδος Απωλειών: SCS

Ποσοστό αδιαπέρατης επιφάνειας	0
Αριθμός Καμπύλης Απορροής-CN	39.99
Αρχικές Απώλειες	76.23

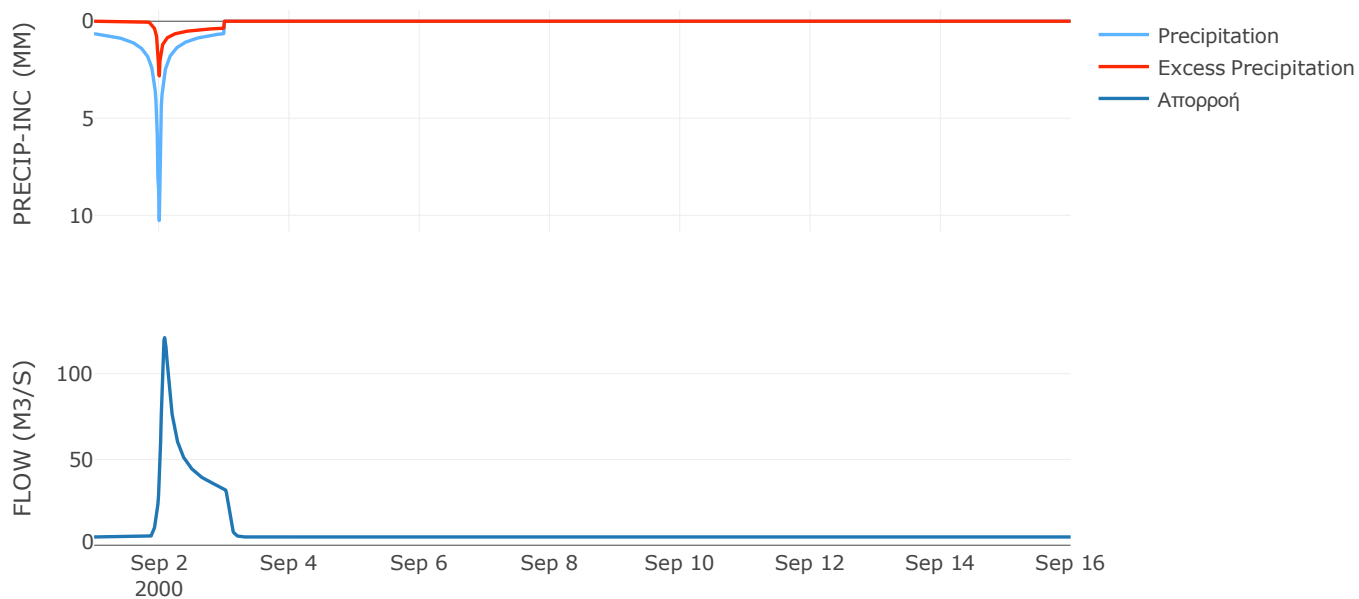
Μέθοδος
Μετασχηματισμού: SCS

Χρόνος Υστέρησης	90.02
------------------	-------

Αποτελέσματα:
EL0514FR003022

Παροχή αιχμής (M3/S)	121.01
Χρονική στιγμή αιχμής	02Sep2000, 02:00
Όγκος (MM)	157.27
Όγκος βροχόπτωσης (M3)	1.87E7
Όγκος απωλειών (M3)	1.41E7
Ενεργός Όγκος (M3)	4.56E6
Όγκος άμεσης απορροής (M3)	4.56E6
Όγκος βασικής απορροής (M3)	6.22E6

Βροχόπτωση και Απορροή



Υπολεκάνη: EL0514FR003023

Έκταση (KM2) : 35.95

Κατάντη : J10

Μέθοδος Απωλειών: SCS

Ποσοστό αδιαπέρατης επιφάνειας	0
Αριθμός Καμπύλης Απορροής-CN	55.67
Αρχικές Απώλειες	40.44

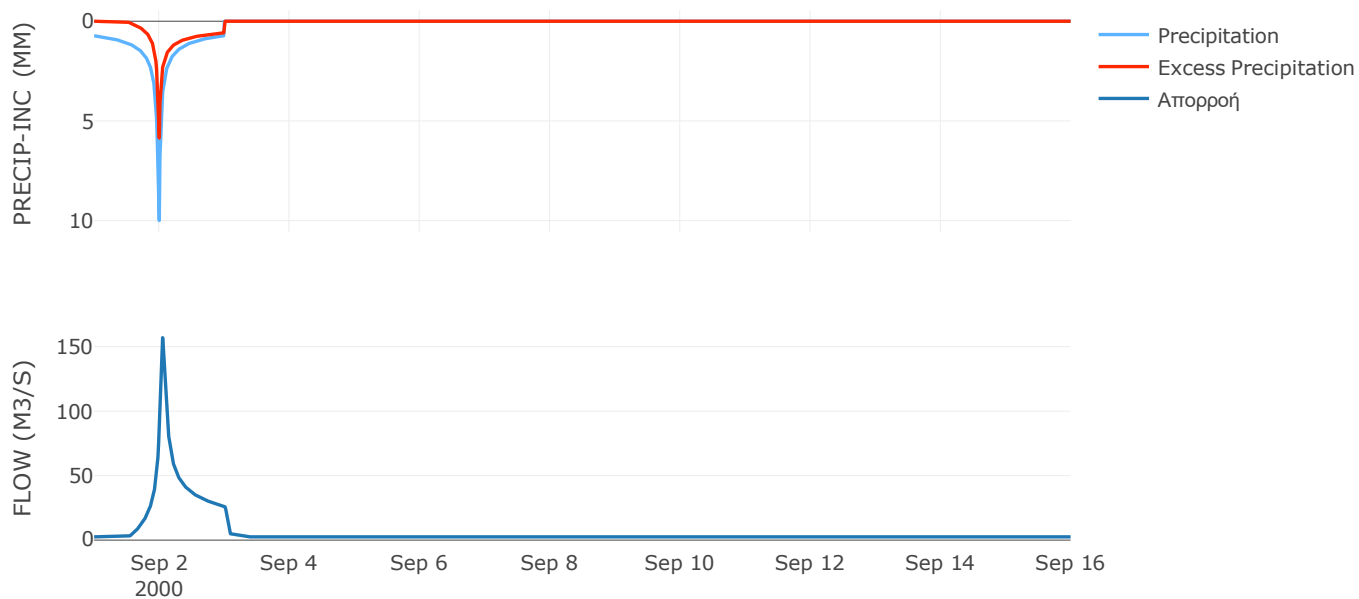
Μέθοδος
Μετασχηματισμού: SCS

Χρόνος Υστέρησης	59.07
------------------	-------

Αποτελέσματα:
EL0514FR003023

Παροχή αιχμής (M3/S)	156.92
Χρονική στιγμή αιχμής	02Sep2000, 01:15
Όγκος (MM)	230.87
Όγκος βροχόπτωσης (M3)	1.05E7
Όγκος απωλειών (M3)	5.49E6
Ενεργός Όγκος (M3)	5.04E6
Όγκος άμεσης απορροής (M3)	5.04E6
Όγκος βασικής απορροής (M3)	3.26E6

Βροχόπτωση και Απορροή



Υπολεκάνη: EL0514FR003024

Έκταση (KM2) : 55.27

Κατάντη : J9

Μέθοδος Απωλειών: SCS

Ποσοστό αδιαπέρατης επιφάνειας	0
Αριθμός Καμπύλης Απορροής-CN	33.04
Αρχικές Απώλειες	102.95

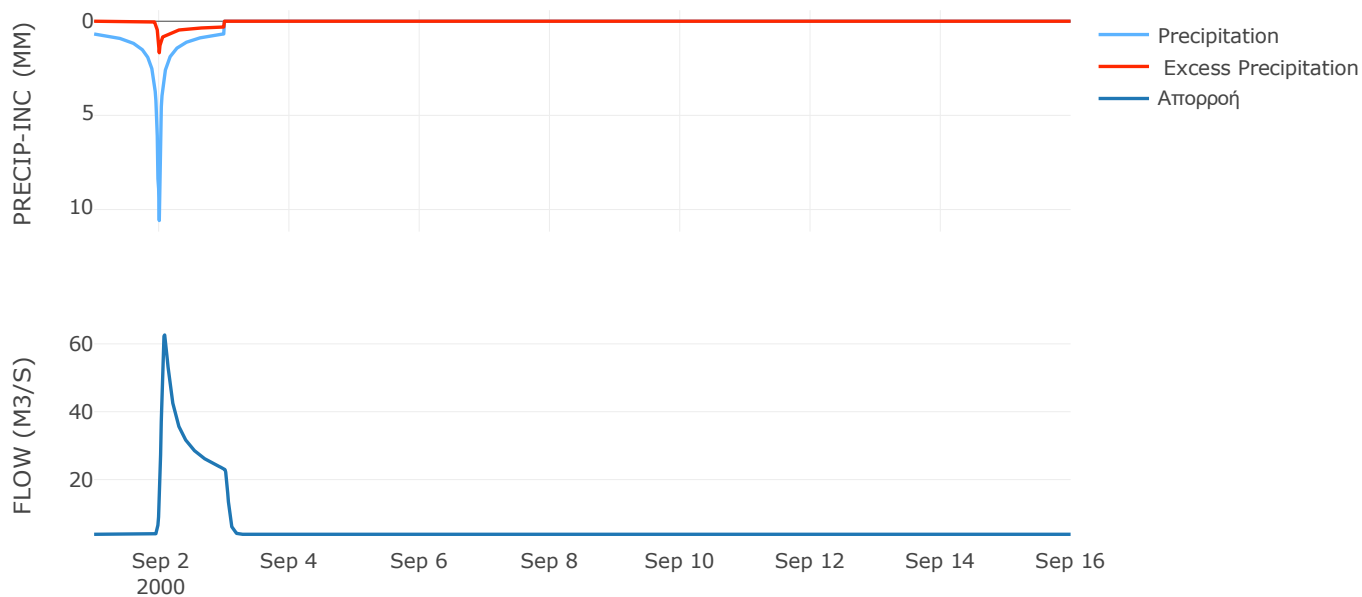
Μέθοδος
Μετασχηματισμού: SCS

Χρόνος Υστέρησης	76.11
------------------	-------

Αποτελέσματα:
EL0514FR003024

Παροχή αιχμής (M3/S)	62.61
Χρονική στιγμή αιχμής	02Sep2000, 02:00
Όγκος (MM)	138.44
Όγκος βροχόπτωσης (M3)	1.58E7
Όγκος απωλειών (M3)	1.31E7
Ενεργός Όγκος (M3)	2.64E6
Όγκος άμεσης απορροής (M3)	2.64E6
Όγκος βασικής απορροής (M3)	5.01E6

Βροχόπτωση και Απορροή



Υπολεκάνη: EL0514FR003025

Έκταση (KM2) : 30.82

Κατάντη : J9

Μέθοδος Απωλειών: SCS

Ποσοστό αδιαπέρατης επιφάνειας	0
Αριθμός Καμπύλης Απορροής-CN	61.55
Αρχικές Απώλειες	31.73

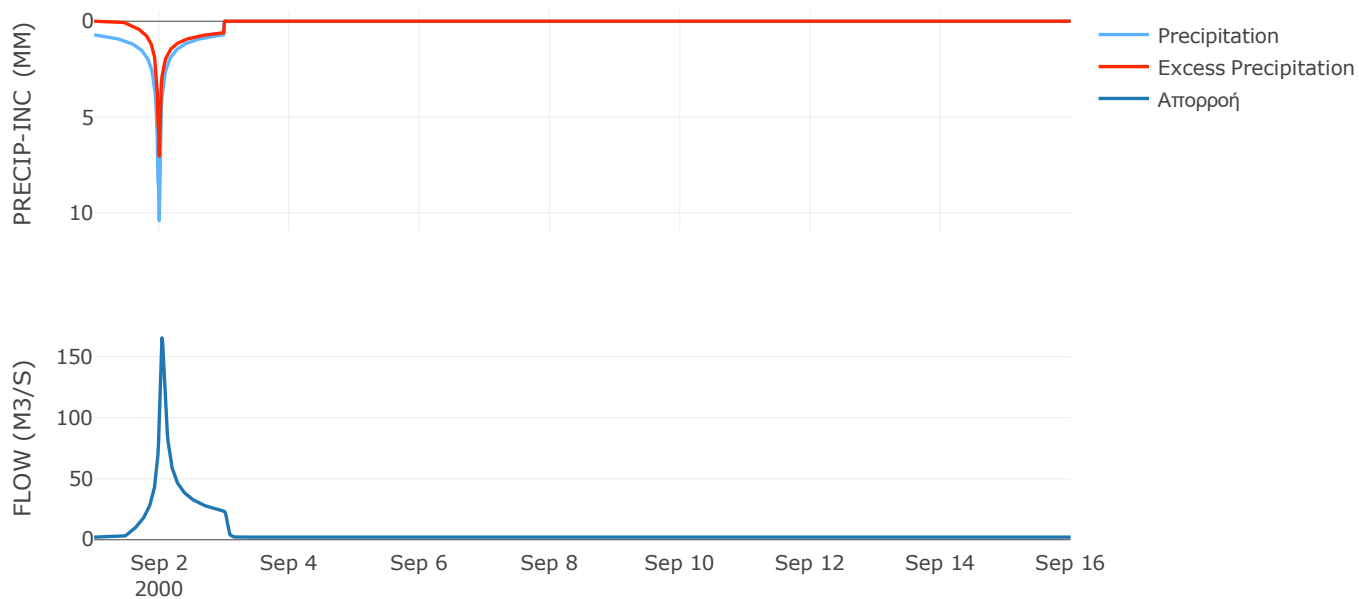
Μέθοδος
Μετασχηματισμού: SCS

Χρόνος Υστέρησης	54.73
------------------	-------

Αποτελέσματα:
EL0514FR003025

Παροχή αιχμής (M3/S)	165.43
Χρονική στιγμή αιχμής	02Sep2000, 01:00
Όγκος (MM)	251.94
Όγκος βροχόπτωσης (M3)	8.98E6
Όγκος απωλειών (M3)	4.01E6
Ενεργός Όγκος (M3)	4.97E6
Όγκος άμεσης απορροής (M3)	4.97E6
Όγκος βασικής απορροής (M3)	2.8E6

Βροχόπτωση και Απορροή



Υπολεκάνη: EL0514FR003026

Έκταση (KM2) : 12.64

Κατάντη : J9

Μέθοδος Απωλειών: SCS

Ποσοστό αδιαπέρατης επιφάνειας	0
Αριθμός Καμπύλης Απορροής-CN	60.79
Αρχικές Απώλειες	32.76

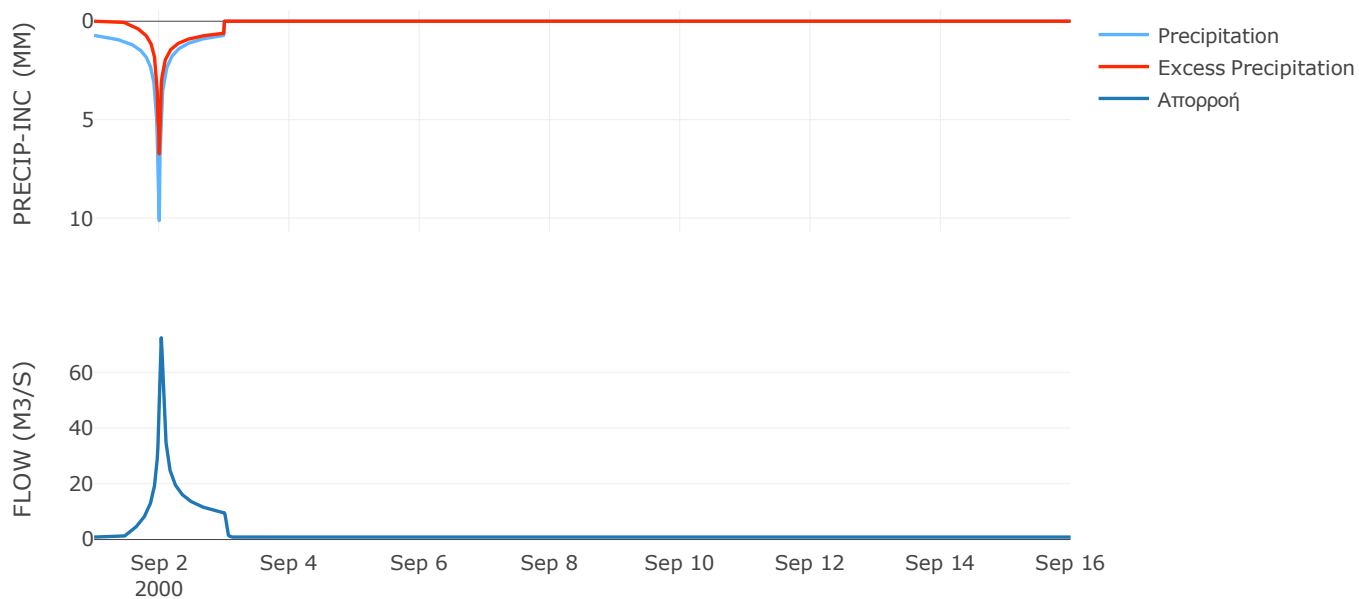
Μέθοδος
Μετασχηματισμού: SCS

Χρόνος Υστέρησης	35.4
------------------	------

Αποτελέσματα:
EL0514FR003026

Παροχή αιχμής (M3/S)	72.35
Χρονική στιγμή αιχμής	02Sep2000, 00:45
Όγκος (MM)	249.66
Όγκος βροχόπτωσης (M3)	3.69E6
Όγκος απωλειών (M3)	1.68E6
Ενεργός Όγκος (M3)	2.01E6
Όγκος άμεσης απορροής (M3)	2.01E6
Όγκος βασικής απορροής (M3)	1.15E6

Βροχόπτωση και Απορροή



Υπολεκάνη: EL0514FR003027

Έκταση (KM2) : 75.07

Κατάντη : J8

Μέθοδος Απωλειών: SCS

Ποσοστό αδιαπέρατης επιφάνειας	0
Αριθμός Καμπύλης Απορροής-CN	54.79
Αρχικές Απώλειες	41.92

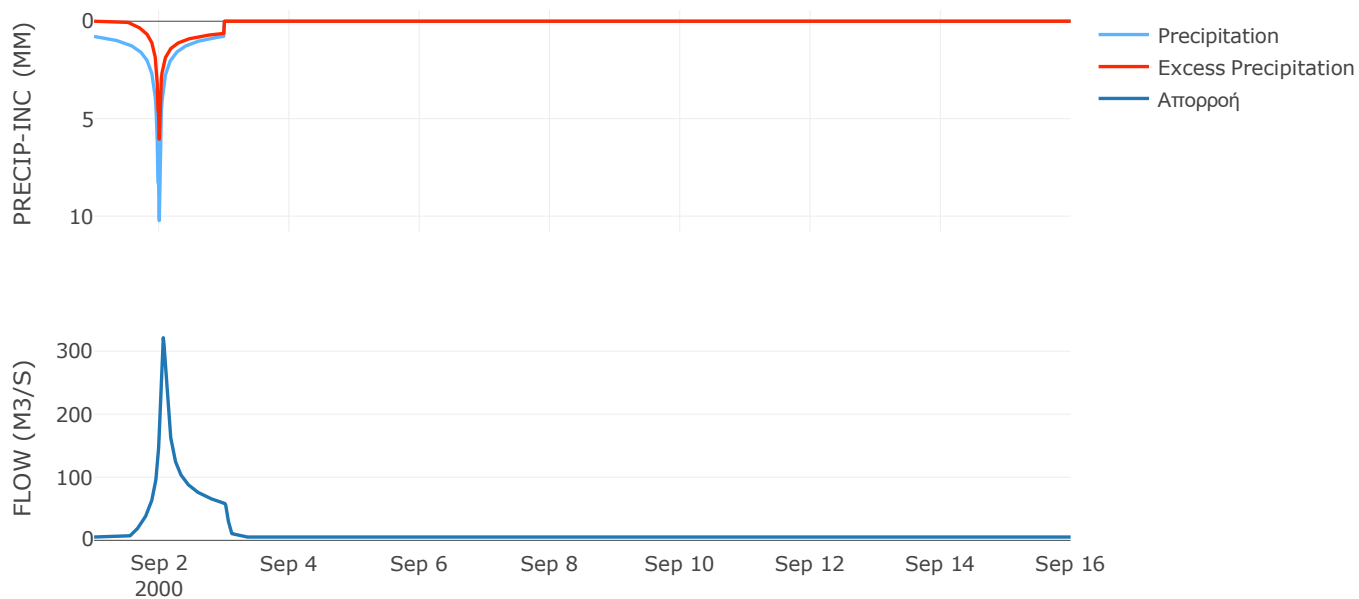
Μέθοδος
Μετασχηματισμού: SCS

Χρόνος Υστέρησης	72.84
------------------	-------

Αποτελέσματα:
EL0514FR003027

Παροχή αιχμής (M3/S)	321.26
Χρονική στιγμή αιχμής	02Sep2000, 01:30
Όγκος (MM)	240.08
Όγκος βροχόπτωσης (M3)	2.32E7
Όγκος απωλειών (M3)	1.2E7
Ενεργός Όγκος (M3)	1.12E7
Όγκος άμεσης απορροής (M3)	1.12E7
Όγκος βασικής απορροής (M3)	6.81E6

Βροχόπτωση και Απορροή



Υπολεκάνη: EL0514FR003028

Έκταση (KM2) : 25.46

Κατάντη : J8

Μέθοδος Απωλειών: SCS

Ποσοστό αδιαπέρατης επιφάνειας	0
Αριθμός Καμπύλης Απορροής-CN	62.66
Αρχικές Απώλειες	30.28

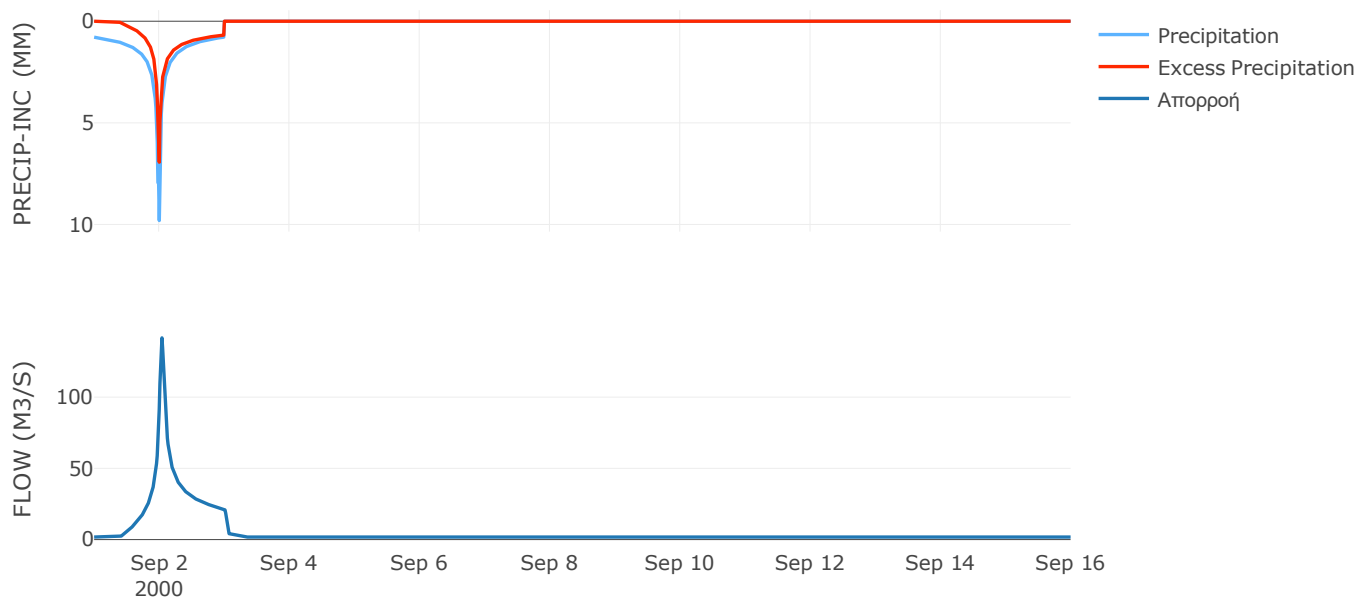
Μέθοδος
Μετασχηματισμού: SCS

Χρόνος Υστέρησης	47.89
------------------	-------

Αποτελέσματα:
EL0514FR003028

Παροχή αιχμής (M3/S)	141.58
Χρονική στιγμή αιχμής	02Sep2000, 01:00
Όγκος (MM)	268.29
Όγκος βροχόπτωσης (M3)	7.78E6
Όγκος απωλειών (M3)	3.26E6
Ενεργός Όγκος (M3)	4.52E6
Όγκος άμεσης απορροής (M3)	4.52E6
Όγκος βασικής απορροής (M3)	2.31E6

Βροχόπτωση και Απορροή



Υπολεκάνη: EL0514FR003029

Έκταση (KM2) : 14.96

Κατάντη : J7

Μέθοδος Απωλειών: SCS

Ποσοστό αδιαπέρατης επιφάνειας	0
Αριθμός Καμπύλης Απορροής-CN	61.79
Αρχικές Απώλειες	31.41

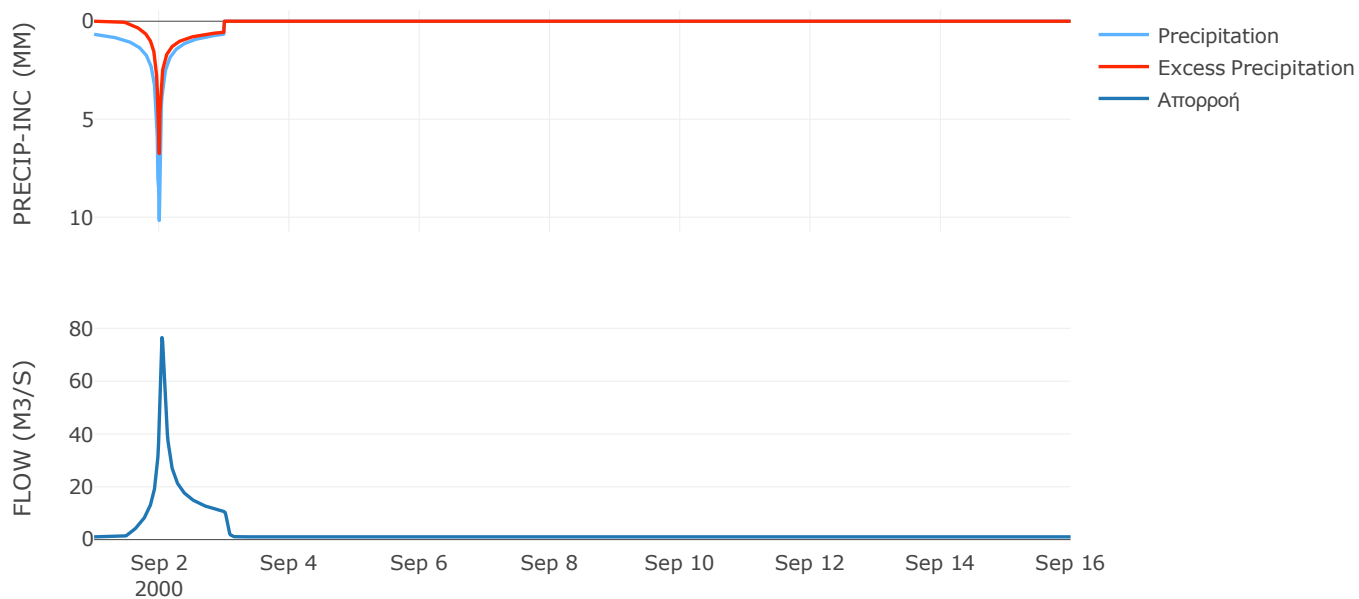
Μέθοδος
Μετασχηματισμού: SCS

Χρόνος Υστέρησης	55.01
------------------	-------

Αποτελέσματα:
EL0514FR003029

Παροχή αιχμής (M3/S)	76.5
Χρονική στιγμή αιχμής	02Sep2000, 01:00
Όγκος (MM)	241.41
Όγκος βροχόπτωσης (M3)	4.16E6
Όγκος απωλειών (M3)	1.91E6
Ενεργός Όγκος (M3)	2.25E6
Όγκος άμεσης απορροής (M3)	2.25E6
Όγκος βασικής απορροής (M3)	1.36E6

Βροχόπτωση και Απορροή



Υπολεκάνη: EL0514FR003030

Έκταση (KM2) : 14.02

Κατάντη : J7

Μέθοδος Απωλειών: SCS

Ποσοστό αδιαπέρατης επιφάνειας	0
Αριθμός Καμπύλης Απορροής-CN	62.58
Αρχικές Απώλειες	30.38

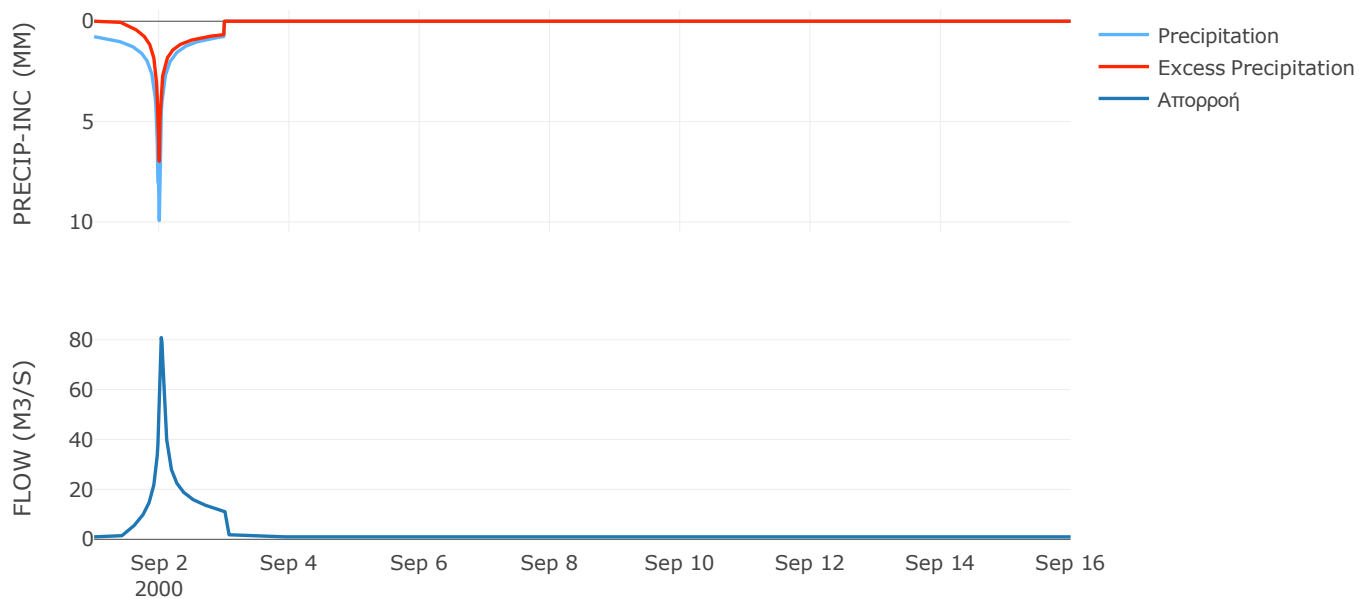
Μέθοδος
Μετασχηματισμού: SCS

Χρόνος Υστέρησης	41.82
------------------	-------

Αποτελέσματα:
EL0514FR003030

Παροχή αιχμής (M3/S)	80.87
Χρονική στιγμή αιχμής	02Sep2000, 00:45
Όγκος (MM)	265.31
Όγκος βροχόπτωσης (M3)	4.24E6
Όγκος απωλειών (M3)	1.79E6
Ενεργός Όγκος (M3)	2.45E6
Όγκος άμεσης απορροής (M3)	2.45E6
Όγκος βασικής απορροής (M3)	1.27E6

Βροχόπτωση και Απορροή



Υπολεκάνη: EL0514FR003031

Έκταση (KM2) : 21.31

Κατάντη : J7

Μέθοδος Απωλειών: SCS

Ποσοστό αδιαπέρατης επιφάνειας	0
Αριθμός Καμπύλης Απορροής-CN	62.69
Αρχικές Απώλειες	30.23

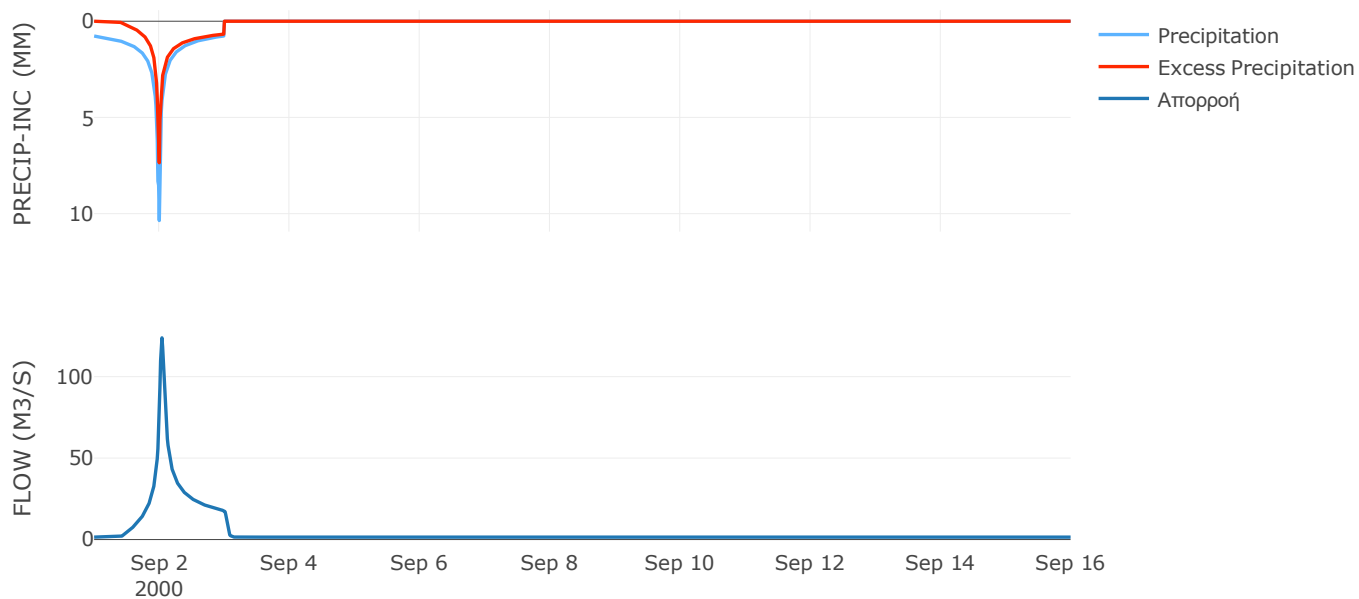
Μέθοδος
Μετασχηματισμού: SCS

Χρόνος Υστέρησης	49.61
------------------	-------

Αποτελέσματα:
EL0514FR003031

Παροχή αιχμής (M3/S)	123.83
Χρονική στιγμή αιχμής	02Sep2000, 01:00
Όγκος (MM)	269.82
Όγκος βροχόπτωσης (M3)	6.54E6
Όγκος απωλειών (M3)	2.73E6
Ενεργός Όγκος (M3)	3.82E6
Όγκος άμεσης απορροής (M3)	3.82E6
Όγκος βασικής απορροής (M3)	1.93E6

Βροχόπτωση και Απορροή



Υπολεκάνη: EL0514FR003032

Έκταση (KM2) : 17.85

Κατάντη : J6

Μέθοδος Απωλειών: SCS

Ποσοστό αδιαπέρατης επιφάνειας	0
Αριθμός Καμπύλης Απορροής-CN	59.68
Αρχικές Απώλειες	34.32

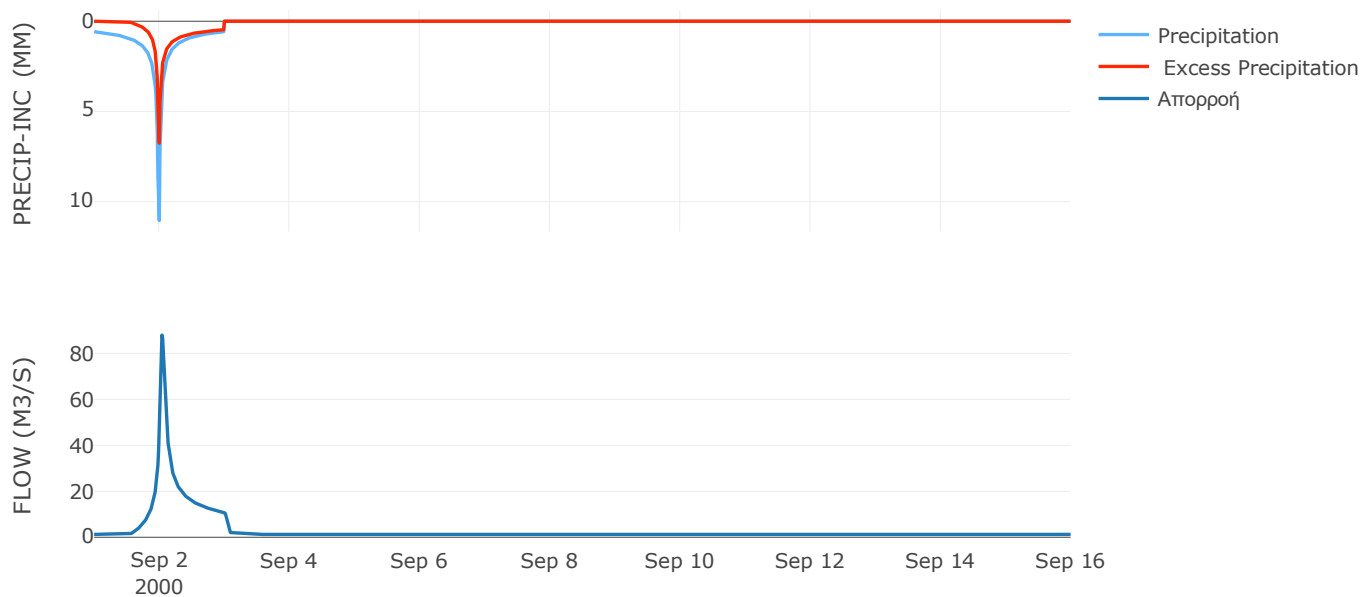
Μέθοδος
Μετασχηματισμού: SCS

Χρόνος Υστέρησης	55.91
------------------	-------

Αποτελέσματα:
EL0514FR003032

Παροχή αιχμής (M3/S)	87.99
Χρονική στιγμή αιχμής	02Sep2000, 01:00
Όγκος (MM)	220.94
Όγκος βροχόπτωσης (M3)	4.68E6
Όγκος απωλειών (M3)	2.36E6
Ενεργός Όγκος (M3)	2.32E6
Όγκος άμεσης απορροής (M3)	2.32E6
Όγκος βασικής απορροής (M3)	1.62E6

Βροχόπτωση και Απορροή



Υπολεκάνη: EL0514FR003033

Έκταση (KM2) : 17.55

Κατάντη : J6

Μέθοδος Απωλειών: SCS

Ποσοστό αδιαπέρατης επιφάνειας	0
Αριθμός Καμπύλης Απορροής-CN	32.02
Αρχικές Απώλειες	107.86

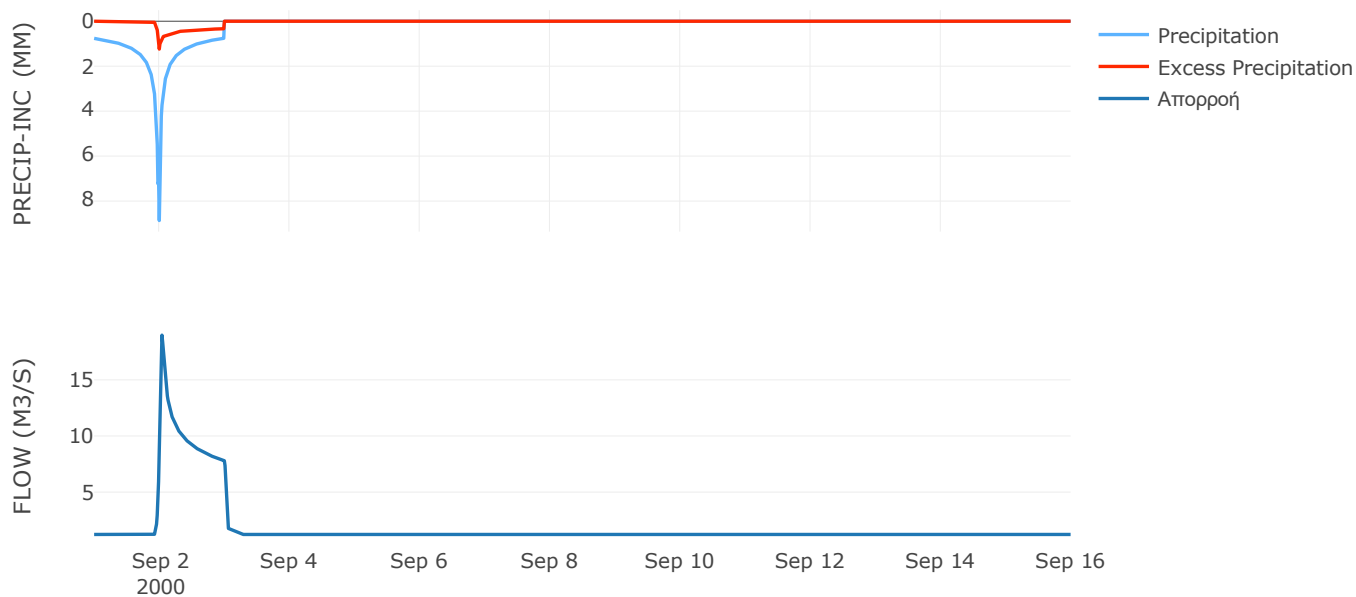
Μέθοδος
Μετασχηματισμού: SCS

Χρόνος Υστέρησης	35.56
------------------	-------

Αποτελέσματα:
EL0514FR003033

Παροχή αιχμής (M3/S)	18.98
Χρονική στιγμή αιχμής	02Sep2000, 01:00
Όγκος (MM)	136.44
Όγκος βροχόπτωσης (M3)	5.08E6
Όγκος απωλειών (M3)	4.28E6
Ενεργός Όγκος (M3)	8.02E5
Όγκος άμεσης απορροής (M3)	8.02E5
Όγκος βασικής απορροής (M3)	1.59E6

Βροχόπτωση και Απορροή



Υπολεκάνη: EL0514FR003034

Έκταση (KM2) : 83.42

Κατάντη : J5

Μέθοδος Απωλειών: SCS

Ποσοστό αδιαπέρατης επιφάνειας	7.2
Αριθμός Καμπύλης Απορροής-CN	54.57
Αρχικές Απώλειες	42.3

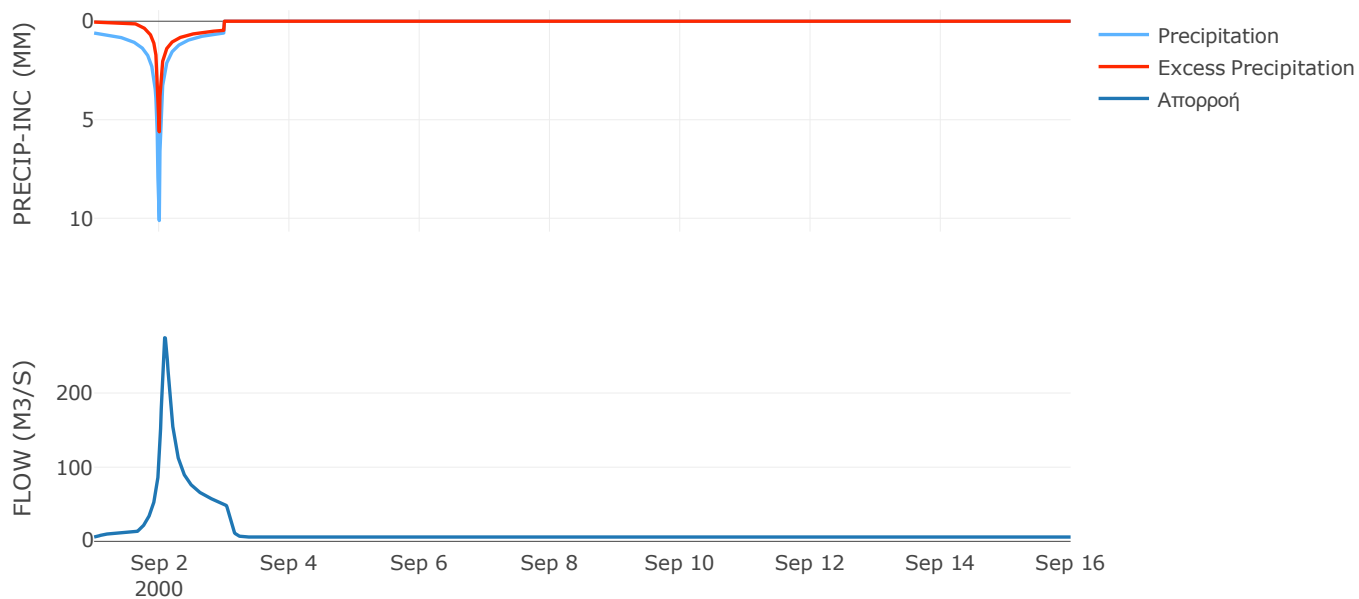
Μέθοδος
Μετασχηματισμού: SCS

Χρόνος Υστέρησης	109.35
------------------	--------

Αποτελέσματα:
EL0514FR003034

Παροχή αιχμής (M3/S)	274.52
Χρονική στιγμή αιχμής	02Sep2000, 02:00
Όγκος (MM)	211.63
Όγκος βροχόπτωσης (M3)	2.17E7
Όγκος απωλειών (M3)	1.16E7
Ενεργός Όγκος (M3)	1.01E7
Όγκος άμεσης απορροής (M3)	1.01E7
Όγκος βασικής απορροής (M3)	7.57E6

Βροχόπτωση και Απορροή



Υπολεκάνη: EL0514FR003035

Έκταση (KM2) : 13.03

Κατάντη : J31

Μέθοδος Απωλειών: SCS

Ποσοστό αδιαπέρατης επιφάνειας	0
Αριθμός Καμπύλης Απορροής-CN	62.4
Αρχικές Απώλειες	30.61

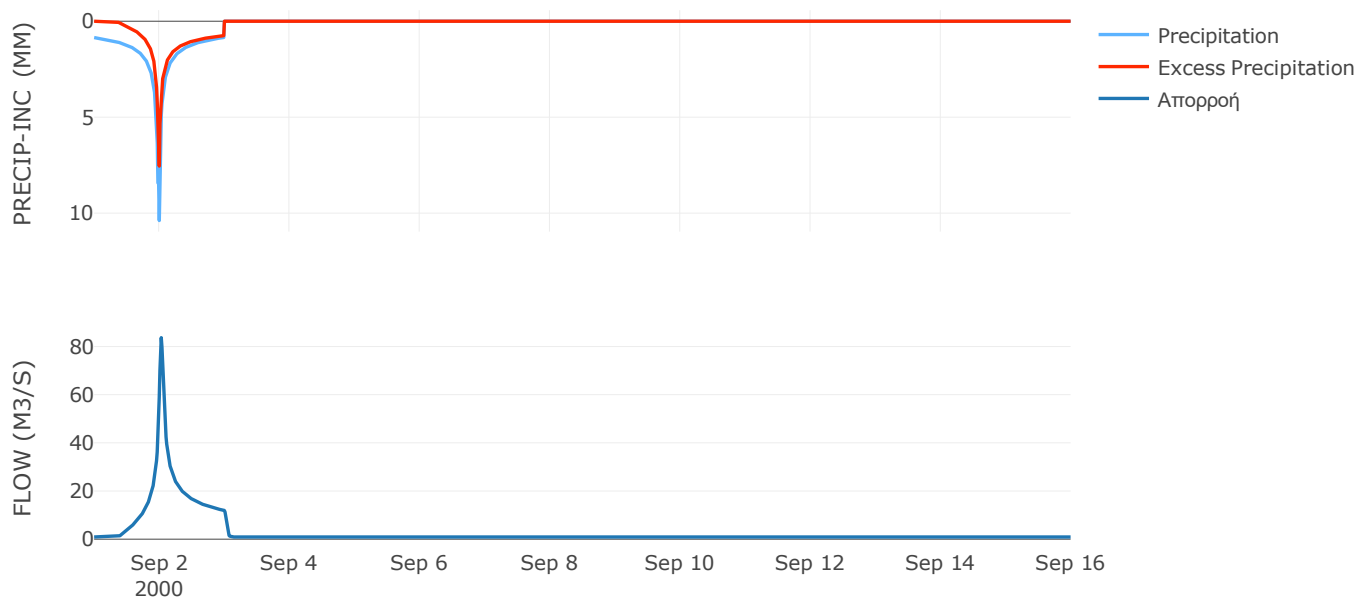
Μέθοδος
Μετασχηματισμού: SCS

Χρόνος Υστέρησης	37.5
------------------	------

Αποτελέσματα:
EL0514FR003035

Παροχή αιχμής (M3/S)	83.65
Χρονική στιγμή αιχμής	02Sep2000, 00:45
Όγκος (MM)	287.21
Όγκος βροχόπτωσης (M3)	4.28E6
Όγκος απωλειών (M3)	1.72E6
Ενεργός Όγκος (M3)	2.56E6
Όγκος άμεσης απορροής (M3)	2.56E6
Όγκος βασικής απορροής (M3)	1.18E6

Βροχόπτωση και Απορροή



Υπολεκάνη: EL0514FR003036

Έκταση (KM2) : 48.7

Κατάντη : J31

Μέθοδος Απωλειών: SCS

Ποσοστό αδιαπέρατης επιφάνειας	0
Αριθμός Καμπύλης Απορροής-CN	63.38
Αρχικές Απώλειες	29.35

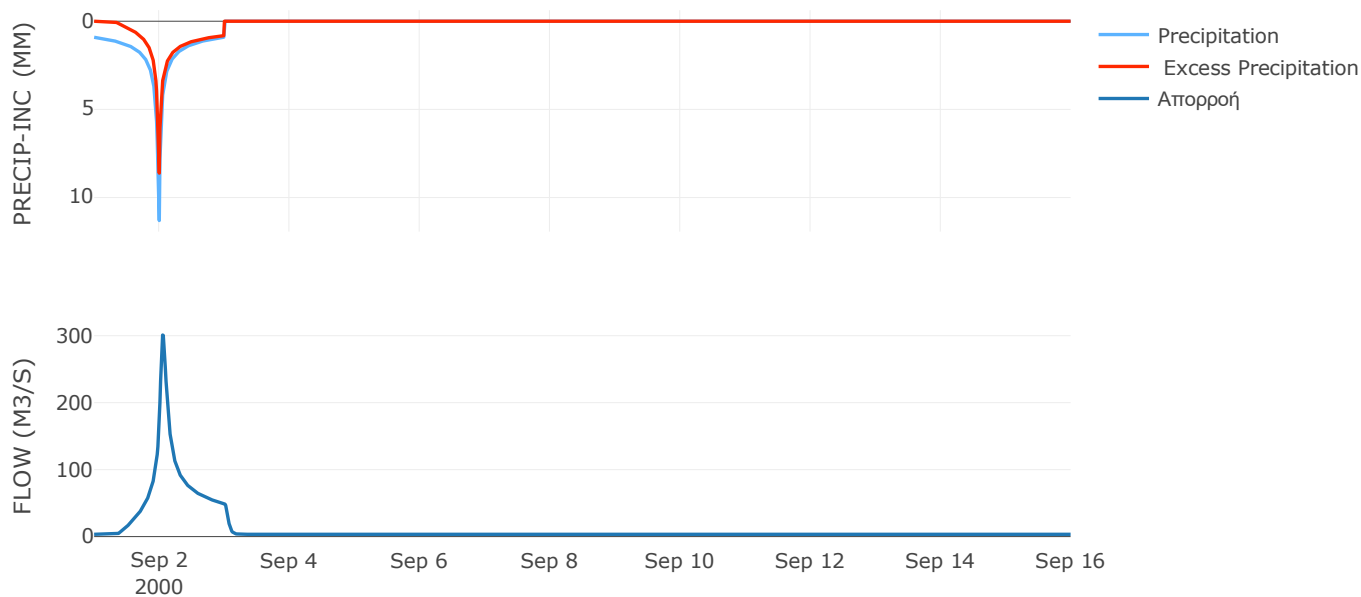
Μέθοδος
Μετασχηματισμού: SCS

Χρόνος Υστέρησης	73.33
------------------	-------

Αποτελέσματα:
EL0514FR003036

Παροχή αιχμής (M3/S)	301.01
Χρονική στιγμή αιχμής	02Sep2000, 01:15
Όγκος (MM)	313.8
Όγκος βροχόπτωσης (M3)	1.72E7
Όγκος απωλειών (M3)	6.35E6
Ενεργός Όγκος (M3)	1.09E7
Όγκος άμεσης απορροής (M3)	1.09E7
Όγκος βασικής απορροής (M3)	4.42E6

Βροχόπτωση και Απορροή



Υπολεκάνη: EL0514FR003037

Έκταση (KM2) : 32.67

Κατάντη : J30

Μέθοδος Απωλειών: SCS

Ποσοστό αδιαπέρατης επιφάνειας	0
Αριθμός Καμπύλης Απορροής-CN	63.37
Αρχικές Απώλειες	29.36

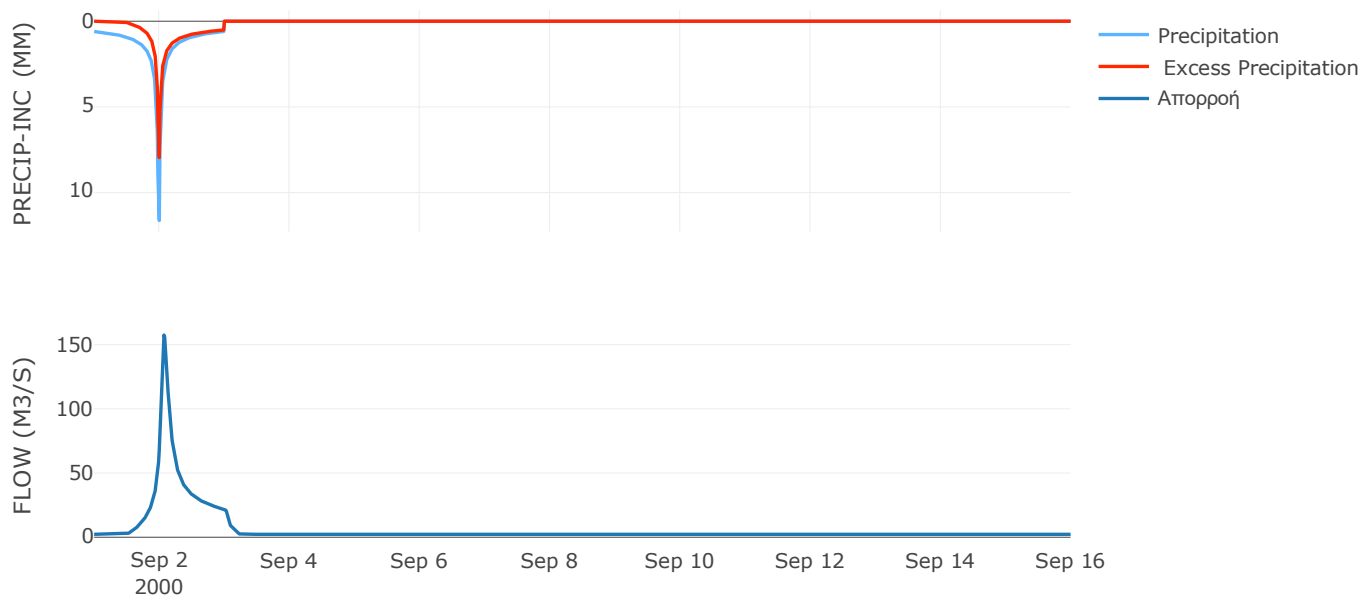
Μέθοδος
Μετασχηματισμού: SCS

Χρόνος Υστέρησης	95.89
------------------	-------

Αποτελέσματα:
EL0514FR003037

Παροχή αιχμής (M3/S)	157.48
Χρονική στιγμή αιχμής	02Sep2000, 01:45
Όγκος (MM)	242.79
Όγκος βροχόπτωσης (M3)	8.92E6
Όγκος απωλειών (M3)	3.95E6
Ενεργός Όγκος (M3)	4.97E6
Όγκος άμεσης απορροής (M3)	4.97E6
Όγκος βασικής απορροής (M3)	2.96E6

Βροχόπτωση και Απορροή



Υπολεκάνη: EL0514FR003038

Έκταση (KM2) : 25.23

Κατάντη : J30

Μέθοδος Απωλειών: SCS

Ποσοστό αδιαπέρατης επιφάνειας	0
Αριθμός Καμπύλης Απορροής-CN	63.17
Αρχικές Απώλειες	29.62

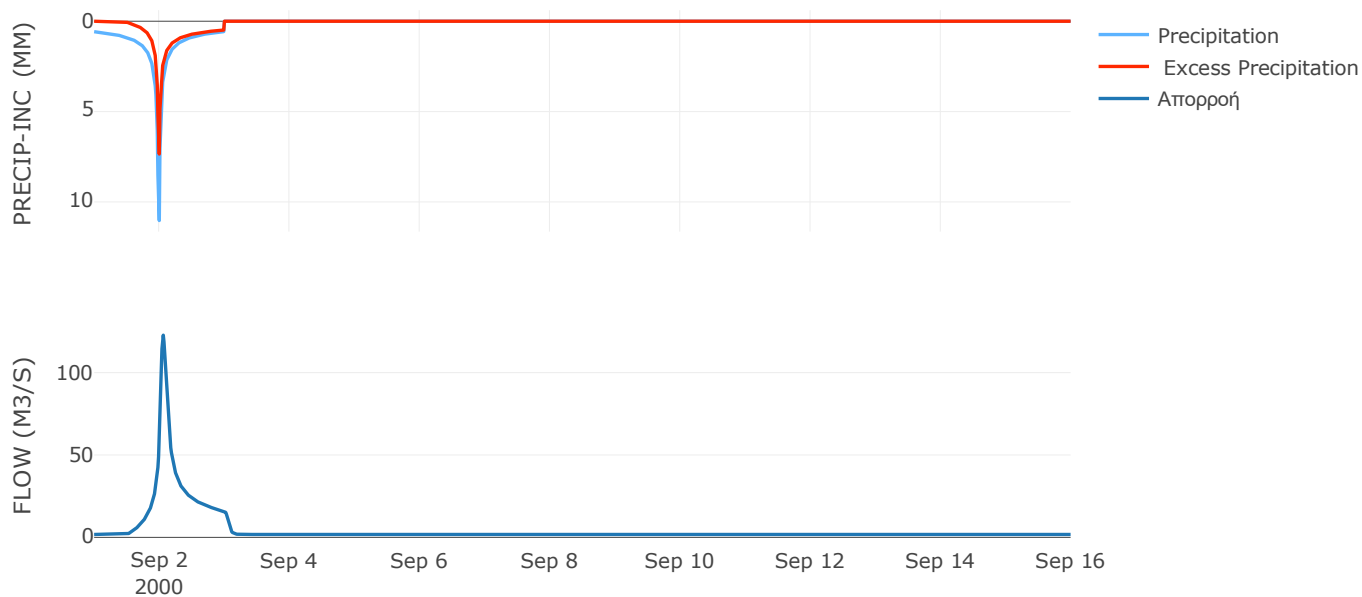
Μέθοδος
Μετασχηματισμού: SCS

Χρόνος Υστέρησης	75.9
------------------	------

Αποτελέσματα:
EL0514FR003038

Παροχή αιχμής (M3/S)	122.73
Χρονική στιγμή αιχμής	02Sep2000, 01:30
Όγκος (MM)	232.59
Όγκος βροχόπτωσης (M3)	6.61E6
Όγκος απωλειών (M3)	3.03E6
Ενεργός Όγκος (M3)	3.58E6
Όγκος άμεσης απορροής (M3)	3.58E6
Όγκος βασικής απορροής (M3)	2.29E6

Βροχόπτωση και Απορροή



Υπολεκάνη: EL0514FR003039

Έκταση (KM2) : 8.72

Κατάντη : J22

Μέθοδος Απωλειών: SCS

Ποσοστό αδιαπέρατης επιφάνειας	0.09
Αριθμός Καμπύλης Απορροής-CN	66.23
Αρχικές Απώλειες	25.9

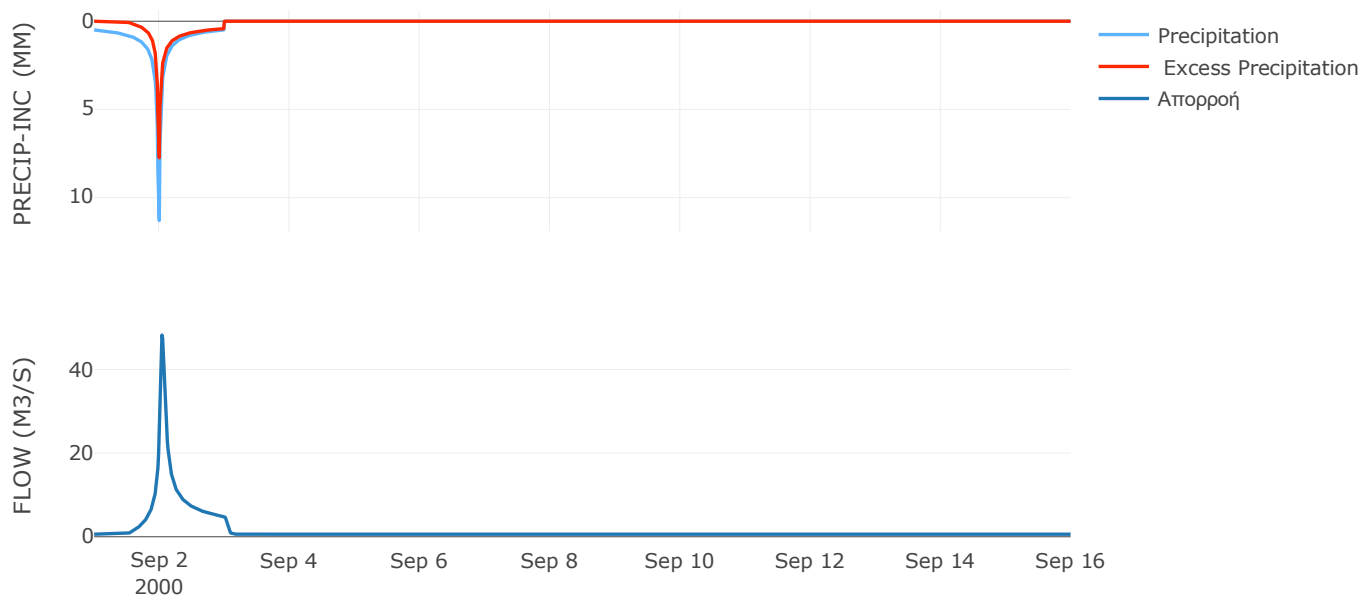
Μέθοδος
Μετασχηματισμού: SCS

Χρόνος Υστέρησης	57.05
------------------	-------

Αποτελέσματα:
EL0514FR003039

Παροχή αιχμής (M3/S)	48.24
Χρονική στιγμή αιχμής	02Sep2000, 01:00
Όγκος (MM)	223.91
Όγκος βροχόπτωσης (M3)	2.09E6
Όγκος απωλειών (M3)	9.28E5
Ενεργός Όγκος (M3)	1.16E6
Όγκος άμεσης απορροής (M3)	1.16E6
Όγκος βασικής απορροής (M3)	7.91E5

Βροχόπτωση και Απορροή



Υπολεκάνη: EL0514FR003040

Έκταση (KM2) : 22.7

Κατάντη : J22

Μέθοδος Απωλειών: SCS

Ποσοστό αδιαπέρατης επιφάνειας	0.09
Αριθμός Καμπύλης Απορροής-CN	64.8
Αρχικές Απώλειες	27.6

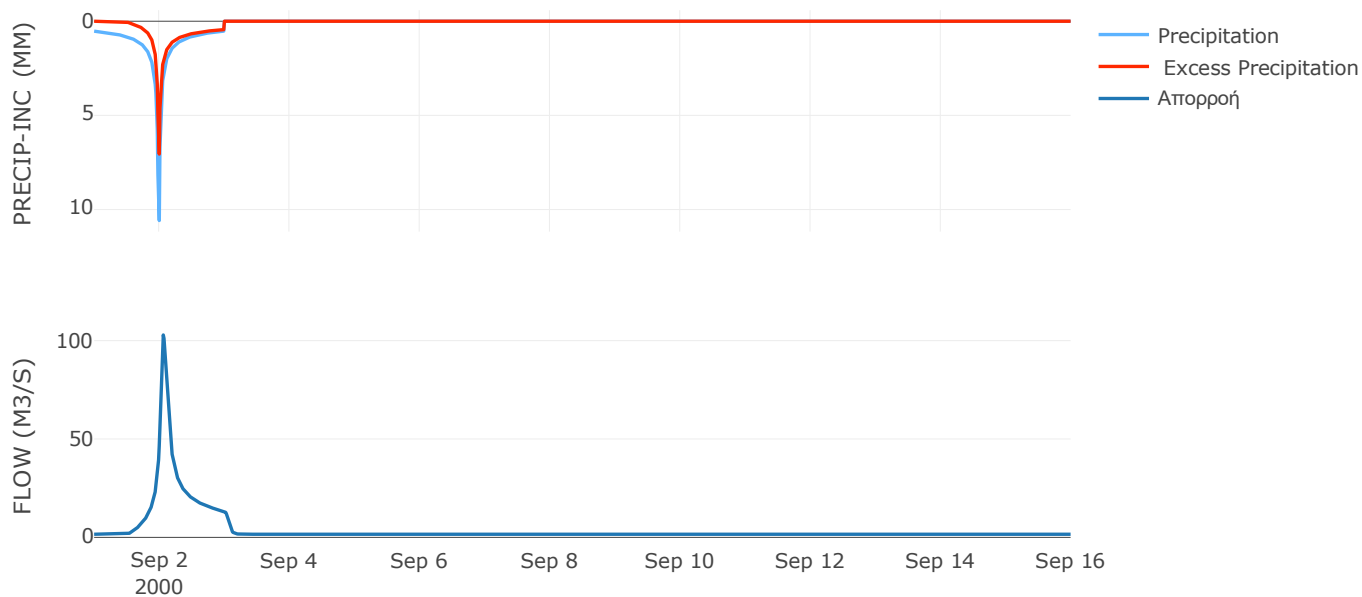
Μέθοδος
Μετασχηματισμού: SCS

Χρόνος Υστέρησης	81.05
------------------	-------

Αποτελέσματα:
EL0514FR003040

Παροχή αιχμής (M3/S)	102.87
Χρονική στιγμή αιχμής	02Sep2000, 01:30
Όγκος (MM)	222.55
Όγκος βροχόπτωσης (M3)	5.53E6
Όγκος απωλειών (M3)	2.54E6
Ενεργός Όγκος (M3)	2.99E6
Όγκος άμεσης απορροής (M3)	2.99E6
Όγκος βασικής απορροής (M3)	2.06E6

Βροχόπτωση και Απορροή



Υπολεκάνη: EL0514FR003041

Έκταση (KM2) : 11.3

Κατάντη : J23

Μέθοδος Απωλειών: SCS

Ποσοστό αδιαπέρατης επιφάνειας	0
Αριθμός Καμπύλης Απορροής-CN	63.06
Αρχικές Απώλειες	29.76

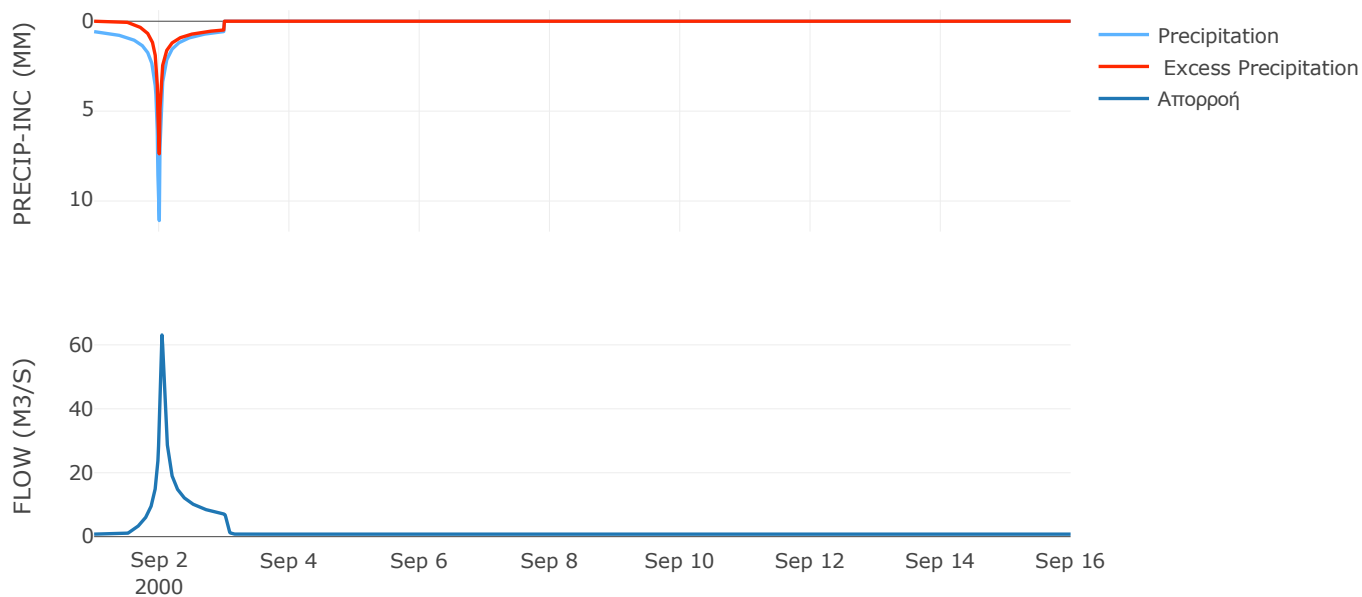
Μέθοδος
Μετασχηματισμού: SCS

Χρόνος Υστέρησης	50.16
------------------	-------

Αποτελέσματα:
EL0514FR003041

Παροχή αιχμής (M3/S)	63.1
Χρονική στιγμή αιχμής	02Sep2000, 01:00
Όγκος (MM)	232.55
Όγκος βροχόπτωσης (M3)	2.96E6
Όγκος απωλειών (M3)	1.36E6
Ενεργός Όγκος (M3)	1.6E6
Όγκος άμεσης απορροής (M3)	1.6E6
Όγκος βασικής απορροής (M3)	1.03E6

Βροχόπτωση και Απορροή



Υπολεκάνη: EL0514FR003042

Έκταση (KM2) : 9.38

Κατάντη : J23

Μέθοδος Απωλειών: SCS

Ποσοστό αδιαπέρατης επιφάνειας	0
Αριθμός Καμπύλης Απορροής-CN	64.76
Αρχικές Απώλειες	27.64

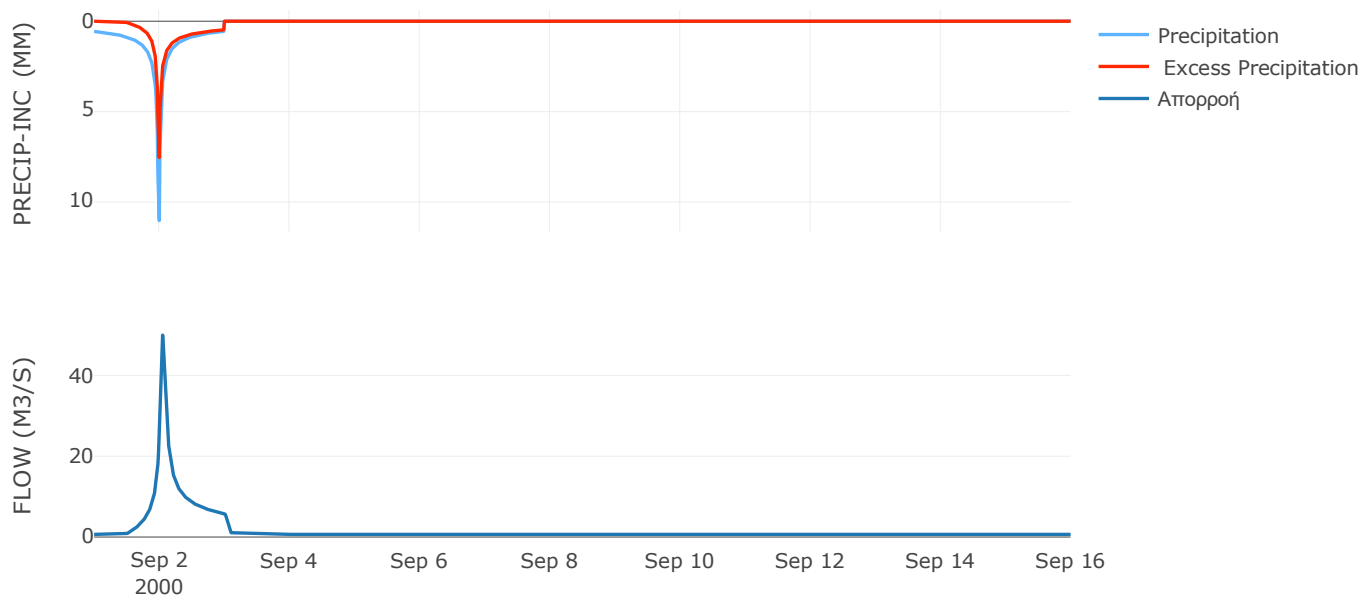
Μέθοδος
Μετασχηματισμού: SCS

Χρόνος Υστέρησης	61.93
------------------	-------

Αποτελέσματα:
EL0514FR003042

Παροχή αιχμής (M3/S)	49.99
Χρονική στιγμή αιχμής	02Sep2000, 01:15
Όγκος (MM)	233.72
Όγκος βροχόπτωσης (M3)	2.41E6
Όγκος απωλειών (M3)	1.07E6
Ενεργός Όγκος (M3)	1.34E6
Όγκος άμεσης απορροής (M3)	1.34E6
Όγκος βασικής απορροής (M3)	8.51E5

Βροχόπτωση και Απορροή



Υπολεκάνη: EL0514FR003043

Έκταση (KM2) : 29.89

Κατάντη : J24

Μέθοδος Απωλειών: SCS

Ποσοστό αδιαπέρατης επιφάνειας	0
Αριθμός Καμπύλης Απορροής-CN	64.04
Αρχικές Απώλειες	28.53

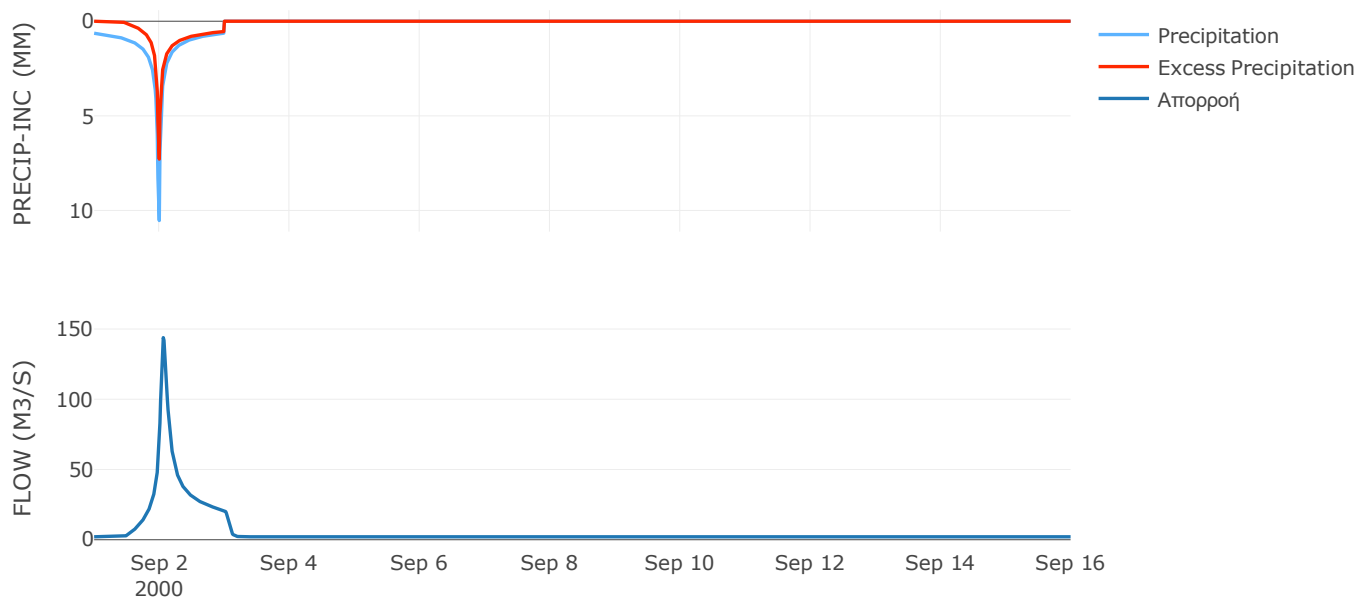
Μέθοδος
Μετασχηματισμού: SCS

Χρόνος Υστέρησης	81.98
------------------	-------

Αποτελέσματα:
EL0514FR003043

Παροχή αιχμής (M3/S)	143.88
Χρονική στιγμή αιχμής	02Sep2000, 01:30
Όγκος (MM)	244.83
Όγκος βροχόπτωσης (M3)	8.15E6
Όγκος απωλειών (M3)	3.54E6
Ενεργός Όγκος (M3)	4.61E6
Όγκος άμεσης απορροής (M3)	4.61E6
Όγκος βασικής απορροής (M3)	2.71E6

Βροχόπτωση και Απορροή



Υπολεκάνη: EL0514FR003044

Έκταση (KM2) : 19.82

Κατάντη : J24

Μέθοδος Απωλειών: SCS

Ποσοστό αδιαπέρατης επιφάνειας	0
Αριθμός Καμπύλης Απορροής-CN	59.92
Αρχικές Απώλειες	33.98

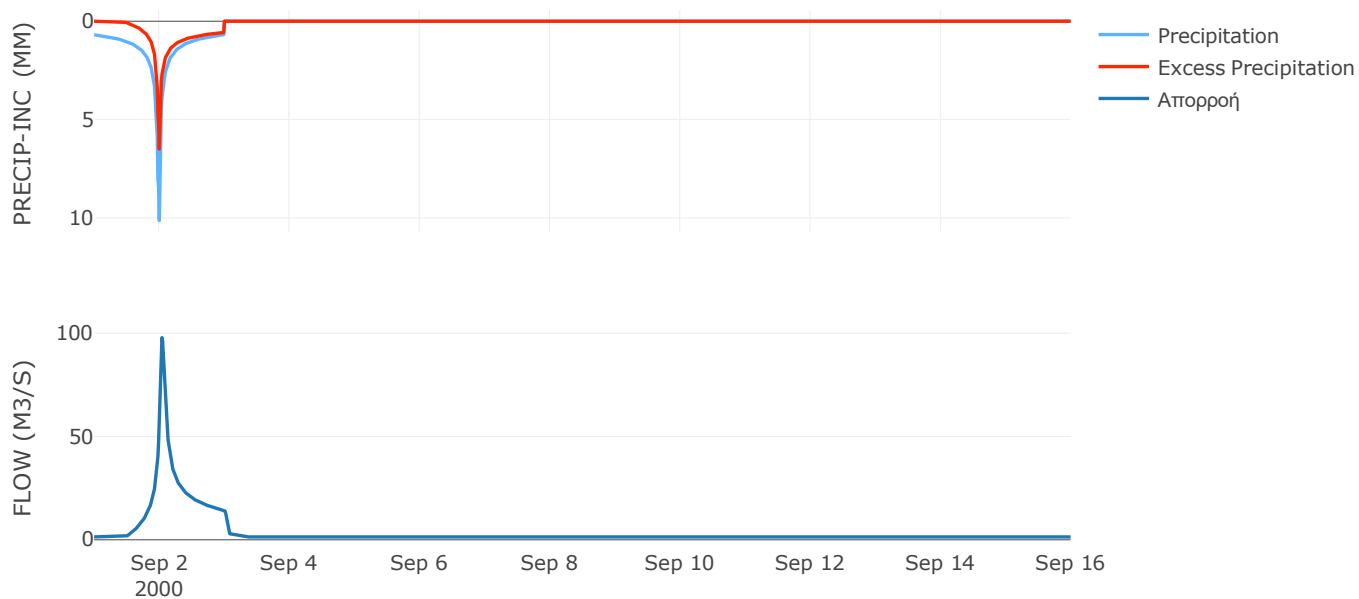
Μέθοδος
Μετασχηματισμού: SCS

Χρόνος Υστέρησης	54.88
------------------	-------

Αποτελέσματα:
EL0514FR003044

Παροχή αιχμής (M3/S)	97.84
Χρονική στιγμή αιχμής	02Sep2000, 01:00
Όγκος (MM)	239
Όγκος βροχόπτωσης (M3)	5.62E6
Όγκος απωλειών (M3)	2.68E6
Ενεργός Όγκος (M3)	2.94E6
Όγκος άμεσης απορροής (M3)	2.94E6
Όγκος βασικής απορροής (M3)	1.8E6

Βροχόπτωση και Απορροή



Υπολεκάνη: EL0514FR003045

Έκταση (KM2) : 19.47

Κατάντη : J26

Μέθοδος Απωλειών: SCS

Ποσοστό αδιαπέρατης επιφάνειας	0
Αριθμός Καμπύλης Απορροής-CN	43.49
Αρχικές Απώλειες	66.01

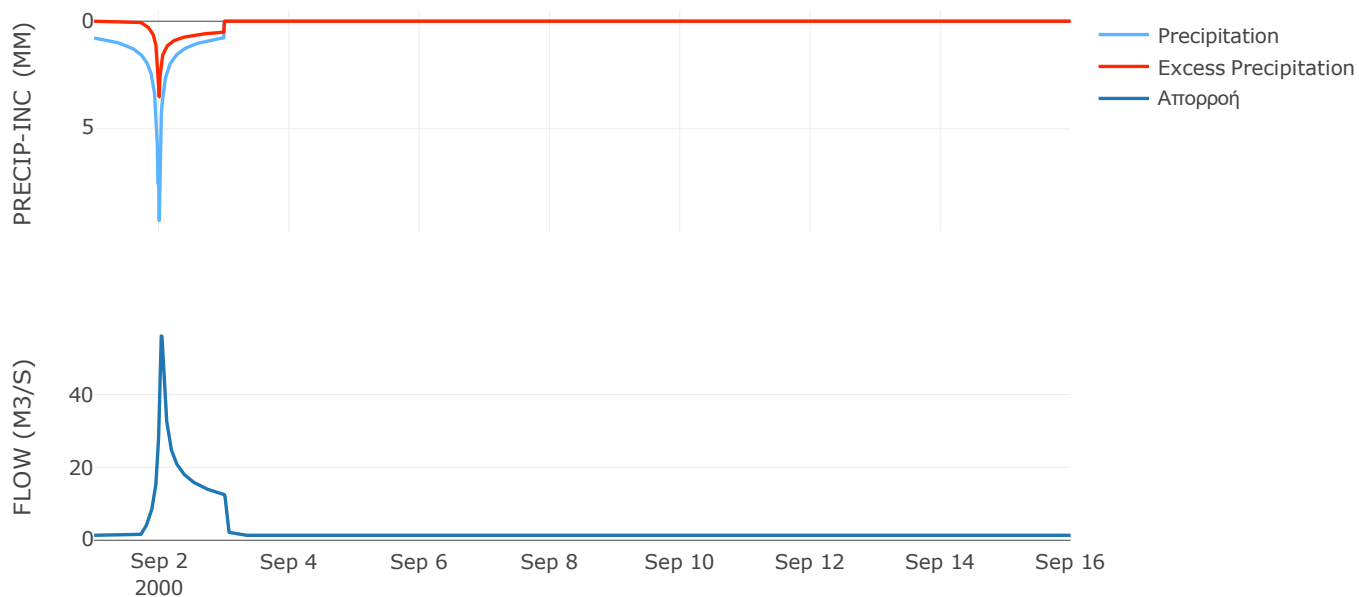
Μέθοδος
Μετασχηματισμού: SCS

Χρόνος Υστέρησης	40.5
------------------	------

Αποτελέσματα:
EL0514FR003045

Παροχή αιχμής (M3/S)	56.08
Χρονική στιγμή αιχμής	02Sep2000, 00:45
Όγκος (MM)	186.65
Όγκος βροχόπτωσης (M3)	5.81E6
Όγκος απωλειών (M3)	3.94E6
Ενεργός Όγκος (M3)	1.87E6
Όγκος άμεσης απορροής (M3)	1.87E6
Όγκος βασικής απορροής (M3)	1.77E6

Βροχόπτωση και Απορροή



Υπολεκάνη: EL0514FR003046

Έκταση (KM2) : 5.63

Κατάντη : J24

Μέθοδος Απωλειών: SCS

Ποσοστό αδιαπέρατης επιφάνειας	0
Αριθμός Καμπύλης Απορροής-CN	64.24
Αρχικές Απώλειες	28.28

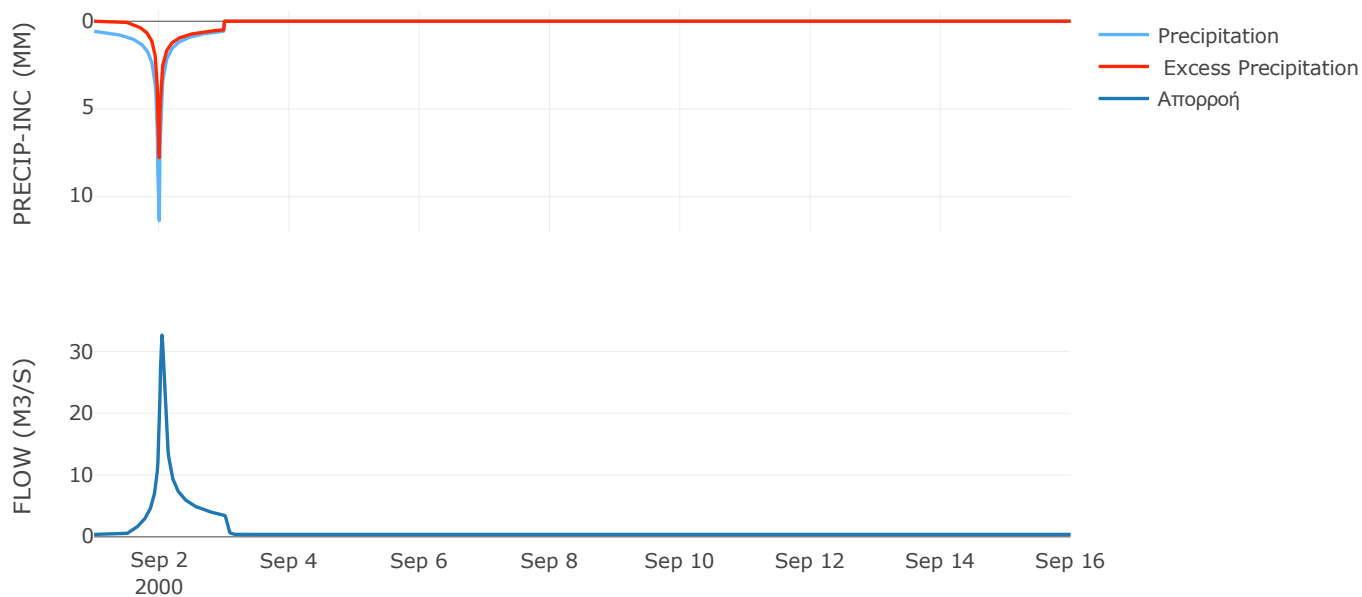
Μέθοδος
Μετασχηματισμού: SCS

Χρόνος Υστέρησης	52.65
------------------	-------

Αποτελέσματα:
EL0514FR003046

Παροχή αιχμής (M3/S)	32.64
Χρονική στιγμή αιχμής	02Sep2000, 01:00
Όγκος (MM)	237.24
Όγκος βροχόπτωσης (M3)	1.48E6
Όγκος απωλειών (M3)	6.56E5
Ενεργός Όγκος (M3)	8.25E5
Όγκος άμεσης απορροής (M3)	8.25E5
Όγκος βασικής απορροής (M3)	5.11E5

Βροχόπτωση και Απορροή



Υπολεκάνη: EL0514FR003047

Έκταση (KM2) : 17.53

Κατάντη : J25

Μέθοδος Απωλειών: SCS

Ποσοστό αδιαπέρατης επιφάνειας	0
Αριθμός Καμπύλης Απορροής-CN	63.23
Αρχικές Απώλειες	29.54

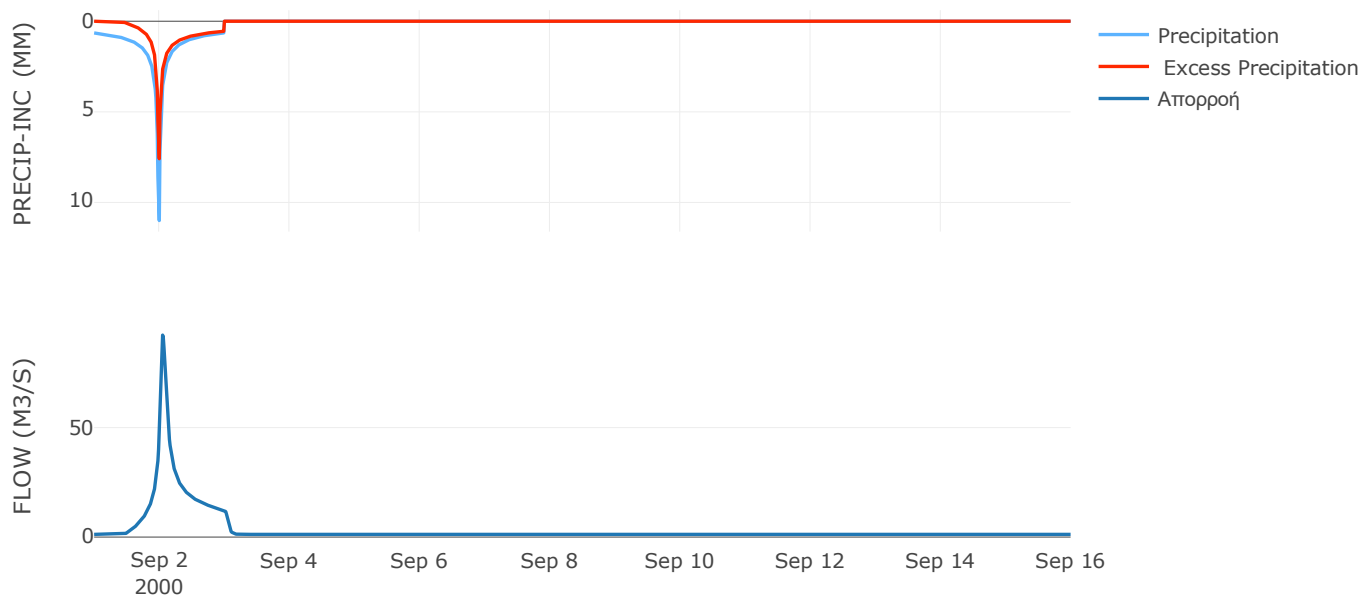
Μέθοδος
Μετασχηματισμού: SCS

Χρόνος Υστέρησης	69.95
------------------	-------

Αποτελέσματα:
EL0514FR003047

Παροχή αιχμής (M3/S)	92.24
Χρονική στιγμή αιχμής	02Sep2000, 01:15
Όγκος (MM)	248.62
Όγκος βροχόπτωσης (M3)	4.92E6
Όγκος απωλειών (M3)	2.15E6
Ενεργός Όγκος (M3)	2.77E6
Όγκος άμεσης απορροής (M3)	2.77E6
Όγκος βασικής απορροής (M3)	1.59E6

Βροχόπτωση και Απορροή



Υπολεκάνη: EL0514FR003048

Έκταση (KM2) : 3.98

Κατάντη : J25

Μέθοδος Απωλειών: SCS

Ποσοστό αδιαπέρατης επιφάνειας	0
Αριθμός Καμπύλης Απορροής-CN	63.27
Αρχικές Απώλειες	29.5

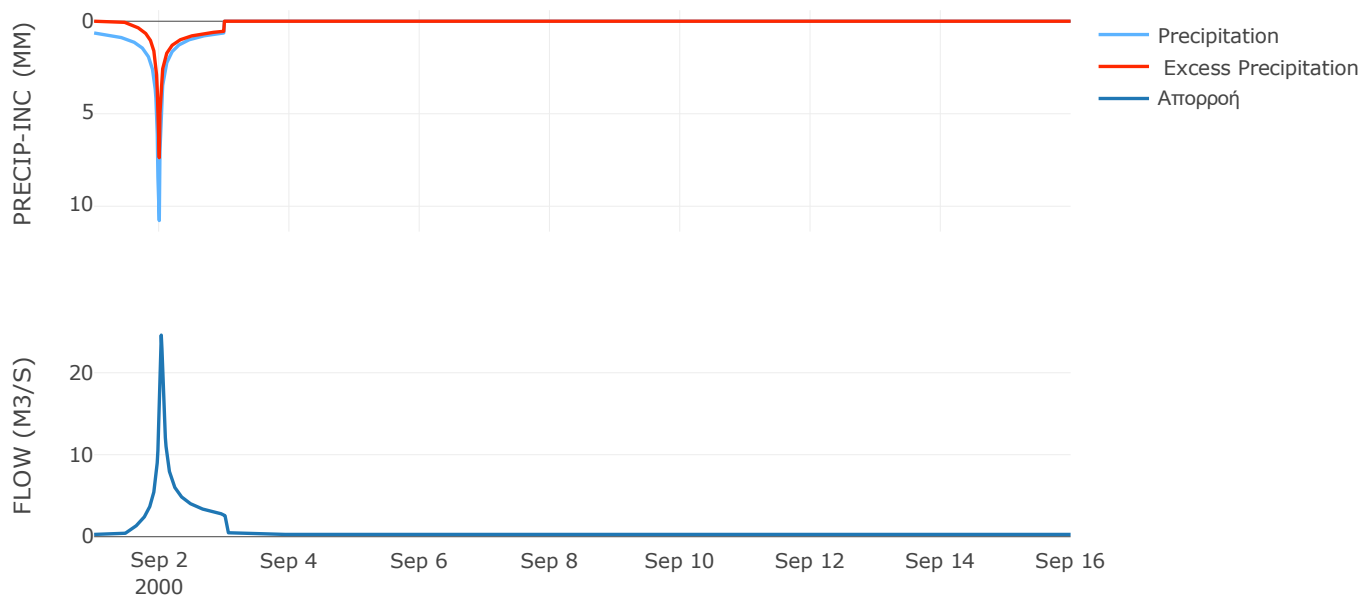
Μέθοδος
Μετασχηματισμού: SCS

Χρόνος Υστέρησης	35.73
------------------	-------

Αποτελέσματα:
EL0514FR003048

Παροχή αιχμής (M3/S)	24.59
Χρονική στιγμή αιχμής	02Sep2000, 00:45
Όγκος (MM)	244.75
Όγκος βροχόπτωσης (M3)	1.1E6
Όγκος απωλειών (M3)	4.85E5
Ενεργός Όγκος (M3)	6.14E5
Όγκος άμεσης απορροής (M3)	6.14E5
Όγκος βασικής απορροής (M3)	3.61E5

Βροχόπτωση και Απορροή



Υπολεκάνη: EL0514FR003049

Έκταση (KM2) : 37.37

Κατάντη : J26

Μέθοδος Απωλειών: SCS

Ποσοστό αδιαπέρατης επιφάνειας	0
Αριθμός Καμπύλης Απορροής-CN	55.21
Αρχικές Απώλειες	41.21

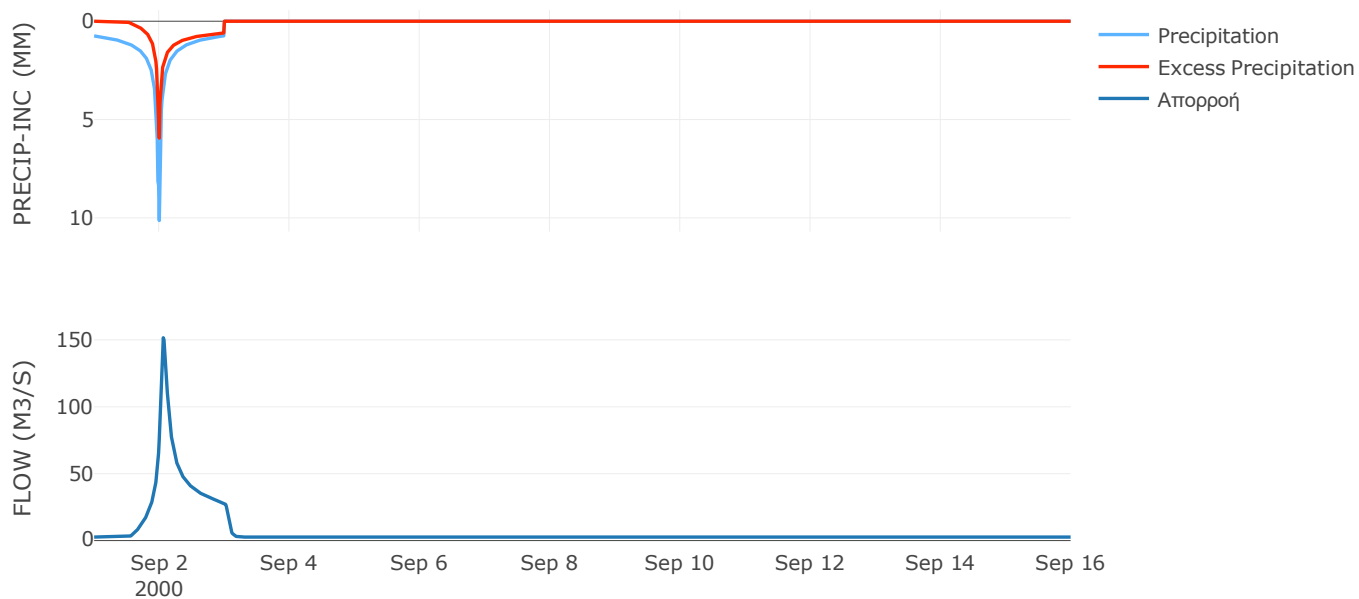
Μέθοδος
Μετασχηματισμού: SCS

Χρόνος Υστέρησης	80.39
------------------	-------

Αποτελέσματα:
EL0514FR003049

Παροχή αιχμής (M3/S)	151.6
Χρονική στιγμή αιχμής	02Sep2000, 01:30
Όγκος (MM)	233.92
Όγκος βροχόπτωσης (M3)	1.12E7
Όγκος απωλειών (M3)	5.82E6
Ενεργός Όγκος (M3)	5.35E6
Όγκος άμεσης απορροής (M3)	5.35E6
Όγκος βασικής απορροής (M3)	3.39E6

Βροχόπτωση και Απορροή



Υπολεκάνη: EL0514FR003051

Έκταση (KM2) : 17.16

Κατάντη : J27

Μέθοδος Απωλειών: SCS

Ποσοστό αδιαπέρατης επιφάνειας	0
Αριθμός Καμπύλης Απορροής-CN	63.38
Αρχικές Απώλειες	29.36

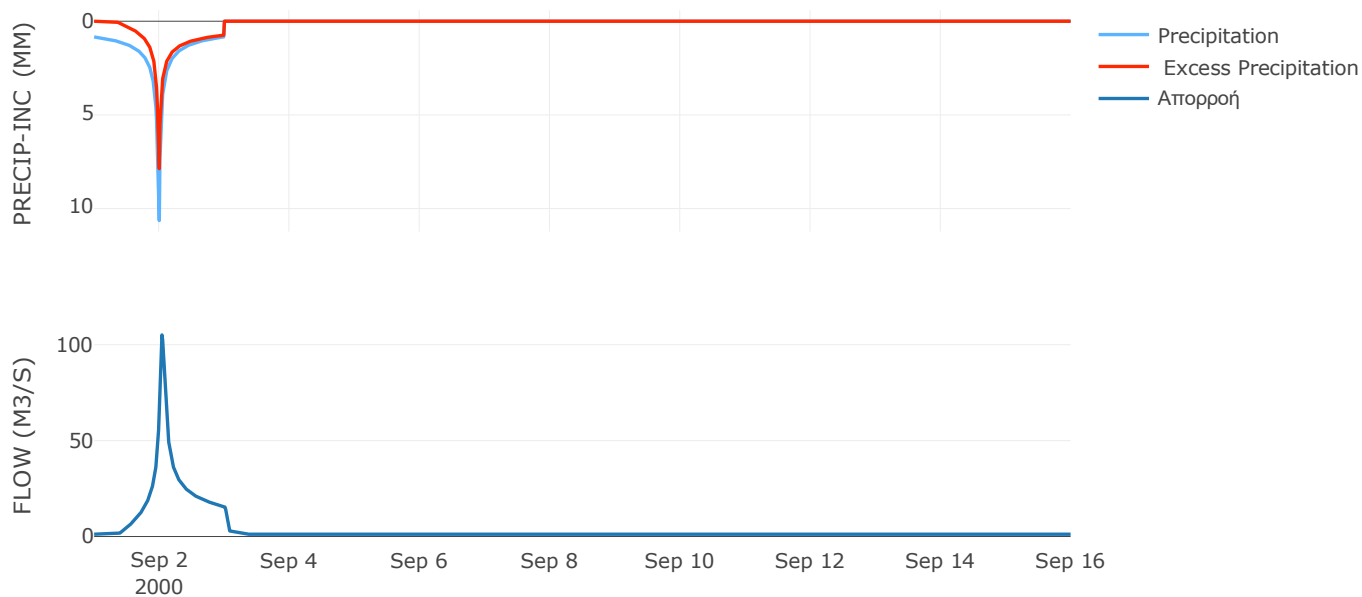
Μέθοδος
Μετασχηματισμού: SCS

Χρόνος Υστέρησης	54.63
------------------	-------

Αποτελέσματα:
EL0514FR003051

Παροχή αιχμής (M3/S)	105.1
Χρονική στιγμή αιχμής	02Sep2000, 01:00
Όγκος (MM)	290.73
Όγκος βροχόπτωσης (M3)	5.62E6
Όγκος απωλειών (M3)	2.19E6
Ενεργός Όγκος (M3)	3.43E6
Όγκος άμεσης απορροής (M3)	3.43E6
Όγκος βασικής απορροής (M3)	1.56E6

Βροχόπτωση και Απορροή



Υπολεκάνη: EL0514FR003052

Έκταση (KM2) : 20.26

Κατάνη : J27

Μέθοδος Απωλειών: SCS

Ποσοστό αδιαπέρατης επιφάνειας	0
Αριθμός Καμπύλης Απορροής-CN	63.81
Αρχικές Απώλειες	28.81

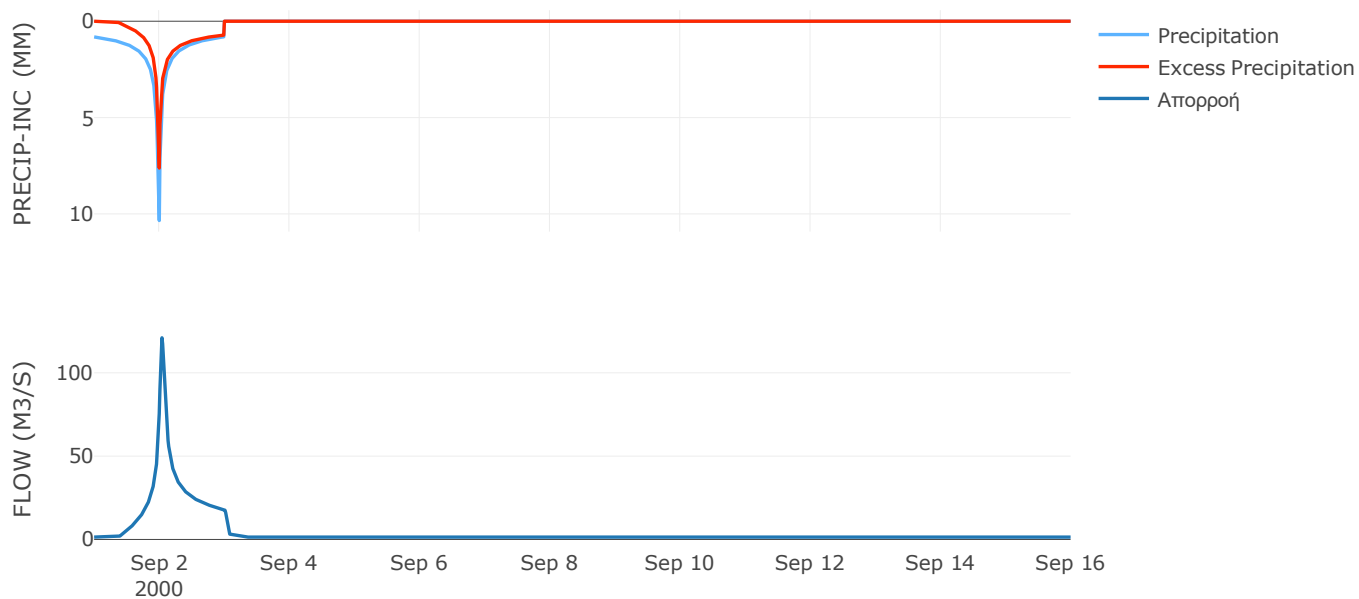
Μέθοδος
Μετασχηματισμού: SCS

Χρόνος Υστέρησης	53.1
------------------	------

Αποτελέσματα:
EL0514FR003052

Παροχή αιχμής (M3/S)	121
Χρονική στιγμή αιχμής	02Sep2000, 01:00
Όγκος (MM)	284
Όγκος βροχόπτωσης (M3)	6.45E6
Όγκος απωλειών (M3)	2.53E6
Ενεργός Όγκος (M3)	3.92E6
Όγκος άμεσης απορροής (M3)	3.92E6
Όγκος βασικής απορροής (M3)	1.84E6

Βροχόπτωση και Απορροή



Υπολεκάνη: EL0514FR003053

Έκταση (KM2) : 23.12

Κατάντη : J27

Μέθοδος Απωλειών: SCS

Ποσοστό αδιαπέρατης επιφάνειας	0
Αριθμός Καμπύλης Απορροής-CN	64.18
Αρχικές Απώλειες	28.35

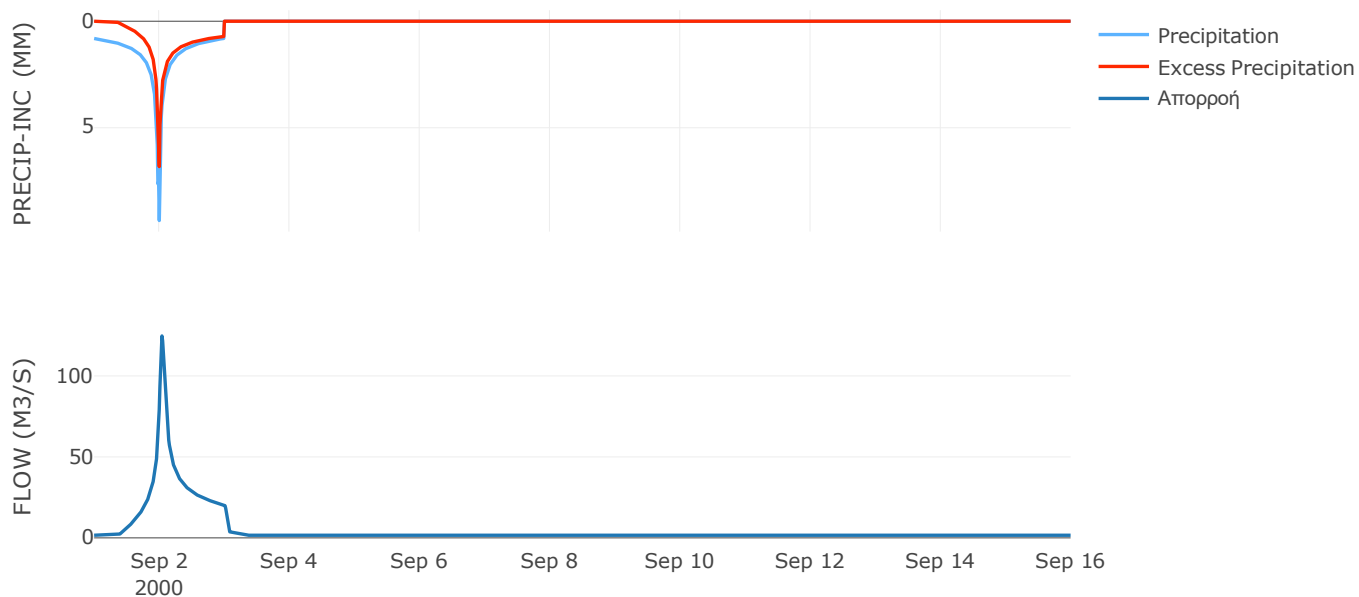
Μέθοδος
Μετασχηματισμού: SCS

Χρόνος Υστέρησης	53.85
------------------	-------

Αποτελέσματα:
EL0514FR003053

Παροχή αιχμής (M3/S)	124.69
Χρονική στιγμή αιχμής	02Sep2000, 01:00
Όγκος (MM)	275.34
Όγκος βροχόπτωσης (M3)	7.1E6
Όγκος απωλειών (M3)	2.83E6
Ενεργός Όγκος (M3)	4.27E6
Όγκος άμεσης απορροής (M3)	4.27E6
Όγκος βασικής απορροής (M3)	2.1E6

Βροχόπτωση και Απορροή



Υπολεκάνη: EL0514FR003054

Έκταση (KM2) : 25.24

Κατάντη : J28

Μέθοδος Απωλειών: SCS

Ποσοστό αδιαπέρατης επιφάνειας	0
Αριθμός Καμπύλης Απορροής-CN	49.6
Αρχικές Απώλειες	51.61

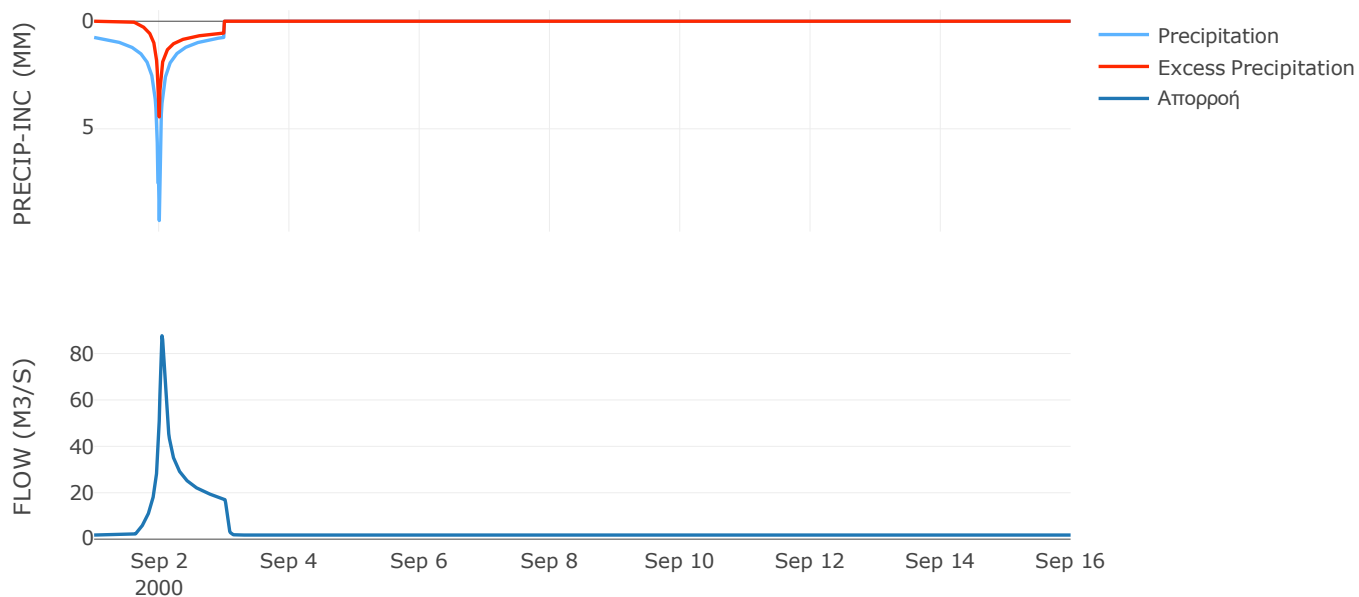
Μέθοδος
Μετασχηματισμού: SCS

Χρόνος Υστέρησης	51.84
------------------	-------

Αποτελέσματα:
EL0514FR003054

Παροχή αιχμής (M3/S)	87.68
Χρονική στιγμή αιχμής	02Sep2000, 01:00
Όγκος (MM)	206.37
Όγκος βροχόπτωσης (M3)	7.36E6
Όγκος απωλειών (M3)	4.44E6
Ενεργός Όγκος (M3)	2.92E6
Όγκος άμεσης απορροής (M3)	2.92E6
Όγκος βασικής απορροής (M3)	2.29E6

Βροχόπτωση και Απορροή



Υπολεκάνη: EL0514FR003055

Έκταση (KM2) : 14.63

Κατάντη : J29

Μέθοδος Απωλειών: SCS

Ποσοστό αδιαπέρατης επιφάνειας	0
Αριθμός Καμπύλης Απορροής-CN	56.18
Αρχικές Απώλειες	39.63

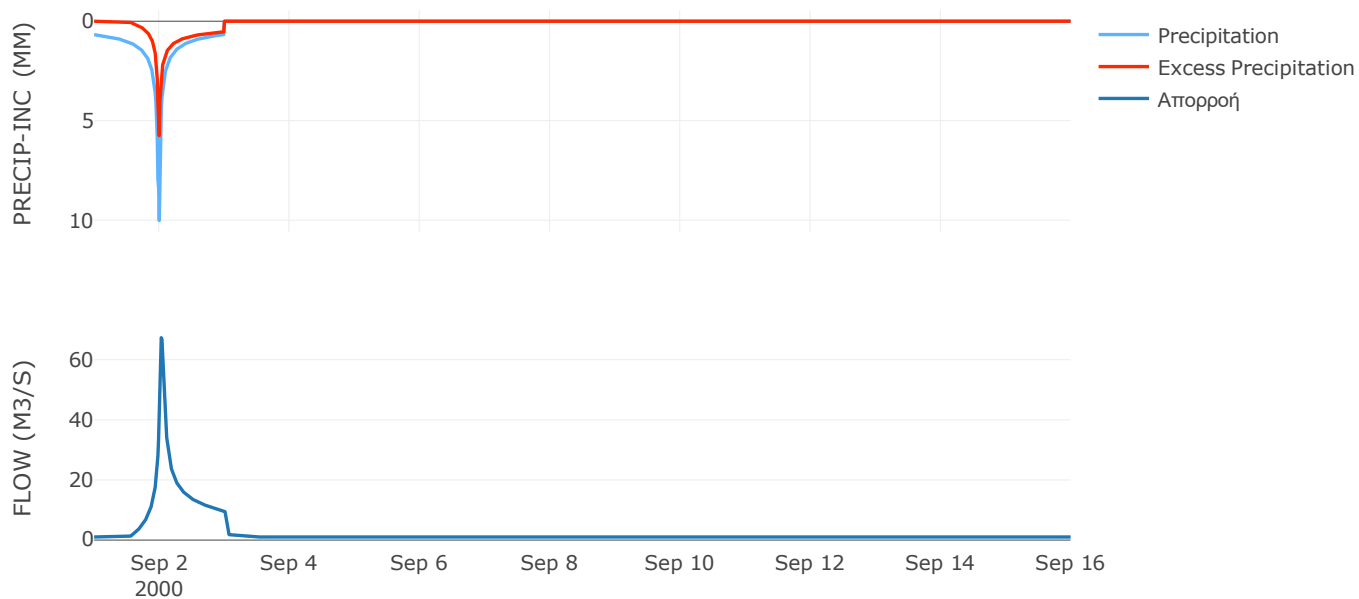
Μέθοδος
Μετασχηματισμού: SCS

Χρόνος Υστέρησης	43.29
------------------	-------

Αποτελέσματα:
EL0514FR003055

Παροχή αιχμής (M3/S)	67.31
Χρονική στιγμή αιχμής	02Sep2000, 00:45
Όγκος (MM)	221.18
Όγκος βροχόπτωσης (M3)	4.07E6
Όγκος απωλειών (M3)	2.16E6
Ενεργός Όγκος (M3)	1.91E6
Όγκος άμεσης απορροής (M3)	1.91E6
Όγκος βασικής απορροής (M3)	1.33E6

Βροχόπτωση και Απορροή



Υπολεκάνη: EL0514FR003056

Έκταση (KM2) : 25.33

Κατάντη : J29

Μέθοδος Απωλειών: SCS

Ποσοστό αδιαπέρατης επιφάνειας	0
Αριθμός Καμπύλης Απορροής-CN	51.75
Αρχικές Απώλειες	47.36

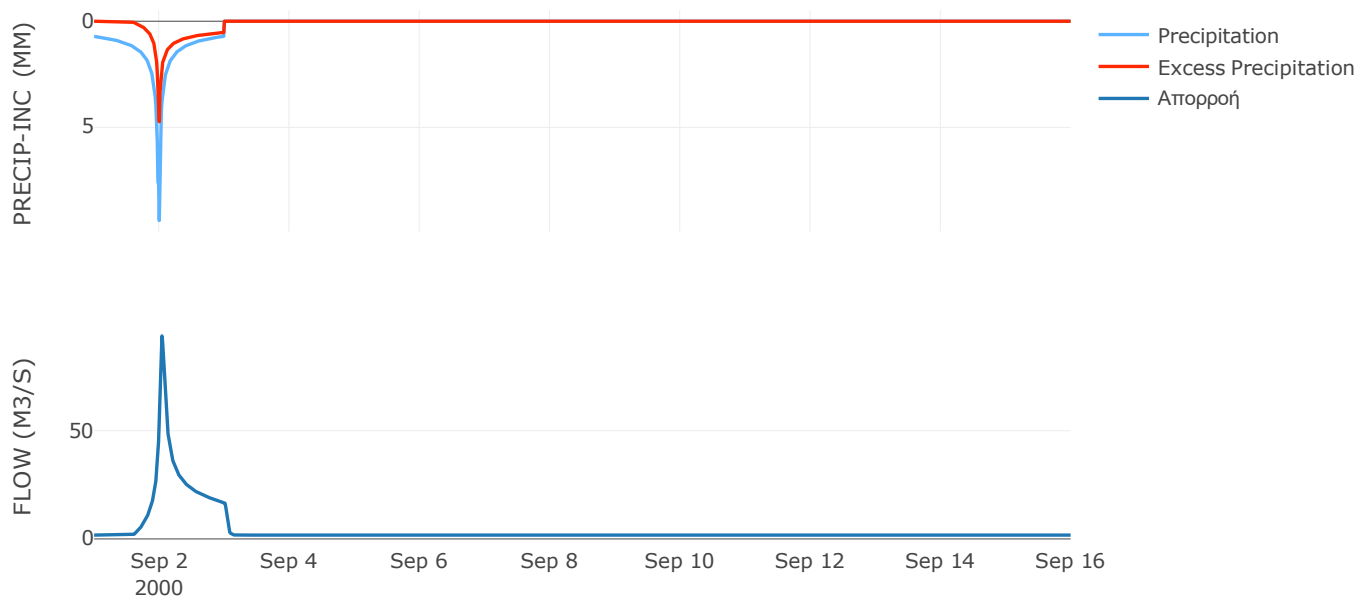
Μέθοδος
Μετασχηματισμού: SCS

Χρόνος Υστέρησης	50.12
------------------	-------

Αποτελέσματα:
EL0514FR003056

Παροχή αιχμής (M3/S)	93.81
Χρονική στιγμή αιχμής	02Sep2000, 01:00
Όγκος (MM)	207.62
Όγκος βροχόπτωσης (M3)	7.15E6
Όγκος απωλειών (M3)	4.19E6
Ενεργός Όγκος (M3)	2.96E6
Όγκος άμεσης απορροής (M3)	2.96E6
Όγκος βασικής απορροής (M3)	2.3E6

Βροχόπτωση και Απορροή



Υπολεκάνη: EL0514FR003057

Έκταση (KM2) : 14.19

Κατάντη : J28

Μέθοδος Απωλειών: SCS

Ποσοστό αδιαπέρατης επιφάνειας	0
Αριθμός Καμπύλης Απορροής-CN	63.61
Αρχικές Απώλειες	29.06

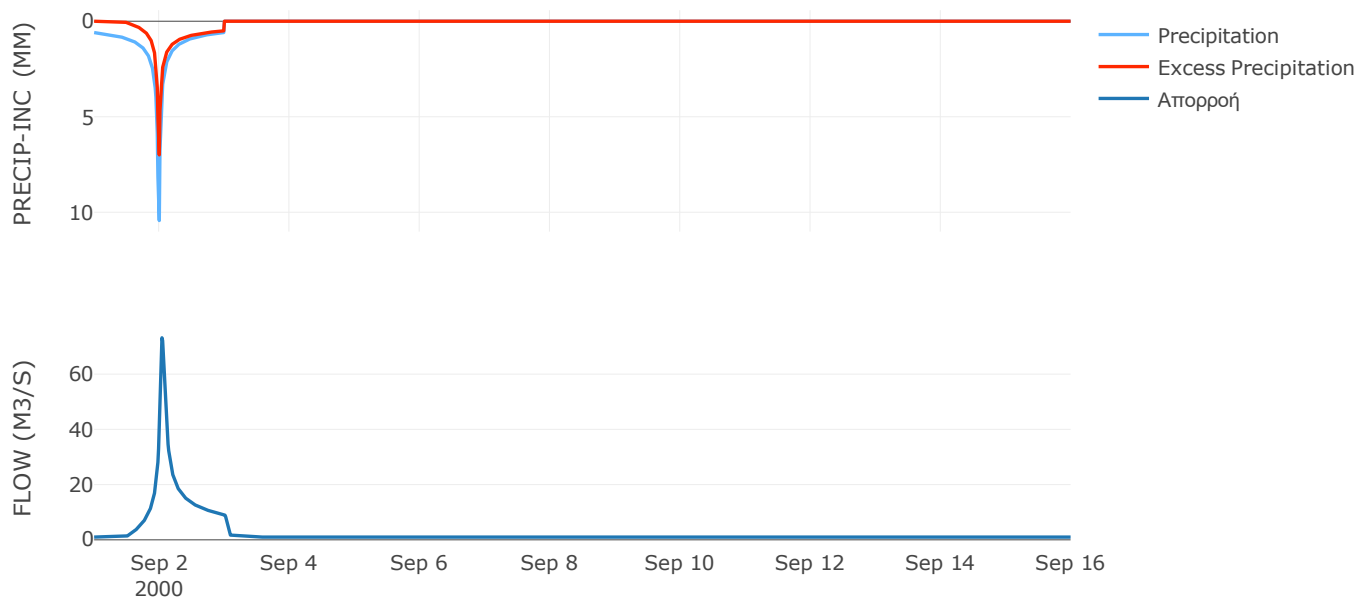
Μέθοδος
Μετασχηματισμού: SCS

Χρόνος Υστέρησης	56.78
------------------	-------

Αποτελέσματα:
EL0514FR003057

Παροχή αιχμής (M3/S)	73.16
Χρονική στιγμή αιχμής	02Sep2000, 01:00
Όγκος (MM)	233.16
Όγκος βροχόπτωσης (M3)	3.7E6
Όγκος απωλειών (M3)	1.68E6
Ενεργός Όγκος (M3)	2.02E6
Όγκος άμεσης απορροής (M3)	2.02E6
Όγκος βασικής απορροής (M3)	1.29E6

Βροχόπτωση και Απορροή



Υπολεκάνη: EL0514FR003058

Έκταση (KM2) : 75.13

Κατάνη : J4 Res1

Μέθοδος Απωλειών: SCS

Ποσοστό αδιαπέρατης επιφάνειας	0.15
Αριθμός Καμπύλης Απορροής-CN	67.45
Αρχικές Απώλειες	24.52

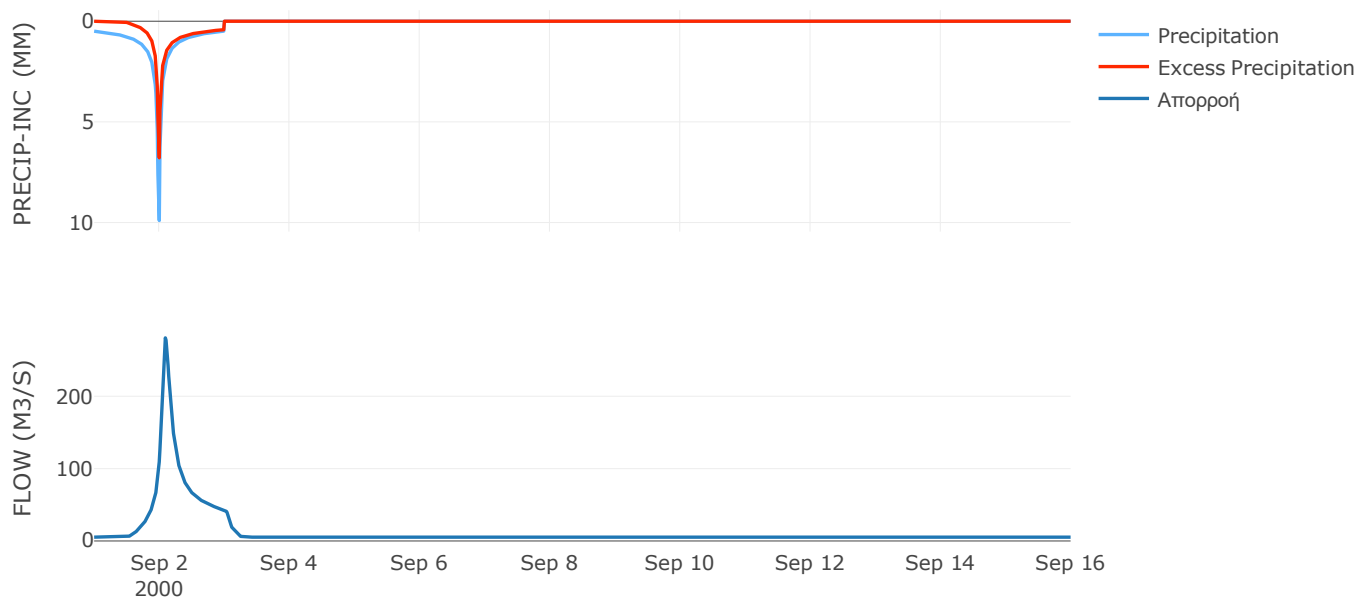
Μέθοδος
Μετασχηματισμού: SCS

Χρόνος Υστέρησης	119.93
------------------	--------

Αποτελέσματα:
EL0514FR003058

Παροχή αιχμής (M3/S)	280.77
Χρονική στιγμή αιχμής	02Sep2000, 02:15
Όγκος (MM)	217.87
Όγκος βροχόπτωσης (M3)	1.71E7
Όγκος απωλειών (M3)	7.58E6
Ενεργός Όγκος (M3)	9.55E6
Όγκος άμεσης απορροής (M3)	9.55E6
Όγκος βασικής απορροής (M3)	6.82E6

Βροχόπτωση και Απορροή



Υπολεκάνη: EL0514FR003059

Έκταση (KM2) : 14.46

Κατάντη : J3

Μέθοδος Απωλειών: SCS

Ποσοστό αδιαπέρατης επιφάνειας	0
Αριθμός Καμπύλης Απορροής-CN	62.2
Αρχικές Απώλειες	30.87

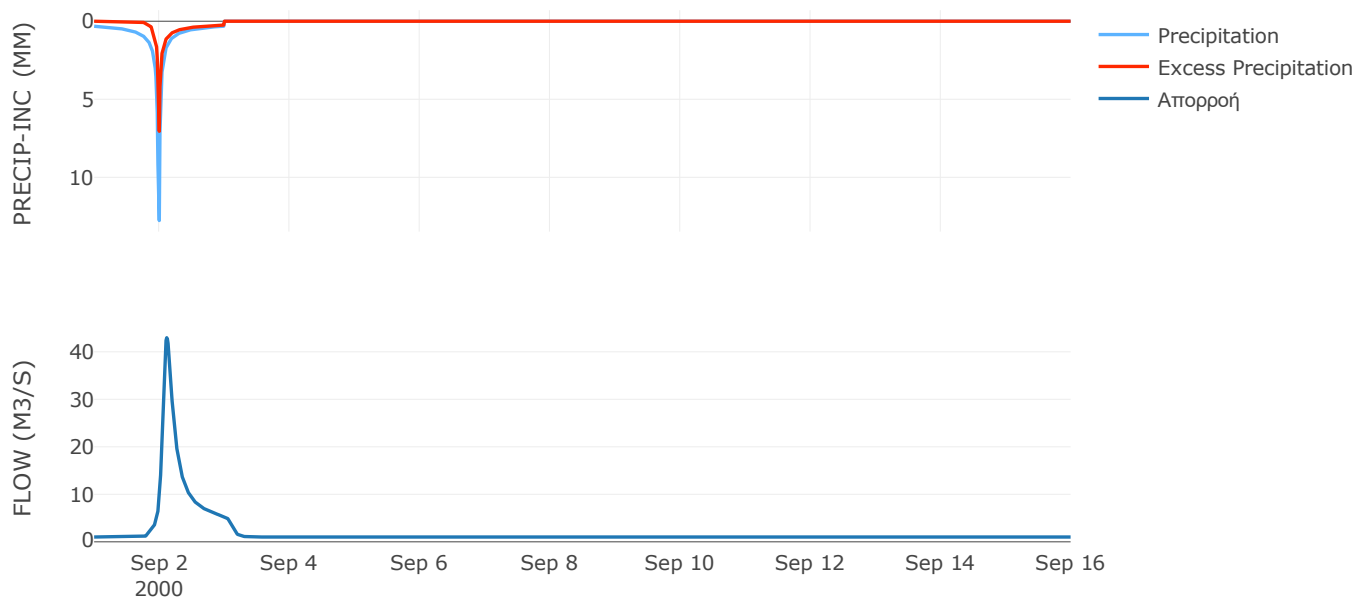
Μέθοδος
Μετασχηματισμού: SCS

Χρόνος Υστέρησης	146.02
------------------	--------

Αποτελέσματα:
EL0514FR003059

Παροχή αιχμής (M3/S)	42.96
Χρονική στιγμή αιχμής	02Sep2000, 02:45
Όγκος (MM)	177.07
Όγκος βροχόπτωσης (M3)	2.85E6
Όγκος απωλειών (M3)	1.6E6
Ενεργός Όγκος (M3)	1.25E6
Όγκος άμεσης απορροής (M3)	1.25E6
Όγκος βασικής απορροής (M3)	1.31E6

Βροχόπτωση και Απορροή



Υπολεκάνη: EL0514FR003060

Έκταση (KM2) : 25.82

Κατάνη : J1

Μέθοδος Απωλειών: SCS

Ποσοστό αδιαπέρατης επιφάνειας	0
Αριθμός Καμπύλης Απορροής-CN	61.43
Αρχικές Απώλειες	31.89

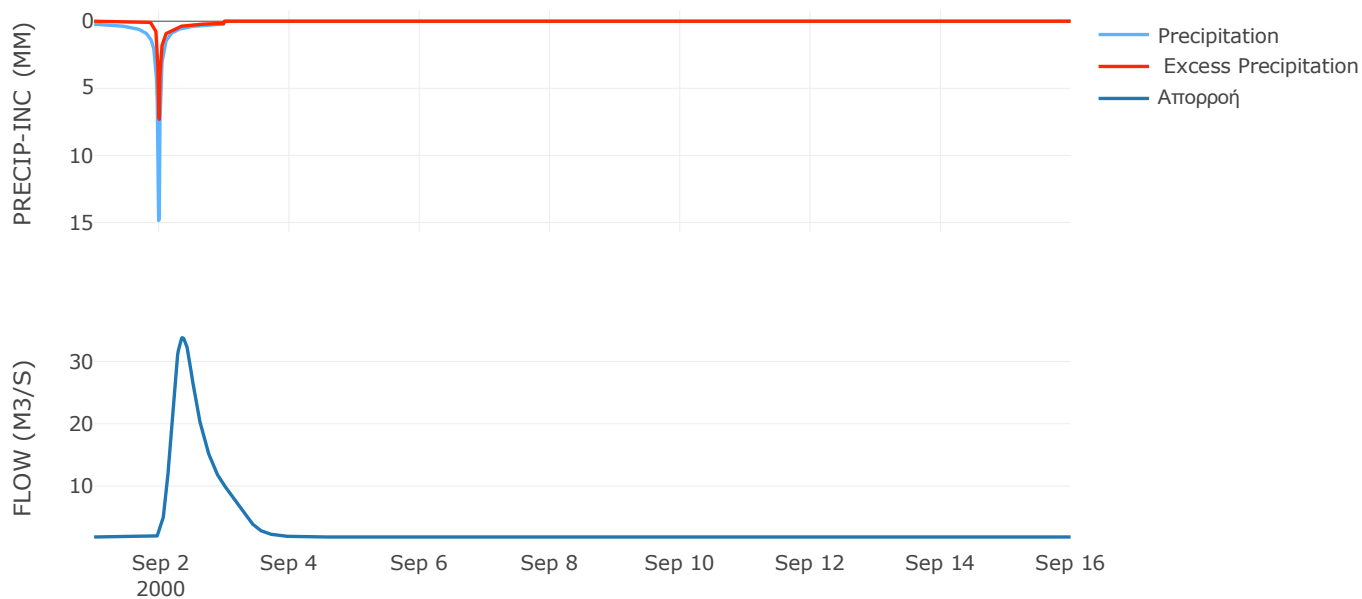
Μέθοδος
Μετασχηματισμού: SCS

Χρόνος Υστέρησης	443.58
------------------	--------

Αποτελέσματα:
EL0514FR003060

Παροχή αιχμής (M3/S)	33.82
Χρονική στιγμή αιχμής	02Sep2000, 08:30
Όγκος (MM)	158.36
Όγκος βροχόπτωσης (M3)	4.52E6
Όγκος απωλειών (M3)	2.77E6
Ενεργός Όγκος (M3)	1.75E6
Όγκος άμεσης απορροής (M3)	1.75E6
Όγκος βασικής απορροής (M3)	2.34E6

Βροχόπτωση και Απορροή



Υπολεκάνη: EL0514FR003061

Έκταση (KM2) : 37.42

Κατάντη : J16

Μέθοδος Απωλειών: SCS

Ποσοστό αδιαπέρατης επιφάνειας	0
Αριθμός Καμπύλης Απορροής-CN	56.42
Αρχικές Απώλειες	39.24

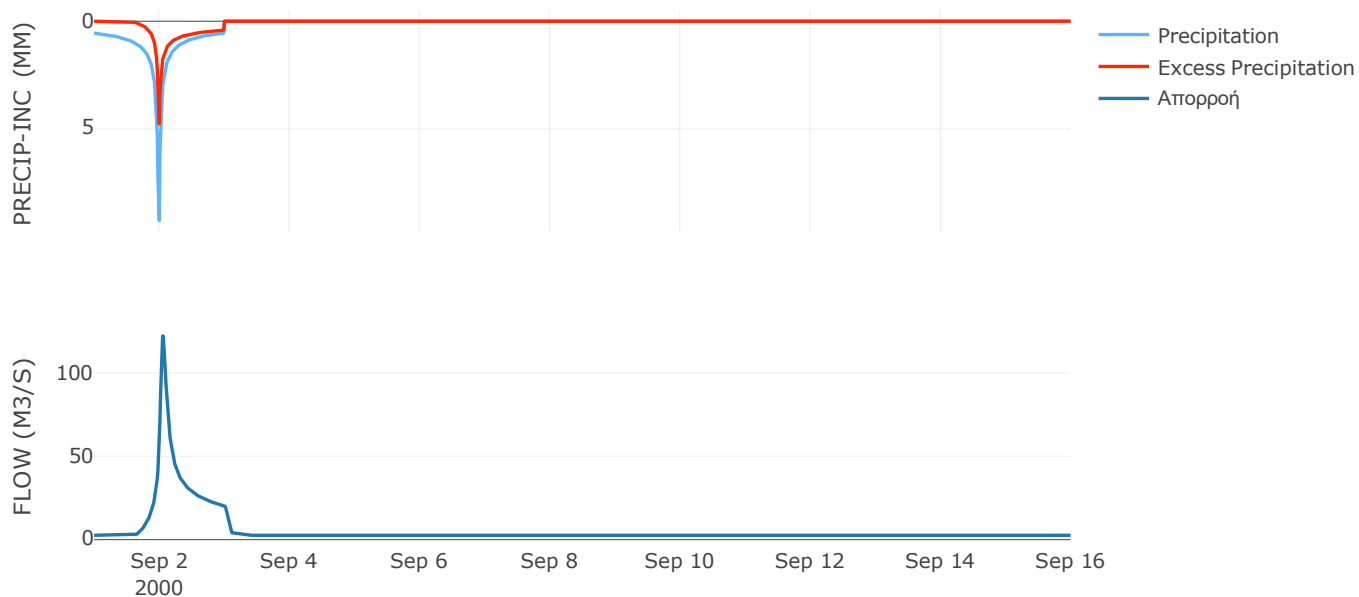
Μέθοδος
Μετασχηματισμού: SCS

Χρόνος Υστέρησης	69.87
------------------	-------

Αποτελέσματα:
EL0514FR003061

Παροχή αιχμής (M3/S)	122.12
Χρονική στιγμή αιχμής	02Sep2000, 01:15
Όγκος (MM)	190.69
Όγκος βροχόπτωσης (M3)	8.9E6
Όγκος απωλειών (M3)	5.16E6
Ενεργός Όγκος (M3)	3.74E6
Όγκος άμεσης απορροής (M3)	3.74E6
Όγκος βασικής απορροής (M3)	3.39E6

Βροχόπτωση και Απορροή



Υπολεκάνη: EL0514FR003062

Έκταση (KM2) : 48.98

Κατάντη : J16

Μέθοδος Απωλειών: SCS

Ποσοστό αδιαπέρατης επιφάνειας	0
Αριθμός Καμπύλης Απορροής-CN	62.92
Αρχικές Απώλειες	29.94

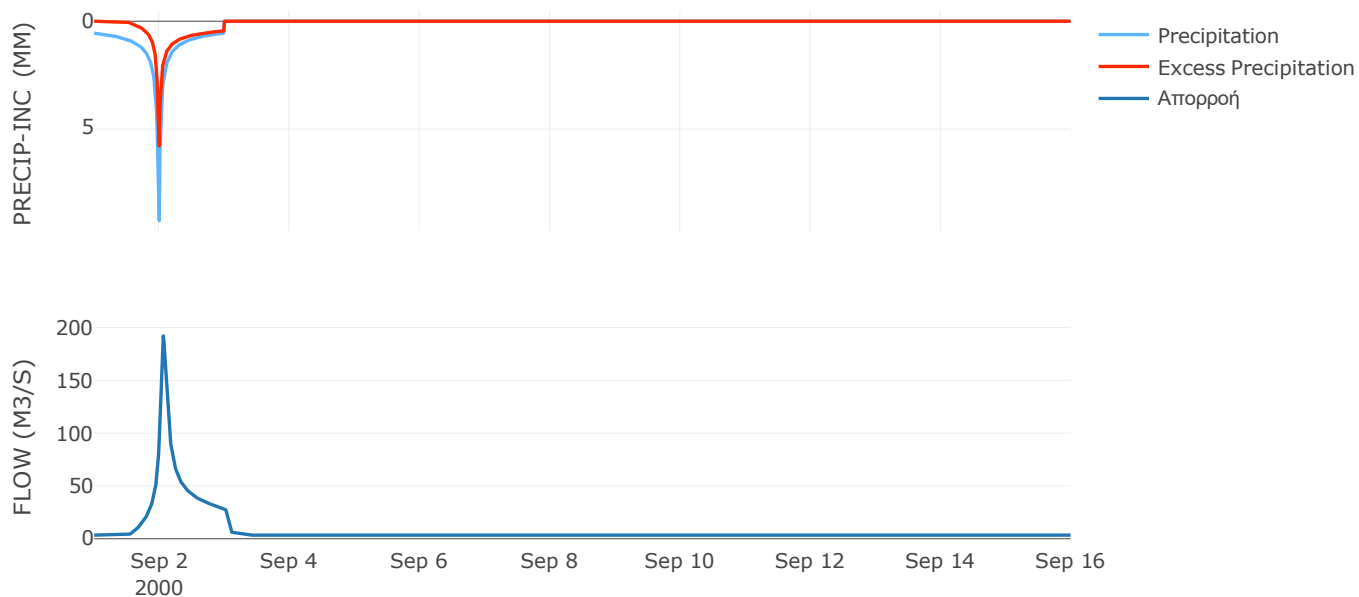
Μέθοδος
Μετασχηματισμού: SCS

Χρόνος Υστέρησης	74.48
------------------	-------

Αποτελέσματα:
EL0514FR003062

Παροχή αιχμής (M3/S)	192.08
Χρονική στιγμή αιχμής	02Sep2000, 01:30
Όγκος (MM)	211.78
Όγκος βροχόπτωσης (M3)	1.17E7
Όγκος απωλειών (M3)	5.73E6
Ενεργός Όγκος (M3)	5.93E6
Όγκος άμεσης απορροής (M3)	5.93E6
Όγκος βασικής απορροής (M3)	4.44E6

Βροχόπτωση και Απορροή



Υπολεκάνη: EL0514FR003063

Έκταση (KM2) : 28.06

Κατάντη : J4 Res1

Μέθοδος Απωλειών: SCS

Ποσοστό αδιαπέρατης επιφάνειας	0
Αριθμός Καμπύλης Απορροής-CN	45.2
Αρχικές Απώλειες	61.58

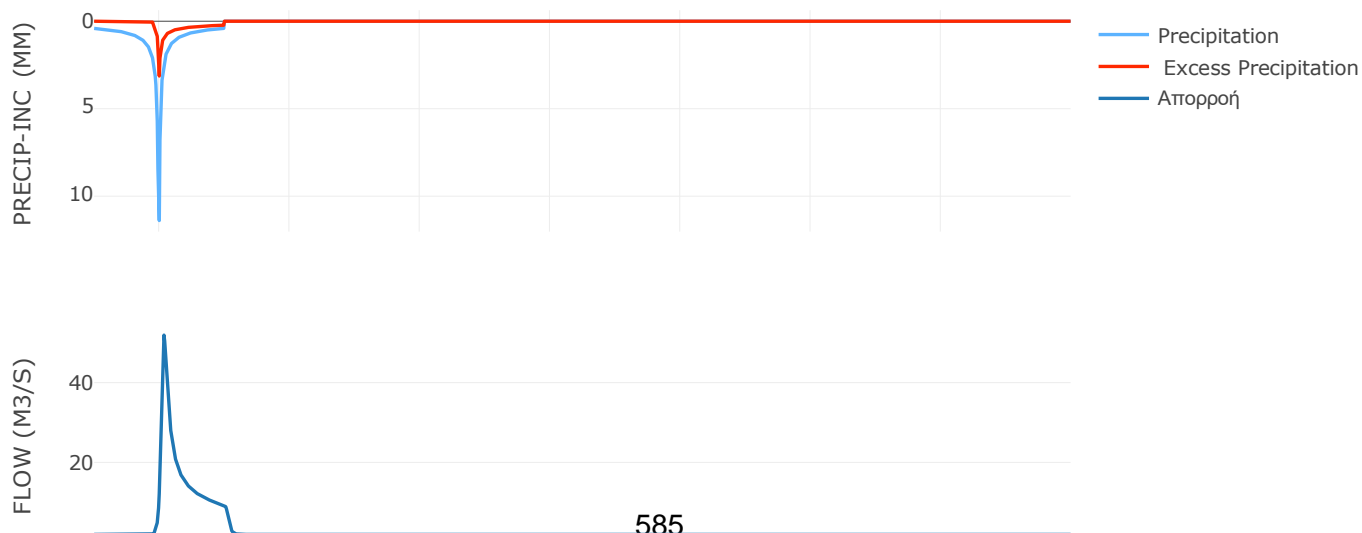
Μέθοδος
Μετασχηματισμού: SCS

Χρόνος Υστέρησης	77.73
------------------	-------

Αποτελέσματα:
EL0514FR003063

Παροχή αιχμής (M3/S)	51.9
Χρονική στιγμή αιχμής	02Sep2000, 01:45
Όγκος (MM)	142.17
Όγκος βροχόπτωσης (M3)	6.05E6
Όγκος απωλειών (M3)	4.61E6
Ενεργός Όγκος (M3)	1.44E6
Όγκος άμεσης απορροής (M3)	1.44E6
Όγκος βασικής απορροής (M3)	2.55E6

Βροχόπτωση και Απορροή



Υπολεκάνη: EL0514FR003065

Έκταση (KM2) : 8.81

Κατάντη : J13

Μέθοδος Απωλειών: SCS

Ποσοστό αδιαπέρατης επιφάνειας	0
Αριθμός Καμπύλης Απορροής-CN	50.09
Αρχικές Απώλειες	50.61

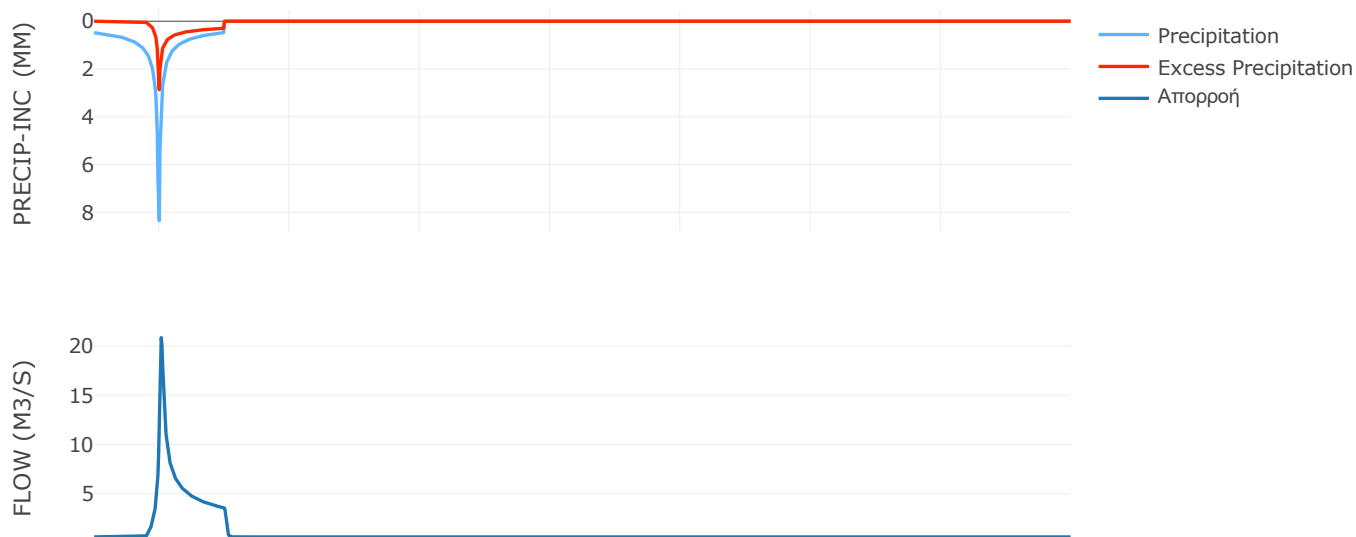
Μέθοδος
Μετασχηματισμού: SCS

Χρόνος Υστέρησης	35.58
------------------	-------

Αποτελέσματα:
EL0514FR003065

Παροχή αιχμής (M3/S)	20.84
Χρονική στιγμή αιχμής	02Sep2000, 00:45
Όγκος (MM)	152
Όγκος βροχόπτωσης (M3)	1.85E6
Όγκος απωλειών (M3)	1.31E6
Ενεργός Όγκος (M3)	5.4E5
Όγκος άμεσης απορροής (M3)	5.4E5
Όγκος βασικής απορροής (M3)	7.99E5

Βροχόπτωση και Απορροή



Υπολεκάνη: EL0514FR003066

Έκταση (KM2) : 6.92

Κατάντη : J5

Μέθοδος Απωλειών: SCS

Ποσοστό αδιαπέρατης επιφάνειας	0.22
Αριθμός Καμπύλης Απορροής-CN	72.13
Αρχικές Απώλειες	19.63

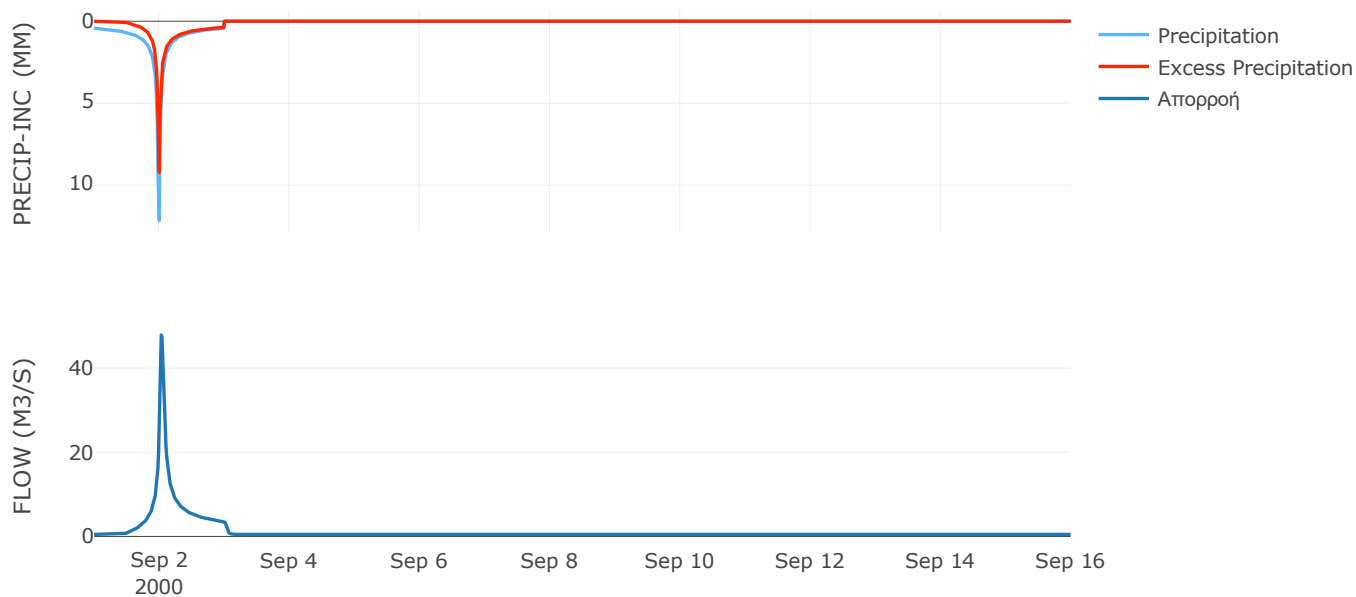
Μέθοδος
Μετασχηματισμού: SCS

Χρόνος Υστέρησης	46.31
------------------	-------

Αποτελέσματα:
EL0514FR003066

Παροχή αιχμής (M3/S)	47.84
Χρονική στιγμή αιχμής	02Sep2000, 00:45
Όγκος (MM)	230.69
Όγκος βροχόπτωσης (M3)	1.56E6
Όγκος απωλειών (M3)	5.94E5
Ενεργός Όγκος (M3)	9.68E5
Όγκος άμεσης απορροής (M3)	9.68E5
Όγκος βασικής απορροής (M3)	6.27E5

Βροχόπτωση και Απορροή



Υπολεκάνη: EL0514FR003067

Έκταση (KM2) : 46.66

Κατάντη : J2

Μέθοδος Απωλειών: SCS

Ποσοστό αδιαπέρατης επιφάνειας	0
Αριθμός Καμπύλης Απορροής-CN	57.2
Αρχικές Απώλειες	38.02

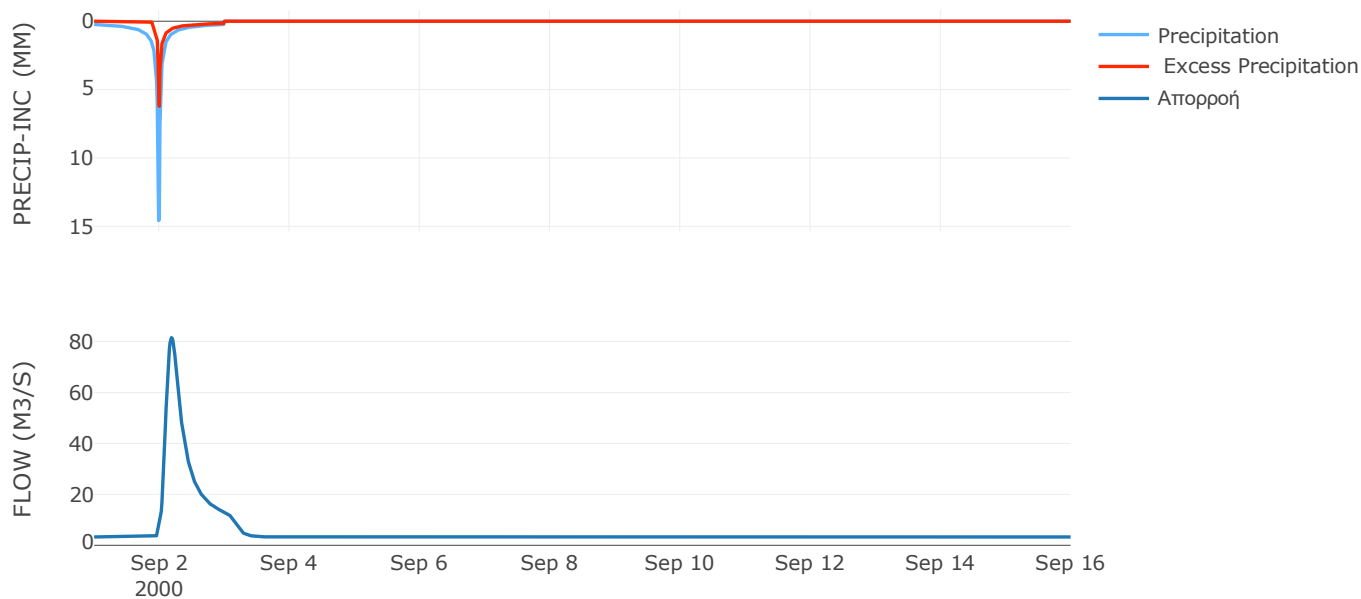
Μέθοδος
Μετασχηματισμού: SCS

Χρόνος Υστέρησης	229.38
------------------	--------

Αποτελέσματα:
EL0514FR003067

Παροχή αιχμής (M3/S)	81.5
Χρονική στιγμή αιχμής	02Sep2000, 04:30
Όγκος (MM)	150.7
Όγκος βροχόπτωσης (M3)	8.35E6
Όγκος απωλειών (M3)	5.55E6
Ενεργός Όγκος (M3)	2.8E6
Όγκος άμεσης απορροής (M3)	2.8E6
Όγκος βασικής απορροής (M3)	4.23E6

Βροχόπτωση και Απορροή



6.2 Δεδομένα και υδρογραφήματα σχεδιασμού Κλάδων υδρογραφικού δικτύου

Κλάδος: R21

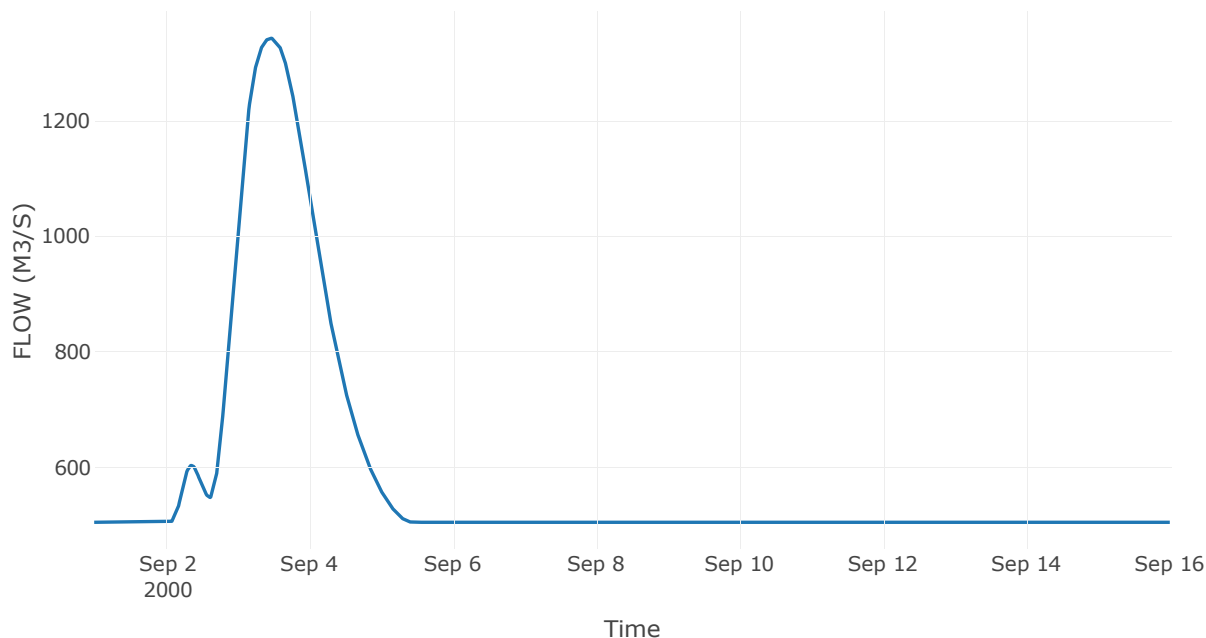
Κατάντη : J1

Μέθοδος Διόδευσης	Muskingum
Αρχική Μεταβλητή	Combined Inflow
Muskingum K	2.69
Συντελεστής βάρους x	0.2
Πλήθος Υποκλάδων	11

Αποτελέσματα: R21

Παροχή Αιχμής(M3/S)	1343.56
Χρονική στιγμή αιχμής	03Sep2000, 11:00
Όγκος(MM)	398.84
Παροχή Αιχμής Εισόδου (M3/S)	1344.11
Όγκος Εισροής(M3)	7.51E8

Απορροή



Κλάδος: R32

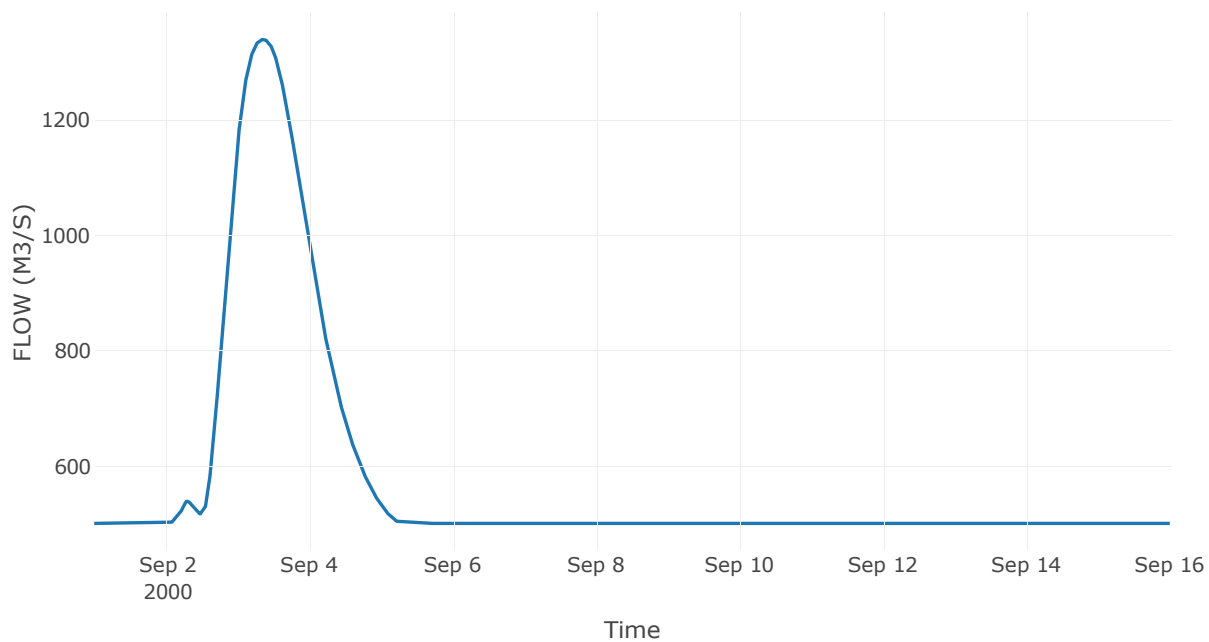
Κατάντη : J2

Μέθοδος Διόδευσης	Muskingum
Αρχική Μεταβλητή	Combined Inflow
Muskingum K	4.22
Συντελεστής βάρους x	0.2
Πλήθος Υποκλάδων	18

Αποτελέσματα: R32

Παροχή Αιχμής(M3/S)	1340.01
Χρονική στιγμή αιχμής	03Sep2000, 08:30
Όγκος(MM)	405.15
Παροχή Αιχμής Εισόδου (M3/S)	1340.82
Όγκος Εισροής(M3)	7.44E8

Απορροή



Κλάδος: R43

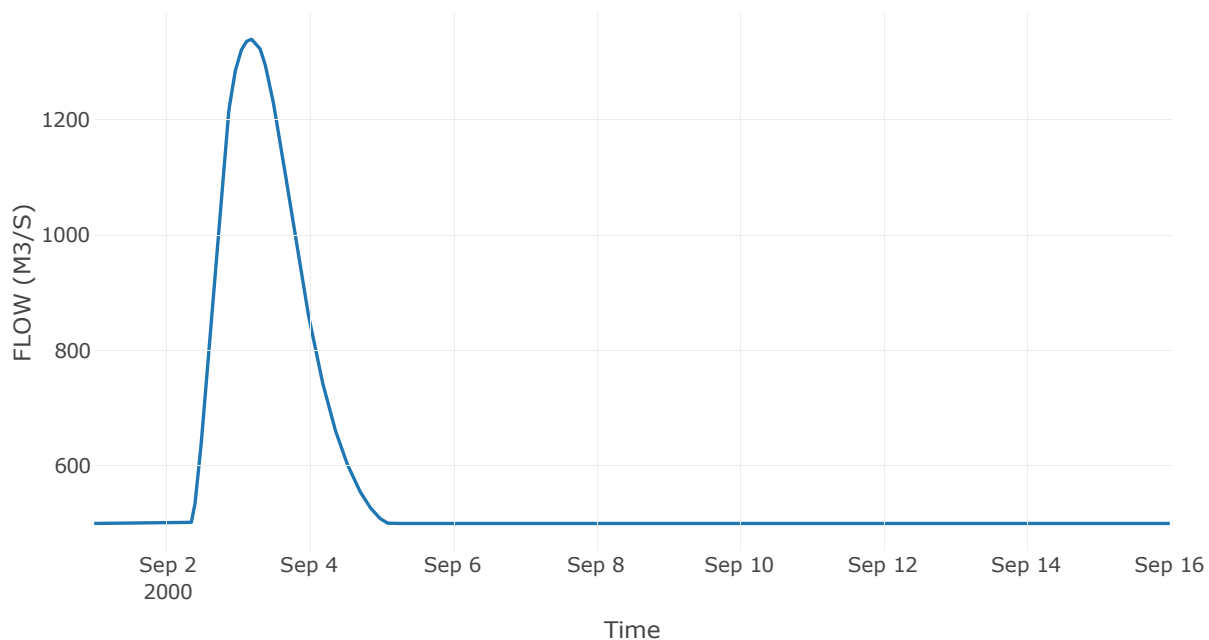
Κατάντη : J3

Μέθοδος Διόδευσης	Muskingum
Αρχική Μεταβλητή	Combined Inflow
Muskingum K	0.73
Συντελεστής βάρους x	0.2
Πλήθος Υποκλάδων	3

Αποτελέσματα: R43

Παροχή Αιχμής(M3/S)	1339.04
Χρονική στιγμή αιχμής	03Sep2000, 04:30
Όγκος(MM)	406.96
Παροχή Αιχμής Εισόδου (M3/S)	1339.2
Όγκος Εισροής(M3)	7.41E8

Απορροή



Κλάδος: R54

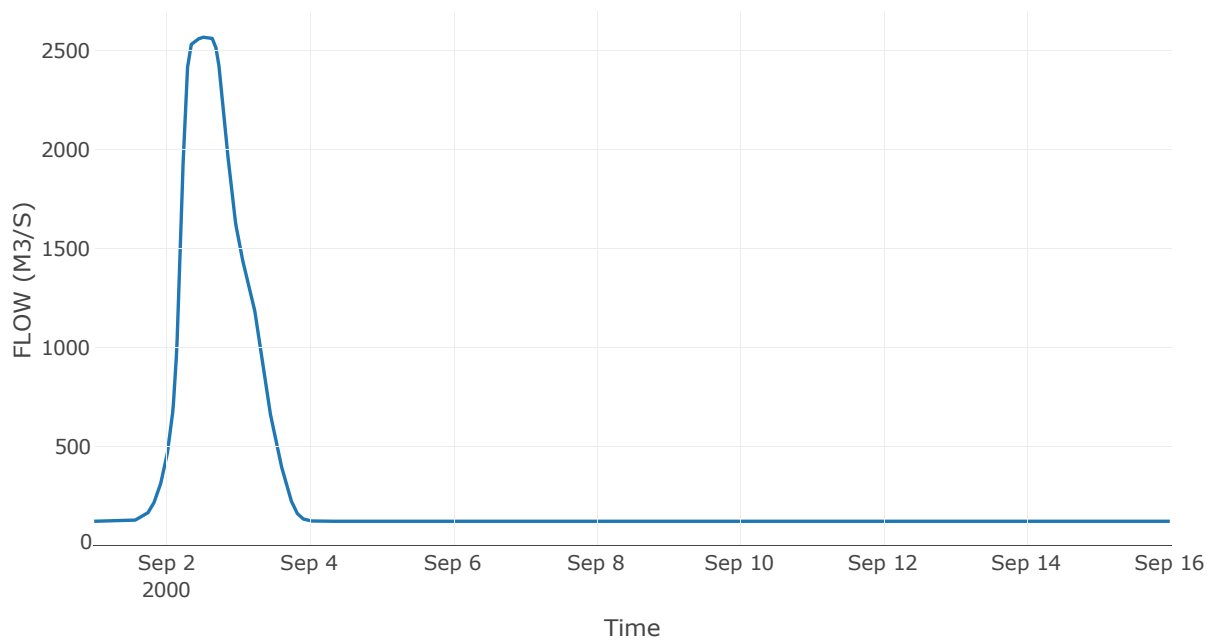
Κατάντη : J4 Res1

Μέθοδος Διόδευσης	Muskingum
Αρχική Μεταβλητή	Combined Inflow
Muskingum K	4
Συντελεστής βάρους x	0.2
Πλήθος Υποκλάδων	5

Αποτελέσματα: R54

Παροχή Αιχμής(M3/S)	2567.36
Χρονική στιγμή αιχμής	02Sep2000, 12:15
Όγκος(MM)	215.03
Παροχή Αιχμής Εισόδου (M3/S)	2741.88
Όγκος Εισροής(M3)	3.7E8

Απορροή



Κλάδος: R65

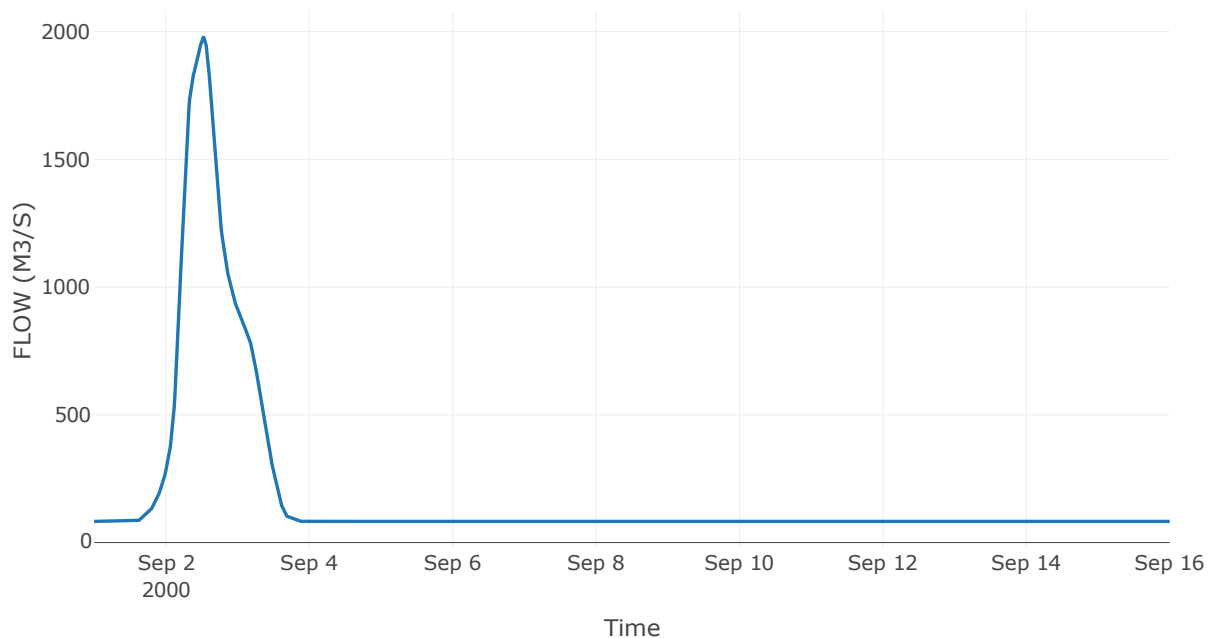
Κατάντη : J5

Μέθοδος Διόδευσης	Muskingum
Αρχική Μεταβλητή	Combined Inflow
Muskingum K	4
Συντελεστής βάρους x	0.2
Πλήθος Υποκλάδων	5

Αποτελέσματα: R65

Παροχή Αιχμής(M3/S)	1977.12
Χρονική στιγμή αιχμής	02Sep2000, 12:30
Όγκος(MM)	203.26
Παροχή Αιχμής Εισόδου (M3/S)	2052.21
Όγκος Εισροής(M3)	2.4E8

Απορροή



Κλάδος: R76

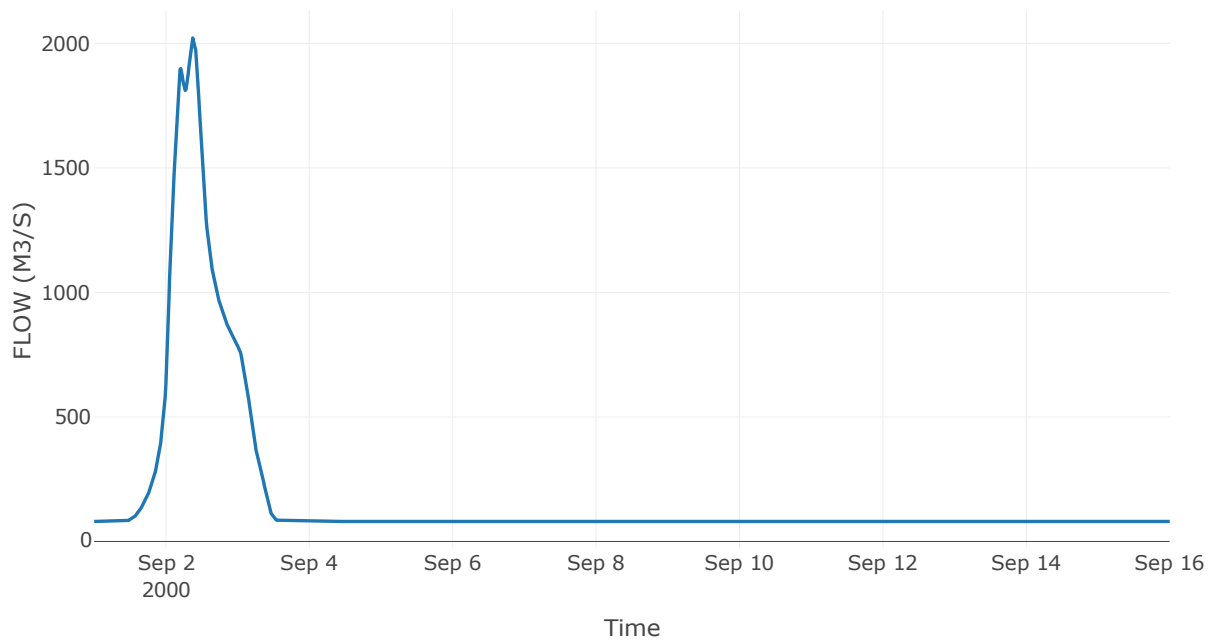
Κατάντη : J6

Μέθοδος Διόδευσης	Muskingum
Αρχική Μεταβλητή	Combined Inflow
Muskingum K	0.47
Συντελεστής βάρους x	0.2
Πλήθος Υποκλάδων	2

Αποτελέσματα: R76

Παροχή Αιχμής(M3/S)	2023.95
Χρονική στιγμή αιχμής	02Sep2000, 09:15
Όγκος(MM)	204.01
Παροχή Αιχμής Εισόδου (M3/S)	2029.09
Όγκος Εισροής(M3)	2.34E8

Απορροή



Κλάδος: R87

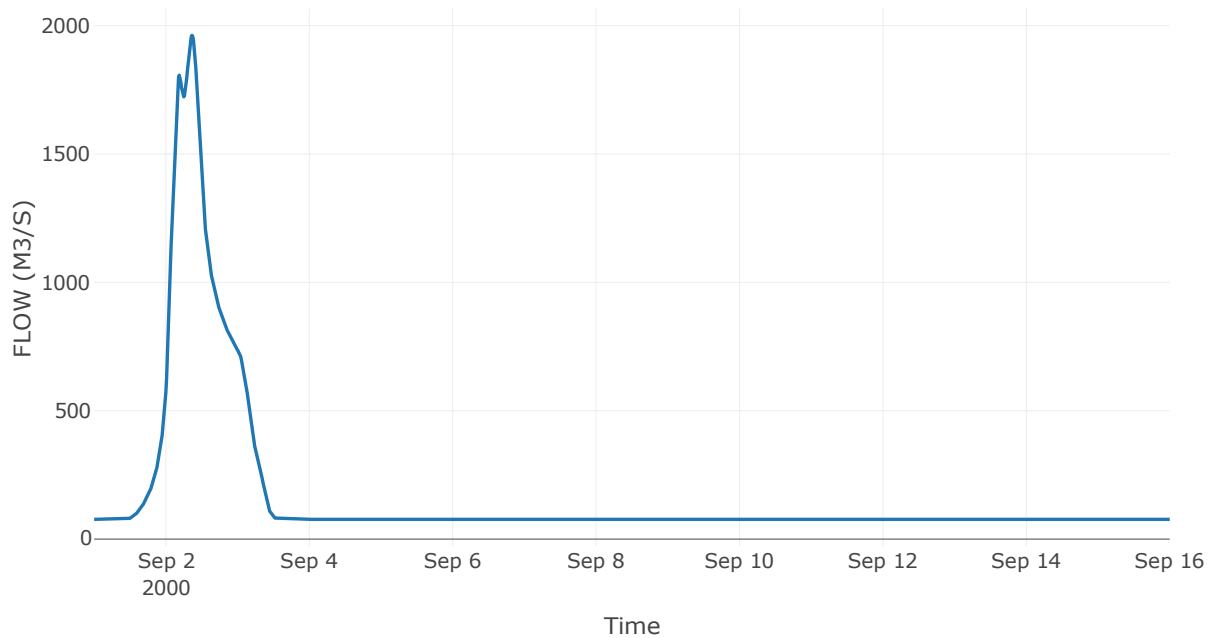
Κατάντη : J7

Μέθοδος Διόδευσης	Muskingum
Αρχική Μεταβλητή	Combined Inflow
Muskingum K	0.56
Συντελεστής βάρους x	0.2
Πλήθος Υποκλάδων	2

Αποτελέσματα: R87

Παροχή Αιχμής(M3/S)	1961.92
Χρονική στιγμή αιχμής	02Sep2000, 08:45
Όγκος(MM)	201.44
Παροχή Αιχμής Εισόδου (M3/S)	1968.95
Όγκος Εισροής(M3)	2.21E8

Απορροή



Κλάδος: R98

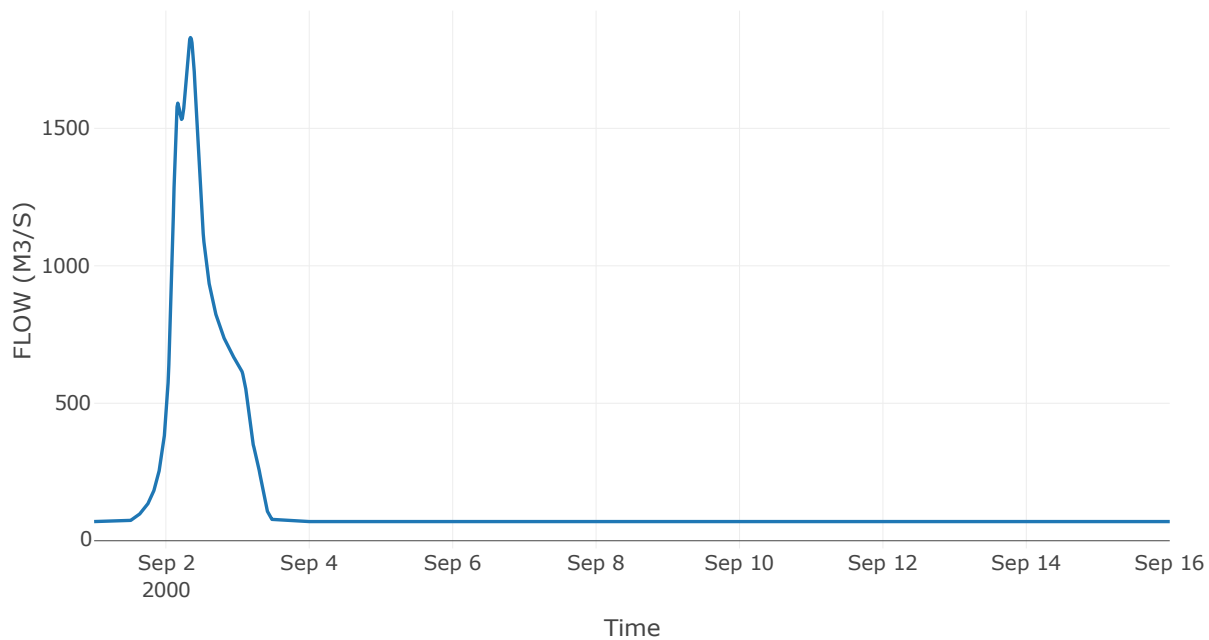
Κατάντη : J8

Μέθοδος Διόδευσης	Muskingum
Αρχική Μεταβλητή	Combined Inflow
Muskingum K	1.02
Συντελεστής βάρους α	0.2
Πλήθος Υποκλάδων	4

Αποτελέσματα: R98

Παροχή Αιχμής(M3/S)	1830.25
Χρονική στιγμή αιχμής	02Sep2000, 08:15
Όγκος(MM)	196.82
Παροχή Αιχμής Εισόδου (M3/S)	1843.02
Όγκος Εισροής(M3)	1.96E8

Απορροή



Κλάδος: R109

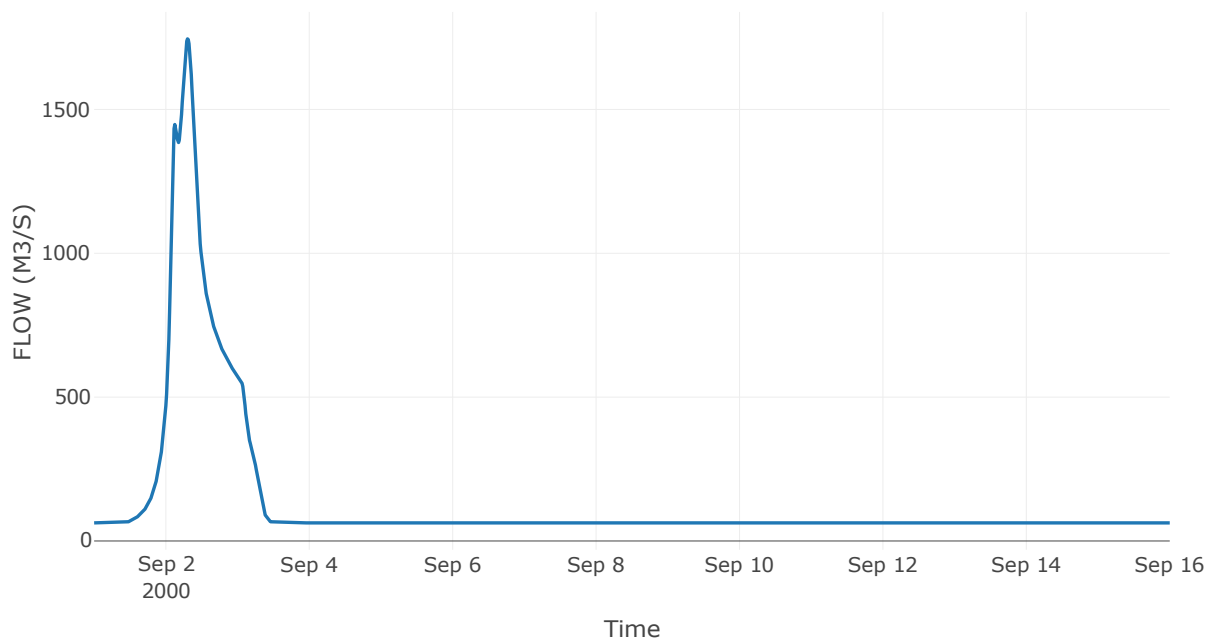
Κατάντη : J9

Μέθοδος Διόδευσης	Χρόνος Υστέρησης
Αρχική Μεταβλητή	Combined Inflow
Χρόνος Υστέρησης	50.96

Αποτελέσματα: R109

Παροχή Αιχμής(M3/S)	1745.38
Χρονική στιγμή αιχμής	02Sep2000, 07:15
Όγκος(MM)	197.78
Παροχή Αιχμής Εισόδου (M3/S)	1746.9
Όγκος Εισροής(M3)	1.78E8

Απορροή



Κλάδος: R1110

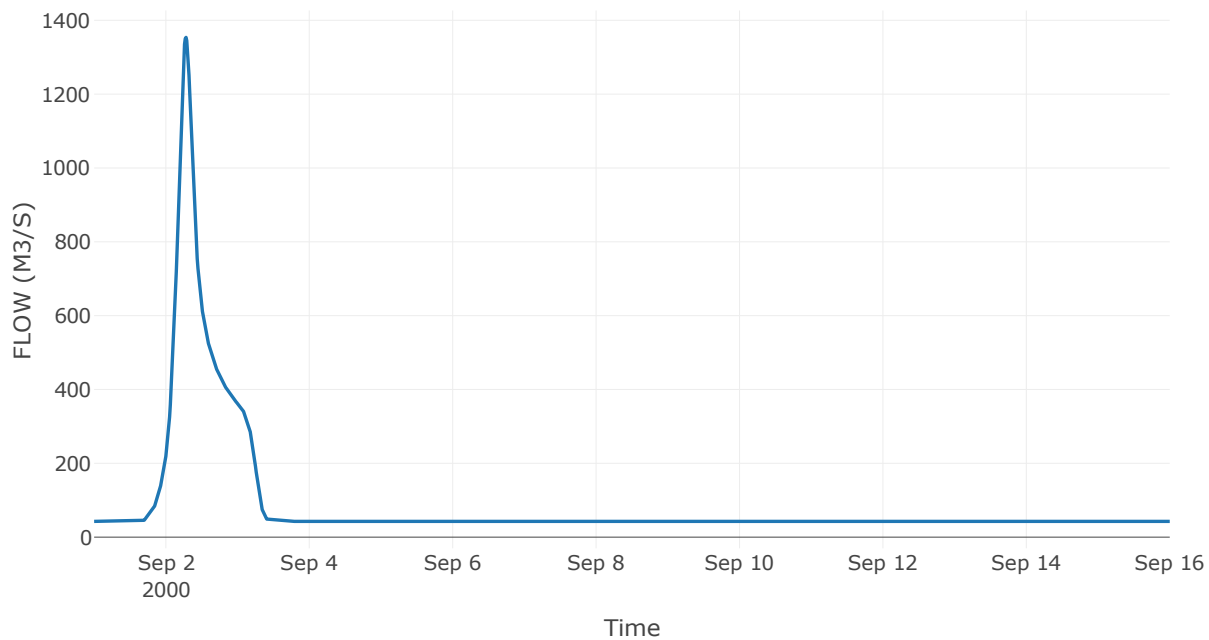
Κατάντη : J10

Μέθοδος Διόδευσης	Muskingum
Αρχική Μεταβλητή	Combined Inflow
Muskingum K	1.58
Συντελεστής βάρους α	0.2
Πλήθος Υποκλάδων	7

Αποτελέσματα: R1110

Παροχή Αιχμής(M3/S)	1353.81
Χρονική στιγμή αιχμής	02Sep2000, 06:45
Όγκος(MM)	189.64
Παροχή Αιχμής Εισόδου (M3/S)	1374.22
Όγκος Εισροής(M3)	1.16E8

Απορροή



Κλάδος: R1211

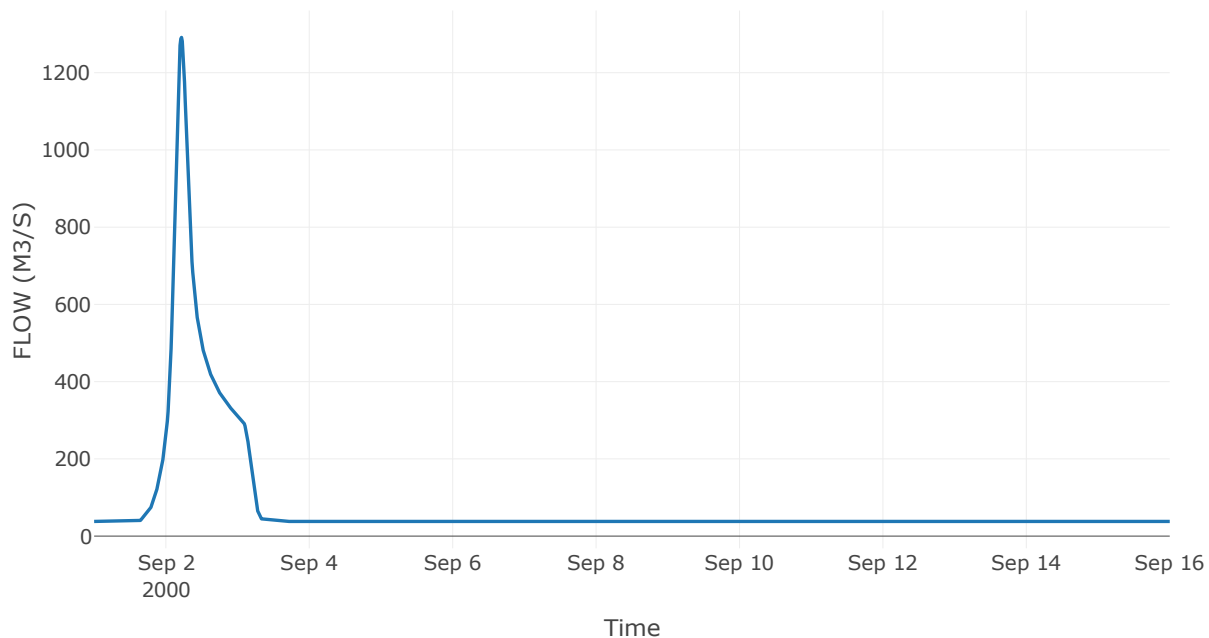
Κατάντη : J11

Μέθοδος Διόδευσης	Muskingum
Αρχική Μεταβλητή	Combined Inflow
Muskingum K	1.41
Συντελεστής βάρους x	0.2
Πλήθος Υποκλάδων	6

Αποτελέσματα: R1211

Παροχή Αιχμής(M3/S)	1291.36
Χρονική στιγμή αιχμής	02Sep2000, 05:15
Όγκος(MM)	190.01
Παροχή Αιχμής Εισόδου (M3/S)	1313.17
Όγκος Εισροής(M3)	1.03E8

Απορροή



Κλάδος: R1312

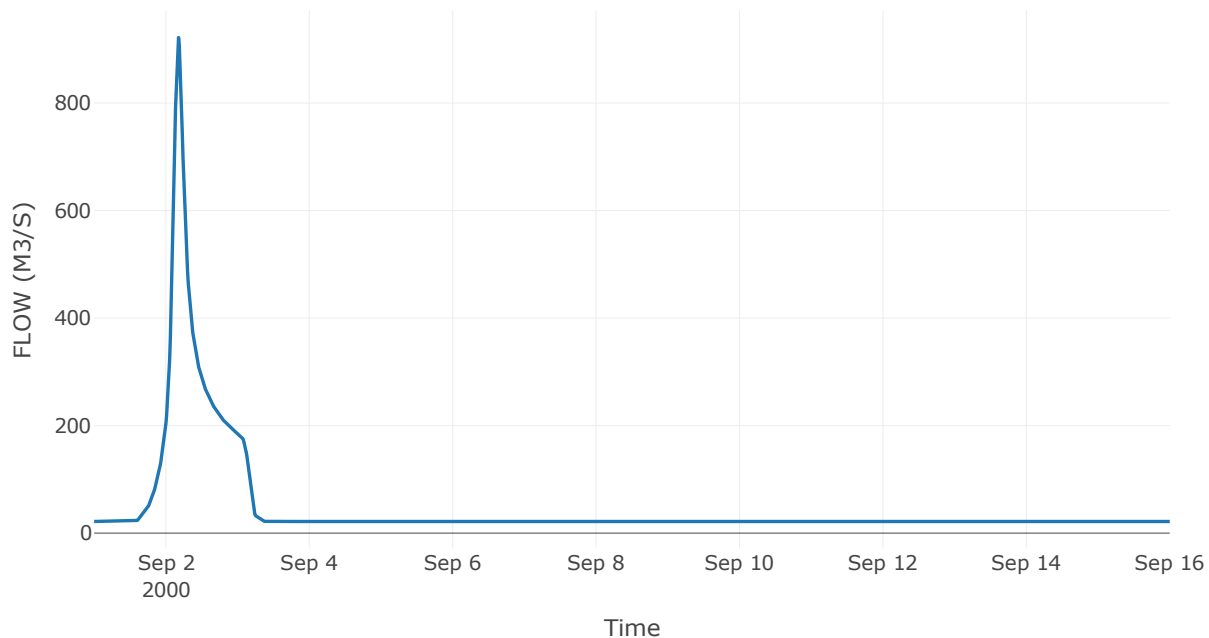
Κατάντη : J12

Μέθοδος Διόδευσης	Muskingum
Αρχική Μεταβλητή	Combined Inflow
Muskingum K	1.52
Συντελεστής βάρους α	0.2
Πλήθος Υποκλάδων	6

Αποτελέσματα: R1312

Παροχή Αιχμής(M3/S)	921.94
Χρονική στιγμή αιχμής	02Sep2000, 04:15
Όγκος(MM)	201
Παροχή Αιχμής Εισόδου (M3/S)	963.6
Όγκος Εισροής(M3)	6.21E7

Απορροή



Κλάδος: R1413

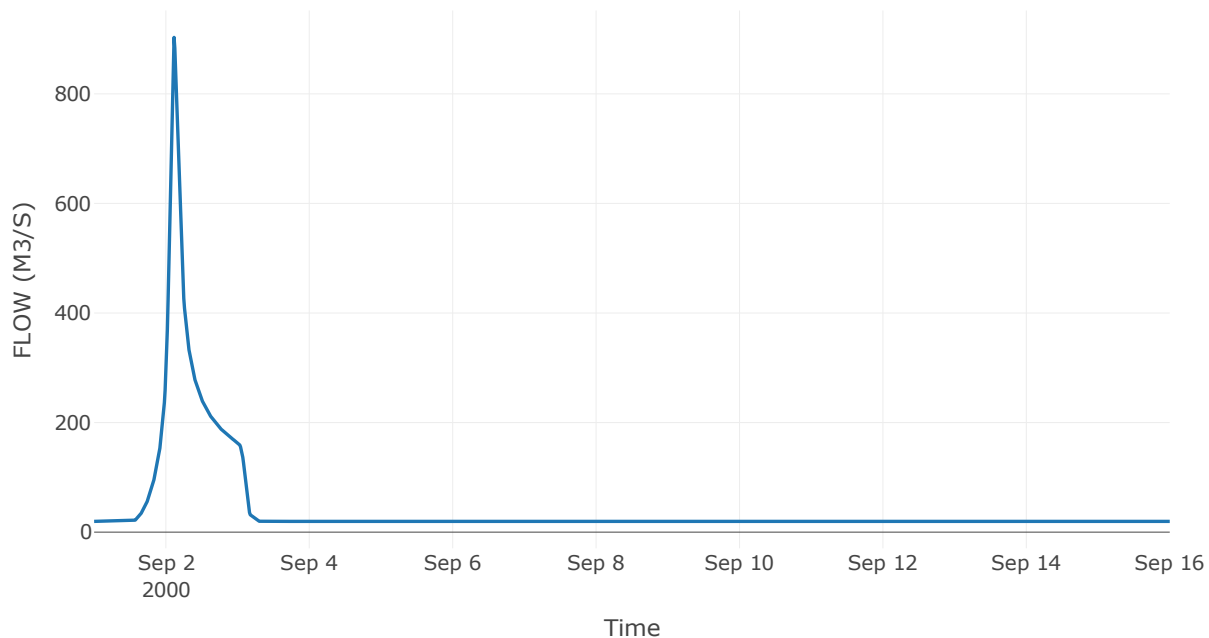
Κατάντη : J13

Μέθοδος Διόδευσης	Muskingum
Αρχική Μεταβλητή	Combined Inflow
Muskingum K	0.16
Συντελεστής βάρους x	0.2
Πλήθος Υποκλάδων	1

Αποτελέσματα: R1413

Παροχή Αιχμής(M3/S)	903.09
Χρονική στιγμή αιχμής	02Sep2000, 02:45
Όγκος(MM)	201.57
Παροχή Αιχμής Εισόδου (M3/S)	907.33
Όγκος Εισροής(M3)	5.65E7

Απορροή



Κλάδος: R1514

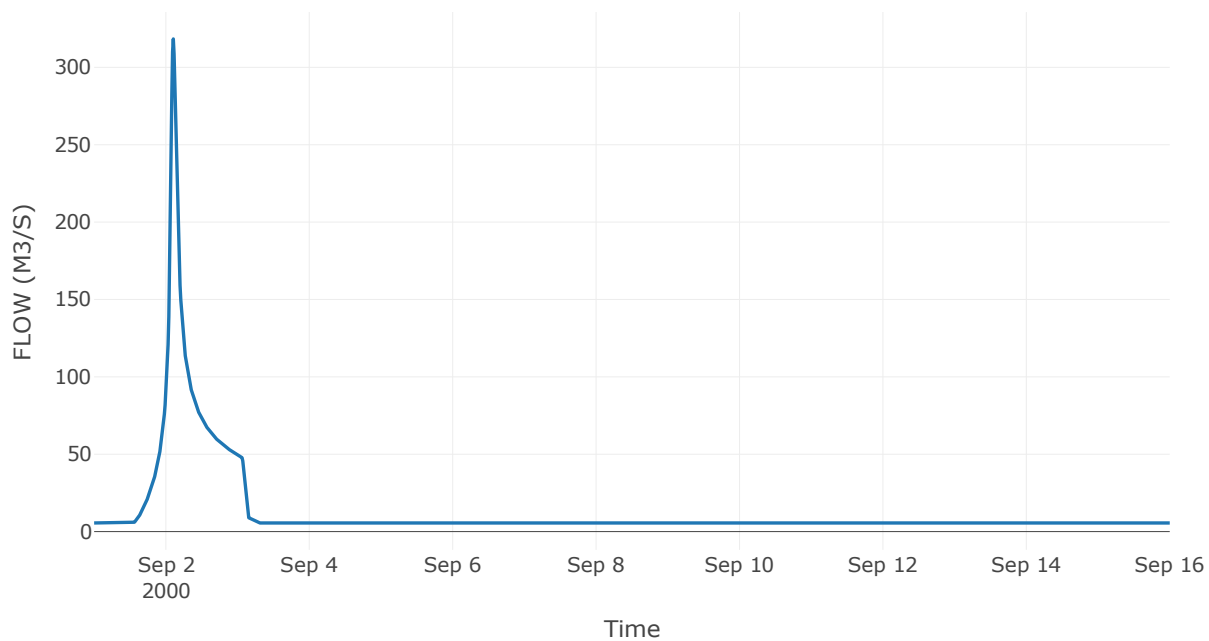
Κατάντη : J14

Μέθοδος Διόδευσης	Χρόνος Υστέρησης
Αρχική Μεταβλητή	Combined Inflow
Χρόνος Υστέρησης	83.69

Αποτελέσματα: R1514

Παροχή Αιχμής(M3/S)	318.36
Χρονική στιγμή αιχμής	02Sep2000, 02:30
Όγκος(MM)	211.58
Παροχή Αιχμής Εισόδου (M3/S)	319.64
Όγκος Εισροής(M3)	1.69E7

Απορροή



Κλάδος: R1614

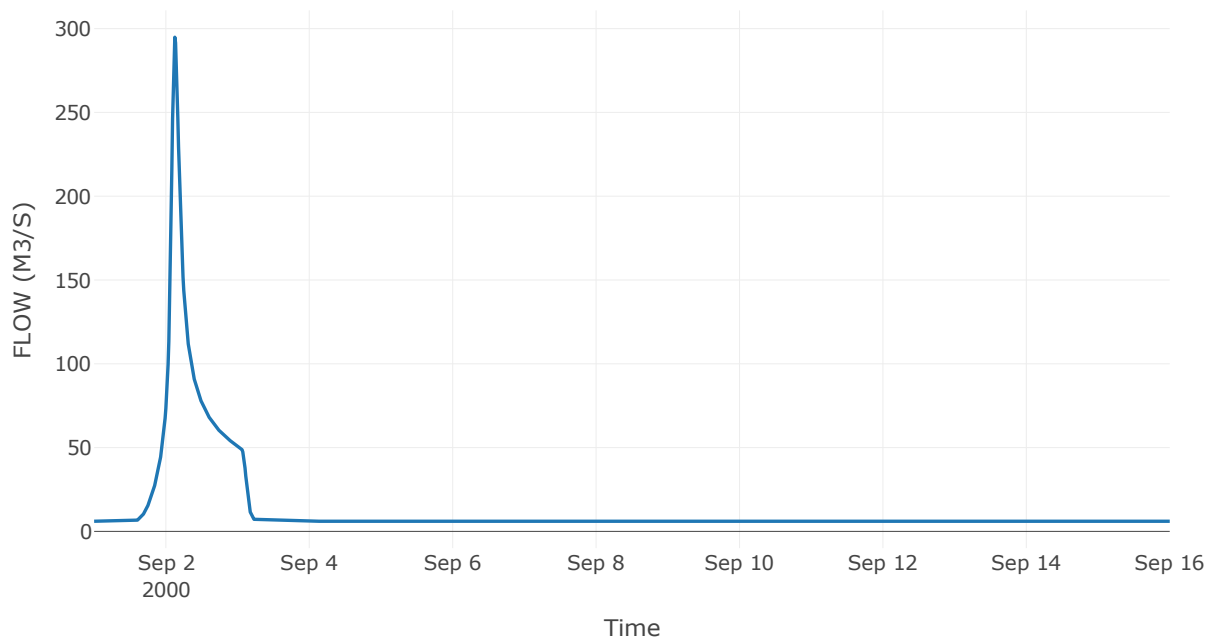
Κατάντη : J14

Μέθοδος Διόδευσης	Muskingum
Αρχική Μεταβλητή	Combined Inflow
Muskingum K	1.57
Συντελεστής βάρους α	0.2
Πλήθος Υποκλάδων	7

Αποτελέσματα: R1614

Παροχή Αιχμής(M3/S)	294.85
Χρονική στιγμή αιχμής	02Sep2000, 03:00
Όγκος(MM)	202.65
Παροχή Αιχμής Εισόδου (M3/S)	314.06
Όγκος Εισροής(M3)	1.75E7

Απορροή



Κλάδος: R1712

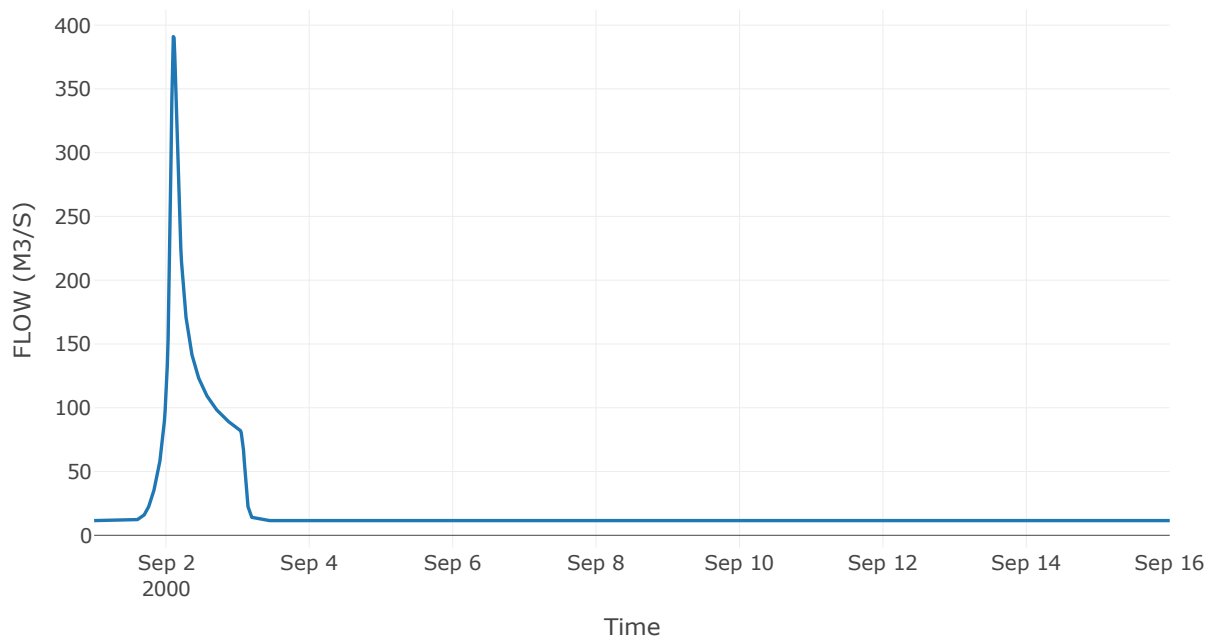
Κατάντη : J12

Μέθοδος Διόδευσης	Χρόνος Υστέρησης
Αρχική Μεταβλητή	Combined Inflow
Χρόνος Υστέρησης	51.08

Αποτελέσματα: R1712

Παροχή Αιχμής(M3/S)	391.03
Χρονική στιγμή αιχμής	02Sep2000, 02:30
Όγκος(MM)	172.77
Παροχή Αιχμής Εισόδου (M3/S)	394.86
Όγκος Εισροής(M3)	2.84E7

Απορροή



Κλάδος: R1817

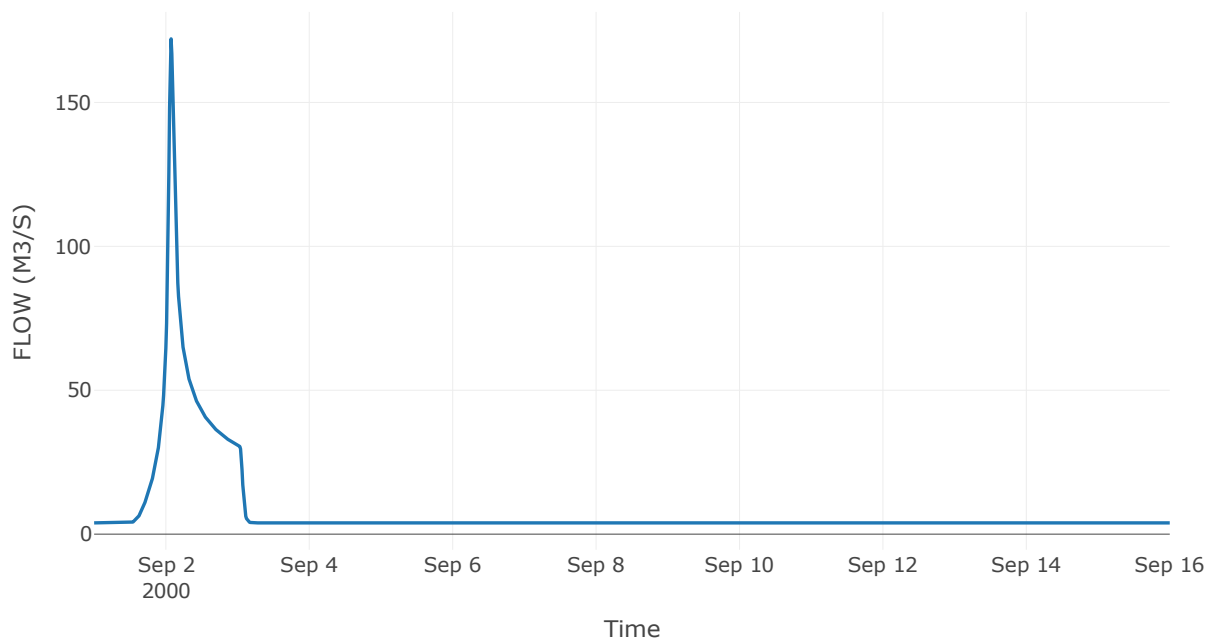
Κατάντη : J17

Μέθοδος Διόδευσης	Χρόνος Υστέρησης
Αρχική Μεταβλητή	Combined Inflow
Χρόνος Υστέρησης	47.35

Αποτελέσματα: R1817

Παροχή Αιχμής(M3/S)	172.11
Χρονική στιγμή αιχμής	02Sep2000, 01:45
Όγκος(MM)	187.32
Παροχή Αιχμής Εισόδου (M3/S)	172.67
Όγκος Εισροής(M3)	1.05E7

Απορροή



Κλάδος: R1910

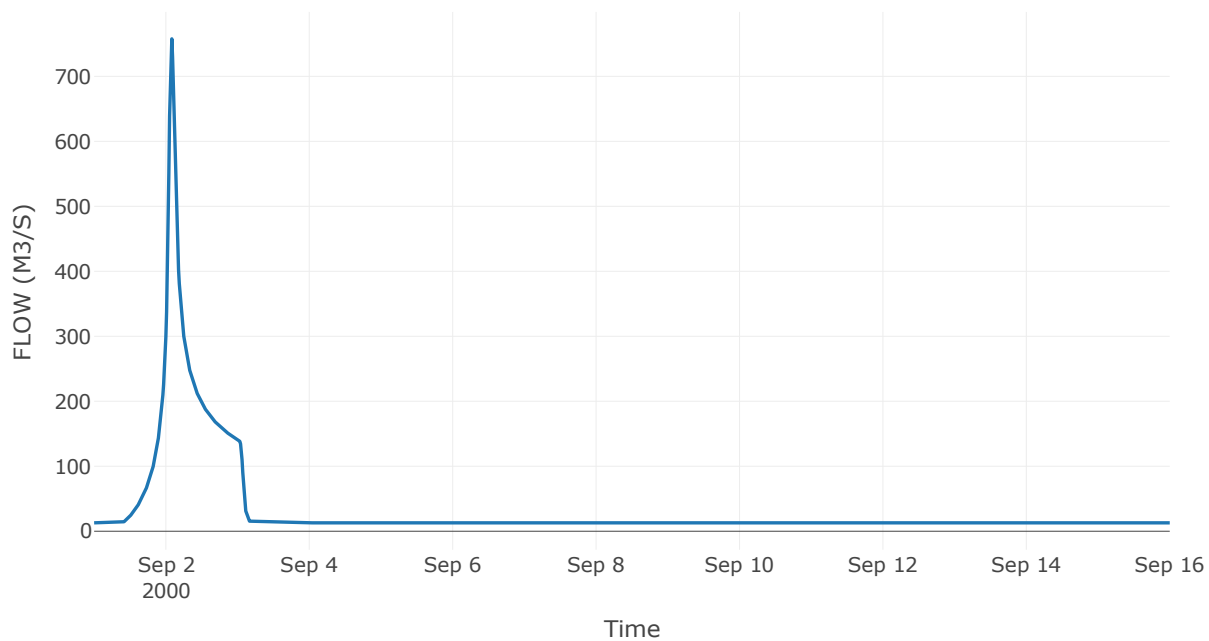
Κατάντη : J10

Μέθοδος Διόδευσης	Χρόνος Υστέρησης
Αρχική Μεταβλητή	Combined Inflow
Χρόνος Υστέρησης	33.01

Αποτελέσματα: R1910

Παροχή Αιχμής(M3/S)	757.79
Χρονική στιγμή αιχμής	02Sep2000, 02:00
Όγκος(MM)	233.3
Παροχή Αιχμής Εισόδου (M3/S)	761.17
Όγκος Εισροής(M3)	4.3E7

Απορροή



Κλάδος: R2019

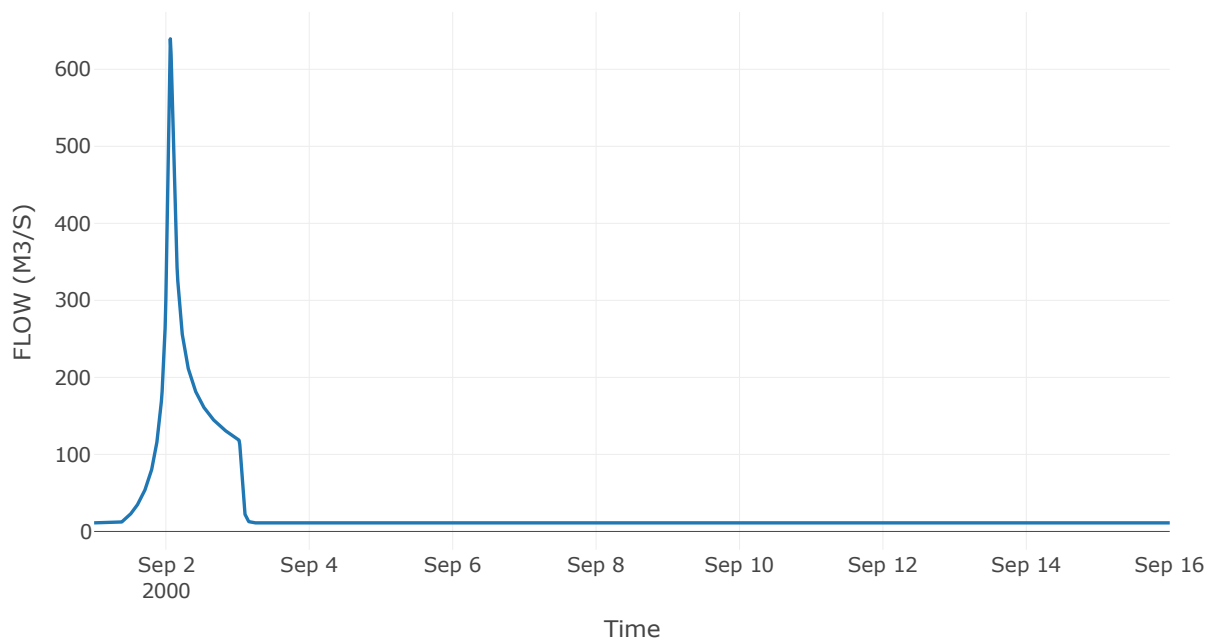
Κατάντη : J19

Μέθοδος Διόδευσης	Χρόνος Υστέρησης
Αρχική Μεταβλητή	Combined Inflow
Χρόνος Υστέρησης	24.6

Αποτελέσματα: R2019

Παροχή Αιχμής(M3/S)	639.55
Χρονική στιγμή αιχμής	02Sep2000, 01:30
Όγκος(MM)	229.52
Παροχή Αιχμής Εισόδου (M3/S)	643.73
Όγκος Εισροής(M3)	3.65E7

Απορροή



Κλάδος: R2120

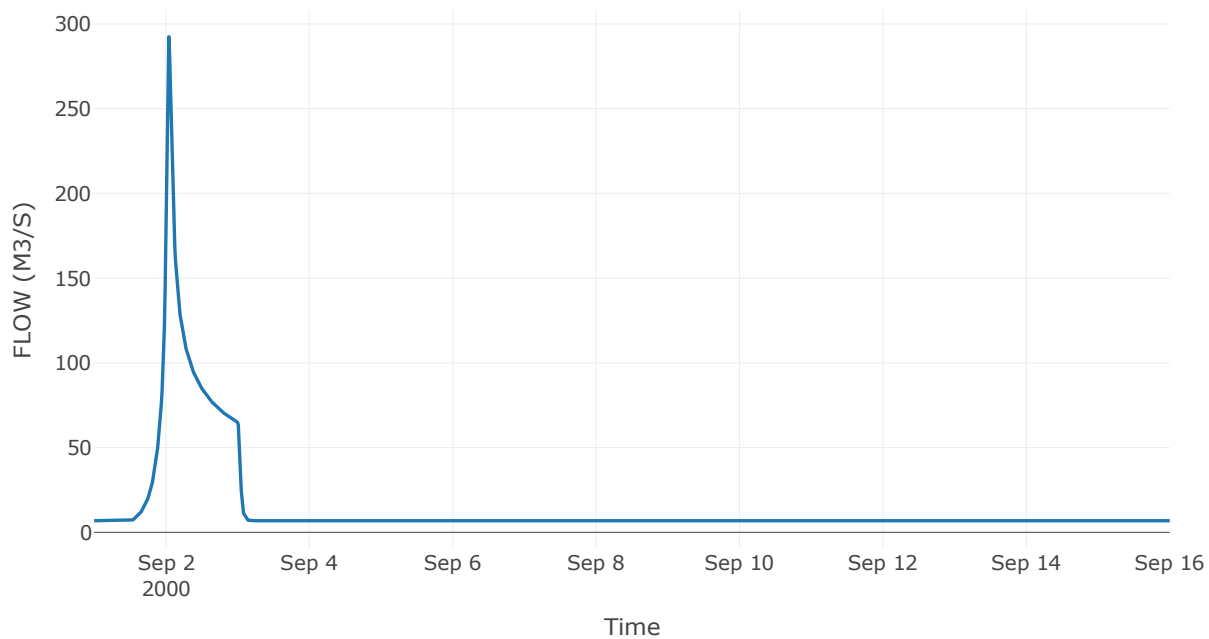
Κατάντη : J20

Μέθοδος Διόδευσης	Χρόνος Υστέρησης
Αρχική Μεταβλητή	Combined Inflow
Χρόνος Υστέρησης	8.78

Αποτελέσματα: R2120

Παροχή Αιχμής(M3/S)	292.48
Χρονική στιγμή αιχμής	02Sep2000, 01:00
Όγκος(MM)	193.56
Παροχή Αιχμής Εισόδου (M3/S)	294.35
Όγκος Εισροής(M3)	1.9E7

Απορροή



Κλάδος: R225

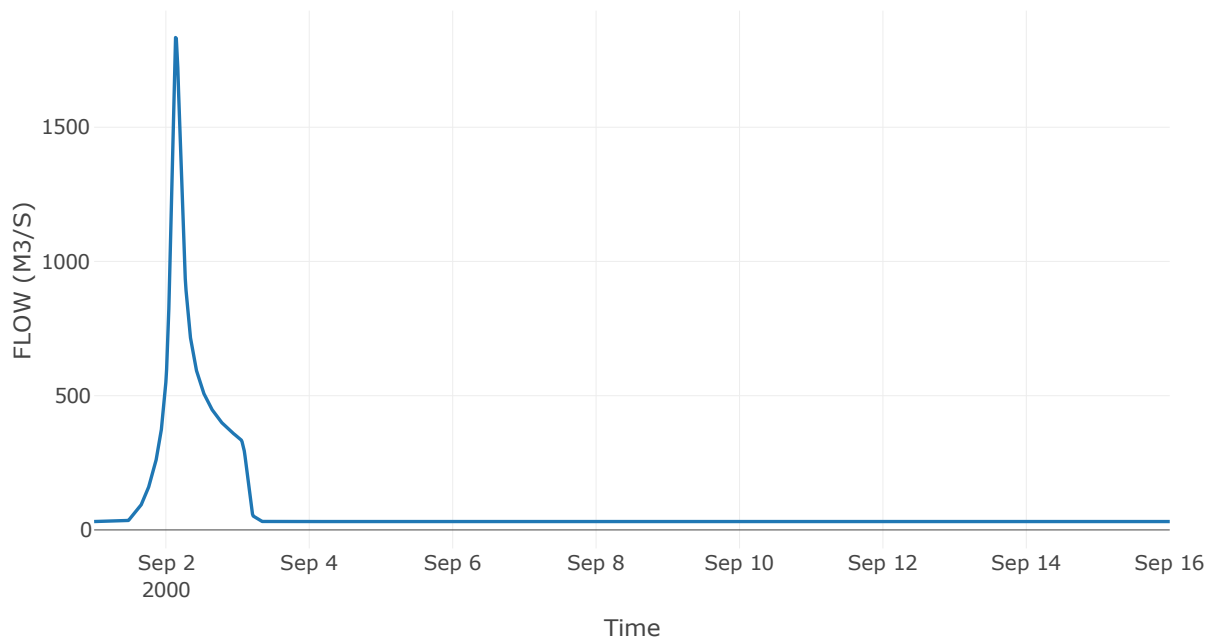
Κατάντη : J5

Μέθοδος Διόδευσης	Muskingum
Αρχική Μεταβλητή	Combined Inflow
Muskingum K	1
Συντελεστής βάρους α	0.2
Πλήθος Υποκλάδων	2

Αποτελέσματα: R225

Παροχή Αιχμής(M3/S)	1834.15
Χρονική στιγμή αιχμής	02Sep2000, 03:15
Όγκος(MM)	246.7
Παροχή Αιχμής Εισόδου (M3/S)	1932.54
Όγκος Εισροής(M3)	1.1E8

Απορροή



Κλάδος: R2322

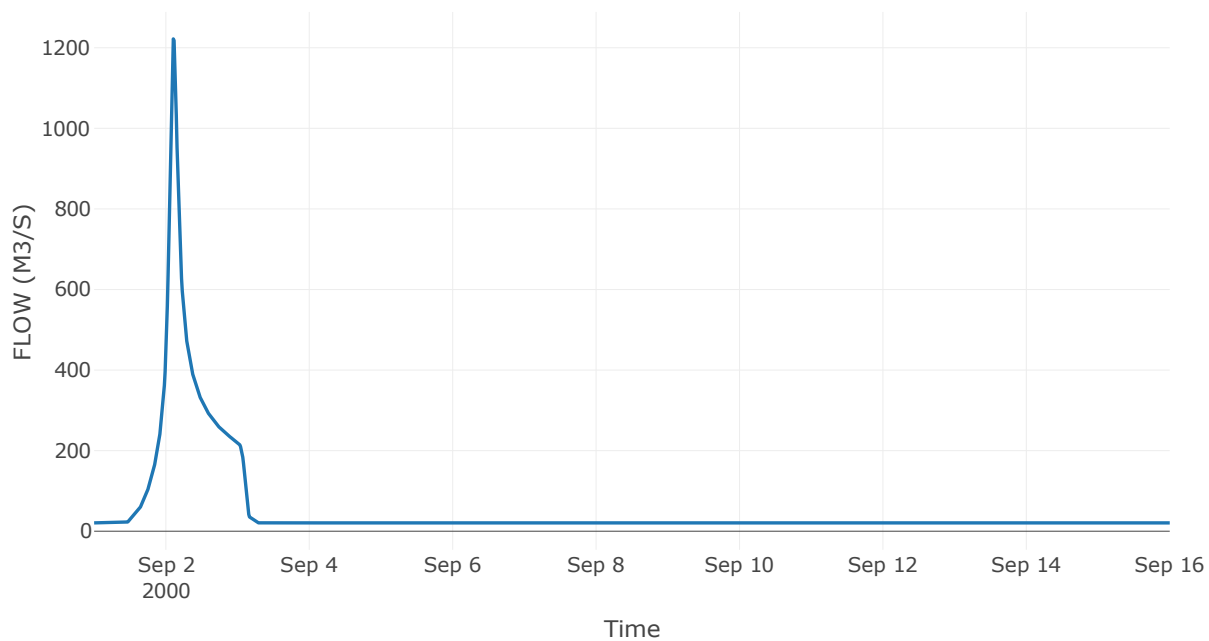
Κατάντη : J22

Μέθοδος Διόδευσης	Χρόνος Υστέρησης
Αρχική Μεταβλητή	Combined Inflow
Χρόνος Υστέρησης	0

Αποτελέσματα: R2322

Παροχή Αιχμής(M3/S)	1222.09
Χρονική στιγμή αιχμής	02Sep2000, 02:30
Όγκος(MM)	237.99
Παροχή Αιχμής Εισόδου (M3/S)	1222.09
Όγκος Εισροής(M3)	7E7

Απορροή



Κλάδος: R2423

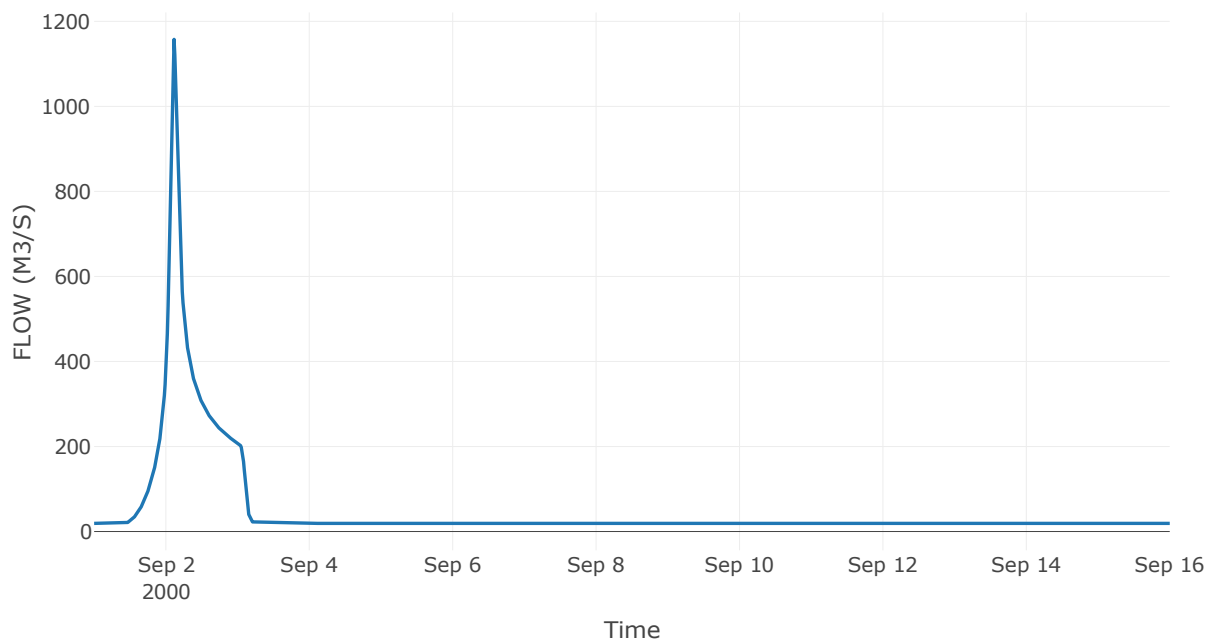
Κατάντη : J23

Μέθοδος Διόδευσης	Muskingum
Αρχική Μεταβλητή	Combined Inflow
Muskingum K	0.71
Συντελεστής βάρους α	0.2
Πλήθος Υποκλάδων	3

Αποτελέσματα: R2423

Παροχή Αιχμής(M3/S)	1157.71
Χρονική στιγμή αιχμής	02Sep2000, 02:45
Όγκος(MM)	238.36
Παροχή Αιχμής Εισόδου (M3/S)	1196.56
Όγκος Εισροής(M3)	6.52E7

Απορροή



Κλάδος: R2524

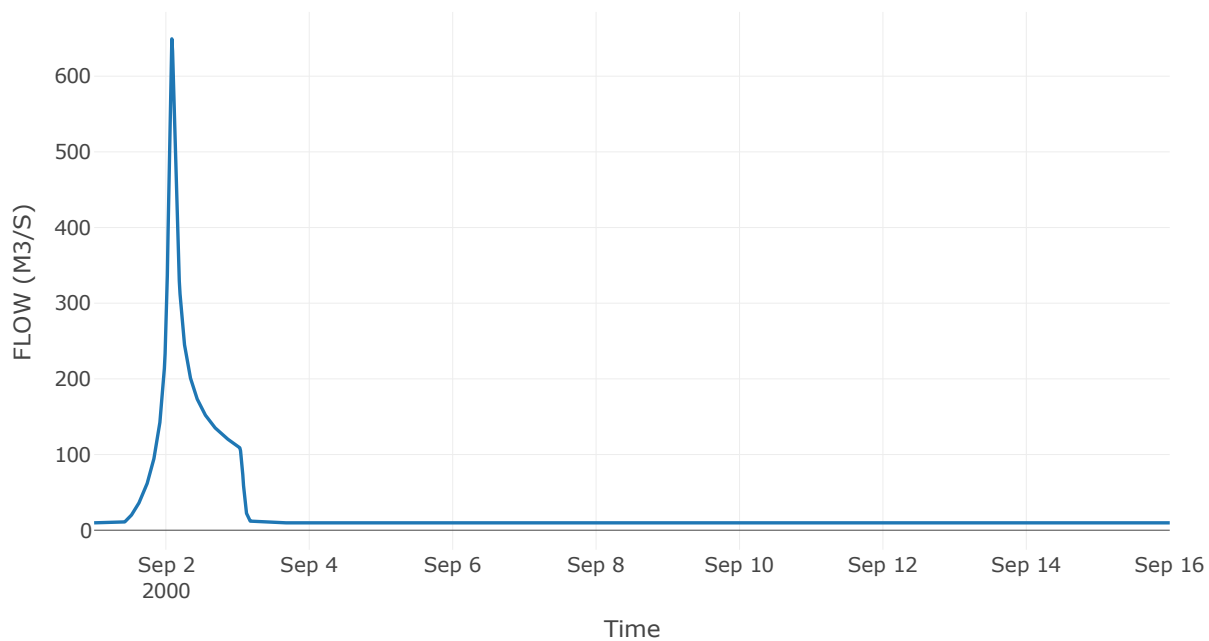
Κατάντη : J24

Μέθοδος Διόδευσης	Χρόνος Υστέρησης
Αρχική Μεταβλητή	Combined Inflow
Χρόνος Υστέρησης	24.88

Αποτελέσματα: R2524

Παροχή Αιχμής(M3/S)	649.37
Χρονική στιγμή αιχμής	02Sep2000, 02:00
Όγκος(MM)	250.68
Παροχή Αιχμής Εισόδου (M3/S)	652.1
Όγκος Εισροής(M3)	3.48E7

Απορροή



Κλάδος: R2625

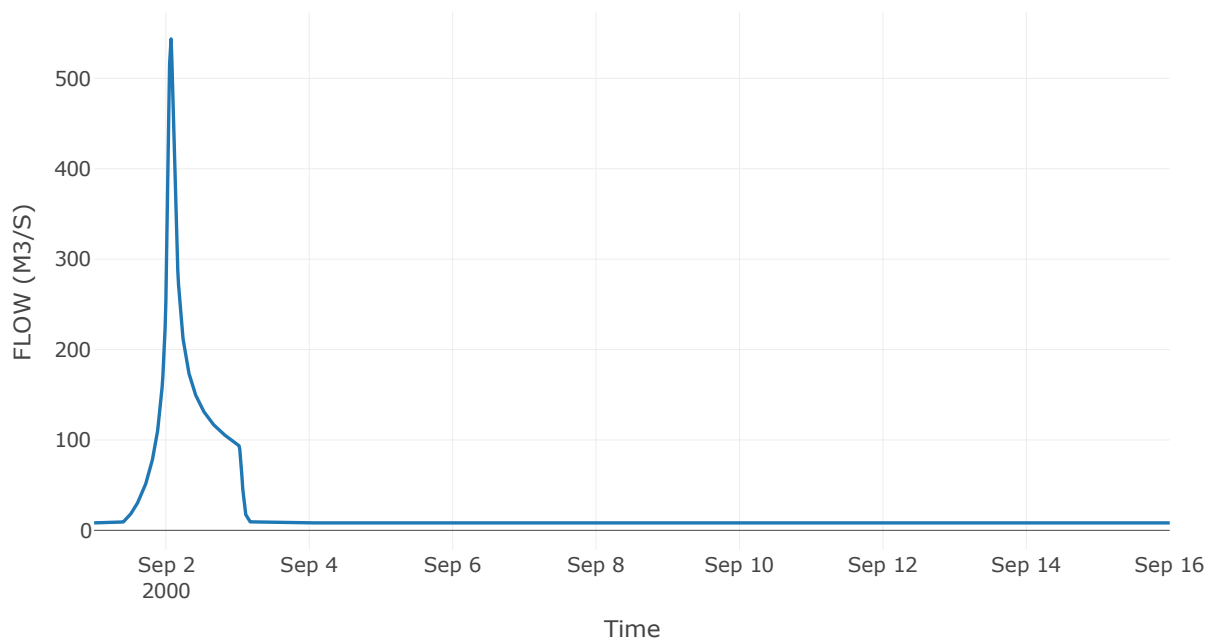
Κατάντη : J25

Μέθοδος Διόδευσης	Χρόνος Υστέρησης
Αρχική Μεταβλητή	Combined Inflow
Χρόνος Υστέρησης	12.52

Αποτελέσματα: R2625

Παροχή Αιχμής(M3/S)	543.65
Χρονική στιγμή αιχμής	02Sep2000, 01:30
Όγκος(MM)	251.19
Παροχή Αιχμής Εισόδου (M3/S)	547.46
Όγκος Εισροής(M3)	2.95E7

Απορροή



Κλάδος: R2726

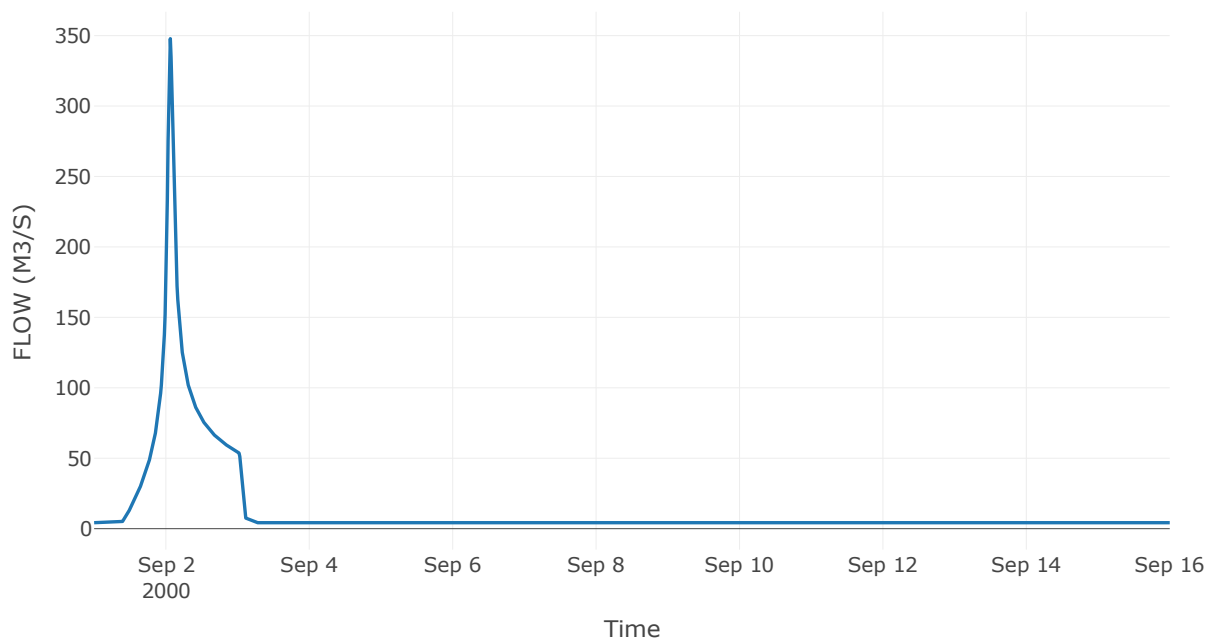
Κατάντη : J26

Μέθοδος Διόδευσης	Χρόνος Υστέρησης
Αρχική Μεταβλητή	Combined Inflow
Χρόνος Υστέρησης	25.1

Αποτελέσματα: R2726

Παροχή Αιχμής(M3/S)	347.81
Χρονική στιγμή αιχμής	02Sep2000, 01:30
Όγκος(MM)	282.6
Παροχή Αιχμής Εισόδου (M3/S)	350.79
Όγκος Εισροής(M3)	1.71E7

Απορροή



Κλάδος: R2824

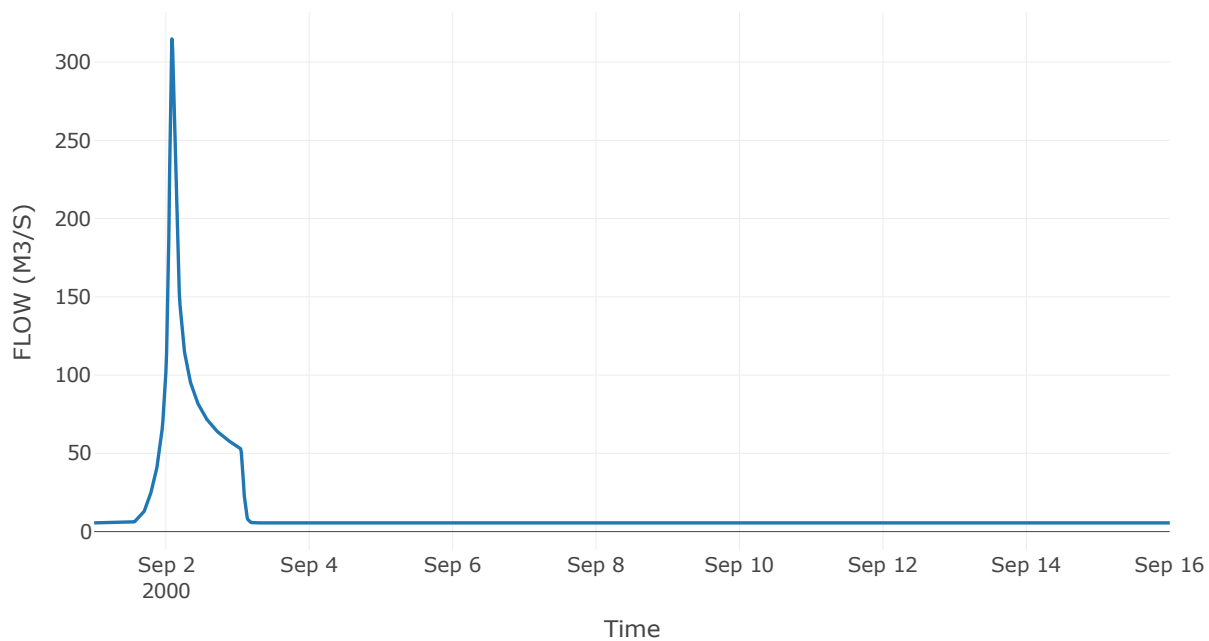
Κατάντη : J24

Μέθοδος Διόδευσης	Χρόνος Υστέρησης
Αρχική Μεταβλητή	Combined Inflow
Χρόνος Υστέρησης	47.71

Αποτελέσματα: R2824

Παροχή Αιχμής(M3/S)	314.83
Χρονική στιγμή αιχμής	02Sep2000, 02:00
Όγκος(MM)	214.28
Παροχή Αιχμής Εισόδου (M3/S)	316.37
Όγκος Εισροής(M3)	1.7E7

Απορροή



Κλάδος: R2928

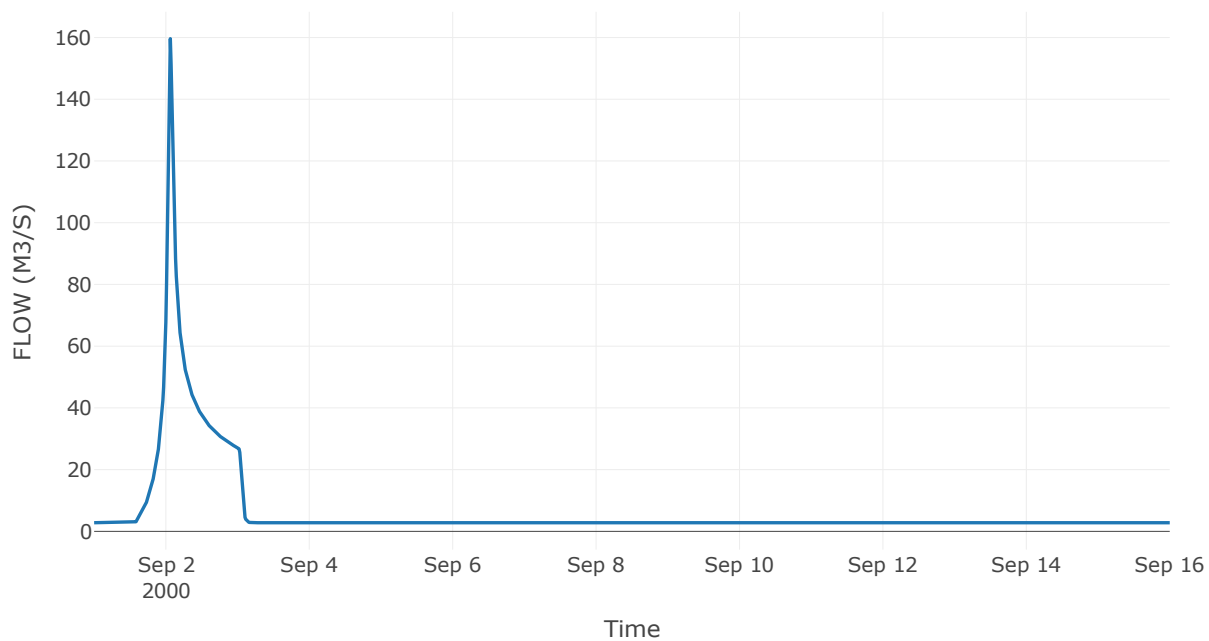
Κατάντη : J28

Μέθοδος Διόδευσης	Χρόνος Υστέρησης
Αρχική Μεταβλητή	Combined Inflow
Χρόνος Υστέρησης	28.03

Αποτελέσματα: R2928

Παροχή Αιχμής(M3/S)	159.61
Χρονική στιγμή αιχμής	02Sep2000, 01:30
Όγκος(MM)	212.58
Παροχή Αιχμής Εισόδου (M3/S)	160.6
Όγκος Εισροής(M3)	8.49E6

Απορροή



Κλάδος: R3022

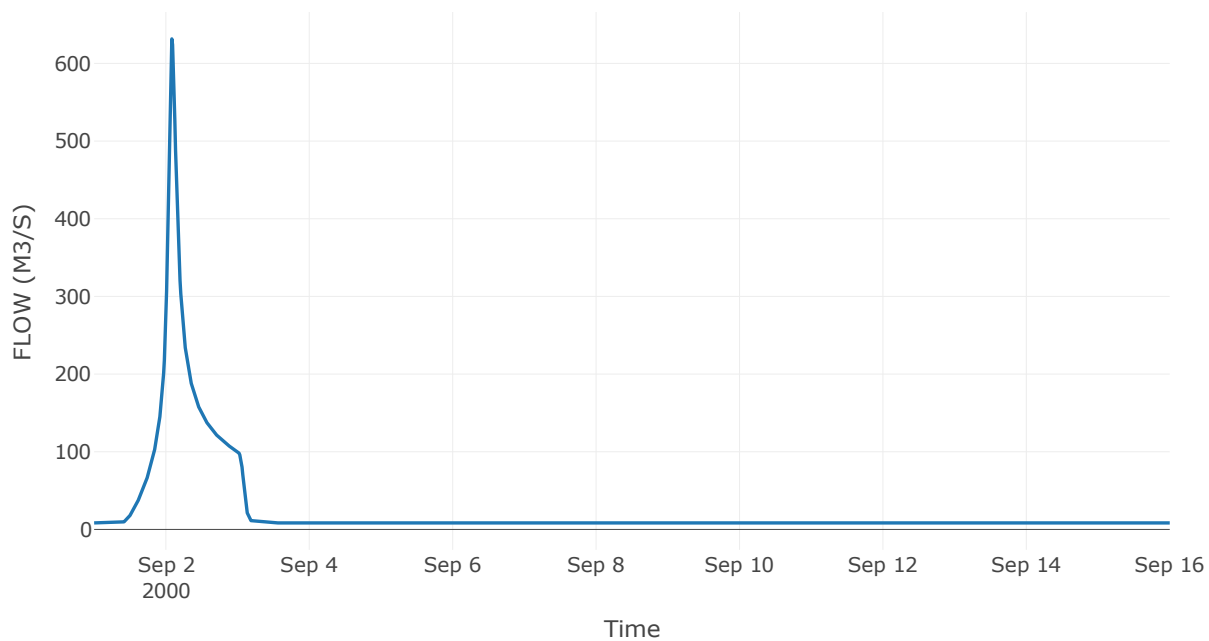
Κατάντη : J22

Μέθοδος Διόδευσης	Χρόνος Υστέρησης
Αρχική Μεταβλητή	Combined Inflow
Χρόνος Υστέρησης	0

Αποτελέσματα: R3022

Παροχή Αιχμής(M3/S)	631.59
Χρονική στιγμή αιχμής	02Sep2000, 02:00
Όγκος(MM)	274.38
Παροχή Αιχμής Εισόδου (M3/S)	631.59
Όγκος Εισροής(M3)	3.28E7

Απορροή



Κλάδος: R3130

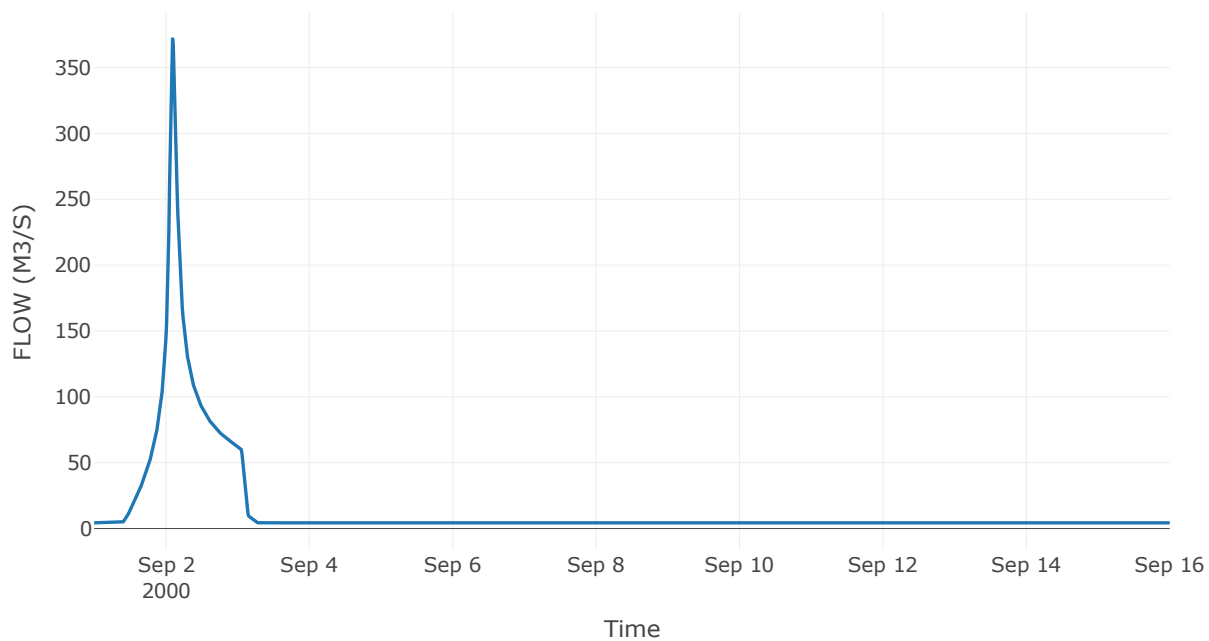
Κατάντη : J30

Μέθοδος Διόδευσης	Χρόνος Υστέρησης
Αρχική Μεταβλητή	Combined Inflow
Χρόνος Υστέρησης	63.32

Αποτελέσματα: R3130

Παροχή Αιχμής(M3/S)	371.78
Χρονική στιγμή αιχμής	02Sep2000, 02:15
Όγκος(MM)	308.19
Παροχή Αιχμής Εισόδου (M3/S)	372.57
Όγκος Εισροής(M3)	1.9E7

Απορροή

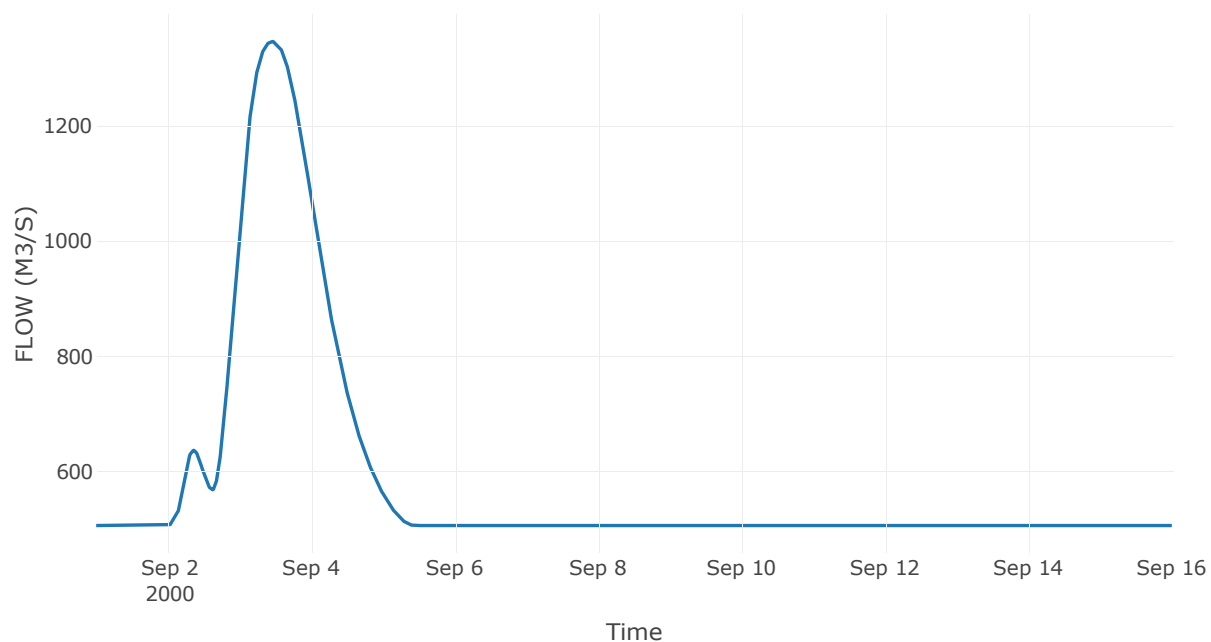


Κόμβος εξόδου: J1

Αποτέλεσμα
τα: J1

Παροχή αιχμής (M3/S)	1347.19
Χρονική στιγμή αιχμής	03Sep2000, 11:00
Όγκος (MM)	395.59

Απορροή



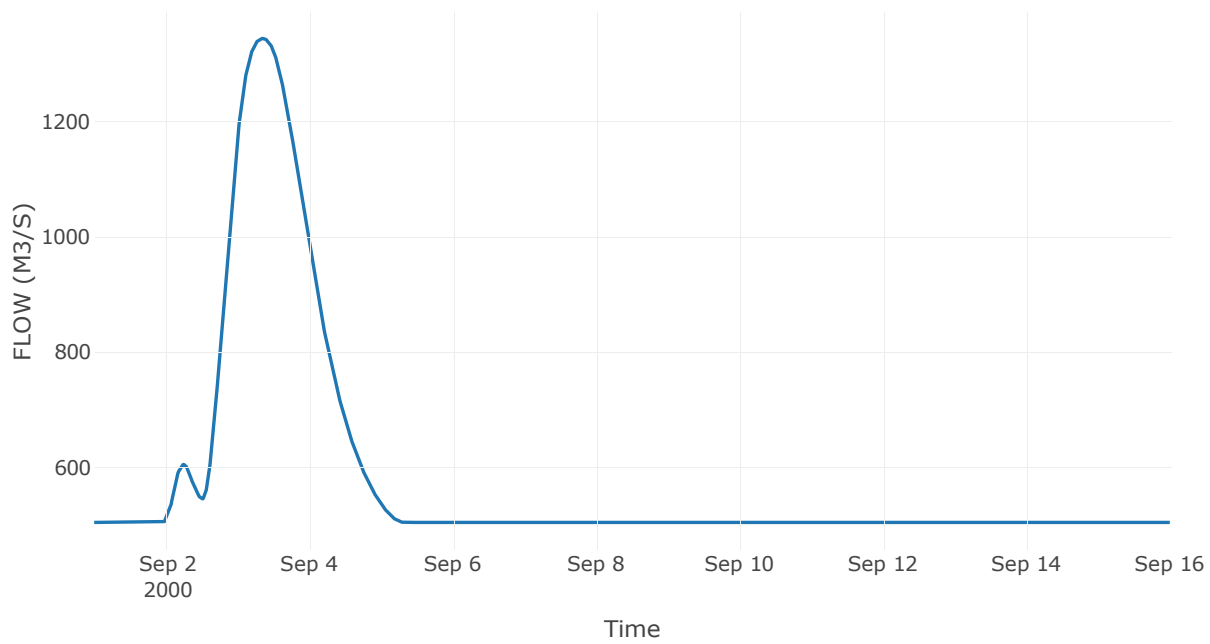
Κόμβος: J2

Κατάντη : R21

Αποτελέσματα: J2

Παροχή Αιχμής(M3/S)	1344.11
Χρονική στιγμή αιχμής	03Sep2000, 08:30
Όγκος(MM)	398.84

Απορροή



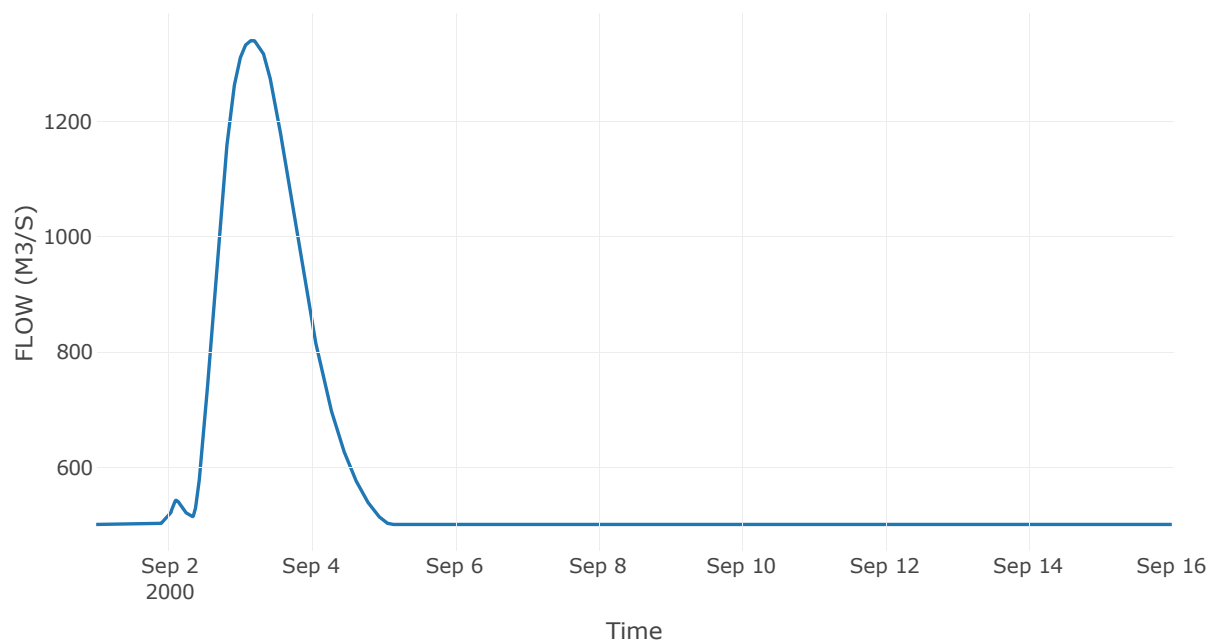
Κόμβος: J3

Κατάντη : R32

Αποτελέσματα: J3

Παροχή Αιχμής(M3/S)	1340.82
Χρονική στιγμή αιχμής	03Sep2000, 04:15
Όγκος(MM)	405.15

Απορροή



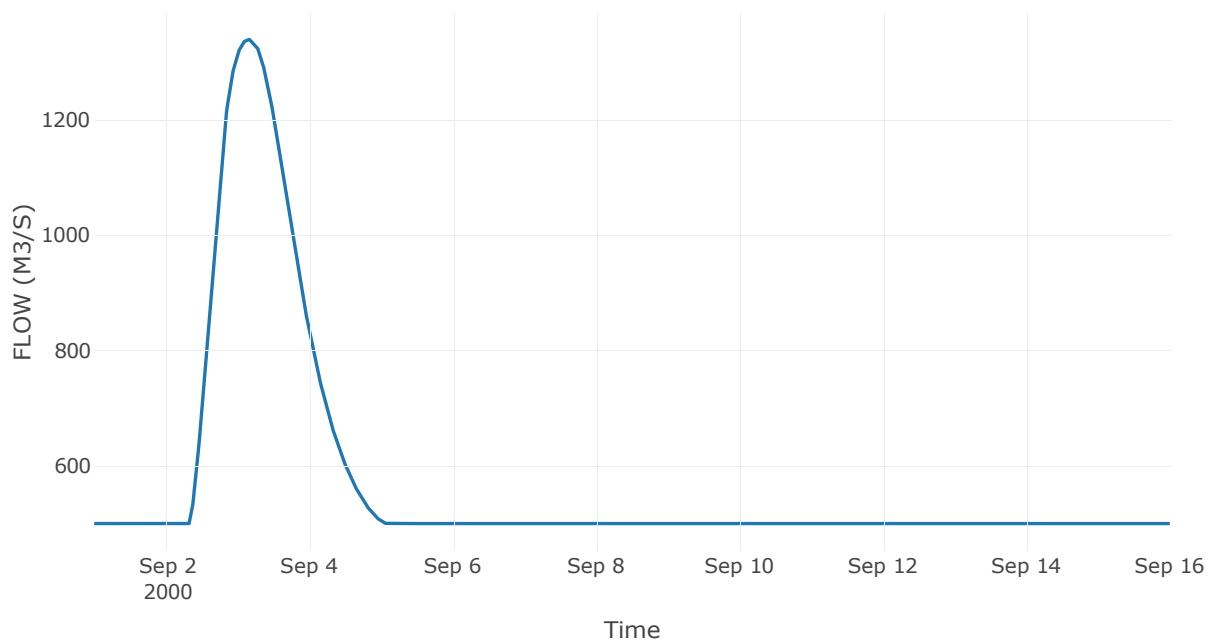
Reservoir: J4_RES1

Κατάντη : R43

Αποτελέσματα: J4_RES1

Παροχή Αιχμής(M3/S)	1339.2
Χρονική στιγμή αιχμής	03Sep2000, 03:45
Όγκος(MM)	406.96
Παροχή Αιχμής Εισόδου (M3/S)	2647.25
Time of Peak Inflow	02Sep2000, 11:45
Όγκος Εισροής (M3)	3.9E8
Maximum Storage (M3)	5.92E8
Peak Elevation (M)	112.5
Discharge Όγκος(M3)	7.41E8

Απορροή



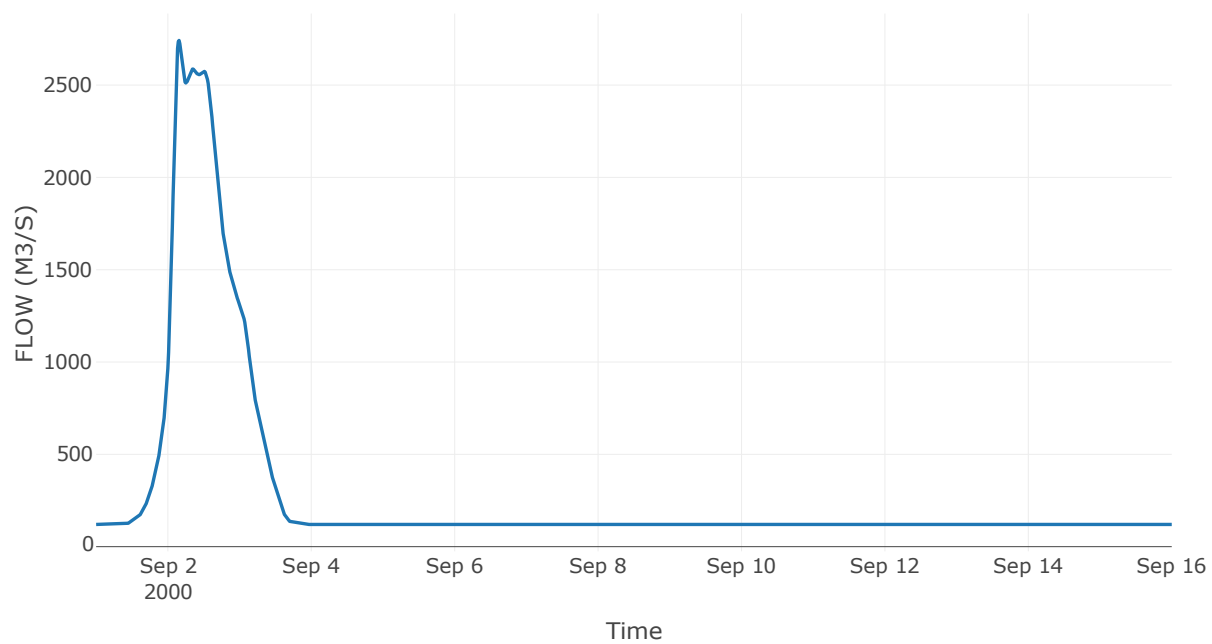
Κόμβος: J5

Κατάντη : R54

Αποτελέσματα: J5

Παροχή Αιχμής(M3/S)	2741.88
Χρονική στιγμή αιχμής	02Sep2000, 03:45
Όγκος(MM)	215.03

Απορροή



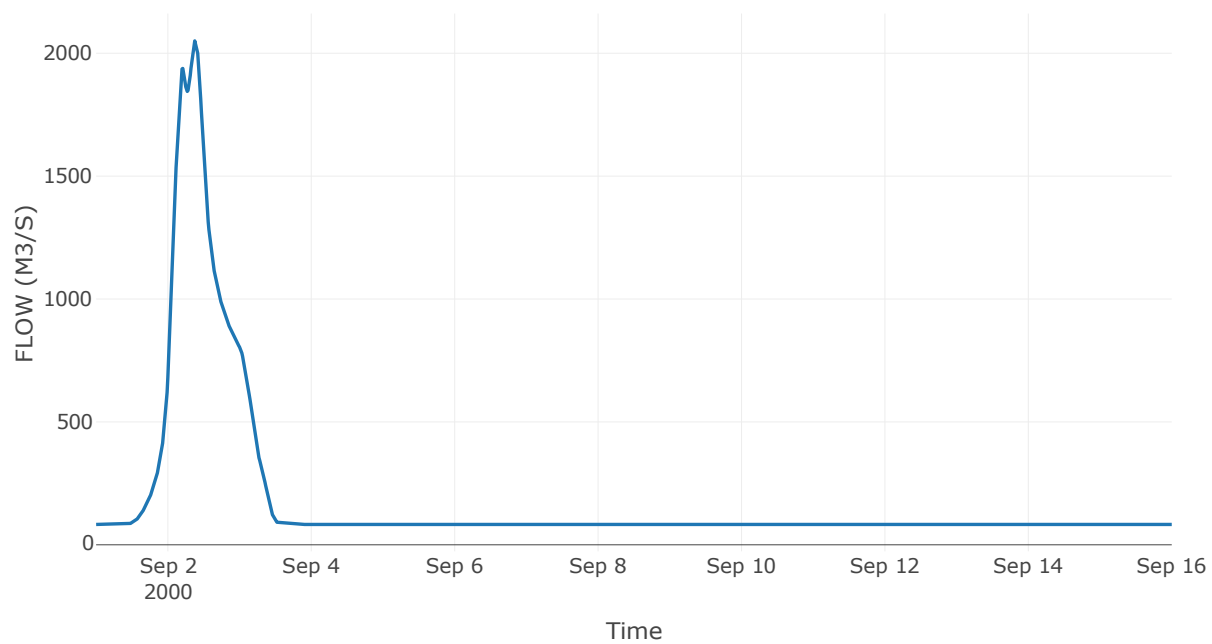
Κόμβος: J6

Κατάντη : R65

Αποτελέσματα: J6

Παροχή Αιχμής(M3/S)	2052.21
Χρονική στιγμή αιχμής	02Sep2000, 09:15
Όγκος(MM)	203.26

Απορροή



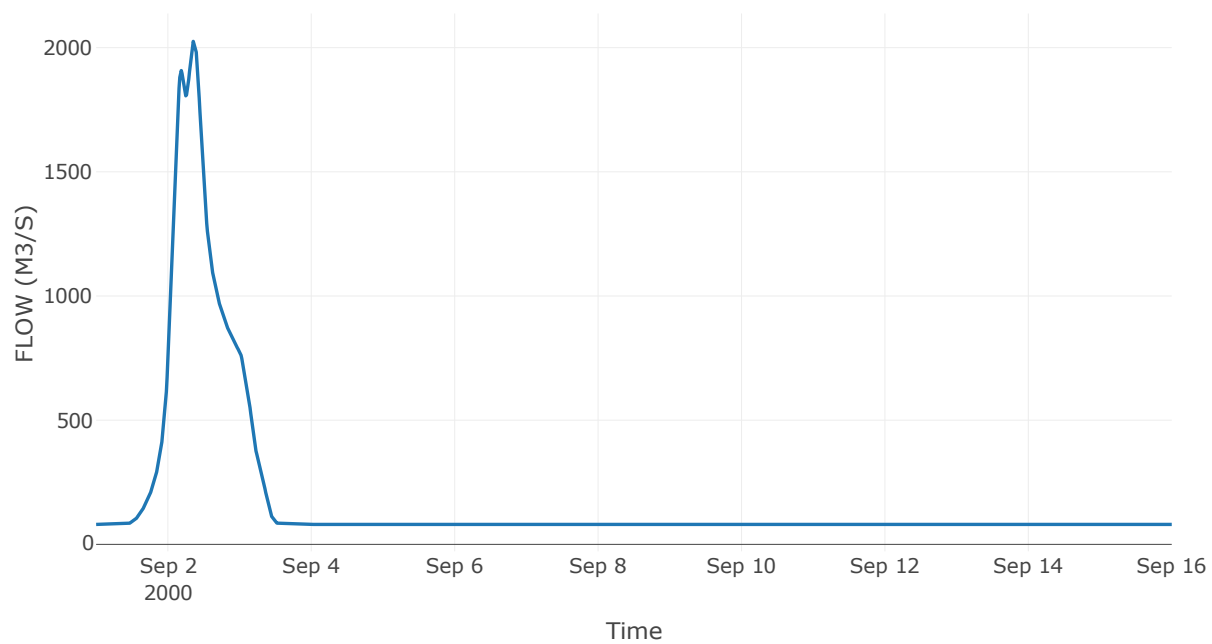
Κόμβος: J7

Κατάντη : R76

Αποτελέσματα: J7

Παροχή Αιχμής(M3/S)	2029.09
Χρονική στιγμή αιχμής	02Sep2000, 08:45
Όγκος(MM)	204.01

Απορροή



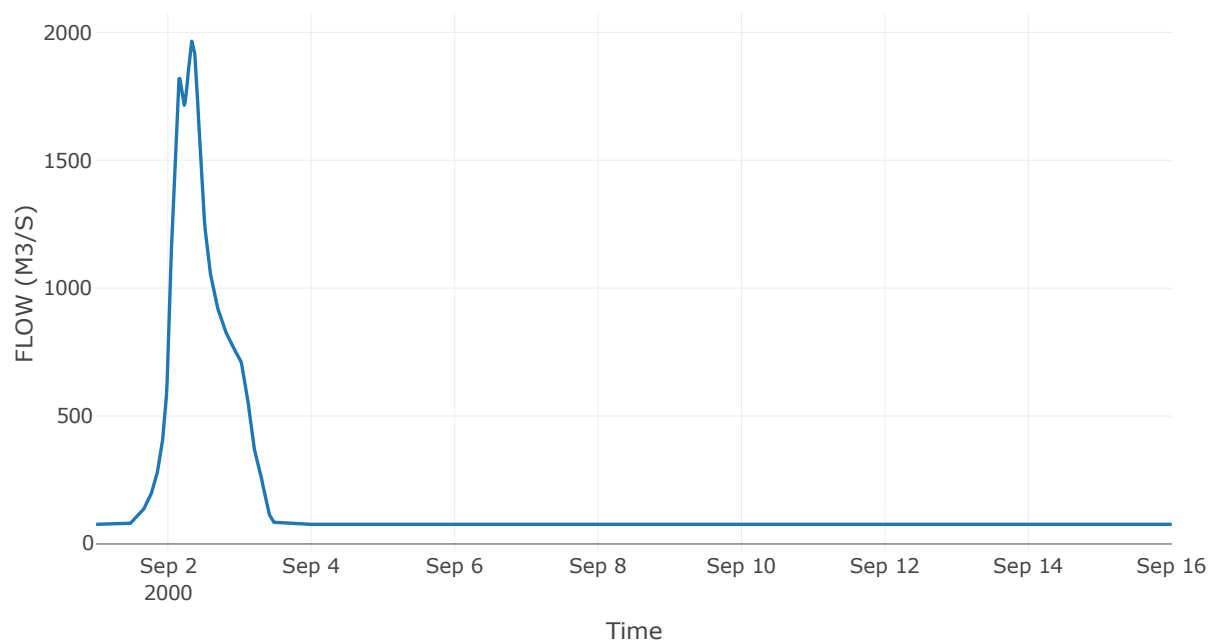
Κόμβος: J8

Κατάντη : R87

Αποτελέσματα: J8

Παροχή Αιχμής(M3/S)	1968.95
Χρονική στιγμή αιχμής	02Sep2000, 08:15
Όγκος(MM)	201.44

Απορροή



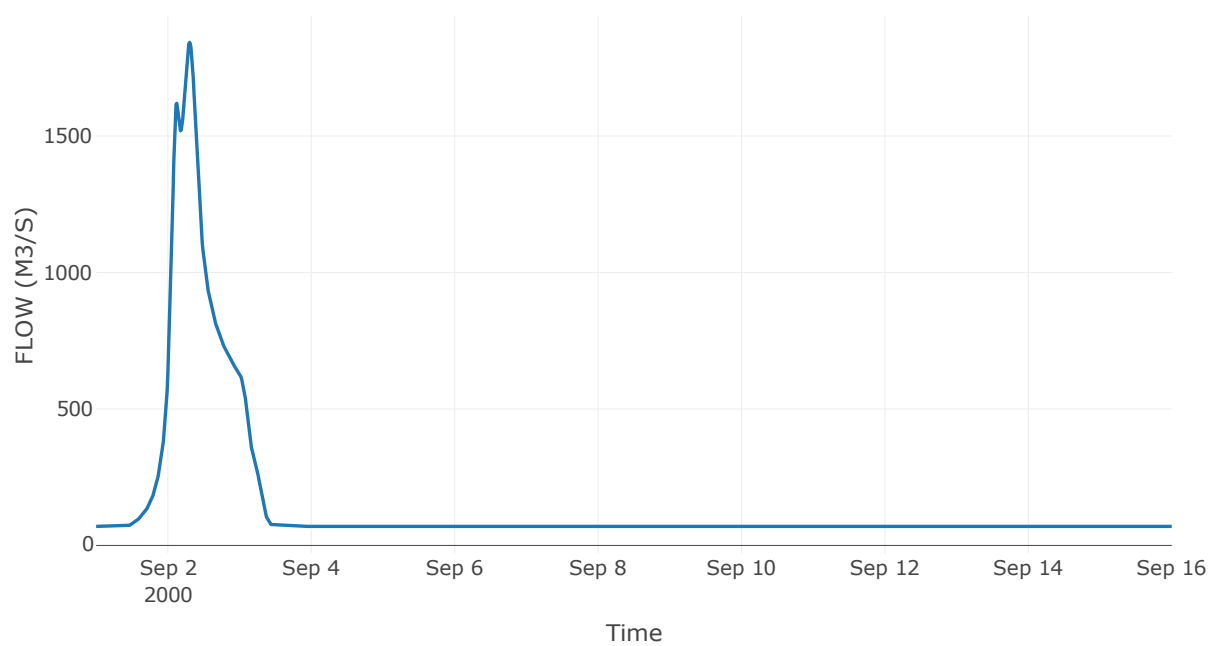
Κόμβος: J9

Κατάντη : R98

Αποτελέσματα: J9

Παροχή Αιχμής(M3/S)	1843.02
Χρονική στιγμή αιχμής	02Sep2000, 07:15
Όγκος(MM)	196.82

Απορροή



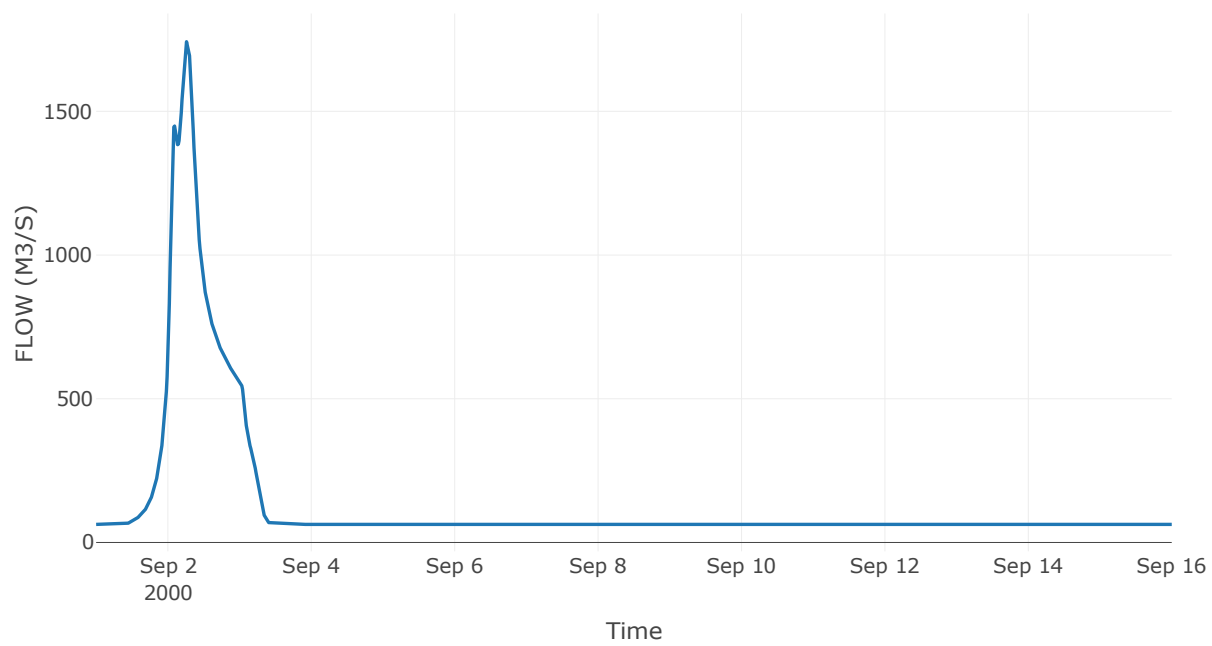
Κόμβος: J10

Κατάντη : R109

Αποτελέσματα: J10

Παροχή Αιχμής(M3/S)	1746.9
Χρονική στιγμή αιχμής	02Sep2000, 06:30
Όγκος(MM)	197.78

Απορροή



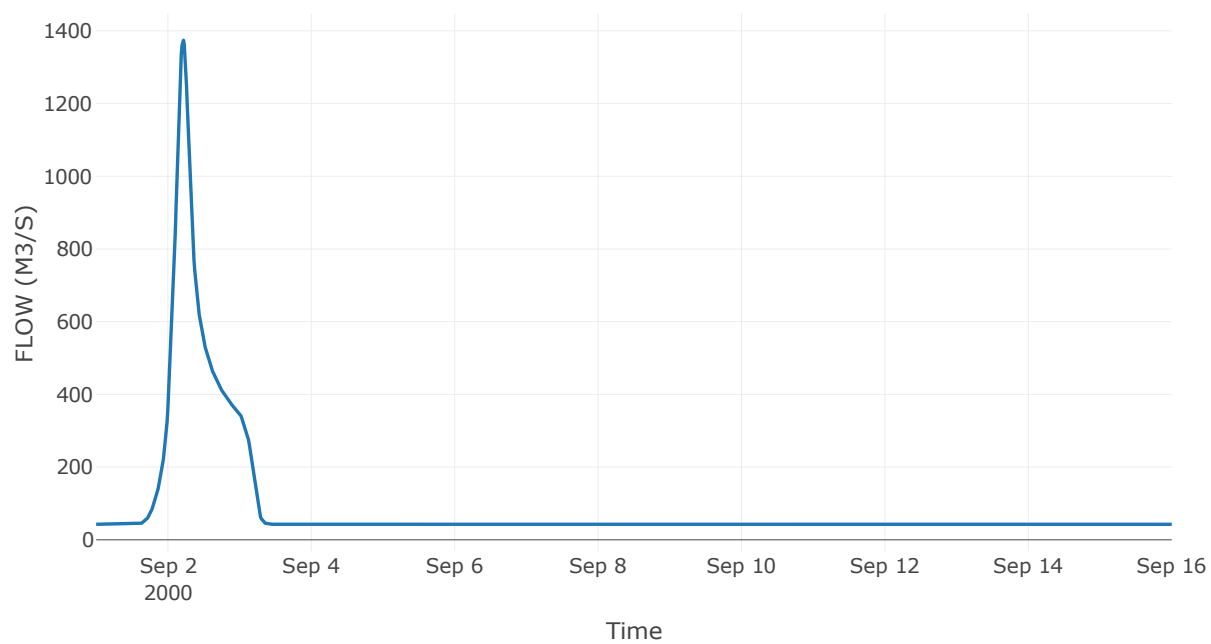
Κόμβος: J11

Κατάντη : R1110

Αποτελέσματα: J11

Παροχή Αιχμής(M3/S)	1374.22
Χρονική στιγμή αιχμής	02Sep2000, 05:15
Όγκος(MM)	189.64

Απορροή



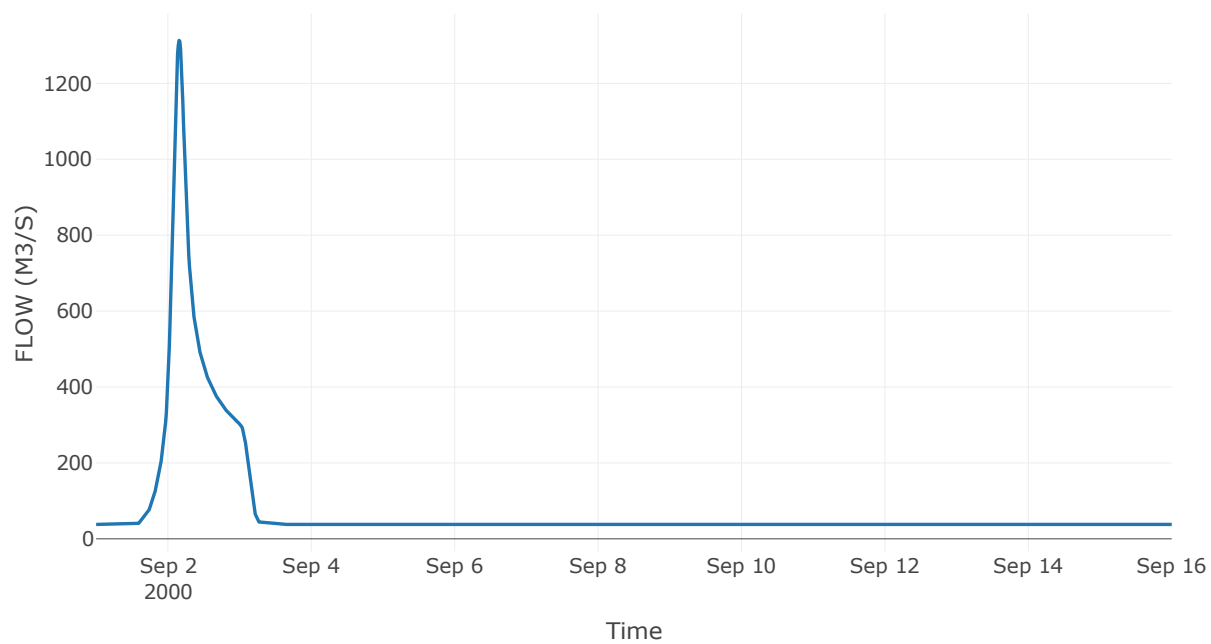
Κόμβος: J12

Κατάντη : R1211

Αποτελέσματα: J12

Παροχή Αιχμής(M3/S)	1313.17
Χρονική στιγμή αιχμής	02Sep2000, 03:45
Όγκος(MM)	190.01

Απορροή



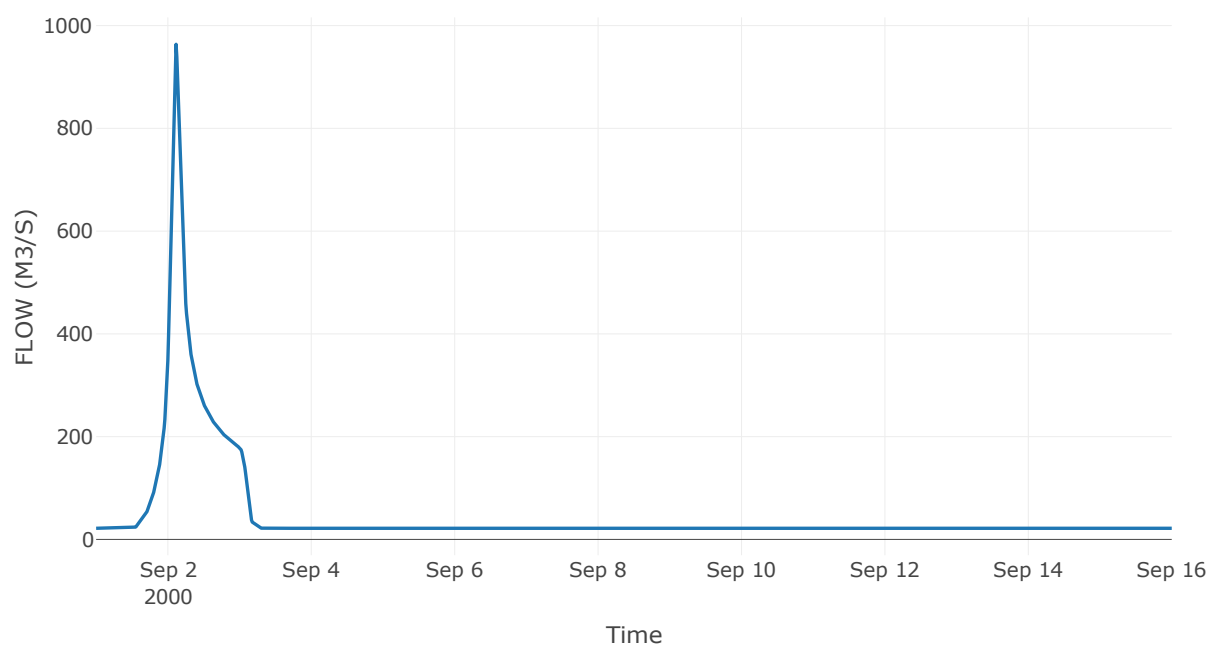
Κόμβος: J13

Κατάντη : R1312

Αποτελέσματα: J13

Παροχή Αιχμής(M3/S)	963.6
Χρονική στιγμή αιχμής	02Sep2000, 02:45
Όγκος(MM)	201

Απορροή



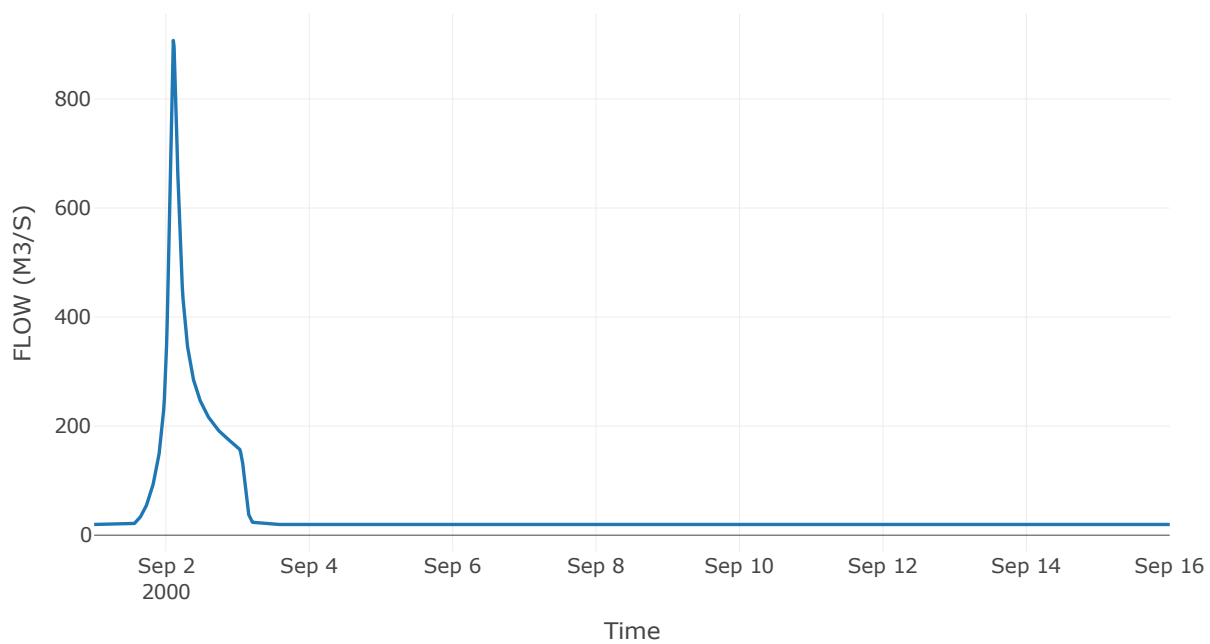
Κόμβος: J14

Κατάντη : R1413

Αποτελέσματα: J14

Παροχή Αιχμής(M3/S)	907.33
Χρονική στιγμή αιχμής	02Sep2000, 02:30
Όγκος(MM)	201.57

Απορροή



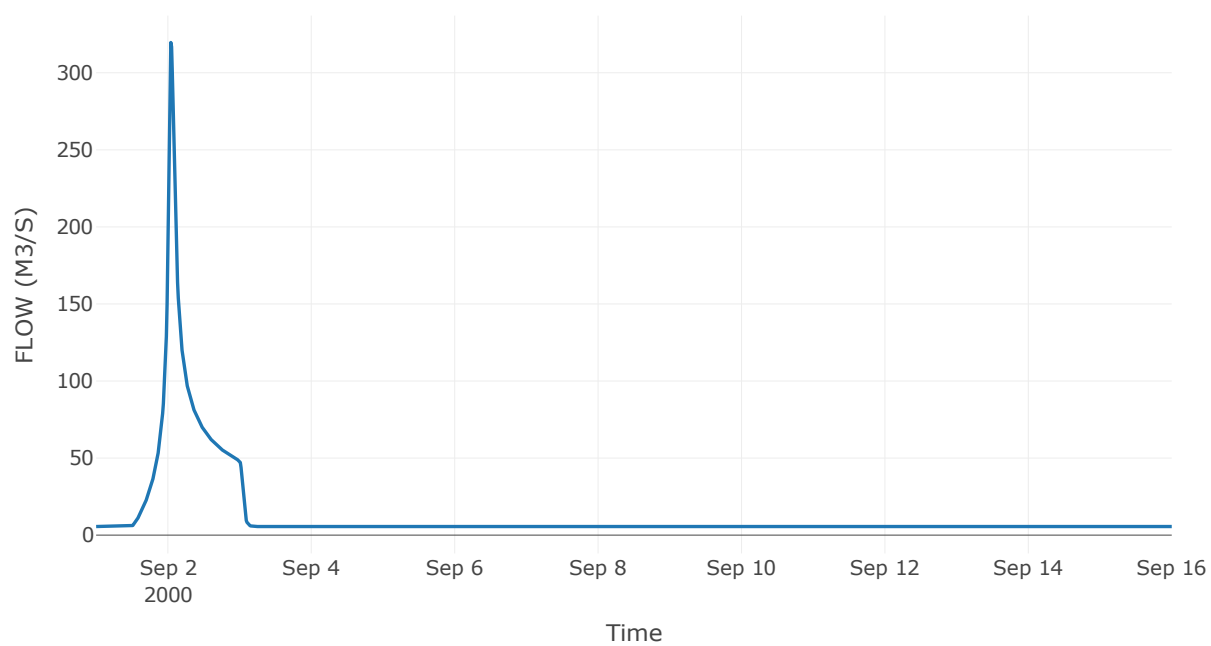
Κόμβος: J15

Κατάντη : R1514

Αποτελέσματα: J15

Παροχή Αιχμής(M3/S)	319.64
Χρονική στιγμή αιχμής	02Sep2000, 01:00
Όγκος(MM)	211.58

Απορροή



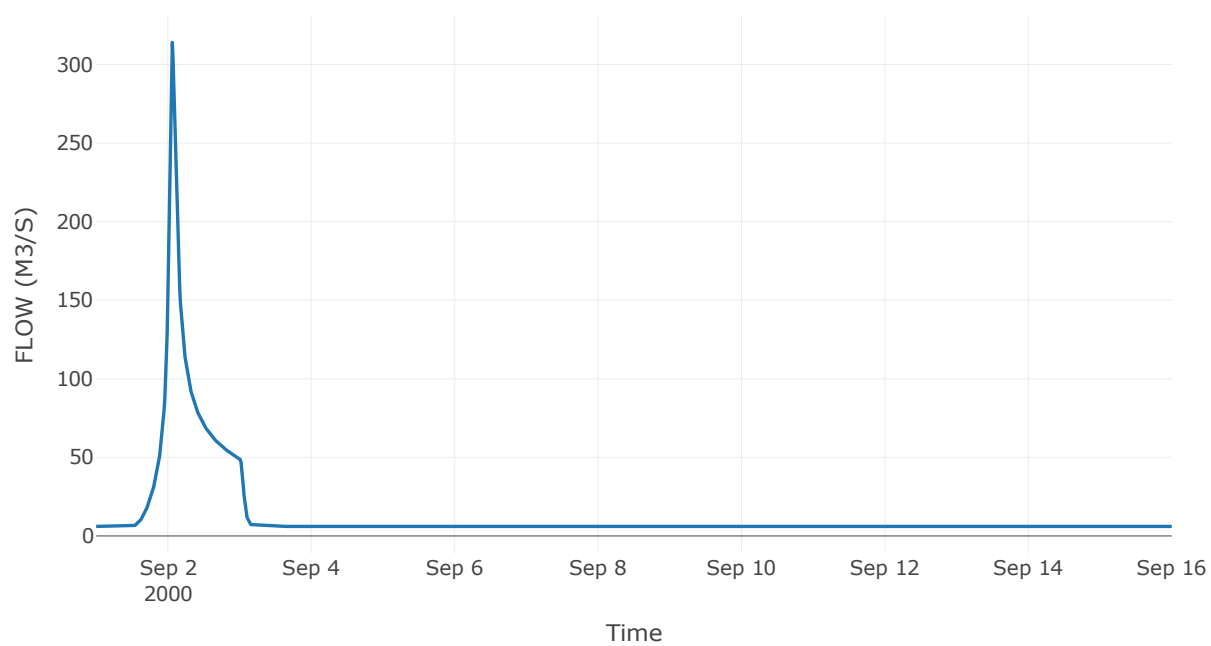
Κόμβος: J16

Κατάντη : R1614

Αποτελέσματα: J16

Παροχή Αιχμής(M3/S)	314.06
Χρονική στιγμή αιχμής	02Sep2000, 01:30
Όγκος(MM)	202.65

Απορροή



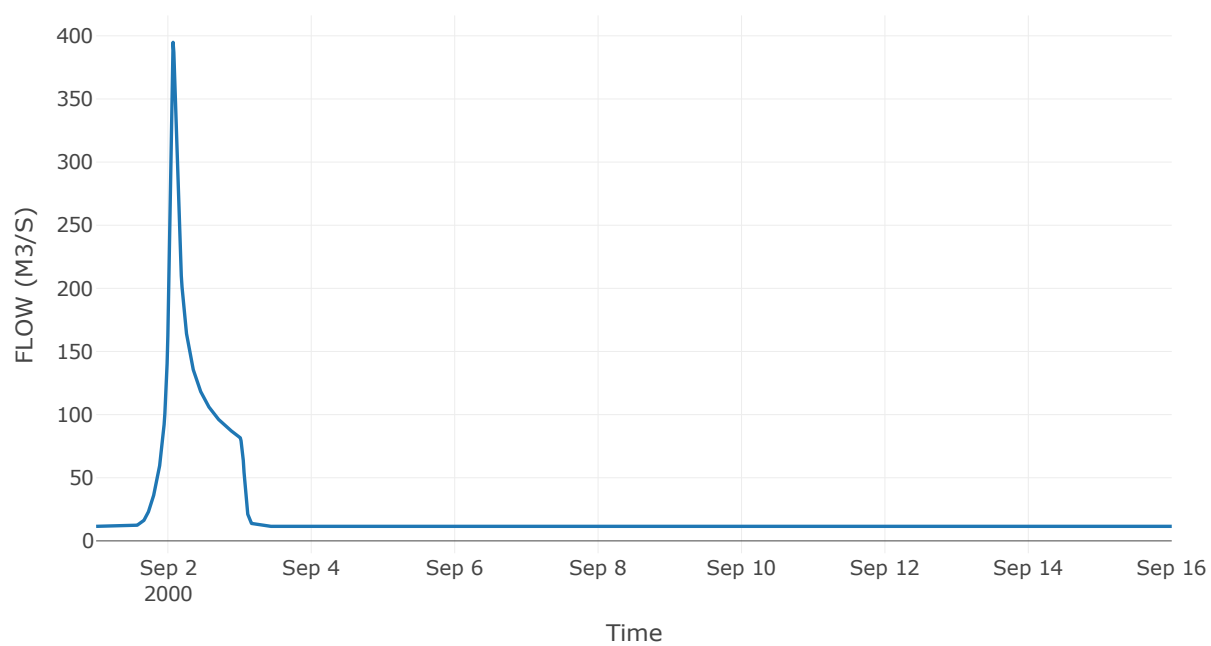
Κόμβος: J17

Κατάντη : R1712

Αποτελέσματα: J17

Παροχή Αιχμής(M3/S)	394.86
Χρονική στιγμή αιχμής	02Sep2000, 01:45
Όγκος(MM)	172.77

Απορροή



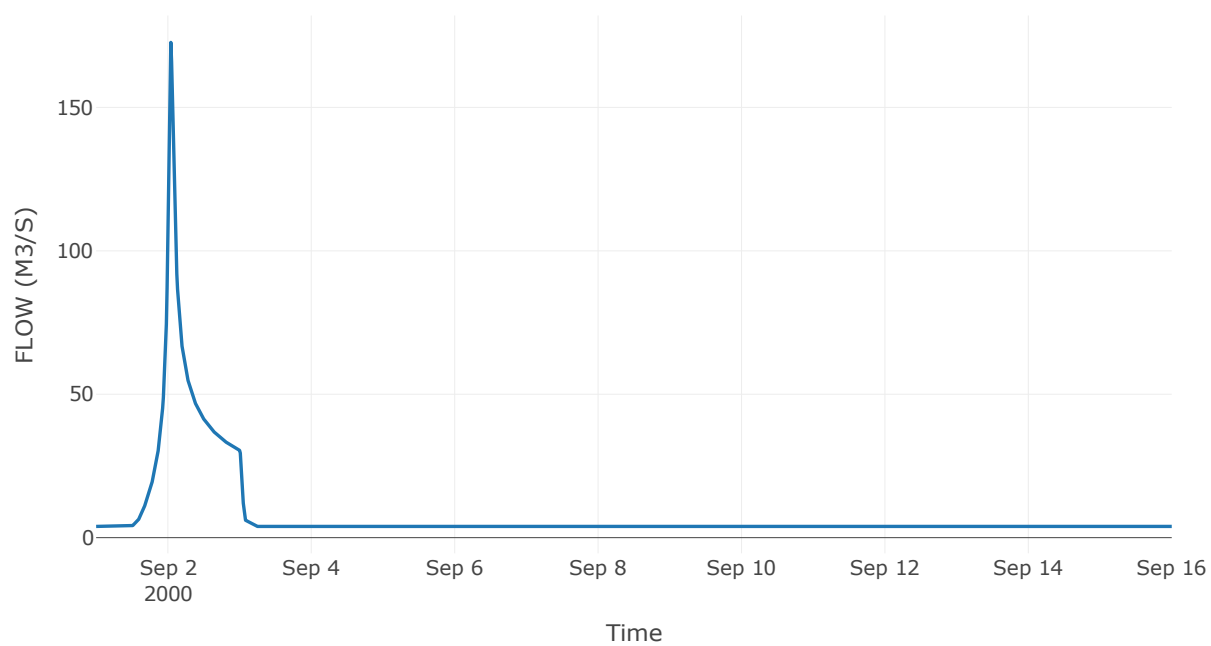
Κόμβος: J18

Κατάντη : R1817

Αποτελέσματα: J18

Παροχή Αιχμής(M3/S)	172.67
Χρονική στιγμή αιχμής	02Sep2000, 01:00
Όγκος(MM)	187.32

Απορροή



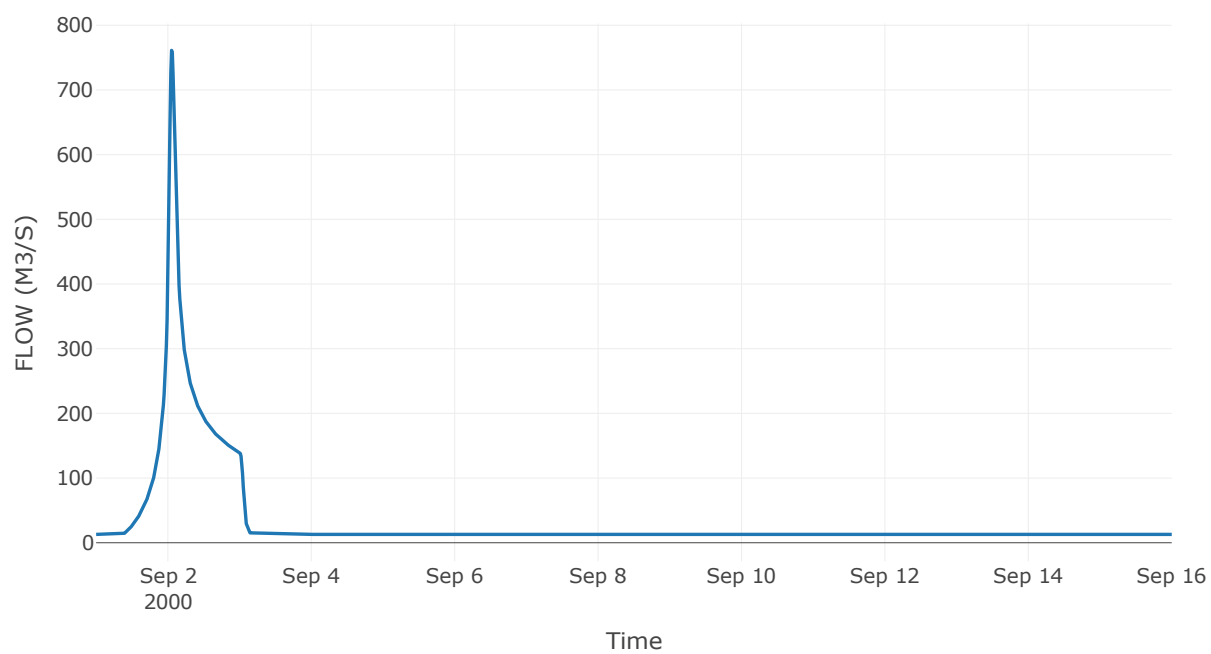
Κόμβος: J19

Κατάντη : R1910

Αποτελέσματα: J19

Παροχή Αιχμής(M3/S)	761.17
Χρονική στιγμή αιχμής	02Sep2000, 01:15
Όγκος(MM)	233.3

Απορροή



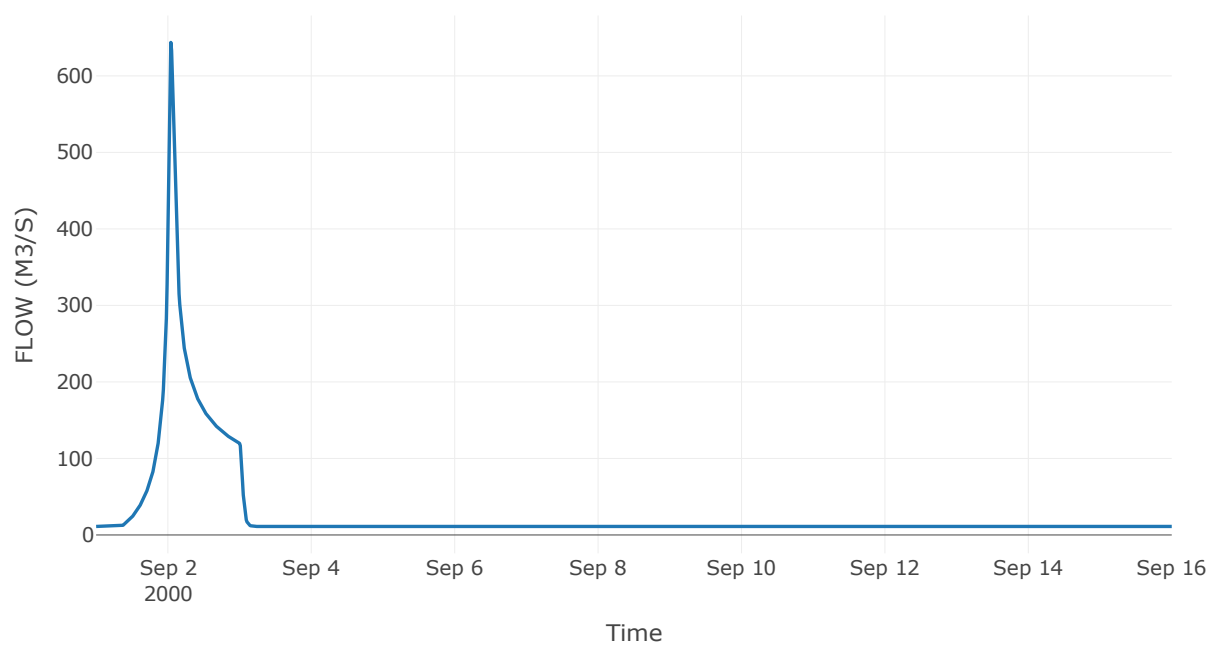
Κόμβος: J20

Κατάντη : R2019

Αποτελέσματα: J20

Παροχή Αιχμής(M3/S)	643.73
Χρονική στιγμή αιχμής	02Sep2000, 01:00
Όγκος(MM)	229.52

Απορροή



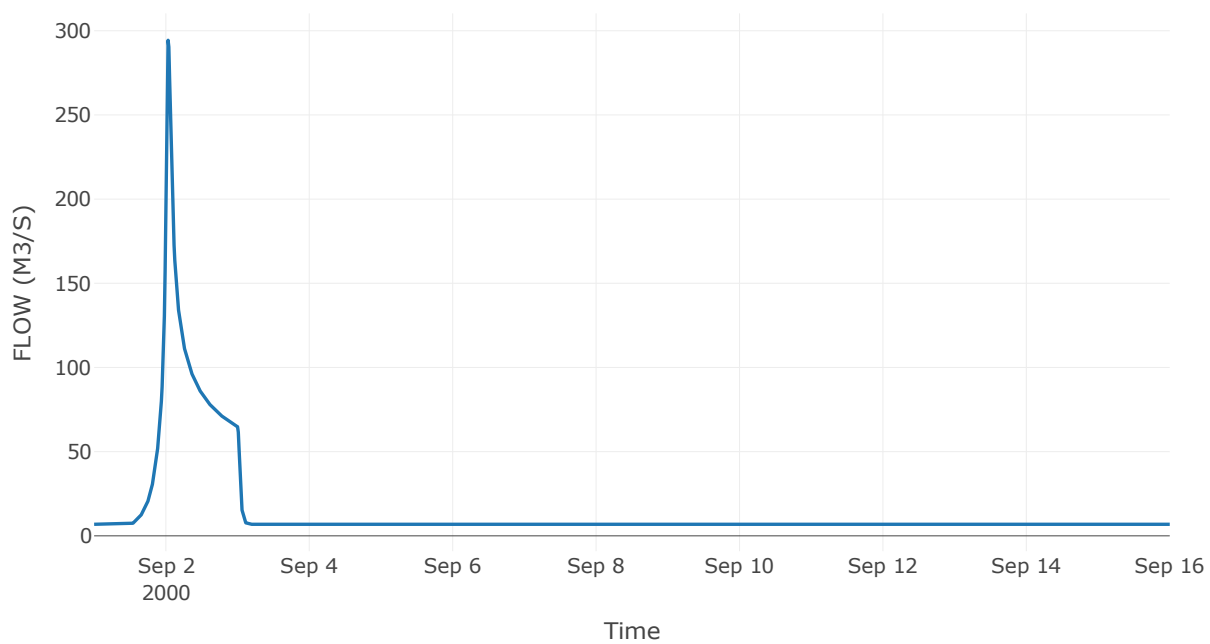
Κόμβος: J21

Κατάντη : R2120

Αποτελέσματα: J21

Παροχή Αιχμής(M3/S)	294.35
Χρονική στιγμή αιχμής	02Sep2000, 00:45
Όγκος(MM)	193.56

Απορροή



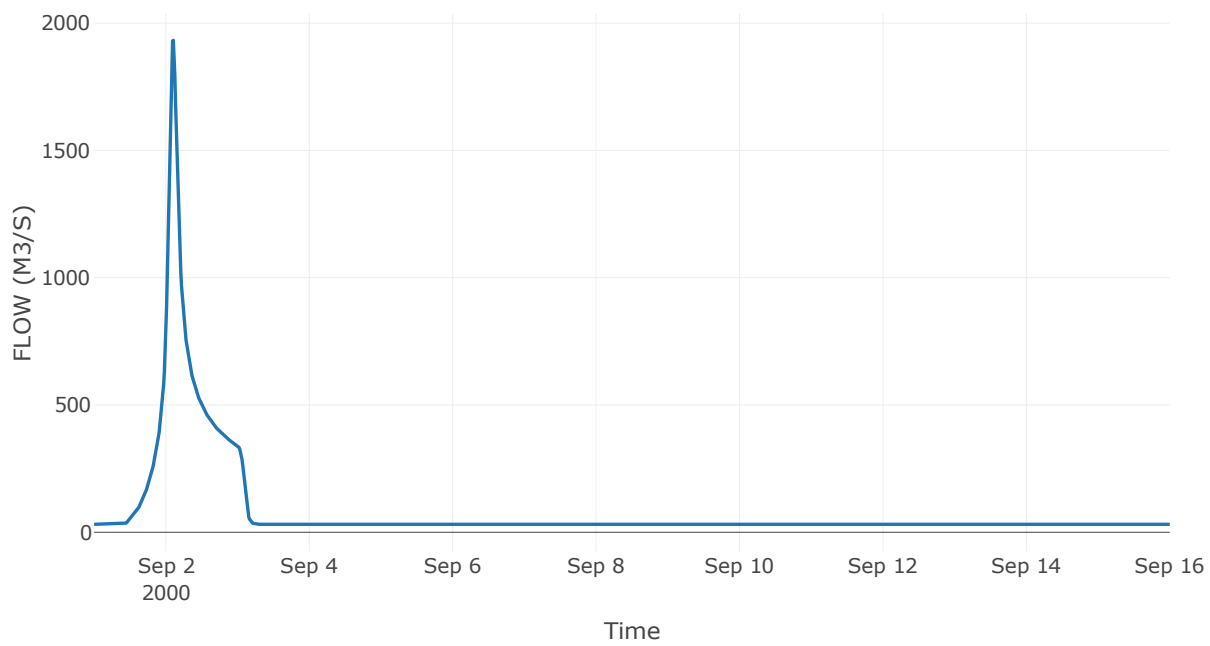
Κόμβος: J22

Κατάντη : R225

Αποτελέσματα: J22

Παροχή Αιχμής(M3/S)	1932.54
Χρονική στιγμή αιχμής	02Sep2000, 02:30
Όγκος(MM)	246.7

Απορροή



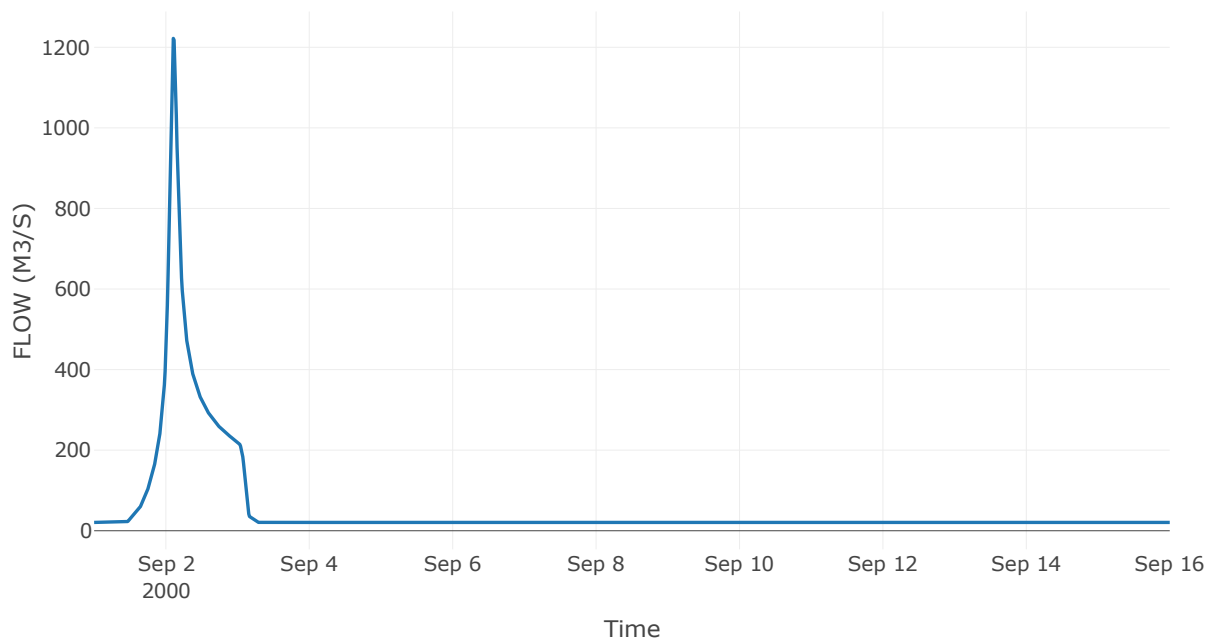
Κόμβος: J23

Κατάντη : R2322

Αποτελέσματα: J23

Παροχή Αιχμής(M3/S)	1222.09
Χρονική στιγμή αιχμής	02Sep2000, 02:30
Όγκος(MM)	237.99

Απορροή



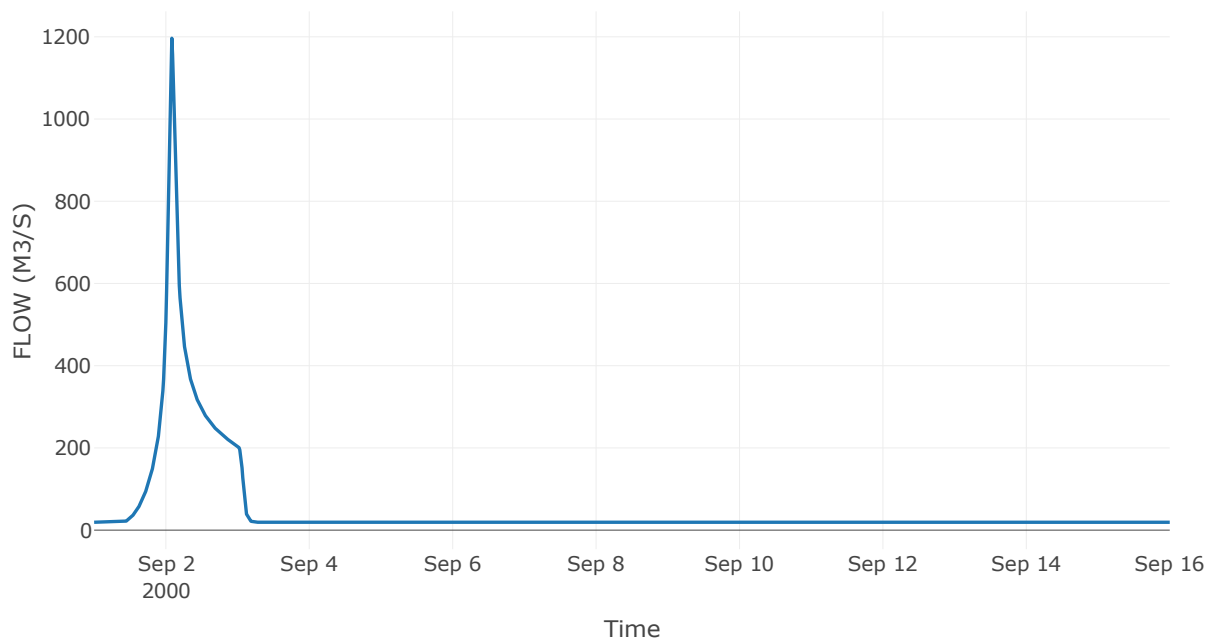
Κόμβος: J24

Κατάντη : R2423

Αποτελέσματα: J24

Παροχή Αιχμής(M3/S)	1196.56
Χρονική στιγμή αιχμής	02Sep2000, 02:00
Όγκος(MM)	238.36

Απορροή



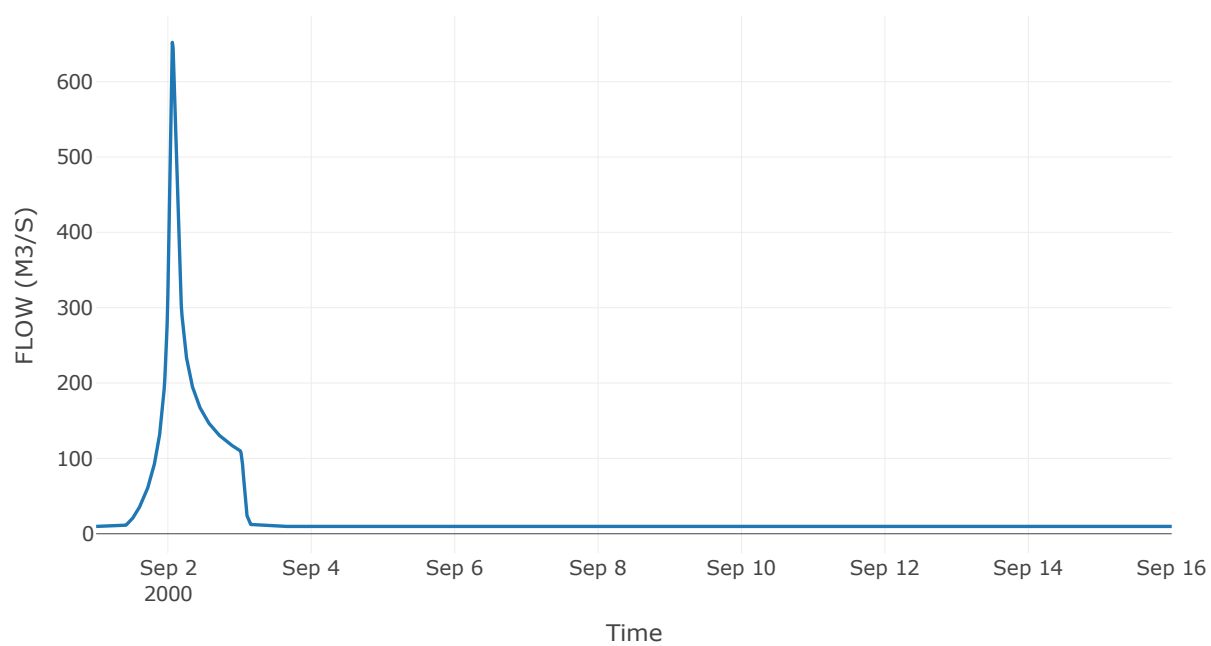
Κόμβος: J25

Κατάντη : R2524

Αποτελέσματα: J25

Παροχή Αιχμής(M3/S)	652.1
Χρονική στιγμή αιχμής	02Sep2000, 01:30
Όγκος(MM)	250.68

Απορροή



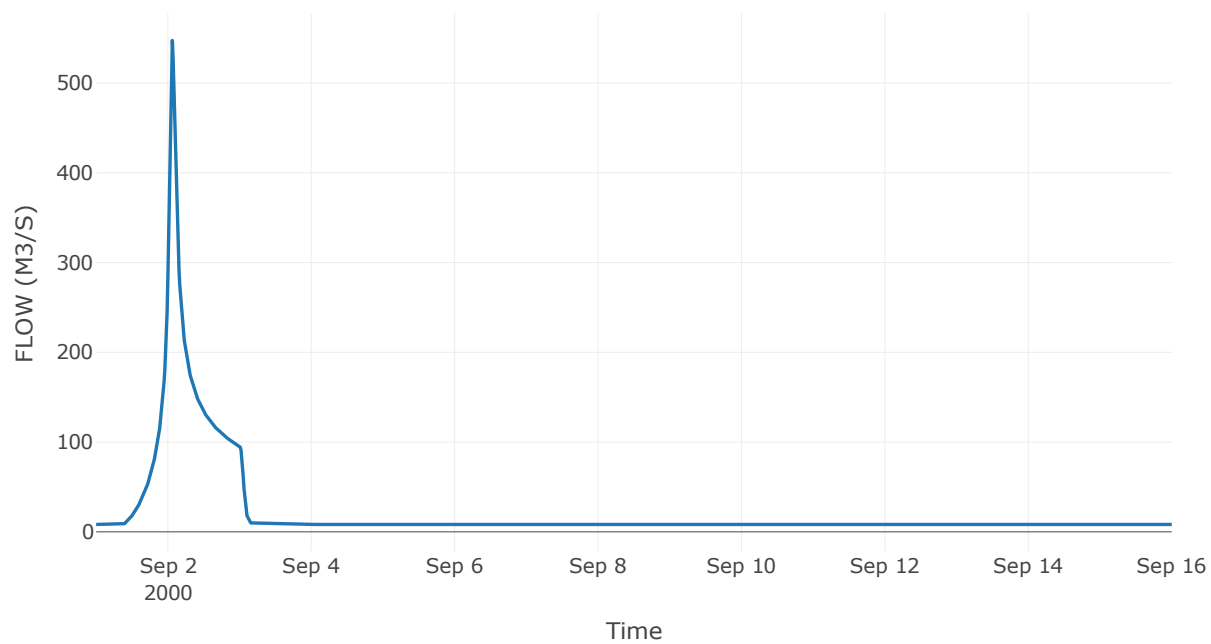
Κόμβος: J26

Κατάντη : R2625

Αποτελέσματα: J26

Παροχή Αιχμής(M3/S)	547.46
Χρονική στιγμή αιχμής	02Sep2000, 01:30
Όγκος(MM)	251.19

Απορροή



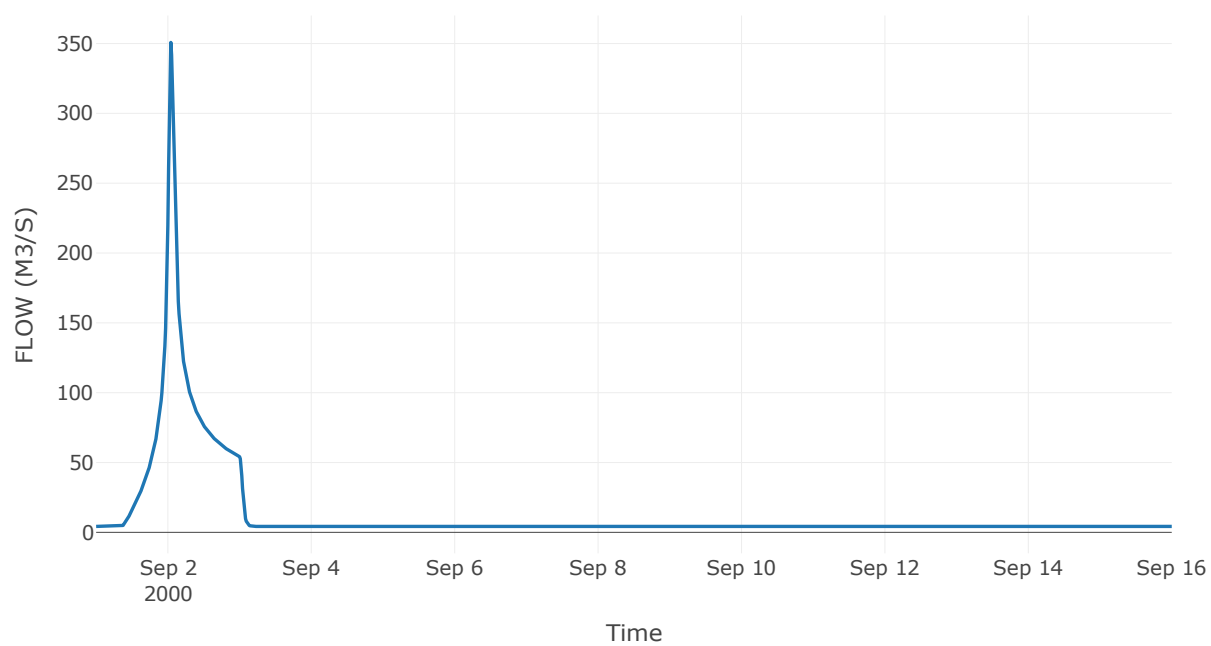
Κόμβος: J27

Κατάντη : R2726

Αποτελέσματα: J27

Παροχή Αιχμής(M3/S)	350.79
Χρονική στιγμή αιχμής	02Sep2000, 01:00
Όγκος(MM)	282.6

Απορροή



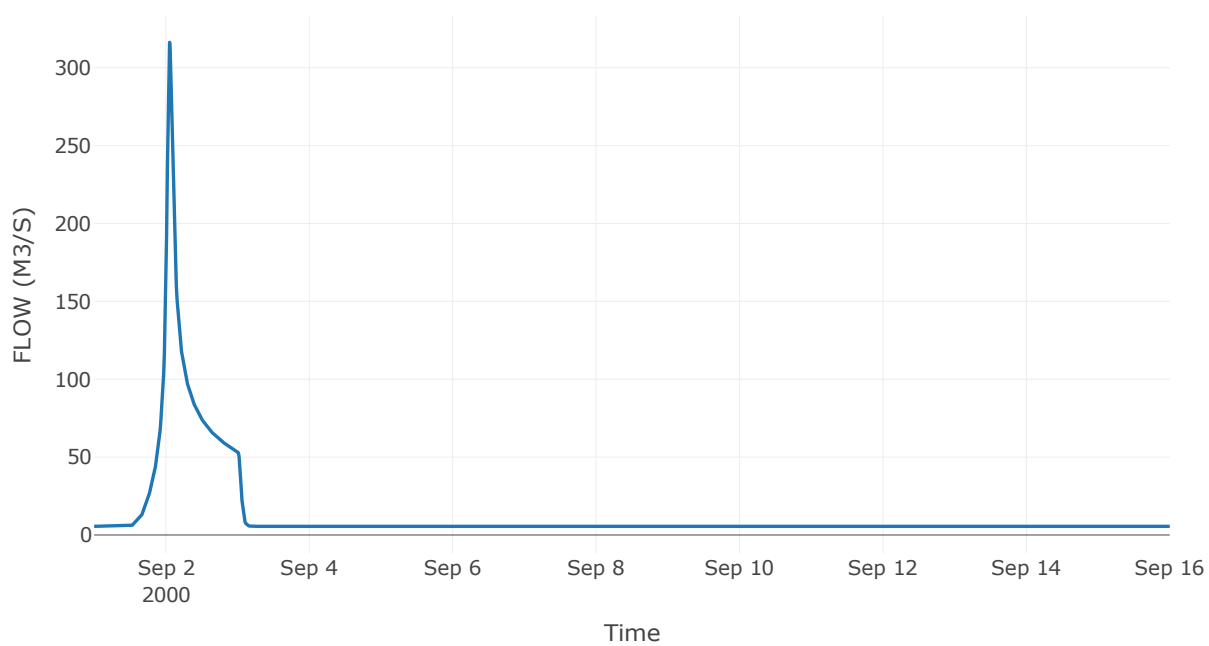
Κόμβος: J28

Κατάντη : R2824

Αποτελέσματα: J28

Παροχή Αιχμής(M3/S)	316.37
Χρονική στιγμή αιχμής	02Sep2000, 01:15
Όγκος(MM)	214.28

Απορροή



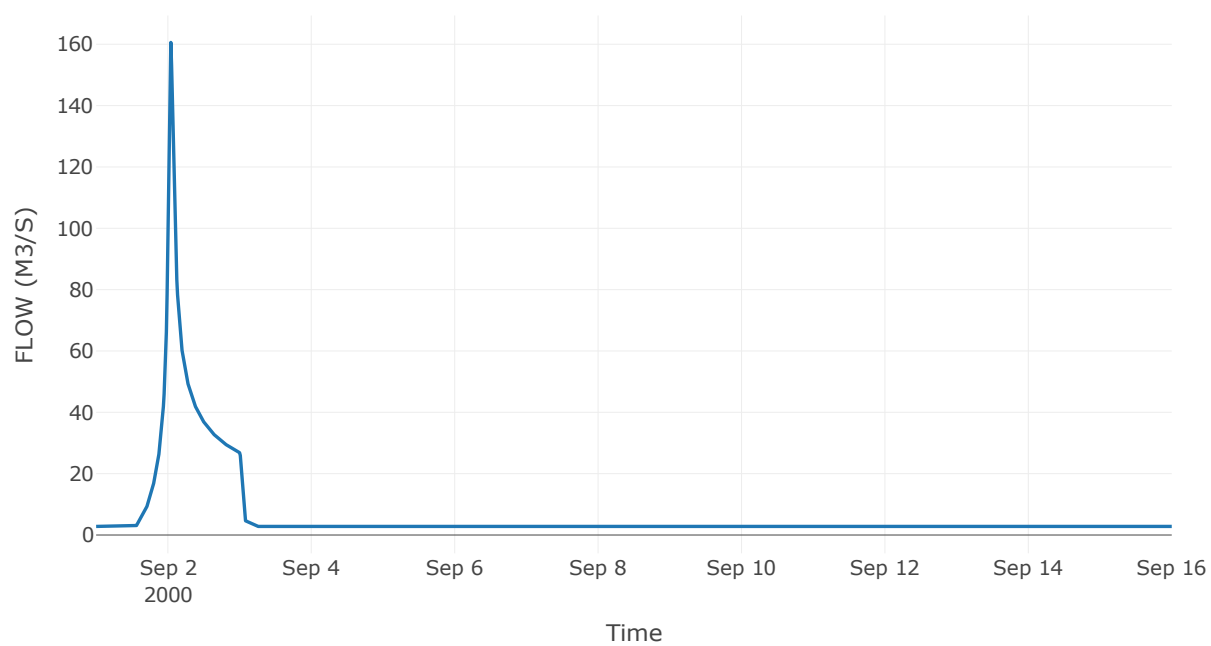
Κόμβος: J29

Κατάντη : R2928

Αποτελέσματα: J29

Παροχή Αιχμής(M3/S)	160.6
Χρονική στιγμή αιχμής	02Sep2000, 01:00
Όγκος(MM)	212.58

Απορροή



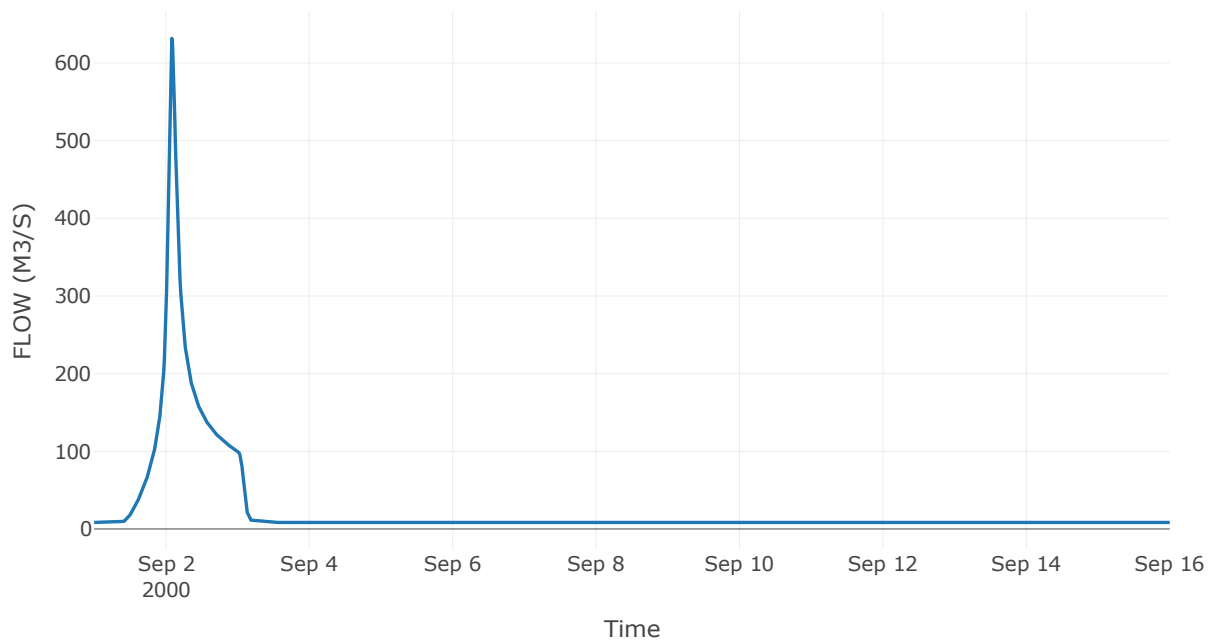
Κόμβος: J30

Κατάντη : R3022

Αποτελέσματα: J30

Παροχή Αιχμής(M3/S)	631.59
Χρονική στιγμή αιχμής	02Sep2000, 02:00
Όγκος(MM)	274.38

Απορροή



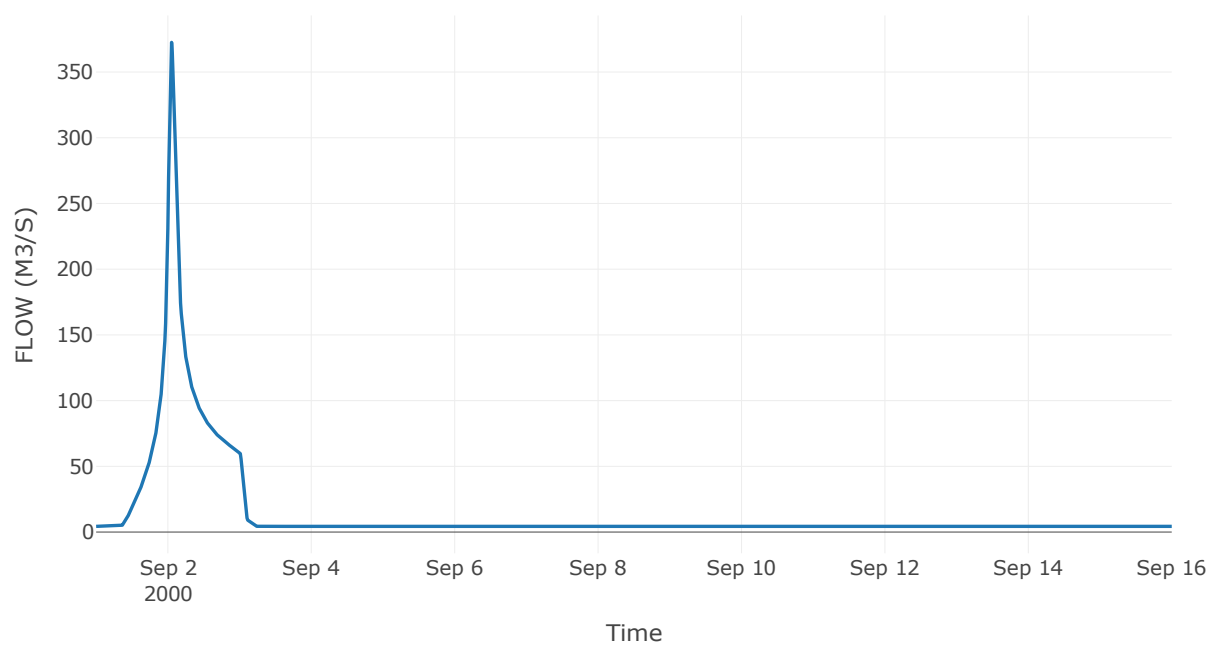
Κόμβος: J31

Κατάντη : R3130

Αποτελέσματα: J31

Παροχή Αιχμής(M3/S)	372.57
Χρονική στιγμή αιχμής	02Sep2000, 01:15
Όγκος(MM)	308.19

Απορροή



7 Δεδομένα εισόδου και αποτελέσματα υδρολογικού σεναρίου T=100U

7.1 Αποτελέσματα, υετογραφήματα και υδρογραφήματα σχεδιασμού υπολεκανών

Υπολεκάνη: EL0514FR003001

Έκταση (KM2) : 46.02

Κατάνη : J15

Μέθοδος Απωλειών: SCS

Ποσοστό αδιαπέρατης επιφάνειας	0
Αριθμός Καμπύλης Απορροής-CN	90.23
Αρχικές Απώλειες	5.5

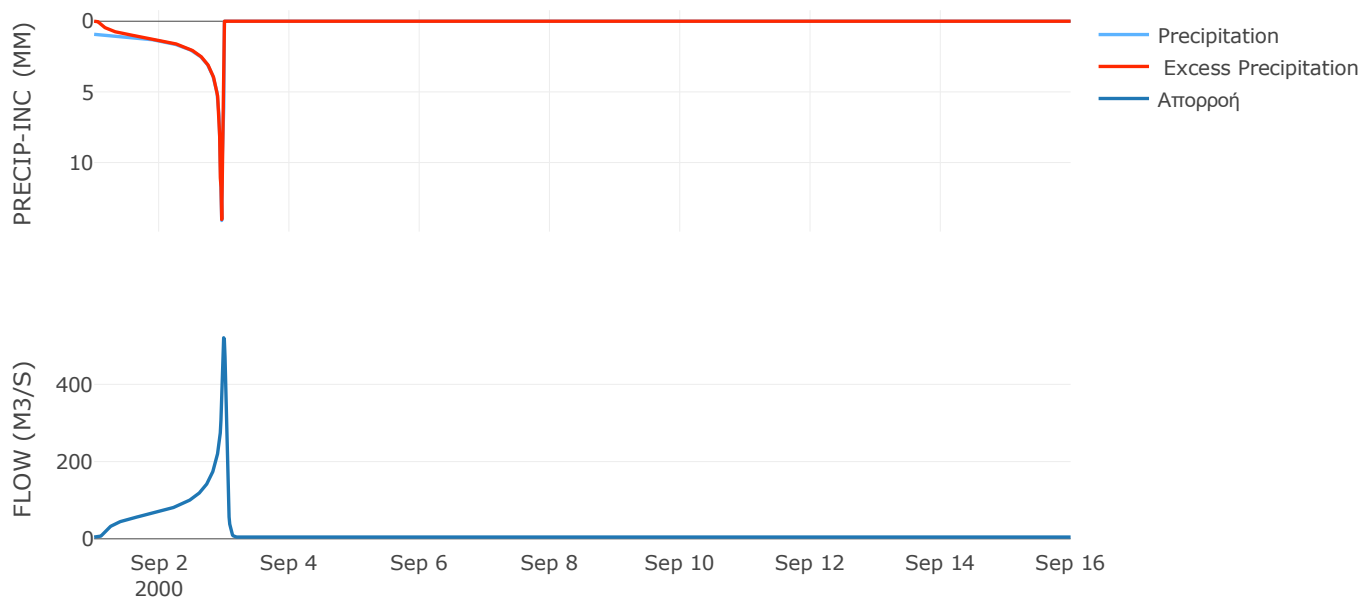
Μέθοδος
Μετασχηματισμού: SCS

Χρόνος Υστέρησης	48.19
------------------	-------

Αποτελέσματα:
EL0514FR003001

Παροχή αιχμής (M3/S)	520.66
Χρονική στιγμή αιχμής	02Sep2000, 23:45
Όγκος (MM)	485.3
Όγκος βροχόπτωσης (M3)	1.78E7
Όγκος απωλειών (M3)	1.43E6
Ενεργός Όγκος (M3)	1.64E7
Όγκος άμεσης απορροής (M3)	1.64E7
Όγκος βασικής απορροής (M3)	5.96E6

Βροχόπτωση και Απορροή



Υπολεκάνη: EL0514FR003002

Έκταση (KM2) : 33.64

Κατάνη : J15

Μέθοδος Απωλειών: SCS

Ποσοστό αδιαπέρατης επιφάνειας	0
Αριθμός Καμπύλης Απορροής-CN	90.22
Αρχικές Απώλειες	5.51

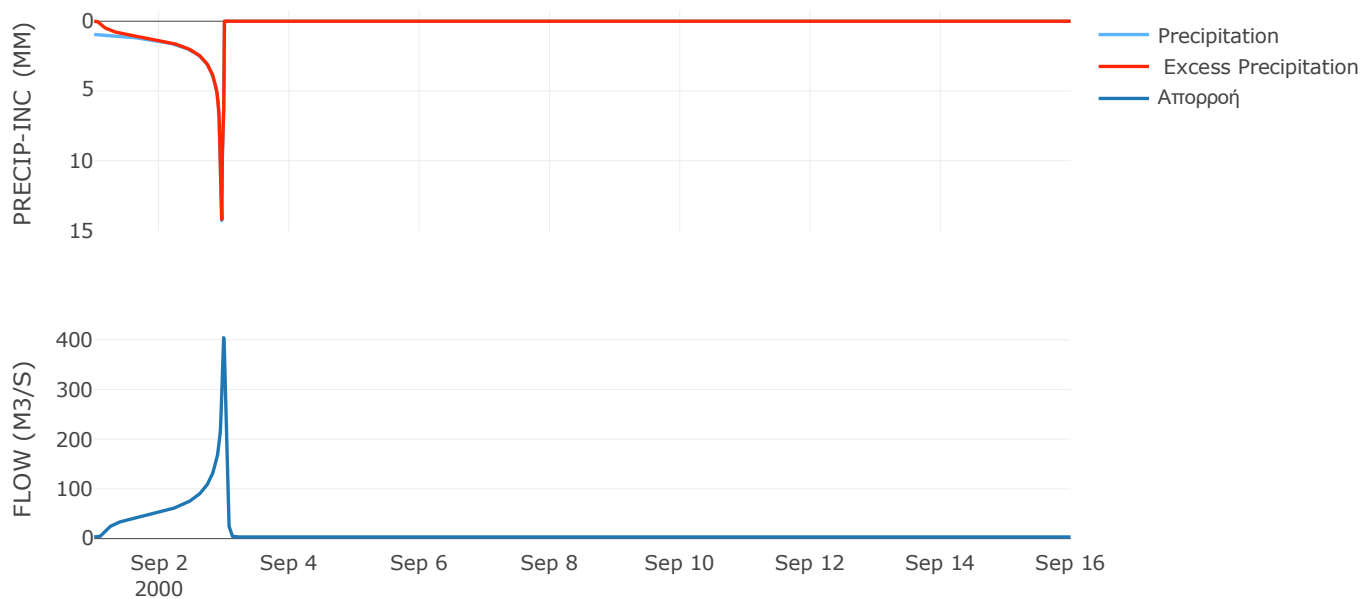
Μέθοδος
Μετασχηματισμού: SCS

Χρόνος Υστέρησης	40.08
------------------	-------

Αποτελέσματα:
EL0514FR003002

Παροχή αιχμής (M3/S)	404.22
Χρονική στιγμή αιχμής	02Sep2000, 23:45
Όγκος (MM)	493.22
Όγκος βροχόπτωσης (M3)	1.33E7
Όγκος απωλειών (M3)	1.05E6
Ενεργός Όγκος (M3)	1.22E7
Όγκος άμεσης απορροής (M3)	1.22E7
Όγκος βασικής απορροής (M3)	4.36E6

Βροχόπτωση και Απορροή



Υπολεκάνη: EL0514FR003003

Έκταση (KM2) : 51.67

Κατάντη : J14

Μέθοδος Απωλειών: SCS

Ποσοστό αδιαπέρατης επιφάνειας	0
Αριθμός Καμπύλης Απορροής-CN	87.19
Αρχικές Απώλειες	7.46

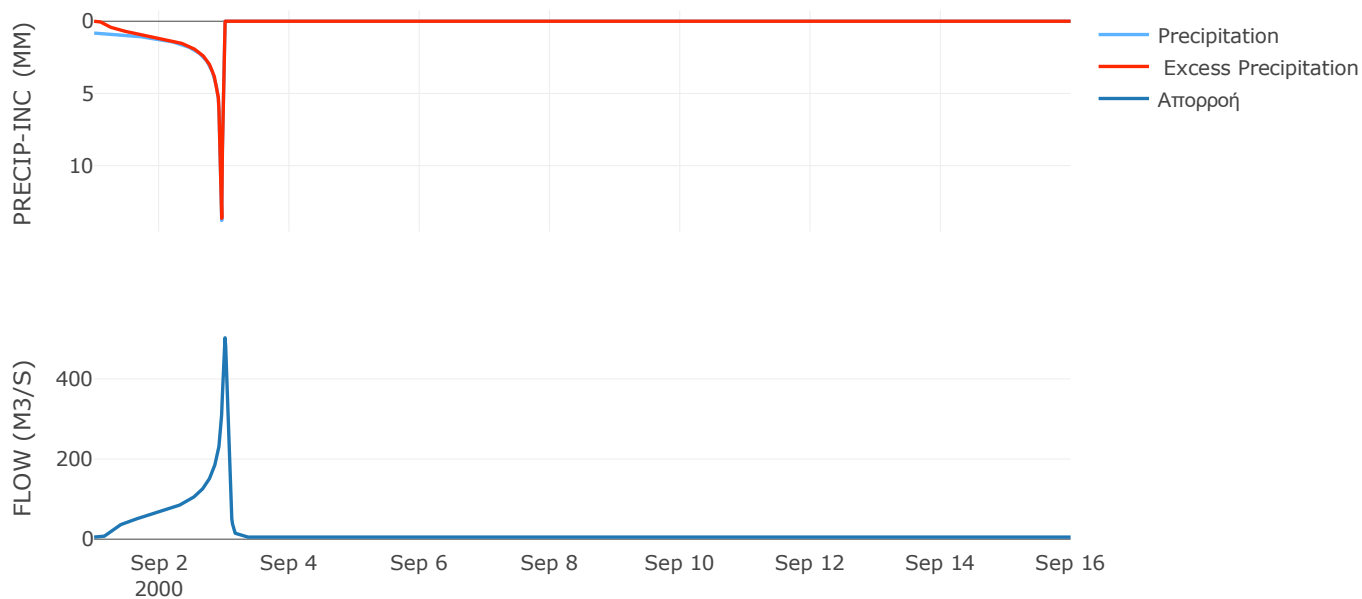
Μέθοδος
Μετασχηματισμού: SCS

Χρόνος Υστέρησης	72.28
------------------	-------

Αποτελέσματα:
EL0514FR003003

Παροχή αιχμής (M3/S)	502.68
Χρονική στιγμή αιχμής	03Sep2000, 00:15
Όγκος (MM)	443.96
Όγκος βροχόπτωσης (M3)	1.84E7
Όγκος απωλειών (M3)	2.13E6
Ενεργός Όγκος (M3)	1.62E7
Όγκος άμεσης απορροής (M3)	1.62E7
Όγκος βασικής απορροής (M3)	6.7E6

Βροχόπτωση και Απορροή



Υπολεκάνη: EL0514FR003004

Έκταση (KM2) : 62.35

Κατάντη : J14

Μέθοδος Απωλειών: SCS

Ποσοστό αδιαπέρατης επιφάνειας	0
Αριθμός Καμπύλης Απορροής-CN	90.55
Αρχικές Απώλειες	5.3

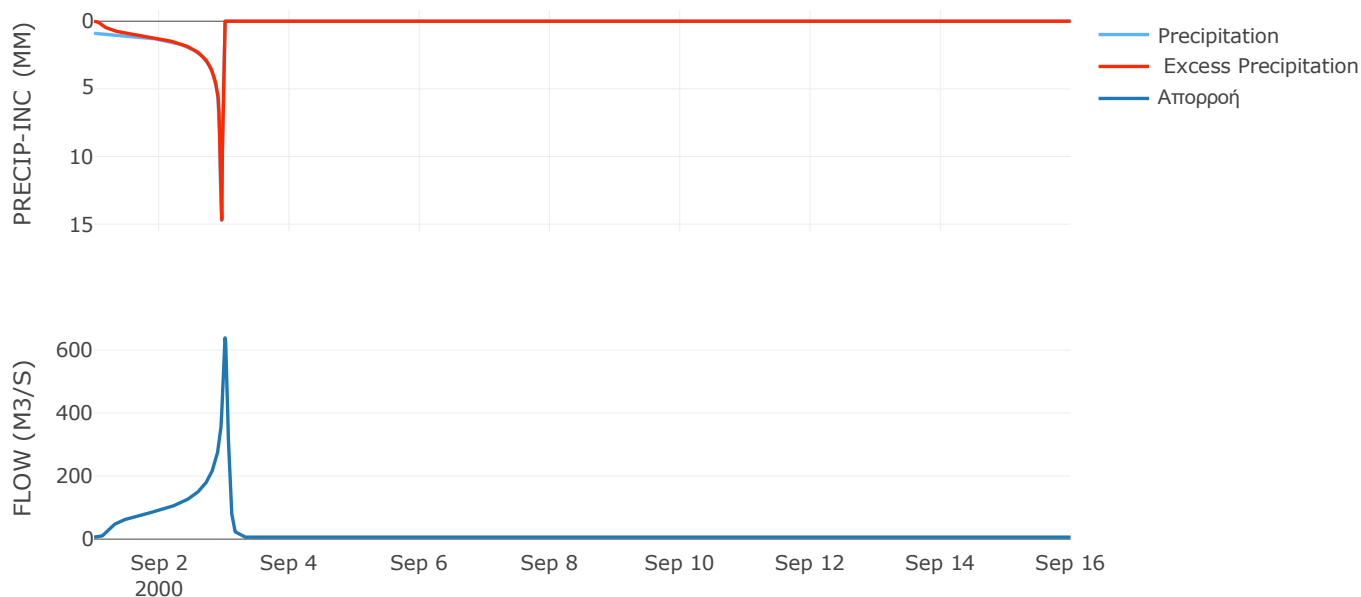
Μέθοδος
Μετασχηματισμού: SCS

Χρόνος Υστέρησης	77.39
------------------	-------

Αποτελέσματα:
EL0514FR003004

Παροχή αιχμής (M3/S)	638.72
Χρονική στιγμή αιχμής	03Sep2000, 00:15
Όγκος (MM)	483.83
Όγκος βροχόπτωσης (M3)	2.4E7
Όγκος απωλειών (M3)	1.87E6
Ενεργός Όγκος (M3)	2.21E7
Όγκος άμεσης απορροής (M3)	2.21E7
Όγκος βασικής απορροής (M3)	8.08E6

Βροχόπτωση και Απορροή



Υπολεκάνη: EL0514FR003005

Έκταση (KM2) : 0.91

Κατάντη : J13

Μέθοδος Απωλειών: SCS

Ποσοστό αδιαπέρατης επιφάνειας	0
Αριθμός Καμπύλης Απορροής-CN	90.67
Αρχικές Απώλειες	5.23

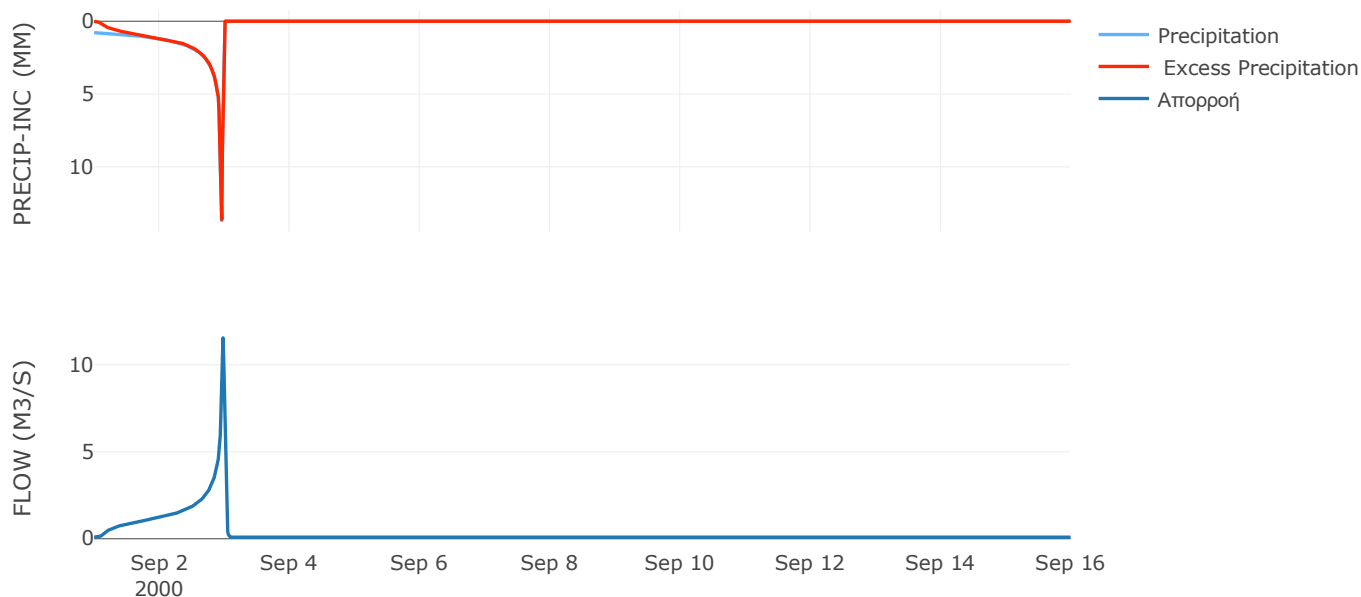
Μέθοδος
Μετασχηματισμού: SCS

Χρόνος Υστέρησης	24.16
------------------	-------

Αποτελέσματα:
EL0514FR003005

Παροχή αιχμής (M3/S)	11.54
Χρονική στιγμή αιχμής	02Sep2000, 23:30
Όγκος (MM)	444.23
Όγκος βροχόπτωσης (M3)	3.15E5
Όγκος απωλειών (M3)	26948.23
Ενεργός Όγκος (M3)	2.88E5
Όγκος άμεσης απορροής (M3)	2.88E5
Όγκος βασικής απορροής (M3)	1.18E5

Βροχόπτωση και Απορροή



Υπολεκάνη: EL0514FR003006

Έκταση (KM2) : 19.25

Κατάντη : J13

Μέθοδος Απωλειών: SCS

Ποσοστό αδιαπέρατης επιφάνειας	0
Αριθμός Καμπύλης Απορροής-CN	91.78
Αρχικές Απώλειες	4.55

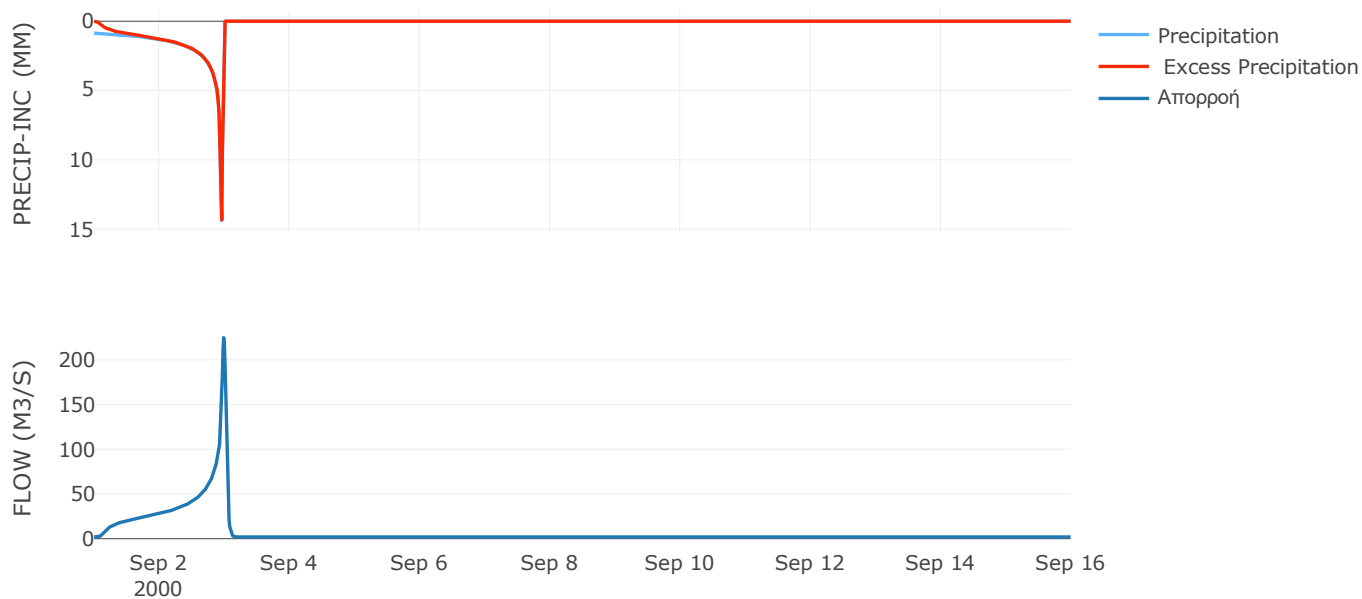
Μέθοδος
Μετασχηματισμού: SCS

Χρόνος Υστέρησης	45.73
------------------	-------

Αποτελέσματα:
EL0514FR003006

Παροχή αιχμής (M3/S)	224.69
Χρονική στιγμή αιχμής	02Sep2000, 23:45
Όγκος (MM)	475
Όγκος βροχόπτωσης (M3)	7.15E6
Όγκος απωλειών (M3)	5E5
Ενεργός Όγκος (M3)	6.65E6
Όγκος άμεσης απορροής (M3)	6.65E6
Όγκος βασικής απορροής (M3)	2.5E6

Βροχόπτωση και Απορροή



Υπολεκάνη: EL0514FR003007

Έκταση (KM2) : 23.36

Κατάντη : J12

Μέθοδος Απωλειών: SCS

Ποσοστό αδιαπέρατης επιφάνειας	0
Αριθμός Καμπύλης Απορροής-CN	91.32
Αρχικές Απώλειες	4.83

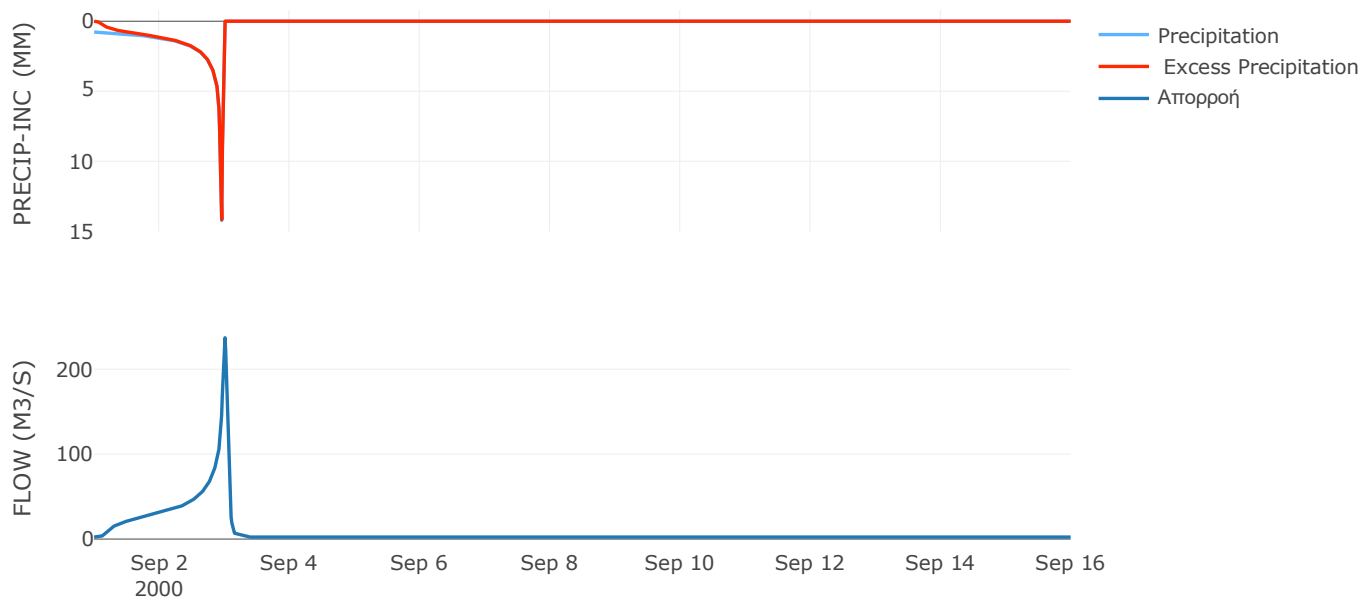
Μέθοδος
Μετασχηματισμού: SCS

Χρόνος Υστέρησης	67.75
------------------	-------

Αποτελέσματα:
EL0514FR003007

Παροχή αιχμής (M3/S)	237.01
Χρονική στιγμή αιχμής	03Sep2000, 00:15
Όγκος (MM)	448.54
Όγκος βροχόπτωσης (M3)	8.09E6
Όγκος απωλειών (M3)	6.39E5
Ενεργός Όγκος (M3)	7.45E6
Όγκος άμεσης απορροής (M3)	7.45E6
Όγκος βασικής απορροής (M3)	3.03E6

Βροχόπτωση και Απορροή



Υπολεκάνη: EL0514FR003008

Έκταση (KM2) : 46.02

Κατάντη : J12

Μέθοδος Απωλειών: SCS

Ποσοστό αδιαπέρατης επιφάνειας	0
Αριθμός Καμπύλης Απορροής-CN	87.8
Αρχικές Απώλειες	7.06

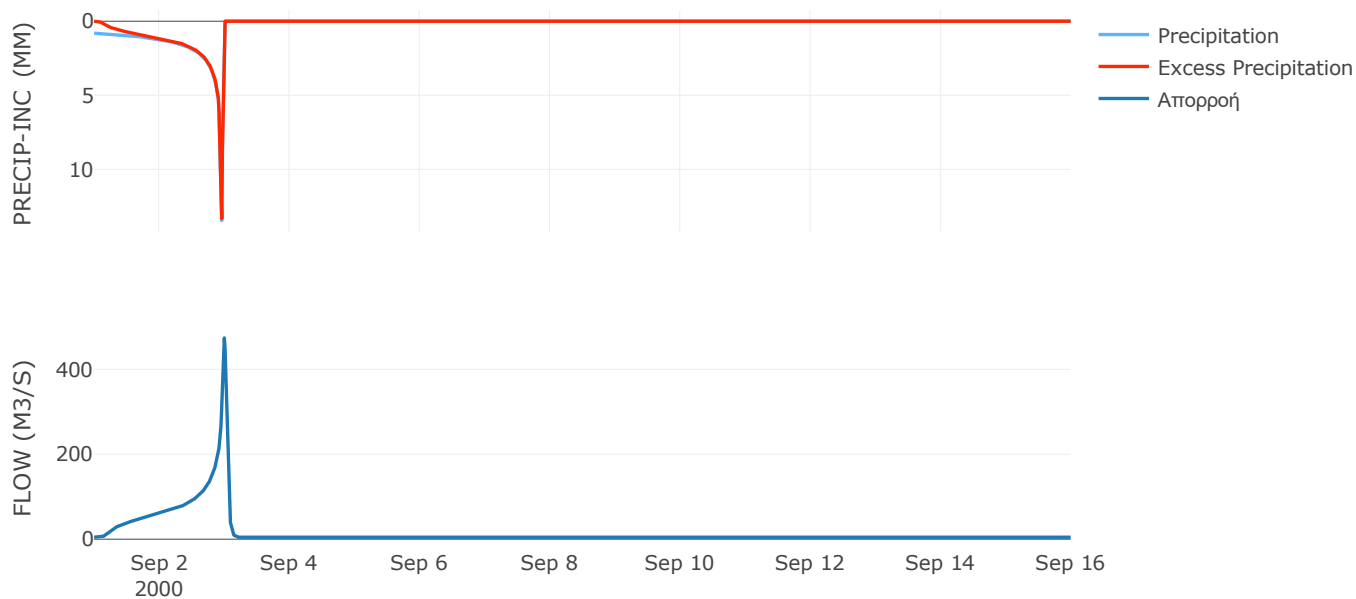
Μέθοδος
Μετασχηματισμού: SCS

Χρόνος Υστέρησης	56.24
------------------	-------

Αποτελέσματα:
EL0514FR003008

Παροχή αιχμής (M3/S)	474.06
Χρονική στιγμή αιχμής	02Sep2000, 24:00
Όγκος (MM)	439.22
Όγκος βροχόπτωσης (M3)	1.6E7
Όγκος απωλειών (M3)	1.8E6
Ενεργός Όγκος (M3)	1.42E7
Όγκος άμεσης απορροής (M3)	1.42E7
Όγκος βασικής απορροής (M3)	5.96E6

Βροχόπτωση και Απορροή



Υπολεκάνη: EL0514FR003009

Έκταση (KM2) : 18.07

Κατάνη : J17

Μέθοδος Απωλειών: SCS

Ποσοστό αδιαπέρατης επιφάνειας	0
Αριθμός Καμπύλης Απορροής-CN	78.6
Αρχικές Απώλειες	13.83

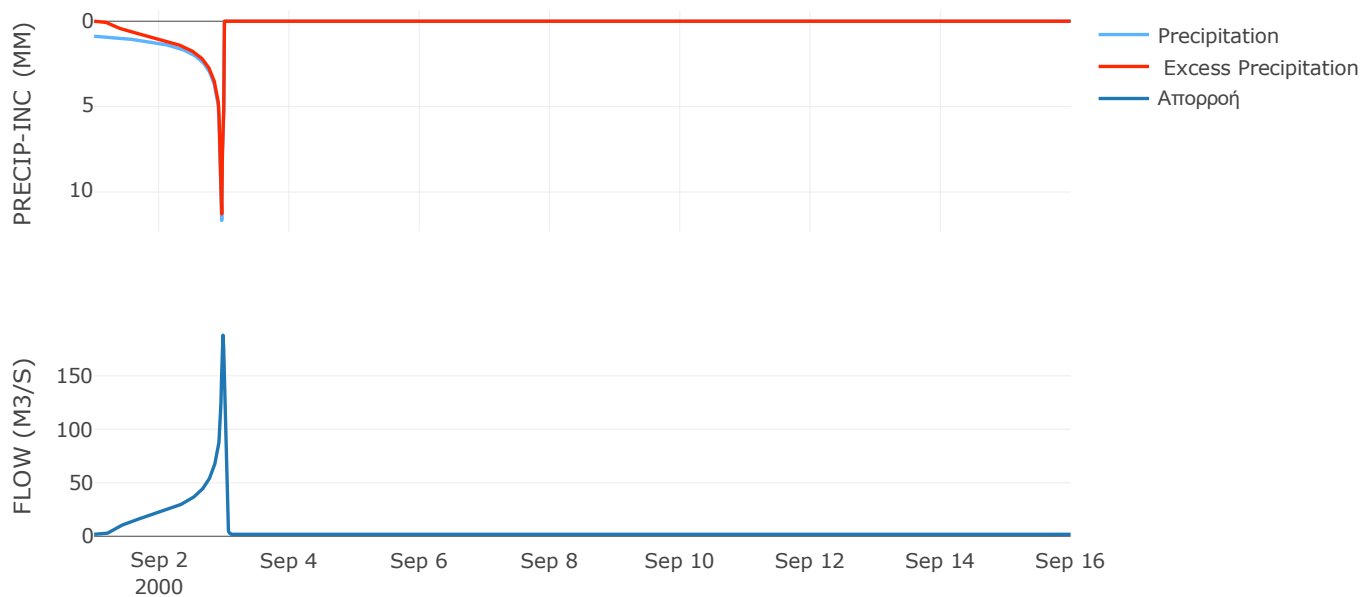
Μέθοδος
Μετασχηματισμού: SCS

Χρόνος Υστέρησης	26.17
------------------	-------

Αποτελέσματα:
EL0514FR003009

Παροχή αιχμής (M3/S)	188.03
Χρονική στιγμή αιχμής	02Sep2000, 23:30
Όγκος (MM)	408.17
Όγκος βροχόπτωσης (M3)	6.32E6
Όγκος απωλειών (M3)	1.29E6
Ενεργός Όγκος (M3)	5.03E6
Όγκος άμεσης απορροής (M3)	5.03E6
Όγκος βασικής απορροής (M3)	2.34E6

Βροχόπτωση και Απορροή



Υπολεκάνη: EL0514FR003010

Έκταση (KM2) : 90.5

Κατάντη : J17

Μέθοδος Απωλειών: SCS

Ποσοστό αδιαπέρατης επιφάνειας	0
Αριθμός Καμπύλης Απορροής-CN	87.41
Αρχικές Απώλειες	7.32

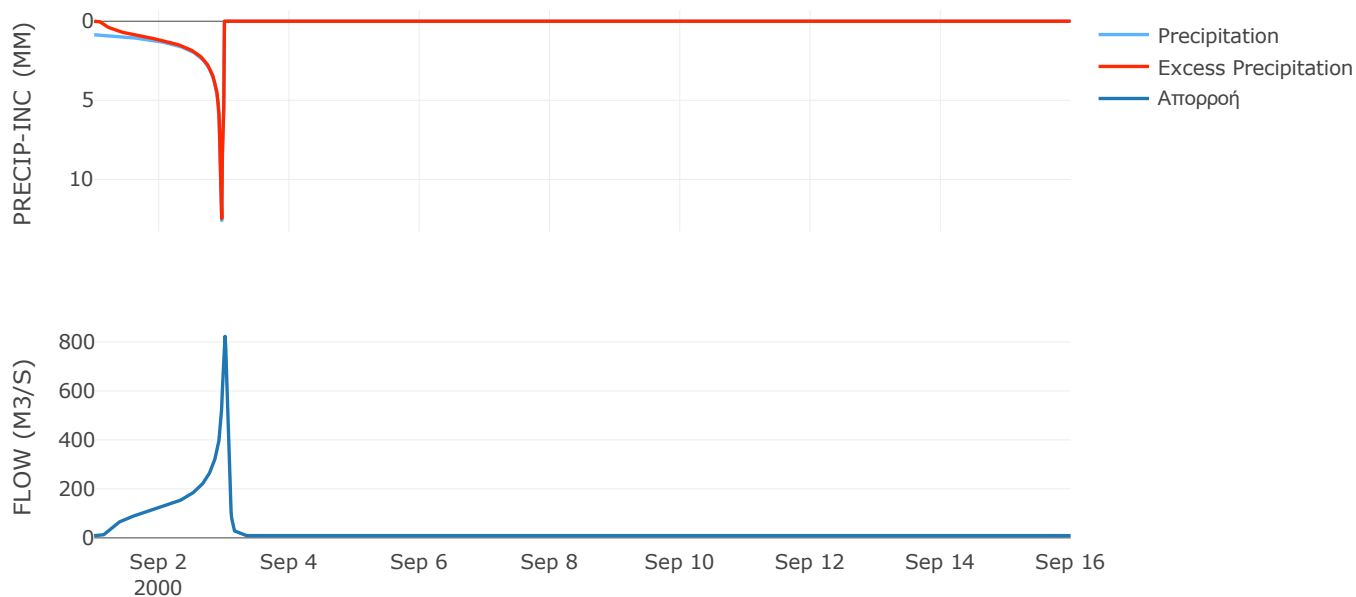
Μέθοδος
Μετασχηματισμού: SCS

Χρόνος Υστέρησης	70.63
------------------	-------

Αποτελέσματα:
EL0514FR003010

Παροχή αιχμής (M3/S)	822.73
Χρονική στιγμή αιχμής	03Sep2000, 00:15
Όγκος (MM)	442.39
Όγκος βροχόπτωσης (M3)	3.2E7
Όγκος απωλειών (M3)	3.66E6
Ενεργός Όγκος (M3)	2.83E7
Όγκος άμεσης απορροής (M3)	2.83E7
Όγκος βασικής απορροής (M3)	1.17E7

Βροχόπτωση και Απορροή



Υπολεκάνη: EL0514FR003011

Έκταση (KM2) : 26.55

Κατάντη : J18

Μέθοδος Απωλειών: SCS

Ποσοστό αδιαπέρατης επιφάνειας	0
Αριθμός Καμπύλης Απορροής-CN	91.17
Αρχικές Απώλειες	4.92

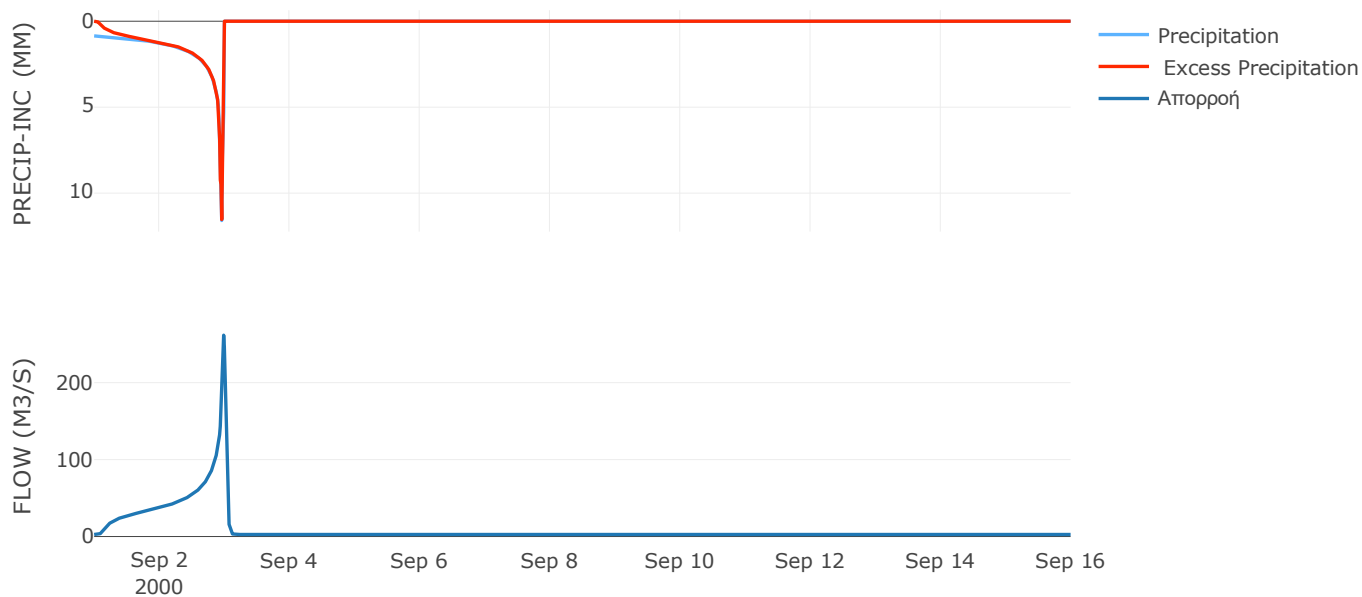
Μέθοδος
Μετασχηματισμού: SCS

Χρόνος Υστέρησης	39.38
------------------	-------

Αποτελέσματα:
EL0514FR003011

Παροχή αιχμής (M3/S)	261.71
Χρονική στιγμή αιχμής	02Sep2000, 23:45
Όγκος (MM)	444.28
Όγκος βροχόπτωσης (M3)	9.1E6
Όγκος απωλειών (M3)	7.39E5
Ενεργός Όγκος (M3)	8.36E6
Όγκος άμεσης απορροής (M3)	8.36E6
Όγκος βασικής απορροής (M3)	3.44E6

Βροχόπτωση και Απορροή



Υπολεκάνη: EL0514FR003012

Έκταση (KM2) : 29.39

Κατάντη : J18

Μέθοδος Απωλειών: SCS

Ποσοστό αδιαπέρατης επιφάνειας	0
Αριθμός Καμπύλης Απορροής-CN	88.87
Αρχικές Απώλειες	6.36

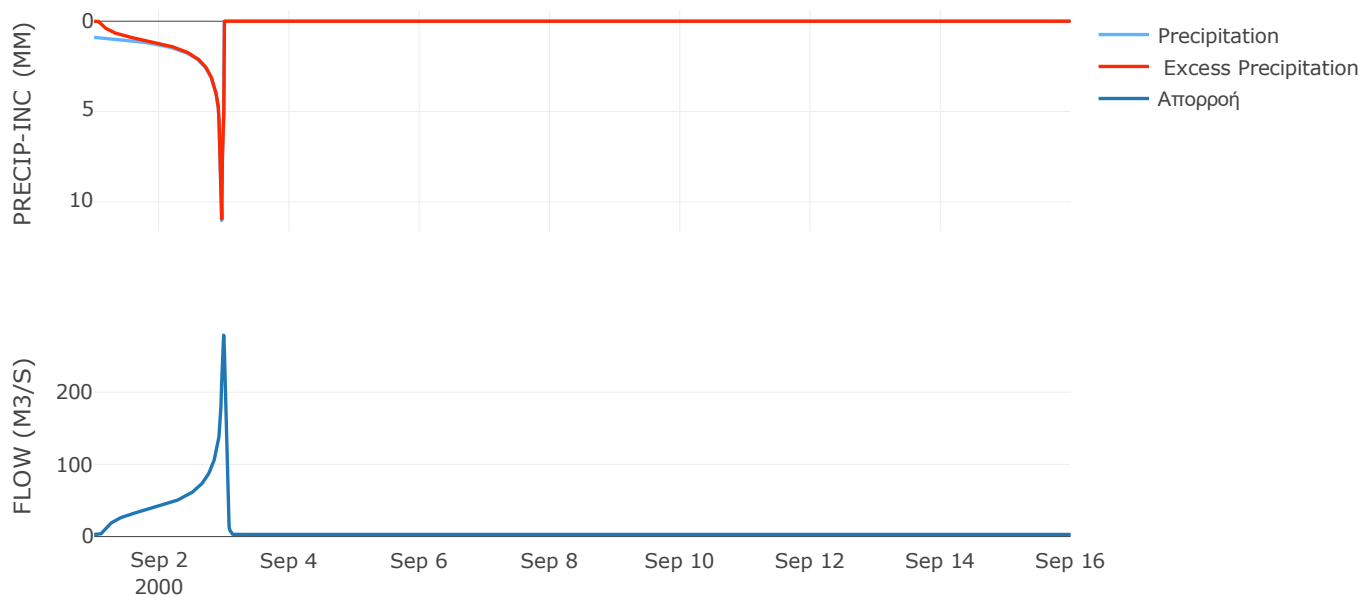
Μέθοδος
Μετασχηματισμού: SCS

Χρόνος Υστέρησης	36.73
------------------	-------

Αποτελέσματα:
EL0514FR003012

Παροχή αιχμής (M3/S)	279.08
Χρονική στιγμή αιχμής	02Sep2000, 23:45
Όγκος (MM)	440.98
Όγκος βροχόπτωσης (M3)	1.02E7
Όγκος απωλειών (M3)	1.04E6
Ενεργός Όγκος (M3)	9.15E6
Όγκος άμεσης απορροής (M3)	9.15E6
Όγκος βασικής απορροής (M3)	3.81E6

Βροχόπτωση και Απορροή



Υπολεκάνη: EL0514FR003013

Έκταση (KM2) : 44.12

Κατάνη : J11

Μέθοδος Απωλειών: SCS

Ποσοστό αδιαπέρατης επιφάνειας	0
Αριθμός Καμπύλης Απορροής-CN	89.58
Αρχικές Απώλειες	5.91

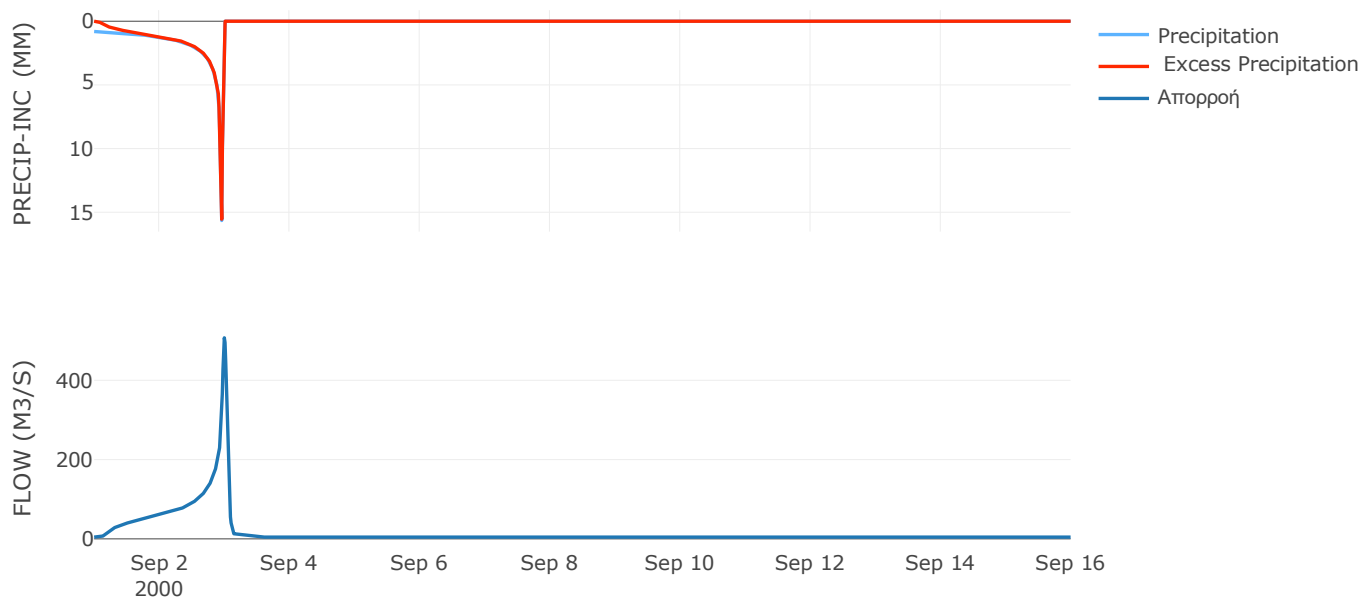
Μέθοδος
Μετασχηματισμού: SCS

Χρόνος Υστέρησης	61.84
------------------	-------

Αποτελέσματα:
EL0514FR003013

Παροχή αιχμής (M3/S)	507.27
Χρονική στιγμή αιχμής	02Sep2000, 24:00
Όγκος (MM)	464.98
Όγκος βροχόπτωσης (M3)	1.63E7
Όγκος απωλειών (M3)	1.47E6
Ενεργός Όγκος (M3)	1.48E7
Όγκος άμεσης απορροής (M3)	1.48E7
Όγκος βασικής απορροής (M3)	5.72E6

Βροχόπτωση και Απορροή



Υπολεκάνη: EL0514FR003014

Έκταση (KM2) : 22.29

Κατάνη : J11

Μέθοδος Απωλειών: SCS

Ποσοστό αδιαπέρατης επιφάνειας	0
Αριθμός Καμπύλης Απορροής-CN	82.91
Αρχικές Απώλειες	10.47

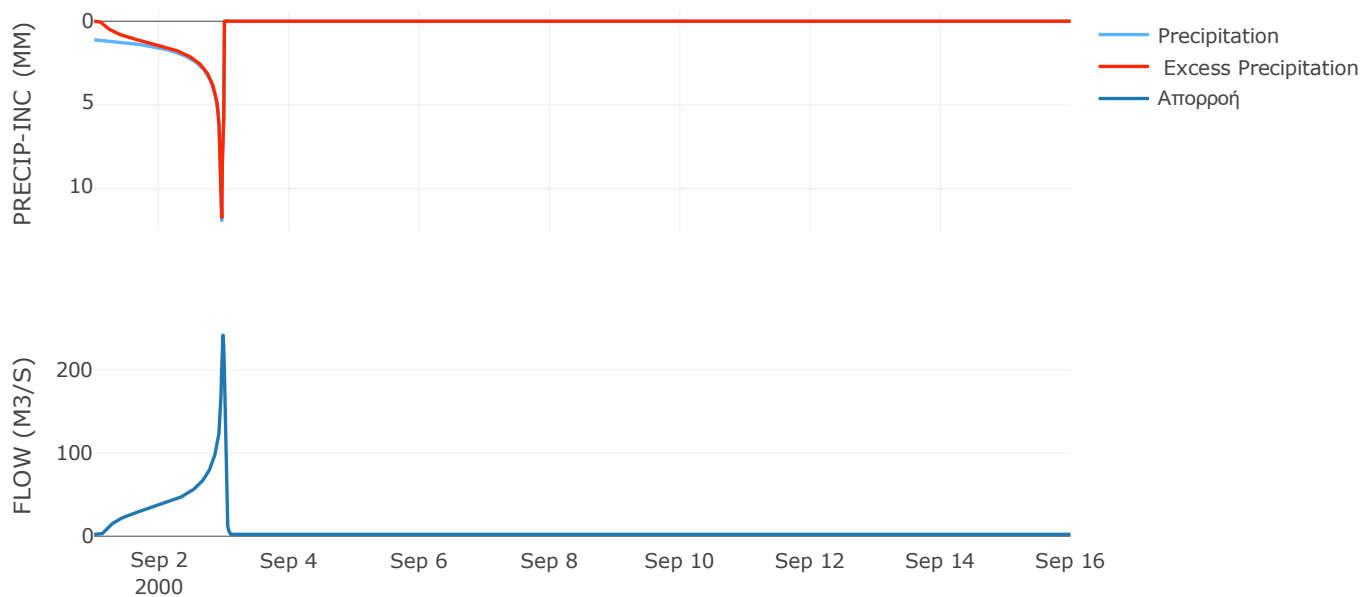
Μέθοδος
Μετασχηματισμού: SCS

Χρόνος Υστέρησης	26.81
------------------	-------

Αποτελέσματα:
EL0514FR003014

Παροχή αιχμής (M3/S)	241.46
Χρονική στιγμή αιχμής	02Sep2000, 23:30
Όγκος (MM)	484.27
Όγκος βροχόπτωσης (M3)	9.17E6
Όγκος απωλειών (M3)	1.27E6
Ενεργός Όγκος (M3)	7.91E6
Όγκος άμεσης απορροής (M3)	7.91E6
Όγκος βασικής απορροής (M3)	2.89E6

Βροχόπτωση και Απορροή



Υπολεκάνη: EL0514FR003015

Έκταση (KM2) : 51.11

Κατάντη : J21

Μέθοδος Απωλειών: SCS

Ποσοστό αδιαπέρατης επιφάνειας	0
Αριθμός Καμπύλης Απορροής-CN	80.56
Αρχικές Απώλειες	12.26

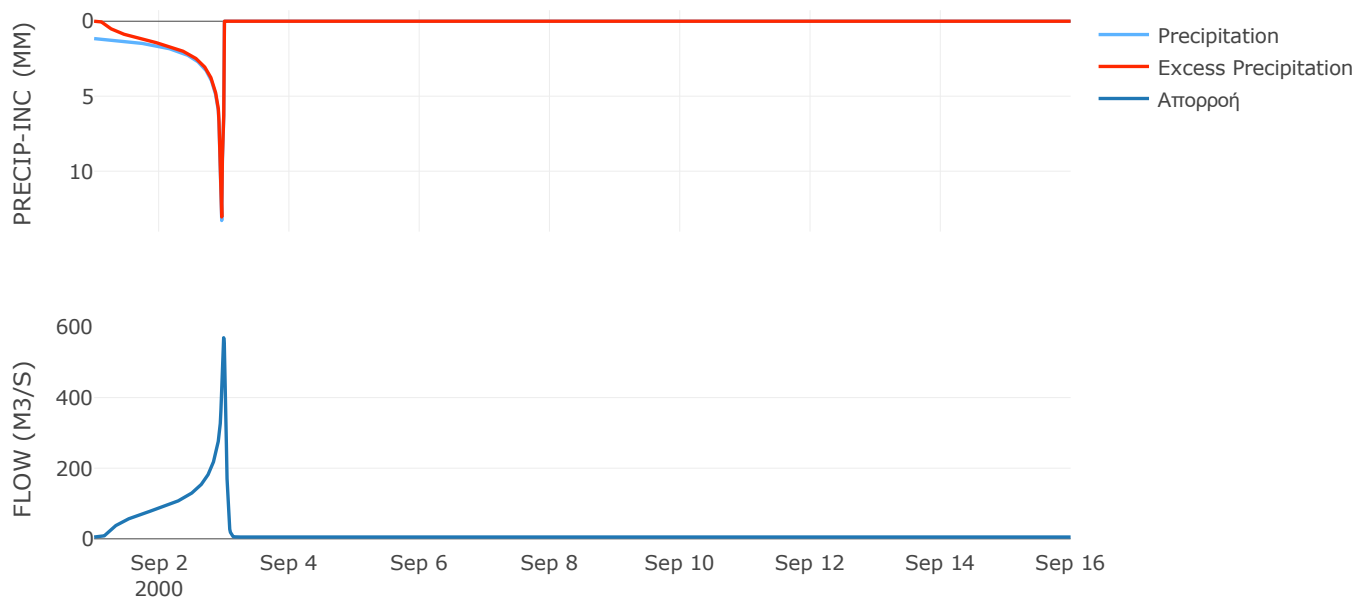
Μέθοδος
Μετασχηματισμού: SCS

Χρόνος Υστέρησης	41.84
------------------	-------

Αποτελέσματα:
EL0514FR003015

Παροχή αιχμής (M3/S)	569.45
Χρονική στιγμή αιχμής	02Sep2000, 23:45
Όγκος (MM)	502.52
Όγκος βροχόπτωσης (M3)	2.24E7
Όγκος απωλειών (M3)	3.37E6
Ενεργός Όγκος (M3)	1.91E7
Όγκος άμεσης απορροής (M3)	1.91E7
Όγκος βασικής απορροής (M3)	6.62E6

Βροχόπτωση και Απορροή



Υπολεκάνη: EL0514FR003016

Έκταση (KM2) : 20.25

Κατάντη : J21

Μέθοδος Απωλειών: SCS

Ποσοστό αδιαπέρατης επιφάνειας	0
Αριθμός Καμπύλης Απορροής-CN	82.62
Αρχικές Απώλειες	10.69

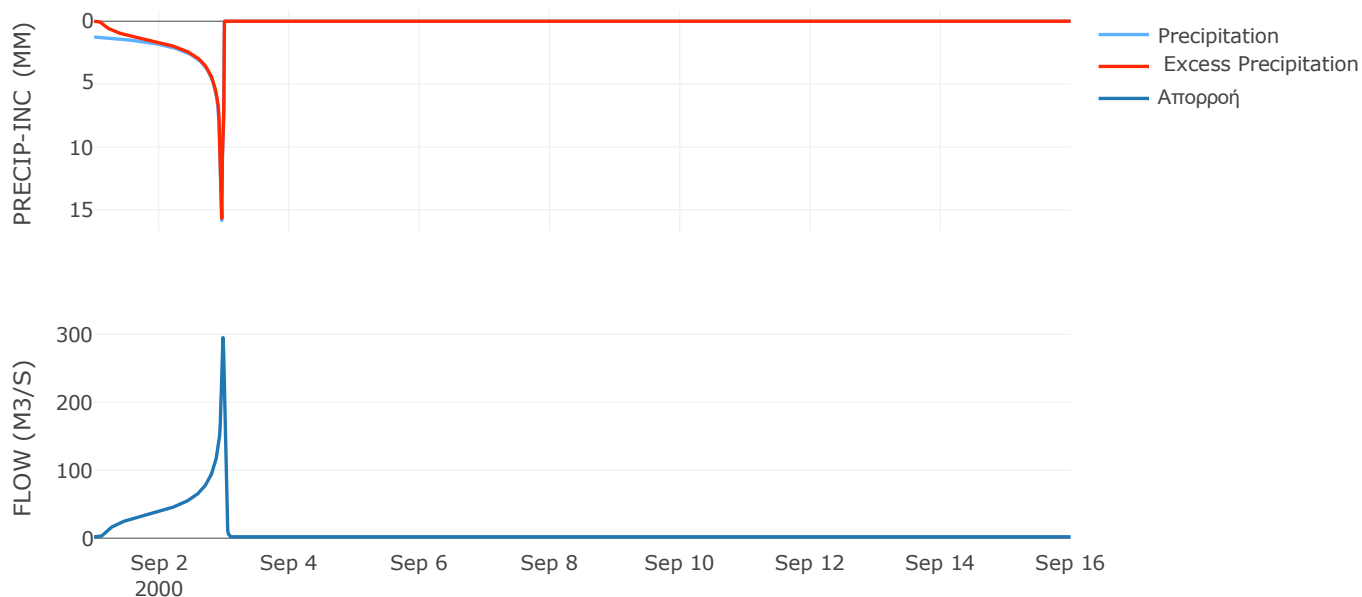
Μέθοδος
Μετασχηματισμού: SCS

Χρόνος Υστέρησης	24.46
------------------	-------

Αποτελέσματα:
EL0514FR003016

Παροχή αιχμής (M3/S)	295.23
Χρονική στιγμή αιχμής	02Sep2000, 23:30
Όγκος (MM)	562.53
Όγκος βροχόπτωσης (M3)	9.96E6
Όγκος απωλειών (M3)	1.19E6
Ενεργός Όγκος (M3)	8.77E6
Όγκος άμεσης απορροής (M3)	8.77E6
Όγκος βασικής απορροής (M3)	2.62E6

Βροχόπτωση και Απορροή



Υπολεκάνη: EL0514FR003017

Έκταση (KM2) : 26.55

Κατάντη : J21

Μέθοδος Απωλειών: SCS

Ποσοστό αδιαπέρατης επιφάνειας	0
Αριθμός Καμπύλης Απορροής-CN	84.71
Αρχικές Απώλειες	9.17

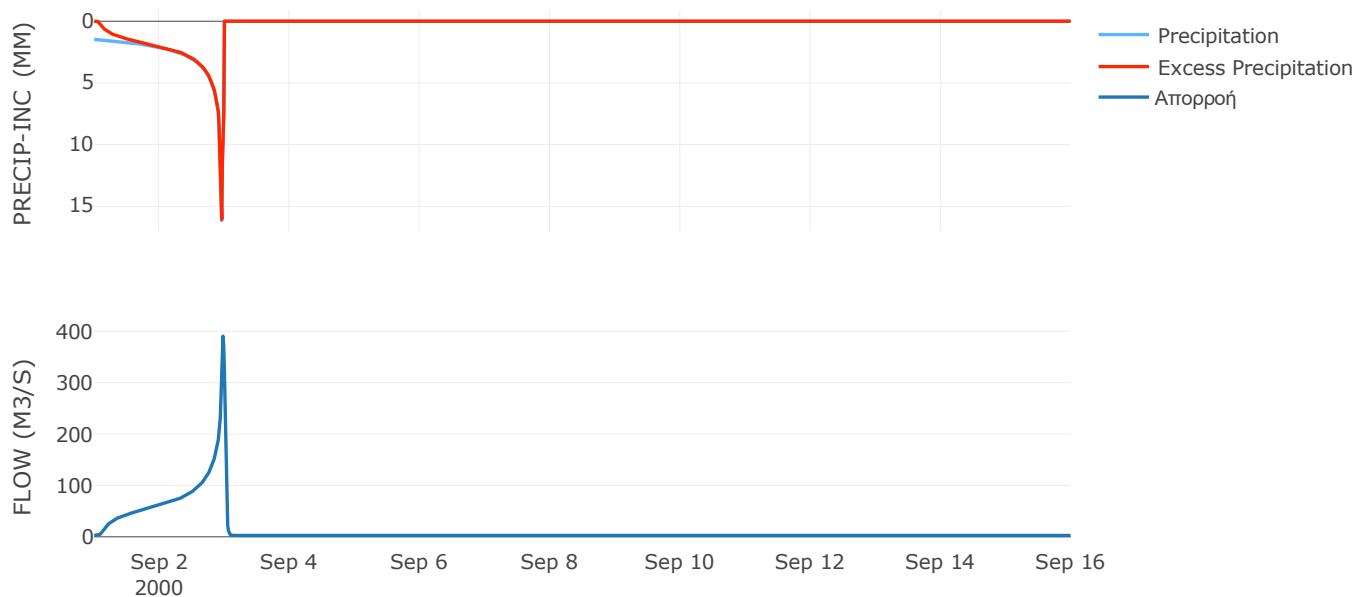
Μέθοδος
Μετασχηματισμού: SCS

Χρόνος Υστέρησης	27.46
------------------	-------

Αποτελέσματα:
EL0514FR003017

Παροχή αιχμής (M3/S)	390.5
Χρονική στιγμή αιχμής	02Sep2000, 23:30
Όγκος (MM)	626.4
Όγκος βροχόπτωσης (M3)	1.46E7
Όγκος απωλειών (M3)	1.37E6
Ενεργός Όγκος (M3)	1.32E7
Όγκος άμεσης απορροής (M3)	1.32E7
Όγκος βασικής απορροής (M3)	3.44E6

Βροχόπτωση και Απορροή



Υπολεκάνη: EL0514FR003018

Έκταση (KM2) : 4.66

Κατάντη : J20

Μέθοδος Απωλειών: SCS

Ποσοστό αδιαπέρατης επιφάνειας	0
Αριθμός Καμπύλης Απορροής-CN	84.57
Αρχικές Απώλειες	9.27

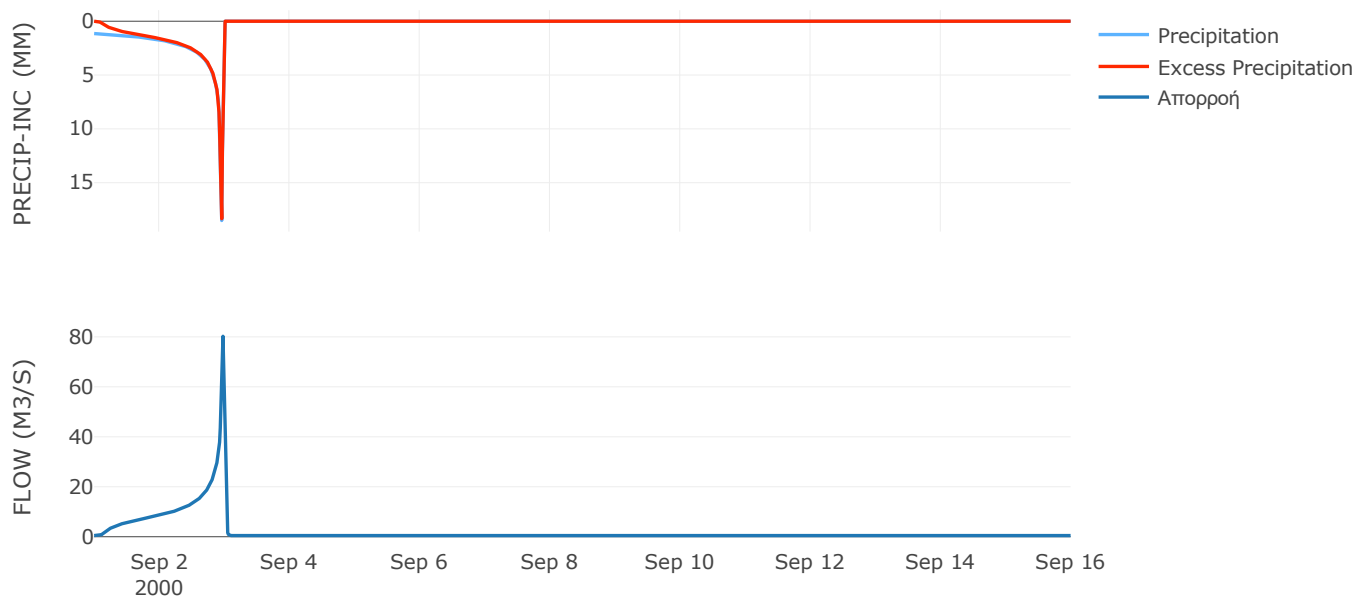
Μέθοδος
Μετασχηματισμού: SCS

Χρόνος Υστέρησης	20.28
------------------	-------

Αποτελέσματα:
EL0514FR003018

Παροχή αιχμής (M3/S)	80.24
Χρονική στιγμή αιχμής	02Sep2000, 23:30
Όγκος (MM)	566.39
Όγκος βροχόπτωσης (M3)	2.27E6
Όγκος απωλειών (M3)	2.4E5
Ενεργός Όγκος (M3)	2.03E6
Όγκος άμεσης απορροής (M3)	2.03E6
Όγκος βασικής απορροής (M3)	6.04E5

Βροχόπτωση και Απορροή



Υπολεκάνη: EL0514FR003019

Έκταση (KM2) : 56.36

Κατάντη : J20

Μέθοδος Απωλειών: SCS

Ποσοστό αδιαπέρατης επιφάνειας	0
Αριθμός Καμπύλης Απορροής-CN	91.14
Αρχικές Απώλειες	4.94

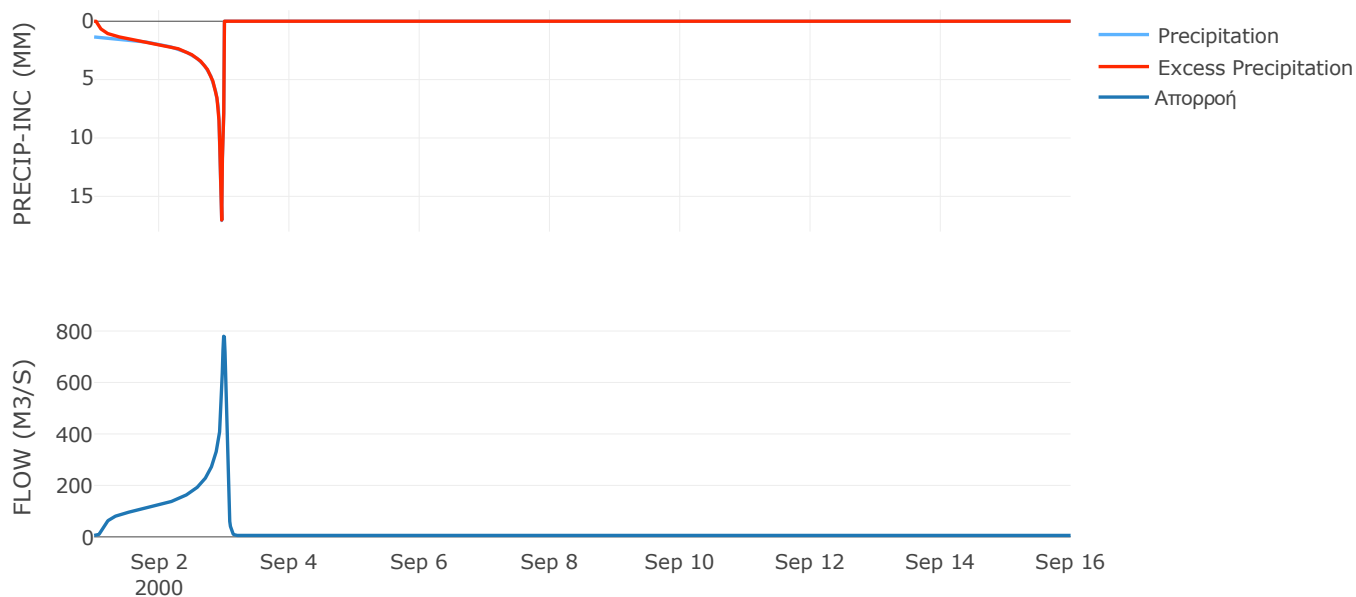
Μέθοδος
Μετασχηματισμού: SCS

Χρόνος Υστέρησης	49.04
------------------	-------

Αποτελέσματα:
EL0514FR003019

Παροχή αιχμής (M3/S)	779.63
Χρονική στιγμή αιχμής	02Sep2000, 23:45
Όγκος (MM)	629.1
Όγκος βροχόπτωσης (M3)	2.98E7
Όγκος απωλειών (M3)	1.61E6
Ενεργός Όγκος (M3)	2.82E7
Όγκος άμεσης απορροής (M3)	2.82E7
Όγκος βασικής απορροής (M3)	7.3E6

Βροχόπτωση και Απορροή



Υπολεκάνη: EL0514FR003020

Έκταση (KM2) : 10.48

Κατάντη : J19

Μέθοδος Απωλειών: SCS

Ποσοστό αδιαπέρατης επιφάνειας	0
Αριθμός Καμπύλης Απορροής-CN	90.62
Αρχικές Απώλειες	5.26

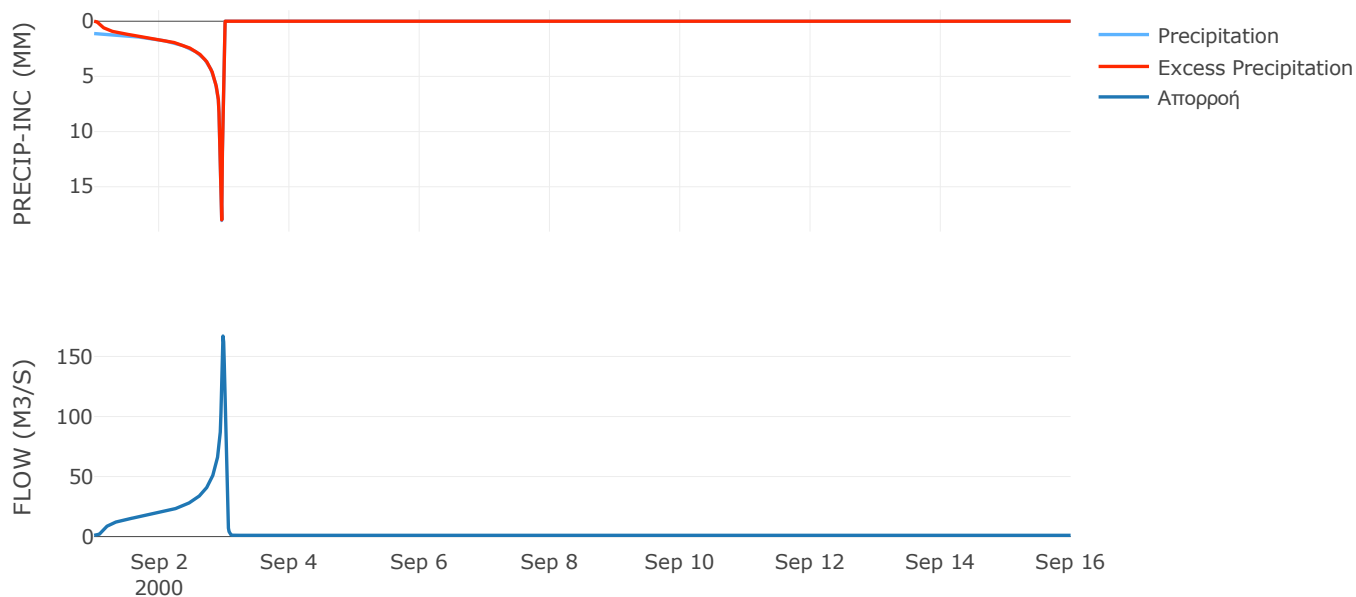
Μέθοδος
Μετασχηματισμού: SCS

Χρόνος Υστέρησης	31.01
------------------	-------

Αποτελέσματα:
EL0514FR003020

Παροχή αιχμής (M3/S)	167.02
Χρονική στιγμή αιχμής	02Sep2000, 23:30
Όγκος (MM)	576.27
Όγκος βροχόπτωσης (M3)	5E6
Όγκος απωλειών (M3)	3.16E5
Ενεργός Όγκος (M3)	4.68E6
Όγκος άμεσης απορροής (M3)	4.68E6
Όγκος βασικής απορροής (M3)	1.36E6

Βροχόπτωση και Απορροή



Υπολεκάνη: EL0514FR003021

Έκταση (KM2) : 14.84

Κατάντη : J19

Μέθοδος Απωλειών: SCS

Ποσοστό αδιαπέρατης επιφάνειας	0
Αριθμός Καμπύλης Απορροής-CN	90.39
Αρχικές Απώλειες	5.4

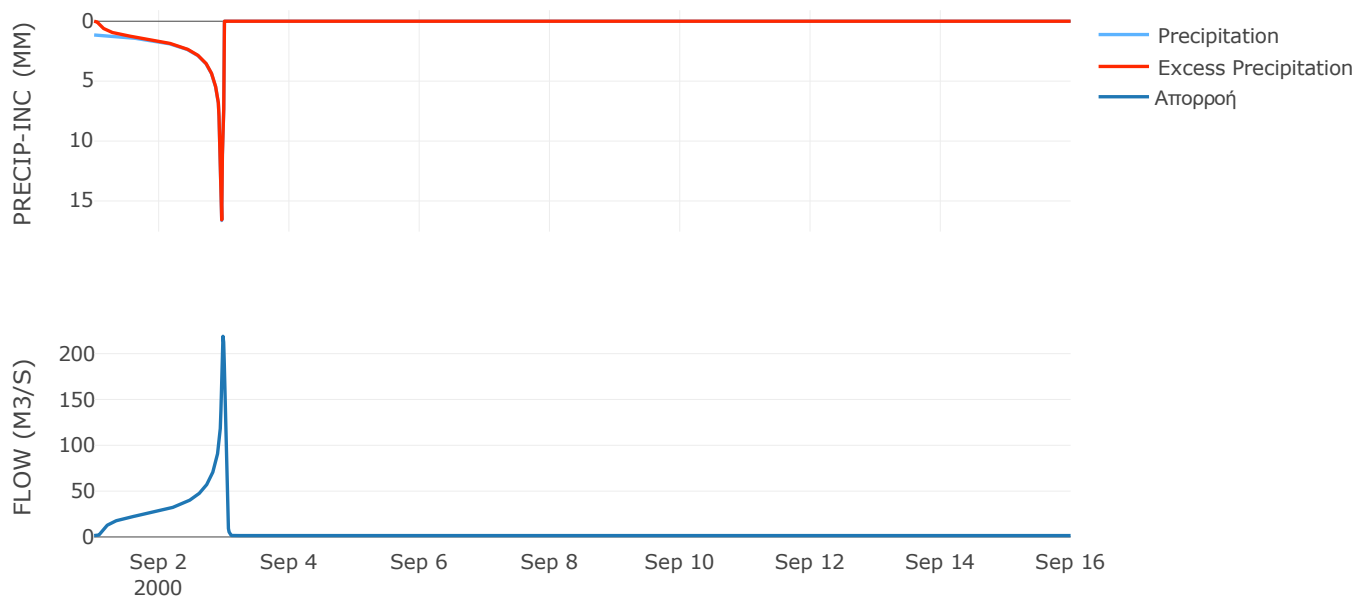
Μέθοδος
Μετασχηματισμού: SCS

Χρόνος Υστέρησης	30.68
------------------	-------

Αποτελέσματα:
EL0514FR003021

Παροχή αιχμής (M3/S)	218.96
Χρονική στιγμή αιχμής	02Sep2000, 23:30
Όγκος (MM)	569.51
Όγκος βροχόπτωσης (M3)	6.99E6
Όγκος απωλειών (M3)	4.59E5
Ενεργός Όγκος (M3)	6.53E6
Όγκος άμεσης απορροής (M3)	6.53E6
Όγκος βασικής απορροής (M3)	1.92E6

Βροχόπτωση και Απορροή



Υπολεκάνη: EL0514FR003022

Έκταση (KM2) : 68.59

Κατάντη : J10

Μέθοδος Απωλειών: SCS

Ποσοστό αδιαπέρατης επιφάνειας	0
Αριθμός Καμπύλης Απορροής-CN	78.49
Αρχικές Απώλειες	13.92

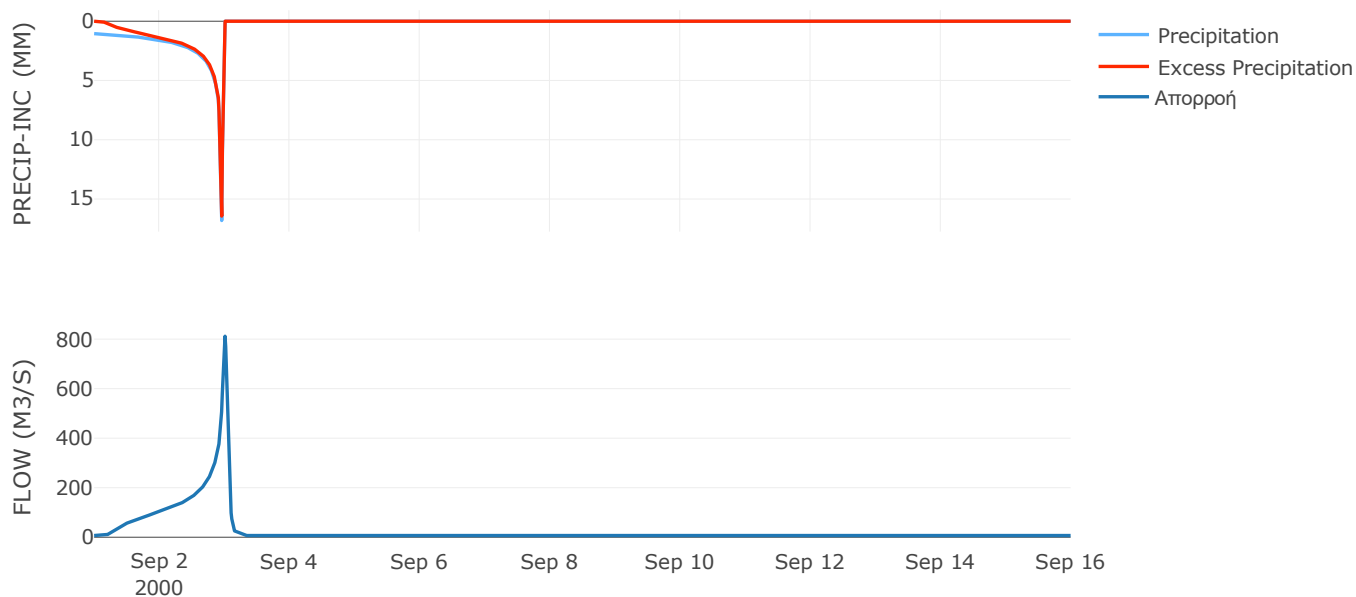
Μέθοδος
Μετασχηματισμού: SCS

Χρόνος Υστέρησης	70.35
------------------	-------

Αποτελέσματα:
EL0514FR003022

Παροχή αιχμής (M3/S)	811.79
Χρονική στιγμή αιχμής	03Sep2000, 00:15
Όγκος (MM)	501.47
Όγκος βροχόπτωσης (M3)	3.06E7
Όγκος απωλειών (M3)	5.07E6
Ενεργός Όγκος (M3)	2.55E7
Όγκος άμεσης απορροής (M3)	2.55E7
Όγκος βασικής απορροής (M3)	8.89E6

Βροχόπτωση και Απορροή



Υπολεκάνη: EL0514FR003023

Έκταση (KM2) : 35.95

Κατάντη : J10

Μέθοδος Απωλειών: SCS

Ποσοστό αδιαπέρατης επιφάνειας	0
Αριθμός Καμπύλης Απορροής-CN	87.31
Αρχικές Απώλειες	7.39

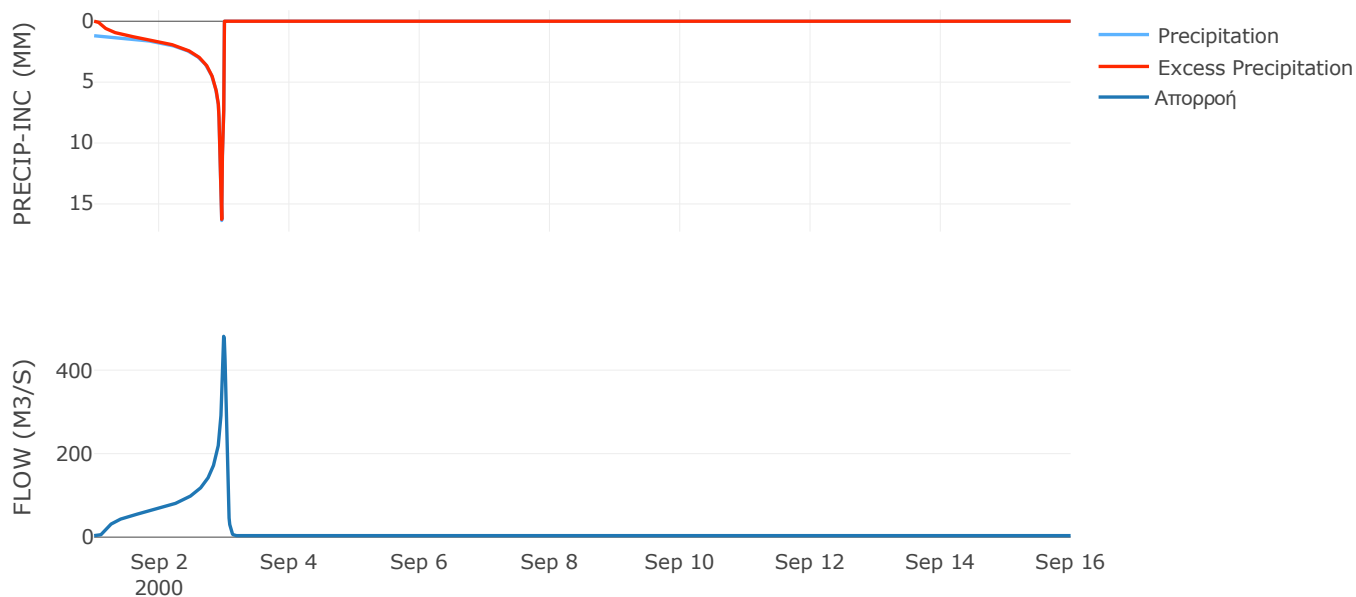
Μέθοδος
Μετασχηματισμού: SCS

Χρόνος Υστέρησης	46.17
------------------	-------

Αποτελέσματα:
EL0514FR003023

Παροχή αιχμής (M3/S)	481.04
Χρονική στιγμή αιχμής	02Sep2000, 23:45
Όγκος (MM)	567.39
Όγκος βροχόπτωσης (M3)	1.72E7
Όγκος απωλειών (M3)	1.5E6
Ενεργός Όγκος (M3)	1.57E7
Όγκος άμεσης απορροής (M3)	1.57E7
Όγκος βασικής απορροής (M3)	4.66E6

Βροχόπτωση και Απορροή



Υπολεκάνη: EL0514FR003024

Έκταση (KM2) : 55.27

Κατάντη : J9

Μέθοδος Απωλειών: SCS

Ποσοστό αδιαπέρατης επιφάνειας	0
Αριθμός Καμπύλης Απορροής-CN	72.99
Αρχικές Απώλειες	18.8

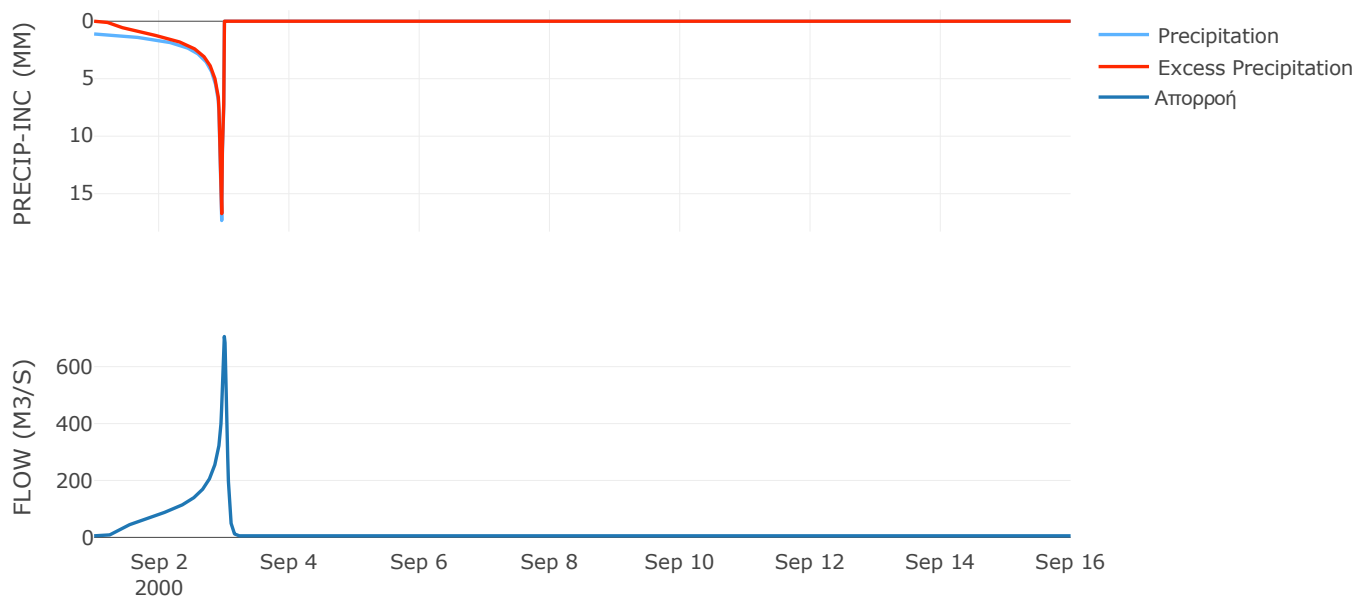
Μέθοδος
Μετασχηματισμού: SCS

Χρόνος Υστέρησης	59.48
------------------	-------

Αποτελέσματα:
EL0514FR003024

Παροχή αιχμής (M3/S)	705.96
Χρονική στιγμή αιχμής	02Sep2000, 24:00
Όγκος (MM)	500.45
Όγκος βροχόπτωσης (M3)	2.58E7
Όγκος απωλειών (M3)	5.33E6
Ενεργός Όγκος (M3)	2.05E7
Όγκος άμεσης απορροής (M3)	2.05E7
Όγκος βασικής απορροής (M3)	7.16E6

Βροχόπτωση και Απορροή



Υπολεκάνη: EL0514FR003025

Έκταση (KM2) : 30.82

Κατάντη : J9

Μέθοδος Απωλειών: SCS

Ποσοστό αδιαπέρατης επιφάνειας	0
Αριθμός Καμπύλης Απορροής-CN	89.76
Αρχικές Απώλειες	5.79

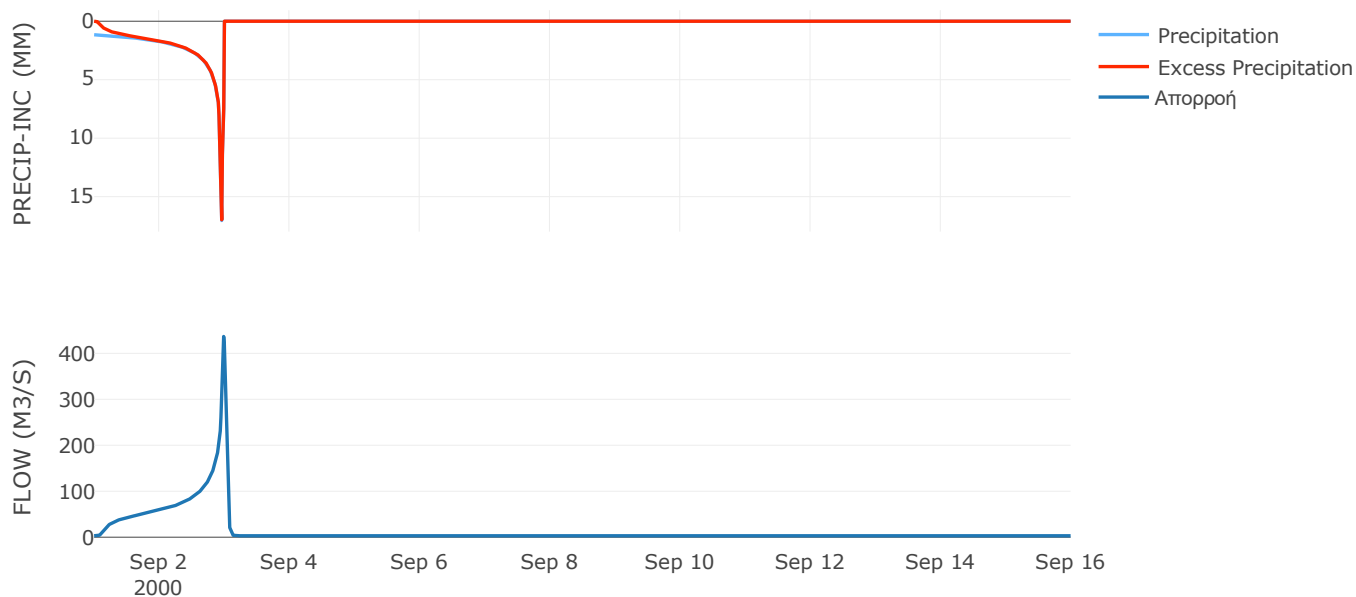
Μέθοδος
Μετασχηματισμού: SCS

Χρόνος Υστέρησης	42.78
------------------	-------

Αποτελέσματα:
EL0514FR003025

Παροχή αιχμής (M3/S)	436.71
Χρονική στιγμή αιχμής	02Sep2000, 23:45
Όγκος (MM)	573.64
Όγκος βροχόπτωσης (M3)	1.47E7
Όγκος απωλειών (M3)	1.02E6
Ενεργός Όγκος (M3)	1.37E7
Όγκος άμεσης απορροής (M3)	1.37E7
Όγκος βασικής απορροής (M3)	3.99E6

Βροχόπτωση και Απορροή



Υπολεκάνη: EL0514FR003026

Έκταση (KM2) : 12.64

Κατάντη : J9

Μέθοδος Απωλειών: SCS

Ποσοστό αδιαπέρατης επιφάνειας	0
Αριθμός Καμπύλης Απορροής-CN	89.46
Αρχικές Απώλειες	5.98

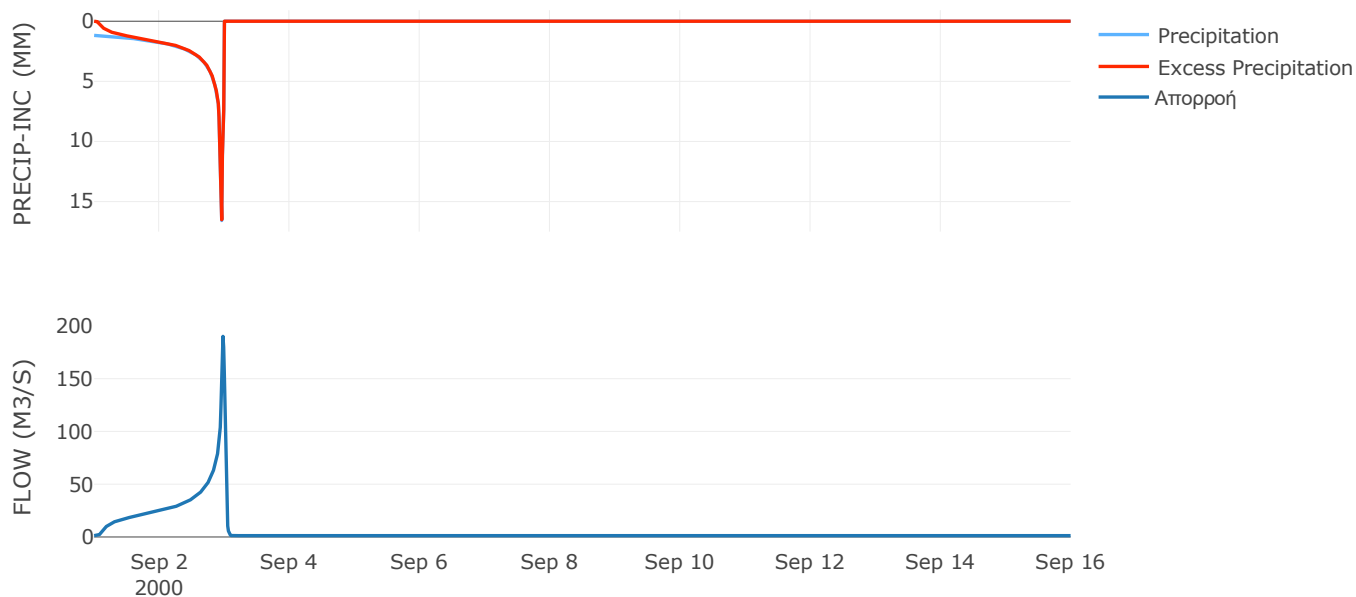
Μέθοδος
Μετασχηματισμού: SCS

Χρόνος Υστέρησης	27.66
------------------	-------

Αποτελέσματα:
EL0514FR003026

Παροχή αιχμής (M3/S)	190.14
Χρονική στιγμή αιχμής	02Sep2000, 23:30
Όγκος (MM)	573.66
Όγκος βροχόπτωσης (M3)	6.05E6
Όγκος απωλειών (M3)	4.31E5
Ενεργός Όγκος (M3)	5.61E6
Όγκος άμεσης απορροής (M3)	5.61E6
Όγκος βασικής απορροής (M3)	1.64E6

Βροχόπτωση και Απορροή



Υπολεκάνη: EL0514FR003027

Έκταση (KM2) : 75.07

Κατάντη : J8

Μέθοδος Απωλειών: SCS

Ποσοστό αδιαπέρατης επιφάνειας	0
Αριθμός Καμπύλης Απορροής-CN	86.9
Αρχικές Απώλειες	7.66

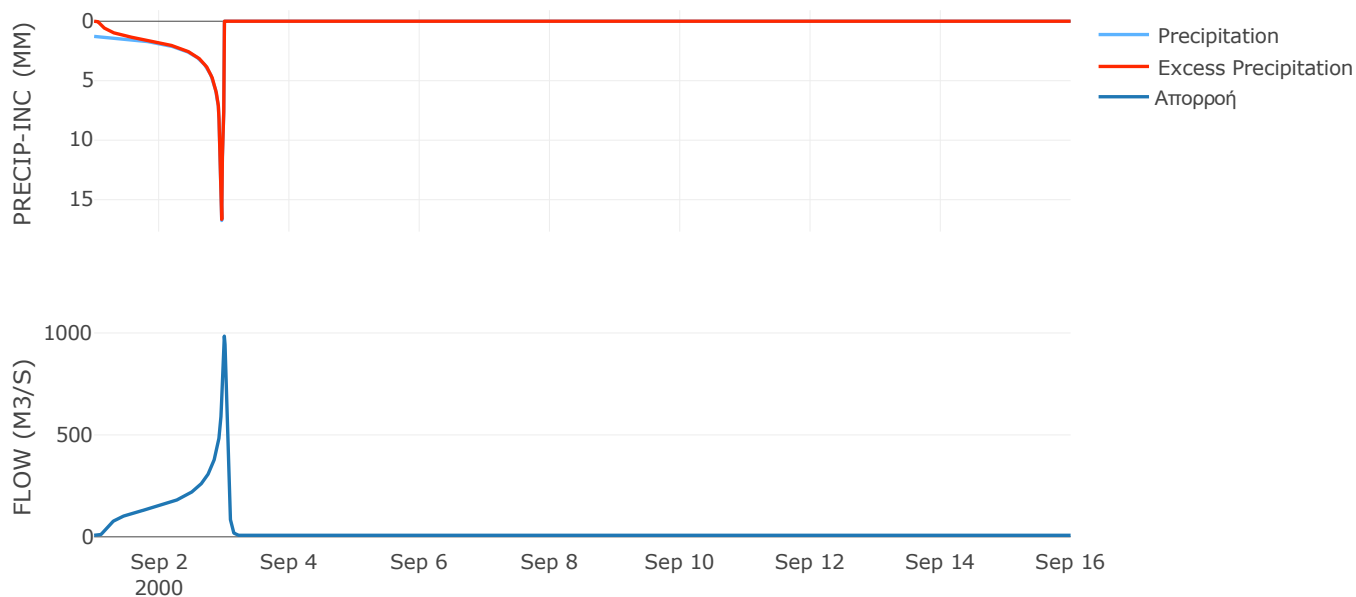
Μέθοδος
Μετασχηματισμού: SCS

Χρόνος Υστέρησης	56.91
------------------	-------

Αποτελέσματα:
EL0514FR003027

Παροχή αιχμής (M3/S)	984.56
Χρονική στιγμή αιχμής	02Sep2000, 24:00
Όγκος (MM)	592.1
Όγκος βροχόπτωσης (M3)	3.8E7
Όγκος απωλειών (M3)	3.24E6
Ενεργός Όγκος (M3)	3.47E7
Όγκος άμεσης απορροής (M3)	3.47E7
Όγκος βασικής απορροής (M3)	9.73E6

Βροχόπτωση και Απορροή



Υπολεκάνη: EL0514FR003028

Έκταση (KM2) : 25.46

Κατάντη : J8

Μέθοδος Απωλειών: SCS

Ποσοστό αδιαπέρατης επιφάνειας	0
Αριθμός Καμπύλης Απορροής-CN	90.19
Αρχικές Απώλειες	5.53

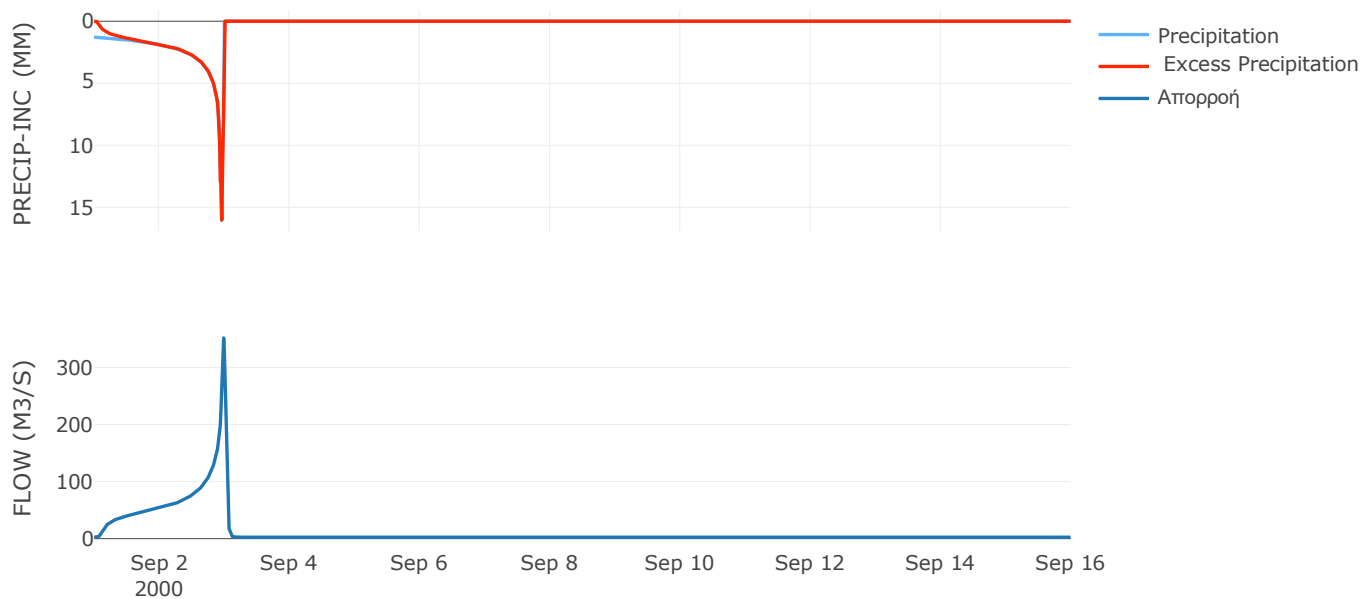
Μέθοδος
Μετασχηματισμού: SCS

Χρόνος Υστέρησης	37.41
------------------	-------

Αποτελέσματα:
EL0514FR003028

Παροχή αιχμής (M3/S)	351.84
Χρονική στιγμή αιχμής	02Sep2000, 23:45
Όγκος (MM)	598.43
Όγκος βροχόπτωσης (M3)	1.27E7
Όγκος απωλειών (M3)	8.07E5
Ενεργός Όγκος (M3)	1.19E7
Όγκος άμεσης απορροής (M3)	1.19E7
Όγκος βασικής απορροής (M3)	3.3E6

Βροχόπτωση και Απορροή



Υπολεκάνη: EL0514FR003029

Έκταση (KM2) : 14.96

Κατάντη : J7

Μέθοδος Απωλειών: SCS

Ποσοστό αδιαπέρατης επιφάνειας	0
Αριθμός Καμπύλης Απορροής-CN	89.85
Αρχικές Απώλειες	5.74

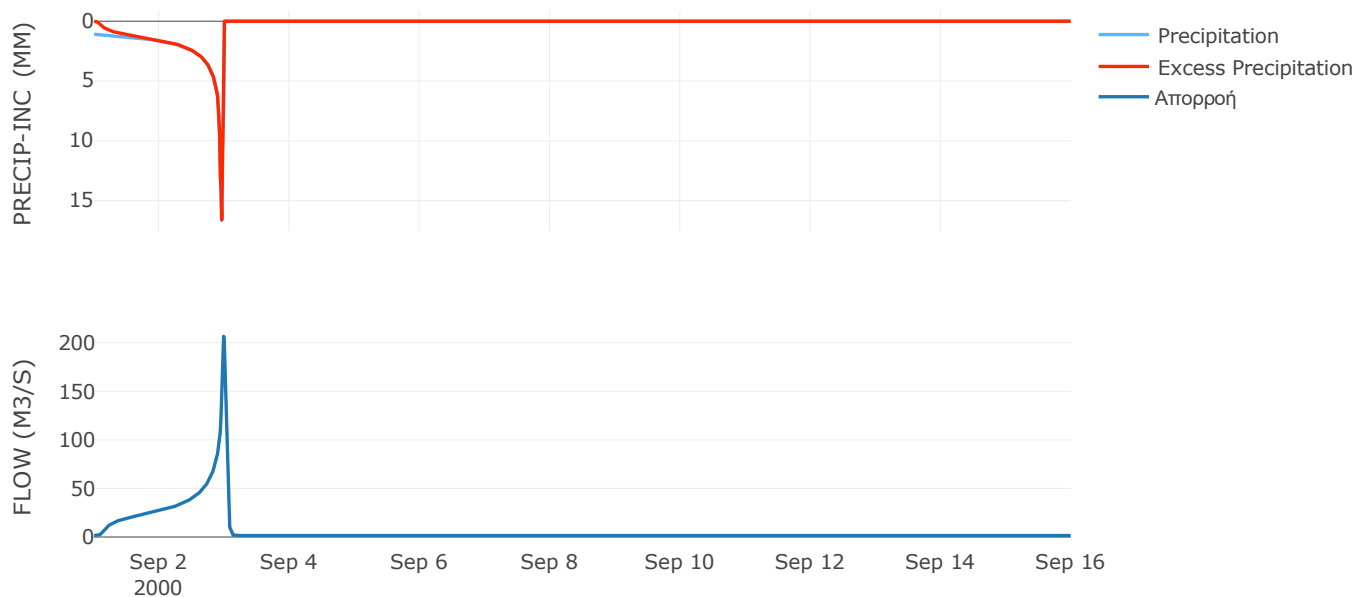
Μέθοδος
Μετασχηματισμού: SCS

Χρόνος Υστέρησης	42.97
------------------	-------

Αποτελέσματα:
EL0514FR003029

Παροχή αιχμής (M3/S)	206.61
Χρονική στιγμή αιχμής	02Sep2000, 23:45
Όγκος (MM)	552.49
Όγκος βροχόπτωσης (M3)	6.82E6
Όγκος απωλειών (M3)	4.89E5
Ενεργός Όγκος (M3)	6.33E6
Όγκος άμεσης απορροής (M3)	6.33E6
Όγκος βασικής απορροής (M3)	1.94E6

Βροχόπτωση και Απορροή



Υπολεκάνη: EL0514FR003030

Έκταση (KM2) : 14.02

Κατάντη : J7

Μέθοδος Απωλειών: SCS

Ποσοστό αδιαπέρατης επιφάνειας	0
Αριθμός Καμπύλης Απορροής-CN	90.15
Αρχικές Απώλειες	5.55

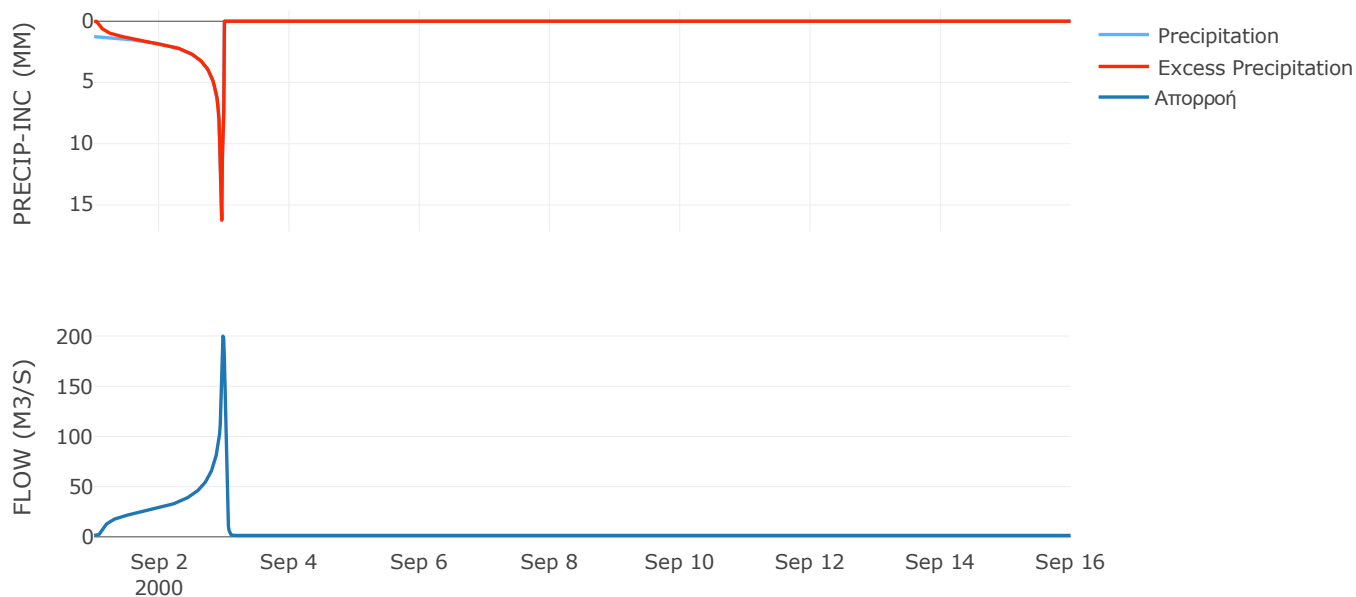
Μέθοδος
Μετασχηματισμού: SCS

Χρόνος Υστέρησης	32.67
------------------	-------

Αποτελέσματα:
EL0514FR003030

Παροχή αιχμής (M3/S)	199.92
Χρονική στιγμή αιχμής	02Sep2000, 23:30
Όγκος (MM)	593.34
Όγκος βροχόπτωσης (M3)	6.95E6
Όγκος απωλειών (M3)	4.46E5
Ενεργός Όγκος (M3)	6.5E6
Όγκος άμεσης απορροής (M3)	6.5E6
Όγκος βασικής απορροής (M3)	1.82E6

Βροχόπτωση και Απορροή



Υπολεκάνη: EL0514FR003031

Έκταση (KM2) : 21.31

Κατάντη : J7

Μέθοδος Απωλειών: SCS

Ποσοστό αδιαπέρατης επιφάνειας	0
Αριθμός Καμπύλης Απορροής-CN	90.2
Αρχικές Απώλειες	5.52

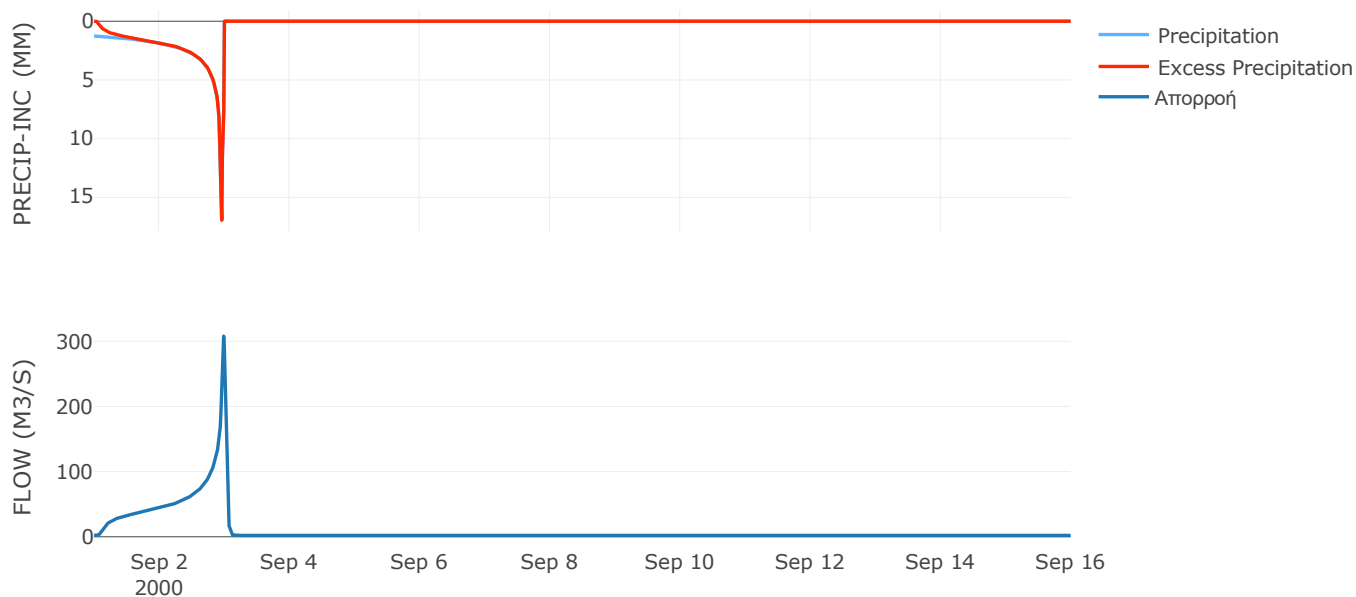
Μέθοδος
Μετασχηματισμού: SCS

Χρόνος Υστέρησης	38.76
------------------	-------

Αποτελέσματα:
EL0514FR003031

Παροχή αιχμής (M3/S)	307.87
Χρονική στιγμή αιχμής	02Sep2000, 23:45
Όγκος (MM)	601.03
Όγκος βροχόπτωσης (M3)	1.07E7
Όγκος απωλειών (M3)	6.75E5
Ενεργός Όγκος (M3)	1E7
Όγκος άμεσης απορροής (M3)	1E7
Όγκος βασικής απορροής (M3)	2.76E6

Βροχόπτωση και Απορροή



Υπολεκάνη: EL0514FR003032

Έκταση (KM2) : 17.85

Κατάντη : J6

Μέθοδος Απωλειών: SCS

Ποσοστό αδιαπέρατης επιφάνειας	0
Αριθμός Καμπύλης Απορροής-CN	89.02
Αρχικές Απώλειες	6.27

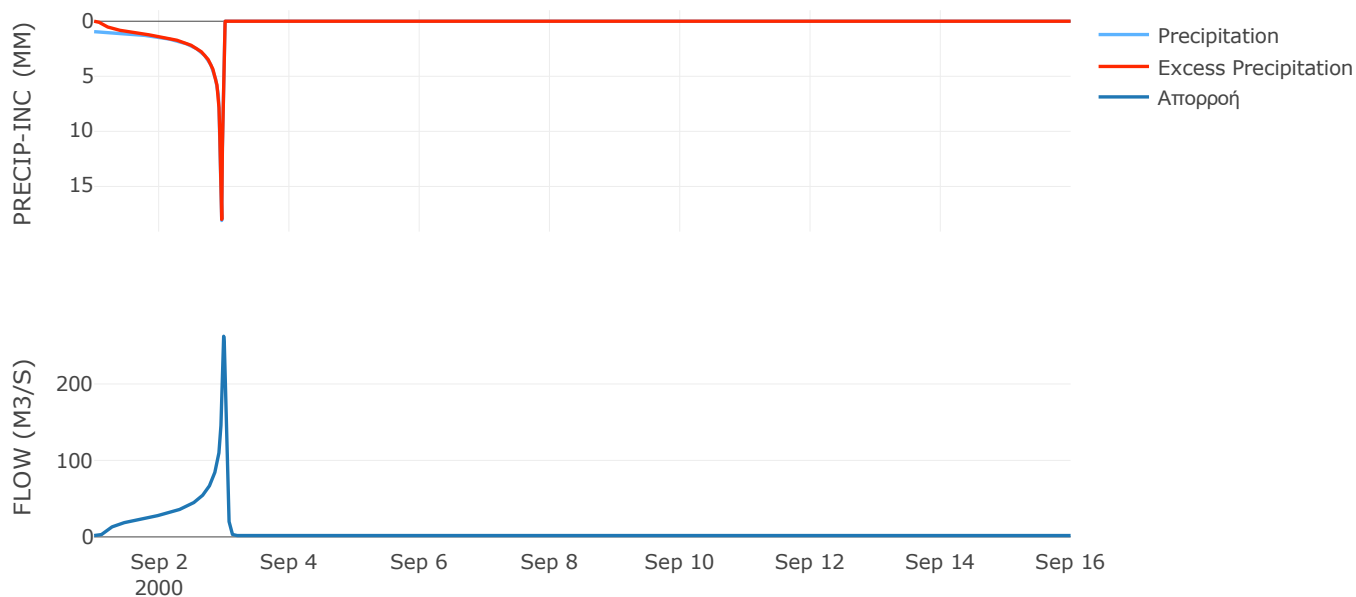
Μέθοδος
Μετασχηματισμού: SCS

Χρόνος Υστέρησης	43.68
------------------	-------

Αποτελέσματα:
EL0514FR003032

Παροχή αιχμής (M3/S)	262.42
Χρονική στιγμή αιχμής	02Sep2000, 23:45
Όγκος (MM)	524.28
Όγκος βροχόπτωσης (M3)	7.68E6
Όγκος απωλειών (M3)	6.33E5
Ενεργός Όγκος (M3)	7.04E6
Όγκος άμεσης απορροής (M3)	7.04E6
Όγκος βασικής απορροής (M3)	2.31E6

Βροχόπτωση και Απορροή



Υπολεκάνη: EL0514FR003033

Έκταση (KM2) : 17.55

Κατάντη : J6

Μέθοδος Απωλειών: SCS

Ποσοστό αδιαπέρατης επιφάνειας	0
Αριθμός Καμπύλης Απορροής-CN	72.06
Αρχικές Απώλειες	19.7

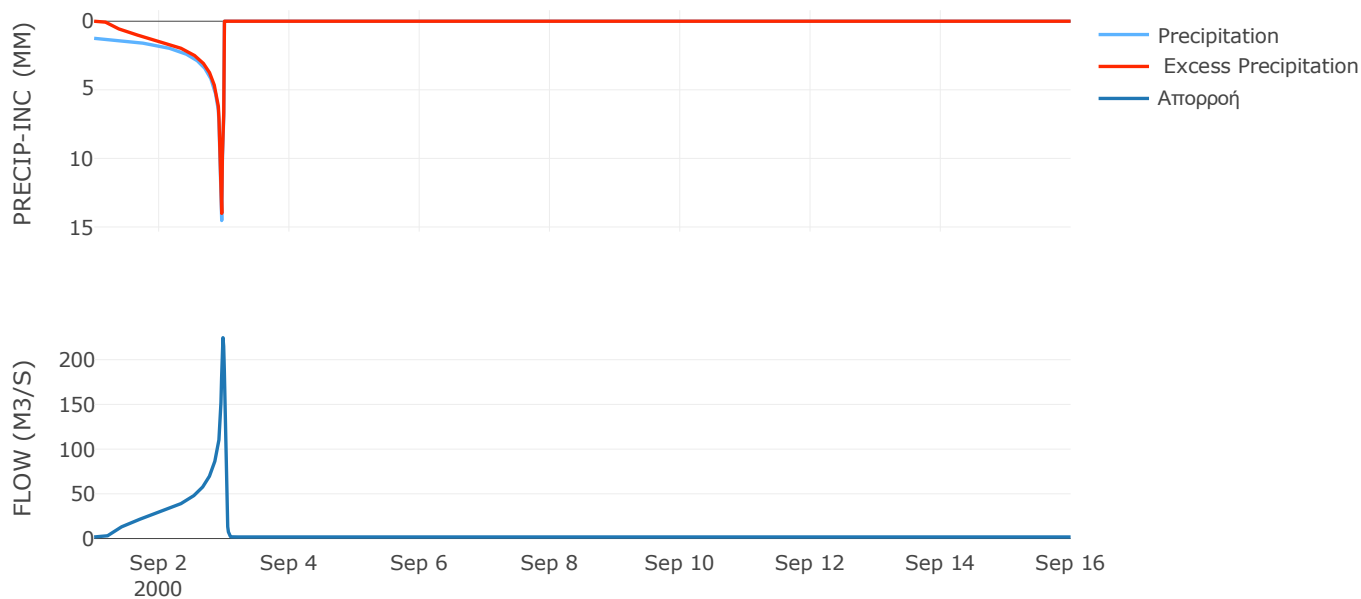
Μέθοδος
Μετασχηματισμού: SCS

Χρόνος Υστέρησης	27.78
------------------	-------

Αποτελέσματα:
EL0514FR003033

Παροχή αιχμής (M3/S)	224.66
Χρονική στιγμή αιχμής	02Sep2000, 23:30
Όγκος (MM)	503.29
Όγκος βροχόπτωσης (M3)	8.32E6
Όγκος απωλειών (M3)	1.77E6
Ενεργός Όγκος (M3)	6.56E6
Όγκος άμεσης απορροής (M3)	6.56E6
Όγκος βασικής απορροής (M3)	2.27E6

Βροχόπτωση και Απορροή



Υπολεκάνη: EL0514FR003034

Έκταση (KM2) : 83.42

Κατάντη : J5

Μέθοδος Απωλειών: SCS

Ποσοστό αδιαπέρατης επιφάνειας	7.2
Αριθμός Καμπύλης Απορροής-CN	86.8
Αρχικές Απώλειες	7.72

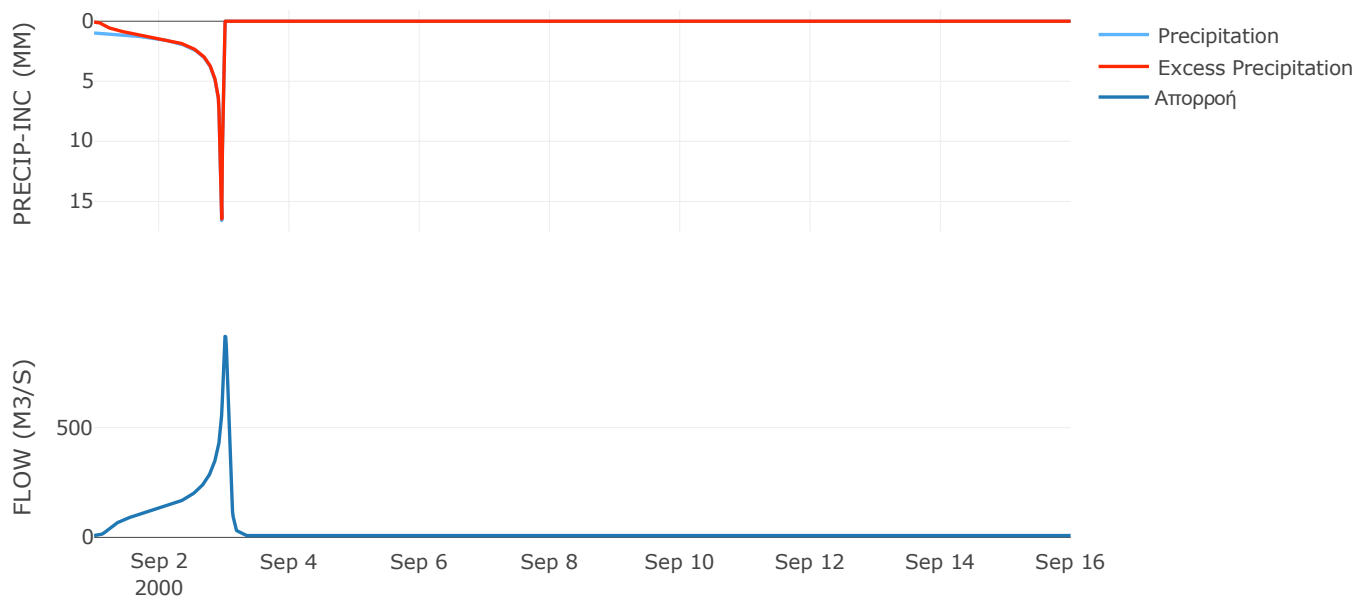
Μέθοδος
Μετασχηματισμού: SCS

Χρόνος Υστέρησης	85.41
------------------	-------

Αποτελέσματα:
EL0514FR003034

Παροχή αιχμής (M3/S)	915.62
Χρονική στιγμή αιχμής	03Sep2000, 00:15
Όγκος (MM)	515.24
Όγκος βροχόπτωσης (M3)	3.55E7
Όγκος απωλειών (M3)	3.33E6
Ενεργός Όγκος (M3)	3.22E7
Όγκος άμεσης απορροής (M3)	3.22E7
Όγκος βασικής απορροής (M3)	1.08E7

Βροχόπτωση και Απορροή



Υπολεκάνη: EL0514FR003035

Έκταση (KM2) : 13.03

Κατάντη : J31

Μέθοδος Απωλειών: SCS

Ποσοστό αδιαπέρατης επιφάνειας	0
Αριθμός Καμπύλης Απορροής-CN	90.09
Αρχικές Απώλειες	5.59

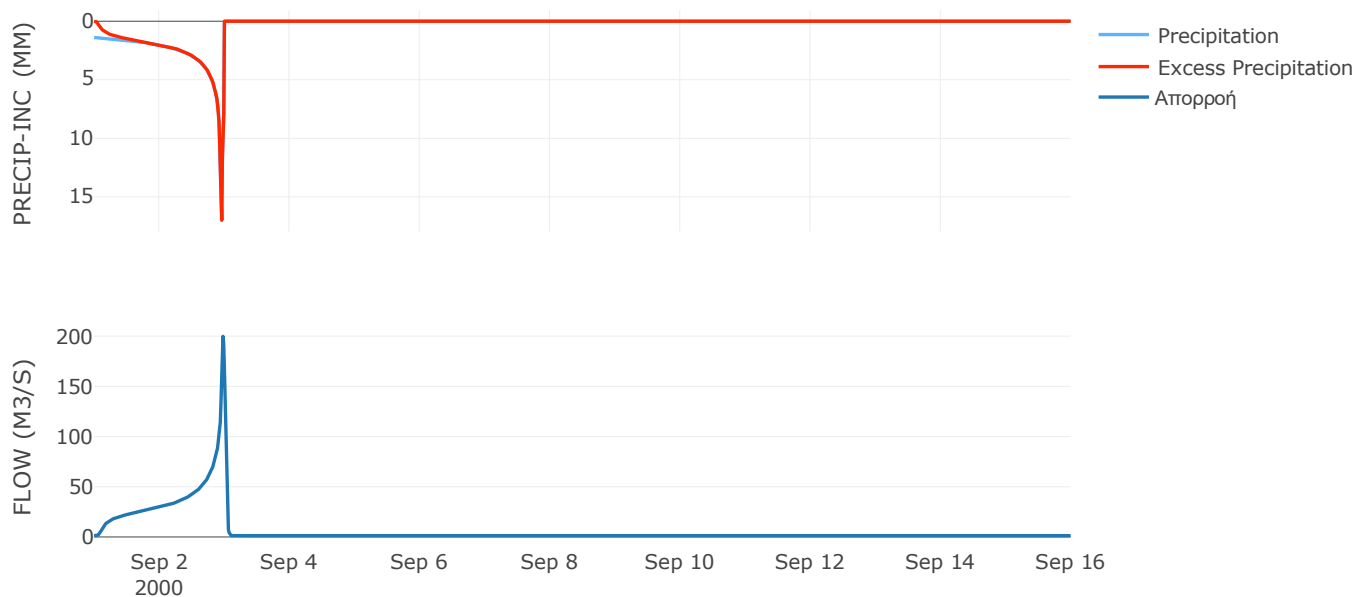
Μέθοδος
Μετασχηματισμού: SCS

Χρόνος Υστέρησης	29.29
------------------	-------

Αποτελέσματα:
EL0514FR003035

Παροχή αιχμής (M3/S)	199.81
Χρονική στιγμή αιχμής	02Sep2000, 23:30
Όγκος (MM)	635.28
Όγκος βροχόπτωσης (M3)	7.01E6
Όγκος απωλειών (M3)	4.19E5
Ενεργός Όγκος (M3)	6.59E6
Όγκος άμεσης απορροής (M3)	6.59E6
Όγκος βασικής απορροής (M3)	1.69E6

Βροχόπτωση και Απορροή



Υπολεκάνη: EL0514FR003036

Έκταση (KM2) : 48.7

Κατάντη : J31

Μέθοδος Απωλειών: SCS

Ποσοστό αδιαπέρατης επιφάνειας	0
Αριθμός Καμπύλης Απορροής-CN	90.46
Αρχικές Απώλειες	5.36

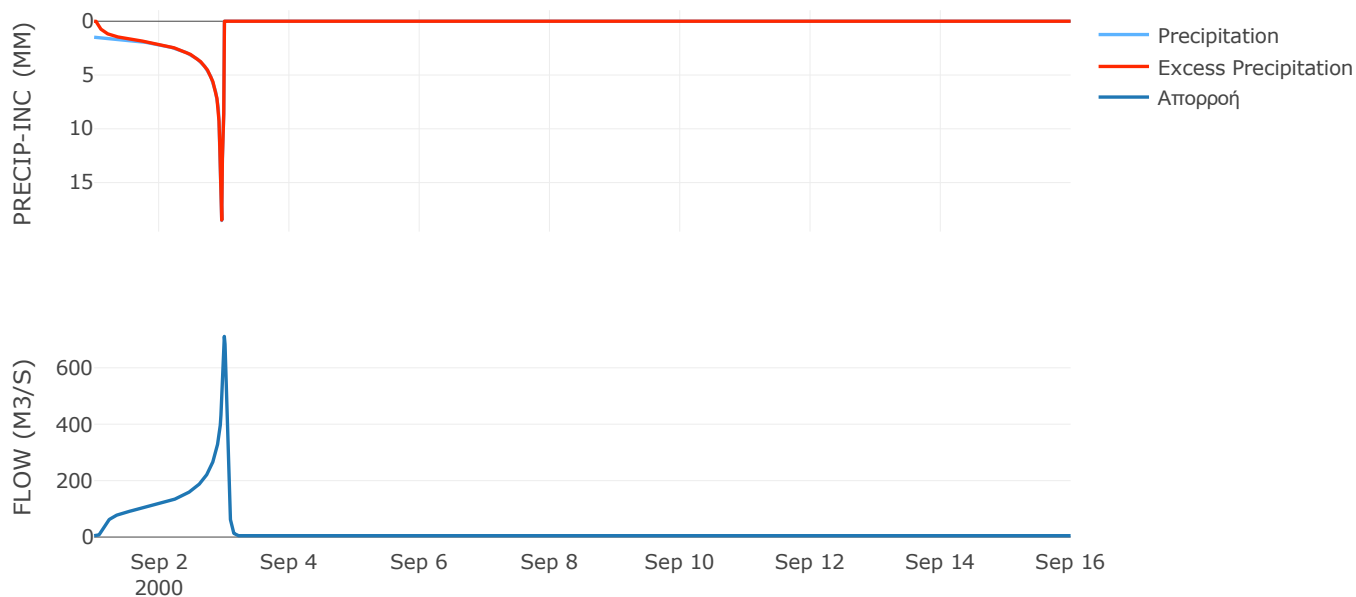
Μέθοδος
Μετασχηματισμού: SCS

Χρόνος Υστέρησης	57.28
------------------	-------

Αποτελέσματα:
EL0514FR003036

Παροχή αιχμής (M3/S)	711.27
Χρονική στιγμή αιχμής	02Sep2000, 24:00
Όγκος (MM)	677.97
Όγκος βροχόπτωσης (M3)	2.82E7
Όγκος απωλειών (M3)	1.51E6
Ενεργός Όγκος (M3)	2.67E7
Όγκος άμεσης απορροής (M3)	2.67E7
Όγκος βασικής απορροής (M3)	6.31E6

Βροχόπτωση και Απορροή



Υπολεκάνη: EL0514FR003037

Έκταση (KM2) : 32.67

Κατάντη : J30

Μέθοδος Απωλειών: SCS

Ποσοστό αδιαπέρατης επιφάνειας	0
Αριθμός Καμπύλης Απορροής-CN	90.45
Αρχικές Απώλειες	5.36

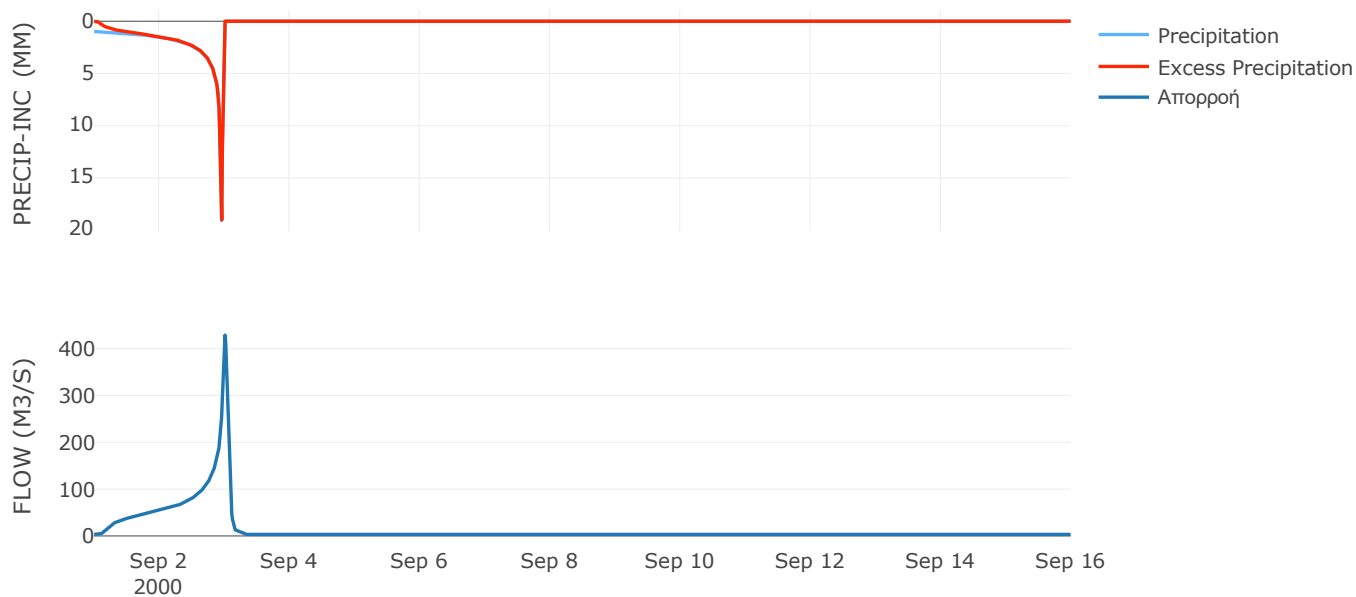
Μέθοδος
Μετασχηματισμού: SCS

Χρόνος Υστέρησης	74.91
------------------	-------

Αποτελέσματα:
EL0514FR003037

Παροχή αιχμής (M3/S)	428.88
Χρονική στιγμή αιχμής	03Sep2000, 00:15
Όγκος (MM)	546.42
Όγκος βροχόπτωσης (M3)	1.46E7
Όγκος απωλειών (M3)	1E6
Ενεργός Όγκος (M3)	1.36E7
Όγκος άμεσης απορροής (M3)	1.36E7
Όγκος βασικής απορροής (M3)	4.23E6

Βροχόπτωση και Απορροή



Υπολεκάνη: EL0514FR003038

Έκταση (KM2) : 25.23

Κατάντη : J30

Μέθοδος Απωλειών: SCS

Ποσοστό αδιαπέρατης επιφάνειας	0
Αριθμός Καμπύλης Απορροής-CN	90.38
Αρχικές Απώλειες	5.41

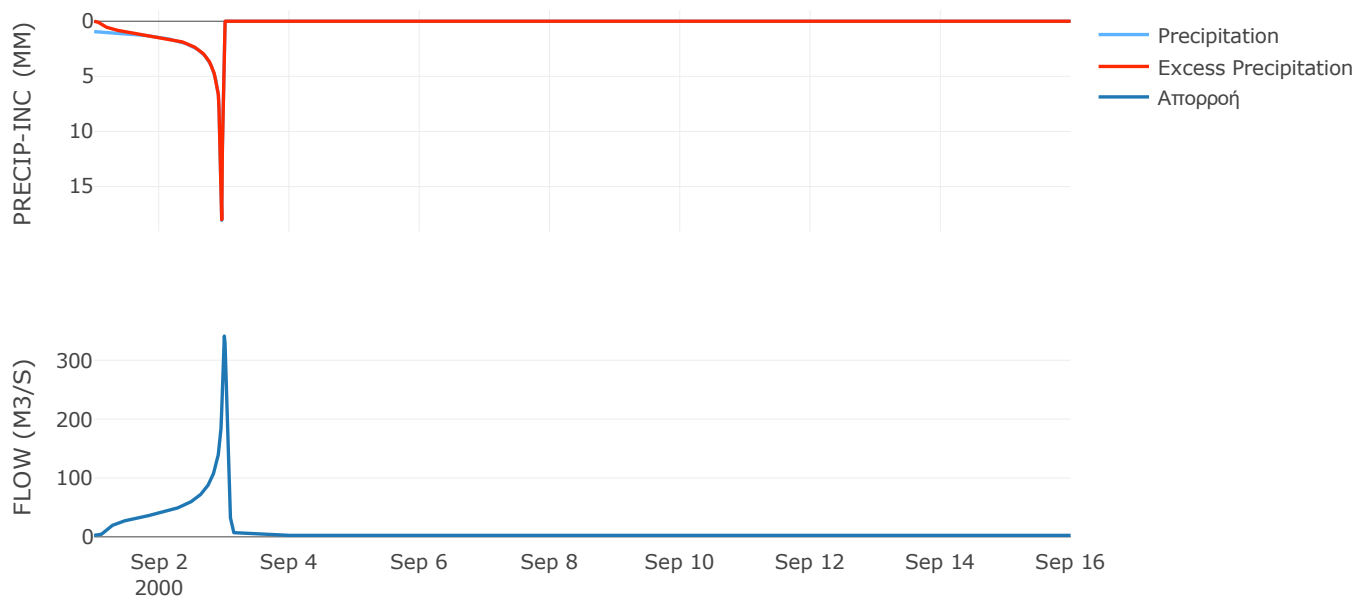
Μέθοδος
Μετασχηματισμού: SCS

Χρόνος Υστέρησης	59.28
------------------	-------

Αποτελέσματα:
EL0514FR003038

Παροχή αιχμής (M3/S)	341.07
Χρονική στιγμή αιχμής	02Sep2000, 24:00
Όγκος (MM)	528.16
Όγκος βροχόπτωσης (M3)	1.08E7
Όγκος απωλειών (M3)	7.78E5
Ενεργός Όγκος (M3)	1.01E7
Όγκος άμεσης απορροής (M3)	1.01E7
Όγκος βασικής απορροής (M3)	3.27E6

Βροχόπτωση και Απορροή



Υπολεκάνη: EL0514FR003039

Έκταση (KM2) : 8.72

Κατάντη : J22

Μέθοδος Απωλειών: SCS

Ποσοστό αδιαπέρατης επιφάνειας	0.09
Αριθμός Καμπύλης Απορροής-CN	91.48
Αρχικές Απώλειες	4.73

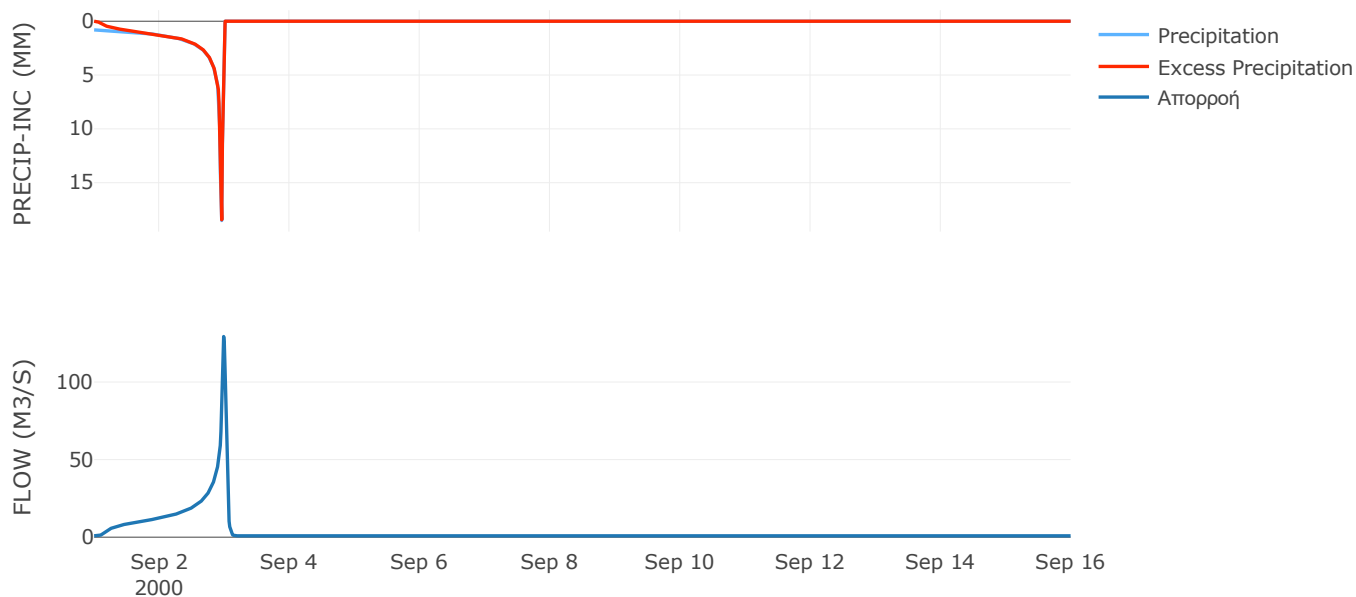
Μέθοδος
Μετασχηματισμού: SCS

Χρόνος Υστέρησης	44.56
------------------	-------

Αποτελέσματα:
EL0514FR003039

Παροχή αιχμής (M3/S)	129.33
Χρονική στιγμή αιχμής	02Sep2000, 23:45
Όγκος (MM)	495.3
Όγκος βροχόπτωσης (M3)	3.43E6
Όγκος απωλειών (M3)	2.35E5
Ενεργός Όγκος (M3)	3.19E6
Όγκος άμεσης απορροής (M3)	3.19E6
Όγκος βασικής απορροής (M3)	1.13E6

Βροχόπτωση και Απορροή



Υπολεκάνη: EL0514FR003040

Έκταση (KM2) : 22.7

Κατάντη : J22

Μέθοδος Απωλειών: SCS

Ποσοστό αδιαπέρατης επιφάνειας	0.09
Αριθμός Καμπύλης Απορροής-CN	90.97
Αρχικές Απώλειες	5.04

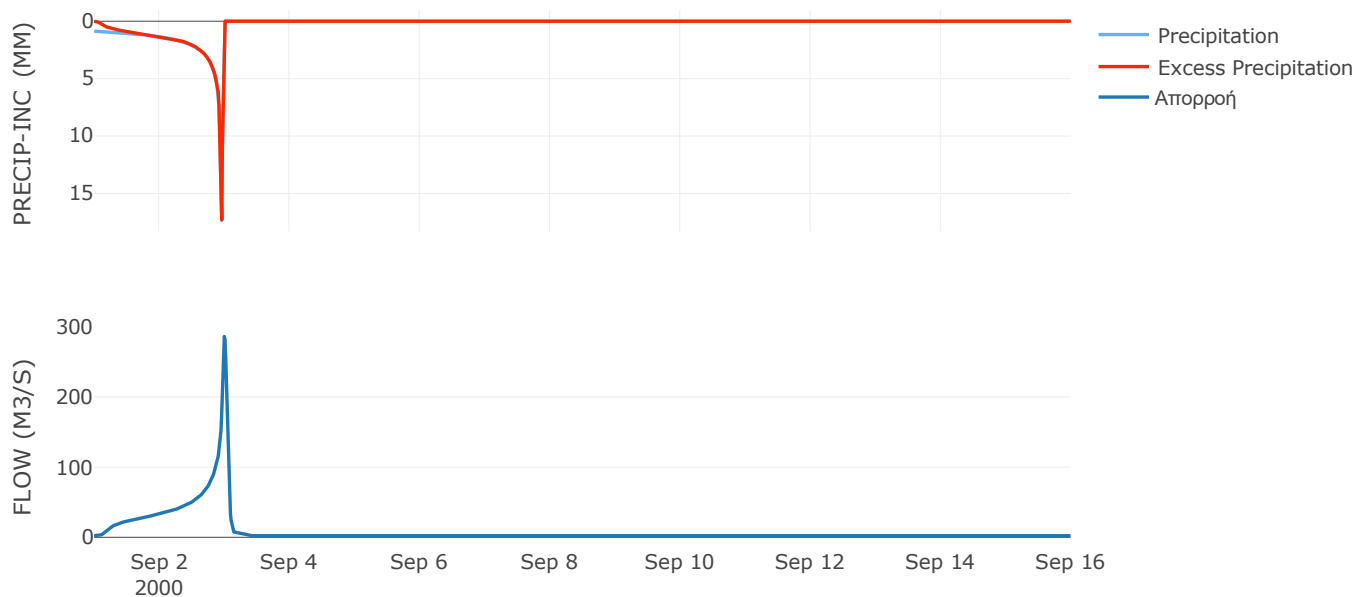
Μέθοδος
Μετασχηματισμού: SCS

Χρόνος Υστέρησης	63.29
------------------	-------

Αποτελέσματα:
EL0514FR003040

Παροχή αιχμής (M3/S)	286.27
Χρονική στιγμή αιχμής	02Sep2000, 24:00
Όγκος (MM)	500.23
Όγκος βροχόπτωσης (M3)	9.07E6
Όγκος απωλειών (M3)	6.52E5
Ενεργός Όγκος (M3)	8.41E6
Όγκος άμεσης απορροής (M3)	8.41E6
Όγκος βασικής απορροής (M3)	2.94E6

Βροχόπτωση και Απορροή



Υπολεκάνη: EL0514FR003041

Έκταση (KM2) : 11.3

Κατάντη : J23

Μέθοδος Απωλειών: SCS

Ποσοστό αδιαπέρατης επιφάνειας	0
Αριθμός Καμπύλης Απορροής-CN	90.34
Αρχικές Απώλειες	5.43

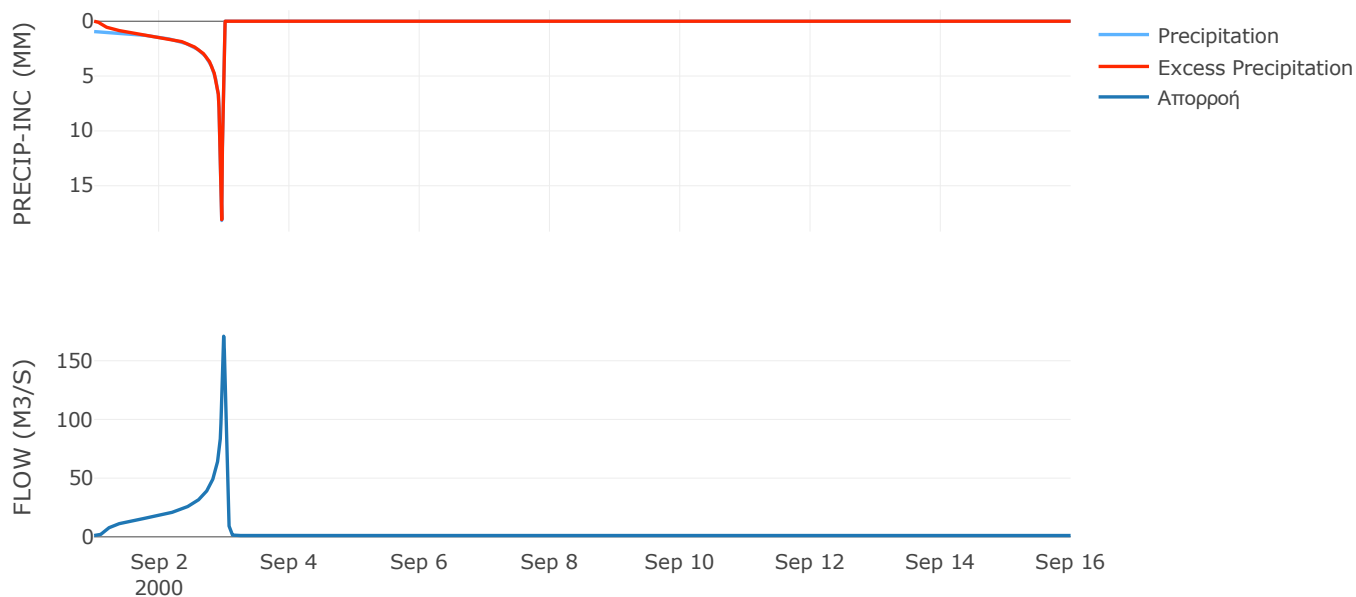
Μέθοδος
Μετασχηματισμού: SCS

Χρόνος Υστέρησης	39.17
------------------	-------

Αποτελέσματα:
EL0514FR003041

Παροχή αιχμής (M3/S)	170.88
Χρονική στιγμή αιχμής	02Sep2000, 23:45
Όγκος (MM)	528.76
Όγκος βροχόπτωσης (M3)	4.86E6
Όγκος απωλειών (M3)	3.5E5
Ενεργός Όγκος (M3)	4.51E6
Όγκος άμεσης απορροής (M3)	4.51E6
Όγκος βασικής απορροής (M3)	1.46E6

Βροχόπτωση και Απορροή



Υπολεκάνη: EL0514FR003042

Έκταση (KM2) : 9.38

Κατάντη : J23

Μέθοδος Απωλειών: SCS

Ποσοστό αδιαπέρατης επιφάνειας	0
Αριθμός Καμπύλης Απορροής-CN	90.96
Αρχικές Απώλειες	5.05

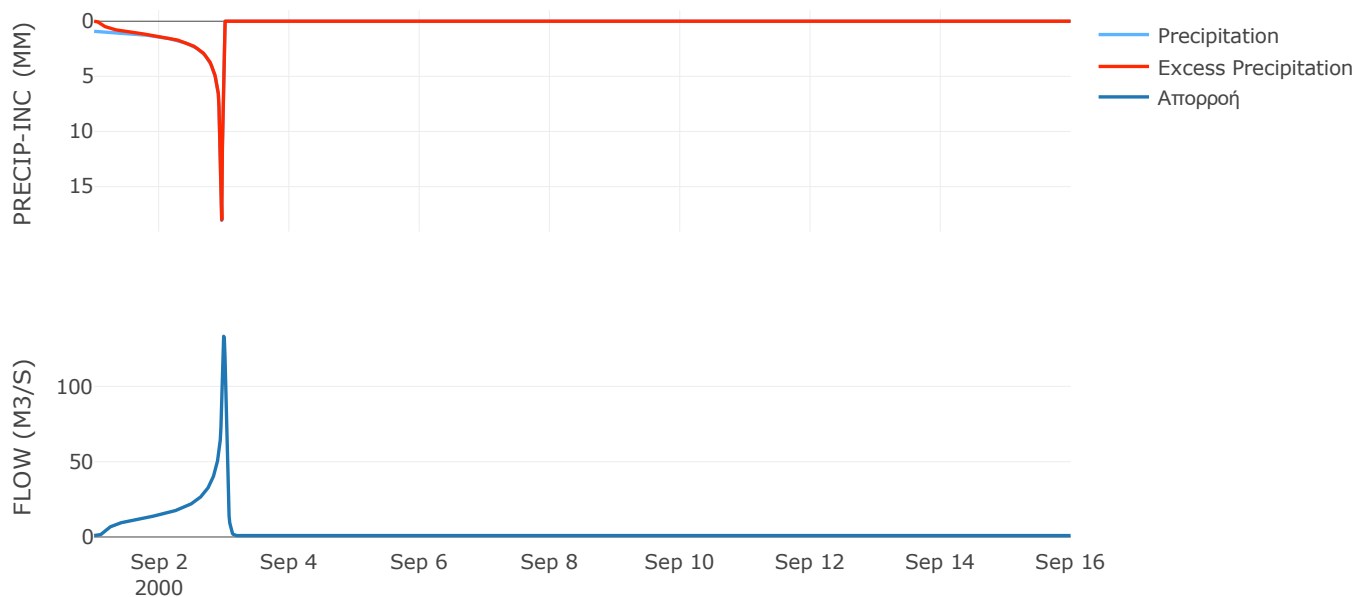
Μέθοδος
Μετασχηματισμού: SCS

Χρόνος Υστέρησης	48.36
------------------	-------

Αποτελέσματα:
EL0514FR003042

Παροχή αιχμής (M3/S)	133.28
Χρονική στιγμή αιχμής	02Sep2000, 23:45
Όγκος (MM)	521.99
Όγκος βροχόπτωσης (M3)	3.95E6
Όγκος απωλειών (M3)	2.71E5
Ενεργός Όγκος (M3)	3.68E6
Όγκος άμεσης απορροής (M3)	3.68E6
Όγκος βασικής απορροής (M3)	1.22E6

Βροχόπτωση και Απορροή



Υπολεκάνη: EL0514FR003043

Έκταση (KM2) : 29.89

Κατάντη : J24

Μέθοδος Απωλειών: SCS

Ποσοστό αδιαπέρατης επιφάνειας	0
Αριθμός Καμπύλης Απορροής-CN	90.7
Αρχικές Απώλειες	5.21

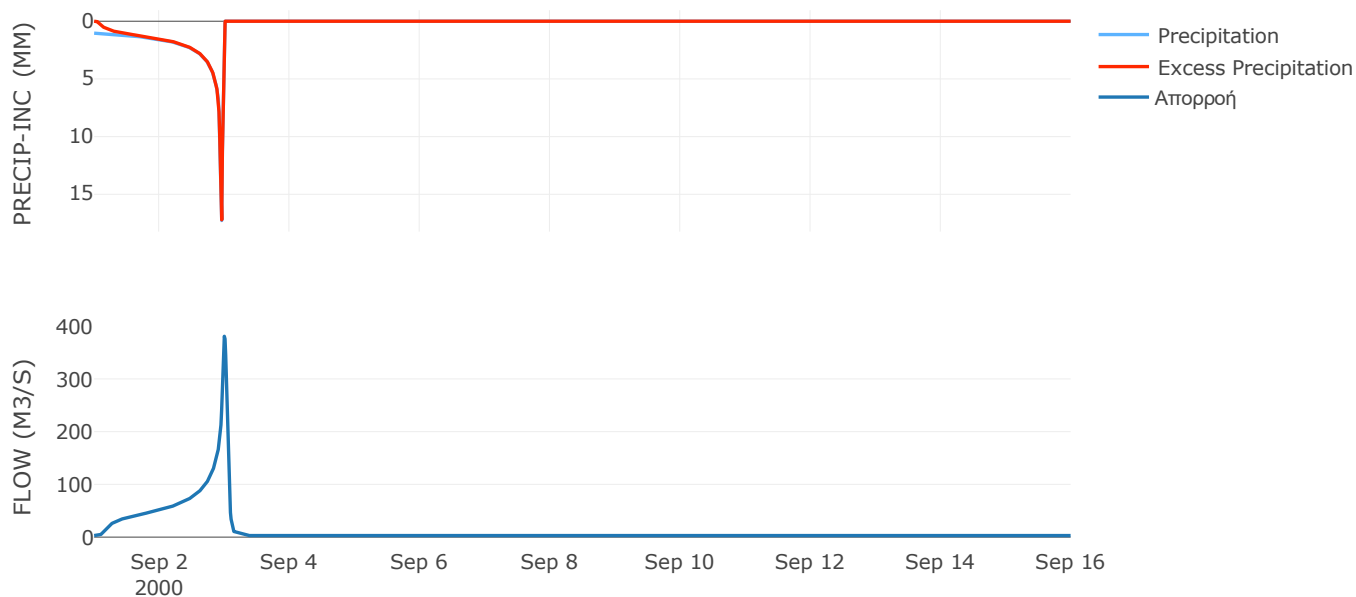
Μέθοδος
Μετασχηματισμού: SCS

Χρόνος Υστέρησης	64.02
------------------	-------

Αποτελέσματα:
EL0514FR003043

Παροχή αιχμής (M3/S)	380.89
Χρονική στιγμή αιχμής	02Sep2000, 24:00
Όγκος (MM)	546.94
Όγκος βροχόπτωσης (M3)	1.34E7
Όγκος απωλειών (M3)	8.91E5
Ενεργός Όγκος (M3)	1.25E7
Όγκος άμεσης απορροής (M3)	1.25E7
Όγκος βασικής απορροής (M3)	3.87E6

Βροχόπτωση και Απορροή



Υπολεκάνη: EL0514FR003044

Έκταση (KM2) : 19.82

Κατάντη : J24

Μέθοδος Απωλειών: SCS

Ποσοστό αδιαπέρατης επιφάνειας	0
Αριθμός Καμπύλης Απορροής-CN	89.11
Αρχικές Απώλειες	6.21

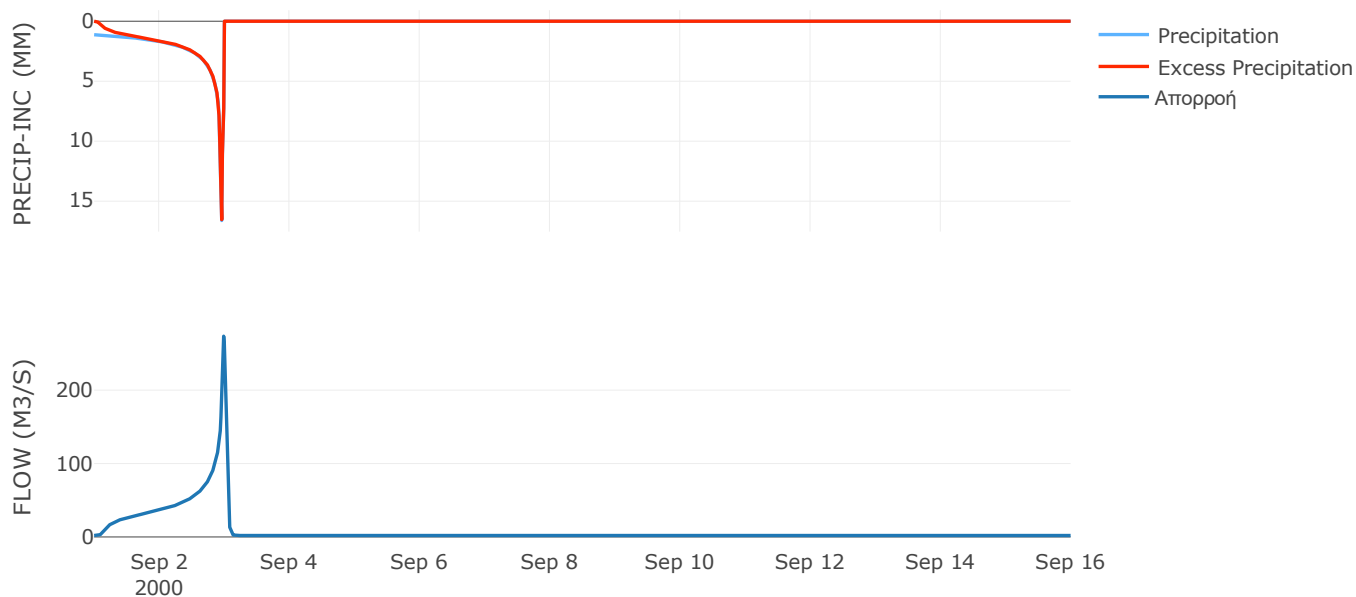
Μέθοδος
Μετασχηματισμού: SCS

Χρόνος Υστέρησης	42.86
------------------	-------

Αποτελέσματα:
EL0514FR003044

Παροχή αιχμής (M3/S)	273.5
Χρονική στιγμή αιχμής	02Sep2000, 23:45
Όγκος (MM)	558.89
Όγκος βροχόπτωσης (M3)	9.21E6
Όγκος απωλειών (M3)	6.99E5
Ενεργός Όγκος (M3)	8.51E6
Όγκος άμεσης απορροής (M3)	8.51E6
Όγκος βασικής απορροής (M3)	2.57E6

Βροχόπτωση και Απορροή



Υπολεκάνη: EL0514FR003045

Έκταση (KM2) : 19.47

Κατάντη : J26

Μέθοδος Απωλειών: SCS

Ποσοστό αδιαπέρατης επιφάνειας	0
Αριθμός Καμπύλης Απορροής-CN	80.82
Αρχικές Απώλειες	12.05

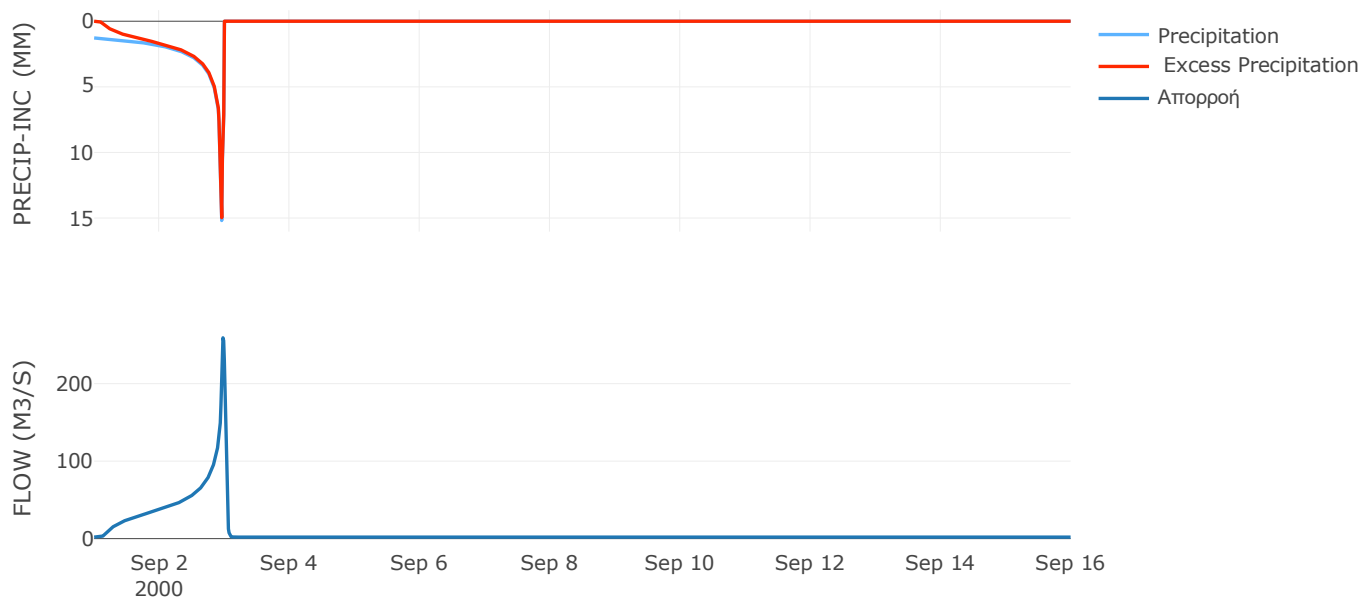
Μέθοδος
Μετασχηματισμού: SCS

Χρόνος Υστέρησης	31.63
------------------	-------

Αποτελέσματα:
EL0514FR003045

Παροχή αιχμής (M3/S)	259.12
Χρονική στιγμή αιχμής	02Sep2000, 23:30
Όγκος (MM)	553.08
Όγκος βροχόπτωσης (M3)	9.52E6
Όγκος απωλειών (M3)	1.28E6
Ενεργός Όγκος (M3)	8.24E6
Όγκος άμεσης απορροής (M3)	8.24E6
Όγκος βασικής απορροής (M3)	2.52E6

Βροχόπτωση και Απορροή



Υπολεκάνη: EL0514FR003046

Έκταση (KM2) : 5.63

Κατάντη : J24

Μέθοδος Απωλειών: SCS

Ποσοστό αδιαπέρατης επιφάνειας	0
Αριθμός Καμπύλης Απορροής-CN	90.77
Αρχικές Απώλειες	5.16

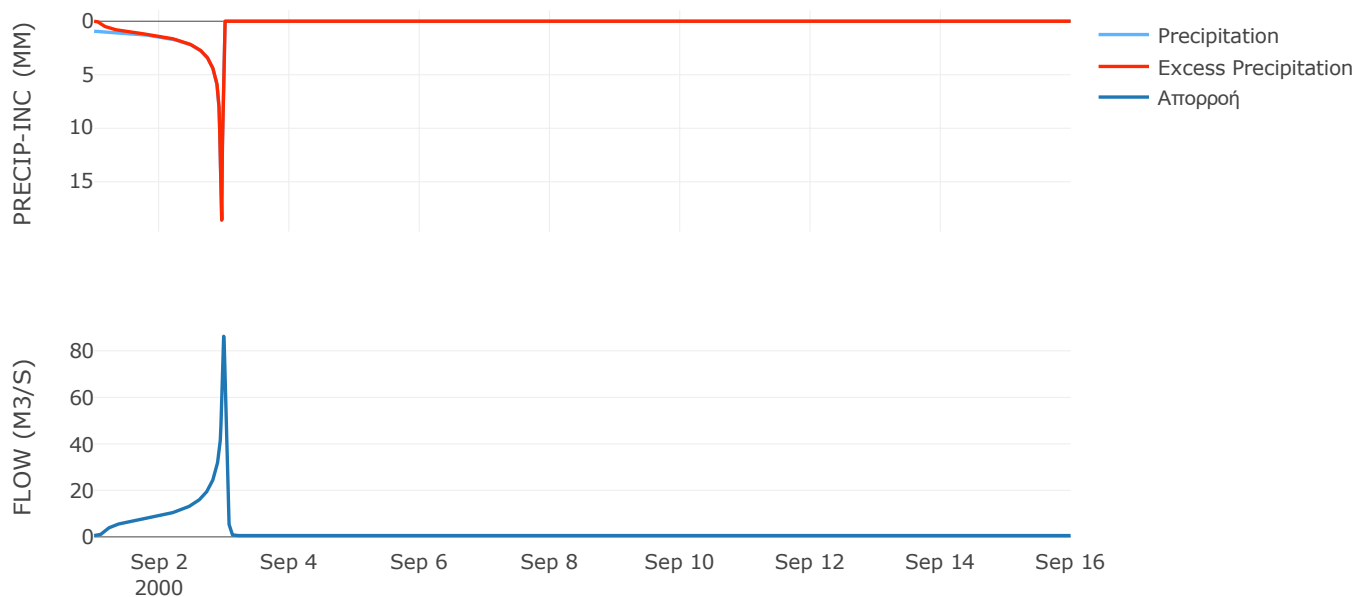
Μέθοδος
Μετασχηματισμού: SCS

Χρόνος Υστέρησης	41.12
------------------	-------

Αποτελέσματα:
EL0514FR003046

Παροχή αιχμής (M3/S)	86.27
Χρονική στιγμή αιχμής	02Sep2000, 23:45
Όγκος (MM)	531.38
Όγκος βροχόπτωσης (M3)	2.43E6
Όγκος απωλειών (M3)	1.66E5
Ενεργός Όγκος (M3)	2.26E6
Όγκος άμεσης απορροής (M3)	2.26E6
Όγκος βασικής απορροής (M3)	7.29E5

Βροχόπτωση και Απορροή



Υπολεκάνη: EL0514FR003047

Έκταση (KM2) : 17.53

Κατάντη : J25

Μέθοδος Απωλειών: SCS

Ποσοστό αδιαπέρατης επιφάνειας	0
Αριθμός Καμπύλης Απορροής-CN	90.4
Αρχικές Απώλειες	5.39

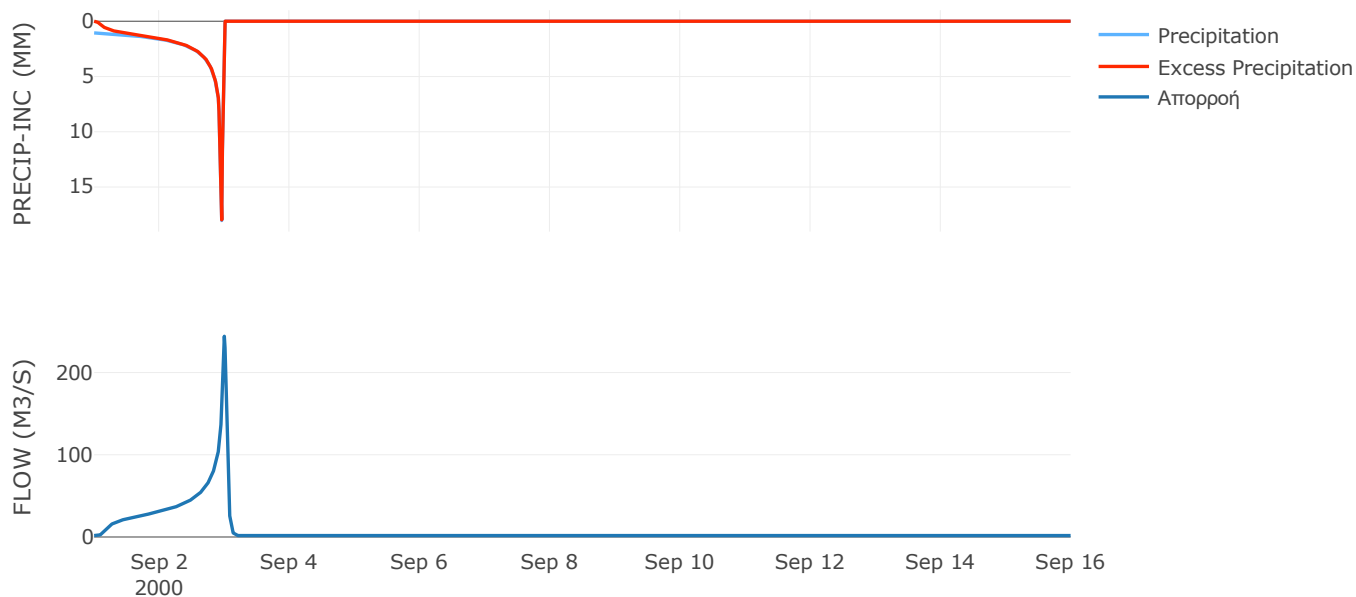
Μέθοδος
Μετασχηματισμού: SCS

Χρόνος Υστέρησης	54.62
------------------	-------

Αποτελέσματα:
EL0514FR003047

Παροχή αιχμής (M3/S)	244.13
Χρονική στιγμή αιχμής	02Sep2000, 24:00
Όγκος (MM)	558.54
Όγκος βροχόπτωσης (M3)	8.06E6
Όγκος απωλειών (M3)	5.41E5
Ενεργός Όγκος (M3)	7.52E6
Όγκος άμεσης απορροής (M3)	7.52E6
Όγκος βασικής απορροής (M3)	2.27E6

Βροχόπτωση και Απορροή



Υπολεκάνη: EL0514FR003048

Έκταση (KM2) : 3.98

Κατάντη : J25

Μέθοδος Απωλειών: SCS

Ποσοστό αδιαπέρατης επιφάνειας	0
Αριθμός Καμπύλης Απορροής-CN	90.41
Αρχικές Απώλειες	5.39

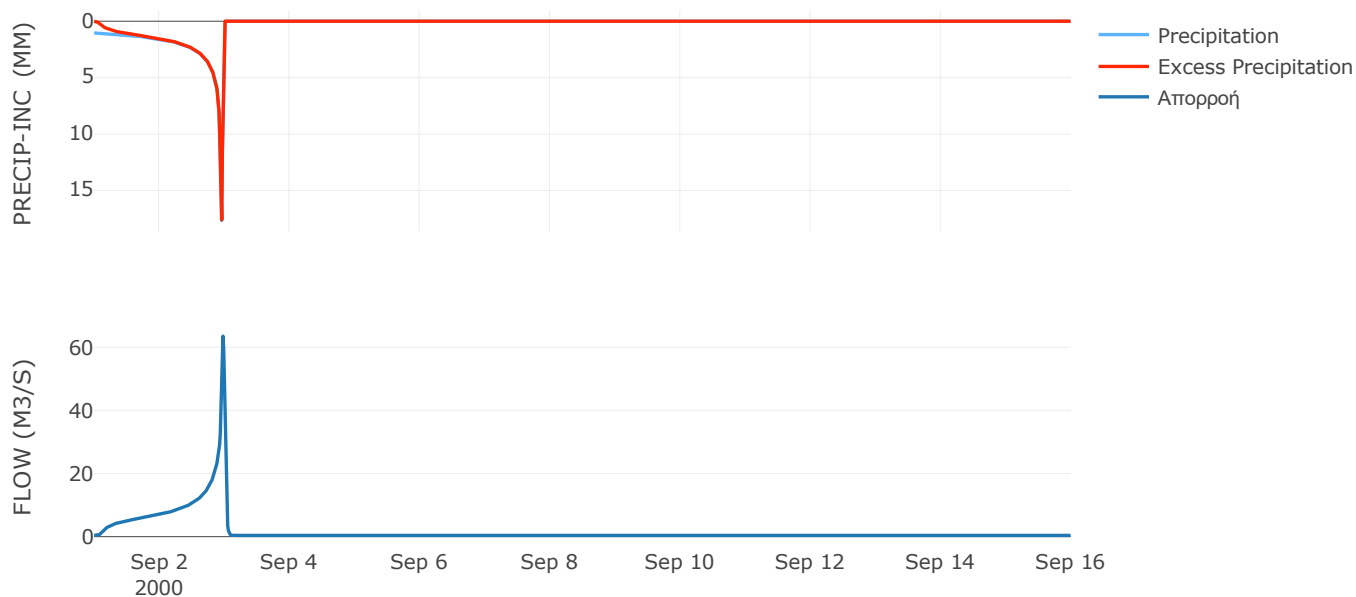
Μέθοδος
Μετασχηματισμού: SCS

Χρόνος Υστέρησης	27.91
------------------	-------

Αποτελέσματα:
EL0514FR003048

Παροχή αιχμής (M3/S)	63.52
Χρονική στιγμή αιχμής	02Sep2000, 23:30
Όγκος (MM)	550.96
Όγκος βροχόπτωσης (M3)	1.8E6
Όγκος απωλειών (M3)	1.23E5
Ενεργός Όγκος (M3)	1.68E6
Όγκος άμεσης απορροής (M3)	1.68E6
Όγκος βασικής απορροής (M3)	5.16E5

Βροχόπτωση και Απορροή



Υπολεκάνη: EL0514FR003049

Έκταση (KM2) : 37.37

Κατάντη : J26

Μέθοδος Απωλειών: SCS

Ποσοστό αδιαπέρατης επιφάνειας	0
Αριθμός Καμπύλης Απορροής-CN	87.1
Αρχικές Απώλειες	7.53

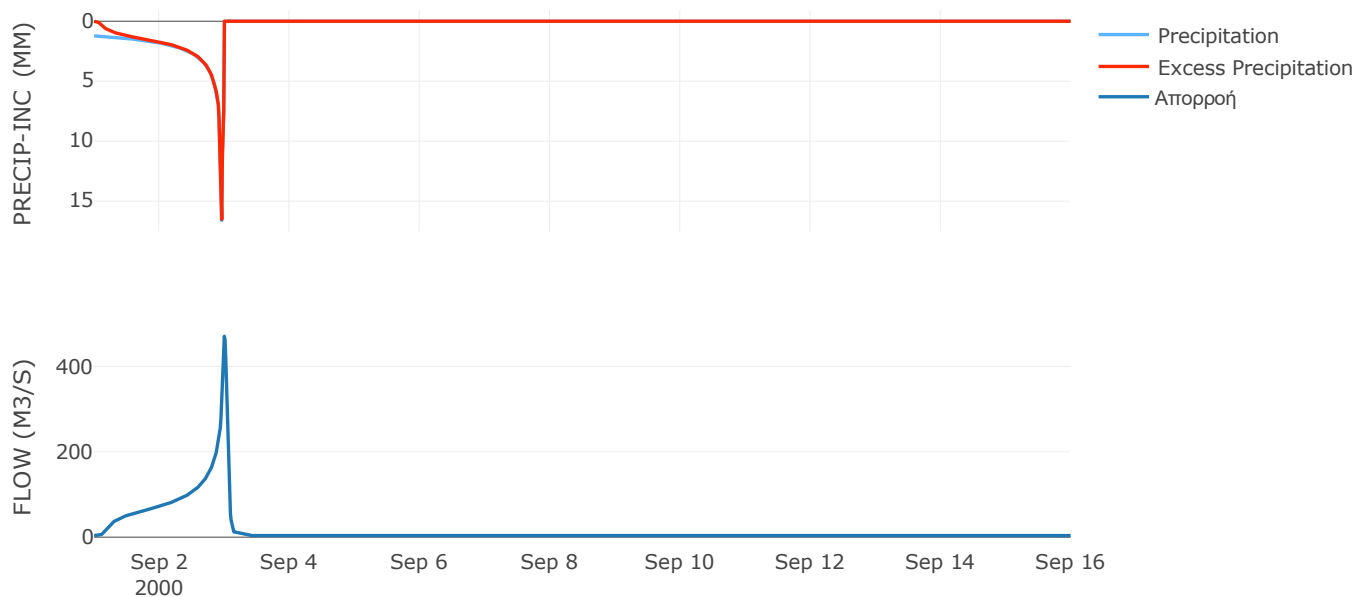
Μέθοδος
Μετασχηματισμού: SCS

Χρόνος Υστέρησης	62.78
------------------	-------

Αποτελέσματα:
EL0514FR003049

Παροχή αιχμής (M3/S)	470.59
Χρονική στιγμή αιχμής	02Sep2000, 24:00
Όγκος (MM)	577.26
Όγκος βροχόπτωσης (M3)	1.83E7
Όγκος απωλειών (M3)	1.59E6
Ενεργός Όγκος (M3)	1.67E7
Όγκος άμεσης απορροής (M3)	1.67E7
Όγκος βασικής απορροής (M3)	4.84E6

Βροχόπτωση και Απορροή



Υπολεκάνη: EL0514FR003051

Έκταση (KM2) : 17.16

Κατάντη : J27

Μέθοδος Απωλειών: SCS

Ποσοστό αδιαπέρατης επιφάνειας	0
Αριθμός Καμπύλης Απορροής-CN	90.45
Αρχικές Απώλειες	5.36

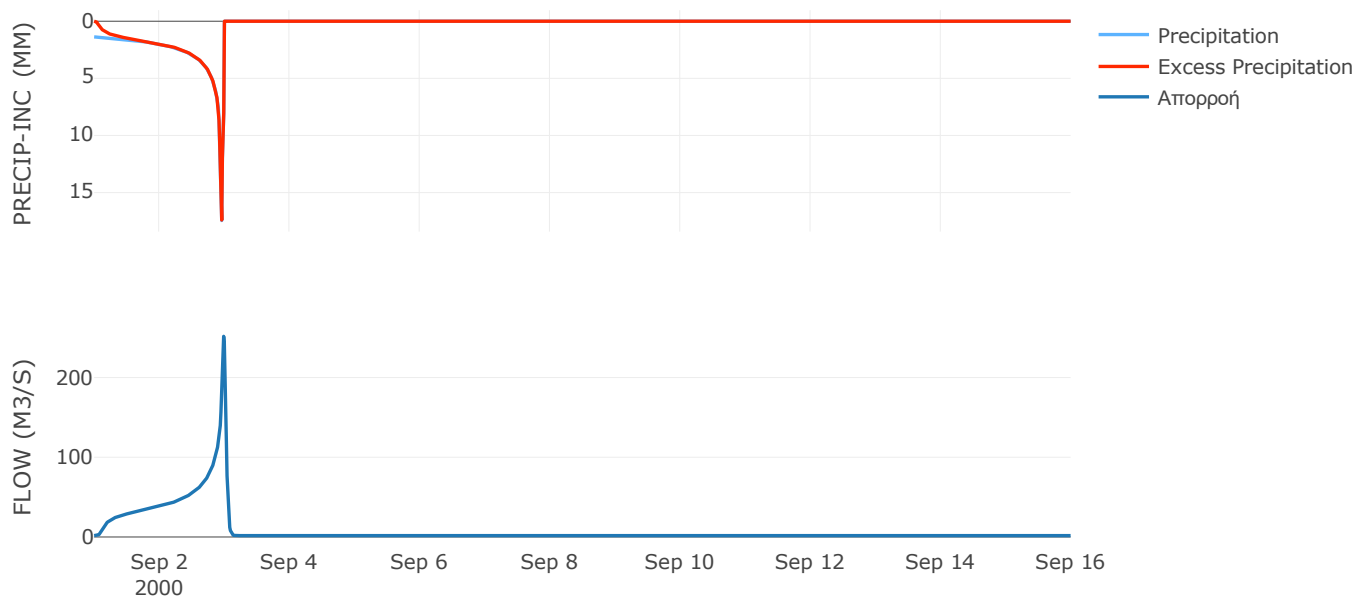
Μέθοδος
Μετασχηματισμού: SCS

Χρόνος Υστέρησης	42.66
------------------	-------

Αποτελέσματα:
EL0514FR003051

Παροχή αιχμής (M3/S)	251.68
Χρονική στιγμή αιχμής	02Sep2000, 23:45
Όγκος (MM)	636.14
Όγκος βροχόπτωσης (M3)	9.22E6
Όγκος απωλειών (M3)	5.3E5
Ενεργός Όγκος (M3)	8.69E6
Όγκος άμεσης απορροής (M3)	8.69E6
Όγκος βασικής απορροής (M3)	2.22E6

Βροχόπτωση και Απορροή



Υπολεκάνη: EL0514FR003052

Έκταση (KM2) : 20.26

Κατάντη : J27

Μέθοδος Απωλειών: SCS

Ποσοστό αδιαπέρατης επιφάνειας	0
Αριθμός Καμπύλης Απορροής-CN	90.62
Αρχικές Απώλειες	5.26

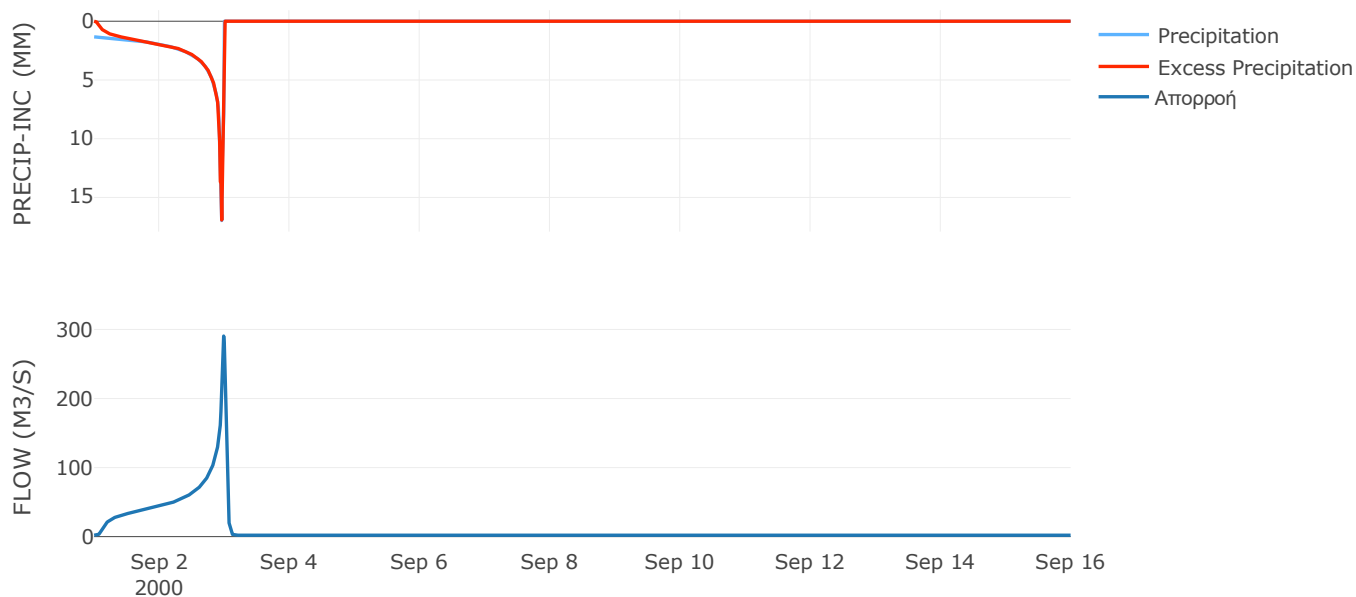
Μέθοδος
Μετασχηματισμού: SCS

Χρόνος Υστέρησης	41.47
------------------	-------

Αποτελέσματα:
EL0514FR003052

Παροχή αιχμής (M3/S)	290.49
Χρονική στιγμή αιχμής	02Sep2000, 23:45
Όγκος (MM)	621.19
Όγκος βροχόπτωσης (M3)	1.06E7
Όγκος απωλειών (M3)	6.14E5
Ενεργός Όγκος (M3)	9.96E6
Όγκος άμεσης απορροής (M3)	9.96E6
Όγκος βασικής απορροής (M3)	2.63E6

Βροχόπτωση και Απορροή



Υπολεκάνη: EL0514FR003053

Έκταση (KM2) : 23.12

Κατάντη : J27

Μέθοδος Απωλειών: SCS

Ποσοστό αδιαπέρατης επιφάνειας	0
Αριθμός Καμπύλης Απορροής-CN	90.75
Αρχικές Απώλειες	5.18

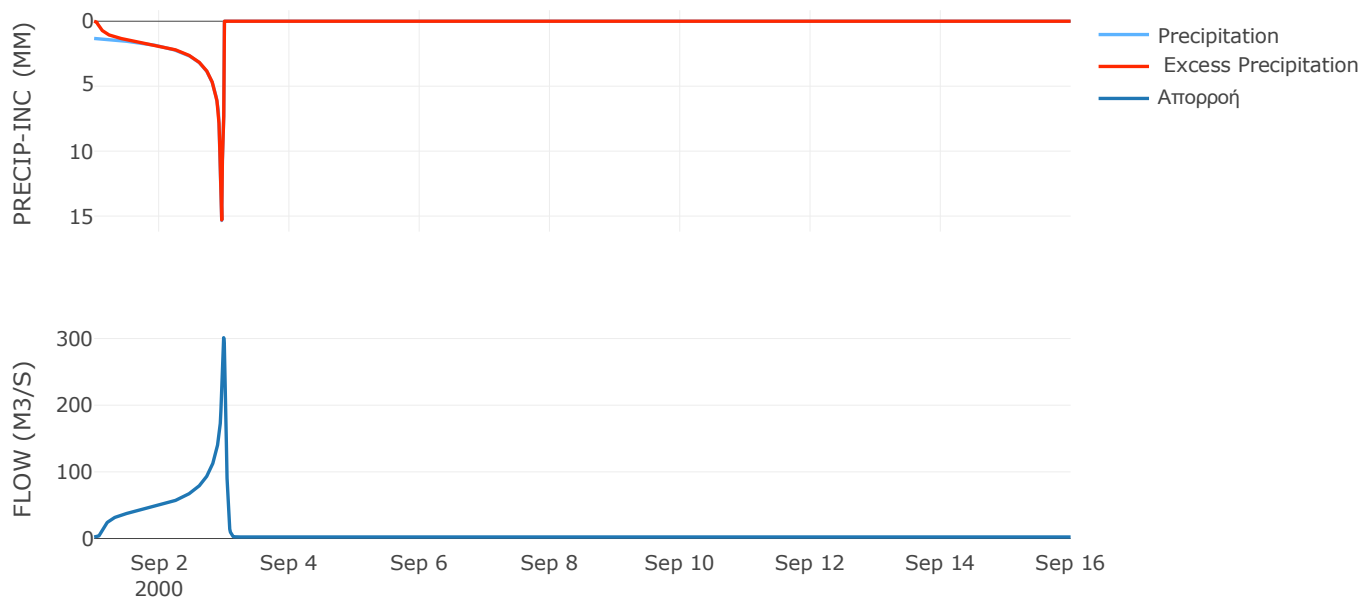
Μέθοδος
Μετασχηματισμού: SCS

Χρόνος Υστέρησης	42.05
------------------	-------

Αποτελέσματα:
EL0514FR003053

Παροχή αιχμής (M3/S)	301.27
Χρονική στιγμή αιχμής	02Sep2000, 23:45
Όγκος (MM)	603.1
Όγκος βροχόπτωσης (M3)	1.16E7
Όγκος απωλειών (M3)	6.89E5
Ενεργός Όγκος (M3)	1.09E7
Όγκος άμεσης απορροής (M3)	1.09E7
Όγκος βασικής απορροής (M3)	3E6

Βροχόπτωση και Απορροή



Υπολεκάνη: EL0514FR003054

Έκταση (KM2) : 25.24

Κατάντη : J28

Μέθοδος Απωλειών: SCS

Ποσοστό αδιαπέρατης επιφάνειας	0
Αριθμός Καμπύλης Απορροής-CN	84.35
Αρχικές Απώλειες	9.42

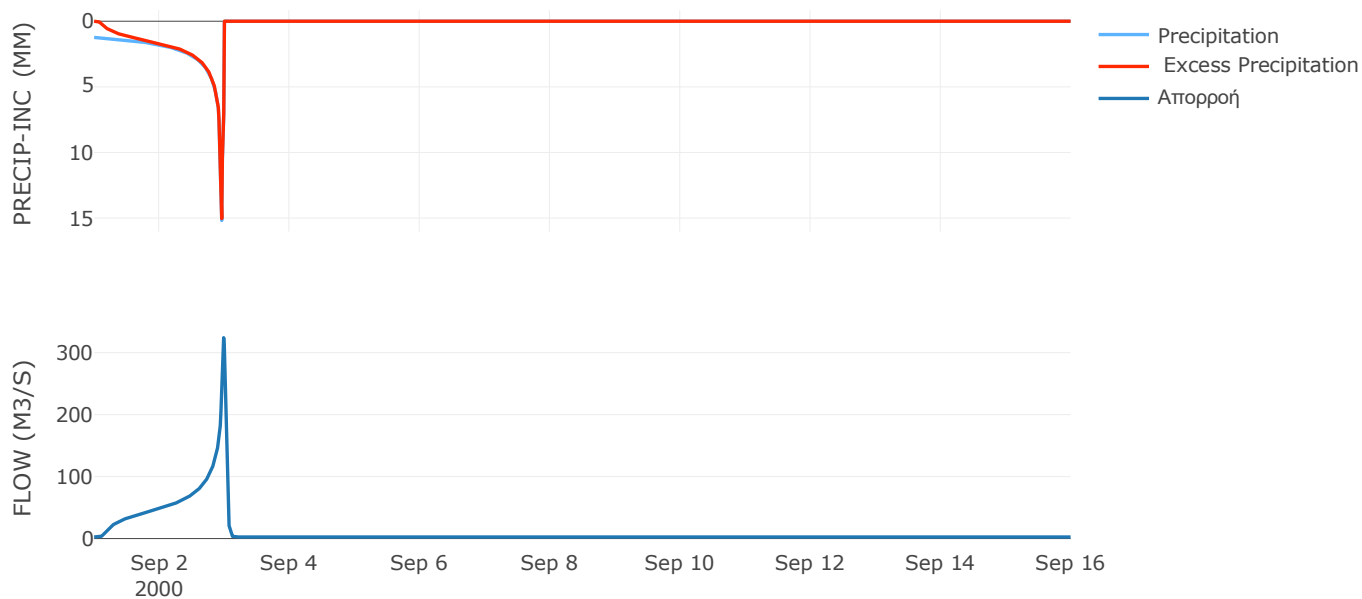
Μέθοδος
Μετασχηματισμού: SCS

Χρόνος Υστέρησης	40.48
------------------	-------

Αποτελέσματα:
EL0514FR003054

Παροχή αιχμής (M3/S)	324.15
Χρονική στιγμή αιχμής	02Sep2000, 23:45
Όγκος (MM)	555.57
Όγκος βροχόπτωσης (M3)	1.21E7
Όγκος απωλειών (M3)	1.32E6
Ενεργός Όγκος (M3)	1.08E7
Όγκος άμεσης απορροής (M3)	1.08E7
Όγκος βασικής απορροής (M3)	3.27E6

Βροχόπτωση και Απορροή



Υπολεκάνη: EL0514FR003055

Έκταση (KM2) : 14.63

Κατάντη : J29

Μέθοδος Απωλειών: SCS

Ποσοστό αδιαπέρατης επιφάνειας	0
Αριθμός Καμπύλης Απορροής-CN	87.53
Αρχικές Απώλειες	7.24

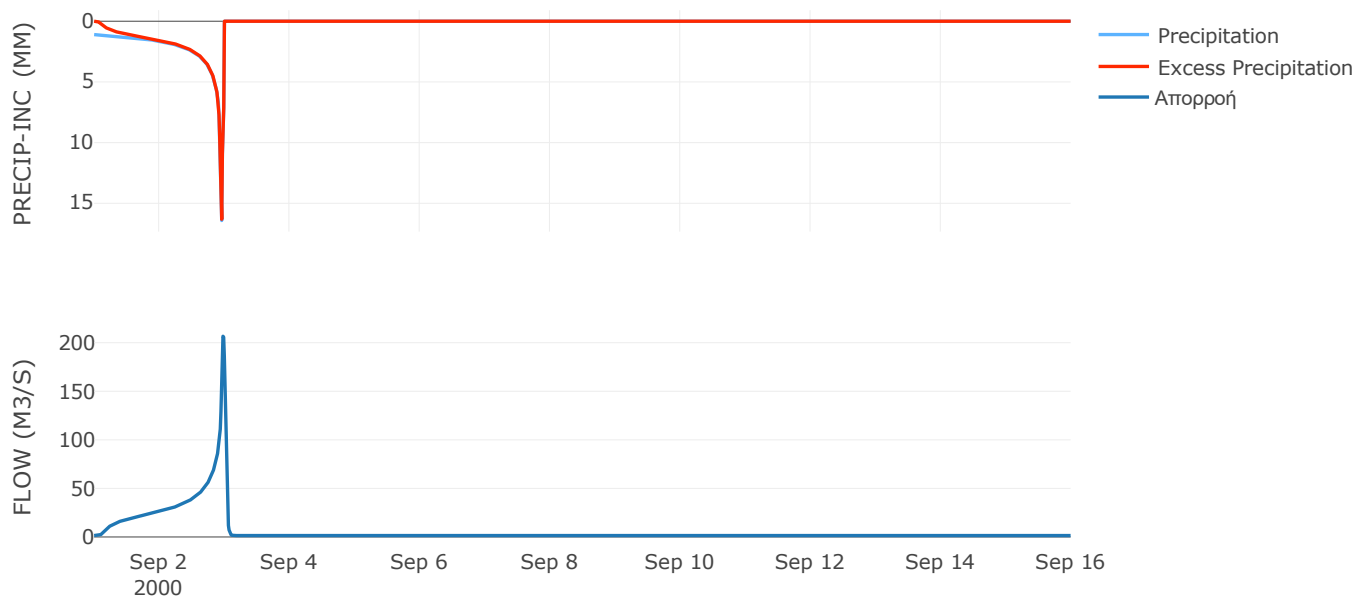
Μέθοδος
Μετασχηματισμού: SCS

Χρόνος Υστέρησης	33.81
------------------	-------

Αποτελέσματα:
EL0514FR003055

Παροχή αιχμής (M3/S)	206.65
Χρονική στιγμή αιχμής	02Sep2000, 23:30
Όγκος (MM)	545.19
Όγκος βροχόπτωσης (M3)	6.67E6
Όγκος απωλειών (M3)	5.96E5
Ενεργός Όγκος (M3)	6.08E6
Όγκος άμεσης απορροής (M3)	6.08E6
Όγκος βασικής απορροής (M3)	1.9E6

Βροχόπτωση και Απορροή



Υπολεκάνη: EL0514FR003056

Έκταση (KM2) : 25.33

Κατάντη : J29

Μέθοδος Απωλειών: SCS

Ποσοστό αδιαπέρατης επιφάνειας	0
Αριθμός Καμπύλης Απορροής-CN	85.45
Αρχικές Απώλειες	8.65

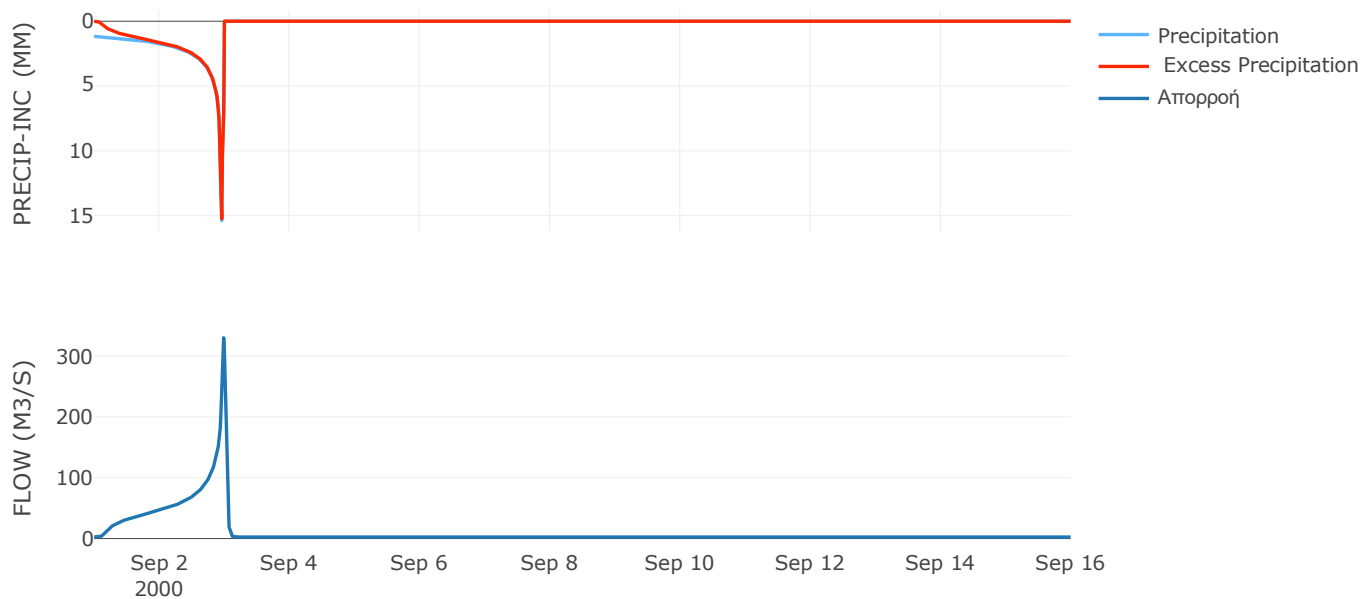
Μέθοδος
Μετασχηματισμού: SCS

Χρόνος Υστέρησης	39.14
------------------	-------

Αποτελέσματα:
EL0514FR003056

Παροχή αιχμής (M3/S)	330.06
Χρονική στιγμή αιχμής	02Sep2000, 23:45
Όγκος (MM)	544.09
Όγκος βροχόπτωσης (M3)	1.17E7
Όγκος απωλειών (M3)	1.22E6
Ενεργός Όγκος (M3)	1.05E7
Όγκος άμεσης απορροής (M3)	1.05E7
Όγκος βασικής απορροής (M3)	3.28E6

Βροχόπτωση και Απορροή



Υπολεκάνη: EL0514FR003057

Έκταση (KM2) : 14.19

Κατάντη : J28

Μέθοδος Απωλειών: SCS

Ποσοστό αδιαπέρατης επιφάνειας	0
Αριθμός Καμπύλης Απορροής-CN	90.54
Αρχικές Απώλειες	5.31

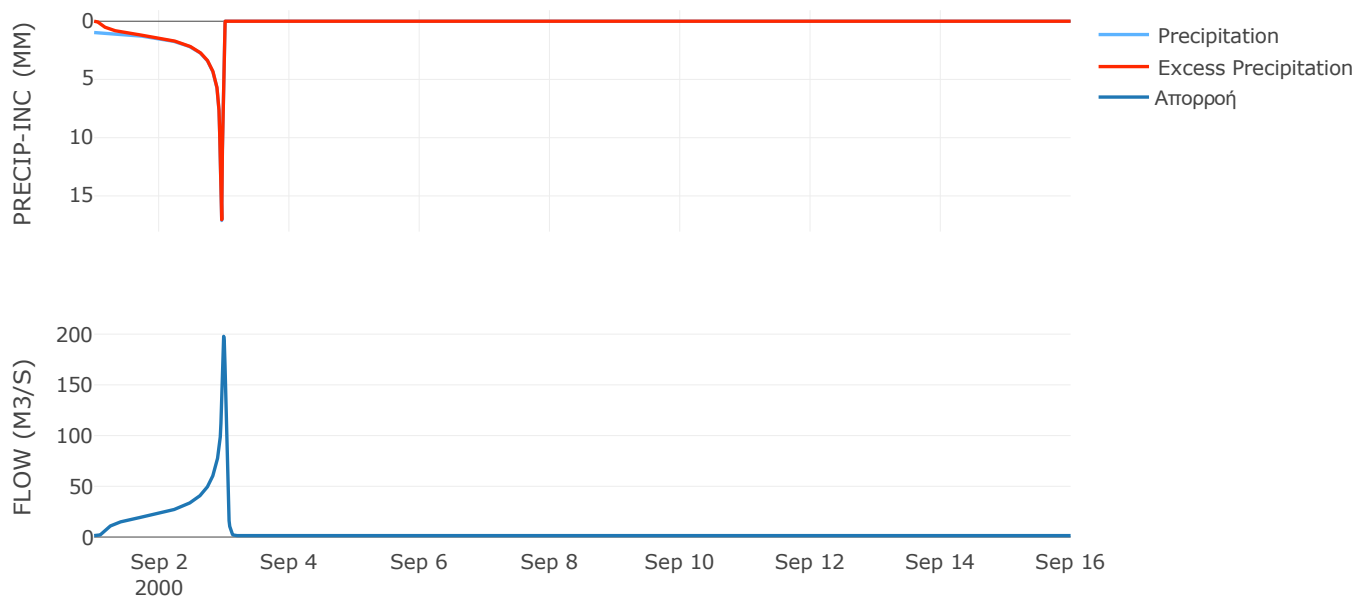
Μέθοδος
Μετασχηματισμού: SCS

Χρόνος Υστέρησης	44.33
------------------	-------

Αποτελέσματα:
EL0514FR003057

Παροχή αιχμής (M3/S)	197.84
Χρονική στιγμή αιχμής	02Sep2000, 23:45
Όγκος (MM)	527.12
Όγκος βροχόπτωσης (M3)	6.07E6
Όγκος απωλειών (M3)	4.29E5
Ενεργός Όγκος (M3)	5.64E6
Όγκος άμεσης απορροής (M3)	5.64E6
Όγκος βασικής απορροής (M3)	1.84E6

Βροχόπτωση και Απορροή



Υπολεκάνη: EL0514FR003058

Έκταση (KM2) : 75.13

Κατάνη : J4 Res1

Μέθοδος Απωλειών: SCS

Ποσοστό αδιαπέρατης επιφάνειας	0.15
Αριθμός Καμπύλης Απορροής-CN	91.9
Αρχικές Απώλειες	4.48

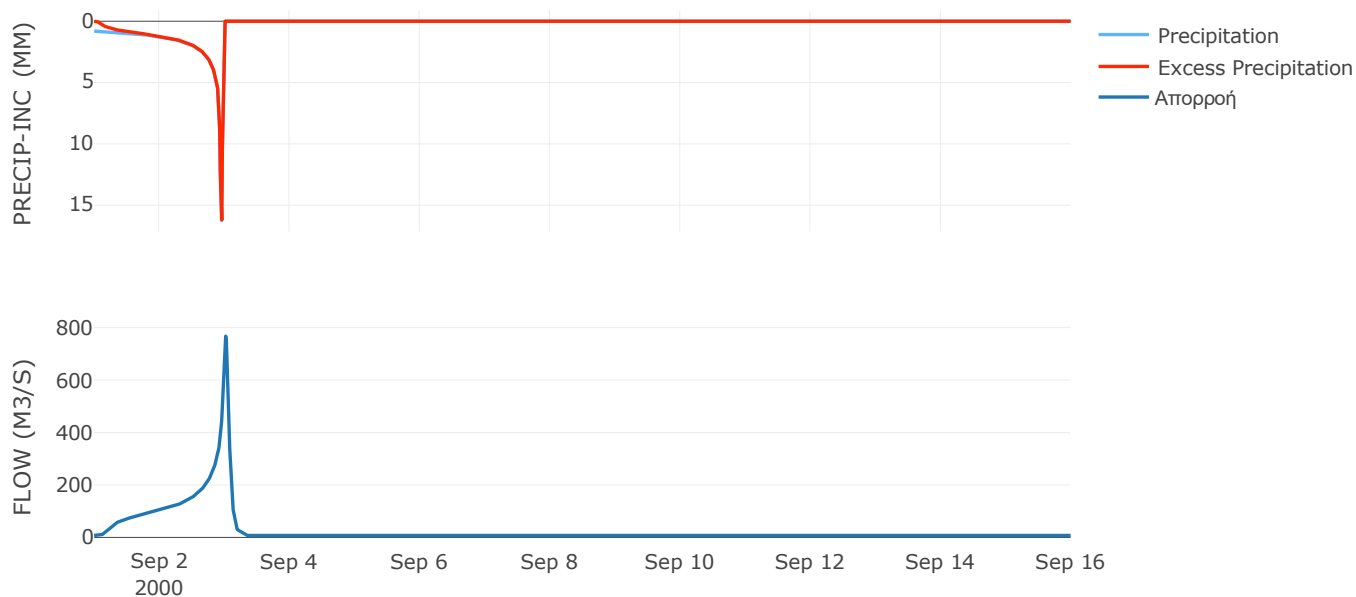
Μέθοδος
Μετασχηματισμού: SCS

Χρόνος Υστέρησης	93.61
------------------	-------

Αποτελέσματα:
EL0514FR003058

Παροχή αιχμής (M3/S)	767.41
Χρονική στιγμή αιχμής	03Sep2000, 00:30
Όγκος (MM)	478.3
Όγκος βροχόπτωσης (M3)	2.81E7
Όγκος απωλειών (M3)	1.92E6
Ενεργός Όγκος (M3)	2.62E7
Όγκος άμεσης απορροής (M3)	2.62E7
Όγκος βασικής απορροής (M3)	9.74E6

Βροχόπτωση και Απορροή



Υπολεκάνη: EL0514FR003059

Έκταση (KM2) : 14.46

Κατάντη : J3

Μέθοδος Απωλειών: SCS

Ποσοστό αδιαπέρατης επιφάνειας	0
Αριθμός Καμπύλης Απορροής-CN	90.01
Αρχικές Απώλειες	5.64

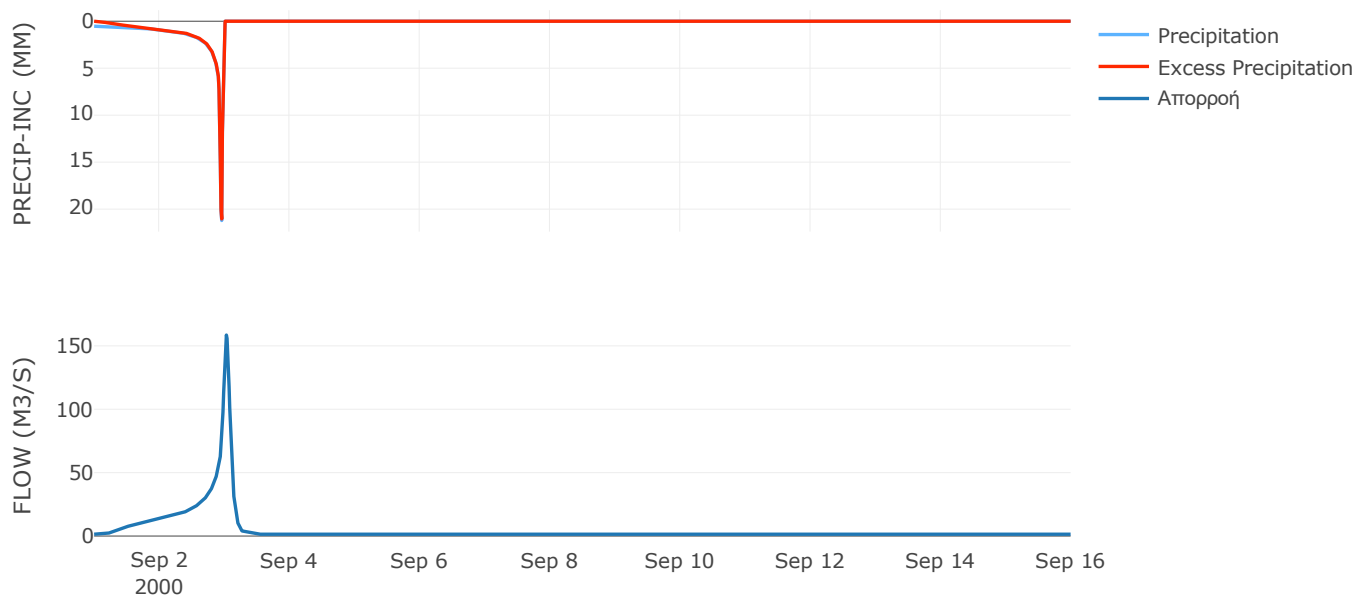
Μέθοδος
Μετασχηματισμού: SCS

Χρόνος Υστέρησης	113.28
------------------	--------

Αποτελέσματα:
EL0514FR003059

Παροχή αιχμής (M3/S)	158.53
Χρονική στιγμή αιχμής	03Sep2000, 00:45
Όγκος (MM)	425.83
Όγκος βροχόπτωσης (M3)	4.74E6
Όγκος απωλειών (M3)	4.56E5
Ενεργός Όγκος (M3)	4.28E6
Όγκος άμεσης απορροής (M3)	4.28E6
Όγκος βασικής απορροής (M3)	1.87E6

Βροχόπτωση και Απορροή



Υπολεκάνη: EL0514FR003060

Έκταση (KM2) : 25.82

Κατάνη : J1

Μέθοδος Απωλειών: SCS

Ποσοστό αδιαπέρατης επιφάνειας	0
Αριθμός Καμπύλης Απορροής-CN	89.72
Αρχικές Απώλειες	5.82

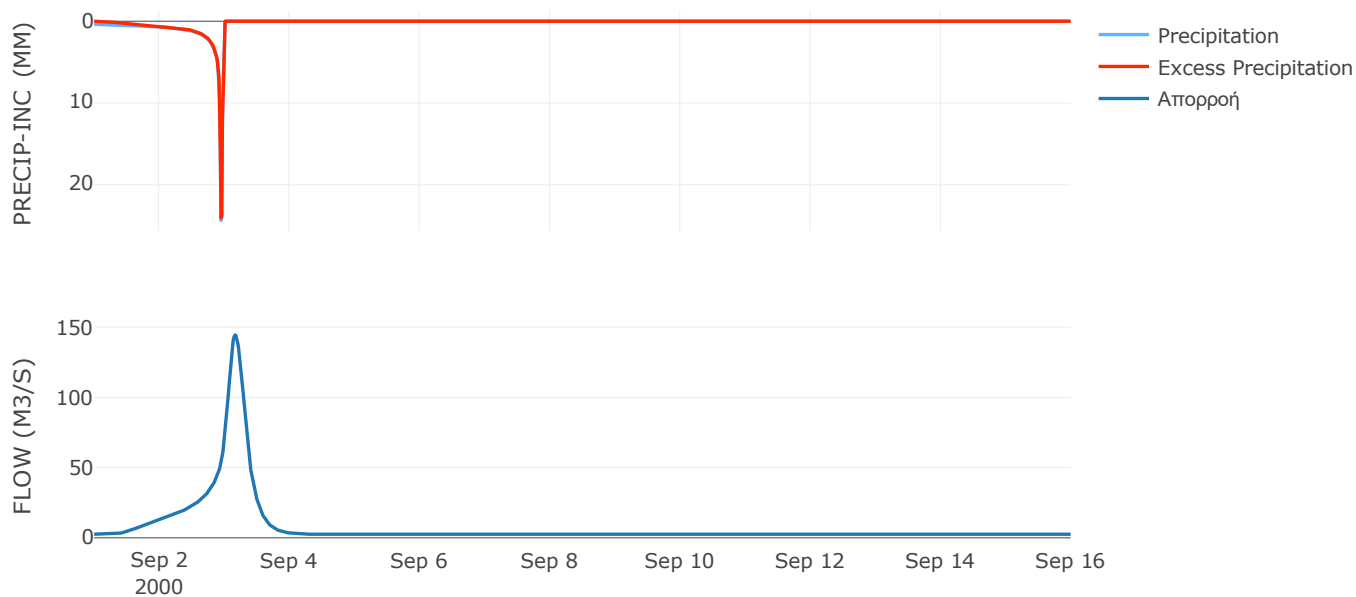
Μέθοδος
Μετασχηματισμού: SCS

Χρόνος Υστέρησης	346.24
------------------	--------

Αποτελέσματα:
EL0514FR003060

Παροχή αιχμής (M3/S)	144.45
Χρονική στιγμή αιχμής	03Sep2000, 04:00
Όγκος (MM)	384.51
Όγκος βροχόπτωσης (M3)	7.41E6
Όγκος απωλειών (M3)	8.32E5
Ενεργός Όγκος (M3)	6.58E6
Όγκος άμεσης απορροής (M3)	6.58E6
Όγκος βασικής απορροής (M3)	3.35E6

Βροχόπτωση και Απορροή



Υπολεκάνη: EL0514FR003061

Έκταση (KM2) : 37.42

Κατάντη : J16

Μέθοδος Απωλειών: SCS

Ποσοστό αδιαπέρατης επιφάνειας	0
Αριθμός Καμπύλης Απορροής-CN	87.64
Αρχικές Απώλειες	7.16

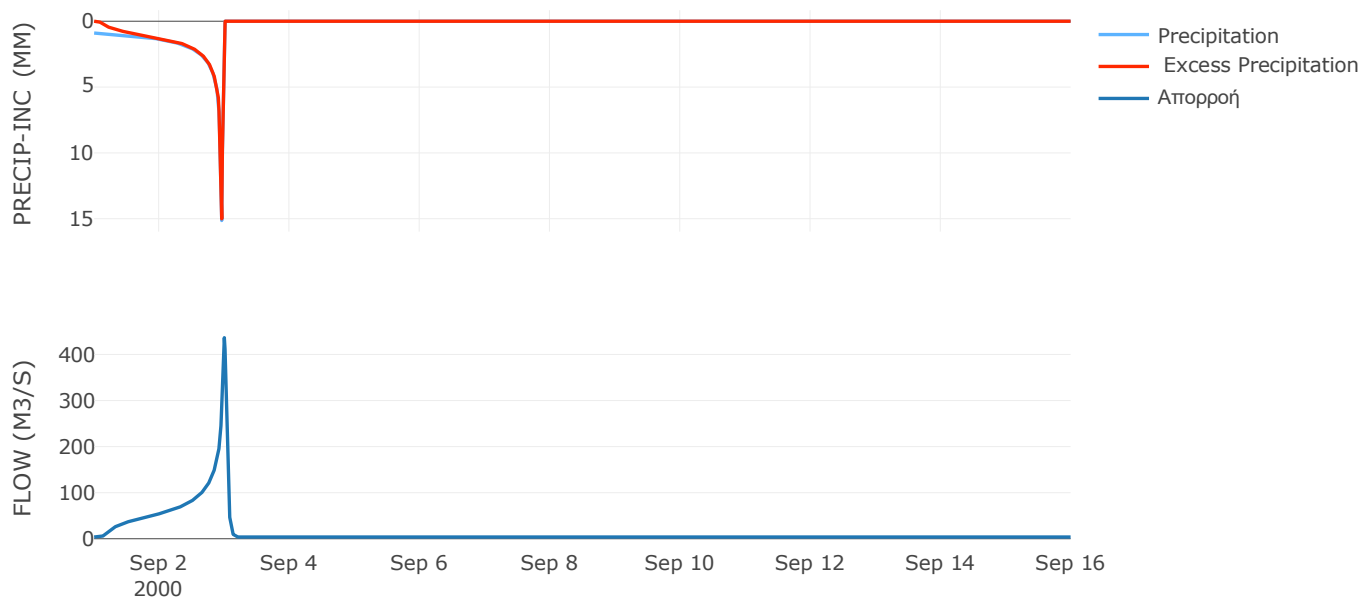
Μέθοδος
Μετασχηματισμού: SCS

Χρόνος Υστέρησης	54.62
------------------	-------

Αποτελέσματα:
EL0514FR003061

Παροχή αιχμής (M3/S)	436.32
Χρονική στιγμή αιχμής	02Sep2000, 24:00
Όγκος (MM)	478.99
Όγκος βροχόπτωσης (M3)	1.46E7
Όγκος απωλειών (M3)	1.49E6
Ενεργός Όγκος (M3)	1.31E7
Όγκος άμεσης απορροής (M3)	1.31E7
Όγκος βασικής απορροής (M3)	4.85E6

Βροχόπτωση και Απορροή



Υπολεκάνη: EL0514FR003062

Έκταση (KM2) : 48.98

Κατάντη : J16

Μέθοδος Απωλειών: SCS

Ποσοστό αδιαπέρατης επιφάνειας	0
Αριθμός Καμπύλης Απορροής-CN	90.28
Αρχικές Απώλειες	5.47

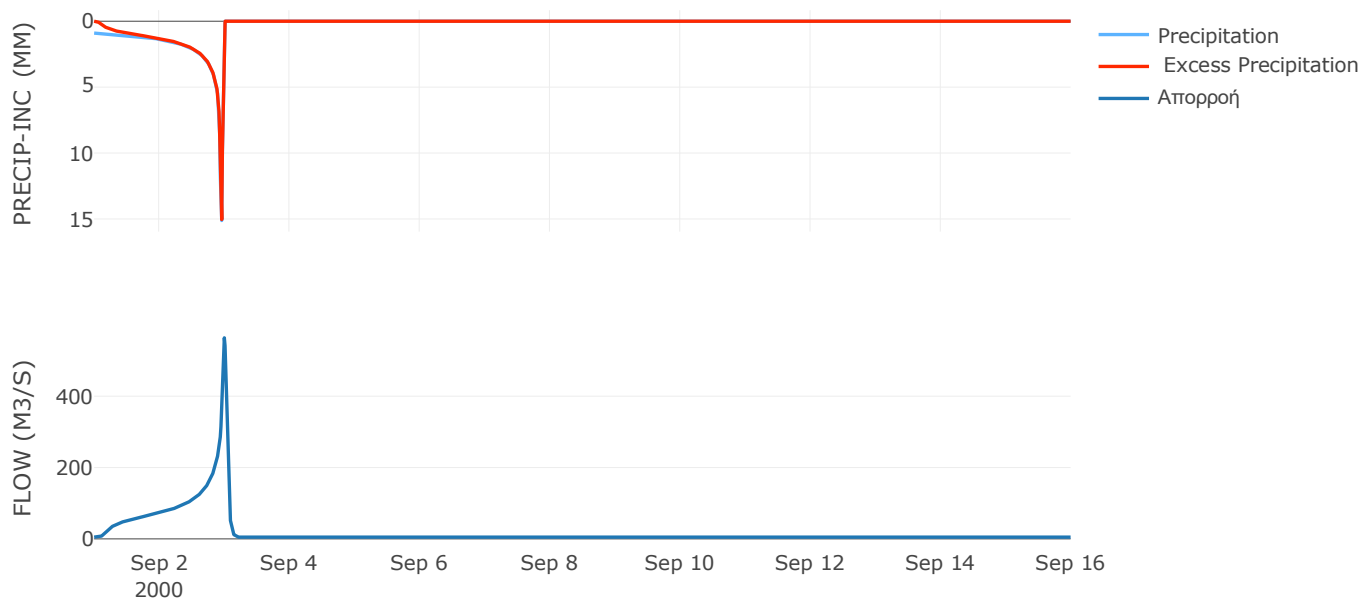
Μέθοδος
Μετασχηματισμού: SCS

Χρόνος Υστέρησης	58.22
------------------	-------

Αποτελέσματα:
EL0514FR003062

Παροχή αιχμής (M3/S)	563.69
Χρονική στιγμή αιχμής	02Sep2000, 24:00
Όγκος (MM)	488.14
Όγκος βροχόπτωσης (M3)	1.91E7
Όγκος απωλειών (M3)	1.52E6
Ενεργός Όγκος (M3)	1.76E7
Όγκος άμεσης απορροής (M3)	1.76E7
Όγκος βασικής απορροής (M3)	6.35E6

Βροχόπτωση και Απορροή



Υπολεκάνη: EL0514FR003063

Έκταση (KM2) : 28.06

Κατάνη : J4 Res1

Μέθοδος Απωλειών: SCS

Ποσοστό αδιαπέρατης επιφάνειας	0
Αριθμός Καμπύλης Απορροής-CN	81.88
Αρχικές Απώλειες	11.24

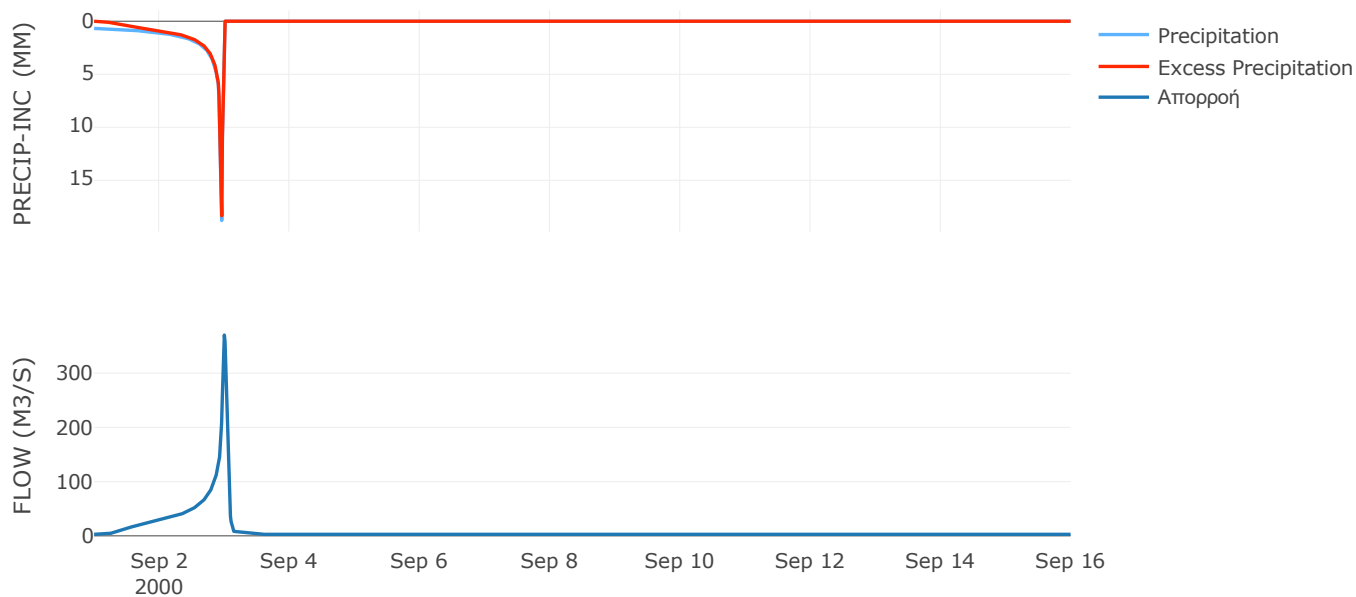
Μέθοδος
Μετασχηματισμού: SCS

Χρόνος Υστέρησης	60.51
------------------	-------

Αποτελέσματα:
EL0514FR003063

Παροχή αιχμής (M3/S)	370.41
Χρονική στιγμή αιχμής	02Sep2000, 24:00
Όγκος (MM)	426.07
Όγκος βροχόπτωσης (M3)	9.99E6
Όγκος απωλειών (M3)	1.67E6
Ενεργός Όγκος (M3)	8.32E6
Όγκος άμεσης απορροής (M3)	8.32E6
Όγκος βασικής απορροής (M3)	3.64E6

Βροχόπτωση και Απορροή



Υπολεκάνη: EL0514FR003065

Έκταση (KM2) : 8.81

Κατάντη : J13

Μέθοδος Απωλειών: SCS

Ποσοστό αδιαπέρατης επιφάνειας	0
Αριθμός Καμπύλης Απορροής-CN	84.61
Αρχικές Απώλειες	9.24

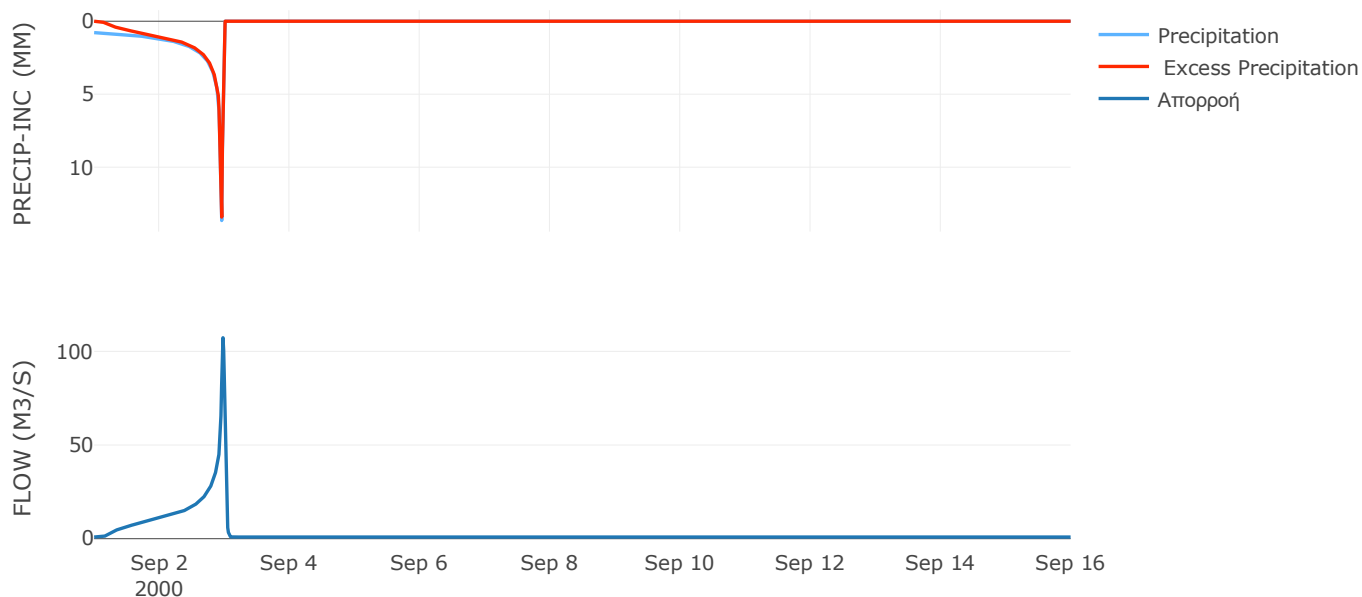
Μέθοδος
Μετασχηματισμού: SCS

Χρόνος Υστέρησης	27.81
------------------	-------

Αποτελέσματα:
EL0514FR003065

Παροχή αιχμής (M3/S)	107.29
Χρονική στιγμή αιχμής	02Sep2000, 23:30
Όγκος (MM)	422.63
Όγκος βροχόπτωσης (M3)	3.02E6
Όγκος απωλειών (M3)	4.39E5
Ενεργός Όγκος (M3)	2.58E6
Όγκος άμεσης απορροής (M3)	2.58E6
Όγκος βασικής απορροής (M3)	1.14E6

Βροχόπτωση και Απορροή



Υπολεκάνη: EL0514FR003066

Έκταση (KM2) : 6.92

Κατάντη : J5

Μέθοδος Απωλειών: SCS

Ποσοστό αδιαπέρατης επιφάνειας	0.22
Αριθμός Καμπύλης Απορροής-CN	93.41
Αρχικές Απώλειες	3.58

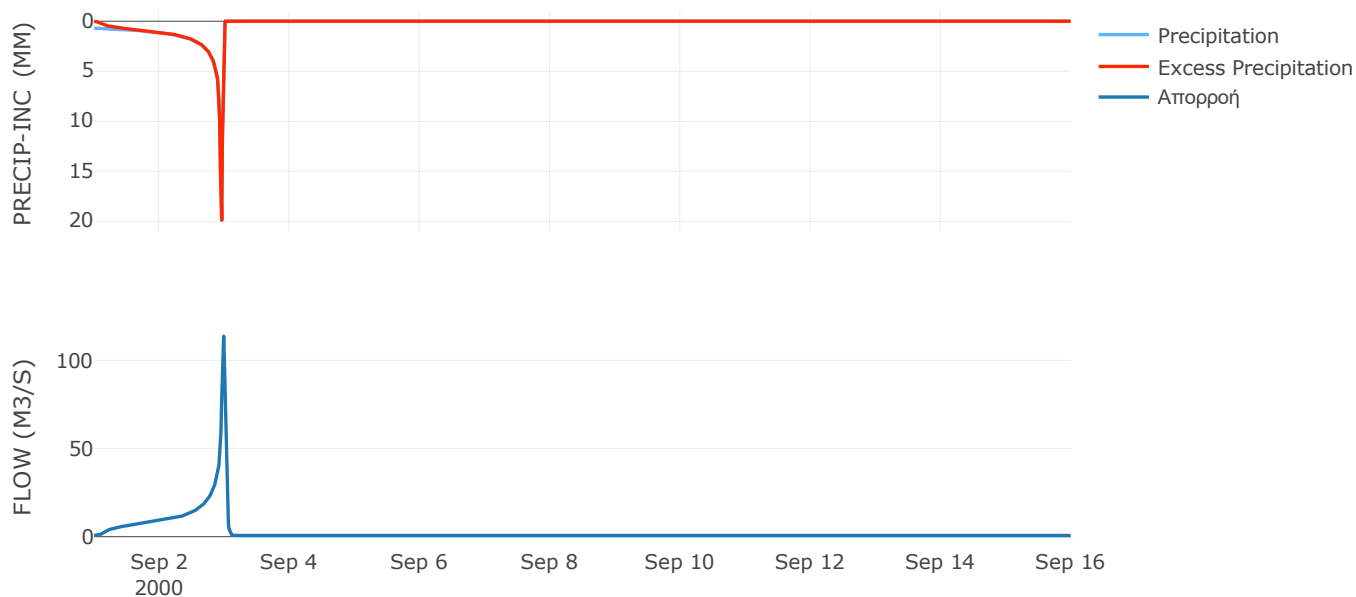
Μέθοδος
Μετασχηματισμού: SCS

Χρόνος Υστέρησης	36.2
------------------	------

Αποτελέσματα:
EL0514FR003066

Παροχή αιχμής (M3/S)	113.74
Χρονική στιγμή αιχμής	02Sep2000, 23:45
Όγκος (MM)	478.73
Όγκος βροχόπτωσης (M3)	2.56E6
Όγκος απωλειών (M3)	1.43E5
Ενεργός Όγκος (M3)	2.41E6
Όγκος άμεσης απορροής (M3)	2.41E6
Όγκος βασικής απορροής (M3)	8.96E5

Βροχόπτωση και Απορροή



Υπολεκάνη: EL0514FR003067

Έκταση (KM2) : 46.66

Κατάντη : J2

Μέθοδος Απωλειών: SCS

Ποσοστό αδιαπέρατης επιφάνειας	0
Αριθμός Καμπύλης Απορροής-CN	87.98
Αρχικές Απώλειες	6.94

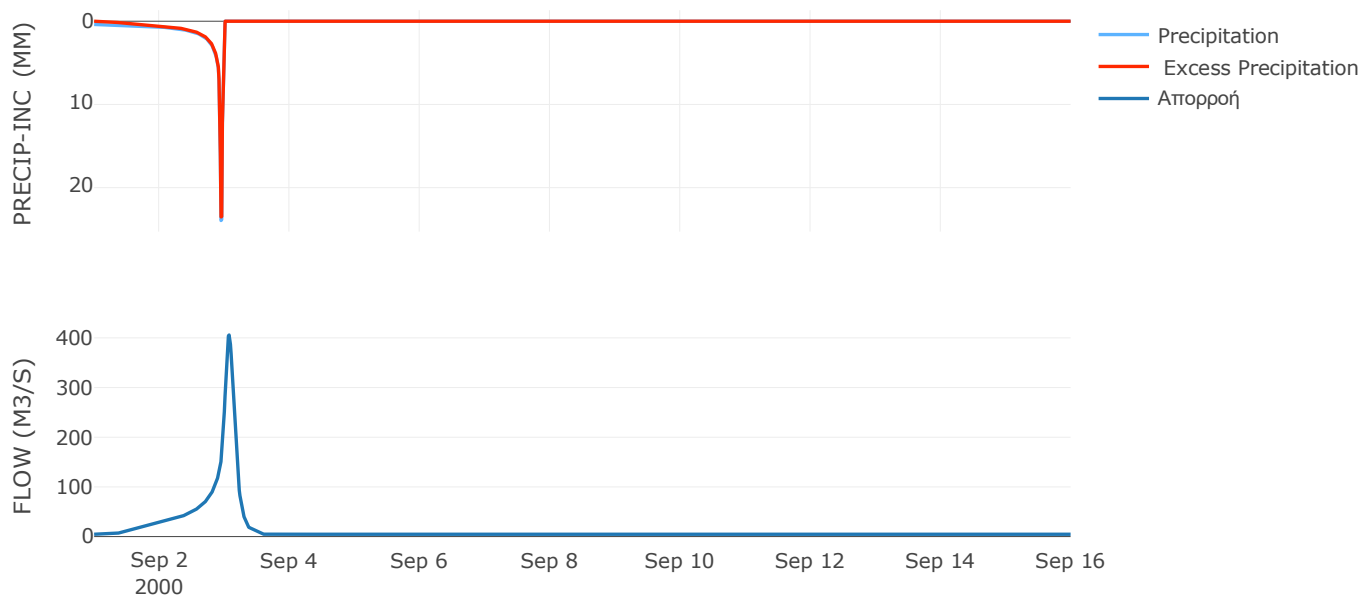
Μέθοδος
Μετασχηματισμού: SCS

Χρόνος Υστέρησης	178.96
------------------	--------

Αποτελέσματα:
EL0514FR003067

Παροχή αιχμής (M3/S)	405.87
Χρονική στιγμή αιχμής	03Sep2000, 01:45
Όγκος (MM)	385.63
Όγκος βροχόπτωσης (M3)	1.37E7
Όγκος απωλειών (M3)	1.77E6
Ενεργός Όγκος (M3)	1.19E7
Όγκος άμεσης απορροής (M3)	1.19E7
Όγκος βασικής απορροής (M3)	6.05E6

Βροχόπτωση και Απορροή



7.2 Δεδομένα και υδρογραφήματα σχεδιασμού Κλάδων υδρογραφικού δικτύου

Κλάδος: R21

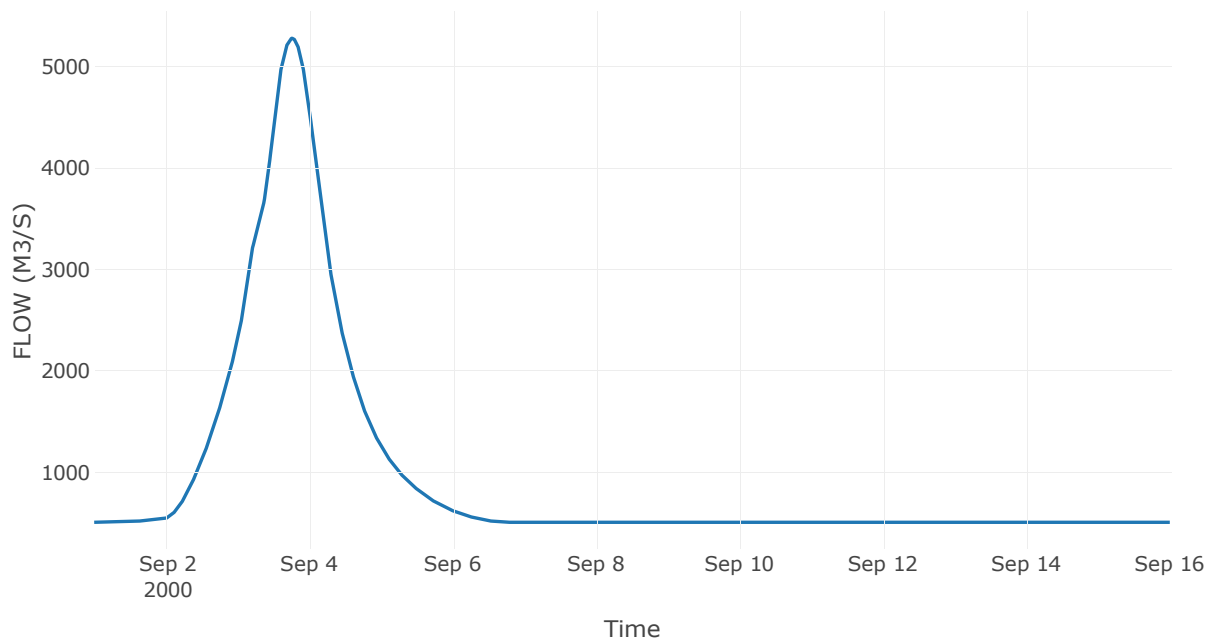
Κατάντη : J1

Μέθοδος Διόδευσης	Muskingum
Αρχική Μεταβλητή	Combined Inflow
Muskingum K	2.32
Συντελεστής βάρους x	0.2
Πλήθος Υποκλάδων	11

Αποτελέσματα: R21

Παροχή Αιχμής(M3/S)	5280.95
Χρονική στιγμή αιχμής	03Sep2000, 18:15
Όγκος(MM)	657.29
Παροχή Αιχμής Εισόδου (M3/S)	5287.27
Όγκος Εισροής(M3)	1.24E9

Απορροή



Κλάδος: R32

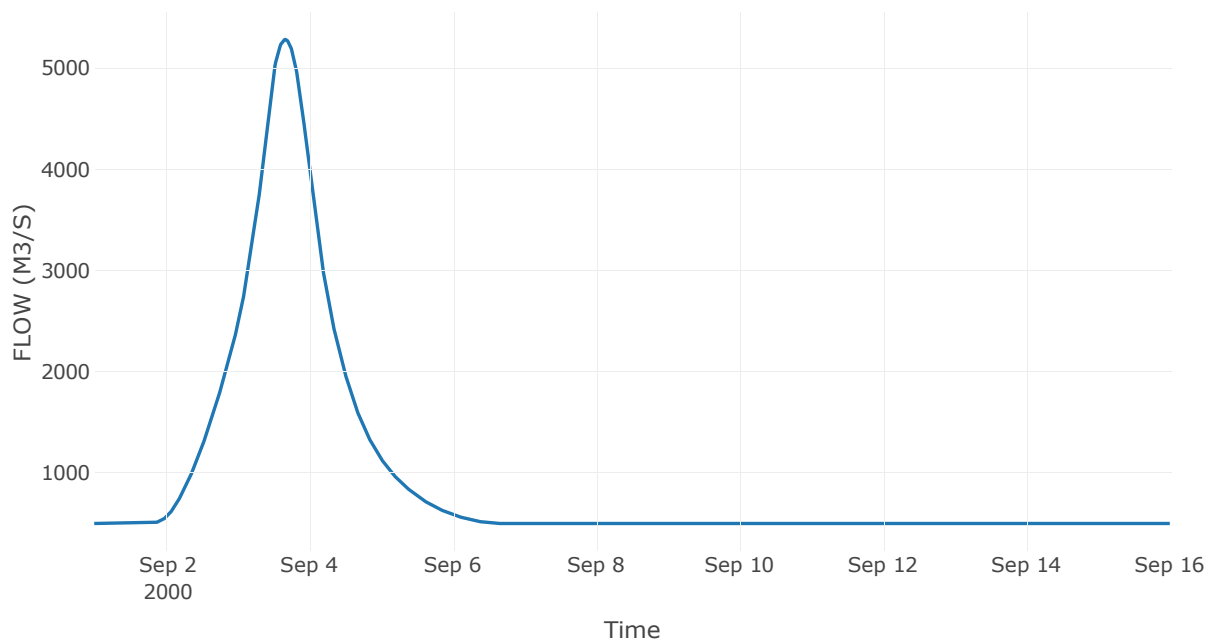
Κατάντη : J2

Μέθοδος Διόδευσης	Muskingum
Αρχική Μεταβλητή	Combined Inflow
Muskingum K	3.63
Συντελεστής βάρους x	0.2
Πλήθος Υποκλάδων	18

Αποτελέσματα: R32

Παροχή Αιχμής(M3/S)	5282.61
Χρονική στιγμή αιχμής	03Sep2000, 16:00
Όγκος(MM)	664.19
Παροχή Αιχμής Εισόδου (M3/S)	5292.21
Όγκος Εισροής(M3)	1.22E9

Απορροή



Κλάδος: R43

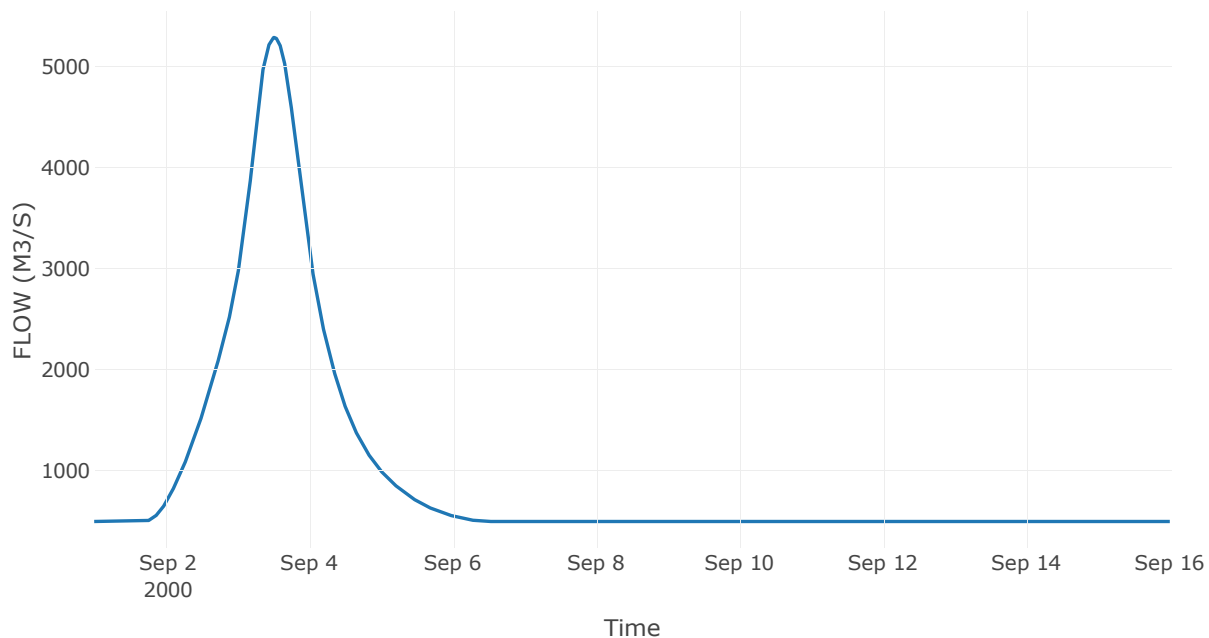
Κατάντη : J3

Μέθοδος Διόδευσης	Muskingum
Αρχική Μεταβλητή	Combined Inflow
Muskingum K	0.63
Συντελεστής βάρους x	0.2
Πλήθος Υποκλάδων	3

Αποτελέσματα: R43

Παροχή Αιχμής(M3/S)	5290.77
Χρονική στιγμή αιχμής	03Sep2000, 12:15
Όγκος(MM)	666.08
Παροχή Αιχμής Εισόδου (M3/S)	5292.45
Όγκος Εισροής(M3)	1.21E9

Απορροή



Κλάδος: R54

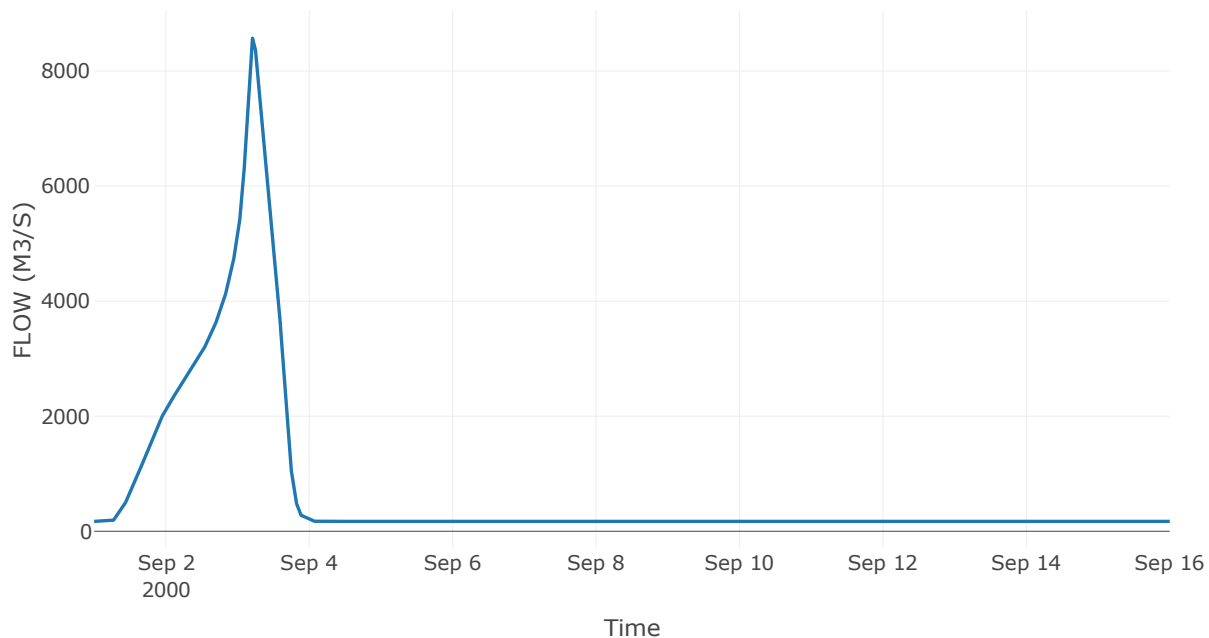
Κατάντη : J4 Res1

Μέθοδος Διόδευσης	Muskingum
Αρχική Μεταβλητή	Combined Inflow
Muskingum K	4
Συντελεστής βάρους x	0.2
Πλήθος Υποκλάδων	5

Αποτελέσματα: R54

Παροχή Αιχμής(M3/S)	8584.75
Χρονική στιγμή αιχμής	03Sep2000, 05:15
Όγκος(MM)	525.38
Παροχή Αιχμής Εισόδου (M3/S)	9658.72
Όγκος Εισροής(M3)	9.03E8

Απορροή



Κλάδος: R65

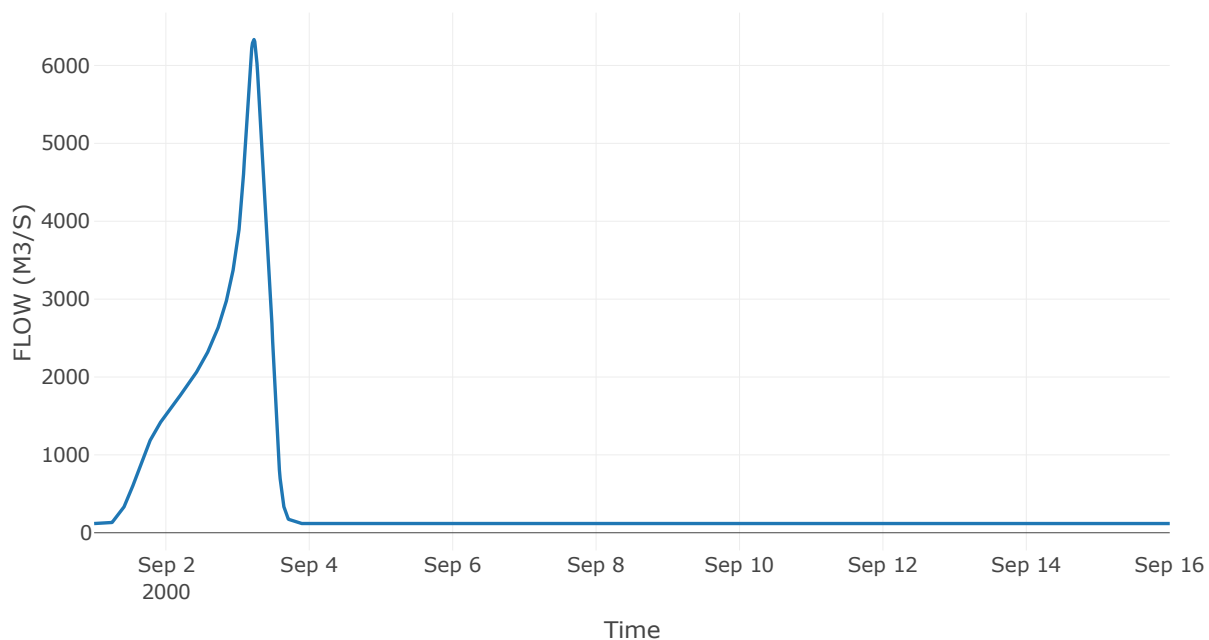
Κατάντη : J5

Μέθοδος Διόδευσης	Muskingum
Αρχική Μεταβλητή	Combined Inflow
Muskingum K	4
Συντελεστής βάρους x	0.2
Πλήθος Υποκλάδων	5

Αποτελέσματα: R65

Παροχή Αιχμής(M3/S)	6333.67
Χρονική στιγμή αιχμής	03Sep2000, 05:30
Όγκος(MM)	509.05
Παροχή Αιχμής Εισόδου (M3/S)	6680.84
Όγκος Εισροής(M3)	6.02E8

Απορροή



Κλάδος: R76

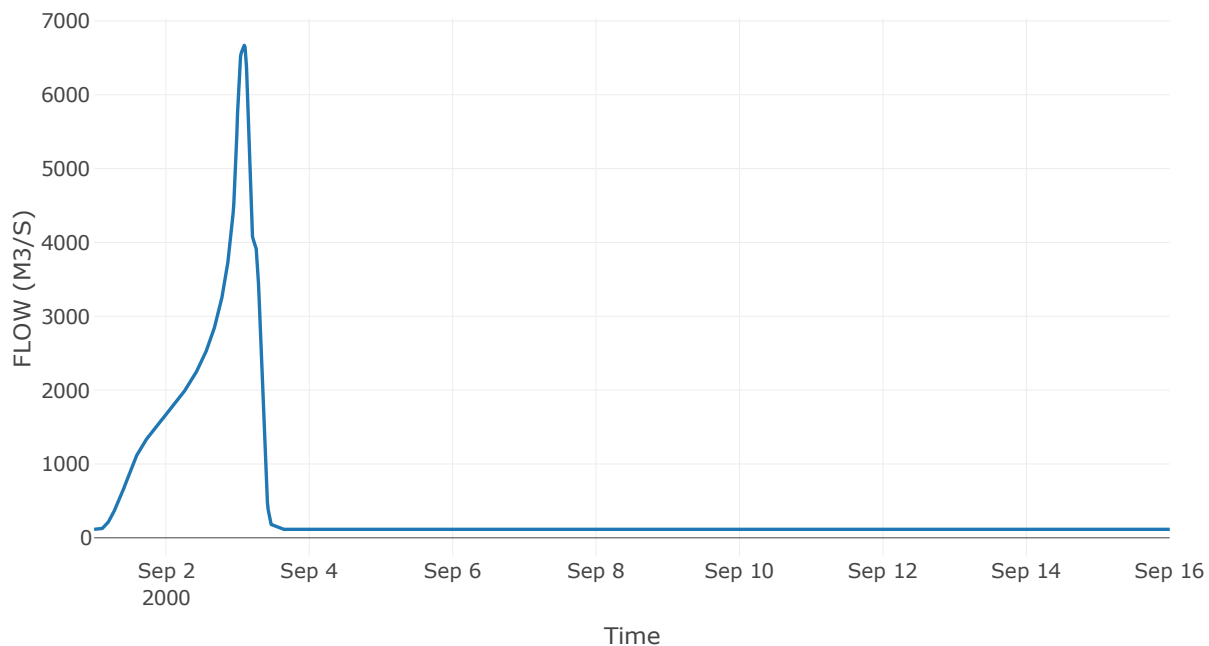
Κατάντη : J6

Μέθοδος Διόδευσης	Muskingum
Αρχική Μεταβλητή	Combined Inflow
Muskingum K	0.4
Συντελεστής βάρους α	0.2
Πλήθος Υποκλάδων	2

Αποτελέσματα: R76

Παροχή Αιχμής(M3/S)	6669.94
Χρονική στιγμή αιχμής	03Sep2000, 02:15
Όγκος(MM)	508.9
Παροχή Αιχμής Εισόδου (M3/S)	6684.08
Όγκος Εισροής(M3)	5.84E8

Απορροή



Κλάδος: R87

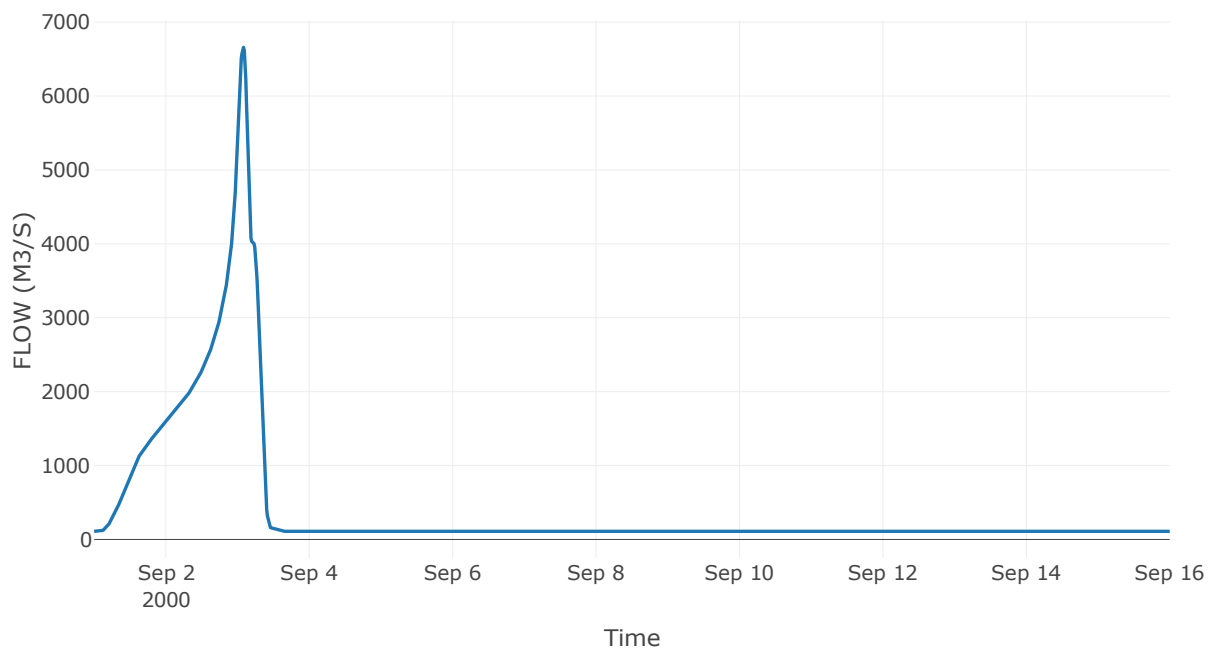
Κατάντη : J7

Μέθοδος Διόδευσης	Muskingum
Αρχική Μεταβλητή	Combined Inflow
Muskingum K	0.48
Συντελεστής βάρους α	0.2
Πλήθος Υποκλάδων	2

Αποτελέσματα: R87

Παροχή Αιχμής(M3/S)	6659.41
Χρονική στιγμή αιχμής	03Sep2000, 02:00
Όγκος(MM)	505.44
Παροχή Αιχμής Εισόδου (M3/S)	6687.04
Όγκος Εισροής(M3)	5.55E8

Απορροή



Κλάδος: R98

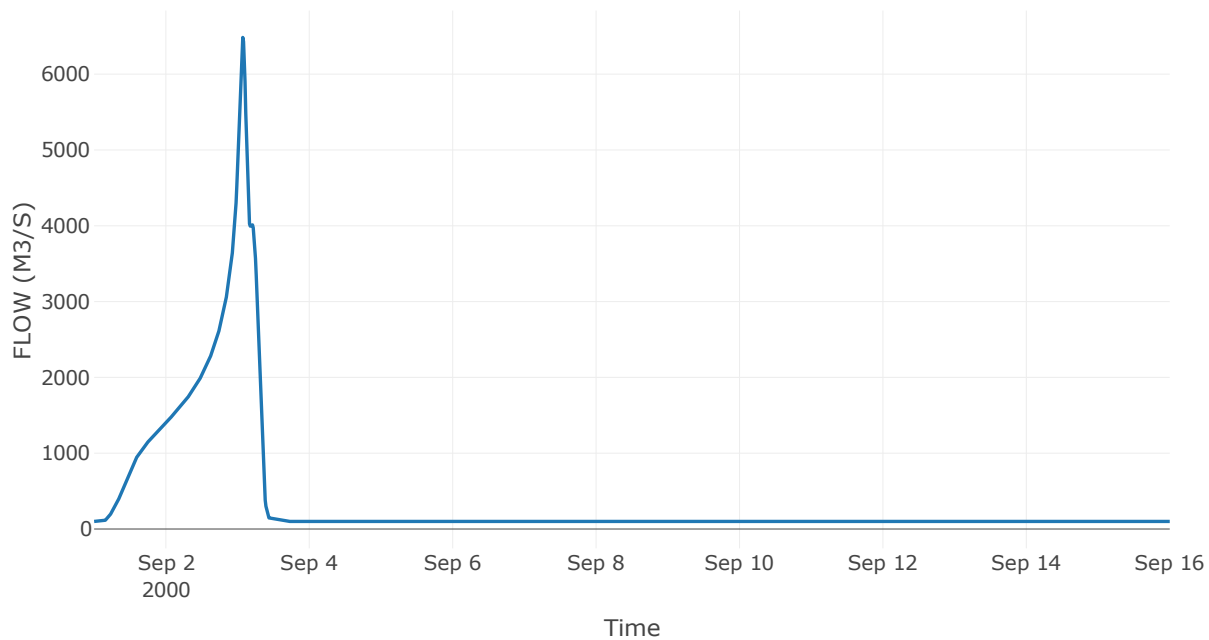
Κατάντη : J8

Μέθοδος Διόδευσης	Muskingum
Αρχική Μεταβλητή	Combined Inflow
Muskingum K	0.88
Συντελεστής βάρους x	0.2
Πλήθος Υποκλάδων	4

Αποτελέσματα: R98

Παροχή Αιχμής(M3/S)	6484.56
Χρονική στιγμή αιχμής	03Sep2000, 01:45
Όγκος(MM)	496.53
Παροχή Αιχμής Εισόδου (M3/S)	6607.97
Όγκος Εισροής(M3)	4.95E8

Απορροή



Κλάδος: R109

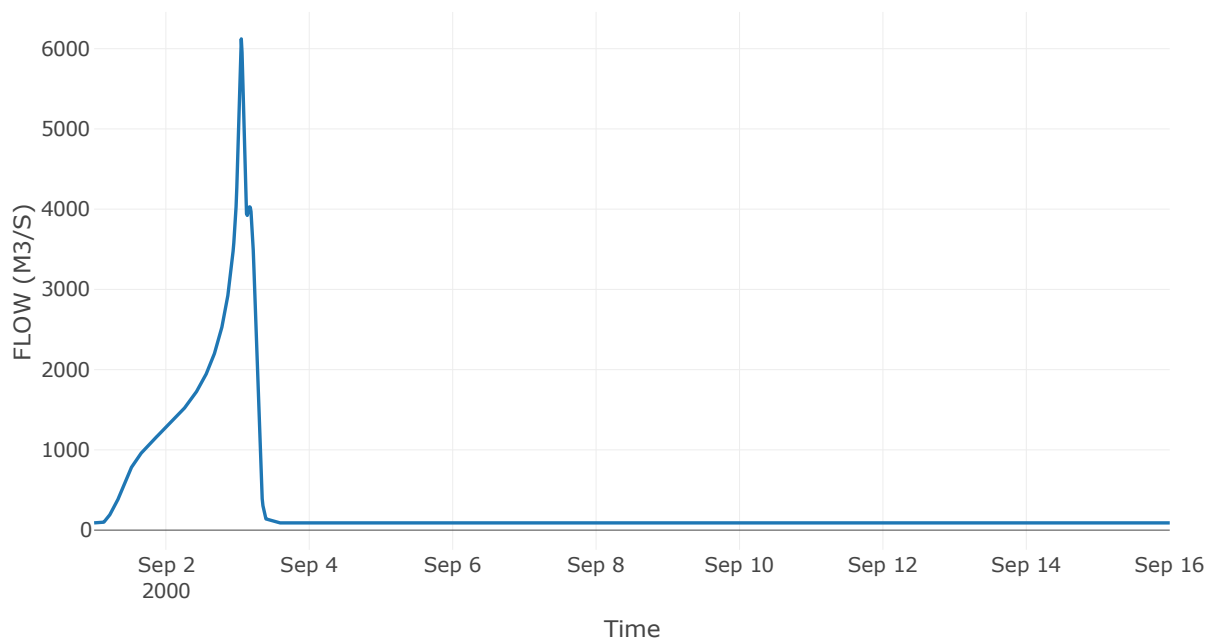
Κατάντη : J9

Μέθοδος Διόδευσης	Χρόνος Υστέρησης
Αρχική Μεταβλητή	Combined Inflow
Χρόνος Υστέρησης	43.87

Αποτελέσματα: R109

Παροχή Αιχμής(M3/S)	6122.38
Χρονική στιγμή αιχμής	03Sep2000, 01:15
Όγκος(MM)	492.56
Παροχή Αιχμής Εισόδου (M3/S)	6141.65
Όγκος Εισροής(M3)	4.42E8

Απορροή



Κλάδος: R1110

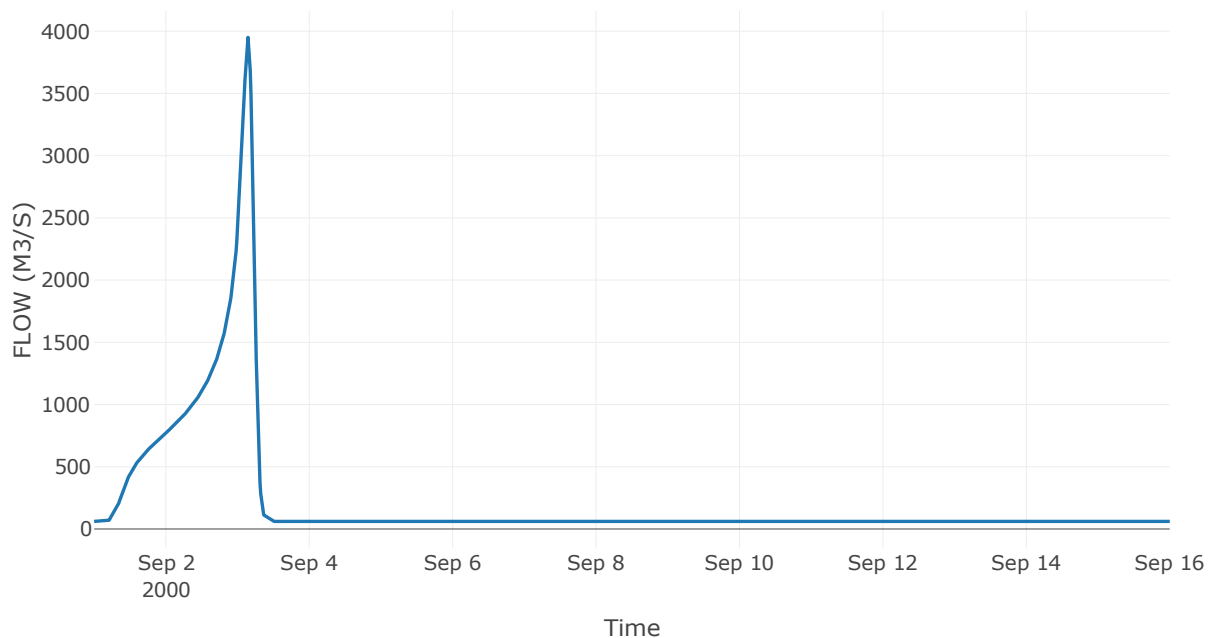
Κατάντη : J10

Μέθοδος Διόδευσης	Muskingum
Αρχική Μεταβλητή	Combined Inflow
Muskingum K	1.36
Συντελεστής βάρους x	0.2
Πλήθος Υποκλάδων	7

Αποτελέσματα: R1110

Παροχή Αιχμής(M3/S)	3950.44
Χρονική στιγμή αιχμής	03Sep2000, 03:30
Όγκος(MM)	461.65
Παροχή Αιχμής Εισόδου (M3/S)	4026.95
Όγκος Εισροής(M3)	2.81E8

Απορροή



Κλάδος: R1211

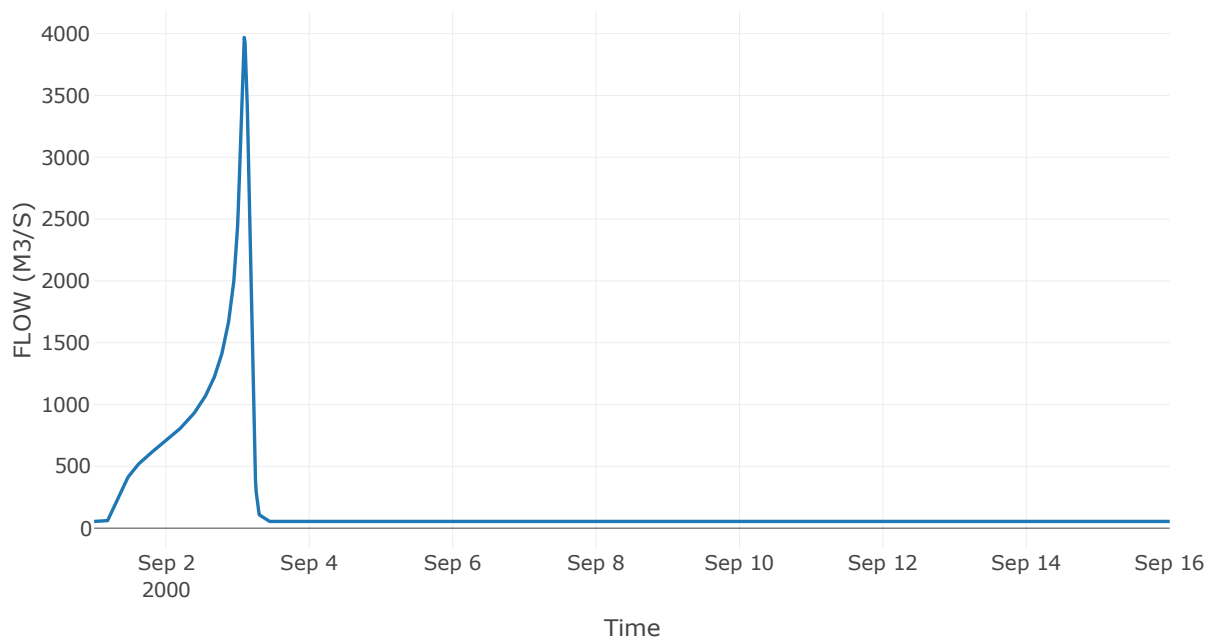
Κατάντη : J11

Μέθοδος Διόδευσης	Muskingum
Αρχική Μεταβλητή	Combined Inflow
Muskingum K	1.21
Συντελεστής βάρους x	0.2
Πλήθος Υποκλάδων	6

Αποτελέσματα: R1211

Παροχή Αιχμής(M3/S)	3968.91
Χρονική στιγμή αιχμής	03Sep2000, 02:15
Όγκος(MM)	460.45
Παροχή Αιχμής Εισόδου (M3/S)	4070.11
Όγκος Εισροής(M3)	2.5E8

Απορροή



Κλάδος: R1312

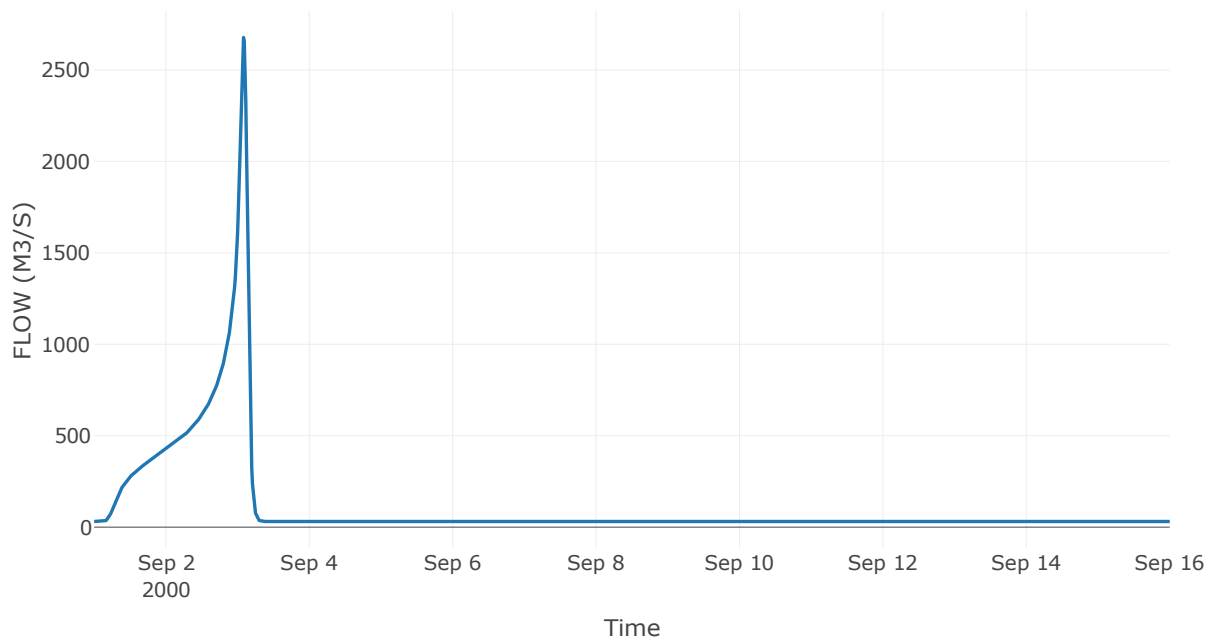
Κατάντη : J12

Μέθοδος Διόδευσης	Muskingum
Αρχική Μεταβλητή	Combined Inflow
Muskingum K	1.31
Συντελεστής βάρους α	0.2
Πλήθος Υποκλάδων	6

Αποτελέσματα: R1312

Παροχή Αιχμής(M3/S)	2677.9
Χρονική στιγμή αιχμής	03Sep2000, 02:00
Όγκος(MM)	476.09
Παροχή Αιχμής Εισόδου (M3/S)	2786.54
Όγκος Εισροής(M3)	1.47E8

Απορροή



Κλάδος: R1413

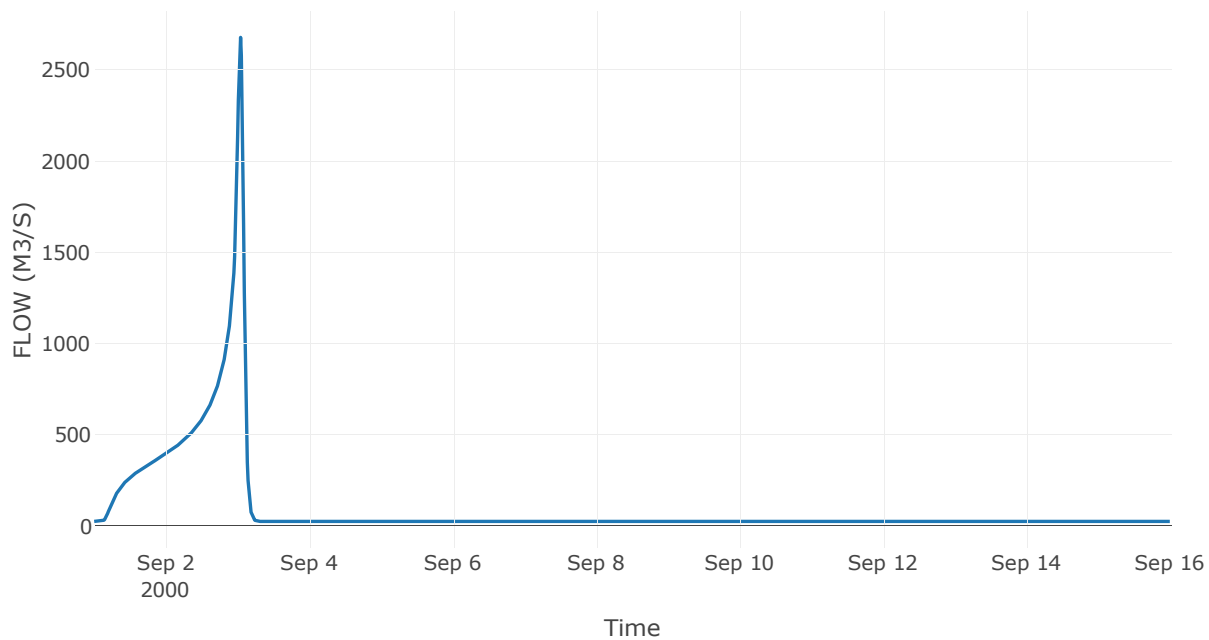
Κατάντη : J13

Μέθοδος Διόδευσης	Muskingum
Αρχική Μεταβλητή	Combined Inflow
Muskingum K	0.14
Συντελεστής βάρους α	0.2
Πλήθος Υποκλάδων	1

Αποτελέσματα: R1413

Παροχή Αιχμής(M3/S)	2678.38
Χρονική στιγμή αιχμής	03Sep2000, 01:00
Όγκος(MM)	477.95
Παροχή Αιχμής Εισόδου (M3/S)	2692.1
Όγκος Εισροής(M3)	1.34E8

Απορροή



Κλάδος: R1514

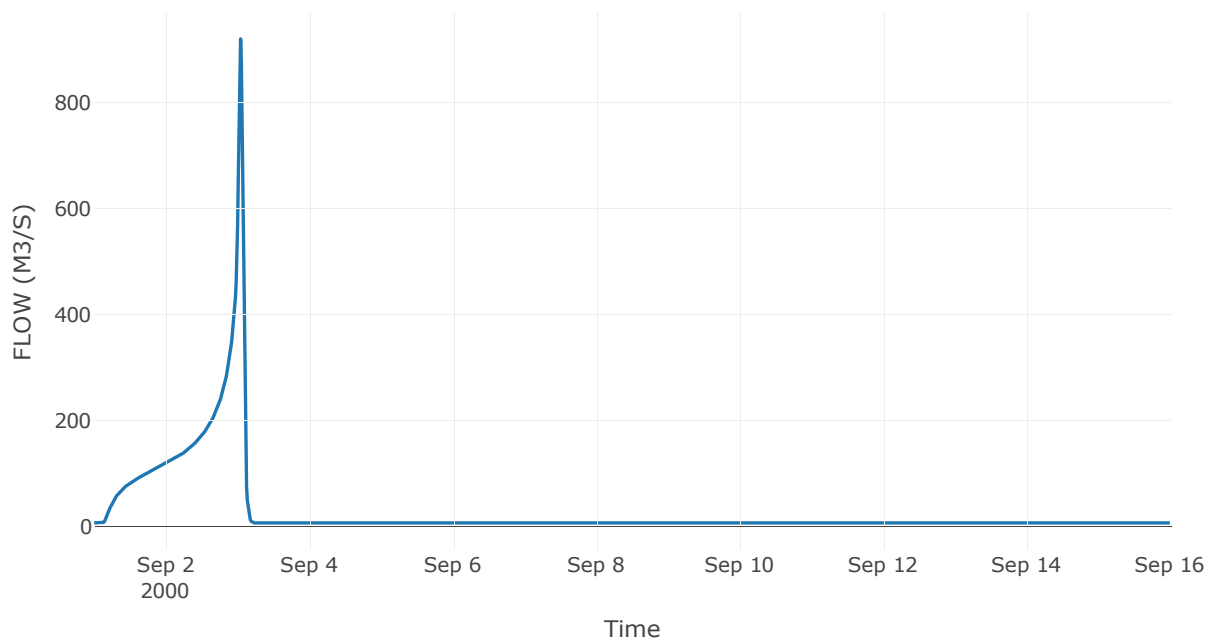
Κατάντη : J14

Μέθοδος Διόδευσης	Χρόνος Υστέρησης
Αρχική Μεταβλητή	Combined Inflow
Χρόνος Υστέρησης	72.04

Αποτελέσματα: R1514

Παροχή Αιχμής(M3/S)	919.44
Χρονική στιγμή αιχμής	03Sep2000, 01:00
Όγκος(MM)	488.65
Παροχή Αιχμής Εισόδου (M3/S)	924.87
Όγκος Εισροής(M3)	3.89E7

Απορροή



Κλάδος: R1614

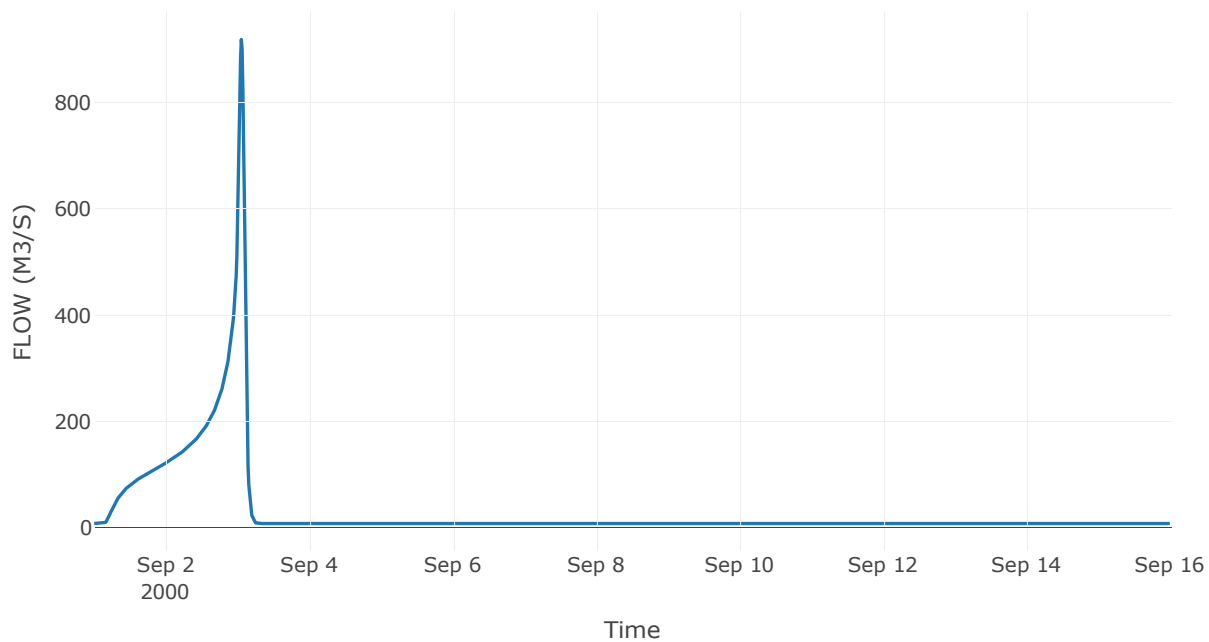
Κατάντη : J14

Μέθοδος Διόδευσης	Muskingum
Αρχική Μεταβλητή	Combined Inflow
Muskingum K	1.35
Συντελεστής βάρους x	0.2
Πλήθος Υποκλάδων	7

Αποτελέσματα: R1614

Παροχή Αιχμής(M3/S)	918.22
Χρονική στιγμή αιχμής	03Sep2000, 01:15
Όγκος(MM)	484.17
Παροχή Αιχμής Εισόδου (M3/S)	1000.01
Όγκος Εισροής(M3)	4.18E7

Απορροή



Κλάδος: R1712

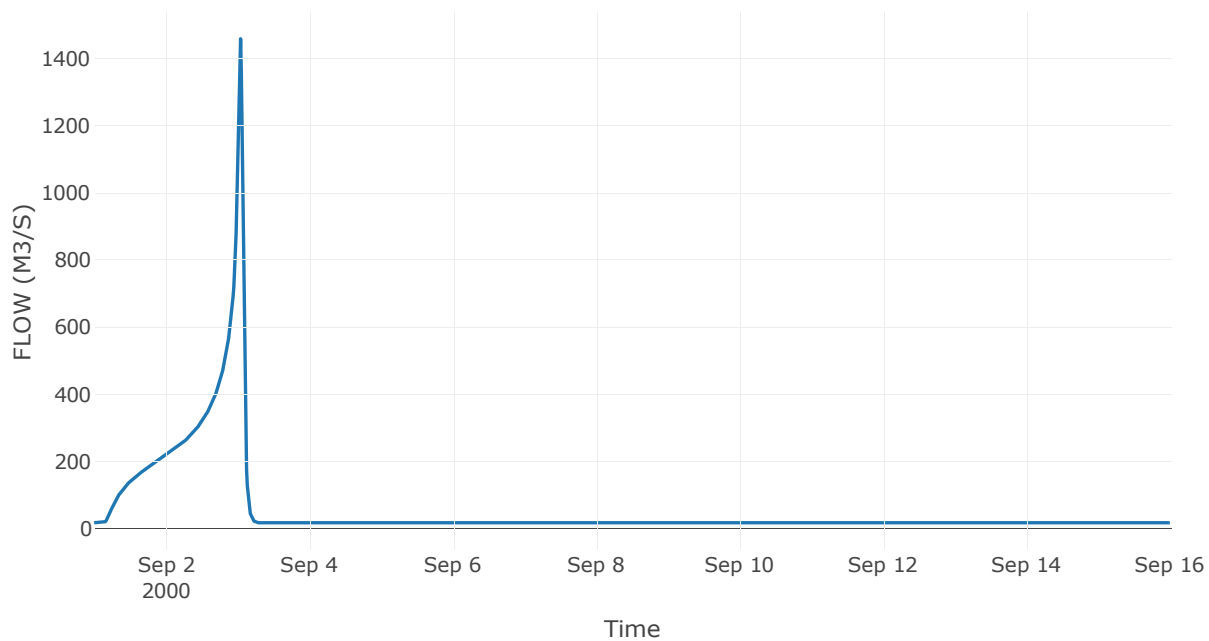
Κατάντη : J12

Μέθοδος Διόδευσης	Χρόνος Υστέρησης
Αρχική Μεταβλητή	Combined Inflow
Χρόνος Υστέρησης	43.97

Αποτελέσματα: R1712

Παροχή Αιχμής(M3/S)	1459.54
Χρονική στιγμή αιχμής	03Sep2000, 01:00
Όγκος(MM)	438.68
Παροχή Αιχμής Εισόδου (M3/S)	1471.61
Όγκος Εισροής(M3)	7.22E7

Απορροή



Κλάδος: R1817

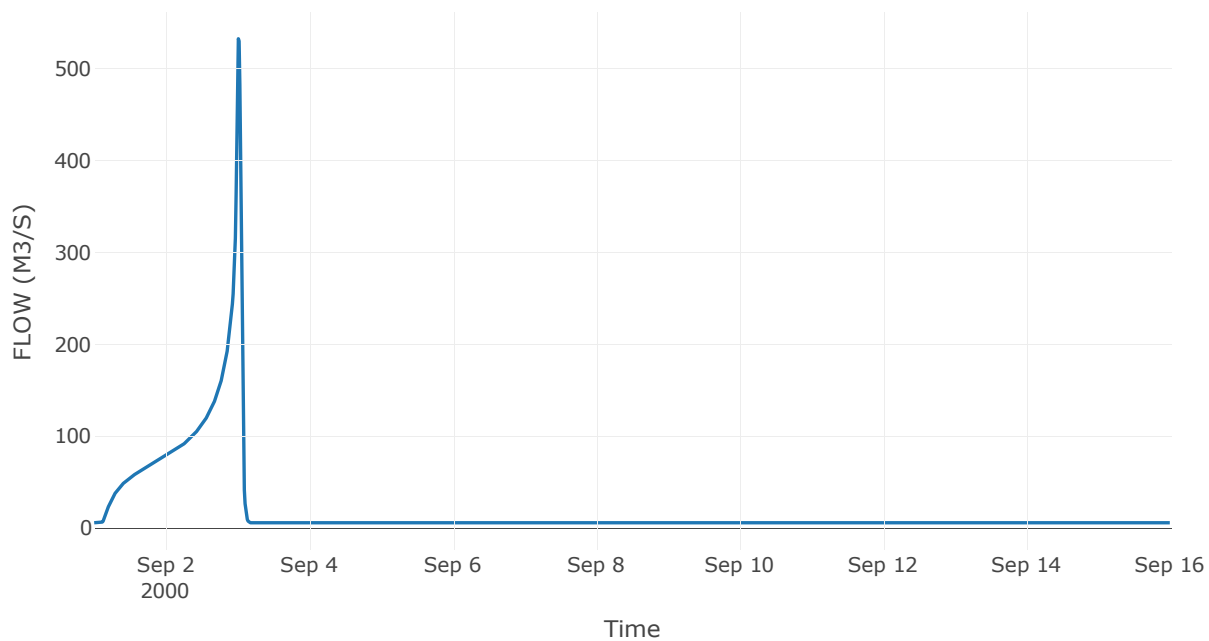
Κατάντη : J17

Μέθοδος Διόδευσης	Χρόνος Υστέρησης
Αρχική Μεταβλητή	Combined Inflow
Χρόνος Υστέρησης	40.76

Αποτελέσματα: R1817

Παροχή Αιχμής(M3/S)	532.36
Χρονική στιγμή αιχμής	03Sep2000, 00:15
Όγκος(MM)	442.55
Παροχή Αιχμής Εισόδου (M3/S)	540.79
Όγκος Εισροής(M3)	2.48E7

Απορροή



Κλάδος: R1910

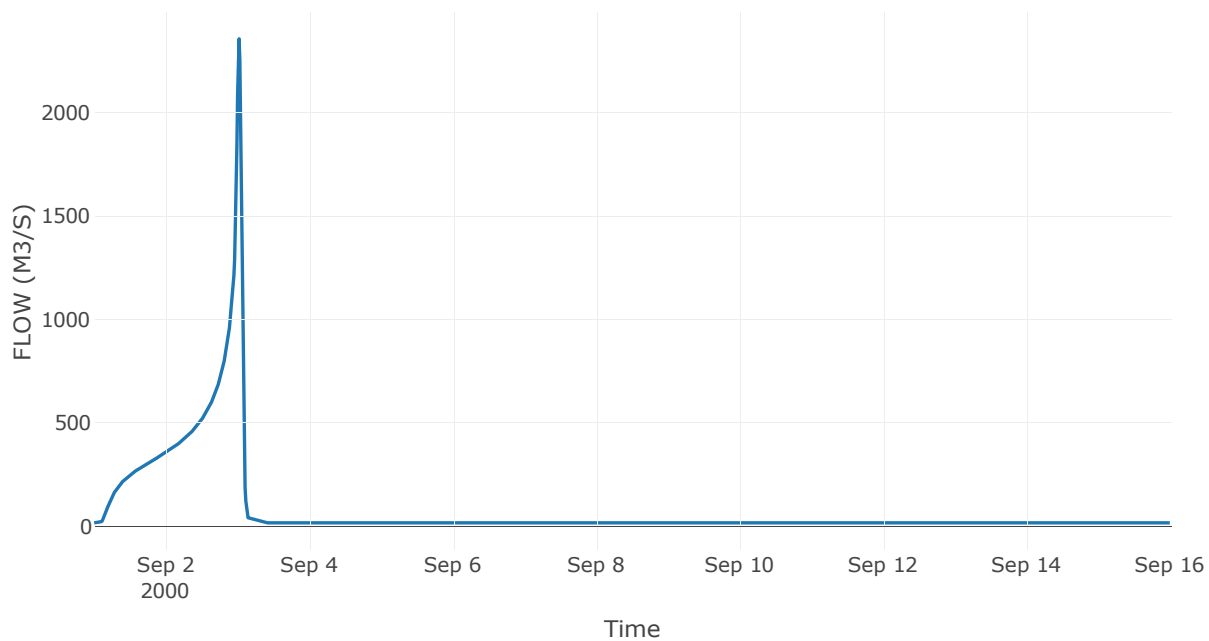
Κατάντη : J10

Μέθοδος Διόδευσης	Χρόνος Υστέρησης
Αρχική Μεταβλητή	Combined Inflow
Χρόνος Υστέρησης	28.41

Αποτελέσματα: R1910

Παροχή Αιχμής(M3/S)	2355.47
Χρονική στιγμή αιχμής	03Sep2000, 00:30
Όγκος(MM)	576.89
Παροχή Αιχμής Εισόδου (M3/S)	2366.06
Όγκος Εισροής(M3)	1.06E8

Απορροή



Κλάδος: R2019

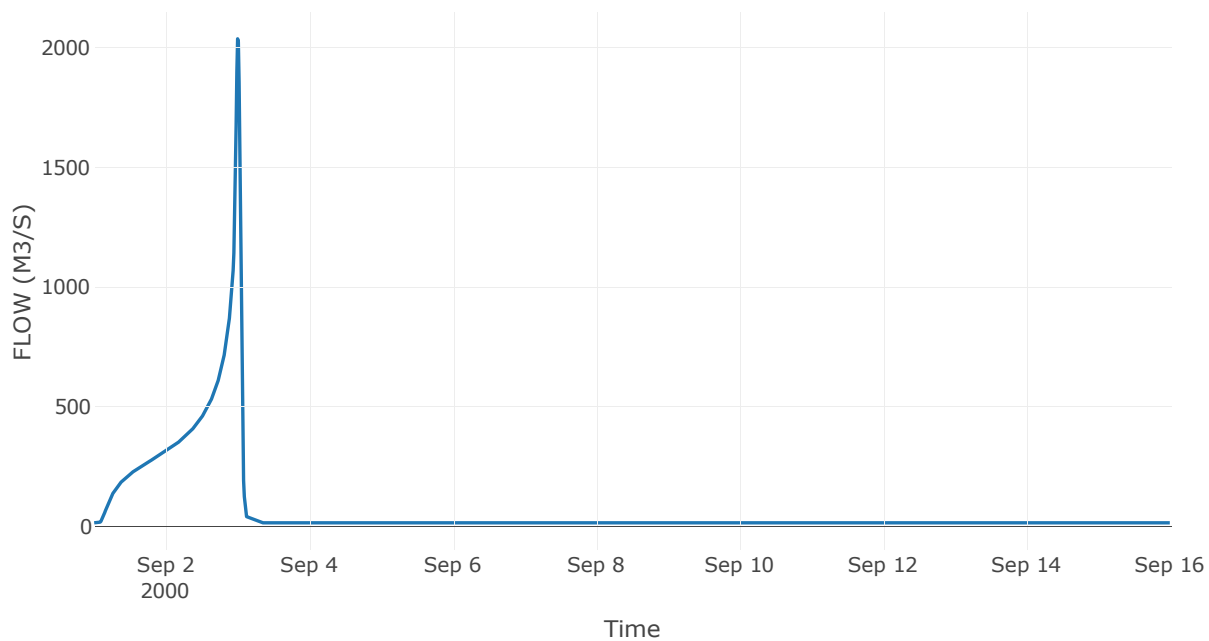
Κατάντη : J19

Μέθοδος Διόδευσης	Χρόνος Υστέρησης
Αρχική Μεταβλητή	Combined Inflow
Χρόνος Υστέρησης	21.17

Αποτελέσματα: R2019

Παροχή Αιχμής(M3/S)	2036.53
Χρονική στιγμή αιχμής	02Sep2000, 24:00
Όγκος(MM)	577.62
Παροχή Αιχμής Εισόδου (M3/S)	2070.93
Όγκος Εισροής(M3)	9.18E7

Απορροή



Κλάδος: R2120

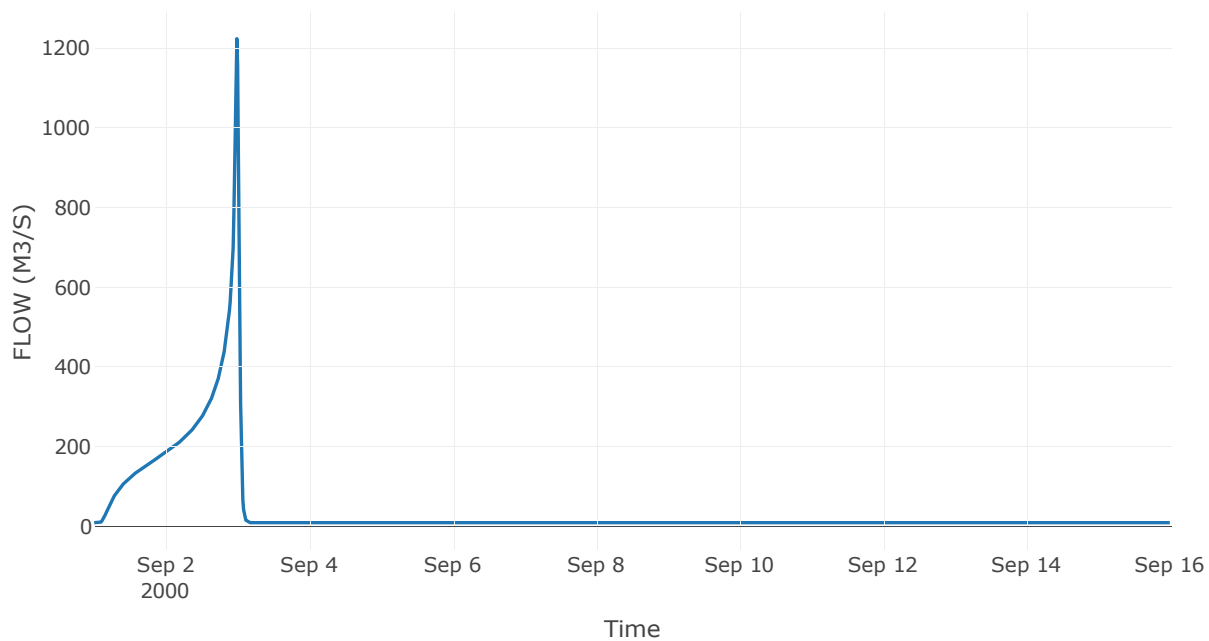
Κατάντη : J20

Μέθοδος Διόδευσης	Χρόνος Υστέρησης
Αρχική Μεταβλητή	Combined Inflow
Χρόνος Υστέρησης	7.56

Αποτελέσματα: R2120

Παροχή Αιχμής(M3/S)	1222.69
Χρονική στιγμή αιχμής	02Sep2000, 23:45
Όγκος(MM)	548.52
Παροχή Αιχμής Εισόδου (M3/S)	1230.4
Όγκος Εισροής(M3)	5.37E7

Απορροή



Κλάδος: R225

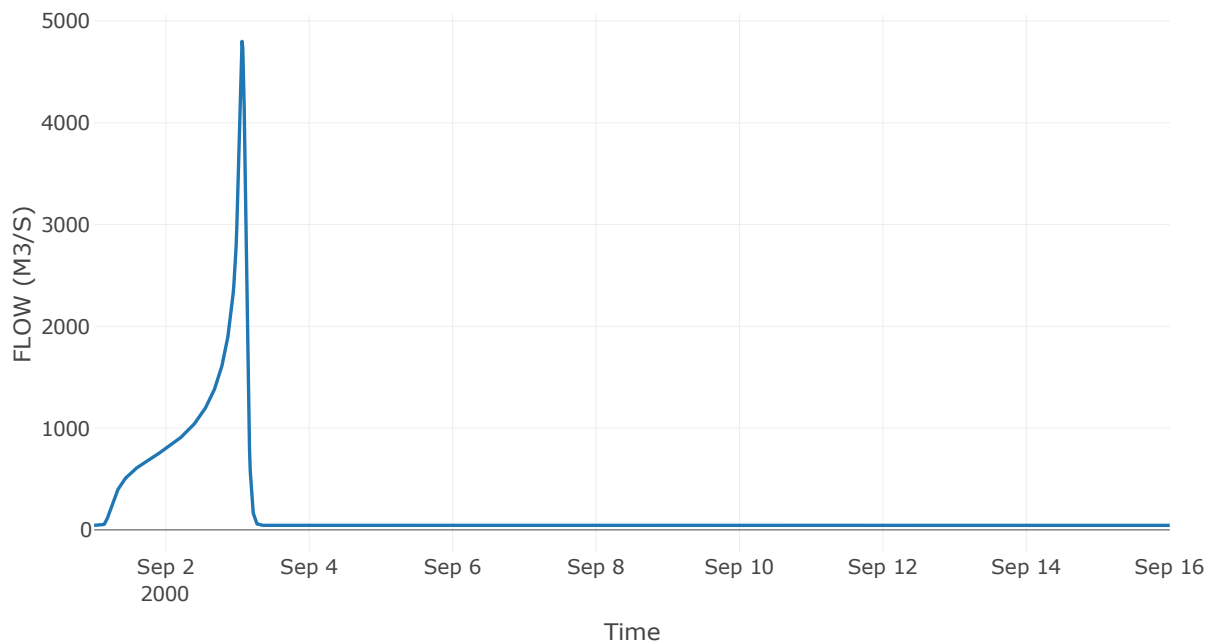
Κατάντη : J5

Μέθοδος Διόδευσης	Muskingum
Αρχική Μεταβλητή	Combined Inflow
Muskingum K	1
Συντελεστής βάρους x	0.2
Πλήθος Υποκλάδων	2

Αποτελέσματα: R225

Παροχή Αιχμής(M3/S)	4800.72
Χρονική στιγμή αιχμής	03Sep2000, 01:30
Όγκος(MM)	571.38
Παροχή Αιχμής Εισόδου (M3/S)	5124.32
Όγκος Εισροής(M3)	2.54E8

Απορροή



Κλάδος: R2322

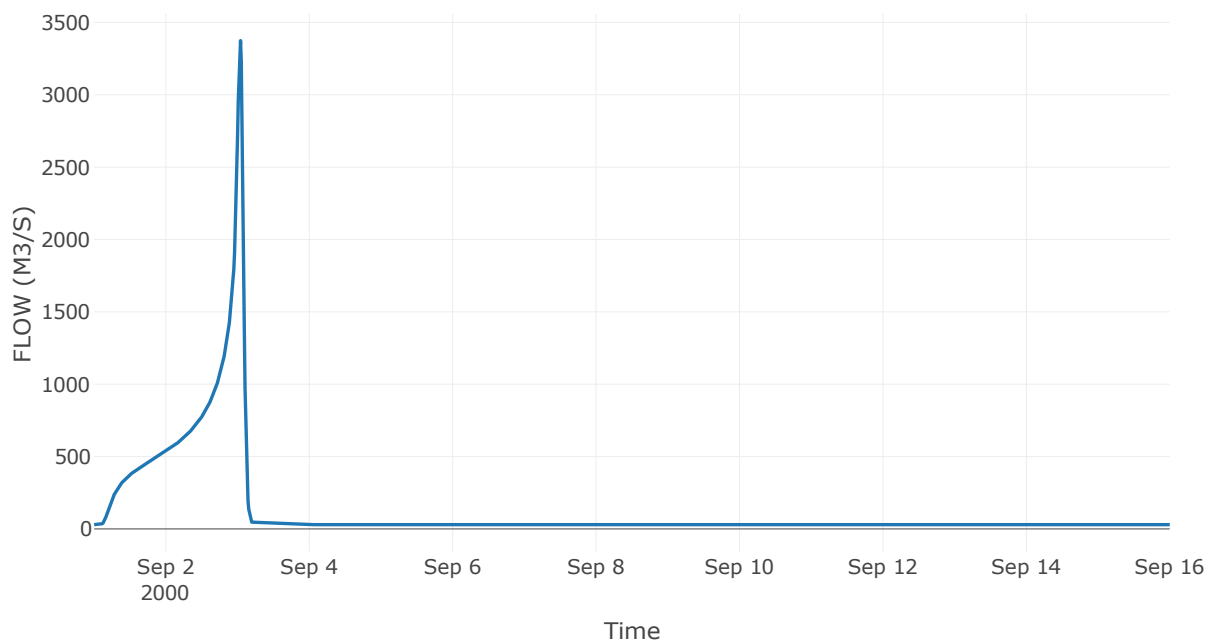
Κατάντη : J22

Μέθοδος Διόδευσης	Χρόνος Υστέρησης
Αρχική Μεταβλητή	Combined Inflow
Χρόνος Υστέρησης	0

Αποτελέσματα: R2322

Παροχή Αιχμής(M3/S)	3373.98
Χρονική στιγμή αιχμής	03Sep2000, 01:00
Όγκος(MM)	565.13
Παροχή Αιχμής Εισόδου (M3/S)	3373.98
Όγκος Εισροής(M3)	1.66E8

Απορροή



Κλάδος: R2423

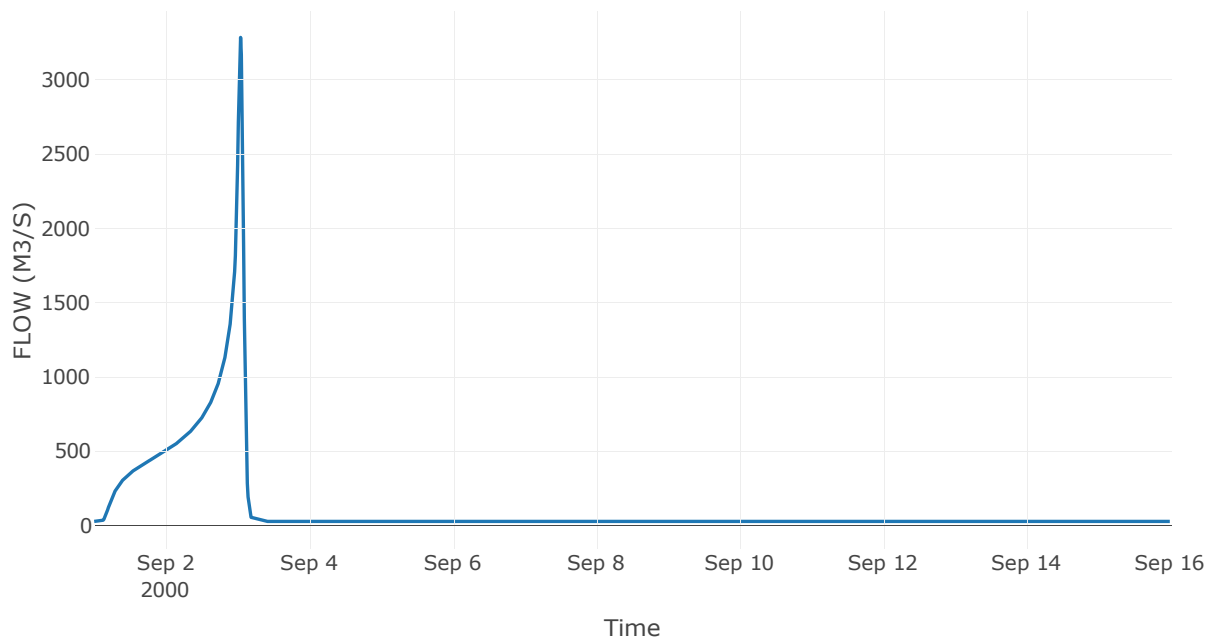
Κατάντη : J23

Μέθοδος Διόδευσης	Muskingum
Αρχική Μεταβλητή	Combined Inflow
Muskingum K	0.61
Συντελεστής βάρους x	0.2
Πλήθος Υποκλάδων	3

Αποτελέσματα: R2423

Παροχή Αιχμής(M3/S)	3283.59
Χρονική στιγμή αιχμής	03Sep2000, 01:00
Όγκος(MM)	568.11
Παροχή Αιχμής Εισόδου (M3/S)	3381.51
Όγκος Εισροής(M3)	1.55E8

Απορροή



Κλάδος: R2524

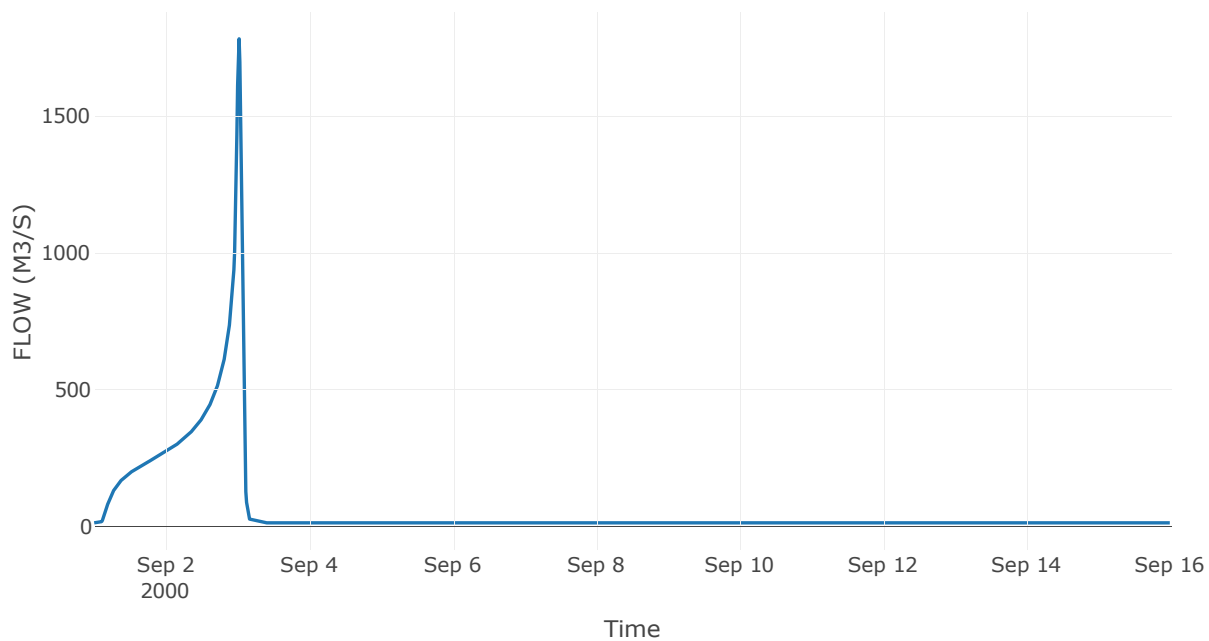
Κατάντη : J24

Μέθοδος Διόδευσης	Χρόνος Υστέρησης
Αρχική Μεταβλητή	Combined Inflow
Χρόνος Υστέρησης	21.41

Αποτελέσματα: R2524

Παροχή Αιχμής(M3/S)	1782.74
Χρονική στιγμή αιχμής	03Sep2000, 00:30
Όγκος(MM)	588.74
Παροχή Αιχμής Εισόδου (M3/S)	1786.49
Όγκος Εισροής(M3)	8.18E7

Απορροή



Κλάδος: R2625

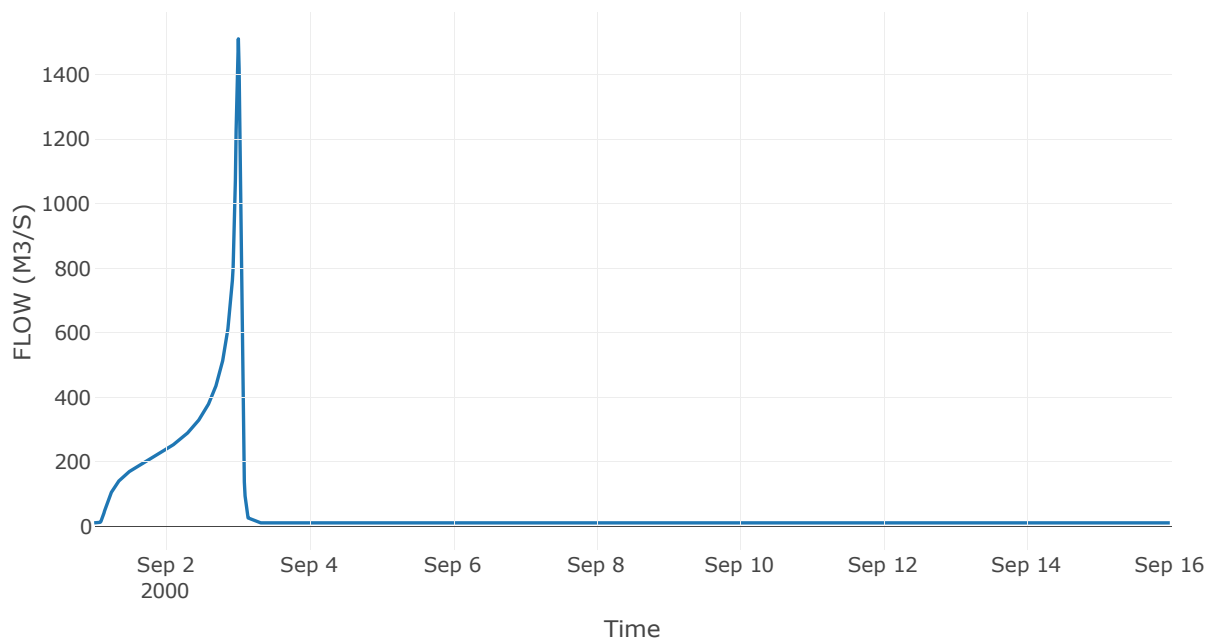
Κατάντη : J25

Μέθοδος Διόδευσης	Χρόνος Υστέρησης
Αρχική Μεταβλητή	Combined Inflow
Χρόνος Υστέρησης	10.78

Αποτελέσματα: R2625

Παροχή Αιχμής(M3/S)	1510.94
Χρονική στιγμή αιχμής	03Sep2000, 00:15
Όγκος(MM)	594.53
Παροχή Αιχμής Εισόδου (M3/S)	1529.04
Όγκος Εισροής(M3)	6.98E7

Απορροή



Κλάδος: R2726

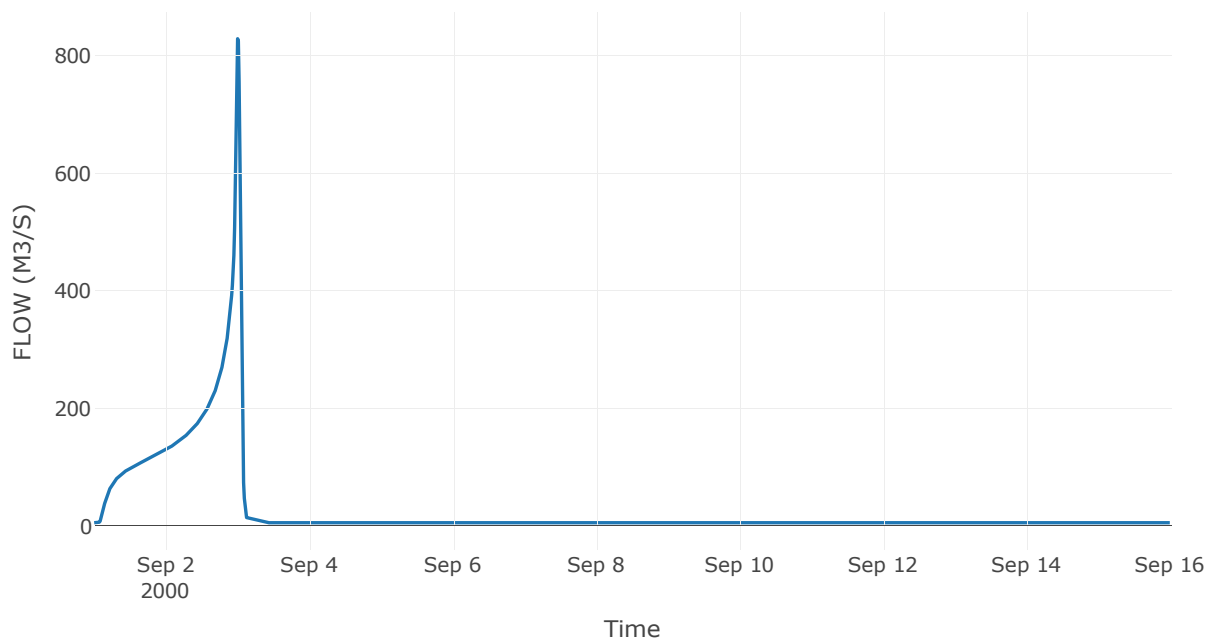
Κατάντη : J26

Μέθοδος Διόδευσης	Χρόνος Υστέρησης
Αρχική Μεταβλητή	Combined Inflow
Χρόνος Υστέρησης	21.61

Αποτελέσματα: R2726

Παροχή Αιχμής(M3/S)	828.37
Χρονική στιγμή αιχμής	02Sep2000, 24:00
Όγκος(MM)	618.51
Παροχή Αιχμής Εισόδου (M3/S)	843.44
Όγκος Εισροής(M3)	3.74E7

Απορροή



Κλάδος: R2824

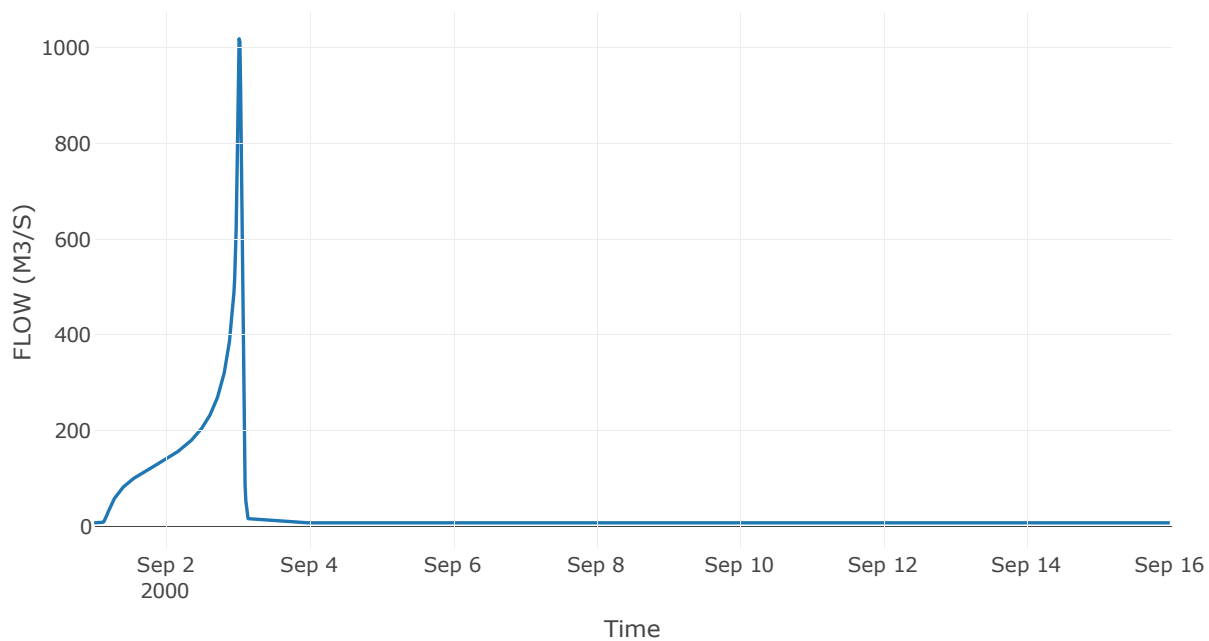
Κατάντη : J24

Μέθοδος Διόδευσης	Χρόνος Υστέρησης
Αρχική Μεταβλητή	Combined Inflow
Χρόνος Υστέρησης	41.06

Αποτελέσματα: R2824

Παροχή Αιχμής(M3/S)	1018.22
Χρονική στιγμή αιχμής	03Sep2000, 00:30
Όγκος(MM)	544.91
Παροχή Αιχμής Εισόδου (M3/S)	1030.74
Όγκος Εισροής(M3)	4.33E7

Απορροή



Κλάδος: R2928

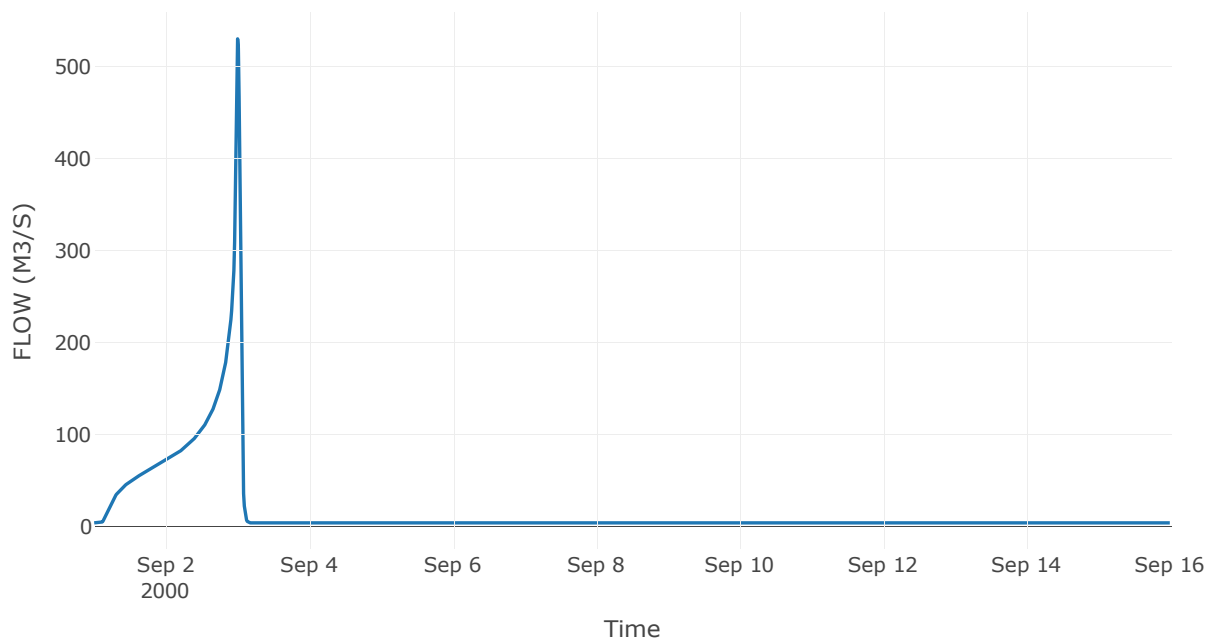
Κατάντη : J28

Μέθοδος Διόδευσης	Χρόνος Υστέρησης
Αρχική Μεταβλητή	Combined Inflow
Χρόνος Υστέρησης	24.13

Αποτελέσματα: R2928

Παροχή Αιχμής(M3/S)	530.41
Χρονική στιγμή αιχμής	02Sep2000, 24:00
Όγκος(MM)	544.49
Παροχή Αιχμής Εισόδου (M3/S)	535.79
Όγκος Εισροής(M3)	2.18E7

Απορροή



Κλάδος: R3022

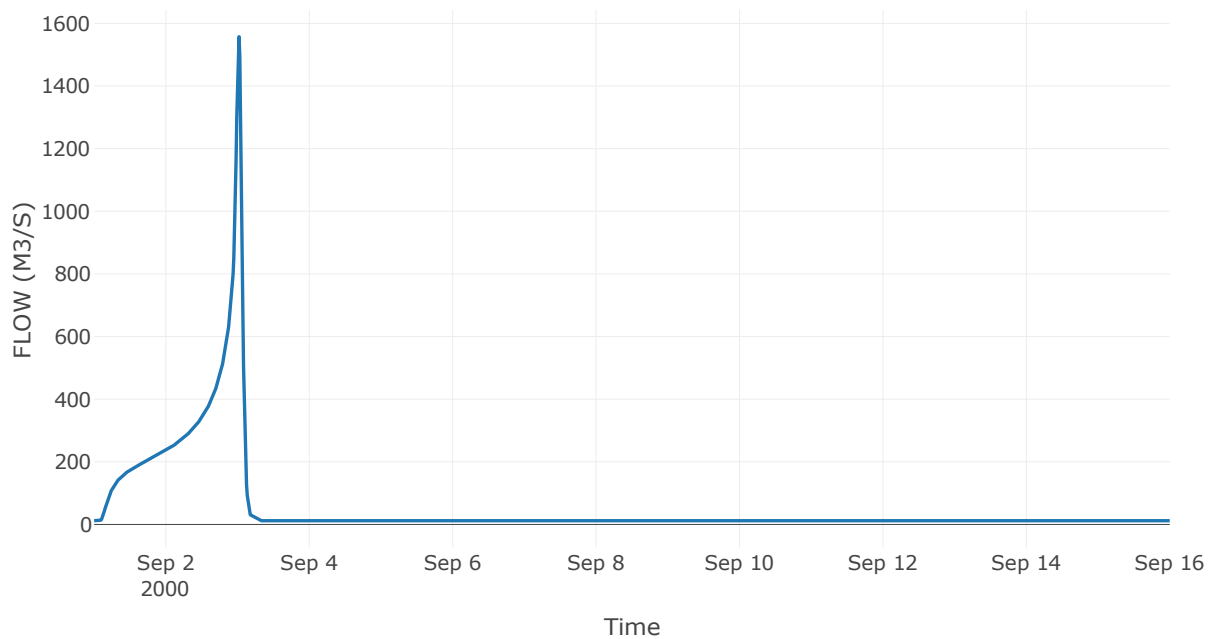
Κατάντη : J22

Μέθοδος Διόδευσης	Χρόνος Υστέρησης
Αρχική Μεταβλητή	Combined Inflow
Χρόνος Υστέρησης	0

Αποτελέσματα: R3022

Παροχή Αιχμής(M3/S)	1557.5
Χρονική στιγμή αιχμής	03Sep2000, 00:30
Όγκος(MM)	605.8
Παροχή Αιχμής Εισόδου (M3/S)	1557.5
Όγκος Εισροής(M3)	7.25E7

Απορροή



Κλάδος: R3130

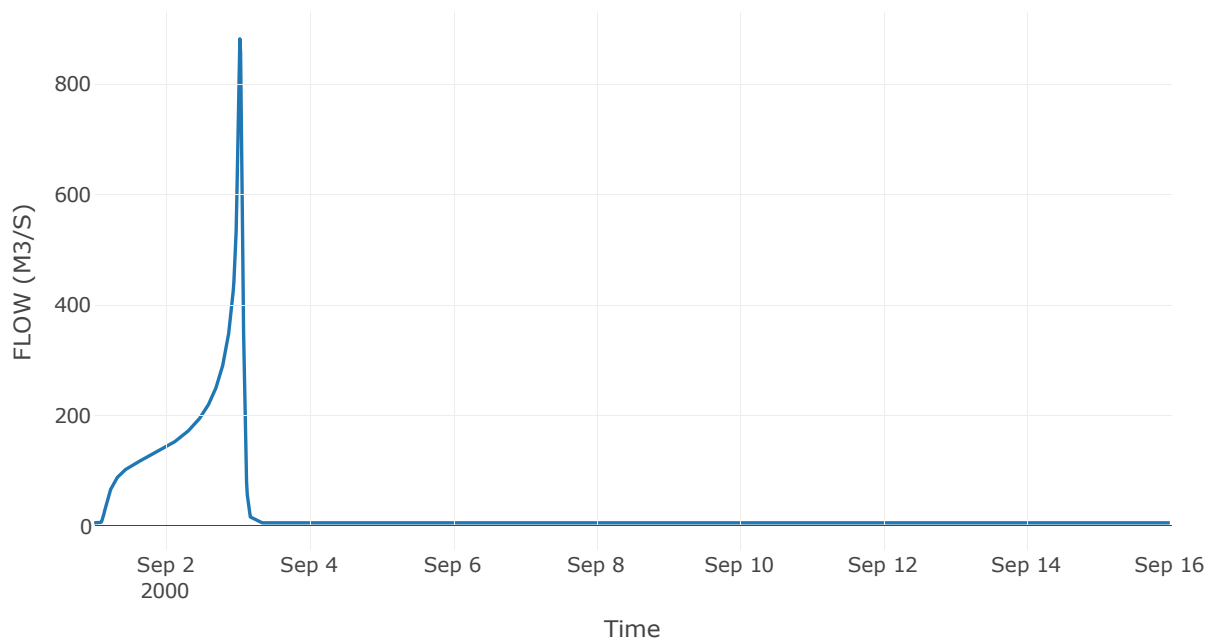
Κατάντη : J30

Μέθοδος Διόδευσης	Χρόνος Υστέρησης
Αρχική Μεταβλητή	Combined Inflow
Χρόνος Υστέρησης	54.51

Αποτελέσματα: R3130

Παροχή Αιχμής(M3/S)	882.08
Χρονική στιγμή αιχμής	03Sep2000, 00:45
Όγκος(MM)	668.96
Παροχή Αιχμής Εισόδου (M3/S)	882.62
Όγκος Εισροής(M3)	4.13E7

Απορροή



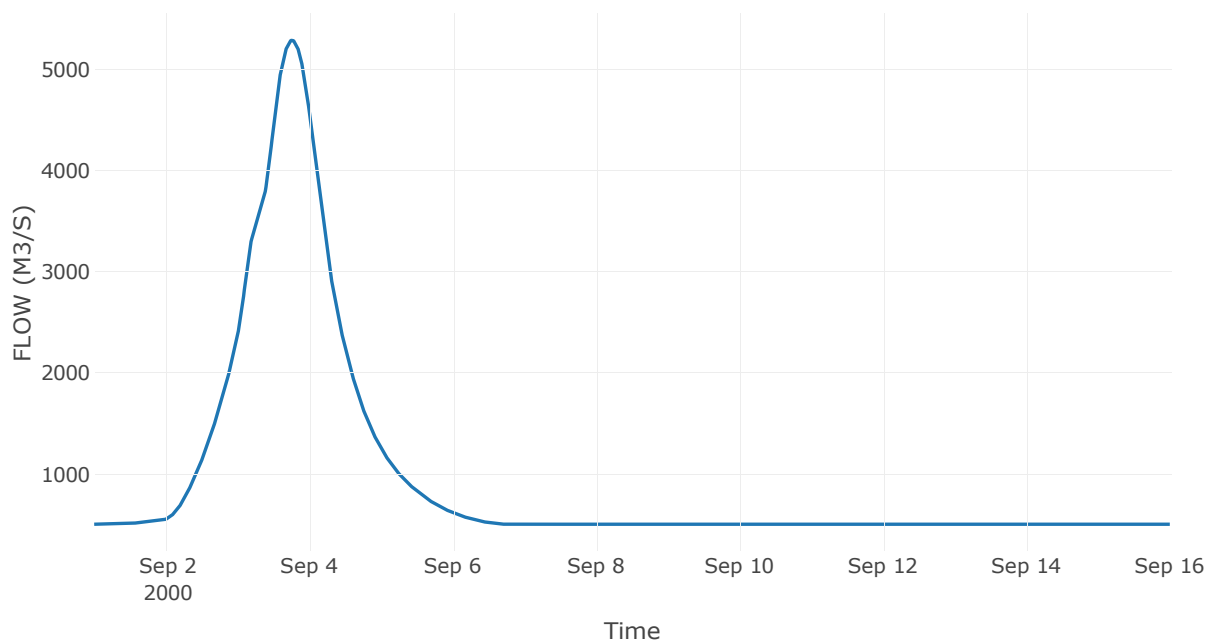
7.3 Δεδομένα και υδρογραφήματα σχεδιασμού Κόμβων υδρογραφικού δικτύου

Κόμβος εξόδου: J1

Αποτελέσματ
α: J1

Παροχή αιχμής (M3/S)	5287.9
Χρονική στιγμή αιχμής	03Sep2000, 18:15
Όγκος (MM)	653.6

Απορροή



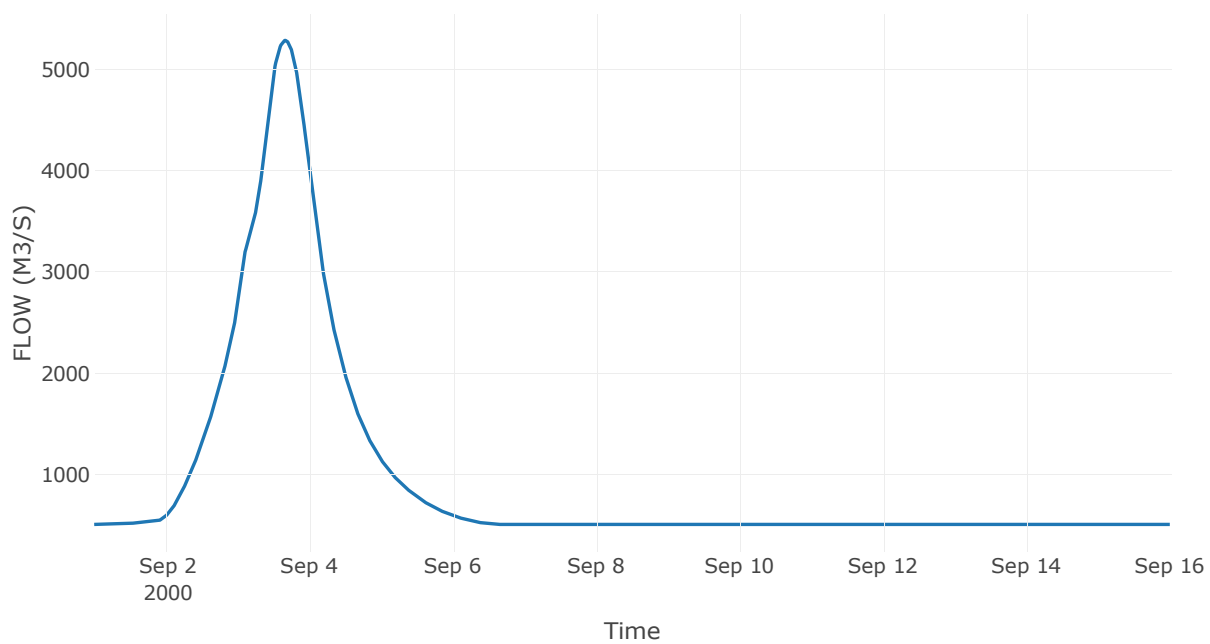
Κόμβος: J2

Κατάντη : R21

Αποτελέσματα: J2

Παροχή Αιχμής(M3/S)	5287.27
Χρονική στιγμή αιχμής	03Sep2000, 16:00
Όγκος(MM)	657.29

Απορροή



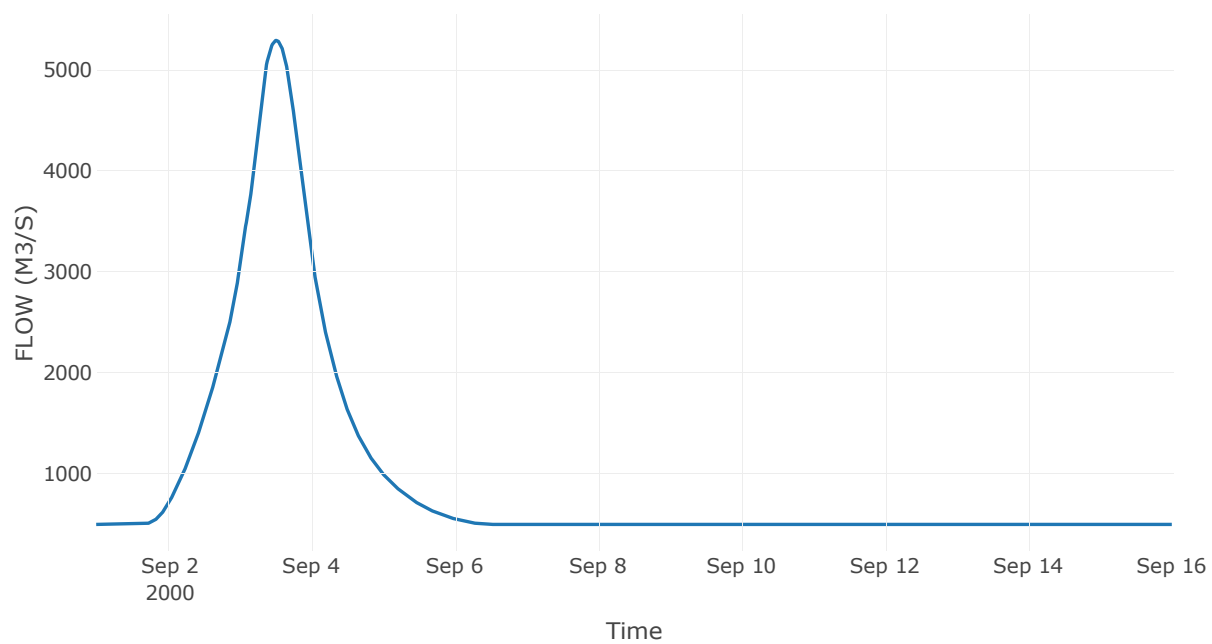
Κόμβος: J3

Κατάντη : R32

Αποτελέσματα: J3

Παροχή Αιχμής(M3/S)	5292.21
Χρονική στιγμή αιχμής	03Sep2000, 12:15
Όγκος(MM)	664.19

Απορροή



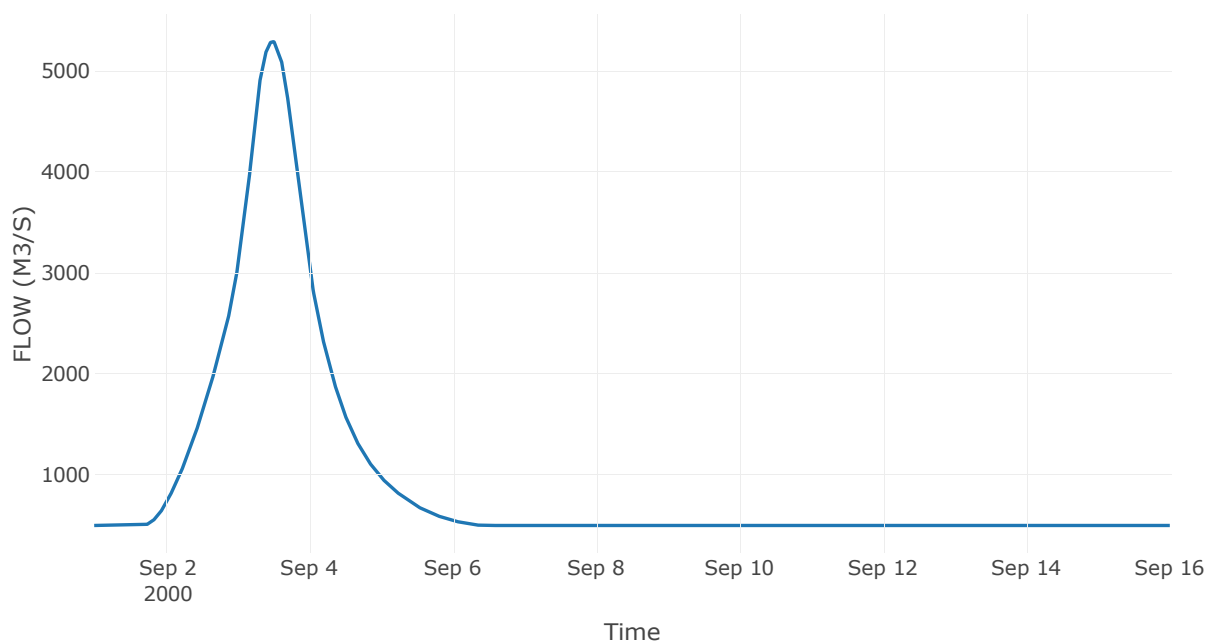
Reservoir: J4_RES1

Κατάντη : R43

Αποτελέσματα: J4_RES1

Παροχή Αιχμής(M3/S)	5292.45
Χρονική στιγμή αιχμής	03Sep2000, 11:45
Όγκος(MM)	666.08
Παροχή Αιχμής Εισόδου (M3/S)	8608.93
Time of Peak Inflow	03Sep2000, 05:15
Όγκος Εισροής (M3)	9.51E8
Maximum Storage (M3)	8.11E8
Peak Elevation (M)	123.48
Discharge Όγκος(M3)	1.21E9

Απορροή



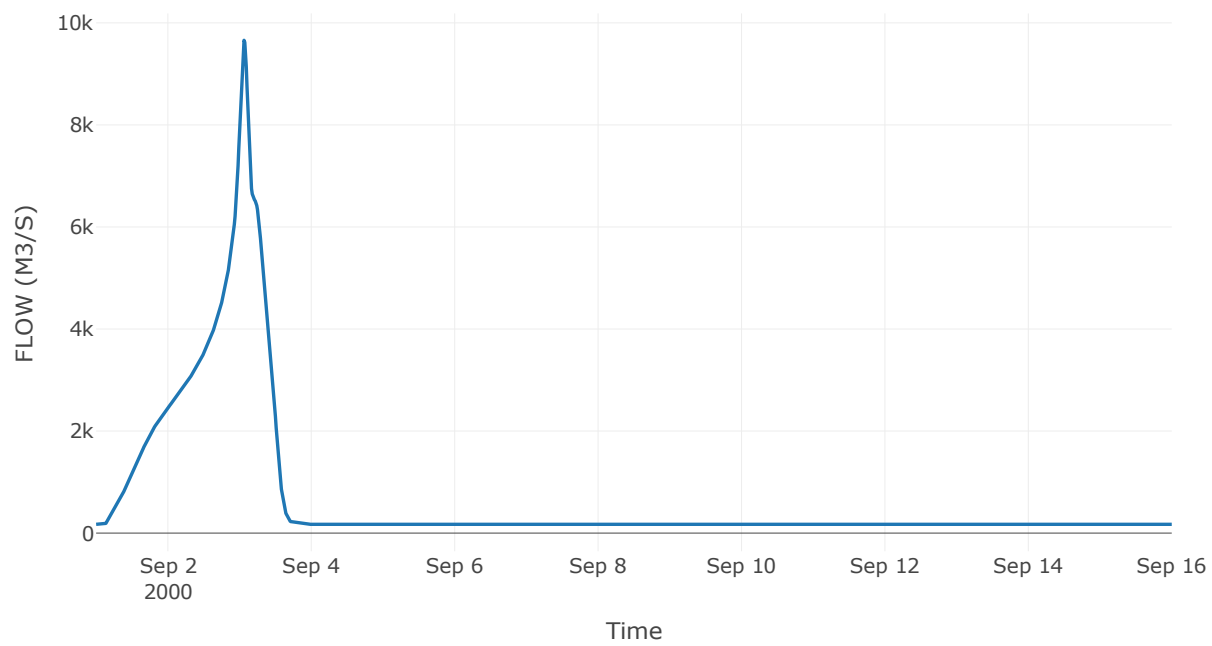
Κόμβος: J5

Κατάντη : R54

Αποτελέσματα: J5

Παροχή Αιχμής(M3/S)	9658.72
Χρονική στιγμή αιχμής	03Sep2000, 01:30
Όγκος(MM)	525.38

Απορροή



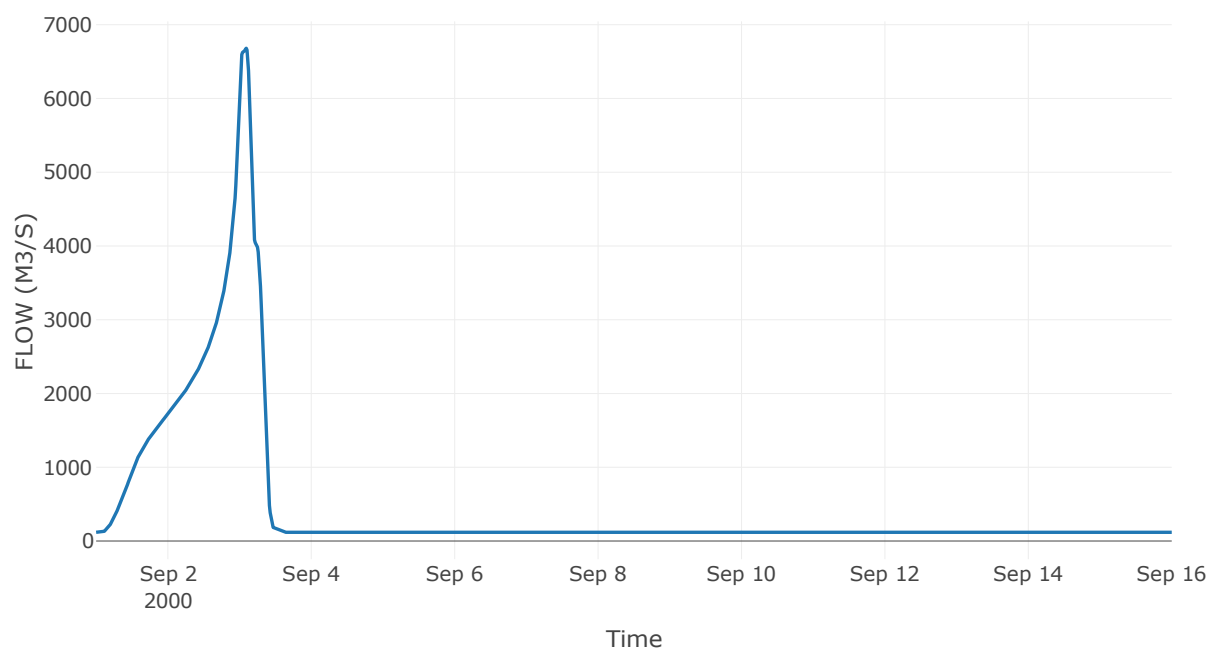
Κόμβος: J6

Κατάντη : R65

Αποτελέσματα: J6

Παροχή Αιχμής(M3/S)	6680.84
Χρονική στιγμή αιχμής	03Sep2000, 02:15
Όγκος(MM)	509.05

Απορροή



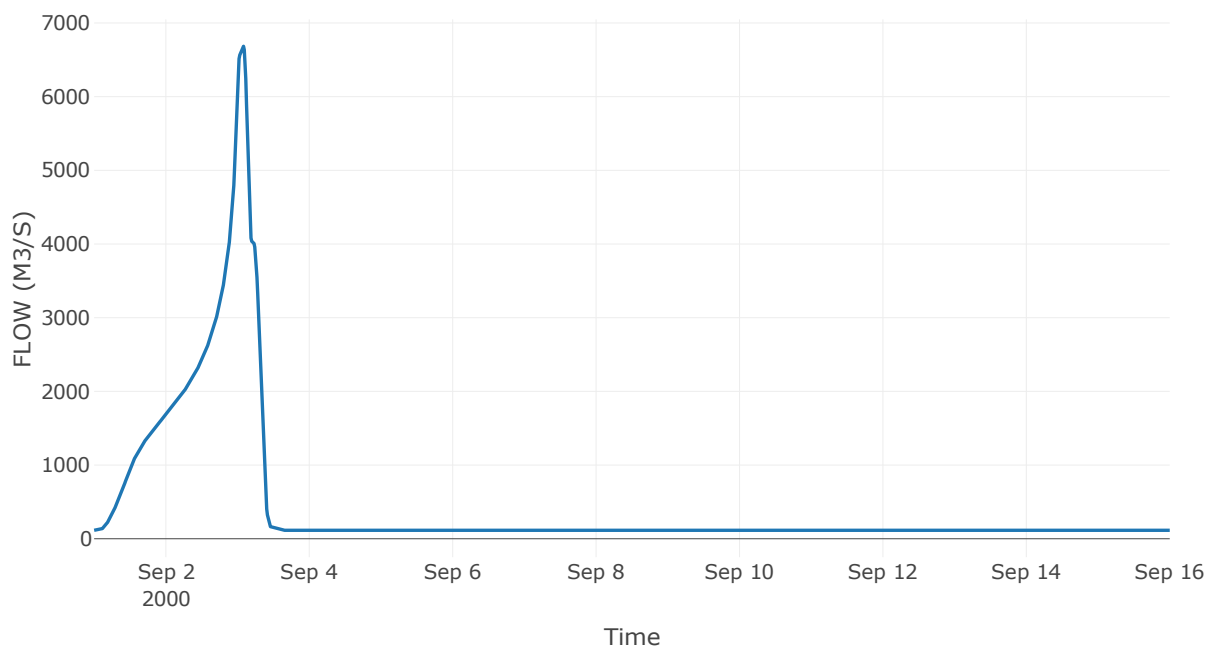
Κόμβος: J7

Κατάντη : R76

Αποτελέσματα: J7

Παροχή Αιχμής(M3/S)	6684.08
Χρονική στιγμή αιχμής	03Sep2000, 02:00
Όγκος(MM)	508.9

Απορροή



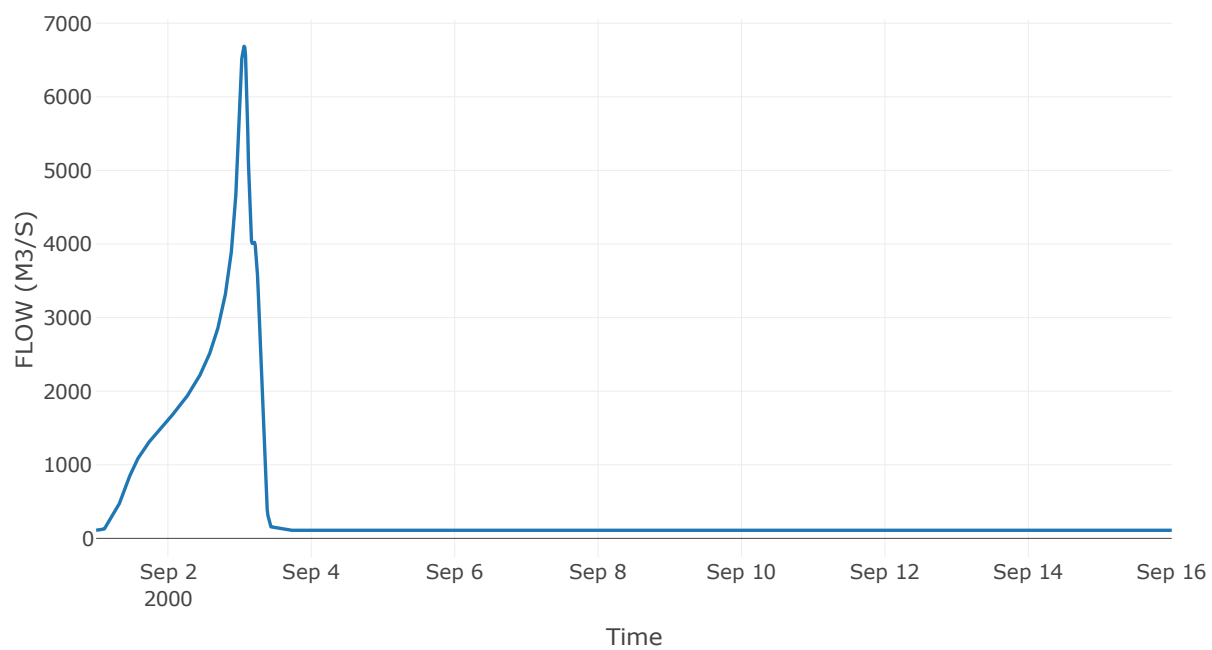
Κόμβος: J8

Κατάντη : R87

Αποτελέσματα: J8

Παροχή Αιχμής(M3/S)	6687.04
Χρονική στιγμή αιχμής	03Sep2000, 01:30
Όγκος(MM)	505.44

Απορροή



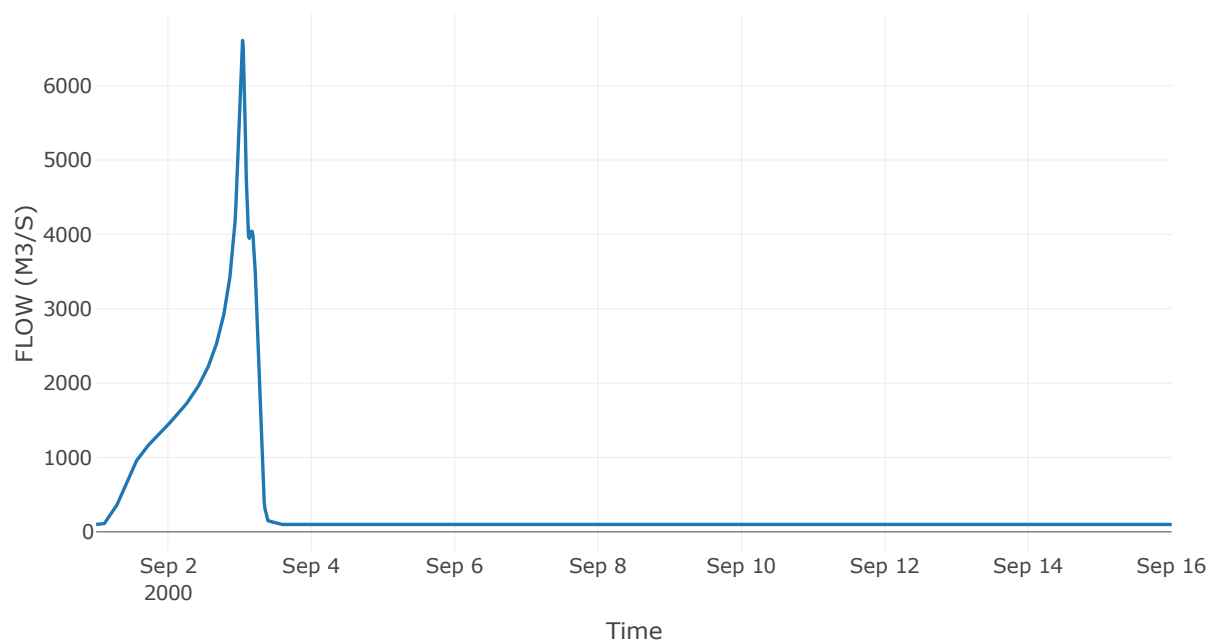
Κόμβος: J9

Κατάντη : R98

Αποτελέσματα: J9

Παροχή Αιχμής(M3/S)	6607.97
Χρονική στιγμή αιχμής	03Sep2000, 01:00
Όγκος(MM)	496.53

Απορροή



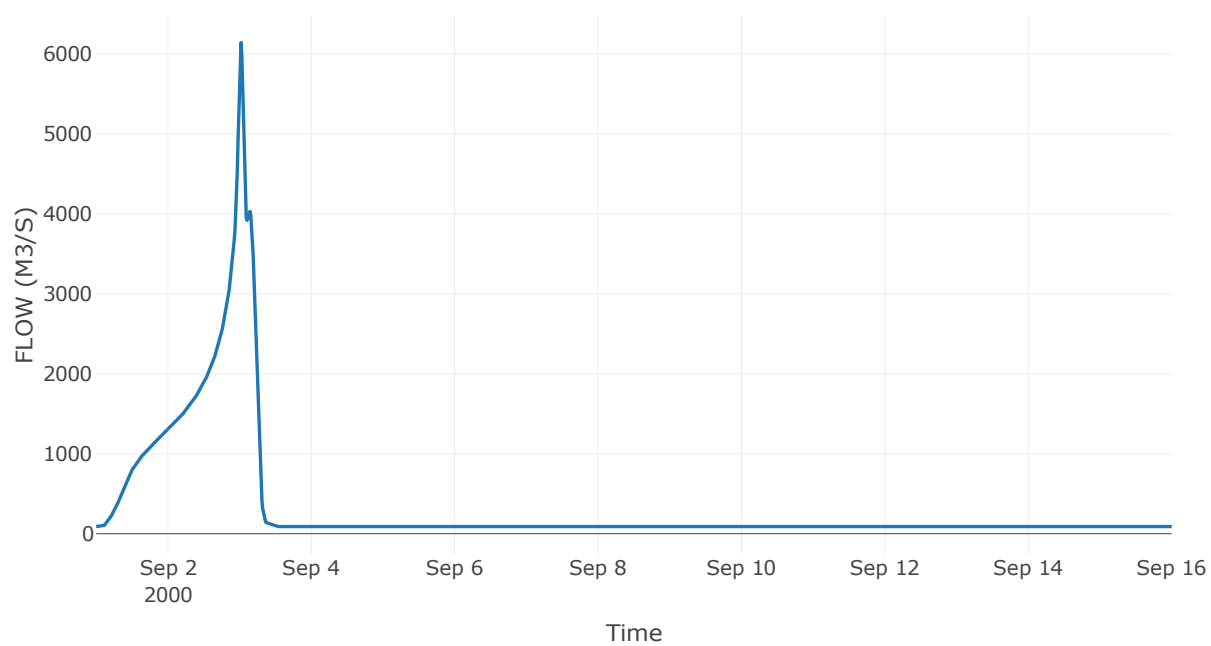
Κόμβος: J10

Κατάντη : R109

Αποτελέσματα: J10

Παροχή Αιχμής(M3/S)	6141.65
Χρονική στιγμή αιχμής	03Sep2000, 00:30
Όγκος(MM)	492.56

Απορροή



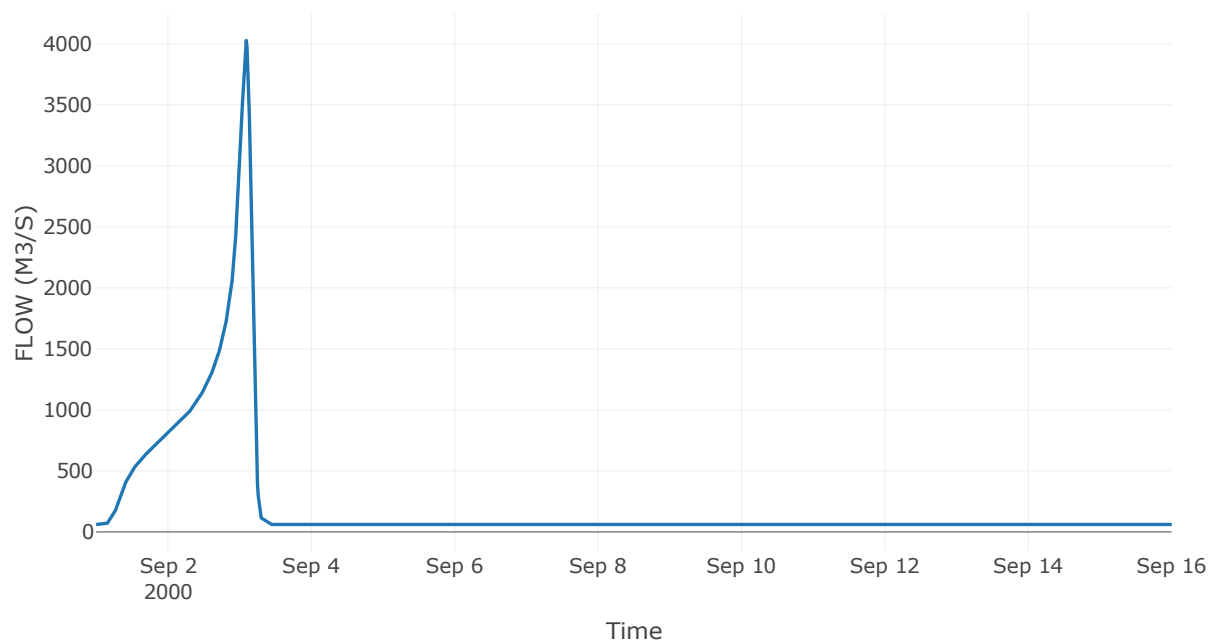
Κόμβος: J11

Κατάντη : R1110

Αποτελέσματα: J11

Παροχή Αιχμής(M3/S)	4026.95
Χρονική στιγμή αιχμής	03Sep2000, 02:15
Όγκος(MM)	461.65

Απορροή



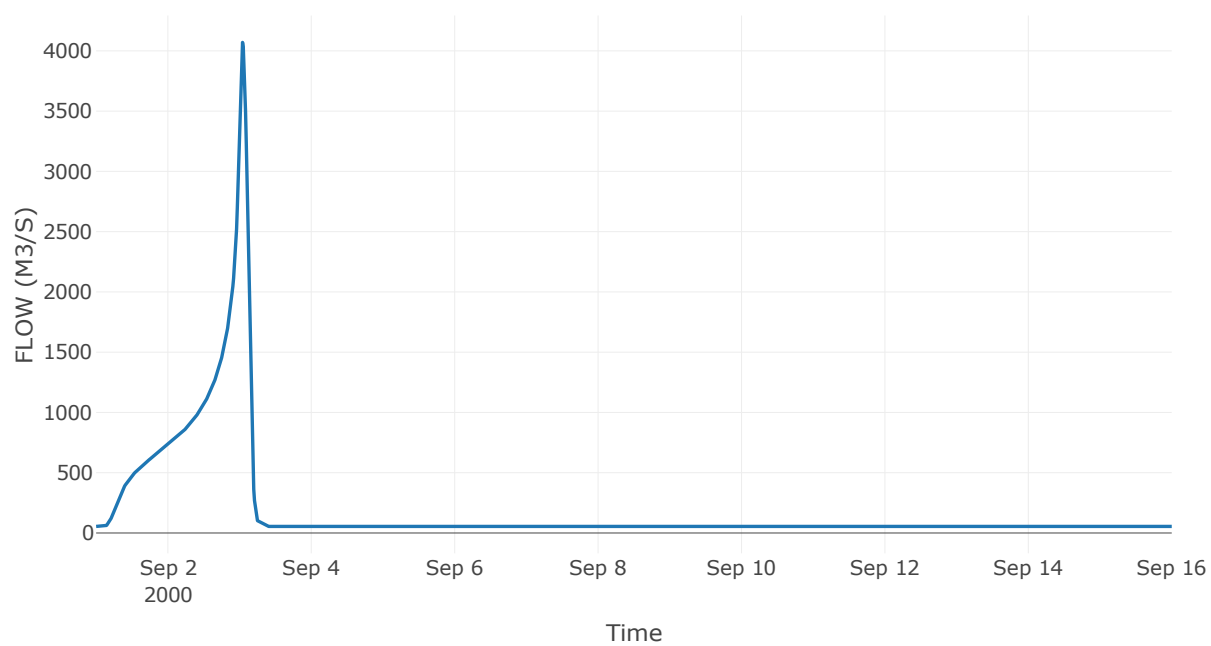
Κόμβος: J12

Κατάντη : R1211

Αποτελέσματα: J12

Παροχή Αιχμής(M3/S)	4070.11
Χρονική στιγμή αιχμής	03Sep2000, 01:00
Όγκος(MM)	460.45

Απορροή



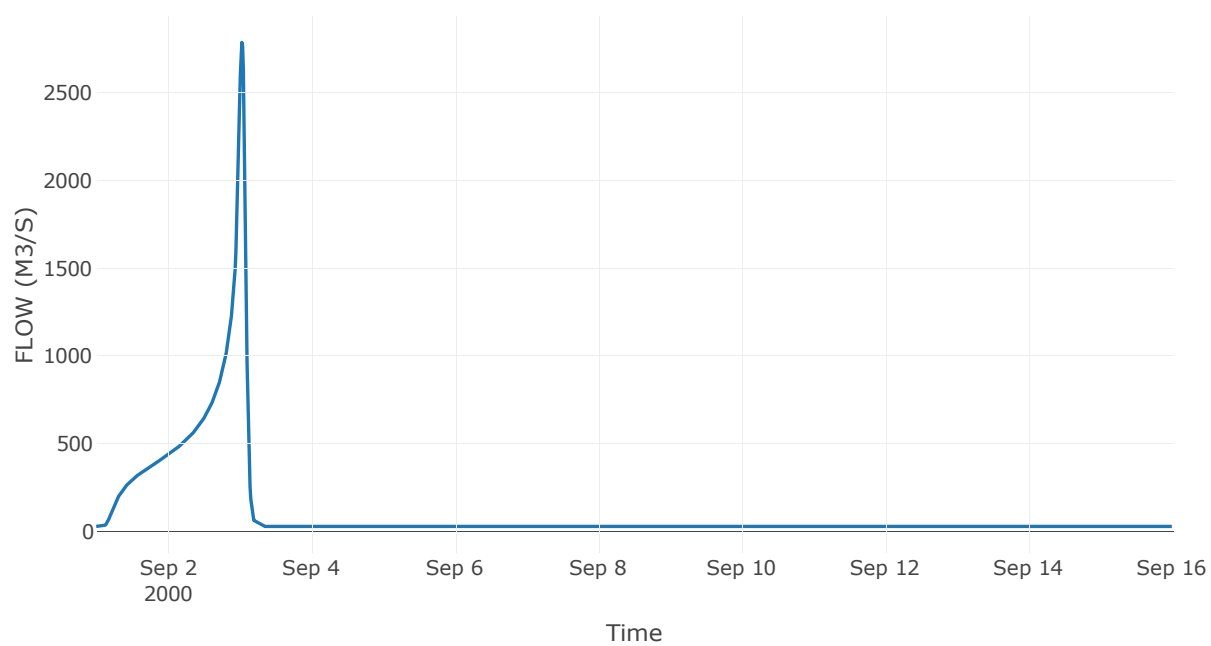
Κόμβος: J13

Κατάντη : R1312

Αποτελέσματα: J13

Παροχή Αιχμής(M3/S)	2786.54
Χρονική στιγμή αιχμής	03Sep2000, 00:45
Όγκος(MM)	476.09

Απορροή



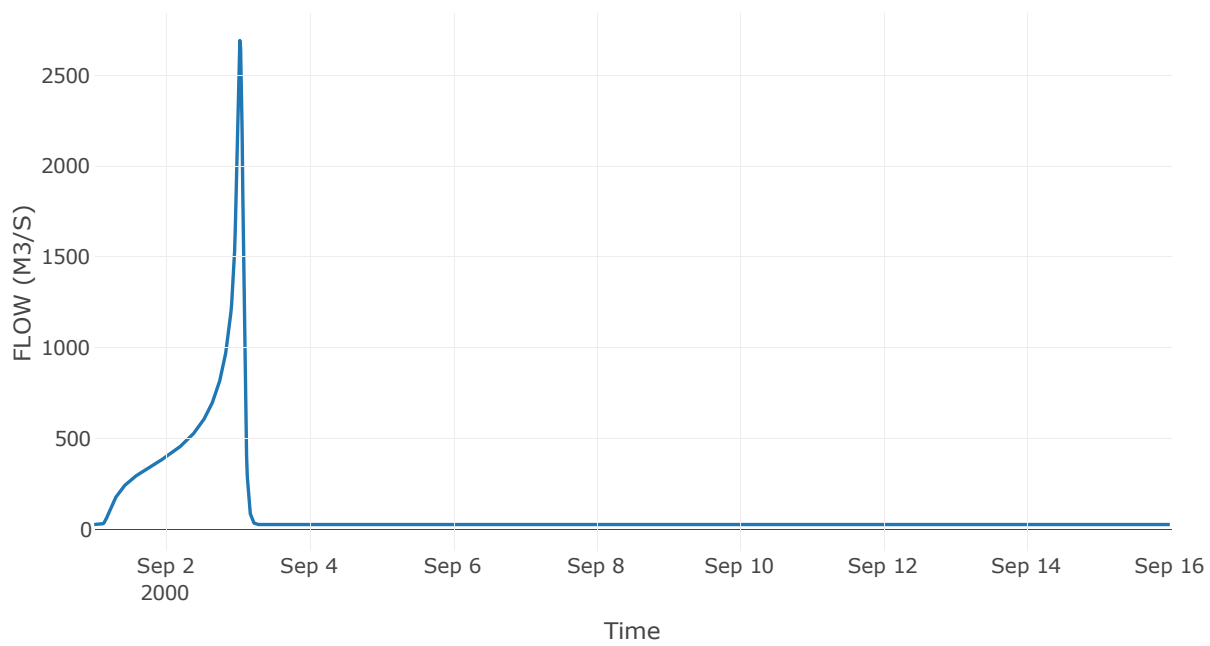
Κόμβος: J14

Κατάντη : R1413

Αποτελέσματα: J14

Παροχή Αιχμής(M3/S)	2692.1
Χρονική στιγμή αιχμής	03Sep2000, 00:45
Όγκος(MM)	477.95

Απορροή



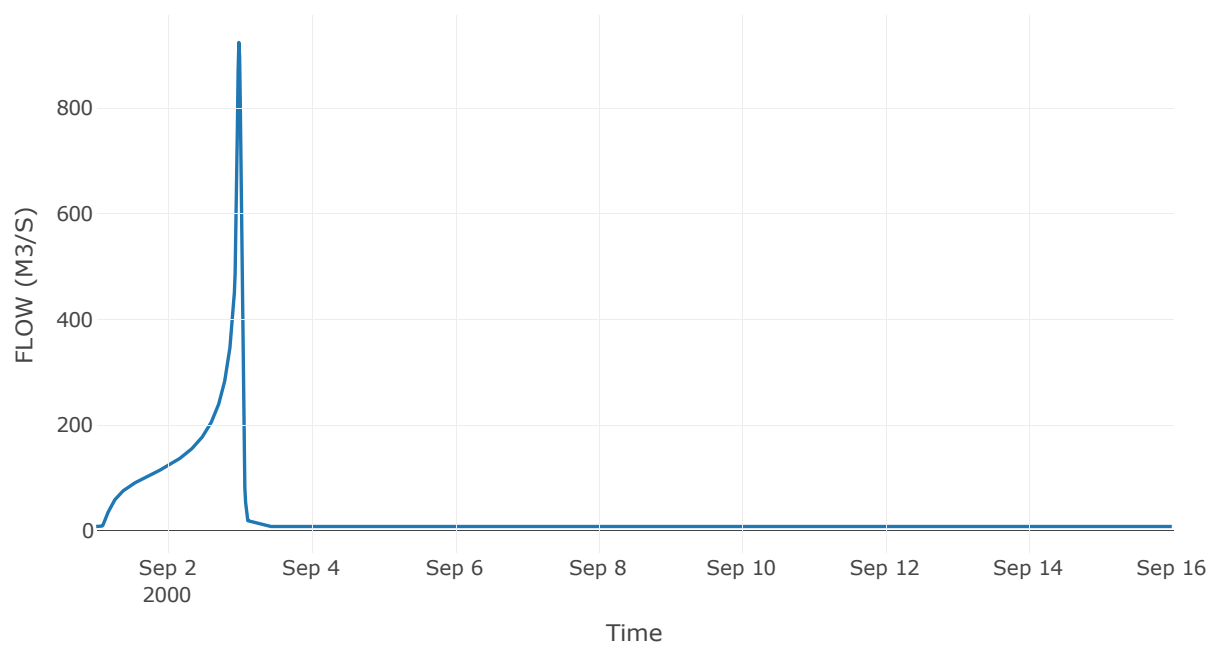
Κόμβος: J15

Κατάντη : R1514

Αποτελέσματα: J15

Παροχή Αιχμής(M3/S)	924.87
Χρονική στιγμή αιχμής	02Sep2000, 23:45
Όγκος(MM)	488.65

Απορροή



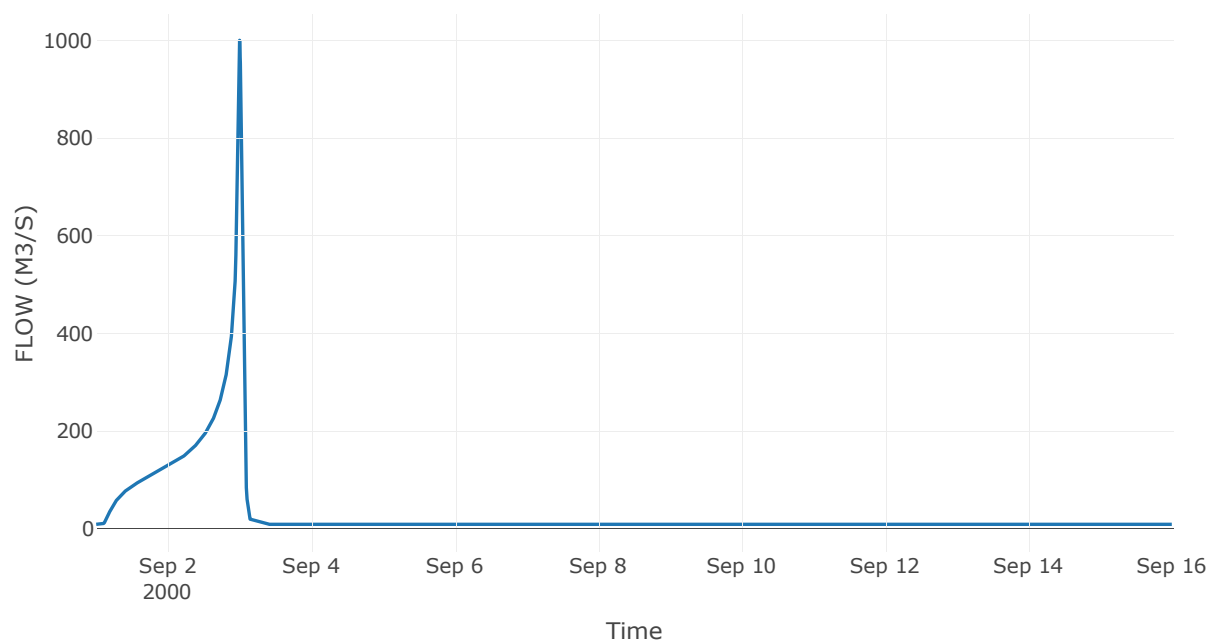
Κόμβος: J16

Κατάντη : R1614

Αποτελέσματα: J16

Παροχή Αιχμής(M3/S)	1000.01
Χρονική στιγμή αιχμής	02Sep2000, 24:00
Όγκος(MM)	484.17

Απορροή



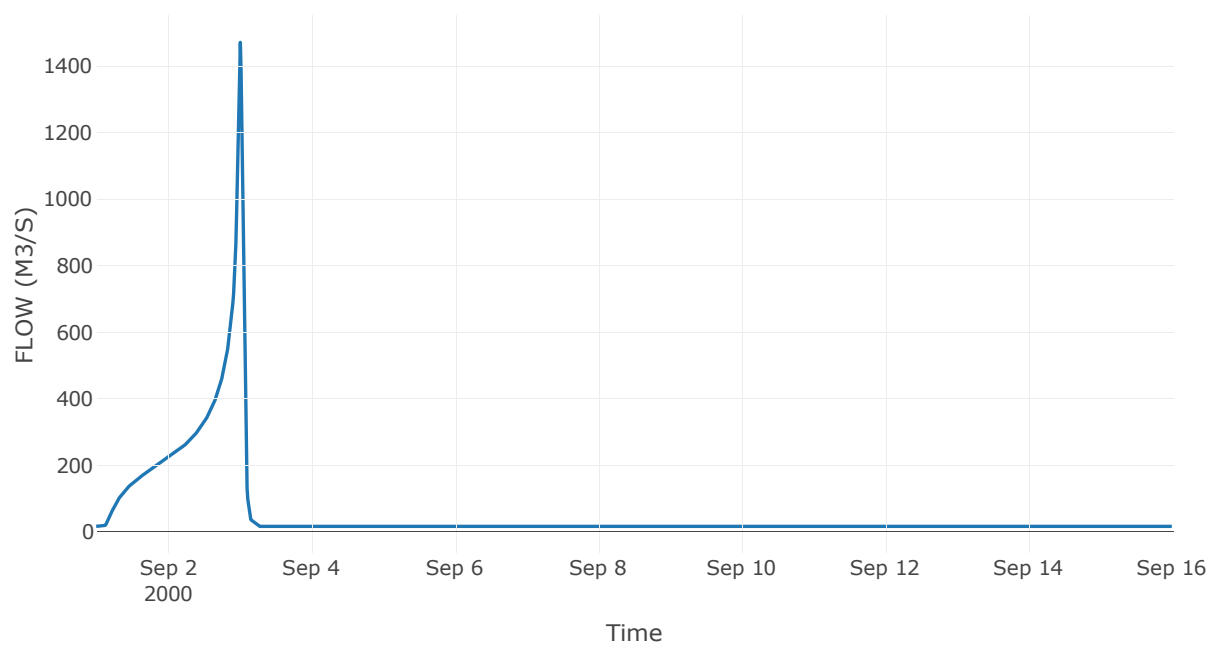
Κόμβος: J17

Κατάντη : R1712

Αποτελέσματα: J17

Παροχή Αιχμής(M3/S)	1471.61
Χρονική στιγμή αιχμής	03Sep2000, 00:15
Όγκος(MM)	438.68

Απορροή



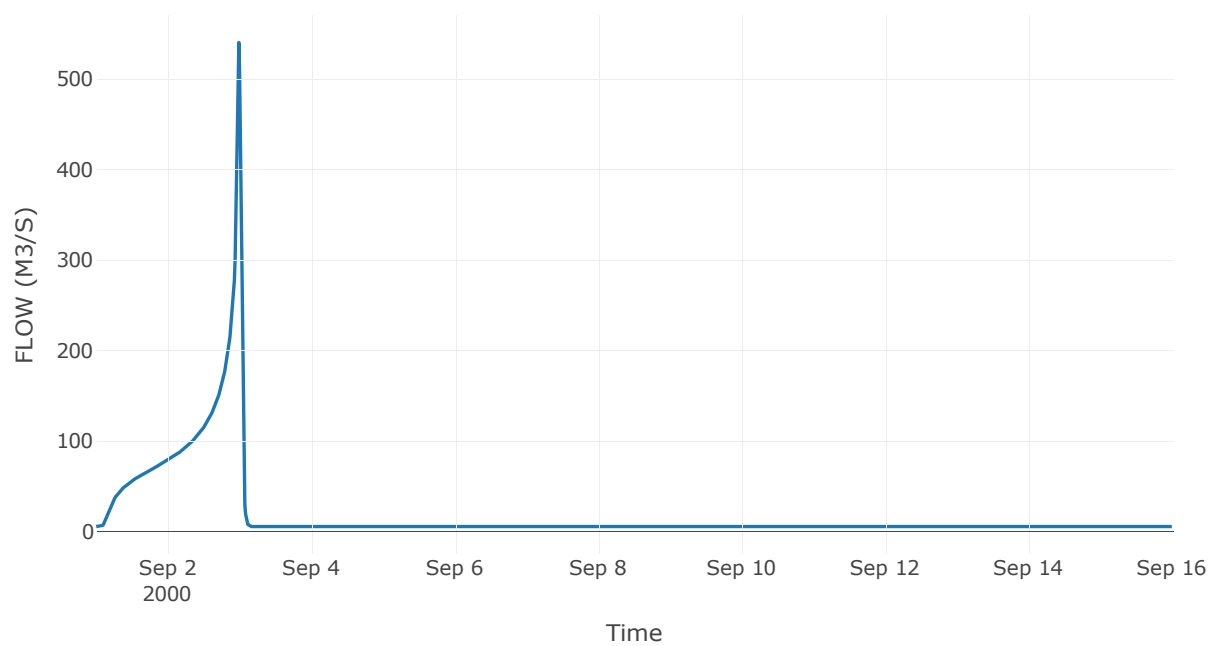
Κόμβος: J18

Κατάντη : R1817

Αποτελέσματα: J18

Παροχή Αιχμής(M3/S)	540.79
Χρονική στιγμή αιχμής	02Sep2000, 23:45
Όγκος(MM)	442.55

Απορροή



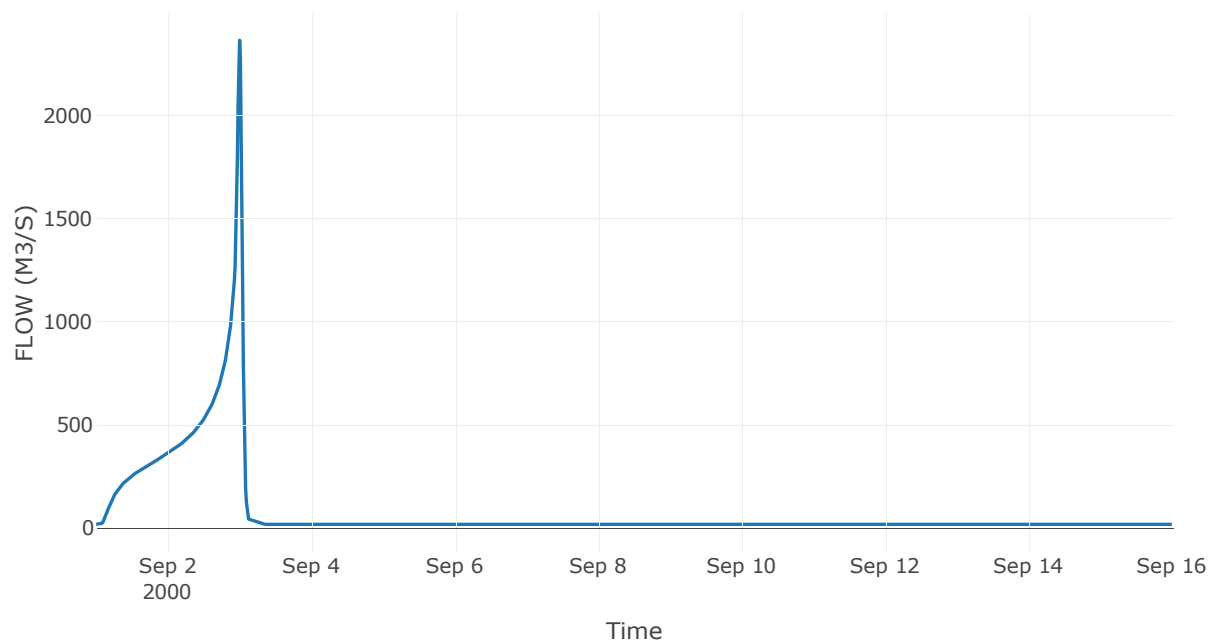
Κόμβος: J19

Κατάντη : R1910

Αποτελέσματα: J19

Παροχή Αιχμής(M3/S)	2366.06
Χρονική στιγμή αιχμής	02Sep2000, 24:00
Όγκος(MM)	576.89

Απορροή



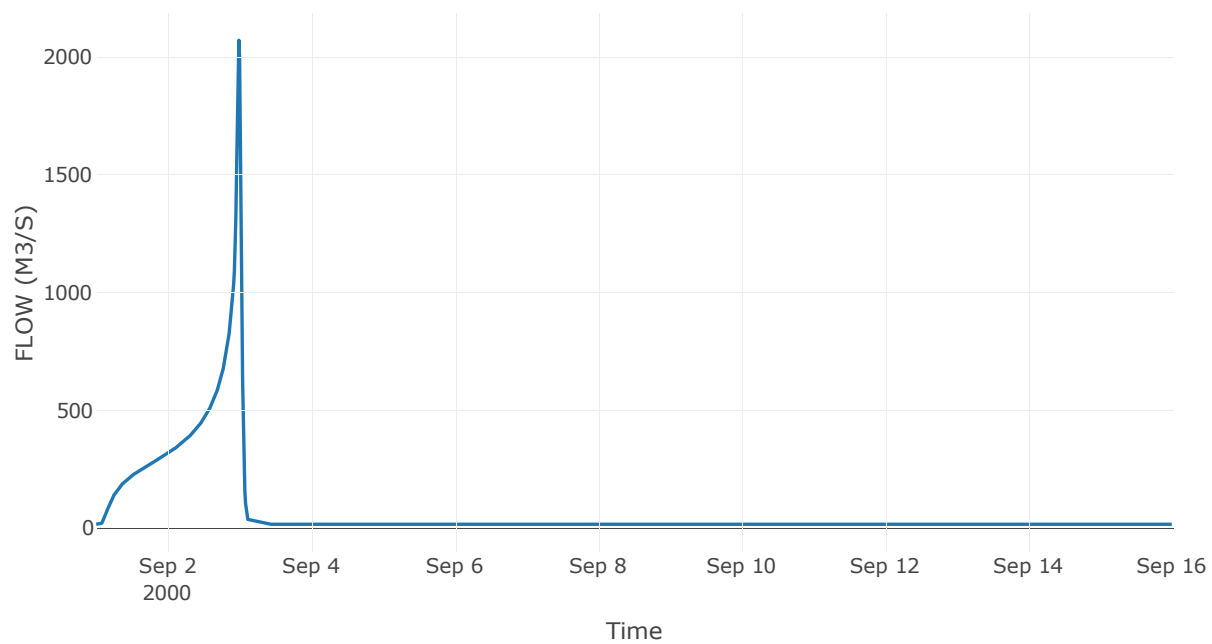
Κόμβος: J20

Κατάντη : R2019

Αποτελέσματα: J20

Παροχή Αιχμής(M3/S)	2070.93
Χρονική στιγμή αιχμής	02Sep2000, 23:45
Όγκος(MM)	577.62

Απορροή



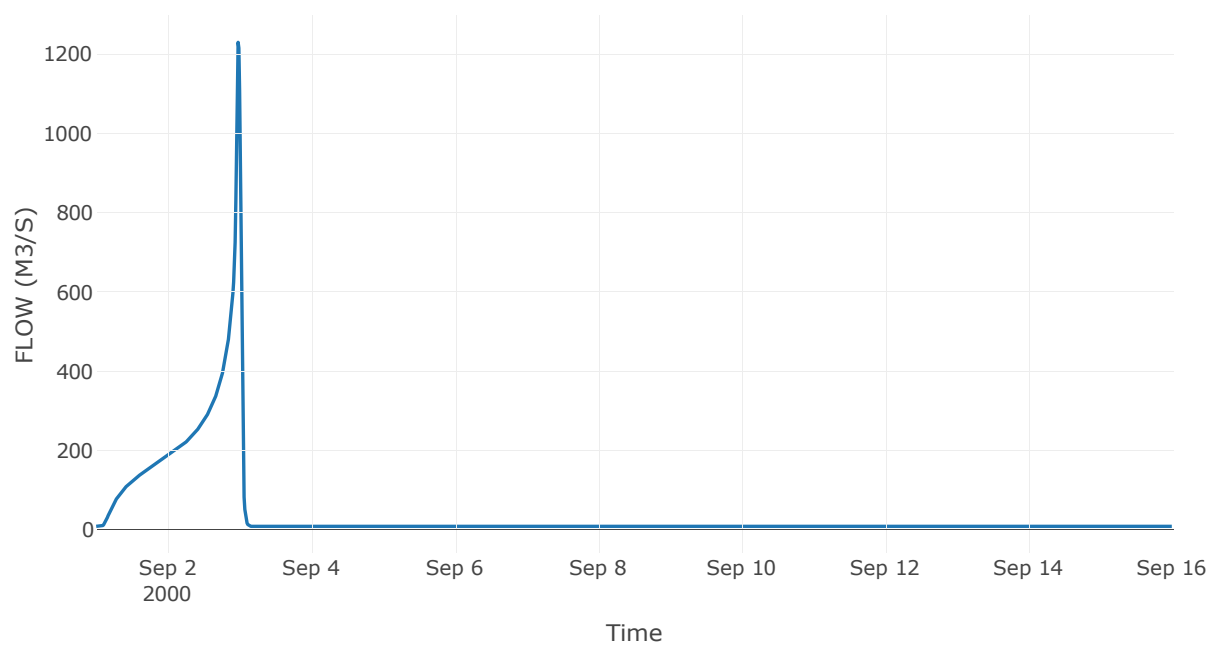
Κόμβος: J21

Κατάντη : R2120

Αποτελέσματα: J21

Παροχή Αιχμής(M3/S)	1230.4
Χρονική στιγμή αιχμής	02Sep2000, 23:30
Όγκος(MM)	548.52

Απορροή



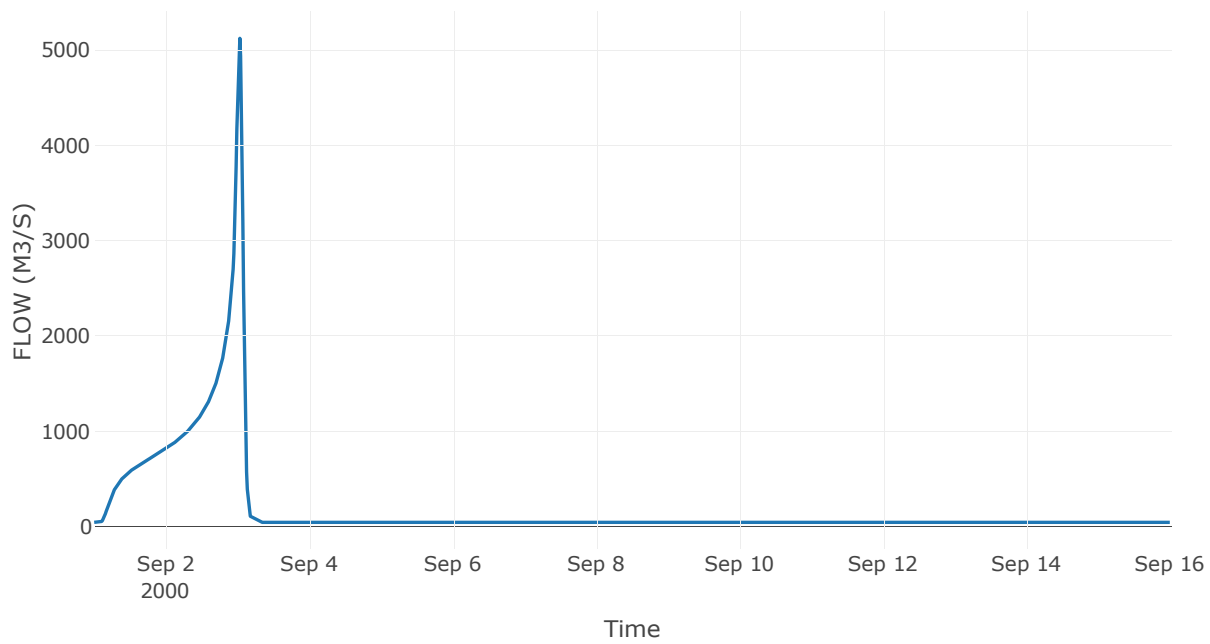
Κόμβος: J22

Κατάντη : R225

Αποτελέσματα: J22

Παροχή Αιχμής(M3/S)	5124.32
Χρονική στιγμή αιχμής	03Sep2000, 00:45
Όγκος(MM)	571.38

Απορροή



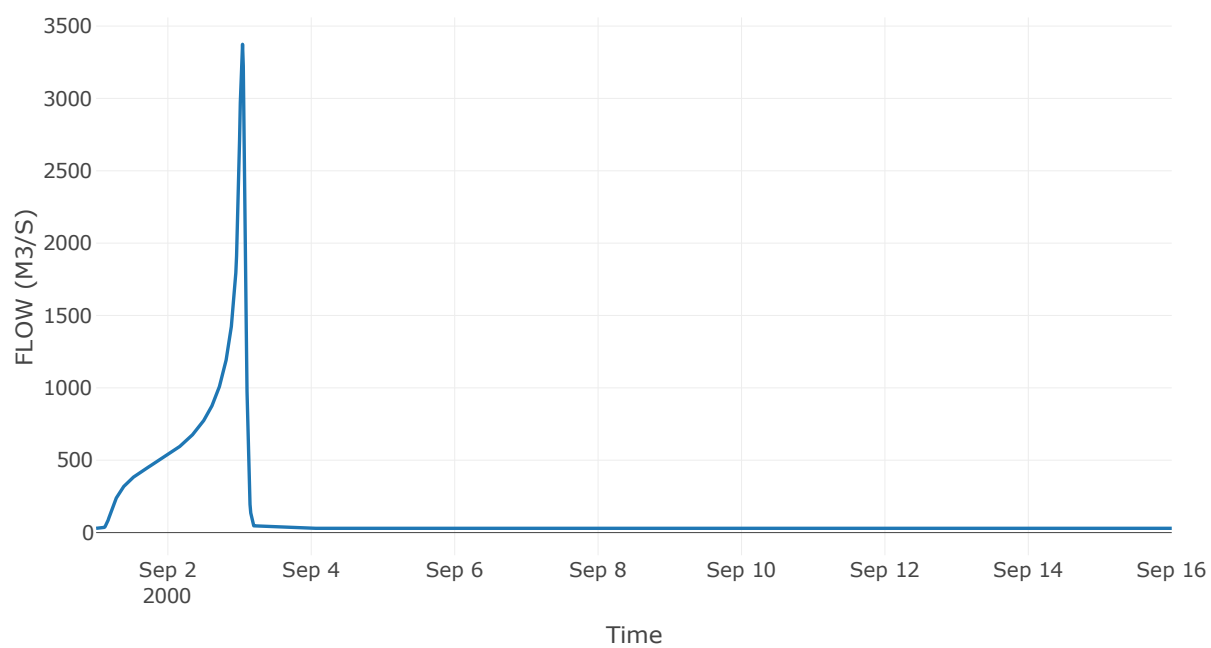
Κόμβος: J23

Κατάντη : R2322

Αποτελέσματα: J23

Παροχή Αιχμής(M3/S)	3373.98
Χρονική στιγμή αιχμής	03Sep2000, 01:00
Όγκος(MM)	565.13

Απορροή



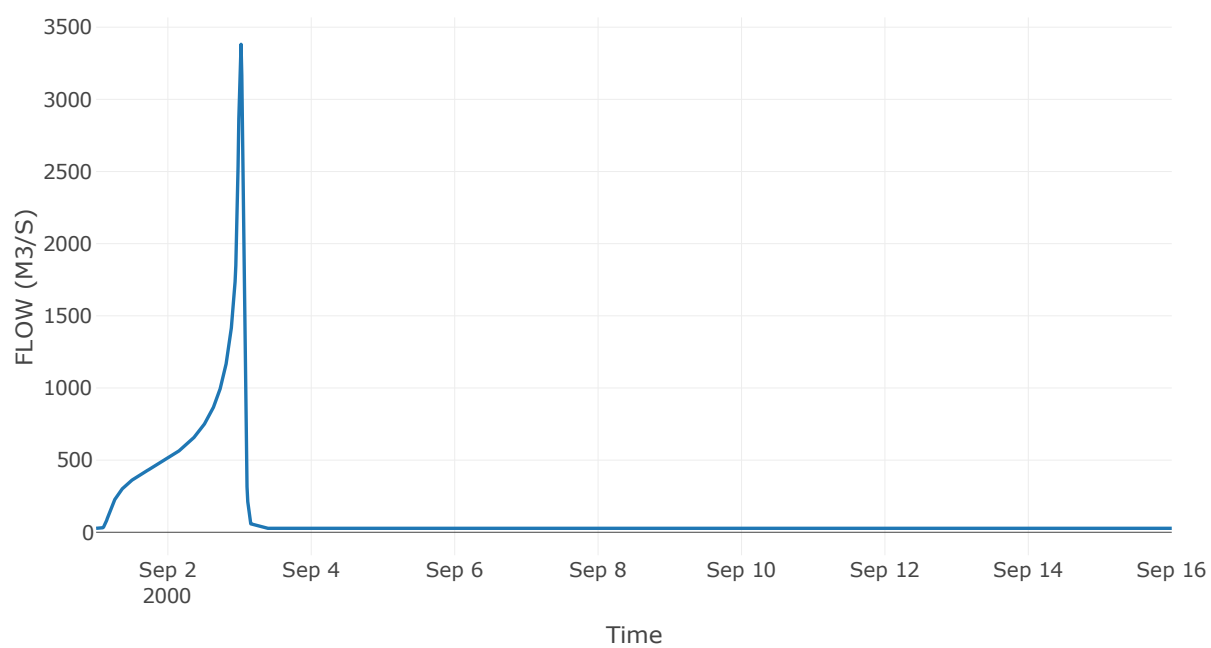
Κόμβος: J24

Κατάντη : R2423

Αποτελέσματα: J24

Παροχή Αιχμής(M3/S)	3381.51
Χρονική στιγμή αιχμής	03Sep2000, 00:30
Όγκος(MM)	568.11

Απορροή



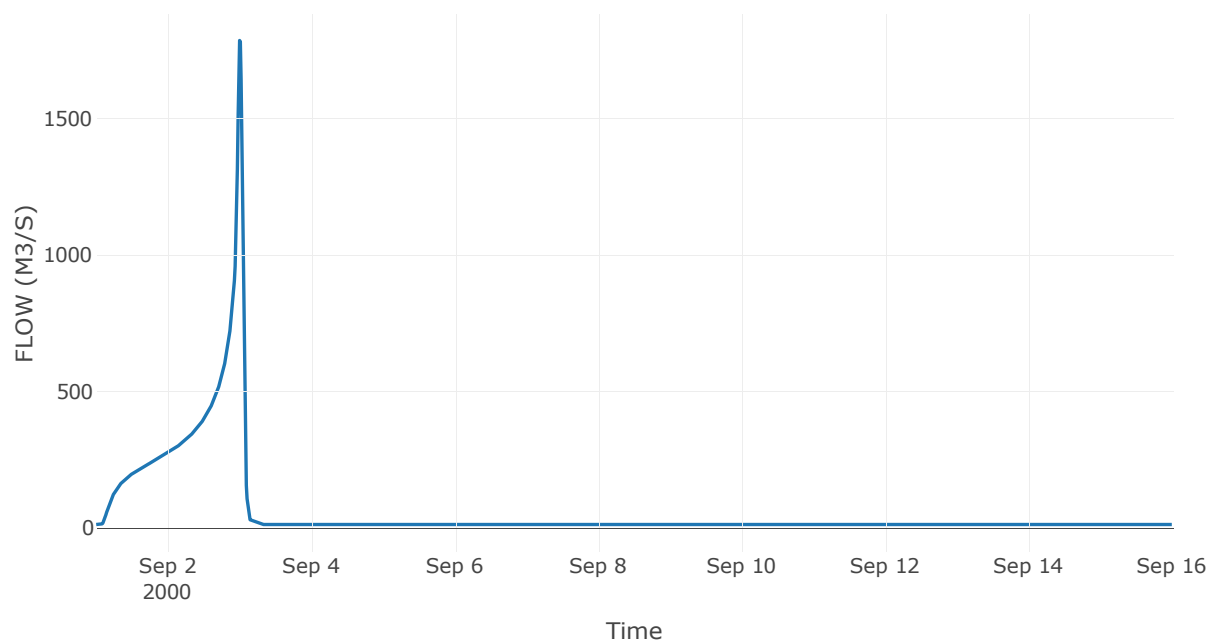
Κόμβος: J25

Κατάντη : R2524

Αποτελέσματα: J25

Παροχή Αιχμής(M3/S)	1786.49
Χρονική στιγμή αιχμής	02Sep2000, 24:00
Όγκος(MM)	588.74

Απορροή



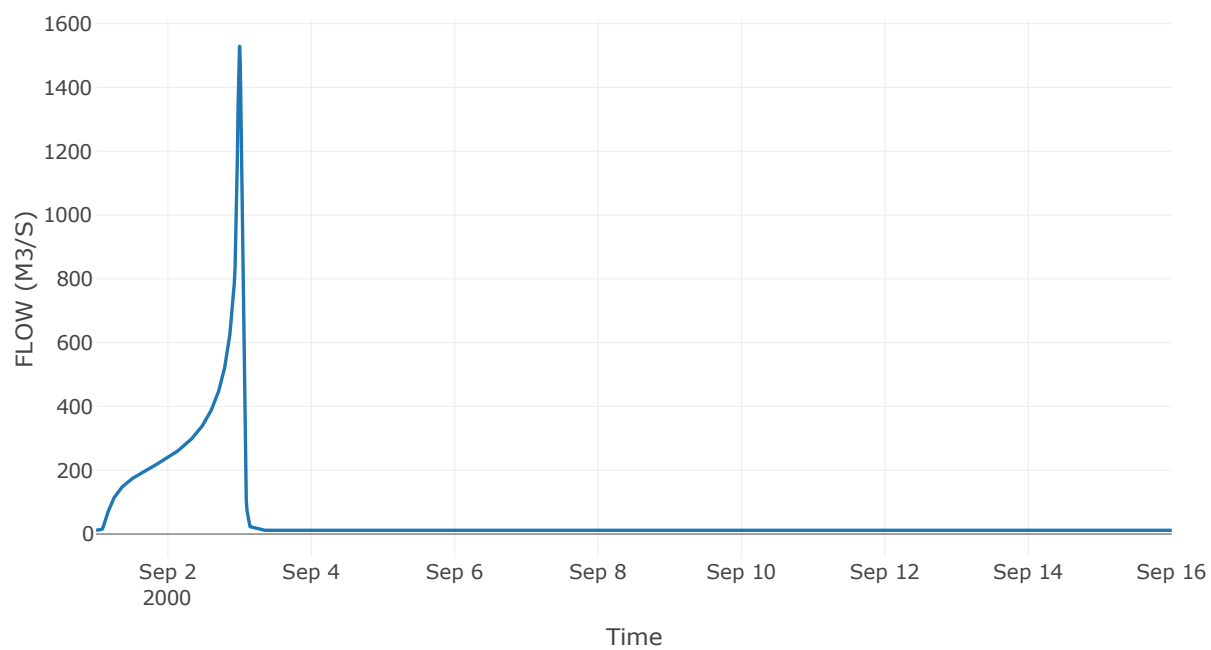
Κόμβος: J26

Κατάντη : R2625

Αποτελέσματα: J26

Παροχή Αιχμής(M3/S)	1529.04
Χρονική στιγμή αιχμής	02Sep2000, 24:00
Όγκος(MM)	594.53

Απορροή



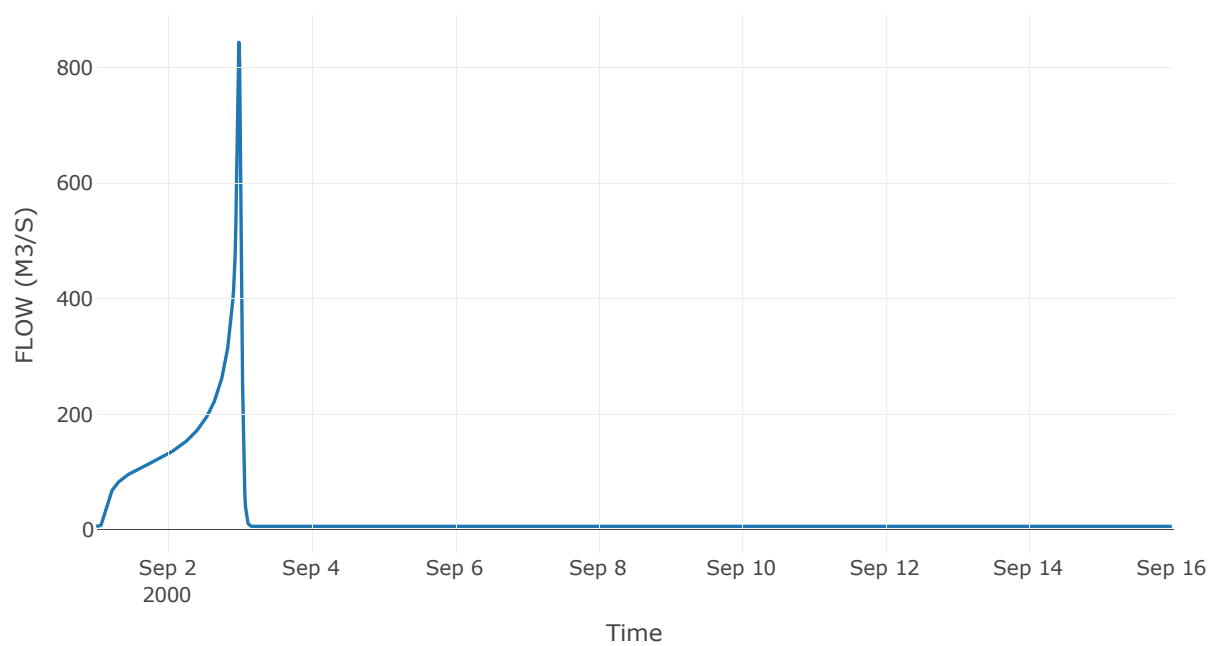
Κόμβος: J27

Κατάντη : R2726

Αποτελέσματα: J27

Παροχή Αιχμής(M3/S)	843.44
Χρονική στιγμή αιχμής	02Sep2000, 23:45
Όγκος(MM)	618.51

Απορροή



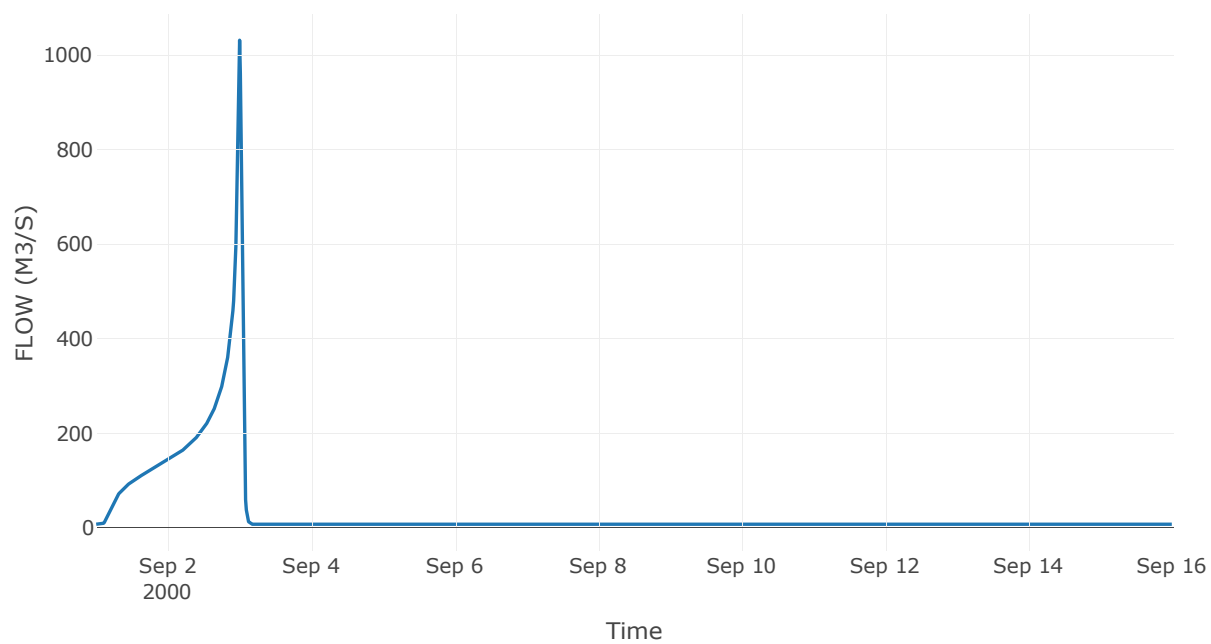
Κόμβος: J28

Κατάντη : R2824

Αποτελέσματα: J28

Παροχή Αιχμής(M3/S)	1030.74
Χρονική στιγμή αιχμής	02Sep2000, 24:00
Όγκος(MM)	544.91

Απορροή



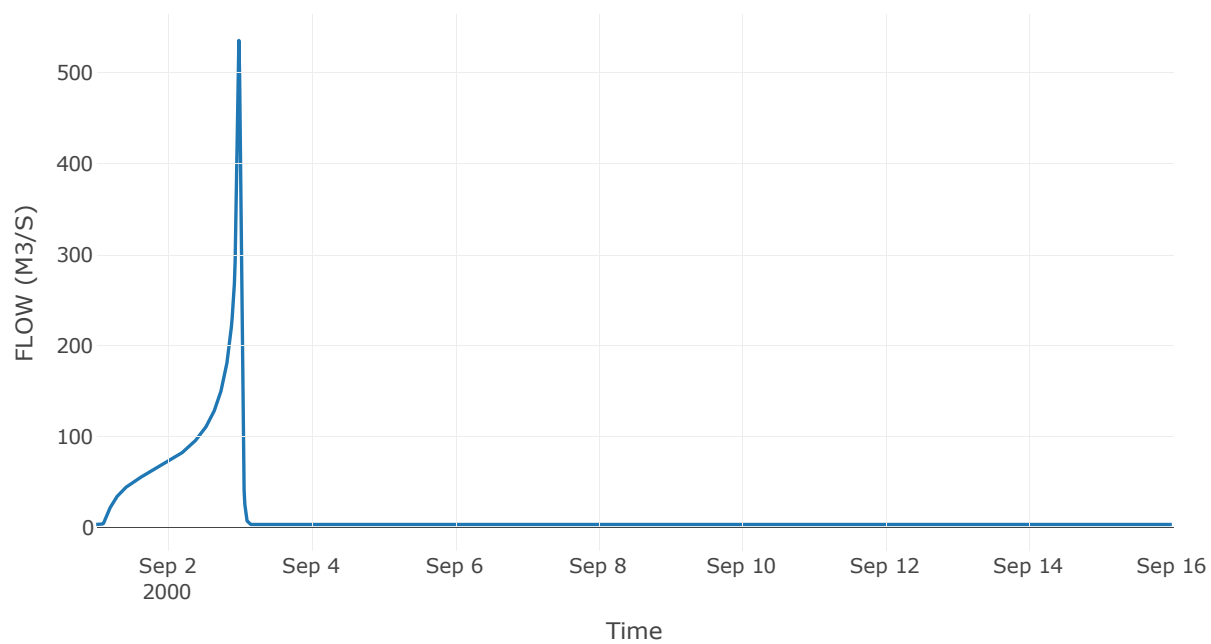
Κόμβος: J29

Κατάντη : R2928

Αποτελέσματα: J29

Παροχή Αιχμής(M3/S)	535.79
Χρονική στιγμή αιχμής	02Sep2000, 23:45
Όγκος(MM)	544.49

Απορροή



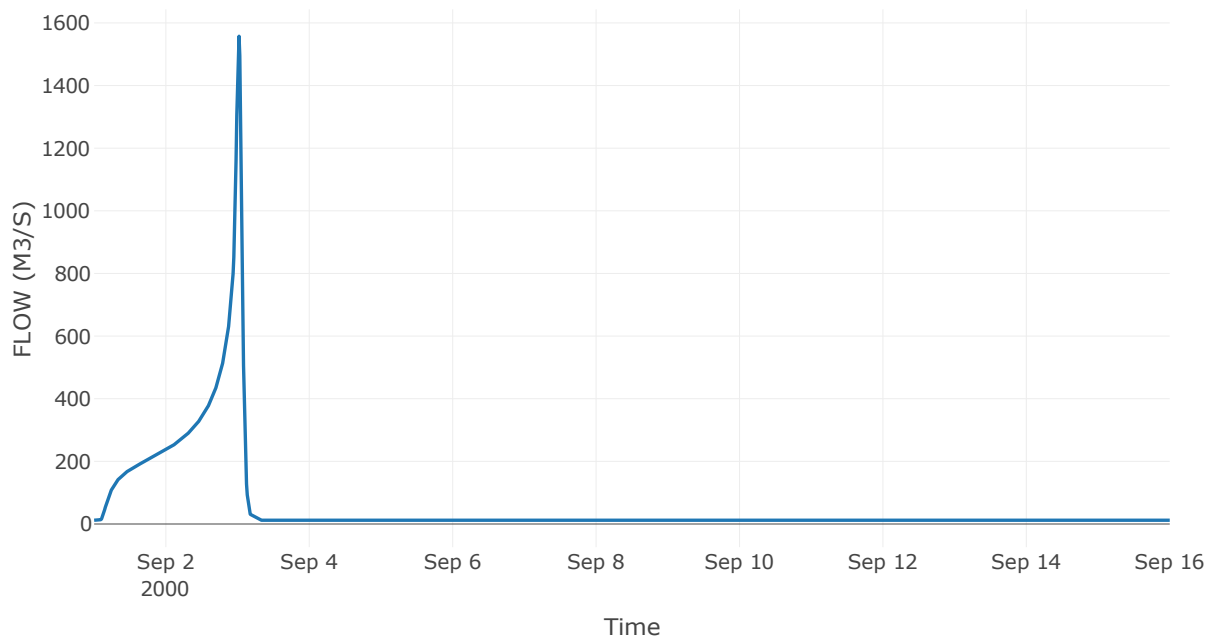
Κόμβος: J30

Κατάντη : R3022

Αποτελέσματα: J30

Παροχή Αιχμής(M3/S)	1557.5
Χρονική στιγμή αιχμής	03Sep2000, 00:30
Όγκος(MM)	605.8

Απορροή



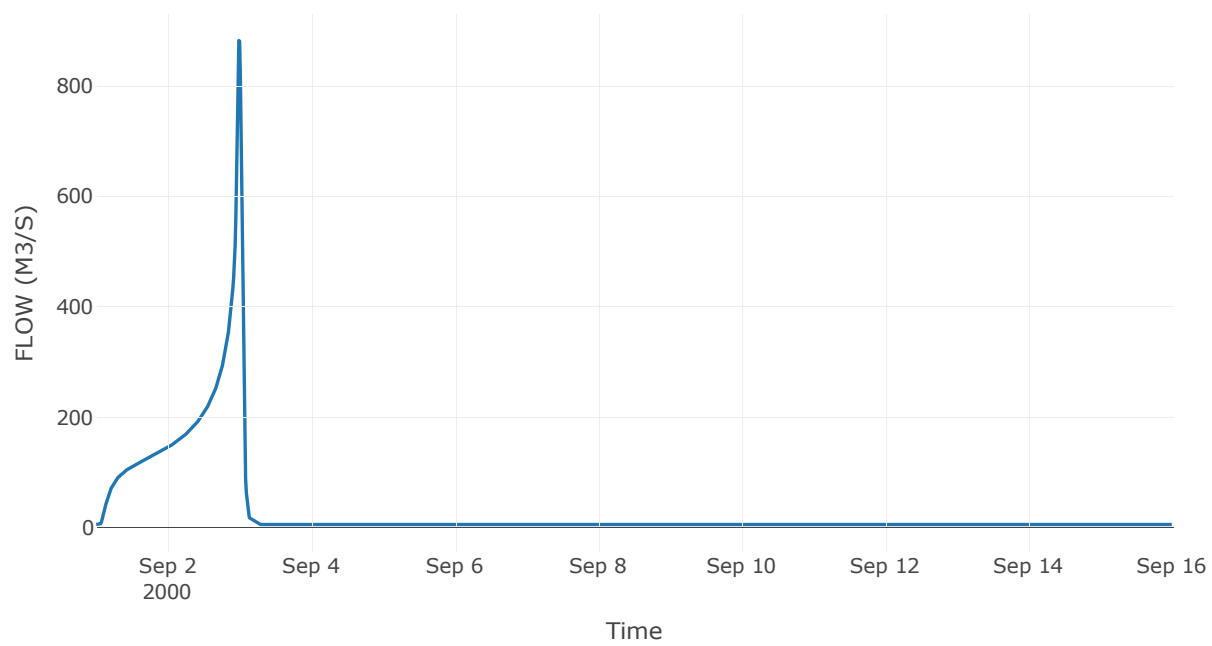
Κόμβος: J31

Κατάντη : R3130

Αποτελέσματα: J31

Παροχή Αιχμής(M3/S)	882.62
Χρονική στιγμή αιχμής	02Sep2000, 23:45
Όγκος(MM)	668.96

Απορροή



8 Δεδομένα εισόδου και αποτελέσματα υδρολογικού σεναρίου $T=1000$

8.1 Αποτελέσματα, υετογραφήματα και υδρογραφήματα σχεδιασμού υπολεκανών

Υπολεκάνη: EL0514FR003001

Έκταση (KM2) : 46.02

Κατάντη : J15

Μέθοδος Απωλειών: SCS

Ποσοστό αδιαπέρατης επιφάνειας	0
Αριθμός Καμπύλης Απορροής-CN	80.06
Αρχικές Απώλειες	12.65

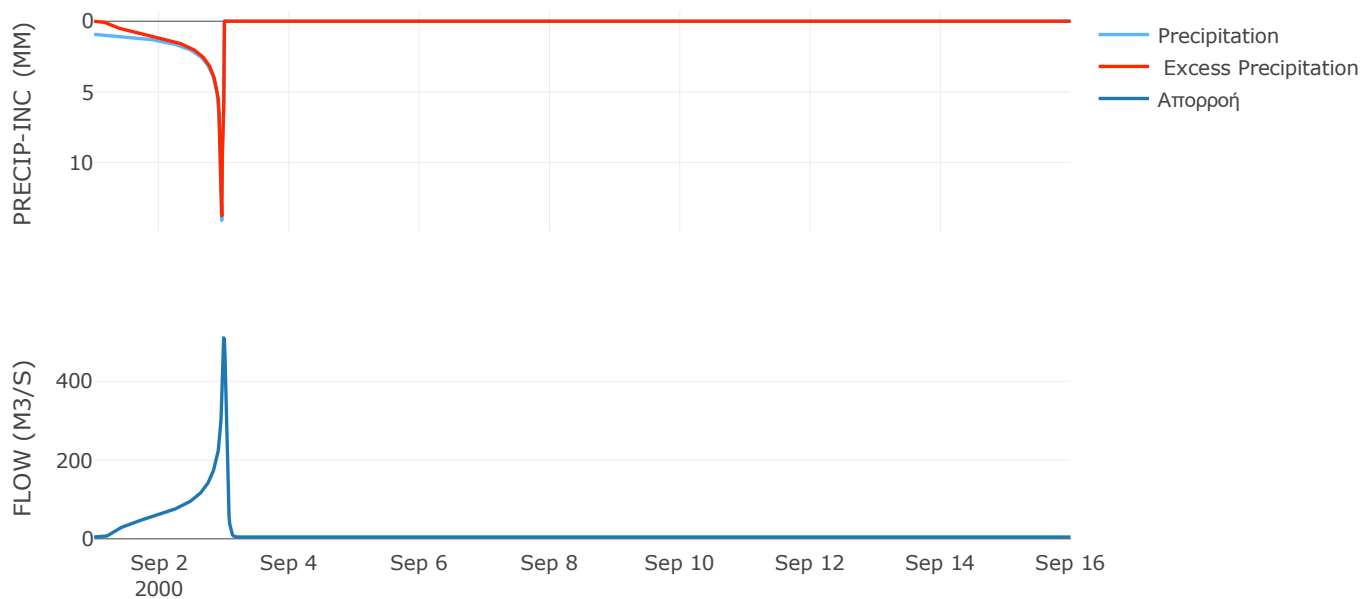
Μέθοδος
Μετασχηματισμού: SCS

Χρόνος Υστέρησης	48.19
------------------	-------

Αποτελέσματα:
EL0514FR003001

Παροχή αιχμής (M3/S)	510.12
Χρονική στιγμή αιχμής	02Sep2000, 23:45
Όγκος (MM)	449.7
Όγκος βροχόπτωσης (M3)	1.78E7
Όγκος απωλειών (M3)	3.07E6
Ενεργός Όγκος (M3)	1.47E7
Όγκος άμεσης απορροής (M3)	1.47E7
Όγκος βασικής απορροής (M3)	5.96E6

Βροχόπτωση και Απορροή



Υπολεκάνη: EL0514FR003002

Έκταση (KM2) : 33.64

Κατάντη : J15

Μέθοδος Απωλειών: SCS

Ποσοστό αδιαπέρατης επιφάνειας	0
Αριθμός Καμπύλης Απορροής-CN	80.04
Αρχικές Απώλειες	12.67

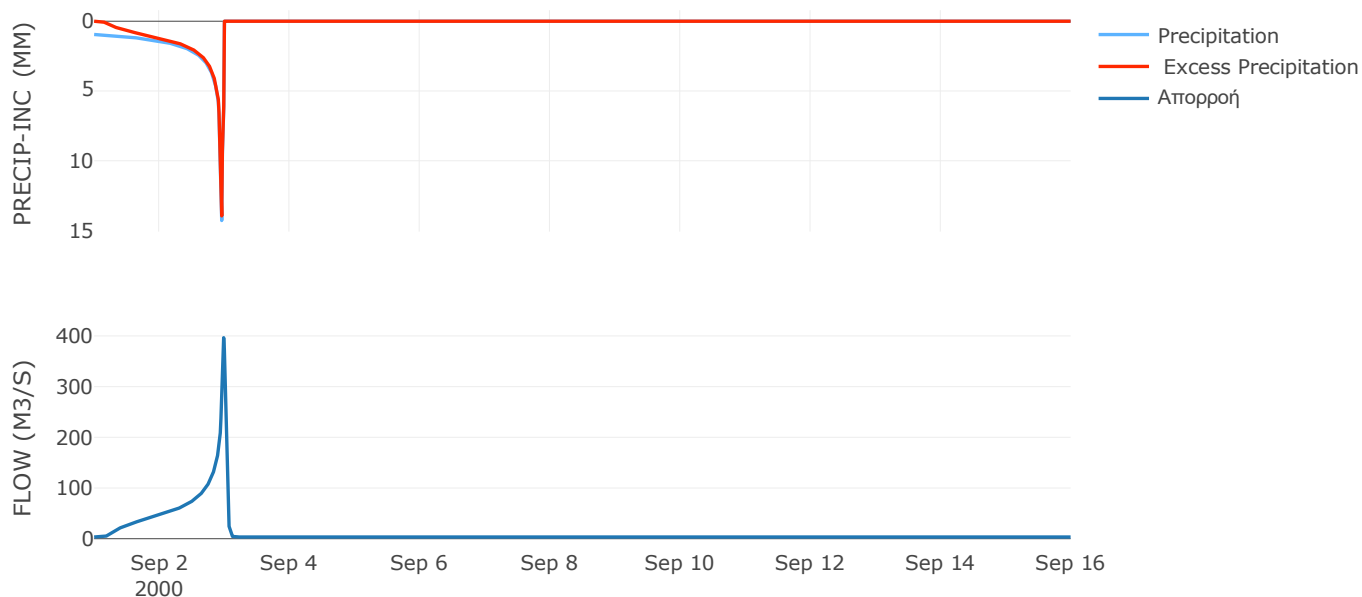
Μέθοδος
Μετασχηματισμού: SCS

Χρόνος Υστέρησης	40.08
------------------	-------

Αποτελέσματα:
EL0514FR003002

Παροχή αιχμής (M3/S)	396.5
Χρονική στιγμή αιχμής	02Sep2000, 23:45
Όγκος (MM)	457.44
Όγκος βροχόπτωσης (M3)	1.33E7
Όγκος απωλειών (M3)	2.25E6
Ενεργός Όγκος (M3)	1.1E7
Όγκος άμεσης απορροής (M3)	1.1E7
Όγκος βασικής απορροής (M3)	4.36E6

Βροχόπτωση και Απορροή



Υπολεκάνη: EL0514FR003003

Έκταση (KM2) : 51.67

Κατάντη : J14

Μέθοδος Απωλειών: SCS

Ποσοστό αδιαπέρατης επιφάνειας	0
Αριθμός Καμπύλης Απορροής-CN	74.74
Αρχικές Απώλειες	17.17

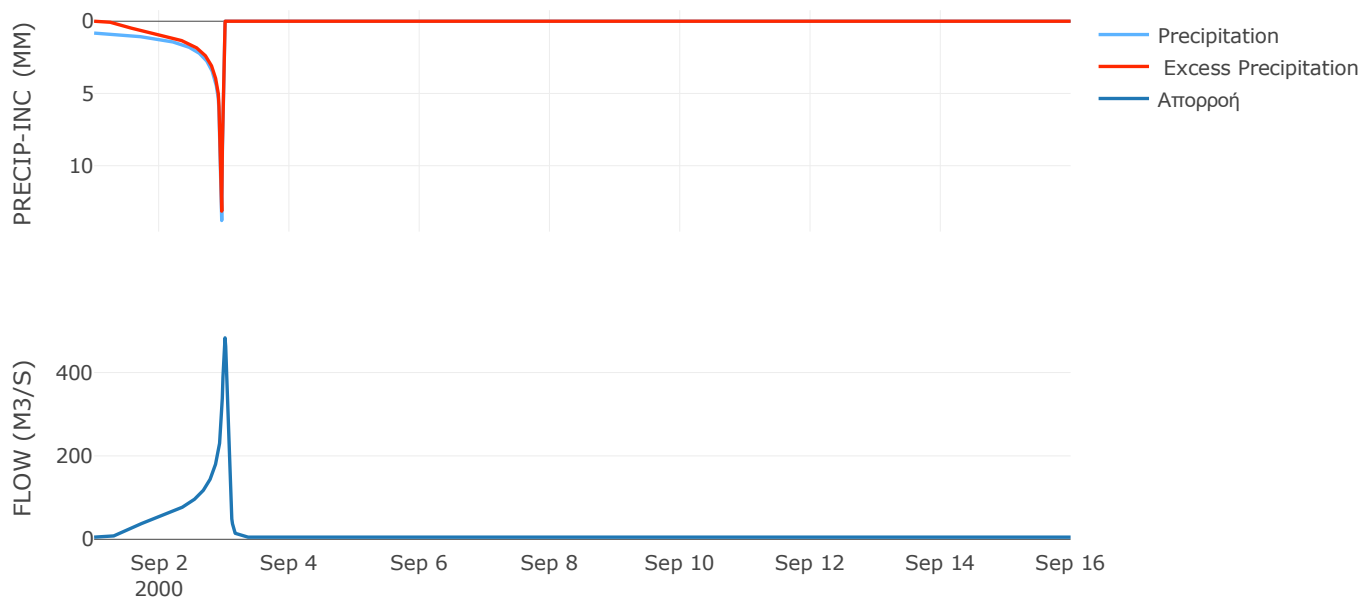
Μέθοδος
Μετασχηματισμού: SCS

Χρόνος Υστέρησης	72.28
------------------	-------

Αποτελέσματα:
EL0514FR003003

Παροχή αιχμής (M3/S)	483.09
Χρονική στιγμή αιχμής	03Sep2000, 00:15
Όγκος (MM)	399.49
Όγκος βροχόπτωσης (M3)	1.84E7
Όγκος απωλειών (M3)	4.43E6
Ενεργός Όγκος (M3)	1.39E7
Όγκος άμεσης απορροής (M3)	1.39E7
Όγκος βασικής απορροής (M3)	6.7E6

Βροχόπτωση και Απορροή



Υπολεκάνη: EL0514FR003004

Έκταση (KM2) : 62.35

Κατάντη : J14

Μέθοδος Απωλειών: SCS

Ποσοστό αδιαπέρατης επιφάνειας	0
Αριθμός Καμπύλης Απορροής-CN	80.65
Αρχικές Απώλειες	12.19

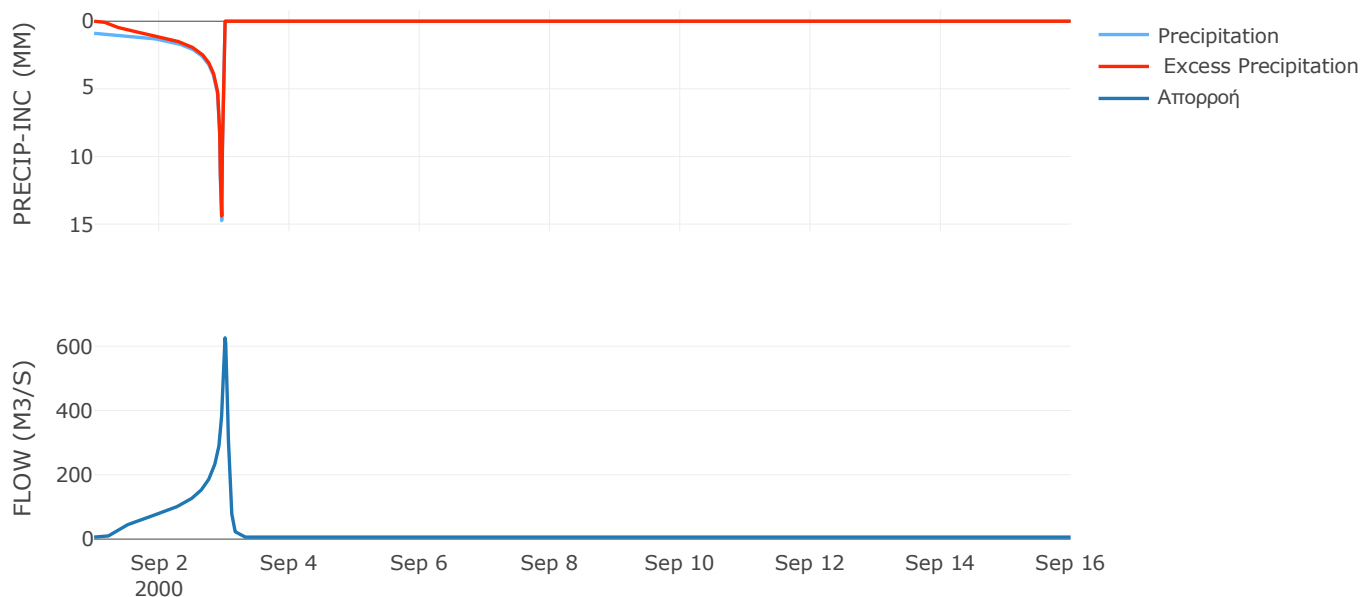
Μέθοδος
Μετασχηματισμού: SCS

Χρόνος Υστέρησης	77.39
------------------	-------

Αποτελέσματα:
EL0514FR003004

Παροχή αιχμής (M3/S)	626.2
Χρονική στιγμή αιχμής	03Sep2000, 00:15
Όγκος (MM)	449.35
Όγκος βροχόπτωσης (M3)	2.4E7
Όγκος απωλειών (M3)	4.02E6
Ενεργός Όγκος (M3)	1.99E7
Όγκος άμεσης απορροής (M3)	1.99E7
Όγκος βασικής απορροής (M3)	8.08E6

Βροχόπτωση και Απορροή



Υπολεκάνη: EL0514FR003005

Έκταση (KM2) : 0.91

Κατάντη : J13

Μέθοδος Απωλειών: SCS

Ποσοστό αδιαπέρατης επιφάνειας	0
Αριθμός Καμπύλης Απορροής-CN	80.87
Αρχικές Απώλειες	12.02

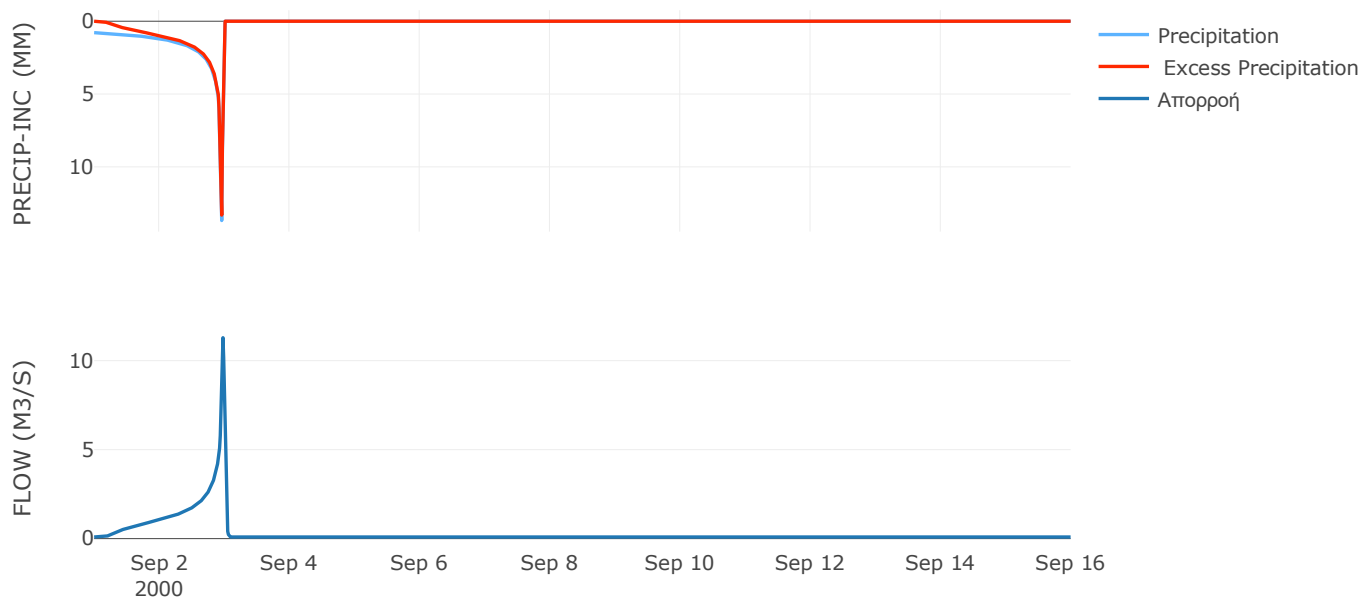
Μέθοδος
Μετασχηματισμού: SCS

Χρόνος Υστέρησης	24.16
------------------	-------

Αποτελέσματα:
EL0514FR003005

Παροχή αιχμής (M3/S)	11.29
Χρονική στιγμή αιχμής	02Sep2000, 23:30
Όγκος (MM)	410.81
Όγκος βροχόπτωσης (M3)	3.15E5
Όγκος απωλειών (M3)	57496.42
Ενεργός Όγκος (M3)	2.57E5
Όγκος άμεσης απορροής (M3)	2.57E5
Όγκος βασικής απορροής (M3)	1.18E5

Βροχόπτωση και Απορροή



Υπολεκάνη: EL0514FR003006

Έκταση (KM2) : 19.25

Κατάντη : J13

Μέθοδος Απωλειών: SCS

Ποσοστό αδιαπέρατης επιφάνειας	0
Αριθμός Καμπύλης Απορροής-CN	82.91
Αρχικές Απώλειες	10.47

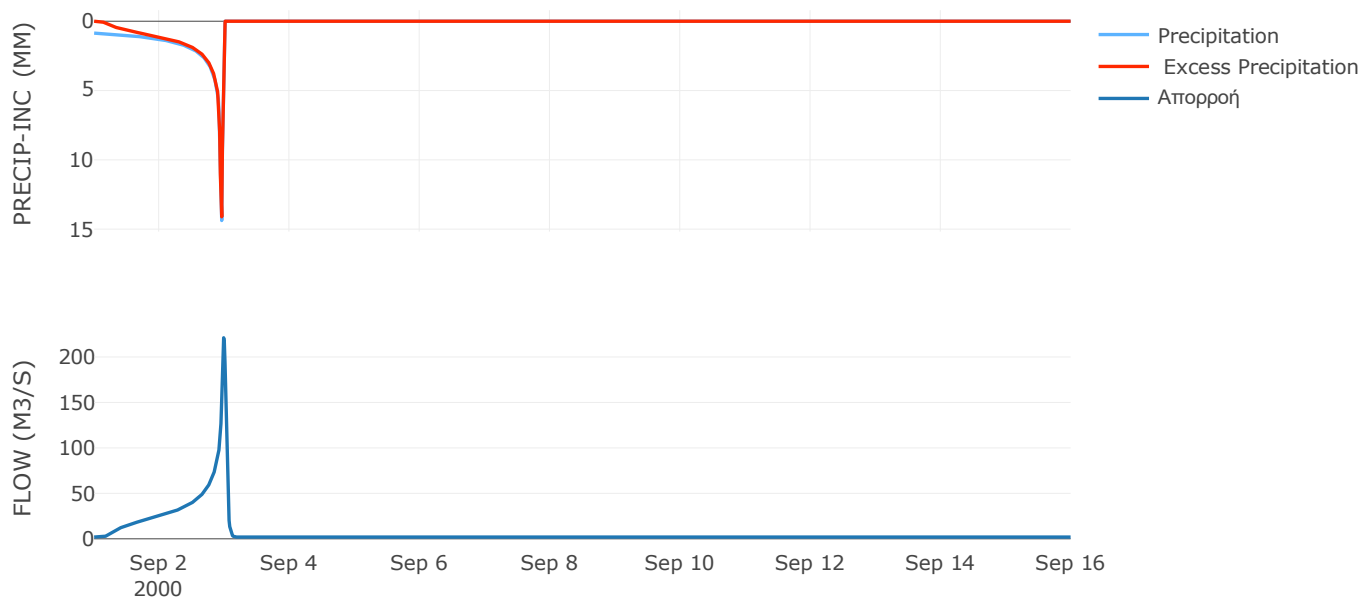
Μέθοδος
Μετασχηματισμού: SCS

Χρόνος Υστέρησης	45.73
------------------	-------

Αποτελέσματα:
EL0514FR003006

Παροχή αιχμής (M3/S)	221.16
Χρονική στιγμή αιχμής	02Sep2000, 23:45
Όγκος (MM)	444.79
Όγκος βροχόπτωσης (M3)	7.15E6
Όγκος απωλειών (M3)	1.08E6
Ενεργός Όγκος (M3)	6.07E6
Όγκος άμεσης απορροής (M3)	6.07E6
Όγκος βασικής απορροής (M3)	2.5E6

Βροχόπτωση και Απορροή



Υπολεκάνη: EL0514FR003007

Έκταση (KM2) : 23.36

Κατάντη : J12

Μέθοδος Απωλειών: SCS

Ποσοστό αδιαπέρατης επιφάνειας	0
Αριθμός Καμπύλης Απορροής-CN	82.07
Αρχικές Απώλειες	11.1

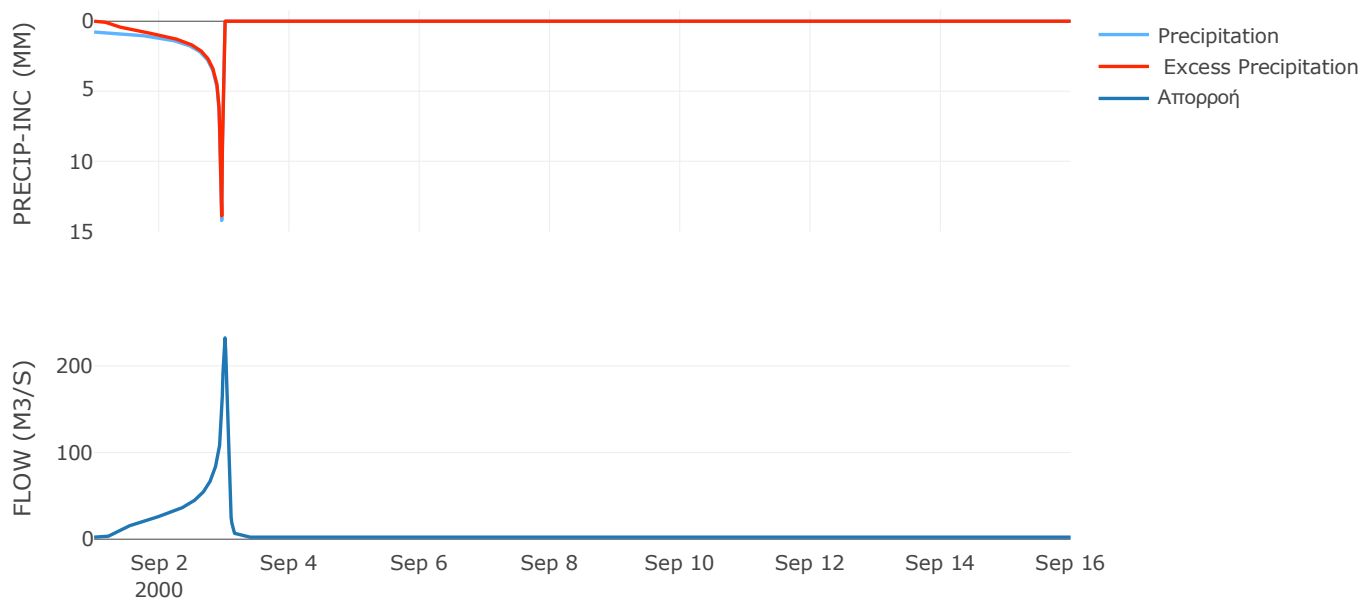
Μέθοδος
Μετασχηματισμού: SCS

Χρόνος Υστέρησης	67.75
------------------	-------

Αποτελέσματα:
EL0514FR003007

Παροχή αιχμής (M3/S)	232.34
Χρονική στιγμή αιχμής	03Sep2000, 00:15
Όγκος (MM)	417.19
Όγκος βροχόπτωσης (M3)	8.09E6
Όγκος απωλειών (M3)	1.37E6
Ενεργός Όγκος (M3)	6.72E6
Όγκος άμεσης απορροής (M3)	6.72E6
Όγκος βασικής απορροής (M3)	3.03E6

Βροχόπτωση και Απορροή



Υπολεκάνη: EL0514FR003008

Έκταση (KM2) : 46.02

Κατάντη : J12

Μέθοδος Απωλειών: SCS

Ποσοστό αδιαπέρατης επιφάνειας	0
Αριθμός Καμπύλης Απορροής-CN	75.78
Αρχικές Απώλειες	16.24

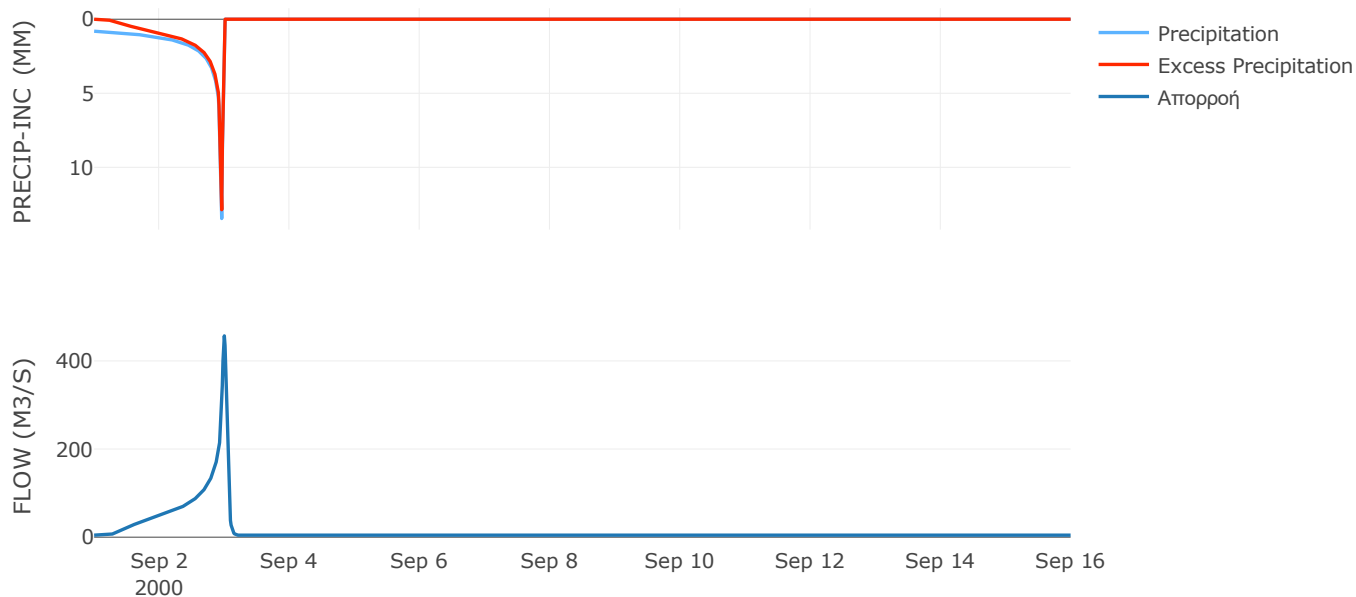
Μέθοδος
Μετασχηματισμού: SCS

Χρόνος Υστέρησης	56.24
------------------	-------

Αποτελέσματα:
EL0514FR003008

Παροχή αιχμής (M3/S)	456.83
Χρονική στιγμή αιχμής	02Sep2000, 24:00
Όγκος (MM)	396.78
Όγκος βροχόπτωσης (M3)	1.6E7
Όγκος απωλειών (M3)	3.75E6
Ενεργός Όγκος (M3)	1.23E7
Όγκος άμεσης απορροής (M3)	1.23E7
Όγκος βασικής απορροής (M3)	5.96E6

Βροχόπτωση και Απορροή



Υπολεκάνη: EL0514FR003009

Έκταση (KM2) : 18.07

Κατάνη : J17

Μέθοδος Απωλειών: SCS

Ποσοστό αδιαπέρατης επιφάνειας	0
Αριθμός Καμπύλης Απορροής-CN	61.49
Αρχικές Απώλειες	31.82

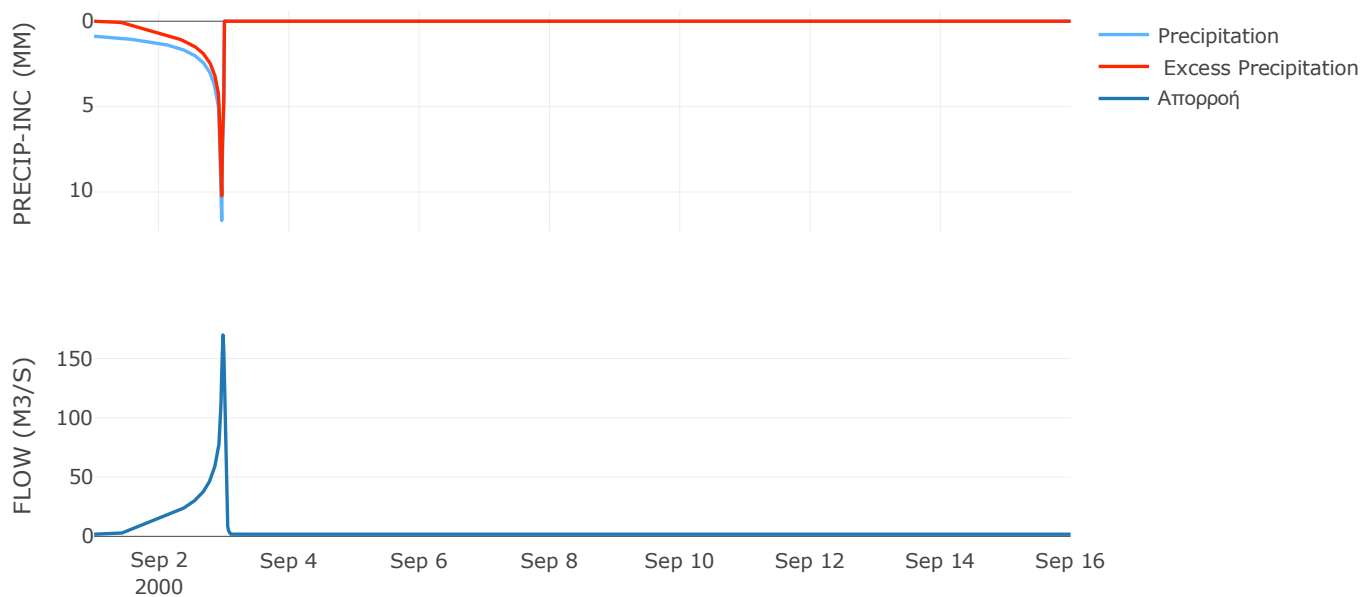
Μέθοδος
Μετασχηματισμού: SCS

Χρόνος Υστέρησης	26.17
------------------	-------

Αποτελέσματα:
EL0514FR003009

Παροχή αιχμής (M3/S)	169.93
Χρονική στιγμή αιχμής	02Sep2000, 23:30
Όγκος (MM)	341.52
Όγκος βροχόπτωσης (M3)	6.32E6
Όγκος απωλειών (M3)	2.49E6
Ενεργός Όγκος (M3)	3.83E6
Όγκος άμεσης απορροής (M3)	3.83E6
Όγκος βασικής απορροής (M3)	2.34E6

Βροχόπτωση και Απορροή



Υπολεκάνη: EL0514FR003010

Έκταση (KM2) : 90.5

Κατάληξη : J17

Μέθοδος Απωλειών: SCS

Ποσοστό αδιαπέρατης επιφάνειας	0
Αριθμός Καμπύλης Απορροής-CN	75.12
Αρχικές Απώλειες	16.82

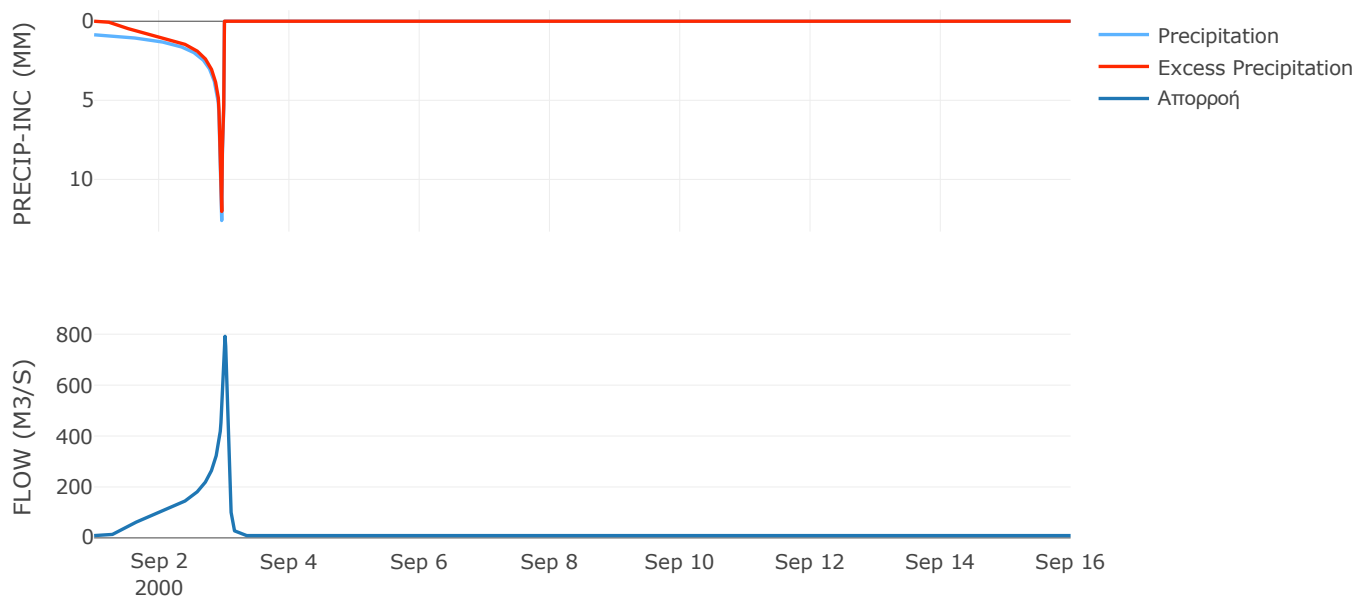
Μέθοδος
Μετασχηματισμού: SCS

Χρόνος Υστέρησης	70.63
------------------	-------

Αποτελέσματα:
EL0514FR003010

Παροχή αιχμής (M3/S)	791.92
Χρονική στιγμή αιχμής	03Sep2000, 00:15
Όγκος (MM)	398.66
Όγκος βροχόπτωσης (M3)	3.2E7
Όγκος απωλειών (M3)	7.61E6
Ενεργός Όγκος (M3)	2.43E7
Όγκος άμεσης απορροής (M3)	2.43E7
Όγκος βασικής απορροής (M3)	1.17E7

Βροχόπτωση και Απορροή



Υπολεκάνη: EL0514FR003011

Έκταση (KM2) : 26.55

Κατάντη : J18

Μέθοδος Απωλειών: SCS

Ποσοστό αδιαπέρατης επιφάνειας	0
Αριθμός Καμπύλης Απορροής-CN	81.79
Αρχικές Απώλειες	11.31

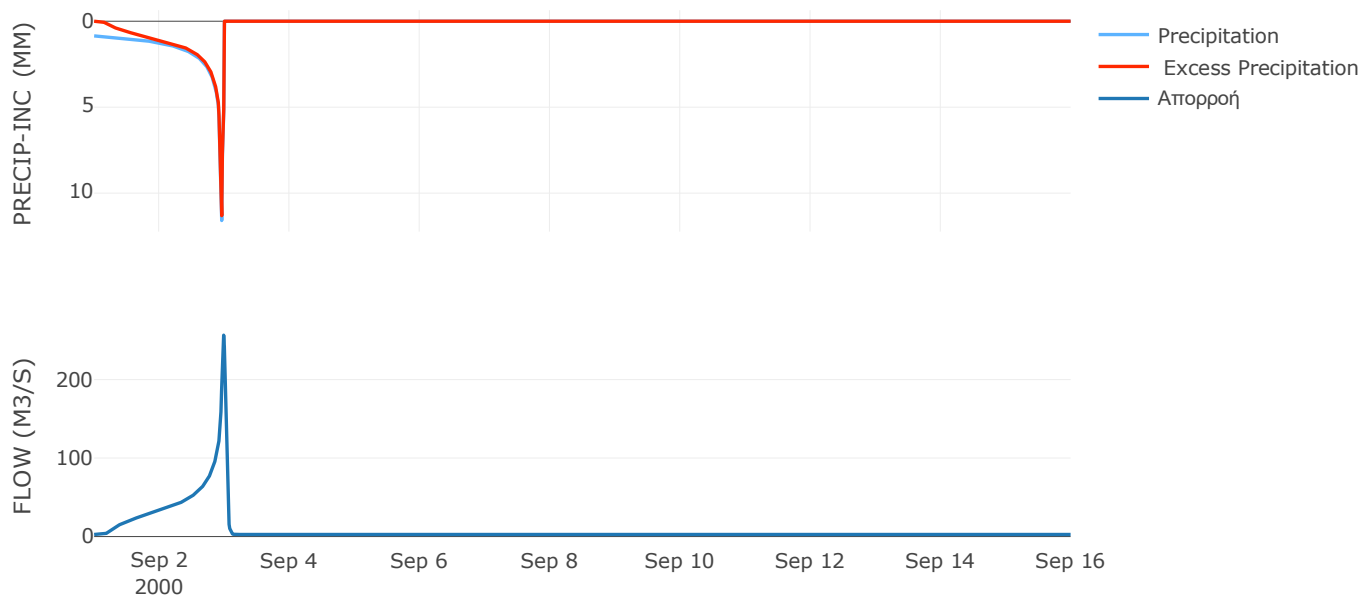
Μέθοδος
Μετασχηματισμού: SCS

Χρόνος Υστέρησης	39.38
------------------	-------

Αποτελέσματα:
EL0514FR003011

Παροχή αιχμής (M3/S)	256.53
Χρονική στιγμή αιχμής	02Sep2000, 23:45
Όγκος (MM)	412.51
Όγκος βροχόπτωσης (M3)	9.1E6
Όγκος απωλειών (M3)	1.58E6
Ενεργός Όγκος (M3)	7.51E6
Όγκος άμεσης απορροής (M3)	7.51E6
Όγκος βασικής απορροής (M3)	3.44E6

Βροχόπτωση και Απορροή



Υπολεκάνη: EL0514FR003012

Έκταση (KM2) : 29.39

Κατάνη : J18

Μέθοδος Απωλειών: SCS

Ποσοστό αδιαπέρατης επιφάνειας	0
Αριθμός Καμπύλης Απορροής-CN	77.63
Αρχικές Απώλειες	14.63

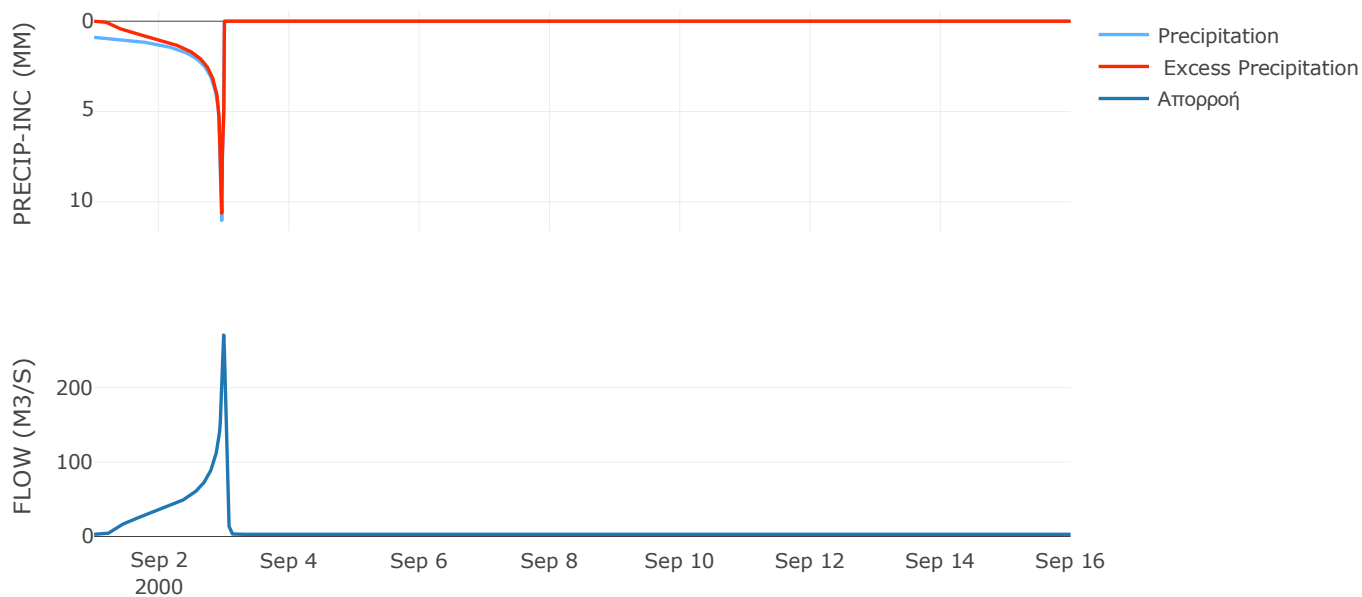
Μέθοδος
Μετασχηματισμού: SCS

Χρόνος Υστέρησης	36.73
------------------	-------

Αποτελέσματα:
EL0514FR003012

Παροχή αιχμής (M3/S)	270.87
Χρονική στιγμή αιχμής	02Sep2000, 23:45
Όγκος (MM)	401.84
Όγκος βροχόπτωσης (M3)	1.02E7
Όγκος απωλειών (M3)	2.19E6
Ενεργός Όγκος (M3)	8E6
Όγκος άμεσης απορροής (M3)	8E6
Όγκος βασικής απορροής (M3)	3.81E6

Βροχόπτωση και Απορροή



Υπολεκάνη: EL0514FR003013

Έκταση (KM2) : 44.12

Κατάνη : J11

Μέθοδος Απωλειών: SCS

Ποσοστό αδιαπέρατης επιφάνειας	0
Αριθμός Καμπύλης Απορροής-CN	78.89
Αρχικές Απώλειες	13.6

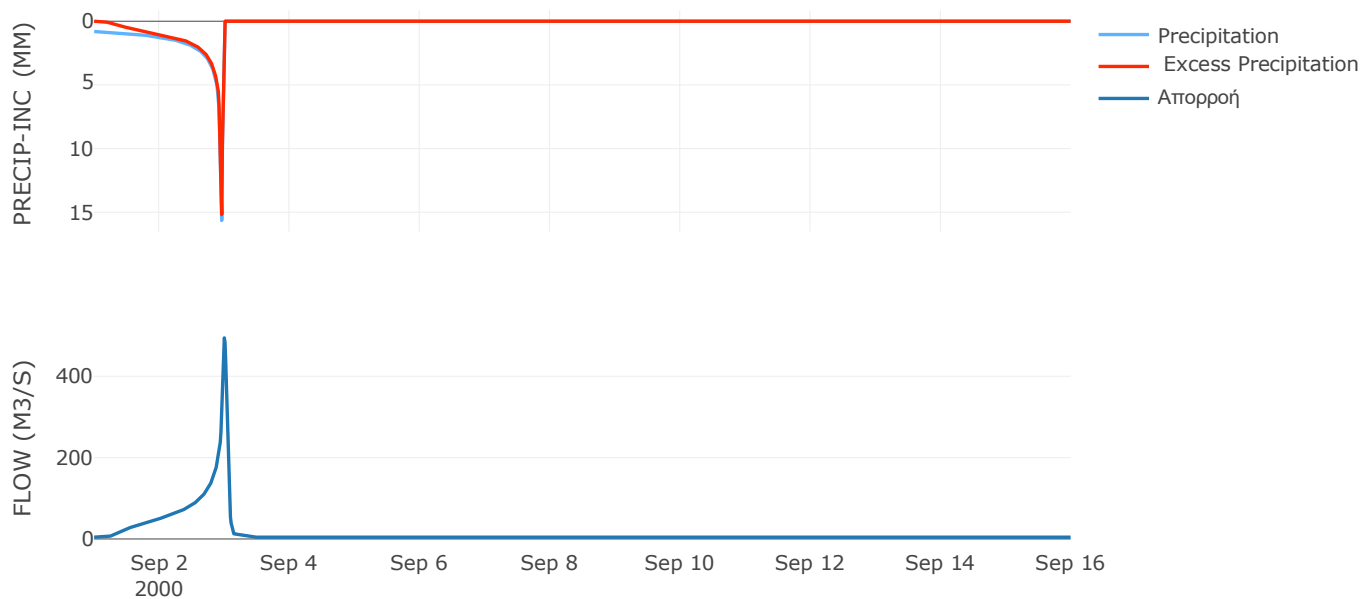
Μέθοδος
Μετασχηματισμού: SCS

Χρόνος Υστέρησης	61.84
------------------	-------

Αποτελέσματα:
EL0514FR003013

Παροχή αιχμής (M3/S)	494.28
Χρονική στιγμή αιχμής	02Sep2000, 24:00
Όγκος (MM)	427.57
Όγκος βροχόπτωσης (M3)	1.63E7
Όγκος απωλειών (M3)	3.12E6
Ενεργός Όγκος (M3)	1.31E7
Όγκος άμεσης απορροής (M3)	1.31E7
Όγκος βασικής απορροής (M3)	5.72E6

Βροχόπτωση και Απορροή



Υπολεκάνη: EL0514FR003014

Έκταση (KM2) : 22.29

Κατάνη : J11

Μέθοδος Απωλειών: SCS

Ποσοστό αδιαπέρατης επιφάνειας	0
Αριθμός Καμπύλης Απορροής-CN	67.84
Αρχικές Απώλειες	24.08

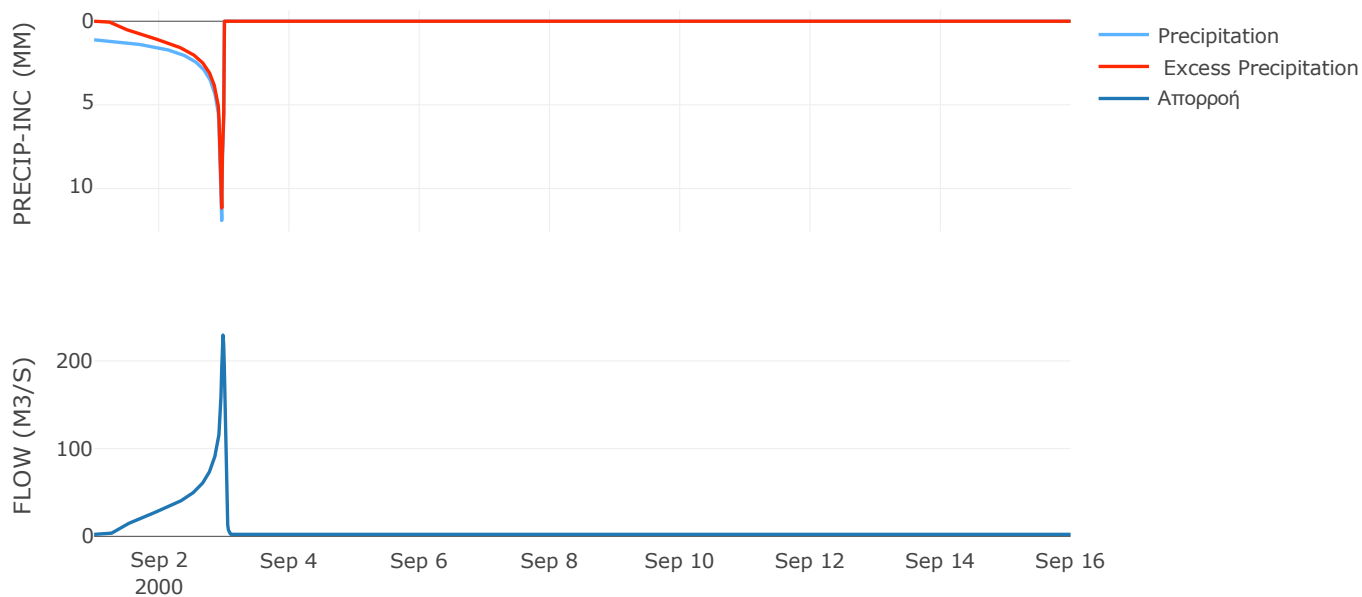
Μέθοδος
Μετασχηματισμού: SCS

Χρόνος Υστέρησης	26.81
------------------	-------

Αποτελέσματα:
EL0514FR003014

Παροχή αιχμής (M3/S)	229.49
Χρονική στιγμή αιχμής	02Sep2000, 23:30
Όγκος (MM)	425.11
Όγκος βροχόπτωσης (M3)	9.17E6
Όγκος απωλειών (M3)	2.58E6
Ενεργός Όγκος (M3)	6.59E6
Όγκος άμεσης απορροής (M3)	6.59E6
Όγκος βασικής απορροής (M3)	2.89E6

Βροχόπτωση και Απορροή



Υπολεκάνη: EL0514FR003015

Έκταση (KM2) : 51.11

Κατάντη : J21

Μέθοδος Απωλειών: SCS

Ποσοστό αδιαπέρατης επιφάνειας	0
Αριθμός Καμπύλης Απορροής-CN	64.31
Αρχικές Απώλειες	28.19

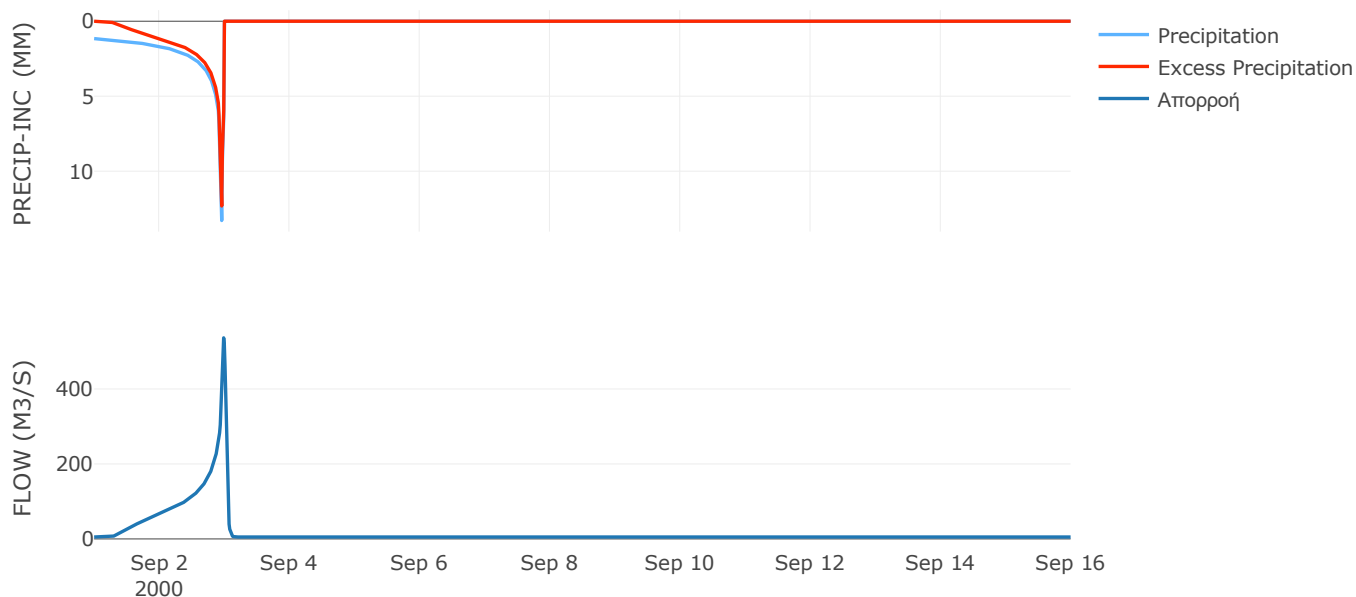
Μέθοδος
Μετασχηματισμού: SCS

Χρόνος Υστέρησης	41.84
------------------	-------

Αποτελέσματα:
EL0514FR003015

Παροχή αιχμής (M3/S)	536.46
Χρονική στιγμή αιχμής	02Sep2000, 23:45
Όγκος (MM)	435.24
Όγκος βροχόπτωσης (M3)	2.24E7
Όγκος απωλειών (M3)	6.8E6
Ενεργός Όγκος (M3)	1.56E7
Όγκος άμεσης απορροής (M3)	1.56E7
Όγκος βασικής απορροής (M3)	6.62E6

Βροχόπτωση και Απορροή



Υπολεκάνη: EL0514FR003016

Έκταση (KM2) : 20.25

Κατάντη : J21

Μέθοδος Απωλειών: SCS

Ποσοστό αδιαπέρατης επιφάνειας	0
Αριθμός Καμπύλης Απορροής-CN	67.39
Αρχικές Απώλειες	24.58

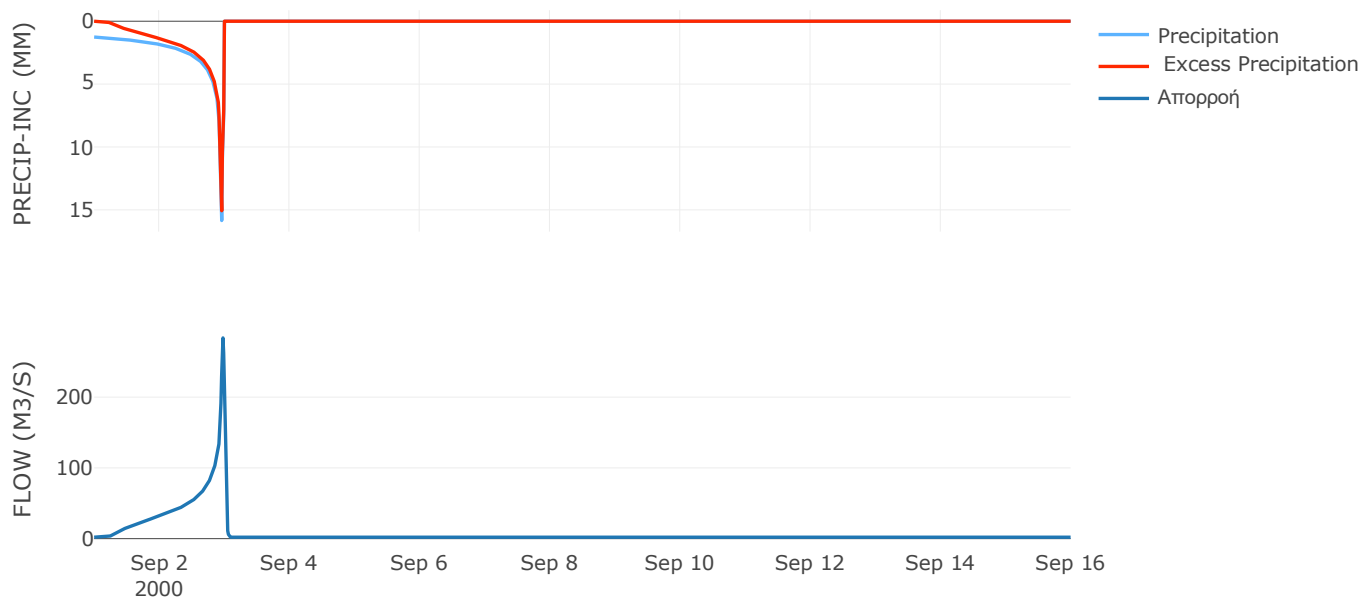
Μέθοδος
Μετασχηματισμού: SCS

Χρόνος Υστέρησης	24.46
------------------	-------

Αποτελέσματα:
EL0514FR003016

Παροχή αιχμής (M3/S)	283.73
Χρονική στιγμή αιχμής	02Sep2000, 23:30
Όγκος (MM)	499.43
Όγκος βροχόπτωσης (M3)	9.96E6
Όγκος απωλειών (M3)	2.47E6
Ενεργός Όγκος (M3)	7.49E6
Όγκος άμεσης απορροής (M3)	7.49E6
Όγκος βασικής απορροής (M3)	2.62E6

Βροχόπτωση και Απορροή



Υπολεκάνη: EL0514FR003017

Έκταση (KM2) : 26.55

Κατάντη : J21

Μέθοδος Απωλειών: SCS

Ποσοστό αδιαπέρατης επιφάνειας	0
Αριθμός Καμπύλης Απορροής-CN	70.66
Αρχικές Απώλειες	21.1

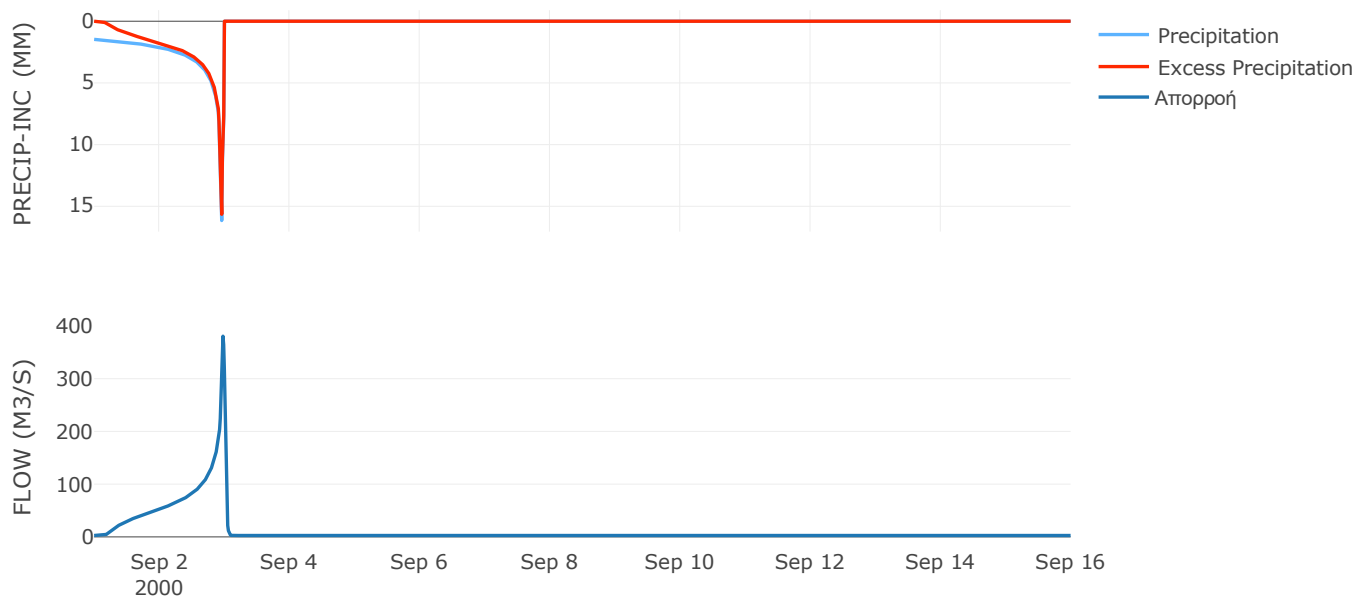
Μέθοδος
Μετασχηματισμού: SCS

Χρόνος Υστέρησης	27.46
------------------	-------

Αποτελέσματα:
EL0514FR003017

Παροχή αιχμής (M3/S)	380.62
Χρονική στιγμή αιχμής	02Sep2000, 23:30
Όγκος (MM)	568.85
Όγκος βροχόπτωσης (M3)	1.46E7
Όγκος απωλειών (M3)	2.89E6
Ενεργός Όγκος (M3)	1.17E7
Όγκος άμεσης απορροής (M3)	1.17E7
Όγκος βασικής απορροής (M3)	3.44E6

Βροχόπτωση και Απορροή



Υπολεκάνη: EL0514FR003018

Έκταση (KM2) : 4.66

Κατάντη : J20

Μέθοδος Απωλειών: SCS

Ποσοστό αδιαπέρατης επιφάνειας	0
Αριθμός Καμπύλης Απορροής-CN	70.44
Αρχικές Απώλειες	21.32

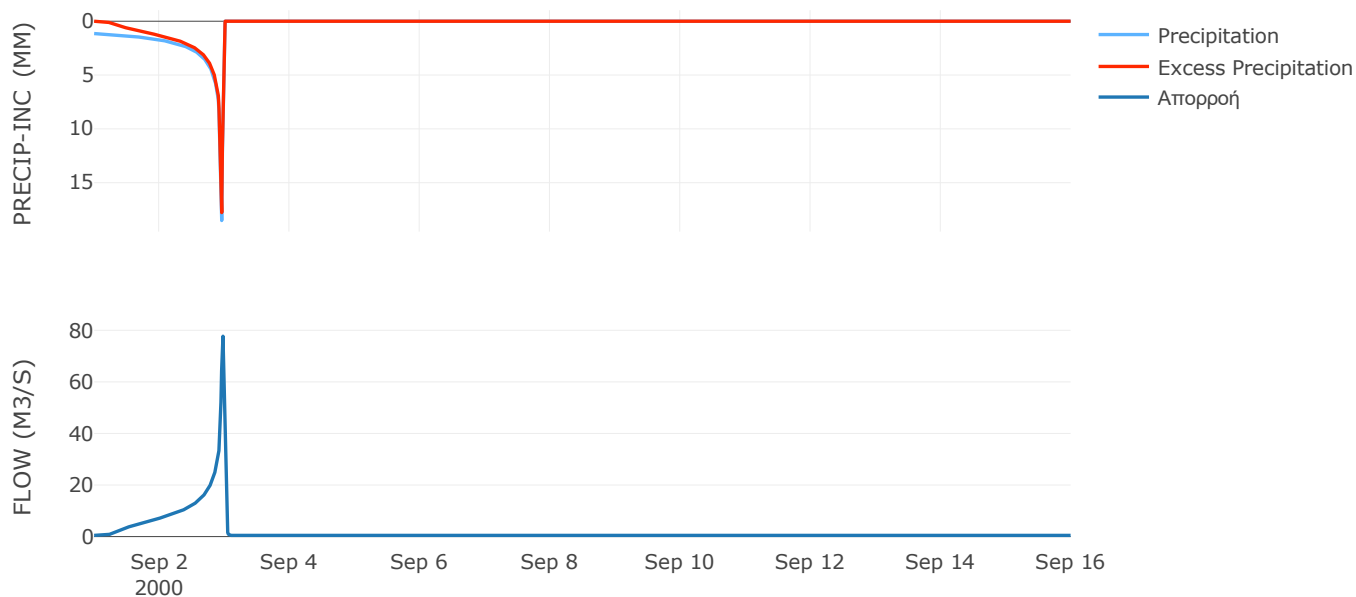
Μέθοδος
Μετασχηματισμού: SCS

Χρόνος Υστέρησης	20.28
------------------	-------

Αποτελέσματα:
EL0514FR003018

Παροχή αιχμής (M3/S)	77.71
Χρονική στιγμή αιχμής	02Sep2000, 23:30
Όγκος (MM)	509.81
Όγκος βροχόπτωσης (M3)	2.27E6
Όγκος απωλειών (M3)	5.04E5
Ενεργός Όγκος (M3)	1.77E6
Όγκος άμεσης απορροής (M3)	1.77E6
Όγκος βασικής απορροής (M3)	6.04E5

Βροχόπτωση και Απορροή



Υπολεκάνη: EL0514FR003019

Έκταση (KM2) : 56.36

Κατάντη : J20

Μέθοδος Απωλειών: SCS

Ποσοστό αδιαπέρατης επιφάνειας	0
Αριθμός Καμπύλης Απορροής-CN	81.74
Αρχικές Απώλειες	11.35

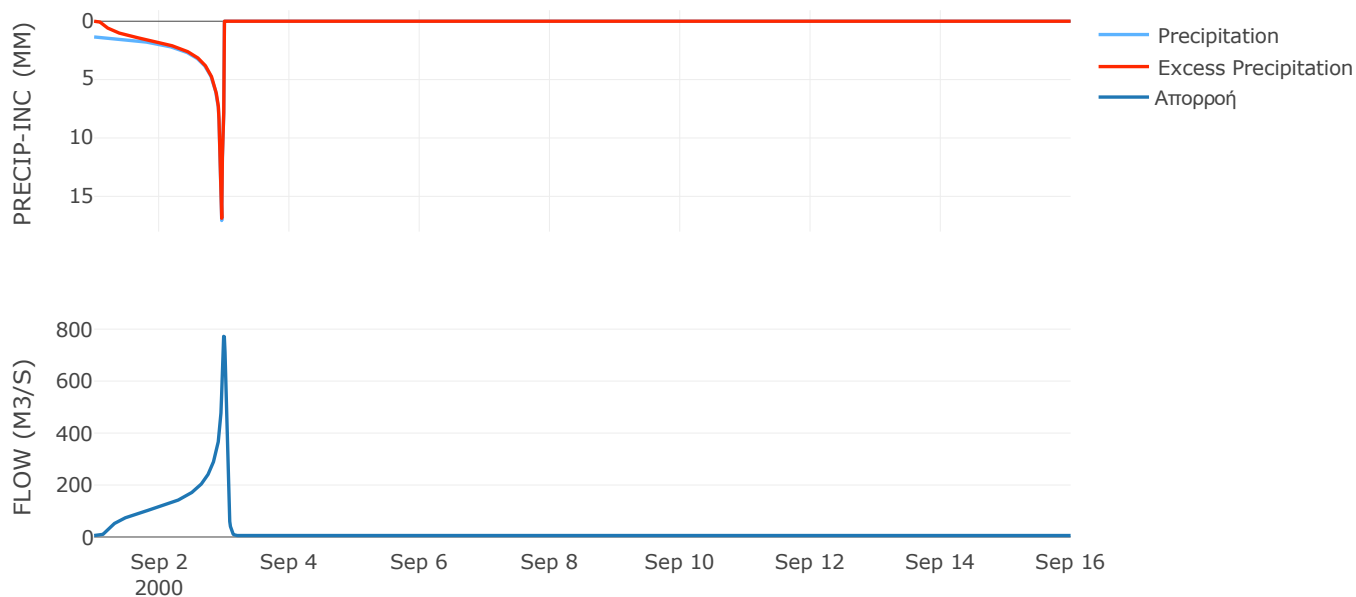
Μέθοδος
Μετασχηματισμού: SCS

Χρόνος Υστέρησης	49.04
------------------	-------

Αποτελέσματα:
EL0514FR003019

Παροχή αιχμής (M3/S)	772.21
Χρονική στιγμή αιχμής	02Sep2000, 23:45
Όγκος (MM)	595.11
Όγκος βροχόπτωσης (M3)	2.98E7
Όγκος απωλειών (M3)	3.52E6
Ενεργός Όγκος (M3)	2.62E7
Όγκος άμεσης απορροής (M3)	2.62E7
Όγκος βασικής απορροής (M3)	7.3E6

Βροχόπτωση και Απορροή



Υπολεκάνη: EL0514FR003020

Έκταση (KM2) : 10.48

Κατάντη : J19

Μέθοδος Απωλειών: SCS

Ποσοστό αδιαπέρατης επιφάνειας	0
Αριθμός Καμπύλης Απορροής-CN	80.78
Αρχικές Απώλειες	12.09

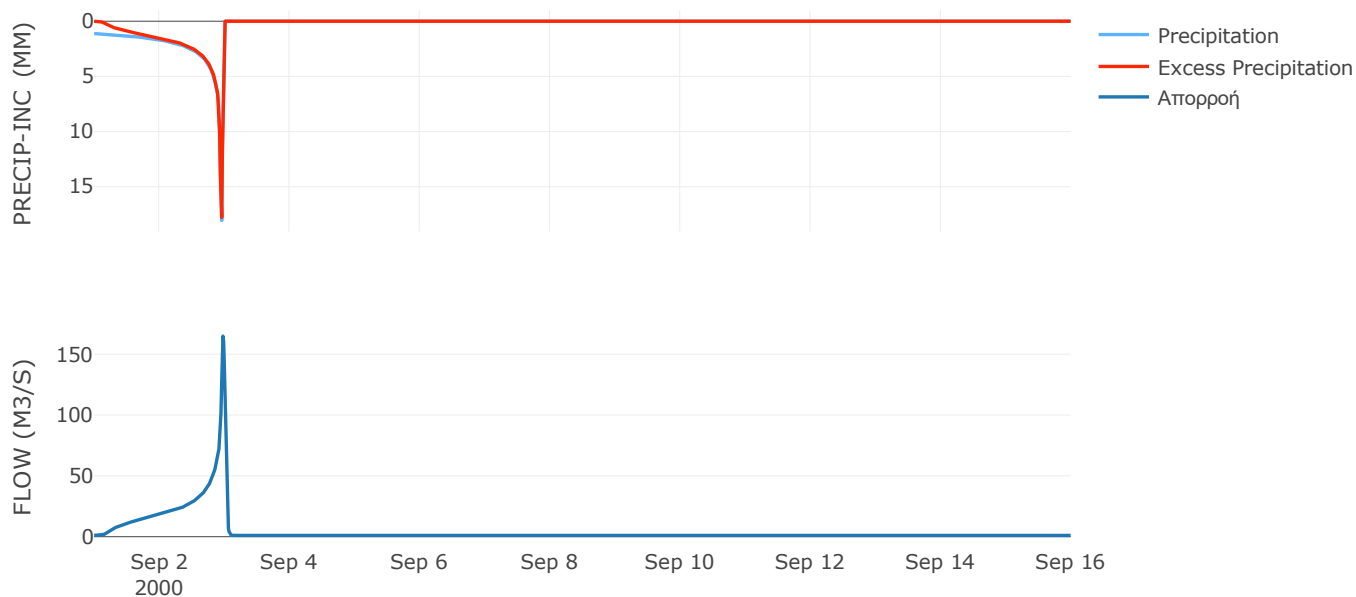
Μέθοδος
Μετασχηματισμού: SCS

Χρόνος Υστέρησης	31.01
------------------	-------

Αποτελέσματα:
EL0514FR003020

Παροχή αιχμής (M3/S)	164.86
Χρονική στιγμή αιχμής	02Sep2000, 23:30
Όγκος (MM)	540.84
Όγκος βροχόπτωσης (M3)	5E6
Όγκος απωλειών (M3)	6.87E5
Ενεργός Όγκος (M3)	4.31E6
Όγκος άμεσης απορροής (M3)	4.31E6
Όγκος βασικής απορροής (M3)	1.36E6

Βροχόπτωση και Απορροή



Υπολεκάνη: EL0514FR003021

Έκταση (KM2) : 14.84

Κατάντη : J19

Μέθοδος Απωλειών: SCS

Ποσοστό αδιαπέρατης επιφάνειας	0
Αριθμός Καμπύλης Απορροής-CN	80.34
Αρχικές Απώλειες	12.43

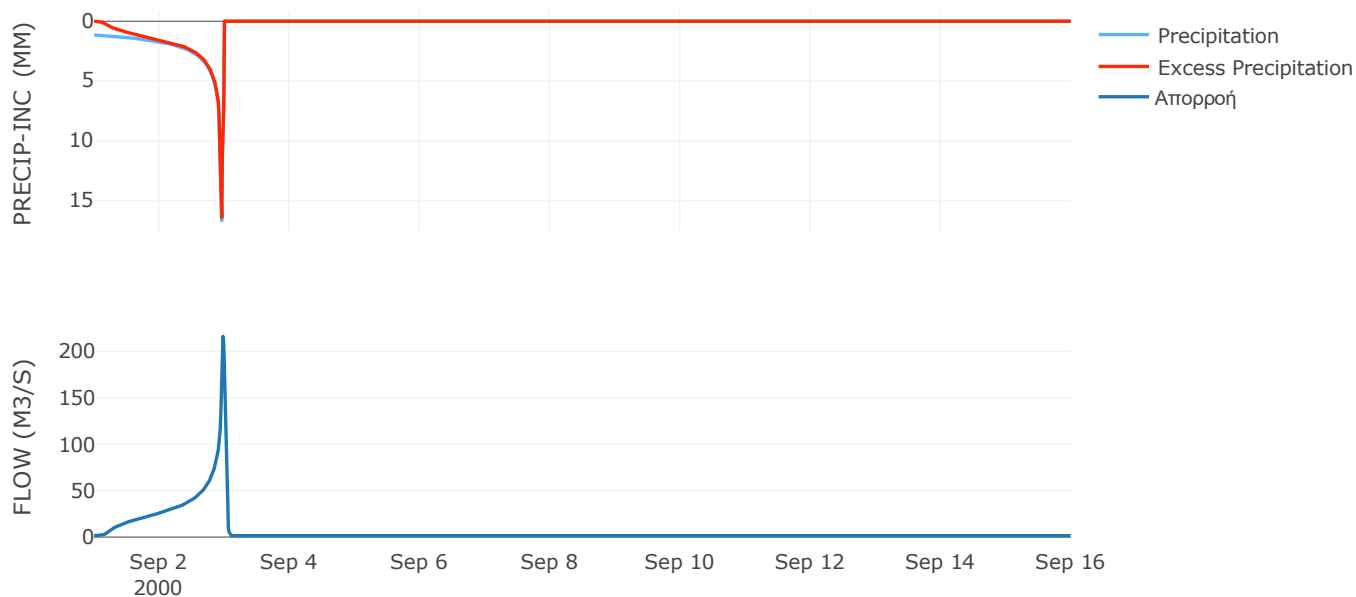
Μέθοδος
Μετασχηματισμού: SCS

Χρόνος Υστέρησης	30.68
------------------	-------

Αποτελέσματα:
EL0514FR003021

Παροχή αιχμής (M3/S)	215.96
Χρονική στιγμή αιχμής	02Sep2000, 23:30
Όγκος (MM)	533.29
Όγκος βροχόπτωσης (M3)	6.99E6
Όγκος απωλειών (M3)	9.97E5
Ενεργός Όγκος (M3)	5.99E6
Όγκος άμεσης απορροής (M3)	5.99E6
Όγκος βασικής απορροής (M3)	1.92E6

Βροχόπτωση και Απορροή



Υπολεκάνη: EL0514FR003022

Έκταση (KM2) : 68.59

Κατάντη : J10

Μέθοδος Απωλειών: SCS

Ποσοστό αδιαπέρατης επιφάνειας	0
Αριθμός Καμπύλης Απορροής-CN	61.34
Αρχικές Απώλειες	32.02

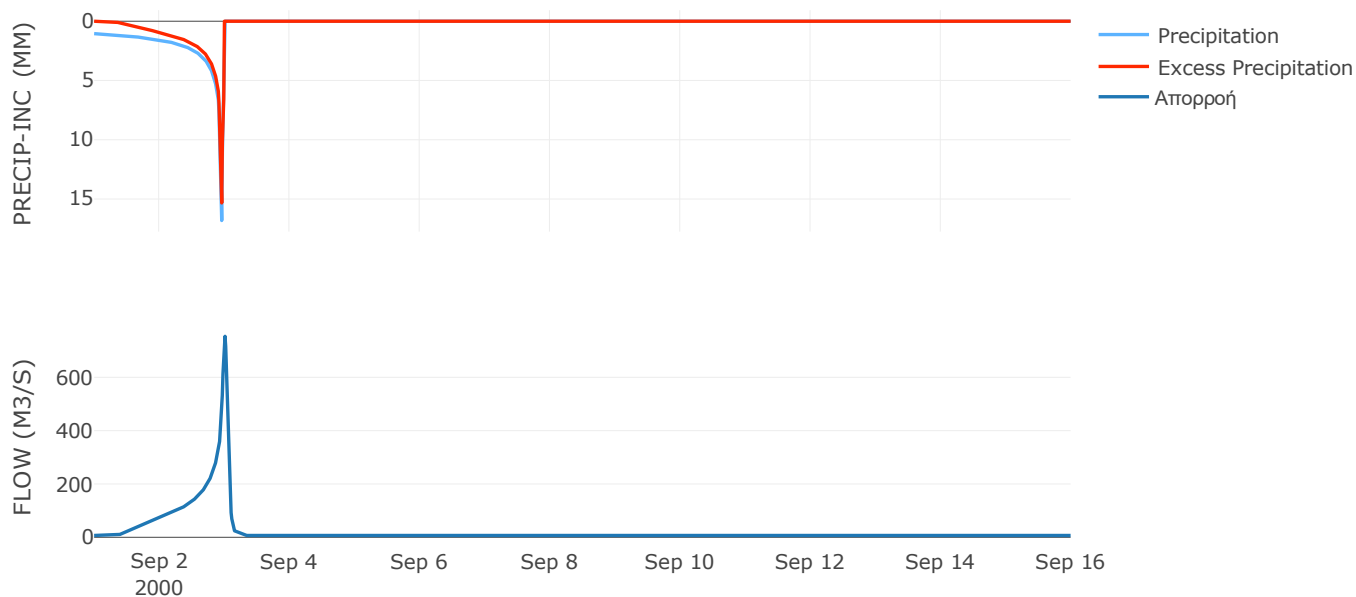
Μέθοδος
Μετασχηματισμού: SCS

Χρόνος Υστέρησης	70.35
------------------	-------

Αποτελέσματα:
EL0514FR003022

Παροχή αιχμής (M3/S)	753.99
Χρονική στιγμή αιχμής	03Sep2000, 00:15
Όγκος (MM)	427.89
Όγκος βροχόπτωσης (M3)	3.06E7
Όγκος απωλειών (M3)	1.01E7
Ενεργός Όγκος (M3)	2.05E7
Όγκος άμεσης απορροής (M3)	2.05E7
Όγκος βασικής απορροής (M3)	8.89E6

Βροχόπτωση και Απορροή



Υπολεκάνη: EL0514FR003024

Έκταση (KM2) : 55.27

Κατάντη : J9

Μέθοδος Απωλειών: SCS

Ποσοστό αδιαπέρατης επιφάνειας	0
Αριθμός Καμπύλης Απορροής-CN	54.02
Αρχικές Απώλειες	43.24

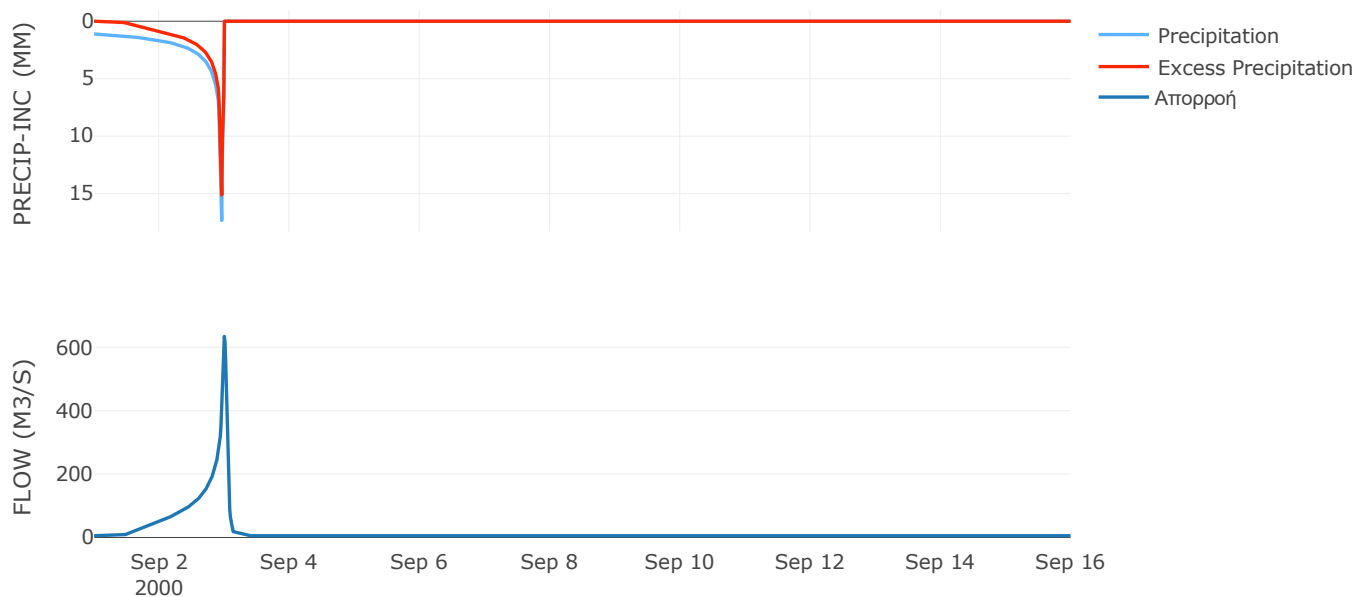
Μέθοδος
Μετασχηματισμού: SCS

Χρόνος Υστέρησης	59.48
------------------	-------

Αποτελέσματα:
EL0514FR003024

Παροχή αιχμής (M3/S)	633.98
Χρονική στιγμή αιχμής	02Sep2000, 24:00
Όγκος (MM)	410.53
Όγκος βροχόπτωσης (M3)	2.58E7
Όγκος απωλειών (M3)	1.03E7
Ενεργός Όγκος (M3)	1.55E7
Όγκος άμεσης απορροής (M3)	1.55E7
Όγκος βασικής απορροής (M3)	7.16E6

Βροχόπτωση και Απορροή



Υπολεκάνη: EL0514FR003025

Έκταση (KM2) : 30.82

Κατάντη : J9

Μέθοδος Απωλειών: SCS

Ποσοστό αδιαπέρατης επιφάνειας	0
Αριθμός Καμπύλης Απορροής-CN	79.22
Αρχικές Απώλειες	13.33

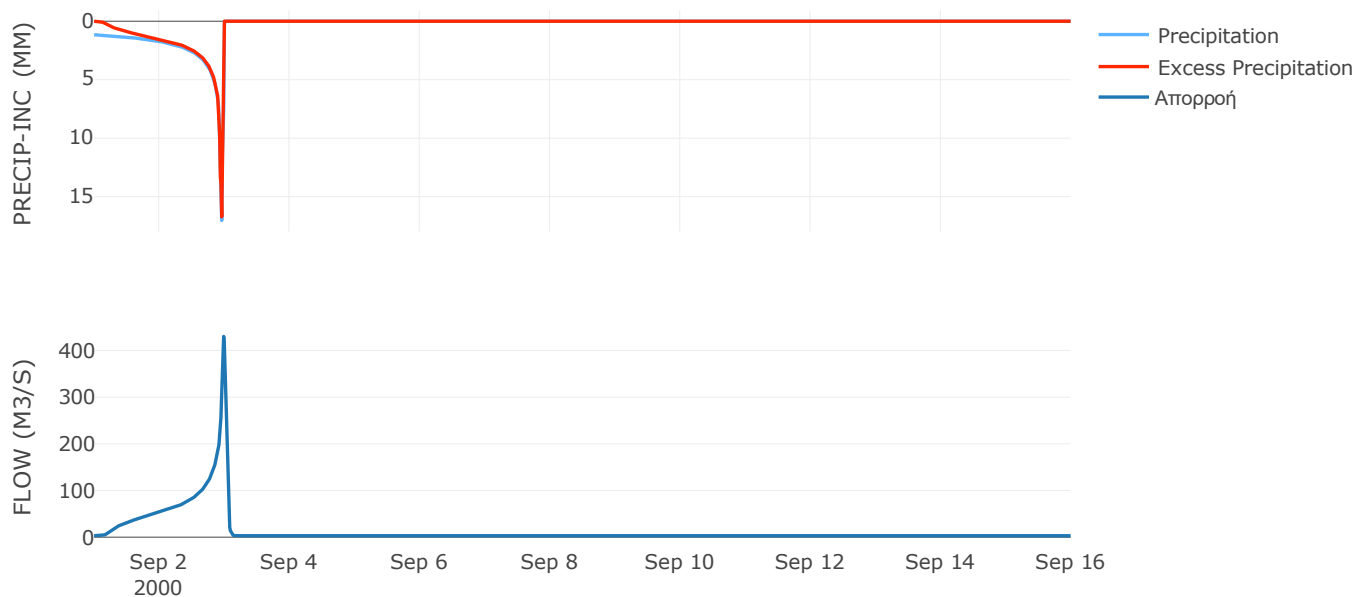
Μέθοδος
Μετασχηματισμού: SCS

Χρόνος Υστέρησης	42.78
------------------	-------

Αποτελέσματα:
EL0514FR003025

Παροχή αιχμής (M3/S)	430.11
Χρονική στιγμή αιχμής	02Sep2000, 23:45
Όγκος (MM)	535.14
Όγκος βροχόπτωσης (M3)	1.47E7
Όγκος απωλειών (M3)	2.21E6
Ενεργός Όγκος (M3)	1.25E7
Όγκος άμεσης απορροής (M3)	1.25E7
Όγκος βασικής απορροής (M3)	3.99E6

Βροχόπτωση και Απορροή



Υπολεκάνη: EL0514FR003026

Έκταση (KM2) : 12.64

Κατάντη : J9

Μέθοδος Απωλειών: SCS

Ποσοστό αδιαπέρατης επιφάνειας	0
Αριθμός Καμπύλης Απορροής-CN	78.69
Αρχικές Απώλειες	13.76

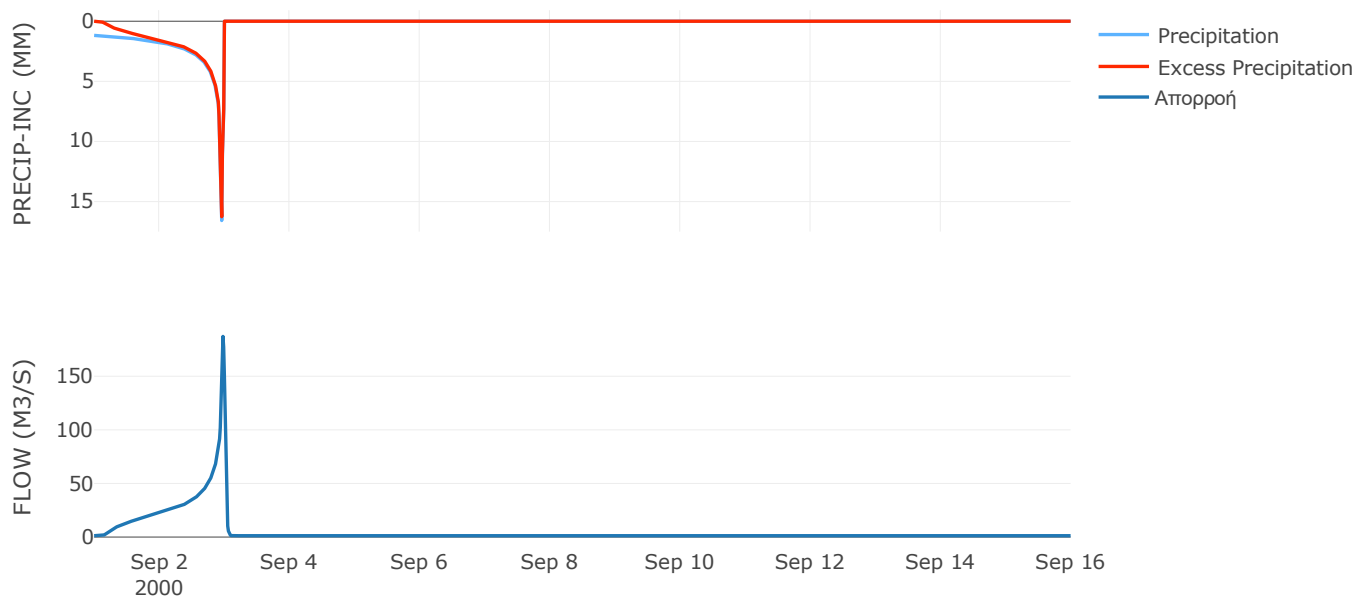
Μέθοδος
Μετασχηματισμού: SCS

Χρόνος Υστέρησης	27.66
------------------	-------

Αποτελέσματα:
EL0514FR003026

Παροχή αιχμής (M3/S)	187.15
Χρονική στιγμή αιχμής	02Sep2000, 23:30
Όγκος (MM)	534.09
Όγκος βροχόπτωσης (M3)	6.05E6
Όγκος απωλειών (M3)	9.32E5
Ενεργός Όγκος (M3)	5.11E6
Όγκος άμεσης απορροής (M3)	5.11E6
Όγκος βασικής απορροής (M3)	1.64E6

Βροχόπτωση και Απορροή



Υπολεκάνη: EL0514FR003027

Έκταση (KM2) : 75.07

Κατάντη : J8

Μέθοδος Απωλειών: SCS

Ποσοστό αδιαπέρατης επιφάνειας	0
Αριθμός Καμπύλης Απορροής-CN	74.26
Αρχικές Απώλειες	17.61

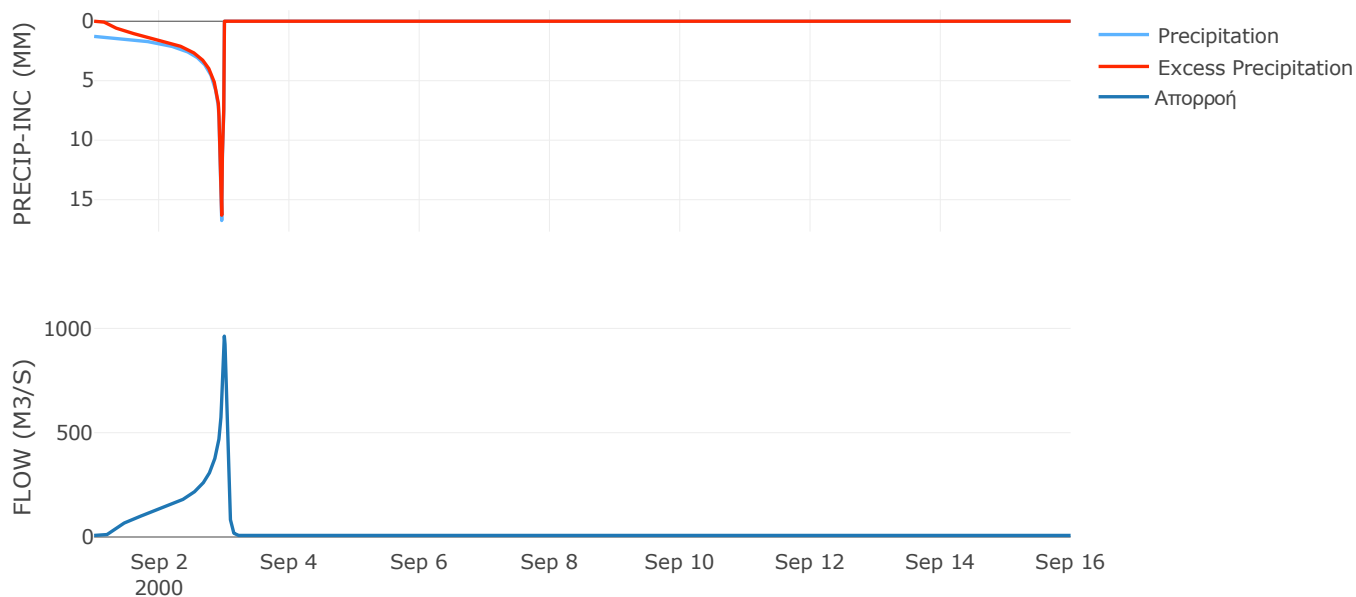
Μέθοδος
Μετασχηματισμού: SCS

Χρόνος Υστέρησης	56.91
------------------	-------

Αποτελέσματα:
EL0514FR003027

Παροχή αιχμής (M3/S)	962.92
Χρονική στιγμή αιχμής	02Sep2000, 24:00
Όγκος (MM)	543.1
Όγκος βροχόπτωσης (M3)	3.8E7
Όγκος απωλειών (M3)	6.92E6
Ενεργός Όγκος (M3)	3.1E7
Όγκος άμεσης απορροής (M3)	3.1E7
Όγκος βασικής απορροής (M3)	9.73E6

Βροχόπτωση και Απορροή



Υπολεκάνη: EL0514FR003028

Έκταση (KM2) : 25.46

Κατάντη : J8

Μέθοδος Απωλειών: SCS

Ποσοστό αδιαπέρατης επιφάνειας	0
Αριθμός Καμπύλης Απορροής-CN	79.98
Αρχικές Απώλειες	12.72

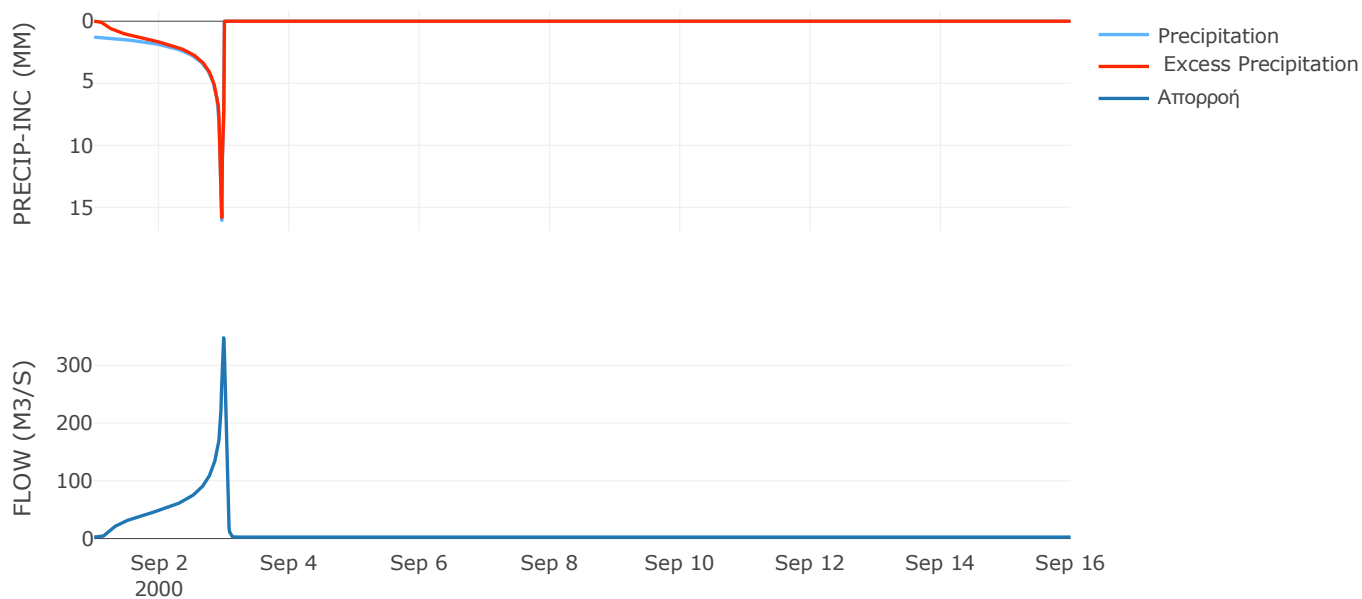
Μέθοδος
Μετασχηματισμού: SCS

Χρόνος Υστέρησης	37.41
------------------	-------

Αποτελέσματα:
EL0514FR003028

Παροχή αιχμής (M3/S)	347.49
Χρονική στιγμή αιχμής	02Sep2000, 23:45
Όγκος (MM)	561.18
Όγκος βροχόπτωσης (M3)	1.27E7
Όγκος απωλειών (M3)	1.76E6
Ενεργός Όγκος (M3)	1.1E7
Όγκος άμεσης απορροής (M3)	1.1E7
Όγκος βασικής απορροής (M3)	3.3E6

Βροχόπτωση και Απορροή



Υπολεκάνη: EL0514FR003029

Έκταση (KM2) : 14.96

Κατάντη : J7

Μέθοδος Απωλειών: SCS

Ποσοστό αδιαπέρατης επιφάνειας	0
Αριθμός Καμπύλης Απορροής-CN	79.38
Αρχικές Απώλειες	13.19

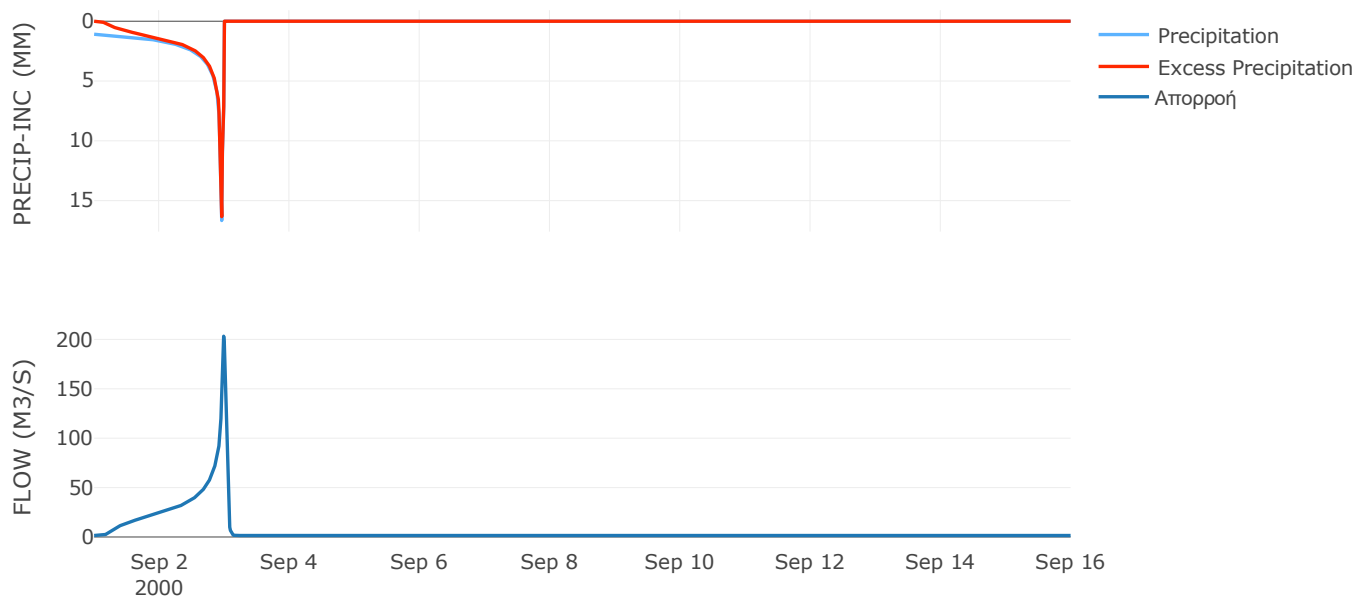
Μέθοδος
Μετασχηματισμού: SCS

Χρόνος Υστέρησης	42.97
------------------	-------

Αποτελέσματα:
EL0514FR003029

Παροχή αιχμής (M3/S)	203.27
Χρονική στιγμή αιχμής	02Sep2000, 23:45
Όγκος (MM)	514.59
Όγκος βροχόπτωσης (M3)	6.82E6
Όγκος απωλειών (M3)	1.06E6
Ενεργός Όγκος (M3)	5.76E6
Όγκος άμεσης απορροής (M3)	5.76E6
Όγκος βασικής απορροής (M3)	1.94E6

Βροχόπτωση και Απορροή



Υπολεκάνη: EL0514FR003030

Έκταση (KM2) : 14.02

Κατάντη : J7

Μέθοδος Απωλειών: SCS

Ποσοστό αδιαπέρατης επιφάνειας	0
Αριθμός Καμπύλης Απορροής-CN	79.92
Αρχικές Απώλειες	12.76

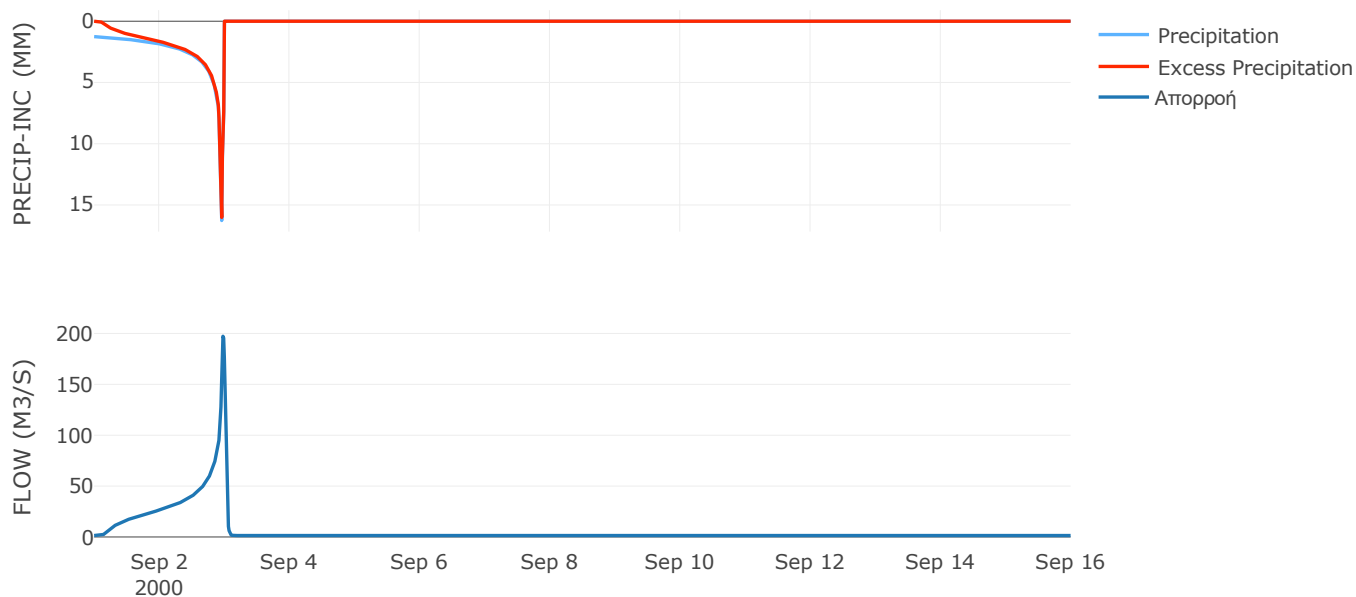
Μέθοδος
Μετασχηματισμού: SCS

Χρόνος Υστέρησης	32.67
------------------	-------

Αποτελέσματα:
EL0514FR003030

Παροχή αιχμής (M3/S)	197.31
Χρονική στιγμή αιχμής	02Sep2000, 23:30
Όγκος (MM)	556.02
Όγκος βροχόπτωσης (M3)	6.95E6
Όγκος απωλειών (M3)	9.69E5
Ενεργός Όγκος (M3)	5.98E6
Όγκος άμεσης απορροής (M3)	5.98E6
Όγκος βασικής απορροής (M3)	1.82E6

Βροχόπτωση και Απορροή



Υπολεκάνη: EL0514FR003031

Έκταση (KM2) : 21.31

Κατάντη : J7

Μέθοδος Απωλειών: SCS

Ποσοστό αδιαπέρατης επιφάνειας	0
Αριθμός Καμπύλης Απορροής-CN	80
Αρχικές Απώλειες	12.7

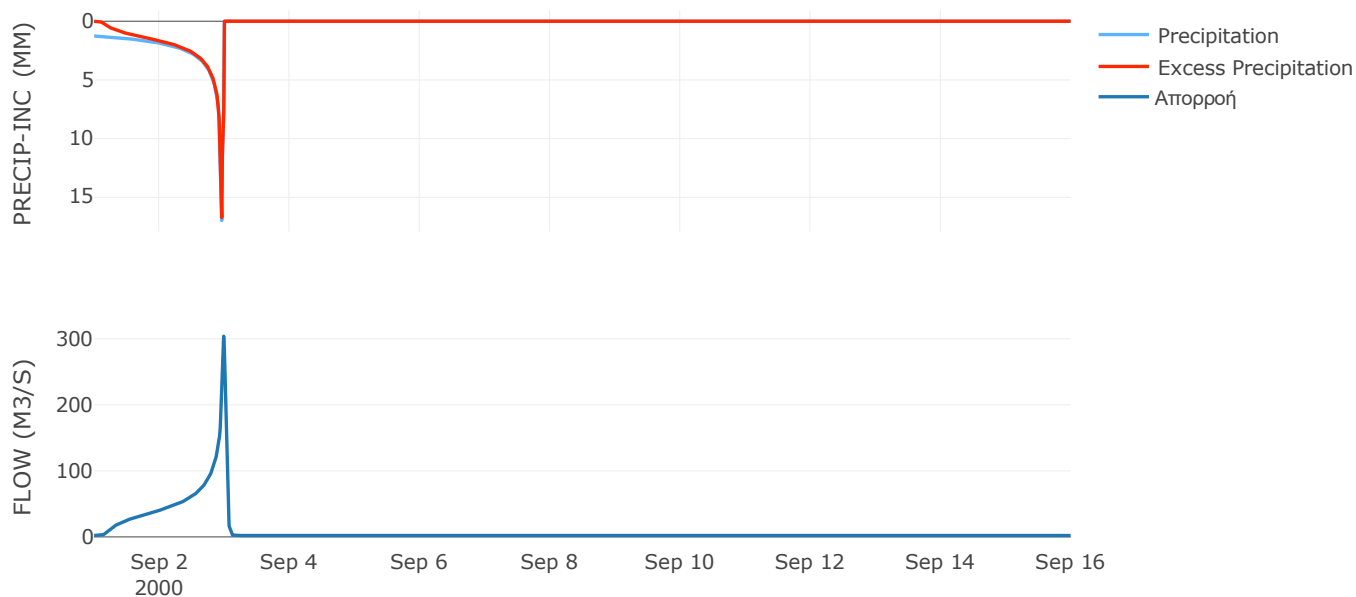
Μέθοδος
Μετασχηματισμού: SCS

Χρόνος Υστέρησης	38.76
------------------	-------

Αποτελέσματα:
EL0514FR003031

Παροχή αιχμής (M3/S)	304.05
Χρονική στιγμή αιχμής	02Sep2000, 23:45
Όγκος (MM)	563.8
Όγκος βροχόπτωσης (M3)	1.07E7
Όγκος απωλειών (M3)	1.47E6
Ενεργός Όγκος (M3)	9.25E6
Όγκος άμεσης απορροής (M3)	9.25E6
Όγκος βασικής απορροής (M3)	2.76E6

Βροχόπτωση και Απορροή



Υπολεκάνη: EL0514FR003032

Έκταση (KM2) : 17.85

Κατάντη : J6

Μέθοδος Απωλειών: SCS

Ποσοστό αδιαπέρατης επιφάνειας	0
Αριθμός Καμπύλης Απορροής-CN	77.9
Αρχικές Απώλειες	14.41

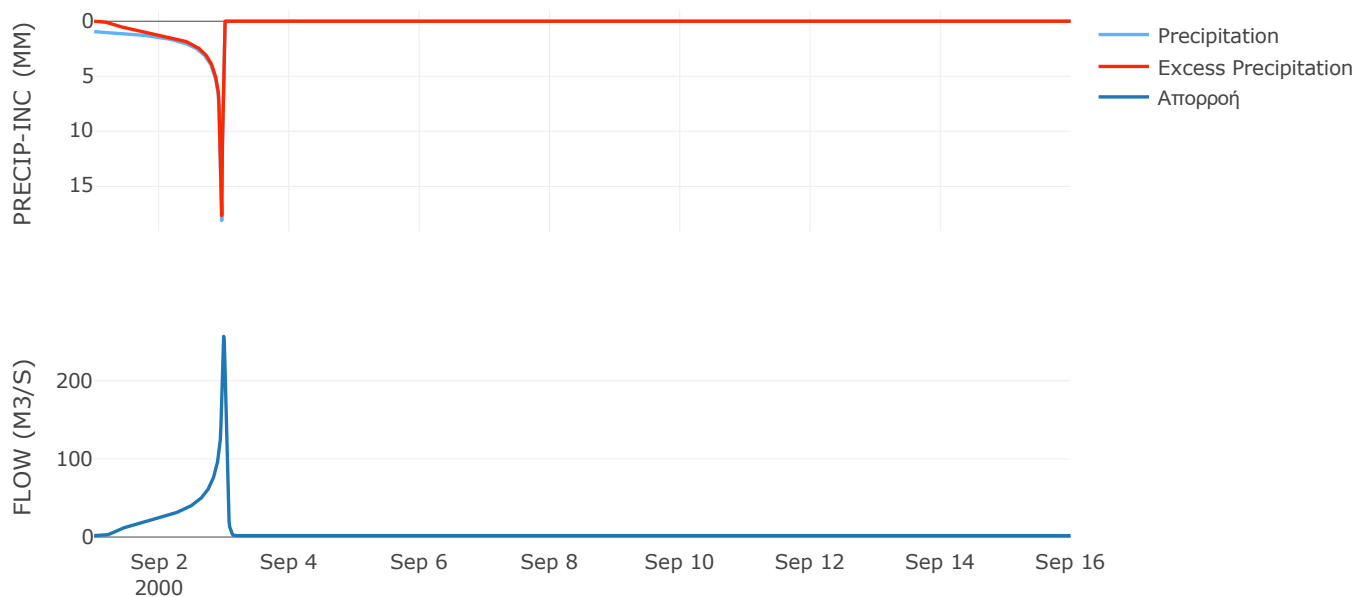
Μέθοδος
Μετασχηματισμού: SCS

Χρόνος Υστέρησης	43.68
------------------	-------

Αποτελέσματα:
EL0514FR003032

Παροχή αιχμής (M3/S)	256.81
Χρονική στιγμή αιχμής	02Sep2000, 23:45
Όγκος (MM)	483.89
Όγκος βροχόπτωσης (M3)	7.68E6
Όγκος απωλειών (M3)	1.35E6
Ενεργός Όγκος (M3)	6.32E6
Όγκος άμεσης απορροής (M3)	6.32E6
Όγκος βασικής απορροής (M3)	2.31E6

Βροχόπτωση και Απορροή



Υπολεκάνη: EL0514FR003033

Έκταση (KM2) : 17.55

Κατάντη : J6

Μέθοδος Απωλειών: SCS

Ποσοστό αδιαπέρατης επιφάνειας	0
Αριθμός Καμπύλης Απορροής-CN	52.86
Αρχικές Απώλειες	45.3

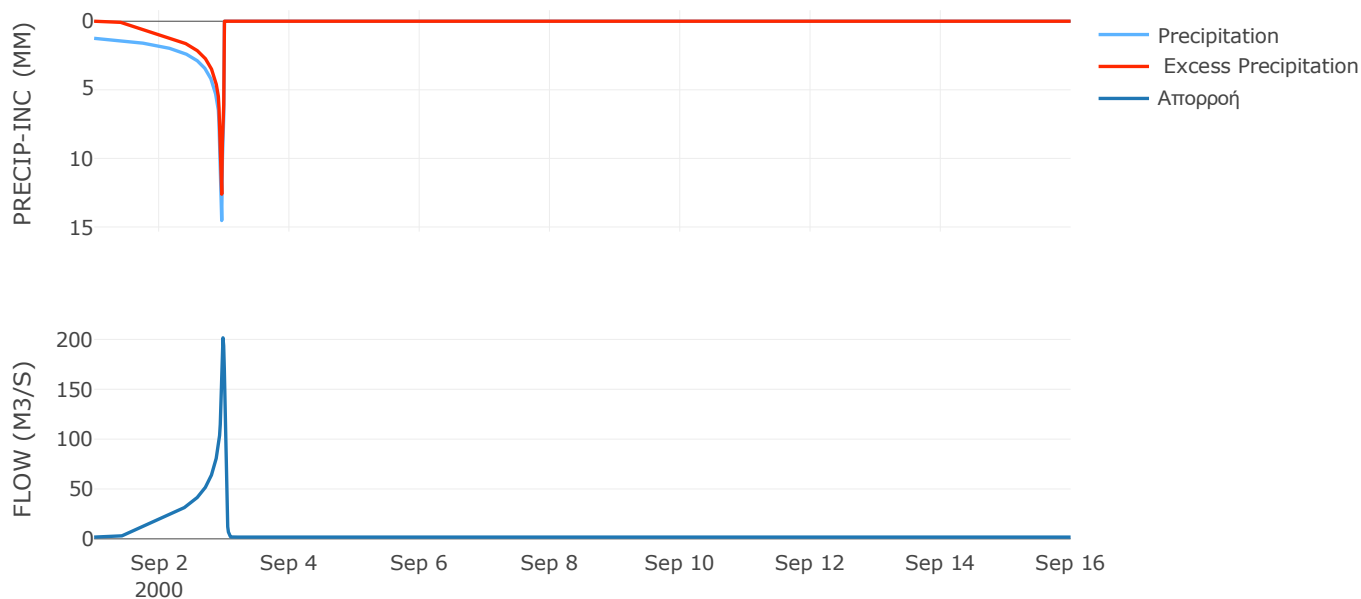
Μέθοδος
Μετασχηματισμού: SCS

Χρόνος Υστέρησης	27.78
------------------	-------

Αποτελέσματα:
EL0514FR003033

Παροχή αιχμής (M3/S)	201.62
Χρονική στιγμή αιχμής	02Sep2000, 23:30
Όγκος (MM)	410.39
Όγκος βροχόπτωσης (M3)	8.32E6
Όγκος απωλειών (M3)	3.4E6
Ενεργός Όγκος (M3)	4.93E6
Όγκος άμεσης απορροής (M3)	4.93E6
Όγκος βασικής απορροής (M3)	2.27E6

Βροχόπτωση και Απορροή



Υπολεκάνη: EL0514FR003034

Έκταση (KM2) : 83.42

Κατάντη : J5

Μέθοδος Απωλειών: SCS

Ποσοστό αδιαπέρατης επιφάνειας	7.2
Αριθμός Καμπύλης Απορροής-CN	74.09
Αρχικές Απώλειες	17.76

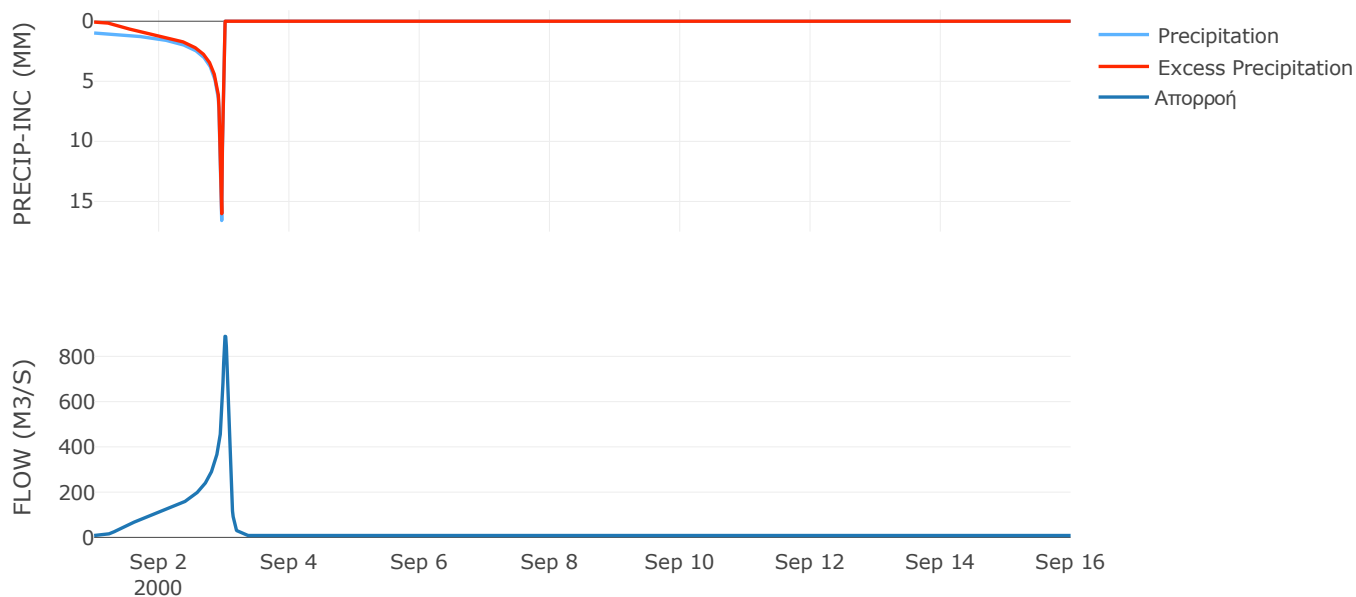
Μέθοδος
Μετασχηματισμού: SCS

Χρόνος Υστέρησης	85.41
------------------	-------

Αποτελέσματα:
EL0514FR003034

Παροχή αιχμής (M3/S)	888.58
Χρονική στιγμή αιχμής	03Sep2000, 00:15
Όγκος (MM)	471.04
Όγκος βροχόπτωσης (M3)	3.55E7
Όγκος απωλειών (M3)	7.02E6
Ενεργός Όγκος (M3)	2.85E7
Όγκος άμεσης απορροής (M3)	2.85E7
Όγκος βασικής απορροής (M3)	1.08E7

Βροχόπτωση και Απορροή



Υπολεκάνη: EL0514FR003035

Έκταση (KM2) : 13.03

Κατάντη : J31

Μέθοδος Απωλειών: SCS

Ποσοστό αδιαπέρατης επιφάνειας	0
Αριθμός Καμπύλης Απορροής-CN	79.8
Αρχικές Απώλειες	12.86

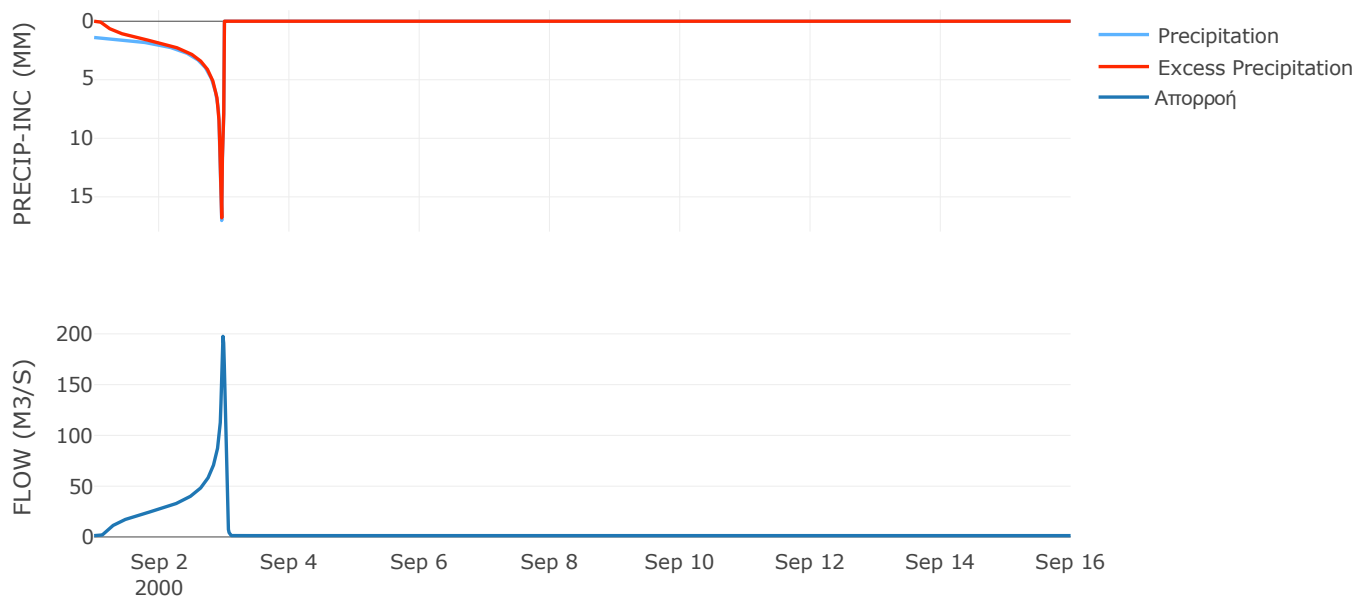
Μέθοδος
Μετασχηματισμού: SCS

Χρόνος Υστέρησης	29.29
------------------	-------

Αποτελέσματα:
EL0514FR003035

Παροχή αιχμής (M3/S)	197.57
Χρονική στιγμή αιχμής	02Sep2000, 23:30
Όγκος (MM)	597.3
Όγκος βροχόπτωσης (M3)	7.01E6
Όγκος απωλειών (M3)	9.14E5
Ενεργός Όγκος (M3)	6.09E6
Όγκος άμεσης απορροής (M3)	6.09E6
Όγκος βασικής απορροής (M3)	1.69E6

Βροχόπτωση και Απορροή



Υπολεκάνη: EL0514FR003036

Έκταση (KM2) : 48.7

Κατάντη : J31

Μέθοδος Απωλειών: SCS

Ποσοστό αδιαπέρατης επιφάνειας	0
Αριθμός Καμπύλης Απορροής-CN	80.47
Αρχικές Απώλειες	12.33

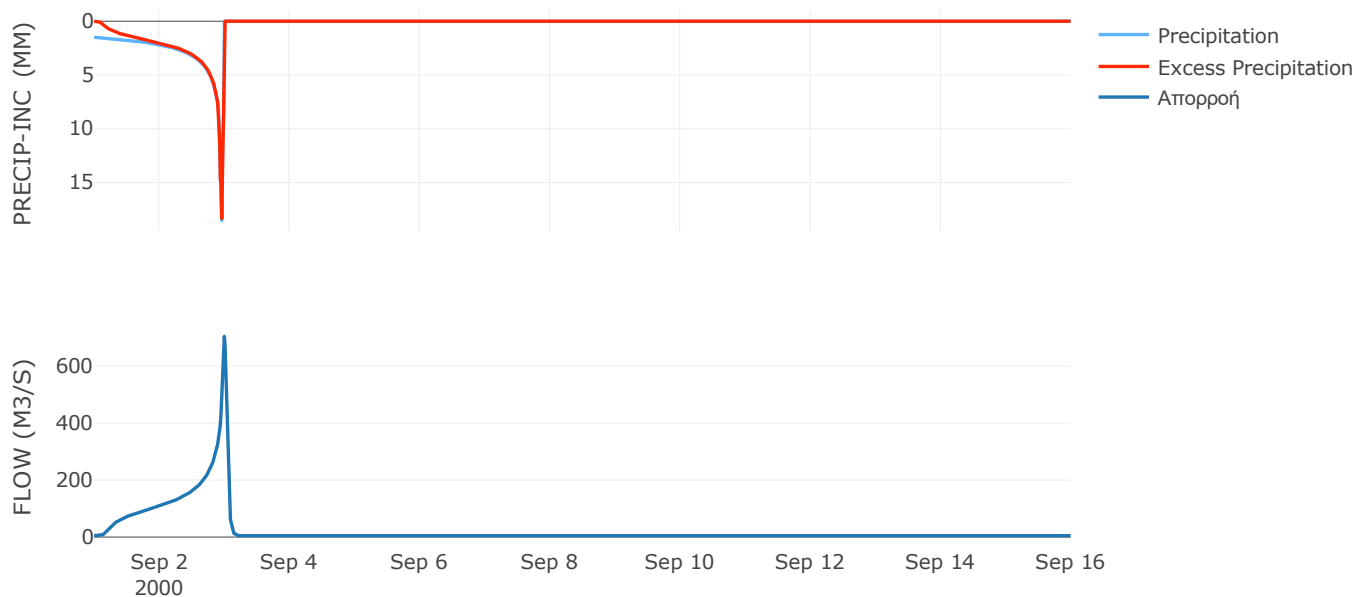
Μέθοδος
Μετασχηματισμού: SCS

Χρόνος Υστέρησης	57.28
------------------	-------

Αποτελέσματα:
EL0514FR003036

Παροχή αιχμής (M3/S)	704.71
Χρονική στιγμή αιχμής	02Sep2000, 24:00
Όγκος (MM)	641.01
Όγκος βροχόπτωσης (M3)	2.82E7
Όγκος απωλειών (M3)	3.31E6
Ενεργός Όγκος (M3)	2.49E7
Όγκος άμεσης απορροής (M3)	2.49E7
Όγκος βασικής απορροής (M3)	6.31E6

Βροχόπτωση και Απορροή



Υπολεκάνη: EL0514FR003037

Έκταση (KM2) : 32.67

Κατάντη : J30

Μέθοδος Απωλειών: SCS

Ποσοστό αδιαπέρατης επιφάνειας	0
Αριθμός Καμπύλης Απορροής-CN	80.47
Αρχικές Απώλειες	12.33

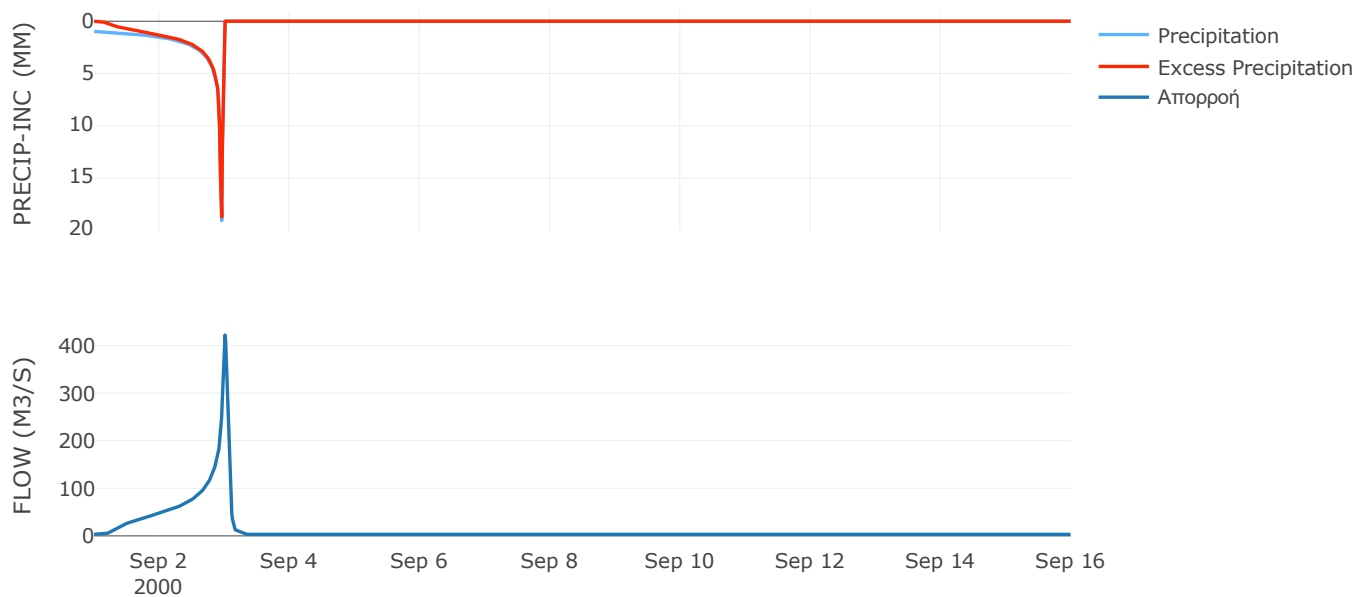
Μέθοδος
Μετασχηματισμού: SCS

Χρόνος Υστέρησης	74.91
------------------	-------

Αποτελέσματα:
EL0514FR003037

Παροχή αιχμής (M3/S)	422.18
Χρονική στιγμή αιχμής	03Sep2000, 00:15
Όγκος (MM)	510.72
Όγκος βροχόπτωσης (M3)	1.46E7
Όγκος απωλειών (M3)	2.17E6
Ενεργός Όγκος (M3)	1.25E7
Όγκος άμεσης απορροής (M3)	1.25E7
Όγκος βασικής απορροής (M3)	4.23E6

Βροχόπτωση και Απορροή



Υπολεκάνη: EL0514FR003038

Έκταση (KM2) : 25.23

Κατάντη : J30

Μέθοδος Απωλειών: SCS

Ποσοστό αδιαπέρατης επιφάνειας	0
Αριθμός Καμπύλης Απορροής-CN	80.33
Αρχικές Απώλειες	12.44

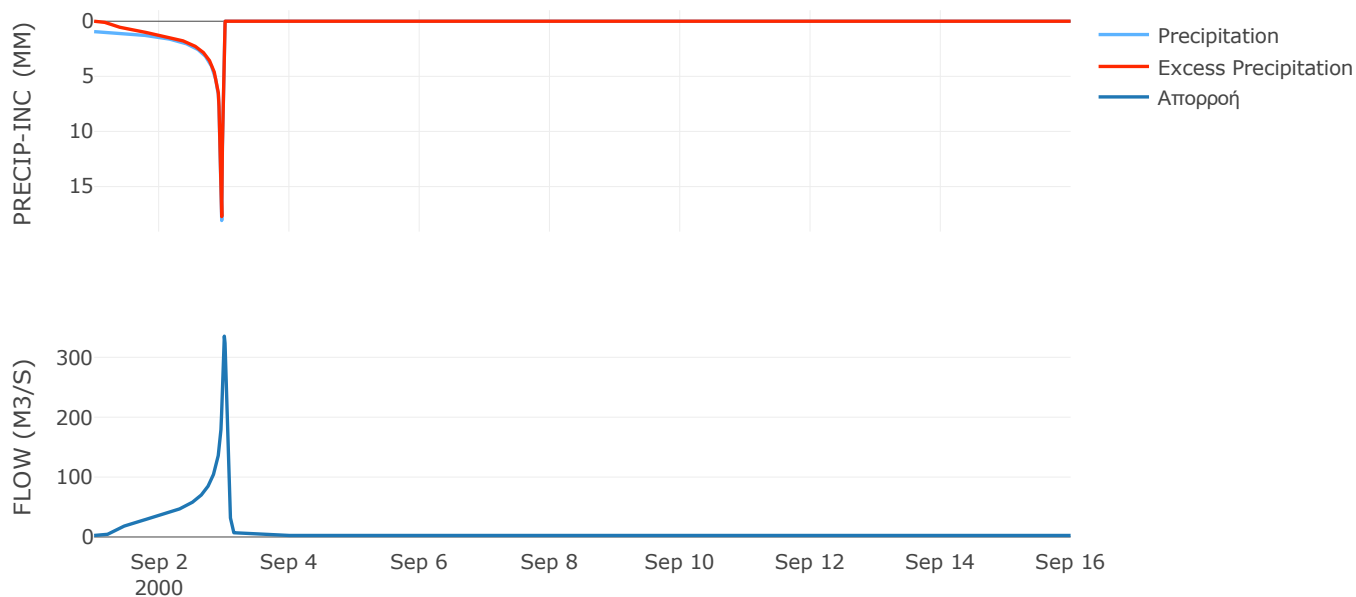
Μέθοδος
Μετασχηματισμού: SCS

Χρόνος Υστέρησης	59.28
------------------	-------

Αποτελέσματα:
EL0514FR003038

Παροχή αιχμής (M3/S)	335.34
Χρονική στιγμή αιχμής	02Sep2000, 24:00
Όγκος (MM)	492.42
Όγκος βροχόπτωσης (M3)	1.08E7
Όγκος απωλειών (M3)	1.68E6
Ενεργός Όγκος (M3)	9.16E6
Όγκος άμεσης απορροής (M3)	9.16E6
Όγκος βασικής απορροής (M3)	3.27E6

Βροχόπτωση και Απορροή



Υπολεκάνη: EL0514FR003039

Έκταση (KM2) : 8.72

Κατάντη : J22

Μέθοδος Απωλειών: SCS

Ποσοστό αδιαπέρατης επιφάνειας	0.09
Αριθμός Καμπύλης Απορροής-CN	82.36
Αρχικές Απώλειες	10.88

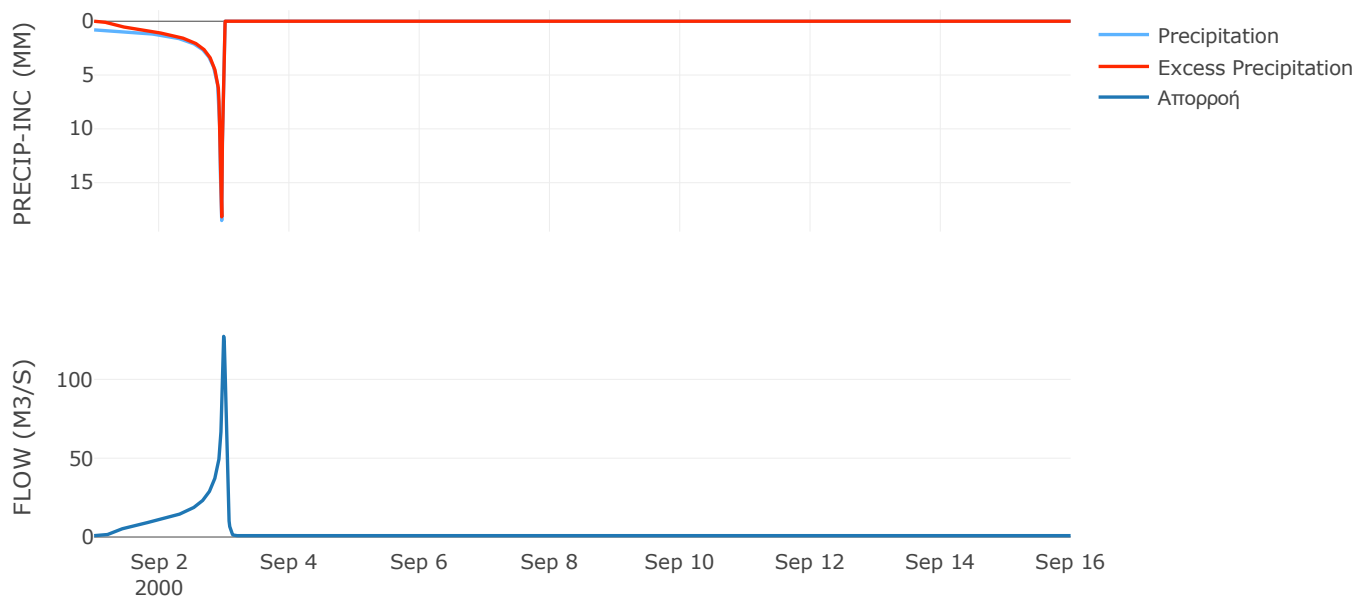
Μέθοδος
Μετασχηματισμού: SCS

Χρόνος Υστέρησης	44.56
------------------	-------

Αποτελέσματα:
EL0514FR003039

Παροχή αιχμής (M3/S)	127.29
Χρονική στιγμή αιχμής	02Sep2000, 23:45
Όγκος (MM)	463.87
Όγκος βροχόπτωσης (M3)	3.43E6
Όγκος απωλειών (M3)	5.1E5
Ενεργός Όγκος (M3)	2.92E6
Όγκος άμεσης απορροής (M3)	2.92E6
Όγκος βασικής απορροής (M3)	1.13E6

Βροχόπτωση και Απορροή



Υπολεκάνη: EL0514FR003040

Έκταση (KM2) : 22.7

Κατάντη : J22

Μέθοδος Απωλειών: SCS

Ποσοστό αδιαπέρατης επιφάνειας	0.09
Αριθμός Καμπύλης Απορροής-CN	81.42
Αρχικές Απώλειες	11.59

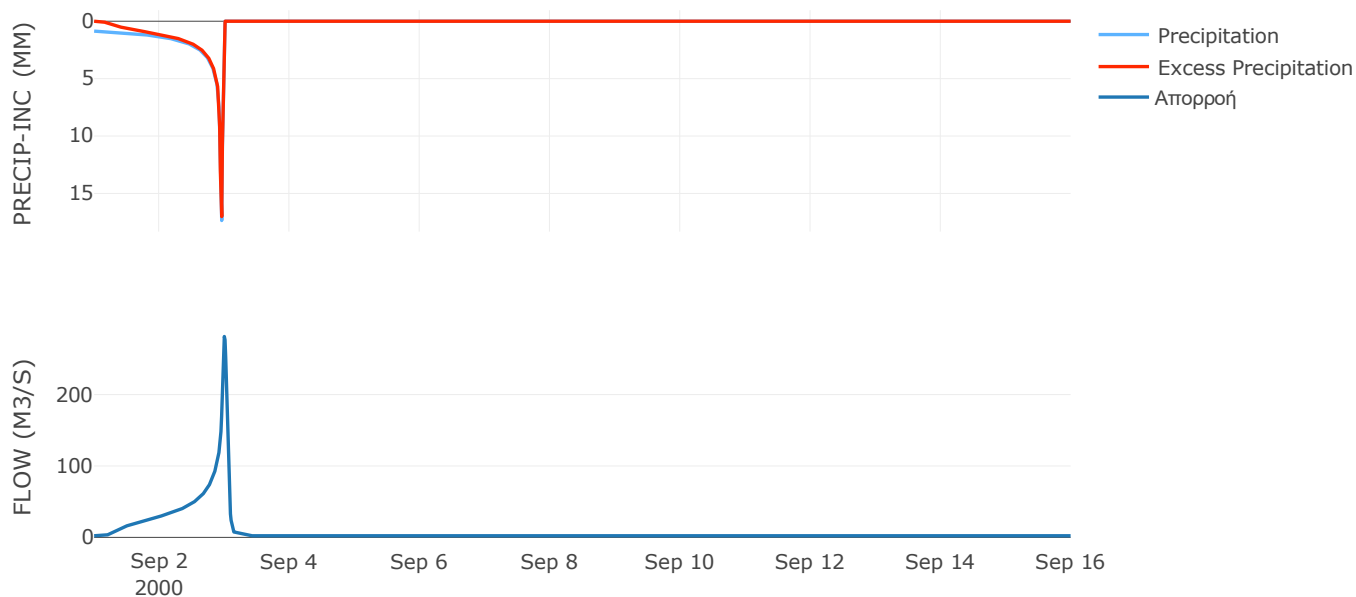
Μέθοδος
Μετασχηματισμού: SCS

Χρόνος Υστέρησης	63.29
------------------	-------

Αποτελέσματα:
EL0514FR003040

Παροχή αιχμής (M3/S)	281.36
Χρονική στιγμή αιχμής	02Sep2000, 24:00
Όγκος (MM)	466.97
Όγκος βροχόπτωσης (M3)	9.07E6
Όγκος απωλειών (M3)	1.41E6
Ενεργός Όγκος (M3)	7.66E6
Όγκος άμεσης απορροής (M3)	7.66E6
Όγκος βασικής απορροής (M3)	2.94E6

Βροχόπτωση και Απορροή



Υπολεκάνη: EL0514FR003041

Έκταση (KM2) : 11.3

Κατάντη : J23

Μέθοδος Απωλειών: SCS

Ποσοστό αδιαπέρατης επιφάνειας	0
Αριθμός Καμπύλης Απορροής-CN	80.25
Αρχικές Απώλειες	12.5

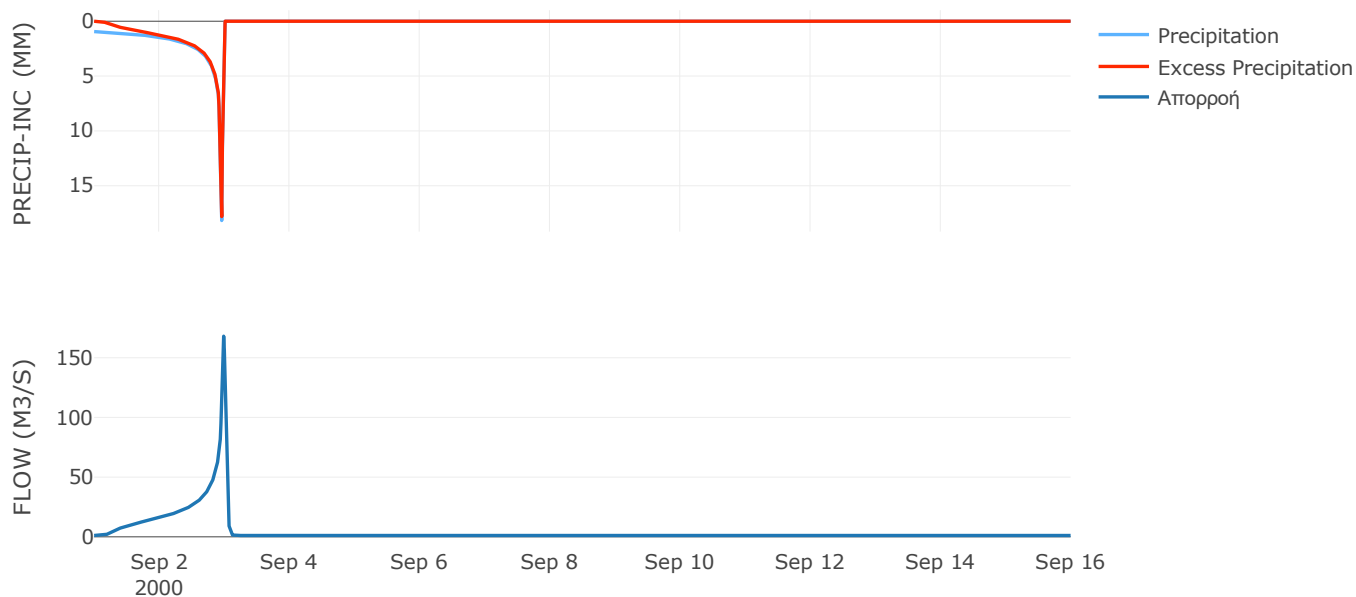
Μέθοδος
Μετασχηματισμού: SCS

Χρόνος Υστέρησης	39.17
------------------	-------

Αποτελέσματα:
EL0514FR003041

Παροχή αιχμής (M3/S)	168.07
Χρονική στιγμή αιχμής	02Sep2000, 23:45
Όγκος (MM)	492.87
Όγκος βροχόπτωσης (M3)	4.86E6
Όγκος απωλειών (M3)	7.56E5
Ενεργός Όγκος (M3)	4.11E6
Όγκος άμεσης απορροής (M3)	4.11E6
Όγκος βασικής απορροής (M3)	1.46E6

Βροχόπτωση και Απορροή



Υπολεκάνη: EL0514FR003042

Έκταση (KM2) : 9.38

Κατάντη : J23

Μέθοδος Απωλειών: SCS

Ποσοστό αδιαπέρατης επιφάνειας	0
Αριθμός Καμπύλης Απορροής-CN	81.4
Αρχικές Απώλειες	11.61

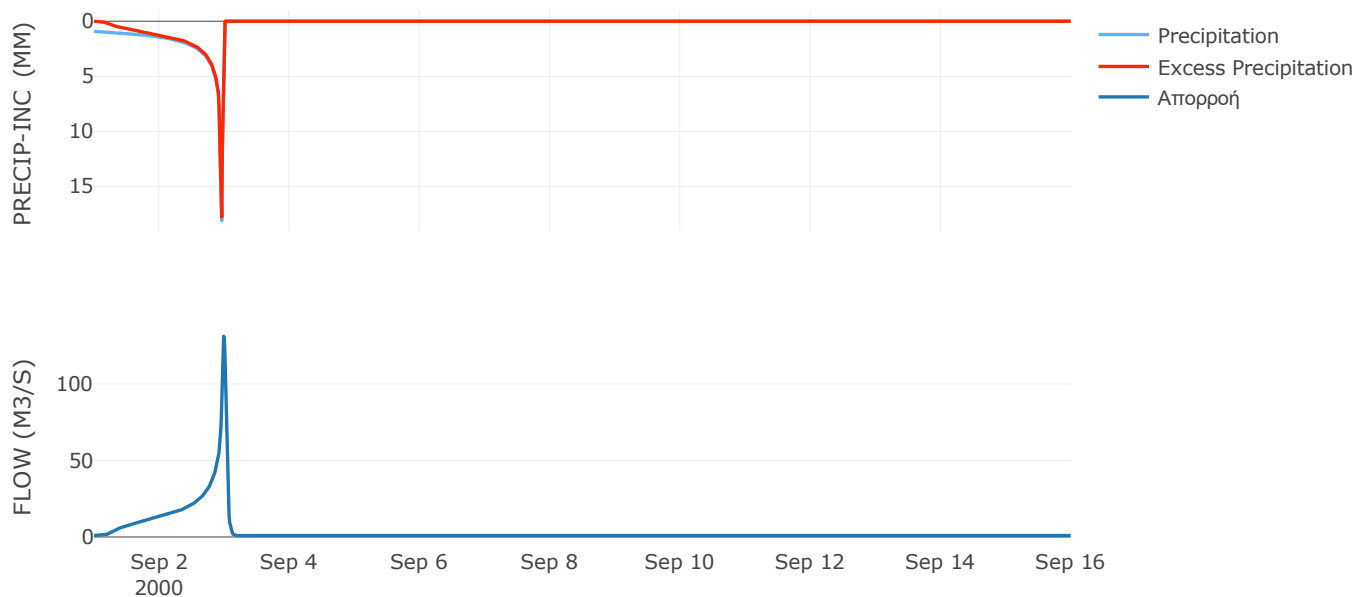
Μέθοδος
Μετασχηματισμού: SCS

Χρόνος Υστέρησης	48.36
------------------	-------

Αποτελέσματα:
EL0514FR003042

Παροχή αιχμής (M3/S)	131.2
Χρονική στιγμή αιχμής	02Sep2000, 23:45
Όγκος (MM)	488.38
Όγκος βροχόπτωσης (M3)	3.95E6
Όγκος απωλειών (M3)	5.86E5
Ενεργός Όγκος (M3)	3.37E6
Όγκος άμεσης απορροής (M3)	3.37E6
Όγκος βασικής απορροής (M3)	1.22E6

Βροχόπτωση και Απορροή



Υπολεκάνη: EL0514FR003043

Έκταση (KM2) : 29.89

Κατάντη : J24

Μέθοδος Απωλειών: SCS

Ποσοστό αδιαπέρατης επιφάνειας	0
Αριθμός Καμπύλης Απορροής-CN	80.92
Αρχικές Απώλειες	11.98

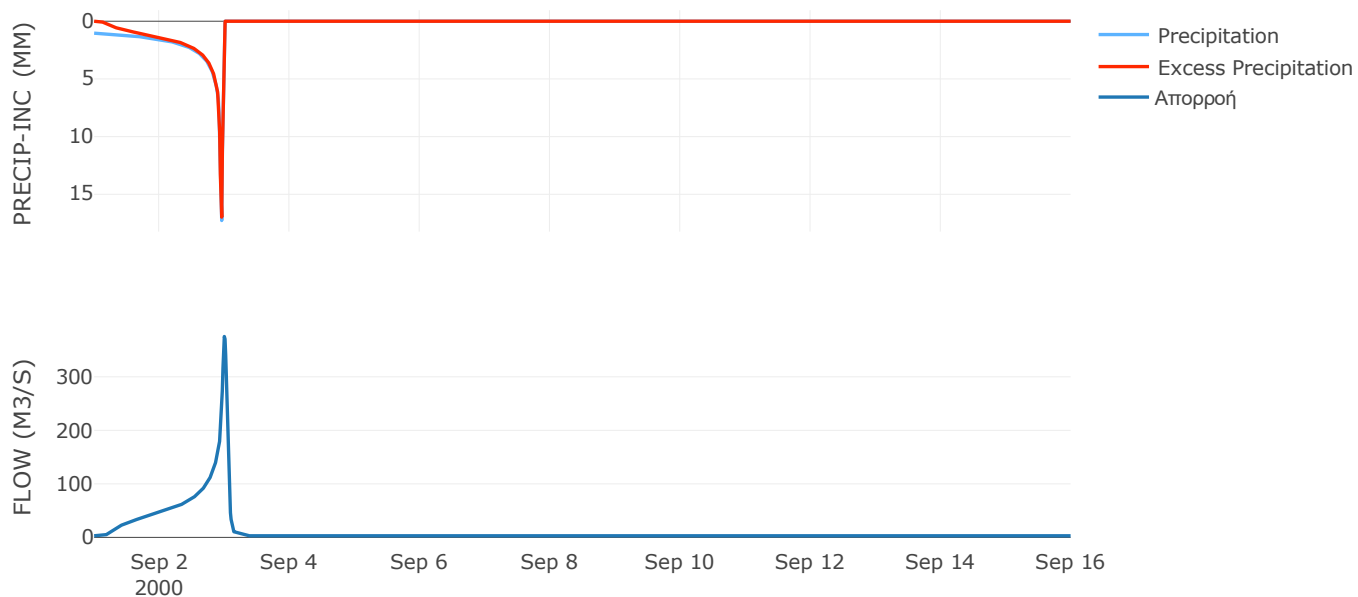
Μέθοδος
Μετασχηματισμού: SCS

Χρόνος Υστέρησης	64.02
------------------	-------

Αποτελέσματα:
EL0514FR003043

Παροχή αιχμής (M3/S)	375.32
Χρονική στιγμή αιχμής	02Sep2000, 24:00
Όγκος (MM)	512.11
Όγκος βροχόπτωσης (M3)	1.34E7
Όγκος απωλειών (M3)	1.93E6
Ενεργός Όγκος (M3)	1.14E7
Όγκος άμεσης απορροής (M3)	1.14E7
Όγκος βασικής απορροής (M3)	3.87E6

Βροχόπτωση και Απορροή



Υπολεκάνη: EL0514FR003044

Έκταση (KM2) : 19.82

Κατάντη : J24

Μέθοδος Απωλειών: SCS

Ποσοστό αδιαπέρατης επιφάνειας	0
Αριθμός Καμπύλης Απορροής-CN	78.07
Αρχικές Απώλειες	14.27

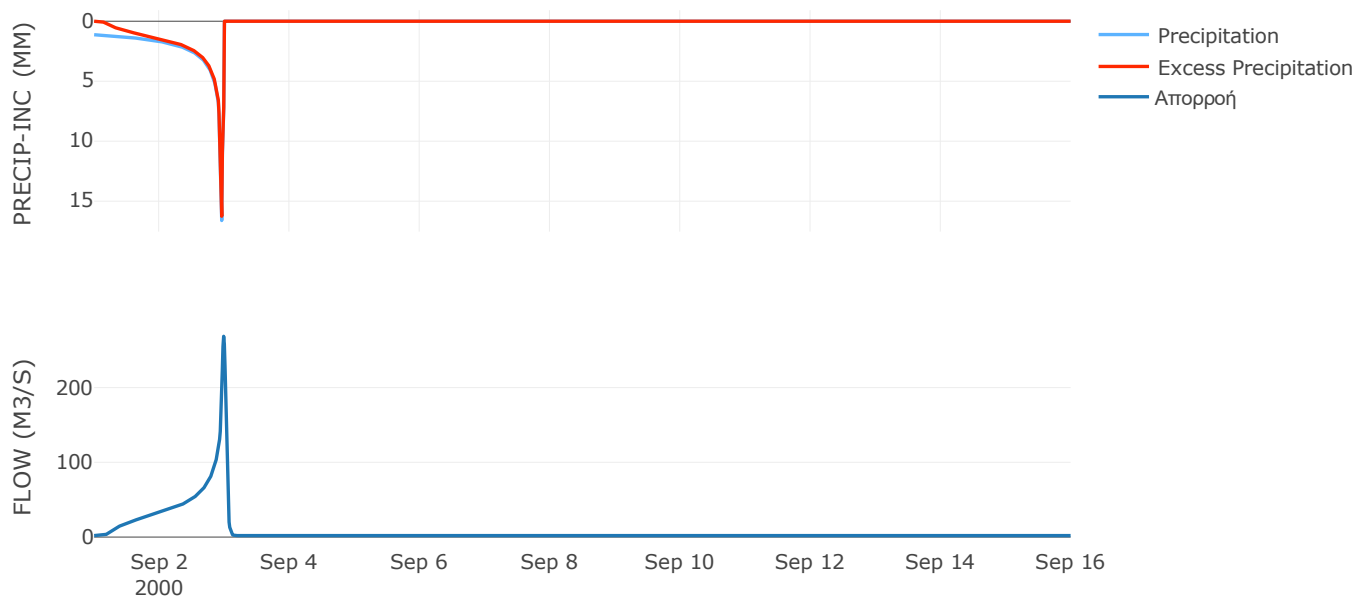
Μέθοδος
Μετασχηματισμού: SCS

Χρόνος Υστέρησης	42.86
------------------	-------

Αποτελέσματα:
EL0514FR003044

Παροχή αιχμής (M3/S)	268.62
Χρονική στιγμή αιχμής	02Sep2000, 23:45
Όγκος (MM)	518.29
Όγκος βροχόπτωσης (M3)	9.21E6
Όγκος απωλειών (M3)	1.5E6
Ενεργός Όγκος (M3)	7.71E6
Όγκος άμεσης απορροής (M3)	7.71E6
Όγκος βασικής απορροής (M3)	2.57E6

Βροχόπτωση και Απορροή



Υπολεκάνη: EL0514FR003045

Έκταση (KM2) : 19.47

Κατάντη : J26

Μέθοδος Απωλειών: SCS

Ποσοστό αδιαπέρατης επιφάνειας	0
Αριθμός Καμπύλης Απορροής-CN	64.69
Αρχικές Απώλειες	27.73

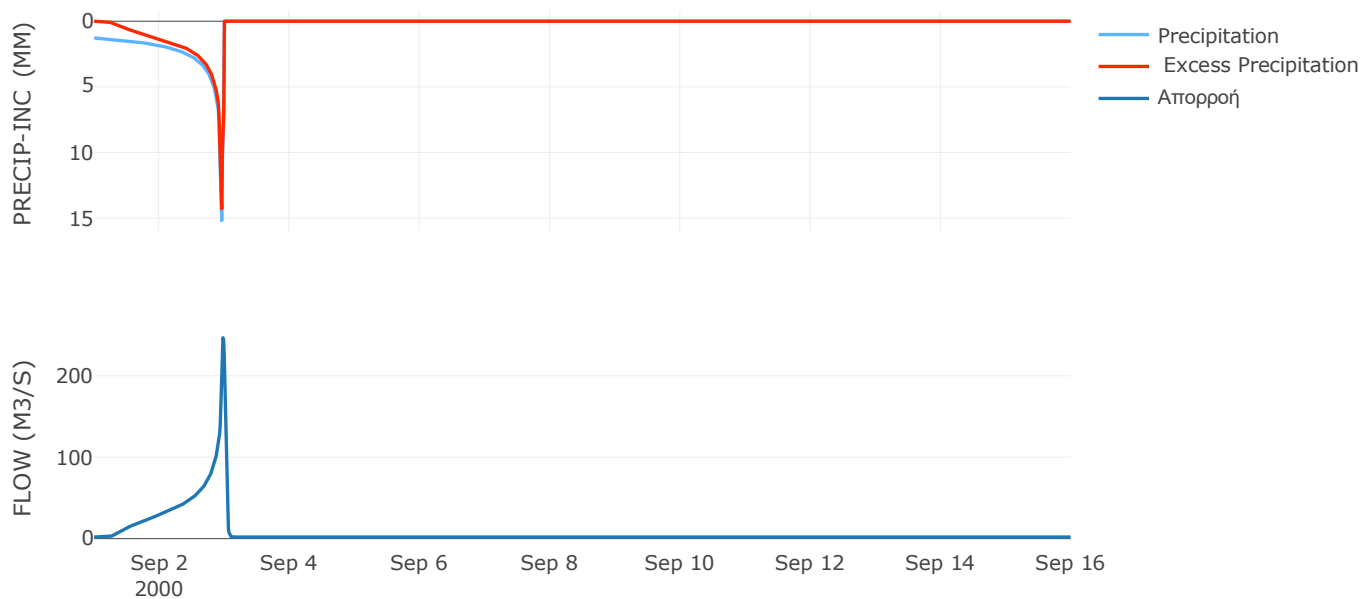
Μέθοδος
Μετασχηματισμού: SCS

Χρόνος Υστέρησης	31.63
------------------	-------

Αποτελέσματα:
EL0514FR003045

Παροχή αιχμής (M3/S)	246.6
Χρονική στιγμή αιχμής	02Sep2000, 23:30
Όγκος (MM)	484.33
Όγκος βροχόπτωσης (M3)	9.52E6
Όγκος απωλειών (M3)	2.61E6
Ενεργός Όγκος (M3)	6.91E6
Όγκος άμεσης απορροής (M3)	6.91E6
Όγκος βασικής απορροής (M3)	2.52E6

Βροχόπτωση και Απορροή



Υπολεκάνη: EL0514FR003046

Έκταση (KM2) : 5.63

Κατάντη : J24

Μέθοδος Απωλειών: SCS

Ποσοστό αδιαπέρατης επιφάνειας	0
Αριθμός Καμπύλης Απορροής-CN	81.05
Αρχικές Απώλειες	11.88

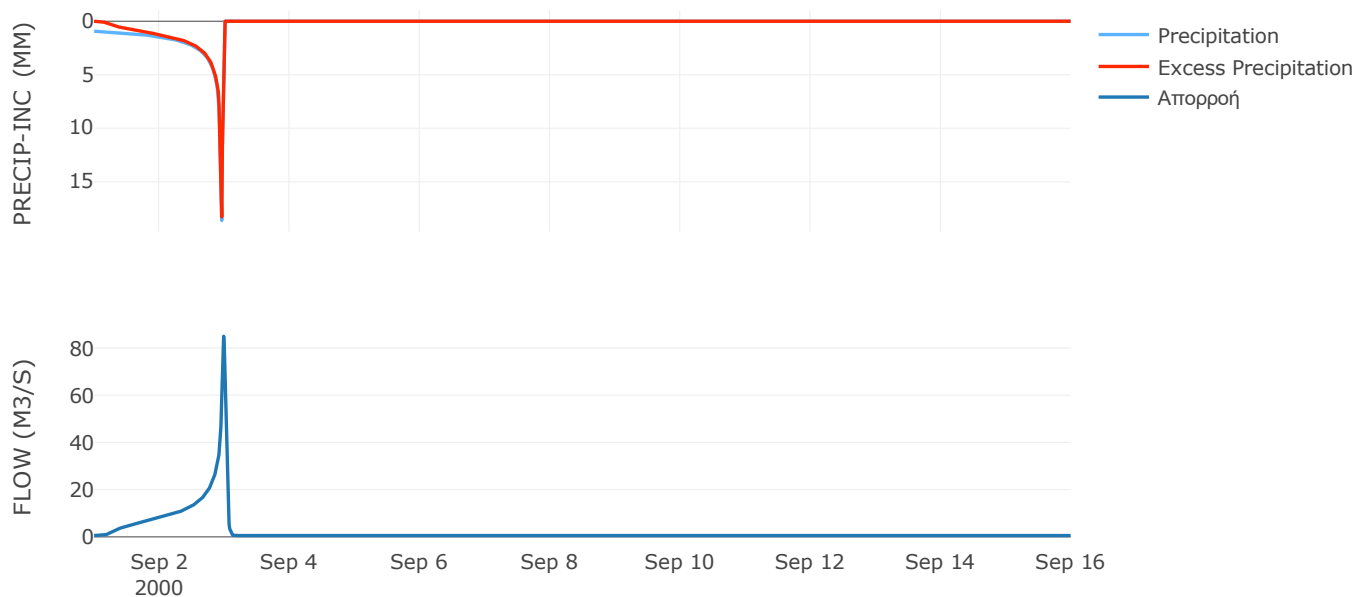
Μέθοδος
Μετασχηματισμού: SCS

Χρόνος Υστέρησης	41.12
------------------	-------

Αποτελέσματα:
EL0514FR003046

Παροχή αιχμής (M3/S)	84.96
Χρονική στιγμή αιχμής	02Sep2000, 23:45
Όγκος (MM)	496.99
Όγκος βροχόπτωσης (M3)	2.43E6
Όγκος απωλειών (M3)	3.6E5
Ενεργός Όγκος (M3)	2.07E6
Όγκος άμεσης απορροής (M3)	2.07E6
Όγκος βασικής απορροής (M3)	7.29E5

Βροχόπτωση και Απορροή



Υπολεκάνη: EL0514FR003047

Έκταση (KM2) : 17.53

Κατάντη : J25

Μέθοδος Απωλειών: SCS

Ποσοστό αδιαπέρατης επιφάνειας	0
Αριθμός Καμπύλης Απορροής-CN	80.37
Αρχικές Απώλειες	12.41

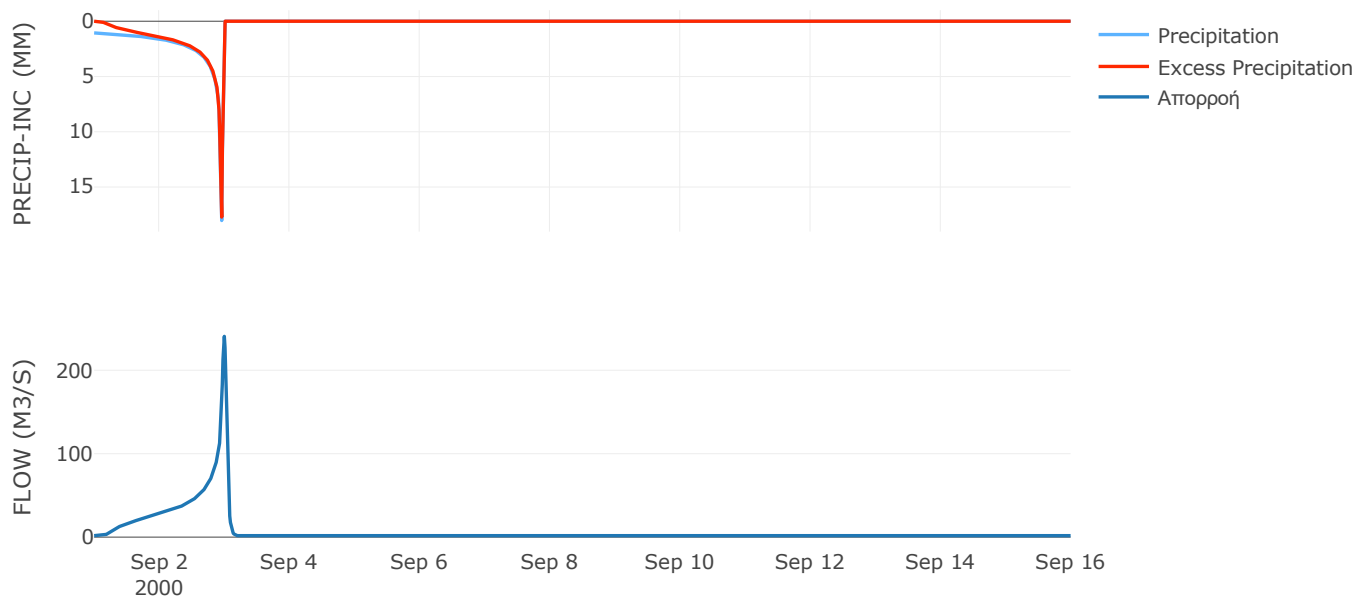
Μέθοδος
Μετασχηματισμού: SCS

Χρόνος Υστέρησης	54.62
------------------	-------

Αποτελέσματα:
EL0514FR003047

Παροχή αιχμής (M3/S)	240.6
Χρονική στιγμή αιχμής	02Sep2000, 24:00
Όγκος (MM)	522.51
Όγκος βροχόπτωσης (M3)	8.06E6
Όγκος απωλειών (M3)	1.17E6
Ενεργός Όγκος (M3)	6.89E6
Όγκος άμεσης απορροής (M3)	6.89E6
Όγκος βασικής απορροής (M3)	2.27E6

Βροχόπτωση και Απορροή



Υπολεκάνη: EL0514FR003048

Έκταση (KM2) : 3.98

Κατάντη : J25

Μέθοδος Απωλειών: SCS

Ποσοστό αδιαπέρατης επιφάνειας	0
Αριθμός Καμπύλης Απορροής-CN	80.39
Αρχικές Απώλειες	12.39

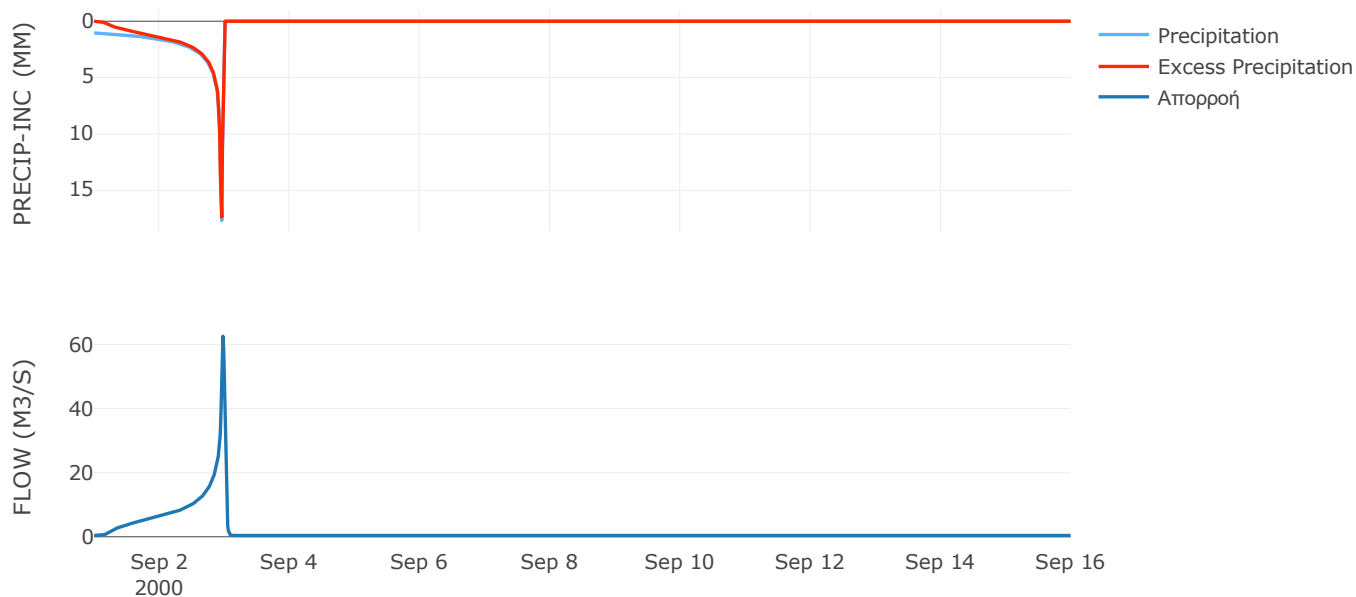
Μέθοδος
Μετασχηματισμού: SCS

Χρόνος Υστέρησης	27.91
------------------	-------

Αποτελέσματα:
EL0514FR003048

Παροχή αιχμής (M3/S)	62.59
Χρονική στιγμή αιχμής	02Sep2000, 23:30
Όγκος (MM)	515.06
Όγκος βροχόπτωσης (M3)	1.8E6
Όγκος απωλειών (M3)	2.66E5
Ενεργός Όγκος (M3)	1.54E6
Όγκος άμεσης απορροής (M3)	1.54E6
Όγκος βασικής απορροής (M3)	5.16E5

Βροχόπτωση και Απορροή



Υπολεκάνη: EL0514FR003049

Έκταση (KM2) : 37.37

Κατάντη : J26

Μέθοδος Απωλειών: SCS

Ποσοστό αδιαπέρατης επιφάνειας	0
Αριθμός Καμπύλης Απορροής-CN	74.59
Αρχικές Απώλειες	17.31

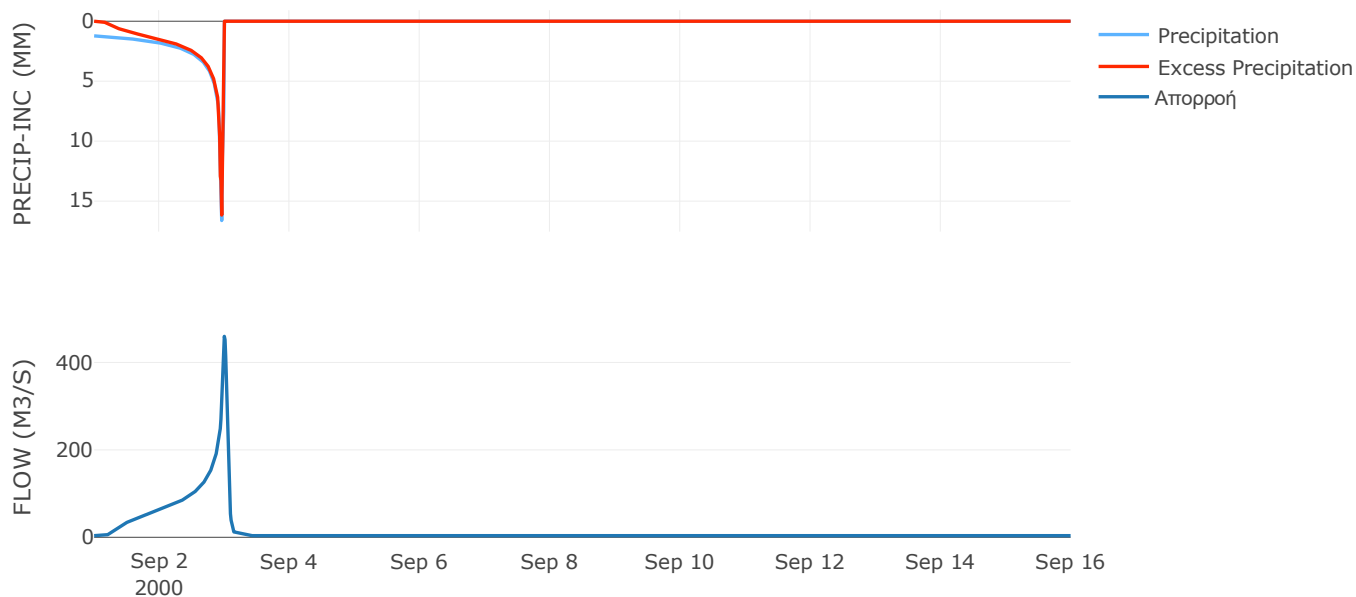
Μέθοδος
Μετασχηματισμού: SCS

Χρόνος Υστέρησης	62.78
------------------	-------

Αποτελέσματα:
EL0514FR003049

Παροχή αιχμής (M3/S)	459.8
Χρονική στιγμή αιχμής	02Sep2000, 24:00
Όγκος (MM)	529.23
Όγκος βροχόπτωσης (M3)	1.83E7
Όγκος απωλειών (M3)	3.38E6
Ενεργός Όγκος (M3)	1.49E7
Όγκος άμεσης απορροής (M3)	1.49E7
Όγκος βασικής απορροής (M3)	4.84E6

Βροχόπτωση και Απορροή



Υπολεκάνη: EL0514FR003051

Έκταση (KM2) : 17.16

Κατάντη : J27

Μέθοδος Απωλειών: SCS

Ποσοστό αδιαπέρατης επιφάνειας	0
Αριθμός Καμπύλης Απορροής-CN	80.47
Αρχικές Απώλειες	12.33

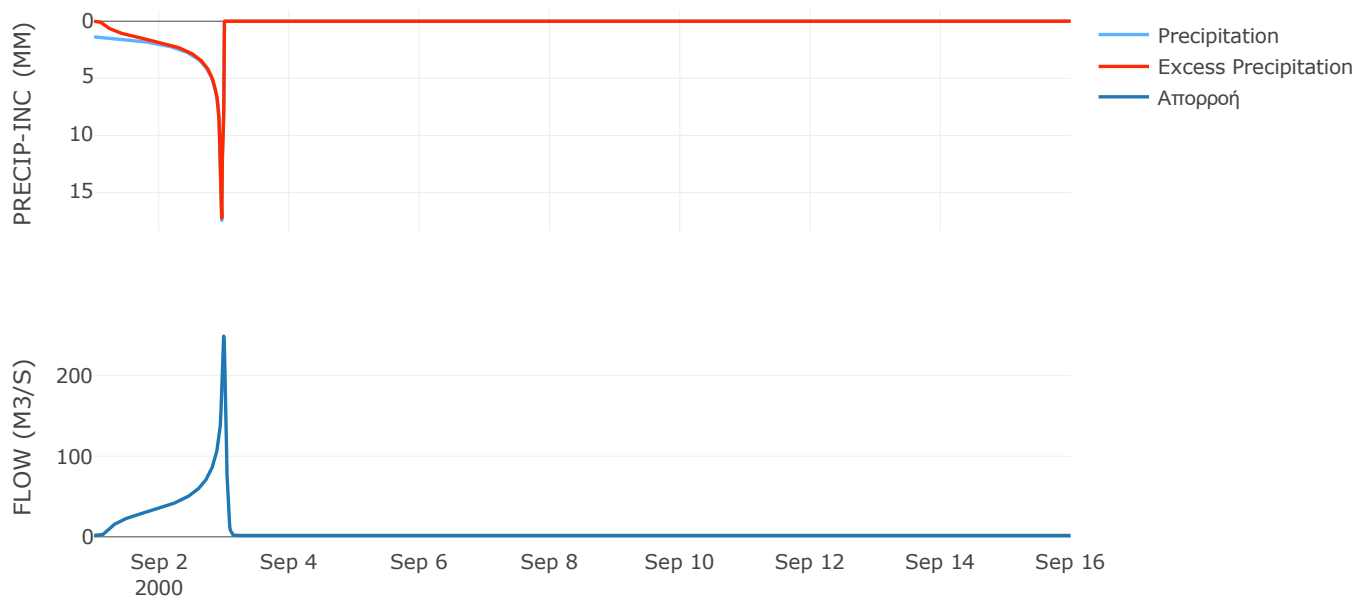
Μέθοδος
Μετασχηματισμού: SCS

Χρόνος Υστέρησης	42.66
------------------	-------

Αποτελέσματα:
EL0514FR003051

Παροχή αιχμής (M3/S)	249.03
Χρονική στιγμή αιχμής	02Sep2000, 23:45
Όγκος (MM)	599.51
Όγκος βροχόπτωσης (M3)	9.22E6
Όγκος απωλειών (M3)	1.16E6
Ενεργός Όγκος (M3)	8.06E6
Όγκος άμεσης απορροής (M3)	8.06E6
Όγκος βασικής απορροής (M3)	2.22E6

Βροχόπτωση και Απορροή



Υπολεκάνη: EL0514FR003052

Έκταση (KM2) : 20.26

Κατάντη : J27

Μέθοδος Απωλειών: SCS

Ποσοστό αδιαπέρατης επιφάνειας	0
Αριθμός Καμπύλης Απορροής-CN	80.76
Αρχικές Απώλειες	12.1

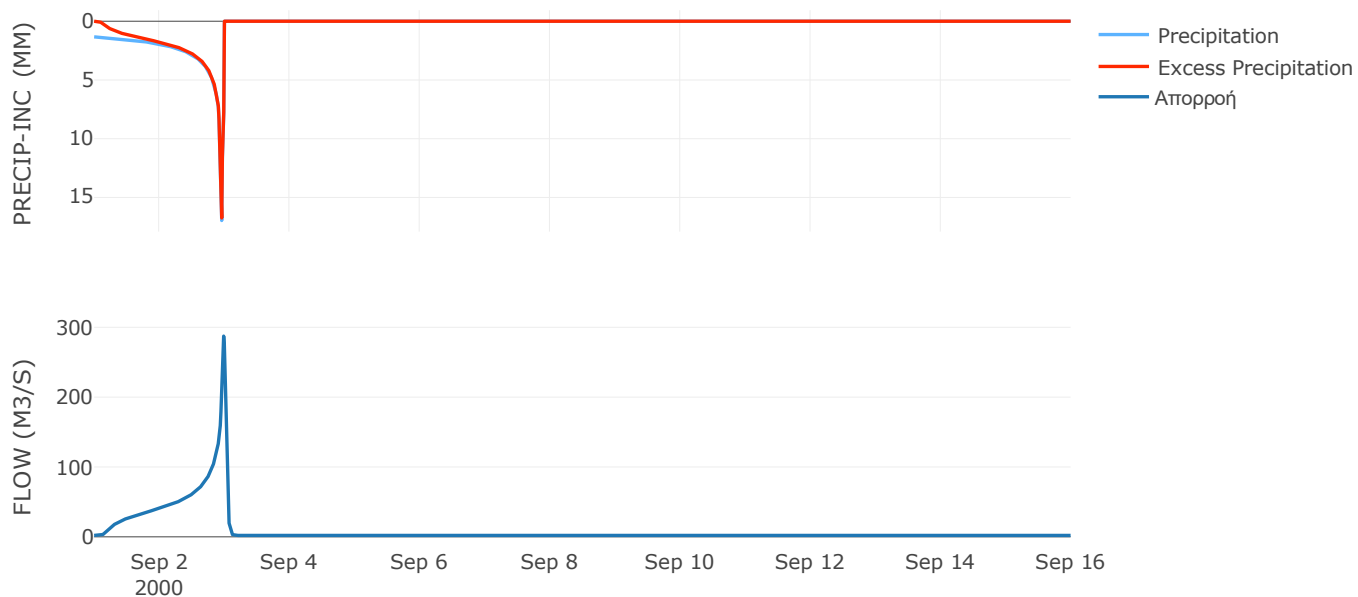
Μέθοδος
Μετασχηματισμού: SCS

Χρόνος Υστέρησης	41.47
------------------	-------

Αποτελέσματα:
EL0514FR003052

Παροχή αιχμής (M3/S)	287.39
Χρονική στιγμή αιχμής	02Sep2000, 23:45
Όγκος (MM)	585.3
Όγκος βροχόπτωσης (M3)	1.06E7
Όγκος απωλειών (M3)	1.34E6
Ενεργός Όγκος (M3)	9.23E6
Όγκος άμεσης απορροής (M3)	9.23E6
Όγκος βασικής απορροής (M3)	2.63E6

Βροχόπτωση και Απορροή



Υπολεκάνη: EL0514FR003053

Έκταση (KM2) : 23.12

Κατάντη : J27

Μέθοδος Απωλειών: SCS

Ποσοστό αδιαπέρατης επιφάνειας	0
Αριθμός Καμπύλης Απορροής-CN	81.01
Αρχικές Απώλειες	11.91

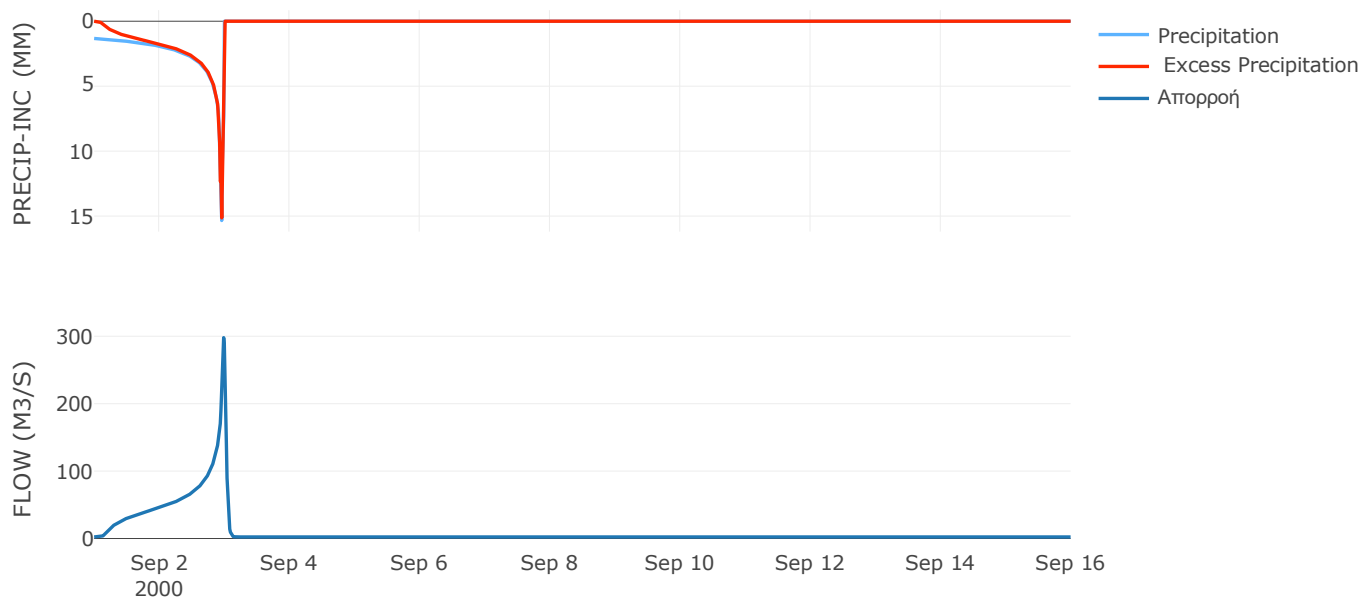
Μέθοδος
Μετασχηματισμού: SCS

Χρόνος Υστέρησης	42.05
------------------	-------

Αποτελέσματα:
EL0514FR003053

Παροχή αιχμής (M3/S)	297.96
Χρονική στιγμή αιχμής	02Sep2000, 23:45
Όγκος (MM)	567.87
Όγκος βροχόπτωσης (M3)	1.16E7
Όγκος απωλειών (M3)	1.5E6
Ενεργός Όγκος (M3)	1.01E7
Όγκος άμεσης απορροής (M3)	1.01E7
Όγκος βασικής απορροής (M3)	3E6

Βροχόπτωση και Απορροή



Υπολεκάνη: EL0514FR003054

Έκταση (KM2) : 25.24

Κατάντη : J28

Μέθοδος Απωλειών: SCS

Ποσοστό αδιαπέρατης επιφάνειας	0
Αριθμός Καμπύλης Απορροής-CN	70.09
Αρχικές Απώλειες	21.68

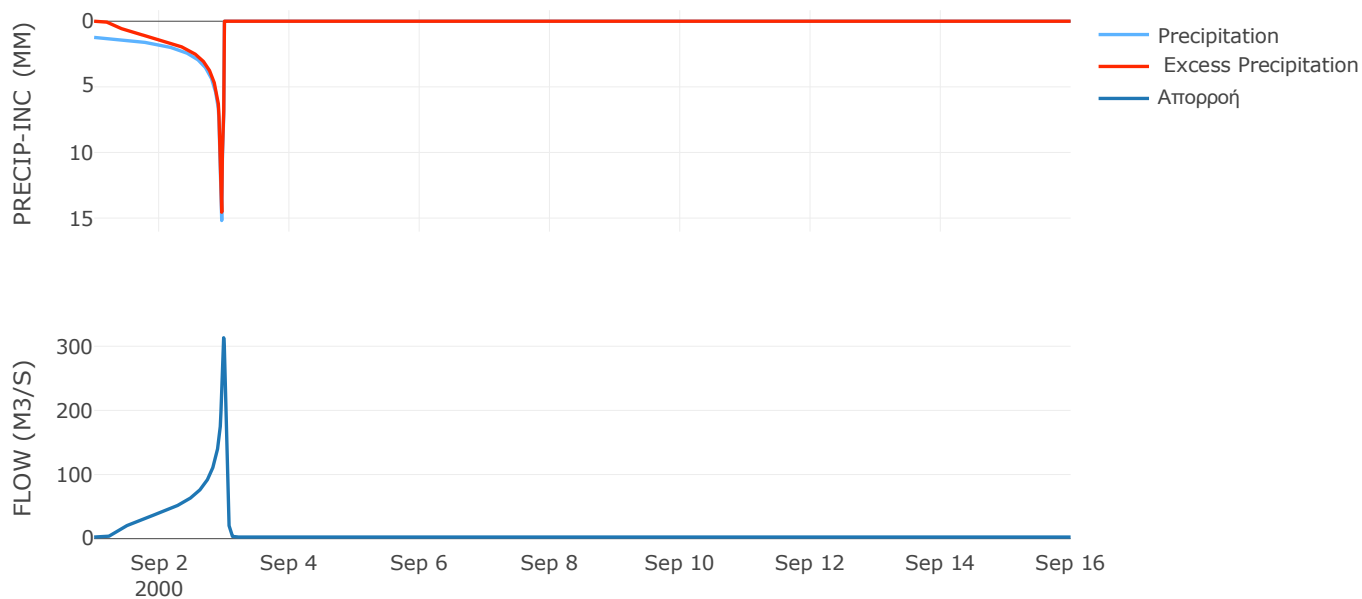
Μέθοδος
Μετασχηματισμού: SCS

Χρόνος Υστέρησης	40.48
------------------	-------

Αποτελέσματα:
EL0514FR003054

Παροχή αιχμής (M3/S)	313.28
Χρονική στιγμή αιχμής	02Sep2000, 23:45
Όγκος (MM)	498.55
Όγκος βροχόπτωσης (M3)	1.21E7
Όγκος απωλειών (M3)	2.76E6
Ενεργός Όγκος (M3)	9.31E6
Όγκος άμεσης απορροής (M3)	9.31E6
Όγκος βασικής απορροής (M3)	3.27E6

Βροχόπτωση και Απορροή



Υπολεκάνη: EL0514FR003055

Έκταση (KM2) : 14.63

Κατάντη : J29

Μέθοδος Απωλειών: SCS

Ποσοστό αδιαπέρατης επιφάνειας	0
Αριθμός Καμπύλης Απορροής-CN	75.32
Αρχικές Απώλειες	16.64

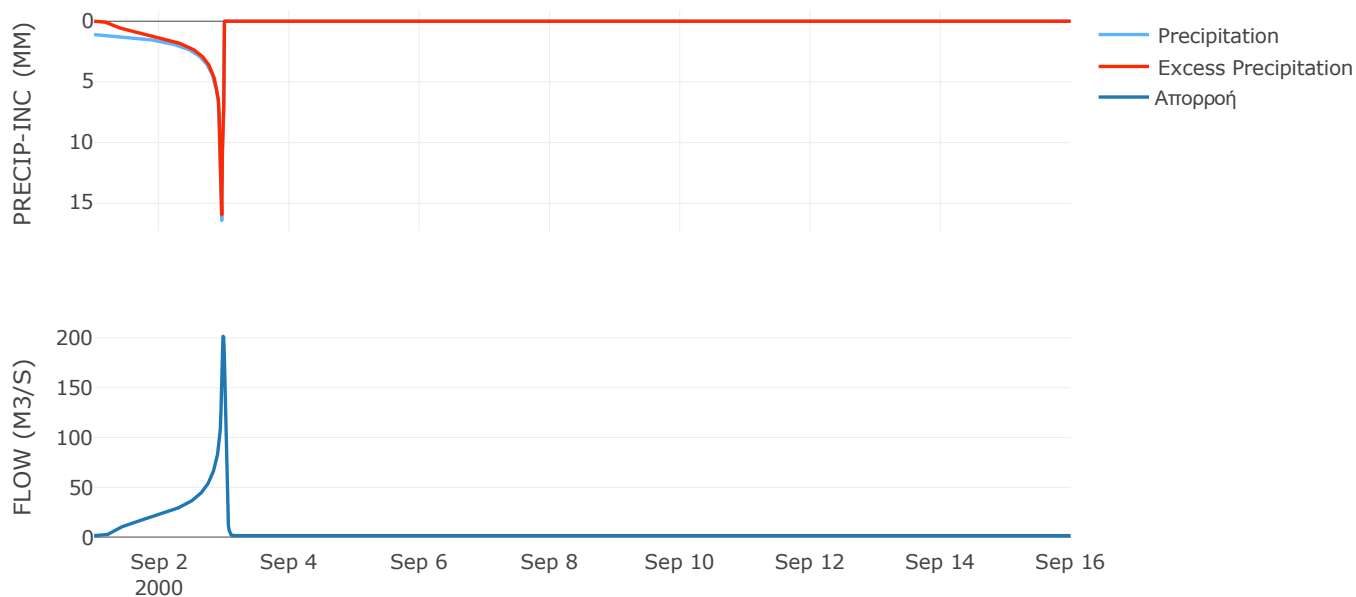
Μέθοδος
Μετασχηματισμού: SCS

Χρόνος Υστέρησης	33.81
------------------	-------

Αποτελέσματα:
EL0514FR003055

Παροχή αιχμής (M3/S)	201.63
Χρονική στιγμή αιχμής	02Sep2000, 23:30
Όγκος (MM)	499.29
Όγκος βροχόπτωσης (M3)	6.67E6
Όγκος απωλειών (M3)	1.27E6
Ενεργός Όγκος (M3)	5.41E6
Όγκος άμεσης απορροής (M3)	5.41E6
Όγκος βασικής απορροής (M3)	1.9E6

Βροχόπτωση και Απορροή



Υπολεκάνη: EL0514FR003056

Έκταση (KM2) : 25.33

Κατάντη : J29

Μέθοδος Απωλειών: SCS

Ποσοστό αδιαπέρατης επιφάνειας	0
Αριθμός Καμπύλης Απορροής-CN	71.86
Αρχικές Απώλειες	19.89

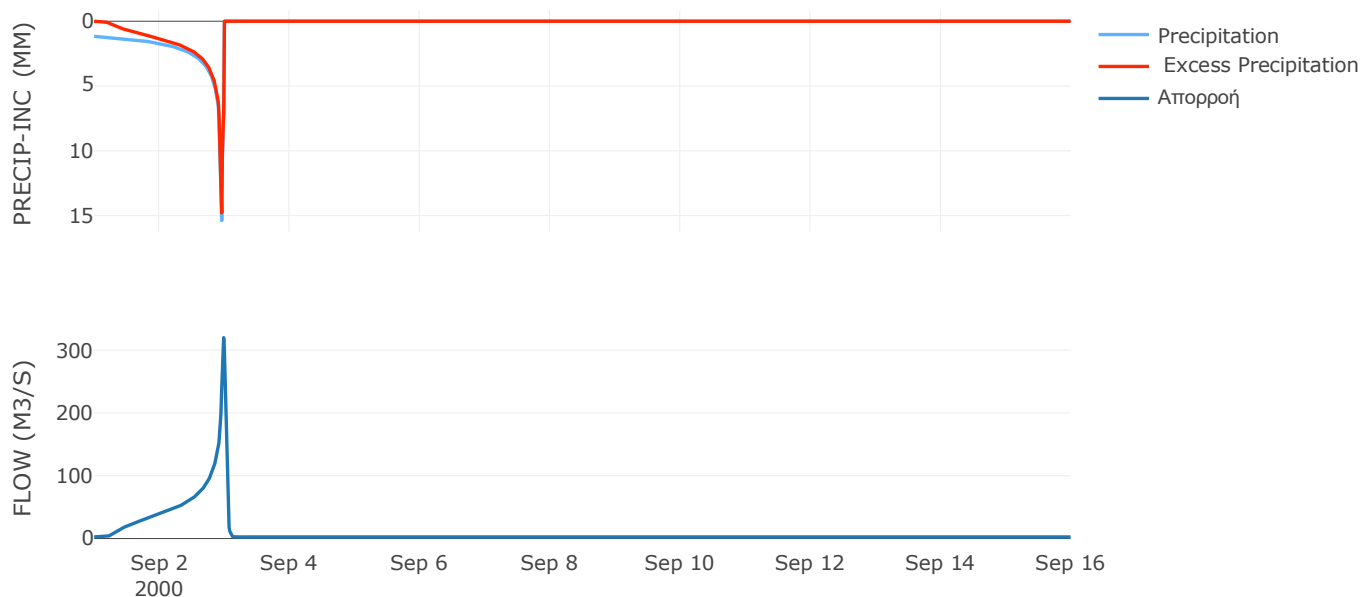
Μέθοδος
Μετασχηματισμού: SCS

Χρόνος Υστέρησης	39.14
------------------	-------

Αποτελέσματα:
EL0514FR003056

Παροχή αιχμής (M3/S)	319.89
Χρονική στιγμή αιχμής	02Sep2000, 23:45
Όγκος (MM)	491.12
Όγκος βροχόπτωσης (M3)	1.17E7
Όγκος απωλειών (M3)	2.56E6
Ενεργός Όγκος (M3)	9.16E6
Όγκος άμεσης απορροής (M3)	9.16E6
Όγκος βασικής απορροής (M3)	3.28E6

Βροχόπτωση και Απορροή



Υπολεκάνη: EL0514FR003057

Έκταση (KM2) : 14.19

Κατάντη : J28

Μέθοδος Απωλειών: SCS

Ποσοστό αδιαπέρατης επιφάνειας	0
Αριθμός Καμπύλης Απορροής-CN	80.63
Αρχικές Απώλειες	12.21

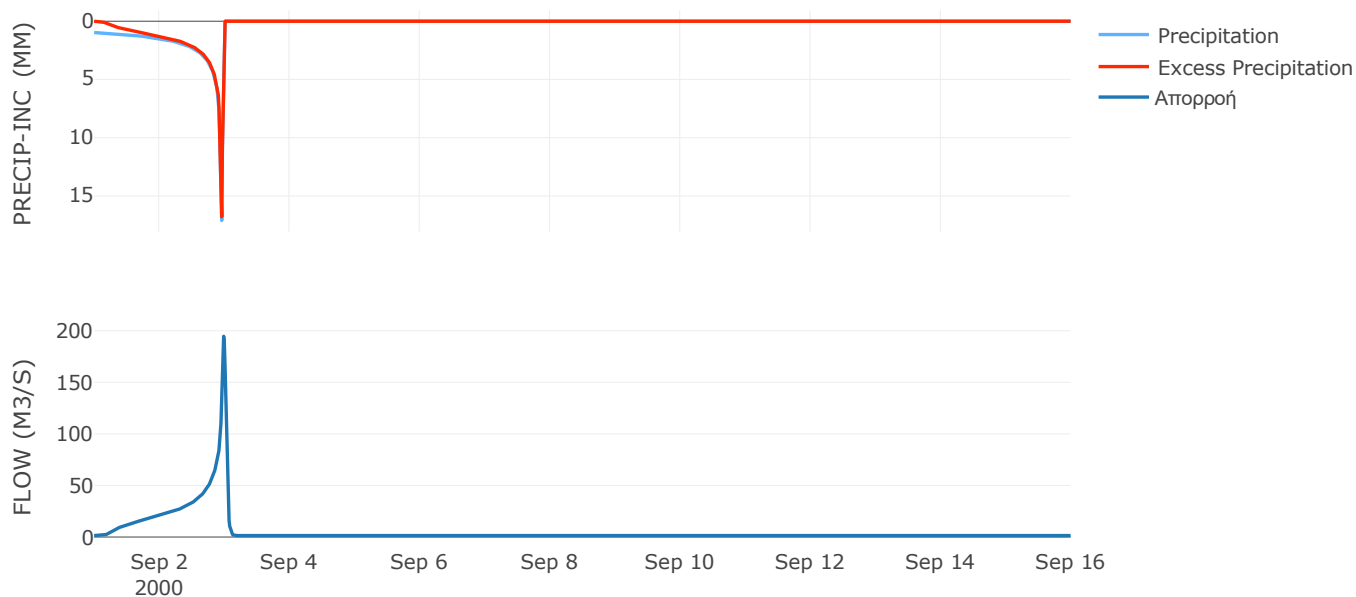
Μέθοδος
Μετασχηματισμού: SCS

Χρόνος Υστέρησης	44.33
------------------	-------

Αποτελέσματα:
EL0514FR003057

Παροχή αιχμής (M3/S)	194.66
Χρονική στιγμή αιχμής	02Sep2000, 23:45
Όγκος (MM)	491.97
Όγκος βροχόπτωσης (M3)	6.07E6
Όγκος απωλειών (M3)	9.28E5
Ενεργός Όγκος (M3)	5.14E6
Όγκος άμεσης απορροής (M3)	5.14E6
Όγκος βασικής απορροής (M3)	1.84E6

Βροχόπτωση και Απορροή



Υπολεκάνη: EL0514FR003058

Έκταση (KM2) : 75.13

Κατάντη : J4 Res1

Μέθοδος Απωλειών: SCS

Ποσοστό αδιαπέρατης επιφάνειας	0.15
Αριθμός Καμπύλης Απορροής-CN	83.14
Αρχικές Απώλειες	10.3

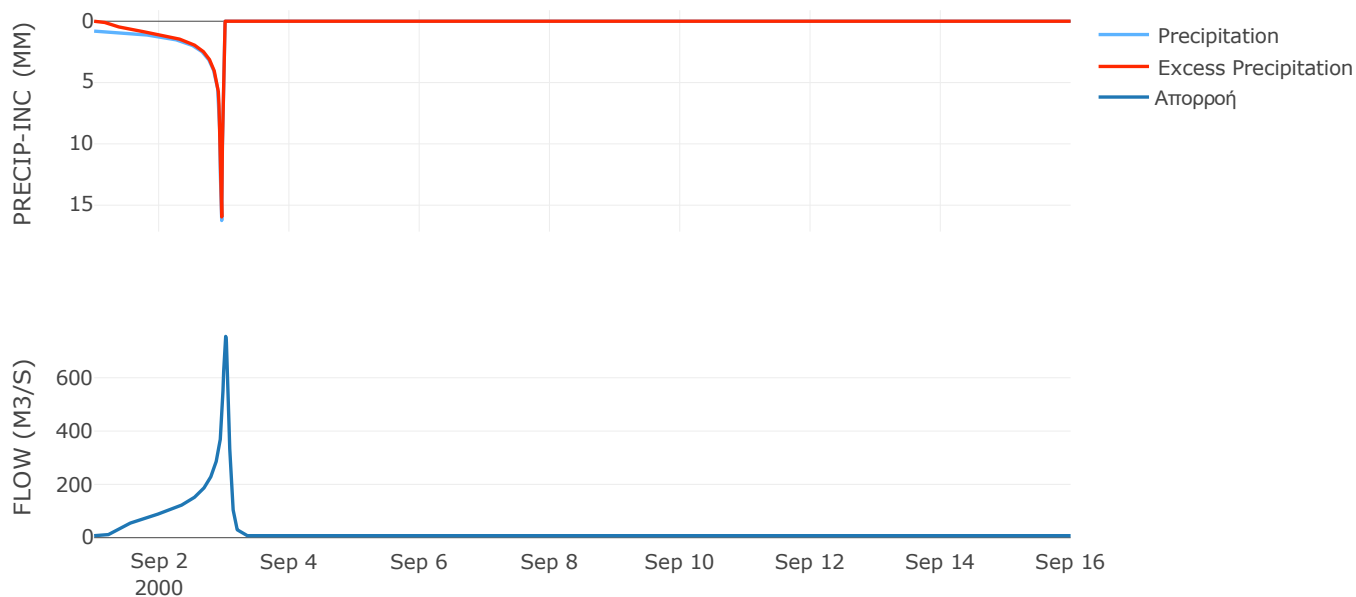
Μέθοδος
Μετασχηματισμού: SCS

Χρόνος Υστέρησης	93.61
------------------	-------

Αποτελέσματα:
EL0514FR003058

Παροχή αιχμής (M3/S)	755.21
Χρονική στιγμή αιχμής	03Sep2000, 00:30
Όγκος (MM)	448.52
Όγκος βροχόπτωσης (M3)	2.81E7
Όγκος απωλειών (M3)	4.16E6
Ενεργός Όγκος (M3)	2.4E7
Όγκος άμεσης απορροής (M3)	2.4E7
Όγκος βασικής απορροής (M3)	9.74E6

Βροχόπτωση και Απορροή



Υπολεκάνη: EL0514FR003059

Έκταση (KM2) : 14.46

Κατάντη : J3

Μέθοδος Απωλειών: SCS

Ποσοστό αδιαπέρατης επιφάνειας	0
Αριθμός Καμπύλης Απορροής-CN	79.67
Αρχικές Απώλειες	12.96

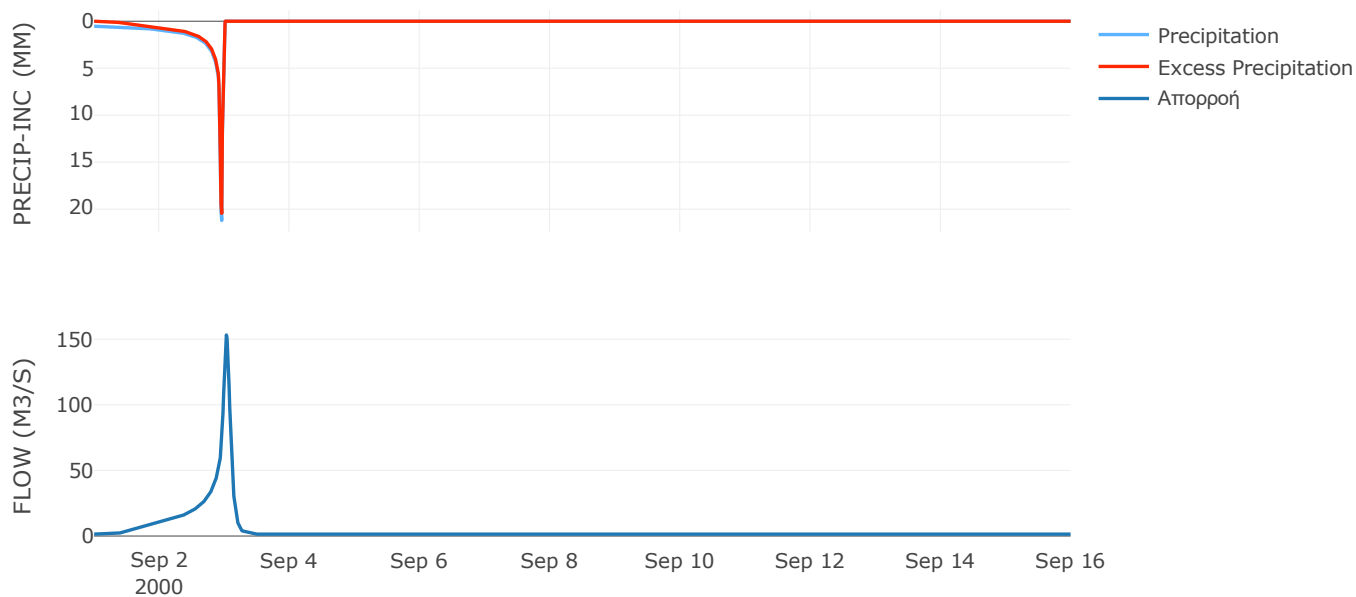
Μέθοδος
Μετασχηματισμού: SCS

Χρόνος Υστέρησης	113.28
------------------	--------

Αποτελέσματα:
EL0514FR003059

Παροχή αιχμής (M3/S)	153.22
Χρονική στιγμή αιχμής	03Sep2000, 00:45
Όγκος (MM)	390.66
Όγκος βροχόπτωσης (M3)	4.74E6
Όγκος απωλειών (M3)	9.65E5
Ενεργός Όγκος (M3)	3.77E6
Όγκος άμεσης απορροής (M3)	3.77E6
Όγκος βασικής απορροής (M3)	1.87E6

Βροχόπτωση και Απορροή



Υπολεκάνη: EL0514FR003060

Έκταση (KM2) : 25.82

Κατάντη : J1

Μέθοδος Απωλειών: SCS

Ποσοστό αδιαπέρατης επιφάνειας	0
Αριθμός Καμπύλης Απορροής-CN	79.13
Αρχικές Απώλειες	13.39

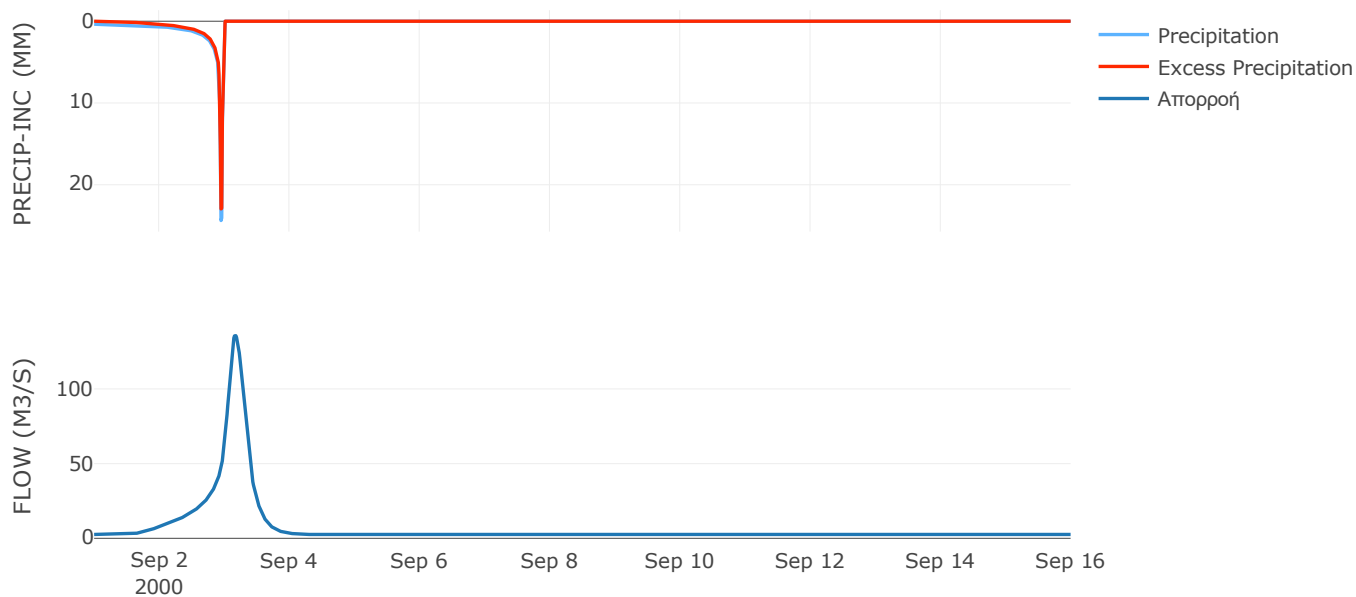
Μέθοδος
Μετασχηματισμού: SCS

Χρόνος Υστέρησης	346.24
------------------	--------

Αποτελέσματα:
EL0514FR003060

Παροχή αιχμής (M3/S)	136.01
Χρονική στιγμή αιχμής	03Sep2000, 04:00
Όγκος (MM)	349.52
Όγκος βροχόπτωσης (M3)	7.41E6
Όγκος απωλειών (M3)	1.73E6
Ενεργός Όγκος (M3)	5.68E6
Όγκος άμεσης απορροής (M3)	5.68E6
Όγκος βασικής απορροής (M3)	3.35E6

Βροχόπτωση και Απορροή



Υπολεκάνη: EL0514FR003061

Έκταση (KM2) : 37.42

Κατάντη : J16

Μέθοδος Απωλειών: SCS

Ποσοστό αδιαπέρατης επιφάνειας	0
Αριθμός Καμπύλης Απορροής-CN	75.51
Αρχικές Απώλειες	16.48

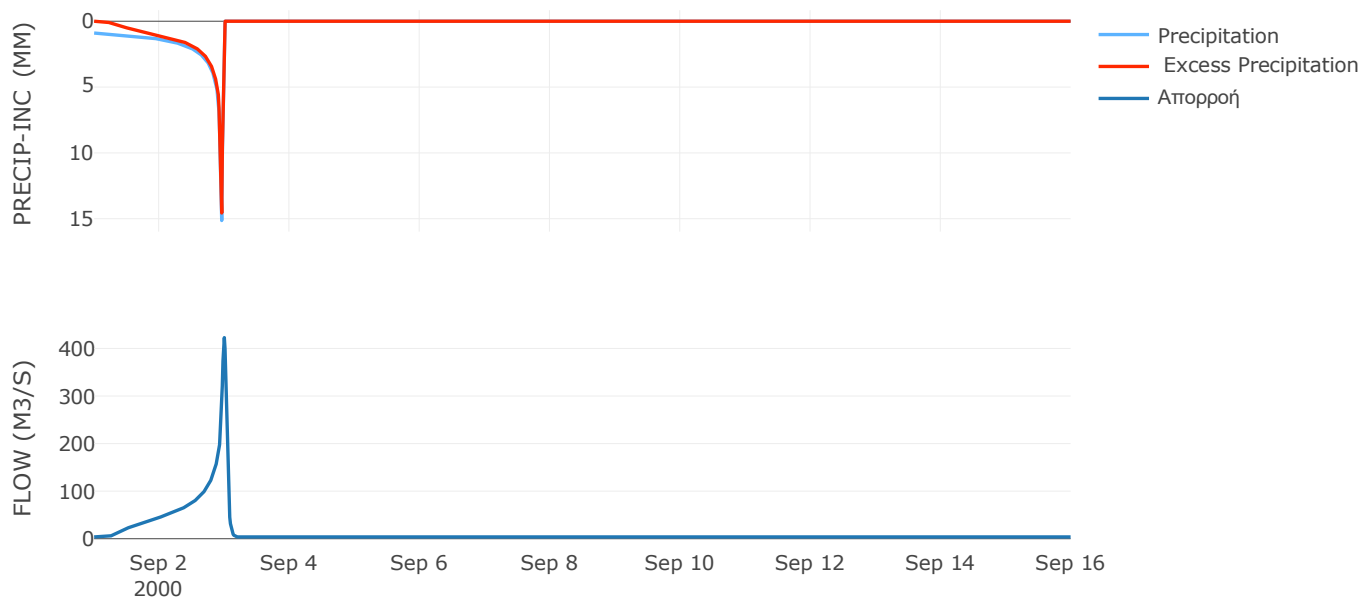
Μέθοδος
Μετασχηματισμού: SCS

Χρόνος Υστέρησης	54.62
------------------	-------

Αποτελέσματα:
EL0514FR003061

Παροχή αιχμής (M3/S)	422.79
Χρονική στιγμή αιχμής	02Sep2000, 24:00
Όγκος (MM)	434.94
Όγκος βροχόπτωσης (M3)	1.46E7
Όγκος απωλειών (M3)	3.14E6
Ενεργός Όγκος (M3)	1.14E7
Όγκος άμεσης απορροής (M3)	1.14E7
Όγκος βασικής απορροής (M3)	4.85E6

Βροχόπτωση και Απορροή



Υπολεκάνη: EL0514FR003062

Έκταση (KM2) : 48.98

Κατάνη : J16

Μέθοδος Απωλειών: SCS

Ποσοστό αδιαπέρατης επιφάνειας	0
Αριθμός Καμπύλης Απορροής-CN	80.16
Αρχικές Απώλειες	12.57

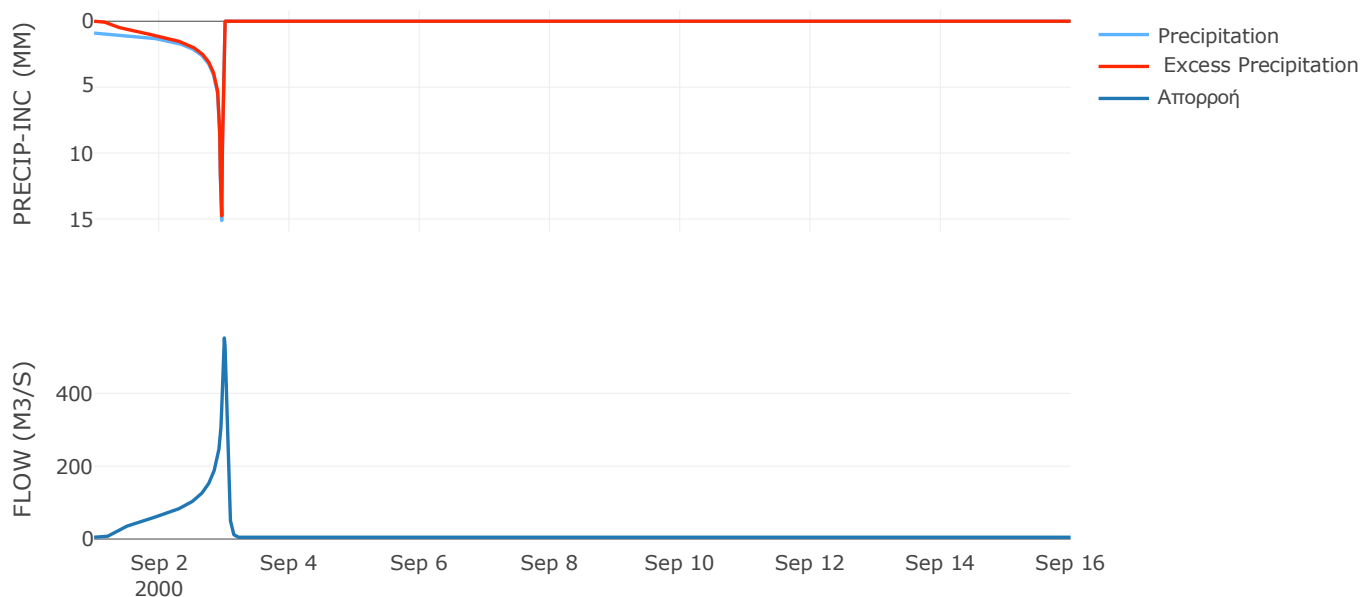
Μέθοδος
Μετασχηματισμού: SCS

Χρόνος Υστέρησης	58.22
------------------	-------

Αποτελέσματα:
EL0514FR003062

Παροχή αιχμής (M3/S)	552.49
Χρονική στιγμή αιχμής	02Sep2000, 24:00
Όγκος (MM)	452.66
Όγκος βροχόπτωσης (M3)	1.91E7
Όγκος απωλειών (M3)	3.26E6
Ενεργός Όγκος (M3)	1.58E7
Όγκος άμεσης απορροής (M3)	1.58E7
Όγκος βασικής απορροής (M3)	6.35E6

Βροχόπτωση και Απορροή



Υπολεκάνη: EL0514FR003063

Έκταση (KM2) : 28.06

Κατάνη : J4 Res1

Μέθοδος Απωλειών: SCS

Ποσοστό αδιαπέρατης επιφάνειας	0
Αριθμός Καμπύλης Απορροής-CN	66.26
Αρχικές Απώλειες	25.86

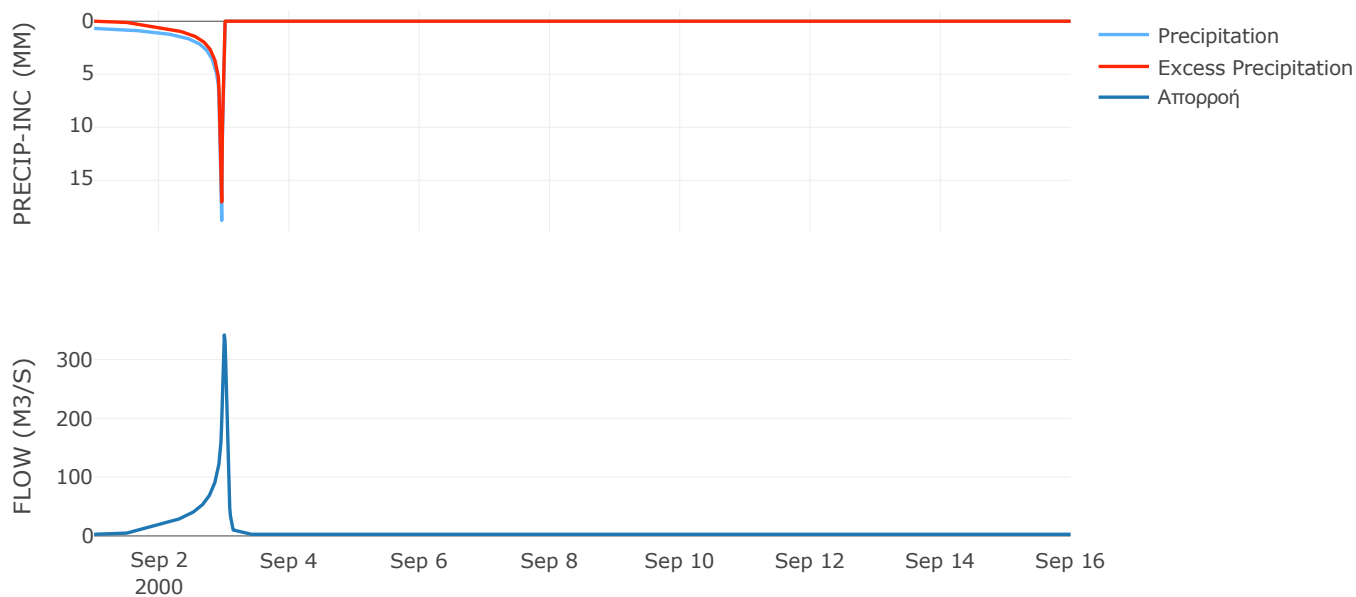
Μέθοδος
Μετασχηματισμού: SCS

Χρόνος Υστέρησης	60.51
------------------	-------

Αποτελέσματα:
EL0514FR003063

Παροχή αιχμής (M3/S)	341.83
Χρονική στιγμή αιχμής	02Sep2000, 24:00
Όγκος (MM)	366.87
Όγκος βροχόπτωσης (M3)	9.99E6
Όγκος απωλειών (M3)	3.33E6
Ενεργός Όγκος (M3)	6.66E6
Όγκος άμεσης απορροής (M3)	6.66E6
Όγκος βασικής απορροής (M3)	3.64E6

Βροχόπτωση και Απορροή



Υπολεκάνη: EL0514FR003065

Έκταση (KM2) : 8.81

Κατάντη : J13

Μέθοδος Απωλειών: SCS

Ποσοστό αδιαπέρατης επιφάνειας	0
Αριθμός Καμπύλης Απορροής-CN	70.5
Αρχικές Απώλειες	21.26

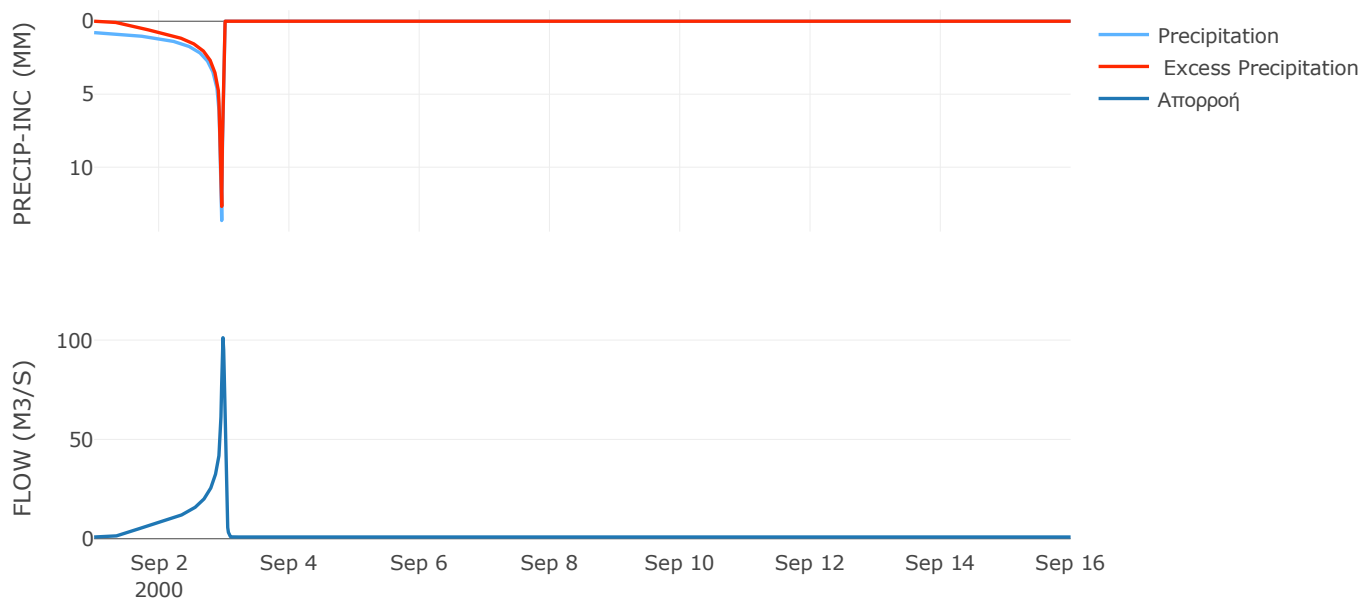
Μέθοδος
Μετασχηματισμού: SCS

Χρόνος Υστέρησης	27.81
------------------	-------

Αποτελέσματα:
EL0514FR003065

Παροχή αιχμής (M3/S)	101.21
Χρονική στιγμή αιχμής	02Sep2000, 23:30
Όγκος (MM)	371.32
Όγκος βροχόπτωσης (M3)	3.02E6
Όγκος απωλειών (M3)	8.91E5
Ενεργός Όγκος (M3)	2.13E6
Όγκος άμεσης απορροής (M3)	2.13E6
Όγκος βασικής απορροής (M3)	1.14E6

Βροχόπτωση και Απορροή



Υπολεκάνη: EL0514FR003066

Έκταση (KM2) : 6.92

Κατάντη : J5

Μέθοδος Απωλειών: SCS

Ποσοστό αδιαπέρατης επιφάνειας	0.22
Αριθμός Καμπύλης Απορροής-CN	86.04
Αρχικές Απώλειες	8.24

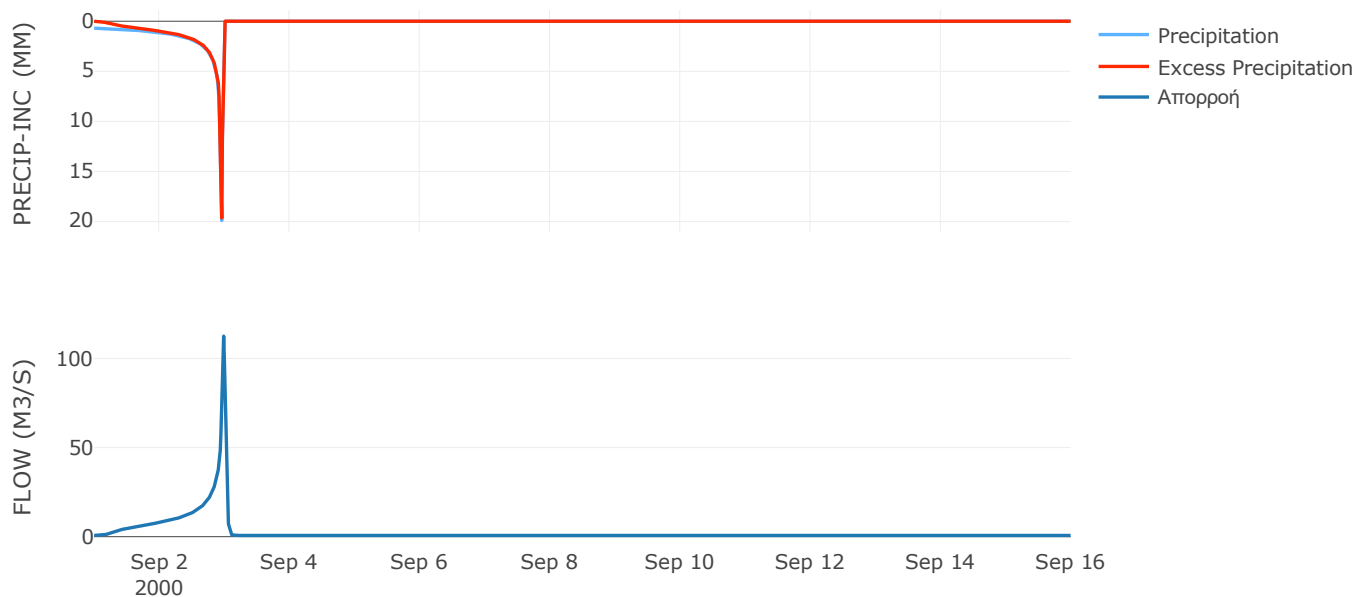
Μέθοδος
Μετασχηματισμού: SCS

Χρόνος Υστέρησης	36.2
------------------	------

Αποτελέσματα:
EL0514FR003066

Παροχή αιχμής (M3/S)	112.52
Χρονική στιγμή αιχμής	02Sep2000, 23:45
Όγκος (MM)	454.21
Όγκος βροχόπτωσης (M3)	2.56E6
Όγκος απωλειών (M3)	3.12E5
Ενεργός Όγκος (M3)	2.24E6
Όγκος άμεσης απορροής (M3)	2.24E6
Όγκος βασικής απορροής (M3)	8.96E5

Βροχόπτωση και Απορροή



Υπολεκάνη: EL0514FR003067

Έκταση (KM2) : 46.66

Κατάντη : J2

Μέθοδος Απωλειών: SCS

Ποσοστό αδιαπέρατης επιφάνειας	0
Αριθμός Καμπύλης Απορροής-CN	76.09
Αρχικές Απώλειες	15.97

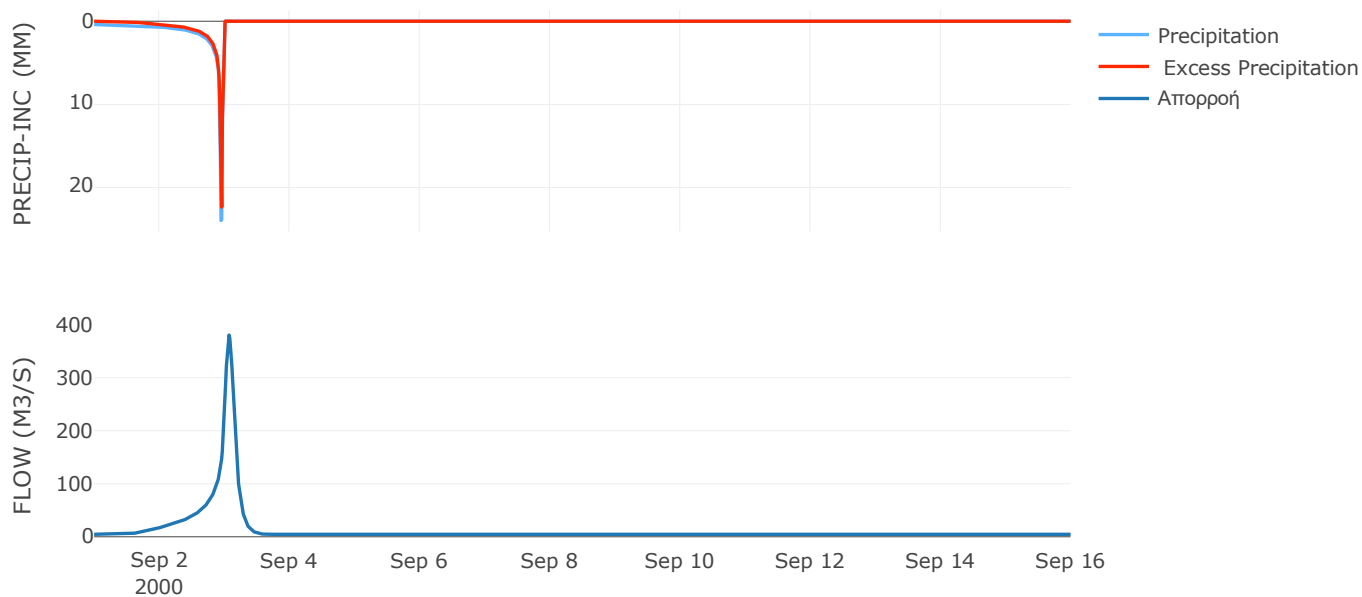
Μέθοδος
Μετασχηματισμού: SCS

Χρόνος Υστέρησης	178.96
------------------	--------

Αποτελέσματα:
EL0514FR003067

Παροχή αιχμής (M3/S)	380.39
Χρονική στιγμή αιχμής	03Sep2000, 01:45
Όγκος (MM)	345.55
Όγκος βροχόπτωσης (M3)	1.37E7
Όγκος απωλειών (M3)	3.64E6
Ενεργός Όγκος (M3)	1.01E7
Όγκος άμεσης απορροής (M3)	1.01E7
Όγκος βασικής απορροής (M3)	6.05E6

Βροχόπτωση και Απορροή



8.2 Δεδομένα και υδρογραφήματα σχεδιασμού Κλάδων υδρογραφικού δικτύου

Κλάδος: R21

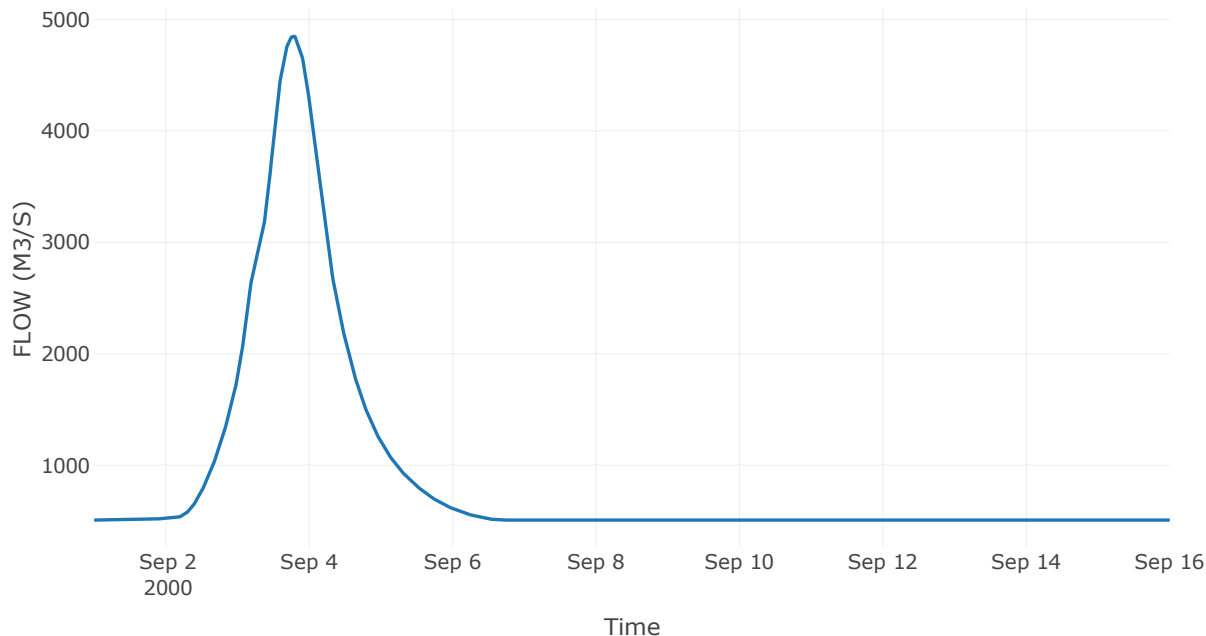
Κατάντη : J1

Μέθοδος Διόδευσης	Muskingum
Αρχική Μεταβλητή	Combined Inflow
Muskingum K	2.32
Συντελεστής βάρους α	0.2
Πλήθος Υποκλάδων	11

Αποτελέσματα: R21

Παροχή Αιχμής(M3/S)	4850.98
Χρονική στιγμή αιχμής	03Sep2000, 18:45
Όγκος(MM)	613.04
Παροχή Αιχμής Εισόδου (M3/S)	4856.89
Όγκος Εισροής(M3)	1.15E9

Απορροή



Κλάδος: R32

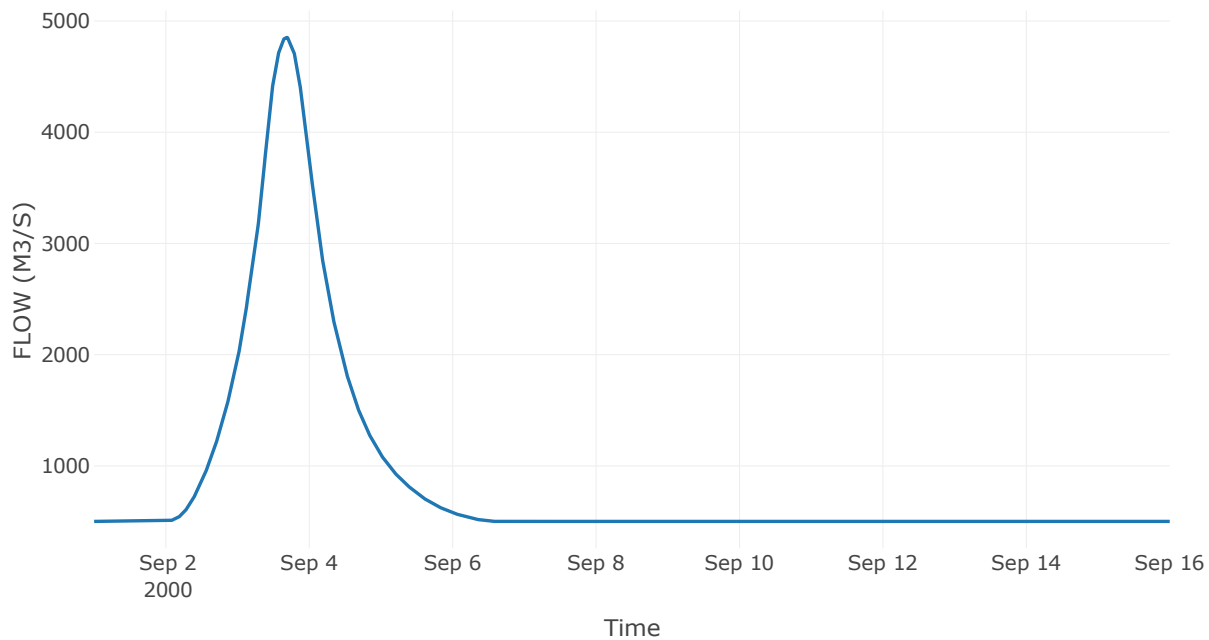
Κατάντη : J2

Μέθοδος Διόδευσης	Muskingum
Αρχική Μεταβλητή	Combined Inflow
Muskingum K	3.63
Συντελεστής βάρους x	0.2
Πλήθος Υποκλάδων	18

Αποτελέσματα: R32

Παροχή Αιχμής(M3/S)	4852.23
Χρονική στιγμή αιχμής	03Sep2000, 16:15
Όγκος(MM)	619.84
Παροχή Αιχμής Εισόδου (M3/S)	4861.36
Όγκος Εισροής(M3)	1.14E9

Απορροή



Κλάδος: R43

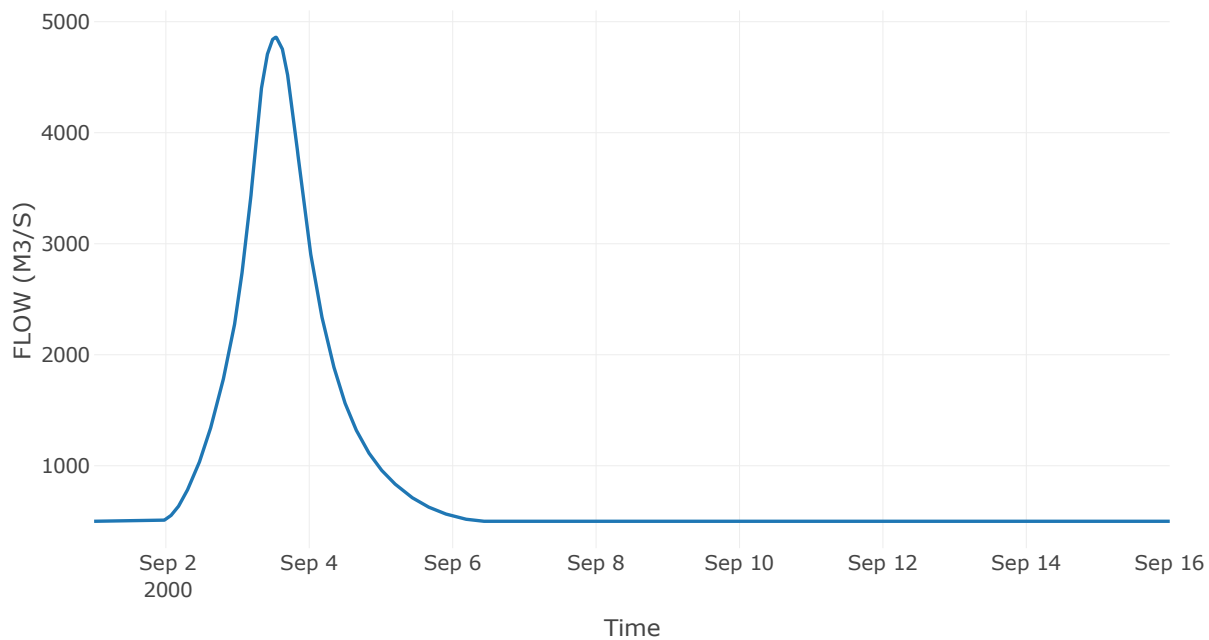
Κατάντη : J3

Μέθοδος Διόδευσης	Muskingum
Αρχική Μεταβλητή	Combined Inflow
Muskingum K	0.63
Συντελεστής βάρους x	0.2
Πλήθος Υποκλάδων	3

Αποτελέσματα: R43

Παροχή Αιχμής(M3/S)	4859.91
Χρονική στιγμή αιχμής	03Sep2000, 12:45
Όγκος(MM)	621.66
Παροχή Αιχμής Εισόδου (M3/S)	4861.37
Όγκος Εισροής(M3)	1.13E9

Απορροή



Κλάδος: R54

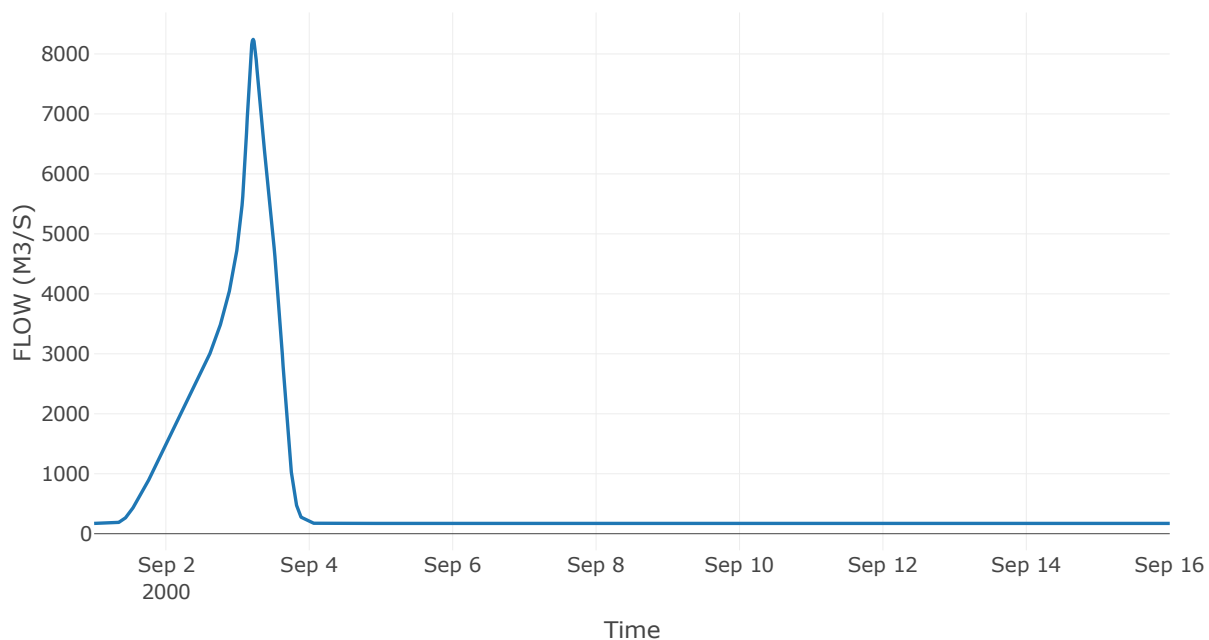
Κατάντη : J4 Res1

Μέθοδος Διόδευσης	Muskingum
Αρχική Μεταβλητή	Combined Inflow
Muskingum K	4
Συντελεστής βάρους x	0.2
Πλήθος Υποκλάδων	5

Αποτελέσματα: R54

Παροχή Αιχμής(M3/S)	8242.76
Χρονική στιγμή αιχμής	03Sep2000, 05:15
Όγκος(MM)	479.89
Παροχή Αιχμής Εισόδου (M3/S)	9301.32
Όγκος Εισροής(M3)	8.25E8

Απορροή



Κλάδος: R65

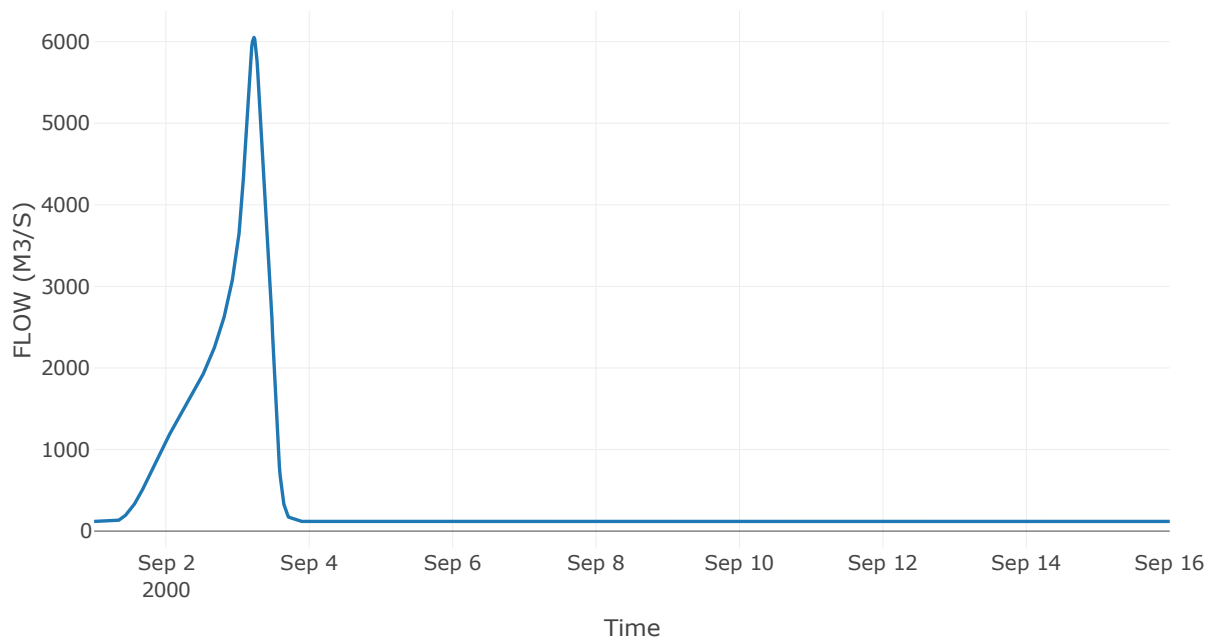
Κατάντη : J5

Μέθοδος Διόδευσης	Muskingum
Αρχική Μεταβλητή	Combined Inflow
Muskingum K	4
Συντελεστής βάρους x	0.2
Πλήθος Υποκλάδων	5

Αποτελέσματα: R65

Παροχή Αιχμής(M3/S)	6052.16
Χρονική στιγμή αιχμής	03Sep2000, 05:30
Όγκος(MM)	461.59
Παροχή Αιχμής Εισόδου (M3/S)	6385.06
Όγκος Εισροής(M3)	5.46E8

Απορροή



Κλάδος: R76

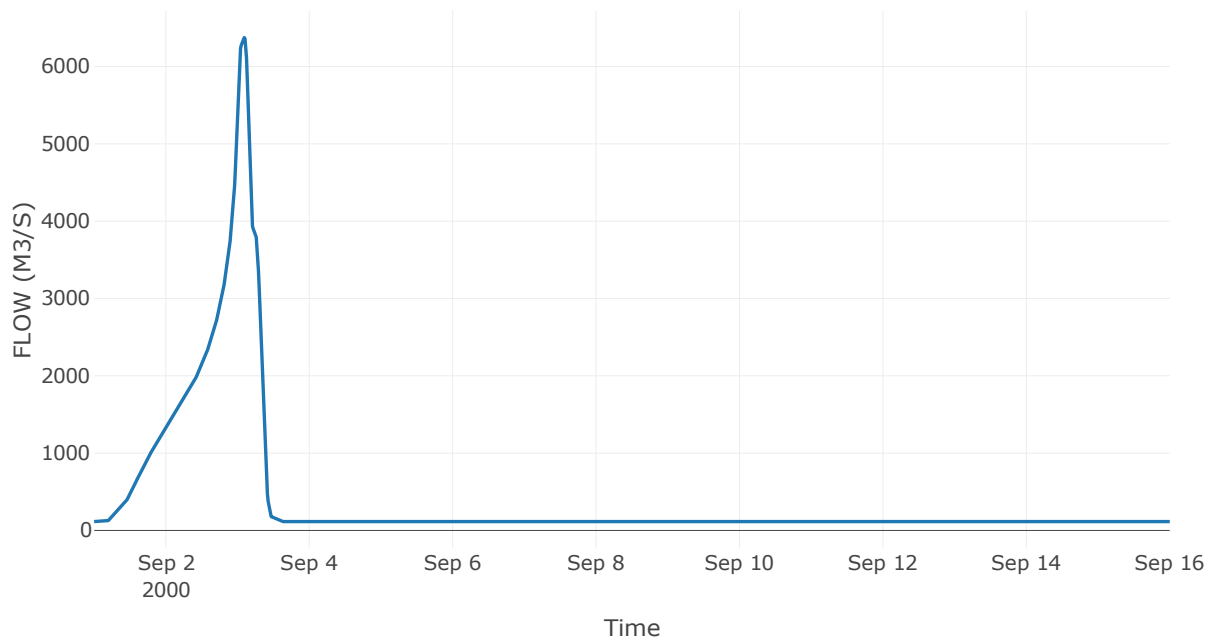
Κατάντη : J6

Μέθοδος Διόδευσης	Muskingum
Αρχική Μεταβλητή	Combined Inflow
Muskingum K	0.4
Συντελεστής βάρους x	0.2
Πλήθος Υποκλάδων	2

Αποτελέσματα: R76

Παροχή Αιχμής(M3/S)	6374.33
Χρονική στιγμή αιχμής	03Sep2000, 02:15
Όγκος(MM)	462.03
Παροχή Αιχμής Εισόδου (M3/S)	6390.52
Όγκος Εισροής(M3)	5.3E8

Απορροή



Κλάδος: R87

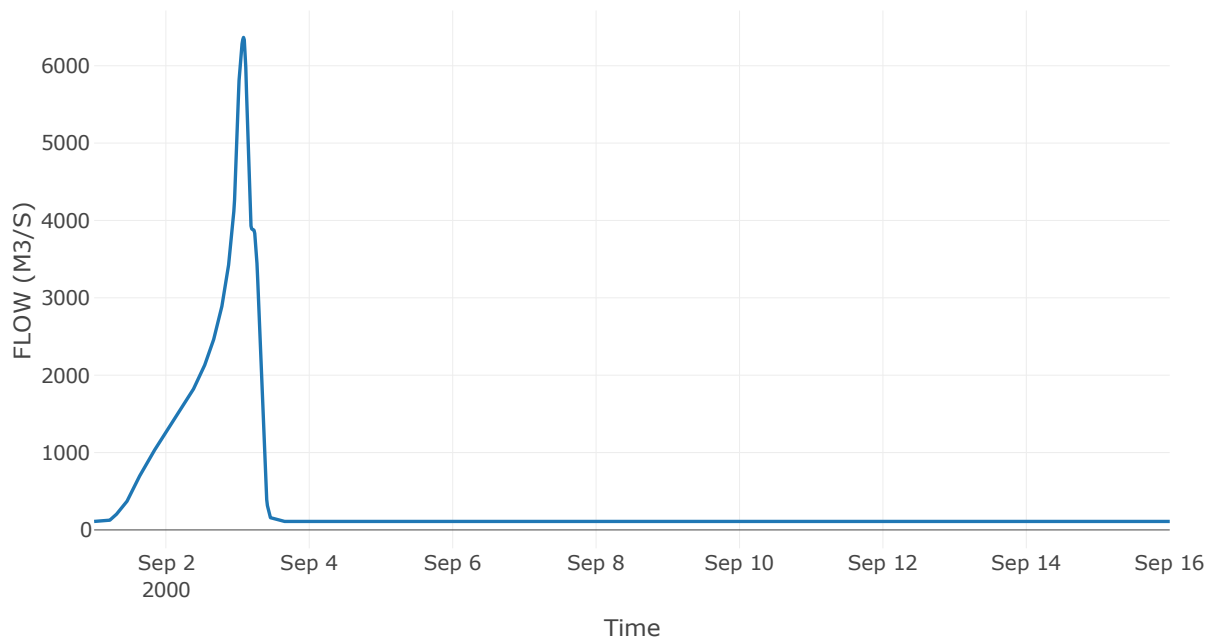
Κατάντη : J7

Μέθοδος Διόδευσης	Muskingum
Αρχική Μεταβλητή	Combined Inflow
Muskingum K	0.48
Συντελεστής βάρους α	0.2
Πλήθος Υποκλάδων	2

Αποτελέσματα: R87

Παροχή Αιχμής(M3/S)	6366.11
Χρονική στιγμή αιχμής	03Sep2000, 02:00
Όγκος(MM)	458.14
Παροχή Αιχμής Εισόδου (M3/S)	6391.03
Όγκος Εισροής(M3)	5.03E8

Απορροή



Κλάδος: R98

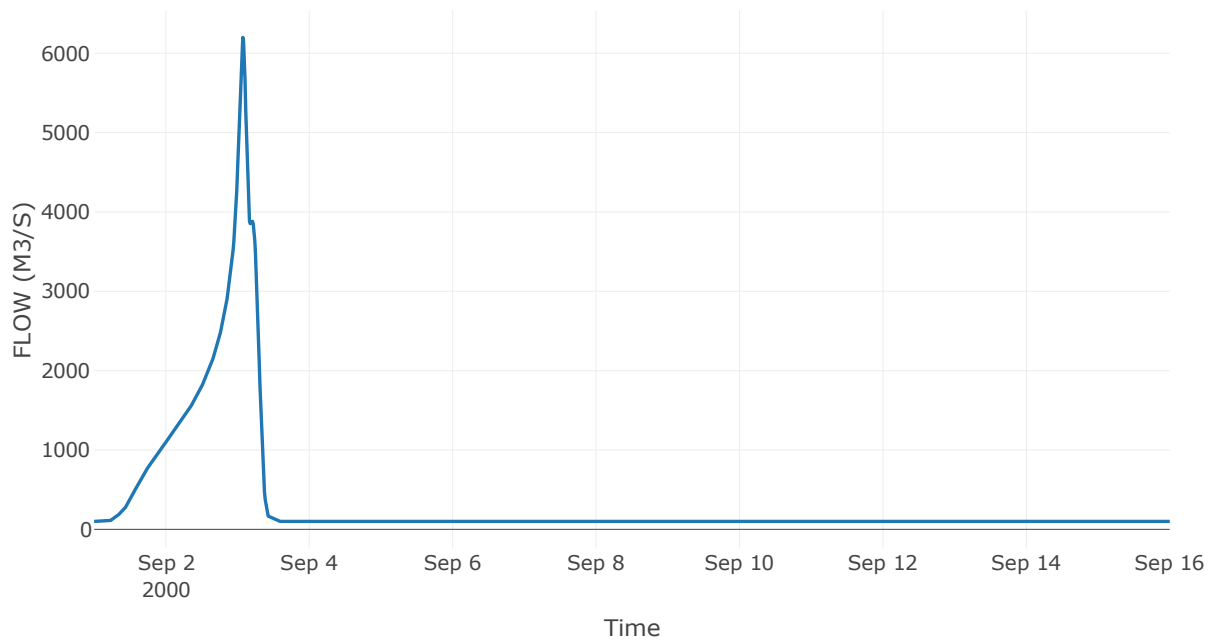
Κατάντη : J8

Μέθοδος Διόδευσης	Muskingum
Αρχική Μεταβλητή	Combined Inflow
Muskingum K	0.88
Συντελεστής βάρους α	0.2
Πλήθος Υποκλάδων	4

Αποτελέσματα: R98

Παροχή Αιχμής(M3/S)	6200.42
Χρονική στιγμή αιχμής	03Sep2000, 01:45
Όγκος(MM)	449.11
Παροχή Αιχμής Εισόδου (M3/S)	6324.38
Όγκος Εισροής(M3)	4.48E8

Απορροή



Κλάδος: R109

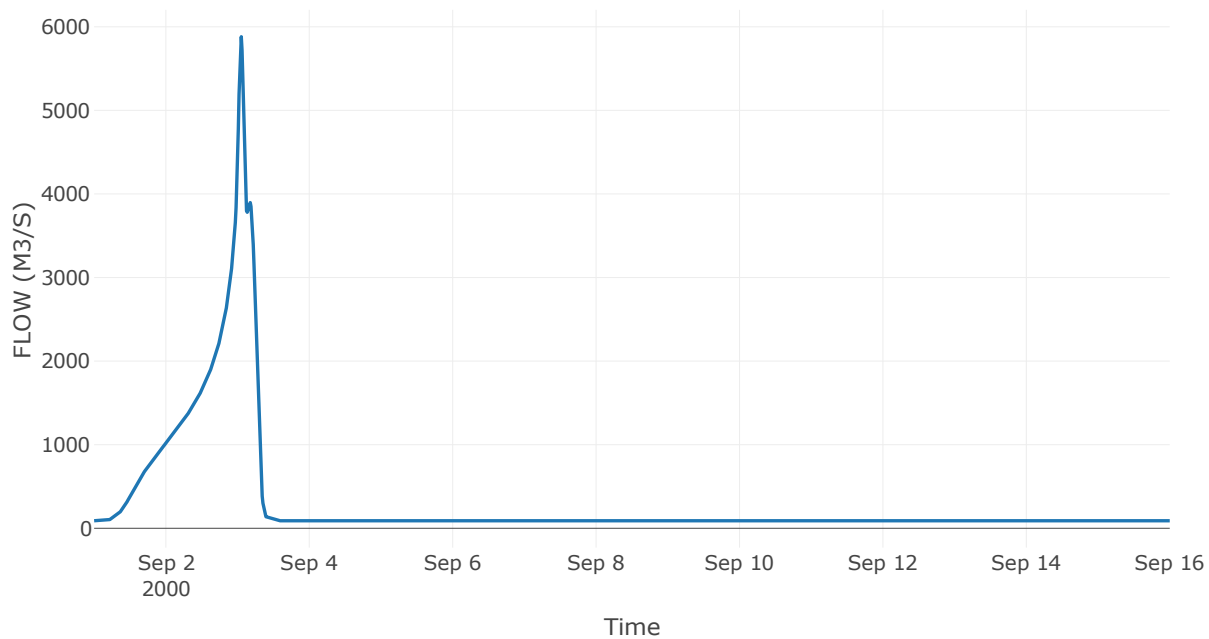
Κατάντη : J9

Μέθοδος Διόδευσης	Χρόνος Υστέρησης
Αρχική Μεταβλητή	Combined Inflow
Χρόνος Υστέρησης	43.87

Αποτελέσματα: R109

Παροχή Αιχμής(M3/S)	5880.89
Χρονική στιγμή αιχμής	03Sep2000, 01:15
Όγκος(MM)	447.33
Παροχή Αιχμής Εισόδου (M3/S)	5898.8
Όγκος Εισροής(M3)	4.02E8

Απορροή



Κλάδος: R1110

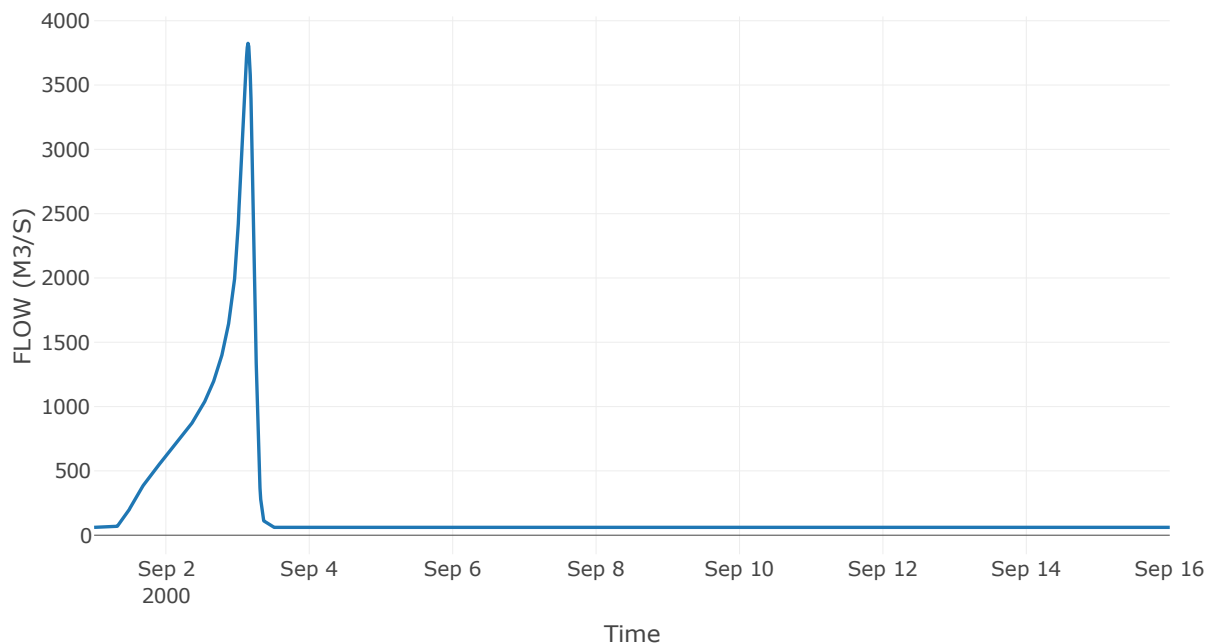
Κατάντη : J10

Μέθοδος Διόδευσης	Muskingum
Αρχική Μεταβλητή	Combined Inflow
Muskingum K	1.36
Συντελεστής βάρους x	0.2
Πλήθος Υποκλάδων	7

Αποτελέσματα: R1110

Παροχή Αιχμής(M3/S)	3824.32
Χρονική στιγμή αιχμής	03Sep2000, 03:30
Όγκος(MM)	421.36
Παροχή Αιχμής Εισόδου (M3/S)	3900.66
Όγκος Εισροής(M3)	2.57E8

Απορροή



Κλάδος: R1211

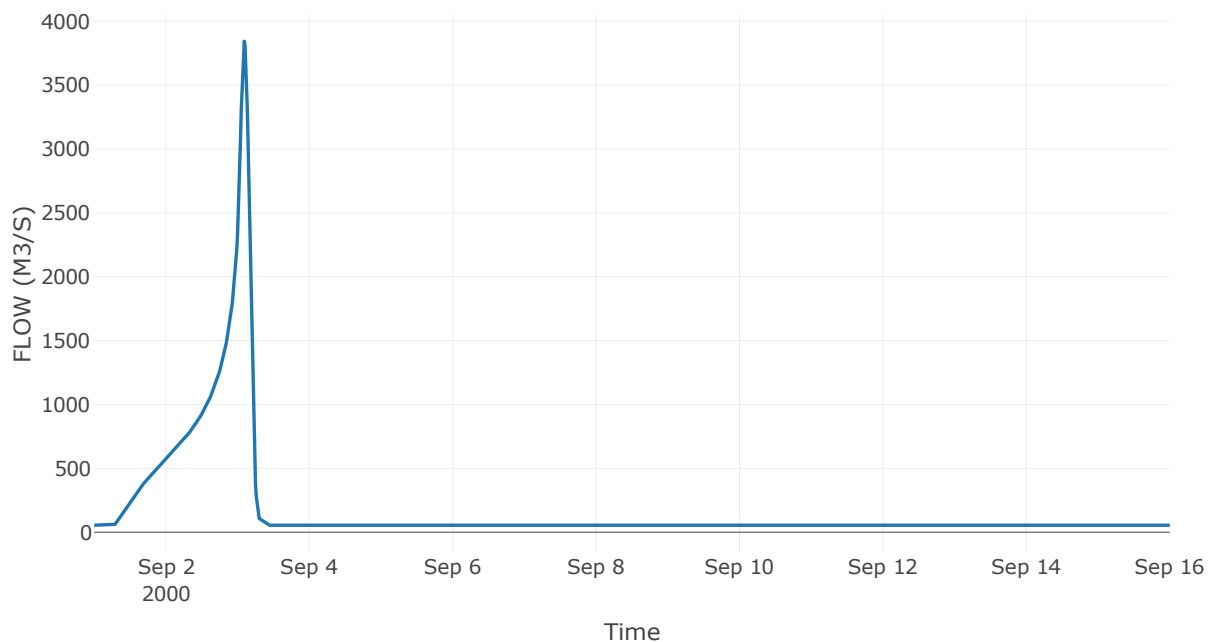
Κατάντη : J11

Μέθοδος Διόδευσης	Muskingum
Αρχική Μεταβλητή	Combined Inflow
Muskingum K	1.21
Συντελεστής βάρους α	0.2
Πλήθος Υποκλάδων	6

Αποτελέσματα: R1211

Παροχή Αιχμής(M3/S)	3843.83
Χρονική στιγμή αιχμής	03Sep2000, 02:15
Όγκος(MM)	420.7
Παροχή Αιχμής Εισόδου (M3/S)	3940.78
Όγκος Εισροής(M3)	2.28E8

Απορροή



Κλάδος: R1312

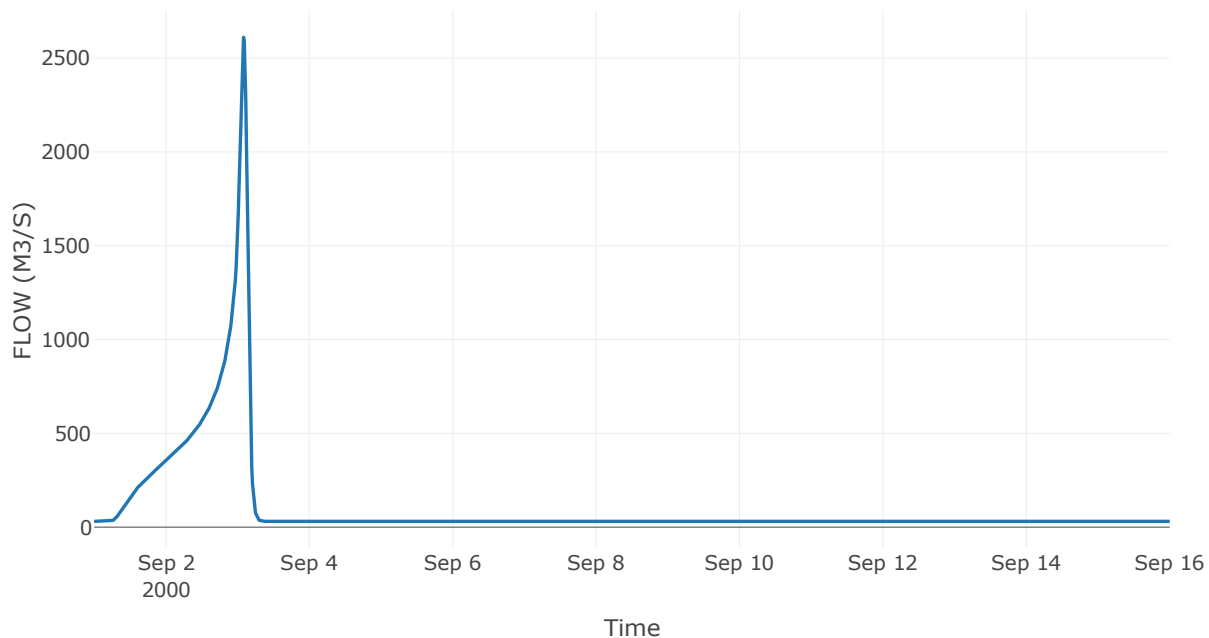
Κατάντη : J12

Μέθοδος Διόδευσης	Muskingum
Αρχική Μεταβλητή	Combined Inflow
Muskingum K	1.31
Συντελεστής βάρους α	0.2
Πλήθος Υποκλάδων	6

Αποτελέσματα: R1312

Παροχή Αιχμής(M3/S)	2610.23
Χρονική στιγμή αιχμής	03Sep2000, 02:00
Όγκος(MM)	438.1
Παροχή Αιχμής Εισόδου (M3/S)	2717
Όγκος Εισροής(M3)	1.35E8

Απορροή



Κλάδος: R1413

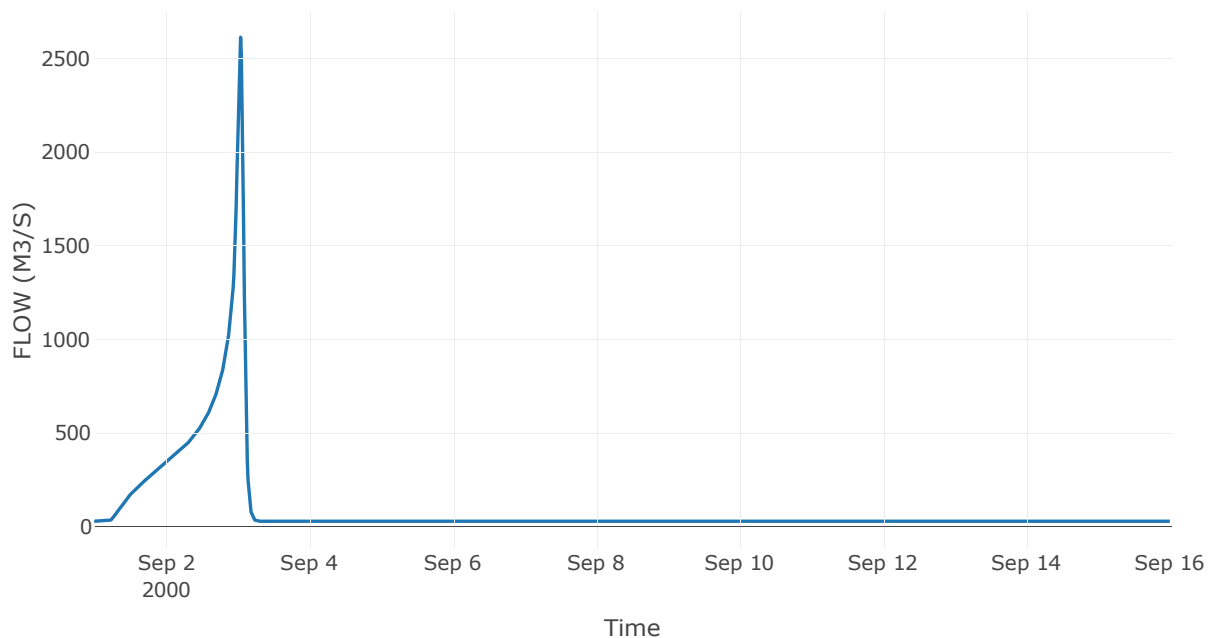
Κατάντη : J13

Μέθοδος Διόδευσης	Muskingum
Αρχική Μεταβλητή	Combined Inflow
Muskingum K	0.14
Συντελεστής βάρους α	0.2
Πλήθος Υποκλάδων	1

Αποτελέσματα: R1413

Παροχή Αιχμής(M3/S)	2613.32
Χρονική στιγμή αιχμής	03Sep2000, 01:00
Όγκος(MM)	439.84
Παροχή Αιχμής Εισόδου (M3/S)	2625.61
Όγκος Εισροής(M3)	1.23E8

Απορροή



Κλάδος: R1514

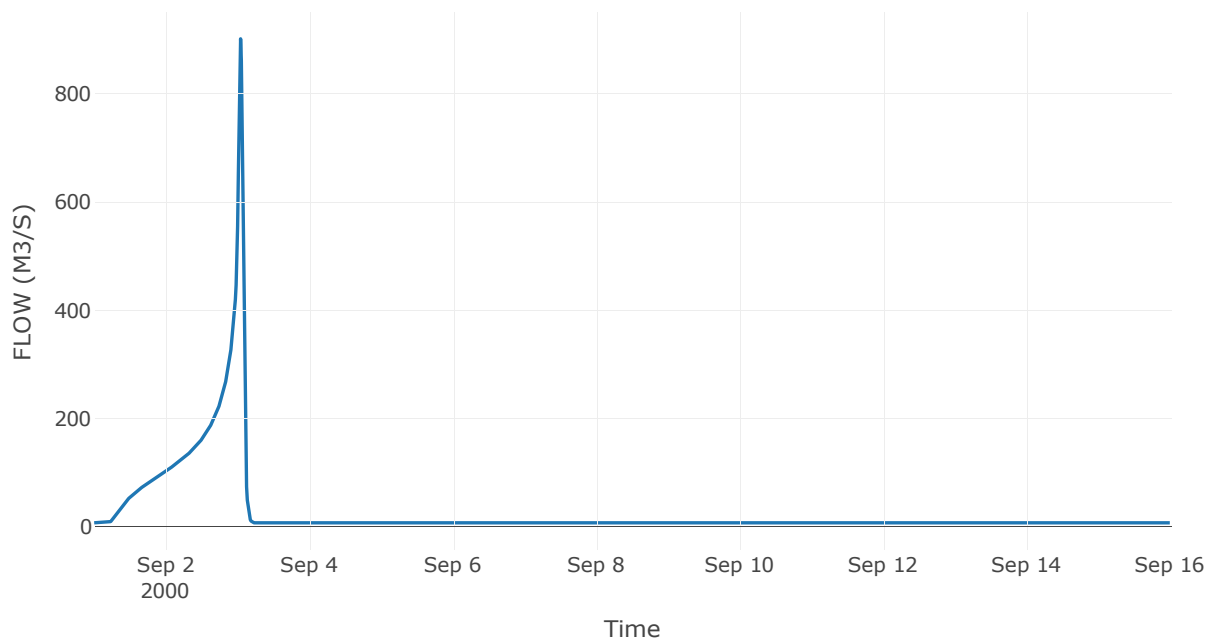
Κατάντη : J14

Μέθοδος Διόδευσης	Χρόνος Υστέρησης
Αρχική Μεταβλητή	Combined Inflow
Χρόνος Υστέρησης	72.04

Αποτελέσματα: R1514

Παροχή Αιχμής(M3/S)	901.42
Χρονική στιγμή αιχμής	03Sep2000, 01:00
Όγκος(MM)	452.97
Παροχή Αιχμής Εισόδου (M3/S)	906.62
Όγκος Εισροής(M3)	3.61E7

Απορροή



Κλάδος: R1614

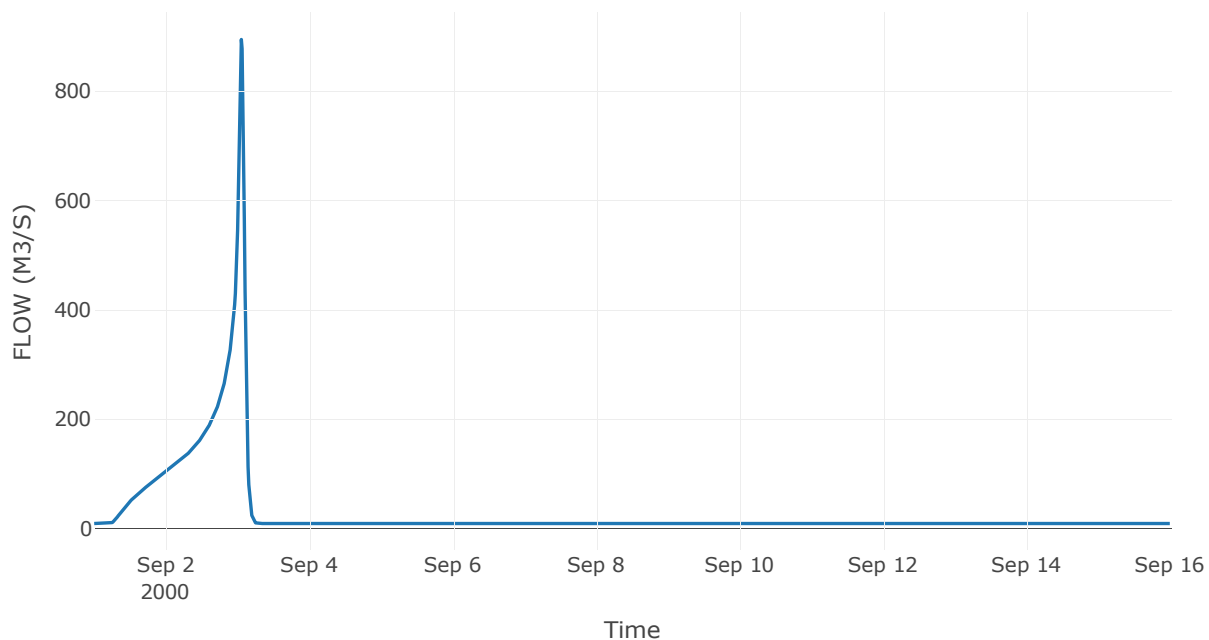
Κατάντη : J14

Μέθοδος Διόδευσης	Muskingum
Αρχική Μεταβλητή	Combined Inflow
Muskingum K	1.35
Συντελεστής βάρους x	0.2
Πλήθος Υποκλάδων	7

Αποτελέσματα: R1614

Παροχή Αιχμής(M3/S)	895.06
Χρονική στιγμή αιχμής	03Sep2000, 01:15
Όγκος(MM)	444.99
Παροχή Αιχμής Εισόδου (M3/S)	975.28
Όγκος Εισροής(M3)	3.84E7

Απορροή



Κλάδος: R1712

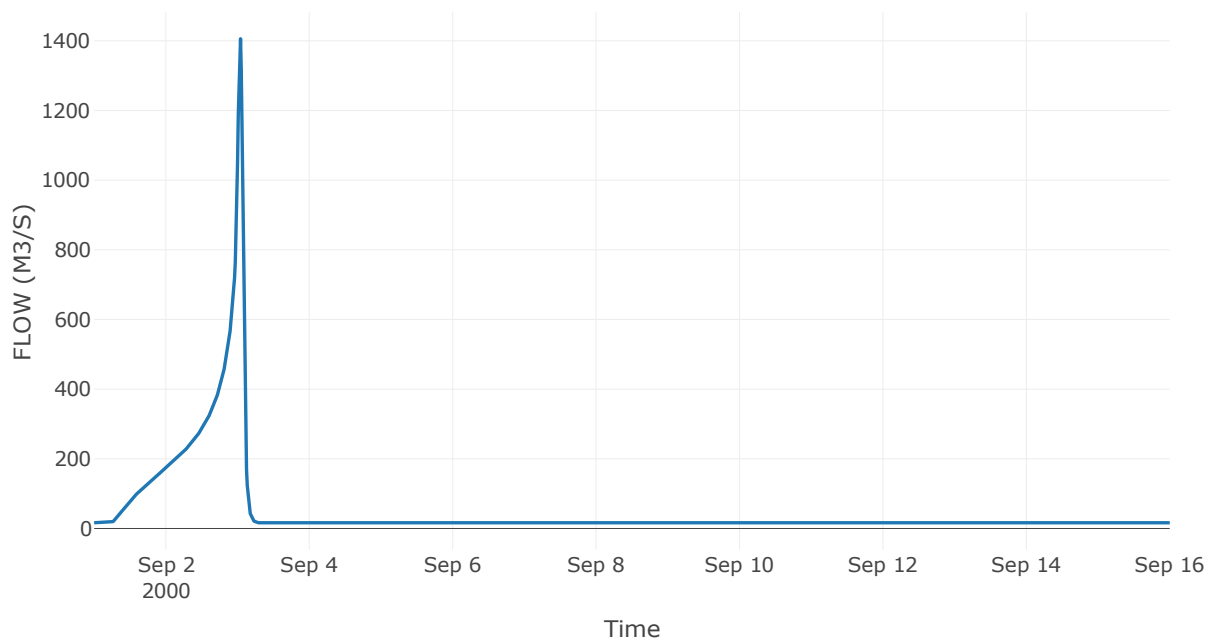
Κατάντη : J12

Μέθοδος Διόδευσης	Χρόνος Υστέρησης
Αρχική Μεταβλητή	Combined Inflow
Χρόνος Υστέρησης	43.97

Αποτελέσματα: R1712

Παροχή Αιχμής(M3/S)	1405.9
Χρονική στιγμή αιχμής	03Sep2000, 01:00
Όγκος(MM)	395.19
Παροχή Αιχμής Εισόδου (M3/S)	1417.03
Όγκος Εισροής(M3)	6.5E7

Απορροή



Κλάδος: R1817

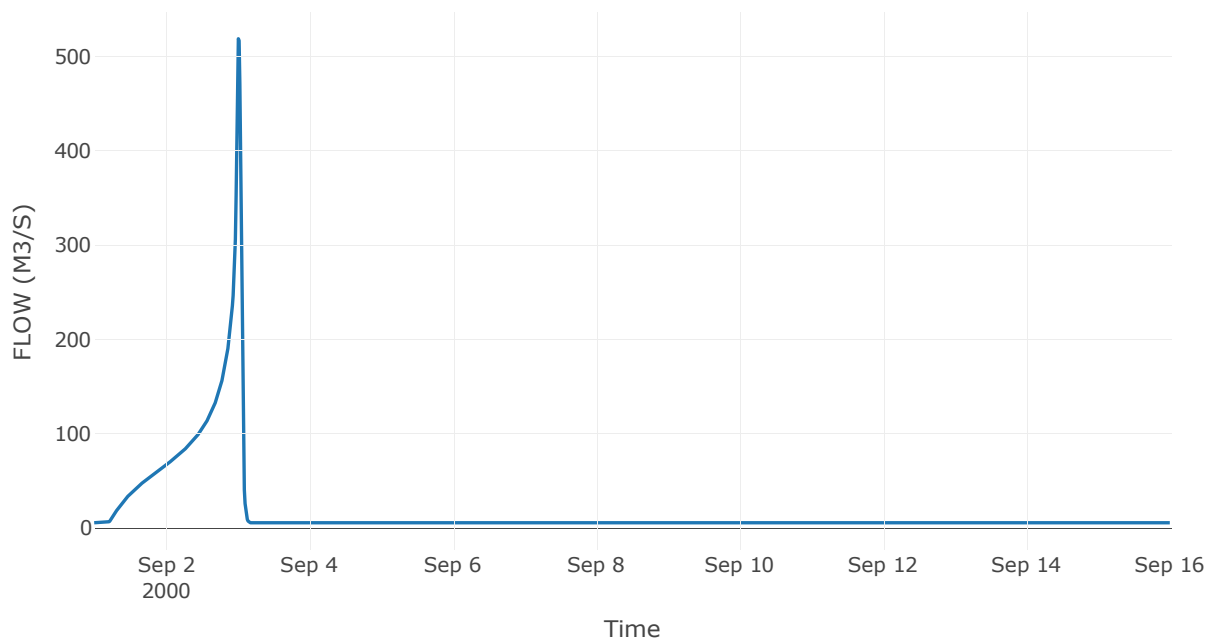
Κατάντη : J17

Μέθοδος Διόδευσης	Χρόνος Υστέρησης
Αρχική Μεταβλητή	Combined Inflow
Χρόνος Υστέρησης	40.76

Αποτελέσματα: R1817

Παροχή Αιχμής(M3/S)	518.84
Χρονική στιγμή αιχμής	03Sep2000, 00:15
Όγκος(MM)	406.9
Παροχή Αιχμής Εισόδου (M3/S)	527.4
Όγκος Εισροής(M3)	2.28E7

Απορροή



Κλάδος: R1910

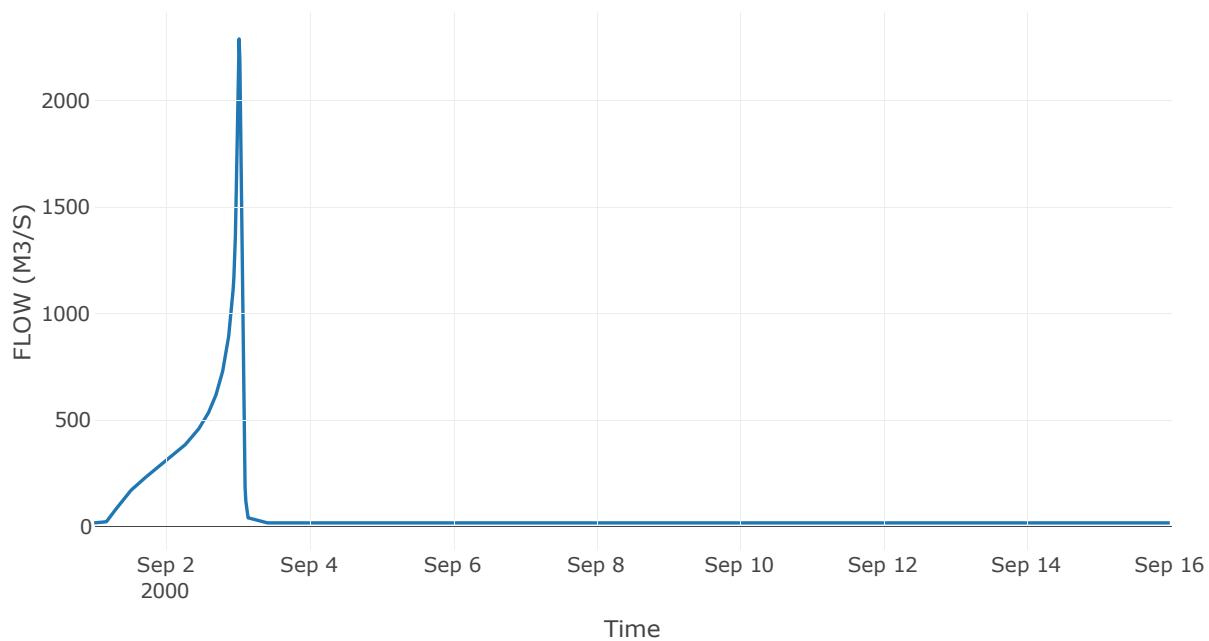
Κατάντη : J10

Μέθοδος Διόδευσης	Χρόνος Υστέρησης
Αρχική Μεταβλητή	Combined Inflow
Χρόνος Υστέρησης	28.41

Αποτελέσματα: R1910

Παροχή Αιχμής(M3/S)	2289.43
Χρονική στιγμή αιχμής	03Sep2000, 00:30
Όγκος(MM)	526.24
Παροχή Αιχμής Εισόδου (M3/S)	2299.58
Όγκος Εισροής(M3)	9.7E7

Απορροή



Κλάδος: R2019

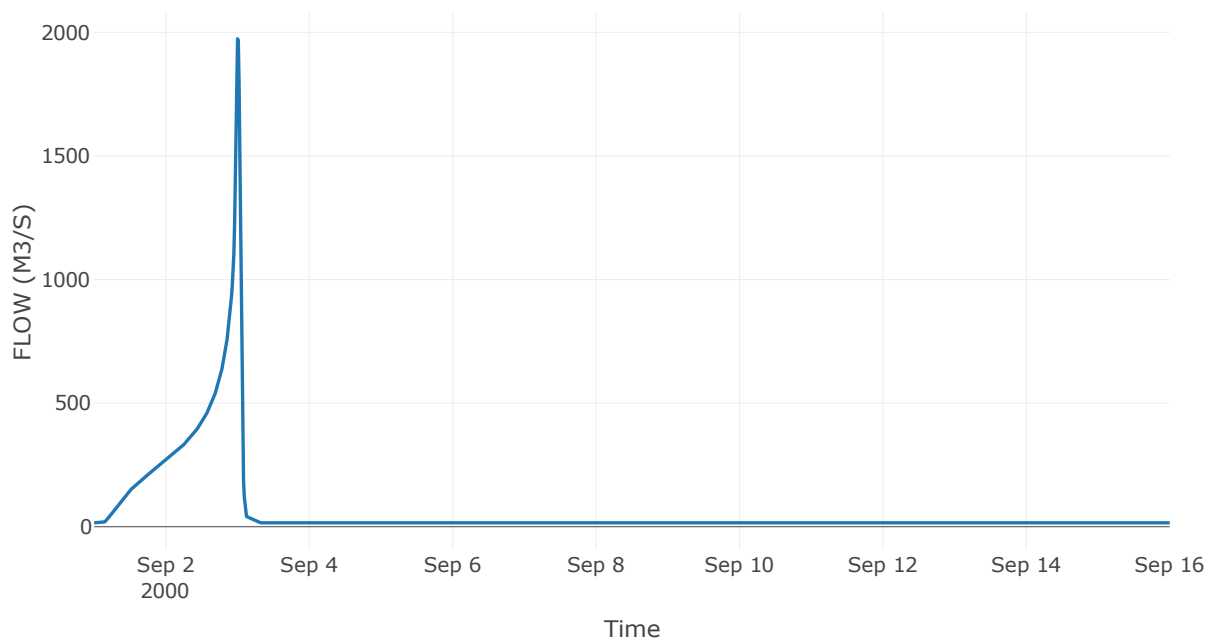
Κατάντη : J19

Μέθοδος Διόδευσης	Χρόνος Υστέρησης
Αρχική Μεταβλητή	Combined Inflow
Χρόνος Υστέρησης	21.17

Αποτελέσματα: R2019

Παροχή Αιχμής(M3/S)	1974.1
Χρονική στιγμή αιχμής	02Sep2000, 24:00
Όγκος(MM)	524.61
Παροχή Αιχμής Εισόδου (M3/S)	2008.33
Όγκος Εισροής(M3)	8.34E7

Απορροή



Κλάδος: R2120

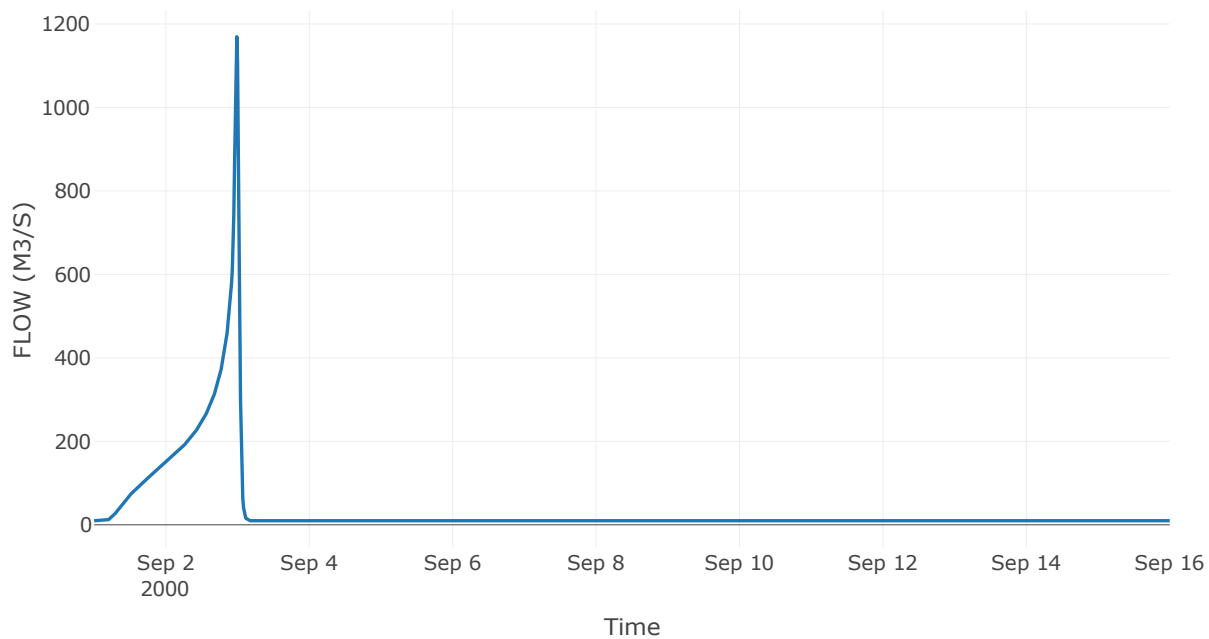
Κατάντη : J20

Μέθοδος Διόδευσης	Χρόνος Υστέρησης
Αρχική Μεταβλητή	Combined Inflow
Χρόνος Υστέρησης	7.56

Αποτελέσματα: R2120

Παροχή Αιχμής(M3/S)	1169.57
Χρονική στιγμή αιχμής	02Sep2000, 23:45
Όγκος(MM)	484.74
Παροχή Αιχμής Εισόδου (M3/S)	1176.45
Όγκος Εισροής(M3)	4.75E7

Απορροή



Κλάδος: R225

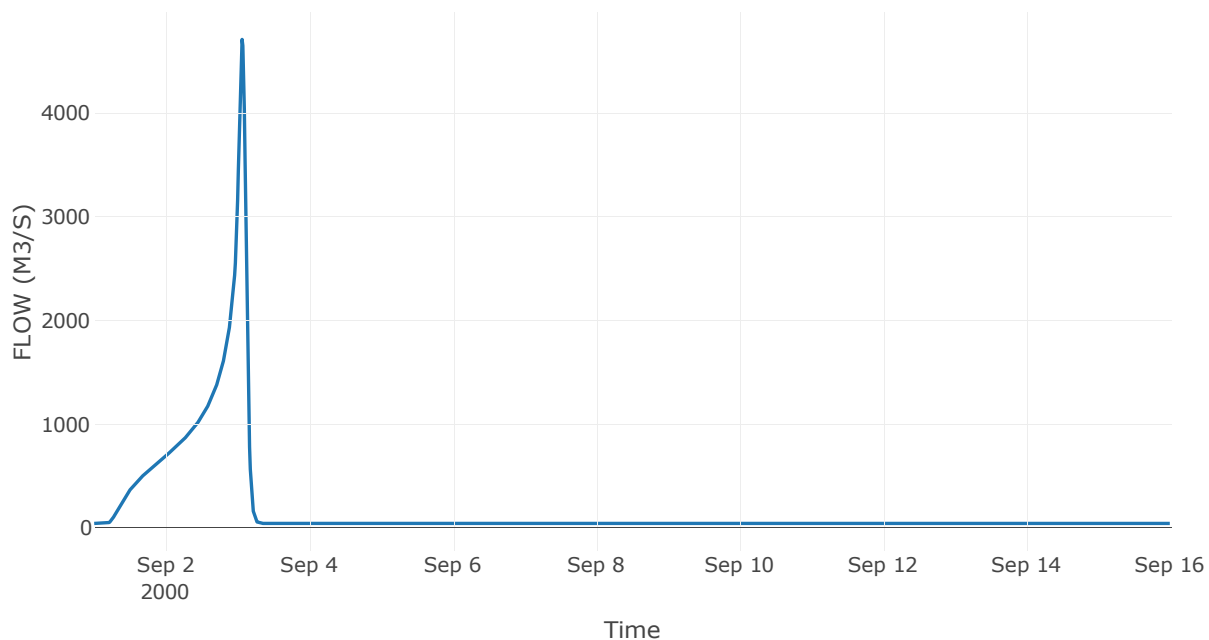
Κατάντη : J5

Μέθοδος Διόδευσης	Muskingum
Αρχική Μεταβλητή	Combined Inflow
Muskingum K	1
Συντελεστής βάρους α	0.2
Πλήθος Υποκλάδων	2

Αποτελέσματα: R225

Παροχή Αιχμής(M3/S)	4710.23
Χρονική στιγμή αιχμής	03Sep2000, 01:30
Όγκος(MM)	530.55
Παροχή Αιχμής Εισόδου (M3/S)	5029.94
Όγκος Εισροής(M3)	2.36E8

Απορροή



Κλάδος: R2322

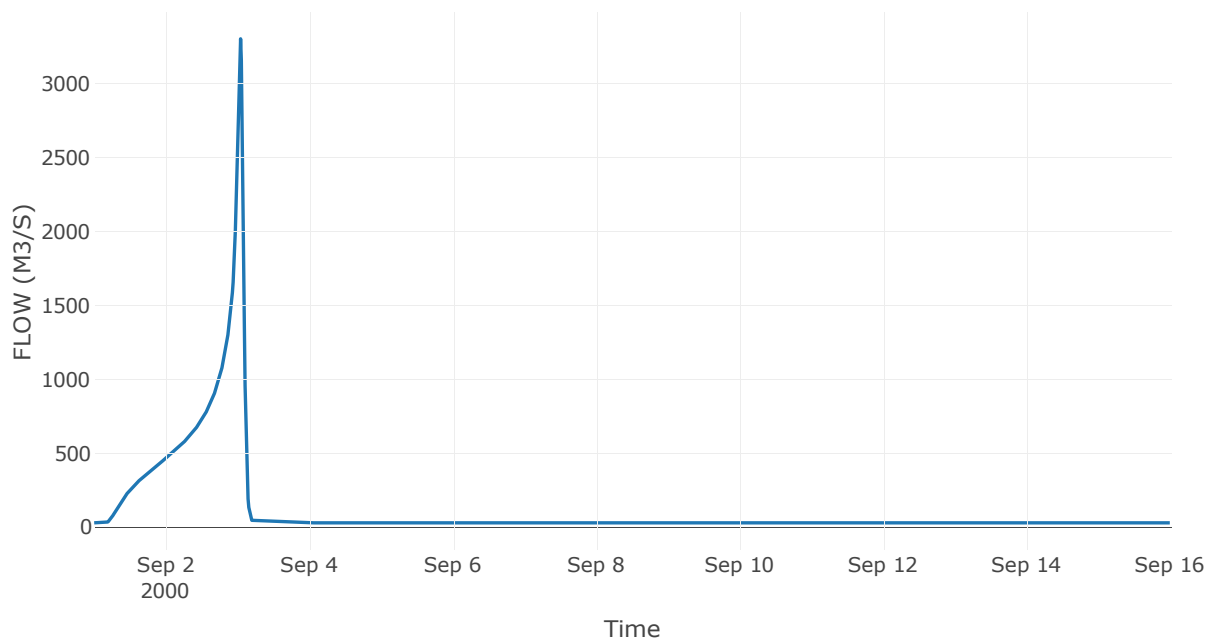
Κατάντη : J22

Μέθοδος Διόδευσης	Χρόνος Υστέρησης
Αρχική Μεταβλητή	Combined Inflow
Χρόνος Υστέρησης	0

Αποτελέσματα: R2322

Παροχή Αιχμής(M3/S)	3302.91
Χρονική στιγμή αιχμής	03Sep2000, 01:00
Όγκος(MM)	521.67
Παροχή Αιχμής Εισόδου (M3/S)	3302.91
Όγκος Εισροής(M3)	1.54E8

Απορροή



Κλάδος: R2423

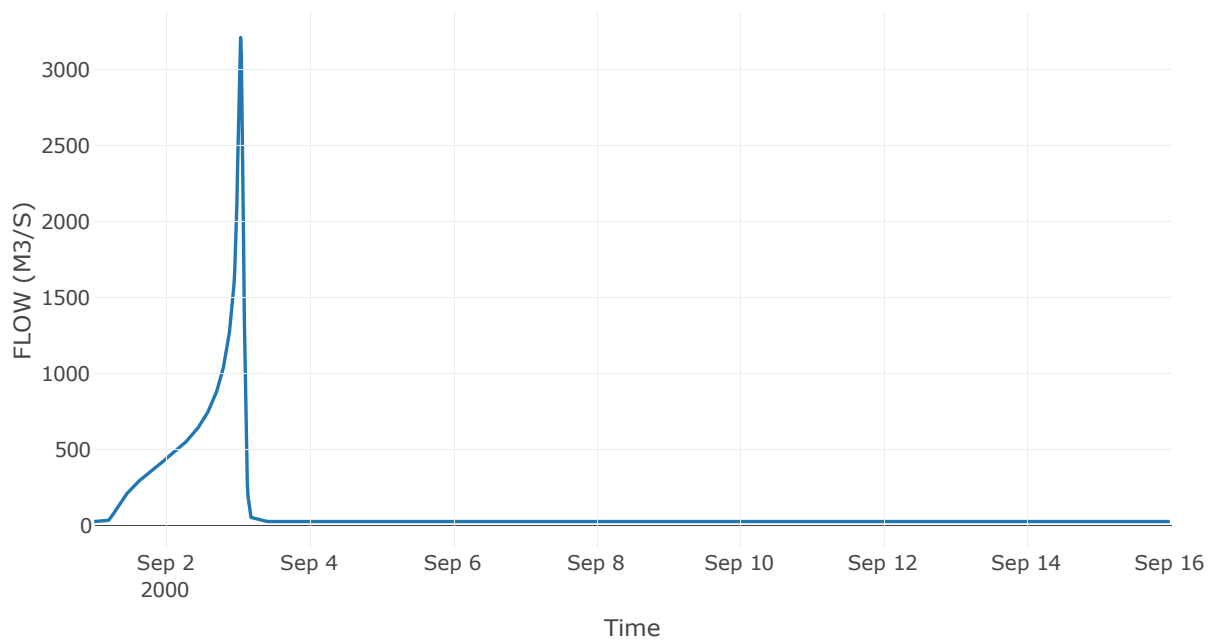
Κατάντη : J23

Μέθοδος Διόδευσης	Muskingum
Αρχική Μεταβλητή	Combined Inflow
Muskingum K	0.61
Συντελεστής βάρους x	0.2
Πλήθος Υποκλάδων	3

Αποτελέσματα: R2423

Παροχή Αιχμής(M3/S)	3213.78
Χρονική στιγμή αιχμής	03Sep2000, 01:00
Όγκος(MM)	524
Παροχή Αιχμής Εισόδου (M3/S)	3310.73
Όγκος Εισροής(M3)	1.43E8

Απορροή



Κλάδος: R2524

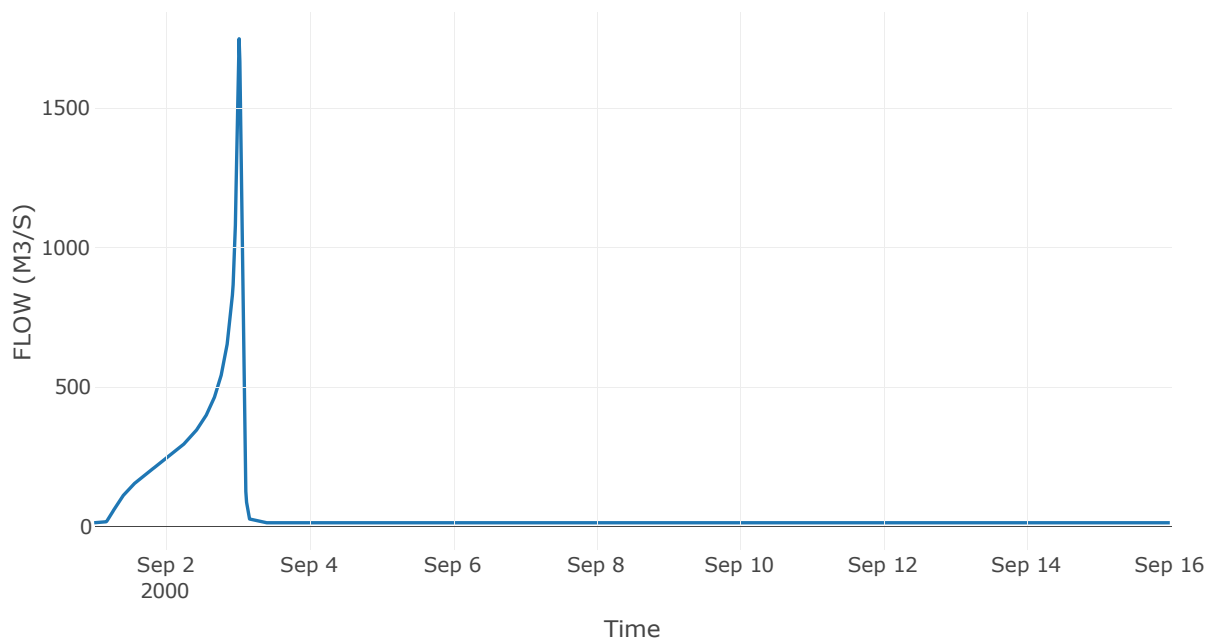
Κατάντη : J24

Μέθοδος Διόδευσης	Χρόνος Υστέρησης
Αρχική Μεταβλητή	Combined Inflow
Χρόνος Υστέρησης	21.41

Αποτελέσματα: R2524

Παροχή Αιχμής(M3/S)	1748.91
Χρονική στιγμή αιχμής	03Sep2000, 00:30
Όγκος(MM)	544.97
Παροχή Αιχμής Εισόδου (M3/S)	1751.35
Όγκος Εισροής(M3)	7.57E7

Απορροή



Κλάδος: R2625

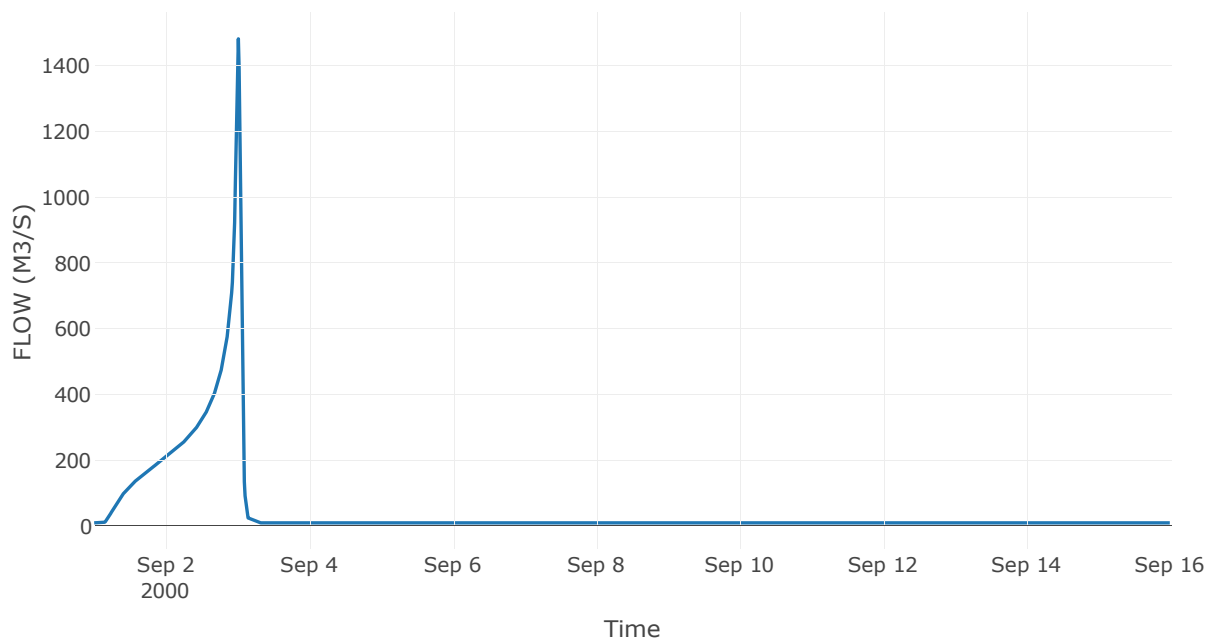
Κατάντη : J25

Μέθοδος Διόδευσης	Χρόνος Υστέρησης
Αρχική Μεταβλητή	Combined Inflow
Χρόνος Υστέρησης	10.78

Αποτελέσματα: R2625

Παροχή Αιχμής(M3/S)	1481.7
Χρονική στιγμή αιχμής	03Sep2000, 00:15
Όγκος(MM)	549.34
Παροχή Αιχμής Εισόδου (M3/S)	1498.8
Όγκος Εισροής(M3)	6.45E7

Απορροή



Κλάδος: R2726

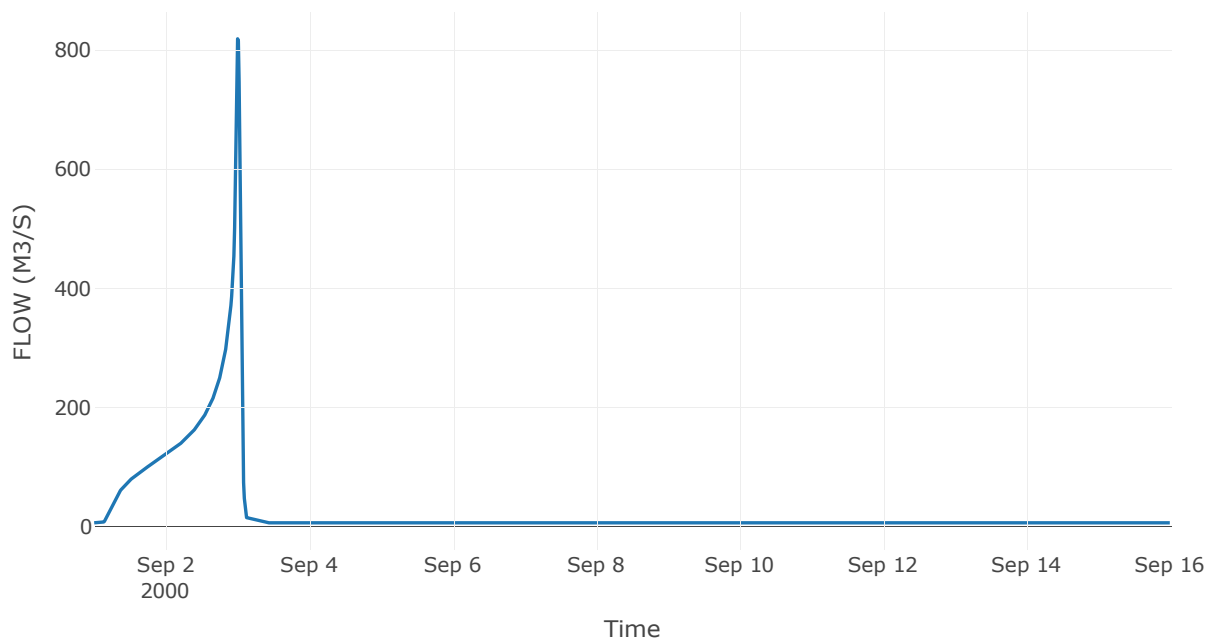
Κατάντη : J26

Μέθοδος Διόδευσης	Χρόνος Υστέρησης
Αρχική Μεταβλητή	Combined Inflow
Χρόνος Υστέρησης	21.61

Αποτελέσματα: R2726

Παροχή Αιχμής(M3/S)	819.34
Χρονική στιγμή αιχμής	02Sep2000, 24:00
Όγκος(MM)	582.67
Παροχή Αιχμής Εισόδου (M3/S)	834.38
Όγκος Εισροής(M3)	3.53E7

Απορροή



Κλάδος: R2824

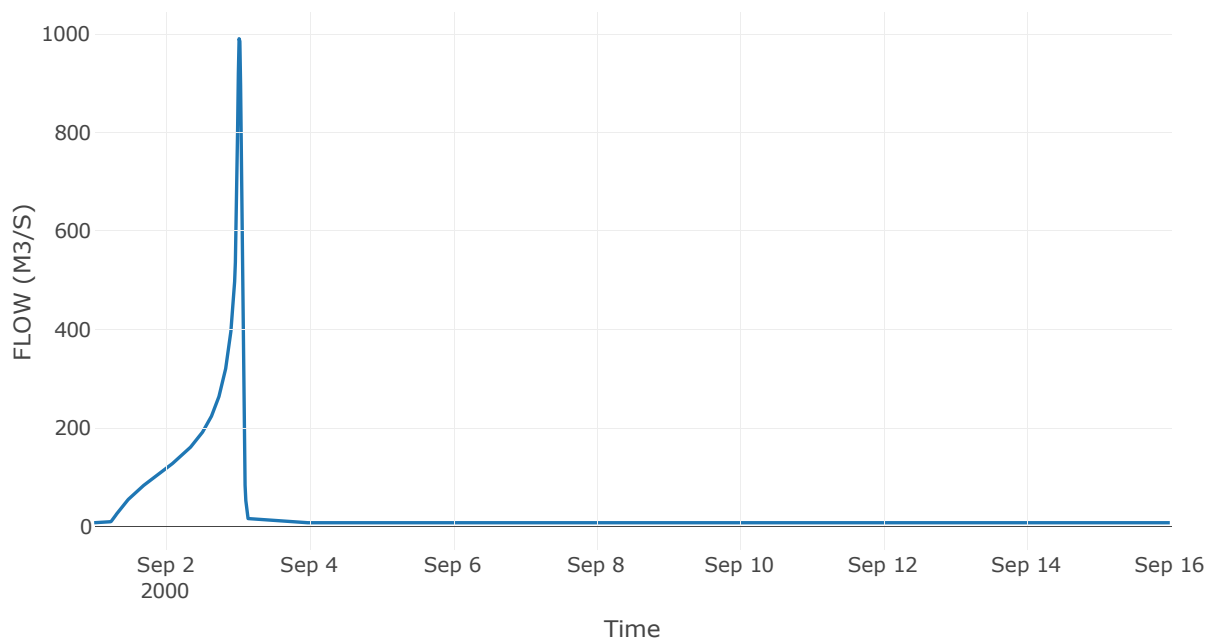
Κατάντη : J24

Μέθοδος Διόδευσης	Χρόνος Υστέρησης
Αρχική Μεταβλητή	Combined Inflow
Χρόνος Υστέρησης	41.06

Αποτελέσματα: R2824

Παροχή Αιχμής(M3/S)	989.72
Χρονική στιγμή αιχμής	03Sep2000, 00:30
Όγκος(MM)	495.14
Παροχή Αιχμής Εισόδου (M3/S)	1002.61
Όγκος Εισροής(M3)	3.93E7

Απορροή



Κλάδος: R2928

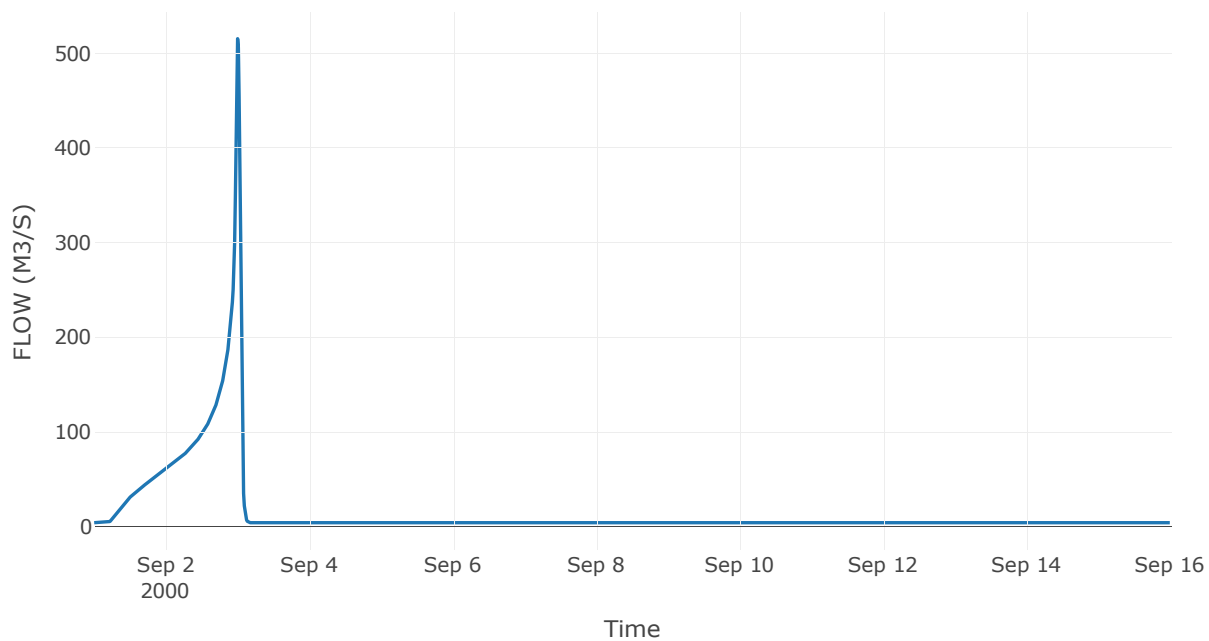
Κατάντη : J28

Μέθοδος Διόδευσης	Χρόνος Υστέρησης
Αρχική Μεταβλητή	Combined Inflow
Χρόνος Υστέρησης	24.13

Αποτελέσματα: R2928

Παροχή Αιχμής(M3/S)	515.26
Χρονική στιγμή αιχμής	02Sep2000, 24:00
Όγκος(MM)	494.11
Παροχή Αιχμής Εισόδου (M3/S)	520.82
Όγκος Εισροής(M3)	1.97E7

Απορροή



Κλάδος: R3022

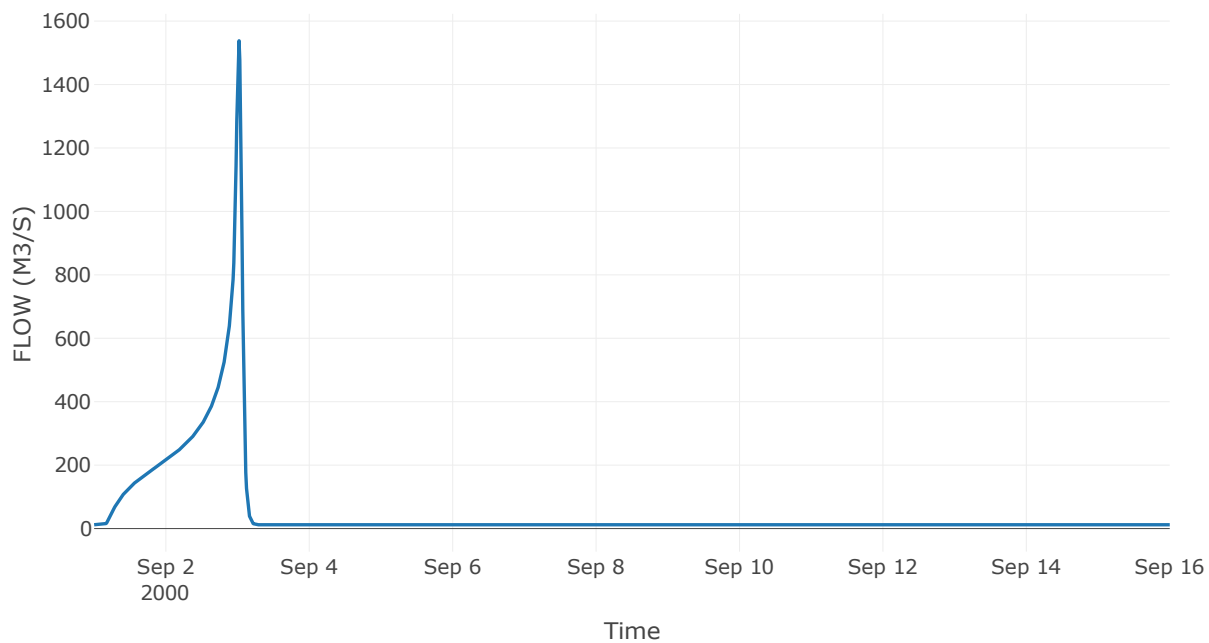
Κατάντη : J22

Μέθοδος Διόδευσης	Χρόνος Υστέρησης
Αρχική Μεταβλητή	Combined Inflow
Χρόνος Υστέρησης	0

Αποτελέσματα: R3022

Παροχή Αιχμής(M3/S)	1538.05
Χρονική στιγμή αιχμής	03Sep2000, 00:30
Όγκος(MM)	569.33
Παροχή Αιχμής Εισόδου (M3/S)	1538.05
Όγκος Εισροής(M3)	6.81E7

Απορροή



Κλάδος: R3130

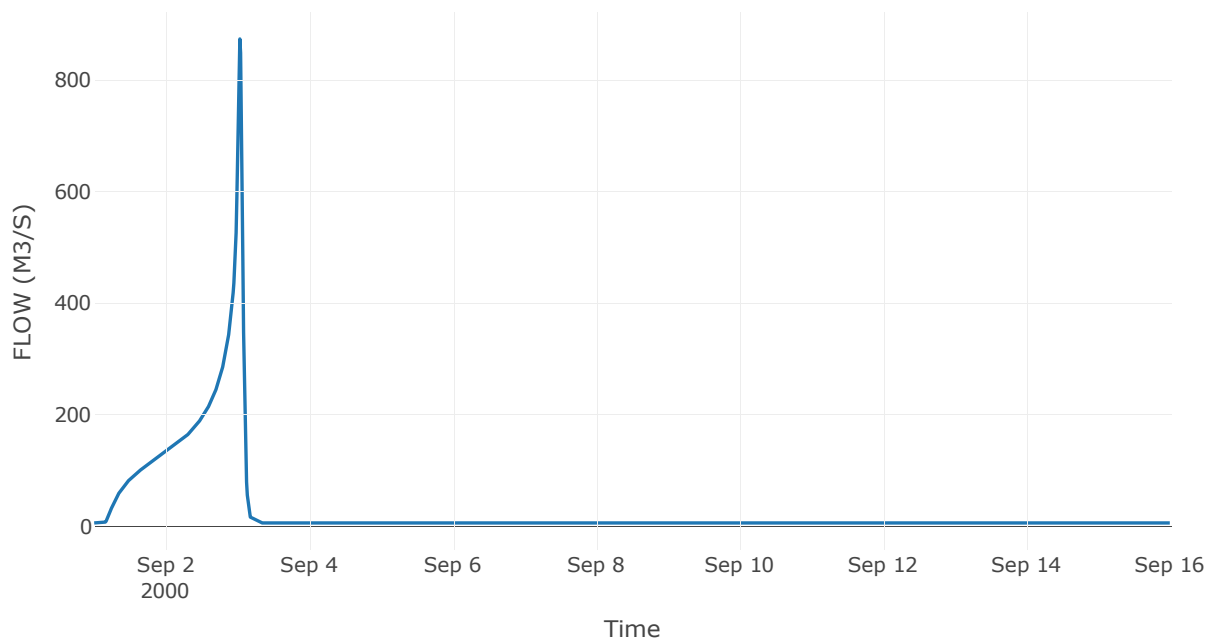
Κατάντη : J30

Μέθοδος Διόδευσης	Χρόνος Υστέρησης
Αρχική Μεταβλητή	Combined Inflow
Χρόνος Υστέρησης	54.51

Αποτελέσματα: R3130

Παροχή Αιχμής(M3/S)	873.54
Χρονική στιγμή αιχμής	03Sep2000, 00:45
Όγκος(MM)	631.79
Παροχή Αιχμής Εισόδου (M3/S)	873.94
Όγκος Εισροής(M3)	3.9E7

Απορροή



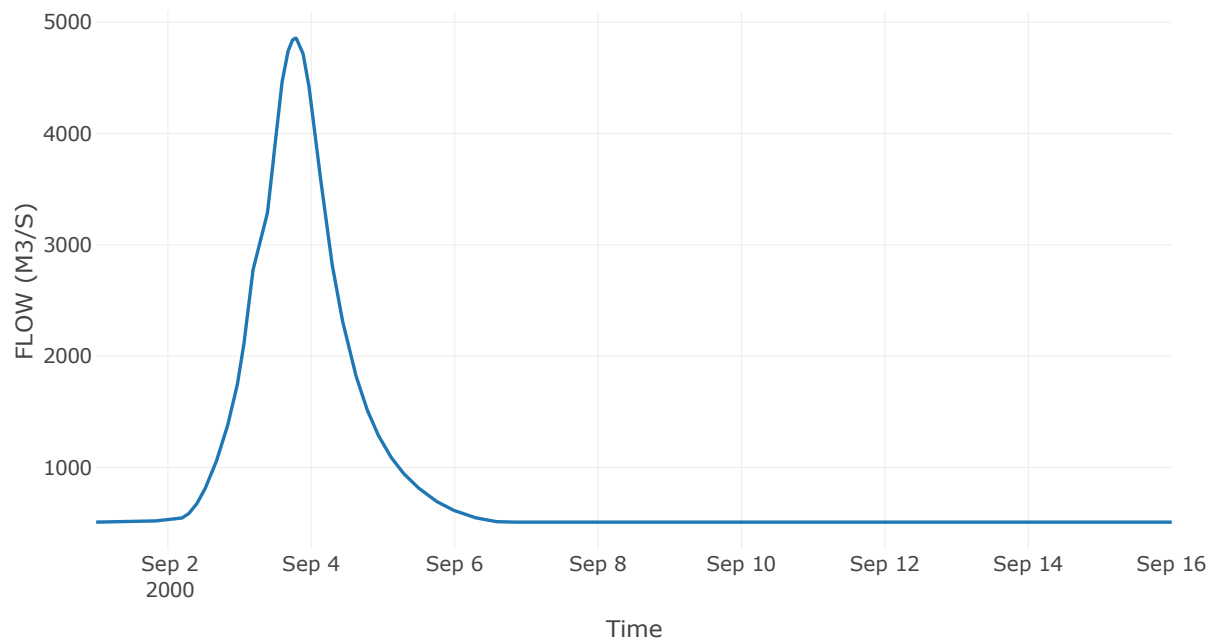
8.3 Δεδομένα και υδρογραφήματα σχεδιασμού Κόμβων υδρογραφικού δικτύου

Κόμβος εξόδου: J1

Αποτέλεσμα
τα: J1

Παροχή αιχμής (M3/S)	4857.17
Χρονική στιγμή αιχμής	03Sep2000, 18:45
Όγκος (MM)	609.48

Απορροή



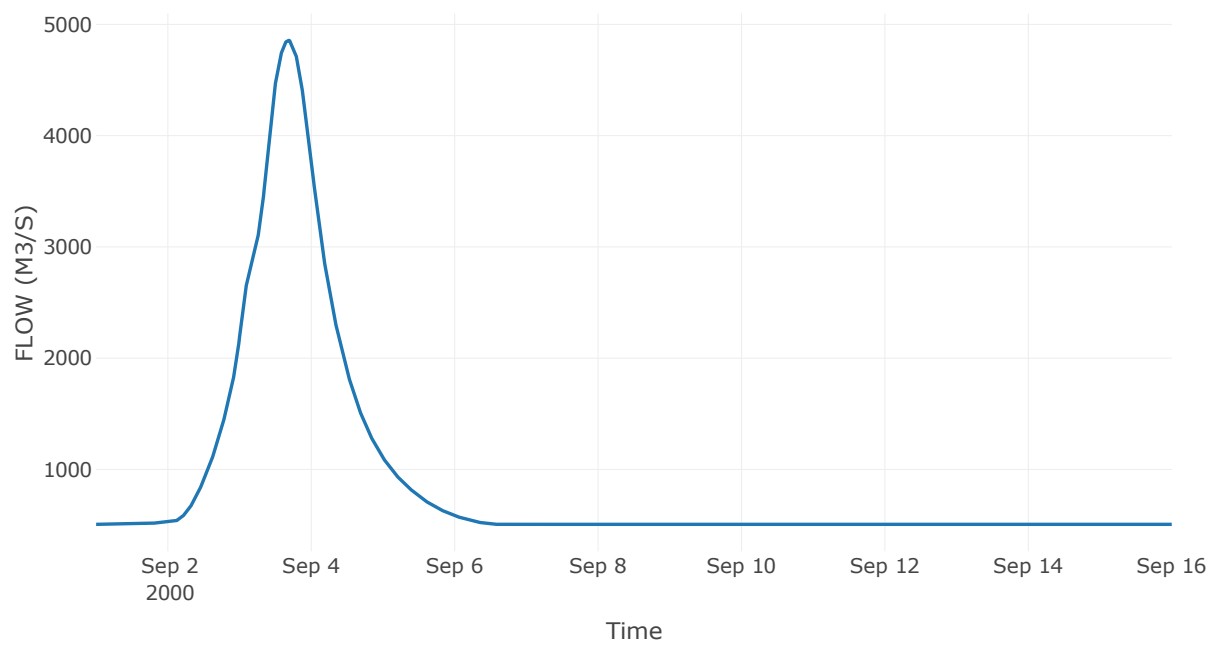
Κόμβος: J2

Κατάντη : R21

Αποτελέσματα: J2

Παροχή Αιχμής(M3/S)	4856.89
Χρονική στιγμή αιχμής	03Sep2000, 16:15
Όγκος(MM)	613.04

Απορροή



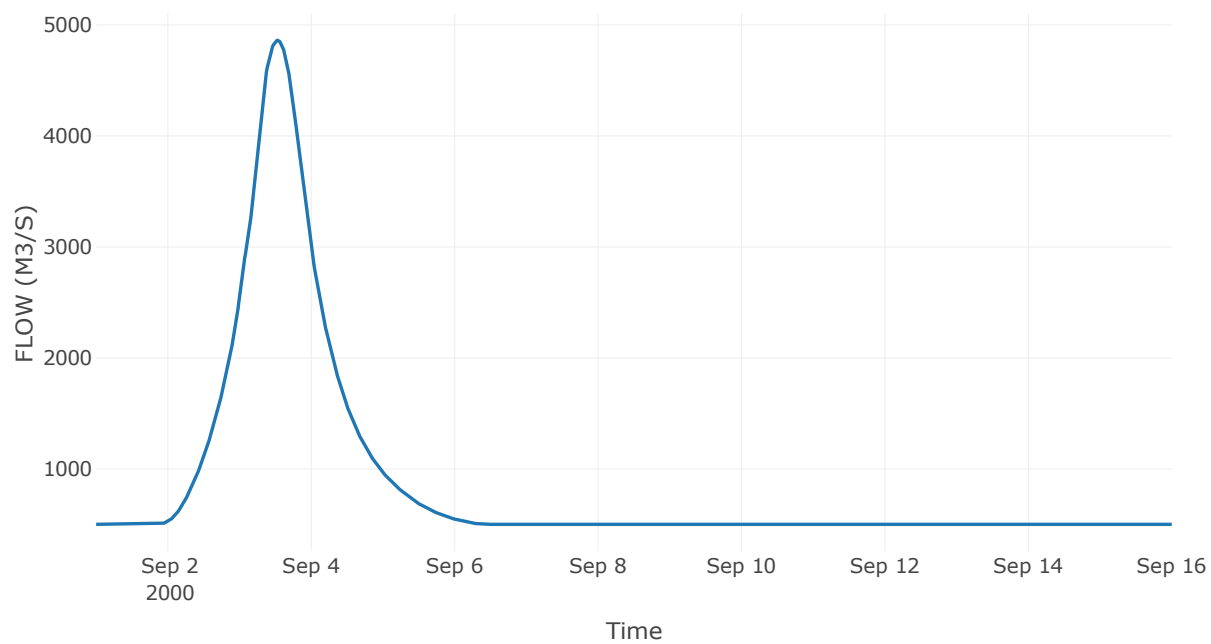
Κόμβος: J3

Κατάντη : R32

Αποτελέσματα: J3

Παροχή Αιχμής(M3/S)	4861.36
Χρονική στιγμή αιχμής	03Sep2000, 12:45
Όγκος(MM)	619.84

Απορροή



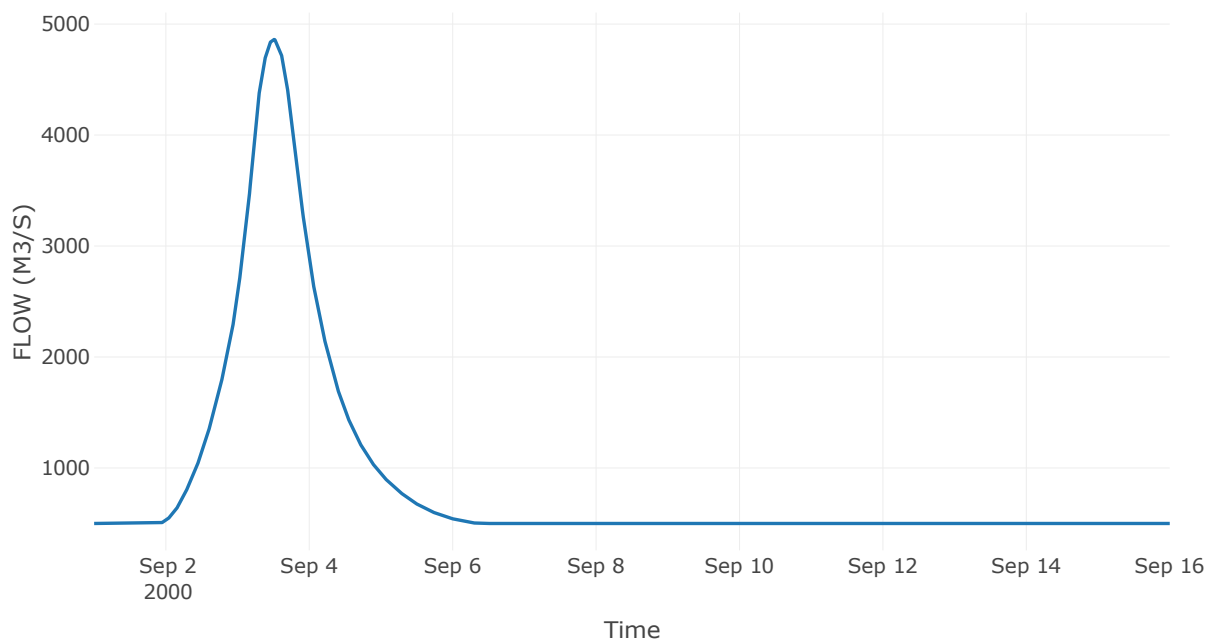
Reservoir: J4_RES1

Κατάντη : R43

Αποτελέσματα: J4_RES1

Παροχή Αιχμής(M3/S)	4861.37
Χρονική στιγμή αιχμής	03Sep2000, 12:00
Όγκος(MM)	621.66
Παροχή Αιχμής Εισόδου (M3/S)	8266.73
Time of Peak Inflow	03Sep2000, 05:15
Όγκος Εισροής (M3)	8.69E8
Maximum Storage (M3)	7.9E8
Peak Elevation (M)	122.51
Discharge Όγκος(M3)	1.13E9

Απορροή



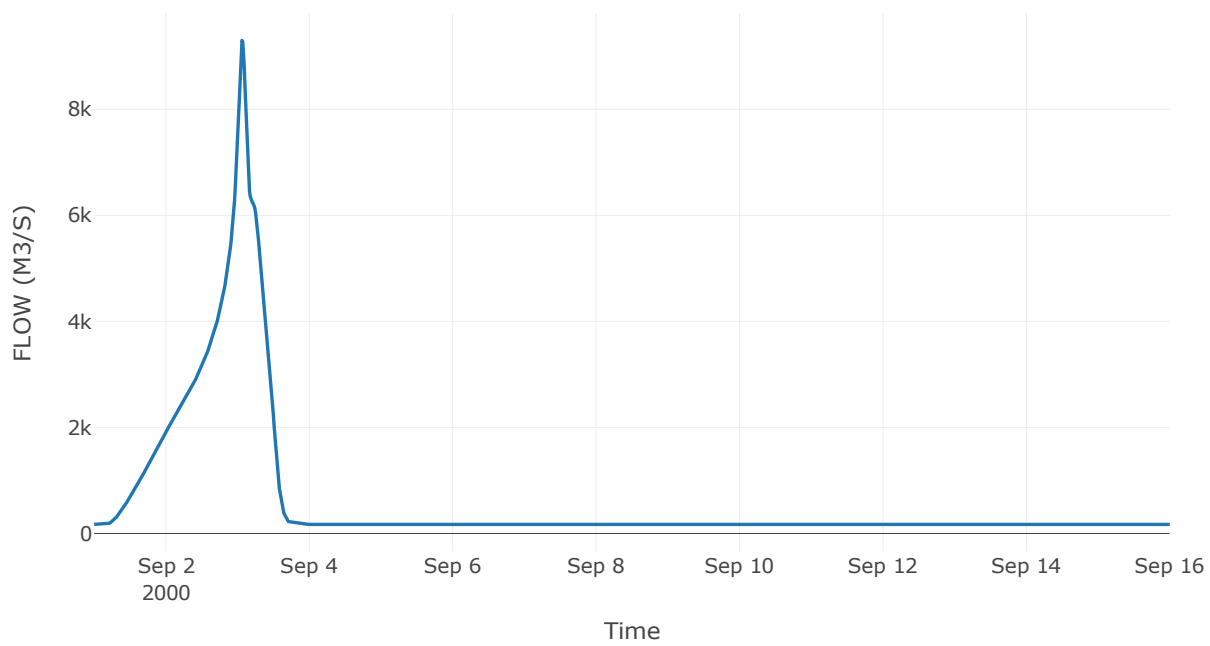
Κόμβος: J5

Κατάντη : R54

Αποτελέσματα: J5

Παροχή Αιχμής(M3/S)	9301.32
Χρονική στιγμή αιχμής	03Sep2000, 01:30
Όγκος(MM)	479.89

Απορροή



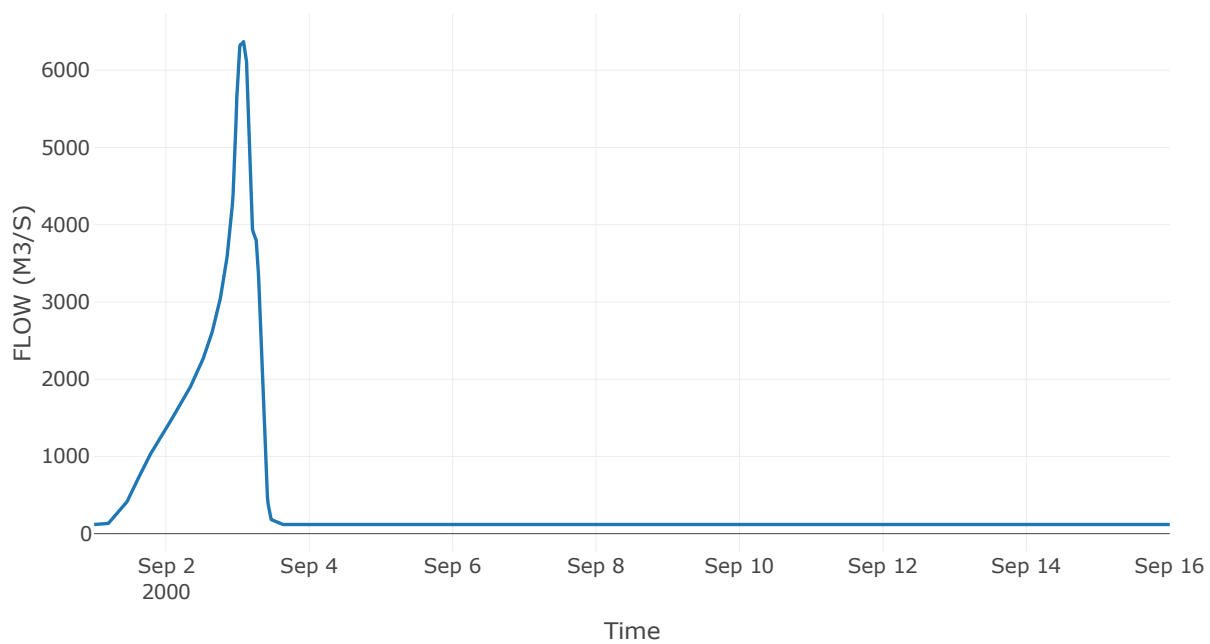
Κόμβος: J6

Κατάντη : R65

Αποτελέσματα: J6

Παροχή Αιχμής(M3/S)	6385.06
Χρονική στιγμή αιχμής	03Sep2000, 02:15
Όγκος(MM)	461.59

Απορροή



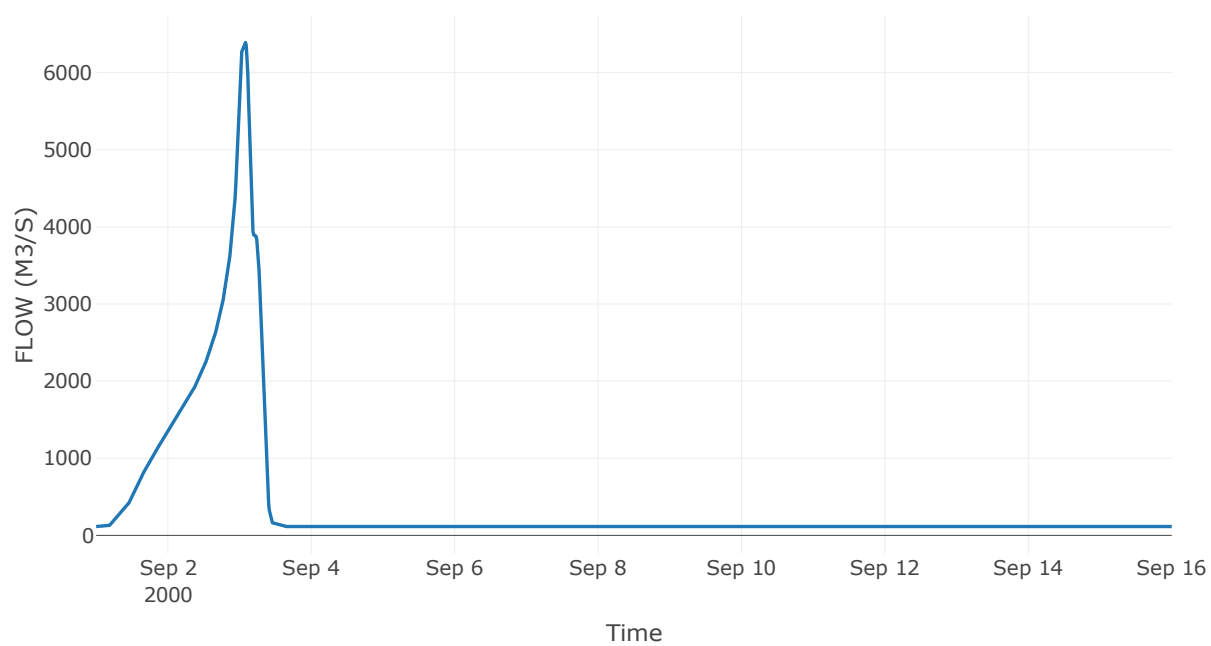
Κόμβος: J7

Κατάντη : R76

Αποτελέσματα: J7

Παροχή Αιχμής(M3/S)	6390.52
Χρονική στιγμή αιχμής	03Sep2000, 02:00
Όγκος(MM)	462.03

Απορροή



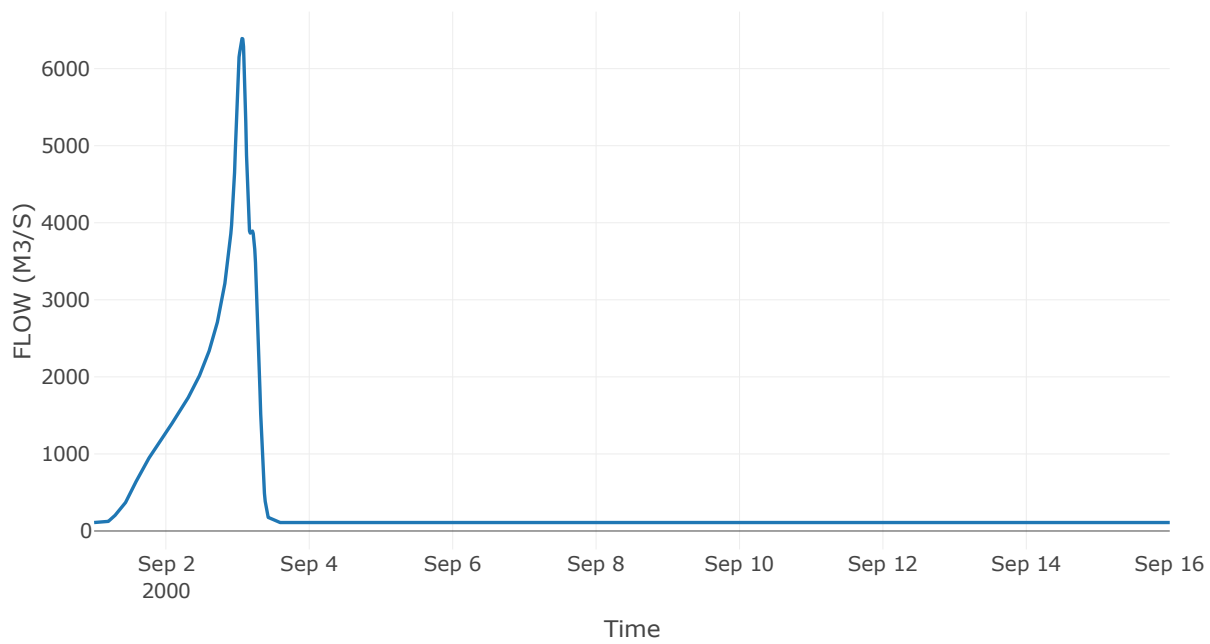
Κόμβος: J8

Κατάντη : R87

Αποτελέσματα: J8

Παροχή Αιχμής(M3/S)	6391.03
Χρονική στιγμή αιχμής	03Sep2000, 01:30
Όγκος(MM)	458.14

Απορροή



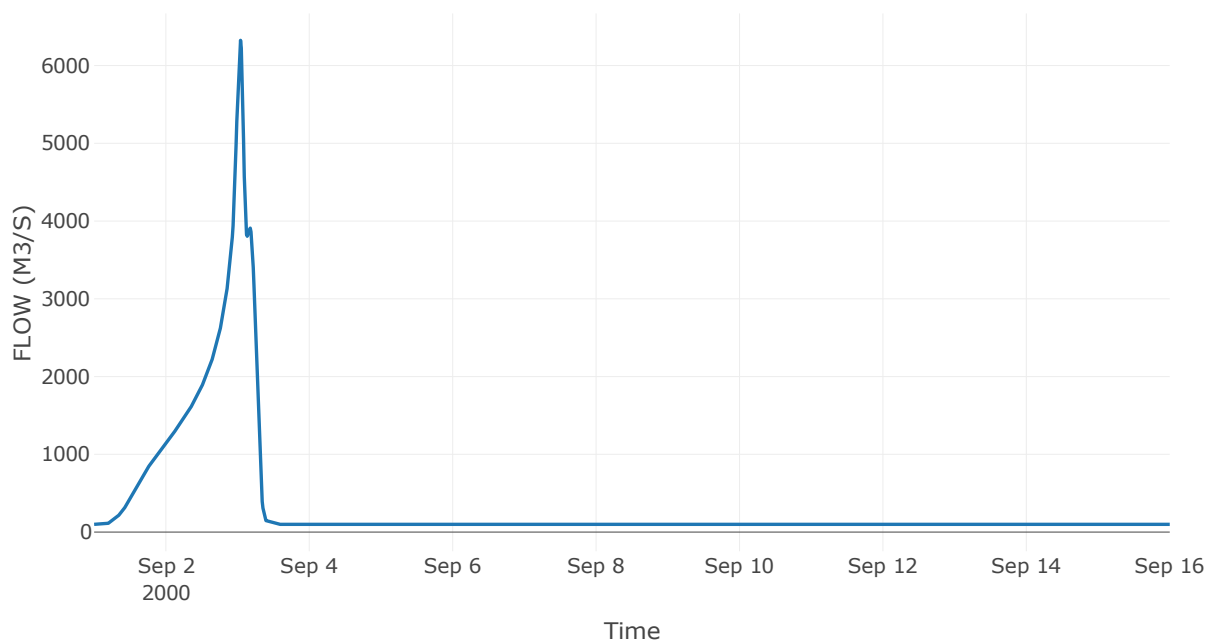
Κόμβος: J9

Κατάντη : R98

Αποτελέσματα: J9

Παροχή Αιχμής(M3/S)	6324.38
Χρονική στιγμή αιχμής	03Sep2000, 01:00
Όγκος(MM)	449.11

Απορροή



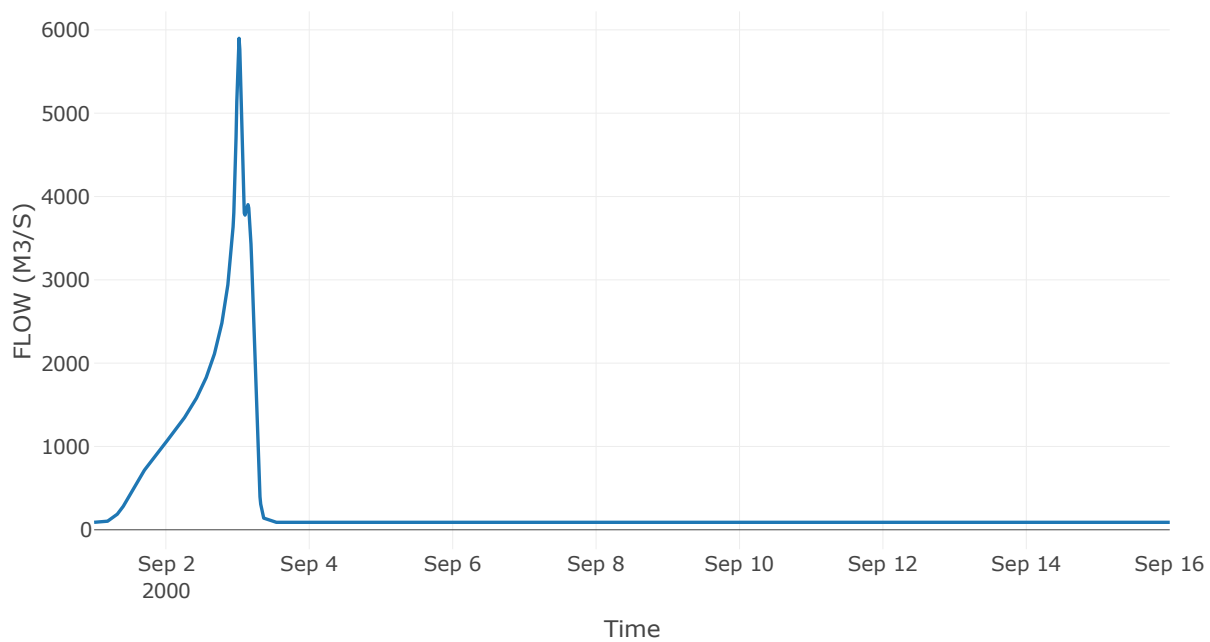
Κόμβος: J10

Κατάντη : R109

Αποτελέσματα: J10

Παροχή Αιχμής(M3/S)	5898.8
Χρονική στιγμή αιχμής	03Sep2000, 00:30
Όγκος(MM)	447.33

Απορροή



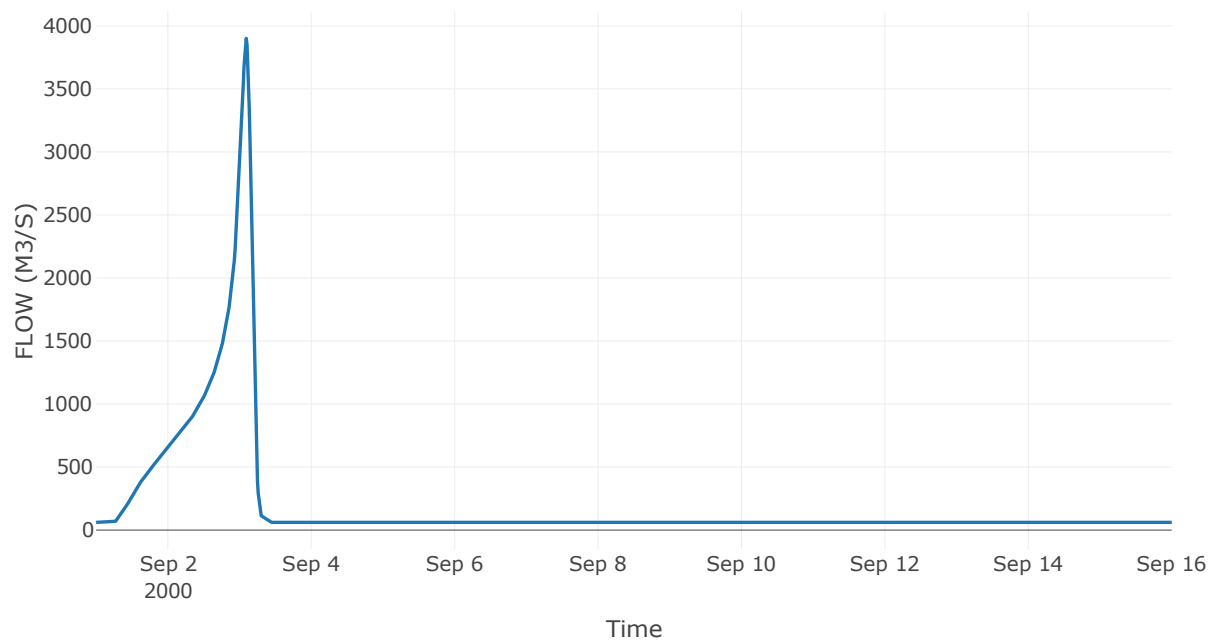
Κόμβος: J11

Κατάντη : R1110

Αποτελέσματα: J11

Παροχή Αιχμής(M3/S)	3900.66
Χρονική στιγμή αιχμής	03Sep2000, 02:15
Όγκος(MM)	421.36

Απορροή



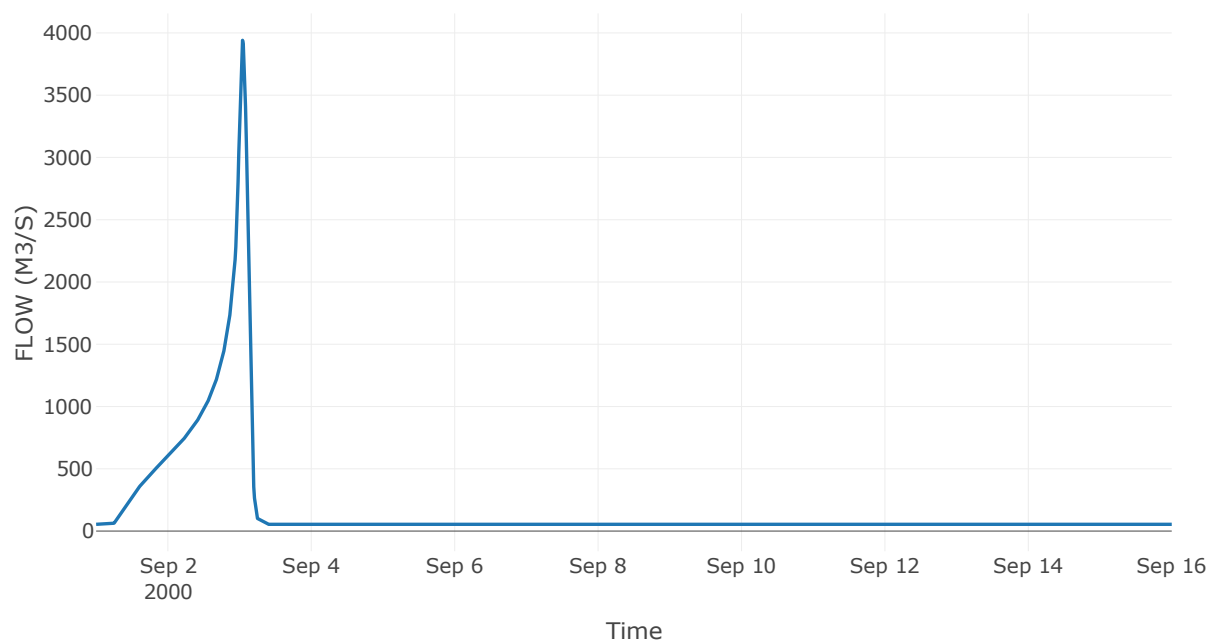
Κόμβος: J12

Κατάντη : R1211

Αποτελέσματα: J12

Παροχή Αιχμής(M3/S)	3940.78
Χρονική στιγμή αιχμής	03Sep2000, 01:00
Όγκος(MM)	420.7

Απορροή



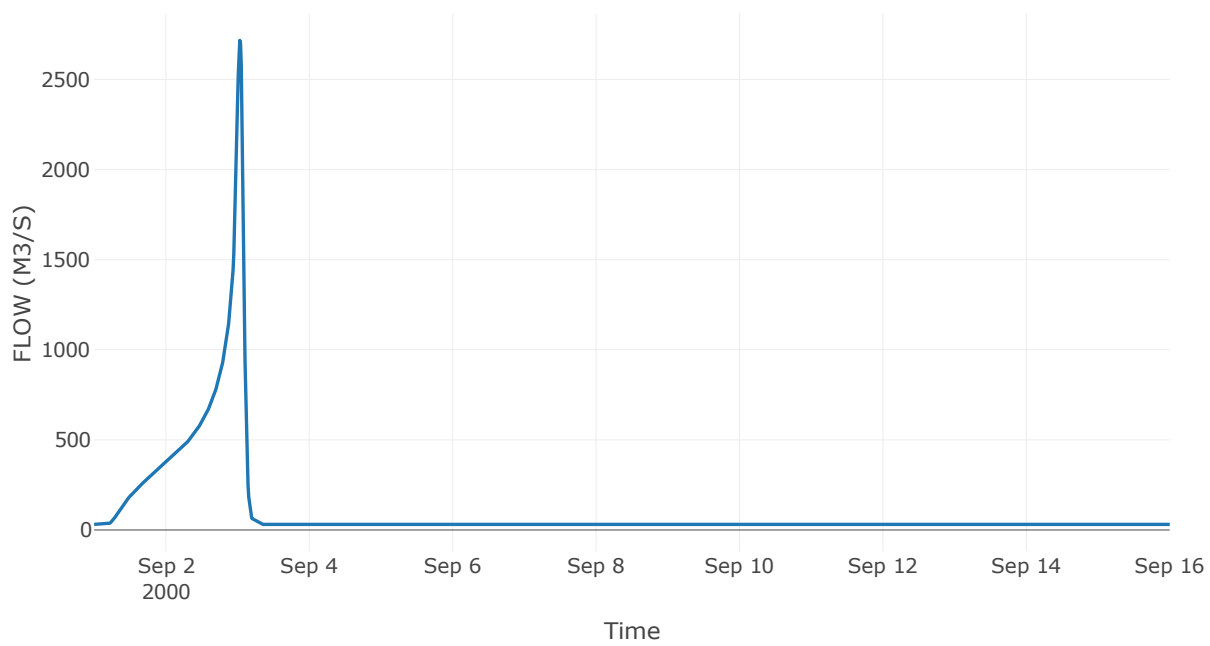
Κόμβος: J13

Κατάντη : R1312

Αποτελέσματα: J13

Παροχή Αιχμής(M3/S)	2717
Χρονική στιγμή αιχμής	03Sep2000, 00:45
Όγκος(MM)	438.1

Απορροή



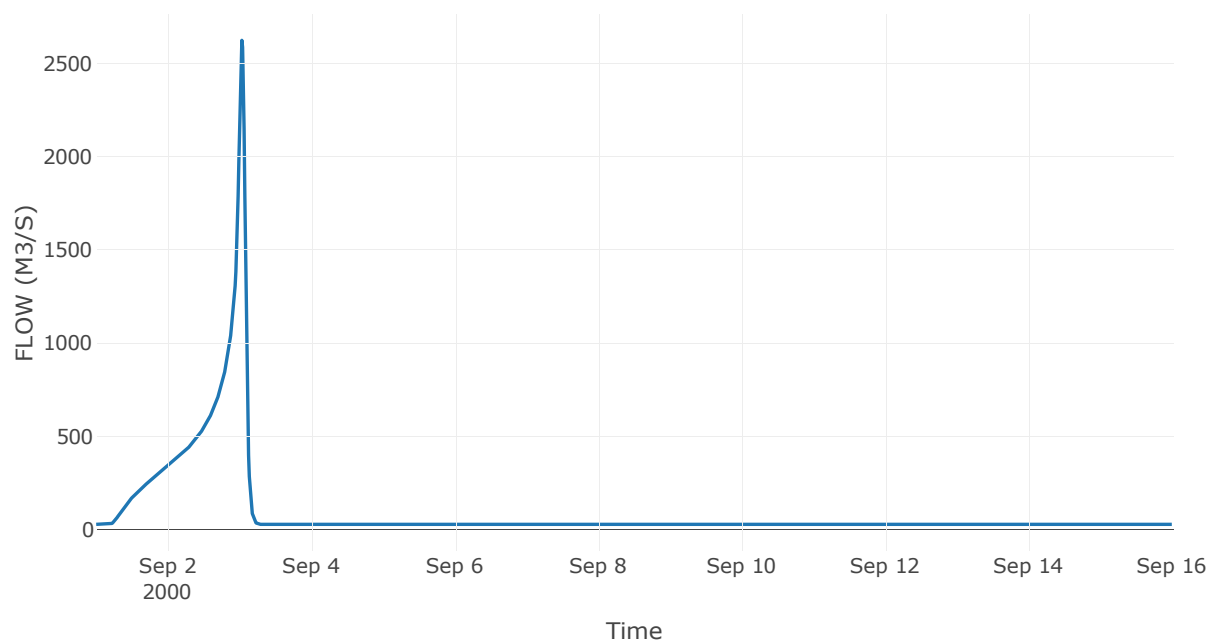
Κόμβος: J14

Κατάντη : R1413

Αποτελέσματα: J14

Παροχή Αιχμής(M3/S)	2625.61
Χρονική στιγμή αιχμής	03Sep2000, 00:45
Όγκος(MM)	439.84

Απορροή



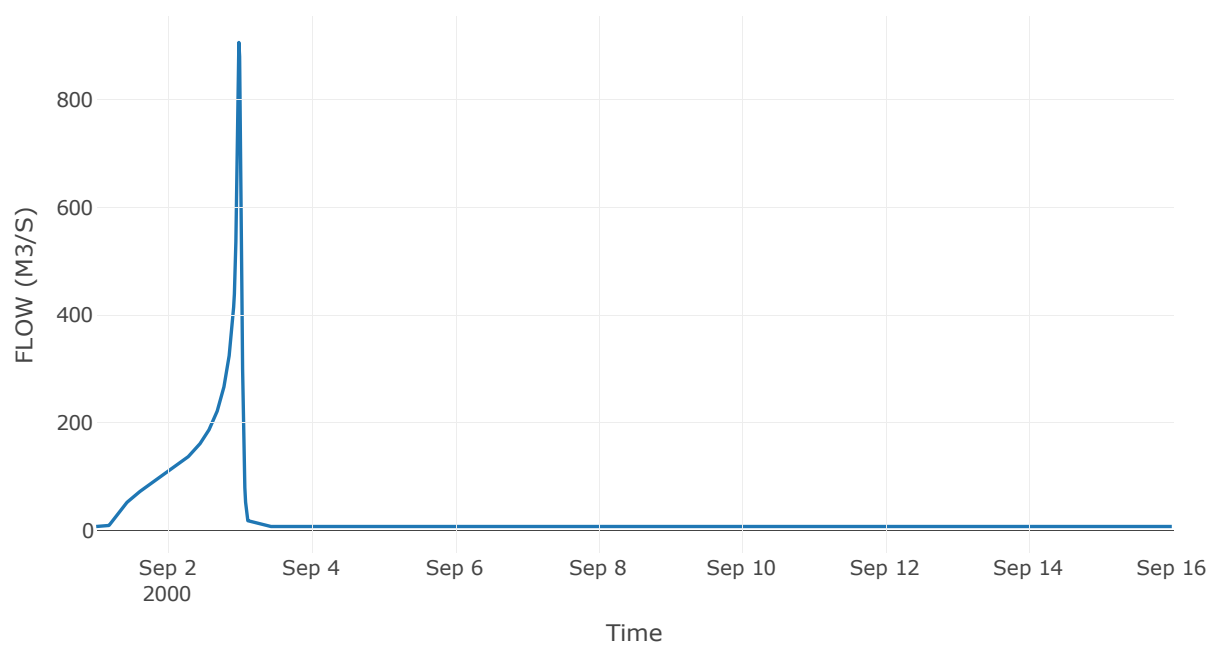
Κόμβος: J15

Κατάντη : R1514

Αποτελέσματα: J15

Παροχή Αιχμής(M3/S)	906.62
Χρονική στιγμή αιχμής	02Sep2000, 23:45
Όγκος(MM)	452.97

Απορροή



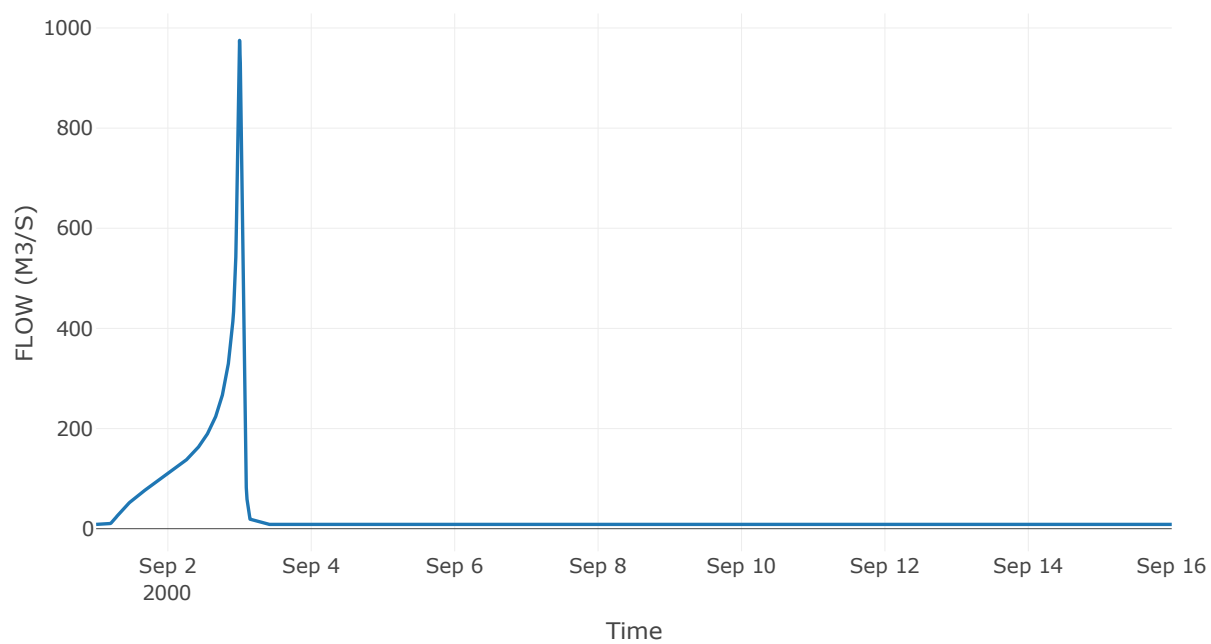
Κόμβος: J16

Κατάντη : R1614

Αποτελέσματα: J16

Παροχή Αιχμής(M3/S)	975.28
Χρονική στιγμή αιχμής	02Sep2000, 24:00
Όγκος(MM)	444.99

Απορροή



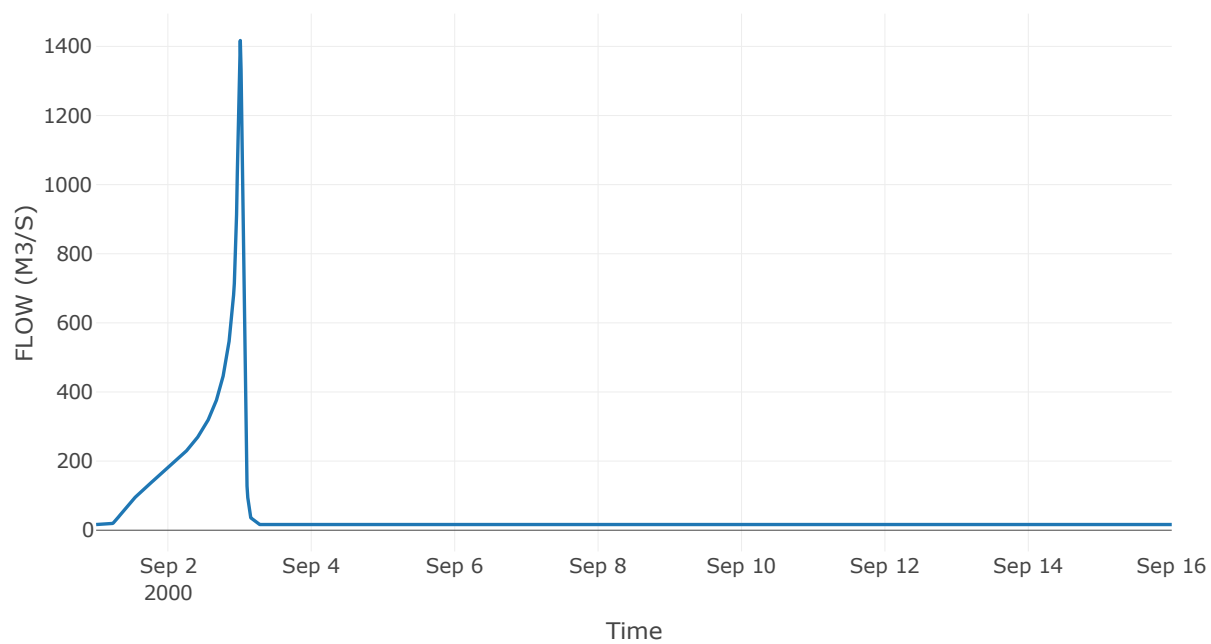
Κόμβος: J17

Κατάντη : R1712

Αποτελέσματα: J17

Παροχή Αιχμής(M3/S)	1417.03
Χρονική στιγμή αιχμής	03Sep2000, 00:15
Όγκος(MM)	395.19

Απορροή



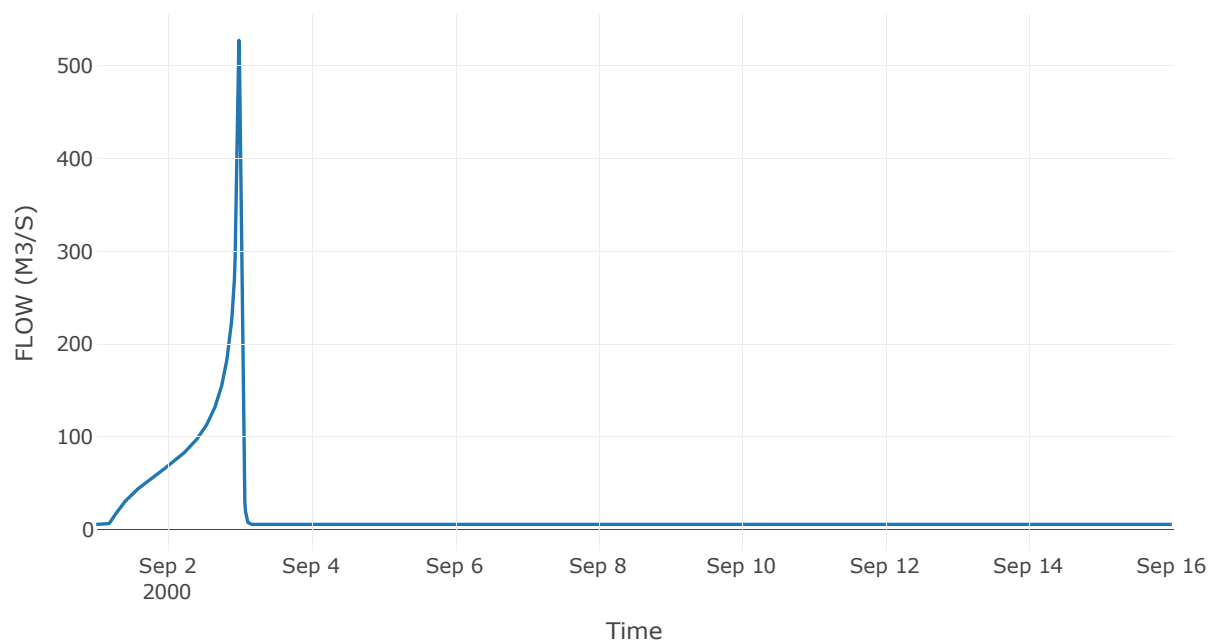
Κόμβος: J18

Κατάντη : R1817

Αποτελέσματα: J18

Παροχή Αιχμής(M3/S)	527.4
Χρονική στιγμή αιχμής	02Sep2000, 23:45
Όγκος(MM)	406.9

Απορροή



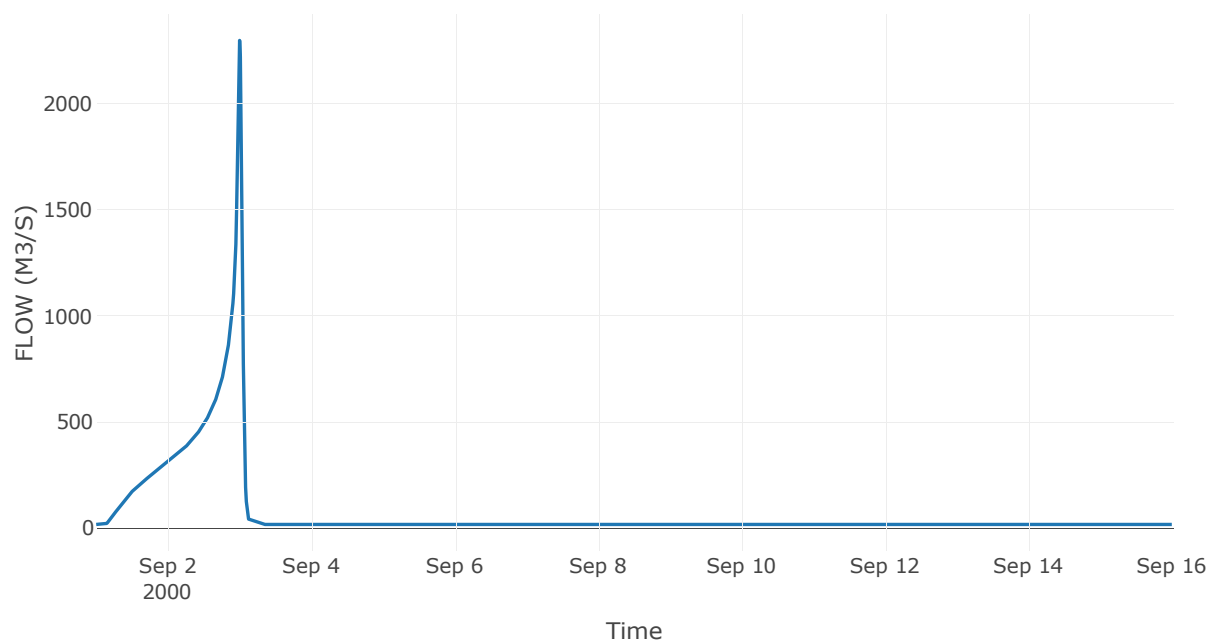
Κόμβος: J19

Κατάντη : R1910

Αποτελέσματα: J19

Παροχή Αιχμής(M3/S)	2299.58
Χρονική στιγμή αιχμής	02Sep2000, 24:00
Όγκος(MM)	526.24

Απορροή



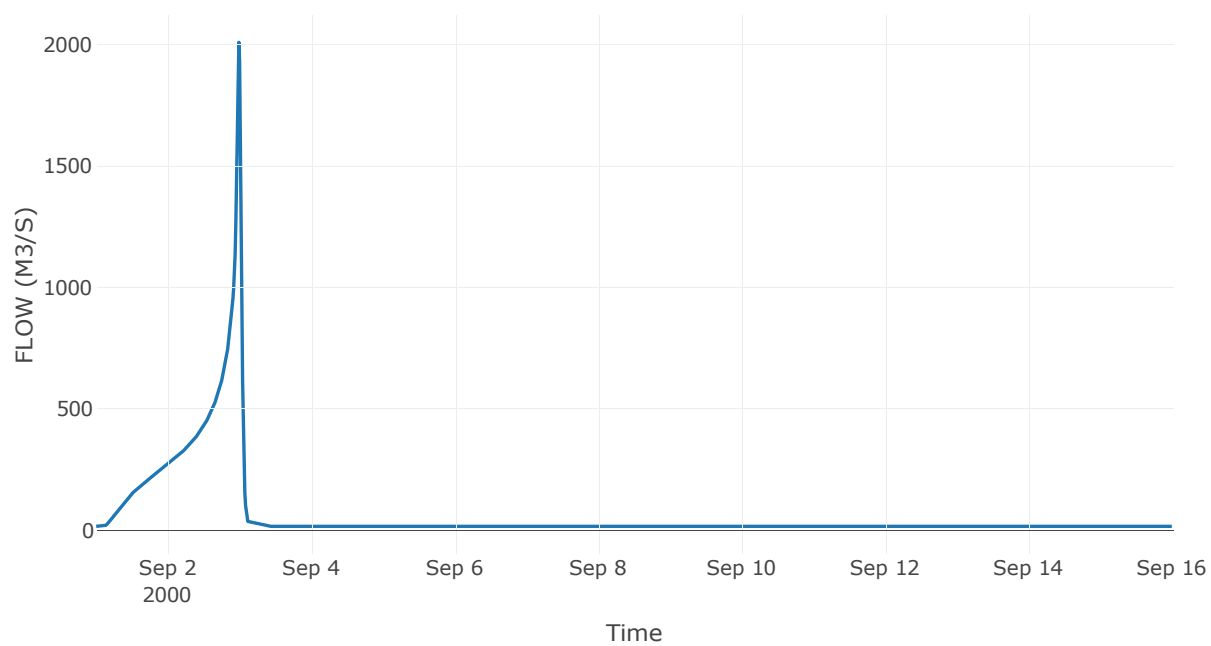
Κόμβος: J20

Κατάντη : R2019

Αποτελέσματα: J20

Παροχή Αιχμής(M3/S)	2008.33
Χρονική στιγμή αιχμής	02Sep2000, 23:45
Όγκος(MM)	524.61

Απορροή



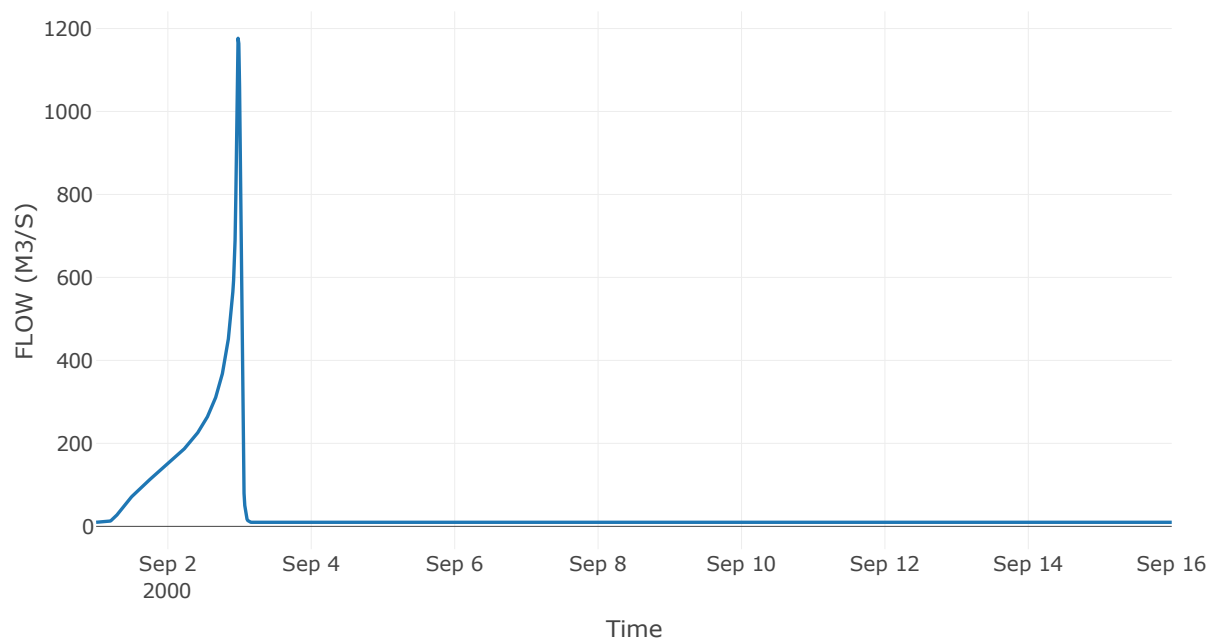
Κόμβος: J21

Κατάντη : R2120

Αποτελέσματα: J21

Παροχή Αιχμής(M3/S)	1176.45
Χρονική στιγμή αιχμής	02Sep2000, 23:30
Όγκος(MM)	484.74

Απορροή



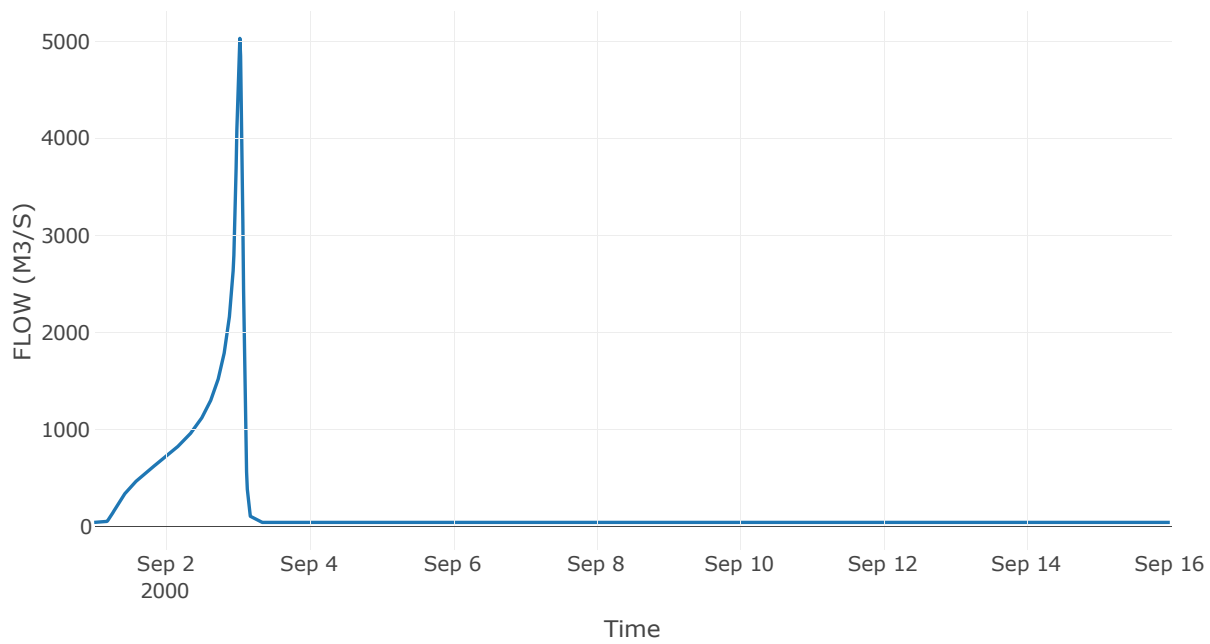
Κόμβος: J22

Κατάντη : R225

Αποτελέσματα: J22

Παροχή Αιχμής(M3/S)	5029.94
Χρονική στιγμή αιχμής	03Sep2000, 00:45
Όγκος(MM)	530.55

Απορροή



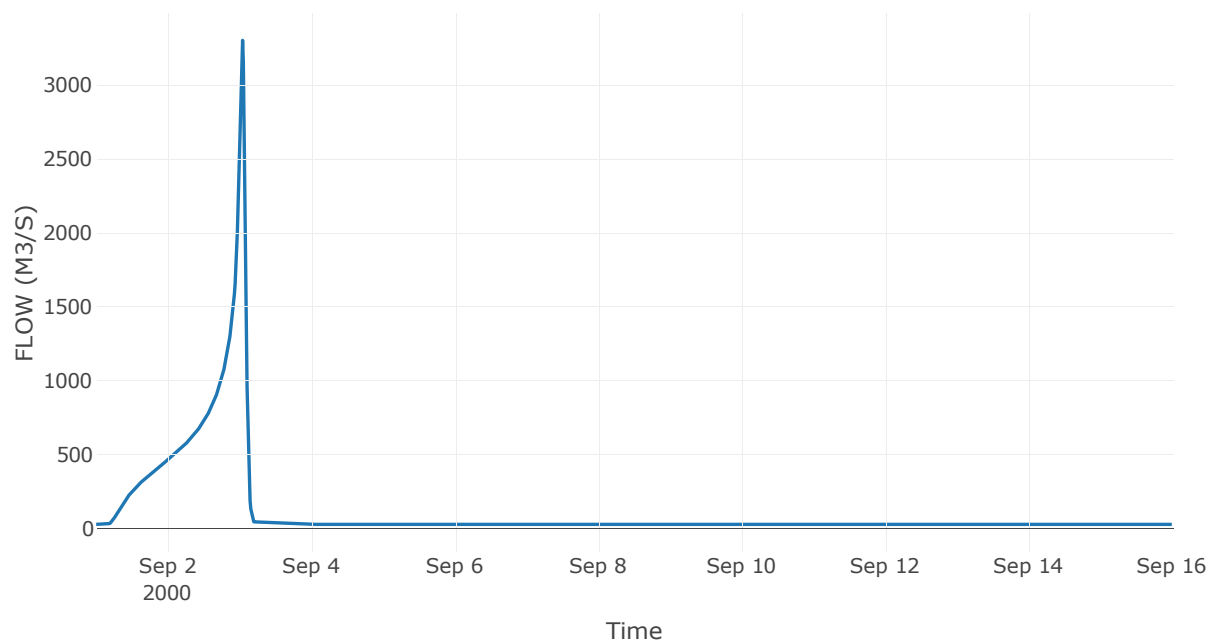
Κόμβος: J23

Κατάντη : R2322

Αποτελέσματα: J23

Παροχή Αιχμής(M3/S)	3302.91
Χρονική στιγμή αιχμής	03Sep2000, 01:00
Όγκος(MM)	521.67

Απορροή



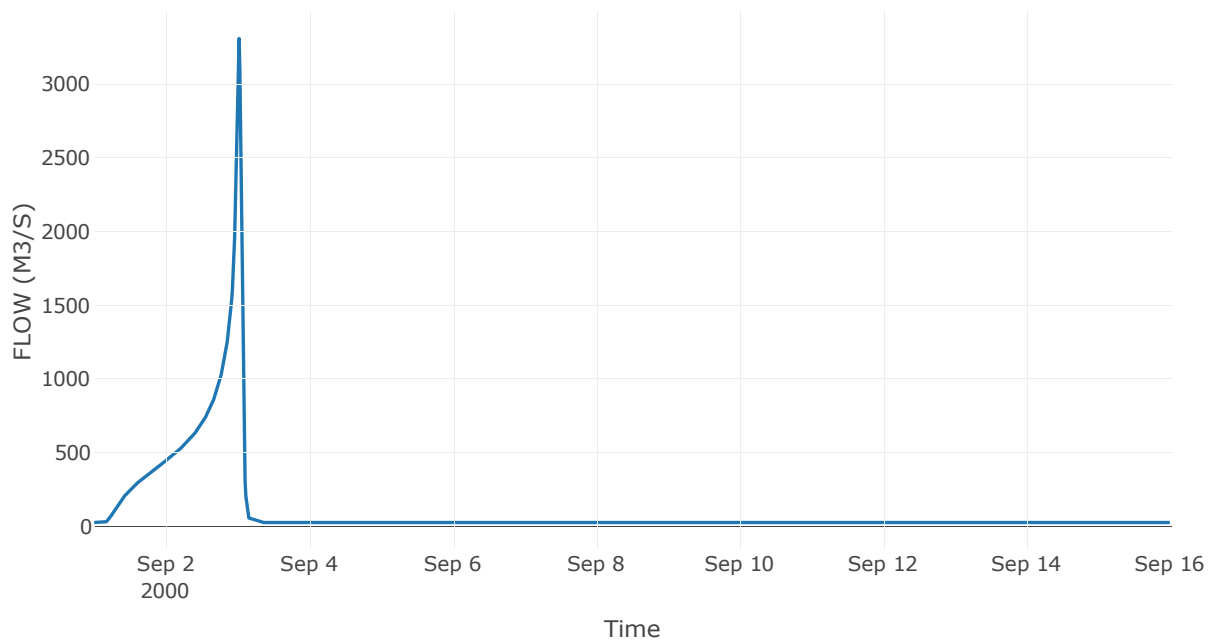
Κόμβος: J24

Κατάντη : R2423

Αποτελέσματα: J24

Παροχή Αιχμής(M3/S)	3310.73
Χρονική στιγμή αιχμής	03Sep2000, 00:30
Όγκος(MM)	524

Απορροή



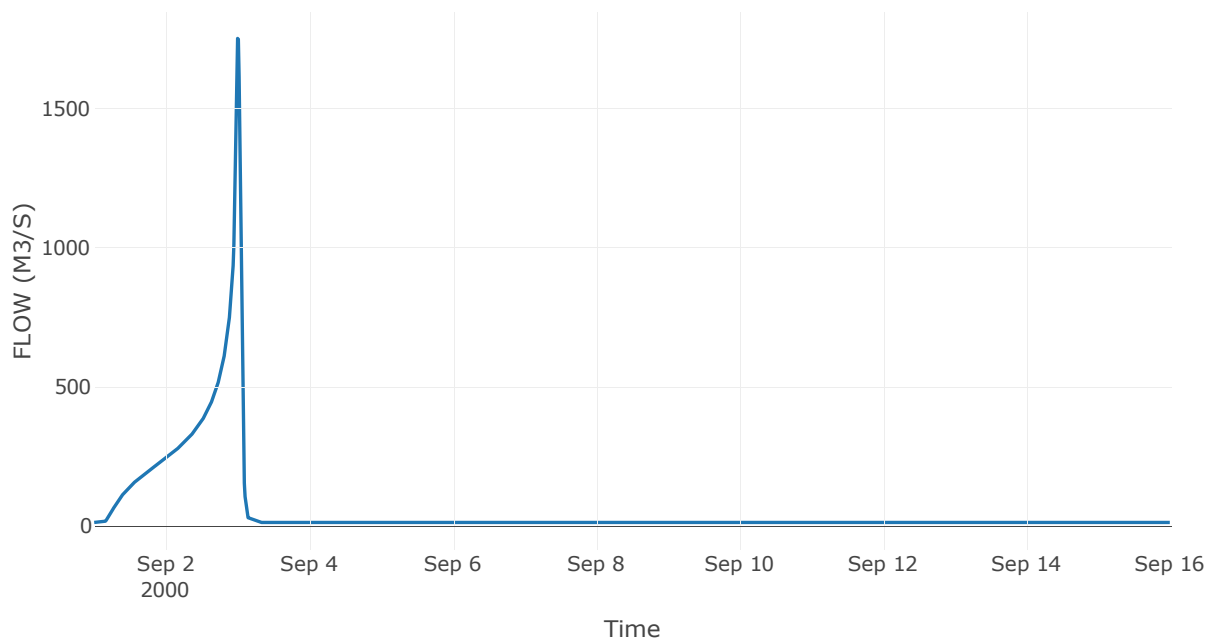
Κόμβος: J25

Κατάντη : R2524

Αποτελέσματα: J25

Παροχή Αιχμής(M3/S)	1751.35
Χρονική στιγμή αιχμής	02Sep2000, 24:00
Όγκος(MM)	544.97

Απορροή



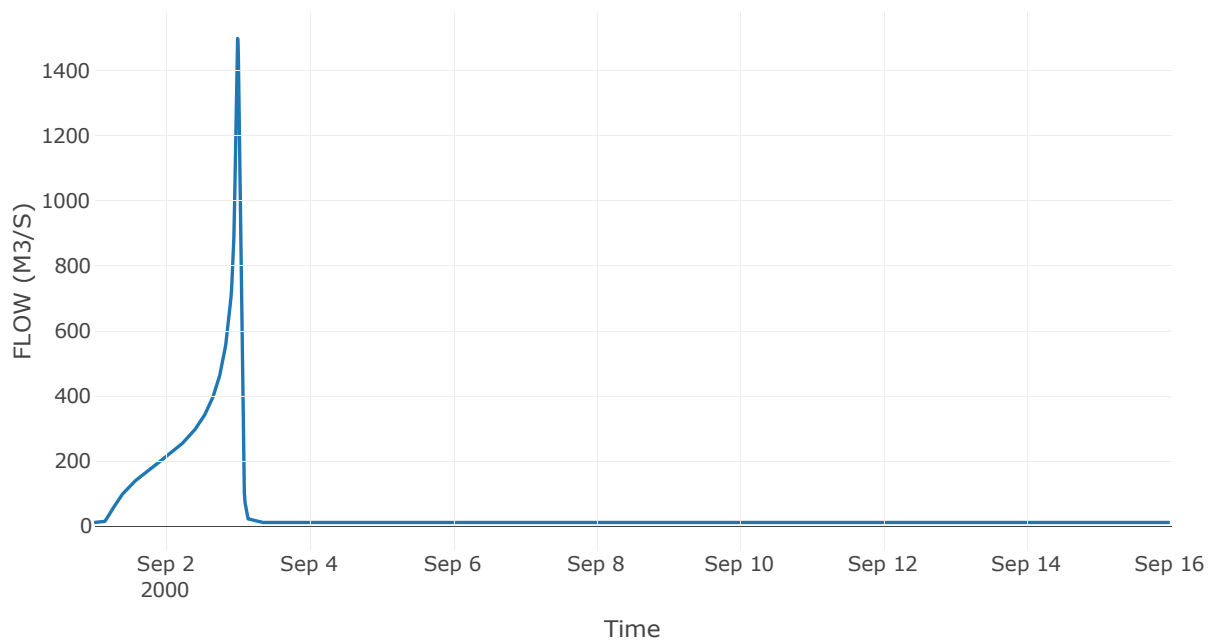
Κόμβος: J26

Κατάντη : R2625

Αποτελέσματα: J26

Παροχή Αιχμής(M3/S)	1498.8
Χρονική στιγμή αιχμής	02Sep2000, 24:00
Όγκος(MM)	549.34

Απορροή



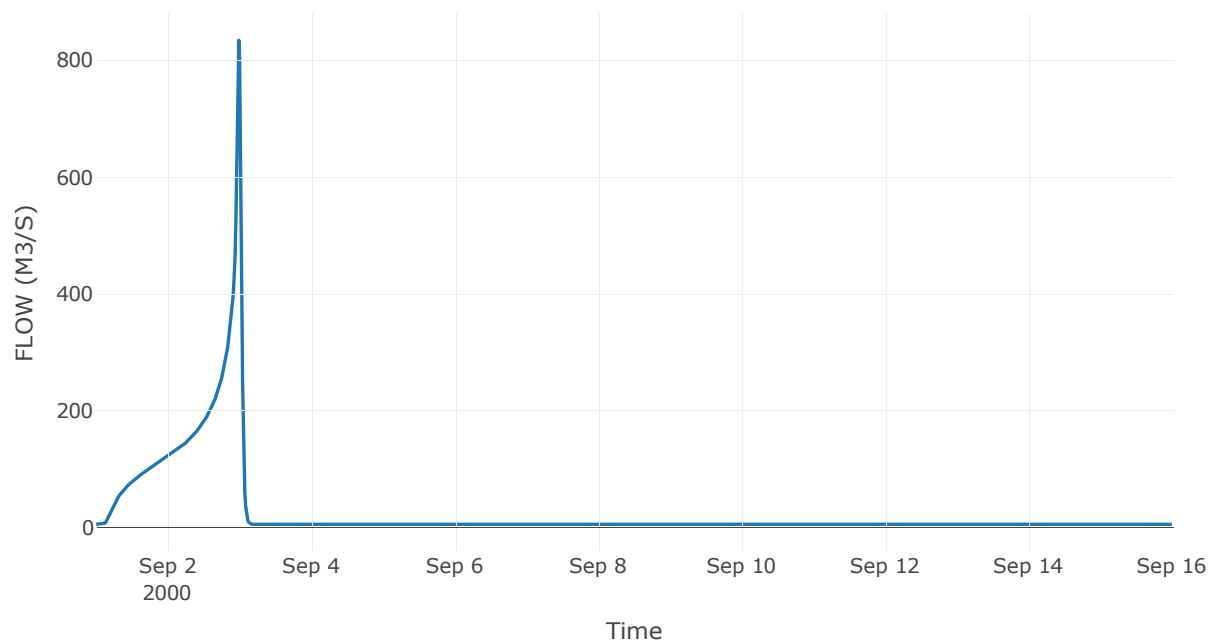
Κόμβος: J27

Κατάντη : R2726

Αποτελέσματα: J27

Παροχή Αιχμής(M3/S)	834.38
Χρονική στιγμή αιχμής	02Sep2000, 23:45
Όγκος(MM)	582.67

Απορροή



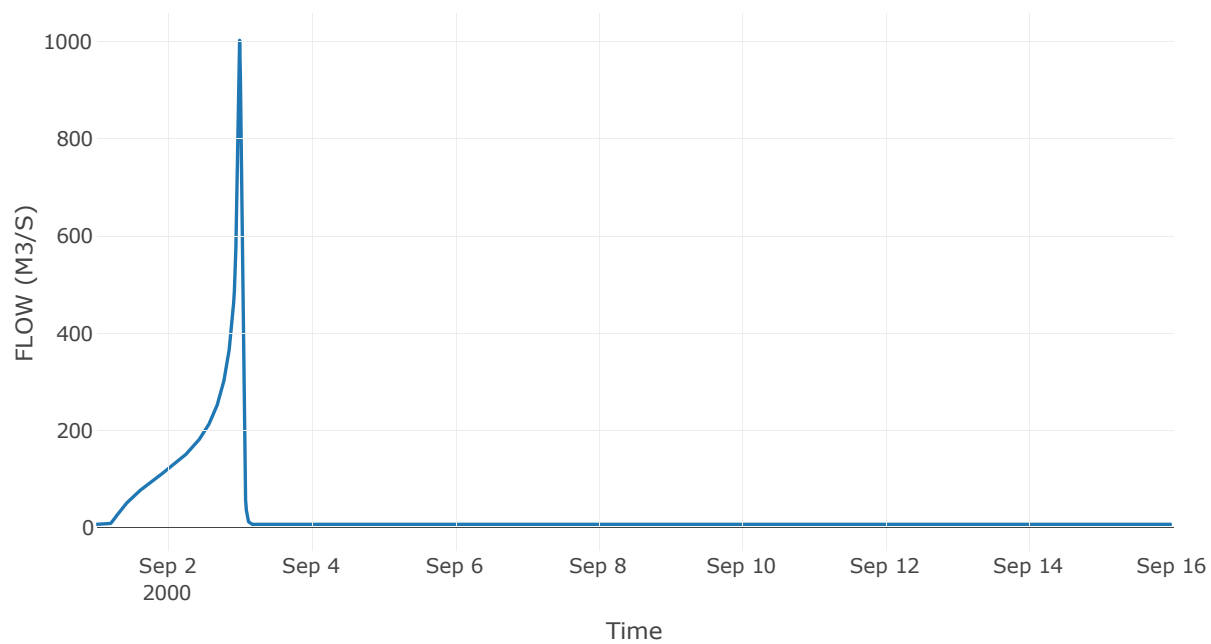
Κόμβος: J28

Κατάντη : R2824

Αποτελέσματα: J28

Παροχή Αιχμής(M3/S)	1002.61
Χρονική στιγμή αιχμής	02Sep2000, 24:00
Όγκος(MM)	495.14

Απορροή



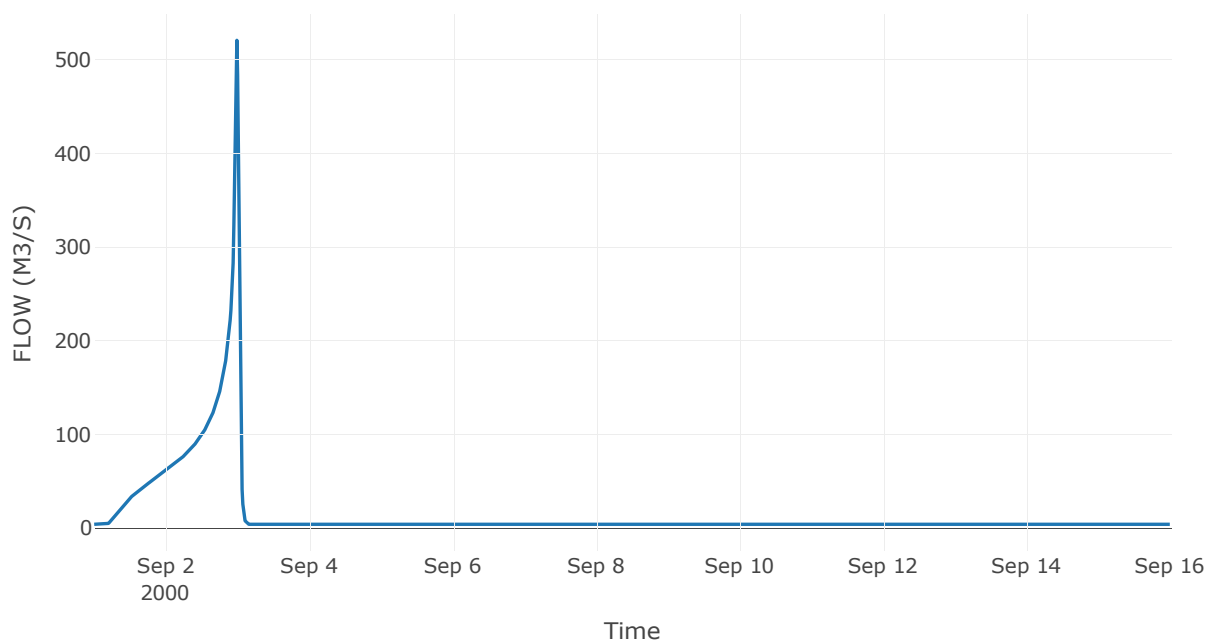
Κόμβος: J29

Κατάντη : R2928

Αποτελέσματα: J29

Παροχή Αιχμής(M3/S)	520.82
Χρονική στιγμή αιχμής	02Sep2000, 23:45
Όγκος(MM)	494.11

Απορροή



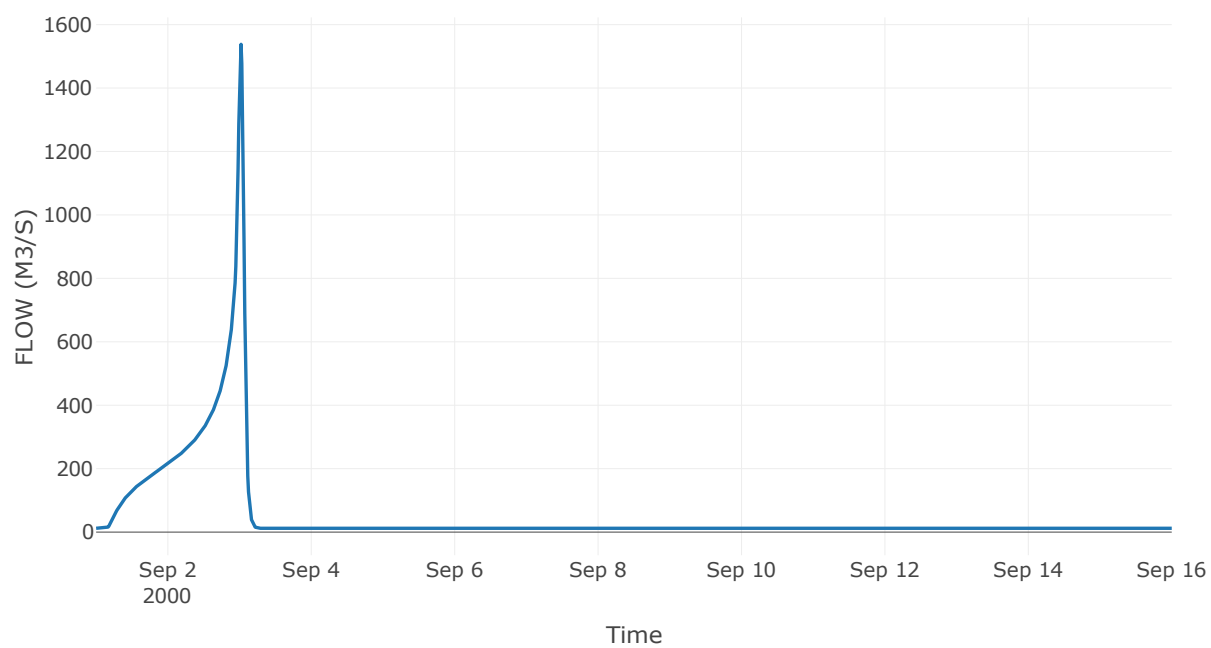
Κόμβος: J30

Κατάντη : R3022

Αποτελέσματα: J30

Παροχή Αιχμής(M3/S)	1538.05
Χρονική στιγμή αιχμής	03Sep2000, 00:30
Όγκος(MM)	569.33

Απορροή



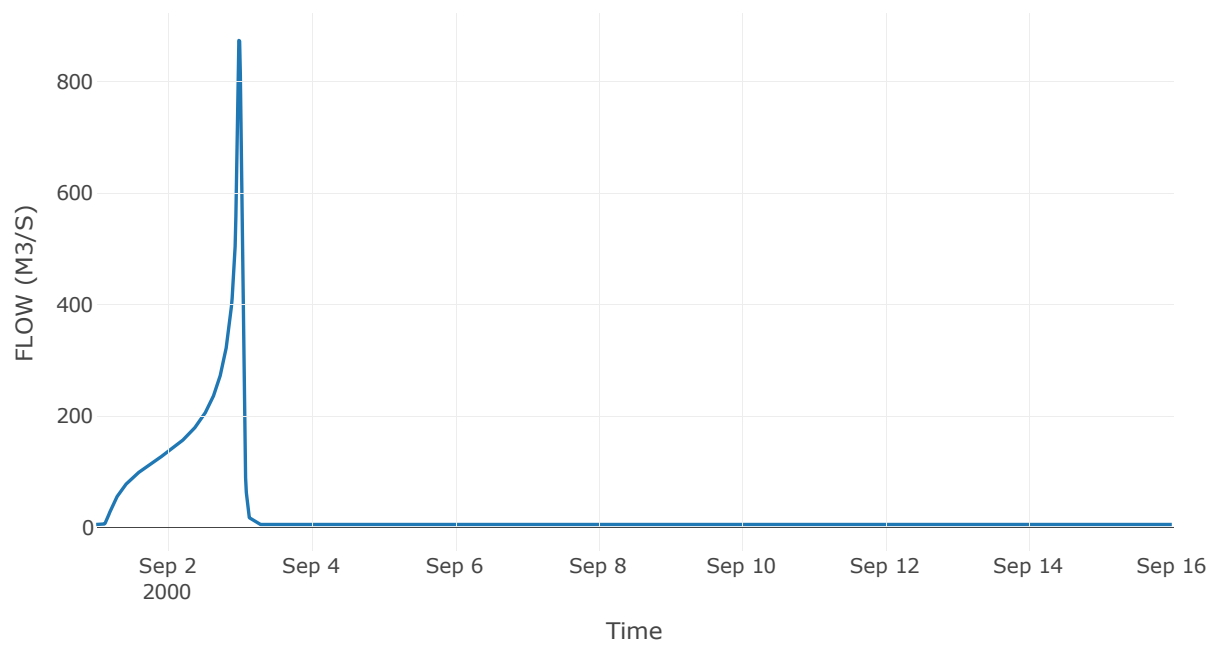
Κόμβος: J31

Κατάντη : R3130

Αποτελέσματα: J31

Παροχή Αιχμής(M3/S)	873.94
Χρονική στιγμή αιχμής	02Sep2000, 23:45
Όγκος(MM)	631.79

Απορροή



9 Δεδομένα εισόδου και αποτελέσματα υδρολογικού σεναρίου T=1000L

9.1 Αποτελέσματα, υετογραφήματα και υδρογραφήματα σχεδιασμού υπολεκανών

Υπολεκάνη: EL0514FR003001

Έκταση (KM2) : 46.02

Κατάντη : J15

Μέθοδος Απωλειών: SCS

Ποσοστό αδιαπέρατης επιφάνειας	0
Αριθμός Καμπύλης Απορροής-CN	62.78
Αρχικές Απώλειες	30.12

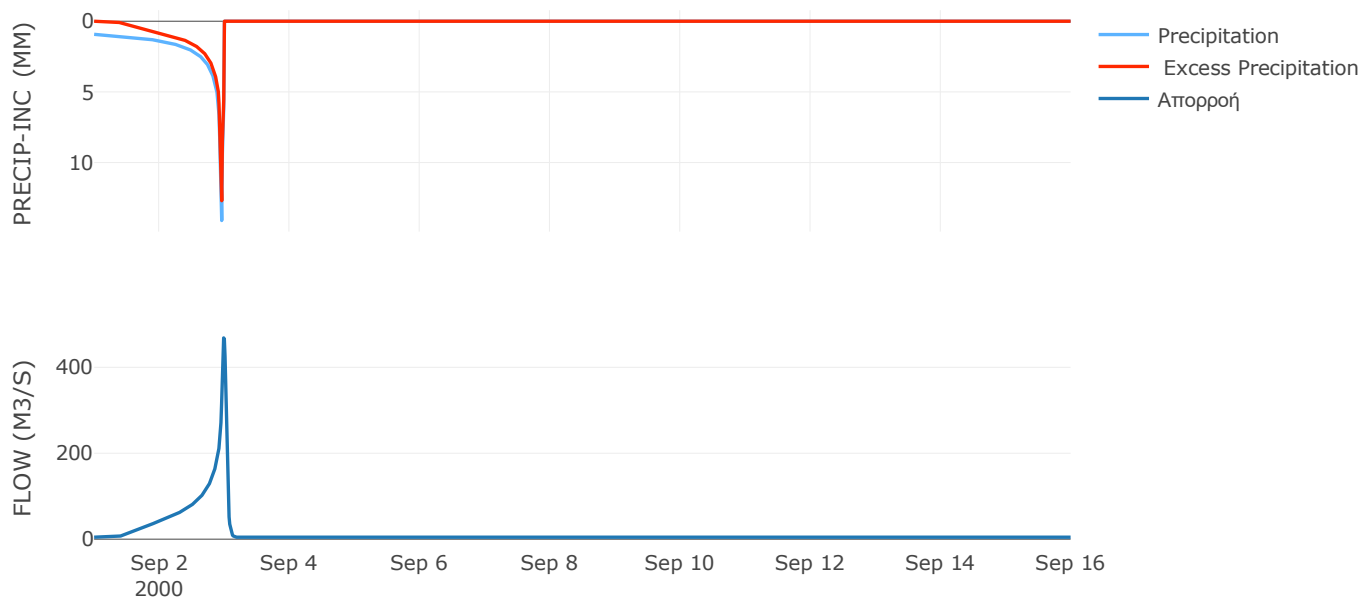
Μέθοδος
Μετασχηματισμού: SCS

Χρόνος Υστέρησης	48.19
------------------	-------

Αποτελέσματα:
EL0514FR003001

Παροχή αιχμής (M3/S)	468.51
Χρονική στιγμή αιχμής	02Sep2000, 23:45
Όγκος (MM)	380.45
Όγκος βροχόπτωσης (M3)	1.78E7
Όγκος απωλειών (M3)	6.26E6
Ενεργός Όγκος (M3)	1.15E7
Όγκος άμεσης απορροής (M3)	1.15E7
Όγκος βασικής απορροής (M3)	5.96E6

Βροχόπτωση και Απορροή



Υπολεκάνη: EL0514FR003002

Έκταση (KM2) : 33.64

Κατάνη : J15

Μέθοδος Απωλειών: SCS

Ποσοστό αδιαπέρατης επιφάνειας	0
Αριθμός Καμπύλης Απορροής-CN	62.74
Αρχικές Απώλειες	30.17

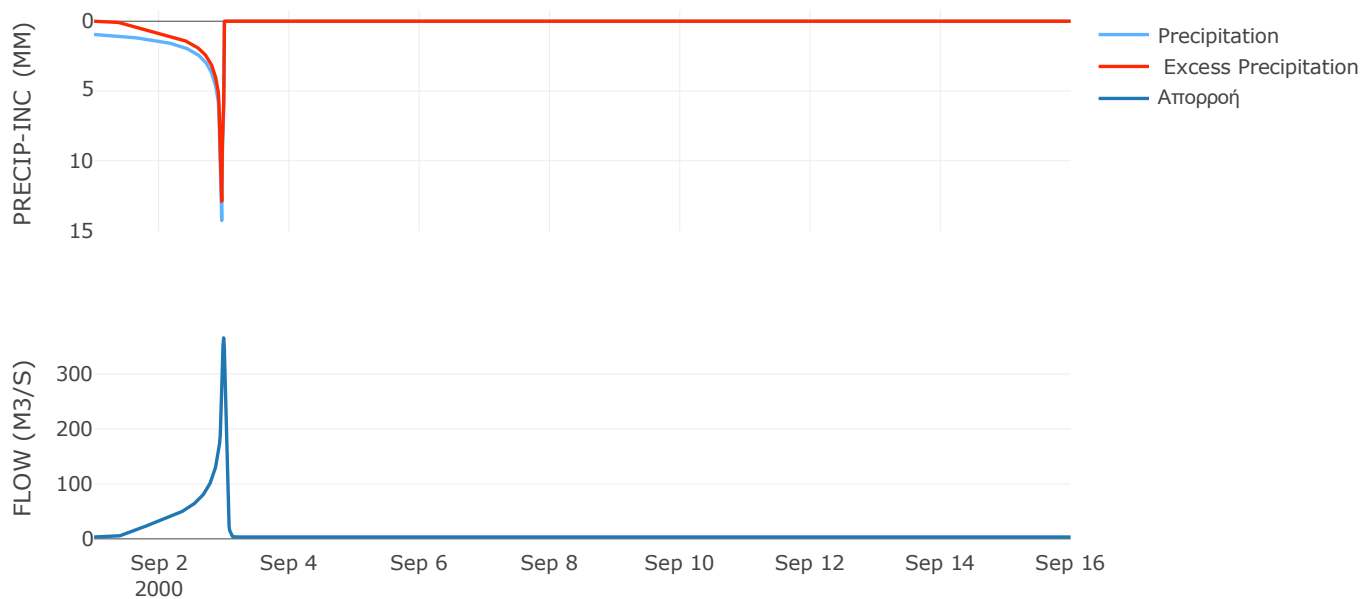
Μέθοδος
Μετασχηματισμού: SCS

Χρόνος Υστέρησης	40.08
------------------	-------

Αποτελέσματα:
EL0514FR003002

Παροχή αιχμής (M3/S)	365.69
Χρονική στιγμή αιχμής	02Sep2000, 23:45
Όγκος (MM)	387.59
Όγκος βροχόπτωσης (M3)	1.33E7
Όγκος απωλειών (M3)	4.6E6
Ενεργός Όγκος (M3)	8.68E6
Όγκος άμεσης απορροής (M3)	8.68E6
Όγκος βασικής απορροής (M3)	4.36E6

Βροχόπτωση και Απορροή



Υπολεκάνη: EL0514FR003003

Έκταση (KM2) : 51.67

Κατάντη : J14

Μέθοδος Απωλειών: SCS

Ποσοστό αδιαπέρατης επιφάνειας	0
Αριθμός Καμπύλης Απορροής-CN	55.41
Αρχικές Απώλειες	40.88

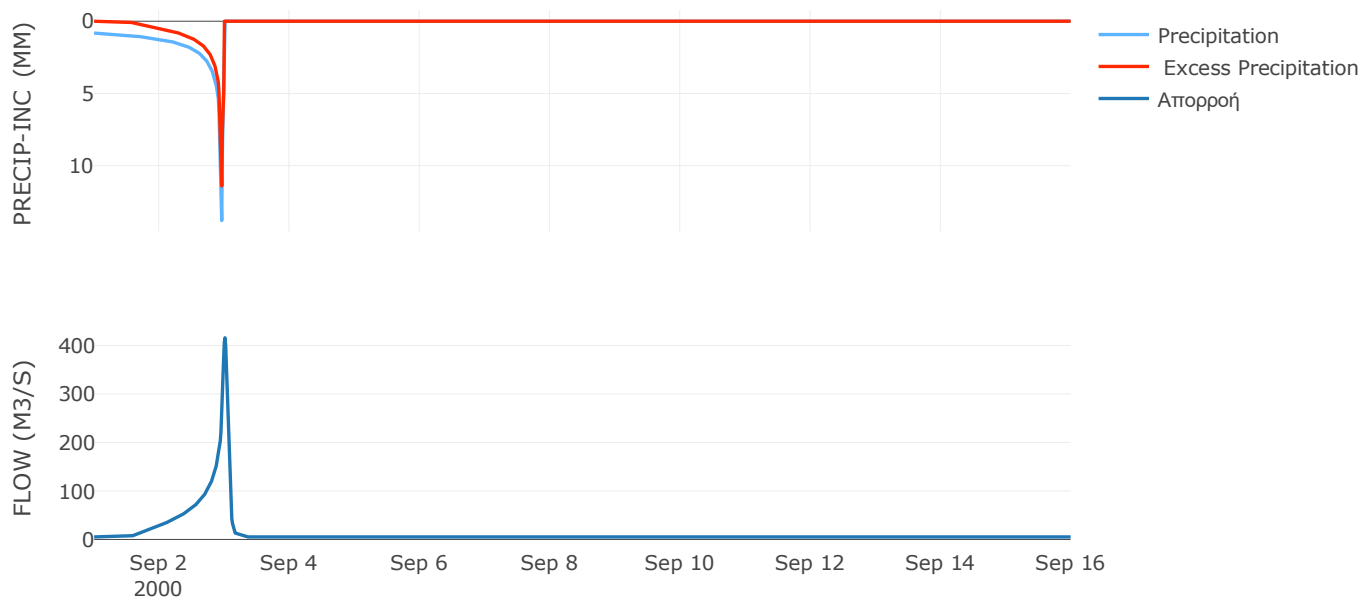
Μέθοδος
Μετασχηματισμού: SCS

Χρόνος Υστέρησης	72.28
------------------	-------

Αποτελέσματα:
EL0514FR003003

Παροχή αιχμής (M3/S)	415.86
Χρονική στιγμή αιχμής	03Sep2000, 00:15
Όγκος (MM)	320.35
Όγκος βροχόπτωσης (M3)	1.84E7
Όγκος απωλειών (M3)	8.52E6
Ενεργός Όγκος (M3)	9.86E6
Όγκος άμεσης απορροής (M3)	9.86E6
Όγκος βασικής απορροής (M3)	6.7E6

Βροχόπτωση και Απορροή



Υπολεκάνη: EL0514FR003004

Έκταση (KM2) : 62.35

Κατάντη : J14

Μέθοδος Απωλειών: SCS

Ποσοστό αδιαπέρατης επιφάνειας	0
Αριθμός Καμπύλης Απορροής-CN	63.65
Αρχικές Απώλειες	29.02

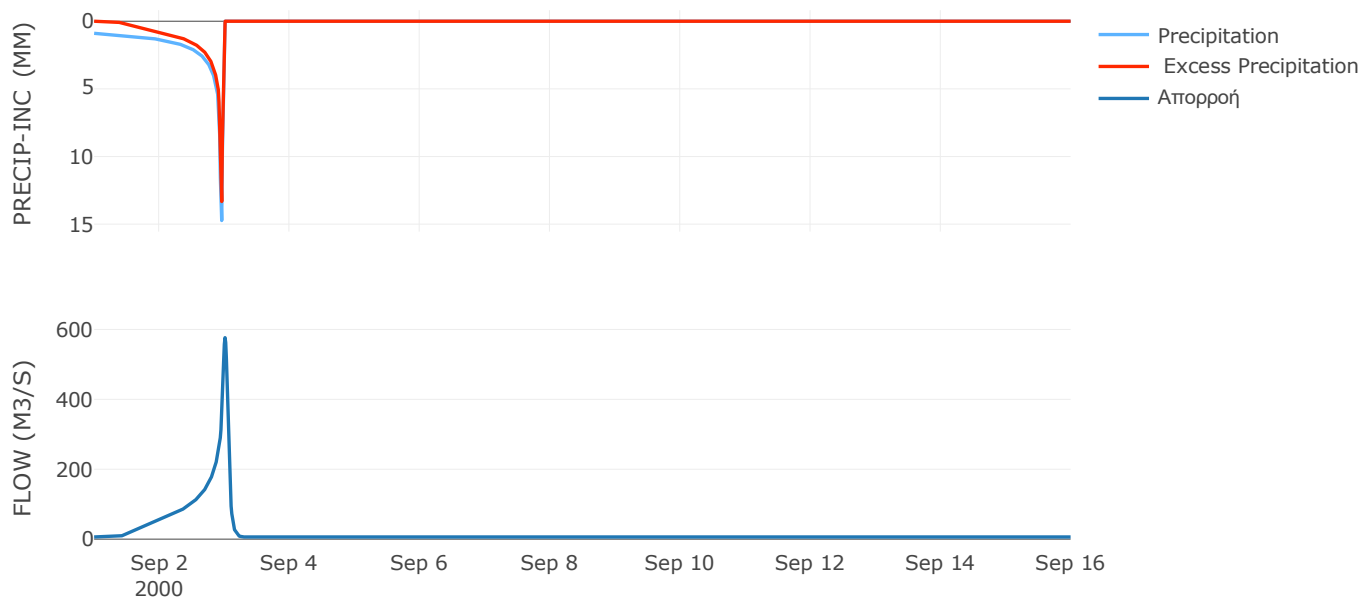
Μέθοδος
Μετασχηματισμού: SCS

Χρόνος Υστέρησης	77.39
------------------	-------

Αποτελέσματα:
EL0514FR003004

Παροχή αιχμής (M3/S)	576.54
Χρονική στιγμή αιχμής	03Sep2000, 00:15
Όγκος (MM)	381.86
Όγκος βροχόπτωσης (M3)	2.4E7
Όγκος απωλειών (M3)	8.23E6
Ενεργός Όγκος (M3)	1.57E7
Όγκος άμεσης απορροής (M3)	1.57E7
Όγκος βασικής απορροής (M3)	8.08E6

Βροχόπτωση και Απορροή



Υπολεκάνη: EL0514FR003005

Έκταση (KM2) : 0.91

Κατάντη : J13

Μέθοδος Απωλειών: SCS

Ποσοστό αδιαπέρατης επιφάνειας	0
Αριθμός Καμπύλης Απορροής-CN	63.97
Αρχικές Απώλειες	28.62

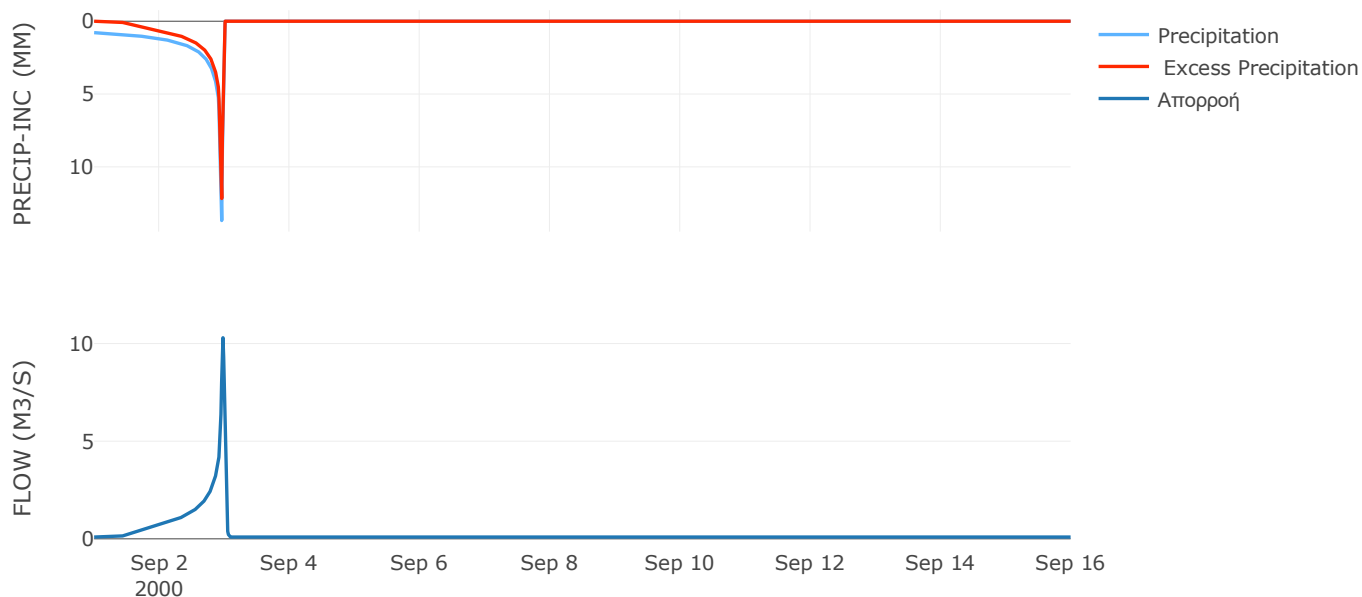
Μέθοδος
Μετασχηματισμού: SCS

Χρόνος Υστέρησης	24.16
------------------	-------

Αποτελέσματα:
EL0514FR003005

Παροχή αιχμής (M3/S)	10.3
Χρονική στιγμή αιχμής	02Sep2000, 23:30
Όγκος (MM)	346.66
Όγκος βροχόπτωσης (M3)	3.15E5
Όγκος απωλειών (M3)	1.16E5
Ενεργός Όγκος (M3)	1.98E5
Όγκος άμεσης απορροής (M3)	1.98E5
Όγκος βασικής απορροής (M3)	1.18E5

Βροχόπτωση και Απορροή



Υπολεκάνη: EL0514FR003006

Έκταση (KM2) : 19.25

Κατάντη : J13

Μέθοδος Απωλειών: SCS

Ποσοστό αδιαπέρατης επιφάνειας	0
Αριθμός Καμπύλης Απορροής-CN	67.08
Αρχικές Απώλειες	24.93

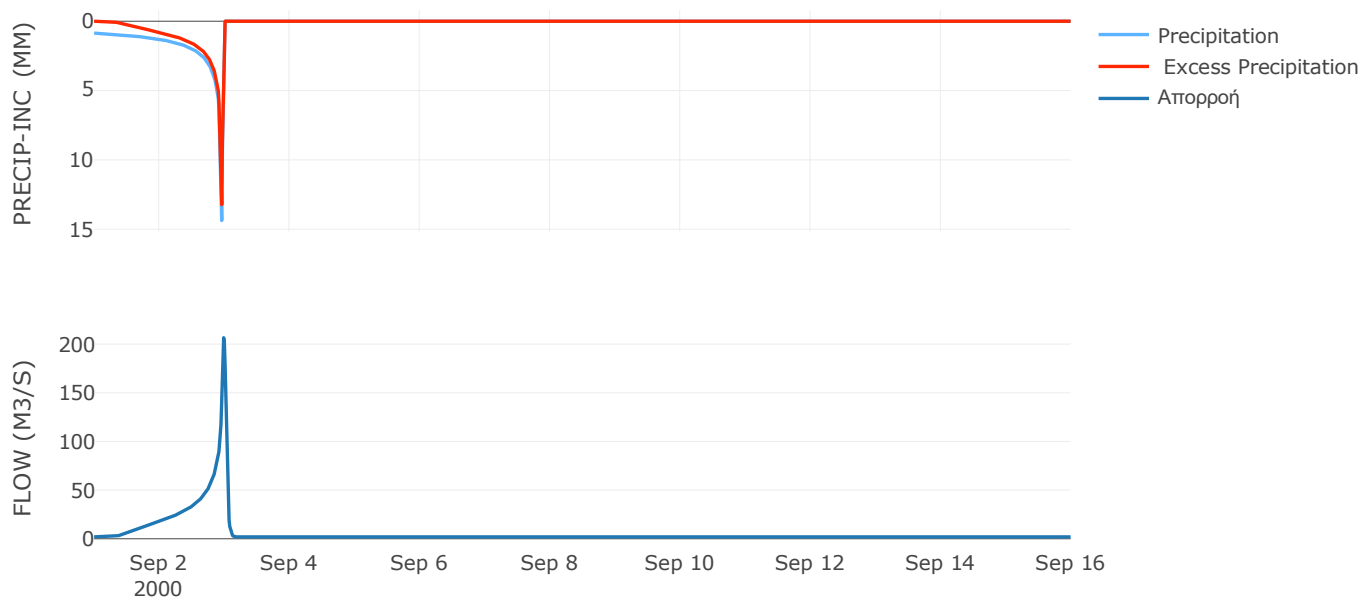
Μέθοδος
Μετασχηματισμού: SCS

Χρόνος Υστέρησης	45.73
------------------	-------

Αποτελέσματα:
EL0514FR003006

Παροχή αιχμής (M3/S)	206.6
Χρονική στιγμή αιχμής	02Sep2000, 23:45
Όγκος (MM)	384.38
Όγκος βροχόπτωσης (M3)	7.15E6
Όγκος απωλειών (M3)	2.24E6
Ενεργός Όγκος (M3)	4.91E6
Όγκος άμεσης απορροής (M3)	4.91E6
Όγκος βασικής απορροής (M3)	2.5E6

Βροχόπτωση και Απορροή



Υπολεκάνη: EL0514FR003007

Έκταση (KM2) : 23.36

Κατάντη : J12

Μέθοδος Απωλειών: SCS

Ποσοστό αδιαπέρατης επιφάνειας	0
Αριθμός Καμπύλης Απορροής-CN	65.78
Αρχικές Απώλειες	26.43

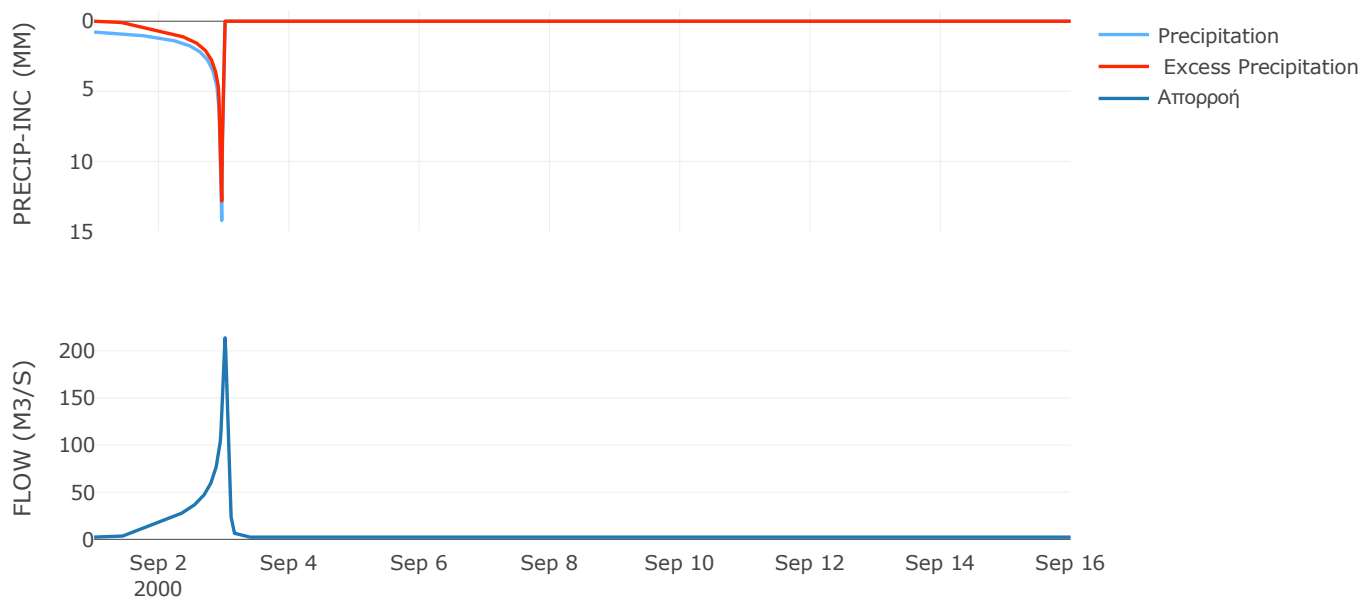
Μέθοδος
Μετασχηματισμού: SCS

Χρόνος Υστέρησης	67.75
------------------	-------

Αποτελέσματα:
EL0514FR003007

Παροχή αιχμής (M3/S)	213.84
Χρονική στιγμή αιχμής	03Sep2000, 00:15
Όγκος (MM)	355.96
Όγκος βροχόπτωσης (M3)	8.09E6
Όγκος απωλειών (M3)	2.8E6
Ενεργός Όγκος (M3)	5.29E6
Όγκος άμεσης απορροής (M3)	5.29E6
Όγκος βασικής απορροής (M3)	3.03E6

Βροχόπτωση και Απορροή



Υπολεκάνη: EL0514FR003008

Έκταση (KM2) : 46.02

Κατάντη : J12

Μέθοδος Απωλειών: SCS

Ποσοστό αδιαπέρατης επιφάνειας	0
Αριθμός Καμπύλης Απορροής-CN	56.78
Αρχικές Απώλειες	38.67

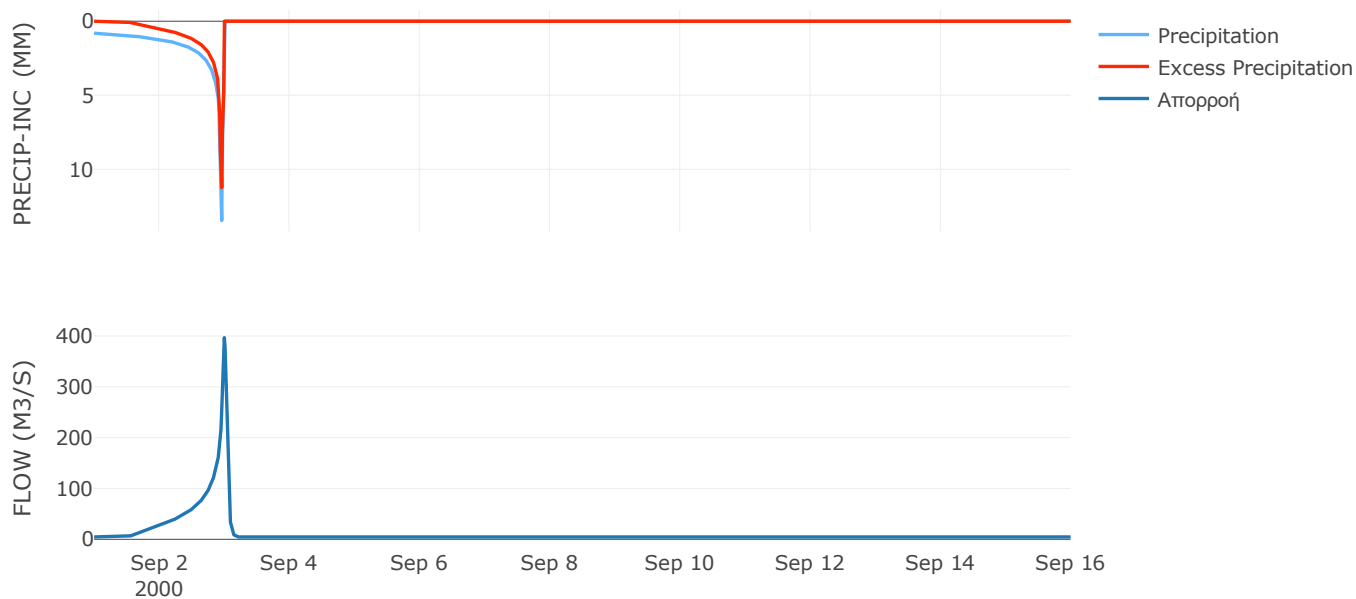
Μέθοδος
Μετασχηματισμού: SCS

Χρόνος Υστέρησης	56.24
------------------	-------

Αποτελέσματα:
EL0514FR003008

Παροχή αιχμής (M3/S)	396.66
Χρονική στιγμή αιχμής	02Sep2000, 24:00
Όγκος (MM)	320.53
Όγκος βροχόπτωσης (M3)	1.6E7
Όγκος απωλειών (M3)	7.26E6
Ενεργός Όγκος (M3)	8.79E6
Όγκος άμεσης απορροής (M3)	8.79E6
Όγκος βασικής απορροής (M3)	5.96E6

Βροχόπτωση και Απορροή



Υπολεκάνη: EL0514FR003009

Έκταση (KM2) : 18.07

Κατάντη : J17

Μέθοδος Απωλειών: SCS

Ποσοστό αδιαπέρατης επιφάνειας	0
Αριθμός Καμπύλης Απορροής-CN	40.14
Αρχικές Απώλειες	75.75

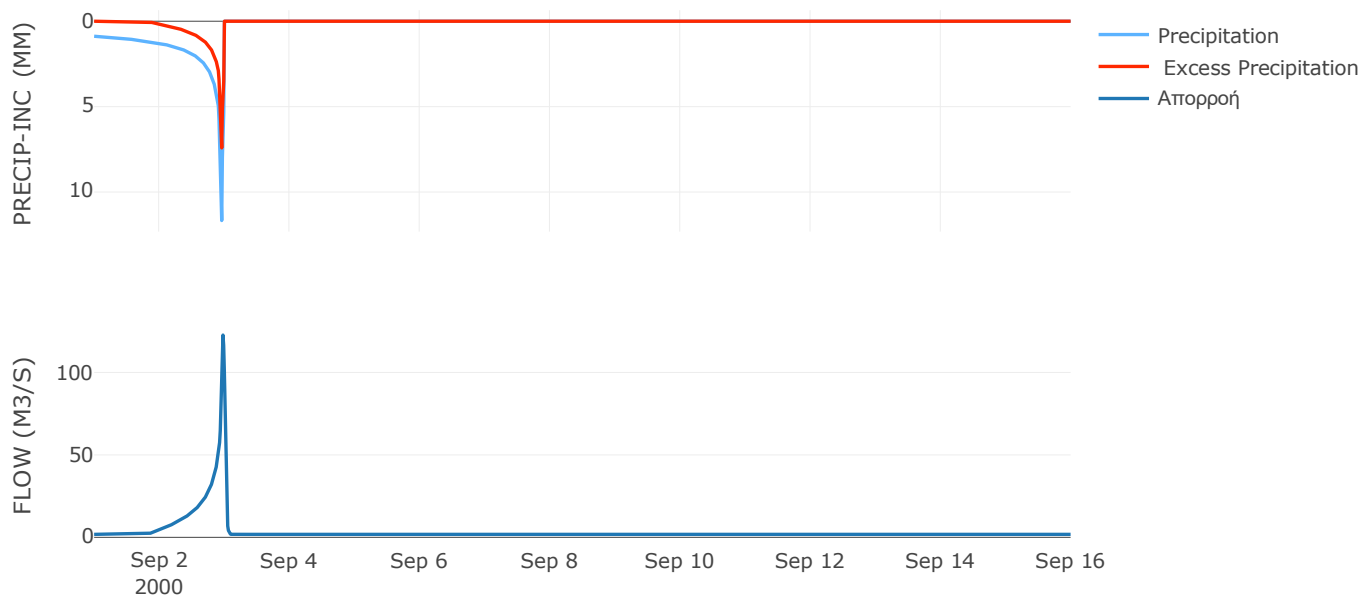
Μέθοδος
Μετασχηματισμού: SCS

Χρόνος Υστέρησης	26.17
------------------	-------

Αποτελέσματα:
EL0514FR003009

Παροχή αιχμής (M3/S)	122.67
Χρονική στιγμή αιχμής	02Sep2000, 23:30
Όγκος (MM)	244.62
Όγκος βροχόπτωσης (M3)	6.32E6
Όγκος απωλειών (M3)	4.24E6
Ενεργός Όγκος (M3)	2.08E6
Όγκος άμεσης απορροής (M3)	2.08E6
Όγκος βασικής απορροής (M3)	2.34E6

Βροχόπτωση και Απορροή



Υπολεκάνη: EL0514FR003010

Έκταση (KM2) : 90.5

Κατάνη : J17

Μέθοδος Απωλειών: SCS

Ποσοστό αδιαπέρατης επιφάνειας	0
Αριθμός Καμπύλης Απορροής-CN	55.91
Αρχικές Απώλειες	40.06

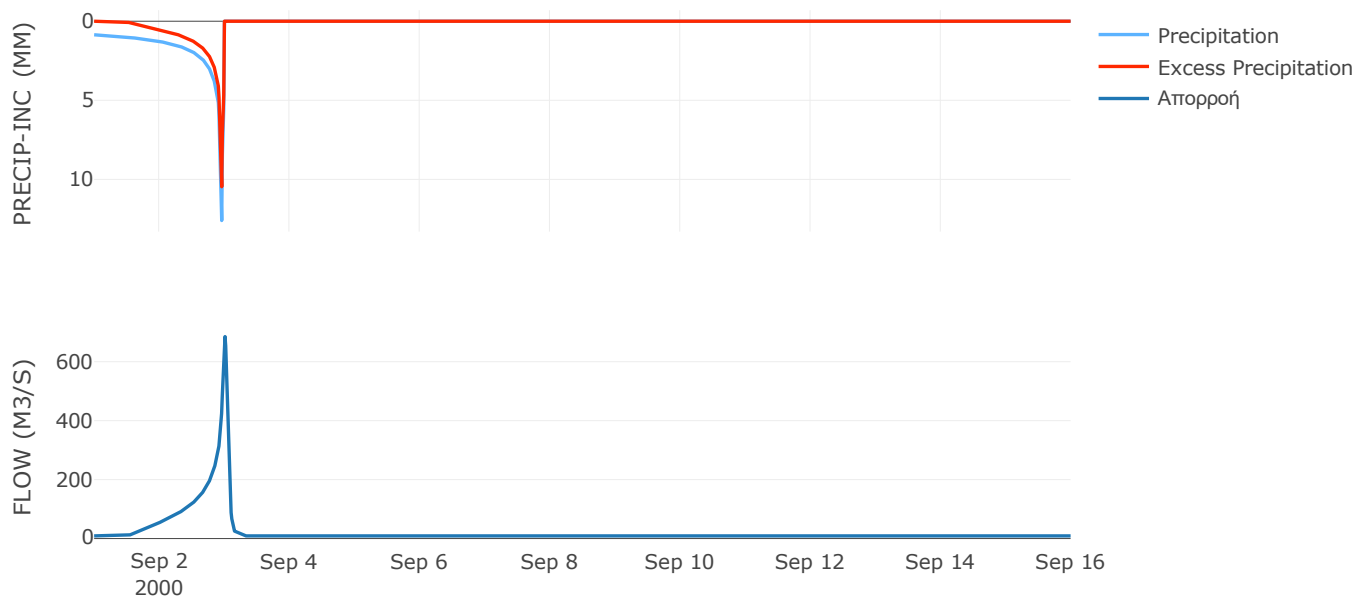
Μέθοδος
Μετασχηματισμού: SCS

Χρόνος Υστέρησης	70.63
------------------	-------

Αποτελέσματα:
EL0514FR003010

Παροχή αιχμής (M3/S)	685.16
Χρονική στιγμή αιχμής	03Sep2000, 00:15
Όγκος (MM)	320.56
Όγκος βροχόπτωσης (M3)	3.2E7
Όγκος απωλειών (M3)	1.47E7
Ενεργός Όγκος (M3)	1.73E7
Όγκος άμεσης απορροής (M3)	1.73E7
Όγκος βασικής απορροής (M3)	1.17E7

Βροχόπτωση και Απορροή



Υπολεκάνη: EL0514FR003011

Έκταση (KM2) : 26.55

Κατάντη : J18

Μέθοδος Απωλειών: SCS

Ποσοστό αδιαπέρατης επιφάνειας	0
Αριθμός Καμπύλης Απορροής-CN	65.36
Αρχικές Απώλειες	26.93

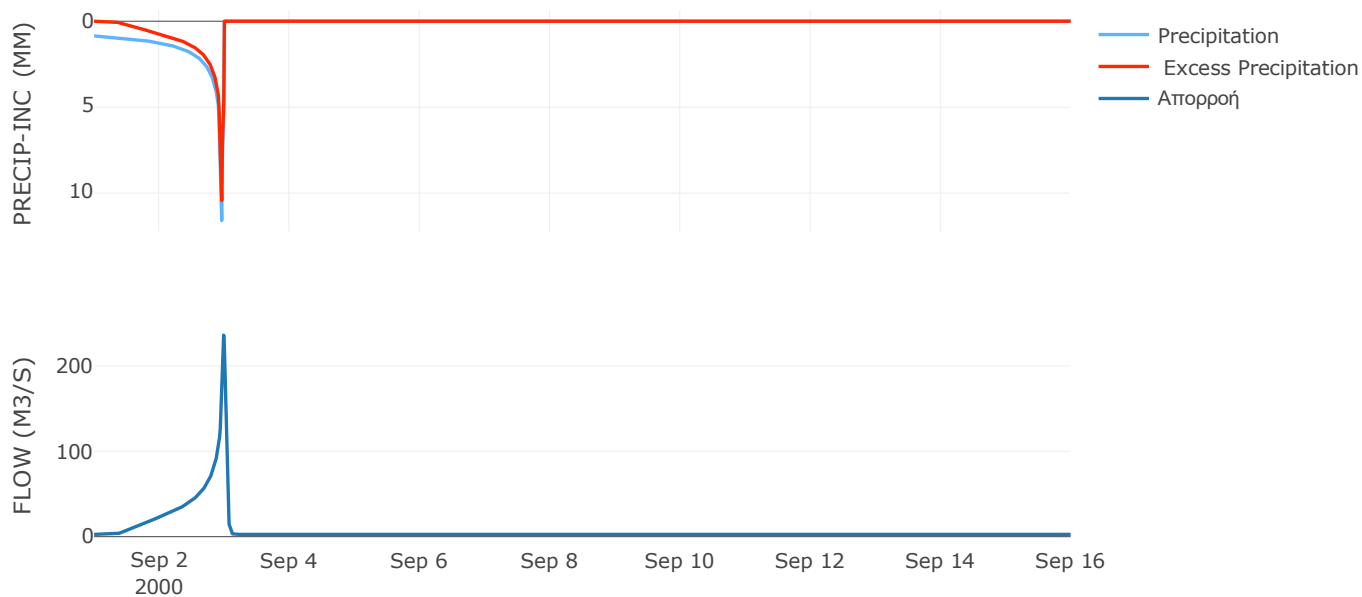
Μέθοδος
Μετασχηματισμού: SCS

Χρόνος Υστέρησης	39.38
------------------	-------

Αποτελέσματα:
EL0514FR003011

Παροχή αιχμής (M3/S)	236.01
Χρονική στιγμή αιχμής	02Sep2000, 23:45
Όγκος (MM)	350.82
Όγκος βροχόπτωσης (M3)	9.1E6
Όγκος απωλειών (M3)	3.22E6
Ενεργός Όγκος (M3)	5.87E6
Όγκος άμεσης απορροής (M3)	5.87E6
Όγκος βασικής απορροής (M3)	3.44E6

Βροχόπτωση και Απορροή



Υπολεκάνη: EL0514FR003012

Έκταση (KM2) : 29.39

Κατάντη : J18

Μέθοδος Απωλειών: SCS

Ποσοστό αδιαπέρατης επιφάνειας	0
Αριθμός Καμπύλης Απορροής-CN	59.31
Αρχικές Απώλειες	34.85

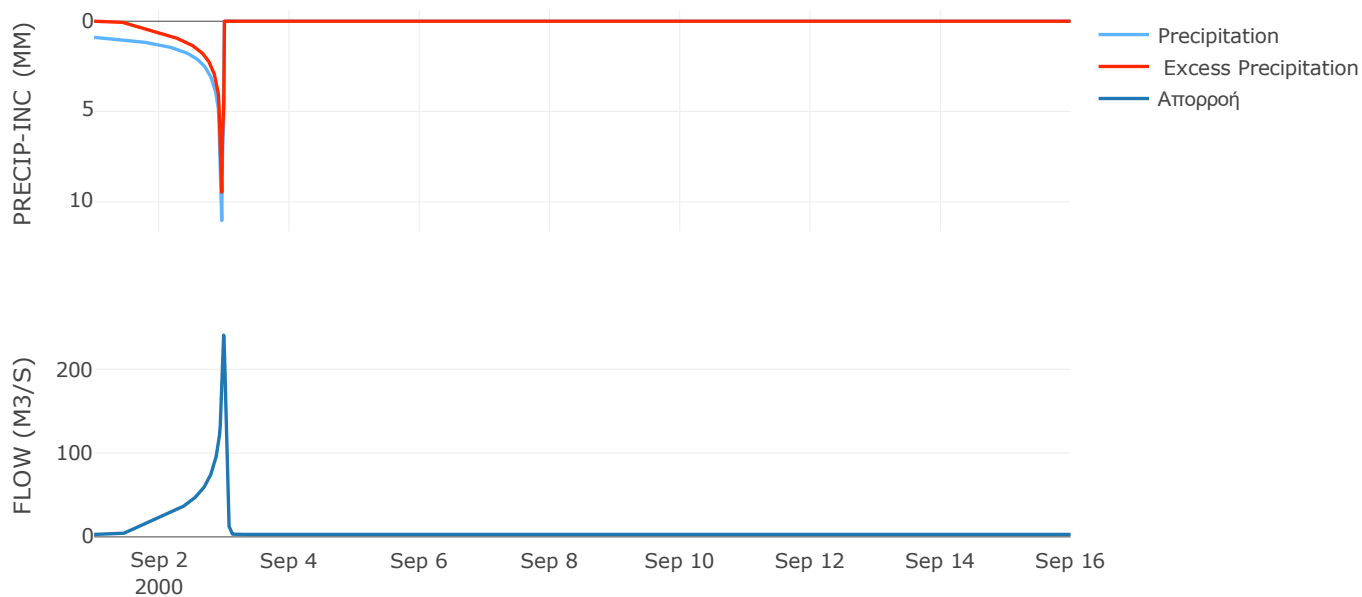
Μέθοδος
Μετασχηματισμού: SCS

Χρόνος Υστέρησης	36.73
------------------	-------

Αποτελέσματα:
EL0514FR003012

Παροχή αιχμής (M3/S)	240.76
Χρονική στιγμή αιχμής	02Sep2000, 23:45
Όγκος (MM)	329.79
Όγκος βροχόπτωσης (M3)	1.02E7
Όγκος απωλειών (M3)	4.31E6
Ενεργός Όγκος (M3)	5.88E6
Όγκος άμεσης απορροής (M3)	5.88E6
Όγκος βασικής απορροής (M3)	3.81E6

Βροχόπτωση και Απορροή



Υπολεκάνη: EL0514FR003013

Έκταση (KM2) : 44.12

Κατάνη : J11

Μέθοδος Απωλειών: SCS

Ποσοστό αδιαπέρατης επιφάνειας	0
Αριθμός Καμπύλης Απορροής-CN	61.08
Αρχικές Απώλειες	32.37

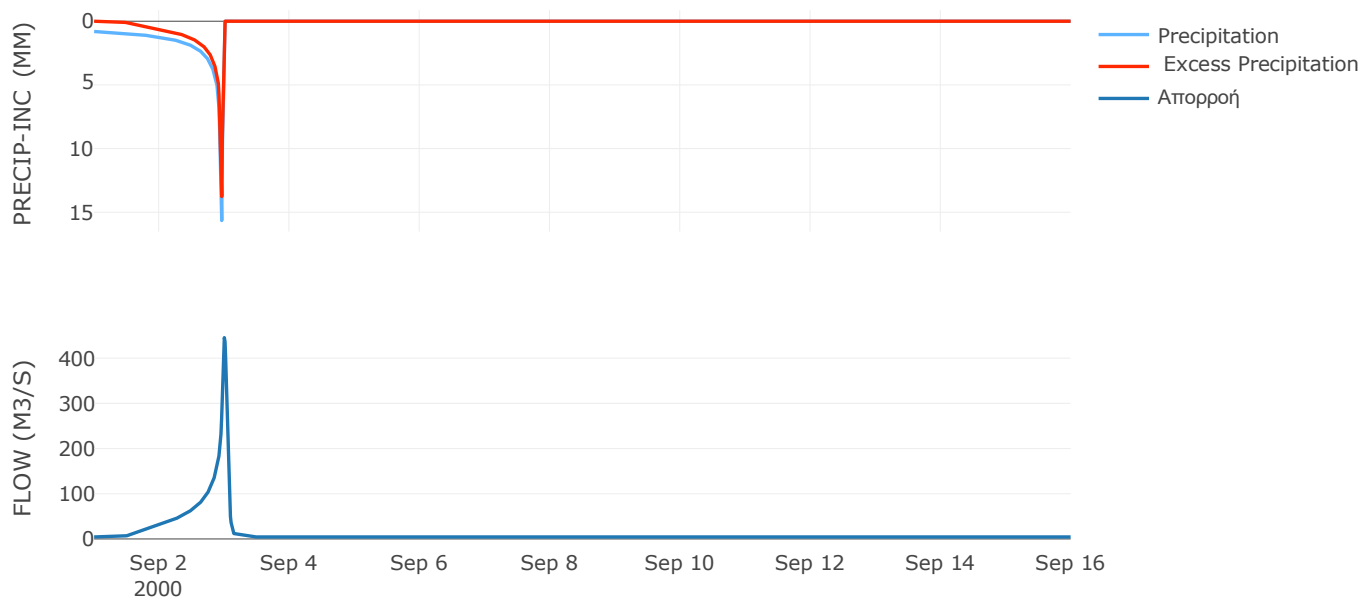
Μέθοδος
Μετασχηματισμού: SCS

Χρόνος Υστέρησης	61.84
------------------	-------

Αποτελέσματα:
EL0514FR003013

Παροχή αιχμής (M3/S)	445.3
Χρονική στιγμή αιχμής	02Sep2000, 24:00
Όγκος (MM)	356.59
Όγκος βροχόπτωσης (M3)	1.63E7
Όγκος απωλειών (M3)	6.25E6
Ενεργός Όγκος (M3)	1E7
Όγκος άμεσης απορροής (M3)	1E7
Όγκος βασικής απορροής (M3)	5.72E6

Βροχόπτωση και Απορροή



Υπολεκάνη: EL0514FR003014

Έκταση (KM2) : 22.29

Κατάνη : J11

Μέθοδος Απωλειών: SCS

Ποσοστό αδιαπέρατης επιφάνειας	0
Αριθμός Καμπύλης Απορροής-CN	46.98
Αρχικές Απώλειες	57.34

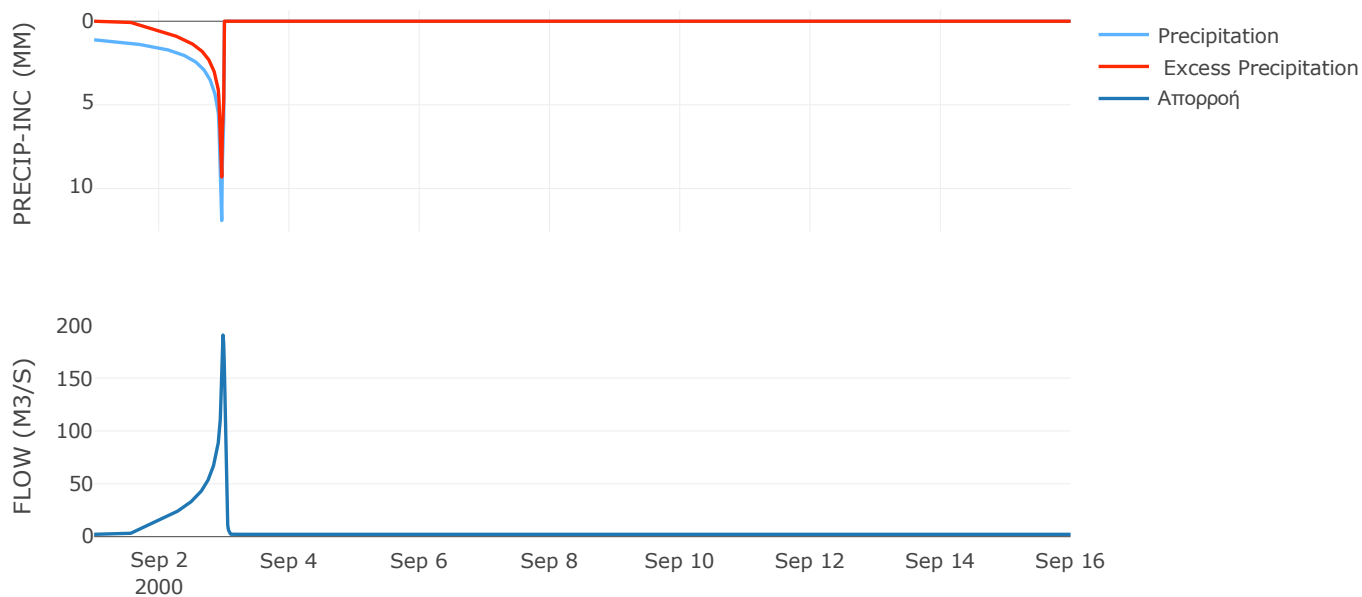
Μέθοδος
Μετασχηματισμού: SCS

Χρόνος Υστέρησης	26.81
------------------	-------

Αποτελέσματα:
EL0514FR003014

Παροχή αιχμής (M3/S)	190.8
Χρονική στιγμή αιχμής	02Sep2000, 23:30
Όγκος (MM)	325.29
Όγκος βροχόπτωσης (M3)	9.17E6
Όγκος απωλειών (M3)	4.81E6
Ενεργός Όγκος (M3)	4.36E6
Όγκος άμεσης απορροής (M3)	4.36E6
Όγκος βασικής απορροής (M3)	2.89E6

Βροχόπτωση και Απορροή



Υπολεκάνη: EL0514FR003015

Έκταση (KM2) : 51.11

Κατάντη : J21

Μέθοδος Απωλειών: SCS

Ποσοστό αδιαπέρατης επιφάνειας	0
Αριθμός Καμπύλης Απορροής-CN	43.08
Αρχικές Απώλειες	67.13

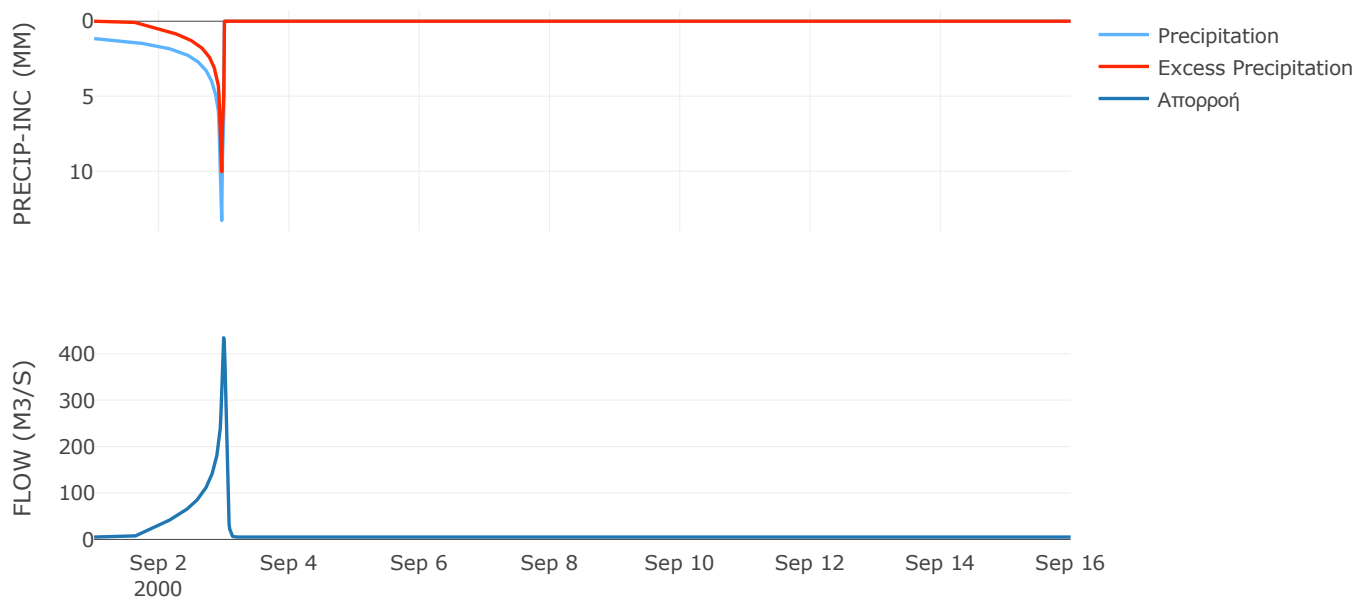
Μέθοδος
Μετασχηματισμού: SCS

Χρόνος Υστέρησης	41.84
------------------	-------

Αποτελέσματα:
EL0514FR003015

Παροχή αιχμής (M3/S)	434.5
Χρονική στιγμή αιχμής	02Sep2000, 23:45
Όγκος (MM)	324.88
Όγκος βροχόπτωσης (M3)	2.24E7
Όγκος απωλειών (M3)	1.24E7
Ενεργός Όγκος (M3)	9.98E6
Όγκος άμεσης απορροής (M3)	9.98E6
Όγκος βασικής απορροής (M3)	6.62E6

Βροχόπτωση και Απορροή



Υπολεκάνη: EL0514FR003016

Έκταση (KM2) : 20.25

Κατάντη : J21

Μέθοδος Απωλειών: SCS

Ποσοστό αδιαπέρατης επιφάνειας	0
Αριθμός Καμπύλης Απορροής-CN	46.47
Αρχικές Απώλειες	58.52

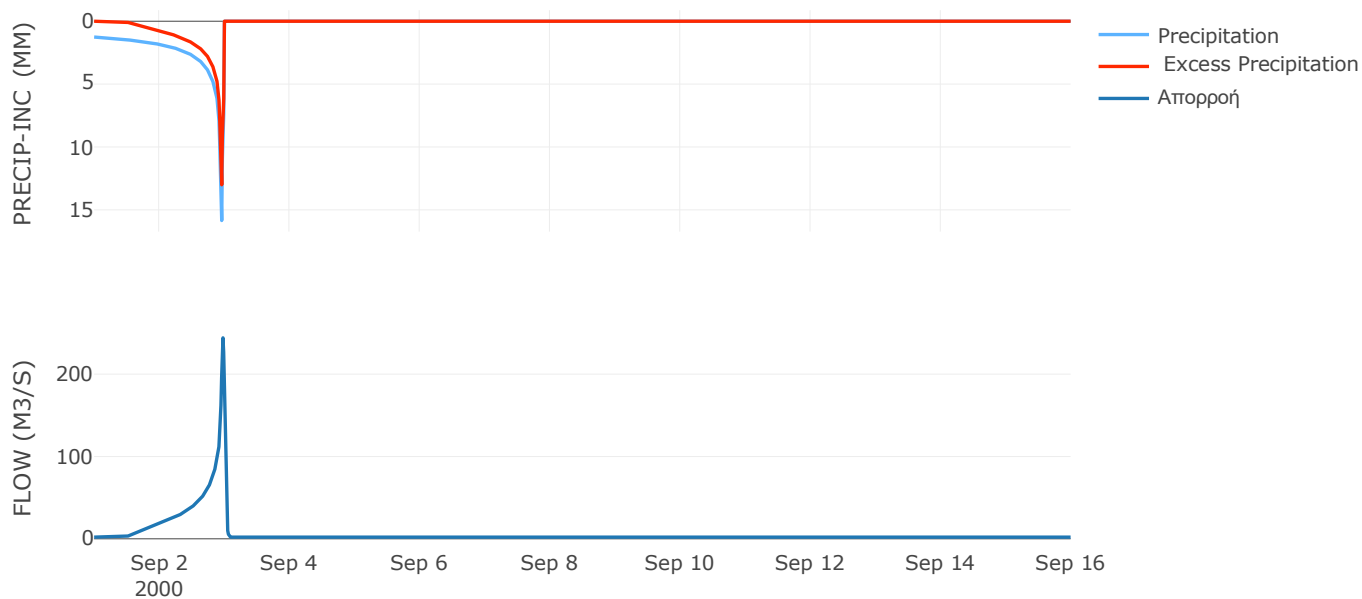
Μέθοδος
Μετασχηματισμού: SCS

Χρόνος Υστέρησης	24.46
------------------	-------

Αποτελέσματα:
EL0514FR003016

Παροχή αιχμής (M3/S)	244.13
Χρονική στιγμή αιχμής	02Sep2000, 23:30
Όγκος (MM)	388.14
Όγκος βροχόπτωσης (M3)	9.96E6
Όγκος απωλειών (M3)	4.72E6
Ενεργός Όγκος (M3)	5.24E6
Όγκος άμεσης απορροής (M3)	5.24E6
Όγκος βασικής απορροής (M3)	2.62E6

Βροχόπτωση και Απορροή



Υπολεκάνη: EL0514FR003017

Έκταση (KM2) : 26.55

Κατάντη : J21

Μέθοδος Απωλειών: SCS

Ποσοστό αδιαπέρατης επιφάνειας	0
Αριθμός Καμπύλης Απορροής-CN	50.28
Αρχικές Απώλειες	50.23

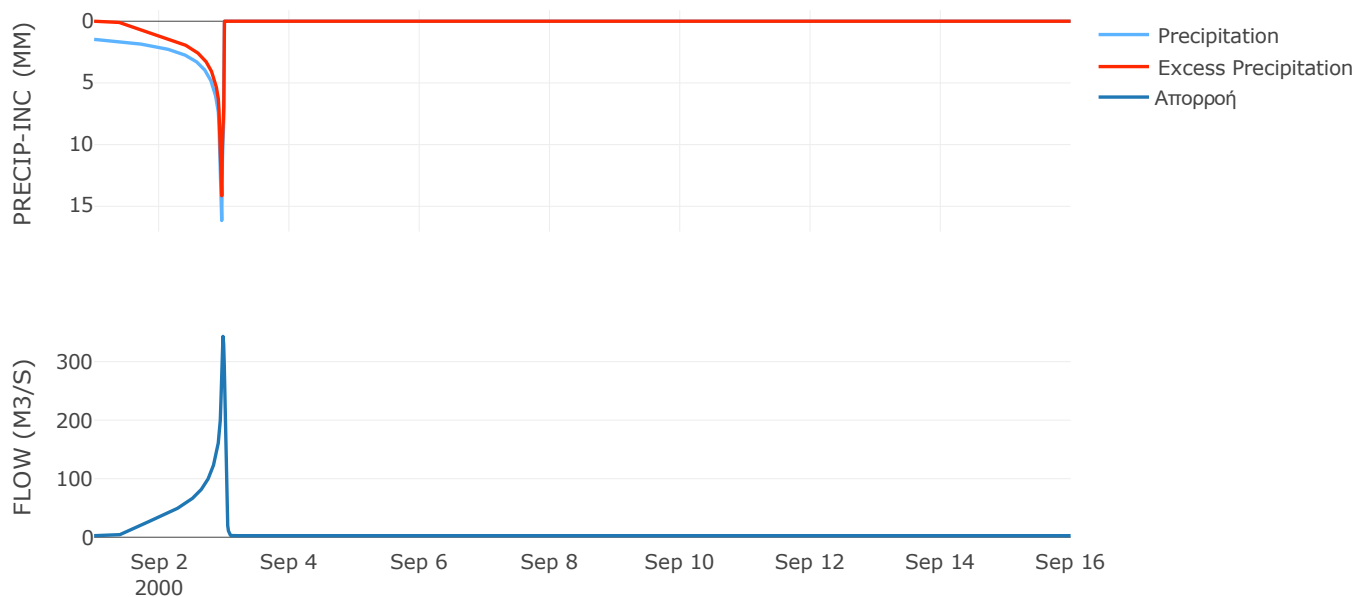
Μέθοδος
Μετασχηματισμού: SCS

Χρόνος Υστέρησης	27.46
------------------	-------

Αποτελέσματα:
EL0514FR003017

Παροχή αιχμής (M3/S)	343.2
Χρονική στιγμή αιχμής	02Sep2000, 23:30
Όγκος (MM)	460.66
Όγκος βροχόπτωσης (M3)	1.46E7
Όγκος απωλειών (M3)	5.77E6
Ενεργός Όγκος (M3)	8.79E6
Όγκος άμεσης απορροής (M3)	8.79E6
Όγκος βασικής απορροής (M3)	3.44E6

Βροχόπτωση και Απορροή



Υπολεκάνη: EL0514FR003018

Έκταση (KM2) : 4.66

Κατάντη : J20

Μέθοδος Απωλειών: SCS

Ποσοστό αδιαπέρατης επιφάνειας	0
Αριθμός Καμπύλης Απορροής-CN	50.02
Αρχικές Απώλειες	50.76

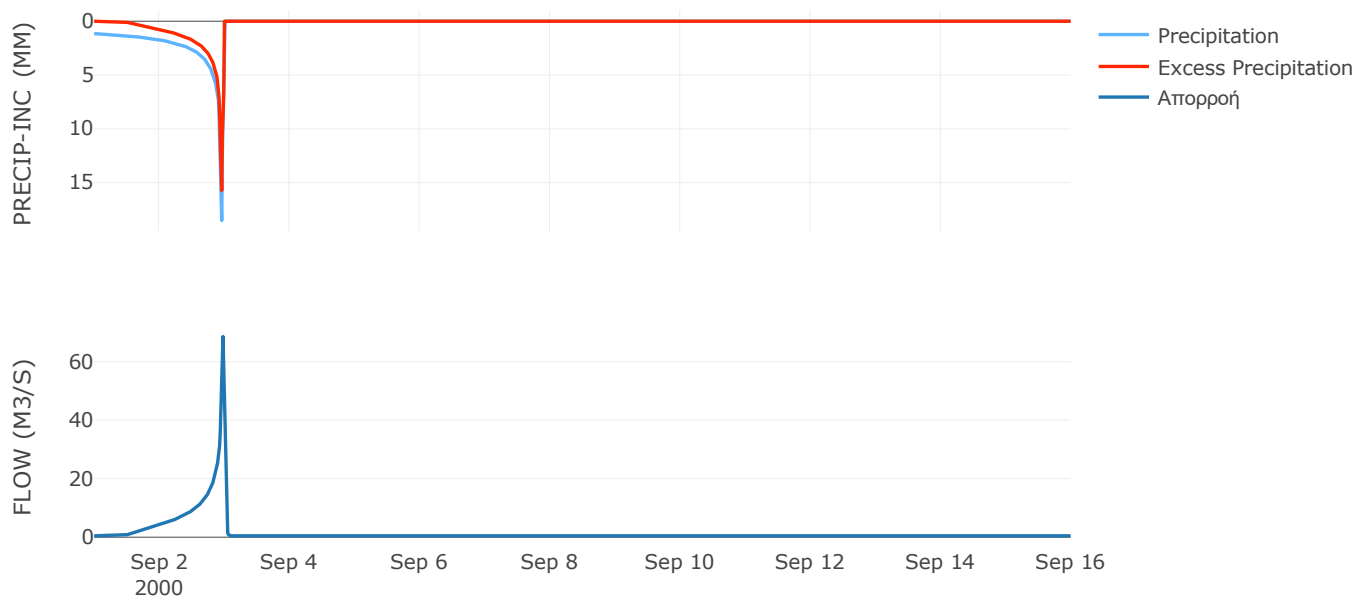
Μέθοδος
Μετασχηματισμού: SCS

Χρόνος Υστέρησης	20.28
------------------	-------

Αποτελέσματα:
EL0514FR003018

Παροχή αιχμής (M3/S)	68.58
Χρονική στιγμή αιχμής	02Sep2000, 23:30
Όγκος (MM)	406.53
Όγκος βροχόπτωσης (M3)	2.27E6
Όγκος απωλειών (M3)	9.85E5
Ενεργός Όγκος (M3)	1.29E6
Όγκος άμεσης απορροής (M3)	1.29E6
Όγκος βασικής απορροής (M3)	6.04E5

Βροχόπτωση και Απορροή



Υπολεκάνη: EL0514FR003019

Έκταση (KM2) : 56.36

Κατάντη : J20

Μέθοδος Απωλειών: SCS

Ποσοστό αδιαπέρατης επιφάνειας	0
Αριθμός Καμπύλης Απορροής-CN	65.27
Αρχικές Απώλειες	27.03

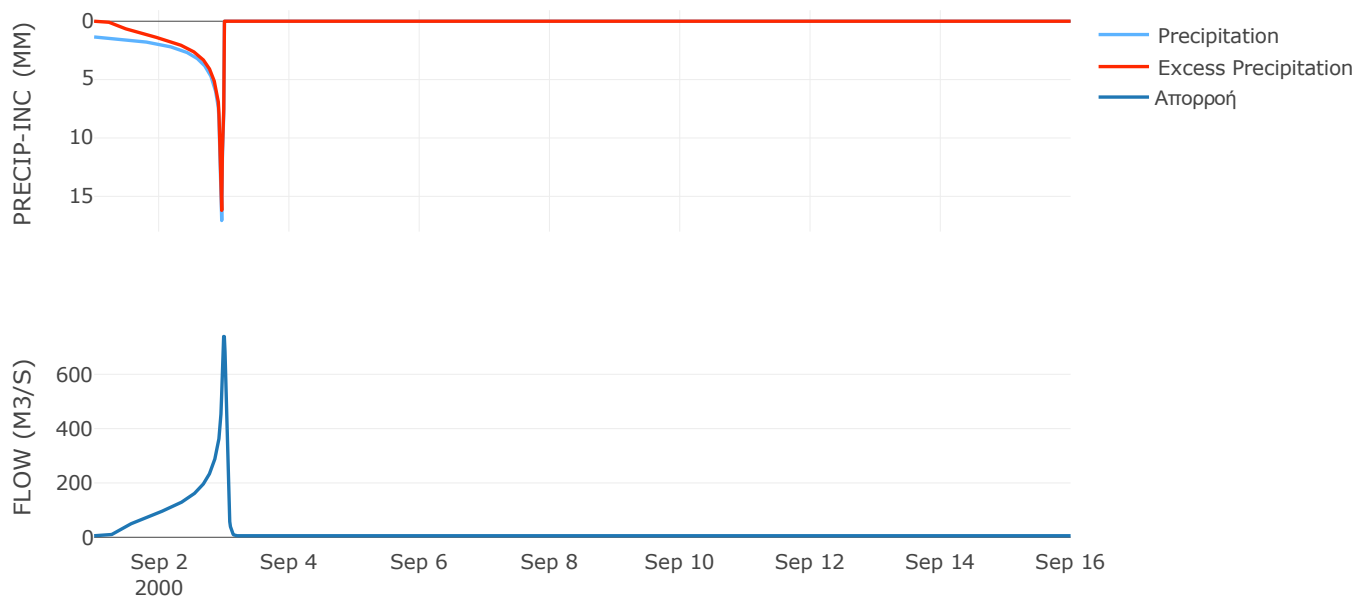
Μέθοδος
Μετασχηματισμού: SCS

Χρόνος Υστέρησης	49.04
------------------	-------

Αποτελέσματα:
EL0514FR003019

Παροχή αιχμής (M3/S)	739.31
Χρονική στιγμή αιχμής	02Sep2000, 23:45
Όγκος (MM)	524.15
Όγκος βροχόπτωσης (M3)	2.98E7
Όγκος απωλειών (M3)	7.52E6
Ενεργός Όγκος (M3)	2.22E7
Όγκος άμεσης απορροής (M3)	2.22E7
Όγκος βασικής απορροής (M3)	7.3E6

Βροχόπτωση και Απορροή



Υπολεκάνη: EL0514FR003020

Έκταση (KM2) : 10.48

Κατάντη : J19

Μέθοδος Απωλειών: SCS

Ποσοστό αδιαπέρατης επιφάνειας	0
Αριθμός Καμπύλης Απορροής-CN	63.83
Αρχικές Απώλειες	28.79

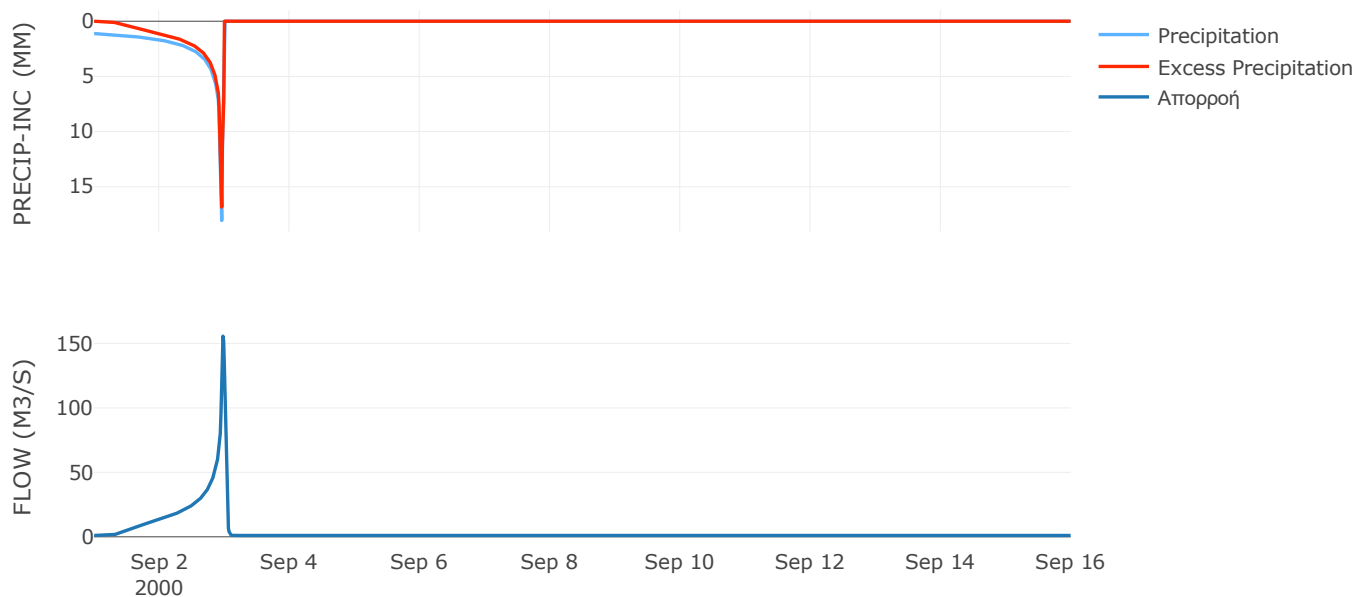
Μέθοδος
Μετασχηματισμού: SCS

Χρόνος Υστέρησης	31.01
------------------	-------

Αποτελέσματα:
EL0514FR003020

Παροχή αιχμής (M3/S)	155.68
Χρονική στιγμή αιχμής	02Sep2000, 23:30
Όγκος (MM)	468.7
Όγκος βροχόπτωσης (M3)	5E6
Όγκος απωλειών (M3)	1.44E6
Ενεργός Όγκος (M3)	3.55E6
Όγκος άμεσης απορροής (M3)	3.55E6
Όγκος βασικής απορροής (M3)	1.36E6

Βροχόπτωση και Απορροή



Υπολεκάνη: EL0514FR003021

Έκταση (KM2) : 14.84

Κατάντη : J19

Μέθοδος Απωλειών: SCS

Ποσοστό αδιαπέρατης επιφάνειας	0
Αριθμός Καμπύλης Απορροής-CN	63.19
Αρχικές Απώλειες	29.59

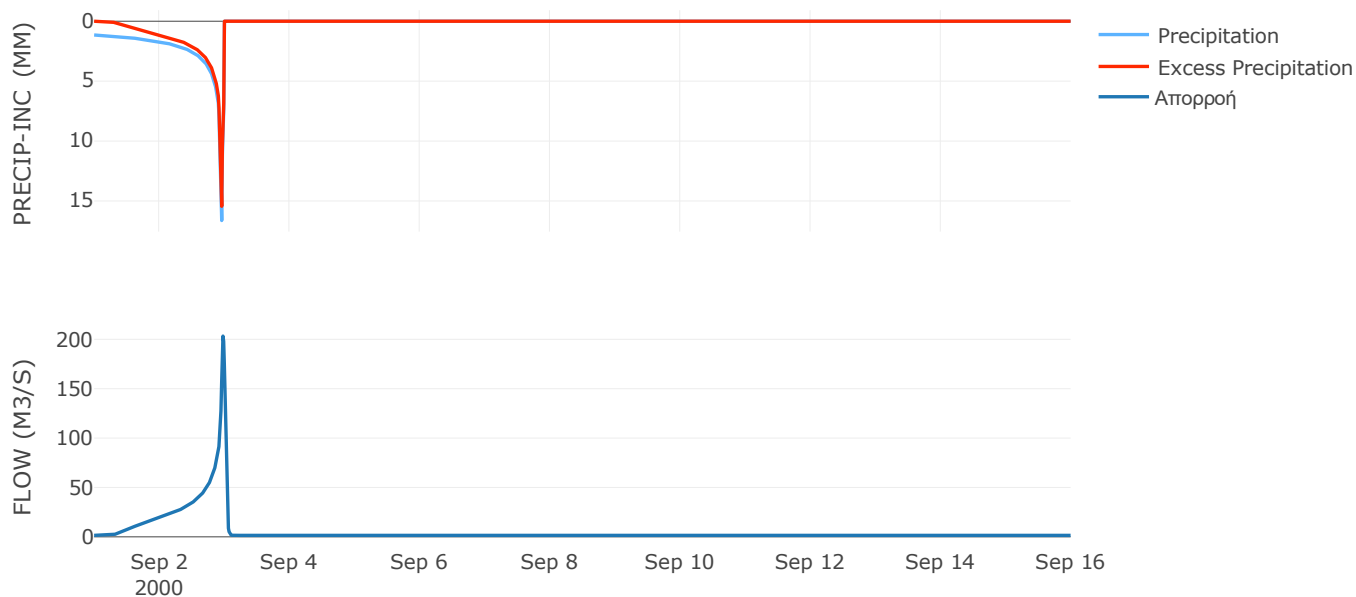
Μέθοδος
Μετασχηματισμού: SCS

Χρόνος Υστέρησης	30.68
------------------	-------

Αποτελέσματα:
EL0514FR003021

Παροχή αιχμής (M3/S)	203.32
Χρονική στιγμή αιχμής	02Sep2000, 23:30
Όγκος (MM)	460.05
Όγκος βροχόπτωσης (M3)	6.99E6
Όγκος απωλειών (M3)	2.08E6
Ενεργός Όγκος (M3)	4.9E6
Όγκος άμεσης απορροής (M3)	4.9E6
Όγκος βασικής απορροής (M3)	1.92E6

Βροχόπτωση και Απορροή



Υπολεκάνη: EL0514FR003022

Έκταση (KM2) : 68.59

Κατάντη : J10

Μέθοδος Απωλειών: SCS

Ποσοστό αδιαπέρατης επιφάνειας	0
Αριθμός Καμπύλης Απορροής-CN	39.99
Αρχικές Απώλειες	76.23

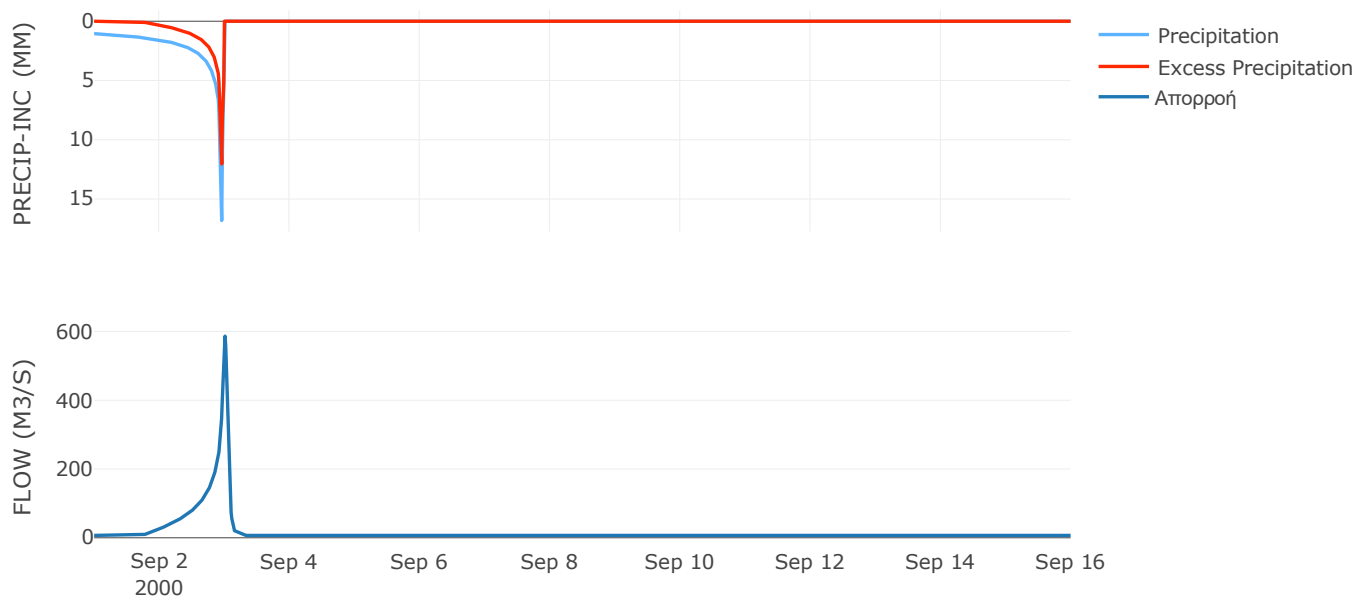
Μέθοδος
Μετασχηματισμού: SCS

Χρόνος Υστέρησης	70.35
------------------	-------

Αποτελέσματα:
EL0514FR003022

Παροχή αιχμής (M3/S)	586.57
Χρονική στιγμή αιχμής	03Sep2000, 00:15
Όγκος (MM)	311.48
Όγκος βροχόπτωσης (M3)	3.06E7
Όγκος απωλειών (M3)	1.81E7
Ενεργός Όγκος (M3)	1.25E7
Όγκος άμεσης απορροής (M3)	1.25E7
Όγκος βασικής απορροής (M3)	8.89E6

Βροχόπτωση και Απορροή



Υπολεκάνη: EL0514FR003023

Έκταση (KM2) : 35.95

Κατάντη : J10

Μέθοδος Απωλειών: SCS

Ποσοστό αδιαπέρατης επιφάνειας	0
Αριθμός Καμπύλης Απορροής-CN	55.67
Αρχικές Απώλειες	40.44

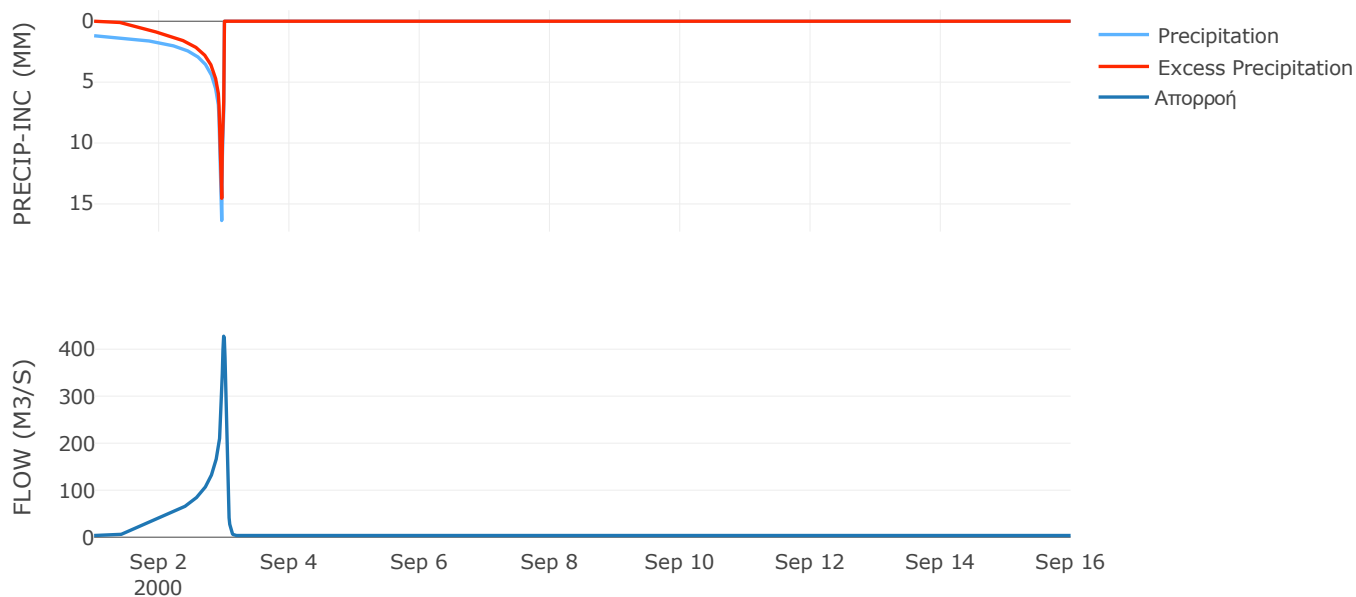
Μέθοδος
Μετασχηματισμού: SCS

Χρόνος Υστέρησης	46.17
------------------	-------

Αποτελέσματα:
EL0514FR003023

Παροχή αιχμής (M3/S)	427.59
Χρονική στιγμή αιχμής	02Sep2000, 23:45
Όγκος (MM)	430.14
Όγκος βροχόπτωσης (M3)	1.72E7
Όγκος απωλειών (M3)	6.43E6
Ενεργός Όγκος (M3)	1.08E7
Όγκος άμεσης απορροής (M3)	1.08E7
Όγκος βασικής απορροής (M3)	4.66E6

Βροχόπτωση και Απορροή



Υπολεκάνη: EL0514FR003024

Έκταση (KM2) : 55.27

Κατάντη : J9

Μέθοδος Απωλειών: SCS

Ποσοστό αδιαπέρατης επιφάνειας	0
Αριθμός Καμπύλης Απορροής-CN	33.04
Αρχικές Απώλειες	102.95

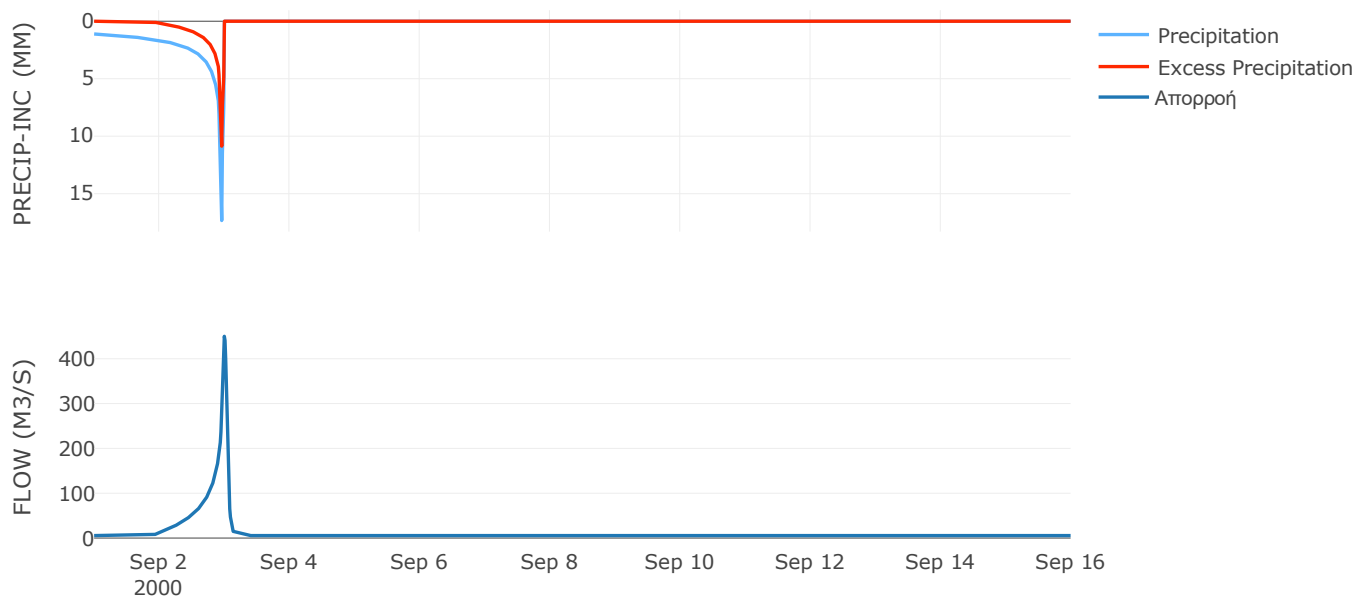
Μέθοδος
Μετασχηματισμού: SCS

Χρόνος Υστέρησης	59.48
------------------	-------

Αποτελέσματα:
EL0514FR003024

Παροχή αιχμής (M3/S)	450.09
Χρονική στιγμή αιχμής	02Sep2000, 24:00
Όγκος (MM)	280.65
Όγκος βροχόπτωσης (M3)	2.58E7
Όγκος απωλειών (M3)	1.75E7
Ενεργός Όγκος (M3)	8.35E6
Όγκος άμεσης απορροής (M3)	8.35E6
Όγκος βασικής απορροής (M3)	7.16E6

Βροχόπτωση και Απορροή



Υπολεκάνη: EL0514FR003025

Έκταση (KM2) : 30.82

Κατάντη : J9

Μέθοδος Απωλειών: SCS

Ποσοστό αδιαπέρατης επιφάνειας	0
Αριθμός Καμπύλης Απορροής-CN	61.55
Αρχικές Απώλειες	31.73

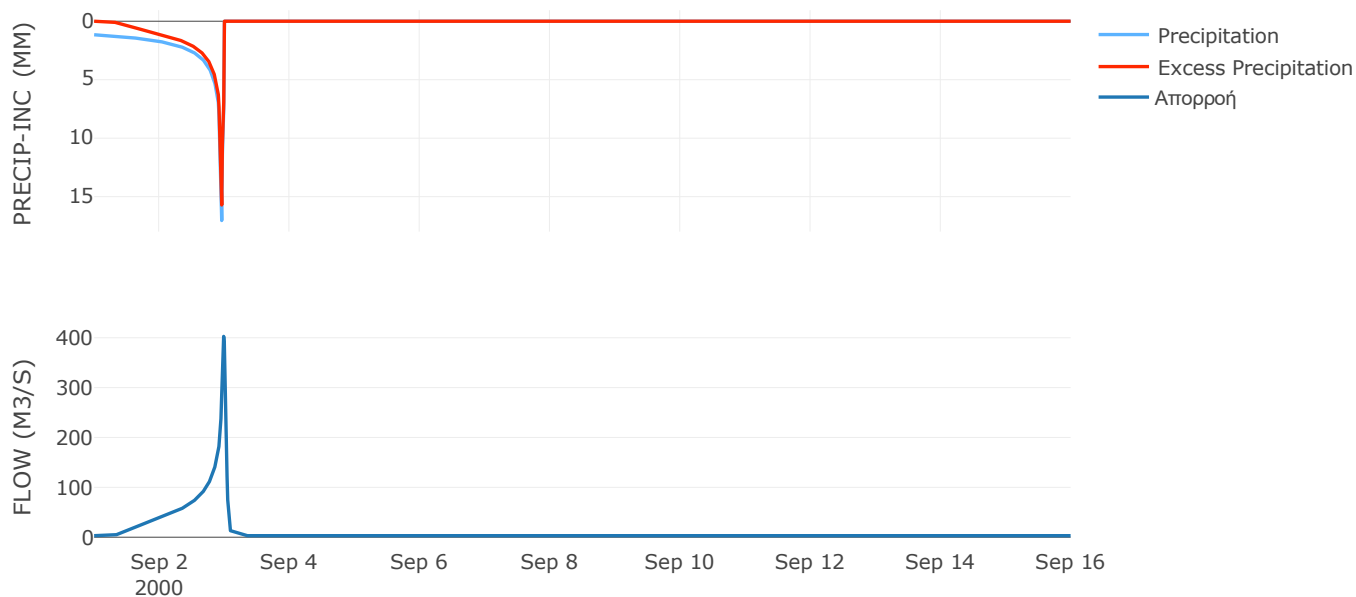
Μέθοδος
Μετασχηματισμού: SCS

Χρόνος Υστέρησης	42.78
------------------	-------

Αποτελέσματα:
EL0514FR003025

Παροχή αιχμής (M3/S)	402.69
Χρονική στιγμή αιχμής	02Sep2000, 23:45
Όγκος (MM)	458.02
Όγκος βροχόπτωσης (M3)	1.47E7
Όγκος απωλειών (M3)	4.58E6
Ενεργός Όγκος (M3)	1.01E7
Όγκος άμεσης απορροής (M3)	1.01E7
Όγκος βασικής απορροής (M3)	3.99E6

Βροχόπτωση και Απορροή



Υπολεκάνη: EL0514FR003026

Έκταση (KM2) : 12.64

Κατάντη : J9

Μέθοδος Απωλειών: SCS

Ποσοστό αδιαπέρατης επιφάνειας	0
Αριθμός Καμπύλης Απορροής-CN	60.79
Αρχικές Απώλειες	32.76

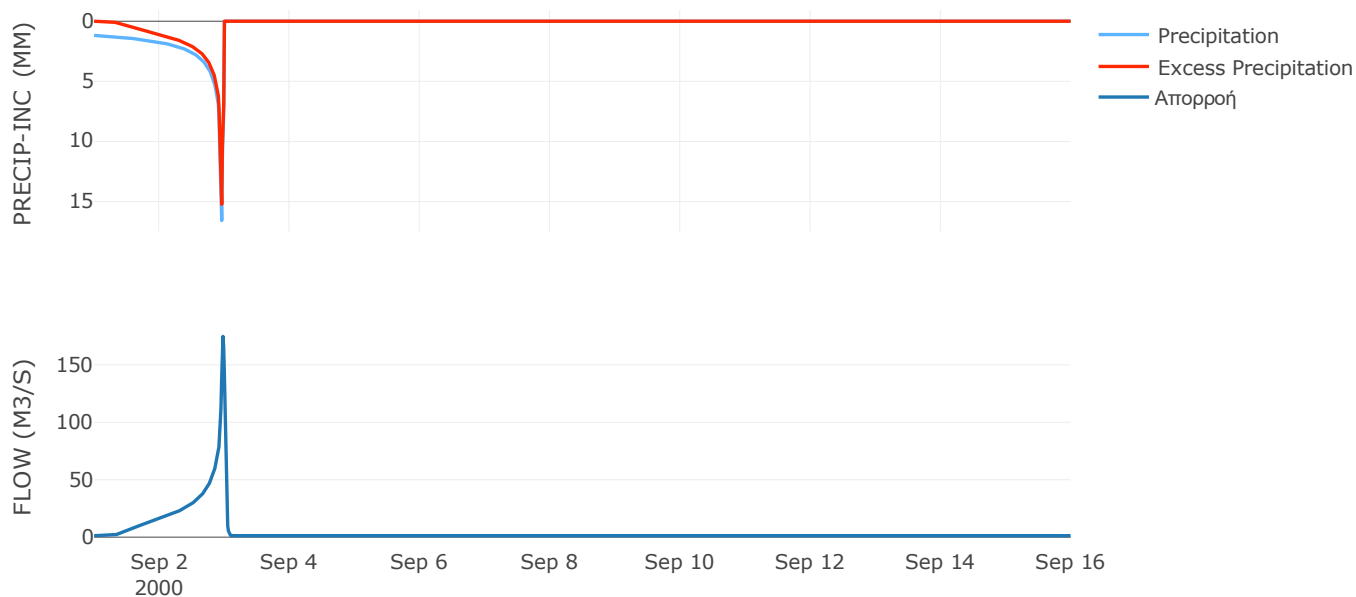
Μέθοδος
Μετασχηματισμού: SCS

Χρόνος Υστέρησης	27.66
------------------	-------

Αποτελέσματα:
EL0514FR003026

Παροχή αιχμής (M3/S)	174.8
Χρονική στιγμή αιχμής	02Sep2000, 23:30
Όγκος (MM)	455.24
Όγκος βροχόπτωσης (M3)	6.05E6
Όγκος απωλειών (M3)	1.93E6
Ενεργός Όγκος (M3)	4.12E6
Όγκος άμεσης απορροής (M3)	4.12E6
Όγκος βασικής απορροής (M3)	1.64E6

Βροχόπτωση και Απορροή



Υπολεκάνη: EL0514FR003027

Έκταση (KM2) : 75.07

Κατάντη : J8

Μέθοδος Απωλειών: SCS

Ποσοστό αδιαπέρατης επιφάνειας	0
Αριθμός Καμπύλης Απορροής-CN	54.79
Αρχικές Απώλειες	41.92

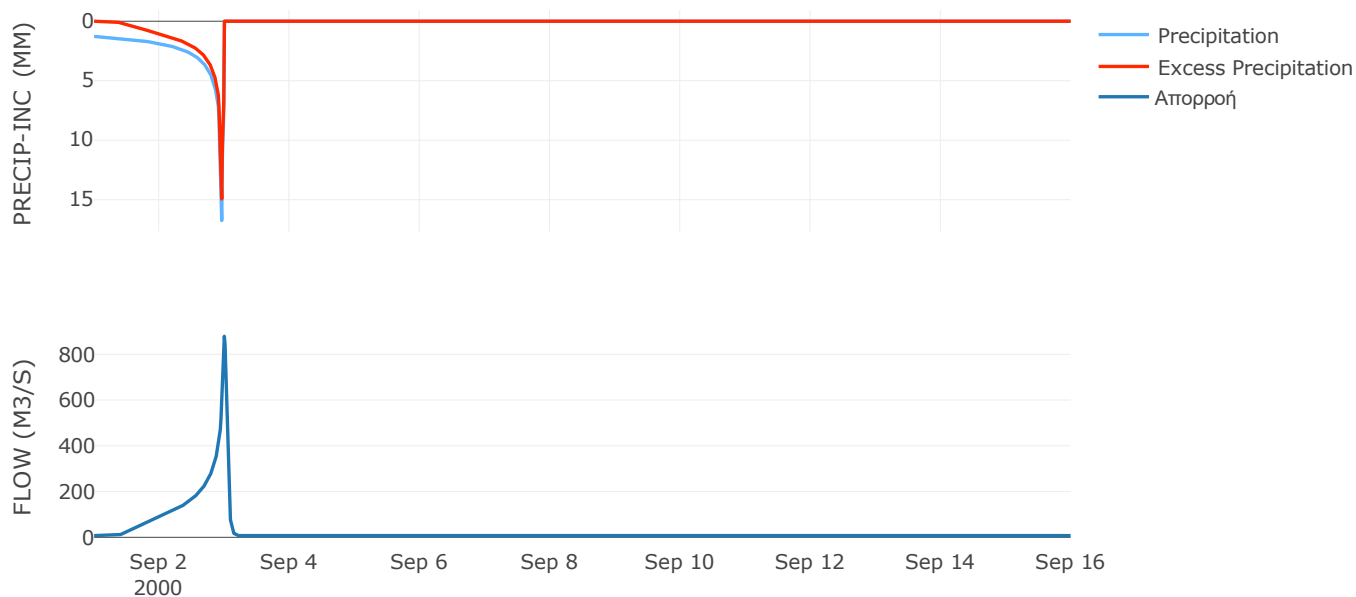
Μέθοδος
Μετασχηματισμού: SCS

Χρόνος Υστέρησης	56.91
------------------	-------

Αποτελέσματα:
EL0514FR003027

Παροχή αιχμής (M3/S)	878.75
Χρονική στιγμή αιχμής	02Sep2000, 24:00
Όγκος (MM)	449
Όγκος βροχόπτωσης (M3)	3.8E7
Όγκος απωλειών (M3)	1.4E7
Ενεργός Όγκος (M3)	2.4E7
Όγκος άμεσης απορροής (M3)	2.4E7
Όγκος βασικής απορροής (M3)	9.73E6

Βροχόπτωση και Απορροή



Υπολεκάνη: EL0514FR003028

Έκταση (KM2) : 25.46

Κατάντη : J8

Μέθοδος Απωλειών: SCS

Ποσοστό αδιαπέρατης επιφάνειας	0
Αριθμός Καμπύλης Απορροής-CN	62.66
Αρχικές Απώλειες	30.28

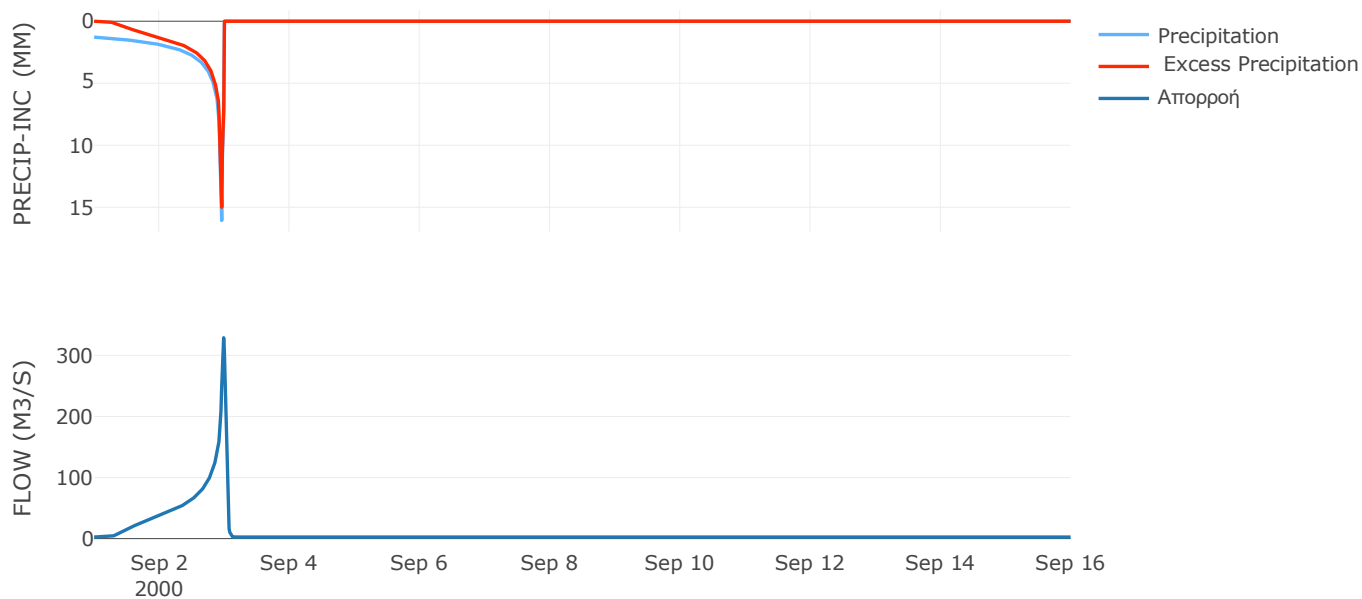
Μέθοδος
Μετασχηματισμού: SCS

Χρόνος Υστέρησης	37.41
------------------	-------

Αποτελέσματα:
EL0514FR003028

Παροχή αιχμής (M3/S)	328.85
Χρονική στιγμή αιχμής	02Sep2000, 23:45
Όγκος (MM)	485.35
Όγκος βροχόπτωσης (M3)	1.27E7
Όγκος απωλειών (M3)	3.69E6
Ενεργός Όγκος (M3)	9.06E6
Όγκος άμεσης απορροής (M3)	9.06E6
Όγκος βασικής απορροής (M3)	3.3E6

Βροχόπτωση και Απορροή



Υπολεκάνη: EL0514FR003029

Έκταση (KM2) : 14.96

Κατάντη : J7

Μέθοδος Απωλειών: SCS

Ποσοστό αδιαπέρατης επιφάνειας	0
Αριθμός Καμπύλης Απορροής-CN	61.79
Αρχικές Απώλειες	31.41

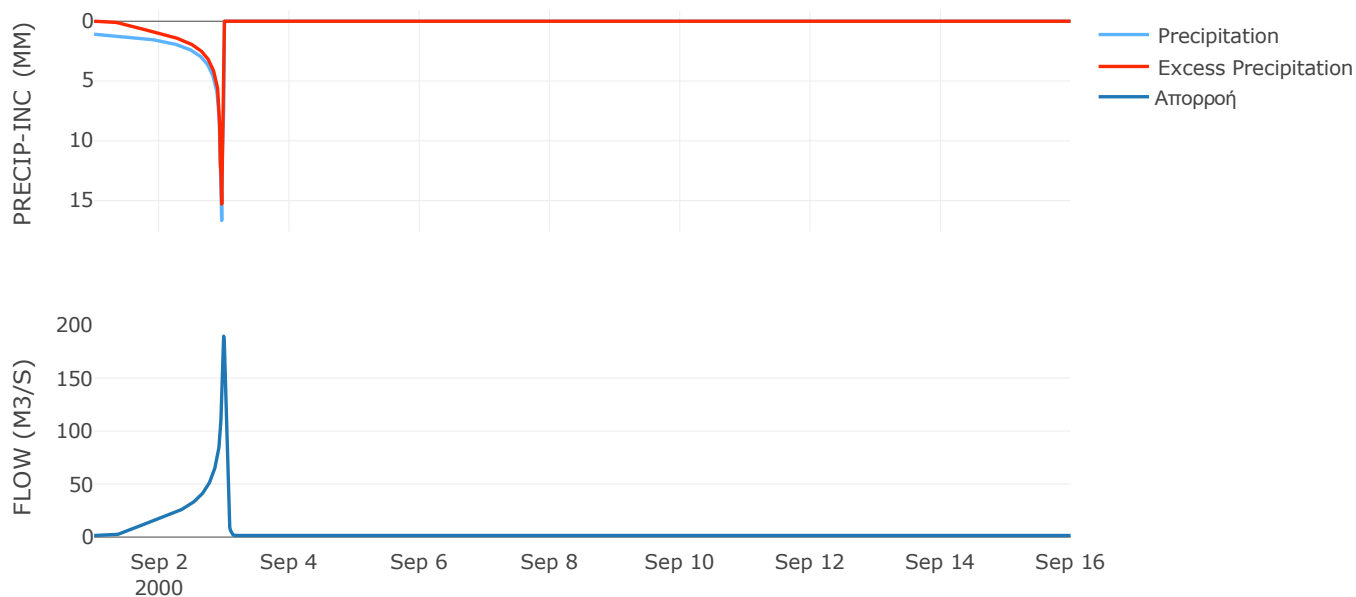
Μέθοδος
Μετασχηματισμού: SCS

Χρόνος Υστέρησης	42.97
------------------	-------

Αποτελέσματα:
EL0514FR003029

Παροχή αιχμής (M3/S)	189.54
Χρονική στιγμή αιχμής	02Sep2000, 23:45
Όγκος (MM)	439.15
Όγκος βροχόπτωσης (M3)	6.82E6
Όγκος απωλειών (M3)	2.19E6
Ενεργός Όγκος (M3)	4.63E6
Όγκος άμεσης απορροής (M3)	4.63E6
Όγκος βασικής απορροής (M3)	1.94E6

Βροχόπτωση και Απορροή



Υπολεκάνη: EL0514FR003030

Έκταση (KM2) : 14.02

Κατάντη : J7

Μέθοδος Απωλειών: SCS

Ποσοστό αδιαπέρατης επιφάνειας	0
Αριθμός Καμπύλης Απορροής-CN	62.58
Αρχικές Απώλειες	30.38

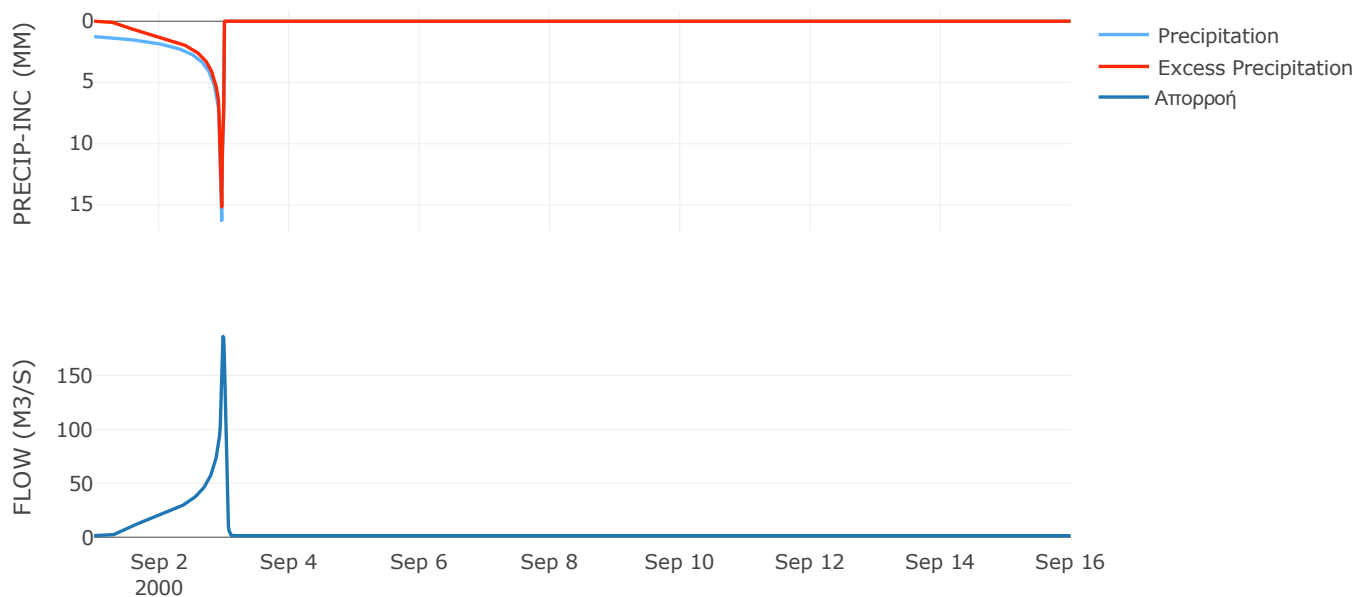
Μέθοδος
Μετασχηματισμού: SCS

Χρόνος Υστέρησης	32.67
------------------	-------

Αποτελέσματα:
EL0514FR003030

Παροχή αιχμής (M3/S)	186.23
Χρονική στιγμή αιχμής	02Sep2000, 23:30
Όγκος (MM)	480.24
Όγκος βροχόπτωσης (M3)	6.95E6
Όγκος απωλειών (M3)	2.03E6
Ενεργός Όγκος (M3)	4.92E6
Όγκος άμεσης απορροής (M3)	4.92E6
Όγκος βασικής απορροής (M3)	1.82E6

Βροχόπτωση και Απορροή



Υπολεκάνη: EL0514FR003031

Έκταση (KM2) : 21.31

Κατάντη : J7

Μέθοδος Απωλειών: SCS

Ποσοστό αδιαπέρατης επιφάνειας	0
Αριθμός Καμπύλης Απορροής-CN	62.69
Αρχικές Απώλειες	30.23

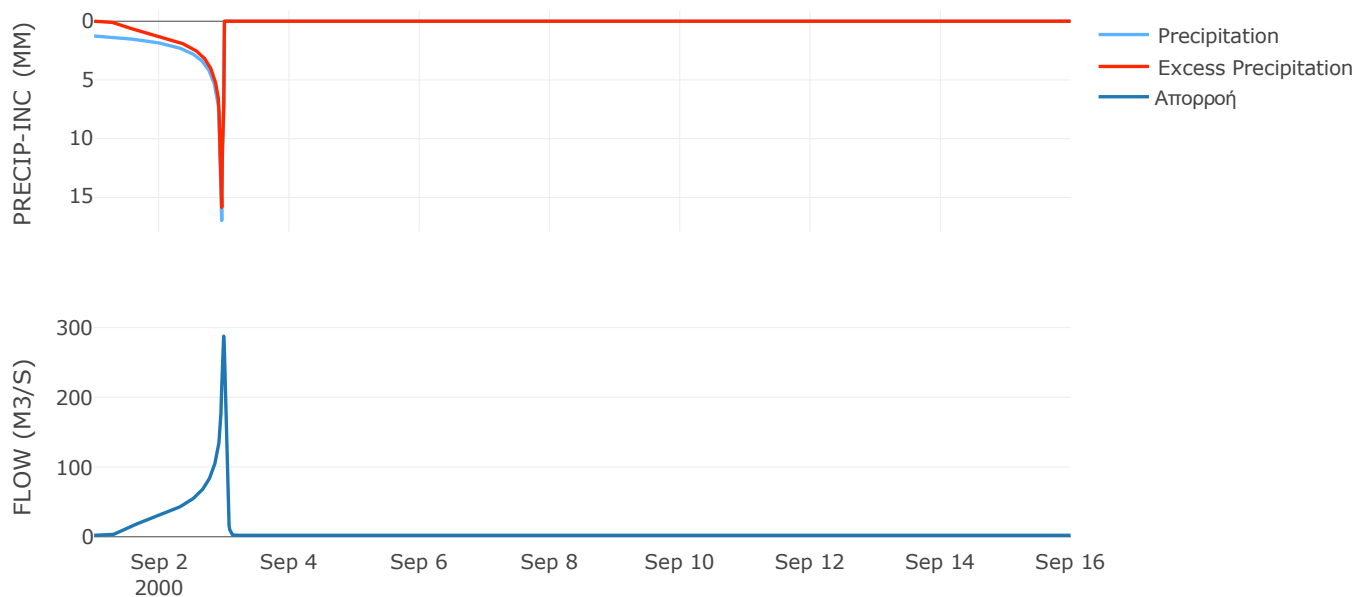
Μέθοδος
Μετασχηματισμού: SCS

Χρόνος Υστέρησης	38.76
------------------	-------

Αποτελέσματα:
EL0514FR003031

Παροχή αιχμής (M3/S)	287.75
Χρονική στιγμή αιχμής	02Sep2000, 23:45
Όγκος (MM)	487.93
Όγκος βροχόπτωσης (M3)	1.07E7
Όγκος απωλειών (M3)	3.08E6
Ενεργός Όγκος (M3)	7.63E6
Όγκος άμεσης απορροής (M3)	7.63E6
Όγκος βασικής απορροής (M3)	2.76E6

Βροχόπτωση και Απορροή



Υπολεκάνη: EL0514FR003032

Έκταση (KM2) : 17.85

Κατάντη : J6

Μέθοδος Απωλειών: SCS

Ποσοστό αδιαπέρατης επιφάνειας	0
Αριθμός Καμπύλης Απορροής-CN	59.68
Αρχικές Απώλειες	34.32

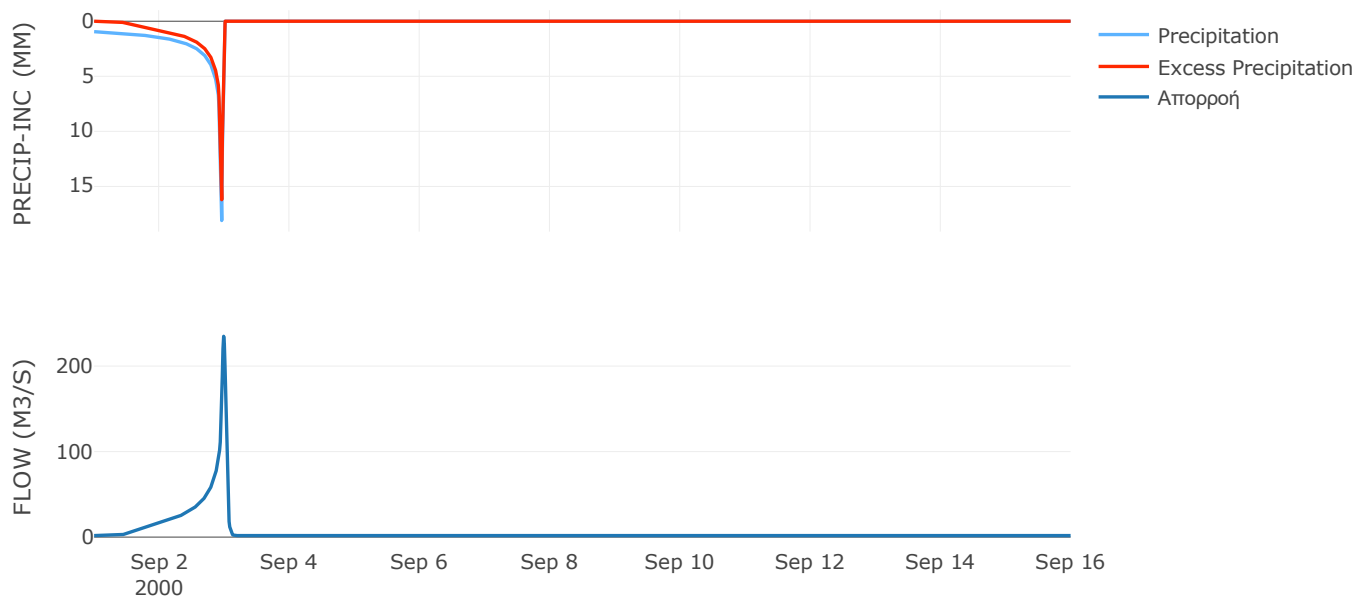
Μέθοδος
Μετασχηματισμού: SCS

Χρόνος Υστέρησης	43.68
------------------	-------

Αποτελέσματα:
EL0514FR003032

Παροχή αιχμής (M3/S)	234.86
Χρονική στιγμή αιχμής	02Sep2000, 23:45
Όγκος (MM)	405.7
Όγκος βροχόπτωσης (M3)	7.68E6
Όγκος απωλειών (M3)	2.75E6
Ενεργός Όγκος (M3)	4.93E6
Όγκος άμεσης απορροής (M3)	4.93E6
Όγκος βασικής απορροής (M3)	2.31E6

Βροχόπτωση και Απορροή



Υπολεκάνη: EL0514FR003033

Έκταση (KM2) : 17.55

Κατάντη : J6

Μέθοδος Απωλειών: SCS

Ποσοστό αδιαπέρατης επιφάνειας	0
Αριθμός Καμπύλης Απορροής-CN	32.02
Αρχικές Απώλειες	107.86

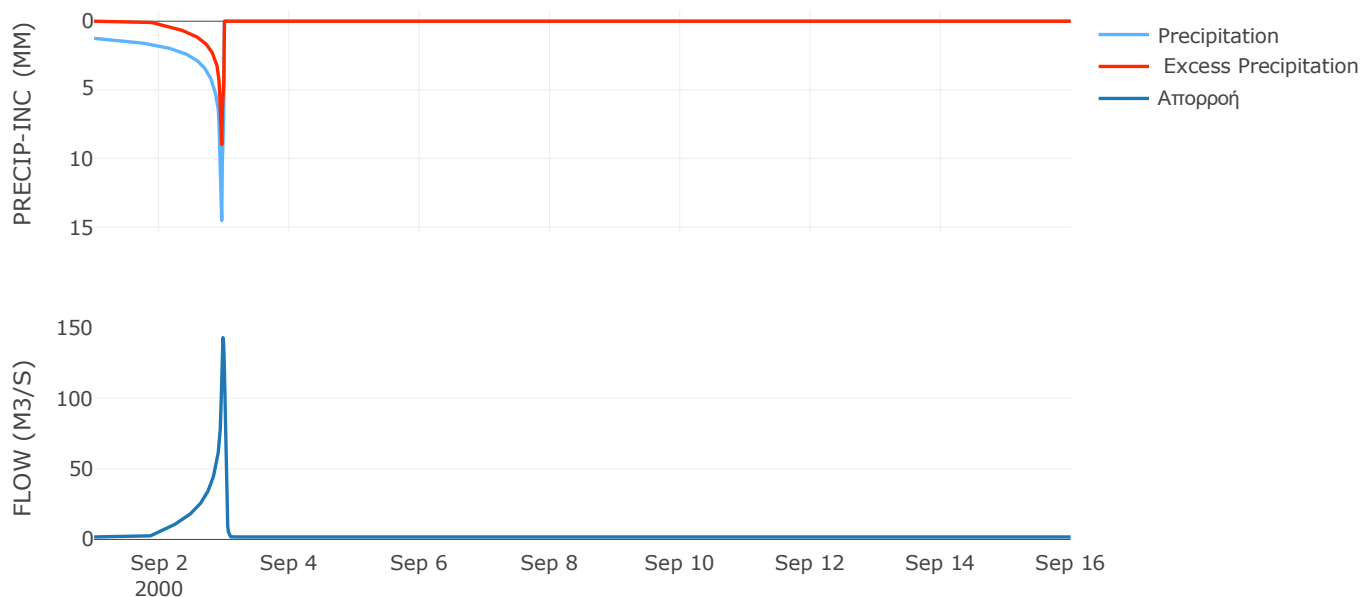
Μέθοδος
Μετασχηματισμού: SCS

Χρόνος Υστέρησης	27.78
------------------	-------

Αποτελέσματα:
EL0514FR003033

Παροχή αιχμής (M3/S)	142.82
Χρονική στιγμή αιχμής	02Sep2000, 23:30
Όγκος (MM)	277.87
Όγκος βροχόπτωσης (M3)	8.32E6
Όγκος απωλειών (M3)	5.72E6
Ενεργός Όγκος (M3)	2.6E6
Όγκος άμεσης απορροής (M3)	2.6E6
Όγκος βασικής απορροής (M3)	2.27E6

Βροχόπτωση και Απορροή



Υπολεκάνη: EL0514FR003034

Έκταση (KM2) : 83.42

Κατάντη : J5

Μέθοδος Απωλειών: SCS

Ποσοστό αδιαπέρατης επιφάνειας	7.2
Αριθμός Καμπύλης Απορροής-CN	54.57
Αρχικές Απώλειες	42.3

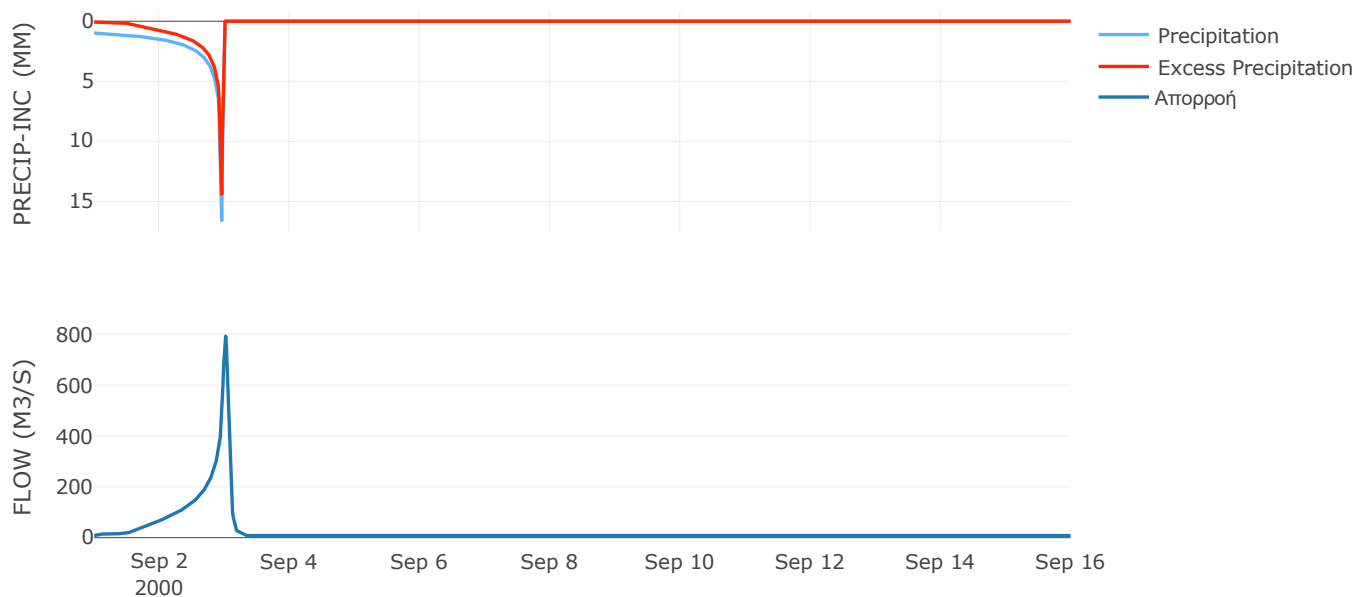
Μέθοδος
Μετασχηματισμού: SCS

Χρόνος Υστέρησης	85.41
------------------	-------

Αποτελέσματα:
EL0514FR003034

Παροχή αιχμής (M3/S)	792.47
Χρονική στιγμή αιχμής	03Sep2000, 00:30
Όγκος (MM)	389.49
Όγκος βροχόπτωσης (M3)	3.55E7
Όγκος απωλειών (M3)	1.38E7
Ενεργός Όγκος (M3)	2.17E7
Όγκος άμεσης απορροής (M3)	2.17E7
Όγκος βασικής απορροής (M3)	1.08E7

Βροχόπτωση και Απορροή



Υπολεκάνη: EL0514FR003035

Έκταση (KM2) : 13.03

Κατάντη : J31

Μέθοδος Απωλειών: SCS

Ποσοστό αδιαπέρατης επιφάνειας	0
Αριθμός Καμπύλης Απορροής-CN	62.4
Αρχικές Απώλειες	30.61

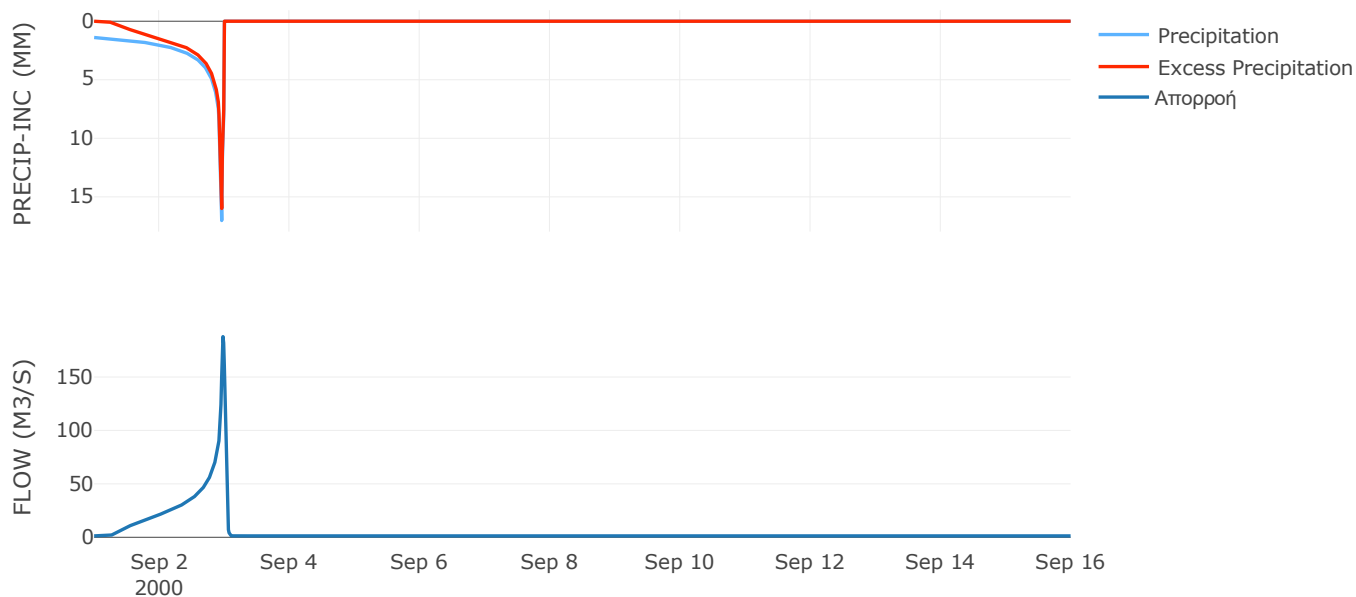
Μέθοδος
Μετασχηματισμού: SCS

Χρόνος Υστέρησης	29.29
------------------	-------

Αποτελέσματα:
EL0514FR003035

Παροχή αιχμής (M3/S)	187.82
Χρονική στιγμή αιχμής	02Sep2000, 23:30
Όγκος (MM)	519.24
Όγκος βροχόπτωσης (M3)	7.01E6
Όγκος απωλειών (M3)	1.93E6
Ενεργός Όγκος (M3)	5.08E6
Όγκος άμεσης απορροής (M3)	5.08E6
Όγκος βασικής απορροής (M3)	1.69E6

Βροχόπτωση και Απορροή



Υπολεκάνη: EL0514FR003036

Έκταση (KM2) : 48.7

Κατάντη : J31

Μέθοδος Απωλειών: SCS

Ποσοστό αδιαπέρατης επιφάνειας	0
Αριθμός Καμπύλης Απορροής-CN	63.38
Αρχικές Απώλειες	29.35

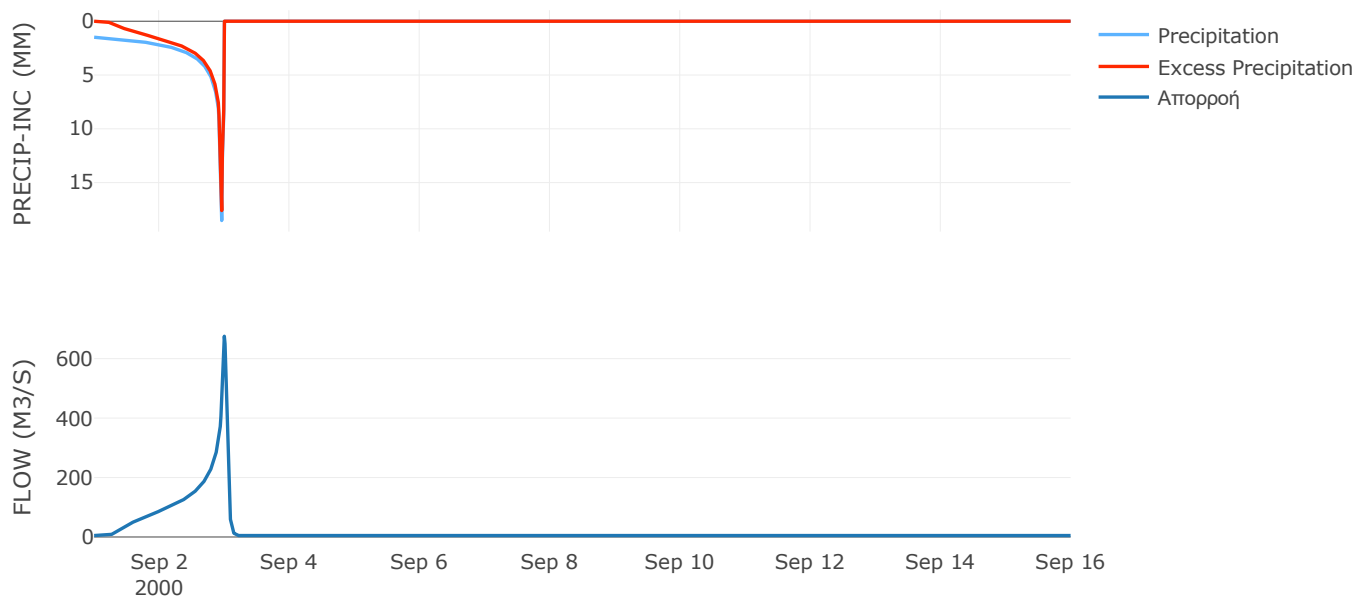
Μέθοδος
Μετασχηματισμού: SCS

Χρόνος Υστέρησης	57.28
------------------	-------

Αποτελέσματα:
EL0514FR003036

Παροχή αιχμής (M3/S)	675.53
Χρονική στιγμή αιχμής	02Sep2000, 24:00
Όγκος (MM)	563.74
Όγκος βροχόπτωσης (M3)	2.82E7
Όγκος απωλειών (M3)	7.07E6
Ενεργός Όγκος (M3)	2.11E7
Όγκος άμεσης απορροής (M3)	2.11E7
Όγκος βασικής απορροής (M3)	6.31E6

Βροχόπτωση και Απορροή



Υπολεκάνη: EL0514FR003037

Έκταση (KM2) : 32.67

Κατάντη : J30

Μέθοδος Απωλειών: SCS

Ποσοστό αδιαπέρατης επιφάνειας	0
Αριθμός Καμπύλης Απορροής-CN	63.37
Αρχικές Απώλειες	29.36

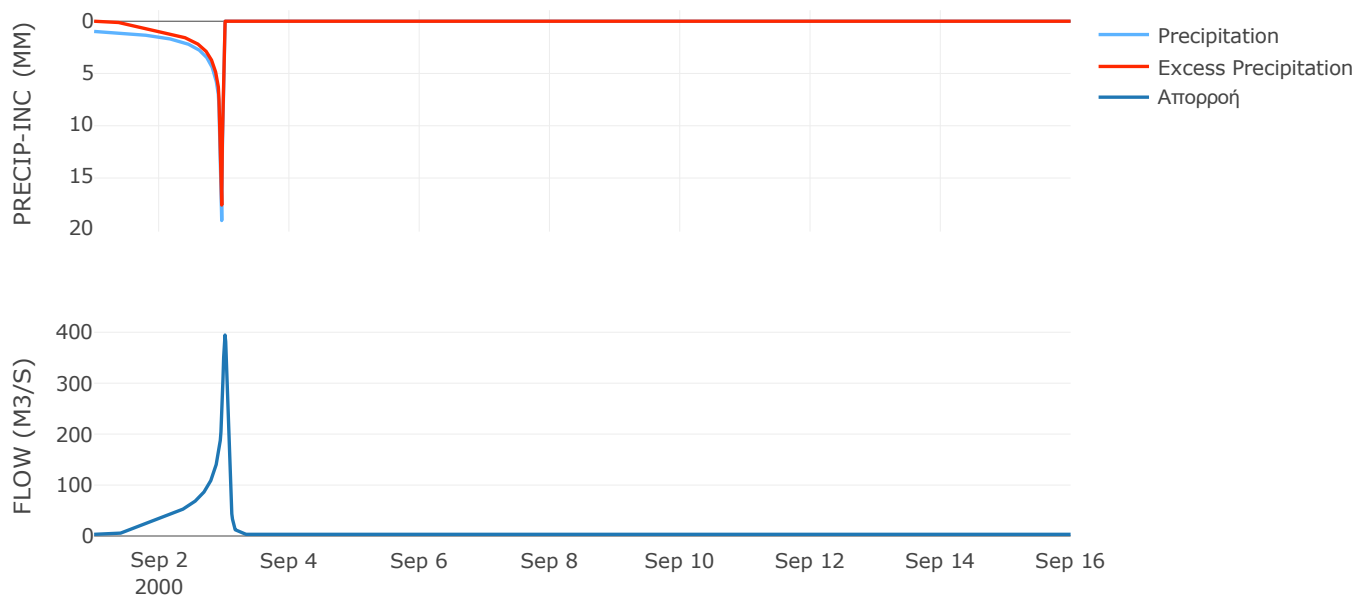
Μέθοδος
Μετασχηματισμού: SCS

Χρόνος Υστέρησης	74.91
------------------	-------

Αποτελέσματα:
EL0514FR003037

Παροχή αιχμής (M3/S)	394.56
Χρονική στιγμή αιχμής	03Sep2000, 00:15
Όγκος (MM)	439.03
Όγκος βροχόπτωσης (M3)	1.46E7
Όγκος απωλειών (M3)	4.51E6
Ενεργός Όγκος (M3)	1.01E7
Όγκος άμεσης απορροής (M3)	1.01E7
Όγκος βασικής απορροής (M3)	4.23E6

Βροχόπτωση και Απορροή



Υπολεκάνη: EL0514FR003038

Έκταση (KM2) : 25.23

Κατάντη : J30

Μέθοδος Απωλειών: SCS

Ποσοστό αδιαπέρατης επιφάνειας	0
Αριθμός Καμπύλης Απορροής-CN	63.17
Αρχικές Απώλειες	29.62

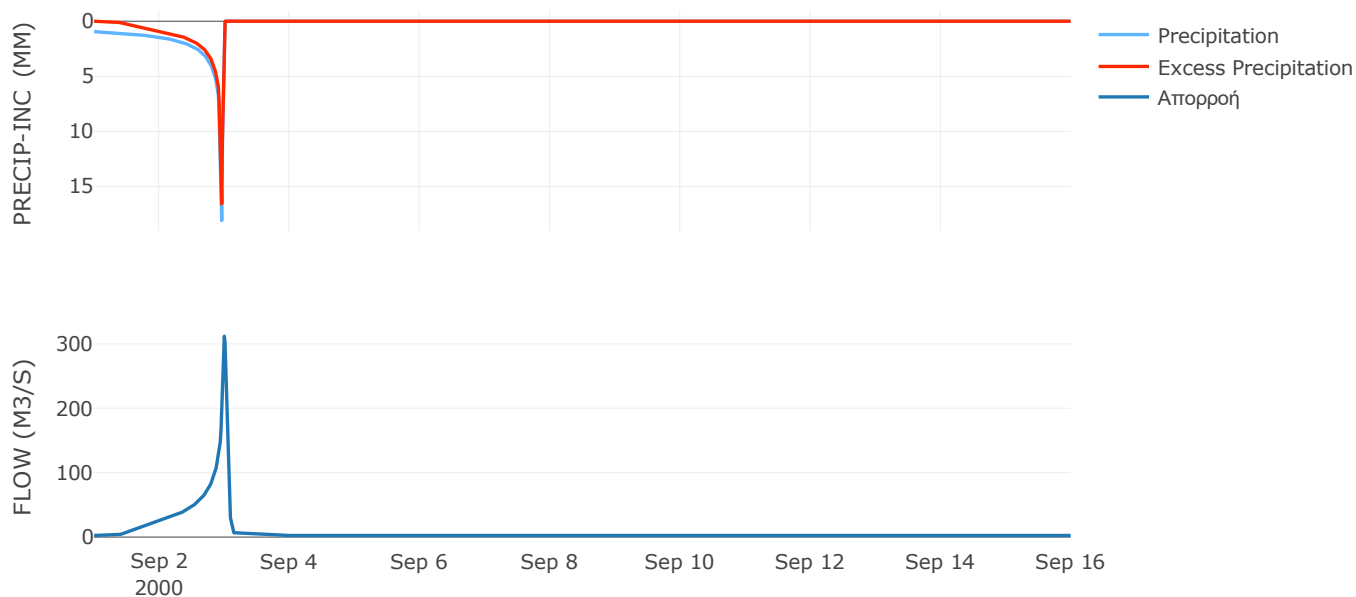
Μέθοδος
Μετασχηματισμού: SCS

Χρόνος Υστέρησης	59.28
------------------	-------

Αποτελέσματα:
EL0514FR003038

Παροχή αιχμής (M3/S)	311.97
Χρονική στιγμή αιχμής	02Sep2000, 24:00
Όγκος (MM)	421.31
Όγκος βροχόπτωσης (M3)	1.08E7
Όγκος απωλειών (M3)	3.47E6
Ενεργός Όγκος (M3)	7.36E6
Όγκος άμεσης απορροής (M3)	7.36E6
Όγκος βασικής απορροής (M3)	3.27E6

Βροχόπτωση και Απορροή



Υπολεκάνη: EL0514FR003039

Έκταση (KM2) : 8.72

Κατάντη : J22

Μέθοδος Απωλειών: SCS

Ποσοστό αδιαπέρατης επιφάνειας	0.09
Αριθμός Καμπύλης Απορροής-CN	66.23
Αρχικές Απώλειες	25.9

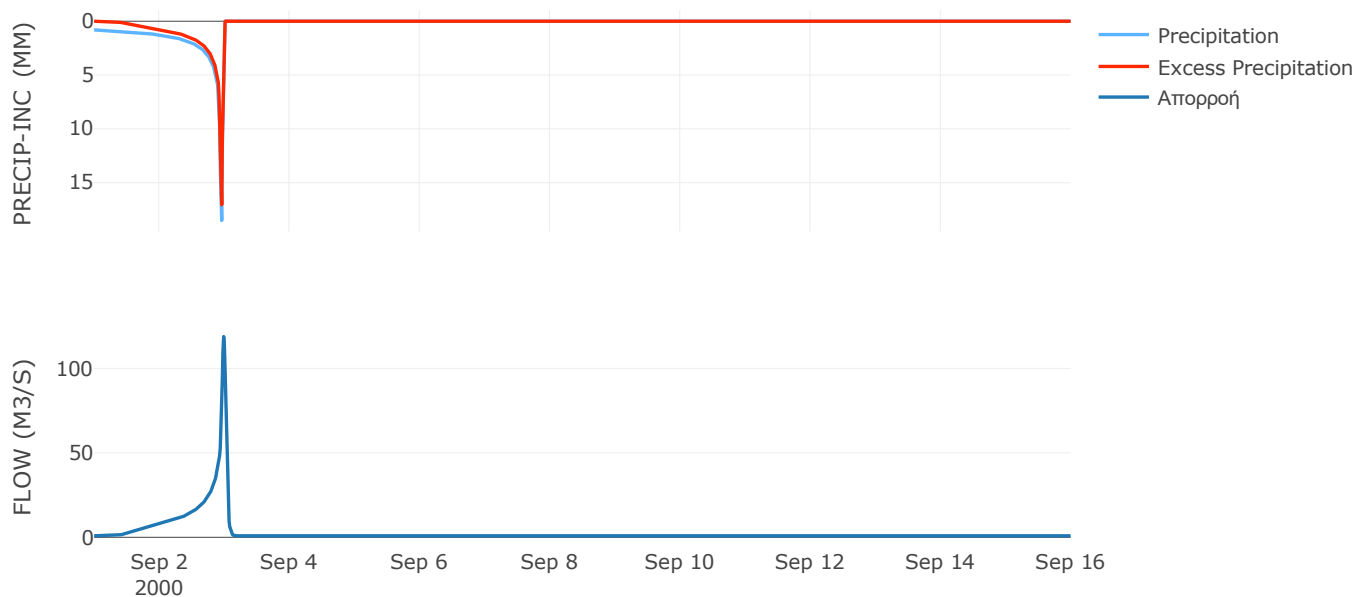
Μέθοδος
Μετασχηματισμού: SCS

Χρόνος Υστέρησης	44.56
------------------	-------

Αποτελέσματα:
EL0514FR003039

Παροχή αιχμής (M3/S)	118.88
Χρονική στιγμή αιχμής	02Sep2000, 23:45
Όγκος (MM)	400.8
Όγκος βροχόπτωσης (M3)	3.43E6
Όγκος απωλειών (M3)	1.06E6
Ενεργός Όγκος (M3)	2.37E6
Όγκος άμεσης απορροής (M3)	2.37E6
Όγκος βασικής απορροής (M3)	1.13E6

Βροχόπτωση και Απορροή



Υπολεκάνη: EL0514FR003040

Έκταση (KM2) : 22.7

Κατάντη : J22

Μέθοδος Απωλειών: SCS

Ποσοστό αδιαπέρατης επιφάνειας	0.09
Αριθμός Καμπύλης Απορροής-CN	64.8
Αρχικές Απώλειες	27.6

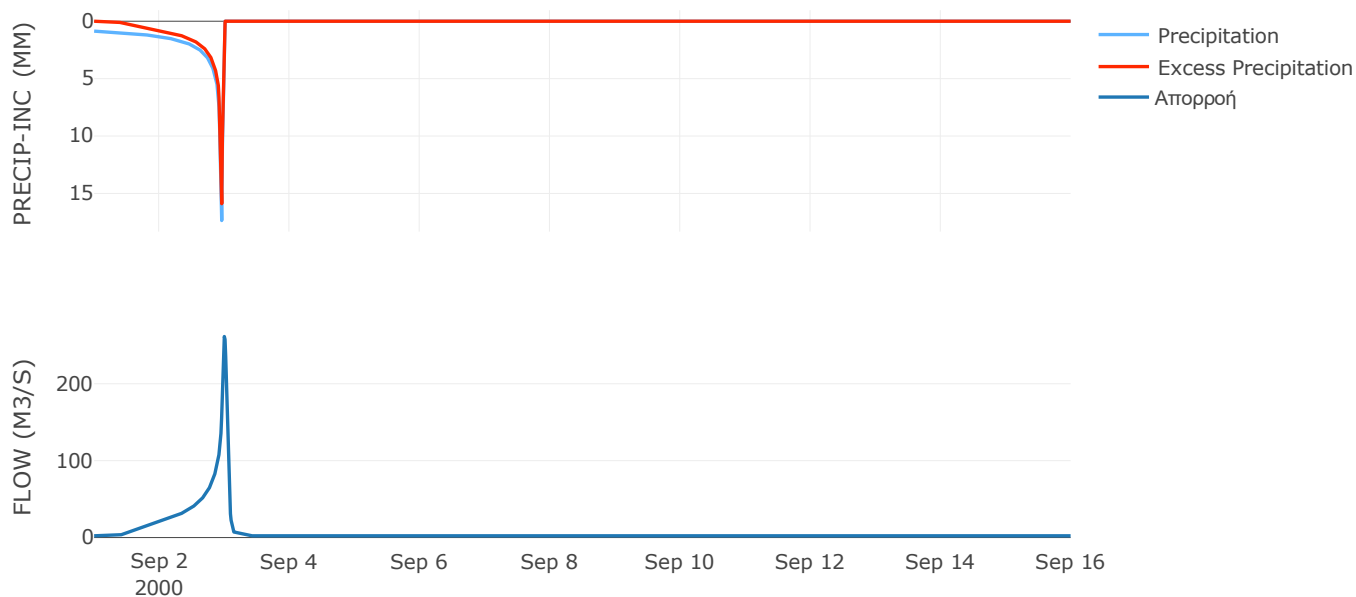
Μέθοδος
Μετασχηματισμού: SCS

Χρόνος Υστέρησης	63.29
------------------	-------

Αποτελέσματα:
EL0514FR003040

Παροχή αιχμής (M3/S)	261.4
Χρονική στιγμή αιχμής	02Sep2000, 24:00
Όγκος (MM)	400.8
Όγκος βροχόπτωσης (M3)	9.07E6
Όγκος απωλειών (M3)	2.91E6
Ενεργός Όγκος (M3)	6.16E6
Όγκος άμεσης απορροής (M3)	6.16E6
Όγκος βασικής απορροής (M3)	2.94E6

Βροχόπτωση και Απορροή



Υπολεκάνη: EL0514FR003041

Έκταση (KM2) : 11.3

Κατάντη : J23

Μέθοδος Απωλειών: SCS

Ποσοστό αδιαπέρατης επιφάνειας	0
Αριθμός Καμπύλης Απορροής-CN	63.06
Αρχικές Απώλειες	29.76

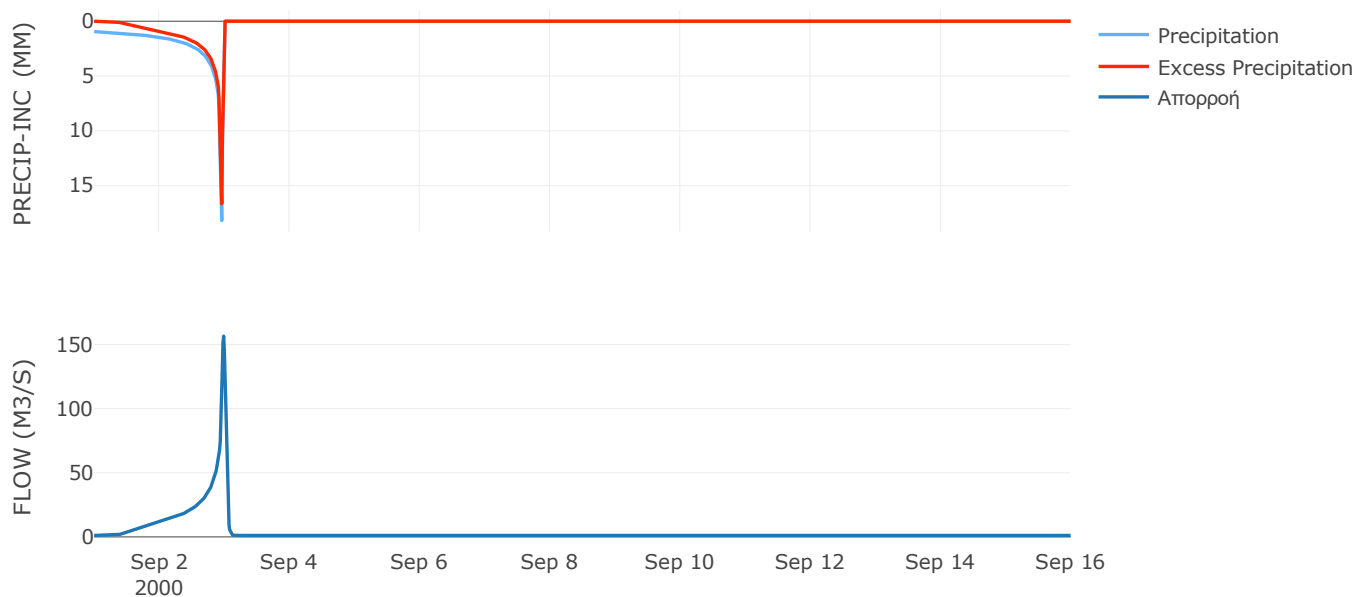
Μέθοδος
Μετασχηματισμού: SCS

Χρόνος Υστέρησης	39.17
------------------	-------

Αποτελέσματα:
EL0514FR003041

Παροχή αιχμής (M3/S)	156.55
Χρονική στιγμή αιχμής	02Sep2000, 23:45
Όγκος (MM)	421.49
Όγκος βροχόπτωσης (M3)	4.86E6
Όγκος απωλειών (M3)	1.56E6
Ενεργός Όγκος (M3)	3.3E6
Όγκος άμεσης απορροής (M3)	3.3E6
Όγκος βασικής απορροής (M3)	1.46E6

Βροχόπτωση και Απορροή



Υπολεκάνη: EL0514FR003042

Έκταση (KM2) : 9.38

Κατάντη : J23

Μέθοδος Απωλειών: SCS

Ποσοστό αδιαπέρατης επιφάνειας	0
Αριθμός Καμπύλης Απορροής-CN	64.76
Αρχικές Απώλειες	27.64

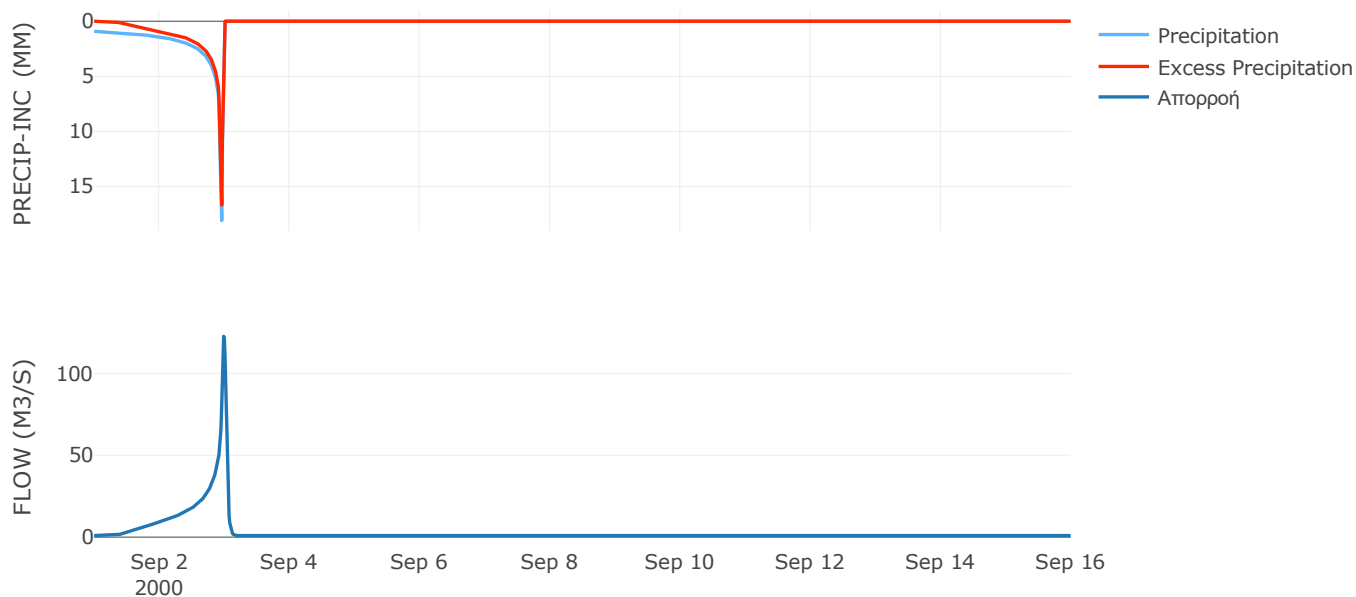
Μέθοδος
Μετασχηματισμού: SCS

Χρόνος Υστέρησης	48.36
------------------	-------

Αποτελέσματα:
EL0514FR003042

Παροχή αιχμής (M3/S)	122.64
Χρονική στιγμή αιχμής	02Sep2000, 23:45
Όγκος (MM)	420.9
Όγκος βροχόπτωσης (M3)	3.95E6
Όγκος απωλειών (M3)	1.22E6
Ενεργός Όγκος (M3)	2.73E6
Όγκος άμεσης απορροής (M3)	2.73E6
Όγκος βασικής απορροής (M3)	1.22E6

Βροχόπτωση και Απορροή



Υπολεκάνη: EL0514FR003043

Έκταση (KM2) : 29.89

Κατάντη : J24

Μέθοδος Απωλειών: SCS

Ποσοστό αδιαπέρατης επιφάνειας	0
Αριθμός Καμπύλης Απορροής-CN	64.04
Αρχικές Απώλειες	28.53

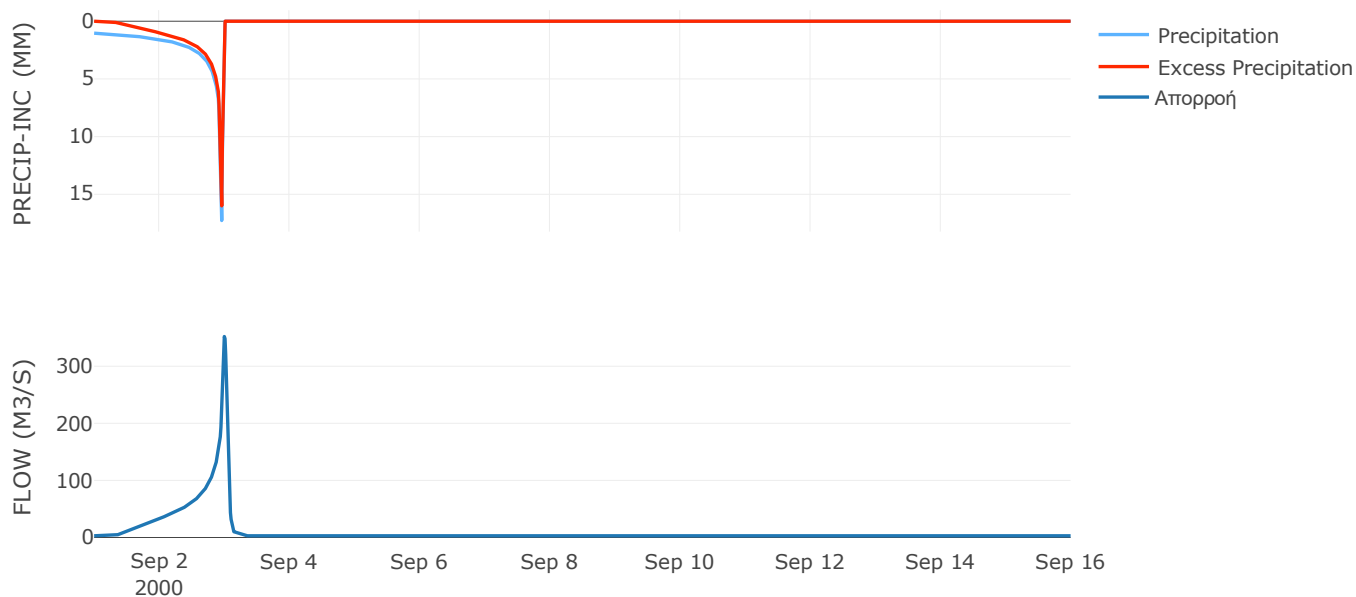
Μέθοδος
Μετασχηματισμού: SCS

Χρόνος Υστέρησης	64.02
------------------	-------

Αποτελέσματα:
EL0514FR003043

Παροχή αιχμής (M3/S)	352.1
Χρονική στιγμή αιχμής	02Sep2000, 24:00
Όγκος (MM)	441.84
Όγκος βροχόπτωσης (M3)	1.34E7
Όγκος απωλειών (M3)	4.03E6
Ενεργός Όγκος (M3)	9.33E6
Όγκος άμεσης απορροής (M3)	9.33E6
Όγκος βασικής απορροής (M3)	3.87E6

Βροχόπτωση και Απορροή



Υπολεκάνη: EL0514FR003044

Έκταση (KM2) : 19.82

Κατάντη : J24

Μέθοδος Απωλειών: SCS

Ποσοστό αδιαπέρατης επιφάνειας	0
Αριθμός Καμπύλης Απορροής-CN	59.92
Αρχικές Απώλειες	33.98

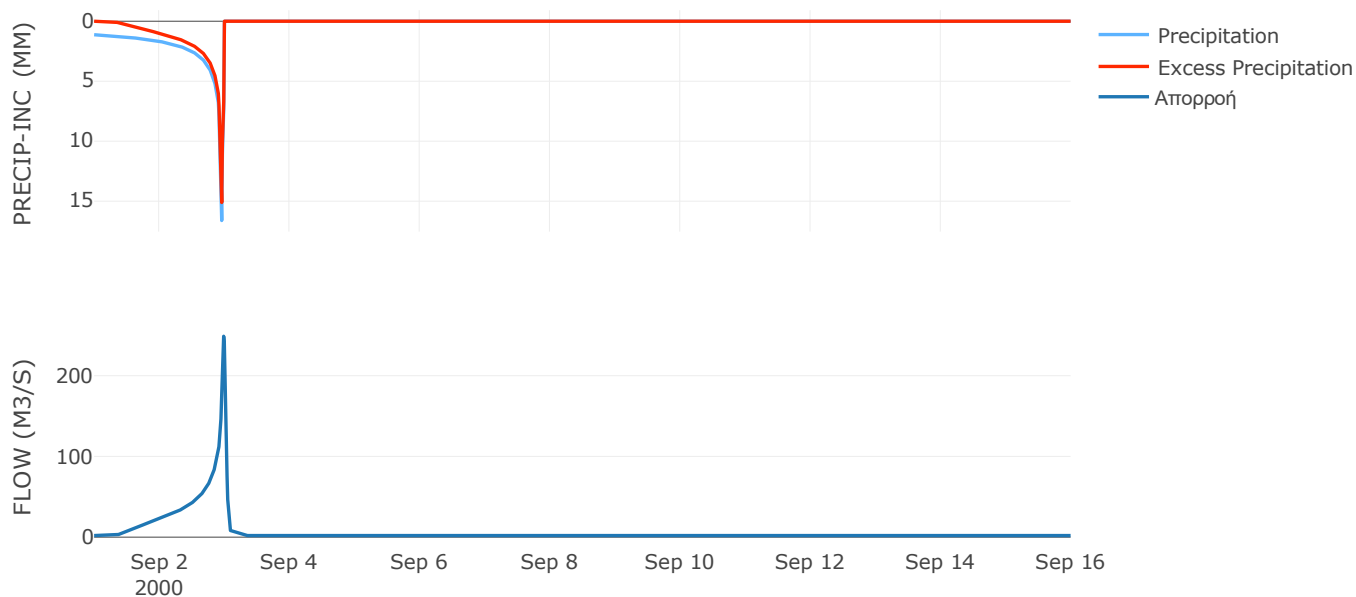
Μέθοδος
Μετασχηματισμού: SCS

Χρόνος Υστέρησης	42.86
------------------	-------

Αποτελέσματα:
EL0514FR003044

Παροχή αιχμής (M3/S)	248.89
Χρονική στιγμή αιχμής	02Sep2000, 23:45
Όγκος (MM)	438.35
Όγκος βροχόπτωσης (M3)	9.21E6
Όγκος απωλειών (M3)	3.09E6
Ενεργός Όγκος (M3)	6.12E6
Όγκος άμεσης απορροής (M3)	6.12E6
Όγκος βασικής απορροής (M3)	2.57E6

Βροχόπτωση και Απορροή



Υπολεκάνη: EL0514FR003045

Έκταση (KM2) : 19.47

Κατάντη : J26

Μέθοδος Απωλειών: SCS

Ποσοστό αδιαπέρατης επιφάνειας	0
Αριθμός Καμπύλης Απορροής-CN	43.49
Αρχικές Απώλειες	66.01

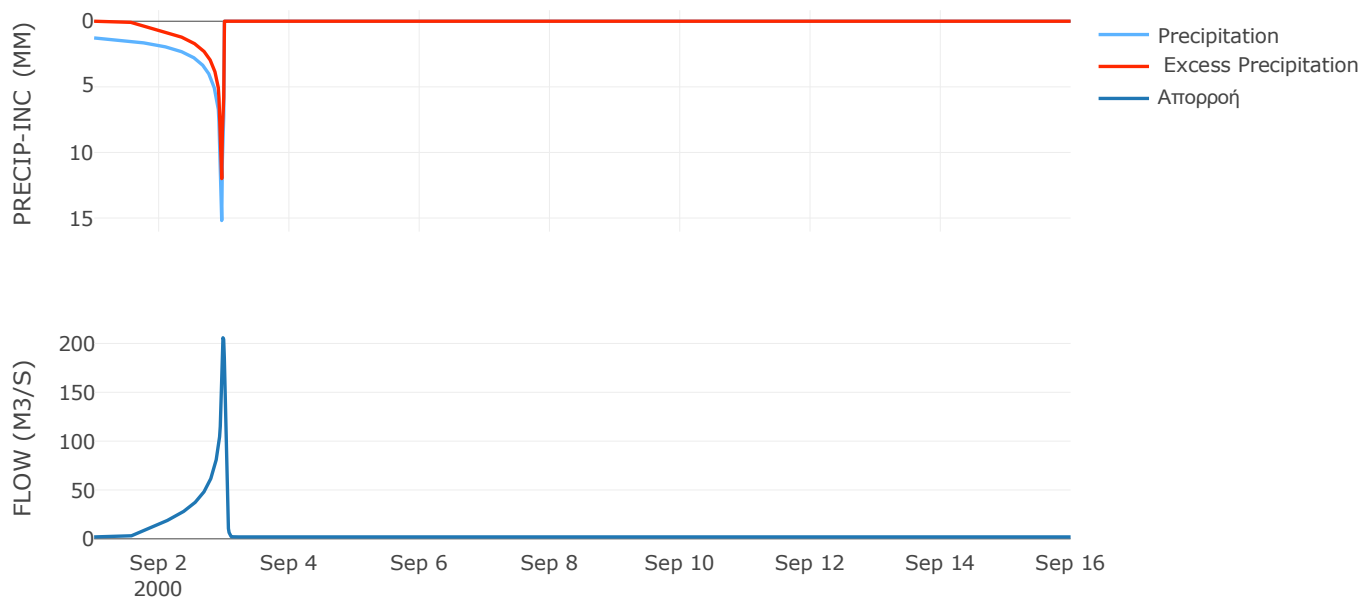
Μέθοδος
Μετασχηματισμού: SCS

Χρόνος Υστέρησης	31.63
------------------	-------

Αποτελέσματα:
EL0514FR003045

Παροχή αιχμής (M3/S)	205.86
Χρονική στιγμή αιχμής	02Sep2000, 23:30
Όγκος (MM)	367.23
Όγκος βροχόπτωσης (M3)	9.52E6
Όγκος απωλειών (M3)	4.89E6
Ενεργός Όγκος (M3)	4.63E6
Όγκος άμεσης απορροής (M3)	4.63E6
Όγκος βασικής απορροής (M3)	2.52E6

Βροχόπτωση και Απορροή



Υπολεκάνη: EL0514FR003046

Έκταση (KM2) : 5.63

Κατάντη : J24

Μέθοδος Απωλειών: SCS

Ποσοστό αδιαπέρατης επιφάνειας	0
Αριθμός Καμπύλης Απορροής-CN	64.24
Αρχικές Απώλειες	28.28

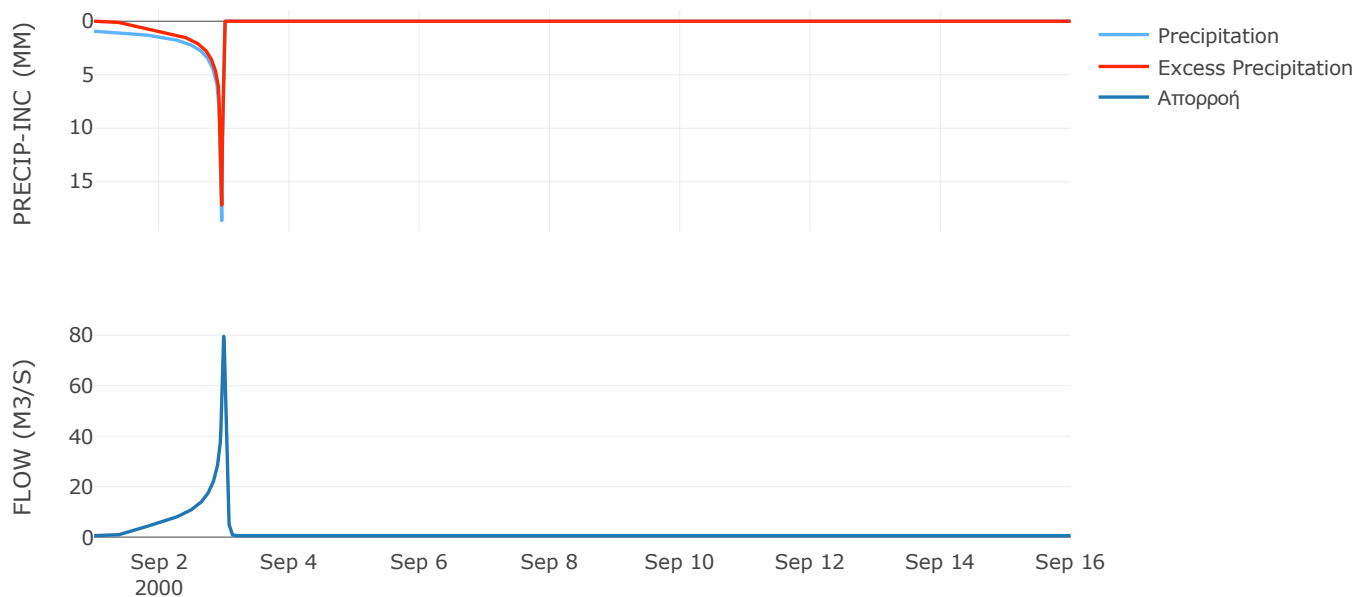
Μέθοδος
Μετασχηματισμού: SCS

Χρόνος Υστέρησης	41.12
------------------	-------

Αποτελέσματα:
EL0514FR003046

Παροχή αιχμής (M3/S)	79.53
Χρονική στιγμή αιχμής	02Sep2000, 23:45
Όγκος (MM)	427.94
Όγκος βροχόπτωσης (M3)	2.43E6
Όγκος απωλειών (M3)	7.48E5
Ενεργός Όγκος (M3)	1.68E6
Όγκος άμεσης απορροής (M3)	1.68E6
Όγκος βασικής απορροής (M3)	7.29E5

Βροχόπτωση και Απορροή



Υπολεκάνη: EL0514FR003047

Έκταση (KM2) : 17.53

Κατάντη : J25

Μέθοδος Απωλειών: SCS

Ποσοστό αδιαπέρατης επιφάνειας	0
Αριθμός Καμπύλης Απορροής-CN	63.23
Αρχικές Απώλειες	29.54

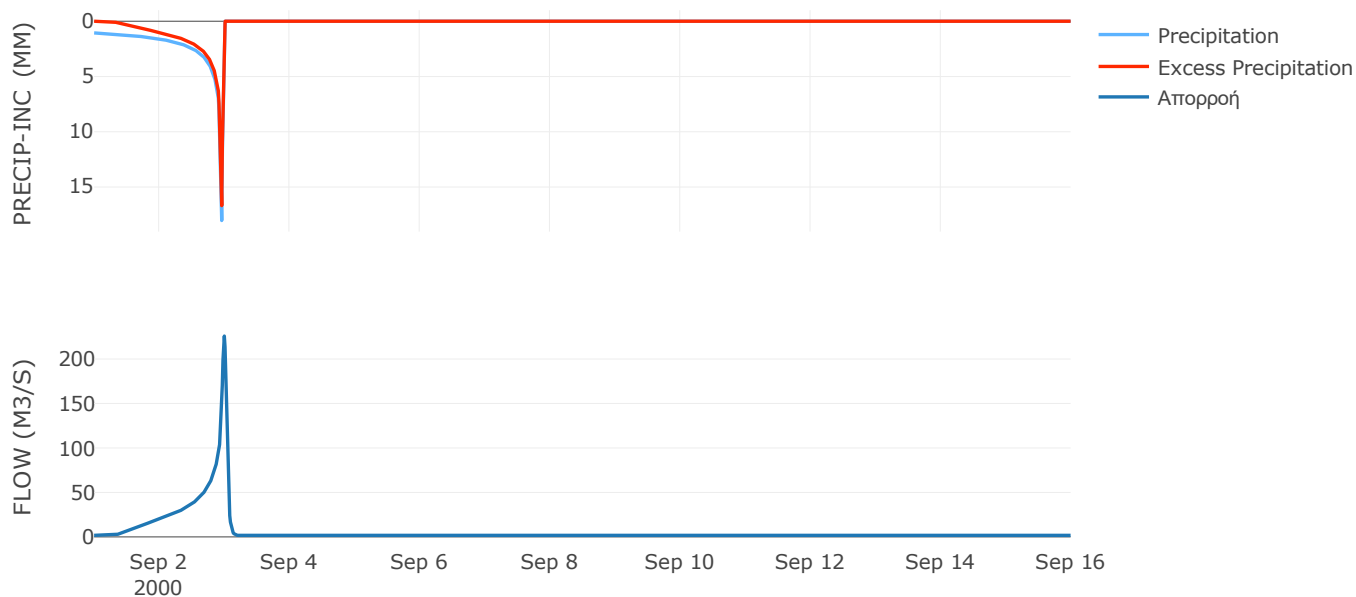
Μέθοδος
Μετασχηματισμού: SCS

Χρόνος Υστέρησης	54.62
------------------	-------

Αποτελέσματα:
EL0514FR003047

Παροχή αιχμής (M3/S)	225.87
Χρονική στιγμή αιχμής	02Sep2000, 24:00
Όγκος (MM)	449.9
Όγκος βροχόπτωσης (M3)	8.06E6
Όγκος απωλειών (M3)	2.45E6
Ενεργός Όγκος (M3)	5.61E6
Όγκος άμεσης απορροής (M3)	5.61E6
Όγκος βασικής απορροής (M3)	2.27E6

Βροχόπτωση και Απορροή



Υπολεκάνη: EL0514FR003048

Έκταση (KM2) : 3.98

Κατάντη : J25

Μέθοδος Απωλειών: SCS

Ποσοστό αδιαπέρατης επιφάνειας	0
Αριθμός Καμπύλης Απορροής-CN	63.27
Αρχικές Απώλειες	29.5

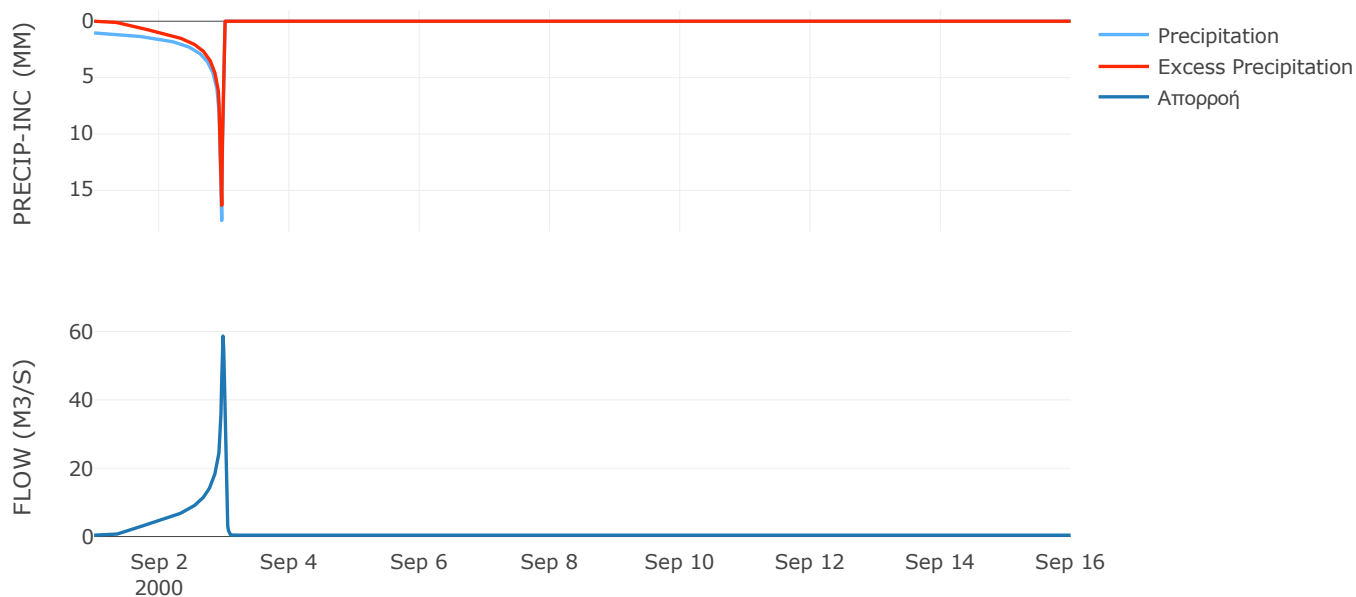
Μέθοδος
Μετασχηματισμού: SCS

Χρόνος Υστέρησης	27.91
------------------	-------

Αποτελέσματα:
EL0514FR003048

Παροχή αιχμής (M3/S)	58.69
Χρονική στιγμή αιχμής	02Sep2000, 23:30
Όγκος (MM)	442.92
Όγκος βροχόπτωσης (M3)	1.8E6
Όγκος απωλειών (M3)	5.53E5
Ενεργός Όγκος (M3)	1.25E6
Όγκος άμεσης απορροής (M3)	1.25E6
Όγκος βασικής απορροής (M3)	5.16E5

Βροχόπτωση και Απορροή



Υπολεκάνη: EL0514FR003049

Έκταση (KM2) : 37.37

Κατάντη : J26

Μέθοδος Απωλειών: SCS

Ποσοστό αδιαπέρατης επιφάνειας	0
Αριθμός Καμπύλης Απορροής-CN	55.21
Αρχικές Απώλειες	41.21

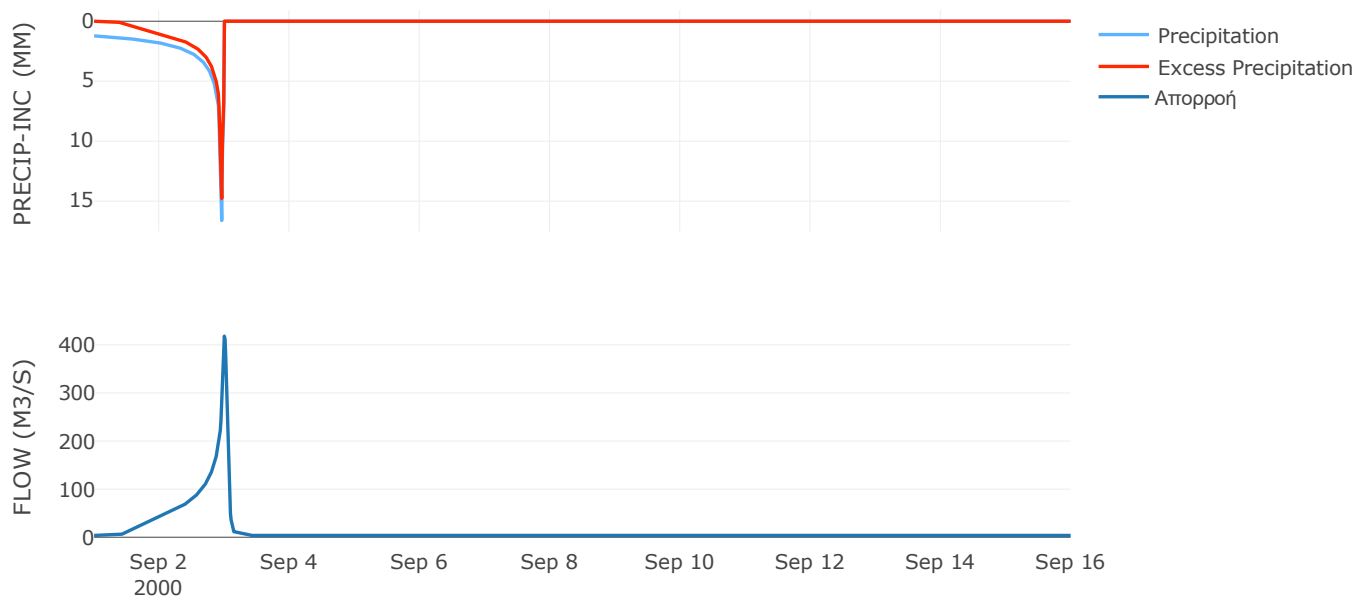
Μέθοδος
Μετασχηματισμού: SCS

Χρόνος Υστέρησης	62.78
------------------	-------

Αποτελέσματα:
EL0514FR003049

Παροχή αιχμής (M3/S)	418.16
Χρονική στιγμή αιχμής	02Sep2000, 24:00
Όγκος (MM)	437.25
Όγκος βροχόπτωσης (M3)	1.83E7
Όγκος απωλειών (M3)	6.82E6
Ενεργός Όγκος (M3)	1.15E7
Όγκος άμεσης απορροής (M3)	1.15E7
Όγκος βασικής απορροής (M3)	4.84E6

Βροχόπτωση και Απορροή



Υπολεκάνη: EL0514FR003051

Έκταση (KM2) : 17.16

Κατάντη : J27

Μέθοδος Απωλειών: SCS

Ποσοστό αδιαπέρατης επιφάνειας	0
Αριθμός Καμπύλης Απορροής-CN	63.38
Αρχικές Απώλειες	29.36

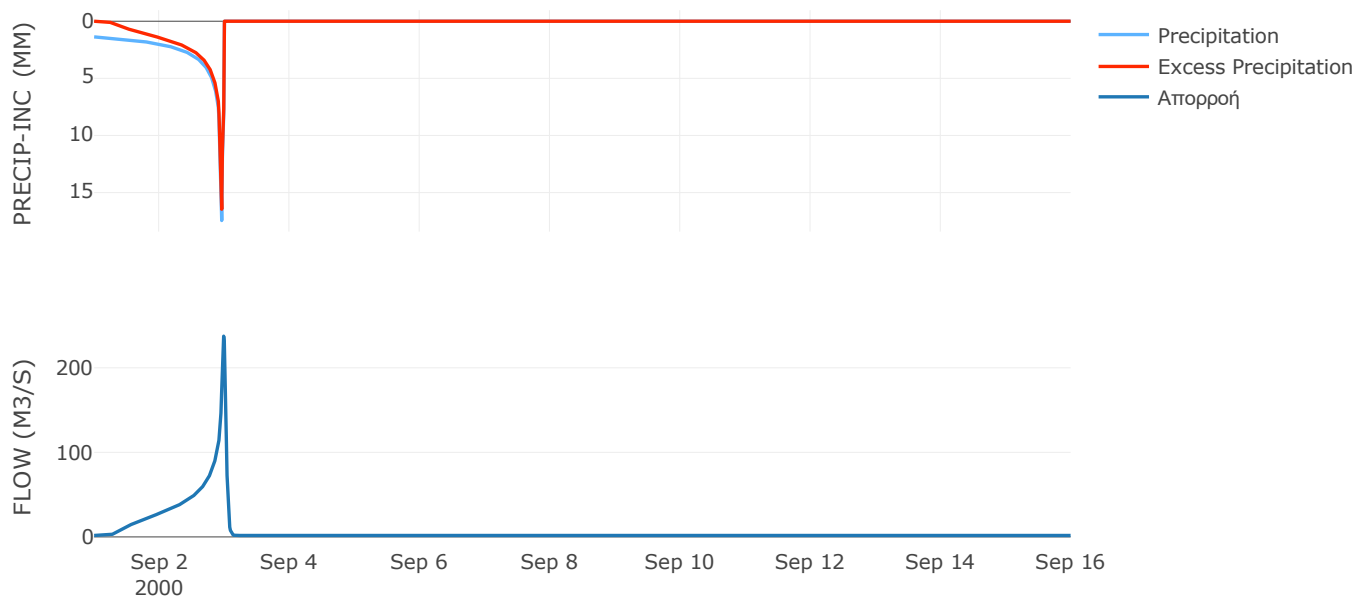
Μέθοδος
Μετασχηματισμού: SCS

Χρόνος Υστέρησης	42.66
------------------	-------

Αποτελέσματα:
EL0514FR003051

Παροχή αιχμής (M3/S)	237.46
Χρονική στιγμή αιχμής	02Sep2000, 23:45
Όγκος (MM)	523.78
Όγκος βροχόπτωσης (M3)	9.22E6
Όγκος απωλειών (M3)	2.46E6
Ενεργός Όγκος (M3)	6.76E6
Όγκος άμεσης απορροής (M3)	6.76E6
Όγκος βασικής απορροής (M3)	2.22E6

Βροχόπτωση και Απορροή



Υπολεκάνη: EL0514FR003052

Έκταση (KM2) : 20.26

Κατάντη : J27

Μέθοδος Απωλειών: SCS

Ποσοστό αδιαπέρατης επιφάνειας	0
Αριθμός Καμπύλης Απορροής-CN	63.81
Αρχικές Απώλειες	28.81

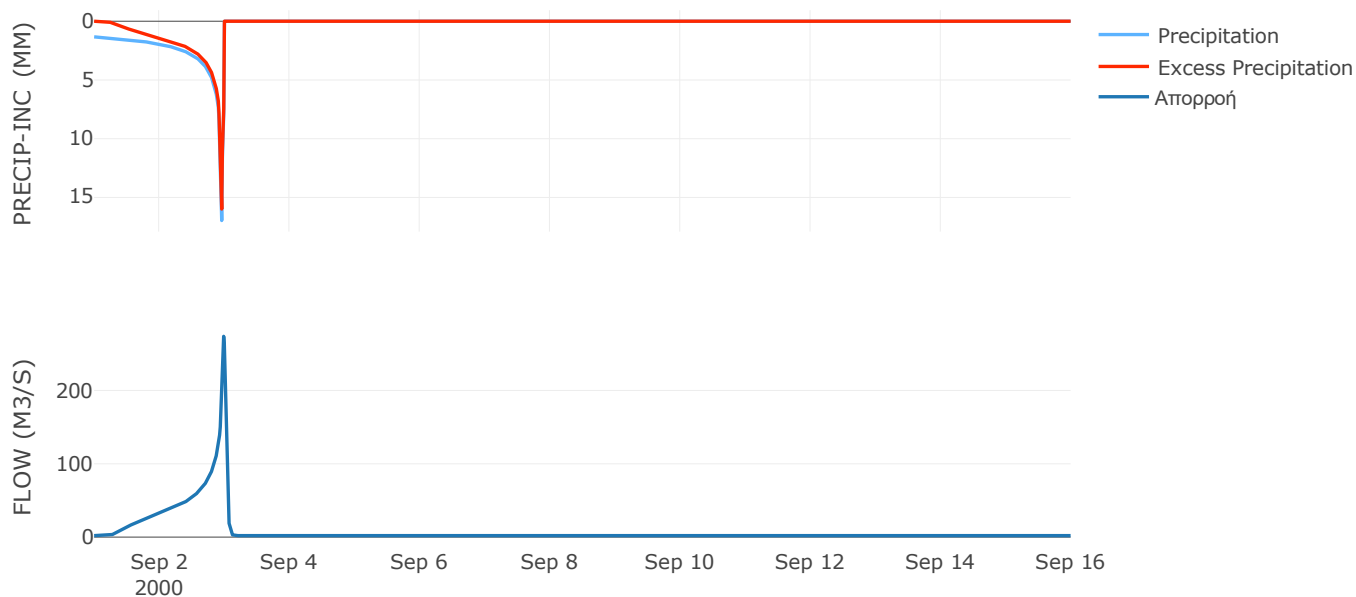
Μέθοδος
Μετασχηματισμού: SCS

Χρόνος Υστέρησης	41.47
------------------	-------

Αποτελέσματα:
EL0514FR003052

Παροχή αιχμής (M3/S)	273.85
Χρονική στιγμή αιχμής	02Sep2000, 23:45
Όγκος (MM)	511.2
Όγκος βροχόπτωσης (M3)	1.06E7
Όγκος απωλειών (M3)	2.84E6
Ενεργός Όγκος (M3)	7.73E6
Όγκος άμεσης απορροής (M3)	7.73E6
Όγκος βασικής απορροής (M3)	2.63E6

Βροχόπτωση και Απορροή



Υπολεκάνη: EL0514FR003053

Έκταση (KM2) : 23.12

Κατάντη : J27

Μέθοδος Απωλειών: SCS

Ποσοστό αδιαπέρατης επιφάνειας	0
Αριθμός Καμπύλης Απορροής-CN	64.18
Αρχικές Απώλειες	28.35

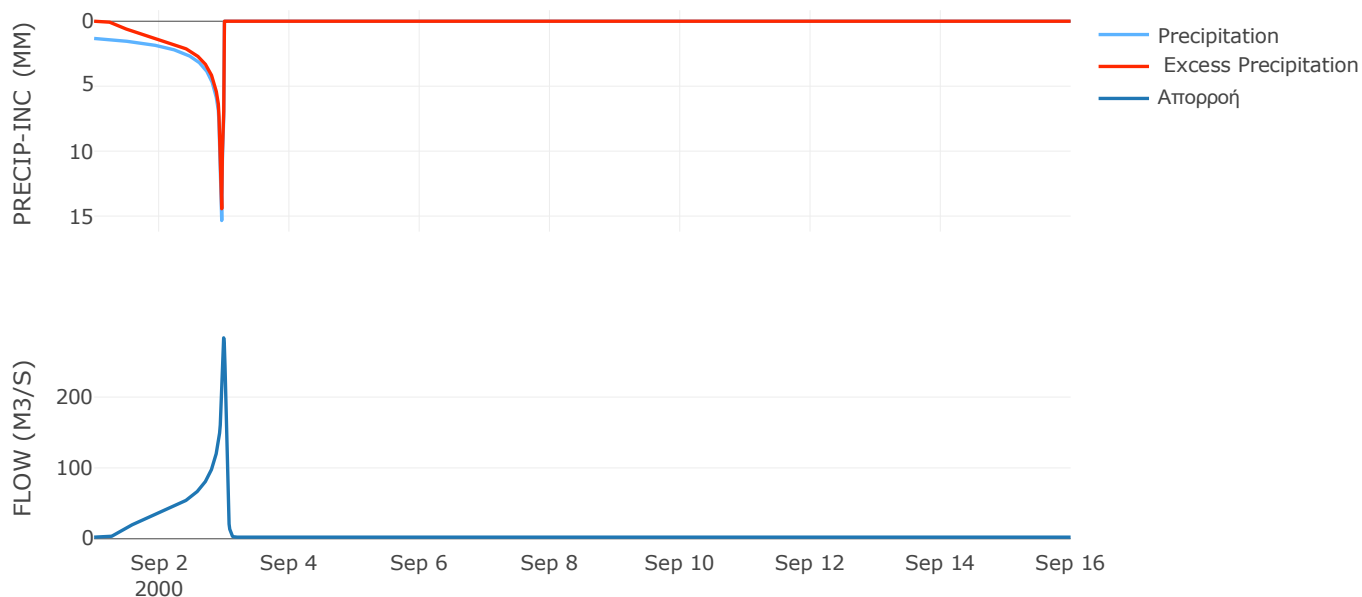
Μέθοδος
Μετασχηματισμού: SCS

Χρόνος Υστέρησης	42.05
------------------	-------

Αποτελέσματα:
EL0514FR003053

Παροχή αιχμής (M3/S)	283.57
Χρονική στιγμή αιχμής	02Sep2000, 23:45
Όγκος (MM)	495.36
Όγκος βροχόπτωσης (M3)	1.16E7
Όγκος απωλειών (M3)	3.18E6
Ενεργός Όγκος (M3)	8.46E6
Όγκος άμεσης απορροής (M3)	8.46E6
Όγκος βασικής απορροής (M3)	3E6

Βροχόπτωση και Απορροή



Υπολεκάνη: EL0514FR003054

Έκταση (KM2) : 25.24

Κατάντη : J28

Μέθοδος Απωλειών: SCS

Ποσοστό αδιαπέρατης επιφάνειας	0
Αριθμός Καμπύλης Απορροής-CN	49.6
Αρχικές Απώλειες	51.61

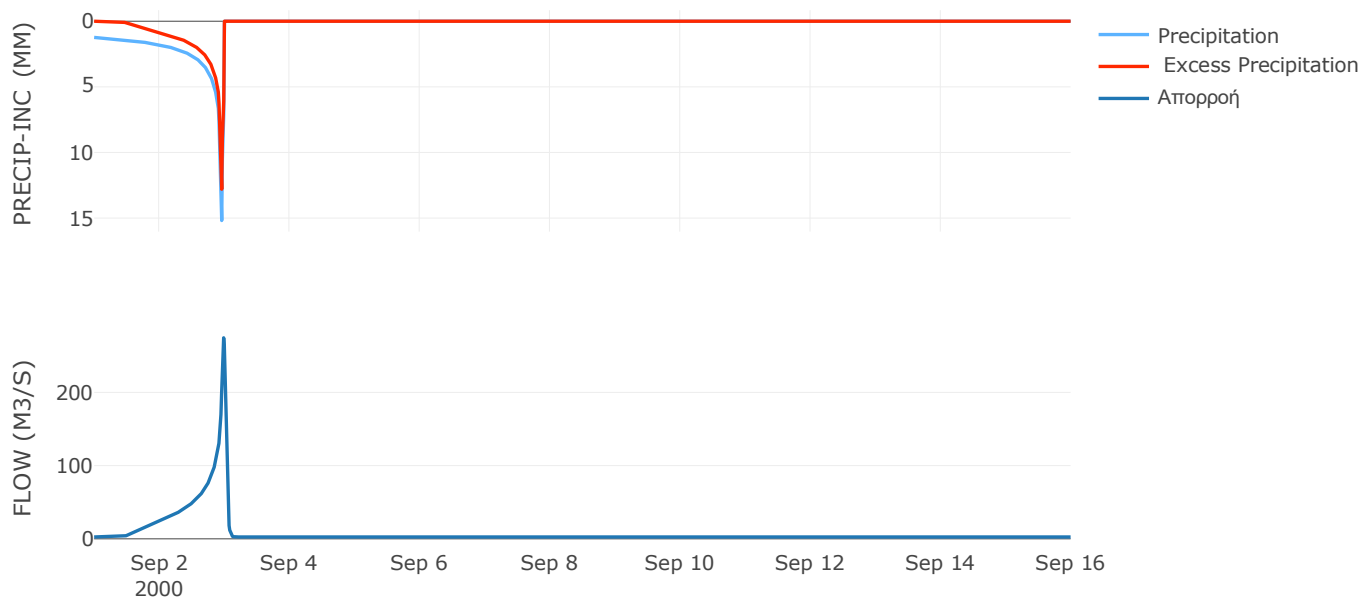
Μέθοδος
Μετασχηματισμού: SCS

Χρόνος Υστέρησης	40.48
------------------	-------

Αποτελέσματα:
EL0514FR003054

Παροχή αιχμής (M3/S)	274.54
Χρονική στιγμή αιχμής	02Sep2000, 23:45
Όγκος (MM)	395.41
Όγκος βροχόπτωσης (M3)	1.21E7
Όγκος απωλειών (M3)	5.36E6
Ενεργός Όγκος (M3)	6.71E6
Όγκος άμεσης απορροής (M3)	6.71E6
Όγκος βασικής απορροής (M3)	3.27E6

Βροχόπτωση και Απορροή



Υπολεκάνη: EL0514FR003055

Έκταση (KM2) : 14.63

Κατάντη : J29

Μέθοδος Απωλειών: SCS

Ποσοστό αδιαπέρατης επιφάνειας	0
Αριθμός Καμπύλης Απορροής-CN	56.18
Αρχικές Απώλειες	39.63

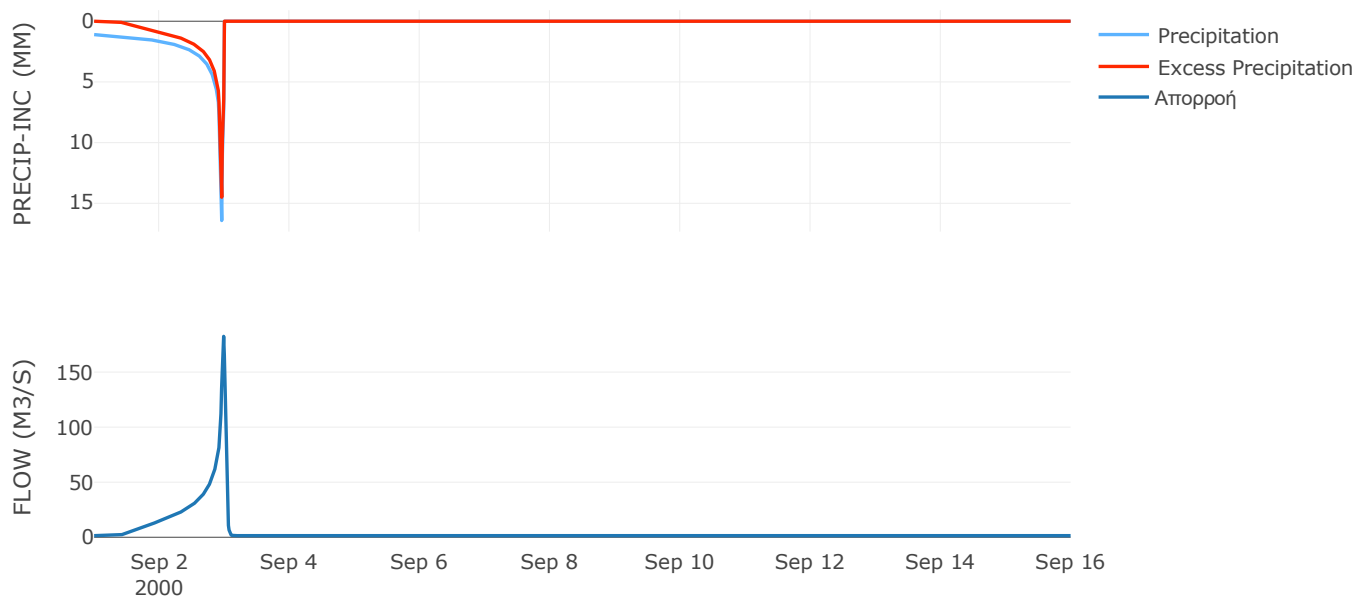
Μέθοδος
Μετασχηματισμού: SCS

Χρόνος Υστέρησης	33.81
------------------	-------

Αποτελέσματα:
EL0514FR003055

Παροχή αιχμής (M3/S)	182.48
Χρονική στιγμή αιχμής	02Sep2000, 23:45
Όγκος (MM)	412
Όγκος βροχόπτωσης (M3)	6.67E6
Όγκος απωλειών (M3)	2.54E6
Ενεργός Όγκος (M3)	4.13E6
Όγκος άμεσης απορροής (M3)	4.13E6
Όγκος βασικής απορροής (M3)	1.9E6

Βροχόπτωση και Απορροή



Υπολεκάνη: EL0514FR003056

Έκταση (KM2) : 25.33

Κατάντη : J29

Μέθοδος Απωλειών: SCS

Ποσοστό αδιαπέρατης επιφάνειας	0
Αριθμός Καμπύλης Απορροής-CN	51.75
Αρχικές Απώλειες	47.36

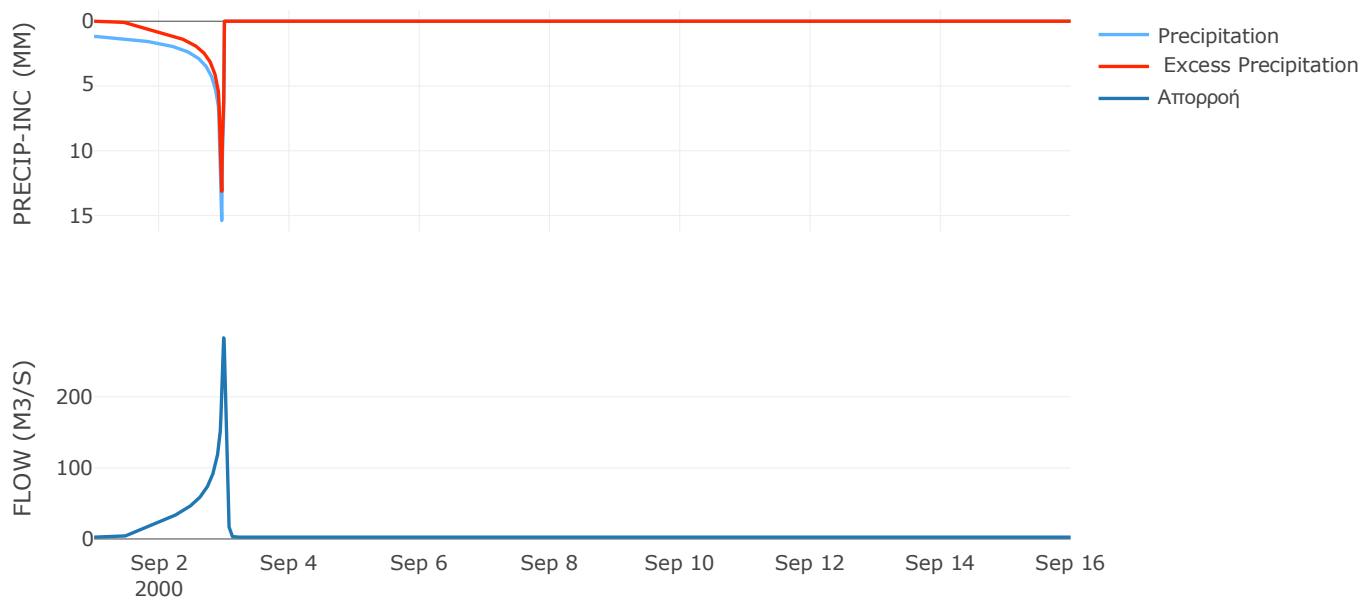
Μέθοδος
Μετασχηματισμού: SCS

Χρόνος Υστέρησης	39.14
------------------	-------

Αποτελέσματα:
EL0514FR003056

Παροχή αιχμής (M3/S)	282.94
Χρονική στιγμή αιχμής	02Sep2000, 23:45
Όγκος (MM)	394.06
Όγκος βροχόπτωσης (M3)	1.17E7
Όγκος απωλειών (M3)	5.02E6
Ενεργός Όγκος (M3)	6.7E6
Όγκος άμεσης απορροής (M3)	6.7E6
Όγκος βασικής απορροής (M3)	3.28E6

Βροχόπτωση και Απορροή



Υπολεκάνη: EL0514FR003057

Έκταση (KM2) : 14.19

Κατάντη : J28

Μέθοδος Απωλειών: SCS

Ποσοστό αδιαπέρατης επιφάνειας	0
Αριθμός Καμπύλης Απορροής-CN	63.61
Αρχικές Απώλειες	29.06

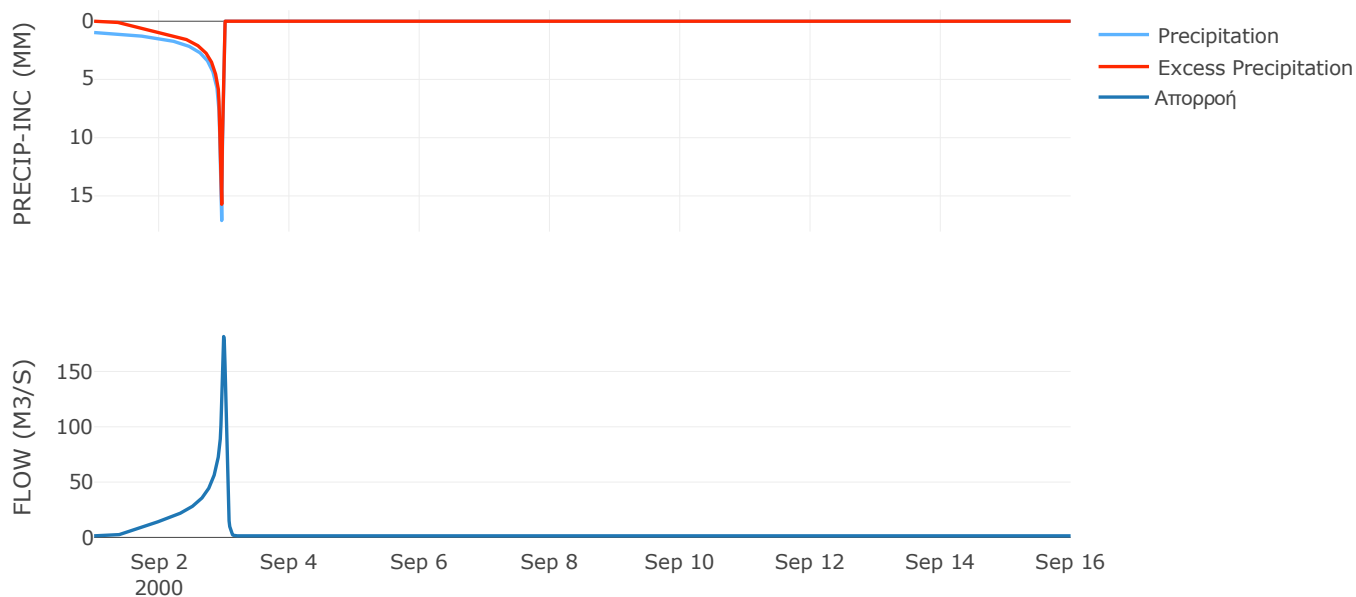
Μέθοδος
Μετασχηματισμού: SCS

Χρόνος Υστέρησης	44.33
------------------	-------

Αποτελέσματα:
EL0514FR003057

Παροχή αιχμής (M3/S)	181.59
Χρονική στιγμή αιχμής	02Sep2000, 23:45
Όγκος (MM)	421.84
Όγκος βροχόπτωσης (M3)	6.07E6
Όγκος απωλειών (M3)	1.92E6
Ενεργός Όγκος (M3)	4.15E6
Όγκος άμεσης απορροής (M3)	4.15E6
Όγκος βασικής απορροής (M3)	1.84E6

Βροχόπτωση και Απορροή



Υπολεκάνη: EL0514FR003058

Έκταση (KM2) : 75.13

Κατάντη : J4 Res1

Μέθοδος Απωλειών: SCS

Ποσοστό αδιαπέρατης επιφάνειας	0.15
Αριθμός Καμπύλης Απορροής-CN	67.45
Αρχικές Απώλειες	24.52

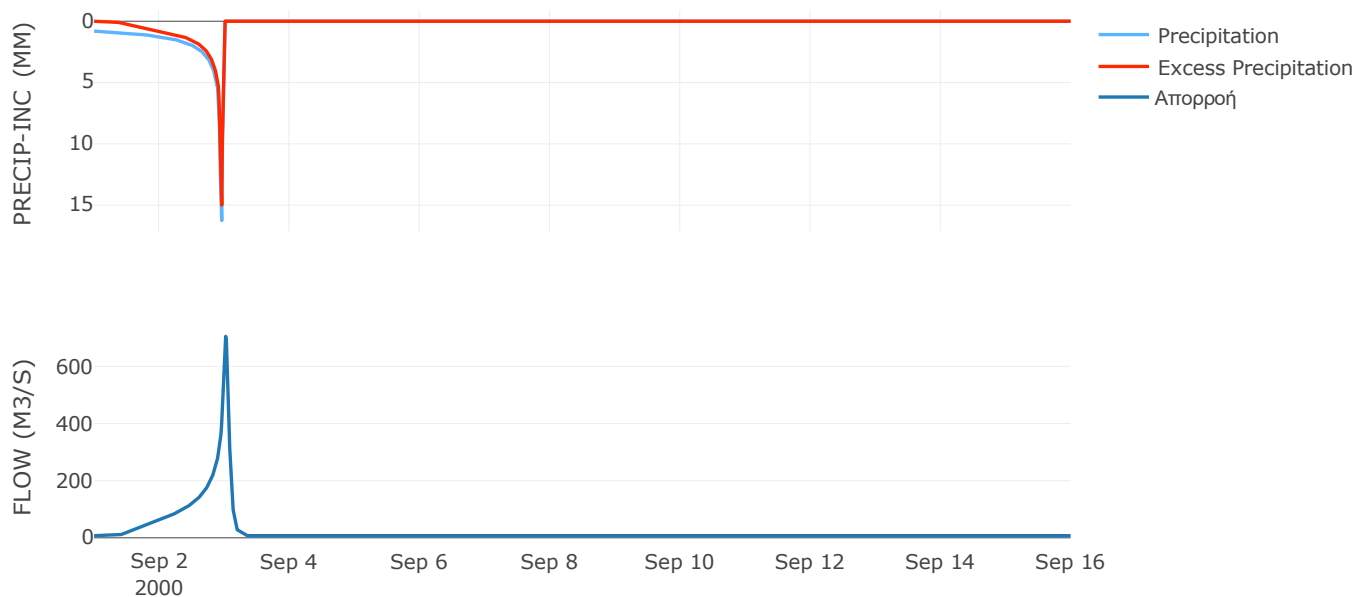
Μέθοδος
Μετασχηματισμού: SCS

Χρόνος Υστέρησης	93.61
------------------	-------

Αποτελέσματα:
EL0514FR003058

Παροχή αιχμής (M3/S)	705.1
Χρονική στιγμή αιχμής	03Sep2000, 00:30
Όγκος (MM)	388.72
Όγκος βροχόπτωσης (M3)	2.81E7
Όγκος απωλειών (M3)	8.65E6
Ενεργός Όγκος (M3)	1.95E7
Όγκος άμεσης απορροής (M3)	1.95E7
Όγκος βασικής απορροής (M3)	9.74E6

Βροχόπτωση και Απορροή



Υπολεκάνη: EL0514FR003059

Έκταση (KM2) : 14.46

Κατάντη : J3

Μέθοδος Απωλειών: SCS

Ποσοστό αδιαπέρατης επιφάνειας	0
Αριθμός Καμπύλης Απορροής-CN	62.2
Αρχικές Απώλειες	30.87

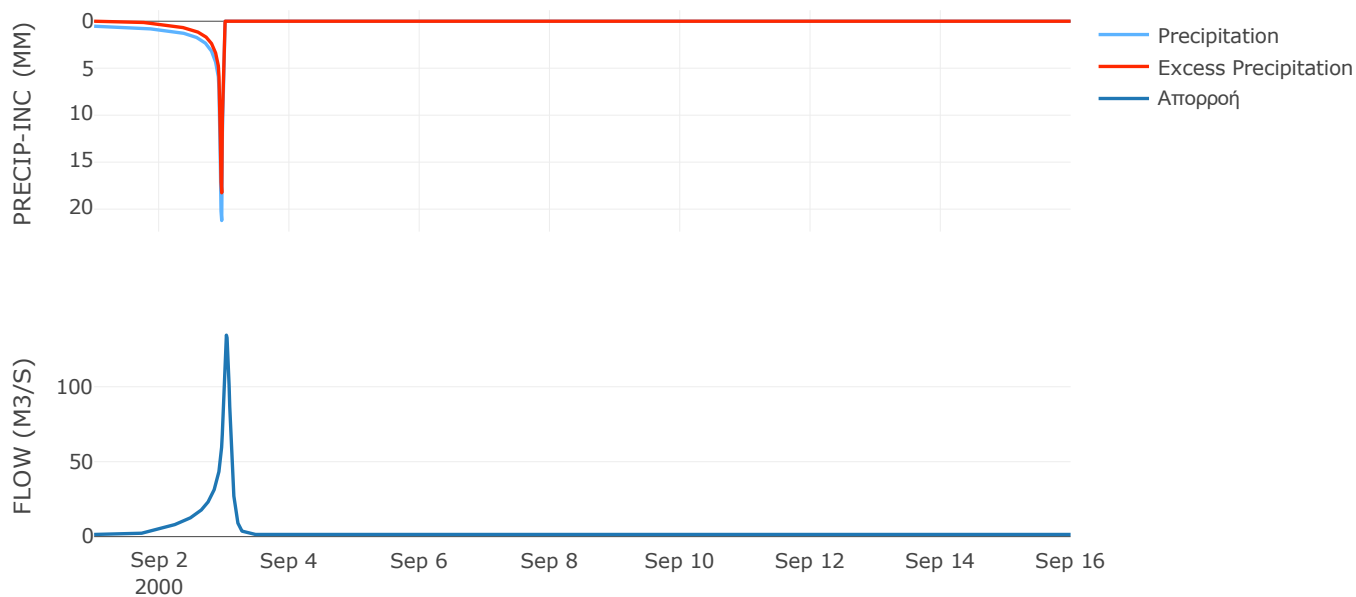
Μέθοδος
Μετασχηματισμού: SCS

Χρόνος Υστέρησης	113.28
------------------	--------

Αποτελέσματα:
EL0514FR003059

Παροχή αιχμής (M3/S)	134.43
Χρονική στιγμή αιχμής	03Sep2000, 00:45
Όγκος (MM)	324.96
Όγκος βροχόπτωσης (M3)	4.74E6
Όγκος απωλειών (M3)	1.91E6
Ενεργός Όγκος (M3)	2.82E6
Όγκος άμεσης απορροής (M3)	2.82E6
Όγκος βασικής απορροής (M3)	1.87E6

Βροχόπτωση και Απορροή



Υπολεκάνη: EL0514FR003060

Έκταση (KM2) : 25.82

Κατάντη : J1

Μέθοδος Απωλειών: SCS

Ποσοστό αδιαπέρατης επιφάνειας	0
Αριθμός Καμπύλης Απορροής-CN	61.43
Αρχικές Απώλειες	31.89

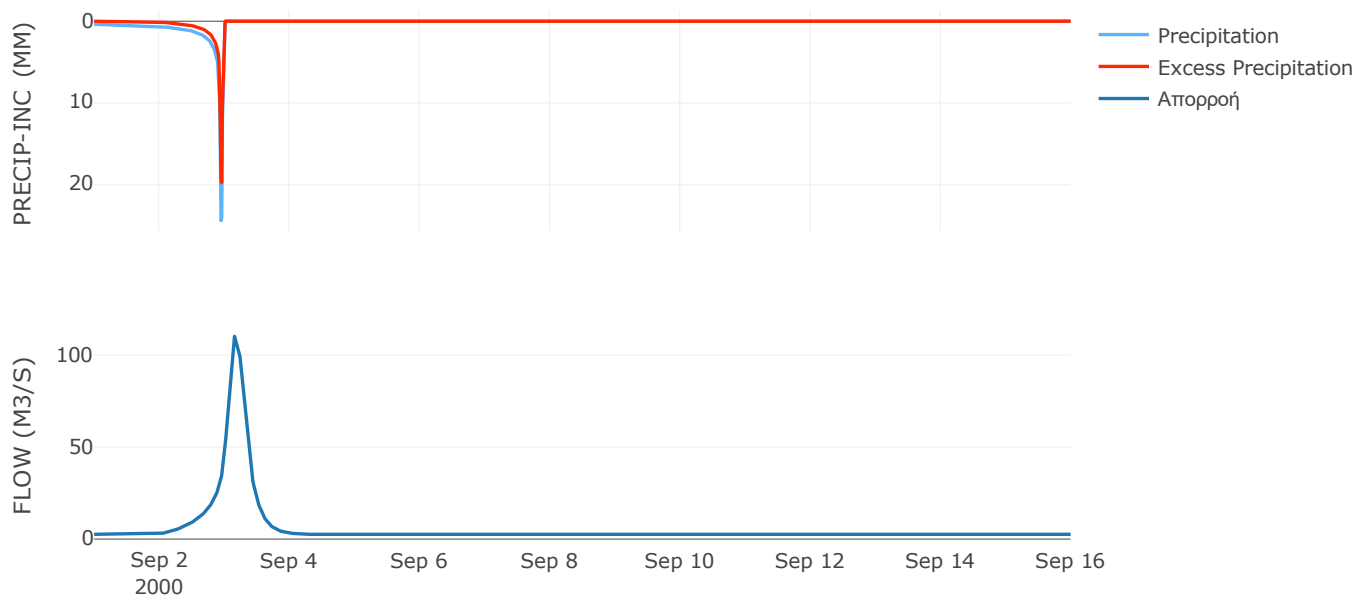
Μέθοδος
Μετασχηματισμού: SCS

Χρόνος Υστέρησης	346.24
------------------	--------

Αποτελέσματα:
EL0514FR003060

Παροχή αιχμής (M3/S)	110.86
Χρονική στιγμή αιχμής	03Sep2000, 04:00
Όγκος (MM)	286.69
Όγκος βροχόπτωσης (M3)	7.41E6
Όγκος απωλειών (M3)	3.36E6
Ενεργός Όγκος (M3)	4.06E6
Όγκος άμεσης απορροής (M3)	4.06E6
Όγκος βασικής απορροής (M3)	3.35E6

Βροχόπτωση και Απορροή



Υπολεκάνη: EL0514FR003061

Έκταση (KM2) : 37.42

Κατάντη : J16

Μέθοδος Απωλειών: SCS

Ποσοστό αδιαπέρατης επιφάνειας	0
Αριθμός Καμπύλης Απορροής-CN	56.42
Αρχικές Απώλειες	39.24

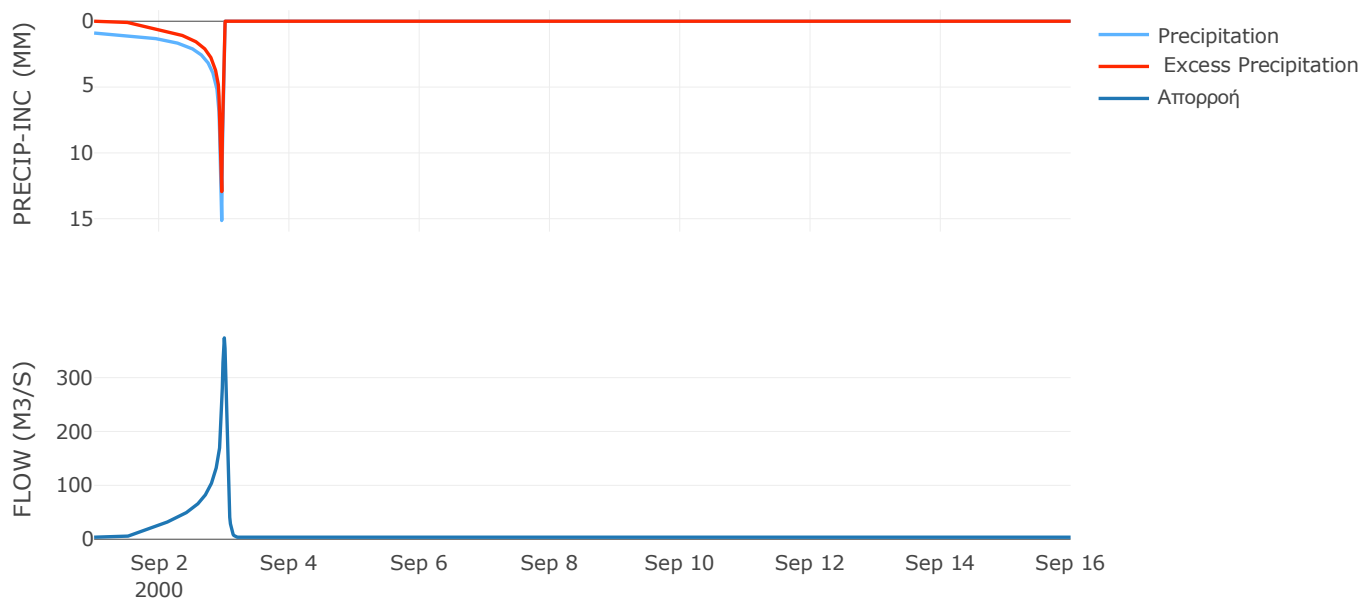
Μέθοδος
Μετασχηματισμού: SCS

Χρόνος Υστέρησης	54.62
------------------	-------

Αποτελέσματα:
EL0514FR003061

Παροχή αιχμής (M3/S)	373.74
Χρονική στιγμή αιχμής	02Sep2000, 24:00
Όγκος (MM)	353.95
Όγκος βροχόπτωσης (M3)	1.46E7
Όγκος απωλειών (M3)	6.17E6
Ενεργός Όγκος (M3)	8.39E6
Όγκος άμεσης απορροής (M3)	8.39E6
Όγκος βασικής απορροής (M3)	4.85E6

Βροχόπτωση και Απορροή



Υπολεκάνη: EL0514FR003062

Έκταση (KM2) : 48.98

Κατάντη : J16

Μέθοδος Απωλειών: SCS

Ποσοστό αδιαπέρατης επιφάνειας	0
Αριθμός Καμπύλης Απορροής-CN	62.92
Αρχικές Απώλειες	29.94

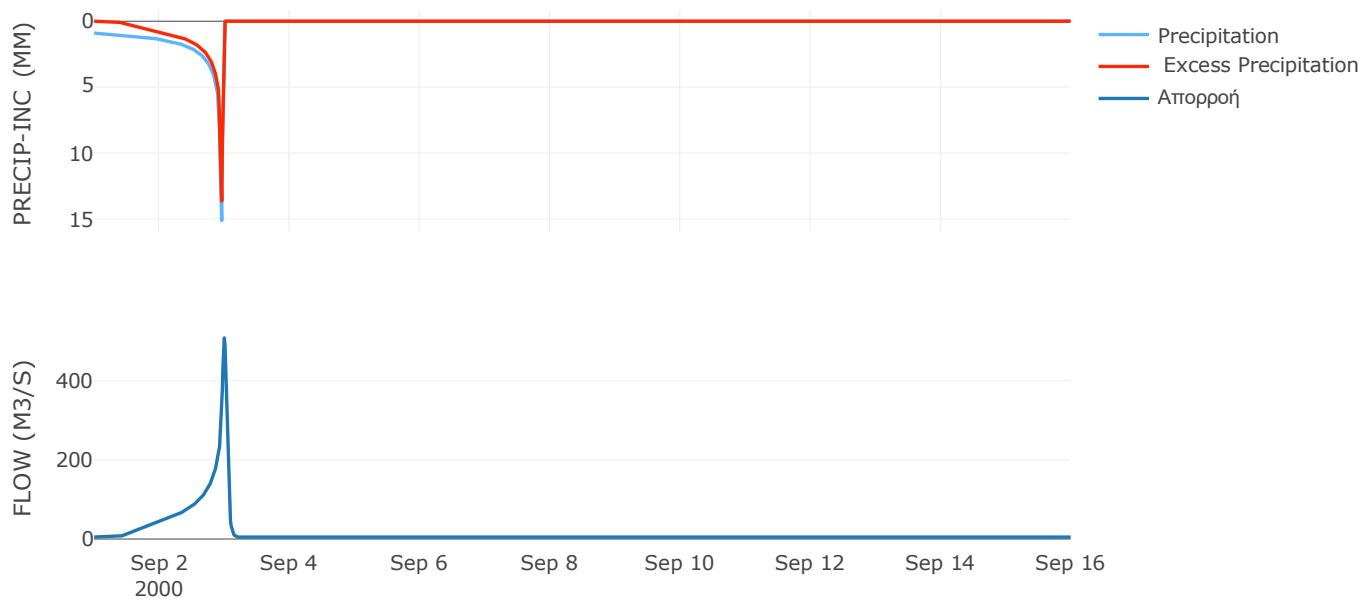
Μέθοδος
Μετασχηματισμού: SCS

Χρόνος Υστέρησης	58.22
------------------	-------

Αποτελέσματα:
EL0514FR003062

Παροχή αιχμής (M3/S)	508.14
Χρονική στιγμή αιχμής	02Sep2000, 24:00
Όγκος (MM)	383.49
Όγκος βροχόπτωσης (M3)	1.91E7
Όγκος απωλειών (M3)	6.64E6
Ενεργός Όγκος (M3)	1.24E7
Όγκος άμεσης απορροής (M3)	1.24E7
Όγκος βασικής απορροής (M3)	6.35E6

Βροχόπτωση και Απορροή



Υπολεκάνη: EL0514FR003063

Έκταση (KM2) : 28.06

Κατάνη : J4 Res1

Μέθοδος Απωλειών: SCS

Ποσοστό αδιαπέρατης επιφάνειας	0
Αριθμός Καμπύλης Απορροής-CN	45.2
Αρχικές Απώλειες	61.58

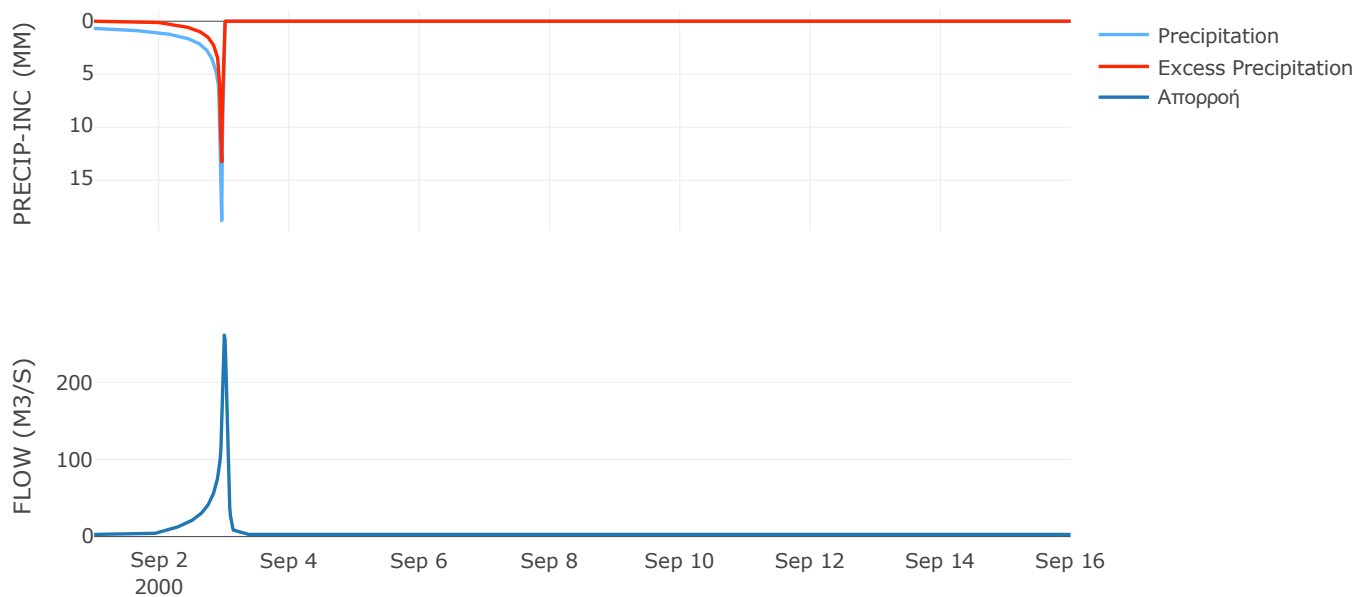
Μέθοδος
Μετασχηματισμού: SCS

Χρόνος Υστέρησης	60.51
------------------	-------

Αποτελέσματα:
EL0514FR003063

Παροχή αιχμής (M3/S)	261.28
Χρονική στιγμή αιχμής	02Sep2000, 24:00
Όγκος (MM)	273.55
Όγκος βροχόπτωσης (M3)	9.99E6
Όγκος απωλειών (M3)	5.95E6
Ενεργός Όγκος (M3)	4.04E6
Όγκος άμεσης απορροής (M3)	4.04E6
Όγκος βασικής απορροής (M3)	3.64E6

Βροχόπτωση και Απορροή



Υπολεκάνη: EL0514FR003065

Έκταση (KM2) : 8.81

Κατάντη : J13

Μέθοδος Απωλειών: SCS

Ποσοστό αδιαπέρατης επιφάνειας	0
Αριθμός Καμπύλης Απορροής-CN	50.09
Αρχικές Απώλειες	50.61

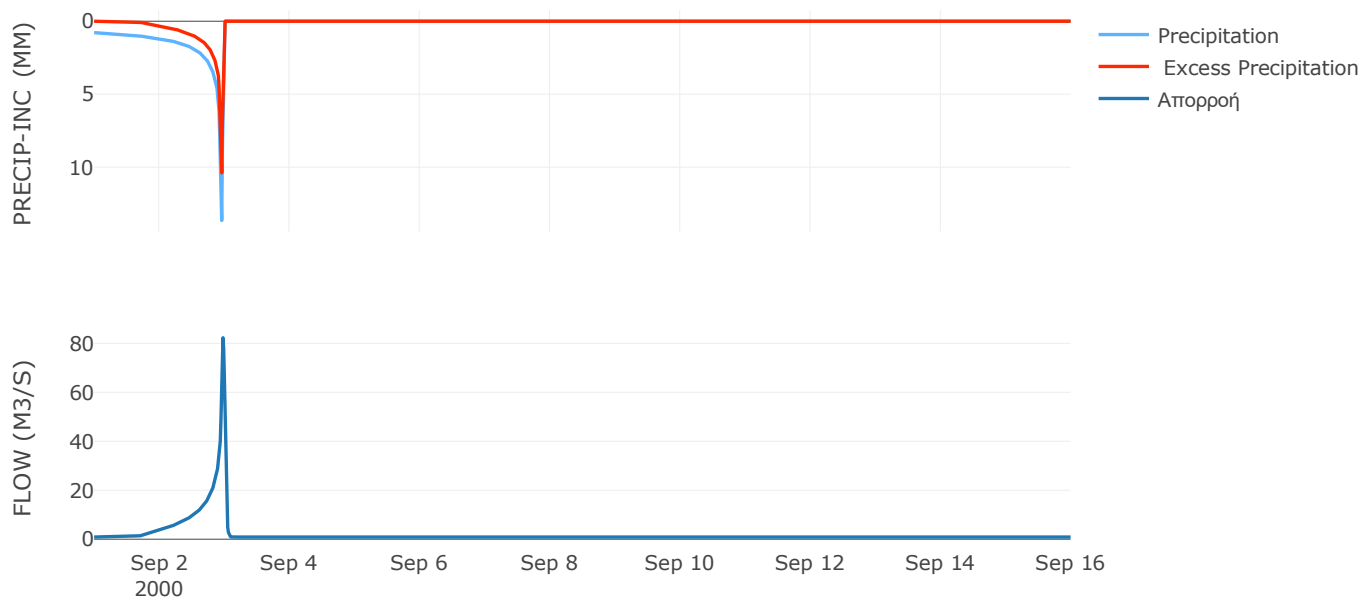
Μέθοδος
Μετασχηματισμού: SCS

Χρόνος Υστέρησης	27.81
------------------	-------

Αποτελέσματα:
EL0514FR003065

Παροχή αιχμής (M3/S)	82.29
Χρονική στιγμή αιχμής	02Sep2000, 23:30
Όγκος (MM)	286.23
Όγκος βροχόπτωσης (M3)	3.02E6
Όγκος απωλειών (M3)	1.64E6
Ενεργός Όγκος (M3)	1.38E6
Όγκος άμεσης απορροής (M3)	1.38E6
Όγκος βασικής απορροής (M3)	1.14E6

Βροχόπτωση και Απορροή



Υπολεκάνη: EL0514FR003066

Έκταση (KM2) : 6.92

Κατάντη : J5

Μέθοδος Απωλειών: SCS

Ποσοστό αδιαπέρατης επιφάνειας	0.22
Αριθμός Καμπύλης Απορροής-CN	72.13
Αρχικές Απώλειες	19.63

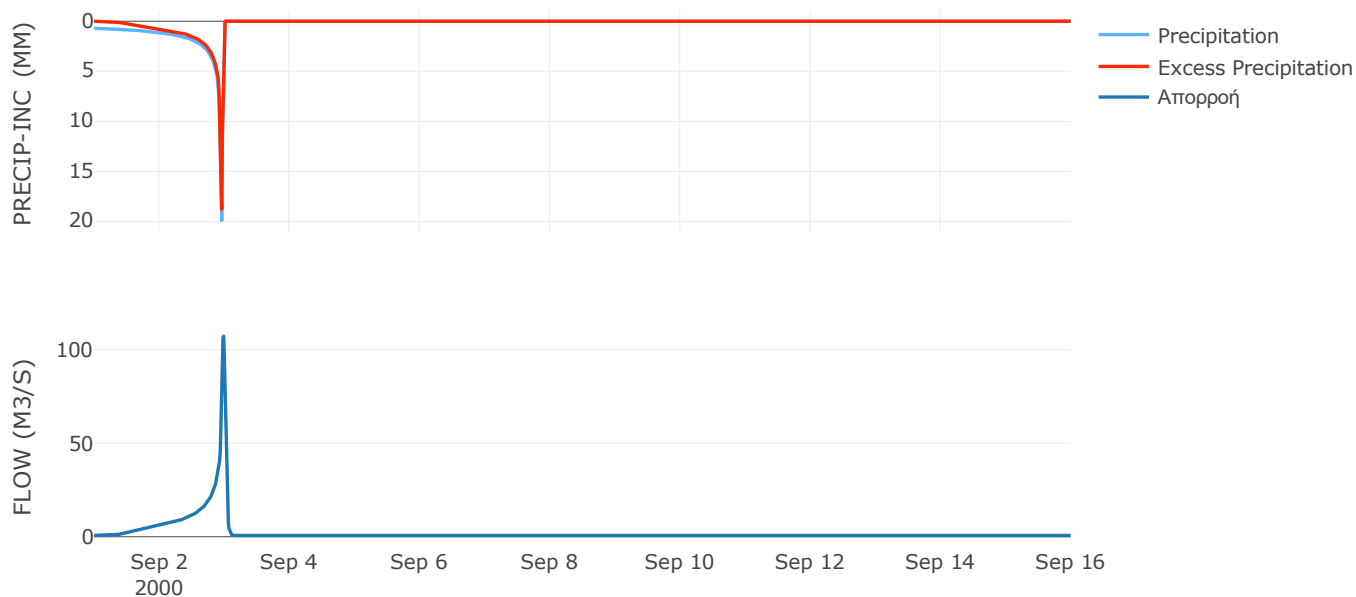
Μέθοδος
Μετασχηματισμού: SCS

Χρόνος Υστέρησης	36.2
------------------	------

Αποτελέσματα:
EL0514FR003066

Παροχή αιχμής (M3/S)	107.23
Χρονική στιγμή αιχμής	02Sep2000, 23:45
Όγκος (MM)	403.29
Όγκος βροχόπτωσης (M3)	2.56E6
Όγκος απωλειών (M3)	6.64E5
Ενεργός Όγκος (M3)	1.89E6
Όγκος άμεσης απορροής (M3)	1.89E6
Όγκος βασικής απορροής (M3)	8.96E5

Βροχόπτωση και Απορροή



Υπολεκάνη: EL0514FR003067

Έκταση (KM2) : 46.66

Κατάντη : J2

Μέθοδος Απωλειών: SCS

Ποσοστό αδιαπέρατης επιφάνειας	0
Αριθμός Καμπύλης Απορροής-CN	57.2
Αρχικές Απώλειες	38.02

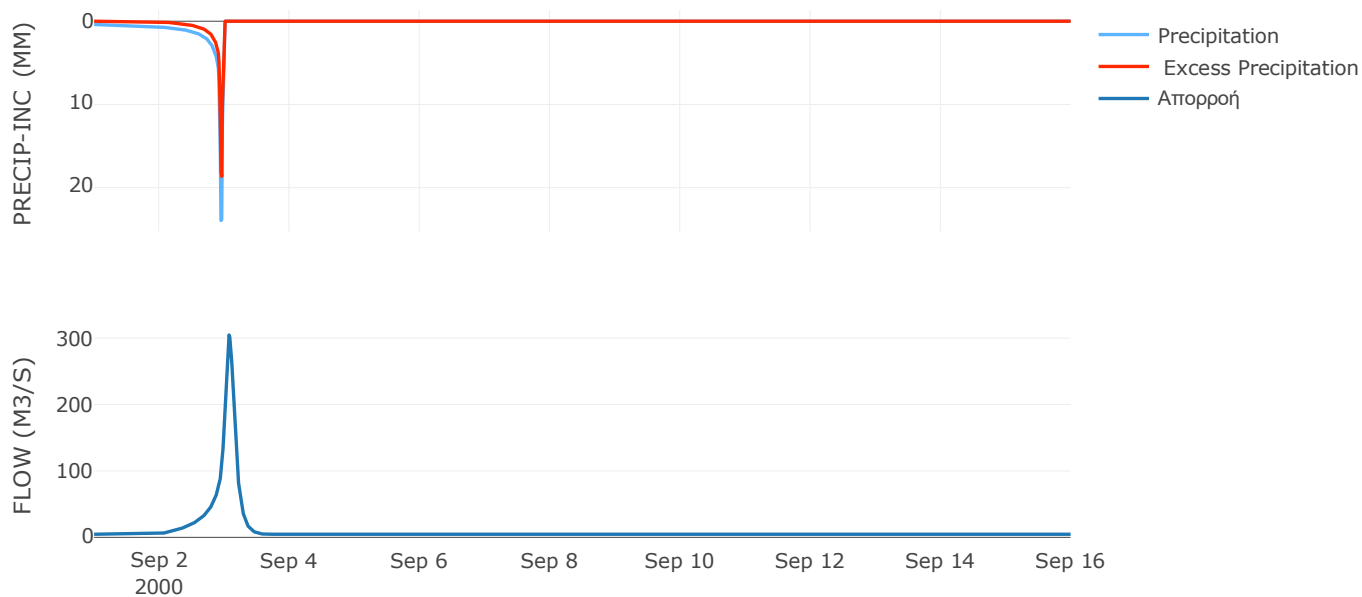
Μέθοδος
Μετασχηματισμού: SCS

Χρόνος Υστέρησης	178.96
------------------	--------

Αποτελέσματα:
EL0514FR003067

Παροχή αιχμής (M3/S)	304.79
Χρονική στιγμή αιχμής	03Sep2000, 01:45
Όγκος (MM)	276.45
Όγκος βροχόπτωσης (M3)	1.37E7
Όγκος απωλειών (M3)	6.86E6
Ενεργός Όγκος (M3)	6.85E6
Όγκος άμεσης απορροής (M3)	6.85E6
Όγκος βασικής απορροής (M3)	6.05E6

Βροχόπτωση και Απορροή



9.2 Δεδομένα και υδρογραφήματα σχεδιασμού Κλάδων υδρογραφικού δικτύου

Κλάδος: R21

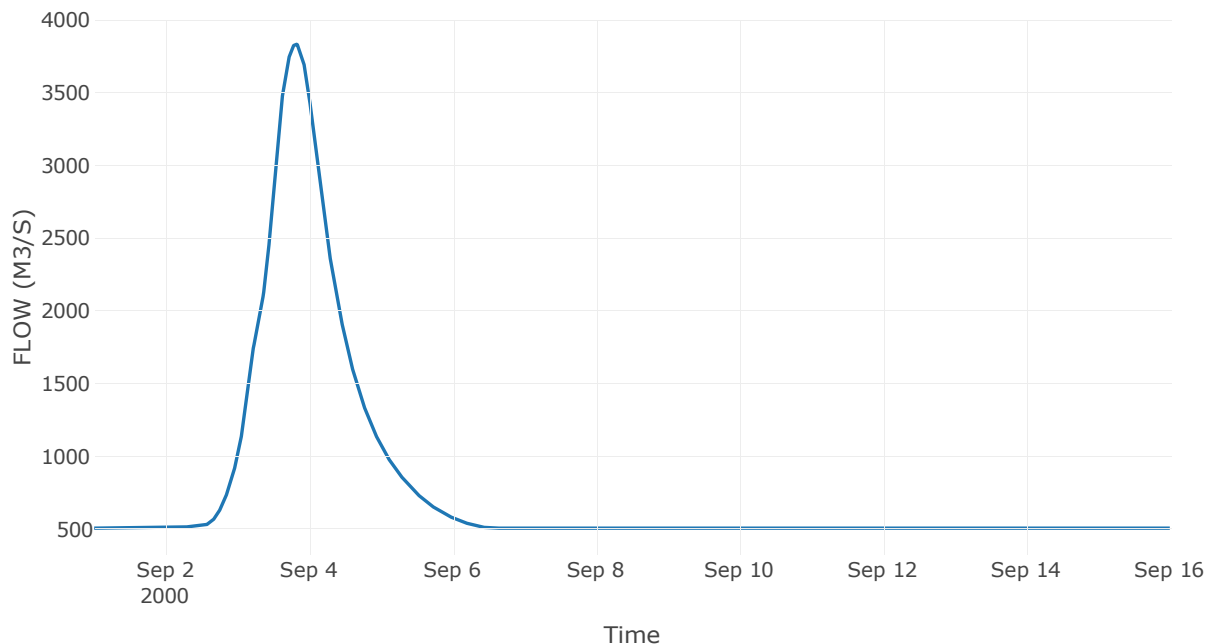
Κατάντη : J1

Μέθοδος Διόδευσης	Muskingum
Αρχική Μεταβλητή	Combined Inflow
Muskingum K	2.32
Συντελεστής βάρους x	0.2
Πλήθος Υποκλάδων	11

Αποτελέσματα: R21

Παροχή Αιχμής(M3/S)	3832.12
Χρονική στιγμή αιχμής	03Sep2000, 19:30
Όγκος(MM)	532.88
Παροχή Αιχμής Εισόδου (M3/S)	3837.12
Όγκος Εισροής(M3)	1E9

Απορροή



Κλάδος: R32

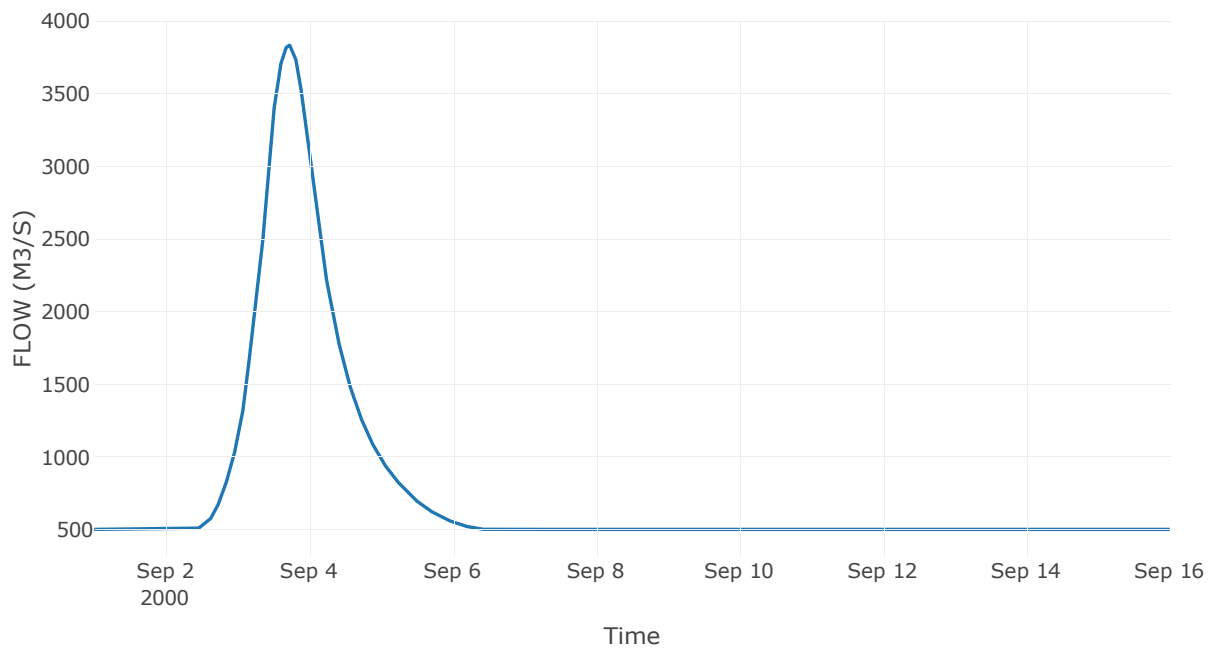
Κατάντη : J2

Μέθοδος Διόδευσης	Muskingum
Αρχική Μεταβλητή	Combined Inflow
Muskingum K	3.63
Συντελεστής βάρους α	0.2
Πλήθος Υποκλάδων	18

Αποτελέσματα: R32

Παροχή Αιχμής(M3/S)	3832.45
Χρονική στιγμή αιχμής	03Sep2000, 17:15
Όγκος(MM)	539.4
Παροχή Αιχμής Εισόδου (M3/S)	3839.8
Όγκος Εισροής(M3)	9.91E8

Απορροή



Κλάδος: R43

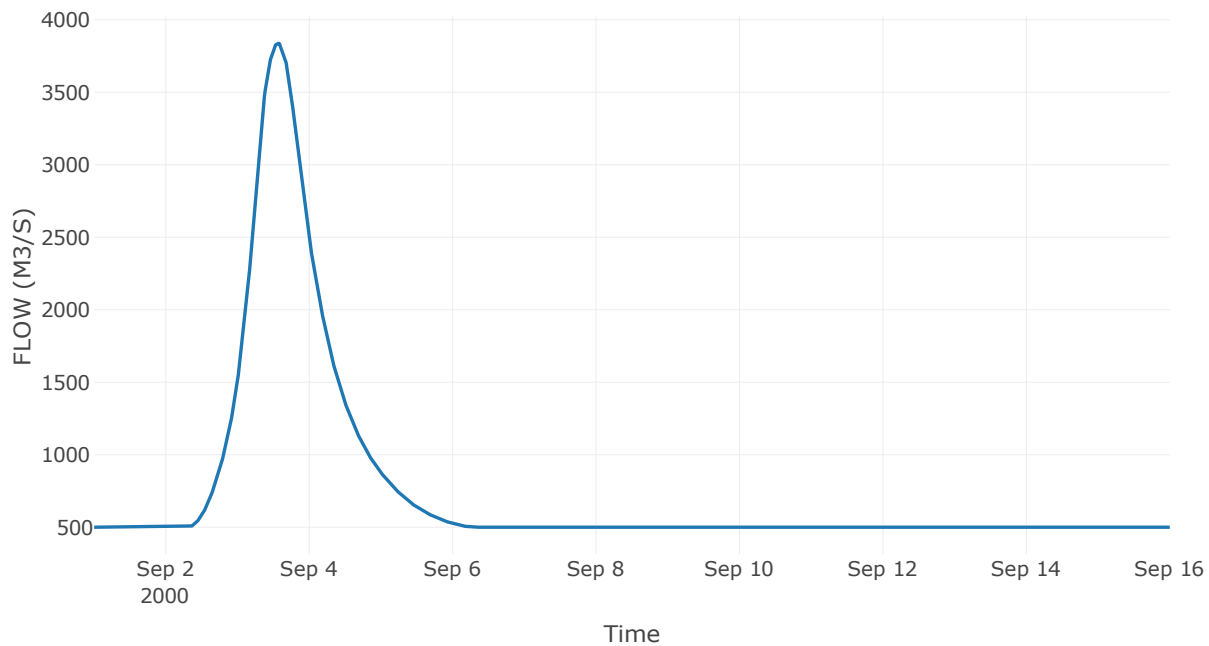
Κατάντη : J3

Μέθοδος Διόδευσης	Muskingum
Αρχική Μεταβλητή	Combined Inflow
Muskingum K	0.63
Συντελεστής βάρους x	0.2
Πλήθος Υποκλάδων	3

Αποτελέσματα: R43

Παροχή Αιχμής(M3/S)	3838.36
Χρονική στιγμή αιχμής	03Sep2000, 13:30
Όγκος(MM)	541.1
Παροχή Αιχμής Εισόδου (M3/S)	3839.65
Όγκος Εισροής(M3)	9.86E8

Απορροή



Κλάδος: R54

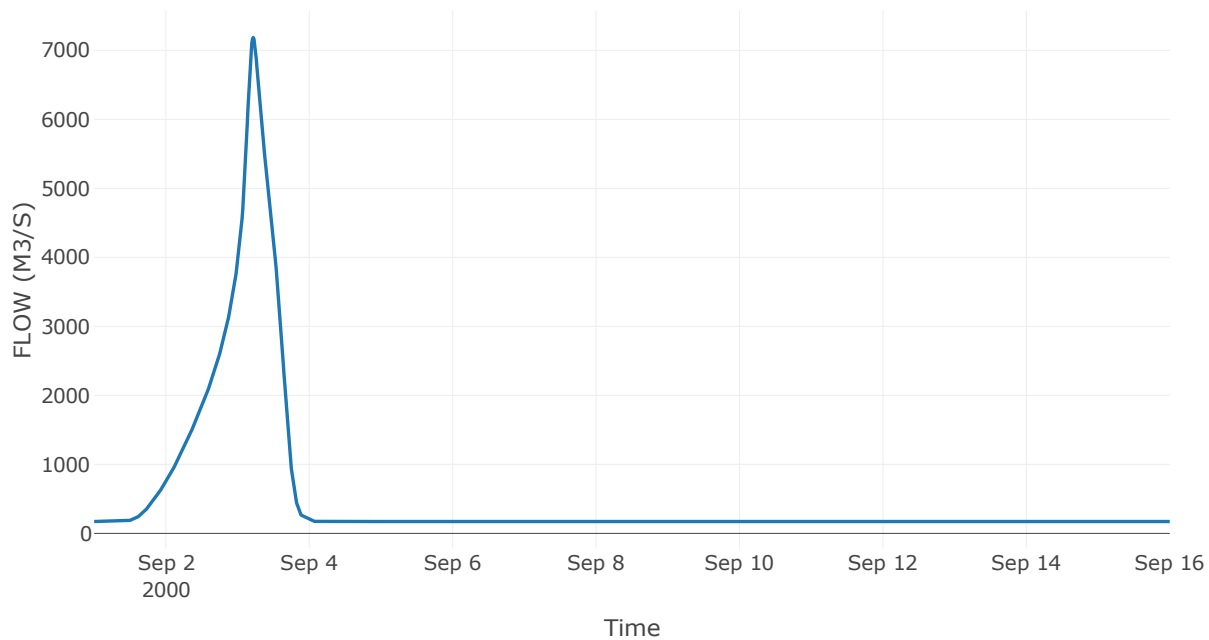
Κατάντη : J4 Res1

Μέθοδος Διόδευσης	Muskingum
Αρχική Μεταβλητή	Combined Inflow
Muskingum K	4
Συντελεστής βάρους x	0.2
Πλήθος Υποκλάδων	5

Αποτελέσματα: R54

Παροχή Αιχμής(M3/S)	7186.62
Χρονική στιγμή αιχμής	03Sep2000, 05:15
Όγκος(MM)	396.57
Παροχή Αιχμής Εισόδου (M3/S)	8178.31
Όγκος Εισροής(M3)	6.82E8

Απορροή



Κλάδος: R65

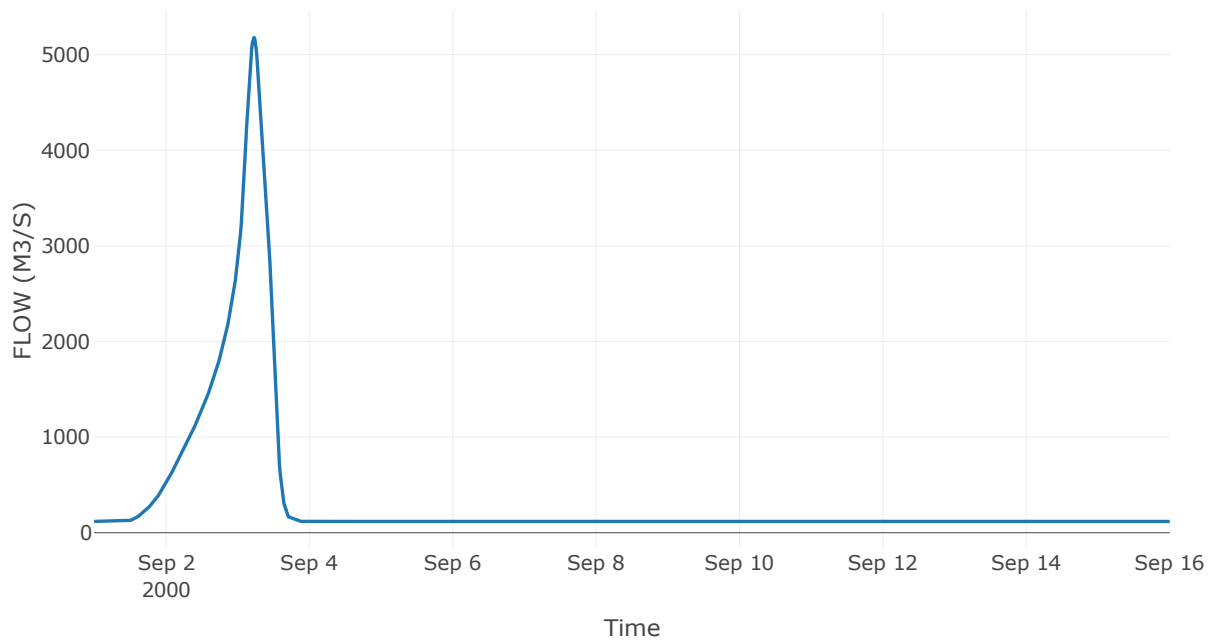
Κατάντη : J5

Μέθοδος Διόδευσης	Muskingum
Αρχική Μεταβλητή	Combined Inflow
Muskingum K	4
Συντελεστής βάρους x	0.2
Πλήθος Υποκλάδων	5

Αποτελέσματα: R65

Παροχή Αιχμής(M3/S)	5180.65
Χρονική στιγμή αιχμής	03Sep2000, 05:30
Όγκος(MM)	376.66
Παροχή Αιχμής Εισόδου (M3/S)	5462.09
Όγκος Εισροής(M3)	4.46E8

Απορροή



Κλάδος: R76

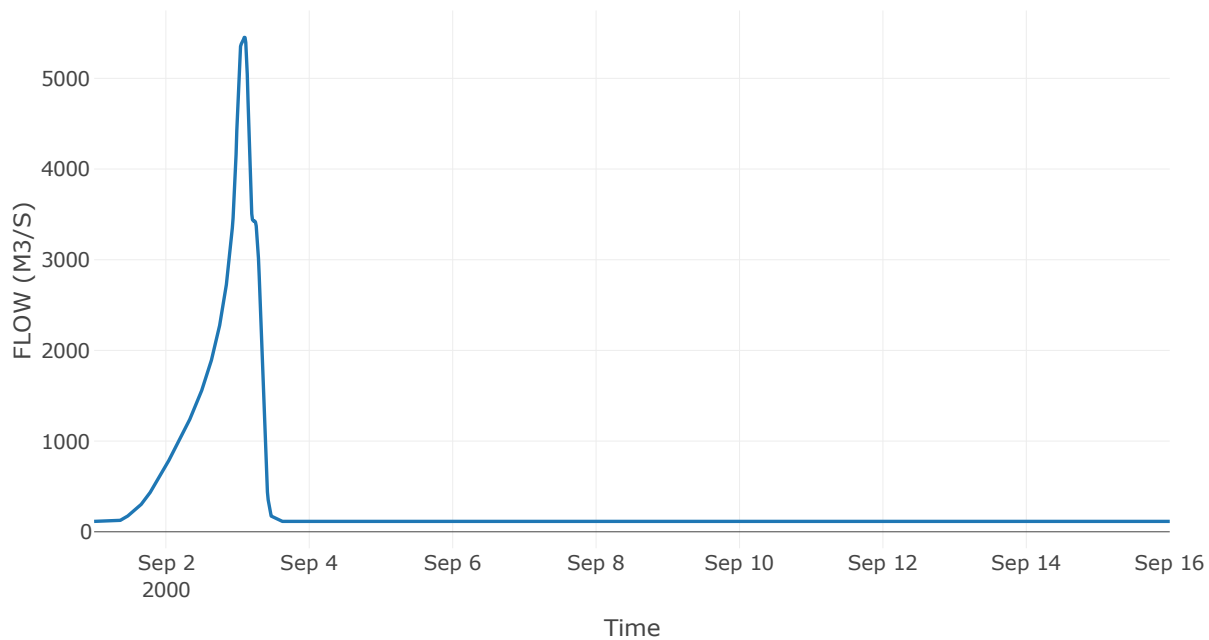
Κατάντη : J6

Μέθοδος Διόδευσης	Muskingum
Αρχική Μεταβλητή	Combined Inflow
Muskingum K	0.4
Συντελεστής βάρους x	0.2
Πλήθος Υποκλάδων	2

Αποτελέσματα: R76

Παροχή Αιχμής(M3/S)	5452
Χρονική στιγμή αιχμής	03Sep2000, 02:15
Όγκος(MM)	377.72
Παροχή Αιχμής Εισόδου (M3/S)	5470.65
Όγκος Εισροής(M3)	4.34E8

Απορροή



Κλάδος: R87

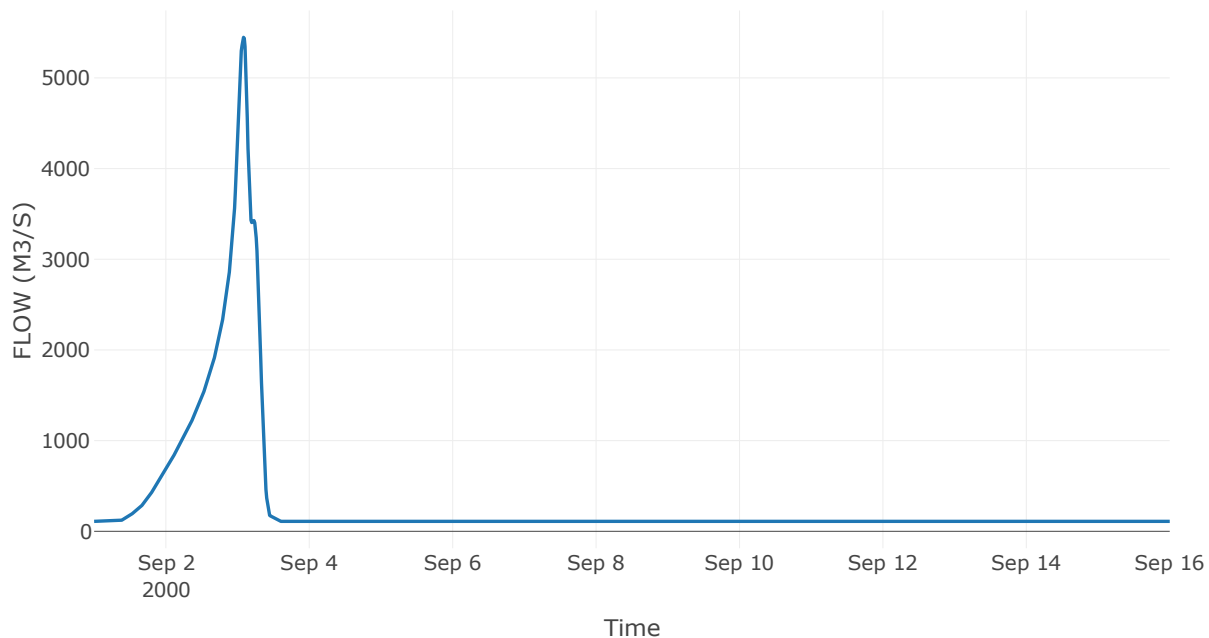
Κατάντη : J7

Μέθοδος Διόδευσης	Muskingum
Αρχική Μεταβλητή	Combined Inflow
Muskingum K	0.48
Συντελεστής βάρους x	0.2
Πλήθος Υποκλάδων	2

Αποτελέσματα: R87

Παροχή Αιχμής(M3/S)	5447.3
Χρονική στιγμή αιχμής	03Sep2000, 02:00
Όγκος(MM)	373.43
Παροχή Αιχμής Εισόδου (M3/S)	5477.47
Όγκος Εισροής(M3)	4.1E8

Απορροή



Κλάδος: R98

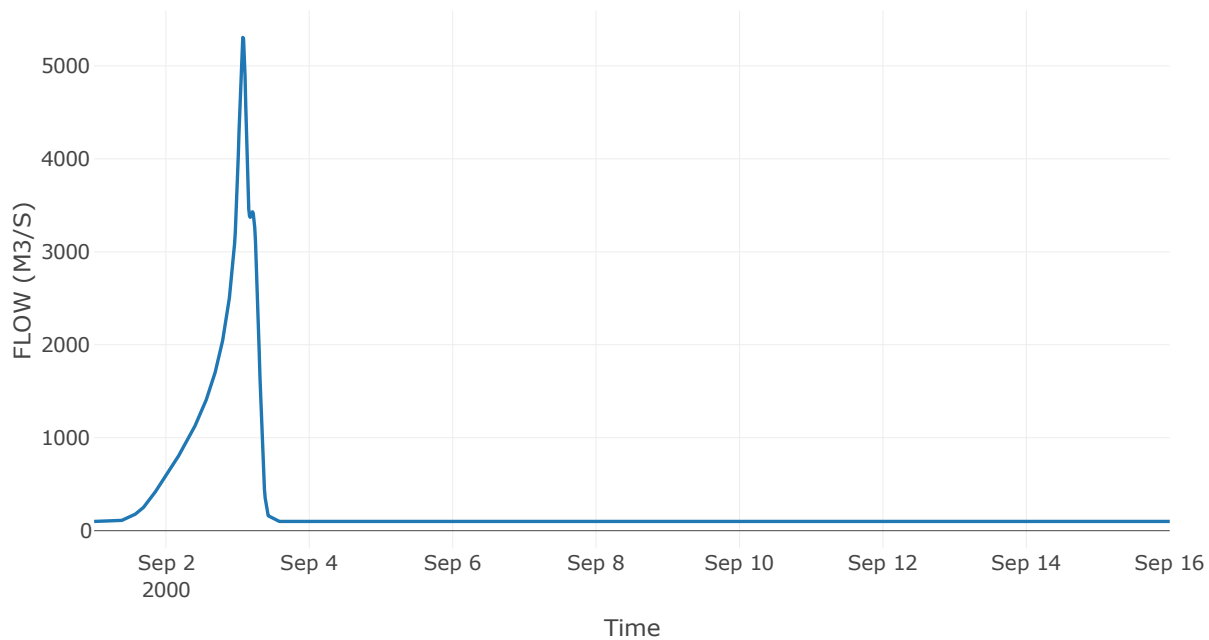
Κατάντη : J8

Μέθοδος Διόδευσης	Muskingum
Αρχική Μεταβλητή	Combined Inflow
Muskingum K	0.88
Συντελεστής βάρους x	0.2
Πλήθος Υποκλάδων	4

Αποτελέσματα: R98

Παροχή Αιχμής(M3/S)	5305.81
Χρονική στιγμή αιχμής	03Sep2000, 01:45
Όγκος(MM)	364.88
Παροχή Αιχμής Εισόδου (M3/S)	5425.24
Όγκος Εισροής(M3)	3.64E8

Απορροή



Κλάδος: R109

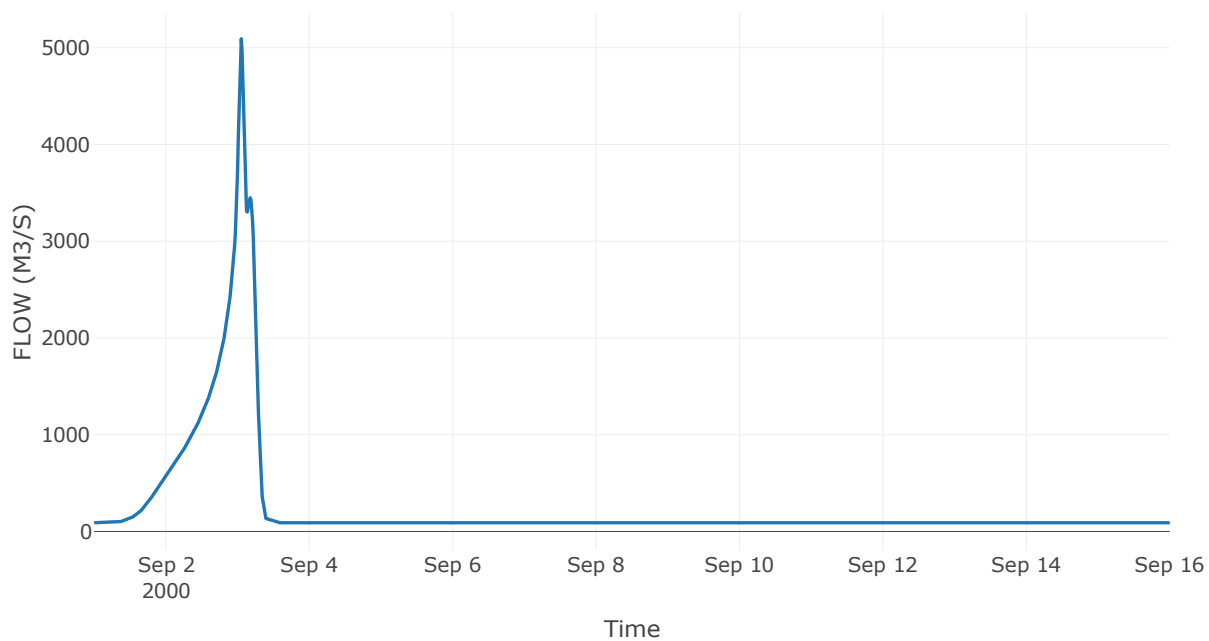
Κατάντη : J9

Μέθοδος Διόδευσης	Χρόνος Υστέρησης
Αρχική Μεταβλητή	Combined Inflow
Χρόνος Υστέρησης	43.87

Αποτελέσματα: R109

Παροχή Αιχμής(M3/S)	5092.59
Χρονική στιγμή αιχμής	03Sep2000, 01:15
Όγκος(MM)	365.6
Παροχή Αιχμής Εισόδου (M3/S)	5106.63
Όγκος Εισροής(M3)	3.28E8

Απορροή



Κλάδος: R1110

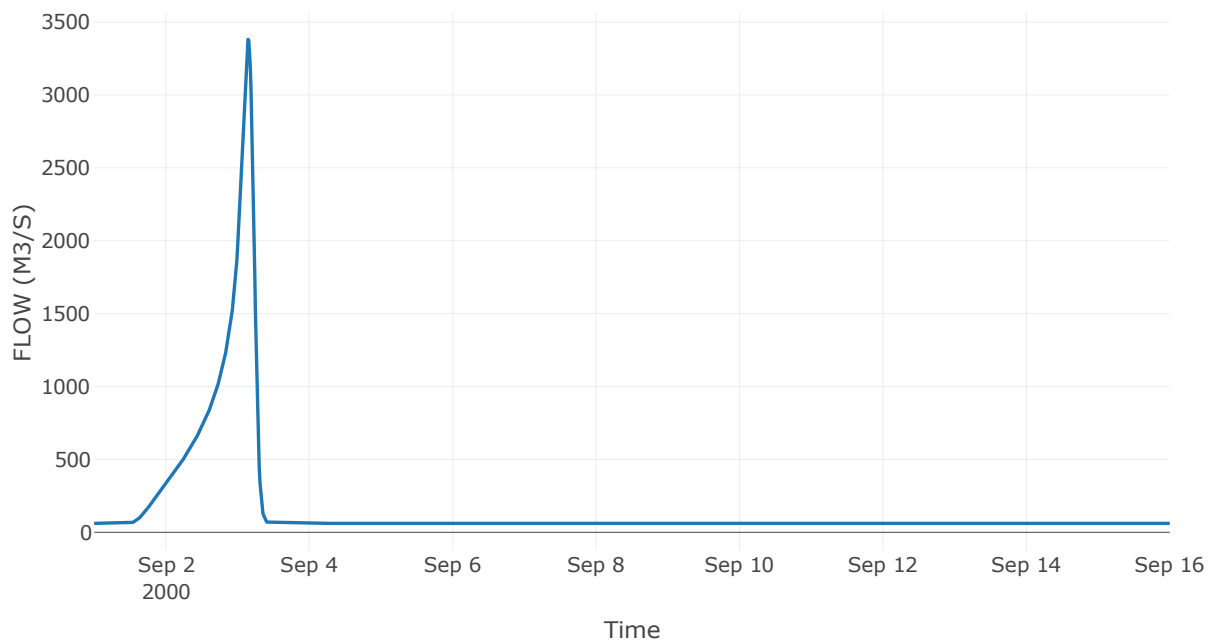
Κατάντη : J10

Μέθοδος Διόδευσης	Muskingum
Αρχική Μεταβλητή	Combined Inflow
Muskingum K	1.36
Συντελεστής βάρους x	0.2
Πλήθος Υποκλάδων	7

Αποτελέσματα: R1110

Παροχή Αιχμής(M3/S)	3380.85
Χρονική στιγμή αιχμής	03Sep2000, 03:30
Όγκος(MM)	347.35
Παροχή Αιχμής Εισόδου (M3/S)	3454.18
Όγκος Εισροής(M3)	2.12E8

Απορροή



Κλάδος: R1211

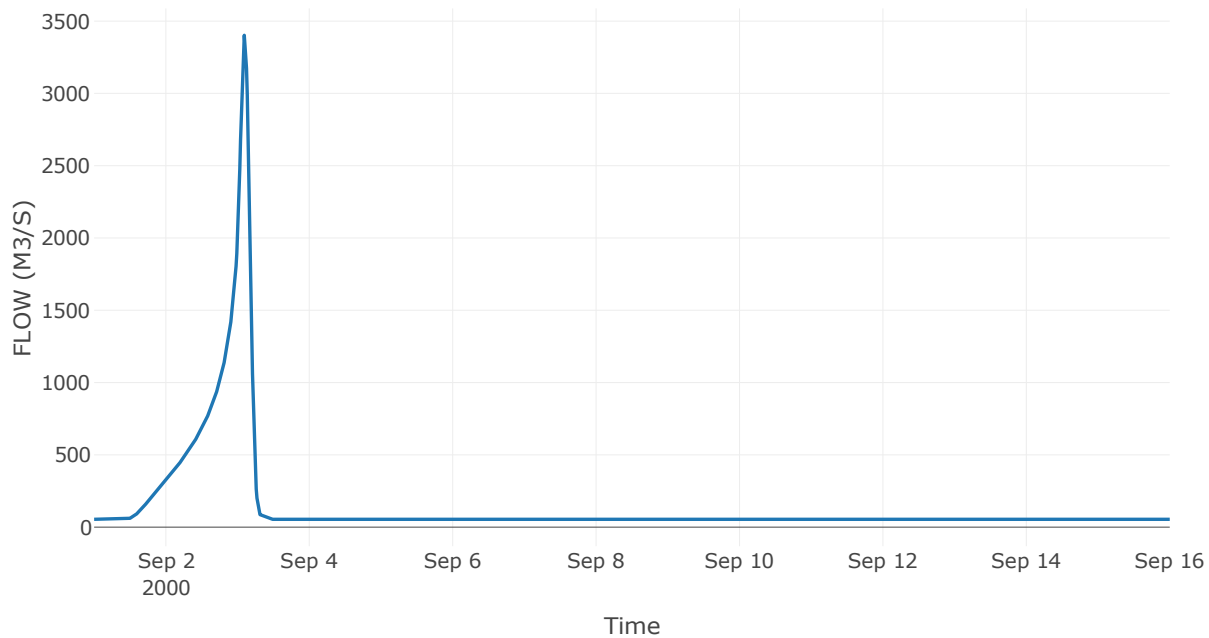
Κατάντη : J11

Μέθοδος Διόδευσης	Muskingum
Αρχική Μεταβλητή	Combined Inflow
Muskingum K	1.21
Συντελεστής βάρους x	0.2
Πλήθος Υποκλάδων	6

Αποτελέσματα: R1211

Παροχή Αιχμής(M3/S)	3401.99
Χρονική στιγμή αιχμής	03Sep2000, 02:15
Όγκος(MM)	347.51
Παροχή Αιχμής Εισόδου (M3/S)	3484.65
Όγκος Εισροής(M3)	1.89E8

Απορροή



Κλάδος: R1312

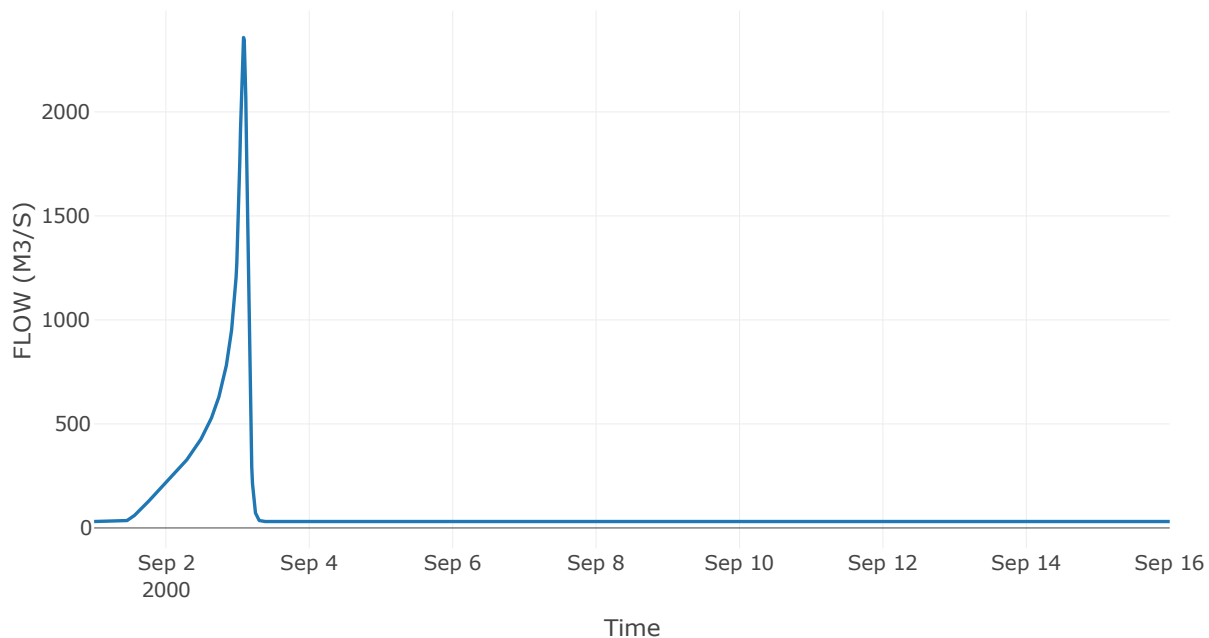
Κατάντη : J12

Μέθοδος Διόδευσης	Muskingum
Αρχική Μεταβλητή	Combined Inflow
Muskingum K	1.31
Συντελεστής βάρους x	0.2
Πλήθος Υποκλάδων	6

Αποτελέσματα: R1312

Παροχή Αιχμής(M3/S)	2357.68
Χρονική στιγμή αιχμής	03Sep2000, 02:00
Όγκος(MM)	366.19
Παροχή Αιχμής Εισόδου (M3/S)	2456.5
Όγκος Εισροής(M3)	1.13E8

Απορροή



Κλάδος: R1413

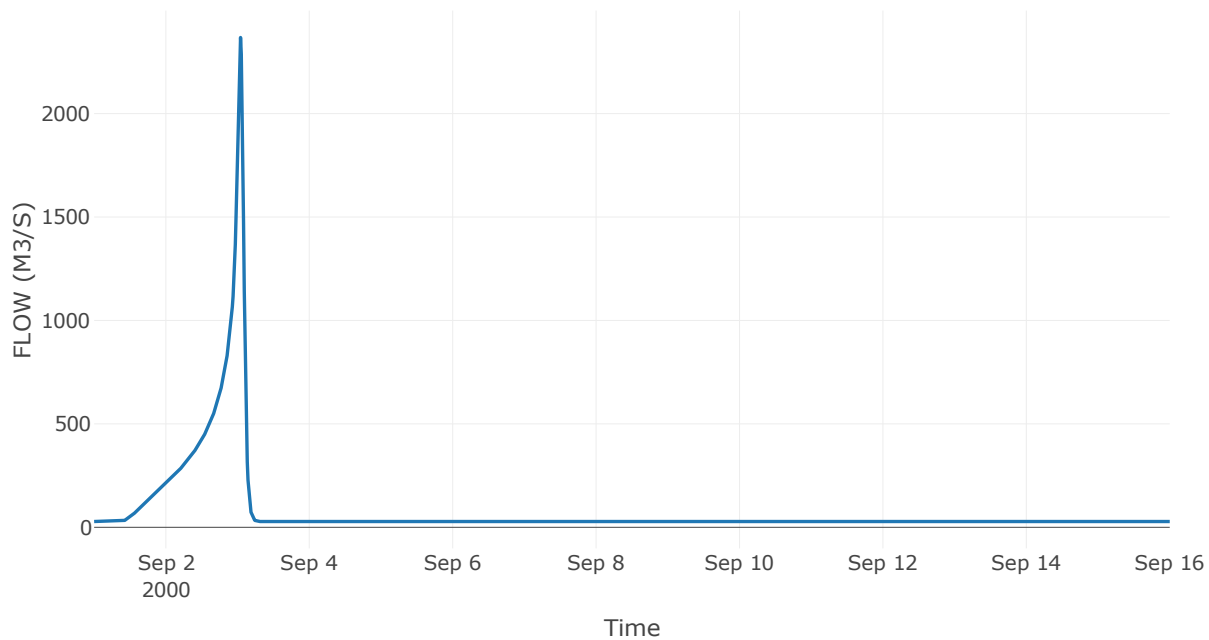
Κατάντη : J13

Μέθοδος Διόδευσης	Muskingum
Αρχική Μεταβλητή	Combined Inflow
Muskingum K	0.14
Συντελεστής βάρους α	0.2
Πλήθος Υποκλάδων	1

Αποτελέσματα: R1413

Παροχή Αιχμής(M3/S)	2367.81
Χρονική στιγμή αιχμής	03Sep2000, 01:00
Όγκος(MM)	367.52
Παροχή Αιχμής Εισόδου (M3/S)	2375.57
Όγκος Εισροής(M3)	1.03E8

Απορροή



Κλάδος: R1514

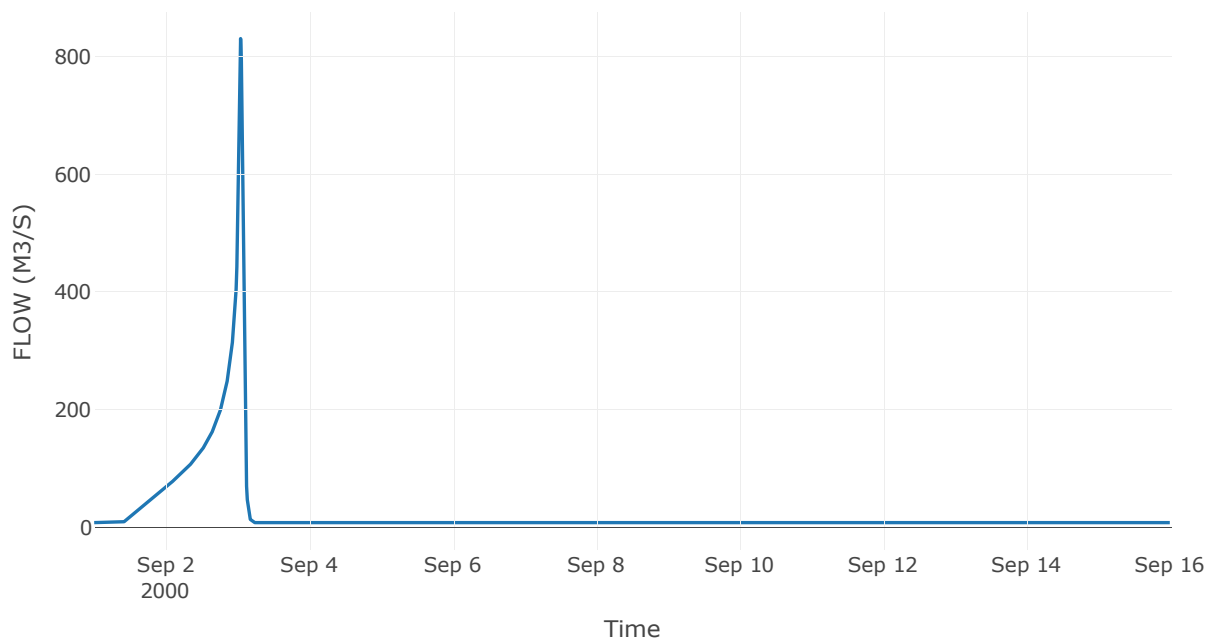
Κατάντη : J14

Μέθοδος Διόδευσης	Χρόνος Υστέρησης
Αρχική Μεταβλητή	Combined Inflow
Χρόνος Υστέρησης	72.04

Αποτελέσματα: R1514

Παροχή Αιχμής(M3/S)	829.85
Χρονική στιγμή αιχμής	03Sep2000, 01:00
Όγκος(MM)	383.47
Παροχή Αιχμής Εισόδου (M3/S)	834.2
Όγκος Εισροής(M3)	3.05E7

Απορροή



Κλάδος: R1614

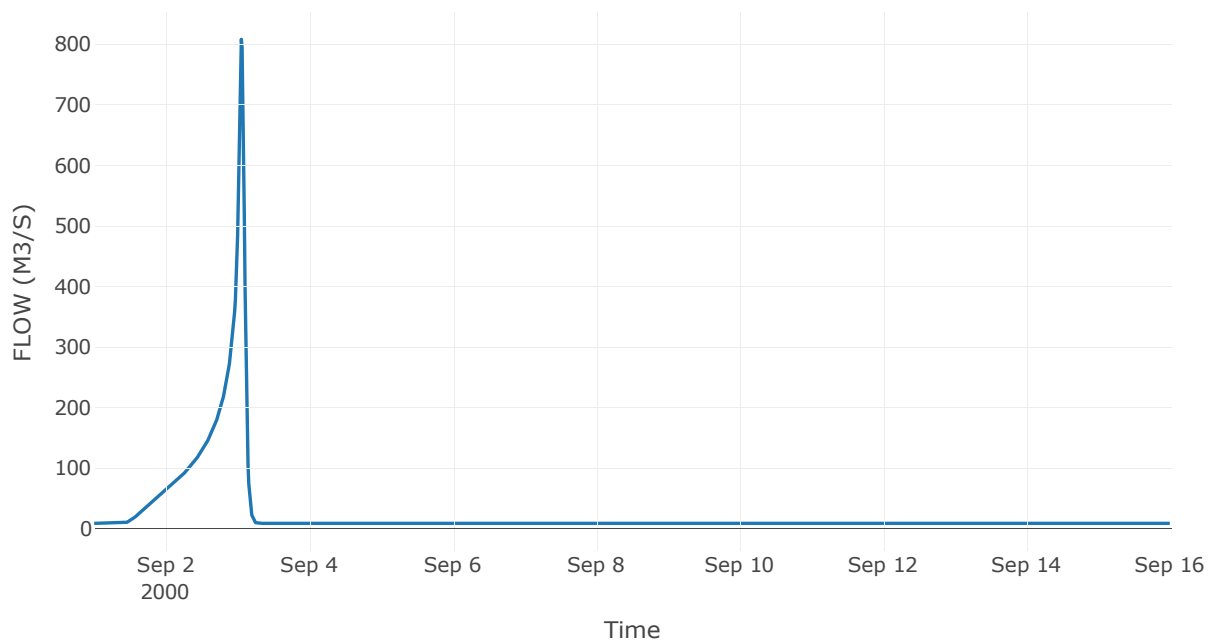
Κατάντη : J14

Μέθοδος Διόδευσης	Muskingum
Αρχική Μεταβλητή	Combined Inflow
Muskingum K	1.35
Συντελεστής βάρους x	0.2
Πλήθος Υποκλάδων	7

Αποτελέσματα: R1614

Παροχή Αιχμής(M3/S)	807.99
Χρονική στιγμή αιχμής	03Sep2000, 01:15
Όγκος(MM)	370.69
Παροχή Αιχμής Εισόδου (M3/S)	881.88
Όγκος Εισροής(M3)	3.2E7

Απορροή



Κλάδος: R1712

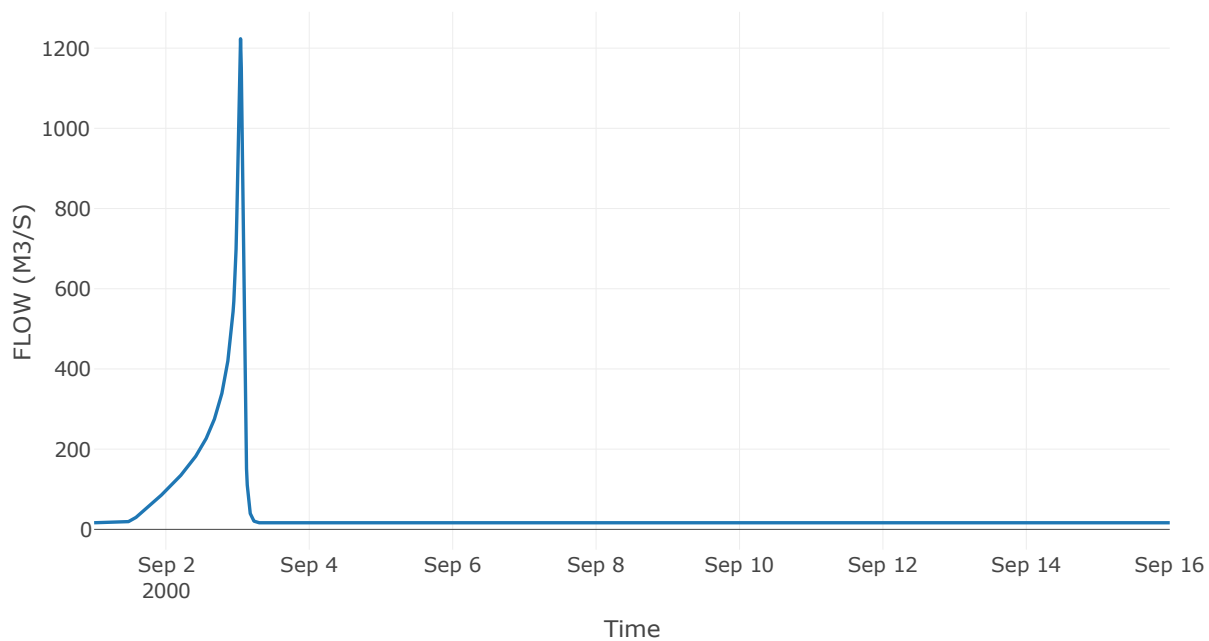
Κατάντη : J12

Μέθοδος Διόδευσης	Χρόνος Υστέρησης
Αρχική Μεταβλητή	Combined Inflow
Χρόνος Υστέρησης	43.97

Αποτελέσματα: R1712

Παροχή Αιχμής(M3/S)	1223.34
Χρονική στιγμή αιχμής	03Sep2000, 01:00
Όγκος(MM)	318.76
Παροχή Αιχμής Εισόδου (M3/S)	1231.76
Όγκος Εισροής(M3)	5.24E7

Απορροή



Κλάδος: R1817

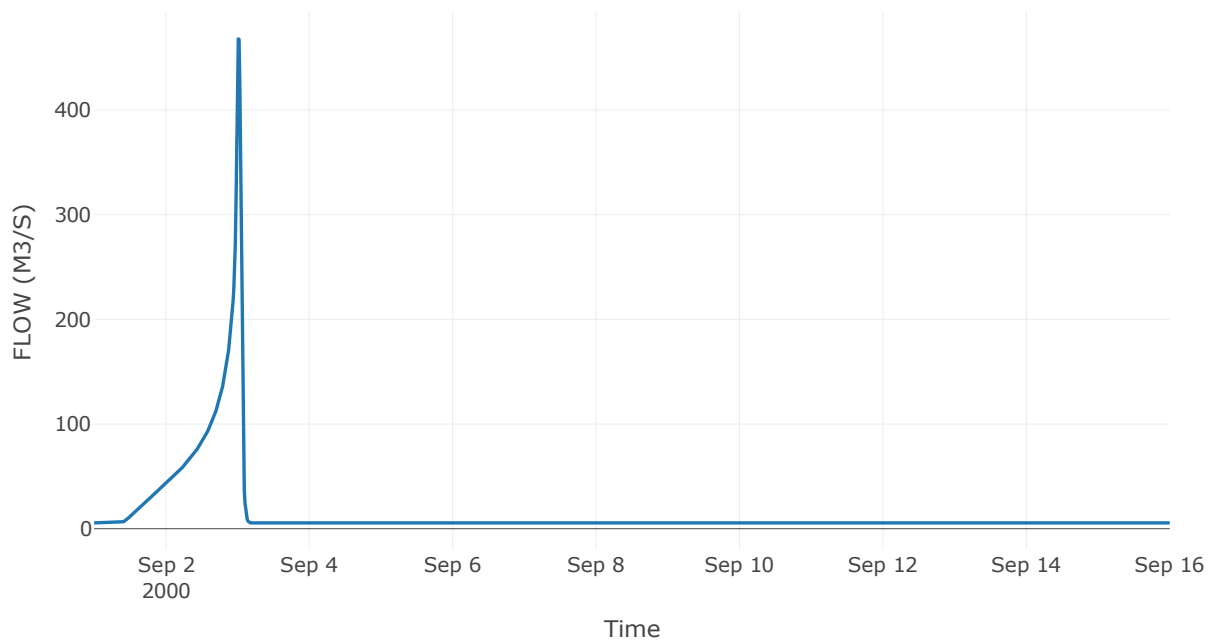
Κατάντη : J17

Μέθοδος Διόδευσης	Χρόνος Υστέρησης
Αρχική Μεταβλητή	Combined Inflow
Χρόνος Υστέρησης	40.76

Αποτελέσματα: R1817

Παροχή Αιχμής(M3/S)	467.96
Χρονική στιγμή αιχμής	03Sep2000, 00:15
Όγκος(MM)	339.78
Παροχή Αιχμής Εισόδου (M3/S)	476.77
Όγκος Εισροής(M3)	1.9E7

Απορροή



Κλάδος: R1910

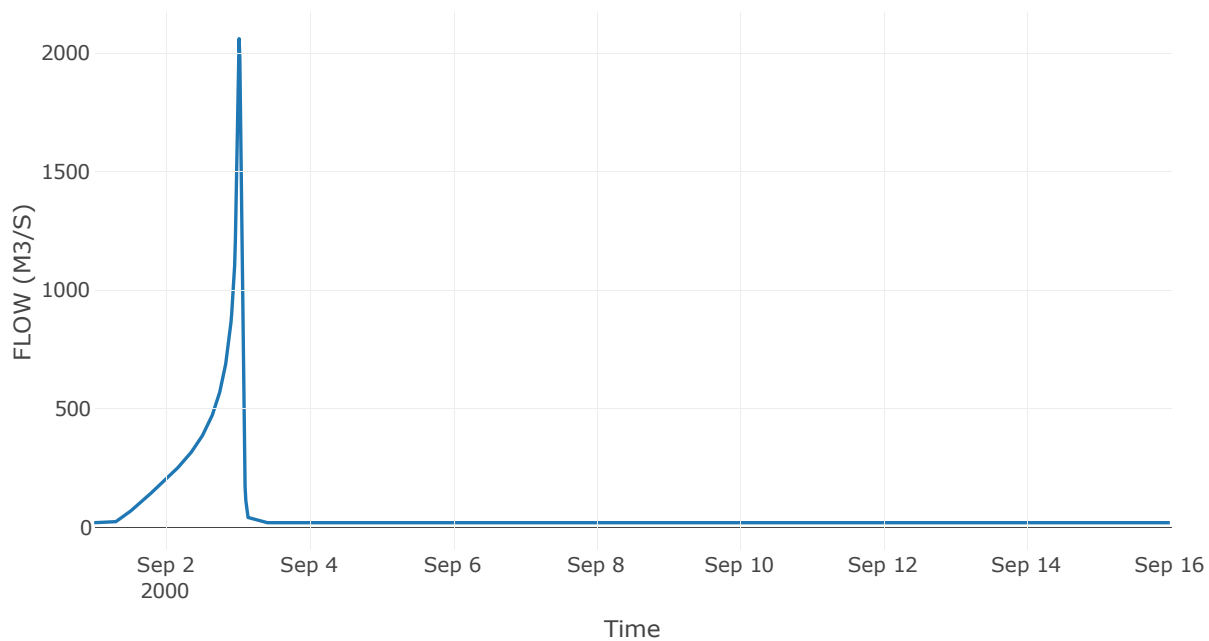
Κατάντη : J10

Μέθοδος Διόδευσης	Χρόνος Υστέρησης
Αρχική Μεταβλητή	Combined Inflow
Χρόνος Υστέρησης	28.41

Αποτελέσματα: R1910

Παροχή Αιχμής(M3/S)	2059.86
Χρονική στιγμή αιχμής	03Sep2000, 00:30
Όγκος(MM)	433.48
Παροχή Αιχμής Εισόδου (M3/S)	2068.54
Όγκος Εισροής(M3)	7.99E7

Απορροή



Κλάδος: R2019

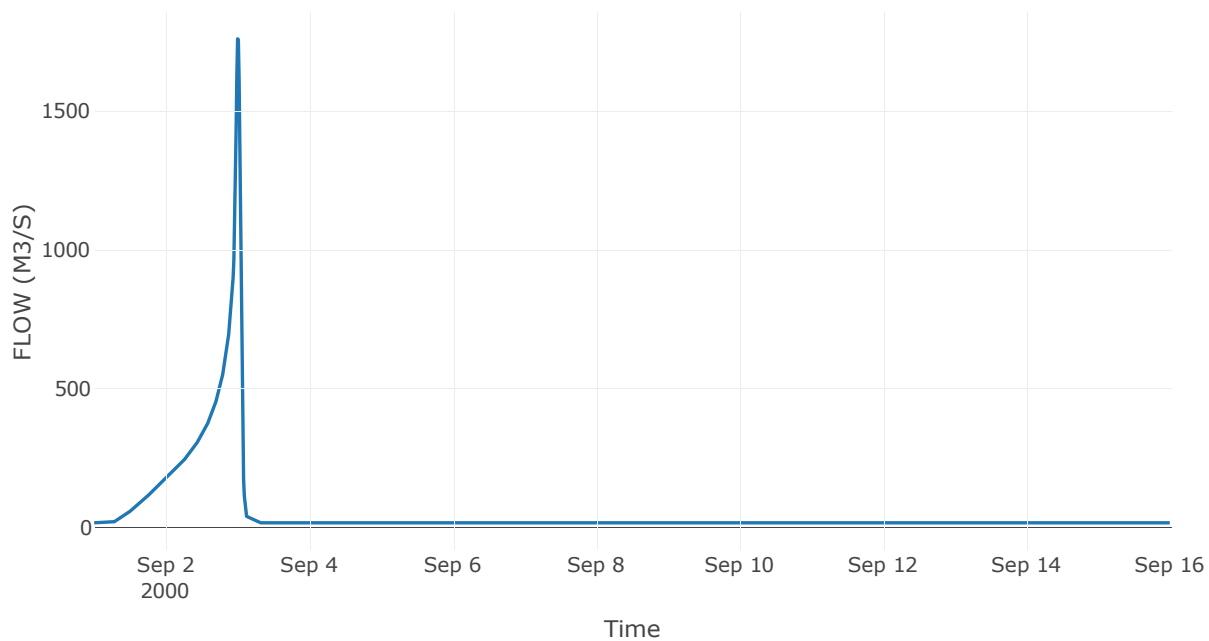
Κατάντη : J19

Μέθοδος Διόδευσης	Χρόνος Υστέρησης
Αρχική Μεταβλητή	Combined Inflow
Χρόνος Υστέρησης	21.17

Αποτελέσματα: R2019

Παροχή Αιχμής(M3/S)	1760.41
Χρονική στιγμή αιχμής	02Sep2000, 24:00
Όγκος(MM)	428.68
Παροχή Αιχμής Εισόδου (M3/S)	1793.48
Όγκος Εισροής(M3)	6.81E7

Απορροή



Κλάδος: R2120

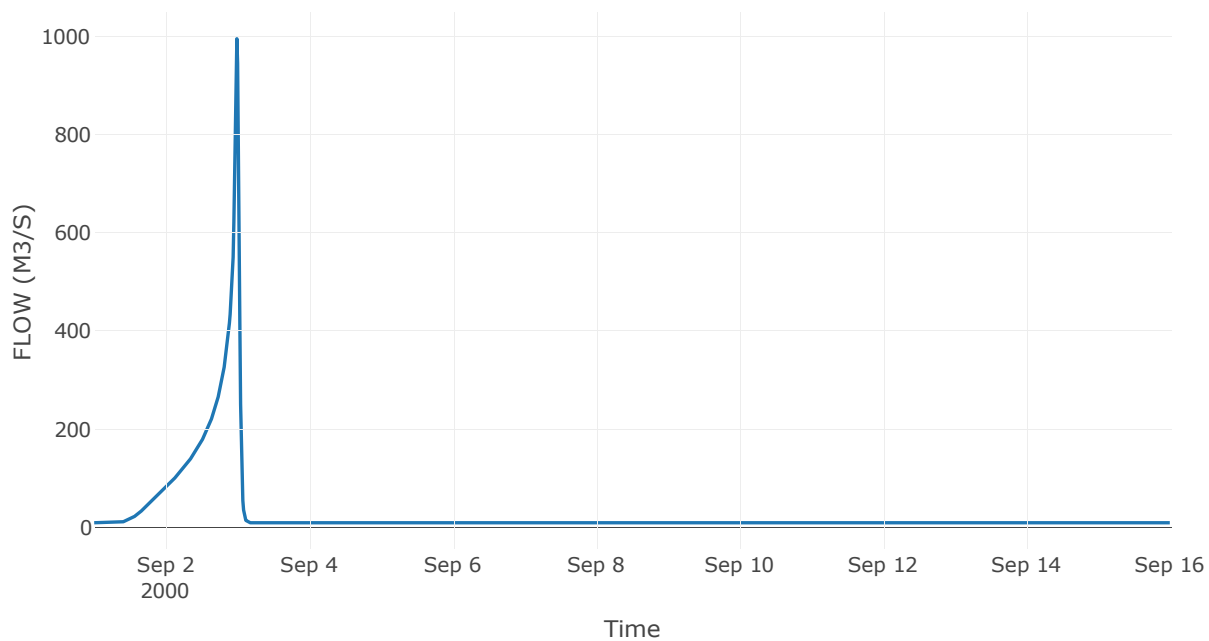
Κατάντη : J20

Μέθοδος Διόδευσης	Χρόνος Υστέρησης
Αρχική Μεταβλητή	Combined Inflow
Χρόνος Υστέρησης	7.56

Αποτελέσματα: R2120

Παροχή Αιχμής(M3/S)	995.18
Χρονική στιγμή αιχμής	02Sep2000, 23:45
Όγκος(MM)	374.78
Παροχή Αιχμής Εισόδου (M3/S)	999.73
Όγκος Εισροής(M3)	3.67E7

Απορροή



Κλάδος: R225

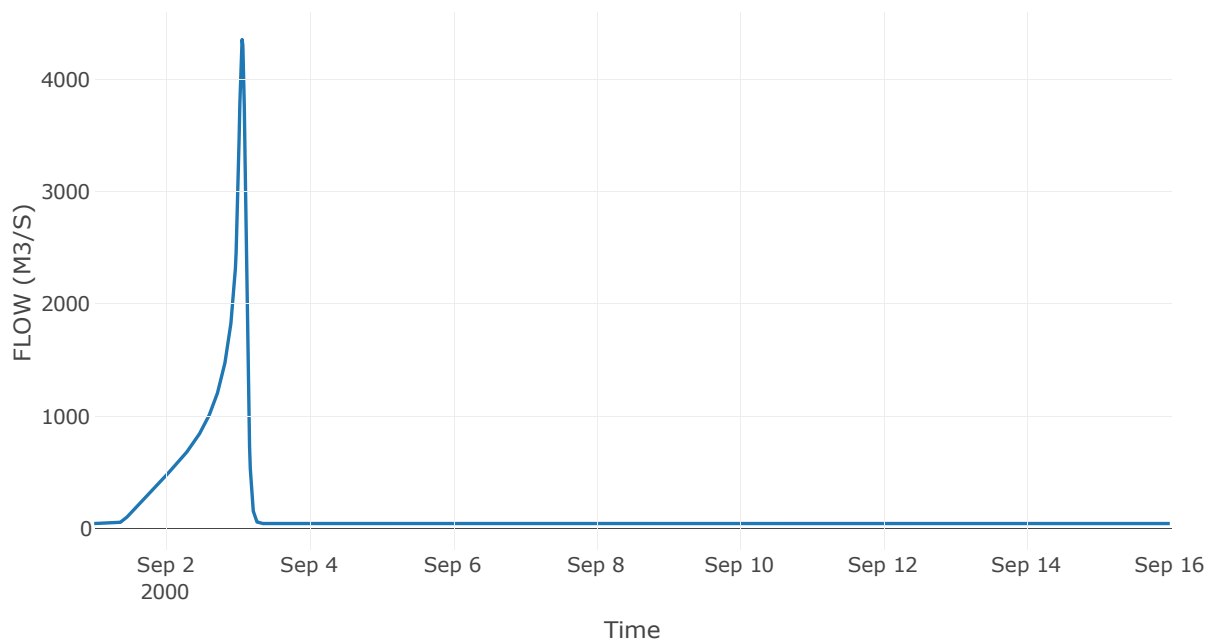
Κατάντη : J5

Μέθοδος Διόδευσης	Muskingum
Αρχική Μεταβλητή	Combined Inflow
Muskingum K	1
Συντελεστής βάρους α	0.2
Πλήθος Υποκλάδων	2

Αποτελέσματα: R225

Παροχή Αιχμής(M3/S)	4358.39
Χρονική στιγμή αιχμής	03Sep2000, 01:30
Όγκος(MM)	450.69
Παροχή Αιχμής Εισόδου (M3/S)	4661.64
Όγκος Εισροής(M3)	2.01E8

Απορροή



Κλάδος: R2322

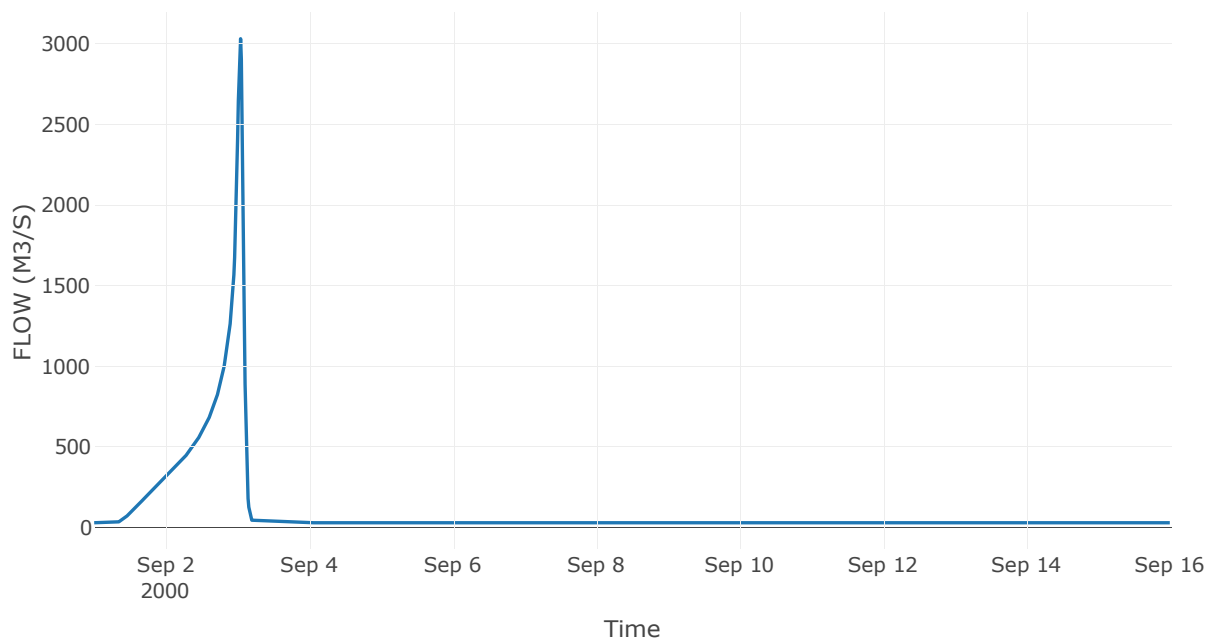
Κατάντη : J22

Μέθοδος Διόδευσης	Χρόνος Υστέρησης
Αρχική Μεταβλητή	Combined Inflow
Χρόνος Υστέρησης	0

Αποτελέσματα: R2322

Παροχή Αιχμής(M3/S)	3031.75
Χρονική στιγμή αιχμής	03Sep2000, 01:00
Όγκος(MM)	438.08
Παροχή Αιχμής Εισόδου (M3/S)	3031.75
Όγκος Εισροής(M3)	1.29E8

Απορροή



Κλάδος: R2423

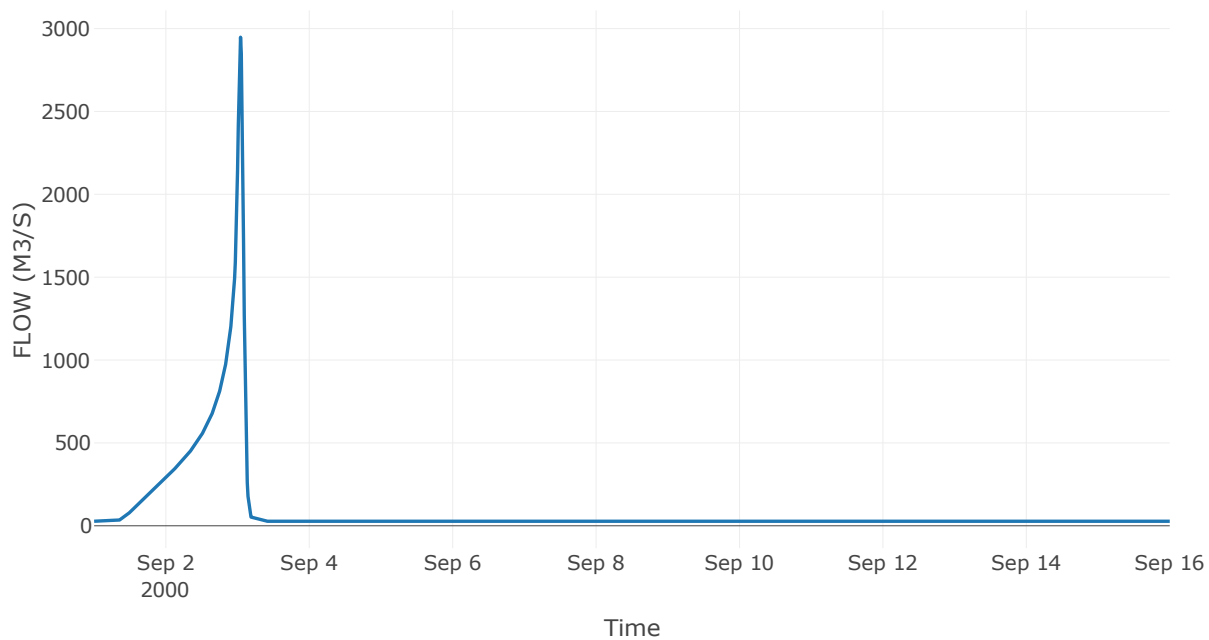
Κατάντη : J23

Μέθοδος Διόδευσης	Muskingum
Αρχική Μεταβλητή	Combined Inflow
Muskingum K	0.61
Συντελεστής βάρους α	0.2
Πλήθος Υποκλάδων	3

Αποτελέσματα: R2423

Παροχή Αιχμής(M3/S)	2947.91
Χρονική στιγμή αιχμής	03Sep2000, 01:00
Όγκος(MM)	439.35
Παροχή Αιχμής Εισόδου (M3/S)	3040.25
Όγκος Εισροής(M3)	1.2E8

Απορροή



Κλάδος: R2524

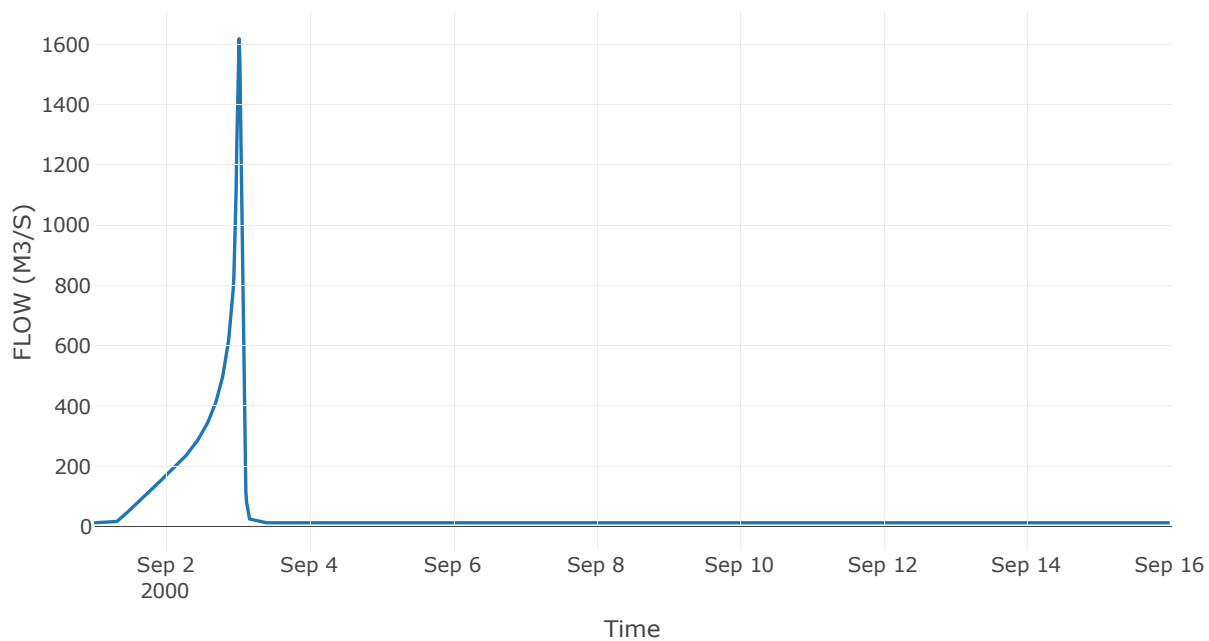
Κατάντη : J24

Μέθοδος Διόδευσης	Χρόνος Υστέρησης
Αρχική Μεταβλητή	Combined Inflow
Χρόνος Υστέρησης	21.41

Αποτελέσματα: R2524

Παροχή Αιχμής(M3/S)	1618.42
Χρονική στιγμή αιχμής	03Sep2000, 00:30
Όγκος(MM)	460.34
Παροχή Αιχμής Εισόδου (M3/S)	1619.52
Όγκος Εισροής(M3)	6.39E7

Απορροή



Κλάδος: R2625

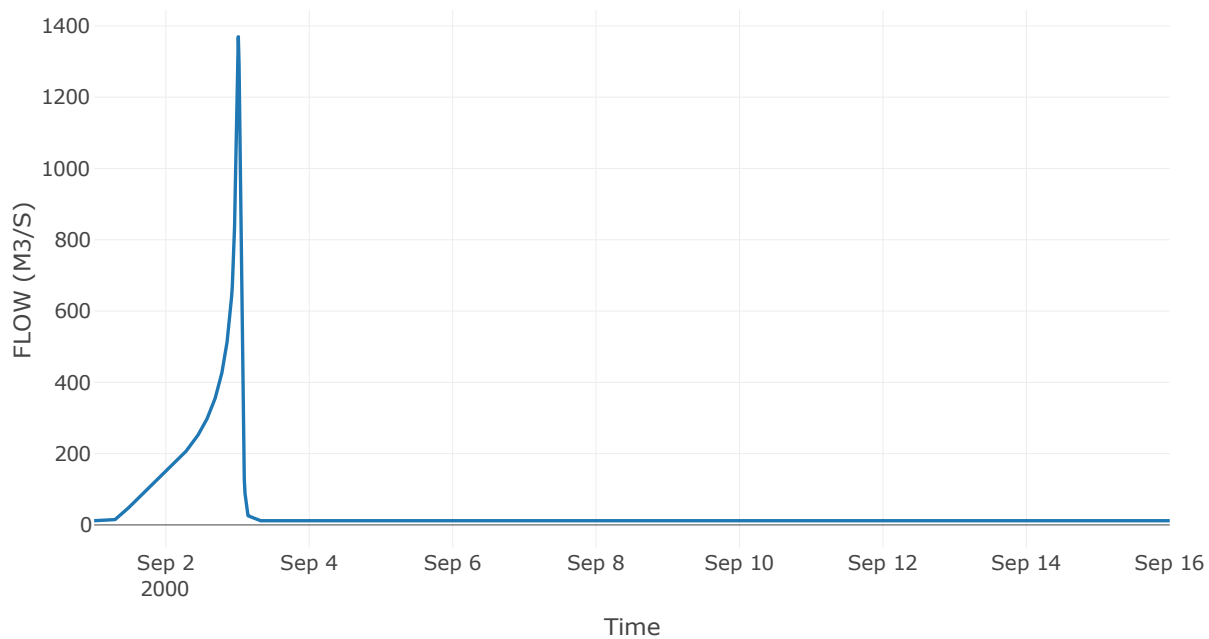
Κατάντη : J25

Μέθοδος Διόδευσης	Χρόνος Υστέρησης
Αρχική Μεταβλητή	Combined Inflow
Χρόνος Υστέρησης	10.78

Αποτελέσματα: R2625

Παροχή Αιχμής(M3/S)	1369.6
Χρονική στιγμή αιχμής	03Sep2000, 00:15
Όγκος(MM)	462.49
Παροχή Αιχμής Εισόδου (M3/S)	1383.38
Όγκος Εισροής(M3)	5.43E7

Απορροή



Κλάδος: R2726

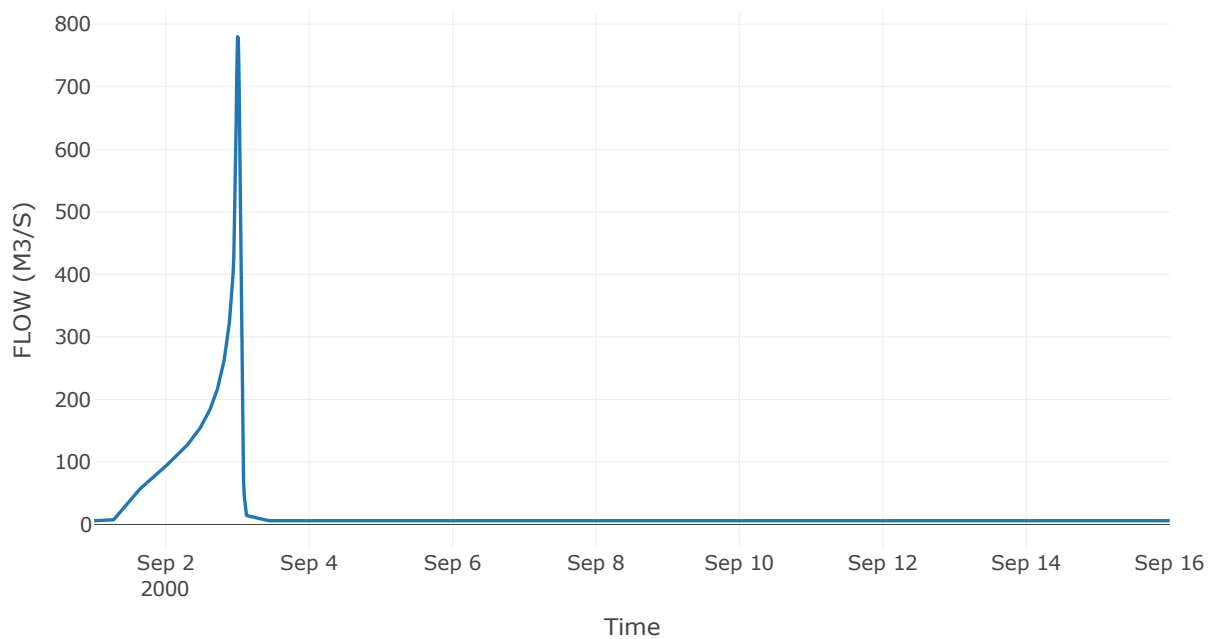
Κατάντη : J26

Μέθοδος Διόδευσης	Χρόνος Υστέρησης
Αρχική Μεταβλητή	Combined Inflow
Χρόνος Υστέρησης	21.61

Αποτελέσματα: R2726

Παροχή Αιχμής(M3/S)	780.03
Χρονική στιγμή αιχμής	02Sep2000, 24:00
Όγκος(MM)	508.71
Παροχή Αιχμής Εισόδου (M3/S)	794.88
Όγκος Εισροής(M3)	3.08E7

Απορροή



Κλάδος: R2824

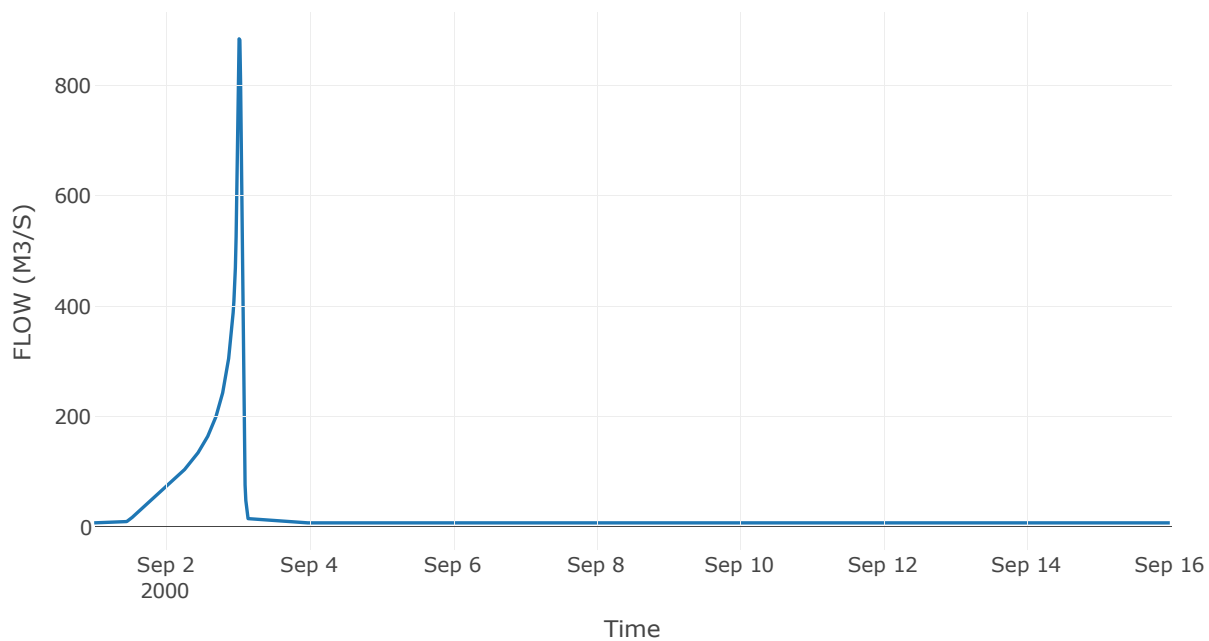
Κατάντη : J24

Μέθοδος Διόδευσης	Χρόνος Υστέρησης
Αρχική Μεταβλητή	Combined Inflow
Χρόνος Υστέρησης	41.06

Αποτελέσματα: R2824

Παροχή Αιχμής(M3/S)	884.9
Χρονική στιγμή αιχμής	03Sep2000, 00:30
Όγκος(MM)	402.76
Παροχή Αιχμής Εισόδου (M3/S)	898.58
Όγκος Εισροής(M3)	3.2E7

Απορροή



Κλάδος: R2928

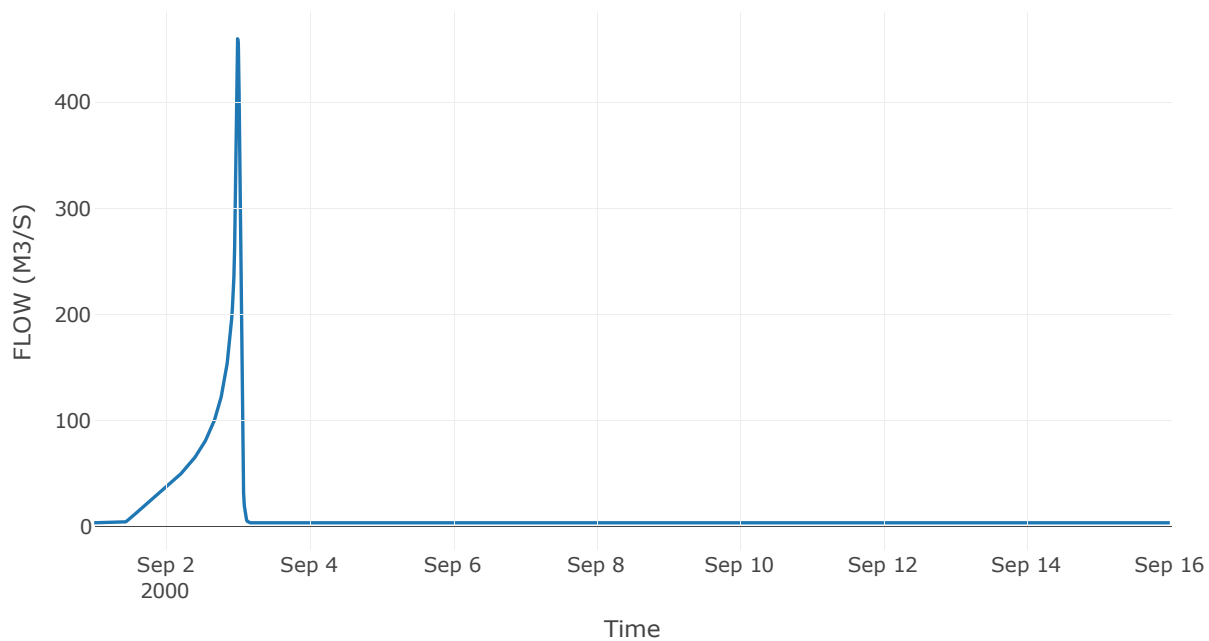
Κατάντη : J28

Μέθοδος Διόδευσης	Χρόνος Υστέρησης
Αρχική Μεταβλητή	Combined Inflow
Χρόνος Υστέρησης	24.13

Αποτελέσματα: R2928

Παροχή Αιχμής(M3/S)	459.48
Χρονική στιγμή αιχμής	02Sep2000, 24:00
Όγκος(MM)	400.62
Παροχή Αιχμής Εισόδου (M3/S)	465.42
Όγκος Εισροής(M3)	1.6E7

Απορροή



Κλάδος: R3022

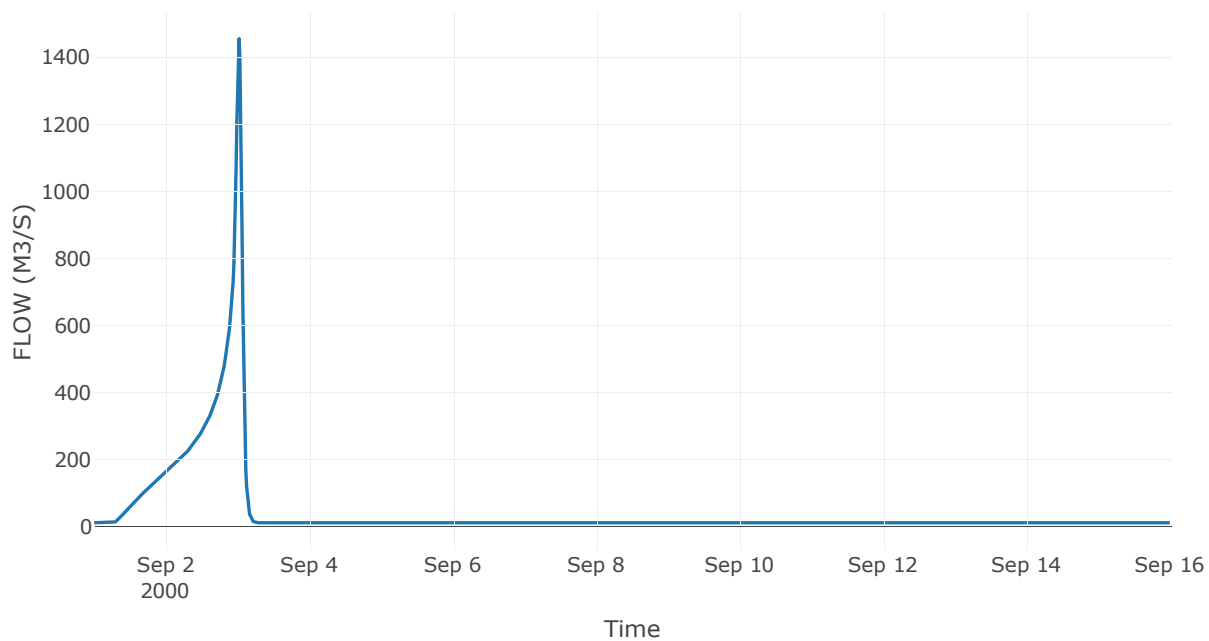
Κατάντη : J22

Μέθοδος Διόδευσης	Χρόνος Υστέρησης
Αρχική Μεταβλητή	Combined Inflow
Χρόνος Υστέρησης	0

Αποτελέσματα: R3022

Παροχή Αιχμής(M3/S)	1455.37
Χρονική στιγμή αιχμής	03Sep2000, 00:30
Όγκος(MM)	494.8
Παροχή Αιχμής Εισόδου (M3/S)	1455.37
Όγκος Εισροής(M3)	5.92E7

Απορροή



Κλάδος: R3130

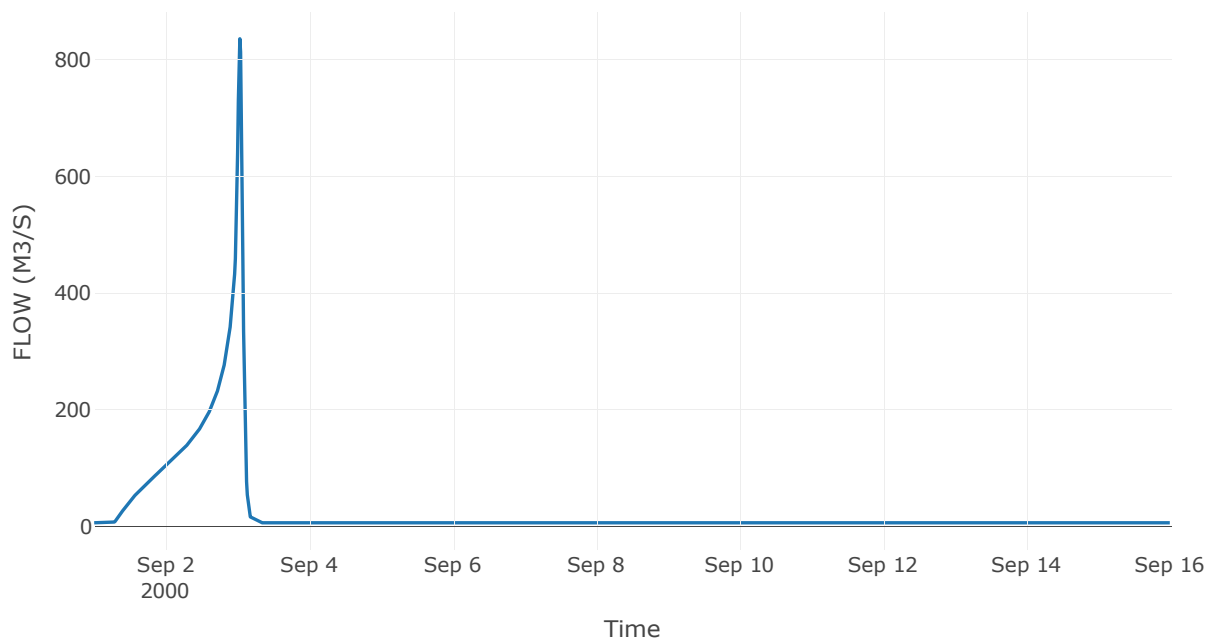
Κατάντη : J30

Μέθοδος Διόδευσης	Χρόνος Υστέρησης
Αρχική Μεταβλητή	Combined Inflow
Χρόνος Υστέρησης	54.51

Αποτελέσματα: R3130

Παροχή Αιχμής(M3/S)	835.8
Χρονική στιγμή αιχμής	03Sep2000, 00:45
Όγκος(MM)	554.35
Παροχή Αιχμής Εισόδου (M3/S)	836
Όγκος Εισροής(M3)	3.42E7

Απορροή



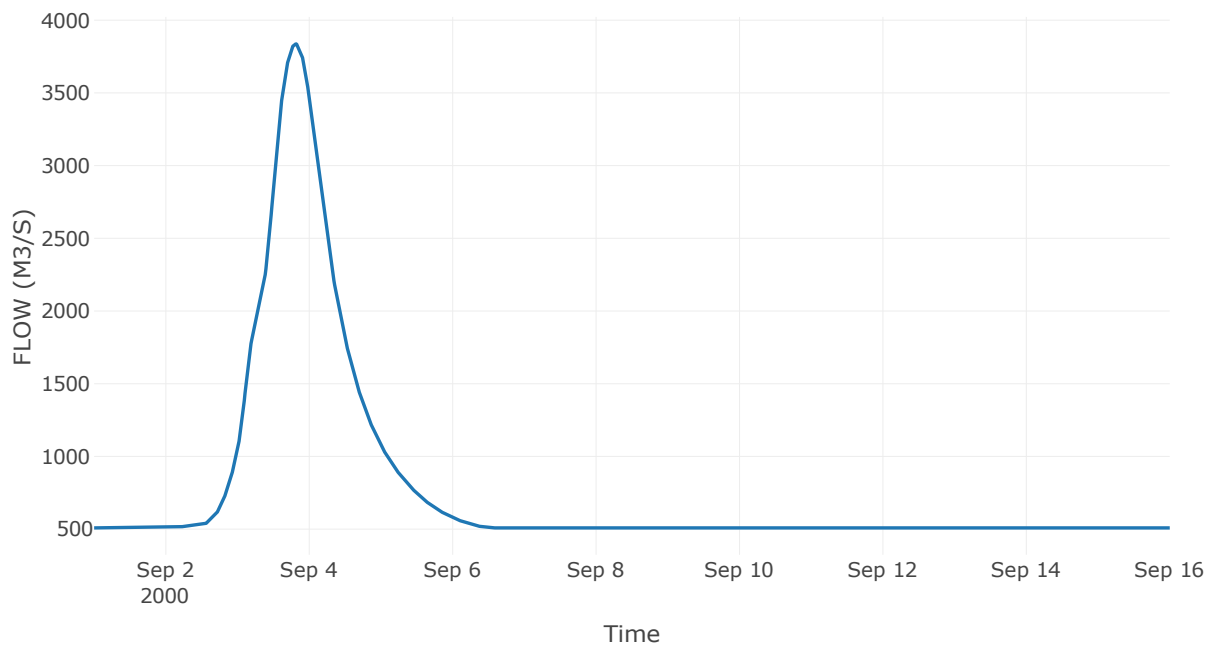
9.3 Δεδομένα και υδρογραφήματα σχεδιασμού Κόμβων υδρογραφικού δικτύου

Κόμβος εξόδου: J1

Αποτελέσματα: J1

Παροχή Αιχμής(M3/S)	3837.13
Χρονική στιγμή αιχμής	03Sep2000, 19:30
Όγκος(MM)	529.55

Απορροή



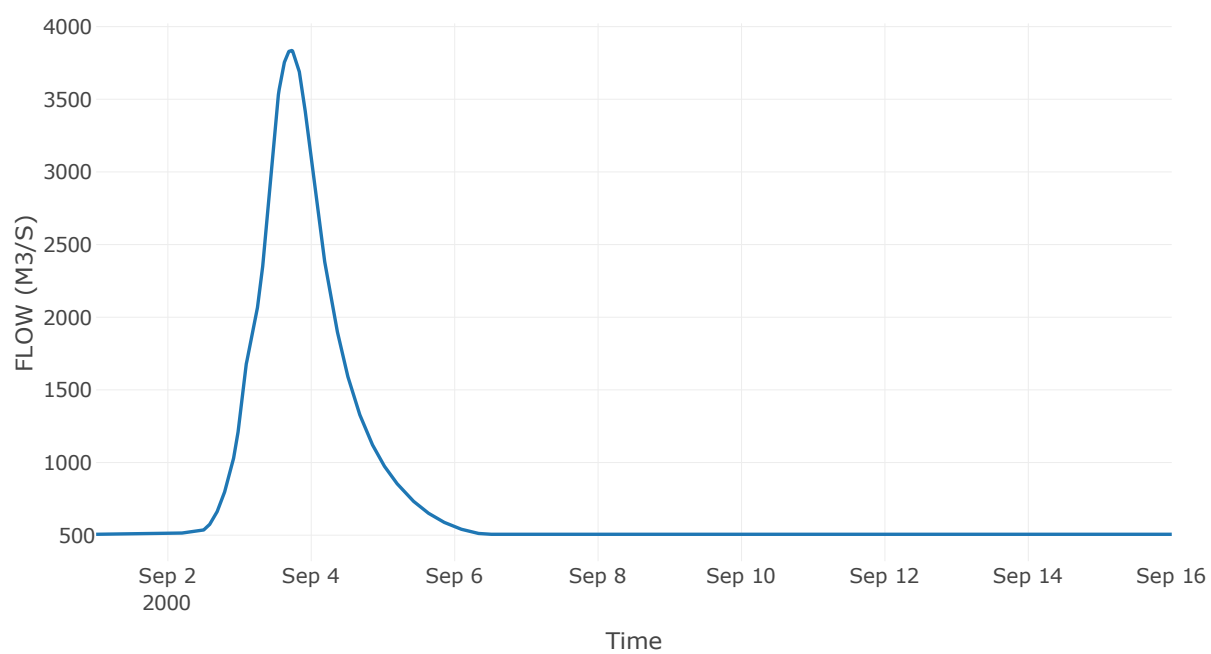
Κόμβος: J2

Κατάντη : R21

Αποτελέσματα: J2

Παροχή Αιχμής(M3/S)	3837.12
Χρονική στιγμή αιχμής	03Sep2000, 17:15
Όγκος(MM)	532.88

Απορροή



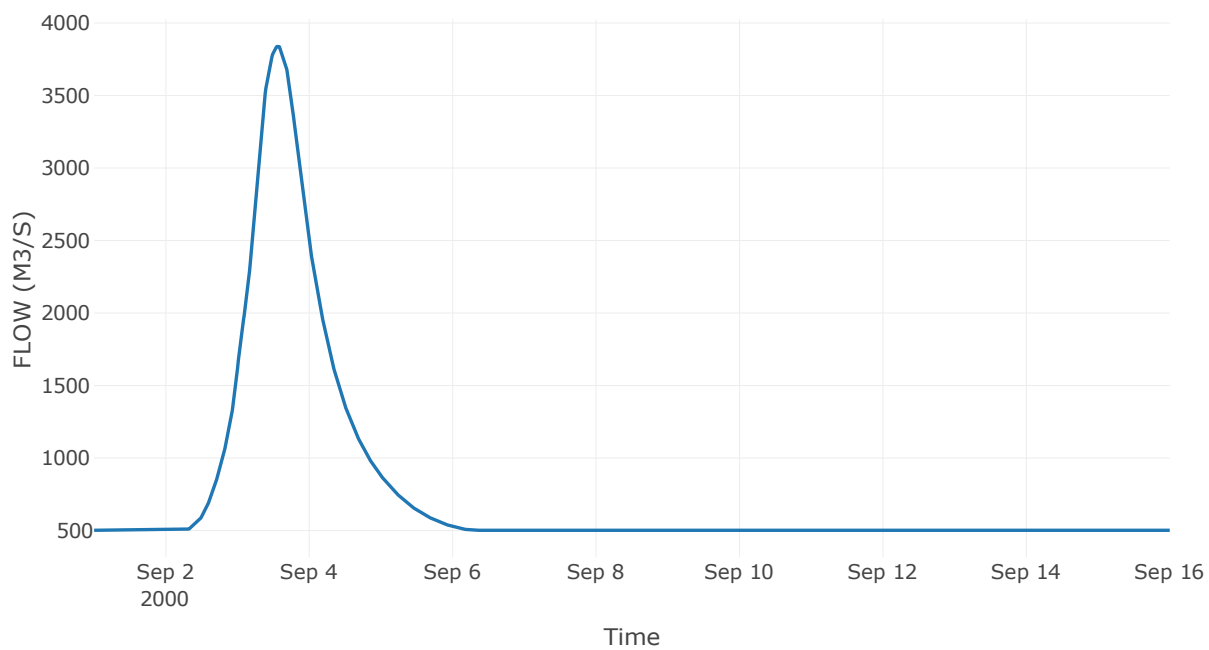
Κόμβος: J3

Κατάντη : R32

Αποτελέσματα: J3

Παροχή Αιχμής(M3/S)	3839.8
Χρονική στιγμή αιχμής	03Sep2000, 13:30
Όγκος(MM)	539.4

Απορροή



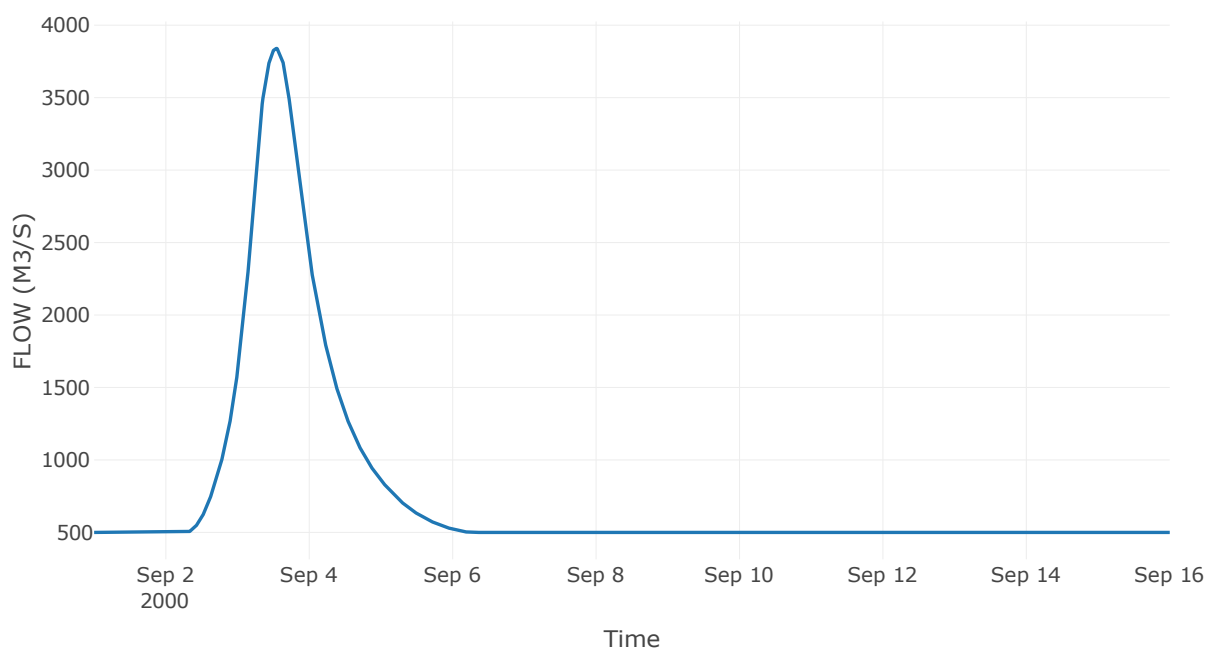
Reservoir: J4_RES1

Κατάντη : R43

Αποτελέσματα: J4_RES1

Παροχή Αιχμής(M3/S)	3839.65
Χρονική στιγμή αιχμής	03Sep2000, 13:00
Όγκος(MM)	541.1
Παροχή Αιχμής Εισόδου (M3/S)	7209.75
Time of Peak Inflow	03Sep2000, 05:15
Όγκος Εισροής (M3)	7.19E8
Maximum Storage (M3)	7.38E8
Peak Elevation (M)	120.06
Discharge Όγκος(M3)	9.86E8

Απορροή



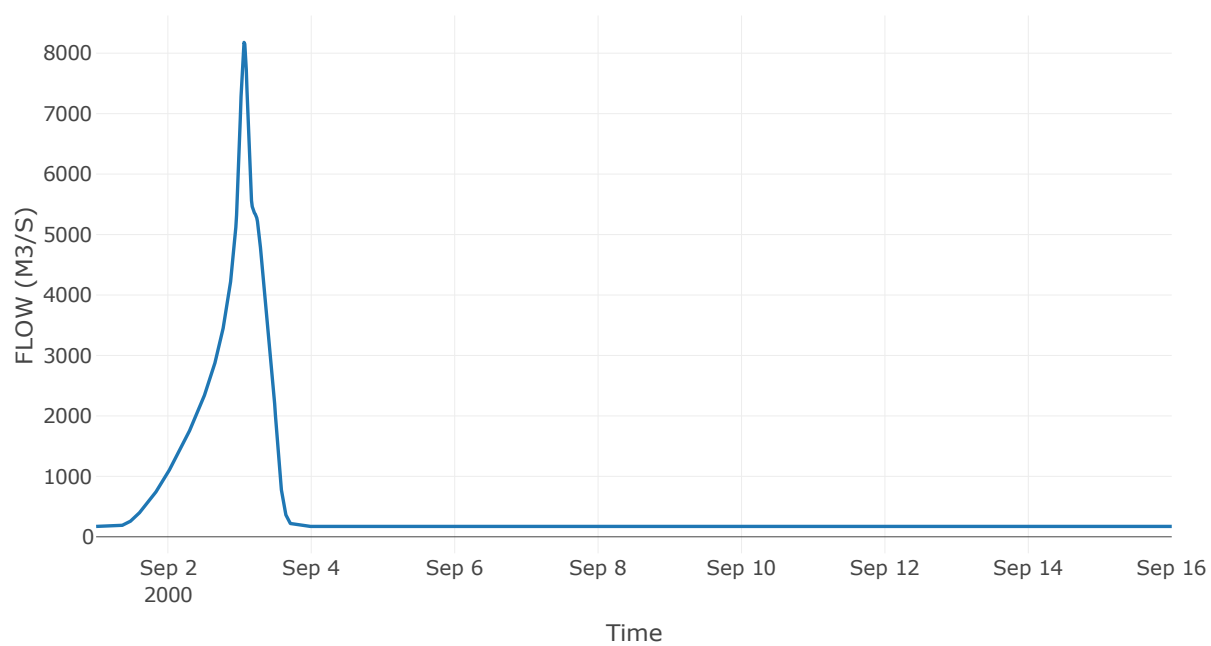
Κόμβος: J5

Κατάντη : R54

Αποτελέσματα: J5

Παροχή Αιχμής(M3/S)	8178.31
Χρονική στιγμή αιχμής	03Sep2000, 01:30
Όγκος(MM)	396.57

Απορροή



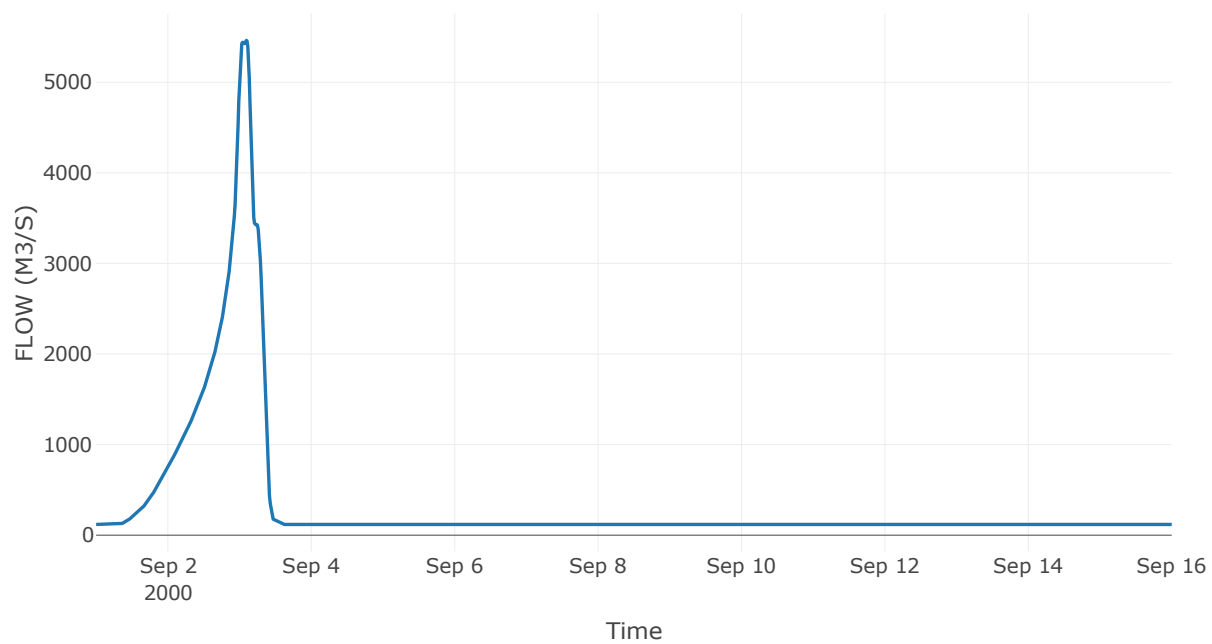
Κόμβος: J6

Κατάντη : R65

Αποτελέσματα: J6

Παροχή Αιχμής(M3/S)	5462.09
Χρονική στιγμή αιχμής	03Sep2000, 02:15
Όγκος(MM)	376.66

Απορροή



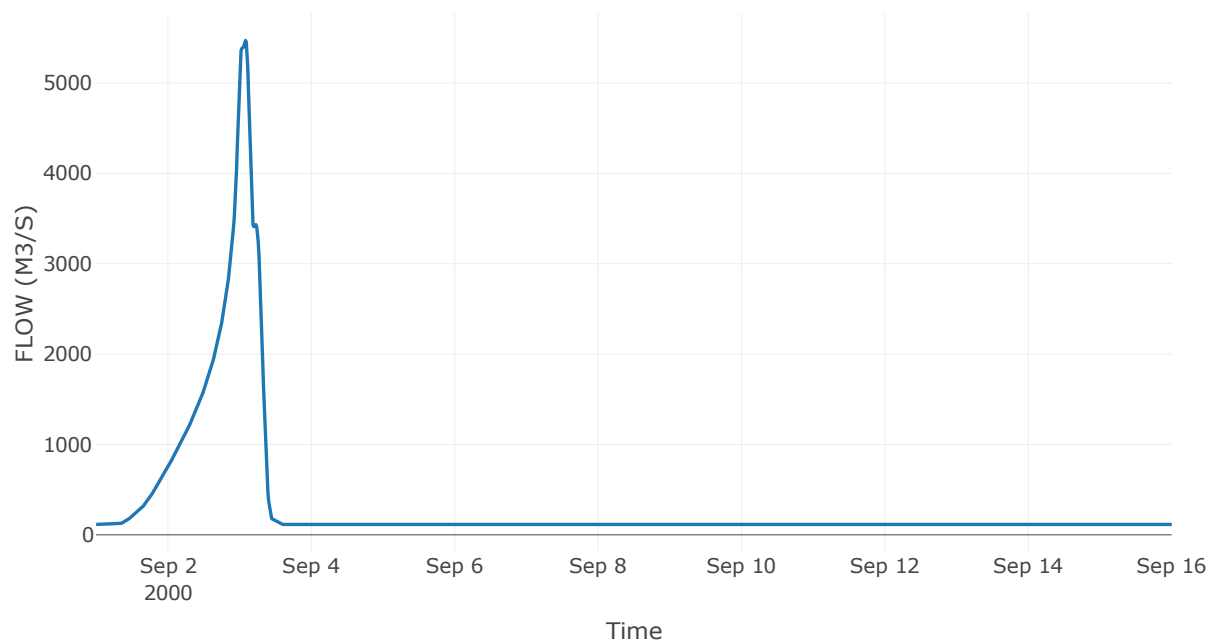
Κόμβος: J7

Κατάντη : R76

Αποτελέσματα: J7

Παροχή Αιχμής(M3/S)	5470.65
Χρονική στιγμή αιχμής	03Sep2000, 02:00
Όγκος(MM)	377.72

Απορροή



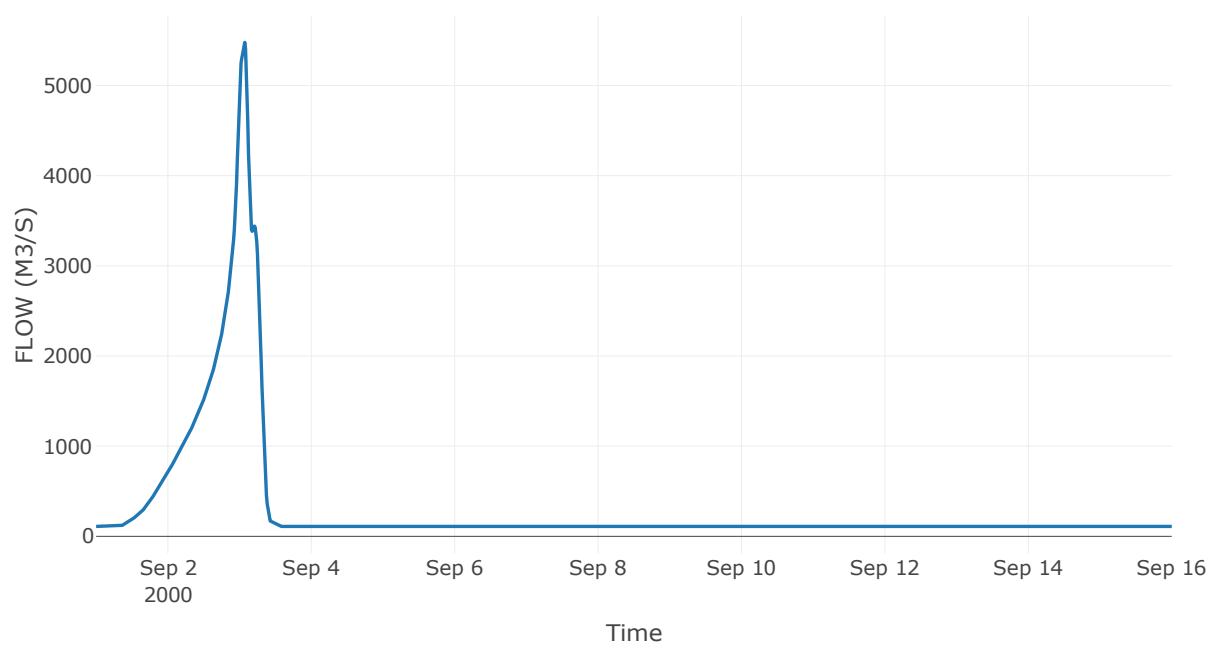
Κόμβος: J8

Κατάντη : R87

Αποτελέσματα: J8

Παροχή Αιχμής(M3/S)	5477.47
Χρονική στιγμή αιχμής	03Sep2000, 01:45
Όγκος(MM)	373.43

Απορροή



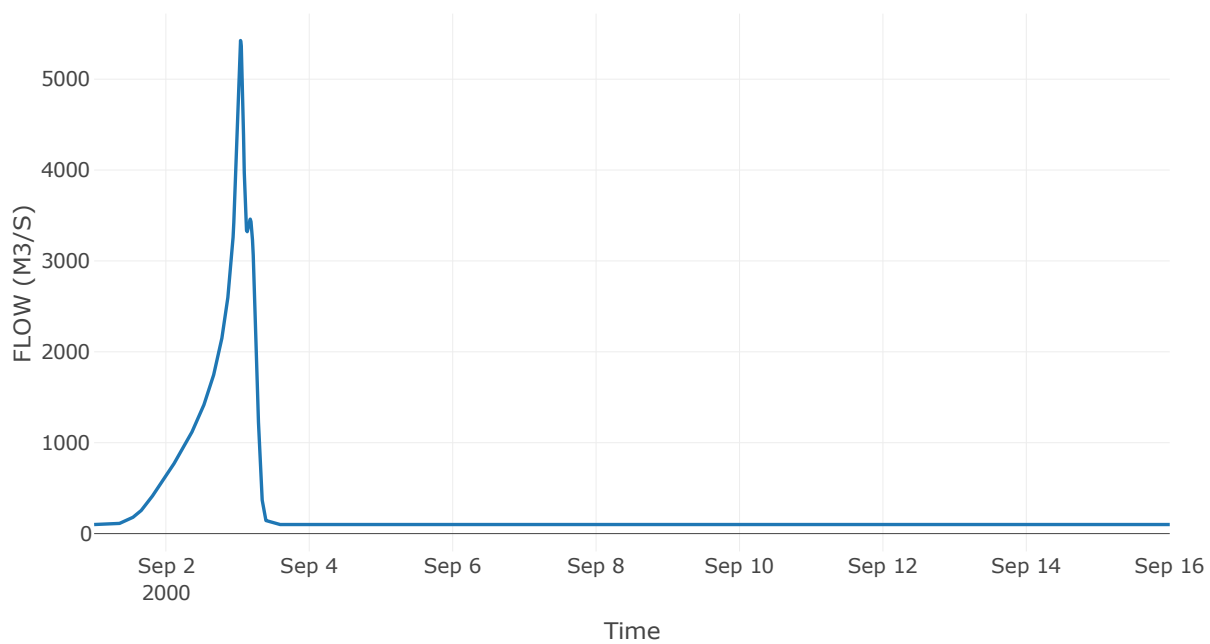
Κόμβος: J9

Κατάντη : R98

Αποτελέσματα: J9

Παροχή Αιχμής(M3/S)	5425.24
Χρονική στιγμή αιχμής	03Sep2000, 01:00
Όγκος(MM)	364.88

Απορροή



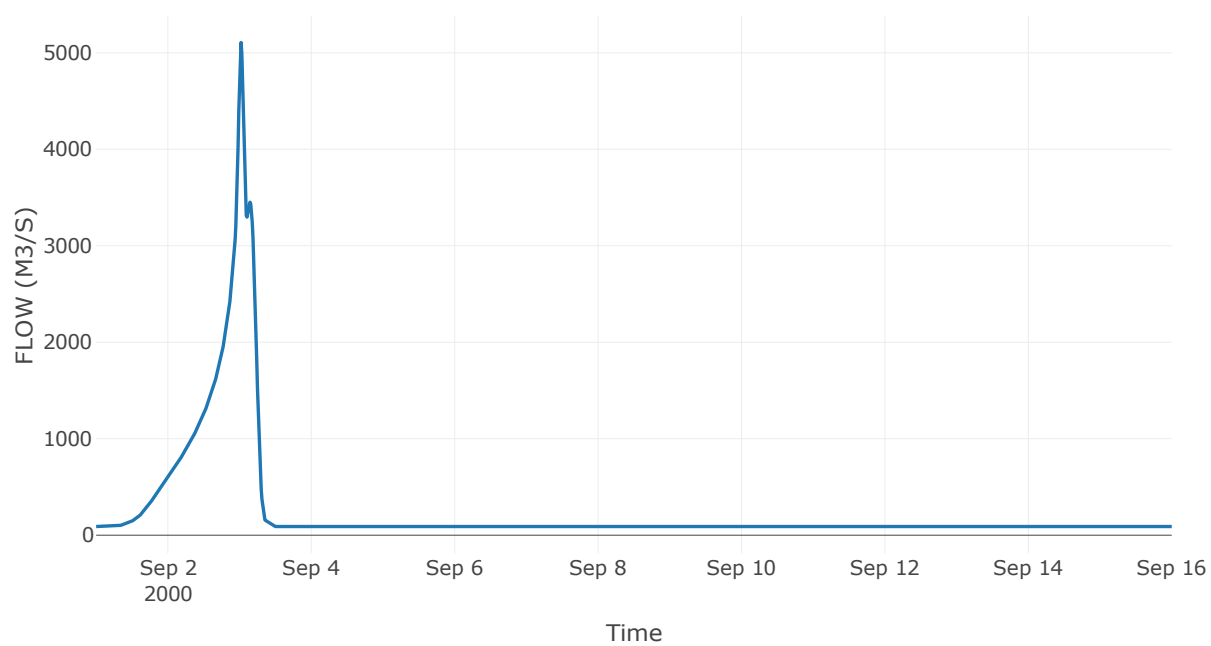
Κόμβος: J10

Κατάντη : R109

Αποτελέσματα: J10

Παροχή Αιχμής(M3/S)	5106.63
Χρονική στιγμή αιχμής	03Sep2000, 00:30
Όγκος(MM)	365.6

Απορροή



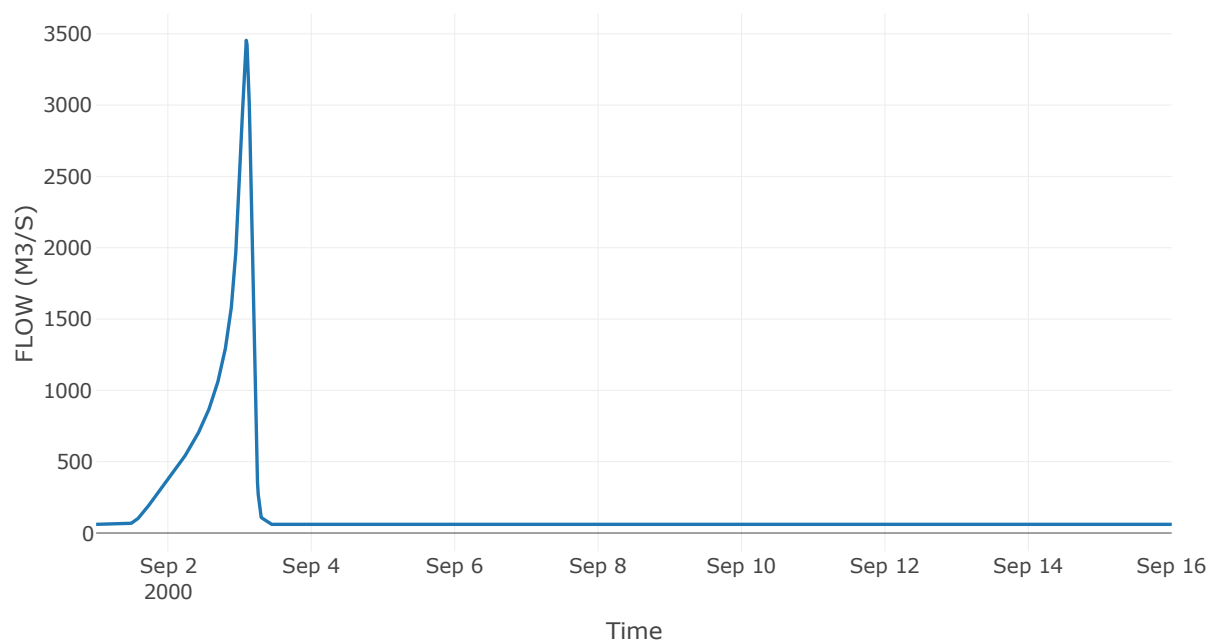
Κόμβος: J11

Κατάντη : R1110

Αποτελέσματα: J11

Παροχή Αιχμής(M3/S)	3454.18
Χρονική στιγμή αιχμής	03Sep2000, 02:15
Όγκος(MM)	347.35

Απορροή



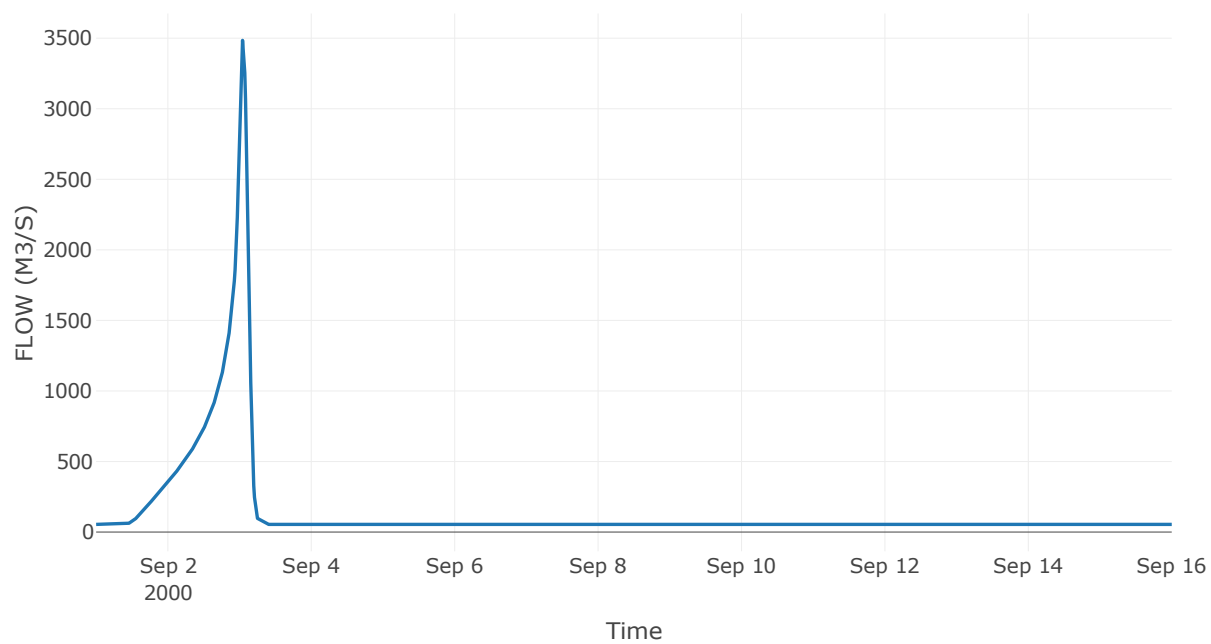
Κόμβος: J12

Κατάντη : R1211

Αποτελέσματα: J12

Παροχή Αιχμής(M3/S)	3484.65
Χρονική στιγμή αιχμής	03Sep2000, 01:00
Όγκος(MM)	347.51

Απορροή



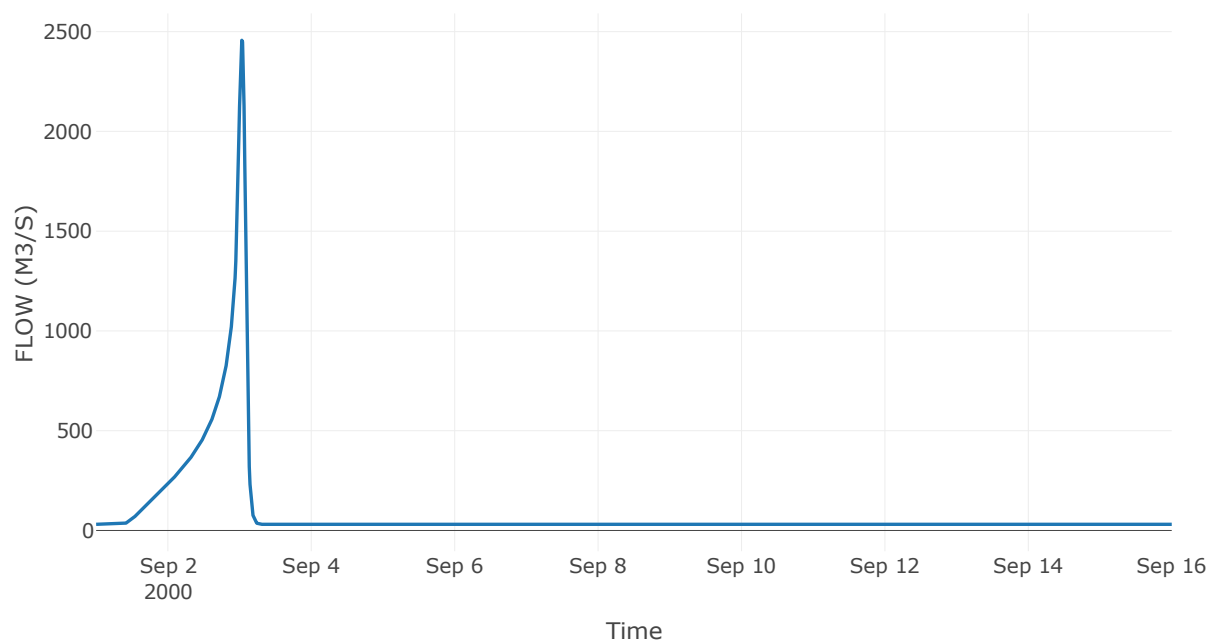
Κόμβος: J13

Κατάντη : R1312

Αποτελέσματα: J13

Παροχή Αιχμής(M3/S)	2456.5
Χρονική στιγμή αιχμής	03Sep2000, 00:45
Όγκος(MM)	366.19

Απορροή



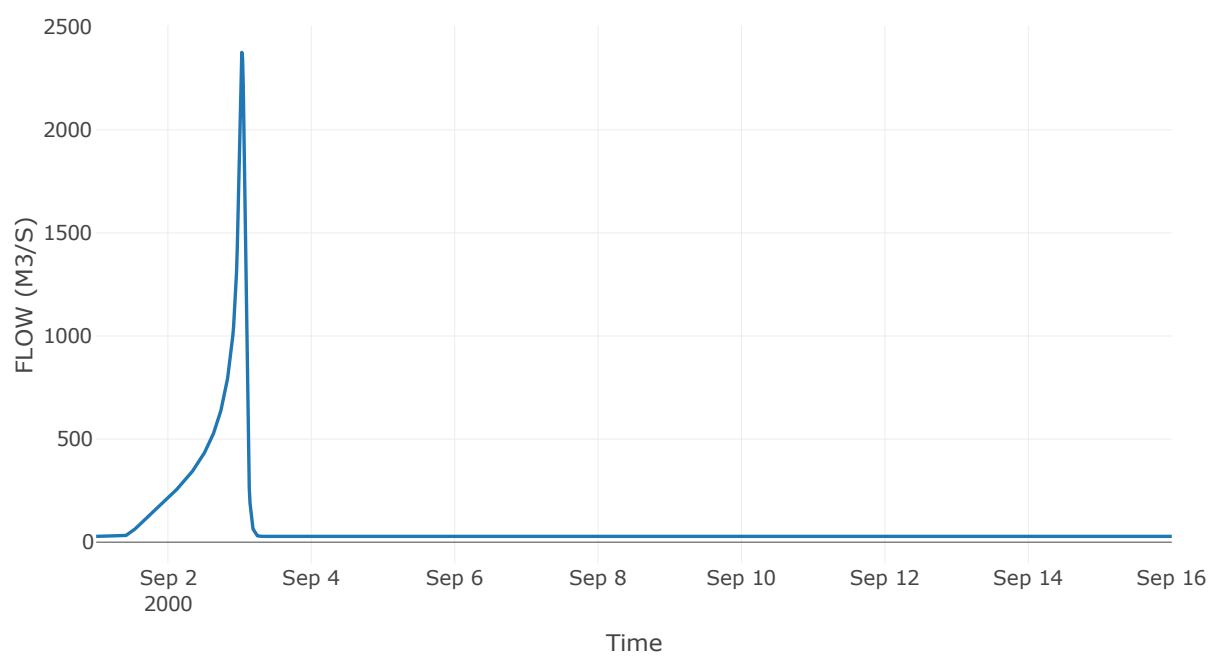
Κόμβος: J14

Κατάντη : R1413

Αποτελέσματα: J14

Παροχή Αιχμής(M3/S)	2375.57
Χρονική στιγμή αιχμής	03Sep2000, 00:45
Όγκος(MM)	367.52

Απορροή



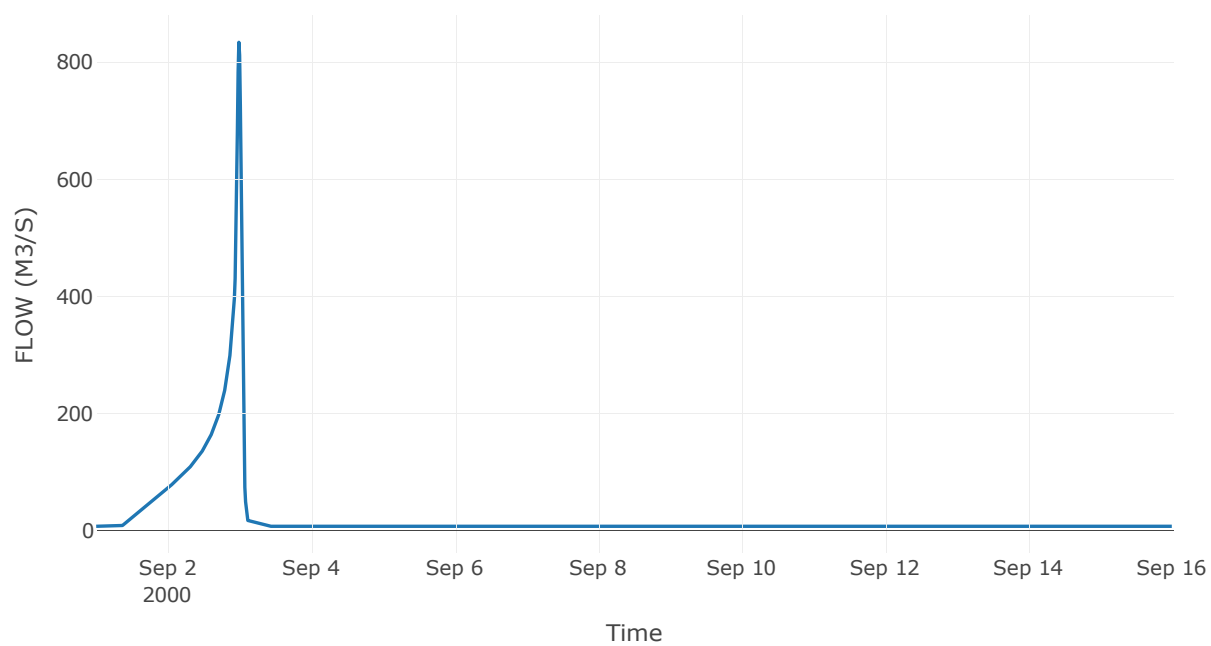
Κόμβος: J15

Κατάντη : R1514

Αποτελέσματα: J15

Παροχή Αιχμής(M3/S)	834.2
Χρονική στιγμή αιχμής	02Sep2000, 23:45
Όγκος(MM)	383.47

Απορροή



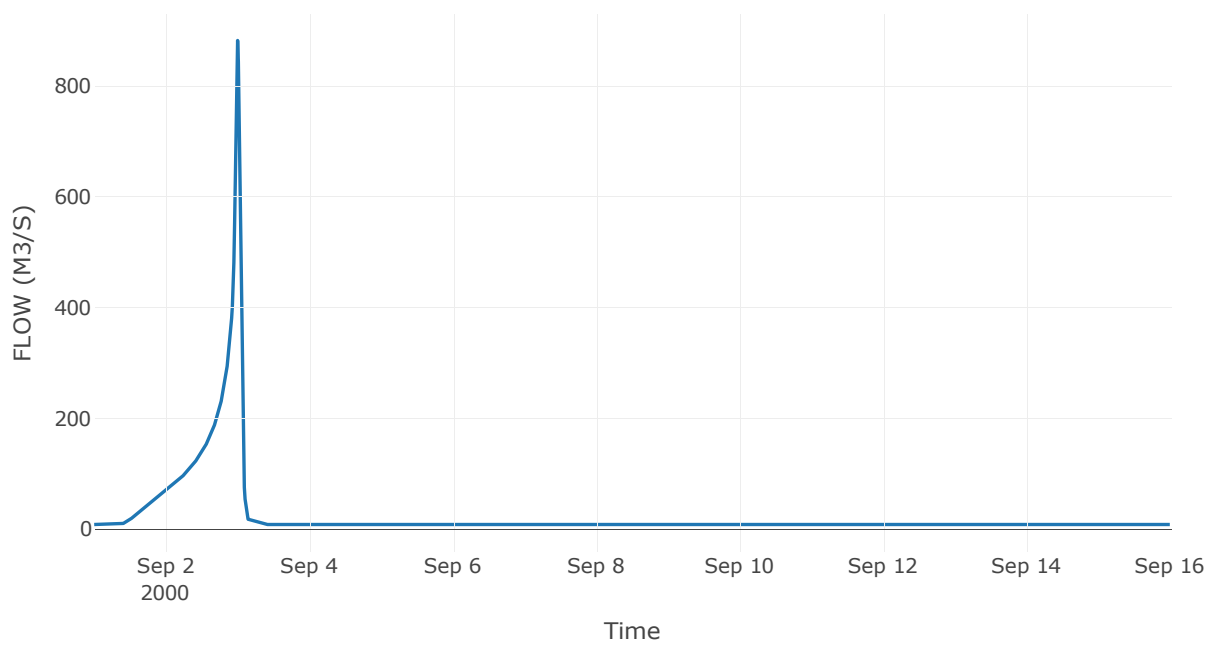
Κόμβος: J16

Κατάντη : R1614

Αποτελέσματα: J16

Παροχή Αιχμής(M3/S)	881.88
Χρονική στιγμή αιχμής	02Sep2000, 24:00
Όγκος(MM)	370.69

Απορροή



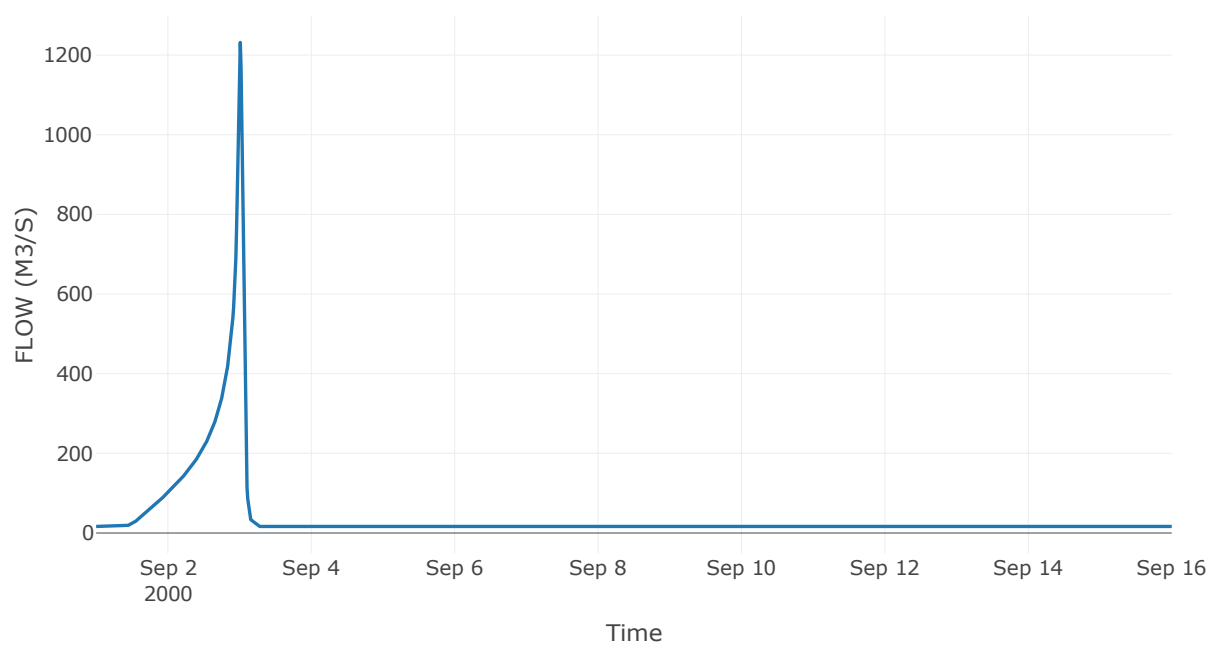
Κόμβος: J17

Κατάντη : R1712

Αποτελέσματα: J17

Παροχή Αιχμής(M3/S)	1231.76
Χρονική στιγμή αιχμής	03Sep2000, 00:15
Όγκος(MM)	318.76

Απορροή



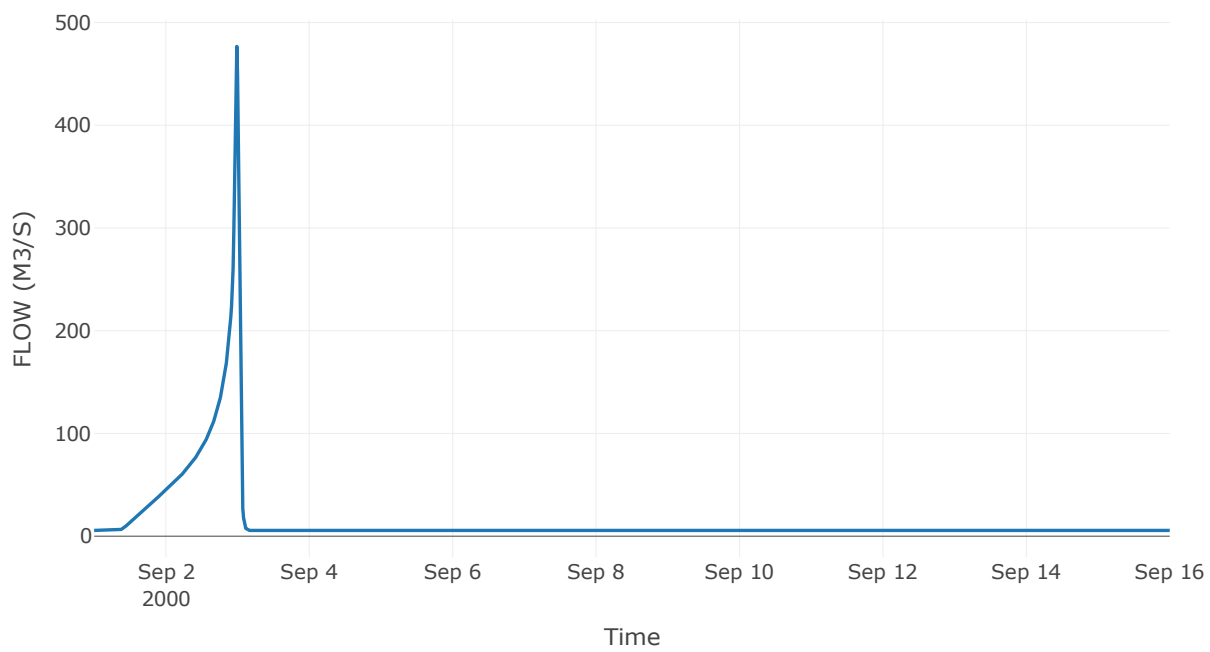
Κόμβος: J18

Κατάντη : R1817

Αποτελέσματα: J18

Παροχή Αιχμής(M3/S)	476.77
Χρονική στιγμή αιχμής	02Sep2000, 23:45
Όγκος(MM)	339.78

Απορροή



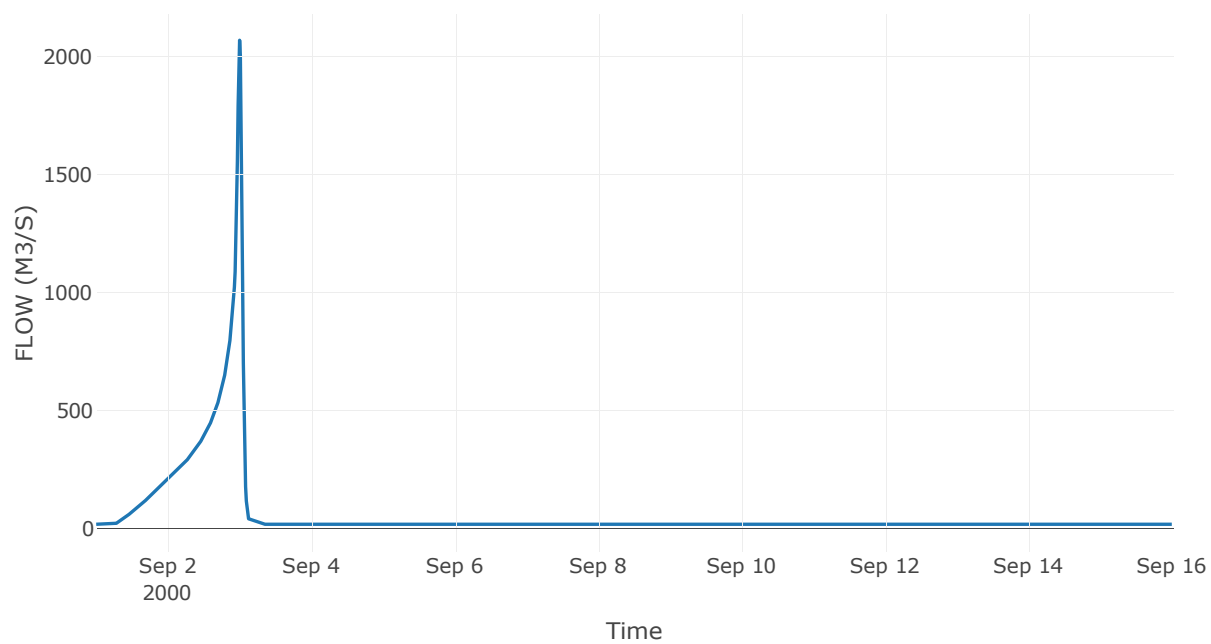
Κόμβος: J19

Κατάντη : R1910

Αποτελέσματα: J19

Παροχή Αιχμής(M3/S)	2068.54
Χρονική στιγμή αιχμής	02Sep2000, 24:00
Όγκος(MM)	433.48

Απορροή



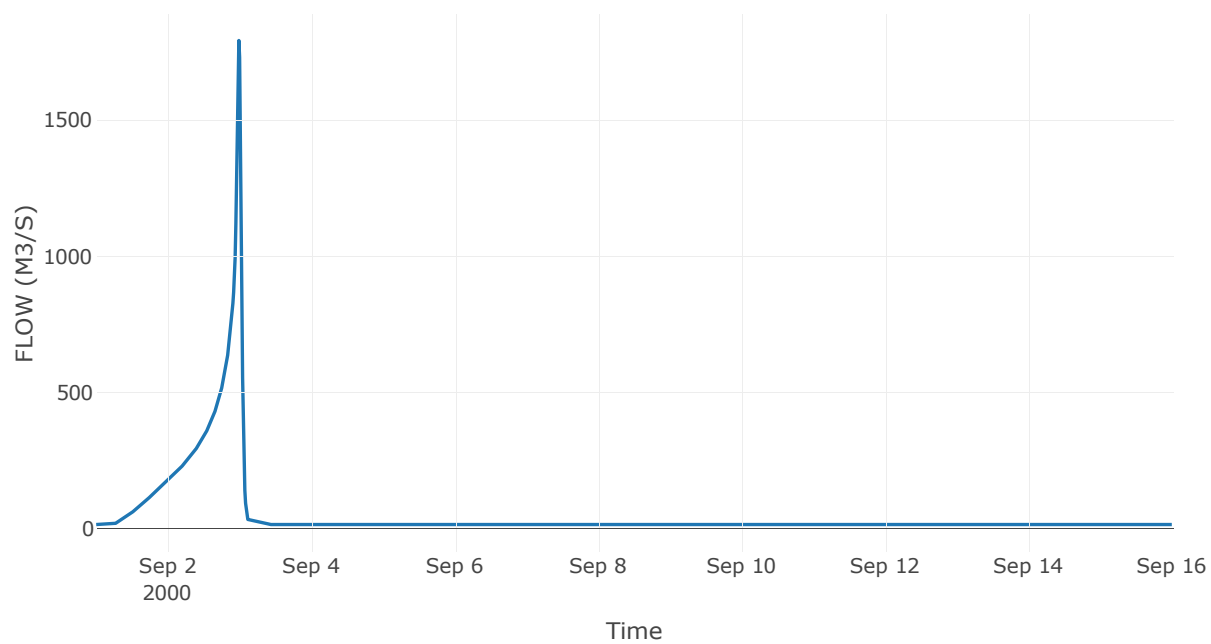
Κόμβος: J20

Κατάντη : R2019

Αποτελέσματα: J20

Παροχή Αιχμής(M3/S)	1793.48
Χρονική στιγμή αιχμής	02Sep2000, 23:45
Όγκος(MM)	428.68

Απορροή



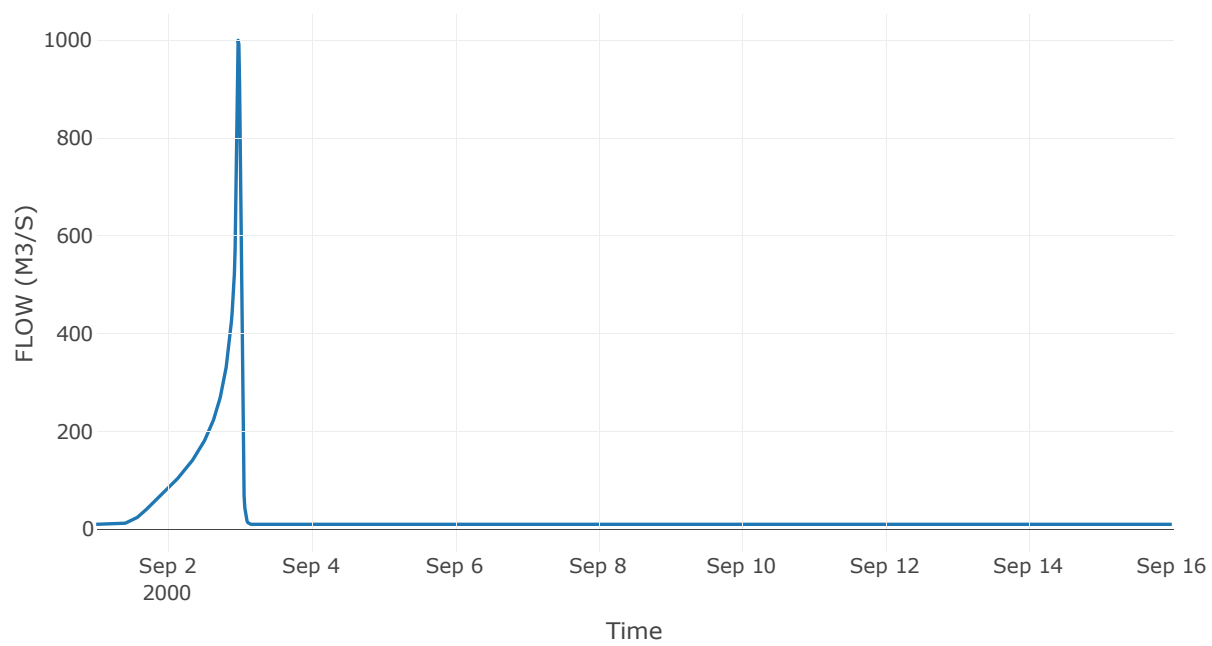
Κόμβος: J21

Κατάντη : R2120

Αποτελέσματα: J21

Παροχή Αιχμής(M3/S)	999.73
Χρονική στιγμή αιχμής	02Sep2000, 23:30
Όγκος(MM)	374.78

Απορροή



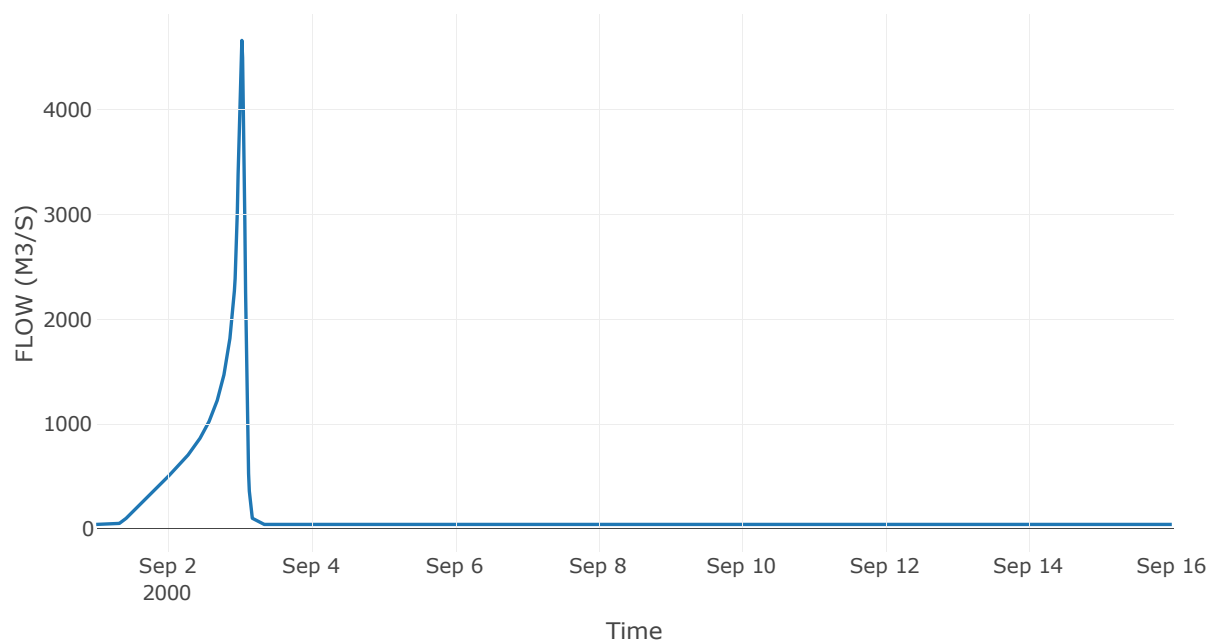
Κόμβος: J22

Κατάντη : R225

Αποτελέσματα: J22

Παροχή Αιχμής(M3/S)	4661.64
Χρονική στιγμή αιχμής	03Sep2000, 00:45
Όγκος(MM)	450.69

Απορροή



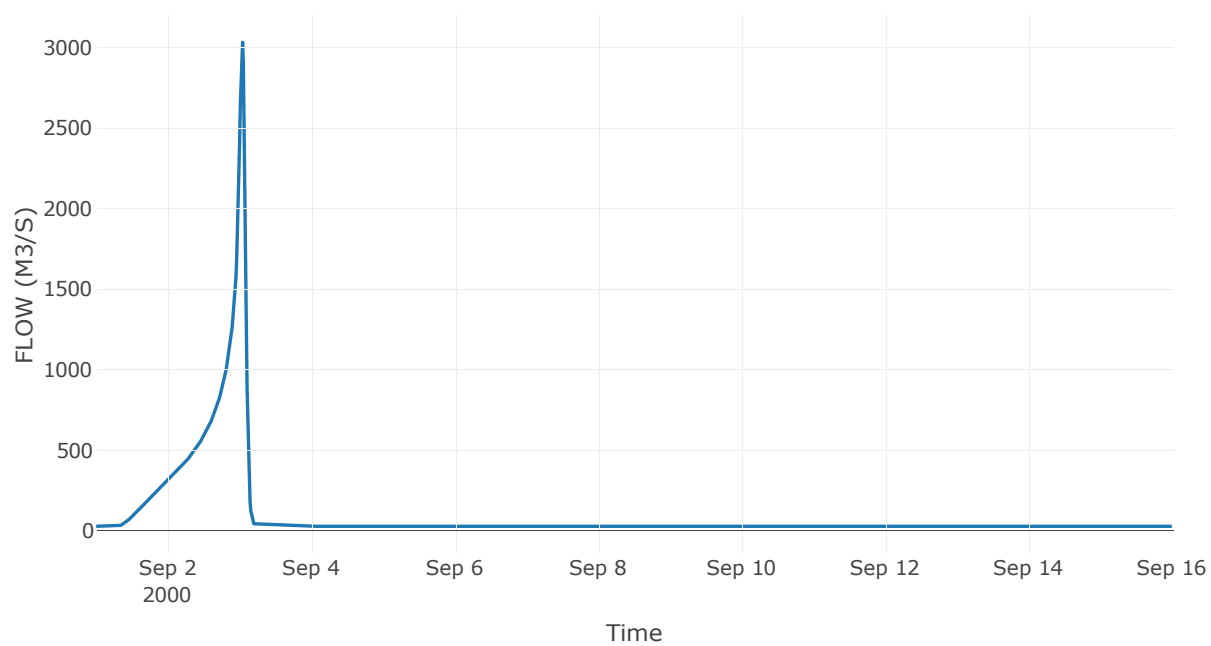
Κόμβος: J23

Κατάντη : R2322

Αποτελέσματα: J23

Παροχή Αιχμής(M3/S)	3031.75
Χρονική στιγμή αιχμής	03Sep2000, 01:00
Όγκος(MM)	438.08

Απορροή



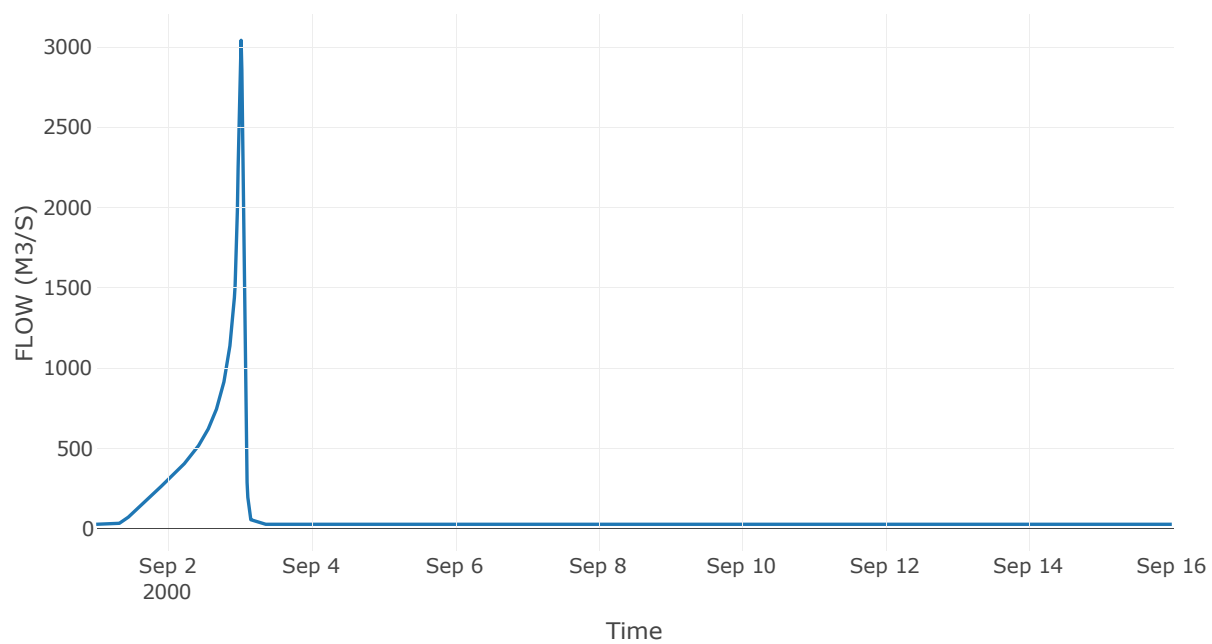
Κόμβος: J24

Κατάντη : R2423

Αποτελέσματα: J24

Παροχή Αιχμής(M3/S)	3040.25
Χρονική στιγμή αιχμής	03Sep2000, 00:30
Όγκος(MM)	439.35

Απορροή



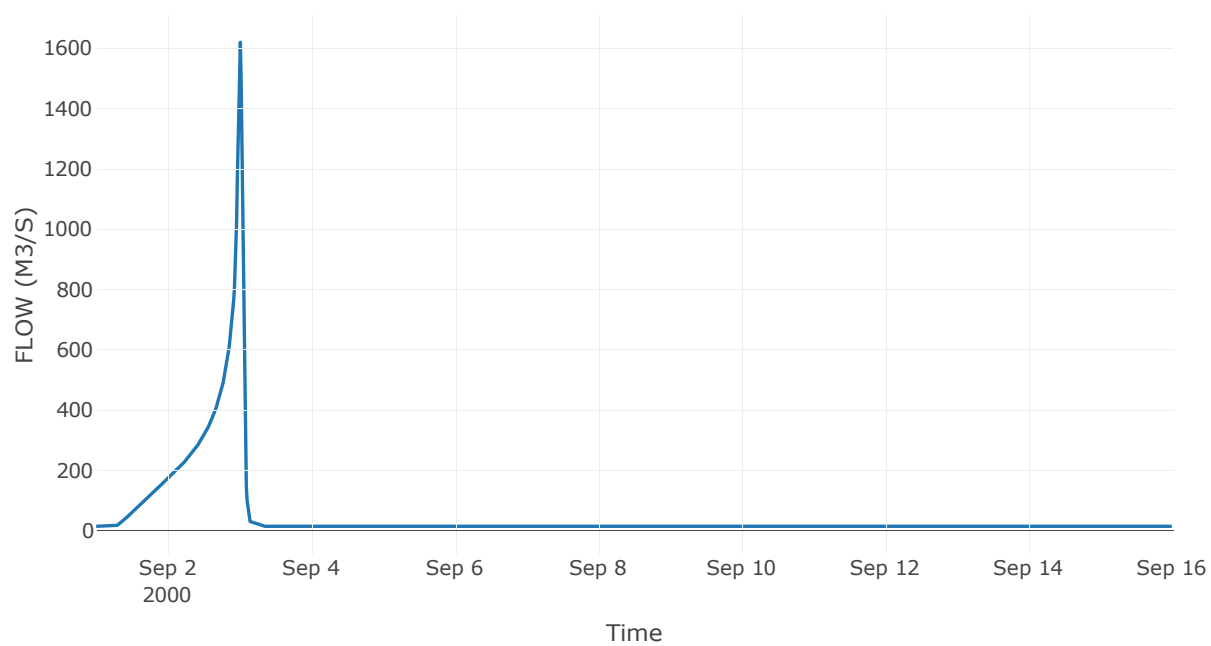
Κόμβος: J25

Κατάντη : R2524

Αποτελέσματα: J25

Παροχή Αιχμής(M3/S)	1619.52
Χρονική στιγμή αιχμής	03Sep2000, 00:15
Όγκος(MM)	460.34

Απορροή



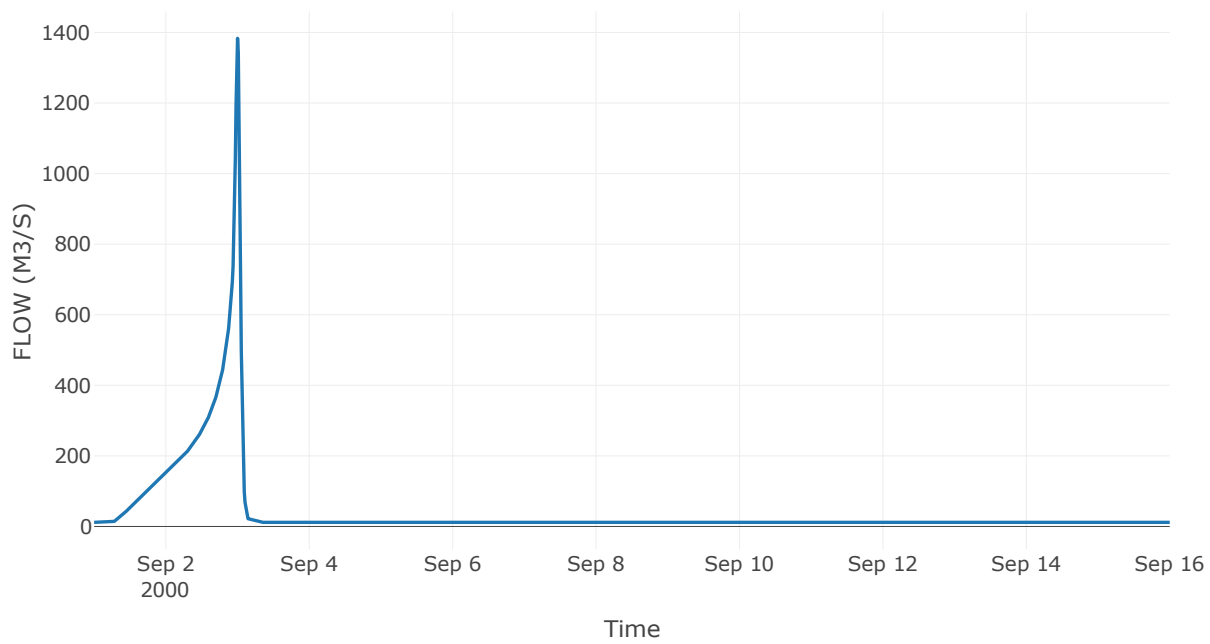
Κόμβος: J26

Κατάντη : R2625

Αποτελέσματα: J26

Παροχή Αιχμής(M3/S)	1383.38
Χρονική στιγμή αιχμής	02Sep2000, 24:00
Όγκος(MM)	462.49

Απορροή



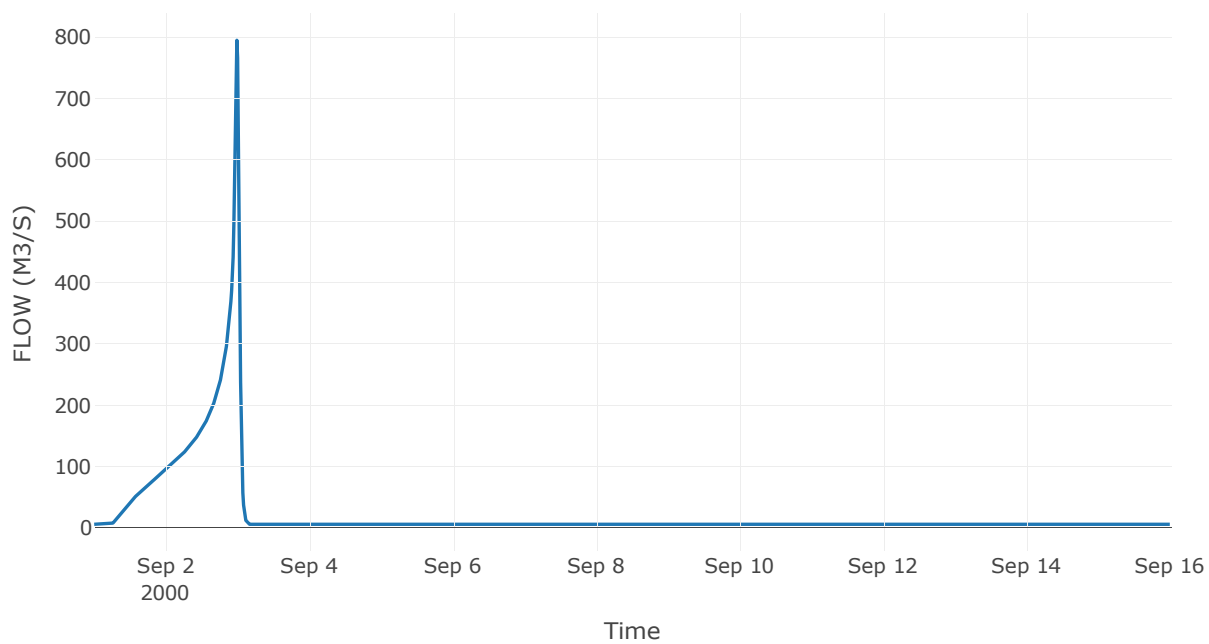
Κόμβος: J27

Κατάντη : R2726

Αποτελέσματα: J27

Παροχή Αιχμής(M3/S)	794.88
Χρονική στιγμή αιχμής	02Sep2000, 23:45
Όγκος(MM)	508.71

Απορροή



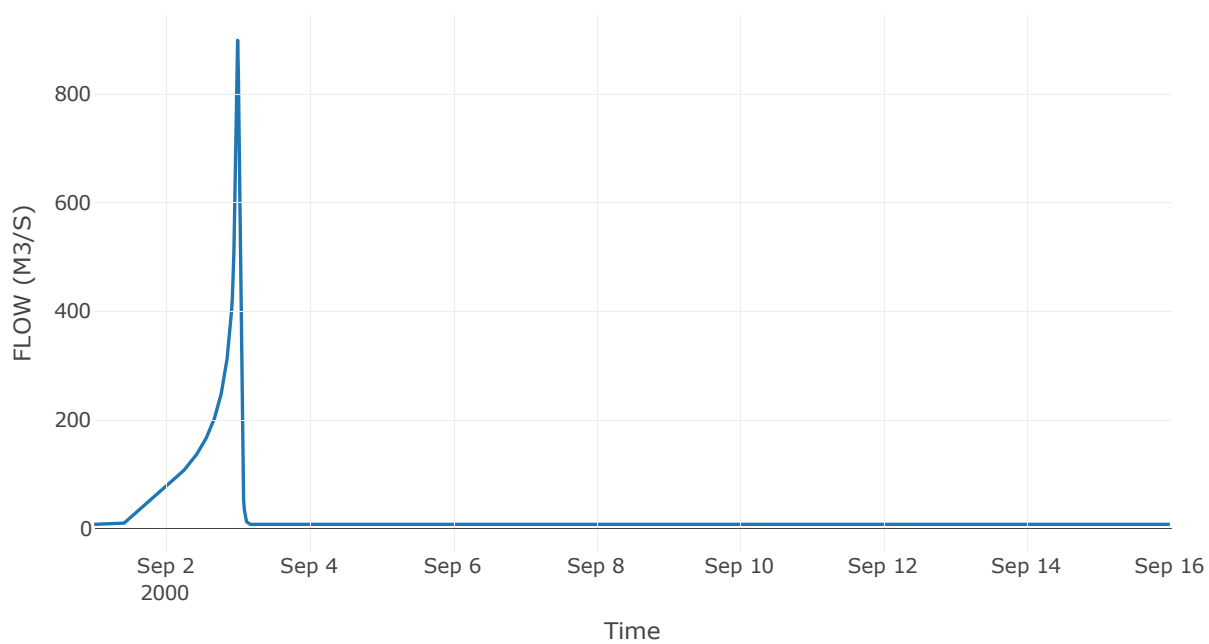
Κόμβος: J28

Κατάντη : R2824

Αποτελέσματα: J28

Παροχή Αιχμής(M3/S)	898.58
Χρονική στιγμή αιχμής	02Sep2000, 24:00
Όγκος(MM)	402.76

Απορροή



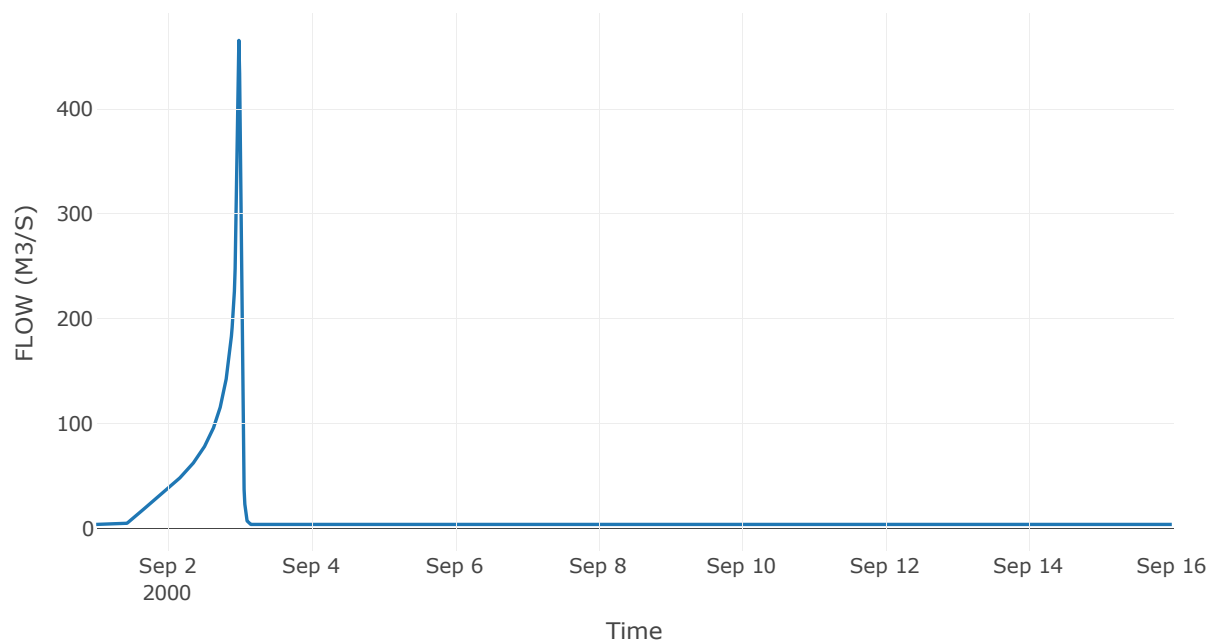
Κόμβος: J29

Κατάντη : R2928

Αποτελέσματα: J29

Παροχή Αιχμής(M3/S)	465.42
Χρονική στιγμή αιχμής	02Sep2000, 23:45
Όγκος(MM)	400.62

Απορροή



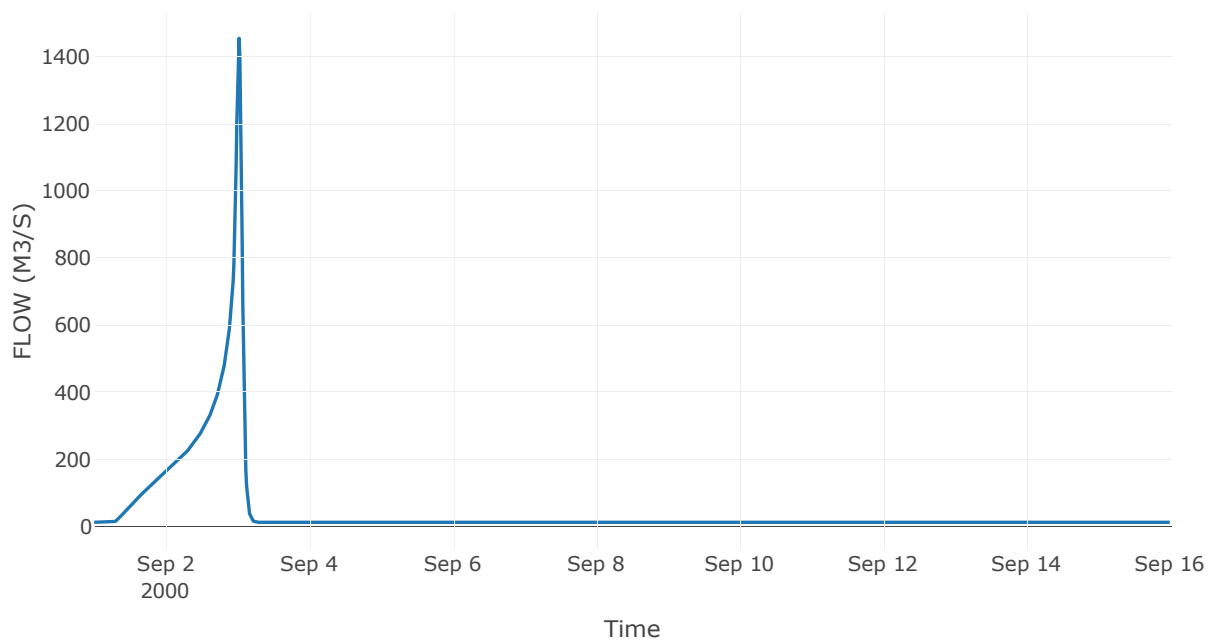
Κόμβος: J30

Κατάντη : R3022

Αποτελέσματα: J30

Παροχή Αιχμής(M3/S)	1455.37
Χρονική στιγμή αιχμής	03Sep2000, 00:30
Όγκος(MM)	494.8

Απορροή



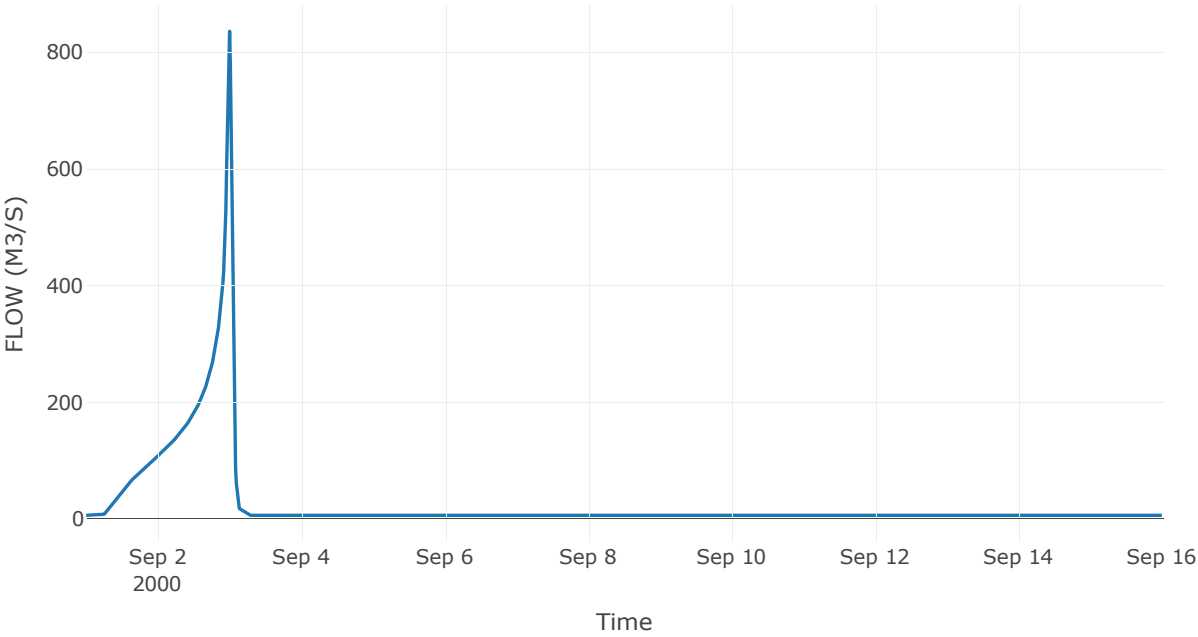
Κόμβος: J31

Κατάντη : R3130

Αποτελέσματα: J31

Παροχή Αιχμής(M3/S)	836
Χρονική στιγμή αιχμής	02Sep2000, 24:00
Όγκος(MM)	554.35

Απορροή



10 Δεδομένα εισόδου και αποτελέσματα υδρολογικού σεναρίου $T=1000U$

10.1 Αποτελέσματα, υετογραφήματα και υδρογραφήματα σχεδιασμού υπολεκανών

Υπολεκάνη: EL0514FR003001

Έκταση (KM2) : 46.02

Κατάντη : J15

Μέθοδος Απωλειών: SCS

Ποσοστό αδιαπέρατης επιφάνειας	0
Αριθμός Καμπύλης Απορροής-CN	90.23
Αρχικές Απώλειες	5.5

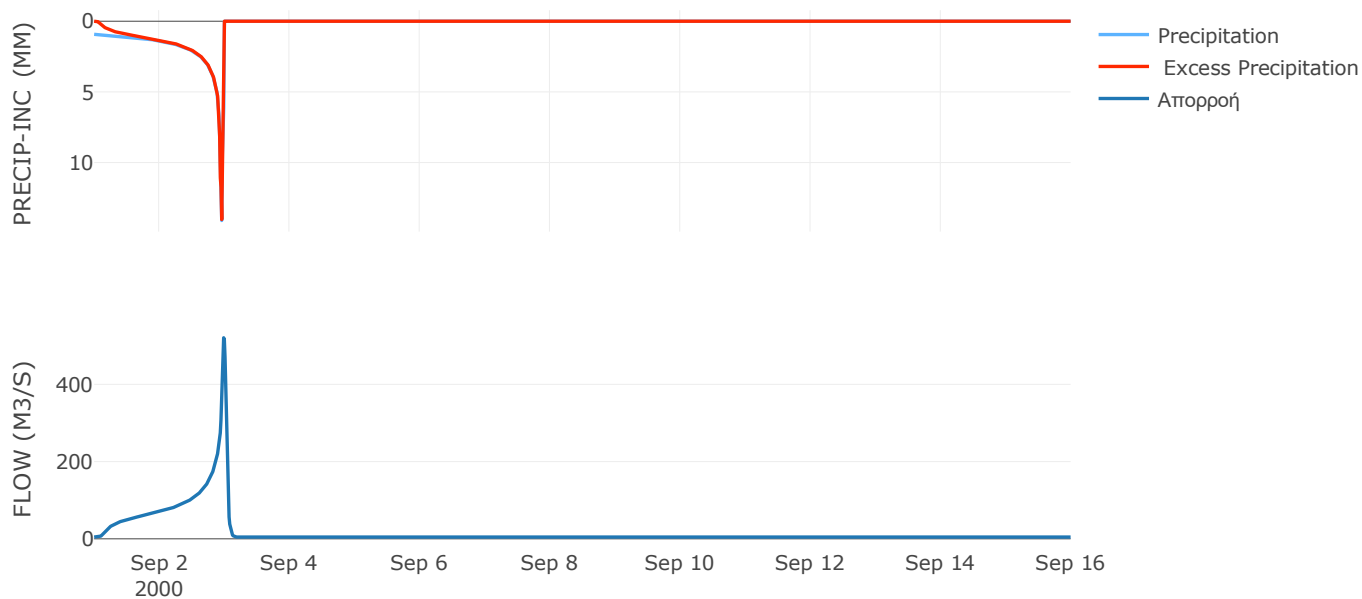
Μέθοδος
Μετασχηματισμού: SCS

Χρόνος Υστέρησης	48.19
------------------	-------

Αποτελέσματα:
EL0514FR003001

Παροχή αιχμής (M3/S)	520.66
Χρονική στιγμή αιχμής	02Sep2000, 23:45
Όγκος (MM)	485.3
Όγκος βροχόπτωσης (M3)	1.78E7
Όγκος απωλειών (M3)	1.43E6
Ενεργός Όγκος (M3)	1.64E7
Όγκος άμεσης απορροής (M3)	1.64E7
Όγκος βασικής απορροής (M3)	5.96E6

Βροχόπτωση και Απορροή



Υπολεκάνη: EL0514FR003002

Έκταση (KM2) : 33.64

Κατάνη : J15

Μέθοδος Απωλειών: SCS

Ποσοστό αδιαπέρατης επιφάνειας	0
Αριθμός Καμπύλης Απορροής-CN	90.22
Αρχικές Απώλειες	5.51

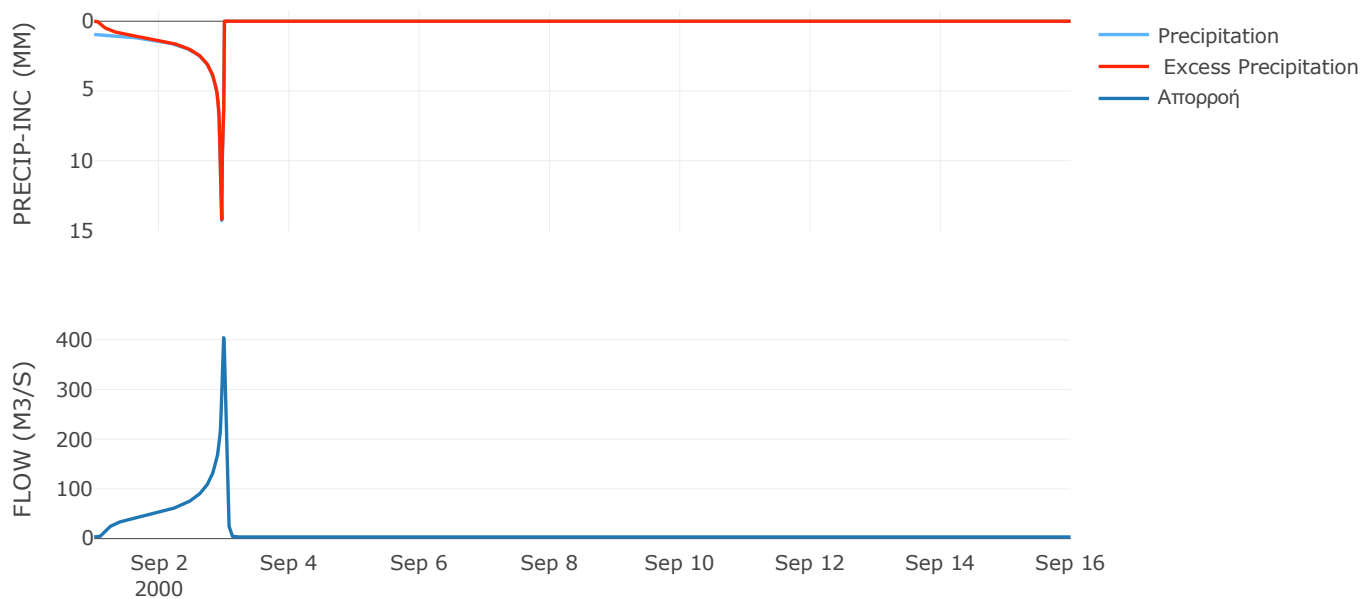
Μέθοδος
Μετασχηματισμού: SCS

Χρόνος Υστέρησης	40.08
------------------	-------

Αποτελέσματα:
EL0514FR003002

Παροχή αιχμής (M3/S)	404.22
Χρονική στιγμή αιχμής	02Sep2000, 23:45
Όγκος (MM)	493.22
Όγκος βροχόπτωσης (M3)	1.33E7
Όγκος απωλειών (M3)	1.05E6
Ενεργός Όγκος (M3)	1.22E7
Όγκος άμεσης απορροής (M3)	1.22E7
Όγκος βασικής απορροής (M3)	4.36E6

Βροχόπτωση και Απορροή



Υπολεκάνη: EL0514FR003003

Έκταση (KM2) : 51.67

Κατάντη : J14

Μέθοδος Απωλειών: SCS

Ποσοστό αδιαπέρατης επιφάνειας	0
Αριθμός Καμπύλης Απορροής-CN	87.19
Αρχικές Απώλειες	7.46

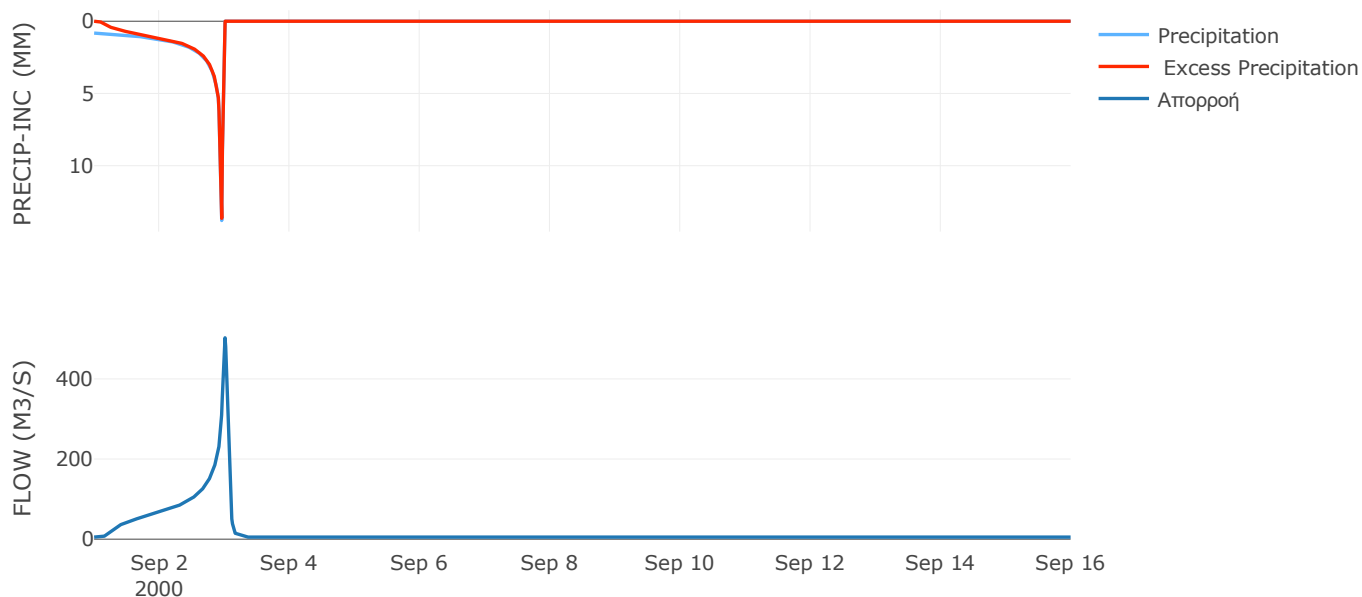
Μέθοδος
Μετασχηματισμού: SCS

Χρόνος Υστέρησης	72.28
------------------	-------

Αποτελέσματα:
EL0514FR003003

Παροχή αιχμής (M3/S)	502.68
Χρονική στιγμή αιχμής	03Sep2000, 00:15
Όγκος (MM)	443.96
Όγκος βροχόπτωσης (M3)	1.84E7
Όγκος απωλειών (M3)	2.13E6
Ενεργός Όγκος (M3)	1.62E7
Όγκος άμεσης απορροής (M3)	1.62E7
Όγκος βασικής απορροής (M3)	6.7E6

Βροχόπτωση και Απορροή



Υπολεκάνη: EL0514FR003004

Έκταση (KM2) : 62.35

Κατάντη : J14

Μέθοδος Απωλειών: SCS

Ποσοστό αδιαπέρατης επιφάνειας	0
Αριθμός Καμπύλης Απορροής-CN	90.55
Αρχικές Απώλειες	5.3

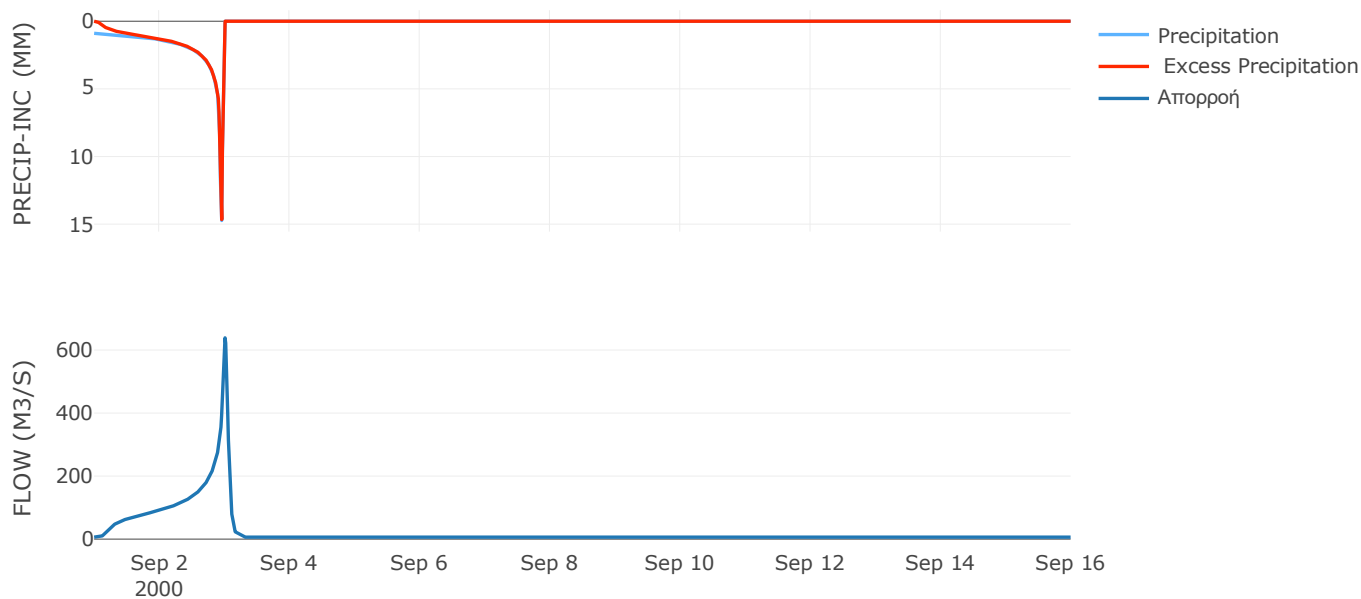
Μέθοδος
Μετασχηματισμού: SCS

Χρόνος Υστέρησης	77.39
------------------	-------

Αποτελέσματα:
EL0514FR003004

Παροχή αιχμής (M3/S)	638.72
Χρονική στιγμή αιχμής	03Sep2000, 00:15
Όγκος (MM)	483.83
Όγκος βροχόπτωσης (M3)	2.4E7
Όγκος απωλειών (M3)	1.87E6
Ενεργός Όγκος (M3)	2.21E7
Όγκος άμεσης απορροής (M3)	2.21E7
Όγκος βασικής απορροής (M3)	8.08E6

Βροχόπτωση και Απορροή



Υπολεκάνη: EL0514FR003005

Έκταση (KM2) : 0.91

Κατάντη : J13

Μέθοδος Απωλειών: SCS

Ποσοστό αδιαπέρατης επιφάνειας	0
Αριθμός Καμπύλης Απορροής-CN	90.67
Αρχικές Απώλειες	5.23

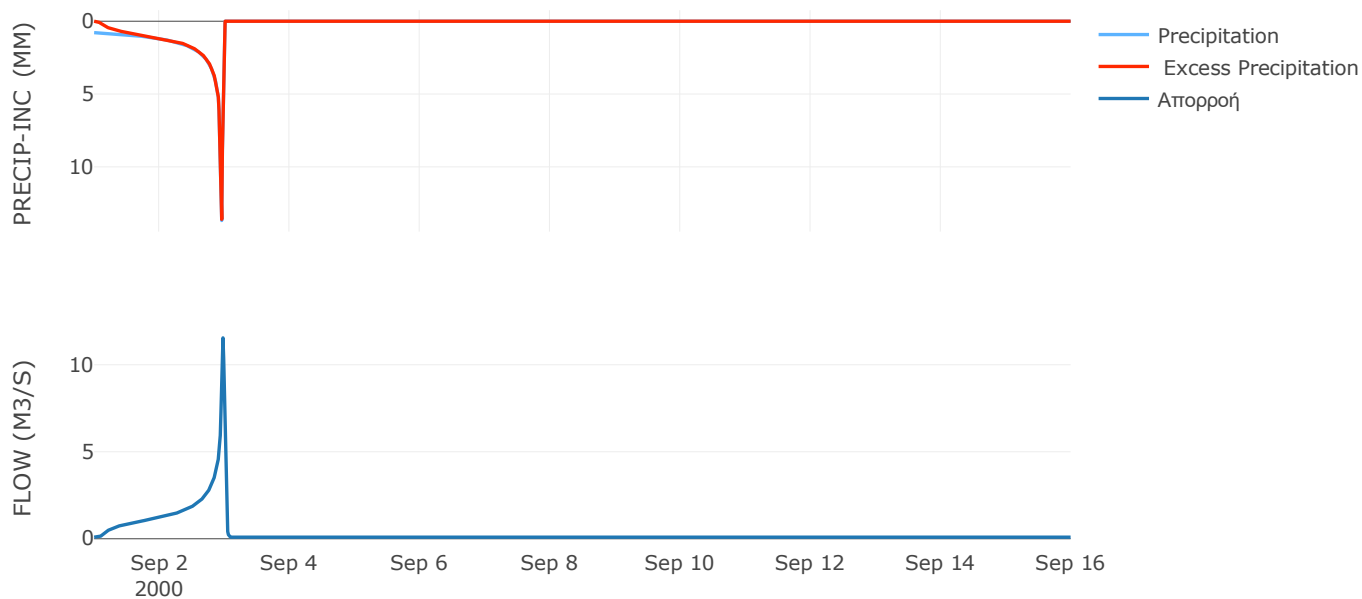
Μέθοδος
Μετασχηματισμού: SCS

Χρόνος Υστέρησης	24.16
------------------	-------

Αποτελέσματα:
EL0514FR003005

Παροχή αιχμής (M3/S)	11.54
Χρονική στιγμή αιχμής	02Sep2000, 23:30
Όγκος (MM)	444.23
Όγκος βροχόπτωσης (M3)	3.15E5
Όγκος απωλειών (M3)	26948.23
Ενεργός Όγκος (M3)	2.88E5
Όγκος άμεσης απορροής (M3)	2.88E5
Όγκος βασικής απορροής (M3)	1.18E5

Βροχόπτωση και Απορροή



Υπολεκάνη: EL0514FR003006

Έκταση (KM2) : 19.25

Κατάντη : J13

Μέθοδος Απωλειών: SCS

Ποσοστό αδιαπέρατης επιφάνειας	0
Αριθμός Καμπύλης Απορροής-CN	91.78
Αρχικές Απώλειες	4.55

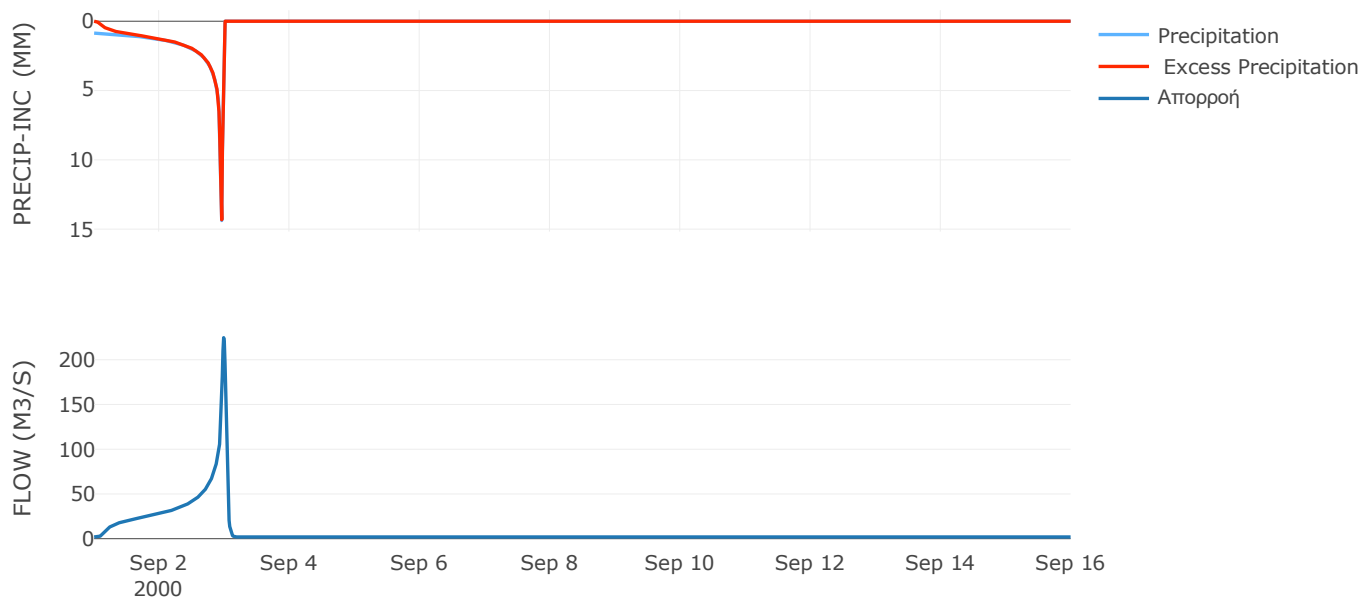
Μέθοδος
Μετασχηματισμού: SCS

Χρόνος Υστέρησης	45.73
------------------	-------

Αποτελέσματα:
EL0514FR003006

Παροχή αιχμής (M3/S)	224.69
Χρονική στιγμή αιχμής	02Sep2000, 23:45
Όγκος (MM)	475
Όγκος βροχόπτωσης (M3)	7.15E6
Όγκος απωλειών (M3)	5E5
Ενεργός Όγκος (M3)	6.65E6
Όγκος άμεσης απορροής (M3)	6.65E6
Όγκος βασικής απορροής (M3)	2.5E6

Βροχόπτωση και Απορροή



Υπολεκάνη: EL0514FR003007

Έκταση (KM2) : 23.36

Κατάντη : J12

Μέθοδος Απωλειών: SCS

Ποσοστό αδιαπέρατης επιφάνειας	0
Αριθμός Καμπύλης Απορροής-CN	91.32
Αρχικές Απώλειες	4.83

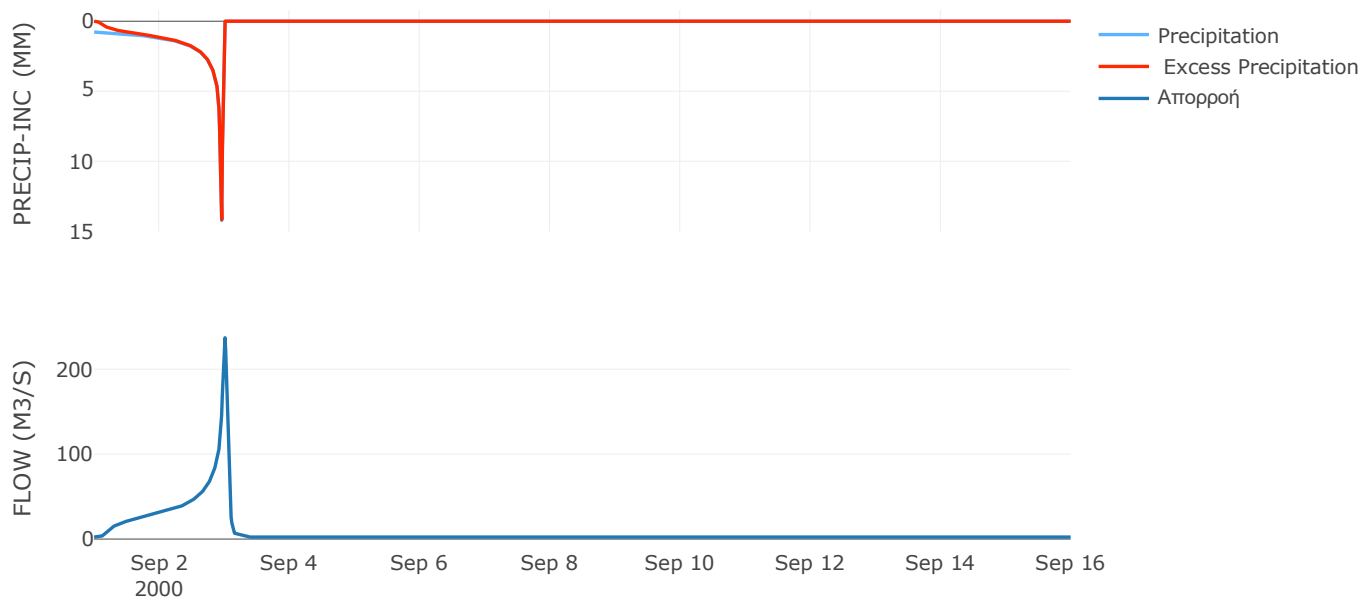
Μέθοδος
Μετασχηματισμού: SCS

Χρόνος Υστέρησης	67.75
------------------	-------

Αποτελέσματα:
EL0514FR003007

Παροχή αιχμής (M3/S)	237.01
Χρονική στιγμή αιχμής	03Sep2000, 00:15
Όγκος (MM)	448.54
Όγκος βροχόπτωσης (M3)	8.09E6
Όγκος απωλειών (M3)	6.39E5
Ενεργός Όγκος (M3)	7.45E6
Όγκος άμεσης απορροής (M3)	7.45E6
Όγκος βασικής απορροής (M3)	3.03E6

Βροχόπτωση και Απορροή



Υπολεκάνη: EL0514FR003008

Έκταση (KM2) : 46.02

Κατάντη : J12

Μέθοδος Απωλειών: SCS

Ποσοστό αδιαπέρατης επιφάνειας	0
Αριθμός Καμπύλης Απορροής-CN	87.8
Αρχικές Απώλειες	7.06

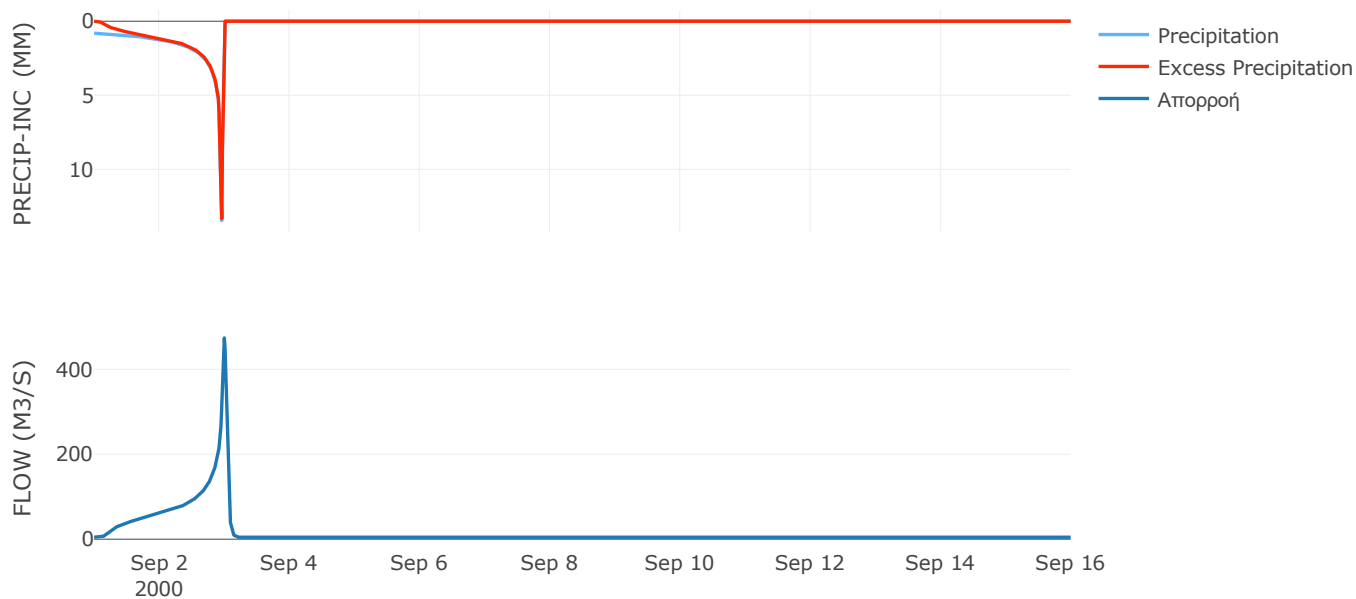
Μέθοδος
Μετασχηματισμού: SCS

Χρόνος Υστέρησης	56.24
------------------	-------

Αποτελέσματα:
EL0514FR003008

Παροχή αιχμής (M3/S)	474.06
Χρονική στιγμή αιχμής	02Sep2000, 24:00
Όγκος (MM)	439.22
Όγκος βροχόπτωσης (M3)	1.6E7
Όγκος απωλειών (M3)	1.8E6
Ενεργός Όγκος (M3)	1.42E7
Όγκος άμεσης απορροής (M3)	1.42E7
Όγκος βασικής απορροής (M3)	5.96E6

Βροχόπτωση και Απορροή



Υπολεκάνη: EL0514FR003009

Έκταση (KM2) : 18.07

Κατάνη : J17

Μέθοδος Απωλειών: SCS

Ποσοστό αδιαπέρατης επιφάνειας	0
Αριθμός Καμπύλης Απορροής-CN	78.6
Αρχικές Απώλειες	13.83

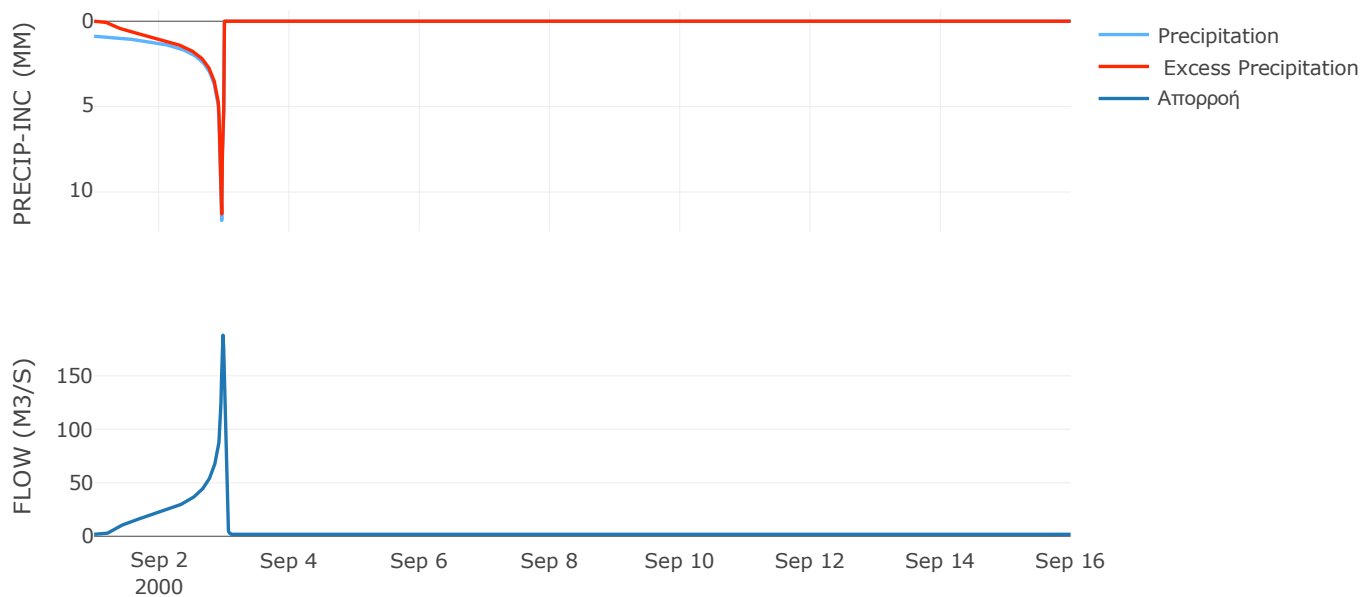
Μέθοδος
Μετασχηματισμού: SCS

Χρόνος Υστέρησης	26.17
------------------	-------

Αποτελέσματα:
EL0514FR003009

Παροχή αιχμής (M3/S)	188.03
Χρονική στιγμή αιχμής	02Sep2000, 23:30
Όγκος (MM)	408.17
Όγκος βροχόπτωσης (M3)	6.32E6
Όγκος απωλειών (M3)	1.29E6
Ενεργός Όγκος (M3)	5.03E6
Όγκος άμεσης απορροής (M3)	5.03E6
Όγκος βασικής απορροής (M3)	2.34E6

Βροχόπτωση και Απορροή



Υπολεκάνη: EL0514FR003010

Έκταση (KM2) : 90.5

Κατάντη : J17

Μέθοδος Απωλειών: SCS

Ποσοστό αδιαπέρατης επιφάνειας	0
Αριθμός Καμπύλης Απορροής-CN	87.41
Αρχικές Απώλειες	7.32

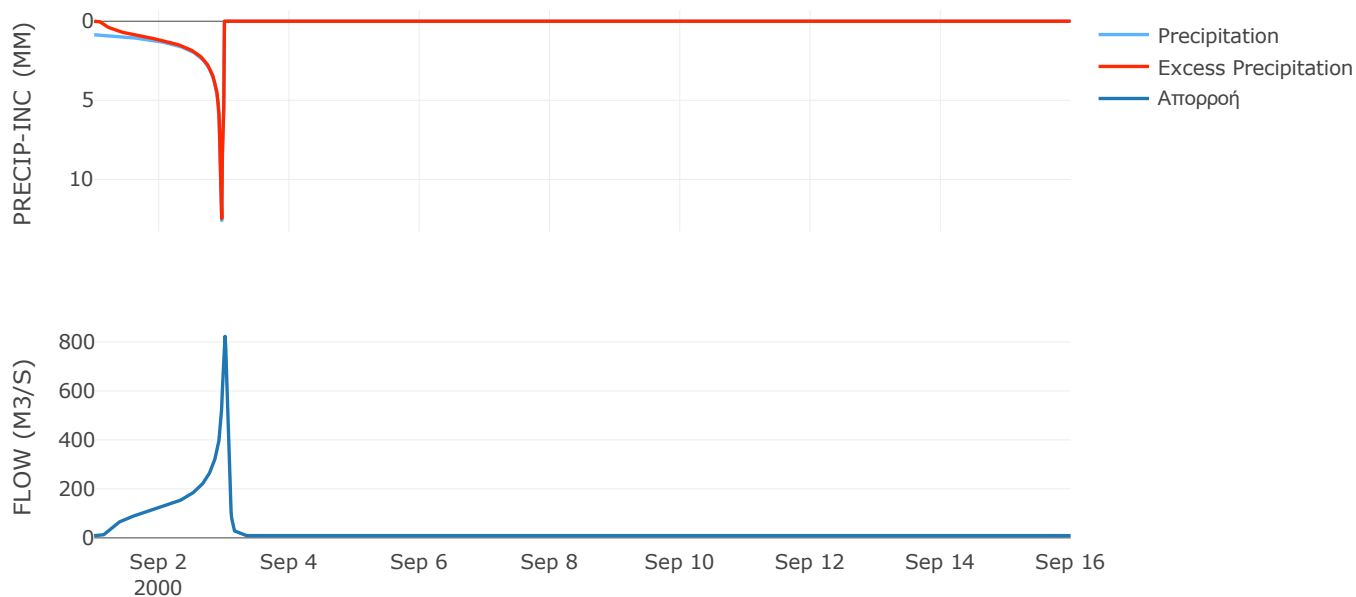
Μέθοδος
Μετασχηματισμού: SCS

Χρόνος Υστέρησης	70.63
------------------	-------

Αποτελέσματα:
EL0514FR003010

Παροχή αιχμής (M3/S)	822.73
Χρονική στιγμή αιχμής	03Sep2000, 00:15
Όγκος (MM)	442.39
Όγκος βροχόπτωσης (M3)	3.2E7
Όγκος απωλειών (M3)	3.66E6
Ενεργός Όγκος (M3)	2.83E7
Όγκος άμεσης απορροής (M3)	2.83E7
Όγκος βασικής απορροής (M3)	1.17E7

Βροχόπτωση και Απορροή



Υπολεκάνη: EL0514FR003011

Έκταση (KM2) : 26.55

Κατάντη : J18

Μέθοδος Απωλειών: SCS

Ποσοστό αδιαπέρατης επιφάνειας	0
Αριθμός Καμπύλης Απορροής-CN	91.17
Αρχικές Απώλειες	4.92

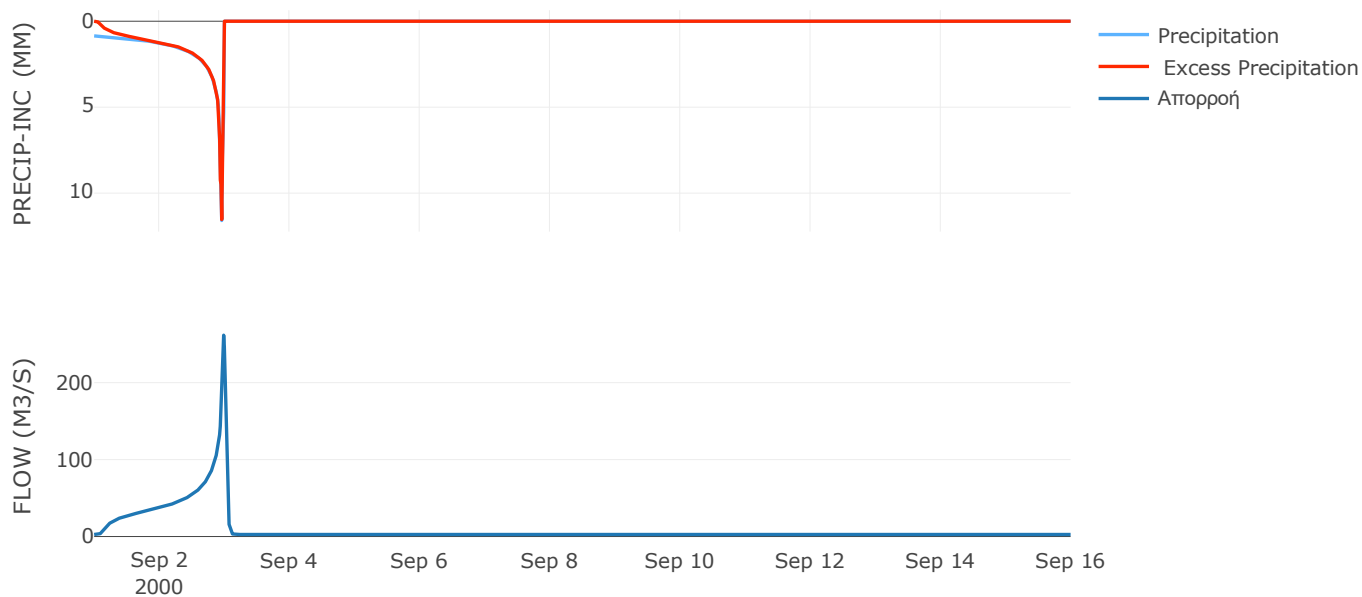
Μέθοδος
Μετασχηματισμού: SCS

Χρόνος Υστέρησης	39.38
------------------	-------

Αποτελέσματα:
EL0514FR003011

Παροχή αιχμής (M3/S)	261.71
Χρονική στιγμή αιχμής	02Sep2000, 23:45
Όγκος (MM)	444.28
Όγκος βροχόπτωσης (M3)	9.1E6
Όγκος απωλειών (M3)	7.39E5
Ενεργός Όγκος (M3)	8.36E6
Όγκος άμεσης απορροής (M3)	8.36E6
Όγκος βασικής απορροής (M3)	3.44E6

Βροχόπτωση και Απορροή



Υπολεκάνη: EL0514FR003012

Έκταση (KM2) : 29.39

Κατάντη : J18

Μέθοδος Απωλειών: SCS

Ποσοστό αδιαπέρατης επιφάνειας	0
Αριθμός Καμπύλης Απορροής-CN	88.87
Αρχικές Απώλειες	6.36

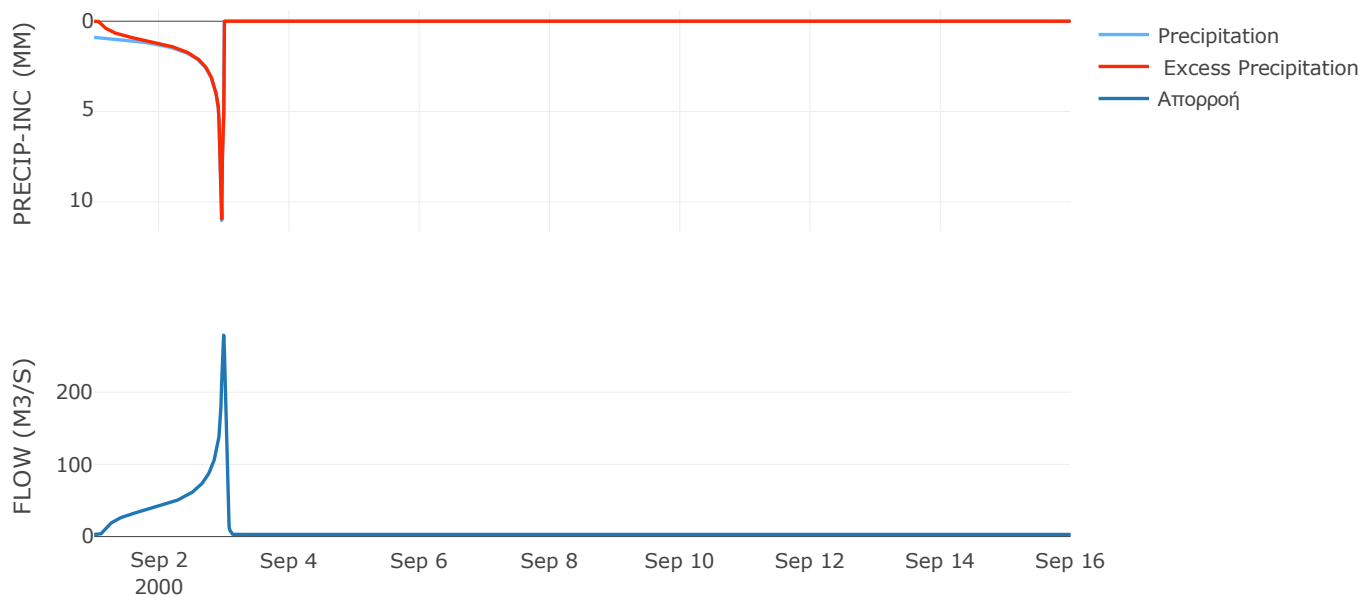
Μέθοδος
Μετασχηματισμού: SCS

Χρόνος Υστέρησης	36.73
------------------	-------

Αποτελέσματα:
EL0514FR003012

Παροχή αιχμής (M3/S)	279.08
Χρονική στιγμή αιχμής	02Sep2000, 23:45
Όγκος (MM)	440.98
Όγκος βροχόπτωσης (M3)	1.02E7
Όγκος απωλειών (M3)	1.04E6
Ενεργός Όγκος (M3)	9.15E6
Όγκος άμεσης απορροής (M3)	9.15E6
Όγκος βασικής απορροής (M3)	3.81E6

Βροχόπτωση και Απορροή



Υπολεκάνη: EL0514FR003013

Έκταση (KM2) : 44.12

Κατάνη : J11

Μέθοδος Απωλειών: SCS

Ποσοστό αδιαπέρατης επιφάνειας	0
Αριθμός Καμπύλης Απορροής-CN	89.58
Αρχικές Απώλειες	5.91

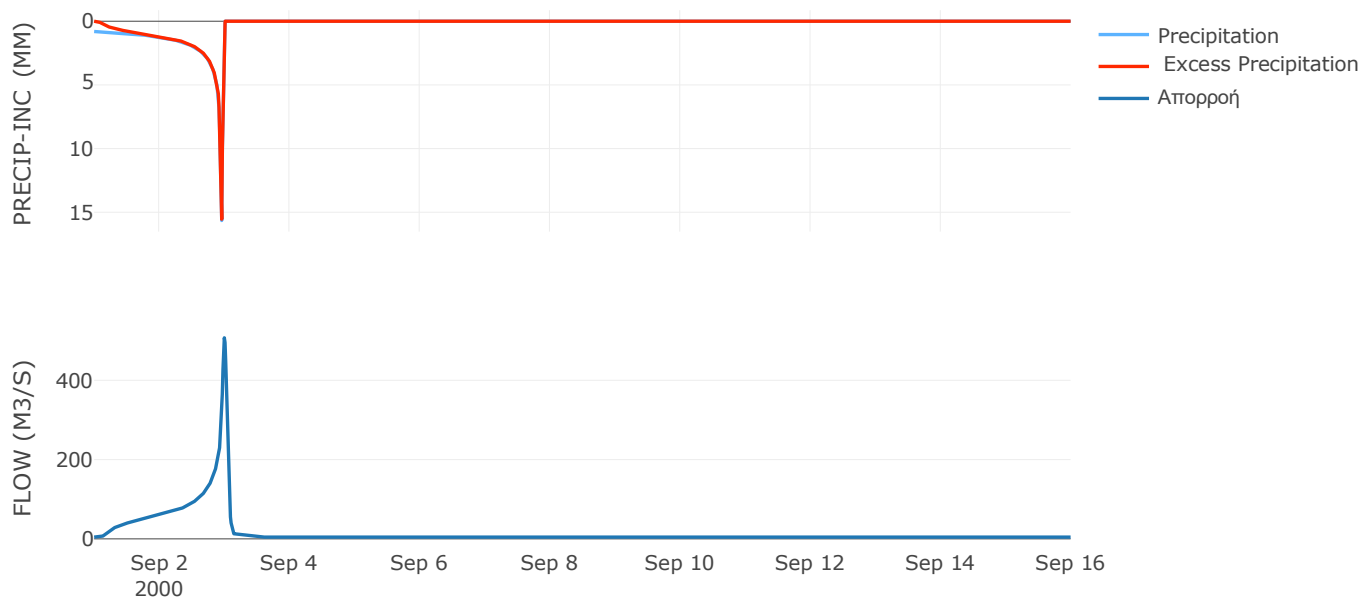
Μέθοδος
Μετασχηματισμού: SCS

Χρόνος Υστέρησης	61.84
------------------	-------

Αποτελέσματα:
EL0514FR003013

Παροχή αιχμής (M3/S)	507.27
Χρονική στιγμή αιχμής	02Sep2000, 24:00
Όγκος (MM)	464.98
Όγκος βροχόπτωσης (M3)	1.63E7
Όγκος απωλειών (M3)	1.47E6
Ενεργός Όγκος (M3)	1.48E7
Όγκος άμεσης απορροής (M3)	1.48E7
Όγκος βασικής απορροής (M3)	5.72E6

Βροχόπτωση και Απορροή



Υπολεκάνη: EL0514FR003014

Έκταση (KM2) : 22.29

Κατάνη : J11

Μέθοδος Απωλειών: SCS

Ποσοστό αδιαπέρατης επιφάνειας	0
Αριθμός Καμπύλης Απορροής-CN	82.91
Αρχικές Απώλειες	10.47

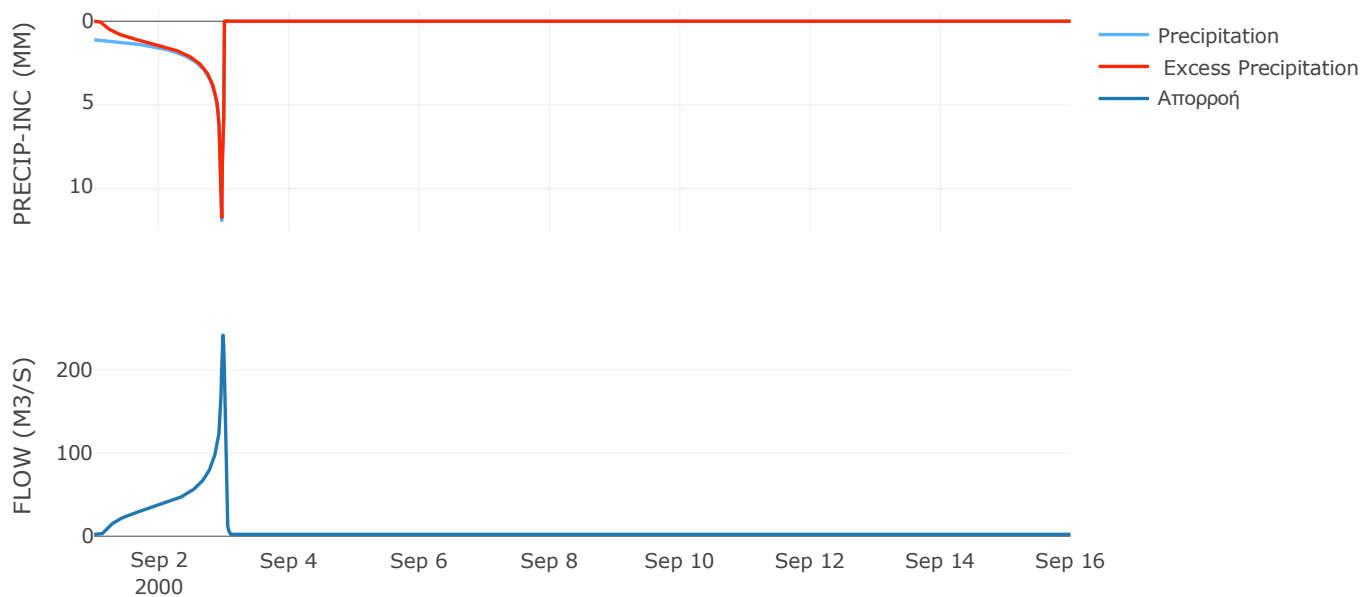
Μέθοδος
Μετασχηματισμού: SCS

Χρόνος Υστέρησης	26.81
------------------	-------

Αποτελέσματα:
EL0514FR003014

Παροχή αιχμής (M3/S)	241.46
Χρονική στιγμή αιχμής	02Sep2000, 23:30
Όγκος (MM)	484.27
Όγκος βροχόπτωσης (M3)	9.17E6
Όγκος απωλειών (M3)	1.27E6
Ενεργός Όγκος (M3)	7.91E6
Όγκος άμεσης απορροής (M3)	7.91E6
Όγκος βασικής απορροής (M3)	2.89E6

Βροχόπτωση και Απορροή



Υπολεκάνη: EL0514FR003015

Έκταση (KM2) : 51.11

Κατάντη : J21

Μέθοδος Απωλειών: SCS

Ποσοστό αδιαπέρατης επιφάνειας	0
Αριθμός Καμπύλης Απορροής-CN	80.56
Αρχικές Απώλειες	12.26

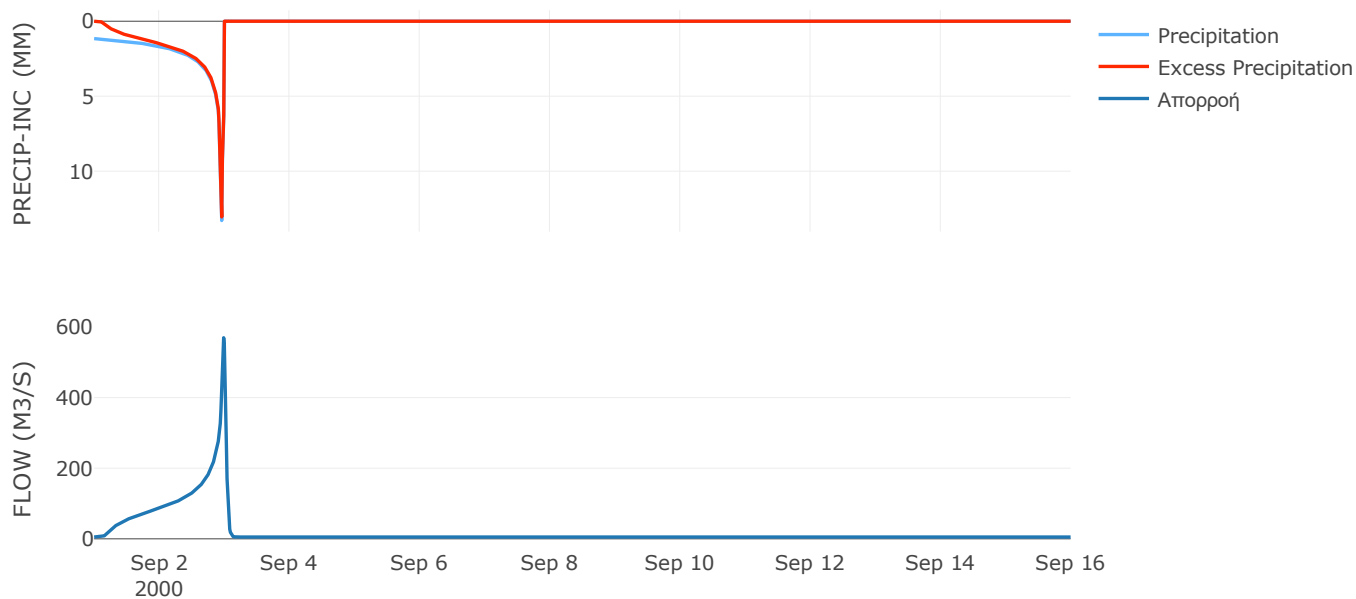
Μέθοδος
Μετασχηματισμού: SCS

Χρόνος Υστέρησης	41.84
------------------	-------

Αποτελέσματα:
EL0514FR003015

Παροχή αιχμής (M3/S)	569.45
Χρονική στιγμή αιχμής	02Sep2000, 23:45
Όγκος (MM)	502.52
Όγκος βροχόπτωσης (M3)	2.24E7
Όγκος απωλειών (M3)	3.37E6
Ενεργός Όγκος (M3)	1.91E7
Όγκος άμεσης απορροής (M3)	1.91E7
Όγκος βασικής απορροής (M3)	6.62E6

Βροχόπτωση και Απορροή



Υπολεκάνη: EL0514FR003016

Έκταση (KM2) : 20.25

Κατάντη : J21

Μέθοδος Απωλειών: SCS

Ποσοστό αδιαπέρατης επιφάνειας	0
Αριθμός Καμπύλης Απορροής-CN	82.62
Αρχικές Απώλειες	10.69

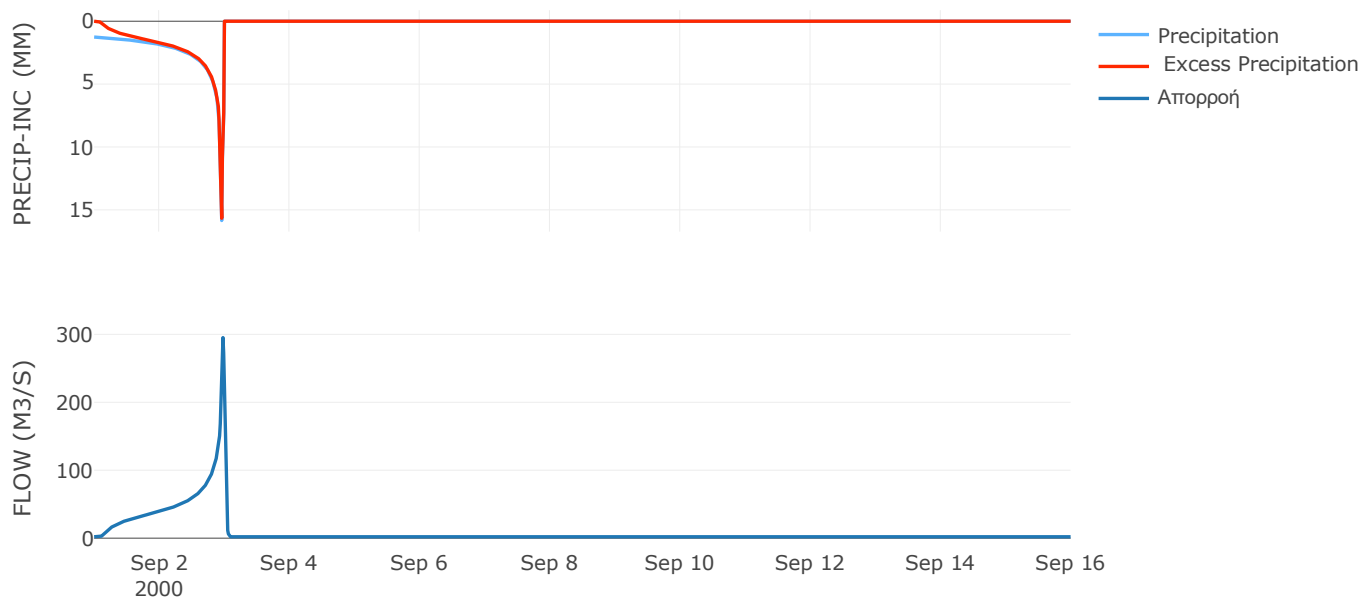
Μέθοδος
Μετασχηματισμού: SCS

Χρόνος Υστέρησης	24.46
------------------	-------

Αποτελέσματα:
EL0514FR003016

Παροχή αιχμής (M3/S)	295.23
Χρονική στιγμή αιχμής	02Sep2000, 23:30
Όγκος (MM)	562.53
Όγκος βροχόπτωσης (M3)	9.96E6
Όγκος απωλειών (M3)	1.19E6
Ενεργός Όγκος (M3)	8.77E6
Όγκος άμεσης απορροής (M3)	8.77E6
Όγκος βασικής απορροής (M3)	2.62E6

Βροχόπτωση και Απορροή



Υπολεκάνη: EL0514FR003017

Έκταση (KM2) : 26.55

Κατάντη : J21

Μέθοδος Απωλειών: SCS

Ποσοστό αδιαπέρατης επιφάνειας	0
Αριθμός Καμπύλης Απορροής-CN	84.71
Αρχικές Απώλειες	9.17

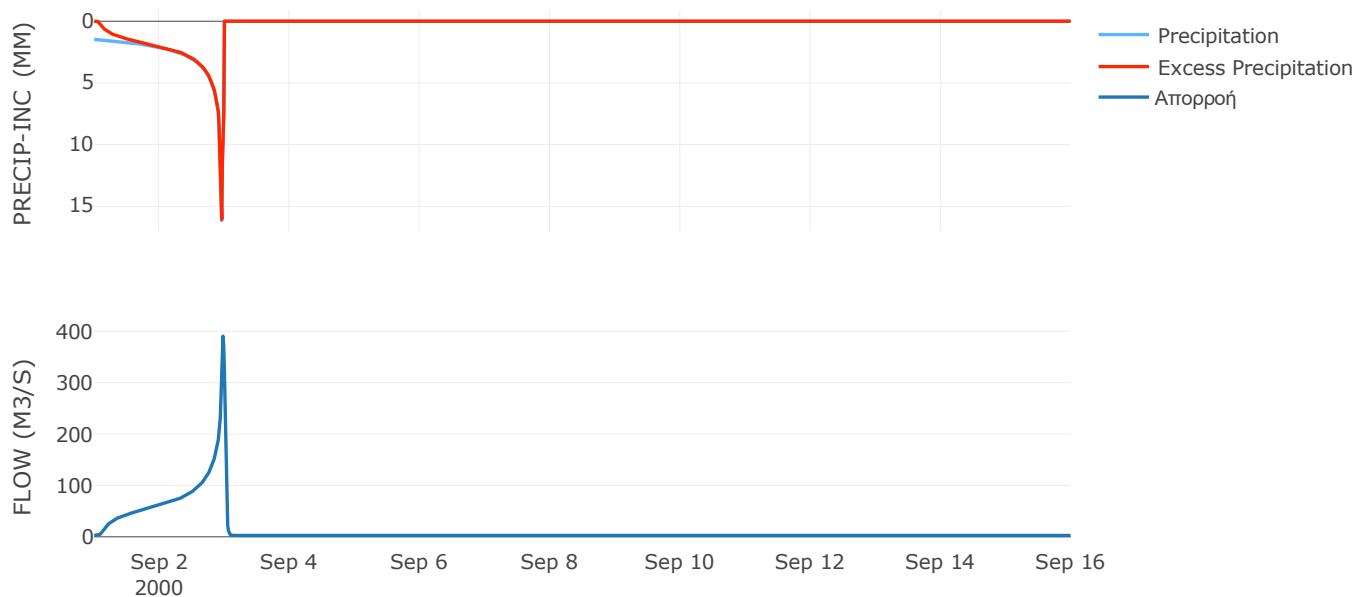
Μέθοδος
Μετασχηματισμού: SCS

Χρόνος Υστέρησης	27.46
------------------	-------

Αποτελέσματα:
EL0514FR003017

Παροχή αιχμής (M3/S)	390.5
Χρονική στιγμή αιχμής	02Sep2000, 23:30
Όγκος (MM)	626.4
Όγκος βροχόπτωσης (M3)	1.46E7
Όγκος απωλειών (M3)	1.37E6
Ενεργός Όγκος (M3)	1.32E7
Όγκος άμεσης απορροής (M3)	1.32E7
Όγκος βασικής απορροής (M3)	3.44E6

Βροχόπτωση και Απορροή



Υπολεκάνη: EL0514FR003018

Έκταση (KM2) : 4.66

Κατάντη : J20

Μέθοδος Απωλειών: SCS

Ποσοστό αδιαπέρατης επιφάνειας	0
Αριθμός Καμπύλης Απορροής-CN	84.57
Αρχικές Απώλειες	9.27

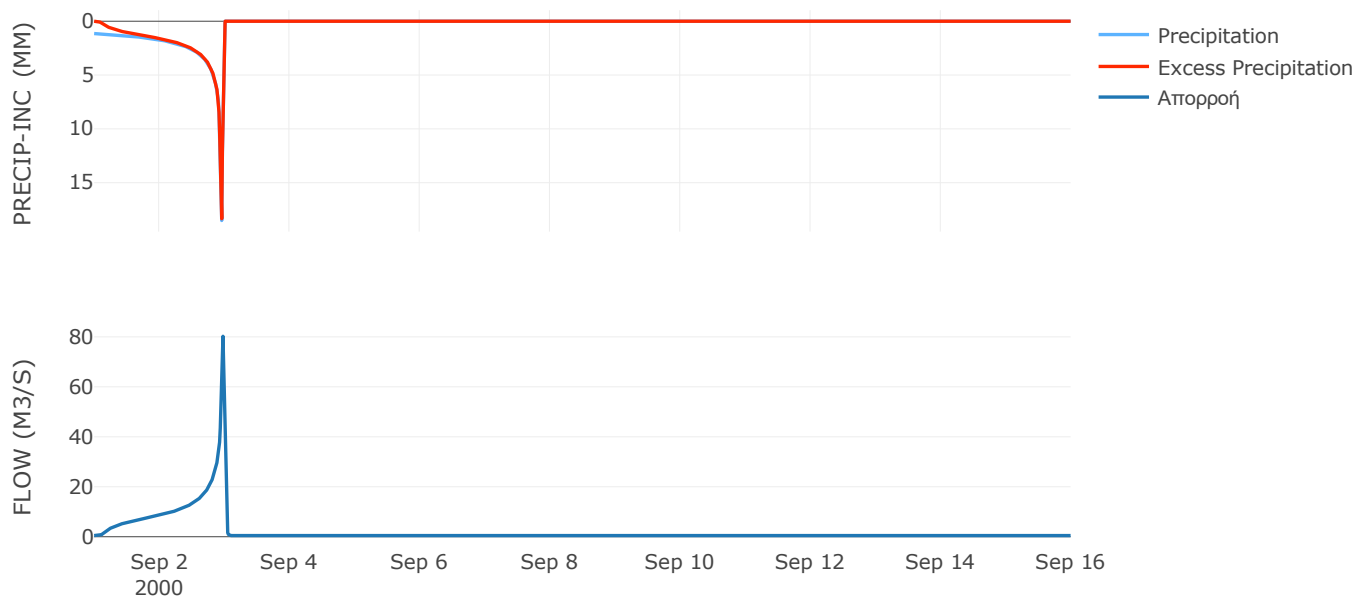
Μέθοδος
Μετασχηματισμού: SCS

Χρόνος Υστέρησης	20.28
------------------	-------

Αποτελέσματα:
EL0514FR003018

Παροχή αιχμής (M3/S)	80.24
Χρονική στιγμή αιχμής	02Sep2000, 23:30
Όγκος (MM)	566.39
Όγκος βροχόπτωσης (M3)	2.27E6
Όγκος απωλειών (M3)	2.4E5
Ενεργός Όγκος (M3)	2.03E6
Όγκος άμεσης απορροής (M3)	2.03E6
Όγκος βασικής απορροής (M3)	6.04E5

Βροχόπτωση και Απορροή



Υπολεκάνη: EL0514FR003019

Έκταση (KM2) : 56.36

Κατάντη : J20

Μέθοδος Απωλειών: SCS

Ποσοστό αδιαπέρατης επιφάνειας	0
Αριθμός Καμπύλης Απορροής-CN	91.14
Αρχικές Απώλειες	4.94

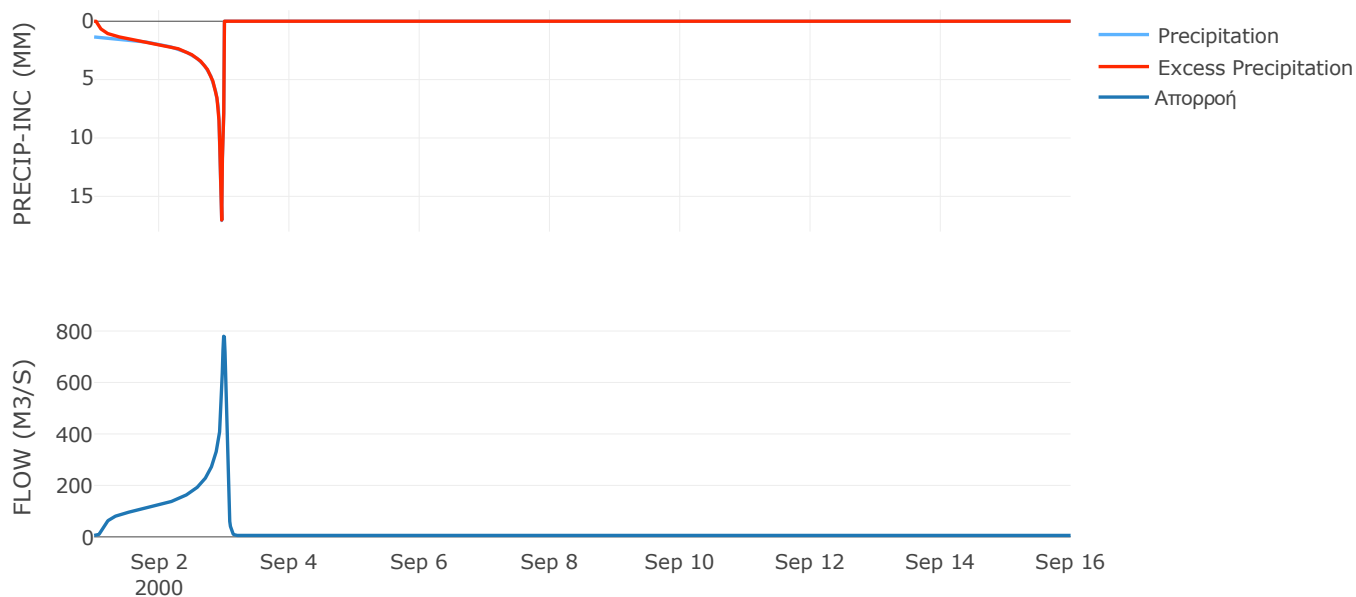
Μέθοδος
Μετασχηματισμού: SCS

Χρόνος Υστέρησης	49.04
------------------	-------

Αποτελέσματα:
EL0514FR003019

Παροχή αιχμής (M3/S)	779.63
Χρονική στιγμή αιχμής	02Sep2000, 23:45
Όγκος (MM)	629.1
Όγκος βροχόπτωσης (M3)	2.98E7
Όγκος απωλειών (M3)	1.61E6
Ενεργός Όγκος (M3)	2.82E7
Όγκος άμεσης απορροής (M3)	2.82E7
Όγκος βασικής απορροής (M3)	7.3E6

Βροχόπτωση και Απορροή



Υπολεκάνη: EL0514FR003020

Έκταση (KM2) : 10.48

Κατάντη : J19

Μέθοδος Απωλειών: SCS

Ποσοστό αδιαπέρατης επιφάνειας	0
Αριθμός Καμπύλης Απορροής-CN	90.62
Αρχικές Απώλειες	5.26

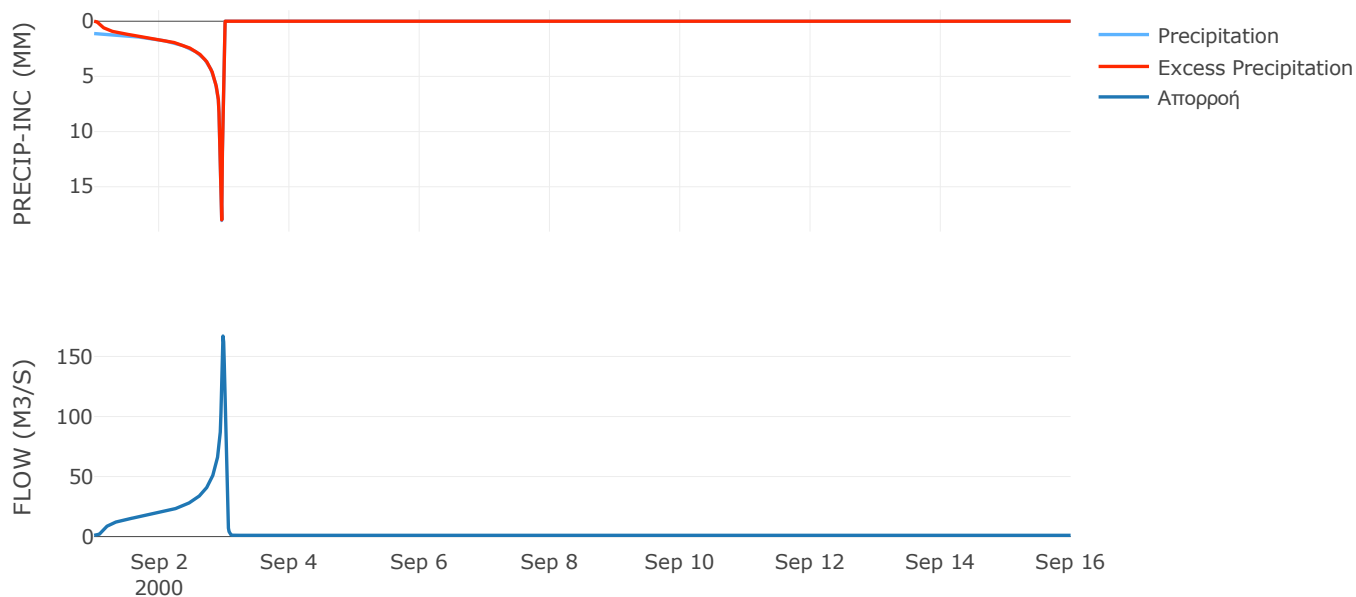
Μέθοδος
Μετασχηματισμού: SCS

Χρόνος Υστέρησης	31.01
------------------	-------

Αποτελέσματα:
EL0514FR003020

Παροχή αιχμής (M3/S)	167.02
Χρονική στιγμή αιχμής	02Sep2000, 23:30
Όγκος (MM)	576.27
Όγκος βροχόπτωσης (M3)	5E6
Όγκος απωλειών (M3)	3.16E5
Ενεργός Όγκος (M3)	4.68E6
Όγκος άμεσης απορροής (M3)	4.68E6
Όγκος βασικής απορροής (M3)	1.36E6

Βροχόπτωση και Απορροή



Υπολεκάνη: EL0514FR003021

Έκταση (KM2) : 14.84

Κατάντη : J19

Μέθοδος Απωλειών: SCS

Ποσοστό αδιαπέρατης επιφάνειας	0
Αριθμός Καμπύλης Απορροής-CN	90.39
Αρχικές Απώλειες	5.4

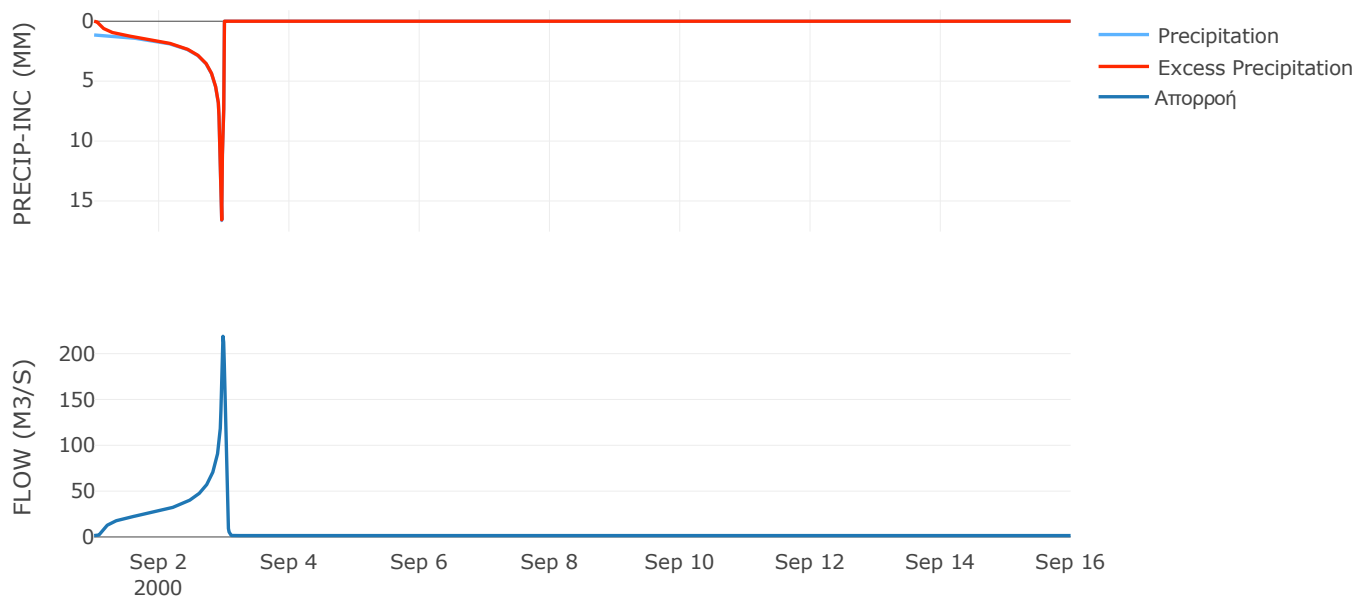
Μέθοδος
Μετασχηματισμού: SCS

Χρόνος Υστέρησης	30.68
------------------	-------

Αποτελέσματα:
EL0514FR003021

Παροχή αιχμής (M3/S)	218.96
Χρονική στιγμή αιχμής	02Sep2000, 23:30
Όγκος (MM)	569.51
Όγκος βροχόπτωσης (M3)	6.99E6
Όγκος απωλειών (M3)	4.59E5
Ενεργός Όγκος (M3)	6.53E6
Όγκος άμεσης απορροής (M3)	6.53E6
Όγκος βασικής απορροής (M3)	1.92E6

Βροχόπτωση και Απορροή



Υπολεκάνη: EL0514FR003022

Έκταση (KM2) : 68.59

Κατάντη : J10

Μέθοδος Απωλειών: SCS

Ποσοστό αδιαπέρατης επιφάνειας	0
Αριθμός Καμπύλης Απορροής-CN	78.49
Αρχικές Απώλειες	13.92

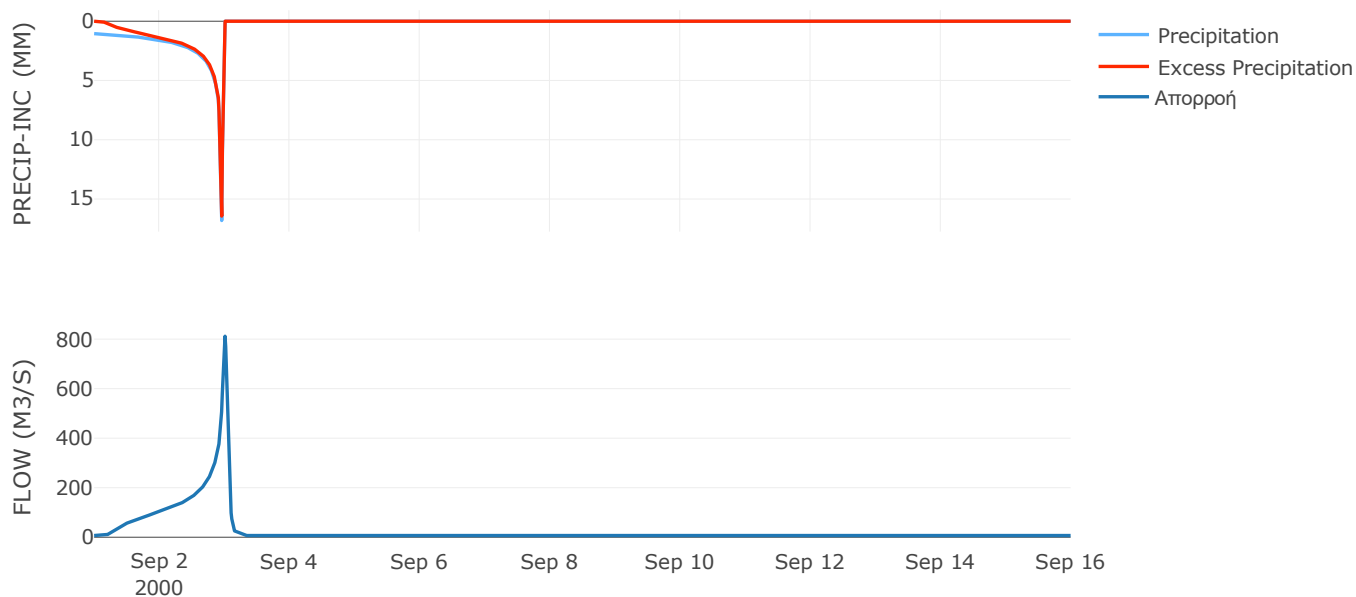
Μέθοδος
Μετασχηματισμού: SCS

Χρόνος Υστέρησης	70.35
------------------	-------

Αποτελέσματα:
EL0514FR003022

Παροχή αιχμής (M3/S)	811.79
Χρονική στιγμή αιχμής	03Sep2000, 00:15
Όγκος (MM)	501.47
Όγκος βροχόπτωσης (M3)	3.06E7
Όγκος απωλειών (M3)	5.07E6
Ενεργός Όγκος (M3)	2.55E7
Όγκος άμεσης απορροής (M3)	2.55E7
Όγκος βασικής απορροής (M3)	8.89E6

Βροχόπτωση και Απορροή



Υπολεκάνη: EL0514FR003023

Έκταση (KM2) : 35.95

Κατάντη : J10

Μέθοδος Απωλειών: SCS

Ποσοστό αδιαπέρατης επιφάνειας	0
Αριθμός Καμπύλης Απορροής-CN	87.31
Αρχικές Απώλειες	7.39

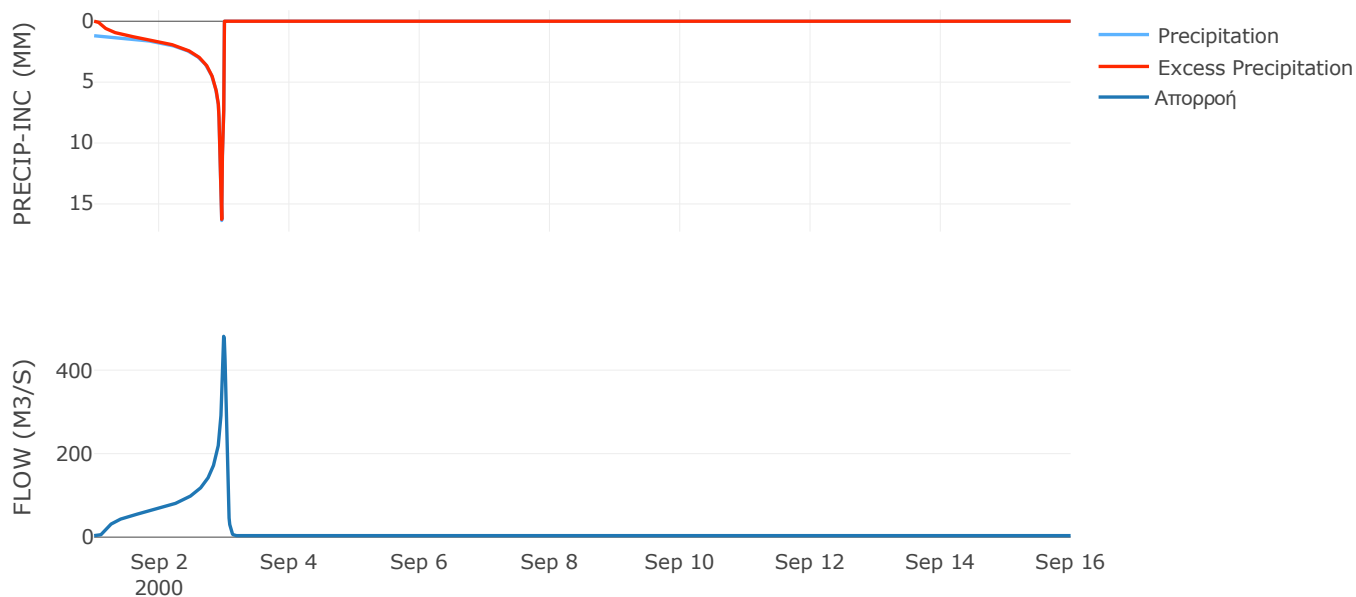
Μέθοδος
Μετασχηματισμού: SCS

Χρόνος Υστέρησης	46.17
------------------	-------

Αποτελέσματα:
EL0514FR003023

Παροχή αιχμής (M3/S)	481.04
Χρονική στιγμή αιχμής	02Sep2000, 23:45
Όγκος (MM)	567.39
Όγκος βροχόπτωσης (M3)	1.72E7
Όγκος απωλειών (M3)	1.5E6
Ενεργός Όγκος (M3)	1.57E7
Όγκος άμεσης απορροής (M3)	1.57E7
Όγκος βασικής απορροής (M3)	4.66E6

Βροχόπτωση και Απορροή



Υπολεκάνη: EL0514FR003024

Έκταση (KM2) : 55.27

Κατάντη : J9

Μέθοδος Απωλειών: SCS

Ποσοστό αδιαπέρατης επιφάνειας	0
Αριθμός Καμπύλης Απορροής-CN	72.99
Αρχικές Απώλειες	18.8

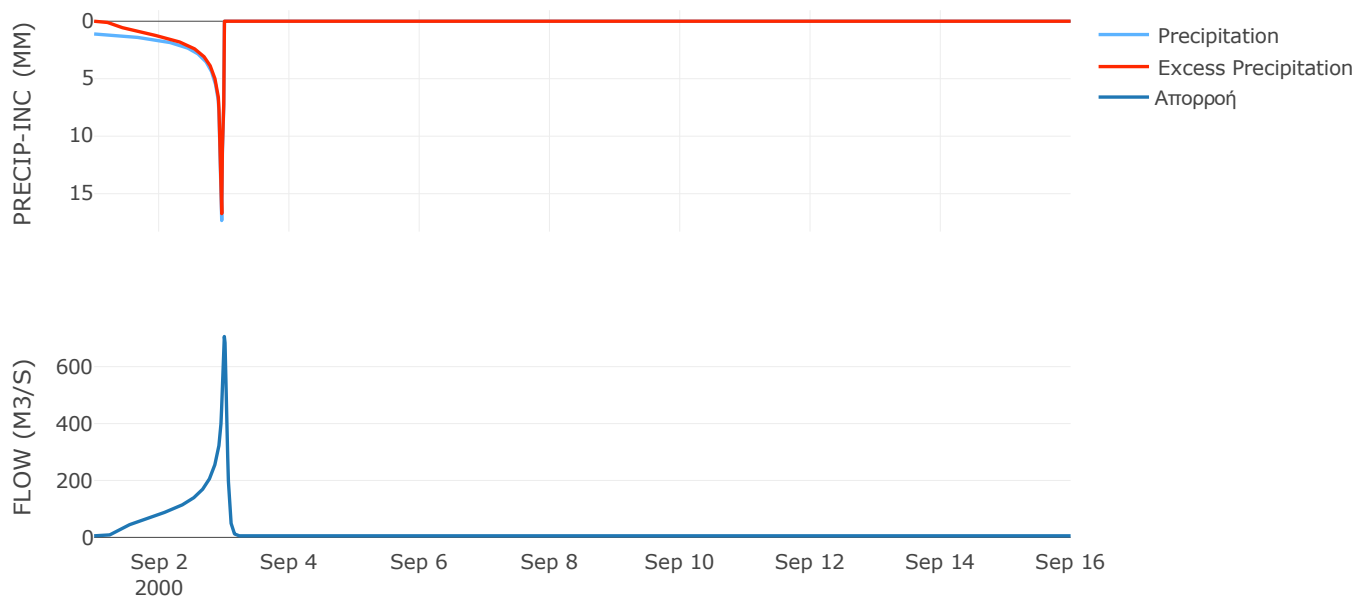
Μέθοδος
Μετασχηματισμού: SCS

Χρόνος Υστέρησης	59.48
------------------	-------

Αποτελέσματα:
EL0514FR003024

Παροχή αιχμής (M3/S)	705.96
Χρονική στιγμή αιχμής	02Sep2000, 24:00
Όγκος (MM)	500.45
Όγκος βροχόπτωσης (M3)	2.58E7
Όγκος απωλειών (M3)	5.33E6
Ενεργός Όγκος (M3)	2.05E7
Όγκος άμεσης απορροής (M3)	2.05E7
Όγκος βασικής απορροής (M3)	7.16E6

Βροχόπτωση και Απορροή



Υπολεκάνη: EL0514FR003025

Έκταση (KM2) : 30.82

Κατάντη : J9

Μέθοδος Απωλειών: SCS

Ποσοστό αδιαπέρατης επιφάνειας	0
Αριθμός Καμπύλης Απορροής-CN	89.76
Αρχικές Απώλειες	5.79

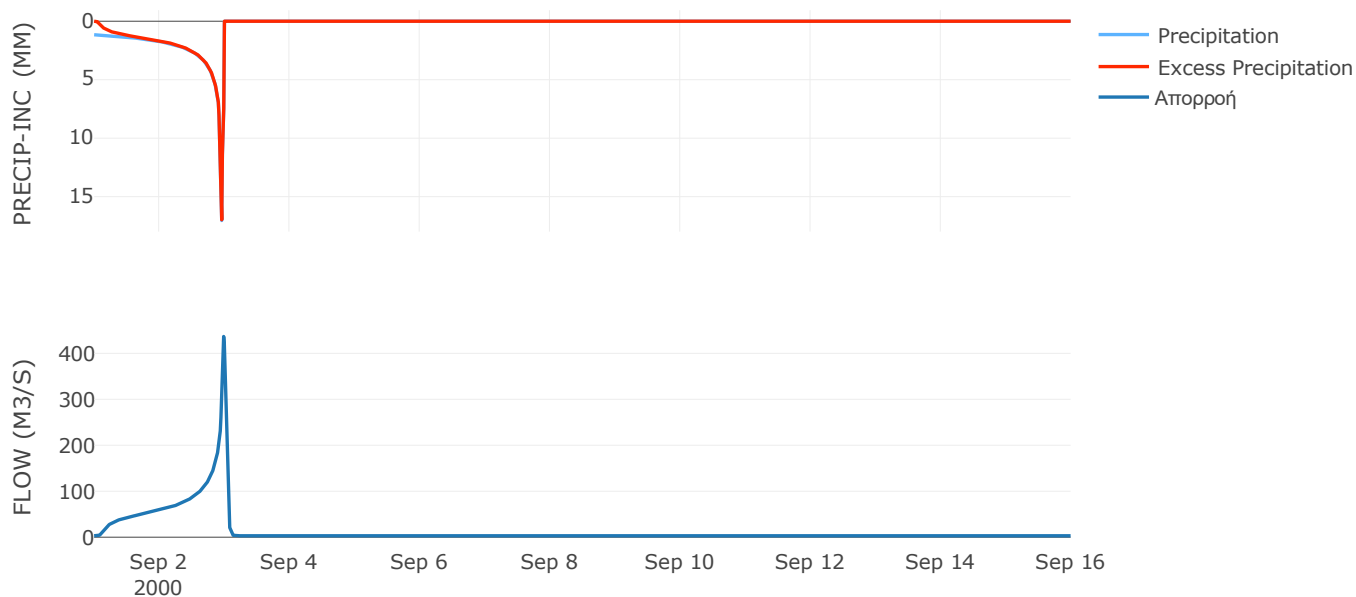
Μέθοδος
Μετασχηματισμού: SCS

Χρόνος Υστέρησης	42.78
------------------	-------

Αποτελέσματα:
EL0514FR003025

Παροχή αιχμής (M3/S)	436.71
Χρονική στιγμή αιχμής	02Sep2000, 23:45
Όγκος (MM)	573.64
Όγκος βροχόπτωσης (M3)	1.47E7
Όγκος απωλειών (M3)	1.02E6
Ενεργός Όγκος (M3)	1.37E7
Όγκος άμεσης απορροής (M3)	1.37E7
Όγκος βασικής απορροής (M3)	3.99E6

Βροχόπτωση και Απορροή



Υπολεκάνη: EL0514FR003026

Έκταση (KM2) : 12.64

Κατάντη : J9

Μέθοδος Απωλειών: SCS

Ποσοστό αδιαπέρατης επιφάνειας	0
Αριθμός Καμπύλης Απορροής-CN	89.46
Αρχικές Απώλειες	5.98

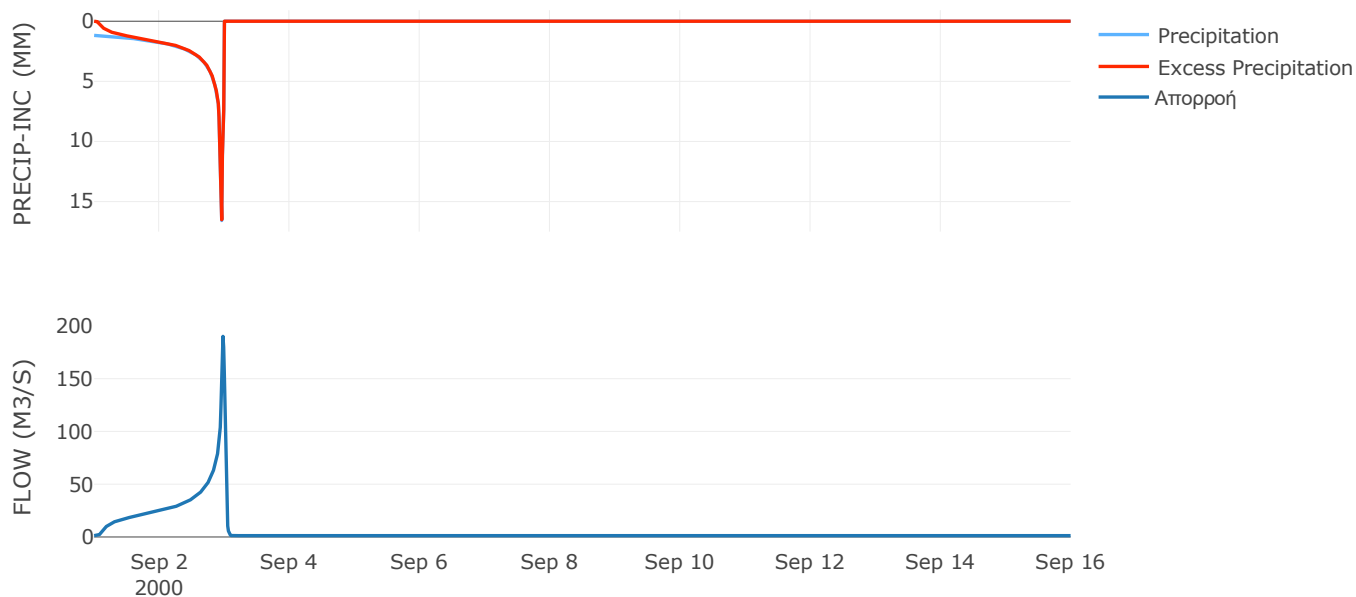
Μέθοδος
Μετασχηματισμού: SCS

Χρόνος Υστέρησης	27.66
------------------	-------

Αποτελέσματα:
EL0514FR003026

Παροχή αιχμής (M3/S)	190.14
Χρονική στιγμή αιχμής	02Sep2000, 23:30
Όγκος (MM)	573.66
Όγκος βροχόπτωσης (M3)	6.05E6
Όγκος απωλειών (M3)	4.31E5
Ενεργός Όγκος (M3)	5.61E6
Όγκος άμεσης απορροής (M3)	5.61E6
Όγκος βασικής απορροής (M3)	1.64E6

Βροχόπτωση και Απορροή



Υπολεκάνη: EL0514FR003027

Έκταση (KM2) : 75.07

Κατάντη : J8

Μέθοδος Απωλειών: SCS

Ποσοστό αδιαπέρατης επιφάνειας	0
Αριθμός Καμπύλης Απορροής-CN	86.9
Αρχικές Απώλειες	7.66

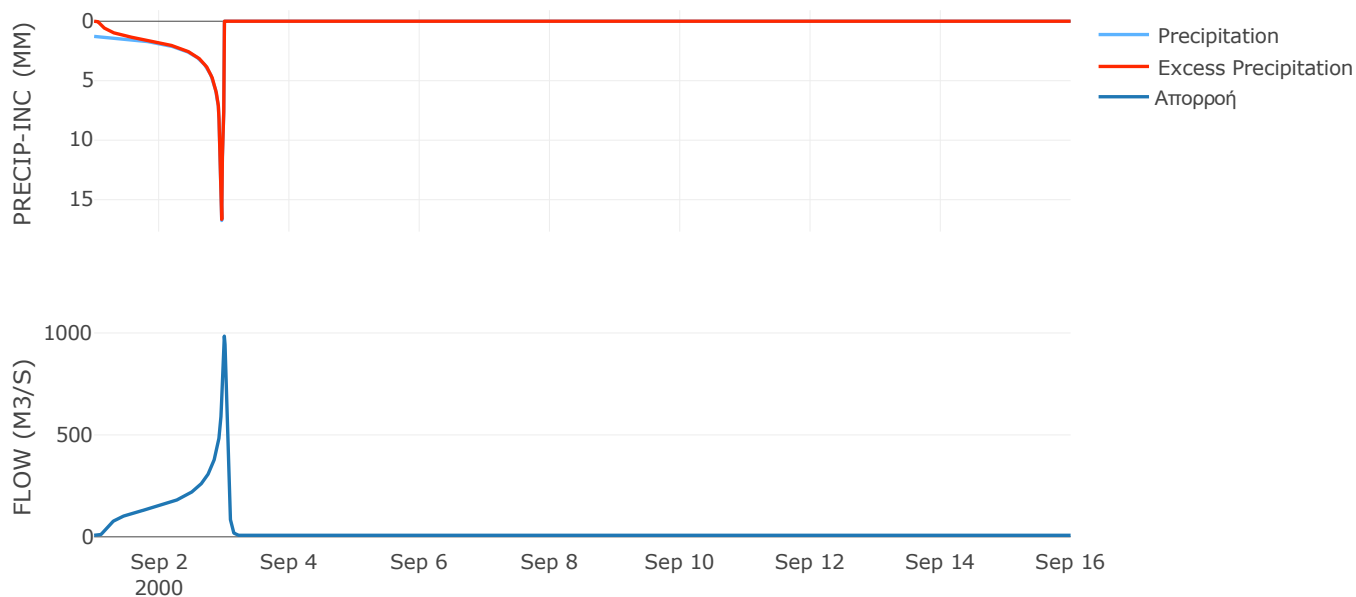
Μέθοδος
Μετασχηματισμού: SCS

Χρόνος Υστέρησης	56.91
------------------	-------

Αποτελέσματα:
EL0514FR003027

Παροχή αιχμής (M3/S)	984.56
Χρονική στιγμή αιχμής	02Sep2000, 24:00
Όγκος (MM)	592.1
Όγκος βροχόπτωσης (M3)	3.8E7
Όγκος απωλειών (M3)	3.24E6
Ενεργός Όγκος (M3)	3.47E7
Όγκος άμεσης απορροής (M3)	3.47E7
Όγκος βασικής απορροής (M3)	9.73E6

Βροχόπτωση και Απορροή



Υπολεκάνη: EL0514FR003028

Έκταση (KM2) : 25.46

Κατάντη : J8

Μέθοδος Απωλειών: SCS

Ποσοστό αδιαπέρατης επιφάνειας	0
Αριθμός Καμπύλης Απορροής-CN	90.19
Αρχικές Απώλειες	5.53

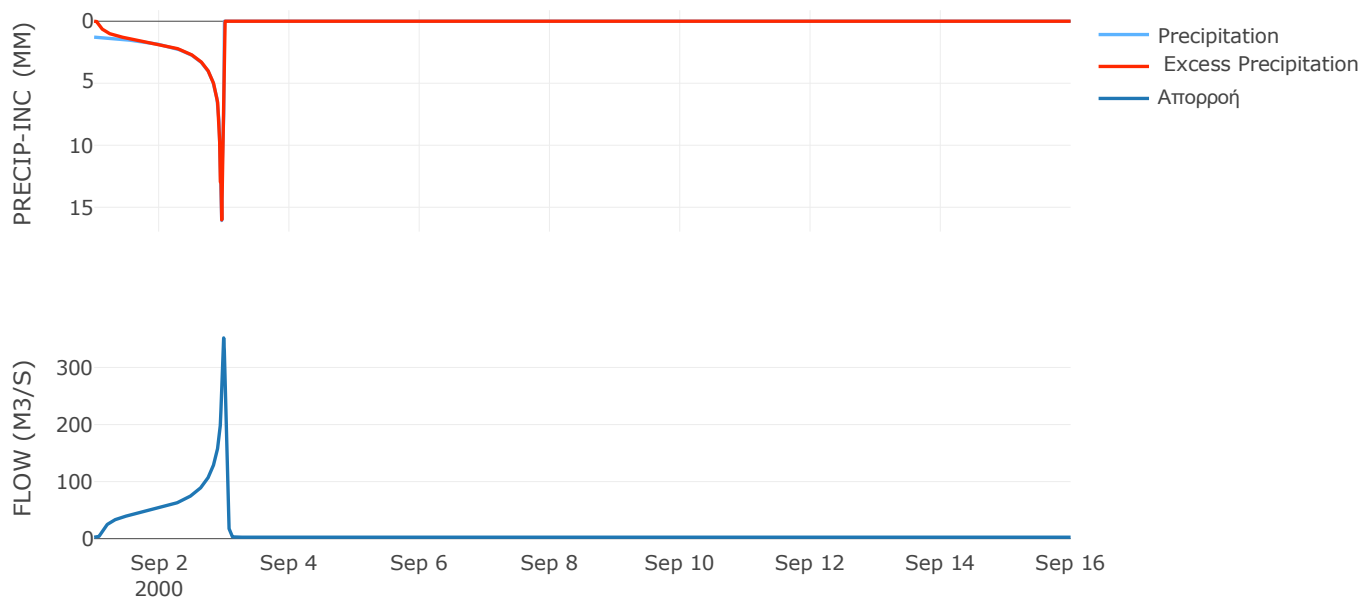
Μέθοδος
Μετασχηματισμού: SCS

Χρόνος Υστέρησης	37.41
------------------	-------

Αποτελέσματα:
EL0514FR003028

Παροχή αιχμής (M3/S)	351.84
Χρονική στιγμή αιχμής	02Sep2000, 23:45
Όγκος (MM)	598.43
Όγκος βροχόπτωσης (M3)	1.27E7
Όγκος απωλειών (M3)	8.07E5
Ενεργός Όγκος (M3)	1.19E7
Όγκος άμεσης απορροής (M3)	1.19E7
Όγκος βασικής απορροής (M3)	3.3E6

Βροχόπτωση και Απορροή



Υπολεκάνη: EL0514FR003029

Έκταση (KM2) : 14.96

Κατάντη : J7

Μέθοδος Απωλειών: SCS

Ποσοστό αδιαπέρατης επιφάνειας	0
Αριθμός Καμπύλης Απορροής-CN	89.85
Αρχικές Απώλειες	5.74

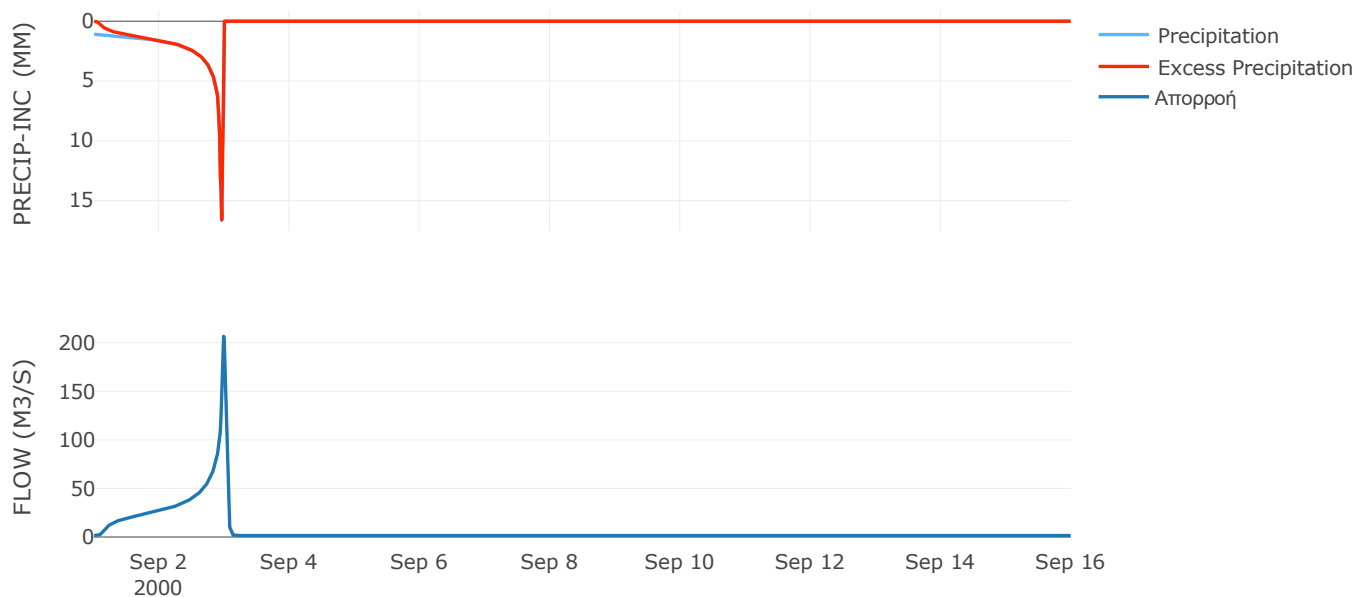
Μέθοδος
Μετασχηματισμού: SCS

Χρόνος Υστέρησης	42.97
------------------	-------

Αποτελέσματα:
EL0514FR003029

Παροχή αιχμής (M3/S)	206.61
Χρονική στιγμή αιχμής	02Sep2000, 23:45
Όγκος (MM)	552.49
Όγκος βροχόπτωσης (M3)	6.82E6
Όγκος απωλειών (M3)	4.89E5
Ενεργός Όγκος (M3)	6.33E6
Όγκος άμεσης απορροής (M3)	6.33E6
Όγκος βασικής απορροής (M3)	1.94E6

Βροχόπτωση και Απορροή



Υπολεκάνη: EL0514FR003030

Έκταση (KM2) : 14.02

Κατάνη : J7

Μέθοδος Απωλειών: SCS

Ποσοστό αδιαπέρατης επιφάνειας	0
Αριθμός Καμπύλης Απορροής-CN	90.15
Αρχικές Απώλειες	5.55

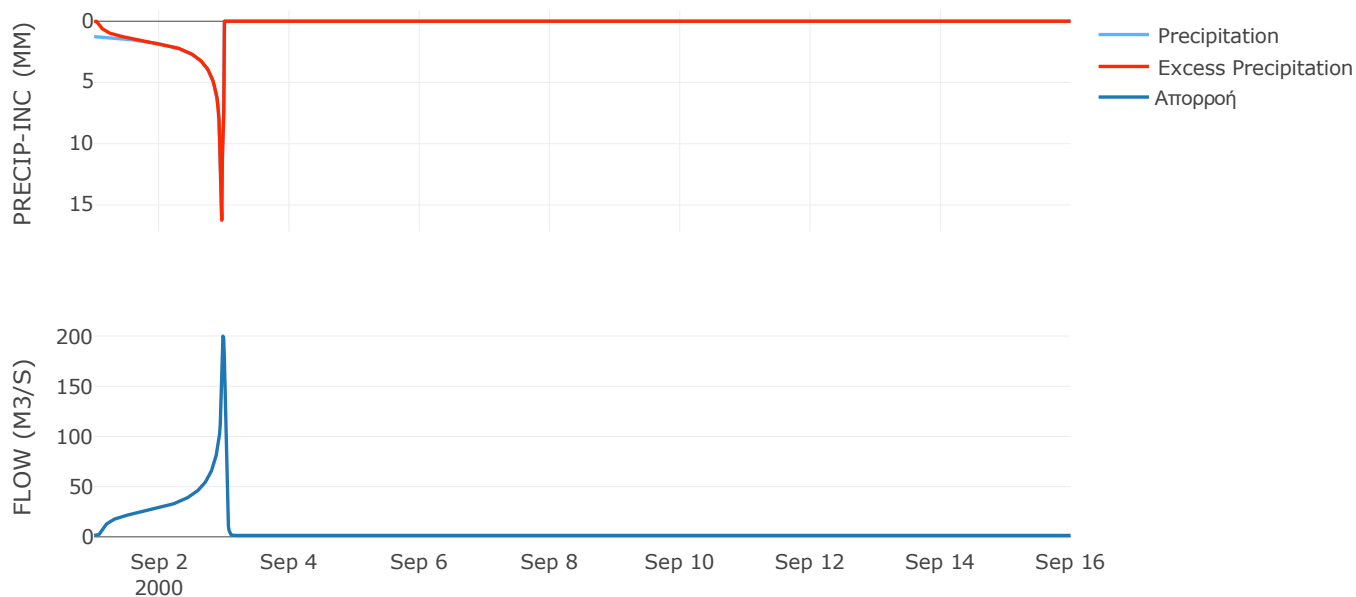
Μέθοδος
Μετασχηματισμού: SCS

Χρόνος Υστέρησης	32.67
------------------	-------

Αποτελέσματα:
EL0514FR003030

Παροχή αιχμής (M3/S)	199.92
Χρονική στιγμή αιχμής	02Sep2000, 23:30
Όγκος (MM)	593.34
Όγκος βροχόπτωσης (M3)	6.95E6
Όγκος απωλειών (M3)	4.46E5
Ενεργός Όγκος (M3)	6.5E6
Όγκος άμεσης απορροής (M3)	6.5E6
Όγκος βασικής απορροής (M3)	1.82E6

Βροχόπτωση και Απορροή



Υπολεκάνη: EL0514FR003031

Έκταση (KM2) : 21.31

Κατάντη : J7

Μέθοδος Απωλειών: SCS

Ποσοστό αδιαπέρατης επιφάνειας	0
Αριθμός Καμπύλης Απορροής-CN	90.2
Αρχικές Απώλειες	5.52

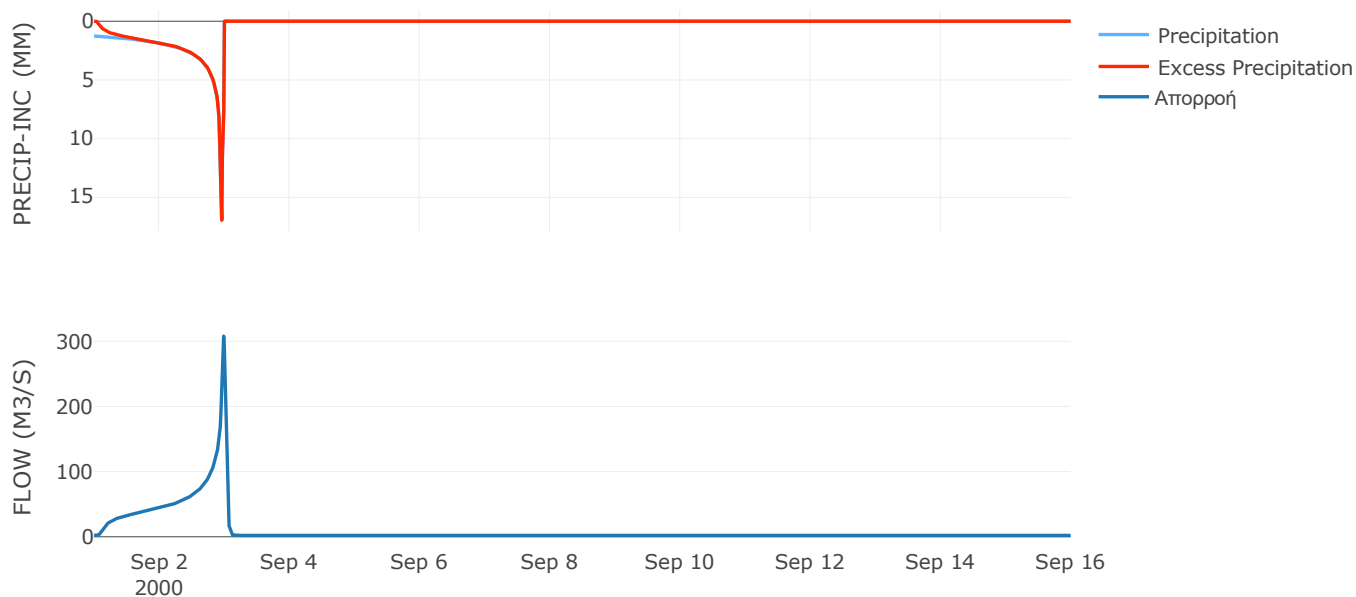
Μέθοδος
Μετασχηματισμού: SCS

Χρόνος Υστέρησης	38.76
------------------	-------

Αποτελέσματα:
EL0514FR003031

Παροχή αιχμής (M3/S)	307.87
Χρονική στιγμή αιχμής	02Sep2000, 23:45
Όγκος (MM)	601.03
Όγκος βροχόπτωσης (M3)	1.07E7
Όγκος απωλειών (M3)	6.75E5
Ενεργός Όγκος (M3)	1E7
Όγκος άμεσης απορροής (M3)	1E7
Όγκος βασικής απορροής (M3)	2.76E6

Βροχόπτωση και Απορροή



Υπολεκάνη: EL0514FR003032

Έκταση (KM2) : 17.85

Κατάντη : J6

Μέθοδος Απωλειών: SCS

Ποσοστό αδιαπέρατης επιφάνειας	0
Αριθμός Καμπύλης Απορροής-CN	89.02
Αρχικές Απώλειες	6.27

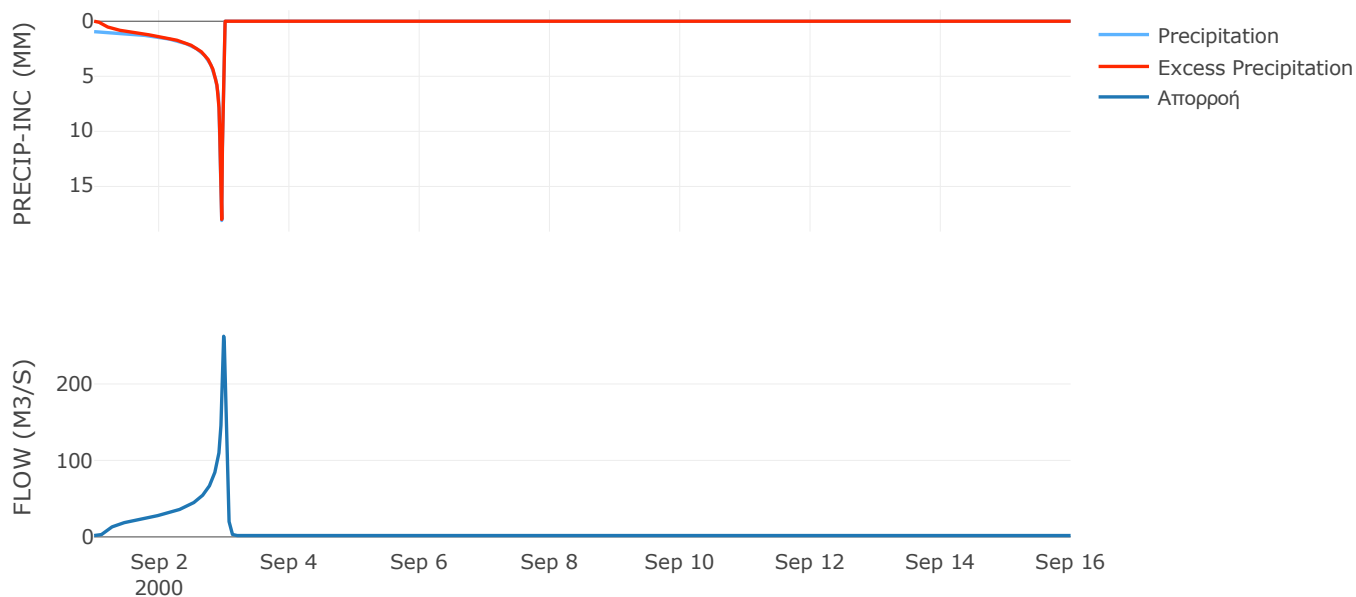
Μέθοδος
Μετασχηματισμού: SCS

Χρόνος Υστέρησης	43.68
------------------	-------

Αποτελέσματα:
EL0514FR003032

Παροχή αιχμής (M3/S)	262.42
Χρονική στιγμή αιχμής	02Sep2000, 23:45
Όγκος (MM)	524.28
Όγκος βροχόπτωσης (M3)	7.68E6
Όγκος απωλειών (M3)	6.33E5
Ενεργός Όγκος (M3)	7.04E6
Όγκος άμεσης απορροής (M3)	7.04E6
Όγκος βασικής απορροής (M3)	2.31E6

Βροχόπτωση και Απορροή



Υπολεκάνη: EL0514FR003033

Έκταση (KM2) : 17.55

Κατάντη : J6

Μέθοδος Απωλειών: SCS

Ποσοστό αδιαπέρατης επιφάνειας	0
Αριθμός Καμπύλης Απορροής-CN	72.06
Αρχικές Απώλειες	19.7

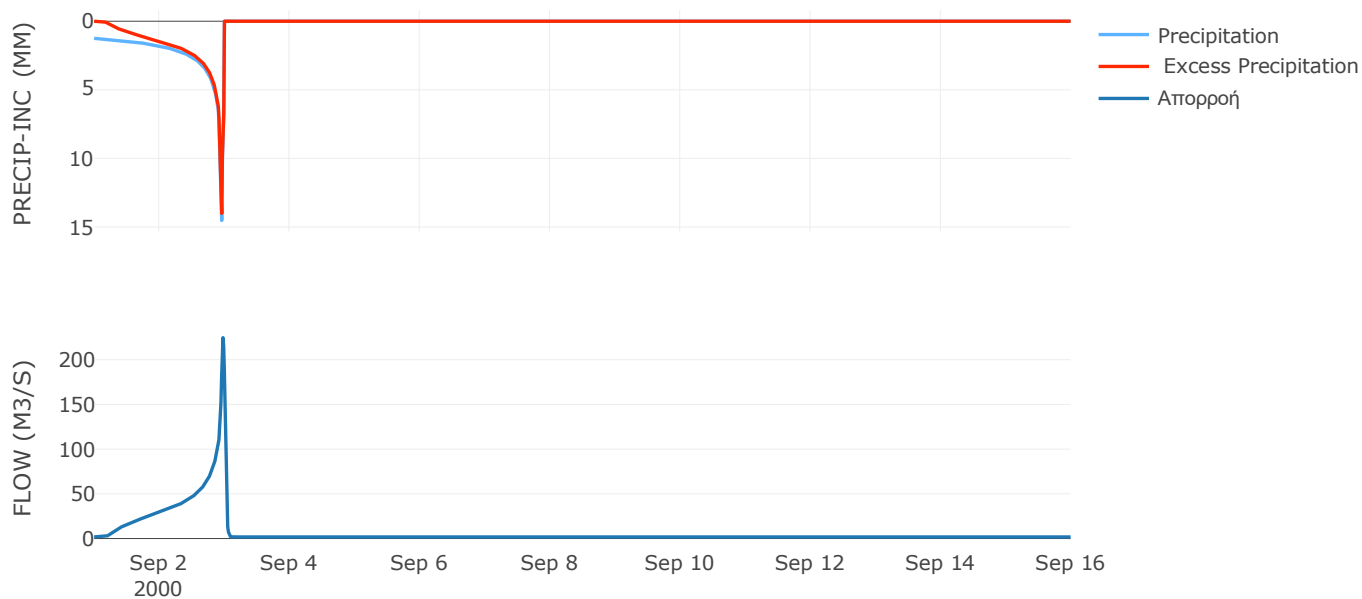
Μέθοδος
Μετασχηματισμού: SCS

Χρόνος Υστέρησης	27.78
------------------	-------

Αποτελέσματα:
EL0514FR003033

Παροχή αιχμής (M3/S)	224.66
Χρονική στιγμή αιχμής	02Sep2000, 23:30
Όγκος (MM)	503.29
Όγκος βροχόπτωσης (M3)	8.32E6
Όγκος απωλειών (M3)	1.77E6
Ενεργός Όγκος (M3)	6.56E6
Όγκος άμεσης απορροής (M3)	6.56E6
Όγκος βασικής απορροής (M3)	2.27E6

Βροχόπτωση και Απορροή



Υπολεκάνη: EL0514FR003034

Έκταση (KM2) : 83.42

Κατάντη : J5

Μέθοδος Απωλειών: SCS

Ποσοστό αδιαπέρατης επιφάνειας	7.2
Αριθμός Καμπύλης Απορροής-CN	86.8
Αρχικές Απώλειες	7.72

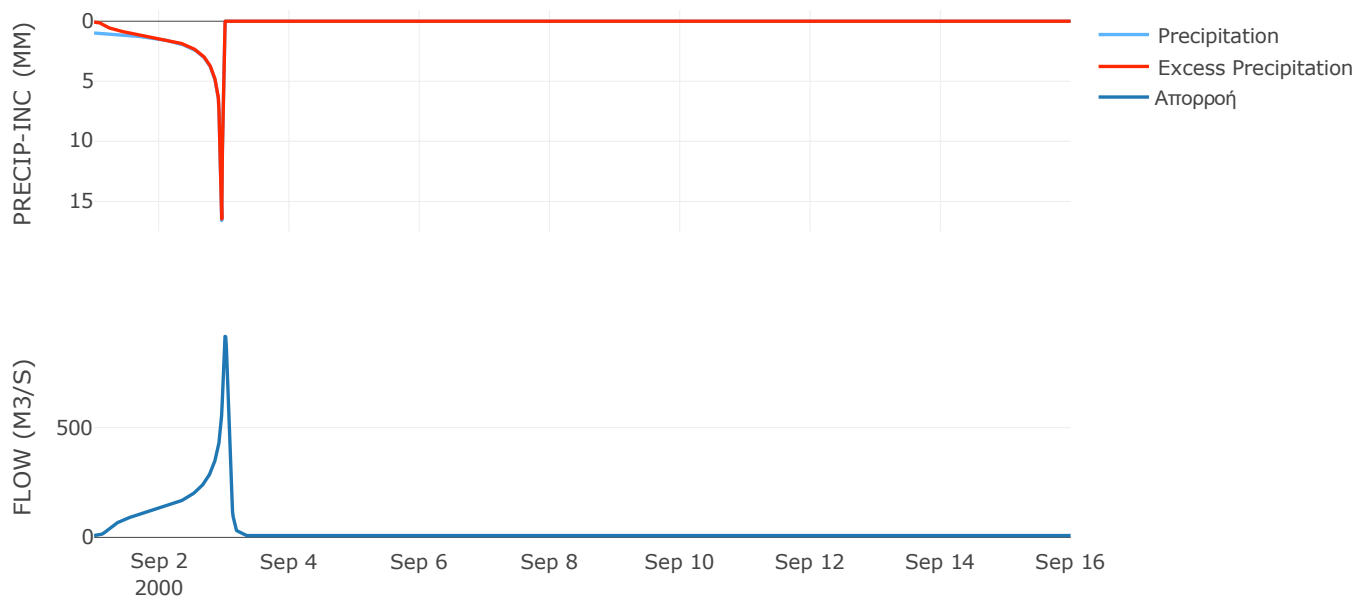
Μέθοδος
Μετασχηματισμού: SCS

Χρόνος Υστέρησης	85.41
------------------	-------

Αποτελέσματα:
EL0514FR003034

Παροχή αιχμής (M3/S)	915.62
Χρονική στιγμή αιχμής	03Sep2000, 00:15
Όγκος (MM)	515.24
Όγκος βροχόπτωσης (M3)	3.55E7
Όγκος απωλειών (M3)	3.33E6
Ενεργός Όγκος (M3)	3.22E7
Όγκος άμεσης απορροής (M3)	3.22E7
Όγκος βασικής απορροής (M3)	1.08E7

Βροχόπτωση και Απορροή



Υπολεκάνη: EL0514FR003035

Έκταση (KM2) : 13.03

Κατάντη : J31

Μέθοδος Απωλειών: SCS

Ποσοστό αδιαπέρατης επιφάνειας	0
Αριθμός Καμπύλης Απορροής-CN	90.09
Αρχικές Απώλειες	5.59

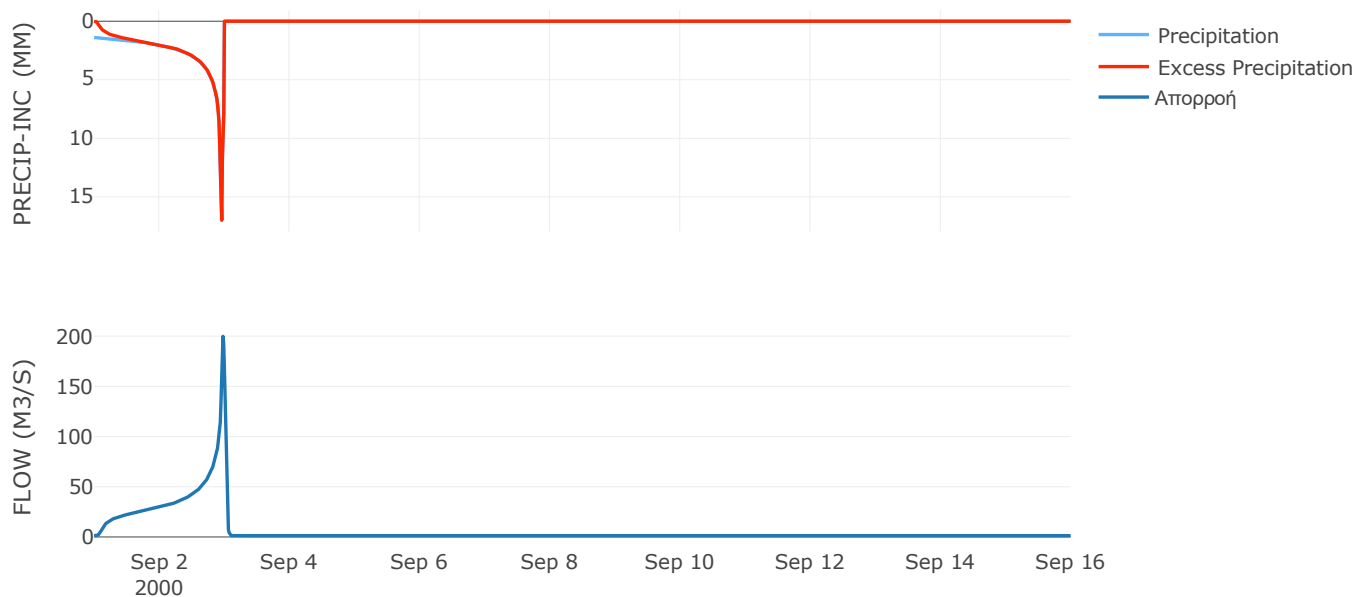
Μέθοδος
Μετασχηματισμού: SCS

Χρόνος Υστέρησης	29.29
------------------	-------

Αποτελέσματα:
EL0514FR003035

Παροχή αιχμής (M3/S)	199.81
Χρονική στιγμή αιχμής	02Sep2000, 23:30
Όγκος (MM)	635.28
Όγκος βροχόπτωσης (M3)	7.01E6
Όγκος απωλειών (M3)	4.19E5
Ενεργός Όγκος (M3)	6.59E6
Όγκος άμεσης απορροής (M3)	6.59E6
Όγκος βασικής απορροής (M3)	1.69E6

Βροχόπτωση και Απορροή



Υπολεκάνη: EL0514FR003036

Έκταση (KM2) : 48.7

Κατάντη : J31

Μέθοδος Απωλειών: SCS

Ποσοστό αδιαπέρατης επιφάνειας	0
Αριθμός Καμπύλης Απορροής-CN	90.46
Αρχικές Απώλειες	5.36

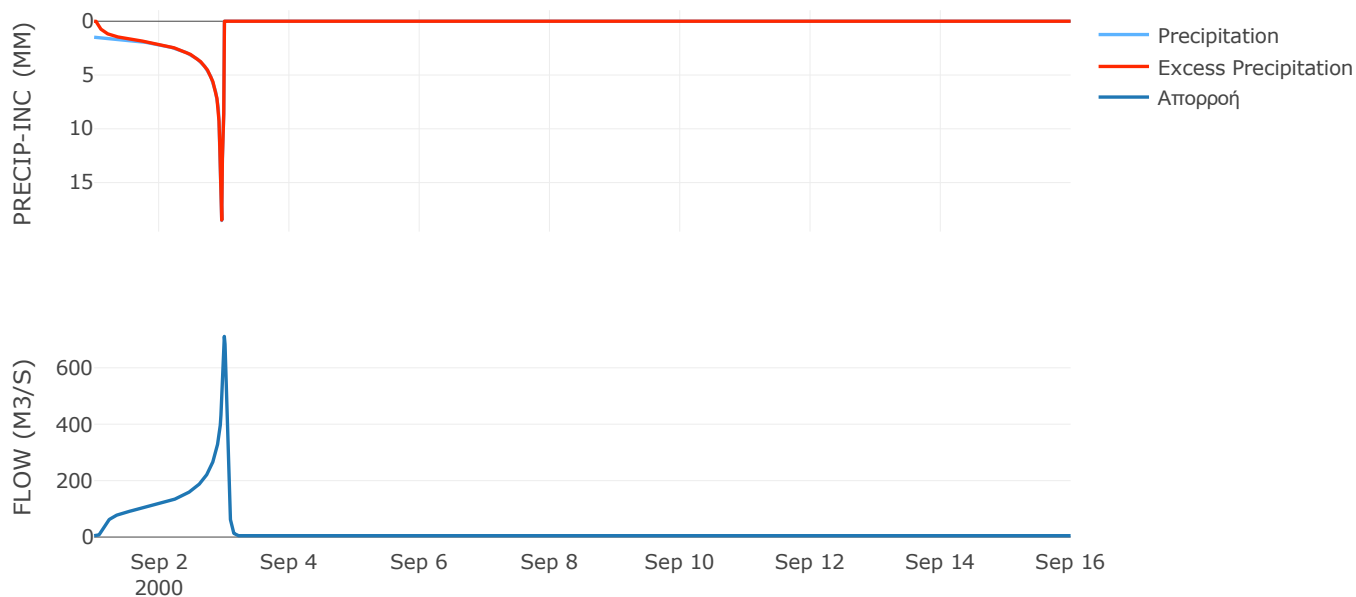
Μέθοδος
Μετασχηματισμού: SCS

Χρόνος Υστέρησης	57.28
------------------	-------

Αποτελέσματα:
EL0514FR003036

Παροχή αιχμής (M3/S)	711.27
Χρονική στιγμή αιχμής	02Sep2000, 24:00
Όγκος (MM)	677.97
Όγκος βροχόπτωσης (M3)	2.82E7
Όγκος απωλειών (M3)	1.51E6
Ενεργός Όγκος (M3)	2.67E7
Όγκος άμεσης απορροής (M3)	2.67E7
Όγκος βασικής απορροής (M3)	6.31E6

Βροχόπτωση και Απορροή



Υπολεκάνη: EL0514FR003037

Έκταση (KM2) : 32.67

Κατάντη : J30

Μέθοδος Απωλειών: SCS

Ποσοστό αδιαπέρατης επιφάνειας	0
Αριθμός Καμπύλης Απορροής-CN	90.45
Αρχικές Απώλειες	5.36

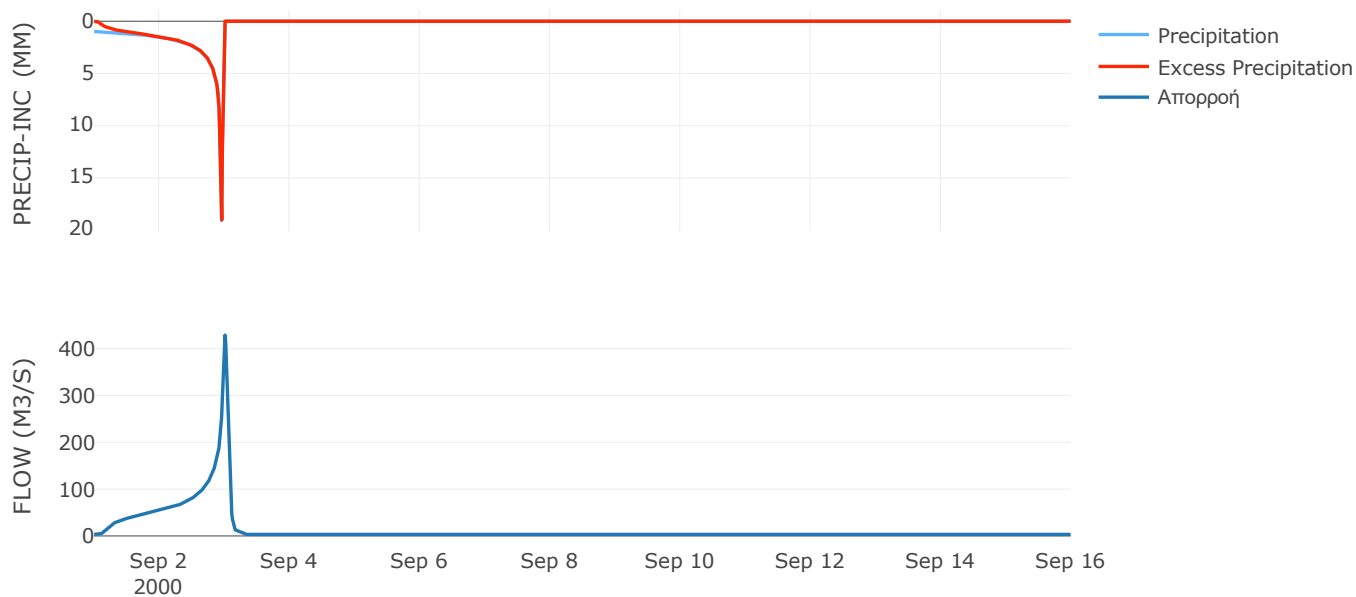
Μέθοδος
Μετασχηματισμού: SCS

Χρόνος Υστέρησης	74.91
------------------	-------

Αποτελέσματα:
EL0514FR003037

Παροχή αιχμής (M3/S)	428.88
Χρονική στιγμή αιχμής	03Sep2000, 00:15
Όγκος (MM)	546.42
Όγκος βροχόπτωσης (M3)	1.46E7
Όγκος απωλειών (M3)	1E6
Ενεργός Όγκος (M3)	1.36E7
Όγκος άμεσης απορροής (M3)	1.36E7
Όγκος βασικής απορροής (M3)	4.23E6

Βροχόπτωση και Απορροή



Υπολεκάνη: EL0514FR003038

Έκταση (KM2) : 25.23

Κατάντη : J30

Μέθοδος Απωλειών: SCS

Ποσοστό αδιαπέρατης επιφάνειας	0
Αριθμός Καμπύλης Απορροής-CN	90.38
Αρχικές Απώλειες	5.41

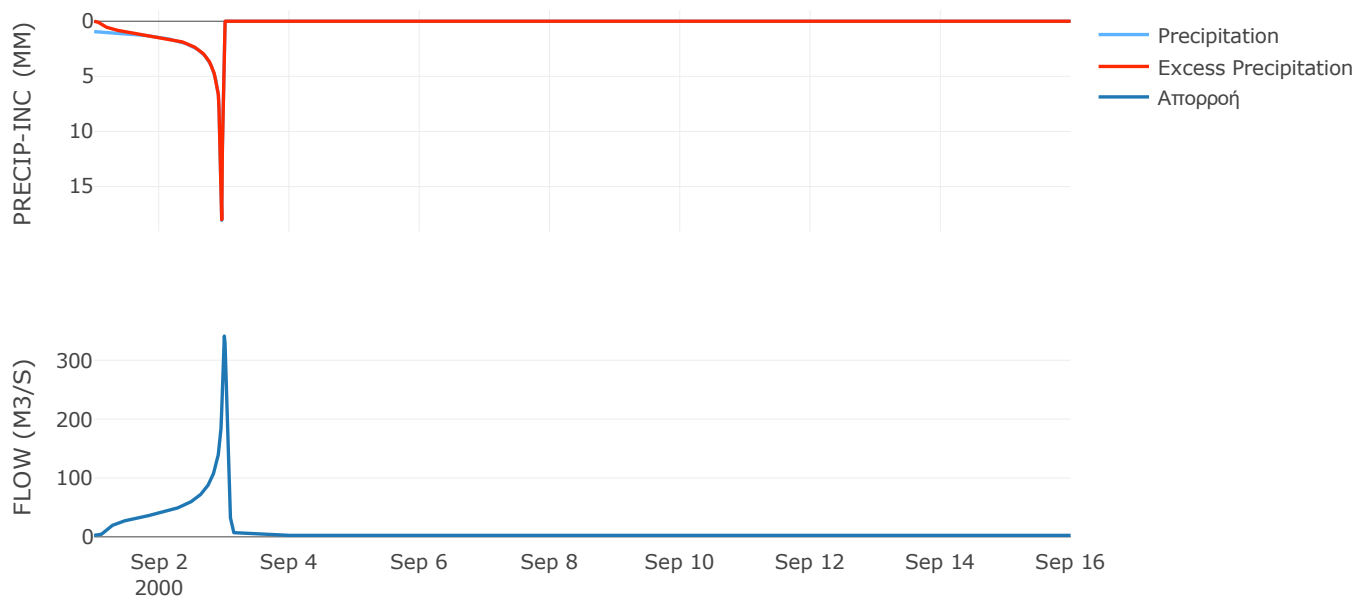
Μέθοδος
Μετασχηματισμού: SCS

Χρόνος Υστέρησης	59.28
------------------	-------

Αποτελέσματα:
EL0514FR003038

Παροχή αιχμής (M3/S)	341.07
Χρονική στιγμή αιχμής	02Sep2000, 24:00
Όγκος (MM)	528.16
Όγκος βροχόπτωσης (M3)	1.08E7
Όγκος απωλειών (M3)	7.78E5
Ενεργός Όγκος (M3)	1.01E7
Όγκος άμεσης απορροής (M3)	1.01E7
Όγκος βασικής απορροής (M3)	3.27E6

Βροχόπτωση και Απορροή



Υπολεκάνη: EL0514FR003039

Έκταση (KM2) : 8.72

Κατάντη : J22

Μέθοδος Απωλειών: SCS

Ποσοστό αδιαπέρατης επιφάνειας	0.09
Αριθμός Καμπύλης Απορροής-CN	91.48
Αρχικές Απώλειες	4.73

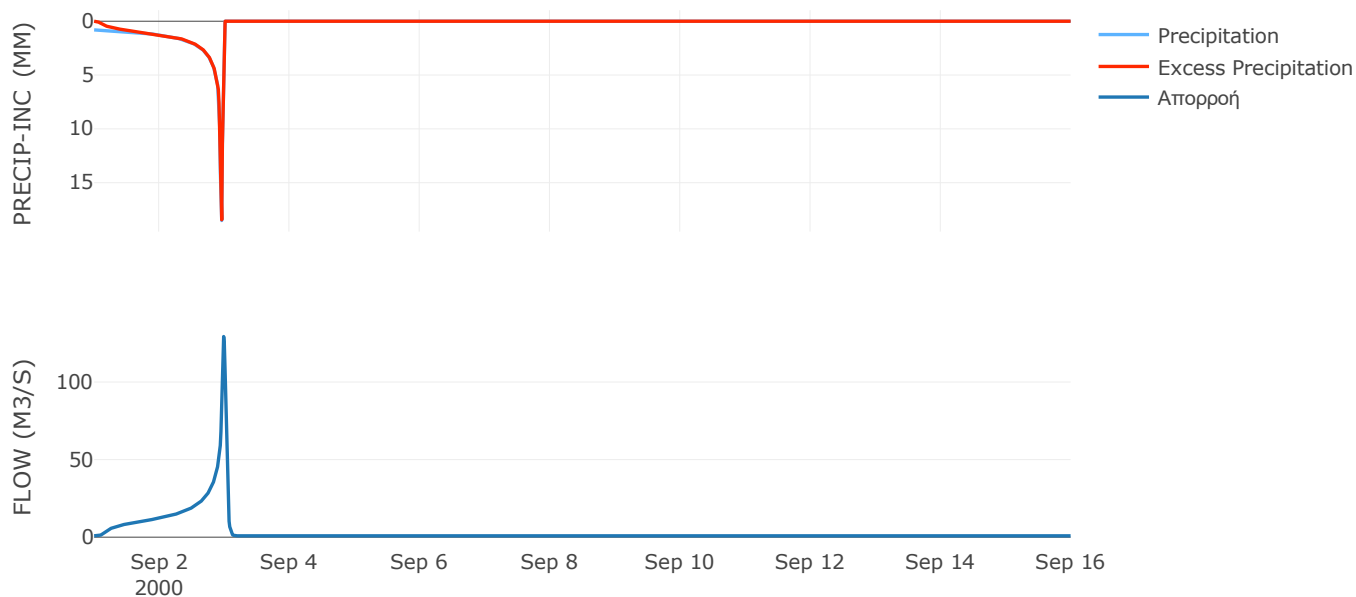
Μέθοδος
Μετασχηματισμού: SCS

Χρόνος Υστέρησης	44.56
------------------	-------

Αποτελέσματα:
EL0514FR003039

Παροχή αιχμής (M3/S)	129.33
Χρονική στιγμή αιχμής	02Sep2000, 23:45
Όγκος (MM)	495.3
Όγκος βροχόπτωσης (M3)	3.43E6
Όγκος απωλειών (M3)	2.35E5
Ενεργός Όγκος (M3)	3.19E6
Όγκος άμεσης απορροής (M3)	3.19E6
Όγκος βασικής απορροής (M3)	1.13E6

Βροχόπτωση και Απορροή



Υπολεκάνη: EL0514FR003040

Έκταση (KM2) : 22.7

Κατάντη : J22

Μέθοδος Απωλειών: SCS

Ποσοστό αδιαπέρατης επιφάνειας	0.09
Αριθμός Καμπύλης Απορροής-CN	90.97
Αρχικές Απώλειες	5.04

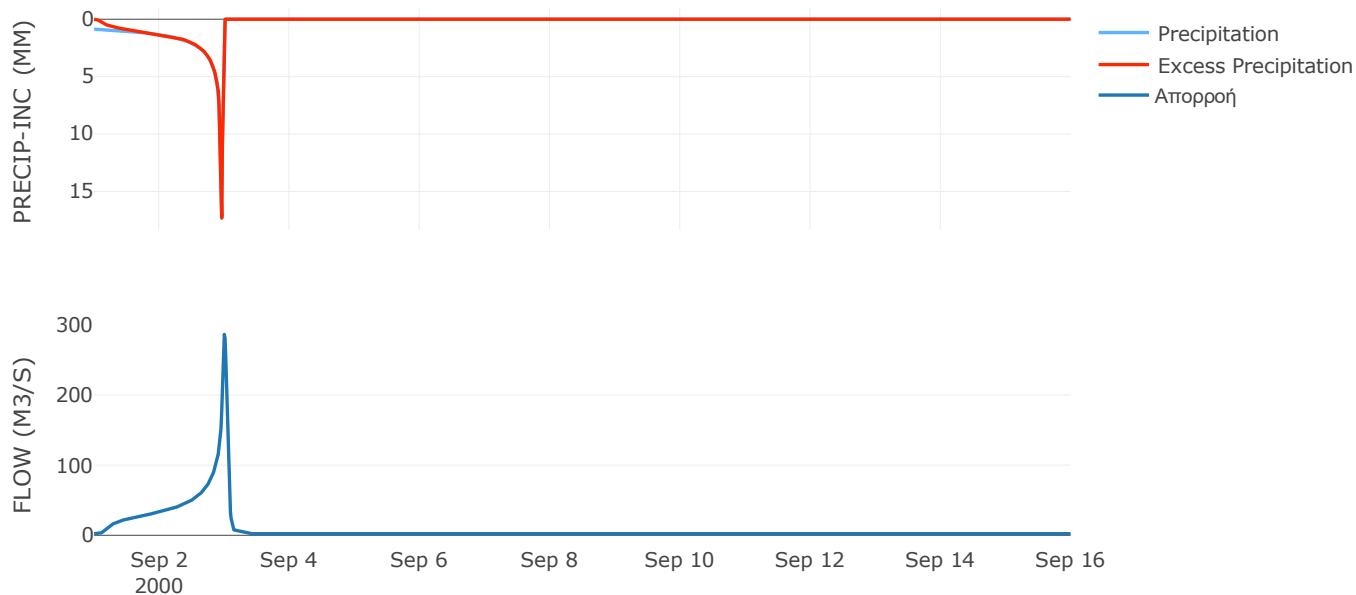
Μέθοδος
Μετασχηματισμού: SCS

Χρόνος Υστέρησης	63.29
------------------	-------

Αποτελέσματα:
EL0514FR003040

Παροχή αιχμής (M3/S)	286.27
Χρονική στιγμή αιχμής	02Sep2000, 24:00
Όγκος (MM)	500.23
Όγκος βροχόπτωσης (M3)	9.07E6
Όγκος απωλειών (M3)	6.52E5
Ενεργός Όγκος (M3)	8.41E6
Όγκος άμεσης απορροής (M3)	8.41E6
Όγκος βασικής απορροής (M3)	2.94E6

Βροχόπτωση και Απορροή



Υπολεκάνη: EL0514FR003041

Έκταση (KM2) : 11.3

Κατάντη : J23

Μέθοδος Απωλειών: SCS

Ποσοστό αδιαπέρατης επιφάνειας	0
Αριθμός Καμπύλης Απορροής-CN	90.34
Αρχικές Απώλειες	5.43

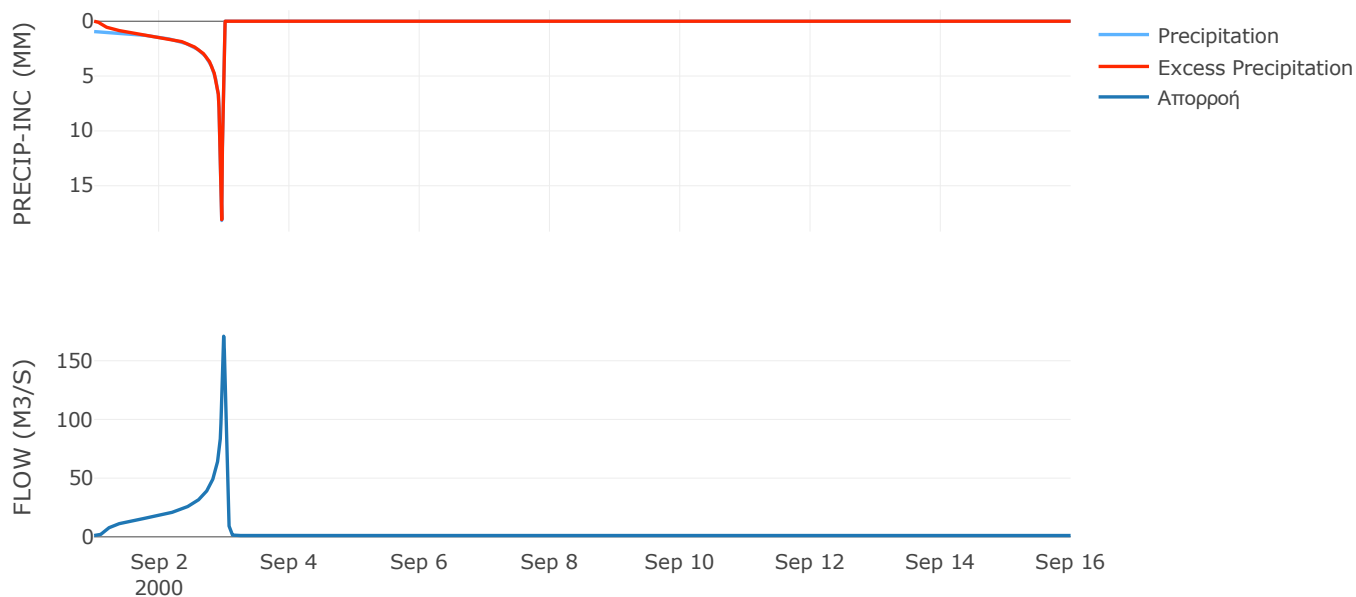
Μέθοδος
Μετασχηματισμού: SCS

Χρόνος Υστέρησης	39.17
------------------	-------

Αποτελέσματα:
EL0514FR003041

Παροχή αιχμής (M3/S)	170.88
Χρονική στιγμή αιχμής	02Sep2000, 23:45
Όγκος (MM)	528.76
Όγκος βροχόπτωσης (M3)	4.86E6
Όγκος απωλειών (M3)	3.5E5
Ενεργός Όγκος (M3)	4.51E6
Όγκος άμεσης απορροής (M3)	4.51E6
Όγκος βασικής απορροής (M3)	1.46E6

Βροχόπτωση και Απορροή



Υπολεκάνη: EL0514FR003042

Έκταση (KM2) : 9.38

Κατάντη : J23

Μέθοδος Απωλειών: SCS

Ποσοστό αδιαπέρατης επιφάνειας	0
Αριθμός Καμπύλης Απορροής-CN	90.96
Αρχικές Απώλειες	5.05

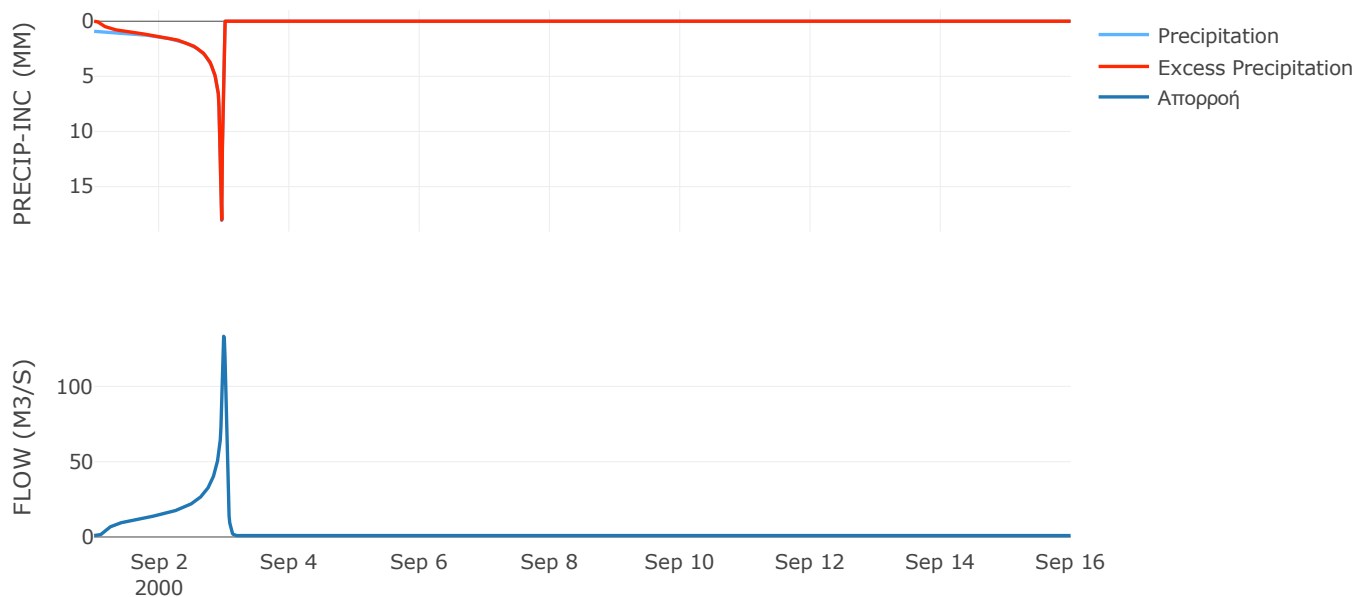
Μέθοδος
Μετασχηματισμού: SCS

Χρόνος Υστέρησης	48.36
------------------	-------

Αποτελέσματα:
EL0514FR003042

Παροχή αιχμής (M3/S)	133.28
Χρονική στιγμή αιχμής	02Sep2000, 23:45
Όγκος (MM)	521.99
Όγκος βροχόπτωσης (M3)	3.95E6
Όγκος απωλειών (M3)	2.71E5
Ενεργός Όγκος (M3)	3.68E6
Όγκος άμεσης απορροής (M3)	3.68E6
Όγκος βασικής απορροής (M3)	1.22E6

Βροχόπτωση και Απορροή



Υπολεκάνη: EL0514FR003043

Έκταση (KM2) : 29.89

Κατάντη : J24

Μέθοδος Απωλειών: SCS

Ποσοστό αδιαπέρατης επιφάνειας	0
Αριθμός Καμπύλης Απορροής-CN	90.7
Αρχικές Απώλειες	5.21

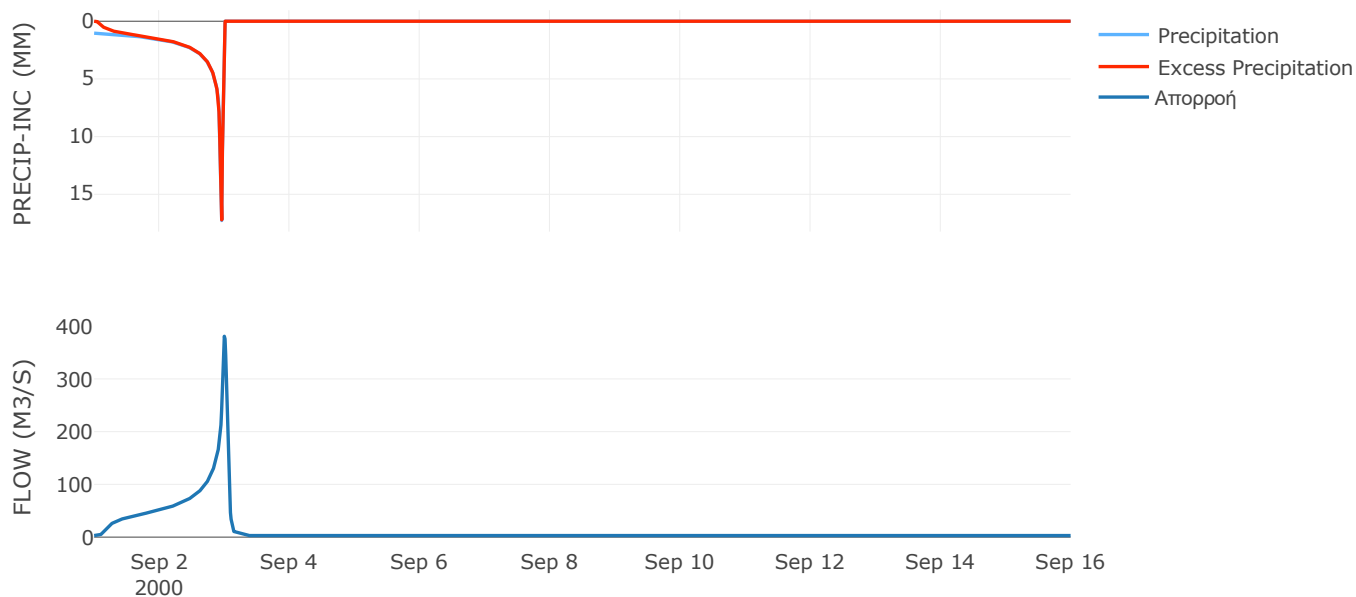
Μέθοδος
Μετασχηματισμού: SCS

Χρόνος Υστέρησης	64.02
------------------	-------

Αποτελέσματα:
EL0514FR003043

Παροχή αιχμής (M3/S)	380.89
Χρονική στιγμή αιχμής	02Sep2000, 24:00
Όγκος (MM)	546.94
Όγκος βροχόπτωσης (M3)	1.34E7
Όγκος απωλειών (M3)	8.91E5
Ενεργός Όγκος (M3)	1.25E7
Όγκος άμεσης απορροής (M3)	1.25E7
Όγκος βασικής απορροής (M3)	3.87E6

Βροχόπτωση και Απορροή



Υπολεκάνη: EL0514FR003044

Έκταση (KM2) : 19.82

Κατάντη : J24

Μέθοδος Απωλειών: SCS

Ποσοστό αδιαπέρατης επιφάνειας	0
Αριθμός Καμπύλης Απορροής-CN	89.11
Αρχικές Απώλειες	6.21

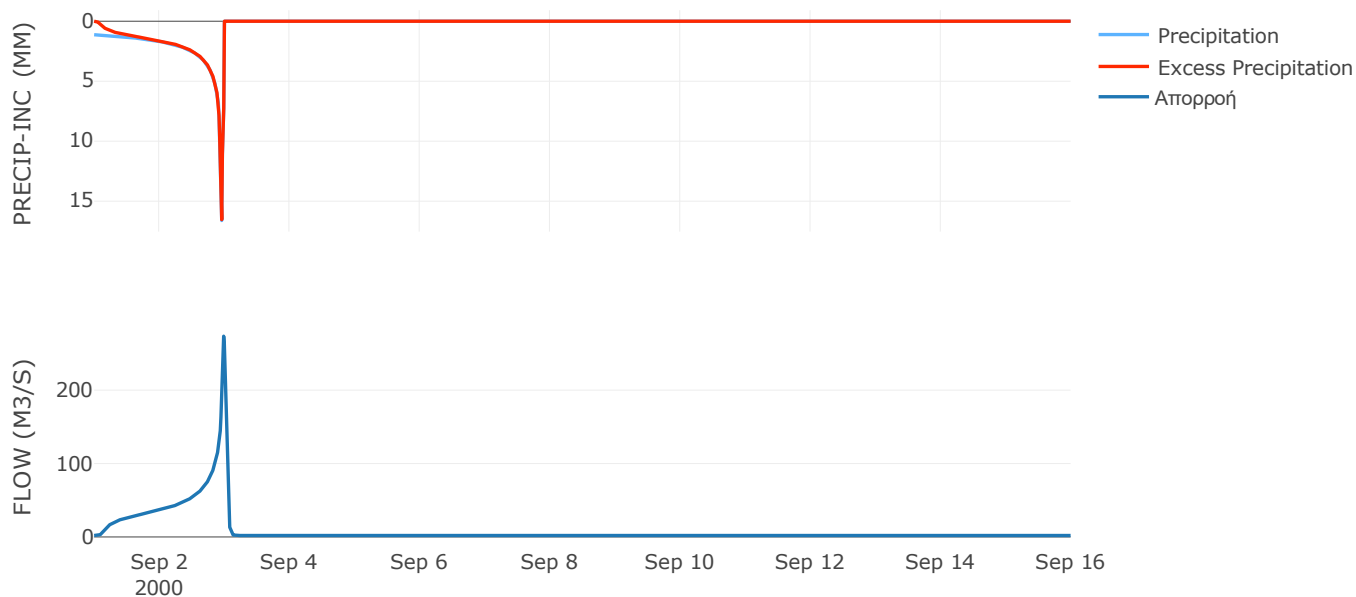
Μέθοδος
Μετασχηματισμού: SCS

Χρόνος Υστέρησης	42.86
------------------	-------

Αποτελέσματα:
EL0514FR003044

Παροχή αιχμής (M3/S)	273.5
Χρονική στιγμή αιχμής	02Sep2000, 23:45
Όγκος (MM)	558.89
Όγκος βροχόπτωσης (M3)	9.21E6
Όγκος απωλειών (M3)	6.99E5
Ενεργός Όγκος (M3)	8.51E6
Όγκος άμεσης απορροής (M3)	8.51E6
Όγκος βασικής απορροής (M3)	2.57E6

Βροχόπτωση και Απορροή



Υπολεκάνη: EL0514FR003045

Έκταση (KM2) : 19.47

Κατάντη : J26

Μέθοδος Απωλειών: SCS

Ποσοστό αδιαπέρατης επιφάνειας	0
Αριθμός Καμπύλης Απορροής-CN	80.82
Αρχικές Απώλειες	12.05

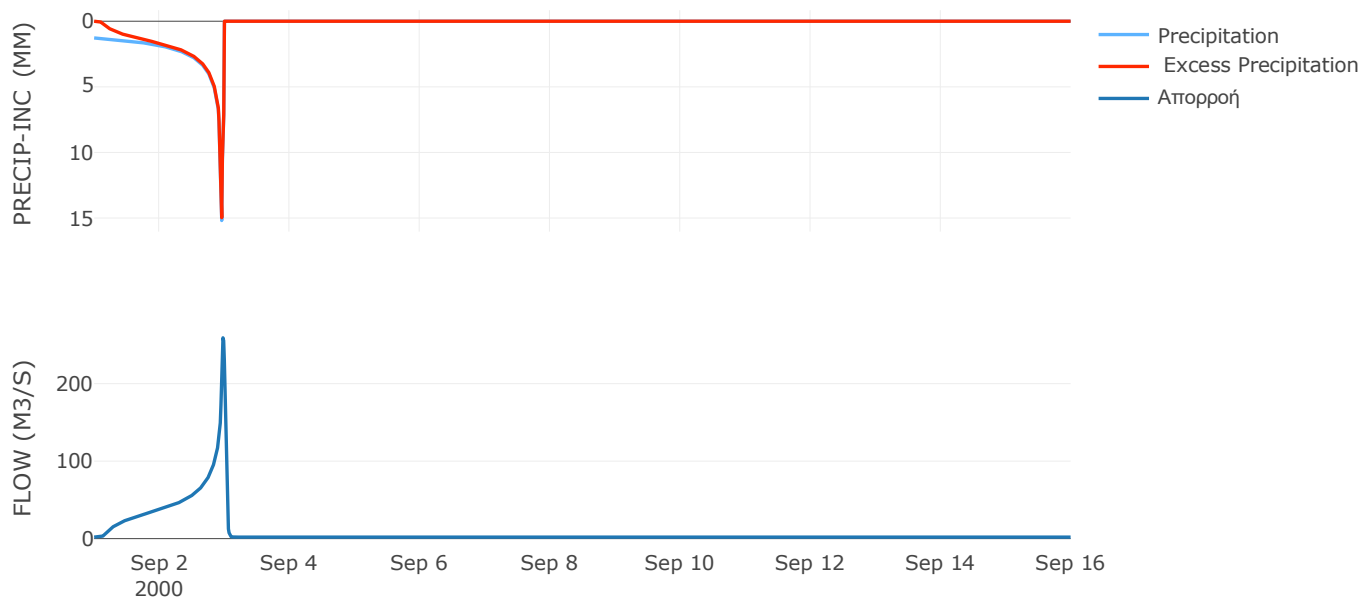
Μέθοδος
Μετασχηματισμού: SCS

Χρόνος Υστέρησης	31.63
------------------	-------

Αποτελέσματα:
EL0514FR003045

Παροχή αιχμής (M3/S)	259.12
Χρονική στιγμή αιχμής	02Sep2000, 23:30
Όγκος (MM)	553.08
Όγκος βροχόπτωσης (M3)	9.52E6
Όγκος απωλειών (M3)	1.28E6
Ενεργός Όγκος (M3)	8.24E6
Όγκος άμεσης απορροής (M3)	8.24E6
Όγκος βασικής απορροής (M3)	2.52E6

Βροχόπτωση και Απορροή



Υπολεκάνη: EL0514FR003046

Έκταση (KM2) : 5.63

Κατάντη : J24

Μέθοδος Απωλειών: SCS

Ποσοστό αδιαπέρατης επιφάνειας	0
Αριθμός Καμπύλης Απορροής-CN	90.77
Αρχικές Απώλειες	5.16

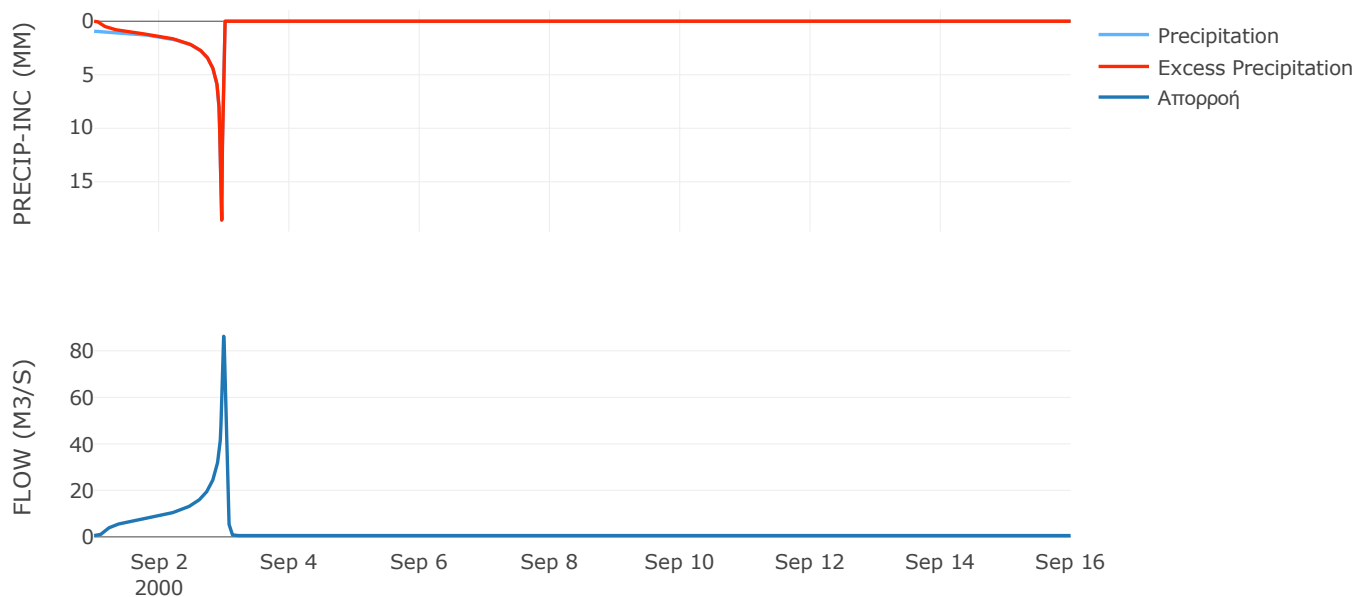
Μέθοδος
Μετασχηματισμού: SCS

Χρόνος Υστέρησης	41.12
------------------	-------

Αποτελέσματα:
EL0514FR003046

Παροχή αιχμής (M3/S)	86.27
Χρονική στιγμή αιχμής	02Sep2000, 23:45
Όγκος (MM)	531.38
Όγκος βροχόπτωσης (M3)	2.43E6
Όγκος απωλειών (M3)	1.66E5
Ενεργός Όγκος (M3)	2.26E6
Όγκος άμεσης απορροής (M3)	2.26E6
Όγκος βασικής απορροής (M3)	7.29E5

Βροχόπτωση και Απορροή



Υπολεκάνη: EL0514FR003047

Έκταση (KM2) : 17.53

Κατάντη : J25

Μέθοδος Απωλειών: SCS

Ποσοστό αδιαπέρατης επιφάνειας	0
Αριθμός Καμπύλης Απορροής-CN	90.4
Αρχικές Απώλειες	5.39

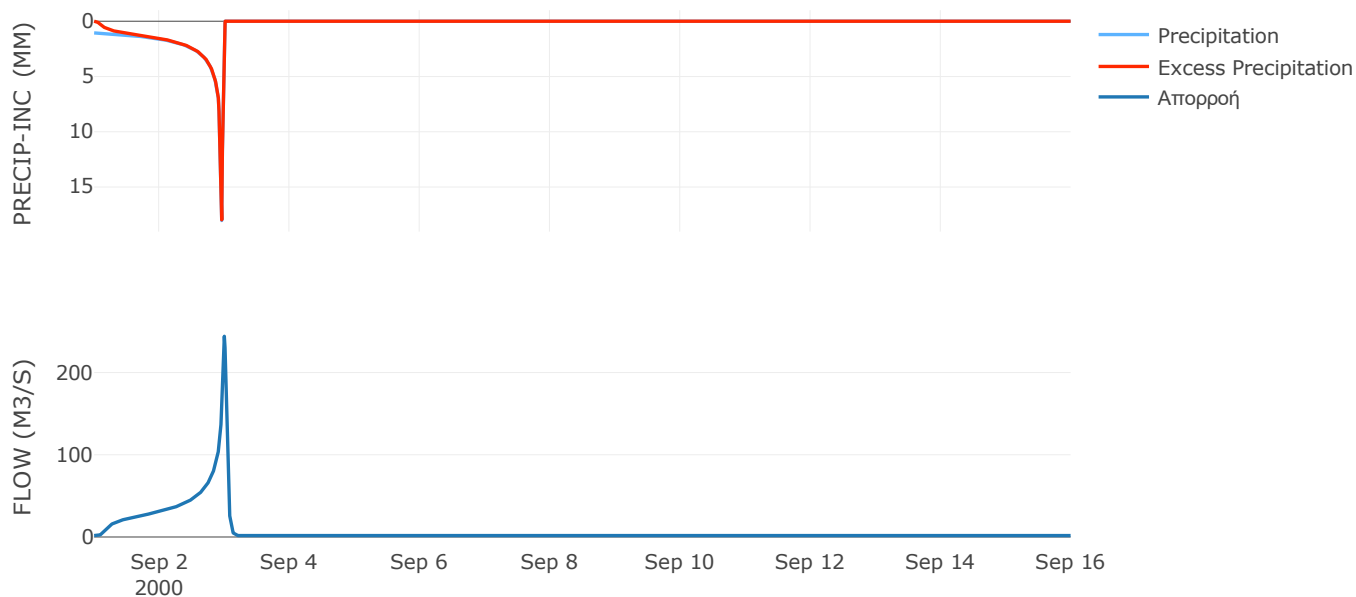
Μέθοδος
Μετασχηματισμού: SCS

Χρόνος Υστέρησης	54.62
------------------	-------

Αποτελέσματα:
EL0514FR003047

Παροχή αιχμής (M3/S)	244.13
Χρονική στιγμή αιχμής	02Sep2000, 24:00
Όγκος (MM)	558.54
Όγκος βροχόπτωσης (M3)	8.06E6
Όγκος απωλειών (M3)	5.41E5
Ενεργός Όγκος (M3)	7.52E6
Όγκος άμεσης απορροής (M3)	7.52E6
Όγκος βασικής απορροής (M3)	2.27E6

Βροχόπτωση και Απορροή



Υπολεκάνη: EL0514FR003048

Έκταση (KM2) : 3.98

Κατάντη : J25

Μέθοδος Απωλειών: SCS

Ποσοστό αδιαπέρατης επιφάνειας	0
Αριθμός Καμπύλης Απορροής-CN	90.41
Αρχικές Απώλειες	5.39

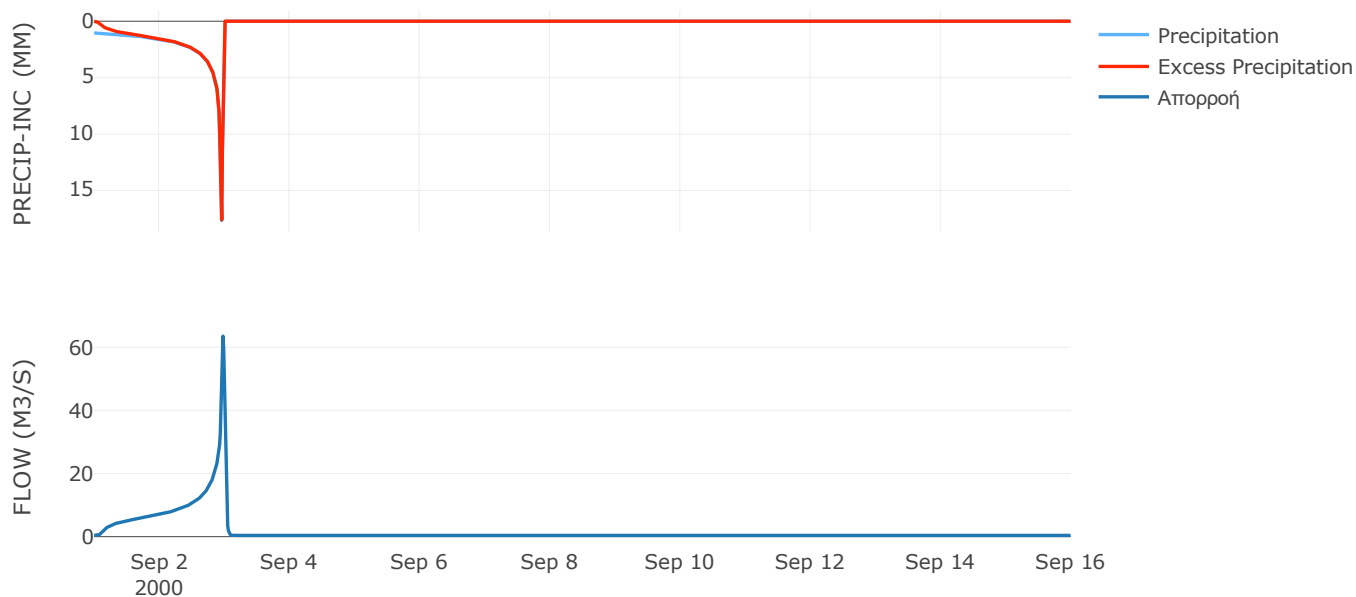
Μέθοδος
Μετασχηματισμού: SCS

Χρόνος Υστέρησης	27.91
------------------	-------

Αποτελέσματα:
EL0514FR003048

Παροχή αιχμής (M3/S)	63.52
Χρονική στιγμή αιχμής	02Sep2000, 23:30
Όγκος (MM)	550.96
Όγκος βροχόπτωσης (M3)	1.8E6
Όγκος απωλειών (M3)	1.23E5
Ενεργός Όγκος (M3)	1.68E6
Όγκος άμεσης απορροής (M3)	1.68E6
Όγκος βασικής απορροής (M3)	5.16E5

Βροχόπτωση και Απορροή



Υπολεκάνη: EL0514FR003049

Έκταση (KM2) : 37.37

Κατάντη : J26

Μέθοδος Απωλειών: SCS

Ποσοστό αδιαπέρατης επιφάνειας	0
Αριθμός Καμπύλης Απορροής-CN	87.1
Αρχικές Απώλειες	7.53

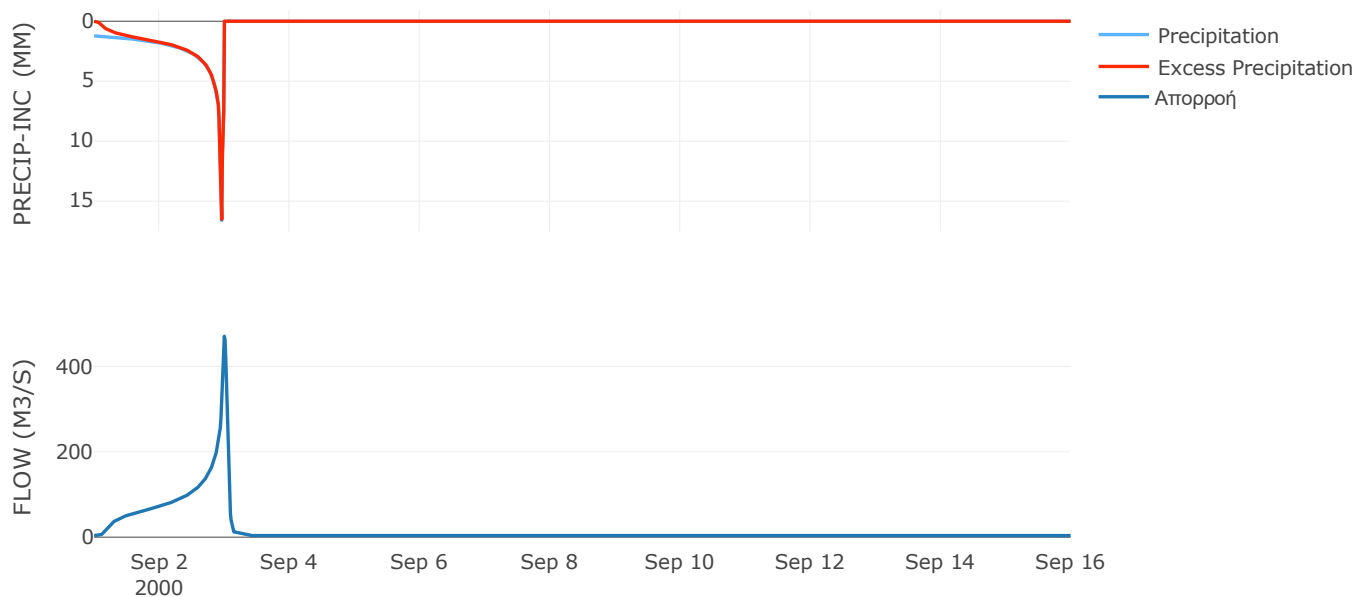
Μέθοδος
Μετασχηματισμού: SCS

Χρόνος Υστέρησης	62.78
------------------	-------

Αποτελέσματα:
EL0514FR003049

Παροχή αιχμής (M3/S)	470.59
Χρονική στιγμή αιχμής	02Sep2000, 24:00
Όγκος (MM)	577.26
Όγκος βροχόπτωσης (M3)	1.83E7
Όγκος απωλειών (M3)	1.59E6
Ενεργός Όγκος (M3)	1.67E7
Όγκος άμεσης απορροής (M3)	1.67E7
Όγκος βασικής απορροής (M3)	4.84E6

Βροχόπτωση και Απορροή



Υπολεκάνη: EL0514FR003051

Έκταση (KM2) : 17.16

Κατάντη : J27

Μέθοδος Απωλειών: SCS

Ποσοστό αδιαπέρατης επιφάνειας	0
Αριθμός Καμπύλης Απορροής-CN	90.45
Αρχικές Απώλειες	5.36

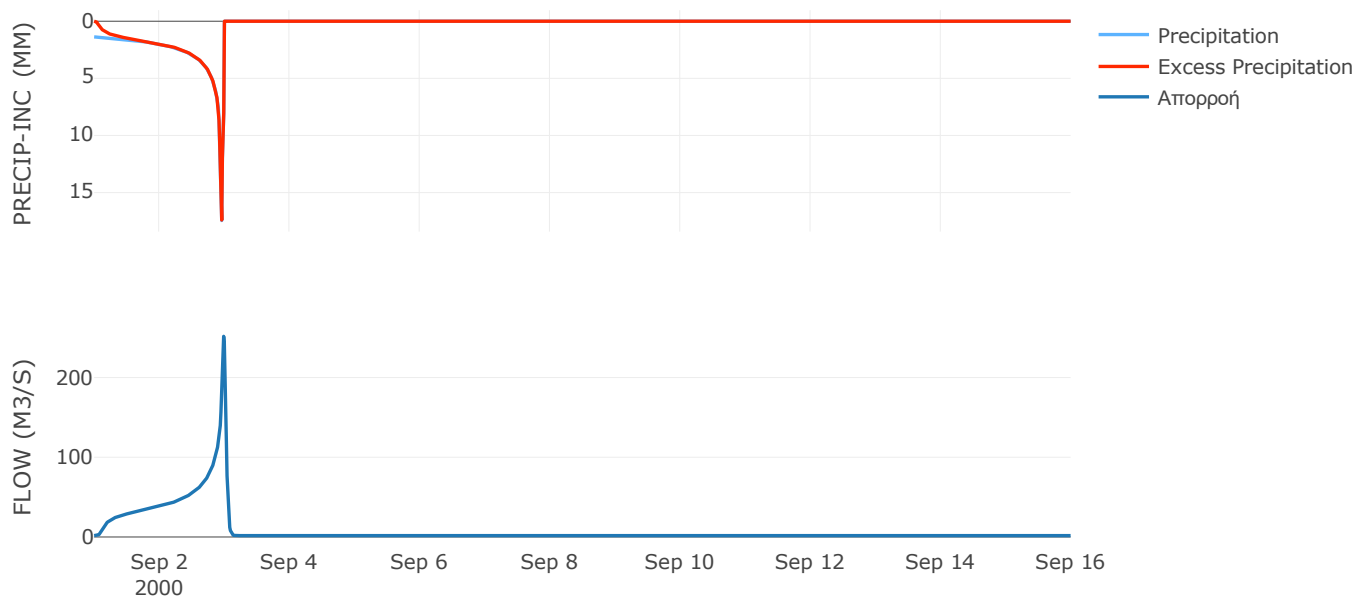
Μέθοδος
Μετασχηματισμού: SCS

Χρόνος Υστέρησης	42.66
------------------	-------

Αποτελέσματα:
EL0514FR003051

Παροχή αιχμής (M3/S)	251.68
Χρονική στιγμή αιχμής	02Sep2000, 23:45
Όγκος (MM)	636.14
Όγκος βροχόπτωσης (M3)	9.22E6
Όγκος απωλειών (M3)	5.3E5
Ενεργός Όγκος (M3)	8.69E6
Όγκος άμεσης απορροής (M3)	8.69E6
Όγκος βασικής απορροής (M3)	2.22E6

Βροχόπτωση και Απορροή



Υπολεκάνη: EL0514FR003052

Έκταση (KM2) : 20.26

Κατάντη : J27

Μέθοδος Απωλειών: SCS

Ποσοστό αδιαπέρατης επιφάνειας	0
Αριθμός Καμπύλης Απορροής-CN	90.62
Αρχικές Απώλειες	5.26

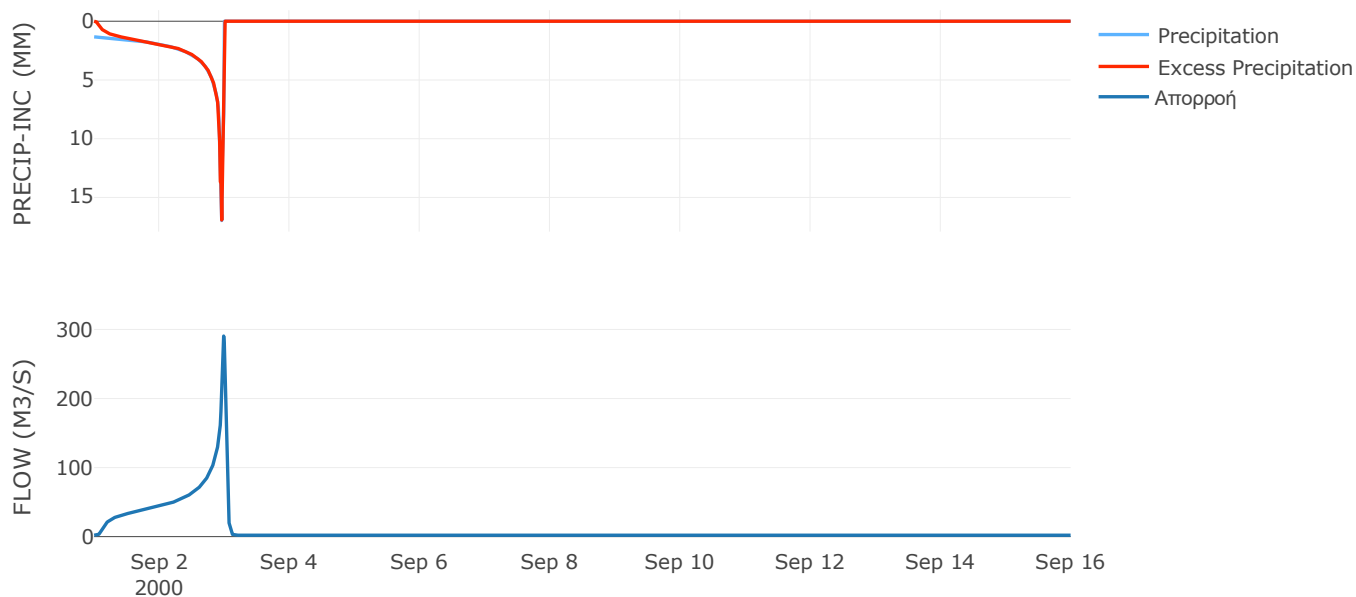
Μέθοδος
Μετασχηματισμού: SCS

Χρόνος Υστέρησης	41.47
------------------	-------

Αποτελέσματα:
EL0514FR003052

Παροχή αιχμής (M3/S)	290.49
Χρονική στιγμή αιχμής	02Sep2000, 23:45
Όγκος (MM)	621.19
Όγκος βροχόπτωσης (M3)	1.06E7
Όγκος απωλειών (M3)	6.14E5
Ενεργός Όγκος (M3)	9.96E6
Όγκος άμεσης απορροής (M3)	9.96E6
Όγκος βασικής απορροής (M3)	2.63E6

Βροχόπτωση και Απορροή



Υπολεκάνη: EL0514FR003053

Έκταση (KM2) : 23.12

Κατάντη : J27

Μέθοδος Απωλειών: SCS

Ποσοστό αδιαπέρατης επιφάνειας	0
Αριθμός Καμπύλης Απορροής-CN	90.75
Αρχικές Απώλειες	5.18

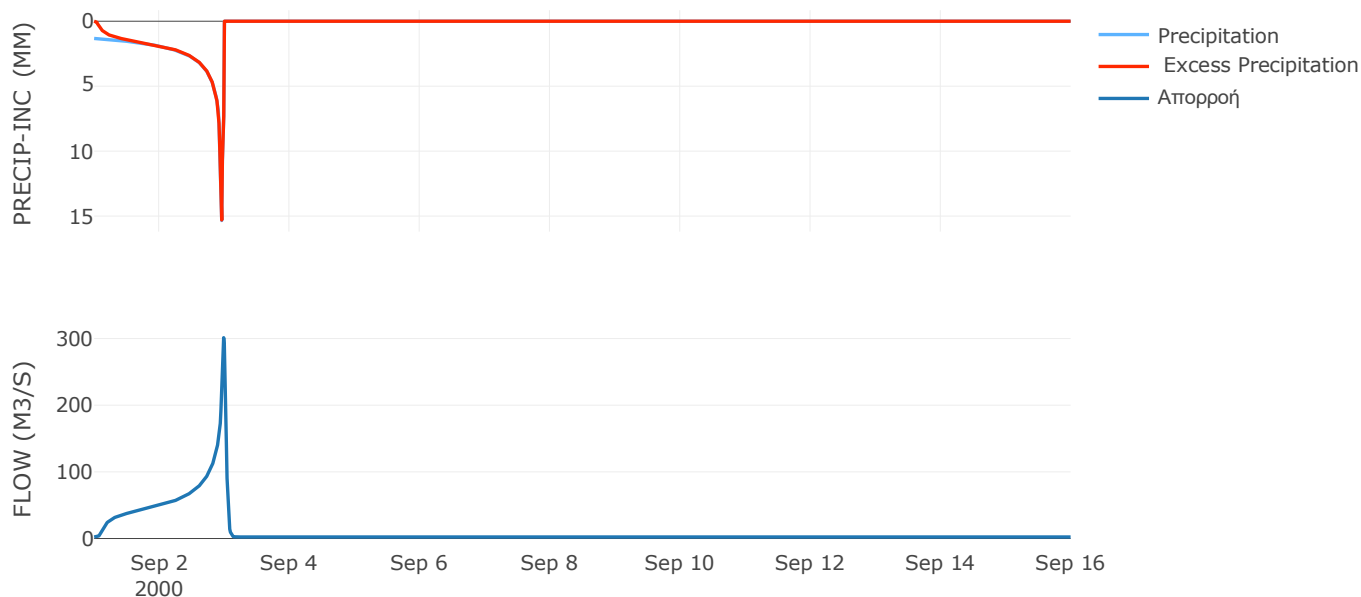
Μέθοδος
Μετασχηματισμού: SCS

Χρόνος Υστέρησης	42.05
------------------	-------

Αποτελέσματα:
EL0514FR003053

Παροχή αιχμής (M3/S)	301.27
Χρονική στιγμή αιχμής	02Sep2000, 23:45
Όγκος (MM)	603.1
Όγκος βροχόπτωσης (M3)	1.16E7
Όγκος απωλειών (M3)	6.89E5
Ενεργός Όγκος (M3)	1.09E7
Όγκος άμεσης απορροής (M3)	1.09E7
Όγκος βασικής απορροής (M3)	3E6

Βροχόπτωση και Απορροή



Υπολεκάνη: EL0514FR003054

Έκταση (KM2) : 25.24

Κατάντη : J28

Μέθοδος Απωλειών: SCS

Ποσοστό αδιαπέρατης επιφάνειας	0
Αριθμός Καμπύλης Απορροής-CN	84.35
Αρχικές Απώλειες	9.42

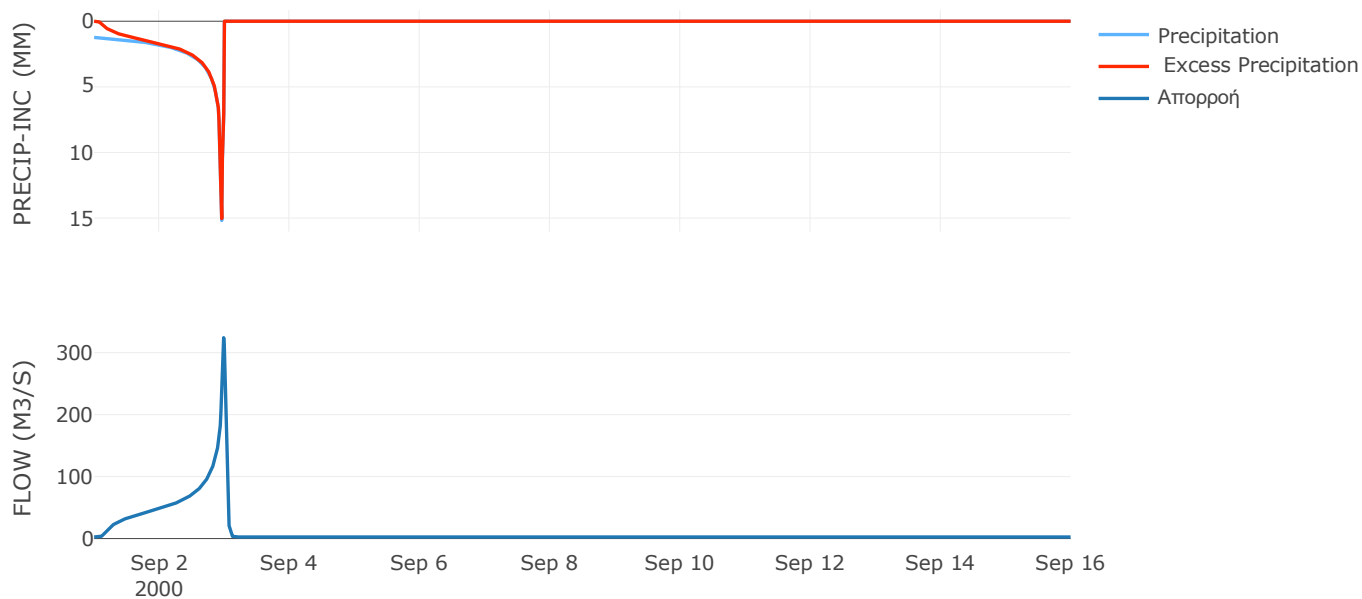
Μέθοδος
Μετασχηματισμού: SCS

Χρόνος Υστέρησης	40.48
------------------	-------

Αποτελέσματα:
EL0514FR003054

Παροχή αιχμής (M3/S)	324.15
Χρονική στιγμή αιχμής	02Sep2000, 23:45
Όγκος (MM)	555.57
Όγκος βροχόπτωσης (M3)	1.21E7
Όγκος απωλειών (M3)	1.32E6
Ενεργός Όγκος (M3)	1.08E7
Όγκος άμεσης απορροής (M3)	1.08E7
Όγκος βασικής απορροής (M3)	3.27E6

Βροχόπτωση και Απορροή



Υπολεκάνη: EL0514FR003055

Έκταση (KM2) : 14.63

Κατάντη : J29

Μέθοδος Απωλειών: SCS

Ποσοστό αδιαπέρατης επιφάνειας	0
Αριθμός Καμπύλης Απορροής-CN	87.53
Αρχικές Απώλειες	7.24

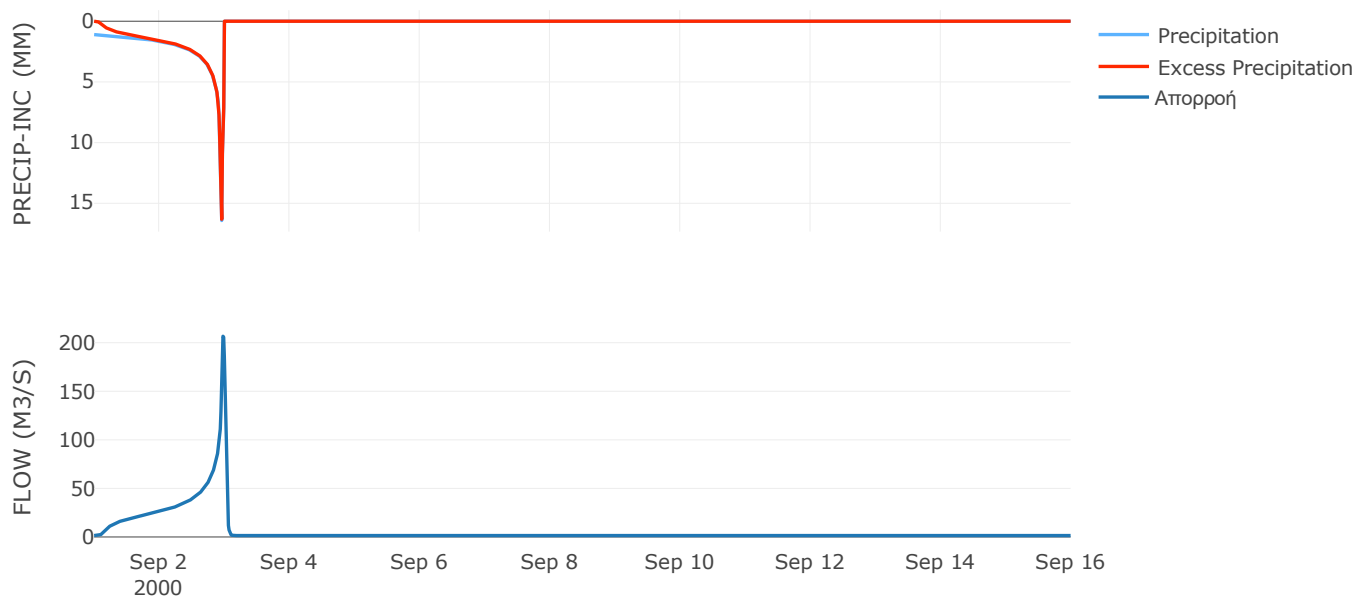
Μέθοδος
Μετασχηματισμού: SCS

Χρόνος Υστέρησης	33.81
------------------	-------

Αποτελέσματα:
EL0514FR003055

Παροχή αιχμής (M3/S)	206.65
Χρονική στιγμή αιχμής	02Sep2000, 23:30
Όγκος (MM)	545.19
Όγκος βροχόπτωσης (M3)	6.67E6
Όγκος απωλειών (M3)	5.96E5
Ενεργός Όγκος (M3)	6.08E6
Όγκος άμεσης απορροής (M3)	6.08E6
Όγκος βασικής απορροής (M3)	1.9E6

Βροχόπτωση και Απορροή



Υπολεκάνη: EL0514FR003056

Έκταση (KM2) : 25.33

Κατάντη : J29

Μέθοδος Απωλειών: SCS

Ποσοστό αδιαπέρατης επιφάνειας	0
Αριθμός Καμπύλης Απορροής-CN	85.45
Αρχικές Απώλειες	8.65

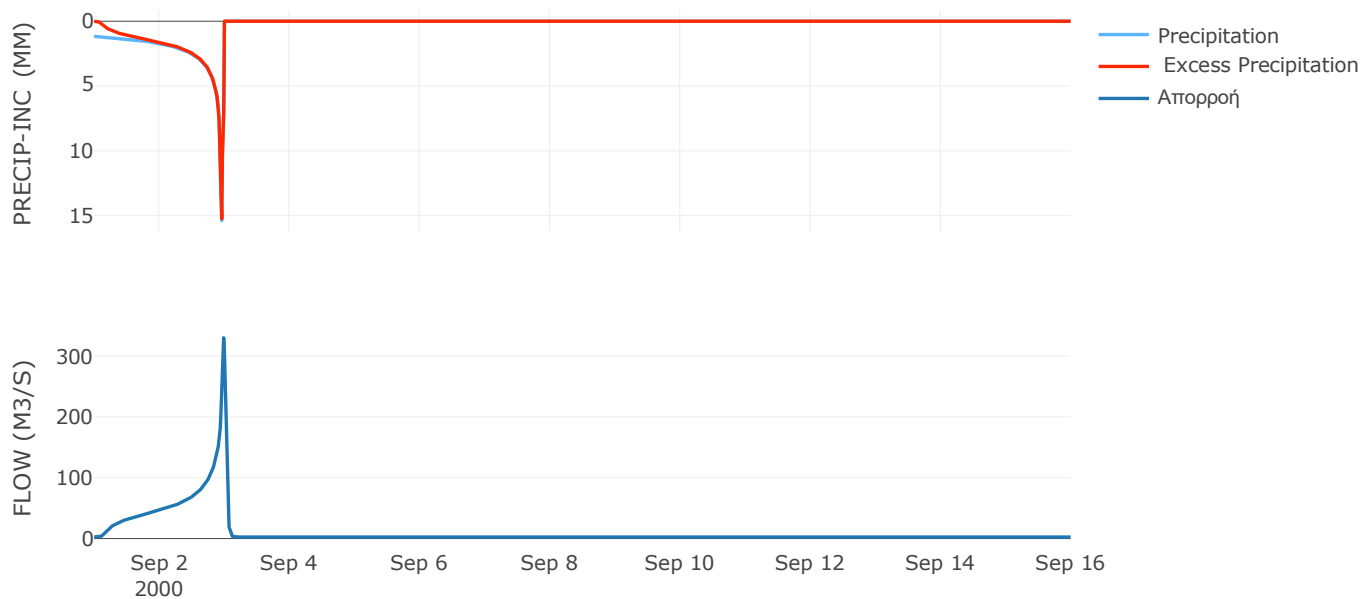
Μέθοδος
Μετασχηματισμού: SCS

Χρόνος Υστέρησης	39.14
------------------	-------

Αποτελέσματα:
EL0514FR003056

Παροχή αιχμής (M3/S)	330.06
Χρονική στιγμή αιχμής	02Sep2000, 23:45
Όγκος (MM)	544.09
Όγκος βροχόπτωσης (M3)	1.17E7
Όγκος απωλειών (M3)	1.22E6
Ενεργός Όγκος (M3)	1.05E7
Όγκος άμεσης απορροής (M3)	1.05E7
Όγκος βασικής απορροής (M3)	3.28E6

Βροχόπτωση και Απορροή



Υπολεκάνη: EL0514FR003057

Έκταση (KM2) : 14.19

Κατάντη : J28

Μέθοδος Απωλειών: SCS

Ποσοστό αδιαπέρατης επιφάνειας	0
Αριθμός Καμπύλης Απορροής-CN	90.54
Αρχικές Απώλειες	5.31

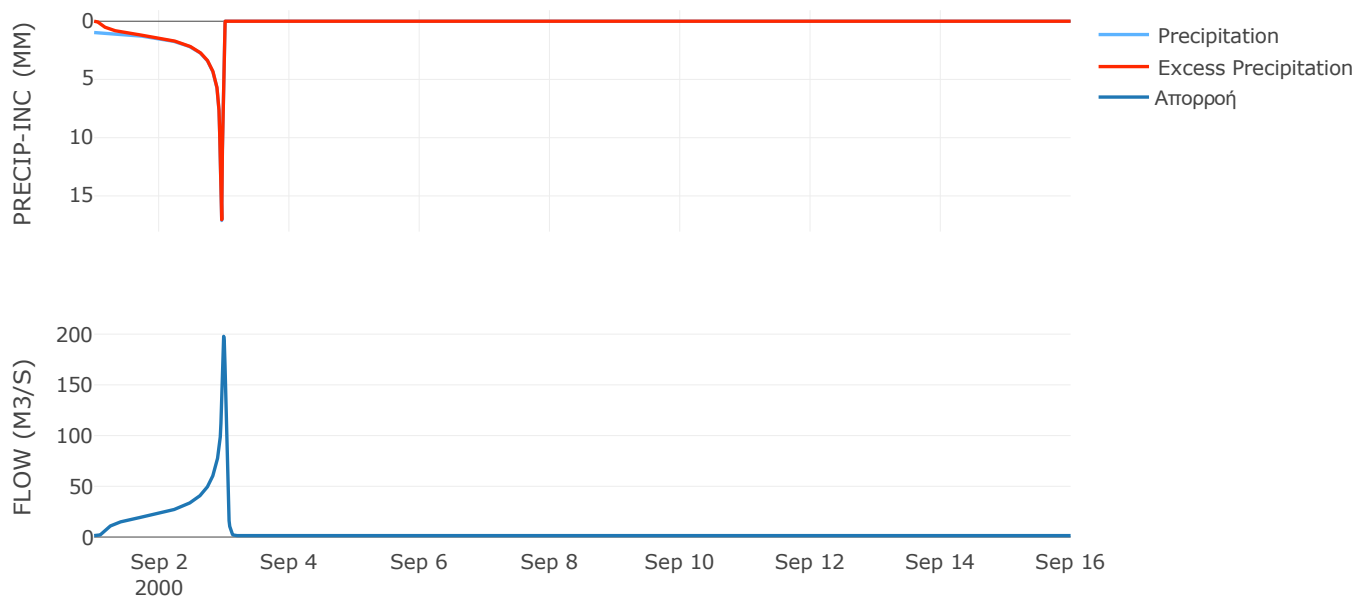
Μέθοδος
Μετασχηματισμού: SCS

Χρόνος Υστέρησης	44.33
------------------	-------

Αποτελέσματα:
EL0514FR003057

Παροχή αιχμής (M3/S)	197.84
Χρονική στιγμή αιχμής	02Sep2000, 23:45
Όγκος (MM)	527.12
Όγκος βροχόπτωσης (M3)	6.07E6
Όγκος απωλειών (M3)	4.29E5
Ενεργός Όγκος (M3)	5.64E6
Όγκος άμεσης απορροής (M3)	5.64E6
Όγκος βασικής απορροής (M3)	1.84E6

Βροχόπτωση και Απορροή



Υπολεκάνη: EL0514FR003058

Έκταση (KM2) : 75.13

Κατάντη : J4 Res1

Μέθοδος Απωλειών: SCS

Ποσοστό αδιαπέρατης επιφάνειας	0.15
Αριθμός Καμπύλης Απορροής-CN	91.9
Αρχικές Απώλειες	4.48

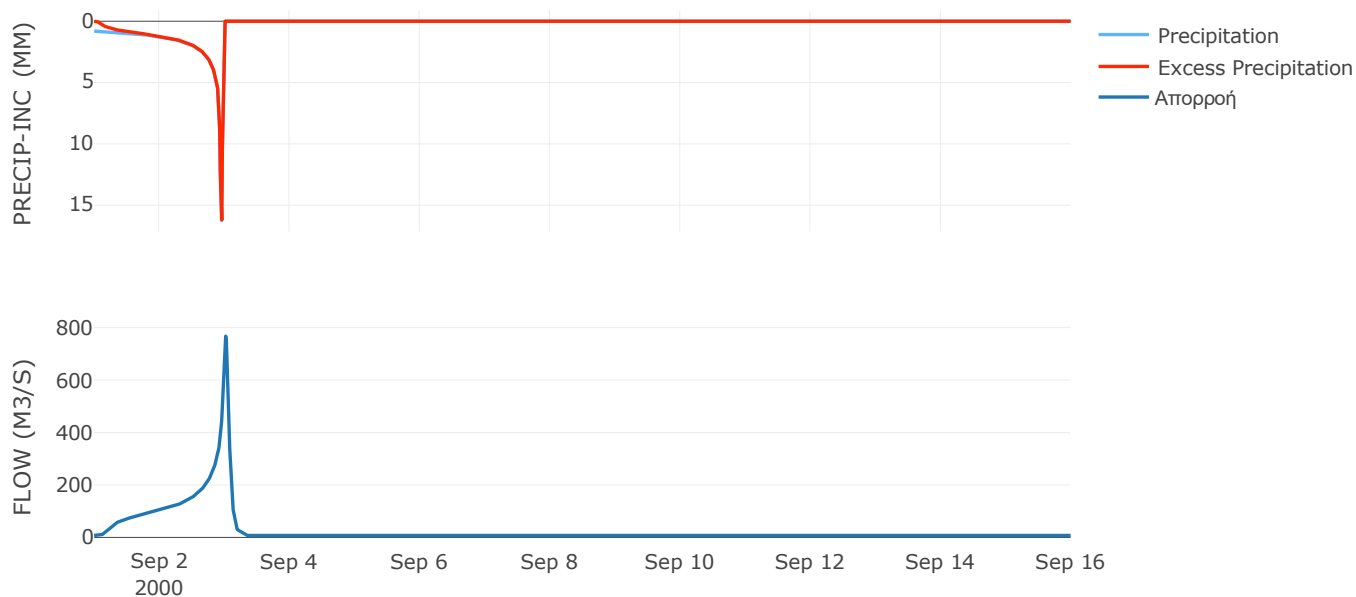
Μέθοδος
Μετασχηματισμού: SCS

Χρόνος Υστέρησης	93.61
------------------	-------

Αποτελέσματα:
EL0514FR003058

Παροχή αιχμής (M3/S)	767.41
Χρονική στιγμή αιχμής	03Sep2000, 00:30
Όγκος (MM)	478.3
Όγκος βροχόπτωσης (M3)	2.81E7
Όγκος απωλειών (M3)	1.92E6
Ενεργός Όγκος (M3)	2.62E7
Όγκος άμεσης απορροής (M3)	2.62E7
Όγκος βασικής απορροής (M3)	9.74E6

Βροχόπτωση και Απορροή



Υπολεκάνη: EL0514FR003059

Έκταση (KM2) : 14.46

Κατάντη : J3

Μέθοδος Απωλειών: SCS

Ποσοστό αδιαπέρατης επιφάνειας	0
Αριθμός Καμπύλης Απορροής-CN	90.01
Αρχικές Απώλειες	5.64

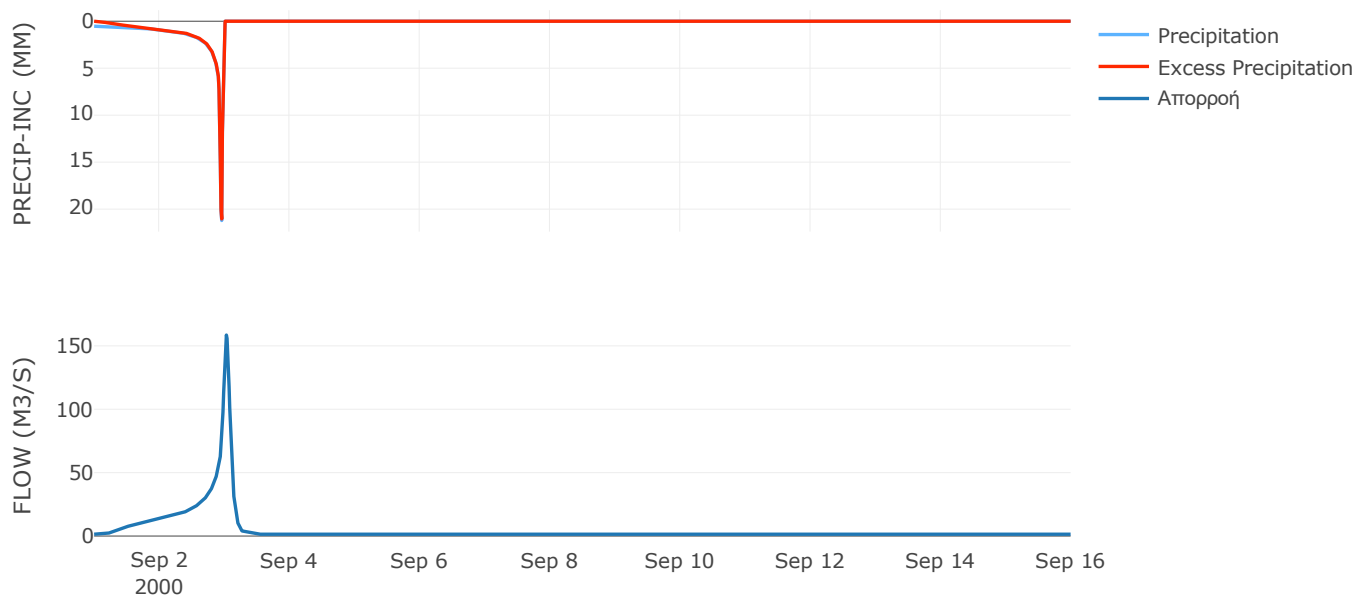
Μέθοδος
Μετασχηματισμού: SCS

Χρόνος Υστέρησης	113.28
------------------	--------

Αποτελέσματα:
EL0514FR003059

Παροχή αιχμής (M3/S)	158.53
Χρονική στιγμή αιχμής	03Sep2000, 00:45
Όγκος (MM)	425.83
Όγκος βροχόπτωσης (M3)	4.74E6
Όγκος απωλειών (M3)	4.56E5
Ενεργός Όγκος (M3)	4.28E6
Όγκος άμεσης απορροής (M3)	4.28E6
Όγκος βασικής απορροής (M3)	1.87E6

Βροχόπτωση και Απορροή



Υπολεκάνη: EL0514FR003060

Έκταση (KM2) : 25.82

Κατάντη : J1

Μέθοδος Απωλειών: SCS

Ποσοστό αδιαπέρατης επιφάνειας	0
Αριθμός Καμπύλης Απορροής-CN	89.72
Αρχικές Απώλειες	5.82

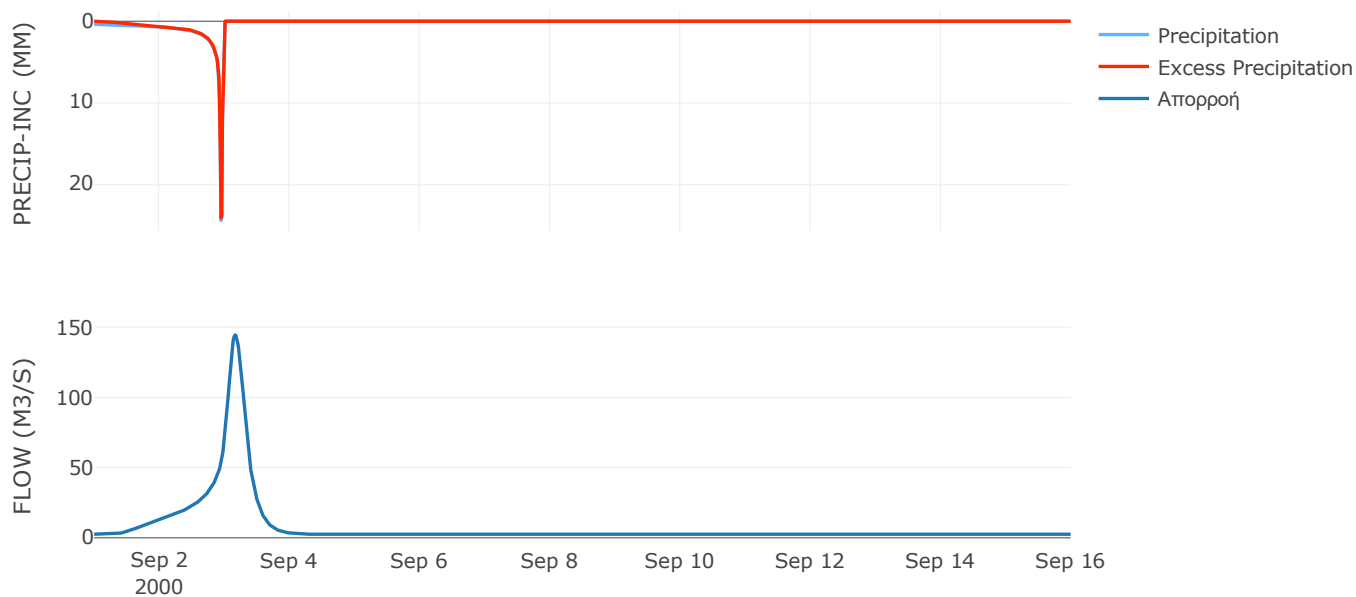
Μέθοδος
Μετασχηματισμού: SCS

Χρόνος Υστέρησης	346.24
------------------	--------

Αποτελέσματα:
EL0514FR003060

Παροχή αιχμής (M3/S)	144.45
Χρονική στιγμή αιχμής	03Sep2000, 04:00
Όγκος (MM)	384.51
Όγκος βροχόπτωσης (M3)	7.41E6
Όγκος απωλειών (M3)	8.32E5
Ενεργός Όγκος (M3)	6.58E6
Όγκος άμεσης απορροής (M3)	6.58E6
Όγκος βασικής απορροής (M3)	3.35E6

Βροχόπτωση και Απορροή



Υπολεκάνη: EL0514FR003061

Έκταση (KM2) : 37.42

Κατάντη : J16

Μέθοδος Απωλειών: SCS

Ποσοστό αδιαπέρατης επιφάνειας	0
Αριθμός Καμπύλης Απορροής-CN	87.64
Αρχικές Απώλειες	7.16

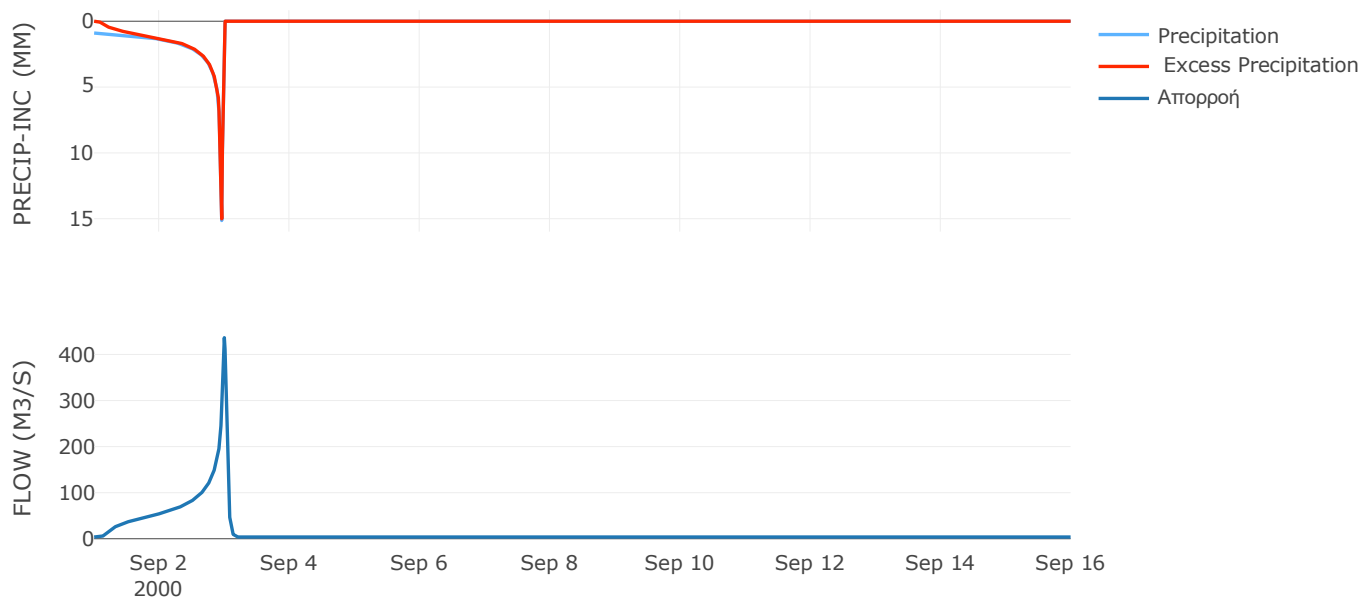
Μέθοδος
Μετασχηματισμού: SCS

Χρόνος Υστέρησης	54.62
------------------	-------

Αποτελέσματα:
EL0514FR003061

Παροχή αιχμής (M3/S)	436.32
Χρονική στιγμή αιχμής	02Sep2000, 24:00
Όγκος (MM)	478.99
Όγκος βροχόπτωσης (M3)	1.46E7
Όγκος απωλειών (M3)	1.49E6
Ενεργός Όγκος (M3)	1.31E7
Όγκος άμεσης απορροής (M3)	1.31E7
Όγκος βασικής απορροής (M3)	4.85E6

Βροχόπτωση και Απορροή



Υπολεκάνη: EL0514FR003062

Έκταση (KM2) : 48.98

Κατάντη : J16

Μέθοδος Απωλειών: SCS

Ποσοστό αδιαπέρατης επιφάνειας	0
Αριθμός Καμπύλης Απορροής-CN	90.28
Αρχικές Απώλειες	5.47

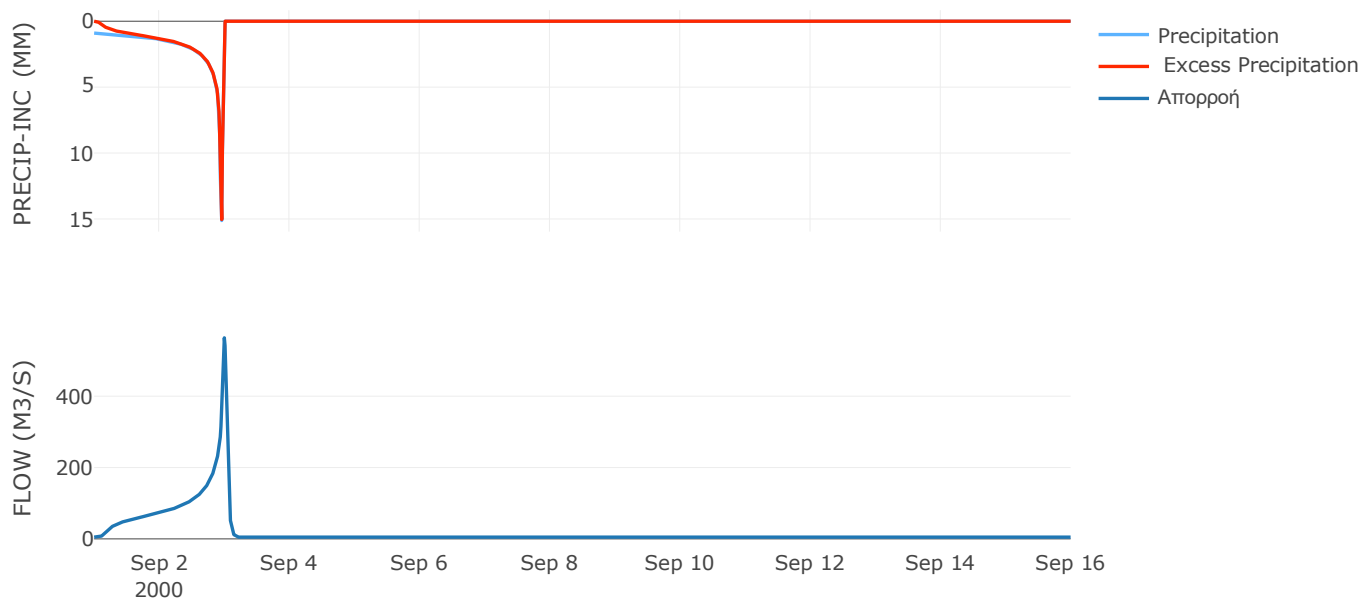
Μέθοδος
Μετασχηματισμού: SCS

Χρόνος Υστέρησης	58.22
------------------	-------

Αποτελέσματα:
EL0514FR003062

Παροχή αιχμής (M3/S)	563.69
Χρονική στιγμή αιχμής	02Sep2000, 24:00
Όγκος (MM)	488.14
Όγκος βροχόπτωσης (M3)	1.91E7
Όγκος απωλειών (M3)	1.52E6
Ενεργός Όγκος (M3)	1.76E7
Όγκος άμεσης απορροής (M3)	1.76E7
Όγκος βασικής απορροής (M3)	6.35E6

Βροχόπτωση και Απορροή



Υπολεκάνη: EL0514FR003063

Έκταση (KM2) : 28.06

Κατάνη : J4 Res1

Μέθοδος Απωλειών: SCS

Ποσοστό αδιαπέρατης επιφάνειας	0
Αριθμός Καμπύλης Απορροής-CN	81.88
Αρχικές Απώλειες	11.24

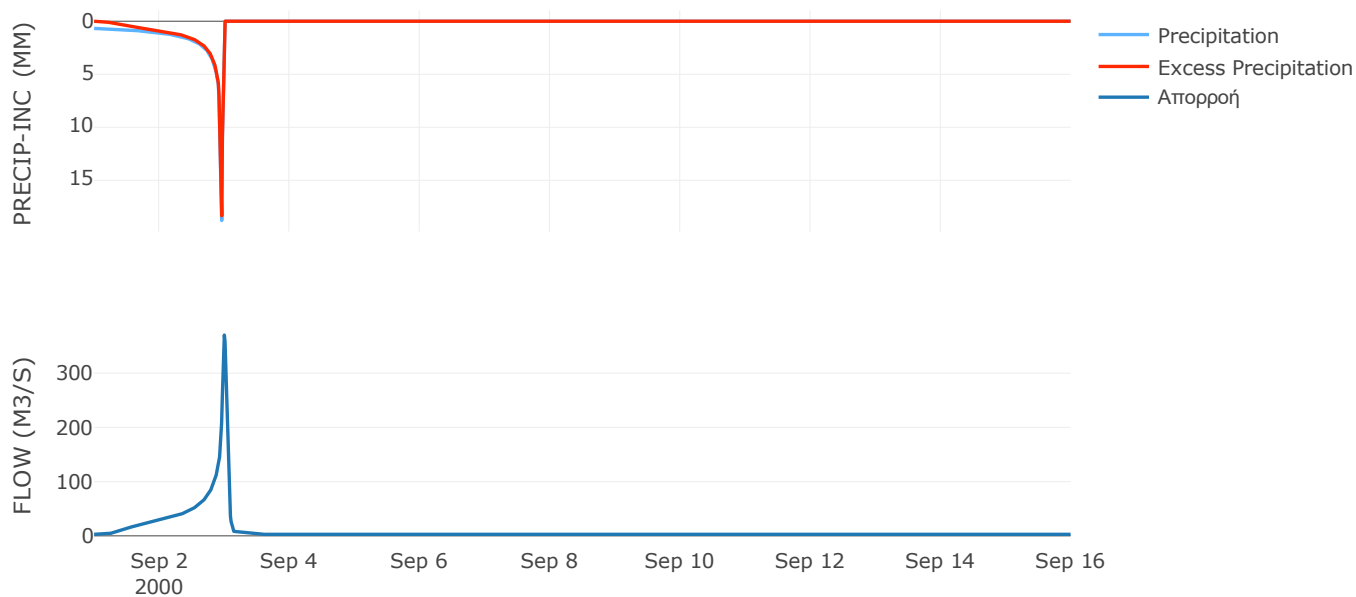
Μέθοδος
Μετασχηματισμού: SCS

Χρόνος Υστέρησης	60.51
------------------	-------

Αποτελέσματα:
EL0514FR003063

Παροχή αιχμής (M3/S)	370.41
Χρονική στιγμή αιχμής	02Sep2000, 24:00
Όγκος (MM)	426.07
Όγκος βροχόπτωσης (M3)	9.99E6
Όγκος απωλειών (M3)	1.67E6
Ενεργός Όγκος (M3)	8.32E6
Όγκος άμεσης απορροής (M3)	8.32E6
Όγκος βασικής απορροής (M3)	3.64E6

Βροχόπτωση και Απορροή



Υπολεκάνη: EL0514FR003065

Έκταση (KM2) : 8.81

Κατάντη : J13

Μέθοδος Απωλειών: SCS

Ποσοστό αδιαπέρατης επιφάνειας	0
Αριθμός Καμπύλης Απορροής-CN	84.61
Αρχικές Απώλειες	9.24

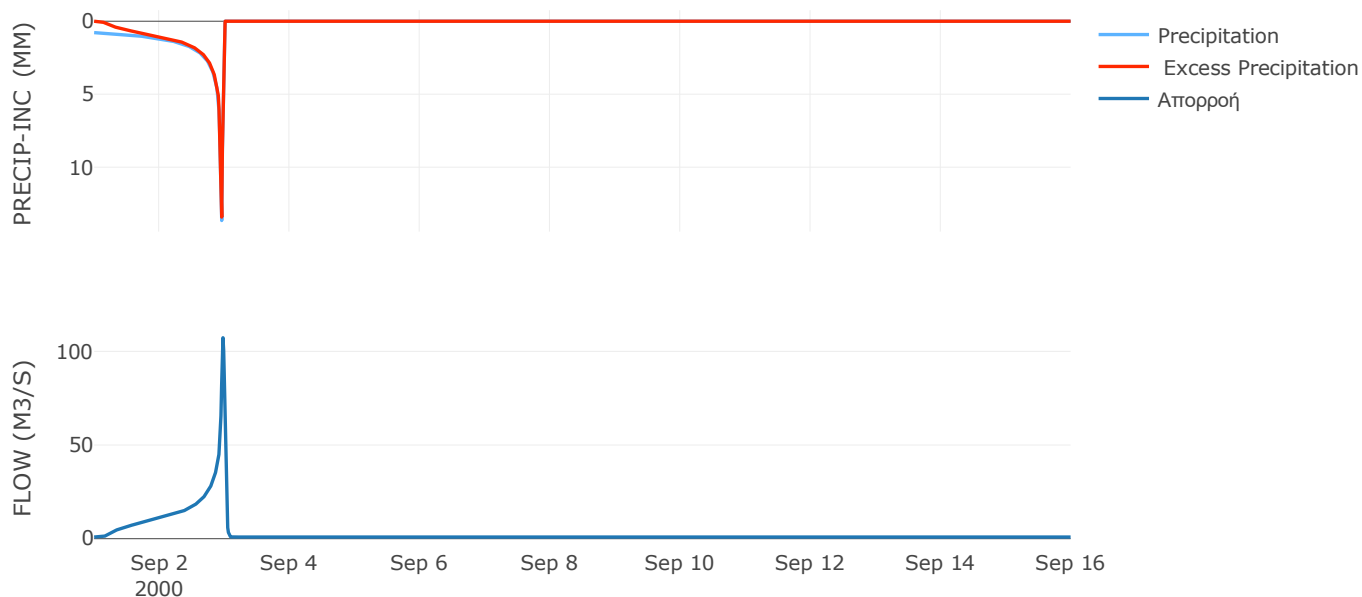
Μέθοδος
Μετασχηματισμού: SCS

Χρόνος Υστέρησης	27.81
------------------	-------

Αποτελέσματα:
EL0514FR003065

Παροχή αιχμής (M3/S)	107.29
Χρονική στιγμή αιχμής	02Sep2000, 23:30
Όγκος (MM)	422.63
Όγκος βροχόπτωσης (M3)	3.02E6
Όγκος απωλειών (M3)	4.39E5
Ενεργός Όγκος (M3)	2.58E6
Όγκος άμεσης απορροής (M3)	2.58E6
Όγκος βασικής απορροής (M3)	1.14E6

Βροχόπτωση και Απορροή



Υπολεκάνη: EL0514FR003066

Έκταση (KM2) : 6.92

Κατάντη : J5

Μέθοδος Απωλειών: SCS

Ποσοστό αδιαπέρατης επιφάνειας	0.22
Αριθμός Καμπύλης Απορροής-CN	93.41
Αρχικές Απώλειες	3.58

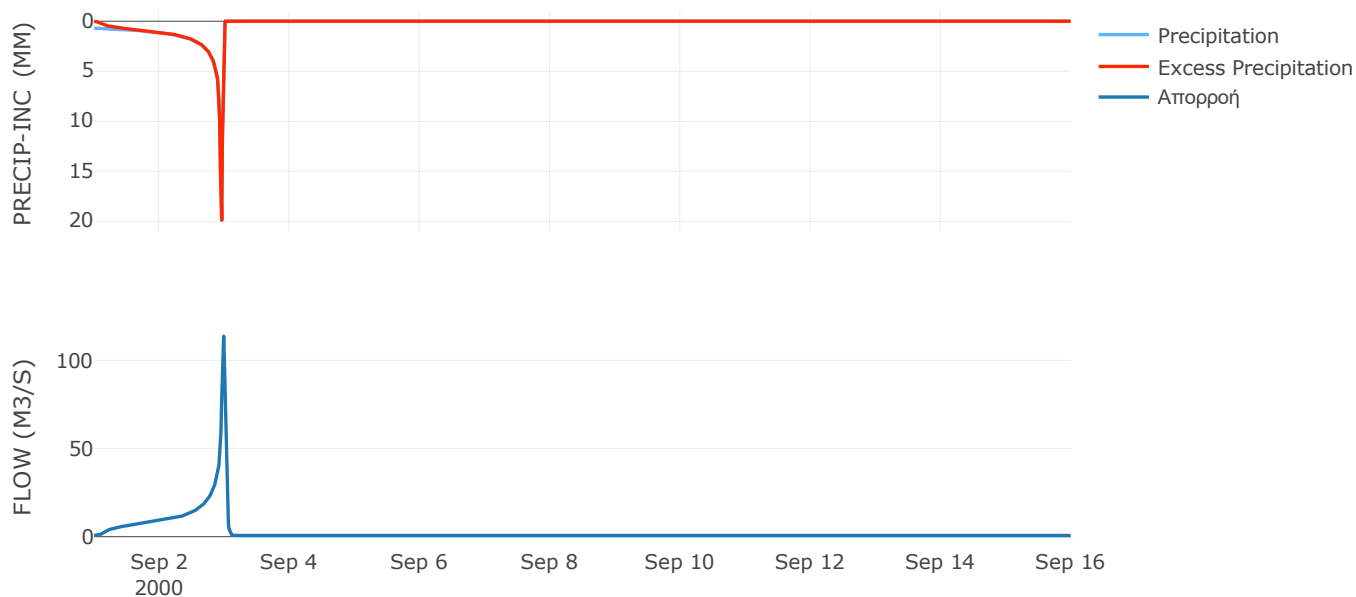
Μέθοδος
Μετασχηματισμού: SCS

Χρόνος Υστέρησης	36.2
------------------	------

Αποτελέσματα:
EL0514FR003066

Παροχή αιχμής (M3/S)	113.74
Χρονική στιγμή αιχμής	02Sep2000, 23:45
Όγκος (MM)	478.73
Όγκος βροχόπτωσης (M3)	2.56E6
Όγκος απωλειών (M3)	1.43E5
Ενεργός Όγκος (M3)	2.41E6
Όγκος άμεσης απορροής (M3)	2.41E6
Όγκος βασικής απορροής (M3)	8.96E5

Βροχόπτωση και Απορροή



Υπολεκάνη: EL0514FR003067

Έκταση (KM2) : 46.66

Κατάντη : J2

Μέθοδος Απωλειών: SCS

Ποσοστό αδιαπέρατης επιφάνειας	0
Αριθμός Καμπύλης Απορροής-CN	87.98
Αρχικές Απώλειες	6.94

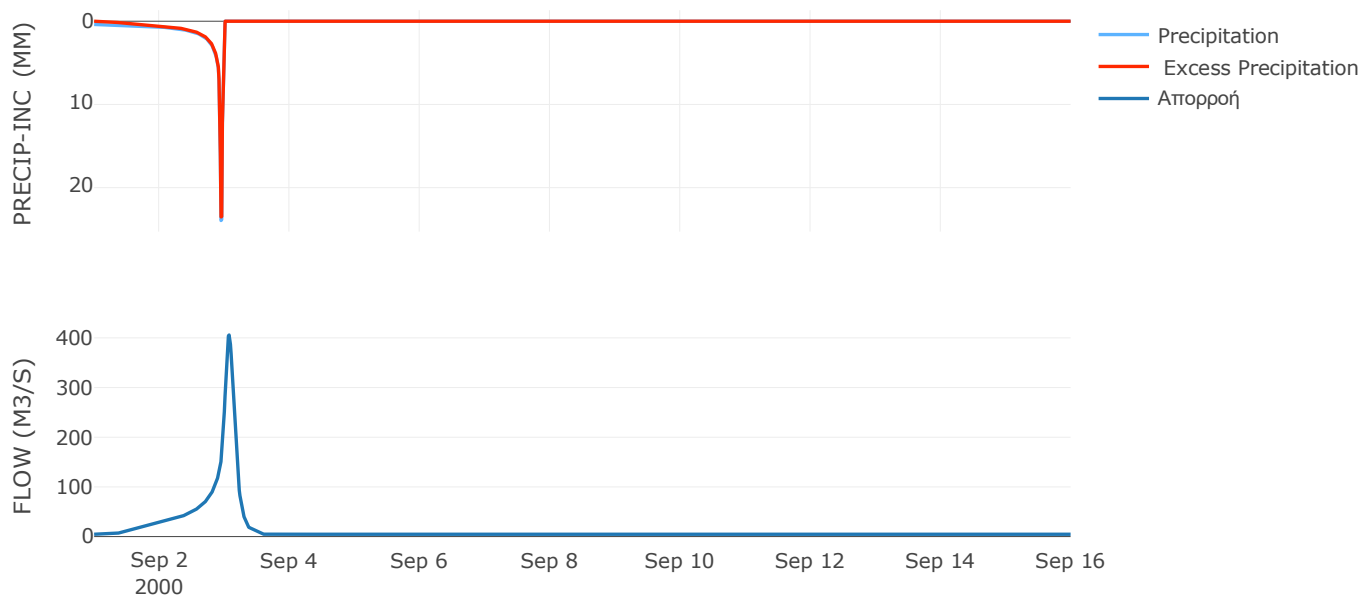
Μέθοδος
Μετασχηματισμού: SCS

Χρόνος Υστέρησης	178.96
------------------	--------

Αποτελέσματα:
EL0514FR003067

Παροχή αιχμής (M3/S)	405.87
Χρονική στιγμή αιχμής	03Sep2000, 01:45
Όγκος (MM)	385.63
Όγκος βροχόπτωσης (M3)	1.37E7
Όγκος απωλειών (M3)	1.77E6
Ενεργός Όγκος (M3)	1.19E7
Όγκος άμεσης απορροής (M3)	1.19E7
Όγκος βασικής απορροής (M3)	6.05E6

Βροχόπτωση και Απορροή



10.2 Δεδομένα και υδρογραφήματα σχεδιασμού Κλάδων υδρογραφικού δικτύου

Κλάδος: R21

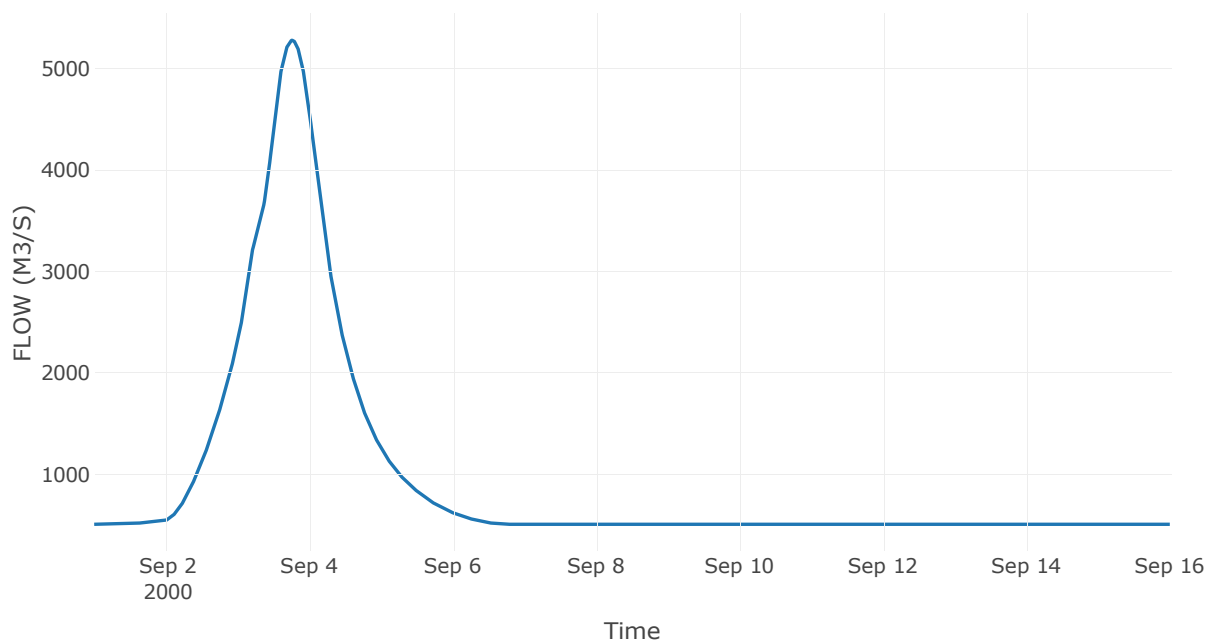
Κατάντη : J1

Μέθοδος Διόδευσης	Muskingum
Αρχική Μεταβλητή	Combined Inflow
Muskingum K	2.32
Συντελεστής βάρους x	0.2
Πλήθος Υποκλάδων	11

Αποτελέσματα: R21

Παροχή Αιχμής(M3/S)	5280.95
Χρονική στιγμή αιχμής	03Sep2000, 18:15
Όγκος(MM)	657.29
Παροχή Αιχμής Εισόδου (M3/S)	5287.27
Όγκος Εισροής(M3)	1.24E9

Απορροή



Κλάδος: R32

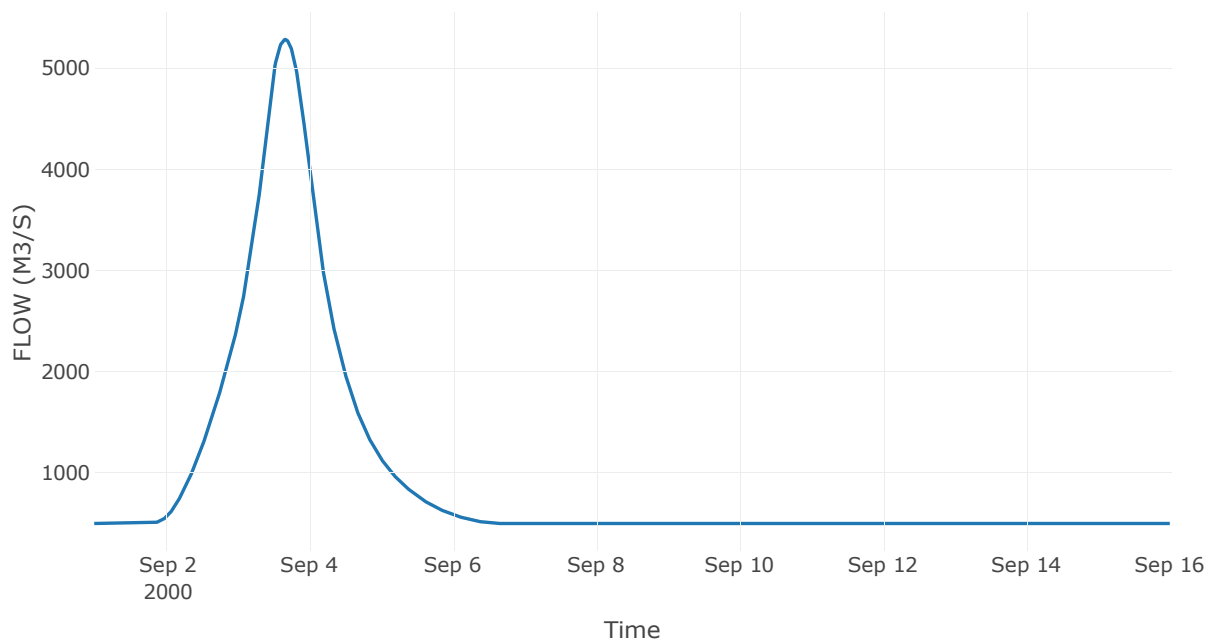
Κατάντη : J2

Μέθοδος Διόδευσης	Muskingum
Αρχική Μεταβλητή	Combined Inflow
Muskingum K	3.63
Συντελεστής βάρους x	0.2
Πλήθος Υποκλάδων	18

Αποτελέσματα: R32

Παροχή Αιχμής(M3/S)	5282.61
Χρονική στιγμή αιχμής	03Sep2000, 16:00
Όγκος(MM)	664.19
Παροχή Αιχμής Εισόδου (M3/S)	5292.21
Όγκος Εισροής(M3)	1.22E9

Απορροή



Κλάδος: R43

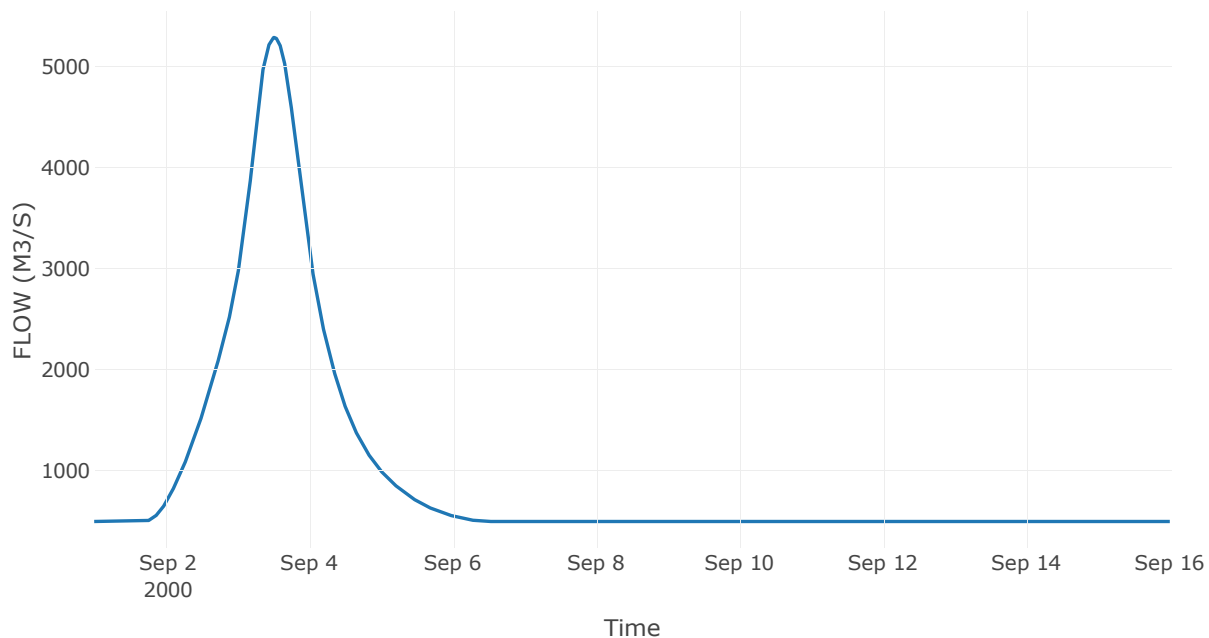
Κατάντη : J3

Μέθοδος Διόδευσης	Muskingum
Αρχική Μεταβλητή	Combined Inflow
Muskingum K	0.63
Συντελεστής βάρους x	0.2
Πλήθος Υποκλάδων	3

Αποτελέσματα: R43

Παροχή Αιχμής(M3/S)	5290.77
Χρονική στιγμή αιχμής	03Sep2000, 12:15
Όγκος(MM)	666.08
Παροχή Αιχμής Εισόδου (M3/S)	5292.45
Όγκος Εισροής(M3)	1.21E9

Απορροή



Κλάδος: R54

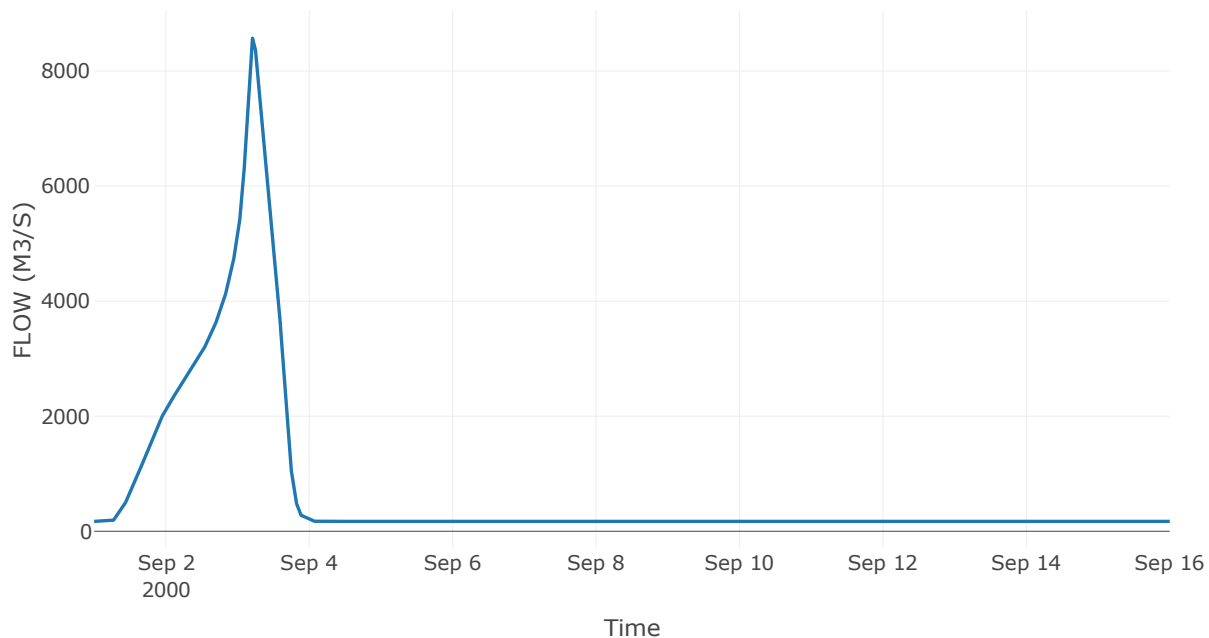
Κατάντη : J4 Res1

Μέθοδος Διόδευσης	Muskingum
Αρχική Μεταβλητή	Combined Inflow
Muskingum K	4
Συντελεστής βάρους x	0.2
Πλήθος Υποκλάδων	5

Αποτελέσματα: R54

Παροχή Αιχμής(M3/S)	8584.75
Χρονική στιγμή αιχμής	03Sep2000, 05:15
Όγκος(MM)	525.38
Παροχή Αιχμής Εισόδου (M3/S)	9658.72
Όγκος Εισροής(M3)	9.03E8

Απορροή



Κλάδος: R65

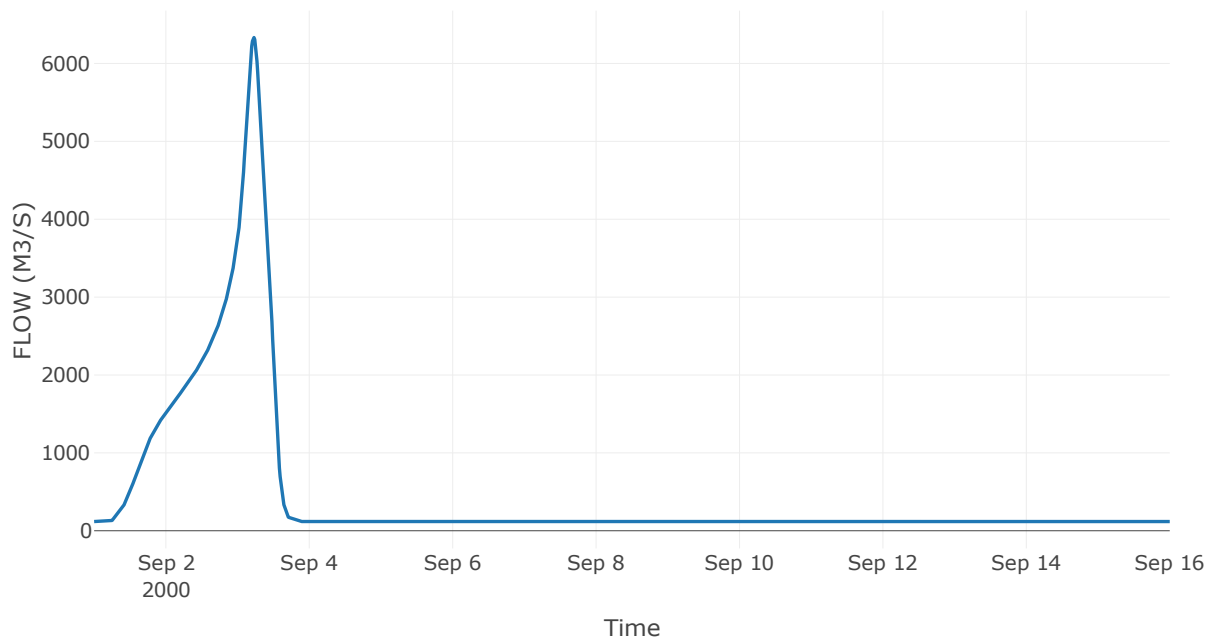
Κατάντη : J5

Μέθοδος Διόδευσης	Muskingum
Αρχική Μεταβλητή	Combined Inflow
Muskingum K	4
Συντελεστής βάρους x	0.2
Πλήθος Υποκλάδων	5

Αποτελέσματα: R65

Παροχή Αιχμής(M3/S)	6333.67
Χρονική στιγμή αιχμής	03Sep2000, 05:30
Όγκος(MM)	509.05
Παροχή Αιχμής Εισόδου (M3/S)	6680.84
Όγκος Εισροής(M3)	6.02E8

Απορροή



Κλάδος: R76

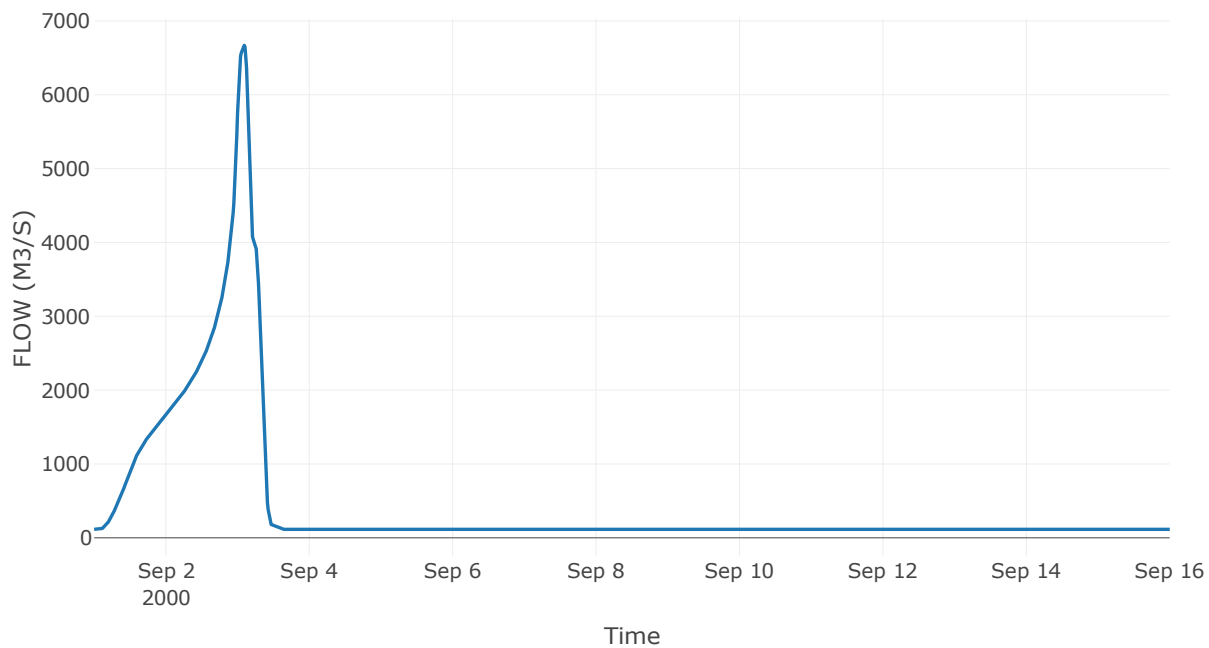
Κατάντη : J6

Μέθοδος Διόδευσης	Muskingum
Αρχική Μεταβλητή	Combined Inflow
Muskingum K	0.4
Συντελεστής βάρους x	0.2
Πλήθος Υποκλάδων	2

Αποτελέσματα: R76

Παροχή Αιχμής(M3/S)	6669.94
Χρονική στιγμή αιχμής	03Sep2000, 02:15
Όγκος(MM)	508.9
Παροχή Αιχμής Εισόδου (M3/S)	6684.08
Όγκος Εισροής(M3)	5.84E8

Απορροή



Κλάδος: R87

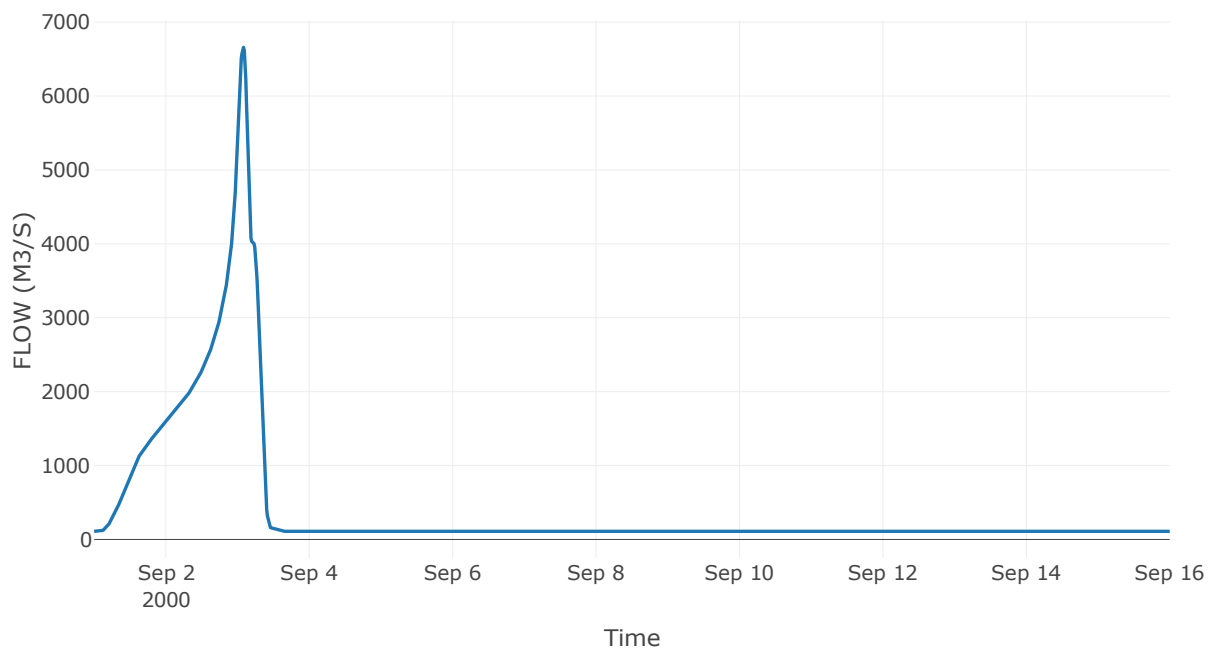
Κατάντη : J7

Μέθοδος Διόδευσης	Muskingum
Αρχική Μεταβλητή	Combined Inflow
Muskingum K	0.48
Συντελεστής βάρους x	0.2
Πλήθος Υποκλάδων	2

Αποτελέσματα: R87

Παροχή Αιχμής(M3/S)	6659.41
Χρονική στιγμή αιχμής	03Sep2000, 02:00
Όγκος(MM)	505.44
Παροχή Αιχμής Εισόδου (M3/S)	6687.04
Όγκος Εισροής(M3)	5.55E8

Απορροή



Κλάδος: R98

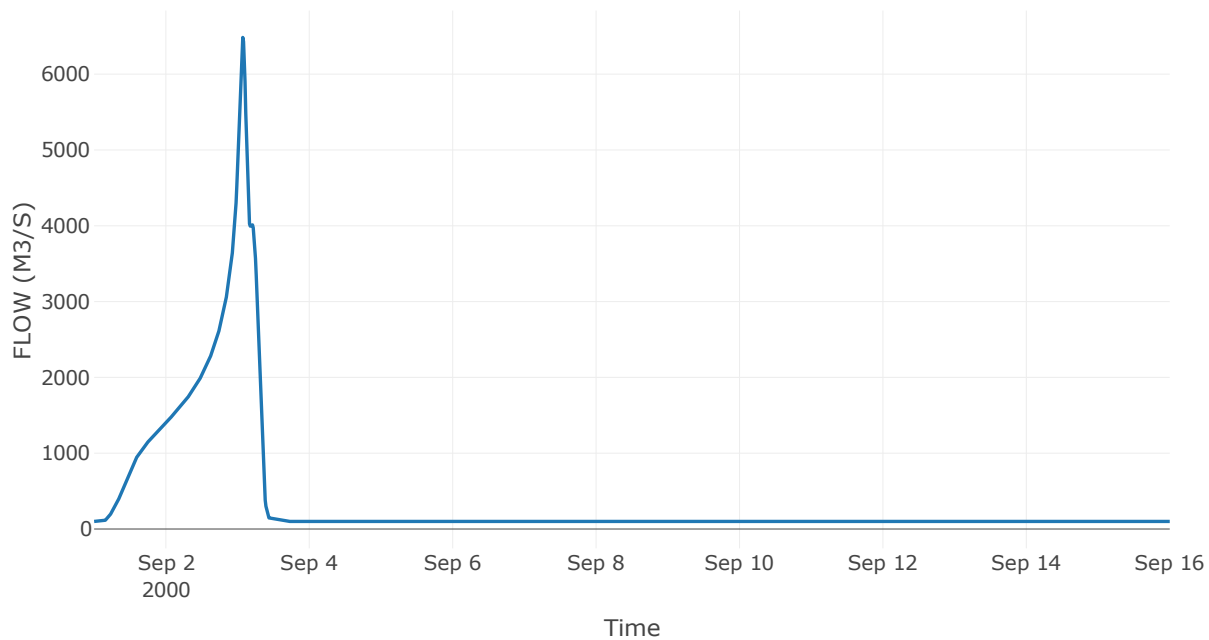
Κατάντη : J8

Μέθοδος Διόδευσης	Muskingum
Αρχική Μεταβλητή	Combined Inflow
Muskingum K	0.88
Συντελεστής βάρους α	0.2
Πλήθος Υποκλάδων	4

Αποτελέσματα: R98

Παροχή Αιχμής(M3/S)	6484.56
Χρονική στιγμή αιχμής	03Sep2000, 01:45
Όγκος(MM)	496.53
Παροχή Αιχμής Εισόδου (M3/S)	6607.97
Όγκος Εισροής(M3)	4.95E8

Απορροή



Κλάδος: R109

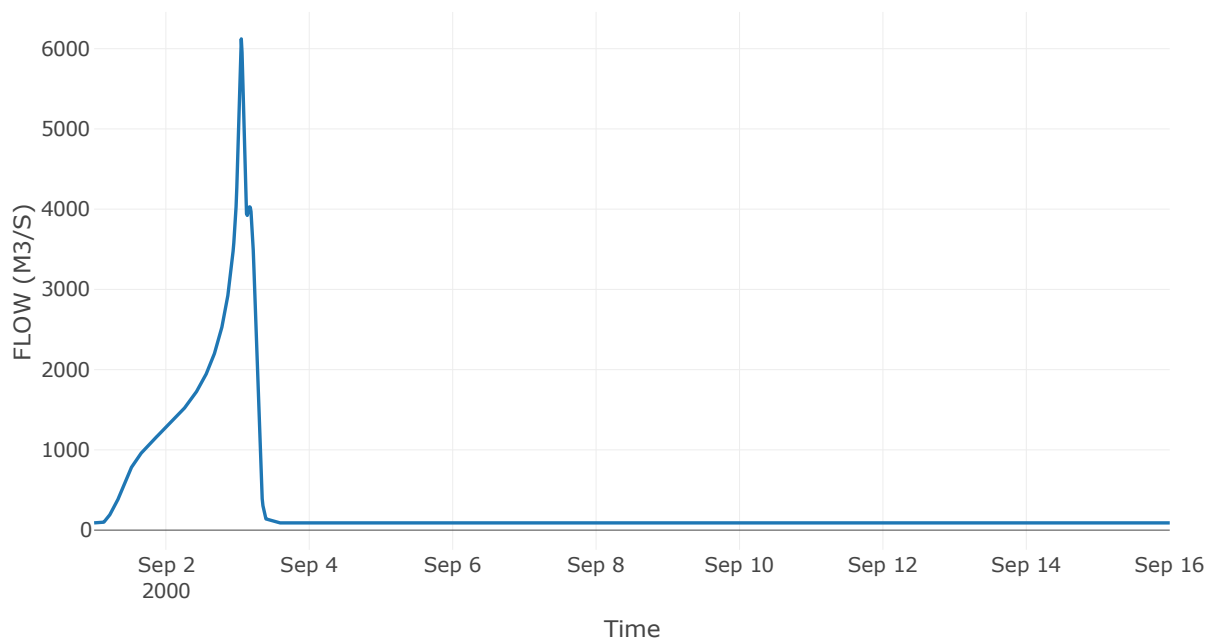
Κατάντη : J9

Μέθοδος Διόδευσης	Χρόνος Υστέρησης
Αρχική Μεταβλητή	Combined Inflow
Χρόνος Υστέρησης	43.87

Αποτελέσματα: R109

Παροχή Αιχμής(M3/S)	6122.38
Χρονική στιγμή αιχμής	03Sep2000, 01:15
Όγκος(MM)	492.56
Παροχή Αιχμής Εισόδου (M3/S)	6141.65
Όγκος Εισροής(M3)	4.42E8

Απορροή



Κλάδος: R1110

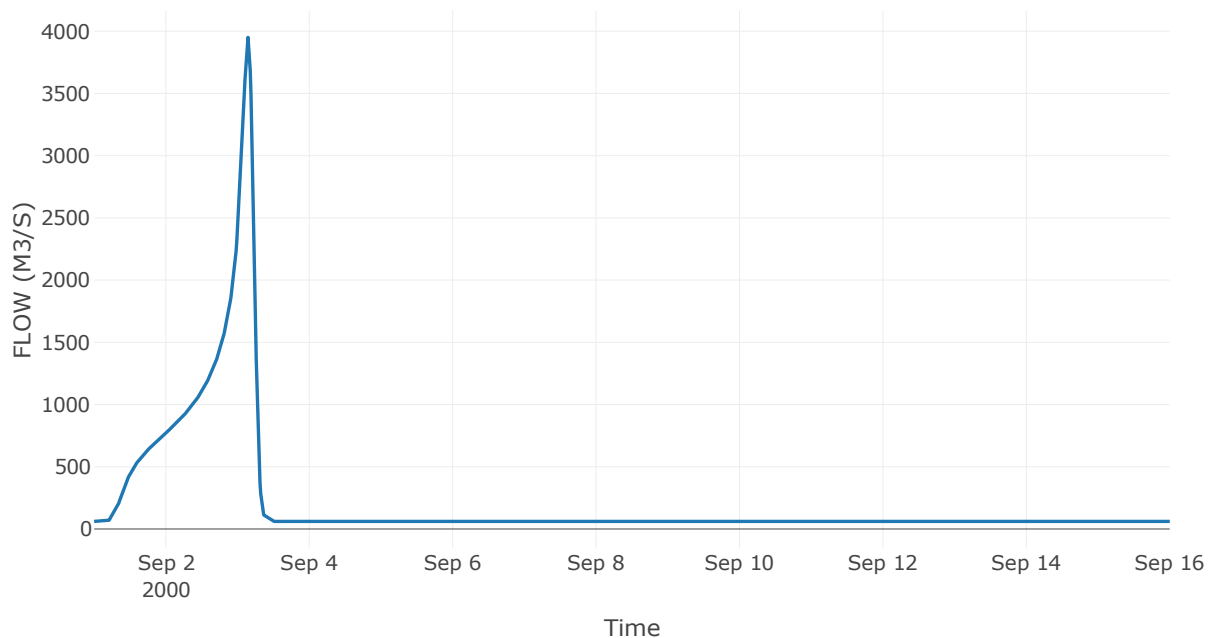
Κατάντη : J10

Μέθοδος Διόδευσης	Muskingum
Αρχική Μεταβλητή	Combined Inflow
Muskingum K	1.36
Συντελεστής βάρους x	0.2
Πλήθος Υποκλάδων	7

Αποτελέσματα: R1110

Παροχή Αιχμής(M3/S)	3950.44
Χρονική στιγμή αιχμής	03Sep2000, 03:30
Όγκος(MM)	461.65
Παροχή Αιχμής Εισόδου (M3/S)	4026.95
Όγκος Εισροής(M3)	2.81E8

Απορροή



Κλάδος: R1211

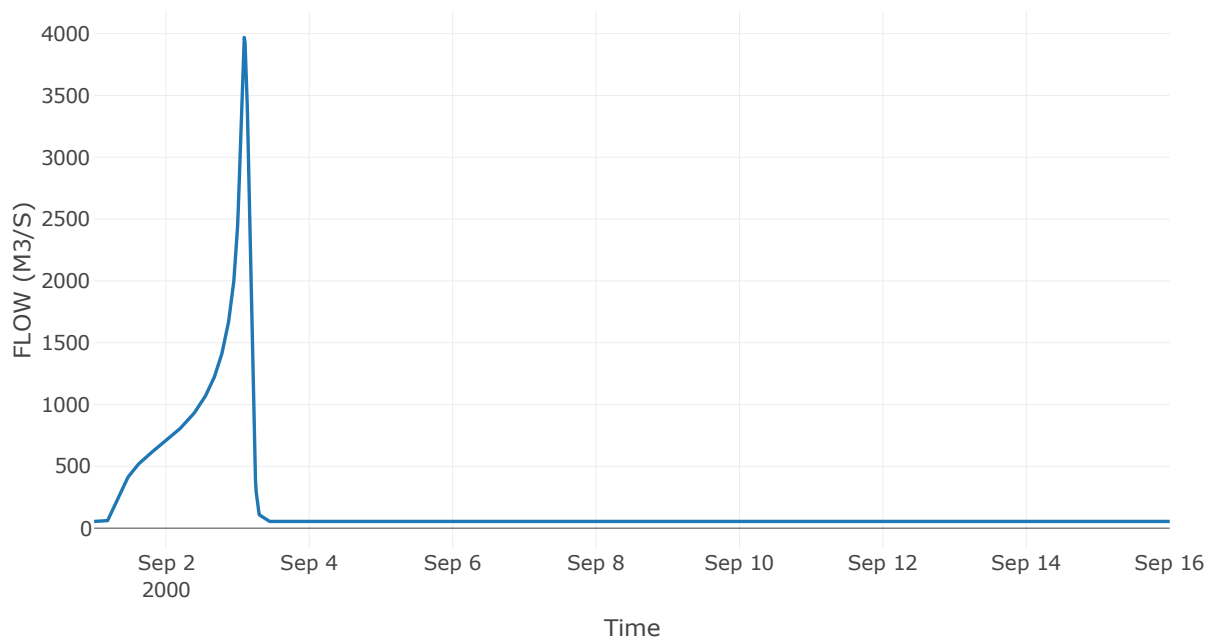
Κατάντη : J11

Μέθοδος Διόδευσης	Muskingum
Αρχική Μεταβλητή	Combined Inflow
Muskingum K	1.21
Συντελεστής βάρους x	0.2
Πλήθος Υποκλάδων	6

Αποτελέσματα: R1211

Παροχή Αιχμής(M3/S)	3968.91
Χρονική στιγμή αιχμής	03Sep2000, 02:15
Όγκος(MM)	460.45
Παροχή Αιχμής Εισόδου (M3/S)	4070.11
Όγκος Εισροής(M3)	2.5E8

Απορροή



Κλάδος: R1312

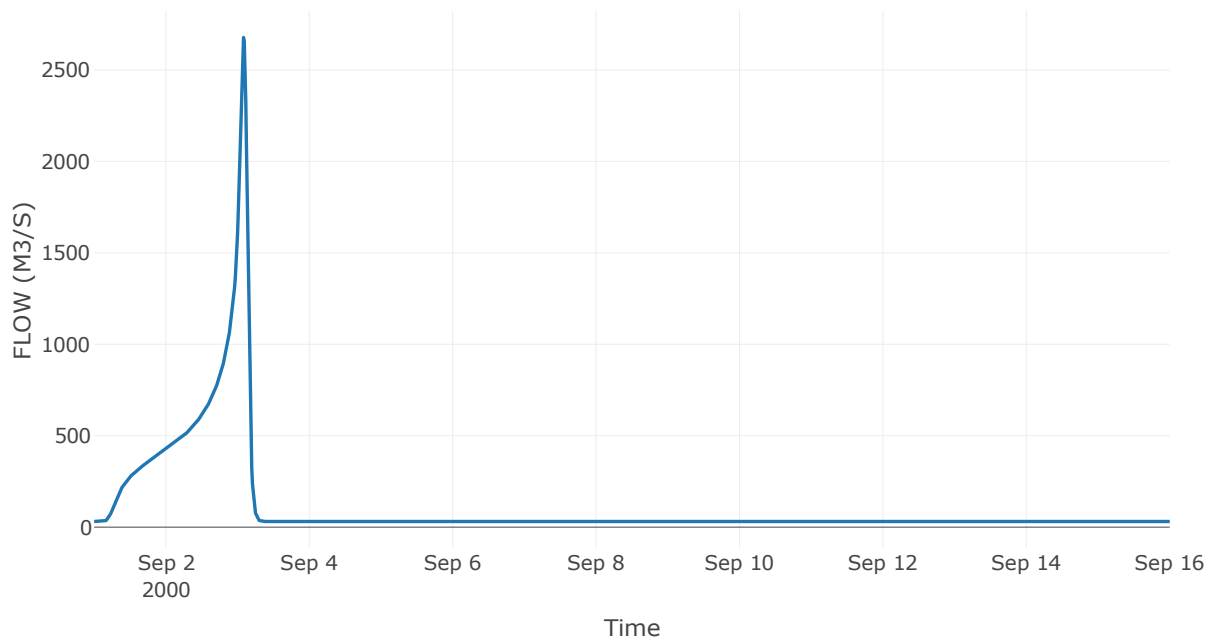
Κατάντη : J12

Μέθοδος Διόδευσης	Muskingum
Αρχική Μεταβλητή	Combined Inflow
Muskingum K	1.31
Συντελεστής βάρους α	0.2
Πλήθος Υποκλάδων	6

Αποτελέσματα: R1312

Παροχή Αιχμής(M3/S)	2677.9
Χρονική στιγμή αιχμής	03Sep2000, 02:00
Όγκος(MM)	476.09
Παροχή Αιχμής Εισόδου (M3/S)	2786.54
Όγκος Εισροής(M3)	1.47E8

Απορροή



Κλάδος: R1413

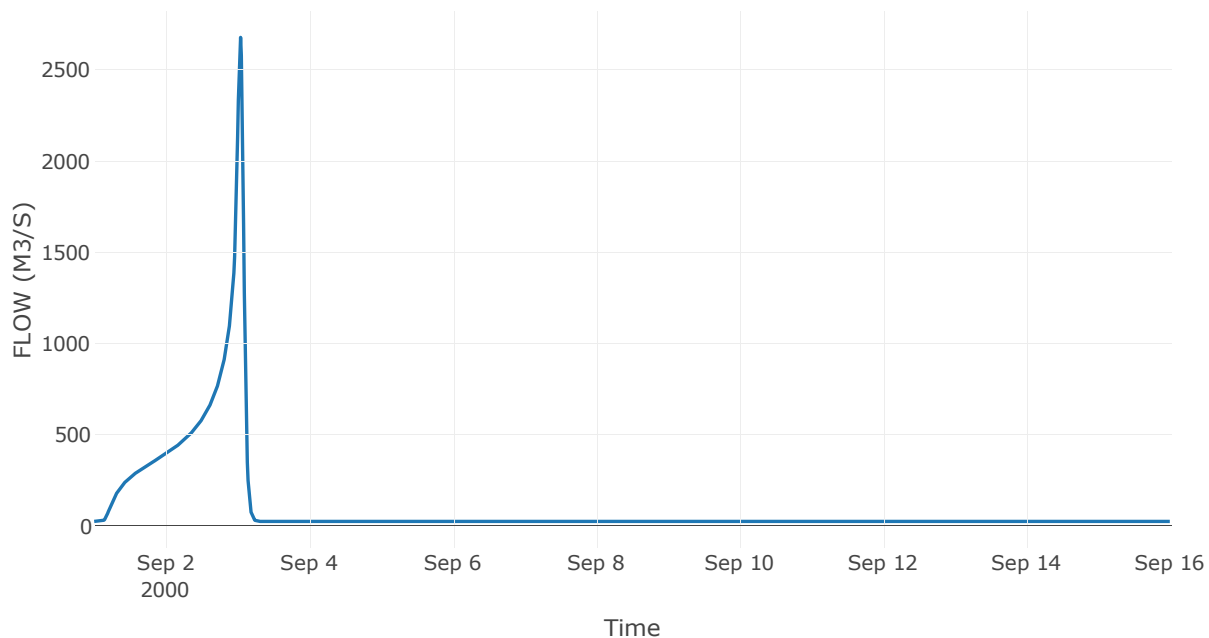
Κατάντη : J13

Μέθοδος Διόδευσης	Muskingum
Αρχική Μεταβλητή	Combined Inflow
Muskingum K	0.14
Συντελεστής βάρους α	0.2
Πλήθος Υποκλάδων	1

Αποτελέσματα: R1413

Παροχή Αιχμής(M3/S)	2678.38
Χρονική στιγμή αιχμής	03Sep2000, 01:00
Όγκος(MM)	477.95
Παροχή Αιχμής Εισόδου (M3/S)	2692.1
Όγκος Εισροής(M3)	1.34E8

Απορροή



Κλάδος: R1514

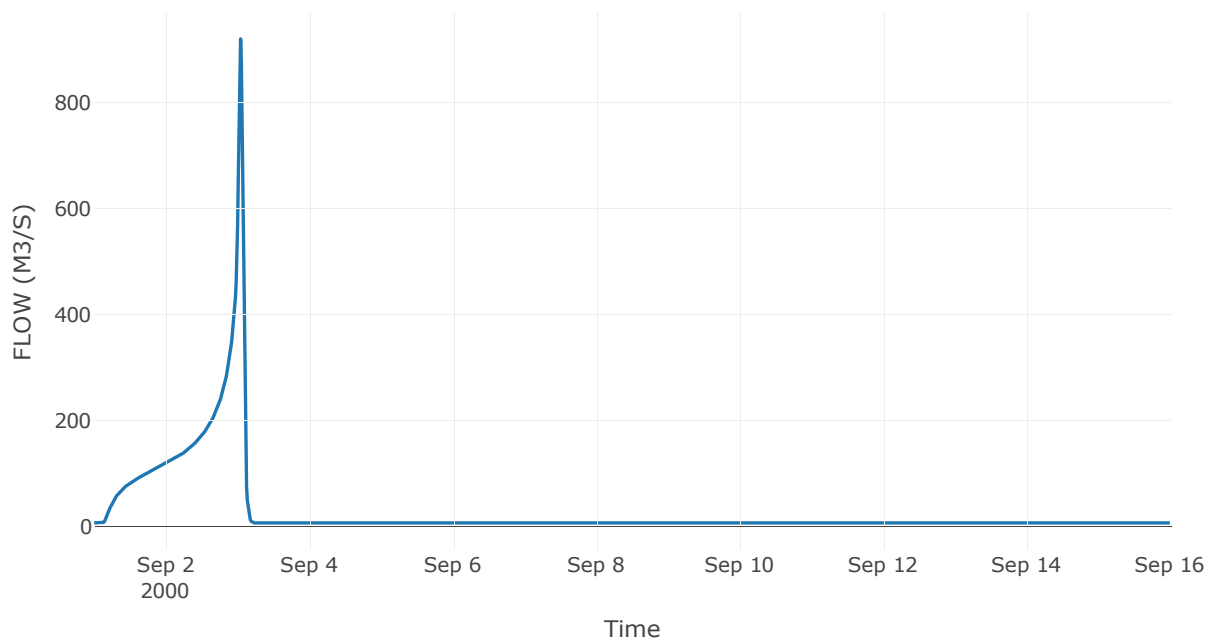
Κατάντη : J14

Μέθοδος Διόδευσης	Χρόνος Υστέρησης
Αρχική Μεταβλητή	Combined Inflow
Χρόνος Υστέρησης	72.04

Αποτελέσματα: R1514

Παροχή Αιχμής(M3/S)	919.44
Χρονική στιγμή αιχμής	03Sep2000, 01:00
Όγκος(MM)	488.65
Παροχή Αιχμής Εισόδου (M3/S)	924.87
Όγκος Εισροής(M3)	3.89E7

Απορροή



Κλάδος: R1614

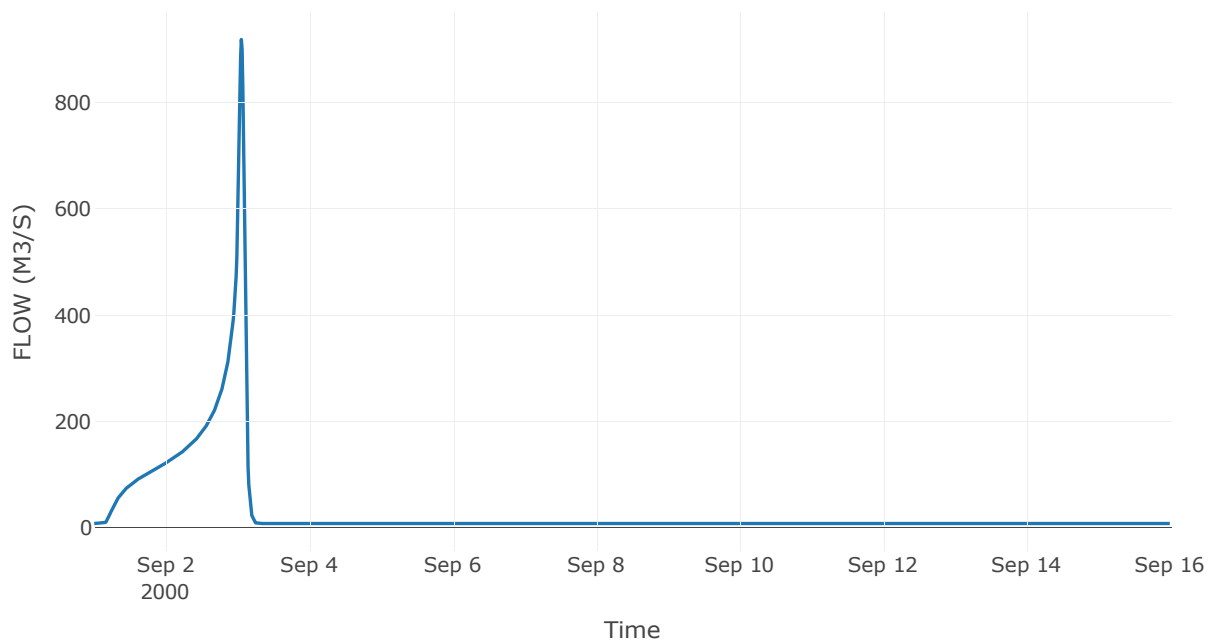
Κατάντη : J14

Μέθοδος Διόδευσης	Muskingum
Αρχική Μεταβλητή	Combined Inflow
Muskingum K	1.35
Συντελεστής βάρους x	0.2
Πλήθος Υποκλάδων	7

Αποτελέσματα: R1614

Παροχή Αιχμής(M3/S)	918.22
Χρονική στιγμή αιχμής	03Sep2000, 01:15
Όγκος(MM)	484.17
Παροχή Αιχμής Εισόδου (M3/S)	1000.01
Όγκος Εισροής(M3)	4.18E7

Απορροή



Κλάδος: R1712

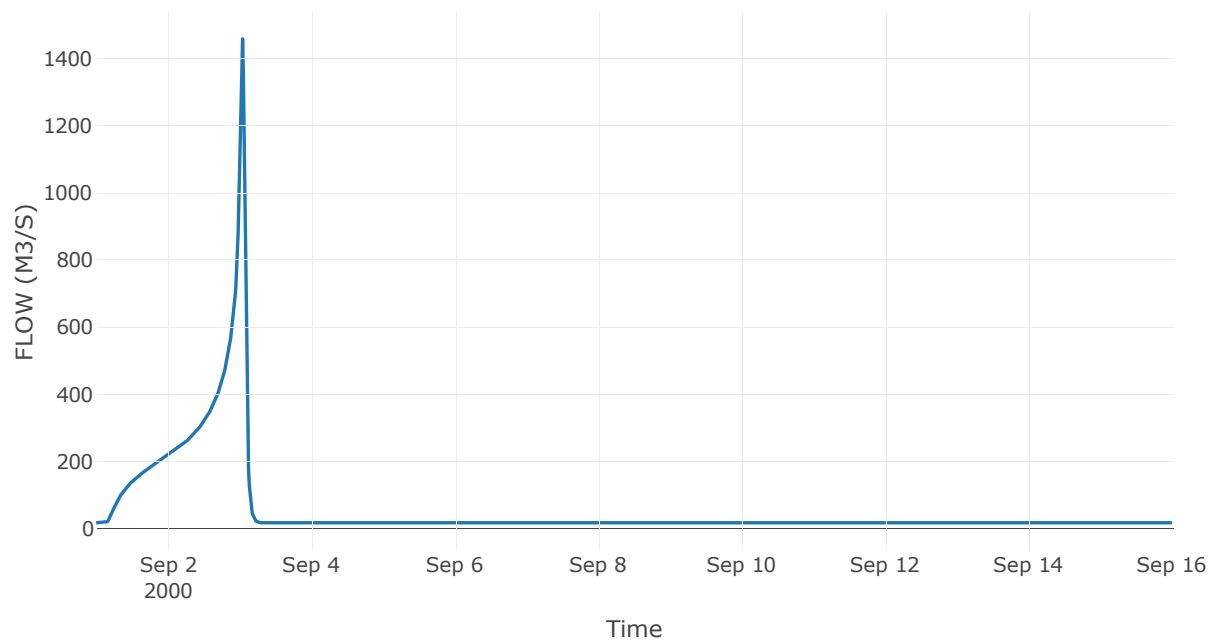
Κατάντη : J12

Μέθοδος Διόδευσης	Χρόνος Υστέρησης
Αρχική Μεταβλητή	Combined Inflow
Χρόνος Υστέρησης	43.97

Αποτελέσματα: R1712

Παροχή Αιχμής(M3/S)	1459.54
Χρονική στιγμή αιχμής	03Sep2000, 01:00
Όγκος(MM)	438.68
Παροχή Αιχμής Εισόδου (M3/S)	1471.61
Όγκος Εισροής(M3)	7.22E7

Απορροή



Κλάδος: R1817

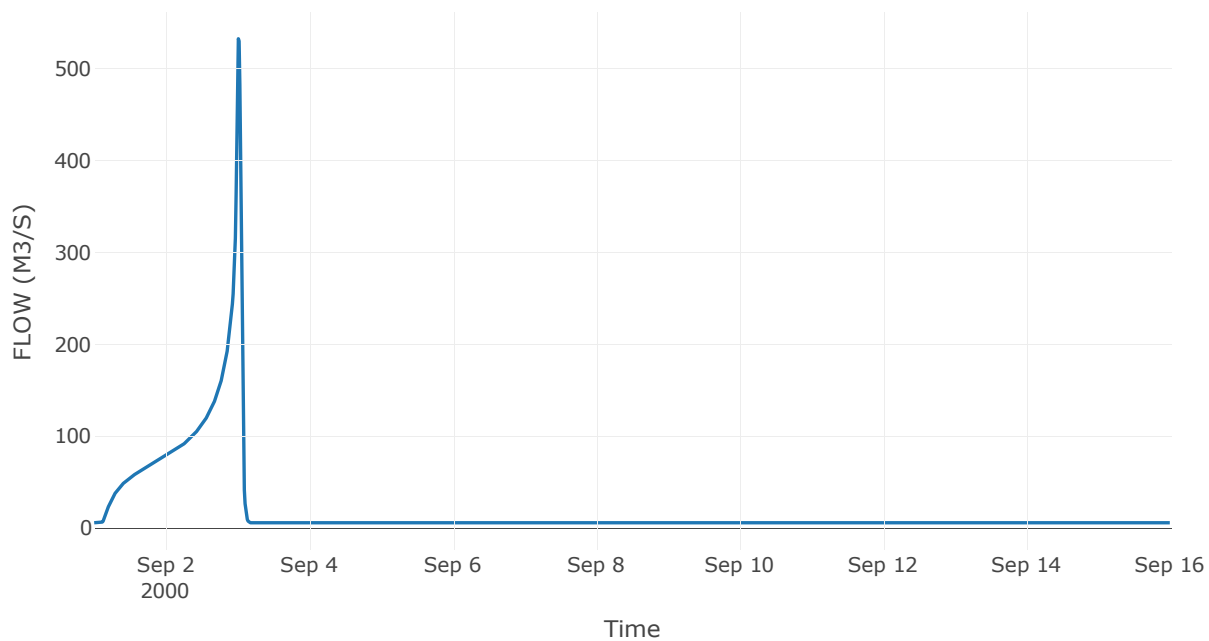
Κατάντη : J17

Μέθοδος Διόδευσης	Χρόνος Υστέρησης
Αρχική Μεταβλητή	Combined Inflow
Χρόνος Υστέρησης	40.76

Αποτελέσματα: R1817

Παροχή Αιχμής(M3/S)	532.36
Χρονική στιγμή αιχμής	03Sep2000, 00:15
Όγκος(MM)	442.55
Παροχή Αιχμής Εισόδου (M3/S)	540.79
Όγκος Εισροής(M3)	2.48E7

Απορροή



Κλάδος: R1910

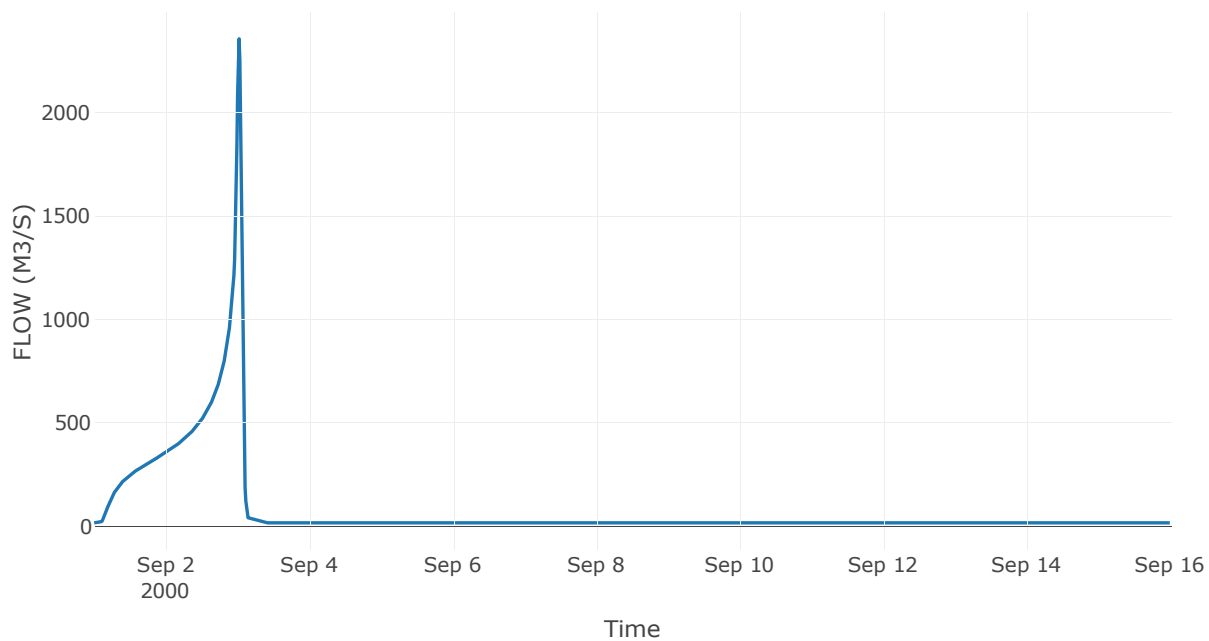
Κατάντη : J10

Μέθοδος Διόδευσης	Χρόνος Υστέρησης
Αρχική Μεταβλητή	Combined Inflow
Χρόνος Υστέρησης	28.41

Αποτελέσματα: R1910

Παροχή Αιχμής(M3/S)	2355.47
Χρονική στιγμή αιχμής	03Sep2000, 00:30
Όγκος(MM)	576.89
Παροχή Αιχμής Εισόδου (M3/S)	2366.06
Όγκος Εισροής(M3)	1.06E8

Απορροή



Κλάδος: R2019

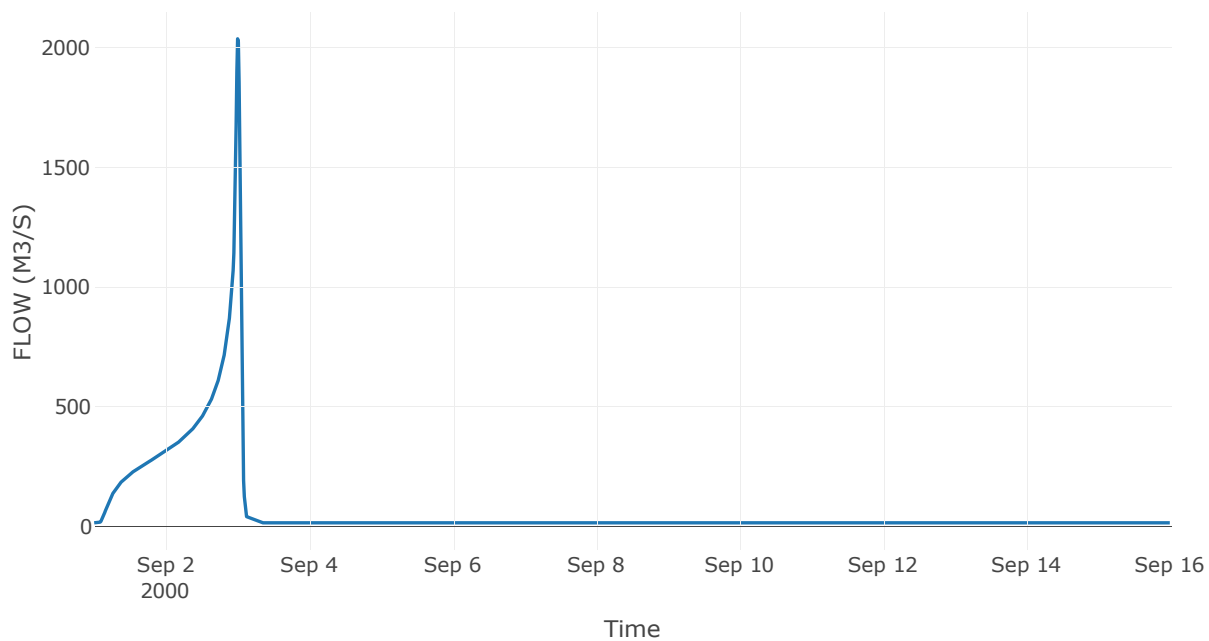
Κατάντη : J19

Μέθοδος Διόδευσης	Χρόνος Υστέρησης
Αρχική Μεταβλητή	Combined Inflow
Χρόνος Υστέρησης	21.17

Αποτελέσματα: R2019

Παροχή Αιχμής(M3/S)	2036.53
Χρονική στιγμή αιχμής	02Sep2000, 24:00
Όγκος(MM)	577.62
Παροχή Αιχμής Εισόδου (M3/S)	2070.93
Όγκος Εισροής(M3)	9.18E7

Απορροή



Κλάδος: R2120

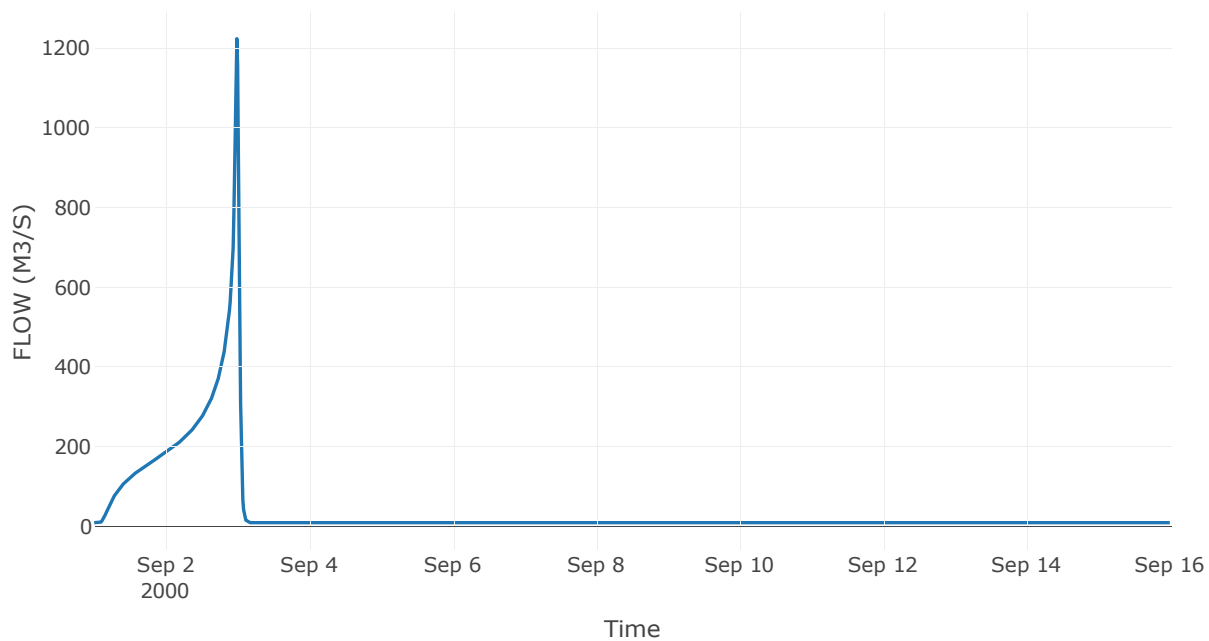
Κατάντη : J20

Μέθοδος Διόδευσης	Χρόνος Υστέρησης
Αρχική Μεταβλητή	Combined Inflow
Χρόνος Υστέρησης	7.56

Αποτελέσματα: R2120

Παροχή Αιχμής(M3/S)	1222.69
Χρονική στιγμή αιχμής	02Sep2000, 23:45
Όγκος(MM)	548.52
Παροχή Αιχμής Εισόδου (M3/S)	1230.4
Όγκος Εισροής(M3)	5.37E7

Απορροή



Κλάδος: R225

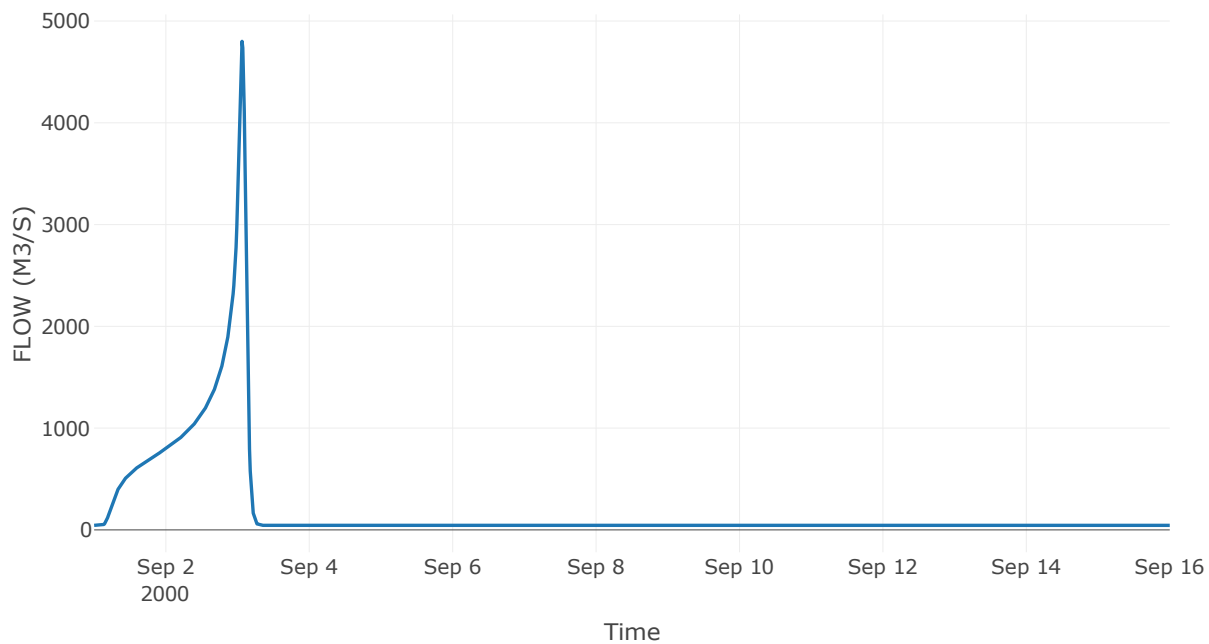
Κατάντη : J5

Μέθοδος Διόδευσης	Muskingum
Αρχική Μεταβλητή	Combined Inflow
Muskingum K	1
Συντελεστής βάρους α	0.2
Πλήθος Υποκλάδων	2

Αποτελέσματα: R225

Παροχή Αιχμής(M3/S)	4800.72
Χρονική στιγμή αιχμής	03Sep2000, 01:30
Όγκος(MM)	571.38
Παροχή Αιχμής Εισόδου (M3/S)	5124.32
Όγκος Εισροής(M3)	2.54E8

Απορροή



Κλάδος: R2322

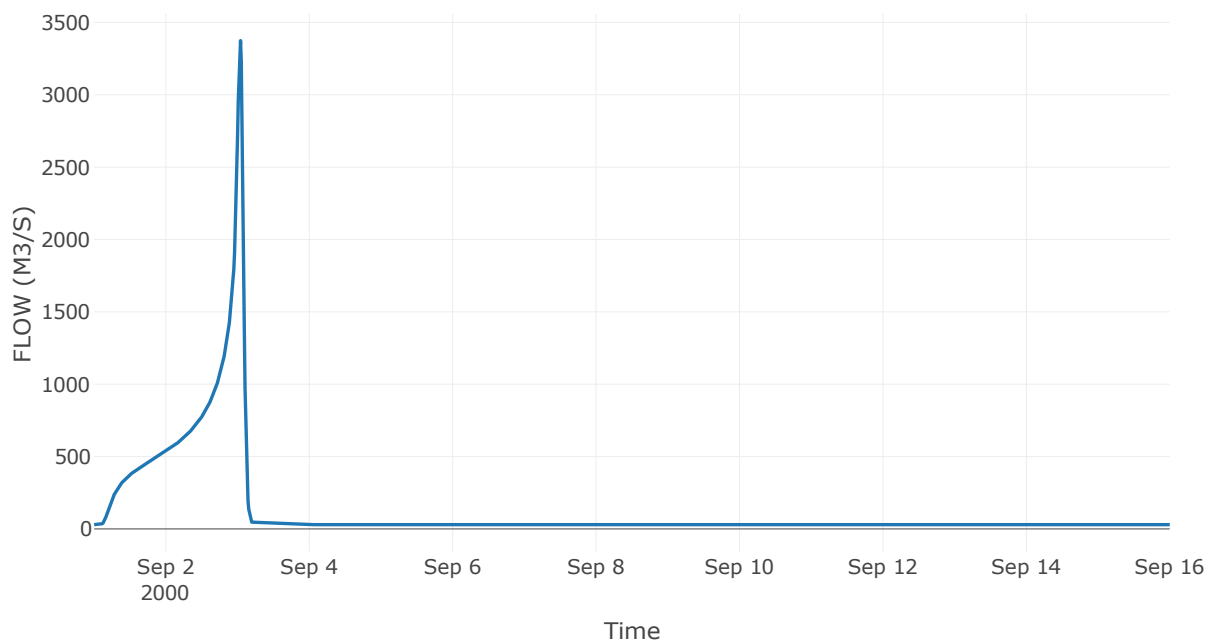
Κατάντη : J22

Μέθοδος Διόδευσης	Χρόνος Υστέρησης
Αρχική Μεταβλητή	Combined Inflow
Χρόνος Υστέρησης	0

Αποτελέσματα: R2322

Παροχή Αιχμής(M3/S)	3373.98
Χρονική στιγμή αιχμής	03Sep2000, 01:00
Όγκος(MM)	565.13
Παροχή Αιχμής Εισόδου (M3/S)	3373.98
Όγκος Εισροής(M3)	1.66E8

Απορροή



Κλάδος: R2423

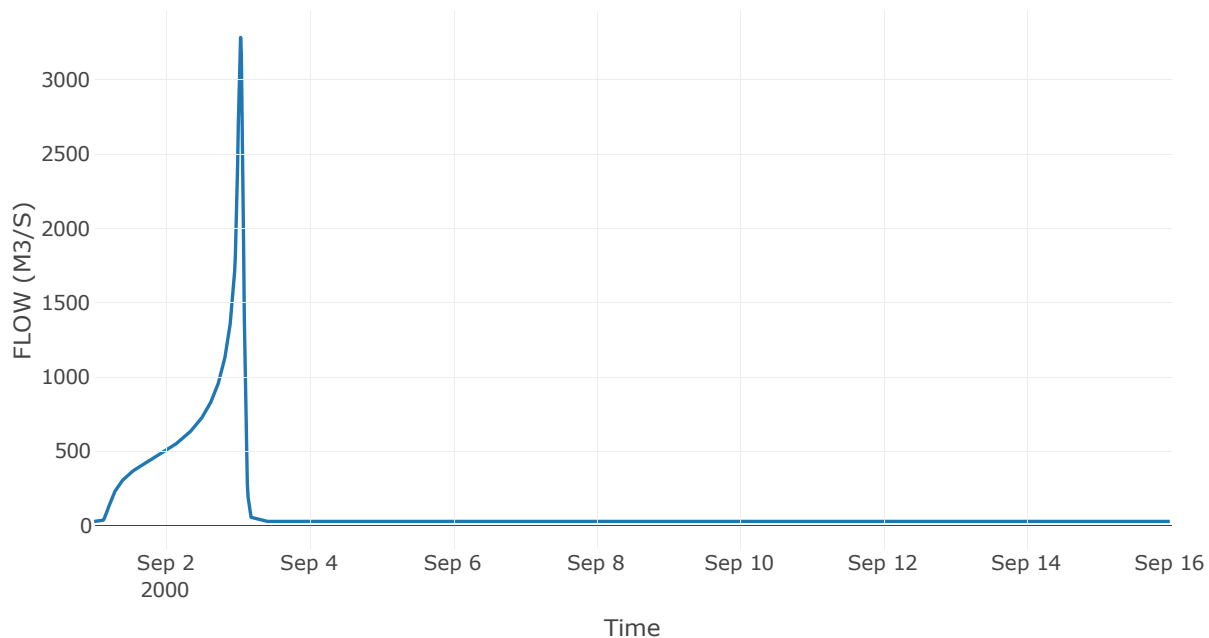
Κατάντη : J23

Μέθοδος Διόδευσης	Muskingum
Αρχική Μεταβλητή	Combined Inflow
Muskingum K	0.61
Συντελεστής βάρους x	0.2
Πλήθος Υποκλάδων	3

Αποτελέσματα: R2423

Παροχή Αιχμής(M3/S)	3283.59
Χρονική στιγμή αιχμής	03Sep2000, 01:00
Όγκος(MM)	568.11
Παροχή Αιχμής Εισόδου (M3/S)	3381.51
Όγκος Εισροής(M3)	1.55E8

Απορροή



Κλάδος: R2524

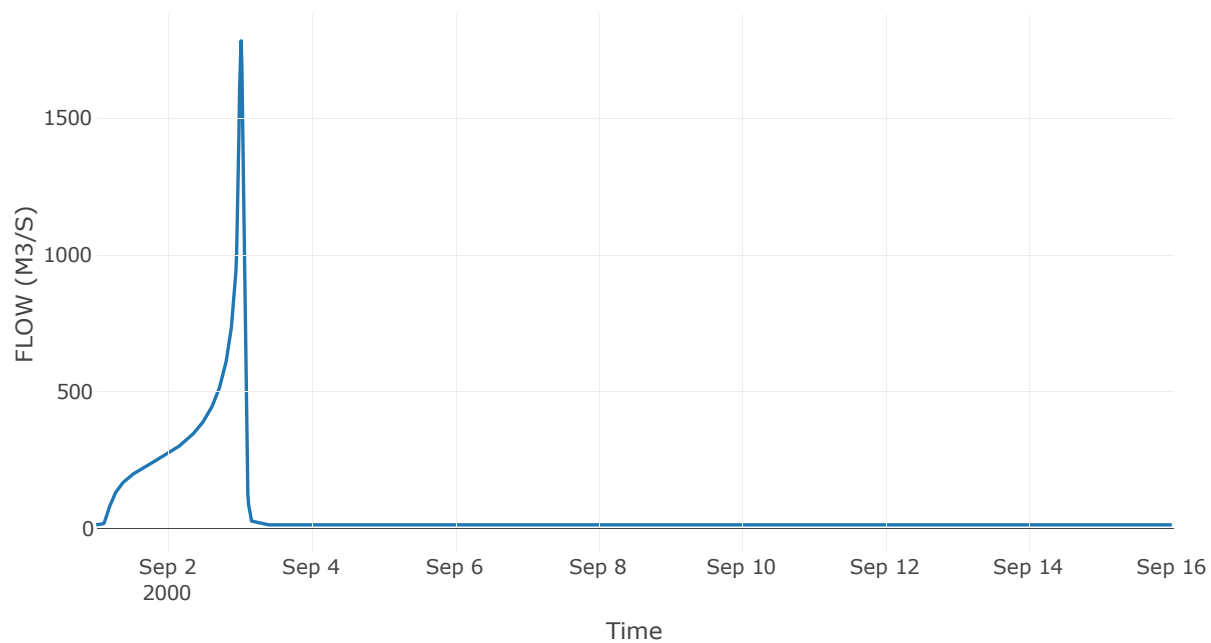
Κατάντη : J24

Μέθοδος Διόδευσης	Χρόνος Υστέρησης
Αρχική Μεταβλητή	Combined Inflow
Χρόνος Υστέρησης	21.41

Αποτελέσματα: R2524

Παροχή Αιχμής(M3/S)	1782.74
Χρονική στιγμή αιχμής	03Sep2000, 00:30
Όγκος(MM)	588.74
Παροχή Αιχμής Εισόδου (M3/S)	1786.49
Όγκος Εισροής(M3)	8.18E7

Απορροή



Κλάδος: R2625

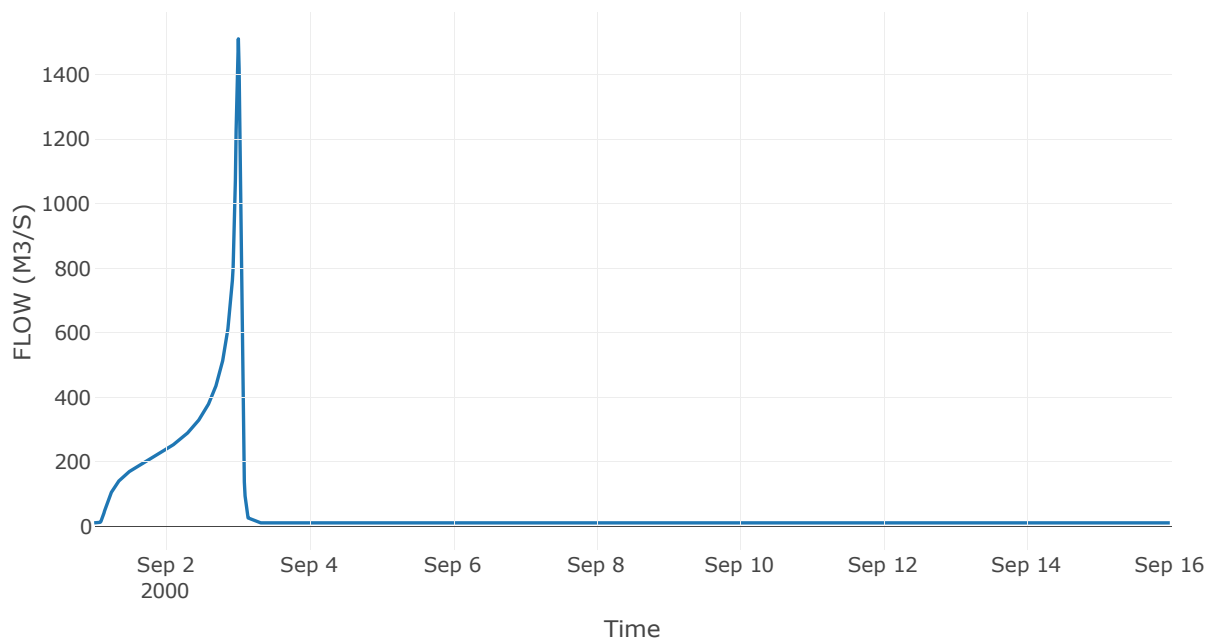
Κατάντη : J25

Μέθοδος Διόδευσης	Χρόνος Υστέρησης
Αρχική Μεταβλητή	Combined Inflow
Χρόνος Υστέρησης	10.78

Αποτελέσματα: R2625

Παροχή Αιχμής(M3/S)	1510.94
Χρονική στιγμή αιχμής	03Sep2000, 00:15
Όγκος(MM)	594.53
Παροχή Αιχμής Εισόδου (M3/S)	1529.04
Όγκος Εισροής(M3)	6.98E7

Απορροή



Κλάδος: R2726

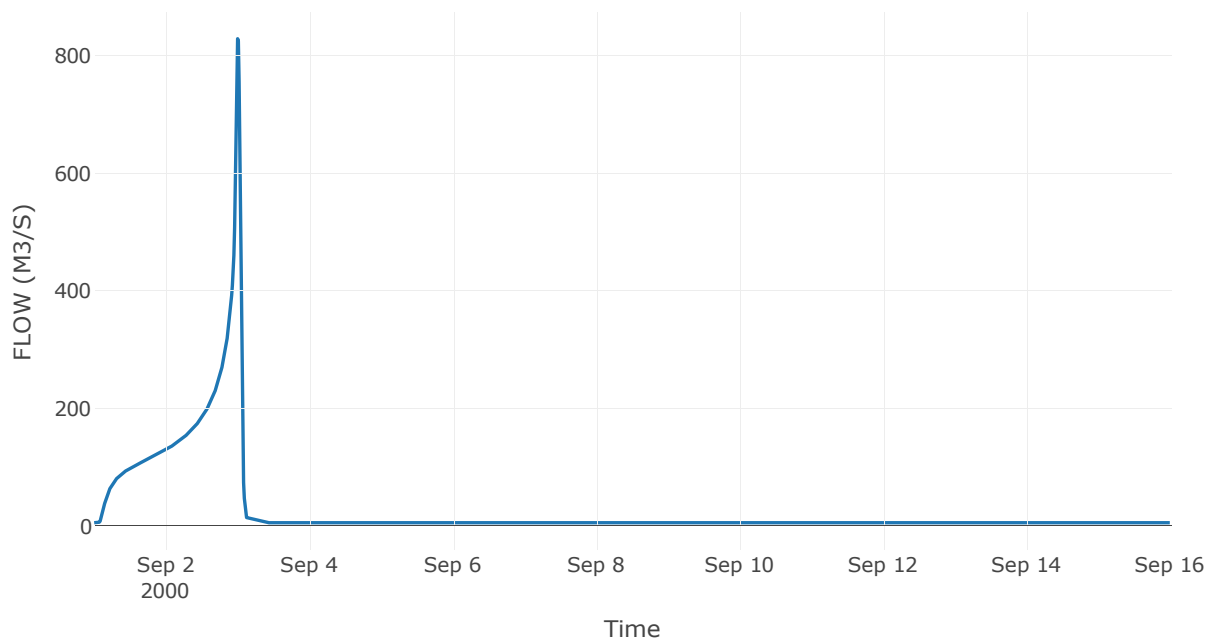
Κατάντη : J26

Μέθοδος Διόδευσης	Χρόνος Υστέρησης
Αρχική Μεταβλητή	Combined Inflow
Χρόνος Υστέρησης	21.61

Αποτελέσματα: R2726

Παροχή Αιχμής(M3/S)	828.37
Χρονική στιγμή αιχμής	02Sep2000, 24:00
Όγκος(MM)	618.51
Παροχή Αιχμής Εισόδου (M3/S)	843.44
Όγκος Εισροής(M3)	3.74E7

Απορροή



Κλάδος: R2824

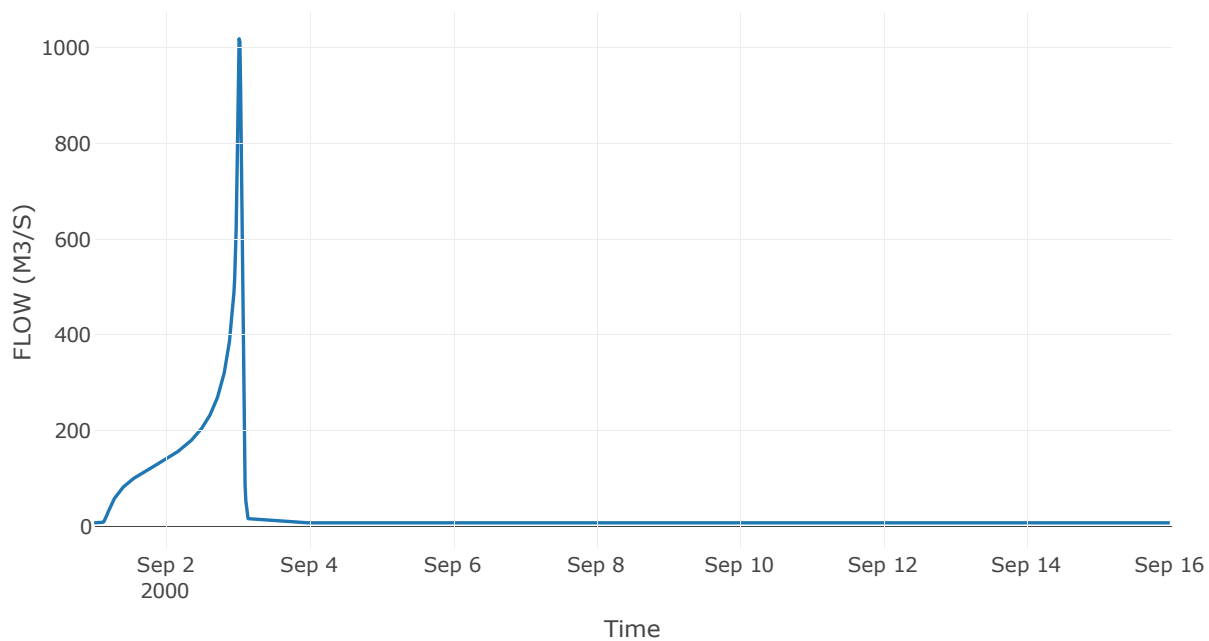
Κατάντη : J24

Μέθοδος Διόδευσης	Χρόνος Υστέρησης
Αρχική Μεταβλητή	Combined Inflow
Χρόνος Υστέρησης	41.06

Αποτελέσματα: R2824

Παροχή Αιχμής(M3/S)	1018.22
Χρονική στιγμή αιχμής	03Sep2000, 00:30
Όγκος(MM)	544.91
Παροχή Αιχμής Εισόδου (M3/S)	1030.74
Όγκος Εισροής(M3)	4.33E7

Απορροή



Κλάδος: R2928

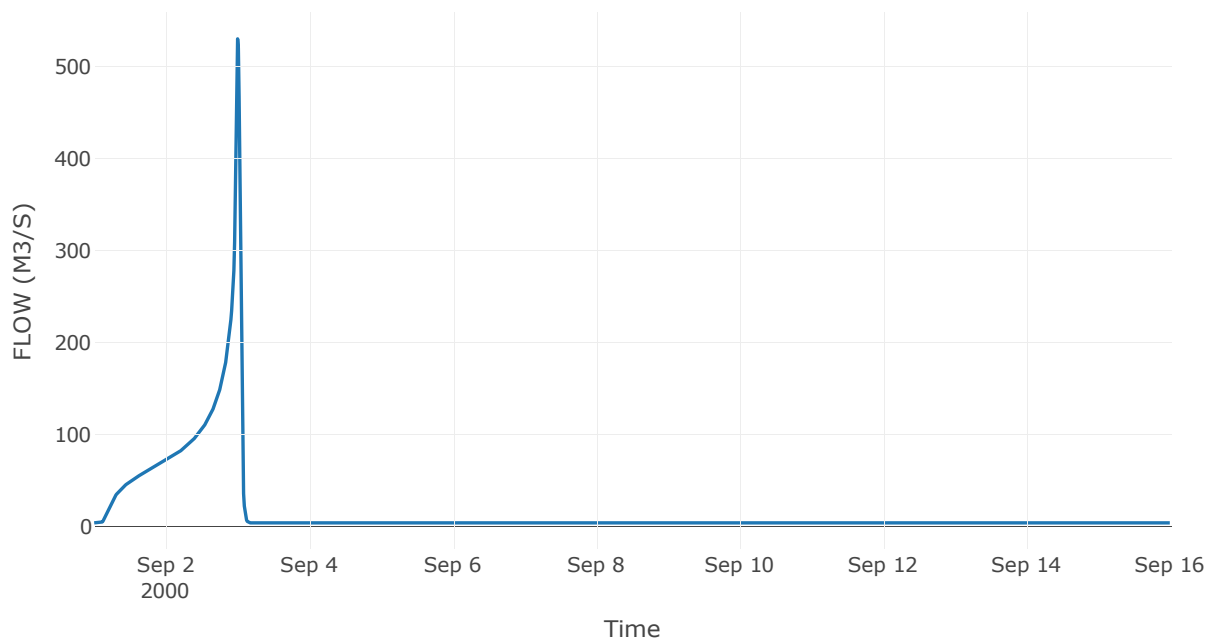
Κατάντη : J28

Μέθοδος Διόδευσης	Χρόνος Υστέρησης
Αρχική Μεταβλητή	Combined Inflow
Χρόνος Υστέρησης	24.13

Αποτελέσματα: R2928

Παροχή Αιχμής(M3/S)	530.41
Χρονική στιγμή αιχμής	02Sep2000, 24:00
Όγκος(MM)	544.49
Παροχή Αιχμής Εισόδου (M3/S)	535.79
Όγκος Εισροής(M3)	2.18E7

Απορροή



Κλάδος: R3022

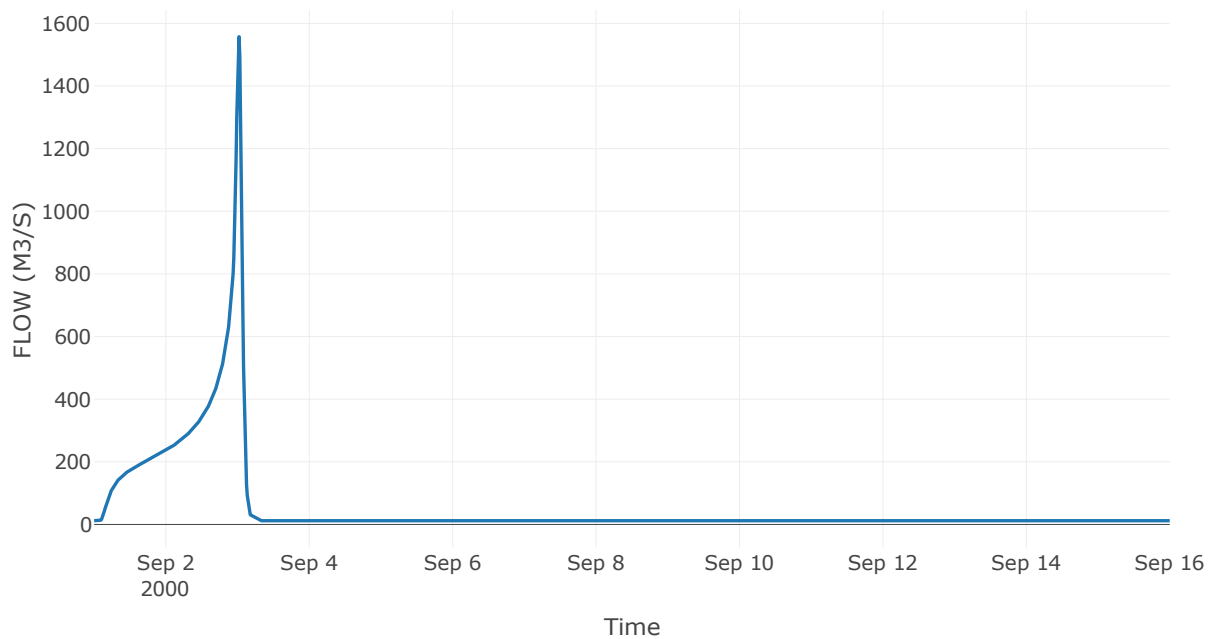
Κατάντη : J22

Μέθοδος Διόδευσης	Χρόνος Υστέρησης
Αρχική Μεταβλητή	Combined Inflow
Χρόνος Υστέρησης	0

Αποτελέσματα: R3022

Παροχή Αιχμής(M3/S)	1557.5
Χρονική στιγμή αιχμής	03Sep2000, 00:30
Όγκος(MM)	605.8
Παροχή Αιχμής Εισόδου (M3/S)	1557.5
Όγκος Εισροής(M3)	7.25E7

Απορροή



Κλάδος: R3130

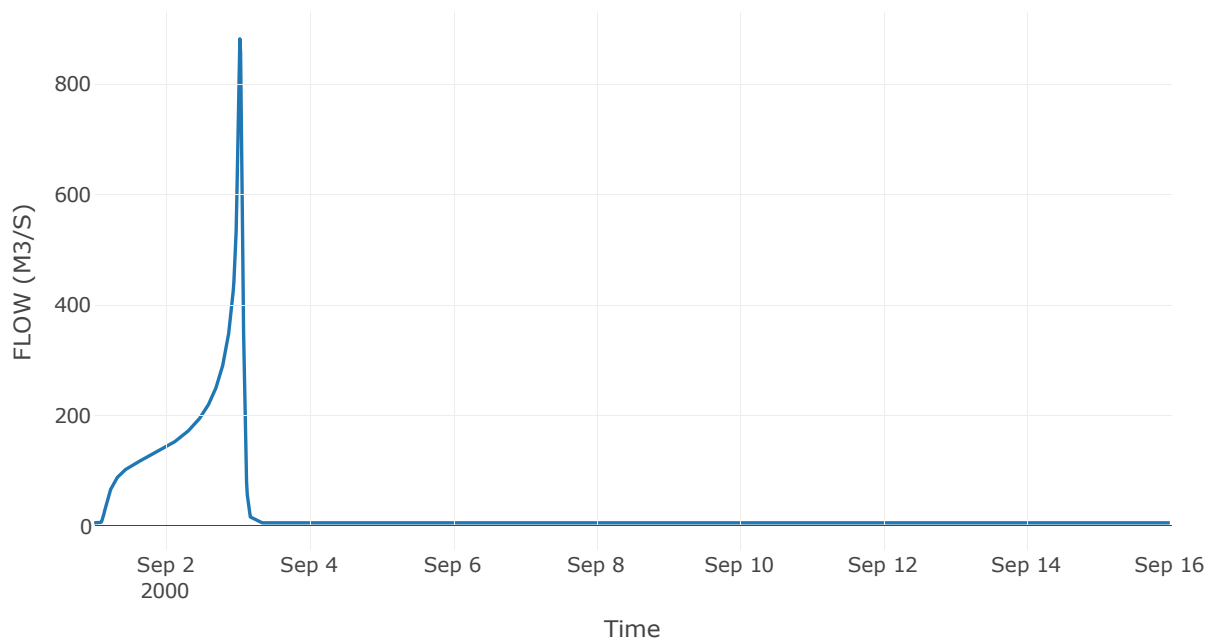
Κατάντη : J30

Μέθοδος Διόδευσης	Χρόνος Υστέρησης
Αρχική Μεταβλητή	Combined Inflow
Χρόνος Υστέρησης	54.51

Αποτελέσματα: R3130

Παροχή Αιχμής(M3/S)	882.08
Χρονική στιγμή αιχμής	03Sep2000, 00:45
Όγκος(MM)	668.96
Παροχή Αιχμής Εισόδου (M3/S)	882.62
Όγκος Εισροής(M3)	4.13E7

Απορροή



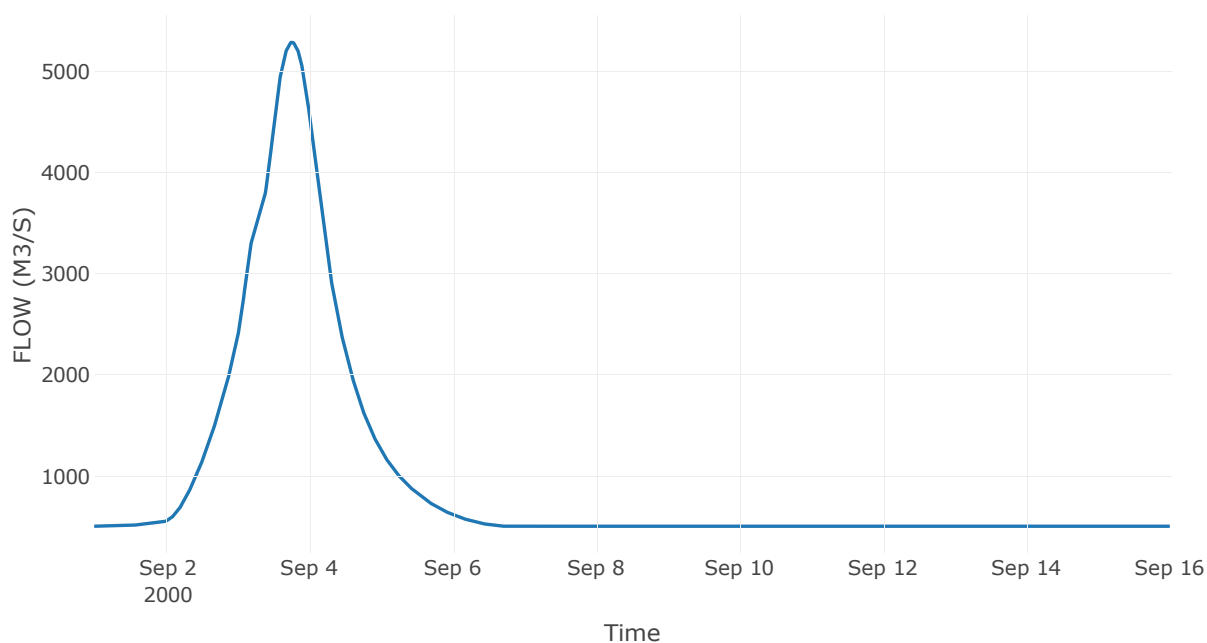
10.3 Δεδομένα και υδρογραφήματα σχεδιασμού Κόμβων υδρογραφικού δικτύου

Κόμβος εξόδου: J1

Αποτελέσματ
α: J1

Παροχή αιχμής (M3/S)	5287.9
Χρονική στιγμή αιχμής	03Sep2000, 18:15
Όγκος (MM)	653.6

Απορροή



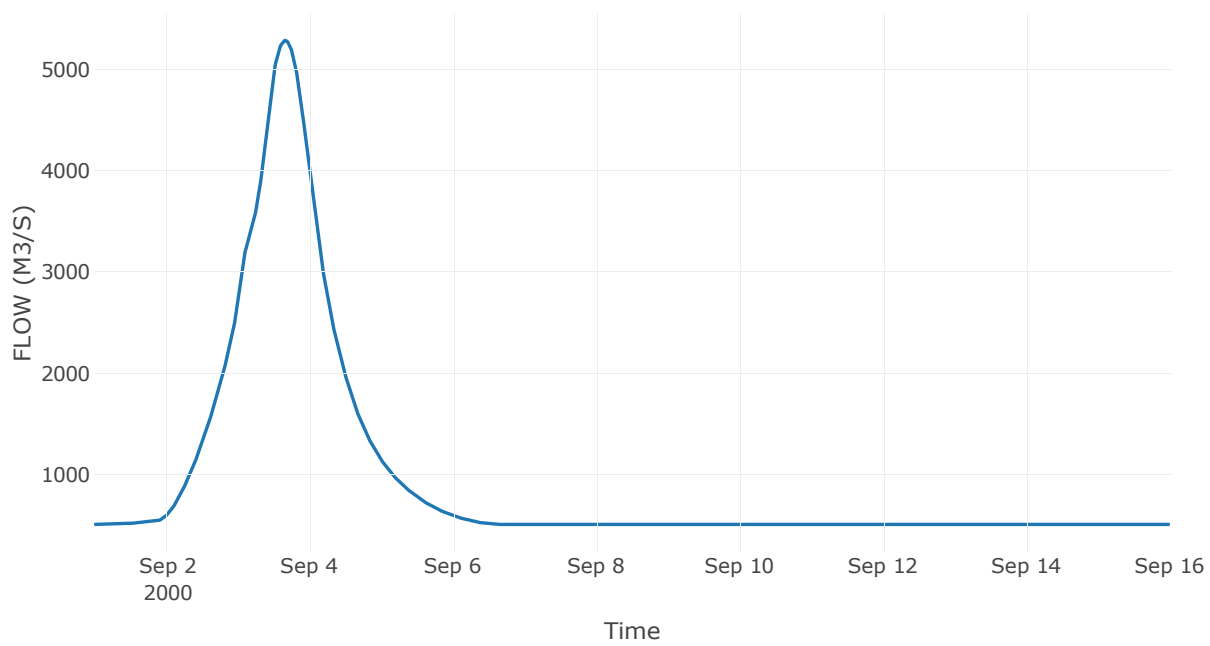
Κόμβος: J2

Κατάντη : R21

Αποτελέσματα: J2

Παροχή Αιχμής(M3/S)	5287.27
Χρονική στιγμή αιχμής	03Sep2000, 16:00
Όγκος(MM)	657.29

Απορροή



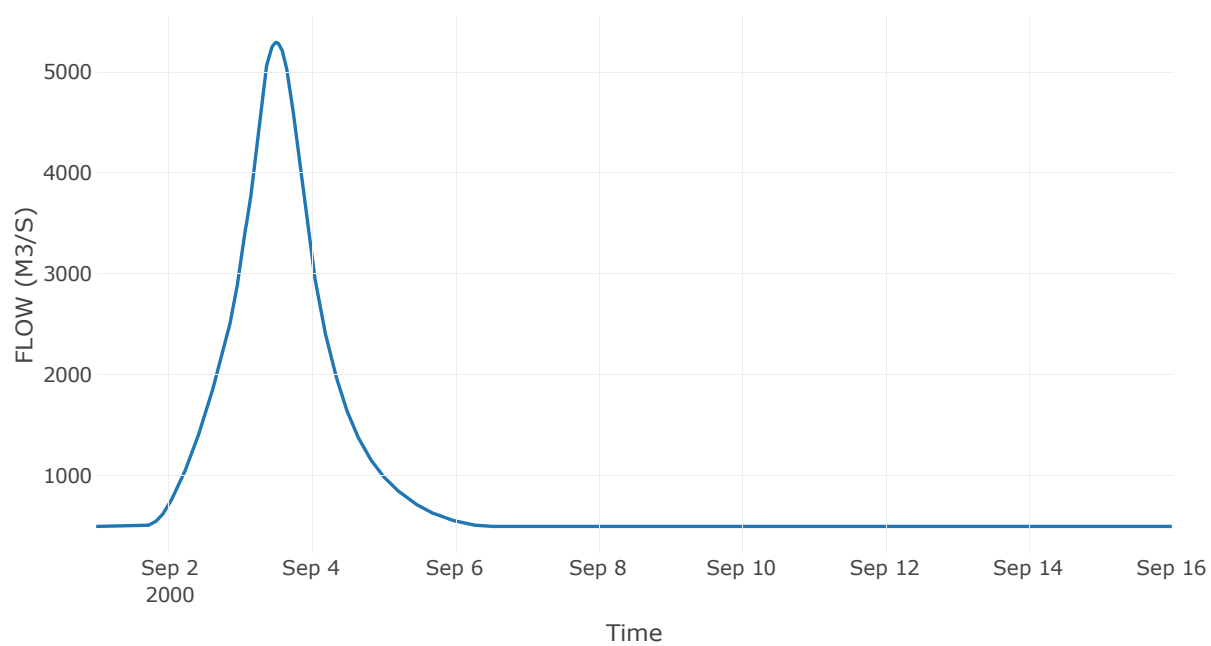
Κόμβος: J3

Κατάντη : R32

Αποτελέσματα: J3

Παροχή Αιχμής(M3/S)	5292.21
Χρονική στιγμή αιχμής	03Sep2000, 12:15
Όγκος(MM)	664.19

Απορροή



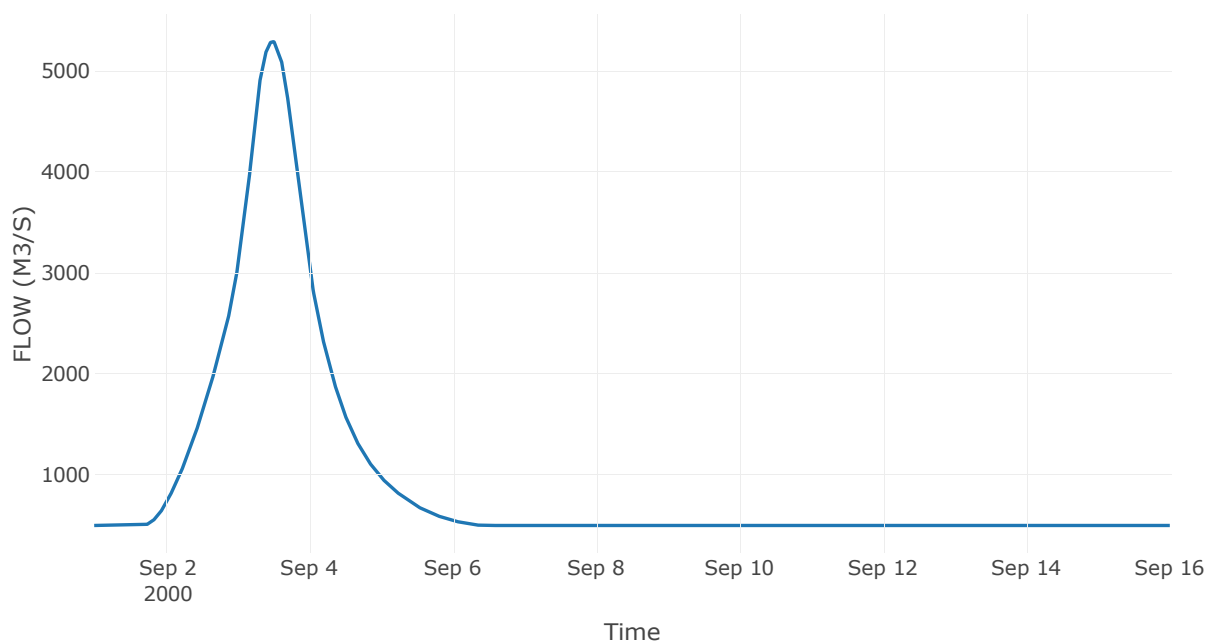
Reservoir: J4_RES1

Κατάντη : R43

Αποτελέσματα: J4_RES1

Παροχή Αιχμής(M3/S)	5292.45
Χρονική στιγμή αιχμής	03Sep2000, 11:45
Όγκος(MM)	666.08
Παροχή Αιχμής Εισόδου (M3/S)	8608.93
Time of Peak Inflow	03Sep2000, 05:15
Όγκος Εισροής (M3)	9.51E8
Maximum Storage (M3)	8.11E8
Peak Elevation (M)	123.48
Discharge Όγκος(M3)	1.21E9

Απορροή



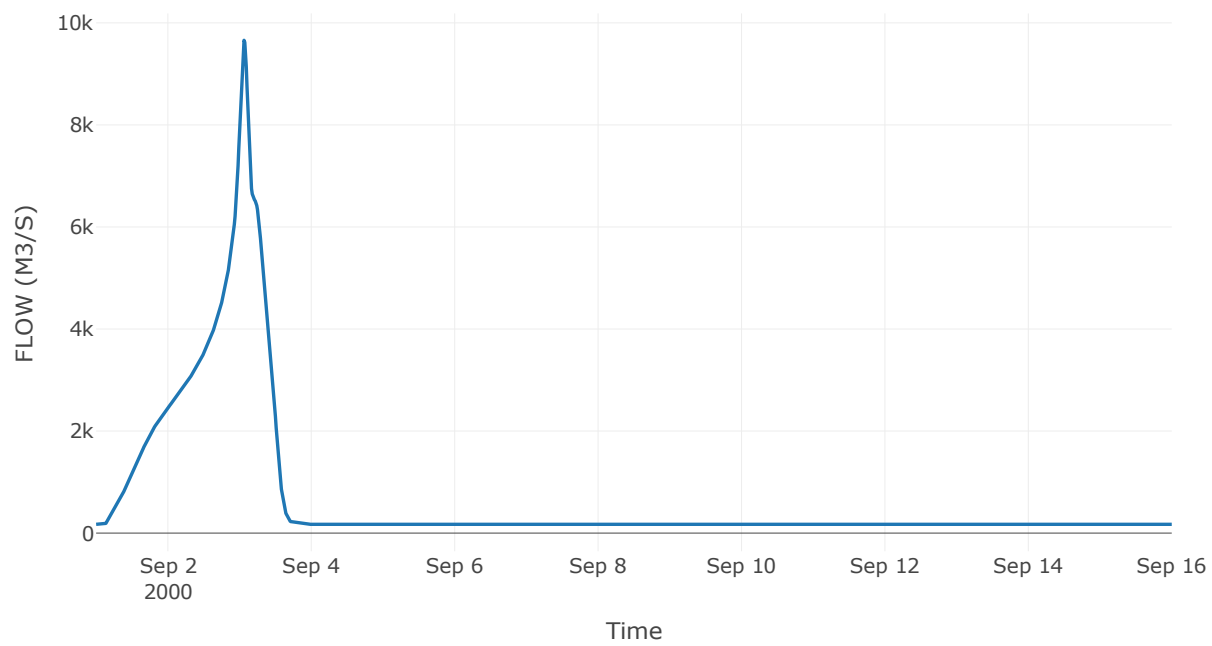
Κόμβος: J5

Κατάντη : R54

Αποτελέσματα: J5

Παροχή Αιχμής(M3/S)	9658.72
Χρονική στιγμή αιχμής	03Sep2000, 01:30
Όγκος(MM)	525.38

Απορροή



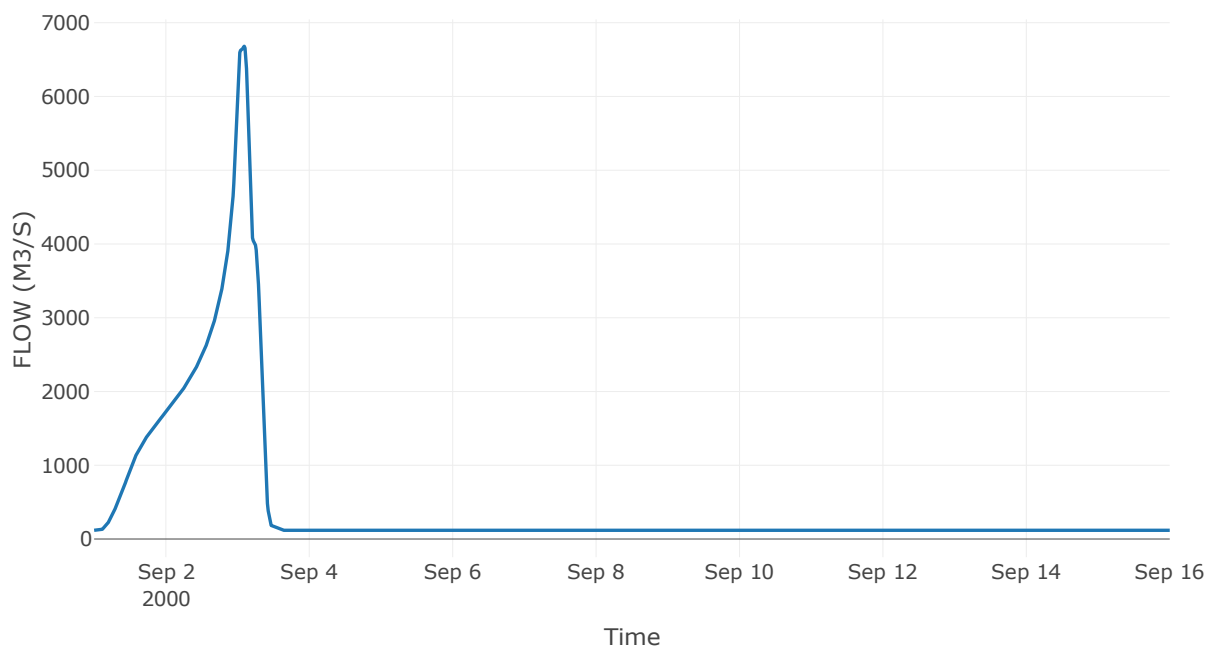
Κόμβος: J6

Κατάντη : R65

Αποτελέσματα: J6

Παροχή Αιχμής(M3/S)	6680.84
Χρονική στιγμή αιχμής	03Sep2000, 02:15
Όγκος(MM)	509.05

Απορροή



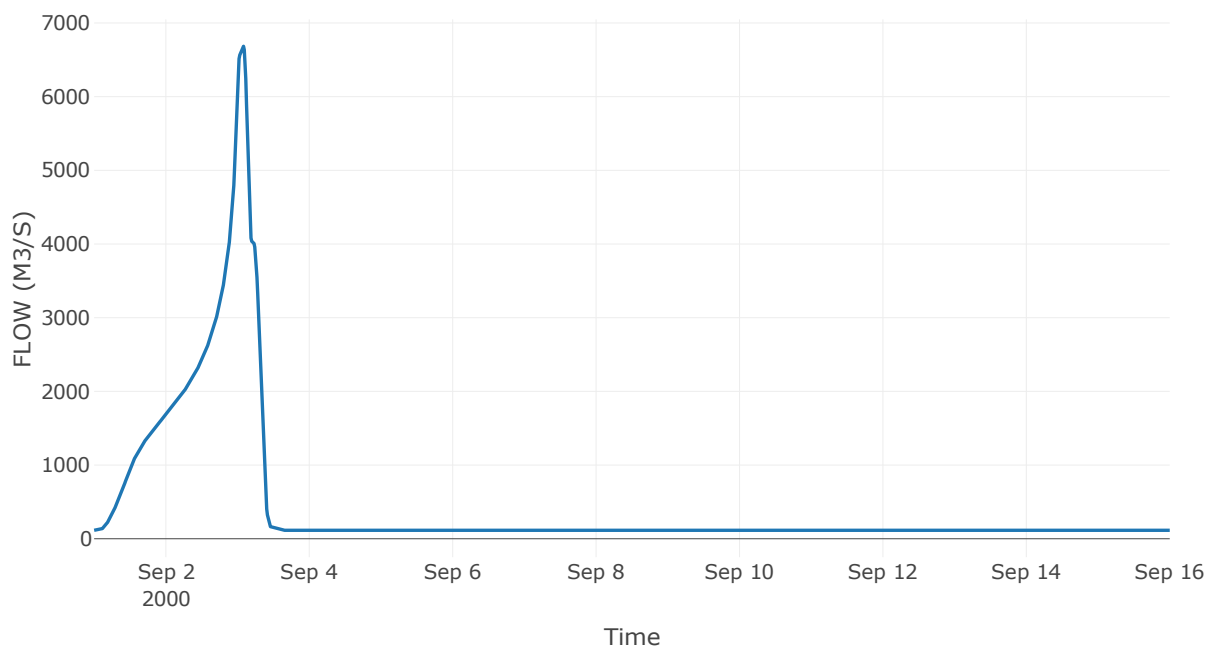
Κόμβος: J7

Κατάντη : R76

Αποτελέσματα: J7

Παροχή Αιχμής(M3/S)	6684.08
Χρονική στιγμή αιχμής	03Sep2000, 02:00
Όγκος(MM)	508.9

Απορροή



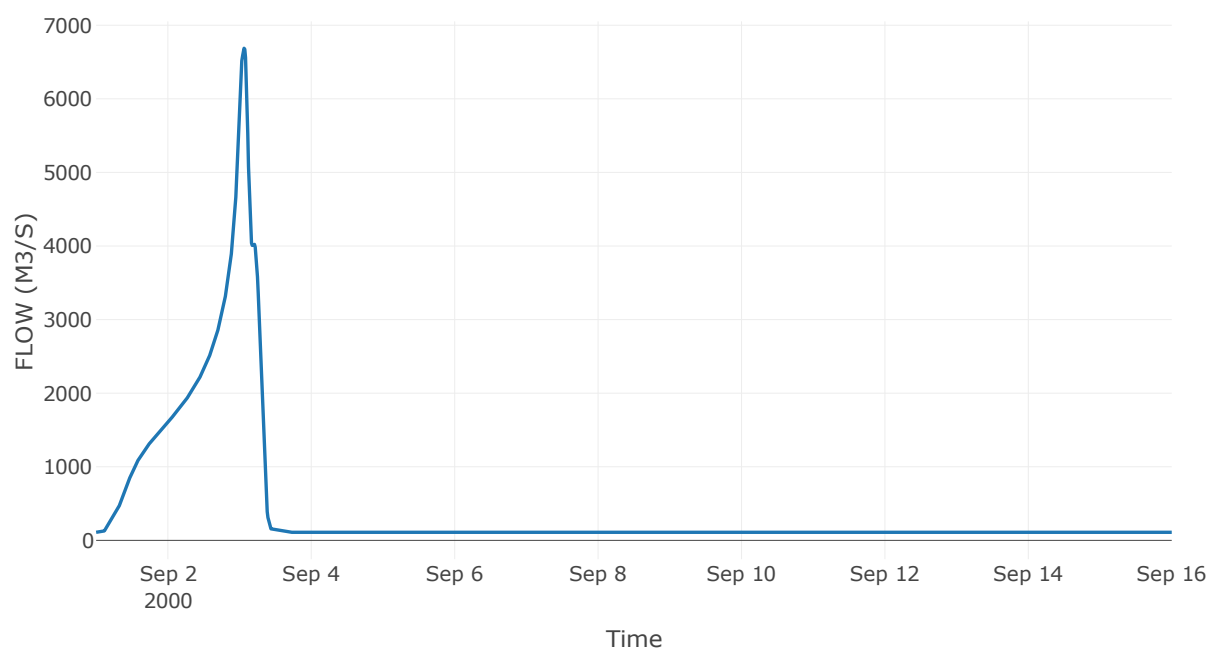
Κόμβος: J8

Κατάντη : R87

Αποτελέσματα: J8

Παροχή Αιχμής(M3/S)	6687.04
Χρονική στιγμή αιχμής	03Sep2000, 01:30
Όγκος(MM)	505.44

Απορροή



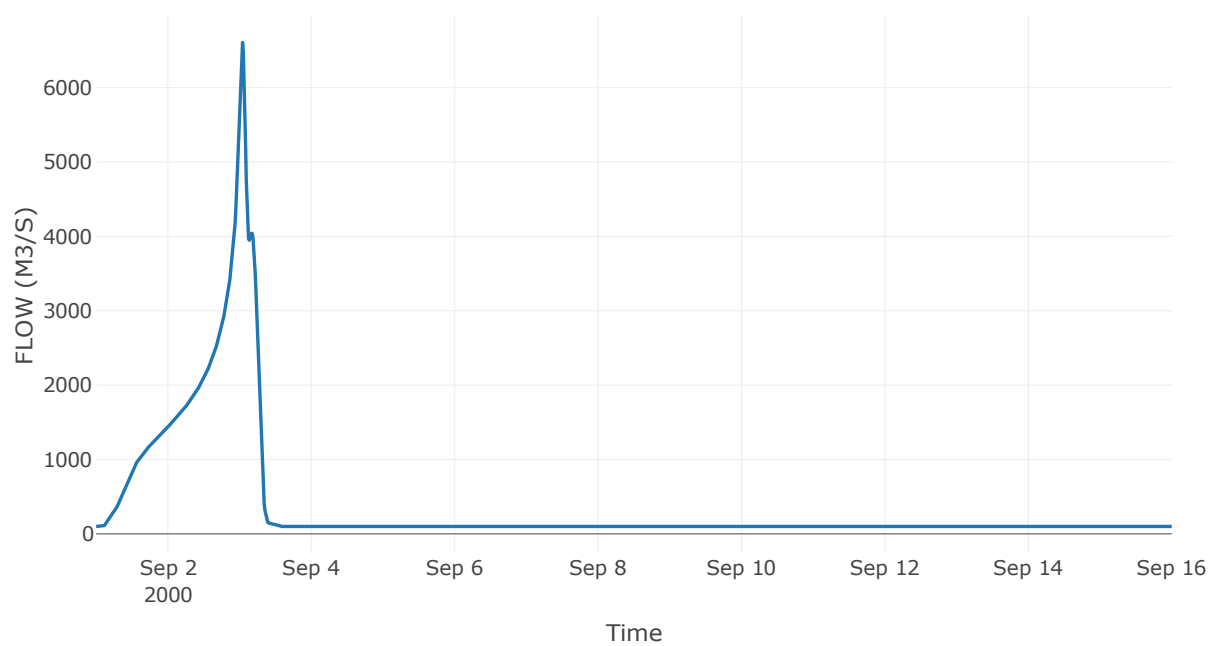
Κόμβος: J9

Κατάντη : R98

Αποτελέσματα: J9

Παροχή Αιχμής(M3/S)	6607.97
Χρονική στιγμή αιχμής	03Sep2000, 01:00
Όγκος(MM)	496.53

Απορροή



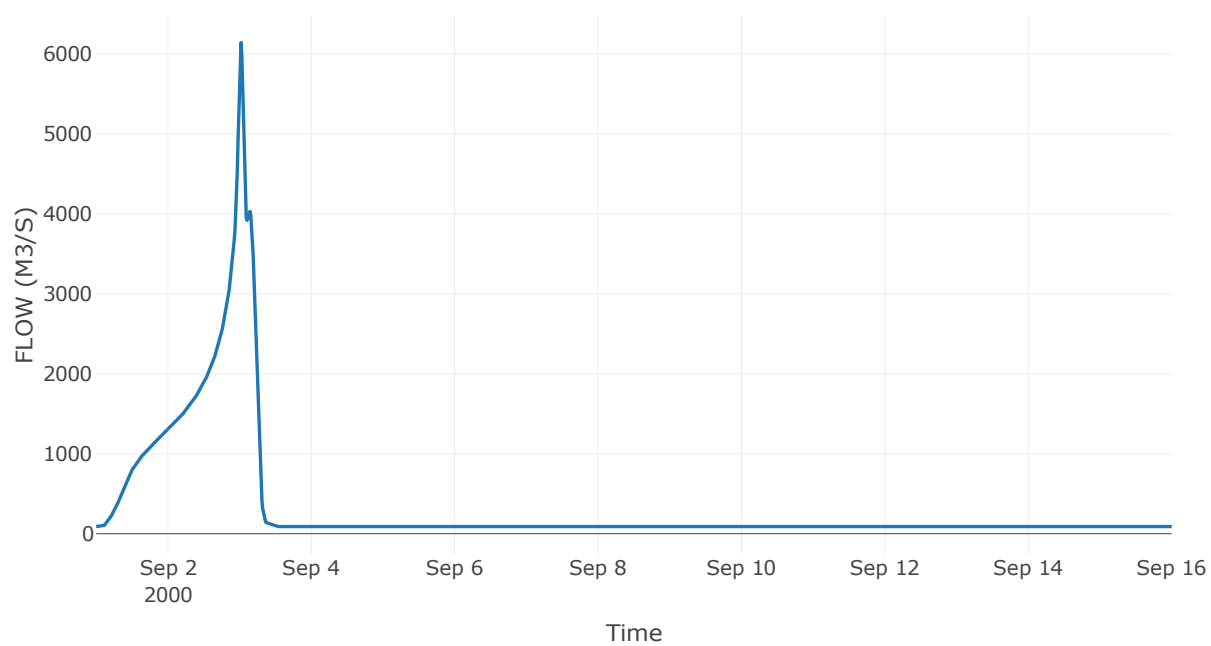
Κόμβος: J10

Κατάντη : R109

Αποτελέσματα: J10

Παροχή Αιχμής(M3/S)	6141.65
Χρονική στιγμή αιχμής	03Sep2000, 00:30
Όγκος(MM)	492.56

Απορροή



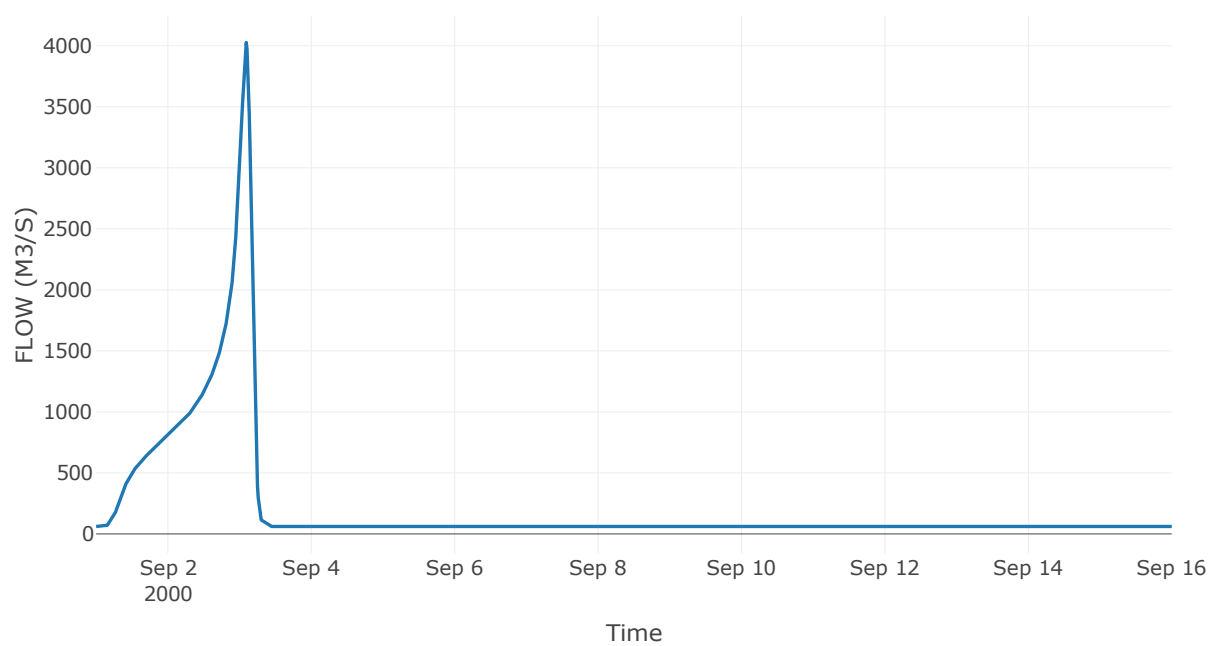
Κόμβος: J11

Κατάντη : R1110

Αποτελέσματα: J11

Παροχή Αιχμής(M3/S)	4026.95
Χρονική στιγμή αιχμής	03Sep2000, 02:15
Όγκος(MM)	461.65

Απορροή



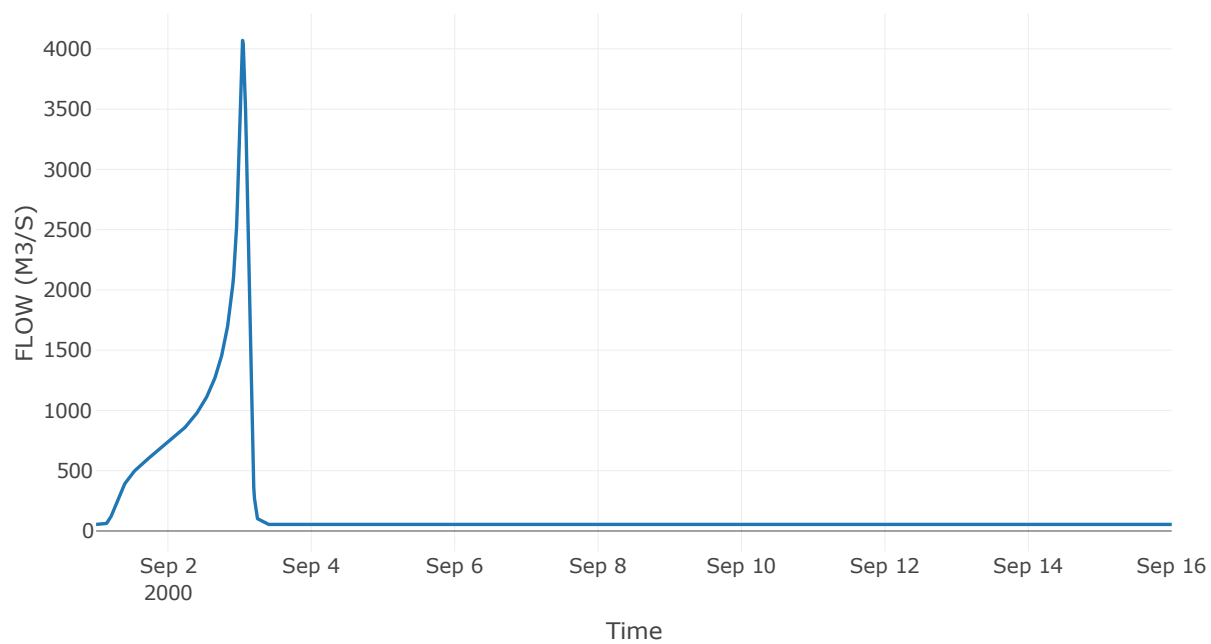
Κόμβος: J12

Κατάντη : R1211

Αποτελέσματα: J12

Παροχή Αιχμής(M3/S)	4070.11
Χρονική στιγμή αιχμής	03Sep2000, 01:00
Όγκος(MM)	460.45

Απορροή



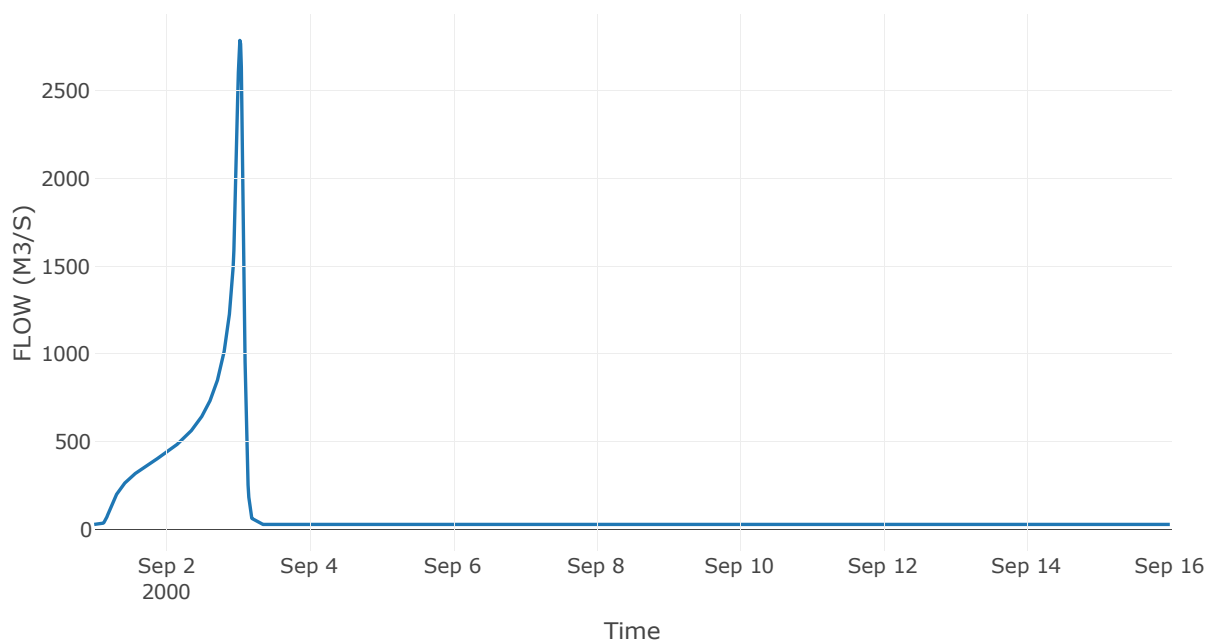
Κόμβος: J13

Κατάντη : R1312

Αποτελέσματα: J13

Παροχή Αιχμής(M3/S)	2786.54
Χρονική στιγμή αιχμής	03Sep2000, 00:45
Όγκος(MM)	476.09

Απορροή



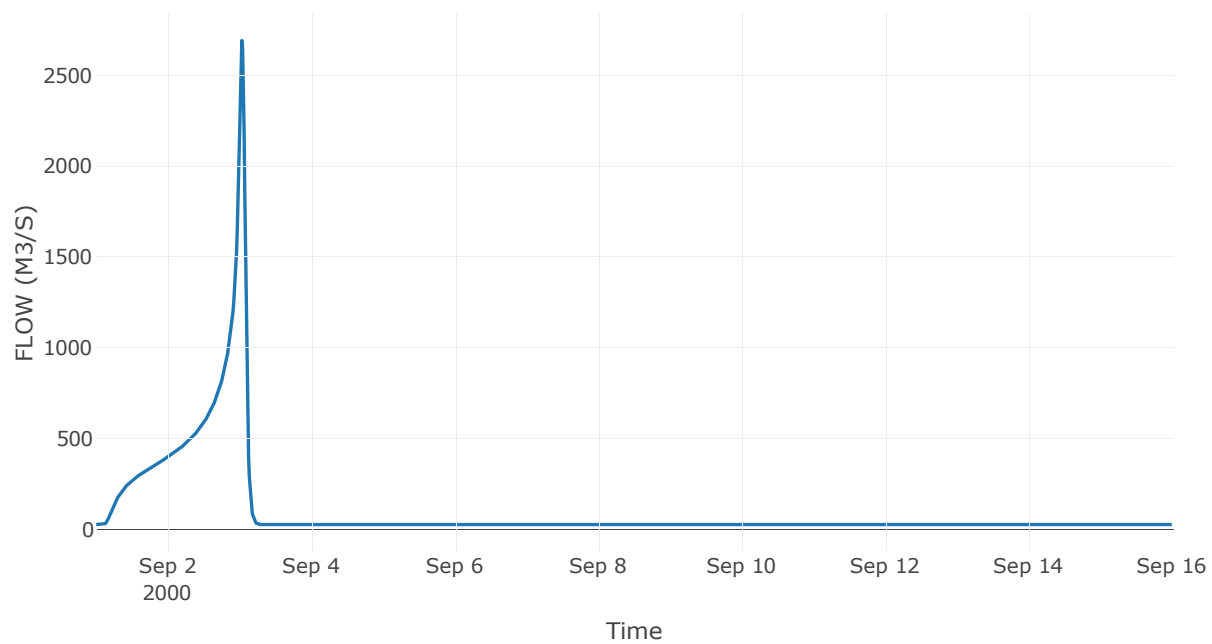
Κόμβος: J14

Κατάντη : R1413

Αποτελέσματα: J14

Παροχή Αιχμής(M3/S)	2692.1
Χρονική στιγμή αιχμής	03Sep2000, 00:45
Όγκος(MM)	477.95

Απορροή



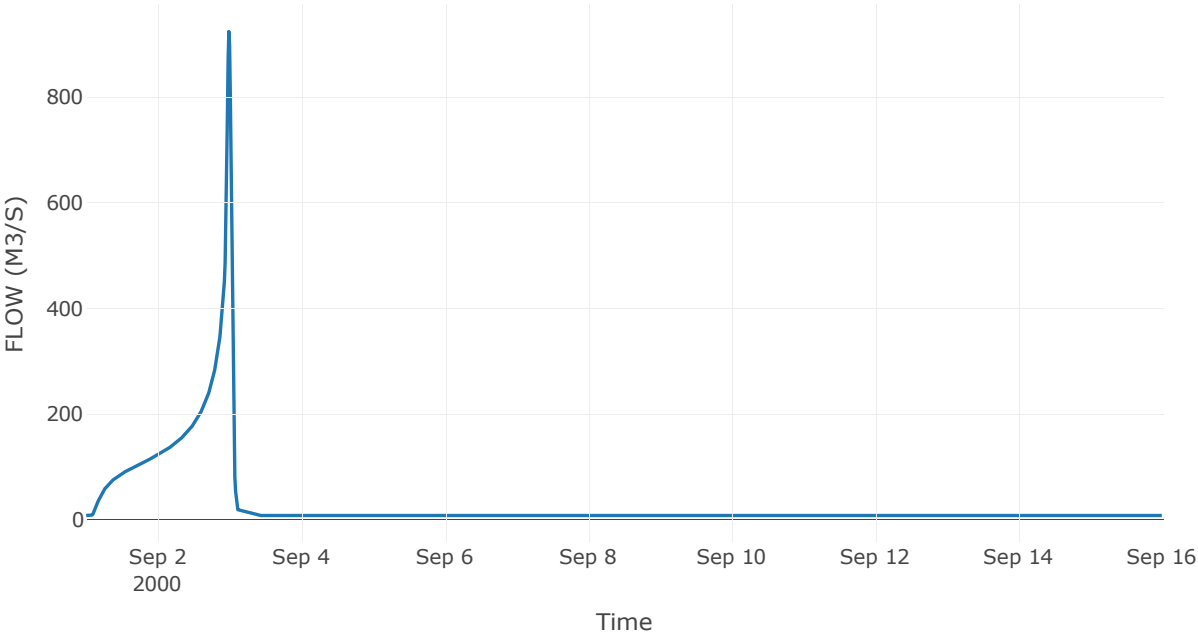
Κόμβος: J15

Κατάντη : R1514

Αποτελέσματα: J15

Παροχή Αιχμής(M3/S)	924.87
Χρονική στιγμή αιχμής	02Sep2000, 23:45
Όγκος(MM)	488.65

Απορροή



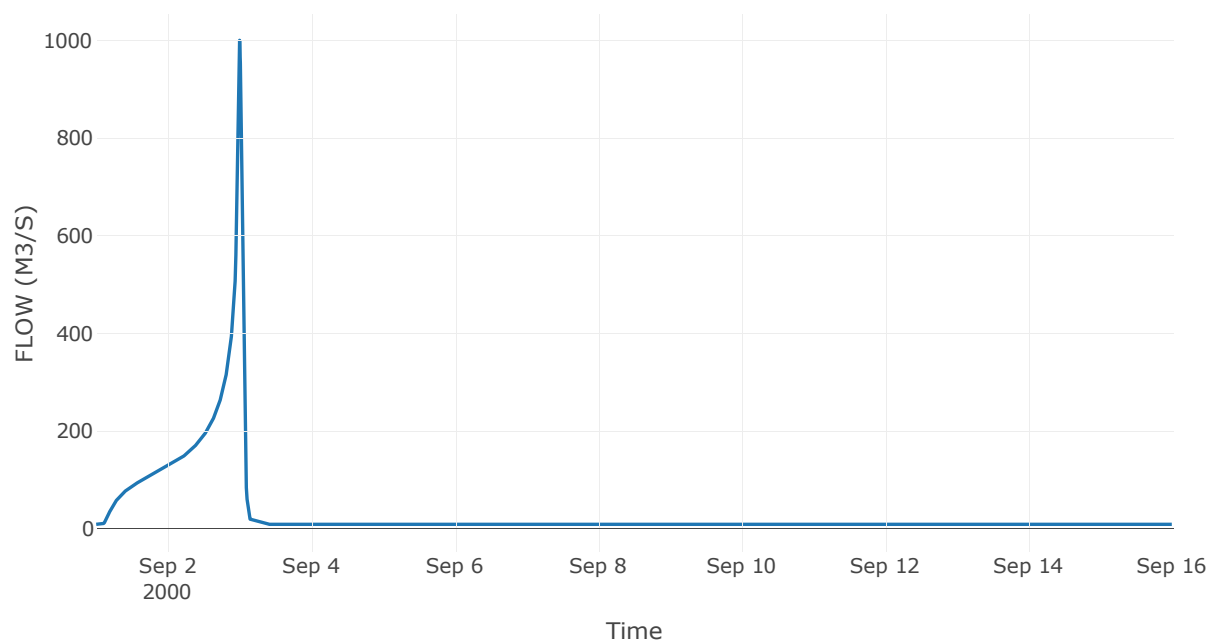
Κόμβος: J16

Κατάντη : R1614

Αποτελέσματα: J16

Παροχή Αιχμής(M3/S)	1000.01
Χρονική στιγμή αιχμής	02Sep2000, 24:00
Όγκος(MM)	484.17

Απορροή



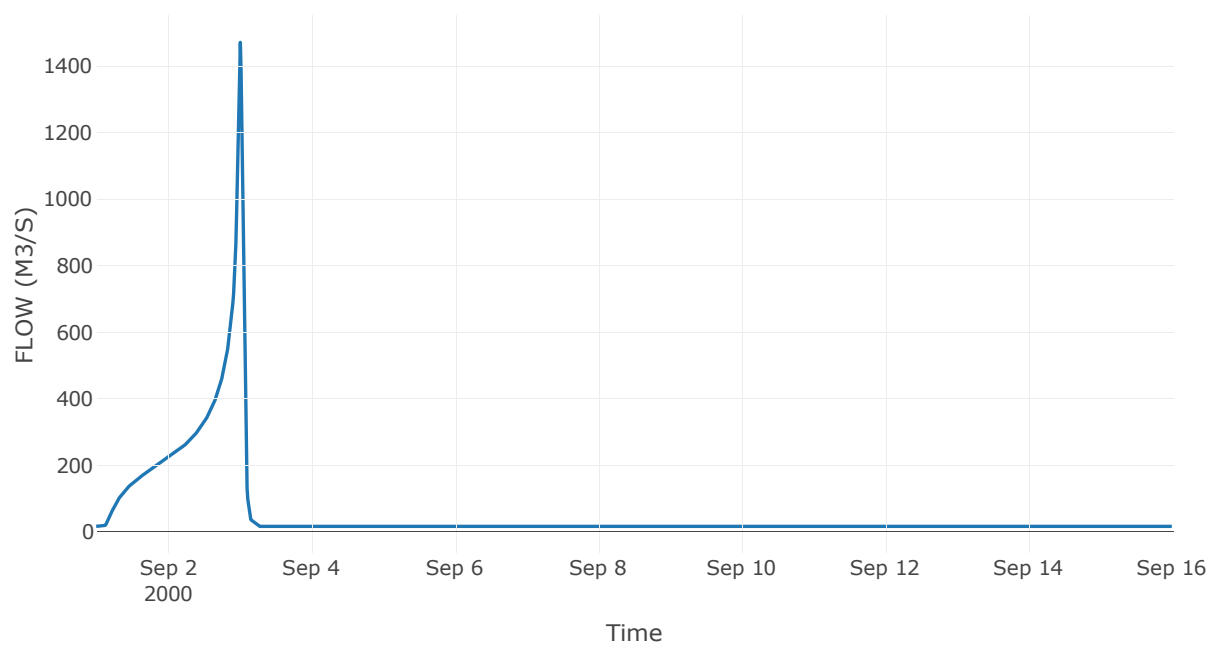
Κόμβος: J17

Κατάντη : R1712

Αποτελέσματα: J17

Παροχή Αιχμής(M3/S)	1471.61
Χρονική στιγμή αιχμής	03Sep2000, 00:15
Όγκος(MM)	438.68

Απορροή



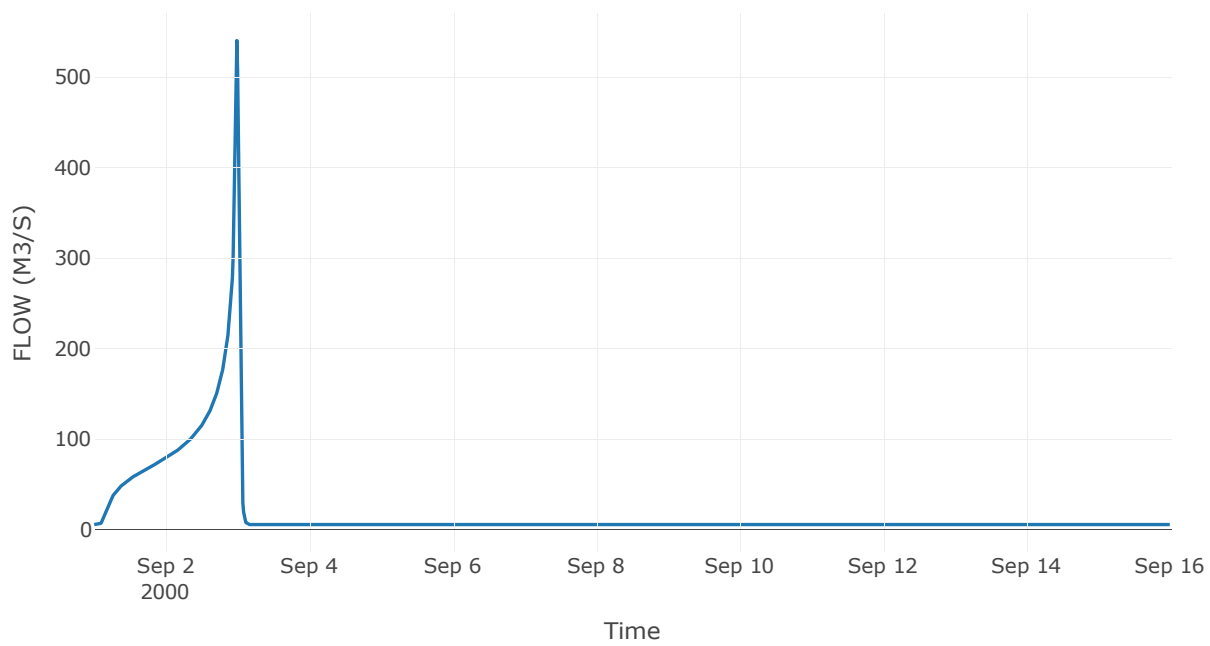
Κόμβος: J18

Κατάντη : R1817

Αποτελέσματα: J18

Παροχή Αιχμής(M3/S)	540.79
Χρονική στιγμή αιχμής	02Sep2000, 23:45
Όγκος(MM)	442.55

Απορροή



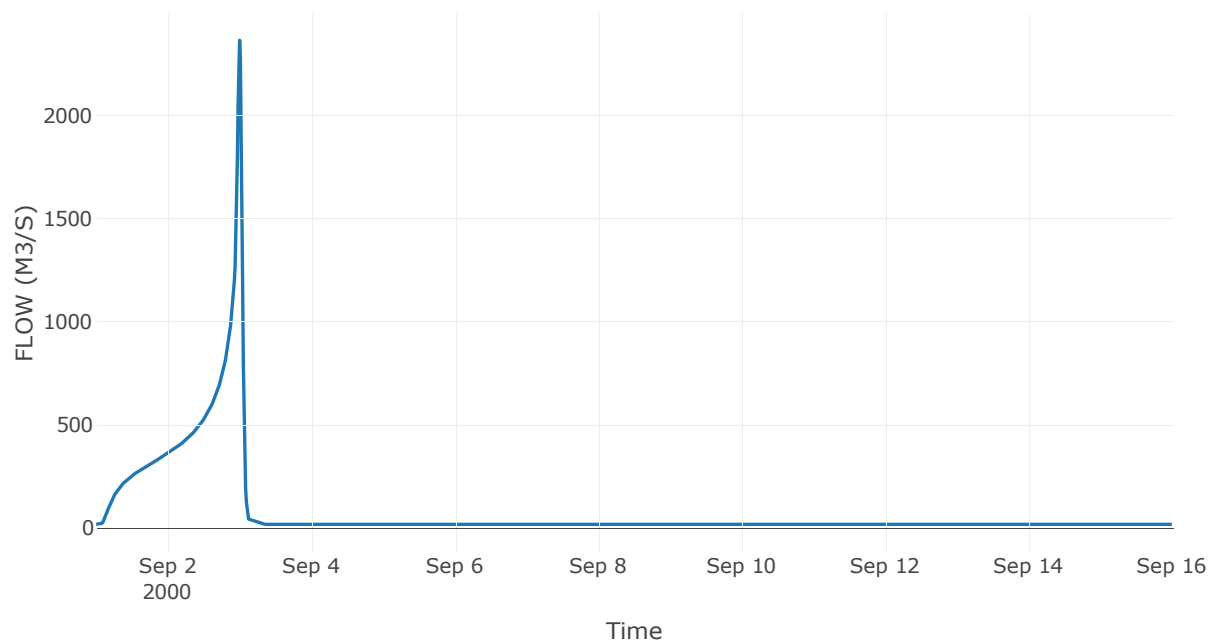
Κόμβος: J19

Κατάντη : R1910

Αποτελέσματα: J19

Παροχή Αιχμής(M3/S)	2366.06
Χρονική στιγμή αιχμής	02Sep2000, 24:00
Όγκος(MM)	576.89

Απορροή



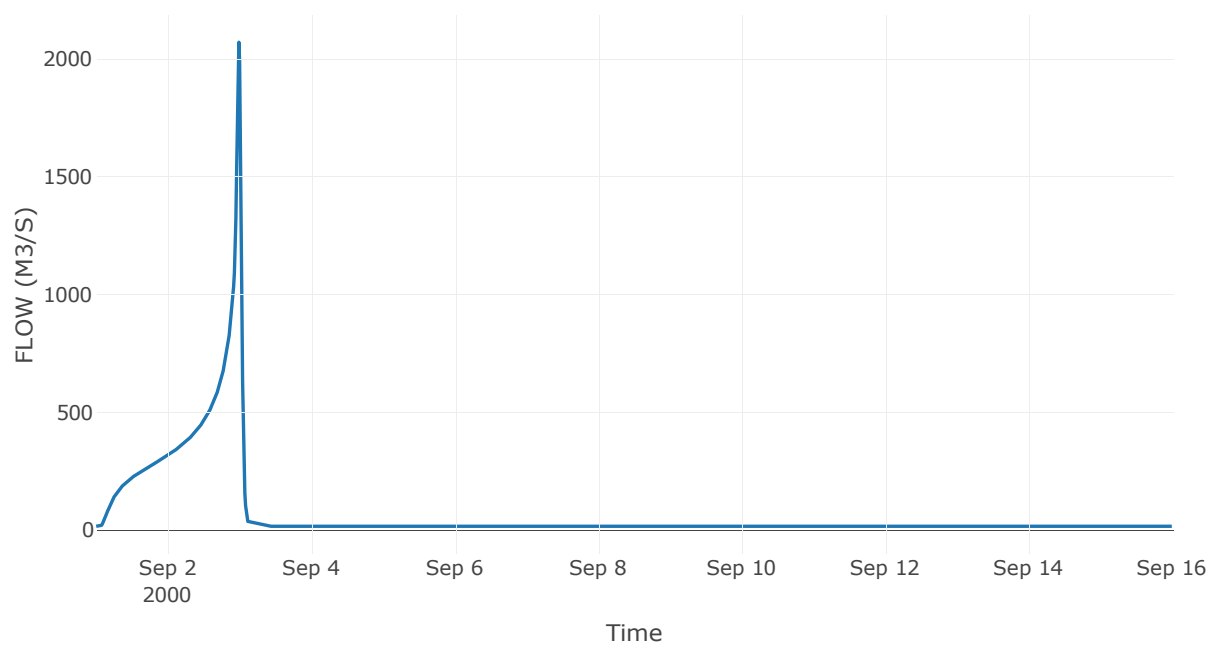
Κόμβος: J20

Κατάντη : R2019

Αποτελέσματα: J20

Παροχή Αιχμής(M3/S)	2070.93
Χρονική στιγμή αιχμής	02Sep2000, 23:45
Όγκος(MM)	577.62

Απορροή



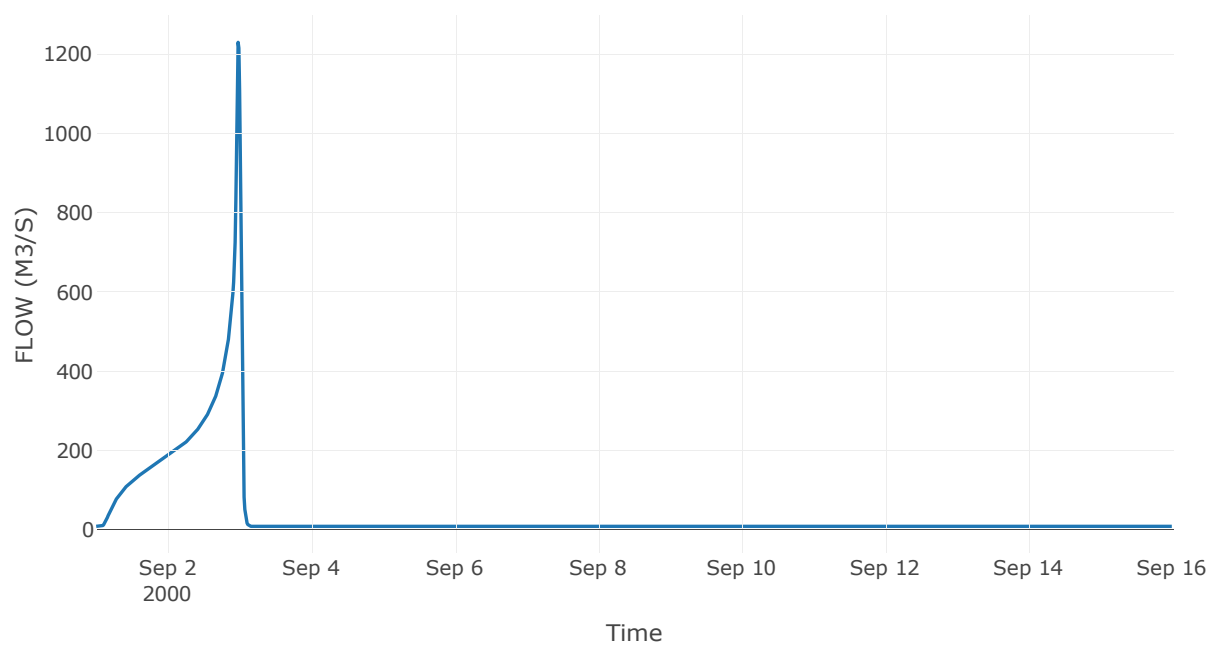
Κόμβος: J21

Κατάντη : R2120

Αποτελέσματα: J21

Παροχή Αιχμής(M3/S)	1230.4
Χρονική στιγμή αιχμής	02Sep2000, 23:30
Όγκος(MM)	548.52

Απορροή



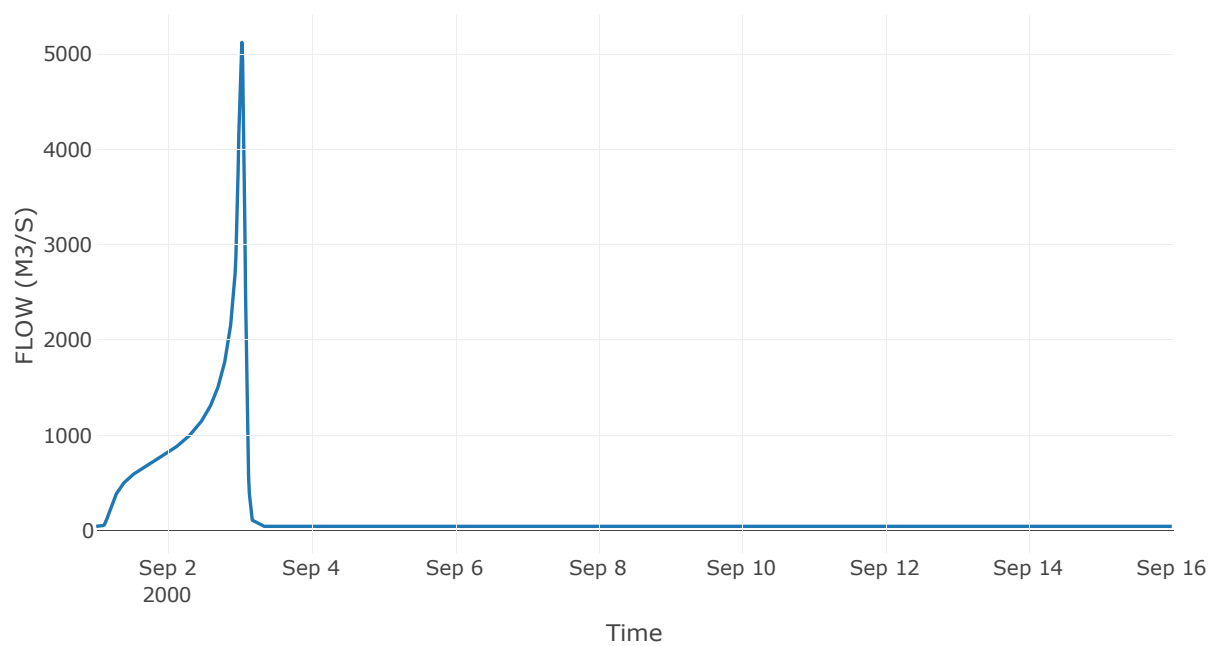
Κόμβος: J22

Κατάντη : R225

Αποτελέσματα: J22

Παροχή Αιχμής(M3/S)	5124.32
Χρονική στιγμή αιχμής	03Sep2000, 00:45
Όγκος(MM)	571.38

Απορροή



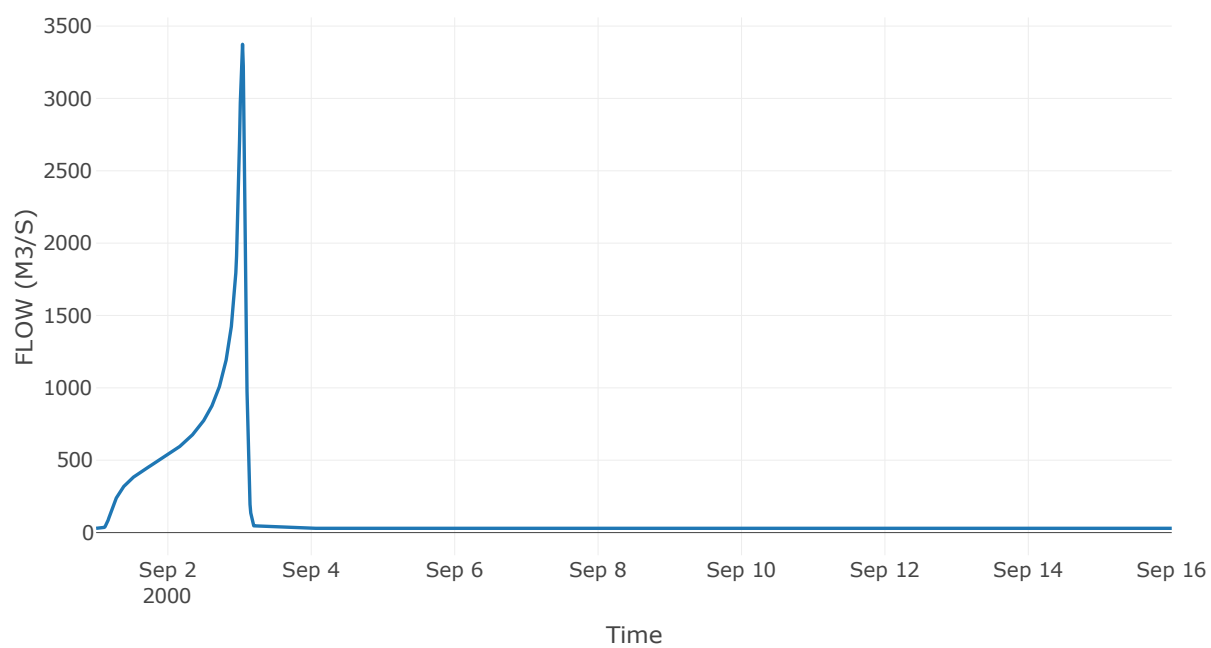
Κόμβος: J23

Κατάντη : R2322

Αποτελέσματα: J23

Παροχή Αιχμής(M3/S)	3373.98
Χρονική στιγμή αιχμής	03Sep2000, 01:00
Όγκος(MM)	565.13

Απορροή



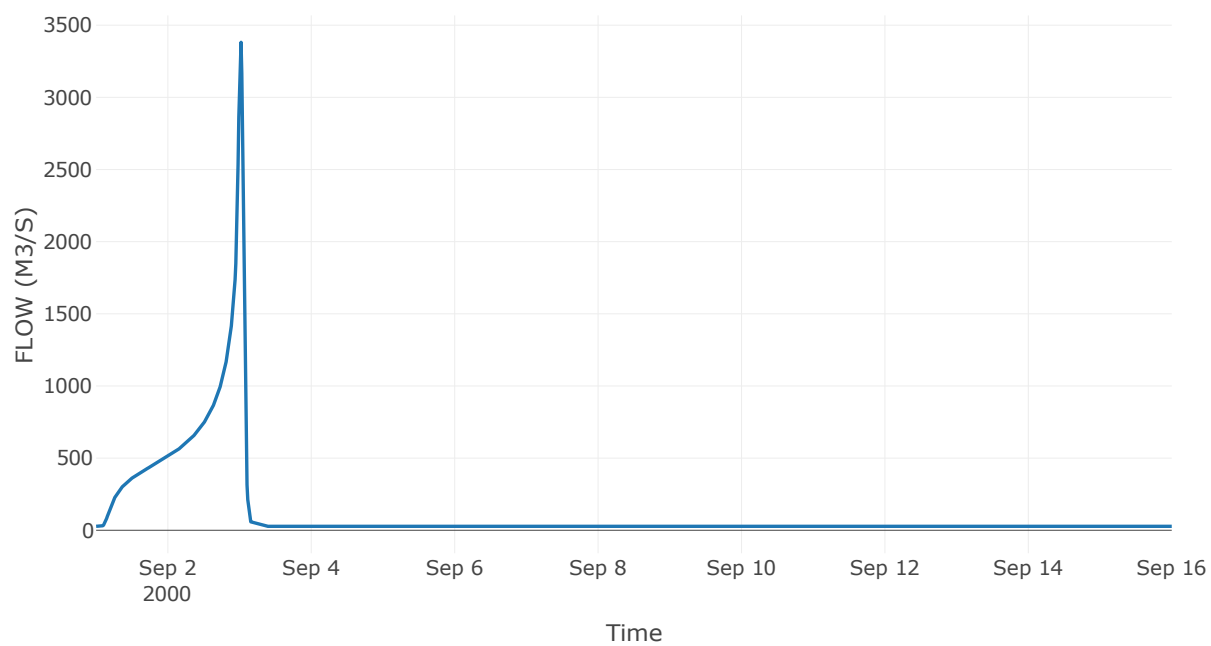
Κόμβος: J24

Κατάντη : R2423

Αποτελέσματα: J24

Παροχή Αιχμής(M3/S)	3381.51
Χρονική στιγμή αιχμής	03Sep2000, 00:30
Όγκος(MM)	568.11

Απορροή



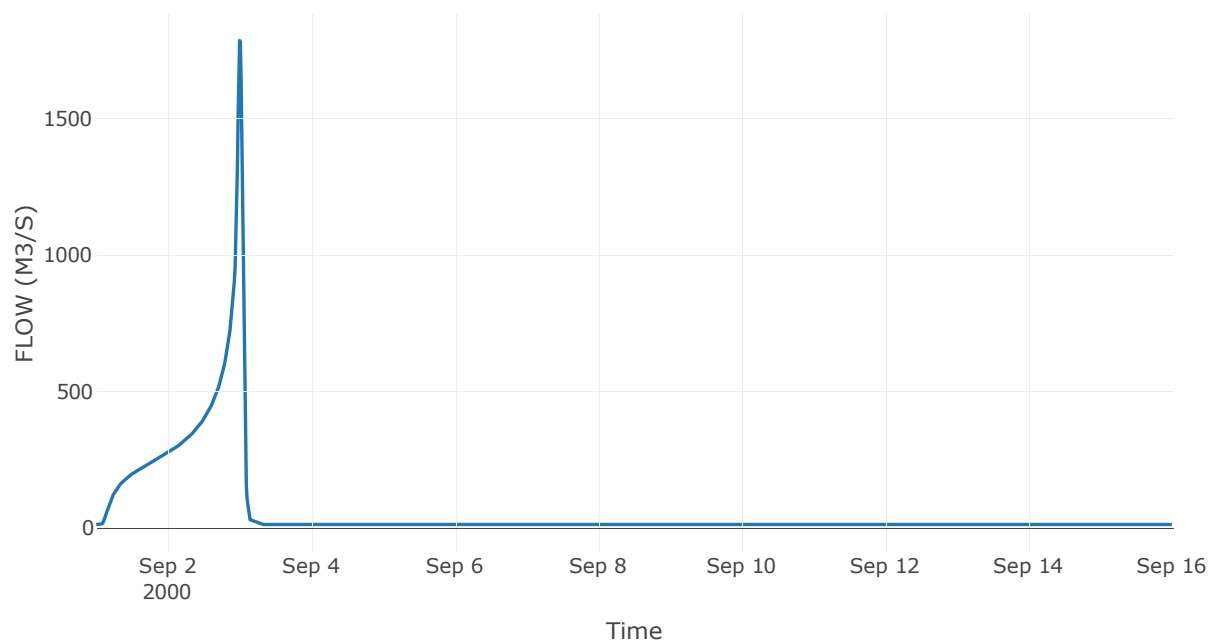
Κόμβος: J25

Κατάντη : R2524

Αποτελέσματα: J25

Παροχή Αιχμής(M3/S)	1786.49
Χρονική στιγμή αιχμής	02Sep2000, 24:00
Όγκος(MM)	588.74

Απορροή



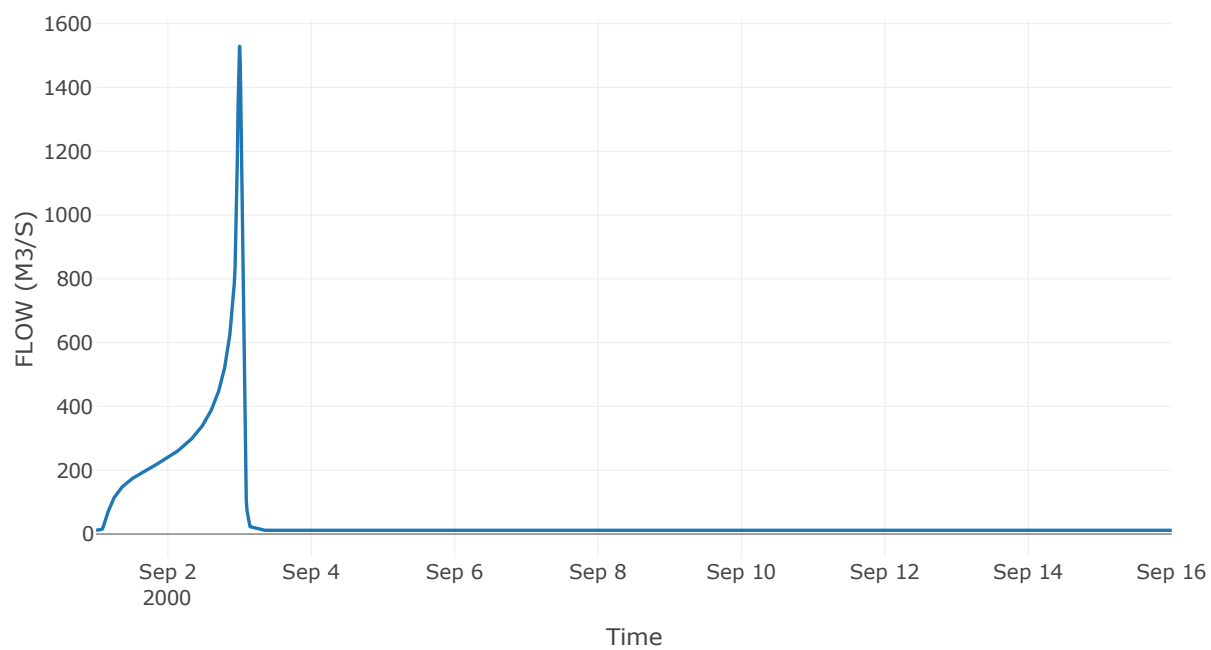
Κόμβος: J26

Κατάντη : R2625

Αποτελέσματα: J26

Παροχή Αιχμής(M3/S)	1529.04
Χρονική στιγμή αιχμής	02Sep2000, 24:00
Όγκος(MM)	594.53

Απορροή



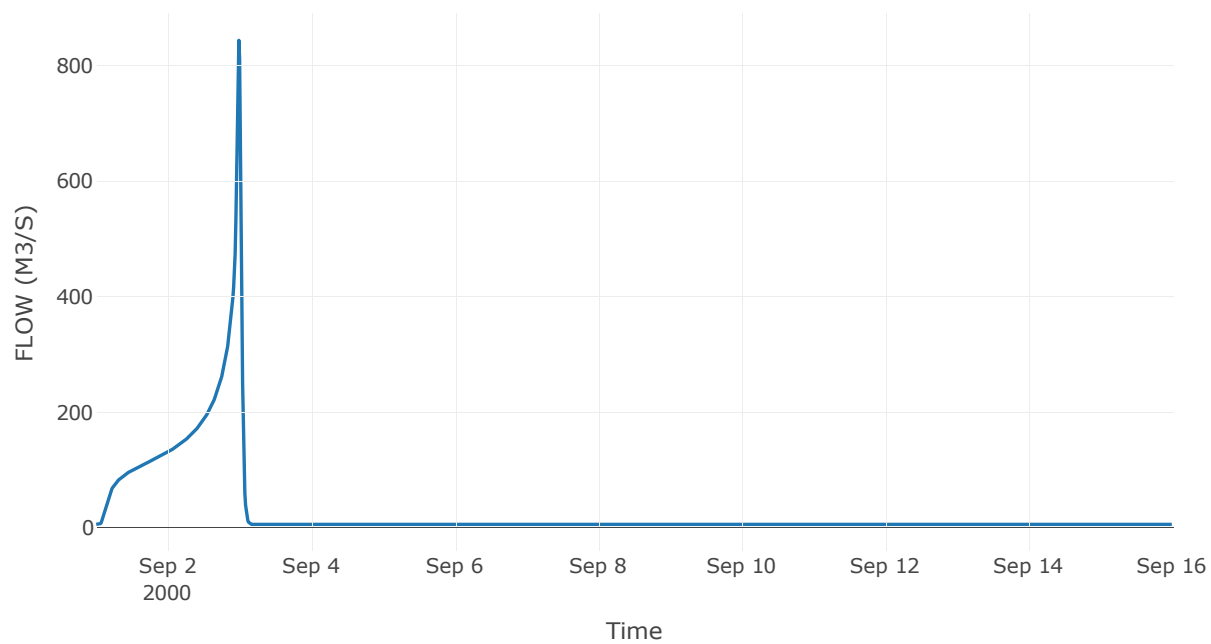
Κόμβος: J27

Κατάντη : R2726

Αποτελέσματα: J27

Παροχή Αιχμής(M3/S)	843.44
Χρονική στιγμή αιχμής	02Sep2000, 23:45
Όγκος(MM)	618.51

Απορροή



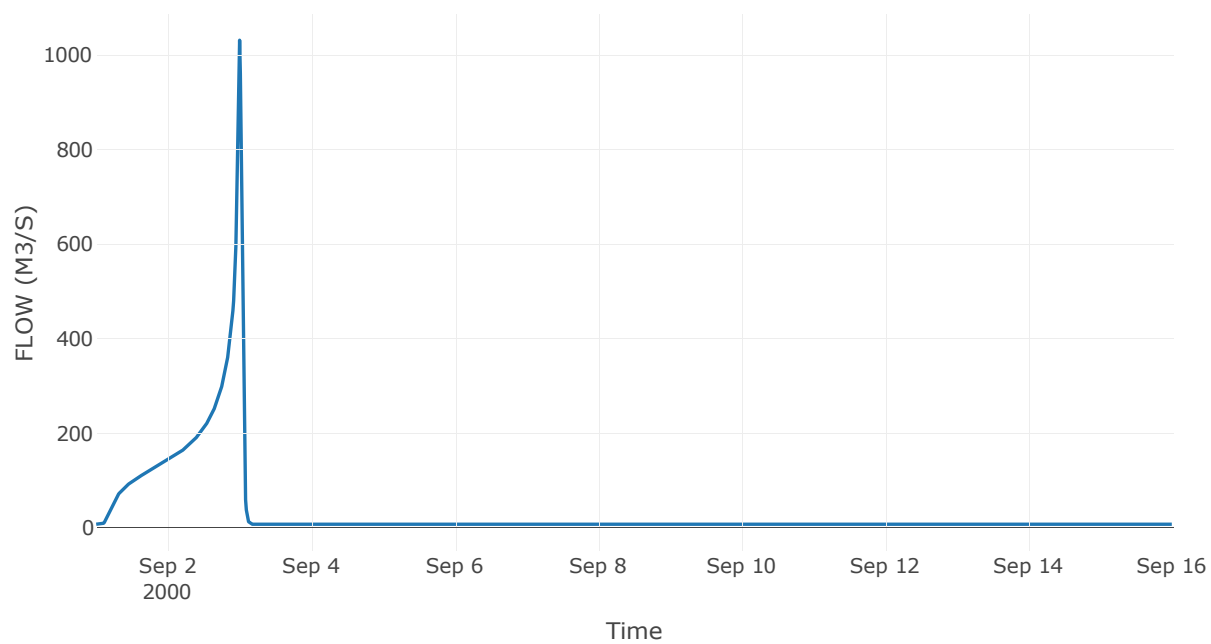
Κόμβος: J28

Κατάντη : R2824

Αποτελέσματα: J28

Παροχή Αιχμής(M3/S)	1030.74
Χρονική στιγμή αιχμής	02Sep2000, 24:00
Όγκος(MM)	544.91

Απορροή



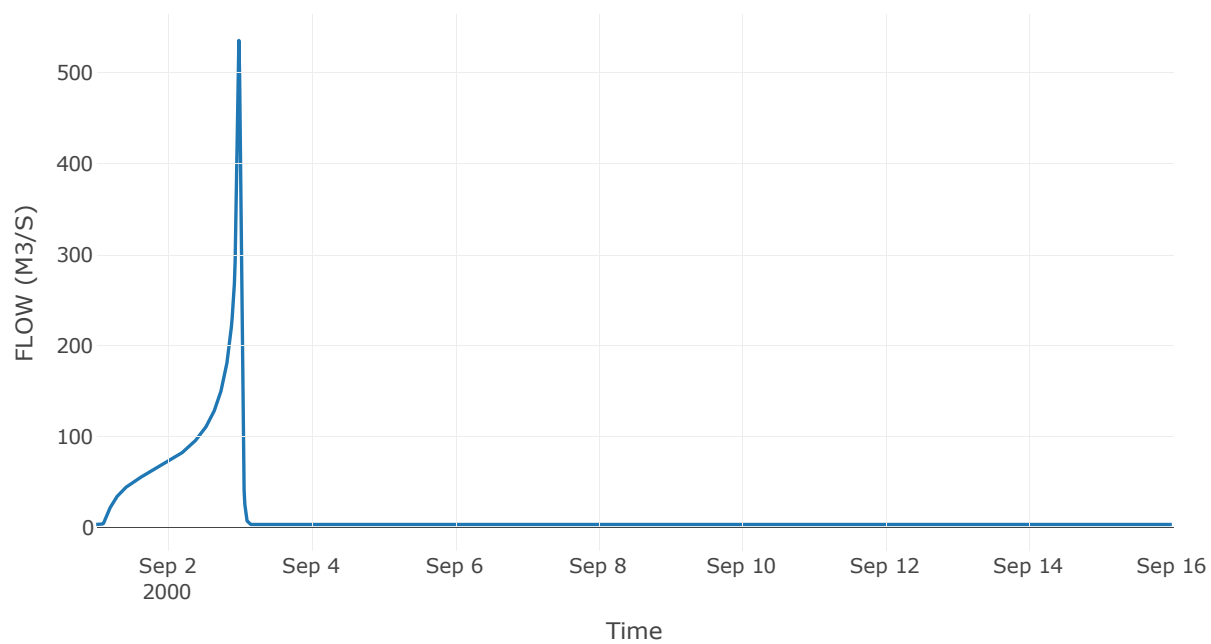
Κόμβος: J29

Κατάντη : R2928

Αποτελέσματα: J29

Παροχή Αιχμής(M3/S)	535.79
Χρονική στιγμή αιχμής	02Sep2000, 23:45
Όγκος(MM)	544.49

Απορροή



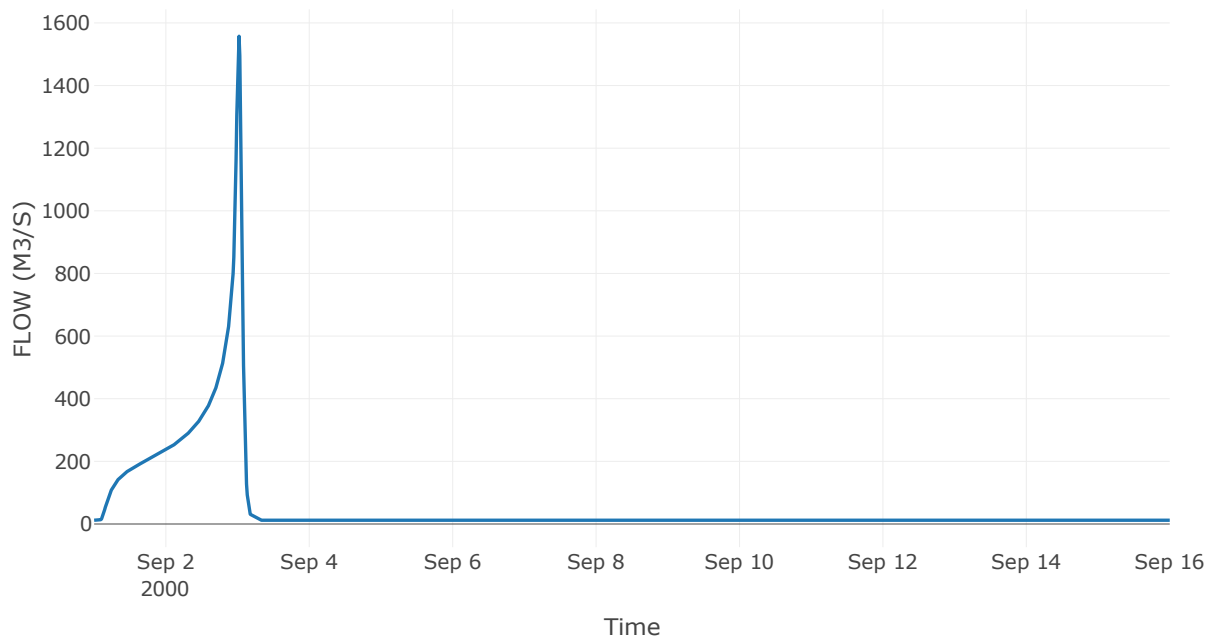
Κόμβος: J30

Κατάντη : R3022

Αποτελέσματα: J30

Παροχή Αιχμής(M3/S)	1557.5
Χρονική στιγμή αιχμής	03Sep2000, 00:30
Όγκος(MM)	605.8

Απορροή



Κόμβος: J31

Κατάντη : R3130

Αποτελέσματα: J31

Παροχή Αιχμής(M3/S)	882.62
Χρονική στιγμή αιχμής	02Sep2000, 23:45
Όγκος(MM)	668.96

Απορροή

